Veröffentlichungen

der

Königlich Bayerischen Meteorologischen Centralstation

Beobachtungen

der

Meteorologischen Stationen

im

Königreich Bayern

im Jahre 1911

MÜNCHEN 1912

In Kommission bei A. Buchholz.

JAHRGANG XXXIII. 1911

28952

Deutsches

Meteorologisches Jahrbuch

für

1911

Bayern

MÜNCHEN 1912
In Kommission bei A. Buchholz.

Wetterdienst Bibliothek

Inhalts-Verzeichnis zum Band XXXIII. Jahrgang 1911.

	Seite
Erklärung der in den Tabellen benützten Zeichen und Abkürzungen	VI
Berichtigungen	VI
Bericht über die Tätigkeit der K. B. Meteorologischen Centralstation und der ihr angeschlossenen Stationen im Jahre 1911	VII—XIII
Tägliche Beobachtungen von 17 Stationen II. Ordnung	1—108
Tagesmittel der Windgeschwindigkeiten in München, Nürnberg F. W. und Kaiserslautern	109—110
Monats- und Jahresresultate	111—131
Übersicht über die wichtigsten Jahresresultate der Stationen II. und III. Ordnung	132—133
Abweichungen der Temperatur und der Niederschlagsmenge des Jahres vom langjährigen Mittel	133—134
Wintertage, Frosttage, Sommertage	135
Datumsgrenzen von Wintertagen, Frosttagen, Sommertagen sowie von Schneefällen	136
Auswertung der Registrierungen vom Hohenpeissenberg	136—159
Auswertung der Registrierungen auf der Zugspitze	160—184
Anhang: 1. Beobachtungen über Gewitter in Bayern während des Jahres 1911 von **E. Alt** und **M. Sperer**	A 1— 7
2. Übersicht über die Witterungsverhältnisse in Bayern im Jahre 1911 von **E. Alt** und **L. Weickmann**	B 1—48
3. Pilotballonvisierungen im Jahre 1911 von **J. Höllerer** und **K. Bux**	C 1—20
4. Münchener Registrierballonfahrten im Jahre 1911 von **A. Schmauss**	D 1—41
(mit einem Anhang 1. Auswertung der in diesem Jahre gefundenen Registrierung vom 2. IV. 1908, 11. XII. 1909, 5. X. 1910; 2. Allgemeine Ergebnisse der Fahrten von 1906—1911)	
5. Messungen mit einem neuen einfachen Verdunstungsmesser von **W. Gallenkamp**	E 1— 4
6. Die tägliche Niederschlagsperiode in München von **W. Gallenkamp**	F 1— 4
7. Der heisse Sommer 1911 nach den Beobachtungen einiger Hochstationen an der Nordseite der Alpen von **A. Huber**	G 1— 8
8. Frostgrenzen und Frosthäufigkeit in Süddeutschland von **E. Alt** (Rechnungsgrundlagen von **B. Schelle**)	H 1— 4
9. Die Gewitter vom 11. Mai 1910, ein Beitrag zum Studium der Böen von **L. Weickmann**	J 1—23
mit einem Anhang: Der Gewitterregen vom Nachmittage des 11. Mai 1910 von **J. Haeuser**, wissenschaftlicher Hilfsarbeiter des K. B. Hydrotechnischen Bureaus	J* 1—8

Erklärung der in den Tabellen benützten Zeichen und Abkürzungen.

▨ = Regen,	≡ = Nebel,	∞ = Dunst,	◐ = Sonnenhof,
✳ = Schnee,	⌴ = Reif,	⌇ = Gewitter,	◑ = Mondring,
✢ = Schneegestöber,	V = Rauhfrost,	≺ = Wetterleuchten,	◡ = Mondhof,
△ = Graupeln,	ᔓ = Glatteis,	⌓ = Nordlicht,	◠ = Regenbogen.
▲ = Hagel,	⌓ = Tau,	⊙ = Sonnenschein,	
≣ = Bodennebel,	⩫ = starker Wind,	⊕ = Sonnenring,	

Abgesehen von den hier aufgeführten Zeichen werden noch folgende Abkürzungen benützt:

n = nachts,	p = nachmittags, abends,	o (als Exponent) = schwach,
mn = Mitternacht,	t = den ganzen Tag,	2 (als Exponent) = stark,
a = morgens, vormittags,	fortges. = fortgesetzt,	i. d. F. = in der Ferne,
m = mittags,	ztw. = zeitweise,	v. = von.

Rücksichtlich der redaktionellen Anordnung der Bemerkungen zu den täglichen Beobachtungen sämtlicher Stationen ist für den vorliegenden Band sowie auch für die übrigen Bände noch folgendes zu erwähnen:

Der meteorologische Tag wird für alle Witterungselemente von 9 Uhr abends des vorangehenden Tages bis 9 Uhr abends des laufenden Datums gerechnet, so zwar, dass z. B. ein Niederschlag, der nach 9 Uhr abends eines bestimmten Datums gefallen ist, unter den Bemerkungen des darauffolgenden Tages aufgeführt wird, da ja dessen Menge auch erst um 7 Uhr morgens des letzteren zur Messung gelangt.

Die Bemerkungen sind, mit dem obenerwähnten Zeitpunkte beginnend, chronologisch geordnet, und zwar ohne Unterscheidungszeichen aneinandergereiht, wenn sie gleichzeitig stattfanden, dagegen durch Kommata voneinander getrennt, wenn sie zeitlich unmittelbar aufeinander folgten, durch Punkte, wenn zwischen zwei nacheinander aufgeführten Erscheinungen entweder kein sachlicher Zusammenhang besteht, oder wenn dieselben zeitlich weit auseinander lagen.

Die Schwere-Korrektionen der Barometerstände sind an den Köpfen der betreffenden Tabellen angegeben. Dieselben sind überall, also sowohl an den Einzelbeobachtungen als an den Monats- und Jahresmitteln angebracht.

Berichtigungen zu Band XXXIII. Jahrgang 1911.

√ Seite 47 Bamberg mittlere Bewölkung um 9 p 6.6, nicht 6.9.
,, 120 Landshut Jahresmittel des R. F. um 2 p 57, nicht 87.
,, 135 Nördlingen im Januar 20 W, 28 F, im Jahr 26 W und 91 F.

Bericht

über die

Tätigkeit der K. Bayerischen Meteorologischen Centralstation

im Jahre 1911.

Die Redaktion des vorliegenden Jahrbuches erfolgte genau entsprechend den in der Einleitung zum Jahrgang 1901 dargelegten Grundsätzen, worauf hier verwiesen werden möge.

Alle Luftdruckangaben sind nicht bloss auf Nullgrad, sondern auch bereits auf Normalschwere reduziert. Der Betrag der Schwerekorrektion findet sich in der Zusammenstellung der Monats- und Jahresresultate am Kopfe jeder Station angegeben, an der Luftdruckbeobachtungen angestellt worden sind.

Die Berechnung der mittleren Temperatur eines Tages erfolgte nach der Formel $\frac{1}{4}$ ($7_a + 2_p + 2 \times 9_P$). Die übrigen Mittelwertsbildungen sind arithmetische Mittel.

Interpolierte Werte sind stets kursiv gedruckt.

Bei der Redaktion der Zugspitzbeobachtungen war es immer als ein Misstand empfunden worden, dass in den „Bemerkungen" nur ein knapp bemessener Raum zur Verfügung stand. Zahlreiche Ziffernverweise konnten die Schwierigkeit nicht beseitigen und verminderten die Übersichtlichkeit. Es wurde daher von diesem Jahre ab den speziellen Beobachtungen unseres Hochobservatoriums je eine halbe Seite eingeräumt, so dass dieselben direkt unter die Terminbeobachtungen des betr. Monats zu stehen kommen.

Da ohne Veränderung des übrigen Extenso-Materiales jeweils sich eine halbe leere Seite ergeben hätte, wurden die Terminbeobachtungen von Traunstein aufgenommen, so dass nunmehr auch der Süden Bayerns in der Extensopublikation gut vertreten sein dürfte.

Für die Beobachtung der Schneehöhen ist ein eigenes Netz errichtet, das ab 1. Januar 1906 in den Geschäftsbereich des K. B. Hydrotechnischen Bureaus übernommen worden ist. Von diesem erhält die Centralstation leihweise die Meldekarten. Während des Winters wird wie bisher bei Vorhandensein einer ausgedehnteren Schneedecke wöchentlich für je einen Tag (Samstag) eine Karte der „Schneehöhen im Königreich Bayern" mit beschreibendem Text und tabellarischer Übersicht als Beilage zum Wetterbericht der K. B. Meteorologischen Centralstation veröffentlicht. Die Bearbeitung der Schneestatistik dagegen erfolgt am K. B. Hydrotechnischen Bureau.

In der Untersuchung der Gewitter ist in diesem Jahre eine wesentliche Änderung eingetreten, indem nur mehr das bayerische Material zur statistischen Bearbeitung gelangte. Über die Gründe, welche zum Verlassen des bisherigen Modus geführt haben, wolle auf Seite A 2 nachgelesen werden.

Die monatliche Witterungsübersicht wurde lange vor dem Jahrbuch gedruckt, daher war es nicht zu vermeiden, dass in den Zahlenangaben der Monatsübersicht und des eigentlichen Jahrbuches einzelne Unstimmigkeiten bestehen: Fehler im Tabellenmaterial, die sich erst später ermitteln liessen. Für Zahlenangaben ist daher stets das ausführliche Material des Jahrbuches massgebend.

Aus den Monatsübersichten wurden die Abweichungen der Temperaturen und des Niederschlages von den langjährigen Mitteln ausgezogen und auf Seite 133/134 wiedergegeben. Es sollte damit eine möglichst kurze, tabellarische Charakterisierung des ganzen Jahres ermöglicht werden.

Der heisse Sommer 1911 machte auf Seite 135 die Aufnahme von „Tropentagen" notwendig.

Der direkte Verkehr mit der österreichischen Station Salzburg sowie die allmonatlichen Mitteilungen der Temperatur- und Niederschlagsverhältnisse von Hessen, Württemberg, Baden und Elsass durch die bezüglichen Centralstellen in Darmstadt, Stuttgart, Karlsruhe und Strassburg zur Ergänzung und Erweiterung der Isothermen- und Isohyeten-Karten in unseren Monatsübersichten sind erhalten geblieben.

Das Beobachtungsmaterial lief ein von 38 Stationen II. Ordnung und 5 Stationen III. Ordnung. Dasselbe ist für 17 Stationen II. Ordnung in voller Ausführlichkeit und genau dem internationalen Schema entsprechend zum Abdruck gelangt, von 36 Stationen II. Ordnung sowie von 5 Stationen III. Ordnung sind die Monats- und Jahresresultate der beobachteten Elemente mitgeteilt. (Neu: Ettal (Benediktinerabtei) bezw. Weihenstephan.)

Vom Hirschberg sowie vom Wendelstein können aus den Gründen, welche bereits in den Vorworten der Vorjahre erwähnt sind, keine Beobachtungen mitgeteilt werden.

Ferner erhielt die Meteorologische Centralstation die Beobachtungen der Stationen Planegg und Nürnberg-Feuerwache, welche im Archive der Anstalt niedergelegt sind.

Die Windregistrierungen von Nürnberg-Feuerwache sind im Jahrbuche an die Stelle der Aufzeichnungen von Weissenburg i. B. getreten. Für die Verwendung ist aber darauf aufmerksam zu machen, dass Nürnberg F. W. die Tageswerte aus 7^a bis 7^a ermittelt, nicht aus 9^p bis 9^p.

Bei der Monats- und Jahreszusammenstellung von Nürnberg wurden wie im Vorjahre die Windbeobachtungen nach der städtischen Wetterwarte eingesetzt, deren Vorstand, Herr Professor Rudel, hiezu seine Zustimmung gab. Auch sonst wurden die Ergebnisse der letzteren Station fleissig zu Rate gezogen, da an unserer Station im Waisenhaus manche Beobachtungen erschwert sind. Für die Förderung der meteorologischen Bestrebungen in Bayerns zweitgrösster Stadt gebührt Herrn Professor Rudel aufrichtiger Dank.

Beim Personale der Stationen sind folgende Veränderungen eingetreten:

Auf dem Hohenpeissenberg beobachtet seit 1. Oktober Lehrer H. Jung allein, da der Pfarrer K. Pirngruber nach Neustift bei Freising versetzt wurde und ein Nachfolger bisher noch nicht ernannt wurde.

In Tegernsee wurden vom Ende Dezember ab die Beobachtungen an den Gemeindesekretär Biebl übertragen, da der hochbetagte bisherige Beobachter A. Bauer seinen Verpflichtungen nicht mehr nachkommen konnte.

In Ettal (Benediktinerabtei) gingen am 1. Dezember mit dem Ausscheiden des P. Hilarius Lucas, die Beobachtungen über auf den Gärtner Hochenleitner.

An der Hochstation Zugspitze war bis 31. August A. Bauer als Beobachter tätig. Am 1. September übernahm der gepr. Lehramtskandidat und Assistent der Meteorologischen Centralstation J. Höllerer den schwierigen Posten.

Mit Dank darf des Beobachters in Augsburg, des P. Ferdinand Eichinger, gedacht werden, der am 1. September auf eine fünfundzwanzigjährige Tätigkeit im meteorologischen Dienste zurückblicken konnte. Möge er noch recht lange unserem Institute treu bleiben.

Das Personal der Centralstation bestand im Jahre 1911 aus den Herren: Direktor: Dr. A. Schmauss (Privatdozent an der Universität); Kustos: Dr. E. Alt; stellvertretender Kustos: Dr. L. Weickmann; Sekretäre: K. Brunner, L. Gsell; Assistenten: M. Sperer, A. Huber, B. Schelle, J. Höllerer (bis 1. Sept.), K. Bux (ab 1. Juni); Kanzlei- und Registraturassistent: G. Bader; Diener: G. Götz.

Für den Telephondienst sowie für die Herstellung der Wetterkarte war eine Hilfskraft eingestellt.

Als Volontärpraktikant war bis zum April der k. k. österreichische Oberleutnant a. D. M. Mayrhofer verwendet.

Vom 20. April bis Ende des Sommersemesters arbeitete der Privatdozent aus Odessa Dr. W. Obolensky in der Bibliothek des Institutes.

Assistent K. Brunner wurde am 1. März, Assistent L. Gsell am 1. Mai zum Sekretär der Anstalt befördert.

Im Dezember promovierte der stellvertretende Kustos L. Weickmann an der Universität München mit einer Arbeit: Beiträge zur Theorie der Flächen mit einer Schar von Minimalgeraden.

Im Archiv der K. B. Meteorologischen Centralstation sind folgende Registrierungen vom Jahre 1911 vorhanden:

Meteorol. Station	Höhe	Sonnenschein	Barometer	Thermometer	Hygrometer	Anemometer	Bemerkungen
Kaiserslautern . . .	242.2	1	1	1	1	1	Hygrometer-Registrierung vom 1. XI. ab.
München-C.St. . . .	526.4	1	2			1	Instrumente an der Meteorologischen Centralstation.
München-F.V.A. .			1	1	1		Instrumente im Garten der Forstl. Versuchsanstalt.
Zugspitze	2964	1	1	1	1	1	
Ludwigshafen a. Rh. .	100.3	1	1	1	1		Barometer-Registrierung vom 25.—31. XII. Thermometer-Registrierung vom 25.—31. XII. Hygrometer-Registrierung vom 5.—12. VI., 12.—19. VI., 19.—26. VI., 25. X.—2. XI., 11.—18. XII., 25.—31. XII. fehlen.
Alexandersbad . . .	590	1	1	1	1		
Partenkirchen . . .	714.6	1	1	1	1		Barometer-Registrierung vom 26. X.—11. XI. fehlt.
Mittenwald	910	1	1	1	1		
Hohenpeissenberg .	993.9		1	1	1	1	Anemometer-Registrierung vom 1. VI. ab.
Luitpoldheim . . .	250	1		1	1		
Bamberg	287.7	1	1	1			
Planegg		1		1	1		Hygrometer-Registrierung vom 27. II.—6. III. fehlt.
Bad Reichenhall . .	477	1	1				
Traunstein . . .	597	1	1				
Buchenau . . .	750	1		1			Thermometer-Registrierung vom 6.—13. II. fehlt.
Berchtesgaden . . .	600	1					
Oberstdorf . . .	811.4	1					

Von Neuaufstellungen sind zu erwähnen: Die Station auf dem Hohenpeissenberg erhielt ein Fuess'sches registrierendes Schalenkreuzanemometer, das auf der Plattform des Pfarrhauses eine gute freie Aufstellung fand. Ferner wurde neben dem bisherigen Regenmesser ein zweiter aufgestellt, der einen Nipherschen Trichterschutz erhielt. Der Beobachter erklärte sich bereit, an beiden Apparaten Messungen zu machen, so dass sich in einiger Zeit ein Urteil über die Wirksamkeit des Schutzes wird gewinnen lassen.

Verlegt wurde am 9. Dezember die Station in Ingolstadt, da die fortwährende Vergrösserung des Bahnverkehrs ungünstig auf die bisherige Aufstellung einwirken musste. Da sich zudem der Beobachter bereit erklärte, die

Temperatur dreimal täglich abzulesen, musste die Station nach der Privatwohnung des Beobachters verlegt werden (siehe Stationsbeschreibung).

An neuen Stationen erscheinen Ettal, woselbst auf Wunsch der dortigen Benediktinerabtei eine Station errichtet wurde (siehe Stationsbeschreibung), und Weihenstephan, das an der alten Aufstellung die Beobachtungen fortsetzte (die früheren Beobachtungen waren wegen mancher Mängel nicht mehr veröffentlicht worden).

Übersichtstabelle über sämtliche Stationen

nach der Polhöhe geordnet.

(Stand vom 31. Dezember 1911.)

A. Stationen II. Ordnung.

Station	See-höhe	Geograph. Breite		Länge östlich von Greenwich				Beobachter	Lokal
	m	°	′	°	′	m	s		
Hof	476.1	50	19	11	55	47	40	J. Schramm, Buchhalter.	Gasanstalt.
Bad Kissingen	209.2	50	12	10	5	40	20	O. Volk, K. Reallehrer.	K. Realschule.
Kahl a. M.	114.1	50	4	9	1	36	4	A. Schilling, Hauptlehrer.	Schulhaus.
Luitpoldheim	250	50	1	9	34	38	16	Dr. O. Pischinger, prakt. Arzt.	Sanatorium.
Alexandersbad	590	50	1	12	1	48	4	H. Schlötterer, Badverwalter.	Kuranstalt.
Bayreuth	363.3	49	57	11	34	46	16	Dr. Gustav Wagner, Oberarzt.	K. Kreisirrenanstalt.
Bamberg	287.7	49	53	10	53	43	32	Dr. E. Hartwig, Direktor. Frl. E. Hartwig u. Dr. E. Zinner.	Remeis-Sternwarte.
Würzburg	179.3	49	48	9	56	39	44	C. Marstaller, K. Hausmeister.	Physik. Institut der K. Universität.
Ludwigshafen a. Rh.	100.3	49	29	8	26	33	44	M. Beinzer, K. Reallehrer.	K. Realschule.
Nürnberg-W.-H.	309.1	49	27	11	3	44	12	R. Meisinger, Oberschwester.	Städtisches Waisenhaus.
Kaiserslautern	242.2	49	27	7	46	31	4	K. Tillmann, K. Professor.	K. Kreisrealschule.
Ansbach	437.5	49	18	10	33	42	12	Dr. A. Herfeldt, K. Direktor.	K. Kreisirrenanstalt.
Landau i. Pf.	149.9	49	12	8	7	32	28	K. Hensler, K. Ökonomierat.	K. Landwirtschaftliche Winterschule.
Weissenburg i. B.	431	49	2	10	58	43	52	A. Böckler, K. Reallehrer.	K. Realschule.
Buchenau	750	49	2	13	20	53	20	J. Membarth, Hüttenleiter.	Auf dem Landgute des H. v. Poschinger.
Regensburg	342.6	49	1	12	7	48	28	Dr. Renner, K. Stabsarzt.	K. Garnisonslazarett.
Metten	320	48	51	12	55	51	40	P. Ruppert Hauth, O. S. B., K. Konrektor.	Benediktinerstift.
Nördlingen	435.6	48	51	10	30	42	0	Dr. E. Frickhinger, Apotheker.	Einhornapotheke.
Karlshuld	382.0	48	40	11	18	45	12	Die Oberin der Armen Schulschwestern.	Kloster der Armen Schulschwestern.
Passau	309.3	48	34	13	28	53	52	Dr. H. Putz, K. Lyzealprofessor u. Prorektor.	K. Lyzeum.
Landshut	397.7	48	32	12	10	48	40	Dr. H. Willemer, städt. Chemiker.	Privathaus des Beobachters.
Augsburg	499.6	48	22	10	54	43	36	P. Ferd. Eichinger, O. S. B., K. Professor.	Benediktinerstift „St. Stephan“.
Burghausen	365	48	10	12	50	51	20	P. Gerard Stegmiller, O. Cap., K. Lektor.	Kloster der Kapuziner.
München-C.-St.	526.4	48	9	11	34	46	16	G. Götz, K. Bote u. Diener.	K. Met. Centralstation, gemiet. Lokal.
Ottobeuren	660.0	47	56	10	18	41	12	C. Raith, K. Präparandenlehrer a. D.	Wohnung des Beobachters.
Traunstein	597	47	52	12	39	50	36	L. Blumschein, K. Professor.	K. Realschule.
Hohenpeissenberg	993.9	47	48	11	1	44	4	H. Jung, Lehrer.	Pfarrhaus.
Bad Reichenhall	477	47	43	12	53	51	32	A. Bauer, Hauptlehrer.	Privathaus des Beobachters.
Tegernsee	742	47	43	11	45	47	0	L. Biebl, Gemeindesekretär.	Rathaus.
Wendelstein	1727	47	42	12	1	48	4	P. Müller, Pächter.	Touristenhaus
Hirschberg	1512	47	40	11	42	46	48	B. Riedmann, Pächter.	Touristenhaus.
Berchtesgaden	600	47	38	13	0	52	0	Schwester Willehada.	K. Distriktskrankenhaus.
Ettal (Benediktinerabtei)	879.5	47	34	11	5	44	20	A. Hochenleitner, Gärtner.	Benediktinerabtei.
Lindau i. B. (Reutin)	401.7	47	33	9	41	38	44	J. Westermayr, K. Zolloberkontrolleur.	Zollneubauten (Wohngebäude).
Partenkirchen	714.6	47	30	11	6	44	24	M. Beckert, K. B. Hofphotogr. u. Magistratsrat	Privathaus des Beobachters.
Mittenwald	910	47	27	11	16	45	4	G. Tiefenbrunner, H. Nass. Hof-Instrumentenmacher.	Privathaus des Beobachters.
Zugspitze	2964	47	25	10	59	43	56	J. Höllerer.	Observatorium.
Oberstdorf	811.4	47	24	10	17	41	8	A. Aubele, Oberin.	Neues Schulhaus.

B. Stationen III. Ordnung.

Station	See-höhe	Geograph. Breite		Länge östlich von Greenwich				Beobachter	Lokal
	m	°	′	°	′	m	s		
Amberg (M.-H.-B.)	519	49	27	11	52	47	28	Das Priorat.	Franziskanerkloster.
Cham	386	49	13	12	40	50	40	Dr. P. Ketterl, prakt. u. Bahnarzt.	K. Distriktskrankenhaus.
Ingolstadt	368	48	45	11	26	45	44	N. Martin, K. Eisenbahnsekretär.	Privathaus des Beobachters.
Eggenfelden	417	48	24	12	46	51	4	Das Guardianat.	Franziskanerkloster.
Weihenstephan	497	48	24	11	44	46	55	K. Leitner, K. Kanzleiassistent.	K. Akademie für Landwirtschaft und Brauerei.

Den Herren Beobachtern, welche das Material für dieses Jahr lieferten, danke ich für ihren bewährten Eifer. Als kleines Zeichen ihrer Dankbarkeit hat die Centralstation den Beobachtern die Monats- und Jahreszusammenstellungen als Separatabzug übersandt.

Desgleichen danke ich den Herren der Centralstation, welche an der Aufarbeitung des Materials beteiligt waren.

Die verantwortungsvolle Aufgabe der Lesung der Korrekturbogen lag in den Händen des Sekretärs Brunner und des Dieners Götz.

Die Dienstreisen galten in der Hauptsache dem Besuche von Stationen und verteilten sich auf die einzelnen Beamten in folgender Weise:

Schmauss: Ettal (21. und 24. März), Karlshuld und Ingolstadt (19. und 20. April), Eggenfelden, Passau, Buchenau, Metten, Landshut (24.—27. April), Cham und Amberg (6. und 7. Mai), Weihenstephan (12. Mai), Zugspitze (8.– 10. Juni sowie 21.—23. Oktober);

Alt: Planegg (6. März), Veitshöchheim (Station der dortigen Wein-, Obst- und Gartenbauschule) und Segnitz (31. März und 1. April), Hohenpeissenberg (26. und 27. Mai), Lindau (25. und 26. August), Landsberg a. Lech (23. September), Hohenpeissenberg (11. und 12. Oktober), Tegernsee (20. Oktober), Ingolstadt (14. November), Landau i. Pf. (28. November), Ingolstadt (9. Dezember), Tegernsee (16. Dez.);

Weickmann: Tegernsee und Hirschberg (1. und 2. März);

Brunner: Planegg (16. März);

Gsell: Hirschberg (25. und 26. November).

Damit sind alle unsere Stationen in den letzten drei Jahren besucht worden.

Ausserdem nahm der Direktor an der Konferenz des Reichswetterdienstes in Berlin (6. Januar) sowie an der Sitzung der wissenschaftlichen Kommission des Deutschen Luftfahrerverbandes (7. Januar) teil. Am 29. Januar war ein Besuch des Hüttenpächters Bierprigl in Partenkirchen notwendig, um eine Differenz mit dem Zugspitzbeobachter zu beheben.

Am 11. Februar und am 28. März beteiligte sich der Berichterstatter an wissenschaftlichen Ballonfahrten des Münchener Vereins für Luftschiffahrt, welche die Messung der Füllungstemperatur zur Aufgabe hatten.

Durch die Spende Sr. K. Hoheit des Prinzregenten waren dem bayerischen Verein zur Bekämpfung der Tuberkulose die Mittel bereitgestellt worden, um ein Sanatorium für lungenkranke Kinder erbauen zu können. Der Berichterstatter erhielt den Auftrag, die in Aussicht genommenen Plätze in Scheidegg (18. Juni) und Weizen-Hopferau (24. Juni) zu besuchen und meteorologisch zu bewerten.

Am 19. Juni fand in Friedrichshafen am Bodensee die Sitzung des Kuratoriums der Drachenstation statt.

Schliesslich ist noch zu erwähnen, dass Assistent Huber, einer der Beobachter auf der Zugspitze, am 26. Februar namens der Meteorologischen Centralstation an der Bahre des um die Hochstation sehr verdienten Hüttenpächters Bierprigl einen Kranz niederlegte und an der Beerdigung desselben teilnahm. Das Institut wird dem Verstorbenen ein dankbares Andenken bewahren.

Aus der Chronik der Centralstation sei hervorgehoben:

Der gemeinsam mit dem K. Hydrotechnischen Bureau eingerichtete Hochwasserwarnungsdienst wurde auch in diesem Jahre fortgeführt. Glücklicherweise blieb unser Land von gefährlichen Fluten verschont. Wir erachteten es als unsere Pflicht, in den Fällen, wo die Lage gefahrdrohend schien, beruhigend zu wirken durch Zusätze an die Wetterprognose wie: Grösseres Hochwasser nicht zu befürchten, da die Presse erfahrungsgemäss manchmal mit ihren Schilderungen übertreibt.

Einer dankenswerten Unterstützung durch das K. Hydrotechnische Bureau sei gedacht: Herr Ministerialrat Hensel genehmigte, dass von seinem Institute die Niederschlagsverhältnisse des 11. Mai 1910 untersucht wurden. Die Studie des wissenschaftlichen Hilfsarbeiters J. Haeuser durfte direkt der Arbeit Weickmanns angefügt werden, wodurch eine vollständige Bearbeitung des interessanten »Ostgewitters« ermöglicht worden ist.

Der Wetterdienst erfuhr nochmals eine Beschleunigung, indem vom 1. Januar 1911 ab die Wetterkarte schon um 11^{10} in die Druckerei gebracht wurde, damit die zwischen 12^{20} und 12^{50} nach Nordbayern auslaufenden Züge noch erreicht werden können. Die grösstmögliche Geschwindigkeit der Ausgabe ist damit erreicht, leider musste sie erkauft werden durch häufigen Verzicht auf die französischen Nachrichten, die seit dem Übergange Frankreichs zur Greenwich-Zeit noch später einlaufen als früher.

In die Wetterkarte wurden ab 1. Oktober die Extremtemperaturen der bayerischen Stationen aufgenommen, für welche das Publikum ein grosses Interesse an den Tag legt. Ferner gelang es durch gütiges Entgegenkommen der k. k. Centralanstalt für Meteorologie und Geodynamik in Wien ab 1. November eine Reihe von Stationen des Balkans in die Wiener Depesche aufzunehmen, an Stelle der für uns entbehrlichen italienischen Meldungen, die uns via Hamburg bzw. direkt zugehen.

Die Pilotvisierungen wurden für die Zwecke des Wetterdienstes fortgeführt, für die Auswertung wurde ein Apparat von M. Sendtner-München nach den Angaben des Assistenten J. Höllerer beschafft.

Eine sehr wichtige Frage wurde durch ein Schreiben des K. Reichsamtes des Innern in Berlin an das K. B. Staatsministerium des Äussern aufgerollt: die Ausdehnung des von Herrn Geheimrat Assmann für Norddeutschland ins Leben gerufenen Warnungsdienstes für Luftfahrer auf Bayern.

Nach reiflicher Überlegung, der auch persönliche Erfahrungen anlässlich der Fahrten der Parsevalgesellschaft zugrunde liegen, kam ich dazu, bis auf weiteres diesen Bestrebungen entgegentreten zu müssen. Es scheint mir verfrüht, ehe die allgemeine Wetterprognose bessere Erfolge zu verzeichnen hat, eine solch weitausschauende Aufgabe anzugreifen. In dem kleinen Kreise des Kuratoriums der Drachenstation in Friedrichshafen habe ich in der Sitzung vom 19. Juni meine prinzipiellen Bedenken näher dargelegt.

Einer Einladung des Alpinen Museums in München entsprechend fertigte Kustos Dr. Alt für dasselbe zwei grosse Tafeln, deren eine den jährlichen Temperaturverlauf in verschiedenen Seehöhen zur Darstellung brachte, während auf der anderen ein Fall starker winterlicher Temperaturumkehr der normalen Temperaturabnahme gegenübergestellt wurde.

Sehr ehrenvoll für das Institut war die Aufforderung des Bayerischen Landesvereins zur Bekämpfung der Tuberkulose, bei der Auswahl des Platzes für ein Sanatorium für lungenkranke Kinder mitzuhelfen. Insbesondere war die Frage aufgeworfen, ob man dasselbe in die Ebene oder in das unmittelbare Alpenvorland stellen solle. Wir führten aus, dass zwar mit der Annäherung an das Gebirge manche Nachteile verbunden seien, dass sie aber durch reine Luft, gute Ventilation durch Berg- und Talwind, herrliche Aussicht bei Föhnlage usw. weit aufgewogen würden.

Vom 2. bis 4. Oktober tagte in München die XII. allgemeine Versammlung der Deutschen Meteorologischen Gesellschaft. Ein Bericht hierüber wurde von Professor Kassner in der Meteorologischen Zeitschrift 1911 Seite 555 gegeben. Es gereicht unserem Institute zur grossen Ehre, dass die Vorbereitungen des Münchener Zweigvereins bzw. der Meteorologischen Centralstation allseitige Anerkennung fanden. Mit besonderer Freude sei hervorgehoben, dass auch mehrere unserer Beobachter an der Festsitzung teilnahmen.

Für die Tagung der Gesellschaft hatte Ihre K. Hoheit Prinzessin Therese von Bayern den Ehrenvorsitz übernommen. Ihre K. Hoheit äusserte im Anschluss daran den Wunsch, die Meteorologische Centralstation kennen zu lernen und führte am 30. November den Besuch aus. Dass es für das Institut gerade keine freudvolle Aufgabe war, die gänzlich unzulänglichen Räume Ihrer K. Hoheit zu zeigen, die sich gerne über die Aufgaben und Einrichtungen eines meteorologischen Institutes informiert hätte, braucht wohl nicht hervorgehoben zu werden. Zum Trost konnte wenigstens auf die Worte des Herrn Ministerialdirektors von Pracher, des Referenten der Meteorologischen Centralstation im K. Staatsministerium für Kirchen- und Schulangelegenheiten, hingewiesen werden, der in seiner Begrüssungsansprache bei der Festsitzung der Gesellschaft den festen Willen der K. Staatsregierung zum Ausdruck brachte, baldmöglichst der Meteorologischen Centralstation bessere Arbeitsbedingungen zu verschaffen.

Der Neubau der technischen Hochschule wurde in diesem Jahre unter Dach gebracht; damit ist unser Institut auch im Norden völlig eingebaut. Ein hoher Turm ist noch im Entstehen; schon heute vereitelt das dafür errichtete Gerüst manche Pilotballonvisierung, desgleichen ein hoher Schlot, die beide nordöstlich von uns liegen, also gerade bei der hauptsächlichen Windrichtung störend wirken müssen. Mit Ausnahme des Luftdruckes kann nunmehr kein meteorologisches Element an der Centralstation einwandfrei beobachtet werden.

Die schon im Vorjahre erwähnte Teilnahme des Kustos Dr. Alt an den Vorarbeiten der Transatlantischen Flugexpedition wurde fortgesetzt. Dr. Alt darf als der wissenschaftliche Leiter des Unternehmens betrachtet werden, für welches er insbesondere auf dem Gebiete der astronomischen Ortsbestimmung wichtige Arbeiten geleistet hat (siehe Deutsche Luftfahrer-Zeitschrift 1912 Heft 6 und 7).

Unsere Bibliothek wurde, soweit es die beschränkten Mittel erlaubten, weiter ergänzt, um allmählich eine gute Fachbibliothek zu erhalten. Von Aussenstehenden wird sie bereits ziemlich häufig benützt, da naturgemäss die K. Hof- und Staatsbibliothek mit ihren Ankäufen nicht soweit in das Detail gehen kann. Eines wertvollen Geschenkes kann dankbar gedacht werden, der Göttinger Nachrichten ab 1894, die uns auf Antrag von der K. Gesellschaft der Wissenschaften in Göttingen überlassen wurden. Damit besitzt unser Institut die für geophysikalische Fragen hochwichtige Publikation.

Aus der Chronik unseres Hochobservatoriums führen wir an:

Das Observatorium auf der Zugspitze erhielt auf unsere Bitte von der Firma Zeiss in Jena zwei prachtvolle Fernrohre zur Verfügung gestellt — ein Prismenfernrohr von 60 cm Objektivdistanz sowie ein Hüttenfernrohr von 1200 mm Brennweite. Hatte sich die Firma schon damit den aufrichtigen Dank der Meteorologischen Centralstation gesichert, so trug sie noch zur wesentlichen Vollendung bei, indem sie dem Ansinnen entsprach, in eines der beigegebenen Okulare ein Mikrometer einzubauen. Damit ist es nunmehr unserem Beobachter möglich gemacht, von seinem Observatorium aus annähernd richtige Schneehöhen des Zugspitzgebietes ermitteln zu können.

Bisher war die Angabe der Schneehöhe eine reine Schätzung, da auf dem Gipfel der Schnee natürlich nicht gleichmässig liegen bleiben kann. Der Beobachter musste sich daher damit begnügen, nach seinem Ermessen die Schneehöhen fortgesetzt zu addieren und so eine »hypothetische« Schneehöhe anzugeben. Nunmehr sind auf dem unterhalb der Zugspitze gelegenen Schneeferner Stangen aufgestellt, an denen der Beobachter bei sichtigem Wetter im Okularmikrometer die Schneehöhe bequem ablesen kann. Wenn dieselbe auch nicht direkt von der Zugspitze genommen ist und daher nicht ganz die auf der Zugspitze bei günstigen Windverhältnissen etwa abgelagerten Schneemassen angibt, sind damit doch wenigstens für das Zugspitzgebiet richtige Werte gewonnen.

Die Stangen, an welchen die Schneehöhenmessung vorgenommen wird, dienen gleichzeitig noch einem anderen Zweck: der Messung der Wanderungsgeschwindigkeit des Ferners. Ich hoffe, dass hierüber Assistent Höllerer, der die Messungen begonnen hat, in einem der nächsten Jahrgänge wird näher berichten können.

Da sich eine vollständige Messung nicht in wenigen Stunden durchführen liess, wurde dem Beobachter gestattet, an den (seltenen) Messtagen die 2p-Ablesung der Instrumente ausfallen zu lassen und die Werte der gutversorgten Registrierung zu entnehmen. Solche Werte sind kursiv gedruckt.

Werte der relativen Feuchtigkeit unter 10% sind ein reines Rechenergebnis; wir haben es daher für richtig gehalten, solche abnorm niedrige Werte durch < 10 hervorzuheben (ab 1. September) und mit 10 in Rechnung zu stellen. Der Einfluss auf das Mittel ist gering.

Die drahtlose Telegraphie auf der Zugspitze konnte im Berichtsjahre gefördert, wenn auch noch nicht vollständig funktionsfähig gemacht werden. Zunächst wurde das ganze Motoraggregat, das von der Gesellschaft Telefunken in Berlin bezogen worden war, in der K. Hauptwerkstätte Neuaubing durchgeprüft. Dem Vorstande derselben, Herrn Regierungsrat Wagner, und seinen Beamten sind wir zu grossem Danke verpflichtet, dass sie nicht bloss die

Probemontierung dort gestatteten, wobei der in Aussicht genommene Beobachter Höllerer sofort einen ganzen Unterricht erhielt, sondern auch wesentliche Verbesserungen anbrachten, welche den speziellen Verhältnissen auf der Zugspitze Rechnung trugen. Auch der elektrische Teil der Apparatur wurde in Neuaubing aufgestellt. Dr. Dieckmann, der Vorstand der drahtlosen Versuchsstation in Gräfelfing bei München, dessen Hilfe uns von den allerersten Anfängen an zu Gebot stand, probte die Anordnung durch; es gelang, mit einer fahrbaren Antenne der K. B. Militärfunkenabteilung sowohl nach München wie nach Gräfelfing zu telegraphieren und von dort Antwort aufzunehmen.

Nachdem inzwischen durch das K. Landbauamt in Weilheim auf der Zugspitze ein eigenes kleines Häuschen erbaut worden war, das den Benzinmotor mit Rücksicht auf die Feuersgefahr vom Observatorium isolieren sollte, wurde die ganze Apparatur, zum Teil mit grossen Schwierigkeiten, nach der Zugspitze transportiert. Zur Montage des Motoraggregates ordnete die K. Hauptwerkstätte Neuaubing den Monteur ab, der schon in Neuaubing die Revision durchgeführt hatte. Die angebrachten Verbesserungen haben sich so bewährt, dass der Motor bei dem während des allerdings nicht sehr strengen Winters 1911/12 durchgeführten Probebetrieb stets ohne Schwierigkeit angelassen werden konnte.

Die Montage der elektrischen Apparatur besorgte Ingenieur Larsen von der Gesellschaft Telefunken unter Mithilfe von Dr. Dieckmann.

Grosse Schwierigkeit bereitete die Antennenfrage. Das Gestein des Nordabsturzes der Zugspitze ist derart brüchig, dass an die Montage einer nach abwärts verspannten Antenne nicht gedacht werden kann. Von der Errichtung einer Schirmantenne wurde einstweilen Abstand genommen, da man die Belastung durch Rauhreifansatz und Winddruck bedenken muss. Zunächst wurden daher lose Drähte von etwa 60 m Länge nach dem bayerischen Schneekar herabgelassen. Da sie nur oben isoliert verspannt waren, unten aber am Fels anlagen, trat vermutlich eine starke Schwächung der Energie ein, so dass man nicht, wie in das Programm genommen worden war, nach Gräfelfing zu telegraphieren imstande war, sondern nur eine am Eibsee aufgestellte temporäre Station erreichen konnte. Dagegen war der Hörempfang gut; am besten wurde derselbe, wenn, wie Dr. Dieckmann fand, nicht die besprochenen Drähte als Antennen benützt wurden, sondern das etwa 3 km lange, in das Höllental hinabführende Blitzkabel. Mit diesem geerdeten Leiter, der annähernd nach Norden orientiert ist, hatte man einen ausgezeichneten Hörempfang von Nauen (vergl. die ähnlichen Erfahrungen von F. Kiebitz in Berlin, Berichte der Deutsch. physik. Gesellschaft 1912).

Somit ist die Angelegenheit nunmehr so weit gediehen, dass der Beobachter drahtlose Telegramme aufnehmen kann, während die Sendestation einstweilen nur nach dem Eibsee reicht. In Fällen, wo das Telephon versagen sollte, kann daher ein drahtloser Notverkehr mit einer Hilfsstation am Eibsee eingeleitet werden. Hiefür sind mit Dr. Dieckmann, der die Meteorologische Centralstation stets tatkräftig unterstützte, Vereinbarungen getroffen worden.

Hoffentlich kann im Jahre 1912 von Verbesserungen berichtet werden.

Messungen der atmosphärischen Polarisation, d. h. der Höhe der neutralen Punkte nach Busch und Jensen, sollten, wenn sich auch manche Schwierigkeiten ergeben, vom Beobachter angestellt werden. Einem Ansuchen auf Überlassung eines Chronometers zur genauen Ermittlung der Sonnenhöhe wurde vom K. Reichsmarineamt bereitwilligst entsprochen.

So häufen sich immer mehr die Aufgaben des Beobachters, der eine vielseitige Tätigkeit zu entfalten hat. Um ihn von allen mechanischen Arbeiten zu entlasten, braucht derselbe vom 1. September 1911 ab nur mehr die Auswertung der Streifen seiner Registrierapparate selbst zu besorgen, während alle Rechnungen an der Centralstation erledigt werden. Auch noch die Auswertung dem Observator abzunehmen, erscheint nicht angängig, weil nur der sich in den Streifen sicher zurechtfinden kann, der über alles informiert ist, was sich etwa mit den Apparaten konnte zugetragen haben.

Beschreibung

der

Neuaufstellung der Instrumente in Ettal und Ingolstadt.

Ettal (Benediktinerabtei).

Höhe des unteren Quecksilberniveaus im Barometer = 879.5 m. Polhöhe = 47° 34′ N. Östl. Länge von Greenwich = 10° 5′.

Die Station befindet sich im Institutsgebäude der Abtei, das gegen Norden ziemlich eingeschlossen an einer unter ca. 25° ansteigenden Bergwiese des Laberberges liegt, gegen Westen durch einen Ausläufer dieses Berges geschützt ist.

Die Thermometer sind in einem Fenstergehäuse auf der Nordseite des Instituts untergebracht (die Hausfront weicht um ca. 6° von der west-östl. Richtung gegen Norden ab). Die Instrumente liegen 8 m über dem Erdboden (ungepflasterte Strasse).

Das Barometer hängt im Westflügel des Instituts in einem breiten nichtgeheizten Gange desselben.

Der Regenmesser steht im Klostergarten, gegen schädliche Beeinflussung geschützt. Die Auffangfläche liegt 1,70 m über dem Erdboden.

Ausser dem Fenstergehäuse hat ein Screen im Klostergarten unter einer von hohen Bäumen gebildeten schattigen Allee Aufstellung gefunden, der aber nur zu gelegentlichen Messungen verwendet wird.

Windbeobachtungen sind wegen der ausgesprochenen Tallage der Station nicht anzustellen.

Die Beobachtungen werden unter der Aufsicht des hochwürdigsten Herrn Abts Willibald Wolfsteiner von dem Präfekten P. Hilarius Lucas, in dessen Verhinderung von dem Gärtner Michael Hochenleitner angestellt.

Ingolstadt.

Meereshöhe = 368 m. Polhöhe = 48° 45′. Östl. Länge von Greenwich = 11° 26′.

Die Station befindet sich im Anwesen des Beobachters, in einem nur wenig bebauten und insbesondere nach Westen völlig offenen ebenen Gelände.

Thermometer und Hygrometer sind in einem Screen untergebracht, der in dem auf der Nordseite des Wohnhauses befindlichen Garten Aufstellung gefunden hat. Der Screen ist durch die benachbarten Gebäude sowie durch einen in ca. ½ m Entfernung angebrachten weissen Blechschirm vor Bestrahlung geschützt. Die Instrumente befinden sich ca. 1,8 m über dem Boden.

Der Regenmesser ist im gleichen Garten untergebracht; die Auffangfläche liegt 1,62 m über dem Boden.

Die Windrichtung und Stärke wird am Tage nach dem Zuge des Rauches freistehender Kamine, abends 9 Uhr an einem in grossem Umkreise freien Platze möglichst genau durch direkte Beobachtung bestimmt.

Die Beobachtungen werden von Herrn Eisenbahnsekretär Nikolaus Martin, in dessen Vertretung von einem seiner Familienangehörigen ausgeführt.

Kahl a/M.

Januar. $\varphi = 50^{\circ}\ 4'$ N. $\lambda = 9^{0}\ 1'$ E $= 36^{m}\ 4^{s}$. H $= 114.1$ m. Cg $= +0.3$ mm. 1911.

Datum	Luftdruck auf 0° u. Normalschwere reduziert 700 mm + 7a	2p	9p	Lufttemperatur C° 7a	2p	9p	Max.	Min.	Absolute Feuchtigkeit mm 7a	2p	9p	Relative Feuchtigkeit Proz. 7a	2p	9p	Richtung und Stärke des Windes 0 bis 12 7a	2p	9p	Bewölkung 0 bis 10 7a	2p	9p	Niederschlag mm 7a	Schneedecke cm 7a	Bemerkungen
1.	59.4	55.3	50.8	0.3	1.7	0.5	2.0	− 0.9	4.7	4.3	4.7	100	84	98	SW 2	SW 2	SW 2	10^{1}	10^{1}	10^{1}*	−	4	6^{01} p an−n ✳
2.	47.2	45.5	47.5	− 1.0	1.2	− 1.4	1.8	− 7.1	4.3	4.4	4.0	100	89	96	C	SW 2	SW 2	9^{0}	10^{0}*	0	2.9	**7**	n ◍. 1^{56} p an ✳
3.	49.9	50.1	51.2	− 1.9	0.0	− 1.4	1.1	− 5.0	3.5	3.7	3.7	88	79	90	C	NE 4	NE 2	10^{1}	9^{0}	8^{0}	0.5	5	
4.	50.4	50.6	50.8	− 0.7	1.4	1.5	1.6	− 2.0	3.9	3.9	4.2	90	76	82	NE 4	NE 4	SE 2	2^{0}	9^{0}	10^{1}	−	5	
5.	51.0	51.3	52.8	0.1	0.7	− 0.5	2.5	− 1.1	4.2	3.9	4.0	90	80	90	SE 2	NE 2	C	10^{1}	10^{1}	10^{1}	0.2	5	n ✳
6.	54.0	55.4	56.7	− 1.1	1.7	0.7	1.8	− 1.9	4.1	4.4	4.2	96	85	87	C	SE 2	SW 2	10^{1}	10^{1}	10^{0}	−	5	
7.	57.9	59.4	62.6	− 3.5	− 0.3	− 5.3	1.9	− 7.0	3.1	3.4	2.7	89	76	90	SW 2	SW 2	SW 2	7^{0}	1^{0}◎	0	−	5	
8.	65.8	66.1	66.8	− 4.3	− 1.7	− 1.8	− 1.5	− 9.2	3.1	3.8	3.8	95	94	94	SW 2	C	SW 2	10^{1}	10^{2}	10^{1}	−	4	
9.	64.6	62.1	58.9	− 0.9	0.7	0.7	0.8	− 2.5	4.3	4.7	4.9	100	96	100	SW 2	C	SW 2	10^{1}	10^{1}	10^{1}	1.3	3	n ◍; a ⊂; t ◍^{0}
10.	57.7	60.8	63.0	0.7	2.0	− 3.4	3.2	− 4.0	4.9	5.1	3.5	100	96	100	C	C	C	10^{1}	1^{0}◎	0	**10.1**	3	
11.	59.2	55.2	49.9	− 4.7	0.6	− 0.7	1.1	− 6.1	3.2	4.5	3.9	100	94	90	C	S 2	SW 2	0	6^{2}	10^{2}	−	3	a V. 9^{00} p ⊃
12.	43.0	**40.8**	41.0	− 1.4	1.4	− 0.2	2.1	− 2.1	3.3	3.9	3.7	80	76	81	W 2	SE 4	SW 4	10^{6}	10^{1}	10^{1}	−	3	
13	46.5	50.5	55.4	− 1.1	0.2	− 6.1	1.2	− 6.6	4.1	3.7	2.7	96	80	95	NW 4	N 2	C	10^{1}	10^{0}	0	1.4	4	n ✳
14.	58.3	59.3	61.4	−11.4	− 3.2	− 9.7	− 2.1	−12.8	1.8	2.9	2.1	97	80	97	C	C	C	0	0⊖	0	−	3	
15.	62.5	62.2	63.1	−13.2	− 3.7	− 8.5	− 3.0	**−14.3**	**1.5**	2.8	2.3	92	82	97	C	C	C	0	0⊖	0	−	3	
16.	64.9	66.1	69.1	−11.6	− 2.3	− 1.5	− 0.9	−12.6	1.7	3.1	3.8	93	79	92	C	C	C	10^{0}	1^{0}◎	10^{2}	−	3	
17.	**71.0**	70.3	70.3	− 2.4	0.4	− 1.7	0.7	− 4.8	3.8	4.4	4.0	100	92	100	C	SW 2	SW 2	10^{1}	10^{1}	10^{0}	−	3	
18	69.3	67.6	67.3	− 0.7	0.6	1.1	1.2	− 2.5	4.4	4.7	5.0	100	98	100	C	SW 2	SW 2	10^{1}	10^{1}	10^{2}	1.0	2	n ◍. a ⊂, bis 7^{35} a ◍^{0}
19	65.8	65.7	66.2	0.8	3.4	0.7	3.5	− 0.5	4.8	5.4	4.9	100	93	100	SW 2	C	C	10^{2}	10^{1}	10^{1}	0.1	2	
20.	65.2	65.0	64.3	0.8	1.6	0.1	2.0	− 0.5	4.8	4.9	4.3	100	94	94	C	NE 2	NW 4	10^{1}	10^{1}	10^{1}	0.1	1	n ◍
21.	62.0	60.0	59.1	− 0.5	0.4	− 0.9	0.8	− 1.8	4.1	4.2	3.8	92	89	88	E 2	S 2	C	10^{1}	10^{1}	10^{1}	−	1	
22.	58.7	60.5	62.7	− 2.3	− 2.2	− 2.4	0.0	− 3.1	3.5	3.5	3.3	89	89	87	SW 2	SW 2	C	10^{1}	10^{1}	10^{1}	−	1	
23	64.0	63.8	63.7	− 2.0	0.4	− 1.7	0.7	− 3.2	3.6	3.2	3.5	92	68	86	C	SE 2	C	10^{1}	9^{0}	0	−	1	n ✳^{00}
24.	63.0	62.7	63.3	− 2.1	− 1.6	− 1.9	− 0.7	− 4.0	3.4	3.5	3.6	85	86	90	C	SW 2	C	10^{1}	10^{1}	10^{1}	−	1	
25.	62.5	60.8	60.5	− 0.6	1.7	1.7	2.1	− 2.3	4.1	4.0	4.8	92	77	93	SW 2	SW 4	SW 6	10^{1}	10^{1}	10^{1}	−	1	4^{30}–5^{38} p ✳; 9 p ⟿
26.	59.7	61.3	63.3	2.6	3.6	3.9	4.1	0.8	5.1	5.5	5.7	93	93	95	SW 6	SW 2	SW 4	10^{1}	10^{1}	10^{1}	1.9	1	n ◍; t ztw. ◍^{0}; 7a ⟿
27.	63.5	63.2	63.7	3.4	4.8	3.3	5.4	2.5	5.5	**5.8**	5.5	95	90	95	SW 2	SW 2	SW 2	10^{1}	10^{1}	10^{1}	−	−	
28.	61.9	62.5	63.6	2.5	5.4	3.5	**6.7**	1.6	5.3	5.7	5.6	96	85	95	SW 2	W 2	C	10^{1}	10^{0}	10^{1}	−	−	
29.	62.2	62.0	62.8	1.7	5.2	0.0	5.5	− 1.0	5.2	5.1	3.1	100	77	67	C	NE 4	SW 2	10^{1}	3^{1}	0	−	−	
30.	64.0	64.5	66.4	− 4.0	0.4	− 4.0	0.5	− 4.9	2.1	2.4	2.3	62	**50**	68	NE 4	E 6	E 4	0	1^{0}◎	0	−	−	
31.	68.0	68.4	68.4	− 5.1	− 1.5	− 5.9	− 1.1	− 7.2	2.2	2.1	2.3	71	51	80	NE 4	E 2	E 2	0	0⊖	0	−	−	
Mittel	59.8	59.6	60.2	− 2.1	0.7	− 1.3	1.5	− 4.1	3.8	4.1	3.9	93	83	91				8.0	7.4	6.7	19.5		

Bayreuth.

Januar. $\varphi = 49^{0}\ 57'$ N. $\lambda = 11^{0}\ 34'$ E $= 46^{m}\ 16^{s}$. H $= 363.3$ m. Cg $= +0.3$ mm. 1911.

1	37.0	33.0	28.1	− 1.7	1.2	− 0.6	1.6	− 3.6	3.8	4.0	3.7	94	80	85	SE 2	SW 2	SW 2	10^{2}	10^{1}	10^{2}	−	10	
2.	23.8	23.3	26.2	− 2.5	0.8	− 2.7	0.9	− 3.6	3.7	3.7	3.3	98	75	89	W 2	W 2	E 2	10^{1}	9^{1}	10^{2}	3.5	16	n ✳^{2}
3.	26.7	26.9	27.5	− 3.1	− 2.5	− 2.1	− 2.0	− 5.5	3.1	3.2	3.4	87	83	85	N 4	N 6	NE 4	10^{2}	10^{2}	10^{2}	−	11	
4.	26.8	27.6	27.1	− 1.0	− 0.1	0.9	0.9	− 2.6	3.7	3.6	4.2	86	79	85	NE 4	NE 4	NE 6	10^{0}	10^{2}	10^{2}	−	10	
5.	27.4	27.9	29.6	− 1.1	− 0.8	− 0.7	1.0	− 1.7	3.9	3.8	4.2	92	88	96	NE 4	N 4	C	10^{2}	10^{2}	10^{2}*	−	10	8^{16} p an ✳^{0}
6.	31.0	33.6	35.7	− 1.3	0.7	− 3.5	1.3	− 4.6	4.1	4.1	3.4	98	85	98	W 2	SE 2	E 2	10^{2}	10^{1}	5^{1}	1.4	12	n ✳^{0}
7.	37.1	38.0	40.6	− 6.3	− 5.1	− 7.5	− 3.4	− 7.9	2.7	2.9	2.5	98	93	97	E 2	E 2	E 2	10^{2}	3^{0}◎	10^{0}	−	10	
8.	43.9	44.2	44.8	− 8.9	− 5.1	− 7.7	− 4.8	− 9.8	2.2	2.8	2.5	97	90	100	E 4	E 2	E 4	10^{2}	5^{0}◎	10^{0}	−	10	
9.	43.4	41.0	37.8	− 8.7	− 3.7	− 3.3	− 3.2	−10.3	2.2	3.3	3.5	94	95	98	SE 2	E 4	E 2	10^{2}	10^{2}	10^{2}*	−	10	9 p ✳^{0}
10.	33.0	36.8	39.7	− 1.9	1.4	− 0.5	1.4	− 3.9	4.0	4.4	4.3	100	88	96	E 2	NW 4	W 2	10^{3}*	9^{1}	10^{1}	**6.0**	15	n, a ✳^{1}
11.	37.4	33.0	28.3	− 1.9	0.8	− 5.2	0.9	− 5.5	3.7	4.0	3.0	94	82	98	W 4	S 2	SE 4	10^{2}	7^{1}	0	3.8	15	
12.	21.9	19.1	19.4	− 5.1	− 3.1	− 4.9	− 3.0	− 7.2	2.9	3.1	2.8	93	85	88	SE 2	SE 4	SE 4	10^{2}	10^{0}	5^{0}	−	15	
13.	23.0	26.4	30.5	− 5.0	− 2.1	− 3.3	− 2.0	− 7.0	3.0	3.7	2.9	98	94	82	C	W 2	W 2	10^{2}*	10^{2}	10^{1}	1.6	16	n, a ✳$^{0.1}$
14.	34.9	36.8	38.9	− 6.7	− 6.3	−14.1	− 3.2	−14.4	2.4	2.3	1.4	86	82	92	E 2	N 2	E 2	3^{1}	0⊖	0	1.1	17	
15.	40.4	39.9	40.7	−18.1	− 7.1	−13.0	− 6.9	**−19.0**	**0.9**	1.9	1.5	89	72	92	E 2	E 2	E 2	0	0⊖	0	−	17	
16.	41.5	43.2	45.8	−15.3	− 3.7	− 3.2	− 3.1	−16.4	1.2	2.5	3.2	90	73	89	E 2	E 2	SE 2	10^{1}=	7^{1}	10^{0}	−	17	a ≡^{1}
17.	**47.8**	47.5	46.8	− 7.3	− 1.3	− 1.7	− 1.3	− 7.9	2.6	3.8	3.8	100	90	94	C	NW 2	W 4	10^{2}=	10^{2}	10^{2}	−	17	a ≡^{2}
18.	46.0	44.3	43.6	− 2.5	− 0.4	0.8	1.2	− 3.6	3.7	4.3	4.7	98	96	96	W 2	W 2	W 4	10^{2}	10^{2}●	10^{2}	−	17	p ◍^{0}
19.	41.5	41.8	42.7	1.1	1.7	1.5	1.7	0.2	4.8	5.2	5.1	96	100	100	W 4	W 2	W 2	10^{2}	10^{2}●	10^{2}	0.7	15	t ◍^{0}
20.	42.6	42.5	42.1	0.9	0.4	− 0.3	1.7	− 0.7	4.9	4.6	4.1	100	96	90	W 2	NW 2	N 4	10^{2}=	10^{2}	10^{2}	2.5	13	a ≡^{1}
21.	40.3	38.2	36.9	− 0.9	0.3	− 1.3	0.3	− 2.1	3.7	3.8	3.7	86	81	88	E 2	E 2	E 2	10^{2}	10^{1}	10^{2}	−	11	
22.	34.9	36.7	39.1	− 3.5	− 2.7	− 3.5	− 1.1	− 4.9	3.2	3.3	3.3	91	89	93	SW 2	W 2	NW 2	10^{2}	10^{2}	10^{2}	−	11	
23.	41.7	41.5	41.7	− 1.5	0.1	− 6.9	0.2	− 7.1	3.3	3.0	2.3	80	65	86	NE 2	E 2	E 4	10^{2}	0⊖	0	−	11	
24.	40.6	39.6	40.6	−11.9	− 2.9	− 3.9	− 2.9	−12.8	1.6	2.6	2.6	89	72	77	E 2	SW 2	W 4	0	10^{1}	10^{2}	−	11	
25.	40.3	38.4	37.6	− 3.0	− 0.4	− 0.6	− 0.4	− 4.6	3.3	3.6	4.2	91	81	96	S 2	W 2	W 2	10^{2}	10^{2}	10^{2}*	−	11	p ✳$^{0.1}$
26.	36.4	37.8	40.0	1.2	1.9	2.1	2.1	− 1.3	4.7	5.3	5.2	94	100	88	W 4	W 4	W 4	10^{2}	10^{2}	10^{2}	5.4	**18**	n ✳^{1}
27.	40.3	40.1	41.0	2.4	3.1	2.5	**3.1**	1.3	**5.4**	5.1	5.3	98	91	96	W 4	W 6	W 2	10^{2}	10^{2}	10	0.2	11	
28	38.8	38.6	40.3	1.7	2.1	2.5	2.8	0.8	4.8	4.8	5.1	93	90	93	W 2	W 6	W 2	10^{2}	10^{2}	10^{2}	−	8	
29.	38.8	39.9	41.2	1.9	− 0.3	− 3.3	2.7	− 3.6	5.2	3.1	2.3	98	68	65	NW 2	NE 4	E 2	10^{1}=	8^{1}	0	0.4	7	n ◍^{0}. a ≡^{1}
30.	43.1	42.2	43.4	− 7.9	− 2.5	− 6.3	− 2.1	− 8.7	2.0	2.1	2.0	83	54	71	NW 2	NE 4	NE 2	0	7^{1}	0	−	6	
31	45.2	45.5	45.7	− 8.1	− 4.6	− 8.3	− 4.5	− 9.9	1.7	1.9	1.8	71	60	76	E 2	N 2	N 2	0	2^{1}◎	0	−	6	
Mittel	37.0	37.0	37.5	− 4.1	− 1.3	− 3.2	− 0.7	− 6.1	3.3	3.5	3.4	92	83	90				8.4	8.0	7.4	26.6		

Alle Angaben nach Ortszeit.

Bamberg

Januar. $\varphi = 49^0\ 53'$ N. $\lambda = 10^0\ 53'$ E $= 43^m\ 32^s$. H $= 287.7$ m. Cg $= +0.3$ mm. 1911.

Datum	Luftdruck auf 0° u Normalschwere reduziert 700 mm +			Lufttemperatur C°					Absolute Feuchtigkeit mm			Relative Feuchtigkeit Proz.			Richtung und Stärke des Windes 0 bis 12			Bewölkung 0 bis 10			Niederschlag mm	Schneedecke cm	Bemerkungen
	7a	2p	9p	7a	2p	9p	Max.	Min.	7a	2p	9p	7a	2p	9p	7a	2p	9p	7a	2p	9p	7a	7a	
1.	43.7	39.6	34.6	− 1.3	0.4	− 0.8	0.9	− 1.9	4.1	4.0	4.2	98	85	96	S 2	S 3	S 3	10^1	10^2	10^2*	0.2	6	9 p ✳
2.	30.7	30.1	32.7	− 2.3	− 0.7	− 2.2	1.7	− 3.9	3.7	3.7	3.4	96	84	87	SW 1	S 2	S 2	10^2	10^1	10^2	4.0	10	n ✳. a, 3 p ✳ fr.
3.	33.8	33.7	34.4	− 3.5	− 0.5	− 1.3	− 0.2	− 5.4	3.4	3.2	3.4	98	73	82	NW 3	N 3	N 5	10^2*	10^2	10^2	0.1	9	n-a ✳^{0}
4.	33.4	34.2	34.1	− 1.9	0.1	0.3	0.8	− 2.1	3.5	3.8	4.3	88	83	92	N 3	N 3	NW 2	9^2	10^2	10^2	0.1	8	
5.	34.4	34.7	36.6	− 0.6	− 0.4	− 1.0	0.8	− 1.3	3.8	3.9	3.9	86	89	92	N 2	NW 1	NW 1	10^2	10^2	10^2*	−	7	9p ✳^{0}
6.	38.2	40.2	42.0	− 2.3	0.1	− 3.3	0.5	− 3.6	3.8	4.1	3.3	98	89	94	S 1	S 2	S 2	10^1	10^2	2^1	0.3	7	n ✳^{0}
7.	43.6	44.8	47.3	−11.1	− 4.7	− 9.2	− 3.0	−12.3	1.8	2.8	2.2	97	88	97	NW 1	NW 2	NW 2	10^1	2^1⊙	10^2	−	6	n ⋁. 7 a ∞
8.	50.5	51.2	52.0	−11.2	− 6.7	−11.3	− 6.4	−12.8	1.8	2.2	1.8	97	81	97	C	NW 1	NW 1	10^2=	⊙⊙	10^0	−	5	n ⌴. 7a ≡^{1}
9.	50.4	47.5	45.1	− 9.3	− 4.0	− 1.2	− 0.9	−11.8	2.1	3.2	4.1	94	95	98	S 3	SE 3	SE 3	10^2	10^2*	10^2	−	5	7^{38} a ✳. 2 p ✳^{0}. 4^{30} p ◍^{0} abds. ᔓ
10.	40.4	44.1	46.9	0.2	1.8	− 1.3	3.5	− 1.5	4.7	4.9	4.1	100	93	98	NW 1	NW 4	C	10^2*	5^1	7^1	**9.7**	9	n-8^{30} a ✳
11.	44.0	40.0	34.8	− 1.6	− 1.0	− 5.1	0.2	− 5.2	4.0	3.7	2.9	98	86	96	SW 2	SW 2	SW 5	10^2	3^1	8^1	0.1	8	
12.	27.8	25.6	26.3	− 4.8	− 2.5	− 4.5	− 2.4	− 6.0	2.9	2.8	2.8	90	72	88	S 5	S 4	NW 1	10^2	10^2	10^2	−	7	
13.	29.8	33.6	38.0	− 4.5	− 0.9	− 4.8	− 0.6	− 6.1	3.2	3.8	2.7	98	88	86	NW 2	W 1	N 2	10^2*	10^2*	10^2	1.5	**12**	4^{45}–5^{30} a ✳^{0}
14.	42.0	43.7	45.6	− 8.8	− 4.1	−12.1	− 3.7	−12.2	2.2	2.1	1.7	94	64	96	W 2	NW 2	NW 2	2^1	⊙⊙	0	1.3	11	abds. Tal ≡
15.	47.3	46.8	47.5	−19.2	− 6.0	−10.8	− 5.8	−19.2	0.9	1.9	1.8	94	64	93	S 1	W 1	NW 1	1^1	⊙⊙	1^1	−	10	n ⋁
16.	48.6	50 3	53.1	−14.7	− 3.6	− 3.8	− 3.4	−14.7	1.4	2.2	3.0	96	62	89	NW 1	C	C	10^1	10^1	10^2	−	10	
17.	**55.0**	54.5	54.2	− 2.8	0.0	− 1.8	0.4	− 5.0	3.6	4.2	3.9	96	90	98	C	NW 1	NW 1	10^2=	10^2	10^2	−	10	7 a ≡^{1}
18.	53.0	51.6	50.8	− 2.2	0.5	0.9	1.1	− 2.9	3.9	4.8	4.9	100	100	100	SW 1	SW 1	W 1	10^2	10^2●	10^2	−	9	0^{15} p, 2 p ◍^{0}
19.	49.3	49.1	50.0	1.0	2.2	2.0	2.7	0.7	4.9	5.3	5.2	100	98	98	W 1	C	W 2	10^2●	10^2	10^2	1.0	9	0^{15} p ◍^{0}
20	49.7	49.6	49.0	1.4	1.6	− 0.8	2.8	− 1.0	5.0	5.0	4.2	98	96	96	C	W 1	N 1	10^2=	10^2	10^2	0.3	5	7 a ≡^{1}
21.	47.0	44.9	43.6	− 1.6	− 0.8	− 1.7	0.1	− 1.9	3.7	3.8	3.6	92	88	90	SW 2	SE 1	SE 2	10^2	10^2	10^2	0.1	4	
22.	42.7	44.0	46.3	− 3.0	− 2.5	− 3.6	− 0.9	− 3.9	3.4	3.5	3.3	94	92	93	C	W 1	S 1	10^2	10^2	10^2	−	4	
23.	49.0	48.4	47.8	− 3.1	1.3	− 5.1	1.6	− 5.1	3.5	2.7	2.6	96	54	85	C	SE 2	C	10^2	1^1⊙	0	0.2	4	n ✳^{0}
24.	47.5	46.8	47.6	− 9.2	− 2.3	− 3.4	− 1.8	−10.2	2.2	3.0	3.0	97	77	85	W 1	W 1	SW 1	10^2	10^2	10^2	−	3	n ⋁
25.	47.2	45.4	44.7	− 2.8	− 0.1	− 0.1	0.8	− 3.7	3.4	3.4	4.4	92	76	96	SW 1	S 1	W 3	10^2	10^2	10^2*	−	3	1^{41} p ✳^{0}. 3 p ✳^{1}. 9 p ✳^{0}
26.	43.8	45.3	47.4	1.2	2.4	2.5	2.9	− 0.2	4.9	**5.4**	5.3	98	98	96	W 1	SE 1	NW 2	10^2	10^2	10^2	4.3	7	
27.	47.6	47.7	47.9	2.6	3.0	2.8	3.9	1.7	**5.4**	5.3	5.2	98	93	93	W 1	W 2	SW 2	10^2	10^2	10^2	−	−	2^{44} p ◍^{0}
28.	45.8	46.1	47.6	1.8	3.7	2.8	4.1	1.3	4.9	5.1	5.1	93	85	91	W 1	W 1	W 2	10^2	10^2	10^2	−	−	9^{28} a ◍^{0}
29.	46.1	46.3	48.3	1.6	4.1	3.1	**5.2**	− 3.2	5.1	3.9	2.1	98	63	59	W 1	W 2	E 1	10^2=	8^1	1^1	0.4	−	9^{30} p ◍^{0}. n-a≡
30.	48.7	49.2	50.7	− 6.7	− 1.5	− 5.1	− 0.4	− 6.8	1.8	1.8	2.2	68	43	71	N 1	NE 5	NE 3	0	4^1⊙	0	−	−	n ⌴
31.	52.1	52.6	52.7	− 7.5	− 3.6	− 7.6	− 2.6	− 7.6	1.7	1.7	1.8	69	49	72	N 3	NE 2	N 1	1^1	1^1	0	−	−	
Mittel	44 0	43.9	44.5	− 4.1	− 0.8	− 3.0	0.1	− 5.4	3.4	3.6	3.4	94	81	90				8.8	7.6	7.7	23.6		

Würzburg.

Januar. $\varphi = 49^0\ 48'$ N. $\lambda = 9^0\ 56'$ E $= 39^m\ 44^s$. H $= 179.3$ m. Cg $= +0.3$ mm. 1911.

1.	53.4	49.1	43.9	− 0.7	1.6	0.4	1.8	− 1.6	4.1	3.9	4.1	94	76	87	SW 1	SW 2	W 3	10^2	10^2	10^2*	−	−	abds. ✳
2.	40.2	39.6	41.8	− 0.4	1.8	− 0.1	2.0	− 3.0	3.7	3.8	3.8	83	73	83	NW 2	W 2	W 2	10^2	5^1⊙	10^2	1.5	3	n ✳. t ztw. ✳
3.	43.3	43.0	43.7	− 2.0	0.5	− 0.7	0.5	− 4.4	3.2	3.5	3.3	82	73	77	E 3	NE 4	NE 2	10^2	10^2	10^2	0.2	1	a ztw. ✳
4.	42.6	43.5	43.4	− 0.5	0 9	1.4	1.4	− 1.6	3.6	3.7	4.0	81	75	80	NE 2	NE 4	NE 3	7^1	10^2	10^2	0.2	1	
5.	43.8	44.2	46.1	0.0	0.6	0.1	1.4	− 0.8	4.0	3 7	3.8	87	76	81	NE 2	NE 2	C	10^1	10^2	10^2	−	1	
6.	47.6	49.3	51.4	0.1	1.8	− 2.4	1.8	− 2.8	3.5	4.2	3.4	76	80	89	W 2	S 2	SE 1	10^2	10^2	0	−	1	
7.	53.1	54.4	56.7	− 8.5	− 3.5	− 6.8	− 2.4	− 9.0	2.1	2.8	2.4	88	80	89	S 1	C	C	0	5^1	0	−	−	a ∞
8.	60.5	61.3	61.5	− 8.8	− 7.5	− 7.7	− 6.8	−10.2	2.2	2.3	2.3	94	89	92	NW 2	NW 1	NW 2	0	10^2=	10^2	−	−	a ⋁ ∞. 2 p ≡
9.	59.3	56.6	53.4	− 2.6	0.4	0.6	0.6	− 8.1	3.6	4.6	4.7	96	96	**98**	E 2	S 1	SW 2	10^2=	10^2	10^2●	−	−	a ⋁≡. 10 a ◍^{0} △. abds. ◍ᔓ
10.	51.1	54.6	57.2	1.8	3.4	− 0.6	3.4	− 1.0	4.9	4.6	4.2	93	78	96	W 3	N 1	C	10^7●	10^2	0	**6.6**	−	n-a ◍. a ᔓ
11.	53.6	49.2	43.8	− 3.3	0.1	− 1.9	0.1	− 4.8	3.4	3.9	3.2	96	85	80	S 1	S 2	C	10^2	8^1	10^1	0.1	−	a ⌴
12.	37.2	35.1	34.9	− 3.5	− 1.2	− 2.9	− 1.2	− 4.4	2.8	2.9	3.1	80	69	85	S 2	SE 2	C	10^2	10^2	8^1	−	−	
13.	39.5	43.3	48.0	− 2.2	0.8	− 5.8	0.9	− 6.0	3.3	3.7	2.3	85	75	80	W 1	W 1	NW 1	10^2*	10^2	0	1.2	2	n, a-ca. 10^{30} a ✳^{0}
14.	51.9	52.5	55.5	− 8.0	− 3.8	−10.0	− 3.8	−10.0	2.2	2.5	1.7	91	73	84	W 1	NE 2	N 2	0	⊙⊙	0	0.3	2	
15.	57.4	56.7	57.3	−12.2	− 6.4	− 9.4	− 5.6	−13.8	1.5	2.0	1.9	85	71	87	E 1	E 1	E 2	0	⊙⊙	0	−	2	a ⋁ ∞
16.	58.9	60.1	62.9	−11.6	− 3.4	− 2.7	− 2.0	−12.0	1.6	2.4	3.0	85	70	81	C	C	C	6^1	3^1⊙	10^2	−	2	a ≡^{1}
17.	**64.9**	64.3	63.9	− 2.7	0.8	− 2.8	0.8	− 5.8	3.6	3.9	3.4	96	80	92	C	C	C	10^2=	10^2	10^2	−	1	a ≡^{2}
18.	62.8	62.2	61.3	− 0.3	2 2	2.7	2.7	− 2.8	4.1	4.8	5.1	90	89	91	W 2	W 4	W 4	10^2	10^2	10^2	−	1	
19.	59.6	59.2	59.7	2.9	4.0	3.1	4.0	0.8	5.0	5.1	5.1	88	84	90	NW 4	NW 4	C	10^2	10^1	10^2	−	−	
20.	59.2	59.3	58.5	2.3	1.9	0.4	3.1	0.0	5.1	4.9	4.4	94	93	92	W 3	NW 2	W 2	10^2	10^2	10^2	−	−	a ≡^{1}
21.	56.5	54.3	53.2	− 0.3	− 0.2	− 0.9	0.4	− 1.0	4.1	3.8	3.7	90	85	86	E 4	SE 4	E 2	10^2	10^2	10^2	−	−	
22	52.6	53.9	56.4	− 2.3	− 2.3	− 2.1	− 0.9	− 3.2	3.3	3.1	3.2	85	79	81	NW 2	NW 2	NW 2	10^2	10^2	10^2	−	−	
23.	58.3	57.8	58.2	− 1.4	0.4	− 3.6	0.8	− 4.3	3.5	2.9	3.1	84	62	89	NE 2	SE 4	SE 1	10^2	6^1	4^1	−	−	
24.	57.0	56.7	57.6	− 3.4	− 1.7	− 1.9	− 1.6	− 5.8	3.1	2.9	3.1	89	72	78	W 1	W 1	W 1	10^2	10^2	10^2	−	−	
25	56.9	55.1	54.3	− 1.0	1.2	1.7	1.7	− 2.6	3.4	3.3	4.5	80	65	88	W 1	W 4	W 3	10^2	10^2	10^2	−	−	2^{30}–9 p ✳^{0}
26.	53.7	55.0	57.4	3.4	4.0	3.9	4.4	1.2	5.2	5.3	**5.5**	90	87	90	W 5	W 2	C	10^2	10^2	10^2	2.9	−	n ◍
27.	57.5	57.1	57.8	3.6	5.2	4.1	5.2	2.9	5.3	5.4	5.1	90	81	84	W 1	W 2	W 2	10^2	10^2	10^2	−	−	
28.	55.8	56.5	57.6	3.5	4.8	4.5	4.8	2.2	4.7	4.8	5.3	80	74	84	W 1	W 2	C	10^2	10^2	10^2	−	−	9 a an ◍^{0}
29.	55.8	55.8	57.3	3.0	5.0	− 0.7	**5.3**	− 0.7	5.0	4.3	3.0	88	66	70	W 1	E 2	E 3	10^2	5^1	0	0.2	−	
30.	58.3	58.5	60.3	− 4.6	0.0	− 3.9	0.2	− 5.2	2.2	2.1	2.4	70	45	71	SE 2	E 4	E 2	0	⊙⊙	0	−	−	
31.	61.9	62.3	62.5	− 5.6	− 2.4	− 5.4	− 2.3	− 6.6	2.0	2.0	2.3	67	52	76	E 2	E 2	C	0	3^1⊙	0	−	−	
Mittel	53.7	53.6	54.1	− 2.1	0.3	− 1.6	0.7	− 4.0	3.5	3.6	3.6	86	76	85				7.9	7.9	6.8	13.2		

Alle Angaben nach Ortszeit.

Ludwigshafen a/Rh.

Januar. $\varphi = 49^0\ 29'$ N. $\lambda = 8^0\ 26'$ E $= 33^m\ 44^s$. H = 100.3 m. Cg = + 0.3 mm. 1911.

Datum	Luftdruck auf 0° u. Normalschwere reduziert 700 mm +			Lufttemperatur C°					Absolute Feuchtigkeit mm			Relative Feuchtigkeit Proz.			Richtung und Stärke des Windes 0 bis 12			Bewölkung 0 bis 10			Niederschlag mm	Schneedecke cm	Bemerkungen
	7a	2p	9p	7a	2p	9p	Max.	Min.	7a	2p	9p	7a	2p	9p	7a	2p	9p	7a	2p	9p	7a	7a	
1.	61.4	57.2	52.4	0.5	0.9	0.5	2.5	0.2	4.2	4.5	4.4	89	92	92	SW 2	SW 2	SW 2	10^2	10^2	10^1	–	–	a ds. ⚹
2.	48.2	46.7	49.1	0.3	1.7	0.5	2.0	– 1.0	4.2	4.2	4.3	90	82	90	SW 2	S 2	S 1	10^2	10^2	10^1	2.8	2	
3.	50.8	50.8	51.5	– 1.0	0.7	– 0.4	0.8	– 2.1	3.8	4.0	4.0	88	82	90	N 2	N 3	N 4	10^0	10^1	10^1⚹	–	1	abds. ⚹0
4.	50.4	50.9	51.7	0.6	2.1	1.3	2.1	– 0.8	4.4	3.7	4.1	92	69	82	NE 2	NE 2	N 5	10^0	10^2	10^1	0.2	–	Schneedecke nur noch an geschützten Stellen
5.	51.7	52.5	54.1	1.5	1.1	0.3	2.6	0.3	4.4	4.2	4.2	85	85	89	NE 2	NW 1	N 2	10^0	10^1	10^1	–	–	
6.	56.1	56.7	58.5	0.2	2.2	0.3	2.2	– 0.6	4.0	4.5	4.0	87	84	85	SW 2	SW 1	S 2	10^0	10^1	0	–	–	a ∞. 10^{30} a ≡1
7.	60.1	61.5	63.7	– 2.7	0.9	– 0.9	1.1	– 3.5	3.2	3.5	3.5	85	70	80	SW 2	S 2	S 1	10^1	3^0⊙	10^0	–	–	a ⌴1
8.	68.3	69.1	68.9	– 4.2	– 1.8	– 0.7	– 0.7	– 5.0	2.9	3.4	3.7	89	86	85	S 2	SE 2	S 2	10^0	10^1	10^1	–	–	a ⌴1
9	67.4	64.8	61.7	– 1.5	0.5	0.9	0.9	– 3.0	3.9	4.7	4.7	94	98	96	SW 2	SE 2	SW 2	10^2●	10^1●	10^1●	0.1	–	6 a-n ◍. ᔓ
10.	60.4	63.8	65.8	2.7	4.1	1.1	4.2	0.2	5.0	4.6	4.4	89	76	89	SW 5	W 2	W 2	10^1	2^0⊙	0	**20.4**	–	n ◍
11.	61.8	56.4	51.1	– 2.0	1.1	– 0.5	1.1	– 3.0	3.7	3.9	3.8	96	77	86	SW 2	S 1	S 1	10^2=	5^0⊙	10^1	–	–	a ≡2
12.	43.9	**41.4**	42.0	– 0.7	0.9	0.9	1.2	– 1.8	3.2	3.7	4.0	73	75	80	N 1	S 2	S 2	10^0	10^1	10^1	–	–	
13.	48.3	52.2	56.0	– 0.5	0.8	– 4.2	1.0	– 4.2	4.0	4.0	2.9	90	80	86	N 5	N 2	N 3	10^1⚹	10^2	0	4.0	**5**	n–7^{30} a ⚹
14.	60.1	60.9	63.4	– 6.7	– 2.1	– 5.8	– 2.1	– 7.6	2.6	2.9	2.5	95	75	85	N 3	NE 2	N 2	10^0	0⊙	0	0.5	2	a ∞
15.	63.8	63.8	65.1	– 8.3	– 2.0	– 7.9	– 2.0	– 9.8	2.2	2.7	**1.8**	94	70	74	N 2	N 2	N 2	10^1	0⊙	0	–	2	a ⋁
16.	66.6	68.5	71.1	– 7.2	– 1.4	– 1.3	– 1.1	– 9.7	2.5	3.0	3.2	95	72	76	NE 1	N 1	N 1	0	5^0⊙	10^0	–	2	a ⋁ ∞
17.	**72.9**	72.7	72.7	– 4.0	– 0.9	– 1.9	– 0.9	– 5.2	3.4	4.0	4.0	100	94	100	N 1	N 1	N 2	10^2=	10^2	10^2=	–	1	a ≡2. 10^{40}–11^{01} a ⌇. p, 9 p ≡2
18.	72.1	71.0	70.3	– 1.9	0.1	0.6	0.6	– 3.0	3.9	4.3	4.3	98	94	90	NW 1	SE 2	SE 2	10^2●	10^2	10^2	–	1	a ᔓ. 7 a ◍. 6^{30} ab untertags ≡ reissen
19.	68.9	68.3	68.4	0.9	3.0	2.6	3.8	0.1	4.6	5.0	5.1	94	88	93	S 1	S 2	C	10^2=	10^2	10^1=	0.6	–	a ≡1. t ∞. p, 9 p ≡1.
20.	67.5	67.5	66.3	2.5	2.6	0.0	2.9	0.8	5.2	5.0	4.4	94	91	89	C	NE 2	NE 1	10^1=	10^1	10^1	–	–	a ≡1. 9^{30} a ≡2. p ∞
21.	64.3	62.0	61.2	– 0.5	0.4	– 1.1	0.9	– 1.2	3.9	3.9	3.6	88	83	84	C	SE 1	S 1	10^0	10^2	10^1	–	–	a ∞
22.	61.2	62.7	65.5	– 1.7	– 1.8	– 2.0	– 1.1	– 2.0	3.6	3.2	3.1	90	80	80	SW 1	SW 1	S 1	10^2	10^2	10^1	–	–	
23.	66.2	65.8	66.0	– 1.7	0.7	– 0.3	1.0	– 2.8	3.6	3.4	3.5	88	70	77	NE 1	SE 2	SW 1	10^0	10^2	10^1	–	–	
24.	65.6	65.4	66.0	– 1.8	– 1.5	– 1.1	– 0.3	– 2.8	3.3	3.5	3.8	82	86	90	SW 2	S 1	S 1	10^0	10^0	10^0	–	–	11^{30} a ⚹ rieseln
25.	65.7	64.2	64.0	– 0.5	2.3	1.5	2.3	– 1.8	3.8	3.7	4.4	86	68	85	S 2	S 2	SW 2	10^0	10^2	10^1	–	–	6^{30} p ab ⚹0
26.	63.5	64.8	66.4	2.7	4.9	5.1	5.1	0.6	5.0	5.7	5.5	89	87	85	SW 2	SW 2	S 2	10^2	10^2	10^2	3.8	–	n ◍. abds. ◍0
27.	66.6	66.0	66.2	4.3	5.7	4.1	6.0	4.1	5.4	5.7	5.3	87	83	87	SW 3	SW 2	SW 2	10^1	10^1	10^0	0.2	–	
28.	64.9	65.3	66.6	3.6	6.6	3.7	**6.9**	2.6	4.8	5.3	5.4	82	73	90	SW 1	W 1	C	10^1	8^1⊙	10^0	–	–	abds ◍0
29	64.7	63.4	63.6	3.1	6.2	2.5	6.2	1.2	5.1	**5.9**	4.5	90	84	80	NE 1	N 1	N 1	10^1=	2^0⊙	0	0.6	–	a ≡1
30.	65.0	65.8	67.4	– 2.6	1.1	– 1.9	2.5	– 3.2	2.4	2.2	2.1	64	44	54	E 4	E 5	E 4	0	0⊙	0	–	–	a ⌴0
31	69.7	70.2	70.4	– 5.2	– 1.3	– 3.4	– 1.3	– 5.8	2.5	2.1	2.4	83	51	67	N 4	E 3	N 2	0	2^0⊙	0	–	–	a ⌴0
Mittel	61.9	61.7	62.2	– 1.0	1.2	– 0.2	1.6	– 2.3	3.8	4.0	3.9	89	79	84				9.0	7.6	7.4	33.2		

Nürnberg

Januar. $\varphi = 49^0\ 27'$ N. $\lambda = 11^0\ 3'$ E $= 44^m\ 12^s$. H = 309.1 m. Cg = + 0.2 mm, über 735.0 mm Cg = + 0.3 mm. 1911.

1.	41.7	38.1	33.5	0.2	1.1	– 0.1	1.5	– 1.0	4.4	4.1	3.6	94	82	79	SW 1	SW 2	SW 4	10^2=	8^2	10^1	–	2	a ≡1. gegen 8 p ⚹0. sonnenloser Tag
2.	28.8	28.2	30.4	– 2.6	– 0.5	– 2.5	– 0.1	– 3.0	4.3	3.9	3.4	98	88	89	W 1	SW 2	E 1	6^1	10^1	10^1	3.7	**10**	n ⚹0.1. a ≡0. t ztw. Aufklaren [NE-Winde
3.	30.8	30.8	31.1	– 3.9	– 0.3	– 1.2	0.0	– 5.6	3.1	3.6	3.8	93	81	90	N 2	NE 2	NE 2	10^2	10^1	10^1	–	9	a ≡0. 6–10 a ⚹0. sonnenloser Tag, auffrisch.
4.	30.0	30.9	31.0	– 0.2	0.7	0.9	1.0	– 1.4	3.8	4.0	4.2	83	82	85	NE 3	NE 4	NE 1	8^1	10^1	10^1	0.1	7	5–10 a Aufklaren [8^{30} p-n ≡0
5.	31.8	32.3	33.9	0.5	1.2	– 1.0	1.3	– 1.2	4.3	4.4	4.1	90	87	96	NE 2	N 2	NW 2	10^2	10^1	10^2⚹	–	6	a-m ≡0. sonnenloser Tag, abflauende N-Winde
6.	36.0	37.9	39.8	– 1.8	1.5	– 2.3	2.0	– 2.3	3.8	4.1	3.5	94	80	92	S 2	SE 2	SE 2	10^2=	8^1⊙	0	1.3	8	n meist ⚹0. a ≡2
7	41.2	42.1	45.1	– 7.3	– 2.3	– 7.1	– 1.7	– 9.2	2.5	3.2	2.5	98	83	95	E 2	SE 2	SW 2	0	4^1⊙	0	–	7	nmgs. ⋁. a ≡1.2
8.	48.2	48.8	49 3	–11.4	– 5.7	– 8.3	– 4.4	–11.7	1.7	2.4	2.1	89	80	85	SW 1	SE 2	SE 2	0=	0⊙	0	–	7	a ≡1.2
9.	48.1	45.6	42.8	– 9.4	– 1.9	– 1.4	– 1.4	–12.0	1.8	3.3	4.0	81	82	96	SE 2	SE 2	SE 2	0=	10^1=	10^2⚹	–	6	a, m ≡1. 10^{10} a-m ≡0. 3 p-n meist ⚹0 ◍0
10.	38.0	42.2	44.8	0.5	1.7	0.2	1.9	– 1.4	4.7	4.5	4.5	98	88	96	SE 2	NW 3	W 2	10^1⚹	6^1	10^1	**7.9**	8	n–mn ⚹0 ◍. mn–nach 3 a ◍0, dann ⚹0–11a. [1]
11.	42.3	38.1	32.8	– 1.9	– 0.1	– 4.4	1.0	– 4.4	3.8	3.8	2.8	96	83	86	SW 2	SE 3	SE 2	10^2=	0⊙	0	–	7	a ≡1. rückdrehende südl. bis nördl. Winde
12.	26.3	23.9	23.6	– 4.9	– 2.5	– 4.0	– 2.3	– 5.4	2.8	2.7	2.9	88	99	87	SE 2	SE 3	S 2	10^2=	10^2	10^2	–	6	a ≡1
13.	27.2	31.0	34.9	– 4.2	– 1.9	– 3.3	– 1.5	– 5 3	3.1	3.7	3.0	93	92	85	N 2	NW 2	N 2	10^2=	10^2⚹	10^1	0.7	8	n ⋎. a ≡1. 4^{30} a–7^{30} p meist ⚹0.1
14.	39.1	40.9	43.2	– 5.4	– 3.3	–12.3	– 3.1	–12.4	2.7	2.5	1.6	90	72	93	NE 2	NE 2	E 1	0=	0⊙	0	2.1	**10**	a ≡2. sonniger Tag. 5 p an zunehmender ≡
15.	44.5	44.5	44.7	–17.5	– 8.6	–12.1	– 6.9	**–17.8**	1.5	1.9	1.6	88	82	93	C	N 2	E 2	0=	0⊙	0	–	**10**	a ≡2 ⋁
16.	45.7	47.3	50.9	–14.6	– 6.1	– 4.2	– 4.0	–15.0	**1.3**	2.0	2.9	91	71	89	E 2	NW 1	C	0=	7^1⊙=	10^2=	–	9	häufig Windstille. t ≡1.2. p zunehm. Bewölk.
17.	**52.6**	52.1	51.6	– 3.5	– 0.6	– 3.4	– 0.5	– 4.2	3.1	4.2	3.4	89	96	95	SW 2	E 1	SW 2	10^2=	10^1	10^2	–	9	meist Windstille. t ≡1.2. abds. ≡0
18.	50.9	49.6	49.1	– 3.5	α3	1.5	1.7	– 4.5	3.4	4.4	4.8	95	94	94	SW 1	SW 1	W 2	10^2=	10^1=	10^2	–	8	2^{30}-3 a ⚹0. t–5 p ≡1. 0^{30}–gegen 4 p ◍0. abds.
19.	47.2	47.3	48.0	1.3	1.9	2.0	2.1	1.0	4.8	5.1	5.1	94	96	96	W 3	NW 3	NW 2	10^2=	10^2●	10^2=	1.2	6	t ≡1, 3 a an ◍, t meist ◍0 [auffr. W-Wind
20.	47.3	47.2	46.4	1.5	1.6	– 0.3	2.0	– 0.5	5.0	5.0	4.3	98	96	96	NW 2	NW 2	NE 2	10^2=	10^2=	10^1	0.2	5	a–3 p ≡2, ztw. ≡ reissen. Tauwetter
21.	44.8	42.5	41.7	– 1.4	– 0.1	– 1.5	0.5	– 1.9	3.8	3.9	3.8	92	85	92	SE 2	SE 2	SE 2	10^2=	10^2	10^2	–	4	a ≡1. durchaus bedeckt
22.	40.3	41.5	44.4	– 2.3	– 2.7	– 4.3	– 1.5	– 4.3	3.6	3.7	3.3	94	98	100	S 1	NW 1	N 2	10^2	10^1	10^1	–	4	a–m ≡0. durchaus bedeckt. abflauende Winde
23.	46.2	45.9	45.4	– 2.7	0.1	– 3.9	0.1	– 4.3	3.7	3.5	3.3	98	76	98	E 2	SE 2	E 2	10^2=	6^1⊙	0	–	4	a ≡1. häufig Windstille
24.	45.0	44.3	45.5	– 9.1	– 2 7	– 3.4	– 2.4	–10.2	2.2	3.2	2.8	97	85	80	C	SE 2	W 2	C=	9^1	10^1	–	4	a ≡2. 6 p an auffrischender W-Wind [SW-Wind
25.	45.3	43.9	43.1	– 2.3	0.7	0.5	0.9	– 4.3	3.3	3.8	4.4	98	78	94	S 2	SW 1	SW 2	10^1=	10^2	10^2⚹	–	4	a ≡1. durchaus bedeckt. 3^{30} p an ⚹0. auffr.
26.	42.0	43.3	45.6	1.8	2.8	2.7	3.0	0.4	5.1	5.1	**5.4**	96	91	98	SW 2	W 2	SW 2	10^2	10^1	10^1	3.5	6	t–ca. 2 p ≡1.2. 1–10 a ztw. ◍0. Tauwetter durch-
27.	45.8	45.6	45.9	2.9	3.8	2.7	**3.8**	2.4	5.2	5.3	5.1	93	88	91	SW 2	SE 2	SW 2	10^1=	10^1	10^1	–	–	t–ca. 2 p ≡1.2. durchaus bed. Tauw. [aus bedeckt
28.	44.1	44.1	45.3	2.2	2.8	2.7	3.6	1.8	5.0	4.9	5.0	94	88	89	SW 2	W 2	W 2	10^2	10^1	10^1	–	–	t ≡0. durchaus bedeckt. Tauwetter. 9a–n ztw. ◍0
29.	43.6	43.6	45.3	2.3	2.8	2.7	3 0	2.8	5.2	4.4	2.8	96	77	76	W 2	NW 2	NE 1	10^2=	4^1⊙	0	–	–	nach 1^{30} a, nach 5 a kurz ◍0. a ≡1. a meist be- [2]
30.	45.9	46.0	47.8	– 6.0	– 1.7	– 3.9	– 1.1	– 6.8	2.3	2.3	2.5	79	**56**	87	E 2	NE 2	NE 2	0=	7^1	0	–	–	a ⌴ ≡1. 2 p an zunehm. Bewölk. bis 5 p, dann [3]
31.	49.2	50.2	50.1	– 7.2	– 4.7	– 7.2	– 2.9	– 7.8	2.1	2.2	2.4	81	69	93	E 2	E 3	E 3	0=	1^0⊙	0	–	–	nach 2 a kurz ⚹0. 4 ⌴ ≡1. abfl. östl. Winde
Mittel	41.6	41.6	42.2	– 3.5	– 0.7	– 2.7	– 0.1	– 5.0	3.5	3.7	3.5	92	84	91				6.9	7.4	6.8	20.7		

[1] a ≡1. auffrisch. N-Winde. [2] deckt. 1 p Aufkl. [3] Aufklaren.

Alle Angaben nach Ortszeit.

Kaiserslautern.

Januar. $\varphi = 49^0\ 27'$ N. $\lambda = 7^0\ 46'$ E $= 31^m\ 4^s$. H $= 242.2$ m. Cg $= +0.3$ mm. 1911.

Datum	Luftdruck auf 0^0 u. Normalschwere reduziert 700 mm + 7a	2p	9p	Lufttemperatur C° 7a	2p	9p	Max.	Min.	Absolute Feuchtigkeit mm 7a	2p	9p	Relative Feuchtigkeit Proz. 7a	2p	9p	Richtung und Stärke des Windes 0 bis 12 7a	2p	9p	Bewölkung 0 bis 10 7a	2p	9p	Niederschlag mm 7a	Schneedecke cm 7a	Bemerkungen
1.	48.1	43.9	39.1	− 0.1	1.0	0.2	1.2	− 0.3	4.6	4.1	4.5	100	83	96	W 1	W 2	W 2	10^1	10^1	10^2*	0.4	2	6 p–n *r.1
2.	35.9	34.0	35.2	− 1.2	0.8	− 0.2	0.9	− 3.9	4.0	4.6	4.2	96	94	92	C	W 1	W 1	10^1	10^2*	10^1	3.9	**6**	n, t–6 p ztw. * flocken
3.	37.8	37.8	38.4	− 3.2	− 1.1	− 1.5	− 0.1	− 3.4	3.4	3.8	3.7	96	90	90	W 1	E 2	E 3	10^1	10^1	10^1	0.1	4	t ztw. * flocken
4.	37.3	37.6	38.6	− 0.6	0.1	0.0	0.1	− 1.7	4.1	4.3	4.2	92	92	90	E 2	E 2	E 2	10^1	10^1	10^1	0.2	2	n ztw. ≡
5.	38.8	39.4	41.2	0.0	− 0.1	− 0.4	0.1	− 0.4	4.3	4.3	4.3	94	94	96	E 1	E 1	C	10^1	10^1	10^1	–	1	
6.	42.3	43.1	44.6	− 0.1	1.4	0.6	2.1	− 0.8	4.4	4.3	3.9	96	85	82	C	W 2	W 1	10^1	10^1	9^1	–	1	t ztw. *0 flocken [immer noch ⊠]
7.	45.7	47.5	50.3	− 3.9	1.1	− 2.5	2.1	− 4.9	3.2	3.6	3.6	96	70	96	C	NW 2	C	7	7^0	0	–	–	a V2 ≡2. 4–6^{25} p ztw. ◍60 *60 (auf den Höhen
8.	53.5	54.1	54.6	− 1.0	0.4	− 1.4	0.0	− 3.9	4.1	4.3	3.9	96	96	94	C	W 1	W 2	10^1	10^1	10^1	–	–	
9.	52.8	50.5	47.8	− 0.9	0.8	1.0	1.0	− 1.8	4.1	4.8	4.9	96	100	100	W 1	W 1	W 2	10^1	10^2●	10^2●	0.4	–	n, t–n ztw. ◍0. n, a ∽2 [*0 ◍0
10.	47.7	50.2	51.1	0.9	3.2	− 2.0	3.5	− 2.0	4.6	4.9	4.0	91	85	100	N 2	NW 1	C	7^1	9^1	0	**10.4**	1	n ◍1.2, *. $8^{15.55}$ a *0. $0^{30.40}$ p *0, ◍. p ztw.
11.	47.8	42.7	37.6	− 5.0	− 0.6	− 2.2	0.9	− 5.9	3.1	4.3	4.0	100	100	100	W 1	NW 1	W 1	10^1	10^1	10^0	0.4	–	n, t V. a, t ≡1.2
12.	30.8	28.3	29.6	− 0.2	2.9	1.2	3.6	− 2.9	3.8	4.3	4.9	83	76	98	W 1	W 1	W 1	10^1	7^0○	10^2*●	–	–	a ≡0. 6 p–n *, ◍.
13.	35.5	39.3	43.1	− 1.4	− 0.2	− 5.2	1.5	− 5.2	3.7	3.7	2.8	90	81	90	NE 3	E 2	E 1	10^1*	10^1	0	3.3	1	n ◍. *. a *; a–m ztw. ≡
14.	45.8	47.1	48.9	− 5.4	− 2.4	− 7.4	− 2.2	− 7.5	2.7	2.9	2.3	90	75	92	E 2	E 1	E 1	7^0	○○	○	–	1	
15.	49.8	49.6	50.5	−11.2	− 2.4	− 6.6	− 2.1	**−11.9**	**1.7**	2.4	2.4	89	63	87	E 1	E 2	C	○	○○	○	–	1	n, a V2 ≡2
16.	52.5	54.2	56.9	−10.3	0.6	− 0.9	0.8	−11.0	1.8	3.5	3.6	90	73	82	S 1	E 1	E 1	3^0	6^0○	10^1	–	1	n V2. a ≡0 V2
17.	**58.1**	57.9	57.8	− 2.5	− 0.8	− 3.0	− 0.2	− 4.9	3.8	4.3	3.7	100	100	100	E 1	E 1	C	10^1	10^1	10^1	–	1	a ≡1. p ≡. abds. ≡1. 9 p ≡1
18.	57.6	56.8	56.2	− 2.4	− 0.1	0.6	0.9	− 4.5	3.8	4.6	4.8	100	100	100	SW 1	W 2	C	10^1	10^1	10^2	–	1	a ≡1 V. p–n ≡0, ≡1, ztw. ◍0. 6–7^{30} p ztw. 1)
19.	54.8	54.3	54.3	0.4	2.4	1.4	3.1	0.2	4.7	5.5	5.0	100	100	100	C	C	C	10^1	10^1	10^1	0.5	–	a ≡0, ≡1, ∽0. t–abds. ≡2, ztw. ≡0 ◍0. 9p ≡2
20.	53.1	52.8	51.9	1.8	1.2	− 0.8	2.3	− 0.8	5.2	5.0	4.3	100	100	100	NE 2	E 2	E 2	10^1	10^1	10^1	0.2	–	n ◍0. t–n ≡1.2
21.	49.9	47.7	47.1	− 2.0	− 0.8	− 2.6	0.0	− 2.6	3.8	3.9	3.4	96	90	89	SE 2	SE 2	C	10^1	10^1	10^1	–	–	t–abds. ≡0.1
22.	47.1	48.3	50.7	− 3.8	− 2.8	− 3.5	− 2.0	− 4.4	3.1	3.3	2.9	91	89	85	W 2	W 1	C	10^1	10^1	10^1	–	–	t ≡1
23.	51.5	51.5	51.6	− 3.0	− 1.3	− 2.0	− 1.0	− 3.9	3.2	3.3	3.1	87	80	80	E 2	SE 1	C	10^1	10^2	10^2	–	–	a ≡1. t ztw. kurz * flocken
24.	51.1	51.0	51.9	− 3.0	− 1.7	− 1.2	− 1.2	− 3.4	2.9	3.2	3.5	80	80	84	N 2	NW 1	C	10^1	10^1	10^1	–	–	a ≡1. t ztw. kurz * flocken
25.	51.6	50.1	50.1	− 0.8	1.2	1.2	1.7	− 1.5	3.5	3.7	4.5	81	73	91	W 2	W 3	W 2	10^1	10^1	10^2●	–	–	a ≡1. abds.–n ◍0
26.	50.0	51.4	52.8	2.0	2.8	3.0	3.3	1.2	5.2	5.5	**5.7**	98	98	100	SW 2	W 1	W 1	10^1●	10^1	10^1	0.2	–	n, t ztw. ≡0 ◍. 7a ◍0. 2p ≡0. abds. ztw. ◍0 *0
27.	52.7	52.2	52.6	2.8	4.3	2.4	5.0	2.1	5.6	5.6	5.5	100	90	100	W 2	W 1	C	10^1	10^1	10^1	0.1	–	n ◍0 ≡0. a, t ≡1
28.	51.0	52.0	52.2	2.0	5.0	2.4	**6.2**	1.4	5.0	5.4	5.2	94	83	94	W 1	W 2	C	10^1	5^0○	10^0	–	–	a ≡1
29.	50.7	50.0	49.8	1.4	5.3	1.0	5.7	1.0	5.0	5.6	4.2	98	85	85	C	E 1	E 1	10^1	9^0	4^0	–	–	a ≡1
30.	50.0	49.7	52.8	− 3.8	− 0.2	− 3.2	1.4	− 4.1	2.3	1.9	1.9	66	**42**	51	E 3	E 4	E 2	3^0	○○	○	–	–	n, a ztw. ≡, ebenso t–n ≡
31.	54.4	55.1	55.5	− 6.0	− 2.6	− 5.6	− 2.0	− 6.7	2.1	2.1	2.3	74	56	77	E 2	SE 2	E 1	3^0	○○	○	–	–	a ⌴0. n, t ztw. ≡
Mittel	47.9	47.7	48.2	− 2.0	0.5	− 1.2	1.2	− 3.2	3.8	4.1	3.9	92	85	91				8.7	8.2	7.5	20.1		1) ◍0. abds. ∽0. 9 p ≡2

Ansbach.

Januar. $\varphi = 49^0\ 18'$ N. $\lambda = 10^0\ 33'$ E $= 42^m\ 12^s$. H $= 437.5$ m. Cg $= +0.2$ mm. 1911.

1.	30.2	26.6	21.6	− 1.1	0.5	− 1.9	0.6	− 1.9	3.7	3.7	3.2	88	78	80	C	W 2	SW 4	10^2	8^1	10^2*	–	8	abds. *
2.	17.5	16.2	18.5	− 4.9	− 0.7	− 3.2	− 0.2	− 5.0	2.7	3.3	3.0	86	75	85	C	W 2	C	○	8^2	10^2	4.7	**12**	n *
3.	19.1	19.0	19.4	− 5.3	− 2.0	− 3.3	− 1.2	− 7.9	2.6	3.1	3.0	85	80	85	N 2	NE 2	NE 6	10^2	10^2	10^2	0.2	11	n *; 9 p ≡
4.	18.2	19.1	19.6	− 1.4	− 0.7	− 1.0	0.0	− 3.3	3.5	3.5	3.9	84	81	90	NE 4	NE 4	NE 2	10^2	10^2	10^2	–	10	7–7^{45} p *
5.	20.1	20.8	22.8	− 0.9	0.1	− 2.0	0.1	− 2.0	3.9	4.0	3.5	90	87	90	NE 2	NE 2	NW 2	10^2	10^2	10^2	0.7	10	
6	24.8	26.2	28.2	− 2.6	0.7	− 5.6	1.1	− 5.6	3.4	3.4	2.7	89	79	90	W 2	SW 2	S 2	10^2	2^0○	○	–	9	
7.	29.3	30.3	33.1	−12.5	− 3.2	−10.5	− 2.4	−13.2	1.4	2.6	1.7	85	72	86	C	C	C	○	4^0○	○≡	–	8	mrgs. V; abds. ≡1
8.	36.0	37.0	37.6	−15.0	− 4.8	−11.1	− 3.8	−15.3	1.2	2.1	1.6	87	67	86	C	C	C	○	○○	○	–	8	mrgs. V
9.	36.0	33.6	30.5	−12.0	− 1.7	− 1.5	− 0.8	−14.5	1.4	3.1	3.7	81	76	90	C	SW 2	SW 2	4^0	10^2	10^2●	–	8	mrgs. V; 4 p ◍0; abds. ∽ u. ◍
10	26.9	30.9	33.5	0.6	0.7	1.2	1.6	− 1.5	4.3	4.4	4.0	90	91	94	W 2	W 4	W 2	10^2*	10^2*	8^2	5.9	6	n *; t ztw. *; Tauwetter
11.	30.4	26.1	20.8	− 2.9	− 2.8	− 6.0	− 0.2	− 6.7	3.4	3.2	2.6	94	87	93	W 2	S 2	S 4	10^2	○○	○	1.3	7	
12.	14.2	**11.7**	12.1	− 6.9	− 2.5	− 4.2	− 1.8	− 7.7	2.4	2.8	2.7	89	74	81	S 2	C	C	10^2	10^2	8^0	–	7	
13.	15.5	19.7	23.5	− 3.6	− 2.3	− 3.6	− 1.0	− 5.8	3.1	3.3	3.0	89	85	87	N 2	N 2	N 4	10^2*	10^2*	10^2	1.3	7	mrgs. u. t *
14.	27.4	28.9	31.2	− 6.3	− 4.8	−13.8	− 2.8	−14.0	2.1	2.0	1.3	76	64	83	NE 2	NE 2	C	2^1	○○	○	1.9	8	
15.	32.1	32.2	32.9	−19.4	− 6.2	−11.2	− 5.0	**−19.8**	0.8	1.8	1.6	87	64	82	C	C	C	○	○○	○	–	8	mrgs. ∞. V
16.	33.8	36.1	39.1	−14.9	− 2.9	− 4.9	− 1.8	−16.1	1.2	2.4	2.7	82	66	86	C	C	C	○	○○	10^2	–	8	mrgs. V
17.	**40.8**	40.5	39.8	− 2.5	− 1.9	− 5.3	− 1.0	− 5.3	3.2	3.3	2.7	85	84	90	C	N 2	W 2	10^2	10^2	10^2	–	8	nachm. u. abds. ≡0
18.	39.1	38.1	37.4	− 3.4	− 0.7	0.7	0.8	− 7.1	3.2	3.9	4.6	91	88	94	C	W 4	W 4	10^2●	10^2●≡	10^2	0.1	8	n, mrgs. u. nachm. ◍ ∽ ; a V; nachm. ≡1
19.	36.0	35.7	36.4	0.7	1.7	1.7	1.8	0.2	4.5	4.6	5.0	92	90	**96**	W 2	W 2	W 2	10^2	10^2	10^2●	0.2	7	abds. ◍, Tauwetter
20	35.7	35.5	34.4	1.1	0.7	1.4	1.8	− 1.4	4.8	3.8	3.6	**96**	78	88	W 2	NW 2	NE 2	10^2	10^2	10^1≡	0.6	4	t ≡0 ∞1, Tauwetter; abds. ≡1
21.	32.6	30.5	29.5	− 3.1	− 2.0	− 3.4	− 0.2	− 3.6	3.2	3.1	3.0	89	80	85	E 2	E 2	SE 2	10^2	10^2	10^2	–	4	mrgs. ∞
22.	28.6	29.9	32.5	− 3.7	− 5.0	− 5.8	− 0.3	− 6.0	2.9	2.5	2.6	87	81	90	SW 2	W 2	N 2	10^2	10^2	10^2	–	4	mrgs. V
23.	34.4	33.9	33.4	− 4.1	− 2.0	− 8.4	− 0.8	− 8.5	2.9	2.7	1.9	87	70	82	NE 2	S 2	C	10^2	8^1	○	–	4	
24.	33.0	32.4	33.7	− 9.8	− 3.3	− 5.0	− 2.6	−11.2	1.9	2.4	2.4	87	65	76	C	NW 2	NW 2	10^2	10^2	10^2	–	4	mrgs. ≡0 V
25.	33.6	32.1	31.6	− 3.7	− 0.7	− 0.3	0.0	− 5.0	2.8	3.0	4.1	82	70	90	W 4	SW 4	W 6	10^2	10^2	10^2*	–	4	abds. *; 9 p ≡
26.	30.9	32.1	34.4	1.3	1.7	2.0	2.0	− 0.3	4.8	4.9	**5.1**	**96**	94	**96**	W 6	W 6	SW 6	10^2	10^2	10^2	**6.4**	6	n * u. ◍; Tauwetter; nachm. ≡0; 2 p, 9 p ≡
27.	34.6	34.1	34.7	1.9	2.8	1.9	3.2	1.3	**5.1**	5.0	4.7	**96**	90	91	W 4	SW 2	W 2	10^2	10^2	10^2	–	3	mrgs. ≡0, Tauwetter
28.	32.8	33.2	34.3	1.1	1.8	1.3	2.6	0.4	4.4	4.7	4.8	90	91	92	NW 2	W 2	W 2	10^2	10^2	10^2	–	–	vormitt. ztw. ◍; Tauwetter; stellenw. ⊠
29.	32.5	32.2	33.3	1.7	3.1	3.1	**3.6**	− 3.2	4.8	4.5	2.5	93	80	70	W 2	N 2	E 4	10^2	2^1○	○	0.2	–	stellenw. ⊠
30.	33.6	34.0	35.4	− 7.6	− 2.8	− 6.8	− 1.8	− 7.9	1.9	1.7	1.9	75	45	70	E 4	NE 6	NE 4	○	4^1	○	–	–	2 p ≡, stellenw. ⊠
31.	36.9	38.1	37.9	− 8.6	− 6.0	−10.6	− 4.8	−10.8	1.8	1.8	1.6	79	61	80	E 4	E 4	NE 2	○	2^1	○	–	–	stellenw. ⊠
Mittel	29.9	29.9	30.4	− 4.8	− 1.5	− 4.1	− 0.5	− 6.7	3.0	3.2	3.1	87	77	86				7.3	7.0	6.6	23.5		

Alle Angaben nach Ortszeit.

Regensburg.

Januar. $\varphi = 49^0\ 1'$ N. $\lambda = 12^0\ 7'$ E $= 48^m\ 28^s$. H $= 342.6$ m. Cg $= +0.2$ mm. 1911.

Datum	Luftdruck auf 0° u. Norm-schwere reduziert 700 mm + 7a	2p	9p	Lufttemperatur C° 7a	2p	9p	Max.	Min.	Absolute Feuchtigkeit mm 7a	2p	9p	Relative Feuchtigkeit Proz. 7a	2p	9p	Richtung und Stärke des Windes 0 bis 12 7a	2p	9p	Bewölkung 0 bis 10 7a	2p	9p	Niederschlag mm 7a	Schneedecke cm 7a	Bemerkungen
1.	39.1	35.6	31.8	- 3.3	- 2.6	- 2.0	- 1.8	- 4.8	3.1	3.3	3.5	87	87	90	S 1	SE 1	SW 1	10^0	10^1	10^1	–	4	10–11 a ✳
2.	26.8	27.6	27.5	- 4.1	- 3.0	- 6.1	- 1.0	- 7.9	3.0	3.3	2.6	91	91	93	SE 2	S 1	E 1	10^0*	10^0	0	–	7	n, a–10 a ✳
3.	27.6	27.5	27.5	- 3.0	- 0.7	- 1.2	- 0.3	- 6.9	3.3	3.3	3.6	91	77	86	NE 1	NE 1	NE 2	10^0	8^1	0	3.2	7	
4.	27.2	27.4	27.4	- 1.0	- 0.4	0 6	0.7	- 3.5	3.5	3.5	4.1	82	79	85	NE 3	NE 3	W 1	10^1	6^1⊙	10^1	2.0	**10**	
5.	28.5	29.2	30.2	- 0 8	1.7	0.1	2.0	- 1.2	3.7	4 1	4 5	86	78	94	S 1	N 1	C	10^0	10^0	10^0	0.1	**10**	5^{30}–6^{00} p ✳
6.	33.7	35.8	36.5	- 0.7	- 0.1	- 5.4	0.4	- 6.0	4.1	3.8	2.8	94	83	90	W 1	S 1	S 1	10^1≡	10^0≡	10^0≡	0.2	4	
7.	39.0	40.1	41.8	- 5.5	- 5.6	- 6.0	- 4.6	- 8.1	2.9	2.9	2.9	96	98	100	NE 1	SE 1	C	10^0≡	10^0≡	10^0≡	–	4	t ≡[1]
8.	46.4	46.6	46.9	- 8.0	- 7.3	- 8.6	- 3.8	- 8.9	2.5	2 6	2.3	100	100	100	SW 1	S 1	C	10^0≡	10^0≡	10^0≡	–	4	t ≡[2] V
9.	46.1	44.4	40.2	- 9.4	- 6.5	- 4.6	- 4.1	-10.1	2.1	2.7	3.1	97	97	98	SW 2	S 1	S 1	10^0≡	10^0≡	10^1	–	4	t ≡[2] V
10.	35.4	38.2	41.3	- 4.1	2.1	- 2.8	2.1	- 5.1	3.2	4.2	3.4	98	78	92	S 2	NW 2	C	10^1*	8^1	10^0	**5.5**	6	a u. p ≡[1], V
11.	39.1	36.0	28.6	- 2.4	- 2.5	- 8.0	- 0.6	- 9.4	3.6	3.5	2.1	94	92	97	NW 1	S 1	C	10^1	10^1	10^0≡	3.0	6	n, a–m ◎✳
12.	24.9	23.7	**22.4**	- 9.2	- 6.5	- 9.4	- 6.1	-10.0	2.2	2.7	2.0	97	97	91	S 1	S 1	S 1	10^0≡	10^0	0	–	6	p–n ≡[1]
13.	25.1	27.7	30.5	- 8.9	- 3.6	- 4.6	- 1.9	-13.0	2.1	3 1	3.2	91	89	91	S 1	N 1	N 2	10^0≡	10^1	10^1*	–	6	a, p meist ≡[2] V
14.	35.0	38.4	39.5	- 9.5	- 4.3	- 9.9	- 1.8	- 9.9	1.9	2.5	1.8	87	75	87	N 1	N 1	N 1	2^1	⊂⊂	0	1.1	9	9 a–10 m, 9 p ✳, a u. 3–5 p ≡[1]
15.	43.1	42.8	40.8	-17.2	-10.2	-13.2	- 6.4	-20.6	1.0	1.7	1.4	89	84	84	N 1	N 1	C	0	⊂⊂	0	–	8	n ✳[0]
16.	43.1	44.5	47.4	-17.5	- 8.2	- 9.3	- 7 5	-18.1	1.0	2.0	1.8	89	82	81	NE 1	N 1	N 1	10^0≡	2^0⊙	10^0≡	–	8	7 a ≡[2] V, 9 p ≡[1]
17.	**49.8**	49.1	48.2	- 7.6	- 5.4	- 3.9	- 2.8	- 9.8	2.0	2.6	3.2	81	85	96	S 1	SE 1	C	10^0≡	10^0≡	10^0	–	8	a ≡[1]
18.	48.6	47.5	44.3	- 5.0	- 3.0	1.0	1.2	- 5.9	2.9	3.3	4.7	93	91	96	W 1	W 1	S 1	10^0	10^1	10^0	–	8	
19.	43.7	43.6	44.2	1.2	2.4	2.1	2.5	0.6	4.8	4 8	5.2	96	87	96	NW 2	NW 1	C	10^1●	10^0	10^1	–	7	a–9 a ◎
20.	43.9	44.1	42.7	1.8	1.8	- 1.0	2.2	- 1.9	5.1	4.5	3.9	96	85	92	NW 1	N 1	C	10^0≡	10^0	10^0	0.3	5	a ≡[1]
21.	41.7	40.6	38.7	- 0.8	- 0 8	- 1.8	- 0.2	- 2.1	4.0	4.0	3 6	92	92	90	SE 1	SE 1	C	10^0	10^1	10^1	–	4	
22.	37.7	38.2	41.7	- 2.4	- 1.8	- 3 6	1.2	- 4.8	3.4	3 5	3.4	89	88	98	W 1	W 1	W 1	10^0≡	10^0	10^0	–	4	a ≡[1]
23.	43.5	43.0	43.5	- 2 8	- 0.9	- 4.8	- 0.9	- 5.4	3.3	3.1	2.5	89	73	79	NW 1	S 1	N 1	10^1	2^0⊙	0	–	3	
24.	42.1	42 6	42.3	-10.0	- 4.5	- 5.0	- 2.8	-10.4	1.8	2.8	2.4	87	88	79	N 1	S 1	S 1	6^0	8^0	10^0	–	3	a V
25.	43.0	41.7	41.5	- 3.6	- 0.6	- 1.8	- 0.4	- 5.8	2.6	3.3	3.4	76	75	84	W 1	W 2	W 2	10^0	10^0	10^0	–	3	ab 5 p ✳
26.	40.5	40.3	41.6	0 8	1.8	3 2	3.2	- 2.4	4.6	5.1	**5.4**	94	96	93	W 1	W 1	W 2	10^0≡	10^1≡	10^0	0.5	4	a u. 2 p ≡[1], m ◎[0]
27.	42.8	42.2	41.7	3.0	3.8	2.8	4.0	1.4	5.3	5.1	4.8	93	85	87	NW 1	W 1	W 1	10^0	10^0	10^0	0.4	1	
28.	40.7	40 9	41.8	1 7	2.5	2.3	3.0	0 7	4 5	4.5	4.8	88	80	87	W 1	NW 2	NW 1	10^0≡	10^1	10^0	–	–	a ≡[1], 11 a–m ◎
29.	41.2	39.6	42.1	2.4	3.9	- 3.0	**4.3**	- 3.5	5.1	3.7	2.1	93	61	57	NW 1	N 2	N 2	10^0≡	4^1⊙	0	–	–	7 a ≡[1]
30.	42.9	42.9	44.8	- 6.2	- 2.4	- 6.7	- 1.9	- 7.0	2.0	1.7	1.6	69	44	60	NE 1	E 1	E 1	2^0	8^1⊙	0	–	–	3^{35}–^{55} p ✳
31.	46 3	46.8	46.8	- 8.6	- 5.0	- 8.2	- 4.6	- 9.0	1.6	1.7	1.8	67	55	73	NE 1	E 2	C	2^1	4^0⊙	0	–	–	
Mittel	39.0	39.0	38.9	- 4 5	- 2.1	- 3.8	- 0.9	- 6.7	3.1	3 3	3.2	89	83	88				8.8	8.1	7.1	16.4		

Passau.

Januar. $\varphi = 48^0\ 34'$ N. $\lambda = 13^0\ 28'$ E $= 53^m\ 52^s$. H $= 309.3$ m. Cg $= +0.2$ mm. 1911.

1.	43.2	39.8	36.1	- 5.4	- 1.6	- 1.6	- 1.0	- 5.4	2.8	3.5	3.7	92	86	90	C	C	C	10^1*	10^1	10^1	0 1	6	n, a ✳[0]
2	30.4	29.2	30.7	- 3.4	- 1.4	- 2.0	- 1.4	- 4.3	3.2	3.6	3.8	90	85	95	C	C	C	10^1	10^1	10^1	2.0	8	n, p ✳
3.	30.6	30.3	30.7	- 2.6	0.4	0.0	1.0	- 2.9	3.6	3.5	3.7	95	75	80	C	E 2	E 4	10^1	5^1⊙	10^1	1.8	9	n ✳
4.	30.1	30.0	30.7	0 8	1.4	1.8	2.3	0.0	3.7	3 9	4.2	75	75	80	C	E 4	E 4	10^1	10^1	10^1	–	8	
5.	32.1	32.3	34.1	- 1.6	0.5	- 0.8	1.8	- 1.6	3.7	4.1	4.2	90	85	95	C	C	C	10^1	10^1	10^1	–	7	
6.	37.6	39.2	40.7	- 1.0	1.6	- 4.6	1.6	- 4.6	3.7	3 4	3.1	86	86	94	C	C	C	10^1	⊂⊂	0	–	5	
7	41.6	43.1	45.4	- 6.4	- 4.6	- 4.8	- 3.6	- 6.4	2.8	3.1	3.2	100	95	100	C	C	C	10^2≡	10^2	10^1	–	5	a ≡[2]
8.	48.7	49.8	50.6	- 5.0	- 3.8	- 4.8	- 3.6	- 5.5	3.1	3.3	3.0	100	95	95	C	C	C	10^1	10^1	10^1	–	5	V
9.	49.9	48.3	45.3	- 7.4	- 4.4	- 7.4	- 4.0	- 7.6	2.6	2.8	2.4	100	85	95	C	W 1	C	10^2≡	⊂⊂	8^1	–	4	a ≡[2]
10.	39.1	40.8	44.7	- 5.4	- 2.3	- 1.0	- 0.4	- 7.9	2.9	3.6	4.1	95	95	97	C	C	C	10^1*	10^1*	10^1	1.0	6	n, t–3^{30} p ✳
11.	43.1	39.7	36.1	- 1.6	1.0	- 6.0	1.4	- 6.0	4.1	3.8	2.7	100	77	94	C	C	C	10^1	3^0⊙	0	4.0	10	n ✳[0]
12.	28.7	26.1	**26.0**	-12.7	- 4.0	- 7.8	- 2.6	-12.9	1.6	2.5	2.2	92	75	90	E 2	C	E 2	0	⊂⊂	10^1	–	9	V, Hoch≡
13.	29.1	30.8	33.5	-10.2	- 3.8	- 4.4	- 3.1	-10.7	1.9	2.9	3.1	92	85	94	C	C	C	10^1	10^1*	10^2	–	8	2–5 p ✳, 9 p ≡[2]
14.	39.0	41.0	43.6	- 4.8	- 2.0	-10.5	- 1.6	-10.5	3.0	2.7	1.8	95	69	91	C	E 1	C	10^1	⊂⊂	0	5.4	15	n ✳
15.	45.1	44.5	45.3	-17.5	- 6.4	-11.9	- 6.1	**-17.6**	1.0	2.0	1.8	89	71	100	C	C	C	0	⊂⊂	10^2≡	–	14	9 p ≡
16.	46.0	47.8	51.1	-15.9	- 7.0	- 9.5	- 6.6	-15.9	1.2	2.0	2.0	95	75	90	C	C	C	10^1≡	⊂⊂	0	–	14	a ≡[1] V
17.	**53.7**	52.6	52.5	-11.1	- 4.6	- 8.5	- 4.4	-11.1	1.7	2.2	2.2	90	70	90	C	W 1	C	10^1≡	⊂⊂	10^1≡	–	13	a, 9 p ≡[1]
18.	51.4	50.3	50.0	- 8.3	- 6.0	- 4.4	- 4.0	- 8.7	2.4	2.7	3.1	100	95	96	C	C	C	10^2≡	10^1	10^1≡	–	13	a ≡[2], 9 p ≡[1]
19.	47.1	47.1	47.4	0.5	0.2	0.6	0.6	- 4.4	4.4	4.5	4.4	100	100	100	C	C	C	10^1≡	10^1≡	10^2≡	1.1	11	n ◎ ✳[0], t ztw. ◎ ≡
20.	47.3	46.8	47.1	0.7	1.4	- 0.1	1.8	- 0.1	4.4	5.0	4.1	100	100	90	C	C	C	10^2≡	10^1	10^1	1.6	10	7 a ≡
21.	45.4	42.7	41.7	- 0.2	0.8	- 2.5	0.8	- 2.5	3.7	3.9	5.0	81	80	92	C	C	C	10^1	10^1	10^1	–	9	
22.	41.1	41.7	43.3	- 2.2	- 1.2	- 2.2	- 0.8	- 2.5	3.9	3.8	3.5	100	90	90	C	C	W 2	10^1	10^1	10^1	–	8	
23.	46.6	46.3	46.1	- 2.6	1.0	- 3.3	1.2	- 3.3	3.4	3.0	2.7	90	60	75	C	S 1	C	10^1	⊂⊂	0	–	8	
24.	45.6	44.7	46.1	-10.3	- 3 2	- 4.5	- 3.2	-10.8	1.8	2.5	2.6	90	70	80	E 1	W 1	C	0	⊂⊂	10^1	–	8	
25	46.5	45.7	44.7	- 3.1	- 1.7	- 2 2	- 1.0	- 4 5	2.8	3.2	3.8	85	80	98	W 4	NW 4	C	10^1	10^1	10^2	–	8	
26.	43.0	43.9	45.9	- 0.6	1.4	1.4	2.4	- 2.3	4.4	5.0	5.0	100	100	100	C	NW 4	C	10^2≡*	10^1●	10^1≡	**13.0**	**18**	n, 7 a ✳, a ◎, 7 a u. 9 p ≡
27.	45 6	45.8	46.6	1.8	2.6	1.2	**3.1**	1.2	**5.2**	5.0	5.0	100	90	100	C	NW 2	C	10^1	10^1	10^1	6.0	12	t ztw. ◎
28.	44.4	44.0	45.3	1.0	1.4	1.8	1.8	1.0	4.9	4.8	5.0	100	95	95	C	W 2	C	10^1≡	10^1●	10^1	4.6	8	a ◎, p ztw. ◎, 7 a ≡
29.	43.4	42.3	44.8	1.6	2.8	2 2	2.9	- 2.2	5.0	5.1	2.3	96	90	58	C	W 1	NE 4	10^1	5^1⊙	0	1.0	7	
30.	46.2	45.8	47.0	- 8.5	- 2.6	- 4.8	- 2.2	- 8.7	2.0	1.9	2.3	86	**52**	70	E 2	NE 2	C	0	5^1	0	–	6	
31.	48.9	50.2	50.2	- 5.4	- 4.6	- 5.0	- 3.6	- 8.7	1.9	1.9	2.2	80	60	70	C	C	C	10^1	10^1	10^1	–	6	
Mittel	42.3	42.0	42.7	- 4.7	- 1.6	- 3.5	- 1.0	- 6.0	3.1	3.4	3.3	93	82	90				8.7	6.4	7.7	41.6		

Alle Angaben nach Ortszeit.

Landshut.

Januar. $\varphi = 48^0\ 32'$ N. $\lambda = 12^0\ 10'$ E $= 48^m\ 40^s$. H $= 397.7$ m. Cg $= +0.2$ mm. 1911.

Datum	Luftdruck auf 0° u. Normalschwere reduziert 700 mm + 7a	2p	9p	Lufttemperatur C° 7a	2p	9p	Max.	Min.	Absolute Feuchtigkeit mm 7a	2p	9p	Relative Feuchtigkeit Proz. 7a	2p	9p	Richtung und Stärke des Windes 0 bis 12 7a	2p	9p	Bewölkung 0 bis 10 7a	2p	9p	Niederschlag mm 7a	Schneedecke cm 7a	Bemerkungen
1.	33.6	30.9	26.6	− 2.4	0.6	− 6.6	1.5	− 9.1	3.5	4.0	2.6	92	83	95	SW 2	W 2	W 4	10^1	7^0⊙	o	−	5	9^{30}–10^{45} a ✳ flocken
2.	21.0	20.3	21.5	− 1.6	− 0.6	− 3.6	1.3	− 8.9	3.7	3.5	3.3	90	79	93	W 2	N 2	W 2	10^1✳	10^1	10^1	1.1	6	n ✳, 7–11^{30} a ✳^{0}
3.	21.6	21.5	21.3	− 4.0	− 1.5	− 2.0	− 0.4	− 7.4	3.2	3.4	3.4	95	82	86	NE 2	E 2	E 2	10^1✳	10^1	10^1	1.3	7	nrgs.–9 a ✳^{0}
4.	20.3	21.2	21.5	− 1.8	0.7	− 0.4	1.9	− 5.5	3.5	3.8	4.0	88	78	90	NE 2	E 2	E 2	10^1	10^1✳	10^1	0.2	7	2–5 p ✳^{0}
5.	23.1	23.7	26.0	− 1.0	− 0.5	− 2.0	1.0	− 3.2	3.7	4.1	3.6	86	92	92	E 2	SW 2	C	10^1	10^1	10^1	0.2	7	3–4 p ✳ flocken
6	28.4	30.6	31.7	− 1.2	0.8	− 9.6	3.0	−11.4	3.7	3.1	1.9	88	65	91	W 2	SW 2	C	10^1	○○	o	0.1	7	⌴, 8 a ≡^{1}, 2 p ⋁
7.	33.2	34.3	36.8	−10.5	− 7.0	− 7.6	− 5.2	−13.9	1.9	2.5	2.4	93	94	95	W 2	NW 2	C	10^1	10^1	10^1	−	7	⋁, 8–9 a ≡, 2 p ∞
8.	40.4	40.9	41.8	−10.1	− 7.2	− 9.2	− 6.2	−12.3	2.0	2.5	2.1	97	95	94	W 2	W 2	NW 2	10^1	○○	9^0	−	7	⋁, 8–9 a ≡, 2 p ∞
9.	40.7	38.8	35.2	−15.7	− 5.2	− 4.2	− 3.3	−17.4	1.2	2 5	3.0	90	80	91	W 2	NE 2	C	o	10^1	8^1	−	7	⋁
10.	29.9	33.6	36.6	− 2.0	1.8	− 2.0	2.1	− 5.7	3.7	4.2	3.7	94	80	94	E 2	NW 2	W 2	10^1✳	10^1✳	6^1	4.5	10	n ✳, 7 a–3 p ✳^{0}
11.	34 1	30.7	25.1	− 4.0	− 1.4	− 7.0	− 0.8	− 9.2	3.0	3.7	2.5	89	90	94	C	E 2	C	10^1	10^1	10^1≡	. 1.6	9	9 p ≡^{1}
12.	18.7	16.2	16.3	−13.1	− 5.8	−10.3	− 4.8	−15.3	1.6	2.3	1.8	96	80	90	C	E 2	C	o	2^0⊙	o	−	9	7 a ⌴
13.	19.0	19.9	25.1	−10.1	− 3.4	− 3.2	− 2.2	−14.4	1.9	3.0	3.4	93	85	94	C	N 2	C	10^1	10^1✳	10^0✳	−	9	⌴, 11 a–n ✳^{0}
14.	30.4	31.8	34.1	− 8.0	− 4.8	−13.1	− 3.2	−16.4	2.3	2.4	1.4	94	76	88	NE 2	NE 2	C	10^1	○○	10^1≡	2.1	13	⌴, 8 p–n ≡^{1}
15.	35.6	35.2	35.7	−18.3	− 9.9	−14.9	− 9.1	−20.9	0.9	1.9	1.3	89	94	96	NE 2	E 2	E 2	10^1	○○	o	−	13	7 a ⋁
16	37.2	39 1	41.8	−18.1	− 9.2	−12.9	− 7.7	−20.1	0.9	1.7	1.5	89	78	92	C	W 2	W 2	o	3^0⊙	o	−	13	7 a ⌴
17.	43.9	43.9	43.2	− 9.2	− 5 6	− 7.2	− 3.9	−15.4	2.0	2.8	2.5	91	93	95	W 2	N 2	W 2	10^1	10^1	10^1	−	13	⋁, 5 p–n ◍^{0}
18.	42.5	41.6	40.7	−10.3	− 1.9	− 0.7	− 1.5	−12.4	2.0	3.7	4.7	97	92	98	W 4	S 2	W 2	10^1	10^1	10^1•	0.6	9	7 a ≡^{0}, 7 p–n ◍^{0}
19.	39.0	38.5	38.9	1.6	1.8	1.2	2.5	− 1.0	4.5	4.7	4.7	90	90	94	SW 4	W 4	W 2	10^0•	10^1	10^1•	0.6	5	7–8^{30} a ≡^{0} ◍^{0}, 8 p–n ◍^{0}
20.	38.5	38.5	37.5	1.0	1.4	− 0.4	3.2	− 2.1	4.8	4.8	4.4	98	94	98	SW 2	N 2	C	10^1•	10^1	10^1•	0.6	5	
21.	36.2	34.0	32.9	− 1.4	0.0	− 1.4	1.2	− 3.4	3.9	4.2	3.9	94	90	94	E 2	E 2	E 2	10^1	10^1	10^1	0.1	3	
22.	32.0	33.2	35.2	− 2.6	− 2.2	− 4.0	− 1.4	− 5.4	3.5	3.3	3.2	94	85	95	SW 2	W 2	W 2	10^1	10^1	10^1	−	3	
23.	37.6	37.3	36 6	− 4.0	0.0	− 6.2	1.6	− 8.2	3.2	3.1	2.7	95	67	95	NE 2	E 2	C	10^1	2^1⊙	o	−	3	
24.	36.4	36.0	37.0	− 7.9	− 3.6	− 4.4	− 2.8	−12.3	2.3	2.9	2.9	94	85	88	NE 2	W 2	W 4	10^1	10^1	10^1	−	3	7 a ⌴
25.	37.7	36.9	35.9	− 4.0	− 1.2	− 2.1	− 0.1	− 6.1	2.9	3.1	3.6	84	74	92	W 4	W 4	W 2	10^1	10^1	10^1✳	−	3	10–11 a ✳ flocken, 7^{30} p–n ✳
26.	34.4	36.0	37.4	0.8	2.8	3.0	4.0	− 4.0	4.6	4.7	5.0	94	84	88	W 4	W 4	W 2	10^1✳	10^1•	10^1•	5.2	8	n–8 a ✳, 1^{30} p–n ◍^{0}
27.	38.0	38.0	38.1	2.7	3.1	2.0	4 0	0.0	5.0	4.8	4.6	89	84	87	SW 4	W 2	W 4	10^1	10^1	10^1	1.5	1	n ◍
28.	35.9	36.6	37.3	0.6	1.2	1.6	2.9	− 1.1	4.4	4.5	4 5	92	91	87	SW 2	W 2	W 4	10^1	10^1•	10^1	−	−	1–3 p ◍^{0}
29.	35.1	34.5	35.9	1.1	3.4	− 2.4	4.0	− 4.3	4.6	4.6	2.5	92	78	65	SW 2	W 2	E 4	10^1	2^1⊙	o	0.1	−	
30.	36.9	37.1	37.7	− 7.4	− 2.8	− 5.8	− 1.5	− 9.4	2.1	1.8	1.9	83	47	64	E 4	NE 4	E 4	o	6^1⊙	o	−	−	
31.	40.2	41.2	41.3	− 8.6	− 3.8	− 9.4	− 2.9	−12.2	1.8	1.7	1.8	79	51	81	NE 2	E 2	E 2	10^1	7^1⊙	o	−	−	7 a ⌴
Mittel	33.3	33.3	33.6	− 5.5	− 1.9	− 4.6	− 0.6	− 9.3	3.0	3.3	3.1	91	82	90				8.7	7.4	6.9	19.2		

Augsburg.

Januar. $\varphi = 48^0\ 22'$ N. $\lambda = 10^0\ 54'$ E $= 43^m\ 36^s$. H $= 499.6$ m. Cg $= +0.1$ mm, über 728.8 mm Cg $= +0.2$ mm. 1911.

1.	25.5	21.6	17.5	− 2.2	− 0.9	− 3.4	− 0.8	− 4.7	3.5	3.4	3.1	89	78	86	NW 2	SW 2	SW 2	10^1	8^2	10^1	0.2	9	n ✳
2.	13.7	11.4	12.7	− 2.7	− 0.9	− 3 6	− 0.8	− 4.6	3.4	3.6	3.5	92	82	99	SW 2	SW 2	SW 2	10^2✳	8^1	10^1	3.1	12	n–9^{30} a ✳
3.	12.8	13.6	12.2	− 4.7	− 2.3	− 2.3	− 1.4	− 6.8	2.9	3.4	3.5	91	87	90	E 2	NE 2	NE 2	10^1	10^2	10^2	1.3	13	⌴.
4	11.1	11.8	12.6	− 1.8	− 0.8	− 1.0	− 0.6	− 2.9	3.4	3.9	4.2	84	96	98	NE 2	NE 2	E 2	10^2	10^2✳	10^2	−	13	1^{40}–4^{45} p ✳
5	14.1	15.4	17.1	− 1.9	− 2.0	− 2.6	− 0.2	− 2.6	3.3	3.1	3.4	84	79	92	E 2	E 2	E 2	10^2	10^1	10^1	0.9	13	
6	19.7	21.3	22.8	− 2.1	− 0.8	− 5.2	− 0.7	− 5.2	3.4	3.0	2.8	86	70	92	SW 2	SW 2	SW 4	10^1	2^0⊙	o	0.8	13	n ✳
7.	24.4	25.1	27.8	−10.3	− 4.8	− 7.3	− 3.0	−12.8	1 1	2.3	2.3	55	72	90	C	C	C	o	2^0⊙	o	−	12	⋁
8.	31.0	31.6	32.6	−12.8	− 5.0	− 9.0	− 4.8	−13.7	1.2	2.4	2.0	75	78	90	C	C	C	o	○○	o	−	12	⋁
9.	31.1	29.9	26.3	− 9.4	− 1.1	− 0.6	− 0.6	−11.7	1.8	2.9	3.2	81	69	73	SW 2	SW 2	SW 2	o	7^1	10^1	−	11	⋁
10.	21.7	26.0	28.4	0.7	1.1	1.6	1.1	− 1.6	4.8	4.4	4.1	98	89	100	SW 2	NW 2	NW 2	10^2✳	8^1	o	3.7	10	n–10^{30} a, 2^{15}–4^{40} p ✳
11.	25.4	21.1	16.5	− 5.0	− 4.1	− 6.1	− 1.6	− 6.1	3.1	3.3	2.9	99	100	100	NW 2	SE 2	SE 2	10^2≈	10^2≈	10^2≈	1.7	10	⋁; n, t ≡^{2}
12.	09.1	08.2	06.9	− 9.4	− 2.2	− 3.2	− 1.4	−11.2	2.1	3.2	3.0	97	82	86	SE 2	C	SE 2	o	10^1	o	−	10	⋁
13.	09.9	14.1	17.3	− 3.6	− 2.4	− 3.0	− 1.2	− 5.3	3.3	3.5	3.7	95	92	100	SW 2	N 2	N 2	10^1	10^2✳	10^2✳	−	10	⋁; t ✳
14.	21.1	22.5	24.8	− 5.4	− 4.6	− 9.2	− 2.5	− 9.2	2.7	2.7	2.2	90	85	98	NE 2	E 2	E 2	10^2	○○	o	3.8	16	n ✳
15.	26.1	25.9	26.2	−10.2	− 7.9	− 9.6	− 7.2	−10.3	1.9	2.0	1.6	95	81	76	E 2	E 2	NE 2	10^1≈	○○	o	−	16	⋁; n, a ≡$^{0.1}$
16.	28.2	30.9	33.3	−13.8	− 7.1	− 9.6	− 5.5	−14.2	1.5	2.0	1.9	95	76	88	NE 2	C	NW 2	o	1^0⊙	o	−	16	⋁
17.	35.3	35.7	34.9	− 8.0	− 5.5	− 6.8	− 4.3	−10.9	2.2	2.9	2.7	90	96	99	SW 2	E 2	E 2	10^1	10^2≈	10^2≈	−	16	⋁; t ≡^{2}
18.	34.4	33.5	32.9	−10.4	− 0.2	0.6	0.6	−12.3	1.9	4.2	4.6	98	92	96	SW 2	SW 2	SW 2	8^1	10^1	10^1	−	16	⋁
19.	31.4	31.5	31.2	0.7	1.3	1.1	1.4	0.2	4.7	4.2	5.0	96	84	100	SW 2	W 2	W 2	10^1	10^2	10^2	−	14	3^{30}–7^{00} p ◍
20.	30.2	30.4	29.0	1.0	1.0	− 0.8	1.8	− 0.8	4.9	4.7	4.3	100	95	100	E 2	E 2	C	10^2≈	10^2≈	10^2≈	1.7	12	n, t ≡^{2}
21.	27.1	24.9	24.2	− 1.8	− 1.4	− 2.0	− 0.8	− 2.2	3.7	4.0	4.0	93	98	99	E 2	E 2	E 2	10^2≈	10^2≈	10^2≈	−	10	⌴; n, t ≡^{2}
22.	23.3	24.5	26.9	− 6.9	− 2.6	− 4.7	− 2.0	− 7.2	2.3	3.1	2.9	86	84	90	SW 2	NW 2	NW 2	10^2≈	10^1	10^1	−	10	⌴; n, a ≡^{2}
23.	28.5	29.2	27.9	− 5.0	− 3.0	− 4.3	− 2.8	− 5.7	3.0	3.1	2.9	95	86	90	NE 2	E 4	E 4	10^2≈	10^2≈	7^1	−	10	⌴; n, t ≡^{2}
24.	27.5	28.2	28.7	− 4.5	− 4.6	− 5.0	− 3.4	− 5.0	2 7	2.6	2.4	85	82	80	NE 2	SW 2	SW 2	10^2	10^2	10^2	−	10	⌴
25.	29.5	28.1	27.8	− 4.1	− 2.6	− 2.2	− 2.2	− 5.0	2.7	3.0	3.1	80	81	80	SW 2	SW 2	SW 2	10^1	10^1	10^1	−	10	⌴
26.	27.1	29.0	30.0	0 6	2.7	2.2	2.8	− 2.2	4.5	4.6	4.8	94	82	90	SW 4	SW 4	SW 4	10^2	10^1	10^1	4.1	14	n ✳; p ztw. ◍
27.	30.1	30.1	30.3	1.9	3.0	2.0	3.0	1.8	4.9	4.8	4.6	93	84	87	SW 2	W 2	W 2	10^1	10^1	10^1	1.1	10	
28.	27.9	28.7	29.6	0.6	0.8	0.6	2.0	0.2	4.2	4.5	4.2	89	92	88	SW 2	SW 2	SW 2	10^1	10^2	10^2	−	5	
29.	27.3	26.9	26.9	0.3	2.4	− 1.0	2.4	− 1.0	4.4	5.1	3.6	94	93	84	SW 2	C	NW 2	10^1	10^1	8^1	−	4	0^{00}–1^5 p ✳
30	27.0	27.9	29.0	− 6.8	− 2.7	− 6.4	− 1.0	− 8.5	1.9	1.8	1.9	70	47	68	NE 4	NE 4	NE 4	o	○○	o	0.2	4	⌴
31.	31.0	32.3	32.3	− 9.5	− 5.4	− 8.7	− 3 9	− 9.8	1.6	1.6	1.6	75	54	70	NE 4	E 4	E 2	o	2^1⊙	o	−	3	⌴
Mittel	24.6	24.9	25.0	− 4.7	− 2.0	− 3.6	− 1.2	− 6.2	3.0	3.3	3.2	89	83	90				7.7	7.4	6.6	22.6		

Alle Angaben nach Ortszeit.

München-C.St.

Januar. $\varphi = 48^0\ 9'$ N. $\lambda = 11^0\ 34'$ E $= 46^m\ 16^s$. H $= 526.4$ m. Cg $= +0.1$ mm. 1911.

Datum	Luftdruck auf c^0 u. Normal schwere reduziert 700 mm + 7a	2p	9p	Lufttemperatur C° 7a	2p	9p	Max.	Min.	Absolute Feuchtigkeit mm 7a	2p	9p	Relative Feuchtigkeit Proz. 7a	2p	9p	Richtung und Stärke des Windes 0 bis 12 7a	2p	9p	Bewölkung 0 bis 10 7a	2p	9p	Niederschlag mm	Schneedecke cm	Bemerkungen
1.	22.5	19.3	15.4	− 2.0	− 0.1	− 4.2	0.0	− 4.8	3.3	3.4	2.9	85	77	88	SW 2	SW 1	SW 2	10^1	8^1	10^1	0.1	9	a ✳^{0}
2.	09.8	09.0	10.2	− 1.4	− 0.8	− 3.1	0.6	− 4.9	4.0	3.6	3.5	96	82	98	SW 1	C	C	10^1✳	10^1	6^1	1.4	11	n u. a ✳
3.	10.1	09.5	09.5	− 4.9	− 3.2	− 2.4	− 1.6	− 6.6	3.1	3.2	3.5	99	90	91	E 2	E 2	E 2	10^1✳	10^1	10^1	3.6	12	n u. a ✳
4.	08.3	09.2	09.9	− 2.0	− 0.2	− 1.2	− 0.2	− 2.8	3.8	4.1	3.9	96	90	92	E 2	E 2	E 4	10^1	10^1	10^1	0.2	12	n ✳^{0}
5.	11.5	12.4	14.5	− 2.6	− 2.0	− 2.2	− 0.8	− 3.0	3.4	3.4	3.5	90	85	90	SE 1	C	NW 1	10^1	10^1	10^1	0.9	12	a ≡^{0}; 3^{30}–ca. 7^{30} p ✳
6.	17.1	18.6	20.1	− 3.4	− 0.8	− 4.5	− 0.2	− 4.8	3.1	2.9	2.8	87	69	86	SW 1	NE 1	C	10^1	8^1	0	0.5	12	
7.	21.4	22.2	24.9	− 8.7	− 5.0	− 7.2	− 4.0	− 9.0	2.2	2.4	2.5	96	80	95	C	NE 1	C	0	00	0	0.1	12	
8.	28.2	28.8	29 7	− 8.8	− 3.9	− 6.4	− 3.8	−10.3	2.2	2.6	2.6	96	76	92	NE 1	C	C	0	00	0	0.1	12	mrgs. V, ≡^{1}; m ≡^{1}, abds. V, ≡^{1}
9.	28.7	26.7	23.7	− 9.2	− 0.6	− 1.2	0.4	− 9.8	2.1	3.0	3.1	94	68	74	C	C	SW 1	0	8^1	10^1	0.1	12	mrgs. V, ≡^{1}; m ≡^{0}, abds. ≡^{1}
10.	18.9	22 8	25.5	1.4	0.6	− 1.6	2.5	− 1.7	5 0	4.6	3.9	100	96	97	S 2	NW 2	NW 1	10^1●	10^1	8^1	2.1	11	a ≡^{0}, V, m ≡^{1}
11.	23.1	18.5	13 8	− 3.4	− 2.3	− 7.6	− 1.5	− 9.8	3.5	3.1	2.5	99	82	100	SW 1	E 1	C	6^1≡	1^0⊙	10^2≡	**4.6**	12	n u. a ◍, vorm. ✳, nachm. ztw. ✳^{0}
12.	07.1	**04.5**	04.7	− 8.0	1.6	− 4.2	2.2	−11.7	2.2	3.4	3.2	90	67	96	SW 1	C	C	3^0	6^0⊙	0	0.2	12	mrgs. ≡^{1}, m im S. ≡^{0}, abds. V, ≡^{2}
13.	07.3	10.7	14.5	− 3.2	− 1.4	− 3.2	0.0	− 5.6	3.0	3.9	3.5	86	94	98	S 1	NW 1	C	10^1	10^1✳	10^1✳	−	12	mrgs. ≡^{0}, V; m ⊕, ^{140}p Nebensonne; t ≡$^{0.1}$;
14.	18.3	19.5	22.1	− 5.8	− 4.4	− 8.2	− 2.6	−10.3	2.8	2.8	2.4	96	86	100	NE 2	NE 2	E 1	10^1	4^1⊙	10^1	4.1	**17**	mrgs. ≡^{0}, 10^{30} a ab–n ✳$^{0.1}$ [5 p–n ☋
15.	23.1	23.1	23.5	− 8.4	− 9.2	−11.4	− 7.2	−11.7	2.4	2.0	1.7	99	92	94	E 1	NE 2	NE 2	10^1	10^1	0	0.1	16	n ✳; abds. V
16.	25.1	27.1	30.5	−13.1	− 5.3	− 9.0	− 4.9	**-14.0**	1.6	2.4	2.1	95	78	94	C	S 1	SW 1	10^1≡	4^0⊙	0	0.1	16	a ≡^{0}, V; m V; ^{340} p Aufklaren
17.	**32.5**	31.4	31.7	−10.5	− 7.2	− 9.5	− 6.4	−11.1	1.9	2.5	2.1	94	96	99	C	NE 1	C	0	4^0⊙	0	0.1	16	mrgs. ≡^{1}, V; m ∞, abds. ≡^{0}
18.	31.2	30.3	30.0	− 7.4	1.8	1.2	1.9	−10.7	2.4	5.1	4.6	96	96	92	SW 1	SW 1	SW 2	10^1	10^1	10^1●	0.1	16	mrgs. ≡^{1}; m ≡^{1}; abds. ≡^{0} V^2
19.	28.4	27.8	28.3	0.8	1.8	1.4	2.0	0.3	4.7	4.9	5.0	96	93	98	SW 1	SW 1	SW 1	10^1●	10^1●	10^1●≡	0.7	13	mrgs. ≡^{0}, V; m kurz ◍, ≡^{0}; abds ◍,
20.	27.4	26.9	26.0	1.4	1.9	− 0.4	2.1	− 0.5	5.0	**5.2**	4.5	98	98	100	C	SE 1	C	10^2≡	10^1≡	10^2≡	1.1	10	n u. a ◍, abds. ◍, ≡^{1} [stellenweise ☋
21.	24.3	22.1	21.5	− 1.5	− 1.0	− 1.8	0.6	− 1.8	4.0	4.1	3.8	100	95	98	SE 2	E 1	NE 1	10^1	10^1	10^1	0.2	8	n ◍; a ≡^{2}, t ≡^{1}, abds. ≡^{2}
22.	20.6	22.0	24.1	− 4.4	− 3.7	− 4.8	− 0.9	− 5.8	3.1	2.9	3.0	96	86	95	C	NW 1	NE 1	10^1≡	10^1	10^1	0.1	8	mrgs. ≡^{0}; abds. ≡^{0}
23.	25.9	25.4	25.0	− 6.0	− 3.4	− 4.9	− 2.8	− 6.8	2.9	3.1	2.8	100	88	89	NE 1	E 2	C	10^1≡	10^1	0	−	8	mrgs. ≡^{1}
24.	24.6	24.6	25.9	− 5.2	− 4.4	− 5.2	− 3.8	− 5.8	2.7	2.7	2.5	91	84	83	C	SW 2	SW 3	10^1	10^1	10^1	−	8	mrgs. ≡^{1} V; abds. Aufklaren
25.	26.7	25.6	24.9	− 4.0	1.6	− 0.8	− 0.6	− 5.7	2.7	2.8	3.4	81	68	79	SW 3	SW 4	SW 3	10^1	10^1	10^1	0.1	8	mrgs. ≡^{0}, a ztw. ✳^{0}, abds. ztw. ✳
26.	24.1	25.5	27.2	0.8	4.3	3.4	**4.8**	− 1.3	4.5	4.6	5.0	92	74	85	SW 3	SW 2	SW 4	10^1✳	9^1	10^1●	0.8	9	mrgs. ≡^{0}
27.	27.1	26.8	27.4	1.4	3.9	2.1	4.3	1.3	4.2	4.4	4.3	83	72	80	SW 2	SW 2	C	3^0	10^1	10^1	1.6	1	a u. m ✳, mrgs ◍✳; abds. ztw. ◍
28.	25.1	26.1	26.8	0.6	1.2	1.2	3.2	0.1	4.0	4.1	4.1	84	82	82	W 1	SW 2	SW 2	10^1	10^1	10^1	0.1	−	m ca. 10 min. lang △^{0}
29.	24.5	24.0	24.2	1.0	2.4	− 1.6	2.9	− 2.1	4.2	4.5	3.1	85	82	77	SW 2	SW 1	E 3	10^1	10^1	8^1	0.1	−	8^{30}–9^{00} a △; 3 p Aufklaren
30.	24.5	24.8	26.0	− 7.4	− 3.6	− 6.4	− 1.0	− 7.8	1.9	1.9	1.9	75	55	70	E 2	E 4	E 3	0	2^0⊙	10^1	−	−	
31.	28.0	28.7	29.4	− 9.9	− 6.0	− 9.3	− 5.4	−10.7	1.5	1.6	1.6	70	55	75	E 2	E 2	E 2	0	2^0⊙	0	−	−	mrgs. ⌴
Mittel	21.8	21.7	22.3	− 4.3	− 1.6	− 3.6	− 0.7	− 6.1	3.1	3.4	3.2	92	82	90				7.5	7.6	6.8	23.2		

Traunstein.

Januar. $\varphi = 47^0\ 52'$ N. $\varphi = 12^0\ 39'$ E $= 50^m\ 36^s$. H $= 597$ m. Cg $= +0.1$ mm. 1911.

1.	16.8	13.4	09.9	− 4.2	− 2.0	− 9.2	− 1.4	− 9.5	3.0	2.7	2.0	91	68	88	S 2	SW 2	SE 2	9^2✳	5^1⊙	10^2	2.8	32	n ✳
2.	04.3	03.8	04.7	− 4.2	− 2.4	− 3.6	− 2.2	− 9.2	2.9	3.4	3.2	86	89	91	S 2	SW 2	W 2	10^2✳	10^2	10^2✳	1.3	**35**	n u. t meist ✳
3.	04.1	03.3	03.4	− 4.6	− 3.2	− 3.8	− 2.5	− 5.0	2.9	3.3	3.1	90	91	91	SW 2	SW 2	SW 4	10^2	10^2	10^2	3.5	**35**	
4.	02.5	03.0	04.2	− 3.4	− 1.6	− 2.8	− 1.2	− 3.8	3.2	3.7	3.4	91	90	92	SW 6	SE 6	SE 2	10^2✳	10^2	10^2	−	**35**	n-a ✳
5.	05.7	06.5	08.4	− 4.6	− 3.0	− 3.4	− 2.0	− 5.0	2.9	2.0	3.0	90	83	85	SE 2	SW 2	SW 2	10^2	10^2	10^2	−	**35**	Hochnebel
6.	11.6	13.0	14.1	− 5.0	− 1.6	− 8.4	− 1.2	− 8.4	2.5	2.8	2.1	81	68	88	S 2	SE 2	SE 2	6^2	1^1⊙	2^1	−	30	
7.	15.2	16 4	18 9	− 8.6	− 2.2	− 9.4	− 2.0	− 9.4	2.1	3.1	2.0	91	79	91	SE 2	SE 2	SE 2	4^2	00	2^1	−	28	
8.	22.1	22.7	24.1	−12.2	− 2.4	− 9.6	− 2.2	−12.5	1.5	3.1	1.9	89	81	91	E 2	S 2	S 2	2^1	00	0	−	28	
9.	22.9	20.7	18.4	−12.4	− 1.2	− 7.0	− 1.0	−12.5	1.6	2.7	2.4	92	65	89	S 2	SW 2	S 2	1^1	3^1⊙	0	−	26	
10.	13.1	16.0	18.0	− 1.6	0.0	− 1.0	0.5	− 7.0	3.6	4.4	4.1	88	96	96	S 2	SW 6	SW 2	10^2✳	10^2✳	10^2✳	0.6	26	n u. t ✳
11.	17.4	13.4	07.8	− 4.2	− 2.2	− 9.8	− 1.0	− 9.8	3.2	3.2	1.9	95	83	91	S 2	S 2	E 2	4^1	00	2^1	**12.2**	30	
12.	01.4	698.7	**697.1**	− 9.0	− 0.6	− 7.0	− 0.5	−11.0	1.9	2.9	2.3	85	66	86	SE 2	SW 2	S 2	3^1	4^1⊙	4^1	−	30	
13.	01.9	04.3	08.1	− 7.0	− 1.0	− 4.6	− 0.5	−10.0	2.3	3.4	2.9	86	80	90	S 2	SW 2	SW 2	8^2	10^2✳	10^2✳	−	28	p u. abds. ✳
14.	11.9	13.7	16.0	− 4.2	− 4.4	− 6.6	− 3.0	− 7.0	3.0	2.8	2.5	91	86	89	SE 2	SE 2	SE 2	10^2	6^2⊙	10^2	5.1	32	
15.	17.0	16.9	17.5	− 8.4	− 7.8	−13.6	− 6.6	−14.0	2.2	2.2	1.4	91	89	92	E 2	E 2	E 2	10^2	5^2⊙	0	−	32	V
16.	18.1	21.4	24.8	−16.2	− 8.2	−10.0	− 7.0	**-17.0**	1 1	2.2	1.8	90	91	87	E 2	S 2	SW 2	0	6^2	2^2	−	32	⌴
17.	**26.6**	25.5	24.9	−15.0	− 5.2	−10.2	− 5.0	−15.5	1.2	2.4	1.8	87	78	87	SE 2	S 2	S 2	3^1	5^1	2^1	−	32	V
18.	25.2	24.6	24.1	− 7.6	0.6	0.6	0.8	−12.5	2.2	2.9	4.1	89	66	85	S 2	S 2	S 2	8^2	10^2	10^2	−	32	V
19.	22.4	21.7	21.9	− 0.2	1.4	0.2	2.0	− 1.0	4.4	4.5	4.5	96	89	96	SW 4	SW 6	SW 4	10^2✳	10^2	10^2●	2.7	32	n-a ✳, p ◍
20.	21.6	21.2	20.3	0.8	1.4	− 0.2	1.8	− 0.5	4.8	**5.0**	4.5	100	100	100	SW 2	S 2	S 2	10^2≡	10^2≡	10^2≡	1.5	30	≡^{2}
21.	18.6	16.3	15.1	− 1.2	− 0.6	− 1.8	− 0.2	− 2.0	4.2	4.2	4.0	100	96	100	NE 2	NE 2	NE 2	$1C^2$	10^2	10^2	−	26	≡^{2}
22.	14.6	15.6	17.9	− 5.0	− 3.2	− 5.6	− 1.8	− 6.0	3.1	3.4	3.0	100	96	100	NE 2	SW 4	SW 2	10^2	10^2	10^2	−	26	t V
23.	19.8	19.4	18 7	− 5.6	− 3.0	− 4.0	− 2.2	−10.5	2.9	3.3	3.1	98	91	93	S 2	S 2	SE 2	10^2	10^2	10^2	−	26	t V
24.	18.7	18.5	20.0	− 6.4	− 5.6	− 6.2	− 4.0	− 8.0	2.6	2.8	2.7	95	96	95	S 2	S 2	SW 2	10^2	10^2	10^2	−	26	t V
25.	20.8	19.9	19.2	− 4.6	− 2.4	− 1.4	− 1.2	− 7.0	2.6	2.3	2.7	81	61	66	S 4	S 2	S 2	10^2	8^2	10^2	−	26	n V
26.	18.4	19.3	21.8	0.8	3.2	3.0	**3.8**	− 1.4	4.3	4.4	4.5	89	76	79	SW 6	SW 6	S 4	10^2✳	10^2	10^2●	0.9	24	n u. a ✳^{0}, vorm. ◍✳, p ◍, abds. ◍
27.	21.4	20.8	21.8	2.6	3.0	1.2	3.2	0.5	4.4	4.1	4.1	79	73	82	W 6	SW 4	S 2	6^2	10^2≡	10^2≡	4.2	20	p–abds. ≡$^{1.2}$
28.	19.3	19.7	20.7	− 0.4	− 0.8	1.2	1.6	− 1.0	3.8	3.8	4.1	85	88	82	SW 2	SE 6	SW 6	10^2≡	10^2✳	10^2✳	0.2	18	n-a ≡^{2} ✳^{0}, t ztw. ✳
29.	18.1	17.8	18.5	0.6	2.2	− 1.6	2.4	− 1.6	3.9	4.4	2.8	82	82	68	SW 4	SW 4	SW 4	10^2≡	10^2≡	10^2	0,2	18	n-p ≡^{1}
30.	18.5	17.7	20.1	− 8.6	− 4.6	− 8.8	− 1.6	− 9.0	1.7	1.5	1.9	73	**47**	82	E 2	E 4	E 2	0	2^1⊙	0	−	18	n ⌴
31.	21.8	22.7	23.7	−11.4	− 7.4	−12.6	− 7.0	−13.0	1.3	1.4	1.4	71	53	81	SE 2	SE 2	SE 2	0	2^1⊙	0	−	18	n ⌴
Mittel	15.9	15.7	16.3	− 5.5	− 2.1	− 5.0	− 1.3	− 7.7	2.8	3.2	2.9	89	81	88				7.2	7.0	6.9	35.0		

Alle Angaben nach Ortszeit.

Partenkirchen.

Januar. $\varphi = 47^0\ 30'$ N. $\lambda = 11^0\ 6'$ E $= 44^m\ 24^s$. H $= 714.6$ m. Cg $= +0.1$ mm. 1911.

Datum	Luftdruck auf 0° u. Normalschwere reduziert 700 mm + 7a	2p	9p	Lufttemperatur C° 7a	2p	9p	Max.	Min.	Absolute Feuchtigkeit mm 7a	2p	9p	Relative Feuchtigkeit Proz. 7a	2p	9p	Richtung und Stärke des Windes 0 bis 12 7a	2p	9p	Bewölkung 0 bis 10 7a	2p	9p	Niederschlag mm	Schneedecke cm	Bemerkungen
1.	06.3	02.7	699.0	− 6.0	− 3.9	− 9.3	− 3.2	− 9.3	2.6	2.2	2.0	90	64	91	C	C	S 2	7^0	1^0⊙	1^0	2.1	47	
2.	693.4	692.5	693.1	− 5.5	− 3.5	− 4.9	− 2.6	−10.6	2.3	3.2	2.9	77	91	93	SW 3	C	C	10^0	10^1*	10^1*	−	44	m u abds. ✳1
3.	692.7	692.1	692.3	− 5.3	− 3.9	− 3.6	− 2.4	− 5.9	2.8	2.7	3.3	93	80	95	C	C	C	10^0	10^0	10^0	5.4	**48**	a Berge bis 1600 m herab im Nebel
4.	691.4	691.8	693.7	− 6.8	− 2.9	− 7.0	− 2.7	− 7.0	2.3	2.5	2.4	84	68	89	C	C	SE 1	8^0	7^0	0	−	43	a Berge frei
5.	695.5	695.9	697.7	−11.2	− 3.9	− 6.0	− 3.7	−12.0	1.7	2.6	2.6	89	75	90	C	C	C	10^0	10^0	10	−	40	a Berge bis 1200 m herab im Nebel
6.	01.4	01.7	03.3	− 8.2	− 2.3	− 8.5	− 2.3	− 8.5	2.1	2.5	2.2	85	65	94	C	S 2	C	2^0	00	0	−	38	a Berge rein
7.	04.9	05.4	07.9	− 8.1	− 0.2	− 5.0	− 0.1	− 8.9	2.1	2.8	2.8	85	63	90	SE 2	S 1	C	0	c⊙	0	−	36	a Berge sehr rein
8.	12.0	11.9	13.0	− 9.4	− 1.7	− 7.8	− 0.7	−10.0	1.8	2.4	2.1	84	60	83	C	C	C	0	00	0	−	36	a Berge sehr rein
9.	12.1	09.8	07.8	− 9.3	0.5	− 4.8	0.7	− 9.3	1.8	2.6	2.3	81	54	74	S 2	C	C	0	2^0	2^0	−	36	a Berge sehr rein
10.	03.1	06.2	08.8	− 1.9	− 0.4	− 1.8	1.3	− 5.0	3.7	3.9	3.8	94	89	94	C	N 2	C	10*	10^1*	9^1*	−	32	t ✳0.1 u. Hochnebel
11.	06.6	01.6	697.0	− 8.8	− 2.3	− 6.8	− 1.8	− 8.8	1.9	2.5	2.1	85	65	78	S 2	S 2	S 2	0	1^0⊙	1^0	**8.0**	42	
12.	691.0	**688.0**	688.6	− 8.0	1.5	− 4.1	1.8	− 8.1	1.7	2.7	2.8	71	53	84	S 2	C	C	2^0	2^0⊙	0	−	40	
13.	691.6	693.9	695.9	− 5.2	0.5	− 3.0	0.7	− 7.0	2.2	3.5	3.3	74	73	91	C	C	NW 3	10^0	8^0	10^1*	−	37	abds. ✳0
14.	00.9	01.8	04.5	− 5.3	− 3.3	− 5.4	− 3.0	− 5.6	2.9	3.0	2.8	96	85	93	C	C	C	10^1	8^0	10^0	2.5	40	a Berge bis 1200 m herab im Nebel
15.	05.4	04.9	06.7	−11.8	− 7.3	−10.1	− 5.4	−15.0	1.7	2.1	1.9	93	81	90	SE 2	S 2	C	0	00	0	0.1	39	a Berge frei, ∞ am Horizont
16.	07.6	10.1	13.4	−14 5	− 8.1	−11.8	− 7.7	**−16.1**	1.2	1.6	1.7	82	68	93	C	C	C	0	c⊙	0	−	38	a Berge frei ∞, vorm. bis 11 a ztw. Hoch≡
17.	14.9	14.3	**17.3**	−11.2	− 5.3	− 8.4	− 4.0	−14.8	1.8	2.1	2.2	93	71	91	C	C	S 2	0	1^0⊙	0	−	38	a ⋁, Berge sehr rein
18.	14.9	14.0	14.4	− 8.1	0.6	− 7.5	1.5	− 9.8	2.0	2.4	2.0	82	**51**	86	S 2	C	C	2^0	1^0⊙	0	−	36	a Berge sehr rein
19.	12 5	11.4	11.5	− 4.9	1.0	− 0.8	1.5	− 8 9	2.8	3.9	3.8	88	77	88	C	C	C	10^0	10^0	2^0	−	34	a Berge meist rein
20.	11.1	10.0	09.7	− 5.1	2.7	− 2.1	**5.4**	− 6.0	3.1	4.2	3.8	100	75	96	C	C	S 2	0	c⊙	0	−	32	a Berge meist rein
21.	07.6	05.1	05.0	− 9.6	− 4.3	−10.0	− 2.1	−10.0	1.7	2.7	2 1	81	82	100	C	S 2	C	0	00	0	−	29	a Berge frei, 7^{40} a kurz ≡0
22.	04.3	04.6	06.9	− 6.4	1.4	− 4.8	3.0	−12.8	2.2	2.9	2.6	79	57	84	C	C	C	10^0=	10	10	−	28	a Berge rein
23.	08.4	08.3	08.6	−10.9	− 6.4	− 8.2	− 4.8	−12.0	1.9	2.6	2.3	97	93	97	C	C	C	10^0=	10	10	−	26	t ≡0.1
24.	08.1	07.7	09.3	−10.1	− 6.9	− 7.1	− 6.7	−12.1	1.9	2.2	2.3	93	81	87	C	NW 2	C	10	10	10	−	24	a ⌴, Berge bis 1100 m im Nebel; t ≡0
25.	10.5	09.1	09.1	− 7.7	− 3.3	− 3.7	− 2.7	− 7.7	1.9	2.2	2.7	78	63	78	C	C	C	10^0	9^0	10^0	−	24	a Berge bis 1500 m im Nebel, t ≡0
26.	09.0	09.9	12.3	− 2.5	2.3	0.3	3.1	− 4.7	3.7	**4.5**	3.8	98	82	80	C	C	C	10^0*	6^0	0	0.6	26	a ✳0
27.	11.5	10.0	10.8	− 5.0	5.1	− 5.3	5.3	− 5.3	2.9	4.0	2.7	92	61	90	C	C	C	0	1^0⊙	1^0	0.5	23	a ⌴
28.	09.1	10.5	10.1	− 8.7	− 0.9	− 5.5	− 0.5	− 9.2	2.2	3.5	2.8	97	80	93	C	N 5	C	10^0=	10^0	0	−	20	a ⌴ ≡1, Berge rein
29.	09.0	07.4	06.7	− 7.4	2.4	− 5.0	3.4	− 7.9	2.2	3.0	2.7	86	55	88	S 1	C	C	0	00	3^0	−	20	a ⌴, Berge rein
30.	06.1	06.0	08.3	− 6.6	− 4.2	− 9.7	− 3.9	− 9.7	2.4	2.0	1.7	87	59	77	C	N 4	C	10^0	1^0⊙	0	−	19	a Berge bis 1300 m im Nebel, später vollst. Aufklaren
31.	10.3	10.5	11.7	−15.8	− 6.7	−14.2	− 6.6	−15.9	1.0	1.6	1.2	81	57	79	C	N 3	C	0	00	0	−	19	a ⌴, Berge rein
Mittel	05.3	04.8	05.7	− 7.9	− 2.1	− 6.2	− 1.3	− 9.5	2.2	2.8	2.6	87	70	88				4.9	4.2	3.2	19 2		

Hohenpeissenberg.

Januar. $\varphi = 47^0\ 48'$ N. $\lambda = 11^0\ 1'$ E $= 44^m\ 4^s$. H $= 993.9$ m. Cg $= \pm 0.0$ mm. 1911.

	600 mm + 7a	2p	9p	7a	2p	9p	Max.	Min.	7a	2p	9p	7a	2p	9p	7a	2p	9p	7a	2p	9p			
1.	81.0	77.9	73 8	− 6.2	− 4.8	− 6.7	− 4.8	− 6.7	2.6	2.7	2.1	93	86	78	NE 1	SW 2	W 2	10^1	0	0	1.2	25	abds. ringsum Horiz≡
2.	68.8	68.1	68.7	− 4.2	− 5.0	− 6.0	− 4.0	− 6.7	3.2	2.6	2.4	97	84	84	W 3	NW 4	NW 3	10^2=	10^2=*	10^2=*	1.0	20	n ✳, t ≡2, p u. abds. ✳
3.	68.2	67.8	67.7	− 8.2	− 6.7	− 6.2	− 6.0	− 8.2	2.1	2 5	2.8	85	92	100	NW 1	NW 1	NE 3	10^2=	10^2=	10^2=	4.2	22	a ⋁, t ≡2
4.	66.8	67.4	68.7	− 6 0	− 4.6	− 4.9	− 4.4	− 6.2	2.6	3 0	2.5	90	93	79	NE 5	NE 6	NE 4	10^2=*	10^2=	10^2=	1.1	20	n u. a ✳0, a ⋁, t ≡2
5.	70.4	71.4	73.6	− 6.2	− 5.6	− 6 0	− 4.9	− 6.2	2.7	2.8	2.8	95	93	98	E 1	E 1	W 1	10^2	10^2	10^1	−	20	t ⋁2
6.	76.3	77.2	78.4	− 6.3	− 3.2	− 4.6	− 3.1	− 6.7	2.4	2 7	2.3	87	76	72	W 1	SE 1	E 1	7^1	6^1	0	−	19	a reine Fernsicht, p Horiz≡
7.	80.0	81.2	83.3	− 3.6	− 0.8	− 3.8	− 0.8	− 4 6	2.1	2.1	2.3	60	49	66	W 1	S 1	SW 1	0	00	0	−	19	a sehr reine, p reine Fernsicht; p Horiz≡
8.	86.3	87.2	87.9	− 3.8	− 2.8	− 4.0	− 2.6	− 4.1	1.7	2.1	2.0	51	57	60	W 1	SW 1	SE 1	0	00	0	−	17	a sehr reine, p reine Fernsicht; p Horiz≡
9	86.8	85.3	82.7	− 4.8	0.2	0.7	0.9	− 5.2	1.7	1.5	1.6	55	33	32	S 4	SW 1	SW 1	0	9^1	10^1	−	17	a sehr reine, p reine Fernsicht; abds. ☋
10.	78.8	82.2	84 6	− 0.7	− 3.0	− 4.6	1.6	− 4.6	4.3	3.4	2.9	98	94	91	NW 3	NW 2	NW 2	10^2=*	10^2=*	10^2=	3.8	20	n u. a ✳, t ≡2; 3c0–6 p ✳
11.	81.0	76.8	72.2	− 6.6	− 5.5	− 5.3	− 4.2	− 6.6	2.5	2.0	1.8	89	68	59	SE 1	SE 4	SW 2	0	00	3^1	**7.3**	28	abds. ☋
12.	66.4	**64 1**	64.7	− 1.7	0.7	− 0.1	0.8	− 5.3	1.2	1.5	1.7	29	31	37	W 1	SE 2	SW 2	8^1	8^1	3^1	−	27	a reine Fernsicht, abds. ☋
13.	67.6	69.9	73.8	− 0.6	− 2.4	− 6.2	− 0.1	− 6.2	2.9	3.8	2.8	66	100	100	NW 1	NW 1	NW 2	10^2	10^2=*	10^1=*	−	26	10 a ✳, p u. abds. ✳0 ≡0.2
14.	76.1	70.9	79.2	− 7.9	− 6.4	− 9.0	− 6.1	− 9.0	2.5	2.7	2.3	100	97	100	NE 4	NE 4	NE 4	10^2=	10^2=	10^2=	4.5	**29**	a ⋁, t ≡2
15.	80.1	79.7	81.0	−10.7	− 9.3	− 6.6	− 6.6	−10.7	1.8	1.9	2.3	90	84	84	NE 1	NE 3	NE 2	0=	0=	0	−	**29**	t ≡1, a–p ⋁, abds. ≡
16.	82.6	84.9	88.2	− 6.2	− 4.5	− 6.6	− 3.4	− 8.3	1.7	1.5	1.2	60	47	44	E 1	NE 3	SE 3	0	00	0	−	27	t ≡, p Horiz≡ im E
17.	**89.7**	89.2	89 5	− 5.2	− 3.2	1.6	1.9	− 6.6	1.1	1.4	2.4	38	40	24	E 1	E 1	W 2	0	c⊙	0	−	24	t Gebirge sehr rein, ≡ im E
18.	**89.7**	89.6	89.1	− 1.8	− 0.1	− 0.5	3.6	− 2.7	1.5	3.0	3.3	36	68	75	W 1	NW 1	NW 1	3^1	10^2	10^1	−	23	a sehr reine Fernsicht
19.	87.4	87.2	87.2	− 2.2	− 0.7	0.8	1.2	− 2.2	3.1	3.6	4.0	79	83	81	W 1	NW 1	NW 1	10^2	10^2	10^1	−	21	a Horiz≡
20	86.3	85.8	84.8	0.8	4.7	4.4	**5.0**	0.4	3.9	**4.4**	3.4	80	68	54	NE 3	E 1	SE 2	0	00	0	−	20	a ringsum ≡, Gebirge sehr rein, abds. ≡
21.	82.4	80 6	79 9	− 2.2	0.2	− 0.1	**5.0**	− 4.0	2.1	1.6	2.1	53	35	45	SE 3	SE 1	SW 2	0	00	0	−	18	t ≡2
22.	79 4	80.6	81.6	3.5	2.3	1.6	4.1	− 1.6	1.5	2.0	2.6	23	38	64	W 3	W 3	W 1	1^1	1^1⊙	0	−	17	a ≡, Gebirge sehr rein, p Horiz≡, abds. ≡
23.	83.0	82.9	82.7	− 8.5	− 6.8	− 7.3	− 1.6	− 9.3	2.2	2.4	2.6	91	89	100	NE 1	E 1	NE 2	10^2=	10^2=	10^2=	−	17	t ≡2 ⋁
24.	82.7	82.5	84.0	−10.3	− 8.5	− 8.6	− 7.3	−10.6	1.4	1.7	2.2	70	73	94	E 1	E 1	NE 2	10^2◎	10^2=	10^2=	−	17	t ≡2 ⋁
25.	85.0	83.9	84.2	− 9.0	− 7.3	− 3 6	− 3.6	− 9.2	1.6	1.9	2.4	72	75	69	SW 1	SW 1	SW 3	10^2=	10^2=	5^1●	1.5	20	n ✳, t ≡2 ⋁
26.	83.7	85.6	86.9	− 1.4	1.2	1.5	1 6	− 3.6	2.7	3.3	2.7	64	65	53	SW 5	W 4	W 3	10^2	8^2⊙	5^1	−	19	
27.	86.4	85.8	85.9	− 1.0	1.2	− 1.8	1.8	− 1.8	2.6	3.1	3.0	61	62	76	W 3	SW 1	W 1	0	2^1⊙	10^1=	−	19	a sehr reine, p reine Fernsicht; t Horiz≡, abds. ≡1
28.	84.0	85.3	85 5	− 5.0	− 3.4	− 2.3	1.6	− 5.3	2.4	3.4	3.5	76	95	92	NW 1	SW 4	NE 2	10^2=	10^2=	0	−	19	a, p ≡2
29.	83.4	82.8	82.1	− 2.8	− 0.1	− 2.4	0.0	− 3.3	2.6	3.2	2.9	70	71	75	SE 1	SE 1	E 1	0	00	10^1=	−	18	t starker Horiz≡ im N, abds. ≡1
30.	80.7	81.3	83 0	−11.4	− 8.2	−11.5	− 2.4	−12.1	1.4	1.1	1.1	75	44	61	NE 6	NE 6	NE 5	0	00	0	−	17	t Horiz≡
31.	84.2	85.0	85.4	−13.9	−10.9	−13.7	−10.9	**−13.9**	1.1	0 9	1.0	71	45	63	NE 3	NE 5	NE 4	0	00	0	−	17	a reine Fernsicht; a, p Horiz≡
Mittel	80.2	80.2	80.7	− 5.0	− 3.3	− 4.0	− 1.5	− 6.2	2.2	2.4	2.4	71	69	71				5.1	5.3	5.0	24.6		

Alle Angaben nach Ortszeit.

Zugspitze.

Januar. $\varphi = 47^0\ 25'$ N. $\lambda = 10^0\ 59'$ E $= 43^m\ 56^s$. H $= 2964$ m. Cg $= -0.2$ mm. 1911.

Datum	Luftdruck auf 0° u. Normalschwere reduziert 500 mm + 7a	2p	9p	Lufttemperatur C° 7a	2p	9p	Max.	Min.	Absolute Feuchtigkeit mm 7a	2p	9p	Relative Feuchtigkeit Proz. 7a	2p	9p	Richtung und Stärke des Windes 0 bis 12 7a	2p	9p	Bewölkung 0 bis 10 7a	2p	9p	Niederschlag mm	Schneedecke cm 7a
1.	26.0	24.8	22.7	-19.4	-16.5	-14.4	-13.4	-21.0	1.0	0.6	1.5	100	44	100	N 5	N 4	NW 5	0	1^0⊙	1^0	6.7	200
2.	18.2	16.2	16.2	-15.1	-17.5	-18.5	-13.4	-18.9	1.4	1.2	1.1	100	100	100	W 3	W 1	E 4	10^2≡ *	10^2 *	0	4.1	200
3.	15.5	16.6	16.8	-18.1	-14.0	-13.4	-12.3	-19.2	1.1	1.6	1.3	100	100	79	E 5	E 6	E 5	5^1	4^{10}⊙	0	3.7	200
4.	16.7	17.2	18.1	-13.5	-13.7	-14.4	-11.9	-14.4	1.6	1.6	1.4	100	100	94	E 5	E 3	E 2	8^1	6^1⊙	1^0	–	200
5.	19.7	20.1	21.5	-14.4	-13.2	-13.9	-12.8	-14.7	1.0	1.3	1.6	67	75	100	E 3	E 2	S 2	2^1	7^1⊙	1^0	–	180
6.	23.3	25.3	27.1	-15.3	-14.8	-14.1	-13.8	-15.4	1.2	1.4	1.4	86	94	95	E 5	S 5	E 4	6^1	1^{10}⊙	0	–	180
7.	27.9	29.2	30.8	-14.0	-13.6	-15.4	-12.5	-15.4	1.2	1.2	1.2	78	75	86	S 3	W 3	C	1^1	1^0⊙	1^0	–	180
8.	32.4	33.6	34.5	-14.4	-12.6	-12.1	-11.9	-15.4	0.9	0.8	0.9	62	43	49	E 2	N 1	N 1	1^0	⊙⊙	0	–	180
9.	34.4	33.8	32.8	-11.0	- 9.8	- 8.2	- 8.2	-12.4	0.7	1.3	2.5	33	61	100	NE 3	NW 3	N 1	1^0	3^{10}⊙	1^0	–	180
10.	28.2	28.2	29.1	- 9.8	-15.7	-17.5	- 7.8	-17.9	2.2	1.4	1.1	100	100	100	N 4	N 2	N 2	10^2≡ *	10^2≡ *	10^2≡ *	–	180
11.	27.0	25.8	23.9	-19.2	-13.0	-10.9	-10.9	-19.3	1.0	0.9	1.0	100	53	50	W 3	NE 1	C	0	1^0⊙	1^0	**8.0**	200
12.	19.3	17.8	17.5	-10.5	- 9.4	-10.6	- 8.8	-11.1	1.3	1.3	1.0	64	57	49	SW 2	SW 1	S 3	7^1	7^1⊙	9^0	–	200
13.	18.3	19.9	21.3	-11.8	-11.5	-13.2	-10.6	-13.6	0.9	1.9	1.7	49	100	100	W 2	W 2	NW 1	10^1	10^1≡	8^1	–	200
14.	22.5	24.9	26.9	-14.7	-10.6	-14.2	-10.4	-15.0	1.5	2.1	1.1	100	100	71	SE 3	S 1	W 1	10^1	5^0	0	1.9	200
15.	27.6	28.5	29.7	-12.0	-10.2	- 8.9	- 8.9	-14.5	0.5	0.5	1.0	24	24	43	E 4	E 4	E 4	1^0	⊙⊙	0	–	200
16.	31.9	33.7	36.1	- 7.6	- 8.0	- 8.9	- 7.5	- 9.8	1.2	1.6	2.3	45	63	100	NE 3	E 3	E 3	0	1^0⊙	1^0	–	200
17.	37.3	38.1	**38.5**	-10.1	- 8.6	- 8.4	- 7.7	-10.2	0.5	0.9	1.3	22	37	53	E 2	N 2	N 3	1^0	4^0⊙	1^0	–	200
18.	37.8	37.5	37.4	- 9.4	- 9.0	- 8.4	- 6.9	-10.7	0.7	1.4	1.3	32	58	52	N 4	NW 5	N 5	7^1	1^0⊙	0	–	200
19.	36.1	26.7	37.2	- 5.0	- 4.7	- 4.1	- 2.8	- 8.4	3.2	3.2	**3.4**	100	100	100	N 6	N 4	E 3	10^2≡	10^2≡	10^2≡	–	200
20.	36.7	37.0	36.5	- 6.5	- 8.1	- 5.8	- 4.1	- 9.4	2.6	0.8	0.5	87	33	15	E 1	N 2	NE 3	0	⊙⊙	0	1.0	200
21.	34.8	34.0	33.7	- 3.6	- 1.2	- 2.0	**- 1.0**	- 5.8	0.3	0.2	0.1	8	4	3	E 3	E 2	C	0	1^0⊙	0	–	200
22.	32.5	32.4	32.4	- 4.9	- 6.5	- 9.0	- 1.9	- 9.2	0.4	0.1	0.7	14	5	29	W 4	W 2	N 4	1^0	2^0⊙	0	–	170
23.	32.7	32.8	32.6	- 9.0	- 6.5	- 7.4	- 6.4	-10.2	0.5	0.3	0.4	19	11	15	N 3	E 2	E 3	1^0	1^0⊙	0	–	170
24.	31.4	30.3	29.5	- 7.6	- 8.7	-13.1	- 6.1	-13.1	0.2	0.9	0.7	6	32	52	E 1	E 2	E 3	1^0	3^0⊙	1^0	–	170
25.	30.1	31.1	31.5	-15.0	-12.9	-13.7	-11.2	-15.1	0.5	1.7	1.6	37	100	100	W 2	NW 4	NW 6	1^0	10^1	10^2≡ *	–	170
26.	33.4	33.5	35.7	- 7.0	- 7.6	- 8.4	- 5.0	-13.7	2.7	2.6	1.8	100	100	73	NW 4	NW 5	NW 5	10^2≡ *	10^1≡	0	1.0	170
27.	36.4	36.6	36.1	- 8.0	- 6.1	- 6.7	- 5.6	- 8.4	1.3	0.6	0.7	49	19	26	E 2	N 5	N 6	1^0	1^0⊙	0	0.3	170
28.	34.3	32.1	32.9	- 8.1	-10.8	-11.0	- 6.6	-13.1	1.1	1.8	1.0	40	87	51	NW 5	NW 5	NW 3	2^1	9^1	0	–	170
29.	31.4	31.1	30.1	-10.6	-11.2	-13.1	- 9.7	-13.1	0.9	0.1	0.2	42	4	12	N 4	N 3	N 3	0	⊙⊙	0	–	150
30.	26.7	25.8	25.0	-14.6	-17.4	-21.2	-10.1	-21.2	0.1	0.1	0.1	9	6	7	N 3	NE 2	N 3	0	1^0⊙	0	–	150
31.	25.4	27.5	29.6	-23.8	-19.3	-18.3	-17.7	-24.3	0.5	0.4	0.4	73	43	37	E 4	E 6	E 4	1^0	⊙⊙	0	–	150
Mittel	28.6	28.8	29.2	-11.7	-11.1	-11.6	- 9.0	-14.0	1.1	1.2	1.2	60	59	63				3.5	3.9	1.8	26.7	

Bemerkungen.

1. a Aufklaren ringsum, cu-meer in ca. 2000–3000 m, ✳tr. u. d. Gipfel t Fernsicht frei, Täler und Flachland $\infty^{0.1}$; abds. ✳tr. u. d. G. ⋁ 30 cm
2. n u. t ≡$^{1.2}$, ✳$^{0.1}$; ztw. Aufklaren abds. ✳tr. u. d. G. ⋁ 35 cm
3. a ringsum ≡meer in ca. 1800–2000 m; üb. d. Zentralalpen cu-bildung, ✳tr. u. d. G. t Berge frei, üb. Flachl. u. Täler ≡meer in ca. 1800–2000 m; p Brockengespenst, ⋁ 20 cm
4. n u. a ⩢, Flachland u. Täler allenth. ≡meer in ca. 1800–2000 m, t Fernsicht über Berge u. Flachl. allenth. frei; Loisach- u. Isartal ∞^0, ⋁ 20 cm
5. a Fernsicht in die Berge ringsum frei, t Flachland, Täler u. Vorberge ≡meer in ca. 1500–1800 m, 2^{30}–ca. 3^{30} p üb. Hochgeb. starke Hoch≡, 3^{30}–6^{30} p ≡^{0} ✳^{0}, abds. ∪ ⊃
6. a ⩢, üb. Flachl. ≡meer in ca. 1500 m, Täler ∞^0, u. d. G. ✳tr.; t Fernsicht ringsum ziemlich frei, üb. Gebirg cu-, scu-bildung, abds. ⌙$^{0.1}$; im SE ≲
7. t Fernsicht ringsum rein, abds. u. u. ⌙^{2}
8. t Fernsicht ringsum rein.
9. t Fernsicht frei; ab 4 p ≡tr. aus N, abds. ⌙^{2} ∪
10. n u. a ≡^{1} ⌙^{2} ✳^{0}; t–n ≡$^{1.2}$ ✳$^{0.2}$, ⋁ 25 cm
11. n Aufklaren, t Fernsicht u. Gebirg frei, Flachland teilw., Inntal ≡meer in ca. 1000–1200 m
12. t Fernsicht ringsum rein
13. a Flachl. u. Vorbg. ≡meer in ca. 2500 m; Zentralalpen frei; ab ca. 8 a ≡$^{0.2}$, ca. 10–10^{30} a ✳, ab 10^{30} a–n ≡$^{0.2}$ ztw. Aufkl., ab 3 p–ca. 8^{30} p ✳$^{0.1}$; ab 8^{30} p schw. Aufkl. ∪ ⋁ 2 cm
14. a ≡^{0} ringsum ≡meer i. ca 2000 m; ab ca. 8 a ≡$^{0.1}$ ✳^{0}–ca 10^{30} a; ab ca. 10^{30} a Aufkl. p–ca. 2 p ztw. ✳fl. ab 2 p allgem. Aufkl. Fernsicht ringsum frei; 9 p ⌙^{0}, ≡meer in ca. 1600 m ⋁ 5 cm
15. a Berge frei; Flachl. u. Inntal ca. 1200–1400 m ≡meer ⩢ ✳tr. p–n Flachl. u. Täler der Vorbg. ≡meer in ca. 1100–1200 m Hochgebirgstäler $\infty^{0.1}$.
16. t Fernsicht üb. Berge frei, Flachland ≡meer in ca 900 m
17. t Fernsicht üb. Berge u. Täler frei, Flachland teilweise bedeckt $\infty^{0.1}$
18. a Fernsicht ringsum frei; ab ca. 9 a üb. Geb. in ca. 2000 m starke cu-bildg. ab 11 a–m ≡^{0}; ab m allgem. Aufkl. ztw. ≡tr. u. d. G., Fernsicht üb. Berge frei, Flachl. teilw. ≡meer i. 1000–1200 m
19. n u. a ⩢; a ⌙^{0}, t ≡$^{1.2}$; ca. 9 a–11a ✳^{0}, kurz △^{0}; t ⋁ 20 cm
20. n Aufkl. t Fernsicht üb. Berge u. Täler frei, üb. Zentralalpen im E cu, st cu; Flachl. ≡meer in ca. 900–1200 m, ⋁ 20 cm
21. a Berge u. Täler frei, Flachl. ≡meer in ca. 900–1000 m; t Fernsicht ringsum frei.
22. t Berge u. Täler frei, Flachl. allenth. ≡ meer (ganz seichte Nebeldecke)
23. t Berge frei, Hochtäler $\infty^{1.2}$ bis zu 2000 m, Flachl. ≡meer i. ca. 1000–1200 m; Täler der Vorberge ≡meer i. ca. 1200 m
24. t Berge ringsum frei, Hochtäler $\infty^{1.2}$ b. z. 2000 m Flachl. u. Täler d. Vorbg. ≡meer i. ca. 1400–1700 m
25. a ringsum ≡meer in ca. 1700 m, Bergspitzen rein, ab ca. 1 p–n ≡$^{0.1}$; ab ca 2^{30} p ztw. ✳^{0} ✳^{0}tr. abds.–n ⩢ ⋁ 2 cm
26. n u. a ≡$^{0.1}$ ✳^{0}, ab m ztw. Aufhellen ab 1^{30} p allmähliches Aufklaren, abds. ⩢, 9 p Vorberge im Nebel, ⋁ 20 cm
27. t Fernsicht üb. Berge u. Alpenvorl. frei, Flachland allenthalben ≡meer ⋁ 20 cm.
28. a ⩢, Berge u. Täler frei, Flachl. u. Vorgebirgstäler ≡meer in ca. 1000 m, p ⩢ über Flachl. u. Vorberge cu-bildung bis zu 2100 m, Föhncu im S.
29. t Berge ringsum frei, a Vorland u. Täler ∞^1, Flachl. ≡meer. Hochgebirgstäler $\infty^{1.2}$, Vorb. st-cu-bildung, Flachl. ≡meer, abds. ≡meer gegen N i. ca. 1800 m
30. a ringsum ≡meer i. ca. 2000 m; ab ca. 9 a Flachl. frei p Alpenvorl. cu-bild. in ca. 2000 m, Hochgb. cu-meer in ca. 2100–2300 m. 9 p Vorbg. ≡meer in ca. 2000 m, Hochgb. u. Täler ∞^1
31. a Fernsicht ringsum frei, Täler st cu in ca 1500 m, $\infty^{0.1}$, t ⩢ ✳^{0}tr. $\infty^{1.2}$

Alle Angaben nach Ortszeit.

Kahl a/M.

Februar. $\varphi = 50^0\ 4'$ N. $\lambda = 9^0\ 1'$ E $= 36^m\ 4^s$. H $= 114.1$ m. Cg $= +0.3$ mm. 1911.

Datum	Luftdruck auf 0^0 u. Normalschwere reduziert 700 mm +			Lufttemperatur C°					Absolute Feuchtigkeit mm			Relative Feuchtigkeit Proz.			Richtung und Stärke des Windes 0 bis 12			Bewölkung 0 bis 10			Niederschlag mm	Schneedecke cm	Bemerkungen
	7^a	2^p	9^p	7^a	2^p	9^p	Max.	Min.	7^a	2^p	9^p	7^a	2^p	9^p	7^a	2^p	9^p	7^a	2^p	9^p	7^a	7^a	
1.	**68.2**	68.1	68.1	−10.9	− 4.5	− 2.8	− 2.6	**−11.7**	1.9	2.8	3.2	97	86	85	C	SW 2	C	0	10^1	10^1	–	–	a ⌊
2.	66.2	63.4	59.8	− 1.7	1.3	1.6	1.7	− 3.2	3.9	4.7	4.5	96	92	87	SW 2	W 2	SW 4	10^1	10^1	10^1	–	–	a ✳^{0}
3.	56.4	59.3	63.0	2.5	3.7	− 0.2	4.5	− 1.0	4.7	4.2	4.4	84	70	94	N 6	NW 4	SW 2	7^1	9^0	10^1	1.0	–	7 a ≡
4.	62.5	61.2	60.2	− 0.4	3.2	2.2	3.4	− 2.0	4.3	4.1	4.6	96	71	85	C	NW 2	NW 2	10^1	8^2	10^1	–	–	
5.	57.6	57.7	59.8	1.8	4.2	1.8	5.3	0.8	4.8	5.4	4.8	91	87	91	W 4	SW 2	C	10^1	10^1	10^1	–	–	
6.	61.8	63.2	65.0	− 2.9	2.5	− 3.8	3.2	− 4.5	3.7	3.6	3.4	100	65	100	C	NW 2	E 2	10^1	7^1	0	–	–	a ≡^{0} ⌊
7.	64.7	62.9	60.7	− 4.7	1.9	1.7	2.1	− 7.0	3.2	3.7	4.7	100	69	91	C	W 4	W 4	8^0	10^1	10^1	–	–	a ⌊. 3^{30} p an ztw. ✳
8.	62.3	64.6	66.7	− 1.6	0.2	− 3.9	1.7	− 4.5	4.1	2.5	2.9	100	54	84	C	NW 4	C	1^0	1^0⊙	4^1	0.4	–	
9.	66.5	64.1	62.1	− 9.1	− 0.4	− 5.8	0.1	− 9.9	2.2	2.5	2.6	97	55	90	SE 2	E 2	E 2	0	00	0	–	–	a ⌊
10.	58.5	56.5	56.0	− 9.3	0.1	− 4.9	0.9	−10.2	2.1	2.7	2.9	97	58	93	S 2	S 2	C	0	00	0	–	–	a ⌊
11.	55.8	55.1	55.9	− 6.5	5.9	− 2.9	6.3	− 8.8	2.7	5.1	5.4	97	74	96	C	SW 2	SW 2	10^0	10^0	10^1	–	–	
12.	57.3	58.0	60.1	1.3	5.2	− 0.2	5.9	− 0.9	5.0	4.4	4.4	100	66	98	C	W 2	C	10^1	3^1	4^0	0.5	–	n ◍
13	62.5	62.9	64.4	− 4.0	5.8	− 0.6	6.7	− 4.5	3.4	4.5	4.1	100	66	94	C	N 2	N 2	0	00	0	–	–	a ⌊
14.	65.7	65.3	65.4	− 5.3	4.1	− 2.7	4.5	− 5.9	3.0	3.9	3.7	100	63	100	C	SW 2	C	1^0	4^0	1^0	–	–	a ⌊
15.	64.5	63.0	64.8	− 3.0	3.0	1.5	3.5	− 6.1	3.7	4.2	4.7	100	74	93	S 2	SW 2	SW 2	10^1	10^1	0	–	–	a ⌊
16.	67.1	63.6	59.3	− 0.9	4.5	4.5	5.0	− 1.8	4.3	4.5	5.2	100	71	82	SW 2	SW 2	SW 4	10^1	10^1	10^1	–	–	
17.	55.1	54.8	56.0	5.0	5.5	6.6	7.3	4.0	5.1	5.8	6.4	78	86	88	SW 6	SW 6	SW 6	10^1	10^1	10^1	–	–	n, 7 a, 2 p, 9 p ≡
18.	53.1	50.0	48.1	7.6	12.4	8.3	**12.9**	5.4	7.0	7.1	7.0	90	66	87	SW 6	SW 8	SW 8	10^1	7^0	10^1	–	–	7 a, 2 p, 9 p ≡
19.	41.2	40.9	42.2	8.2	8.5	4.0	9.5	3.4	6.7	5.6	4.7	82	67	77	SW 8	SW 6	SW 6	10^1	6^1	0	1.2	–	n ≡ ◍. 7 a ≡. t ztw. ◍. 2 p, 9 p ≡
20.	48.3	50.2	49.5	2.2	5.7	3.1	6.0	0.9	4.5	3.8	4.3	84	55	74	W 4	W 4	SW 6	10^1	10^1	9^1	4.9	–	
21.	54.4	56.0	55.4	1.5	4.8	2.8	5.4	− 0.6	4.7	5.3	4.8	93	82	86	W 4	SW 6	SW 2	10^1	10^1	10^1	1.2	1	$9^{21.36}$ p ✳. 2 p, 9 p ≡
22.	51.0	48.5	54.1	6.9	7.2	6.5	9.7	2.3	4.5	6.6	4.8	60	87	67	SW 4	SW 6	SW 4	10^1	10^1	4^0	–	–	$10^{36.38}$ a ◍. 2 p ≡
23.	54.3	48.4	40.4	3.8	11.3	8.9	11.4	3.0	5.0	5.2	**7.4**	83	52	87	SW 2	SW 6	SW 8	1^1	6^0	10^1	1.3	–	2 p ≡. 7^{21} p an ◍. 9 p ≡
24.	39.8	42.1	47.1	7.3	7.7	5.0	10.4	4.2	5.8	5.4	5.0	76	69	76	SW 8	W 4	SW 6	10^1	9^1	0	1.9	–	n ◍ ≡. 7 a ≡. t ztw. ◍. 9 p ≡
25.	48.9	47.1	43.5	4.8	5.8	6.2	7.1	3.0	5.4	5.9	7.0	84	87	99	W 4	SW 2	SW 2	10^1	10^1	10^1●	1.3	–	p ztw. ◍. 9 p ◍
26.	45.1	43.5	50.7	5.4	6.8	4.3	8.0	3.0	5.6	4.2	4.3	83	57	70	SW 2	SW 8	SW 8	6^0	8^1	0	**6.9**	–	n ◍. t ztw. ◍ ≡. 2 p, 9 p ≡
27.	54.6	55.3	55.2	2.8	5.8	1.2	6.7	− 0.9	4.5	3.8	4.4	79	55	87	W 2	NW 4	NW 2	4^1	2^1	0	0.9	–	
28.	53.0	50.5	48.2	2.1	6.9	7.7	8.4	− 1.7	4.2	5.4	6.5	78	73	83	SE 4	SW 4	SW 2	10^1	10^0	10^1	–	–	
																					21.5		
Mittel	57.0	56.3	56.5	0.1	4.6	2.0	5.5	− 2.0	4.3	4.5	4.7	90	70	87				7.1	7.1	5.8			

Bayreuth.

Februar. $\varphi = 49^0\ 57'$ N. $\lambda = 11^0\ 34'$ E $= 46^m\ 16^s$. H $= 363.3$ m. Cg $= +0.3$ mm. 1911.

1.	**44.6**	43.1	43.4	−11.5	− 5.5	− 3.3	− 3.3	−12.3	1.6	2.6	3.3	89	87	91	NE 2	W 2	W 2	10^1	10^2	10^2	–	5	
2.	42.1	38.9	34.2	− 2.6	− 0.1	0.1	0.2	− 3.8	3.4	4.1	4.5	92	90	**98**	W 2	W 6	W 8	10^2	10^1	10^1*	–	5	p ztw. ✳^{0}
3.	30.6	34.8	39.7	1.1	1.5	0.5	1.5	− 0.7	4.1	4.0	3.9	84	79	82	NW 6	NW 4	NW 6	9^1	7^1	10^2	0.5	**11**	n ✳^{1}
4.	39.5	38.2	36.8	− 0.7	0.4	0.1	1.2	− 1.6	3.7	3.9	4.2	85	82	90	NW 4	W 4	W 2	10^2	10^2	10^2	–	8	
5.	33.4	33.0	35.3	0.5	2.4	1.7	2.4	− 0.7	4.5	4.0	4.2	94	75	83	W 4	W 4	NW 2	10^2	10^2	7^1	–	8	
6.	38.5	40.5	42.5	− 1.5	− 0.1	− 5.0	1.7	− 5.5	3.1	2.7	2.6	76	60	85	N 2	NE 2	NE 2	7^1	4^1⊙	0	–	7	
7.	41.8	38.9	36.4	− 9.6	− 0.6	− 0.7	− 0.3	−10.9	1.9	3.1	4.0	91	70	92	E 2	W 4	W 6	10^2	10^2	10^2	–	5	p ztw. ✳$^{0.1}$
8.	38.4	40.4	42.7	− 4.3	− 3.7	− 5.5	− 0.7	− 5.9	2.4	2.2	2.8	73	65	93	NW 4	NW 6	N 4	7^1	5^1⊙	9^1	0.4	9	t ztw. ✳$^{0.2}$
9.	43.0	42.0	40.5	−11.7	− 3.1	− 9.7	− 1.9	−12.4	1.7	2.4	1.9	93	68	91	E 2	E 2	E 2	10^1≡	5^0⊙	0	0.2	9	a ≡^{1}
10.	37.3	34.7	34.0	−12.9	− 0.5	− 5.3	− 0.4	**−14.2**	1.4	2.6	2.4	92	59	80	E 2	E 2	E 2	0	6^1⊙	0	–	9	
11.	33.4	33.1	33.3	− 6.4	1.1	1.3	1.7	− 9.6	2.4	3.9	4.3	87	77	86	E 2	E 2	E 2	10^2	8^1	10^2	–	9	
12.	34.6	35.8	37.2	1.9	2.6	0.5	3.0	− 0.1	4.9	5.1	4.6	93	93	96	W 2	W 2	SW 2	10^2	10^2	10^1≡	–	7	p ≡$^{0.1}$
13.	39.6	40.5	41.9	− 3.3	3.7	0.6	3.7	− 4.2	3.3	3.9	4.2	94	65	87	W 2	NE 2	NE 4	10^2≡	00	8^1	–	4	a ≡^{2}
14.	43.2	43.2	43.4	− 1.9	1.6	− 1.4	2.6	− 2.4	2.7	2.7	3.0	68	53	72	NE 4	E 2	E 2	10^2	00	0	–	2	
15.	42.4	40.9	40.6	− 4.5	1.7	0.8	2.2	− 5.3	2.8	3.4	4.3	86	66	90	E 2	W 2	W 6	5^0	10^2	10^2	–	1	5^{48}–7^{11} p ✳$^{0.1}$
16.	44.2	42.4	37.9	− 1.7	3.3	1.9	3.3	− 2.5	3.6	4.1	4.1	90	71	79	W 2	SW 2	SW 4	5^0	8^0⊙	10^2	0.5	2	
17.	32.0	29.7	32.6	3.7	3.9	4.9	4.9	0.5	4.5	5.3	5.6	74	88	87	W 6	SW 8	SW 8	10^2	10^2	10^2	0.2	–	n ≡ ◍^{0}. t ≡ ztw. ◍^{0}
18.	28.6	26.8	25.2	4.9	7.6	6.8	7.6	3.5	5.6	**6.7**	6.1	87	87	83	SW 8	SW 8	SW 8	10^2	10^2	10^2	0.7	–	n, t ≡
19.	18.9	18.0	19.0	6.4	5.4	1.3	7.1	0.8	6.3	5.5	4.7	89	83	92	SW 8	SW 8	SW 8	10^2	10^2	10^2●	0.1	–	n ≡. t ≡ ztw. ◍$^{0.1}$
20.	23.2	27.0	25.9	0.3	2.1	1.6	2.5	− 0.7	4.2	3.7	4.7	90	69	91	W 6	W 6	W 6	8^1	9^2	6^1	**5.5**	2	n ✳$^{0.1}$
21.	29.7	32.6	33.6	− 0.9	2.5	1.9	2.8	− 1.6	3.8	4.7	4.5	88	86	87	W 4	W 4	W 4	10^2	10^2	0	–	2	a ✳^{0}
22.	28.9	25.7	28.7	3.5	6.5	6.5	7.3	0.3	4.4	4.9	5.6	74	68	79	S 2	SW 6	SW 6	10^2●	10^2	0	0.2	–	t ztw. ◍$^{0.1}$
23.	32.2	27.2	19.9	2.5	7.4	8.2	**9.7**	1.5	4.6	5.4	4.7	83	70	58	SW 4	SW 6	SW 2	10^1	7^1	10^2●	0.5	–	9 p ◍^{0}
24.	**17.6**	19.0	22.1	6.2	5.9	4.4	8.2	3.9	5.0	5.3	4.7	70	76	77	SW 8	SW 8	W 6	10^2	10^2	4^1	**5.5**	–	n ≡ ◍$^{0.1}$. t ≡ ztw. ◍$^{0.1}$
25.	26.1	25.2	21.0	2.1	4.9	4.4	6.1	0.3	4.9	5.5	5.8	91	85	93	W 6	W 4	W 2	7^1	10^2	10^2	3.6	–	n ztw. ◍^{0} ≡. p ztw. ◍$^{0.1}$
26.	21.7	18.0	24.1	5.3	4.9	2.3	5.1	1.8	5.2	5.5	4.6	79	85	85	W 6	W 6	W 8	8^2	10^2	10^2●	1.9	–	p ztw. ◍$^{0.1}$ ≡
27.	29.8	31.3	32.9	1.0	3.3	0.8	3.3	0.3	4.4	3.6	3.3	90	60	68	W 6	W 6	W 2	10^2	8^1	5^1	1.6	–	a ✳^{0}
28.	31.8	28.9	27.1	2.3	8.5	4.9	8.5	− 2.8	3.6	4.3	5.0	94	53	77	E 2	W 2	S 2	3^0	10^1	10^2	–	–	a ⌊^{1}
																					21.4		
Mittel	33.8	33.2	33.3	− 1.1	2.4	0.9	3.2	− 3.0	3.7	4.1	4.2	86	74	85				8.5	8.1	7.1			

Alle Angaben nach Ortszeit.

Bamberg.

Februar. $\varphi = 49^0\ 53'$ N. $\lambda = 10^0\ 53'$ E $= 43^m\ 32^s$. H $= 287.7$ m. Cg $= +0.3$ mm. 1911.

Datum	Luftdruck auf 0^0 u. Normalschwere reduziert 700 mm + 7^a	2^p	9^p	Lufttemperatur C° 7^a	2^p	9^p	Max.	Min.	Absolute Feuchtigkeit mm 7^a	2^p	9^p	Relative Feuchtigkeit Proz. 7^a	2^p	9^p	Richtung und Stärke des Windes 0 bis 12 7^a	2^p	9^p	Bewölkung 0 bis 10 7^a	2^p	9^p	Niederschlag mm 7^a	Schneedecke cm 7^a	Bemerkungen
1.	**51.6**	51.0	51.2	−10.9	− 4.9	− 2.9	− 2.9	−11.4	1.8	2.7	3.4	93	86	91	SW 1	NW 1	N 1	1^1	10^2*	10^2	R?	–	n ⌊. 7 a ∞. 8^{41} a–4 p ✳^{0}
2.	49.6	46.3	41.8	− 3.4	0.7	0.6	1.6	− 4.1	3.5	4.2	4.6	98	87	96	W 1	W 3	W 5	10^2	10^2*	10^2*	0.1	–	11^{30} a–9 p ✳
3.	38.6	42.3	46.9	1.6	2.6	0.4	3.3	0.0	4.3	3.8	3.9	84	69	82	NW 5	N 6	NW 1	10^2	4^1	10^2	1.1	t	
4.	46.7	45.2	43.9	− 0.2	1.5	0.6	1.8	− 0.6	3.4	3.5	4.1	76	69	85	W 1	W 1	W 1	10^2	10^2	10^2	0.1	–	
5.	40.9	40.6	43.3	0.6	3.3	0.3	3.7	0.1	4.5	4.5	4.1	94	78	87	W 1	W 2	W 2	10^2	10^2	1^1	–	–	
6.	45.5	47.3	49.4	− 2.1	2.1	− 3.3	3.0	− 3.3	3.8	2.0	2.8	98	39	78	E 1	NW 1	N 1	10^1	3^1	1^1	–	–	n ⌊. 7^{59} a ✳^{0}
7	48.6	46.5	43.6	− 6.8	0.5	0.0	0.8	− 7.5	2.6	3.2	4.3	97	68	92	S 1	SW 1	W 4	10^1	10^1*	10^2*	–	–	n ⌊. 11^{47} a an t ✳^{0}
8.	45.9	48.0	50.4	− 3.5	− 1.8	− 5.2	0.7	− 5.2	2.4	1.9	2.3	69	49	76	NW 2	W 5	W 1	10^1	3^1⊙	8^1	0.5	1	p ztw. ✳^{0}
9.	51.1	49.1	46.9	−11.3	− 1.5	− 7.2	0.0	−11.3	**1.8**	1.9	1.9	97	47	72	S 1	N 1	SE 1	1^1	5^1	1^1	0.1	–	n ⌊
10.	43.9	41.4	40.4	−10.3	2.2	− 4.1	2.4	−10.5	1.9	2.1	2.3	93	39	68	W 1	SW 3	SW 3	1^1	8^0	0	–	–	n ⌊. mrgs. ≡
11.	40.0	39.8	40.1	− 8.0	4.2	3.5	6.1	− 8.0	2.3	3.8	4.9	94	62	83	W 1	NW 1	S 2	2^1	10^2	10^2	–	–	n ⌊. 7 a ≡
12.	41.5	43.0	44.7	1.5	3.7	− 0.6	4.6	− 1.4	5.0	5.9	4.4	98	98	100	SW 1	C	SW 1	10^2●	10^2	10^2=	0.5	–	a ◍^{0} ᔓ. 9 p ≡
13.	46.7	47.5	48.9	− 1.8	5.0	− 1.5	5.7	− 2.7	4.0	3.6	3.9	100	55	94	N 3	N 4	N 2	10^2=	oo	o	–	–	n ⌊. 7 a ≡^{1}
14.	50.0	50.0	49.8	− 0.3	3.9	− 0.8	4.2	− 1.7	3.6	3.4	3.8	81	56	88	W 3	S 1	C	10^1	oo	10^2	–	–	n ⌊
15.	49.5	47.7	48.3	− 3.7	1.9	0.5	3.2	− 4.2	3.4	4.2	4.6	98	80	96	S 1	S 3	N 4	10^0	10^2	5^1	–	–	n ⌊. 4^{20} p ✳^{0}. 5^{19} p △
16.	51.4	49.1	44.4	− 1.5	4.4	1.6	5.0	− 1.6	3.9	4.5	5.0	96	73	96	W 1	S 4	SW 3	8^0	10^0⊙	10^2	0.3	–	7^{10} p ✳^{0}
17.	39.0	37.2	40.2	3.9	4.5	4.8	5.8	1.4	4.8	5.5	6.0	78	87	94	SW 4	SW 9	SW 6	10^2	10^2	10^2	0.3	–	11^{30} a ⌊⌊. m ◍^{0}
18.	35.4	33.8	32.2	5.6	8.9	7.4	9.7	4.4	6.3	**7.2**	6.6	93	86	86	W 7	W 7	W 5	10^2	10^2	10^2	0.1	–	n, a ◍^{0}
19.	25.4	25.0	26.0	7.2	6.9	2.3	8.3	1.8	6.7	6.3	5.2	89	84	96	W 5	W 8	W 7	10^2	10^2	3^1●	0.3	–	10^{02} a an t ◍^{1}. 4^{44-48} p, 5^{02} p △. 7^{32} p ≺ i, ESE
20.	31.1	33.9	32.9	0.9	4.3	2.0	5.2	0.3	4.5	3.6	3.5	90	58	66	NW 7	W 6	W 6	10^2	8^1	2^1	5.5	–	n, 8^{31} a ✳^{0}. 9^{42} a ✳^{1}
21.	37.6	40.1	40.4	− 0.8	3.0	1.2	4.8	− 1.1	4.3	4.4	4.8	100	78	96	W 7	W 2	S 3	10^2*	10^2	10^2	1.8	**2**	10^{00} p, 6^{30}–11^{45} a ✳^{1}
22.	35.5	32.5	37.6	3.5	7.7	5.9	9.4	0.8	4.5	6.1	4.6	77	77	66	SW 2	SW 5	W 6	10^2	10^2	3^1	2.0	–	m–1^{30} p ◍^{1}. 5^{30} p ◍^{2}
23.	38.8	33.6	26.3	1.5	10.5	6.1	**10.7**	1.3	4.6	5.1	5.7	91	53	81	SW 2	SW 4	SW 1	7^1	4^1	10^2●	1.2	–	n ⌊. 8^{45} p ◍^{1}
24.	**24.6**	26.9	31.0	5.5	3.4	4.7	9.6	2.1	5.7	5.7	4.8	85	98	74	W 4	W 7	W 6	10^2●	5^1⊙	10^2	2.7	–	n ztw. ◍. 7^{08} a ◍^{1}. 11 a ⌊⌊. 1^{12} p ◍^{0}. 1^{20-50} p ◍^{2}
25.	33.5	31.4	27.4	2.3	5.0	4.4	6.4	1.5	5.3	6.0	6.0	98	92	97	W 1	SW 2	S 2	10^2	10^2	10^2	**8.7**	–	n ztw. ◍ p ztw. ◍^{1}. [△ ⌊⌊⌊ (W), dann ztw. ◍
26.	28.9	25.2	32.4	4.6	5.2	2.8	7.9	2.1	5.1	5.8	4.9	81	87	88	W 4	W 7	W 7	8^2	10^2●	10^2	2.4	–	n ◍. t ztw. ◍
27.	37.2	38.9	39.7	1.8	3.5	− 1.0	5.6	− 1.0	4.6	3.9	3.9	88	67	90	W 3	W 4	SW 1	10^2*	10^1	4^1	1.3	–	11^{40} p ✳^{0}. 6^{54-72} a, $8^{06-11^{10}}$ a ✳^{1}
28.	38.2	35.2	33.4	− 2.0	7.3	5.5	7.9	− 2.6	3.9	4.4	5.3	98	59	79	S 2	S 4	S 3	3^1⊙	10^2	10^2	2.3	–	n ⌊
																					31.3		
Mittel	41.0	40.3	40.5	− 0.9	3.5	1.0	4.8	− 2.2	4.0	4.3	4.3	91	71	86				8.3	7.9	7.1			

Würzburg.

Februar. $\varphi = 49^0\ 48'$ N. $\lambda = 9^0\ 56'$ E $= 39^m\ 44^s$. H $= 179.3$ m. Cg $= +0.3$ mm. 1911.

1.	**62.0**	60.9	61.7	− 8.6	− 2.7	− 1.9	− 1.0	− 9.0	2.1	2.7	3.4	91	72	86	W 2	W 2	W 3	o	10^2	10^2	–	–	a ⌊
2.	59.9	57.0	53.0	− 0.5	1.5	1.7	2.0	− 1.9	3.6	4.4	4.4	81	85	85	W 2	NW 3	W 4	10^2	10^2	10^2	–	–	
3.	49.6	52.6	56.7	2.8	3.6	2.4	4.3	1.2	4.6	3.9	3.7	80	65	68	W 2	N 3	N 1	10^2	10^2	10^2	0.4	–	n ✳
4.	56.6	54.8	54.2	0.8	2.0	2.3	2.6	− 0.6	3.7	3.6	4.2	75	68	77	N 2	W 3	C	10^2	4^1⊙	10^2	–	–	
5.	51.1	51.0	53.5	1.8	4.3	2.1	4.3	1.6	4.7	4.2	4.3	90	68	80	C	W 4	W 2	10^2	10^2	2^1	–	–	
6.	55.3	57.0	59.2	− 1.2	3.0	− 1.8	3.0	− 2.1	4.0	3.4	3.3	94	59	82	W 2	E 2	C	o	6^2	o	–	–	a ⌊
7.	58.4	56.8	54.5	− 3.6	1.9	1.1	2.0	− 4.8	2.9	3.4	4.3	85	64	87	W 1	W 2	W 3	10^2	10^2	10^2	–	–	a ∞ ⌊. p ztw. ✳
8.	56.1	58.1	60.8	− 0.4	− 0.8	− 3.7	1.1	− 3.8	3.5	2.2	2.4	78	51	71	W 2	NE 4	C	3^1	6^1	o	0.4	–	
9.	60.9	58.5	56.2	− 8.1	− 1.3	− 5.2	− 0.8	− 8.6	2.1	2.4	2.3	88	57	76	C	E 2	C	o	4^1⊙	o	–	–	a ∞
10.	53.2	51.0	49.9	− 8.8	− 1.8	− 4.7	− 1.8	− 9.0	1.9	2.3	2.8	85	58	88	SE 2	S 3	SE 2	o	oo	o	–	–	a ∞ ⌊
11.	49.5	48.8	49.6	− 7.4	3.1	1.6	3.4	− 8.6	2.3	3.7	4.4	92	64	85	W 1	C	C	o	5^1⊙	10^2	–	–	a ∞ ⌊
12.	51.2	52.2	54.2	1.3	4.7	1.7	4.9	1.1	4.9	4.7	4.5	**98**	73	88	C	S 1	C	10^2=	6^1⊙	10^2	0.3	–	n ◍. a ≡^{1}
13.	56.3	56.9	58.4	− 0.9	5.1	0.5	5.6	− 1.0	4.1	3.8	4.1	96	58	85	SE 2	E 4	C	o=	oo	o	–	–	a ⌊ ≡^{1}
14.	59.8	59.6	59.5	0.5	2.9	0.0	3.0	− 2.5	4.2	3.4	4.0	89	61	87	E 2	E 2	E 1	10^2	oo	10^1	–	–	a ⌊ ≡^{1}
15.	59.0	57.4	58.7	− 3.2	2.9	2.3	3.0	− 3.5	3.4	4.0	4.8	94	71	77	W 1	S 2	C	o=	10^2	8^2	–	–	a ⌊ ≡^{1}. 7 p ✳^{0}
16.	61.4	58.0	53.6	− 0.5	5.5	4.5	5.5	− 1.0	4.1	3.7	4.6	92	55	73	W 1	SW 2	W 3	6^1	4^1⊙	10^2	0.1	–	a ⌊ ∞
17.	48.9	47.7	49.7	5.0	6.8	7.0	7.0	3.7	4.6	5.5	6.4	71	74	85	SW 4	W 6	W 4	10^2	10^2	10^2	–	–	abds. ◍^{0}
18.	45.7	43.7	42.2	7.0	10.9	8.4	**11.2**	5.8	0.4	**6.9**	6.3	85	74	77	W 5	W 6	W 5	10^2	10^2	10^2	0.3	–	
19.	34.8	34.7	35.6	7.4	6.6	4.3	8.4	3.7	6.2	6.4	4.7	80	88	76	W 6	W 4	W 4	10^1	8^2	10^2	1.5	–	n, t ztw. ⌊⌊⌊ ◍
20.	41.2	43.2	42.7	1.7	4.9	3.9	5.6	1.7	4.5	3.3	3.6	88	50	59	NW 6	W 6	W 6	10^2	5^1⊙	o	6.4	–	n, a ztw. ⌊⌊⌊ ✳ ◍
21.	47.6	49.9	49.6	1.2	3.6	2.9	4.8	− 0.2	4.5	4.9	4.7	91	82	82	W 2	W 1	W 2	10^2	10^2	10^2	3.3	2	n ✳
22.	44.2	41.9	47.3	5.4	8.8	7.8	9.6	2.1	4.3	6.4	4.1	65	76	53	SW 3	SW 5	SW 6	10^1	10^2	o	–	–	t ztw. ⌊⌊⌊ ◍
23.	47.8	42.2	34.5	3.3	10.5	8.6	11.0	3.1	4.7	4.8	6.4	82	51	77	S 3	SW 5	W 3	3^1	6^1⊙	10^2●	0.3	–	9 p ◍
24.	**34.1**	36.1	40.6	7.4	5.2	5.5	8.6	4.0	5.4	5.4	4.5	70	81	67	W 6	W 7	W 6	10^2●	10^2●	o	2.9	–	n, t ztw. ⌊⌊⌊ ◍. 1^{35-40} p ⌊⌊⌊ △
25.	42.4	40.4	36.7	4.9	6.7	6.4	6.8	4.4	5.1	5.6	6.4	78	77	90	W 3	SW 4	SW 4	8^1	10^1	10^2	2.8	–	
26.	38.5	36.2	42.7	6.6	6.1	4.8	8.0	3.3	5.6	4.7	3.9	77	68	61	W 4	W 6	W 6	10^2	6^1⊖	6^2	**10.8**	–	n, t ztw. ⌊⌊⌊ ◍
27.	47.2	48.5	49.3	3.1	5.6	0.8	6.1	0.8	4.2	3.3	4.2	73	**49**	87	W 6	W 3	NW 2	3^1	4^1	o	2.7	–	n, ztw. ⌊⌊⌊ ◍. a ◍^{0}
28.	47.0	44.4	42.0	− 0.7	7.5	6.6	8.0	− 1.1	4.1	4.9	6.0	94	64	83	C	S 1	S 2	5^1	10^2	10^2	0.1	–	a ⌊ ≡^{1}
																					32.3		
Mittel	50.7	50.0	50.2	0.6	4.2	2.5	4.9	− 0.8	4.1	4.2	4.4	84	67	78				6.4	6.9	6.3			

Alle Angaben nach Ortszeit.

Ludwigshafen a/Rh.

Februar. $\varphi = 49^0\ 29'$ N. $\lambda = 8^0\ 26'$ E $= 33^m\ 44^s$. H $= 100.3$ m. Cg $= +0.3$ mm. 1911.

Datum	Luftdruck auf 0° u. Normalschwere reduziert 700 mm +			Lufttemperatur C°					Absolute Feuchtigkeit mm			Relative Feuchtigkeit Proz.			Richtung und Stärke des Windes 0 bis 12			Bewölkung 0 bis 10			Niederschlag mm	Schneedecke cm	Bemerkungen
	7^a	2^p	9^p	7^a	2^p	9^p	Max.	Min.	7^a	2^p	9^p	7^a	2^p	9^p	7^a	2^p	9^p	7^a	2^p	9^p	7^a	7^a	
1.	**70.8**	70 5	70.7	− 7.4	− 2.8	− 1.4	− 1.4	− 8.0	2.4	2.7	3.4	**95**	72	82	NE 2	NW 2	NW 2	0	10^1	10^1	−	−	a ⌴¹; seit 10^{30} a Trübung
2.	69.2	66.6	63.2	− 0.9	2.5	2.3	2.5	− 2.0	3.9	4.4	4.3	90	79	79	NE 2	S 2	SW 2	10^1	10^1	10^1	−	−	a ≡⁰, ✳⁰
3.	59.3	61.7	66.2	2.9	4.3	2.1	5.0	0.2	5.1	4.0	4.2	90	65	78	NW 1	NW 3	NW 2	8^1	10^2	10^1	1.4	−	10^{30} p ✳, dann ◍
4.	64 8	63.5	62.4	− 0.7	2.1	1.5	2.2	− 1.2	4.0	3.5	4.2	92	66	82	N 2	NE 2	C	10^0	4^1	10^0	−	−	a ⌴¹
5.	60.6	60.8	62.2	2.5	4.2	3.0	6.2	− 0.6	4.7	4.9	4.8	85	79	85	NW 2	NW 1	NW 2	10^2	10^1	10^2	−	−	t ∞
6	64.3	65.7	67.1	0.7	2.7	− 0.2	3.0	− 0.2	4.5	3.6	3.8	92	63	85	NW 2	NE 2	NE 2	$1c^0$	10^2	0	−	−	a ≡⁰
7.	67.2	66.3	64.0	− 2.3	2.5	2.7	2.7	− 2.8	3.5	3.4	4.0	92	61	72	NW 2	W 2	SW 2	10^2=	9^1	10^1	−	−	a ⌴¹, ≡¹; 3^{10}–7^{30} p ✳
8	65.1	66.6	69.0	1.5	2.3	− 1.2	3.0	− 1.2	4.2	2.6	2.6	82	48	61	NW 2	N 2	N 2	10^2	0○	0	0.6	−	
9.	68.4	66.2	63.4	− 4.8	− 0.1	− 2.6	0.5	− 5.6	2.6	2.2	2.4	84	49	64	NE 2	NE 2	N 2	6^2=	0○	0	−	−	a ⌴¹, ≡¹
10.	60.4	58.4	57.3	− 6.3	0.5	− 1.3	1.5	− 7.0	2.3	2.6	3.3	82	55	78	W 1	S 2	W 2	10^0=	0○	0	−	−	a ⌴¹, ≡¹
11.	57.3	56.5	58.4	− 0.9	7.8	4.7	8.7	− 3 0	3.9	5.4	5.2	90	68	81	SE 2	S 1	C	7^0	9^1	10^0	−	−	a ⌴¹
12.	60.0	60.6	62.2	2.5	5.4	2.0	6.4	1.8	4.9	3.9	4.3	89	59	80	W 1	S 2	SW 2	10_8	6^1	9^2	0.5	−	n ◍
13.	64.4	64.6	65.8	− 1.1	5.1	1.3	5.2	− 1.8	4.0	4.5	4.3	94	69	85	N 2	NW 1	NW 1	10^2=	0○	0	−	−	a ⌴¹, ≡¹
14.	67.2	67.2	67.4	− 2.2	4.3	1.7	4.6	− 3.0	3.6	3.6	4.1	92	58	78	N 2	E 2	SW 1	10^0=	0○	0	−	−	a ⌴¹, ≡¹
15.	67.4	66.0	68.0	− 2.2	3.1	2.2	3.2	− 3.0	3.6	4.2	4.7	92	73	87	S 2	S 1	SW 2	10^1	10^1	0	−	−	a ≡¹, ⌴¹
16.	69.8	66.6	62.4	− 0.9	5.6	4.5	6.0	− 1.6	3.9	4.6	4.9	90	68	78	SE 2	S 2	SW 2	10^0	10^1	10^0	−	−	a ⌴¹, ≡¹, 4^{30} 5 p ◍
17.	58.3	58.3	60.1	6.2	5.8	6.6	7.1	2.2	4.5	5.9	6.4	63	87	88	SW 4	SW 4	SW 3	10^2	10^2	10^2	0.8	−	p ≡reissen
18.	56.2	53.3	51.3	7.2	11.5	9.4	12.0	6.0	6.3	6.8	7.2	83	68	82	SW 3	SW 3	SW 3	10^2	10^2	10_2	0.2	−	
19.	44.3	43.2	44.4	7.6	11.0	4.9	11.1	4.9	5.4	6.3	5.3	69	63	81	SW 4	SW 2	W 2	10^2	10^1	0	−	−	$4^{01.26}$ p ⊠; $4^{19.36}$ p ◍, ▁▁ (Böe 4^{22} p)
20	51.3	52.6	52.7	2.3	6.4	4.7	7.0	1.4	3.9	3.2	3.8	72	46	59	W 3	W 3	W 4	○	8^1	0	**3 5**	−	
21.	56.8	58.9	57.2	4.0	5.2	5.5	6.2	1.4	4.6	5.2	4 4	75	78	65	W 4	SW 3	SW 2	10^2	10^1	10^0	1.8	−	n ◍
22.	53.0	51.2	56.7	6.8	9.6	7.6	10.3	4.4	4.5	6.6	4.6	61	74	59	S 3	SW 4	SW 3	10^2	10^1	0	−	−	abds. ◍⁰
23.	56.2	50.2	12.2	3.5	11.9	9.2	**12.1**	3.0	4.7	4.8	**7.4**	80	46	86	SW 2	SW 3	SW 5	0	6^0	10^0	0.8	−	$7^{01.30}$ p ◍⁰; 9 p ▁▁
24.	43.2	45.6	49.8	8.0	7.0	6.2	9.2	6.2	5.6	5.4	4.9	69	72	69	SW 5	SW 6	SW 6	10_2	2^0	0	1.0	−	7 a ▁▁; $1^{16.27}$ p ◍¹; 2 p, 9 p ▁▁
25	51.6	47.7	44.1	4.9	6.5	7.2	8.4	4.2	5.5	6.1	7.1	84	84	94	S 2	SW 2	SW 2	10^1	10^2	10^2	1.6	−	7^{29} a, abds. ◍
26.	46.9	46.0	53.7	7.2	8.5	3.9	9.0	3.8	5.4	4.0	4.3	72	49	70	SW 2	W 6	W 5	6^0	5^1○	0	1.0	−	10^{16}–11^{30} a ◍; 2^{15} p △; t böig; 9 p ▁▁
27.	56.9	57.2	57.1	2.9	7.7	3.5	8.3	2.4	4.2	3.8	4.3	74	48	73	W 3	SW 4	SW 2	6^1	7^1○	2^0	1.5	−	
28.	54.2	51.5	50.1	2.7	8.4	9.0	9.4	1.2	3.9	4.9	6.5	70	60	76	SE 2	S 3	S 1	10^0	9^1	10^0	−	−	vormitt. ≡reissen
																					14.7		
Mittel	59.5	58.7	58.9	1.6	5.3	3.5	6.1	0.1	4.3	4.4	4.7	82	65	77				8.3	7.0	5.4			

Nürnberg.

Februar. $\varphi = 49^0\ 27'$ N. $\lambda = 11^0\ 3'$ E $= 44^m\ 12^s$. H $= 309.1$ m. Cg $= +0.2$ mm, über 735.0 mm Cg $= +0.3$ mm. 1911.

1.	49.2	48.4	48.6	-10.0	− 4.8	− 3.0	− 2.8	-10.5	1.9	2.6	3.3	94	81	89	SW 2	W 2	NW 3	0=	10^2	10^2	−	−	a ⌴, ≡¹. 2–5 p ✳⁰, auffrischende W-Winde
2.	47.4	44.7	40.0	− 2.5	0.1	0 5	0.9	− 3.2	3.6	4.2	4.3	94	90	90	W 1	W 2	W 3	10^2=	10^2	10^2*	−	−	a–m ≡¹, gegen m, 3–4 p ✳⁰, gegen 9 p ✳¹, böig
3.	36.0	39.3	44.3	1.5	2.3	0.5	2.4	− 0.7	4.5	4.0	3.7	89	89	78	NW 1	N 4	NE 1	10^1	10^1	10^1	1.6	−	n böig. n–gegen 2 a ztw. ✳⁰, dann–4^{30} a ztw. mit
4.	44.5	42.8	42.0	− 0.1	0.3	0.1	1.1	− 0.8	4.0	4.4	3.8	87	91	83	S 1	NW 3	SW 2	10^2	8^1○	10^1	−	−	ca. 3 p trüb mit kurzem Aufklar. [◍⁰. m ztw. ✳⁰·¹
5.	39.2	38.7	41.1	0.4	2 3	1.4	2.4	− 0.2	4.2	$5^{\cdot 1}$	4.3	89	94	85	W 2	W 2	W 3	10^1	10^2	0	−	−	a ≡⁰. m ∞, 10 a–m ✳⁰, nach 5 p ◍⁰, trüb. Tau-
6.	43.1	44.9	46.8	− 0.3	1.3	− 2.1	1.9	− 2.1	4.2	2.9	2.9	94	57	75	NW 3	N 2	E 1	10^1	3^1○	0	−	−	[wetter a ⌴ ≡⁰. 10 a an Aufkl. s. sichtige Luft
7.	46.3	44.6	41.9	− 6.0	0.3	0.0	0.4	− 6.8	2.7	3.6	4.1	95	76	89	SE 2	W 2	W 1	10^1=	10^1	10^2*	−	−	a ⌴ ≡². a ztw. ✳⁰. 4^{30} p–n meist ✳⁰, ztw. △böen
8.	43.0	45.7	48.2	− 2.7	− 2.7	− 5.1	0.1	− 5.1	3.4	2.7	2.6	92	72	83	N 3	N 1	NW 1	10^1	7^2○	8^1	0.5	2	n ▁▁, mn–2a ✳⁰. 8 a–3 p ztw. ✳⁰, gegen 9 p ✳
9.	48.4	46.3	44.4	-11.1	− 2.9	− 6.4	− 2.7	-11 4	1.7	2.4	2.2	89	66	79	SE 1	E 2	SE 1	0=	4^1○	0	−	2	a ≡². $1^{20.40}$ a ✳⁰, meist klar [sehr sichtige Luft
10.	41.6	39.4	38.6	-10.7	− 0.6	− 4.3	− 0.2	-11.0	1.9	2.6	2.8	**97**	61	84	SE 1	SE 2	SE 2	0=	4^1○	0	−	1	a ≡²
11.	38.0	37.9	38.2	− 4.2	5.8	3.3	6.3	− 6.6	2.9	5.7	5.2	89	84	90	SE 2	SW 2	S 1	10^1	9^1○	10^2	−	−	a ≡². m an ∞, zunehmende Bewölkung.
12.	39.4	40.4	42.3	2.1	3.0	1.3	4.0	1.3	4.8	5.1	4 8	89	90	94	SW 1	NW 2	NW 1	10^1=	10^1=	10^1=	−	−	t ≡¹. a ztw. ◍⁰. m–2^{30} p ≡reissen
13.	43.6	44.5	46.2	− 1.3	5.3	− 0.2	5.9	− 1.5	4.0	4.1	3.8	96	62	85	NW 2	E 3	NW 2	10^2=	○○	0	−	−	a ≡¹, 10 a an Aufklaren. abds. ≡⁰
14.	47.2	47.5	47.8	0.5	2.7	0.0	3.4	− 1.0	3.7	3.3	3 7	78	58	81	NE 1	NE 2	C	10^1=	○○	10^2	−	−	a ≡¹, 10 a an Aufklaren. abds. ≡⁰
15.	47.2	46.1	46.5	− 2.9	3.0	1.7	3.4	− 3.2	3.5	3.9	4.3	96	69	84	SE 2	SW 2	NW 3	0=	10^2	10^1	−	−	a ≡¹ ⌴, zunehm. Bewölkung. m ∞. 6 p an [ztw. ✳⁰
16.	**49.3**	47.1	42.7	− 0.5	4.1	2.9	5 0	− 0.8	4.2	4.0	4.0	94	65	71	SW 2	S 2	SW 2	2^1=	7^1○	10^1	−	−	a ≡¹. m ∞, nach 8 p ◍⁰
17.	38.1	36.2	38.5	4.3	5.4	4.9	6.0	2.8	4.2	5.1	5.8	68	77	90	W 3	SW 4	SW 3	10^1	10^1	10^1	−	−	9–10 a ◍⁰. nach 6 p–n ztw. ◍⁰. t böiger SW [1]
18.	34.5	32.8	30.4	6.6	8.8	7.8	9.0	4.6	5.7	**6.7**	5.8	78	80	73	SW 3	SW 4	SW 3	10^1	10^2	10^2	−	−	nach 10 p ◍⁰. 2–10 a ztw. ◍⁰, oft böiger SW [2]
19.	24.3	23.8	24.7	7.2	6.8	2.2	8.0	1.8	5.7	5.6	5 0	76	76	93	SW 3	SW 4	W 2	10_2	9^1	4^1	−	−	10 p–mn ztw. ◍⁰, geg. 3 a ◍⁰. 10^{30} a–2 p ztw. ◍⁰. [3]
20.	29.2	32.2	31.7	1.3	3 7	2.9	4.0	0.1	3.9	3.3	3.6	78	55	64	SW 3	SW 3	W 3	10^1	8^2	10^1	**6.8**	2	$2^{10.40}$ a ✳⁰·¹ ◍⁰. 3–9 a ztw. ✳⁰. öfters Aufklaren
21.	34.9	38.2	38.7	0,6	2.1	1.9	3.2	− 1.1	4.1	4.1	4.6	85	77	88	SW 3	SW 3	W 2	10^1	10^1	10^1	1.0	**3**	10 p ▁▁. 11 p an, t–nach 2 p ztw. ✳⁰. 6 a ▁▁. [4]
22.	34.0	31.0	35.9	4.6	9.4	6.6	9.8	1.3	3.6	4.7	5.1	56	54	70	SW 2	SW 3	W 3	10^2=	10^1	0	−	−	a ≡¹. 6–7 a ztw. ◍⁰. 1^{30}–6 p ztw. ◍⁰·¹, 2^{30} p ▁▁,
23.	37.0	32.0	24.6	2.7	9.8	8.4	**10.0**	1.8	4.7	4.7	5.2	84	52	63	W 3	SW 2	S 2	5^1	7^1	10^2•	−	−	s. sichtige Luft, gegen 9 p ◍⁰ [auffr. SW-Winde.
24.	23.5	25.0	29.5	6.4	6.2	4.1	9.0	4.1	5.4	5.2	4.9	75	74	80	SW 3	SW 4	SW 3	4^1	5^2○	10^2	−	−	2 a sehr warme Böe (SW 7). 9 p–3 a ztw. ◍⁰·¹, [5]
25	31.6	29.9	25.9	2.8	5.7	5 1	7.0	1.9	5.0	5.8	5.9	89	85	90	SW 3	SW 2	S 2	7^1	9^1	10^2	2.5	−	3^{30}–4 a ◍⁰. m–8 p ztw. ◍⁰·¹. 6 p ≡¹
26	27.2	24.0	30.6	5.7	2.5	3.1	5.8	1.7	5.5	5.1	4.5	80	93	78	W 2	W 4	W 3	7^1	10^2	10^2	6.0	−	n ▁▁, 10^{30} p–3 a meist ◍⁰. nach 11 a ◍¹. [6]
27.	35.1	36.7	37.6	1.1	2.9	0.3	3.8	− 0.4	4.9	4.1	4.1	90	71	87	W 3	W 3	NW 2	9^1=	9^2○	0	3.0	−	a ≡¹. 1–2^{30} a ztw. ◍⁰. 1–3 a ▁▁. 3 a–nach 2 p
28.	35.6	33.0	31.6	− 1.3	8.6	5.5	9.0	− 2.0	3.6	4.1	5.4	86	**50**	80	SE 1	S 2	S 2	3^1=	10^1	10^2	−	−	a ⌴ ≡¹. nach 7 p kurz ◍⁰ [ztw. ✳⁰·¹
																					21.4		
Mittel	38.9	38.3	38.5	− 0.2	3.3	1.6	4.1	− 1.7	4.0	4.3	4.3	86	73	82				7.4	7.8	7.2			

1) Durchaus bedeckt. 2) Durchaus bedeckt. 3) $6^{30.30}$ p △. 6^{15} p–n ztw. ◍ u. ✳ böen. 4) Meist trüb, abflauende Winde. 5) Gegen 9 a ◍⁰. 11^{30} a–6 p ztw. ◍ böen sehr sichtige Luft. 6) 1–geg. 2 p ◍¹ ✳⁰, gegen 3 p kurz ◍¹ ✳ △.

Alle Angaben nach Ortszeit.

Kaiserslautern.

Februar. $\varphi = 49^0\ 27'$ N. $\lambda = 7^0\ 46'$ E $= 31^m\ 4^s$. H $= 242.2$ m. Cg $= +0.3$ mm. 1911.

Datum	Luftdruck auf 0^0 u. Normalschwere reduziert 700 mm +			Lufttemperatur C^0					Absolute Feuchtigkeit mm			Relative Feuchtigkeit Proz.			Richtung und Stärke des Windes 0 bis 12			Bewölkung 0 bis 10			Niederschlag mm	Schneedecke cm	Bemerkungen
	7^a	2^p	9^p	7^a	2^p	9^p	Max.	Min.	7^a	2^p	9^p	7^a	2^p	9^p	7^a	2^p	9^p	7^a	2^p	9^p	7^a	7^a	
1.	55.8	55.9	**56.2**	− 9.9	− 2.2	− 1.8	− 1 8	**-10.4**	**1.9**	2.5	3.4	90	65	86	E 1	C	C	5^0	10^1	10^1	−	−	a $\llcorner^2$, $\equiv^1$
2.	54.8	52.4	49.9	− 1.6	1.5	1.0	2.1	− 1.8	3.9	4.5	4.5	96	89	9[illegible]	NE 1	W 2	W 2	10^1	10^1	10^1* ●	−	−	a $\equiv^2$. 9–11 a ✳^{0}. 3^{35} p–n ztw. ✳^{0} ◎^{0}
3.	45 8	47.9	51.0	0.8	3.5	1.6	4.3	0.2	4.8	4.3	3.9	100	73	76	W 2	NE 2	C	9^1	8^1⊙	9^1	1.2	1	n ✳^{0}
4.	50.7	49.7	49.2	− 3.9	1.2	0.6	2.1	− 4.1	3.4	3.8	4.6	100	75	96	E 1	C	C	10^1	○○	10^1	−	−	a $\llcorner^{12}$, $\equiv^2$. abds. $\equiv^2$
5.	47.2	47.5	48.8	0.8	3.2	1.2	4 1	0.4	4.8	4.7	5.c	100	81	100	W 1	W 1	C	10^1	10^1	10^2●	0.1	−	n ✳^{0}. 6 p–n ztw. ◎^{0}
6.	50.4	51.6	53.1	− 0.4	1.2	− 1.0	2 9	− 1.3	4.5	4.0	4.1	100	80	96	NW 1	N 1	C	10^1≡	10^1	○	0.1	−	a $\llcorner$, $\equiv^1$. p $\equiv^1$.
7	53.1	52.1	50.8	− 4.8	2.2	1.6	3.9	− 5.8	3.2	3.5	4.3	100	65	84	C	N 1	C	10^1≡	6^0⊙	10^1	−	−	a $\llcorner^{12}$, $\equiv^1$. 5 p–n ztw. ✳^{0}
8.	51.2	52.5	54 6	0.4	2.6	− 2.4	3.1	− 2.4	3.9	3.1	2.7	82	57	71	W 1	NE 1	C	10^{-}*	5^0⊙	○	0.2	−	n, a–10 a ztw. ✳^{0}
9.	53.7	51.1	48.9	− 7.4	− 0.8	− 4.8	0.0	− 8.0	2.2	2.3	2.3	86	**53**	71	NE 1	SE 3	SE 2	5^0	○○	○	−	−	a $\llcorner^2$, $\equiv^1$
10.	46.0	44.0	43.6	− 8.5	2.6	− 2.5	4.1	− 9.0	2.0	3.3	3.6	85	60	94	C	W 2	W 2	10^1	○○	○	−	−	a $\llcorner$, $\equiv^2$
11.	43.2	43.1	44.0	0.2	6.5	3.8	7.2	− 4.8	4.7	5.1	5.5	100	71	92	NW 1	W 2	W 1	10^1	10^1	10^1	−	−	a $\llcorner^{12}$, $\equiv^1$. 8 p ab ztw. ◎^{0}
12.	46.1	47.3	48.7	0.4	1.2	− 0.8	4.1	− 0.8	4.7	4.3	3.9	100	85	90	W 1	NW 2	C	10^2≡	10^1	5^0	0.1	−	n ◎^{0}. a $\equiv^2$. t $\equiv$
13.	50.5	50.8	52.0	− 2.8	4.1	− 0.6	4.6	− 3.4	3.6	4.1	4.2	96	68	96	C	E 1	E 1	10^1≡	4^0⊙	○	−	−	a $\llcorner^2$, $\equiv^2$; dann $\equiv^1$
14.	53.1	52.9	53.3	− 3.0	4.2	− 1.2	5.0	− 3.6	3.7	3.9	3.5	100	63	84	E 1	SE 2	C	10^1	5^0⊙	○	−	−	a $\llcorner^2$, $\equiv^1$.
15.	53.2	51.9	54.1	− 4.6	3.0	0.8	3.7	− 4.9	2.9	4.4	4.5	90	78	92	C	W 2	C	10^1	9^0⊙	5^1	−	−	a $\llcorner^2$, $\equiv^2$. 4^{18} p ab erst ✳^{0}, dann bis 8 p ztw. ✳^{0}
16.	55.2	52.3	48 6	0.4	4.3	3.8	5.1	− 0.9	4.4	4.4	5.1	92	71	85	W 1	SW 3	W 3	10^1	10^0	5^0	0.3	−	a $\llcorner^0$, $\equiv^1$. 5^{04-12} p kurz ◎^{0}. abds.–n ztw. $\llcorner\!\!\llcorner$
17.	44.9	45.2	46.4	4.1	5.0	6.1	7.1	3.3	4.3	5.8	6.4	71	89	91	W 4	W 4	W 3	10^1	10^2●	10^2	−	−	n $\llcorner\!\!\llcorner$. t–n ztw. $\llcorner\!\!\llcorner$, ◎^{0}
18.	43 2	40.2	38.1	6.9	9.5	7.1	10.6	5.2	7.0	6.8	6.9	94	76	91	W 4	W 3	W 5	10^1	10^1	10^1●	0.2	−	n ztw. ◎^{0}. t–n ztw. $\llcorner\!\!\llcorner$, ◎^{0}
19.	31.6	30.6	33.1	5.7	8.0	3.4	9.2	3.4	5.8	5.9	4.8	85	73	82	W 6	W 8	W 2	10^2●	9^1⊙	○	0.9	−	n, a ztw. ◎^{0}, $\llcorner\!\!\llcorner$. p ztw. $\llcorner\!\!\llcorner$, ◎^{0}. 3^{35}–4^{01} p ◹; [1]
20.	38.6	39 6	40 4	0.7	4.9	3.4	5.3	0.3	4.0	3.5	4.1	83	**53**	70	W 2	W 3	W 2	○	8^1⊙	○	2.9	−	
21.	43.9	45.2	44.0	2.5	3.9	4.7	5.1	2.1	4.7	4.9	4.4	85	80	68	W 2	W 3	W 2	10^1	10^1	10^1	0.4	−	n ◎^{0}. a $\equiv^0$
22.	39.8	38.3	43.6	5.9	6.9	6.3	10.1	4.2	4.5	6.7	4.4	65	90	62	W 3	W 4	W 2	10^1	10^2●	○	−	−	n $\llcorner\!\!\llcorner$. 9^{25} a ab ztw. ◎$^{0-1}$. p–4^{30} p ztw. ◎^{0}, $\llcorner\!\!\llcorner$
23.	43 0	37.0	**29.6**	3.0	9.5	9.1	**11.0**	2.3	4.7	5.4	**7.9**	83	61	92	W 2	W 4	W 8	5^0	9^1	10^2●	1.3	−	t ztw. $\llcorner\!\!\llcorner$. 6^{30} p–n ◎$^{0-1}$. 7^{00-30} p ◎^{2}, $\llcorner\!\!\llcorner$; [2]
24.	31.0	33.2	37.7	7.1	6.5	4.3	10.2	4.3	5.2	5.5	5.0	69	77	80	W 5	W 5	W 6	10^1	7^0⊙	10^2●	**6.0**	−	n $\llcorner\!\!\llcorner$, ◎. t ztw. $\llcorner\!\!\llcorner$, ◎. 0^{35-40} p ◎^{2}, $\llcorner\!\!\llcorner$, △^{0}.
25.	38.8	34.3	32.2	4.2	5.3	7.9	8.4	3.7	5.6	5.9	7.8	90	89	98	W 3	W 2	W 1	10^1	10^2●	10^2●	2.4	−	n $\llcorner\!\!\llcorner$, ◎^{0}. t–n ztw. ◎$^{0-1}$. [9 p ◎
26.	34.9	35.3	41.6	6.1	5.4	2.6	9.2	2.6	6.0	4.4	4.5	86	66	80	W 2	NW 4	NW 2	10^1	8^1	3^0	3.9	−	n ◎$^{0-1}$. a, p ztw. ◎$^{0-1}$, $\llcorner\!\!\llcorner$
27.	44.3	43.8	43.4	1.4	5.6	1.2	7.0	1.1	4.3	4.6	4.5	85	68	9[illegible]	W 1	W 2	W 1	7^0	8^1	3^0	1.8	−	a $\llcorner^{10}$. 9 p $\equiv^0$
28.	40.4	38.1	36.6	3.3	8.5	8.5	9.2	0.4	4.4	6.7	6.6	76	81	79	C	W 3	W 2	10^2	10^1	10^2●	−	−	a $\equiv^1$. 8–11 a ztw. ◎. 9 p–n ztw. ◎^{0}
																					21.8		
Mittel	45.9	45.1	45.5	0.3	4 2	2.3	5 6	− 1.0	4.3	4.6	4.7	89	73	85				9.0	7.7	5.7			

[1] 3^{31-40} p ◎^{2}; 3^{30-52} p ▲; 3^{30-52} p ◎^{2} $\llcorner\!\!\llcorner$ (bis 6^{30} p ◎$^{0-1}$).
[2] bis n $\llcorner\!\!\llcorner$. 9 p ◎^{2}

Ansbach.

Februar. $\varphi = 49^0\ 18'$ N. $\lambda = 10^0\ 33'$ E $= 42^m\ 12^s$. H $= 437.5$ m. Cg $= +0.2$ mm. 1911.

1.	37.5	36 6	37.3	-12.6	− 5.0	− 4.0	− 3.4	-13.0	1.4	2.3	3.0	84	74	89	C	W 2	W 4	2^0	10^2	10^2	−	−	mrgs. ⋁, 3^{45} p ab ✳^{0}
2.	35.6	33.3	29.3	− 3.8	− 1.2	− 0.9	0.0	− 4.2	3.1	3.7	4.1	91	88	96	W 2	SW 4	W 4	10^2	10^2	10^2	0.2	−	
3.	25.3	28.1	32.7	1.0	1.5	0.9	1.8	− 1.1	4.7	3.8	3.9	94	74	80	NW 2	N 4	C	10^2	8^2	10^2	3.7	2	8^{00-20} a △
4.	32.5	31.4	30.7	− 2.0	− 0.5	− 1.4	0.9	− 2.0	3.2	2.9	3.2	80	66	78	W 2	N 2	C	10^2	2^1⊙	10^2	0.3	1	
5.	28.0	27.8	29.9	− 1.0	1.4	0.5	1.6	− 1.4	3.9	4.0	4.0	90	80	83	W 2	W 4	W 4	10^2	10^2	10^2	−	1	8^{30} a ztw. ✳
6.	31.5	33.1	35.1	− 1.9	0.6	− 5.9	1.7	− 6.0	3.4	2.7	2.2	86	56	74	C	N 4	C	10^2	6^1⊙	2^1	0.2	1	
7.	34.3	33.3	31.1	− 8.2	− 0.9	− 1.8	− 0.2	-10 2	2.0	2.9	3.7	82	67	92	C	NW 2	W 6	10^2	10^2	10^2*	−	1	8 p–n ✳
8.	31.0	33.7	36.4	− 3.0	− 3.9	-11.1	− 0 2	-11.2	3.3	2.3	1.6	91	69	82	N 2	N 2	NW 2	4^1	6^2*	○	2.8	3	t ztw. ✳
9.	36.4	34.3	32.6	-15.4	− 4.6	-11.3	− 3.4	**-16.1**	**1.1**	1.7	1.5	86	**54**	78	C	E 2	C	○	○○	○	0.4	3	mrgs. ⋁
10.	29.3	27.3	26.7	-14.4	− 3.5	− 6.8	− 2.6	-15.9	1.3	2.1	2.0	87	60	73	C	S 2	SW 2	○	○○	○	−	3	mrgs. ⋁
11.	26.2	26.1	26.9	− 4.9	6.0	1.3	6.0	− 8.9	2.7	4.6	4.5	86	66	90	C	W 2	W 2	6^1	6^1	4^0	−	2	☋, Tauwetter
12.	27.9	28.9	30.6	1.4	2.7	− 0.3	2.7	− 0.4	4.6	4.8	4.0	91	86	89	SW 2	C	C	10^2●	10^2	10^2	0.3	−	mrgs ◎, ᔓ
13.	32.2	33.0	34.3	− 1.1	3.2	− 1.7	3.8	− 1.7	3.8	4.3	3.5	90	74	86	N 2	N 2	NE 2	10^2	○○	○	0.1	−	
14.	35.5	35.7	36.1	− 1.2	2.1	− 2.3	2.4	− 3.4	3.7	3.0	3.1	86	57	79	NE 2	C	C	10^2	○○	10^2	−	−	mrgs. ≡^{0}
15.	35.4	34.4	35.0	− 5.2	1.6	0.6	1.8	− 5.4	2.6	3.5	4.4	85	68	92	C	W 4	W 6	2^0	10^2	10^2	−	−	mrgs. ⋁≡^{0}, 6^{15-830} p ✳
16.	**38.1**	35.1	31.4	− 1.9	4.3	2.7	4.6	− 2.1	3.7	3.4	3.9	92	**54**	70	W 4	SW 2	W 4	10^2	2^0⊙	1^{-2}	0.7	1	Tauwetter
17.	26.7	25.5	27.2	2.7	4.3	4.1	5.0	1.9	3.8	5.2	6.0	68	84	**98**	W 4	W 8	W 8	4^1	10^2	10^2	−	−	9^{15}–10 a ◎, t $\llcorner\!\!\llcorner$
18.	24.2	21.8	20.2	4.7	6.9	6.2	7.4	3.7	5.9	**6.9**	5.7	92	93	82	W 6	W 8	W 8	10^2	10^2	10^2	0.1	−	t $\llcorner\!\!\llcorner$
19.	13.5	13.2	14.1	5.9	5.3	1.3	7.0	0.2	5.6	5.3	4.9	80	81	**98**	W 6	W 8	W 8	10^2	10^2	○	−	−	t $\llcorner\!\!\llcorner$, 10^{12} a–0^{15} p ztw. ●, 6^{12} p ◹, 6^{10-30} p ◎,
20.	18.7	20.6	20.9	− 0.3	2.8	1.6	3.2	− 0.4	4.2	3.1	3.5	94	55	68	W 4	W 6	W 8	10^2	4^1⊙	○	**10.9**	2	Tauwetter, t $\llcorner\!\!\llcorner$ [6^{30}–8^{27} p ✳
21.	24.2	26 8	27.0	− 0 4	2.4	0.1	2.8	− 1.5	4.3	4.6	4.3	96	85	92	NW 2	W 4	W 2	10^2*	8^2	10^2	3.9	**6**	n, a ✳
22.	22.3	20.2	25.3	3.7	7.2	5.3	9.0	0.0	3.2	5.7	4.9	55	75	73	SW 2	W 6	W 6	8^2	10^2	○	2.7	2	Tauwetter, t ztw. ◎ $\llcorner\!\!\llcorner$, 2 p ⌒
23.	25.7	20.5	14.0	1.5	9.1	6.0	**9.8**	0.8	4.3	4.6	5.2	85	54	75	SW 2	SW 2	SW 4	2^0	4^0⊙	10^2●	0.4	−	8^{30} p–n ◎
24.	**12.6**	14.4	18.7	5.3	4.5	2.8	8.4	2.3	5.1	5.6	5.1	76	88	91	W 8	W 8	W 6	8^2	10^2	○	5.3	−	n, t ztw. ◎ $\llcorner\!\!\llcorner$
25.	20.6	18.4	14.9	2.6	4.7	4.8	5.2	1.9	5.0	5.4	6.0	91	85	91	W 4	W 2	SW 4	10^2	10^2●	10^2	6.4	−	t ztw. ◎
26.	16.7	13.5	20.1	4.8	2.8	2.0	7.0	0.4	5.3	5.3	4.1	83	94	78	NW 6	W 6	W 8	8^2	6^2⊙	10^2	7.2	−	n ● $\llcorner\!\!\llcorner$, t ztw. ◎ ✳ △ $\llcorner\!\!\llcorner$
27.	24.1	25.4	26.4	0.6	2.7	− 2.0	3.4	− 2.0	4.3	3.9	3.5	90	70	88	W 4	NW 2	NW 2	10^2	4^1⊙	○	5.6	−	n ✳, t ztw. ✳
28.	24.2	21.9	20.4	− 2.1	7.5	5.4	8.0	− 3.0	3.4	4.7	4.8	87	61	72	C	SW 2	W 2	2^0	8^1	10^2	0.1	−	7a $\llcorner$
																					51.3		
Mittel	27.5	26.9	27.3	− 1.6	2.3	− 0.1	3.3	− 3.5	3.7	4.0	4.0	86	72	84				7.4	6 6	6.3			

Alle Angaben nach Ortszeit.

Regensburg.

Februar. $\varphi = 49^0\ 1'$ N. $\lambda = 12^0\ 7'$ E $= 48^m\ 28^s$. H $= 342.6$ m. Cg $= +0.2$ mm. 1911.

Datum	Luftdruck auf 0° u. Normalschwere reduziert 700 mm +			Lufttemperatur C°					Absolute Feuchtigkeit mm			Relative Feuchtigkeit Proz.			Richtung und Stärke des Windes 0 bis 12			Bewölkung 0 bis 10			Niederschlag mm	Schneedecke cm	Bemerkungen
	7a	2p	9p	7a	2p	9p	Max.	Min.	7a	2p	9p	7a	2p	9p	7a	2p	9p	7a	2p	9p	7a	7a	
1.	46.0	44.9	45.7	-10.4	- 4.6	- 4.6	- 3.0	-11.4	1.7	2.3	2.5	86	72	77	C	W 1	NW 1	6^0≡	10^0	10^0	–	–	7a ≡¹ ⌴, 0⁴⁵–1³⁰ p ✳
2.	44.1	41.2	36.5	- 3.0	1.0	0.1	1.7	- 4.6	3.0	3.3	3.9	83	66	85	W 1	NW 2	W 3	10^0	10^1	10^0	–	–	8 p ab ✳
3.	31.7	34.7	42.4	1.4	2.0	- 2.0	2.3	- 2.8	3.9	3.8	2.8	75	71	72	NW 2	N 2	C	10^1	10^1	0	1.1	**2**	n ✳ ⩸, 11 a–1 p ztw. ✳
4.	41.8	40.0	35.3	- 1.6	0.0	- 1.8	0.7	- 4.0	3.1	3.2	3.3	75	69	82	N 1	N 1	N 1	10^0	10^1	10^9	–	–	
5.	36.2	35.5	38.6	- 1.5	1.6	0.8	2.0	- 2.2	3.5	4.3	3.9	86	84	80	W 2	W 1	C	10^1	10^1*	10^0	–	–	7⁴⁵ a–4 p ✳⁰
6.	40.1	41.3	43.6	- 0.7	0.9	- 2.5	1.3	- 3.1	3.7	2.0	2.2	85	41	58	N 1	NE 1	C	10^0*	2^1⊙	6^0	0.2	1	7–8 a ✳
7.	43.3	41.0	37.7	- 7.4	- 0.1	- 0.7	0.3	- 7.9	2.1	2.6	3.8	83	58	86	N 1	W 2	W 2	10^1	10^0	10^0*	–	–	7 a ⌴, 8 p–n ✳
8.	40.4	41.3	44.6	- 3.6	- 2.8	- 5.3	0.2	- 6.0	2.4	2.1	2.0	69	57	68	N 2	N 3	NE 1	10^1	8^2	10^0	1.0	**2**	n, 0–1 p ✳
9.	45.1	43.6	41.2	- 9.8	- 3.2	- 9.8	- 1.8	-10.7	1.8	1.7	1.7	84	48	81	W 1	NE 1	N 1	6^1≡	4^0⊙	0	–	1	7 a ≡¹
10.	39.2	38.5	35.4	-11.2	- 2.6	- 5.8	- 1.8	**-11.7**	**1.6**	2.3	2.1	82	60	72	N 1	SE 1	S 1	2^0	2^0⊙	2^0	–	1	
11.	36.3	35.7	36.0	- 8.7	- 0.8	- 1.2	0.2	- 9.9	2.0	3.0	3.2	85	70	76	S 1	SE 1	S 2	10^0	6^0	10^1	–	–	
12.	37.6	37.9	38.6	- 2.1	0.4	1.0	1.7	- 3.0	3.4	3.9	4.0	85	83	81	S 1	S 1	S 1	10^0≡	10^0	10^0	–	–	7 a ≡¹
13.	40.3	41.2	42.4	1.8	4.8	- 0.5	5.2	- 0.9	4.4	4.2	3.5	84	65	79	NW 1	NE 2	N 2	10^0≡	6^0⊙	6^0	–	–	7 a ≡¹
14.	43.9	44.4	44.9	- 0.2	3.0	- 1.8	3.2	- 2.5	3.5	2.9	3.3	78	51	82	NW 1	SW 1	S 1	10^0≡	4^0⊙	4^0≡	–	–	7 a, 9 p ≡¹
15.	44.5	43.3	44.8	- 4.6	1.6	1.4	2.0	- 5.5	2.6	3.9	3.9	81	76	76	S 1	W 1	NW 1	4^0	10^0=	10^0*	–	–	7 a ≡¹ ⌴, 2 p $_4^*$≡¹, 9 p ✳
16	**46.6**	44.7	42.1	- 0.6	3.1	- 0.1	4.6	- 1.2	3.6	3.6	4.1	83	62	90	W 1	W 1	S 1	6^0	10^1	10^1	0.5	1	n ✳
17.	35.2	33.6	35.1	4.8	7.1	4.8	7.3	- 0.9	3.4	3.3	5.2	53	44	81	W 3	W 3	W 1	10^1	10^0	10^0	–	–	$10^{00.30}$ a ◍ ✳
18.	32.5	30.6	30.1	5.0	8.4	7.0	8.8	3.9	4.9	5.4	**5.5**	75	66	74	W 3	W 2	W 3	10^1	10^0	10^1	–	–	
19.	23.4	23.0	23.2	4.8	7.2	2.0	9.3	1.4	5.0	5.0	4.2	78	66	78	W 1	W 2	W 3	10^0	10^1●	10^0●	–	–	$(^{30}$-1 p, $^{210.30}$ p ◍
20.	27.0	29.3	29.3	0.6	4.4	3.0	4.6	- 0.6	4.0	3.0	3.0	83	48	53	NW 3	N 3	NW 1	10^2	4^1⊙	10^0	2.0	–	n ◍ ✳
21.	31.9	34.9	34.4	0.0	0.3	0.1	3.7	- 1.6	4.1	3.8	4.3	89	81	**94**	NW 3	E 1	C	10^1*	10^0*	9^1	0.5	–	n ✳ ⩸, 6^{50}-7^{35} a, 8^{30}-9^{30} a ✳, $0^{45.50}$ p ✳⁰, 2 p ✳
22.	33.9	29.8	33.4	0.4	4.4	7.4	9.2	- 0.9	4.5	4.4	4.7	**94**	70	61	S 1	S 1	W 3	10^0	10^1	6^2	0.4	–	7^{45}-8 p ◍ ⩸
23.	34.9	30.6	24.1	1.6	9.5	8.2	**10.3**	0.9	4.4	4.7	4.5	85	53	56	W 1	W 1	W 1	8^1	2^0⊙	1^0	0.2	–	n ◍ ⩸, $11^{00.30}$ a, $0^{40.45}$ p, $4^{30.5}$ p ◍
24.	23.0	23.0	26.6	6.2	5.6	2.4	9.2	1.7	5.0	5.4	4.7	71	80	85	W 1	W 2	W 1	10^2	8^1	0	1.5	–	
25.	29.2	27.9	26.3	2.3	5.8	4.6	6.2	0.8	4.6	4.9	5.2	84	72	82	W 1	W 1	W 1	8^2	8^2	8^2	**5.0**	–	n ◍
26.	24.8	21.9	30.0	7.2	6.0	2.4	8.2	1.9	4.5	5.0	3.9	60	72	72	SW 2	NW 2	SW 3	10^0	10^0	10^0	4.0	–	$3^{50.58}$ a ◍, t ◍⁰
27.	31.1	32.0	34.0	1.6	1.6	0.4	4.7	0.1	3.8	3.8	3.7	75	75	78	N 2	N 2	N 1	10^0	10^0	0	4.5	–	1–2 p ✳⁰
28	33.2	32.2	29.4	- 1.0	4.7	2.4	6.3	- 3.5	4.0	4.5	4.7	**94**	70	85	S 1	S 1	S 1	8^0	8^0⊙	1^0	–	–	
																					20.9		
Mittel	36.3	35.6	35.9	- 1.0	2.5	0.4	3.8	- 3.0	3.5	3.7	3.7	80	65	77				8.9	7.9	7.2			

Passau.

Februar. $\varphi = 48^0\ 34'$ N. $\lambda = 13^0\ 28'$ E $= 53^m\ 52^s$. H $= 309.4$ m. Cg $= +0.2$ mm. 1911.

1.	49.3	47.8	48.2	- 9.9	- 4.8	- 4.2	- 4.1	-10.8	1.8	2.6	2.9	84	80	90	C	NW 2	NW 2	0	10^1*	10^1	–	4	0^{30}-2^{15} p ✳, 6–7 p ✳⁰
2.	47.1	44.1	39.6	- 2.5	- 1.2	- 1.0	- 0.1	- 4.3	3.3	4.0	4.3	90	95	100	C	W 2	C	10^1	10^1*	10^1*	0.5	5	n ✳, t ztw. ✳
3.	32.7	36.5	43.7	0.6	2.0	- 0.2	2.6	- 1.2	4.5	4.0	3.4	95	75	75	NW 4	NW 2	C	10^2	10^1	10^1	14.0	26	n ✳
4.	44.9	43.3	41.8	- 6.4	- 1.6	- 1.4	- 0.2	- 6.5	2.8	3.3	3.5	100	80	85	C	C	C	10^2=	10^1	10^1	–	24	a ≡²
5.	39.4	39.1	40.1	- 2.0	- 0.6	0.2	0.2	- 2.6	3.8	4.1	4.5	95	95	95	NW 4	NW 2	C	10^1	10^1*	10^1*	–	23	t–n ✳
6.	42.4	44.1	46.7	- 1.6	0.4	- 2.6	0.8	- 2.6	2.8	2.3	2.8	70	48	75	NW 1	NW 1	C	10^1	5^1⊙	5^1	5.0	22	
7.	47.1	45.1	42.1	-11.9	- 3.6	- 2.4	- 2.4	-12.1	1.6	2.6	3.7	90	75	97	C	C	C	10^1	10^1	10^1	–	21	4^{30} p–n ✳
8.	40.7	42.9	44.7	- 2.4	- 2.4	- 4.0	- 1.8	- 2.4	2.9	2.7	2.5	75	70	75	NW 2	NW 4	C	3^1	8^1	10^1	5.7	**27**	n ✳
9.	48.8	46.8	46.3	- 7.4	- 2.8	- 9.3	- 2.4	- 9.3	2.3	3.0	2.0	90	80	90	C	E 2	C	10^1	oo	0	–	25	
10.	42.7	41.0	40.4	-14.5	- 1.6	- 7.4	- 1.1	**-14.5**	**1.3**	2.4	2.3	90	58	90	E 1	C	C	0	oo	0	–	25	V
11.	40.1	39.6	39.8	-10.5	0.3	- 2.8	0.9	-12.5	1.8	3.0	3.3	90	64	90	C	C	C	10^1	5^0⊙	8^1	–	24	
12.	41.1	41.6	41.8	- 4.6	3.0	- 0.6	3.4	- 4.6	3.1	4.0	4.4	95	70	100	C	C	C	10^0	3^0⊙	10^0	–	24	
13.	43.7	44.4	45.7	- 3.3	2.3	- 1.8	3.6	- 3.3	3.6	4.4	3.8	100	80	95	C	C	C	10^2=	oo	0	–	23	a ≡¹
14.	46.9	48.2	48.4	- 1.2	2.6	- 4.4	3.2	- 4.4	3.9	3.2	2.7	99	58	80	C	S 1	C	10^1	oo	0	–	20	
15.	48.6	47.7	46.9	- 6.8	0.0	- 1.0	1.2	- 7.7	2.4	2.7	3.9	89	60	91	C	S 2	C	10^1	oo	10^1*	–	20	7^{50} p-n ✳
16.	**49.6**	48.2	45.5	0.0	3.0	- 0.8	3.4	- 1.0	4.3	4.0	4.2	95	70	96	NW 1	NW 1	C	10^2	10^0⊙	0	4.0	20	n ✳
17.	39.4	36.8	38.4	0.1	5.8	4.8	6.2	- 1.8	4.3	3.4	5.4	95	50	85	W 2	W 2	W 4	10^2	10^1	10^1	1.0	18	n ✳⁰, 4 p ◍⁰
18.	36.5	33.9	32.5	4.6	6.7	5.9	7.7	4.6	5.4	5.4	6.0	85	85	87	NW 4	NW 4	C	10^1●	10^1	10^1	0.6	10	n, a ◍⁰, t ztw. ◍
19.	27.3	24.4	25.7	2.0	8.3	5.5	9.3	2.0	5.3	5.3	5.5	100	65	80	C	SW 4	W 4	3^0	10^1	10^1	2.0	2	
20.	29.1	32.5	33.5	1.6	4.0	0.5	5.5	0.5	4.6	3.7	4.3	90	60	90	W 4	NW 4	C	10^1	5^0⊙	10^1	1.2	–	n ✳
21.	34.4	38.1	39.9	0.4	1.6	0.4	2.4	- 2.3	3.8	3.8	4.5	80	75	95	NW 4	W 4	C	10^1	10^1	0	0.6	1	n, 8–10 a ✳
22.	36.8	33.5	36.9	- 0.4	6.2	7.4	7.4	- 1.2	4.1	3.6	5.9	95	50	77	C	C	C	10^1	10^1	0	1.2	1	4–5 p ◍
23.	38.8	34.0	28.7	2.2	10.1	2.6	**10.6**	2.2	5.2	5.1	5.3	95	55	95	E 1	S 2	C	10^1	3^0⊙	0	1.3	–	4^{44}-5^{04} p ◍
24.	26.1	26.4	30.9	5.5	9.9	3.4	10.3	2.1	6.1	5.0	5.2	90	55	90	W 2	SW 6	C	10^1●	8^1	0	4.5	–	n ◍, t ztw. ◍, 4^{44}-5^{04} p ◍, 4^{40} p ⚿
25.	32.2	32.0	28.6	3.8	6.1	4.3	7.3	3.4	4.8	5.3	5.9	80	75	97	W 6	W 6	C	10^1	10^1	10^1	2.0	–	t ztw. ◍
26.	27.8	25.4	33.2	5.6	5.0	3.8	5.6	3.3	5.5	**6.2**	6.0	82	95	100	W 2	W 4	W 4	10^1	10^1●	10^1●	**16.2**	–	t ztw. ◍, ⩸
27.	34.0	35.2	37.8	0.8	3.0	1.5	3.8	0.8	4.9	4.8	4.4	100	85	85	C	NW 2	W 2	10^1*	5^1⊙	10^1	13.2	–	n, a ztw. ◍ ✳
28.	38.2	35.6	34.4	- 2.0	5.8	2.0	6.5	- 2.0	4.0	4.0	4.5	100	57	85	C	C	C	10^1	oo	5^0	1.3	–	⌴
																					74.3		
Mittel	39.5	38.9	39.4	- 2.2	2.4	- 0.1	3.2	- 3.2	3.7	3.9	4.2	91	70	89				8.8	6.5	6.3			

Alle Angaben nach Ortszeit.

Landshut.

Februar. $\varphi = 48^0\ 32'$ N. $\lambda = 12^0\ 10'$ E $= 48^m\ 40^s$. H $= 397.7$ m. Cg $= +0.2$ mm. 1911.

Datum	Luftdruck auf 0° u. Normalschwere reduziert 700 mm + 7a	2p	9p	Lufttemperatur C° 7a	2p	9p	Max	Min	Absolute Feuchtigkeit mm 7a	2p	9p	Relative Feuchtigkeit Proz. 7a	2p	9p	Richtung und Stärke des Windes 0 bis 12 7a	2p	9p	Bewölkung 0 bis 10 7a	2p	9p	Niederschlag mm 7a	Schneedecke cm 7a	Bemerkungen
1	40.6	39.2	40.0	-12.1	- 3.6	- 3.4	- 2.7	-13.7	1.6	2.2	3.1	89	62	89	W 2	W 2	W 2	4^1	10^1	10^1*	–	–	⌴, 9 p ✳flocken
2.	39.1	36.4	32.3	- 3.8	0.6	- 1.4	1.2	- 5.7	3.0	3.3	3.9	89	68	94	W 4	W 4	SW 4	10^1	10^1	10^1*	0.1	–	7^{30} p-n ✳
3.	26.6	29.2	35.2	0.8	1.8	- 3.4	3.0	- 5.2	4.5	4.0	3.1	92	77	89	W 4	N 2	C	10^1	8^1	○	9.0	5	n ✳
4.	36.4	34.7	33.8	-10.9	- 1.0	- 7.4	0.2	-12.7	1.8	3.3	2.4	93	76	95	SW 2	W 2	W 2	10^1	2^0○	10^0	–	3	⌴
5.	31.6	31.3	32.6	- 3.2	- 0.6	- 0.4	0.8	- 9.3	3.4	4.0	4.2	**96**	90	94	SW 4	W 4	W 4	10^1	10^1	10^1	–	3	9-11 a, 2^{10}-8^{30} p, ✳^{0}
6.	34.2	36.1	38.1	- 0.7	0.2	-10.3	0.9	-12.4	4.1	2.1	1.8	94	46	87	NW 2	E 2	C	10^1*	1^1○	○	1.1	3	n, a-10 a ✳
7.	37.8	36.4	33.8	-12.7	- 0.7	- 2.2	0.0	-15.3	1.6	2.9	3.5	92	66	89	W 2	W 2	W 6	10^1	10^1	10^1*	0.4	3	7 a ⌴, 7 p-n ✳
8.	33.6	36.2	39.3	- 3.4	- 4.6	- 8.0	- 2.2	-11.4	3.2	2.4	1.9	91	74	80	NE 4	N 2	C	10^1*	6^1○	8^1	2.9	6	n-9 a ✳, 2^{35-10} p, 4^{20-10} p ✳^{0}
9.	40.2	38.3	36.1	-15.3	- 3.6	-12.1	- 2.9	**-16.8**	**1.2**	1.6	1.6	90	**45**	89	W 2	NE 2	E 2	10^0	3^0○	○	0.2	6	7 a ⌴
10.	33.6	31.9	30.9	-15.4	- 2.4	-10.4	- 1.2	-16.6	**1.2**	2.0	1.7	90	52	86	W 2	C	C	10^0	○○	○	–	6	⌴
11.	30.7	30.7	30.9	- 9.4	4.0	- 4.8	4.9	-13.4	2.0	3.3	2.8	91	53	90	W 2	SE 2	N 2	2^1	8^1	8^1	–	6	⌴
12.	31.9	32.5	32.9	- 3.8	2.8	0.2	5.2	- 6.6	3.1	4.0	4.2	91	70	90	SW 2	C	C	9^1	10^1	8^0	–	6	
13.	34.4	35.5	36.5	- 0.3	4.5	0.0	6.1	- 4.2	4.2	4.5	4.2	94	71	90	NE 2	E 2	NE 2	10^1	2^0○	1^1	–	5	≡^{0}
14.	38.2	39.0	39.2	- 0.6	3.4	- 4.8	5.0	- 6.6	4.0	3.6	2.9	90	62	93	NE 2	SE 2	C	10^1	7^0○	○	–	3	
15.	39.2	38.3	37.7	- 6.8	2.7	0.6	3.8	- 8.7	2.5	3.7	4.0	92	65	83	SW 2	W 2	W 4	3^0	10^1	10^1	–	2	
16.	**41.7**	39.4	36.1	- 1.0	5.2	0.4	6.7	- 3.2	3.9	4.1	3.8	90	61	80	SW 2	W 2	C	10^1	10^1	10^1	0.7	2	n ✳^{0}
17.	30.5	29.1	31.1	4.0	6.7	4.3	8.3	- 1.0	3.6	3.6	5.2	59	49	84	W 6	W 6	W 6	10^1	10^1	10^1	–	–	3^{30-410} p ◍^{0}, t meist ⌴
18.	27.8	26.0	24.2	4.8	8.5	6.1	9.2	2.6	4.9	**5.8**	5.7	76	70	81	SW 6	W 6	W 6	10^1	6^1○	10^1	C.2	–	n, t meist ⌴
19.	18.0	17.1	17.8	3.6	6.7	2.8	11.2	0.9	5.0	**5.8**	4.9	85	80	88	W 4	W 4	W 6	7^1	10^1●	10^1	–	–	1^{10-215} p, 3-4 p ◍, 8^{30-40} p ◍^{0}
20.	21.7	25.0	25.1	1.8	3.3	1.6	5.8	- 0.2	4.0	3.0	3.7	77	52	73	W 6	W 6	W 4	5^1	7^1○	10^1	1.1	–	n ◍ ⌴
21.	26.8	30.4	30.9	- 0.8	2.4	- 0.6	4.8	- 3.4	4.1	4.8	4.0	94	87	90	W 4	N 2	W 2	10^1*	10^1	○	3.2	**8**	n ✳ ⌴, 7 a-0^{40} p ✳
22.	27.2	24.5	29.1	1.6	7.8	6.9	10.3	- 4.2	4.0	3.7	5.0	78	47	67	SW 2	SW 4	W 6	10^1	10^1	○	3.0	4	1^{00-15} p, 2^{30-3} p ◍^{0}
23.	30.0	25.1	18.9	- 0.2	10.6	7.7	**12.0**	- 2.0	4.3	5.7	4.5	94	60	58	W 2	W 2	W 4	7^1	2^1○	8^1	0.1	–	7 a ⌴
24.	17.6	18.1	22.7	5.2	8.5	2.8	10.9	0.0	5.5	4.6	4.7	83	56	82	SW 6	SW 6	W 6	10^1	9^1	5^1	2.4	–	n ◍, 2^{50-55} p ▲ böe, 2^{55-3} p ●, 5^{30} p ◍ böe
25.	24.6	23.3	19.7	2.2	6.2	3.8	7.2	- 0.3	4.5	5.3	5.5	84	75	92	SW 6	W 4	W 6	9^1	10^1	10^1●	1.2	–	8^{15-9} a ◍^{0}, 7^{30} p-n ◍
26.	20.1	**16.1**	22.1	5.1	7.8	1.8	9.9	- 0.2	5.5	4.5	4.8	85	58	91	SW 6	W 6	W 6	3^1	10^1	10^1●	**9.5**	–	n ◍ ⌴, 10^{30-40} a ◍, 2^{30-45} p ◍, ▲böe, ⌴,
27.	27.1	28.4	29.7	1.4	1.8	- 0.7	5.1	- 2.7	4.0	3.8	4.0	78	73	92	W 6	NW 4	W 2	10^0*	8^1	○	0.5	–	-7^{30} a ✳^{0}, t öfters kurz ✳böen. [p öft. ● böen
28.	28.8	26.7	24.4	- 3.4	7.6	4.5	9.4	- 6.0	3.4	3.9	5.2	95	50	82	SW 2	SE 2	C	○	4^0○	10^1	0.3	–	n a ⌴
																					35.9		
Mittel	31.1	30.5	30.8	- 2.6	3.1	- 0.9	4.7	- 6.4	3.5	3.8	3.8	88	64	86				8.2	7.2	6.4			

Augsburg.

Februar. $\varphi = 48^0\ 22'$ N. $\lambda = 10^0\ 54'$ E $= 43^m\ 36^s$. H $= 499.6$ m. Cg $= +0.1$ mm, über 728.8 mm Cg $= +0.2$ mm. 1911.

1.	31.6	31.3	32.0	-11.2	- 4.3	- 3.8	- 3.8	-12.1	1.7	1.9	2.6	88	58	78	E 2	NW 2	SW 2	○	8^1	10^1	–	3	V
2.	31.0	28.1	25.7	- 4.8	0.6	- 1.7	0.6	- 5.4	2.8	2.7	3.6	89	57	91	SW 2	NW 2	W 2	10^1	8^1	10^1	0.1	4	n ✳
3.	19.9	22.3	26.9	- 0.4	0.9	- 1.8	0.9	- 2.3	3.9	4.3	3.6	90	87	90	W 4	NW 2	NE 2	10^1	10^2*	10^1	**7.4**	10	n ⌴ ⫩, a p ztw. ✳ △
4.	27.4	26.3	25.4	- 9.0	- 1.8	- 4.0	- 0.9	- 9.4	1.9	3.1	3.1	83	78	94	SE 2	C	C	10^1≈	○○	○	0.7	10	n u. a ≡^{1} V
5.	23.5	23.3	25.0	- 4.1	- 1.2	- 1.4	- 1.2	- 8.3	2.9	3.8	3.7	86	90	91	SW 2	SW 2	SW 2	10^1	10^1	10^1	–	10	⌴
6.	25.8	27.7	29.7	- 1.4	1.0	- 4.3	1.1	- 4.3	3.5	3.8	3.1	85	76	94	W 2	NE 2	NE 2	10^2	8^2	○	–	10	⌴, t ztw. ✳
7.	29.2	28.3	26.4	-10.4	- 2.3	- 2.3	- 1.1	-12.9	1.4	2.8	3.3	70	73	**85**	SE 2	W 2	W 2	8^1	8^1	10^1	0.8	11	V
8.	26.0	27.9	31.0	- 2.2	- 2.5	- 6.9	- 1.2	- 6.9	3.2	2.6	2.3	82	67	87	NW 2	N 2	NE 2	6^1	4^1	3^1	2.7	**14**	n ✳, 7^{15} a-1^{15} p ✳
9.	30.9	29.4	26.9	-13.1	- 4.3	- 9.3	- 3.5	-14.3	1.1	2.2	1.6	70	65	76	C	E 2	E 2	○	○○	○	0.5	**14**	V
10.	24.1	23.4	22.0	-15.2	- 2.8	- 5.0	- 1.7	**-15.3**	**0.9**	2.2	2.2	66	60	72	SE 2	S 2	S 2	○	○○	○	–	**14**	V
11.	21.7	21.6	22.3	- 1.7	6.2	2.4	6.2	- 7.3	3.1	4.0	3.8	76	56	70	SW 2	SW 2	SW 2	2^0	4^0○	5^0	–	13	⌴
12.	23.1	23.4	24.6	0.0	5.6	1.1	5.6	- 1.7	3.8	4.4	4.9	84	66	97	SW 2	C	W 2	10^1	6^1	10^1	–	6	
13.	25.7	26.6	28.0	0.4	4.2	1.7	4.7	0.2	4.7	4.9	4.5	100	79	88	NW 2	E 2	E 2	10^2*	4^1○	10^1	3.8	7	n-7^{30} a ✳
14.	29.4	30.6	30.6	- 1.2	2.2	- 1.4	2.9	- 1.6	3.5	3.1	3.3	85	58	80	E 2	E 2	E 2	10^1	3^1○	○	–	5	⌴
15.	30.7	29.6	30.2	- 5.2	1.4	0.7	1.4	- 5.2	2.8	3.4	3.8	93	67	78	SE 2	SW 2	W 2	2^0	8^1	10^1	–	4	⌴
16.	**33.4**	31.3	27.9	- 0.7	4.9	3.0	4.9	- 1.3	3.9	3.5	3.8	88	54	68	W 2	SW 2	SW 2	10^1	10^0	10^1	–	3	
17.	23.3	22.6	24.0	5.2	6.6	4.5	7.9	2.8	3.8	3.5	5.4	57	49	86	SW 6	SW 8	SW 4	10^1	10^1	10^1	–	2	n ⌴
18.	20.8	18.6	16.9	4.8	7.4	6.6	7.4	3.8	5.1	5.6	5.6	79	73	77	SW 6	SW 6	SW 4	10^1	10^1	10^1	–	–	n ⌴
19.	09.7	09.4	10.3	5.2	6.3	2.0	9.4	1.8	5.4	5.2	4.7	81	74	89	SW 6	SW 6	SW 6	10^0	10^1	10^1	–	–	n ⌴; 0^{30-115} p ◍
20.	14.3	17.1	17.5	0.6	4.9	2.2	5.2	- 0.4	4.2	3.7	3.9	89	56	71	NW 6	NW 4	W 4	3^1	5^2	10^1	1.5	1	n ⌴ ✳
21.	19.4	23.1	22.3	0.9	3.2	1.4	3.8	- 0.2	4.6	4.4	4.0	94	76	78	W 4	W 4	W 4	10^2	8^2	○	3.6	4	n ✳
22.	18.8	16.5	21.6	5.0	9.2	6.4	9.2	0.3	3.8	3.7	**6.6**	58	43	91	W 6	NW 8	SW 4	10^1	10^1	10^1	–	1	n ⌴
23	21.5	16.7	09.8	3.7	10.6	9.8	**10.6**	1.5	5.3	5.5	5.0	88	58	55	W 4	W 4	W 4	4^1	5^1○	6^1	–	–	⌴
24.	09.7	10.7	15.1	5.2	7.4	2.3	9.8	0.7	5.5	5.2	4.8	83	67	87	SW 6	W 8	W 6	10^1	8^2	○	5.5	–	n ⌴ ◍; 2^{00-45} p △; 4^{45-530} p ● ✳
25.	16.7	14.6	11.3	2.8	4.9	3.2	5.2	0.7	4.7	5.1	5.4	84	79	93	SW 6	SW 6	SW 4	10^1	10^1	10^1	2.9	–	n ⌴, $10^{15-1130}$ a, 5^{00-600} p ◍
26.	12.6	08.9	16.0	5.0	3.6	2.3	7.2	1.1	5.7	5.3	4.2	87	90	77	SW 4	SW 8	SW 6	5^2	10^2	10^2	2.7	–	n ⌴ ◍ △, 8^{15-30} a, 1^{15-200} p, 4^{30-500} p, 1^{45} p [
27.	19.8	20.8	21.5	1.1	3.6	1.0	4.1	0.4	4.0	4.1	4.2	81	69	85	SW 4	SW 4	SW 2	10^2*	7^2	○	3.6	1	n-7^{15} a ⌴ ✳, t ztw. ✳
28.	20.0	17.4	15.8	- 2.0	9.0	6.3	9.8	- 3.1	3.5	4.9	5.1	90	58	72	SW 2	SW 2	SW 2	○	8^1	10^1	0.6	1	⌴
																					36.4		
Mittel	22.9	22.4	22.7	- 1.5	3.0	0.5	3.7	- 3.5	3.6	3.9	4.0	82	67	82				7.1	6.9	6.6			

Alle Angaben nach Ortszeit.

München-C.St.

Februar. $\varphi = 48^0\ 9'$ N. $\lambda = 11^0\ 34'$ E $= 46^m\ 16^s$. H $= 526.4$ m. Cg $= +0.1$ mm. 1911.

Datum	Luftdruck auf 0° u. Normalschwere reduziert 700 mm + 7ª	2ᵖ	9ᵖ	Lufttemperatur C° 7ª	2ᵖ	9ᵖ	Max.	Min.	Absolute Feuchtigkeit mm 7ª	2ᵖ	9ᵖ	Relative Feuchtigkeit Proz. 7ª	2ᵖ	9ᵖ	Richtung und Stärke des Windes 0 bis 12 7ª	2ᵖ	9ᵖ	Bewölkung 0 bis 10 7ª	2ᵖ	9ᵖ	Niederschlag mm 7ª	Schneedecke cm 7ª	Bemerkungen
1.	28.5	28.1	29.2	-11.2	- 3.3	- 4.2	- 2.4	-12.1	1.6	2.2	2.6	84	62	78	SW 1	SW 2	SW 1	6⁰	6⁰○	10¹✱	-	-	mrgs. ⌴² ≡⁰. ca. 7 p–n ✳
2.	28.1	25.1	22.7	- 5.0	- 0.4	- 2.2	0.0	- 5.7	3.0	3.0	3.6	95	66	95	SW 3	SW 1	SW 3	10¹	9¹	10¹✱	0.3	1	n ✳, 8³⁵ a teilweises Aufklaren ca. 7 p–n ✳
3.	16.7	18.6	23.9	- 0.8	0.2	- 1.6	1.0	- 2.8	4.2	4.4	3.5	98	95	86	W 4	NW 2	NE 2	10¹✱	10¹✱	10¹	7.1	9	n u. a–4³⁰ p ✳⁰
4.	24.6	23.5	22.7	- 6.9	- 1.8	- 5.4	- 0.8	- 8.2	2.7	3.5	3.0	99	88	98	NE 1	N 1	C	10¹≡	○○	○	0.8	10	mrgs. ≡¹ V, 0³⁰ p Aufklaren, m ≡⁰, abds. ≡¹
5.	21.1	20.4	22.1	- 4.1	- 0.8	- 1.0	- 0.4	- 6.7	3.1	3.7	3.9	96	85	90	SW 2	SW 4	SW 2	10¹	10¹	10¹✱	0.1	10	a ≡⁰, 9–ca. 11¹⁰ a ✳⁰, ca. 3 p–n ✳
6	23.0	24.4	26 8	- 1.4	- 1.3	- 5.8	0.4	- 6.6	4.0	2.8	2 6	95	67	89	SW 1	SE 1	E 1	10¹✱	9¹	7¹	1.6	11	n, a–m ztw. ✳, 2³⁰ p Aufklaren
7.	26.3	25.2	23.4	- 8.0	- 1.2	- 2.5	- 0.8	-10.3	2.2	2.9	3.0	88	69	79	SE 1	SW 1	SW 3	10¹	7¹	10¹✱	0.7	11	mrgs. ⌴, 7³⁰ a Aufklaren, 7¹⁵ p–n ✳⁰
8.	22 5	24.8	27.9	- 1.6	- 2.2	- 7.2	- 1.0	- 7.7	3.7	2.4	2.2	90	61	84	W 1	NW 2	NE 1	10¹	9¹	4⁰	2.5	**14**	n ✳, 9⁴⁰ a–m ztw. ✳, abds. ≡⁰
9.	28.0	25.9	24.1	-10.9	- 5.4	- 9.4	- 5.0	-11.8	1.7	2.1	1.8	90	71	80	SW 1	NE 3	NE 1	○	1⁰○	○	0.1	**14**	mrgs. ≡¹ V
10	21.5	20.0	19.5	-11.9	- 1.7	- 4.3	- 1.0	**-13.0**	**1 6**	2.7	2 8	89	67	85	SE 1	C	SW 2	○	○○	○	0.1	13	mrgs. V. ≡⁰, vorm. ≡¹, m ≡⁰
11.	19.3	19.1	19.7	- 0.6	6.3	1.2	6.8	- 5.8	3.6	4.3	3.9	83	61	78	SW 1	W 1	SW 1	10¹	3⁰○	9¹	-	13	mrgs. ≡¹, m im S ∞³, abs. ᗤ
12	20 5	20.7	21.6	0.4	5.4	1.6	5.9	- 0.7	3.8	4.6	4.2	80	69	83	SW 2	W 1	NE 1	10¹	4⁰○	10¹	-	6	m im S ∞³.
13.	22.9	23.8	25.1	- 0.1	3.0	- 0.6	3.4	- 0.9	4.5	4.4	4.2	99	79	96	NE 1	SE 1	E 1	10¹	4⁰	○	0.2	4	n ✳, 10²⁵ a ⊕, m ∞
14.	26.4	27.0	27.8	- 2.0	1.6	- 2.2	1.8	- 3.5	3.7	3.4	3.1	94	66	79	NE 1	NE 2	C	10¹	3⁷○	○	-	1	mrgs. ⌴², 10³⁰ a Aufklaren
15.	27.9	27.0	26.9	- 5.3	2.0	2.5	3.9	- 5 8	2.9	3.3	3.4	95	65	61	SW 2	W 2	SW 2	4⁰	10⁰	10¹	-	-	n ztw. ᗤ, mrgs. ≡⁰, ⌴², 1³⁰–2³⁰ p farbig. ⊕
16.	**30 5**	28.1	25.2	- 0.2	4.9	3.0	5.2	- 0.7	4.0	2.8	3.4	89	44	59	SW 1	W 1	SW 3	8¹	10⁰	10¹	0.3	-	n ✳, m u. nachm. ⊕
17.	20.5	18 4	21.6	6.3	8.1	5.5	9.3	3.0	2.8	3.0	5.1	40	37	75	SW 6	SW 6	SW 4	10¹	9¹○	10¹●	-	-	n u. a ⌴. (mrgs. ganze Gebirgskette sehr rein
18	18.3	16.0	14.4	5 7	7.9	6.2	8.7	4.3	4.8	5.8	5.7	69	73	82	SW 3	SW 3	SW 4	10¹	10¹	4¹	0.1	-	a Gebirge gut, m schwach sichtbar [8³⁰ p–n ◍)
19.	07.9	07.1	08.7	2.8	8.1	3.1	10.1	2.3	4.7	4.9	4.9	83	60	84	SW 1	SW 3	SW 6	6⁰	10¹	10¹●	-	-	2³⁰–4 p, 8³⁰ p–n ◍, p ztw. ⌴
20.	11.6	14.0	15.0	- 0.1	3.8	2.2	4.0	- 0.7	4.6	3.7	3.4	100	60	62	SW 4	W 1	SW 2	10¹✱	4¹	8¹	3.1	-	n–7⁰¹ a ✳
21.	16.4	19.8	20.2	1.2	4.0	0.2	4.3	- 1.7	4.3	3.8	3.4	86	62	72	SW 3	SW 4	SE 1	10¹	10¹	○	6.8	9	n ✳
22.	16.5	13.9	18.9	5.3	11.9	7.4	12.1	- 0.1	3.0	2.1	5.7	46	**20**	74	SW 1	SW 6	SW 2	10¹	10¹	10¹	-	1	6³⁰–7⁰⁵ a △, (mrgs. Gebirge schwach, m sehr gut
23.	19.2	13.9	08.3	5.2	11.1	9.2	**12.2**	4.0	5.4	5.0	3.9	82	51	46	SW 1	W 1	SW 3	7¹	2⁰○	○	-	-	mrgs. ∞⁰ [sichtbar)
24.	07.0	08.1	12.7	6.9	9.0	2.2	10.2	1.5	**5.9**	4.2	4.7	81	50	88	SW 2	SW 3	SW 4	10¹●	8¹○	2⁰	4.1	-	n u. a ◍, 3¹⁵ p △ boe
25.	14.1	12.4	09.2	3.0	6.4	4.2	6.7	1.7	4.0	4.6	5.4	70	64	88	SW 2	SW 3	SW 3	8¹	10¹	10¹●	2.2	-	nachm. ztw. ◍, 5⁴⁰ p–n ◍
26.	10.5	**05 8**	13.2	4.6	6.9	2.2	8.9	0.5	5.4	5.4	4.0	87	73	75	SW 2	W 4	W 3	5¹	10¹●	10¹✱	4.5	-	n ◍, a, m ◍⁰, 2²⁰ p ✳boe, dann ztw.–n ✳⁰.¹; t ⌴
27	16.9	17.5	19.2	1.2	3.1	- 0.2	3.8	- 0.7	3 8	3.2	4.4	75	56	95	W 3	W 2	SW 1	10¹✱	8¹✱	4¹	3.1	-	mrgs.–abds. ztw. ✳⁰.¹
28.	17.6	14.9	13.5	- 2.8	9.9	6.4	10.4	- 3.3	3.2	3.6	4.9	86	39	68	S 1	SW 2	SW 2	○	4⁰○	10¹	0.1	-	(m Gebirge sehr gut sichtbar), abds. ≡⁰
																					37.8		
Mittel	20.2	19.4	20.1	- 1.1	3.4	0.4	4.2	- 3.3	3.7	3.6	3.8	85	63	80				8.0	6.8	6.4			

Traunstein.

Februar. $\varphi = 47^0\ 52'$ N. $\lambda = 12^0\ 39'$ E $= 50^m\ 36^s$. H $= 597$ m. Cg $= +0.1$ mm. 1911.

1.	22.5	22.3	22.8	-14.0	- 5.4	- 4.0	- 4.0	-14.5	1.3	**1.2**	2.1	83	42	62	SE 2	S 2	SW 2	6²	6²○	10²	-	18	n ⌴
2.	21.8	19.1	16.0	- 7.0	- 1.6	- 2.2	- 1.2	- 8 0	2.3	2.4	3.2	86	60	81	S 2	SW 4	W 8	6²	8²○	10²	2.0	19	n u. abds. ✳, abds. ⌴
3.	09.7	11.6	17.8	- 2.2	- 0.6	- 2.0	- 0.5	- 3.0	3.7	4.2	3.8	96	96	95	SW 8	SW 6	S 4	10²✱	10²✱	10²	10.4	30	n ✳ ⌴. t ✳
4.	18.5	17.4	16.7	- 9.8	- 1.0	- 9.0	- 0.7	-10.0	2.0	3.4	2.0	94	80	91	SE 2	S 2	SW 2	2¹	2¹○	○	3.5	30	n ⌴
5.	15.0	14.0	15.8	- 5.4	- 1.0	- 1.2	- 0.7	- 9.0	2.7	3.5	3.5	90	82	82	S 2	SE 6	SW 4	10²	10²	10²	-	30	abds ✳⁰
6.	17.0	18.2	21.1	- 2.0	- 1.0	-11.6	- 0.8	-11.6	3.5	2.9	1.6	90	69	85	SW 2	NE 2	SE 2	10²✱	7²	2¹	2.9	32	n ✳, t ztw. ✳
7.	20.8	19.1	17.7	-10.2	- 2.0	- 3.0	- 1.8	-11.6	1.7	2.3	2.4	83	60	66	SW 2	S 2	NW 6	4¹	8²○	10²✱	-	32	n ⌴, abds. ✳
8.	15.7	17.9	21.6	- 3.0	- 4 4	- 8.0	- 2.4	- 8.0	3.3	2.4	1.9	91	75	80	NW 6	NW 6	NW 2	10²✱	8²○	6²	7.2	**36**	n ✳, t ztw. ✳
9.	22.2	20.3	19.0	-12.8	- 5.6	-13.2	- 5.2	-14.5	1.4	1.8	1.4	84	60	84	NW 2	E 2	E 2	4²	○○	○	0.7	**36**	n ⌴
10.	15.6	14.2	13.9	-14.8	- 0.6	- 5.2	- 0.5	**-15.5**	**1.2**	2.0	2.3	82	46	74	E 2	S 2	SE 2	0	1¹✱	2¹	-	35	n ⌴, vorm. ⌴
11.	13.6	13.8	14.3	- 2.4	4.8	- 0.8	5.0	- 7.5	3.1	3.6	3 9	81	56	90	SW 2	S 2	S 2	10²	10²	8²	-	35	
12.	14.7	15.0	15.9	- 2.4	5.6	- 1.4	5.8	- 3.5	3.4	3.4	3.6	89	51	86	S 2	SE 2	SE 2	4²	8²○	8²	-	25	n ⌴
13.	16.8	17.8	19.1	- 7.0	1.4	- 3.0	1.7	- 7.0	2.4	4.3	3.3	89	85	91	SE 2	SE 4	SE 2	4²	10²○	○	-	20	n ⌴
14.	20.3	20.9	21.8	- 2.2	2.2	- 5.8	2.4	- 5.8	3.5	3.7	2.5	89	68	85	E 2	SE 2	SE 2	10'≡	8²○	○	-	20	n u. t ztw. ≡
15.	21.9	21.6	20.8	- 7.2	0.2	1.2	1.3	- 9.0	2.3	3.3	3.0	90	70	60	SE 2	SW 2	SW 4	4²	3¹○	10²	-	20	n ⌴ u. ≡
16.	**24.4**	22.7	19.5	- 1.2	4.6	- 1.0	5.0	- 2.8	4.0	2.9	3.1	96	45	73	SW 2	SW 2	SE 2	7²	8²○	○	3.2	25	n ✳
17.	14.7	13.0	15.2	5.4	7.6	4.6	7.8	- 1.0	3.1	3.1	4.7	46	**39**	74	S 6	SW 8	W 8	10²	10²	10²	-	20	t ⌴
18.	12.2	10.2	08.2	4.4	6.4	6.4	7.6	4.0	4.6	5.5	5 7	74	76	79	SW 6	SW 8	W 8	10²	10²●	10²	-	12	t ⌴, p ◍
19.	02.0	01.3	01.9	- 1.0	8.2	3.8	**9.6**	- 1.3	3.9	3.6	4.1	90	44	69	SW 2	SW 8	W 8	4¹	10²	○	0.7	10	n ⌴, p ⌴
20.	04.6	08.0	08.9	0.0	2.2	2.0	3.8	- 1.0	4.6	3 8	3.2	100	70	59	NW 8	W 6	W 4	10²	8²○	4²	1.4	8	n ⌴, n u. vorm. ✳
21.	09.9	13.6	15.3	- 2.4	1.0	- 3.4	2.3	- 3.4	3.8	4.0	2.9	100	80	82	SW 6	SW 6	SE 2	10²✱	10⁷✱	○	11.6	20	n–p ✳, p △
22.	11.0	08 5	12.8	0.0	6.4	6.8	8.0	- 4.5	3.7	3.6	5.7	81	50	77	S 2	SW 2	S 6	10²	10²	10²	4.5	18	p ◍
23.	12.7	08.8	03.7	4.8	8.4	1.4	9.0	1.4	5.0	5.0	4 5	78	61	89	SW 4	SW 2	SE 2	10²	2¹○	○	0 5	10	
24.	02.0	02.8	07.8	5.4	8.2	2.4	8.6	1.0	**6.4**	3.4	4.7	95	41	85	SW 4	SW 8	NW 8	10²●	6²○	10²	4.1	5	n–a ◍, n ⌴
25.	08.2	07.1	03.9	2.6	4.0	2.8	4.8	2.4	3.4	5.0	5.2	62	82	93	W 6	W 2	SW 2	9²	8²○	10²●	0.1	3	m u. abds. ◍
26.	04.4	**00.6**	06.6	3.4	6.4	1.0	6.8	1.0	5.4	4.7	4.4	93	65	89	NW 6	SW 8	NW 8	10²●	10²●	10²✱	**12.4**	2	n u. a ◍, p ◍ △, 3²³.³⁴ p [Z, 3²³.⁵¹ p ✳ △
27.	10.3	11.0	12.8	- 0.4	- 0.6	- 0.6	1.0	- 2.0	3.6	3.7	4.0	81	85	90	NW 8	SW 6	SW 2	10²✱	6²○	10²	9 1	5	n ✳, t meist ✳ [abds. ✳
28.	12.1	10.1	08.7	- 5.0	6.4	3 8	7.6	- 5.0	3.0	4.1	4.5	95	57	75	S 2	SW 2	SW 2	2¹	8²○	10²	1.1	5	n ⌴
																					75.4		
Mittel	14.1	13.6	14.3	- 3.1	2.2	- 1.4	2.9	- 5.3	3.3	3.5	3.5	86	64	80				7.4	7.3	6.1			

Alle Angaben nach Ortszeit.

Partenkirchen.

Februar. $\varphi = 47^0\ 30'$ N. $\lambda = 11^0\ 6'$ E $= 44^m\ 24^s$. H $= 714.6$ m. Cg $= +0.1$ mm. 1911.

Datum	Luftdruck auf 0° u. Normalschwere reduziert 700 mm +			Lufttemperatur C°					Absolute Feuchtigkeit mm			Relative Feuchtigkeit Proz.			Richtung und Stärke des Windes 0 bis 12			Bewölkung 0 bis 10			Niederschlag mm	Schneedecke cm	Bemerkungen
	7a	2p	9p	7a	2p	9p	Max.	Min.	7a	2p	9p	7a	2p	9p	7a	2p	9p	7a	2p	9p	7a	7a	
1.	11.4	11.2	12.6	-14.1	- 4.9	-11.8	- 4.4	-14.3	1.1	1.4	1.3	75	46	74	SE 2	C	C	1^{10}	$2^{0}\odot$	0	–	19	a Berge rein
2.	11.6	08.6	07.0	-13.4	- 0.6	- 4.4	- 0.5	-13.4	1.3	2.4	3.0	84	55	91	C	NW 2	C	0	$3^{0}\odot$	$10^{0}\ast$	–	19	a Berge sehr rein. 8 p an-n $\times^{0}$
3.	00.6	02.4	06.6	- 1.5	- 1.6	- 2.5	- 1.1	- 6.6	3.7	3.9	3.6	90	96	96	N 4	C	N 2	$10^{1}\ast$	$10^{1}\ast$	10^{0}	5.4	32	a Berge im Nebel, 14 cm Neuschnee, t $\times$
4.	07.7	06.4	06.2	- 8.7	0.4	- 5.7	0.4	- 8.7	2.0	2.9	2.4	88	61	82	S 1	C	S 2	0	$0\odot$	0	12.5	42	a Berge frei
5.	05.3	04.8	06.4	- 9.8	- 2.0	- 2.8	- 0.6	-11.3	2.1	3.0	3.2	100	76	85	C	C	C	10^{0}	$5^{0}\odot$	7^{0}	–	40	⌙; a Berge im Nebel; ≡
6.	06.8	07.3	09.5	- 4.6	- 1.0	- 4.2	- 0.8	- 4.6	2.9	3.6	3.1	90	84	93	C	NW 3	NW 1	8^{0}	8^{1}	3^{0}	–	38	a Berge meist rein
7	10.1	08.5	10.0	-12.2	- 2.5	- 3.8	- 1.9	-12.2	1.5	2.8	2.9	89	72	84	SE 2	NW 4	C	2^{0}	8^{0}	9^{0}	1.4	40	⌙, a Berge frei
8	06.2	07.7	10.1	- 2.9	- 3.3	- 6.1	- 2.0	- 6.1	3.3	3.2	2.4	89	91	85	C	NW 5	NW 3	$10^{1}\ast$	$10^{1}\ast$	$10^{1}\ast$	5.0	46	n u. t $\times$
9.	11.1	08.4	06.9	-13.2	- 4.1	- 9.3	- 3.3	-13.2	1.4	1.9	1.9	84	57	84	S 2	C	C	0	$1^{0}\odot$	0	4.0	**50**	a Berge rein
10.	05.0	03.4	03.9	-10.1	2.9	- 5.0	3.2	-10.9	1.7	2.7	2.5	80	48	81	SE 3	S 1	C	0	$0\odot$	0	–	47	a Berge rein
11.	04.2	03.1	04.7	- 7.4	4.6	- 1.6	5.6	- 8.0	1.9	3.1	3.7	75	49	92	SE 2	C	C	1^{0}	2^{0}	2^{0}	–	44	a Berge rein
12.	05.1	03.8	05.5	- 2.5	6.2	- 0.6	6.6	- 2.8	2.8	3.5	4.0	74	49	90	S 2	C	C	2^{0}	3^{0}	8^{0}	–	40	a Berge rein
13.	06.4	06.4	08.0	- 1.1	1.3	- 0.9	2.5	- 1.2	4.2	4.1	3.8	100	82	88	C	NW 2	NW 2	$10^{0}\ast$	7^{0}	10^{0}	2.0	38	a 3 cm Neuschnee, mrgs. u. abds. ∞ Hoch≡
14.	09.7	09.9	11.0	- 6.6	- 0.7	- 3.2	- 0.5	- 7.3	2.5	3.4	3.0	89	79	82	C	S 2	S 1	10^{0}	10^{0}	8^{0}	–	32	a Hoch≡, ∞, Berge bis 1100 m ztw. in $\equiv^{0}$
15.	11.6	10.3	10.9	- 9.2	0.5	- 0.4	1.7	- 9.7	2.1	3.1	3.2	94	64	72	C	SE 2	C	2^{0}	3^{0}	7^{0}	–	32	⌙, a Berge frei
16.	**14.5**	11.1	09.4	- 6.2	5.3	0.5	6.0	- 6.8	2.5	2.0	2.8	90	30	59	C	S 2	C	4^{0}	3^{0}	10^{0}	2.1	33	n ztw. lebhafter Wind △ $\times^{0}$; a 2 cm Neu$\times$
17	05.1	03.6	04.3	2.5	10.1	6.2	10.8	- 0.2	3.1	3.6	3.8	56	39	53	S 2	NW 2	NW 4	9^{0}	7^{1}	9^{1}	–	31	a Berge rein
18.	92.9	00.0	698.1	5.8	10.0	0.5	10.7	0.5	3.6	5.0	4.6	52	55	96	C	NW 3	C	7^{0}	7^{0}	1^{0}	–	26	
19.	691.8	**691.0**	691.7	2.3	9.8	6.7	12.0	- 0.1	3.3	2.9	3.0	61	32	41	S 4	NW 4	W 4	3^{0}	10^{0}	6^{0}	–	22	a Berge sehr rein
20.	695.9	697.7	699.5	0.5	5.9	- 2.4	6.7	- 2.4	4.0	2.6	2.9	83	37	77	N 2	NW 1	S 2	$10^{0}\ast$	$1^{0}\odot$	1^{0}	5.2	21	mrgs. Berge bis 1400 m im Nebel, dann rein
21.	01.6	03.8	04.0	1.3	6.1	- 1.0	6.2	- 2.6	3.4	2.6	2.9	67	36	67	NW 3	NW 2	C	9^{1}	$2^{0}\odot$	0	0.8	20	
22	01.3	698.4	02.4	3.4	9.2	3.5	12.1	- 2.2	2.6	4.3	4.2	44	50	72	S 2	S 2	C	6^{0}	8^{0}	5^{0}	–	18	a Berge mit Ausnahme der Zugspitze frei
23.	03.6	697.7	693.4	1.5	11.7	4.0	**13.5**	0.9	4.5	4.1	4.8	89	40	78	C	C	C	4^{0}	$1^{0}\odot$	4^{0}	–	17	a Berge meist frei
24.	692.2	693.3	698.2	6.0	7.2	1.0	9.5	1.0	**5.2**	3.4	4.7	75	45	94	NW 2	NW 4	C	8^{1}	8^{0}	4^{0}	–	15	a Berge teilweise bedeckt, 3 p ◍ $\times$ NW 4
25.	699.6	696.7	694.4	0.1	5.7	1.4	6.2	- 0.2	4.1	4.2	5.0	89	61	100	C	C	C	$10^{1}\ast$	9^{0}	$10^{1}\bullet$	5.6	16	a 3 cm Neu$\times$; 5^{45} p–n ztw. ◍$^{0.1}$
26.	695.4	691.8	696.9	2.7	1.9	0.3	8.6	0.3	**5.2**	5.1	3.5	93	96	74	C	NW 3	NW 3	9^{1}	$10^{1}\bullet$	$10^{1}\ast$	**22.2**	11	a Berge teilweise frei; 0^{30} p ab ◍, böiger Wind
27.	01.1	02.2	02.7	- 0.7	- 0.1	- 3.0	2.0	- 3.0	3.1	3.7	3.5	71	81	96	NW 3	C	C	$10^{0}\ast$	$10^{0}\ast$	3^{0}	7.5	13	mrgs.–m meist $\times^{0}$ [(NW 6–8), abds. $\times^{0}$
28.	02.0	699.2	698.1	- 7.0	8.8	3.4	9.5	- 7.1	2.3	3.6	4.3	87	42	73	C	S 2	C	2^{0}	$1^{0}\odot$	1^{0}	3.6	15	a Berge mit Ausnahme der Zugspitze frei
																					77.3		
Mittel	04.3	03.2	04.0	- 3.8	3.1	- 1.5	4.2	- 5.4	2.9	3.3	3.4	81	59	81				5.6	5.3	5.3			

Hohenpeissenberg.

Februar. $\varphi = 47^0\ 48'$ N. $\lambda = 11^0\ 1'$ E $= 44^m\ 4^s$. H $= 993.9$ m. Cg $= \pm 0.0$ mm. 1911.

	600 mm +																						
1.	85.4	86.1	87.1	-10.1	- 8.4	- 7.3	- 6.9	-13.8	0.9	1.0	1.1	44	43	52	SE 1	NE 1	NE 2	3^{1}	$1^{1}\odot$	10^{1}	–	16	t Flachl. sehr rein, Horiz≡ im N, abds. ≡
2	86.1	84.5	82.2	- 7.0	- 4.3	- 5.9	- 4.3	- 8.2	1.7	1.6	2.7	71	51	92	W 1	W 1	NW 3	0	9^{1}	$10^{1}\ast$	0.3	16	n $\times^{0}$; p Flachl. ∞; 8^{20} p–n $\times$
3.	77.0	77.9	82.5	- 4.6	- 3.2	- 4.5	- 3.0	- 5.9	2.9	3.5	3.1	90	98	95	W 6	W 3	NE 3	$10^{2}\equiv\ast$	$10^{2}\equiv\ast$	$10^{2}\equiv$	2.8	19	n $\times$, t $\equiv^{1.2}\times$ ⫫, abds. $\equiv^{2}$
4.	82.4	81.8	81.1	- 5.9	- 4.5	- 5.2	- 3.2	- 6.7	2.7	2.5	2.5	93	77	80	SE 1	S 1	SW 1	0	$0\odot$	0	3.5	25	a ≡, t Flachl. rein, abds. Horiz≡
5	79.8	79.9	81.3	- 9.4	- 5.0	- 4.8	- 4.5	- 9.5	2.0	2.5	2.6	91	81	81	SE 1	SW 1	NW 2	$10^{2}\equiv$	$10^{2}\equiv$	10^{1}	–	25	t $\equiv^{1.2}$
6.	81.9	82.8	84.8	- 5.1	- 2.0	- 6.2	- 2.0	- 6.2	2.3	2.7	1.8	76	70	64	W 1	W 1	NW 1	10^{2}	10^{2}	10^{2}	0.9	25	n u. t ztw. $\times$; p Flachl. ∞
7.	84.3	83.9	82.6	- 7.3	- 5.6	- 6.2	- 5.6	- 8.3	1.6	1.6	1.9	61	54	66	SW 1	NW 1	SW 4	9^{2}	9^{1}	10^{1}	1.1	26	a Flachl. rein, p Flachl. ∞
8.	81.6	83.1	85.6	- 5.3	- 6.2	- 8.9	- 4.4	- 8.9	2.3	2.5	2.1	76	87	95	W 1	NW 1	NW 3	$10^{2}\equiv\ast$	$10^{2}\equiv\ast$	$10^{1}\equiv$	3.1	30	n ⫫ ⫫, t $\equiv^{1}\times$
9.	84.8	83.1	81.1	-10.9	- 8.6	- 6.7	- 6.6	-11.3	1.7	1.8	2.0	90	76	73	SE 1	NW 3	SE 4	0	$0\odot$	0	2.7	**34**	a Flachl. rein; p u. abds. Horiz≡ im N
10.	79.3	79.1	78.7	- 4.3	0.0	- 0.4	0.0	- 7.4	1.3	1.9	1.7	38	41	40	W 1	NW 1	W 4	0	$0\odot$	0	–	30	p Flachland ∞
11.	78.6	79.0	79.4	0.8	3.0	1.6	3.3	- 0.9	2.8	3.2	2.6	58	57	50	SW 4	W 4	SW 4	9^{2}	$2^{1}\odot$	3^{1}	–	29	t Flachl. rein; p cu über dem Gebirge
12.	80.2	80.3	80.8	1.7	3.2	- 0.3	3.2	- 0.3	2.8	2.4	4.1	55	42	90	C	SW 1	NE 1	1^{1}	$1^{1}\odot$	$10^{1}\equiv$	–	27	t Flachl. rein; abds. $\equiv^{1}$
13.	81.6	82.1	83.4	- 2.1	- 1.4	- 2.4	- 0.3	- 2.4	3.5	3.6	3.3	90	86	87	NE 1	NE 4	NE 5	$10^{2}\equiv$	$0\equiv$	$10^{1}\equiv$	0.4	25	n $\times^{0}$, t $\equiv^{1.2}$
14.	84.7	85.2	86.2	- 4.4	- 3.2	- 3.8	- 2.4	- 4.5	3.3	3.0	3.1	100	85	91	E 1	NE 1	W 1	$10^{2}\equiv$	$2^{0}\odot$	$10^{1}\equiv$	–	22	a $\equiv^{2}$; p Flachl. dunstig, abds. $\equiv^{1}$
15.	85.9	85.8	86.3	- 6.2	- 0.1	- 0.2	0.5	- 7.7	2.8	1.7	1.4	98	35	31	SW 1	W 1	SW 5	$10^{2}\equiv$	8^{1}	10^{1}	–	21	a $\equiv^{2}$, p Aufklaren über dem Flachland
16.	**88.9**	86.8	84.4	- 3.5	2.3	1.1	2.7	- 3.7	1.8	1.5	2.4	52	**26**	48	W 1	S 1	W 7	5^{1}	10^{1}	10^{1}	0.8	20	n $\times$
17	80.1	78.7	81.4	4.2	4.8	1.6	5.4	1.1	2.0	2.2	4.2	32	34	82	W 8	SW 10	W 8	10^{1}	10^{2}	10^{1}	–	20	n ⫫
18.	78.6	76.3	74.5	3.1	4.5	3.3	4.6	1.5	3.5	**5.3**	4.9	61	84	85	W 8	W 6	SW 7	10^{2}	5^{2}	6^{2}	–	17	10^{35} a an ◍$^{0}\times^{0}$; p Flachl. sehr rein, Geb. bed.
19.	68.4	67.7	68.8	2.2	3.1	1.5	6.4	1.4	4.1	4.0	5.1	77	69	100	NW 4	SW 8	W 8	7^{1}	10^{2}	10^{2}	–	5	a Flachl. sehr rein, abds. ◍ $\times$
20.	71.2	73.7	75.0	- 1.6	0.4	- 1.4	1.5	- 1.8	3.6	2.7	2.6	88	57	62	W 6	SW 6	W 4	9^{2}	$5^{2}\odot$	8^{2}	3.7	4	n $\times$; p Flachland rein
21.	76.6	79.1	79.5	- 1.6	1.0	- 0.2	1.5	- 2.1	3.3	2.5	1.7	80	50	38	W 5	SW 6	W 4	10^{2}	3^{2}	1^{1}	0.1	4	n, vorm. $\times$
22.	76.5	74.5	78.5	4.1	8.3	3.7	8.4	- 0.4	1.8	2.2	3.6	30	27	60	SW 6	W 8	SW 5	10^{1}	10^{2}	2^{1}	0.6	3	t Flachland sehr rein
23	79.0	74.4	68.7	2.8	8.1	6.8	**8.8**	2.8	4.7	3.3	2.6	84	41	36	W 3	W 2	W 5	10^{2}	$2^{1}\odot$	2^{1}	–	–	a Flachl. rein, p cu üb. d. Geb., Horiz≡ im N
24	68.1	69.3	73.2	2.0	2.4	- 0.6	7.6	- 1.0	3.8	4.5	4.4	71	83	100	W 8	W 8	W 5	10^{2}	$10^{2}\equiv\ast$	$10^{2}\equiv\ast$	1.3	–	n ◍, p–abds. $\equiv^{1.2}\times$
25	74.2	71.8	68.9	- 1.1	2.4	1.0	3.3	- 1.1	4.2	4.1	4.9	100	76	100	W 6	SW 8	NW 6	$10^{2}\equiv\ast$	10^{2}	10^{2}	**6.1**	4	n–vorm. $\equiv^{1}\times$, p Flachl. rein
26.	71.0	66.9	74.3	2.5	2.2	- 2.3	3.9	- 2.3	4.7	4.8	4.9	85	89	92	W 8	W 8	W 7	8^{2}	10^{2}	10^{2}	4.1	–	1^{30}–2^{45} p $\times$, $2^{00.05}$ p ▲; 2^{24} p ⍁ i. S u. ▲
27	76.7	77.4	78.2	- 3.5	- 1.1	- 3.6	- 1.1	- 3.6	3.4	3.5	2.9	95	82	85	W 4	W 1	W 1	$10^{2}\ast$	10^{2}	5^{2}	1.8	2	a u. vorm. öfters $\times$
28.	76.8	75.2	74.0	- 2.2	6.1	4.0	6.1	- 3.6	2.1	2.9	4.0	54	40	66	SW 1	SW 3	W 2	1^{1}	5^{1}	5^{1}	1.4	3	a st am Horizont; p Flachland sehr rein
																					34.7		
Mittel	79.3	78.8	79.4	- 2.6	- 0.1	- 1.7	0.8	- 4.1	2.8	2.8	3.0	73	62	73				7.2	6.1	7.2			

Alle Angaben nach Ortszeit.

Zugspitze.

Februar. $\varphi = 47^0\ 25'$ N. $\lambda\ 10^0\ 59'$ E = 43m 56s. H = 2964 m. Cg = −0,2 mm. 1911.

Datum	Luftdruck auf 0° u. Normalschwere reduziert 500 mm +			Lufttemperatur C°					Absolute Feuchtigkeit mm			Relative Feuchtigkeit Proz.			Richtung und Stärke des Windes 0 bis 12			Bewölkung 0 bis 10			Niederschlag mm	Schneedecke cm
	7a	2p	9p	7a	2p	9p	Max.	Min.	7a	2p	9p	7a	2p	9p	7a	2p	9p	7a	2p	9p	7a	7a
1.	30.8	30.9	31.3	−16.6	−15.8	−16.7	−14.7	−18.3	0.1	0.4	0.7	7	36	58	N 3	N 3	N 5	7^0	2^0 ⊙	1^0	–	150
2.	30.8	30.6	28.5	−16.3	−11.7	−14.8	−10.9	−16.7	1.1	0.8	1.5	85	44	100	N 3	N 5	N 6	1^0	8^1	10^2 ≡ ✱	–	150
3.	22.8	24.2	27.4	−16.6	−17.4	−17.2	−13.7	−17.4	1.3	1.2	1.2	100	100	100	N 8	N 6	NE 2	10^2 ≡ ✱	10^2 ≡ ✱	10^1 ≡	3.4	150
4.	29.1	30.5	30.9	−16.2	− 8.2	− 7.5	− 6.8	−18 0	0.9	1.8	1.7	68	73	64	NE 4	NE 3	N 3	1^0	1^0 ⊙	0	**17.4**	220
5.	28.9	27.7	27.7	−10.2	−11.9	−13.5	− 7.2	−14.0	2.1	1.4	0.7	100	74	34	NW 3	NW 6	NW 6	9^1	1^0 ⊙	0	–	220
6.	27.3	27.7	28.6	−18.3	−18.0	−20 4	−12.4	−20.4	1.1	1.1	0.9	100	100	100	N 1	N 3	N 4	10^0 ≡	4^1 ⊙	0	–	220
7.	29.0	28.1	28.2	−15.8	−17.8	−17.4	−15.4	−20.6	0.7	0.5	1.2	54	45	100	N 3	NW 6	N 3	4^1	9^1	10^2 ≡ ✱	2.3	220
8.	26.2	26.4	27.3	−19.4	−19.7	−22.1	−16.0	−22.1	1.0	1.0	0.8	100	100	100	W 6	NW 5	NW 6	10^2 ≡ ✱	10^2 ≡ ✱	10^1 ≡	3.1	220
9.	29.3	29.4	29.5	−20.4	−15.8	−13.0	−13.0	−22.8	0.4	0.7	0.8	46	50	50	NE 4	N 3	N 3	1^0	1^0 ⊙	0	6.2	240
10.	28.0	28.3	28.5	−15.3	−10.9	−12.9	−10.7	−15.5	0.8	1.0	1.4	59	57	83	NW 3	W 2	W 3	0	1^0 ⊙	1^0	–	240
11.	28 7	28.7	28.7	−11.2	−10.9	−13.3	− 9.6	−13.3	1.3	0.9	1.7	65	46	100	SW 3	W 4	NW 3	6^0	7^1	8^1	–	240
12.	29.1	29.4	29.3	−13.6	− 8.5	−11.3	− 8.0	−14.3	1.6	1.4	1.2	100	57	63	NW 3	S 5	SE 3	5^1	6^1	10^1 ≡	–	240
13.	29.5	30.5	32.2	−10.9	− 9.0	− 9.6	− 8.5	−12.2	2.0	1.6	1.6	100	67	73	E 3	SE 4	E 3	10^2 ≡ ✱	1^0 ⊙	0	–	240
14.	32.1	32.5	33.4	−12.6	−12.6	−12.2	− 9.5	−13.1	1.0	0.8	0.2	54	47	12	N 4	N 2	N 2	1^0	00	0	–	240
15.	33.4	33.5	33.5	−12.5	−12.8	−14.8	−10.9	−15.4	0.9	1.1	1.5	15	64	100	N 4	NW 4	NW 4	3^0	9^1 ⊙	10^2	–	240
16.	33.7	**34.4**	33.5	−18.8	−12.3	−12.1	−10.6	−18.9	0.7	0.6	1.1	63	32	58	NW 4	NW 4	NW 4	8^0	9^1 ⊙	10^1	0.7	240
17.	31.8	30.8	30.8	−10.3	− 7.2	− 9.3	− 5.4	−12.3	2.1	2.7	2.3	100	100	100	NW 7	NW 10	NW 8	10^2	10^2 ≡ ✱	10^2	–	240
18.	30.6	28.8	27.8	− 9.3	− 5.7	− 8.9	− 5.5	− 9.7	2.5	3.0	1.2	100	100	91	NW 8	SW 7	W 4	10^2	10^2 ≡	0	–	240
19.	24.1	21.8	19.9	− 5.8	− 8.7	−11.9	− 4.7	−11 9	2.2	2.4	1.9	71	100	100	W 8	W 5	NW 7	8^1	9^2	10^2 ≡ ✱	–	240
20.	20.2	22.6	22.9	−15.9	−16.7	−16.6	−11.8	−16.9	1.4	1.1	1.3	100	89	100	W 7	NW 4	W 8	10^2 ≡ ✱	2^2 ⊙	6^1 ≡	0.8	250
21.	22.8	27.4	29.1	−16.2	−15.6	−12.8	−12.2	−16.6	1.3	1.4	0.9	100	100	49	W 10	W 6	W 4	10^2 ≡	1^0 ⊙	1^1	–	250
22.	30.5	29.9	30.4	− 4.6	− 3.2	− 6.9	**− 3.2**	−12.8	3.3	**3.6**	2.7	100	100	100	W 4	W 5	W 6	10^1 ≡	10^2	10^2 ≡ ✱	–	250
23.	29.6	28.0	25.1	−10.0	− 7.2	− 4.3	− 4.3	−10.1	1.5	1.7	2.3	70	64	69	W 5	W 5	W 10	2^0	1^0 ⊙	2^0	1.8	250
24.	21.0	20.6	22.0	− 8.7	−11.5	−14.0	− 3.7	−14.0	2.5	1.9	1.6	100	100	100	NW 4	W 6	NW 8	10^2 ≡ ✱	10^2 ≡	10^2 ≡ ✱	2.3	250
25.	23.2	23.1	21.3	−15.2	−12.5	− 9.0	− 9.0	−16.1	1.4	1.8	2.3	100	100	100	W 6	W 5	N 10	10^2 ≡ ✱	10^2 ≡ ✱	10^2 ≡ ✱	1.7	250
26.	21.8	**18.9**	21.1	−11.0	−10.8	−16.3	− 7.6	−16.3	1.8	2.0	1.3	100	100	100	NW 5	NW 7	NW 10	10^2 ≡	10^2 ≡ ✱	10^2 ≡ ✱	3.1	260
27.	23.0	23.7	25.0	−18.8	−17.4	−17.5	−16.3	−18.8	1.1	1.2	1.2	100	100	100	W 0	NW 6	W 6	10^2 ≡	10^2 ≡ ✱	10^1 ≡	7.3	**280**
28.	25.8	27.2	27.3	−13.0	− 8.3	− 6 5	− 6.2	−17.6	1.7	2.5	2.8	100	100	100	N 4	NW 3	W 3	10^1 ≡	7^1	0	6.2	**280**
																					50.3	
Mittel	27.6	27.7	27.9	−13.7	−12.1	−13.0	− 9.6	−15.9	1.4	1.5	1.4	81	77	82				7.0	6.0	5.6		

Bemerkungen.

1. a Fernsicht ringsum rein; t ztw. ≡0 um den Gipfel
2. t Fernsicht üb. Berge u. Täler frei ∞0, über Flachl. allenth. cu-meer i. ca. 1000–1500 m, allenth. ∞1, 8 p–n ≡1.2 ✱0, ✱treiben
3. n u. t ⸗ ≡1.2 ✱0.2 ✱treiben; 830 p–n Aufklaren, ⋁ 15 cm
4. a Fernsicht über Berge frei, Flachland allenth., Inntal vollst. ≡decke in ca. 1000–1500 m, t Fernsicht ringsum frei, über Flachland leichte cu-bildung, rings ∞1.2 ⋁ 10 cm
5. a Berge frei, Flachl. u. Vorgebirgtäler ≡meer ca. 1200–1400 m, p–n über Vorberge u. Flachl. cu-meer in ca. 1800–2000 m, Hochgebirg u. Täler frei ∞0.1, t ⸗ ✱tr.
6. a-ca. 130 p ≡0.1 ztw. ✱0.2; 130–345 p Aufkl.; ab 345–800 p ≡1.2 ✱1.2; 8 p ringsum Aufkl, 9 p ≡0 um den Gipfel cu-meer in ca. 2500 m ⋁ 1 cm.
7. a Fernsicht frei, Inntal Nebelmeer in ca. 1400 m, p üb. Flachl. u. Vorb. starke cu i. ca. 1400–2800 m ab ca. 6 p–n ≡0.1, ab ca. 830 p–n ✱0, t ⸗ ✱treiben
8. n u. t–ca. 430 p ⸗ ≡1.2, ✱1.2 ✱treiben; ab 430–ca. 530 p Aufklaren; 530 p–n ≡1.2 ⋁ 25 cm
9. a Aufkl. Fernsicht ringsum frei; Hochtäler cu in ca. 1400–1600 m; t Fernsicht allenth. frei, ∞0.1, cu-bildung ⋁ 10 cm
10. t Fernsicht ringsum frei, ∞1.
11. a Berge frei, üb. Flachl. in ca. 2200 m st cu; p st cu ringsum in ca. 1400–1600 m, ab 330 p–n meist ≡0 u. d. Gipfel, Brockengespenst, abds ⋁ ½ cm
12. n ≡0.1 a Aufkl. üb. Vorbg. st cu i. ca. 2000–2400 m Hochgb. frei ∞1, t Flachl. teilweise cu, st cu i. ca. 2000 m, Gebg. u. Täler frei, ∞0, ab ca. 745 ≡0 ⋁ 1 cm
13. n ≡0.1 ztw. ✱0, a ≡0 ✱0; t–n Flachland und Vorgebirgtäler cu-meer in ca. 1400–1500 m; Hochgebirg frei ∞1.2
14. a ⌊0, t Flachland und Vorgebirgtäler ≡meer in ca. 1400 m, Hochgebirg und Täler ∞0.2
15. a Berge und Täler frei, Flachl. ≡meer in ca. 1200 m; t Flachland allenth. cu-bildung; Berge ringsum frei–abds. abds. bis n ≡0 ⸗, ✱tr.
16. n ztw. ≡0.1 ⸗ ✱0 △0; t Fernsicht über Berge frei; Flachland Loisachtal u. über Hochgebirg st cu-bildung; ⋁ 3 cm
17. n u. a. ⸗ ✱tr; a Fernsicht frei; ab 1130 a–abds. ztw. ≡0.2 ✱0.1, abds. Aufklaren Geb. u. Täler frei. ⋁ 3 cm
18. n u. a ⸗ ztw. ≡0.1; t ≡0.2 ⸗ abds. Aufkl. ⋁ 6 cm
19. n u. a Fernsicht ringsum frei ⸗, 645 p–n ⸗ ≡1.2 ✱0.1 ✱tr. ztw. kurz Aufkl.
20. n u. a ⸗ ≡2 ztw. ✱0.2 ✱tr. p Aufklaren ztw. ≡0.1 u. d. Gipfel, abds. ✱tr. ⋁ 3 cm
21. n u. a ⸗ ≡2 ✱tr. ztw. ✱0; p Aufklaren ztw. ≡ u. d. Gipfel abds. Fernsicht frei; ⋁ 10 cm
22. n u. a ≡1.2 ⌊2; 730 a an vollst. Aufkl. t ⸗ ✱treiben ztw. ≡0.2 4 p–n ztw. ✱0.1 ⋁ 10 cm
23. n ⸗ ≡0.1 ztw. ✱0 △0 mrgs. Aufkl.; über Flachl., Vorberge u. Hochgeb. im E ≡meer in ca. 2000–2700 m, t Fernsicht ringsum sehr rein, abds.–n ⸗, ⋁ 15 cm
24. n u. a ≡1.2 ✱0.1; ab 1115 a Aufklaren bis ca. 2 p. p ⸗ ≡0.2 ✱tr. ztw. ✱0.1 ⋁ 10 cm
25. n u. a ⸗ ≡2 ✱0 ✱tr. 945–ca. 1130 a Aufhellen; 1130 a–n ≡0.2 ✱0.2 abds. ⸗ ✱treiben ⋁ 20 cm
26. n u. mrgs. ⸗ ≡1.2 ✱0.1; 830–ca. 10 a Aufhellen; t–n ⸗ ≡1.2 ✱1.2 ✱tr. ⋁ 30 cm
27. n u. t ≡1.2 ⸗ ✱0.1 t ✱tr.; p schwaches Aufklaren ⋁, 50 cm
28. n u. mrgs. ≡0.1 ztw. Aufkl.; t ≡0.1 u. d. Gipfel, ab 430–730 p ≡1 ✱0.1; abds. vollständiges Aufkl, 9 p Fernsicht ringsum frei. ⋁ 50 cm

Alle Angaben nach Ortszeit.

Kahl a/M.

März. $\varphi = 50^0\ 4'$ N. $\lambda = 9^0\ 1'$ E $= 36^m\ 4^s$. H $= 114.1$ m. Cg $= +0.3$ mm. 1911.

Datum	Luftdruck auf 0° u. Normalschwere reduziert 700 mm + 7a	2p	9p	Lufttemperatur C° 7a	2p	9p	Max.	Min.	Absolute Feuchtigkeit mm 7a	2p	9p	Relative Feuchtigkeit Proz. 7a	2p	9p	Richtung und Stärke des Windes 0 bis 12 7a	2p	9p	Bewölkung 0 bis 10 7a	2p	9p	Niederschlag mm 7a	Schneedecke cm 7a	Bemerkungen
1.	47.3	54.2	59.0	8.0	7.9	3.5	9.8	3.0	7.3	4.3	4.7	92	55	80	W 4	W 6	SW 4	9¹	3¹	0	1.4	–	n ◎; 2 p ≡
2.	**60.5**	55.6	55.1	1.7	5.7	5.0	7.7	– 1.0	4.6	6.0	6.2	90	88	95	SW 2	SW 6	SW 2	10⁰	10¹	0	–	–	a ⌋; 2 p ≡; 5¹⁹–6⁰¹ p ⊠; 5⁴¹–6⁰¹ p ◎
3.	57.6	58.0	58.6	4.3	9.0	5.7	9.7	3.3	5.3	5.3	6.3	85	62	93	W 2	NW 2	C	5⁰	6¹	10¹	5.5	–	
4.	56.6	54.7	53.6	5.4	8.9	6.2	9.2	4.5	6.7	7.8	6.6	100	92	93	SW 2	SW 2	SW 4	10¹	10¹	10¹	2.7	–	n ◎
5.	50.8	52.8	53.8	5.0	7.0	2.9	8.2	0.9	6.0	4.1	4.9	92	55	86	W 4	NW 6	C	10¹●	2¹	10²	0.9	–	n ◎; 2 p ≡; p ztw. ◎
6.	53.3	52.3	52.3	0.7	6.0	– 1.0	6.5	– 1.9	4.7	3.6	4.0	96	52	94	C	NW 2	C	9¹	9¹	0	0.3	–	
7.	53.2	53.3	53.5	– 2.8	7.2	1.2	7.5	– 4.0	3.7	3.8	4.4	100	50	87	C	SE 2	E 2	1⁰	9⁰	10⁰	–	–	a
8.	53.5	53.2	54.0	– 1.3	5.4	2.4	6.6	– 2.1	4.2	4.6	4.6	100	69	84	C	NW 4	C	6⁰	10¹	7⁷	–	–	a
9.	54.9	54.1	53.9	– 3.3	7.9	2.5	8.7	– 3.9	3.6	4.1	3.8	100	52	69	C	SW 4	C	1⁰	3⁹	8⁰	–	–	a
10.	54.7	55.5	55.9	2.1	6.1	– 0.2	6.4	– 1.2	4.3	5.6	4.5	80	79	100	C	SW 2	E 2	10¹	10¹	0	–	–	
11.	55.2	53.2	53.1	– 3.0	7.8	2.3	9.0	– **4.7**	3.7	5.3	4.9	100	67	91	C	SW 2	C	5⁰	3¹	10⁰	–	–	9⁰¹ p ⊖; a ⌋
12.	52.6	49.4	46.4	– 3.7	9.6	5.9	10.4	– 4.0	**3.5**	4.0	5.0	100	44	72	C	W 4	SE 4	0⊙	1¹	10⁰	–	–	a ⌋
13.	36.4	**31.5**	37.3	6.6	8.6	3.8	9.7	3.0	4.5	5.2	4.2	62	63	70	SE 4	SW 4	SW 6	10¹	9²	10¹	–	–	0¹¹ p ⌒; t ztw. ◎ ≡; 9 p ≡
14.	39.7	40.3	40.8	1.9	5.0	2.0	6.9	0.7	4.1	3.9	4.1	78	60	77	SW 4	SW 4	SW 2	10⁰	7¹	0	1.9	–	
15.	40.7	40.5	40.7	1.3	2.8	0.8	4.4	– 1.0	4.5	5.2	4.7	89	93	98	SW 2	SW 2	SW 2	10¹	10¹	10⁹	–	–	a ✳
16.	41.2	42.3	45.0	0.5	2.6	1.0	3.6	– 1.4	4.3	5.2	4.9	90	94	100	SE 2	SW 2	SW 2	8¹	10¹	10¹	2.1	–	a ⌋; 8³⁶ a an ✳, dann t ztw. ◎ u. ✳
17.	47.7	49.7	50.9	1.6	5.2	0.8	6.9	0.0	5.0	5.2	4.7	96	78	96	C	SE 2	C	10¹	7¹	0	10.0	–	9⁰¹–11¹⁰ a ◎ ✳
18.	51.3	50.2	50.7	0.1	9.2	5.9	10.9	– 1.0	4.6	4.6	4.9	100	53	71	C	SE 4	NE 4	10⁰	8⁰	10¹	2.1	–	a ⌋
19.	51.6	51.3	51.3	0.5	11.8	6.7	13.2	– 1.1	4.4	4.8	4.1	92	47	56	C	E 4	E 4	1⁰	0⊙	0	–	–	
20.	51.2	49 2	49.0	1.1	11.5	6.6	12.6	– 0.8	3.6	4.1	3.9	72	40	54	E 2	E 4	E 2	1⁰	2⁰	0	–	–	
21.	50.2	50.3	50.5	2.8	13.7	7.2	16.0	0.3	4.7	6.4	6.2	82	55	82	C	SW 2	C	10⁰	0⊙	0	–	–	
22.	51.3	50.7	51.1	– 0.2	15.6	7.4	18.2	– 1.1	4.5	6.3	6.3	100	48	82	SE 2	NE 2	C	0⊙	1⁰⊙	0	–	–	a ⌋
23.	52.3	51.8	51.2	2.2	16.7	6.0	17.4	0.3	5.2	4.9	6.0	96	34	87	C	SE 2	E 2	1⁰	2⁰	0	–	–	a ⌋
24.	49.9	46.4	45.5	– 0.2	13.1	5.1	14.4	– 1.6	4.5	7.0	4.9	100	63	75	C	W 2	NE 2	0⊙	1⁰	10²	–	–	a ⌋
25.	43.2	43.0	44.2	0.6	5.1	2.3	6.3	– 0.1	3.7	4.2	3.9	76	64	72	NE 2	NE 2	NE 4	9⁰	10¹	10¹	–	–	11⁴¹–⁴⁵ a ✳
26.	41.6	41.7	43.5	3.5	6.3	1.6	9.0	0.0	4.9	5.3	5.0	83	75	96	SE 6	NE 4	SW 2	10¹	10¹	10¹●	1.3	–	n ◎; 7 a ≡; 7⁰⁶ p–n ◎
27.	51.0	51.6	51.0	– 0.2	8.2	3.5	10.8	– 1.5	4.4	4.8	5.2	98	60	88	C	SW 2	C	0⊙	4⁰	0	**12.2**	4	n ◎, dann ✳
28.	50.8	49.7	48.5	1.3	15.6	7.6	18.0	– 0.8	5.0	7.8	7.8	100	59	100	C	W 2	C	0⊙	8⁰	0	–	–	
29.	48.3	45.9	45.6	3.8	22.7	17.9	**24.1**	1.3	6.0	5.7	6.2	100	28	41	C	E 2	E 4	4⁰	2⁰	0	–	–	a ⌋
30.	44.3	44.1	45.7	13.3	21.7	11.7	23.1	11.0	6.6	6.7	7.8	58	35	76	SE 2	SW 2	S 2	7⁰	9⁰	0	–	–	
31.	49.3	50.2	50.8	10.8	12.5	10.1	15.0	9.1	8.1	**9.6**	8.9	84	90	96	SW 4	SW 2	E 2	10¹	10¹	0	5.0	–	11⁰⁵ p–0¹¹ a ⊠; 11¹⁶ p–0²¹ a ◎; t ztw. ◎⁰
Mittel	49.7	49.2	49.8	2.1	9.6	4.7	11.0	0.1	4.8	5.3	5.3	90	61	83				6.0	6.0	4.7	45.4		

Bayreuth.

März. $\varphi = 49^0\ 57'$ N. $\lambda = 11^0\ 34'$ E $= 46^m\ 16^s$. H $= 363.3$ m. Cg $= +0.3$ mm. 1911.

1.	24.8	27.9	34.9	5.5	6.3	2.9	8.0	2.3	6.2	5.8	4.5	93	82	80	S 2	W 4	W 6	10²●	10²	5¹	0.7	–	t ztw. ◎0.1
2.	**38.4**	32.8	29.9	0.5	3.3	3.2	3.9	– 0.3	4.6	5.2	5.1	96	91	90	SW 6	W 6	W 8	2⁰	10²●	8²	0.4	–	a ⌋⁰. p ◎0.1 ≡
3.	33.6	34.8	36.7	1.3	5.1	1.1	5.1	0.3	4.7	5.6	4.1	92	56	84	NW 4	W 6	NW 2	8²	8²	3¹	4.3	–	n ≡ ◎
4.	34.5	32.3	30.3	2.0	5.7	5.4	5.7	– 1.2	5.0	6.3	6.4	94	93	95	E 2	N 2	C	10¹≡	10¹≡	10²	–	–	t ≡1.0 ztw. ◎0
5.	27.0	28.2	29.4	3.7	4.4	1.3	5.5	0 9	5.4	4.0	4.6	91	63	91	W 4	W 6	W 2	10³	4¹⊙	5¹	0.5	–	t ztw. ◎0 △
6.	29.2	28.5	29.2	0.5	3.0	– 0.7	3.2	– 1.2	4.5	3.3	3.9	94	59	88	W 2	W 4	W 2	8¹	10²	7¹	1.1	–	
7.	30.1	30.6	30.9	– 0.3	4.3	– 0.6	4.3	– 1.6	4.3	**3.2**	3.9	96	51	88	NW 2	NW 2	N 2	10¹	5¹⊙	0	–	–	S⁰⁶.³⁶ p ψ
8.	30.9	29.5	30.9	– 1.6	2.5	0.5	3.2	– 2.6	4.0	4.8	4.4	98	88	92	NW 2	W 2	W 2	10¹≡	10²	5¹	–	–	a ⌋¹ ≡¹. p ztw. ✳0
9.	32.8	31.9	32.0	– 2.7	5.5	0.4	5.5	– 3.6	3.7	**3.2**	**3.2**	100	48	68	NE 2	E 2	E 2	10²≡	6¹⊙	5⁰	0.2	–	a ⌋¹ ≡²
10.	32.4	32.7	33.7	– 0.9	5.9	2.3	6.0	– 2.6	3.6	4.4	4.9	84	64	90	E 2	W 2	C	3¹⊙	10¹	10¹	–	–	a ⌋⁰
11.	32.8	30.6	30.3	– 3.1	8.5	1.9	8.5	– 3.8	3.6	4.5	4.5	100	55	87	C	SW 2	E 2	10²≡	5¹⊙	6¹	–	–	a ⌋ ≡²
12.	29.4	26.5	25.0	– 1.1	8.9	2.7	9.3	– 2.1	4.2	3.7	4.8	98	44	86	E 2	W 2	C	8¹	7¹⊙	9¹	–	–	a ⌋¹ ≡¹
13.	17.9	**12.8**	15.0	2.5	8.9	3.1	9.7	1.6	4.7	3.8	4.2	86	47	72	E 4	SW 6	W 8	8¹	10²	10²	–	–	t ≡. p ztw. ◎0
14.	17.9	18.8	19.3	0.9	4.3	1.2	4.4	– 0.4	3.8	3.4	4.0	77	54	81	SW 6	W 4	SE 2	7²	8¹	8¹	0.7	–	n ≡, t ztw. ≡
15.	18.5	17.7	18.4	– 1.8	3.9	1.7	4.1	– 2.8	3.8	3.4	4.1	96	56	79	NE 2	W 2	E 2	10²	8²	10¹	–	–	a ⌋¹
16.	20.4	22.3	23.9	– 1.7	3.3	1.9	3.9	– 2.7	3.9	4.4	4.1	96	77	83	SE 2	SE 4	SE 2	5¹	10²*	6¹	–	–	a ⌋¹. p ztw. ✳0.1
17.	26.6	27.9	29.3	– 1.3	5.7	0.9	6.1	– 2.1	4.0	4.7	4.4	96	68	90	E 2	SE 2	C	2¹⊙	10¹	0	0.2	–	a ⌋¹
18.	29.9	28.9	30.1	– 3.7	8.7	1.5	8.8	– **5.0**	3.5	3.4	4.5	100	40	90	NW 2	E 2	E 4	5¹	6⁰⊙	10¹	–	–	a ⌋² ≡¹
19.	30.8	30.7	31.3	– 1.5	7.9	1.7	8.4	– 2.6	4.0	4.0	3.8	98	51	74	NW 2	SE 4	SE 4	5¹	0⊙	0	–	–	a ⌋¹ ≡¹
20.	29.8	28.6	28.0	– 0 7	7.9	2.3	8.1	– 1.6	3.3	3.6	3.9	77	46	71	SE 4	E 6	E 6	0⊙	5⁰⊙	0	–	–	
21.	29.1	28.9	29.6	– 1.7	12.5	6.7	15.3	– 2.6	4.0	5.6	5.6	98	52	77	NW 2	E 2	E 2	7¹	0⊙	0	–	–	a ⌋⁰
22.	30.3	29.6	30.7	0.6	12.9	3.9	13.5	– 0.7	4.3	6.1	5.3	90	55	88	SE 2	SW 4	C	0⊙	2⁰⊙	0	–	–	a ⌋¹
23.	31.0	29.8	29.4	– 2.9	12.1	5.1	13.1	– 3.6	3.7	6.2	5.4	100	59	84	E 2	E 2	E 2	0⊙	2⁰⊙	0	–	–	a ⌋¹ ≡¹. t ∞
24.	26.7	23.2	23.5	2.7	10.8	5.9	13.0	1.3	5.1	6.0	6.5	92	62	94	W 2	W 2	W 2	10²	2⁰⊙	10²●	–	–	a ≡¹. 7³⁴ p an ◎0
25.	19.6	20.2	20.3	0.7	2.1	0.9	6.0	– 0.3	4.7	4.6	4.3	96	86	87	W 2	NW 2	NE 8	10²	10²	10²	**7.3**	–	n ◎0.1 ✳0. a ztw. ✳0.1
26.	19.7	19.6	21.6	4.5	6.9	7.9	8.0	0.1	5.1	5.8	6.2	82	80	77	E 6	E 6	E 4	10²	10¹	10¹	0.2	–	n ≡
27.	28.6	29.5	28.6	1.3	9.2	5.5	11.6	0.3	4.6	5.2	5.4	91	59	81	W 2	E 4	E 2	8¹	6¹⊙	5¹	0.4	–	n ◎0
28.	28.6	27.6	27.6	1.6	18.0	10.8	20.3	0.5	5.0	7.0	7.4	96	45	76	E 2	E 2	E 2	8¹	4⁰⊙	0	–	–	a ≡¹
29.	27.4	25.6	25.2	3.5	21.2	14.8	**22.4**	2.3	5.5	5.8	7.6	93	**31**	61	E 2	E 4	E 4	7¹	3⁰⊙	0	–	–	a ≡¹
30.	23.8	24.0	25.2	8.3	20.6	11.5	21.8	6.5	6.6	5.5	6.4	82	**31**	63	SE 2	SE 4	SE 2	5¹⊙	8¹⊙	0	–	–	10³⁰ p–0³⁰ a ⊠
31.	27.8	28.3	29.5	9.5	14.2	9.1	15.3	7.3	7.3	7.2	**8.3**	84	60	96	SW 2	W 4	W 2	10²	8¹⊙	10²●	–		5⁴⁶ p an ◎0.1
Mittel	27.8	27.1	27.7	0.8	8.2	3.7	9.1	– 0.6	4.5	4.8	5.0	92	60	83				7.0	6.7	5.2	16.0		

Alle Angaben nach Ortszeit.

Bamberg.

März. $\varphi = 49^0\ 53'$ N. $\lambda = 10^0\ 53'$ E $= 43^m\ 32^s$. H $= 287.7$ m. Cg $= +0.3$ mm. 1911.

Datum	Luftdruck auf 0^0 u. Normalschwere reduziert 700 mm + 7a	2p	9p	Lufttemperatur C° 7a	2p	9p	Max.	Min.	Absolute Feuchtigkeit mm 7a	2p	9p	Relative Feuchtigkeit Proz. 7a	2p	9p	Richtung und Stärke des Windes 0 bis 12 7a	2p	9p	Bewölkung 0 bis 10 7a	2p	9p	Niederschlag mm 7a	Bemerkungen
1.	31.4	35.8	42.6	5.9	6.5	3.7	10.5	3.4	6.9	4.7	4.8	99	65	80	S 1	NW 8	W 3	10^2●	10^7●	8^1	–	n–10 a ztw. ◎0
2.	**45.2**	39.8	37.6	0.5	3.9	2.4	4.7	– 0.6	4.6	5.7	5.5	96	95	100	SW 3	SW 7	SW 5	8^0⊙	10^2●	1^1	0.5	n ⌴. 11^{30} a–6^{45} p ◎1. 5^{45} p ≋ W, ◎2, ⟋
3.	40.9	41.8	43.5	3.0	6.2	1.6	7.7	1.5	4.3	4.7	4.3	76	66	84	W 4	NW 5	W 1	10^2	9^1	9^2	**7.4**	
4.	41.0	39.3	37.1	3.1	6.6	5.1	7.3	0.4	5.7	7.1	6.4	98	98	97	S 1	S 1	W 4	10^2●	10^2	10^2	0.5	mrgs.–11^{30} a ◎1. 7 a ≡0
5.	33.8	35.6	36.7	3.7	6.3	2.1	7.3	1.5	5.4	3.5	4.7	90	49	87	W 2	W 4	W 2	10^2	6^1⊙	9^1	1.2	8^{15}–9^{15} a ◎1. 11^{30} a ◎0. p ztw. ◎0
6.	36.1	35.5	36.1	0.5	4.2	– 0.8	5.8	– 0.8	4.6	3.4	3.9	96	55	90	W 2	W 2	W 1	9^1⊙	10^2	8^0	0.9	n △0
7.	37.1	37.3	37.7	– 0.1	5.7	– 0.1	7.3	– 1.6	4.4	2.8	3.9	96	41	85	W 1	NW 1	C	10^2	10^1	10^0	–	7 a ≡0
8.	36.7	36.2	38.0	– 1.3	4.6	0.7	6.4	– 1.6	4.0	3.9	4.7	96	62	96	W 1	W 1	W 1	10^2	10^2	10^1	–	n ⌴. 11^{42} a ◎0. 4^{42} p ◎1. 4^{17} p ✳1
9.	39.5	38.6	38.6	– 3.6	5.6	0.5	7.3	**– 3.9**	3.4	3.2	3.1	98	46	66	C	SE 1	SE 1	10^{2}≡	8^0	7^1	0.7	7 a ≡1
10.	39.0	39.4	40.6	– 0.2	7.0	2.6	8.0	– 1.6	3.9	4.5	4.8	87	61	87	S 1	C	C	10^2	10^2	10^1	–	4 p ◎0
11.	39.5	37.8	36.9	– 1.4	6.5	1.3	8.5	– 2.1	4.1	4.9	4.7	100	68	92	S 1	S 1	C	10^{2}≡	1^1⊙	10^1	0.1	n ⌴. 7 a ≡2
12.	36.0	33.6	31.3	– 2.5	9.5	4.2	11.0	– 2.9	3.8	4.4	3.6	100	49	58	S 1	W 2	S 2	10^1	5^1⊙	9^1	0.1	n ⌴
13.	23.5	**17.6**	21.6	4.4	9.7	2.4	10.7	2.1	5.0	4.5	4.6	80	49	84	S 4	S 9	SW 8	10^2	10^1	7^1	–	0^{45} p ◎0. 1 p ≋ S. 3^{00} p ◎2
14.	24.9	25.3	25.8	0.7	3.8	– 0.9	4.9	– 0.9	3.8	3.4	3.6	78	55	84	S 5	SW 3	S 3	10^2	10^2	3^1	1.3	8^{15} a, 4^{30} p ✳0
15.	24.9	24.4	25.4	– 2.3	3.6	0.2	5.7	– 2.7	3.9	3.6	4.7	100	60	100	S 2	SW 2	S 2	5^1⊙	10^2	10^2	0.1	n ⌴. 4^{45} p ✳0. 8 p ✳
16.	27.1	28.3	30.6	– 1.6	2.1	0.8	5.3	– 3.1	4.1	5.1	4.7	100	94	96	SE 1	SW 6	S 1	10^{2}*	10^{2}*	9^1	0.5	11^{30} a ✳. p ztw. ✳0
17.	33.0	34.5	35.9	– 0.9	4.7	0.2	7.3	– 1.6	3.9	4.5	4.5	90	70	96	SW 3	SW 3	S 1	2^0⊙	10^2	1^1	0.3	n ⌴. 9 p ≡
18.	36.0	35.1	36.4	– 1.8	10.4	1.7	12.3	– 2.8	4.0	3.0	4.5	100	32	88	W 1	SW 4	NW 2	10^1	8^0	10^1	–	n ⌴. 7 a ≡0 9 p ≡
19.	37.0	36.7	37.4	1.9	10.7	2.2	11.4	1.5	4.4	3.9	4.1	84	40	77	E 2	SE 4	S 6	10^2	1^0⊙	0	–	
20.	35.9	34.2	34.4	0.2	9.8	2.4	10.7	– 0.6	3.6	3.2	4.0	76	36	74	E 6	SE 5	SE 7	2^0⊙	9^1⊙	0	–	
21.	35.4	35.5	35.7	1.0	13.3	6.6	14.6	– 0.2	4.7	5.8	6.1	94	50	84	SE 2	S 1	C	5^1	00	0	–	n ⌴. Tal ∞
22.	36.9	36.0	36.8	0.3	15.7	5.9	16.3	– 0.2	4.7	5.8	5.4	100	44	78	NW 1	S 5	S 1	2^1⊙	5^0⊙	0	–	n ⌴. 7 a ≡
23.	37.8	36.4	35.9	– 0.5	13.9	4.9	14.7	– 1.0	4.4	6.1	5.7	100	52	87	SE 1	NW 1	S 3	3^1⊙=	10^0⊙	10^0	–	n ⌴. 7 a ≡1
24.	33.4	30.3	28.5	3.2	10.9	4.9	11.8	2.5	5.6	3.9	6.3	97	61	98	NW 1	SE 3	NW 2	10^2	00	10^2●	–	7^{05} p ◎. 7^{59} p ≲ i. N. 7 a ≡0. 9 p ◎0
25	26.7	26.9	27.7	1.3	3.5	1.4	5.9	0.4	5.0	4.7	4.3	100	80	85	NW 2	N 5	N 6	10^2	10^2	10^2	6.0	n ◎ ✳. 8^{34} a ✳0
26.	25.8	25.6	28.5	5.2	7.5	3.2	9.4	1.1	6.0	5.6	5.0	90	72	87	NE 6	NE 7	SW 6	10^2	10^2	10^2	0.1	
27.	35.8	35.9	35.6	1.4	9.7	6.4	11.3	0.6	5.0	5.4	5.5	98	60	76	S 2	NW 1	SE 1	8^1	9^1	10^2	0.8	11^{24} p ◎
28.	34.7	33.8	33.6	3.9	20.1	13.8	21.0	3.1	5.9	6.7	7.1	97	37	60	W 1	S 2	S 3	1^1⊙	6^1⊙	0	–	n △. 7 a ≡
29.	33.3	31.6	31.0	6.7	23.8	16.2	**24.4**	5.4	6.5	5.5	6.9	88	25	51	NW 2	E 2	E 5	8^1	10^0	0	–	7 a ≡
30.	29.8	29.7	31.2	12.2	21.6	14.0	22.7	10.4	6.0	6.2	5.7	56	32	48	E 2	SE 4	S 3	10^1	10^1	6^1	–	
31.	34.5	34.9	35.7	8.8	16.8	9.7	18.2	7.5	7.9	7.4	**8.1**	93	52	91	SW 1	NW 4	S 2	10^1	9^1⊙	10^2●	–	9^{07} p ≲ i. WSW. n △. 11^{02} a, 0^{05} p ◎0. 4^{35} p ◎. [9 p ◎0
Mittel	34.3	33.7	34.3	1.7	9.2	3.8	10.7	0.4	4.8	4.8	5.0	92	57	83				8.2	7.9	6.7	20.5	

Würzburg.

März. $\varphi = 49^0\ 48'$ N. $\lambda = 9^0\ 56'$ E $= 39^m\ 44^s$. H $= 179.3$ m. Cg $= +0.3$ mm. 1911.

1.	40.9	46.2	52.9	7.9	7.4	4.5	9.6	4.4	7.5	4.6	4.6	94	60	73	W 3	W 6	W 3	10^2●	7^1⊙	10^2	0.9	a ◎
2.	**54.8**	49.7	47.9	2.0	5.0	6.0	6.3	0.5	4.3	5.8	5.9	82	89	85	W 4	W 6	W 4	2^1	10^2●	0	2.7	a ⌴. t ztw. ≋ ◎
3.	50.9	51.9	52.9	4.8	7.5	4.5	8.0	4.5	4.6	4.8	5.2	71	62	82	W 4	W 3	C	8^2	5^2⊙	10^2	5.4	
4.	50.3	48.3	46.7	5.6	7.8	6.4	8.0	3.8	6.3	7.1	6.1	93	90	86	W 2	W 1	W 2	10^2	10^2	10^2	0.6	t meist ◎0
5.	43.3	45.2	46.8	5.3	7.0	3.0	7.0	3.0	5.0	3.5	4.7	75	47	83	W 2	W 4	W 3	10^2	5^1⊙	0	0.2	
6.	45.6	45.0	45.4	0.8	5.6	0.7	5.6	0.6	4.3	3.4	4.4	89	51	90	NW 1	SW 1	C	4^1	8^2⊙	0	–	
7.	46.4	46.7	47.0	– 0.7	6.7	2.0	6.7	– 1.2	4.1	3.6	4.3	94	49	82	C	E 1	C	10^1	10^2	10^1	–	a ⌴ ≡1
8.	46.1	45.9	47.2	0.1	6.1	3.5	6.3	– 0.2	4.2	4.1	4.6	90	59	78	W 1	W 2	W 2	10^2	8^1⊙	10^1	–	a ⌴ ≡1
9.	48.7	47.5	47.6	– 1.5	6.1	1.0	6.3	– 1.9	4.0	3.2	4.0	**98**	46	81	W 1	SE 3	SE 2	o=⊙	00	8^1	–	a ⌴ ≡2
10.	48.2	48.9	49.7	0.6	7.2	4.0	7.4	0.1	4.2	4.6	4.9	89	61	80	W 1	W 2	C	8^1	10^2	0	–	11^{30} p Ψ. a ∞. 4 p ◎0
11.	48.6	46.8	46.2	– 1.6	5.5	3.9	7.6	**– 2.2**	3.8	5.4	4.8	96	80	78	C	W 2	W 2	o=⊙	00	5^1	0.1	a ⌴ ≡2
12.	45.4	42.9	40.6	– 1.6	8.7	4.4	9.9	– 2.0	3.9	4.1	4.2	96	49	66	C	W 2	W 2	o=⊙	6^1⊙	10^1	–	a ⌴ ≡2
13.	31.9	**27.0**	31.2	4.4	5.2	3.3	9.8	3.3	4.8	5.5	4.4	77	83	76	SE 2	S 7	S 6	10^2	10^2●	10^2●	–	a ≡1. 8^{33} a ◎0. 8^{50} a an ≋. 13^{31-36} p ⟋,
14.	33.8	34.2	34.6	1.4	5.0	1.3	5.3	1.3	4.0	3.7	3.8	78	57	76	SW 5	W 4	E 2	10^{2}*	10^2	0	3.7	n ztw. ≋ ◎. a ✳. [14^{1-43} p ▲, 13^{8-20} p ◎
15.	33.8	33.6	34.4	– 0.4	4.4	1.6	5.2	– 1.1	3.9	4.3	4.9	89	68	94	S 2	W 4	W 2	4^1	10^2	10^2	0.1	a ⌴ ∞. 4^{15-25} p △. 6 p ✳0
16.	35 5	36.9	39 2	– 0.1	4.9	2.0	4.9	– 1.7	4.0	4.8	4.7	89	73	89	E 2	S 3	C	10^2	10^2	10^2	1.3	a ⌴ ∞. 10^{40} a, 6^{40} p ✳0
17.	42.0	43.2	44.9	1.2	6.4	1.1	6.9	0.5	4.3	4.8	4.9	85	66	90	SE 2	S 2	C	10^1	10^2	0	0.8	7^{10} a ✳0
18.	45.0	43.8	44.6	0.2	10.0	4.1	10.0	– 1.1	4.3	3.9	4.5	92	42	74	C	SE 4	C	10^{2}≡	10^2	10^2	0.1	a ⌴ ≡1
19.	45 6	45.0	45.3	1.7	10.7	4.9	11.0	1.2	4.4	4.2	4.1	85	43	62	E 2	NE 3	NE 4	00	4^1⊙	0	–	a △ ≡1
20.	44.7	42.5	43.1	0.5	10.6	4.7	11.3	– 0.6	3.7	3.1	4.0	76	32	62	E 4	SE 6	E 4	2^1⊙	5^1⊙	0	–	a ⌴
21.	44.4	44.2	44.7	1.5	12.6	6.6	14.3	0.2	4.3	5.8	5.7	83	53	78	E 2	E 2	E 2	4^1⊙	00	0	–	
22.	45.8	44.7	45.3	9.8	13.4	7.7	14.8	0.0	4.7	5.8	6.1	96	51	77	C	SE 3	SE 2	00	00	0	–	a ⌴ ≡1
23.	46.4	45.6	44.7	1.9	11.2	6.7	13.2	1.0	4.8	5.4	5.9	91	54	82	C	SE 3	SE 2	00	00	0	–	a △ ≡1
24.	42.7	39.8	38.4	2.5	10.4	5.8	13.0	0.7	5.0	5.7	5.4	91	60	79	W 2	SW 2	W 4	10^2	4^1⊙	10^2	–	a △ ≡1. 5^{36-622} p ⟋, 5^{52-643} p ◎
25	36.3	36.1	37.0	1.5	5.2	2.1	5.8	1.2	4.9	4.9	4.2	96	74	78	NW 1	E 4	NE 2	10^{2}*	10^2	10^2	**9.2**	n ◎ dann ✳. a ztw. ✳. p ztw. ◎
26.	34.3	34.3	37.2	4.9	7.1	3.1	7.5	1.5	5.3	5.8	4.8	81	77	84	NE 7	NE 6	NE 4	10^2	10^2	10^2●	1.4	n, a ≋. 9 p ◎
27.	44.9	45.1	43.9	0.6	8.0	6.4	9.5	0.1	4.6	4.5	5.7	96	57	79	SE 1	SE 2	SE 2	00	4^1⊙	0	3.3	n ◎
28.	44.1	42.6	42.0	3.5	16.4	10.1	18.6	2.8	5.6	7.8	7.6	95	56	83	C	E 2	C	o=⊙	3^1⊙	0	–	a △ ≡1
29.	42.2	39.8	39.3	4 6	21.9	14.0	**23.0**	4.1	6.0	5.9	7.6	96	30	64	C	SE 4	SE 2	7^1	3^1⊙	0	–	a △ ≡1
30.	38.4	38.1	39.7	10.5	22.0	17.0	22.3	9.0	6.5	5.7	6.3	69	**29**	44	E 2	S 4	SW 4	10^1	10^1	2^2	–	a △
31.	43.1	43.7	44.7	10.9	16.7	11.3	17.0	10.3	7.2	7.6	**8.4**	74	54	84	W 4	NW 2	NW 2	9^2	10^2	9^2	–	11 p-mn ≲ i. W u. SW
Mittel	43.4	42.7	43.4	2.4	9.1	5.1	10.1	1.4	4.8	4.9	5.2	87	58	78				6.1	6.5	5.0	29.8	

Alle Angaben nach Ortszeit.

Ludwigshafen a/Rh.

März. $\varphi = 49^0\ 29'$ N. $\lambda = 8^0\ 26'$ E $= 33^m\ 44^s$. H $= 100.3$ m. Cg $= +0.3$ mm. 1911.

Datum	Luftdruck auf 0^0 u. Normalschwere reduziert 700 mm + 7^a	2^p	9^p	Lufttemperatur C° 7^a	2^p	9^p	Max.	Min.	Absolute Feuchtigkeit mm 7^a	2^p	9^p	Relative Feuchtigkeit Proz. 7^a	2^p	9^p	Richtung und Stärke des Windes 0 bis 12 7^a	2^p	9^p	Bewölkung 0 bis 10 7^a	2^p	9^p	Niederschlag mm 7^a	Schneedecke cm 7^a	Bemerkungen
1.	49.7	55.9	61.7	8.2	9.2	4.5	10.0	4.5	5.9	3.7	4.5	73	42	71	SW 3	W 5	SW 3	4^1	5^1○	0	0.6	–	n ◍; 2 p ≡
2.	**63.8**	59.2	58.3	2.6	6.8	7.4	7.7	1.2	4.7	5.6	5.7	84	76	74	S 3	SW 5	SW 4	10^0	10^2	10^2	–	–	a ⌴^{1}; 2 p ≡; 6^{45}–7^{42} p ◍^{1} ≡
3.	60.3	61.0	61.5	5.5	8.4	6.3	9.0	4.5	5.3	5.6	6.2	79	67	87	W 2	W 3	E 2	10^1	10^2	10^1	5.5	–	
4.	58.8	57.0	55.1	5.7	8.4	6.8	8.8	4.8	6.6	6.6	6.6	**98**	81	90	S 2	SW 2	W 1	10^0●	10^2	10^1	1.8	–	n ◍; 7 a ◍; a ≡^{1}; p ◍^{0}
5.	52.6	54.5	55.5	5.8	7.8	5.1	8.0	5.1	5.7	3.4	4.5	84	44	64	SW 4	W 3	W 2	10^1●	3^0○	10^0	0.8	–	n ◍^{0}; 4^{15-20} p ◍
6.	54.5	52.9	52.9	1.5	5.2	3.7	6.8	0.4	4.2	3.8	4.0	82	57	67	E 1	NE 2	NE 2	○○	10^2	0	0.2	–	a ⌴^{0}
7.	54.0	54.5	54.1	1.3	7.5	4.7	8.0	0.4	4.3	3.3	3.6	85	43	56	NE 2	NE 2	NE 2	○○	3^0○	0	–	–	a ⌴^{1}
8.	54.1	54.3	55.5	1.3	8.0	3.6	8.2	0.6	3.9	3.8	4.2	78	48	70	NE 2	W 2	S 1	5^1	10^2	10^0	–	–	a ⌴^{1} ∞
9.	56.5	54 9	54.9	– 0.7	8.4	6.2	9.0	– 1.4	4.2	2.8	4.1	96	33	58	C	SE 1	C	10^0≡	6^0○	10^0	–	–	a ⌴^{1} ≡^{1}, dann ∞.
10.	56.5	57.3	57.7	2.7	6.8	4.1	7.0	2.2	4.4	3.1	5.1	79	70	84	SE 1	NE 1	C	7^0	10^1	5^0	–	–	
11.	55.9	54.3	53.5	0.3	8 8	5.6	9.0	0.3	4.2	4.9	5.2	89	58	77	C	NE 1	N 1	10^1≡	7^0○	10^0	–	–	a ⌴^{1} ≡^{1}
12.	53.3	50.6	47.9	0.8	10.4	7.8	11.0	0.2	4.5	3.9	4.5	92	42	58	SE 1	S 2	S 1	○○	3^0○	10^2	–	–	a ⌴^{1}
13.	36.9	**32.9**	40.5	8.4	9.0	4.1	10.1	**4.1**	4.0	3.6	3.6	49	42	58	S 2	SW 6	SW 5	10^0	10^2	5^1	–	–	t, 9 p ≡; a u. p ◍böen
14.	42.5	42.4	42.5	2.5	5.4	1.3	6 3	1.3	3.8	3.4	4.1	69	50	82	S 3	S 2	S 1	10^2	9^1	10^1	0.7	–	[dann ◍
15.	41.5	41.3	42.5	0.7	3.0	1.2	3.8	– 0.2	4.3	5.0	4.2	89	88	83	S 2	SW 2	SW 3	8^1*	10^1●	3^0	0.2	–	4^{30} a ab ✳; a wiederholt ✳; $10^{4.19}$ p △,
16.	42.5	44.2	47.0	0.9	4.3	3.4	4.4	– 0.7	4.2	4.4	4 6	85	71	78	SE 2	SW 3	SW 1	10^2*	10^2	10^0	2.8	–	6^{15} a ab ✳, vormittags anhaltend ✳
17.	49.6	51.0	52.1	1.8	6.7	4.7	7.5	1.2	4 8	5.0	4.6	91	69	71	S 2	NE 2	E 2	10^1● *	8^1	0	2.4	–	a ✳ u. ◍
18.	51.7	50.9	52.0	1.3	10.0	5.4	10.4	0.2	4.7	4.3	4.9	92	47	74	N 2	SE 2	C	6^0	10^1	10^0	0.5	–	
19.	52.6	51.2	51.1	2.1	10.2	9.0	12.1	0.5	4.8	6.9	4.3	89	74	51	N 2	C	E 1	6^0	10^1	0	–	–	
20.	51.1	48.6	49.3	2.9	12.5	8.3	14.2	1.4	3.7	3.9	4.1	66	37	51	N 1	E 2	E 1	5^0	6^0○	0	–	–	
21.	51.8	51.2	51.5	4.3	14.8	11.1	15.0	3.4	4.6	5.3	6.4	74	43	64	SW 1	C	C	○○	○○	0	–	–	
22.	52.2	51.5	52.2	4.9	16.8	11.6	18.4	4.2	5.6	6.0	6.6	86	42	64	N 1	C	C	○○	○○	0	–	–	
23.	53.2	52.2	51.7	5.1	15.7	9.2	16.3	4.2	5.7	6 0	5.7	88	45	66	N 1	N 1	S 2	○○	7^0○	0	–	–	a ∞
24.	50.2	46.8	46.5	4.4	13.8	6.2	14.6	3.4	5.5	6.4	5.3	89	55	75	N 2	SW 1	SW 5	○○	○○	10^1	–	–	a ∞; 4 p ≡, dann ◍ u. ✳; 9 p ≡
25.	44.2	44.1	44.2	2.5	1.4	2.9	6.2	1.4	3.8	4.8	4.3	69	94	76	NW 3	NW 3	NW 2	10^0	10^1*	10^1	1.6	–	n ◍ u. ✳; 10 a ✳^{0}, auch nachmittags ✳^{0}
26.	40.8	41.2	46.0	3.7	7.8	0.9	8.0	0.9	5.0	5.9	4.7	83	75	96	N 2	NE 2	N 2	10^1	10^2	10^1	6.0	–	n ◍ u. ✳; 4 p ◍; 5–8 p ✳^{2}
27.	52.3	52.9	51.9	0.3	7.5	5.6	8.6	0.0	4.2	3.7	5.2	89	48	77	SE 2	E 2	C	○○	3^0○	0	**10.6**	3	
28.	51.9	49.8	48.6	2.7	13.4	10 7	14.6	2.2	5.2	6.9	8.3	93	60	87	NW 2	N 1	N 1	10^0≡	6^1○	0	–	–	a ≡^{1}, ⌓
29.	48.2	46.2	45.2	7.2	21.7	15.8	**22.3**	6.1	6.6	7.9	5.9	87	41	44	C	C	C	○○	9^1	0	–	–	a ≡^{0}, ⌓
30.	44.3	45.2	47.7	9.0	20.5	15.6	21.6	8.0	7.2	6.9	**9.3**	84	38	70	N 1	SW 2	SW 1	6^1	5^0○	0	–	–	a ≡^{0}, ⌓; 8^{24-9} p ◹ im W u. NW
31.	51.5	51.5	52.1	11.1	17.0	12.0	18.7	10.0	7.3	7.4	8.4	74	52	82	S 1	SW 2	SW 1	10^1	5^1	0	2.7		9–10^{04} p ◹ im W u. NW; $9^{17.21}$ p ◸ (ohne ◍)
Mittel	50.9	50.4	51.1	3.6	9.9	6.6	10.8	2.4	4.9	5.0	5.2	83	56	71				6,0	6,9	4.9	36.4		

Nürnberg

März. $\varphi = 49^0\ 27'$ N. $\lambda = 11^0\ 3'$ E $= 44^m\ 12^s$. H $= 309.1$ m. Cg $= +0.2$ mm, über 735.0 mm Cg $= +0.3$ mm. 1911.

1.	29.9	33.4	40.2	6.9	6.8	3.7	9.4	3.7	6.0	5.5	4.6	81	74	77	SE 3	NW 4	NW 3	10^1	8^2	10^2	0.3	–	n meist ◍^{0}. n, a ≡^{0}. nach 7–8^{30} a meist ◍$^{0\,1)}$
2.	**43.7**	38.6	36.3	0.9	4.6	4.5	5.5	0.3	4.4	5.2	5.4	89	82	86	SW 2	SW 3	W 4	2^1	10^2	6^1	–	–	nach 10 p ◍^{0}. n ztw. klar, a ⌴ ≡^{0}. m, p
3.	38.6	39.8	41.2	3.3	6.0	2.6	6.8	2.6	4.3	4.2	4.3	75	60	77	NW 3	NW 3	NW 1	10^1	9^2	7^1	**3.6**	–	wechselnde Bewölkung. [ztw. ◍$^{0.1}$
4.	39.2	37.3	35.2	4.1	6.7	5.3	7.0	2.5	5.8	6.8	6.1	95	93	92	S 2	SW 2	SW 2	10^2≡	10^1	10^1	–	–	a ≡^{2}, ≡reissen. gegen m, p ztw. ◍$^{0\,2)}$
5.	32.0	33.3	34.6	4.1	5.1	2.5	6.0	2.5	5.0	4.1	4.6	82	63	82	W 2	NW 2	W 2	10^1	6^2	6^1	1.5	–	nach mn–m ztw. ◍^{0}. gegen 1^{30} p ◍^{1}. p Aufkl.
6.	34.1	33.2	33.4	1.1	4.1	1.4	5.0	0.7	4.3	3.4	3 7	87	55	72	SW 2	NW 3	E 2	8^1	9^1	2^1	0.7	–	a ≡^{0}. ca. 7^{30} a, gegen 9 a kurz ✳^{0}
7.	34.4	34.8	34.9	– 1.1	4.5	1.7	5.0	– 1.7	3.7	3.1	3.8	88	48	73	E 1	E 2	E 1	8^1≡	6^1	0	–	–	a ⌴ ≡^{1}. wechs. Bewölk. [abds. ≡^{1}
8.	34.2	34.0	35.5	– 0.7	5.1	1.1	5.2	– 1.2	4.0	3.6	4.8	92	55	96	C	NW 2	W 1	10^1≡	10^1	10^1	–	–	mn Ψ. a ⌴ ≡^{1}. p öft. ◍tr., ✳fl. 6–8 p ✳^{0}
9.	36.9	36.2	36.1	– 1.5	4.5	1.5	5.8	– 2.1	4.0	2.7	3.5	98	42	69	SE 1	SE 2	E 1	10^2≡	3^1○	5^1	0.7	–	gegen 1 a kurz ✳^{0}. a ⌴ ≡^{2}, öfters Wind-
10.	36.9	37.3	38.3	– 0.5	6.1	2.3	6.8	– 1.3	3.6	4.4	5.2	81	63	96	SE 1	W 1	W 2	9^1≡	8^1○	9^1	–	–	a ⌴ ≡^{1}. 4–7 p ztw. ◍^{0}. [stillen 10 a Aufkl.
11.	37.0	35.4	34.4	– 0.5	4.9	4.5	6.0	– 1.1	4.4	5.9	5.1	100	92	81	SE 1	NW 2	C	10^2≡	6^1○	9^1≡	0.5	–	t ≡$^{1.2}$, öfters Windstillen
12.	34 0	31.5	29.5	0.0	8.6	5.1	8.9	– 0.3	4.3	4.8	4.7	94	58	73	SE 1	SW 2	S 1	10^2≡	5^2○	9^1	–	–	a ⌴ ≡^{2}, öfters Windstillen. abds. ≡^{0}
13.	21.6	**17.8**	20.4	4.4	9.1	3.6	10.0	3.6	4.5	4.9	4.0	71	57	67	SE 3	SE 3	SW 4	10^1≡	9^1	10^1	–	–	a ≡^{1}. p ztw. ◍böen. 3–4 p ≡ SW 7–8
14.	23.4	23.5	23.7	0.3	5.3	1.7	6.3	– 0.6	3.9	3.5	3.8	83	53	73	SW 2	SW 2	SE 1	7^1≡	8^2○	6^1	0.8	–	n SW ≡. a ≡^{1}. t wechselnde Bewölkung
15.	23.1	21.6	23.3	– 1.3	4.7	1.2	5.2	– 2.1	3.5	3.5	4.4	84	55	89	SE 1	SW 3	SW 2	10^2≡	9^2	10^2	–	–	a ⌴ ≡^{2}. 5^{30} p–n ztw. ✳^{0}. abds. ≡^{1}
16.	24.8	26.2	28.3	– 1.2	4.7	2.5	6.0	– 1.9	3.9	3.9	3.7	92	60	67	SE 1	S 3	S 2	9^2*	7^1	6^1	–	–	nach 9 p ✳^{0}. a ≡^{1}. a–m ztw. ✳^{0}. nach 1 p kurz ◍^{0}
17.	30.5	32.0	33.0	– 0.7	4.9	1.8	6.0	– 1.6	3.6	4.7	4.6	83	71	88	SE 2	SE 2	E 2	8^1≡	10^1	0	–	–	n Aufkl. a ⌴ ≡^{2}; ca. 11 a ✳^{0} dann bis 1 p ≡reiss.
18.	33.5	32.6	33.4	– 1.6	9.0	6.6	9.8	– **2.4**	3.7	**2.6**	3.0	92	31	42	E 2	SE 3	SE 2	9^1≡	8^1○	10^2	–	–	a ⌴ ≡^{1}. t wechselnde Bewölkung abds. zu-
19.	34.6	34.0	34.2	1.8	9.4	2.4	10.0	1.8	4.2	3.5	4.0	80	39	74	E 3	E 3	E 3	5^1≡	1^1○	0	–	–	a ⌴ ≡^{1}. [nehmende Bedeckung
20.	33.1	31.3	31.4	– 0.2	9.8	2.9	10.0	– 1.5	3.4	3.2	3.8	76	36	68	E 2	E 4	E 3	1^1	5^2○	0	–	–	a ⌴ ≡^{0}
21.	32.9	33.0	32.9	1.3	12.4	8.6	13.7	0.4	4.3	5.8	5.9	85	54	70	SE 2	NW 2	E 2	3^1≡	○○	0	–	–	a ≡^{1}. abflauende Winde
22.	34.3	33.3	34.2	2.3	14.0	5.3	14.7	1.8	4.9	5.3	5.4	91	45	82	E 1	E 2	E 3	c≡○	2^1○	0	–	–	a ≡^{1}. auffrischende E-Winde
23.	34.9	34.1	33.4	2.4	10.2	5.3	10.5	1.8	4.9	5.3	5.5	89	58	83	NE 2	E 2	E 2	7^1○	8^2○	8^1	–	–	a ⌴ ≡^{0}
24.	31.0	28.3	26.0	4.7	8.6	7.2	10.5	4.3	6.0	5.9	6.1	94	70	80	C	NW 2	NW 2	10^2≡	5^1○	10^1	–	–	a ≡^{1}, meist Windstille. p Aufklaren. ca. 8^{30} p ◍
25.	24.0	23.7	24.3	1.5	3.9	2.1	7.2	0.7	4.9	4.6	4.0	96	75	75	NW 2	NE 2	NE 1	10^1	10^2	10^2	2.4	–	n–nach 3 a ztw. ◍^{0}. a ≡^{0}. 8–10 a ztw. ✳
26.	22.1	21.7	26.1	6.1	9.0	3.6	10.0	1.9	5.5	6.0	4.4	78	70	75	E 3	E 4	SW 2	10^1	9^1	10^2	0.3	–	n NE ≡
27.	33.1	33.3	32.7	1.5	8.7	7.2	9.9	0.9	4.5	4.5	5.5	89	54	73	SE 1	NE 2	E 1	7^1≡○	6^1○	0	0.5	–	nach 10 p–2 a ◍^{0}. a ≡^{1}. 8 a an Aufkl. ab 9 a ci$^{3)}$
28.	32.2	31.4	30.9	5.1	18.6	12.5	19.7	3.0	5.9	5.8	7.0	90	36	65	E 2	SE 1	E 3	○≡○	8^1○	0	–	–	a ≡^{1}. 6–7 p ≡^{1}
29.	31.0	28.9	28.3	7.6	22.2	15.4	**22.8**	5.0	6.0	4.0	**7.5**	77	**20**	58	E 2	SE 3	E 2	6^1≡○	6^1○	0	–	–	t wechselnde Bewölkung. a, 6–7 p ≡^{1}
30.	27.5	27.8	29.0	11.0	20.9	14.0	21.1	9.6	6.0	4.8	5.7	61	26	48	SE 2	SE 2	SE 1	8^1≡○	8^1○	0	–	–	a ≡^{1}. t wechs. Bewölk., mächt. ci-Felder aus W.
31.	32.4	32.2	33.4	9.8	16.7	11.8	17.6	8.3	**7.5**	6.1	7.4	83	43	72	NE 2	W 2	W 2	9^1	8^2	10^2	–	–	n–1 a ◹ im SW–W–NW. a ≡^{1}
Mittel	32.0	31.3	31.9	2.3	8.7	4.9	9.6	1.2	4.7	4.6	4.9	86	56	75				7.6	7.0	5.6	11.3		

1) $11^{30.50}$ a, 1^{30} p, 3 p ◍^{0}. 2) auffrisch. S–liche W. 3) aus W, 10a an zunehmd. Trüb. aus SW

Alle Angaben nach Ortszeit.

Kaiserslautern.

März. $\varphi = 49^0\ 27'$ N. $\lambda = 7^0\ 46'$ E = 31m 4s. H = 242.2 m. Cg = + 0.3 mm. 1911.

Datum	Luftdruck auf 0° u. Normalschwere reduziert 700 mm + 7a	2p	9p	Lufttemperatur C° 7a	2p	9p	Max.	Min.	Absolute Feuchtigkeit mm 7a	2p	9p	Relative Feuchtigkeit Proz. 7a	2p	9p	Richtung und Stärke des Windes 0 bis 12 7a	2p	9p	Bewölkung 0 bis 10 7a	2p	9p	Niederschlag mm	Schneedecke cm	Bemerkungen
1.	37.4	43.1	49.1	6.7	7.9	2.0	9.1	2.0	6.1	3.9	4.4	83	49	84	W 2	N 3	NW 2	10^1	7^0⊙	0	1.0	–	n ◍; a kurz ◍^{0}
2.	**49.8**	46.2	46.0	2.6	5.5	6.5	7.7	– 0.2	4.8	6.1	6.6	87	91	91	W 2	NW 3	NW 2	10^1	10^2●	10^2●	0.4	–	a ≡^{1} ⌙; p ztw. ◍^{0}; $8^{20.30}$ p ◍^{2}, dann bis n ◍$^{0.1}$
3.	47.3	47.8	47.9	2.8	6.4	5.5	7.8	2.1	5.3	6.0	6 5	94	84	97	C	NW 1	C	10^1	10^1	10^2●	6.0	–	n ◍$^{1.2}$; a ≡^{1}; 6 p–n ◍^{0}
4.	45 4	43.9	41.9	5.9	6.9	5.9	8.1	4.9	7.0	6.4	5.9	100	86	86	NW 1	NW 2	W 1	10^1	10^1	10^1	2.0	–	n ◍; a ≡^{2}, dann ≡ ◍^{0}; p ztw. ◍^{0}
5.	39.5	41.7	42.4	4.6	6.7	3.7	7.6	3.7	5.8	3.8	4 4	92	52	73	W 2	NW 1	NW 1	10^2●	7^0⊙	8^1	1.2	–	a–10 a ◍^{0}; 5–7 p ztw. ◍^{0}
6.	41.4	39.9	39.5	– 1.5	5.1	– 0.2	6.2	– 1.8	3.9	3.4	4.1	94	51	90	C	N 1	C	10^0	10^1	0	1.3	–	a ⌙^{2} ≡^{2}
7.	40.8	40.7	41.3	– 1.4	6.0	1.8	6.6	– 2.1	4.0	3.6	4.4	96	52	84	C	SE 2	C	10^1	8^0⊙	5^0	–	–	a ⌙^{2} ≡^{1}
8	41.0	41.5	42.9	– 0.6	6.4	0.6	7.2	– 1.2	4.2	4.2	4.6	96	58	96	C	N 2	C	10^0	9^1	3^0	–	–	a ⌙^{2} ≡$^{1.2}$
9	42.8	41.3	41.7	– 3.0	6.9	2.9	8.2	– 3.2	3.5	3.5	4.5	96	46	79	C	SE 1	C	5^0	4^0⊙	8^1	–	–	a ⌙^{2} ≡^{2}
10.	43.2	44.3	44.3	1.2	5.6	3.1	6.8	0 2	4.5	5.2	4.9	91	77	87	C	N 2	NE 1	10^1*●	10^1	9^0	–	–	a ⌙, ztw. ✳^{0} ◍^{0}, ≡; p ztw. kurz ◍^{0}
11.	42.2	41.0	40.9	– 0.6	7.7	2.7	8.7	– 0.8	4.4	5.0	4.6	100	64	82	C	E 1	C	10^1	8^1	5^0	0.4	–	a ⌙, ≡^{1}; abds. ≡^{1}
12.	40.5	37.9	34.5	– 2.3	8.9	5.9	10.1	– 2.9	3.5	4.1	4.9	92	48	71	C	W 2	C	5^0	8^1	10^1	–	–	a ⌙^{2}, ≡^{1} [n ztw. ◍$^{0.1}$ ⌒
13.	24.1	20.8	28.5	5.1	5 2	2.3	8.2	2.3	5.3	4.5	3.9	82	68	72	W 1	W 6	W 6	10^2●	10^2●	10^1	0.6	–	n ◍^{0}; a ztw. ◍^{0} ⌒; p ztw. △ ◍$^{1.2}$ ⌒; abds.–
14.	29.5	29.5	29.8	1.0	5.1	1.0	5.5	0.9	4.0	3.7	4.5	81	57	90	W 3	W 2	W 2	10^1	9^1⊙	9^1	6.2	–	n ⌒, ztw. ◍^{0}; a ztw. ⌒; $0^{40.30}$ p ✳flocken
15.	28.7	28.8	29.4	0.6	4.7	0.0	5.1	0.0	4.3	4.0	4.3	90	62	94	W 1	W 1	SW 1	10^2*	7^0⊙	5^0	0.3	–	n ◍^{0} ✳^{0}; a–11^{30} a ✳, ztw. ◍; $1–8^{30}$ p ztw. ✳$^{0.1}$
16.	29.0	31.0	33.9	0.4	1.9	1.4	2.2	– 0.9	4.6	4.8	5.0	96	91	100	SW 1	W 2	C	10^2*	10^2*●	10^2●*	2.2	1	n ✳; a ✳^{0}; p–abds. ztw. ✳$^{0.1}$, ◍$^{0.1}$ [$^{430–5}$ p ✳$^{(2)}$
17.	36.3	37.9	39.0	1.4	5.3	1.7	6.3	1.0	5.0	4.5	4.8	100	68	93	W 1	SW 2	C	10^1	7^1⊙	10^0	12.5	–	n ✳ ◍; a ≡^{1}
18.	38.1	37.9	38.7	1.0	7.2	3.8	9.1	0.5	4.7	4.5	5.7	94	60	95	E 1	S 1	C	10^1	10^1	5^0	–	–	a ⌙^{0}, ≡^{1}; 3–6 p ztw. ◍$^{0.1}$
19.	38.9	38.4	37.6	1.8	9.9	7.7	11.1	1.2	5.0	5.4	4.4	95	59	57	E 1	E 1	E 2	10^1	8^0⊙	0	1.0	–	a ≡^{1}; p ztw. kurz ◍^{0}
20.	37.4	35.7	36.2	0.8	9.9	6.1	12.0	0.4	4.1	4.3	4.3	85	47	62	E 1	SE 2	C	5^0⊙	6^0⊙	0	–	–	
21.	38.6	38.0	38.8	2.2	14.5	8.3	15.4	2.0	4.9	6.6	7.5	91	53	92	C	SE 1	C	2^0⊙	7^1⊙	10^0	0.2	–	n ◍^{0}; a ≡^{1}; $^{626.31}$ p ◪; $^{626.56}$ p ◍^{0}
22.	39.4	38.7	39.4	1.8	15.9	7.5	16.1	1.2	5.0	6.2	6.6	95	46	86	C	E 2	C	2^0⊙	5^0⊙	0	0.4	–	a ≡^{2}
23.	40.5	40.2	39.0	2.5	15.6	6.9	15.6	1.7	5.1	6.1	5.9	93	47	80	C	E 1	C	10^1	⊂⊙	0	–	–	a ⌓, dann ≡
24.	37.5	34.3	34.5	1.0	14.5	5.2	15 4	0.5	4.7	5.7	5.3	96	47	80	E 1	NW 1	C	4^0⊙	2^0⊙	10^2●	–	–	a ⌙^{0}, ≡^{1}; 6 p–n ◍^{0}
25	31.6	31.6	31.8	2.0	1.6	0.8	6 8	0.8	4.3	4.7	4.5	80	91	92	NE 1	E 1	E 3	10^1	10^7*	10^2*	1.2	–	n ◍^{0}; $7^{30.45}$ a ✳^{0}; 1^{15} p–n ✳^{1}
26	28.7	9.7	33.2	1.0	2.9	0.9	3.6	– 0.2	4.9	5.4	4.9	100	98	100	E 3	E 2	E 1	10^2*	10^2●	10^7●*	22.0	**8**	n ✳^{2} ⌒; a ✳; a–11^{30} a ztw. ⌒; p ztw. ◍^{0};
27.	38.6	38.8	38.4	– 1.4	5.5	2.8	6.1	– 2.5	4.1	3.7	4.7	100	55	84	SW 1	S 2	C	2^0⊙	1^0⊙	5^0	**23.0**	**8**	n ◍^{0} ✳^{0} [6–8 p ✳^{2}; 8 p–n ◍^{0} ✳$^{0.1}$
28.	38.4	36.9	36.4	0.4	12.7	5.9	13.5	– 0.7	4.6	6.7	6.5	96	61	94	SE 1	E 1	C	3^0	8^0⊙	0	–	2	a ≡^{0}, ⌙^{0}; abds. ≡^{1}
29.	35.8	34.3	33.2	1.8	18.7	8.9	18.7	0.8	5.0	6.8	7.6	95	42	89	SE 1	SE 2	C	7^0⊙	10^1	5^0	–	–	a ≡^{1}
30.	32.1	33.1	35.8	5.9	18.5	13.9	**19.5**	5.0	6.5	7.7	**8.9**	94	49	76	C	W 2	W 3	9^1⊙	10^0⊙	10^1	–	–	a ≡^{2}
31.	38.8	38.9	39.6	9.7	14 3	8.7	15.5	8.7	7.1	8.2	7.9	79	67	95	W 2	SW 2	C	9^1	6^1⊙	0	2.3	–	$^{911.46}$ p ◪; ^{931} p–n ◍$^{0.1}$; $^{951–331}$ p ◪; $^{414.36}$ p [◍; $^{630–830}$ p ◍^{0}
Mittel	37.8	37.5	38.2	1.7	8.5	4.3	9.7	0.8	4.8	5.1	5.4	92	62	86				8.2	7.6	6,0	84.2		

Ansbach.

März. $\varphi = 49^0\ 18'$ N. $\lambda = 10^0\ 33'$ E = 42m 12s. H = 437.5 m. Cg = + 0.2 mm. 1911.

1.	18.9	22.9	29.8	6,0	4.6	2.1	7.8	1.4	6.0	5.9	4.2	86	**94**	79	SW 4	W 6	W 4	10^2●	10^2	10^2	0.2	–	mrgs. ◍^{0}, t ztw. ◍
2.	**32.3**	27.6	25.4	– 0.5	3.1	2.2	4.2	– 0.5	4.1	5.3	5.3	92	93	98	W 2	W 8	W 4	⊂⊙	10^2●	10^2	1.7	–	mrgs. ⌙, t ztw. ◍ ⌒
3	27.0	28.9	30.1	2.5	5.1	1.9	6.0	1.5	4.7	4.5	4.7	85	69	91	NW 2	W 2	NW 2	10^2	4^1⊙	10^2	**10.4**	–	
4.	27.8	25.8	24.2	3.5	5.9	4.2	6.4	1.5	5.5	6.5	5.6	93	**94**	91	C	W 2	C	10^2●	10^2●	10^3●	0.2	–	t ztw. ◍
5.	21.0	22.4	23.8	2.9	3.9	1.1	5.0	0.6	4.7	4.0	4.3	83	65	88	SW 4	NW 4	W 2	10^2	8^1	6^1	1.1	–	$8^{15–1115}$ a ◍, $7–7^{30}$ p ✳
6.	22.7	21.8	22.4	– 0.3	3.3	0.1	4.0	– 0.3	4.0	3.3	3.6	89	57	78	W 2	C	C	6^1	8^1	6^1	1.7	–	n ✳
7.	23.0	23.4	23.7	– 3.6	4.0	– 1.8	4.6	– **4.2**	3.0	3.2	3.4	87	52	84	C	NE 2	NE 2	⊂⊙	2^0⊙	0	–	–	mrgs. ✳^{0} ⌙
8.	22.9	22.6	24.3	– 2.5	4.6	0.9	4.6	– 2.5	3.2	3.4	4.3	85	53	88	C	NW 2	C	10^2	10^2	2^1	–	–	mrg. ≡^{0}. ⌙
9	25.4	24 4	24.7	– 3.9	4.1	– 1.8	5.0	– 4.0	3 0	3.2	3.1	91	52	78	C	E 2	C	10^3=	2^1⊙	2^0	–	–	mrgs. ≡^{2} V
10.	25.3	25.8	26.9	– 1.1	6.3	1.8	6.8	– 2.1	3.6	3.7	4.5	85	52	84	C	W 2	C	10^2	10^2	10^2	–	–	mrgs. ≡^{0} ⌙, $^{322–436}$ p ◍
11.	25.3	23.6	23.2	– 4.1	6.5	2.9	6 8	– 4.1	2.9	4.7	4.7	87	65	82	C	NW 2	W 2	0=	2^1	8^2	0.9	–	mrgs. ≡^{1} V, nachm. ztw. ◍
12.	22.3	20.9	18.1	– 2.3	8.7	2.6	9.0	– 2.7	3.3	3.7	3.8	85	45	69	C	W 2	C	4^0	2^1⊙	8^1	0.2	–	mrgs. V
13.	10.3	04.9	09.4	2.7	9.0	1.9	9.6	1.5	4.3	4.7	3.8	78	55	72	S 2	S 8	W 10	10^2	6^1⊙	10^2	–	–	$9^{47–317}$ p ◍, nachm. ⌒
14.	11.9	12.1	12 6	– 0.9	4.6	– 0.8	5.0	– 0.9	3.3	2.9	3.2	75	45	73	W 4	W 4	W 2	2^1⊙	6^1	2^0	1.4	–	mrgs. V
15.	11.4	10.9	12.2	– 2.6	3.1	– 1.0	4.2	– 3.0	3.1	**2.6**	3.7	83	46	86	C	SW 2	W 2	2^0⊙	10^2	8^2	–	–	mrgs. ⌙, $^{422.52}$ p △, $^{602–707}$ p ✳
16.	13 3	14 8	17.2	– 2.5	3.8	– 0.3	4.6	– 2.7	3.3	3.4	3.4	87	56	76	SW 2	SW 4	C	2^0⊙	8^2	0	0.7	–	Tauwetter
17.	19.0	20 6	22.2	– 1.2	4.5	– 1.4	5.4	– 2.5	3.4	4.3	3.6	80	67	86	C	W 2	C	6^0	6^1⊙	0	0.4	–	10^{07} p–0^{22} a ✳, mrgs. ⌙, vorm. ztw. ✳
18.	21.9	20.9	21.9	– 2.1	9.2	5.2	9.8	– 3.0	3.5	3.9	3.9	90	44	59	C	E 2	SE 2	6^0=	2^0⊙	0	0.2	–	mrgs. ≡^{1} V
19	22.8	22.6	22.8	– 0.3	9.5	2.3	10.0	– 0.8	3.7	4.0	4.2	83	46	77	C	E 4	E 6	⊂⊙	⊂⊙	0	–	–	p ⌒
20.	21.1	19.4	19.5	– 1.3	9.3	1.4	10.4	– 1.9	3.5	3.6	4.0	84	42	78	E 4	E 6	E 4	2^0⊙	2^0⊙	0	–	–	mrgs. ⌙, t ⌒
21.	21.3	21.8	22.3	0.1	12.8	5.7	13.6	– 1.3	3.9	5.7	5.5	85	52	81	C	C	C	6^1	⊂⊙	0	–	–	mrgs. ⌙
22.	22.7	23.1	22.9	1.3	12.6	6.0	14.4	0.0	4.5	5.9	5.6	89	54	81	C	C	C	⊂⊙	2^0⊙	0	–	–	mrgs. ≡^{0} ⌙
23.	23.6	22.9	22.0	0.6	9 8	4.1	10.8	– 0.6	4.1	5.6	5.5	85	61	91	E 2	E 2	C	10^2=	⊂⊙	0	–	–	mrgs. ≡^{2} ⌙
24.	19.5	17.1	15.0	3.9	9.5	6.7	11.0	2.9	5.4	5.5	6.2	88	62	85	C	C	NW 2	10^2	4^0⊙	10^2	–	–	mrgs. ≡^{0}
25.	12.6	12.6	12.9	1.0	2.4	0.4	7.2	– 0.1	4.5	4.6	4.1	90	85	87	N 2	NE 6	NE 6	10^2*	10^2●	10^2	–	–	n ◍, mrgs. ✳, t ztw. ◍ ✳ ⌒
26.	09.9	10.2	15.6	4.7	9.8	0.6	10.2	0.0	5.3	6.1	4.4	83	67	92	E 2	E 8	W 4	10^2	6^2⊙	10^2*	2 6	–	t ⌒, $^{532.42}$ p ◍, $^{836.47}$ p △, ^{847} p–n ✳
27.	21.7	22.2	21.2	– 0.8	7.6	4.9	8.6	– 1.1	3.9	5.2	5.1	90	66	81	C	E 2	C	4^1	2^0⊙	4^0	0.8	–	n ✳, Abendröte
28.	21.2	20.3	20.0	1.8	17.1	7.7	18.4	0.9	4.5	**7.3**	6.4	85	52	82	C	E 4	C	⊂⊙	2^0⊙	0	4.1	–	mrgs. ≡^{0}
29.	19.5	17 7	17.3	3.7	21.5	13.2	**21.8**	2.3	5.1	5.6	6.6	85	30	59	C	E 4	E 4	2^0⊙	2^0⊙	0	–	–	
30.	16.1	16.9	18.2	8.1	19.8	12.4	20.4	5.8	5.8	5.0	5.5	72	29	51	C	SE 2	SW 2	4^0	2^0⊙	0	–	–	
31.	21.6	21.5	22.8	8.6	15.5	8.2	16.4	7.8	6.6	6.2	6.9	79	48	85	W 4	W 2	C	2^0⊙	2^1⊙	0	–	–	$9^{22–1137}$ p ◪
Mittel	20.5	20.1	20.8	0.7	8.1	3.0	9.1	– 0.4	4.2	4.6	4.6	85	58	80				5.4	4.8	4.4	26.6		

Alle Angaben nach Ortszeit.

Regensburg.

März. $\varphi = 49^0\ 1'$ N. $\lambda = 12^0\ 7'$ E $= 48^m\ 28^s$. H $= 342.6$ m. Cg $= +0.2$ mm. 1911.

Datum	Luftdruck auf 0° u. Normalschwere reduziert 700 mm +			Lufttemperatur C°					Absolute Feuchtigkeit mm			Relative Feuchtigkeit Proz.			Richtung und Stärke des Windes 0 bis 12			Bewölkung 0 bis 10			Niederschlag mm	Schneedecke cm	Bemerkungen
	7a	2p	9p	7a	2p	9p	Max.	Min.	7a	2p	9p	7a	2p	9p	7a	2p	9p	7a	2p	9p	7a	7a	
1.	28.8	30.4	38.5	2.1	9.2	2.4	9.3	0.9	4.9	4.7	4.3	91	55	79	S 1	W 1	NW 2	10^0●	8^2	0	0.8	–	n, a–7^{30} a, 3^{00-30} p
2.	**41.2**	38.1	32.8	0.1	4.9	3.2	5.3	– 1.1	4.0	4.3	5.0	87	65	87	NW 1	W 3	W 3	4^0	10^0●	10^0●	0.8	–	7 a ⌋, ab 2 p–n
3.	34.6	36.9	38.1	3.7	5.8	2.5	6.3	1.9	3.7	3.4	3.9	62	50	70	NW 3	N 2	C	10^2	8^2	10^1	**4.6**	–	n
4.	36.7	33.7	32.7	1.1	2.5	2.5	3.2	– 0.1	4.3	5.4	5.1	87	**98**	93	W 1	SE 1	C	10^2	10^0≡	10^0≡	–	–	m und ab 7 p ≡1.2, 8^{30} a–1^{30} p, 7^{00-30} p
5.	31.2	31.1	31.5	4.2	4.6	2.3	5.0	0.9	4.4	5.0	3.8	71	79	70	W 1	W 1	NW 2	10^0	8^0	10^0	2.0	–	11 a–m
6.	31.5	30.4	31.0	1.0	4.6	– 0.6	5.2	– 1.2	4.0	3.2	3.4	81	50	77	N 1	NW 2	E 1	10^1	8^2	0	0.5	–	11^{00-30} a ✳
7.	31.3	32.1	32.2	– 2.9	4.3	– 1.4	5.2	– 3.7	3.4	2.5	3.0	82	40	82	N 1	NE 1	E 1	2^0○	○○	○	–	–	a ⌋^{2}
8.	31.6	31.9	32.8	– 0.8	4.6	– 0.4	5.2	– 2.2	3.5	3.7	3.9	81	59	89	N 1	W 1	W 1	10^0	8^1○	10^0*	–	–	a ≡1
9.	33.7	33.4	34.7	– 1.9	5.0	– 3.0	5.2	– 3.9	3.6	4.4	3.1	90	68	85	NW 1	S 1	C	10^0≡	2^0○	○	0.5	–	9^{00}–10^{30} p ✳, a ≡1
10.	35.3	34.4	34.8	– 4.1	4.9	3.8	6.2	– **5.2**	3.0	4.1	4.8	89	62	80	S 1	S 1	W 1	4^0≡○	8^0○	10^0≡	0.1	–	a ≡1, ⌋^{2}, 7^{00-15} p
11.	33 9	32.6	31.7	– 1.2	6.3	0.0	7.7	– 2.2	4.0	4.5	3.9	94	63	85	C	N 1	C	10^0≡	6^1○	8^0	0.3	–	a ≡^{2} ⌋
12.	31.6	33.4	32.6	– 1.8	9.0	4.0	9.4	– 2.5	3.6	4.2	4.9	90	49	80	N 1	W 1	S 1	10^0≡	4^1○	10^0	–	–	a ≡^{2} ⌋
13.	21.5	**16.7**	18.5	2 0	9.9	4.2	10.2	0.8	4.2	3.6	4.4	78	39	71	S 2	S 2	S 2	8^0○	10^0	10^2	–	–	5^{00-30} p
14.	21.2	21 6	21.7	1.8	6.6	1.6	7.2	0.4	3.6	2.7	3.3	69	36	64	W 1	W 2	S 1	10^2	8^2○	10^0	–	–	
15	20.8	20 5	21.5	0.2	4.7	– 0.8	5.2	– 1.6	4.2	3.2	3.8	90	50	88	SE 1	SW 2	S 1	10^1	10^1	6^0	–	–	3^{30-400} p ✳
16.	23.4	24.0	26.7	– 1.6	6.5	– 0.5	7.2	– 3.8	3.7	2.7	3.7	92	37	83	S 1	S 1	S 1	6^0○	6^2○	4^0	–	–	a ⌋^{2}
17.	28.7	29.1	31.2	– 1.2	6.6	– 0.5	7.2	– 3.0	3.7	3.7	3.7	88	51	83	S 1	S 1	C	4^0○	8^2	0	–	–	a ⌋^{2}, ✳
18.	31.2	30.8	30.6	– 1.9	8.4	5.0	9.2	– 3.5	3.6	**2.4**	3.9	90	29	60	N 1	S 2	C	8^0○	6^0○	10^0	–	–	a ⌋^{2}
19.	31.9	31.8	31.0	2.2	9.6	1.0	10.4	0.9	4.0	3.5	3.9	75	39	79	NE 1	NE 1	NE 1	10^1	6^0	0	–	–	
20.	31.9	29.1	29.1	– 0.3	11.1	1.8	11.3	– 2.1	3.6	2.9	3.9	79	29	75	N 1	SE 3	N 2	○○	4^0○	0	–	–	⌋
21.	30.4	30.6	31.0	0.4	12.0	2.8	14.0	– 1.0	4.0	5.0	5.0	85	48	89	N 1	S 1	C	2^0○	2^0○	0	–	–	a ⌋
22.	31.7	31.0	31.2	1.4	13.3	4.1	14 3	– 0.1	4.7	5.6	4 8	93	49	79	S 1	SE 1	N 1	10^0≡	○○	○	–	–	a ≡1
23.	31.9	31.2	28.9	2.2	10.0	4.2	10.3	0.7	4.8	5.4	4.8	89	58	77	N 1	NE 2	NE 2	2^0○	6^0○	10^0	–	–	a ⌋
24	28.6	26.4	22.4	4.5	7.8	2.8	9.3	1.0	5.2	5.6	5.2	82	71	93	NW 1	NW 1	C	10^0	10^0≡	10^0	–	–	m ≡1
25.	22.8	21.4	20.4	1.4	3.8	2.2	4.2	0.0	4.7	4.8	4.6	93	80	85	N 1	NE 2	NE 3	10^1*	10^1	10^0	2.4	–	a–8^{00} a ◍ ✳, $8^{00-10^{30}}$ a ◍
26.	19.4	20.8	25.6	5.8	11.0	3.6	13.3	– 0.2	5.1	5.5	4.0	75	56	67	SE 1	SE 1	C	2^0○	8^1○	10^0	0.3	–	3^{00-600} p ≡
27.	30 2	30.6	29.9	2.1	7.8	4.6	8.8	1.0	4.0	4.5	5.4	75	58	86	NW 1	E 1	C	10^1≡	6^1○	8^0	–	–	a ≡1
28.	30.0	29.1	29.1	4.0	21.0	5.8	21.7	2.3	5.1	5.5	5.5	84	30	81	N 1	SE 2	C	10^0≡	8^0○	10^0	–	–	a ≡1
29	29.1	26.6	26.4	6.8	22.0	11.2	**22.7**	3.9	5.6	3.5	5.7	76	18	58	C	S 1	C	2^0○	8^0○	2^0	–	–	a ⏢
30.	26.0	25.9	27.9	7.5	20.8	10.0	21.2	6.0	4.9	3.1	4.3	64	**17**	47	S 1	S 2	C	8^0○	8^0○	4^0	–	–	
31.	31.4	31.1	32.2	7.0	17.7	8.7	18.0	3.9	5.6	5.5	**7.1**	75	36	86	S 1	W 2	C	8^0○	6^2○	10^0	–	–	a ⏢
Mittel	29.8	2[illegible]2	29.6	1.4	8.9	2.8	9.6	– 0.4	4.2	4.1	4.4	82	51	78				7.4	6.8	6.2	12.3		

Passau.

März. $\varphi = 48^0\ 34'$ N. $\lambda = 13^0\ 28'$ E $= 53^m\ 52^s$. H $= 309.3$ m. Cg $= +0.2$ mm. 1911.

1.	32.6	33.8	40.2	1.8	6.9	4.0	8.3	1.5	5.1	6.7	5.1	96	90	84	C	NW 4	C	10^2	10^2	10^1	–	–	t ztw. ◍
2.	**44.6**	40.9	36.6	1.9	6.1	4.1	6.5	1.9	4.7	4.2	5.5	90	60	90	W 4	NW 4	W 2	10^2	10^1	10^1	4.5	–	p–8^{30} p ◍
3.	37.2	39.3	41.5	3.6	5.1	1.6	5.5	1.6	5.3	3.8	3.9	88	58	76	W 4	W 2	C	10^1	10^1	0	**8.0**	–	n, a ◍
4.	40.9	38.2	36.2	0.8	3.0	2.6	3.2	0.8	4.5	5.4	5.5	**92**	95	100	E 1	C	C	10^1	10^1	10^1●	0.4	–	t–n ztw. ◍, t ztw. △
5.	33.5	33.2	34.7	2.8	4.9	1.4	5.3	1.4	5.6	5.8	4.9	100	90	95	C	W 4	C	10^1≡	10^1●	0	1.7	–	a ≡1, t ztw. ◍
6.	34.4	33.6	34 0	1.1	3.7	0.0	5.1	0.0	4.9	5.1	4.2	90	85	90	C	NW 2	C	10^1	5^1○	0	1.6	–	
7.	34.8	34 8	35.4	– 1.7	5.9	0.4	5.9	– 2.2	4.6	3.2	3.8	90	46	80	E 1	C	C	5^1○	○○	○	–	–	⌋
8.	34.7	34.1	35.4	– 1.2	3.8	2.0	3.8	– 1.7	3.8	3.9	4.7	90	65	90	C	C	C	10^1	10^1	10^1	–	–	⌋
9.	36.9	36.9	37.1	0.6	6.3	0.0	6.8	– 2.0	4.4	3.4	3.8	92	48	83	W 1	S 1	E 2	10^0	5^1○	0	–	–	⌋
10.	38.1	37.8	38.4	– 3.2	6.7	1.2	7.3	– **3.3**	3.4	3.7	4.5	95	50	90	E 1	C	C	○○	○○	8^1	–	–	⌋
11.	37.2	35.2	35.1	0.6	8.9	2.4	9.3	0.6	4.6	4.3	4.7	95	50	85	C	E 1	C	10^1	○○	10^1	–	–	
12.	34.7	35.0	31.7	– 0.2	8.7	2.4	8.7	– 0.5	4.5	5.1	4.7	100	60	86	E 1	E 2	C	10^0	4^0○	10^1	–	–	⌋
13.	25.8	**19.7**	23.1	2.4	10.5	5.5	10.7	1.3	4.5	3.9	4.7	80	41	71	E 2	E 2	W 4	○○	10^0○	10^1	–	–	⌋
14.	25.7	26.1	25.7	2.0	4.5	2.4	5.5	1.3	4 3	3.6	3.8	80	57	70	W 1	S 2	C	10^1	10^1	10^1	0.1	–	n ◍^{0}
15.	23.3	23.2	25.8	0.4	3.2	1.4	3.8	0.0	4.6	4.6	4.7	95	80	92	C	C	C	10^1*	10^1	10^1	2.0	3	n, t–5 p ✳
16.	27.2	28.1	29.7	– 0.8	6.5	0.5	7.3	– 0.8	4.1	3.8	4.1	95	52	85	E 1	S 1	C	3^0○	3^1○	0	0.5	–	⌋
17.	32.2	32.7	34.2	0.0	7.5	0.2	8.3	– 1.8	4.3	3.5	3.9	95	45	82	C	C	C	10^1	1^0○	0	–	–	⌋
18.	34.5	33.6	34.2	– 3.0	9.7	4.0	9.8	– 3.0	3.5	**2.7**	4.7	95	**30**	74	E 1	C	C	○○	3^0○	0	–	–	⌋
19.	34.8	35.0	35.4	2.2	9.3	4.0	9.5	2.2	4.6	3.9	3.9	85	45	65	C	E 4	E 4	8^1	○○	0	–	–	
20.	34.6	32.4	32.7	1.6	9.1	3.8	9.3	1.6	3.9	4.5	4.5	75	52	75	E 4	E 4	E 4	○○	○○	0	–	–	
21.	34.0	33.8	34.3	0.9	13.4	6.3	15.5	0.9	4.7	5.7	6.0	95	50	85	C	E 2	C	○○	○○	0	–	–	[auf den Höhen ⌋]
22.	35.1	34.5	35.3	0.8	14.2	6.3	15.1	0.4	4.7	6.0	5.4	95	50	76	C	C	C	5^1	○○	0	–	–	⌋
23.	35.5	33.8	34.0	– 0.8	10.8	5.4	12.0	– 0.8	4.2	6.2	5.7	98	65	85	C	W 2	C	10^2≡	○○	0	–	–	a ≡1
24.	31.2	29.1	27.0	3.0	9.1	6.9	9.3	1.8	5.3	6.0	6.3	92	70	85	E 1	W 1	C	10^1	10^1	0	–	–	⏢
25.	24.0	23.6	23.3	3.6	9.9	5.7	9.9	3.2	5.6	6.8	5.5	95	75	80	C	E 2	E 2	10^1	10^1	10^1	–	–	◍, [7 a unmessbarer Niederschlag]
26.	22.5	22.8	27.4	7.7	14.0	9.7	14.0	5.7	5.7	6.1	5.0	72	52	67	E 4	E 6	C	2^0○	2^0○	0	–	–	
27.	33.6	34.0	33.2	3.4	14.4	5.7	14.4	3.4	4.6	4.9	6.1	78	40	90	W 2	E 2	C	10^2	8^1○	10^1	–	–	
28.	33.6	32.4	33.2	5.1	20.2	10.3	21.4	4.2	6.1	5.2	6.8	93	**30**	73	E 1	SE 2	C	10^1≡	10^0○	0	–	–	a ≡
29.	32.7	30.7	28.9	4.3	20.2	14.6	**21.9**	2.6	5.6	5.6	**7.6**	90	32	60	E 1	E 2	C	4^1○	10^1	10^1	–	–	
30.	30.0	30.1	31.4	14.8	18.4	13.0	21.3	8.4	5.6	6.0	6.2	50	38	54	E 4	E 2	C	10^1	10^1	0	–	–	
31.	34.3	33.2	33.8	5.9	16.0	10.9	17.1	5.1	6.0	6.1	7.3	87	52	76	E 2	E 4	C	10^1	10^1	0	–	–	
Mittel	33.1	32.3	32.9	1.9	9.4	4.5	10.1	1.1	4.8	4.8	5.1	89	57	80				7.3	5.8	4.1	18.8		

Alle Angaben nach Ortszeit.

Landshut.

März. $\varphi = 48^0\ 32'$ N. $\lambda = 12^0\ 10'$ E $= 48^m\ 40^s$. H $= 397.7$ m. Cg $= +0.2$ mm. 1911.

Datum	Luftdruck auf c^0 u. Normalschwere reduziert, 700 mm +			Lufttemperatur C°					Absolute Feuchtigkeit mm			Relative Feuchtigkeit Proz.			Richtung und Stärke des Windes o bis 12			Bewölkung o bis 10			Niederschlag mm	Sonnendecke cm	Bemerkungen
	7^a	2^p	9^p	7^a	2^p	9^p	Max.	Min.	7^a	2^p	9^p	7^a	2^p	9^p	7^a	2^p	9^p	7^a	2^p	9^p	7^a	7^a	
1.	23.2	26.3	32.6	5.5	9.2	1.4	10.0	− 0.3	5.8	5.1	4.4	86	58	87	SW 4	W 4	W 2	10^1●	8^1	10^1	0.3	–	n, a–9 a, 2^{45}–4 p ◍
2.	**36.3**	32.5	29.3	0.0	5.5	2.4	7.0	− 1.9	4.3	3.9	5.0	94	58	91	SW 4	SW 6	W 6	1^1	10^1	10^1●	1.4	–	⌊⌋^{0}, 2^{30}–4 p ◍^{0}, 7 p-n ◍
3.	30.2	31.2	33.1	3.0	5.3	2.2	6.2	− 1.0	4.4	3.8	4.3	78	57	80	SW 6	W 4	C	10^1	9^1	0	**5.0**	–	n, $3^{15.30}$ p ◍
4.	31.7	30.1	27.8	1.8	5.2	5.2	6.3	− 1.8	4.9	6.2	6.2	93	94	94	SW 2	W 2	W 4	9^1	10^1●	10^1●	0.2	–	10 a–n ◍^{0} (Nebelreissen)
5.	25.0	25.3	26.6	3.6	3.8	0.0	6.7	− 2.0	5.2	5.1	4.2	88	85	90	W 2	W 4	C	10^1	10^1●	0	0.8	–	10^{30} a–4^{30} p ◍^{0}
6.	25.9	25.0	25.4	0.4	5.7	0.4	7.0	− 2.1	4.5	3.6	3.8	94	52	80	SW 2	W 2	C	10^1*	7^1⊙	9^1	0.6	–	n, a–8^{30} a, 10 a ⚹^{0} böen
7.	25.7	26.3	26.3	− 3.0	4.6	− 1.2	5.8	− 5.1	3.4	2.9	3.7	94	45	90	NE 2	NE 2	C	0⊙	2^1⊙	0	0.1	–	7 a ⌊⌋^{1}
8	25.8	26.0	27.3	− 1.8	2.6	− 0.9	4.6	− 5.2	3.8	4.4	4.0	96	79	94	C	NW 2	C	9^1	8^1	0	–	–	⌊⌋^{1}, $10^{0.10}$ p ⚹^{0}
9	28.6	28.1	28.0	− 1.6	6.1	− 0.6	7.8	− 4.6	3.9	3.1	3.5	96	45	79	C	E 2	NE 2	0⊙	6^1⊙	0	–	–	≡^{0} ⌊⌋
10.	29.0	29.3	29.6	− 4.8	7.5	3.2	9.0	**− 7.0**	3.0	4.4	4.8	95	58	83	NE 2	E 2	C	7^0	7^0⊙	10^1	–	–	⌊⌋^{1}
11.	28.4	27.0	26.2	− 0.5	7.5	1.2	9.1	− 2.2	4.2	4.8	4.5	94	62	91	NW 2	NE 2	C	4^1	2^1⊙	9^1	–	–	8 a ≡
12.	26.1	24.2	22.0	0.3	10.1	2.9	11.3	− 2.5	4.6	3.7	4.9	**98**	40	86	W 2	N 2	C	10^1=	3^1⊙	2^1	–	–	7 a ≡^{1}
13.	15.9	**10.3**	14.2	2.0	10.2	3.8	12.0	− 1.6	3.5	3.8	4.2	66	41	70	↖ 2	SE 2	W 6	8^1	10^1	10^1	–	–	5–9 p ⌊⌋
14.	16.9	16.7	16.1	0.3	5.7	2.4	8.2	− 1.9	3.5	3.2	3.1	74	47	57	W 4	SW 2	E 2	8^1	8^1	9^1	–	–	
15.	14 8	14.5	16.2	0.2	3.9	− 1.2	6.3	− 3.3	4.2	3.5	3.8	90	58	90	SW 2	W 2	SW 2	10^0*	10^1*	1^1	–	–	t öfters kurze ⚹^{0} böen
16.	17.9	19.1	20.9	− 3.7	7.3	− 1.6	9.3	− 6.5	3.3	**2.8**	3.3	95	37	82	W 2	SW 4	C	6^1	7^1⊙	1^1	0.1	–	⌊⌋^{1}
17.	23.2	23.9	25.2	− 2.2	6.8	1.2	10.2	− 5.0	3.7	**2.8**	4.4	96	38	89	N 2	N 2	C	1^1⊙	8^1	0	–	–	7 a ∞
18	25.6	24.6	25.2	− 3.4	9.5	5.7	10.9	− 5.6	3.4	3.2	3.2	95	36	47	C	E 4	C	7^1	1^1⊙	8^0	–	–	⌊⌋^{1}
19.	26.0	25.9	25.7	1.8	9.2	3.8	11.1	− 1.0	3.6	3.8	3.7	69	44	62	NE 2	E 6	E 4	1^1⊙	1^1⊙	0	–	–	
20.	24.7	22 7	22.7	0.6	10.0	2.8	11.8	− 1.8	3.7	4.0	4.2	76	43	74	E 4	NE 6	E 6	7^0⊙	7^0⊙	0	–	–	⌊⌋^{0}
21.	25.1	25.1	25.0	− 1.4	14.9	6.3	16.6	− 4.2	3.7	5.3	5.3	90	42	75	C	C	E 2	8^0⊙	1^0⊙	0	–	–	⌊⌋
22.	26.0	25.5	25.7	2.2	14.4	5.6	17.2	− 1.2	5.1	6.0	5.8	94	49	85	NE 2	NE 2	E 2	10^1	0⊙	0	–	–	
23.	26.2	25.8	24.8	3.4	9.6	4.8	12.9	0.0	5.2	6.1	5.7	88	69	90	NE 2	N 2	E 2	10^1	7^0⊙	0	–	–	7 a ∞
24.	22.4	20 5	18.0	3.6	10.0	2.2	12.1	0.1	5.6	5.7	4.9	95	62	91	SW 2	N 2	C	10^1	10^1	0	–	–	
25.	15.3	14.9	14.0	2.1	4.6	4.0	6.1	− 1.8	4.9	5.3	5.4	91	84	88	NE 2	N 2	E 2	10^1●	10^1	10^1	0.5	–	n, 7–9^{30} a ◍
26.	12.9	12.0	19.8	6.2	14.0	2.6	16.7	0.2	5.6	5.6	3.9	79	47	70	E 2	E 4	W 6	7^1	1^1⊙	10^1	0.3	–	
27.	25.5	25.1	24.1	− 0.4	8.2	4.6	9.3	− 3.2	3.8	4.4	5.2	85	55	82	W 2	E 2	E 2	2^1⊙	8^1⊙	0	–	–	
28.	24.5	23.8	23.6	7.3	23.0	10.4	**25.1**	0.8	5.4	3.8	3.5	70	**18**	37	W 2	SW 4	W 2	10^0	6^1⊙	0	–	–	
29.	23.7	21.7	20.5	6.7	21.8	14.9	23.0	2.6	4.9	4.5	**6.3**	67	23	51	NE 2	E 4	E 2	1^1⊙	9^0	10^1	–	–	△^{0}
30.	20.3	20.8	22.1	12.1	21.4	11.2	22.1	3.5	4.4	4.9	4.7	42	26	48	SE 4	S 2	E 2	9^0	10^0	4^0	–	–	
31.	25.6	25.2	25.9	5.5	16.6	8.0	20.8	1.6	5.3	4.9	6.0	79	35	75	W 2	W 2	W 4	10^1	5^2⊙	0	–	–	2^{30} p ◍tropfen, $4^{20.22}$ p ◹ im S
Mittel	24.1	23.5	24.0	1.5	9.5	3.5	11.4	− 2.1	4.3	4.3	4.5	85	51	78				6.9	6.5	4.0	9.3		

Augsburg.

März. $\varphi = 48^0\ 22'$ N. $\lambda = 10^0\ 54'$ E $= 43^m\ 36^s$. H $= 499.6$ m. Cg $= +0.1$ mm, über 728.8 mm Cg $= +0.2$ mm. 1911.

1.	15.0	17.9	25.2	7.0	8.5	2.6	8.8	2.6	5.8	5.8	4.4	77	70	79	SW 2	SW 4	SW 2	10^2●	10^1	0	0.6	–	n, $2^{15.30}$ p ◍ ; $4^{00.15}$ p ◍ △
2.	**28.3**	25.1	20.7	0.3	3.2	2.8	5.0	− 0.1	4.2	4.8	5.0	90	83	89	SW 2	SW 8	SW 8	0⊙	10^1	10^2●*	1.0	–	⌊⌋ ; 4^{30} p–n ◍ ⚹
3.	22.9	24.2	25.1	2.7	5.8	3.6	6.2	1.4	4.9	4.8	5.3	87	69	90	W 2	NW 4	SW 2	10^1	8^2	10^1	**6.3**	–	n ≡
4	23.3	21.1	19.7	3.0	6.0	5.0	6.0	1.9	5.2	6.4	6.3	91	91	97	SW 2	W 2	W 2	10^1	10^1	10^1	–	–	a ◍, p ztw. ◍
5.	16.8	17.5	18.7	3.4	3.6	0.6	5.0	0.6	5.4	5.4	4.4	93	92	92	SW 2	W 2	W 2	10^2	10^2●*	10^1	1.0	–	11^{30} a–4^{15} p ◍ ⚹
6.	17.7	16.4	16.5	− 0.6	5.3	1.8	5.5	− 0.6	4.1	3.4	3.6	94	51	69	W 2	C	NE 2	3^1⊙	5^1⊙	0	1.4	–	⌊⌋
7.	16.6	18.0	18.0	− 1.8	3.9	0.7	4.8	**− 2.9**	3.4	4.2	3.9	86	68	80	NE 2	E 2	E 2	0⊙	4^1⊙	0	–	–	⌊⌋
8.	17.1	17.7	19.0	− 0.7	3.0	1.4	3.1	− 1.0	3.9	4.1	4.2	90	72	83	NE 2	NW 2	NW 2	4^1	10^1	10^1	–	–	10^{00}–11^{15} a ⚹
9.	19.6	19.2	19.2	− 0.6	5.1	1.0	6.1	− 0.8	4.2	3.9	3.7	96	59	75	NE 2	NE 2	NE 2	5^0	4^1⊙	0	0.2	–	⌊⌋ ; a ≡^{2}
10.	20.4	20.9	21.5	− 0.8	7.4	3.2	7.4	− 1.2	4.0	4.9	5.1	92	63	89	C	C	NW 2	10^1	10^1	10^1	–	–	⌊⌋
11.	19.7	18.0	18.0	− 1.0	7.0	3.2	7.2	− 1.5	4.3	5.6	5.0	100	75	87	C	NE 2	NW 2	10^2=	4^1⊙	8^1	–	–	⌊⌋; n, a ≡^{2}; 6^{30}–7^{00} p ◍
12	17.2	15.1	13.4	0.0	8.9	4.4	8.9	− 0.8	4.3	4.8	5.0	94	56	80	SW 2	NW 2	SW 2	5^1	5^1	0	0.8	–	⌊⌋
13.	06.0	**01.9**	06.1	2.1	9.3	2.4	9.8	1.4	3.6	5.6	4.5	68	53	82	SW 2	C	SW 6	10^1	10^1	10^1	–	–	
14.	07.8	07.9	07.5	0.3	3.8	1.6	4.3	− 0.5	3.4	3.2	3.6	73	53	71	SW 4	SW 4	SW 4	10^1	7^2	10^1	–	–	⌊⌋
15.	06.0	05.7	07.5	− 0.4	4.0	− 0.1	4.0	− 1.1	3.8	3.0	4.3	85	49	94	SW 2	SW 4	SW 4	8^1	9^2	10^1	–	–	$5^{00.15}$ p ⚹
16.	08.8	10.1	12.2	− 2.5	4.9	2.1	6.2	− 2.7	3.4	3.0	3.4	88	47	63	SW 4	SW 4	SW 2	8^1	8^2	10^1	0.2	–	⌊⌋
17.	14.1	15.2	16.2	0.0	7.3	1.7	7.3	− 1.2	3.8	3.7	4.3	83	48	84	SW 2	SW 2	NW 2	10^1	7^2	0	–	–	⌊⌋
18.	16.1	15.4	16.6	− 1.2	9.1	5.5	9.1	− 1.5	3.9	3.7	4.7	92	42	68	NE 2	E 2	E 2	4^0⊙	8^1	0	–	–	⌊⌋
19.	17.1	16.3	16.3	1.1	10.5	4.0	10.5	− 0.2	3.9	4.8	4.4	77	51	70	E 2	SE 2	E 4	0⊙	0⊙	0	–	–	⌊⌋
20.	14.8	13.1	13.6	− 0.4	10.0	4.1	10.4	− 0.8	3.8	3.8	4.9	86	42	80	E 4	E 6	E 2	4^0⊙	5^0⊙	0	–	–	⌊⌋
21.	16.4	16.3	16.4	0.2	14.3	8.1	14.3	− 0.3	4.6	5.8	6.1	98	49	75	E 2	E 2	E 2	0⊙	4^0⊙	0	–	–	⌊⌋. n, a ≡^{2}
22.	16.9	16.6	17.0	1.9	12.2	8.6	14.1	0.8	5.2	6.4	6.3	98	61	76	C	E 2	E 2	10^2=	0⊙	0	–	–	n, a ≡^{2}
23.	17.5	17.7	16.3	2.6	6.8	4.5	8.6	1.7	5.3	6.2	6.0	96	83	96	C	E 2	E 2	10^2	10^1	0	–	–	n, a ≡^{2}
24.	14.2	12.9	09.8	2.4	10.6	6.0	10.6	1.3	5.3	6.0	5.9	96	63	85	SE 2	NW 2	NE 2	10^2=	10^1	0	–	–	n, a ≡^{2}
25.	07.2	06.0	05.6	1.2	3.8	1.7	6.0	0.8	4.8	5.2	4.9	96	87	94	N 2	NE 2	E 4	10^2*	10^2	10^1	4.8	I	n–9^{15} a ⚹
26.	02.5	04.2	11.2	4.1	5.3	0.4	11.8	0.4	5.6	5.1	4.1	92	76	87	NE 4	NW 4	SW 4	10^1	6^2	10^1	2.8	–	4^{30}–6^{00} p ◍ ⚹
27.	16.5	16.6	15.4	− 1.1	6.8	5.1	7.2	− 2.1	4.0	4.3	5.2	94	58	80	NW 2	NE 2	NE 2	5^1	10^1	10^1	1.0	I	⌊⌋
28.	16.0	15.1	14.8	2.0	18.6	12.2	19.6	0 9	4.9	**7.7**	5.1	93	48	50	E 2	E 2	SE 2	5^0	5^0	0	–	–	⌊⌋
29.	14.1	12.0	11.5	9.4	21.7	13.4	**22.1**	6.3	5.6	6.1	6.4	63	**33**	56	E 2	E 4	SE 2	6^1	7^0⊙	10^1	–	–	
30.	11.0	11.9	14.1	11.8	17.7	10.8	19.2	6.8	4.8	5.9	6.0	47	40	62	SE 4	SE 4	SW 2	10^1	10^1	0	–	–	
31.	17.3	16.9	17.6	8.2	16.1	10.2	16.3	7.3	6.3	6.4	6.8	78	48	73	SW 2	SW 2	SW 2	3^0⊙	4^7⊙	0	–	–	$6^{10.35}$ p ◍
Mittel	15.3	14.9	15.5	1.7	8.4	4.3	9.2	0.5	4.5	5.0	4.9	87	61	79				6.8	7.1	4.8	20.1		

Alle Angaben nach Ortszeit.

München-C.St.

März. $\varphi = 48^0\ 9'$ N. $\lambda = 11^0\ 34'$ E $= 46^m\ 16^s$. H $= 526.4$ m. Cg $= +\ 0.1$ mm. 1911.

Datum	Luftdruck auf 0° u. Normalschwere reduziert 700 mm +			Lufttemperatur C°					Absolute Feuchtigkeit			Relative Feuchtigkeit			Richtung und Stärke des Windes 0 bis 12			Bewölkung 0 bis 10			Niederschlag	Schneedecke	Bemerkungen
	7a	2p	9p	7a	2p	9p	Max.	Min	7a	2p	9p	7a	2p	9p	7a	2p	9p	7a	2p	9p	mm 7a	cm 7a	
1.	12.7	16.0	22.2	7.7	6.3	2.8	8.1	2.3	5.1	6.0	4.5	65	85	80	SW 3	SW 2	SW 2	10^1	10^1	0	0.1	–	n, 7^{15}–10^{26} a ◍, 0^{10} p kurz Aufkl. m ztw. ◍; 3^{13} p [1]
2.	**25.7**	22.4	18.0	0.4	5.9	4.2	6.1	– 0.1	4.5	3.7	4.5	94	53	74	W 1	SW 4	SW 7	0	10^1	10^1●	**5.2**	–	mrgs. ⌴ ≡0; t ztw. ⩩, 2^{40}–3^{36} p ✳, 6 p–n [2]
3.	20.0	20.4	22.3	3.0	5.5	3.2	6.1	1.5	4.5	4.0	4.9	80	60	86	W 3	NW 2	NW 1	10^1	8^1⊙	9^1	4.0	–	n ◍, 8^{25} a △0; 3^{20} p △; t ztw. ◍
4.	20.9	18.9	17.1	2.8	5.5	5.2	6.7	1.3	5.0	6.1	**6.2**	90	92	94	SW 1	SW 1	C	10^1	10^1●	10^1	2.1	–	n ◍, 9 a–abds. ◍0.1 ≡0
5.	14.4	14.5	16.2	4.0	4.1	0.7	6.1	0.3	5.5	5.0	4.4	91	83	91	SW 1	W 1	SW 1	10^1	10^1●	1^0	2.4	–	n ◍, a ≡0, 0^{30}–6 p ◍, abds. ≡0, später Aufkl.
6.	15.2	13.7	13.9	0.0	2.9	0.6	3.8	– 0.9	4.3	3.4	3.5	95	60	74	W 1	NE 1	C	8^1	9^1✱	8^1	2.7	–	mrgs. ⌴, t ztw. ✳flocken
7.	14.1	14.8	15.2	– 2.2	3.6	0.6	3.9	– 2.8	3.8	3.1	3.3	**98**	53	69	NE 1	NE 2	C	1^0⊙	1^0⊙	0	–	–	mrgs. ⌴
8.	14.5	14.9	16.6	– 1.8	1.8	– 0.2	2.4	– 2.6	3.4	4.5	4.1	84	86	90	C	SW 1	W 1	9^1	10^1✱	0	–	–	mrgs. ⌴, ≡1; 10^{10} a–2^{15} p ztw. ✳flocken
9.	17.1	16.2	16.5	– 0.2	4.1	0.7	4.4	– 1.6	4.2	3.6	3.6	92	58	74	C	E 2	E 1	10^1≠	4^1⊙	0	0.5	–	n ✳, mrgs. ≡1
10.	17.8	18.0	18.8	– 1.6	6.4	2.8	7.1	– 2.9	3.7	4.7	4.8	90	66	87	SW 1	N 1	NW 1	2^0	7^0⊙	10^1	–	–	mrgs. ⌴, ≡0; m ∞
11.	17.2	15.2	15.0	0.4	5.9	3.8	8.0	– 0.1	4.5	5.3	4.8	95	76	81	C	E 2	C	10^1=	6^1	9^1	–	–	mrgs. ⌴, ≡1
12.	14.8	13.1	11.1	0.0	8.6	4.4	9.2	– 1.3	4.2	3.5	4.6	91	41	72	SW 1	C	SW 1	4^0	9^1	10^1	–	–	mrgs. ⌴2, ≡0, nachm. u. abds. ztw. ◍tr.
13.	04.6	699.1	04.0	1.5	10.4	3.0	11.1	0.3	3.3	3.4	4.0	64	36	70	SE 1	S 1	SW 4	5^0⊙	10^1	10^1	–	–	mrgs. ⌴0, 4^{30}–5^{20} p ◍0 ✳0 ⩩
14.	05.7	05.3	05.2	0.4	4.9	1.7	5.4	0.0	3.1	2.3	3.1	66	36	59	SW 2	W 2	SW 1	8^1	8^1	10^1	0.1	–	mrgs. ⌴0, 11^{08} a ✳0
15.	03.3	03.6	05.3	– 0.4	2.1	– 0.6	3.2	– 1.3	3.8	3.4	3.6	85	63	81	C	NW 1	C	10^1	10^1✱	10^1	0.4	1	n ✳, t–5 p ztw. ✳0.1, abds. ⊅
16.	06.7	07.8	09.8	– 3.4	5.5	1.3	7.3	– 3.9	2.7	2.7	3.8	76	41	77	C	NE 1	C	2^0⊙	5^1⊙	0	–	–	mrgs. ⌴2, ≡0
17.	11.8	12.5	13.9	– 1.1	6.1	2.1	7.1	– 2.0	3.2	3.2	3.8	77	45	70	SE 1	C	C	2^0⊙	9^1	0	0.7	–	n ✳, $2^{00.15}$ p ✳0, abds. ≡0
18.	13.7	13.0	14.1	– 2.0	9.0	5.5	9.4	– 2.8	2.8	2.4	4.2	72	29	63	SE 1	NE 1	C	3^0⊙	6^0⊙	10^1	–	–	mrgs. ⌴, ≡0
19.	14.7	13.9	13.9	1.0	9.7	2.8	10.0	– 1.1	3.7	3.8	3.8	74	42	67	E 1	E 3	E 2	1^0⊙	2^0⊙	0	–	–	mrgs. ⌴1 ≡0
20.	12.5	10.7	11.0	– 1.2	9.3	3.2	10.1	– 1.7	3.7	4.4	4.7	88	51	82	E 3	E 3	E 2	6^0	6^0⊙	0	–	–	mrgs. ⌴
21.	13.6	13.6	13.9	1.1	14.1	7.9	14.5	– 0.7	4.4	5.1	5.6	90	43	70	C	NE 2	C	0⊙	5^0⊙	0	–	–	mrgs. ⌴2, ≡1, m i. S ∞
22.	14.3	13.7	14.4	1.5	14.3	7.7	14.7	1.2	4.3	6.1	5.8	84	50	73	C	NE 2	NE 1	0⊙	1^0⊙	0	–	–	mrgs. ⌴, ≡1
23.	15.0	14.7	13.7	2.0	6.5	5.1	8.9	0.8	5.0	5.8	5.8	94	81	90	E 1	N 1	NW 1	10^1=	10^1	0	–	–	mrgs. ≡1, ≡1 reissen. 4^{15} p ⊕, abds. Aufkl., ≡0
24.	11.6	09.0	07.2	2.1	9.9	5.5	10.3	1.3	5.2	5.6	5.6	**98**	62	84	C	NW 1	C	10^2=	7^0⊙	0	0.1	–	mrgs. ≡2, m ∞. 4-p ⊕, abds. ≡0
25.	04.5	03.5	02.8	2.1	3.9	2.7	6.3	1.3	5.0	5.1	5.3	93	85	94	N 1	NE 1	NE 3	10^1●✱	10^1	10^1	1.3	–	n u. a ◍ ✳, abds. ≡0
26.	01.1	00.6	09.0	3.0	14.7	1.3	15.1	0.8	2.5	4.2	3.8	91	34	77	E 1	E 2	SW 3	4^0⊙	2^1⊙	10^1✱	0.3	–	mrgs. ⏢; t Gebirge sehr gut sichtbar, p ztw. ⩩,
27.	13.9	13.7	13.1	– 0.4	6.5	4.3	7.2	– 1.7	3.5	3.6	4.7	78	50	77	C	E 2	E 1	6^1⊙=	9^1⊙	0	–	–	mrgs. ⌴1, ≡1, a ztw. ⊕ [abds. ✳0
28.	13.5	12.7	12.8	– 3.5	19.6	11.7	20.0	2.3	4.8	3.9	5.0	83	23	48	C	SE 1	SE 2	10^1	9^1	10^1	–	–	mrgs. ≡1; m Gebirge schwach sichtbar
29.	11.9	09.9	09.3	10.1	22.2	14.7	**22.8**	9.2	4.9	3.5	4.0	53	18	32	SE 1	SE 2	SE 2	8^0	6^0⊙	10^1	–	–	mrgs. ≡0; m Gebirge schwach sichtbar
30.	09.0	09.6	11.8	12.3	18.6	11.5	19.6	11.2	4.4	4.4	5.8	41	28	57	SE 2	SE 2	S 1	9^1	10^1	10^1	–	–	mrgs. Gebirge schwach, m gut sichtbar
31.	14.9	14.0	15.3	8.4	17.0	10.0	17.3	7.2	5.1	4.7	5.7	62	33	62	SW 2	W 1	SW 1	5^1	4^1⊙	0	–	–	mrgs. Gebirge schwach, m gut sichtbar. 3^{40} p ◍tr., [3]
Mittel	12.9	12.2	13.0	1.7	8.6	4.2	9.4	0.4	4.1	4.2	4.6	82	54	74				6.2	7.2	5.1	19.9		[1] △, dann -3^{26} p ◍ ✳, 3^{20}–5^{15} p ◍; abds. Aufkl. [2] ◍ ✳; abds. ⩩ [3] 4^{45}–5 p ◍

Traunstein.

März. $\varphi = 47^0\ 52'$ N. $\lambda = 12^0\ 39'$ E $= 50^m\ 36^s$. H $= 597$ m. Cg $= +\ 0.1$ mm. 1911.

1.	07.5	10.0	16.5	4.0	4.6	2.0	5.0	1.5	4.7	6.0	4.9	77	96	93	SW 2	SW 2	W 6	10^2	8^2●	10^2●	–	–	n ≡1.2, t ztw. ◍
2.	**19.9**	16.9	12.3	0.6	5.2	4.0	5.6	0.5	4.3	2.8	4.1	90	43	67	NW 4	SW 6	NW 8	8^2	10^1	10^2	**13.1**	–	p ◍ ✳
3.	13.6	13.9	16.2	2.0	3.4	1.4	4.1	0.0	4.3	4.9	4.7	82	66	93	NW 6	SW 6	NW 2	10^2●	10^2	10^2●	9.3	–	n u. t ztw. ◍ ✳
4	15.2	13.2	11.4	2.0	4.4	3.2	4.6	– 0.5	4.5	4.8	5.6	85	77	97	W 4	SW 4	SW 4	10^2	10^2●	10^2●	1.8	–	n ◍, a ⏢. p u. abds. ◍
5.	09.0	08.2	10.1	2.0	4.0	0.4	5.0	0.1	4.9	4.3	4.6	93	70	96	SW 2	S 6	W 2	10^2	10^2●	10^2✱	5.8	–	n ◍, p ◍ ✳
6.	09.3	07.9	08.4	– 0.8	2.4	0.0	3.1	– 1.0	3.8	3.3	3.7	88	59	81	S 2	SW 2	S 2	8^2	6^2⊙	8^2	6.6	3	n ✳, a ≡, vorm. ✳
7.	07.9	08.7	09.2	– 4.4	3.2	– 2.2	3.6	– **6.0**	2.8	3.2	3.3	86	56	85	S 2	SE 2	SE 2	2^1⊙	2^1⊙	0	0.2	–	n ⌴
8	08.7	08.8	10.7	– 3.0	0.6	– 0.6	1.6	– 4.0	3.2	4.4	4.0	87	92	90	S 2	SW 4	W 2	6^2	10^2✱	10^2	–	–	n ⌴, t ztw. ✳
9.	11.4	10.4	10.4	– 1.2	2.8	– 1.4	2.8	– 1.4	3.8	4.0	3.6	90	70	88	SW 2	SE 2	SE 2	10^2	3^1⊙	0	6.0	**5**	n ✳
10.	12.4	12.0	12.6	– 3.6	6.4	– 1.6	6.6	– 4.0	3.2	3.7	3.6	91	51	88	S 2	SW 4	SE 2	6^2	4^2⊙	8^2	–	–	a ⌴
11.	11.3	09.2	09.4	– 1.2	6.4	0.6	6.5	– 1.6	3.8	4.1	4.1	90	57	85	S 2	S 2	S 2	8^2	6^2⊙	8^2	–	–	a ⌴
12.	08.9	07.3	05.9	– 1.0	8.0	0.0	8.3	– 1.5	3.8	2.5	3.5	88	31	76	S 2	SW 4	SE 2	8^2	6^2⊙	0	–	–	a ⌴
13.	00.0	698.2	698.9	– 0.4	11.0	2.6	11.6	– 1.0	2.9	2.9	3.7	65	30	67	SE 2	E 2	NW 6	4^1⊙	8^2	10^2	–	–	a ⌴
14.	00.6	699 9	699.8	– 1.0	3.0	0.2	3.6	– 1.5	3.4	2.5	3.3	78	44	71	SW 2	SE 2	SE 2	10^2	10^2	10^2	2.6	2	n ✳
15.	697.6	697.7	699.9	– 1.4	0.4	– 2.8	0.6	– 3.0	3.7	3.8	3.3	90	80	89	S 2	SW 2	NE 2	10^2✱	10^2✱	4^2	4.9	**5**	n, t ✳
16.	00.9	02.3	03.9	– 4.0	3.8	– 1.8	4.6	– 5.0	2.9	3.3	3.5	84	54	88	NE 2	NE 2	NE 2	6^2	2^1⊙	2^1	3.0	**5**	a ⌴
17.	06.2	06.5	08.5	– 4.4	5.2	– 1.8	6.6	– 5.0	2.8	2.7	3.4	86	40	86	E 2	NE 2	NE 2	0⊙	3^1⊙	0	–	–	a ⌴
18.	08.2	07.6	08.7	– 4.4	7.2	2.4	7.6	– 5.0	2.3	2.3	4.1	73	30	75	S 2	NE 2	NE 2	3^1⊙	2^1⊙	6^2	–	–	a ⌴
19.	08.9	08.5	08.2	– 2.2	6.8	1.2	8.1	– 2.5	3.2	4.1	3.6	83	56	70	E 2	NE 4	NE 2	3^1⊙	4^2⊙	0	–	–	a ⌴
20.	07.2	05.1	05.6	– 2.2	8.2	2.4	8.6	– 2.5	3.4	4.6	4.7	87	57	85	E 2	E 4	E 4	6^2⊙	5^2⊙	2^1	–	–	a ⌴
21.	08.0	08.1	08.8	– 1.0	13.4	3.8	13.8	– 1.5	3.7	5.0	5.2	86	44	87	E 2	SE 2	SE 2	2^1⊙	4^1⊙	0	–	–	a ⌴
22.	08.9	08.3	09.1	0.8	13.4	5.6	14.0	0.0	4.3	5.9	5.8	89	52	85	E 2	SE 2	E 2	2^1⊙	2^1⊙	0	–	–	a ⌴
23.	09.3	08.6	08.0	1.2	8.8	3.6	9.6	0.0	4.8	**6.2**	5.5	96	74	93	E 2	E 2	NE 2	10^2=	6^2⊙	0	–	–	a ≡1.2
24.	06.5	03.8	02.9	1.2	7.2	3.8	9.2	0.0	5.0	5.6	5.6	100	74	93	SW 2	NE 2	NE 2	10^2=	8^2⊙	0	–	–	a ≡1.2
25.	698.4	697.3	696.4	4.8	8.6	4.0	8.8	2.0	5.8	5.7	5.5	90	68	90	W 2	NE 2	NE 4	10^2	10^2	10^2	3.6	–	n ◍, p ◍0
26.	695.6	696.0	03.2	2.0	13.6	1.0	14.2	0.5	4.9	4.2	3.7	93	36	75	NE 2	SE 6	NE 4	3^1⊙	3^1⊙	0	0.5	–	a ⏢. 5^{45} p ⩩
27.	07.9	07.9	07.6	– 2.2	6.6	3.0	8.6	– 2.8	3.4	3.9	4.9	87	54	87	S 2	NE 2	E 2	7^2	8^2	0	–	–	a ⌴
28.	07.3	07.9	08.4	3.6	19.0	8.2	19.2	1.5	5.3	4.5	5.5	90	27	67	NE 2	NE 2	S 2	10^2	8^2⊙	10^2	–	–	
29	07.3	05.2	04.9	8.2	21.4	9.6	**21.5**	6.5	4.6	3.7	5.1	57	**19**	56	S 2	SW 4	S 2	4^2⊙	5^1⊙	8^2	–	–	
30.	04.5	04.8	05.8	7.2	17.8	12.0	18.1	6.5	5.0	3.9	4.7	66	26	45	SW 2	S 6	S 4	8^2⊙	10^2	3^1	–	–	
31.	09.2	08.7	09.5	7.6	14.8	8.6	15.6	5.5	4.6	4.6	4.8	59	39	58	S 2	SW 4	SW 2	6^2⊙	5^1⊙	6^2	–	–	vorm. ◍
Mittel	07.3	06.6	07.5	0.3	7.8	2.3	8.4	– 0.8	4.0	4.1	4.4	84	54	81				6.8	6.4	5.0	57.4		

Alle Angaben nach Ortszeit.

Partenkirchen.

März. $\varphi = 47^0\ 30'$ N. $\lambda = 11^0\ 6'$ E $= 44^m\ 24^s$. H $= 714.6$ m. Cg $= +0.1$ mm. 1911.

Datum	Luftdruck auf 0^0 u. Normalschwere reduziert 700 mm +			Lufttemperatur C°					Absolute Feuchtigkeit mm			Relative Feuchtigkeit Proz.			Richtung und Stärke des Windes 0 bis 12			Bewölkung 0 bis 10			Niederschlag mm	Schneedecke cm	Bemerkungen
	7^a	2^p	9^p	7^a	2^p	9^p	Max.	Min.	7^a	2^p	9^p	7^a	2^p	9^p	7^a	2^p	9^p	7^a	2^p	9^p	7^a	7^a	
1.	697.5	00.6	06.6	2.5	8.1	1.6	9.6	0.2	4.4	3.1	4.3	79	41	84	C	NW 4	NW 3	7^0	8^0	9^0	–	10	a Berge rein
2.	**09.9**	06.7	04.0	– 3.9	5.4	3.7	6.1	– 4.0	3.1	2.8	4.1	93	42	69	C	S 1	N 2	1^0	9^0	10^{0}●	5.4	8	n ✳ (a 3 cm Neuschnee), a Berge rein, abds. u. n
3.	04.7	05.0	06.3	2.7	2.4	0.4	3.7	0.4	3.9	4.5	4.7	69	80	100	NW 2	C	C	9^0	10^{0}△	10^0	**7.8**	–	m, p △ [◍, ztw. ✳
4.	04.8	03.0	01.2	– 0.3	5.3	2.0	6.0	– 0.4	4.4	4.4	4.7	98	66	89	C	C	C	9^0	10^9	2^0	4.2	3	n ✳, a Berge rein; p ◍
5.	698.7	698.0	699.1	1.1	5.8	– 0.1	6.2	– 0.1	4.9	4.7	4.5	98	69	98	C	C	C	10^{0}≡	9^0	10^{C}	0.5	–	a Hoch≡, Berge bis 1400 m im Nebel, abds. ✳
6.	698.8	696.4	697.1	– 2.2	4.5	0.0	5.4	– 2.2	3.6	3.4	3.6	92	54	78	C	N 3	S 2	3^0	1^{0}⊙	0	3.1	1	a Berge sehr rein
7.	697.0	697.2	698.4	– 4.7	5.7	– 1.9	6.0	– 4.7	2.7	3.6	3.6	84	52	90	S 2	N 4	C	0	○○	0	–	–	a Berge sehr rein
8.	698.3	698.6	00.0	– 3.7	1.1	– 0.6	4.5	– 3.8	2.9	4.9	4.1	87	98	94	S 1	C	C	2^0	10^{0}⁂	10^0	–	–	⌴, a Berge meist rein, m ✳^{0}
9.	00.8	698.8	00.5	– 2.5	5.1	– 1.8	5.3	– 2.6	3.6	4.3	3.9	96	66	98	SE 1	NW 3	C	2^0	1^{0}⊙	0	1.3	2	a Berge meist frei
10.	01.9	01.0	02.2	– 0.5	7.0	0.9	8.5	– 3.1	3.7	3.8	4.8	83	51	98	S 1	NW 3	C	9^{0}≡	7^0	10^{0}●	–	–	mrgs. Hoch≡, t ztw. ∞; p u. abds. ◍^{0}, dann ✳
11.	00.7	698.3	699.0	– 1.6	7.0	1.1	7.3	– 2.7	3.9	5.2	4.7	96	70	94	S 2	NW 2	C	1^0	6^{0}⊙	2^0	5.0	2	n ✳, a Berge ∞
12.	698.7	697.0	695.6	– 1.1	8.8	0.9	10.0	– 2.0	3.4	3.2	3.9	80	38	79	S 1	C	C	3^0	7^{0}⊙	5^0	–	–	⌴, a Berge frei
13.	689.0	684.3	688.2	– 0.4	8.9	1.1	10.3	– 2.2	3.4	2.5	3.8	76	29	75	S 1	S 5	N 2	7^2	9^0	9^0	–	–	a Berge frei, abds. ✳^{0}, ztw. ⩩
14.	689.9	688.7	689.0	– 3.1	4.3	– 1.4	5.3	– 3.1	3.2	2.6	4.0	89	41	96	C	NW 1	C	4^0	5^{0}⊙	10^{1}⁂	1.5	2	a Berge frei
15.	687.5	687.6	689.4	– 2.7	– 0.1	– 4.1	0.5	– 4.1	3.7	3.6	3.1	100	79	94	C	NW 1	C	10^{1}⁂	10^{1}⁂	7^0	6.5	12	n–m ✳^{1} (a 12 cm Neuschnee)
16.	690.7	691.5	693.7	– 7.3	4.5	– 2.7	4.5	– **7.8**	**2.2**	3.0	3.0	87	47	81	S 2	C	SE 2	4^0	1^{0}⊙	0^0	1.9	**15**	a Berge frei
17.	695.6	695.6	698.0	– 5.3	5.7	– 1.2	6.7	– 6.1	**2.2**	2.4	3.0	73	35	73	S 3	NW 2	S 2	2^0	6^{0}⊙	0^0	–	6	a Berge sehr rein
18.	697.6	696.4	697 7	– 2.9	9.4	1.6	11.2	– 4.3	2.4	2.7	4.0	66	30	78	SE 2	NW 1	C	2^0	8^0	1^0	–	–	a Berge frei (föhnig)
19.	698.4	696.4	696.8	0.1	12.5	1.2	13.2	– 1.5	3.1	3.3	4.5	57	30	80	S 2	C	C	2^0	○○	0	–	–	a Berge rein (föhnig)
20.	695.5	693.5	694.6	4.1	13.5	7.2	14.7	– 0.2	3.6	3.6	4.5	58	31	60	C	S 3	S 1	6^0	5^0	8^0	–	–	a Berge rein (föhnig)
21.	698.2	697.6	697.9	2.1	13.7	4.0	14.9	1.2	4.0	3.7	4.5	75	31	73	C	S 1	C	0	8^0	0	–	–	a Berge rein (föhnig)
22.	698.6	697.2	698.7	3.3	17.3	5.4	17.8	2.1	4.0	3.8	4.1	70	26	62	S 2	S 3	S 2	0	1^{0}⊙	0	–	–	a Berge sehr rein (föhnig)
23.	698.7	697.5	697.8	3.9	12.3	6.2	13.2	2.7	3.9	5.0	**5.9**	64	47	84	S 2	NW 3	N 2	4^0	9^0	8^0	–	–	a Berge rein, p ∞^{2} (föhnig)
24.	694.5	692.4	692.0	1.9	12.5	5.7	13.5	1.9	4.7	5.3	5.5	90	49	80	C	NW 2	C	4^0	8^{0}⊙	8^0	–	–	a Berge bis auf die Zugspitze frei; 1^{30}–3^{00} p ◍$^{0.1}$
25.	689.0	685.7	685.9	3.1	6.0	1.9	10.7	1.9	5.3	5.4	5.2	93	78	98	C	N 4	N 1	10^{1}●	8^1	10^{0}●	1.3	–	mrgs. Hoch≡, abds. ◍
26.	684.4	684 1	692.2	1.5	11.0	0.9	13.0	0.9	5.0	4.7	3.7	98	41	75	C	NW 5	N 2	1^0	10^0	10^0	2.6	–	a Berge meist rein; abds. ◍^{0}
27.	697.5	996.8	696.8	– 1.2	6.0	1.2	7.3	– 1.9	3.7	4.0	4.4	88	57	87	C	W 2	C	8^0	10^0	3^0	0.1	–	a Berge frei
28.	697.9	696.9	697.1	5.1	16.4	9.5	18.5	0.6	5.1	3.5	3.9	78	25	44	C	N 2	C	1^0	9^0	7^0	–	–	a Berge rein (föhnig)
29.	696.6	694.6	694.0	7.4	21.3	11.4	**21.9**	6.8	5.0	3.7	4.3	65	**19**	42	C	C	C	8^0	2^{0}⊙	8^0	–	–	a Berge frei (föhnig)
30.	694.2	694.1	697.0	5.9	18.0	6.5	19.3	5.0	5.1	3.1	4.6	74	20	64	C	S 5	S 2	4^0	4^{0}⊙	0	–	–	a Berge frei (föhnig)
31.	699.7	698.1	00.0	2.9	16.6	8.8	17.5	2.0	3.7	3.1	5.1	66	22	60	SE 1	C	S 2	0	2^{0}⊙	2^0	–	–	a Berge sehr rein (föhnig)
Mittel	697.0	695.8	697.0	0.1	8.9	2.2	10.1	– 1.0	3.8	3.8	4.3	81	47	80				4.3	6.2	5.1	41.2		

Hohenpeissenberg.

März $\varphi = 47^0\ 48'$ N. $\lambda = 11^0\ 1'$ E $= 44^m\ 4^s$. H $= 993.9$ m. Cg $= +00$ mm. 1911.

	600 mm +																						
1.	73.1	75 5	82.5	4.6	4.1	– 1.0	5.1	– 1.0	4.5	4.0	3.9	71	65	90	W 6	W 8	W 2	10^{2}●	9^2	10^2	–	–	a ∞, ◍$^{0.1}$; p reine Fernsicht; 4 p ✳
2.	**84.9**	81.4	78.1	– 2.6	1.1	0.0	1.1	– 2.7	3.4	2.9	4.3	92	58	92	W 4	W 8	W 8	○○	10^2	10^2	**5.2**	3	t ∞
3.	80.1	80.5	82.1	– 0.8	0.4	– 0.8	0.5	– 0.8	4.2	4.5	4.3	98	94	100	NW 1	NW 1	NW 3	9^2	9^2	10^2	4.5	**5**	n ⩩ ✳, t ∞
4.	80.4	78.8	77.0	0.4	2.0	2.1	2.5	– 0.8	4.3	5.1	5.3	90	96	100	SW 1	SW 1	W 2	10^2	10^{2}≡	10^2	0.8	3	n ✳, a reine Fernsicht, p ≡^{2} ◍ ✳
5.	74.5	74.5	75.9	0.2	– 0.1	– 2.0	2.1	– 2.0	4.2	4 2	3.8	90	92	96	W 4	W 2	SW 3	10^2	10^{2}≡⁂	10^2	1.3	–	a ∞; p ≡^{1} ✳
6.	74.3	73.0	73.1	– 3.4	0.0	– 3.0	0.0	– 3.4	3.2	2.9	3 0	91	64	83	NW 2	S 2	NE 2	4^2	5^{2}⊙	0	1.6	2	a reine Fernsicht, abds. Horiz≡
7.	72.6	74.0	74.4	– 5.1	0.6	– 2.4	0.8	– **5.1**	3.0	3.2	3.1	98	66	81	NE 3	NE 1	E 2	0≡	2^{1}⊙	0	–	–	a ≡^{1}; p ∞
8.	73.9	74.5	76.2	– 1.8	– 1.2	– 2.4	– 0.6	– 2.7	3.5	4.0	3.3	88	96	87	W 2	NW 1	W 2	8^1	10^{2}≡⁂	10^2	–	–	a ∞; 10^{15} a ✳; p ≡^{2} ✳
9.	76.0	75.2	75.8	– 3.0	0.2	– 2.0	0.6	– 3.4	3.3	3.9	3.5	89	83	90	SE 1	NE 3	W 1	○○	8^2 .	0	2.6	4	a ∞
10.	77.2	77.6	78.4	0.4	2.9	– 0.6	2.9	– 2.4	3.5	3.4	4.2	75	61	96	SW 1	NW 1	E 1	10^2	9^2	10^{1}≡	–	–	a ∞; p ✳, abds. ≡^{1}
11.	76.1	75.1	75.1	– 1.1	2.3	1.1	2.9	– 1.4	4.2	4.8	3.6	98	87	72	SE 2	SE 2	W 2	5^1	4^2	0	3.3	3	n ≡^{1}; p ∞
12.	74.5	73.2	71.6	1.2	5.0	2.1	5.6	0.5	3.5	3.6	3.8	69	55	71	W 1	NW 3	SW 1	1^{1}⊙	9^2	10^2	–	–	a starker Horiz≡, p ∞; 4^{10} p ✳^{0}
13.	64.5	**60.3**	64.1	2.0	6.9	– 2.3	7.5	– 2.3	2.9	2.5	3.6	54	33	96	S 3	SW 1	W 6	10^1	10^1	10^1	–	–	a sehr reine Fernsicht; 5^{00} p ✳
14.	65.1	65.2	65.1	– 4.3	– 0.6	– 2.8	– 0.3	– 4.3	2.2	**2.0**	3.3	66	46	89	SW 4	SW 1	W 1	8^2	8^2	10^1	0.3	1	a reine Fernsicht; p ✳
15.	63.2	63.6	64.9	– 4.2	– 2.9	– 4.6	– 2.8	– 4.6	3.2	3.4	2.6	97	94	80	W 1	SW 1	SW 3	10^{2}≡⁂	10^{2}≡⁂	10^1	1.7	3	n–p ≡$^{1.2}$, t ztw. ✳
16.	65.8	67.7	69.8	– 4.6	0.8	– 0.6	1.7	– **5.1**	2.2	2.4	2.5	67	49	57	SW 1	E 1	NW 1	1^{1}⊙	6^{2}⊙	10^1	0.5	4	p reine Fernsicht
17.	71.0	72.3	73.3	– 3.0	2.0	– 0.4	2.0	– 4.5	2.5	2.7	3.4	70	51	76	SE 2	NE 2	SE 2	8^1	9^2	0	0.6	3	n ✳; p reine Fernsicht
18.	72.8	73.2	74.2	– 0.4	5.6	2.9	5.6	– 1.6	2.2	2.5	3.0	50	36	54	SW 1	SW 1	C	5^1	10^1	10^1	–	–	a reine Fernsicht
19.	74.0	73.7	72.7	2.3	6.3	0.6	6.5	0.6	3.1	3.5	4.2	58	49	89	E 1	NE 1	NE 4	1^{1}⊙	1^{1}⊙	0	–	–	a reine Fernsicht
20.	71.2	70.4	70.7	0.8	7.5	5.2	7.8	– 1.3	3.3	4.3	4.7	68	57	71	SE 3	NE 4	SE 2	8^1	5^{1}⊙	10^1	–	–	a ringsum ≡; p ∞
21.	74.2	74.3	74.5	5.6	11.4	6.8	11.4	5.2	4.4	3.6	5.1	65	36	70	C	E 3	NE 1	○○	5^{1}⊙	0	–	–	a reine Fernsicht
22.	74.4	74.2	74.7	6.7	11.9	6.1	11.9	6.1	3.1	4.1	6.0	42	39	86	S 2	NE 1	NE 2	○○	1^{2}⊙	0	–	–	a sehr reine Fernsicht; abds. Horiz≡ im N
23.	74.7	74.5	73.5	4.8	6.3	3.5	6.4	3.4	4.1	5.2	5.3	64	73	100	NW 1	NW 1	NW 2	1^{1}⊙	9^1	0	–	–	a reine Fernsicht, ≡ i. E; p ≡^{1}; abds. starker
24.	71.5	69.7	68.1	3.3	7.1	4.1	7.3	3.1	5.0	**6.1**	5.3	87	81	87	SW 1	NE 2	W 2	0≡	10^{2}≡	5^2	–	–	a–p ≡^{1}, ≡ i. E; p ∞ [Horiz≡ i. N
25.	64.3	63.2	62.5	1.4	0.2	– 0.7	4.1	– 0.7	5.0	4.7	4.4	100	100	100	W 4	N 3	N 3	10^{1}≡●	10^{2}≡	10^{2}≡	2.3	–	n ◍, a ≡^{2} ◍; t ≡^{2}, p ✳
26.	**60.3**	62.3	68.5	0.5	– 1.0	– 3.2	8.3	– 3.5	4.4	3.9	3.3	92	90	91	SE 4	W 4	SW 3	○○	10^2	10^2	2.9	–	n ✳, a ringsum ≡, p ∞ ✳
27.	73.2	73.3	72.9	– 2.6	1.0	5.8	5.8	– 3.3	2.8	3.0	3.8	74	62	55	W 1	E 3	SE 2	9^1	10^2	3^1	0.1	–	a reine Fernsicht; p ∞^{0}
28.	74.0	74.1	74.0	9.0	14.4	11.7	14.4	5.8	4.1	3.4	3.8	48	28	37	S 3	E 1	S 2	9^1	10^1	8^1	–	–	a Horiz≡, ≡ i. E; p reine Fernsicht
29.	73.1	71.8	70.5	11.6	17.2	12.1	**17.5**	11.2	3 1	3.2	3.3	31	**21**	33	SE 2	S 3	SE 3	9^1	1^1	10^1	–	–	a sehr reine Fernsicht
30.	70.5	70.8	72.9	9.9	15.4	10.1	16.0	9.4	3.9	2.9	3.5	43	22	38	S 3	S 5	SW 3	9^1	10^2	6^2	–	–	t sehr reine Fernsicht; abds. ◹ i. W
31.	75.6	75.4	76.2	6.5	11.3	8.3	11.3	6.4	3.6	3.3	3.7	50	33	46	W 4	S 1	SW 2	9^2	7^2	2^1	–	–	t sehr reine Fernsicht; 3^{35}–4^{15} p ◹ (SW nach E)
Mittel	72.6	72.4	73.0	1.1	4.5	1.7	5.4	– 0.2	3.5	3.7	3.9	73	62	78				5.6	7.6	6.3	27.7		

Alle Angaben nach Ortszeit.

Zugspitze.

März. $\varphi = 47^0\ 25'$ N. $\lambda = 10^0\ 59'$ E $= 43^m\ 56^s$. H = 2964 m. Cg = — 0.2 mm. 1911.

Datum	Luftdruck auf 0° u. Normalschwere reduziert 500 mm +			Lufttemperatur C°					Absolute Feuchtigkeit mm			Relative Feuchtigkeit Proz.			Richtung und Stärke des Windes 0 bis 12			Bewölkung 0 bis 10			Niederschlag mm	Schneedecke cm
	7^a	2^p	9^p	7^a	2^p	9^p	Max.	Min.	7^a	2^p	9^p	7^a	2^p	9^p	7^a	2^p	9^p	7^a	2^p	9^p	7^a	7^a
1.	26.2	27.1	29.1	− 7 7	−10.4	−14 1	− 7.4	−14.1	2.6	2,1	1,6	100	100	100	W 4	W 5	NW 5	10^1	$10^2 \equiv *$	$10^2 \equiv *$	2.1	300
2.	**30.7**	30.4	27.4	−16 0	−13.8	−10.5	−10.5	−16.0	1.3	1.6	2.1	100	100	100	W 5	W 4	NW 10	$2^0\odot$	10^2	$10^2 \equiv *$	7.1	330
3.	27.6	28.0	29.0	−14.2	−14.1	−14.2	−10.2	−14.3	1.5	1.6	1.5	100	100	100	NW 5	NW 5	W 4	$10^2 \equiv *$	$10^2 \equiv *$	$10^2 \equiv *$	4.3	350
4.	29.8	29.1	27.9	−12.0	− 8.0	− 8.8	− 7.8	−15.1	1.8	2.5	2.4	100	100	100	N 5	NE 4	NE 3	$10^2 \equiv *$	$10^2 \equiv$	1^0	10.3	370
5.	24.9	24.5	24.3	−11.2	−10.4	−12.5	− 8.8	−12.5	2.0	2,1	1.8	100	100	100	NE 4	W 3	NW 3	$8^1\odot$	$10^2 \equiv *$	$10^2 \equiv *$	3.3	370
6.	22.3	22.4	22.6	−15.8	−14.8	−13.8	−12.5	−15.8	1.4	1.5	1.5	100	100	93	W 3	N 2	N 2	$1^0\odot$	$1^0\odot$	O	7.3	370
7.	23.7	24.7	25.0	−13.7	−11.6	−11.8	−11.1	−13.9	1.5	1.9	1.9	94	100	100	N 2	N 1	C	$3^0\odot$	$1^0\odot$	1^0	–	370
8.	23.7	23.5	24.1	−13.2	−11.8	−13.9	−10.4	−14.0	1.7	1.9	1.6	100	100	100	W 4	N 5	N 5	$10^2 \equiv$	$10^2 \equiv *$	$10^2 \equiv \triangle$	–	350
9.	24.3	25.2	26.0	−15.7	− 8.4	−10.4	− 8.4	−15.7	1.3	2.4	2.1	100	100	100	N 3	SW 3	SW 4	$0\odot$	$1^0\odot$	O	7.7	360
10.	26.4	27.1	27.1	−12.8	−10.2	−11.4	−10.0	−12.8	1.7	2,1	1 9	100	100	100	C	SE 2	E 1	$10^2 \equiv *$	$10^2 *$	$10^2 \equiv \triangle$	–	360
11.	25.3	25.2	24.8	−13.4	−10.5	−13.6	−10.4	−13.6	1.6	2.1	1,6	100	100	100	SE 3	SW 2	W 4	$1^0\odot$	$9^2 *$	$7^2 *$	5.7	360
12.	24.1	23.9	22.6	−14.5	−11.1	−12.8	−11.0	−14.6	1.5	2.0	1.7	100	100	100	N 5	NW 2	W 3	5^1	$5^2\odot$	6^1	1.7	360
13.	17.4	14.9	14.8	−12.5	−10.0	−15.4	− 9.9	−15.4	1.8	2,2	1.4	100	100	100	S 6	SE 8	W 6	$8^2\odot$	9^2	$10^2 \equiv *$	–	360
14.	14.7	15.0	14.8	−19.2	−15.0	−16.5	−14.6	−19.3	1.0	1.4	1.3	100	100	100	W 3	W 1	C	$4^1\odot$	$9^2 *$	$10^2 \equiv *$	3.3	370
15.	**12.7**	13.0	14.5	−18.5	−16.2	−18.0	−16.2	−18.6	1.1	1.3	1.1	100	100	100	N 2	N 2	W 1	$10^1 \equiv *$	$10^2 \equiv *$	8^0	**17.9**	**400**
16.	15.2	17.6	19.2	−16.8	−13.3	−15.2	−13.3	−18.1	1.2	1.6	1.4	100	97	100	SW 5	S 4	S 3	$6^1\odot$	$1^1\odot$	2^0	3.1	**400**
17.	20.1	21.8	22.9	−16.0	−12.7	−13.9	−12.5	−17.0	1.2	1.7	1.4	93	100	87	W 1	SW 1	S 4	$3^1\odot$	$9^2 *$	O	-	**400**
18.	23.1	24.3	25.1	−14.0	−10.2	−11.2	−10.2	−14.2	0.8	1.7	1.9	52	80	100	W 3	SW 3	NW 3	$7^1\odot$	9^1	$10^2 \equiv *$	0.3	380
19.	25.5	26.0	25.6	−10.9	− 7.0	− 8.2	− 6.1	−12.0	1.1	2.0	2.2	56	73	88	NW 3	SE 2	S 3	$8^1\odot$	$2^0\odot$	O	0.2	360
20.	25.0	24.9	25.5	− 6.6	− 4.3	− 5.3	− 4.2	− 8.2	2.7	2.6	2.4	96	78	79	SE 4	S 4	S 5	7^1	8^1	5^0	–	350
21.	26.8	27.9	28.2	− 7.0	− 5.7	− 6.5	− 4.9	− 7.7	1.6	2.1	2.4	58	70	83	SE 3	SE 5	SE 4	$1^0\odot$	9^1	O	–	330
22.	28.1	28.5	28.5	− 7.0	− 5.0	− 6.8	− 4.1	− 7.2	2.3	2.6	2.4	83	83	87	S 1	SE 2	SE 2	$2^0\odot$	$2^0\odot$	O	–	330
23.	27.9	27.7	26 9	− 6.4	− 3.5	− 6.4	− 2.9	− 7.3	2.1	2.6	2.8	70	72	98	C	E 1	E 1	$8^0\odot$	10^1	1^0	–	320
24.	24.6	23.4	21.7	− 8.5	− 7.5	− 8.6	− 6.4	− 8.8	2.4	2.6	2.4	100	100	100	NW 2	W 1	NW 1	7^1	$10^1 \equiv *$	$10^2 \equiv \triangle$	–	310
25.	17.6	16.3	15.1	−10.0	− 7.5	− 9.6	− 7.4	−10.0	2.2	2.6	2.2	100	100	100	W 2	E 3	SE 4	$10^2 \equiv *$	$10^2 \equiv$	$10^2 \equiv *$	3.1	310
26.	15.8	16.1	18.7	− 8.9	− 7.1	−11.0	− 6.5	−11.0	2.3	2.7	2.0	100	100	100	SE 3	E 6	E 6	8^1	$10^2 \equiv *$	$10^2 \equiv *$	1.1	310
27.	22.5	25.5	26.9	−11.7	− 7.9	− 6.3	− 6.3	−12.7	1.9	2.5	2.8	100	100	98	E 5	E 5	SE 10	9^2	10^2	O	1.3	320
28.	28.7	28.9	29.6	− 5.0	− 4.0	− 3.9	− 3.9	− 6.3	2.7	2.4	2.6	85	71	75	SE 4	SE 7	SE 6	$5^0\odot$	9^1	10^1	–	320
29.	28.5	28.3	26.7	− 3.4	− 2.6	− 4.2	**− 2.4**	− 4.7	2.4	2,6	2.7	66	69	81	E 7	E 5	SE 6	$7^1\odot$	$6^1\odot$	10^1	–	320
30.	25.8	26.6	27.5	− 6.0	− 3.6	− 5.8	− 3.4	− 6.6	2.9	**3.0**	1.7	100	84	57	E 3	SE 3	SE 3	$9^1\odot$	9^2	1^0	–	300
31.	28.2	28.7	29.2	− 7.8	− 4.8	− 7.0	− 4.5	− 8.0	1.9	2.3	2.6	74	72	94	SE 1	SW 1	C	$1^1\odot$	$3^0\odot$	$10^1 *$	–	280
Mittel	23.8	24.1	24.2	−11.5	− 9.1	−10.6	− 8.3	−12.4	1.8	2.1	2.0	91	92	94				6.1	7.5	5.9	79.8	

Bemerkungen.

1. t meist $\equiv^{0.2}$, 0^{30}–1^{30} p Aufklaren im W u. NW; 9^{30}–ca. 11^{30} a $\times^0$; 1^{30} p–n $\equiv^{1.2} \times^{0.2}$, $\times$tr. $\vee$ 50 cm
2. mrgs. vollständ. Aufklaren, $\times^2$tr., ztw. $\equiv^0$ u. d. Gipfel, a ringsum in 2000–3000 m cu, ab 2 p–n $\equiv^{0.2} \times^0$, ztw. $_\!\!_$. $\vee$ 60 cm
3. n, t $_\!\!_$ $\equiv^2 \times^{0.2}$; $\vee$ 70 cm
4. n u. t bis ca. 7^{30} p $\equiv^2 \times^{0.1}$; $0^{05.10}$ p $\triangle^0$; ab ca. 7^{30} p ringsum Aufklaren, $\equiv^0$ u. d. Gipfel. $\overline{\cup}$; $\vee$ 100 cm
5. mrgs. cu-meer ringsum in ca. 2000–2400 m; ab 11^{30} a $\equiv^0$ u. d. Gipfel, ca. 0^{30} p–n $\equiv^2 \times^{0.2}$; $\vee$ 110 cm
6. n Aufklaren; mrgs. über Flachland allenthalben cu-Decke in ca. 1500 m, üb. d. Gipfel cu-meer in ca. 2000–2800 m; t Flachl. cu-meer in ca. 2000–2200 m. Hochgeb. ∞^1;
7. mrgs. reine Fernsicht, Flachland $\equiv$meer in ca. 700 m. Hochtäler ∞^2, t ∞^2. $\vee$ 70 cm [abds. Vorberge cu-meer 2000–2500 m. Hochgeb. frei. $\vee$ 120 cm
8. t $\equiv^{1.2}$, a ztw. Aufklaren. 9^{45} a–n $\times^{1.2}$, abds. $\triangle^1$ $\vee$ 70 cm
9. n Aufklaren, mrgs. ringsum $\equiv$meer in ca. 1500–2800 m; t über Flachland u. Vorberge cu-bildung von 1200–1900 m; über Hochgebirg $\infty^{1.2}$. $\vee$ 80 cm
10. t meist $\equiv^{0.2} \times^{0.2}$, ztw. Aufklaren, abds. $\triangle^1$: $\vee$ 60 cm
11. mrgs. Aufklaren, ringsum ∞^2; ab 0^{45}–ca. 3 p $*$flocken, abds. $\times^{1.2}$ $\overline{\cup}$; $\vee$ 60 cm
12. t ztw. $\equiv^{0.1} \times^0$, abds. $_\!\!_^2$. $\vee$ 60 cm
13. t $_\!\!_$; ab ca. 4^{45} p–n $\equiv^{0.2}$. $\times^{0.2}$. $\vee$ 50 cm
14. n Aufklaren, mrgs. Täler cu-meer in ca. 1500 m. Flachland u. Vorberge frei, a cu-bildung ringsum, ab ca. 2 p–n $\equiv^{0.1} \times^{0.1}$ $\vee$ 50 cm
15. n u. mrgs. $\equiv^{0.2} \times^{0.2}$; t $\equiv^{0.2}$, ztw. $\times^0$, ztw. schwaches Aufklaren, ab 6 p ringsum Aufklaren. $\vee$ 60 cm
16. mrgs. $_\!\!_$ $\times$tr., t ∞^2, über dem Gebirge sehr starke cu-Entw., p ztw. $\equiv^0$ um den Gipfel, abds. $__^2$. $\vee$ 60 cm
17. mrgs. $__^1$ ∞^1, a cu-Entw. über den Tälern; ab ca. 1–5 p ztw. $\equiv^{0.1} \times^{0.1}$, abds. vollk. Aufklaren $__^1$. $\vee$ 60 cm
18. mrgs. sehr reine Fernsicht; ab 1 p ztw. $\times$flocken, ab ca. 4^{15} p–n $\equiv^{0.2}$, ztw. $\times^0$; abds. $__^2$. $\vee$ 30 cm
19. n Aufklaren, t reine Fernsicht, im S Föhn-cu. $\vee$ 20 cm
20. mrgs. Berge rein, über Flachland allenthalben seichte Nebeldecke; t ringsum cu-bildung. Fernsicht allenthalben frei; abds. Flachland seichte Nebeldecke
21. n $_\!\!_$, t Fernsicht ringsum rein, über Centralalpen im E schw. cu-Entw., p cu-ni-bildung über Centralalpen; abds. $__^0$
22. mrgs. $__^0$, t Fernsicht ringsum frei, ∞^0, abds. ∞^1
23. mrgs. $__^1$, t ∞^2, über Alpenvorland u. Seengebirge seichte Nebeldecke, abds. $__^2$
24. mrgs. $__^2$ $\equiv^0$; a cu-Entw. über dem Gebirge, ztw. $\equiv^0$ u. d. Gipfel, p–n meist $\equiv^{0.2}$, ztw. $\times^0$, ztw. Aufklaren; abds. $\triangle^0$. $\vee$ 1 cm
25. mrgs. $\times^{1.2}$, t meist $\equiv^{1.2}$, ztw. Aufklaren, p ztw. $\times^0$. $\vee$ 7 cm
26. mrgs. ztw. $\equiv^0$ u. d. Gipfel, ab 9^{30} a–n $\equiv^{1.2}$ $_\!\!_$, ztw. $\times^0$ $\vee$ 30 cm
27. n Aufklaren, mrgs. $_\!\!_$, a Fernsicht allenthalben frei; ab ca. 1–5 p meist $\equiv^{1.2}$; abds. wieder Aufklaren, $_\!\!_$. $\vee$ 30 cm
28. n, t $_\!\!_$, Fernsicht frei, $\infty^{0.2}$; über Hochgebirg im E-SW Föhn-cu
29. n, t $_\!\!_$. Fernsicht frei, ∞^0, über Hochgebirg Föhn-cu
30. n $_\!\!_$, mrgs. $__^1$, t Fernsicht frei ∞^1, ab ca. 3–5 p $\equiv^{0.2}$ $\times^0$, abds. sehr reine Fernsicht, $\lessdot^2$ im W–NW
31. mrgs. Berge sehr rein, Flachland ∞^0; t cu über den Vorbergen u. dem Flachland, abds. ztw. $\equiv^0$ $\times^0$

Alle Angaben nach Ortszeit.

Kahl a/M.

April. $\varphi = 50^0\ 4'$ N. $\lambda = 9^0\ 1'$ E $= 36^m\ 4^s$. H $= 114.1$ m. Cg $= +0.3$ mm. 1911.

Datum	Luftdruck auf 0° u. Normalschwere reduziert 700 mm + 7a	2p	9p	Lufttemperatur C° 7a	2p	9p	Max.	Min.	Absolute Feuchtigkeit mm 7a	2p	9p	Relative Feuchtigkeit Proz. 7a	2p	9p	Richtung und Stärke des Windes 0 bis 12 7a		2p		9p		Bewölkung 0 bis 10 7a	2p	9p	Niederschlag mm 7a	Bemerkungen
1.	52.4	51.7	51.6	5.2	17.4	12.2	19.1	2.8	6.6	7.7	8.4	100	52	80	C		SW	2	NE	2	00	1¹	0	3.1	a ≡¹; 7²¹–8²⁶ p ◁ im N
2.	51.0	48.1	47.0	7.5	18.2	10.4	19.2	6.1	7.6	7.2	**8.9**	99	47	95	C		W	2	C		8¹	8²	0	–	3³³–4⁰⁵ p ◍
3.	45.8	45.6	47.8	8.0	5.2	– 0.1	11.8	– 0.9	6.6	4.4	3.2	82	66	71	NW	4	W	4	N	2	10¹	10¹	1¹	0.8	
4.	50.8	50.9	50.9	– 0.8	2.1	– 3.4	3.9	– 4.1	2.8	**2.1**	2.6	66	40	74	NE	2	NE	6	C		00	4¹	0	0.2	n ◍; 2 p
5.	50.7	49.4	50.6	– 4.3	1.3	– 1.3	2.4	– **6.2**	2.3	2.7	2.4	70	54	57	NE	4	NE	6	NE	6	00	8¹	8⁰	–	2 p, 9 p
6.	51.5	51.9	54.2	– 1.5	3.0	– 0.4	4.4	– 2.4	**2.1**	2.6	2.4	51	45	54	E	8	NE	4	E	2	9⁰	10⁰	1¹	–	7 a
7.	54.4	53.4	53.0	– 1.6	5.9	0.1	7.3	– 4.8	3.0	3.3	3.0	74	47	65	NE	4	NE	2	NE	2	00	2¹	1⁰	–	a
8.	53.2	53.2	55.4	– 0.3	5.7	0.8	7.3	– 2.7	3.4	4.7	3.9	76	68	80	E	2	NE	4	NE	2	10⁰	9²	0	–	9¹⁶–10⁰⁶ a ✳
9.	56.1	54.7	52.1	1.4	8.3	3.0	11.3	– 2.3	4.4	2.9	3.8	87	36	68	E	2	NW	2	SW	2	10¹	2⁰	10⁰	0.7	
10.	47.8	47.3	49.1	2.6	8.3	2.2	10.1	0.6	4.6	5.1	4.6	82	62	85	S	2	S	2	C		9⁰	10¹	0	–	
11.	53.9	54.7	55.3	– 0.7	12.0	3.5	13.7	– 4.0	4.1	4.2	4.8	94	40	82	C		E	2	E	2	00	7⁰	0	–	a
12.	55.5	53.6	52.4	0.7	13.1	6.2	14.2	– 3.8	4.9	4.6	5.6	100	41	79	S	2	NW	4	NW	4	00	8⁰	10⁰	–	a ; 8⁰⁶.¹⁶ p ◍⁰
13.	54.3	55.1	58.3	4.2	9.5	3.5	11.0	2.0	4.3	3.2	4.4	70	36	75	NW	2	NW	4	C		00	5¹	1⁰	–	(Niederschlag vom 12. unmessbar); 2⁴⁶.³¹ p ◍
14.	60.3	58.4	57.5	– 0.1	11.4	4.4	14.8	– 3.9	4.0	3.9	4.8	89	38	77	C		W	2	SW	2	00	3¹⁰	1⁰	0.1	a
15.	56.9	55.3	54.6	4.6	16.1	9.7	17.0	– 3.3	4.4	3.7	4.8	70	27	53	S	2	W	4	W	2	8¹	3²⊖	0	–	
16.	53.0	51.1	50.2	9.4	18.9	12.6	21.8	3.0	6.1	5.0	5.7	70	31	52	S	2	W	4	W	2	3¹	2⁰	0	–	
17.	50.5	50.8	50.4	6.2	19.4	13.4	21.5	0.6	6.5	4.8	5.8	91	29	51	C		W	2	SW	2	2⁰	3⁰	0	–	a
18.	52.5	50.5	49.5	7.9	21.5	11.6	24.5	2.0	6.4	4.6	5.8	81	24	57	C		SW	2	C		10¹	1¹⊖	0	–	a
19.	49.5	48.3	49.0	10.5	21.8	14.3	23.4	4.8	6.6	5.4	7.3	70	28	60	SE	2	SW	2	NW	4	1⁰	2¹⊖	10¹	–	a ; 4³⁶.⁴¹ p ◍⁰
20.	52.9	55.3	59.3	10.0	14.9	9.3	18.4	8.8	8.4	7.9	7.8	92	63	89	SW	2	NW	2	C		10¹	5¹	0	0.9	n, a ◍⁰
21.	65.1	65.0	**65.9**	8.1	18.8	9.7	21.9	2.8	7.7	6.2	6.6	96	38	74	C		W	2	C		00	1⁰⊖	0	0.2	a
22.	65.6	62.0	59.2	7.8	22.4	13.1	**25.2**	1.2	7.0	6.0	8.4	89	30	75	C		SE	2	C		00	00	0	–	a
23.	57.0	54.3	53.0	9.8	22.4	11.0	24.1	4.8	7.9	7.6	6.9	87	38	70	C		W	2	C		3⁰	2⁰	0	–	a
24.	53.3	53.6	54.0	12.5	15.7	7.5	16.4	6.1	7.5	6.3	6.3	70	48	82	W	2	W	6	W	2	4⁰	9¹	0	–	a ; 2 p
25.	53.7	51.9	50.4	10.2	18.7	9.6	21.2	3.5	6.8	6.1	7.0	73	38	79	C		C		C		2¹	00	0	–	a
26.	49.2	47.6	49.9	10.1	19.2	8.8	19.9	2.6	7.5	6.6	7.4	80	40	88	C		W	6	W	4	10⁰	6²	10¹●	–	2 p ; 5²⁶.³⁶ p, 9 p ◍
27.	51.1	47.8	43.5	7.1	8.3	9.4	10.4	3.3	6.7	7.4	8.2	88	91	93	S	2	S	2	SW	4	10¹	10¹	10¹	2.3	n ◍; t ztw. ◍
28.	41.8	43.3	45.9	8.6	13.8	8.9	14.8	7.5	7.3	7.4	7.1	88	62	84	SW	4	SW	6	SW	2	10¹	10¹	1¹	**5.2**	t ztw. ◍; 2 p
29.	41.1	40.4	42.9	9.3	13.8	5.8	15.2	5.4	8.1	5.9	6.4	93	51	93	SE	4	SW	6	C		10¹	10¹	0	3.7	t ztw. ◍; 2 p
30.	43.2	43.1	45.6	8.8	14.2	8.6	16.0	3.7	6.6	5.8	7.8	78	48	93	SW	2	SW	2	SW	2	10²	10²	10¹	0.9	6⁰⁰.⁰⁵ p ◍
																								18.1	
Mittel	52.5	51.6	52.0	5.4	13.4	6.8	15.4	1.1	5.7	5.2	5.7	82	45	75							5.0	5.4	2.5		

Bayreuth.

April. $\varphi = 49^0\ 57'$ N. $\lambda = 11^0\ 34'$ E $= 46^m\ 16^s$. H $= 363.3$ m. Cg $= +0.3$ mm. 1911.

1.	31.2	29.5	30.9	8.1	15.9	10.5	16.5	6.5	7.7	7.0	**7.9**	**96**	52	85	C		NW	4	NW	2	10¹	4¹⊖	3¹	**8.4**	n ◍⁰.¹, a ≡¹
2.	28.7	25.7	25.0	7.5	16.5	8.1	17.3	4.6	7.2	7.0	7.7	93	51	**96**	E	2	W	2	SW	2	8¹	8²⊖	3¹	–	2⁸².–⁴⁰⁶ p ◪, 4²⁶.–⁶⁰⁰ p ◍¹
3.	21.8	20.8	23.4	5.5	4.3	– 0.1	8.1	– 0.5	6.4	4.8	3.9	**96**	78	85	W	2	NW	6	NW	4	10¹=	10²	2⁰	5.1	a ≡¹. t ztw. ◍⁰ ✳¹
4.	26.4	26.9	27.8	– 2.9	– 0.6	– 3.9	0.2	– 4.8	3.4	2.9	2.4	94	66	71	NW	4	N	6	N	2	10²✱	7¹	0	0.5	a ztw. ✳¹
5.	26.3	26.6	27.6	– 5.1	– 0.3	– 3.1	0.4	– **7.9**	2.4	2.9	2.5	78	65	70	N	4	NE	6	NE	6	10¹	10²	2¹	0.4	a
6.	28.5	28.7	31.4	– 4.3	– 0.2	– 2.5	1.5	– 6.5	**2.2**	2.8	2.7	66	63	70	NE	6	NE	6	NE	4	10¹	8⁰⊖	3⁰	–	n
7.	31.8	30.3	30.2	– 3.1	3.5	– 1.3	4.3	– 4.8	2.8	3.7	2.9	78	63	71	NE	2	NE	2	NE	4	2¹⊖	10¹	6¹	–	
8.	29.4	29.8	33.5	– 1.5	3.1	0.7	4.1	– 3.8	3.3	3.6	3.8	80	62	78	N	2	E	4	N	4	8¹	10²	9¹	–	
9.	33.0	31.6	29.5	1.3	5.4	1.1	6.3	– 0.6	3.9	3.5	4.2	79	52	86	NE	2	NE	4	E	2	8¹	7¹	3⁰	–	
10.	24.9	24.0	26.9	1.5	**7.6**	4.3	8.3	– 1.9	3.9	3.8	4.4	76	49	71	SW	2	S	2	C		10¹	8²	10¹	–	a ◍⁰
11.	31.2	32.1	32.9	0.4	10.1	4.9	10.8	– 1.9	4.6	3.9	4.6	**96**	42	70	W	2	E	4	E	2	7¹	10¹	0	–	a ◍⁰
12.	31.9	28.5	26.1	– 0.9	12.9	4.7	13.6	– 3.6	4.0	3.9	5.7	92	35	88	E	2	W	6	W	6	2⁰⊖	3⁰⊖	10²●	–	a ◍¹. 8⁰⁶ p an ◍⁰
13.	27.7	31.8	35.0	2.6	1.9	2.8	5.7	0.5	3.9	4.9	4.3	70	93	**96**	W	8	N	2	N	4	2¹⊖	10²	5¹	0.6	n ◍⁰. 10³.⁴⁶ p △
14.	37.5	36.5	34.8	1.3	7.5	5.7	10.0	– 1.6	4.0	3.8	4.8	80	50	69	NW	4	NW	2	NW	2	5¹⊖	5¹⊖	4¹	0.7	
15.	34.3	32.3	32.5	0.9	13.8	10.1	14.9	– 2.3	4.4	3.8	3.7	89	33	40	E	2	W	6	W	4	7¹	3⁰⊖	2¹	–	a ◍¹
16.	30.6	28.8	28.3	9.2	17.7	11.4	19.1	4.6	4.7	5.0	5.7	55	33	57	SW	6	W	6	C		7¹	5²⊖	0	–	
17.	29.5	28.8	29.8	5.7	18.0	11.1	20.3	1.3	5.1	5.3	6.0	74	35	61	E	2	W	4	W	2	1⁰⊖	5¹⊖	0	–	
18.	31.7	29.6	28.6	8.3	20.8	12.5	21.5	4.1	6.4	4.7	5.6	78	26	52	E	2	W	4	W	2	00	6¹⊖	0	–	a
19.	28.5	26.3	26.1	11.1	21.6	11.7	23.2	8.3	6.0	5.5	6.3	61	29	62	SE	2	SE	4	E	2	2⁰⊖	3¹⊖	0	–	a
20.	29.6	31.6	36.9	7.5	18.8	11.8	19.3	4.3	6.1	7.0	7.7	80	44	75	E	2	W	4	NE	2	1⁰⊖	3²⊖	3¹	–	a ◺. 2⁵⁰.–³¹⁶ p Fern-◪
21.	42.9	43.6	44.3	8.3	17.6	11.6	19.5	3.8	7.4	6.8	7.3	92	45	72	NW	4	NE	2	E	2	10²	6²⊖	0	–	a
22.	**44.6**	41.5	39.0	7.5	20.6	14.8	**24.6**	3.5	6.3	6.6	7.7	83	37	62	E	2	E	2	C		1⁰⊖	2¹⊖	0	–	a
23.	36.1	33.0	31.6	8.8	22.2	14.6	23.6	5.3	6.8	7.4	7.7	82	37	62	E	2	W	2	W	2	6¹⊖	8²	0	–	a
24	30.2	30.2	31.2	11.4	15.8	9.7	16.5	7.1	7.2	6.0	5.7	72	45	64	E	2	W	6	C		10⁰	8²	0	–	a
25.	31.3	29.9	29.1	9.3	17.4	10.7	19.8	5.3	6.3	5.9	6.7	72	40	70	SW	2	SW	2	W	2	3¹⊖	3¹⊖	0	–	
26.	27.7	26.2	26.8	10.5	18.4	13.1	19.1	4.3	5.9	6.3	5.7	63	41	51	SE	2	SW	4	W	6	2¹⊖	9¹	5¹	–	a
27.	29.2	26.4	23.2	6.1	9.1	8.1	13.2	3.3	5.7	5.9	6.6	82	68	83	W	2	S	4	SW	4	10²	10²	10²	–	n ztw. . p ztw. ◍¹
28.	19.5	21.3	23.8	8.0	11.7	8.6	12.1	6.3	6.1	7.0	6.8	76	69	84	W	6	W	6	W	4	10²	9²	10²	7.3	n ◍¹. t ztw. ◍⁰.²
29.	20.8	19.2	21.2	8.1	11.5	8.1	14.2	5.9	6.7	6.7	6.3	84	66	78	SE	4	W	6	W	2	10²	10²●	3¹	3.1	t ztw. ◍⁰.¹
30.	21.4	21.6	23.3	8.4	11.4	8.5	14.6	4.2	6.3	6.3	6.8	77	62	84	SW	4	SW	2	SW	2	10¹	8²	10¹	1.2	t ztw. ◍⁰
																								27.3	
Mittel	29.9	29.1	29.7	4.7	11.8	6.9	13.4	1.4	5.2	5.2	5.5	80	51	72							6.4	6.9	3.4		

Alle Angaben nach Ortszeit.

Bamberg.

April. $\varphi = 49^0\ 53'$ N. $\lambda = 10^0\ 53'$ E $= 43^m\ 32^s$. H $= 287.7$ m. Cg $= +0.3$ mm. 1911.

Datum	Luftdruck auf 0° u. Normalschwere reduziert 700 mm + 7a	2p	9p	Lufttemperatur C° 7a	2p	9p	Max.	Min.	Absolute Feuchtigkeit mm 7a	2p	9p	Relative Feuchtigkeit Proz. 7a	2p	9p	Richtung und Stärke des Windes 0 bis 12 7a	2p	9p	Bewölkung 0 bis 10 7a	2p	9p	Niederschlag mm 7a	Bemerkungen
1.	37.1	36.1	36.5	8.5	17.4	8.9	20.2	7.9	7.8	7.2	7.7	94	49	91	SW 1	W 1	S 2	8^1	5^1	1^1	0.2	2^{27} p ◍^{0} [◍. 8^{55} p ◹ im S
2.	35.2	32.2	31.3	6.6	15.7	9.5	20.0	6.3	7.1	8.2	7.6	98	62	87	C	S 2	S 2	4^1	$8^{1\odot}$	7^1	0.1	n ⏢. 0^{44}–1^{01} p [◹, $1^{03.56}$ p ◍^{1}. 2^{30}–3^{55} p [◹, 3^{19}–4^{09} p
3.	28.7	28.1	30.7	6.3	5.0	− 0.1	10.8	− 0.2	6.9	5.0	3.4	98	76	74	N 1	NW 5	W 6	10^{1}●	10^2	4^1	3.4	n–a ◍. 7 a ≡^{0} ◍^{0} 1 p ◍^{0}. 2^{20} p ◍^{1}. 4^{36}–5^{12} p ✳^{1}
4.	33.5	33.8	34.7	− 2.1	0.8	− 3.6	2.4	− 3.9	3.3	2.4	2.2	83	49	62	NW 3	NW 6	N 1	$5^{1\odot}$ ≋	8^1	0	0.6	n ⌊⌋. 6^{57} a an ✳, 11^{16} a–0^{02} p, 3^{30} p ✳
5.	33.0	32.9	34.5	− 4.9	0.0	− 2.8	1.0	− 7.2	2.3	2.3	2.1	74	51	55	N 5	N 8	N 8	$5^{1\odot}$	9^1	2^1	0.1	n ⌊⌋. 0^{34} p ✳^{0}. 3^{43} p ✳^{0}
6.	35.0	35.7	38.0	− 3.9	0.6	− 2.0	2.3	− 4.1	1.9	2.2	2.0	58	46	52	E 5	N 6	N 2	10^9	10^2	2^1	0.1	
7.	38.5	37.0	37.2	− 2.5	5.3	− 0.8	6.4	− 4.4	2.8	2.9	2.5	72	43	58	N 2	E 2	NE 2	2^1	$7^{1\odot}$	9^1	–	n ⌊⌋. 7 a ≡^{0}
8.	35.7	36.4	39.5	− 1.1	4.5	− 1.0	6.8	− 3.1	3.3	3.2	3.2	78	54	74	NW 3	N 6	NE 1	10^1	9^1	6^1	–	n ⌊⌋. 2^{27} p, 3^{51} p ✳^{0}
9.	40.2	38.6	36.1	1.5	6.4	1.4	7.8	− 1.5	4.3	3.7	3.0	83	51	59	N 2	N 1	S 2	$8^{1\odot}$	8^1	6^1	0.1	10–11^{30} a ztw. ✳^{0}
10.	31.7	30.8	33.9	0.4	6.7	2.6	10.4	− 2.1	4.1	4.2	4.8	87	57	87	S 2	S 2	NW 2	10	10^2	10^2	–	8^{31}–10 a, 1^{43} p ✳^{0}. 9 p ≡
11.	37.8	38.9	39.7	0.7	10.8	4.4	12.4	− 1.5	4.8	3.8	3.9	98	40	62	NW 2	NW 3	NW 1	$2^{1\odot}$	10^1	1^1	0.1	n ⌊⌋. 7 a ≡
12.	39.5	36.0	34.0	− 0.6	14.3	5.1	15.3	− 3.5	4.4	4.1	5.3	100	34	82	SE 1	W 6	W 6	$1^{1\odot}$	$7^{1\odot}$	10^2●	–	n ⌊⌋. 6^{45} p, 9 p ◍^{0}
13.	36.2	38.3	42.4	2.8	7.5	3.1	11.3	1.8	4.4	3.2	4.9	77	42	87	NW 6	N 5	W 2	$7^{1\odot}$	10^2	8^2	0.3	2^{13} p, $4^{11.35}$ p ◍^{1}
14.	44.3	43.3	41.9	2.6	10.3	6.3	12.4	− 0.1	4.8	4.1	3.4	85	44	48	W 1	SE 1	W 2	$8^{1\odot}$	8^1	7^1	0.4	n ⏢
15.	41.4	39.3	39.4	2.0	15.9	9.9	16.8	− 1.7	4.6	4.1	3.7	87	31	40	S 2	W 4	W 1	10^1	$3^{1\odot}$	9^1	–	n ⌊⌋
16.	37.2	35.6	34.8	8.5	19 9	13.3	21.1	3.9	4.9	5.5	4.7	59	32	41	S 2	W 5	SW 2	7^1	$10^{0\odot}$	5^1	–	n ⏢
17.	35.9	35.4	36.2	5.3	20.5	11.7	22.1	2.1	5.0	5.7	5.6	75	32	54	S 1	W 1	NW 1	$1^{1\odot}$	$8^{0\odot}$	1^1	–	n ⌊⌋
18.	38.0	36.2	34.7	8.7	21.4	13.4	23.4	2.1	5.8	5.5	5.5	69	29	48	S 1	SW 2	S 2	$8^{0\odot}$	9^1	1^1	–	n ⏢
19.	34.7	32.9	32.3	8.0	22.6	14.0	23.6	4.1	5.5	5.3	6.1	68	26	52	S 1	S 3	S 1	$10^{0\odot}$	$2^{1\odot}$	4^2	–	n ⏢
20.	36.4	38.7	43.8	10.8	19.0	13.0	20.8	8.8	7.6	8.3	7.6	79	51	68	W 2	NW 3	C	9^1	$7^{1\odot}$	10^2	0.2	11^{30} p ◍^{0}
21.	49.6	50.1	50.9	8.7	18.8	12.3	20.8	5.6	6.9	6.8	6.9	83	43	65	NW 1	W 1	N 1	$2^{1\odot}$	5^1	1^1	0.1	n ⏢
22.	**51.2**	47.9	45.2	7.5	21.2	14.0	22.8	4.0	6.2	7.0	7.7	80	37	65	C	W 1	C	$1^{1\odot}$	$3^{1\odot}$	1^1	–	n ⏢
23.	42.9	39.8	37.7	8.8	23.5	14.3	**24.2**	5.5	7.1	**9.0**	7.4	84	42	61	E 1	NE 1	S 2	$9^{1\odot}$	10^1	2^1	–	n ⏢
24.	37.1	37.2	38.2	9.4	16.8	10.0	18.6	7.1	7.3	6.8	5.4	84	48	58	S 1	NW 2	W 1	10^1	8^1	1^1	0.1	n ⏢
25.	38.1	36.4	35.4	8.7	18.3	11.1	19.3	5.2	6.6	6.4	6.3	78	41	63	S 2	S 2	S 2	$6^{1\odot}$	$3^{0\odot}$	1^1	–	n ⏢
26.	34.0	32.4	33.5	9.5	21.0	12.2	21.7	4.4	6.3	7.9	6.1	71	43	57	SE 1	W 3	SW 3	$3^{1\odot}$	$8^{1\odot}$	9^1●	–	n ⏢. 10^{43} a ◍^{1}. 9 p ◍^{0}
27.	35.9	32.6	28.7	5.7	9.3	8.1	13.3	3.4	6.2	6.0	6.9	91	69	86	SW 2	S 5	SW 4	10^1	10^2●	10^2●	0.4	n ⏢. 11^{15} a, 0^{43}–2 p, 9 p ◍^{0} [2^{52} p, $5^{24.28}$ p, 6^{07} p ◍^{1}
28.	26.3	28.1	30.4	8.4	13.2	8.6	14.5	6.4	6.5	7.0	6.7	79	62	81	SW 5	W 7	W 4	10^2	10^1	8^2	**8.7**	9^{30} p ◍^{2}. 8^{11} a, 0^{39}–1^{11} p ◍^{1}. $2^{13.36}$ p [◹, $2^{18.22}$ p ◍^{2} △.
29.	26.7	25.4	27.7	8.6	15.3	6.6	16.7	5.4	7.5	6.6	5.8	91	51	80	S 5	W 5	S 2	10^2●	$8^{1\odot}$	9^1	4.1	7^{00} a ◍^{0}. 7^{53} a, 9^{17} a, $14^{1.40}$ p, $4^{35.51}$ p ◍^{1}
30.	27.9	27.7	29.9	6.7	13.5	9.5	15.8	4.2	6.7	6.7	0.9	91	58	78	SW 2	SW 2	C	10^2●	8^2	10^2	1.9	5^{45} a, 7^{09} a ◍^{0}. $9^{15.36}$ a ◍^{1}. $11^{2.23}$ p ◹
																					20.9	
Mittel	36.7	35.8	36.3	4.7	13.2	7.1	15.2	1.8	5.4	5.4	5.2	82	46	66				6.9	7.7	5.2		

Würzburg.

April. $\varphi = 49^0\ 48'$ N. $\lambda = 9^0\ 56'$ E $= 39^m\ 44^s$. H $= 179.3$ m. Cg $= +0.3$ mm. 1911.

1.	45.8	44.8	45.3	9.2	17.4	12.2	18.0	8.6	7.6	7.3	**8.4**	89	50	80	C	S 2	S 2	10^2	6^2	10^2	–	2^{40}–3^{05} p ◍, $2^{50.52}$ p △
2.	44.2	41.5	40.3	8.2	17.2	10.1	17.2	7.8	7.3	7.2	8.3	**91**	49	89	SE 1	SW 4	C	6^1	8^1	0	7.0	$2^{35.50}$ p [◹, $2^{58.58}$ p ◍
3.	38.1	38.0	40.6	9.2	6.9	1.5	10.1	1.3	6.7	4.3	3.4	78	57	67	W 3	W 5	W 2	10^2	10^2	2^1	0.2	2^{10} p an ztw. ◍. 4^{43}–5^{05} p ✳. 9 p ☋
4.	43.4	43.5	43.8	− 1.5	1.7	− 2.1	2.2	− 2.4	3.1	2.1	2.5	76	40	63	W 1	NE 4	NE 4	2^1	$5^{1\odot}$	0	1.1	n △. a ⌊⌋. 7^{53} a an ztw. ✳^{0} △^{0}
5.	42.7	42.2	43.5	− 5.0	1.4	− 1.2	1.8	− 6.0	2.2	2.3	2.0	71	46	48	E 3	NE 6	NE 6	$4^{1\odot}$	10^2	10^2	–	a ⌊⌋
6.	44.3	45.0	47.5	− 2.1	2.7	0.3	2.7	− 2.5	2.0	2.2	2.3	51	40	48	NE 6	E 6	E 6	10^2	10^2	8^2	–	
7.	47.9	46.3	46.2	− 2.1	5.1	1.2	6.3	− 4.1	2.8	2.7	2.3	71	41	55	E 4	E 4	E 4	oo	5^1	10^2	–	
8.	45.8	46.1	48.8	0.9	5.9	2.0	7.0	− 1.0	3.1	3.9	3.4	63	56	64	E 2	E 4	E 3	10^2	10^2	2^1	–	5^{14} p ✳flocken
9.	49.7	47.9	45.3	3.4	6.7	3.5	10.0	− 0.4	3.8	2.9	3.4	65	39	58	E 2	E 2	E 2	$2^{1\odot}$	$4^{1\odot}$	1^1	–	
10.	41.2	40.0	42.9	2.8	7.5	3.8	8.8	− 0.7	4.1	4.1	4.5	72	54	75	C	W 2	C	10^2	10^2	2^1	–	
11.	47.4	48.3	47.8	− 0.5	11.5	6.5	12.9	− 1.9	3.9	4.2	4.6	88	41	64	C	NE 2	C	oo	10^2	2^1	–	a ⌊⌋ ∞
12.	48.7	45.7	44.9	1.0	13.6	6.4	14.0	− 0.7	4.0	3.4	5.4	81	29	75	SW 1	NW 5	NW 5	oo	$8^{1\odot}$	10^2●	–	a ⌊⌋ ∞. 8^{20} p an ◍
13.	46.7	48.6	51.9	4.4	9.3	4.8	11.3	3.3	3.7	3.2	4.3	59	37	67	NW 4	N 6	C	$3^{1\odot}$	10^2	8^1	0.5	p ztw. ◍tropfen
14.	54.0	51.3	50.7	0.8	11.0	7.2	12.0	− 0.4	4.2	3.4	4.1	87	34	54	SW 1	SW 2	C	oo	$5^{1\odot}$	4^1	–	a ⌊⌋
15.	51.1	48.9	48.0	2.9	15.4	9.6	16.1	0.0	4.2	3.8	3.8	74	29	42	W 1	W 4	C	$3^{1\odot}$	$2^{1\odot}$	4^1	–	a ⌊⌋ ∞
16.	46.2	44.5	43.3	10.5	19.4	12.0	19.5	6.6	5.1	4.8	5.6	53	29	54	W 4	NW 5	C	$4^{1\odot}$	$6^{1\odot}$	0	–	
17.	44.7	43.8	44.9	5.6	20.0	11.6	20.1	3.6	5.1	4.3	4 9	75	25	48	C	NW 2	NE 2	oo	$8^{1\odot}$	0	–	a ⏢ ∞
18.	46.6	44.7	43.0	7.8	21.0	12.9	21.2	3.6	5.5	4.9	5.5	69	26	50	SE 1	SW 3	SW 1	$5^{1=}$	oo	0	–	a ⏢ ≡^{1}
19.	43.8	41.2	41.9	6.6	21.6	15.0	22.0	5.0	5.5	5.0	6.1	76	26	49	C	S 2	SW 4	$3^{1\odot}$	$5^{1\odot}$	10^2	–	a ⏢ ≡^{1}
20.	45.9	48.8	52.9	11.1	15.8	12.7	17.0	9.8	7.5	7.4	7.4	76	56	68	W 3	NW 4	C	10^2	$8^{2\odot}$	4^2	0.4	n ◍^{0}
21.	59.0	59.2	59.7	8.4	18.8	12.5	19.8	6.3	6.4	6.2	7.3	78	38	68	NW 1	NW 2	C	oo	$4^{1\odot}$	0	–	a ⏢ ∞
22.	**60.0**	56.4	53.5	7.0	21.6	13.8	22.1	5.1	5.9	7.1	7.8	78	37	67	C	SE 2	C	oo	oo	0	–	a ⏢ ≡^{1}
23.	50.7	48.1	46.5	9.1	22.4	13.9	**23.0**	6.5	6.9	7.9	7.7	80	40	65	W 1	NW 3	C	$3^{1\odot}$	10^2	0	–	a ⏢ ≡^{1}
24.	46.3	46.7	47.1	12.0	16.4	11.7	17.3	10.8	6.8	5.8	6.2	65	42	61	NW 2	N 4	N 2	10^2	10^2	0	–	
25.	47.2	45.2	44.0	9.0	18.2	12.5	18.7	8.0	6.6	5.4	6.6	77	35	61	NW 1	S 2	S 1	oo	$3^{1\odot}$	0	–	a ⏢ ∞
26.	43.0	41.4	42.5	7.9	19.5	12.2	20.6	6.6	6.1	5.8	6.8	76	35	64	W 1	W 5	W 2	6^1	10^2	0	–	a ⏢ ∞. 7 p ◍tropfen
27.	44.6	41.6	37.4	6.9	8.9	9.4	12.2	5.2	6.5	7.2	7.4	87	86	86	S 2	SW 3	SW 2	10^2	10^2●	8^2	0.1	10 p ◍^{0}. p ztw. ●
28.	35.9	37.2	39.5	8.2	12.4	9.3	13.7	8.0	7.0	7.2	7.0	87	68	80	W 6	W 5	W 2	10^2●	10^2●	2^1	**7.1**	n, a ◍. t ztw. ⸗ ◍
29.	35.6	34.5	36.3	9.8	14.7	8.0	15.3	8.0	7.2	5.8	6.7	80	48	83	S 4	W 6	W 2	10^2●	$5^{1\odot}$	10^2	4.7	n, a ◍. t ztw. ⸗ ●
30.	36.4	36.4	39.1	9.5	14.6	10.0	14.9	5.7	6.5	5.0	6.7	74	40	73	W 3	W 3	W 2	10^2	$6^{1\odot}$	0	1.7	9^{15} a ⸗ ◍ △
																					22.8	
Mittel	45.9	44.9	45.3	5.4	13.3	8.1	14.3	3.3	5.2	4.9	5.4	75	42	64				5.0	6.9	3.6		

Alle Angaben nach Ortszeit.

Ludwigshafen a/Rh.

April. $\varphi = 49^0\ 29'$ N. $\lambda = 8^0\ 26'$ E $= 33^m\ 44^s$. H = 100.3 m. Cg = + 0.3 mm. 1911.

Datum	Luftdruck auf 0° u. Normalschwere reduziert 700 mm +			Lufttemperatur C°					Absolute Feuchtigkeit mm			Relative Feuchtigkeit Proz.			Richtung und Stärke des Windes 0 bis 12			Bewölkung 0 bis 10			Niederschlag mm	Bemerkungen
	7a	2p	9p	7a	2p	9p	Max.	Min.	7a	2p	9p	7a	2p	9p	7a	2p	9p	7a	2p	9p	7a	
1.	53.9	52.7	53.1	8.0	17.2	13.2	19.7	6.8	7.1	7.6	7.7	**89**	52	68	SE 1	W 2	W 1	oo	6^1○	10^0	–	a ∞
2.	51.6	48.9	47.7	9.0	17 8	16.6	18.5	7.6	7.4	6.9	6.9	87	46	50	S 1	SW 1	SW 1	5^0	3^0○	6^0	–	a ∞
3.	47.0	47.4	49.5	8.2	5.4	2.1	16,6	2.1	6.5	4.9	3.8	81	74	71	NW 3	W 5	SW 6	10^1●	10^2●	10^0	0.6	n ◍^{0}; 6^{30}–7^{10} a, 2 p ◍^{0}; 9 p ≡
4.	52.4	51.7	51.5	– 1.1	4.3	0.1	4.3	– 2,6	3.6	3.3	2.5	84	52	55	N 3	NE 3	NE 1	6^1○	6^1○	o	0.6	n ✳
5.	50.6	49.3	50.6	– 3.4	2.3	0.9	2,6	– **4.2**	2.2	**1.9**	3.0	63	35	61	NE 2	NE 4	NE 2	2^0○	10^1	10^0	–	
6.	52.0	53.1	55.4	– 2.1	1.4	1.0	2.4	– 3.2	3.3	2.8	3.0	83	54	62	NE 4	NE 3	NE 2	10^0*	10^1*	10^0	–	7 a ✳^{0}; vorm. u. nachm. anhaltend ✳^{0}
7.	55.4	53.9	53.6	– 1.7	6.2	3.6	6,2	– 2.4	2.8	2.9	3.1	70	49	52	NE 2	NE 2	NE 1	oo	5^1○	10^0	0.5	
8.	54.1	53.9	56.5	0.4	6.8	3.2	7.0	– 0.8	3.6	3.5	4.8	76	48	83	N 2	N 2	N 2	10^2	5^0	5^0	–	a ∞
9.	58.0	55.8	53.4	2.1	9.6	3.7	10.3	0.6	4.0	3.0	3.2	77	33	54	N 1	C	SW 1	5^0	5^0	3^0	–	
10.	49.5	48.0	50.6	1.3	8.0	4.7	8.0	– 0.8	3.7	4.0	4.6	72	51	71	S 1	SW 2	E 2	9^1	10^2	3^0	–	
11.	54.8	56.0	56.7	0.9	12.0	9.0	12.4	– 0.4	4.4	3.4	4.2	**89**	33	49	N 2	NE 2	E 1	oo	9^2	o	–	a ⌊^{1}
12.	57.4	54.6	53.8	3.2	14.8	9.6	15.6	2.2	4.5	3.9	5.3	78	31	59	N 2	W 1	W 5	oo	3^0○	10^1	–	a ⌊^{0}; 9 p ≡
13.	56.1	57.8	61.1	5.2	8.4	5.4	9.6	3.6	4.3	4.1	3.9	65	51	59	W 4	N 3	N 2	7^1○	5^1○	4^1	–	
14.	62.6	60.7	59.7	2.7	11.2	8.0	11.4	0.2	4.4	3.3	3.6	79	34	45	W 2	N 1	C	oo	3^0○	2^9	–	
15.	59.5	57.5	56.5	2.2	17.4	11.6	18.0	1.0	3.9	4.2	6 3	74	29	62	SE 2	SW 2	S 1	oo	6^1	4^0	–	
16.	55.1	52.4	53.4	9.0	20.4	14.2	21.3	8.0	4.8	3.5	5.4	56	**19**	45	S 1	SW 1	SW 1	oo	3^0○	o	–	a ⌓
17.	53.0	51.7	52.5	8.6	21.0	15.8	22.4	6.7	5.9	3.7	5.2	70	20	39	S 1	W 1	W 1	oo	5^0○	o	–	
18.	54.1	51.6	49.6	10.6	21.4	17.1	23.4	9.9	4.7	4.4	5.0	49	23	35	SE 1	SW 1	C	7^1○	oo	o	–	
19.	50.6	48.7	51.1	12.5	21,8	12.9	22.4	8.4	5.4	4.3	7.2	50	22	65	S 1	S 1	W 2	2^0○	4^0○	10^0	–	
20.	54.8	57.7	61.6	10.6	15.4	11.0	16.7	9.2	7.8	6.1	8.1	83	47	82	SW 1	W 2	SW 2	9^1	7^1○	5^0	3.7	1^{20}–3^{30} a ◍^{1}; a ◍^{0}
21.	67.0	67.4	67.4	9.3	18.6	15.2	19.6	7.6	6.3	5.4	6.5	72	34	51	W 1	W 1	C	oo	4^0○	o	0.1	
22.	**67.6**	63.4	60.9	8.8	22.0	16.6	23.4	7.2	6.0	7.0	7.9	71	36	56	NW 1	NE 1	N 1	oo	oo	o	–	a ∞
23.	59.1	56 2	54.5	12.0	22.4	17.2	**23.5**	11.6	8.9	**9.3**	5.5	86	47	38	NE 1	C	C	5^0○	oo	o	–	
24.	54.9	55.3	55.3	13.4	16.6	13.4	17.6	11.4	7.2	4.9	6.2	63	35	54	W 2	W 4	SW 1	5^0	6^1○	o	–	
25.	55.1	52.8	51.0	8.0	18.6	16.1	19.1	6 3	6.2	5.7	6.1	78	36	45	C	C	C	oo	3^0○	o	–	a ∞
26.	50.1	49.9	52.3	10.4	18.5	9.0	19.2	7.6	6.7	5.4	6.7	72	37	78	S 1	SW 3	SW 4	9^1	10^1	10^1●	–	t bōig; 8–9 p ◍
27.	52.5	48.5	44.5	6.7	10.5	9.5	10.8	5.0	5.9	6.2	7.9	82	65	**89**	S 3	SW 3	SW 2	10^0	10^1	10^1	0.5	n ◍; t bōig; abds. ◍
28.	44.1	46.6	47.6	9.8	15.0	10.6	15.7	8.8	6.7	6.1	6.4	74	49	68	SW 4	SW 3	SW 2	9^1	6^1	4^0	**7.4**	n ◍ ≡; a u. p öfters ◍schauer
29.	**41.8**	43.7	43.8	9.6	9.3	8.6	14.3	8.0	7.7	7.1	7.0	87	82	84	SE 3	W 5	S 3	10^1●	10^1●	10^1	2.8	n ◍; mrgs. ◍böen; 1^{45}–2^{14} p ◍
30.	44.5	44.2	47.0	8.7	13.5	9.2	15.0	8.0	7.4	5.6	7.1	88	49	81	S 2	SW 2	S 1	5^1○	10^2	10^1	1.6	n, abds. ◍
																					17.8	
Mittel	54.0	53.1	53.4	6.1	13.6	9.6	14.9	4.5	5.4	4.8	5 5	75	42	60				4.5	5.8	4.9		

Nürnberg

April. $\varphi = 49^0\ 27'$ N. $\lambda = 11^0\ 3'$ E $= 44^m\ 12^s$. H = 309.1 m. Cg = + 0.2 mm, über 735.0 mm Cg = + 0.3 mm. 1911.

1.	34.8	33.9	34.0	9.4	16.3	11.4	16.7	7.8	7.2	6.6	**8.1**	82	48	81	SE 1	NW 2	S 2	10^1=	6^2○	10^2	–	a ≡^{1}. 6^{40} a, 7^{05} a, 7^{40} a, $9^{30.45}$ p ◍^{0}, $3^{00.10}$ p ◪
2	33.1	30.4	29.2	9.0	17.2	9.7	17.8	7.9	7.3	7.3	**8.1**	86	50	**91**	C	SE 2	S 1	7^1○	8^2	o	–	$2^{30.30}$ p ◍^{1}, $2^{33.35}$ p △^{2}. 2^{40}–3^{30} p ◍. $1^{40.45}$ p, 2^{18}–3^{14} p ◪
3.	26.3	25.2	28.1	8.4	5.3	0.9	9.6	0.9	7.4	5.4	3.3	**91**	82	66	NW 2	NW 2	NW 3	10^2	10^2	5^1	2.5	a ∞. 0^{45}–1 a, 6–7 a, 7^{25}–8 a ◍^{0}. 3^{35}–4^{15} p ◍^{0} ✳^{0} 1)
4.	30.7	30.7	31.6	– 3.2	– 0.5	– 3.0	1.4	– 4.2	3.0	2.8	2.7	82	64	74	NW 2	N 3	NE 3	3^1○	5^2○	o	0.2	a ⌊. 2–3 a ✳^{0}. $9^{00.30}$ a, m–nach 6 p ✳^{0}
5.	30.1	29.8	30.7	– 4.8	0.8	– 2.2	1.0	– **7.0**	**2.3**	3.0	**2 3**	74	61	59	E 2	E 4	NE 3	9^1	6^2○	o	–	a ⌊. t ztw. ✛
6.	31.2	32.5	35.0	– 3.1	0.6	– 1.3	1.0	– 3.9	2.9	2.6	3.0	64	54	73	NE 1	E 3	NE 3	10^1	10^2	10^2	–	t ztw. ✳^{0}
7.	35.6	34.4	33.8	– **2.5**	3.7	0.7	4.1	– 3.3	3.2	3.1	3.7	83	52	76	E 2	E 2	NE 2	10^1	8^2	10^2	–	a ≡^{0}, ztw. ✳^{0}, abflauende Winde
8.	33.4	33.5	36.5	– 1.7	4.7	1.8	5.0	– 2.7	3.2	2.7	3.6	80	43	69	NE 1	NE 3	NE 2	9^1	10^2	8^2	–	a ≡^{0}, wechselnde Bewölkung
9.	37.4	36.2	33.9	1.0	4.9	1.1	5.6	0.0	4.0	2.9	3.9	69	45	79	NE 2	NE 2	SW 1	10^1	10^1	2^1	–	6^{40}–7^{30} a ✳^{0}, wechselnde Bewölkung
10.	29.8	29.2	31.2	1.5	5.3	3.1	6.9	0.1	3.8	4.4	4.5	74	66	79	NW 1	N 1	NE 1	9^2=	10^1	o	–	a, 7–8 p ≡^{1}. $9^{25.45}$ a ✳^{0}
11.	35.0	36.8	37.3	– 1.7	8.8	5.2	10.0	– 2.5	3.4	3.8	4.9	84	46	74	N 1	NE 2	NE 1	8^1=	10^1	10^2	–	a ⌊ ≡^{2}, wechselnde Bewölkung
12.	37.1	34.0	31.9	0.2	12.6	5.4	13.4	– 1.0	4.0	3.8	5.7	85	35	85	SE 2	W 4	W 5	10^2=	2^1○	10^2	–	a ⌊ ≡^{2}. 9–10 a ✳^{0}. $7^{10.25}$ p, 8^{35}–gegen 9 p ◍^{0}
13.	33.7	35.9	39.4	2.7	7.4	2.3	9.0	1.0	3.9	3.6	4.9	70	46	**91**	NW 3	NW 2	SW 1	6^2○	7^2	6^1	1.2	9–nach 11 p ztw. ◍^{0}. $10^{15.20}$ p ✳^{0}, nach 1 p ✳^{0}. 2)
14.	41 8	41.0	39.6	– 0.1	8.0	6.3	9.2	– 1.8	4.1	3.6	4.3	90	45	60	SW 1	W 2	SW 1	2^1○	4^1○	10^1	1.0	a ⌊ ≡^{0}, wechselnde Bewölkung, sehr sichtige Luft
15.	39.4	37.6	37.4	2.9	14.6	8.4	14.8	0.6	3.9	4.0	5.7	69	33	69	S 2	W 3	SW 2	8^1○	4^1○	o	–	a ≡^{0}, wechselnde Bewölhung
16.	36.1	34.0	32.8	6.3	18.2	11.6	18.6	4.6	5.3	4.5	5.6	75	29	55	SE 1	W 2	SW 2	6^1○=	6^1○	o	–	a ≡^{1}
17.	33.6	33.5	34.1	5.8	19.2	11.6	19.8	3.5	4.6	4.7	6.2	67	29	61	SE 1	S 3	E 2	1^0=	6^1○	o	–	wechselnde Bewölkung, sehr sichtige Luft
18.	36.1	33.9	32.4	7.8	19.8	15.0	21.0	3.9	5.3	5.5	5.0	67	32	39	S 2	S 2	E 2	oo=	7^1○	o	–	a ≡^{1}, wechselnde Bewölkung
19.	32.3	30.5	30.2	10.8	20.5	16.0	21.1	6,3	5.9	5.1	6.1	61	28	45	S 2	NW 2	W 3	6^1○	3^2○	10^2	–	heiter. 7^{10} p–n ◹. 8^{30} p ◍^{0}
20.	34.0	36.9	41.2	10.0	16.8	13.2	16.8	8.1	7.1	8.1	7.5	78	57	66	W 3	NW 3	NW 2	7^1○	9^1○	10^1	–	wechselnde Bewölkung, 7^{20}–8 p ◹
21.	47.0	47.8	48.3	8.0	17.2	13.0	18.0	7.0	6.9	7.1	7.8	86	48	70	NW 2	NE 2	C	5^1	6^1○	o	–	a ∞, t wechselnde Bewölkung
22.	**48.5**	45.7	43.0	6.4	20.5	14.2	20 7	3.9	6.4	7.0	7.1	90	39	59	SE 1	E 2	SE 1	oo=	5^1○	o	–	a ⌊ ≡$^{0.1}$, oft Windstille
23.	40.3	37.6	35.8	8.8	22.2	14.0	**22.3**	4.8	7.0	5.6	7.1	83	28	60	C	NW 2	SW 1	3^1○	9^2	o	–	a ≡^{0}, heiter
24.	34.9	34.8	36.0	11.1	16.7	11.3	17.4	7.6	6.7	7.2	5.8	68	51	58	SW 1	W 3	NW 2	8^1○	6^2	o	–	wechselnde Bewölkung
25	35.9	34.4	33.1	8.6	16.8	12.0	17.0	6.1	5.7	5.7	5.8	68	40	56	SE 1	W 2	E 1	9^1	2^0○	o	–	a ⌓. ≡^{0}, langsames Aufklaren, oft Windstille
26.	31.6	30.8	31.7	10.1	19.6	11.5	19.8	6.2	6.2	6.5	7.3	67	38	72	SE 2	SW 2	SW 2	4^1○	8^2○	10^2	–	a ⌓. 9–11 a ztw. ◍tropfen, nach 6 p ◍^{0}
27.	33.9	31.1	27.1	7.6	9.8	9.8	11.5	5.5	6.1	6.0	6.4	79	66	70	SW 3	SW 3	SW 3	10^2	10^2●	10^2	1.3	mn ◍^{0}, a ∞, m–4 p ztw. ◍^{0}. 8^{35} p–n ◍^{0}
28.	24.7	26.6	28.6	9.0	13.5	8.1	13.5	6.6	6.6	6.7	7.1	77	62	88	SW 3	SW 5	SW 3	10^1●	9^2	4^1	3.9	1 a–m ztw. ◍$^{0.1}$. 3^{30}–6 p ztw. ◍^{0}
29.	25 6	**24.2**	25.7	9.2	13.2	7.7	14.0	7.1	6.6	6.7	6.0	76	60	76	S 2	W 2	NW 2	10^1	10^2	10^2	**4.0**	5–9 a ztw. ◍^{0}. $11^{25.30}$ a ◍^{2}, m, $1^{30.40}$ p, 7^{30}–gegen 8 p ◍^{0}
30.	25.8	25.9	28.0	8.2	13.1	9.6	13.6	6.9	7.1	5.8	7.0	88	51	79	SW 2	SW 2	SW 2	10^2	6^2○	10^2	2.0	7 a–m ztw. ◍^{0}. $8^{30.35}$ p ◍^{0}. $2^{10.15}$ p ◪. 8^{30} p an ◹ i. W
																					16.1	
Mittel	34.3	33.6	33.9	4.9	12.2	7.6	13.0	2.7	5.2	5.1	5.6	77	48	69				7.0	7.1	4.8		

1) △^{0}. 5–nach 6 p ztw. ✳^{0}
2) $2^{30.40}$ p △^{0}, dann–4^{30} p ztw. ◍^{0}. 5–6 p △^{1}

Alle Angaben nach Ortszeit.

Kaiserslautern.

April. $\varphi = 49^0\ 27'$ N. $\lambda = 7^0\ 46'$ E $= 31^m\ 4^s$. H $= 242.2$ m. Cg $= +0.3$ mm. 1911.

Datum	Luftdruck auf 0° u. Normalschwere reduziert 700 mm +			Lufttemperatur C°					Absolute Feuchtigkeit mm			Relative Feuchtigkeit Proz.			Richtung und Stärke des Windes 0 bis 12			Bewölkung 0 bis 10			Niederschlag mm	Schneedecke cm	Bemerkungen
	7a	2p	9p	7a	2p	9p	Max.	Min.	7a	2p	9p	7a	2p	9p	7a	2p	9p	7a	2p	9p	7a	7a	
1.	41.1	39.9	40.1	4.7	16.7	10.5	17.6	3.2	5.6	7.2	**8.5**	87	51	91	C 1	W 2	C 1	2^0	3^1⊙	0	0.6	–	a ≡2; 334–406 p, 740–856 p, 831 p ⊠; 4311.31 p ◍0
2.	39.1	36.8	36.3	4.7	15.7	9.7	16.6	3.4	6.1	7.2	8.3	**96**	55	92	C 1	W 2	C 1	5^0⊙	8^1	5^1	0.7	–	a ≡2; 3 p kurz ◍0; 7–830 p ◍0.1
3.	34.6	35.2	37.0	7.3	4.1	1.0	10.3	1.0	6.8	5.1	3.5	89	84	70	W 2	NW 1	N 3	10^1	10^2●	5^1	4.5	–	n ◍; 130–3 p ztw. ◍0, ⩸
4.	39.3	38.7	38.4	– 2.0	1.8	– 1.4	4.3	– 2.9	3.0	**2.2**	2.3	76	42	55	N 2	E 2	E 1	3^0⊙*	4^1⊙	0	0.2	–	n ✳flocken; a ztw. ✳flocken; t ztw. ⩸
5.	37.3	36.4	37.2	– 4.2	0.0	– 1.2	1.2	– **4.8**	**2.2**	2.6	2.3	66	56	55	E 1	E 3	E 5	3^0⊙	10^1*	10^2*	–	–	n ztw. ⩸; a ⌙2; t–n ztw. ✳flocken, ⩸
6.	38.6	39.8	42.0	– 3.6	– 0.2	– 1.4	1.6	– 4.1	3.2	2.7	3.6	91	60	86	E 2	E 2	E 1	10^2*	10^1	10^1	0.5	**3**	n ✳ ⩸; a–m ztw. ✳ (✳tr.); p kurz ✳flocken
7.	41.8	40.6	40.5	– 3.0	3.6	1.5	4.6	– 3.8	2.9	3.3	3.0	80	55	59	E 1	NE 1	NE 1	00	10^1	10^1	1.9	1	
8.	40.8	41.2	43.1	– 0.4	4.6	1.4	5.6	– 1.0	3.1	4.4	4.4	70	70	87	E 2	E 3	E 1	9^1⊙	9^1⊙	0	–	–	a ztw. ✳flocken; p ztw. ⩸, ✳flocken
9.	44.5	42.7	40.5	1.0	6.1	1.0	7.1	– 0.6	4.2	2.8	3.7	85	39	75	E 1	E 1	E 1	10^1	8^1⊙	7^1	–	–	a ⌙
10.	36.7	35.1	37.7	– 1.0	5.9	0.6	6.6	– 2.9	3.9	4.9	4.5	90	71	94	E 1	W 1	C	10^1	10^1	0	–	–	a ⌙; p ztw. ◍tropfen
11.	41.7	42.8	43.8	– 1.4	10.3	3.2	11.5	– 2.9	3.8	3.8	4.5	92	40	78	C	SE 2	E 1	3^0⊙	9^1	0	–	–	a ⌙2 ≡2
12.	44.3	42.1	41.1	– 0.2	13.7	9.2	15.0	– 1.9	4.1	5.1	4.7	90	43	55	C	NW 1	W 2	4^0⊙	3^0⊙	10^2	–	–	a ⌙ ≡1; 833 p kurz ⩸
13	43.6	44.5	46.6	3.0	7.9	3.1	9.6	2.8	4.3	3.7	5.0	76	46	88	W 1	N 2	C	10^1●	7^0⊙	0	–	–	a u. abds. ◍tropfen
14.	48.7	46.9	46.2	– 0.3	10.5	4.5	12.6	– 2.3	4.1	3.8	4.2	90	40	66	C	NW 1	C	00	3^0⊙	5^0	–	–	a ⌙2, ≡1
15	46.4	44.7	43.6	0.8	15.5	8.9	16.6	– 1.1	4.0	4.5	5.8	82	35	68	NE 1	W 2	C	10^1	6^0⊙	3^0	–	–	a ≡2, ⌙
16.	42.2	40.0	39.0	6.7	18.5	9.5	19.6	4.1	4.8	4.1	5.7	66	26	64	W 1	W 3	C	2^0⊙	00	0	–	–	t ztw. ⩸
17.	39.9	39.3	40.0	6.1	18.9	13.3	19.6	2.3	5.1	4.2	5.2	74	26	45	C	W 2	C	3^0⊙	5^0⊙	0	–	–	a ≡1
18.	41.4	38.9	37.1	8.1	20.2	11.9	21.5	6.0	5.8	5.4	6.2	72	30	60	C	W 2	C	6^0⊙	4^0⊙	0	–	–	a ≡1
19	37.7	38.1	38.6	12.8	17.5	10.9	18.6	6.8	5.5	5.2	7.3	50	35	75	S 2	W 4	C	7^0⊙	7^0⊙	10^1	–	–	p ztw. ⩸; 6 p ab ztw. ◍0
20.	43.2	44.6	48.8	9.3	14.5	9.4	15.6	8.1	8.0	6.6	6.1	92	53	70	W 1	W 1	C	10^1	8^0⊙	5^0	1.7	–	n, a, p ztw. ◍0
21.	53.8	53.5	**55.1**	6.5	18.1	10.7	18.6	3.5	5.7	6.1	7.2	80	40	74	C	NW 1	C	7^0⊙	7^0⊙	0	0.7	–	n ◍0; a ≡2
22.	53.8	50.3	48.2	6.5	21.4	13.3	21.8	3.9	5.7	5.7	8.0	80	30	71	C	SE 1	C	3^0⊙	00	0	–	–	a ≡0
23.	46.1	43.6	42.3	9.1	21.8	13.5	**22.6**	6.0	7.0	4.6	6.4	81	**24**	56	C	NW 1	C	3^0⊙	3^1⊙	0	–	–	a ≡1
24.	42.4	42.6	42.7	10.7	14.5	11.0	15.6	8.1	6.6	5.5	6.3	70	45	64	NW 2	W 2	C	3^0⊙	10^1	0	–	–	
25.	42.2	40.1	38.7	5.5	17.9	11.1	19.6	3.1	5.5	5.6	7.0	87	37	70	C	N 1	C	00	4^0⊙	0	–	–	a ≡1
26.	38.1	38.0	39.8	7.8	15.6	7.5	16.6	4.9	6.2	5.5	6.6	79	42	86	C	W 4	W 1	10^1	10^1	4^0	–	–	a ≡2; p ztw. ⩸; 736–815 p ◍2, ⩸
27.	39.3	35.9	31.5	5.9	9.3	9.7	9.7	4.0	5.9	6.2	7.9	86	71	88	W 1	W 2	W 4	10^1	10^1	10^2●	1.9	–	n ◍; 830 a ab meist ◍1, ⩸; p ztw. ⩸ ◍0.1; 1)
28.	32.0	34.6	34.7	8.5	10.0	9.5	13.6	7.5	6.7	6.9	6.5	81	75	74	W 3	W 6	W 2	10^1●	10^2●	7^0	**10.6**	–	n ◍2, ⩸; a ztw. ◍0 ⩸; p–4 p ztw. ◍ ⩸
29.	**29.4**	31.1	31.6	10.1	10.5	7.0	12.6	7.0	8.0	6.8	6.3	87	72	84	W 3	W 3	C	10^2●	4^0⊙	0	4.4	–	n ◍, ⩸; a ztw. ◍0 ⩸; t ztw. ◍ ⩸; 2)
30.	31.9	32.1	34.6	7.7	11.1	7.7	12.6	5.0	6.1	6.6	6.9	77	67	89	W 2	W 2	C	9^0	9^1	5^0	1.7	–	1115 a an ztw. ◍0; 1100.25 p ◍0; p–n ztw. ◍0
																					29.4		
Mittel	41.1	40.3	40.6	4.2	11.9	6.9	13.3	2.1	5.1	4.9	5.6	81	49	73				6.1	6.7	3.5			

1) abds.–n ⩸ ◍0.1

2) 1115.20 p ◍2 ⩸ (bis 312 p ztw. ◍0 ⩸)

Ansbach.

April. $\varphi = 49^0\ 18'$ N. $\lambda = 10^0\ 33'$ E $= 42^m\ 12^s$. H $= 437.5$ m. Cg $= +0.2$ mm. 1911.

1.	23.7	23.1	23.3	6.4	14.9	10.5	16.8	5.2	6.3	7.0	7.8	88	56	82	C 1	N 4	C	6^1	10^2●	0	–	–	900.10 p ◍, abds. ztw. ◍
2.	21.9	20.0	18.2	7.1	12.7	8.0	16.0	5.6	6.7	7.3	6.8	88	67	86	C	SW 4	NW 2	6^1	10^2●	10^2	0.4	–	1142–912 p ◍
3.	15.6	14.8	17.1	7.9	4.8	– 0.6	8.8	– 0.6	7.1	5.2	3.6	90	82	83	NW 2	NW 2	N 2	10^2	10^2	4^1	0.6	–	t ztw. ◍ ✳
4.	19.6	19.4	20.1	– 4.8	– 1.5	– 4.8	0.2	– 5.4	2.5	2.5	**2.0**	79	61	63	N 2	N 6	NE 4	00	10^2*	0	1.7	–	mrgs. ⌙, t ztw. ✳
5.	18.0	17.7	18.7	– 7.4	– 0.4	– 3.1	0.2	– **8.3**	2.1	2.5	2.1	83	57	57	NE 6	NE 8	NE 8	10^2	10^2	10^2	0.1	–	⩸
6.	19.7	21.1	23.6	– 4.5	– 0.4	– 2.8	0.0	– 5.0	2.1	3.0	3.0	65	68	81	NE 8	NE 4	NE 4	10^2*	10^2*	8^1	0.1	–	t ztw. ✳ ⩸
7.	23.9	23.0	22.4	– 4.1	2.1	0.3	2.8	– 5.8	3.0	3.0	3.1	89	56	68	NW 4	E 4	NE 4	10^2*	10^2	10^2	0.6	–	Tauwetter. 7 a ✳
8.	21.7	21.4	25.0	– 3.0	3.6	0.9	3.8	– 3.8	2.9	2.6	3.7	78	43	75	NE 4	NE 6	NE 4	6^0	10^2	10^2	–	–	ztw. ⩸
9.	25.9	24.8	22.6	– 0.8	3.4	– 2.1	4.6	– 2.1	3.5	3.2	3.0	81	56	77	NE 2	NE 4	C	10^2*	10^2	2^0	–	–	mrgs. ✳00
10.	18 4	17.4	19 9	0.6	6.7	– 0.4	8.0	– 2.1	3.6	3.7	3.8	75	51	85	W 2	SW 2	C	8^1	8^2	2^0	–	–	
11.	23.7	25.3	26.1	– 2.3	10.0	2.6	10.6	– 3.8	3.5	4.1	4.4	89	45	80	C	E 2	C	00	4^1⊙	2^1	–	–	mrgs. ⌙
12.	25.6	23.2	21.2	– 1.0	12.0	6.8	13.0	– 3.0	3.7	4.0	5.0	86	38	68	C	W 6	W 8	00	2^0⊙	10^2●	–	–	mrgs. ⌙, nachm. ⩸, 732 p ab ◍
13.	23.2	25.0	28.3	1.8	6.6	0.4	7.8	0.0	4.1	3.1	4.3	78	44	90	NW 4	NW 4	C	00	8^2	2^0	1.9	–	445–5 p ✳0
14.	30.4	29.4	28.7	0.5	7.8	5.3	10.0	– 1.9	4.1	3.3	3.7	85	42	55	NW 2	W 4	W 2	4^1⊙	2^1⊙	4^1	0.1	–	mrgs. ⌙
15.	28.2	26.9	26.5	3.5	13.7	9.2	15.0	– 0.8	3.9	4.8	5.0	67	41	58	C	W 4	SW 4	2^0⊙	2^0⊙	0	–	–	
16.	24.9	23.4	22.2	6.6	17.5	10.9	18.4	3.9	4.8	5.0	5.2	67	34	54	C	W 4	C	2^0⊙	2^0⊙	0	–	–	
17.	22.6	22.2	23.2	8.0	18.7	9.2	19.0	4.0	5.4	5.0	5.5	67	32	63	C	W 4	W 2	00	4^0⊙	0	–	–	
18.	24.8	22.9	21.3	6.8	19.7	10 3	20.4	2.3	5.9	4.6	5.6	80	**27**	60	C	S 2	C	00	2^0⊙	0	–	–	mrgs. ≡0
19.	21.6	19.7	20.2	8.4	19.8	12.2	21.2	2.9	5.8	5.1	**8.4**	71	30	80	C	C	W 6	00	2^1⊙	10^2●	–	–	mrgs. ≡0, 802 p ab ◍ ⩸
20.	23.4	26.3	30.2	9.3	14.6	11.2	15.2	6.4	7.9	**8.4**	7.5	91	68	76	NW 4	NW 2	NW 2	2^0⊙	2^1⊙	0	0.3	–	
21.	35.8	36.7	**37.3**	8.3	17.3	9.8	18.0	5.2	7.2	7.9	7.3	88	54	81	NW 2	C	C	00	6^1⊙	0	–	–	
22.	37.1	34.4	32.0	6.9	20.4	11.5	21.2	3.1	6.3	**8.4**	8.0	85	47	79	NE 2	SE 2	C	2^0⊙	2^1⊙	0	–	–	mrgs. ≡0
23.	29.4	26.8	25.4	6.6	21.3	13.4	**22.2**	3.7	6.3	7.8	5.9	88	42	52	C	SW 2	C	2^0⊙	4^1⊙	0	–	–	mrgs. ≡0
24.	24.1	24.2	24.9	11.6	16.0	9.2	16.2	9.1	6.5	6.8	6.0	64	50	69	C	W 6	NW 2	4^0	4^1⊙	0	–	–	nachm. ztw. ⩸
25.	24.9	23.3	22.2	7.7	16.6	9.2	17.6	4.0	6.6	5.9	5.6	85	42	65	C	C	C	6^1	2^0⊙	0	–	–	
26.	20.6	20.1	20.9	11.4	18.1	10.2	18.6	5.0	7.8	6.5	7.5	78	42	79	C	W 4	SW 2	8^1	8^2	4^0	–	–	457–522 p ◍
27.	22.7	19.4	16.0	5.8	7.7	7.6	10.8	4.0	6.5	6 1	6.7	94	78	87	W 4	SW 4	SW 4	10^2	10^2●	10^2●	4.9	–	1137 a–322 p, 827 p ab ◍
28.	14.3	15.2	17.9	6.4	11.6	6.7	12.0	6.0	6.9	7.0	6.8	**96**	70	93	W 6	W 6	SW 4	10^2●	6^2⊙	0	4.4	–	n ⩸, t ztw. ◍ ⩸, 418 p ◠
29.	**13.9**	14.0	14.7	8.5	11.0	7.0	12.6	5.8	6.8	6.8	6.1	83	69	82	SW 6	W 6	W 2	10^2	10^2	10^2	**6.8**	–	730–830 a ◍, t ztw. ◍
30	14.8	14.7	17.2	6.6	12.8	7.8	14.0	5.0	6.7	4.9	6.1	93	45	78	SW 2	W 4	SW 2	6^2⊙	4^1⊙	0	2.3	–	800.20 p ◍
																					24.2		
Mittel	23.1	22.5	22.9	4.0	11.3	5.9	12.5	1.3	5.2	5.2	5.3	82	51	74				4.8	6.1	3.6			

Alle Angaben nach Ortszeit.

Regensburg.

April. $\varphi = 49^0\ 1'$ N. $\lambda = 12^0\ 7'$ E $= 48^m\ 28^s$. H $= 342.6$ m. Cg $= +0.2$ mm. 1911.

Datum	Luftdruck auf 0^0 u. Normalschwere reduziert 700 mm +			Lufttemperatur C°					Absolute Feuchtigkeit mm			Relative Feuchtigkeit Proz.			Richtung und Stärke des Windes 0 bis 12			Bewölkung 0 bis 10			Niederschlag mm	Bemerkungen
	7^a	2^p	9^p	7^a	2^p	9^p	Max.	Min.	7^a	2^p	9^p	7^a	2^p	9^p	7^a	2^p	9^p	7^a	2^p	9^p	7^a	
1.	32.1	31.3	31.4	8.4	15.6	5.6	16.0	3.9	7.4	6.9	6.3	91	52	**93**	W 1	W 1	NW 1	10^1●	6^2○	4^0	3.2	n, a–8 a ◍, 3^{48}–4^{18} p ◹, 4^{33}–6^{00} p ●, 9 p ≡^{0}
2.	30.8	28.2	26.1	5.6	15.8	7.0	16.9	3.1	5.9	6.3	6.7	86	47	89	N 1	S 1	C	6^1=	4^1○	0	7.5	a ≡^{1}
3.	24.6	22.8	24.6	7.8	6.7	1.0	10.1	– 0.1	6.9	5.8	3.9	88	80	79	NW 1	NW 2	N 2	10^2●	10^1●	10^0⊛	0.7	n, a–6^{15} a ◍, t öfters ✳^{0}, 9 p kurz ✳
4.	27.2	27.4	27.4	– 2.6	0.3	– 4.6	10.0	– 5.8	2.5	2.3	**1.6**	66	48	51	N 2	NE 2	N 2	4^1○	10^2	10^0	8.3	
5.	27.0	26.6	27.0	– 3.0	0.6	– 1.8	1.0	– **5.9**	2.4	2.5	2.4	66	52	60	E 2	E 3	E 2	10^1	10^2	10^1	–	
6.	27.6	28.0	31.6	– 3.6	0.0	– 2.0	0.4	– 5.0	2.5	2.7	3.0	74	58	76	E 3	E 3	E 1	10^1⊛	10^1	10^0	0.4	n ✳ ≡, 7 a ✳, 3–4 p ✳^{0}
7.	32.4	31.4	30.5	– 2.7	2.9	0.0	4.0	– 4.5	2.9	2.8	2.7	79	50	60	N 1	NE 2	E 1	4^0○	8^2○	10^0	–	⌊
8.	30.0	30.5	33.6	– 2.5	1.9	– 1.6	2.6	– 4.1	2.7	2.7	3.1	70	50	76	NE 2	E 3	E 1	10^1	10^2	10^0	–	11 a ✳^{0}
9.	33.8	33.4	29.5	1.4	4.5	1.4	5.0	– 2.1	3.6	2.9	3.2	71	45	64	N 1	NW 2	C	10^0	10^1	10^0	–	
10.	27.5	26.5	28.4	1.3	6.6	3.5	9.0	– 0.7	3.5	3.1	4.0	68	43	69	NW 1	NW 1	N 1	6^0=○	8^0	8^0	–	a ≡^{1}
11.	31.7	33.3	34.4	1.6	8.3	3.2	10.2	– 0.1	4.1	3.5	4.5	80	43	78	N 1	NE 1	C	9^0	10^0	6^0	–	
12.	33.7	31.1	28.5	0.8	13.7	5.0	14.0	– 2.0	4.1	3.6	4.3	85	30	66	N 1	NW 2	NW 3	4^0=○	6^0○	10^0●	–	⌊, a ≡^{1}, 9 p ◍
13.	29.3	32.7	36.1	2.3	5.2	2.2	6.3	0.8	3.4	4.5	4.0	63	68	75	NW 3	N 3	N 1	8^1○	10^2	10^2	1.6	9–10^{15} p, 11 a–1^{30} p ●, 4–5 p ◍ ✳
14.	38.4	37.5	36.3	1.1	7.2	4.8	9.2	– 0.1	4.0	3.0	4.3	81	39	67	N 1	N 1	C	2^0	2^0○	10^0	0.2	⌊
15.	36.6	34.5	34.3	1.7	14.3	6.5	15.2	– 2.1	3.8	3.2	4.7	73	27	65	S 1	W 3	C	2^0○	6^0○	2^0	–	⌊
16.	33.9	31.8	31.6	7.1	18.1	5.0	19.7	3.4	4.2	2.5	5.2	56	**16**	80	SW 1	W 2	S 1	6^0○	6^0○	0	–	
17.	31.5	30.8	31.5	4.8	19.0	9.4	20.2	1.4	4.8	4.2	4.6	74	26	52	S 1	W 1	C	6^0○	4^0○	0	–	⊿
18.	33.4	31.2	30.4	5.5	20.5	11.8	21.2	1.8	4.9	3.7	5.6	72	21	55	NW 1	S 1	C	2^0=○	60	0	–	⊿, a ≡^{1}
19.	30.2	28.5	28.3	8.6	21.4	9.4	21.7	4.9	4.9	4.1	5.1	59	22	60	S 1	S 1	S 1	2^0○	2^0○	0	–	
20.	32.2	32.5	37.2	8.0	19.0	12.4	19.7	2.0	5.9	6.2	6.9	73	38	64	NW 1	N 1	W 2	6^0○	6^2○	10^1	–	⊿, 7^{48}–8^{18} p ◹ im N u. S
21.	43.4	45.8	45.6	10.5	17.6	11.8	17.8	9.0	7.8	**8.9**	8.8	82	60	86	N 1	S 1	C	10^1	8^1○	0	**8.7**	n, 5^{15}–6^{45} p ◍
22.	**45.9**	43.1	39.7	6.0	19.4	10.8	20.3	4.3	6.4	6.2	7.8	91	37	82	N 2	S 2	C	10^0=	2^1○	0	0.4	⊿, a ≡^{2}
23.	38.9	35.4	32.5	8.8	21.1	11.0	**22.0**	5.3	6.6	7.7	8.0	78	42	81	N 1	S 1	C	8^0○	6^0○	0	–	⊿⊿
24.	31.9	32.8	32.0	9.4	18.7	12.0	19.2	4.9	7.1	5.9	6.4	80	37	62	NW 1	NW 3	N 2	8^0○	8^2	0	–	⊿⊿
25	32.8	31.7	31.2	8.7	16.3	9.6	17.2	5.7	5.4	5.0	5.9	64	36	66	NW 1	N 3	C	8^0	2^0○	0	–	⊿
26.	31.1	30.1	29.8	6.7	15.0	10.6	19.3	2.7	5.5	6.1	7.8	76	49	83	S 1	W 3	W 3	○○	8^2	10^1	–	⊿, $8^{30.45}$ p ◍
27.	31.5	30.2	25.7	7.9	10.0	8.0	12.1	5.6	5.2	4.8	6.4	65	52	81	W 1	W 3	C	10^1	10^0	10^0	0.2	2^{30}–4^{30} p ◍$^{0.1}$
28.	23.5	24.6	26.5	8.4	10.0	8.6	13.7	6.1	6.3	7.0	5.8	77	76	69	W 3	W 3	C	10^2●	6^2○	8^0	3.7	n, a–11^{30} a, 0^{30}–ca. 2 p, 3–3^{30} p ◍
29.	24.7	**22.5**	24.3	9.5	10.4	8.5	16.0	6.0	6.1	7.6	7.3	69	81	88	SW 2	SW 2	C	10^0	10^0	10^0	4.5	t öfters ◍, 1^{45} p ◍^{2} ⎓
30.	23.9	24.4	25.7	8.9	9.8	8.6	12.7	5.7	6.2	6.4	6.4	73	70	77	W 2	SE 1	W 1	10^2	6^2○	10^2●	7.5	11^{45} a–m, 1–1^{50} p, 9 p ◍
																					46.9	
Mittel	31.7	31.0	31.1	4.5	11.7	5.9	13.4	1.5	4.9	4.7	5.2	74	47	72				7.0	7.0	5.9		

Passau.

April. $\varphi = 48^0\ 34'$ N. $\lambda = 13^0\ 28'$ E $= 53^m\ 52^s$. H $= 309.3$ m. Cg $= +0.2$ mm. 1911.

1.	35.9	35.5	35.0	6.9	11.9	10.1	13.5	6.3	6.7	8.8	8.1	90	85	88	E 1	C	C	10^1	10^1	8^1	1.0	a ◍, p ◍^{0}
2.	33.9	31.0	29.7	7.3	15.8	8.7	16.4	7.2	7.3	7.4	7.1	96	56	86	E 1	C	C	10^2=	5^0○	0	0.2	a ≡^{2}
3.	27.6	**24.2**	26.2	7.5	10.9	5.3	11.2	5.3	7.4	8.1	5.1	96	84	76	E 1	W 1	C	10^1●	10^1	10^1	3.7	n, a ◍, 2^{51} p ◹, 2^{54}–3^{00} p ◍
4.	29.6	29.5	30.7	1.0	2.8	– 0.2	5.3	– 0.2	3.0	**2.4**	2.7	60	42	60	NW 2	NW 2	C	10^1	10^1	0	**10.5**	
5.	29.9	29.2	29.8	– 1.4	2.0	0.5	2.5	– **1.8**	2.7	2.5	3.1	66	48	66	E 4	E 4	E 6	8^1	8^1○	10^1	–	
6.	30.2	31.7	34.7	– 1.6	2.0	0.0	2.3	– 1.6	3.1	2.9	3.0	75	56	65	E 4	E 4	E 2	10^1	10^1	8^1	–	
7.	35.9	34.2	34.0	– 0.8	4.9	0.6	0.3	– 1.5	3.3	3.3	3.2	75	50	66	C	E 2	C	5^0	10^1	10^0	–	⌊
8.	32.5	33.7	36.1	0.0	2.6	– 0.2	2.6	– 0.2	3.5	3.3	3.2	75	60	70	C	W 2	C	10^1⊛	10^1	10^1	–	a ✳^{0}
9.	36.6	36.1	34.5	0.6	3.8	2.7	4.6	– 0.2	3.6	3.6	3.9	75	59	70	W 2	W 2	C	10^1	10^1	10^1	0.1	a ✳flocken
10.	30.6	29.6	31.9	1.6	6.6	2.0	7.4	1.5	4.1	3.8	4.5	80	52	85	W 1	C	C	10^1	8^0○	5^1	–	
11.	34.7	36.1	37.3	0.6	9.1	3.3	9.7	0.1	4.3	4.3	5.3	90	50	92	C	C	C	10^0	10^1	8^1	–	⌊
12.	37.3	33.5	30.1	– 0.6	11.9	10.3	13.5	– 0.9	4.4	4.4	5.1	100	44	54	C	W 4	W 4	10^2=	8^1○	10^1	–	a ≡^{2}
13.	32.0	34.5	37.9	3.2	4.7	3.6	10.3	3.2	4.0	5.3	4.9	70	82	83	W 4	W 4	C	10^1	10^1	5^1	2.4	n ◍, 9–10 a ✳^{0}
14.	40.1	40.7	40.4	3.4	7.3	4.3	8.3	1.8	4.1	3.2	5.1	70	42	82	C	C	C	5^1○	3^1○	10^0	0.1	⊿
15.	40.2	38.1	37.8	0.6	13.8	8.7	14.1	– 0.2	4.6	4.5	5.8	95	39	69	C	W 2	C	5^1	1^0○	0	–	⌊
16.	37.9	35.2	34.3	2.4	18.0	9.5	19.1	1.6	5.0	3.9	6.0	90	**25**	67	C	W 4	C	○○	3^0○	0	–	⊿
17.	35.1	34.3	34.5	2.8	18.2	9.3	19.1	1.8	5.1	6.2	6.8	90	40	78	C	C	C	3^0○	1^0○	0	–	⊿⊿
18.	36.8	34.9	33.9	4.7	18.8	11.9	20.3	2.2	5.8	6.1	7.2	90	37	69	C	S 1	C	○○	○○	0	–	⊿⊿
19.	33.1	31.9	31.9	6.1	20.8	15.0	21.5	5.2	6.3	6.7	6.1	90	37	49	C	C	C	○○	○○	0	–	⊿⊿
20.	34.5	35.7	39.3	8.7	18.8	13.4	19.9	7.1	6.7	6.8	7.8	80	43	69	S 1	W 1	C	○○	○○	0	–	⊿
21.	46.6	48.0	48.8	11.1	14.8	10.1	16.0	10.1	8.9	**9.3**	8.4	90	74	91	W 1	S 1	C	10^1	10^1	0	–	
22.	**48.9**	46.3	43.9	5.5	19.4	12.4	20.6	5.1	6.7	8.9	9.2	99	53	89	C	S 1	C	10^2=	3^0○	0	–	a ≡^{2}
23.	41.2	38.4	37.5	6.7	20.2	13.8	**21.9**	5.3	6.9	9.0	9.1	95	51	78	C	S 1	C	○○	3^0○	10^1	–	⊿⊿
24	35.5	34.6	35.1	8.5	20.0	12.9	20.9	5.2	7.5	7.7	7.7	90	44	69	C	W 2	C	○○	8^2○	0	–	⊿⊿
25.	30.0	35.1	34.3	9.7	16.6	9.5	17.0	7.7	7.0	6.4	7.1	78	46	80	C	NW 2	C	4^0	3^0○	0	–	⊿
26.	33.4	31.3	32.5	4.9	20.2	12.1	21.1	4.0	6.1	7.6	9.1	96	43	88	C	C	C	○○	3^1○	10^1●	–	⊿
27.	34.9	32.5	29.9	9.1	11.5	8.4	12.2	8.4	6.2	5.6	6.9	72	55	84	NW 2	W 4	C	8^1	10^1	10^1	4.3	n, nachm.–6 p ◍
28.	27.5	28.3	30.4	7.1	10.7	9.5	11.2	7.1	6.3	7.6	7.3	84	79	83	NW 4	NW 4	NW 2	10^1●	10^1	5^1	6.5	n, a ●, 1^{51}–2^{15} p, $4^{36.54}$ p ◹, 4^{44}–5^{01} p ◍
29.	29.0	25.9	27.5	8.3	15.2	9.7	15.9	7.1	7.4	8.0	7.9	90	62	88	E 1	C	C	3^0	10^0○	10^1	9.8	$11^{15.45}$ a, t öfters ◍
30.	27.2	27.8	29.4	7.8	10.2	8.3	11.2	7.8	7.6	7.0	7.2	95	76	88	W 2	SW 2	C	10^1●	10^1	0	8.4	n, a–11 a ◍
																					47.0	
Mittel	34.8	33.9	34.3	4.4	12.1	7.5	13.2	3.5	5.5	5.8	6.1	85	54	76				6.4	6.6	5.0		

Alle Angaben nach Ortszeit.

Landshut.

April. $\varphi = 48^0\ 32'$ N. $\lambda = 12^0\ 10'$ E $= 48^m\ 40^s$. H $= 397.7$ m. Cg $= +0.2$ mm. 1911.

Datum	Luftdruck auf 0° u. Normalschwere reduziert 700 mm +			Lufttemperatur C°					Absolute Feuchtigkeit mm			Relative Feuchtigkeit Proz.			Richtung und Stärke des Windes 0 bis 12			Bewölkung 0 bis 10			Niederschlag	Schneedecke	Bemerkungen
	7a	2p	9p	7a	2p	9p	Max.	Min.	7a	2p	9p	7a	2p	9p	7a	2p	9p	7a	2p	9p	mm	cm	
1.	27.3	26 6	26.3	5.2	15.9	7.3	20.5	3.1	5.5	5.6	7.1	83	42	93	W 4	E 2	C	10^1	3^1⊙	0	–	–	7^{20} a ◍tropfen
2.	25.5	22.1	21.9	6.3	17.5	8.6	19.3	2.1	6.4	6.6	8.1	90	45	**98**	C	E 2	C	8^1	5^1⊙	10^1●	–	–	$7^{31-8^{23}}$ p ⌇, 7^{46} p–n ◍
3.	18.6	**17.0**	18.7	8.1	6.3	2.4	14.0	0.3	7.7	7.1	4.6	96	99	84	W 2	N 2	NW 2	10^1●	10^1●	10^1	**12.5**	–	n, 0^{25}–1 p, 1^{30}–3 p ◍
4.	22.1	21.7	22.1	– 2.2	0.4	– 2.8	2.4	– 5.1	2.5	2.9	2.5	65	61	68	N 4	NE 4	NE 4	7^1⊙	6^1	0	6.1	–	n ✳^{0}, p öfters ✳böen
5.	20.3	20.0	19.9	– 2.4	1.6	– 0.4	2.8	– **6.5**	2.6	**2.1**	2.7	67	42	61	NE 4	E 4	E 6	8^1	10^1	10^1	0.1	–	
6.	21.0	23.3	25.8	– 2.4	– 0.7	– 1.2	0.8	– 4.7	3.2	3.7	3.4	83	85	80	NE 4	NE 2	NE 4	10^1*	10^1*	10^0*	0.5	–	n–8^{12} a ✳, 11^{10}–5 p ✳^{0}, 9 p ✳
7.	27.1	25.6	24.5	– 1.0	4.3	1 2	6.2	– 5.2	3.1	3.0	3.6	73	48	70	E 2	NE 2	E 2	8^1⊙	8^1	10^0	0.4	–	
8.	24.0	25 1	27.4	– 1.6	1.9	– 0.4	3.3	– 5.0	3.5	3.3	3.1	86	63	70	NE 2	E 2	E 2	10^1*	10^1	10^1	–	–	6^{40} a–0 p ✳
9.	28.3	28.0	25.5	– 0.4	4.0	1.3	6.1	– 4.2	3.5	2.2	3.6	79	36	70	N 2	NE 2	C	10^1	9^1	10^1	0.3	–	8–9^{30} a ✳^{0}, 9^{30}–10^{40} a ✳^{2}
10.	22.1	20 9	22.7	0.7	6.5	– 1.0	10.8	– 3.2	3.8	2.7	3.5	78	37	82	C	NW 2	C	9^0	9^1	2^1	0.2	–	
11.	26 6	28.0	29.0	– 0.6	9.5	3.0	12.1	– 6.1	4.0	3.0	4.4	90	34	78	W 2	NE 2	N 2	2^0⊙	9^1	9^1	–	–	7 a ⌊ ∞
12.	29.0	26.1	22.7	– 0.2	13.0	9.5	15.1	– 4.2	3.9	3.4	4.4	87	31	49	SW 2	W 4	W 6	0⊙	5^1⊙	10^1	–	–	⌊^{0}
13.	25 8	28.1	30.8	2.2	2.2	1.9	9.5	– 0.2	3.8	4.9	4.3	70	91	82	W 6	W 2	C	8^1	10^1●	9^1	3.6	–	n ◍ ⎓, 11^{30} a–0^{40} p ✳flocken, 0^{40}–3 p ◍^{0}
14.	32.9	32.5	32.0	1.8	7.7	3.1	11.9	– 1.8	4 2	3.6	4.5	80	46	78	NE 2	E 4	W 2	3^1⊙	2^1⊙	2^1	0.7	–	
15.	32.1	30.1	30.1	2.3	14.2	7.9	16.0	– 3.7	3.8	4.1	3.6	70	33	45	SW 4	SW 4	W 4	2^1⊙	2^0⊙	0	–	–	⌊^{0}
16.	29.3	27.3	25 6	2.4	18.8	8.7	22.0	– 3.3	4.0	2.7	3.0	74	**16**	35	W 2	W 6	W 2	1^0⊙	0⊙	0	–	–	⌊^{0}
17.	26.7	26.0	26.2	5.4	19.6	7.7	24.5	0.1	4 3	3.0	4.2	65	21	55	SW 2	W 2	W 2	8^0⊙	1^0⊙	0	–	–	
18.	28.8	26.5	24.3	5.2	21.4	14.9	25.2	0.4	4.9	4.8	5.3	74	25	42	W 2	E 2	E 4	0⊙	1^1⊙	0	–	–	⏢^{0}
19.	25.5	23.2	22.5	5.7	22.2	12.1	25.3	0.1	5.8	4.7	4.1	85	24	39	C	S 2	E 2	0⊙	0⊙	0	–	–	7 a ⏢^{0} ∞
20.	26.5	28.2	32.7	7.9	18.2	10.6	21.7	1.0	6 7	7.3	8.8	85	48	93	W 2	NE 2	W 4	4^0	7^1	10^1	–	–	6^{50}–8^{05} p ◍, 7^{00}–8^{10} p ⌇
21.	38.4	40 0	40.2	11.0	15.4	8.3	20.9	6.2	8.1	9.0	7.8	82	69	96	W 2	NW 2	C	10^1	4^1⊙	0	8.9	–	
22.	**43.8**	38.0	35.0	6.4	20.6	11.8	24.1	2.2	6.8	8.0	7.6	94	45	74	W 2	E 2	E 2	10^1≡	2^1⊙	0	–	–	7 a ≡^{1} ⏢
23.	33.0	30.2	28.0	7.1	20.8	12.5	**27.1**	1.3	6.4	7.5	9.1	86	41	86	NE 2	W 2	W 2	5^0⊙	7^0⊙	0	–	–	⏢
24.	27.3	26.8	27.6	11.0	18.6	9.7	20.4	5.0	8.3	6.2	6.8	85	39	75	W 2	W 4	NW 2	7^1⊙	9^1	0	–	–	⏢
25.	28.3	26.8	25.7	9.0	18.0	9.2	22.8	3.2	6.7	6.6	6.6	78	42	76	W 2	S 2	W 2	9^1	3^1⊙	0	–	–	⏢
26	24.6	23.9	25.0	7.0	16.8	10.6	21.2	1.4	6.6	**10.6**	7.8	88	75	83	NE 2	SW 2	W 4	0⊙	9^1	0	–	–	⏢, 0^{10}–1^{15} p, 5^{35}–6^{20} p ◍
27.	20.9	24.6	20.6	8.5	8.5	8.5	13.1	4.1	6.4	5.7	6.4	77	69	77	SW 4	W 4	W 4	8^0	10^1●	0	0.7	–	1–4^{30} p ◍
28.	19.2	20 1	22.3	7.7	10.6	7.9	14.5	5.2	6.7	6.7	7.2	86	71	90	SW 4	W 6	W 6	8^1⊙	10^1●	10^1●	3.7	–	n, t öfters ◍böen, 1^{40-41} p ▲, 2^{30} p ⌇
29.	20.2	17.9	18.4	8.7	12.2	8.5	16.3	4.5	6.6	7.4	6.9	78	70	84	W 2	W 6	W 2	10^1●	10^1	10^1	4.1	–	7 a, 10–11^{30} a, 4–5^{45} p ◍
30.	18.9	18.6	20.2	6.7	14.6	8.3	19.3	5.5	6.7	5.0	6.3	91	40	77	SW 2	W 2	C	10^1●	6^2	10^1	8.4	–	n–8^{30} a ◍, 8^{15-25} p ◍^{0}, 8^{20-25} p ⌇
																					50.2		
Mittel	26.6	25.8	25.8	4.2	12.0	6.3	15.6	– 0.3	5.2	5.1	5.4	81	50	73				6.5	6.2	4.7			

Augsburg.

April. $\varphi = 48^0\ 22'$ N. $\lambda = 10^0\ 54'$ E $= 43^m\ 36^s$. H $= 499.6$ m. Cg $= +0.1$ mm, über 728.8 mm Cg $= +0.2$ mm. 1911.

1.	18.6	18.0	18.2	5.6	16.2	10.2	16.4	3.9	5.5	7.4	7.4	82	54	79	SW 2	W 2	S 2	4^0⊙	5^2⊙	0	1.4	–	⌊
2.	16.6	14.0	13.4	0.7	17.6	9.7	17.6	5.3	6.2	6.9	7.3	84	47	83	SE 2	SE 2	W 2	10^1	5^2⊙	10^2●	–	–	⏢, 4^{15-520} p ⌇, 4^{10-45} p △ ◍, 4^{45} p–n ◍
3.	10.7	09.5	11.1	7.8	5.4	0.8	9.7	0.8	7.5	5.9	4.5	94	87	92	SW 2	NW 2	NW 2	10^2●	10^2	10^2 ●*	**25.1**	–	n ◍, t ztw. ◍ ✳
4.	13.2	13.2	13.7	– 1.5	1.9	– 2.2	2.2	– 2.3	3.5	2.7	3.9	86	52	64	NE 2	NE 4	NE 4	10^1	5^2⊙	10^1	2.2	–	⌊
5.	10.6	10.4	10.4	– 4.1	0.2	– 1.2	0.2	– 6.2	**2 6**	**2.6**	2.8	78	55	68	SE 4	NE 6	NE 4	102	10^1	10^1	–	–	⌊
6.	12.3	15.0	17.4	– 3.1	– 1.6	– 2.1	– 0.1	– 3.3	3.2	3.4	3.6	90	84	92	NE 4	NE 4	E 2	10^2*	10^2*	10^2*	0.4	I	n, t ✳
7.	17.5	16 4	16.1	– 2.1	4.2	0.4	4.2	– 3.3	3.4	3.7	3.5	85	60	73	E 2	E 4	NE 2	10^2	8^2	10^2	0.7	I	⌊
8.	15.2	16.4	18.9	– 2.4	1.3	0.2	1.8	– 3.2	3.4	3.5	3.1	90	68	68	NE 2	NE 2	NE 2	10^2*	10^2	10^2	0.7	I	n–m ✳
9.	20.0	19.3	17.2	– 0.9	2.2	1.4	3.2	– 3.2	3.6	3.0	3.0	82	57	60	E 2	E 2	C	10^1	10^2	10^1	0.8	–	6^{15}–7 a ✳
10.	13.1	12.0	14.3	0.2	6.2	2.0	6.2	– 2.7	3.3	**2.6**	2.9	72	38	54	N 2	NE 2	C	0⊙	9^1	0	–	–	
11.	18.0	19.3	20.7	0.4	9.2	4.2	10.3	– 2.1	3.8	3.3	3.7	80	39	62	NE 2	NE 2	C	0⊙	9^2⊙	0	–	–	
12.	20.6	18.4	15.6	1.7	13.0	8.6	13.0	– 2.0	4.1	4.0	4.5	80	38	54	C	SW 2	SW 2	0⊙	2^1⊙	10^1	–	–	
13.	18.2	20.2	22.8	1.8	3.9	2.2	8.6	0.8	3.9	4.7	4.6	75	77	85	NW 2	W 2	C	9^2	10^2 ●*	9^2	2.5	–	n ◍, 10^{35-40} a ✳, 0^{40-230} p ✳, 5 p u. 6 p ◍;
14.	24.6	24.1	24.0	0.0	8.0	4.8	9.1	– 1.3	4.2	3.8	3.8	91	49	57	N 2	C	SW 2	9^2	5^1⊙	8^1	0.2	–	n ✳ [6^{30} p △
15.	23.7	22.3	22.1	2.6	14.2	9.6	14.8	– 0.3	3.7	4.8	4.3	66	40	49	SW 4	W 2	SW 2	1^0⊙	5^1⊙	0	–	–	⏢
16.	20.7	18.7	17.6	8.1	18.7	12.5	20.0	2.5	3.6	4.0	5.1	44	**25**	47	SW 2	SW 4	W 2	1^0⊙	0⊙	0	–	–	⏢
17.	18.0	17.5	18.2	10.3	19.5	12.8	20.1	5.6	4.5	4.5	5.1	48	27	47	SW 2	SW 4	W 2	2^0⊙	1^0⊙	0	–	–	⏢
18.	20.2	17.6	15.9	9.0	20.2	13.8	21.1	4.3	5.2	5.6	6.3	61	32	54	W 2	SE 4	C	0⊙	4^1⊙	0	–	–	⏢
19.	16.6	14.0	14.4	8.9	21.1	14.2	21.3	4.6	5.2	5.4	6.6	62	30	55	SW 2	SE 2	C	0⊙	2^0⊙	0	–	–	⏢, 6^{00-15} p ◍
20.	18.8	20.8	25.3	8.3	15.0	10.7	15.1	6.2	6.7	7.7	7.8	82	61	82	W 2	N 2	W 2	8^1	10^1	10^2	0.1	–	⏢, 6^{10-730} p ◍
21.	30.6	31.6	**32.2**	8.9	15.2	11.8	17.1	7.9	7.7	9.0	9.1	91	70	88	W 2	NE 2	C	10^2	9^5⊙	0	4.3	–	n ◍
22.	32.0	28.8	26.5	6.9	19.3	13.8	20.9	3.9	7.3	8.3	8.3	**99**	50	70	C	E 4	E 2	10^2≡	0⊙	0	–	–	n u. a ≡^{2}
23.	24.2	21.8	20.5	10.7	22.0	15.3	**22.0**	5.9	7.6	8.1	**9.2**	79	41	71	C	W 2	W 2	4^0⊙	5^1⊙	0	–	–	⏢, 4^{40-510} p ⌇
24.	19.1	18.9	20.0	12.6	18.3	11.4	18.3	8.8	7.4	7.9	6.8	69	50	67	SW 2	NW 4	C	8^1	9^1⊙	3^0	–	–	⏢
25.	19.5	18.6	17.1	10.2	17.6	13.0	18.9	8.7	7.0	6.8	7.0	76	46	63	NW 2	W 2	SW 2	5^1	2^0⊙	0	–	–	⏢
26.	15.3	15.6	17.4	9.4	14.5	10.6	14.7	6.3	6.9	8.4	7.6	79	69	80	C	SW 4	SW 2	4^1	10^1	4^1	–	–	⏢, 8^{15-45} a ◍
27.	18.2	16.0	12.2	6.7	8.0	8.8	10.6	4.9	5.8	6.3	6.6	80	79	88	SW 2	SW 2	SW 4	2^0⊙	10^1	5^1	1.9	–	n ◍, a ⏢, 0^{15-145} p ◍
28.	10.8	12.9	13.9	7.6	10.8	8.4	12.8	5.1	6.3	6.3	6.4	80	65	78	SW 6	SW 6	SW 4	6^1	8^2	10^1	4.7	–	n ◍ ⎓, a ztw. ◍ ⎓
29.	09.8	**09.2**	09.9	8.5	10.8	8.4	13.8	6.6	6.2	7.8	7.1	75	82	87	SW 4	SW 6	SW 4	10^0	10^2●	10^1	2.6	–	n, 0^{15-340} p ◍
30.	10.0	09.6	12.2	6.6	13.4	7.2	15.8	5.3	6.4	5.2	6.9	88	46	91	SW 2	W 2	W 2	8^1	4^2⊙	10^1	6.8	–	n, 5^{50-655} p ◍
																					54.4		
Mittel	17.9	17.3	17.6	4.8	11.5	7.4	12.7	2.3	5.2	5.5	5.6	78	54	70				6.0	6.6	5.3			

Alle Angaben nach Ortszeit.

München-C.St.

April. $\varphi = 48^0\ 9'$ N. $\lambda = 11^0\ 34'$ E $= 46^m\ 16^s$. H $= 526.4$ m. Cg $= +0.1$ mm. 1911.

Datum	Luftdruck auf 0^0 u. Normalschwere reduziert 700 mm +			Lufttemperatur C°					Absolute Feuchtigkeit mm			Relative Feuchtigkeit Proz.			Richtung und Stärke des Windes 0 bis 12			Bewölkung 0 bis 10			Niederschlag mm	Schneedecke cm	Bemerkungen
	7^a	2^p	9^p	7^a	2^p	9^p	Max.	Min.	7^a	2^p	9^p	7^a	2^p	9^p	7^a	2^p	9^p	7^a	2^p	9^p	7^a	7^a	
1.	16.2	15.4	15.6	7.7	15.9	9.6	16.5	5.5	5.5	6.4	6.9	70	47	77	SW 1	C	SW 1	7^0	$6^1\circ$	0	–	–	mrgs. ⌓, ≡⁰
2.	14.2	11.3	10.8	7.6	16.4	8.7	16.8	7.1	6.3	5.4	7.2	81	39	88	C	SE 1	SW 1	10^1	$4^1\circ$	0	–	–	mrgs. ⌓, ∞, 4 p Fern ◹ im W
3.	08.3	06.2	08.3	7.8	7.7	1.8	11.0	1.3	7.3	6.9	4.8	94	90	92	SW 1	NW 2	NW 1	$10^1\bullet$	$10^1\bullet$	$10^1\bullet\ast$	1.2	–	n u. t ztw. ◍, abds. ● ⚹
4.	10.4	10.2	10.8	– 2.4	– 0.8	– 3.2	2.8	– 3.7	2.8	2.8	2.7	73	64	76	NE 1	NW 2	NE 3	10^1	$10^1\ast$	9^1	7.8	3	n ⚹, t ztw. ⚹
5.	07.9	07.5	07.6	– 3.9	0.8	– 0.6	0.9	– 5.8	2.8	2.7	3.0	81	55	68	NE 3	E 4	E 6	$10^1\ast$	10^1	10^1	0.7	–	mrgs. ⚹⁰; p u. abds. ztw. ≡
6.	09.3	11.6	14.3	– 2.8	– 1.6	– 2.0	0.3	– 3.6	2.9	3.5	3.7	78	86	**95**	E 3	NE 1	NE 1	$10^1\ast$	$10^1\ast$	$10^1\ast$	–	–	mrgs. u. t ztw. ⚹⁰ ≡⁰
7.	15.1	13.5	13.1	– 2.6	4.0	1.1	4.1	– 3.4	3.2	3.3	3.9	86	54	78	E 1	NE 3	E 2	10^1	7^0	10^1	1.4	1	n ⚹
8.	12.1	13.6	16.1	– 1.6	0.6	0.0	1.8	– 2.6	3.6	3.9	3.3	88	82	73	NE 2	NE 1	NE 1	$10^1\ast$	$10^1\ast$	10^1	–	–	mrgs.–ca. 5 p ⚹⁰·¹
9.	16.9	16.5	14.6	– 1.4	2.4	0.2	2.6	– 2.8	3.2	2.9	2.8	77	53	60	NE 1	NE 1	C	9^1	10^1	6^1	–	–	mrgs.–ca. 4 p ztw. ⚹⁰
10.	10.7	09.7	11.7	– 0.4	4.6	1.9	5.4	– 1.1	3.3	2.6	2.7	74	41	51	NE 1	E 1	C	10^1	9^1	0	0.6	–	mrgs. ≡⁰, abds. Aufklaren
11.	15.1	16.5	18.1	0.3	8.2	4.3	8.9	– 2.8	3.2	4.3	4.3	70	54	70	C	NE 2	C	○○	$7^1\circ$	3^0	–	–	mrgs. ⌙², ≡⁰
12.	17.9	15.7	12.9	1.2	12.1	8.7	13.1	– 1.1	3.8	3.4	4.3	76	33	52	C	W 1	SW 3	$2^0\circ$	$4^0\circ$	10^1	–	–	mrgs. ⌙, ≡⁰
13.	15.3	17.4	19.8	2.1	2.2	1.6	9.3	0 3	4.0	4.6	4.8	76	86	93	W 2	NW 2	C	9^1	$10^1\ast$	10^1	3.8	–	n ◍, ztw. ⌓, 7^{40} a–n ⚹
14.	21.6	21.5	21.4	0.6	6.6	3.2	8.2	– 0.6	4.2	3.4	4.1	90	48	71	NE 1	NW 1	NW 1	9^1	$6^1\circ$	4^0	4.5	–	n ⚹
15.	21.2	19.8	19.8	2.3	13.7	7.8	14.8	– 0.1	3.4	3.6	3.9	62	30	51	SW 1	SW 3	SW 2	$1^0\circ$	$4^0\circ$	0	–	–	mrgs. ≡⁰, ⌙¹, m Gebirge schwach sichtbar
16.	18.4	16.5	15.3	6.9	19.1	11.9	20.0	2.3	2.4	2 3	4.7	32	**14**	39	SW 2	SW 3	SW 3	$1^0\circ$	○○	0	–	–	mrgs. ⌓, m Gebirge gut sichtbar
17.	15.8	15.0	16.0	9.7	19.6	12.8	20.0	5.5	5.2	4.3	4 4	59	26	40	SW 1	SW 2	SW 1	$3^0\circ$	$1^0\circ$	3^0	–	–	mrgs. ⌓, i. S ∞⁰, m Gebirge sichtbar, abds. ≡⁰
18.	17.6	15.1	13.4	10.1	20.0	13.7	20.3	6.7	4.5	4.8	5.5	50	28	46	SW 1	SE 2	E 2	○○	$4^0\circ$	0	–	–	mrgs. ⌓, ∞; t Gebirge schwach sichtbar
19.	14.2	11.5	12.2	10.6	21.0	13.3	21.9	6.9	4.3	4.1	5.1	42	22	45	S 1	S 2	C	$1^0\circ$	$2^0\circ$	0	–	–	mrgs. ⌓, ≡⁰, t Gebirge sichtbar
20.	15.9	17.3	22.7	9.4	15.9	9.7	16.9	6.8	6.6	7.0	8.0	75	52	89	W 2	NW 2	C	$3^0\circ$	8^1	$10^1\bullet$	–	–	mrgs. ⌓, ∞; $2^{01.25}$ p ◍; $2^{12.46}$ p ◹; 3^{12} p–n [ztw. ◍; 3^{46}–4^{06} p ◹
21.	27.6	28.9	**29.3**	9.5	15.7	11.4	15.9	8.2	7.5	8.4	8.4	87	64	84	SW 2	C	C	10^1	$8^2\circ$	0	**9.0**	–	n ●
22.	29.2	26.0	23.9	9.3	18.8	13.3	19.7	6.1	7.2	7.6	7.8	84	47	68	C	NE 3	NE 1	○○	○○	○	–	–	mrgs. ≡¹, ⌓²
23.	21.7	19.5	18.0	11.7	20.3	15.7	**22.1**	7.2	6.8	3.6	**8.7**	67	36	65	SW 1	NW 2	C	$3^0\circ$	$6^0\circ$	6^0	–	–	mrgs ⌓², ∞⁰; 6 p ztw. ◍⁰, abds. ∞
24.	16.6	16.1	17.2	12.7	19.1	11.9	20.0	10.0	7.6	5.2	6 6	70	32	64	SW 1	NW 2	C	9^1	8^1	0	–	–	9^{14} p ◹, mrgs., abds. ∞
25.	17.2	15.5	14.9	10.7	16.8	12.5	17.5	9.2	5.7	5.6	6.3	59	40	59	C	W 1	SE 1	9^1	$3^1\circ$	0	–	–	mrgs. ⌓
26.	13.2	13.4	14.9	11.2	16.7	11.1	17.3	7.2	7.2	7.0	7.2	73	50	73	S 1	W 2	SW 5	○○	6^1	10^1	–	–	mrgs. ⌓², ∞; 11 a–6^{30} p ztw. ◍
27.	15.8	13.8	10.2	7.3	7.5	8.3	12.2	6.3	5.9	6.4	6.6	77	84	80	SW 1	SW 3	SW 3	$4^0\circ$	$10^1\bullet$	9^1	1.2	–	n ◍, mrgs. ∞, 11 a–5 p ztw. ◍
28.	09.6	09.9	12.0	6.5	13.0	8.5	13.1	4.9	6.6	6.4	6.2	91	57	75	SW 2	SW 6	SW 4	9^1	$7^1\circ$	9^1	8.2	–	n ⌓, ◍; t ztw. ⌓ ◍ (böen)
29.	08.6	07.3	08.0	9.1	12.3	7.9	16.1	7.4	5.5	7.8	6.7	63	73	86	S 1	SW 1	C	10^1	$10^1\bullet$	10^1	1.5	–	mrgs. Gebirge sehr gut sichtb., 1^{40} p–abds. ztw. ◍
30.	07.9	07.7	10.1	6.0	12.9	8.4	14.4	5.6	6.0	4.7	6.1	88	42	74	SW 2	SW 2	SW 2	$10^1\bullet$	$6^1\circ$	9^1	6.5	–	n u. a ◍, m Gebirge sichtbar, abds. ◹ im N
																					46.4		
Mittel	15.4	14.7	15.1	5.2	11.4	7.1	12.8	2.9	5.0	4.8	5.4	73	51	69				6.3	6.6	5.3			

Traunstein.

April. $\varphi = 47^0\ 52'$ N. $\lambda = 12^0\ 39'$ E $= 50^m\ 36^s$. H $= 597$ m. Cg $= +0.1$ mm. 1911.

1.	10.5	10.1	10.2	5.0	14.4	8.2	14.8	4.5	5.7	6.7	7.2	87	55	89	S 2	SE 2	SE 2	6^2	$6^2\circ$	0	0.8	–	a ≡¹·²
2.	08.7	06.3	04.6	4.6	14.6	8.2	15.5	3 5	5.7	5.9	6.7	90	48	83	E 2	NE 2	NW 2	6^2	$6^2\circ$	4^2	–	–	a ⌓
3.	02.6	00 0	02.1	7.0	7.8	1.6	8.8	1.6	6.8	6.8	4.6	91	86	89	SW 2	SW 4	W 4	$10^2\bullet$	$9^7\bullet$	$10^2\bullet$	0.6	–	9^{26}–10^{01} p ◹ im N, 9^{54}–10^{11} p ◍, t ◍
4.	04.0	04.1	04.5	– 2.4	– 0.6	– 2.4	1.6	– 2.4	3.5	2.7	3.5	92	62	92	NW 4	SW 4	NW 2	10^2	10^2	$10^2\ast$	18.9	3	n u. t meist ⚹
5.	01.7	01.4	01.6	– 3.8	0.0	– 1.4	0.3	– **4.0**	3.0	3.0	3.1	87	65	76	NE 2	NE 6	NE 4	10^2	10^2	8^2	2.4	1	n ⚹
6.	02.9	05.1	08.4	– 3.6	– 0.4	– 1.8	– 0.3	– **4.0**	2.9	2.9	3.2	85	65	80	NE 4	N 4	E 2	$10^2\ast$	10^2	10^2	–	–	a ⚹⁰
7.	09.5	07.8	07.2	– 3.0	3.4	0.2	3.6	– **4.0**	3.0	3.1	3.0	83	54	65	E 2	SE 2	E 2	10^2	$8^2\circ$	10^2	0.1	–	
8.	05.8	07.5	10.3	– 1.6	0.6	– 0.8	0.8	– 2.0	3.3	3.3	3.3	80	70	75	NE 2	NE 2	NE 2	$10^2\ast$	$10^2\ast$	10^2	–	–	a–p ⚹
9.	10.7	10.4	09.2	– 2.0	2.0	– 2.4	2.6	– 2.4	3.0	2.8	3.1	75	53	81	NE 2	W 2	E 2	10^2	10^2	0	0.1	–	
10.	05.9	03.7	05.1	– 1.2	5.0	– 1.6	5.6	– **4.0**	3.2	**2.6**	3.1	76	39	76	N 2	SE 2	SE 2	8^2	8^2	0	–	–	
11.	09.0	11.7	12.4	– 2.8	7.5	3.2	8.5	– **4.0**	3.4	3.9	4.6	92	51	80	S 2	S 2	SE 2	○○	$6^2\circ$	10^2	–	–	a ⌓
12.	11.1	09.9	07.2	0.8	9.8	8.2	12.0	– 2.0	4.0	3.3	4.0	82	37	50	SW 2	W 6	W 6	6^2	$6^2\circ$	10^2	–	–	a ⌓
13.	08.8	10.8	13.8	0.4	0.2	0.2	8.2	– 1.0	3.9	4.5	4.5	82	96	96	NW 6	NW 6	NW 2	$10^2\ast$	$10^2\ast$	10^2	11.7	2	n u. t ⚹
14.	15.2	15.8	16.6	0.0	3.4	1.4	4.0	– 1.0	4.4	4.3	4.1	96	73	82	N 2	SW 2	S 2	$10^2\ast$	$8^2\circ$	6^2	13.2	3	n–m ⚹
15.	14.9	14.3	14.4	1.6	10.8	5.2	11.0	– 1.0	3.6	3.5	4.0	71	36	60	S 2	SW 4	S 2	$2^1\circ$	$6^2\circ$	0	0.2	1	
16.	12.5	11.5	10.4	3.0	16.4	5.8	17.0	0.5	3.7	3.0	4.2	66	**21**	61	S 2	SW 4	SW 2	$1^1\circ$	$1^1\circ$	0	–	–	a ⌓
17.	10.6	09.8	11.0	7.2	17.0	7.8	18.6	3.5	4.4	3.4	5.5	58	24	69	SW 2	W 4	SW 2	$6^2\circ$	$3^1\circ$	0	–	–	a ⌓
18.	11.9	10.1	08.7	6.6	18.2	9.6	19.5	4.5	5.0	4.4	6.4	68	28	71	SW 2	SE 2	SE 2	○○	$2^1\circ$	0	–	–	a ⌓
19.	08.7	06.7	07.3	7.6	20.6	12.0	**21.0**	3.0	5.0	4.1	4.7	64	23	45	S 2	S 2	S 2	○○	$2^1\circ$	0	–	–	a ⌓
20.	09.8	11.4	17.0	8.2	16.4	8.8	17.0	4.5	5.7	6.4	7.8	70	46	92	SW 2	NW 2	W 2	$2^1\circ$	$6^2\circ$	8^2	–	–	a ⌓, 5^{21}–7^{41} p ◹, 5^{36}–8^{51} p ◍
21.	21.7	23.3	**23.8**	8.0	14.2	7.8	15.0	5.5	7.3	**8.0**	7.5	92	66	94	W 2	NE 2	E 2	10^2	$8^2\circ$	0	17.6	–	
22.	23.3	21.0	18.7	6.2	18.4	10.8	19.5	4.5	6.7	6.4	7.8	94	41	82	SE 2	E 2	E 2	○○	$3^1\circ$	0	–	–	a ⌓ ≡
23.	16.3	14.1	12.5	9.0	20.2	11.8	**21.0**	5.0	6.5	6.4	7.8	76	36	76	E 2	SW 4	S 2	○○	**$6^2\circ$**	0	–	–	a ⌓
24.	10.8	10.3	11.5	13.0	18.6	12.8	19.0	11.5	7.8	7.5	7.0	70	47	64	S 2	W 2	NW 2	8^2	$6^2\circ$	8^2	0.2	–	n ◍
25.	11.4	09.9	09.5	9.2	15.4	8.5	16.0	8.5	6.8	5.8	7.0	79	45	86	SW 2	NW 4	SW 2	10^2	$4^2\circ$	0	–	–	a ⌓
26.	07.9	07.7	09.9	9.4	17.0	9.0	18.0	6.0	7.2	6.8	7.8	82	46	92	SW 2	NW 4	W 2	2^1	8^2	$10^2\bullet$	–	–	a ⌓, $6^{21.41}$ p ◹, $6^{11.41}$ p ◍
27.	10.4	08.1	05.4	6.8	7.6	5.2	9.0	5.0	5.9	6.7	6.4	80	86	**97**	W 2	NW 2	E 2	10^2	$10^2\bullet$	2^1	5.6	–	n, t ztw. ◍
28.	04.0	04.7	07.1	5.0	8.8	8.4	9.0	4.5	5.6	5.3	4.9	86	63	60	SW 6	NW 6	NW 6	8^2	$10^2\bullet$	8^2	7.3	–	n, t ztw. ◍
29.	03.5	01.1	04.0	8.6	16.2	6.8	17.0	6.0	5.7	5.4	6.7	68	40	91	SW 2	NE 2	SW 2	10^2	$8^2\circ$	$10^2\bullet$	1.2	–	p u. abds. ◍
30.	02.5	02.5	04.0	5.0	10.6	6.8	12.0	4.0	5.9	5.5	5.9	90	58	80	W 2	W 2	SW 2	$10^2\bullet$	10^2	4^2	**20.0**	–	n u. a ◍
																					99.9		
Mittel	09.6	09.0	09.6	3.7	10.5	5.3	11.5	1.8	5.0	4.8	5.3	80	52	78				6.5	7.0	4.9			

Alle Angaben nach Ortszeit.

Partenkirchen.

April. $\varphi = 47^0\ 30'$ N. $\lambda = 11^0\ 6'$ E $= 44^m\ 24^s$. H $= 714.6$ m. Cg $= +0.1$ mm. 1911.

Datum	Luftdruck auf 0^0 u. Normalschwere reduziert 700 mm +			Lufttemperatur C⁰					Absolute Feuchtigkeit mm			Relative Feuchtigkeit Proz.			Richtung und Stärke des Windes 0 bis 12			Bewölkung 0 bis 10			Niederschlag mm	Schneedecke cm	Bemerkungen
	7^a	2^p	9^p	7^a	2^p	9^p	Max.	Min.	7^a	2^p	9^p	7^a	2^p	9^p	7^a	2^p	9^p	7^a	2^p	9^p	7^a	7^a	
1.	00 7	699.2	699.9	4.9	15.8	6.9	18.0	3.4	4.7	4.7	5.6	71	35	76	S 2	SW 3	S 2	2^0	$4^{1}\circ$	0	0.2	–	⏢, a Berge sehr rein
2.	698 5	695.4	695.2	4.1	15.4	9.6	17.3	3.0	4.7	5.4	5.9	77	41	66	SE 3	C	C	2^0	$5^0\circ$	10^0	–	–	⏢, a Berge sehr rein
3	692.8	690.0	691.7	5.9	9.8	1.6	10.5	1.6	6.7	6.5	4.5	97	71	87	C	C	N 4	10^0	8^0	10^1*	4.1	–	a Berge teilweise im Nebel, abds. $\times^0$
4.	693 2	693.4	693.6	– 3.5	– 2.9	– 4.0	1.6	– 4.0	3.3	3.0	3.2	93	81	95	NW 4	NW 3	C	10^1*	10^1*	10^1*	7.4	6	mrgs. Berge im Nebel, t $\times$
5.	690.6	689.9	**689.8**	– 6.1	– 1.6	– 1.9	– 1.2	– 6.2	2.6	3.3	3.3	93	82	82	C	N 2	N 1	10^1*	10^0	10^0	4.5	**12**	mrgs. Berge bis 1500 m herab im Nebel, $\times^0$
6.	691.9	691.1	697.5	– 2.1	– 1.1	– 2.2	0.1	– 2.2	3.6	3.5	3.6	92	82	94	NW 1	NW 4	C	10^0	10^0*	10^0*	0.1	5	a Berge bis 1000 herab im Nebel, t $\times^0$
7.	698 0	695.9	695.8	– 3.5	4.4	1.2	5.2	– 3.9	3.2	4.0	3.9	91	63	78	C	NW 5	C	3^0	$3^0\circ$	10^0	0.5	1	n $\times$ (a 1 cm Neuschnee), Berge bis p meist rein
8	694.8	696.2	699.1	– 1.7	– 0.5	– 1.2	1.2	– 1.8	3.7	4.3	3.9	92	96	92	NW 3	C	C	10^1*	10^1*	10^0*	0.2	2	a Berge im Nebel (a 2 cm Neuschnee); t $\times^0$
9.	699.5	699.4	698.1	– 2.2	0.4	– 1.0	1.0	– 2.2	3.7	3.5	3.7	96	75	86	NW 3	NW 4	C	10^{0*}	10^0*	10^0*	3.8	3	a Berge im Nebel, t meist $\times^0$
10	694 3	693.1	696.0	– 1.6	2.9	– 1.0	4.2	– 2.5	3.5	3.2	3.7	86	56	86	C	NW 2	C	7^0	10^0	3^0	0.3	–	a Berge frei
11.	698.7	699 9	01.9	– 3.9	7.2	– 0.6	9.5	– 4.4	3.1	3.1	3.6	93	40	83	C	NW 2	C	$0\circ$	$5^0\circ$	0	–	–	⏑, a Berge frei
12.	01.9	699 7	698.7	– 0.2	12.3	5.6	13.2	– 2.0	3.3	3.9	4.6	72	36	68	S 2	NW 2	NE 2	$0\circ$	$4^0\circ$	8^0	–	–	⏑, a Berge sehr rein
13.	699.8	01.5	03.8	– 0.9	1.7	– 0.4	5.6	– 1.0	3.8	4.2	4.5	88	82	100	N 4	N 3	C	$10'*$	10^1*	10^0*	11.8	1	n ● $\times$, t $\times$
14	05.5	05 0	05.9	– 0.5	4.7	– 0.4	7.0	– 0.6	4.2	3.7	4.0	94	57	90	C	N 3	S 2	10^1*	7^0	3^0	6 c	8	mrgs. $\times$
15.	06.0	04.5	05.1	– 0.9	13.0	2.8	14.5	– 2.9	3.4	2.1	3.5	78	18	62	SE 2	C	C	$2^9\circ$	$3^0\circ$	0	0.3	–	⏑, a Berge rein, ab m Föhn
16.	03.5	01.7	00.8	4.0	20.1	6.6	21.1	0.4	2.5	3.4	3.6	40	20	50	S 2	C	S 1	$0\circ$	$c\circ$	0	–	–	a Berge sehr rein
17.	00.6	599.1	01.0	5.4	17.9	9.2	20.2	3.5	3.5	3.9	5.1	52	26	58	SE 3	NW 1	S 3	$3^0\circ$	6^0	5^0	–	–	a Berge sehr rein
18.	02.1	698.9	698.3	8.4	19.9	7.6	20 5	5.3	5.1	4 5	4.7	62	26	60	SE 2	C	S 1	$2^0\circ$	$2^0\circ$	0	–	–	a Berge sehr rein
19	699.0	696.1	697.5	6.2	19.0	9.4	20.9	5.1	4.9	3.2	4.7	69	20	54	C	SE 2	C	$0\circ$	$3^0\circ$	1^0	–	–	a Berge sehr rein
20	00.6	02.0	07.3	5.8	11.6	8.0	15.4	3.1	5.2	6.8	7.1	76	67	89	C	NW 4	C	5^0	9^0	10^0	–	–	⏢, a Berge frei, 2^{30} p–n ztw. ◍
21.	11.5	11.9	**13.5**	7.1	13.8	9.4	15.3	6.6	7.0	7.4	7.5	93	62	87	C	NW 4	C	9^0	6^0	2^0	3.0	–	a Berge teilweise bedeckt
22.	12.0	08.8	08.2	7.4	20.2	9.7	21.3	4.5	6.0	6.5	7.2	79	37	80	SE 2	NW 3	S 2	$0\circ$	$1^0\circ$	0	–	–	⏢, a Berge rein
23.	06.6	03.2	03.1	9.2	21.6	10.6	**22.6**	6.2	5.8	5.9	6.8	67	31	72	S 2	NW 3	C	$0\circ$	$3^0\circ$	2^0	–	–	a Berge sehr rein
24.	02.0	00.6	02.0	9.4	15.2	9.6	17.5	9.0	**8.1**	7.5	8.0	92	58	89	C	NW 3	C	10^0●	9^1	9^1	2.2	–	mrgs. ◍[1]
25.	01.4	699.1	699.0	8.4	18.3	9.3	19.3	7.2	7.0	6.8	7.4	86	43	86	C	NW 2	C	6^0	$1^0\circ$	0	1.5	–	
26.	697.9	698.0	00.0	9.6	14.0	7.0	18.5	6.4	6.5	5.3	6.4	73	45	85	SE 1	NW 3	C	$1^0\circ$	9^1	10^0	–	–	⏢, a Berge sehr rein; 3^{34}–4^{18} p ◹, 2^{44}–5^{44} p ◍
27.	699.8	697.8	694.3	5.9	6.3	6.1	10.3	5.2	6.0	6.9	6.5	87	98	93	C	C	C	10^0	10^1●	6^1	4.8	–	a Berge teilweise bedeckt, m ◍[0]
28.	694.0	695.0	696.8	6.0	9.8	6.3	11.8	4.3	5.9	4.7	5.8	85	52	81	C	NW 3	C	8^1	9^1	2^1	8.0	–	a Berge teilweise frei
29.	693 4	691.7	692.5	6.4	14.4	6.7	17.8	3.0	5.4	6.5	7.2	75	53	99	S 2	NW 4	C	5^0	9^1	10^1●	0.7	–	a Berge sehr rein, p u. abds. ◍[1]
30.	692 5	692.4	695.0	3.9	9.4	5.2	12.5	3.5	5.7	5.2	5.8	95	59	87	C	SE 2	C	10^1	7^0	10^1●	**19.0**	–	n ◍[1], mrgs. u. abds. ◍[0]. (Neuschnee auf den [Bergen)
																					78.4		
Mittel	699.5	698.4	699.4	3.0	10.4	4.5	12.4	1.6	4.7	4.8	5.2	81	54	81				5.5	6.4	5.7			

Hohenpeissenberg.

April. $\varphi = 47^0\ 48'$ N. $\lambda = 11^0\ 1'$ E $= 44^m\ 4^s$. H $= 993.9$ m. Cg $= \pm 0.0$ mm. 1911.

	600 mm +																						
1.	76.9	76.4	76.1	7.3	10.5	8.0	11.6	7.1	4.2	5.2	5.8	56	55	72	C	NE 1	NW 2	7^1	9^2	0	–	–	t sehr reine Fernsicht, abds. Horiz.≡ im N
2.	74.9	72.8	72.3	7.5	10.3	6.0	12.1	6.0	5.0	4.9	5.8	65	52	84	C	W 3	W 1	5^2	9^2	10^2	–	–	a ∞[0], p reine Fernsicht kurz ◍
3.	69.4	67.2	68.3	4.4	3.4	– 1.8	6.3	– 1.8	6.2	5.8	4.0	100	100	100	W 1	NW 1	NW 3	$10^2=$	$10^2=$●	$10^2=*$	0.2	–	n ◍, t ≡[2] ztw. ◍; 6 p–n $\times$
4.	69.0	69.3	68.9	– 6.4	– 6.1	– 6.6	– 1.8	– 6.7	2.7	2.5	2.8	97	87	100	N 1	NE 1	N 4	$10^2=*$	10^2	10^2	**17.2**	6	n u. vorm. $\times$, a ≡[2]
5.	65.9	65.3	65.5	– 7.0	– 5.0	– 4.6	– 4.6	– 9.1	2.2	2.5	2.8	83	80	86	NE 4	NE 6	NE 8	$10^2=$	10^2	10^2	3.3	**7**	n $\times$, a ≡[2], p ∞
6.	67.7	70.3	73.2	– 5.6	– 4.3	– 5.0	– 4.3	– 5.8	2.8	2.9	3.1	96	89	100	NE 3	N 1	NE 2	$10^2=$	$10^2=*$	$10^2=$	0.2	6	n ⩫, n u. p $\times$, t ≡[1]
7.	73.3	72.4	72.2	– 4.7	– 0.6	– 2.8	– 0.1	– 5.0	3.2	3.3	3.4	100	75	92	N 1	NE 3	N 2	$10^2=$	6^2	10^2	1.0	5	a ≡[2], p ∞
8.	70.9	72.5	75.0	– 4.4	– 3.5	– 4.0	– 2.8	– 4.4	3.1	3.4	3.3	95	95	98	NE 1	NE 1	NE 1	$10^2=*$	$10^2=*$	$10^1=$	0.1	4	n, t ≡[2] $\times$; abds. ≡[1]
9.	75.3	75.3	74.3	– 4.9	– 3.2	– 3.2	– 2.6	– 4.9	3.1	2.6	2.6	98	73	74	NE 1	NE 1	NE 1	$10^2=*$	9^2	10^2	2.7	4	a ≡[2] $\times$; p $\times^0$ ∞
10.	69.9	69.3	71.1	– 2.5	0.9	– 1.1	1.8	– 3.5	2.4	2.5	2.6	62	51	61	NE 1	C	NE 1	10^1	$5^2\circ$	9^2	0.1	–	a ∞, p Auflösen des Dunstes
11.	74.1	76.1	77.7	– 1.4	3.7	0.9	3.8	– 2.0	2.9	2.5	3.6	70	42	72	E 1	NE 3	NE 3	$0\circ$	9^2	0	–	–	a ∞[0] Horiz.≡, p ∞
12.	77.4	76.6	74.1	1.4	7.8	5.2	8.6	0.1	3.4	3.3	2.9	66	42	44	NE 1	W 1	W 4	$0\circ$	$4^1\circ$	10^2	–	–	t ∞[0]
13.	75 4	77.0	79.1	– 2.8	– 1.5	– 1.8	5.2	– 2.9	3.3	3.9	4.0	89	96	100	NW 1	N 4	NW 2	3^2	$10^2=$	$10^2=$	2.6	1	n u. a ztw. $\times$; p–n ≡[1.2]
14.	80.6	81.1	81.2	– 2.4	– 0.2	– 0.4	1.9	– 2.6	3.8	2.8	3.2	100	62	72	N 1	N 1	W 1	$10^2=$	$5^2\circ$	2^1	2.5	2	a ≡[2] später Aufkl.
15.	80.9	80.6	80.4	0.8	9.1	7.0	9.2	– 1.0	2.2	2.0	2.6	46	24	35	SW 3	SW 5	SW 4	$1^1\circ$	5^2	0	–	–	a üb. d. Gebirge u. a. Horiz. ci st, t Flachl. sehr rein
16.	79.0	78.0	76.9	7.1	14.7	11.8	15.7	6.3	1.8	1 3	2.6	23	11	25	SW 4	SW 6	W 2	$0\circ$	$0\circ$	0	–	–	t s. reine Fernsicht; p Horiz.≡
17.	76.6	76.3	77.4	8.4	14.3	10.7	14.9	8.0	3.7	2.3	4.2	45	20	43	SW 4	NW 1	W 2	5^1	1^2	2^2	–	–	a sehr reine Fernsicht
18.	78.3	76.4	74.8	9.0	14.6	11.5	15.6	4.7	4.1	4.0	3.9	48	33	41	W 1	SE 1	W 2	$1^1\circ$	$1^2\circ$	0	–	–	t reine Fernsicht
19.	75.2	73.2	73.7	10.4	16.4	11.6	16.9	9.7	3.7	3.8	4.2	39	27	44	S 1	S 1	SW 2	$0\circ$	$5^2\circ$	2^1	–	–	t reine Fernsicht [4^{22}–4^{47} p ◹ im E u. NE
20.	76.7	78.7	82.5	5.0	10.3	5.0	11.6	4.9	5.6	6.2	6.1	86	66	94	W 1	NW 1	W 2	10^1	10^2	10^1	–	–	t ∞; 2^{56}–4^{25} p ◹ im SE–S u. SW mit ◍;
21.	87.4	88.9	**89.4**	4.5	9.8	8.4	10.8	4.5	6.3	6.9	**7.5**	100	76	92	W 1	NE 1	SE 2	$10^2=$	$6^2\circ$	0	16.5	–	a ≡[1], p ∞[0], abds. Horiz.≡ in N
22.	88.5	86.4	84.3	7.7	14.7	11.3	15.2	6.8	6.3	6.6	6.5	80	52	65	E 4	NE 4	E 2	$0\circ$	$0\circ$	0	–	–	a ≡ im E ∞; p ∞ Horiz.≡
23.	82.6	81.0	79.7	11.5	16.4	13.2	**17.4**	10.3	5.6	6.2	6.6	55	44	59	SW 1	NW 3	W 2	3^1	$7^1\circ$	3^1	–	–	t ∞[0]. 9 p ◹ im S u. E.
24.	77.7	77.5	78.3	10.1	13.8	8.7	14.3	8.7	6.3	5.9	6.5	68	51	76	SW 3	NW 1	NW 3	10^1	10^2	3^2	–	–	t ∞
25.	77.7	76.4	75.7	7.3	12.8	10.2	13.9	6.7	5.5	5.2	5.7	72	48	61	S 1	SW 1	E 3	10^2	$2^2\circ$	0	–	–	a ∞, p Auflösen des Dunstes
26	74.5	75.1	75.7	12.7	10.0	7.0	13.2	7.0	6.5	7.1	6.1	59	77	81	SW 1	NW 3	W 3	$1^2\circ$	10^2●	10^1	–	–	a ∞, 2 p ◍, 4^{00}–5^{10} p ◍
27.	76.0	73.8	70.6	3.0	4.1	5.2	7.3	2.7	4.6	5.5	5.0	80	90	75	W 1	W 3	W 2	10^2	10^2●	3^2	2.4	–	a reine Fernsicht; 11 a–5 p ◍; p ∞
28.	69.6	71.1	72.7	2.2	3.4	4.5	7.4	2.2	5.3	5.1	5.2	97	87	82	W 6	W 6	W 8	10^2●	9^2	8^2	9.7	–	mrgs. u. vorm. ⩫ ztw. ◍
29.	69.6	68.8	68.7	5.4	7.3	3.7	11.2	3.7	4.1	5.9	5.5	54	78	92	SW 5	W 6	SW 4	9^1	10^2	10^2	3.4	–	t sehr reine Fernsicht
30.	68.5	68.6	71.0	2.7	9.2	4.1	11.1	2.4	5.4	3.7	6.0	96	42	98	W 3	SW 4	W 2	10^2	$6^2\circ$	10^2●	5.0	–	n ◍, t sehr reine Fernsicht, 8^{10} p–n ◍
																					66.9		
Mittel	75.3	75.1	75.4	2.9	6.4	4.1	8.0	1.9	4.2	4.2	4.5	74	61	74				6.5	6.9	5.7			

Alle Angaben nach Ortszeit.

Zugspitze.

April. $\varphi = 47^{0}\ 25'$ N. λ 10° 59′ E = 43m 56s. H = 2964 m. Cg = −0.2 mm. 1911.

Datum	Luftdruck auf 0° u. Normalschwere reduziert 500 mm +			Lufttemperatur C°					Absolute Feuchtigkeit mm			Relative Feuchtigkeit Proz.			Richtung und Stärke des Windes 0 bis 12			Bewölkung 0 bis 10			Niederschlag mm	Schneedecke cm
	7a	2p	9p	7a	2p	9p	Max.	Min.	7a	2p	9p	7a	2p	9p	7a	2p	9p	7a	2p	9p	7a	7a
1.	29.1	29.7	29.4	− 8.0	− 2.8	− 6.0	− 2.5	− 8.1	2.5	3.0	2.7	100	81	92	NW 1	S 1	W 1	$4^{0}\odot$	9^{2}	0	0.2	280
2.	28.0	26.8	25.6	− 6.2	− 4.0	− 5.6	− 3.3	− 7.2	2.4	3.0	3.0	84	89	100	C	SE 1	E 1	$4^{0}\odot$	$9^{1}\odot$	$10^{1}\equiv$	–	270
3.	22.5	20.3	18.9	− 7.0	− 7.3	−11.5	− 5.5	−11.5	2.7	2.7	1.9	100	100	100	C	N 3	N 3	$10^{-}\equiv *$	$10^{2}\equiv *$	$10^{2}\equiv *$	2.3	275
4.	16.2	15.9	15.8	−17.4	−16.0	−19.7	−11.5	−19.7	1.2	1.3	1.0	100	96	100	N 1	E 2	E 3	$10^{2}\equiv$	$8^{1}\equiv$	$10^{0}\equiv$	5.7	290
5.	14.3	15.6	15.6	−13.1	− 9.3	−12.9	− 9.3	−20.0	1.5	1.6	1.7	88	69	100	SE 4	E 4	E 6	$6^{0}\odot$	9^{1}	$10^{2}\equiv *$	–	290
6.	17.7	19.3	21.3	−12.0	− 8.6	−14.0	− 8.4	−14.0	1.8	1.3	1.6	100	95	100	C	SE 1	N 2	$7^{1}\odot$	$10^{1}\equiv *$	$10^{2}\equiv *$	0.9	290
7.	21.7	21.9	21.4	−14.2	−11.2	−13.6	−11.2	−15.0	1.5	1.9	1.6	96	95	100	E 1	SE 3	E 2	$0\odot$	$3^{1}\odot$	10^{0}	1.3	290
8.	18.9	20.1	22.1	−16.3	−14.9	−15.6	−13.5	−16.4	1.3	1.5	1.3	100	100	93	N 1	E 1	N 2	$1^{1}\odot$	$10^{0}*$	1^{0}	–	290
9.	22.4	22.5	22.0	−14.1	−13.5	−11.8	−11.8	−15.6	1.0	0.6	1.1	62	39	57	N 3	N 2	N 1	$1^{0}\odot$	$0\odot$	0	–	290
10.	19.2	19.2	20.8	−13.4	−10.8	−13.7	−10.3	−13.7	1.3	1.4	1.4	82	69	84	NW 2	NW 2	W 1	$1^{0}\odot$	$1^{0}\odot$	0	–	270
11.	23.0	25.5	26.6	−13.4	− 9.2	−13.3	− 9.0	−14.0	1.6	1.9	1.6	97	81	95	N 3	SW 1	N 1	$1^{0}\odot$	$1^{0}\odot$	0	–	270
12.	27.3	27.7	25.6	− 8.8	− 9.3	−10.0	− 7.7	−13.5	1.8	2.0	2.2	77	86	100	N 3	NW 2	N 8	$1^{0}\odot$	$3^{0}\odot$	$10^{2}\equiv *$	–	270
13.	22.9	24.3	26.3	−16.5	−15.5	−15.3	−10.0	−17.0	1.3	1.4	1.4	100	100	100	NW 7	N 6	W 1	$10^{2}\equiv *$	$10^{2}\equiv *$	$10^{2}\equiv *$	1.3	280
14.	26.7	28.1	29.2	−15.1	−16.0	−14.2	−14.2	−16.6	1.4	1.3	0.8	100	100	52	SE 3	NE 3	NW 3	$10^{1}\equiv$	$2^{1}\odot$	1^{0}	12.0	**350**
15.	30.0	31.6	32.5	−12.6	− 9.0	− 8.7	− 8.7	−14.2	0.8	1.3	0.7	40	54	28	NW 4	N 3	N 5	$3^{0}\odot$	$4^{0}\odot$	1^{0}	–	**350**
16.	31.7	32.5	32.4	− 7.0	− 3.7	− 4.7	− 2.5	− 8.8	1.0	1.3	1.5	36	36	44	N 4	W 3	W 3	$1^{0}\odot$	$1^{0}\odot$	0	–	**350**
17.	30.4	30.6	31.3	− 3.3	− 1.6	− 4.7	− 1.4	− 5.9	1.7	3.3	3.2	47	80	100	E 1	SE 1	SE 1	$6^{1}\odot$	$7^{1}\odot$	$10^{2}\equiv *$	–	320
18.	31.2	31.0	30.1	− 5.8	− 1.7	− 3.8	− 1.2	− 6.0	3.0	3.2	2.6	100	79	75	E 3	SE 2	SE 6	$1^{0}\odot$	$4^{1}\odot$	0	0.9	300
19.	29.8	29.0	28.6	− 3.6	− 2.5	− 5.2	− 1.7	− 5.2	2.3	2.9	2.8	65	74	90	SE 1	SE 3	E 3	$1^{0}\odot$	$4^{1}\odot$	1^{1}	–	280
20.	29.1	31.0	34.2	− 5.6	− 4.1	− 5.0	− 3.3	− 6.1	2.1	3.4	3.2	71	100	100	SE 2	NE 1	E 1	7^{1}	$10^{2}\equiv\triangle$	$10^{-}\equiv *$	–	270
21.	37.3	39.2	**40.2**	− 5.6	− 2.5	− 3.2	− 1.1	− 6.4	3.0	3.7	2.0	100	98	56	E 3	E 4	E 5	$0\odot$	10^{0}	0	5.3	280
22.	39.6	39.6	38.4	− 3.2	− 0.6	− 1.3	**1.4**	− 5.3	1.9	2.8	3.0	52	64	68	E 4	SE 3	S 1	$1^{0}\odot$	$1^{0}\odot$	0	–	270
23.	36.3	35.8	34.5	− 1.2	0.8	− 2.4	**1.4**	− 3.0	2.1	3.4	3.1	51	74	82	NW 1	W 1	NW 2	$1^{0}\odot$	$4^{1}\odot$	1^{1}	–	250
24.	31.8	31.6	31.2	− 3.8	− 2.2	− 4.0	− 1.6	− 4.0	3.6	3.9	3.4	100	100	100	NW 3	N 3	NW 3	$10^{2}\equiv *$	$10^{2}\equiv$	$10^{2}\equiv$	0.7	250
25.	30.2	31.0	30.7	− 3.7	− 1.3	− 2.8	− 0.6	− 5.3	3.5	3.8	3.5	100	92	93	W 1	W 1	SW 3	$4^{1}\odot$	$1^{0}\odot$	1^{0}	4.1	250
26.	29.7	29.0	28.9	− 2.1	− 0.8	− 5.8	− 0.4	− 5.8	3.0	**4.3**	3.0	75	100	100	S 4	SE 2	N 4	$1^{0}\odot$	$10^{2}\equiv *$	$10^{2}\equiv *$	–	220
27.	27.7	26.2	24.7	− 6.3	− 3.5	− 6.3	− 3.3	− 6.7	2.9	3.5	2.9	100	100	100	N 3	W 3	W 6	$10^{1}\equiv$	$10^{1}\equiv *$	1^{1}	11.8	230
28.	21.2	23.6	25.4	− 8.8	− 8.6	− 8.4	− 6.3	− 8.8	2.4	2.4	2.4	100	100	100	W 6	NW 6	NW 5	$10^{2}\equiv$	$10^{2}\equiv *$	$10^{2}\equiv *$	0.3	230
29.	23.7	23.7	22.4	− 6.8	− 2.8	− 7.4	− 2.8	− 9.5	2.8	3.7	2.6	100	100	100	SW 10	SE 5	NW 4	$5^{1}\odot$	$10^{2}\equiv$	$10^{2}\equiv *$	0.7	230
30.	20.8	21.9	23.5	− 9.9	− 5.7	− 8.4	− 5.6	− 9.9	2.2	2.6	2.4	100	88	100	C	W 1	SE 1	$10^{2}\equiv *$	9^{2}	$10^{2}\equiv *$	**17.5**	260
																					65.0	
Mittel	26.3	26.8	27.0	− 8.8	− 6.6	− 8.6	− 5.5	−10.4	2.1	2.5	2.2	84	85	87				4.6	6.3	5.2		

Bemerkungen.

1. n $\equiv^{0.1}$, mrgs. Fernsicht ringsum frei, t ringsum cu u. cu ni-bildung, p ztw. $\equiv^{0}$ um den Gipfel, abds. Fernsicht frei $\llcorner^{2}$ V 1 cm
2. n u. mrgs. $\llcorner^{2}$, mrgs. Fernsicht frei ∞^{1}, p u. abds. ztw. $\times^{0}$ abds. $\equiv^{0.1}$, $\llcorner^{0}$
3. n u. mrgs. $\equiv^{2}$ $\times^{0.1}$, t $\equiv^{1.2}$, a ztw. $\times^{0}$, $10^{00.05}$ a $\triangle^{2}$, 1^{30} p–n $\times^{0.2}$, abds. ztw. $\triangle^{1.2}$ V 15 cm
4. mrgs. $\equiv^{1.2}$, a ztw. schwaches Aufklaren, $\equiv$meer in ca. 2000 m, t $\equiv^{0.2}$ um den Gipfel, 6–7 p ztw. $\times^{0}$ V 20 cm
5. mrgs. ringsum $\equiv$meer in ca. 2000 m, im E u. SE cu-bildung, allenthalben ∞^{0}, abds. $\equiv^{1.2}$ $\times^{0}$ V 20 cm
6. mrgs. ringsum $\equiv$meer in ca. 2000 m, Hochgeb. allenth. frei, a sehr starke cu-bildung über dem Hochgebirge, t ztw. $\equiv^{0.1}$ um den Gipfel, p ztw. $\times^{0.2}$, abds.–n $\equiv^{1.2}$ $\times^{0.1}$ V 20 cm
7. n Aufkl. mrgs. ringsum $\equiv$meer i. ca. 1800–2000 m; t über Flachl. $\equiv$meer in ca. 1800 m, über d. Gebg. cu-bildg, p ztw. $\equiv^{0}$ um den Gipfel ztw. $\times^{0.1}$, abds. $\llcorner^{2}$, ztw. $\equiv^{0}$ ⊕ V 10 cm
8. mrgs. $\llcorner^{2}$, $\equiv^{0}$ um den Gipfel, a$\equiv$ um den Gipfel, ztw. $\times^{0}$, p ztw. $\equiv^{0.1}$ $\times^{0}$; abds. $\llcorner^{1}$, $\equiv$meer in ca. 2800 m ringsum V 3 cm
9. t $\equiv$meer in ca. 2500 m
10. t ringsum $\equiv$meer in ca. 2000 m, a Föhnmauer im S–SE; Hochgebirge cu-bildung, abds. $\llcorner^{0}$
11. mrgs. $\llcorner^{1}$ ∞^{2}, ü. Inntal $\equiv$meer i. ca. 2000 m, a über Gebirge cu-bildung, p–n $\equiv^{0.1}$ um den Gipfel ztw. $\times^{0}$ abds. $\llcorner^{1}$
12. mrgs. Fernsicht ringsum frei, ∞^{1}, a $\infty^{1.2}$, über Flachland cu-bildung. ab 3 p ztw. $\equiv^{0}$ um dem Gipfel. abds $\equiv^{0.2}$ ztw. $\times^{0.1}$ V 1 cm
13. n u. a $\equiv^{1.2}$, $\times^{0.1}$ $\equiv$ $\times$treiben, p–n $\equiv^{2}$ $\times^{1.2}$, V 15 cm
14. mrgs. $\equiv^{1.2}$, ab 7^{30} a ringsum Aufklaren; t $\equiv$treiben u. $\times$treiben um den Gipfel, abds. Hochgebirge ∞^{2}; V 20 cm
15. t Fernsicht ringsum rein, Hochgebirge ∞^{1}
16. t sehr reine Fernsicht
17. mrgs. Fernsicht frei, ab ca. 3 p ü. Hochgeb. im S u. SW Hoch$\equiv$, ab ca. 4^{30} p ztw. $\times^{0}$, ab 5 p–n $\equiv^{0}$ $\times^{1.2}$
18. mrgs. $\equiv$treiben um den Gipfel, ∞^{2}, t Fernsicht frei, $\infty^{1.2}$, ü. Geb. cu-bildung
19. mrgs. Fernsicht frei, ∞^{1}; a am östl. u. südöstl. Horizont einzelne Föhn-cu. t Fernsicht frei $\infty^{1.2}$
20. mrgs. Flachl. $\equiv$meer in ca. 1700 m, Täler ∞^{1}, a Flachl. $\equiv$meer in ca. 1700–2200 m; über Gebirge cu-Entw., Täler $\infty^{1.2}$, ab 0^{15} p $\equiv^{1.2}$ ztw. $\times^{0.2}$, $\triangle^{2}$–n, abds. ztw. schw. Aufklaren
21. n Aufklaren, t ztw. $\equiv^{0.1}$ u. d. Gipfel, $\equiv$meer in ca. 2000 m ringsum, p Aufklaren, V 2 cm.
22. mrgs. Inntal $\equiv$meer in ca. 1400 m, t ∞^{2} über Gebirge u. Flachland leichte cu-bildung
23. mrgs. ∞^{2}, ca. 3^{45}–6^{30} p $\equiv^{0.1}$ ztw. $\triangle^{0}$, abds. $\leqslant$ im N u. NE
24. t $\equiv^{2}$ ztw. $\triangle^{0.1}$, p ztw. $\times^{0}$; V 7 cm
25. n Aufklaren, mrgs. $\equiv$meer in ca. 2000 m, a ringsum $\equiv$meer 2800 m, p ztw. $\equiv^{0.1}$ um den Gipfel, abds. $\llcorner^{0.1}$ V 10 cm
26. mrgs. $\llcorner^{2}$, Fernsicht frei, ∞^{1}, a cu-bildung ringsum, ab 11 a $\equiv$treiben um d. G. ztw. $\times^{0}$, ab 0^{30} p $\equiv^{1.2}$ ztw. $\times^{0.1}$ $\triangle^{0.1}$; 3–4 p $\leqslant$ $\triangle^{1}$ $\times^{0}$, abds. $\equiv^{2}$ $\times^{0.1}$ V 10cm
27. mrgs. u. t meist $\equiv^{0.2}$ ztw. $\times$ ztw. Aufklaren, p–n $\equiv$, $\times$treiben abds. Aufklaren V 10 cm
28. t $\equiv$ $\times$treiben $\equiv^{1.2}$ ztw. $\times^{0.1}$, p ztw. kurzes Aufklaren. V 20 cm
29. mrgs. $\equiv$ reine Fernsicht, a Föhnmauer am südl. u. östl. Horizont, m $\times$flocken, 1^{45}–2^{15} p $\equiv^{1.2}$; 3^{15} p–n $\equiv^{1.2}$ $\times^{1.2}$ $\times$treiben V 20 cm
30. t meist $\equiv^{0.2}$, ztw. $\times^{0.1}$ $\triangle^{0.1}$, ztw. Aufklaren. V 20 cm

Alle Angaben nach Ortszeit.

Kahl a/M.

Mai. $\varphi = 50^0\ 4'$ N. $\lambda = 9^0\ 1'$ E $= 36^m\ 4^s$. H $= 114.1$ m. Cg $= +0.3$ mm. 1911.

Datum	Luftdruck auf 0° u. Normalschwere reduziert 700 mm +			Lufttemperatur C°					Absolute Feuchtigkeit mm			Relative Feuchtigkeit Proz.			Richtung und Stärke des Windes 0 bis 12			Bewölkung 0 bis 10			Niederschlag mm	Bemerkungen
	7a	2p	9p	7a	2p	9p	Max.	Min.	7a	2p	9p	7a	2p	9p	7a	2p	9p	7a	2p	9p	7a	
1.	50.4	52.9	55.3	7.5	11.2	6.5	13.0	4.2	6.7	4.3	5.6	88	43	78	SW 2	W 2	C	10^1	9^2	9^1	2.1	
2	55.9	55.0	54.4	6.8	15.3	7.8	18.2	0.4	6.6	5.8	6.1	90	46	78	C	SE 2	SE 2	$0\circ$	6^1	0	–	a ⌓
3.	54.4	53.0	52.4	9.4	18.6	11.5	22.2	0.3	6.8	6.0	7.7	78	37	76	C	W 2	C	2^0	$1^1\circ$	0	–	a ⌓
4.	51.7	50.6	51.0	12.7	17.5	10.8	18.4	4.2	7.6	6.2	7.6	70	42	79	S 2	W 2	C	4^1	3^1	10^1	–	
5.	51.7	52.6	54.1	10.5	15.2	9.2	17.2	7.2	8.4	7.8	7.6	90	60	89	NW 2	NE 2	NE 2	10^1	4^2	9^1	0.3	$5^{26.36}$ a, $3^{34.37}$ p ◍^{0}
6.	55.6	55.6	56.4	8.2	15.7	8.0	16.8	3.0	7.4	4.3	5.8	92	32	72	C	W 2	NE 2	8^1	4^2	0	0.1	
7.	56.9	56.2	56.0	8.0	14.6	11.2	16.2	4.2	6.7	6.5	6.9	83	52	69	NE 4	NE 4	C	$2^0\circ$	9^0	10^0	4.0	n ◍
8.	54.9	54.0	52.9	11.4	16.2	13.2	19.1	9.2	6.9	8.3	8.8	69	60	78	NE 2	E 2	SE 6	10^0	10^1	0	–	9 p ≡
9.	50.9	49.7	48.2	14.4	22.8	15.9	24.0	7.8	9.3	7.7	8.8	76	38	64	NE 4	SE 4	C	$0\circ$	$3^2\circ$	5^1	–	
10.	48.6	47.5	48.2	15.1	23.1	14.8	24.4	10.2	8.7	9.1	10.1	68	43	81	SE 2	E 2	SE 2	$2^0\circ$	$3^2\circ$	10^2	–	a ⌓, 4^{30}–6^{16} p ⍁, dann bis 8^{36} p ≺
11.	48.9	48.5	48.5	12.0	18.3	15.3	21.3	7.2	9.7	10.5	10.4	94	67	81	SE 2	E 4	SW 2	10^1	4^0	9^0	–	7^{11}–9^{36} a ◍
12.	49.3	49.5	48.9	15.0	18.3	13.1	24.6	8.3	9.9	11.3	9.8	78	72	88	SE 2	SW 2	C	9^1	10^0	0	7.7	
13.	48.1	45.7	44.9	15.2	25.7	18.1	27.0	8.0	11.5	9.6	10.4	89	40	67	C	C	C	$0\circ$	3^1	10^1	–	a ⌓, 8^{05}–9^{00} p ≺
14.	45.9	45.7	46.4	15.9	23.5	15.0	24.7	11.8	11.9	9.4	12.1	88	44	96	C	W 4	C	8^0	7^0	10^1	2.0	$9^{00.32}$ p ≺ ; n ◍ ; 5^{30}–6^{37} p ⍁ ; 5^{56}–6^{33} p ◍
15.	46.5	46.0	45.7	15.1	21.5	13.7	25.2	11.6	11.1	9.3	10.1	87	49	87	C	W 2	C	8^1	4^1	0	2.9	
16	46.3	47.1	47.1	14.8	15.9	14.5	23.9	8.7	10.7	12.3	12.2	86	91	99	C	C	C	10^0	$10^2\bullet$⍁	10^2	–	a ⌓ ; $10^{3.12}$ p ◍ ; 11^6–24^1 p ⍁ ; 14^6–4^{56} p, 5^{36}–7^{56} p ◍
17.	47.4	47.0	46.4	14.5	20.2	14.8	22.8	12.7	12.2	10.9	11.4	99	62	91	C	SW 2	C	10^2	$1^1\circ$	8^1	25.1	a ≡^{0}
18.	46.5	46.7	47.3	13.3	18.6	14.0	20.5	11.0	11.1	9.7	8.6	98	60	73	E 2	E 4	N 2	10^1	9^1	0	1.5	n–6^{36} a ◍
19.	49.8	49.9	49.5	9.3	12.3	10.0	15.5	7.1	6.4	7.2	7.6	74	67	83	E 2	NW 2	C	10^1	10^1	1^1	–	
20	49.9	50.2	51.9	11.5	14.9	10.9	16.4	7.9	8.0	6.7	7.7	80	53	79	NE 4	NE 6	C	7^0	$2^1\circ$	10^0	–	$11^{11.18}$ a ◍ ; 2 p ≡
21.	53.8	53.2	53.0	10.1	15.2	8.3	18.5	7.0	5.1	4.1	5.7	55	33	70	E 4	E 2	E 2	$0\circ$	$0\circ$	0	3.0	
22.	52.9	51.9	51.8	8.1	16.7	11.9	19.0	0.4	6.2	5.9	7.8	77	41	75	SW 2	E 2	C	$0\circ$	5^1	5^0	–	
23.	51.9	51.2	51.9	10.7	17.9	13.2	19.3	4.9	8.1	7.3	9.5	85	48	85	C	W 4	C	10^0	9^0	10^1	–	a ⌓
24.	53.8	54.7	54.9	12.7	15.0	13.5	18.8	10.2	10.5	10.9	11.4	97	86	99	C	SW 2	C	10^1	$10^1\bullet$	10^1	2.5	n, p ◍
25.	54.3	53.5	53.2	13.7	17.6	14.7	20.8	12.2	11.4	10.5	10.4	98	70	84	C	NE 2	NE 2	10^1	10^1	10^1	5.5	
26.	52.8	51.8	51.3	17.6	21.4	14.3	23.1	11.2	9.7	6.3	7.5	65	35	62	E 4	E 4	E 2	$1^0\circ$	$4^2\circ$	0	–	
27.	52.7	53.0	53.8	13.2	20.0	15.5	22.4	8.0	8.5	8.3	9.5	75	47	72	E 2	E 6	NE 2	7^0	$2^1\circ$	10^1	–	a ⌓ ; 2 p ≡
28.	54.1	54.1	54.3	14.3	21.5	14.1	23.3	11.2	9.6	9.9	11.2	79	52	94	E 2	SW 2	C	8^1	4^1	1^0	–	3^{16}–5^{03} p ⍁ ; $4^{28.46}$ p ◍
29.	53.0	51.8	51.2	18.6	19.8	14.9	22.8	9.9	11.1	12.4	11.6	70	72	92	NE 4	E 4	E 2	10^1	6^1	8^0	–	11^{13} a–1^{16} p ⍁ ; 11^{34} a–0^{47} p ◍ ; 3^{16}–4^{23} p ⍁ ; $3^{18.41}$ p ◍
30.	50.5	49.5	50.1	18.5	23.8	18.6	25.9	13.2	12.0	14.0	11.5	76	64	72	E 2	NE 4	C	$1^0\circ$	4^0	10^0	4.8	
31.	51.0	50.6	51.6	19.6	22.1	16.2	24.6	13.5	9.6	9.4	10.6	56	48	77	SE 2	NE 6	NE 6	$0\circ$	6^1	2^1	–	2 p ≡ ; $5^{56.16}$ p ◍ ; 9 p ≡
Mittel	51.3	50.9	51.1	12.8	18.4	13.0	21.0	8.0	9.0	8.4	9.1	81	53	80				6.0	5.5	5.7	61.5	

Bayreuth.

Mai $\varphi = 49^0\ 57'$ N. $\lambda = 11^0\ 34'$ E $= 46^m\ 16^s$. H $= 363.3$ m. Cg $= +0.3$ mm. 1911.

1.	27.5	29.8	32.7	7.3	10.3	6.3	10.8	5.9	6.7	5.2	5.0	88	56	70	SE 4	W 6	NW 2	10^2	10^2	4^1	6.1	n ztw. ◍$^{0.1}$, a ztw. ◍^{0}
2.	34.9	34.0	33.5	2.6	12.8	9.3	15.1	−0.9	5.0	5.2	6.5	91	47	75	E 2	E 4	E 2	8^1	$7^1\circ$	8^1	0.1	a ⌴^{1}
3.	33.1	31.7	31.4	5.8	16.6	11.2	19.5	−1.3	5.2	6.0	7.1	76	42	72	E 2	SE 4	SE 2	$0\circ$	$2^1\circ$	0	–	a ⌴^{0}
4	30.0	27.3	27.3	8.9	20.7	15.4	20.9	4.0	7.8	6.8	7.7	93	38	60	E 2	S 4	NW 2	$0\circ$	$5^1\circ$	10^2	–	a ⌓
5.	28.4	30.0	32.3	9.4	10.8	9.0	15.6	8.6	8.3	8.3	7.3	95	87	87	NW 2	N 6	N 2	$10^2\bullet$	10^2	10^2	1.5	4^{16} a–1^{18} p ◍^{0}
6	33.4	33.7	34.2	5.5	9.3	8.2	13.2	3.0	6.4	6.3	5.7	96	73	70	NW 2	NW 4	NE 2	$10^2\equiv$	$10^2\bullet$	10^1	3.3	a ⌓ ≡^{2}, p ztw. ◍^{0}
7.	34.8	34.6	34.1	6.9	11.8	8.7	13.2	3.3	6.3	5.6	6.7	85	55	81	N 4	N 6	NE 2	10^1	10^1	10^2	0.5	t ztw. ◍^{0}
8.	33.0	31.7	30.8	10.1	15.4	13.5	18.6	8.1	7.7	8.5	8.1	83	65	71	E 2	E 4	NE 4	10^2	9^1	0	0.3	
9.	29.2	27.7	27.3	10.9	20.0	14.9	21.1	6.5	8.1	8.2	8.8	85	47	70	E 2	E 6	E 2	$1^1\circ$	$5^2\circ$	4^1	–	a ⌓. 3^{35}–4^{56} p ⍁
10.	27.4	26.6	27.6	10.7	19.1	12.9	21.5	6.0	7.8	8.2	9.7	82	50	88	SE 2	SE 6	C	$2^0\circ$	8^0	10^2	–	a ⌓. 2^{26}–3^{16} p ⍁
11.	27.8	27.3	27.9	12.6	16.0	12.5	18.3	8.3	8.4	10.9	8.5	78	81	79	SE 4	E 2	E 2	6^1	$9^2\bullet$	2^1	–	0^{32}–3^{16} p ⍁, ztw. ◍$^{0.2}$
12.	28.4	27.7	27.4	10.9	21.1	14.1	22.1	5.3	8.1	8.9	10.5	85	48	88	E 2	SE 2	E 2	$5^1\circ$	$5^2\circ$	9^1	3.6	a ⌓
13.	26.7	25.0	24.0	10.7	16.9	14.2	22.9	7.5	8.5	11.8	10.6	90	84	88	E 2	SE 4	C	$3^0\circ$	$9^2\bullet$	6^1	–	a ⌓, ≡^{1}. 0^{32}–1^{56} p ⍁, bis nach 2 p ◍^{0}
14.	24.0	23.2	23.5	13.6	24.7	16.7	26.0	8.8	10.0	10.5	10.4	87	46	73	SE 2	SE 2	SE 2	$0\circ$	$5^2\circ$	2^1	1.2	a ⌓
15.	25.0	24.9	24.6	13.4	17.9	15.0	21.3	12.3	10.7	11.3	11.3	94	75	89	W 4	SW 2	E 2	$10^1\bullet$	10^1	7^1	5.1	mrgs. ◍^{1}, später–10^{45} a ◍$^{0.1}$
16.	24.9	24.2	25.2	12.2	17.1	12.8	19.3	9.0	9.6	11.2	10.5	91	78	96	W 2	NW 4	NE 2	7^2	10^2	10^1	1.4	a ⌓, ≡^{1}. 2^{41}–4^{36} p ⍁, 2^{16}–5^{16} p ◍$^{0.2}$
17.	25.3	24.2	24.4	14.1	17.8	15.3	21.8	10.6	10.9	12.2	11.3	92	81	87	E 2	NE 4	NE 4	10^1	10^1g●	10^2	8.9	a ⌓ ≡^{0}. 1^{31}–2^{41} p ⍁, 1^{46}–2^{11} p ◍^{1}
18.	24.0	24.0	24.4	13.0	17.2	14.1	18.4	12.3	9.2	9.8	7.6	83	67	64	NW 4	E 2	NW 4	10^2	10^2	5^1	2.1	
19.	25.6	25.5	25.6	9.9	11.7	10.5	14.4	8.1	6.9	6.8	7.7	75	67	81	NW 4	NW 4	NW 4	8^1	10^1	7^0	–	
20.	26.6	28.0	29.1	8.9	9.9	9.1	12.0	6.3	6.7	6.3	7.3	78	69	87	NW 4	W 2	NE 2	8^1	10^2	10^1	–	$8^{21.16}$ p ◍^{0}
21.	31.6	30.4	31.1	5.3	13.3	8.2	13.5	1.3	4.0	4.8	4.3	61	42	54	NE 2	NE 4	NE 4	$0\circ$	$6^1\circ$	0	0.1	a ⌓^{0}
22.	30.5	28.6	28.6	3.8	15.8	11.1	16.9	−0.7	4.7	5.3	5.6	79	40	56	NW 2	W 4	W 2	$3^1\circ$	$6^1\circ$	7^1	–	a ⌓^{1}
23.	28.9	28.2	29.1	10.1	14.4	11.3	16.7	6.2	7.0	6.5	7.3	76	52	73	NW 2	NW 6	W 2	8^1	10^2	10^2	–	
24.	32.1	33.1	34.0	8.9	16.0	11.5	16.3	7.3	7.8	7.6	8.9	93	57	88	NW 2	W 2	NW 2	10^2	10^1	10^2	3.9	n ◍$^{0.1}$
25.	32.7	32.2	32.2	10.5	12.9	11.1	14.6	9.3	8.9	9.1	9.4	94	83	95	SE 2	SE 4	E 2	$10^2\bullet$	10^2	10^2	1.7	n, a ◍$^{0.1}$
26.	32.2	30.1	29.4	8.9	17.4	14.8	20.5	4.1	7.7	7.1	7.8	92	48	63	E 2	E 6	E 4	$0\circ$	$5^2\circ$	9^2	2.6	a ⌓ [7^{25} a ◍^{0}, p ztw. ◍^{0}
27.	30.5	31.0	31.3	11.1	14.6	13.5	16.9	9.8	8.6	9.6	10.3	87	78	90	E 4	NW 2	W 4	10^2g●	10^2g	10^2	4.4	$9^{03.46}$ p ⍁. 3–5 a ⍁ ◍^{1}. 6^{18}–8^{26} a, 0^{36}–4^{06} p ⍁. 5^{16}–
28.	32.5	32.9	32.8	12.7	13.5	14.4	21.9	8.7	9.5	10.3	10.3	88	90	85	NW 2	NW 4	E 2	9^1	10^2g●	10^2	2.3	10^{16} p–0^{16} a, 1^{26}–3^{16} p ⍁. 14^6–3^{16} p ◍^{0}, $2^{16.21}$ p ▲
29.	31.4	30.1	29.7	13.7	22.2	16.6	22.5	11.5	10.9	11.6	10.2	94	58	72	W 2	E 6	E 2	5^2	$6^1\circ$	8^1	26.2	10^{16}–nach 4 a ⍁, ztw. ◍^{1}
30.	28.7	27.7	28.8	17.8	23.0	17.2	24.8	12.3	11.1	12.2	10.9	73	59	75	E 4	E 6	E 2	5^1	$6^2\circ$	5^2	–	a ⌓. $3^{14.26}$ p, 4^{46}–5^{16} p ⍁. $6^{11.46}$ p ◍^{0}
31.	29.4	29.0	30.2	16.1	17.7	15.2	19.8	10.8	8.6	10.6	10.8	63	70	84	NE 2	N 4	N 2	$0\circ$	8^2	10^2	0.9	a ⌓. 0^{26}–1^{06} p, $2^{11.16}$ p ⍁. $0^{36.56}$ p, $2^{26.46}$ p ◍$^{0.1}$
Mittel	29.4	28.9	29.2	10.2	16.1	12.5	18.4	6.9	8.0	8.5	8.5	85	62	78				6.1	8.1	7.2	76.2	

Alle Angaben nach Ortszeit.

Bamberg

Mai. $\varphi = 49^0\ 53'$ N. $\lambda = 10^0\ 53'$ E $= 43^m\ 32^s$. H $= 287.7$ m. Cg $= +0.3$ mm. 1911.

Datum	Luftdruck auf 0° u. Normalschwere reduziert 700 mm +			Lufttemperatur C°					Absolute Feuchtigkeit mm			Relative Feuchtigkeit Proz.			Richtung und Stärke des Windes 0 bis 12			Bewölkung 0 bis 10			Niederschlag mm	Bemerkungen
	7a	2p	9p	7a	2p	9p	Max.	Min.	7a	2p	9p	7a	2p	9p	7a	2p	9p	7a	2p	9p	7a	
1.	34.1	37.1	40.2	7.1	9.7	4.4	12.8	4.4	6.7	5.5	5.2	88	61	84	W 2	W 3	W 1	10^2	10^2	2^1	1.3	
2.	**41.6**	40.6	39.8	3.1	14.0	6.6	16.4	− 0.9	5.5	5.7	5.3	96	48	73	SE 1	W 3	SW 2	4^1⊙	6^1⊙	0	0.1	n ⏢
3.	39.4	38.3	37.7	5.1	17.7	10.5	18.5	0.7	5.2	5.2	5.8	80	35	62	E 1	SW 3	S 1	1^1⊙	8^0⊙	1^1	0.1	n ⏢
4.	36.3	34.0	34.3	9.0	20.6	13.5	22.2	4.1	6.6	8.3	7.4	77	46	64	SE 1	NW 3	W 3	1^0⊙	5^1⊙	9^2	0.1	n ⏢
5.	35.4	37.0	39.0	10.1	10.9	7.5	14.6	7.5	8.4	8.7	7.3	91	90	94	W 3	NW 3	C	10^1●	10^2●	3^1	0.2	n, a, 14^1 p an ◎^{0}
6	40.3	40.5	41.3	4.7	10.9	6.7	16.3	3.7	6.4	6.0	6.4	100	62	87	N 1	S 2	S 1	10^2=	10^1	5^1	0.5	n ⏢. 0^{35}–1^{30} p ◑^{1}. $6^{40.54}$ p ◎^{0}. 7 a ≡^{1}
7.	**41.6**	41.1	41.0	5.8	13.7	10.0	15.9	3.1	5.8	5.4	6.1	85	46	67	NW 2	NE 4	N 2	10^1	7^1	10^2●	0.2	6^{15} a ◎^{0}, p ztw. ◎^{0}
8.	39.3	38.0	37.3	10.7	17.8	12.3	18.8	8.3	7.4	7.9	8.6	77	52	82	N 2	SE 5	N 2	10^2	8^2	1^1	0.4	10^{04} p ◑^{1}, n ◎^{0}. 9 p ∞
9.	35.7	33.9	33.5	13.8	20.4	15.2	22.4	9.8	7.8	8.4	8.9	67	47	69	NE 4	S 5	S 4	2^1⊙	6^1⊙	2^1	0.1	n ⏢. $10^{20.41}$ p ◹ [5^{14}–6^{00} p ◑^{1}
10.	33.8	33.1	34.1	14.0	18.7	12.2	22.3	8.4	8.5	8.6	9.1	71	54	87	E 2	S 4	E 3	2^1⊙	10^1	10^1	0.1	9^{15} p ◹ i. N, n ⏢. 3^{42}–5^{32} p ◹, $4^{37.43}$ p, $5^{03.14}$ p ◎^{0}
11.	34.1	33.6	34.2	12.8	18.5	11.0	20.4	10.4	10.6	10.0	9.0	97	63	92	S 2	S 1	S 1	9^1	9^1	1^1	6.0	11^{02} p ◎^{0}. 2^{27}–3^{00} p ◹, 3^{09}–5^{14} p ◎
12.	34.5	34.4	33.9	9.5	21.6	14.2	22.8	6.5	8.9	10.7	10.4	100	56	87	W 1	C	C	8^1	8^2	10^1	8.7	n ⏢
13.	33.1	30.8	30.1	9.9	23.8	13.9	25.4	7.4	9.1	12.3	10.2	100	57	87	NE 1	SW 1	NW 1	4^1⊙=	9^2●	10^0	0.1	n ⏢ ≡^{1}. 1^{52}–3^{00} p, 3^{35}–4^{04} p ◹, $2^{22.50}$ p, 3^{50}–4^{30} p ◑^{1}
14.	30.5	**29.6**	30.0	15.5	25.3	18.3	26.0	11.0	10.6	12.0	10.1	81	50	64	SE 1	W 2	W 3	2^1⊙	7^1⊙	10^2	1.0	n ⏢. $8^{15.45}$ p ◹ i. NE
15.	31.5	31.3	31.1	13.4	18.9	14.7	20.8	12.8	11.0	11.3	10.4	97	70	84	C	SW 4	C	10^2	9^2	10^2	3.8	11^{09} p–6^{30} a ◑^{1}. $9^{12.30}$ a ◎^{0}
16	31.3	31.1	31.7	13.8	16.9	12.8	22.8	10.8	10.8	**13.0**	10.8	93	91	98	N 3	C	NW 2	8^0⊙	10^2●ℨ	9^1	0.1	10 p ◹ i. SE. 10^{57} a ◎^{0}. 11^{36} a–3^{24} p ◑^{1}. 6^{04}–3^{50} p ◹
17.	32.1	30.9	30.7	13.1	21.5	14.9	23.4	10.9	11.2	12.6	11.6	100	66	92	C	S 1	NW 2	10^2=	8^1⊙ℨ	10^2	5.5	n ⏢. 7 a ≡^{1}. 1^{21}–2^{56} p ◹
18.	30.5	30.6	31.1	14.1	18.2	12.5	19.8	12.5	9.6	7.7	7.9	80	50	73	N 3	NE 6	NW 4	10^1	9^1⊙	6^0	0.1	4^{43}–5^{04} a ◹, 6 a ◑^{0}
19.	32.6	32.6	32.7	10.7	13.6	9.4	16.3	7.6	7.6	7.5	7.3	79	64	83	NW 4	N 4	N 3	10^2	10^2	9^1	0.1	
20.	33.3	34.7	35.8	12.0	12.6	10.7	16.7	7.4	7.6	6.9	7.2	73	63	74	N 3	NW 3	NW 2	9^1⊙	10^2	10^2	–	n ⏢
21.	38.4	37.2	37.5	6.8	14.5	8.4	15.8	2.3	4.0	4.4	4.7	54	37	57	NE 4	N 3	NE 2	○○	2^1⊙	0	–	n ⏢
22.	37.3	35.5	35.7	6.4	17.6	9.3	20.4	1.1	5.1	6.0	5.9	71	41	67	N 3	N 3	N 1	1^1⊙	5^1⊙	2^1	–	n ⏢
23.	35.6	34.9	36.5	10.5	16.9	12.1	18.8	6.1	7.6	8.0	8.0	80	56	76	NW 1	NW 2	NW 5	10^1	10^1	10^2●	–	n ⏢. 8^{50} p ◎^{0}. 2 p ⏀
24.	38.1	39.8	40.6	10.5	15.4	11.1	17.8	8.4	8.9	8.8	9.5	94	67	96	W 1	NW 3	C	10^2	10^2	10^2	3.6	n ◑^{1}. 4^{05}–7^{14} p ◑^{1}
25.	38.9	38.5	38.5	10.6	13.0	11.9	15.3	10.4	9.3	10.4	8.6	98	94	84	SE 2	C	S 2	10^2●	10^2	10^2	3.8	n, a–0^{30} p ◑^{1}
26.	38.2	36.5	36.1	13.6	18.8	14.5	21.3	9.1	7.2	6.3	7.3	62	39	59	SE 4	E 4	SE 6	○○	5^1⊙	8^2ℨ	2.1	11 p ◎^{0}. 7^{41}–9 p ◹
27.	36.9	37.9	38.3	11.9	13.1	11.4	18.2	9.9	10.2	11.0	9.7	98	98	97	N 3	SW 2	NW 1	7^1	10^2●ℨ	8^1	**15.6**	$9^{00.59}$ p, $11^{01.26}$ p, 0^{54}–1^{49} p, 1^{59}–2^{26} p, 2^{49}–3^{39} p, 8^{21} p ◹. [1]
28.	39.4	38.7	39.3	12.0	17.8	13.4	23.1	9.9	9.6	10.6	10.3	93	69	90	N 2	C	N 2	10^2●	8^1●ℨ	10^2	6.8	7^{01} a ◎^{0}. 1^{12}–3^{22} p ◹, 3^{52}–5^{31} p ◑^{1}
29.	37.5	36.3	35.6	17.0	22.7	17.7	24.7	12.1	10.2	10.8	10.9	71	53	72	E 3	E 5	W 4	7^1	9^1⊙	10^2	2.2	mn ◹ i. E. 3 a, 5 p ◹. 7^{31} a ◎^{0}. 9^{14} a, 10^{08} a ◑^{1}; [2]
30.	35.0	33.8	35.1	19.1	26.0	17.4	**26.5**	14.1	11.6	12.1	11.5	71	48	78	E 2	NE 4	N 2	10^1	8^1	9^1	0.7	9^{45} p–0^{30} a, $4^{12.55}$ p ◹, 4^{51}–5^{12} p ◑^{1}
31.	35.9	35.6	36.6	16.8	16.2	15.1	22.5	12.1	10.0	10.2	10.6	70	74	83	N 3	S 3	NE 3	○○	9^1ℨ	10^1	0.2	n ⏢. 11^{50} a–2^{01} p, $1^{28.35}$ p, 3^{19}–5^{43} p ◹. $0^{37.38}$ p ◎^{0}; [3]
Mittel	35.9	35.4	35.8	11.1	17.3	12.1	20.0	7.8	8.4	8.8	8.5	84	60	79				6.6	8.2	6.9	63.5	1) 9^{31} p–mn, $7^{43.44}$ a ◎, a ztw. ◎. 0^{54}–2^{54} p ◎. 2) $6^{29.44}$ p ◎^{0}. 6^{48} p ◑^{1}. 3) $1^{28.38}$ p ◑^{1}, 3^{55}–4^{00} p ◎^{0}. $4^{56.07}$ p ◑^{1}

Würzburg.

Mai. $\varphi = 49^0\ 48'$ N. $\lambda = 9^0\ 56'$ E $= 39^m\ 44^s$. H $= 179.3$ m. Cg $= +0.3$ mm. 1911.

1.	43.4	46.5	49.3	7.8	11.0	7.9	12.2	7.0	6.1	4.5	5.6	78	46	71	W 2	NW 4	NW 2	10^2	8^1	3^2	1.0	
2.	50.5	49.2	48.5	4.3	14.1	8.6	15.3	2.2	5.3	4.9	6.0	85	41	71	W 1	S 2	S 1	○○	8^2	0	–	a ⏢ ≡^{1}
3.	48.3	46.7	46.3	4.7	18.8	12.0	19.0	2.3	5.3	5.6	6.5	82	34	63	C	SE 2	C	○○	○○	0	–	a ⏢ ≡^{1}
4.	45.1	42.9	43.5	7.1	19.6	12.4	20.2	5.1	6.3	6.8	7.5	84	40	70	SW 1	SW 3	W 2	○○	8^1	10^2	–	a ⏢ ≡^{1}
5.	44.9	46.0	48.2	10.8	14.0	11.0	14.0	9.0	7.8	8.2	8.6	82	69	87	W 4	E 4	C	10^2	10^2	5^1	2.7	n, 2^{45} p ◎^{0}
6.	49.3	49.2	50.0	7.0	14.8	10.6	15.1	5.4	6.6	5.4	6.0	88	44	63	W 1	S 2	C	10^2	6^2	10^2	0.1	7^{10} ◎^{0}. 0^{04} p ◹
7.	**51.0**	50.2	50.0	8.2	14.4	11.6	15.0	5.3	5.7	6.5	6.6	70	53	64	E 2	E 4	E 2	○○	10^2	10^2	0.4	a ⏢
8.	48.3	46.8	46.0	11.2	16.5	14.6	18.4	9.4	8.0	8.5	9.3	80	61	75	E 4	E 3	E 2	10^2	10^2	2^1	0.2	n ◎^{0}
9.	44.1	42.5	42.1	12.4	20.6	15.8	21.8	9.0	8.8	7.5	8.9	83	42	66	E 3	E 2	E 1	1^1⊙	3^1⊙	3^1	–	a ⏢
10.	42.6	41.4	42.3	12.3	21.3	13.9	21.8	8.6	8.5	8.7	10.6	80	45	91	E 2	S 2	S 1	○○	4^1⊙	10^2	–	a ⏢. $6^{10.25}$ p ◹, 6^{43}–7^{03} p ◎. $7^{10.40}$ p ◹
11.	42.6	42.2	42.4	12.6	18.2	13.5	19.0	11.5	10.5	9.3	9.4	97	60	82	SE 2	S 2	S 2	10^2●	5^1⊙	10^1	4.2	n ◎
12.	43.2	42.9	42.4	10.2	19.6	14.0	21.3	8.6	8.6	9.2	11.4	93	54	96	W 1	S 4	C	10^2	10^2ℨ	0	1.5	a ⏢ ∞. 1^{40}–2^{30} p ◹, $2^{10.35}$ p ◎
13.	42.0	39.4	38.7	11.2	23.6	16.7	24.0	10.0	9.6	9.5	11.2	97	44	79	S 1	E 4	E 2	○○=	2^1⊙	10^2	0.5	a ⏢ ≡^{1}
14.	39.3	**38.5**	39.7	15.2	24.2	16.7	25.0	12.6	11.0	10.0	10.8	86	45	76	W 1	NW 2	W 4	○○	5^1⊙	10^2	0.3	n ●
15.	40.0	39.6	39.6	14.6	20.6	16.7	22.0	13.7	11.8	11.0	11.7	96	61	82	W 1	SE 2	SE 3	10^2	6^1⊙	6^2	3.8	n ◎
16.	39.9	40.0	40.4	13.7	16.4	15.1	20.3	11.6	10.3	13.3	12.2	89	96	96	SW 1	C	C	2^1⊙	10^2	10^2	–	n heiter, a ⏢. 11^{45} a–0^{30} p ◹, m–1^{40} p ◎
17.	40.7	39.7	39.4	14.7	21.0	16.1	21.2	12.0	21.2	11.0	11.3	90	60	83	C	W 2	E 2	10^2	4^1⊙	10^2	10.0	a ∞. 7^{12} p ◹
18.	39.5	39.6	39.9	14.8	19.6	15.2	20.0	14.2	10.3	8.2	7.5	83	51	58	NE 2	E 4	W 3	10^2	10^2	10^2	–	
19.	42.3	42.0	42.1	10.8	14.0	10.8	15.2	9.4	7.3	6.7	7.5	75	57	77	NW 4	N 4	NW 2	10^2	10^2	10^1	–	
20.	42.8	43.0	44.9	11.9	15.6	10.2	16.1	9.8	7.5	6.0	6.9	73	46	74	NW 2	NE 4	NE 2	2^1⊙	2^1⊙	5^1	–	$8^{35.55}$ a ◹, 8^{55}–9^{02} a ◎
21.	47.4	46.2	46.1	7.4	14.6	9.6	14.9	5.4	4.4	3.7	5.6	58	30	62	E 4	E 2	E 2	○○	○○	0	0.3	a ⏢
22.	46.3	44.8	44.8	6.7	17.7	11.9	18.0	3.0	5.4	5.0	6.5	74	33	63	W 2	NW 4	C	○○	3^1⊙	2^0	–	a ⏢
23.	45.0	44.0	45.3	10.5	17.8	13.5	18.6	8.4	7.4	6.4	8.8	79	42	76	W 2	NW 4	NW 2	○○	10^2	10^2●	–	a ⏢ ∞. 8^{15} p an ◎^{0}
24.	47.3	48.5	49.2	11.6	16.4	12.4	17.2	10.8	9.7	9.9	10.2	76	71	95	C	S 2	C	10^2	10^2	10^2	3.0	n ◎, a ∞, p ◎^{0}
25.	47.7	46.9	47.2	13.6	16.7	13.0	17.8	12.2	11.1	10.5	9.8	96	74	89	W 2	E 4	E 2	10^2	10^2	10^2	3.8	n ◎^{0}
26.	46.5	44.9	44.2	13.6	19.9	16.0	20.4	12.0	8.3	7.1	8.0	72	41	59	SE 3	SE 4	E 4	○○	4^1⊙	0	–	a ⏢
27.	46.0	46.3	47.0	13.8	19.0	14.5	20.2	9.7	9.1	9.3	9.7	78	57	80	E 2	NE 4	C	10^1	8^1	6^1	–	a ⏢
28.	48.3	47.7	48.0	11.6	20.4	14.2	21.7	9.5	9.1	8.9	10.2	89	50	85	W 1	E 2	C	10^2	7^2	1^1	–	10 p an ◹ i. NE. 3^{55}–4^{30} p ◹, $4^{33.53}$ p ◎
29.	46.4	44.6	45.1	14.4	22.1	15.8	23.7	10.7	10.3	12.2	13.1	85	62	**98**	SE 2	E 4	SE 2	3^1⊙	10^2ℨ●	10^2ℨ●	0.2	a ⏢. 1^{40} p ◎^{0}. 1^{51}–2^{20} p, 4^{12} p an ◹. 1^{53}–2^{05} p, 5^{00} p–n ◎
30.	43.5	42.3	43.4	15.6	25.0	17.5	**25.1**	14.2	12.0	**13.5**	13.1	91	58	88	E 2	E 2	C	10^2	8^2	10^2	**35.0**	n–10^{20} p ◹, n–nach 11 p ◎. 2^{40}–3^{10} p, $4^{00.45}$ p ◹. $3^{05.15}$ p ◑
31.	44.6	43.8	45.2	16.4	22.2	14.2	22.8	12.6	9.9	9.0	11.1	71	46	93	E 2	E 4	SE 2	○○	4^1⊙	0	1.1	n heiter, a ⏢. $2^{27.54}$ p, $6^{20.10}$ p ◹, $2^{26.40}$ p, 6^{34}–7 p ◹
Mittel	44.8	44.1	44.6	11.3	18.4	13.4	19.3	9.2	8.5	8.3	9.1	83	52	78				5.1	6.6	6.2	68.1	

Alle Angaben nach Ortszeit.

Ludwigshafen a/Rh.

Mai. $\varphi = 49^0\ 29'$ N. $\lambda = 8^0\ 26'$ E $= 33^m\ 44^s$. H $= 100.3$ m. Cg $= +0.3$ mm. 1911.

Datum	Luftdruck auf 0° u. Normalschwere reduziert 700 mm +			Lufttemperatur C°					Absolute Feuchtigkeit mm			Relative Feuchtigkeit Proz.			Richtung und Stärke des Windes 0 bis 12			Bewölkung 0 bis 10			Niederschlag mm	Bemerkungen
	7a	2p	9p	7a	2p	9p	Max.	Min.	7a	2p	9p	7a	2p	9p	7a	2p	9p	7a	2p	9p	7a	
1.	52.5	54.8	57.5	8.5	13.2	9.3	13.4	7.2	5.9	3.8	6.3	71	33	72	W 3	SW 3	SW 1	6¹	6¹⊙	10⁰	1.7	abds. ◍⁰
2.	57.9	56.7	55.3	6.6	16.6	12.5	18.3	4.4	6.1	4.9	4.3	84	35	49	SE 2	S 2	C	○○	4¹⊙	0	0.2	a ⌓
3.	55.5	54.0	53.2	9.1	20.1	16.2	23.6	5.8	5.8	5.5	7.4	67	32	55	S 1	S 1	C	7¹⊙	2⁰⊙	0	–	
4.	52.9	51.6	52.3	11.1	17.8	11.7	19.9	8.3	7.7	5.7	7.7	78	37	75	S 1	SW 2	SW 2	3⁰⊙	6¹⊙	10²	–	abds. bölg
5.	53.5	54.3	56.3	10.3	15.3	12.6	17.2	9.6	8.3	7.7	9.1	89	59	85	SW 2	NE 1	C	10¹●	10¹	10²	0.1	6³⁰–10 a ◍
6.	57.7	57.3	57.5	9.6	16.4	10.6	17.3	8.6	6.4	3.9	5.5	71	28	58	NW 1	N 1	N 1	10⁰	6¹⊙	10⁰	0.6	
7.	58 6	57.9	57.5	9.3	14.7	13.0	16.5	5.8	6.4	6.1	5.7	74	50	51	NE 2	NE 1	NE 1	4⁰⊙	10²	10⁰	0.2	mrgs., 2¹⁴ p ◍⁰
8.	56.1	54.5	52.9	11.3	17.0	14.8	18.0	10.4	6.4	7.4	8.3	64	52	66	NW 2	NE 2	NE 2	10²	10²	10²	0.1	
9.	51.3	49.5	48.4	11.8	22.3	18.2	23.3	8.6	9.1	7.5	7.7	88	38	50	W 1	E 1	C	○○	6¹⊙	8²	–	a ⌓
10.	49.8	48.7	49.1	12.4	20.8	16.2	21.2	11.7	8.9	7.5	8.4	85	41	61	S 1	S 1	S 1	8¹	4⁰⊙	4⁰	0.8	9¹⁵–19 p ◹; 9¹⁵–19 p, 9³⁹–49 p ◍
11.	49.9	49.0	49.3	13.6	20.7	16.3	22.4	11.5	8.7	9.2	9.2	75	51	66	SE 1	S 1	C	7¹⊙	5¹⊙	10¹	–	
12.	50.3	50.6	49.1	13.9	20.0	17.0	23.7	12.2	10.1	11.4	10.6	86	65	74	S 1	NE 1	C	10¹●	6¹⊙	0	0.9	n, a–7 a ◍
13.	48.8	46.3	45.3	13.9	24.6	20.4	26.0	11.6	10.1	8.6	9.7	86	37	54	E 1	E 1	C	○○	4¹⊙	9¹	3.5	2³⁰ p ◍⁰; 4⁰⁴–19 p Fern–◹; 7³⁴–9⁰⁰ p ◹
14.	47.5	46.2	47.4	14.8	24.0	16.4	24.5	13.8	10.7	9.0	11.8	86	40	85	C	SW 2	SW 1	2⁰⊙	10²	10²	–	9³⁰–34 p ◹; 20⁴ p Fern–◹; 5⁴⁴–7 p ●
15.	47.8	47.3	46.5	14.4	21.6	18.4	22.6	13 0	11.1	9.1	11.2	92	47	71	S 1	NE 1	C	○○	4¹⊙	0	1.5	
16.	47.5	47.8	48.0	14.2	18.0	15.1	18.4	12.0	10.4	12.3	11.7	87	80	91	SE 1	SW 1	SW 2	4⁰⊙	10²	10²	–	10³⁰–11 a ◍
17.	48.5	47.6	47.6	14.8	18.8	16.4	21.0	13.0	11.4	13.0	11.8	91	81	85	S 1	S 1	S 2	10²	10¹ℊ	10²	2.0	a ≡¹; 1¹⁵–2¹⁰ p ◹; 2¹⁵–3⁴⁵ p ◍⁰
18.	47.7	47.5	48.6	14.2	18.4	14.6	19.4	13.0	10.9	10.6	9.1	92	67	74	N 3	N 5	NE 3	10⁰	1 2	0	0.5	a ◍⁰; 2 p ⟋
19.	51.6	51.3	50.9	9.8	12.1	10.2	14.6	8.4	6.5	6.0	6.8	71	57	73	N 5	NW 4	W 4	9²	10²	0	0.2	7 a ⟋
20.	51.5	51.5	52.9	10.8	11.6	11.2	15.4	8.0	7.7	8.0	8.0	81	79	80	N 2	NE 1	NE 1	10²	10²	10¹	–	11⁴⁴ a ab öfters ◍⁰
21.	53.9	53.8	53.9	10.4	16.4	13.0	17.2	8.2	5.0	3.4	5.1	53	25	46	NE 2	NE 2	NE 1	8¹	○○	0	2.7	
22.	54.3	53.1	52.9	7.9	17.2	14.0	17.6	6.1	5.6	4 8	7.5	71	33	63	N 1	N 2	N 1	○○	3⁰⊙	0	–	
23.	53.5	52.8	53.8	11.1	19.0	15.0	19.4	9.2	7.4	6.0	9.9	75	36	78	SE 1	SW 4	SW 2	10¹	10⁰	10¹	–	a ≡¹, dann ∞; 8³⁰–9 p ◍
24.	55.5	56.5	57.0	13.4	17.8	13.9	19 2	11.2	9.5	8.5	10.9	83	57	93	SW 1	SW 1	SW 1	10²	10²●	10²●	1.8	n ◍; a ≡⁰, dann ∞; 1–9 p ◍
25	55.7	54.6	53.6	14.8	19.4	16.7	20.3	12.8	10.6	10.3	10.4	85	61	73	NW 1	E 1	C	10²	8⁰	10²	2.8	
26.	53.1	51.6	51.6	14.8	22.6	17.4	23.2	12.4	8.8	6.4	8.0	70	32	54	NE 1	E 2	E 1	3⁰⊙	4¹⊙	0	–	
27.	53.9	54.0	54.5	13.5	20.4	17.6	22.7	10.4	8.1	7.1	8.9	71	40	60	N 2	NE 2	W 1	○○	10²	0	–	
28.	55.9	55.2	55.2	15.9	24.3	17.3	26.2	12.2	9.0	9.4	9.8	66	41	67	N 1	NE 1	NE 1	○○	4¹⊙	0	–	abds. ◍⁰
29.	53.9	51.9	51.1	14.6	23 0	19.3	23.6	11.4	10.2	11.2	11.8	83	54	71	N 1	NE 1	NE 1	2⁰⊙	5¹ℊ	4⁰	0.2	1³⁴–3²³ p ◹; 2¹³–3¹⁹ p ◍⁰
30.	50.8	50.2	50.3	17.8	26.3	20.2	27.7	13.5	11.0	12.5	16.3	72	50	93	S 1	S 2	E 1	2⁰⊙	4¹⁰	6¹	1.8	5³⁴–6⁴⁹ p ◹ ◍ ▲
31.	51.7	50.6	52.7	18.2	24.9	17.2	26.3	16.0	11.0	8.1	10.0	71	35	68	NE 2	N 2	E 1	4⁰⊙	5¹⁰⊙	6¹	**5.8**	8²⁸.⁴⁴ p ◍
Mittel	52.6	51.9	52.0	12.5	19.2	15.2	20.6	10.3	8.5	7.9	9.0	78	48	69				5.5	6.6	5.7	27.4	

Nürnberg.

Mai. $\varphi = 49^0\ 27'$ N. $\lambda = 11^0\ 3'$ E $= 44^m\ 12^s$. H $= 309.1$ m. Cg $= +0.2$ mm, über 735.0 mm Cg $= +0.3$ mm. 1911.

1.	32.1	34.9	37.7	7.8	10.0	5.8	10.3	4.1	6.7	5.5	5.2	85	60	76	W 2	NW 3	W 1	10⁰	10¹	0	1.0	meist trüb, 2–4 a, 5 p an Aufklaren
2.	**39.2**	38.3	37.5	4.2	13.1	9.3	13.9	1.9	5.1	4.6	5.5	82	41	62	SE 1	NW 2	E 1	8¹○=	5²⊙	0	–	a ⌴ ≡¹, oft Windstillen, zunehmendes Aufklaren
3.	37.2	35.9	35.5	4.7	16.2	12.1	17.1	2.1	5.3	5.4	6.6	82	40	63	C	SE 2	SW 1	○○	2⁰⊙	0	–	a ⌴ ≡⁰
4.	34.1	31.9	31.5	7.8	18.4	14.2	19.2	4.8	6.6	7.7	7.9	83	49	65	SE 1	NW 3	NW 2	○○=	5²⊙	10¹	–	a ⌓ ≡¹, p auffrischende NW-Winde
5.	32.7	34.1	36.6	9.9	11.5	10 2	13.9	9.1	8.1	8.5	8.0	89	85	86	NW 1	NW 1	N 3	10¹	10¹	10¹	0.6	mn–10³⁰ a ztw. ◍⁰
6.	37.7	38.3	38.6	7.5	11.0	9.2	13.6	5.4	6.9	6.1	6.0	89	62	70	S 1	N 3	NE 2	10²=	6²⊙	5²	–	a ≡², t ztw. ◍⁰
7.	38.8	38.4	38.0	6.2	13.6	9.7	13.9	5.0	6.4	6.0	6.5	91	52	73	NW 1	NE 2	NE 2	10¹	9¹	10¹	0.6	5⁴⁰–7 a ztw. ◍⁰. 3 p–n ztw. ◍⁰
8.	36.9	35.2	34.1	10.0	16.1	13.2	17.5	8.2	7.7	7.8	8.0	84	58	71	NE 1	E 3	E 1	10¹	9¹	1⁰	0.7	p zunehmendes Aufklaren, sichtige Luft
9.	32.9	31.1	31.2	12.2	20.4	14.0	21.0	9.9	8.0	7.3	9.2	75	41	78	E 2	E 3	E 2	1⁰⊙	5²⊙	1¹	–	a ⌓. 5⁰⁰–30 p ◹, 5²⁰–35 p ◍⁰. 8 p ◹ i. S
10.	31.4	30.9	31.2	12.4	18.9	12.8	19.4	7.9	8.1	8.9	9.2	76	55	85	E 3	SE 2	SE 2	3¹⊙	9²	10¹	–	a ⌓, t zunehm. Bewölkg. 3⁰²–32 p, 5²⁴–6¹⁵ p ◹, 5²³–35 p ◍⁰
11.	31.9	31.4	31.8	11.8	17.5	13 5	18.7	9.3	9.1	8.7	9.2	88	59	80	SE 1	SE 2	SE 1	8¹	10²	8¹	0.5	mn kurz ◍⁰, 1³⁶–3 p, 3²⁰–33 p ◹
12.	32.0	31.7	31.5	11.8	20.6	15.4	21.1	9.0	8.3	8.9	10.4	81	49	80	SE 1	E 1	E 2	○○	9²	7¹	–	a ⌓ ≡⁰, wechs. Bewölkg., sichtige Luft, 7³⁰ p–n ◹ i. E
13.	30.8	28.6	27.9	11.1	22.8	17.1	23.8	8.8	8 5	8 7	10.0	86	42	69	C	SE 2	E 1	6¹⊙	8¹	8²	–	a ≡⁰, p zunehmende Bewölkung. 3¹⁶.⁴⁰ p ◹
14.	28.2	**27.4**	27.8	16.4	24.2	18.8	24.9	12.9	10.6	9.0	10.0	76	40	61	SW 2	NW 2	W 3	2¹⊙	6²⊙	9¹	–	nach mn ◹ i. S. 4¹⁵.²⁰ p ◍⁰. 7³⁰ p an ◹ i. NE, sehr
15.	29.3	29.1	28.5	14.2	18.5	16.1	19.8	13.2	11.1	11.3	10.9	93	71	80	C	E 1	NE 2	10⁰●	9¹	5²	4.1	11²⁰ p–mn, 1⁴⁰–3²⁰ a ◍¹, dann ztw. ◍⁰ [sichtige Luft
16.	28.9	29.0	29.2	13.6	17.0	15.0	18.7	9.3	10.4	**12.8**	10.9	90	89	86	NE 2	NW 1	E 2	9¹	9²	6¹	–	10 p an ◹ i. SE. 9³⁷.⁴⁵ a, 10²⁰.³⁵ a ◍², m–1²⁵ p ◍¹. 9³²–11²⁰ a,
17.	30.1	29.3	28.4	12.0	19.6	15.8	21.0	10.7	10.1	11.6	11.9	**97**	69	89	C	SW 2	NW 2	10²=	6¹⊙	10¹	9.9	a ≡², nach 4 a ◹ i. N, nach 8 p ◹ i. W [11⁴⁰ a–24⁵ p ◹
18.	28.0	28.0	28.2	13.6	17.2	15.8	18.0	12.4	10.8	9.1	8.8	94	63	65	NE 1	NE 3	N 3	10¹●	10²	8²	–	6⁰⁶–8²⁵ a ◍¹, fast durchaus bedeckt
19.	29.9	30.4	30.4	9.7	11.4	10.1	15.9	7.9	7.5	6.9	7.0	84	69	76	NW 3	NW 3	NW 3	9¹	10¹	6¹	3.1	n heiter, a zunehmende Bewölkung
20.	31.0	31.1	33.1	10.1	12.3	10.4	14.2	8.3	7.0	6.4	7.1	76	60	75	NW 3	NW 3	N 1	4¹⊙	10²	10¹	–	wechselnde Bewölkung, dünne lückenhafte Wolken
21.	35.2	34.7	34.5	7.0	13.4	9.6	14.0	3.9	4.4	4 3	4.8	59	38	54	NE 1	E 2	NE 2	○○	1¹⊙	0	–	a ⌓, 4 a ab wolkenlos, sehr sichtige Luft
22.	34.8	33.3	33.3	6.3	15.0	11.0	16.3	2.3	5.4	5.1	6.1	76	40	62	SE 1	NW 2	NW 2	○○	4²⊙	1²	–	a ⌓ ≡⁰, 9 a ab zunehm. Bewölkg., sehr sicht. Luft
23.	33.4	32.9	33.8	11.2	16.4	13.7	16.9	7.9	6.8	6.5	8.2	68	47	70	SW 2	NW 3	W 2	9¹⊙	9²	10¹●	–	a ∞. 8⁰² p ◹ i. SE. 9 p ◍¹
24.	36 1	37.7	38.3	10.6	15.4	11.7	15.7	8.6	8.3	7.5	9.0	89	58	88	N 2	NW 3	C	10¹	10²	10¹	5.0	9–10²⁰ p ◍¹, mn–5 a ◍⁰, trüber Tag
25.	36.9	36.1	35.7	11.4	13.4	12.9	14.9	10.3	9.4	9.7	9.0	95	86	82	SE 1	SE 3	E 2	10¹●	10¹	10¹	4.0	gegen 11 p ◍⁰, a ≡¹, a–1 p meist ◍⁰
26	35 5	33.8	33.1	12.6	18.6	13.5	19.1	9.5	7.1	6.1	8.5	66	39	74	E 2	E 3	NE 3	○○	5¹⊙	8²	5.0	a ⌓, sichtige Luft. 6³²–8³⁰ p ◹, 7⁴⁰–8³³ p ◍¹
27.	34.2	34.8	35.6	13.5	18.3	12.5	18.7	11.5	8.9	9.8	9.9	77	63	93	NE 2	E 2	NE 3	6¹⊙	9⁷⊙	3¹	2.7	0⁵⁰–2²⁰ a, 2³⁶–5 p ◹, mn–0³⁵ a ◍⁰. 2²⁵–7 p ◍², anfangs ▲⁰
28.	37.2	36.5	36.5	11.0	20.2	14.3	20.3	8.9	8.8	10.2	10.2	90	57	85	NE 1	NW 1	E 2	7¹⊙	8¹○ℊ	7²	**31.2**	a ⌓, ≡⁰, n ◹ i. N. 11⁰⁷ a–21⁵ p, 23⁰–33⁰ p ◹. 11²⁵.³⁵ a ◍¹
29.	35.1	33.4	32.7	15.7	23.6	18.2	23.8	12.9	10.5	11.2	10.3	79	52	66	E 1	C	E 3	7¹	6²	10²●	2.0	n ◹ i. N. 3²⁰ p, 5⁰⁰–6⁵⁵ p, 7⁰⁴ p–n ◹
30.	32.3	31.3	32.1	17.5	24.6	18.8	**25.2**	14.0	11.2	11.2	11.5	75	49	71	E 2	E 3	E 2	6¹⊙	5¹⊙	8¹	4.2	n–1⁴⁰ a ◹. 9 p–mn ◍, a wechs. Bewölkg., 5¹³.³⁰ p ◹
31.	33.0	32.8	33.5	17.5	17.7	14.8	18.8	13.0	8.8	9.4	10.6	60	62	85	E 3	N 4	E 2	○○	8²○ℊ	6²	–	a ⌓, sehr sicht. Luft, wechs. Bewölkg. 11²⁷ a–1²⁰ p, 1⁴¹–
Mittel	33.4	33.0	33.2	11.0	17.0	13.2	18.1	8.5	8.1	8.1	8.6	82	56	75				6.0	7.5	6.4	74.6	[2²⁰ p, 3²⁴–5³³ p ◹. 11³⁰ a–0⁴³ p ◍². 1³⁰–2 p, 3³⁵.⁵⁰ p ◍⁰

Alle Angaben nach Ortszeit.

Kaiserslautern.

Mai. $\varphi = 49^0\ 27'$ N. $\lambda = 7^0\ 46'$ E $= 31^m\ 4^s$. H $= 242.2$ m. Cg $= +0.3$ mm 1911.

Datum	Luftdruck auf 0^0 u. Normalschwere reduziert 700 mm +			Lufttemperatur C°					Absolute Feuchtigkeit mm			Relative Feuchtigkeit Proz.			Richtung und Stärke des Windes 0 bis 12			Bewölkung 0 bis 10			Niederschlag mm	Bemerkungen
	7^a	2^p	9^p	7^a	2^p	9^p	Max.	Min.	7^a	2^p	9^p	7^a	2^p	9^p	7^a	2^p	9^p	7^a	2^p	9^p	7^a	
1.	40.0	42.3	44.1	5.7	11.1	7.1	11.6	4.7	5.7	5.4	6.7	83	54	88	NW 1	W 2	W 1	3^0⊜	9^1	3^0	2.5	n ztw. ◍^{0}
2.	44.2	43.1	42.3	5.5	15.2	9.1	15.6	2.1	6.1	5.4	6.6	91	42	76	C	W 1	C	4^0⊜	4^0⊜	0	–	a ≡^{2}
3.	42.3	41.1	40.7	6.7	17.7	10.8	19.6	3.1	5.6	6.4	7.8	77	42	82	C	W 1	C	10^1	4^1⊜	0	–↑	a ≡^{2}
4.	40.1	39.2	39.5	11.0	13.3	9.7	14.6	5.9	7.0	7.0	8.3	71	62	92	W 1	W 2	C	3^0⊜	10^1	10^2●	–	a ⏢; 5 p–n meist ◍$^{0.1}$
5.	40.7	41.4	43.3	8.7	14.5	11.4	16.1	5.4	7.6	6.6	7.1	91	53	72	C	N 1	C	10^2●	5^0⊜	10^1	**3.4**	n, a–9 a ◍^{0}
6.	44.9	44.6	45.2	7.3	14.9	9.4	16.1	5.4	6.3	4.2	5.2	83	33	59	NW 1	N 1	N 1	10^1	4^0⊜	7^0	0.1	a ≡^{2}, kurz ◍^{0}
7.	**45.4**	45.1	44.5	5.7	11.5	8.5	15.4	3.1	5.4	7.2	6.7	79	71	81	C	SE 2	C	7^1	10^2●	5^0	0.2	a ≡^{1}; 1 p ab ztw. ◍^{0}; $5^{00.35}$ p ◍ ▁▁
8.	43.0	41.6	40.6	10.5	15.4	10.9	16.5	7.0	6.4	7.6	8.5	68	59	89	E 1	E 1	C	10^1	9^1	0	0.7	
9.	39.0	37.2	36.5	10.3	20.6	12.3	20.6	6.1	8.4	7.2	8.1	90	40	77	C	E 3	C	00	7^0⊜	4^0	–	a ≡^{2}; abds. ⏣
10.	37.2	36.4	36.9	10.5	19.5	13.1	19.6	9.1	9.0	9.1	9.9	95	54	89	C	NE 1	C	7^0⊜	8^1	8^1	0.5	$10^{16.36}$ p ◹, ◍^{0}; $2^{43.51}$ p ◹ ◍; $4^{06.26}$ p ◹; $5^{10.45}$ p ◹, [etwas ◍^{0}
11.	37.2	36.4	37.2	11.1	18.9	15.1	20.6	7.1	8.4	8.4	9.2	85	52	72	C	S 1	W 1	2^0⊜	6^1	10^1	0.1	a ⏢^{2} ≡^{1}; 2^{46-321} p ◹
12.	37.6	37.8	36.8	12.9	15.5	13.9	19.8	11.3	9.1	10.7	10.2	83	82	87	C	E 1	C	10^1	10^2●	5^0	0.3	$6^{30.45}$ a ◍^{0}; $7^{30-1115}$ a ◍^{0}; p–3^{20} p ztw. ◍^{0}
13.	36.5	34.1	34.3	13.0	23.2	14.6	24.6	8.6	9.2	7.8	10.6	83	37	86	C	SE 2	W 1	2^0⊜	6^1⊜	10^1	1.6	a ≡^{1}; 7^{31-851} p ◹; $7^{01.51}$ p ◍^{0}; 9 p ◹
14.	35.1	33.5	35.3	13.6	21.1	14.5	21.6	10.6	10.4	9.1	11.0	90	50	94	C	W 2	C	2^0⊜	9^1	10^1	3.3	9^{41} p–0^{01} a mehrere ◹; $10^{01-1151}$ p ◍; 3^{11-411} p ◹; 3^{51-521} p, 5^{40-728} p ◍$^{0.1}$
15.	35.8	34.8	34.5	12.3	21.0	15.1	21.5	11.2	10.1	9.5	10.8	**96**	51	85	C	C	C	10^1≡	7^1	9^0	1.0	a ≡^{2}, ≡
16.	35.3	35.3	36.1	14.7	19.7	14.1	20.1	11.4	10.3	10.8	10.6	83	63	90	E 1	SE 1	C	9^1	9^1	4^0	–	a ⏢, ≡^{1}; 9–11^{30} a ztw. ◍^{0}; $5^{01.06}$ p ◹; $6^{01.31}$ p ◍^{0}
17.	36.2	35.0	35.4	14.1	21.4	14.5	21.4	11.0	10.8	9.8	11 1	91	52	91	C	N 1	C	10^1	7^0⊜	10^1	0.3	a ≡^{1}; 5^{41-651} p ◹; 5^{48-601} p ◍^{0}, dann–8^{33} p ztw. ◍^{0}
18.	35.4	35.8	36.8	14.1	17.2	13.9	19.1	13.3	10.9	10.4	9.2	92	71	78	NE 1	E 1	N 1	10^1	10^1	2^0	0.2	a ≡^{1}, bis 11 a ztw. ◍^{0}
19.	39.3	38.8	38.5	8.5	12.5	8.9	14.6	7.9	6.0	6.5	6.9	73	60	81	N 3	N 2	C	9^1	10^1	5^0	0.1	
20.	39.0	39.0	40.6	9.2	13.8	10.1	15.6	7.0	7.4	7.5	7.0	86	63	76	NE 2	NE 2	C	10^2	7^1⊜	7^0	–	a ≡^{1}; 7^{25} a kurz ◍^{0}; p ztw. ▁▁; 2^{45-330} p ◍$^{0.1}$
21.	41.8	41.4	41.4	9.4	14.1	8.4	16.6	7.9	6.4	3.6	5.7	72	**30**	69	SE 2	E 2	C	10^1	00	0	0.4	
22.	41.5	40.6	40.5	6.7	17.0	10.7	19.5	**1.7**	5.4	5.4	6.9	74	38	72	C	N 2	C	00	6^0⊜	0	–	a ≡^{1}
23.	40.9	40.5	41.0	8.9	17.7	13.9	18.6	5.0	6.9	7.1	8.7	81	48	73	C	W 2	C	10^1	9^1	10^1●	–	a ⏢^{2}; 8^{30} p–n ◍^{0}
24.	43.0	43.9	44.2	12.1	17.3	13.7	18.1	10.5	9.5	7.4	10.6	91	51	92	C	NW 2	C	9^1	10^1	10^2●	1.6	a ≡^{2}, bis 11^{30} a ztw. ◍^{0}; 3 p–n ztw. ◍^{0}
25.	43.3	41.6	40.8	13.6	18.7	13.7	19.6	12.7	10.9	10.0	10.1	95	62	87	C	E 1	C	10^1	5^0⊜	5^0	1.9	a ≡^{2}
26.	40.1	38.7	39.5	14.6	20.9	13.9	22.6	11.6	8.2	5.9	7.7	67	33	65	E 2	SE 3	C	7^0⊜	6^0⊜	4^0	–	
27.	41.5	41.4	42.7	12.4	20.8	14.3	21.6	6.4	7.8	8.2	9.2	73	45	76	C	E 3	C	00	7^0⊜	3^0	–	a ≡^{0}
28.	43.3	42.8	42.5	12.9	20.0	15.7	22.6	7.7	8.4	8.9	9.8	76	52	74	C	NE 2	E 1	00	9^1●	4^0	–	$2^{50.05}$ p kurz ◍^{0}
29.	41.1	39.3	38.9	15.3	21.4	16.9	23.5	9.2	10.3	10.7	10.8	80	56	76	E 2	E 3	C	1^0⊜	7^1	5^0	–	a ⏢; $7^{28.42}$ p ◹
30.	38.6	36.7	38.1	10.4	24.0	18.4	**25.0**	10.6	11.4	12.3	**12.5**	82	56	80	E 1	E 2	E 1	00	8^0	5^0	–	n ◹ im N; a ⏢; 3^{21-510} p ◹
31.	39.2	38.5	39.9	17.9	24.4	16.5	24.5	14.0	11.1	7.5	9.2	73	33	66	C	E 3	E 2	00	4^0⊜	2^0	–	t ztw. ▁▁
Mittel	40.0	39.3	39.6	11.1	17.9	12.7	19.3	8.0	8.3	7.9	8.8	82	51	80				6.0	7.2	5.4	18.2	

Ansbach.

Mai. $\varphi = 49^0\ 18'$ N. $\lambda = 10^0\ 33'$ E $= 42^m 12^s$. H $= 437.5$ m. Cg $= +0\ 2$ mm. 1911.

1.	20.9	23.8	26.8	7.0	8.2	5.1	10.0	4.0	6.5	5.5	5.2	88	67	80	W 2	W 4	W 2	10^2	10^2	10^2	0.2	$9^{00-1045}$ mrgs. ztw. ◍; $10^{08.12}$ mrgs △
2.	27.7	26.9	26.3	5 3	12.2	5.3	14.4	0.4	5.6	4.9	5.3	86	47	80	C	NW 2	NE 2	4^0⊜	4^1⊜	0	0.6	≡^{0}
3.	25.7	24.8	24.5	4.7	16,2	8.2	17.8	0.2	5.2	5.6	5.6	82	42	69	C	SW 4	C	2^0⊜	2^0⊜	0	–	≡^{0} ⌴
4.	22.9	20.9	21.1	10.3	18.1	12.0	19.0	3.1	6.7	8.0	7.2	71	52	69	C	C	NW 4	00	6^1⊜	8^2	–	≡^{0}; $7^{00.10}$ p ◍^{0}
5.	21.2	23.6	25.6	9.0	11.2	8.9	12.6	8.1	7.3	8.2	7.1	87	82	84	W 2	N 2	C	10^2	10^2	8^1	–	
6.	26.8	26.9	27.4	6.8	10.8	8.0	13.2	3.7	6.4	6.2	6.0	87	64	74	C	N 6	N 4	10^1≡	10^2	10^2●	–	mrgs. ≡^{1}; 2 p ▁▁; 8^{32} p–n ◍
7	**27.8**	27.1	27.3	5.9	12.6	7.7	13.2	5.0	6.3	6.9	7.1	92	63	91	N 2	NE 4	NE 2	10^2●	6^1⊜	10^2●	1.8	mrgs. ◍; t ztw. ◍
8.	25.4	24.1	23.4	8.9	14.8	10.2	16.6	6.6	7.9	8.0	8.0	93	64	86	NE 4	E 6	C	10^2	6^1⊜	2^0	4.1	2 p ▁▁
9.	21.3	20.0	20.2	10.6	19.2	11.4	21.4	6.8	8.0	8.1	7.8	84	49	78	NE 4	E 4	C	00	4^1⊜	0	–	6^{56} p ◠ (NE–S); abds. ◹ i. NW
10.	20.2	19.8	20.1	10.6	18.8	10.8	20.2	5.0	7.7	9.6	8.8	81	60	92	NE 2	C	C	00	6^1	8^2●	–	3^{52-548} p ◹; 4^{32-512} p ◍; abds. ◍
11.	20.8	20.4	20.9	11.2	19.0	10.5	19.2	9.5	9.0	10.2	8.4	92	63	90	S 2	C	C	10^2●	8^1	2^0	6.4	mrgs. ◍^{0}; 3^{23-502} p ◹
12.	21.0	21.2	20.7	10.8	18.3	12.2	20.8	5.4	8.4	10.5	9.4	89	68	90	C	SW 2	C	2^0⊜	10^2	2^0	0.6	
13.	19.9	17.5	17.0	11.6	22.9	16.0	24.0	6.4	8.8	9.0	10.9	87	44	81	C	E 4	C	00	6^1⊜	6^1	–	mrgs. ≡^{0}
14.	17.5	16.8	18.0	15.0	22.7	16.1	24.0	10.5	10.0	9.1	11.0	79	44	81	C	NW 2	W 6	2^0⊜	6^1⊜	10^2	–	9 p ▁▁
15.	18.6	18.4	17.9	13.6	17.7	13.7	19.8	12.0	10.7	11.4	10.5	93	76	91	W 2	C	C	10^2●	8^1●	2^0	**7.6**	n ◍; t ztw. ◍
16.	17.9	18.1	18.4	13.2	18.0	14.6	19.8	8.3	10.1	12.1	11.4	90	79	92	N 2	C	C	10^2	10^2	10^2	6.2	$8^{32-1027}$ a ◍; 9^{50} a–0^{37} p ◹
17.	19.1	18.1	17.5	12.9	19.4	15.6	20.8	10.3	9.9	11.1	11.0	90	66	84	C	N 2	C	10^1≡	6^1⊜	10^2	3.2	8^{30} p ab ◹ i. N
18.	17.3	17.2	17.6	13.0	16.4	14.4	16.4	12.4	9.7	9.0	9.2	88	66	76	C	NE 6	NE 4	10^2●	10^2	10^2	1.6	7 a ◍; 2 p ▁▁; 6^{27-942} a ◍
19.	19.1	19.8	19.9	8.8	9.8	8.2	14.4	7.0	7.2	6 6	7.1	87	72	88	N 4	NW 2	NW 2	8^2	10^2	6^1	3.7	10 a–2^{30} p ◹ i. SW
20.	20.3	20.3	22.2	9.6	13.1	9.0	14.0	6.8	6.8	6.3	7.1	76	56	84	N 4	N 2	NW 2	4^1⊜	6^1	10^2	–	$11^{12.30}$ a ◍
21.	23.9	23.6	23.7	5.4	12.6	6.5	14.8	3.3	4.6	4.2	4.8	69	39	67	N 2	NE 2	C	00	00	0	0.3	
22.	23.5	22.8	22.4	6.2	14.3	9 0	16.0	0.2	5.1	5.1	5.7	72	43	67	C	N 2	C	00	4^1⊜	C	–	
23.	22.6	22.0	23.2	10.6	16.2	12.8	16.8	5.8	6.9	6.9	7.7	73	52	70	C	W 4	W 2	8^1	8^1	10^2	–	
24.	25.0	26.7	27.5	10.7	13.2	10.4	13.8	8.9	8.8	8.6	8.8	92	76	94	C	N 2	C	10^2	10^2	16^2●	3.3	n ◍; 3^{42} ab ◍; 9 p ◍
25.	25.5	24.6	24.7	11.2	13.8	10.5	13.8	9.9	9.6	10.5	8.7	**97**	91	93	C	E 2	E 2	10^2●	10^2●	8^1	5.1	n, mrgs.–3^{00} p ◍
26.	24.2	22.6	22.1	11.4	18.2	13.7	19.0	8.5	7.8	7.5	7.5	78	49	64	E 4	E 2	E 2	00	4^1⊜	4^1	1.0	8^{15} p ◹ i. E
27.	23.1	24.0	25.0	13.5	17.7	12.0	18.0	10.3	9.5	8.8	9.1	83	59	88	NE 4	E 2	C	6^1⊜	10^2	2^1	–	$10^{45-1115}$ a ◍; $6^{30.45}$ p ◍; 7 p ◠ (NE–S)
28.	25.8	25.8	25.5	13.3	15.6	12.3	20 0	8.3	9.9	10.0	9.0	88	76	86	NW 2	E 2	C	6^1⊜	8^2ℤ●	0	1.9	0^{58-247} p ◹; 1^{34-202} p ◍
29.	23.9	22.5	22.3	14.5	22.9	16.6	23.6	8.9	10.0	11.2	10.7	82	54	76	NE 4	E 4	NE 2	2^0⊜	6^1⊜	10^2ℤ	0.8	2^{42-317} p, $4^{40.36}$ p, 7^{10-840} p $8^{36.?}$ p ◹. $4^{27.50}$ p, 7^{44-826} p ◍
30.	21.2	20.4	21.2	16.5	24.5	16.5	**25.2**	13.0	**12.6**	12.4	11.0	91	54	79	NE 4	N 4	C	4^1⊜	4^1⊜	4^0	6.6	$9^{17-1102}$ p ◍; n ◹ u. ◍; 4^{07-612} p ◹; 5^{44} p kurz ◍^{0}
31.	22.3	22.2	23.0	15.8	13.8	12.8	20.8	11.9	9.8	8.8	10.1	74	75	93	NE 2	N 2	NE 4	2^1⊜	10^2●ℤ	2^0	–	t ztw. ▁▁; 0^{37-206} p $4^{24.56}$ p ◹; 1^{06-212} p ◍
Mittel	22.3	22.0	22.4	10.6	16.2	11.3	17.5	7.1	8.2	8.4	8.3	85	61	82				4.7	5.8	4.9	55.0	

Alle Angaben nach Ortszeit.

Regensburg.

Mai. $\varphi = 49^0\ 1'$ N. $\lambda = 12^0\ 7'$ E $= 48^m\ 28^s$. H $= 342.6$ m. Cg $= +0.2$ mm. 1911.

Datum	Luftdruck auf 0^0 u. Normalschwere reduziert 700 mm +			Lufttemperatur C°					Absolute Feuchtigkeit mm			Relative Feuchtigkeit Proz.			Richtung und Stärke des Windes 0 bis 12			Bewölkung 0 bis 10			Niederschlag mm	Bemerkungen
	7^a	2^p	9^p	7^a	2^p	9^p	Max.	Min.	7^a	2^p	9^p	7^a	2^p	9^p	7^a	2^p	9^p	7^a	2^p	9^p	7^a	
1.	29.4	31.5	36.7	6.2	9.2	3.5	13.0	3.4	6.1	5.9	5.2	87	68	88	W 1	W 3	W 1	10^2	10^2	0	6.0	n, 0^{15-30} p ●
2.	**37.5**	36.7	34.9	4.6	13.2	6.9	13.6	1.4	5.0	4.2	5.9	79	37	80	E 1	S 1	C	2^0○	8^2	0	0.3	⏢
3.	35.5	34.3	32.5	3.2	15.9	7.0	16.3	**0.3**	4.6	5.6	6.3	80	42	84	N 2	S 1	C	2^0○	6^1○	0	–	mrgs. ⌴, a ⏢
4.	33.1	29.5	28.8	7.6	18.8	14.5	19 7	3.7	5.9	0.5	9.5	76	40	77	SW 1	SE 2	SW 1	2^0○	8^0○	10^0	–	⏢
5.	30.2	31.2	32.5	11.8	14.4	9.8	15.0	8.8	8.3	8.1	7.0	81	66	78	N 2	N 2	N 2	10^2	10^2●	6^0	1.1	n, 11^{45} a–2^{00} p ●
6.	34.3	34.6	34.8	8.2	14.7	9.2	15.2	6.6	6.2	5.0	6.9	77	41	80	N 2	NW 2	SW 1	$1C^0$	8^2○	10^2	0.5	11^{15-30} a, $12^{3.5}$ p ●
7.	35.5	34.5	34.5	9.5	12.4	7.5	13.2	5.7	6.4	5.0	6.9	72	47	89	N 2	NE 3	C	6^0○	10^0	10^0●	4.5	n, 4^{30}–9^{00} p ●
8.	33.7	33.2	33.1	10.3	16.1	13.0	18.2	6.3	7.2	7.7	7.6	76	57	68	E 2	E 2	E 2	8^2○	8^2○	0	1.5	9^{00}–11^{00} p ●
9.	30.9	28.8	28.3	12.0	20.6	13.0	21.0	7.2	7.5	6.3	6.5	72	35	58	N 1	S 3	SE 3	2^0○	6^2○	4^0	–	⏢
10.	28.9	28.4	30.1	9.7	17.4	13.1	20.0	6.9	7.2	9.2	8.8	82	62	78	S 1	SW 1	C	8^2○	8^2○	10^2	–	⏢, 8^{00-20} p ●
11.	30.7	29.9	29.3	11.6	16.4	11.2	19.2	7 3	8.3	8.2	8.8	82	59	89	S 1	SE 2	C	6^0○	10^2●	8^0	1.0	14^{5-40} p ●
12.	30.8	29.3	29.1	9.6	20.0	15.0	22.7	5.6	7.3	7.7	10.1	83	44	80	N 1	NE 1	C	2^0○	4^2○	8^0	3.8	⏢
13.	28.7	27.0	25.3	14.1	23.1	14.5	23.2	10.3	9.7	8.0	8.9	81	38	73	N 1	SE 2	C	6^0○	4^2○	8^0	–	⏢
14.	25.8	25.3	25.0	16.1	23.7	17.8	**27.2**	12.8	9.3	8.0	9.2	68	36	61	W 2	S 2	C	4^1	6^1○	4^0	0.1	n ●
15.	26.4	26.6	25.8	14.5	17.8	14.4	22.2	12.9	10.0	9.4	9.8	82	62	81	W 2	N 1	C	10^1	10^1	10^0	1.4	n ●, 1^{18-24} a ⍂, 1^{18-21} a ●
16.	26.0	25.9	26.7	16.1	22.4	15.0	23.1	11.7	10.3	10.8	**11.2**	76	54	88	N 1	S 3	C	6^0○	10^2	8^1	–	$20^{8.15}$ p ⍂, 23^{3-30} p ●
17.	27.0	26.3	25.3	14.2	20.8	14.0	21.5	10.9	10.4	10.0	11.1	87	56	**94**	SW 1	W 3	W 1	8^0○	6^2○	10^0	4.0	⏢, 0^{30-100} p ●, 9 p ≺ im W
18.	25.6	25.1	24.4	14.7	15.8	14.0	17.0	12.8	**11.2**	10.5	9.5	90	79	80	NW 1	N 1	NW 2	10^0●	10^1	10^0	**26.0**	10^{00} p–3^{00} a ●, 6^{45-130} a ⍂; 6^{12-930} a ●
19.	25.7	26.9	26.6	10.8	14.1	9.7	14.3	8.6	6.0	6.1	6.4	62	51	71	N 4	N 4	N 4	8^2	8^1○	8^0	2.5	
20.	27.4	28.9	29.7	10.2	12.8	9.2	14.1	6.7	5.3	5.7	6.4	58	52	74	N 1	NE 4	N 1	4^0○	4^0○	2^0	0.1	n ●, a ⏢
21.	31.8	31.6	33.9	7.3	13.2	8.4	16.4	4.8	4.1	2 6	4.3	54	23	52	N 2	E 1	E 1	8^1○	○○	0	–	
22.	31.3	30.3	31.2	7.4	14.9	9.8	18.0	1.7	4.4	4.2	5.5	58	33	60	N 1	NW 4	C	2^0○	4^1○	2^0	–	⏢
23.	30.6	29.6	32.2	10.4	16.7	10.0	17.7	6.8	5.6	4.9	8.1	59	24	88	W 2	N 4	C	8^1	8^1○	10^0	–	
24.	32.4	34.5	35.4	10.3	13.9	11.6	15.2	7.6	6.6	6.8	8.1	70	58	80	N 2	NE 1	C	10^2	10^0	10^0	5.5	$n-6^{30}$ a ●
25.	34.5	33.2	33.1	10.4	14.0	10.5	15.1	8.9	8.6	8.4	7.9	92	70	84	S 1	S 1	C	10^0●	10^0	0	1.5	$n-9^{30}$ a, 11^{00} a–0^{30} p ●
26.	33.0	31.8	31.1	11.5	18.9	11.6	21.9	5.9	6.5	5.6	8.1	64	35	80	N 1	SE 4	C	○○	○○	6^0	1.0	9^{12} p ≺ im SE u. N
27.	30.9	31.1	33.9	14.6	20.6	11.6	21.4	9.3	7.7	8.5	8.6	62	47	85	SE 1	N 2	E 1	8^0○	4^2○	2^0	0.5	9^{45}–10^{10} p ●
28.	34.4	33.3	33.5	11.3	20.6	14.8	23.7	8.9	8.7	9.7	8.9	88	54	71	SE 1	W 2	N 2	10^0≡	4^2○	2^0	–	a ≡^{1}
29.	31.9	31.6	30.0	14.7	24.0	17.9	24.7	11.9	9.9	10.0	10.6	80	45	69	N 2	SE 4	C	8^1	6^2○	10^2	0.1	n ●
30.	30.2	28.2	25.2	17.5	25.2	16.0	25.2	13.8	10.9	10.9	10.4	73	46	77	NE 1	E 6	C	4^0○	8^2⧖	10^0	–	14^{8-21^3} p ⍂, $20^{8.43}$ p ●, $21^{0.13}$ p ▲
31.	30.5	29.8	30.9	15.7	16.7	14.6	22.0	13.1	9.3	8.5	10.2	69	60	83	N 1	SE 1	E 2	8^2○	8^2⧖	4^0	9.0	0^{53}–20^8 p ⍂
Mittel	30.8	30.3	30.6	11.2	17.4	11.9	19.1	7.8	7.6	7.4	8.2	75	49	77				6.5	7.0	5.9	70.4	

Passau.

Mai. $\varphi = 48^0\ 34'$ N. $\lambda = 13^0\ 28'$ E $= 53^m\ 52^s$. H $= 309.3$ m. Cg $= +0.2$ mm. 1911.

1.	32.7	34.8	37.8	7.5	8.9	7.5	11.6	5.6	7.0	7.2	7.7	90	86	100	C	W 2	C	10^1	10^1●	0	3.6	t öfters ●
2.	**39.8**	38.8	38.2	3.6	14.2	7.1	14.2	3.2	5.9	6.1	6.4	100	51	86	C	NE 2	C	10^7≡	3^1○	0	6.4	a ≡^{2}
3.	37 3	36.9	36.5	4.5	16.2	9.7	16.5	**2.3**	5.6	7.4	7.9	89	55	88	C	W 2	C	○○	○○	0	–	⌴
4.	35.6	32.8	32.0	7.1	17.4	10.9	18.0	5.1	7.1	8.7	8.6	94	59	89	C	S 1	C	○○	10^0○	0	–	⌴ in den Hochlagen, ⏢, mrgs.–6^{45} a ≡^{1}
5.	32.3	33.0	34.9	7.3	15.2	11.7	15.4	5.7	7.3	9.3	9.6	95	72	95	C	W 4	W 2	10^7≡	10^1	10^1●	–	mrgs.–9 a ≡^{2}, 7–9 p ●
6.	36.7	37.2	38.2	9.9	14.2	10.4	14.6	9.2	7.6	6.6	8.1	83	55	87	N 1	C	C	10^1	8^1	8^1	0.5	8^{00-30} p ●
7.	38.4	37.6	38.1	6.7	11.4	8.2	13.1	5.3	6.8	6.4	7.4	93	64	92	C	E 2	C	10^0	10^1●	10^1	0.2	⏢, 2–5 p ●
8.	36 6	35.0	34.6	9.1	18.1	14.2	18.6	8.1	7.7	6.8	8.6	91	44	72	C	E 4	C	10^1	5^1○	0	1.3	
9.	33.0	32.5	32.1	14.4	20.2	14.4	20.9	11.5	7.2	7.6	7.2	59	43	59	E 4	E 4	C	○○	3^1○	0	–	⏢
10.	32.3	32.0	32.2	11.1	19.0	11.7	20.1	9.8	8.3	8.1	8.7	84	49	86	C	E 2	C	10^1	10^0	0	–	
11.	33.5	32.4	32.8	9.1	19.6	11.9	20.5	7.1	7.5	8 5	8 8	88	50	85	C	S 2	C	10^1	3^1○	0	–	24^{5-30} p ⍂ im E
12.	33.1	32.4	32.3	8.5	21.2	15.2	22.1	6.8	8.3	10.1	10.9	100	54	85	C	C	C	10^2≡	3^0○	10^0	–	mrgs.–8 a ≡^{2}
13.	32.0	29.4	28.3	10.5	23.8	16.4	24.2	9.0	8.6	9.2	11.3	92	42	81	C	C	C	10^0	3^0○	0	–	mrgs.–7 a ≡^{0}
14.	29.1	28.3	28.1	12.3	23.8	16.2	24.4	10 4	9.3	12 4	12.0	88	57	87	C	C	C	3^0○	3^0○	0	–	⏢
15.	29.7	29.7	29.0	14.6	20.2	16.4	21.1	11.5	10.9	11.0	12.1	88	62	87	C	C	C	10^1	10^0○	10^1	–	⏢
16.	28.9	28.7	29.5	14.0	21.2	17.4	22.9	13.0	11.2	12.8	12.0	95	68	81	W 2	NW 4	C	10^1	10^1	10^1●	7.0	mn ⍂ ●
17.	30.5	29.1	27.8	14.8	22.2	16.8	23.1	13.9	11.4	11.4	11.9	91	57	83	C	C	C	10^0○	1^0○	8^1	2.4	n ●
18.	28.0	26.4	**26.1**	15.2	20.2	15.2	21.5	14.3	11.3	11.4	11.2	88	65	87	C	NW 2	C	10^1	8^1○	10^1	5.7	10–11 p ⍂; 10 p–1 a ●; 6^{21-709} p ⍂, 6^{19-714} p ●
19.	27.1	28.2	28.6	10.8	11.1	12.0	15.2	10.6	7.6	8.9	8.3	79	90	80	W 2	W 2	C	10^1●	10^1	10^1	**14.2**	mn–1 a ⍂, n–m ●, 6–7 p ⍂
20.	29.5	29.9	32.3	10.5	14.6	10.3	15.1	8.5	7.4	7.1	8.1	79	57	88	W 4	NW 2	C	○○	10^1	10^0	14.0	
21.	34.2	34.5	34.8	9.1	12.8	10.1	15.1	9.0	5.9	7.0	7.9	68	64	86	NW 2	C	C	10^1	3^1○	10^1	–	5^{05}–7 p ●
22.	34.6	33.4	33.1	7.1	15.0	11.6	15.7	6 5	6.8	**5.3**	7.5	90	42	74	W 2	NW 4	C	3^1○	3^1○	8^1	0.6	
23.	33.3	32.8	33.1	9.3	14.8	12.6	17.0	7.3	6.6	7.9	8.6	73	63	80	C	W 2	C	10^1	10^1	0	–	a ●^{0}
24.	34.5	37.4	38.8	10.4	12.6	10.5	13.1	9.5	8.7	8.8	8.9	93	82	94	NW 2	NW 2	C	10^1●	10^1●	10^1	6.2	n, a ●
25.	38.2	36.4	36 3	10.3	15.2	12.3	15.8	9.5	8 7	9.3	9.0	94	72	86	C	C	C	10^1●	10^1	10^1	3.5	n, a ●
26.	36.2	34.2	33.3	9.3	19.6	13.6	20.2	6.3	7.4	6.6	9.2	86	**39**	80	C	E 4	C	○○	1^1○	0	–	⏢
27.	34.2	34.1	35.7	12.4	20.8	14.0	21.7	9.0	8.2	10.3	10.6	77	56	90	C	C	C	3^1○	3^0○	0	–	⏢
28.	37.2	36.3	36.2	11.3	22.6	19.0	23.1	8.4	8.9	10.6	9.8	89	52	60	C	C	C	8^1	○○	3^1	–	
29.	34.8	33.2	33.1	14.2	24.8	19.8	**26.1**	13.0	10.7	**14.1**	11.7	90	61	68	C	E 2	C	○○	5^1○	0	–	
30.	32.4	31.5	32.2	16.8	19.6	18.8	25.2	14.0	10.9	13.0	10.8	76	77	67	C	C	W 2	1^0○	10^1	10^1	–	⏢
31.	32.2	32.6	34.0	16.0	17.2	15.3	20.1	15.3	11.9	10.8	11.8	88	74	91	W 1	SW 2	C	10^1	10^1	10^1	–	⏢. 0^{31-139} p ⍂, $12^{3.29}$ p ●
Mittel	33.5	33 0	33.2	10.6	17.7	13.3	18.9	9 0	8.3	9.1	9.4	87	60	83				7.0	6.3	5.0	0.3 65.9	⏢. 0^{15-145} p ⍂, $3^{20.45}$ p ●

Alle Angaben nach Ortszeit.

Landshut.

Mai. $\varphi = 48^0\ 32'$ N. $\lambda = 12^0\ 10'$ E $= 48^m\ 40^s$. H $= 397.7$ m. Cg $= +0.2$ mm. 1911.

Datum	Luftdruck auf 0° u. Normalschwere reduziert 700 mm + 7a	2p	9p	Lufttemperatur C° 7a	2p	9p	Max.	Min.	Absolute Feuchtigkeit mm 7a	2p	9p	Relative Feuchtigkeit Proz. 7a	2p	9p	Richtung und Stärke des Windes 0 bis 12 7a	2p	9p	Bewölkung 0 bis 10 7a	2p	9p	Niederschlag mm 7a	Bemerkungen
1.	24.5	26.6	30.0	8.1	10.6	4.4	15.3	3.5	6.8	5.8	5.2	85	61	84	SW 2	W 2	C	7^1○	9^1	○	0.3	$10^{10.30}$ a ◍, △^{0}
2.	**31.7**	30.5	29.7	5.7	13.2	6.7	16.8	0.3	5.7	4.0	5.5	83	35	76	W 2	NW 2	E 2	○○	2^1○	○	1.3	⏢
3.	29.3	28.4	27.7	5.3	16.9	9.5	21.3	0.2	5.3	6.7	7.3	80	47	83	NE 2	SW 2	E 2	○○	3^0○	1^1	–	⌴^{0}
4.	27.0	24.3	23.3	8.2	20.2	14.2	24.0	1.8	7.0	7.5	8.1	87	42	67	SW 2	SW 2	C	6^1○	2^0○	10^1	–	⌴^{0}
5.	24.6	26.0	27.8	10.7	11.2	10.1	14.2	9.3	8.7	8.3	8.4	92	84	91	SW 2	W 4	W 2	10^1	10^1	10^0●	0.8	n–$^{6.30}$ a ◍
6.	29.5	29.8	30.1	9.3	12.6	8.4	17.0	7.5	7.4	6.6	7.9	86	61	**96**	N 2	W 2	W 2	6^1	10^1	10^1●	0.2	11^{30} a, 2^{20} p ◍tr.; 2^{45}–3^{33} p; 7^{00}–8^{20} p, 8^{50} p–n ◍
7.	30.1	29.5	29.5	7.7	11.6	7.1	13.8	6.2	7.5	6.8	6.8	**96**	67	90	NE 2	NE 2	E 2	10^1	10^1●	10^1●	6.4	1^{30}–2^{10} p, 7^{20} p–n ◍
8.	28.2	26.3	25.4	8.1	17.4	13.6	21.3	5.4	7.4	8.1	8.0	92	55	69	NE 2	E 4	NE 4	10^1	3^2○	○	0.2	
9.	24.2	23.0	22.8	13.2	21.4	12.3	23.0	7.5	8.1	7.0	7.3	72	37	69	E 4	SE 4	E 4	4^1○	4^2○	1^1	–	⏢^{0}
10.	23.9	23.7	23.6	9.4	18.8	12.2	22.0	5.5	7.9	8.0	8.4	89	50	80	NW 2	NW 2	E 4	9^1	8^1○	10^1●	–	$8^{40.55}$ p ◹, 8^{55} p–n ◍^{0}
11.	24.7	24.2	24.1	13.4	18.0	10.6	23.2	6.7	8.5	9.3	8.4	75	61	90	SW 2	S 2	C	3^0○	9^1	1^1	1.0	⏢
12.	24.7	24.2	24.1	11.4	22.6	13.6	25.3	5.5	8.6	8.8	9.4	86	43	81	C	E 2	C	1^0○	2^1○	8^1	–	⏢. 9 p Ψ
13.	23.5	21.0	19.5	12.2	22.9	15.3	27.2	7.5	9.3	8.3	10.0	89	40	78	SW 2	E 2	C	91	2^1○	1^1	–	⏢
14.	20.9	19.9	19.3	15.6	24.2	15.1	**30.0**	9.2	11.1	9.4	10.3	84	42	81	SW 2	E 2	C	1^0○	5^0○	1^1	–	⏢^{0}
15.	21.8	21.5	20.6	14.0	19.0	14.6	22.4	12.5	11.0	10.4	11.1	93	63	90	W 2	C	C	10^1	9^0○	9^1	4.5	$1^{15.45}$ a ◹ ◍
16.	20.8	20.4	21.4	14.0	23.6	15.0	28.0	8.0	10.7	11.2	11.4	91	52	90	NE 2	W 2	W 2	10^0	3^1○	10^1●	–	⏢, 4^{40}–5^{30} p ◹ im E, 8^{45} p–n ◍
17.	22.1	20.7	20.0	12.9	23.2	16.9	26.6	8.5	10.4	10.5	11.0	95	49	77	C	N 2	C	2^0○	3^2○	10^1●	1.6	9^{30} p ◺ im N, 8^{50} p–n ◍
18.	19.8	18.9	**18.7**	15.2	17.6	14.0	19.0	12.5	11.6	10.7	9.9	90	71	84	SW 2	N 2	E 4	9^1	10^1	10^1	**10.9**	n–^{9}40 p ◍
19.	19.8	20.9	21.9	10.4	13.2	8.7	14.2	8.1	6.9	6.5	7.3	74	57	87	NE 4	N 4	E 2	10^1	10^1	10^0	1.2	n, 8^{30}–9^{15} a ◍
20.	22.8	22.9	24.3	10.3	13.0	7.5	16.3	6.6	7.3	6.2	6.5	78	55	85	NW 2	NE 4	E 2	9^1	10^1	1^1	0.3	
21.	26.1	26.4	26.7	8.1	13.2	6.9	18.0	3.8	5.8	5.2	6.7	72	46	90	NE 2	E 2	E 2	10^1	8^1○	○	–	
22.	26.5	25.4	25.2	6.1	15.6	7.7	19.0	1.0	6.1	4.6	6.2	87	35	79	SW 2	NW 2	W 2	7^0○	$5^{\cdot 0}$	1^1	–	⌣
23.	26.0	25.0	25.4	8.3	16.6	10.6	18.6	3.2	6.8	5.9	7.4	84	42	77	W 4	W 4	W 2	10^1	10^1	3^1	–	p öfters ◍tropfen
24.	27.8	29.9	30.5	8.9	13.0	10.4	15.4	8.0	7.2	8.0	8.9	86	72	95	NW 4	NE 2	NW 2	10^1●	10^1	10^1●	9.3	n ◍, 7 p ◍tropfen, 8^{00} p–n ◍^{0}
25.	29.8	28.4	27.5	9.7	13.4	11.0	16.2	9.2	8.6	9.6	8.9	**96**	85	91	S 2	E 2	E 2	10^1●	10^1	10^1	2.2	n–^{9}30 a ◍
26.	27.5	25.4	24.3	12.2	19.4	13.8	23.0	5.2	7.5	6.1	8.6	71	37	73	E 4	SE 4	E 2	1^1○	1^1○	10^1	0.7	9^{30} p ◺ im NW
27.	26.1	26.2	28.1	13.2	21.8	14.8	25.9	7.2	8.7	7.9	9.4	77	40	75	SW 2	W 2	W 2	1^1○	3^2○	9^1	–	⏢
28.	29.0	28.5	27.7	11.6	23.0	15.1	27.2	8.1	8.9	9.7	10.2	88	47	80	SW 4	W 2	C	1^0○	2^1○	1^1	–	⏢
29.	26.6	25.2	23.7	15.5	26.1	17.2	28.4	10.2	11.0	9.6	11.2	84	39	77	E 2	S 4	E 4	3^1○	7^0○	1^1	–	7^{45} a ◍tropfen
30.	24.0	22.9	23.7	15.9	26.8	15.9	28.1	11.2	**11.9**	10.8	11.4	88	41	85	E 2	E 2	E 2	○○	2^2○	1^1	–	⏢, 2^{30}–3^{10} p ◍
31.	24.4	24.6	25.4	16.0	15.6	13.4	21.2	13.2	11.2	10.0	10.3	83	76	90	NE 2	E 4	E 2	9^1	9^1	1^1	6.5	$11^{15.50}$ p ◹, 11 a ◹ im N
Mittel	25.4	24.9	24.9	11.0	17.9	11.8	21.3	6.8	8.4	8.0	8.6	85	53	83				6.0	6.1	5.1	47.4	

Augsburg.

Mai. $\varphi = 48^0\ 22'$ N. $\lambda = 10^0\ 54'$ E $= 43^m\ 36^s$. H $= 499.6$ m. Cg $= +0.1$ mm, über 728.8 mm Cg $= +0.2$ mm. 1911.

1	16.0	18.7	21.7	7.2	11.6	8.0	13.1	4.3	6.4	6.7	5.7	84	57	70	W 4	N 4	NW 2	9^1	6^2○	10^1	2.2	$9^{15.40}$ a ◍
2.	22.5	22.1	20.9	6.2	12.7	8.4	14.4	3.8	6.0	5.6	6.0	86	51	72	N 2	SE 2	E 2	1^0○	5^1○	○	0.4	⏢
3.	20.2	19.9	19.4	5.2	16.2	12.5	18.1	2.5	5.6	6.1	7.0	84	45	65	C	SE 2	E 2	○○	3^0○	○	–	⌣
4.	18.3	15.1	15.2	8.4	20.9	14.8	20.9	4.9	6.4	6.6	8.6	78	36	69	C	N 2	SE 2	○○	5^1○	10^1	–	⏢
5.	16.9	19.0	20.4	9.1	9.5	9.2	14.8	8.6	7.4	7.4	8.4	87	86	**98**	SW 2	NW 2	NW 2	10^1	10^2	10^2●	–	6^{15} p–n ◍
6.	21.4	21.8	22.2	8.6	10.3	7.9	10.7	7.3	8.0	6.7	7.1	96	71	89	C	C	NW 2	10^1	10^2	10^1	2.2	$0^{15.35}$ p, $3^{15.40}$ p, 5^{30}–6^{40} p ◍
7.	21.6	21.0	21.2	6.5	10.4	7.4	12.1	4.8	5.7	7.2	6.4	80	76	83	NW 2	NE 2	NE 2	10^1	10^1	10^1	1.4	$1^{15.25}$ p, 2^{40}–3^{15} p ◍
8.	19.5	18.1	16.8	7.4	14.1	11.5	16.8	4.7	7.0	6.8	8.1	91	57	81	NE 2	NE 4	NE 2	10^2	4^1○	○	1.5	
9.	15.2	12.5	14.6	9.4	20.6	11.5	20.8	6.9	7.7	8.4	7.9	88	46	77	NE 2	E 2	NW 2	1^0○	4^2○	10^0	–	⌴, 4^{55}–7^{35} p ◹
10.	15.2	14.9	15.4	9.3	16.2	12.0	19.2	5.1	7.2	8.4	8.8	83	61	85	SW 2	SW 2	SW 2	5^0	10^1	10^1	–	⏢
11.	15.8	16.6	15.6	10.6	16.4	13.4	18.1	7.4	8.6	7.9	9.2	91	56	81	SW 2	NW 2	NE 2	8^1	5^2○	2^0	0.7	n ◍
12.	15.9	16.2	15.5	11.6	21.1	14.3	21.1	8.8	8.7	8.1	9.8	86	44	82	C	E 2	SE 2	2^0○	8^2	○	–	⏢, 4^{45}–5^{40} p ◹
13.	14.5	11.9	12.3	11.8	23.2	14.5	24.3	8.9	8.9	9.3	10.6	87	44	87	C	E 2	W 2	1^0○	4^2○	10^2ß●	–	⏢, 7^{35} p–n ◹, 7^{40} p–n ◍
14.	12.5	11.6	12.8	13.2	24.1	16.2	26.1	9.4	9.2	9.7	**12.1**	82	41	88	SW 2	SE 2	NW 2	4^0○	5^2○	10^2ß	10.2	n ◍, 8^{50} p–n ◹, 8^{15} p–n ◍
15.	13.6	13.3	12.2	13.3	17.7	15.2	19.8	12.8	10.8	11.3	11.5	96	74	89	SW 2	NE 2	NE 2	10^1	8^1	4^1	10.7	n ◍
16.	12.2	12.9	13.4	13.6	22.1	12.8	22.1	11.7	10.5	10.7	10.0	92	55	91	C	W 2	NW 2	10^1	4^1○	10^2	–	5^{15}–8^{15} p ◹, 5^{50}–8^{15} p ◍, $6^{30.50}$ p ▲
17.	13.7	12.8	12.3	12.4	20.0	14.3	21.0	10.2	10.0	11.9	11.3	94	69	94	C	N 2	NW 2	4^1○	5^2	10^2●	**12.4**	5^{10}–7^{50} p ◹, 5 p–n ◍
18.	11.7	**11.1**	11.2	13.1	16.4	13.2	16.4	12.2	10.6	11.1	10.2	95	79	91	NW 2	NE 2	NW 4	10^1	10^2●	10^2	4.2	n, 1^{35}–7^{00} p ◍
19.	12.7	14.6	14.5	10.9	11.9	8.6	13.2	8.6	7.3	7.8	6.2	75	74	75	NW 4	NW 4	NW 4	8^1	10^2	10^2	6.4	
20.	14.6	14.5	16.5	9.0	14.0	8.8	14.0	7.1	7.7	7.6	7.1	91	64	84	NW 2	NE 4	NE 2	10^2	8^2	10^1	1.8	n ◍
21.	17.6	17.7	17.8	9.2	13.6	10.2	16.2	6.8	7.3	6.8	4.8	84	59	52	NE 2	E 2	E 2	8^1	7^1	○	–	
22.	18.0	17.7	17.5	6.1	16.5	11.8	17.7	3.9	5.9	5.0	5.3	84	36	51	NE 2	NW 2	NW 2	○○	4^1○	○	–	⌣
23.	17.5	17.3	18.3	9.0	16.7	12.3	18.8	6.1	6.4	6.7	7.6	74	47	72	NW 2	NW 2	NW 2	8^1	6^1	8^1	–	
24.	20.3	21.3	**22.6**	10.2	13.5	10.8	13.5	9.6	8.8	9.3	9.0	95	81	94	NW 2	N 2	E 2	10^2	10^2●	10^2●	5.6	n, $0^{15.50}$ p, 1^{50}–2^{20} p, 4^{50} p–n ◍
25.	20.7	19.1	19.2	10.6	13.6	10.8	13.6	10.1	9.3	10.4	9.5	**98**	90	**98**	SE 2	SE 2	SE 2	10^2●	10^2●	10^1	6.1	n–^{4}45 p ◍^{0}
26.	18.2	16.6	16.1	10.0	17.3	14.2	19.3	7.4	7.5	7.2	7.9	82	50	65	SE 4	SE 4	SE 2	4^0○	2^1○	○	1.4	⏢
27.	17.8	18.1	19.5	11.3	19.9	13.6	20.4	7.8	8.9	9.6	9.3	89	55	80	E 2	NE 2	NE 2	○○	4^2○	○	–	⏢
28.	20.4	20.0	19.7	12.0	20.6	15.4	21.0	8.9	8.8	8.7	9.3	85	48	71	W 2	N 2	NE 2	○○	3^1○	○	–	⏢
29.	17.8	17.4	15.6	14.3	24.2	18.4	24.2	9.8	10.2	10.9	9.0	85	49	58	E 2	SE 2	SW 2	4^0○	5^2○	10^1	–	⏢, 4^{25}–5^{15} p ◹, $4^{00.50}$ p ◍
30.	15.4	15.0	15.4	15.5	24.3	17.6	**26.2**	12.6	11.3	11.9	11.9	86	53	79	SE 2	NE 2	E 2	4^0○	4^2○	10^1	0.4	⏢, $5^{25.50}$ p ◹, $6^{15.40}$ p ◍
31.	16.0	15.3	16.8	15.9	22.9	15.4	22.9	13.6	11.4	8.4	9.7	85	40	75	NE 2	NE 2	E 2	10^1	5^2○	4^1	0.3	⏢, 5^{30}–6^{40} p ◹, $6^{10.30}$ p ◍
Mittel	16.9	16.6	16.9	10.4	17.2	12.4	18.4	8.0	8.2	8.4	8.6	87	58	79				5.8	6.3	6.4	67.9	

Alle Angaben nach Ortszeit.

München-C.St.

Mai. $\varphi = 48^0\ 9'$ N. $\lambda = 11^0\ 34'$ E $= 46^m\ 16^s$. H $= 526.4$ m. Cg $= +0.1$ mm. 1911.

Datum	Luftdruck auf 0^0 u. Normalschwere reduziert 700 mm +			Lufttemperatur C⁰					Absolute Feuchtigkeit mm			Relative Feuchtigkeit Proz.			Richtung und Stärke des Windes 0 bis 12			Bewölkung 0 bis 10			Niederschlag mm	Bemerkungen
	7^a	2^p	9^p	7^a	2^p	9^p	Max.	Min.	7^a	2^p	9^p	7^a	2^p	9^p	7^a	2^p	9^p	7^a	2^p	9^p	7^a	
1.	13.5	15.8	19.2	7.8	10.5	6.7	11.6	6.0	6.2	6.7	5.3	79	71	73	SW 1	SW 1	C	9^1	9^1	4^1	–	n ◍^{0}, t ztw. ◍$^{0.1}$
2.	20.0	18.9	18.3	6.9	11.6	8.1	13.1	5.2	5.8	4.9	5.5	78	48	68	C	E 1	E 2	1^0⊙	6^1	0	4.3	mrgs. ⊿^{1}, ∞
3.	17.7	17.2	17.0	5.7	15.3	11.4	16.1	**2.3**	5.4	5.4	7.1	80	43	71	C	N 1	C	oo	6^0⊙	o	–	mrgs. ⊿^{2}, ≡^{0}, t ∞
4.	15.8	13.2	12.7	9.8	18.9	14.9	19.1	6.5	6.6	4.9	6.9	75	**31**	55	C	NE 1	SE 1	1^0⊙	7^0⊙	10^1	–	mrgs. ⊿^{2}, ∞^{2}
5.	14.2	15.8	17.7	9.6	8.9	8.7	15.2	8.5	7.2	7.9	7.9	81	94	95	SW 1	W 1	W 1	10^1	10^1●	10^1●	–	10^{30} a–n ◍$^{0.1}$
6	18.7	18.9	19.6	8.9	11.9	8.1	13.1	8.1	7.8	5.7	6.7	93	55	84	C	NW 1	NW 1	10^1	10^1	10^1	9.7	n ◍, p ztw. ◍^{0}
7.	19.0	18.3	18.5	6.5	10.1	6.8	13.1	6.2	6.6	6.9	6.4	92	75	86	C	C	NE 2	10^1	9^1	10^1●	–	$0^{30.38}$ p △, t ztw. ◍$^{0.2}$
8.	16.8	15.0	14.1	6.7	15.1	11.7	16.5	5.0	6.3	7.8	7.8	87	61	81	E 2	NE 1	NE 2	10^1	6^1⊙	o	7.8	10^{30} a an langsames Aufklaren
9.	12.7	11.4	11.9	9.7	20.2	11.2	21.0	6.4	6.7	6.4	7.6	75	37	76	E 1	E 2	SW 2	1^0⊙	6^1⊙	1^0	–	mrgs. ⊿^{2}
10.	12.8	12.6	13.0	10.3	16.9	10.9	17.6	7.4	7.0	6.8	7.9	75	50	82	SW 1	NE 1	SW 2	9^1	9^1	4^0	–	mrgs. ⊿^{1}, vorm. ztw. ◍^{0}
11.	13.5	13.0	13.2	12.1	15.5	10.9	16.5	9.0	8.5	8.4	8.6	81	64	89	SW 2	E 2	C	9^1	8^1	2^0	–	746.38 a ◍$^{0.1}$, 847.40 a ◍^{0}, $10^{29.33}$ a, 906.10 p ◹, p ztw. ◍
12.	13.5	13.0	13.0	11.6	20.6	12.9	21.0	8.6	8.4	7.9	9.7	83	44	88	C	E 1	SW 1	6^1	6^0⊙	6^1	7.5	mrgs. ⊿^{2}, ≡^{1}; m ⊕; 246–436 p ◹, 350–526 p ◍, 4 p ▲^{0}
13.	12.2	09.6	09.2	13.1	22.4	17.7	22.8	9.9	8.5	7.5	10.0	76	37	67	C	E 2	W 3	1^0⊙	3^0⊙	6^1	17.5	mrgs. ⊿^{1}, ≡^{0}, m Gebirge schwach sichtb., abds. ◹ i. W
14.	10.3	09.1	09.3	15.7	22.6	19.4	23.2	11.3	8.7	8.4	10.1	65	41	60	SW 1	E 1	C	4^0⊙	4^0⊙	10^1	–	mrgs. ⊿^{2}, ∞
15.	11.4	10.7	09.9	13.7	17.7	15.4	20.1	12.8	10.3	9.6	11.2	89	64	86	SW 2	NE 1	C	10^1	9^1	4^0	6.5	n ◹ i. S, 915–10 p ◹, 926 p–ca. 3 a ◍, 749 p kurz ◍
16.	09.9	10.0	11.3	13.8	20.4	13.5	21.1	11.3	10.0	10.6	10.5	86	59	90	C	NW 1	W 2	4^0⊙	6^1	10^2ß●	0.5	mrgs. ⊿, ∞; 933–10^{10} a ◍tr, 321.56 p ◹, 401.36 p ◍tr. 1)
17.	11.3	09.9	10.5	13.4	20.5	14.5	21.1	10.8	9.3	9.4	11.2	82	52	92	SW 1	NE 2	W 1	4^0⊙	7^1	10^1ß●	20.5	n ◍, 426.56 p ◹, 6^{04}–9^{00} p ◹, 5^{04} p–n ◍
18.	09.3	08.1	08.1	13.1	17.6	13.5	18.1	12.0	10.2	9.7	9.9	91	65	87	SW 1	SW 1	NE 3	10^1	8^2⊙	10^1	**24.5**	$9^{00.40}$ p ◹, n ◍, 10 a ●tropfen
19.	09.4	10.8	11.9	10.1	12.7	8.6	14.3	8.4	8.9	6.6	6.7	75	60	80	NE 3	NW 3	NW 2	10^1	10^1	10^1	5.5	n ◍
20.	12.0	12.0	13.9	9.1	14.1	8.5	14.2	7.4	7.2	5.5	6.7	85	45	82	NW 1	NE 2	NE 2	9^1	8^1⊙	10^1	1.8	ca. 10 p ◍^{0}, n ◍, $9^{25.32}$ a △^{0}, 6^{13}–ca. 7 p ◍
21.	14.9	15.1	15.3	7.3	12.1	9.1	13.3	6.2	7.0	5.9	7.2	92	56	85	N 1	NE 1	SE 1	10^1	7^1	o	1.3	
22.	15.2	14.8	15.0	6.7	15.4	10.9	16.1	4.0	6.7	**4.1**	5.8	92	32	60	C	NW 1	NW 2	oo	3^1⊙	1^0	–	mrgs. ⊿^{2}, ≡^{1}
23.	14.8	14.5	15.5	11.5	16.1	12.7	17.5	6.6	6.1	5.7	7.0	60	43	64	W 1	W 2	SW 3	9^1	8^1	10^1	–	mrgs. ⊿^{1}
24.	17.1	19.0	**20.2**	9.5	12.8	10.1	14.1	9.0	8.5	9.1	8.4	**96**	83	91	W 3	NW 2	C	10^1●	10^1	10^1●	5.7	n, t–n ztw. ◍, m kurz ▲
25.	18.4	17.1	16.5	10.0	10.5	10.4	12.1	9.4	8.6	9.0	9.0	94	95	**96**	SW 2	E 2	E 1	10^1●	10^2●	10^1	13.7	n, t–6 p ztw. ◍
26.	15.6	13.7	13.5	10.1	17.5	13.5	18.4	6.0	7.0	7.8	9.0	76	53	78	E 3	E 3	C	2^0⊙	3^0⊙	1^1	5.2	
27.	15.1	15.4	16.8	12.7	20.2	15.8	20.5	9.8	8.2	7.4	8.6	76	42	65	SW 1	N 1	NE 1	2^0⊙	3^0⊙	6^1	–	n ◹ im N, mrgs. ⊿
28.	18.1	17.5	17.5	12.8	20.0	16.6	21.1	10.4	8.9	8.7	9.2	82	50	66	W 1	NE 1	NE 2	oo	3^1⊙	8^1	–	mrgs. ⊿, ∞
29.	15.4	14.1	13.5	15.5	23.6	17.5	24.1	12.0	9.9	9.3	10.9	76	43	73	NE 2	E 2	NW 1	3^0⊙	3^0⊙	6^1	–	mrgs. ⊿, abds. ◹ i. NW
30.	13.3	12.4	12.8	13.1	23.4	18.3	**24.2**	12.2	10.7	10.3	**11.4**	**96**	48	73	SW 1	NE 2	NE 3	10^1≡	3^1⊙	10^1	–	10^{36} p Fern◹ i. E, mrgs. ≡^{1}, ⊿^{2}; 9^{29} a Aufklaren
31.	13.4	13.1	14.4	16.1	17.9	14.1	20.5	14.0	11.1	10.9	10.9	82	72	92	NE 2	SW 1	NE 1	9^1	8^2●	6^0	–	9^{35} a–2^{40} p ztw. ◍. 0^{45} p ◹
Mittel	14.4	13.9	14.3	10.7	16.5	12.3	17.8	8.5	8.0	7.6	8.4	82	55	79				6.2	6.7	6.3	132.0	1) 5^{26}–9 p ◹, 6^{31} p–n ◍

Traunstein.

Mai. $\varphi = 47^0\ 52'$ N. $\lambda = 12^0\ 39'$ E $= 50^m\ 36^s$. H $= 597$ m. Cg $= +0.1$ mm. 1911.

1.	07.9	10.2	13.6	5.6	8.8	5.0	9.6	5.0	6.4	6.8	6.3	94	81	97	S 2	SW 2	S 2	10^2●	8^2⊙	o	5.7	n, t ztw. ◍
2.	14.5	13.5	12.8	5.0	11.8	6.0	12.6	3.0	6.1	4.8	5.7	94	47	82	W 2	E 2	E 2	8^2	6^2⊙	o	5.3	a ⊿
3.	11.9	11.6	12.0	4.4	15.0	8.2	16.0	**1.0**	5.4	5.4	7.2	87	43	89	SE 2	SW 2	E 2	4^2⊙	6^2⊙	2^1	–	a ⌊
4.	10.4	07.8	07.1	9.6	18.2	12.0	20.0	6.0	7.4	9.6	9.1	84	62	88	SE 2	SW 2	SE 2	8^1⊙	8^2	8^2	–	a ≡$^{1.2}$, p ◍
5.	08.1	09.6	11.7	10.0	10.2	7.8	12.0	5.0	8.1	8.0	7.9	88	86	100	NW 6	W 6	W 6	10^2	10^2	10^2●	0.2	abds. ◍
6.	12.9	13.4	13.8	8.0	8.2	6.2	10.6	5.5	7.7	7.9	6.6	96	98	93	NW 2	W 2	W 2	10^2●	10^2●	2^1	9.2	n–p ◍
7.	12.8	12.7	12.7	7.0	9.6	6.2	11.1	5.5	7.0	7.4	6.6	94	84	93	W 2	E 2	E 2	10^2	10^2	10^2	2.0	n u. vorm. ◍
8.	11.1	08.8	08.6	5.0	16.6	11.6	17.6	4.0	6.0	8.3	6.8	92	59	67	E 4	SE 6	NE 4	10^2	3^1⊙	o	3.1	a ⊿
9.	07.0	06.3	06.5	8.6	18.4	10.4	20.0	4.0	5.9	6.6	6.7	70	42	72	NE 2	E 4	E 2	5^2⊙	6^2⊙	3^1	–	a ⊿
10.	07.3	07.2	07.6	9.2	16.8	11.0	17.6	5.0	6.6	6.5	8.7	76	46	89	SE 2	E 2	W 2	8^2	8^2⊙	8^2	–	a ⊿, p ◍
11.	08.5	07.7	08.2	10.4	17.2	11.0	17.6	5.5	8.3	10.8	8.3	89	74	85	SW 2	NW 2	SE 4	8^2	6^2⊙	6^2	0.3	abds. ◍
12.	07.7	07.6	08.1	11.4	20.4	13.6	20.8	6.5	7.8	9.4	8.2	78	53	71	SE 2	NE 2	NW 4	1^1⊙	4^1⊙	4^2	1.0	a ⊿
13.	06.6	04.3	03.6	13.2	22.0	14.6	22.8	8.0	8.8	8.4	10.7	78	43	87	S 2	E 4	SE 2	2^1⊙	4^2	2^1	–	a ⊿
14.	04.7	03.8	03.6	13.2	22.2	15.2	22.8	8.5	8.5	8.7	10.9	75	44	85	S 2	E 2	E 2	2^1⊙	6^2⊙	2^1	–	a ⊿
15.	05.9	05.2	04.8	13.4	17.8	14.4	19.0	12.0	10.4	9.1	11.1	91	60	92	W 2	SE 2	SE 2	10^2	10^2	10^2●	–	vorm. u. abds. ◍
16.	03.8	04.5	05.3	13.4	18.8	15.2	20.0	8.5	9.7	10.1	11.9	86	62	92	SE 2	SW 6	SW 4	6^2⊙	8^2	10^2●	0.5	n ◍ u. ◹, a ⊿, ca. 2–3 p, 6–7 p, 8–9 p ◹ mit ◍
17.	05.8	04.3	04.2	13.2	20.6	15.4	21.6	10.5	10.4	9.2	10.5	93	51	81	SW 2	NE 4	NW 6	4^2⊙	6^2⊙	10^2ß	2.9	9^{31}–10^{36} p ◹, 9^{31}–10^{31} p ◍; 8^{36}–9^{00} p ◹
18.	03.8	**01.9**	02.0	13.8	17.0	12.6	17.7	9.5	9.9	9.7	10.5	85	68	97	SW 2	N 4	SW 2	8^2	6^2⊙	10^2●	0.1	$9^{00.51}$ p, $4^{01.16}$ p ◹; 3^{46} p–n ◍
19.	02.9	04.5	05.7	8.2	6.8	8.0	12.6	6.0	7.3	6.7	7.3	91	91	92	NW 4	SW 4	NW 2	10^2●	10^2●	10^2	**59.3**	n u. t ◍
20.	06.2	06.3	07.8	7.2	13.2	8.4	13.8	6.5	7.1	8.0	7.5	94	71	92	W 6	SW 4	N 2	10^2	8^2⊙	10^2	37.6	n ◍
21.	08.8	09.5	09.8	8.0	9.6	6.2	10.6	6.0	7.6	8.0	6.7	94	89	94	W 2	NE 2	E 2	10^2	10^2	1^1	0.4	n ◍
22.	08.4	08.9	09.4	6.2	13.8	9.0	15.0	3.0	6.5	**4.1**	7.2	91	**35**	84	SW 2	NW 4	W 2	8^2⊙	6^2⊙	8^2	0.3	a ≡$^{1.2}$ ⊿
23.	09.0	08.4	09.7	10.0	13.6	11.0	15.0	6.0	5.7	6.6	7.6	62	57	77	W 2	SW 2	W 6	8^2	8^2	10^2	–	a ⊿, abds. ◍
24.	10.7	13.4	**14.7**	8.6	9.0	8.0	11.0	7.5	8.0	8.6	7.6	96	100	94	W 4	W 2	W 2	10^2●	10^2●	10^2	8.1	n–p ◍
25.	12.8	11.9	11.4	7.8	10.4	8.6	11.6	7.0	7.6	8.9	8.0	96	95	96	SW 2	W 2	E 2	10^2	10^2●	4^2	16.4	n–p ztw. ◍
26.	09.8	08.1	08.1	7.6	17.6	11.4	18.6	4.0	6.8	7.8	8.8	88	52	88	E 6	E 6	SE 2	1^0⊙	2^1⊙	1^1	3.4	a ⊿
27.	09.8	10.0	11.2	10.0	15.2	12.6	16.8	7.0	8.7	7.5	10.0	95	58	93	SW 2	W 4	SW 2	8^2●	8^2●	4^2	0.8	t ztw. ◍
28.	12.2	11.7	12.3	12.6	20.2	13.2	21.0	8.0	8.6	8.3	9.5	80	47	85	S 2	N 4	W 2	1^1⊙	4^2⊙	8^2	1.6	a ⊿. 6^{56}–7^{33} p ◹, 7^{01} p–n ◍
29.	09.5	08.6	07.7	13.6	23.0	15.4	24.0	9.5	10.1	10.0	**12.2**	88	48	93	E 2	N 4	E 2	4^1⊙	6^2	4^2	6.9	n ◍, a ⊿, 3^{47}–4^{43} p ◹, $4^{15.56}$ p ◍
30.	07.3	06.3	07.5	14.8	23.6	15.6	**25.0**	9.5	8.6	9.2	11.2	69	42	85	E 2	E 2	S 2	3^1⊙	3^1⊙	6^2	0.2	a ⊿, abds. ◹
31.	07.8	07.1	09.1	14.0	16.6	13.2	18.0	11.5	10.8	10.9	10.8	92	77	96	SE 2	NE 4	W 2	10^2	8^2	6^2	–	vorm. ◍
Mittel	08.6	08.2	08.7	9.8	15.6	10.9	16.9	6.6	7.9	8.1	8.6	87	63	88				7.0	7.0	5.8	165.3	

Alle Angaben nach Ortszeit.

Partenkirchen.

Mai. $\varphi = 47^0\ 30'$ N. $\lambda = 11^0\ 6'$ E $= 44^m\ 24^s$. H $= 714.6$ m. Cg $= +0.1$ mm. 1911.

Datum	Luftdruck auf 0° u. Normalschwere reduziert 700 mm + 7a	2p	9p	Lufttemperatur C° 7a	2p	9p	Max.	Min.	Absolute Feuchtigkeit mm 7a	2p	9p	Relative Feuchtigkeit Proz. 7a	2p	9p	Richtung und Stärke des Windes 0 bis 12 7a	2p	9p	Bewölkung 0 bis 10 7a	2p	9p	Niederschlag mm 7a	Bemerkungen
1.	697.9	00.5	03.4	4.7	8.0	6.0	10.7	4.1	6.1	5.9	5.7	96	73	82	C	C	C	2^0	7^1	10^0	6.2	n ◎⁰, a Berge meist frei
2.	03.8	02.3	02.1	4.7	11.4	3.7	14.0	3.6	5.9	4.6	4.7	92	46	78	C	NW 3	SE 2	1^0	7^1	0	2.0	a Berge stellenweise wolkig
3.	01.5	00.7	01.5	4.1	16.5	9.0	17.3	1.6	5.0	5.4	6.7	82	39	78	C	NW 2	C	00	3^0	4^0	–	a ⏃, Berge rein
4.	00.3	697.1	697.2	7.3	17.6	11.6	19 5	4.7	6.2	5.3	6.4	82	35	63	C	W 3	C	2^0	80	10^0	–	a ⏃, Berge rein
5.	698.1	00.1	02.2	7.8	9.0	7.0	11.6	7.0	7.2	7.0	7.3	92	81	98	NW 1	C	C	10^1	10^1●	10'●	0.4	n ◎⁰, a Berge bis 900 m herab im Nebel, t ztw. ◎
6.	03.0	03.1	03.7	6.4	9.8	5.5	11.5	5.5	7.0	6.3	6.3	98	69	94	C	C	C	10^1●	10^0	10^1●	7.1	a Berge meist im Nebel, t ztw. ◎
7.	02.7	01.9	01.6	4.7	7.2	6.2	8.9	4.4	6.0	6.5	6.6	94	86	93	C	NW 2	C	10^1●	10^1	9^1	7.5	a ● Berge bis 1000 m herab im Nebel
8.	00.2	698.1	697 9	5.5	13.4	9.6	16.2	4.9	6.1	7.5	8.1	91	65	91	C	NW 4	C	9^0	2^0⊙	2^1	1.8	a Berge bis 900 m herab im Nebel
9.	696.4	695.3	696.6	7.6	17.3	8.1	19.3	5.1	6.3	8.5	6.7	80	58	83	C	NW 2	C	2^0⊙	5^0⊙	2^0	–	⏃, a Berge sehr rein
10.	697.3	697.0	697.9	9.0	13.8	8.4	16.0	5.4	6.7	7.7	7.0	78	66	86	C	NW 4	C	9^0	8^1	7^1	–	a Berge meist frei
11.	698.5	697.0	697.9	8.7	16.8	11.1	18.6	6.7	7.8	7.8	9.0	93	55	91	C	C	C	10^1	5^0⊙	8^1	4.8	n u. a ◎¹, a Berge meist bedeckt
12.	697.9	697.7	697.6	8.5	17.6	12.4	20.5	7.3	7.3	8.4	8.8	88	56	83	C	NW 3	S 1	1^0⊙	8^1	1^0	3.0	a Berge sehr rein, 2^{29}–3^{04} p ⍁
13.	696.6	693.5	693.6	11.4	22.5	12.3	**23.5**	7.8	7.7	8.3	7.4	77	41	70	S 2	NW 1	C	00	4^0⊙	3^0	0.1	⏃, a Berge sehr rein, föhnig
14.	694.8	693.2	694.9	12.2	21.3	14.3	23.0	8.9	7.6	7.1	10.5	72	38	87	C	NW 3	N 2	4^0⊙	6^0	8^0	–	⏃, a Berge sehr rein, föhnig
15.	696.1	694.7	694.8	11.4	17.4	11.3	18.6	11.1	9.6	9.3	9.1	96	63	92	C	NW 2	SE 2	10^1●	7^0⊙	10^0	0.4	10 p–mn ≲ ; mrgs. ◎⁰, Berge im Nebel. 4^{29}–5^{04} p ¹)
16.	694 4	694.1	696.0	12.3	16.0	10.6	19.1	10.6	9.5	9.6	9.3	90	71	98	C	NW 2	C	5^0	6^1	9^1	3.0	a Berge rein, 4^{14}–6^{19} p ⍁, 5^{30}–6^{09} p ◎, $5^{44.51}$ p ▲
17.	695.8	693.7	695.3	10.4	18.2	12.4	19.1	7.9	9.0	9.3	9.2	96	60	87	C	NW 3	C	2^0⊙	8^1	5^0	7.0	a Berge rein, 2^{21}–3^{24} p ⍁
18.	694.0	692.5	692.4	10.5	12.7	10.2	14.2	9.3	9.1	10.3	8.3	96	95	90	C	C	C	10^0●	10^0●	10^1●	0 7	mrgs. ◎⁰, a Berge bedeckt, t ◎
19.	694.7	695.3	696.4	7.1	8.2	6.2	10.2	6.2	6.6	7.7	6.8	87	94	96	N 3	C	C	10^1●	10^1	10^1	**74.0**	n ◎², a ◎¹, Hochwasser
20.	696.3	696.7	697.8	6.1	8.5	6.9	11.0	5.2	6.7	6.6	6.6	96	79	88	C	C	C	10^0	10^0	10^0	6.3	mrgs. Berge meist im Nebel, stellenw. Neuschnee in 1500
21.	698.8	698.4	699.2	6.6	12.5	8.0	13.8	6.1	6.6	6.5	7.0	91	60	88	C	N 4	C	10^0	7^0	7^0	1.3	n ◎, a Berge bis 900 m herab im Nebel
22.	699.3	698.1	699.5	6.4	13.4	7.2	14.9	3.6	6.7	5.7	6.5	93	50	86	C	N 4	C	8^0	6^0⊙	1^0	–	a Berge bis 1400 m herab im Nebel
23.	699.5	699 8	00.8	6.8	13.8	8.3	15.2	3.7	6.2	5.7	7.6	84	49	93	C	NW 2	C	7^0	9^0	10^1●	–	⏃. 8^{00} p–n ◎⁰
24.	01.9	03.8	**04.2**	7.8	8.4	8.3	10.0	7.4	7.8	8.0	7.6	99	97	93	C	C	C	10^1●	10^1●	10^1	7.0	n ●, a Berge bis 1100 m herab im Nebel, t ●⁰
25.	03.0	00.7	00.4	8.2	11.2	10.0	12.1	7.6	7.8	9.0	9.2	96	92	100	C	C	C	10^0●	10^0	10^1●	11.7	a Berge teilweise frei, t–n ztw. ◎
26.	698.8	697.3	698.7	10.0	15.4	10.4	18.3	8 1	8.1	9.2	8.1	88	70	87	SE 2	NW 3	SE 2	6^0	9^1	2^1	10.5	n u. a ztw. ◎, a Berge teilweise frei
27.	699.8	699.9	02.1	10.1	16.9	11.6	18.3	8.4	9.0	7.9	9.9	98	55	98	C	SE 2	C	9^1	5^1	9^1	4.3	mrgs. ztw. ◎⁰ ; 11^{12} a ⍁ ; p mehrere ⍁ ; 0^{10} p, ²)
28.	02.1	01.1	01.6	8.9	18.8	13.0	20.2	7.2	7.2	8.2	10.6	86	51	96	C	NW 1	C	00	4^0⊙	10^1	16.4	a Berge sehr rein. 6^{19} p ⍁, 6^{36} p ◎⁰
29.	699.7	699.4	699.3	13.0	19.4	14.4	23.3	10.4	9.8	7.5	10.8	89	45	90	SE 1	C	NW 2	6^0	8^1	4^0	7.0	10^{24}–11^{14} p ⍁, 10^{20}–11^{14} p ◎, a Berge rein
30.	697.8	696.4	698.1	15.0	16.8	14.6	22.5	14.0	8.6	**12.3**	9.9	68	87	81	C	C	C	1^0⊙	8^0●	10^0●	–	a Berge sehr rein, föhnig ; 10^{09}–7^{20} p ⍁, 5^{41} p–n ◎
31.	697.6	697.3	698.6	11.6	15.8	12.0	17.4	9.0	9.7	11.1	10.1	96	83	97	C	C	C	10^1	8^0	6^0	11.5	t ztw. ◎
Mittel	698.7	698.0	698.8	8.5	14.4	9.7	16.4	6.9	7.4	7.7	8.0	89	65	88							194.0	¹) ⍁, 4^{34}–5^{44} p ◎. ²) $4^{21.43}$ p, 4^{34}–5^{00} p ◎

Hohenpeissenberg.

Mai. $\varphi = 47^0\ 48'$ N. $\lambda = 11^0\ 1'$ E $= 44^m\ 4^s$. H $= 993.9$ m. Cg $= \pm 0.0$ mm. 1911.

	500 mm + 7a	2p	9p	7a	2p	9p	Max.	Min.	7a	2p	9p	7a	2p	9p	7a	2p	9p	7a	2p	9p	7a	Bemerkungen
1.	74.0	76.5	79.4	4.8	6.1	3.6	6.7	3.5	5.1	4.9	5.1	79	71	87	NW 2	W 3	NW 2	9^2	9^2△	10^1	2.9	a reine Fernsicht, vorm. ◎, 2 p kurz △
2.	79.9	79.1	78.2	4.6	8.9	5.2	9.2	2.6	5.0	4.3	4.6	79	50	69	SW 1	SW 1	NE 3	2^1	8^2⊙	0	1.5	a ∞, abds. starker Horiz.≡ im N
3.	77.7	77.9	77.9	5.3	12.6	9.7	12.8	4.7	4.2	5.4	5.9	63	49	65	W 1	S 1	SE 2	00	6^1⊙	9^1	–	a ∞, Horiz.≡ im N, p Aufklaren
4.	76.6	74.7	74.2	9.4	13.4	11.5	13.6	8.5	4.1	6.0	5.6	46	53	55	S 1	NE 1	W 1	3^1	9^2	10^2	–	t ∞
5.	75.0	76.6	78.5	4.8	5.2	5.0	11,5	4.7	6.2	6.6	6.5	97	100	100	NW 1	NW 1	W 1	10^2	10^2=●	10^2=●	–	t ≡²; p–n ◎
6.	79.1	79.5	79.7	4.8	7.8	3.7	7.8	3.7	6.0	5.6	6.0	94	71	100	NE 1	N 1	NW 2	10^2	10^2	10^2=●	13.9	n ◎, a stellw. ≡ ◎ ; p ∞ ; abds. ≡² ◎
7.	78.8	78.1	78.0	3.4	6.8	3.3	6.8	3.0	5.3	6.2	5.8	92	84	100	NW 1	NE 1	NE 3	10^2●	10^2	10^2=	4.5	a ◎ ∞ ; $2^{17.20}$ p △ ; 2^{30}–6 p ztw ◎
8.	76.3	75.2	74.5	2.1	10.1	8.9	11.6	**2.0**	5.3	6.9	7.8	100	75	92	NE 1	NE 4	NE 3	10^2=	4^2⊙	0	4.7	a ≡², p, reine Fernsicht.
9.	73.1	73.0	73.4	9.1	13.7	9.0	14.0	6.9	7.5	6.2	5.4	88	53	63	C	N 3	SW 2	1^1	10^2ξ	1^1	–	a ≡ ⏃. $1^{33.39}$ p ⍁, $2^{14.37}$ p ⍁, 2^{02}–3^{16} p ztw. ◎
10.	73.9	74.1	74.1	9.0	7.3	7.7	12.6	7.1	5.4	6.7	6.8	63	88	88	W 1	N 1	N 2	9^2	10^2●	10^2	1.5	a reine Fernsicht 11^{46} a–1^{13} p ⍁, 11^{34} a–2^{04} p ztw. ◎
11.	74.7	74.1	74.0	8.3	15.4	10.0	15.4	7.0	6.7	6.9	7.1	82	53	78	SW 1	SW 1	NE 1	10^2●	6^2⊙	5^1	22.1	a ◎, ≡ über d. Gewässern ; 0^{53}–1^{39} p ⍁ ; $2^{20.32}$ p ⍁ ; ¹)
12.	74.2	74.9	74.4	11.1	12.6	12.1	15.1	9.5	7.1	7.5	6.5	72	69	62	W 1	NW 3	W 2	1^1	10^2●ξ	3^2	1.0	a ≡ im E ; 0^{23}–2^{31} p ⍁ ; 1^{24}–3^{39} p ⍁ ; 0^{07}–2^{19} p ztw. ◎,
13.	73.5	71.4	70.9	12.7	17.5	13.8	18.2	11.1	6.6	7.6	6.4	60	52	55	W 1	NE 4	NW 2	00	9^2	3^1	1.4	t reine Fernsicht ; 6^{24}–8^{51} p ⍁ [2^{27}–3^{33} p ▲
14.	72.1	71.3	72.0	14.6	18.4	11.7	18.8	11.7	5.8	7.2	10.2	47	46	99	W 1	NW 1	W 3	5^1	9^1	10^2	–	t reine Fernsicht, abds. ≲ im N
15.	72.7	72.0	71.4	9.3	14.2	11.3	14.2	9.3	8.6	8.4	9.1	99	69	92	NW 1	E 4	W 2	10^2=	8^2⊙	2^1	4.4	a ≡², p reine Fernsicht, 5^{34} p ◎
16.	71.5	72.0	73.0	11.4	14.7	10.0	15.9	9.9	9.7	9.1	8.9	97	73	98	W 1	W 2	NE 3	10^1=	9^2	8^2	1.2	a ≡¹, 4^{19}–5^{24} p ⍁, 5^{30}–6^{34} p ⍁ ◎ abds. ≲
17.	72.8	71.8	72.0	12.6	16.7	9.2	16.7	9.2	7.5	9.1	8.7	69	64	100	W 1	NE 3	NW 2	3^1⊙	10^2	10^2	2.2	a ≡ ü. d. Gew. ; 2^{43}–3^{46} p ⍁, $3^{15.44}$ p ◎, $3^{19.23}$ p ▲ ;
18.	71.0	69.7	69.6	9.3	11.9	9.4	12.4	8.8	8.6	9.8	8.8	99	95	100	NW 1	N 1	N 5	10^2=	10^2	10^2=●	**50.9**	a ≡² t ztw. ◎ [3^{16}–4^{44} p ⍁, 3^{44}–5^{25} p ◎, $4^{17.30}$ p ▲
19.	71.3	71.8	72.9	5.2	6.7	4.8	9.4	4.8	6.6	6.1	6.2	100	83	97	NW 1	NW 3	NW 1	10^2	10^2	10^2	29.1	n ≋ ◎
20.	72.7	73.1	74.3	4.4	7.9	5.6	7.9	4.4	6.0	6.8	6.1	97	86	89	NW 1	SE 1	NW 3	10^2=	10^2	10^2	1.9	n ◎, a ≡², p ∞
21.	75.2	75.4	76.0	4.2	8.7	6.0	9.0	3.7	6.2	6.4	6.8	100	76	97	N 1	NE 3	E 1	10^2=	9^2	0	3.8	a ≡²
22.	75.7	75.6	76.1	6.5	10.7	7.8	11.0	4.4	6.0	4.9	4.5	83	51	57	NE 1	NW 2	NW 2	9^2	5^2	0	–	a ≡ im E, ∞ ; p reine Fernsicht, abds. Horiz.≡
23.	75.8	75.7	77.0	8.5	13.5	8.1	13.5	7.1	4.9	4.5	6.9	59	39	86	NW 1	NW 1	NW 4	10^1	7^2	10^2	–	p ∞ ; 7^{29} p ◎
24.	77.9	79.8	**80.8**	6.3	8.7	7.6	9.1	6.0	7.2	8.4	7.7	100	100	99	W 4	W 3	NW 1	10^2=●	10^2=	10^2	4 1	n ◎, a ≡² ◎, p ≡²; 5^{14}–ca. 8 p ◎
25.	78.9	77.5	77.3	7.4	10.5	8.0	10.5	7.1	7.2	8.7	8.0	94	93	100	W 1	W 1	E 2	10^2	10^2	10^2=	13.4	a ∞ ; vorm., ca. 4–7 p ztw. ◎, abds. ≡²
26.	75.4	74.7	74.8	6.1	13.9	11.5	14.6	5.5	6.9	7.8	8.4	99	66	83	NE 1	NE 3	NW 2	10^2=	3^2⊙	3^1	5.0	a ≡²
27.	76.2	77.0	78.1	10.8	15.6	11.3	16.7	9.5	7.7	7.0	8.1	81	53	82	W 1	NW 1	NW 2	5^2	6^2	8^2	–	t reine Fernsicht
28.	78.9	78.7	78.5	10.5	15.8	13.1	16.3	8.8	7.2	7.9	8.0	75	59	72	NW 1	N 1	N 4	2^1⊙	5^2⊙	9^2	–	9^{27} p ⍁, a ⏃ ∞ ; p ∞³
29.	76.5	75.6	75.2	12.3	19.3	15.0	**19.3**	10.0	9.4	9.1	8.9	89	55	70	C	NE 5	W 4	2^1⊙	6^2	4^2	–	a ≡ über den östl. Gewässern ; p reine Fernsicht ; ²)
30.	74.8	74.3	74.6	14.0	18.6	14.0	18.6	11.0	10.0	10.4	8.7	85	65	74	W 1	NW 3	SW 1	1^1⊙	5^2	10^1ξ	–	a ≡ reine Fernsicht, 10^{14}–5^{14} p, 5^{44}–9^{21} p ⍁ ; 5^{47}–6^{57} p ◎
31.	74.7	74.7	75.5	12.3	15.3	10.5	15.3	10.5	10.3	**10.6**	8.9	97	82	94	NW 1	SE 1	E 2	10^2=	9^2ξ	10^1ξ	0.9	n ⍁, a ≡¹, p ∞ ; 11^{42} a–2^{18} p ⍁, 3^{46}–3^{54} p ◎ m. Unterbr.
Mittel	75.2	75.0	75.4	8.2	12.2	9.0	13.0	7.0	6.8	7.2	7.2	83	68	84							170.4	¹) $3^{03.47}$ p ⍁, 9^{23}–3^{29} p ztw. ◎. ²) 2^{20}–3^{14} p ⍁

Alle Angaben nach Ortszeit.

Zugspitze.

Mai. $\varphi = 47^0\ 25'$ N. $\lambda = 10^0\ 59'$ E $= 43^m\ 56^s$. H $= 2964$ m. Cg $= -0.2$ mm. 1911.

Datum	Luftdruck auf 0^0 u. Normalschwere reduziert 500 mm +			Lufttemperatur C°					Absolute Feuchtigkeit mm			Relative Feuchtigkeit Proz.			Richtung und Stärke des Windes 0 bis 12			Bewölkung 0 bis 10			Niederschlag mm	Schneedecke cm
	7^a	2^p	9^p	7^a	2^p	9^p	Max.	Min.	7^a	2^p	9^p	7^a	2^p	9^p	7^a	2^p	9^p	7^a	2^p	9^p	7^a	7^a
1.	25.1	27.4	29.4	− 9.8	− 6.8	− 6.9	− 6.4	**−10.0**	2.2	2.8	2.7	100	100	100	NW 4	N 3	E 3	10^0	$10^{2}\equiv *$	$10^{2}\equiv *$	7.3	280
2.	29.4	30.0	30.1	− 6.2	− 4.7	− 6.6	− 4.7	− 7.5	2.9	2.6	**0.6**	100	81	**20**	C	E 2	N 3	⊙⊙	⊙⊙	0	15.7	310
3.	30.0	31.0	31.3	− 4.9	− 1.4	− 3.1	− 0.7	− 6.6	2.5	3.9	3.3	78	93	91	N 2	E 2	E 3	$1^0\odot$	$6^0\odot$	9^1	−	300
4.	30.0	29.4	28.9	− 4.0	− 1.5	− 3.3	− 0.2	− 4.3	3.3	3.9	3.6	96	95	100	N 3	NW 2	N 2	$3^0\odot$	10^0	10^2	−	280
5.	28.1	29.1	30.2	− 3.4	− 0.7	− 6.1	− 0.5	− 6.1	3.6	4.3	2.9	100	100	100	C	SE 2	N 4	$10^{2}\equiv$	$8^2\odot$	$10^{2}\equiv *$	0.3	270
6.	30.2	30 3	30.2	− 5.2	− 5.4	− 7.3	− 3.0	− 7.3	3.1	3.1	2.7	100	100	100	N 3	N 3	N 3	$10^{2}\equiv *$	$10^{2}\equiv$	$10^{2}\equiv *$	4.9	275
7.	28.8	28.8	28.6	− 8.6	− 6.9	− 7.9	− 6.2	− 9.6	2.4	2.7	2.5	100	100	100	N 2	E 3	E 4	$10^{2}\equiv *$	$10^{3}\equiv *$	$10^{2}\equiv *$	4.8	280
8.	28.1	29.1	29.3	− 4.8	− 3.3	− 4.6	− 1.5	− 7.9	3.1	3.6	3.3	95	100	100	E 5	SE 7	SE 5	$1^0\odot$	$3^1\odot$	$10^{2}\equiv$	1.8	300
9.	27.9	28.2	28.1	− 3.6	− 2.3	− 5.0	− 1.4	− 6.7	2.5	3.5	3.2	70	90	100	E 4	E 6	E 6	$5^0\odot$	$7^2\odot$	2^0	−	280
10.	27.8	28.1	28.5	− 5.2	− 0.3	− 4.4	0.0	− 5.2	3.1	3.9	3.3	100	87	100	N 4	C	NW 3	10^0	$10^{1}\equiv *$	$10^{2}\equiv$	−	280
11.	28.3	29.1	29.5	− 4.1	− 1.0	− 2.2	− 0.5	− 5.2	3.4	4.0	4.0	100	94	100	W 3	W 3	W 2	$10^{2}\equiv *$	9^2	$10^{2}\equiv$	13.7	280
12.	29.7	30.6	30.3	− 1.4	1.2	− 0.8	2.2	− 3.2	3.0	4.3	3.8	71	86	80	E 2	E 3	S 5	$1^0\odot$	10^2	4^0	3.1	260
13.	29.1	29.0	28.2	− 1.7	1 9	− 0 8	2.3	− 2.7	3.0	3.9	3.8	74	74	89	E 4	SE 4	SE 6	$3^0\odot$	$6^1\odot$	5^1	0.2	250
14.	28.4	28.9	28.8	0.4	2.8	1.0	2.9	− 1.7	3.3	4.9	4.9	71	68	100	S 2	SE 3	SE 3	$8^0\odot$	9^1	$10^{2}\equiv$	−	240
15.	27.9	28.3	28.0	− 0.4	2.6	0.2	3.0	− 0 6	4.4	4 5	4.6	100	82	100	SE 4	SE 4	SE 5	$10^{2}\equiv$	$6^1\odot$	$10^{2}\equiv$	−	220
16.	27.9	28.5	29.0	− 0.3	2.7	− 0.2	2.7	− 0.7	4.1	5.3	4.5	92	96	100	S 3	SE 3	SE 3	9^1	$9^2\odot$	$10^{2}\equiv \triangle$	7.5	220
17.	28.6	28.4	27.8	0.5	2.8	− 0.8	2.8	− 1.5	3.8	5.0	4 3	81	90	100	S 2	SE 3	SE 3	$4^0\odot$	$10^{2}\equiv$	$10^{2}\equiv *$	3.6	200
18.	26.1	25.6	24.8	− 1.8	− 0.9	− 1.8	0.0	− 2.4	4.0	4.3	4.0	100	100	100	N 3	N 3	N 6	$10^{2}\equiv$	$10^{2}\equiv *$	$10^{2}\equiv *$	2.5	200
19.	**24.2**	24.8	24.9	− 6.0	− 6.0	− 7.0	− 1.1	− 7.0	2.9	2.9	2.7	100	100	100	N 6	N 5	N 3	$10^{3}\equiv *$	$10^{2}\equiv$	$10^{2}\equiv *$	**74.1**	270
20.	24.4	25.7	26.5	− 7.5	− 2.9	− 7.2	− 2.9	− 8.6	2.6	3.7	2.7	100	100	100	N 5	N 2	N 3	$10^{2}\equiv *$	$10^{3}\equiv$	9^2	10.2	280
21.	26.6	28.0	28.3	− 6.8	− 2.1	− 5.6	− 2.1	− 8.6	2.8	3.7	2.8	100	93	92	SE 1	SE 1	SW 2	$10^0 *$	$10^{1}\equiv$	1^0	2.2	280
22.	27.7	28.7	28.8	− 6.8	− 4.3	− 6.3	− 4.3	− 6.9	2.8	3.3	2.9	100	100	100	NW 4	NW 7	NW 5	$10^{2}\backsim$	$10^{2}\equiv$	$10^{2}\equiv$	−	280
23.	28.1	29.1	29.3	− 7.1	− 4.9	− 5.1	− 4.8	− 8.1	2.7	3.2	3.1	100	100	100	NW 7	NW 6	N 10	$10^{2}\equiv$	$10^{2}\equiv$	$10^{2}\equiv *$	−	280
24.	30.1	31.9	32.8	− 5.8	− 5.2	− 4.7	− 4.7	− 5.9	3.0	3.1	3.2	100	100	100	NW 10	NW 8	NW 8	$10^{2}\equiv *$	$10^{2}\equiv$	$10^{2}\equiv *$	5.4	300
25.	31.8	31.2	30.6	− 3.3	− 1.6	− 1.6	− 1.2	− 4.7	3.6	4.1	4.1	100	100	100	N 4	NW 5	N 4	$10^{2}\equiv *$	$10^{2}\equiv *$	$10^{2}\equiv *$	6.1	320
26.	29.4	30.1	30.7	− 2.4	0.8	− 0.9	0.8	− 2.8	3.8	4.4	4.3	100	90	100	NW 1	S 3	W 7	$10^{1}\equiv$	$10^{2}\triangle$	$10^{2}\equiv *$	8.5	**340**
27.	30.9	32.2	32.9	− 1.6	− 0.6	− 1.2	− 0.1	− 1 9	4.1	4.4	4.2	100	100	100	W 5	NW 6	NW 3	$10^{2}\equiv$	$10^{2}\equiv$	$10^{2}\equiv$	7.9	320
28.	33.1	**33 8**	33.6	− 1.5	1.1	0.2	1.8	− 2.9	4.1	4.9	4.6	100	99	98	SW 4	W 4	SE 2	$1^0\odot$	$7^2\odot$	$10^{2}\equiv \not\subset$	9.3	320
29.	32.5	32.7	32.0	0.7	2.7	0.6	2.8	0.2	4.0	**5.4**	4.6	83	97	96	E 5	SE 4	E 6	$6^1\odot$	$5^1\odot$	6^1	4.1	310
30.	31.4	31.7	31.5	2.4	4.5	− 0.1	**4.5**	− 0.1	3.4	5.0	4.5	62	80	100	C	SE 1	N 5	$5^0\odot$	$9^2\odot$	$10^{2}\equiv *$	−	300
31.	30.4	30.5	31.0	− 0.1	0.8	− 0.6	1.1	− 0.6	4.5	4.6	4.4	100	95	100	N 3	N 2	E 2	$10^{2}\equiv \triangle$	$10^{2}\equiv$	9^2	3.5	280
Mittel	28.8	29.3	29.5	− 3.6	− 1.3	− 3.2	− 0.6	− 4.7	3.3	4.0	3.6	93	93	96				7.3	8.5	8.5	196.7	

Bemerkungen.

1. mrgs. u. a $\equiv^{0.2}$, ztw. Aufklaren; 10 a–m $_\!\!_$, $\times^{0.2}$, $\triangle^2$; p–n $\equiv^2$, $_\!\!_$, ztw. $\times^{0.1}$, $\triangle^{0.1}$; $\vee$ 30 cm
2. n Aufklaren; t ringsum cu-Entwicklung in ca. 1500 m, $\infty^{1.2}$; ab ca. 9^{45} a ztw. $\equiv^0$ um den Gipfel, p ztw. $\equiv^{1.2}$; abds. Fernsicht ringsum frei, $\infty^{1.2}$; $\vee$ 30 cm
3. mrgs. $\llcorner^0$, $\infty^{1.2}$, Fernsicht ringsum frei; t cu-Entwicklung; ab m ztw. $\equiv^0$ um den Gipfel, abds. Vorberge u. Flachland cu-meer in ca. 1800 m
4. mrgs. $\llcorner^0$, $\infty^{1.2}$, Fernsicht frei, über dem Hochgebirge leichte cu-bildung, ab ca. 11^{30} a–n $\equiv^{0.2}$; n ztw. $\triangle^{0.1}$, $\times^0$
5. mrgs. $\equiv^2$, ztw. $\times$flocken, a $\equiv^{1.2}$, ztw. kurz schw. Aufklaren; p–ca. 5 p ztw. Aufklaren; abds. $\equiv$reissen, ab ca. 6^{35} p–n $\times^{0.1}$; $\vee$ 2 cm
6. t $\equiv^2$, ztw. $\times^0$; $\vee$ 10 cm
7. t $\equiv^2$ $\times^{0.1}$, a ztw. $\triangle^0$, $\vee$ 5 cm
8. a ringsum $\equiv$meer i. ca. 1900–2000 m; i. S–SW Föhnmauer; p ringsum cu-bildg. i. ca. 1800 m; abds. ztw. $\equiv^{1.2}$ u. d. Gipfel, $\circledcirc$, $\llcorner^2$; $\vee$ 5 cm
9. mrgs. $\llcorner^1$, Vorld. allenth. $\equiv$meer i. ca. 900 m, ü. Hochgebg. i. E–W l. Föhnmauer; t ringsum cu-bildg. $_\!\!_$; abds. ztw. $\equiv^{0.1}$ u. d. Gipfel, 9 p $\llcorner^3$.
10. mrgs. u. a $\equiv^{0.1}$, ab ca. 7 a $\times^0$; m ztw. Aufklaren; ab ca. 1^{15}–3 p $\equiv^{1.2}$, $\times^{1.2}$; abds. ztw. Aufklaren
11. t $\equiv^{0.2}$, ztw. $\times^0$, $\triangle^0$, abds. ztw. Aufklaren, Brockengespenst; $\vee$ 3 cm
12. mrgs. Fernsicht ringsum frei; t ringsum cu-bildg. m ztw. $\equiv^{0.1}$, $\times^0$, $\triangle^0$; ab ca. 2–4^{30} p $\equiv^{1.2}$, ztw. $\times^{0.1}$, $\triangle^0$; ab ca. 4^{30} p–n ringsum Aufkl., Brockengesp.; 9 p $\llcorner^0$
13. a $\llcorner^2$, Fernsicht ringsum frei, $\infty^{1.2}$; t cu-Entwicklung, ztw. $\oplus$; abds. schw. $\not\subset$ i. W–N
14. n ztw. $_\!\!_$; mrgs. $\infty^{0.2}$; t–ca. 3 p, Fernsicht frei, ab ca. 3 p cu, cu ni-bildung, ztw. $\equiv^{0.1}$ um den Gipfel, ab ca. 6 p–n $\equiv^{1.2}$
15. n u. mrgs. $\equiv^2$, mrgs. $\equiv$reissen, ab ca. 10^{45} a Aufklaren, $\oplus$; p ztw. $\equiv^{0.1}$ $\times$flocken; ab ca. 3^{30} p–n $\equiv^{1.2}$; 4^{15}–5^{12} p $\lceil\!\not\subset$, $\triangle^{1.2}$, $\blacktriangle^{1.2}$, abds. ztw. Aufkl. $\vee$ 1 cm.
16. mrgs. Fernsicht ü. Gebg. frei, ü. Flachland allenth. cu-Decke in ca. 1900 m; t $\equiv^{0.1}$, ztw. $\triangle^1$, ztw. Aufklaren; 4^{30}–6 p $\lceil\!\not\subset$, ztw. $\triangle^{1.2}$, $\blacktriangle^{1.2}$; abds. ztw. schw. Aufklaren
17. mrgs. Fernsicht frei, ∞^1; a cu, cu ni-bildung ringsum, ztw. $\equiv^0$ um den Gipfel; p $\equiv^{1.2}$, $_\!\!_$; ab ca. 2–3 p ztw. $\times^1$, $\triangle^1$; abds. ztw. schw. Aufkl.; ca. 8–8^{30} p $\triangle^1$, $\times^0$,
18. n $\not\subset$, n u. a $\equiv^{1.2}$, ztw. $\equiv$reissen, $\times^0$, p $\equiv^{1.2}$, ztw. $\times^{0.2}$, abds. $_\!\!_$ $\dashv$; $\vee$ 3 cm [elektr. Ausstr.
19. n u. mrgs. $_\!\!_$, $\equiv^2$, $\times^{1.2}$, $\dashv$, t $\equiv^2$, ztw. $\triangle^0$; ab ca. 7 p–n $\times^{0.1}$; $\vee$ 25 cm
20. n u. a $\equiv^2$, $\times^0$; p ztw. schw. Aufkl. ztw. $\triangle^0$, Brockengespenst; $\vee$ 30 cm
21. n u. mrgs. ringsum cu-meer in ca. 2800 m, $\llcorner^0$; ab ca. 6^{30}–8^{45}a $\equiv^{0.1}$, ab 8^{55} a ztw. vollk. Aufkl., ztw. $\equiv^{0.1}$ u. d. Gipfel, ab ca. 0^{42} p $\equiv^1$, ab 2^{45} p ztw. Aufkl. abds.
22. t $\equiv^{1.2}$, ztw. kurz Aufkl., $\vee$ 5 cm [vollk. Aufkl. rings. cu-meer i. ca. 2700 m, $\llcorner^2$, $\vee$ 30 cm
23. t $\equiv^2$, $_\!\!_$; ab ca. 7^{30} p–n $_\!\!_$, $\dashv$; $\vee$ 20 cm
24. n u. a $\equiv^2$, $_\!\!_$, $\times^{0.1}$, $\dashv$, p $_\!\!_$, $\equiv^2$ $\dashv$; abds. $\equiv^2$, $\times^{0.1}$, $\dashv$, $\vee$ 60 cm
25. n u. a $\equiv^2$, $\times^{0.1}$; p $\equiv^2$, $_\!\!_$, ztw. $\times^{0.1}$, $\dashv$; abds.–n $\equiv^2$ $\times^1$; $\vee$ 100 cm
26. mrgs. ztw. Aufkl. ab ca. 7^{42} a rings. Aufkl., Brockengesp., ztw. $\equiv^0$ cu-bildg; p ztw. $\equiv^{0.2}$, $\triangle^0$, 2^{15}–3 p $\times^{0.1}$, $\triangle^0$, elektr. Ausstr. 4^{15}–7 p $\triangle^{1.2}$, $\times^{1.2}$, elektr. Ausstr. abds. ztw. $\triangle^2$ [ztw. Aufkl.; $\vee$ 100 cm
27. mrgs. u. a $\equiv^2$, ztw. kurz Aufklaren; m–0^{10} p $\lceil\!\not\subset$, $\triangle^{1.2}$, $_\!\!_$, $1^{45.30}$ p $\lceil\!\not\subset$, $\triangle^1$, p $\equiv^2$, ztw. kurz Aufklaren; ca. 4 p ztw. $\triangle^{1.2}$ elektr. Ausstr. $4^{20.40}$ p $\lceil\!\not\subset$, $\triangle^1$, $\times^0$; abds. ztw. Aufklaren
28. n $\equiv^2$, mrgs. Aufklaren, ∞^2, cu-bildg.; p ztw. $\equiv^0$ u. d. Gipfel, ab ca. 4^{30} p $\equiv^2$, ab 5^{20} p elektr. Ausstr., $\triangle^{0.1}$; 5^{30} p $\lceil\!\not\subset$, $\triangle^0$; abds. ztw. Aufklaren
29. 9–11^{30} p $\lceil\!\not\subset$, ztw. $\triangle^1$, $\times^0$; a Fernsicht frei, $\infty^{1.2}$, ü. Centralalpen Föhn-cu; ab ca. 10^{45} a–ca. 1 p ztw. $\equiv^{0.2}$; 3^{10}–4 p $\lceil\!\not\subset$ i. WNW; abds. ztw. $\equiv^{0.1}$, $\not\subset$
30. n $\not\subset$; mrgs. Fernsicht frei, Flachland $\equiv$Decke, t cu ni-Entwicklung ringsum, 2^{30}–8 p $\lceil\!\not\subset$, $\triangle^0$, ztw. $\times^{0.1}$; abds. elektr. Ausstr.
31. mrgs. ztw. $\triangle^{1.2}$, $\equiv^2$; a $\equiv^2$, ca. 8^{45}–10^{45} a elektr. Ausstr. $\times^{1.2}$; 10^{45}–11^{15} a $\times^0$, ◍^{0}; p ztw. kurz schw. Aufklaren, ztw. $\times^0$; p–ca. 7^{30} p elektr. Ausstr. ◍tr., $\triangle^2$, $\times^2$; 7^{30} p ab Aufklaren

Alle Angaben nach Ortszeit.

Kahl a/M.

Juni. $\varphi = 50^0\ 4'$ N. $\lambda = 9^0\ 1'$ E $= 36^m\ 4^s$. H $= 114.1$ m. Cg $= +0.3$ mm. 1911.

Datum	Luftdruck auf 0^0 u. Normalschwere reduziert 700 mm + 7a	2p	9p	Lufttemperatur C° 7a	2p	9p	Max.	Min.	Absolute Feuchtigkeit mm 7a	2p	9p	Relative Feuchtigkeit Proz. 7a	2p	9p	Richtung und Stärke des Windes 0 bis 12 7a	2p	9p	Bewölkung 0 bis 10 7a	2p	9p	Niederschlag mm 7a	Bemerkungen
1.	53.2	53.5	54.7	15.6	21.7	17.5	23.0	13.7	11.8	10.5	6.6	89	54	45	NE 4	NE 4	NE 6	10^1	9^0	1^0	1.4	n ◍; 9 p ⚌
2.	56.9	55.3	54.6	17.0	23.8	18.8	25 0	13.2	7.6	6 5	7 6	53	30	47	NE 4	E 4	C	1^m	1^1○	1^0	–	n ⚌
3.	54.5	53.0	52.6	17.3	23.8	17.0	27.2	15.1	8.5	11.7	13.2	58	53	92	SE 2	E 2	SE 2	5^1	2^1○	2^0	–	
4.	54.1	56.1	55.3	18.7	24.9	15.6	26.5	14.6	12.9	11.8	12.6	81	51	96	S 2	SW 2	C	9^0	4^1	10^0	0.5	10^{36}–11^{21} p ◹; n ◍; 3^{11}–6^{21} p ◹; $5^{01.53}$ p ◍^{0}
5.	57.4	56.3	57.4	16.1	25.4	17.2	27.7	10.8	12.6	11.3	13.1	92	47	90	C	NE 4	C	10^r	4^1	1^0	0.6	0^{56}–1^{01} p ⊕ (farbig)
6.	58.9	58.1	58.2	18.1	27.0	18.6	**30.7**	9.0	11.8	9.2	12.5	76	35	79	C	N 2	NE 2	00	4^2	1^1	–	a ⏢
7	59.2	58.8	58.6	18.3	24.0	15.4	26 6	10.0	11.3	9.4	8.1	72	42	62	NW 4	NE 4	C	00	1^0○	0	–	a ⏢
8.	58.3	56.6	54.7	15.9	20.5	16.0	25.0	6.5	10.1	10.3	10.6	75	57	78	C	N 4	C	00	3^1	0	–	a ⏢
9.	51.2	**44.2**	46.5	16.9	24.9	12.0	26.8	6.4	11.1	9.9	8.6	78	43	83	SE 2	SW 4	C	00	1^r○	1^1	–	4^{11} p starke Böe; $6^{40.45}$ p ◍^{0} –
10.	48.8	48.9	49.6	11.0	15.4	8.9	18.9	4.9	6.3	5.9	6.6	64	45	77	E 4	NE 4	C	1^0○	5^1	4^1	0.3	
11.	51.5	51.2	51.9	10.1	17.1	10.8	18.8	1.7	7.0	5.1	6.4	76	35	67	C	NE 4	C	8^1	6^1	7^0	–	a ⏢
12.	51.7	50.0	49.2	12.0	17.9	10.4	21.8	**1.6**	7.6	5.4	6.6	73	35	71	C	SW 2	C	00	4^1○	1^0	–	a ⏢
13.	47.5	44.9	44.6	12 0	21.3	14.3	23.0	2.7	7.7	6.6	8.2	74	35	67	C	SW 2	NE 6	6^1	8^1	10^2	–	a ⏢; 2 p ⚌; 5^{24} p Böe
14.	46.9	47.5	50.9	12.0	15.4	9.0	17.1	7.0	6.9	4 8	7.6	66	37	89	NW 4	W 4	SW 2	2^0	10^1	9^1	–	$6^{41.44}$ p, $8^{26.51}$ p ◍
15.	52.3	53.0	56.0	11.4	12.2	10.2	14.3	6.7	8.0	8.4	8.3	79	80	90	SW 4	W 6	C	7^2	9^2	1^1	2 7	n ◍; 2 p ⚌
16.	58.3	56.4	55.2	9.5	19.5	13.2	25.8	2.5	8.1	6.7	8.3	92	40	74	SE 2	W 2	C	10^1	1^1○	7^0	–	a ≡^{1}
17	53.3	50.7	48.7	14.9	18.9	17.1	23.2	4.3	9.0	13.9	**14 4**	71	86	**99**	SE 2	S 2	C	10^2	10^0	10^1●	–	11^{46} a–1^{36} p, 6^{56} p–n ◍
18.	48.4	48.7	50.4	18.2	19.2	15.1	20.9	14.0	14.0	13.7	11.9	90	83	93	SW 4	SW 4	C	10^1	10^1	1^1	**6.8**	n ◍; 8^{26}–9^{36} a ◍
19.	50.3	48.5	47.8	17.4	20.4	16.3	21.9	11.9	11.8	10.8	10.8	80	61	78	SE 2	S 4	SW 4	8^1	10^1	2^1	2.4	
20.	48.5	49.2	52.1	17.2	18.0	14.9	21.3	10.6	9.8	9.6	10.1	67	63	81	SW 2	SW 6	SW 4	8^1	10^2	10^2	–	$0^{41.51}$ p ◍; 2 p ⚌
21.	55.5	56.2	57.0	14.8	21.0	13.6	23.6	12.0	9.4	7.9	9.6	75	43	83	SW 2	SW 6	C	2^1	6^2	5^1	1.2	2 p ⚌
22	57.1	55.6	54.4	15.5	22.0	14.9	26.8	10.5	9.6	8.2	9.7	74	42	77	SE 2	S 2	SW 2	9^1	6^1	7^1	–	
23.	53.3	50.5	49.3	16.2	25.9	17.8	27.2	10.9	10.4	9.4	12.4	76	39	82	C	S 4	NE 2	10^2	2^1○	10^1	–	a ⏢
24.	46.8	48.6	51.1	18.1	18.1	13.3	19.5	12.5	12.5	12.1	10.6	81	78	94	SE 2	S 2	SE 2	10^0	10^1	0	–	t ztw. ◍^{0}
25.	51.8	51.7	51.9	13.8	18.4	14.9	19.2	11.4	10.9	11.6	10.8	94	74	86	SE 4	SE 2	C	10^1●	10^1	10^1	3.0	n ◍; a ◍^{0}
26.	52.6	52.3	53.4	15.3	20.5	14.9	22.3	12.1	10.6	8.1	9.1	82	45	72	S 2	SW 6	C	1^0○	5^2	7^1	0.7	2 p ⚌
27	54.3	56.5	58.6	11.2	12.5	11.0	16.1	9.2	8.6	8.6	9 4	86	81	96	SW 4	S 4	C	10^1	10^1	10^1	1.4	n, a–8^{00} a ◍; p ztw. ◍
28.	**60.8**	60.2	59.5	13.3	20.1	16.9	22.3	10.0	9.9	8.6	10 3	88	49	72	S 2	SW 4	C	8^0	4^0○	10^1	5.5	
29.	59.3	57.4	55.8	15.1	23.2	17.6	26.3	12.9	11.0	9.9	10.7	86	47	71	C	SW 4	SW 4	10^1	7^1	0	–	
30.	52.9	50.0	49.2	19.6	22.9	14.8	25.1	14.1	11.2	11.7	11.7	66	57	93	S 2	SW 6	SW 2	9^0	10^2	10^2	–	6^{56} a ⊕; 2 p ⚌; 2^{58}–3^{04} p ◍^{2}, dann ztw. ◍
																					26.5	
Mittel	53.5	52.7	53.0	15.1	20.5	14.6	23.1	9.4	9.9	9.3	9.9	77	52	79				6.1	6.1	4.9		

Bayreuth.

Juni. $\varphi = 49^0\ 57'$ N. $\lambda = 11^0\ 34'$ E $= 46^m\ 16^s$. H $= 363.3$ m. Cg $= +0.3$ mm. 1911.

1.	32.1	33.0	34.8	15.0	20.2	16.2	21.8	13 1	9.0	10.0	8.3	71	56	60	NE 4	N 6	E 2	5^1○	6^2○	4^1	3.5	n ◍^{0}
2	36.4	35.6	34.9	13.5	20.0	16.0	22.1	9.7	6 4	7.0	7.6	56	40	57	E 6	E 4	E 2	2^0○	3^0○	2^0	–	
3.	34.4	32.5	31.6	13.1	23.6	18.4	25.2	8.3	8.0	10.0	9.9	72	46	63	E 4	E 4	E 2	3^0○	3^0○	8^1	–	a ⏢
4.	32.4	32.6	34.1	16.8	22.2	18.0	**26.9**	12.3	9.8	10.8	10.1	69	54	66	E 2	E 2	E 2	5^1○	5^2○	5^1	–	
5	36.1	35.4	36.9	13.9	23.2	16.3	24.2	10.3	10.6	8.0	10.3	91	37	75	E 2	NE 4	E 2	10^2–	5^2○	7^1	–	a ⏢ ≡^{1}, nach m Fern ◹
6.	38.1	37.4	37.7	13.5	24.0	17.8	25.2	8.3	9 3	9.1	10.0	81	41	66	C	NE 4	C	00	5^2○	2^0	–	a ⏢
7.	38.1	36.9	36.6	14.6	24.6	16.8	25.5	8.8	10.3	10.6	8.6	84	47	61	NW 2	NW 4	NW 2	2^0○	5^2○	0	–	a ⏢
8.	36.0	34.3	32.8	13.9	20.9	15.4	21.3	7.8	8.9	9.4	10.1	76	52	78	NW 2	NW 4	NW 2	00	5^2○	5^1	–	a ⏢
9.	29.0	23.9	23.2	13.1	22.8	11.5	24.8	7.3	9.3	8.0	7.2	83	39	71	E 2	W 4	W 2	00	4^1○	10^2●	–	a ⏢. $8^{36.46}$ p ◹, bis n ◍
10.	25.4	26.0	27.4	8.7	14.1	9.5	16.5	5.8	5.6	4 3	6.1	66	36	68	NW 4	NW 4	NW 2	5^2○	5^1○	4^2	0.7	
11.	28.8	28.5	29.3	8.7	15.2	10.1	16.3	3.6	6.6	6.0	6.8	78	46	74	NW 2	NW 4	C	9^1	8^1	8^1	–	a ⏢
12.	28.8	27.6	27.2	8.6	16.6	11.4	19.3	4.2	6.8	4.9	6.5	84	35	65	NW 2	W 4	NW 2	1^0○	5^2○	0	–	a ⏢
13.	26.1	23.5	21.9	10.5	20.4	14.4	21.5	3.2	6.6	6.4	8.1	70	36	36	E 2	E 2	E 2	2^0○	8^1	10^2	–	a ⏢
14	22.5	24.4	27.9	10.2	15.6	8.9	16.1	8.3	8.8	5.7	6.8	**95**	44	81	W 4	NW 4	W 4	10^2●	8^2	9^1	**6.4**	n, a ◍
15.	29.2	30.3	31.9	7.6	11.3	8.5	15.1	6.1	6.5	6.8	7.5	84	68	92	W 4	W 2	W 2	8^1	7^1	10^1	1.2	t ztw. ◍^{0}. 4^{50}–5^{46} p ◹, $5^{16.36}$ p ◍ △
16.	36.9	35.6	34.3	7.2	16.5	12.3	19.6	3.1	6.9	6.9	8.5	92	50	80	W 2	W 2	C	10^2	5^2○	5^1	5.7	a ⏢
17	32.3	29.9	28.1	12.5	20.4	15.8	21.3	5.3	7.9	8.8	11.9	73	49	89	E 4	S 2	SE 2	3^0○	10^1	7^1	–	a ⏢
18.	27.2	27.5	28.6	17.0	19.2	15.6	20.2	13.6	12.2	**12.3**	11.0	85	75	84	W 4	W 4	W 4	10^2	10^2	8^2	1.4	n ◍^{0}, t ztw. ◍$^{0.1}$
19.	29.4	27.2	26.5	14.7	19.4	16.4	20.3	13.9	10.9	11.0	11.1	88	65	80	SE 2	S 4	SW 2	10^2	10^2	9^2	3.0	
20.	27.7	27.7	29.7	14.1	17.6	12.5	18.6	10.1	9.2	8.3	9.5	77	55	89	SW 4	W 6	W 4	9^2	9^1	10^2●	–	p ztw. ◍$^{0.1}$
21.	33.6	34.4	35.9	12.8	18.0	13.9	19.5	10.1	9.2	8.3	9.4	85	54	80	W 6	W 6	W 2	10^2	5^1○	8^1	3.0	
22.	36.6	34.9	33.8	12.9	21.2	16.6	22.6	7.6	9 0	8.6	10.2	82	46	72	E 2	E 2	E 2	00	7^1○	1^0	–	a ⏢
23	32.4	30.0	28.1	16.2	23.0	18.8	**26.9**	8.8	9.3	9.8	10.8	68	47	67	SE 4	S 2	E 2	9^2	9^1	3^0	–	
24	25.8	27.6	30.3	18.1	21.0	14.6	25.3	11.9	10.6	9.0	11.0	69	48	89	E 2	W 4	C	1^0○	10^1	9^2	–	a ⏢
25	30.8	29.5	29.9	14.1	21.9	14.8	22.8	11.1	10.0	9.6	10.9	84	49	87	SE 2	W 2	W 2	10^1	6^1○	10^2	–	p ztw. ◍^{0}
26.	31.7	31.6	31.7	13.8	17.5	14.2	22.1	12.3	10.3	9.3	10.4	88	63	87	SW 2	SW 2	W 2	10^2	9^2	10^1	1.5	n, p ztw. ◍^{0}
27	32.9	34.4	36.1	14.2	12.9	10.6	17.3	9.8	9.9	7.3	7.4	83	66	76	SE 2	SW 6	W 2	5^m○	10^2	10^1	0.9	a ⏢, t ztw. ◍$^{0.1}$
28.	39.2	**39.4**	39.3	11.3	16.4	14.2	19.3	8.5	8.1	8.5	9.0	82	61	75	W 4	SW 4	SE 2	10^1	8^1	10^1	1.0	
29.	37.9	37.2	35.6	15.6	19.4	15.2	21.3	11.5	9.4	8.5	10.2	71	51	80	SW 4	W 4	SE 2	8^1	9^1	2^0	–	
30.	32.5	28.1	28.2	14.1	25.2	14.6	26.0	9.1	9.5	7.4	11.3	80	**30**	91	SE 4	SW 6	S 2	3^0	10^1	10^2●	–	a ⏢. 6^{16} p an ◍
																					28.3	
Mittel	32.0	31.2	31.5	13.0	19.5	14.3	21.5	8.8	8.8	8.4	9.2	79	50	75				5.7	7.2	6.9		

Alle Angaben nach Ortszeit.

Bamberg.

Juni. $\varphi = 49^0\ 53'$ N. $\lambda = 10^0\ 53'$ E $= 43^m\ 32^s$. H $= 287.7$ m. Cg $= +0.3$ mm. 1911.

Datum	Luftdruck auf 0^0 u. Normalschwere reduziert 700 mm + 7^a	2^p	9^p	Lufttemperatur C⁰ 7^a	2^p	9^p	Max.	Min.	Absolute Feuchtigkeit mm 7^a	2^p	9^p	Relative Feuchtigkeit Proz. 7^a	2^p	9^p	Richtung und Stärke des Windes 0 bis 12 7^a	2^p	9^p	Bewölkung 0 bis 10 7^a	2^p	9^p	Niederschlag mm 7^a	Bemerkungen
1.	38.5	39.3	41.4	15.6	21.8	15.6	23.1	13.9	9.3	10.3	6.9	70	53	52	NE 2	NE 6	NE 2	10^1	9^1	9^1	0.3	10^{57}–11^{10} p meist ◍^{0}. 2^{34}–3^{02} p ◹ i. W, kurz ◍^{0}
2.	42.7	41.7	40.8	14.9	21.2	15.7	22.6	11.1	6.6	6.4	6.8	52	34	52	NE 5	E 4	S 2	$8^1\odot$	$5^1\odot$	8^0	0.1	
3.	40.5	38.8	37.8	13.4	23.9	18.2	25.8	11.8	8.0	11.3	9.1	70	51	58	SE 2	SE 1	SE 1	4^1	$3^1\odot$	9^1	0.1	n ◹ i. SE. ⏢. 9 p Ψ
4.	38.8	38.9	40.6	16.2	23.7	17.0	25.7	13.9	11.8	12.0	12.8	86	56	89	SE 1	N 2	S 2	$9^1\odot$	$4^1\odot$	3^1	0.8	5–6^{42} a ◍^{1}. 7 a ⏀
5.	42.7	41.9	43.2	14.4	23.5	14.1	27.2	12.0	12.2	10.1	10.9	99	47	92	S 1	NE 3	S 1	10^1	8^1	8^1	0.1	n ⏢. 3^{26}–4^{39} p, 3^{38}–7^{08} p ◹. $4^{27.39}$ p ◍^{0}
6.	44.5	43.8	43.8	15.4	26.2	17.7	26.7	9.1	10.1	9.[illegible]	10.5	78	38	69	N 1	N 3	SW 1	○○	$3^1\odot$	3^1	0.1	n ⏢. 9 p Ψ
7.	44.7	43.5	43.1	15.7	25.4	15.5	28.0	9.9	9.8	11.0	8.3	74	46	63	N 1	N 3	NW 2	$2^0\odot$	$3^0\odot$	1^0	–	n ⏢ ⌒
8.	42.8	41.1	39.3	15 8	20.6	14.3	23.0	7.9	9.1	10.1	9.6	67	56	79	NE 1	NW 3	NW 2	○○	$2^1\odot$	1^1	–	n ⏢
9.	35.3	30.2	30.6	14.2	24.5	11.3	25.3	6.9	10.3	8.3	8.5	86	36	85	SE 2	W 3	W 3	○○	$3^1\odot$	9^2●	–	n ⏢. 5 p ≡ (N 8). 7^{14}–8^{26} p ◹. 7^{39} p ◍^{0}. 8^{30} p–n ◍
10.	32.3	32.6	33.8	9.5	17 0	9.4	18.0	6.2	6.3	6.0	5.6	71	42	63	N 3	N 2	N 2	$3^1\odot$	5^1	7^1	0.3	$9^{00.18}$ p ◍. 9 p Ψ
11.	35.3	35.0	35.8	11.0	16.4	9.9	19.5	6.8	7.2	7.3	6.4	74	52	70	NW 1	W 2	C	9^1	9^2	9^1	–	
12.	35.4	34.1	33.7	9.8	17.7	11.4	19.6	5 4	6.1	6.4	5.7	68	42	57	N 2	NW 2	NW 2	$1^1\odot$	$4^1\odot$	3^1	0.1	n ⏢
13.	32.4	30.0	28.5	9.4	20.5	14.1	22.8	3 0	6.5	7.0	8.4	74	39	70	N 2	NW 2	C	$5^1\odot$	9^1	10^2●	0.1	n ⏢. 4^{38} p ◍^{0}. 9 p ◍^{1}
14.	29 6	31.0	35.1	10.9	18.3	8.5	20.3	8.5	8.9	6.4	6.0	92	41	73	W 2	W 4	W 2	9^1	10^1	5^1	2.4	9 p–5^{45} a ◍. 3^{59}–6^{39} p ◍^{0}
15.	36.1	36 7	40.0	8.2	15.6	9.1	17.9	5.1	6.2	6.5	7.0	77	49	81	W 2	W 1	W 2	9^1	$7^1\odot$	4^1	0.1	$0^{46.52}$ p, 2^{49} p ◍^{1}
16.	43.7	41.9	40.6	6 4	18.1	12.3	20.7	3.5	7.2	7.4	7.5	100	48	71	S 2	S 2	NW 1	10^2=	$9^1\odot$	4^1	0.4	n ⏢, a ≡^{1}
17.	39.0	36.2	34.4	11.4	20.6	16.3	24.4	4.7	7.2	9.4	12.0	72	52	87	N 1	S 1	S 2	$10^{\prime\prime}\odot$	10^2●	10^2	0.1	n ⏢. 1^{41}–5 p ◍^{0}
18.	33.7	34.2	35.3	16.4	18.5	14.8	20.6	14.7	13.0	**13.3**	11.1	90	84	89	NW 1	SW 2	S 2	10^2	10^2	10^1	**8.2**	9^{10}–10^{15} p ◍^{0}. 10^{30} p ●^{2}. 9^{04}–10^{08} a ●^{1}. $10^{08.18}$ a ◍^{2}. 1)
19.	35.9	33.3	33.0	14.9	18.8	14.6	23.4	10.7	11.4	11.1	11.0	90	69	89	S 2	S 3	S 1	10^1	10^2	6^1	6.2	9^{41} p ◹ i. NW. 2^{06}–3^{15} p ◍^{0}
20.	34.0	34.0	36.9	14.4	18.5	11.4	20.7	10.3	10.2	10.2	9.7	84	64	97	SE 2	SE 3	S 2	$4^1\odot$	$9^1\odot$	10^2	0.2	n ⏢. $1^{46.51}$ p ◍^{0}. $3^{36.47}$ p ◍^{1}. $7^{09.10}$ p ◹. 7^{30}–8^{14} p ◍^{2}
21.	40.5	41.4	42.7	12.4	19.4	13.8	22.1	11.1	9.7	8.3	8.3	91	50	71	NW 2	W 4	S 1	10^2	6^1	7^1	4.4	5^{13} a ◍^{0}
22.	43.1	41.5	40.2	13.4	22.0	16.5	24.7	7.3	9.0	8.9	9.2	78	45	66	S 1	W 1	W 1	$1^1\odot$	8^1	9^1	0.1	n ⏢
23.	38.6	35.8	34.1	15.1	26.5	18.4	27.7	10.3	10.4	10.1	11.3	82	40	72	S 1	SW 5	SW 1	10^2	9^1	6^1	0.1	n ⏢
24.	31.8	34.1	36.6	19.7	20.3	13.6	26.0	13.6	11.6	9.8	9.7	68	55	85	SE 2	W 4	SW 2	$5^1\odot$	10^2	2^1	–	n, p ◹ i. W. 11^{05} a ◍^{0}. 5^{11}–6^{20} p ◍^{1}
25.	37.1	36.7	37.4	12.6	20.5	13.3	23.8	11.0	9.7	11.1	10.3	90	62	91	S 1	W 2	C	10^2=	10^2	10^2●	0.7	3^{21} p ◍^{0}. 4^{30} p, 7^{52}–9 p ◍^{1}
26.	37.9	37.8	38.4	13.0	21.1	13.5	22.3	12.4	10.9	9.0	9.4	98	49	82	S 2	SW 4	C	10^2	$7^1\odot$	9^1	4.8	9–10^{45} p, 8^{23} a ◍^{1}. $8^{46.52}$ p ◍^{0}
27.	39.3	40.8	43.2	13.8	15.4	10.0	16.7	9.1	8.7	6.4	7.8	74	49	86	W 2	W 4	W 1	10^1●	8^1	5^2	0.2	n ⏢. 7^{00}–8^{30} a ◍^{0}. 9^{30}–10^{15} a ◍^{1}. $0^{07.09}$ p, $2^{26.38}$ p ●^{0}
28.	**46.2**	46.0	45.7	13.0	18.5	15.0	19.8	8.4	9.1	7.8	9.6	82	50	75	S 2	W 4	C	9^1	5^1	10^2	2.7	n ⏢. 9^{42} a ◍^{0}
29.	44.8	44.0	42.0	16.1	19.9	15.4	22 4	12.2	10.5	9.7	9.7	77	56	75	S 2	S 4	S 1	6^1	10^2	1^1	0.1	n ⏢^{0}
30.	38.5	34.6	34.3	15.6	24.6	13.9	**28.4**	10.6	10.0	5.9	11.4	76	**26**	97	S 4	W 2	S 2	$6^1\odot$	10^1	10^2	0.1	n ⏢^{0}. 6^{14}–8^{18} p ◍^{1}
																					32.8	
Mittel	38.5	37.7	38.1	13.4	20.6	13 8	23.0	9 4	9.2	8.9	9.0	80	49	76				6.7	7.2	6.6		1) 10^{18} a–0^{15} p ◍^{1}. 2^{15}–3 p ◍^{0}

Würzburg.

Juni. $\varphi = 49^0\ 48'$ N. $\lambda = 9^0\ 56'$ E $= 39^m\ 44^s$. H $= 179.3$ m. Cg $= +0.3$ mm. 1911.

1.	46.9	47.8	49.4	15.0	21.0	16.0	22.0	13.8	11.6	10.2	8.0	91	55	59	E 2	E 4	C	10^2	10^2	4^1	4.5	a ◍
2.	51.4	50 2	49.0	13.6	21.9	16.0	22.6	11.8	7.0	7.1	9.1	60	37	66	E 4	E 2	E 2	$3^1\odot$	$6^1\odot$	0	–	
3.	49.2	47.3	46.2	14.6	23.4	19.6	24.0	11.0	8.3	10.4	13.1	66	48	78	E 2	E 2	E 5	$4^1\odot$	$3^1\odot$	10^2	–	$8^{35.44}$ p ◹
4.	47.3	47 7	49.4	18.0	22.7	17.8	24.0	15.8	11.4	11.6	12.7	75	56	84	NW 2	N 2	C	$4^1\odot$	$8^1\odot$	0	0.2	n ◍. 2^{02}–4^{30} p ◹
5.	51.7	50.7	52.0	14.8	24.5	17.7	25.8	12.2	11.8	12.0	10.8	94	53	71	S 2	E 2	C	10^2	10^2	0	–	0^{50}–1^{10} p ◹
6.	53.5	53.0	52.6	15.8	25.2	18.6	25.8	11.6	11.1	9.4	11.9	83	39	75	C	E 2	C	○○	$2^1\odot$	2^1	–	a ⏢
7.	53.5	52.6	52.5	16.6	25.5	18.0	**26.0**	12.6	10.9	10.3	7.9	77	43	51	W 2	NE 2	E 2	○○	c○	0	–	a ⏢
8.	52.1	50.5	48.3	15.5	21.1	16.9	21.2	9.8	9.2	10 0	10.3	70	54	72	W 2	N 4	NE 2	○○	$1^1\odot$	0	–	a ⏢
9.	44.1	39.5	39.0	14.0	23.9	12.4	24.6	10.2	9.8	9.6	10.0	82	44	94	W 1	W 2	NW 2	○○	$1^1\odot$	10^2	–	a ⏢ ∞. 6^{05}–7^{42} p ◹, 6^{07}–8^{53} p ◍
10.	41.7	41.8	42.8	10.4	15.3	11.2	17.0	7.7	6.3	5.2	6.1	68	40	61	N 2	N 2	N 1	○○	$5^1\odot$	4^1	4.2	
11.	44.5	44.0	44.7	9.4	16.4	12.1	17.9	5.7	6.5	5.0	6.7	74	36	64	SW 2	NW 2	C	10^1	8^2	10^2	–	a ⏢
12.	44.4	43.2	42.6	10.2	18.1	12.4	19.0	6.8	6.7	5.6	7.4	72	37	69	SW 2	W 2	C	○○	$3^1\odot$	0	–	a ⏢
13.	41.3	38.8	**37.5**	9.6	21.6	15.3	21.6	**5.6**	6.6	6.7	8.7	74	35	67	W 1	S 2	SW 2	$5^1\odot$	$6^1\odot$	10^2●	–	a ⏢ ≡^{1}. 8^{30} p ◍^{0}
14.	39.3	40.5	43.9	12.0	16.0	10.2	17.0	10.2	7.5	**4.3**	6.2	72	**32**	67	NW 4	W 2	NW 2	$5^1\odot$	10^2	10^2	1.4	n ◍
15.	45.5	46.2	49.6	9.3	13.3	10.6	15.0	7.6	7.0	6.8	7.5	80	60	79	W 4	W 4	W 2	10^2	10^2	2^1	0.5	n ◍. 8^{10} a △
16.	52.6	50.7	49.0	9.8	19.0	14.4	19.0	6.8	8.1	7.3	8.5	89	45	70	W 2	SE 2	C	8^1	$4^1\odot$	0	–	a ⏢
17.	46.9	44.3	43.0	11.4	17.8	17.5	20.0	7.1	7.7	12.9	**14.3**	77	85	96	S 2	SW 3	W 2	○○	10^2●	10^2●	–	1^{25} p an–n ◍^{0}
18.	41.9	42.3	43.6	17.0	19 5	15.5	19.8	14.9	13.8	12.7	11.0	96	76	84	SW 2	NW 4	SW 2	10^2	10^1	2^1	6.0	a ztw. ◍
19.	43.8	41.8	41.0	15.4	20.2	15.9	20.4	12.2	11.8	11.4	12.1	88	65	90	S 2	SW 3	SW 2	$8^1\odot$	10^2	10^1	6.8	
20.	42.5	42.7	45.7	15.8	18.8	13.9	19.7	11.4	9.7	8.7	9.3	73	54	79	SW 4	SW 5	SW 2	$4^1\odot$	$6^1\odot$	8^1	–	$6^{16.30}$ p ◹, $6^{07.13}$ p ◍
21.	49.5	50.5	51.2	14.2	18.7	14.6	20.0	12.7	9.1	8.1	9.1	76	51	74	NW 2	NW 4	C	$8^1\odot$	10^2	0	1.6	
22.	51.7	50.3	48.6	14.5	21.9	17.4	23.0	8.5	9 7	8.5	9.9	80	44	68	C	SW 2	C	$6^1\odot$	9^1	8^1	–	
23.	46.7	44.1	42.3	15.2	24.8	17.4	25.0	11.8	10.1	10.3	13.7	79	45	93	W 2	S 4	C	10^1	$6^1\odot$	10^2●	–	p–n ◍
24.	40.1	42.5	45.0	16.4	19.4	14.4	21.0	14.4	13.6	10.7	10.3	**98**	64	85	C	SW 4	C	10^2	10^2	6^2	**11.3**	9^{03} p ◹, $9^{09.23}$ p ◍. $10^{27.40}$ p ◹, 10^{4p} p–nach mn ◍, a ◍^{0}
25	45.8	45.5	45.4	13.4	14.8	14.2	15.5	12.8	10.9	11.4	11.8	96	91	**98**	C	C	C	10^2	10^2●	10^2	0.4	p ◍
26.	46.4	45.9	47.3	14.0	20.5	14.3	21.0	12.2	10.8	9.3	10.1	92	52	84	S 2	S 4	W 2	10^2	$6^1\odot$	10^2	2.1	n ◍^{0}
27.	48.0	50.6	52.4	12.8	13.0	10.4	16.0	10.3	9.0	7.5	8.9	82	67	95	SW 2	NW 5	C	10^2	10^2●	10^2	1.1	n, t ztw. ◍^{0}
28	**55.4**	54.9	54.4	12.7	18.3	15.4	19.2	9.4	9.4	8.6	10.4	87	55	80	W 2	SW 3	C	10^2	$5^1\odot$	3^1	4.4	n ◍
29.	53.8	52.3	50.8	16.5	21.4	19.0	22.3	13.8	10.3	9.1	9.7	73	48	59	W 2	W 4	S 2	$4^1\odot$	$4^1\odot$	0	–	
30.	46.4	43.2	43.0	16.7	24.9	15 0	25.3	12.0	10.7	9.7	11.3	75	42	89	SE 2	W 4	SW 2	○○	10^1	10^2	–	a ⏢. $5^{08.23}$ p, abds. ◍
																					44.5	
Mittel	47.3	46.5	46.7	13.8	20.1	15.1	21.0	10.8	9.5	9.0	9.9	80	52	77				5.6	6.8	5.3		

Alle Angaben nach Ortszeit.

Ludwigshafen a/Rh.

Juni. $\varphi = 49^0\ 29'$ N. $\lambda = 8^0\ 26'$ E $= 33^m\ 44^s$. H $= 100.3$ m. Cg $= +0.3$ mm. 1911.

Datum	Luftdruck auf 0^0 u. Normalschwere reduziert 700 mm +			Lufttemperatur C⁰					Absolute Feuchtigkeit mm			Relative Feuchtigkeit Proz.			Richtung und Stärke des Windes 0 bis 12			Bewölkung 0 bis 10			Niederschlag mm	Bemerkungen
	7^a	2^p	9^p	7^a	2^p	9^p	Max.	Min.	7^a	2^p	9^p	7^a	2^p	9^p	7^a	2^p	9^p	7^a	2^p	9^p	7^a	
1.	54.0	54.9	55.8	16.8	17.0	18.6	22.2	13.2	11.2	11.5	10.2	78	80	64	N 1	W 2	E 3	10^2	10^2	10^2	1.0	0^{57}–1^{54}, 2^{09}–4^{34} p ⟍; $10^{4.49}$ p, 2^{14}–5^{04} p ◍; 5^{19} p ⟍ ◍
2.	57.8	57.1	55.8	15.2	22.7	19.4	24.4	13.8	8.5	9.3	10.9	66	45	64	NE 1	E 2	C	10^{2}●	10^2	6^1	18.6	n–7^{30} a ◍
3.	55.8	54.1	53.7	16.8	21.4	19.0	25.3	15.1	9.9	11.5	12.3	69	61	75	E 1	SW 2	S 1	6^{0}⊙	7^{1}⊙	10^0	0.5	
4.	55.8	55.6	57.0	16.8	24.7	20.7	26.2	15.1	12.8	11.3	13.7	90	49	76	NE 1	C	C	10^{1}●	10^0	10^1	6.4	10^{15} p ◍; 9^{31}–10^{47} p ≲ i. SW; 10^{47} p–1^{31} a, 5^{37}–6^{23} p ⟍;
5.	59.1	58.6	59.2	17.4	25.5	20.8	27.3	14.6	11.0	10.8	11.2	74	45	62	C	C	C	00	7^0	10^2	–	$2^{19.34}$ p ⟍; 8^{30} p ≲ [10^{19} p an ◍
6.	60.8	60.4	60.0	16.8	27.9	23.7	**28.9**	15.3	11.6	8.4	12.8	81	**30**	59	N 1	NE 1	NE 1	00	4^{0}⊙	0	1.5	$9^{00.30}$ p ≲ im E; 9^{30}–11^{45} p ⟍; $9^{30.55}$ p ◍
7.	61.2	60.6	59 8	17.6	25.7	21.6	27.2	15.4	11.4	10.3	11.6	76	42	61	C 1	N 1	NW 2	00	00	0	–	
8.	60.3	58.0	55.9	16.2	23.6	18.0	24.4	13.2	9.2	10.4	12.3	67	48	80	N 1	NW 2	N 2	00	3^{0}⊙	0	–	
9.	51.5	46.6	47.6	15.7	25.9	14.4	27.3	13.1	10.3	10.8	8 5	78	44	70	N 1	W 1	N 3	00	00	4^0	–	5^{19} p ⟋⟋
10.	49.7	49.8	50.8	11.2	16.8	13.4	17.2	8.8	6.1	**4.3**	5.0	61	**30**	44	N 2	NE 2	N 1	00	4^{0}⊙	0	–	
11.	52.9	52.1	52.5	11.4	17.0	14.3	18.2	**5.6**	6.0	5.9	5.4	59	41	45	N 2	N 2	N 1	2^{0}⊙	10^1	3^0	–	
12.	52.5	50.7	50 1	10.6	18.7	17.0	20.0	8.5	6.6	5.5	6.7	70	34	46	N 1	NE 1	C	00	3^{1}⊙	5^2	–	
13.	48.2	46.0	**45.5**	12.6	21.2	15.8	21.4	9 2	7.6	6.4	7.9	70	34	59	NW 1	S 1	S 3	6^0	9^2	10^1	–	a ≡¹, dann ∞
14.	48.5	49.6	52.9	11.4	13.8	9 2	16.0	9.2	6.9	6.2	7.1	69	53	81	NW 4	W 2	W 1	5^{0}⊙	10^{1}●	0	–	1^{30} p ◍^{0}; 2 p ◍; 3^{15} p ◍^{1}; $7^{47.48}$ p △
15.	54.3	55.4	58.5	10.8	9.8	11.0	12.0	8.0	6.5	8.3	7.4	68	**92**	75	W 2	N 2	W 2	10^1	10^{2}●	10^1	4.5	vorm. u. nachm. ◍
16.	60.2	58.3	56.6	10.2	19.2	16.8	20.0	7.1	8.3	7.7	8.8	90	47	63	SE 1	NE 1	NW 1	00	3^{0}⊙	2^0	**23.8**	a ≡¹, dann ∞
17.	54.1	51.7	49.3	13.7	18.0	18.8	18.8	9.4	9.4	12.0	**14.2**	81	78	88	SE 1	S 1	SE 1	10^0	10^0	10^{1}●	–	$8^{54.34}$ p ⟍; 7^{55}–9 p ◍
18.	49.6	50.7	52.2	17.6	18 2	15.4	20.1	15.4	13.2	13.4	11.9	88	86	91	S 2	W 2	W 1	9^2	10^0	2^0	3.8	7^{30}–11a ◍
19.	51.2	49.4	49.7	15.3	18.8	15.1	20.4	13.0	11.4	10.4	10.2	88	64	80	SE 1	S 2	S 3	9^1	10^{1}●	0	7.5	1^{45}–2^{15} p ◍; abds. ◍ ⟋⟋
20.	50.6	51.4	54.2	15.2	19.0	16.8	19.4	12.0	9.8	8 3	8.8	76	51	63	SW 3	SW 3	SW 3	10^2	6^{1}⊙	10^2	0.6	0^{30} p ◍^{1}; 0^{59}–1^{06} p ⟍; 0^{54}–1^{09} p ◍
21.	58.0	58.9	59.3	14.3	19.0	17.3	21.6	12.3	8.0	7.0	9.2	66	43	63	SW 2	SW 2	SW 1	2^{0}⊙	10^2	10^2	1.0	9^{30} p ◍
22.	59.2	57.4	55.8	14.4	24.2	20.0	25.3	11.4	9.0	8.2	9.1	74	36	53	SE 1	SE 1	W 1	9^1	5^{0}⊙	5^2	–	
23.	54.1	51.4	49.3	15.2	25.9	19.8	26.9	14.2	10.4	9.6	9.5	81	36	55	SE 1	S 3	NE 1	3^{0}⊙	4^{0}⊙	10^2	–	
24.	47 7	50.2	52.6	17.8	18.0	15.2	19.8	13.2	12.1	10.6	10.4	80	69	81	S 1	S 1	S 1	10^2	10^{1}●	10^1	0.1	a, p ◍
25.	53.4	53.2	53.2	14.0	17.8	15.0	18.2	13.0	10.8	11.6	10.5	92	76	83	SE 1	SE 1	S 2	10^{1}●	10^2	10^2	4.5	a ◍
26.	54.3	54.0	55.6	14.0	20.8	15.5	21.4	12.3	9.8	9.5	9.4	82	52	71	S 1	S 2	SW 2	00	5^{1}⊙	6^1	0.6	a, m ◍
27.	56.6	58.5	61.1	11.4	16.4	13.4	17.4	10.4	8.3	7.5	8.8	83	54	77	SW 1	SW 3	SW 2	10^{1}●	9^2	10^2	2.4	n, a ◍
28.	**63.6**	62.5	62.1	13.0	21.1	18.2	24.2	11.5	9.1	7.9	9.9	81	42	63	S 2	SW 2	S 1	8^{1}⊙	5^{0}⊙	10^2	1.4	
29.	62.1	60.0	57.8	16.8	23.4	20.5	25.7	14.8	9.5	9 6	11.2	67	45	63	SW 1	SW 3	C	10^2	5^{1}⊙	0	–	
30.	53.8	50.6	50.8	17.6	24.0	15.4	24.2	15.4	10.5	12.3	10.1	70	56	71	S 2	S 1	SW 4	3^{0}⊙	10^2	10^2	–	$1^{54.56}$ p, 3^{37} p ◍; $2^{18.21}$ p ⟍
																					78.2	
Mittel	55.0	54.3	54.5	14.6	20.5	17.0	22.0	12.1	9.5	9.2	9.8	76	52	68				5.4	7.0	6.1		

Nürnberg

Juni. $\varphi = 49^0\ 27'$ N. $\lambda = 11^0\ 3'$ E $= 44^m\ 12^s$. H $= 309.1$ m. Cg $= +0.2$ mm, über 735.0 mm Cg $= +0.3$ mm. 1911.

1.	35 6	36.4	38.4	16.4	22.6	18.1	22.9	12.9	9.2	9.4	6.5	67	46	42	E 3	E 3	E 3	9^1	10^1	8^1	–	△
2.	39 9	39.1	38.2	14.3	20.9	17.0	21.7	9 6	6.3	6.6	5.9	52	**36**	41	E 3	E 3	E 3	6^{1}⊙	4^{1}⊙	2^1	–	△, t heiter, 10^{30} a–1 p farbiger ⊕, sehr sichtige Luft
3.	38.3	36.3	35.6	15.0	23.1	19.1	24.2	11.2	7.6	10.5	11.5	60	50	70	E 2	E 2	S 2	8^1	7^{2}⊙	10^2ℊ	–	△, n heiter, abflauende Winde. 7^{23} p–n ⟍ im S
4.	36.6	36.9	38 5	16.0	23 2	17.9	23.9	13.9	10.6	10 5	12.8	78	49	84	E 2	NW 1	S 1	10^1	4^{5}⊙	5^1	2.7	n–9^{55} p ⟍. 9^{57}–10^{40} p ◍$^{0.1}$, $3^{20.30}$ a ⟍ i. E. 3^{22}–4^{27} p 1)
5.	40.6	39.7	40.9	15.4	23.5	14.9	23.9	11.8	11.0	10.3	11.6	85	48	92	S 1	C	C	3^1	9^2	6^1	–	△, a ∞, wechselnde Winde. 0^{31}–1^{40} p, 2^{15}–4 p, 2)
6.	42.0	41.4	41.5	13.5	24.0	18 2	24.4	10.0	9.8	8.5	11.5	86	38	74	C	NE 2	SE 1	00	8^1	3^1	5.6	△, a ≡⁰, t heiter. $3^{03.39}$ p ◍^{0}
7.	42.2	41.5	40.9	15.5	24.7	17.2	25.0	11.2	10.7	10.8	8.5	82	47	58	C	NW 3	NW 1	00	2^{1}⊙	0	–	△, a ≡⁰
8.	40.8	38.6	37.4	14.8	20.8	16.9	21.6	9.9	8.8	10.6	10.1	70	57	75	NW 1	N 3	NW 2	00	5^{1}⊙	0	–	△, m wolkig, p heiter, sehr sichtige Luft [Luft
9.	32.7	28.2	27.9	14.1	23.9	13.2	24.8	9.8	9.2	9.0	8.5	77	41	75	SE 2	SW 3	N 2	00	2^{1}⊙	10^1	–	△, a ∞, p zunehm. Bewölkg. $8^{05.45}$ p ⟍ i. N, sehr sicht.
10.	30.1	30.4	31.2	9.8	14.4	11.1	15.4	6.9	5.8	**4.9**	5.7	64	40	58	NW 2	NW 2	N 2	1^{0}⊙	2^{1}⊙	4^1	–	11^{30} p–mn ≲ i. S, früh Aufklaren, sehr sichtige Luft
11.	33.1	33.1	33.2	9 9	15.6	12 6	16.7	5.9	6.5	5.2	6.5	61	39	66	NW 2	C	C	9^1	6^{1}⊙	4^1	–	t zunehmende Bewölkung, abflauende Winde
12.	33.0	31.9	31 3	10.3	17.2	13.0	18.0	7.5	6.7	5.3	6.4	72	**36**	57	C	W 3	NW 2	7^{1}⊙	5^{1}⊙	1^1	–	n meist bedeckt u. windstill, p sehr sichtige Luft
13.	30.1	27.7	**26 3**	11.1	20.0	13.7	20.4	6.8	7.1	6.4	9.7	72	37	83	E 2	NW 2	E 2	8^{1}⊙	10^1	10^1	–	a ≡⁰, p zunehmende Bedeckung. 3^{29} p–n ztw. ◍$^{0.1}$
14.	26.9	29.0	33.2	11.2	15.4	8.8	15.5	8.8	9.2	6.1	6.5	**93**	47	77	NW 1	NW 2	SW 2	10^1	10^1	10^1	**7.8**	n–5^{30} a meist ◍$^{0.1}$, t meist bed., nach 3^{20} p, 5^{45}–6^{30} p ◍^{0}
15.	34.3	34.9	37.9	7.3	12.1	8.9	13.4	6.1	6.4	7.3	7.6	85	69	89	W 3	W 2	W 2	10^1	8^2	3^1	–	nach 3 a ◍^{0}. 5^{20}–6^{45} a meist ◍^{0}. $9^{21.26}$ a ◍^{2}. $9^{28.37}$ a △,
16.	41.2	39.6	38.0	9.5	17.0	13.6	18.3	6.5	7.2	7.2	7.2	82	50	62	W 1	SW 2	E 1	10^1	6^{1}⊙	3^1	1.8	a ∞ [dann–gegen 7 p ztw. ◍$^{0.1}$, sehr sicht. Luft
17.	36.6	34.5	32.1	14.5	19.2	17.4	22.0	7.6	7.8	12.5	12.5	63	75	85	SE 2	SW 3	SW 2	3^{1}⊙	10^{1}●	8^1	–	n klar, a sehr sicht. Luft, t zunehm. Bedeckg. 2–4 p ◍^{0}
18.	31.8	32.0	33.5	17.0	20.7	14.9	21.3	13.8	13.0	**13.2**	11.5	90	74	91	SW 1	SW 3	SW 2	10^1	9^1	5^1	1.5	$9^{23.40}$ p ◍^{0}. $10^{00.30}$ p ◍^{1}, nach 5 a–5 p ztw. ◍^{0}, p sehr
19.	33.8	32.3	30.9	15.6	19.2	16.6	21.1	11.9	10.9	11.9	12.4	83	72	89	E 1	S 1	SW 2	10^1	10^{1}●	8^1	1.9	a ≡⁰, zunehm. Bedeckg. 1–2 p ◍^{0} [sicht. Luft
20.	32.3	32.4	34.6	15.7	18.2	12.8	19.8	11.0	9.9	8.5	9.7	75	55	89	SW 3	SE 1	W 2	4^{1}⊙	9^1	10^1	1.0	a sehr sicht. Luft, t wechs. Bewölkg. $8^{43.49}$ p ⟍ i. S. 3)
21.	38.7	39.4	40.4	13.0	18.9	14 4	19.9	11.7	9.5	7.7	8.7	86	48	72	W 2	W 3	SW 1	10^1	5^{1}⊙	2^1	3.1	n trüb, früh Aufklaren, sehr sichtige Luft. 6^{40}–7 p ◍^{0}
22.	40.8	39.2	37.8	13.4	21.8	17.4	22.4	9.4	7.1	8.1	9.6	62	42	65	SE 1	SW 1	E 1	00	6^{1}⊙	4^2	–	△, a ∞, t wechs. Bewölkung, p sehr sichtige Luft
23.	36.5	34.1	31.8	18.0	25.9	21.0	26.0	11.7	9.6	10.1	10.2	63	41	55	SE 1	S 2	SE 3	8^{1}⊙	8^{1}⊙	3^1	–	n meist klar, t zunehm. Bewölkung, sichtige Luft
24.	29 8	31.5	34.4	20.0	22.4	16.6	24.9	14.0	10.1	10 1	10 7	57	50	76	SE 1	W 2	W 2	00	10^1	8^1	–	9–11 p ≲ i. W., t zunehm. Bewölkg. $5^{00.40}$ p, $6^{00.30}$ p ◍^{0}
25.	34.8	34.0	35.1	16.2	21.9	15.7	22.8	13.0	9.6	9.6	11.4	70	50	86	S 1	W 2	W 2	10^1	9^1	10^1	0.2	t wechs. Bewölk., nach 3 p ◍^{0}. $4^{36.39}$ p ◍^{1}. 8^{35}–geg. 9 p ◍^{0}
26.	35.9	35.6	36.4	14.0	21.2	15.4	21.6	13.0	10.6	9.3	10.5	90	50	81	S 3	SW 2	SW 2	10^1	8^{1}⊙	9^1	2.5	9^{40}p–nach 4 a ztw. ◍^{0}. $9^{40.50}$a ◍^{1}, geg. 6 p, 7^{35}p ◍^{0}. 7^{32}p
27.	37.1	38.9	40.9	15.2	14.6	10.6	15.4	10.6	8.6	7.2	8.0	67	58	84	S 2	SW 2	SW 2	10^1	8^{1}⊙	8^2	–	0^{30}–1 a, $9^{40.50}$ a, gegen 3 p, nach 6 p, $6^{25.35}$ p ◍^{0}
28.	43.9	**44.0**	43.4	11.5	16.2	14.2	18.7	9.6	8.4	7.7	9.3	83	56	64	W 2	W 3	SW 1	10^0	9^1	10^1	–	unruhige Winde, p Aufklaren
29.	42.7	41 4	39.9	16.2	20.8	16.2	21.6	13 4	9.8	9.3	10.2	71	51	74	S 2	W 2	E 1	6^1	8^{1}⊙	3^1	–	△, t wechselnde Bewölkung, abds. Aufklaren
30.	36.6	32.4	32.6	16.8	27.0	16.0	**27.0**	11.5	9.8	9.3	12.2	69	43	90	S 3	S 3	W 2	4^{1}⊙	9^1	10^{1}●	–	n klar, △, p zunehm. Bewölk. $4^{40.50}$ p ◍^{0}. 6^{20} p–n ◍$^{1.2}$
																					28.1	
Mittel	36.3	35.5	35.8	14.0	20.2	15.1	21.2	10.4	8.9	8.8	9.4	74	50	73				6.2	7.2	5.9		

1) ⟍ i. S. 4^{35}–5^{20} a ◍^{1}, t oft windstill
2) 4^{40}–5^{45} p ⟍, $3^{13.22}$ p ▲, $3^{10.34}$ p ◍$^{1.2}$. 4^{52}–5^{55} p ◍^{0}
3) 2^{40} p ◍^{0}. $3^{32.34}$ p, $4^{16.59}$ p, $5^{35.45}$ p ◍^{2}. 8^{20}–9 p ◍^{0}

Alle Angaben nach Ortszeit.

Kaiserslautern.

Juni. $\varphi = 49^0\ 27'$ N. $\lambda = 7^0\ 46'$ E $= 31^m\ 4^s$. H $= 242.2$ m. Cg $= +0.3$ mm. 1911.

Datum	Luftdruck auf 0^0 u. Normalschwere reduziert 700 mm + 7^a	2^p	9^p	Lufttemperatur C° 7^a	2^p	9^p	Max.	Min.	Absolute Feuchtigkeit mm 7^a	2^p	9^p	Relative Feuchtigkeit Proz. 7^a	2^p	9^p	Richtung und Stärke des Windes 0 bis 12 7^a	2^p	9^p	Bewölkung 0 bis 10 7^a	2^p	9^p	Niederschlag mm 7^a	Bemerkungen
1.	41.8	42.8	43.2	15.7	17.5	14.9	19.0	12.9	10.7	10.5	10.9	81	70	87	E 3	E 2	E 1	10^1	10^1	10^1	–	0^{66-11} p, 1^{46-49} p, 2^{36-421} p, 4^{33-736} p, 7^{36-856} p ⟆. 9 a an [1]
2.	44.7	43.8	43.1	14.3	21.4	15.7	21.4	12 3	9.4	9.8	11.2	78	52	84	SE 2	SE 3	C	9^1	$7^1\odot$	5^0	**8.5**	n ◎ [2^{46-316} p ◎0.1
3.	42.9	41.9	41.3	15.2	21.7	17.9	23 5	12.4	11.0	12.8	13.1	86	66	86	C	SE 1	C	9^1	10^0R⊙	7^0	–	a ⌓^{2}, kurz ◎ tr., 0^{31-121} p, 1^{33-311} p ⟆. 6^{01-136} p ◎0.
4.	43.3	43.6	44.7	16.1	18.8	17.0	23.0	15.3	12.2	**13.5**	13.4	89	84	93	C	W 1	C	10^2●	10^2●	10^1	5.7	10^{31} p–0^{31} a ⟆; ◎^{2}. a, p ztw. ◎0. 4^{01-621} p ⟆ [2]
5.	46.3	45.8	46 6	16.0	23.9	17.7	25.3	12.4	12.2	12.8	11.2	90	61	74	C	W 1	NW 1	9^1	8^1	10^2	0.5	0^{58-106} p ⟆; $8^{20.40}$ p ◎0
6.	48.1	47.7	47.6	15.5	25.9	18.5	**27.4**	11.3	10.9	8.8	12.2	83	36	77	C	N 1	C	oo	$3^0\odot$	o	0.2	$9^{31-1101}$ p ⟆, ◎0
7.	48.5	47.7	47.4	16.3	25.9	18.9	26.4	11.7	10.9	11.5	10.2	79	47	63	C	NE 3	C	oo	$1^0\odot$	o	–	a ⌓^{2}, ∞
8	47.3	45.2	43.3	15.4	22.7	17.1	23.5	9.4	9.3	10.8	10.7	71	53	74	E 1	N 2	E 1	oo	$2^0\odot$	o	–	a ⌓^{2}
9	39.0	34.8	35.9	15.3	25.1	14.1	26.9	9.6	10.2	8.3	8.0	79	35	67	E 1	NW 2	N 3	oo	co	10^1	–	a ⌓^{2}. 5^{06-11} p ▁▁; $5^{21.26}$ p ⟆; 5^{36-601} p ◎tr.
10.	37.3	37.4	38.4	11.0	16.3	11.8	18.5	9.0	6.2	5.2	5.8	63	38	57	NE 2	NE 3	C	$1^0\odot$	$4^0\odot$	o	–	a ⌓^{0}
11.	40.0	39.8	40.2	10.1	17.1	12.0	17.6	4.0	6.4	5.5	6.2	69	38	59	NE 1	NW 2	NE 2	$2^0\odot$	$7^1\odot$	8^0	–	a ⌓^{2}; ∞
12.	39.7	38.3	37.6	9.6	18.4	13 6	20.6	3.9	6.0	5.4	7.8	67	35	68	C	NW 1	C	oo	$4^1\odot$	5^0	–	a ⌓^{2}; ∞
13.	35.8	33.8	**33.5**	10.7	20.6	14.3	21.6	5.4	6.9	5.9	8.2	72	32	67	C	W 2	W 1	$7^1\odot$	10^1	10^2	–	a ≡^{1} ⌓^{1}
14.	36.3	37.2	40.3	10 6	14.7	9.3	16.4	9.0	7.3	4.8	6.1	75	39	70	N 1	NW 3	NW 2	9^1	10^2	4^1	–	[◎ (4^{14-17} p ◎2); 4^{14-17} p ▲ $9^{15-1030}$ a ztw. ◎0, p ztw. ▁▁. 4^{00-34} p ⟆, 4^{16-29} p
15.	41.6	42.7	45.5	9.0	10.4	9.5	11.7	7.4	6.9	8.3	8.3	80	89	**94**	W 2	W 2	W 1	10^2	10^2●	5^1	3.0	n ◎; 7^{55} a–7^{10} p ztw. ◎0.2.
16.	46.9	44.8	43.5	9.1	18.7	12.9	19.8	4.3	7.7	7.7	9.3	91	48	85	S 1	SE 1	SE 1	$3^0\odot$	$3^1\odot$	3^1	8.1	a ⌓^{2}, ∞
17.	41.1	39.0	37.1	12.9	18.9	17.3	22.6	7.9	9.0	12.5	**13.5**	82	77	92	C	W 2	C	10^1	10^2	10^2	–	a ⌓^{0}, ≡^{0}. 10 a ab ztw. ◎0.1, 6^{16-731} p ⟆; 6^{31-751} p ◎0.1
18.	37.3	37.9	39.3	16.6	18.8	15.7	19.6	15.4	13.0	12.6	11.3	93	78	85	W 1	W 3	W 2	10^2●	10^2	5^1	5.8	n ◎; a–8^{30} a ◎1.2, dann ztw.–m ◎0. p ztw. ▁▁
19.	38.7	36.8	37.4	15.4	18.1	13.6	21.5	13.4	10.9	10.7	10.4	84	69	**90**	W 1	SW 2	W 3	9^1	10^1	4^1	8.4	a ztw. ◎0; p ztw. ▁▁; 6–7 p ◎
20.	38.1	38.8	42.0	13.9	18.5	12.7	20.6	12.7	9.4	8.8	9.9	80	55	91	W 3	W 5	NW 1	9^2	$8^1\odot$	10^2●	3.5	t ztw. ▁▁; p u. abds. ztw. ◎0.1
21	45.4	46.1	46.4	12.3	17.3	14.9	19.2	9.2	7.9	8.2	9.9	74	55	78	NW 2	W 2	C	oo	9^1	9^2	2.5	n ◎0
22.	46.1	44.6	42.4	14.5	21.9	16.3	23.7	11.5	9.3	7.5	10.4	76	39	75	C	W 2	SE 1	9^1	9^1	9^2	–	a ≡^{1}
23.	41.6	39.0	37.6	17.0	24.6	17.2	24.6	13.2	10.5	10.2	**13.5**	73	45	93	C	NW 2	C	$8^1\odot$	$8^1\odot$	10^1	–	a ∞; $3^{00.45}$ p ◎; $5^{01.36}$ p ⟆; $5^{41.41}$ p ◎
24.	35.5	37.6	39 3	16.0	17.8	14.1	18.6	14.1	12.1	10.8	10.1	89	71	85	C	W 4	C	10^2●	9^1	1^1	3.0	n ◎0; a ztw. ◎0 ▁▁; p ▁▁; 3^{55-415} p ◎0.1
25	40.3	40.1	40.5	14.3	17.5	14.4	18.8	12.4	10.5	9.5	9.9	83	64	82	W 1	SW 2	C	9^1	9^1	10^1	2.4	a–1^{10} p ztw. ◎0
26	41.5	41.3	42.7	14.1	19.5	13.7	20.5	11.6	9.1	6.6	7.5	76	39	64	NW 2	NW 5	W 3	oo	4^1	8^2	0.4	a ⌓, t ztw. ▁▁. $3^{30.45}$ p ◎, dann–n ◎0
27.	43.7	45.8	48.1	9.1	13.8	11.9	16.2	8.6	7.9	7.5	9.4	92	63	93	NW 2	NW 2	NW 1	10^2●	$8^2\odot$	10^1	1.9	n ◎0. t ztw. Strich ◎
28.	**50.2**	49.5	48.9	12.4	19.6	15.9	21.1	9 8	9.3	8.1	10.3	88	48	77	NW 1	NW 3	C	10^1	$5^1\odot$	9^2	2.5	
29	48.9	47.2	45.1	14.9	22.6	17.9	24.5	12.6	9.9	8.2	11.1	78	41	73	W 2	NW 2	SW 1	10^1	$3^1\odot$	o	–	
30.	41.2	38.1	38.3	17.9	23.1	14.9	23.9	11.8	9.4	11.0	10.5	62	53	84	W 2	W 3	W 3	$9^1\odot$	10^2	10^2	–	p ztw. ▁▁. 2^{35} p–n ztw. ◎0.1
Mittel	42.3	41.6	41.9	13.7	19.7	14.9	21.3	10.5	9.4	9.1	10.0	79	54	79				6.4	6.9	6.4	56.4	[1] ztw. ◎0; 2^{45-356} p ◎0.1; $3^{22.31}$ p ◎2, dann–3^{56} p ◎0.1; 4^{46-507} p ◎2; 5^{11-701} p ◎0.1; 7^{46-816} p ◎2 [2] ($5^{21.26}$ p ⟆); 5^{56-601} p ◎; $5^{05.11}$ p Böe aus W

Ansbach.

Juni. $\varphi = 49^0\ 18'$ N. $\lambda = 10^0\ 33'$ E $= 42^m\ 12^s$. H $= 437.5$ m. Cg $= +0.2$ mm. 1911.

Datum	Luftdruck auf 0^0 u. Normalschwere reduziert 700 mm + 7^a	2^p	9^p	Lufttemperatur C° 7^a	2^p	9^p	Max.	Min.	Absolute Feuchtigkeit mm 7^a	2^p	9^p	Relative Feuchtigkeit Proz. 7^a	2^p	9^p	Richtung und Stärke des Windes 0 bis 12 7^a	2^p	9^p	Bewölkung 0 bis 10 7^a	2^p	9^p	Niederschlag mm 7^a	Bemerkungen
1.	24.6	25.2	27.3	15.6	20.5	17.1	21.6	11.7	10.8	10.2	7.9	82	56	55	NE 2	E 4	NE 4	4^1	10^2	10^2	1.5	
2.	28.6	28.0	27.0	13.0	21.7	15.2	22.4	10.7	7.1	8.1	6.8	64	42	53	NE 2	NE 4	E 4	$2^0\odot$	$2^0\odot$	2^0	–	
3	27.0	25.1	24.8	14.4	21.8	14.8	24.0	9.5	8.1	11.0	10.9	66	57	87	C	NE 2	SW 2	$2^0\odot$	$2^1\odot$	10^2R●	–	6^{16-900} p ⟆; 7^{14} p–n ◎
4.	25.5	26.4	27.9	15.7	17.9	14.8	21.2	12.4	11.8	12.0	11.8	89	79	94	C	W 2	C	8^1	10^2R	2^0	11.0	$9^{00.17}$ p, 1^{11-438} p ⟆. n ●
5.	29.5	28.9	30.2	16.0	19.7	13.4	23.6	10.3	11.3	13.1	10.5	84	81	93	C	C	C	$2^0\odot$	10^2R	10^2	–	0^{46-950} p, 3^{19-522} p, 5^{44-717} p ⟆. 6^{01-157} p ◎ (strichweise ▲), 4^{18-514} p, 5^{58-632} p ◎
6.	31.1	31.0	30.8	14.1	23.1	15.0	24.6	8.1	10.5	9.6	11.3	88	46	88	C	NE 2	C	oo	$4^1\odot$	2^0	7.4	
7.	31.2	30.7	30.3	16.0	23.9	17.6	24.8	9.9	11.3	10.0	8.5	84	45	57	C	N 2	C	oo	$2^1\odot$	o	–	
8.	29.9	28.0	26.2	14.8	19.9	13.5	21.6	7.9	8.6	10.4	9.9	69	60	87	N 2	N 2	C	oo	oo	o	–	
9	22.4	17.5	17.0	14.0	23.2	12.1	25.8	7.7	9.9	10.2	8.0	83	48	76	C	SW 4	N 2	oo	$2^1\odot$	2^0	–	
10.	18.8	20.1	20.6	8.9	14.4	11.5	16.6	8.1	5.2	4.4	5.0	62	36	49	N 2	N 2	C	oo	$2^1\odot$	o	–	t ztw. ▁▁
11.	22.0	21.8	22.5	7.7	15.3	9.0	16.0	**3.1**	6.3	**4.1**	6.0	81	**32**	70	N 2	NW 4	C	$4^1\odot$	8^1	6^1	–	
12.	21.9	21.0	20.6	10.8	17.0	10.0	19.4	4.8	6.2	5.6	6.2	64	40	68	C	N 4	C	oo	$4^1\odot$	o	–	
13.	18.7	17.3	**15.1**	12.9	16.1	12.2	20.2	5.0	7.6	8.5	9.6	69	62	91	C	SW 2	SW 2	4^1	10^2●	10^2●	–	1^{42} p ab ●
14.	16.9	18.7	22 5	10.4	13.2	6 7	14.4	6.4	8.6	5.5	6.6	92	48	91	NW 2	NW 2	W 4	10^2	10^2	6^1	**11.1**	2^{17} p ab ztw. ◎
15.	23.2	24.5	27.3	4.9	8.6	6.6	12 0	4.2	5.8	6.7	6.9	91	82	**94**	W 2	W 2	C	10^2	10^2	o	3.6	8^{42} a–2^{57} p ztw. ◎; 9^{57}–10^{02} a ▲
16.	30.1	28.4	27.3	9.6	17.7	12.4	19.2	5.2	7.7	7.5	7.7	87	50	72	W 2	S 2	C	10^2	$2^1\odot$	2^0	3.4	
17.	25.1	23.4	21.8	14.7	17.9	16.8	21.2	6.6	8.3	12.8	12.6	67	84	89	S 2	SW 2	SW 4	$4^1\odot$	10^2●	10^2●	–	0^{42-322} p u. 8^{42} p ab ●
18.	20.9	21.4	22.7	16.2	18.5	14.0	19.8	13.6	12.8	**13.4**	11.0	**94**	85	93	W 4	W 4	W 6	10^2	10^2●	8^2	4 2	t ztw. ◎; 9 p ▁▁
19	22.8	20.7	20.0	15.0	18.2	14.8	20.0	10.1	11.4	13.3	11.0	90	86	88	SW 2	S 2	SW 4	6^1	10^2	8^2	4.7	0^{27-142} p ◎
20.	21.2	21.8	23.9	14.4	16.9	13.2	17.6	9.3	10.3	8.7	9.4	85	62	84	W 4	W 6	C	$4^1\odot$	$8^2\odot$	10^2	2.4	4^{45-537} p, $8^{17.42}$ p ⟆. 6^{12} p kurz ◎0
21.	27.8	28.8	29.7	12.6	17.9	12.5	19.8	11.1	7.6	6 8	8.1	70	44	76	NW 2	W 4	C	oo	$4^1\odot$	4^0	–	
22.	29.8	28.2	27.0	12.8	22.7	14.3	24.2	6.0	9.7	7.3	8.9	89	36	74	C	SW 2	C	oo	$6^1\odot$	6^1	–	
23.	25.1	23.2	21.0	17.8	24.7	17.1	25.8	9.1	10.2	9.1	12.8	68	39	89	C	SW 2	C	$2^0\odot$	$4^1\odot$	2^1	–	
24.	19.0	21.1	24.0	19.0	21.1	13.9	23.4	13.6	11.7	9.3	9.4	72	51	80	C	W 4	C	8^1	8^1	8^1	0.3	4^{47-522} p ◎
25.	24.0	23.7	24.2	14.5	19.3	14.0	21.0	12.2	10.0	9.8	10.3	82	59	87	C	W 2	W 2	10^2	10^2	10^2●	–	7^{02} p ab ◎
26.	25.1	24.9	25.9	13.2	19.1	13.6	20.8	11.7	9.3	8.7	9.5	83	53	82	SW 2	SW 2	W 2	10^2	10^2	10^2	6.3	n, 3^{37-407} p ●
27.	26.3	27.9	30.2	13.6	13.5	9.4	14.8	9.1	8.9	7.0	7.3	77	61	85	SW 2	W 6	W 4	10^2	$4^1\odot$	6^1	2.3	7^{07-922} a ztw. ◎; 2 p ▁▁
28.	33.1	**33.2**	32.9	11.0	16.8	14.3	19.8	8.9	10.1	7.4	9.2	89	52	76	W 2	NW 2	W 2	10^2	10^2	8^1	0.7	
29.	31.9	30.5	29.2	16.5	20.5	14.4	22.2	12.8	9.3	9.1	8.9	67	52	73	NW 2	NW 4	C	$4^1\odot$	$6^1\odot$	o	–	
30.	25.3	21.8	21.5	16.8	26.1	14.7	**26.8**	9.9	11.3	8.8	11.8	79	36	**94**	S 2	W 2	W 2	oo	10^2	10^2●	–	vorm. ▁▁ (SW 6); 6^{17} p ab ◎
Mittel	25.3	24.8	25.0	13.6	18.9	13.3	20.8	9.0	9.3	8.9	9.1	79	55	80				4.5	6.6	5.4	58.9	

Alle Angaben nach Ortszeit.

Regensburg.

Juni. $\varphi = 49^0\ 1'$ N. $\lambda = 12^0\ 7'$ E $= 48^m\ 28^s$. H $= 342.6$ m. Cg $= +0.2$ mm. 1911.

Datum	Luftdruck auf 0° u. Normalschwere reduziert 700 mm +			Lufttemperatur C°					Absolute Feuchtigkeit mm			Relative Feuchtigkeit Proz.			Richtung und Stärke des Windes 0 bis 12			Bewölkung 0 bis 10			Niederschlag mm	Bemerkungen
	7^a	2^p	9^p	7^a	2^p	9^p	Max.	Min.	7^a	2^p	9^p	7^a	2^p	9^p	7^a	2^p	9^p	7^a	2^p	9^p	7^a	
1.	32.2	33.1	36.3	17.0	20.2	16.5	21.7	14.1	10.5	10.1	6.3	73	57	46	NE 2	SE 1	E 1	8^1○	10^2	6^2	–	
2.	37.4	36.0	35.1	12.8	20.8	11.6	22.0	8.8	6.6	7.4	7.1	60	41	70	N 1	SE 1	C	6^1○	4^0○	6^0	–	
3.	36.5	33.8	32.7	13.9	23.5	15.0	24.2	9.7	7.2	9.1	11.0	60	42	87	N 1	S 2	S 1	4^0○	4^0○	8^2	–	
4.	33.4	34.4	34.8	16.8	22.5	16.1	24.2	13.1	8.8	8.7	10.9	63	43	80	NW 1	NE 1	C	8^1○	6^1○	o	–	
5.	37.5	37.3	38.1	12.7	16.3	15.8	20.4	10.0	10.5	9.7	10.0	**97**	70	75	NE 1	NW 1	S 1	10^0≡	4^2●	6^2	–	a ≡², 0⁰⁵–1⁴⁸ p ◸, 1²³–2¹⁸ p ◍
6.	39.2	38.5	39.4	15.4	23.8	17.1	27.2	9.4	9.6	6.9	10.7	74	31	74	NE 1	SE 1	E 1	oo	6^2○	8^2	2.3	
7.	39.8	37.8	37.5	13.7	25.5	13.8	26.7	10.4	9.8	7.7	8.2	85	32	70	S 1	NW 1	C	oo	8^1	o	–	
8.	36.3	35.0	33.9	15.2	22.8	17.4	26.0	9.8	8.1	8.7	8.3	63	42	56	N 1	N 2	N 1	oo	2^1○	o	–	
9.	31.9	26.5	24.5	13.2	24.6	13.8	25.4	9.8	8.6	7.3	8.0	76	34	68	N 4	W 4	N 8	oo	2^1○	6^2	–	5³³–7¹⁸ p ◸, 6⁵⁸–7⁰⁸ p ◍; abds. ═
10.	26.1	26.9	29.8	11.1	16.4	8.8	17.2	8.3	6.6	3.4	4.8	67	25	56	N 4	NE 4	NE 2	8^2	6^0○	6^0	2.6	
11.	29.8	29.8	30.1	11.5	16.2	7.7	19.6	5.8	4.9	4.2	5.4	48	31	69	N 2	W 2	C	8^1○	6^0○	2^0	–	
12.	30.5	29.3	29.4	10.2	20.4	11.7	21.7	5.3	5.7	5.0	6.0	61	28	58	N 2	NW 4	C	10^1	6^2○	2^0	–	
13.	28.3	25.5	23.1	10.8	21.1	13.0	21.4	6.8	6.0	7.3	9.2	62	39	83	S 2	SE 2	W 4	8^1○	8^2	10^0●	–	2⁴⁸.³³ p, 3⁴⁸–5⁸ p, 8³⁸ p–n ◍
14.	23.7	25.9	31.1	12.2	15.8	6.4	16.7	5.7	8.9	4.8	5.8	86	36	81	NW 4	NW 2	NW 2	10^1	8^2	10^1	4.8	n, 8⁴⁸–11⁰⁸ a, 3²⁸–8⁵⁸ p ◍
15.	31.6	32.9	36.8	10.8	9.1	6.8	12.7	5.6	6.4	6.5	6.2	67	75	84	W 2	W 2	C	10^2	10^2●	o	2.4	5³⁸–9⁰⁸ a, 9¹⁸.³³ a, 0⁴⁵.²⁸ p, 3⁴⁵.³⁸ p ◍
16.	38.7	37.9	35.5	8.0	17.6	9.8	21.2	5.6	6.6	6.5	7.5	82	43	83	W 4	SW 2	C	10^0	6^0○	o	2.8	
17.	34.8	31.8	30.6	12.8	20.5	15.2	22.6	4.9	7.1	11.8	11.7	65	66	91	SW 2	W 2	S 1	2^1○	10^1	10^1	–	3⁰³–4⁴⁸ p ◍
18.	30.3	29.9	31.8	15.6	20.2	13.4	21.2	12.7	**12.5**	**12.5**	10.4	94	71	91	SW 1	W 2	W 2	10^1●	10^1●	6^1	4.6	n ◍, mrgs. ≡¹, 7⁰⁰–8⁴⁸ a, 9⁴⁵–10⁴⁸ a, 2⁰⁰ 4⁴⁸ p ◍
19.	31.5	29.2	28.9	15.0	18.5	14.5	20.2	11.2	10.8	12.0	10.9	85	76	90	SE 4	S 2	C	10^0	10^2●	6^1	4.5	1²⁸–2¹⁸ p, 3⁴⁸–5⁴⁸ p ◍
20.	30.2	30.3	30.9	16.1	16.8	12.8	19.2	11.1	9.8	9.4	9.3	72	66	86	SW 4	W 6	W 2	8^1○	10^2	10^2	3.0	1⁴⁸.²⁸ p, 5⁴⁸–6⁴⁸ p, 8⁴⁸.³³ p ◍
21.	35.7	36.3	37.4	12.5	19.1	13.4	22.2	10.3	9.1	6.4	8.5	86	39	75	NW 4	W 6	C	10^1	6^1○	2^0	10.2	n, 7⁴⁸.⁵⁸ p ◍
22.	38.3	36.1	35.2	11.1	20.7	10.8	25.3	6.2	7.9	7.3	8.8	80	41	92	S 1	S 2	C	4^0○	4^0○	o	0.2	⊿
23.	33.3	30.3	30.2	15.6	24.1	14.6	26.1	8.3	9.3	10.1	10.7	70	46	87	S 2	S 2	S 2	2^0○	4^0○	4^0	–	⊿
24.	28.2	28.1	31.7	17.1	27.9	17.4	**28.5**	12.5	10.0	9.6	9.6	70	35	65	S 2	N 2	N 2	2^0○	2^0○	4^0	–	⊿
25.	30.9	27.2	27.6	19.2	24.5	16.0	27.1	13.4	9.3	10.1	9.1	56	45	66	NW 2	S 2	SW 4	oo	2^0○	4^0	–	⊿
26.	33.2	32.5	33.1	13.2	21.2	13.6	22.0	11.9	9.1	7.5	10.3	81	40	89	SW 2	S 2	SW 2	4^0○	4^0○	10^0	2.0	n–7⁴⁸ a, 7¹⁸ p–n ◍
27.	34.2	34.7	38.7	16.8	16.4	10.2	19.2	9.4	9.9	6.2	6.9	69	44	75	SW 2	NW 4	NW 2	2^0○	4^0○	2^0	**12.5**	n ◍
28.	**40.5**	40.2	40.2	12.2	17.0	10.4	20.4	8.8	8.4	6.8	8.1	80	47	87	NW 2	N 4	N 2	10^0	8^0	6^0	1.2	n ◍
29.	39.5	36.7	36.7	15.2	23.1	16.4	27.2	9.4	9.3	8.3	9.6	72	39	69	S 2	N 2	N 2	4^0○	2^0○	2^0	–	⊿
30.	34.2	30.3	30.1	12.2	26.1	14.8	27.1	8.0	8.7	9.2	11.1	83	37	89	S 2	S 2	W 4	4^0○	2^0○	6^1	–	⊿, 7¹¹.⁵⁰ p ◸, 7²⁸ p–n ◍
																					53.1	
Mittel	33.6	32.5	33.0	13.7	20.4	13.2	22.6	9.2	8.5	8.0	8.7	73	45	76				5.7	5.8	4.7		

Passau.

Juni. $\varphi = 48^0\ 34'$ N. $\lambda = 13^0\ 28'$ E $= 53^m\ 52^s$. H $= 309.3$ m. Cg $= +0.2$ mm. 1911.

1.	35.1	36.1	38.7	15.8	22.4	15.8	23.1	13.0	11.5	8.9	11.5	86	44	86	E 2	E 4	C	8^1	8^0○	10^0	2.0	
2.	40.0	39.8	39.1	14.2	21.4	15.0	22.2	8.2	5.9	7.8	8.1	49	41	64	E 2	E 4	E 4	5^0○	oo	o	–	
3.	38.9	36.6	36.1	12.7	24.0	18.2	25.0	10.4	8.8	10.3	9.8	81	47	63	C	E 2	E 2	oo	oo	o	–	⊿
4.	36 5	36.9	39 1	13.4	21.0	15.0	22.2	11.2	10.1	11.8	12.0	89	65	**94**	C	W 4	C	3^1○	5^1○	10^1	–	⊿, 3¹⁹–4²⁸ p ◸, 3⁵⁹–4³⁴ p ◍, 5²³–5³² p ▲
5	40.4	40.1	41 0	13.8	19.8	10.6	20.6	13.0	10.0	**13.2**	9.8	**94**	77	69	C	C	C	10^1	10^1	5^1	**26 0**	6³⁰–7 p ◍
6.	41.9	41.1	42.4	11.6	21.2	14.4	22.3	10.0	9.4	12.7	10.8	**94**	93	90	C	SW 1	C	oo	5^1○	o	0.5	⊿, 1⁴².⁵⁴ p ◸, 1⁴⁶.⁵³ p ◍, 1⁵⁰.⁵³ p ▲
7.	42.6	41.0	40.1	11.5	24.4	17.6	25.5	9.4	9.2	9.7	12.7	92	43	85	C	SW 2	C	oo	8^0○	o	7.2	⊿
8.	40.1	38.1	36.8	12.2	23.8	18.0	24.4	9.9	9.2	8.9	11.8	89	41	77	C	NW 2	C	oo	1^0○	o	–	⊿
9.	33.9	30 1	26.8	12.2	22.8	18.0	24.3	9.5	9.3	9.8	10.2	89	48	66	C	C	C	10^1≡	oo	10^1●	–	mrgs.–7 a ≡¹. 8⁵⁹.⁴⁴ p ◸, 8⁴².²⁸ p ◍
10.	28.8	30.1	31.0	13.0	17.0	12.4	18.0	11.4	8.1	8 9	9.2	73	62	87	SW 2	SW 2	C	10^1	**8^1**	o	3.2	
11.	32.7	32.3	33.1	10.7	17.4	13.6	18.9	8.2	7.2	7.6	8.0	74	51	69	C	SW 2	C	8^1	8^1	3^1	–	⊿, 9⁴⁵–10 p ◸
12.	33.6	32.2	32.1	9.3	18.4	11.9	19.1	6.1	7.2	6.6	9.2	83	42	90	C	C	C	10^1	8^1	5^1	–	
13.	31.1	28.2	**25.5**	10.9	21.8	16.6	23.4	7.6	7.9	7.6	10.1	86	39	71	C	C	C	oo	3^1○	10^1	–	⊿
14.	26.4	29.2	32.9	13.9	14.2	10.2	16.6	10.2	9.6	9.1	8.1	81	76	87	NW 2	W 2	W 2	10^1	10^1	10^1	0.2	a ◍⁰, 11 a–1 p, 3–5 p ◍
15.	34.9	35.5	37.3	8.3	11.3	9.5	13.8	8.2	6.9	6.5	7.3	86	65	83	W 2	SW 2	C	10^1●	8^1○	3^1	4.0	a ztw. ◍
16.	42.3	40.7	39.1	8.3	16.8	11.3	17.5	7.9	6.9	6.3	8.6	86	44	87	NW 4	W 2	C	10^1	3^1○	o	1 2	
17.	38 0	35.3	34.1	9.7	21.8	15.8	22.2	5.6	7.0	9.6	12 1	78	49	90	C	C	C	oo	10^0○	o	–	⊿, 5–7 p ◍
18.	33.4	33.1	34.3	14.7	22.8	15 8	24.2	13.4	11.5	12.3	11.5	92	60	86	C	W 2	C	oo	8^1○	10^1	3.0	6¹⁵.²⁹ p ◸, 6¹⁸.⁵²⁴ p ◍
19.	35.3	32.1	33.3	14.8	21.4	15.8	23.0	13.1	11.3	11.7	12.1	90	62	90	E 1	SE 1	C	5^0○	10^1	10^1●	2.2	5 p–n ◍, 7¹² p ◸
20.	33.9	34.1	35.6	14.8	15.2	13.2	18.1	14.0	10.9	10.6	8.8	87	83	78	C	S 2	C	10^1	10^1	10^1	11.8	t öfters ◍
21.	38.5	39.5	40.8	14.0	18.8	13.4	20.6	12.0	10.0	9.3	9.6	85	57	85	W 2	NW 2	C	10^1	8^1○	o	4.0	10–11 a ◍
22.	41.6	39.5	38.5	11.5	22.8	15.2	24.4	8.1	9.0	7.8	10.4	89	38	81	C	S 1	C	oo	oo	o	1.7	⊿
23.	38.1	35.2	33.1	12.2	24.8	18.2	26.2	6.2	9.3	11.0	11.8	89	48	75	C	S 1	C	oo	oo	8^0	–	⊿
24.	31.7	31.9	34.8	15.0	26.8	19.2	**28.2**	10.6	11.0	12.1	9.7	87	46	59	E 2	E 1	W 4	oo	oo	5^1	–	⊿
25.	35.0	32.3	32.9	17.3	26.8	20.0	27.2	14.2	10.5	**13.2**	11.2	72	50	65	E 2	E 2	C	5^0○	8^0○	3^1	–	⊿
26.	36.7	37.6	36.9	15.0	17.2	15.1	20.0	13.7	10.2	10.1	10.7	81	69	84	W 2	NW 2	C	10^1●	10^1	10^1	0.2	a, 6³⁰–8 p ◍
27.	38.5	38.8	41.4	14.2	14.2	11.9	18.1	11.9	10.2	9.6	8.4	85	80	81	E 1	C	C	10^1	10^1●	10^1	5.0	p ztw. ◍
28.	44.1	44.9	**45.0**	11.7	15.6	12.8	17.0	10.1	8.1	9.1	9.5	79	68	87	W 4	NW 4	C	10^1	10^2	o	4.5	a ztw. ◍
29	44.3	41 8	40.9	10.7	21.4	16.2	22.4	7.3	8.5	9.8	11.3	90	52	82	C	C	C	10^1	3^1○	5^1	2.8	
30.	38.2	34.8	32.6	12.6	24.6	19.4	26.0	9.4	9.6	10.2	10.7	89	45	64	C	S 1	C	3^0○	5^0○	8^1	–	
																					79.5	
Mittel	36.9	36.0	36.2	12.7	20.4	15.2	21.8	10.1	9.1	9.7	10.2	84	56	79				5.6	5.9	4.8		

Alle Angaben nach Ortszeit.

Landshut.

Juni. $\varphi = 48^{0}\ 32'$ N. $\lambda = 12^{0}\ 10'$ E $= 48^{m}\ 40^{s}$. H $= 397.7$ m. Cg $= +0.2$ mm. 1911.

Datum	Luftdruck auf 0^{0} u. Normalschwere reduziert 700 mm +			Lufttemperatur C°					Absolute Feuchtigkeit mm			Relative Feuchtigkeit Proz.			Richtung und Stärke des Windes 0 bis 12			Bewölkung 0 bis 10			Niederschlag mm	Bemerkungen
	7^{a}	2^{p}	9^{p}	7^{a}	2^{p}	9^{p}	Max.	Min.	7^{a}	2^{p}	9^{p}	7^{a}	2^{p}	9^{p}	7^{a}	2^{p}	9^{p}	7^{a}	2^{p}	9^{p}	7^{a}	
1.	27.0	27.8	29.5	15.4	22.8	16.3	24.6	10.5	11.5	10.2	11.8	88	49	85	NE 2	E 2	E 2	10^{1}	$4^{1}\odot$	9^{0}	–	⌓
2.	31.4	30.7	30.2	13.3	22.5	15.0	25.2	10.5	6.2	9.1	9.0	54	45	71	E 4	E 4	NE 2	10^{1}	$1^{1}\odot$	1^{1}	0.3	n ◍
3.	30.5	28.6	27.5	16.0	23.6	16.2	26.0	8.8	9.5	10.8	11.0	70	50	80	NE 2	E 2	E 2	$8^{1}\odot$	$2^{1}\odot$	10^{1}	–	
4	29.0	29.4	31.1	15.6	21.7	14.2	23.8	9.5	11.1	13.1	11.0	84	68	92	W 4	W 4	N 2	8^{1}	9^{1}	3^{1}	–	⌓^{0}
5.	32.8	32.0	32.9	12.7	22.6	12.9	26.3	9.0	10.0	9.4	10.3	93	46	94	SW 2	E 2	C	$8^{0}\odot$	10^{1}	2^{0}	–	⌓^{0}, $^{120-251}$ p ⍁, $^{250-305}$ p ◍
6.	34.0	33.6	33.6	12.0	24.0	14.4	27.4	7.2	9.4	7.9	9.9	91	35	82	SW 2	E 2	S 2	$0\odot$	$8^{1}\odot$	1^{1}	0.3	⌓
7.	34.5	33.3	32.3	14.3	28.4	15.6	30.3	8.2	10.1	7.5	9.7	84	26	74	W 2	W 2	C	$1^{0}\odot$	$6^{1}\odot$	0	–	⌓
8.	32.5	30.4	28.7	14.7	24.4	16.6	27.9	7.4	9.6	8.1	9.9	77	35	70	W 2	N 4	C	$0\odot$	$1^{1}\odot$	0	–	⌓
9.	25.9	21.0	18.7	13.1	25.4	17.6	29.3	6.4	9.5	8.5	8.9	86	36	60	NW 2	W 4	W 2	$0\odot$	$1^{0}\odot$	10^{1}	–	⌓
10.	20.6	21.8	22.7	10.2	17.8	10.2	20.9	9.8	7.4	6.9	7.8	79	46	84	NE 2	SW 2	C	$10^{1}\bullet$	$8^{0}\odot$	1^{1}	1.3	
11.	24.7	24.3	25.2	8.7	18.4	10.1	21.0	5.1	6.2	4.2	6.8	74	27	74	W 2	W 4	C	10^{1}	$3^{1}\odot$	1^{1}	0.1	n–^{730} a ◍
12.	25.1	24.0	23.4	10.8	20.4	10.3	23.3	3.2	7.0	5.8	7.6	72	32	81	C	SW 4	C	9^{1}	$3^{1}\odot$	2^{0}	–	
13.	22.6	19.7	17.4	10.4	21.4	14.3	25.0	3.4	7.8	7.5	8.9	84	40	74	NW 2	SW 2	E 2	$8^{1}\odot$	10^{1}	10^{1}	–	$^{230-3}$ p, $^{530.40}$ p ◍
14.	19.1	21.5	25.6	12.4	14.8	7.8	15.9	7.3	9.2	7.0	7.1	87	56	90	NW 4	W 2	W 4	10^{1}	10^{1}	10^{1}	1.8	n ◍; $^{430-7}$ p ◍
15.	27.0	28.2	30.1	7.9	11.9	5.9	13.2	4.7	6.1	7.1	6.4	76	68	93	W 4	W 6	W 2	$10^{1}\bullet$	$9^{2}\odot$	1^{1}	3.3	$^{7-930}$ a, $^{1030-11}$ a, $^{030-1}$ p ◍; $^{130.40}$ p ◍böe, 2 p ≡
16.	34.2	32.2	29.8	7.7	19.1	10.7	25.6	1.7	7.1	7.1	8.3	90	43	87	SW 2	S 2	C	10^{1}	$4^{1}\odot$	2^{0}	5.9	
17.	29.2	26.9	25.2	10.2	23.0	16.2	25.0	3.8	8.1	10.9	11.5	87	53	84	C	S 2	SE 2	$1^{1}\odot$	10^{1}	10^{1}	–	⌓
18.	25.5	25.3	27.0	18.4	21.1	14.4	25.0	13.2	13.6	13.3	10.7	86	72	88	W 2	W 2	SW 4	10^{1}	$6^{1}\odot$	9^{1}	3.7	n, $^{8-930}$ a, $^{610-710}$ p ◍
19.	26.8	24.0	24.4	17.9	18.1	14.5	22.9	10.5	11.9	13.0	11.7	78	84	96	W 2	NE 2	W 4	9^{1}	$10^{1}\bullet$	$10^{1}\bullet$	2.5	$^{145-215}$ p, $^{330-9}$ p ◍
20.	25.7	25.8	27.8	15.3	17.8	11.2	19.2	10.4	11.0	9.6	8.6	85	63	86	SW 4	W 4	SW 6	9^{1}	10^{1}	10^{1}	10.7	n, $^{430-5}$ p ◍; abds. ≡
21.	31.1	32.5	32.9	12.6	16.6	11.2	22.3	10.5	9.1	8.6	8.7	85	61	88	W 6	W 4	C	10^{1}	9^{1}	1^{1}	1.6	n ◍; a ≡, $^{1130.40}$ a, $^{035.40}$ p ◍böe
22.	33.3	31.7	30.1	11.6	22.2	14.3	26.3	4.4	8.2	7.6	9.7	80	38	81	C	C	C	$0\odot$	$2^{1}\odot$	0	0.2	⌓
23.	29.5	26.5	24.2	14.4	26.8	17.8	29.3	7.5	9.5	8.9	11.1	78	34	73	NE 2	E 2	C	$6^{1}\odot$	$5^{0}\odot$	1^{1}	–	⌓
24.	22.8	22.2	27.3	17.7	29.2	15.6	32.0	10.1	11.6	10.3	9.2	77	34	69	E 2	W 2	W 2	$1^{0}\odot$	$5^{1}\odot$	10^{1}	–	⌓; p ≡; ^{445} p ◍tropfen
25.	26.7	24.9	27.0	16.9	26.4	15.8	29.4	12.2	10.6	12.0	10.7	74	47	80	E 2	NE 2	W 4	$1^{1}\odot$	$2^{0}\odot$	$10^{1}\bullet$	–	⌓; $^{830-9}$ p ◍
26.	29.5	28.8	29.4	12.1	22.1	13.9	25.0	11.4	9.6	8.5	10.7	93	43	92	SW 2	SW 2	SW 2	$10^{1}\bullet$	$3^{1}\odot$	$10^{1}\bullet$	3.0	n–^{930} a ◍^{0}; $^{730-9}$ p ◍
27.	30.3	31.3	33.6	14.4	14.4	10.4	19.3	10.2	9.8	8.2	7.7	81	67	82	W 2	W 4	SW 4	10^{1}	10^{1}	1^{1}	6.6	n, ^{130} a–^{110} p ◍
28.	36.6	36.8	36.5	10.7	17.7	10.1	21.6	8.5	8.3	7.9	8.5	87	53	92	W 4	W 4	C	10^{1}	$8^{1}\odot$	0	0.8	
29.	35.8	33.9	32.1	14.0	24.0	13.9	27.3	8.1	9.4	9.7	10.2	79	44	87	W 2	W 2	N 2	9^{1}	$2^{1}\odot$	1^{1}	–	
30.	29.9	26.0	25.5	14.7	27.8	16.9	30.4	8.2	10.9	8.6	9.5	88	31	66	W 2	W 2	W 4	$4^{0}\odot$	$1^{0}\odot$	10^{1}	–	⌓; $^{830.45}$ p ≡
																					42.1	
Mittel	28.8	27.8	28.1	13.2	21.5	13.5	24.7	8.1	9.3	8.9	9.4	82	48	82				6.7	5.7	4.9		

Augsburg.

Juni. $\varphi = 48^{0}\ 22'$ N. $\lambda = 10^{0}\ 54'$ E $= 43^{m}\ 36^{s}$. H $= 499.6$ m. Cg $= +0.1$ mm, über 728.8 mm Cg $= +0.2$ mm. 1911.

1.	18.4	19.5	21.0	14.0	21.8	17.1	22.7	11.8	10.3	10.3	10.8	87	53	74	NE 2	NE 4	NE 4	10^{1}	$5^{2}\odot$	10^{1}	0.2	⌓
2.	22.6	22.6	21.8	12.1	19.1	16.6	21.2	10.9	7.4	9.6	10.2	70	58	71	NE 4	NE 4	NE 4	10^{1}	10^{1}	10^{1}	–	⌓
3.	21.7	19.8	19.8	14.2	24.4	14.3	24.4	11.3	9.6	11.3	11.0	79	50	92	SE 2	SE 2	SW 2	$4^{0}\odot$	$5^{2}\odot$	10^{1}	–	⌓, $^{455-7}$ p ⍁, 4–^{710} p ◍
4.	20.7	21.5	22.9	13.9	15.8	14.9	17.2	11.3	10.5	11.4	11.4	90	85	90	SW 2	SE 2	SW 2	10^{1}	$10^{1}\bullet$⧖	8^{1}	4.4	$^{035-210}$ p ⍁, $^{845-920}$ p ◍
5.	24.5	23.4	25.0	16.0	23.6	16.2	24.1	10.5	11.7	10.4	9.7	86	48	70	SW 2	NW 2	SE 2	$0\odot$	$5^{2}\bullet$	10^{1}	4.2	⌓, $^{315-4}$ p ⍁
6.	25.5	25.4	26.0	14.5	23.6	17.6	25.0	9.6	9.8	9.1	9.1	80	42	62	C	E 2	SE 2	$0\odot$	$3^{1}\odot$	4^{1}	–	⌓
7.	26.2	25.3	24.9	15.7	25.6	20.0	26.6	11.2	9.7	7.4	11.3	73	30	66	C	NE 2	NE 2	$0\odot$	$4^{1}\odot$	0	–	⌓
8.	24.6	22.9	20.9	15.4	24.5	17.6	26.2	12.9	8.5	9.1	10.9	65	40	72	NW 2	NW 4	NW 2	$0\odot$	$0\odot$	0	–	⌓
9.	17.4	12.7	11.0	14.8	25.3	17.1	25.7	10.3	9.9	7.9	9.3	78	33	64	SW 2	SW 2	NW 2	$0\odot$	$5^{2}\odot$	10^{2}	–	⌓, $^{415-615}$ p ⍁
10.	13.0	13.6	14.6	10.8	14.8	11.3	17.1	10.6	8.2	7.1	8.1	86	57	82	NW 2	NW 2	NW 2	10^{2}	8^{2}	6^{1}	8.9	n ⍁ ◍
11.	16.3	16.4	17.1	9.2	17.4	12.7	19.0	6.7	6.3	5.3	6.6	72	36	60	NW 2	W 2	N 2	$2^{1}\odot$	$5^{1}\odot$	4^{1}	–	⌓
12.	16.4	15.9	15.2	11.6	18.4	15.3	19.5	8.8	7.3	6.6	7.5	71	42	59	N 2	NW 4	NW 2	6^{1}	$5^{1}\odot$	5^{1}	–	⌓
13.	13.6	11.2	09.3	11.9	19.0	13.0	20.3	9.5	7.4	8.5	9.3	71	52	85	C	N 2	N 2	$4^{0}\odot$	10^{1}	$10^{2}\bullet$	–	⌓, $^{500.45}$ p, ^{730} p–n ◍
14.	11.6	13.4	18.0	10.7	12.0	7.2	13.0	7.2	9.0	8.4	6.7	94	80	89	NW 2	SW 2	SW 2	$10^{2}\bullet$	$10^{2}\bullet$	10^{2}	13.5	$^{210.45}$ p ⍁; n–8 a, $^{140-5}$ p, ^{710} p–n ◍
15.	18.7	20.1	22.0	7.5	9.2	6.4	9.3	5.4	6.3	6.6	6.7	82	76	93	SW 4	W 2	SW 2	10^{1}	10^{1}	10^{1}	7.7	n ◍, a ztw. ◍, $^{215-645}$ p ◍
16.	24.9	23.7	22.1	9.3	16.4	14.0	17.6	4.8	7.4	6.9	8.5	86	49	71	SW 2	SW 2	SE 2	$5^{1}\odot$	$4^{0}\odot$	2^{0}	10.7	
17.	20.3	18.4	16.2	12.9	20.2	17.1	21.1	8.3	8.4	12.3	13.2	75	69	91	C	N 2	SE 2	$5^{0}\odot$	$10^{2}\bullet$	10^{2}⧖	–	⌓, ^{830} p–n ⍁ im SE; $^{115-345}$ p, $^{815.25}$ p ◍
18.	17.0	16.9	18.4	16.2	19.2	14.3	19.2	14.3	12.2	13.2	10.6	89	79	88	SW 2	W 4	SW 2	$10^{2}\bullet$	8^{2}	10^{1}	2.1	n ◍, t ztw. ◍
19.	18.1	15.7	16.1	14.6	17.1	14.3	18.0	11.9	10.3	13.0	10.9	84	90	91	SW 2	NE 2	SW 2	10^{2}	10^{2}	$10^{2}\bullet$	3.7	$^{215.50}$ p, $^{430-5}$ p ⍁, a, $^{250-310}$ p, $^{415-610}$ p, ^{630} p–n ◍
20.	17.1	17.9	20.0	13.9	17.0	11.6	17.1	11.6	9.6	8.4	8.9	81	58	88	SW 2	SW 2	SW 2	10^{1}	8^{2}	10^{1}	9.7	$^{345-545}$ p, $^{552.35}$ p ⍁, n, $^{245.55}$ p, $^{410.25}$ p, $^{530-615}$ p ◍
21.	23.4	24.0	24.8	12.2	15.5	14.0	19.2	10.1	8.8	8.7	8.8	84	66	74	SW 2	SW 2	W 2	10^{1}	$4^{2}\odot$	0	10.9	n ◍
22.	24.5	23.1	21.9	13.3	20.9	17.0	22.1	8.4	8.9	8.6	10.2	77	47	70	C	NE 2	E 2	$0\odot$	$3^{1}\odot$	0	–	
23.	20.5	18.7	16.0	16.3	24.1	19.7	24.9	10.6	9.7	8.2	11.2	69	41	66	SW 2	SE 2	E 2	$3^{1}\odot$	$6^{2}\odot$	0	–	
24.	14.2	15.8	19.3	17.3	22.4	15.8	24.8	12.5	11.0	11.3	9.2	74	56	68	E 2	NW 2	NW 2	$0\odot$	4^{1}	10^{1}	–	⌓
25.	18.2	17.9	20.2	16.9	21.9	14.4	22.8	13.5	9.2	9.8	10.0	63	51	83	NE 2	NW 4	SW 4	$0\odot$	$1C^{1}$	10^{1}	–	$^{345-545}$ p ⍁, $^{410.25}$ p ◍
26.	20.8	20.6	20.9	11.6	19.7	12.7	21.3	11.2	9.2	8.0	9.8	91	47	90	SW 4	SW 2	SW 2	$10^{2}\bullet$	8^{2}	$10^{2}\bullet$	10.0	n–^{715} a, ^{615} p–n ◍
27.	21.7	23.8	25.8	12.6	14.6	10.4	14.8	9.5	8.8	7.1	7.2	82	57	76	SW 2	SW 4	W 2	7^{1}	10^{1}	2^{1}	3.2	n ◍
28.	28.5	28.4	28.3	10.4	16.8	14.4	18.1	8.4	7.4	7.1	8.8	78	50	73	SW 2	W 4	W 2	10^{2}	7^{2}	0	–	
29.	27.4	25.5	24.5	13.4	22.2	17.4	24.8	9.2	8.2	8.4	11.1	71	42	74	SW 2	W 2	W 2	3^{0}	$2^{0}\odot$	0	–	
30.	20.9	19.1	17.8	14.7	26.3	16.0	27.1	11.2	9.3	7.7	11.1	74	31	81	SW 2	SW 4	SW 2	$0\odot$	$6^{1}\odot$	10^{1}	–	⌓
																						$^{715.25}$ p ⍁, $^{720.25}$ p ◍
																					89.2	
Mittel	20.3	19.8	20.1	13.3	19.6	14.7	20.8	10.1	9.0	8.9	9.6	79	54	77				5.3	6.5	6.4		

Alle Angaben nach Ortszeit.

München-C.St.

Juni. $\varphi = 48^0\ 9'$ N. $\lambda = 11^0\ 34'$ E $= 46^m\ 16^s$. H $= 526.4$ m. Cg $= +\ 0.1$ mm. 1911.

Datum	Luftdruck auf 0^0 u. Normalschwere reduziert 700 mm + 7a	2p	9p	Lufttemperatur C° 7a	2p	9p	Max.	Min	Absolute Feuchtigkeit 7a	2p	9p	Relative Feuchtigkeit 7a	2p	9p	Richtung und Stärke des Windes 0 bis 12 7a	2p	9p	Bewölkung 0 bis 10 7a	2p	9p	Niederschlag mm 7a	Bemerkungen
1.	15.8	16.5	18.3	13.3	20.2	16.3	21.2	11.0	10.6	11.4	10.2	**94**	65	74	NE 2	E 4	NE 3	10^1	8^1	8^1	1.5	mrgs. ⏢
2.	20.0	19.7	19.1	11.4	19.3	15.4	21.0	10.9	7.1	9.6	9.4	70	57	72	NE 2	E 2	E 2	9^1	7^1	10^1	–	mrgs. ⏢
3.	19.0	17.3	17.0	15.1	23.0	14.3	23.3	12.0	10.8	11.6	11.1	85	56	92	C	NE 2	W 1	8^1	6^1○	8^1	0.6	n ◍, mrgs. ∞, $6^{20.30}$ p ⟆, $6^{40.55}$ p ●
4	18.2	18.9	20.5	13.9	20.8	14.5	21.2	12.4	10.6	11.3	10.9	91	62	90	SW 1	SW 3	SW 1	10^1●	9^2	9^1●	11.7	5^{03} a, 5^{36-625} a ⟆. 6^{43-703} a ◍, 8^{01-906} a ◍^{2}, $8^{12.36}$ a, [1]
5.	21.8	21.0	22.2	16.4	23.5	15.0	24.1	13.4	11.2	8.9	9.9	80	44	78	SW 1	SW 1	SW 1	4^1○	5^1○	4^0	7.2	n ◍, 4^{20} p ⟆ im W
6.	22.8	22.8	23.4	15.2	21.7	16 7	22.6	11 4	9.9	8.3	10.0	77	43	70	C	E 2	C	○○	4^1○	7^1	–	mrgs. ⏢^{2} ∞kranz, 6^{40} p kurz ◍^{0}
7.	23.7	22.9	22.2	16.3	24.6	19.9	25.7	11.9	9.5	7.4	10.5	69	32	61	SW 1	NW 1	C	1^0○	5^1○	4^0	–	mrgs. ⏢^{2} ∞kranz
8.	21.7	19.7	18.3	16.4	24.0	17.9	24.3	13.8	9.6	7.4	11.3	70	33	75	NW 1	NW 3	C	1^0○	○○	1^0	–	mrgs. ⏢
9.	14.8	10.3	08.8	15.8	23.7	15.6	25.4	12.5	9.7	9.5	11.3	73	41	86	C	NW 2	SW 2	○○	3^1○	9^1	–	mrgs. ⏢ ∞, 5^{16-611} p ⟆, 5^{31-626} p ◍, 6^{44} p kurz [2]
10.	10.5	11.4	12.2	9.8	12.0	10.8	15.8	9.6	7.9	7.2	8.1	87	69	84	NE 2	C	W 2	10^1	10^1	6^1	12.5	n ⟅ im E ◍; 10 a ◍tr.
11.	13.7	13.7	14.5	8.4	17.2	12.7	18.1	6.4	6.4	5.1	5.9	78	36	53	W 2	NW 2	N 1	7^1	4^1○	4^0	–	n ⏢
12.	13.9	12.9	12.7	11.1	18.2	15.1	18.5	9.1	5.9	6.4	7.3	60	42	57	E 1	NE 2	E 1	9^1	4^1○	8^1	–	mrgs. ∞
13.	11.4	08.8	**06.4**	13.4	20.6	13.4	21.4	9.5	8.1	7.2	9.9	71	39	83	C	E 1	NE 4	2^0○	10^0	10^1●	–	mrgs. ⏢^{2}, ∞, 4 p-n ztw. ◍^{0}
14.	08.9	11.4	15.5	11.0	10.5	7.6	13.4	7.4	8.9	8 0	6.6	91	85	86	NW 2	W 1	SW 4	10^1●	10^1●	10^1	2.1	n u. t ztw. ◍$^{0.1}$
15.	16.3	17.6	19.4	7.7	9.0	6.5	10.6	5.8	6.0	6.8	6.8	76	79	**94**	W 3	SW 2	W 2	10^1●	10^2●	6^1	8.4	6^{50} a-8 p ztw. ◍$^{0.1}$, 11^{22} a kurz △
16.	22.6	20.9	19.8	8.7	16.1	13.3	17.5	**5.0**	7.0	7.2	8.2	84	53	73	SW 1	NE 2	C	6^1	4^{1}○	4^0	11.5	mrgs. im S ∞, nachm. Gebirge teilweise sichtbar
17.	17.9	15.9	14.2	14.1	23.4	16.5	24.4	8.4	8.0	10.6	12.2	67	49	87	SW 1	NW 1	W 1	7^1○	10^1●	6^2	–	mrgs. ⏢, 1^{51} p-abds. ztw. ◍^{0}. t Gebirge sichtbar
18.	14.9	14.2	16.4	18.7	22.0	14.3	23.0	14.0	12.0	12.3	11.0	75	63	92	SW 2	W 2	SW 3	10^1	3^1○	10^1	3.5	■ ◍, 10^{51} a ◍^{0}, t Geb. sichtb., 3^{36-436} p ◍, $4^{06.46}$ p ⟆, [3]
19.	15.6	11.8	14.1	15.8	18.7	14.5	20.6	12.8	10.5	**13.3**	11.5	79	84	**94**	SW 1	NE 4	SW 3	8^1○	9^1●	10^1●	6.7	9^{25} a-n ztw. ◍, $2^{11.26}$ p, 4^{06-501} p ⟆ ◍
20.	14.8	15.4	17.5	14.6	15.7	11.2	16.3	10.7	9.8	8.4	8.7	79	64	88	SW 1	SW 3	SW 4	9^1	10^1	10^1	**14.8**	n, 5^{50-640} p ◍
21.	20.8	21.7	22.3	11.6	17.1	13.6	18.9	10.9	8.8	7.6	8.3	87	52	72	SW 1	W 2	C	10^2	8^1○	1^0	10.5	n ●
22.	22.0	20.3	19.6	14.1	20.8	16.7	21.9	9.2	8.6	7.6	7.9	73	42	56	C	NE 2	E 1	○○	1^0○	0	0.5	mrgs. ⏢^{2} ≡^{0}
23.	18.0	15.7	13.5	15 9	24 9	18.9	25.2	11.7	9.6	9.4	11.2	72	40	69	SW 1	NE 1	E 2	4^1○	7^1○	1^0	–	mrgs. ⏢^{1}, ∞
24.	11.8	12.3	16.7	18.8	24.8	16.3	**27.1**	14.0	11.3	12.2	8.9	70	53	64	SE 1	W 4	W 1	1^0○	6^1○	10^1	–	mrgs. ⏢^{2}, ∞, G p kurz ◍^{0}
25.	15.5	14.7	17.7	16.6	23.8	15.7	24.1	14.2	9.9	10.9	10.3	71	50	79	E 1	NW 2	SW 4	1^0○	6^0	10^1●	–	mrgs. ⏢, $3^{10.40}$ p, 8^{36} p-n ◍
26.	18.5	17.8	19.2	12.5	19.0	13.3	20.1	11.8	9 4	7.2	9.8	88	44	87	SW 3	NW 2	NW 3	10^1	9^1	10^1●	5.9	n, a-9^{20} a, 6^{30} p-n ●
27.	19.3	21.0	23.2	13.5	12.9	11.0	17.1	10.8	8.8	8.2	7.1	76	75	72	SW 1	W 3	SW 2	10^1	10^1	9^1	5.7	n, t ztw. ◍
28.	**26.1**	26.0	25.8	10.1	17.1	13.3	18.3	9.3	7.6	7.1	8.7	82	48	77	W 1	NW 2	C	10^1	8^1	0	0.6	$6^{15.40}$ a ●
29.	25.0	22.9	21.8	14.2	22.4	17.9	22.7	9.9	8.2	8 9	10.0	68	45	66	SW 1	SW 1	C	1^0○	1^0○	3^1	–	mrgs. ⏢ [8^{36} p-n ◍
30.	18.7	15.6	16.0	17.4	26.8	15.7	27.1	11.9	9.0	6.9	10 8	61	**27**	82	C	SW 2	NW 3	4^0○	6^0○	10^1●	–	mrgs. ⏢^{2}, ∞, m ⊕, t Geb. gut sichtb. $8^{28.50}$ p ⟆,
																					103.7	[1] $3^{01.46}$ p ⟆, 3^{09} p-n ztw. ◍.
Mittel	17.8	17.0	17.6	13.7	19.8	14.5	21.0	10.7	9.0	8.8	9.5	77	52	77				6.1	6.4	6.6		[2] ▲, 6^{30} p ◠, 6^{36-716} p ⟆ i. SE; 7^{15} p Mammato-cu, 7^{46-856} p ⟆, $8^{04.51}$ p ◍. [3] 4^{20} p dopp. ◠, 5^{10-840} p ◍.

Traunstein.

Juni. $\varphi = 47^0\ 52'$ N. $\lambda = 12^0\ 39'$ E $= 50^m\ 36^s$. H $= 597$ m. Cg $= +\ 0.1$ mm. 1911.

1.	10.0	10.7	13.1	14.2	20.2	15.4	21.0	9.5	10.4	11.0	10.8	87	62	83	SE 4	NE 6	SE 2	8^2○	6^2○	10^2●	1.2	n ⏢, 2 p ⟋ abds. ◍
2.	14.0	14.4	14.0	10.2	18.0	14.2	19.0	9.5	7.8	10.0	9.9	84	65	83	E 6	E 4	E 2	9^2	6^2○	4^2	0.7	7 a ⟋
3.	13.6	12.2	11.4	15.4	21.0	13.6	22.0	10.5	11.0	11.2	10.9	85	61	95	SE 2	NE 2 S	2	4^2○	6^2	8^2	–	n ⏢, ca. 3-4 p, 6^{47-739} p ⟆, 6^{41-801} p ◍
4.	12.1	13.8	15.0	13 0	15.4	13.6	18.0	10.5	10.5	10.8	10.5	95	83	92	SW 2	SW 2	SW 2	10^2	8^2○	4^2	3.3	n u. vorm. ◍
5.	16.2	15.6	16.9	15.2	21.2	13.2	23.0	9.0	10.2	10.4	10.5	80	55	94	SW 4	NW 4	N 2	4^2○	6^2○●	2^1	13.7	n ⏢, 2 p ◍, $4^{19.46}$ p ⟆, $4^{21.46}$ p ◍
6.	17.0	17.0	18.1	13.6	21.4	14.4	22.0	9.5	9.5	7.7	9.9	82	40	82	SW 2	NE 4	NE 2	1^1○	4^2○	6^2	0.6	n ⏢, p u. abds. ◍
7.	17.9	17.5	16.9	14.6	23.2	16.6	25.0	9.0	8.9	7.7	10.9	72	36	77	SW 2	W 2	SW 2	○○	4^2○	1^1	0.5	n ⏢
8.	15.8	14.0	13.1	16.0	22.6	15.6	24.0	11.5	9.6	6.7	9.3	71	33	70	W 2	NW 4	NW 2	6^2○	1^1○	1^1	–	
9.	09.1	04.8	03.9	15.2	23.8	14.6	25.0	10.0	10.6	7.7	11.0	83	35	89	SW 2	SW 4	S 4	1^1○	3^1○	6^2●	–	n ⏢. 6^{39-733} p ⟆, $7^{16.46}$ p ◍, ca. 8-9 p ⟆ mit ◍
10.	04.4	05.7	06.2	9.2	10.8	9.4	14.6	9.0	8.2	7.0	8.4	95	72	96	NW 2	N 2	S 2	10^2●	10^2	6^2	19 5	n u. a ◍
11.	07.6	07.9	09.3	10.0	15.0	9.8	17.0	6.5	7.7	5.9	7.1	84	47	79	SW 2	NW 4	S 2	8^2	6^2○	8^2	1.4	n ⏢
12	08.0	07.4	07.4	11.6	18.4	10.4	19.0	5.5	7.2	6.6	8.2	71	42	88	NW 2	NE 4	S 2	6^2○	8^2○	4^2	–	n ⏢
13.	05.8	02.9	**00 9**	12.8	21.4	16.0	22.0	7.0	8.0	7.7	11.2	73	40	83	SE 2	N 4	NW 2	1^1○	8^2○	8^2	–	n ⏢
14.	03.0	05.6	09.9	10.4	10.4	6.8	16.0	6.0	8.9	8.4	7.0	95	91	94	SW 4	SW 6	NW S	10^2●	10^2●	10^2●	0.7	n-abds. ◍; p-n ⟋
15.	11.0	12.6	13.9	7.2	5.2	3.8	9.0	3.8	**5.5**	6.1	6.0	73	92	100	W 6	SW 6	W 4	8^2○	10^2●	10^2●	27.3	9^{31}-10^{03} a ⟆, $9^{36.51}$ a ◍, 9^{31}-10^{01} a ▲; auf den Bergen [Neu ✳; t ⟋
16.	16.8	15.5	14.8	8.2	15.8	9.6	17.0	**3.5**	6.2	5.9	8.0	77	44	89	SW 4	N 4	E 2	2^1○	6^1○	8^2	23.7	n ⌴
17.	12.3	10.5	09.6	13 2	22.2	16.0	23.0	6 0	7.7	8.9	**13.1**	68	45	97	S 2	W 2	W 2	4^2○	10^2	10^2	–	n ⏢
18.	08.8	08.5	11.2	17.6	19.6	13.0	21.0	13.0	12.6	11.9	10.8	84	70	97	W 2	N 2	W 2	8^2	6^2	8^2●	2.3	n ◍; 5^{36-633} p ⟆, 5^{36-631} p ◍^{2}
19.	10.5	05.9	09.8	15.0	22.0	13.6	23.0	11.5	10.9	12.6	10.9	86	64	95	W 2	NE 4	SW 2	7^2	10^2	10^2●	**39.0**	n, 3^{33-441} p, 6^{05} p-n ◍; $3^{45.56}$ p, $6^{59.51}$ p ⟆
20.	09.6	10.2	12.1	12.4	12.8	10.6	14.0	10.0	10.2	7.8	7.8	95	72	83	S 2	W 4	W 4	10^2●	10^2●	8 ●	24.1	n-abds. ◍
21.	15.2	16.3	17.1	10.2	14.0	10.2	15.5	9.0	8.4	8.7	8.1	91	74	87	W 6	W 4	S 2	10^2	6^2	1^1	10.2	n u. vorm. ◍; 7 a ⟋
22.	16.3	14.5	14.1	12.6	20.2	13.8	22.0	7.5	8.6	7.6	9.4	80	43	80	S 2	NE 4	NE 2	1^1○	1^1○	0	1.3	n ⏢
23.	12.6	11.2	08.4	16.4	24.2	16.6	26.0	9.0	10.4	8.8	10.6	75	39	75	SE 2	NE 4	E 2	○○	6^2○	1^1	–	n ⏢, 9 p ⟆ im W
24.	06.3	06.5	12.2	18.4	25.2	16.2	**27.0**	10.0	9.4	10.3	9.8	60	43	71	E 4	NE 4	NW 2	○○	6^2○	8^2	–	n ⏢
25.	09.9	08.3	11.5	14.0	22.4	15.8	24.0	10.5	9.1	11.7	10.1	77	58	76	SE 4	E 4	W 6	6^2	6^2○	8^2	–	4^{05} p ⟋ ◍^{0}; 9 p ⟋
26.	12.8	12.2	12.7	10.6	16.4	14.2	18.0	10.0	8.6	9.5	10.2	91	69	85	W 4	NE 2	E 2	10^2●	8^2	6^2	3.3	n u. a ◍
27.	14.1	15.1	17.4	10.2	13.4	10.0	15.0	9.0	8.9	8.2	8.1	96	72	88	SW 2	W 4	W 6	10^2●	10^2	10^2	7.0	n-vorm. ◍; 9 p ⟋
28.	20.3	20.3	**20.7**	8.8	13.8	10.8	14.0	8.0	7.2	7.6	8.7	86	63	90	W 4	SW 4	S 2	10^2	8^2○	4^2	4.6	n u. a ◍
29.	19.3	18.0	17.1	12.8	19.4	14.8	21.0	7.0	8.4	7.9	10.7	77	48	86	SW 2	NW 4	NW 2	○○	2^1○	2^1	1.0	n ⏢
30.	13.6	10.3	09.2	15.8	25.4	18.0	26.0	9.0	10.1	6.8	11.3	75	**28**	74	E 2	NW 2	**SW** 2	4^1○	4^2○	6^2	–	n ⏢
																					185.4	
Mittel	12.1	11.5	12.3	12.8	18.5	13.0	20.1	8.7	9.0	8.6	9.6	82	56	86				5.6	6.5	5.9		

Alle Angaben nach Ortszeit.

Partenkirchen.

Juni. $\varphi = 47^0\ 30'$ N. $\lambda = 11^0\ 6'$ E $= 44^m\ 24^s$. H $= 714.6$ m. Cg $= +0.1$ mm. 1911.

Datum	Luftdruck auf 0^0 u. Normalschwere reduziert 700 mm +			Lufttemperatur C^0					Absolute Feuchtigkeit mm			Relative Feuchtigkeit Proz.			Richtung und Stärke des Windes 0 bis 12			Bewölkung 0 bis 10			Niederschlag mm	Bemerkungen
	7^a	2^p	9^p	7^a	2^p	9^p	Max.	Min.	7^a	2^p	9^p	7^a	2^p	9^p	7^a	2^p	9^p	7^a	2^p	9^p	7^a	
1.	699.9	00.7	02.3	11.4	15.8	13.2	18.2	9.7	9.7	11.2	9.6	97	84	86	C	N 2	C	9^0	10^1	4^0	6.0	a Berge meist frei
2.	03.6	03.5	04.1	11.2	16.8	14.4	20.6	8.9	9.6	11.3	11.9	97	79	98	C	NW 2	C	8^0	8^1	10^1●	4.0	a Berge teilw. bedeckt
3.	03.9	01.5	01.7	12.8	17.2	12.9	21.5	10.6	10.5	10.2	10.6	96	70	96	C	NW 3	C	6^0	7^1K●	5^0	5.4	a Berge sehr rein, föhnig; 14^{h}–23^{h} p ◸, 23^{h}–3^{h} p ◍
4.	03.3	03.9	05.4	12.3	14.6	11.7	15.4	11.7	10.5	10.9	9.6	98	88	95	C	C	C	10^1●	9^1	8^0	9.0	n u. a ztw. ◍, a Berge im ≡
5.	06.2	06.4	07.0	13.2	14.8	11.4	17.1	11.3	10.1	11.7	9.7	90	93	97	C	C	C	5^0	10^1	7^0	12.2	a Berge mit Ausnahme d. Zugspitze frei. 6^{30} p ◸ [5^{54}–6^{29} p ◍
6.	07.2	06.6	08.3	11.3	19.1	11.4	20.7	8.4	9.1	7.1	8.8	92	43	88	C	NW 4	S 2	1^0⊙	3^1⊙	1^0	4.0	
7.	08.3	06.8	07.4	12.1	22.6	14.9	23.2	8.1	8.1	8.4	9.0	78	41	71	SE 3	NW 3	C	○○	2^0⊙	1^0	0.5	a Berge sehr rein, föhnig
8.	06.4	03.9	03.0	12.2	21.0	13.4	22.7	9.7	9.2	10.2	9.2	88	55	81	C	NW 4	C	2^0⊙	5^0⊙	○	–	a ⏢, Berge ∞
9.	699.2	695.3	694.2	13.4	19.2	17.2	23.2	9.1	9.6	11.0	10.0	85	66	68	C	S 1	S 4	1^0⊙	5^0⊙	10^0●	–	a ⏢, Berge rein, föhnig $10^{h.44}$ p ◸, $10^{h.24}$ p ◍ [1]
10.	694.0	695.2	696.3	11.8	9.2	8.5	17.2	8.5	10.1	8.0	7.7	98	92	93	C	N 2	C	10^1	10^1	10^1	8.3	n–11^{h} p ◍, a Berge meist im ≡
11.	698.1	697.9	698.3	8.3	13.4	11.1	14.6	7.9	7.8	6.2	7.8	96	54	79	C	N 4	C	10^0	5^0⊙	2^0	6.3	a Berge meist im ≡
12.	698.0	697.1	697.5	8.4	15.5	11.1	16.9	5.0	6.9	9.8	8.7	84	75	89	C	C	S 2	5^0	9^1●	5^0	–	a ⏢ Berge frei. p ◍[0]
13.	695.6	693.1	690.8	11.0	18.0	12.8	19.4	6.4	7.8	8.9	9.3	80	58	86	S 2	C	C	5^0⊙	8^0	10^0	3.0	a Berge frei
14.	693.4	695.6	00.0	9.0	10.8	6.8	12.8	6.8	8.1	8.1	6.5	95	84	88	C	C	C	10^1●	9^1	10^1	9.4	mrgs. u. vorm. ◍0.1, a Berge im ≡
15.	01.0	02.1	04.3	4.7	8.4	5.4	10.2	3.4	6.2	5.4	6.4	97	66	95	C	N 4	S 3	8^1	8^1	10^1●	8.4	a Berge bis 1200 m herab ✳
16.	06.6	04.5	04.4	6.1	16.5	9.7	18.3	21	6.6	5.5	8.0	95	40	89	C	NW 1	SE 2	1^0⊙	2^0⊙	2^0	15.8	a Berge sehr rein
17.	03.0	00.3	699.6	11.3	21.4	15.0	23.3	7.9	9.6	10.4	11.2	97	55	88	C	NW 2	C	7^1	9^0	60	0.5	a Berge meist rein, föhnig
18.	699.8	697.2	02.3	15.8	22.1	12.7	22.5	12.7	11.6	12.2	10.8	87	62	99	S 1	NW 4	C	5^0	5^0⊙	10^1●	4.0	n ◍ ◸; 3^{44}–4^{16} p ◸, 3^{49}–4^{14} p ◍, 3^{34} p kurz ▲0; [2]
19.	00.3	696.8	699.1	12.9	18.2	12.4	22.1	10.6	10.0	11.9	10.7	91	76	10.	C	NW 4	S 1	9^0●	9^1	10^1●	17.7	mrgs. ◍, a Berge rein; 0^{44}–1^{00} p ◸, 0^{44} p kurz ◍, [3]
20.	699.3	00.7	03.0	12.0	11.0	9.0	13.0	9.0	10.3	9.0	7.8	99	92	92	C	C	C	10^0	10^0	10^1	16.5	n ◍, a Berge meist im ≡
21.	06.1	05.5	06.8	8.9	16.0	12.0	17.2	8.2	7.9	7.4	9.2	93	55	89	C	C	C	10^1	6^1	7^1	**18.7**	a Berge teilweise bedeckt
22.	05.9	03.7	03.8	11.0	20.4	14.7	21.2	7.3	8.2	8.6	9.3	83	48	75	SE 2	NW 4	S 1	○○	2^0⊙	○	0.6	a ⏢, Berge sehr rein, föhnig
23.	02.8	699.9	698.1	12.8	21.2	16.0	23.2	10.7	9.7	10.2	11.4	89	55	84	C	NW 4	C	1^0⊙	8^0⊙	1^0	–	a ⏢, Berge rein . [in ca. 1500 m
24.	696.9	697.1	00.6	14.8	21.9	13.9	**26.7**	10.0	10.5	10.2	8.3	84	52	70	C	NW 4	C	○○	7^0	10^0	–	a Berge sehr rein, föhnig; p Trübung aus N, ≡decke
25.	699.4	699.5	01.5	13.8	18.6	12.9	20.8	11.2	9.8	10.5	10.2	84	66	93	S 2	N 5	N 2	○○	9^0	10^1	–	a Berge rein, p Trübung aus N, ≡decke in ca. 1400 m
26.	04.0	02.0	02.9	8.4	14.8	10.6	16.2	8.4	7.9	8.0	9.3	96	64	98	C	NW 1	C	10^1●	9^0	10^1●	14.8	a Berge teilweise bedeckt, mrgs. ◍
27.	03.5	05.0	07.2	9.7	11.0	9.0	11.8	9.0	8.7	8.8	8.0	98	90	93	C	C	C	9^0	10^1●	10^1	11.0	a Berge teilweise frei, m ztw. ◍
28.	**10.3**	10.0	10.1	8.0	14.3	11.0	16.2	7.6	7.6	6.9	7.6	94	57	77	C	NW 2	C	8^0	7^1	○	6.1	a Berge meist frei, Neu✳ bis 1900 m
29.	09.6	06.8	06.9	9.2	21.3	13.2	22.3	6.3	8.0	9.9	9.1	92	53	81	C	NW 3	S 2	○○	1^0⊙	○	–	a ⏢, Berge sehr rein, föhnig.
30.	04.0	699.7	00.1	9.6	24.4	14.6	26.1	8.9	7.3	6.1	10.9	83	**27**	88	S 2	N 2	C	○○	8^0⊙	10^1	–	a ⏢, Berge sehr rein, föhnig; $8^{34.50}$ p ◸ $8^{36.51}$ p ◍
Mittel	02.3	01.3	02.2	10.9	17.0	12.1	19.2	8.5	8.9	9.1	9.2	91	65	88				5.3	7.0	6.3	182.2	

[1] $10^{6.19}$ p ▲, $8^{20.59}$ p ◸
[2] $5^{09.24}$ p ◸, 5^{09}–6^{20} p ◍. 5^{44}–6^{02} p ◸, abds. ◍
[3] $5^{24.28}$ p ◸, 5^{24} p–n ◍

Hohenpeissenberg.

Juni $\varphi = 47^0\ 48'$ N. $\lambda = 11^0\ 1'$ E $= 44^m\ 4^s$. H $= 993.9$ m. Cg $= +0.0$ mm. 1911.

	600 mm +																					
1.	76.6	78.0	79.0	10.0	16.6	12.3	17.3	9.8	9.2	10.2	9.5	100	72	90	NE 4	E 4	E 4	10^-≡	7^2	3^2	4.0	a≡[2], 3^{06}–4^{23} p ◸, 3^{13}–4^{24} p ztw. ◍0. 3^{52} p ▲0
2.	80.3	80.8	80.7	9.9	15.2	13.4	16.3	9.0	8.4	10.4	9.9	92	81	87	E 1	NE 3	E 1	10^2	10^2	10^2	0.2	t ∞
3.	80.1	78.9	78.4	13.2	15.3	12.3	17.5	9.8	8.2	9.5	8.8	73	73	84	SW 2	NE 1	SW 1	10^1	9^2●	6^1	0.3	n ◍, t Flachl. sehr rein. 0^{16}–1^{29} p ◸ mit ◍ 1^{07}–2^{34} ◸ [1]
4.	79.3	80.3	81.6	10.5	13.2	11.5	15.3	10.4	9.2	10.5	8.9	98	94	88	SW 1	SW 3	SW 2	10^2●	10^2●	10^2	7.3	a Flachl. stellenw. rein, t ztw. ◍; 0^{00}–1^{34} p ◸ mit ◍ [2]
5.	83.0	82.8	83.2	14.9	14.2	13.2	17.3	11.5	9.7	9.8	7.5	77	82	66	SW 1	SW 3	W 2	9^1	8^2	8^2	18.3	a ∞, p stellenw. klare Fernsicht, $11^{11.34}$ p ◍, 0^{34}–[1^{29} p ◸, 3^{57}–4^{54} p ◸ mit ◍
6.	83.6	83.9	84.9	13.6	16.4	13.2	17.5	11.5	8.5	7.7	7.8	73	55	69	SW 1	NE 1	NE 3	○○	6^2⊙	5^1	3.4	t ∞
7.	84.8	84.5	84.1	16.0	19.8	16.4	19.8	12.0	7.9	8.0	8.0	58	47	58	E 1	NE 2	NW 1	○○	1^1⊙	○	–	a ∞0, p cu üb. d. Gebirge, abds. starker Horiz≡ im N
8.	82.9	81.6	80.2	15.1	19.1	14.8	20.4	14.4	8.4	6.4	10.6	66	39	85	W 2	NE 4	NE 3	2^1⊙	2^1⊙	1^1	–	
9.	76.1	72.8	71.9	16.4	19.9	10.5	21.2	10.5	10.4	7.5	9.5	75	43	100	C	W 4	W 6	1^1⊙	8^2	10^1K≡●	–	a ⏢, t reine Fernsicht 1^{06}–2^{24} p ◸ i. S. 7^{13}–9^{00} p ◸ [3]
10.	71.3	72.1	73.1	6.6	6.4	7.4	10.5	5.8	7.3	7.2	5.5	100	100	72	NW 3	N 3	W 2	10^2≡●	10^2≡	10^2	17.0	$9^{00.30}$ p ◸ mit ◍; n u. vorm. ≡[2] ◍, ≡ bis p, abds. ≡
11.	74.4	75.0	75.7	7.0	12.3	9.5	12.3	4.8	5.2	5.4	4.7	70	51	53	NW 1	NW 1	W 3	10^1	9^2	8^2	2.2	a ∞0, p reine Fernsicht [üb. d. Gewässern
12.	74.8	74.3	74.4	11.3	12.7	10.0	13.7	8.2	5.4	6.3	6.6	53	58	72	C	NW 1	C	7^1	9^2	2^1	–	t ∞0, 2^{19} p ◍0, abds. ≡ üb. d. Gewässern gegen N
13.	72.3	70.7	68.7	12.7	16.5	9.1	16.5	9.1	7.8	6.5	8.1	71	47	93	SW 1	NE 1	NW 4	1^1⊙	10^1	10^1	–	a ∞0, p reine Fernsicht
14.	70.7	72.2	76.3	6.6	9.9	1.6	9.9	1.6	7.3	6.3	5.0	100	69	96	NW 1	NW 1	NW 4	10^2≡	10^1	10^2●	8.0	n ◍, a ≡[2], p öfters ◍
15.	76.8	78.0	79.8	5.0	4.4	3.7	6.1	1.2	5.4	5.3	5.9	83	85	100	W 5	W 4	NW 3	9^2	10^2●	10^2●	12.0	n ◍, a ∞, vorm. öfters ◍; 0^{30} p kurz △, abds. ◍
16.	82.5	81.6	80.9	6.1	13.0	10.9	13.9	3.0	6.0	6.7	6.5	86	61	67	C	NE 2	W 2	5^2	5^1⊙	3^1	14.7	t reine Fernsicht
17.	79.2	77.9	76.4	14.8	18.5	16.6	20.3	10.0	8.3	8.4	9.5	66	53	68	SW 1	NW 3	W 2	10^2	10^2	3^1	–	a reine, p sehr reine Fernsicht; vorm. kurz ◍
18.	76.7	76.2	77.3	14.8	18.4	11.5	18.4	10.1	10.1	**12.4**	8.3	81	79	82	NW 3	NW 2	W 6	10^2	10^2	9^2	4.4	n ◸ ◍ ⎓, a sehr reine, p reine Fernsicht, vorm. ◍0; [4]
19	76.5	75.0	75.5	12.1	15.1	10.5	15.8	10.5	9.3	11.0	9.1	89	86	96	SE 5	N 4	W 4	10^2	10^2	10^2	18.0	n ◍, a sehr reine Fernsicht, vorm. ◍. 4^{42}–5^{41} p ◸
20.	76.0	76.5	78.7	11.5	10.4	7.3	11.7	7.2	8.0	7.7	6.7	80	82	88	W 1	SW 5	W 4	10^2	10^2	10^2	16.3	a reine Fernsicht, p ∞; 10 a ◍0, p ◍. [i. N
21.	81.7	82.5	83.2	7.9	11.3	10.5	13.6	7.3	7.6	7.7	6.8	96	77	72	W 1	NW 5	E 1	9^2	6^2	2^1	7.9	a ∞0, $9^{23.34}$ a ◍ △, p reine Fernsicht, abds. Horiz.≡
22.	82.5	81.4	80.9	12.1	16.6	14.2	17.2	9.5	7.4	7.4	8.1	71	53	67	NE 1	NE 5	NE 2	○○	1^2⊙	○	4.8	a reine Fernsicht, p cu üb. d. Geb. u. a. Horiz., p Horiz≡
23.	79.4	78.0	75.6	17.4	19.4	17.0	19.8	13.3	8.9	8.5	9.9	60	51	69	W 1	NW 1	NE 2	5^1	10^1	2^1	–	t reine Fernsicht [i. N
24	73.5	75.2	78.2	18.6	18.3	10.9	**22.6**	10.9	8.0	**12.4**	8.5	51	80	89	S 3	NW 6	W 1	○○	9^2	9^2	–	a reine Fernsicht, p ∞ ⎓
25.	77.1	77.2	79.1	12.9	15.0	10.5	16.4	10.5	8.6	9.6	9.1	78	75	96	C	NW 3	W 3	1^1⊙	10^2	10^2	–	a reine Fernsicht, p ∞0. 8 p ◍
26.	79.4	79.1	80.5	7.0	15.0	7.8	15 3	7.0	7.3	7.7	7.9	98	61	100	SW 1	SW 1	W 4	10^2●	10^2	10^2●	**26.3**	n, a u. abds. ◍; a ∞, p sehr klare Fernsicht, Geb. bed.
27.	80.1	81.6	83.8	9.0	9.6	6.3	10.2	6.2	7.3	7.1	7.1	86	80	99	SW 1	NW 4	W 3	10^1	10^2	9^2	15.7	a Flachl. sehr rein, Gebirge bedeckt, p ∞0, 5 p ◍
28.	86.2	86.4	**86.8**	6.5	12.1	11.1	13.9	5.3	6.4	5.9	6.3	88	56	63	NW 1	NW 1	W 2	10^2	8^2⊙	1^2	1.7	a ∞, p Auflösen des ∞, abds. Horiz≡
29.	85.7	84.2	83.6	12.3	18.5	16.1	19.4	10.7	6.8	7.6	7.0	64	48	52	W 1	SW 3	W 2	○○	1^1⊙	2^1	–	p ∞0, p reine Fernsicht, abds. Horiz≡
30.	80.0	77.9	77.0	17.2	21.1	14.8	21.9	11.8	6.0	4.8	9.3	41	**26**	74	SE 1	W 6	W 4	5^1	9^1	10^2	–	t sehr reine Fernsicht, 7^{30}–8^{24} p ◸ mit ◍
Mittel	78.8	78.6	79.0	11.6	14.8	11.2	16.1	8.8	7.8	8.1	7.9	77	65	80				6.5	7.9	6.4	182.5	

[1] mit ◍. 2^{43} p ◸ mit ◍. [2] 2^{34}–3^{31} p ◸ mit ◍. [3] mit ◍, abds. ≡[2], ⎓. [4] 3^{21}–4^{28} p ◸ mit ◍. 4^{37}–5^{57} p ◸ mit ◍, abds. ⎓.

Alle Angaben nach Ortszeit.

Zugspitze.

Juni. $\varphi = 47^0\ 25'$ N. $\lambda = 10^0\ 59'$ E $= 43^m\ 56^s$. H $= 2964$ m. Cg $= -0{,}2$ mm. 1911.

Datum	Luftdruck auf 0° u. Normalschwere reduziert 500 mm +			Lufttemperatur C°					Absolute Feuchtigkeit mm			Relative Feuchtigkeit Proz.			Richtung und Stärke des Windes 0 bis 12			Bewölkung 0 bis 10			Niederschlag mm	Schneedecke cm
	7^a	2^p	9^p	7^a	2^p	9^p	Max.	Min.	7^a	2^p	9^p	7^a	2^p	9^p	7^a	2^p	9^p	7^a	2^p	9^p	7^a	
1.	32.1	33.6	34.8	0.5	3.6	0.6	3.6	− 0.6	4.2	4.1	4.8	88	69	100	E 3	E 2	S 1	9^1	10^2	1^0	15.5	**260**
2.	35.2	36.0	35.7	0.8	4.2	0.2	5.3	0.1	4.8	5.1	4.6	100	83	100	W 3	E 2	E 3	10^1	10^2	10^2	4.7	250
3.	35.5	34.8	34.4	2.4	2.9	0.7	3.8	0.0	4.6	5.4	4.7	86	96	97	SE 1	SE 3	SE 2	5^0	10^2	10^2	1.9	220
4.	33.8	35.1	36.3	− 0.8	− 0.1	− 0.2	0.7	− 1.5	4.3	4.5	4.5	100	100	100	N 4	N 3	NE 2	10^2	10^2	10^2	10.2	200
5.	36.9	37.7	37.8	− 0.2	− 0.4	− 1.2	1.2	− 1.2	4.5	4.5	4.2	100	100	100	NW 2	NW 2	N 3	10^2	10^2	10^2	**17.0**	220
6.	37.2	38.0	38.4	− 1.6	0.2	− 1.5	0.2	− 2.5	4.1	4.4	4.1	100	96	100	NE 2	N 4	E 1	10^2	10^2	10^1	3.5	220
7.	38.7	**39.8**	39.5	− 0.4	3.7	1.8	4.0	− 1.8	3.1	5.0	5.2	70	84	100	E 3	S 1	NW 3	1^0	3^1	1^0	0.4	200
8.	37.9	37.6	36.0	0.2	3.8	1.3	3.8	0.0	4.6	5.3	4.4	100	89	88	N 5	N 5	NW 3	10^1	9^2	1^0	−	180
9.	32.6	30.8	28.4	2.0	2.7	0.4	5.3	0.4	2.8	3.7	4.7	52	67	100	NW 1	N 2	N 5	1^0	9^2	10^2	−	150
10.	26.8	27.0	27.0	− 0.7	− 0.5	− 1.6	0.4	− 1.6	4.3	4.4	4.1	100	100	100	W 3	NW 2	N 5	10^2	10^2	10^2	12.8	140
11.	27.3	28.3	29.0	− 4.0	− 2.4	− 4.2	− 1.6	− 4.2	3.4	3.8	3.4	100	100	100	N 1	NW 1	N 1	10^2	10^2	10^0	7.3	140
12.	28.2	28.6	28.7	− 4.2	− 2.0	− 3.4	− 1.0	− 6.0	3.4	4.0	3.6	100	100	100	N 1	N 1	C	10^0	10^2	10^2	−	140
13.	27.8	27.4	24.9	− 2.4	0.2	− 1.0	0.3	− 4.4	3.3	4.6	4.3	86	100	100	S 4	E 4	SE 7	8^1	10^2	10^2	1.8	140
14.	**24.6**	25.7	26.8	− 3.7	− 4.2	− 9.0	− 1.0	− 9.0	3.5	3.4	2.3	100	100	100	N 3	NW 4	N 10	10^2	10^2	10^2	5.5	155
15.	26.8	28.5	30.0	− 9.6	− 7.8	− 8.0	− 7.5	**-10.2**	2.2	2.6	2.5	100	100	100	N 7	N 6	N 10	10^2	10^2	10^2	13.7	180
16.	33.4	35.1	35.2	− 7.1	− 1.2	− 2.0	− 0.3	− 9.6	**1.4**	2.8	2.7	50	67	68	N 3	W 5	W 6	3^0	3^0	9^1	5.6	220
17.	34.7	35.1	34.5	0.5	2.6	3.6	3.6	− 2.8	4.7	5.4	4.9	100	99	83	W 5	W 3	W 8	10^2	10^2	10^2	4 3	200
18.	33.9	33.6	33.2	3.9	6.3	− 0.5	**7.0**	− 0.5	4.8	**7.1**	4.4	83	100	100	S 5	S 6	NW 6	7^1	6^1	10^2	−	180
19.	32.8	32.4	31.2	0.5	4.0	− 0.5	4.8	− 0.5	4.7	6.1	4.4	100	100	100	S 6	S 8	W 5	9^2	9^2	10^2	15.8	160
20.	30.6	30.2	31.3	− 1.0	− 4.9	− 4.8	− 0.3	− 5.7	4.3	3.2	3.2	100	100	100	C	N 8	N 10	10^2	10^2	10^2	15.0	150
21.	33.6	35.4	35.9	− 4.7	− 1.1	− 3.3	− 0.9	− 4.9	3.2	4.2	3.6	100	100	100	E 5	NW 1	NW 2	10^2	10^2	10^1	16.5	170
22.	35.6	36.7	36.2	− 1.7	2.4	0.6	4.6	− 3.5	3.3	4.6	4.8	81	85	100	N 3	S 1	S 3	1^0	5^1	1^1	1.1	170
23.	35.3	34.6	33.3	1.8	3.3	2.5	5.2	− 0.1	4.3	5.0	4.4	83	86	81	SW 2	SE 2	S 5	2^0	9^2	1^1	−	150
24.	31.7	33.3	33.3	3.2	4.2	2.1	5.0	1.5	4.5	5.6	5.3	79	91	100	S 7	SE 3	SE 6	1^1	9^2	10^2	−	140
25.	33.3	34.3	33.5	2.2	3.6	1.8	4.6	0.5	4.6	5.5	5.2	87	92	100	S 7	SE 6	SE 7	1^0	7^1	10^2	−	130
26.	32.6	33.1	33.4	− 2.5	2.4	− 1.8	3.5	− 3.5	3.8	5.3	4.1	100	97	100	N 3	SE 3	N 3	10^2	10^0	10^2	5.8	130
27.	32.8	33.8	34.7	− 2.6	− 1.2	− 5.2	− 0.6	− 5.2	**3.8**	4.2	3.1	100	100	100	SE 2	W 2	NW 3	10^2	10^2	10^2	14.0	140
28.	36.2	38.0	39.1	− 7.4	− 2.1	− 4.1	− 1.3	− 7.4	2.6	3.9	2.2	100	100	64	NW 3	N 4	N 4	10^2	10^2	1^0	14.2	150
29.	38.9	39.6	38.8	− 1.4	1.7	0.5	2.5	− 4.5	2.5	4.9	3.1	61	94	65	NW 4	NW 4	NW 4	1^0	1^0	1^0	−	150
30.	36.6	35.6	34.1	3.0	5.5	1.2	6.9	− 0.6	1.9	4.6	4.5	34	67	89	W 3	SE 3	W 5	4^0	8^1	10^2	−	130
																					186.6	
Mittel	33.1	33.7	33.5	− 1.2	1.0	− 1.2	2.1	− 3.0	3.7	4.6	4.0	88	92	95				7.1	8.6	7.9		

Bemerkungen.

1. mgrs. Fernsicht ü. Obg. rein; Flachl. u. Inntal ≡meer i. ca. 1500 m, i. d. Tälern l. cu-Entwickl., ab ca. 10 a ztw. ≡^{0} u. d. Gipfel; m ztw. △^{0} ✳^{0}; 1^{40}–2^{45} p ⟆, 2^{45}–3^{15} p ◍^{2}, ztw. △$^0_{\,2}$;
2. mrgs. ≡$^{1.2}$, ztw. Aufklaren; ab ca. 1^{30}–2^{45} p ztw. △^{0} ✳^{0} ◍^{0}, elektr. Ausstrahlg.; p ztw. ≡$^{1.2}$ u. d. Gipfel, ⌒, abds. ztw. ◍^{0}, ≲, ztw. △^{0}; ✳$^{1.2}$, Elmsfeuer. [abds. ztw. ✳$^{1.2}$
3. mrgs. Fernsicht sehr rein, rings. l. cu-Entwicklung, t ztw. ≡$^{0.2}$ um den Gipfel, 11^{30} a–1 p ⟆ i. N, ztw. △^{0} ◍^{0}; 1^{30}–3^{45} p ⟆ ztw. △^{0} ◍^{0} ✳^{0}
4. t ≡^{2} ✳$^{0.2}$ ztw. elektr. Ausstrahlung, ⋁ 2 cm
5. n u. t–ca. 3 p ≡^{2}; ab 3 p–n ztw. Aufklaren; abds. ≡$^{1.2}$, elektr. Ausstrahlung, △^{1} ✳^{0}; ⋁ 5 cm
6. t ≡$^{0.2}$, ztw. Aufklaren, p ztw. △^{0}; 6^{30}–7^{10} p ⟆ i. NE, ✳^{0}; abds. ztw. ✳^{0}
7. t Fernsicht frei, ∞^{0}, l cu-Entwicklung ringsum am Horizont; abds. ztw. ≡^{0} um den Gipfel; 9 p ⏛, ⏛^{1}
8. mrgs. u. a ≡^{2}, ztw. Aufklaren; p ≡$^{2.2}$, ztw. Aufklaren, abds. ≡treiben um den Gipfel, Brockengespenst, ⏛^{1}
9. mrgs. Ferns. sehr rein; Täler u. Vorbg. ∞^{2}; i. SE–S Föhn-cu; 0^{30} p ⟆ i. W; p ztw. ≡$^{1.2}$, ◍tr., △^{0}, ✳^{0}, elektr. Ausstrahlg., $^{425.45}$ p ⟆, $^{615.45}$ p ≡^{2}, ✳^{2}, ⫩,
10. $^{900.20}$ p ⟆ ≡^{2} ✳^{2}; n, mrgs. u. a ≡^{2}, ztw. ✳$^{0.2}$; p ≡^{2}, ≡reissen, abds. ∽: ⋁ 5 cm [^{830}–^{900} p ≡^{2}, ⟆, ✳^{2}, ⫩, elektr. Ausstrahlung
11. t ≡^{2}, ztw. schw. Aufklaren; ⋁ 15 cm
12. mrgs. ⌴^{2}, t ≡^{2}, ztw. Aufklaren; p ztw. △$^{0.2}$, elektr. Ausstrahlung, ✳^{2}; abds. ⌴$^{1.2}$; ⋁ 15 cm
13. mrgs. Fernsicht frei, ∞^{0}; a l. cu-Entwicklung ringsum; ab ca. 0^{30} p–n ≡$^{0.2}$, ztw. ✳$^{0.1}$; abds. ⩩, ≡treiben um den Gipfel; ⋁ 3 cm
14. n u. a ≡^{2}, ⩩, ✳$^{0.2}$, ⫩; p ⩩, ≡^{2}, ✳$^{0.1}$, ⫩, ztw. △^{0}; 2^{45}–4^{30} p ⟆; ⋁ 10 cm
15. n u. a ≡^{2}, ✳^{0}, ⩩, ⫩; mrgs. ztw. Aufhellen; p ≡^{2} ✳$^{0.1}$, ⫩; ab ca. 3 p ⩩; ⋁ 25 cm
16. n vollk. Aufkl; mrgs. Fernsicht rings. frei, Inntal in ca. 1500 m cu-meer, Täler, Vorbg. u. Flachld. cu-Decke i. ca. 1500 m; Neuschnee bis 1100 m; t Ferns. rings, rein; m ⨁; ⋁ 25 cm
17. ab ca. 1^{30} a ≡^{2}, ztw. ✳$^{0.1}$, ⫩; mrgs. ≡$^{0.2}$, m ≡reiss., ⩩; ab ca. 8 a ztw. Aufkl. ⌒, m ztw. ◍tr.; p ⩩; abds.–n ≲ i. NW. [◍^{0} ▲^{0}, △^{2}, abds ≡^{2}, ⩩, ✳^{0}
18. mrgs. Ferns. rings, frei, Centralalp. s. rein; Täler, Vorbg., Flachl. ∞^{2}; a Vorbg. u. Vorll. allenth. cu i. ca. 1600 m; ab ca. 11 a ztw. ≡$^{0.1}$, 3–^{340} p ⟆, ⩩, ▲^{2}, ◍^{0}, 5–6^{30} p ⟆ ⩩,
19. mrgs. ztw. ✳$^{0.1}$, ztw. ◍^{0}, ⩩, ∽ ⌒, a über Hochgebirge cu-bildg., ⩩; ztw. ⨁; ab 4^{30} p–n ≡$^{0.2}$, ab 5 p ◍$^{0.1}$, ab 7 p–n ✳$^{0.2}$, ⩩, ⫩
20. n, t ≡^{2} ✳$^{0.2}$, p ⩩, ⫩, ⋁ 10 cm
21. mrgs. u. a ≡^{2}, ztw. ✳^{0}; ab ca. 10 a ztw. Aufklaren; p ≡$^{0.2}$, ztw. Aufklaren, ⋁ 25 cm
22. mrgs. ⌴^{2}; Fernsicht ringsum rein; Hochgebirgstäler cu-Entwicklung, t ringsum cu-Entwicklung; abds. ztw. ≡^{0} u. d. Gipfel, ⏛^{1}
23. mrgs. ⌴^{2}; Fernsicht frei, über Hochgebirge cu-Entwicklung; p ringsum cu-Entwicklung; abds. ⩩
24. mrgs. ⌴^{2}, ⩩, Fernsicht frei; p ztw. ≡$^{0.1}$, ab ca. 4 p–n ≡$^{1.2}$
25. mrgs. ⌴^{1}, Fernsicht frei, ∞^{1}; ü. Vorland i. W u. NW in ca. 1700 m cu-Decke; p ztw. ≡$^{0.1}$, ◍^{0}, abds. ≡^{2}, starkes ≡reissen
26. n ≡$^{1.2}$, ◍^{1}, ✳$^{0.1}$; mrgs. ≡$^{1.2}$ ✳$^{0.1}$; ab ca. 9 a ringsum Aufklaren, t ztw. ≡$^{0.1}$, m ztw. ✳flock., ab 4 p–n ≡^{2}, abds. ≡reiss.; 8–9 p elektr. Ausstrahlg.; ✳$^{0.1}$; ⋁ 1 cm
27. n u. t ztw. ≡^{2}, ztw. ✳$^{0.2}$; ⋁ 10 cm
28. n u. mrgs. ztw. ✳$^{0.1}$; n, t ≡$^{0.2}$, t ztw. schwaches Aufklaren; ab 6^{30} p vollkomm. Aufklaren, ≡treiben um den Gipfel, Brockengespenst; ⋁ 20 cm
29. t Fernsicht frei, ∞$^{0.1}$, über Flachland vereinzelte cu
30. mrgs. Fernsicht frei, ∞^{0}; t Fernsicht frei, rein; 8–^{845} p ⟆ ◍$^{0.1}$

Alle Angaben nach Ortszeit.

Kahl a/M.

Juli. $\varphi = 50^0\ 4'$ N. $\lambda = 9^0\ 1'$ E $= 36^m\ 4^s$. H $= 114.1$ m. Cg $= +0.3$ mm. 1911.

Datum	Luftdruck auf 0° u. Normalschwere reduziert 700 mm +			Lufttemperatur C°					Absolute Feuchtigkeit mm			Relative Feuchtigkeit Proz.			Richtung und Stärke des Windes 0 bis 12			Bewölkung 0 bis 10			Niederschlag mm	Bemerkungen
	7^a	2^p	9^p	7^a	2^p	9^p	Max.	Min.	7^a	2^p	9^p	7^a	2^p	9^p	7^a	2^p	9^p	7^a	2^p	9^p	7^a	
1.	48.6	47.2	48.7	14.3	18.0	14.7	19.8	13.0	10.1	12.3	11.8	84	80	**94**	SW 4	SW 4	C	10^1	10^2	10^1	**9.9**	5^{24} p an ztw.
2.	48.9	49.2	52 9	15.9	19.7	13.9	21.5	13.1	12.4	10.1	9.1	92	59	77	SW 2	SW 4	C	9^1	5^1	9^1	4.5	n, p ztw.
3.	57.3	58.6	61.8	13.8	12.8	9.2	19.2	4 9	9.2	7.6	8.1	79	69	93	C	NE 2	C	00	10^2	1^1	0.8	0^{06} p Böe; $20^{0.36}$ p
4.	**63.6**	62.5	62.5	11.4	20.6	12.5	25.1	3.1	8.6	7.5	8.8	86	42	82	C	E 2	NE 2	00	6^2	0	0.5	
5.	63.0	61.7	61.0	14.3	22.8	14.9	26.7	4.5	8.8	7.8	9.9	73	38	78	SE 2	SE 2	NE 2	00	1^0	0	–	
6.	60.8	58.6	57.6	16.1	25.3	17.6	30.5	8.2	10.6	10.6	12.6	78	45	84	S 2	E 2	NE 2	00	1^0	0	–	a
7.	58.3	57.6	57.1	18.9	28.4	20.3	30.3	10.7	12.8	11.7	14.6	79	**41**	83	SW 2	SW 2	C	1^0	1^0	1^0	–	
8.	57.5	56.6	56.6	19.9	28.7	22.3	30.0	13.3	14.0	11.1	10.2	81	38	52	C	NW 4	W 2	00	6^1	0	–	
9.	58.6	58.9	59.6	17.3	20.7	15.8	23.5	12.0	9.5	7.3	8.7	65	41	64	NE 4	E 4	E 2	1^0	4^0	1^0	–	
10.	61.5	60.5	60.8	16.2	21.5	13.8	24.0	8.3	8.8	5.9	8.0	64	31	68	SE 2	E 2	NE 2	00	1^2	0	–	
11.	60.9	59.1	58.3	16.5	24.5	19.2	28.8	6.4	9.4	7.3	10.4	68	32	63	SE 2	NE 4	NE 2	00	1^0	0	–	
12.	58.7	57.2	57.3	19.5	27.4	20.5	31.8	10.2	13.0	9.9	12.6	78	36	70	C	NE 2	C	00	2^2	1^1	–	a
13.	57.6	55.8	56.3	19.9	24.7	17.5	28.0	12.0	12.6	14.3	13.4	73	62	90	C	SE 2	C	00	9^1	8^9	–	$0^{11.36}$ p, $1^{00-23.0}$ p; $0^{14.21}$ p, $1^{16.36}$ p
14.	57.1	55.5	54.5	19.0	26.8	18.5	31.7	11.7	13.7	12.4	14.7	84	47	93	SE 2	NE 2	NE 2	1^0	3^1	0	1.5	$6^{30-7.40}$ p; $7^{15.31}$ p ^{0}; 6^{31} p
15.	54.4	53.8	53.7	17.8	22.9	18.2	25.1	11.2	10.7	11.9	11.5	70	58	74	E 2	NE 4	NE 4	00	2^0	10^1	0.1	p Wind, häufig die Richtung wechselnd
16.	53.6	51.7	50.6	14.5	17.9	15.9	22.8	11.0	8.6	8.1	9.5	70	53	71	NE 4	SW 4	C	8^0	9^2	10^2	–	4^{19} p an kurz
17	50.2	49 2	48.6	16.3	22.6	15.8	24.4	13.9	9.8	8.9	10.8	71	44	81	SW 2	SW 4	C	10^1	9^1	1^0	–	Niederschlag unmessbar
18.	48.8	**47.2**	49.4	17.9	27.6	19.2	28 7	10.0	11.1	7.8	10.4	73	28	63	SW 4	W 6	C	1^1	6^1	7^1	–	2 p
19.	52.8	53.8	54.7	18.4	25.0	17.3	29.9	10.1	10.6	8.8	10.0	67	37	68	SW 4	SW 4	C	00	1^0	0	–	
20.	57.9	58.0	59.1	16.9	25.7	19.1	29.1	9.3	10.0	8.7	10.2	70	36	62	E 2	NE 2	C	00	2^1	0	–	
21.	60.8	59.9	59.8	18.6	28.9	20.0	31.1	10.8	11.9	8.4	12.7	75	28	73	C	NE 2	C	00	1^0	1^0	–	
22.	60.1	58.0	57.1	20.6	32.4	24.9	35.7	12.3	13.0	10.5	11.9	72	29	51	C	S 2	C	00	00	0	–	
23.	56.6	54.7	52.5	22.7	34.9	23.9	**38.0**	13.9	13.8	9.9	11.9	67	**24**	54	C	SE 2	C	00	00	1^1	–	
24.	53.4	53.2	52.9	22.3	29.1	24.8	34.2	15.1	14.5	13.0	12.6	72	43	55	SE 2	SE 2	NE 4	9^0	2^0	$1C^0$	–	$9^{41.46}$ a
25.	52.7	51.0	52.0	21.0	31.3	23.6	33.0	18.9	**16.3**	11.5	14.7	88	34	68	SE 2	SW 4	C	8^0	1^0	7^1	1.8	$0^{40-1.41}$ a; $1^{16.36}$ a
26.	51.9	50.9	51.6	22.7	32.3	23.0	33.7	15.1	15.4	12.6	12.8	75	35	61	SE 2	W 2	NE 2	00	2^1	0	0.2	
27	54.4	53.4	53.7	23.1	31.9	24.3	35.0	14.0	14.1	11.6	13.1	68	33	58	C	W 2	NE 2	8^9	1^0	6^2	–	8^{36-9} p
28.	54.4	52.4	53.4	26.5	37.1	25.0	37.6	21.5	15.1	12.2	14.2	59	26	60	E 2	E 4	NE 4	10^1	3^0	10^1	–	9 p–5^{31} a, $4^{21-8.51}$ p; 8^{38-9} p im E-NE-N
29.	54.2	53.4	52.9	23.4	31.7	22.2	34.4	17.2	16.2	11.9	13.3	76	34	67	S 2	E 4	NE 2	4^0	4^0	0	–	9–10^{21} p im E-NE-N
30.	52.7	51.6	51.8	23.0	32.7	26.4	35.4	14.9	15.7	12.2	11.2	75	33	44	SE 2	E 2	E 2	00	5^2	10^1	–	$3^{38-7.01}$ p; $7^{01.46}$ p im NE
31.	51.8	51.1	51.6	24.2	32.7	22.8	33.9	15.3	11.0	11.8	12.1	49	32	59	E 2	E 4	E 2	3^2	00	1^0	–	
Mittel	55.9	54.9	55.2	18 8	26.4	19.3	29.4	11.8	12.0	10.2	11.5	74	41	70				2.7	3.5	3.4	19.3	

Bayreuth.

Juli. $\varphi = 49^0\ 57'$ N. $\lambda = 11^0\ 34'$ E $= 46^m\ 16^s$. H $= 363.3$ m. Cg $= +0.3$ mm. 1911.

1.	26.9	25.8	26.7	13.4	16.4	15.4	18.1	12.7	10.5	10.8	11.5	93	78	88	SW 2	W 6	W 4	10^2	10^2	10^2	2.1	n ^{0}, t ztw. ^{0}
2.	27.3	28.3	30.5	15.4	17.2	14.8	21.9	13.3	11.5	9.5	10.6	88	65	85	S 2	SW 4	W 2	10^2	10^2	5^1	0.5	a ztw. ^{0}
3.	35.7	36.1	39.3	11.1	17.1	9.7	19.3	7.2	8.0	6.0	7.3	81	40	83	NW 4	W 4	NW 2	4^1	8^0	0	0.4	5^{02}–ca. 5^{42} p ^{0}
4.	**42.0**	41.2	40.9	8.6	18.2	13.0	19.8	3.2	7.1	6.6	7.0	87	42	63	NW 2	NW 4	N 2	00	5^3	1^0	0.2	a
5.	41.9	40.6	40.4	8.6	20.0	14.9	22.3	3.8	6.6	7.1	8.4	79	41	67	NW 2	NW 2	NW 2	00	6^1	2^1	–	a
6.	40 2	38·2	37.6	11.0	21.7	17.6	23.2	7.1	8.1	9.4	11.2	82	48	75	C	N 4	E 2	5^1	8^1	7^1	–	a, $^{0.1}$
7.	37.6	36.9	36.4	15.2	24.9	20.6	27.6	10.4	10.7	11.8	13.6	84	51	75	E 2	NW 4	W 2	5^1	8^0	8^1	–	a
8.	36.1	34.7	34.9	17.1	27.1	20.8	27.3	14.1	12.7	12.3	11.9	88	46	66	C	NW 4	C	5^0	5^1	5^1	–	n, a, 11^{16} a–0^{01} p
9.	36.2	37.0	37.7	15.2	20.0	15.6	21.1	14.3	9.4	7.7	7.6	73	44	58	NW 4	NW 6	NW 2	9^1	7^0	10^1	–	p
10.	40.0	39.5	39.6	11.7	18.0	15.0	20.3	8.8	6.3	7.7	7.5	62	50	59	N 2	N 6	W 2	00	6^2	6^1	–	p
11.	39.6	37.8	37.2	10.5	23.4	18.2	26.2	6.3	7.7	7.9	9.3	81	36	60	NW 2	NW 2	NW 2	4^1	5^1	0	–	
12.	37.3	36.3	36.6	15.8	26.0	19.8	26.4	12.8	11.9	9'9	10.4	89	40	61	NW 2	NE 2	C	3^0	4^2	0	2.5	ca. 3–4 a
13.	36.8	35.1	35.1	14.6	19.8	14.4	26.2	11.3	10.3	15.1	11.7	84	88	**96**	W 2	NE 2	NW 2	4^1	9^2	8^1	–	$10^{06.36}$ a, 11^{16} a–1^{16} p, $2^{46-4.26}$ p; $1^{00.26}$ p, $3^{56-4.36}$ p $^{0.2}$
14.	35.7	34.4	33.0	15.8	24.0	19.0	25.2	11.5	12.2	9.9	13.4	91	45	76	NW 2	NW 4	C	4^1	2^1	0	**7.1**	
15.	31.8	30.5	31.2	14.9	25.4	18.0	25.5	10.4	10.5	10.9	10.4	84	46	68	NW 2	NW 6	NW 4	2^0	5^1	10^2	–	a, p
16.	31.1	28.7	28.2	12.9	18.6	13.4	20.3	10.1	8.5	6.7	6.7	77	43	59	NW 2	NW 6	NW 4	9^1	5^1	10^1	–	a, p
17.	27.1	27.5	27.1	14.2	19.0	16.0	19.7	12.3	9.0	8.7	10.5	75	53	78	W 4	W 4	N 2	7^1	10^1	10^1	–	
18.	26.8	26.3	26.8	15.2	24.4	18.9	26.2	11.1	10.5	9.1	11.6	82	40	72	E 2	W 6	SW 2	2^0	7^2	9^2	–	a, p
19.	31.0	32.5	33.8	15.8	24.0	19.5	25.6	11.3	10.5	8.1	9.2	79	35	55	E 2	NW 6	W 2	00	3^0	0	–	a, p
20.	36.5	35.9	38.1	14.8	26.6	20.0	28.1	9.0	9.2	8.0	8.7	74	31	50	E 2	NW 4	N 4	00	4^1	0	–	a
21.	40.4	39.5	39.6	13.0	27.0	21.8	29.2	10.3	8.7	8.3	11.3	78	31	59	NW 2	NW 4	E 2	2^0	6^0	8^1	–	a
22.	39.8	38.2	37.4	16.2	30.0	23.6	33.4	12.5	11.1	9.6	12.7	81	31	59	E 2	NW 2	C	00	00	0	–	a
23.	37.1	34.5	32.8	20.2	32.8	24.8	35.1	15.3	11.7	10.4	11.7	67	28	51	E 2	SE 2	E 2	00	00	0	–	a
24.	32.0	31.3	32.4	23.1	31.8	25.2	31.9	19.3	11.9	10.7	11.8	57	30	50	SE 2	NW 4	NE 4	5^1	4^2	1^0	–	$8^{06.88}$ a
25.	31.2	30.5	31.0	21.4	31.3	24.7	34.0	15.6	12.8	9.8	13.2	68	30	57	SE 4	NW 4	E 2	3^1	1^1	8^1	–	9 p
26.	31.1	29.6	30.6	19.6	33.0	21.6	34.6	15.3	12.3	11.3	15.0	73	30	79	E 2	W 2	W 2	1^1	4^1	3^1	–	n, $3^{31-5.36}$ p drei, ztw. $^{0.1}$, 9 p
27.	33.9	32.9	33.7	20.0	32.7	27.3	35.0	15.1	13.3	9.9	12.7	77	28	46	E 4	SE 4	E 4	4^1	4^1	8^1	1.1	n, a, $8^{56-9.00}$ p
28.	34.6	32.5	32.6	21.3	34.0	29.6	**36.0**	17.6	13.1	10.8	12.5	70	29	40	NE 2	E 4	S 6	2^0	4^1	10^2	–	$9^{00.36}$ p, a, $7^{16-8.41}$ p, 8^{46-9} p, abds.
29.	33.6	32.7	32.3	23.0	31.2	20.8	33.4	19.2	12.7	13.9	**16.4**	61	41	90	W 2	E 4	E 2	6^0	8^1	8^1	0.7	$9^{00-10.31}$ p, 2^{31} a–3^{21} p ^{0}, $4^{36-6.22}$ p $^{0.2}$
30.	32.6	31.5	31.4	18.1	31.3	25.4	33.6	15.6	12.9	12.8	10.4	84	38	44	W 2	E 4	S 2	6^0	4^1	3^1	2.4	a
31.	31 9	31.3	32.1	20.1	29.1	22.5	31.0	16.0	8.5	6.4	6.9	49	23	35	SE 2	E 4	E 2	1^0	00	0	–	
Mittel	34.7	33.8	34.1	15.7	25.0	19.4	27.0	12.0	10.3	9.6	10.7	77	42	65				3.6	5.2	4.8	17.0	

Alle Angaben nach Ortszeit.

Bamberg.

Juli. $\varphi = 49^{0}\ 53'$ N. $\lambda = 10^{0}\ 53'$ E $= 43^{m}\ 32^{s}$. H $= 287.7$ m. Cg $= +0.3$ mm. 1911.

Datum	Luftdruck auf 0° u. Normalschwere reduziert 700 mm +			Lufttemperatur C°					Absolute Feuchtigkeit mm			Relative Feuchtigkeit Proz.			Richtung und Stärke des Windes 0 bis 12			Bewölkung 0 bis 10			Niederschlag mm	Bemerkungen
	7a	2p	9p	7a	2p	9p	Max.	Min.	7a	2p	9p	7a	2p	9p	7a	2p	9p	7a	2p	9p	7a	
1.	33.2	32.0	33.4	13.9	16.1	15.0	19.4	12.8	11.1	12.0	12.0	95	88	94	S 2	S 2	SW 1	10^{2}	10^{2}	10^{2}	**6.0**	921–1029 p, 6–7 a, 801.59 a ◍. 139 p, 229 p ◍0
2.	33.6	34.5	37.0	15.5	18.8	13.6	21.3	13.3	12.5	10.4	10.1	96	64	88	W 2	SW 2	W 1	10^{2}●	10^{2}	3^{1}	1.5	mrgs.–1044 a ◍1. 654 p ◍0
3.	42.4	42.7	46.3	12.8	18.0	8.5	20.2	7.8	8.4	7.9	6.9	77	51	84	W 2	W 4	C	2^{1}⊖	9^{1}	1^{1}	0.7	1021 p ◍0. n ⏢. 443.51 p ◍1
4.	**49.0**	47.9	47.9	9.9	18.3	11.9	20.4	**3.0**	7.6	6.1	8.1	83	40	79	NW 1	NW 3	NW 1	1^{1}⊖	4^{1}⊖	7^{0}	0.6	n ⏢. 700 a ≡
5.	48.4	47.1	46.9	11.8	21.0	14.4	23.6	6.1	7.5	8.2	9.0	73	44	74	N 3	NW 3	NE 2	1^{1}⊖	8^{1}⊖	6^{0}	0.1	n ⏢1. 760 a ≡. 960 p ☂
6.	46.7	44.6	44.1	14.2	24.3	18.2	26.2	8.6	9.1	9.7	11.2	76	43	72	NW 2	NW 1	S 1	00	8^{1}⊖	9^{1}	0.1	n ⏢1. 700 a ≡
7.	44.0	43.4	43.1	17.0	26.6	21.5	28.4	11.5	10.9	10.6	12.3	76	41	65	W 1	E 1	C	4^{1}⊖	9^{1}⊖	7^{1}	0.1	n ⏢1. 700 a ≡. 329 p, 644–827 p ◹; 734.38 p ◍0. 900 p ∞
8.	42.6	41.5	41.3	17.8	28.1	20.4	30.2	15.1	12.9	11.6	12.2	85	41	68	S 2	W 5	W 1	10^{0}⊖	10^{1}	3^{1}	–	n ⏢0
9.	43.2	43.4	44.5	17.0	23.3	14.4	24.4	14.4	9.3	7.9	8.5	64	37	70	NW 6	NW 5	N 3	8^{1}⊖	10^{0}⊖	10^{1}	0.1	n ⏢1
10.	46.7	46.1	46.3	14.2	20.0	15.6	22.2	12.3	**6.0**	6.3	6.8	50	36	51	N 2	NE 3	NW 1	1^{1}⊖	5^{1}	2^{1}	–	
11.	45.9	44.2	43.8	13.8	25.4	19.2	27.2	7.6	7.1	7.5	8.9	60	31	54	NW 2	NW 3	NW 1	1^{1}⊖	6^{1}⊖	1^{1}	–	n ⏢
12.	44.3	42.6	42.8	15.8	28.3	20.6	30.2	12.8	12.2	8.7	10.3	91	31	57	N 2	NE 3	N 2	9^{1}	3^{1}	1^{1}	0.1	529 a ◍0. 700 a ≡
13.	42.8	41.1	41.6	18.6	27.3	15.2	30.0	13.1	10.9	11.8	12.3	69	43	**96**	N 2	N 3	NW 3	1^{1}⊖	7^{2}⊖	4^{1}	–	n ⏢0. 1144 a–645 p, 353–436 p, 432–618 p ◹. 552 p ⎍ [(NE 9). 644–729 p ◍1
14.	42.1	40.8	39.5	17.5	26.0	19.8	27.4	13.4	12.6	9.2	11.8	85	38	69	N 2	E 2	S 2	10^{0}⊖	4^{1}⊖	2^{1}	1.9	
15.	38.3	38.4	37.9	18.5	25.9	17.3	27.8	12.6	10.9	11.2	10.9	69	46	74	W 1	NW 3	NW 3	6^{1}⊖	5^{1}⊖	10^{2}	–	959–1134 p ◹ i. NE
16.	37.8	35.2	35.0	14.0	20.6	14.1	21.2	10.4	7.7	7.6	7.9	65	42	66	NW 3	NW 3	W 2	10^{1}⊖	7^{1}⊖	10^{2}	–	n ⏢0
17.	34.0	33.9	33.4	14.6	20.4	15.3	23.3	12.8	9.7	10.3	9.6	78	57	74	W 2	W 3	NW 1	10^{2}	9^{1}	3^{1}	0.1	638 a ◍0
18.	33.3	32.6	33.3	16.4	26.7	22.4	27.9	10.9	11.0	9.4	7.8	79	37	39	S 2	SW 4	W 1	3^{0}⊖	5^{1}⊖	4^{1}	0.1	n ⏢2. 547 p ◍0
19.	37.6	39.2	40.6	16.9	25.1	18.2	26.4	12.4	10.8	9.2	8.8	76	39	57	SE 1	W 4	W 1	7^{1}⊖	5^{0}⊖	1^{1}	0.1	n ⏢
20.	43.1	42.8	44.9	15.8	28.1	18.4	29.0	10.7	9.7	9.8	9.9	73	35	63	N 1	N 3	N 2	1^{1}⊖	4^{1}⊖	1^{1}	–	n ⏢
21.	46.9	46.0	45.7	16.4	28.7	21.1	30.1	11.6	9.1	9.8	10.7	66	33	58	N 2	N 2	C	9^{0}⊖	4^{1}⊖	4^{0}	0.1	n ⏢1
22.	46.2	44.5	43.6	17.8	31.6	24.7	32.5	13.1	11.0	8.3	9.7	72	24	42	N 1	N 3	C	00	1^{1}⊖	0	0.1	n ⏢1. 700 a ≡
23.	43.4	40.4	38.8	20.2	34.6	25.4	35.4	14.4	11.1	10.1	11.0	63	25	46	C	S 4	S 3	00	1^{1}⊖	1^{1}	–	n ⏢0. 700 a ≡
24.	38.3	37.9	38.5	21.6	33.5	23.5	34.7	20.2	11.9	10.3	12.1	62	27	57	S 1	W 5	W 1	6^{1}⊖	5^{1}⊖	5^{1}	–	1044 p–144 a ◹ im NW bis N. 614.31 a ◹. 650.55 a ◍0
25.	37.6	36.5	37.4	23.5	31.2	24.1	33.7	17.2	13.4	12.9	12.4	62	38	56	S 2	SW 2	C	9^{1}⊖	4^{1}⊖	9^{1}	–	1041 p ◹ i. S. 836 a ◍0. 654–703 p ◹. 814.59 p ◹ i. NE
26.	37.4	35.5	37.0	21.0	33.4	25.0	35.3	15.6	12.3	11.6	13.5	67	30	58	NW 1	C	W 1	00	3^{1}⊖	3^{1}	0.1	n ⏢0. 770 a ≡. 414–604 p ◹. 509 p ⎍ (SE 7)
27.	40.5	39.2	39.8	20.9	33.9	27.0	34.8	15.5	13.3	12.3	12.1	73	31	45	S 1	NW 2	NW 4	2^{1}⊖	2^{1}⊖	4^{1}	–	941–1114 p ◹ i. E u. NE. 0–2 a ◹ i. S u. SSE. n ⏢. 1)
28.	40.7	38.2	38.7	25.7	35.7	25.9	**36.9**	20.3	13.6	9.4	15.1	56	**22**	61	NE 2	E 4	C	1^{1}⊖	3^{1}⊖	10^{2}	0.1	900 p–214 a ◹ i. E. 1037 p ◍0. 1044 p–214 a ◹ i. N. 2)
29.	40.3	38.9	38.5	24.0	33.1	24.5	34.4	19.7	**16.0**	15.0	13.8	72	40	60	C	N 2	W 2	7^{1}⊖	5^{1}⊖	9^{1}	0.7	900 p–nach 4 a, 314–704 p ◹. 900.04 p, 914 a, 404 a ◍0. 3)
30.	38.7	37.1	38.2	22.1	33.7	23.5	34.3	17.5	12.8	14.3	13.9	65	37	64	C	S 3	NW 3	1^{1}⊖	2^{1}⊖	10^{1}	0.1	n ⏢. 700 a ≡. 734 p ⎍ (W 8). 825.53 p ◹ i. W
31.	37.9	37.1	37.7	22.4	31.1	20.8	32.2	18.1	8.2	8.0	6.3	41	24	34	SW 4	S 4	E 2	1^{0}⊖	00	2^{1}	0.1	901.29 p ◹ i. W. 1031 p ◹ i. N. n ⏢1
Mittel	41.2	40.2	40.6	17.5	26.7	19.3	28.5	13.1	10.7	9.9	10.5	72	39	64				4.5	5.4	4.9	12.8	1) 700 a ≡0. 819–900 p ◹ i. E 2) 108.54 a, 529–900 p ◹. 642.51 p, 821.11 p ◍0. 900 p ◹ i. E 3) 754 p ◹ i. E

Würzburg.

Juli. $\varphi = 49^{0}\ 48'$ N. $\lambda = 9^{0}\ 56'$ E $= 39^{m}\ 44^{s}$. H $= 179.3$ m. Cg $= +0.3$ mm. 1911.

1.	42.2	40.8	41.9	14.8	18.0	16.6	19.2	13.8	10.5	11.8	11.7	84	77	83	S 2	S 3	SW 2	10^{2}	10^{2}	10^{2}	4.8	n ◍
2.	42.8	42.9	45.6	14.6	20.0	15.0	20.3	14.0	11.8	11.8	10.8	**96**	68	85	N 2	W 4	W 2	10^{2}●	10^{2}	2^{1}	2.7	n, a ◍
3.	51.7	51.6	55.6	12.0	18.0	11.2	18.8	8.6	8.3	6.8	7.7	80	44	78	C	SW 2	C	00	7^{1}	0	0.6	a ⏢, ◍0
4.	**58.9**	56.8	56.6	9.5	17.9	13.2	19.8	6.0	7.4	6.7	8.6	84	44	77	SW 2	NE 2	C	00	5^{2}⊖	0	0.5	a ⏢
5.	58.6	56.2	55.6	11.4	21.4	16.6	21.9	7.3	7.7	7.0	9.7	77	37	69	W 1	E 2	NE 1	00	1^{1}⊖	2^{1}	–	a ⏢
6.	55.4	53.2	52.4	13.7	24.1	18.5	24.8	9.8	9.4	10.4	12.5	81	47	79	E 2	E 2	C	00	3^{1}⊖	0	–	a ⏢
7.	52.9	52.4	51.7	15.5	26.1	20.2	27.0	12.0	10.9	10.1	14.2	83	41	81	C	SE 2	C	00	5^{2}⊖	0	–	a ⏢
8.	51.6	50.6	50.4	18.7	27.5	22.1	28.0	15.4	12.6	11.0	9.9	79	40	51	W 1	NW 4	NW 2	5^{1}⊖	7^{2}	0	–	a ⏢, ∞
9.	52.5	52.6	53.5	17.2	21.6	17.0	22.2	16.2	9.3	7.0	8.5	63	37	59	N 4	N 4	N 2	6^{2}	6^{1}⊖	4^{1}	–	
10.	55.8	54.8	54.8	14.8	21.0	15.9	21.4	11.6	6.1	5.9	8.4	50	32	62	E 2	E 3	NE 2	1^{1}⊖	2^{1}⊖	2^{1}	–	
11.	55.0	53.2	52.2	14.0	24.7	19.2	25.3	9.3	8.6	7.6	10.6	68	33	63	E 2	W 2	C	00	00	4^{1}	–	a ⏢
12.	53.0	51.3	51.4	16.1	28.1	21.3	28.4	12.8	10.5	8.2	11.1	77	29	60	C	E 2	E 2	8^{1}	6^{2}⊖	0	–	
13.	51.7	50.3	50.5	18.4	26.1	18.4	28.0	14.3	11.2	8.6	13.0	71	35	82	W 2	E 4	N 2	00	3^{2}	7^{2}	–	125.33 p, 733.40 p ◹, 755.58 p ◍
14.	51.1	49.7	48.1	17.0	26.8	20.9	27.3	14.3	12.1	10.4	13.3	84	40	73	W 2	E 2	C	00	4^{1}⊖	10^{2}	–	
15.	47.6	47.0	46.7	17.7	23.4	19.8	24.6	14.2	10.5	10.8	11.2	69	51	65	W 2	NE 2	N 2	2^{1}⊖	5^{1}⊖	10^{2}	–	
16.	47.1	44.4	44.2	14.4	19.8	15.8	21.0	13.4	8.0	7.6	8.7	65	44	64	N 2	W 4	W 2	10^{2}	6^{2}⊖	10^{2}	–	ca. 510 p einige ◍tropfen
17.	43.4	42.9	42.0	16.1	21.5	17.6	22.0	14.0	9.4	9.9	11.3	69	52	75	NW 3	W 4	C	10^{2}	8^{2}⊖	0	0.1	ca. 10 p ◍0
18.	42.2	41.4	42.4	16.2	26.5	21.5	27.8	11.4	10.8	9.4	8.7	79	37	46	C	W 4	SW 2	00	5^{1}⊖	0	–	
19.	46.6	47.8	49.0	17.5	24.3	19.0	25.2	13.2	11.2	8.0	10.5	75	35	64	SW 2	W 2	C	00	00	0	–	
20.	51.8	51.6	53.3	15.6	26.5	20.8	27.0	12.0	10.0	9.2	9.9	76	36	54	W 2	NW 2	C	00	1^{1}⊖	0	–	a ⏢
21.	55.6	54.5	54.4	15.2	28.2	20.5	28.3	12.2	9.6	9.1	11.7	74	32	65	E 1	S 2	C	3^{1}⊖	00	2^{1}	–	
22.	54.7	52.9	51.8	17.4	30.5	22.9	31.3	14.0	10.8	9.8	13.5	73	30	65	C	E 2	C	00	00	0	–	
23.	51.6	48.5	46.8	18.4	34.0	25.0	34.2	14.8	11.6	9.1	13.6	74	**23**	58	C	SW 2	C	00	00	0	–	
24.	46.9	47.2	46.6	21.4	28.2	24.6	32.0	17.3	13.4	11.5	13.9	71	41	60	C	W 2	E 2	2^{1}⊖	10^{2}	0	0.1	425–545 a ◹, 435.58 a ◍
25.	46.5	44.6	45.5	20.9	32.0	20.3	32.3	19.0	14.1	10.5	15.2	77	30	86	C	SW 2	C	10^{2}	2^{1}⊖	0	–	1 a ◹, 430.38 p, 433–645 p ◹, 432.36 p, 527–650 p ◍
26.	45.8	44.4	45.1	18.6	32.1	25.0	32.3	16.3	13.9	12.2	12.7	87	34	54	C	SW 2	C	00	00	0	1.6	
27.	48.6	47.4	47.8	20.7	32.5	26.5	33.0	17.3	13.7	10.7	12.7	76	29	50	S 2	SW 2	C	2^{1}⊖	00	2^{1}	–	
28.	49.0	46.2	47.8	22.4	35.6	21.8	**36.0**	19.0	14.1	9.9	**17.5**	70	**23**	90	C	SE 2	C	00	1^{1}⊖	9^{2}	–	10 p ◹ i. E, 330–504 p, 505–610 p ◹, 447–505 p, 507–600 p ◍
29.	49.0	47.6	46.3	21.8	30.1	24.7	31.0	19.8	16.6	12.4	15.2	86	39	66	SE 2	W 2	C	10^{1}	00	0	**5.4**	1004 p–nach 1110 p ◹, ca. 2 a ◍
30.	47.0	45.2	45.2	20.8	32.9	22.6	33.2	18.0	14.9	11.7	12.7	82	31	63	S 2	SE 2	SW 2	00	00	10^{2}	–	320–505 p, 542–858 p ◹, 357–425 p, 603–853 p ◍
31.	46.3	45.1	45.6	20.8	30.5	22.0	30.8	17.2	10.6	8.8	9.9	58	27	50	E 2	E 2	C	1^{1}⊖	00	0	2.5	
Mittel	50.1	48.9	49.1	16.9	26.1	19.9	26.9	13.8	11.0	9.5	11.6	75	39	67				2.9	3.5	2.7	18.3	

Alle Angaben nach Ortszeit.

Ludwigshafen a/Rh.

Juli. $\varphi = 49^0\ 29'$ N. $\lambda = 8^0\ 26'$ E $= 33^m\ 44^s$. H $= 100.3$ m. Cg $= +0.3$ mm. 1911.

Datum	Luftdruck auf 0^0 u. Normalschwere reduziert 700 mm + 7a	2p	9p	Lufttemperatur C° 7a	2p	9p	Max.	Min.	Absolute Feuchtigkeit mm 7a	2p	9p	Relative Feuchtigkeit Proz. 7a	2p	9p	Richtung und Stärke des Windes 0 bis 12 7a	2p	9p	Bewölkung 0 bis 10 7a	2p	9p	Niederschlag mm 7a	Bemerkungen
1.	49.6	48.3	49.8	14.1	19.4	16.2	20.0	13.2	10.8	11.2	11.7	**91**	66	85	S 2	SW 3	S 1	10^0	10^2	10^0	1.0	G a ◍
2.	50.8	51.4	55.6	16.0	19.8	14.8	22.2	12.0	12.1	10.1	8.5	89	58	68	S 1	W 3	NE 2	10^2	10^2	10^2	**1.6**	n ◍; nachm. öfters ◍
3.	49.3	49.5	53.5	13.6	20.0	14.0	21.0	11.0	7.2	6.9	8.0	62	40	67	W 1	SW 1	W 1	oo	9^2	o	0.3	nachm. ◍
4.	**45.6**	64.5	64.1	10.0	20.6	18.0	21.7	**7.2**	7.5	7.1	7.3	82	39	48	W 2	NE 2	C	oo	$3^0\odot$	o	1.5	
5.	64.7	63.3	62.8	13.2	23.6	20.4	24.3	9.8	8.5	8.3	9.7	75	38	54	N 1	NE 1	C	5^0	3^0	o	–	
6.	62.4	60.1	59.3	15.4	26.1	23.4	29.2	12.0	9.7	10.1	11.4	75	41	53	N 1	E 1	NE 1	oo	oo	o	–	
7.	60.1	59.7	59.2	17.4	28.5	24.5	29.4	15.0	11.6	11.5	11.7	79	40	51	C	C	C	oo	$2^0\odot$	o	–	
8.	59.7	58.9	58.2	19.1	30.9	23.8	31.6	17.4	12.8	9.4	12.1	78	29	56	C	W 1	W 2	co	$3^0\odot$	o	–	
9	61.0	61.5	63.9	18.5	22.4	18.3	23.8	17.0	10.9	8.3	9.1	69	42	59	W 6	W 5	N 5	$3^1\odot$	$3^0\odot$	5^0	–	t bölg
10.	62.7	62.2	62.4	16.7	23.0	20.0	24.0	11.6	7.0	**6.4**	8.0	50	31	46	NE 2	NE 4	C	$5^0\odot$	oo	o	–	t bölg
11.	62.7	61.6	60.0	15.0	24.7	23.3	27.5	11.2	7.9	8.8	10.4	62	38	66	N 2	W 1	NW 1	oo	oo	4^2	–	
12.	60.4	59.2	58.9	18.8	28.5	22.6	30.9	16.0	11.1	11.8	15.1	69	41	74	N 1	C	N 3	oo	$3^1\odot$	o	–	
13.	59.0	57.3	57.9	20.0	28.1	22.6	29.6	16.2	11.7	10.8	11.3	67	39	56	N 1	NE 3	NE 1	oo	9^1g	6^2	–	1^{49}–2^{19} p Fern ◹
14.	58.7	57.3	56.4	18.0	28.3	23.8	29.0	16.0	12.3	9.8	11.5	80	34	52	N 2	NE 1	NE 2	oo	4^0	3^0	–	7^{30}–8^{43} p ◹ im SW
15.	55.8	57.1	55.8	17.7	23.4	19.2	24.1	15.2	11.2	9.9	11.3	74	46	68	N 3	NE 4	N 3	oo	$4^0\odot$	10^0	–	
16.	55.0	52.5	51.5	14.8	21.4	18.6	21.8	14.0	8.5	7.7	9.4	68	40	59	NW 3	W 2	N 1	10^2	$4^0\odot$	3^1	–	meist bölg
17.	51.2	51.0	50.0	17.2	22.4	21.4	22.8	15.8	9.7	10.2	10.7	66	51	56	SW 1	SW 1	W 1	10^2	10^2	3^1	–	
18	49.9	49.4	50.5	20.2	28.7	18.5	29.2	14.2	10.4	12.0	13.8	58	42	87	N 1	SW 3	C	$3^0\odot$	$5^1\odot$	10^0	–	
19.	55.1	55.4	57.2	19.0	26.1	21.4	27.7	15.1	11.1	7.8	8.2	68	32	43	W 1	SW 2	C	oo	oo	10^0	–	
20.	60.1	59.8	61.2	18.2	26.3	26.1	29.7	15.0	11.3	8.9	8.0	73	36	32	E 2	N 2	E 2	$3^0\odot$	2^1	4^0	–	
21.	63.4	61.7	61.2	19.4	30.3	28.9	31.0	15.9	10.3	8.3	9.6	61	26	33	E 1	NE 1	C	$3^0\odot$	$2^1\odot$	3^0	–	
22.	61.6	60.8	59.2	21.6	33.1	32.1	34.7	17.5	12.8	10.9	12.7	67	29	36	N 1	S 1	S 2	oo	co	o	–	
23.	58.2	55.3	54.1	21.2	35.2	29.9	**36.6**	18.2	12.3	10.6	10.5	66	25	33	C	C	C	$3^0\odot$	oo	o	–	
24.	55.0	54.6	53.4	24.0	28.0	30.1	30.7	20.8	**17.0**	14.2	12.2	77	51	39	S 2	N 1	C	3^1	$2^1\odot$	3^0	–	1^{04}–3^{04} a ◹ im SW; 0^{33}–1^{43} p Fern ◹
25.	54.1	52.0	52.2	23.2	32.6	27.1	33.5	18.3	15.4	14.2	14.7	73	39	56	N 2	NE 1	N 1	$3^0\odot$	$1^1\odot$	7^1	**1.6**	9^{33}–11^{19} p ◹ im W; 11^{19} p–1^{04} a ◹; 11^{53} p–0^{19} a ◍
26.	53.0	52.0	51.6	23.4	33.0	30.1	34.0	19.2	14.1	8.9	10.4	66	24	33	S 2	SW 2	S 1	3^1	$3^0\odot$	3^0	–	n ◬; 7^{30}–8^{02} a ◍tropfen
27.	55.8	54.8	53.6	24.4	33.6	31.3	35.2	20.2	14.2	12.2	12.2	63	31	36	NE 1	E 1	E 1	8^1	$7^1\odot$	8^1	–	9^{19} p–0^{49} a ◹ im W
28.	55.6	54.0	55.1	26.3	35.0	23.9	35.3	21.3	13.9	12.4	14.7	55	30	67	NE 1	S 1	C	oo	10^1	10^0	–	3^{53}–4^{31} p ◹; 3^{49}–4^{04} p ◍
29	56.1	54.2	53.7	22.0	33.9	29.7	35.3	18.0	13.9	12.3	13.1	71	31	42	N 1	N 1	C	$3^0\odot$	$3^0\odot$	o	0.4	
30.	53.8	52.4	52.9	24.1	34.4	26.2	35.0	19.3	13.7	12.6	12.6	62	31	49	NE 1	E 3	C	$1^0\odot$	8^2g	8^1	–	1^{29}–3^{04} p, $5^{04.49}$ p ◹ (beide ◹ ohne ◍)
31.	51.9	51.4	52.9	21.4	33.8	25.5	35.0	18.4	13.3	12.8	14.7	70	33	61	E 2	S 1	C	$3^0\odot$	8^1	8^0	–	n ◬
Mittel	57.5	56.6	56.7	18.8	27.6	23.4	28.9	15.5	11.4	10.2	11.1	70	38	54				2.9	4.1	4.1	6.4	

Nürnberg.

Juli. $\varphi = 49^v\ 27'$ N. $\lambda = 11^0\ 3'$ E $= 44^m\ 12^s$. H $= 309.1$ m. Cg $= +0.2$ mm, über 735.0 mm Cg $= +0.3$ mm. 1911.

1.	31.2	30.0	31.3	15.4	19.9	16.4	20.5	13.7	10.7	11.9	12.4	82	69	89	SW 2	SW 2	SW 2	10^1	10^1	10^1	6.6	mn kurz ◍^{0}. $2^{10.35}$ p, $6^{05.30}$ p ◍^{0}, sonnenloser Tag
2.	31.7	31.9	34.8	16.1	18.7	16.2	20.7	14.9	12.3	10.3	11.4	90	64	83	SW 2	S 2	W 1	10^1	8^0	1^0	0.6	9–geg. 10 p, 5^{50}–6^{30} a, nach 9^{30} a, 10^{35}–11 a, m, 3^{15} p, 7^{30} p ◍^{0}
3.	40.0	39.9	43.9	19.9	17.7	11.2	18.3	8.9	8.0	6.7	7.2	77	45	73	NW 3	SW 3	NW 2	1^1	8^0	1^1	–	◬. t wechs. Bewölkg. 5^{05} p ◠. 4^{20}–5^{30} p ◍^{0}. sehr
4.	**46.3**	45.2	45.0	9.9	18.1	14.6	18.8	**5.5**	7.0	7.1	7.4	78	41	59	E 1	NE 2	NE 2	oo	$5^1\odot$	2^1	–	◬. a ∞. t wechselnde Bewölkung [sichtige Luft
5.	45.9	44.5	44.1	11.7	20.8	17.2	21.0	6.8	7.4	7.4	7.2	73	41	49	NE 2	NE 2	NE 3	oo	$4^1\odot$	1^1	–	◬. a ∞. sehr sichtige Luft
6.	44.3	42.2	41.7	14.0	23.4	19.4	23.8	9.2	8.9	9.5	10.4	75	44	62	E 2	NE 2	E 2	oo	$8^1\odot$	2^1	–	◬. a ≡^{0}. t zunehmende Bewölkung
7	41.8	41.5	40.8	16.4	25.1	21.8	26.2	11.5	10.0	11.3	12.7	72	48	66	SE 2	NW 2	NW 2	o=	$8^1\odot$	8^1	–	◬. a ≡^{1}. t wechs. Bewölkung, wechs. Winde, ztw. C
8.	40.6	39.4	39.3	19.7	28.1	22.0	29.4	16.7	12.3	11.3	12.6	72	40	64	SW 2	NW 4	W 2	$7\odot$	$8^2\odot$	2^1	–	a ∞. t wechs. Bewölkung, auffrisch. nördl. Winde
9.	40.7	41.1	41.9	16.8	20.7	16.8	22.1	11.9	10.8	7.4	7.7	76	41	54	NW 2	N 3	NE 2	10^1	$6^1\odot$	7^1	–	t wechselnde Bewölkung, sehr sichtige Luft
10.	43.8	43.0	43.5	13.6	20.3	16.4	21.1	8.2	6.6	6.5	7.5	57	36	54	NE 2	NE 2	NE 2	oo	$2^1\odot$	1^1	–	t wechselnde Bewölkung, sehr sichtige Luft
11.	43.5	42.2	41.3	11.6	23.2	20.2	24.3	7.9	7.7	**6.4**	9.5	76	31	54	N 2	N 2	N 1	$7^1\odot$	$4^1\odot$	o	–	◬. t wolkig, sichtige Luft
12.	41.6	40.8	40.2	15.3	24.9	21.4	26.7	12.8	9.9	11.8	10.4	77	51	55	SW 2	SE 2	NE 2	10^1	8^2	3^1	–	nach 3^{30} a, ca. 7^{30} a ◍^{0}. a ≡^{0}. t ztw. C, sicht. Luft
13.	40.4	38.4	38.8	18.0	27.7	16.6	28.1	13.4	11.2	10.2	12.7	73	37	**91**	N 1	N 3	S 3	$1^1\odot$	$7^2\odot$	8^1	–	◬. 9^{30}–3^{10} p ◹ i. S, 6^{13}–7^{10} p ◹. 6^{17}–7^{34} p ◍^{2}.
14.	39.5	38.3	37.1	16.0	24.8	21.8	25.7	12.2	12.1	10.4	10.3	89	45	58	N 1	N 2	NE 1	$3^1\odot$	$3^1\odot$	2^1	2.3	auffrisch. nördl. Winde [7^{43}–8^{25} p ◍^{1}. geg. 9 p ◍^{0}
15.	36.4	34.7	35.1	17.1	26.1	18.0	26.6	13.2	11.6	8.9	10.7	80	36	70	W 1	NW 3	NW 1	$7^1\odot$	$2^1\odot$	3^2	–	9^{35}–10 p ◹ i. SW. a ∞. t heiter. sichtige Luft
16.	35.7	33.3	32.6	13.6	19.2	15.0	19.8	11.1	8.5	7.9	8.6	73	48	68	N 2	NW 3	W 1	10^1	$4^1\odot$	10^2	–	t wolkig. 6^{15}–7^{30} p ◍^{0}. 6^{35} p ◠
17.	32.1	31.9	31.1	15.0	20.2	17.6	21.7	12.7	9.7	9.4	11.3	76	54	75	NW 3	W 2	W 1	10^0	10^0	4^1	–	t wechselnde Bewölkung
18.	31.3	31.0	31.2	17.2	26.3	22.0	27.4	14.0	10.8	10.8	10.2	74	42	52	S 2	W 3	SW 2	oo	4^1	4^2	–	a ∞. auffrischende südl. Winde. 6 a ⎓ (SW 6)
19.	35.6	36.6	38.1	18.3	24.8	20.8	25.6	14.9	10.5	9.1	9.3	67	39	51	W 1	NW 3	N 2	$8^1\odot$	$2^1\odot$	1^1	–	a ∞. t heiter, sichtige Luft
20	40.2	40.1	42.1	17.0	26.7	21.3	26.9	11.0	9.0	8.8	9.4	63	34	51	SE 2	W 2	NE 2	c=	$1^1\odot$	1^1	–	a ≡^{1}, klare Nacht
21.	44.5	43.7	43.7	15.6	26.9	23.6	27.8	11.9	9.7	8.7	10.1	74	33	47	C	N 2	E 2	$4^1\odot$	$5^1\odot$	3^1	–	klare Nacht. a ∞. t meist heiter
22.	44.0	42.3	41.7	17.9	30.1	26.0	30.9	14.5	10.2	10.5	11.6	67	31	47	C	SE 2	E 1	oo	$1^1\odot$	1^1	–	klare Nacht. a ≡^{0}. t meist heiter
23.	41.2	38.6	36.7	21.6	32.7	27.1	33.6	17.2	12.4	10.8	10.7	65	29	41	E 1	SE 3	SE 2	oo=	oo	1^1	–	a ≡^{1}. t heiter
24.	36.4	35.8	36.0	23.5	31.6	26.3	32.3	18.2	12.3	13.2	12.0	57	38	48	S 2	NW 2	E 2	10^1	$5^1\odot$	8^1	–	mn ◹ i. NW. 7^{38}–8^{28} p ◹ i. N. t heiter
25	35.6	34.3	34.6	22.7	30.8	25.2	33.2	18.4	13.1	12.5	11.3	64	38	48	S 2	W 2	N 2	7^1	$5^2\odot$	5^2	–	9–10^{40} p ◹ i. E. 1–2 a ◹ i. NW. 8^{20} p an ◹ rings um.
26.	35.0	33.3	34.2	20.4	33.3	27.1	34.1	17.2	12.6	13.2	12.6	71	35	46	C	SE 2	NW 2	oo	$7^2\odot$	4^1	–	mn–3 a ◹. a ≡^{0}. t heiter [t wechs. Bewölkg.
27.	37.6	36.6	37.1	21.6	32.8	27.3	33.4	18.2	13.5	13.2	14.3	71	36	54	C	NE 3	NE 2	oo	$1^1\odot$	7^2	–	n–3 a ◹. a ≡^{0}. t heiter. 5^{13}–6^{10} p ◹, 4^{49}–6 p ◍$^{1.2}$
28.	38.0	36.1	35.9	24.7	34.7	29.1	**36.1**	19.2	13.2	14.6	11.6	57	36	39	E 1	E 3	E 2	oo	2^1	10^2	3.0	n–3^{30} a ◹. a ∞. t wechs. Bewölkg. 4^{53}–6 p ◹
29.	38.1	36.4	35.9	23.1	31.9	23.7	33.1	19.1	14.5	14.3	**17.8**	69	41	81	SW 1	S 2	SW 2	$5^1\odot$	$7^1\odot$	10	–	9^{19} p–3^{40} a ◹. 9–11 p ◍tr. $1^{30.30}$ a ◍^{0}. t heiter. [1]
30.	36.3	34.4	35.0	22.5	31.7	24.4	32.5	18.3	13.4	14.8	13.7	66	43	60	E 2	SE 2	NE 2	oo	$2\odot$	10^1	**11.0**	a ≡^{0}. t meist heiter. 5^{09}–6 p ◹. 8 p–n ◹ i. NW
31.	35.5	35.0	35.2	22.6	29.7	23.4	29.8	15.5	8.8	11.3	9.2	43	36	43	E 1	S 1	S 1	oo	oo	2^1	–	t heiter, sehr sichtige Luft
Mittel	38.6	37.8	38.1	17.4	25.9	21.0	26.8	13.5	10.6	10.3	10.8	71	41	59				3.9	4.7	4.3	23.5	

[1] 4^{03}–5^{30} p, 5^{41}–6^{13} p ◹. 4^{33}–5^{23} p ◍

Alle Angaben nach Ortszeit.

Kaiserslautern.

Juli. $\varphi = 49^0\ 27'$ N. $\lambda = 7^0\ 46'$ E $= 31^m\ 4^s$. H $= 242.2$ m. Cg $= +0.3$ mm. 1911.

Datum	Luftdruck auf 0^0 u. Normalschwere reduziert 700 mm +			Lufttemperatur C°					Absolute Feuchtigkeit mm			Relative Feuchtigkeit Proz.			Richtung und Stärke des Windes 0 bis 12			Bewölkung 0 bis 10			Niederschlag mm	Bemerkungen
	7^a	2^p	9^p	7^a	2^p	9^p	Max.	Min.	7^a	2^p	9^p	7^a	2^p	9^p	7^a	2^p	9^p	7^a	2^p	9^p	7^a	
1.	36.9	36.3	37.2	13.8	16.2	15.7	17.5	12.5	10.5	11.5	11.6	91	84	87	NW 1	W 3	W 2	10^2●	10^2●	10^1	1.5	n ◎0.1; a-4 p ◎0
2	38.3	39.2	42.5	15.5	15.9	14 6	19.6	13.9	11.1	10.6	8.2	85	79	67	W 1	NW 1	NW 1	10^1	9^1	8^2	1.8	n ◎0; a u. p ztw. ◎0
3.	46.3	46.5	50.8	12.0	18.9	10.5	19.6	8.8	8.6	5.8	8.c	83	36	85	C	NW 2	N 1	oo	7^1	o	0 4	23^{h}–44^{h} p ztw. ◎0.1
4.	52.1	51.0	51.0	9.5	18.7	13.1	20.7	4.6	7.2	6.5	7.9	82	41	71	C	NE 2	E 1	oo	oo	o	0.1	a ⏢2; p ztw. ═
5.	51.4	50.3	49.5	11.7	22.3	16.5	24.4	6.0	7.3	6.5	9.3	72	33	67	C	E 2	E 1	2^0○	1^0○	o	–	a ⏢2
6.	49.1	47.1	46.5	15.7	25.3	19.4	26.9	9.7	9.3	9.5	11.5	69	40	68	SE 1	E 2	C	oo	oo	o	–	
7.	47.3	46.7	46.6	16.6	28.1	21.0	29.3	12.0	10.7	8.6	12.6	76	31	68	E 1	E 2	C	oo	oo	o	–	
8.	47.1	46.3	46.6	17.8	29.1	20.8	30.2	13.6	11.4	10.5	11.6	75	35	64	C	NW 2	C	oo	4^1○	o	–	
9.	48.3	48.1	48.7	17.7	21.9	16.1	23.3	13.3	10.9	7.8	8.4	72	40	61	NW 1	NE 2	C	8^1	3^1○	4^1	–	
10.	49.8	49.1	51.4	14.7	21.4	16.5	22 6	10.5	8.2	5.7	7.1	66	30	51	E 3	N 2	E 1	3○	oo	o	–	
11.	49.9	48 4	47.6	14.5	24.4	14.0	26.1	8.1	7.5	6.5	10.9	61	29	67	C	N 1	C	oo	2^9○	2^0	–	abds. ∞2
12.	47.9	46.2	46.7	16 9	27.8	21.1	29.2	11.6	10.3	9.4	11.8	72	34	64	C	E 1	C	oo	2^1○	2^1	–	a ∞; p ztw. ═
13.	46.8	44.9	45.5	18.1	27.7	21.4	28.2	12.3	10.9	11.0	11.6	71	40	62	C	NE 1	E 1	oo	5^1○	5^1	–	a ∞; 3^{16}–4^{31} p Fern ⍂; $8^{06.11}$ p ═ (Böe)
14	46.2	45.0	44.3	17.7	27.7	20.6	29.1	13.9	11.2	9.7	12.4	74	36	69	C	E 2	C	1^0○	4^1○	4^1	–	
15.	43.8	42.9	43.0	16.9	24.2	18.1	25.1	12.4	10.6	10.3	10 9	74	47	71	N 1	N 1	N 1	oo	3^1○	10^2●	–	8^{31} p ab ztw. ◎0
16.	42.6	40.1	39.4	14.3	21.8	18.9	24.1	14.1	8.7	7.9	7.7	72	40	48	NE 2	NW 3	NW 2	10	7○	10	0.2	9^{29} p ab ztw. ◎0; n ◎0
17	39.0	38.4	37.6	16.5	22.8	17.5	25.1	15.3	9.4	10.2	10.5	68	49	70	C	W 2	C	10	8○	5	–	
18.	37.7	36.6	38.1	15.7	27.3	20.3	28.7	11.4	10.3	7.7	9.6	78	29	54	W 1	W 6	C	oo	3○	8	–	a ⏢ u. ∞; t-6^{01} ztw. ═
19.	42.3	43.1	44.4	16.7	25.1	19.4	27.6	12.5	9.6	7.8	9 3	08	33	55	W 2	W 2	C	oo	oo	o	–	
20.	47.4	47.2	48.5	15.7	26.2	20.0	28.1	11.4	9.4	8.5	10.1	70	34	57	C	NE 2	C	3○	2○	o	–	a ⏢0
21.	49 9	48.8	48.9	16.2	29.1	21.6	30.2	12.3	9.6	7.5	10.4	70	25	55	C	E 2	C	2○	9○	5	–	a ∞
22.	48.8	47.0	46.4	18.1	31.9	24.0	33.7	13.2	10.4	9.3	12.3	67	26	56	C	SE 3	C	oo	oo	o	–	
23	45.4	43.0	41.8	20.8	34.5	25.7	36.2	15.4	11.3	9.2	12.9	62	22	53	C	W 3	C	oo	oo	o	–	n ≺
24.	43.2	42.1	41.1	21.0	29.1	24.3	31.4	18.4	14.8	11.5	14.4	80	38	64	NW 1	E 2	C	5	5○	10	–	$6^{28.29}$ a, 8^{55}–9^{06} a, $11^{41.51}$ a ⍂; $6^{26.36}$ a ◎
25.	41.4	40.5	40 9	20.0	29.9	23.1	30.4	17.9	15.4	13.0	15.0	89	41	72	E 1	NW 3	C	5○	8	9	24.5	9^{31} p–0^{01} a ⍂; 9^{31} p–0^{01} a ◎2; a ∞
26.	40.2	40.3	41.0	20.2	30.1	22.4	32.2	16.4	14.0	13.6	14.3	80	43	71	C	W 3	C	7○	7○	5	–	$10^{31.51}$ a ◎0
27.	43.5	42.5	42.8	20.3	32.1	25.0	33.4	16.4	13.5	11.7	15.0	76	33	64	C	C	C	5○	4○	4	–	
28	43.3	42.6	43.1	23.1	31.1	23.8	32.7	19.2	13.5	14.4	13.1	64	43	60	C	W 4	C	4○	9○	7	–	9^{31} p–0^{31} a, 0^{46} p, 3^{11}–5^{01} p ⍂; $9^{31.43}$ p, 3^{11}–5^{01} p ◎0; t ═
29.	43.4	42.1	41.1	19.8	28.2	24.6	33.7	16.4	12.9	12.5	13.9	75	44	60	E 1	SE 3	C	2○	9⍂	o	–	0^{31}–3^{11} p ⍂; $3^{11.12}$ p ◎0
30.	41.9	41.1	41.3	23.7	30.5	22.2	32.4	18.2	13.8	13.9	14.4	63	43	72	SE 1	W 2	C	4○	9⍂	4	–	0^{56}–3^{31} p ⍂; $2^{16.36}$ p ◎2
31.	40.5	39.5	40.9	20.2	29.0	22.4	30.2	16.6	12.9	15.0	13.6	74	51	68	C	N 1	C	8○	9^2⍂	10	0 2	a ≡2; 1^{31}–7^{01} p mehrere ⍂; bis 8^{31} p ≺; $2^{06.11}$ p, $5^{31.31}$ p [◎0
Mittel	44.9	44.0	44.4	17.7	26.8	20.5	28.6	13.6	11.1	10.1	11.6	76	41	67				3.2	4.5	3.9	29.0	

Ansbach.

Juli. $\varphi = 49^0\ 18'$ N. $\lambda = 10^0\ 33'$ E $= 42^m\ 12^s$. H $= 437.5$ m. Cg $= +0.2$ mm. 1911.

1.	20.3	18.9	20.7	14.0	18.8	14.6	19 4	12.0	10.6	10.8	11.7	90	67	94	SW 2	W 4	SW 2	10^2	10^2	10^2●	6.0	n, 7^{37}–8^{22} a, 6^{12}–9^{00} p ◎
2.	21.1	21.7	24.5	15.2	18.6	14.5	20.2	13.6	11.9	10 5	10.4	92	66	85	SW 4	W 2	C	10^2	8^1	2^0	1.4	9^{00} p–n ◎
3.	29.1	29.3	33.0	11.4	17.4	8.6	18.0	7 9	7.7	6.7	7.3	77	45	88	N 2	W 2	NW 2	oo	10^2	o	–	4^{52}–5^{32} p ◎
4.	35.0	34.2	34.0	9.4	17.1	11.2	19.6	2.9	7.3	6.5	6.4	84	45	65	C	SW 2	C	oo	2^1○	o	0.9	mrgs. ⏢
5.	34.7	33.5	33.1	11.6	20.5	14.8	22.4	5.0	7.5	7.2	7.7	74	40	62	C	NE 2	C	oo	2^1○	o	–	mrgs. ⏢
6	32.9	30.9	30.6	14.1	23.6	16.8	24.6	8.1	8.8	10.0	9.5	74	46	67	C	E 2	C	oo	4^1○	o	–	⏢
7.	30.8	30 5	30.1	15.7	25.3	18.9	26.6	9 9	10.8	10.5	11.0	82	44	68	C	N 2	C	oo	2^1○	6^1	–	⏢
8.	29.9	29.2	29.1	20.6	26.7	21.4	27.4	15.4	11.9	10.5	10.0	66	41	53	C	NW 4	NW 2	oo	4^1○	o	–	
9	29.6	30.2	31.0	17.1	19.9	14.9	21.8	14.0	10.8	7.6	8.0	75	44	64	NW 2	NW 4	N 2	8^1	2^1○	8^1	–	
10.	32.6	32.0	32.6	13.2	19.1	14.0	20.6	11.3	7.1	6.1	7.7	63	38	65	NE 2	N 2	C	oo	2^1○	o	–	
11.	32.4	31.1	30.5	13.4	22.7	17.0	23.6	6.6	7.6	7.1	8.7	66	35	61	C	N 4	C	2^1	oo	o	–	
12.	30.6	29.6	29.5	17.0	24.3	19.2	27.0	10.3	9 9	8.9	10 0	69	39	60	C	NE 2	C	10^2	4^1○	2^1	–	mrgs. ◎0
13.	29.5	28.0	28.2	18.3	25.9	15.8	27.2	14.2	10.6	10.6	11.9	68	43	89	C	N 2	C	oo	10^2⍂	8^2	–	1^{02}–2^{37} p, 6^{53}–7^{22} p ⍂. 6^{57}–7^{42} p ◎. 6^{56} p ◠ von NE-S
14.	28.5	27.5	26.6	16.6	24.4	17.3	25.6	11.9	11.7	10.1	9.4	83	44	64	N 4	N 4	C	oo	4^1○	o	1.4	
15.	25.5	24.5	24.8	18.7	24.3	10.6	24.8	13.0	10.3	10.0	11.0	64	45	78	C	N 4	C	6^1	oo	4^1	–	
16.	24.3	22.6	22.0	13.2	18.7	13.5	19 8	12.8	7.8	8.7	8.3	69	55	75	N 2	NW 2	C	10^2	6^1○	o	–	$6^{21.32}$ p ◎
17.	21.5	21.4	20.6	14.2	21.1	15.4	21.6	10.5	9.1	9.3	10.1	76	51	78	W 2	W 4	C	10^2	10^2	o	0,2	
18	20.6	20.3	21.2	17.3	25.3	21.1	26.8	13.0	10.3	10 0	9.6	70	42	52	W 2	W 6	W 2	oo	4^1○	2^1	–	p ═ (W 6)
19.	24.8	26.2	27.7	18.3	23.8	17.0	27 0	11 9	9.9	8.8	8.6	64	40	60	W 4	W 4	C	2^0○	oo	o	–	
20.	29.4	29.9	31.5	15.0	24.9	18.5	26.2	10.1	9.4	6.2	6.9	74	27	44	C	N 4	C	oo	oo	o	–	
21.	33.3	32.8	32.8	17.2	26.5	18.5	27.8	10.5	9 6	7.6	10.2	67	30	64	C	N 4	C	oo	2^0○	o	–	
22	32.8	31.5	30.7	18.6	30.1	21.2	31.2	12.8	10.6	11.7	9,8	67	37	53	C	C	C	oo	2^1○	o	–	
23.	29.8	27.7	26.3	18.9	32.7	23.7	35 4	14.4	11.6	12 0	11.0	72	33	47	C	C	C	oo	oo	o	–	
24.	25.6	24.9	25.6	20.9	30.5	22.4	31.0	17.0	12.3	11.0	11.4	68	34	56	C	NW 2	C	10^2⍂	4^1○	2^1	–	6^{51}–8^{17} a ⍂. $7^{08.32}$ a ◎
25	25.0	23.9	24.7	20.7	31.2	21.5	32.4	17.6	13.0	8.3	9.9	73	24	52	W 2	W 2	C	10^2	4^1○	4^0	1.7	$4^{22.52}$ p ⍂. 5^{20} p ◎tropfen
26.	24.2	23.5	24.2	21.2	31.0	23.6	32.6	16 0	13.1	10.1	9.9	70	30	45	C	W 2	C	oo	oo	o	–	
27.	27.0	26.1	26.7	20.6	32.1	23 9	33.0	16.8	12.9	8 8	12.2	72	25	56	C	N 2	C	oo	2^1○	o	–	5^{32}–7^{03} p ⍂. 5^{34}–6^{22} p ◎
28.	28.5	25.5	26.0	23.1	33.6	24.2	35.4	18.0	14.0	11.8	14 5	67	30	64	N 2	SE 2	C	2^0○	2^1○	4^1	0.3	4^{31}–5^{57} p ⍂. $6^{40.48}$ p ◎
29.	27.5	26.1	25.4	21.4	30.7	24.1	31.8	17.8	13.7	11.9	12.9	73	36	58	C	N 2	C	8^2	4^1○	8^2	1.6	═. 5^{22}–7^{54} p ⍂
30	25.3	24.7	24.9	21.2	29.5	20.4	31.6	17.0	13.8	11.9	15.7	75	38	88	C	S 2	C	oo	8^2⍂	8^2	–	10^{07} p–2^{02} a, 1^{31}–2^{22} p, 5^{55}–7^{07} p ⍂. 0^{32}–1^{27} a, $6^{28.32}$ p ◎. [1^{39} p ◎tropfen
31.	24.5	24.0	24.5	19.5	28.7	20.5	29.6	16.4	9.2	8.6	6.6	54	29	37	E 2	SE 2	C	2^0○	oo	2^0	0.8	
Mittel	28.0	27.2	27.5	17.0	25.1	18.2	26.5	12.5	10.5	9.3	9.9	72	40	64				3.2	3.6	2.3	14.3	

Alle Angaben nach Ortszeit.

Regensburg.

Juli. $\varphi = 49^0\ 1'$ N. $\lambda = 12^0\ 7'$ E $= 48^m\ 28^s$. H $= 342.6$ m. Cg $= +0.2$ mm. 1911.

Datum	Luftdruck auf 0° u. Normalschwere reduziert 700 mm +			Lufttemperatur C°					Absolute Feuchtigkeit mm			Relative Feuchtigkeit Proz.			Richtung und Stärke des Windes 0 bis 12			Bewölkung 0 bis 10			Niederschlag mm	Bemerkungen
	7a	2p	9p	7a	2p	9p	Max.	Min.	7a	2p	9p	7a	2p	9p	7a	2p	9p	7a	2p	9p	7a	
1.	29.7	28.5	28.6	14.7	21.4	16.0	22.2	9.9	10.9	11.0	11.2	88	59	83	S 2	SW 2	SW 2	6^0●	6^0	4^0	1.5	mrgs. ◍
2.	29.7	29.1	32.7	17.0	22.4	15.6	24.2	14.5	12.6	12.0	10.7	88	60	81	S 2	NE 2	NE 2	6^1●	4^0	2^0	1.2	7 a ◍
3.	36.1	36.0	41.2	14.2	19.0	10.2	20.2	9.9	7.7	6.2	6.8	64	38	73	NE 2	NE 2	NE 2	2^0⊙	2^0⊙	2^0	–	7^{30-35} p ◍
4.	**42.7**	41.6	42.2	10.8	19.1	10.6	23.4	6.6	6.6	5.0	6.2	69	31	65	N 4	N 2	N 4	2^0⊙	2^0	2^0	–	⊿
5.	42.3	41.4	41.9	12.3	21.2	12.4	22.7	8.3	6.2	5.0	7.7	59	27	72	N 4	NE 4	C	○○	4^0⊙	o	–	
6.	41.2	39.2	39.0	14.1	21.8	15.0	25.2	9.9	8.3	8.3	9.9	69	43	78	N 1	E 4	C	4^0⊙	10^2	2^0	–	
7.	38.9	37.8	37.7	13.8	26.2	15.0	26.5	10.7	9.4	9.1	11.0	80	37	87	NW 2	S 6	C	8^0⊙	8^0⊙	o	–	⊿
8.	37.8	36.0	36.1	16.8	27.4	20.0	28.9	13.2	12.0	11.0	**14.6**	84	40	84	S 2	NW S	C	8^2⊙	8^2	6^0	–	$5^{50-6^{20}}$ a ◹
9.	36.7	37.3	38.5	18.7	22.0	16.4	23.0	15.3	10.2	6.4	6.7	63	31	48	W 4	N 6	C	10^0	8^0⊙	10^0	–	
10.	40.5	39.5	39.0	14.6	20.5	14.0	22.2	12.1	9.5	4.5	6.1	48	25	52	N 4	NE 6	C	2^0⊙	4^1⊙	2^0	–	
11.	40.1	38.7	38.5	12.7	23.2	14.8	25.1	8.2	6.6	4.4	7.9	60	21	63	N 6	N 4	C	8^1⊙	2^0⊙	4^0	–	
12.	38.4	37.4	37.0	18.6	25.9	22.0	30.1	14.0	9.0	11.0	9.6	56	45	49	N 1	W 4	NE 2	6^1⊙	6^0⊙	8^0	–	
13.	37.1	35.5	35.4	17.5	27.9	18.1	28.2	14.4	8.9	8.4	9.4	60	30	61	N 4	NE 4	C	2^0⊙	8^2	2^0	–	9^{35-55} p ●
14.	36.8	34.7	34.9	17.3	25.5	14.6	26.6	14.5	10.5	8.5	11.5	71	35	**93**	N 2	NE 6	C	2^0⊙	8^0	2^0	1.0	a ⊿, 5^{20-25} p ◍
15.	34.5	31.4	31.9	14.3	27.3	18.7	28.1	12.1	11.2	6.6	10.2	**93**	25	63	S 2	NW 6	N 2	10^0=	2^0⊙	6^0	–	≡2
16.	32.3	30.9	30.1	15.4	20.4	13.5	22.2	13.1	8.3	9.9	7.6	63	55	66	NW 2	N 2	C	10^1	8^0⊙	10^0	–	
17.	29.9	29.7	29.7	15.9	21.2	16.1	22.4	11.3	8.2	7.3	9.8	61	39	72	NW 6	W 6	C	8^1⊙	8^1	4^0=	–	≡1
18.	29.4	28.7	30.5	15.1	25.9	20.4	30.1	10.4	9.7	6.3	9.5	74	26	54	SW 2	NW 6	C	2^0○=	6^2⊙	8^0	–	≡1
19.	32.4	32.4	36.1	17.1	27.0	17.8	29.6	13.0	8.7	4.9	7.7	60	19	51	C	NE 6	C	○○	2^0⊙	o	–	
20.	38.4	36.6	38.9	15.4	28.3	20.8	29.4	11.8	7.6	7.4	8.6	59	26	47	N 2	NE 2	N 4	○○	2^0⊙	o	–	⊿
21.	42.2	40.4	41.0	16.1	27.3	16.5	29.2	13.5	8.8	6.9	10.1	64	26	72	N 2	NW 6	C	8^0⊙	6^0⊙	o	–	
22.	40.9	39.3	38.6	17.4	30.1	17.4	33.3	13.9	8.9	8.6	10.8	60	27	73	NE 1	SW 2	C	○○	3^0⊙	o	–	
23.	38.6	36.3	34.6	20.0	31.9	20.0	34.7	14.0	11.1	7.8	9.4	64	22	54	SE 2	SE 6	C	○○	○○	o	–	
24.	34.1	32.4	32.8	21.2	29.8	23.0	32.9	16.2	10.9	12.6	14.1	59	40	67	S 2	W 2	C	4^1○	6^2⊙	8^2	–	$3^{40-5^{10}}$ p ◹, $4^{35-5^{10}}$ p ◍
25.	34.6	32.0	31.9	18.0	31.2	20.0	34.4	16.5	12.8	11.4	12.3	83	34	71	S 2	SW 6	C	8^0⊙	6^0⊙	4^0	**8.5**	
26.	32.4	30.9	32.4	20.8	33.7	22.6	34.0	17.2	12.2	10.0	11.9	67	25	59	S 2	SW 4	C	○○	4^1⊙	2^0	–	$6^{35-7^{35}}$ p ◹
27.	34.2	33.4	34.5	21.8	32.4	24.0	34.2	20.0	12.9	8.5	12.0	67	23	54	N 2	N 4	E 2	10^2	2^1⊙	o	1.0	$3^{40-4^{30}}$ a ◹, 4^{05-20} a ◍
28.	35.3	33.7	34.4	25.3	34.6	27.0	**36.2**	19.9	11.8	8.4	10.8	50	20	41	N 2	NE 4	C	4^0⊙	6^0⊙	8^0	–	8^{20} p ◹
29.	36.1	33.7	33.1	22.4	31.5	21.8	33.1	20.1	11.1	10.7	12.4	55	31	64	W 2	SE 2	NW 2	○○	4^0⊙	4^0	–	10^{05} p–ca. 3 a, 6^{35-50} p ◹
30.	33.3	32.2	31.9	24.1	31.9	20.0	32.1	20.0	12.2	12.1	10.8	55	35	62	SW 2	NE 2	NE 2	○○	2^0⊙	o	–	
31.	33.0	32.1	32.6	20.2	28.5	22.2	31.0	15.0	6.7	5.2	5.3	38	18	27	SE 2	E 6	SE 6	○○	○○	o	–	
Mittel	36.1	34.8	35.4	16.6	26.3	18.0	28.2	13.5	9.7	8.2	9.8	66	33	64				4.2	4.7	3.2	13.2	

Passau.

Juli. $\varphi = 48^0\ 34'$ N. $\lambda = 13^0\ 28'$ E $= 53^m\ 52^s$. H $= 309.3$ m. Cg $= +0.2$ mm. 1911.

1.	33.3	32.1	33.1	15.8	21.2	17.8	21.6	15.1	11.5	13.2	11.4	86	71	75	W 2	SW 4	W 2	10^1●	10^1	10^1	0.8	n ◍, ztw. ◍
2.	33.2	32.9	34.9	16.0	24.8	17.8	25.2	14.8	11.7	12.5	13.2	86	54	87	E 1	C	C	10^1	5^0⊙	10^1	1.7	6^{20-34} p ◍, 6^{40-20} p ◹, 7^{10-9} p ●, $8-9$ p ◹
3.	39.5	40.1	41.8	15.4	18.8	16.2	19.3	15.0	11.2	9.7	10.3	86	60	75	W 2	NW 2	W 2	10^1	10^1	10^1	4.1	n, 8^{35-9} p ◍
4.	**45.9**	44.9	44.1	10.9	19.4	14.8	20.3	9.2	8.1	8.1	9.3	85	49	74	C	W 2	C	○○	○○	3^2	0.2	⊿
5.	45.5	44.3	44.2	12.3	20.2	15.6	22.1	10.1	8.8	8.8	10.3	83	50	78	NW 1	C	C	3^1	8^1	o	–	⊿ ∞
6.	44.0	42.8	42.1	14.2	20.2	16.4	21.2	11.1	9.5	10.2	11.7	79	57	84	C	S 1	C	○○	10^1	10^1	–	⊿
7.	41.6	41.0	41.2	16.0	22.8	17.2	23.2	14.3	10.8	13.4	13.5	80	65	**93**	W 1	SW 2	C	8^1⊙	5^1⊙	10^1	–	⊿, t ztw. ◍, 5^{01-40} p ◍, 5^{02-45} p ◹
8.	41.1	39.4	39.9	15.0	23.0	17.4	24.2	13.1	11.4	13.9	13.4	90	66	91	C	C	C	10^1	10^1	10^1	**16.0**	$5^{50-6^{00}}$ a ◹, $6-6^{10}$ a, $4^{45-4^{05}}$ p ◍
9.	39.7	39.8	40.9	15.4	22.2	16.2	23.2	14.1	11.7	8.4	10.3	91	43	75	C	SW 2	C	8^1	5^1⊙	10^0	2.0	
10.	42.8	43.0	42.9	15.0	20.6	14.6	21.2	12.3	8.0	9.4	9.9	63	52	81	C	C	C	○○	8^1	o	–	⊿
11.	42.9	41.8	41.8	11.6	21.8	17.2	23.2	8.6	8.7	8.7	11.8	86	45	81	C	C	C	5^1⊙	5^1⊙	o	–	⊿
12.	41.4	40.4	40.1	15.2	25.6	19.8	26.2	13.4	10.9	11.2	13.8	85	46	80	C	C	C	1^0⊙	8^1⊙	8^1	–	⊿
13.	40.3	38.1	38.0	14.8	25.2	20.0	27.4	12.9	10.9	11.1	13.0	87	47	75	E 1	S 1	C	○○	5^1⊙	10^1	–	⊿
14.	38.7	38.9	38.0	17.6	21.2	17.2	22.2	15.8	12.5	13.2	13.1	85	71	90	C	C	C	10^1	10^1	8^1	–	a ◍^{0}
15.	37.3	33.9	34.9	14.6	26.0	17.8	27.0	13.1	11.5	11.3	12.6	**93**	45	85	C	SW 2	C	10^1=	8^1	8^1	–	a ≡1, $3^{30-4^{52}}$ p ◹, 3^{27-30} p, 5–6 p ◍
16.	34.7	32.9	32.6	14.6	20.8	16.6	22.0	13.6	11.5	10.8	10.3	**93**	59	73	C	SW 2	C	10^1	8^1⊙	10^1	3.0	
17.	32.7	33.2	32.7	14.2	19.2	15.8	22.2	13.6	10.4	9.4	11.5	87	57	86	C	SW 2	C	10^1	3^0⊙	8^0	–	
18.	32.7	32.1	32.6	14.6	26.0	19.6	27.2	12.1	10.5	11.7	12.7	85	47	75	E 1	NW 2	C	○○	3^1⊙	o	–	⊿
19.	36.0	36.3	37.9	15.6	27.0	18.8	29.0	13.1	10.7	8.8	11.1	81	33	69	E 1	NW 2	C	○○	3^1⊙	o	–	⊿
20.	40.4	39.7	40.3	14.2	26.7	19.4	29.2	11.5	9.9	9.9	11.7	83	38	71	C	C	C	○○	○○	5^0	–	⊿
21.	43.6	43.7	43.9	16.2	26.6	19.4	27.3	14.3	11.3	9.9	14.3	82	39	85	C	C	C	○○	5^0⊙	o	–	⊿
22.	44.1	42.8	42.2	17.2	28.3	21.2	29.2	16.1	12.1	13.0	14.4	83	45	77	C	S 1	C	○○	3^1	o	–	⊿
23.	42.2	40.0	38.5	17.2	30.2	21.0	31.2	15.4	12.4	12.5	13.5	85	39	74	C	E 2	C	○○	○○	o	–	⊿
24.	37.7	35.3	36.5	16.8	31.0	22.6	32.5	15.1	11.7	14.5	13.8	82	43	68	C	C	C	○○	3^0⊙	10^1	–	⊿, 5^{35-45} p ◍
25	36.8	35.6	35.0	18.6	29.4	23.2	31.2	17.1	13.6	13.7	15.9	85	45	76	C	S 1	C	3^0	○○	o	2.2	
26.	35.7	34.0	34.4	19.0	31.8	26.6	33.4	17.2	13.9	14.0	14.7	87	40	57	C	C	C	○○	○○	o	–	⊿
27.	37.5	36.7	36.9	19.0	32.2	25.4	33.7	17.0	13.4	12.7	15.8	82	35	65	C	S 1	C	○○	1^1⊙	o	–	⊿
28.	39.0	36.8	35.3	20.8	33.2	26.4	**35.2**	18.0	13.8	12.8	14.5	76	34	57	C	S 2	C	○○	○○	10^0	–	⊿
29.	38.4	37.3	36.3	22.2	24.2	22.2	29.2	20.2	13.6	**16.5**	14.7	69	74	74	C	C	C	8^1	8^0⊙	10^1	–	a ◍^{0}, 8^{35}–ca. 11 a ◹, 8^{45}–11 a ◍
30	36.9	36.3	35.7	18.4	29.6	21.0	30.2	17.0	14.0	11.8	12.1	91	38	66	C	C	E 2	○○	1^1	o	2.4	⊿
31.	36.3	36.1	36.1	17.6	26.4	19.6	27.2	14.9	9.8	7.3	9.2	66	29	54	C	E 2	C	○○	○○	o	–	⊿
Mittel	39.1	38.1	38.2	16.0	25.0	19.2	26.4	14.2	11.3	11.4	12.5	83	49	76				3.7	4.7	5.2	32.4	

Alle Angaben nach Ortszeit.

Landshut.

Juli. $\varphi = 48^0\ 32'$ N. $\lambda = 12^0\ 10'$ E $= 48^m\ 40^s$. H $= 397.7$ m. Cg $= +0.2$ mm. 1911.

Datum	Luftdruck auf 0^0 u. Normalschwere reduziert 700 mm +			Lufttemperatur C°					Absolute Feuchtigkeit mm			Relative Feuchtigkeit Proz.			Richtung und Stärke des Windes o bis 12			Bewölkung o bis 10			Niederschlag mm	Bemerkungen
	7^a	2^p	9^p	7^a	2^p	9^p	Max.	Min.	7^a	2^p	9^p	7^a	2^p	9^p	7^a	2^p	9^p	7^a	2^p	9^p	7^a	
1.	24.6	23.6	24.4	14.4	20.3	15.9	25.1	13.1	11.0	13.2	11.2	91	74	83	NE 2	W 4	W 4	10^1	10^1●	10^1	1.5	n, 9^{44}–10^{04} a, 1^{49}–2^{04} p ◍, p öfters kurze ◍ böen
2.	24.8	24.5	27.0	16.4	26.2	16.4	28.7	14.4	12.3	11.1	11.7	88	44	84	W 2	W 2	C	10^1●	2^1⊙	4^1	0.8	6^{49}–7^{04} a ◍^{0}, 7^{04}–7^{19} p ◍
3.	32.2	32.0	35.5	12.7	18.9	12.6	23.0	12.2	8.8	7.6	8.4	81	47	78	NW 2	W 2	C	10^1	6^1	8^1	1.3	$7^{19.49}$ p ◍^{0}
4.	**8.1**	37.0	36.8	11.4	19.6	11.2	23.0	5.4	7.8	6.0	7.7	78	35	78	C	E 2	C	2^0⊙	1^0⊙	1^0	0.4	⌓
5.	37.6	36.6	36.3	13.6	21.8	14.4	25.4	5.4	8.0	6.4	8.0	69	33	65	E 2	NE 2	E 2	○○	7^1⊙	1^1	–	⌓
6.	35.8	34.1	33.6	14.0	23.0	15.1	24.4	8.4	9.2	8.1	9.4	78	39	73	C	NE 4	C	○○	4^1⊙	0	–	⌓^{0}
7.	34.1	33.4	32.9	13.6	24.2	17.1	29.1	7.2	9.5	9.6	12 7	82	43	88	C	C	C	9^1	8^1	6^1	–	2^{19} p ◍ tropfen, 7^{49}–8^{23} p ◹, 7^{57}–8^{31} p ◍
8.	33.5	31.5	31.5	15.9	20.8	19.5	29.9	12.3	12.3	12.2	12.1	91	67	7	W 2	E 2	SW 2	10^1	9^1	1^0	**3.3**	n ◍; 0^{04} p, 0^{59} p, $1^{49.56}$ p ◹, $1^{52.59}$ p ◍
9.	32.4	32.2	33.3	17.7	22.0	15.3	25 3	13.2	10.5	8.0	8.1	69	41	62	C	NW 4	E 2	1^0⊙	6^1⊙	10^0	0.1	
10.	35.2	34.6	34 8	14.2	20.0	14.4	24.6	9.6	7.7	6.3	7.7	64	36	63	NE 2	E 4	E 2	8^1	2^1⊙	1^1	–	
11.	35.3	34.3	33.3	11.8	22.6	16.4	28.9	**5.2**	8.6	6.5	9.5	86	32	69	C	E 2	C	9^0	7^1⊙	8^0	–	⌓
12.	33.8	32.5	31.9	15.8	25.6	17.2	30.0	10.0	9.3	10 9	11 5	69	45	79	NW 2	NE 2	C	9^1	9^1	2^1	–	
13.	32.2	30.3	29.9	18.1	26 6	19.8	30.2	12.4	11.7	8.1	11.7	75	32	68	NE 2	NE 2	E 2	2^1⊙	8^1⊙	10^1	–	
14.	31.0	30.3	29.4	17.2	22.6	17.3	26.4	11.2	11.6	13.0	12.0	80	64	82	NE 2	S 2	W 2	1^0⊙	10^1	5^1	–	11^{34} a, 1^{04} p ◹, $2^{19.59}$ p ◍^{0}
15.	28.9	26.3	26.9	15.3	27.4	16.4	29.3	11.0	11.3	8.5	11.3	87	32	81	W 4	NW 4	W 2	2^1⊙	8^1⊙	2^1	0.4	
16.	27.2	25.4	25.4	15.3	21.4	15.2	23.0	9.2	10.7	8.9	8.6	83	47	67	SW 2	W 4	W 2	10^1	9^1⊙	9^1	–	
17.	24.7	24.8	24.2	16 4	22.0	15 5	25.0	12.0	10.2	6.9	9 8	73	35	75	SW 2	W 4	SW 2	8^1	6^1⊙	1^1	–	
18.	24.6	24.0	26 3	14.2	28.0	18.3	30.4	9.4	10 2	8.5	10.8	85	30	69	S 2	W 4	C	1^0⊙	2^1⊙	1^0	–	⌓^{0}
19.	28.2	28.9	30.3	16.7	27.6	17.4	30.4	11.0	10.8	7.8	10 3	76	28	69	SW 2	W 4	C	1^0⊙	2^1⊙	0	–	
20	32.6	32.0	32.9	15.5	29.6	20.2	33.2	10.3	9.9	9.4	8 3	76	30	47	SW 2	S 2	C	○○	1^0⊙	0	–	
21.	36.2	35.8	35.3	15 5	27.6	19.6	30.9	11.4	9.9	7.5	8.9	76	27	52	C	NE 2	C	2^0⊙	2^0⊙	1^1	–	
22	36.2	34.7	33.8	16 9	30.6	20.2	34.6	11.2	10.1	8.2	11.4	71	25	65	C	E 2	C	○○	1^0⊙	0	–	7 a ∞
23.	33 5	31.5	29.8	18.7	33.2	26.2	36.8	13.4	12.2	9.8	10.0	76	26	40	C	SE 2	SE 4	○○	1^0⊙	0	–	
24.	29.3	28.0	28.5	18.1	33 6	22.4	37 0	13.2	11.4	10.2	14.3	74	26	71	SW 4	W 2	E 2	1^1⊙	4^0⊙	1^1	–	$7^{35.39}$ p ◹, $7^{39.47}$ p ◍
25.	28.9	27.5	27.0	20.5	33.4	21.9	36.9	15.4	12.6	12.8	13.4	70	33	69	W 2	SW 2	C	8^0	1^1⊙	1^0	0.8	
26	27.6	26.5	26.3	20.5	34.8	26.9	**39.3**	15.4	12.4	11.9	12.2	70	29	46	C	S 2	SE 2	○○	1^0⊙	1^1	–	
27.	29.8	28.7	28.9	24.8	34.0	24.6	35 8	18.3	12.1	10.7	13.1	50	27	57	W 2	SE 2	C	3^1⊙	1^1⊙	1^0	–	3^{34} a ◹ i, N, ≡
28.	30 1	28.7	27.8	22 3	34.8	27.0	36.9	18.4	14.2	10.4	10.5	71	25	40	C	E 2	SE 2	4^0⊙	1^0⊙	8^0	–	9 p ◹
29.	30.8	28.9	28.0	19.7	33.2	22.4	35.1	17.4	12.2	8.5	11 9	71	23	59	W 2	S 2	W 2	1^1⊙	4^0⊙	4^1	–	n ≡
30.	29.0	27.6	27.5	19.9	33 2	19.6	33.9	16.0	13.0	11.9	**15.7**	75	32	**92**	C	C	C	2^0⊙	6^2⊙	2^0	–	$0^{04.09}$ p ◍, $4^{34.43}$ p ◹ ◍
31.	27 8	27.7	27.7	19.3	28.9	21.2	30.3	16 2	7.5	**4.9**	6.5	45	**17**	35	E 4	E 4	C	○○	○○	0	0 9	
Mittel	31.2	30.1	30.2	16.7	26.7	18.6	30.1	11.9	10.6	9.2	10.6	75	36	67				4.0	4.5	3 2	9.5	

Augsburg.

Juli. $\varphi = 48^0\ 22'$ N. $\lambda = 10^0\ 54'$. E $= 43^m\ 36^s$. H $= 499.6$ m. Cg $= +0.1$ mm, über 728.8 mm Cg $= +0.2$ mm. 1911.

1.	15.9	15.1	16.0	15 9	17.6	15.7	19.7	12.9	11.7	11.8	11.4	**87**	78	86	SW 2	SW 4	SW 4	10^1	10^2	10^2	2.7	n u. t ztw. ◍
2.	16.5	16.3	19.4	16.8	22.0	17.2	22.4	13.2	11.7	13.0	11.3	82	66	77	SW 2	N 2	NW 2	6^2	5^2⊙	10^1	4.2	
3.	23.7	23.6	27.2	13.3	19.4	11.9	19.4	11.3	7.9	7.5	8.4	69	44	80	N 2	NE 4	N 2	6^1⊙	5^2⊙	4^2	–	
4.	**29.4**	28.1	28.4	10 6	19.9	15.2	20.8	**7.3**	7.5	7.0	8.0	78	41	62	N 2	NE 2	E 2	4^0⊙	5^1⊙	2^1	–	⌓
5.	28.8	27.9	27.3	12.6	21.7	17.1	22.1	8.5	7.2	6.9	8.0	67	37	55	E 2	E 2	E 2	○○	3^0⊙	0	–	⌓
6.	27.0	26.0	25.5	14.2	22.9	17.6	24 8	10.2	8.2	8.7	10.1	68	42	67	E 2	E 4	E 2	○○	3^1⊙	0	–	
7.	25.5	25.7	25.3	15.9	25.3	21.7	26 4	11.0	9.5	9.3	11.5	70	39	60	C	E 2	NE 2	○○	3^1⊙	3^1	–	⌓
8.	25.4	24.2	24 6	18.5	28.0	22.2	29.4	14.9	10.7	11.5	12.2	67	41	62	C	NW 4	NW 2	4^1⊙	5^2⊙	2^1	–	
9.	24.9	24.7	25.3	18.3	22.9	16.6	24.2	15.8	10.4	9.5	8.3	65	46	52	W 2	NW 4	NE 2	○○	4^1⊙	2^0	–	
10.	26.6	25.6	26.6	14.4	21.6	16.2	23.1	11.7	7.6	6.8	7.4	62	34	55	NE 2	NE 2	NE 2	4^1⊙	3^1⊙	0	–	
11.	26 8	25.5	25.6	14.3	23.9	19.1	23.9	10.6	7.9	**6.1**	7.9	65	32	48	NE 2	NE 2	SE 2	3^0⊙	4^1⊙	4^1	–	
12.	25.4	24.5	24.0	14.4	24.7	20.4	25.2	10.4	8.7	9.9	12.6	72	43	70	C	E 2	E 2	5^1⊙	4^1⊙	10^1	–	
13.	24.0	22.6	22.5	17.8	25.6	20.3	27.8	13.9	11.4	10.6	11.3	74	44	64	C	NE 2	NE 2	7^1	5^2⊙	8^2	–	
14.	22.8	22.1	21.8	17.4	24.1	18.3	25.8	15 2	11.3	12.0	12.2	76	54	78	SW 2	NW 2	SW 2	3^1⊙	5^2⊙	4^2	–	$11^{34.54}$ a, 11^{59} a–0^{59} p, 4^{24}–5^{34} p ◹. $11^{59.44}$ a, 4^{04}–5^{28} p ◍.
15.	20.7	18.9	19.6	17.0	27.0	19 5	28.1	13.3	11.6	10.5	11.2	80	39	66	SW 2	NW 2	NW 2	4^1⊙	4^1⊙	7^1	14.4	⌓ [$4^{39.49}$ p ▲
16.	19.0	17.3	17.4	16.2	21.9	15.7	21.9	13.1	10.9	10.6	9.4	79	54	70	N 2	NW 2	C	8^1	7^1⊙	9^1	0.1	n ◍
17.	16.7	16.5	16.1	16.5	23 0	18.7	24.6	8.1	8.6	8.7	10.3	62	43	64	NW 2	NW 2	C	8^1	7^1⊙	4^1	–	
18.	16.2	15.8	16.9	18.6	26.8	22.0	28.0	13.3	9.6	8.7	9.4	61	33	48	SW 2	W 4	W 2	○○	3^1⊙	0	–	⌓
19.	20.3	20 8	22.9	19.2	27.5	21.6	29.8	16.3	10.2	8.6	9.9	61	32	52	W 2	W 4	NW 2	○○	2^1⊙	0	–	
20.	24.5	24.2	25.8	18.4	27.8	21.1	29.8	13.7	11.3	9.9	9.6	72	36	52	SW 2	E 2	NE 2	2^0⊙	2^1⊙	0	–	⌓
21.	28.0	27 4	27 4	17.4	27.6	22.4	30.0	12.7	9.9	8.5	10.3	67	31	51	N 2	E 2	E 2	1^0⊙	2^0⊙	0	–	⌓
22.	27.6	26 4	25.7	19.8	29.8	24.3	31.8	15.4	10.7	10.8	11.1	62	35	50	E 2	NE 2	E 2	○○	○○	0	–	⌓
23.	24.8	22.8	21.8	19.6	33.2	27.0	34.7	16.2	11 6	10.0	11.2	68	**27**	42	E 2	S 2	S 2	○○	○○	0	–	⌓
24.	21.2	19.6	21.1	25.3	33.7	24.9	33.7	16 6	12.4	10.6	10.3	52	**27**	41	SW 2	SW 2	SW 4	8^1	3^1⊙	10^1	–	⌓. $4^{04.14}$ p ◹. $3^{00.14}$ p ◍
25.	20.6	19.3	19.6	21.5	31.5	24.3	32.0	17.5	12.8	11.1	12.7	68	32	56	S 2	W 2	NE 2	10^1	○○	3^1	0.6	n ◍
26.	19.3	18.4	19.1	21.9	33.2	25.3	34.1	17.7	12.4	11.2	**14.2**	65	30	59	S 2	SW 2	NE 2	○○	1^1⊙	0	–	⌓
27.	21.9	21.0	21.0	21.7	31.6	27.4	33.0	19.3	13 7	12.6	14.1	71	37	52	SW 2	E 2	NE 2	2^1⊙	○○	4^1	7.9	n ◹ mit ◍
28.	22.2	20 7	20 2	21.7	32.7	26.5	**35.3**	19.4	12.0	13.5	15 8	63	37	61	NE 2	SW 2	NW 2	2^1⊙	2^1⊙	7^2◹	–	8^{39} p–n ◹
29.	23.0	21.1	20.5	24.8	30.7	25.7	32.8	17.3	9 6	12.0	12.8	41	37	52	SW 2	NW 2	SE 2	○○	○○	1^0	**15.7**	n ≡ ◹ ◍
30.	20.6	19.2	19.5	19.9	33.1	24.7	33 1	17.2	12.4	13.5	15.5	72	36	66	SW 2	NW 2	SE 2	2 ○	5^2⊙	10^1	–	⌓, $2^{27.39}$ p ◹
31	19.7	18.9	19.4	18.4	28.7	21.8	29.2	16.7	9.3	8.6	8.2	59	29	42	SE 2	NE 4	SE 2	1^0⊙	3^0⊙	0	–	
Mittel	22.9	21.9	22.4	17.8	26.4	20.7	27.6	13.9	10.3	10.0	10.9	68	40	60				3.2	3.4	3.7	45.6	

Alle Angaben nach Ortszeit.

München-C.St.

Juli. $\varphi = 48^0\ 9'$ N. $\lambda = 11^0\ 34'$ E $= 46^m\ 16^s$. H $= 526.4$ m. Cg $= +0.1$ mm. 1911.

Datum	Luftdruck auf 0^0 u. Normalschwere reduziert 700 mm +			Lufttemperatur C°					Absolute Feuchtigkeit mm			Relative Feuchtigkeit Proz.			Richtung und Stärke des Windes 0 bis 12			Bewölkung 0 bis 10			Niederschlag mm	Bemerkungen
	7^a	2^p	9^p	7^a	2^p	9^p	Max.	Min.	7^a	2^p	9^p	7^a	2^p	9^p	7^a	2^p	9^p	7^a	2^p	9^p	7^a	
1.	13.8	13.3	14.0	14.9	19.6	16.2	22.1	14.9	11.9	11.6	11 8	**94**	69	86	S 1	W 2	SW 4	10^1	10^1	10^1●	**5.2**	n, t–n ztw.
2.	14.5	13.7	16.8	16.0	24.2	17.7	25.1	14.8	11.5	12.2	12.7	85	55	85	SW 2	C	NW 1	9^1	4^0○	10^1●	3.9	n, t ztw. ◍^{0}, $546–611$ p ◍^{1}, $556–628$ p ◹, 601 p ◠,
3.	21.0	21.4	25.2	13.2	16.5	11.9	18.9	11.9	8.1	7.8	7.4	72	56	72	NW 2	N 1	NE 1	10^1	9^1	6^1	4.7	n ◍, 556 p kurz ◍^{0} [806 p–n ◍^{1}
4.	**26.4**	25.7	25.7	10.7	17.7	14 7	18.9	9.0	7.4	7.3	7 8	77	49	62	E 2	NE 2	C	7^0	4^0○	1^0	0.8	n ◍
5.	26.1	25.5	24.9	12.5	19.9	16.4	20.9	9.9	7.4	6.9	8.3	69	40	60	NE 1	NE 1	NE 1	1^0○	3^0○	3^0	–	mrgs. ⊼
6.	24.5	23.0	22.9	14.8	21.3	16.8	21.7	11.0	8.2	8.5	9.4	66	45	66	NE 1	E 3	E 1	○○	2^1○	○	–	mrgs. ⊼, ∞
7.	22.9	22.9	22.8	17.1	24.4	19.8	25.1	12.7	9.2	9.4	11 3	64	41	66	SE 1	E 2	SW 1	○○	3^1○	8^1	–	mrgs. ⊼
8.	22.9	21.6	21.9	18.2	28.0	20.4	28.3	15.1	10.0	10.4	12.0	64	37	68	SW 1	NW 2	SW 2	6^1○	7^1	1^1	–	mrgs. ⊼, ∞, 416 p kurz ◍^{0}
9.	22.2	22.0	22.7	19.6	20.8	17.0	23.1	16.7	10.0	10.4	8.4	58	57	58	SW 1	NW 3	NW 1	4^1○	7^1○	4^0	–	mrgs. ∞
10.	23.7	23.5	24.0	13.2	19.8	15.1	23.1	12.0	7.2	6.0	6.8	64	35	52	NE 2	E 1	NE 1	9^1	3^1○	○	–	mrgs. ⊼
11.	24.0	23.7	23.0	14.9	21.0	17.1	21.9	11.4	7.8	6.9	8.8	62	37	61	NE 1	E 1	SW 1	2^0○	4^1○	4^1	–	mrgs. ≡^{0}
12.	22.8	21.8	21.4	17.8	25.3	20.2	25.5	12.5	8.7	8.6	10.7	58	36	60	C	E 2	NE 1	6^1	6^1○	1^1	–	
13.	21.3	19.9	19.4	18.6	24.6	19.5	25.2	14.4	10.5	10.1	10.6	66	44	63	C	SE 1	NE 2	6^1	7^1	7^2	–	mrgs. ≡^{0}, ca. 5 p ◠, abds. ◹ im SW
14.	20.2	19.4	19.2	16.8	22.6	17.3	24.9	15.2	11 0	11.5	12.4	77	51	85	W 1	N 3	SW 1	7^1	9^2◪	9^2	–	n ◹ im SW, $131–349$ p ◹, $204–430$ p ◍
15.	18.2	16.3	16 9	17.8	24.6	16.1	26.0	14.0	11.2	10.4	10.6	74	46	78	SW 2	W 2	SW 3	○○	6^2○	2^0	3.5	931 p ◹ im N, mrgs. ⊼ ∞, 117 p ◹
16.	16.4	14.7	14.8	15.6	21.6	15.7	22.1	14.1	10.3	10.5	9.0	78	55	67	C	NW 2	NW 2	9^1	6^1○	4^1	–	vorm. ztw. ◍tropfen
17.	14.5	14.1	13.9	15.4	21.6	18.6	23.1	14.0	8.9	8.5	10.2	68	44	64	SW 2	NW 2	C	10^1	7^1	7^1	–	
18.	14.0	13.7	14.7	18.8	26.4	20.3	27.1	14.2	9.8	7.7	10 2	61	30	57	SW 3	W 3	SW 2	3^0○	1^0○	○	–	mrgs. ⊼
19.	17.7	18.4	20.2	21.2	27.4	21.4	28.2	16 8	10.0	7.1	9.7	54	27	52	SW 3	NW 2	N 1	1^0○	3^0○	○	–	mrgs. ⊼
20.	21.9	21.6	22.9	19.2	25.8	20.7	28.1	15.8	9 4	9.6	10.1	56	40	55	SW 1	NE 1	NW 1	3^0○	3^1○	○	–	mrgs. ⊼ ∞
21.	25.3	24.9	25.0	17.6	25.6	21.5	26.2	15.7	9.9	8.4	7.8	67	34	41	C	E 1	E 1	○○	4^0○	1^0	–	mrgs. ⊼ ∞
22.	24.9	24.0	23.5	20.0	28.4	23.8	29.0	16.2	10.1	8.9	10.6	58	31	49	SE 1	E 1	SE 1	○○	○○	○	–	mrgs. ⊼ ∞
23.	22.3	20.5	19.4	20.6	31.9	25.7	32.8	18.0	11.7	9.6	11.5	65	28	47	SE 1	E 1	SE 1	○○	1^1○	○	–	mrgs. ⊼
24.	18.7	17.9	18.6	23.8	30.0	24.6	33.0	19.1	12.3	12.7	10 4	57	40	46	SW 2	SW 2	SW 5	3^0○	6^1	10^1	–	mrgs. ⊼, ∞, $126–36$ p ◹, abds. ◹ i. NE, ztw. ⩸
25.	18.2	16.9	17.1	21.8	32.4	25.7	32.7	20.1	12.1	10.7	11.8	63	29	49	SW 1	SW 2	C	7^1	3^1○	4^1	–	n ◹ im NE, abds. ◹ im S
26.	16.7	15.9	16.4	22.4	32.4	25.8	33.1	19.9	12.1	10.3	12 9	60	28	52	SW 1	E 1	SW 2	○○	4^1○	2^1	–	n ◹ im S, mrgs. ∞
27.	19.5	18.2	18.5	23.6	31.6	26.6	32.7	20.9	12.9	10.2	12,2	60	29	47	C	NE 2	C	3^1○	1^1○	9^1	–	n ◹ im W, mrgs. ∞, abds. ◹ im SE
28	19.5	18.1	17.6	24.2	32.8	28.8	**33.7**	21.0	**14.2**	11.4	12 8	63	31	44	E 1	NE 2	SW 7	6^1○	6^1○	10^1◪	–	n ◹, ◍tropfen, $736–900$ p ◹, $857–900$ ⩸
29.	20.0	18.4	18,2	21.0	30.6	25.4	31.2	18.3	11.9	10.9	11,8	66	33	50	SW 1	W 1	SW 1	1^0○	3^0○	6^1	0.5	900–ca. 11 p ◹, $900–1016$ p ⩸, 936–ca. 11 p ◍^{0}
30.	18.2	17.3	16.9	22.2	30.2	23.6	31.5	19.7	12.2	12.4	14.1	62	39	66	SW 1	SE 2	C	6^0○	8^2◪	4^0	–	mrgs. ∞^{2}, 2–ca. 3 p ◹ im E
31.	16.4	16.5	17.2	19.4	27.6	21.2	28.0	16.2	9.4	6.9	5.6	56	**25**	30	E 1	E 1	SE 2	1^0○	1^0○	1^0	–	mrgs. ∞, ⊼
Mittel	20 3	19.5	19.9	18.2	25.4	20.2	26.6	15.3	10.2	9.5	10.3	66	40	59				4.2	4.5	4.0	18.6	

Traunstein.

Juli. $\varphi = 47^0\ 52'$ N. $\lambda = 12^0\ 39'$ E $= 50^m\ 36^s$. H $= 597$ m. Cg $= +0.1$ mm. 1911.

1.	09.1	08.1	09.4	14.2	21.0	16.2	22.0	13.5	11.5	10 9	12.8	**96**	59	94	SW 2	NW 2	W 2	10^2●	10^2	8^2●	5.4	n u. t meist ◍
2.	09.4	08,2	11,0	14.6	23.0	16.2	24.0	13.0	11.8	12.0	11.7	**96**	58	85	NW 2	E 4	W 2	8^2●	6^2○	8^2◪●	3.7	n u a ◍; 718.47 p ◹, 720.41 p ◍; $783–900$ p ◹, $757–900$ p ◍
3.	15.6	15.4	19.1	12.0	15.8	13.2	16,2	11.5	9.9	9.5	10 4	**96**	71	93	W 2	NE 2	NW 6	10^2●	10^2	10^2●	14 4	900.09 p ◹, 900.28 p ◍, a u. abds. ◍
4.	**20.8**	19.8	20.5	10.2	17.0	11.6	18.0	8 5	6.9	6.9	8.9	74	48	88	N 2	E 4	E 2	8^2○	6^2○	6^2	1.8	a ⊼
5.	20.0	19.7	19.8	12.6	18.6	12.0	20.0	**7.0**	7.8	5.8	8.2	72	36	79	SE 2	N 4	SE 2	4^2○	6^2○	2^2	–	a ⊼
6.	18.6	17.5	17.9	13.4	18.6	15.8	20.0	7.5	8.3	7.5	8.4	73	47	63	E 2	NE 4	NE 2	○○	4^2○	8^2	–	a ⊼
7.	17.3	17.2	17.5	14.6	23.2	15.6	24.6	10.2	8.5	8.6	11.5	69	40	87	S 2	E 2	E 2	4^2○	6^2○	4^2	–	428.49 p ◹, $431–503$ p ◍
8.	17.0	16.1	16.4	16.4	24.8	17.2	26.0	13.1	10.7	10.9	13.1	77	47	90	S 2	NW 2	S 2	8^2	8^2○	6^2	–	
9.	16.0	16.1	17.4	18.6	20.2	15.2	21.8	13.8	9.9	10.4	10.9	62	58	85	W 2	NW 6	N 2	8^2○	8^2○	8^2	3.8	
10.	17.6	17.9	18.4	12.4	18.4	12.4	19.0	10.2	7.7	6.6	7.7	72	42	72	NE 2	E 4	E 2	8^2○	4^2○	○	–	
11.	18.2	17.9	18.2	12.0	20.0	14.6	21.1	7.1	7.4	5.2	9.1	71	30	74	SE 2	E 4	SE 2	1^1○	4^2○	8^2	–	a ⊼
12.	17.2	16.6	16,2	14.6	23.2	14.6	24.1	9.8	8.4	8.1	10.7	68	38	87	SE 2	SE 6	SE 2	8^2	4^2○	○	–	
13.	15.6	14.2	14.1	16.4	24.6	19.8	25.3	12.0	10.4	9 5	11,2	75	42	65	SE 2	N 4	W 2	4^2○	4^2○	8^2	–	a ⊼
14.	14.6	13.9	13.9	16.2	22.2	15.2	23.2	14 8	11.7	11,2	11,2	85	56	87	SW 2	SE 2	S 2	10^2	4^2○	2^2	–	vorm. ◍. 321 p ◹ im NE
15.	12.7	12.0	11.1	16.4	18.6	16,0	19.2	13.4	11.3	12.5	10.4	81	79	77	S 2	NW 6	S 2	2^1○	8^2●	2^1	1.4	$634–157$ p ◹, $127–903$ p ◍; 306.51 p, $421–516$ p ◹
16.	10.6	09.3	09.4	15.4	19.0	14.4	20.1	11.8	10.3	10.5	11.7	79	64	**96**	S 4	SW 4	W 2	6^2○	8^2○	8^2	6.3	603.33 p ◹, 650.41 p ◍▲; 246.39 p, 521.41 p ◹
17.	08.9	09,0	09.7	15,6	18.6	14.2	20.0	11.2	8.5	8 8	10,9	64	55	92	W 6	NW 2	SW 2	8^2○	6^2	○	**17.1**	
18.	08.5	08,5	09.9	16.2	24,2	15 8	25.2	10.8	11.1	8 2	8.1	80	36	61	SW 2	NW 4	S 2	1^1○	4^2○	○	–	
19.	12.1	13,2	15.2	20.4	26,4	16,0	27.2	13,0	9.9	8.8	11.5	55	35	85	SW 2	NW 4	SW 2	1^1○	2^1○	○	–	
20.	16.2	16.1	16.8	17.0	25.2	17.0	25.6	13.6	11.5	8.8	11.2	80	37	78	S 2	NE 4	S 2	6^2	2^1○	2^1	–	
21.	19.1	19.4	19.9	16.2	24.6	17.2	25.2	12.8	11.1	10.2	10.5	81	45	72	SW 4	NE 2	SE 2	○○	2^1○	2^1	–	a ⊼
22.	19.3	19.0	18.3	17.2	26.2	18.8	27.0	12.4	10.2	10.0	13.0	70	40	81	S 2	E 4	SE 2	2^1○	2^1○	○	–	a ⊼
23.	17 4	15.2	14.9	19.0	29.6	21.2	30,2	14.7	11.4	10.2	12.2	70	32	65	SE 2	E 6	NE 2	○○	1^1○	2^1	–	a ⊼
24.	13.4	12.7	13.4	22.6	28,6	22.4	29.2	15 6	12 6	12.1	13 0	62	42	65	SE 2	W 2	W 2	2^1○	8^2	8^2◪	–	a ⊼. $828–900$ p ◹
25.	13.1	12.0	11.7	19.8	29.0	21.2	29.4	15.4	12.4	8.6	12 5	72	29	67	S 2	NW 4	S 2	4^2○	3^1○	○	2.3	900.48 p ◹. 1016.31 p ◍
26.	11.5	10.7	11.5	20.6	31.2	23.2	31.8	16,1	12.5	12.6	13.1	70	37	62	SE 2	E 2	E 2	○○	2^1○	4^2	–	
27	14.4	13.0	13.0	22,0	30.0	24,0	31,1	17.8	13,2	12.3	13.9	67	39	63	S 2	NE 4	SE 2	2^1○	○○	6^2	–	abds. ◹ im W u. S
28.	13 8	12.8	12.7	22.4	32,2	23.6	**33.0**	17.0	13.3	11.6	13 9	66	32	64	E 2	NE 4	SE 2	○○	3^1○	6^2	–	n ◹ im S, W u. N. $541–701$ ◹
29.	14.1	13.0	13.0	20,0	29.8	20,8	30,6	18.8	10.8	9.7	14.3	62	31	78	SW 2	SE 4	S 2	2^1○	4^2○	6^2	–	121 p ⩸ aus N
30.	12.5	11.7	11.4	20.8	29.2	21.4	29.8	16.9	12.7	12,1	**15.2**	70	40	80	S 2	E 4	E 4	6^2○	4^2○	4^2	–	
31.	11.2	11.6	12.3	16.6	25.0	16.6	25.9	14.1	9.8	5.8	6.0	69	**24**	43	E 4	E 6	E 4	○○	2^2○	1^1	–	
Mittel	14.7	14.1	14.6	16.7	23.8	17.2	24.7	12.8	10.4	9.5	11.2	74	44	77				4.3	4.7	4.2	56.2	

Alle Angaben nach Ortszeit.

Partenkirchen.

Juli. $\varphi = 47^0\ 30'$ N. $\lambda = 11^0\ 6'$ E $= 44^m\ 24^s$. H $= 714.6$ m. Cg $= +0.1$ mm. 1911.

Datum	Luftdruck auf 0^0 u. Normalschwere reduziert 700 mm +			Lufttemperatur C°					Absolute Feuchtigkeit mm			Relative Feuchtigkeit Proz.			Richtung und Stärke des Windes 0 bis 12			Bewölkung 0 bis 10			Niederschlag mm	Bemerkungen
	7^a	2^p	9^p	7^a	2^p	9^p	Max.	Min.	7^a	2^p	9^p	7^a	2^p	9^p	7^a	2^p	9^p	7^a	2^p	9^p	7^a	
1.	698.8	698.7	698 9	14.0	19.6	15.7	20.8	14.4	11.0	12.5	11.7	93	74	88	C	C	C	9^0	9^0●	7^0	3.4	m ◍^{0} [ztw. ◍
2.	00.1	698.7	01.7	14.8	21.2	14.7	23.2	13.6	11.7	14.8	12.0	93	79	97	C	N 3	C	10^0●	7^1	8^1●	0.7	mrgs. ◍^{0}; 141.54 p ⟍, 144 p kurz ◍; $544–634$ p ⟍; $559–834$ p
3	05.4	05.4	08.8	11.1	13.8	13.2	15.3	10.7	9.5	9.6	8.2	96	82	73	C	NW 2	NW 4	10^0	10^0	10^1	9 4	a Berge bis 1000 m im ≡
4.	**10.4**	08.9	09.8	9.8	16 4	13.6	17.2	8.9	8.0	8.4	9.0	88	60	78	C	NW 4	C	10^0	7^0◎	8^0	0.1	a Berge teilweise im ≡
5.	10.0	08.6	09.2	10.2	19.0	11.7	19.5	7.1	8.1	7.5	8.6	87	46	85	C	NW 4	SE 1	1^0◎	2^0◎	1^0	–	⏃, a Berge frei
6.	08 4	05 9	06.8	11.8	20.4	14.3	21.3	8.4	8.1	8.3	10.5	78	47	87	C	NW 4	S 1	oo	1^0◎	1^0	–	⏃, a Berge rein, föhnig
7.	07.0	06.8	07.9	14.2	22.0	14.2	23.5	9.6	8.4	8.4	9.4	69	43	78	S 3	NW 4	S 2	oo	3^0◎	o	–	⏃, a Berge rein, föhnig
8	08.0	06.5	07.2	14.7	24.5	16.3	26.0	10.9	9.1	8.5	10.8	73	37	78	S 3	NW 2	S 2	3^0	2^0◎	2^1	–	a Berge rein, föhnig
9.	07.2	05.5	06.9	15.2	22.8	15.0	23.9	14.0	12.6	8.2	11.4	**98**	40	90	C	NW 4	C	5^0	5^0◎	7^1	2.5	ca. 2–3 a ⟍, ca. 2^{20} a ◍, a Berge dunstig. 3^{24} p ⟍
10	07.8	06.9	07.8	11.1	16.8	13.6	18.3	10.7	8 5	6.4	8.3	86	45	72	C	NW 4	C	9^0	6^0	1^0	1.7	a Berge teilweise bedeckt
11	08.0	07.4	07.9	10.4	17.9	12.5	19.3	**6.7**	7.5	6 5	7.5	80	42	70	C	NW 3	C	oo	5^0◎	2^0	–	⏃, a Berge sehr rein, föhnig
12.	07.2	05 5	06.0	12.8	22.6	14.1	23.3	8.3	7.0	8.1	9.6	64	40	80	S 2	N 5	SE 2	oo	4^0◎	o	–	⏃, a Berge rein [7^{34} p–n ztw. ◍
13.	05.7	04.6	04.4	13.2	17.2	14.7	22.5	10.8	9.0	12.8	12.0	80	88	97	SE 2	C	C	6^0	8^0	10^1●	–	a Berge rein. 5^{34} p ⟍, 0^{34}–1^{14} p, $5^{44.54}$ p ◍. 7^{34} p–n ⟍.
14	05.1	04.3	04.2	13.4	18.6	14.2	19.5	12.8	11.0	11.5	10.8	97	72	91	C	C	C	10^1●	9^0	3^0	**13.7**	mrgs. ◍^{0}. 4^{50} p ⟍. 4^{31}–5^{03} p ◍
15.	03.6	02.6	02.3	13.2	15.2	13.7	23.1	11.9	10.6	12.0	10.2	95	93	88	C	C	C	2^0◎	9^1	5^0	3.0	1^{34} p ⟍ im N, 2^{34} p ⟍ im N, 3^{44} p ⟍
16.	00.8	699.6	00.0	13 0	16.8	13.5	18.1	10.9	10.1	12.3	11.0	91	87	96	S 2	C	C	2^0◎	7^1	10^2⟍●	9.4	a Berge teilw. bedeckt, ca. 10 a–n zahlr. ⟍, zeitw.
17.	699.5	698.4	698.8	12.1	21.2	13.5	21.9	10.4	10.1	8.6	10.1	97	46	88	S 2	NW 3	C	7^0	3^0◎	o	11.0	a Berge ∞ [◍ bis n
18.	699.5	699.4	00.6	13.9	23.8	15.4	24.4	10.9	9.6	10.0	8.8	81	46	67	S 2	NW 3	S 3	oo	2^0◎	o	–	a Berge ∞
19	03.0	02.9	05.3	16.0	25.3	19.6	26.1	11.0	10.4	8.9	9.6	77	37	56	S 2	NW 4	S 4	1^0◎	2^0◎	8^1	–	⏃, a Berge rein
20	06.8	06.1	08.0	14.3	19.3	16.4	24.8	11.8	9.3	14.1	11.4	77	85	82	S 3	C	S 1	1^0◎	4^0◎	2^0	–	n ⟍, a ⏃, Berge rein
21.	09.3	08.7	09.6	14.0	23.6	16.6	24.2	11.6	10.3	10.7	10.9	87	50	77	C	NW 4	S 2	oo	4^0◎	o	1.7	⏃, a Berge rein
22.	09.3	07.5	08.2	16.1	26.5	17.8	27.1	13.0	10.2	10.5	11.9	75	41	78	S 2	NW 3	C	oo	2^0◎	o	–	⏃, a Berge rein
23.	07.2	05.1	04.6	18.4	29.3	21.2	30.0	15.1	10.9	10.7	13.9	69	35	74	S 3	NW 3	S 2	oo	2^0◎	1^0	–	a Berge rein [4^{14} p–n ztw. ◍
24.	04.3	03.0	06.0	19.6	24.4	17.2	27.2	16.4	12.4	13.8	12.5	73	61	86	S 2	S 3	C	2^0◎	5^0◎	9^1●⟍	–	a Berge rein. $10^{16.34}$ a ⟍. $10^{19.44}$ a ◍; 5^{44} p–n ⟍,
25.	04.1	01.8	03.6	16 8	27.8	19.8	29.0	14.1	11.3	10.8	12.6	79	39	73	S 2	N 1	S 2	3^0◎	2^0◎	8^2	8.7	a Berge rein; ca. 6–7 ⟍, 7^{34} p–n ⟍; 7^{51}–8^{14} p ◍
26.	01.9	00.9	02.1	17.2	29.0	22.0	29.9	15.3	12.2	9.0	14.3	84	33	73	C	N 2	C	oo	1^0◎	1^0	1.2	n–10 p ⟍, a Berge sehr rein, föhnig
27.	04.4	02.5	03.5	19.0	29.0	19.4	29.8	15.7	12.6	11.5	**16.3**	77	39	93	S 3	NW 4	N 2	oo	1^0◎	3^0	–	n ⟍, a ⏃, Berge rein; 6^{14} p ◍^{0}, abds. ⟍
28.	04 5	02.9	04.4	18.8	30.1	21.1	**31.0**	16.2	13.5	11.5	13.3	84	37	72	C	N 3	NW 2	1^0◎	1^0◎	7^1	2.3	10^{47}–mn ⟍, a Berge rein, föhnig. 7^{14} p–n ⟍
29	05.2	03.1	03.9	16.0	27.6	16.7	28.1	13.7	12.7	11.4	12.2	93	41	86	C	NW 3	S 1	oo	3^0◎	o	4.0	n–0^{19} a ⟍ mit ▲, ◍, a Berge rein
30.	03.4	01.9	02.1	16.9	26.6	16.7	28.4	14.7	11.8	13.2	11.4	83	51	80	C	C	S 2	oo	4^0◎	o	–	a Berge rein; 11^{43} a–ca. 14^5 p ⟍; 2^{50}–3^{36} p ⟍, $3^{38.39}$ p ◍
31.	00.9	00.7	01.8	17.6	26.4	15.6	27.5	14.1	10.3	7.5	9.4	68	**30**	71	S 1	NW 4	SE 2	1^0◎	3^0◎	1^0	0.1	⏃, a Berge rein
Mittel	05.1	03.9	04.9	14.5	22.4	15.9	24.0	12.0	10.3	10.3	11.0	83	53	81				3.0	4.3	3.7	72.9	

Hohenpeissenberg.

Juli. $\varphi = 47^0\ 48'$ N. $\lambda = 11^0\ 1'$ E $= 44^m\ 4^s$. H $= 993.9$ m. Cg $= \pm 0.0$ mm. 1911.

	600 mm +																					
1.	75 3	**75.1**	75.7	12.6	17.2	14.0	17.8	12.4	9.8	8.2	9.6	91	56	81	SW 1	W 5	SW 4	10^2●	10^2●	10^2	4.5	n u. t ztw. ◍, t ∞$^{0.1}$
2.	76.9	76.1	78.2	12.8	20.8	13.8	21.2	12.4	11.1	11.8	11.3	100	65	97	SW 5	SW 1	W 1	10^2≡	5^2◎	10^2●	15.6	n ◍, a ≡^{1}, p Gebirge bedeckt, Flachl. rein. 7^{21}–9^{00} p ◍
3.	81.7	82.2	85.4	9.0	12.5	10.2	14.5	8.3	8.4	8.9	8.3	99	83	90	NW 1	N 3	NW 1	10^2≡	10^2	10^1	**17.9**	9^{00}–n ◍, a ≡^{1}, p ∞^{2}, ca. 6 p ◍^{0}
4.	86.2	85.9	86.3	6.9	13.4	11.5	13.9	**6 8**	7.1	6.6	6.0	96	58	59	NE 1	E 5	NE 3	10^1≡	5^2◎	8^2	0.1	a ≡^{1}, p ∞
5.	86.2	86.0	85.7	12.2	15.7	12.7	15.7	9.1	7.1	6.3	6.8	67	48	61	E 1	NE 3	NE 3	1^0◎	1^1◎	2^1	–	a ∞, p cu über dem Gebirge. Flachland ∞
6.	84.7	83 8	83.8	12.5	17.3	13.1	17.3	11 1	6.2	7.5	7.8	58	51	69	E 5	E 3	NE 4	oo	1^1◎	o	–	a reine Fernsicht, p ∞ cu ringsum am Horiz., abds.
7.	83.6	84.2	84.7	14.6	19.0	17.2	19.6	12.3	7.1	7.5	8.1	57	46	55	E 4	NE 1	NE 1	oo	1^2◎	1^1	–	t reine Fernsicht [starker Horiz≡ i. N
8.	84.4	84.2	84.1	17.3	22.9	19.0	23.0	15.9	8.2	9.0	9.1	55	43	56	SW 1	NW 4	NW 2	5^1	7^2◎	2^1	–	t ∞, $7^{23.31}$ p ⟍ $7^{30.32}$ p ◍
9.	83.9	83.3	84.0	16.6	18.6	13.1	20.5	13.1	9.9	10.5	7.3	70	66	65	NW 1	NW 5	NW 2	9^2	8^2◎	5^2	0.2	n ◍^{0}, t ∞
10.	83.8	84.2	84.5	9.5	14.4	11.5	15 0	9.1	6.9	6.6	6.3	78	54	62	NE 4	NE 4	NE 3	10^1	6^2◎	o	–	t ∞, abds. Horiz≡ im N
11.	84.4	84.7	84.4	11.0	15.4	13.6	16.0	9.1	7.6	6.4	6.7	77	49	58	NE 4	NE 1	SE 1	oo	4^2◎	o	–	a reine Fernsicht, p ∞, abds. Horiz≡ im N
12.	83.8	83.2	83.0	15.8	19.6	16.2	19.8	12.6	6.1	7.0	9.2	46	42	67	NE 1	NE 4	NE 3	oo	1^2◎	1^2	–	t reine Fernsicht, p cu üb. d. Geb., abds. Horiz≡ i. N
13.	82 4	81.8	81.3	16.7	20.9	16.2	21.1	15 4	8.9	9 8	10.2	63	53	74	NE 1	NE 3	W 1	1^1◎	5^2◎	10^2⟍	–	t ∞, a ci st rings am Horiz.; $3^{19.37}$ p ⟍. 3^{54}–4^{01} p ◍; 4^{0}
14.	81.7	81.4	81.0	14.2	18.0	14.8	18.2	13.2	10.6	11.3	8.9	88	67	71	N 1	W 4	SW 2	9^2	10^2	10^2	7.2	n ⟍ u. ◍, a ∞, $1^{49.59}$ p ◍; 2^{19}–3^{12} p ⟍, $2^{37.42}$ p ◍, 3)
15.	80.0	79.0	79 0	15.2	16.8	14.4	19.6	12.9	8.6	10.0	8.2	67	70	68	SW 2	SW 3	SW 2	oo	10^2	5^1	2.1	a reine Ferns.; 11^{51} a–1^{12} p ⟍, $11^{49.56}$ a ◍, ⟍. $1^{29.49}$ p, 3)
16.	77.9	76.7	76.7	13.4	17.7	11.7	18.2	11.7	9.4	8.7	9.6	82	58	95	NW 1	NW 1	NW 2	10^1	7^2◎	10^2	6.2	a ∞, $2^{48.51}$ p ⟍, $3^{31.33}$ p ◍; $5^{44.54}$ p ⟍, $5^{31.56}$ p ◍
17.	76.2	76.0	76.0	11.1	18.1	14.9	18.7	10.3	8.5	8.1	8.8	86	52	70	W 3	NW 1	W 1	10^2	2^2◎	1^1	6.1	t ∞
18.	76.0	76.2	77.2	16.0	20.8	18.2	21.5	13.5	7.9	7.2	8.3	58	40	54	SW 3	W 4	SW 4	oo	1^2◎	o	–	a ∞, p Geb. dunstig, Flachl. rein, abds. Horiz≡ i. N
19.	79.8	80.0	82.5	17.5	22.7	18.2	23.1	17.1	8.7	6.3	8.7	59	**31**	56	W 1	NW 2	N 3	1^1◎	1^1◎	2^1	–	a ∞, p Flachland rein
20.	83.5	83.8	85.1	18.4	21.5	17.6	22.3	16.5	8 3	9.2	8.2	53	48	55	C	NE 1	N 4	1^1◎	1^1◎	2^1	–	t ∞, abds. Horiz≡ im N
21.	86.1	**86.5**	**86 5**	16.3	21.0	18.7	21.3	14.1	9.2	8.5	8.9	66	46	56	NE 1	NE 3	NE 2	oo	1^1◎	1^1	–	t ∞
22.	86 0	85.6	85.1	18.4	23.6	20.2	23.7	17.3	9.1	8.6	9.5	58	39	54	E 4	NE 4	SE 4	oo	oo	o	–	t ∞, p einige cu üb. d. Gebirge; abds. Horiz≡ i. N
23	83 9	83.1	82.3	21.4	26.6	22.8	27.3	18.7	10.7	10.4	10.9	56	41	53	SE 1	NE 1	SW 1	oo	1^2	1^1	–	a reine Fernsicht, p ∞, abds. ⟍ im S
24.	81.4	80.7	81.4	23.4	26.4	18.2	27.3	17.5	11.1	11.3	10.7	52	45	69	W 2	S 1	SW 4	5^1	5^2◎	10^2	–	t ∞, 11^{23} a–0^{18} p ⟍ im S; $4^{02.03}$ p ⟍ im E; 4)
25.	80.7	79.8	80.4	20.2	26.5	21.0	27.3	17.4	10.4	8.4	11.0	58	32	60	SW 1	SW 1	NE 2	7^1	1^2◎	5^2⟍	–	a reine, p sehr reine Fernsicht; 6^{54}–9^{00} p ⟍
26	79.1	79.2	79.6	20.6	26.8	22.0	28.0	18.7	10.0	10.1	12.0	55	39	61	S 1	NE 1	NW 2	oo	1^1◎	3^1	0.1	n ⟍ u. ◍^{0}, a reine Fernsicht, p cu üb. d. Gebirge, 5)
27.	81.4	80.7	81.3	21.2	26.5	24.2	27.3	19.1	**12.2**	10.1	11.7	65	40	52	SE 3	E 4	E 2	oo	oo	3^2	–	a ∞, p reine Fernsicht, abds. ⟍ im SE
28.	81.6	81.1	81.7	23.8	27.2	21.8	**28 3**	19.3	9.4	10.4	11.8	43	39	61	NW 2	NE 3	NW 3	1^1◎	1^2◎	10^2●	8.6	9^{14} p–n ⟍, 10^{04}–11^{29} p ◍; a reine Fernsicht
29.	82.0	81.2	80.6	19.7	24.9	21.2	25.7	15.2	10.7	10.8	11.8	62	47	64	SE 2	NE 2	W 1	oo	1^2◎	2^1	9.1	11^{09} p–0^{01} a ⟍, 11^{42} p–0^{01} a ◍; a reine Fernsicht
30.	80.4	79.9	79.6	21.8	26.3	23.2	26.3	20.7	8.1	8.9	9.7	42	36	50	W 1	E 2	NE 2	1^1◎	5^2	2^1	–	a reine Fernsicht, p ∞. 2^{11}–3^{58} p ⟍
31.	78.2	78.8	79.2	21.1	22.5	18.2	23.5	18.1	8.3	8.0	4 8	45	40	31	SE 4	NE 3	SW 2	oo	6^1	3^1	–	t reine Fernsicht
Mittel	81.7	81.5	81.8	16.2	20.7	16.9	21.4	14.2	8.9	8.8	9.0	66	49	64				3.6	3.8	4.2	77.7	

1) 7^{31}–8^{24} p ⟍, $8^{14.16}$ p ◍; 8^{24} p–n ⟍. 8^{36} p–n ztw. ◍
2) 2^{47}–3^{46} p ◍, 3^{19}–4^{01} p ⟍. 3) $1^{26.54}$ p ◍; 2^{38}–^{56} p ⟍, 2^{49}–3^{09} p ◍; 6^{57}–7^{52} p ⟍. 4) 6^{58}–7^{48} p ⟍ mit ◍^{0}.
5) abds. ⟍ im S

Alle Angaben nach Ortszeit.

Zugspitze.

Juli. $\varphi = 47^0\ 25'$ N. $\lambda\ 10^0\ 59'$ E $= 43^m\ 56^s$. H $= 2964$ m. Cg $= -0.2$ mm. 1911.

Datum	Luftdruck auf 0^0 u. Normalschwere reduziert − 500 mm +			Lufttemperatur C⁰					Absolute Feuchtigkeit mm			Relative Feuchtigkeit Proz.			Richtung und Stärke des Windes 0 bis 12			Bewölkung 0 bis 10			Niederschlag mm	Schneedecke cm
	7^a	2^p	9^p	7^a	2^p	9^p	Max.	Min.	7^a	2^p	9^p	7^a	2^p	9^p	7^a	2^p	9^p	7^a	2^p	9^p	7^a	7^a
1.	31.9	32.6	33.5	1.4	2.1	3.4	3.8	0.5	5.1	4.8	5.6	100	91	96	W 6	W 7	W 7	10^2	10^2	9^2	2.8	115
2.	33.9	34.2	34.9	2.7	4.4	2.2	7.0	2.2	5.5	5.7	5.4	100	92	100	W 6	8W 6	W 2	10^2●	6^2⊙	10^2=	1.5	100
3.	35.3	36 6	37.9	1.5	3.2	− 1.8	4.1	− 1.8	5.1	5.7	4.0	100	100	100	W 4	SW 4	NW 4	10^2=	10^2=	10^2=	1.6	80
4.	38 o	38.8	38.9	− 3.1	2.4	− 0.5	5.8	− 3.3	3.6	2.7	2.0	100	49	45	SW 1	W 2	W 3	9^1	6^1⊙	1^0	−	70
5.	38.8	39.5	39.5	0 6	3.9	1.9	5.4	− 0.8	2.5	2.6	2.8	5	44	53	N 2	SW 2	N 3	3^0⊙	2^0⊙	1^0	−	60
6.	38 9	38.9	38.6	3.1	4.2	3.2	7.1	1.5	4.3	4.4	4.1	75	72	71	N 2	N 1	N 3	1^0⊙	1^0⊙	1^0	−	60
7.	38.2	39 4	40.2	2,0	3.4	3.2	7.0	0.9	4.0	5.8	4.1	75	100	72	E 3	E 3	N 1	1^0⊙	5^2⊙	1^1	−	50
8.	40.2	41.0	40.7	2,6	4.5	4.9	5.0	2,0	3.7	5.0	6.5	67	80	100	N 3	NW 5	N 6	5^{1}⊙	6^1	10^2=	−	50
9.	38.7	38.8	38.1	3.0	2.8	1.5	4.9	1.5	5 7	5.6	5.1	100	100	100	NW 7	N 6	N 5	10^2=	10^1=	10^2=	2.4	50
10.	36.3	37.0	37.0	− 2,2	− 1.2	− 1.7	1.5	− 2.3	3.9	4.2	2.1	99	100	53	N 3	E 3	C	9^1	10^2=	o	−	30
11.	36.7	37.8	38.1	− 2,0	− 1.1	− 2.1	− 0,6	− 3.1	1.1	4.2	3.9	28	100	99	E 6	SE 4	E 4	1^0⊙	10^2=	o	−	30
12.	37.7	38.7	38.7	0.3	3.0	2.2	3.0	− 2.1	2,6	5.5	4.6	55	97	87	E 5	E 4	E 2	1^0⊙	9^2⊙	1^0	−	20
13.	38.1	38.0	37.0	2.8	3.1	2.6	4.8	1.5	5.2	5.7	5.5	93	100	100	C	NE 2	N 3	7^1	10^2=	10^2=●≋	−	20
14.	36.5	36.1	35.9	0,6	2.8	0.9	2.8	0.4	4.8	5.6	4.9	100	100	100	N 1	N 2	N 1	10^2=	10^2=	10^2=	13.0	20
15.	35.5	35.6	35.2	0.2	1.9	1.1	2.4	0.0	5.3	5.2	4.9	100	100	100	N 2	N 3	NW 3	6^2⊙	10^2=	10^2=	5.3	−
16.	33.3	32.6	32.7	0.2	1.0	− 0,6	1,6	− 0.7	4.6	4.9	4.4	100	100	100	NW 3	N 5	N 6	10^2=	10^2=	10^2=≋	2 0	−
17.	31.3	32.7	32.7	− 0,9	0,7	1.0	2.7	− 1.5	4.3	4.7	4.9	100	97	100	W 4	NW 4	NW 3	10^2=	9^2	o	8.3	−
18.	33.0	34.1	35.0	1.4	3.6	2.5	4.8	0.7	5.1	4.7	4.2	100	79	78	N 5	W 4	NW 4	1^0⊙	7^2⊙	1^0	−	−
19.	36.4	38.2	39.0	2.2	6.6	3.4	7.0	2.0	5.1	5.7	3.4	95	78	59	W 4	N 1	N 4	1^0⊙	7^2⊙	10^2●	−	−
20	39.0	40.0	40.9	3.2	4.6	3.7	4.6	1.5	4.7	5.9	5.9	82	93	100	N 3	N 2	E 3	3^1⊙	9^2	10^2=	1.0	−
21.	41.1	42.4	42.5	3.8	7.9	5.4	10.4	2.3	4.4	6.5	4.2	73	82	63	E 3	S 2	N 2	1^0⊙	9^2⊙	1^0	−	−
22.	42.2	42.8	42.7	6.3	8.6	8.0	11.3	4.8	4.4	7.1	2.8	62	85	36	N 1	SE 3	N 1	1^0⊙	5^2⊙	o	−	−
23.	42.0	42.0	41.6	8.5	10.2	8.3	10.9	7.1	2.3	6.4	6.5	28	67	79	C	C	W 1	oo	5^1⊙	1^1	−	−
24.	40.3	40.0	39.1	6.6	8.9	5.6	10.3	5.3	7.0	6.0	5.5	96	71	81	N 2	SE 1	SE 5	10^1	7^2⊙	9^2●	−	−
25.	38.9	39.0	39.0	7.1	9.6	7.3	11.3	4.9	5.4	7.1	6.3	71	80	82	SW 4	E 1	E 1	4^1⊙	6^1⊙	5^1	**14.8**	−
26.	38.2	39.0	39.1	9.1	8.6	7.4	10.5	4.7	5.8	5.7	7.7	67	69	100	C	SE 2	SW 2	oo	3^0⊙	2^0	1.3	−
27.	39.9	40.0	40.7	7.0	10.6	8.8	10.8	5.5	6.1	**8.7**	8.2	81	91	97	E 2	SE 4	E 3	1^0⊙	10^1	4^2	−	−
28.	40.6	40.9	40.6	8.8	11.5	7.3	**11.9**	7.3	4.2	5.7	7.6	50	56	100	SE 3	SE 2	N 4	1^0⊙	2^0⊙	6^2	−	−
29.	39.8	39.7	39.7	6.4	9.2	7.1	9.2	4.8	4.6	4.9	4.9	65	57	64	N 2	SE 3	N 1	oo	6^2⊙≋	1^0	7.8	−
30.	38.8	38.1	37.1	6.0	8.1	6,1	8.7	5.4	5.9	5.5	5.9	85	68	83	N 3	SE 2	N 2	1^0⊙	5^1⊙	9^1	9.5	−
31.	36.6	37.2	36.8	6.8	7.4	4.7	9.8	4.7	4.6	6.3	4.3	62	82	68	NW 3	N 2	NW 4	3^0⊙	8^1⊙	2^1	−	−
Mittel	37.6	38.1	38.2	3.1	5.0	3.5	6.4	1.8	4.5	5.4	4.9	78	83	83				4.5	7.2	5.0	71.3	

Bemerkungen.

1. mrgs. ztw. ≡0.1 ◍0.1; a ztw. ◍0 ✳0; t ⩩, Fernsicht allenth. frei, über Flachld. ≡bildung; abds. über Vorberge u. Flachld. str-cu-Decke, Centralalpen frei.
2. mrgs. ⩩ ≡0.1 u. d. Gipfel ztw. ◍0.1; a Fernsicht frei, ü. Centralalpen m. cu-bildung; 1^{30-50} p ◹ ◍1; 6^{45}–7^{15} p ◹ ◍1.2 ▲2; abds. ztw. ≡0.1
3. mrgs. ztw ≡0.1 ztw. Aufklaren, ringsum cu-meer i. ca. 2000–2500 m; a ≡0.2, ab ca. 10^{45} a–ca. 1 p ztw. Aufklaren; p ≡0.2 ztw. ≡reissen.; abds. ∽, ⋁ 1 cm
4. mrgs. ringsum allenth. cu-meer i. ca. 2000–2500 m; dar. Ferns frei; ◯1; a ztw. ⊕; t cu-bild. ringsum; abds. ztw. ≡tr. u. d. G., Brockengesp.; 9 p ≡meer i. ca. 2800 m; ⋁ 5 cm
5. mrgs. Täler allenth. cu i. ca. 2000–2800 m; ◯2; t cu-Entw. ◯1.2; ztw. l. ≡treiben u. d. Gipfel, abds. Täler allenth. ≡meer i. ca. 2000–2300 m
6. t Flachland und Täler ◯2, Berge frei, rein.
7. mrgs. ⌙1, Fernsicht frei, Täler und Vorland ◯2; über Hochgebirge i. E cu-bildung; t cu, cu ni-Entwicklung, ztw. ≡0.1 um den Gipfel, Brockengespenst
8. mrgs. ⌙0, Fernsicht frei, t ◯1.2; ca. 7 p–n ⩩, ≡2.
9. 2^{15-30} a ◹ ◍1; mrgs. ⩩ ≡2; a–ca. 2^{30} p ≡1.2 ⩩; ab 2^{30} p Aufklaren; 3^{15-30} p ◹ i. NW; 3 p–n ≡2; abds. ≡reissen
10. mrgs. ringsum cu-Entwicklung ztw. ≡1 um den Gipfel; t ztw. ≡0.2 um den Gipfel, abds. cu-bildung i. ca. 2000 m
11. mrgs. Fernsicht ringsum frei, Täler ◯1, ü. Hochgebirge cu-Entwicklung, t ≡treiben u. d. Gipfel p ≡0.2, ztw. Aufklaren, abds. cu-meer ringsum i. 2000 m
12. mrgs. Fernsicht ringsum rein, Täler ◯1; t über Hochgebirge cu-bildung, ztw. ≡treiben um den Gipfel, abds. Brockengespenst; 9 p ⩍0
13. mrgs. Fernsicht frei, ◯2; a cu-Entwicklung, ztw. ≡0 um den Gipfel; p–n ≡1.2; 5–5^{15} p, 7^{15-30} p ◹ ◍1; abds. ztw. ◍0.1 ✳0; n ◺
14. n ◺ ≡2 ◍1.2 ✳1; mrgs. u. a ≡2, ≡reissen; p ≡0.2 ztw. Aufklaren, 5–5^{10} p ▲1; abds. ◺
15. mrgs. ztw. ≡0.1 u. d. Gipfel ztw. Aufklaren; a ringsum cu-bildg. ztw. ≡0 u. d. Gipfel; 11^{05-10} a ▲0; p ≡2 ztw. schw. Aufklaren; 11^{15-30} p ◹ i. N, 3^{10}–5 p ◹ △2 ◍1 ✳0
16. n u. mrgs. ≡2; a ≡1.2; 9^{45}–10^{10} a ◹ △0.1 ⩩; m ≡2 ztw. △2 ◍0 ✳0; 11^{30} a–0^{15} p ◹; 2^{15-45} p ztw. Aufkl.; ab 2^{15} p–n ≡2; 2^{15}–4^{15} p ◹, ztw. ◍0 △1 ✳0; 8^{15}–9 p ◹ △1 ✳0
17. mrgs. u. a ≡0.2 ztw. Aufklaren; t–n ztw. ≡treiben um den Gipfel; 9 p ⌙1
18. mrgs. ◯2; t über Gebirge cu-bildung ztw. ≡1 um den Gipfel; abds.–n ◺ i. E.
19. mrgs. Fernsicht frei ◯1; t cu-bildung über Gebirge, m ≡0 um den Gipfel; 5^{30-75} p ◹ ztw. △0 ◍0; abds.–n ◺, ztw. ◍0
20. 9^{30} p–n ✳0.1, n u. mrgs. ⌙1 ◯2; t cu-Entwicklung ringsum, ztw. ≡0 um den Gipfel; 4 p–n ≡0.2; abds. ≡reissen
21. n u. mrgs. ⌙2 ◯2; t ringsum cu-Entwicklung, ztw. ≡treiben um den Gipfel
22. t ◯2
23. t ◯2; abds.–n ◺ i. S–SW
24. mrgs. ◯2; 9^{30}–11^{30} a ◹ ztw. ◍0 ▲0, elektr. Ausstrahlung; p ztw. elektr. Ausstrahlung, ▲2; 4^{30}–8^{45} p ◹; ab 5 p–n ◍1.2; n ◺ ringsum
25. mrgs. Fernsicht frei; t ◯1.2; 5^{10}–8^{15} p ◹, ztw. ◍1; ⌒
26. n ◺ i. E u. NE; t ◯1.2, cu-bildung über Gebirge; p und abds. ztw. ≡0 um den Gipfel; abds. ◺ ringsum
27. mrgs ◯1.2; t ztw. ≡0.2 um den Gipfel; abds. ◺ i. SE–NE ztw. ◍tropfen
28. t ◯1.2; 7^{15} p–n ◹ i. NE, ringsum ◺
29. n ◹ ◺ ztw. ▲2; mrgs. u. a ◯1.2; m ztw. ◍tropfen; 2–4^{30} p ◹ ztw. ◍0 △0; 3^{30}–4^{30} p ▲1.2 ztw. ◍0; abs. ◺
30. t ◯2, mrgs. Fernsicht frei, 11^{30} a–1^{25} p ◹
31. t ◯1.2; ab ca. 9^{45}–ca. 11 a ztw. ≡treiben um den Gipfel; abds.–n ◺ i. SE, S u. W.

Alle Angaben nach Ortszeit.

Kahl a/M.

August. $\varphi = 50^{\circ}\ 4'$ N. $\lambda = 9^{\circ}\ 1'$ E $= 36^{m}\ 4^{s}$. H $= 114.1$ m. Cg $= +0.3$ mm. 1911.

Datum	Luftdruck auf 0° u. Normalschwere reduziert 700 mm +			Lufttemperatur C°					Absolute Feuchtigkeit mm			Relative Feuchtigkeit Proz.			Richtung und Stärke des Windes 0 bis 12			Bewölkung 0 bis 10			Niederschlag mm	Bemerkungen
	7a	2p	9p	7a	2p	9p	Max.	Min.	7a	2p	9p	7a	2p	9p	7a	2p	9p	7a	2p	9p	7a	
1.	52.7	52.9	53.6	23.2	29.9	21.7	32.0	14.4	8.7	7.5	8.7	41	21	45	SE 4	E 2	C	1⊙	○○	1◐	–	
2	55.1	55.2	55.1	21.8	28.7	19.9	30 4	10.3	10.4	9.4	9.6	53	32	55	SE 2	SE 2	C	1⊙	7⊙	5⊙	–	
3.	55.3	53.3	52.8	18.3	30.9	24.0	32.7	11.2	10.0	9.1	13.8	63	28	62	C	C	C	○○	2⊙	10⊙	–	
4.	53.3	52.4	53.5	21.1	27.8	18.2	29 7	14.1	14.6	7.8	14.6	78	28	94	C	W 4	C	2⊙	4◐	5●	–	731–811 p ◍
5	53.4	52.1	51.3	17.5	26.2	17.9	28.9	12.0	13.8	9.7	11.1	93	39	73	SE 2	C	C	1⊙	1◐	○	2.1	
6	50.9	52.4	54.3	19.4	28.1	20.8	29.7	9.5	12.2	10.0	12.7	73	35	70	SE 2	W 4	C	1⊙	1⊙	1⊙	–	
7.	57.2	56.9	57.4	18.5	27.3	19.9	30.1	10.7	12 7	8.4	9.6	80	32	55	C	SW 2	NE 2	1⊙	○○	○	–	
8.	58.8	57.3	57.0	19.9	31.3	21.7	34.0	9.7	12.2	7.8	9.5	70	23	49	C	E 4	E 4	○○	○○	○	–	
9.	57.5	55.4	54.7	22.3	31.3	21.8	35.9	15.3	10.5	8.6	9.1	53	25	47	S 2	E 4	E 2	○○	○○	○	–	
10	54.6	53.0	53.0	22.1	31.2	24.5	33.1	12.5	11 3	8.2	10 0	57	24	44	C	N 2	E 4	1⊙	○○	○	–	
11.	53.4	52.9	53.6	19 9	31.0	21.0	32.8	14.4	11.2	8.2	9.3	65	25	51	SE 2	SE 4	E 2	1●	2◐	○	–	
12.	54.5	53 6	53.9	20.7	31.2	20.6	32.4	11.9	9.5	5.9	7.6	52	17	42	SW 2	E 6	E 2	○○	2◐	○	–	
13.	55.2	53.9	54.0	19.0	29.8	22.3	32.9	11.0	10.4	9.7	9.4	63	31	47	C	C	C	○○	4◑	6◑	–	
14.	54.0	52.1	51.7	17.9	31.5	21.5	32.3	10.0	10.5	7 2	10.2	68	21	54	C	E 2	C	○○	4⊙	1●	–	
15.	50.8	51.1	50.8	18.0	20.3	17.8	23.1	10.8	9.2	8.8	9 4	60	50	62	SE 2	NE 4	NW 4	9◉	10●	3◉	–	
16	52.1	52.3	53.9	16.0	20.7	15.8	21.8	12.2	8.9	7.0	8.7	65	39	64	SW 2	NW 6	C	10◑	6◑⊙	2●	–	
17.	55.5	55.4	55 3	14 5	20.1	13.1	22 7	12.7	9.6	7.4	8.1	79	42	73	SW 2	SW 2	C	9◑	7◉	○	–	
18.	54.1	52.0	50.5	13.5	25.5	20.7	26 7	7.1	9.4	8.1	11.4	82	34	63	SE 2	SW 4	C	○○	10●	10◑	–	
19.	49.9	47.7	48.2	18.2	25.5	21.1	28.9	12.1	10.3	10.3	11.8	66	43	64	C	SW 2	C	○○	4◑	○	–	a ⊼
20	48.4	47.4	46.8	16.2	27.5	20.2	29.1	11.8	11.7	10.8	10.7	85	39	61	C	C	E 2	4●	3●	○	–	
21.	45.2	43 2	43.5	18.4	30.4	20.7	31.9	15 1	12.5	10.8	14.7	80	34	81	SW 2	S 4	S 4	10◑●	1◑⊙	8●	0.3	n, 644–711 a ◍, 711 p Böe. 806–36 p ≲ i. N
22.	44.5	43.5	45.1	19.5	28.6	17.7	29.4	14.9	14.1	12.6	14.8	84	44	98	SE 2	S 4	NE 2	6◑	6◉	○	0.1	316–429 p ⊻, 321–416 p ≲ i. NW-NE. 443–546 p ◍.
23.	46.4	47.2	48.6	15.2	19.5	17.8	22.0	12.9	12.8	15.2	14.9	99	90	98	C	E 4	SW 2	10◑	9◑	10◑	2.5	836–1036 a ≡1, 636–721 p ◍
24.	49.4	49 8	50.3	14.7	24.8	16.3	26.6	13.0	11 6	12.6	13.1	93	55	95	E 2	SW 2	C	9●	2⊙	○	8.4	
25.	51.4	50.8	51.6	15.6	25.9	18.4	27.2	11.5	12.6	13.1	14.2	96	53	90	C	S 4	C	○○	9◑	○	–	836–9 p ≲ im SW
26.	53.9	54.5	55.4	16.7	23 7	16.4	26.0	14.4	13.0	8.5	10.7	92	39	77	S 2	SW 4	C	8●	2◐⊙	○	–	900.36 p ≲ i. S
27.	56.5	55.6	54.9	14.9	25.4	17.9	27.2	9.0	11.5	10.3	11.7	91	44	76	SE 2	SW 2	SW 2	○○	1⊙	○	–	a ⊼
28	54.9	53.0	52.7	17.2	30.0	18.5	31.1	10.7	12.1	9.6	11.4	83	30	72	SE 4	SE 4	C	○○	○○	○	–	a ⊼
29.	52.9	53.9	55.0	20.1	25.1	21.0	28.5	11.5	12.1	12.4	12 7	69	53	69	SE 4	W 4	C	1●	10◑	10◑	–	a ⊼
30.	55 8	55.4	55.9	18.2	23.2	18.3	24.9	15.9	11.3	7.0	9.3	73	33	60	SE 2	NW 4	NW 2	10●	10●	10◑	–	
31.	58.3	58.2	58.0	14.5	21.5	12.2	23.8	10 9	9.9	5.7	7.6	81	30	72	E 2	NE 2	C	○○	○○	○	–	a ⊼
Mittel	53.1	52.4	52.7	18.2	26.9	19.3	29.0	12.0	11.3	9.3	11.0	74	37	67				3.1	3.8	2.6	13.4	

Bayreuth.

August. $\varphi = 49^{\circ}\ 57'$ N. $\lambda = 11^{\circ}\ 34'$ E $= 46^{m}\ 16^{s}$. H $= 363.3$ m. Cg $= +0.3$ mm. 1911.

1	33.5	33.4	33.3	16.5	27.0	20.9	31.0	16.1	8.0	7.8	7.9	57	30	43	E 2	E 2	E 2	○○	5◑⊙	○	–	
2.	35.6	34.3	34.2	15.2	28.1	22.0	30.2	14.5	9.1	8.0	9.8	71	28	50	E 2	W 4	E 2	○○	2◐⊙	3◑	–	a ⊼
3.	34.3	32.4	31.8	15.6	28.6	23.0	31.4	12.3	9.8	9.0	10.7	75	30	51	NW 2	NW 2	E 2	○○	5◑⊙	10◑	–	a ⊼
4	31.2	30.7	31.3	17.6	24.6	19.8	25.6	15.7	13.2	12.8	13.1	88	56	77	SE 2	NW 4	C	7◑	5◑⊙	1◑	1.2	306–446 a ⊻, 346–446 a ◍0.1; 506–536 p ⊻
5	31.8	30.5	30.3	16.2	25.6	19.4	28.9	14.5	12.7	9.5	12.0	93	39	72	W 2	NW 2	C	9◑	6◑⊙	○	0.6	206.46 a ⊻, 146–246 a ◍; 1139 a–018 p ◍1
6	30.2	30.3	32.7	17.7	29.8	22.1	30.4	12.9	11.9	10 2	11.4	79	31	58	SE 2	W 6	NW 2	1⊙	8◑	○	0.6	a ⊼
7.	36.0	35.8	36.5	17.3	27.4	23.5	29.2	14.9	12.3	8.5	8.9	84	31	41	C	NW 4	W 2	2⊙	1⊙	○	–	a ⊼
8.	38.7	37.6	37.6	14.9	28.2	23.5	29.2	11.5	9.8	9 5	9.0	78	33	41	E 2	NE 2	NE 4	○○	1⊙	○	–	a ⊼
9.	37.7	35 5	34.6	16 4	29.2	23.8	31.1	13.1	9.3	8.3	8.4	68	28	38	NW 2	NE 2	N 4	2⊙	○○	30	–	
10.	34.1	32.8	32.5	15.6	28.4	23.9	31.2	12.3	9.0	8.6	8.7	68	30	39	NW 2	NE 4	E 2	○○	5◑	3◑	–	a ⊼
11.	33.6	32.8	33.1	15.2	27.2	21.6	28.9	12.3	9.1	8.9	9.4	71	33	49	E 2	NE 4	E 2	○○	6◑⊙	○	–	003.46 p ⊻, 406.13 p ⊻
12.	34.0	32.9	33.6	14.4	28.2	21.7	29.2	10.6	8.6	7.4	10.1	71	27	52	NW 2	E 6	E 4	○○	7◑⊙	2◑	–	
13.	34.2	33.1	33.6	15.0	28.4	21.0	30.3	11.0	10.6	8.8	9.9	84	30	51	SE 2	SE 4	SE 2	2⊙	6◑⊙	2●	–	a ⊼
14.	33.1	31.9	30.5	16.4	25.8	19.5	28.9	14.0	10 5	9.6	9.9	76	40	58	E 2	SW 4	SW 2	10◑	6◑⊙	5◑	–	
15	27.9	26.9	27.9	14.9	21.5	15.0	21.5	11.3	9.6	8.7	9.0	76	45	71	E 2	NW 6	NW 4	5◑⊙	9◑	1●	–	a ⊼
16.	28.7	28.7	31.1	13.8	18.8	15.0	20.1	12.1	7.1	6.0	7.5	60	38	59	NW 6	NW 6	W 4	8◑	8◑	10◑	–	t ztw. ⚊
17.	23.3	33.3	32.6	12.9	18.5	14.2	20.3	9.3	8.7	6.7	6.8	79	43	57	NW 2	W 6	NW 4	8◑	7◑	3◑	–	
18.	31 9	29.9	28.1	13.1	21.4	12.1	22.7	7.5	8.4	8.2	7.6	75	43	43	W 2	NW 6	NW 6	8◑	5◑⊙	10◑	–	
19.	27.3	26.2	26.4	17.7	23.9	18.0	26.1	16.3	9.2	10.6	11.7	62	48	76	NW 4	NW 4	NW 2	○○	9◑	○	–	
20.	26.9	26.1	25.9	13.4	26.4	20.4	29.2	11.0	9.9	9.3	10.8	87	37	60	E 2	W 6	NE 2	7●	4◑⊙	3●	–	a ⊼ ≡0.1
21.	25.0	23.8	23.3	15.2	26.6	20.6	29.8	12.1	10.5	12.5	12.8	82	49	71	SE 2	SE 4	SW 4	9◑	7◑⊙	10●●	–	811.46 p ◍0 ≲
22.	24.1	23.0	23.3	17.3	26.5	17.0	27.2	13.9	12.3	11.4	12.6	84	45	88	E 2	W 4	W 2	3◑⊙	8◑⊙	2◑	0.2	646–749 p ⊻, 716.34 p ◍1, ⚊
23.	25.3	25.9	26.7	14.2	23.6	17.4	23.7	11.0	11.5	13.8	13.4	96	64	91	SE 2	S 2	W 2	9◑	8◑⊻	2◑	1.0	a ≡0.1, 256–326 p ⊻
24.	27 5	28.7	29.4	15.8	21.4	17.0	24.2	15.1	12.5	13.1	12.2	93	69	85	NW 2	W 4	E 2	10◑	6◑⊙	○	0.2	431–1036 a meist ◍0.2
25.	30.7	29.8	30.7	13.1	25.3	19.3	27.2	11.1	10.8	10.8	12.2	97	46	74	SE 2	SW 2	W 2	10◑m	4◑⊙	8◑	15.5	a ⊼, ≡2
26.	32.1	32.8	34.0	15.4	21.6	15.7	22.3	14.3	12.6	8.9	10.7	97	47	81	W 2	W 4	W 2	10◑	6◑⊙	○	7.6	416–536 a ⊻, 416–646 a ◍1
27.	36.1	35.2	34.7	13.4	24.3	18.6	26.6	10.3	9.9	10.5	10.9	87	47	69	E 2	SE 4	E 2	○○	7◑⊙	○	–	a ⊼
28.	35.1	33.1	32.0	14.8	27.2	19.4	29.1	11.4	10.4	9.5	10.3	84	35	62	E 2	SE 4	SE 2	○○	○○	○	–	a ⊼
29.	32.5	31.5	33.8	16.9	30.2	21.1	30.4	14.0	10.2	9.2	11.7	72	29	64	E 2	SW 6	NW 4	○○	5◑⊙	10◑	–	a ⊼
30	34.0	33.5	33.9	16.2	23.0	18.6	24.2	15.3	12.2	9.8	8.0	89	47	50	NW 2	NW 6	NW 4	10◑	9◑	10◑	–	a ⊼
31.	36.2	36.9	37.6	13.9	19.6	13.7	22.3	12.8	10.2	7.1	7.6	87	42	65	NW 2	NW 6	W 2	9◑	5◑⊙	○	–	a ⊼
Mittel	31.7	31.3	31.5	15.4	25.4	19.6	27.2	12.7	10.3	9.5	10.2	80	40	61				4.5	5.5	3.2	26.9	

Alle Angaben nach Ortszeit.

Bamberg

August. $\varphi = 49^0\ 53'$ N. $\lambda = 10^0\ 53'$ E $= 43^m\ 32^s$. H $= 287.7$ m. Cg $= +0.3$ mm. 1911.

Datum	Luftdruck auf 0° u. Normalschwere reduziert 700 mm + 7a	7p	9p	Lufttemperatur °C 7a	2p	9p	Max.	Min.	Absolute Feuchtigkeit mm 7a	2p	9p	Relative Feuchtigkeit Proz 7a	2p	9p	Richtung und Stärke des Windes 0 bis 12 7a	2p	9p	Bewölkung 0 bis 10 7a	2p	9p	Niederschlag mm 7a	Bemerkungen
1.	39.7	39.2	39.7	19.4	28.1	20.1	29.3	15.2	7.8	6.7	8.6	47	24	49	SE 2	SE 4	E 1	3^1⊙	1^1⊙	1^1	–	n ⌓
2.	41.7	40.8	40.5	18.0	29.1	23.1	30.8	12.4	8.9	7.3	9.8	58	25	47	E 2	E 1	NW 2	○○	3^1⊙	9^1	0.1	n ⌓, 7 a ≡⁰
3.	40.6	38.7	38.1	17.4	31.3	23.2	32.5	13.4	10.4	8.8	10.9	70	26	52	NE 2	N 2	C	2^1⊙	7^1⊙	10^1	–	n ⌓, 7 a ≡
4.	37.7	37.0	37.5	19.2	28.1	20.4	30.3	17.4	14.3	11.4	12.5	87	41	70	C	W 3	W 1	10^0⊙	7^1⊙	5^1	0.2	10 p ◹, 1^{50}–3 a ◹, $2^{17.50}$ a ◍⁰
5.	38.3	36.7	36.5	17.9	27.2	20.0	28.4	14.9	12.7	11.0	11.0	83	41	63	NW 1	W 1	C	5^1⊙	7^1⊙	1^1	0.5	11^{50}–0^{45} a ◍⁰
6.	36.2	36.8	39.1	16.5	30.3	21.8	**33.7**	12.2	10.9	12.4	11.6	78	39	60	E 1	NW 1	W 2	7^1	7^1	4^1	–	n ⌓, 2^{30} p ◍⁰
7.	42.4	42.2	43.2	19.5	28.5	21.4	30.2	15.1	12.3	9.6	9.7	73	33	51	W 2	W 2	NW 2	1^1⊙	1^1⊙	0	0.1	9^{25}–10^{05} ◹, n ⌓⁰, 7 a ≡¹
8.	**45.0**	43.6	43.5	18.7	30.2	22.3	31.7	14.9	9.9	7.9	10.0	61	25	50	N 2	NE 2	NE 2	○○	1^0⊙	1^0	–	n ⌓
9.	44.0	41.8	40.7	19.7	31.3	22.4	32.0	15.8	11.6	9.9	9.6	68	29	48	N 2	E 3	N 2	8^1⊙	1^1⊙	5^0	0.1	
10.	40.4	39.1	38.6	18.8	30.8	21.7	31.3	14.9	9.5	10.8	9.6	59	33	50	N 2	NE 3	N 1	1^1⊙	3^1⊙	2^0	0.1	n ⌓
11.	39.7	38.7	39.3	19.5	26.7	21.1	30.7	15.9	9.5	9.1	8.6	56	35	46	N 1	E 4	N 1	1^1⊙	9^1◹	1^1	0.1	n ⌓, 7 a ≡, 13^1–33^2 p ◹; 14^0–30^2 p, 4^{30} p ◍⁰, $5^{42.15}$ p ◹
12.	40.1	39.2	39.8	18.6	28.4	21.1	30 6	14.2	9.1	**6.7**	10.0	57	**24**	54	N 1	E 4	E 2	1^1⊙	5^1⊙	8^1	–	n ⌓⁰, 5^{10} p ◍⁰
13.	40.5	39.4	39.5	17.9	30.2	21.7	31.6	13.4	9.3	9.5	9.5	61	30	49	N 1	S 2	SE 1	2^1⊙	8^1⊙	2^1	–	n ⌓⁰
14.	39.7	38.3	36.8	16.5	24.7	18.6	28.8	12.9	9.7	9.7	11.1	69	42	70	SE 1	SE 5	C	4^2⊙	9^1⊙	10^1	–	n ⌓, 23^2–35^3 p ◹
15.	34.6	34.0	34.8	14.9	20.7	15.6	24.7	11.9	10.1	9.8	9.1	81	54	68	N 1	N 5	NW 3	9^1⊙	10^2	4^1	–	n ⌓⁰, 1^{50} p ◍⁰, 8^{33} p ◹
16.	35.6	35.7	38.1	14.2	20.9	15.8	23.2	13.1	8.7	7.4	8.3	73	41	62	W 2	W 6	W 3	8^1	9^2	10^2	–	9^{15} p ◹
17.	40.0	40.2	39.6	12.6	19.9	15.6	21.8	9.3	8.7	7.8	6.9	81	45	52	NW 2	N 2	W 3	9^1	8^1	1^1	–	9^{13} p, 9^{45} p, 10^{13} p ◍⁰
18.	38.7	36.5	35.0	13.3	23.8	19.8	24.8	**7.8**	8.1	8.2	8.7	72	37	51	E 2	S 2	S 3	8^1⊙	10^1	10^2	–	n ⌓⁰
19.	34.2	32.5	32.6	18.5	26.8	18.2	29.0	15.4	9.4	9.5	11.5	60	37	74	NW 1	NW 3	W 1	○○	7^1	0	–	7 a ≡
20.	33.4	32.6	32.0	13.8	28.9	20.3	29.8	12.4	10.4	10.0	10.8	90	34	61	W 2	W 2	N 1	7^1	4^1⊙	1^1	0.1	n ⌓
21.	31.4	29.7	31.3	17.2	29.7	20.2	30.8	14.4	10.9	12.3	12.2	75	39	69	SW 2	S 3	S 3	10^2●	3^1⊙	10^2	–	n ⌓⁰, a ztw. ◍⁰, 6^{15} p ◹, 6^{45}–9^{00} p ◹, 7^{36} p, 7^{38} p, 7^{57} p ◍⁰
22.	30.4	**29.2**	30.4	18.3	27.3	16.0	29.8	14.1	12.6	13 1	13.2	80	48	98	S 2	SW 2	W 1	4^1⊙	10^2	2^1	0.1	9^{00} p–1a ◹, n ⌓, 9^{22} p, 6^{12} p ◍⁰, 6^{15}–7^{00} p ◹, [1]
23.	31.6	32.2	32.0	14.4	21.7	18.0	23.2	12.6	11.9	**14.7**	14.1	98	76	92	**N** 1	N 2	S 1	10^2≡	10^2	7^1	**4.1**	9^{00}–11 p, 9^{45}–mn ◹, 7 a ≡¹, $8^{09.32}$ a ◍⁰, $3^{01.24}$ p ◍⁰, [2]
24.	34.3	35.2	35.7	15.1	21.9	16.4	23.8	15.1	12.4	13.9	12.4	97	72	89	NW 2	W 2	W 1	10^2●	7^1	0	3.9	9^{45} p ◹, n–6 a ◍⁰; 6^{57}–7^{15} a ◍¹, 7^{15}–9^{45} a ◍⁰
25.	37.3	36.2	36.9	12.3	27.1	18.4	28.8	10 9	10.7	10.4	12.4	100	40	79	E 1	S 3	C	10^2≡	7^1⊙	8^1	1.0	$9^{00.45}$ p ◹, 7 a ≡², 6^{45} p, 6^{54} p ◍⁰
26.	39.0	39.9	41.1	15.6	22.1	17.1	24.4	14.7	12.8	10.1	9.7	97	51	67	W 1	NW 4	SW 1	10^2	7^1⊙	0	2.7	9^{00}–11^{15} p ◹, $4^{03.15}$ a ◍², 4^{15}–5^{45} a ◍⁰
27.	42.6	41.4	40.8	14.8	26.2	17.8	27.7	11.3	10.6	10.0	9.6	85	40	63	S 2	C	C	○○	5^1⊙	0	0.1	n ⌓, 7 a ≡
28.	41.3	39.0	38.3	14.1	29.1	20.6	30.1	10.6	9.3	9.2	9.8	78	31	54	E 2	E 3	S 4	○○	○○	0	0.1	n ⌓, 7 a ≡
29.	38.8	37.9	40.5	17.6	30.9	20.7	**33.7**	12.6	10.1	11.5	12.8	68	35	71	SE 3	W 6	C	1^1⊙	7^1	10^2	0.1	n ⌓
30.	40.5	40.1	40.8	17.4	25.0	18.0	26.8	16.8	12.1	9.8	8.5	82	42	56	W 1	W 3	W 1	10^2	9^1⊙	10^2	–	9^{02} p ◍⁰
31.	43.0	43.3	44.1	14.1	21.8	13.7	22.8	13.1	10.9	8.4	7.4	92	43	63	NW 3	W 3	N 1	8^1⊙	4^1⊙	10^1	0.9	4^{45} a ◍¹
Mittel	38.5	37.6	38.0	16.6	26.7	19.4	28.6	13.5	10.5	9.9	10.3	75	39	62				5.1	6.0	4.3	14.3	[1] $6^{44.56}$ p ◍⁰, 7^{06}–9^{00} p ◹ [2] $4^{41.54}$ p ◍⁰

Würzburg.

August. $\varphi = 49^0\ 48'$ N. $\lambda = 9^0\ 56'$ E $= 39^m\ 44^s$. H $= 179.3$ m. Cg $= +0.3$ mm. 1911.

1.	47.7	47.3	47.8	19.2	28.3	20.4	28.3	14.4	8.3	6 6	8.6	51	23	48	E 2	SE 2	C	2^1⊙	○○	0	–	
2.	50.5	49.1	49.4	15.5	28.7	21.2	29.3	12.8	9.5	9.0	10.9	72	30	59	C	SE 2	C	○○	3^1⊙	10^1	–	
3.	49.3	47.3	46.1	17.8	30.0	24.0	**30.8**	16.0	10.8	9.6	12.3	71	30	56	C	W 2	C	○○	8^1⊙	10^2	–	
4.	46.3	46.0	46.1	20.6	26.6	22.8	27.3	19.3	13.6	10.1	11.2	75	39	54	NW 2	NW 4	NW 2	6^2⊙	8^2⊙	10^1	–	
5.	47.1	45.2	44.5	17.4	26.1	20.8	27.2	15.8	12.1	11.2	11.8	82	45	65	W 2	NW 2	C	○○	4^1⊙	1^1	–	
6.	44.4	45.6	47.9	16.4	27.7	22.4	30.0	13.8	10.7	11.3	12.4	77	41	62	C	NW 4	C	2^1⊙	8^2⊙	2^1	–	
7.	51.1	50.8	51.5	18.2	27.4	21.7	28.0	15.8	11.9	9.3	10.2	76	34	53	C	N 2	C	○○	○○	0	–	
8.	**53.2**	51.8	51.7	17.6	30.4	24.0	**30.8**	14.8	10.3	8.1	9.1	68	25	41	C	E 4	C	○○	○○	0	–	
9.	52.0	50.0	48.9	18.7	30.0	22.4	30.7	16.0	10.7	8.0	10.1	67	25	50	SE 2	E 4	C	○○	2^1⊙	0	–	
10.	48.6	47.2	46.4	18.2	29.5	23.4	30.0	15 4	10.3	9.6	11.0	66	31	51	C	NE 2	C	○○	2^1⊙	6^1	–	
11.	47.8	46.5	47.3	18.2	28.5	20.2	30.1	16.4	10.7	8.3	12.3	69	29	70	C	E 4	C	4^1⊙	2^1⊙	0	–	3^{08}–4^{04} p ◹
12.	48.7	47.3	47.7	16.9	29.6	22.0	29.9	13.9	10.3	6.7	9.0	72	**22**	46	C	SE 4	E 2	○○	4^1⊙	4^2	–	
13.	49.2	47.8	47.4	16.8	29.9	21.5	30.7	14.6	9.8	8.2	10.8	69	26	57	C	SE 4	C	○○	6^1⊙	0	–	
14.	48.0	45.6	44.7	15.1	28.0	21.4	29.1	13.9	9.9	10.0	11.7	77	36	62	E 2	E 4	C	6^1⊙	8^2	0	–	
15.	43.1	42.6	43.6	17.4	21.8	18.4	22.9	15.0	10.7	8.7	8.9	72	45	57	SW 2	SW 4	C	4^2⊙	10^2	4^1	–	
16.	44.6	44.5	47.0	15.2	20.9	16.0	21.7	12.8	8.0	6.6	7.9	62	36	58	NW 4	NW 4	C	8^2	8^2⊙	4^2	–	
17.	48.9	49 0	48.5	14.0	19.6	16.3	21.0	12 6	9.2	**6.1**	7.8	78	36	57	NW 2	NW 4	C	4^1⊙	4^1⊙	0	–	
18	47.6	45.0	43.1	14.0	24.8	21.0	25.0	**11.7**	8.4	7.9	8.8	70	34	47	SW 2	W 4	C	○○	10^1	10^2	–	
19.	43 1	41.2	41.4	17.6	26.9	19.5	27.7	16.3	10.0	8.4	10.4	67	32	61	C	W 2	C	○○	3^1⊙	0	–	a ⌓
20.	41.9	40.9	40.5	15.5	27.3	20.6	28.0	13.7	10.6	9.7	10.7	81	36	59	SW 1	NW 2	W 2	3^1⊙	2^1⊙	0	–	a ⌓
21.	37.8	**37.4**	37.7	16.4	29.9	18.9	30.3	15.8	12.1	10.0	**15.8**	87	32	97	W 2	W 4	SW 2	10^2●	○○	10^2	0.1	ab 6^{10} a ◍⁰, 5^{30}–6^{02} p, 6^{35}–7^{30} p ◹, $5^{25.52}$ p, [1]
22.	38.6	37.5	39.0	15.6	26.8	17.4	27.0	16.0	13.0	12.2	14.5	82	47	98	S 2	S 2	SW 2	5^1⊙	10^1	0	5.9	5^{18}–6^{25} p ◍, $5^{47.33}$ p ◹
23.	40.2	40.5	41.6	15.6	21.0	17.9	21.0	14.2	13.1	14.5	13.9	**99**	78	91	C	E 2	C	10^2	10^2	0	2.1	a ⌓, ≡¹, ◍⁰
24	42.8	43 7	44.1	16.6	22.3	17.7	23.6	16.4	13.8	12.9	12.9	98	65	86	SW 2	E 2	C	10^2	3^1⊙	0	2.4	ca. 5^{40}–6^{40} a ◍
25.	45.5	44.3	45.3	18.8	25.2	18.7	26.3	12.9	15.0	12.2	14.8	93	52	92	C	C	C	1^1⊙	5^1⊙	2^1	–	n ◹, a ⌓ ∞. 3^{36}–4^{10} p ◍, $4^{02.37}$ p ◹
26	47.7	48.5	49 9	16.9	22.5	16.5	22.7	15.6	13.0	10.6	11.2	91	52	80	W 2	SW 2	C	5^1⊙	4^1⊙	0	**7.0**	n ◍
27.	51.2	49.9	49.3	14.6	25.2	17.5	25.6	12.0	11.0	10.2	11.5	89	43	77	C	SW 2	C	○○	3^1⊙	0	–	a ⌓
28.	49.6	47.4	46.4	14.0	27.0	19.0	28.0	12.2	10.6	9.5	11.4	90	36	70	C	S 2	C	○○	○○	0	–	a ⌓
29.	47.0	46.8	49 0	16.0	29.1	20.0	30.0	13.3	11.4	10.5	14 1	84	35	81	C	NW 4	NE 2	○○	5^1⊙	10^2	–	a ⌓ ∞, $5^{15.20}$ p ◍⁰
30	49.2	49.2	49.7	18.9	23.5	18.6	24.8	18.0	12.4	6.8	8.3	76	32	52	S 1	NW 4	C	10^1	10^1	10^1	0.2	a ⌓
31.	51.9	52.4	52.6	15.6	21.8	14.6	22.2	14.6	9.4	6.9	7.5	71	36	60	NW 2	NE 2	NW 2	1^1⊙	2^1⊙	0	–	a ⌓
Mittel	46.9	46.1	46.3	16.8	26.3	19.9	27.1	14.7	11.0	9.3	11.0	77	38	64				2.9	4.6	3.0	17.7	[1] 6^{30}–8^{20} p ◍, $5^{40.41}$ p ▲körner

Alle Angaben nach Ortszeit.

Ludwigshafen a/Rh.

August. $\varphi = 49^0\ 29'$ N. $\lambda = 8^0\ 26'$ E $= 33^m\ 44^s$. H $= 100.3$ m. Cg $= +0.3$ mm. 1911.

Datum	Luftdruck auf 0° u. Normalschwere reduziert 700 mm + 7ª	2ᵖ	9ᵖ	Lufttemperatur C° 7ª	2ᵖ	9ᵖ	Max.	Min.	Absolute Feuchtigkeit mm 7ª	2ᵖ	9ᵖ	Relative Feuchtigkeit Proz. 7ª	2ᵖ	9ᵖ	Richtung und Stärke des Windes 0 bis 12 7ª	2ᵖ	9ᵖ	Bewölkung 0 bis 10 7ª	2ᵖ	9ᵖ	Niederschlag mm 7ª	Bemerkungen
1.	53.0	53.5	53.9	20.2	31.8	26.9	32.2	18.3	10.1	7.1	8.4	57	20	32	E 1	SW 2	C	3^1⊙	○○	○	–	
2.	56.7	56.2	57.2	20.4	31.2	25.9	31.8	18.1	11.4	7.1	9.0	64	21	37	W 2	S 1	C	3^1⊙	2^1⊙	○	–	a ⏢
3.	57.2	55.0	54.4	18.4	30.7	24.9	31.1	16.2	10.9	11.0	14.2	69	34	61	N 1	NE 1	C	3^0⊙	8^2	10^0	–	$6^{01.23}$ p Fern ☇
4.	54.6	53.5	55.1	22.4	28.4	21.2	28.4	18.9	14.3	9.8	13.7	71	34	74	SW 2	SW 2	SW 3	3^0⊙	8^1	10^1	–	11^{03} a ◍tropfen; nachm. böig
5.	54.6	53.1	51.8	19.8	27.9	25.0	31.2	16.7	12.7	10.9	12.5	74	39	53	E 2	N 2	NE 1	3^0⊙	3^1⊙	3^0	–	
6.	51.9	54.0	55.0	18.8	29.2	25.5	29.8	16.8	10.7	10.1	12.0	66	33	50	N 1	W 2	W 1	○○	3^1	○	–	11^{19} a ◍tropfen
7.	59.2	58.7	59.1	19.0	27.9	26.3	29.1	16.2	10.8	7.1	7.2	66	26	29	N 2	N 1	C	○○	○○	○	–	
8	60.2	58.9	57.9	19.6	32.1	27.5	32.6	18.8	11.1	8.0	8.8	65	22	33	N 1	NE 2	E 1	○○	○○	○	–	
9.	59.1	56.9	55.8	21.4	32.1	27.6	32.6	18.6	10.2	8.3	8.9	54	24	33	N 1	E 2	E 1	○○	○○	○	–	
10.	55.7	54.0	53.4	20.7	32.4	27.6	**32.8**	18.2	9.8	7.5	10.4	54	20	38	NW 1	NE 1	C	○○	○○	○	–	
11.	54.5	53.8	54.4	20.4	32.1	26.0	32.2	18.2	10.6	8.3	9.2	59	24	38	N 1	E 1	E 2	4^0⊙	3^0⊙	○	–	
12.	55.5	54.8	54.8	19.6	30.1	26.0	30.8	16.6	9.6	6.3	8.6	56	20	35	N 1	NE 2	NE 1	○○	○○	○	–	
13.	56.7	55.6	55.0	19.8	31.1	26.9	31.9	17.3	9.8	9.3	9.9	57	28	38	C	NE 1	C	○○	3^0⊙	○	–	
14.	55.5	53.3	52.4	19.2	31.3	23.7	31.8	18.4	9.6	**5.7**	9.7	58	**17**	45	C	N 1	C	2^0⊙	2^1⊙	7^1	–	
15.	51.6	51.8	52.2	19.3	24.0	19.9	24.2	16.2	9.8	7.2	9.3	59	33	54	W 2	W 2	W 3	3^0⊙	6^1	10^0	–	
16.	53.8	54.0	55.9	16.2	21.4	17.7	22.2	13.8	9.2	8.2	8.0	67	43	54	W 1	W 3	W 3	○○	7^1	○	–	
17.	57.6	57.6	57.2	14.8	21.4	16.8	21.9	12.4	9.0	7.7	7.8	72	40	55	W 1	SW 3	SW 1	8^1	4^1⊙	○	–	
18.	56.1	53.5	51.6	12.3	25.5	22.0	26.4	**10.2**	8.3	7.7	8.7	76	32	44	SE 1	SW 1	S 1	4^0⊙	10^1	○	–	
19.	50.8	48.9	50.5	15.6	28.5	22.0	29.0	14.2	8.8	8.9	11.5	66	31	59	SE 1	W 1	C	○○	2^0⊙	4^0	–	
20.	49.4	47.8	47.5	18.0	27.1	24.1	31.7	16.6	11.7	10.4	10.4	76	40	47	C	C	C	10^0	10^0	○	–	
21.	45.9	**44.7**	45.8	18.6	29.6	19.4	30.0	17.5	13.4	11.8	14.5	84	38	87	SE 1	C	S 1	9^1	2^0⊙	○	2.2	4^{19}–5^{34} p ◍. $5^{41.49}$ p ≲ i. SE. 5^{54} p ☇. 5^{59}–6^{04} p ◍ ⎯⎯. 1)
22.	46.3	44.9	46.4	18.6	28.4	18.5	28.8	16.6	13.1	13.1	14.1	83	46	89	S 1	S 1	SE 1	5^1⊙	8^2	○	1.4	3^{11}–4^{13} a ☇. 3^{19}–5^{04} p ◍. 4^{04} p Böe. 7^{49}–8^{35} p ≲
23.	46.7	48.5	49.6	17.2	19.2	17.2	20.0	15.8	13.4	**14.9**	13.7	92	90	**94**	NE 1	NE 1	N 1	10^2●	10^2●	10^7●	3.8	n ◍. a u. p meist ◍. 7^{47}–8^{44} p ≲ i. NW. 7^{47}–8^{34} p ☇. 2)
24.	51.0	51.3	51.3	16.8	24.0	20.6	24.4	15.0	11.6	11.1	13.5	81	50	74	N 1	SW 1	C	3^0⊙	2^0⊙	○	**8.5**	$9^{00.40}$ p ◍
25.	52.6	52.5	53.5	18.0	23.0	21.0	26.9	16.2	12.8	14.6	12.6	83	70	68	SE 1	W 1	W 2	3^0⊙	9^2	○	–	11^{41} a–0^{54} p ☇. 0^{01}–1^{21} p ≲ i. NW. 0^{41}–1^{24} p ◍. 8^{24} p ≲
26.	55.8	56.5	58.4	17.4	24.3	19.4	25.1	16.0	12.1	10.9	10.9	82	49	64	SW 1	W 1	W 1	10^2	3^0⊙	○	2.8	
27.	58.6	57.6	56.5	15.8	26.5	22.2	27.5	14.2	11.6	10.5	12.0	87	41	61	SW 1	SW 1	C	○○	3^0⊙	○	–	
28.	56.6	54.5	53.7	17.0	29.0	24.9	29.8	15.1	11.5	9.6	11.4	80	32	49	C	C	C	○○	○○	○	–	
29.	54.1	55.4	56.7	20.0	27.6	22.2	29.8	17.5	11.1	11.1	13.1	64	40	66	S 1	W 1	W 2	○○	10^2	10^2	–	4^{19} p ◍^{0}
30.	57.3	57.3	57.8	18.6	24.6	19.8	25 3	17.4	9.8	8.3	9.2	61	36	54	W 1	N 2	N 2	5^2⊙	6^1	10^1	0.1	
31.	**60.3**	60.0	60.0	14.8	21.5	19.2	22.1	13.6	9.3	7.3	7.1	74	39	43	W 1	N 2	N 1	○○	3^1	○	–	
Mittel	54.5	53.8	54.0	18.4	27.5	22.8	28.5	16.3	10.9	9.3	10.7	70	36	53				2.9	4.1	2.4	18.8	1) $6^{31.41}$ p ◍ 2) 7^{54}–9^{00} p ◍

Nürnberg.

August. $\varphi = 49^0\ 27'$ N. $\lambda = 11^0\ 3'$ E $= 44^m\ 12^s$. H $= 309.1$ m. Cg $= +0.2$ mm, über 735.0 mm Cg $= +0.3$ mm. 1911.

1.	37.4	36.8	37.2	18.7	26.1	22.6	26.8	13.0	7.7	10.1	8.2	48	41	41	E 2	E 2	E 1	○○	1^1⊙	○	–	a ≡^{0}. t meist wolkenlos, sehr sichtige Luft
2.	39.4	38.4	38.2	18.2	27.5	22.0	28.4	13.6	8.8	10.6	9.9	57	39	50	E 1	NW 2	NW 1	○○	2^1⊙	5^1	–	a ≡^{0}. t zunehmende Bewölkung, sehr sichtige Luft
3.	38.6	36.5	35.6	17.8	29.5	24.6	30.0	13.4	9.2	13.3	11.0	61	43	48	SE 1	NW 2	N 1	8^1⊙	5^1⊙	9^1	–	a ≡^{1}. t wechs. Bewölkung, wechs. schwache Winde
4.	35.3	34.8	35.0	20.3	27.1	22.2	27.4	17.3	13.8	12.9	11.7	71	48	59	W 1	W 4	W 2	8^1⊙	7^1	8	2.1	1^{18}–3^{30} a ☇ i. S. $2^{00.15}$ a, $3^{10.30}$ a ◍^{0}, auffrisch. NW-Winde
5.	36.1	34.6	33.7	17.4	26.2	22.2	27.1	15.9	12.5	11.4	9.6	85	46	49	NW 2	NW 2	NW 1	4^1⊙	7^1⊙	2^1	1.5	1^{43}–2 a ◍^{2}. t heiter, sehr sichtige Luft
6.	33.9	34.4	37.3	20.2	30.7	24.3	**32.0**	14.8	11.4	13.8	11.7	65	42	52	SE 1	NW 4	W 1	4^1⊙	8^2	3^1	–	t wechselnde Bewölkung. 3^{33}–4^{20} p ☇ im S
7.	40.0	39.7	40.4	18.4	27.1	23.7	27.9	16.1	12.2	11.9	9.3	78	45	42	N 1	NW 2	NE 1	1^1⊙	2^1⊙	○	–	t heiter, sichtige Luft, auffrischende Winde
8.	**41.9**	41.1	40.5	18.6	28.9	24.4	29.6	14.6	9.9	12.4	11.9	62	42	52	E 1	NE 2	NE 2	○○	○○	○	–	⏢. t wolkenlos, sehr sichtige Luft, auffrisch. Winde
9.	40.2	39.7	38.2	20.0	28.6	25.2	29.5	15.4	10.2	13.3	11.3	58	46	48	E 2	NE 3	E 2	5^1	○○	3^1	–	⏢. t heiter, sichtige Luft
10.	38.0	36.7	36.2	20.4	28.1	24.3	28.9	15.0	9.4	12.2	9 8	53	43	44	NE 2	E 3	E 2	○○	2^1⊙	○	–	⏢. t wechselnde Bewölkung, sehr sichtige Luft
11.	37.0	36.3	36.2	20.4	27.1	22.6	28.2	15.6	10.3	13.2	9.7	57	50	48	E 2	E 3	NE 1	2^1⊙	10^2	○	–	⏢. t zunehm. Bewölkg., sichtige Luft. 1^{43}–2^{40} p ☇ i. N
12.	37.2	36.7	37.2	19.7	26.6	22.9	27.8	14.9	10.0	13.2	11.6	58	51	56	E 3	E 3	SE 2	○○	8^2	2^1	–	⏢. n klar. t zunehm. Bewölkung, sehr sichtige Luft
13.	38.1	37.2	37.2	16.4	28.4	24.0	28.9	13.1	10.3	12.4	10.6	74	44	48	C	E 2	SE 2	1^1	9^2	10^1	–	⏢. a–11 a ≡, oft windstill, t zunehmende Bewölk., sehr
14.	37.2	36.3	34.5	18.0	24.9	20.4	25.4	15.3	11.3	12.2	11.4	74	53	64	S 1	SE 2	SE 2	9^1=	9^1	4^1	–	⏢. a ≡^{1}. t wolkig, sehr sicht. Luft [sichtige Luft
15.	32.3	31.3	32.2	17.8	22.1	17.6	23.7	13.9	9.4	10.5	9.8	62	54	66	S 2	NW 4	NW 2	3^1⊙	10^1	10^2	–	⏢. a ≡^{0}. t wolkig, auffrischende nördl. Winde
16.	33.4	33.3	35.6	15.0	20.2	16.0	20.8	12.0	8.6	9.5	8.4	68	54	62	W 3	NW 3	NW 2	3^1⊙	8^1⊙	10^1	–	⏢. t wolkig, lebhafte nördl. Winde
17.	37.8	37.8	37.4	14.4	19.0	15.0	19.8	10.8	8.7	**6.2**	7.4	72	38	58	W 4	NW 4	N 1	9^1	5^1⊙	○	–	⏢. t abnehmende Bewölkung, sichtige Luft
18.	36.7	34.7	33.2	13.1	22.6	19.4	24.0	**10.6**	8.0	10.8	9.6	72	53	57	SW 1	NW 3	SW 2	9^1	7^1⊙	10^2	–	⏢. a ∞. t wolkig, wechselnde Winde
19.	31.9	30.4	30.5	18.2	26.9	20.6	27.3	13.7	8.9	12 7	10.0	58	48	55	SW 2	W 3	NW 2	2^1⊙	5^1⊙	○	–	t wechselnde Bewölkung [heiter
20.	30.8	30.4	29.6	15.6	26.5	21.6	27.9	12.3	8.7	13.1	10.7	65	51	56	SE 2	NW 2	NE 1	3^1	6^1	○	–	a ≡^{0}. abflauende wechs. Winde, häufig C. t meist
21.	29.8	27.7	27.7	17.6	28.1	19.4	29.0	14.7	10.7	15.5	14.5	71	55	87	SW 1	S 2	S 2	10^1●	1^1⊙	10^1	–	a ≡^{0}. 7 a, 10 a, gegen 11 a ◍^{0}. 6^{41}–7^{35} p ☇
22.	28.5	**27.4**	27.8	18.6	26.8	19.3	27.1	16.0	12.7	14.9	13.2	80	57	79	S 2	SW 2	N 2	4^1⊙■	8^2⊙	2^1	0.8	9 p ◍^{0}. mn–3^{30} a ≲ i. N. a ≡^{1}. t wolkig. 6^{30} p an ≲ i. N
23.	29.1	29.4	30.6	18.4	24.2	17.8	24.1	16.2	13.6	12.7	14.2	86	57	**94**	SW 2	SE 2	SE 2	10^1	9^1	○	–	⏢. 11^{01} p–0^{40} a ☇ i. S. a ≡^{1}. $9^{35.40}$ a ◍^{0}. 2^{25}–4 p ☇. 1)
24.	31.5	32.4	33.1	16.9	21.7	18.3	22.1	15.0	13.4	13.9	12.6	**94**	72	80	S 2	NW 2	N 1	10^1■	5^1	○	3.0	3^{30}–5 a meist ◍^{0}. 5^{50}–6^{05} a ◍^{2}. $10^{00.50}$ a ◍^{0}. $5^{40.45}$ a, 2)
25.	34.7	34.3	34.5	16.2	24.8	18.3	24.9	12.0	11.8	15.3	13.5	86	66	86	SE 1	S 3	W 2	1^1	9^2	6^1	–	⏢. a ≡^{1}. t zunehmende Bewölkg., wechs. Winde. 3)
26	36.7	37.3	38.7	16.4	21.5	16.2	21.9	15.1	12.6	12.6	11.3	91	66	82	W 2	NW 2	SW 1	10^1	5^1	○	**12.2**	3^{35}–5^{35} a ◍^{2}. $4^{11.55}$ a ☇. $6^{21.25}$ a ◍^{2}. t abnehmende
27.	40.3	39.3	38.8	15.5	24.8	19.2	25.4	12.2	10.5	14.8	13.1	80	64	79	SE 2	W 2	S 1	1^1	5^1	○	–	⏢. a ∞. t heiter [Bewölkg.
28.	38.8	37.1	35.9	15.6	26.7	20.3	27.0	13.0	10.2	14.8	11.9	77	57	67	SE 1	SE 3	SE 1	○○	○○	○	–	⏢. a ≡^{0}. t wolkenlos, auffrischende südl. Winde
29.	36.7	36.0	37.9	18.7	30.1	21.8	30.9	14.5	11.6	**19.2**	13.0	72	61	67	SE 2	SW 3	NW 1	1^3○■	4^1⊙	10^1	–	⏢. a ≡^{1}. p zunehmende Bewölkung. 7–8^{30} p ≲ i. SE
30.	38.1	37.8	38.1	18.2	24.2	19.2	24.4	16.5	12.9	13.2	11.1	83	59	67	C	NW 2	N 2	9^1	8^2	10^1	–	⏢. $9^{20.30}$ p ◍^{0}. t meist wolkig
31.	40.4	40.7	41.3	14.8	20.1	15.8	20.8	13.5	10.7	11.6	9.6	86	66	72	NW 1	W 1	N 2	10^1	2^1⊙	○	5.1	$23^{1.45}$ a ◍^{0}. t abnehmende Bewölkung
Mittel	36.1	35.4	35.5	17.6	25.7	20.7	26.4	14.2	10.6	12.7	11.0	71	52	62				4.4	5.4	3.7	24.7	1) $3^{05.40}$ p ◍^{2} 2) $0^{18.30}$ p ☇ i S. a ≡^{1} 3) $7^{00.15}$ p ◍^{0}

Alle Angaben nach Ortszeit.

Kaiserslautern.

August. $\varphi = 49^0\ 27'$ N. $\lambda = 7^0\ 46'$ E $= 31^m\ 4^s$. H $= 242.2$ m. Cg $= +0.3$ mm. 1911.

Datum	Luftdruck auf 0^0 u. Normalschwere reduziert 700 mm +			Lufttemperatur C⁰					Absolute Feuchtigkeit mm			Relative Feuchtigkeit Proz.			Richtung und Stärke des Windes 0 bis 12			Bewölkung 0 bis 10			Niederschlag mm	Bemerkungen
	7^a	2^p	9^p	7^a	2^p	9^p	Max.	Min.	7^a	2^p	9^p	7^a	2^p	9^p	7^a	2^p	9^p	7^a	2^p	9^p	7^a	
1.	41.1	41.1	42.4	20.3	31.0	24.1	32.2	16.8	13.5	9.6	10.2	76	29	46	C 1	SE 1	C 1	7^0	00	10^2	0.3	9^{30} p–n $\bigcirc^{0.1}$. n $\bigcirc$ ≲. a ∞. 8^{31} p ≲ i. SW u. NW
2.	44.1	43.7	44.4	20.5	29.9	21.7	30.3	18.6	11.5	9.3	12.6	64	30	66	E 1	SE 1	C 1	8^1	4^0	4^1	–	n ≲. 3^{06}–5^{36} p ⌇. 4^{41}–5^{11} p ≲ i. W
3.	44.6	42.7	42.4	17.2	29.0	23.6	29.7	14.8	11.8	12.9	13.2	81	44	61	C 3	W 3	W 2	3^0	9^1	10^2	–	a ⌓
4.	42.7	42.0	42.6	19.4	25.5	20.8	27.6	16.6	12.8	11.9	12.6	76	49	69	C 3	W 3	C 3	5^0	7^1	8^2	–	a ∞
5.	42.4	40.7	39.8	17.0	26.7	21.0	29.2	15.3	11.9	9.3	10.6	83	36	57	C 1	W 1	W 1	00	3^1	5^0	–	a ≡¹, ⌓
6	39.9	42.2	43.9	17.9	27.1	20.2	28.2	14.4	10.8	11.4	11.1	71	43	63	W 1	W 6	W 1	1^0	3^1	0	–	a–3^{31} p ztw. ≡
7.	46.7	46.1	46.7	15.7	27.6	20.6	29.2	11.8	9.9	8.1	10.0	75	30	55	C 1	W 2	C 1	4^0	00	0	–	a ⌓^{0}
8.	**47.6**	46.3	45.8	17.0	30.9	22.2	32.1	12.6	9.9	8.4	10.2	69	26	51	E 1	E 2	C 1	00	00	0	–	a ∞ u. ztw. ≡
9.	46.3	43.9	43.7	18.2	30.7	22.5	32.1	14.4	10.0	9.2	10.3	64	28	51	E 1	SE 2	C 1	00	00	0	–	
10.	43.5	42.1	41.7	16.9	31.3	22.4	**32.4**	13.4	9.2	7.8	9.8	64	23	49	C 1	SE 1	E 1	00	00	0	–	a ≡^{0}, ⌓^{0}
11.	42.2	41.4	42.1	17.9	30.1	23.6	31.2	14.4	9.9	8.6	9.0	65	27	42	C 3	E 3	C 3	00	3^0	0	–	a u. p ztw. ≡
12.	43.4	42.3	42.8	17.7	29.2	21.4	30.2	14.1	9.5	6.7	8.4	63	22	44	E 2	SE 3	E 1	00	1^1	0	–	a ≡¹
13.	44.3	44.3	43.0	17.5	29.5	22.0	30.5	13.4	9.1	8.5	10.3	61	27	52	C 3	SE 3	C 3	00	4^1	0	–	p ztw. ≡
14.	43.3	41.3	40.7	16.7	30.6	23.3	32.2	13.5	9.5	6.3	9.5	67	19	45	C 3	NW 2	C 3	3^1	3^1	0	–	
15.	40.1	39.9	40.6	18.1	23.2	18.3	23.3	14.2	10.1	7.8	9.7	65	37	62	N 1	N 2	N 1	2^0	7^1	0	–	a ≡^{0} u. ztw. ≡. p ztw. ≡
16.	41.6	42.0	43.5	14.9	20.8	16.5	21.1	11.9	9.5	6.8	8.4	75	37	60	W 2	N 3	NW 1	00	7^2	0	–	a ⌓. p ztw. ≡
17.	45.0	45.0	44.0	12.2	19.7	13.3	20.5	9.0	8.4	7.9	7.9	80	47	70	S 1	NW 3	C 3	7^2	9^2	0	–	
18.	43.5	41.4	39.8	10.5	24.5	19.8	25.1	7.2	7.0	8.8	9.6	74	38	56	E 1	W 2	C 3	$3^1$0	10^1	0	–	a ≡². p ztw. ≡
19.	39.3	37.3	37.5	14.7	27.5	20.6	28.4	11.6	9.1	8.5	11.5	73	32	64	C 1	NW 4	C 3	00	$3^1$0	0	–	a ≡². p ztw. ≡
20.	37.3	36.3	35.2	15.9	27.8	20.4	29.4	13.6	10.3	8.3	10.3	77	30	57	C 1	C 1	C 1	10^1	$5^1$0	3^1	–	a ≡². 11^{36} a–0^{06} p $\bigcirc^0$
21.	33.9	33.0	33.6	18.4	27.9	20.4	29.0	17.4	13.7	10.3	12.2	87	37	68	NW 1	W 3	W 2	$5^1$0	$2^0$0	3^1	1.0	1^{31}–2^{31} a ⌇ mit $\bigcirc^2$. a ∞. 5^{56}–6^{56} p $\bigcirc^0$ u. ztw. ≡
22.	34.1	33.2	34.5	18.5	22.9	17.3	25.4	16.6	12.5	11.6	14.1	79	56	**96**	NW 1	N 1	C 1	$4^1$0	10^2R	0	0.1	$1^{16.26}$ p $\bigcirc^0$. 1^{26}–3^{46} p ≲ i. NW. 1^{31}–4^{01} p ⌇. 1)
23.	35.1	36.3	37.3	15.7	19.2	16.7	21.1	13.8	12.7	14.5	13.6	**96**	88	**96**	C 1	E 1	C 1	10^2●	10^2	10^2●	10.8	n, a $\bigcirc^1$. 6^{44}–7^{01} p $\bigcirc^2$ (ztw. wolkenbruchartig), dann 2)
24.	39.0	39.1	39.2	15.1	22.5	18.6	24.1	14.3	12.2	11.8	**14.6**	**96**	59	92	N 1	N 1	NE 1	10^2≡	$9^2$0	10^2●	**31.4**	$9^{00.11}$ p $\bigcirc$. a ≡². 8^{26}–9^{00} p $\bigcirc^1$
25.	40.3	39.9	41.3	15.7	24.4	18.6	25.6	13.9	12.0	13.0	12.7	90	57	80	C 1	NW 4	C 3	$7^1$0	$7^1$0	8^2	9.8	n $\bigcirc^1$. a ≡³. p ztw. kurz ≡^{10}. abds.–9^{00} p ≲ i. NE
26.	43.6	43.9	41.8	15.6	22.5	16.5	23.6	14.4	11.9	9.4	11.1	90	47	79	NW 2	NW 2	C 1	10^1	$6^1$0	2^0	0.2	n $\bigcirc^0$. a ≡²
27.	45.9	45.4	43.9	13.9	25.0	17.7	26.0	11.7	10.0	11.7	11.8	85	50	78	SW 1	W 1	W 1	00	$3^1$0	0	–	a ⌓^{1}, ≡¹
28.	43.6	41.7	41.2	14.4	28.1	20.6	29.2	12.4	10.2	9.8	12.7	84	35	70	C 1	W 1	W 1	00	00	0	–	a ⌓^{0}, ∞
29.	42.0	43.8	44.6	19.6	24.8	19.5	26.1	15.2	11.2	11.2	12.7	66	48	76	W 2	W 3	W 1	$3^0$0	9^2	9^1	–	p ztw. ≡. $3^{20.31}$ p $\bigcirc^0$
30.	45.1	44.8	45.5	15.7	23.7	18.1	24.1	15.2	11.3	7.8	8.5	85	35	55	C 1	NW 1	C 1	$5^0$0	9^1	10^1	–	a ≡^{0}, ⌓
31.	**47.6**	46.5	47.2	13.4	21.4	13.8	22.1	12.7	9.5	6.6	7.5	83	35	63	C 1	E 1	E 2	00	$2^1$0	2^0	0.3	9^{31} p an $\bigcirc^0$. a ∞
Mittel	42.2	41.6	41.8	16.5	26.3	19.9	27.5	13.9	10.7	9.5	10.9	76	39	64				3.5	4.7	3.0	53.9	1) 2^{36}–4^{16} p $\bigcirc^1$. 2^{56}–3^{01} p $\bigcirc^2$
																						2) bis 9^{00} p $\bigcirc$. 6^{16}–7^{41} p ⌇. 6^{19}–7^{41} p ≲ i. NW, E u. SW

Ansbach

August. $\varphi = 49^0\ 18'$ N. $\lambda = 10^0\ 33'$ E $= 42^m 12^s$. H $= 437.5$ m. Cg $= +0.2$ mm. 1911.

1.	26.1	26.1	26.7	17.9	26.0	18.8	27.4	11.5	7.7	6.4	5.8	50	26	36	C 1	NE 2	C 1	$2^0$0	00	0	–	
2.	28.5	27.8	27.8	16.4	27.9	19.1	28.2	10.9	7.5	4.7	6.4	54	**17**	38	C 1	SW 2	W 2	00	4^1	4^1	–	
3.	27.5	26.2	25.4	18.8	28.7	21.1	28.8	14.0	9.4	6.2	7.0	58	21	38	C 1	NW 2	C 1	00	$2^1$0	8^2	–	
4.	25.0	24.5	24.8	18.7	25.4	20.5	26.4	16.0	12.5	7.9	9.3	78	33	52	W 2	NW 4	W 2	6^1	6^1	8^2	4.9	0^{42}–2^{27} a ⌇, $1^{02.52}$ a $\bigcirc$
5.	25.3	24.0	23.7	17.9	25.7	18.3	26.8	14.2	10.8	8.0	7.7	71	33	49	W 2	NW 2	C 1	$2^1$0	$4^1$0	0	–	
6.	23.0	24.5	27.1	17.6	29.2	22.5	30.0	12.0	9.4	8.4	9.3	63	27	46	C 1	NW 6	C 1	$2^1$0	$6^1$0	2^0	–	p ≡
7.	29.2	29.1	30.1	18.3	26.8	19.0	27.8	14.6	11.8	9.5	6.7	75	36	42	C 1	N 2	C 1	$2^1$0	$2^1$0	0	–	
8.	**31.2**	30.2	30.0	18.1	28.6	21.1	29.8	15.0	8.7	7.6	7.9	57	27	42	C 1	NE 2	C 1	00	00	0	–	
9.	30.2	28.7	28.5	17.5	28.2	19.9	29.2	13.6	9.2	7.5	7.1	62	27	41	C 1	E 4	C 1	00	00	0	–	
10.	26.8	25.8	25.8	17.9	27.3	19.9	28.4	13.2	9.2	7.9	7.5	61	30	43	C 1	NE 2	C 1	00	00	0	–	
11.	26.4	25.2	26.1	16.3	27.7	19.3	28.2	11.9	8.9	8.4	8.3	64	30	50	C 1	E 2	C 1	00	$6^1$0	0	–	2^{22}–4^{02} p ⌇ mit $\bigcirc$tropfen
12.	26.7	26.0	26.7	17.4	25.8	19.7	27.8	11.7	9.0	7.5	8.7	61	34	51	NE 2	NE 4	C 1	00	$4^1$0	2^0	–	
13.	27.5	26.9	26.8	15.9	27.3	19.7	28.4	11.3	9.7	8.8	8.6	74	33	50	C 1	E 2	C 1	$2^0$0	$4^1$0	2^1	–	
14.	26.4	25.6	24.0	10.4	24.5	17.7	26.8	13.0	10.1	11.1	8.9	73	47	59	C 1	SW 2	C 1	$2^0$0	$4^1$0	0	–	
15.	21.5	21.2	22.0	18.5	21.1	16.7	23.0	14.8	8.7	**3.7**	6.7	55	20	48	W 2	N 4	NW 2	$2^0$0	10^2	2^1	–	
16.	23.2	23.2	25.4	13.9	18.4	15.0	19.4	12.4	7.8	5.6	6.4	66	36	51	W 4	NW 4	NW 4	$2^1$0	8^2	6^1	–	
17.	26.9	27.0	27.0	13.1	18.0	13.3	19.2	10.3	7.9	5.7	6.1	71	37	53	W 2	W 4	C 1	8^2	6^1	0	–	
18.	26.0	23.8	22.5	12.9	23.0	18.9	23.8	8.7	7.4	6.9	6.9	67	33	43	W 2	W 4	W 4	$2^0$0	$4^1$0	4^0	–	
19.	21.5	19.9	19.9	17.3	25.5	17.1	26.6	14.4	8.1	6.8	7.0	55	28	48	W 2	W 6	C 1	00	$2^1$0	0	–	
20.	20.1	19.8	19.1	14.2	26.3	18.7	27.6	10.9	9.1	9.2	7.8	76	37	49	C 1	NW 2	NW 2	$2^1$0	10^2	6^2	–	
21.	18.7	17.2	17.6	18.1	27.7	17.8	28.8	14.8	11.3	11.8	**13.3**	74	42	**88**	SW 4	S 4	W 4	10^2●	$2^0$0	10^2	0.1	6^{12} a an $\bigcirc$. 5^{43}–6^{57} p ⌇, 5^{47}–7^{22} p ●
22.	17.4	**16.6**	17.6	17.5	26.1	18.1	26.6	14.2	11.9	11.0	11.7	80	44	75	C 1	W 2	C 1	$2^0$0	8^1	0	**7.2**	abds. ≲ im SE
23.	18.7	18.7	20.1	16.8	24.7	16.4	25.0	15.0	11.3	11.1	11.1	79	48	80	C 1	C 1	C 1	10^2	10^2R	0	–	1^{47}–3^{32} p ⌇, $2^{16.32}$ p $\bigcirc$
24.	21.2	21.9	22.8	16.5	23.0	15.2	23.2	13.8	11.5	10.0	9.8	82	48	76	SW 2	W 2	NW 2	10^2	$6^1$0	0	1.4	$4^{37.54}$ a $\bigcirc$
25.	23.9	23.3	24.1	14.6	23.4	17.3	26.4	11.5	9.8	10.4	11.4	80	48	78	C 1	SE 2	C 1	00	8^2	0	–	n ≲ im S; 5^{30}–6^{02} p ⌇. $5^{32.57}$ p ●, 5^{42} p ◠
26.	26.1	26.8	28.3	15.6	20.6	15.4	21.4	14.0	10.5	7.7	8.4	80	43	64	C 1	W 4	W 2	10^2	$2^1$0	0	3.8	$4^{07.13}$ .. ⌇, 2^{47}–4^{17} a, 4^{32}–5^{32} a $\bigcirc$
27.	29.2	28.7	28.1	13.4	24.5	16.1	25.4	10.3	8.7	7.8	7.7	76	33	57	C 1	W 2	C 1	00	$4^1$0	0	–	a ≡^{0} ⌓
28.	27.9	26.5	25.4	14.1	26.1	18.1	27.4	10.7	8.8	7.2	9.5	74	29	62	C 1	C 1	C 1	00	00	0	–	a ≡^{0} ⌓
29	25.9	25.7	27.3	17.8	29.7	18.9	**30.2**	13.6	10.1	11.0	12.9	67	35	80	C 1	W 4	C 1	00	4^1	10^2●	–	a ≡^{0} ⌓. 8^{14} p–n $\bigcirc^0$
30.	27.4	27.2	27.9	17.2	23.3	18.1	24.2	15.2	11.8	8.8	6.1	81	41	40	C 1	W 2	NW 2	10^2	6^1	10^2	0.7	n $\bigcirc^0$
31.	29.4	30.0	30.7	13.7	19.7	12.3	20.8	12.0	8.9	6.0	5.6	77	35	52	W 2	N 1	C 1	8^1	$4^1$0	0		a ⌓
Mittel	25.3	24.8	25.1	16.5	25.2	18.1	26.2	12.9	9.6	8.1	8.3	69	34	54				3.0	4.4	2.4	18.1	

Alle Angaben nach Ortszeit.

Regensburg.

August. $\varphi = 49^0\ 1'$ N. $\lambda = 12^0\ 7'$ E $= 48^m\ 28^s$. H $= 342.6$ m. Cg $= +0.2$ mm. 1911.

Datum	Luftdruck auf 0^0 u. Normalschwere reduziert 700 mm +			Lufttemperatur C°					Absolute Feuchtigkeit mm			Relative Feuchtigkeit Proz.			Richtung und Stärke des Windes 0 bis 12			Bewölkung 0 bis 10			Niederschlag mm	Bemerkungen
	7^a	2^p	9^p	7^a	2^p	9^p	Max.	Min.	7^a	2^p	9^p	7^a	2^p	9^p	7^a	2^p	9^p	7^a	2^p	9^p	7^a	
1.	34.7	34.3	35.4	16.0	25.4	15.0	27.9	12.4	6.6	6.1	7.9	49	26	62	N 1	W 2	C	○○	6^0○	○	–	
2.	36.9	35.9	35.4	16 0	26.9	20.0	29.0	11.8	7.3	6.6	9.4	54	25	54	N 1	W 2	C	○○	4^0○	○	–	
3.	35.4	33.6	34.4	16.2	29.3	20.4	30.4	14.1	8 3	6.7	9.1	60	22	51	N 4	NE 2	C	2^0○	4^0○	6^0	–	
4.	32.6	31.7	32.5	19.7	27.9	19.8	28.1	17.9	12.0	9.0	12.4	70	32	72	NW 2	NW 6	C	8^0○	6^0○	4^0	0.5	n-3^{50} a ●
5.	32.9	32.0	31.9	16.8	26.8	15.8	27.1	15.8	12.2	11.2	11.6	85	43	87	SW 1	S 4	C	8^1	6^2○	○	–	
6.	32.9	32.8	35.8	17.4	31.3	16.8	**32.3**	14.1	12.0	8.8	12.8	81	26	90	SW 4	NW 4	C	○○	8^3	8^0	–	2^{05}-3^{20} p, 4^{50}-5^{20} p ⌇, 2^{50}-3^{03} p ●
7.	36.3	36.4	37.0	16.3	27.5	22.2	28.9	14.9	12.2	9.5	8.3	88	35	42	N 2	NE 4	C	6^{1}=○	6^1○	○	3.0	7 a ≡^{1}
8.	**39.1**	38.2	38.3	18 2	28.8	18.8	29.1	16.1	8.1	7.4	8.7	53	25	54	N 4	NE 6	C	2^0○	○○	○	–	
9.	38.2	37.8	34.4	18.7	28.3	21.6	29.1	15.2	8.8	8.2	10.4	55	29	55	N 2	SE 4	C	○○	2^0○	4^0	–	
10.	34.1	33.6	33.5	21.8	27.7	22.7	29.0	15.6	8.6	7.3	8.3	44	26	41	N 2	SE 2	C	○○	2^0○	4^0	–	
11.	34.2	33.0	33.7	17.1	27.0	21.6	28.6	14.1	7.1	8.0	7.8	49	30	41	N 2	SE 4	C	○○	8^1○	6^1	–	5^{05}-6^{30} p ⌇
12.	34.5	34.5	34.7	18.0	24.1	15.5	26.3	14 5	9.2	9.5	9 6	60	43	74	N 2	SE 4	C	4^0○	10^0	2^0	–	
13.	36.3	34.8	34.7	17.2	26.1	19.6	28.1	12.8	9.4	10.7	11.9	64	43	70	N 2	SE 6	C	10^0	8^1●	8^0	–	2^{00}-^{13} p ●
14.	31.6	34.2	32.3	17.8	25.9	16.6	26.9	16.1	11.6	8.1	10.3	76	33	73	NW 1	NE 4	N 2	10^2	8^1	8^0	0.2	8^{50}-9^{05} a ●
15.	29.8	28.5	30.3	19.3	23.9	16.0	25.1	12.8	9.2	7.8	7.3	55	35	58	SW 2	NW 8	N 2	6^1○	10^1	6^0	0.2	
16.	30.3	30.3	34.4	15.4	19.8	17.0	20.7	15.4	7.4	**5 3**	6.3	57	31	44	NE 6	NW 8	N 6	6^0	8^0○	10^0	–	
17.	35.7	35.4	34.6	13.3	19.4	14.6	21.2	10.7	7.3	6.6	6.5	64	39	**52**	NW 4	NW 6	C	10^0	8^2	○	–	
18.	33.9	32.0	30.6	12.8	23.0	18.2	24.2	**8 6**	7.1	6.4	8.0	65	31	52	N 2	N 6	C	4^0○	8^1○	8^0	–	
19.	29.9	28.6	28.4	16.6	26.8	17.0	27.9	14.1	7.7	6 5	7.9	55	25	55	W 2	NW 6	C	6^0○	6^0○	○	–	
20.	28.8	29.2	27.9	14.0	27.4	18.2	29.3	10.3	7.4	9.5	8.5	62	35	55	S 2	SW 2	C	6^0○	10^0	○	–	
21.	27.4	27.0	26.6	18.0	25.1	18.0	28.6	13 5	9.1	12.9	12.0	59	55	78	N 2	S 4	W 4	8^1	8^1○	10^0	–	8^{05}-m ztw. ●^{0}, 7^{05}-8^{30} p ⌇, 7^{30}-8^{50} p ●
22.	26.7	26.3	25.4	17.2	26.2	20.7	27.4	13.8	12.2	11.6	11.3	84	46	62	SW 2	W 4	C	8^0○	8^1○	8^0	4.0	9 p ≺, 7^{05-10} p ⌇
23.	26.9	27.3	28.9	16.6	21.2	15.6	25.1	14.8	12.3	**14.7**	12.6	87	78	**96**	SE 2	N 2	C	8^3	10^1●	8^0	0.1	9 p ≺, n ●, 0^{40-55} p, 1^{20}-2^{10} p, 2^{20}-3^{50} p ●
24.	30.5	29.9	31.1	17.0	24.4	18.2	25.1	15.0	13.0	12.4	12.2	90	55	78	W 4	SW 4	C	10^2	8^2	8^0	**5.0**	n, 5^{50}-6^{20} a, 7^{20-50} a ●, 8^{35}-n ≺
25.	32.9	31.6	31.9	17.0	23.6	18.8	24.9	15.0	12.6	10.7	12.1	88	50	75	S 2	S 4	C	8^1	8^2	4^0	3.0	n ≺
26.	33.8	34.7	36.8	16.7	21.7	11 8	22.2	10.9	12.2	9.8	9.4	86	51	93	NW 2	W 4	C	10^1●	10^1	6^0	3.0	n, 5^{50}-7^{30} a ●
27.	38.0	36.4	36.3	11.5	24.1	13.7	24.5	8.8	9.6	9.8	9.9	**96**	44	86	S 2	W 2	C	10^2≡	4^0○	○	–	a ≡^{2}
28.	36.4	34.6	34.3	13.7	26.9	14 4	27.1	10.4	9.7	7.3	9.4	83	28	77	N 2	S 4	C	2^0○	○○	○	–	⏢
29.	35.2	33.7	34.9	15.0	30.3	20.4	31.0	12.8	9.7	10.1	12.0	76	32	67	S 2	W 6	NW 2	2^0○	4^0○	10^0	–	⏢, 6^{20-25} p ●, $6^{50-7^{30}}$ p ⌇, 9 p ≺
30.	35.1	34.8	34.7	18.2	24.7	20.6	25.2	16.6	13.1	12.2	8.5	84	53	47	W 2	NW 4	NW 4	10^0	10^1	10^0	1.4	n ●
31.	36.9	38.1	38.9	14.6	16.7	13.8	20.7	12.5	9.0	11.4	10.4	73	80	90	NW 4	SW 2	C	10^1	6^0○	○	0.4	n, 7^{35-50} a ●, 1^{10-35} p ⌇, $0^{50-1^{10}}$ p ●
Mittel	33.6	32.9	33 2	16.6	25.4	17.9	26.8	13.5	9.7	9.1	9.8	69	39	66				5.6	6.6	4.5	20.8	

Passau.

August. $\varphi = 48^0\ 34'$ N. $\lambda = 13^0\ 28'$ E $= 53^m\ 52^s$. H $= 309.3$ m. Cg $= +0.2$ mm. 1911.

1.	37.7	37.7	37.8	15.0	25.3	18.4	26.2	12.9	9.7	8.0	9.2	76	**34**	59	C	E 2	C	○○	3^0○	○	–	⏢
2.	39.8	38.7	38.4	13.8	26.2	19.6	27.2	**10.9**	9.4	10.8	12.4	80	43	74	C	S 1	C	○○	3^0○	○	–	⏢
3.	38.5	36.6	35.4	15.0	27.0	20.4	30.0	13.2	10.8	10.3	11.3	85	39	63	C	NW 1	C	3^1○	8^1	○	–	⏢
4.	36.1	34.5	35.6	10.4	24.8	16.8	26.2	15.1	11.1	14.4	13.8	80	62	**97**	C	W 2	C	10^1	5^0○	10^1	–	n ●^{0}, 3^{05-45} p ●, $3^{25-4^{35}}$ p ⌇
5.	36.1	35.9	35.3	14.8	23.8	18.6	25.2	13.1	11.4	12.8	13.9	91	59	87	C	C	C	10^1=	1^1○	3^1	8.0	a ≡^{1}
6.	35.5	35.4	37.8	15.6	27.8	20.0	**30.2**	13.7	11.6	12.9	13.7	88	46	78	C	C	C	○○	○○	3^1	–	⏢; 4^{25-45} p ●^{0}, 5^{35-36} p ⌇, $5^{37-6^{10}}$ p ●
7.	39.6	39.5	40.2	16.6	26.8	22.2	28.2	15.1	12.4	11.2	14.4	89	43	72	C	E 2	E 2	8^1	3^1○	8^1	1.1	
8.	**42.3**	41.3	40.0	17.2	28.2	20.4	29.0	15.1	12.1	10.7	12.3	83	38	69	C	E 2	E 2	○○	○○	○	–	⏢
9.	41.2	39.8	38.5	15.6	27.6	19.2	28.2	13.6	10.9	10.4	12.0	83	38	73	E 2	C	C	○○	3^0○	1^0	–	
10.	37.7	36.5	37.1	15.6	27 8	19.4	28.2	13.6	10.7	9.4	12.2	81	**34**	73	C	C	C	○○	3^0○	10^1	–	⏢
11.	37.1	35.7	36.9	15.2	25.4	21.2	27.2	13.1	10.6	12.1	11.4	83	50	62	C	E 2	C	8^1○	3^1○	10^1	–	⏢; 0^{15} p, 5^{45} p ⌇, p ztw. ●^{0}
12.	37.3	37.8	38.0	16.2	20.4	12.8	24.8	14.3	11.0	12.2	13.2	80	68	87	C	S 1	C	3^0○	10^1●	10^1	0.1	⏢, 1^{25-3} p ●, 6^{35-50} p ⌇, 6^{55-50} p ●
13.	38.3	38.1	38.1	15.2	23.8	18.2	25.8	13.9	11.6	13.7	13.5	90	63	87	C	E 2	C	10^1≡	8^1○	10^1	1.7	a ≡^{1}, $4^{18-5^{25}}$ p ⌇, 4^{40-5} p ●
14.	37.8	36.1	36.1	16.2	24.4	15.8	25.4	15.1	12.1	12.4	12.4	88	55	92	C	NW 1	C	10^1●	5^0○	10^1●	2.2	a ●, 6-7 p ⌇, 6 p-n ●
15.	33.5	29.8	31.8	15.2	24.2	18.6	25.2	14.1	11.9	14.5	8.6	92	65	54	C	C	W 2	10^1	10^1	10^1	2.7	
16.	33.0	32.7	34.7	15.4	20.6	18.2	22.2	14.1	9.4	**7.1**	7.7	72	39	50	W 2	W 4	C	3^0○	5^1○	10^1	–	10^{10-20} p ⌇
17.	37.5	37.7	37.3	14.4	19.4	14.8	21.2	11.1	8.7	7.3	9.5	72	43	76	C	NW 2	C	10^1	10^1	○	–	
18.	38.4	35.0	33.9	11.4	21.2	17.0	22.2	11.4	8.1	8.2	10.5	81	44	73	C	W 2	C	10^1	10^1	10^1	–	
19.	33.3	31.2	31.1	13.2	26.2	18.0	27.2	12.1	9.2	8.6	11.2	82	35	73	C	W 2	C	3^0○	5^1○	○	–	
20.	32.2	30.9	30.8	12.8	26.2	19.0	27.8	11.1	9.0	12.6	11.8	82	50	73	C	C	C	○○	10^0	○	–	⏢
21.	29.8	30.1	30.8	15.6	25.4	22.2	27.2	14.1	10.9	12.4	12.0	83	51	61	C	NW 1	W 6	○○	10^1	10^1●	–	⏢, $8^{40-9^{00}}$ p ●^{0}
22.	29.9	28.9	28.9	17.0	25.2	20.0	27.2	15.8	13.0	12.9	13.7	90	55	78	C	C	E 2	8^1	8^1	10^1●	0.2	9^{00-05} p ●^{0}, $8^{55-9^{00}}$ p ⌇, 8^{50} p-n ●
23.	30.2	29.3	29.4	17.8	26.8	18.4	28.4	16.0	12 6	14.9	13.4	83	57	85	C	C	C	8^1	10^0○	10^1	1.2	9^{00-35} p ⌇, n ●^{0}, 4^{33-6} p ⌇, 5^{05-7} p ●
24.	33.4	33.7	33.3	17.2	23.0	18.6	24.2	15.8	12.9	14.2	13.9	89	68	87	C	W 2	C	10^1	3^1○	○	6.0	t ztw. ●
25.	35.2	36.1	35.5	17.4	23.6	18.0	24.7	16.4	13.1	11.9	13.1	89	55	85	C	C	C	10^1	3^1○	○	4.0	n ●
26.	36.8	37.7	39.5	15.8	18.8	15.4	19.4	14.1	11.5	12.7	12.0	86	79	92	C	NW 2	C	10^1	10^1	○	–	a, 8-11^{30} a, 3^{35}-5 p ●, $3^{30.45}$ p ⌇
27.	41.4	40.6	40 0	14.4	22.6	16.8	23.9	12.1	11.1	11.0	11.7	92	54	82	C	C	E 2	10^1	3^1○	○	**13.0**	
28.	40.0	38.0	37.4	13.0	26.2	17.2	26.7	11.1	9.8	9.9	11.8	89	40	81	C	E 2	C	○○	○○	○	–	⏢
29.	38.2	37.4	37.3	13.6	26.8	19.2	28.0	11.9	10.0	14.9	13.8	87	57	84	C	C	C	○○	○○	○	–	⏢
30.	38.1	37.7	37.7	17.0	22.4	19.6	24.4	15.5	12.5	14.6	**15.0**	87	72	89	C	C	C	10^1	10^1	10^1	0.1	a ●^{0}
31.	39.7	41.1	42.1	15.2	18.4	15.0	20.2	15.0	11.2	10.2	11.0	87	64	87	NW 1	W 2	C	10^1●	5^1○	3^1	1.2	3 a ⌇, a ztw. ●, 1^{10} p ⌇
Mittel	36.6	35.8	36.0	15.3	24.4	18.5	25.9	13.7	11.0	11.6	12.1	85	52	77				5.6	5.4	4.8	41.5	

Alle Angaben nach Ortszeit.

Landshut.

August. $\varphi = 48^0\ 32'$ N. $\lambda = 12^0\ 10'$ E $= 48^m\ 40^s$. H $= 397.7$ m. Cg $= +0.2$ mm. 1911.

Datum	Luftdruck auf 0^0 u. Normalschwere reduziert 700 mm +			Lufttemperatur C°					Absolute Feuchtigkeit mm			Relative Feuchtigkeit Proz.			Richtung und Stärke des Windes 0 bis 12			Bewölkung 0 bis 10			Niederschlag mm	Bemerkungen
	7^a	2^p	9^p	7^a	2^p	9^p	Max.	Min.	7^a	2^p	9^p	7^a	2^p	9^p	7^a	2^p	9^p	7^a	2^p	9^p	7^a	
1.	29.7	29.4	29.4	15.8	26.2	18.4	27.2	11.6	8.4	5.2	7.0	63	21	44	E 2	E 4	C	0⊖	1^1⊖	0	–	
2.	31.7	31.0	30.3	14.6	27.8	17.4	30.0	8.8	8.7	7.1	8.6	71	25	58	C	E 2	C	0⊖	1^0⊖	1^0	–	
3.	30.7	28.8	27.7	15.0	30.0	21.6	31.4	11.6	9.3	7.2	9.7	73	23	51	NE 2	W 2	C	9^1⊖	2^1⊖	0	–	
4.	28.3	27.1	27.4	18.2	28.0	21.2	29.1	14.3	13.5	7.8	9.9	87	28	54	C	W 4	C	8^1⊖	2^1⊖	7^1	0.7	4^{40}–6^{30} a ◍^{0}
5.	28.2	27.3	26.7	19.4	28.6	19.9	30.2	15.2	12.8	7.8	11.6	76	27	67	NW 2	N 2	C	3^1⊖	3^1⊖	0	–	
6.	27.3	27.0	29.7	16.5	32.5	18.2	33.1	10.7	11.2	10.6	13.8	80	29	89	S 2	W 2	E 2	0⊖	2^1⊖	1^1	–	3^{50}–5^{10} p ◹, 4^{05}–5 p ◍, $4^{21.22}$ p einige ▲körner
7.	31.8	31.7	32.1	18.4	27.8	19.4	32.1	14.4	13.7	12.1	13.7	87	43	82	SW 2	C	C	2^1	5^2⊖	0	7.9	2^{20} p ◍tropfen
8.	**34.1**	33.1	32.7	17.3	29.2	19.9	30.6	13.2	12.2	7.9	10.4	83	26	60	W 2	E 2	C	0⊖	1^1⊖	0	0.1	⏢^{0}
9.	33.2	31.9	30.3	17.3	28.8	18.5	30.1	12.8	10.2	8.9	10.1	69	30	63	E 2	SE 4	C	1^0⊖	0⊖	1^1	–	⏢^{0}
10.	29.8	28.9	28.3	15.4	27.4	20.2	29.3	11.0	10.2	7.0	10.1	79	26	57	E 2	N 2	C	2^0⊖	8^0⊖	2^0	–	
11.	29.3	28.3	28.3	16.7	27.0	20.7	29.7	12.2	10.0	8.5	9.7	70	32	53	E 2	N 2	C	0⊖	9^1	2^1	–	8^{05} p ◍tropfen, $8^{20.50}$ p ◹
12.	29.4	28.7	29.8	15.8	26.2	18.0	29.4	12.4	10.5	9.1	11.0	79	37	72	E 2	E 4	C	2^1⊖	5^2	2^0	0.1	$2^{10.15}$ p, $3^{10.30}$ p ◍, $3^{10.30}$ p ◹
13.	30.6	29.8	29.8	15.8	27.0	20.2	29.7	11.5	11.1	9.4	10.7	83	35	61	C	E 2	E 2	6^0⊖	7^1⊖	1^1	2.8	⏢, $3^{10.11}$ p ◍tropfen, 3^{20} p ◹, 3^{55} u. 4^{20} p ◍tropfen
14.	30.0	28.4	27.3	16.4	24.8	17.2	26.6	15.3	12.1	10.1	11.6	87	44	80	C	E 2	C	10^1●	9^1	1^1	0.2	6^{40}–7^{20} a, 8^{20}–10^{30} a ◍^{0}
15.	25.1	22.4	24.2	18.4	24.9	17.1	26.7	13.7	11.3	8.1	8.3	72	35	57	SW 2	W 4	N 2	3^1⊖	10^1	1^1	0.2	⏢^{0}
16.	26.1	25.8	27.4	15.2	19.8	15.5	22.2	12.8	8.6	6.4	6.4	67	37	49	NW 2	NW 6	C	10^1	5^1⊖	0	–	
17.	30.3	29.9	29.5	13.5	20.6	12.4	23.2	9.5	8.5	6.2	7.5	74	34	70	SW 2	W 4	C	9^1	5^1⊖	0	–	
18.	29.6	27.3	25.9	10.8	23.5	17.2	27.0	6.5	8.0	5.7	7.4	83	27	51	W 2	W 2	C	9^1	8^1	0	–	
19.	25.5	23.4	22.7	12.2	27.6	16.4	30.3	8.4	8.1	6.3	8.7	76	23	62	C	W 2	C	1^0⊖	2^1⊖	0	–	
20.	23.8	22.8	21.9	13.0	29.4	19.2	**34.0**	10.2	8.3	7.3	10.3	75	24	62	SW 2	W 2	C	2^0⊖	8^0⊖	0	–	
21.	21.2	21.8	22.4	17.6	27.6	17.8	29.8	14.2	10.4	11.9	**14.4**	69	43	**95**	SW 2	S 2	W 2	8^1⊖	7^0⊖	10^1●	–	7^{25}–8^{05} a ◍^{0}, 6^{50}–7^{30} p ◹, 6^{52}–8^{10} p, 8^{35}–9^{00} p ◍
22.	21.5	**20.5**	20.8	16.2	27.0	19.6	32.2	14.2	12.4	12.2	13.6	90	46	81	C	W 2	C	10^1	8^1⊖	10^1	5.8	$9^{00.20}$ p, n ◍, 7^{10} p ◍tropfen, 8 p ◹, $8^{10.20}$ p ◍
23.	21.9	21.3	23.8	16.6	28.2	16.1	29.1	14.9	12.3	10.9	12.6	87	39	92	W 2	NE 2	SW 2	8^1	8^1	7^1	0.8	n ◍ ≡, 3^{50}–4^{15} p ◹, 3^{45}–4^{20} p ◍
24.	25.1	25.2	25.5	17.0	25.8	18.5	26.7	15.4	13.2	13.0	12.2	92	53	77	W 2	SW 2	W 6	10^1●	4^1⊖	1^1	**12.0**	n, 6^{50}–7^{25} a ◍, 8^{20} p ◹
25.	27.1	26.9	27.0	15.9	26.4	18.1	27.7	15.1	12.7	11.8	12.7	94	46	82	S 2	W 2	C	9^1	7^2⊖	0	3.7	n ◍
26.	28.9	30.1	31.4	16.0	20.6	16.6	22.9	13.4	12.5	9.3	11.4	92	51	81	SW 4	W 2	W 4	10^1●	8^1⊖	5^1	0.6	n, a, $7^{10.20}$ a ◍
27.	33.3	32.5	31.5	12.8	24.0	15.6	29.5	10.5	10.4	8.7	10.8	**95**	39	82	SW 2	W 2	C	0⊖	5^2⊖	0	0.2	7 a ⏢
28.	31.6	29.7	28.6	13.0	27.8	16.9	30.3	10.1	9.6	9.2	11.3	87	34	79	SW 2	S 2	C	0⊖	0⊖	0	–	7 a ⏢
29.	29.9	29.3	29.8	15.3	30.4	23.8	32.2	12.3	11.0	9.2	11.2	85	29	51	W 2	W 4	N 2	0⊖	1^1⊖	10^1	–	⏢, $7^{20.50}$ p ◹
30	30.4	30.1	29.8	19.2	23.4	19.2	26.0	16.2	12.6	13.2	13.8	76	62	84	C	W 2	C	8^1⊖	8^0⊖	10^1	0.2	ca. 4 a ◍^{0}, 10^{35}–11^{05} a ◍
31.	32.3	33.4	33.8	13.9	20.4	12.4	22.1	12.0	10.2	10.4	10.1	87	58	**95**	W 2	C	C	10^1	5^1⊖	0	6.7	n, 7^{20}–8^{05} a ◍, p öfters ◍tropfen
Mittel	28.6	27.9	27.9	15.8	26.4	18.2	28.7	12.4	10.8	9.0	10.7	80	36	69				4.8	5.0	2.3	42.0	

Augsburg.

August. $\varphi = 48^0\ 22'$ N. $\lambda = 10^0\ 54'$ E $= 43^m\ 36^s$. H $= 499.6$ m. Cg $= +0.1$ mm; über 728.8 mm Cg $= +0.2$ mm. 1911.

1.	21.3	21.0	21.6	16.1	26.4	20.9	28.8	14.1	8.4	7.8	7.9	61	31	43	SE 2	NE 4	SE 2	0⊖	2^0⊖	0	–	
2.	23.6	23.0	22.6	16.0	27.1	23.2	29.4	13.0	8.3	8.5	8.2	61	32	39	C	E 2	SE 2	0⊖	3^0⊖	0	–	⏢
3.	22.7	21.3	20.5	16.9	29.3	24.6	30.1	14.0	8.6	7.9	10.3	61	**26**	46	SW 2	W 2	C	4^1	3^1⊖	10^1	–	
4.	21.0	19.6	20.1	19.2	26.5	22.4	28.6	17.2	13.8	11.0	11.3	83	43	56	SW 2	SW 4	NW 2	6^1	5^1⊖	10^1	1.7	ca. 3–4 a ◹ u. ◍
5.	20.8	18.9	18.5	18.0	26.6	23.5	29.0	17.3	12.1	11.2	11.9	79	44	56	SW 4	SW 4	SW 2	2^0⊖	3^1⊖	0	–	
6.	19.4	19.4	22.0	17.7	30.2	22.2	30.3	14.7	11.0	11.8	14.0	72	37	70	SW 2	NW 4	SW 2	1^1⊖	8^2	0	–	$2^{16.39}$ p ◹, $2^{21.39}$ p ◍
7.	24.5	23.6	24.5	18.8	28.3	23.6	31.1	17.5	12.7	12.3	11.4	78	44	53	SW 2	E 2	E 2	0⊖	5^2⊖	0	0	
8.	25.7	24.7	24.4	19.0	29.6	23.1	**31.8**	16.9	11.8	11.0	10.7	72	35	51	NE 2	E 4	E 2	0⊖	0⊖	0	–	⏢
9.	24.9	23.4	23.5	17.9	28.5	23.3	29.2	15.7	10.7	9.7	10.0	69	33	47	E 2	E 4	E 2	0⊖	0⊖	0	–	
10.	21.5	20.5	20.3	19.6	29.0	22.4	30.2	14.7	10.7	8.6	9.8	63	29	49	E 2	N 2	SE 2	0⊖	2^0⊖	0	–	
11.	20.9	19.7	20.4	16.9	28.4	22.1	28.8	14.6	9.8	9.9	10.1	68	34	52	C	NE 4	NE 2	0⊖	7^2⊖	0	–	
12.	21.3	20.8	21.2	16.5	27.3	20.1	27.3	14.5	10.1	9.8	11.4	71	34	66	NE 2	E 2	E 2	0⊖	6^2⊖	2^0	–	
13.	22.5	21.9	21.9	16.1	27.1	22.3	28.1	14.6	10.6	10.5	12.4	77	40	63	C	E 2	SE 2	2^0⊖	4^1⊖	8^1	–	
14.	22.1	20.6	19.7	16.4	24.5	19.8	24.5	16.3	11.4	12.4	12.6	81	50	71	SE 2	E 2	E 2	10^1	5^1⊖	10^0	–	
15.	17.5	15.7	17.1	17.6	25.5	17.5	25.5	14.7	9.4	10.3	9.0	62	44	61	SW 4	NW 4	N 2	7^1	8^1	10^1	–	
16.	19.6	18.2	20.2	15.1	21.3	15.1	21.3	13.7	10.1	7.5	6.4	78	41	51	NW 2	NW 4	C	7^1	4^1⊖	0	–	
17.	22.5	22.7	22.4	13.1	20.5	15.3	21.1	12.7	8.7	9.3	8.4	77	52	65	NW 2	NW 4	NW 2	5^1	3^1⊖	0	–	
18.	22.1	19.4	18.6	11.4	24.4	17.5	25.1	**10.3**	8.2	8.1	7.6	81	35	51	NW 2	SW 2	NW 2	5^0⊖	2^0⊖	5^1	–	⏢
19.	17.7	15.8	15.4	15.9	26.7	21.8	27.9	13.1	7.7	8.3	8.8	57	32	45	SW 2	SW 4	SW 2	0⊖	4^1⊖	0	–	
20.	15.6	15.2	15.0	15.4	28.4	22.7	31.1	14.1	8.6	8.8	11.8	66	31	57	C	SW 4	SW 4	4^0	5^0⊖	10^2	–	7^{30}–8^{00} p ◍
21.	13.9	**12.3**	15.2	16.3	27.1	17.1	27.9	15.6	12.0	12.7	13.9	87	47	**96**	SW 2	S 2	SW 2	10^1	4^0⊖	10^2●	0.3	n, a ztw. ◍, 5^{20}–6^{10} p ◹, 5^{30}–6^{04} p, 8^{20} p–n ◍
22.	14.1	12.9	12.7	16.7	26.2	21.7	27.9	16.0	12.9	11.9	12.3	92	48	64	SW 2	SW 2	SW 2	10^2	4^0⊖	10^2	9.3	n ◍
23.	13.9	13.3	15 8	18.4	21.9	17.7	25.1	16.3	13.3	13.5	13.0	85	69	86	SW 2	NE 2	SW 2	6^1⊖	8^2⊖	0	–	0^{34}–3^{19} p ◹, 1^{57}–3^{06} p, $4^{40.59}$ p ◍
24.	17.0	17.0	18.1	15.9	24.7	16.0	24.7	15.1	12.4	12.4	11.9	92	54	87	SW 2	N 2	SW 2	7^2	4^0⊖	10^2	6.1	n ◍, 4^{42}–5^{55} p ◹, 6^{10}–8^{20} p ◍
25.	20.6	20.2	19.6	16.1	24.6	20.2	26.5	14.7	12.2	11.2	13.2	89	49	74	SW 2	SW 2	SW 2	8^1	3^1⊖	0	1.9	
26.	22.2	23.0	24.2	16.0	19.2	16.8	22.1	15.1	12.5	11.1	12.2	92	67	85	SW 2	NW 2	SW 2	7^1	6^2	0	5.3	n ◍
27.	24.9	24.8	23.6	14.1	23.3	19.3	26.6	12.2	10 5	10.6	9.9	87	50	58	SW 2	SW 2	C	0⊖	4^1⊖	0	–	⏢
28.	23.2	22.1	21.9	14.1	27.2	21.9	28.5	12.6	9.8	11.4	11.0	81	43	56	C	SE 2	C	0⊖	0⊖	0	–	
29.	22.4	21.9	22.6	18.9	30.1	21.3	30.1	16.5	10.9	10.2	13.8	67	36	73	S 2	SW 2	NW 2	1^0⊖	1^1⊖	2^1	–	⏢
30.	23.0	23.0	23.0	17.9	23.1	19.3	23.1	10.7	13.6	**14.2**	11.0	89	68	66	NW 2	W 2	NW 2	7^1	8^1	7^2	0.2	n, $9^{00.20}$ a ◍
31.	25.3	25.4	**26.0**	13.4	19.1	16.3	21.5	12.6	10.5	8.4	10.5	93	51	75	W 2	W 2	NW 2	10^1	4^1⊖	0	**11.6**	n ◍
Mittel	20.9	20.0	20.4	16.5	25.9	20.4	27.2	14.6	10.8	10.4	10.9	76	43	62				3.8	4.0	3.4	36.8	

Alle Angaben nach Ortszeit.

München-C.St.

August. $\varphi = 48^0\ 9'$ N. $\lambda = 11^0\ 34'$ E $= 46^m\ 16^s$. H $= 526.4$ m. Cg $= +0.1$ mm. 1911.

Datum	Luftdruck auf 0^0 u. Normalschwere reduziert 700 mm +			Lufttemperatur C°					Absolute Feuchtigkeit mm			Relative Feuchtigkeit Proz.			Richtung und Stärke des Windes 0 bis 12			Bewölkung 0 bis 10			Niederschlag mm	Bemerkungen
	7^a	2^p	9^p	7^a	2^p	9^p	Max.	Min.	7^a	2^p	9^p	7^a	2^p	9^p	7^a	2^p	9^p	7^a	2^p	9^p	7^a	
1.	18.4	18.5	19.1	16.8	24.2	20.2	25.0	14.6	7.7	6.0	7.0	54	27	40	SE 1	E 1	SE 2	2^0⊙	2^0⊙	1^0	–	mrgs. ⏢
2.	20.8	20.4	20.2	17.0	25.3	20.5	26.6	14.7	8.3	7.3	9.7	58	30	54	C	E 1	E 1	4^0⊙	6^0⊙	4^1	–	mrgs. ⏢, ∞
3.	20.0	18.6	17.7	18.1	28.8	22.2	29.5	16.2	9.6	6.9	10.2	63	24	52	SW 1	NE 1	SW 1	8^1	4^1⊙	9^1	–	mrgs. ⏢, ∞
4.	18.3	17.0	17.6	18.6	25.8	20.2	26.4	17.9	13.7	10.1	11.1	87	41	63	SW 3	NW 1	SW 4	6^1⊙	4^1⊙	8^1	2.2	n u. a ◎, 2^{36}–3^{46} p ◎, 7^{11}–8^{39} p ◹, 7^{13}–8^{36} p ◎
5	17.8	16.9	16.2	17.6	25.8	20.9	27.1	17.2	12.5	10.7	12.0	84	44	66	SW 2	SW 1	C	7^1	4^1⊙	0	0.5	11^{19} a–0^{05} p ◹ im S, abds. ∞
6.	16.3	17.2	19.4	20.8	30.3	21.4	**30.6**	16.8	11.3	10.3	12.9	63	32	69	SW 1	SW 3	SW 2	1^0⊙	3^1⊙	9^1	–	mrgs. ⏢, 3^{26}–4^{11} p ◎, 3^{31} p ◹
7.	21.3	20.9	21.7	19.3	26.8	22.3	28.0	17.1	12.8	11.4	12.7	77	44	64	SW 1	NE 2	E 1	2^1⊙	7^1⊙	3^1	0.2	n ◎^{0}
8.	23.0	22.0	22.0	19.0	28.4	22.4	28.7	17.2	11.2	9.9	9.6	72	34	48	SE 1	NE 3	E 1	○○	1^0⊙	0	–	mrgs. ⏢, ∞
9.	22.0	20.8	20.1	18.4	26.6	21.6	27.1	15.0	5.2	7.8	9.2	59	30	48	E 1	E 2	SE 1	3^0⊙	○○	2^0	–	mrgs. ⏢, ∞
10.	18.8	18.1	17.9	19.1	26.5	21.6	27.1	16.6	9.4	8.4	8.8	57	33	47	C	E 2	C	2^0⊙	4^1⊙	0	–	mrgs. ⏢, ∞
11.	18.3	17.3	17.6	19.0	26.6	19.9	27.0	16.0	9.4	8.8	8.7	58	34	50	E 1	NE 2	C	○○	7^1⊙	4^1	–	mrgs. ⏢, ∞
12.	18.5	17.8	18.7	17.0	24.9	18.9	25.5	14.9	9.8	9.1	9.3	69	39	57	E 1	E 2	E 2	2^0⊙	6^1⊙	4^0	–	mrgs. ⏢, ∞
13.	19.8	18.8	19.5	16.7	25.0	20.4	25.8	13.9	11.5	9.7	10.9	80	41	61	E 1	NE 2	SE 2	6^0⊙	4^1⊙	6^1	–	mrgs. ⏢, ∞; p Gebirge sichtbar
14.	19.3	18.2	17.2	16.5	18.7	18.6	24.0	16.0	12.2	13.0	12.8	87	82	81	SE 1	SW 1	C	10^1●	9^1◹●	10^1	0.8	n u. a ◎, 0^{16}–2^{36} p ◹, 0^{56}–2^{26} p ◎, p ztw. ◎^{0}
15.	14.8	12.6	14.4	18.2	24.5	17.4	26.3	16.4	10.6	8.8	8.2	68	38	55	SW 2	SW 3	NW 2	6^0	9^1	9^1	4.4	mrgs. ⏢
16.	15.5	15.2	17.2	14.9	20.6	15.7	21.6	14.6	9.1	7.0	6.5	72	39	49	NW 2	W 3	NW 1	8^1	4^1⊙	0	–	
17.	19.5	19.3	19.5	13.9	20.6	15.7	21.1	12.0	7.8	6.5	7.4	66	35	56	NW 1	NW 3	NW 1	9^1	4^1⊙	0	–	
18.	18.8	16.5	15.8	12.1	23.6	18.4	24.5	**11.0**	8.0	7.3	7.7	76	33	49	SW 1	NW 2	NW 1	6^0	4^0⊙	0	–	mrgs. ⏢, ∞
19.	14.9	13.0	12.9	17.8	26.8	20.2	27.8	13.1	8.7	6.6	8.9	58	26	50	NW 1	W 2	C	○○	2^1⊙	0	–	mrgs. ⏢, ∞
20.	13.0	12.6	12.0	18.8	27.3	21.6	29.1	13.4	7.2	8.1	12.0	46	31	63	SW 1	SW 2	SW 3	3^0⊙	6^0⊙	10^1●	–	mrgs. ⏢, ∞; 0^{16} p kurz ◎^{0}. 8^{36}–9^{00} p ◎
21.	12.2	11.0	12.9	19.4	26.4	18.9	29.1	17.2	10.1	12.8	12.3	60	51	76	SW 2	W 1	SW 3	10^1	4^0⊙	10^1	1.2	$7^{01.36}$ a ◎^{0}, 9^{28} 11^{12} a ◎$^{0.1}$, 5^{56}–6^{06} p ◎^{1}, $6^{11.36}$ p 1)
22	11.0	**10.0**	10.9	18.9	27.2	20.2	27.4	16.7	11.9	9.7	14.0	74	36	79	SW 1	S 2	W 1	10^1	7^0⊙	10^1	5.3	n, 7^{46}–ca. 11^{15} a ◎; ca. 1 p ⊕; m Gebirge sichtbar
23.	10.9	10.9	13.1	19.1	27.4	17.3	27.6	16.1	12.5	11.7	12.9	76	43	88	SW 1	NW 1	C	7^0⊙	8^1⊙	10^1	3.3	$11^{06.26}$ p ◹. 11^{46} p kurz ◎. 3^{18}–4^{01} p ◹, 2)
24.	14.6	14.7	15.4	16.3	24.6	16.5	24.9	16.0	12.3	11.2	11.6	89	49	85	SW 2	SW 1	W 2	8^1	7^1⊙	10^1	20.9	n u. mrgs. ◎; $7^{16.31}$ p ◹. 7^{30}–8^{36} p ◎
25.	16.7	16.4	16.7	16.5	23.1	19.2	24.9	15.3	11.2	11.4	12.7	80	54	77	SW 2	SW 2	C	9^1	6^1	0	0.9	$7^{16.41}$ a ◎^{0}
26.	18.9	20.1	21.4	15.8	18.9	15.9	20.1	15.3	11.8	10.9	11.0	88	67	82	SW 1	W 2	SW 3	10^1●	10^1	10^1	8.2	n u. a, 10^{28}–11^{31} a ztw. ◎
27.	22.2	21.7	20.9	15.1	23.0	16.0	23.1	13.0	10.7	8.6	10.5	84	40	78	SW 1	C	C	○○	4^1⊙	0	1.3	n ◎, mrgs. ∞
28.	20.3	19.1	18.3	14.8	26.6	18.8	27.1	12.8	9.5	9.6	12.4	76	37	77	SE 1	SE 1	C	○○	○○	0	–	mrgs. ⏢, ∞
29.	19.5	18.9	19.7	19.6	29.4	21.4	29.9	16.3	11.0	9.3	11.8	65	30	63	SW 2	SW 1	SW 1	○○	2^0⊙	0	–	mrgs. ⏢, ≡^{0}; $9^{21.41}$ a, 9^{51}–10^{54} a, 11^{33} a–0^{11} p ◎. $9^{46.56}$ a ◹
30.	19.9	19.7	19.5	18.4	22.4	19.9	22.7	17.1	12.3	**15.0**	12.4	79	75	73	C	SW 1	SW 1	6^1	9^2⊙	10^1	–	mrgs. ⏢, ≡^{0}; $9^{21.41}$ a, 9^{51}–10^{54} a, 11^{33} a–0^{11} p ◎. $9^{46.56}$ a ◹
31.	22.1	22.8	**23.3**	12.7	19.4	14.3	20.3	12.4	10.0	10.3	10.2	**92**	62	85	SW 2	SW 2	SW 1	10^1●	6^1⊙	0	**25.7**	n u. a, 10^{08}–11^{14} p ◎
Mittel	18.0	17.3	17.7	17.3	25.0	19.3	26.0	15.3	10.3	9.5	10.6	72	41	64				5.0	4.9	4.5	74.9	1) ◹, 6^{16} p ▁ 2) 3^{11}–5^{16} p ◎; t Gebirge gut sichtbar

Traunstein.

August. $\varphi = 47^0\ 52'$ N. $\lambda = 12^0\ 39'$ E $= 50^m\ 36^s$. H $= 597$ m. Cg $= +0.1$ mm. 1911.

1.	12.8	13.2	14.1	13.6	23.2	15.6	23.9	8.4	7.0	6.3	10.3	60	30	78	E 2	N 4	E 2	1^1⊙	1^1⊙	0	–	a ⏢
2.	15.4	15.0	14.8	14.8	24.6	17.2	25.2	9.6	8.0	6.8	10.8	64	30	74	SW 2	NE 4	SE 4	1^1⊙	1^1⊙	6^2	–	
3.	14.1	13.8	12.9	16.4	23.2	18.4	24.2	9.4	9.9	11.5	10.2	71	55	64	S 2	S 4	SW 2	6^2⊙	6^2⊙	6^2	–	1^{21} p ◹ im W
4.	13.3	11.6	12.4	15.8	24.2	16.8	25.4	14.2	12.9	10.7	11.6	97	48	81	W 6	SW 6	NW 2	10^2●	6^2⊙	8^2	8.0	ca. 6–7 a ◹ mit ◎, ca. 12 m ◎; 5^{46}–6^{02} p, $6^{34.56}$ p ◹
5.	12.4	11.7	11.3	15.4	23.0	17.2	24.2	14.8	12.5	10.9	12.9	96	53	89	S 2	NW 2	N 2	10^2	8^2⊙	0	11.5	n u. a ◎
6.	11.1	11.8	14.4	18.6	28.0	19.0	29.2	13.9	11.3	9.2	12.9	71	33	79	S 2	NW 4	S 2	○○	4^2⊙	4^2	–	a ⏢
7.	15.5	16.1	17.0	18.6	24.2	18.2	25.6	16.0	12.7	11.3	13.1	80	50	84	S 2	NW 2	S 2	3^1⊙	6^2	2^1	–	
8	17.4	17.1	17.0	16.6	27.0	18.0	27.4	13.4	11.8	9.2	12.0	87	35	78	E 2	NE 4	E 2	○○	2^1⊙	0	–	a ⏢
9.	16.3	15.7	15.0	16.6	24.8	17.0	26.0	11.4	9.8	7.6	11.2	69	32	78	E 4	E 4	E 2	○○	○○	4^2	–	
10.	14.1	12.6	13.1	15.6	25.0	17.4	25.8	12.2	9.3	8.8	10.7	70	37	72	S 2	NE 4	E 2	4^2⊙	4^2⊙	0	–	
11.	12.8	12.0	12.7	15.0	24.6	16.8	25.5	10.8	9.7	8.9	11.9	76	39	83	S 2	SE 4	E 2	2^1⊙	6^2⊙	2^1	–	a ⏢, abds. ◹ im E
12.	12.9	12.3	13.5	15.2	23.2	16.8	24.6	11.6	10.2	9.6	10.8	80	45	76	E 2	NE 6	E 2	2^2⊙	6^2⊙	4^2	–	
13.	14.1	13.4	14.7	13.8	22.2	15.2	23.0	11.5	10.0	10.6	12.2	86	53	94	W 2	SE 4	NE 2	$9^{2.36}$	6^2⊙	4^2●	–	a ≡^{1}, abds. ◎^{0}
14.	13.8	12.7	12.1	14.6	21.6	16.0	23.0	10.8	11.5	11.9	12.7	93	62	93	S 2	NW 2	NW 2	8^2	8^2	4^2	2.1	ca. 2–3 p ◹, p ◎
15.	09.3	06.6	08.9	16.4	23.4	17.6	25.0	13.9	11.6	8.6	9.2	83	40	61	SW 2	SW 4	NW 2	6^2	8^2⊙	8^2	0.6	
16.	09.5	09.1	11.5	14.2	20.2	16.8	21.8	14.0	8.6	7.5	8.5	72	42	60	W 4	NW 6	NW 2	8^2	6^2⊙	10^2	–	
17.	13.6	13.7	14.1	12.8	18.8	14.4	19.8	12.4	7.5	6.6	8.6	68	41	71	NW 2	NW 4	W 2	8^2	6^2⊙	4^2	–	
18.	12.8	11.0	10.7	12.4	22.0	14.6	23.4	9.8	8.3	7.9	9.7	78	40	78	SW 2	NW 4	N 2	6^2⊙	6^2	0	–	
19.	09.5	07.7	07.8	12.8	25.4	15.4	26.2	9.8	8.6	**5.9**	9.3	78	25	71	W 2	NW 6	NW 2	○○	1^1⊙	0	–	a ⏢
20.	08.0	07.5	07.8	15.4	28.2	17.8	**29.4**	11.2	8.0	6.1	10.1	61	**21**	66	SW 2	NW 6	SW 2	4^2⊙	8^2	0	–	
21.	05.2	06.2	07.9	18.4	25.2	21.2	26.4	14.8	9.2	10.0	10.7	59	42	57	S 2	SE 2	SW 6	3^2⊙	6^2⊙	10^2	–	
22.	05.3	05.2	**04.9**	18.6	25.4	19.2	26.6	16.8	11.9	9.7	11.9	75	41	72	SW 2	S 2	SW 2	10^2●	8^2	0	0.6	n u. a ◎. abds. ◹ im W, N u. E
23.	05.7	05.1	08.6	18.2	27.4	15.8	28.0	15.8	10.5	11.2	13.4	67	41	100	SW 2	NE 4	NW 2	4^2⊙	8^2⊙	10^2	0.5	$4^{11.49}$ p ◹, 4^{26}–5^{03} p ◎, $4^{49.52}$ p ▲ ▁ (W 10)
24.	09.5	09.2	10.4	16.0	22.2	16.0	23.6	14.0	12.7	9.7	13.5	93	50	100	W 6	NW 2	NW 2	8^2	10^3	10^2●	**46.2**	abds. zahlreiche ◹ im N vorbeiziehend. 4^{46}–5^{03} p ◎^{3}
25.	11.1	11.1	11.3	14.2	21.8	16.0	23.2	12.4	10.8	8.7	13.5	91	45	100	SE 2	NW 2	NW 2	4^2⊙	4^3⊙	0	6.5	
26.	13.3	14.5	15.9	14.8	17.4	14.6	19.0	13.6	11.7	11.5	10.2	93	78	83	SW 2	SW 6	NE 2	10^2●	8^2⊙	8^2	0.6	a ◎
27.	16.7	16.4	16.1	13.2	22.6	14.4	23.8	11.2	10.2	6.7	8.0	91	33	65	SW 2	SW 2	SW 2	○○	4^2⊙	0	7.5	a ⏢
28.	14.7	14.0	13.6	12.2	24.6	16.2	25.8	10.4	8.6	9.8	11.4	82	43	83	E 2	NE 4	S 2	○○	○○	0	–	a ⏢
29	14.2	14.0	14.3	16.4	27.2	17.6	28.0	13.0	11.3	9.4	8.5	81	35	57	SE 2	W 4	SW 2	c○	2^1⊙	0	–	a ⏢.
30.	14.2	14.2	14.3	14.6	22.2	18.8	23.4	13.2	11.0	11.5	**14.2**	89	58	88	SW 2	N 2	SW 2	2^1⊙	8^2⊙	8^2	–	a ⏢. 2^{53} p ◎^{0}. abds. ◹ im NW u. W
31.	16.4	17.7	**17.9**	11.8	14.8	11.4	18.8	11.4	9.7	7.7	9.3	95	62	93	NW 6	W 2	W 2	10^2●	8^2⊙	0	14.0	ca. 0–2 a ◹, ca. 4 a ◹ im S mit ◎
Mittel	12.4	12.0	12.6	15.3	23.5	16.7	24.7	12.4	10.2	9.1	11.1	79	43	78				4.5	5.3	3.6	98.1	

Alle Angaben nach Ortszeit.

Partenkirchen.

August. $\varphi = 47^0\ 30'$ N. $\lambda = 11^0\ 6'$ E $= 44^m\ 24^s$. H $= 714.6$ m. Cg $= +0.1$ mm. 1911.

Datum	Luftdruck auf 0° u. Normalschwere reduziert 700 mm +			Lufttemperatur C°					Absolute Feuchtigkeit mm			Relative Feuchtigkeit Proz.			Richtung und Stärke des Windes 0 bis 12			Bewölkung 0 bis 10			Niederschlag mm	Bemerkungen
	7^a	2^p	9^p	7^a	2^p	9^p	Max.	Min.	7^a	2^p	9^p	7^a	2^p	9^p	7^a	2^p	9^p	7^a	2^p	9^p	7^a	
1.	02.7	02.1	03.9	12.9	23.4	13.9	24.2	10.5	7.9	6.1	8.2	72	29	69	C 1	N 4	S 2	00	00	0	–	⏢, a Berge rein
2.	05.3	04.4	05.5	12.9	24.6	16.5	25.5	10.3	7.9	8.0	9.4	72	34	68	S 3	NW 4	SE 2	1^{10}	2^{00}	4^0	–	⏢, a Berge rein
3.	05.4	03.9	03.4	14.4	24.1	16.2	25.9	12.7	9.5	9.2	9.1	78	41	66	C 1	C 1	S 1	1^{00}	2^{00}	1^0	–	⏢, a Berge rein
4.	04.3	02.3	02.6	14.4	18.8	16.7	22.0	13.8	11.8	14.2	12.1	97	88	85	S 1	C	C	9^0	7^{00}	3^0	6.5	3^{44}–4^{13} a ⧹, a Berge teilweise bedeckt
5.	02.6	01.4	01.0	14.9	22.5	16.7	23.7	14.2	12.2	10.6	12.0	97	52	84	C 1	C	C	9^0	3^{00}	0	1.8	a Berge frei
6.	01.9	02.8	04.6	16.9	25.9	18.0	**28.4**	13.1	10.1	10.5	12.6	71	43	82	S 2	NW 3	C	1^{00}	6^{00}	3^0	–	⏢, a Berge frei
7.	06.2	05.4	06.0	16.6	24.7	19.2	25.4	14.9	12.2	10.9	13.5	86	48	82	C	NW 3	S 1	7^0	2^{00}	10^1	–	n ⧹. 11^{48} a ⧹, a Berge frei
8.	07.4	06.0	06.4	17.1	26.5	17.6	27.3	14.3	10.9	14.6	12.0	75	57	80	S 2	NW 3	S 2	00	1^{00}	0	–	a Berge rein
9.	06.1	04.3	05.0	15.6	25.3	15.5	26.0	13.6	10.5	8.9	9.5	80	37	72	S 2	NW 4	SE 1	00	1^{00}	0	–	⏢, a Berge rein
10.	03.5	02.1	02.4	14.5	25.7	18.2	26.3	11.8	8.4	8.2	12.2	69	34	78	SE 2	NW 2	C	00	2^{00}	1^0	–	a Berge sehr rein
11.	02.6	01.2	01.8	14.2	24.2	17.5	25.1	11.9	8.4	8.2	11.6	69	36	78	S 2	N 4	C	00	2^{00}	0	–	a Berge rein, abds. ⧹ im S
12.	02.4	01.6	03.0	13.4	24.2	16.7	24.5	11.3	8.8	7.9	11.5	77	35	81	S 2	N 4	S 1	00	6^{00}	0	–	a Berge rein, ca. 1–2 p ⧹
13.	04.0	03.1	03.7	12.2	23.4	17.2	24.1	9.9	9.3	8.3	11.1	89	38	76	C	NW 3	C	00	3^{00}	1^0	–	⏢, a Berge rein, abds. ⧹ im W
14.	04.0	01 9	02.0	13.6	21.8	16.7	24.2	12.1	9.5	9.7	12.2	82	50	86	S 4	NW 4	C	6^0	6^{00}	2^0	–	a Berge rein
15.	00.2	697.5	699.7	15.6	24.1	14.3	24.7	14.0	11.2	7.6	11.9	85	33	98	S 1	C	C	5^0	7^0	9^{1}•	–	a ⏢, 4^{08} p, 6^{50} p, 7^{32} p ⧹, 4^{14-34} p, 6^{04-29} p, 7^{29} p–n ◯
16.	00.4	699.5	01.8	12.2	20.0	16.0	21.1	10.9	10.0	7.5	6.9	95	43	51	C	N 5	NW 4	3^{00}	4^0	10^1	3.5	n ◯, ca. 9–10 p ⧹, a Berge teilweise bewölkt
17.	03.8	03.3	04.0	11.7	19.6	14.0	20.5	11.0	7.9	7.8	8.9	78	46	75	C	NW 2	C	7^0	2^{00}	0	–	a Berge teilweise bewölkt
18.	03.5	00.5	01.2	10.0	23.8	13.7	24.5	**7.4**	7.1	7.6	7.7	79	33	66	C	NW 3	SE 2	1^{00}	2^{00}	0	–	⏢, a Berge rein
19.	00.5	697.6	698.7	11.4	26.2	17.1	27.1	9.5	6.9	**6.0**	9.6	69	**24**	66	S 2	N 2	C	00	00	0	–	⏢, a Berge rein
20.	698.6	697.3	698.8	15.2	27.2	21.4	28.0	9.5	7.2	7.9	9.1	56	30	48	S 2	N 3	S 3	3^0	1^{00}	9^1	–	⏢, a Berge rein
21.	696.3	695.7	698.0	18.1	25.9	16.7	27.2	15.0	9.1	9.9	13.9	59	41	98	SE 2	C	C	8^0	8^0	10^1•	–	a Berge rein, ca. 7 p ⧹
22.	697.1	**694.7**	695 4	15.0	22.4	18.5	24.9	14.7	11.9	11.7	12.2	93	58	77	S 2	C	C	10^1•	5^{00}	8^0	11.2	mrgs. ◯
23.	696.1	695.4	698.7	16.7	26.0	16.0	27.1	14.2	10.8	7.2	12.8	76	29	95	S 2	NW 2	C	7^0	9^0	10^1•	0 8	a Berge föhnig, rein
24.	699.4	699.1	00.2	15.0	20.8	13.6	21.9	13.4	12.1	10.9	11.4	96	60	**99**	C	NW 3	C	3^{00}	8^0	2^0	3.7	n ztw. ◯^{0}, mrgs. Berge meist frei
25.	01.7	00.8	02.2	13.0	21.8	15.9	23.2	12.5	10.5	10.4	11.7	95	53	87	C	NW 3	C	9^1	3^{00}	2^0	10.4	a Berge teilweise bewölkt
26.	03.7	04.6	06.3	13.6	15.0	13.9	16.3	12.4	11.2	11.9	10.9	97	93	93	C	NW 3	C	10^1•	10^1•	3^0	8.3	ca. 1–2 a ⧹ mit ◯^{1}, a Berge teilweise bedeckt
27.	06.9	05.6	05.5	12.2	21.7	14.9	22.3	10.6	9.1	8.6	10.5	87	45	84	S 2	NW 3	S 2	1^{00}	2^{00}	0	6.5	⏢, a Berge rein
28.	04.9	03.2	03.5	13.6	25.4	16.7	26.0	11.2	8.7	10.3	11.8	75	44	83	SE 3	N 4	SE 2	00	1^{00}	0	–	⏢, a Berge sehr rein
29.	05.1	03.9	04.8	15.9	27.5	16.8	28.2	14.0	10.5	7.4	10.2	78	27	72	S 4	N 2	SE 1	1^{00}	1^{00}	0	–	⏢, a Berge rein
30.	04.6	03.6	03.9	15.0	22.3	18.0	23.5	12.9	9.8	12.7	**15.2**	77	64	**99**	S 2	N 4	C	1^{00}	6^{00}	9^1	–	⏢, a Berge rein. 3^{29} p ⧹ im SE; 5^{30} p ⧹ [1]
31.	06.1	07.4	**07.5**	10.8	15.3	11.4	18.0	10.8	9.4	9.0	8.7	98	69	87	C	S 2	C	10^1	6^{00}	0	**17.0**	ca. 1–2 a ⧹, n–a ztw. ◯$^{1-2}$; a Berge bedeckt
Mittel	02.8	01.7	02.6	14.1	23.2	16.3	24.4	12.2	9.7	9.4	11.0	81	46	80				3.6	3.8	3.1	69.7	

[1] 8^{47} p ⧹ im NW, p ztw. ◯^{1}

Hohenpeissenberg.

August. $\varphi = 47^0\ 48'$ N. $\lambda = 11^0\ 1'$ E $= 44^m\ 4^s$. H $= 993.9$ m. Cg $= \pm 0.0$ mm. 1911.

	500 mm +																					
1.	79.8	80.2	80 9	16.6	20.1	16.2	20.4	16.4	6.4	6.5	6.3	46	37	46	E 1	E 3	SW 3	00	1^{10}	2^1	–	a sehr reine, p reine Fernsicht
2.	81.8	82.5	82.5	16.7	21.9	19.0	22.6	15.5	7.7	7.5	7.5	55	39	46	E 1	NW 1	SW 1	00	1^{10}	2^1	–	a sehr reine, p reine Fernsicht
3.	82 2	81.4	80.9	18.0	24.2	19.6	25.2	16.7	8.1	6.8	6.6	53	31	39	W 1	NW 1	SW 3	00	5^{20}	5^2	–	t ∞^{0} [0^{51-56} a, 9^{04-09} p ◯; 4^{23-33} p ⧹; 8^{30-34} p ⧹ mit ◯
4.	80.5	79.7	79.9	16.0	18.6	16.7	23.1	13.6	11.2	11.2	10.3	83	70	72	SW 1	NW 1	NW 3	10^1	9^2	8^2	5.7	3^{41-53} a ⧹, 5^{01-19} a ◯; 0^{14} p kurz ◯; 1^{25-29} p ⧹,
5.	79.7	79 2	78.9	15.2	21.0	18.1	21.9	13.2	10.1	10.9	10.8	79	59	70	W 1	NW 1	SE 2	10^2	5^{20}	0	6.2	ca. 11–12 p ⧹ mit ◯; a reine, p sehr reine Fernsicht. [1]
6.	78.8	80.3	81.9	21.1	23.6	19.1	24.3	17.0	7.0	9.2	10.2	38	42	62	SW 1	NW 5	NW 2	4^1	8^2	5^2	–	a sehr reine, p reine Fernsicht; ca. 8–9 p ⧹, 8^{37-59} p ◯
7.	83.1	83.4	84.0	17.0	21.8	19.4	22.4	13.6	10.1	11.2	11.2	70	58	66	SW 1	NE 1	SW 3	9^2	5^{20}	2^1	8.2	11^{24-59} p ⧹. 11^{30} p–ca. 1 a ◯; a reine Fernsicht, p ∞^{0};
8.	**84.3**	83.8	83.7	18.0	23.0	19.9	24.0	16.9	10.3	9.6	8.0	67	46	47	E 4	NE 4	NE 4	00	00	0	–	t ∞^{0}, einzelne cu üb. d. Gebirge [abds. Horiz≡
9.	83.0	82.7	82.0	16.8	21.6	18.4	22.2	16.5	8.6	7.0	7.9	61	37	50	E 4	NE 4	SE 2	00	00	0	–	a Horiz≡ im N, ∞^{0}; p reine Fernsicht. einzelne cu
10.	80.5	80.3	80.1	18.6	22.7	18.4	22.7	17.5	7.2	8.3	6.7	46	41	43	SE 1	NE 1	NE 2	1^{10}	5^{20}	0	–	a Fernsicht rein, p ∞ [üb. d. Gebirge
11.	79.7	79.3	79.6	16 8	21.0	17.8	21.8	16.0	6.4	7.9	7.2	45	43	48	E 1	NE 5	NE 4	00	3^{20}	0	–	t reine Fernsicht, abds. starker Horiz≡, ⧹ im S
12.	79.3	79.5	80.2	13.2	20.5	14.7	21.1	13.1	9.7	9.3	7.5	87	52	60	NE 4	NE 3	NE 3	00	1^{20}	1^1	–	a ∞^{0}, p reine Fernsicht
13.	80.8	80.7	81.3	13.8	20.4	16.8	20.9	12.0	9.9	8.9	10.2	85	50	72	NE 1	NE 3	E 2	1^1	5^{20}	5^2	–	a ≡^{2} im E, sonst rein, 7^{24-29} p ◯, abds. ⧹ im S
14.	80.7	79.9	79.2	15.8	19.1	16.5	19.5	14.7	9.9	10.6	9.3	74	64	67	NE 1	N 1	NW 1	2^2	7^2	8^2	4.0	a ∞^{0}; m ◯; p sehr reine Fernsicht
15.	76.9	75.4	76.5	17.0	21.2	13.8	21.6	13.8	7.4	7.5	6.9	52	45	59	SW 3	NW 3	NW 4	8^1	10^2	10^2	2.4	t ∞^{0}
16.	77.1	77.0	78.8	10.5	16.7	12 5	17.6	10.3	8.1	7.1	6.1	90	50	57	W 1	NW 4	W 1	10^1	5^2	9^2	–	t ∞$^{0.1}$, p Dunstabnahme
17.	80.3	80.7	80.9	10.3	16.6	12.3	17.2	9.9	6.8	5.9	6.2	73	42	59	NW 1	NW 1	NW 1	10^1	1^{10}	0	–	t ∞$^{0.1}$, p Dunstabnahme
18.	79.7	78.7	78.3	12.3	21.0	16.6	21.5	10.8	6.8	5.9	4.5	64	32	32	NW 1	NW 1	NW 1	2^{10}	2^{10}	1^1	–	a ∞^{0}, p Dunstabnahme
19.	77.1	75.9	75.6	15.0	22.6	19.9	23.0	13.2	6.0	**3.5**	4.4	48	**16**	26	W 3	W 4	NW 2	00	00	0	–	a ∞^{0}, p Dunstabnahme, t Horiz≡
20.	75.6	75.6	75.6	19.0	25.0	20.3	25.9	17.7	5.6	7.0	7.3	34	30	41	W 1	SW 1	NW 3	4^1	7^2	10^2	–	t reine Fernsicht, 0^{23} p kurz ◯^{0}, abds. ⧹ im S
21.	73.5	73.8	75.6	16.0	25.2	15.6	**26.1**	14.7	8.9	7.8	10.7	65	33	81	N 4	SW 1	NW 4	10^1	5^{10}	10^2	–	a reine, p sehr reine Fernsicht. 11^{29} a u. 5^{29} p kurz ◯
22.	73.4	**72.7**	73.4	17.8	22.0	18.4	22.5	14.5	8.0	9.9	10.6	53	50	67	SW 5	S 1	W 1	10^2	5^{10}	10^1	3.9	n ◯, t sehr reine Fernsicht; 6^{49-712} p ⧹, 6^{39-705} p ◯, [2]
23.	73.3	73.7	75.6	18.0	22.8	15.6	22.8	11.4	10.6	11.8	10.7	69	57	81	W 1	E 1	SW 2	9^1	6^2	10^2	4.1	ca. 11 p–0 a ⧹ u. ◯; t ∞. 2^{41-344} p ⧹, 2^{58-310} p ◯,
24.	76.2	76.8	77.9	13.5	19 0	13.6	19.6	12.2	10 3	10 0	9.2	90	61	80	SW 2	NW 1	W 2	9^1	6^2	9^2	**23.8**	a sehr reine, p reine Fernsicht [3^{18-21} p ▲
25.	78.3	78.5	78.9	14.1	19.9	17.0	20.7	13.5	9.8	9.2	10.6	83	53	74	SW 1	NW 1	W 1	10^2	5^{20}	1^1	5.3	t reine Fernsicht
26.	80.3	81.7	82.7	12.3	14.4	13.2	17.3	11.5	10.0	10.6	9.2	95	87	82	W 1	W 1	W 2	10^2•	9^1	3^1	4.3	n u. a ◯, ∞. 5^{34-644} p ◯
27.	83.4	83.4	82.5	13 8	18.1	16.3	18.3	12.8	8.1	9 5	7.8	69	62	57	W 1	NW 1	W 2	00	5^{20}	0	16.3	t reine Fernsicht
28.	81.4	81.3	80.9	14.8	22.4	18 2	23.0	14.8	7.7	8.8	8.0	62	44	52	S 1	W 1	W 1	00	00	0	–	a ∞^{0}, p einige cu über dem Gebirge
29.	81.7	81.8	82.0	18.9	24.2	18.9	24.5	18.2	8.8	7.4	10.0	54	33	61	SW 1	NW 1	NW 3	00	00	1^2	–	a ∞^{0}, p reine Fernsicht, nur einige cu üb. d. Gebirge
30	81.3	81.6	81.4	19.2	18.7	16.4	19.2	15.6	10.7	**13.5**	11.7	64	85	84	SE 1	C	W 1	6^1	9^2	9^2	–	n ⧹ im W, t ∞, a kurz öfters ◯, abds. ⧹ i. S
31.	83.0	83 9	**84.3**	8.4	14.7	12.6	16.4	8.2	8.2	9.2	7.5	100	74	69	NW 1	SW 1	SW 1	10^2=	5^2	0	16.6	n ◯, a ≡^{2}, p ∞
Mittel	79.6	79.5	79.9	15.6	20.8	16.8	21.6	14.0	8.5	8.7	8.4	66	49	60				4.7	4.3	3.9	100.8	

[1] 0^{54-56} p ◯^{0}; abds. Horiz≡ [2] abds. ⧹ i. W

Alle Angaben nach Ortszeit.

Zugspitze.

August. $\varphi = 47^0\ 25'$ N. $\lambda = 10^0\ 59'$ E $= 43^m\ 56^s$. H $= 2964$ m. Cg $= -0{,}2$ mm. 1911.

Datum	Luftdruck auf 0^0 u. Normalschwere reduziert 500 mm + 7a	2p	9p	Lufttemperatur C° 7a	2p	9p	Max.	Min.	Absolute Feuchtigkeit mm 7a	2p	9p	Relative Feuchtigkeit Proz. 7a	2p	9p	Richtung und Stärke des Windes 0 bis 12 7a	2p	9p	Bewölkung 0 bis 10 7a	2p	9p	Niederschlag mm	Schneedecke cm 7a
1.	35.8	36.9	37.5	3.2	7.2	3.7	9.0	2.2	2.2	4.3	3.9	38	58	65	C	S 1	N 3	1^0	1^0	1^0	–	–
2.	37.7	39.2	38.9	4.0	5.0	3.9	5.0	2.6	1.9	4.7	6.0	31	73	100	N 5	N 3	N 3	1^1	5^1	9^2	–	–
3.	38.2	38.5	38.1	2.4	5.4	3.7	5.7	1.9	4.2	5.1	5.2	78	75	88	N 1	NE 1	NW 3	2^1	5^2	2^0	–	–
4.	36.7	36.5	36.8	2.5	3.7	2.5	3.9	1.8	5.5	5.9	5.5	100	100	100	N 5	N 4	N 3	10^2	10^2	10^2	7.8	–
5.	35.9	36.3	36.5	2.0	4.5	3.7	5.2	1.6	5.3	6.3	6.4	100	100	100	N 3	N 2	NW 1	10^2	10^2	1^0	1.0	–
6.	36.0	38.3	39.3	5.6	5.3	4.3	6.8	2.9	4.9	5.4	6.2	75	81	100	NW 6	W 4	N 3	5^1	7^1	8^1	0.4	–
7.	39.3	40.1	40.6	4.9	7.2	4.4	7.2	3.1	5.4	6.6	5.7	83	87	91	N 2	NW 1	E 1	8^1	10^2	1^1	0.7	–
8.	40.7	40.8	**40.9**	5.4	8.5	5.6	9.5	3.7	3.8	**7.5**	3.0	57	90	44	E 3	E 2	N 1	00	4^1	0	–	–
9.	39.8	39.7	39.1	6.1	8.4	5.4	**10.9**	5.0	2.4	6.3	3.0	34	77	44	N 1	NE 1	E 1	1^0	1^1	0	–	–
10.	37.4	37.8	37.2	4.7	6.0	3.4	6.3	3.4	3.6	6.4	5.8	56	92	100	N 2	NE 2	N 2	1^0	3^1	4^1	–	–
11.	35.8	36.2	36.2	2.6	6.4	2.6	6.5	1.2	4.3	6.4	4.4	79	90	80	S 3	E 1	N 3	1^0	4^1	2^0	–	–
12.	35.4	36.2	36.5	2.8	4.5	2.8	4.8	1.1	4.2	5.9	4.4	75	95	79	E 1	E 2	C	1^0	10^2	1^1	–	–
13.	36.2	37.0	37.9	1.6	3.4	1.6	4.4	1.2	4.4	5.8	5.1	85	100	100	N 1	NE 2	NE 2	1^0	10^0	10^1	–	–
14.	36.4	35.9	35.4	1.3	3.4	1.5	3.7	0.7	5.0	5.8	5.1	100	100	100	NE 2	N 4	N 3	10^1	10^2	10^2	–	–
15.	33.9	33.1	32.1	0.8	2.5	0.6	2.7	0.2	4.8	4.8	4.8	100	88	100	N 2	N 6	N 5	10^2	8^2	10^2	0.6	–
16.	31.3	32.4	33.3	–1.6	0.0	–0.9	0.6	–1.7	4.1	4.6	4.3	100	100	100	N 5	N 6	N 7	10^2	10^2	10^2	1.7	–
17.	33.3	35.3	35.6	–2.8	0.1	–0.6	0.6	**–3.3**	3.7	4.6	4.8	100	100	100	**N** 6	NW 5	N 5	10^2	10^2	0	–	–
18.	35.0	35.7	35.0	1.0	4.2	1.9	5.1	–1.6	1.4	4.8	3 6	25	79	69	W 3	N 3	N 4	1^0	2^1	1^1	–	–
19.	33.7	34.2	34.2	1.7	5.6	4.3	5.6	0.9	3.7	4.2	3.9	72	62	64	NW 4	N 3	W 5	1^0	1^0	0	–	–
20.	34.0	34.9	34.7	5.2	7.4	3.8	8.2	3.8	4.4	5.2	5.8	66	70	97	W 3	W 3	SE 4	4^1	4^1	9^2	–	–
21.	33.0	33.5	33.7	6.2	7.5	4.1	7.5	3.8	5.2	5.5	6.1	73	71	100	S 8	S 7	S 8	10^2	9^2	10^2	0.8	–
22.	32.1	31.9	32.7	3.7	6.8	5.4	6.8	3.1	5.9	6.1	5.9	100	82	88	SE 7	S 7	S 7	10^2	8^1	6^1	**9.5**	–
23.	31.9	32.8	33.4	5.8	7.0	4.4	7.6	4.2	5.4	5.4	5.3	79	73	84	S 9	S 10	S 7	9^1	10^2	10^2	–	–
24.	33.0	33.7	34.0	2.5	5.1	1.4	5.3	1.3	5.3	6.6	5.1	97	100	100	S 7	C	W 1	7^2	10^2	7^1	0.8	–
25.	34.1	35.2	35.9	1.5	5.4	3.5	6.1	0.9	5.1	6.1	6.3	100	91	90	W 3	S 3	W 1	10^2	6^2	1^0	1.9	–
26.	35.4	35.7	37.2	1.0	0.4	–0.4	3.5	–1.4	4.9	4.7	4.4	100	100	100	NW 3	NW 5	N 2	10^2	10^2	10^2	8.7	–
27.	37.4	38.8	38.8	–1.0	3.2	2.5	4.2	–1.7	3.9	5.3	5.3	91	93	96	N 2	SE 2	NW 2	00	10^1	0	8.7	1
28.	38.7	39.1	39.2	5.7	8.5	6.5	9.7	2.5	2.3	6.4	7.2	37	77	100	W 3	SE 3	W 1	00	1^0	0	–	–
29.	39.1	40.1	40.1	5.4	7.7	6.2	9.0	4.8	6.5	5.1	5.7	97	65	81	SW 2	NE 1	W 1	1^0	2^1	1^0	–	–
30.	38.8	39.0	38.1	5.8	8.4	5.3	8.4	5.1	5.7	7.3	6.6	83	88	100	W 3	S 1	NW 4	1^1	10^1	10^2	–	–
31.	35.9	37.2	39.0	0.0	–0.8	–1.2	5.3	–2.0	4.6	4.3	3.9	100	100	94	NW 6	NW 2	W 2	10^2	8^2	1^0	4.1	–
Mittel	35.9	36.5	36.7	2.9	5.1	3.1	6.0	1.7	4.3	5.6	5.1	78	86	89				5.0	6.7	4.7	46.7	

Bemerkungen.

1. t $\infty^{0.1}$; mrgs. Fernsicht ringsum frei, abds.–n ≷ ringsum
2. t $\infty^{0.1}$; mrgs. Fernsicht frei, abds. ztw. ◍^{0}, abds.–n ≷ ringsum
3. t $\infty^{0.2}$
4. n ⟦≷, ztw. ◍$^{0.2}$, ▲^{1}, ⁔; a ≡^{2} ⁔; mrgs. ztw. Aufklaren; p ≡^{2}
5. n ≷, ztw. ◍$^{0.1}$; mrgs. Täler allenthalben leichte cu-Entwicklung; a ≡^{2}, ◍^{0}; ztw. Aufklaren, p ztw. ≡$^{0.1}$, ztw. Aufklaren; abds. ⌓^{2}
6. t $\infty^{0.1}$; mrgs. Fernsicht frei, ⁔, ⌒
7. n ⟦≷, ◍^{0}; mrgs. Fernsicht rein; Hochgebirge leichte cu-Entwicklung; t ringsum cu-Entwicklung, ztw. ≡$^{0.1}$ um den Gipfel; abds. Brockengespenst.
8. t $\infty^{0.1}$, leichte cu-Entwicklung ringsum, ztw. ≡$^{0.1}$ um den Gipfel
9. t $\infty^{0.1}$; m ztw. ≡^{0} um den Gipfel
10. t Fernsicht frei, rein; abds. leichtes ≡treiben um den Gipfel
11. mrgs. $\infty^{0.1}$; t ztw. leichtes ≡treiben um den Gipfel, abds.–n ≷ ringsum
12. mrgs. $\infty^{0.1}$; t ztw. ≡$^{0.1}$ um den Gipfel; 2^{45}–5^{20} p ⟦≷ i. S–SE; abds.–n ≷ i. S u. SE
13. mrgs. ⌙^{2}, Fernsicht rein; über Flachland i. N u. NE Nebeldecke; p ztw. ≡$^{0.1}$ um den Gipfel, ztw. ◍tropfen
14. t ztw. ≡$^{0.1}$ um den Gipfel; m ztw. ◍tropfen; abds. ≡^{2}
15. n ztw. ◍^{0}, a ztw. ≡^{0} u. d. Gipfel, ab ca. 10–ca. 11 a ◍^{0} ✳^{0}; p ⁔, ztw. ◍tr. ✳fl.; 4^{10}–5 p ⟦≷ ztw. △$^{1.2}$; abds. ≡^{2} ztw. △$^{1.2}$
16. mrgs. ≡^{2} ⁔, a ≡^{2} ztw. schwaches Aufklaren, m ztw. kurz Aufklaren; p ≡^{2}, abds. ztw. Aufklaren um den Gipfel, ᔓ; ⋁ 3 cm
17. t ≡$^{1.2}$ ztw. Aufklaren; mrgs. ⁔, abds. vollk. Aufklaren, leichtes ≡treiben um den Gipfel; 9 p ⌙^{2}; ⋁ 10 cm
18. t $\infty^{0.2}$
19. t $\infty^{0.1}$
20. mrgs. ∞^2; $11^{25.27}$ a ▲^{0}; 7^{30} p ⟦≷; 7^{39} p–n ztw. ◍$^{0.1}$; abds.–n ≷ ringsum
21. mrgs. Fernsicht rein; ⁔; ab ca. 9–10^{15} a ztw. ≡$^{0.2}$ ◍$^{0.2}$; ab 10^{15} a vollk. Aufklaren; p ⁔; 5 p–n ◍$^{0.1}$, abds. ≷ i. S.
22. n u. mrgs. ◍$^{0.2}$, t ⁔, 4 p ◍^{0}; abds.–n ≷ ringsum
23. n u. t ⁔, mrgs. ü. Hochgbg. a. Horiz. cu-Entw., m ztw. ◍tr; 3^{45}–4^{45} p ◍$^{0.1}$, ztw. schw. elektr. Ausstrahlung; ab ca. 8^{45} p–n ◍^{0}, abds.–n ≷ i. NW.
24. mrgs. ⁔, Täler cu-Entw.; a cu-Entw. ringsum, ≡tr. u. d. Gipfel, ab ca. 11^{30} a ≡$^{0.2}$, ab 2 p ztw. ▲^{0}, ◍$^{0.1}$, ✳$^{0.1}$ elektr. Ausstrahlung; 3^{45}–4^{45} p ⟦≷, abds. ztw. ✳^{0}, ≡$^{0.1}$ um den Gipfel, ≷ i. NW u. N.
25. t ztw. ≡$^{0.2}$ u. d. Gipfel, mrgs. ≡reiss.; ab ca. 10 a Aufklaren; abds.–n ≷ i. W u. NW.
26. n ⟦≷ ◍^{2} △^{2}; mrgs. u. a ≡^{2}, ztw. ✳$^{0.1}$, ✳treiben; p ≡^{2} ᔓ; ab 4^{30} p Aufklaren, abds.–n ≡^{2}
27. mrgs. ⌙^{2}, Fernsicht frei, Hochgb. cu-meer in ca. 1800 m, ztw. ≡^{0} u. d. Gipfel
28. mrgs. Fernsicht ringsum frei; p $\infty^{1.2}$, abds. ⌓^{1}
29. t $\infty^{0.1}$, mrgs. leichtes ≡treiben;
30. mrgs. ∞^1; m cu-Entwicklung ringsum; p ztw. ≡$^{0.1}$ u. d. Gipfel; $4^{10.15}$ p ◍; abds.–n ≡^{2}, ≷
31. n ztw. ≡$^{0.2}$, ⟦≷, ◍$^{0.1}$; mrgs. u. a ≡^{2}, ⁔; ab ca. 10–10^{40} a ✳$^{0.1}$ ⫩; 1^{45} p Aufkl. ≡treiben u. d. Gipfel; abds. vollk. Aufklaren; ≷ i. S; 9 p ⌙^{0}

Alle Angaben nach Ortszeit.

Kahl a/M.

September. $\varphi = 50^0\ 4'$ N. $\lambda = 9^0\ 1'$ E $= 36^m\ 4^s$. H $= 114.1$ m. Cg $= +0.3$ mm. 1911.

Datum	Luftdruck auf 0° u. Normalschwere reduziert 700 mm +			Lufttemperatur C°					Absolute Feuchtigkeit mm			Relative Feuchtigkeit Proz.			Richtung und Stärke des Windes 0 bis 12			Bewölkung 0 bis 10			Niederschlag mm	Bemerkungen
	7a	2p	9p	7a	2p	9p	Max.	Min.	7a	2p	9p	7a	2p	9p	7a	2p	9p	7a	2p	9p	7a	
1.	58.8	57.8	57.7	9.2	25.2	15.3	28.7	4.3	7.6	7.9	9.4	89	33	72	C	S 2	C	1^0⊙	1^0⊙	0	–	
2.	57.8	56.6	56.9	14.4	28.6	15.8	31.1	6.2	8.9	7.0	8.8	81	24	65	C	SW 2	NE 2	○○	○○	0	–	a ⊿
3.	57.6	55.7	55.9	11.9	30.9	20.8	**32.9**	6.8	9.1	8.9	9.9	89	27	54	C	SW 2	C	○○	c○	0	–	a ⊿
4.	58.2	57.5	57.0	16.2	23.8	15.1	25.0	13.0	10.6	6.2	8.3	77	28	65	E 2	E 2	C	○○	○○	0	–	
5.	56.5	54.7	55.4	12.4	27.2	20.6	28.3	7.3	8.6	8.6	9.3	80	33	51	C	S 2	C	○○	1^1	0	–	a ⊿
6.	57.6	56.7	57.6	13.9	26 8	15.9	27.8	8.9	8.9	9 2	9.4	84	35	70	SE 2	NW 4	C	2^0	5^0⊙	0	–	7 a ∞
7.	57.8	56.0	55.7	11.4	27.9	15.6	29.0	7.5	9 3	7.9	9.3	93	28	70	C	C	C	○○	○○	0	–	a ⊿
8.	55.6	53.1	52.1	11.2	29.5	17.1	30.9	7.7	8.9	9.0	9.3	90	29	64	C	C	C	○○	4^1⊙	1^1	–	a ⊿
9.	51.5	49.8	49.3	12.0	29.8	19.3	31.1	8.3	8.7	8.9	12.0	84	29	72	C	W 2	NW 2	○○	○○	7^1	–	4^{16}–9^{00} p ◹. 9 p ◺
10.	55.1	56.0	56.6	11.4	19.8	11.6	21.9	9.3	8.7	6.0	7.6	87	35	75	C	NE 4	C	○○	2^2⊙	0	0.2	$9^{00.36}$ p ◹. $9^{21.36}$ p ●
11.	56.7	54.9	54.6	7.0	23.0	12 7	24.3	1.0	6.9	4.8	6.3	92	24	58	C	E 4	C	○○	c○	0	–	$5^{01.11}$ a ≡
12.	55.4	54.2	53.7	8.0	25.4	13.7	26.8	2.1	6.1	6.3	6.9	76	28	59	S 2	SW 4	C	○○	○○	0	–	a ⊿
13.	53.5	53.0	52.6	11.2	27.4	19.3	29.0	6.2	7.5	11.2	11.8	75	41	7^1	C	SW 4	C	2^1	8^0	1^0	–	
14.	52.9	51.4	50.1	16 6	20.0	16.7	24.3	15.2	13.6	**16.1**	13.9	97	93	98	C	C	NW 4	10^1●	10^1	3^1	0.6	6^{36}–7^{01} a, p ztw. ●
15.	50.7	51.4	52.3	11.5	15.9	8.3	17.8	7.4	9.2	7.3	7.7	92	55	94	SE 2	SE 4	C	10^1	9^1	0	**7.7**	n ●
16.	54.9	54.7	55 2	5.1	17.0	8.2	18.1	1.8	6.6	6.3	7.0	100	44	87	C	SW 2	E 2	7^0	6^1	0	–	a ≡
17.	56.0	56.5	57.0	3.8	16.7	8.7	19 3	**0.7**	6.0	5.7	7.1	100	41	86	C	E 2	C	○○	3^1	0	–	a ⌊ ≡
18.	**59.1**	58.3	57.7	6.6	17.0	10.2	17.8	2.3	7.0	7.4	8.3	96	52	90	C	SW 2	C	10^0	9^2	10^0	–	a ⊿
19.	56.9	53.9	52.4	8.9	20.7	13.7	22.0	5.3	8.2	7.4	8.7	96	41	74	C	SW 4	SW 2	2^0	c○	9^0	–	a ∞
20.	50.8	48.1	44.6	10.7	22.4	16.1	23.3	8.4	9.5	8.8	9.1	99	44	66	C	SW 4	SW 2	10^1	7^0	0	–	
21.	42.7	43.4	45.1	15.4	14.9	12.2	17.4	10.9	11.3	11.4	9.2	87	90	88	SE 4	S 2	SW 2	9^0	10^2	10^1	–	8^{36} a–1^{34} p ztw. ●
22.	46.6	47.9	49.5	9.0	15.8	9 8	16.9	6.9	8.4	8.5	9.0	99	64	100	C	S 2	C	10^1	10^0	5^0	5.8	a ≡0. 5^{31}–6^{06} p ●
23.	49.0	47.2	47.8	10.1	13.5	11.4	14.2	8.5	8.9	8.9	10.1	96	77	100	SE 2	E 4	C	10^1	10^2	10^2	3.2	3^{31}–5^{36} p ●
24.	50.1	51.4	53.3	12.0	15.7	13.3	16.7	10.4	10.3	10.2	10.6	99	77	94	C	SW 4	C	10^2	10^1	10^2	5.1	
25.	55.2	55.9	57.3	12.1	18.5	9.9	19.4	9.0	10.4	10.1	9.1	99	63	100	C	S 2	C	10^2	5^2⊙	0	0.9	n ●. 9 p ≡
26.	58.0	57.7	57.8	8.3	16.6	10.0	18.9	5.9	8.2	11.2	9.0	100	79	99	C	C	C	10^2=	○○	0	–	a–11^{36} a ≡
27.	58.2	57.9	57.7	11.1	16.5	15.7	18.6	8.2	9.6	13.2	13.3	98	95	100	C	C	SW 2	7^0	10^2	10^1	–	6^{21} a ◠, a ⊿. 9^{36} a–1^{36} p ztw. ●
28.	56.7	55.6	56.5	13.6	17.1	12.2	18.4	11.1	11.6	9.7	10.2	100	67	97	SW 4	SW 6	C	10^1=	10^1	10^1	7.2	n ●. a ≡1. 2 p ▁▁. 2^{00} p–n ztw. ●
29.	55.6	54.3	56 3	8.9	14.0	8.0	14.9	7.0	8.5	6.0	6.8	100	51	85	S 2	NW 6	NW 2	1^0⊙	5^2	0	4.0	2 p ▁▁. $4^{50.05}$ p ●
30	54.3	48.9	**41.7**	6,6	11.1	9.5	12.4	3.0	6.6	6.6	8.4	91	67	95	SE 2	SW 6	SW 6	10^1	10^1	10^2	0.5	2 p ▁▁. 4^{36} p an ztw. ●. 9 p ▁▁
																					35.2	
Mittel	54.7	53.7	53 6	10.7	21.0	13.6	22.6	7.0	8.8	8.6	9.2	92	50	80				4.7	4.8	3.2		

Bayreuth.

September. $\varphi = 49^0\ 57'$ N. $\lambda = 11^0\ 34'$ E $= 46^m\ 16^s$. H $= 363.3$ m. Cg $= +0.3$ mm. 1911.

1.	**38.4**	37.3	37.3	9.1	23.2	16.6	27.0	6.1	6.8	8.0	8.3	78	37	59	E 2	SE 2	C	7^0	1^0⊙	0	–	a ⊿
2.	38.3	36.7	36.6	12.1	27.6	19.4	**32.0**	9.0	7.0	4.7	7.0	67	17	42	E 2	E 2	E 2	○○	c○	0	–	a ⊿
3.	37.2	35.2	34.7	11.9	30.6	21.2	**32.0**	7.3	7.0	5.8	9.1	68	19	49	E 2	SW 4	W 2	○○	○○	0	–	a ⊿
4.	36.5	35.8	36.3	14.5	22.8	15.1	24.2	14.1	9.0	8.0	7.4	74	42	58	N 6	N 2	N 2	○○	c○	0	–	
5.	35.6	34.1	34.0	9.7	23.4	17.0	25.4	8.3	7.2	8.2	8.6	82	37	60	SE 2	W 6	E 2	7^1	4^1⊙	3^0	–	a ⊿
6.	35.6	34.7	35.8	11.3	25.0	17.6	26.2	8.4	8.1	8.9	8.2	82	37	54	E 2	W 6	E 2	5^0⊙	5^0⊙	0	–	a ⊿
7.	36.5	35.1	34.9	10.1	26 0	17.7	28.2	8.5	8.0	7.8	9.5	87	31	63	E 2	NW 2	C	○○	○○	0	–	a ⊿
8.	34.8	32.7	31.2	12.0	28.5	17.9	29.3	8.7	7.9	8.6	9.1	75	29	62	E 2	NW 4	E 2	○○	6^0⊙	2^0	–	a ⊿
9.	29.8	28.1	28.6	13.2	28.9	17.2	29.0	10.4	7.8	8.6	11.5	69	29	79	E 2	W 2	W 6	1^0⊙	3^0⊙	10^2	–	5^{36}–7^{36} p ◹, 6^{06} p an ●0.1, 7^{46}–8^{26} p ◹
10	32.3	34.6	35.8	10.9	17.6	11.5	20.3	10.1	7.6	6.2	6.9	77	42	69	N 4	N 4	NE 2	8^1	5^0⊙	3^0	3.3	
11.	36 2	34.6	34.4	4.8	21.0	13.1	23.4	2 4	5.7	5.7	6.2	90	31	55	E 2	SE 6	SE 2	1^0⊙	○○	0	–	a ⌊ 0
12.	35.6	34.2	33.1	4.3	22.8	15.3	25.4	**2.3**	5.1	5.2	5.2	83	25	41	E 2	SE 4	E 2	c○	○○	0	–	a ⌊ 0
13.	32.6	31.5	31.7	14.5	28.9	17.8	29.0	10.8	7.3	9.9	12.9	59	33	85	SE 4	SW 6	E 2	4^1⊙	6^1⊙	8^1	–	4^{26}–5^{06} p ◹, 4^{31}–5^{46} p ●0.2
14.	30.9	29.4	27.8	15.0	23.8	15.1	24.7	13.5	11.0	**13.3**	12.6	87	61	**99**	E 2	S 2	E 2	10^2	5^1⊙	10^2	1.7	7^{16}–8^{26} a ●0.2, 3^{16}–5^{06} p ◹, 3^{16}–5^{06} p ●0.2
15.	27.7	28.7	30.3	10.9	10.7	10.7	15.3	10.1	9.0	8.0	8.5	93	84	90	N 4	N 4	N 2	10^2●	10^2●	10^2	**14.8**	n ●0.1, t ●0
16.	32.5	32.5	33.2	5.1	14.8	11.5	15.7	3.3	6.5	8.9	6.9	98	55	64	NW 2	NW 4	NW 4	3^0⊙	7^1	10^1	2.0	a ⊿ ≡2
17.	33.6	34.3	35.5	5.4	14.5	8.9	15.6	3.8	6.3	5.2	6.8	94	43	79	NW 2	NE 4	NE 2	○○	5^1⊙	6^1	–	a ⊿. 7 a ≡0
18.	36.3	36.1	36.0	6.3	12.0	11.5	12.7	4.8	6.6	8.1	8.4	93	77	83	NW 2	NW 6	NW 4	10^2	10^2	10^2	–	a ⊿
19.	34.8	32.6	31.3	12.1	19.5	11.8	21.1	10.3	8.5	8 1	8.6	81	48	84	W 2	W 4	E 2	10^2	○○	0	–	
20.	29.5	27.0	25.3	12.2	18.8	13.5	21.2	9.2	8.7	9.9	9.3	82	61	81	SE 2	E 4	E 2	10^1	6^0⊙	0	–	
21.	22.4	**21.3**	24.6	12.2	17.6	12.0	20.8	10.3	9.1	10.6	9.6	87	71	93	SE 2	W 6	W 2	8^1	10^2	10^2●	–	2^{56} p an ●0
22.	25.2	26.1	26.1	9.9	11.4	10.3	12.1	9.3	8.7	8.4	8.1	96	84	88	NW 2	N 2	N 4	10^2●	10^2	10^2	5.5	n, a ●0.1
23.	25.4	23.7	25.7	9.6	11.4	11.4	12.2	8.3	8.1	9.2	9.8	91	92	98	N 4	N 6	N 2	10^2	10^2●	10^2	4.2	t ztw. ●0
24.	28.2	29.9	31.5	10.3	13.1	10.7	13.1	8.3	8.7	8.1	9.2	94	73	97	E 2	W 2	SW 2	10^1	10^1	10^2●	1.0	a ⊿ ≡1. 7^{36}–9^{00} p ●0
25	33.7	34.6	35.9	11.2	15.5	10.9	15.7	9.8	9.4	9.5	8.1	95	72	85	SE 2	W 4	W 2	10^1=	10^1	0	1.6	n ztw. ●0, a ≡1
26.	36.7	36.1	36.7	8.2	18.2	11.4	20.1	7.1	7.9	9.7	9.6	98	63	96	SE 2	W 4	E 2	10^1=	6^2	0	–	a ⊿ ≡1
27	37.5	36.6	36.4	7.5	18.7	13.9	21.2	6.2	7.6	10.8	11 0	**99**	68	94	SE 2	W 4	E 2	10^2=	8^1	10^1	–	a ⊿ ≡2
28.	35.0	34.0	33.7	13.8	17.0	12.6	17.3	12.3	11.1	8.2	9.8	95	57	91	SE 2	W 6	SW 6	10^1	5^1⊙	10^2●	–	4^{46} p an ●0.1
29.	33.3	30.7	33.1	8.9	13.1	5.5	13.2	5.1	7.9	5.6	6.0	93	50	90	W 4	W 6	W 2	6^1⊙	6^1⊙	10^1	2.7	n ztw. ●0
30.	32.3	27.9	21.8	5.3	11.5	8.9	11.7	3.5	6.1	5.8	6.4	92	57	75	SW 2	S 6	S 4	7^1	9^2	10^2	–	a ⊿
																					37.7	
Mittel	33.1	32.2	32.3	10.1	19.6	13.9	21.2	8.1	7.9	8.1	8.6	85	51	76				5.9	5.2	5.1		

Alle Angaben nach Ortszeit.

Bamberg.

September. $\varphi = 49^0\ 53'$ N. $\lambda = 10^0\ 53'$ E $= 43^m\ 32^s$. H $= 287.7$ m. Cg $= +\ 0.3$ mm. 1911.

Datum	Luftdruck auf 0^0 u. Normalschwere reduziert 700 mm + 7a	2p	9p	Lufttemperatur C° 7a	2p	9p	Max.	Min.	Absolute Feuchtigkeit mm 7a	2p	9p	Relative Feuchtigkeit Proz. 7a	2p	9p	Richtung und Stärke des Windes 0 bis 12 7a	2p	9p	Bewölkung 0 bis 10 7a	2p	9p	Niederschlag mm 7a	Bemerkungen
1.	**44.9**	43.9	43.7	8.9	24.7	17.6	26.0	6.4	6.5	7.6	7.7	76	33	52	NW 1	W 2	C	3^1○	1^1○	0	–	n ⏢
2.	44.8	42.8	43.0	12.6	29.9	18.2	30.6	8.6	6.6	6.8	7.9	61	22	51	W 2	S 4	C	oo	oo	0	0.1	n ⏢. 7 a 〓
3.	43.5	41.8	41.1	10.3	32.7	22.8	**33.3**	8.3	6.8	7.1	9.0	73	19	43	NW 1	W 3	C	oo	oo	2^1	–	n ⏢
4.	43.1	42.3	42.6	16.4	25.8	14.9	26.3	14.9	9.4	7.7	7.6	68	32	60	N 4	W 3	C	oo	oo	0	0.1	n ⏢
5.	42.1	40 5	40.4	11.4	26.2	18.6	27.1	9.9	7.2	8.0	8.3	72	32	52	NW 3	S 2	N 1	3^1○	4^1○	3^1	–	n ⏢
6.	42.5	41.7	42.6	12.1	26.7	17.9	27.4	10.3	8.5	9.1	9.4	82	35	62	S 1	W 4	C	7^1○	8^1○	3^n	0.1	n ⏢
7.	43.0	41.8	41.3	11.5	27.6	17.7	28.8	9.9	8.4	8.1	8.6	83	30	57	SE 1	NW 2	NW 1	oo	oo	o	0.1	n ⏢
8.	41.0	38.8	37.2	10.7	30.0	18.2	30.9	8.6	7.7	9.3	8.5	80	29	55	SE 1	SE 1	C	1^1	7^n○	1^1	–	n ⏢
9.	36.0	35.0	34.1	12.1	29.4	16.7	30.3	8.9	7.4	9.2	11.7	71	30	82	SE 1	C	S 5	5^1○	3^n○	9^2	–	n ⏢. 8^{44} a ◍^{0}. 2 p ⊕. 6^{38}–7^{43} p ◹, 5^{38}–7^{32} p ◍^{0}
10.	39.0	41.4	42.2	12.3	18.9	11.4	19.8	11.1	7.7	6.8	7.2	72	42	72	NE 3	N 2	NW 1	3^1	6^n○	3^1	4.6	11^{01} p–11^{4} a ◹. 11^{28} p–1^{04} a meist ◍^{1}
11.	42.4	40.8	40.5	7.0	22.7	14.3	23.7	4.3	6.1	4.5	5.7	81	22	48	NW 1	E 3	C	3^n○	oo	o	–	n ⏢
12.	41.8	40.2	39.1	7.4	25.0	16.3	25.2	5.0	5.1	5.1	6.5	67	21	47	NW 2	SE 3	C	oo	1^n○	o	0.1	n ⏢. 3^{31}–4^{21} p ◹, 3^{50}–4^{11} p ◍^{1}, $4^{30.33}$ p ◹, $4^{31.57}$ p ◍^{1}
13.	38.6	38.0	37.7	12.9	29.9	21.2	31.0	7.6	7.3	11.1	**13.7**	66	35	74	S 3	SW 2	C	4^n○	8^1○	9^2	5.0	2^{01} a ◹ i. W, 6^{01}–7^{11} a ◹, 6^{01}–7^{59} a ◍$^{1.2}$, 3^{31}–4^{15} p ◹, [1]
14.	38.1	35.6	34.3	15.4	25.7	15.0	26.4	14.3	12.0	13.2	12.1	92	54	96	W 1	W 2	C	10^2●	7^1○	4^1	**12 6**	$9^{00.15}$ p ◹ i. SE. t ztw. ◍
15.	34.4	34.4	37.2	11.2	11.4	11.4	16.0	11.1	9.2	8.4	8.7	93	84	87	NW 3	N 1	C	10^2●	10^2●	10^2		
16.	39.2	39.1	39.7	6 9	16.4	10.2	18.3	5.8	7.2	8.0	7.7	98	58	83	NW 1	N 3	N 2	oo	10^1	6^1	1.6	n ⏢. 7 a 〓^{1}.
17.	40.4	41.1	42.2	6.9	16.2	8.8	18.4	5.1	7.0	6.9	6.3	94	51	74	NW 1	NW 2	N 1	oo	5^1○	2^1	0.1	n ⏢. 7 a 〓
18.	43.3	42.9	42.8	5.9	14.0	12.4	15.7	5.3	6.7	8.5	8.0	97	71	74	W 1	NW 3	C	10^2	10^2	10^2	0.1	n ⏢
19.	41.9	39.0	37.5	10.5	21.0	13.0	22.0	9.1	8.3	7.1	7.8	88	38	70	E 1	SW 2	S 1	10^1	oo	o	0.1	n ⏢. 2 p, 9 p ∞
20.	35.9	32.9	30.8	11.2	22.1	14.9	23.8	8.7	8.3	10.1	8.8	84	51	76	SE 1	S 3	SE 5	9^1	7^1○	3^1	0.1	n ⏢
21.	28.4	28.5	31.0	13.5	16.1	11.6	23.8	11.6	9.0	9.8	9.8	79	72	97	S 4	W 6	S 3	9^1	10^2	10^2●	–	n ⏢. 9 a ◍^{0}. $0^{30.56}$ p ◍^{1}, 0^{03} p ◍^{2}. 1^{51} p an ztw. ◍^{0}
22.	32.0	32.7	33.3	10.1	12.2	9.8	13.8	9.8	9.0	8.7	8.7	98	83	96	S 1	SW 1	W 2	10^2●	10^2	10^2●	4.5	n ztw. ◍^{1}. t ztw. ◍
23.	32.1	30.5	32.3	9.1	11.6	11.9	13.9	9.1	8.3	9.7	10.2	96	96	98	NW 3	N 1	S 1	10^2●	10^2●	10^1	4.3	n–9 a ztw. ◍^{1}. 1^{29}–2^{15} p ◍^{1}
24.	34.9	36.5	38.3	9.2	14.3	11.8	15.3	9.2	8.6	9.2	9.2	**99**	76	90	S 3	SE 3	S 2	10^2	10^1	10^2	4.6	
25.	40.2	41.4	42.0	10.3	16.2	10.3	17.9	9.3	9.0	10.3	9.0	96	75	96	SW 1	NW 2	C	10^2	9^1	1^1	0.1	n ⏢. 9 p 〓
26.	42.9	42.7	43.4	8.8	19.1	11.4	20.3	7.5	8.3	10.5	9.6	**99**	63	96	NW 1	C	C	9^1	6^1	o	0.1	n ⏢. 7 a 〓^{0}. 9 p 〓
27.	44.0	43.2	42.9	7.3	20.9	15.1	21.8	6.0	7.5	11.7	11.5	**99**	65	89	S 1	W 2	C	7^1○	9^1○	8^1●	0.1	n ⏢. 7 a 〓^{2}. 9 p ◍^{0}
28.	41.5	40.7	40.8	13.6	17.5	11.1	18.9	11.1	11.2	8.2	9.1	97	55	93	SW 1	SW 3	C	10^2	10^2	10^2●	0.6	11^{14} p–0^{44} a ◍. 4^{13} p–n ztw. ◍
29.	40.1	37.8	40.0	9.3	12.7	7.7	16.4	6.6	8.1	6.2	6.1	93	57	77	SW 1	W 5	NW 3	9^1	3^1○	10^2	2.2	9^{00}–10^{14} p ◍. 4^{32} p ◍^{1}. $5^{16.34}$ p ◍. $7^{20.30}$ p ◹ i. E
30.	39.1	34.2	27.3	3.3	11.5	9.0	13.5	1.9	5.5	5.8	6.7	95	57	78	E 3	SW 4	S 4	10^0○	9^1○	10^2●	0.5	n ⏢. 6^{10} p an ◍^{0}
																					41.8	
Mittel	39.7	38.7	38.7	10.3	20.9	14.0	22.6	8.5	7.9	8.4	8.7	85	50	74				5.7	5.8	4.8		[1] 3^{05}–4^{23} p ◍, 5^{31}–6^{34} p ◹, 5^{8}–7^{24} p ◍

Würzburg.

September. $\varphi = 49^0\ 48'$ N. $\lambda = 9^0\ 56'$ E $= 39^m\ 44^s$. H $= 179.3$ m. Cg $= +\ 0.3$ mm. 1911.

1.	**53.8**	52.1	52.1	9.4	24.0	16.2	25.1	7.7	6.8	7.4	9.1	78	33	66	S 1	SE 2	C	4^1○	oo	o	–	a ⏢
2.	53.0	51.3	51.6	10.8	26.8	16.8	28.2	9.0	8.1	7.8	8.8	84	30	63	C	S 2	C	oo	oo	o	–	a ⏢
3.	52.3	50.1	50.2	11.2	31.0	19.3	**31.6**	9.0	7.7	6.9	10.9	78	**20**	65	C	SW 2	C	oo	oo	o	–	a ⏢
4.	52.2	51.0	51.5	16.8	24.9	16.0	25.3	14.7	10.7	6.1	7.8	79	26	57	W 1	NE 2	C	oo	oo	3^1	–	a ⏢
5.	50.9	48.9	49.1	11.0	27.1	19.0	27.4	10.0	7.6	7.3	10.5	77	28	64	C	NW 2	C	3^1○	6^1○	o	–	a ⏢
6	51.5	50.8	51.7	14.6	25.0	18.5	26.0	13.1	9.4	8.3	9.7	76	36	61	SW 2	W 2	W 2	6^1○	3^1○	o	–	a ⏢
7.	51.9	50.1	50.4	11.8	27.1	17.1	27.6	10.6	9.1	7.8	9.2	88	30	63	C	E 2	C	oo	oo	3^1	–	a ⏢
8.	49.7	47.6	45.6	11.8	28.4	17.7	29.0	10.4	8.6	7.8	9.2	84	27	61	C	N 2	N 2	oo	4^1○	o	–	a ⏢. 5^{38}–7^{35} p ◹, 5^{55}–6^{22} p ◍
9.	45.0	43.5	42.9	12.5	29.7	17.8	30.0	11.4	8.6	6.8	12.0	81	22	79	C	SW 2	W 2	oo	oo	9^1	–	9^{35} 10^{50} p ◹, $10^{55.33}$ p ●. n ◹ i. NW–N
10.	48.2	50.1	50.9	12.0	18.6	11.8	19.0	11.6	8.8	7.0	7.0	85	44	68	E 2	E 2	C	2^1○	1^1○	o	2.3	
11.	51.1	49.2	49.0	7.2	21.5	12.1	22.0	5.0	6.8	**4.7**	6.4	90	25	61	S 1	E 2	C	oo	oo	o	–	a ⏢ 〓^{1}
12.	50.4	48.4	47.5	6.7	22.9	14.2	24.3	5.1	5.9	5.7	7.5	82	28	62	C	SE 2	C	oo	oo	o	–	a ⏢
13.	47.6	46.4	46.3	10.2	28.2	20.2	28.8	9.0	6.9	10.4	12.2	74	36	69	W 1	W 2	C	4^1○	8^2	1^1	–	a ⏢. $2^{05.10}$ p ◹
14.	46.3	43.9	43.2	16.2	23.4	16.0	23.8	15.8	13.3	13.3	**13.4**	97	62	**99**	C	S 2	C	10^2●	5^1○	o	4.7	0^{55} a ◹ i. N, n, a meist ◍. 6^{10} a ◹, $6^{03.23}$ a ◍. [1]
15.	43.5	44.3	46.4	12.2	13.0	11.2	16.0	11.0	10.1	9.3	9.7	96	85	98	N 2	NE 2	C	10^2●	10^2	o	**34.6**	n, a, 6^{10} p ◍
16.	48.4	49.2	49.0	7.6	15.6	10.4	16.4	6.4	7.3	7.9	8.6	94	60	92	W 2	E 2	C	4^1○	6^1○	o	1.7	n ⏢
17.	49.6	50.2	51.2	6.7	15.1	9.1	17.0	5.4	6.6	6.9	7.5	90	54	88	SW 1	N 2	N 2	oo	10^2	o	–	a ⏢
18.	52.7	52.3	52.0	8.8	15.8	12.2	16.0	7.0	7.1	7.3	8.3	84	55	79	W 2	NW 2	NW 2	10^1	10^2	3^1	–	a ⏢
19.	50.7	47.6	46.4	10.7	19.9	12.6	20.6	10.0	8.6	8.3	9.1	91	48	85	C	SW 2	C	8^1	oo	o	–	a ⏢
20.	44.2	41.9	39.1	11.4	19.4	14.1	21.0	10.6	9.3	9.0	9.6	93	54	80	C	C	C	10^1	10^1	o	–	a ⏢
21.	36.6	37.3	39.7	13.6	15.4	12.7	19.8	12.7	11.1	11.2	9.6	96	86	89	SE 2	SW 2	SW 2	10^2	10^2●	10^2	1.3	n, t ztw. ◍
22.	40.6	41.2	42.5	11.1	12.7	10.6	14.7	10.3	8.5	9.3	9.2	86	86	97	S 1	SE 2	S 2	10^2	10^2●	10^2●	2.1	0^{40} p an ztw. ◍
23.	41.7	39.5	41.1	10.0	13.3	12.1	13.4	9.8	8.4	9.2	10.3	92	81	98	W 2	NE 4	C	10^2●	10^2	10^2	3.2	n, a ◍^{0}
24.	43.6	44.6	45.8	11.2	14.5	12.7	15.0	11.0	9.4	10.1	10.0	95	83	92	S 2	S 2	S 2	10^2	10^2	10^2	3.4	
25.	49.0	50.1	51.4	12.2	16.2	12.8	17.6	11.0	9.1	8.7	10.2	87	63	94	SW 2	W 2	C	10^2	3^1○	o	–	8^{20} a an ◍^{0}
26.	51.9	51.8	52.4	10.4	17.1	11.8	18.2	10.0	8.9	10.7	10.1	95	74	98	C	W 2	C	10^2	2^1○	o	0.6	a ⏢
27.	52.7	51.8	51.8	9.2	19.8	15.8	20.6	8.0	8.4	12.1	12.9	98	70	97	C	W 2	C	5^1○	10^2	10^2●	–	a ⏢ 〓^{1}. 0^{40} p an ztw. ◍^{0}
28.	50.6	49.3	50.4	14.6	17.8	12.3	19.0	12.3	11.8	9.1	10.1	96	60	96	W 2	W 2	W 2	10^2	10^2	10^2	0.3	n ◍^{0}. a ∞. p ◍
29.	49.2	47.1	49.9	10.6	13.6	8.3	14.6	8.3	8.8	6.2	6.9	93	53	86	W 2	W 4	NE 2	8^1	1^1○	10^2●	2.7	p ◍^{0}
30.	47.9	43.3	**36.1**	6.0	11.0	9.8	12.9	4.6	6.1	5.6	7.5	88	58	83	S 2	SW 4	W 4	10^2	10^2	10^2	0.5	6^{40} p an ◍
																					57.4	
Mittel	48.6	47.5	47.6	10.9	20.3	14.0	21.4	9.7	8.6	8.3	9.4	88	51	80				5.5	5.0	3.3		[1] 2^{29}–3^{06} p ◹, $2^{32.52}$ p ◍, $2^{46.51}$ p ▲. $4^{32.33}$ p ◹, 4^{35}–5^{50} p ◍

Alle Angaben nach Ortszeit.

Ludwigshafen a/Rh.

September. $\varphi = 49^0\ 29'$ N. $\lambda = 8^0\ 26'$ E $= 33^m\ 44^s$. H $= 100.3$ m. Cg $= +0.3$ mm. 1911.

Datum	Luftdruck auf 0^0 u. Normalschwere reduziert 700 mm +			Lufttemperatur C°					Absolute Feuchtigkeit mm			Relative Feuchtigkeit Proz.			Richtung und Stärke des Windes 0 bis 12			Bewölkung 0 bis 10			Niederschlag mm	Bemerkungen
	7^a	2^p	9^p	7^a	2^p	9^p	Max.	Min.	7^a	2^p	9^p	7^a	2^p	9^p	7^a	2^p	9^p	7^a	2^p	9^p	7^a	
1.	60.8	59.5	59.3	12.6	25.5	21.6	26.0	11.2	7.0	6.7	8.7	64	28	45	N 1	S 1	C	00	00	0	–	
2.	59.6	58.8	58.9	14.4	27.7	20.0	28.4	12.8	9.5	8.2	12.6	78	30	72	NE 1	E 1	C	00	c0	0	–	
3.	59.5	57.8	57.7	14.6	31.3	26.3	**32.4**	13.0	8.6	9.8	9.7	70	29	39	SW 1	W 1	W 1	00	4^0○	0	–	
4.	59.9	59.4	59.0	17.4	24.7	20.4	26.3	16.6	10.7	6.4	6.9	72	28	39	N 2	N 2	N 1	00	00	0	–	
5.	58.1	56.0	57.4	14.4	28.9	22.6	29.2	12.6	8.0	9.8	9.9	65	33	49	W 1	SE 1	C	3^0○	8^2	0	–	a böig a ≡^{0}
6.	59.4	58.9	59.6	17.5	26.9	21.0	27.8	16.0	10.2	8.1	10.9	70	31	59	N 1	NW 1	C	8^1	5^0○	0	–	a ∞
7.	59.5	57.9	57.4	16.4	27.7	22.2	28.5	14.2	10.4	7.6	10.4	75	27	53	NE 1	NE 1	C	00	4^0○	0	–	a ∞
8.	56.9	54.6	52.9	15.3	29.4	21.6	29.5	13.9	9.9	8.4	10.1	77	27	53	C	NW 1	C	00	00	0	–	t ∞
9.	52.4	51.4	49.5	17.1	31.1	21.2	31.4	15.4	9.6	8.0	8.6	66	24	46	SE 1	SW 1	S 1	00	00	10^0	–	$5^{29.51}$ p ⚳, ◎tropfen
10.	56.3	57.6	58.0	13.0	21.2	17.0	22.4	11.8	8.8	6.2	6.7	80	33	46	N 3	W 2	W 1	9^2	3^0○	0	–	
11.	57.8	55.7	55.7	9.5	23.2	18.3	23.2	8.3	6.8	4.2	5.4	76	20	35	N 2	NE 1	N 1	c0	00	4^0	–	
12.	56.6	55.2	54.8	11.2	25.3	18.8	25.4	8.5	5.4	7.0	8.7	54	29	54	NW 1	SE 1	E 1	00	00	0	–	
13.	54.4	54 2	54.0	18.0	28.8	24.3	28.8	14.4	9.5	11.3	12.1	62	38	54	S 1	SW 2	C	4^{10}○	9^1	10^0	–	
14.	53.8	51.0	50.9	18.7	27.0	18.2	27.2	17.1	**14.0**	11.9	13.1	87	45	84	SE 1	SW 1	SW 4	9^2	5^1	10^0	8.5	n ◎^{1}. 10^{19} p–0^{34} a ⚳. 2^{32}–3^{26} p ⚳
15.	51.4	52.0	54.0	11.9	14.5	13.4	18.2	11.2	9.4	8.3	9.1	91	68	80	NW 1	N 2	NW 1	10^1●	10^1	10^1	9.7	n ◎^{1}. a u. p öfters ◎^{0}
16.	56.1	56.0	56.6	9.7	17.0	13.0	17.0	8.5	7.3	6.5	7.8	83	46	70	N 1	NW 2	NW 1	7^1	6^1	10^0	1.6	
17.	57.6	58.6	59.2	8.8	16.2	14.2	17.6	7.2	6.6	5.7	6.4	78	42	53	N 1	NW 1	NW 1	00	4^0	0	–	a ⏢
18.	**61.0**	60.6	59.6	11.6	17.7	13.7	17.7	10.2	6.8	7.3	8.4	67	49	72	W 2	W 1	C	10^1	9^2	0	–	a ⏢
19.	58.9	55.6	53.8	9.6	20.8	16.2	21.4	8.6	7.7	8.7	9.2	87	48	67	S 1	SE 1	S 1	00	c0	0	–	a ⏢
20.	51.5	48.2	45.9	13.4	23.0	18.0	23.4	12.0	9.4	7.8	9.2	82	38	60	SE 1	SE 1	C	9^1	5^0○	0	–	a ⏢
21.	42.7	44.6	46.8	15.6	15.7	12.5	18.0	12.5	10.9	9.8	9.4	83	74	88	S 3	SW 2	W 1	8^1	10^2	6^1	–	9^{04} a–n öfters ◎^{0}
22.	47.9	48.8	50.3	9.4	15.8	12.3	16.0	8.2	8.1	8.4	9.0	92	63	86	C	C	W 1	10^0	10^2	10^0	1.6	n–11^{34} a öfters ◎^{0}. 6^{51}–7^{18} p ◎^{0}
23.	49.7	47.8	48.5	10.8	13.0	11.8	13.6	9.5	8.2	8.3	9.8	86	75	96	N 1	NW 1	NW 1	10^2	10^1	10^0	4.0	n ◎^{0}. a ∞. m ◎^{0}
24.	51.9	52.7	55.1	12.0	15.4	14.6	15.6	9.0	9.9	10.3	10.5	96	79	85	S 1	W 1	W 1	10^1	10^2	10^2	**11.4**	n ◎^{1}. a ∞
25.	56.9	58.3	58.9	12.4	16.6	13.2	17.5	11.3	10.0	10.9	10.5	94	77	94	S 1	S 1	C	10^2●	8^1	0	0.2	n ◎^{0}. a ≡reissen. 7 a ◎
26.	59.6	60.0	59.7	10.1	15.0	14.2	15.6	8.2	9.1	10.4	9.9	**99**	82	83	S 1	SE 1	C	10^2≡	9^1	0	0.1	n, a ≡^{1}
27.	60.0	59.8	59.5	13.4	18.0	16.7	18.4	12.4	9.6	11.7	12.5	85	76	89	SE 1	C	C	10^2●	10^2	10^0	–	7 a ◎^{0}. a u. p mehrmals ◎^{0}
28.	59.1	57.8	58.7	13.7	17.9	13.8	19.0	12.4	10.2	9.0	9.9	88	59	85	C	SW 1	SW 2	7^1	10^1	10^2●	2.0	n, p ◎^{0}
29.	57.5	56.3	58.8	11.2	14.8	9.6	15.3	9.6	8.9	6.0	6.6	90	49	74	SW 1	SW 3	W 3	9^1	3^0	0	2.6	n ◎^{0}
30.	55.8	50.3	43.6	8.2	11.8	9.4	12.3	**7.0**	6.5	5.7	8.3	81	56	95	S 1	S 5	SW 3	10^1	10^2	10^1	–	t böig
																					38.7	
Mittel	56.1	55.2	55.1	13.1	21.4	17.0	22.1	11.5	8.9	8.3	9.3	79	47	67				5.4	5.4	4.0		

Nürnberg.

September. $\varphi = 49^0\ 27'$ N. $\lambda = 11^0\ 3'$ E $= 44^m\ 12^s$. H $= 309.1$ m. Cg $= +0.2$ mm, über 735.0 mm Cg $= +0.3$ mm. 1911.

1.	**42.6**	41.7	41.3	8.4	22.8	18.8	24.0	7.4	7.1	12.3	10.4	87	60	64	E 2	S 2	SE 2	5^1○≡	2^1○	0	–	⏢. a ≡^{1}. t heiter, sichtige Luft
2.	42.3	40.5	40.8	11.2	27.5	19.6	28.3	9.1	7.4	14.5	11.8	74	54	70	E 2	S 3	E 1	c0	00	0	–	⏢. a ≡^{0}. t wolkenlos, sichtige Luft
3.	41.1	39.5	38.8	14.1	29.0	22.1	**31.8**	10.0	8.7	16.8	12.4	73	57	63	SE 1	NW 1	SW 2	00	00	0	–	⏢. a ≡^{0}. t meist wolkenlos, sichtige Luft
4.	40.2	40.2	40.0	15.0	23.9	17.1	24.9	12.3	9.0	14.2	9.2	71	64	63	N 1	NW 3	N 2	00	00	0	–	⏢. t meist wolkenlos
5.	39.6	38.4	38.0	12.3	25.9	19.4	26.7	9.4	7.0	13.6	11.6	66	55	69	SE 1	W 3	W 1	5^1○	5^1○	4^1	–	⏢. a ≡^{0}. t heiter, p auffrischende NW-Winde
6.	40.3	39.4	40.1	14.1	25.6	18.8	26.0	12.3	9.6	13.6	11.0	80	56	68	W 1	NW 3	W 1	10^1≡	6^1○	0	–	⏢. a ≡^{1}. t wolkig
7.	40.5	39.6	39.0	12.6	26.1	18.6	27.0	10.6	8.3	14.3	10.9	77	58	60	SE 1	NW 2	C	00≡	00	0	–	⏢. a ≡^{1}. t meist wolkenlos
8.	38.8	36.8	35.6	12.4	27.8	22.0	28.1	9.9	7.6	14.8	11.2	71	54	57	SE 1	NW 1	E 1	00≡	7^1	0	–	⏢. a ≡^{0}. t heiter. p lebhafte Winde. 7^{00}–8^{20} p ⚳. [1]
9.	34.2	32.8	33.7	15.5	29 3	18.2	29.8	11.9	8.5	15.5	12.6	64	51	81	SE 2	W 4	SE 1	1^1○	2^1○	10^1	–	⏢. a ≡^{0}. t heiter. p lebhafte Winde. 7^{00}–8^{20} p ⚳. [1]
10.	36.1	38.7	39.6	12.4	17.6	13.4	18.2	10.8	8.7	9.7	7.6	82	65	66	N 2	N 2	NE 1	9^1	6^1○	4^1	7.0	11^{10} p–3 a ⚳. $0^{05.30}$ a ◎^{1}. ca. 1 a ◎^{0}. $2^{17.25}$ a ◎^{2}. [2]
11.	40.0	38.3	37.9	7.1	21.0	14.6	21.7	4.3	5.9	10.2	8.0	78	55	64	E 2	SE 2	E 2	2^0○	c0	0	–	⏢. a ≡^{0}. t meist wolkenlos, sichtige Luft
12.	39.2	37.8	37.2	7.6	22.9	17.5	24.0	3.9	5.7	12.1	9.1	73	58	61	N 1	SE 2	SE 1	00	00	0	–	⏢. a ≡^{0}. t meist wolkenlos, sichtige Luft
13.	36.9	36.4	36.0	10.3	28.9	22.4	29.1	12.1	8.6	**17.8**	13.5	62	61	67	SE 1	W 3	C	8^1○	7^2○	8^1	–	a ≡^{0}. t zunehm. Bewölkung. ca. 10^{15} a ◎^{0}. sicht. Luft
14.	35.4	33.5	32.0	18.3	25.3	17.1	25.3	17.1	12.7	15.2	12.4	81	64	86	W 1	S 1	E 2	10^1	5^2○	6^1	–	2^{17}–3^{29} a ⚳ im SE, gegen 8 a, $5^{00.10}$ p, $5^{40.20}$ p ◎^{0}. [3]
15.	31.5	32.3	34.5	12.5	12.3	10.9	17.3	10 9	9.9	9.4	8.9	93	89	92	N 2	N 3	N 2	10^1●	10^1●	10^2	9.5	11^{55} p–0^{35} a ⚳ i. E. 11^{45} p–0^{45} a, 2^{10} a, 3^{15}–9^{40} a ◎^{0}, [4]
16.	36.8	36 8	37.1	8.0	15.2	12.2	15.9	7.3	7.6	7.4	8.3	94	57	79	N 2	N 2	NE 2	5^1	10^1	7^1	8.0	0^{30}–1 a ◎^{0}. a ≡^{0}. t wolkig
17.	37.9	39.0	39.6	5.5	15.1	8.8	15.4	4.8	6 5	7.7	6.4	97	60	76	NW 2	N 2	NE 1	00	8^1	0	3.5	a ≡^{0}. t meist heiter, sehr sichtige Luft
18.	41.0	40.9	40.6	6.6	14.1	12.4	14.1	5.8	6.4	7.9	8.5	88	66	79	SE 1	NW 3	SW 1	10^1≡	10^2	10^1	–	⏢. a ≡^{1}. t meist trüb
19.	39.6	37.1	35.4	12.2	19.5	13.9	20.1	10.2	8.1	10.3	8.8	76	61	75	SW 1	SW 2	SE 3	8^1○	00	0	–	⏢. t abnehmende Bewölkung, ∞
20.	33.6	31.1	29.0	12.4	20.3	15.2	20.4	10.3	8.7	10.9	9.4	82	62	73	SE 3	S 2	SE 2	8^1	5^1○	0	–	a ≡^{1}. a zunehmende, p abnehm. Bewölkung, t ∞
21.	26.8	26.3	28.9	13.2	14.7	12.1	15.9	10.3	9.2	10.1	9 8	82	82	94	SE 3	W 4	SW 1	9^1	10^1	10^2	–	t zunehm. Trübung. 8^{40} a ◎^{0}. 11^{31}–2^{03} p ◎^{2}, dann ztw.
22.	29.3	30.1	30.3	10.2	12.2	10.1	13.3	10.1	8.2	8.3	8.9	89	79	96	N 1	N 2	NW 2	10^1●	10^2●	10^2●	**9.9**	t trüb, ztw. ◎^{0}. 11^{50} a–1^{20} p ⚳ [kurz ◎^{0}
23.	29.6	27.7	30.0	9.3	12.2	12.2	13.6	9.0	8.4	10.2	9.8	96	97	94	N 2	NE 2	S 2	10^1●	10^1●	10^1	3.6	mn–1 p ztw. ◎^{0}. 1^{20}–2^{40} p ◎^{1}. p ztw. Aufklaren
24.	32.8	34.4	35.9	9.4	12.6	11.6	13.4	8.6	7.9	8.6	9.6	89	80	95	SE 2	SE 2	S 1	10^1	10^1	10^1	4.5	t ∞, meist bedeckt
25.	38.1	38.5	40.7	11.6	16.8	12.2	17.9	10.6	8.9	11.6	9.8	88	81	93	S 2	NW 2	NW 2	10^1	8^1	5^1	–	⏢. p Aufklaren
26.	40.8	40.4	40.9	8.6	18.9	13.0	19.2	7.4	8.0	10.2	10.4	96	63	94	C	S 2	W 1	00≡	5^1○	3^0	–	⏢. a ≡^{1}. t wechselnde Bewölkung
27.	41.6	40.8	40.7	7.8	19.0	15.6	19.6	6.8	7.5	11.4	11.3	94	70	86	SE 1	SW 3	NW 2	1^1○	5^2○	8^1	–	⏢. a ≡^{1}. t zunehmende Bewölkung
28.	39.7	38.8	38.5	14.0	17.6	12.8	17.9	12.8	10.7	11.0	10.9	91	73	**99**	S 1	S 1	W 3	10^1≡	8^1○	10^2●	–	a ≡^{1}. t wolkig. nach 1 a, 5^{50}–8 p, 8^{40} p an ◎^{0}
29.	37 9	35.9	38.1	10.0	12.2	8.5	12.9	8.0	8.6	8.2	6.7	94	78	81	W 2	NW 3	W 2	9^1	10^1	10^1	5.0	$9^{10.30}$ p, $10^{05.40}$ p ◎^{0}. t wechs. Bewölkg. $9^{10.40}$ p ◎^{0}. 2^{30} p ⌒
30.	37.1	32.7	26.4	5.2	12.2	10.1	13.0	4.0	5.9	8.0	7.7	89	75	83	W 2	SW 3	W 1	9^1○	9^1	10^1	–	⏢. a ≡^{0}. t zunehmende Trübung. $8^{45.54}$ p ◎^{0}
																					51.0	
Mittel	37.4	36.6	36.6	11.1	20.0	15.0	20.8	9.3	8.2	11.5	9.9	83	66	78				5.6	5.6	4.8		

[1] $8^{00.30}$ p ◎^{1}
[2] Gegen 3 a ◎^{0}. t heiter, sehr sichtige Luft
[3] $6^{52.50}$ p ◎^{2}. 6^{30} p an ⚲ [4] dann t ztw. ◎^{0}

Alle Angaben nach Ortszeit.

Kaiserslautern.

September. $\varphi = 49^0\ 27'$ N. $\lambda = 7^0\ 46'$ E $= 31^m\ 4^s$. H $= 242{,}2$ m. Cg $= +0{,}3$ mm. 1911.

Datum	Luftdruck auf 0^0 u. Normalschwere reduziert 700 mm + 7a	2p	9p	Lufttemperatur C° 7a	2p	9p	Max.	Min.	Absolute Feuchtigkeit mm 7a	2p	9p	Relative Feuchtigkeit Proz. 7a	2p	9p	Richtung und Stärke des Windes 0 bis 12 7a	2p	9p	Bewölkung 0 bis 10 7a	2p	9p	Niederschlag mm 7a	Bemerkungen
1.	47.8	46.7	46.4	8.7	24.4	15.7	25.1	7.0	6.6	6.8	9.1	78	30	68	E 1	SE 1	C	1^0	1^0	0	–	a ⊿, ≡0, t ∞
2.	46.8	46.2	46.5	11.0	27.8	17.1	29.1	8.4	8.0	7.4	10.2	81	26	70	C	NW 1	C	oo	oo	0	–	a ⊿, ∞
3.	47.0	45.8	46.0	11.4	30.4	20.2	**31.2**	10.5	8.4	7.7	12.3	84	27	70	C	SW 1	C	oo	oo	1^0	–	a ⊿2, ∞
4.	47.5	46.9	46.6	14.7	24.8	15.6	25.1	13.3	10.0	9.2	8.4	81	40	63	C	N 1	C	2^0	oo	0	–	a ⊿0, ∞
5.	45.7	44.0	45.7	11.9	29.1	19.0	30.1	9.7	7.7	9.1	10.1	74	30	62	C	W 4	C	1^0	9^1	3^1	–	a ⊿, ≡1, p ztw.
6.	47.2	46.4	46.9	12.5	26.4	18.3	28.1	11.4	8.8	9.4	10.8	82	37	69	N 1	NW 1	C	9^1	4^0	3^0	–	a ⊿, ≡1
7.	47.0	45.5	45.2	12.5	28.1	18.1	28.2	11.2	8.8	8.6	10.9	82	31	71	E 1	C	C	1^0	oo	0	–	a ⊿, ≡1
8.	44.5	42.2	40.8	19.3	28.7	18.3	29.0	11.4	8.6	8.0	9.4	82	27	60	C	E 1	C	3^0	4^0	3^1	–	a ⊿, ∞
9.	40.9	39.4	38.1	13.6	29.1	19.5	30.2	11.8	8.7	8.9	9.3	75	30	55	C	W 3	C	3^0	oo	0	–	a ⊿0, ≡1
10.	43.8	44.9	45.3	13.3	19.7	12.9	21.1	12.1	7.8	5.4	6.8	68	32	62	E 2	NE 3	E 1	2^0	5^0	0	–	t ztw.
11.	44.8	43.1	43.1	7.7	22.4	13.1	22.9	5.0	5.9	4.3	6.2	75	21	55	E 2	E 3	C	oo	oo	0	–	a ⊿0, ≡0
12.	43.9	42.6	42.1	8.3	25.3	15.3	25.3	6.0	5.9	7.4	8.6	73	31	66	C	N 2	C	oo	oo	0	–	a ⊿, ≡2
13	42.4	42.4	42.0	17.8	27.8	21.2	27.8	12.3	11.3	11.6	12.6	74	41	67	NW 1	W 4	C	7^1	7^1	10^1	1.6	43^{1}–54^{1} a ◍0, $53^{1.36}$ a ⊿, a ∞, p ztw. ≡, 90^{3}–33^{1} p [ztw. ◍0
14.	41.6	39.7	39.1	17.5	24.5	16.7	25.1	16.7	**13.7**	12.3	11.8	92	54	83	C	W 3	NW 1	7^1	10^2	10^1	1.7	n ◍
15	39.6	40.0	41.8	11.7	14.1	9.9	16.9	9.9	8.5	7.5	8.1	84	63	89	E 2	NE 2	E 1	10^2	10^2	0	–	
16.	43.9	43.5	44.2	5.5	16.1	9.7	16.1	4.1	6.0	7.1	7.5	89	53	84	E 1	E 1	E 1	9^1	10^2	3^1	–	a ⊿2
17.	45.0	45.7	46.8	4.0	16.5	8.5	17.0	**3.0**	5.4	5.5	6.7	88	40	81	E 1	NE 2	C	3^0	3^0	0	–	a ≡0, ⊿2
18.	**48.5**	47.8	47.0	6.4	17.5	10.3	17.9	4.3	6.1	7.0	7.9	86	47	85	C	W 2	C	10^2	7^1	0	–	a ⊿2, ≡2
19.	46.3	42.8	41.4	5.7	19.8	12.7	20.1	5.0	6.2	8.0	8.6	91	47	80	W 1	SW 1	C	oo	oo	10^1	–	a ⊿2, ≡2
20.	39.4	36.1	33.6	11.2	21.3	15.5	21.3	10.3	8.3	8.0	9.5	84	42	72	C	W 2	C	10^1	10^1	0	–	a ≡1
21.	30.9	32.3	34.6	14.5	14.5	11.3	17.0	11.3	11.3	9.3	8.3	93	76	83	W 2	W 3	C	10^2●	10^2	0	2.8	n ◍, ≡, a ztw. ◍1.2, p ztw. ◍0.1, t ztw.
22.	35.7	36.7	38.2	7.5	13.3	10.3	15.0	6.2	7.1	7.8	8.4	91	68	90	C	SE 1	C	9^1	10^2	10^1	**7.7**	a ⊿0, ≡1
23	37.5	36.0	36.8	9.6	13.1	11.3	14.0	8.3	8.0	7.9	9.5	89	71	96	C	N 1	C	10^2	10^2	10^2	–	a ≡2, 44^{1}–53^{1} p ◍
24.	39.1	40.4	42.0	11.3	13.4	11.7	13.9	10.5	9.5	9.6	9.8	96	85	96	SE 1	W 2	C	10^2	10^2	10^2	4.3	n ◍, a ≡2
25.	44.2	45.2	46.1	11.5	16.2	10.0	16.9	10.0	9.6	9.4	8.8	96	68	96	C	C	C	10^2	7^1○	0	0.5	n ◍0, a ≡2
26.	46.8	46.5	46.9	6.9	17.9	13.8	18.1	6.1	7.2	9.1	10.5	98	60	91	C	W 2	C	10^2=	oo	9^1	–	a ≡2, ⊿2
27.	47.0	47.0	46.7	13.4	16.5	13.8	17.1	13.0	10.8	12.8	11.6	95	92	**99**	C	W 1	C	10^1	10^2●	0	–	a ≡1, ⊿0, 73^{1} a an ztw. ◍0, p ztw. ◍0, abds. ≡2
28.	46.1	45.2	45.8	10.0	16.5	12.3	17.0	9.6	9.0	9.2	10.1	**99**	66	96	SW 1	W 3	W 1	9^1	10^2	10^1	2.4	a ≡2, ⊿2, p ztw. ≡, 20^{4}–53^{1} p ◍0 (ztw. ◍1)
29.	44.7	44.0	46.0	9.9	13.1	8.1	13.9	8.1	8.7	5.8	5.8	96	51	72	W 1	W 3	W 1	9^1	5^1○	5^0	2.2	a ≡0, ⊿2
30.	42.9	36.9	31.4	7.1	11.2	8.5	11.9	6.0	6.2	6.0	6.9	83	60	84	W 1	W 5	C	10^1	10^2	10^2●	–	a ≡0, ⊿0, 90^{1} a an ztw. ◍0, p ≡, 34^{1} p–n meist [◍0.1, ≡
																					23.2	
Mittel	43.6	42.7	42.8	10.9	20.7	14.0	21.4	9.1	8.3	8.2	9.2	85	48	77				5.8	5.4	3.6		

Ansbach.

September. $\varphi = 49^0\ 18'$ N. $\lambda = 10^0\ 33'$ E $= 42^m\ 12^s$. H $= 437{,}5$ m. Cg $= +0{,}2$ mm. 1911.

1.	**31.3**	30.6	30.6	8.2	23.6	14.3	24.0	6.0	6.4	6.0	5.1	79	29	43	C	C	C	2^0○	oo	0	–	mrgs. ⊿
2.	31.0	30.0	30.0	10.5	27.1	17.1	28.2	7.7	7.5	8.5	5.2	80	32	36	C	S 2	C	oo	oo	0	–	mrgs. ⊿
3.	30.1	29.9	29.8	11.7	30.3	20.3	**31.2**	8.9	7.3	6.5	6.5	72	20	36	C	C	C	oo	oo	0	–	mrgs. ≡0; ⊿
4.	29.5	29.4	29.4	17.0	24.1	14.4	24.6	14.2	9.5	8.3	5.2	66	36	43	C	N 2	C	oo	co	0	–	mrgs. ≡0; ⊿
5.	28.6	27.6	27.8	10.7	25.1	17.9	26.8	8.1	6.7	7.1	7.8	71	30	51	C	NW 2	C	oo	2^1○	2^0	–	mrgs. ≡0; ⊿
6.	29.4	29.2	29.9	14.8	24.7	17.9	25.8	12.0	8.9	7.4	7.7	71	32	50	C	W 2	C	6^0	2^0○	0	–	
7.	29.8	28.9	28.5	12.2	26.0	16.6	26.6	9.9	8.5	7.7	7.0	81	31	50	C	N 4	C	oo	oo	0	–	mrgs. ≡0
8.	27.9	26.0	24.8	11.7	28.4	17.5	28.8	9.1	7.6	6.6	6.2	75	24	42	C	N 2	NW 2	oo	4^0○	0	–	mrgs. ≡0.1, 64^{7}–85^{7} p ⊿, ▲, ◍
9.	23.2	22.6	21.4	16.1	28.9	16.5	29.6	12.2	8.5	7.1	11.7	62	25	84	C	W 4	E 2	oo	2^1○	10^2	4.0	0^{27}–1^{12} a ⊿
10.	24.8	27.6	28.9	10.8	17.5	9.6	18.8	9.5	8.1	5.6	5.2	84	38	58	NE 4	NE 2	NW 2	10^2	2^0○	0		
11.	28.7	27.2	27.0	5.5	20.2	9.7	20.8	2.5	5.6	4.5	4.0	83	25	45	C	E 4	C	oo	oo	0	–	mrgs. ≡0; ⊿
12.	27.9	26.3	26.0	6.0	23.3	15.2	24.4	2.7	5.4	5.6	7.1	77	27	55	C	E 2	C	oo	co	0	–	mrgs. ≡0; ⊿
13.	25.9	25.8	25.4	16.2	27.2	21.4	27.8	12.4	8.8	10.9	**11.2**	64	40	56	C	W 2	C	2^1○	4^0○	8^1	–	8^{54}–9^{04} a ◍
14.	24.9	22.7	21.3	17.0	25.5	16.0	26.8	15.6	**11.2**	10.0	11.1	78	42	82	C	W 4	NW 2	10^2	6^1○	10^2	0.2	2^{20} a ⊿; 6^{12} a ◍; $5^{31.47}$ p ⊿
15.	20.4	21.4	23.7	12.5	10.8	9.8	16.6	9.3	9.8	8.8	8.2	91	92	91	NE 2	NE 4	N 2	10^2●	10^2●	10^2●	6.2	◍
16.	25.6	25.5	26.2	7.7	15.4	10.6	15.6	6.0	7.5	5.8	6.3	96	45	67	C	N 4	N 2	2^0○	8^2	0	4.8	mrgs. ≡0; ⊿
17.	26.7	27.5	28.7	4.5	15.0	6.4	15.6	2.9	5.4	5.0	5.4	86	39	75	C	N 4	C	oo	4^1○	0	–	mrgs. ≡0; ⊿
18.	29.8	30.1	29.9	7.8	14.0	11.7	14.2	5.0	5.8	6.1	6.5	73	52	63	C	NW 4	W 2	8^1	10^1	10^2	–	
19.	28.9	25.8	24.3	10.7	19.3	10.8	19.8	9.1	6.6	6.5	6.7	69	39	70	W 2	W 2	C	6^1○	oo	0	–	mrgs. ⊿
20.	22.7	20.2	17.8	12.1	19.7	13.8	20.6	9.3	8.2	7.1	6.6	79	42	57	C	S 4	S 2	4^0○	8^1	0	–	mrgs. ⊿
21.	15.3	15.8	17.7	12.9	13.7	10.3	18.8	10.1	7.8	8.8	7.8	70	75	83	C	W 4	SW 4	10^2	10^2	10^2●	–	ca. 7^{10} a ab–n ztw. ◍
22.	18.3	19.1	19.8	8.7	11.2	9.4	11.4	8.1	7.0	6.8	7.4	84	68	86	C	NE 2	N 2	10^2●	10^2●	10^2●	5.4	t meist ◍
23.	18.6	16.1	19.0	8.4	10.6	10.2	11.2	8.1	7.9	8.9	9.2	96	94	99	N 4	N 2	C	10^2●	10^2●	10^2	**7.5**	t meist ◍
24.	21.8	23.2	25.3	7.6	12.8	11.2	13.2	7.0	7.3	9.0	9.2	94	82	93	SW 2	W 2	C	10^2	10^2	10^2	6.4	
25.	27.0	27.9	29.3	10.9	16.2	12.1	27.0	9.7	8.7	9.7	9.6	90	71	93	C	NW 2	C	8^2	6^1○	0	–	
26.	29.4	29.4	30.3	7.7	18.9	10.4	19.4	7.0	7.7	10.3	8.8	**99**	64	94	C	W 2	C	10^2=	4^1○	0	–	mrgs. ≡2; ⊿
27.	30.6	30.0	29.9	6.7	18.9	12.1	20.4	5.2	7.1	10.6	9.9	98	65	95	C	W 2	C	2^1○	6^1○	0	–	mrgs. ≡0; ⊿
28.	29.7	28.0	27.8	12.7	17.1	11.9	17.4	11.5	10.4	8.8	9.6	96	61	94	C	W 6	W 4	4^1	10^2	10^2●	–	mrgs. ⊿, 2 p ≡, 4^{59} p ◍
29.	27.0	24.6	27.6	9.3	12.0	7.4	13.2	7.0	8.4	7.3	6.1	96	70	80	C	W 4	W 4	6^1	10^2	10^2	4.3	18^{4}–20^{9} p ◍; ztw. ≡
30.	25.8	21.4	14.8	4.7	10.7	8.5	12.0	2.1	5.7	5.8	7.0	88	61	87	W 2	SW 4	S 4	6^1	10^2	10^2	0.2	ca. 7^{30} p ab ◍
																					39.0	
Mittel	26.4	25.7	25.8	10.4	19.6	13.0	21.0	8.3	7.7	7.6	7.5	82	48	69				4.5	4.9	4.0		

Alle Angaben nach Ortszeit.

Regensburg.

September. $\varphi = 49^0\ 1'$ N. $\lambda = 12^0\ 7'$ E $= 48^m\ 28^s$. H $= 342.6$ m. Cg $= +0.2$ mm. 1911.

Datum	Luftdruck auf 0° u. Normalschwere reduziert 700 mm +			Lufttemperatur C°					Absolute Feuchtigkeit mm			Relative Feuchtigkeit Proz.			Richtung und Stärke des Windes 0 bis 12			Bewölkung 0 bis 10			Niederschlag mm	Bemerkungen
	7a	2p	9p	7a	2p	9p	Max.	Min	7a	2p	9p	7a	2p	9p	7a	2p	9p	7a	2p	9p	7a	
1.	39.7	38.8	39.0	9.9	21.7	12.4	22.2	6.7	7.0	6.9	7.4	78	36	69	N 2	SE 4	C	8⁰⊙	2⁰⊙	0	**9.1**	a ⏢
2.	**39.8**	39.1	38.4	9.8	27.1	15.2	27.3	7.2	6.1	6.8	7.9	69	26	61	NE 2	SE 4	C	○○	○○	0	–	a ⏢
3.	38.6	36.9	36.3	14.1	29.8	15.6	**30.1**	9.4	7.4	9.7	8.5	62	31	64	SW 2	W 4	C	○○	○○	0	–	a ⏢
4.	36.6	36.4	36.6	15.6	26.1	16.8	26.3	14.0	8.3	9.0	7.0	62	37	50	N 2	N 6	N 4	4¹⊙	○○	0	–	a ⏢
5.	36.9	35.8	34.9	12.8	24.7	18.0	26.1	10.7	6.8	6.0	8.7	61	26	57	N 2	NW 6	C	6⁰⊙	6¹	6⁰	–	0⁰⁵⁻¹⁰ p ◎⁰
6.	36.6	36.2	36.8	14.2	26.4	18.6	27.1	11.1	7.9	9.6	8.3	65	27	52	NW 2	NW 6	C	8⁰⊙	8⁰⊙	6⁰	–	a ⏢
7.	38.0	35.5	36.4	12.0	27.1	17.8	27.3	10.7	8.1	6.3	8.1	78	24	54	N 2	NW 4	C	2⁰=⊙	2⁰⊙	0	–	⏢ ≡¹
8.	36.3	33.4	32.6	11 8	28.1	14.0	28.9	7.8	7.0	5.7	8.4	68	**21**	70	E 2	S 2	C	○=⊙	4⁰⊙	4⁰	–	⏢ ≡
9.	31.9	30.2	31 4	13.2	28.9	16.6	30.0	10.7	7.3	6.8	10.3	65	23	73	SE 4	NW 6	NW 6	2⁰⊙	2⁰⊙	8⁰	–	
10.	32.4	34.9	36.7	12.4	19.6	12.8	19 8	11.0	8.9	5.6	6.4	85	33	58	N 4	N 6	N 2	10⁰	6⁰⊙	8⁰	2.5	0–2 a ◎
11.	37.0	35 6	36.0	6.6	21.0	9 4	21.3	3.9	5.3	**4.1**	6.1	73	22	70	N 4	SE 4	C	6⁰⊙	2⁰⊙	0	–	⏢
12.	36.9	35.6	35.0	7.0	22.6	13.4	23.7	4.0	6.7	4.9	6.0	89	24	53	N 2	SE 2	S 2	○○	2⁰⊙	0	–	
13.	35.1	34.0	33.7	11.5	28.5	19.6	29.1	9.8	6.7	10.5	11.6	66	37	69	SE 4	SW 6	C	2⁰⊙	8⁰⊙	6⁰	–	4³⁰–5⁰⁵ p ◎
14.	32.8	31.2	29 2	17.1	25.1	16.0	25 3	15.0	**13.2**	11.5	10.4	91	49	77	W 1	N 4	N 2	6⁰⊙	6⁰⊙	6⁰	1.2	n ◎
15	28.6	28.8	31.5	14.7	14.6	10.4	16.3	9.7	11.5	10.2	7.4	92	83	78	N 4	N 2	N 4	10¹⁰●	10¹	10⁰	1.4	n, a–m ◎
16	33.2	33.6	34.0	10.4	16 1	12.6	17.0	8.3	8.0	7.1	8.0	85	53	74	N 2	S 4	N 2	8⁰	8⁰⊙	10⁰	3 3	n ◎
17.	34.5	34.4	37.2	9.8	16.0	7.8	18.2	5.6	6.6	4.5	5.4	73	33	68	NW 4	NW 4	C	8⁰	8⁰	2⁰	0.7	n ◎
18.	37.8	37.7	37 6	9.6	13.7	12.0	14.3	5.6	6.5	6.6	7.4	73	56	71	W 2	NW 6	C	10²	10²	10⁰	1.0	n ◎
19.	37.0	34.5	33.3	12.2	19 6	12.6	20.2	10.4	7.7	8.2	8.2	73	49	76	W 2	W 2	C	10¹⁰	2⁰⊙	0	–	
20	31.9	30.4	27.2	9.7	15.8	10.6	17.2	8.3	8.1	9.2	8.8	89	68	93	S 2	S 4	C	10¹	10¹	0	–	
21.	25.4	24.7	26.5	10.2	18.9	10.4	19.9	8.3	8.2	10.5	8.4	89	64	91	NE 2	SW 2	W 2	10¹	10¹	10⁰●	–	⏢, 5⁰⁵–6 p, 7–9⁰⁰ p ◎
22.	26.7	26.9	27.1	10.0	10.8	10.4	11.7	8.8	8.1	8.2	8.4	88	86	91	N 4	N 2	N 2	10¹●	10¹●	10⁰●	6.0	9⁰⁰–11¹⁵ p, 8⁴⁵–9⁰⁰ p ◎
23.	26.4	26.2	28.6	10.0	14.5	9 1	14.7	7.9	8.3	9.7	7.7	91	80	91	N 4	S 4	S 4	10¹⁰	10²	10⁰	2.4	9⁰⁰⁻⁰³ p, 11 a–2 p ◎
24.	31.2	32 1	33.6	8.2	11.6	9.8	11.7	5.9	6.7	7.8	7.7	82	77	86	W 2	S 2	C	10⁰	10¹	10¹⁰	3.5	
25.	35.5	35.4	37.0	9.4	17.4	11.4	18.2	7.6	8.2	8.5	8.6	93	57	86	SE 2	C	C	10¹⁰	8²	0	–	
26.	38.1	37.6	37.9	6.9	18.6	10.8	19.2	5.6	7.0	9.5	8.8	**94**	60	92	NW 1	SE 2	C	10⁰=	2⁰⊙	0	0.1	n ◎, ≡²
27.	38.9	39.0	38.0	7.8	19.7	12.8	20.2	5.8	7 2	8.7	9.5	92	51	87	N 2	W 4	C	8⁰=	6⁰⊙	10⁰	–	⏢ ≡²
28.	37.5	35.8	35.9	10.6	19.2	13.5	19.2	8.6	8.3	9 4	8.9	89	57	77	S 2	NW 6	NW 4	10²	10²	10⁰●	–	0⁰⁰-³⁰ p, 8³⁰ p–n ◎
29.	35.4	33.4	35.4	10.4	13.8	7.8	14.2	6.3	8.3	5.9	5.8	89	51	73	W 2	NW 2	E 2	8¹	10⁰	8⁰	2.8	n, 4¹⁵–5¹⁵ p ◎
30.	34.8	32.2	23 5	6.1	12.3	6.0	13.2	2.8	5.7	4 4	7.5	82	41	93	S 2	NW 2	C	8⁰⊙	10¹	10⁰	0.1	n ◎, ⌴
																					34.1	
Mittel	34.7	33.9	33.9	10.8	20.3	12.8	21.0	8.3	7.7	7.7	8.1	80	46	73				6.8	6.1	5.1		

Passau.

September. $\varphi = 48^0\ 34'$ N. $\lambda = 13^0\ 28'$ E $= 53^m\ 52^s$. H $= 309.3$ m. Cg $= +0.2$ mm. 1911.

1.	**43.7**	42 7	42.7	11.6	21.4	14.2	22.1	11.1	9.2	8.4	9.4	91	44	78	C	E 1	C	10¹=	8¹⊙	0	3.6	a ≡¹
2.	42 9	41.7	42.1	10.2	25.4	15.0	26.1	8.5	7.8	9.7	10.5	84	40	83	C	S 1	C	○○	○○	0	–	⏢
3.	42.1	40.4	39.9	9.4	26.0	19.0	27.2	5.0	8.3	12.7	13.0	95	51	80	C	S 2	C	○○	○○	0	–	a-ca. 7 a ≡¹
4.	41.9	40.6	39.8	13.4	26.2	17.0	28 2	5.2	10.1	10.5	10.8	89	42	75	C	W 4	C	10¹	○○	0	–	
5.	40.1	39.2	39.0	12.1	23.2	16.0	24 2	5.4	8.6	7.6	10.7	83	35	79	C	W 2	C	2⁰⊙	4⁰⊙	0	–	
6.	40.0	39.2	39.9	11.3	25.8	17.0	26.4	10.1	9.1	9.5	10.5	92	39	73	E 2	W 4	C	10¹=	2⁰⊙	0	–	≡¹
7.	41.4	40.5	40.3	10.5	24.4	16.4	27.2	10.1	8.4	10.7	10.6	90	47	76	E 1	W 2	C	5¹=	○○	0	–	a ≡¹
8.	40.2	37.8	36.4	10.5	25 2	17.0	27.2	10.1	7.9	8.1	10.8	84	34	75	C	W 4	C	2⁰⊙	2 ⊙	5¹	–	
9.	36 8	34.1	32.8	11.9	25.2	18.2	**28.4**	7.0	9.0	9.0	11.2	87	34	72	C	W 2	C	5¹	5¹⊙	0	–	
10.	33.8	37.8	39.8	15.6	19.6	14.2	20.3	8.3	11 3	9.2	9.4	86	54	78	C	C	C	10¹	2⁰⊙	10¹	**9.9**	
11.	41.2	39.1	38.8	7.3	20.8	12.8	21.3	5.6	6.4	6.2	7 7	85	34	70	E 1	E 1	C	8¹=	○○	0	–	a ≡¹
12.	40.6	38.8	39.0	4.5	23.0	13.2	23.3	3.8	5.8	8.0	8.0	92	38	71	C	E 1	C	10²=	○○	0	–	a ≡²
13.	38.9	37.8	37.1	8.5	25.2	17.4	27.2	7.2	7.3	12.2	**14.0**	88	52	95	E 1	E 1	C	10¹=	2⁰⊙	0	–	a ≡¹
14.	36.9	34.0	32.1	14.0	25.8	17.6	26.4	12.5	10.6	11.1	11.8	90	45	79	E 1	W 2	C	10 =	10¹	0	–	
15.	31.3	29.7	32.8	14.8	21.2	15.0	21.2	13.3	10.9	13.2	9 4	87	71	74	C	C	C	10²=	10²	10¹	–	a ≡², 7¹⁵–8 a ≡reissen, 4³⁰–5 p ◎
16.	36.3	36.9	37.5	11.9	15.0	13.6	15.8	10.9	9.0	9.2	10.0	87	72	87	E 1	C	C	10¹=	10¹	10¹	0.1	a ≡¹, bis 9 a ≡reissen
17.	37.7	38.4	39.3	11.5	15.1	9.5	15 1	9.5	8.5	11.7	6.9	85	91	78	C	C	C	10⁰⊙	10⁰●	0	1.4	a ≡⁰, 1³⁰–2 p ◎
18.	41.1	40.4	40.9	8.7	13.0	12.1	13.6	6.3	7 1	6.6	8.4	87	59	80	W 2	W 2	W 2	10¹	10¹	10¹	1.2	
19.	40.2	38.7	37.1	11.1	17.2	12.6	18.1	10.6	9.0	9.1	8.8	91	63	82	C	W 2	C	10¹	10¹	0	1.5	n ◎
20.	35.2	33.2	31.2	7.9	17.6	13.4	18.5	7.0	7.6	10.1	10.4	96	68	91	C	S 1	C	10²=	10¹	0	–	a ≡², p ◎⁰
21.	27.8	**26.3**	29.6	9.1	20,2	12.4	21.1	7.9	8.5	10.6	9.5	**99**	61	89	C	W 1	W 4	10¹=	○○	10¹●	–	a ≡¹, 8¹²–9 p ◎
22.	29.2	29.4	29.9	11.1	11.9	11 7	12.4	10.9	9.0	9.8	9.9	91	95	97	C	C	C	10¹●	10¹●	10¹	2.2	n, a, 2–3 p ◎, p ztw. ◎
23.	28.6	28.3	30.9	11.5	13.0	12.8	13.4	11.1	9.5	9.6	10.2	95	87	94	W 1	W 2	C	10¹	10¹	5¹	6.8	n ◎, t öfters ◎
24.	33.9	35.2	36 8	9 9	13.2	9.5	14.1	9.6	7.8	8.2	8.0	86	73	91	C	C	C	10¹	10¹	10¹	4.5	
25.	38.9	39.5	40.4	10.3	15.3	12.2	16.1	9.1	8.5	10.3	9.8	92	80	94	C	C	C	10¹	10¹	10¹	–	
26.	41.1	40 9	41.1	7.3	18.8	13.0	20.1	6.9	7.5	9.7	10.1	**99**	60	91	C	C	C	10²=	○○	0	–	a ≡²
27.	42.1	41.2	41.3	10.1	18.4	12.1	20.1	9 5	8.6	9.9	9.4	94	63	90	E 1	C	C	10¹	○○	0	–	
28.	41.1	39.3	38.9	9.1	18.0	13.0	18.3	7.4	7.9	11.0	10.4	92	72	94	C	E 1	C	10²=	8¹	10¹	–	a ≡²
29.	38.7	36.3	38.1	11.7	12 4	10.3	13.0	10.3	9.1	9.5	8.0	89	89	86	C	W 2	C	10¹	10¹	10¹	1.8	n, 0–2 p, 7–8 p ◎
30.	38.8	35.1	30.2	7.1	11.9	10.1	12.1	6,2	6.7	6.8	6.5	88	66	71	C	C	C	5¹⊙	10⁰	10¹	5.5	
																					38.5	
Mittel	38.1	37.1	37.2	10.5	19.6	13.9	20.6	8.5	8.5	9 6	9.8	90	59	82				8.2	5.4	4.0		

Alle Angaben nach Ortszeit.

Landshut.

September. $\varphi = 48^0\ 32'$ N. $\lambda = 12^0\ 10'$ E $= 48^m\ 40^s$. H $= 397.7$ m. Cg $= +0.2$ mm. 1911.

Datum	Luftdruck auf 0° u. Normalschwere reduziert 700 mm +			Lufttemperatur C°					Absolute Feuchtigkeit mm			Relative Feuchtigkeit Proz.			Richtung und Stärke des Windes 0 bis 12			Bewölkung 0 bis 10			Niederschlag mm	Bemerkungen
	7a	2p	9p	7a	2p	9p	Max.	Min.	7a	2p	9p	7a	2p	9p	7a	2p	9p	7a	2p	9p	7a	
1.	**34.7**	34.2	33.9	8.9	23.0	12.8	24.3	6.1	8.2	7.5	8.2	96	36	75	C	E 2	C	2^1	oo	o	1.2	⏢², 5 a ≡⁰
2.	34.6	33.6	33.1	10.4	27.4	16.6	30.1	6.5	7.5	8.2	11.0	80	31	78	C	C	C	oo	oo	o	–	⏢
3.	34.0	32.5	31.3	12.2	29.6	18.8	**31.4**	9.2	9.8	12.0	12.0	94	39	74	C	C	C	co	co	o	–	⏢
4.	32.1	31.4	31.5	13.8	27.8	14.9	29.1	12.1	10.0	8.0	9.9	86	29	78	NW 2	W 2	C	oo	1^1o	o	–	⏢
5.	32.2	31.1	30.7	11.1	26.4	17.1	27.5	7.8	8.3	5.8	9.7	84	22	67	SW 2	W 4	W 2	2^0c	1^0o	2^1	–	⏢
6.	32.7	32.1	32.4	12.4	26.6	16.9	29.1	10.7	9.3	7.5	9.6	88	29	67	C	NW 2	W 2	9^0	7^0o	1^0	–	⏢⁰
7.	33.4	32.1	31.5	11.3	27.8	14.0	28.6	9.6	8.9	6.5	9.2	89	23	78	W 2	NW 2	C	oo	oo	o	–	⏢
8.	31.4	29.4	28.0	11.8	28.8	16.4	30.1	8.0	8.1	6.2	8.4	78	**21**	60	SW 2	W 2	SW 2	oo	2^1o	3^0	–	⏢
9.	27.3	25.9	26.1	13.9	27.6	21.8	29.4	11.5	8.8	**12.2**	7.2	75	44	37	C	SW 2	W 8	2^0o	2^2o	7^2	–	11^{40} a–0^{00} p ◹, $11^{10.45}$ a ◍, 9 p ⚊ ◺
10.	26.1	30.2	31.6	14.8	20.2	13.4	23.0	13.2	11.0	5.0	5.6	88	28	49	NE 2	N 2	E 2	10^1	5^0o	1^1	0.4	$3^{05.39}$ a ◹ ◍ ⁰
11.	32.0	30.6	30.2	5.7	21.2	11.6	24.3	3.8	5.7	4.7	5.8	83	25	57	E 2	E 4	C	2^0c	oo	o	–	⏢
12.	31.6	30.7	29.8	6.9	24.0	13.6	25.5	4.4	5.6	6.8	7.7	76	31	67	E 2	E 2	C	oo	oo	o	–	⏢
13.	30.5	29.3	28.7	10.1	30.2	17.8	31.1	6.3	7.8	10.1	10.8	84	32	71	C	W 2	C	1^1o	2^1o	1^1	–	⏢, $8^{05.20}$ a ◍⁰, $3^{25.28}$ p ◹ ◍⁰
14.	28.1	26.2	23.4	15.8	27.6	17.2	28.4	14.1	10.1	10.0	10.5	76	36	72	SW 2	W 2	C	1^1o	1^1o	o	0.1	
15.	22.3	23.2	25.4	15.6	15.9	12.2	18.0	11.5	11.6	10.7	8.8	88	80	84	NE 2	W 4	W 4	10^1	10^1	10^1	0.2	n ◍⁰
16.	27.9	28.6	28.9	9.7	13.7	11.0	16.0	8.7	8.6	8.7	9.5	96	74	97	NE 2	E 2	C	10^1●	9^1	10^1●	3.8	n ◍, a–m ◍⁰, 9 p ≡reissen. ◍–n
17.	29.7	30.1	31.3	9.9	14.8	8.2	17.3	7.8	8.3	4.8	6.5	91	39	81	NE 2	NE 4	C	10^1	3^1	o	4.6	n–7 a ◍
18.	32.9	33.1	33.1	7.4	13.0	10.6	14.2	**3.1**	6.8	5.9	8.1	89	53	85	W 2	N 4	W 2	6^1o	10^1	10^1	0.4	n ◍⁰
19.	32.1	30.0	28.0	11.2	20.2	14.3	25.1	10.1	8.2	7.5	8.6	83	42	71	SW 2	W 2	E 2	10^1	oo	o	–	
20.	26.5	24.7	21.9	8.3	17.0	12.4	21.5	5.6	7.6	10.2	9.8	93	71	93	SW 2	E 2	C	10^1	10^1●	o	–	2 p ◍tropfen
21.	19.3	**18.0**	21.8	9.4	21.0	10.9	23.3	6.9	8.3	9.3	9.5	95	51	**98**	C	C	W 2	8^0	10^1	10^1●	0.1	⏢, $4^{05.10}$ p ⚊, dann–n ◍
22.	21.0	21.8	21.8	9.2	11.0	10.4	11.8	8.3	8.3	8.3	8.9	96	85	95	C	NW 2	C	10^1●	10^1	10^1●	**9.2**	n, a–8 a ◍, 9 a–0^{00} p, 9 p–n ◍⁰
23.	19.9	19.9	22.6	10.2	13.7	7.2	15.9	6.5	9.0	9.8	7.4	97	85	**98**	NE 2	SW 2	W 2	10^1●	9^1	o	2.4	n, a–7^{10} a, 8^{30} a–1^{20} p ◍
24.	25.9	27.2	28.5	7.8	12.8	10.8	15.2	5.8	7.0	8.0	9.2	89	73	95	W 2	NW 2	W 2	10^1	9^1	10^1	5.9	
25.	30.5	31.1	32.1	10.0	18.4	10.4	20.2	8.1	8.4	8.7	9.0	92	55	96	SW 2	W 2	W 2	10^1	8^1o	o	–	⏢⁰
26.	32.8	32.4	33.0	5.5	19.0	9.7	22.8	4.0	6.5	7.8	8.5	97	48	95	NW 2	C	C	oo	2^1o	o	–	6 a ≡¹, ⏢²
27.	34.2	33.3	33.0	7.6	20.0	10.1	22.5	5.8	7.5	7.9	8.4	96	45	91	NE 2	N 2	W 2	3^1	2^1	o	0.1	⏢
28.	32.2	31.4	30.9	9.3	18.4	14.2	20.2	7.4	8.4	10.2	9.1	96	64	76	NW 2	W 2	W 2	9^1	8^1	10^1●	–	⏢, 9 p–n ◍⁰
29.	30.1	28.5	30.8	10.9	11.4	8.0	14.2	7.3	9.3	8.9	6.3	97	89	79	SW 2	SW 4	W 4	10^0●	10^1●	o	2.3	n, 1^{30}–3^{30} p, 5^{30}–6^{05} p ◍
30	30.1	26.2	20.7	4.6	10.0	8.8	13.4	3.4	5.8	6.8	6.8	92	74	81	SW 2	W 6	C	8^0o	10^1●	10^1	6.8	⏢, 1^{35}–2^{10} p ◍bis
																					37.5	
Mittel	29.6	29.0	28.9	10.2	20.6	13.1	22.8	7.8	8.3	8.1	8.7	89	48	78				5.4	4.7	3.2		

Augsburg.

September. $\varphi = 48^0\ 22'$ N. $\lambda = 10^0\ 54'$ E $= 43^m\ 36^s$. H $= 499.6$ m. Cg $= +0.1$ mm, über 728.8 mm Cg $= +0.2$ mm. 1911.

1.	26.2	26.1	26.2	11.1	22.2	17.2	26.1	10.1	9.2	10.1	8.8	94	51	61	SW 2	E 2	E 2	oo	1^0o	o	–	⏢
2.	**26.4**	25.4	25.5	12.6	28.1	21.6	30.8	10.6	8.9	12.8	**13.9**	83	45	72	SE 2	SW 2	C	oo	oo	o	–	⏢
3.	25.7	24.9	24.7	16.0	28.8	21.2	**30.9**	14.4	11.3	12.4	12.9	83	43	68	C	SW 2	NW 2	oo	co	o	–	⏢
4.	24.3	24.0	24.8	17.2	28.6	20.5	28.6	11.9	9.4	11.9	10.3	64	41	56	C	NW 2	N 2	oo	1^0o	o	–	⏢
5.	23.9	23.2	23.4	14.8	27.8	20.8	28.1	13.2	8.6	10.1	11.1	69	39	69	SW 2	SW 4	SW 2	3^0c	3^1o	1^0	–	⏢
6.	25.0	24.1	25.1	16.4	26.8	20.4	26.8	13.6	9.9	10.1	10.5	70	39	55	NW 2	NW 2	NW 2	4^0c	3^0o	o	–	⏢
7.	25.5	24.2	24.2	14.8	27.9	20.5	29.9	12.5	9.6	9.5	11.0	76	35	62	C	W 2	N 2	oo	oo	o	–	⏢
8.	23.2	21.3	19.9	14.8	29.4	21.7	29.4	13.7	10.0	8.8	11.1	80	**29**	58	S 2	S 2	SE 2	oo	2^0o	o	–	⏢
9.	19.1	18.1	18.4	20.1	28.5	21.3	28.8	15.6	10.1	10.8	9.5	57	38	51	SW 2	SW 2	NE 2	2^0o	3^1o	2^0	–	
10.	19.2	22.1	23.4	14.8	21.6	14.4	23.2	13.3	8.9	8.9	6.2	70	46	51	NW 2	NE 2	NE 2	3^1o	5^0o	2^0	–	
11.	23.2	21.7	21.8	8.2	22.0	15.5	22.8	7.2	5.8	6.6	6.8	71	34	51	E 2	E 4	E 2	oo	oo	o	–	
12.	23.0	21.8	21.6	8.8	25.5	19.0	27.2	7.0	6.3	9.6	9.7	74	41	59	E 2	SE 2	C	oo	oo	o	–	⏢
13.	22.1	21.2	20.9	19.0	29.6	22.3	29.6	13.5	10.3	11.1	11.4	63	36	57	SW 2	SW 4	SW 2	4^1	oo	o	–	
14.	20.5	17.9	15.7	18.2	27.6	19.6	28.2	16.3	10.4	11.3	10.9	67	41	64	SW 2	SW 4	SW 2	5^1	3^1o	o	–	
15.	15.0	14.6	17.5	16.0	19.1	12.7	20.2	12.7	12.4	13.2	10.7	91	80	**98**	NW 2	NW 2	E 2	10^1	10^2	10^2●	1.6	n ◍, $8^{15.30}$ a, 7^{10} p–n ◍
16.	20.3	19.9	21.0	10.4	14.2	11.6	14.8	9.1	9.2	9.2	9.4	**98**	76	94	NE 2	E 2	NE 2	7^1	10^2	10^2	7.4	n ◍, 4^{10}–5^{00} p ◍
17.	22.7	22.0	23.5	9.0	15.0	11.8	16.1	8.6	8.2	6.8	7.0	96	53	68	NE 2	NE 2	NE 2	5^1	5^1o	6^1	4.1	
18.	24.5	25.4	25.3	9.1	14.8	12.1	14.8	8.0	6.3	6.6	7.6	73	53	72	NW 2	NW 4	NW 2	6^1	8^2	10^1	–	
19.	24.2	21.9	19.9	11.8	20.0	14.8	20.4	10.2	7.7	7.9	8.6	74	45	69	NW 2	NW 2	NW 2	8^1	oo	o	–	
20.	18.0	15.8	13.3	12.1	20.1	15.2	20.4	9.8	8.5	7.9	8.9	82	45	69	SW 2	SW 4	SW 2	7^1	6^1	o	–	
21.	**10.7**	11.2	13.5	11.9	17.8	10.4	19.9	10.4	8.5	9.5	7.8	83	63	84	C	NW 4	W 2	7^1	10^2●	10^2●	–	⏢, 1^{10}–4^{35} p, 6 p–n ◍
22.	13.2	14.0	14.2	8.8	10.1	9.3	11.8	8.7	7.8	7.8	8.1	92	84	93	NW 2	C	NW 2	10^2●	10^2	10^2	7.9	n ◍, 0^{15} p, 2^{10}–5^{25} p ◍
23.	12.1	11.6	14.6	9.4	10.0	7.2	10.5	7.2	8.3	8.4	7.0	95	92	93	NW 2	NW 2	SW 2	10^2●	10^1	o	8.4	n–0^{50} p ◍
24.	17.4	18.3	20.4	6.2	13.0	11.0	13.0	**4.8**	6.0	8.3	8.2	86	75	83	SW 2	NW 2	NW 2	10^1	6^1	8^1	**10.7**	⏢
25.	22.4	23.1	24.0	10.8	16.8	12.9	17.1	10.3	8.1	8.8	8.9	84	63	81	C	W 2	NW 2	8^1	5^1o	o	–	
26.	24.5	24.3	25.0	8.2	21.5	13.3	21.5	7.5	7.4	7.1	9.5	92	39	85	NW 2	NW 2	W 2	oo	3^1o	o	–	⏢
27.	25.8	24.9	24.9	10.2	19.8	14.8	19.8	9.5	8.8	9.8	9.8	95	57	77	C	NW 2	NE 2	oo	2^1o	o	–	⏢
28.	24.0	23.5	23.4	12.5	17.8	14.5	17.8	11.2	9.4	10.7	9.8	88	69	80	S 2	SW 2	NW 2	8^1	6^2	10^1	–	
29.	22.1	21.4	23.1	10.6	12.2	8.6	14.5	8.6	9.0	8.0	7.1	95	75	86	NW 2	NW 2	SW 2	10^2●	10^2●	5^1	8.4	n–8^{10} a, a u. p ztw. ◍
30.	21.3	17.2	11.4	7.1	10.6	10.0	11.5	6.7	6.3	5.9	6.5	84	62	73	C	SW 2	SW 2	6^1	5^1o	10^1	1.7	⏢.
																					50.2	
Mittel	21.5	20.8	21.0	12.4	20.9	15.5	21.8	10.5	8.7	9.3	9.3	81	53	71				4.4	4.2	3.1		

Alle Angaben nach Ortszeit.

München-C.St.

September. $\varphi = 48^0\ 9'$ N. $\lambda = 11^0\ 34'$ E $= 46^m\ 16^s$. H $= 526.4$ m. Cg $= +\ 0.1$ mm. 1911.

Datum	Luftdruck auf 0^0 u. Normalschwere reduziert 700 mm + 7ª	2ᵖ	9ᵖ	Lufttemperatur C° 7ª	2ᵖ	9ᵖ	Max.	Min	Absolute Feuchtigkeit 7ª	2ᵖ	9ᵖ	Relative Feuchtigkeit 7ª	2ᵖ	9ᵖ	Richtung und Stärke des Windes 0 bis 12 7ª	2ᵖ	9ᵖ	Bewölkung 0 bis 10 7ª	2ᵖ	9ᵖ	Niederschlag mm 7ª	Bemerkungen
1.	23.3	23.0	23.2	11.5	21.4	15.9	21.7	10.0	8.5	8.7	9.6	85	46	72	E 1	NE 2	SE 1	1^0	2^0	0	1.4	mrgs. ⊿, ∞
2.	**23.4**	22.7	22.7	14.3	27.1	19.7	27.3	11.4	8.8	10.7	**12.4**	73	41	73	SE 1	NE 1	C	00	00	0	–	mrgs. ⊿, $\equiv^0$
3.	23.0	21.9	21.6	17.8	29.1	20.2	**29.3**	14.9	12.1	9.8	11.9	80	32	57	C	C	S 1	00	00	0	–	mrgs. ⊿, ∞, abds. $\equiv^0$
4.	21.7	21.1	21.5	18.5	27.2	19.8	27.5	16.4	10.0	9.5	8.7	63	35	51	SW 2	SW 2	NW 1	00	00	2^0	–	mrgs. ⊿, ∞
5.	21.3	20.4	20.5	15.1	26.6	19.3	27.1	13.6	9.5	7.9	11.0	74	30	66	SW 3	SW 2	SW 3	3^{10}	00	3^1	–	mrgs. ⊿, ∞
6.	22.1	21.6	22.3	17.2	26.0	19.1	26.3	16.0	10.1	8.4	10.4	69	34	64	W 1	W 2	SW 2	6^{10}	7^{00}	0	–	mrgs. ⊿, m, abds. ∞
7.	22.5	21.5	21.2	15.5	26.8	18.8	27.1	13.9	9.9	8.4	10.6	76	32	66	SW 1	SW 1	C	00	00	0	–	mrgs. ⊿, $\equiv^0$
8.	20.3	18.9	17.6	16.7	28.0	20.0	28.4	14.1	9.7	7.9	10.3	69	28	58	SW 1	NW 1	C	00	4^{00}	8^0	–	mrgs. ⊿, ∞
9.	16.7	16.0	15.1	19.6	28.6	20.5	28.9	17.0	10.1	8.8	8.3	59	30	46	SW 3	SW 4	SW 1	6^{00}	6^{10}	0	–	$^{416.46}$ a Fern⊿ im S
10.	15.5	19.5	20.9	17.2	20.0	15.1	20.9	14.9	8.6	7.4	5.9	59	42	46	SW 2	NW 1	N 1	7^{00}	4^{10}	4^0	–	mrgs. ⊿
11	20.2	19.0	19.1	10.6	21.0	14.1	21.5	8.2	6.2	**5.0**	5.3	65	28	44	E 2	E 2	C	3^{00}	00	0	–	mrgs. ⊿, ∞
12.	20.0	19.3	19.3	10.9	24.4	18.0	25.1	9.0	5.9	8.6	8.9	61	37	58	SE 2	E 1	NE 2	00	00	0	–	mrgs. ⊿, ∞
13.	19.5	18.8	18.6	18.4	29.0	21.8	29.2	14.9	8.5	7.3	8.1	54	**25**	41	SW 1	SW 1	W 1	2^{10}	1^{10}	10^1	–	mrgs. ⊿
14.	17.6	15.7	13.0	18.2	26.4	19.7	27.1	17.0	9.2	9.3	10.0	59	37	59	SW 1	W 2	C	9^{10}	3^{10}	0	–	u kurz ◍^{0}
15.	11.9	11.9	14.7	15.2	20.0	13.3	20.2	13.1	11.0	10.7	9.8	86	62	84	NW 1	N 1	N 2	8^1	10^1	10^1	–	mrgs.–$^{10.2}$ p ztw. ◍^{0}, $^{701.56}$ p ◍^{1}
16.	17.2	17.4	18.2	9.5	10.8	10.7	14.1	9.2	8.3	8.6	9.0	94	90	94	N 1	NE 1	C	10^1	10^1	10^1	5.6	u u. t-$^{8.15}$ p ztw. ◍^{0}
17.	18.4	19.2	20.8	9.7	14.8	11.4	15.1	9.4	8.5	6.7	6.5	95	54	65	NW 1	NW 1	C	10^1●	7^{10}	10^1	4.8	n u. a–ca. 7^{25} a ◍, 9^{15} a teilweises Aufklaren
18.	22.0	22.4	22.8	8.5	13.1	11.9	14.3	7.9	6.0	6.8	7.5	72	61	73	SW 1	NW 3	SW 2	8^1	10^1	10^1	–	
19.	21.6	19.0	17.0	11.9	18.9	13.5	19.3	11.4	8.6	7.4	8.6	84	46	75	SW 2	NE 1	C	10^1	00	0	–	8^{15} a Aufklaren
20.	15.7	13.8	11.1	12.7	17.4	14.8	19.8	10.3	8.7	9.0	8.9	81	61	71	SW 2	S 2	SW 2	9^1	8^1	0	–	
21.	08.5	**07.3**	11.4	13.6	20.3	10.7	21.1	10.7	9.1	8.9	8.4	79	51	89	SW 2	NW 2	NW 3	6^1	7^{10}	10^1●	0.1	mrgs. ⊿ ∞. $^{8\,40.52}$ a ◍^{0}, $^{9\,25.46}$ a, ^{341} p–n ◍
22.	10.3	10.8	11.2	8.3	10.0	8.9	11.9	8.0	7.7	8.4	8.2	94	92	96	NW 1	C	NW 2	10^1●	10^1	10^1●	11.8	n, a–^{128} p, ^{306} p–n ◍
23.	09.4	09.0	12.3	9.3	10.3	8.1	12.1	7.9	8.5	7.7	6.9	**98**	82	87	NW 1	W 2	W 1	10^1≡●	7^{01}	4^1	14.4	n u. a–^{031} p ◍ $\equiv^1$, ^{100} p Aufklaren
24.	14.7	15.7	18.1	7.5	13.7	9.5	15.1	7.4	6.5	7.3	7.6	86	62	87	NW 1	NW 1	W 1	6^1	9^1	0	8.6	mrgs. ⊿
25	20.1	20.0	21.4	10.6	17.9	11.9	18.3	9.0	8.1	7.7	9.0	85	50	87	SW 1	W 1	C	9^1	9^1	0	–	mrgs. ⊿, $\equiv^0$
26.	22.0	21.4	22.2	9.1	19.0	12.3	19.7	7.8	7.6	7.2	8.9	90	44	84	C	NE 1	C	00	2^{10}	0	–	mrgs. ⊿, $\equiv^1$
27.	23.3	22.4	22.5	10.5	18.5	12.5	19.4	9.4	8.5	9.1	9.8	91	57	91	SW 1	NW 1	C	5^1	3^{10}	0	–	mrgs. ⊿, ∞
28.	21.7	21.0	20.8	11.9	16.2	13.8	19.1	9.9	8.5	11.2	11.1	82	82	95	SW 2	W 2	C	9^1	9^1	9^1	–	mrgs. ⊿, $\equiv^0$; $^{1139.43}$ a, $^{609.07}$ p, $^{631.34}$ p ◍^{0}; 1)
29.	19.0	18.0	20.3	10.1	10.0	9.2	14.1	9.1	8.7	8.3	7.1	95	91	82	SW 1	SW 3	SW 3	10^1●	10^1●	10^1	**18.5**	n, a–ca. 4 p ztw. ◍
30.	18.9	15.4	09.6	6.9	10.9	8.9	11.7	6.6	6.0	6.3	6.4	82	64	75	SW 1	SW 2	SW 3	10^1	10^1	10^1	4.2	
																					69.4	
Mittel	18.7	18.1	18.4	12.9	20.1	14.8	21.1	11.3	8.6	8.3	8.8	78	51	72				5.6	4.9	4.0		1) $^{631–700}$ p ◍^{2}, $^{636.56}$ p ⊿, ^{708}–ca. 8^{15} p ◍^{0}

Traunstein.

September. $\varphi = 47^0\ 52'$ N. $\lambda = 12^0\ 39'$ E $= 50^m\ 36^s$. H $= 597$ m. Cg $= +\ 0.1$ mm. 1911

1	17.6	17.4	17.7	9.2	20.6	15.0	21.0	8.0	7.4	8.6	12.1	87	47	96	E 2	NE 4	E 2	00	4^{20}	0	1.6	a ⊿
2.	**17.8**	17.5	17.0	10.6	25.2	14.8	26.0	8.0	8.3	10.9	11.4	89	46	90	SE 2	SE 2	SE 2	00	00	0	–	a ⊿
3.	17.2	16.5	17.1	14.8	26.8	15.8	**28.0**	8.8	10.9	11.6	10.5	87	44	79	S 2	N 2	N 2	00	00	0	–	a ⊿
4.	15.8	15.7	16.1	15.4	26.2	17.6	27.0	13.6	10.5	12.4	11.7	81	49	78	W 2	W 6	SW 2	2^{10}	2^{10}	6^2	–	
5.	15.3	15.2	14.9	13.2	24.0	15.2	25.2	11.5	9.2	10.1	10.6	82	46	83	S 2	NW 4	S 2	2^{20}	3^{20}	4^2	–	a ⊿
6.	16.2	16.1	17.1	15.0	24.4	18.0	25.2	12.0	11.0	10.5	10.0	87	47	65	SW 2	NW 6	W 2	6^{20}	8^{20}	4^2	–	
7.	16.9	16.4	16.4	13.2	25.2	15.2	26.2	11.4	9.5	12.2	11.7	85	52	91	SW 2	NW 6	W 2	00	1^{10}	0	–	
8.	15.8	13.7	12.8	13.6	26.4	16.2	27.4	11.6	8.7	11.8	9.8	75	46	71	SW 2	NE 2	S 2	00	4^{20}	6^2	–	a ⊿
9.	12.6	10.7	09.8	17.4	27.2	17.8	**28.0**	13.2	9.6	**13.0**	9.1	65	48	60	W 2	W 4	SE 2	8^2	4^{20}	0	–	a ◍^{0}
10.	09.8	13.8	15.4	14.6	15.2	11.0	17.8	14.2	11.8	10.1	9.8	96	79	100	SW 2	NW 2	N 2	6^2	10^2	6^2	0.4	$^{456–526}$ a ⊿; p ◍^{0}
11.	14.2	13.7	13.7	7.2	19.4	10.8	20.6	5.0	6.5	6.0	6.7	86	**36**	70	E 2	E 6	E 2	1^{10}	00	0	0.1	a ⊿
12.	14.3	14.4	14.4	7.0	23.0	14.2	24.2	5.8	6.8	11.1	8.6	91	53	72	SE 2	NW 2	E 2	00	00	0	–	a ⊿
13.	14.6	13.8	13.4	14.6	27.8	16.0	**28.0**	11.0	8.9	12.6	10.1	72	45	75	SE 2	NW 4	NW 2	4^{20}	2^{10}	0	–	
14.	11.9	10.7	08.0	14.0	25.6	15.8	26.4	13.2	9.2	**13.0**	10.8	78	53	81	SW 2	SW 2	W 2	3^{10}	6^{20}	0	–	
15.	06.6	06.5	08.9	14.8	17.6	13.0	18.4	13.0	12.5	12.0	11.2	100	80	100	SW 2	W 4	NW 6	10^2	10^2●	10^2●	1.4	n u. : ◍
16.	11.1	11.2	11.8	9.4	10.2	9.6	13.0	9.2	8.8	8.8	8.9	100	95	100	NW 2	NW 2	NW 2	10^2●	10^2●	10^2●	14.4	n u. t ◍
17.	12.1	13.5	15.1	8.4	10.2	7.8	11.0	7.4	8.1	7.9	7.7	99	82	98	N 2	SW 4	N 2	10^2●	8^2	6^2	9.1	n, a ◍
18.	15.5	15.4	15.7	6.2	11.6	10.2	12.6	4.8	6.2	7.5	7.0	88	74	76	W 2	NW 4	W 2	10^2●	10^2	10^2	7.6	n u. a ◍
19.	16.4	14.2	11.7	10.4	16.4	10.8	17.4	10.2	7.7	8.8	8.2	82	64	86	S 2	W 2	E 2	10^2	2^{10}	0	0.9	n ◍^{0}
20.	10.4	08.6	06.9	9.6	19.2	12.4	20.0	7.6	8.3	10.4	9.7	94	63	91	SW 2	N 2	NW 2	8^{20}	6^{20}	0	–	n ⊿
21.	03.4	**01.5**	06.5	10.8	20.2	10.4	20.8	8.6	8.7	10.1	9.4	90	57	100	SW 2	NE 2	NW 2	8^{70}	4^{20}	10^2●	–	n ⊿, ca. 4–5 p ⊿
22.	04.5	04.9	05.2	7.8	10.2	8.4	10.8	7.6	7.9	8.1	8.1	100	87	99	W 2	W 2	W 2	10^2●	10^2	10^2●	10.3	n u. a ◍
23.	03.8	03.6	06.4	7.8	11.8	9.8	12.2	7.6	7.9	7.6	8.2	100	74	91	SW 2	NW 2	W 2	10^2●	8^2	8^2	11.5	n u. a ◍
24.	09.0	10.3	12.4	8.0	12.8	9.6	13.6	7.8	7.2	8.0	8.6	90	73	96	NW 2	NW 2	W 2	10^2	10^2	8^2	8.1	
25.	14.5	15.0	16.0	9.4	15.8	11.2	16.4	8.4	8.4	9.5	9.2	96	71	93	W 2	W 2	W 2	8^2	6^{20}	8^2	–	
26.	16.2	16.2	17.0	7.6	17.8	9.6	18.4	7.2	7.3	10.3	8.6	94	68	96	S 2	E 4	E 2	00	2^{10}	0	–	n ⊿
27	17.5	16.8	17.3	9.2	17.6	10.2	18.4	7.6	7.6	10.3	8.8	89	68	95	SW 2	NW 2	N 2	8^2	4^{20}	0	–	n ⊿
28.	16.2	16.0	15.2	8.6	18.8	12.6	19.8	7.9	8.0	11.5	10.9	96	71	100	SW 2	NW 2	NW 4	6^2	8^2	10^2●	–	n ⊿, p ◍, $^{729.33}$ p ⊿ mit ◍
29.	14.4	12.2	14.4	9.6	11.6	9.0	12.6	8.2	8.9	8.4	7.6	100	84	89	S 2	W 4	NW 6	10^2●	10^2●	8^2	**26.5**	n u. a ◍
30.	13.5	09.8	04.7	7.0	10.6	7.2	11.8	6.8	5.8	6.6	6.9	77	70	91	NW 2	NW 2	NW 2	8^2	10^2	6^2	11.4	p ◍
																					103.3	
Mittel	13.2	12.7	13.0	10.8	19.0	12.5	19.9	9.2	8.6	10.0	9.4	89	62	87				5.6	5.4	4.3		

Alle Angaben nach Ortszeit.

Partenkirchen.

September. $\varphi = 47^0\ 30'$ N. $\lambda = 11^0\ 6'$ E $= 44^m\ 24^s$. H $= 714.6$ m. Cg $= +0.1$ mm. 1911.

Datum	Luftdruck auf 0° u. Normalschwere reduziert 700 mm +			Lufttemperatur C°					Absolute Feuchtigkeit mm			Relative Feuchtigkeit Proz.			Richtung und Stärke des Windes 0 bis 12			Bewölkung 0 bis 10			Niederschlag mm	Bemerkungen
	7a	2p	9p	7a	2p	9p	Max.	Min.	7a	2p	9p	7a	2p	9p	7a	2p	9p	7a	2p	9p	7a	
1.	07.4	06.7	07.8	10.2	22.0	13.8	22.5	8.3	7.5	9.9	10.0	81	50	86	S 2	NW 2	S 2	⊂0	1^0⊙	0	–	⏢, a Berge sehr rein
2.	**08.3**	06.9	08.0	13.4	26.8	17.4	27.4	11.3	7.8	10.1	12.5	69	39	85	S 3	NW 2	S 2	00	00	0	–	⏢, a Berge sehr rein
3.	08.1	06.3	07.2	15 5	27 6	16.4	28.2	14.0	10.5	11.6	10.0	80	42	79	S 3	NW 3	S 2	00	00	0	–	⏢, a Berge sehr rein
4.	07.2	05.5	06.3	13.6	26.3	17.6	27.5	13.1	9.5	10.9	**12.6**	82	43	84	C	NW 3	C	00	3^{10}⊙	2^0	–	⏢, a Berge sehr rein
5.	06.3	05.7	06.4	14.2	24.4	16.3	25.4	12.5	10.4	9.0	10.5	87	40	76	C	NW 3	S 3	2^0	3^0⊙	2^1	–	a Berge rein. 4^{23} p ◹ im W. 5^{37} p ◹ i. SE
6.	06.7	06.1	07.8	13.2	25.0	15.9	26.2	12.6	10.2	9.8	10.9	91	42	81	S 1	NW 2	C	7^0	8^0	0	–	gegen Abend ∞
7.	07.6	05.9	06.2	12.0	26.1	16.4	26.4	11.3	9.2	8.4	10.8	89	34	85	C	NW 4	C	00	1^0⊙	0	–	⏢, a Berge rein
8.	05.3	03.7	03.1	13.6	26.8	16.8	27.5	12.3	8.1	7.1	9.4	70	28	66	SE 3	N 4	S 2	00	2^0⊙	3^0	–	⏢, a Berge rein föhnig
9	03.2	00.9	01.2	14.8	26.6	16.6	26.9	14.1	11.1	8.0	9.5	89	31	68	S 2	SW 3	S 2	3^0	3^0⊙	1^0	3.0	2^{23} a ◹, a Berge sehr rein. 3^{19} p ◹ i. SE
10.	00.6	03.7	05.6	13.2	18.2	14.7	21.3	11.7	10.2	10.9	11.2	91	70	90	S 2	N 4	C	6^1	7^0	8^0	1 3	a Berge frei
11.	04.3	02.2	03.8	10.6	21.6	14.8	22.3	9.6	8.1	9.2	9.0	85	48	72	S 3	N 2	C	00	00	0	–	a Berge frei
12.	04.6	03.1	05.0	13.0	26.0	15.0	27.3	9.4	7.8	7.4	10.8	70	30	85	S 2	N 2	C	00	1^0⊙	0	–	⏢, a Berge sehr rein, föhnig
13.	05.3	03.4	03.9	14.2	27.3	18.9	**29.0**	12.0	8.6	8.1	12.1	72	30	75	SE 2	N 2	C	00	4^0⊙	4^0	–	
14.	03.0	00.5	698.2	14.2	24.8	16.2	26.0	13.1	9.0	8.5	10 0	75	36	73	S 2	NW 3	C	1^0⊙	5^1	3^0	–	⏢, a Berge rein
15.	696.8	697.0	699.0	14.4	15 4	12.7	20.1	12.7	11.4	12.0	10.7	94	92	98	C	C	C	6^0	10^1●	9^1	0.1	n ◍^{0}, a Berge rein, p ◍
16.	01.2	01.6	01.9	9.4	9.5	9.0	12.7	9.0	8.6	8.5	8.3	98	96	97	C	C	C	10^1●	10^1●	10^1	**21.4**	a Berge tief herab im Nebel
17.	02.5	04.5	05.3	8.3	9.2	7.3	10.2	7.3	7.6	7.6	7.3	93	89	96	C	C	C	10^1●	10^1	10^1●	8.0	nrgs. ◍^{0}, a Berge bis auf ca. 1900 m im Nebel
18.	06.7	06.5	07.1	5.4	11.0	9.0	11.5	4.8	6.6	6.3	7.3	99	64	86	C	C	S 1	7^1	9^1	10^1	4.0	a Berge meist frei, Neuschnee bis 1850 m
19.	06.1	02.8	02.0	9.0	18.3	10.2	19,2	8.0	7.4	7.5	8.2	87	48	89	C	N 3	C	9^0	1^0⊙	0	0.1	a Berge meist frei
20.	70.7	698.5	696.4	10.2	18.0	13.5	20.1	8.6	7.6	9.3	8.7	82	61	75	C	C	S 2	7^0	2^0⊙	2^0	–	a Berge meist frei
21.	693.6	**691.5**	695.8	11.2	19.0	8.6	20.2	8.6	8.8	9.7	7.5	89	59	91	C	NW 4	C	4^0	8^1	10^1●	–	⏢, a Berge frei, abds. ◍^{0}
22.	694.8	695.1	695.9	7.1	8.3	7.2	9.1	.6.9	7.2	7.3	7.5	96	89	99	C	NW 3	C	10^1●	8^1	10^1●	7.1	a Berge meist im Nebel, t ◍^{0}
23.	694.3	693.7	696.5	6.1	8.6	6.9	9.5	6.1	6.8	7.2	6.7	97	87	90	C	W 3	C	10^1●	8^1	8^0	7.5	u. u. a ◍, a Berge im Nebel
24.	699.2	00.1	02.1	5.7	12.6	9.0	13.9	5 2	6.6	7.3	7 6	98	68	89	C	NW 1	C	3^0	10^0	7^1	4.3	Berge bis 1700 m herab Neuschnee
25	04.5	04.0	05.6	8.5	15.4	11.0	16.2	7.4	7.5	7.1	8.1	91	55	82	S 2	C	C	7^0	10^1	2^0	0.1	
26	06.4	05.3	05.4	7.2	18.4	14.1	19.3	6.7	6.5	7.9	9.6	86	50	80	S 2	N 2	C	00	1^0⊙	8^0	–	⏢, a Berge sehr rein
27.	06.6	06 3	06.9	7.2	17.4	13.8	18.3	7.0	6.5	8.9	9.6	86	60	82	C	N 2	C	10^1	8^1	3^1	–	⏢, a Berge teilweise bedeckt
28.	06.6	04.9	05.2	9.4	16.3	12.0	17.8	8.0	7.9	10.6	9.8	89	77	95	C	N 2	C	10^1	8^1	2^0	6 0	nrgs. u. m ◍^{0}
29	03.8	02.2	04.5	9.7	11.4	7 4	12.2	7.4	9.0	9.7	7.6	100	97	99	C	C	C	10^0●	10^1●	2^0	6 0	a Berge teilweise im Nebel
3 0.	03.0	699.0	694.1	5.5	9.1	6.4	11.0	5.4	6.2	6.2	6.4	93	72	90	C	N 2	SW 3	8^0	10^0	4^1	9.8	
																					73.0	
Mittel	03.5	02.4	03.1	10.7	18.9	12.8	20.2	9.5	8.3	8.7	9.3	87	58	85				4.3	5.3	4.1		

Hohenpeissenberg.

September. $\varphi = 47^0\ 48'$ N. $\lambda = 11^0\ 1'$ E $= 44^m\ 4^s$. H $= 993.9$ m. Cg $= +0.0$ mm. 1911.

	600 mm +																					
1.	83.7	84.2	84.5	11.8	17.2	15.4	17.8	10 3	7.0	7.6	8.0	68	52	61	SE 1	NE 1	NE 3	00	1^1⊙	0	–	a ≡ üb. d. Gewässern, t reine Fernsicht, p Horiz≡
2.	84.7	**84.9**	**84.9**	18.4	23.8	19.3	23.8	14.9	8.1	10.0	10.9	52	46	65	SW 1	NW 1	W 1	00	00	0	–	a reine Fernsicht, p ∞
3.	84.9	84.3	84.1	19.9	24.2	20.2	**24.2**	18.0	10.0	8.4	9.0	57	37	51	C	NE 1	SW 1	00	00	0	–	a ∞^{0}, Horiz≡, p reine Fernsicht
4.	83.8	83.6	83.5	18.4	22.6	18.2	22.7	18.2	8.3	8.7	8.1	53	43	53	W 1	NW 1	N 3	00	00	3^1	–	a Horiz≡, t ∞
5.	82.9	83.1	82.8	15.4	22.3	18.8	22.3	13.9	8.6	7.7	8.7	66	39	54	SW 3	W 4	W 4	1^1	2^2⊙	5^1	–	t ∞, $^{39.2}$ p ◍, ^{56} p ◹ mit ◍
6.	83.8	83.9	84.3	15.9	22.4	18.9	22.4	15.7	8.4	9.9	8.1	62	50	50	NW 1	NW 1	NE 2	9^1	8^1	0	5.6	t ∞, abds. Horiz≡
7.	84.0	83.7	83.3	17.8	22 6	18.4	22.7	16.1	7.6	8.4	8.4	50	41	54	SW 1	NW 1	SE 1	00	00	0	–	a ⏢, t ∞, Horiz≡
8.	82.1	81.4	80.4	18.4	23.2	20.0	23.2	16.3	7.6	6.9	6.9	48	32	40	SW 1	NE 1	SE 1	00	2^1	5^1	–	a ⏢, Horiz≡, t ∞
9	79.0	79.0	78.1	18.2	22.1	19.6	23.3	17.4	7.7	6.2	8.4	50	31	49	SW 6	W 3	SW 3	9^2●	9^2	1^1	0.3	n ◹ mit ◍, a ◍, p reine Fernsicht, abds. Horiz≡
10.	77.5	80.7	81.6	16.2	14.7	11.8	20.4	11.8	6.8	9.9	5 2	50	80	50	NW 6	NW 1	NE 2	4^1	10^2	0	–	t ∞
11.	80.6	80.3	80.3	10.6	17.0	14.4	17.7	9 2	7.3	7.2	5.8	75	50	48	E 5	NE 1	NE 1	00	00	0	–	t ∞, p Horiz≡
12	80.8	81.3	81.6	15.3	22.3	19.4	22.6	14.1	6.9	**3.7**	7.1	54	18	43	W 1	NE 3	S 2	00	00	0	–	a ∞, p reine Fernsicht, Horiz≡
13.	81.8	81.6	81.2	19.8	24.2	20.8	**24.2**	18.8	6.8	6.0	7.2	39	26	40	SW 5	NW 3	SW 1	1^1	1^2⊙	5^2	–	a ∞, Horiz≡
14.	79.9	78.3	75.7	17.1	22.0	20.0	22.3	16.6	7.2	7.9	7.3	50	40	42	SW 4	NW 1	W 2	1^1⊙	1^1⊙	3^1	–	a ∞, p reine Fernsicht
15.	74.1	74.0	75.8	12.8	16.7	11.2	20.0	10 8	10.0	**11.1**	9.8	91	78	99	NW 1	N 1	W 1	10^1	10^2	10^2	0.1	n ◍, t ∞, a ztw. ◍, ^{31} p ◹ mit ◍
16.	77.7	77.9	78.7	6.7	7.5	7.3	11.2	6.5	7.3	7.7	7.6	100	100	100	C	NW 1	NW 1	10^{2}≡	10^{2}≡	10^{2}≡●	**42 5**	n ◍, t ≡^{2}, abds. ◍
17.	79.1	80.2	81.2	6.3	9.4	7.5	9.4	6.2	7.2	6.7	5.2	100	76	68	NW 3	NE 1	NE 1	10^{2}≡	10^2	6^2	10.0	n ◍, a ≡^{2}, p ∞^{2}
17.	79.1	80.2	81.2	6.3	9.4	7.5	9.4	6.2	7.2	6.7	5.2	100	76	68	NW 3	NE 1	NE 1	10^{2}≡	10^2	6^2	10.0	n ◍, a ≡^{2}, p ∞^{2}
18.	82.5	83.1	83.4	5.8	9.5	8.5	9.7	5.4	5.5	5.8	5.9	81	65	71	W 3	NW 1	NW 2	6^1	10^1	10^1	0.2	n ◍, a reine Fernsicht, Horiz≡, ab 11 a ztw. ◍, p ∞
19	82.3	80.2	78.8	8.9	14.4	12.8	14.6	8.3	5.5	7.1	7.5	65	58	68	W 3	NE 3	W 2	9^2	00	3^1	0.1	a ∞, p Flachland rein, Horiz≡
20.	77.4	75.6	73.4	12.3	16.7	14.7	17.8	11.9	6.5	8.0	6.9	61	56	55	SW 1	SW 1	SE 1	10^1	8^1	5^1	–	a ∞^{1}, p ∞^{0}
21.	70.6	**69.8**	72.6	11.7	15.9	6.0	16.2	6.0	8.5	8.5	6.8	84	63	97	NW 1	NE 1	W 1	10^1	9^2	10^2●	–	t reine Fernsicht, ^{13} p ◹, ^{21}–^{32} p, abds. ◍
22.	71.6	72.0	72.5	4.4	5.8	5.4	6.6	4.1	6.1	6.6	6.7	98	96	100	NW 1	NW 1	NW 2	10^{2}≡●	10^{2}≡●	10^{2}≡●	24.6	t ≡^{2} ◍
23.	70 9	70.4	72.9	4.0	5.7	4.4	6.7	4.0	6.1	6.3	5.6	100	93	90	W 1	SW 1	W 2	10^{2}≡	3^2	8^1	16.1	a ≡^{2} ◍, p s. reine Fernsicht, Geb. u. Horiz. wolkig
24.	75.3	76.7	78.6	5.0	10.0	7.6	10.6	**3.6**	5.4	6.4	6.7	83	69	86	W 1	W 1	W 2	2^2	5^2●	1^1	11.6	a sehr reine Fernsicht, p ∞
25.	80.7	81.2	82.3	8.3	13.8	11.0	13.8	8.2	6.3	6.4	7.1	77	55	73	W 1	NW 1	W 1	10^1	9^2	3^2	0.3	n ◍, a ∞, p reine Fernsicht
26.	82.5	82.8	83.4	10.0	15 0	12.3	15.2	7.8	7.0	6.8	6.8	76	53	64	SE 1	N 1	E 1	00	1^2⊙	0	–	a reine Fernsicht, Horiz≡, p Wolken am Horizont,
27.	84.1	83.6	83.7	9.7	14.4	12.1	14.8	9.4	8.6	8.7	8.1	96	72	76	NW 1	SE 1	C	10^1	7^2	0	–	[abds Horiz≡ a ⏢, t ∞
28.	82.8	82.0	81.9	11.6	13.2	11.2	14.7	10.6	7.2	9.9	8.9	71	88	89	SW 1	SW 1	NW 3	10^1	9^2	10^2	–	t ∞, ^{01} p kurz ◍
29.	80.7	78.6	80.7	6.9	7.8	6.1	11.2	6.1	7.2	7.9	6.9	98	100	99	W 1	W 3	NW 3	10^{2}≡	10^{2}≡●	10^2	14.9	n, t–6 p ◍
30.	78.8	75.7	71.0	4.4	6.5	7.8	7.8	4.2	5.5	5.7	6.2	89	80	79	SW 1	W 2	NW 2	9^1	8^2	10^2	26.6	t ∞
																					152.9	
Mittel	80 0	79.8	79.9	12.1	16.1	13.4	17.0	10.8	7.3	7.6	7.4	71	60	67				5.4	5.1	4.3		

Alle Angaben nach Ortszeit.

Zugspitze.

September. $\varphi = 47^0\ 25'$ N. $\lambda = 10^0\ 59'$ E $= 43^m\ 56^s$. H $= 2964$ m. Cg $= -0.2$ mm. 1911.

Datum	Luftdruck auf 0^0 u. Normalschwere reduziert 500 mm + 7a	2p	9p	Lufttemperatur C⁰ 7a	2p	9p	Max.	Min.	Absolute Feuchtigkeit mm 7a	2p	9p	Relative Feuchtigkeit Proz. 7a	2p	9p	Richtung und Stärke des Windes 0 bis 12 7a	2p	9p	Bewölkung 0 bis 10 7a	2p	9p	Niederschlag mm 7a	Schneedecke cm 7a
1.	39.0	40.6	41.5	2.7	7.2	6.6	9.4	− 2.7	0.5	2.4	2.2	10	32	30	W 2	S 2	NE 1	1^0⊙	2^0⊙	1^0	–	–
2.	**43.1**	42.9	43.0	7.0	10.4	8.7	**13.0**	6.6	3.1	4.5	4.2	42	48	50	NW 2	C	NW 2	oo	oo	o	–	–
3.	42.3	42.9	42.5	8.0	11.2	8.7	12.9	7.9	2.0	3.6	2.1	27	37	24	NE 2	E 2	NE 2	oo	1^0⊙	o	–	–
4.	41.3	41.3	40.5	7.5	7.0	4.7	8.7	4.7	3.2	5.3	**6.4**	49	71	100	NE 3	NE 3	NE 3	oo	4^1	6^0≡	–	–
5.	38.9	39.9	40.1	3.0	4.3	3.8	4.8	2.6	4.9	6.0	6.0	86	97	100	NE 6	NE 7	N 6	7^1⊙	6^1⊙	9^1≡	–	–
6.	39.6	40 8	41.1	3.2	4.8	4.6	5.6	3.0	5.7	**6.4**	4.3	100	100	68	NE 7	NE 4	NE 4	8^1≡	9^1≡	4^1	0.8	–
7.	40.4	41.3	40.9	4.8	5.8	5.0	7.9	3.9	4.1	5.2	3.0	62	75	45	NE 3	E 2	NE 2	1^0⊙	2^0⊙	o	–	–
8.	39.5	39.7	38.7	4.8	7.8	5.8	8.9	3.8	3.3	4.6	4.6	52	57	65	NE 1	C	N 4	1^0⊙	3^0⊙	9^1	–	–
9.	37.0	37.2	36.4	3.2	5.7	4.2	6.8	2.5	5.0	5.4	4.4	87	80	72	N 5	NE 2	N 7	3^1⊙	8^1	7^1	0.2	–
10.	34.3	35.6	36.1	1.9	2.3	0.9	4.2	0.6	5.0	5.4	4.9	94	100	100	NE 8	N 7	N 8	8^1≡	9^2≡	10^2≡	0.1	–
11.	35.9	37.0	37.2	3.6	7.3	4.5	7.8	− 1.4	0.6	3.3	3.6	**10**	42	55	E 1	W 1	N 3	2^0⊙	1^0⊙	o	–	–
12.	37.2	38.9	39.2	2.8	6.3	4.5	7.6	2.7	3.7	4.3	4.8	66	60	76	N 3	W 1	NW 2	1^0⊙	1^0⊙	1^0	–	–
13.	39.2	39.5	39.0	3.9	7.7	5.8	8.7	3.5	4.8	5.1	5.4	79	65	78	W 4	S 3	S 4	1^0⊙	3^0⊙	9^1●	–	–
14.	36.6	36.4	33.9	3.8	6.5	4.6	7.2	3.2	4.3	5.7	5.4	72	79	87	W 6	S 2	S 6	1^0⊙	9^1	2^1	–	–
15.	31.0	30.3	31.1	3.4	2.8	0.0	4.6	− 0.4	4.9	5.6	4.6	84	100	100	SW 6	NW 2	NE 7	9^1	10^2≡●	10^2≡	–	–
16.	31.8	31.8	31.8	− 0.1	1.5	− 1.6	2.3	− 1.7	4.5	5.1	4.1	100	100	100	N 1	NW 3	N 4	10^2≡	10^2≡	10^2≡	16.5	4
17.	30.8	31.7	32.3	− 4.0	− 4.1	− 7.6	− 1.6	− 7.7	3.4	3.4	2.6	100	100	100	N 1	NE 2	NE 6	10^2≡*	10^2≡	10^2≡*	9 8	5
18.	32.6	33.9	35.0	− 8.6	− 6.1	− 5.5	− 5.4	− 9.0	2.4	2.9	3.0	100	100	100	NE 7	NE 6	NE 6	10^2≡*	10^2≡*	10^2≡	2.1	6
19.	35.2	35.7	35.6	− 1.4	1.6	2.2	3.3	− 5.5	4.1	4.9	3.9	100	96	73	NE 7	NE 2	SW 3	9^1≡	4^0⊙≡	1^0	1.0	5
20.	33.2	31.8	30.5	2.0	2.8	1.7	3.7	1.5	4.5	4.6	5.2	85	89	92	W 4	SW 4	W 6	8^1	3^0	8^1	–	–
21.	27.1	27.0	25.6	0.2	2.8	− 4.2	2.9	− 4.2	4.6	5.5	3.4	98	100	100	S 4	W 4	S 3	7^1	9^1	10^2≡*	–	–
22.	24.1	24.7	24.9	− 4.0	− 1.8	− 5.7	− 1.0	− 5.7	3.4	4.0	3.0	100	100	100	S 3	S 2	NE 3	10^1≡*	10^2≡	10^2≡*	7.1	5
23.	23.7	23.5	25.9	− 5.4	− 2.4	− 4.0	− 1.8	− 6.1	3.1	3.8	3.1	100	100	92	NE 3	S 6	S 4	10^2≡*	10^2≡	7^1	2.8	20
24.	27.4	29.4	30.9	− 4.5	− 2.2	− 5.0	− 2.1	− 5.0	2.9	3.9	3.2	88	100	100	C	NW 2	N 3	6^0⊙	10^2≡*	9^2≡	0.6	30
25.	32.3	34.1	35.3	− 5.0	− 1.8	− 3.3	− 1.8	− 5.3	3.2	4.0	3.6	100	100	100	NE 3	NE 3	NE 2	10^2≡	10^2≡	8^1≡	–	25
26.	35.5	36.5	36.9	− 1.5	0.0	− 0.5	1.2	− 4.6	2.9	2.2	2.5	70	47	57	NE 1	NE 1	N 1	1^0⊙	1^0⊙	o	–	5
27.	36.7	37.2	37.3	− 0.2	2.0	− 0.9	2.8	− 0.9	1.1	4.6	3.6	24	88	82	NE 2	SW 1	N 3	1^0⊙	1^0⊙	1^0	–	–
28.	36.0	35.9	35.2	− 0.8	− 0.2	− 1.3	0.5	− 1.6	3.8	4 5	4.2	88	100	100	N 3	N 3	N 4	1^0⊙	10^2≡	10^2≡	–	–
29.	32.4	31.6	31.7	− 3.1	− 2.1	− 6.2	− 1.3	− 6.2	3.6	3.9	2.9	100	100	100	N 4	NE 4	N 4	10^2≡*	10^2≡*	9^2≡	–	–
30.	29.1	27.3	24.7	− 9.0	− 5.1	− 4.2	− 4.2	− 9.0	2.3	3.1	3.2	100	100	100	N 2	S 5	W 8	9^2	10^1≡	7^1	16.6	15
																					18.0	**40**
																					75.6	
Mittel	34.8	35.2	35.2	0.6	2.7	0.9	3.9	− 1.0	3 5	4.4	3.9	!76	82	82				5.2	6.2	5.9		

Bemerkungen.

1. n ≼; t Fernsicht ringsum frei, jedoch ∞^0, besonders über der Ebene
2. t Fernsicht allenthalben frei; über Flachland ∞^1
3. t Fernsicht frei; a über Ebene ∞^1, Inntal ∞^2; ab ca. 1^{30} p über Gebirge cu-Entwicklung
4. 7 a ringsum ∞^2; ca. 11^{30} a rasche Bewölkungszunahme (cu); ab 4 p ≡treiben u. d. Gipfel; ca. 5^{45} p wieder vollständiges Aufklaren; 7^{15} p kurz ringsum ≡²
5. n u. a. ⎽⎽; 10 a vollst. bedeckt; 2 p rasches Aufklaren; 3^{35}–4^{55} p ◍$^{0.1}$; $4^{35.55}$ p ◹; 4^{52} p sehr schöner doppelter ◠; später kurzes Aufklaren, abds. ≡
6. n u. a ⎽⎽; a ringsum ≡¹, Gipfel häufig in cu, meist ≡treiben, ca. 3^{30} p kurz Aufklaren dann wieder ≡; ab ca. 8 p heiter
7. a über Flachland u. Inntal ∞^2, sonst Fernsicht frei; 9 p schwacher ⍫
8. a über Flachland ∞^0, Inntal ∞^1; Fernsicht über Zentralalpen rein; ca. 8 a dreht der Wind über S nach SW u. W; 11^{40} a–0^{45} p sehr schöner ⊕; Radius 23^0 45′.
9. ca. 2 a ◹◍^{0}; 2^{22}–3^{40} p ◹ von W nach E; 3^{15} p kurz △^{0} ◍^{0}; ca. 8 p ⍦; n ⎽⎽ [ca. 4–4^{30} p ⊕
10. n ◍^{0}; 6^{40} a ◹; $6^{40.44}$ a △^{0}; a meist ≡ um den Gipfel, ztw. kurz. Aufklaren; ab 3 p beständig ≡²
11. nach mn plötzl. starker Temp.-Anstieg, Abflauen d. Windes, Rückgg. d. R. F. unt. 10%; bis 9 a üb. Inn- u. Nebentälern ≡meer in ca. 2300 m, darüber u. üb. Flachl. ∞;
12. t fast wolklos, jedoch vorherrschend ∞ [Zentralalpen frei
13. a meist ∞, besonders über Flachland; ab 11 a lebhafte cu-bildung u. rasche Bewölkungszunahme; 2 p im W Gewitter-Stimmung, ca. 8^{10}–9^{00} ◍^{0}
14. n ⎽, früh ∞; 6 a föhniges Aufklaren; ab m zunehmende Bewölkung, 5 p kurzes föhnartiges Aufklaren
15. $9^{00.15}$ p, n ◍^{0}; n u. a ⎽⎽; a föhnig; ab ca. 10 a ≡², ztw. ≡reiss.; 0^{30} p kurz △$^{0.1}$, ab ca. 1^{35} p ◍, ca. 2 p kurz △^{1}, dann bis ca. 5 p ✳^{1}, 5–7^{30} p ✳^{0}, p ztw. s. ⎽⎽
16. t ≡$^{1.2}$ mit kurzer Unterbrechung während des Vormittags; ztw. ✳$^{0.1}$
17. n bis 10 a ✳^{1}; 7 a 2 cm Neuschnee, ⋁ 2 cm; 6 p kurz △^{1}; p starke ⋁-bildung t ≡$^{1.2}$
18. n ✳, ⎽⎽. 7 a ⋁ 15 cm, 2 cm Neuschnee, t beständig ≡², ztw. ✳$^{0.1}$
19. n ≡; ab ca. 6^{30} a langs. Aufkl. i. N u. NE; ca. 8^{30} a vollst. Aufkl. Gipfel jedoch vorübergehend bis 4 p im ≡, ab ca. 6 p dreht der Wind pl. nach S, Föhnsituation
20. ca. 7^{30}–8 p ✳^{0}
21. a ⎽; über Flachland ∞; 10 a Gipfel kurz in ≡$^{1.2}$; ca. 4^{30} p △, dann ✳^{1}, ≡²
22. t ≡$^{1.2}$, ⊙ ztw. durchscheinend; 7 a ✳^{0}, leichtes ✳treiben; ab ca. 3 p–n ✳^{1}
23. ✳^{1} bis m; dann Aufklaren i. S.; Einsetzen v. S 5; ab 2 p Gipfel abwechselnd in ≡$^{1.2}$; 4^{35} p Brockengespenst; ab ca. 4^{45} p allenth. Aufklaren bei fast völliger C.
24. a über Flachland u. Gebirgstälern teilw. ≡meer; ca. 9–10 a andauernd prächtige Brockengespensterscheinung (doppelter Farbenring), ab ca. 1 p dauernd ≡¹
25. n ✳^{0}; t ≡², nur 0^{30} p kurz. Aufklaren; 9 p lichtet sich ≡ etwas (Lichter v. Kempten sichtbar)
26. a Fernsicht über Gebirge sehr rein, über Flachland teilw. ∞ u. Nebel. ca. 5 p Einsetzen v. NW-Wind; 7 p W-Wind
27. a ≡meer über Flachland in ca. 1500 m; t heiter, nur m vorübergehende Trübung
28. n ⎽¹; a über Flachland u. Gebirgstälern ≡meer in ca. 2700 m, ab ca. 7^{45} a ≡², ≡reissen, starke ⋁-bildung; ca. 0^{30}–1^{45} p ✳^{0}
29. n ✳^{1}, t häufig ✳^{1}, ztw. ✳treiben; t ≡², p sehr ⎽⎽
30. 9^{05} p kurzes Aufklaren (Gipfel an oberer Wolkengrenze); n ✳, ⎽⎽; ca. 8 a–ca. 2^{30} p ≡¹; ab ca. 2^{30} p föhniges Aufklaren; n ⎽⎽

Alle Angaben nach Ortszeit.

Kahl a/M.

Oktober. $\varphi = 50^0\ 4'$ N. $\lambda = 9^0\ 1'$ E $= 36^m\ 4^s$. H $= 114.1$ m. Cg $= +0.3$ mm. 1911.

Datum	Luftdruck auf 0^0 u. Normalschwere reduziert 700 mm + 7^a	2^p	9^p	Lufttemperatur C° 7^a	2^p	9^p	Max.	Min.	Absolute Feuchtigkeit mm 7^a	2^p	9^p	Relative Feuchtigkeit Proz. 7^a	2^p	9^p	Richtung und Stärke des Windes 0 bis 12 7^a	2^p	9^p	Bewölkung 0 bis 10 7^a	2^p	9^p	Niederschlag mm 7^a	Bemerkungen
1.	44.2	44.7	47.6	8.0	9.4	7.8	13.7	6.8	7.3	6.6	6.9	92	75	88	SW 6	W 4	C	10^2	10^1	1^0	3.2	n ◍ ≡
2.	49.0	48.9	49.4	6.9	11.5	5.6	12.2	4.3	6.3	6.3	6.6	84	62	97	W 4	NW 6	C	1^0	4^2⊙	3^0	0.4	n ◍ 11^{26} a–0^{05} p ◍
3.	50.0	50.0	50.4	6.4	11.7	4.7	12.5	3.6	6.9	7.2	6.3	96	70	98	SE 2	C	C	9^0	7^1	4^0	–	
4.	50.4	50.0	49.8	4.6	12.0	8.4	13.0	−0.6	6.3	7.1	8.0	100	68	97	E 2	C	W 2	10^1●	10^1	10^1	0.9	6^{36}–7^{06} a ◍
5.	52.0	52.5	52.6	7.8	13.2	9.4	14.2	6.4	7.9	9.1	8.8	100	81	100	C	SW 2	C	10^2●	10^2	10^1	**5.9**	n, a–8^{06} a ◍
6.	54.9	55.1	54.6	6.1	15.3	11.5	16.7	5.0	7.0	9.2	9.0	100	71	89	C	E 2	C	10^2=	1^0	10^1	2.1	a ≡²
7.	50.2	51.5	52.2	9.2	16.1	11.7	17.2	7.9	8.7	9.5	8.4	100	70	83	S 2	SW 4	C	10^1	6^2	9^1	–	a ≡¹. 8^{36}–9^{36} a ◍
8.	54.7	54.4	54.5	9.3	14.9	9.9	15.5	8.4	7.3	8.6	9.1	84	68	100	SW 2	SW 2	C	7^0	10^2	10^1	1.2	
9.	55.0	54.3	56.3	8.4	14.4	7.5	16.8	6.9	8.2	8.5	6.6	100	70	86	S 2	NE 4	C	8^1	8^1	1^0	–	
10.	60.6	62.1	63.8	0.2	11.1	3.5	12.6	−1.1	4.7	5.7	5.6	100	58	95	C	E 2	C	⊖⊖	4^1	0	–	a ⌋
11.	**64.2**	62.5	61.3	−0.5	13.0	4.2	14.3	−2.0	4.4	5.8	6.0	100	52	97	C	W 2	C	⊖⊖	2^2⊖	0	–	n ≡¹. a ⌋
12.	59.6	57.6	56.6	−0.8	15.6	6.3	17.2	−2.1	4.3	7.9	7.2	100	60	100	C	S 2	C	⊖⊖	⊖⊖	0	–	a ≡¹ ⌋
13.	55.8	54.3	53.3	2.7	17.2	8.8	18.5	1.0	5.6	9.5	8.5	100	65	100	C	SW 2	C	10^2=	7^2	1^0	–	a ≡²
14.	53.4	53.0	54.4	10.1	18.4	13.2	19.2	7.7	9.1	10.1	**10.5**	99	63	94	SE 2	SW 6	C	9^1	8^1	10^1	0.6	n ◍
15.	56.4	56.9	56.9	10.8	17.1	10.5	18.3	8.1	8.6	9.6	8.6	90	66	92	E 2	NE 2	NE 4	10^0	4^0⊖	0	–	
16.	57.9	57.2	57.9	6.8	15.9	8.8	17.1	6.0	7.4	7.8	6.3	100	58	74	C	E 2	E 4	1^0	⊖⊖	0	–	a ≡³
17.	58.3	56.9	57.3	5.7	15.5	9.0	16.4	4.6	5.1	5.8	5.7	74	45	67	C	E 4	C	1^0	⊖⊖	0	–	
18.	57.1	56.0	56.1	5.7	14.0	4.6	15.2	1.8	5.6	7.0	6.1	82	59	97	E 2	SE 2	C	⊖⊖	⊖⊖	0	–	
19.	56.4	54.9	55.6	0.3	15.2	4.9	16.3	−0.7	4.7	8.3	6.5	100	64	100	C	SW 2	C	⊖⊖	7^1	5^0	–	a ⌋
20.	55.9	55.2	54.9	3.4	17.6	12.9	18.4	2.6	5.8	9.7	9.7	100	65	88	C	SW 2	C	⊖⊖	7^1	5^0	–	a ≡
21.	53.8	49.8	47.3	5.1	19.1	12.7	**20.3**	4.2	6.6	10.3	9.3	100	63	86	C	SE 2	S 2	10^2=	6^2	10^2	–	a ≡². $10^{36.51}$ a ⊕ (farbig)
22.	43.9	43.6	42.8	12.8	16.7	15.5	17.9	12.0	10.2	8.0	8.3	94	56	63	SW 4	SW 4	SW 6	9^1	10^1	10^2●	2.6	n ◍. 9 p ◍ ≡
23.	43.7	46.8	48.6	12.1	12.5	11.2	16.3	17.7	7.5	8.3	7.8	72	77	79	SW 6	SW 4	SW 4	10^1	10^1	9^0	5.8	n ● ≡
24.	48.7	48.5	48.1	10.0	13.8	9.1	15.0	8.0	7.5	6.7	7.2	82	58	84	C	W 4	SW 2	10^0	9^1	8^0	–	
25.	42.9	38.7	39.8	7.8	14.3	8.7	16.0	6.9	6.8	6.7	7.5	86	55	89	SE 2	SW 2	SW 2	8^0	10^1	8^0	–	9^{16} p an ztw. ◍
26.	40.5	41.9	41.1	7.8	10.4	8.8	13.1	7.0	7.1	8.0	7.5	90	85	89	SW 4	SW 4	SW 2	9^0	7^1	10^1	2.3	n, $7^{21.51}$ a ◍. 0^{21} p an ztw. ◍
27.	38.2	37.7	39.2	10.8	11.8	9.6	12.9	8.0	9.3	9.4	7.6	97	93	86	SW 4	SW 4	S 2	10^1●	10^1●	10^1	4.8	n, 7 a ◍. t ◍
28.	40.4	42.4	47.3	7.9	9.5	7.5	12.0	6.9	7.1	8.0	7.1	89	91	91	SW 2	SW 2	SW 2	3^0	10^1●	10^1	5.7	p ◍
29.	52.9	57.4	60.8	4.9	6.7	0.5	9.5	−0.6	5.9	3.2	4.4	92	43	92	C	NE 2	C	10^0	⊖⊖	0	1.7	
30.	61.8	59.0	57.6	−2.8	9.0	6.1	9.9	−4.1	3.7	4.5	5.0	100	52	72	C	SW 2	SW 4	⊖⊖	9^1	2^0	–	a ⌋
31.	56.3	55.8	56.0	4.7	7.5	6.8	8.2	3.1	5.9	7.2	7.4	92	93	100	C	C	C	10^1●	10^1●	10^1	–	7 a, t ◍
Mittel	52.2	51.9	52.4	6.2	13.6	8.4	15.0	4.4	6.7	7.7	7.4	93	66	89				6.3	6.1	5.2	37.2	

Bayreuth.

Oktober. $\varphi = 49^0\ 57'$ N. $\lambda = 11^0\ 34'$ E $= 46^m\ 16^s$. H $= 363.3$ m. Cg $= +0.3$ mm. 1911.

1.	19.0	21.3	24.0	7.2	7.6	6.9	8.9	6.3	6.3	6.5	6.7	84	84	91	S 6	SW 6	SW 4	10^2●	10^2	10^2	1.7	n ◍⁰. t ztw. ◍⁰
2.	24.5	24.4	26.1	5.7	6.7	5.9	7.0	5.1	6.5	6.2	6.0	96	85	88	W 4	NW 6	W 2	10^2●	10^2	4^1	1.0	n, t ztw. ◍⁰
3.	28.3	28.4	29.2	6.1	10.7	4.7	12.6	4.1	5.0	5.8	5.6	85	61	88	SW 4	E 2	E 2	10^1	7^1⊖	2^0	1.1	
4.	29.5	27.9	27.9	3.2	14.5	10.1	15.5	0.2	5.3	5.5	6.4	92	44	**99**	E 2	E 6	E 2	10^1=	3^0⊖	10^1	–	a ⌋¹ ≡¹
5.	29.2	30.1	30.2	6.9	14.1	9.4	14.2	5.3	6.7	8.3	8.1	91	69	93	NW 2	SW 2	W 2	10^1	9^1	10^1	–	a ◍⁰
6.	32.6	33.1	33.3	8.4	15.4	11.4	17.3	7.3	8.1	9.5	9.5	**99**	73	91	W 4	SW 2	E 2	10^2=	⊖⊖	10^1	3.2	n ◍⁰.¹. a ≡²
7.	27.8	30.2	31.6	9.7	16.2	8.8	16.4	8.3	8.6	**8.4**	8.0	96	61	95	W 2	W 6	E 2	9^1	10^1	0	–	p ztw. ◍⁰
8.	32.5	32.3	32.1	7.6	15.2	10.2	15.3	5.3	6.8	6.6	7.9	89	51	82	SW 2	SW 6	C	3^0⊖	5^0⊖	10^1	0.4	a ⌓⁰
9.	33.3	31.3	33.1	8.5	13.9	8.3	14.0	7.3	7.9	7.6	6.2	96	65	75	SE 2	NW 2	N 2	10^1=	8^1	10^1	0.2	n ◍⁰ a ≡¹
10.	37.4	39.9	41.7	1.4	9.2	5.1	10.8	0.3	4.8	5.2	5.8	94	59	90	NW 4	N 2	N 2	3^1	10^1	7^1	–	a ⌋¹⁰
11.	**42.5**	40.7	39.8	−0.1	11.7	4.1	13.2	−1.6	4.3	5.9	5.5	94	57	91	E 2	N 2	N 2	⊖⊖	2^0⊖	0	–	a ⌋¹² ≡¹
12.	38.6	36.4	35.6	−0.1	14.6	8.3	18.1	−1.6	4.4	7.5	6.7	96	60	83	E 2	E 2	E 2	3^0	⊖⊖	0	–	a ⌋¹⁰, ≡⁰
13.	34.2	32.6	32.0	4.1	16.8	7.7	**19.4**	2.3	5.5	8.4	7.3	91	60	93	E 2	C	E 2	5^0	5^0⊖	0	–	a ≡¹
14.	31.7	31.6	32.8	6.3	15.7	10.3	17.5	4.0	6.6	10.2	9.0	93	77	96	E 2	SE 2	E 2	10^1=	6^1⊖	0	–	a ≡¹
15.	34.8	35.2	36.5	7.9	16.4	11.3	16.9	6.4	7.9	**10.3**	8.6	**99**	74	87	E 2	NW 2	E 2	10^2=	9^1	0	–	a ⌋⁰
16.	37.1	36.6	37.3	4.7	13.0	8.5	13.6	2.3	5.9	6.7	4.7	92	60	57	E 2	E 6	E 4	5^1	⊖⊖	0	–	
17.	37.9	37.0	36.6	3.7	13.4	8.7	14.0	2.3	4.5	5.9	5.8	74	52	69	SE 4	E 4	E 6	3^0	⊖⊖	0	–	
18.	36.0	34.8	35.0	1.7	14.1	6.9	15.3	0.4	4.6	5.9	5.8	91	49	80	SW 2	E 6	E 2	⊖⊖	⊖⊖	0	–	a ⌋¹
19.	34.9	33.1	33.9	2.3	16.0	7.9	17.5	0.3	4.9	7.2	6.7	91	53	86	E 2	E 4	E 2	⊖⊖	⊖⊖	0	–	a ⌋¹
20.	34.9	34.2	34.1	3.5	12.6	9.3	12.7	1.6	5.4	8.9	8.1	92	83	93	E 2	E 4	SE 2	10^1=	5^0⊖	0	–	a ≡¹
21.	32.2	29.6	27.0	7.3	15.1	9.1	17.0	6.1	7.5	9.5	7.7	**99**	74	92	E 4	SE 2	SE 2	10^2=	7^0⊖	0	–	a ≡²
22.	23.5	22.8	22.4	9.3	17.5	13.5	17.5	6.3	7.2	7.6	8.1	84	52	71	SE 4	S 6	SW 6	10^1	6^2	3^1	–	a ≡⁰ ◍⁰.¹
23.	23.1	25.1	26.9	11.7	11.1	10.3	13.6	11.1	6.0	7.9	7.1	58	80	76	SW 6	W 8	W 6	9^2	10^2●	3^1	1.0	n, t ≡. p ◍⁰
24.	27.4	27.3	26.6	7.6	12.1	7.5	12.2	6.2	6.7	6.6	0.1	87	63	80	SE 2	SW 4	E 4	9^1	9^1	0	0.5	a ≡¹
25.	22.1	**17.2**	18.4	6.0	11.9	7.9	12.2	4.1	6.4	6.7	7.1	92	65	90	S 4	SE 4	SE 4	10^2	10^0	10^2●	–	7–9 p ◍⁰.¹
26.	20.2	20.8	20.7	6.1	9.5	6.1	9.5	5.3	6.3	5.9	6.1	91	66	88	SE 2	SW 6	SW 4	7^1	10^2	8^1	3.2	n ◍⁰. 4 p ◠. p ztw. ◍¹
27.	18.2	17.5	18.2	7.7	11.5	10.1	13.0	4.8	6.2	9.0	8.4	80	89	91	SE 4	SE 2	SW 6	10^1	10^2●	10^2●	0.1	t ◍⁰.¹
28.	19.2	21.4	23.8	7.3	9.1	7.5	10.2	6.3	7.2	6.9	7.0	94	81	91	S 2	SW 4	SW 6	10^1=	8^1	10^2●	**6.6**	n ◍⁰. a ≡¹. t ztw. ◍⁰. 2 p ◠
29.	30.1	34.2	38.2	4.9	5.4	0.1	7.5	−0.7	5.7	5.4	4.3	90	81	94	W 2	NW 4	NW 2	10^1	10^1	0	4.5	n ztw. ◍⁰
30.	40.5	38.5	37.4	−2.8	7.3	1.7	10.5	−3.7	3.6	5.6	5.4	96	48	89	E 2	S 4	S 2	2^0	1^0⊖	0	–	a ⌋¹²
31.	35.2	34.0	34.2	1.5	5.6	3.7	5.6	0.2	5.0	5.8	5.9	98	86	98	SE 4	SE 4	E 2	10^2=	10^2	10^2●	–	a ≡². 7^{16} p–n ◍⁰
Mittel	30.6	30.3	30.9	5.3	12.4	7.8	13.5	3.6	6.1	7.2	6.8	90	67	86				7.4	6.1	4.1	23.5	

Alle Angaben nach Ortszeit.

Bamberg.

Oktober. $\varphi = 49^0\ 53'$ N. $\lambda = 10^0\ 53'$ E $= 43^m\ 32^s$. H $= 287.7$ m. Cg $= +0.3$ mm. 1911.

Datum	Luftdruck auf 0^0 u. Normalschwere reduziert 700 mm + 7a	2p	9p	Lufttemperatur C° 7a	2p	9p	Max.	Min.	Absolute Feuchtigkeit mm 7a	2p	9p	Relative Feuchtigkeit Proz. 7a	2p	9p	Richtung und Stärke des Windes 0 bis 12 7a	2p	9p	Bewölkung 0 bis 10 7a	2p	9p	Niederschlag mm 7a	Bemerkungen
1.	24.5	28.2	31.1	7.1	7.9	7.1	10.0	6.9	6.6	6.6	6.6	87	83	87	S 6	W 4	NW 3	10^2	10^2	10^2	0.9	n ztw. ◍. 8^{44} a, $13^{4.54}$ p ◍^{0}. p ztw. ◍^{0}
2.	31.5	31.8	32.9	6.4	8.3	5.6	10.2	5.6	6.4	6.2	5.9	90	75	86	NW 3	NW 2	W 5	10^2	10^2	5^1	0.2	7^{55}–8^{44} a, 10^{40} a ◍^{0}
3.	34.7	34.9	35.3	5.0	10.9	3.9	12.7	3.4	6.2	6.2	5.5	95	63	90	SW 2	SW 3	C	10^2	8^1	7^1	0.9	n ◍
4.	35 6	34.0	34.0	2.3	16.2	10.2	16.8	0.8	5.2	5.3	6.5	96	39	60	NW 2	SE 3	S 2	10^1☉	4^1☉	10^1	0.1	n ⌓. a ≡
5	36.0	37.1	35.7	7.5	10.7	9.2	14.2	7.1	6.9	6.5	8.2	89	68	95	N 1	W 3	C	10^2●	10^1	10^2●	0.1	n ⌓. a ≡. 7^{03} a, 9^{27}–10^{30} a, 9 p ◍^{0}
6.	39.0	39.7	39.8	7.7	14.8	12.2	16.2	7.6	7.7	9.5	8.8	99	76	84	NW 1	W 1	W 4	10^2=	4^1	10^1	2.9	9^{02} p ◍^{0}. 10^{04}–11^{15} p, mn ◍. a ≡^{1}
7.	34.2	36.7	37.8	11.2	15.0	9.9	16.7	9 6	9.2	10 2	8.1	93	81	89	W 2	W 1	S 3	10^1	9^2	1^1	–	n ⌓. 8^{17}–10^{44} a ztw. ◍. 2^{44} p ◍
8.	39.2	38.9	38.5	6.3	15.1	10.4	16.7	5.8	6.5	7.6	8.1	91	59	87	S 3	W 2	C	10^0☉	10^1	10^2	2.0	n ⌓
9.	39.6	38.2	40.3	8.5	14.1	7.7	16.0	7.7	8.1	8.8	6.4	98	74	82	E 2	S 1	NW 3	9^1	10^2	4^1	0.2	n ◍
10.	44.3	46.6	48.6	1.4	12.0	5.2	12.7	1.4	4.9	5.8	5.7	96	56	86	W 1	W 2	W 1	1^1☉	9^1	8^1	0.1	n ⌓. a ≡
11.	**49.1**	47.6	46.8	0.0	12.0	3.8	13.2	– 0.6	4.6	5.5	5.7	100	53	95	NW 2	NW 1	W 1	☉	2^0☉	1^1	0.1	n ⌊⌋. a ≡^{1}
12.	45.4	43.1	42.0	– 0.4	15.9	7.0	17.0	– 0.9	4.4	6.5	6.7	98	**48**	89	C	E 2	C	10^1=	☉	☉	0.1	n ⌊⌋. a ≡^{1}
13.	40.7	39.2	38.1	1.4	16.7	**8.7**	18.2	0.9	5.0	8.9	7.9	98	63	95	C	C	NW 2	10^2=	10^1☉	7^1	0.1	n ⌓. a ≡^{1}
14.	38.1	37.9	39.3	5.0	17.8	11.1	19.4	3.2	6.3	**10.7**	9.0	97	70	91	S 1	W 2	S 1	10^1	8^1☉	5^1	–	n ⌓. a ≡^{0}
15.	41.3	41.7	42.6	7.4	18.2	9.7	19.5	6.6	7.5	9.5	8.4	98	61	94	C	S 2	NW 2	10^2=	4^1☉	3^1	0.1	n ⌓. a ≡^{1}. 9 p ∞
16.	43.8	42.8	43.7	5.8	14.8	8.0	15.7	5.5	6.4	8.3	5.1	93	66	63	E 1	S 4	C	2^1☉	☉	☉	0.1	n ⌓. a ≡^{0}
17.	44.0	42.9	43.1	4.4	14.4	8.7	15.3	4.4	4.5	5.0	5.7	73	43	68	E 3	E 5	SE 3	5^0	1^1☉	☉	–	
18.	42.6	41.2	41.3	3.7	16.3	9.0	16.9	3.1	5.1	6.0	5.8	85	43	68	E 1	S 4	NW 1	2^0☉	☉	☉	–	n ⌓
19.	41.4	39.7	40.3	1.5	16.7	6.3	17.7	1.0	4.7	9.9	6.7	93	69	94	NW 1	SW 1	S 2	2^0☉	☉	☉	–	n ⌊⌋. a ≡. 9 p ∞
20.	41.3	40.8	40.3	4.3	14.8	10.9	16.0	2.8	5.9	9.5	8.7	96	76	90	C	SE 2	S 2	10^2=	10^1☉	7^1	–	n ⌓. a ≡^{1}
21.	38.6	35.4	33.1	6.9	19.1	12.9	**20.4**	6.7	7.2	9.4	8.0	98	57	73	SW 3	S 3	S 3	2^1☉	10^1☉	8^1	0.1	n ⌓
22.	30.2	29.2	28.6	10.5	18.3	12.8	19.7	8.1	7.9	7.4	8.2	84	48	75	SW 5	SW 3	S 6	10^2	6^1☉	5^1	0.1	n ⌓. 7^{09} a ◍^{0}. $8^{09.44}$ a ◍^{1}
23.	29.8	32.1	33.7	11.6	12.9	10.9	14.4	10.9	6.1	7.9	6.5	59	72	68	SW 5	W 6	W 4	10^2	10^2	10^1	0.6	11^{39} a ◍^{0}. m–0^{19} p ◍^{1}. p ztw. ◍
24.	33.9	33.8	33.0	7.8	12.6	8.4	14.5	7.1	6.6	5.5	5.9	83	50	71	S 3	SW 3	S 2	10^1	10^1	2^1	0.5	
25.	28.1	23.6	25.2	5.2	13.6	7.9	14.9	4.8	6.1	6.5	7.5	92	56	94	S 3	SW 5	SW 3	10^1☉	10^1	10^2	0.1	n ⌓. 5^{14}–8^{14} p ◍
26.	26.4	27.3	26.9	6.1	9.7	7.5	11.5	5.8	6.4	7.0	5.7	91	78	73	S 5	W 1	S 5	10^2●	9^2	10^2	5.3	n ⌓. $6^{40.54}$ a ◍. m ztw. ◍^{0}
27.	24.1	23.4	24.8	9.3	12.2	9.0	12.8	7.0	6.2	8.9	8.0	71	86	93	S 4	S 5	S 1	10^2●	10^2●	10^2●	0.5	6^{58}–7^{02} a ◍. 10^{45} a–9 p ztw. ◍
28.	25.6	27.8	30.7	6.2	9.1	7.6	11.9	6 2	6.9	7.1	7.1	97	83	91	S 2	W 2	SW 3	10^2	10^2	10^2	**7.2**	n ◍. $14^{5.16}$ p ●^{0}
29.	36.9	40.8	45.2	3.1	6.7	0.2	8.7	0.1	5.7	5.6	3.6	98	77	78	W 1	W 1	N 1	8^1	10^2	○	2.1	n ⌓. 11^{44} a ◍^{0}. a ≡. 9 p ≡^{0}
30.	47.4	45.2	43.7	– 3.2	7.8	2.2	8.6	– **3.9**	3.5	**3.2**	4.6	98	41	85	S 2	S 5	S 3	6^1☉	3^1☉	6^0	0.1	n ⌊
31.	42.0	40.3	40.7	1.5	8.1	6.2	8.8	0.9	5.0	6.4	6.8	98	79	96	S 3	S 2	C	10^2=	10^2	10^2	0.1	n ⌓. a ≡^{1}. 5^{44}–7^{44} p ◍
Mittel	37.1	36.8	37.3	5.2	13.3	8.1	14.8	4.4	6.1	7.3	6.8	91	64	84				8.0	7.0	5.8	24.6	

Würzburg.

Oktober. $\varphi = 49^0\ 48'$ N. $\lambda = 9^0\ 56'$ E $= 39^m\ 44^s$. H $= 179.3$ m. Cg $= +0.3$ mm. 1911.

1.	33.6	37.3	40.6	9.2	8.9	8.6	9.8	8.0	6.3	6.6	6.2	72	77	74	W 4	W 4	W 2	10^2	10^2	10^2	1.6	n ◍
2.	41.5	41.5	42.2	7.3	9.2	6.2	11.0	6.2	6.1	6.2	5.9	80	71	84	W 4	W 4	W 2	10^2	10^2	8^2	–	1 p ◍
3.	43.2	43.6	44.1	7.0	11.2	5.2	11.8	5.0	6.3	6.1	6.2	84	61	94	NW 1	SE 2	SE 2	10^1	8^1☉	6^1	0.6	
4.	44.1	42.3	42.6	4.1	13.6	10.1	14.0	2.7	5.7	7.0	7.1	93	60	78	C	SE 2	C	10^2=	8^1	10^2	–	a ⌓, ≡
5.	45.1	45.5	45.7	8.6	13.6	11.0	14.0	7.9	8.1	8.2	8.9	98	71	91	W 1	SE 2	C	10^2	8^1	10^2	0.5	a ●
6.	48.3	48.7	48.2	6.8	14.8	12.7	15.6	6.6	7.4	8.3	8.9	100	66	82	C	E 2	W 4	10^1=	3^1☉	8^1	0.1	n ◍. a ≡
7.	43.0	45.0	46.3	10.8	14.5	9.8	14.8	9.8	9.2	**10.0**	8.6	95	82	95	W 1	SW 4	C	10^1	10^2	○	–	a ⌓, ≡^{1}. 7^{10} a an ◍. p ≡^{1}
8.	48.0	47.7	47.8	9.0	14.8	11.5	15.2	6.2	6.9	7.7	8.7	80	62	87	SW 4	W 2	W 2	8^1☉	10^1	10^1	0.1	n heiter. a ⌓
9.	48.6	47.1	49.9	8.8	14.8	9.2	15.2	7.1	8.2	8.8	5.8	98	70	67	SW 2	SW 2	SW 2	10^2	10^2	5^1	2.5	n ◍. 10^{10} p Ψ. 7 a ∞
10.	53.9	56.0	58.0	5.5	11.0	5.2	11.0	3.9	5.9	5.8	6.0	88	59	90	W 1	NW 2	C	10^1	10^2	○	–	n heiter. a ⌓
11.	**58.4**	56.7	55.6	1.3	12.0	4.7	12.0	1.0	4.8	4.9	5.8	96	47	90	W 1	S 2	C	☉	☉	○	–	a ⌓, ≡^{1}
12.	54.3	52.3	50.6	1.3	14.6	6.4	15.0	0.5	4.9	7.0	6.8	98	56	94	W 1	W 1	C	☉=	☉	○=	–	a ⌓, ≡^{2}. 9 p ≡
13.	49.6	47.7	46.9	3.2	16.2	8.6	16.8	2.7	5.7	8.7	8.1	98	63	98	C	SE 2	C	☉=	3^1☉	○=	–	a ⌓, ≡^{2}. p ≡^{1}
14.	47.0	46.3	48.1	7.9	17.6	10.5	**19.3**	6.5	7.9	9.3	9.3	99	62	99	C	W 2	C	10^2	5^1☉	○	–	a ⌓, ≡^{2}
15.	50.3	50.2	51.2	7.7	17.6	12.6	17.8	7.2	7.6	9.4	9.1	98	63	85	C	E 2	E 2	☉=	3^1☉	○	–	a ⌓, ≡^{1}
16.	52.6	51.4	52.6	7.2	14.7	8.3	15.0	7.0	6.0	7.5	5.8	91	60	71	E 2	E 4	E 4	☉	☉	○	–	a ⌓, ≡^{1}
17.	52.9	51.2	51.6	3.9	14.3	8.6	15.0	3.6	4.8	6.9	5.8	78	57	69	SE 2	E 4	E 2	☉	☉	○	–	a ⌓, ≡^{1}
18.	51.5	50.0	50.2	3.0	13.6	6.3	14.2	2.6	5.2	6.3	6.6	91	54	93	C	E 2	E 2	☉	☉	○	–	a ⌓, ≡^{1}
19.	50.5	48.3	49.9	1.4	14.4	6.8	14.9	1.1	5.0	7.0	6.8	98	57	93	W 1	SE 2	C	☉=	☉	○	–	a ⌓, ≡^{2}
20.	50.2	49.1	49.1	4.7	16.5	9.1	17.0	3.2	6.2	9.3	8.3	97	67	96	C	S 2	C	☉=	10^1	○	–	a ⌓, ≡^{2}
21.	47.3	43.9	41.5	6.2	18.6	10.9	19.0	6.1	7.0	9.7	8.6	99	60	89	C	S 2	S 2	☉=	7^1☉	○	–	a ⌓, ≡^{2}
22.	38.4	37.7	37.1	12.8	18.0	14.9	18.2	9.0	9.3	6.9	6.9	86	**45**	55	W 4	W 4	SE 4	10^2●	2^1☉	○	2.4	a–8 a ◍
23.	38.3	40.5	42.8	12.8	13.8	12.1	14.9	12.1	6.3	7.1	6.7	57	60	64	W 6	W 7	W 4	10^2	10^2	10^2	0.8	n, a ⌇⌇⌇. $9^{02.07}$ a ◍^{0}
24.	42.6	42.3	42.9	9.6	13.4	8.5	13.6	8.5	7.2	6.4	6.8	82	56	83	C	W 4	C	10^1	10^1	○	0.1	
25.	37.0	**31.9**	34.2	3.8	15.4	9.2	16.0	3.7	5.7	6.3	7.3	95	48	84	SE 1	SE 2	SE 4	5^1	7^1	10^2	–	a ⌓, ≡^{1}. 4^{20} p ◍^{0}
26.	35.1	36.0	35.4	8.1	10.8	7.5	11.0	7.0	6.4	6.5	7.3	79	68	94	W 4	W 4	W 2	10^2	8^2	10^2	2.8	n, t ztw. ◍
27.	32.3	32.1	33.3	10.1	12.7	9.2	12.7	7.0	7.6	9.0	7.6	82	83	89	SW 2	SW 4	**SW** 2	10^2●	10^2●	10^2	2.3	n, t ztw. ◍
28.	34.3	36.2	40.1	8.2	10.8	8.1	12.0	7.5	7.0	6.5	7.2	87	68	89	SW 1	SW 4	SW 2	10^2	10^2	○	**5.0**	n, p ◍
29.	46.1	50.8	55.1	3.0	7.0	0.1	8.1	0.1	5.5	4.8	4.3	96	65	92	C	NW 2	C	3^1	10^2	○	2.8	
30.	56.5	54.0	52.5	– 2.0	8.2	2.3	8.3	– **2.6**	3.7	3.8	4.8	95	48	87	C	SW 2	C	○=	3^1☉	○	–	a ⌊, ≡^{1}. 8 p Ψ
31.	50.3	49.2	49.9	1.1	8.6	6.8	8.6	0.4	4.7	5.1	7.2	94	61	98	SE 1	S 2	SW 4	4^1	10^2	10^2	–	a ⌊, ≡^{1}
Mittel	46.0	45.6	46.3	6.2	13.4	8.4	13.9	5.1	6.4	7.2	7.1	90	62	86				5.8	6.3	3.8	21.6	

Alle Angaben nach Ortszeit.

Ludwigshafen a/Rh.

Oktober. $\varphi = 49^0\ 29'$ N. $\lambda = 8^0\ 26'$ E $= 33^m\ 44^s$. H = 100.3 m. Cg = +0.3 mm. 1911.

Datum	Luftdruck auf 0° u. Normalschwere reduziert 700 mm +			Lufttemperatur C°					Absolute Feuchtigkeit mm			Relative Feuchtigkeit Proz.			Richtung und Stärke des Windes 0 bis 12			Bewölkung 0 bis 10			Niederschlag mm	Bemerkungen
	7a	2p	9p	7a	2p	9p	Max.	Min.	7a	2p	9p	7a	2p	9p	7a	2p	9p	7a	2p	9p	7a	
1.	43.3	47.0	49.7	9.0	10.4	8.8	10.5	8.2	6.3	6.6	6.6	73	70	78	W 5	NW 4	W 3	5^1	10^2	0	1.4	t bög
2.	51.4	50.7	50.7	7.4	11.4	8.6	12.4	6.6	6.2	6.2	6.1	80	61	73	W 2	SW 3	SW 2	5^1	3^1⊙	5^1	1.2	n ◍
3.	51.7	50.8	51.1	5.7	12.0	9.0	12.8	4.6	6.3	6.2	6.1	93	59	71	S 1	SE 1	S 1	7^1	5^1⊙	0	0.3	n ≡reissen
4.	50.8	50.0	50.4	7.5	10.5	10.0	10.5	5.2	6.9	8.4	8.0	89	90	87	W 1	N 1	N 2	10^2●	10^2●	10^2●	1.4	n ◍. a ≡reissen. m, 2 p u. abds. ◍
5.	53.0	53.9	53.5	9.4	14.0	11.5	14.2	8.0	8.3	8.5	8.4	95	71	83	C	C	C	10^2=	9^2	10^2	8.4	n ◍. a ≡²
6.	55.9	56.0	54.3	6.1	14.7	13.0	14.8	5.4	6.9	9.1	8.8	**99**	73	80	C	N 1	C	10^2=	6^1	10^2	–	a ≡²
7.	51.5	52.8	53.9	10.4	17.1	13.0	17.1	9.0	8.9	7.9	7.3	95	55	66	NW 1	SW 1	SW 1	10^2●	3^0⊙	3^0	0.1	seit 7 a ≡reissen 8^{04}–9^{40} a ◍. m bög
8.	56.8	55.3	55.3	7.6	15.2	12.6	15.5	6.4	6.8	8.0	8.6	88	62	80	S 1	SW 1	W 2	2^0	10^0	10^1	3.4	6 p ◍
9.	55.9	54.8	57.3	11.4	15.8	11.2	16.0	10.4	9.3	8.9	6.4	93	66	65	N 2	E 1	E 2	10^2	10^2	10^2	2.2	n ◍. a ∞. m u. abds. ◍⁰
10.	62.2	64.2	**65.6**	5.8	12.2	7.8	12.2	4.5	5.7	4.8	5.9	84	**45**	75	NW 2	NE 1	N 1	00	5^1⊙	0	0.4	a ⌓ (stellenweise ⌴⁰)
11.	**65.6**	64.2	62.9	3.4	13.4	9.2	13.4	2.8	5.2	5.5	6.4	88	48	74	N 2	N 1	N 1	00	00	0	–	a ⌓
12.	62.4	59.5	57.9	4.1	15.0	10.8	15.0	3.5	5.6	7.6	8.7	92	60	90	W 1	S 1	S 1	10^2=	00	0	–	a ≡², ⌴⁰
13.	57.1	55.1	53.9	6.2	15.6	11.6	15.8	5.0	6.9	9.1	9.7	97	68	96	C	C	C	10^2=	5^0⊙	10^2=	–	a ≡². p ≡¹. 9 p ≡²
14.	54.3	54.1	56.0	12.0	19.2	13.6	**19.2**	10.6	10.2	9.3	10.3	98	56	89	C	C	NE 1	00	2^0⊙	0	0.8	n ≡reissen u. ◍⁰
15.	58.1	57.6	57.9	10.4	16.0	12.4	16.2	8.4	8.7	9.4	9.7	93	69	91	N 1	W 2	NE 2	3^0	2^0⊙	0	–	a ⌓. t ∞
16.	58.8	58.4	59.2	9.2	15.5	11.6	16.0	8.2	8.1	7.8	7.5	93	59	74	C	SE 1	NE 1	0=⊙	00	0	–	a ⌓, ≡¹
17.	59.3	57.9	57.9	7.5	15.4	11.8	15.4	6.0	5.1	5.9	6.2	66	**45**	60	N 1	E 2	E 2	00	00	0	–	a ∞ u. ⌓
18.	58.3	57.5	57.3	4.9	13.0	8.6	13.0	3.6	5.7	6.9	7.2	87	62	87	NW 1	C	W 1	10^2=	00	0	–	a ≡². t ∞
19.	58.1	56.7	57.1	3.9	12.7	10.0	13.0	3.0	5.7	8.4	8.4	93	77	92	N 1	NW 1	C	10^2=	00	0	–	a ≡²
20.	57.5	56.6	56.4	7.8	17.8	14.0	18.2	6.9	7.7	9.6	10.3	98	63	87	C	S 1	S 1	6^1	5^0⊙	0	–	a ⌓
21.	54.6	51.1	48.2	10.2	18.6	13.4	19.1	9.2	8.8	9.9	**10.4**	95	62	91	C	C	NW 1	2^0	5^1	0	–	a ⌓²
22.	45.4	45.1	44.2	12.4	18.4	15.2	18.5	11.1	9.7	7.6	8.3	91	48	64	S 2	W 2	W 5	5^0	5^1	10^2●	3.5	n ◍
23.	46.6	49.3	51.1	13.0	15.6	12.8	16.0	12.2	6.9	7.3	7.2	62	55	66	SW 6	SW 4	SW 2	10^2	10^2	10^2	0.3	n-3 p ◍böen, ≡
24.	50.4	50.1	48.2	10.2	14.9	10.5	15.6	9.3	7.0	6.4	6.8	76	51	73	SW 2	SW 2	SW 2	10^2	10^2	0	–	
25	43.0	39.6	42.4	8.2	12.8	9.0	14.2	7.6	6.5	8.0	7.2	81	73	84	SE 1	SW 2	SW 1	3^0	10^2●	10^2	–	2-4 p ●
26.	42.8	43.3	41.6	8.0	12.2	11.0	12.2	7.2	7.0	6.0	6.4	88	56	65	S 1	SW 1	SW 1	6^2	4^1	0	1.6	n, 8–10^{04} a ◍
27.	39.2	38.6	40.6	11.2	12.0	9.2	12.8	9.2	9.2	9.7	7.3	93	94	84	S 2	S 1	SW 2	10^2●	10^2●	10^2	3.4	n-4^{04} p anhaltend ◍
28.	42.0	44.4	48.3	7.8	10.8	9.6	11.6	7.0	7.0	7.7	7.7	89	81	87	S 2	SW 2	SW 1	7^2	10^1	0	**10.2**	m ◍⁰
29.	55.4	59.5	63.2	3.9	6.8	3.3	9.6	2.2	4.9	4.1	4.6	80	56	80	W 2	N 2	N 1	10^2=	2^0⊙	0	0.4	a ≡². vorm. ≡reissen
30.	64.1	61.4	59.6	0.1	8.8	4.5	9.0	– 1.0	3.9	4.6	5.3	85	54	84	SE 2	S 2	SW 2	00	2^0⊙	0	–	a ⌴¹, ∞
31.	58.0	57.2	57.9	4.9	8.4	7.7	9.0	3.0	5.3	6.2	7.3	81	76	93	SW 2	S 1	S 1	10^2	10^2●	10^2	–	a ∞. 14^1–31^4 p ◍
Mittel	53.7	53.3	53.7	7.7	13.7	10.5	14.2	6.6	7.0	7.5	7.6	88	63	80				6.1	5.2	3.8	39.0	

Nürnberg.

Oktober. $\varphi = 49^\circ\ 27'$ N. $\lambda = 11^0\ 3'$ E $= 44^m\ 12^s$. H = 309.1 m. Cg = +0.2 mm, über 735.0 mm Cg = +0.3 mm. 1911.

1.	24.0	26.4	28.7	7.4	8.4	7.5	10.4	6.4	6.8	6.8	6.5	89	82	85	SW 1	W 3	NW 3	10^1	10^1	10^1	2.7	t trüb. 6^{38} a ⌴ SW. a–3^{46} p ztw. kurz ◍⁰
2.	29.5	29.7	32.0	6.0	7.8	6.3	8.4	5.4	6.6	6.5	6.2	94	82	87	W 3	W 3	W 3	10^1●	10^1	4^1	0.3	t–4 p ztw. ◍⁰. abds. Aufklaren, abflauende Winde.
3.	32.8	32.8	32.8	4.3	10.7	6.0	11.0	3.7	5.6	6.5	5.8	90	68	84	S 2	S 2	E 2	8^1	4^1⊙	0	1.4	t meist heiter, rückdrehende Winde
4.	32.9	31.6	31.0	3.7	14.5	10.4	14.8	1.9	5.3	8.2	7.5	88	66	80	E 2	SE 3	E 2	8^1⊙	4^1⊙	10^1	–	a ⌴, ≡¹. t meist wolkig
5.	33.5	34.6	34.2	8.4	12.2	10.0	12.4	7.8	7.5	7.8	8.1	92	74	88	C	NW 3	N 2	10^2=	10^0	10^1	–	a ≡¹. 6 a, 8^{30}–9^{20} a ◍⁰. t wolkig, öfters C. 8^{20} p an ◍⁰
6.	36.5	37.1	36.9	7.0	14.6	11.9	15.7	6.5	7.3	9.7	8.8	**98**	78	85	E 1	N 2	E 3	10^2=	5^1⊙	6^1	1.4	n–1^{20} a meist ◍⁰. a ≡². t wolkig, häufig C
7.	31.7	35.2	36.4	12.4	15.6	11.0	16.1	11.0	9.2	9.8	8.6	87	75	87	SE 2	W 2	SE 2	10^1=	10^1	0	–	a ≡¹. 6^{30} a–2^{40} p ztw. ◍⁰. 2 p, 3 p ◠, abds. Aufkl.
8.	37.2	30.3	36.2	7.4	16.1	12.0	16.4	6.9	6.6	6.8	8.3	86	**51**	80	SW 1	W 2	NW 2	6^0⊙	7^0⊙	10^1	0.6	n meist klar. a ≡⁰. t zunehmende Bewölkg. 5–6 p ◍⁰
9.	37.5	35.9	37.2	10.4	13.2	10.4	13.4	9.8	8.8	9.2	7.5	94	82	80	C	SW 2	N 2	10^1	10^1	10^1	2.0	10^{10} p–2^{30} a meist ◍⁰. a ≡⁰. t trüb. $4^{10.40}$ p, $7^{00.30}$ p ◍⁰
10.	41.7	44.0	45.8	3.1	10.9	6.4	11.1	2.7	5.5	6.6	5.9	96	69	83	N 2	N 2	N 1	00	9^1	8^1	0.5	a ⌴. n Aufklaren. m zunehmende, abds. abnehmende [Bewölkung
11.	**46.6**	45.3	44.3	0.5	11.0	5.2	12.0	0.2	4.5	5.5	5.9	94	56	89	SE 1	NW 2	S 1	0=⊙	6^0⊙	0	–	a ⌴. ≡¹. t heiter, häufig C
12.	43.0	40.6	39.8	0.5	15.0	8.8	16.1	0.2	4.5	7.7	6.7	94	61	80	S 1	SE 2	SE 1	2^1=	00	0	–	a ⌴, ≡¹. t heiter, p wolklos
13.	38.4	36.7	36.1	3.8	17.3	9.6	17.9	3.5	5.7	8.5	8.2	95	58	92	SE 1	N 1	SE 1	1^1=	2^0⊙	1^0	–	a ⌓, ≡¹. t heiter, häufig C. 9 p Ψ
14.	35.7	36.0	37.0	8.0	16.1	11.4	16.9	5.3	7.3	**10.6**	9.6	92	78	96	S 2	SW 1	SE 1	10^1	5^1⊙	0	–	a ⌓, ≡¹. t meist trüb
15.	38.5	39.0	39.5	8.0	17.7	12.5	**18.1**	7.0	7.8	9.5	9.1	**98**	63	86	SE 1	E 2	E 2	10^2=	5^1⊙	0	–	a ⌓, ≡². p Aufklaren
16.	41.0	40.2	40.4	7.7	12.3	8.6	12.6	6.5	6.8	7.9	6.0	88	74	71	E 2	E 3	E 2	00	00	0	–	a ⌓, ≡⁰. a Aufklaren, p wolklos, sichtige Luft
17.	41.2	40.0	39.6	4.1	12.7	8.6	13.7	3.2	4.7	7.6	6.4	77	70	77	E 2	E 1	E 2	3^0⊙	00	0	–	a ⌓. t heiter
18.	39.9	38.8	39.1	2.4	15.2	9.0	15.9	1.8	4.9	8.3	6.6	89	64	77	E 3	SE 3	SE 3	00=	00	0	–	a ⌓, ≡¹. n, t wolklos
19.	39.0	37.1	38.2	1.7	15.4	8.4	16.3	1.3	4.8	7.6	7.5	93	59	92	E 1	SW 1	SE 1	00	00	0	–	a ⌓, ≡⁰. n, t wolklos, ztw. C
20.	39.3	38.8	38.3	4.9	15.3	11.4	15.6	3.4	6.2	10.2	9.1	97	79	91	S 2	SE 2	S 1	10^2=	10^1	0	–	a ≡². t meist trüb
21.	36.6	33.6	30.9	6.6	17.7	11.2	17.8	6.2	7.0	9.7	8.4	96	64	85	SE 1	S 2	SE 2	8^1=	6^0⊙	0	–	a ⌓, ≡¹. t wechselnde Bewölkung
22.	28.1	27.8	27.2	10.0	18.0	13.2	18.0	7.3	8.0	9.6	9.1	87	63	81	S 2	SW 3	SW 2	10^1	6^2⊙	0	–	$8^{00.40}$ a ◍⁰. p sehr sichtige Luft, abds. Aufklaren
23.	28.3	30.3	31.9	10.9	14.2	11.0	14.8	9.4	7.2	8.1	6.6	74	67	68	SW 3	W 4	W 2	3^1	10^2	5^1	0.4	t wechselnde Bewölkung, sehr sichtige Luft
24.	32.1	32.1	31.1	9.1	12.6	8.5	13.1	7.7	7.0	6.9	6.3	81	63	76	W 1	W 2	S 2	5^1⊙	9^1	0	–	t wechselnde Bewölkung, sichtige Luft.
25.	26.5	**21.7**	23.5	5.0	12.8	8.4	13.0	4.4	5.9	7.1	7.3	90	65	89	S 2	SE 2	SW 2	7^1	10^1	10^1	–	a ≡⁰. t wolkig, sehr sichtige Luft. 6^{30}–8^{40} p ◍⁰
26.	24.7	25.8	25.4	6.6	11.2	7.2	11.9	5.3	6.3	6.4	5.5	87	65	73	S 2	SW 3	S 3	6^1⊙	3^1⊙	10^1	3.5	$5^{30.40}$ a, $9^{00.10}$ a ◍⁰. t wolkig, sichtige Luft
27.	22.7	21.9	23.1	10.2	13.8	9.4	13.8	7.1	6.9	8.5	7.9	75	72	89	S 4	SW 2	W 2	10^1	10^1	10^1●	–	11 p ◍⁰. t trüb. 8 a–n ztw. ◍, sichtige Luft
28.	23.5	25.6	28.9	8.0	9.4	7.9	10.9	7.9	7.2	6.7	6.9	90	75	88	S 2	SW 2	S 1	10^1	9^1●	10^1	**4.0**	n–6^{30} a ztw. ◍⁰. a ≡⁰. 2 p ◍⁰. $3^{10.20}$ p ◍¹. [1]
29	34.5	38.5	42.8	4.1	6.6	1.3	8.3	1.3	5.7	5.8	4.6	93	80	91	NW 2	N 2	NW 2	4^1	9^1	0	3.9	t wolkig
30.	44.9	42.9	41.7	– 0.7	7.2	3.4	8.6	– 1.5	3.7	4.4	5.1	85	58	87	SE 1	SE 1	SE 2	0=⊙	1^1⊙	0	–	a ⌓, ≡¹. t heiter. 7–8^{30} p Ψ
31.	39.6	38.4	38.3	2.2	10.4	6.3	10.5	1.7	5.1	6.0	5.6	94	64	78	S 2	S 3	SE 2	10^1=	8^1⊙	10^1	–	a ≡¹. t wolkig. 8 p an ●
Mittel	34.9	34.7	35.1	5.9	13.1	8.8	13.7	4.9	6.3	7.8	7.1	90	69	84				6.2	6.1	4.0	20.7	

1) $5^{36.42}$ p, 5^{56}–6^{16} p ◍², $6^{30.40}$ p ◍¹. 2 p, 3^{10} p ◠

Alle Angaben nach Ortszeit.

Kaiserslautern.

Oktober. $\varphi = 49^0\ 27'$ N. $\lambda = 7^0\ 46'$ E $= 31^m\ 4^s$. H $= 242.2$ m. Cg $= +0.3$ mm. 1911.

Datum	Luftdruck auf 0^0 u. Normalschwere reduziert 700 mm +			Lufttemperatur C°					Absolute Feuchtigkeit mm			Relative Feuchtigkeit Proz.			Richtung und Stärke des Windes 0 bis 12			Bewölkung 0 bis 10			Niederschlag mm	Bemerkungen
	7^a	2^p	9^p	7^a	2^p	9^p	Max.	Min.	7^a	2^p	9^p	7^a	2^p	9^p	7^a	2^p	9^p	7^a	2^p	9^p	7^a	
1.	31.8	35.3	38.4	7.5	9.5	8.1	9.9	6.9	6.5	6.6	6.5	85	75	81	W 2	NW 2	W 2	10^2	10^2●	10^2●	4.5	n ◍, ≡, t–3^{51} p ◍$^{0.1}$. abds.–n ◍^{0}
2.	39.4	38.4	38.4	5.7	9.9	7.1	11.0	4.7	6.0	6.6	6.9	88	73	91	W 2	W 2	W 1	9^1⊙	7^1⊙	10^2●	1.5	n ◍. 11^{21} a–1^{01} p ◍$^{0.1}$. 8 p–n ◍^{0}
3.	38.4	37.9	38.3	6.9	11.3	5.4	11.8	5.4	7.0	5.9	6.1	94	59	91	W 2	SW 2	C	10^2	9^1⊙	0	1.0	n ◍. a ≡^{2}
4.	38.1	37.5	38.1	6.7	9.5	8.4	9.8	5.0	6.9	8.3	8.0	94	94	97	S 1	E 2	C	10^2●	10^2●	10^2●	0.8	n, a ◍^{0}. p–n meist ◍
5.	40.1	40.8	41.2	8.1	13.2	8.3	13.3	7.5	7.8	7.6	7.8	98	67	96	E 1	C	C	10^2●	9^1⊙	9^1	9.0	n ◍. a ◍^{0}
6.	42.9	42.8	41.6	3.1	14.9	11.5	14.9	2.6	5.2	7.1	8.7	91	56	87	C	SE 2	C	⊙⊙	3^0⊙	5^0	0.1	a ≡^{2}, ⏢^{2}
7.	39.0	40.0	41.2	9.7	15.2	12.0	15.2	9.2	8.7	7.4	6.9	98	57	66	C	W 6	W 3	10^2●	3^1⊙	3^0	0.4	n, a–8^{01} a ◍^{0}. a ≡^{2}. a, p ztw. ≡
8.	43.9	42.7	43.1	7.9	13.9	10.7	14.2	6.7	7.1	7.7	8.9	89	65	93	W 1	C	C	10^1	10^1	10^2●	1.5	a ≡^{1}. 43^1–51^1 p ztw. ◍^{0}. 9 p–n ●
9.	42.8	42.2	44.9	10.3	13.7	9.7	15.0	9.7	8.9	9.3	7.2	95	80	80	SE 1	E 1	E 2	10^2	10^2●	10^2	1.8	n ◍$^{0.1}$. a ≡^{0}. 200–44^1 p ◍^{0}
10.	49.1	50.8	**52.2**	3.0	10.4	3.8	11.0	2.3	5.3	5.6	5.5	93	59	92	E 1	SE 2	C	⊙⊙	9^1	0	0.5	a ≡^{1}, ⌴
11.	**52.2**	50.5	49.8	1.8	12.8	4.5	13.0	0.4	4.6	5.7	5.7	88	52	90	C	E 2	E 1	⊙⊙	⊙⊙	0	–	a ≡^{0}, ⌴^{2}
12.	48.1	46.0	45.2	1.6	16.7	7.3	17.1	0.7	4.9	8.5	7.4	94	60	98	C	W 1	C	5^0⊙	2^0⊙	0	–	a ≡^{2}, ⌴^{2}
13.	44.2	42.2	41.4	4.8	17.7	11.3	**18.3**	4.2	6.3	**10.9**	9.7	98	72	98	C	E 2	C	10^1≡	9^1	10^1	–	a ≡^{2}
14.	41.4	41.7	43.7	12.9	16.5	9.6	17.1	9.6	10.6	10.7	8.6	96	76	96	W 2	W 2	C	9^1	8^1⊙	0	1.0	n ◍
15.	45.2	45.2	45.3	8.5	13.7	8.9	14.4	6.8	7.8	9.2	8.0	94	79	95	C	E 2	C	10^1	10^1	10^1	–	a ≡^{2}
16.	45.8	45.2	45.6	9.5	15.0	8.6	15.1	8.2	8.4	8.1	7.5	95	64	91	SE 2	E 3	C	10^1	⊙⊙	0	–	a ≡^{0}
17	45.5	44.4	45.0	4.9	13.4	5.9	13.6	4.6	5.3	6.5	5.3	81	57	91	SE 3	N 3	C	⊙⊙	⊙⊙	0	–	t ztw. ≡
18.	45.3	43.9	44.6	1.6	14.1	5.9	14.1	1.2	4.9	7.5	6.5	94	63	94	E 1	E 1	C	3^0⊙	⊙⊙	0	–	a ≡^{2}, ⌴^{2}
19.	45.0	43.3	44.5	1.6	16.1	8.3	17.0	1.2	5.1	9.2	8.0	98	66	98	E 1	N 2	C	10^2≡	⊙⊙	0	–	a ≡^{2}, ⌴^{2}. p ∞^{2}. abds. ≡^{2}
20.	44.7	43.7	43.8	6.3	17.2	11.5	18.0	5.7	6.9	10.2	9.9	98	70	98	C	W 3	C	9^1	9^1	9^1	0.1	a ≡^{2}. 44^1 p ◍^{0}
21.	42.0	38.2	35.6	5.9	17.0	11.9	17.9	5.5	7.0	8 6	9.6	100	60	94	C	S 1	C	10^2≡	9^1⊙	3^1	–	a ≡^{2}, ⏢^{2}
22.	32.8	32.3	32.0	11.7	16.8	13.1	17.1	11.4	8.7	7.7	9.0	86	54	81	W 4	W 6	W 10	3^1	4^1⊙	10^2●	8.1	n ◍, ≡, a, p ztw. ≡. 8^{21} p–n ◍
23.	34.8	37.2	38.5	10.1	11.5	10.7	13.1	9.7	8.1	8.4	7.4	88	83	77	W 6	W 3	W 1	10^2●	10^2●	10^1	11.0	n ◍^{2} ≡. a ◍ ≡. p–6 p ztw. ◍^{0} ≡
24.	37.9	37.9	35.5	9.3	13.2	9.3	13.3	8.8	7.5	6.3	7.1	87	55	82	W 2	W 3	W 2	10^1	9^2	0	0.9	a ≡^{0}
25	30.1	27.9	29.6	8.6	10.1	8.3	14.0	7.7	7.0	7.9	6.8	84	86	84	S 1	W 2	W 3	9^1	10^2●	0	–	a ≡^{1}. 0^{01}–5 p ◍$^{0.1}$
26.	30.6	31.0	28.6	7.5	9.7	10.3	11.1	6.7	6.6	7.2	6.4	86	80	69	W 5	W 3	W 6	10^2●	9^2	10^2●	2.7	n ≡. a ztw. ◍^{0} ≡. p ztw. ◍^{0}. abds.–n ◍$^{0.1}$.
27.	26.9	**26.8**	28.4	10.5	10.5	9.3	11.7	9.2	8.5	8.7	6.7	91	93	76	W 4	W 2	W 1	10^2	10^2●	0	8.3	n ≡ ◍. t ztw. ≡ ◍ [9 p ≡
28.	29.9	32.3	36.7	7.9	9.5	5.9	10.1	5.9	6.6	7.4	6.5	83	84	94	W 2	W 2	C	10^1	9^1⊙	0	**11.6**	a ztw. ◍^{0}. p kurz ◍^{0}
29.	42.4	46.3	50.2	1.6	6.7	0.3	7.0	0.3	4.7	**3.4**	4.1	91	**46**	87	C	E 1	C	10^1	⊙⊙	0	0.6	a ⌴^{2}, ≡^{2}
30.	50.3	47.8	46.3	– 1.1	8.9	3.9	9.2	– 2.0	3.8	4.1	5.1	90	48	84	E 1	W 2	C	10^1	10^1	0	--	a ⌴^{2}, ≡^{1}
31.	44.8	44.3	45.0	6.7	6.9	7.1	7.2	3.6	4.7	6.8	**7.3**	64	91	98	NW 2	NW 2	C	10^1	10^2●	10^2	–	7^{41} a–n ztw. ◍^{0}
Mittel	40.8	40.5	41.1	6.5	12.8	8.3	13.4	5.5	6.7	7.6	7.3	91	69	89				8.0	6.7	4.5	65.4	

Ansbach.

Oktober. $\varphi = 49^0\ 18'$ N. $\lambda = 10^0\ 33'$ E $= 42^m\ 12^s$. H $= 437.5$ m. Cg $= +0.2$ mm. 1911.

1.	12.6	15.6	18.0	6.4	7.1	6.2	9.0	5.4	6.4	6.2	6.1	89	84	88	W 6	W 6	NW 4	10^2	10^2	10^2	2.1	≡. n ◍.
2.	18.8	19.0	20.5	5.5	7.8	4.1	8.2	3.7	5.8	5.7	5.7	87	72	93	NW 4	NW 4	W 2	102	10^2	8^2	0.6	t ztw. ◍
3.	21.4	21.7	21.7	2.3	9.9	3.1	11.3	1.1	5.1	5.6	5.3	94	62	93	C	SW 2	C	2^0⊙	6^1⊙	2^0	3.8	⊅
4.	21.9	20.0	20.0	2.1	13.6	9.0	14.0	0.4	5.1	6.1	6.6	94	53	77	C	E 2	E 2	4^0	8^0	10^2	–	mrgs. ≡^{2}; ⏢
5.	22.8	23.7	23.2	7.2	12.7	9.0	12.7	6.0	6.9	8.0	7.7	92	74	92	C	C	C	10^2	8^2	10^2●	–	mrgs. ⏢.
6.	25.7	26.1	25.7	6.8	14.0	11.4	14.2	6.2	7.3	8.3	8.9	**99**	70	89	C	E 2	C	10^2≡	4^1⊙	8^2	3 6	9 p ab ◍. mrgs. ≡^{2}
7.	20.6	24.3	25.0	10.0	13.6	10.5	14.8	8.9	8.6	9.7	8.5	94	84	91	C	SW 2	SW 4	10^2	10^2●	0	–	t ztw. ◍. 11^{12} a ◠ (NW-E)
8.	26.0	25.6	25.2	4.5	15.8	10.3	16.0	4.0	5.8	6.8	8.6	92	51	93	C	NW 2	C	2^0	2^1⊙	10^2●	1.6	4^{32} p ab ◍
9	26.1	24.8	25.6	9.5	11.5	9.2	12.0	8.9	8.4	8.2	7.5	95	82	89	C	C	N 2	10^2	10^2	10^2●	4.9	2^{02} p ab ◍
10.	30.5	32.8	34.7	1.9	10.3	2.9	10.8	1.1	5.0	5.4	5.4	95	59	96	C	N 2	C	⊙⊙	8^2	0	–	mrgs. ≡^{0}
11.	**35.2**	33.9	32.9	– 0.4	11.3	2.7	11.6	– 0.8	3.9	4.9	5.4	89	49	96	C	C	C	⊙⊙	⊙⊙	0	–	mrgs. ⌴ u. ≡^{0}
12.	31.4	29.4	28.7	– 0.9	15.8	7.2	16.0	– 0.9	4.5	7.9	6.6	90	59	87	C	S 2	C	⊙⊙	⊙⊙	0	–	mrgs. ⌴ ≡^{1}
13.	27.2	25.8	24.9	2.6	17.8	7.8	**18.0**	0.8	5.1	6.7	7.6	93	**44**	96	C	C	C	2^0⊙	2^0⊙	0	–	mrgs. ⌴; ≡^{1}
14.	24.8	24.7	26.3	9.6	17.5	9.7	17.6	5.0	8.6	10.3	8.7	96	69	98	C	C	C	10^2	4^1⊙	0	–	mrgs. ≡^{0}
15.	27.8	27.8	28.7	6.4	16.3	11.4	17.0	5.8	7.1	**11.7**	9.2	**99**	85	92	C	NE 2	NE 2	10^2≡	4^1⊙	0	–	mrgs. ≡^{2}; ⏢
16.	29.5	28.8	29.5	5.3	12.7	6.0	12.8	4.6	6.1	7.4	5.6	92	68	82	NE 2	NE 2	C	10^2	⊙⊙	0	–	mrgs. ≡^{0}; ⏢
17.	29.5	28.2	28.3	1.8	13.3	6.6	13.4	0.8	4.4	6.0	5.8	85	52	79	E 2	E 4	E 2	⊙⊙	⊙⊙	0	–	mrgs. ≡^{0}
18.	28.3	27.3	27.8	1.5	15.2	5 7	15.6	0.6	4.7	10.5	6.5	93	82	96	C	C	C	⊙⊙	⊙⊙	0	–	mrgs. ≡^{0}; ⌴
19.	27.4	26.1	27.2	1.2	15.8	6.8	15.8	0.4	4.8	9.1	7.1	96	67	96	C	E 2	C	⊙⊙	⊙⊙	0	–	mrgs. ≡^{0}; ⌴
20.	28.1	27.4	27.3	7.4	17.0	10.2	17.0	6.0	7.6	9.4	8.6	**99**	65	93	C	SW 2	C	10^2≡	8^2	0	–	mrgs. ≡^{2}. Abendröte
21.	25.3	22.3	19.9	5.1	17.3	10.4	17.8	4.8	6.5	8.9	8.2	96	61	88	C	S 2	C	2^0⊙	2^0⊙	0	–	mrgs. ≡^{1}; ⏢
22.	17.1	16.7	16.2	10.0	17.1	11.5	17.4	7.3	8.0	8.7	8.5	87	55	85	SW 2	W 6	SW 4	10^2	4^1⊙	0	–	mrgs. ⏢. 70^2–8^{22} a ◍. 2 p ≡
23.	17.6	19.6	20.4	9.7	12.9	10.5	13.0	9.5	6.3	6.0	6.3	70	54	66	W 4	SW 6	SW 6	⊙⊙	6^2	10^2	2.5	mrgs. ⏢. 9^{36} a ab ≡ (SW 8)
24.	21.1	21.1	20.0	7.0	12.0	7.1	12.2	6.4	6.2	6.3	6.9	83	60	92	SW 2	W 4	SW 4	6^1	10^2	0	–	
25.	14.7	**10.6**	12.7	3.9	12.2	6.8	12.8	3.1	5.6	7.0	6.6	91	64	91	S 4	S 4	W 4	2^0⊙	4^0⊙	10^2	–	5^{07}–7^{42} p ◍. $5^{10.12}$ p ◹
26.	13.8	14.5	14.0	5.4	10.0	6.8	10.2	4.6	5.8	6.0	5.6	87	65	75	S 2	SW 8	SW 4	8^2	4^1⊙	10^2	**8 9**	vorm. ztw. ◍.
27.	11.5	10.8	11.8	9.0	12.8	7.6	13 4	6.4	6.3	7.9	7.0	73	73	91	S 4	W 2	W 4	10^2	10^2●	10^2●	0.2	n, a ≡, t ztw. ◍. 9 p ◍
28.	12.4	14.9	18.3	6.2	9.1	6.1	10.0	5.8	6.6	6.8	6.5	93	78	93	W 2	W 4	W 4	10^1	10^2	0	7.6	ztw. ◍. $11^{7.27}$ p ◍ u. ▲
29.	23.5	27.2	31.4	2.1	5.3	– 1.5	6.8	– 1.5	5.2	4.5	3.5	96	68	86	C	N 4	N 2	8^2	8^2	0	1.6	mrgs. ⏢
30.	33.7	31.4	30.3	– 4.2	6.9	0 4	7.6	– 4.4	**3.0**	4.2	4.5	91	56	94	C	SW 2	C	⊙⊙	2^0⊙	0	–	mrgs. ⌴
31.	28.3	26.9	27.2	– 1.0	10.0	5.9	10.4	– 1.5	4.0	6.5	6.3	94	70	91	C	C	SW 2	2^0	4^0⊙	10^2	–	mrgs. ≡^{0}; ⌴. 6^{57}–8^{32} p ◍
Mittel	23.7	23.5	24.0	4.6	12.7	7.1	13.2	3.5	6.0	7.3	6.8	91	66	89				5.1	4.8	4.1	37.4	

Alle Angaben nach Ortszeit.

Regensburg.

Oktober. $\varphi = 49^0\ 1'$ N. $\lambda = 12^0\ 7'$ E $= 48^m\ 28^s$. H $= 342.6$ m. Cg $= +0.2$ mm. 1911.

Datum	Luftdruck auf 0° u. Normalschwere reduziert 700 mm +			Lufttemperatur C°					Absolute Feuchtigkeit mm			Relative Feuchtigkeit Proz.			Richtung und Stärke des Windes 0 bis 12			Bewölkung 0 bis 10			Niederschlag mm	Bemerkungen
	7a	2p	9p	7a	2p	9p	Max.	Min.	7a	2p	9p	7a	2p	9p	7a	2p	9p	7a	2p	9p	7a	
1.	23.2	24.5	25.8	8.3	8.7	7.2	10.1	6.0	5.8	6.4	6.3	71	76	83	W 6	W 4	W 2	10^2	10^1	10^1	**6.5**	n, 950–1005 a, 420.50 p ◍
2.	26.4	26.7	29.1	6.2	7.3	4.2	8.7	3.3	6.1	5.6	5.5	87	73	89	NW 4	NW 6	SW 2	10^{7}●	10^2	6^0	0.4	700.05 a, 810.50 a ◍
3.	31.0	30.9	30.8	3.6	10.6	3.8	11.2	1.1	5.2	5.1	4.9	88	54	82	SW 2	SE 2	C	10^1	4^2⊙	4^0	1.0	
4.	31.2	30.0	29.3	1.8	14.8	8.8	15.2	− 0.9	4.7	5.2	6.3	90	42	74	NE 2	SE 6	NW 2	8^0⊙	6^0⊙	8^0	0.1	⌊
5.	30.4	31.9	31.7	7.7	14.3	9.4	14.4	5.9	6.5	7.7	8.2	83	63	93	NW 2	SE 4	C	10^1	10^0	10^0	–	⌓, 520.730 p ◉
6.	33.6	34.5	34.0	9.5	13.6	11.4	14.4	7.8	7.9	9.0	8.7	89	78	87	NW 2	SE 4	C	10^1	6^0⊙	10^0	0.3	
7.	30.0	33.0	33.7	11.7	17.3	9.0	18.6	8.2	8.5	7.4	7.5	84	51	88	SE 4	NW 8	C	10^1	6^1	4^0	–	350.55 p ◍
8.	34.5	33.9	34.3	5.3	17.4	10.0	18.2	2.4	5.6	7.7	8.4	85	52	92	S 2	W 4	W 2	10^0≡	6^0⊙	10^0●	–	≡2, 7 a, 430.55 p, 9 p–n ◉
9.	34.5	32.8	34.8	9.9	12.9	8.2	13.0	6.8	8.6	8.9	7.1	95	81	88	W 2	NE 2	C	10^1	10^1	10^0●	2.5	n ◍, ab 4 p ◍
10.	38.6	40.7	42.6	4.1	10.6	7.4	11.2	2.7	5.4	5.0	6.0	88	52	79	N 4	N 2	C	2^0	10^2	8^0	2.6	
11.	**43.6**	42.0	41.0	1.1	11.3	3.8	12.2	0.0	4.7	5.4	5.5	94	53	92	N 2	NE 2	N 2	4^0	▲2^0⊙	o	–	⌊
12.	40.5	39.5	37.1	0.7	13.7	3.8	14.3	− 1.0	4.6	8.0	5.7	94	69	95	NE 2	S 2	C	6^0⊙	⊙⊙	o	–	⌊
13.	36.4	34.4	33.6	2.0	15.7	7.4	16.2	0.3	5.0	10.1	7.4	94	76	**96**	S 2	S 2	C	8^0⊙	2^0⊙	2^0	–	⌊, 9 p ♆
14.	34.1	33.9	35.3	4.0	9.5	7.6	11.1	2.7	5.8	7.6	7.3	95	87	94	S 2	S 2	S 2	10^1≡	8^0⊙	10^0	–	≡2, m ◍0
15.	34.8	36.2	36.5	8.2	18.1	10.4	**19.1**	5.8	7.3	**11.7**	8.6	91	75	92	S 1	S 1	SW 2	8^2	6^0⊙	o	–	
16.	37.9	37.7	37.0	6.5	12.5	6.9	13.0	5.0	6.6	7.3	5.5	91	68	74	SW 1	SW 1	SW 1	⊙⊙	⊙⊙	o	–	
17.	37.6	38.6	37.3	3.4	13.2	8.4	13.4	1.7	4.6	6.2	6.1	78	54	74	N 4	E 6	E 4	2^0⊙	⊙⊙	o	–	
18.	37.5	36.5	36.5	2.8	15.6	7.0	16.4	1.7	5.0	4.9	6.3	89	38	84	N 2	S 4	N 2	4^0⊙	⊙⊙	o	–	⌊
19.	36.3	35.0	35.8	2.8	15.2	3.6	15.4	1.0	5.3	5.1	5.2	94	40	88	N 2	S 2	E 2	2^0	⊙⊙	o	–	⌊, ≡0
20.	37.1	36.6	36.4	1.0	11.4	8.4	12.2	− 0.3	4.6	7.5	7.2	92	75	88	S 2	S 2	C	10^0≡	8^0	4^0	–	≡2
21.	35.0	31.8	29.0	5.0	16.0	7.2	16.7	3.7	6.0	8.4	6.8	92	62	90	S 2	S 4	C	10^0≡	2^0⊙	o	–	≡2
22.	26.3	26.6	27.7	6.7	15.0	9.8	16.6	4.2	6.5	9.0	7.7	88	71	86	S 2	**W 6**	W 2	10^0≡	6^0⊙	8^0	–	≡1, 325.30 p ◍0
23.	27.1	29.4	30.2	10.8	15.6	7.0	16.2	4.6	6.7	5.1	5.9	70	39	78	W 6	W 8	C	2^0⊙	8^0	6^0	0.1	n ◍
24.	30.1	30.2	29.2	5.0	10.8	3.8	11.3	2.7	5.5	6.4	5.5	84	67	92	S 2	S 2	C	10^0	10^1	o	–	
25.	25.7	**20.9**	22.0	3.0	12.1	7.8	12.4	1.9	5.4	6.8	6.8	95	65	86	S 2	S 2	SW 2	10^0≡	8^0⊙	10^0●	0.1	≡2, 710 p ▬, ab 9 p ◍
26.	23.2	24.5	24.2	5.4	11.2	2.4	12.2	1.9	5.6	4.8	4.5	83	49	82	S 2	W 4	C	2^1	6^1⊙	o	2.0	
27.	22.9	**20.9**	21.0	5.1	14.5	9.6	14.7	1.2	5.3	5.6	7.1	82	46	80	S 6	S 4	NW 2	8^0	8^0	10^0	–	
28.	21.6	23.9	28.9	7.2	9.9	5.0	10.2	4.3	6.7	6.5	5.8	89	71	89	W 2	W 4	C	10^0●	10^0	4^0	5.8	n, a–1135 a, 410.15 p ◍
29.	31.4	35.7	39.2	5.6	7.8	5.0	8.2	3.8	6.1	5.0	4.7	89	62	72	W 1	N 2	C	10^0	10^0	8^0	4.6	1150 a–020 p ◍
30.	42.6	40.9	39.0	− 1.5	7.4	0.3	8.0	− 2.9	3.9	4.4	4.3	94	58	92	N 2	SW 4	SW 4	4^0	6^0⊙	o	0.2	⌊
31.	37.8	36.7	35.9	0.4	3.1	1.0	3.4	− 2.2	4.6	5.1	4.7	**96**	90	94	S 2	S 4	SE 4	10^0≡	10^0	10^0≡	0.2	7 a ≡2, 9 p ≡
Mittel	32.7	32.9	32.9	4.9	12.5	6.6	13.2	2.7	5.8	6.7	6.4	88	62	86				7.4	6.1	4.9	26.4	

Passau.

Oktober. $\varphi = 48^0\ 34'$ N. $\lambda = 13^0\ 28'$ E $= 53^m\ 52^s$. H $= 309.3$ m. Cg $= +0.2$ mm. 1911.

1.	28.0	28.0	29.7	8.7	10.7	8.9	11.2	7.1	7.1	6.6	6.8	86	69	80	W 1	W 2	W 4	10●	10^1	10^1	3.0	n, a–9 a ◍, p ztw. ◍0
2.	29.2	29.3	31.9	7.1	7.9	7.5	8.9	7.1	6.8	6.7	6.5	90	85	85	NW 1	NW 4	NW 2	10^1●	10^1●	10^1	1.2	n, a ◍, t öfters ◍
3.	34.3	34.4	34.0	6.1	11.3	5.1	11.3	5.1	6.3	6.0	6.0	90	60	92	S 1	C	C	8^1	3^1⊙	o	**6.0**	
4.	34.3	32.8	32.9	1.2	15.8	7.9	16.2	1.0	**4.6**	6.4	7.2	92	48	90	C	E 2	C	10^1≡	⊙⊙	5^0	–	a–9 a ≡1
5.	33.7	35.3	34.5	7.2	10.3	9.6	11.6	7.1	6.9	8.4	8.2	91	84	82	W 1	C	C	10^1	10^1	10^1	–	⌓, 525–7 p ◍
6.	36.7	37.5	37.5	9.6	13.5	10.1	14.6	8.3	8.2	9.5	8.9	92	83	96	C	C	C	10^1	5^1⊙	10^1	0.3	
7.	33.0	35.1	37.4	9.9	17.6	10.7	**20.5**	8.6	8.7	9.7	8.9	96	65	93	C	W 4	C	10^1	10^1	10^0	–	
8.	38.1	37.4	35.7	6.9	17.8	11.5	18.1	6.1	7.3	9.1	9.5	99	60	95	C	C	C	10^2≡	1^0⊙	10^0	–	a ≡2
9.	37.7	35.9	36.5	10.5	13.2	11.4	13.6	10.1	8.9	**10.0**	9.3	94	89	93	C	C	C	10^1	10^1	10^1	**6.0**	n ◍
10.	40.5	44.1	45.9	8.1	11.5	6.5	12.1	6.5	6.5	5.1	6.1	81	50	84	C	C	C	5^1⊙	8^1⊙	8^0	1.5	
11.	**47.0**	45.1	44.5	1.2	12.4	5.5	12.4	0.9	5.0	6.1	6.0	100	57	89	C	C	C	10^2≡	⊙⊙	o	–	a ≡2
12.	43.5	41.2	41.0	1.7	14.6	6.7	15.6	1.1	5.1	7.4	6.8	98	59	93	C	C	C	10^2≡	⊙⊙	o	–	a–9 a ≡2
13.	39.6	37.5	37.1	3.2	15.0	8.3	16.3	2.5	5.8	9.9	7.8	100	78	96	C	C	C	10^2≡	⊙⊙	o	–	a–8 a ≡2
14.	37.4	37.6	38.2	5.1	9.9	8.5	10.2	4.0	6.5	8.3	7.9	98	91	96	C	C	C	10^2≡	10^1	10^2≡	–	a–8 a, 9 p ≡2
15.	39.3	39.1	39.9	8.1	18.8	12.3	19.1	7.4	7.7	**10.0**	8.3	96	61	78	C	C	C	8^1	3^0⊙	10^1	–	⌓
16.	40.7	40.5	41.1	7.3	14.6	7.3	15.0	7.1	7.1	6.6	5.4	93	53	70	C	C	E 2	3^1⊙	⊙⊙	o	–	a–7 a ≡1
17.	41.5	40.9	41.1	4.5	15.4	10.1	15.8	4.2	5.8	6.4	5.8	92	49	63	E 2	E 4	E 4	⊙⊙	⊙⊙	o	–	⌓
18.	40.9	39.7	39.7	3.0	18.2	7.7	18.3	3.0	5.1	5.2	6.6	90	33	85	C	E 2	C	⊙⊙	⊙⊙	o	–	⌓
19.	40.2	38.4	39.4	0.8	15.0	6.1	16.0	0.3	4.8	6.8	6.1	100	54	87	C	C	C	⊙⊙	⊙⊙	o	–	a–7 a ≡2
20.	40.9	39.6	39.8	1.8	10.9	7.2	12.1	1.4	5.2	8.6	7.4	100	89	98	C	C	C	10^2≡	⊙⊙	o	–	a ≡2
21.	38.9	34.5	32.3	5.1	18.2	7.9	19.2	4.5	6.5	7.5	7.2	98	48	90	C	C	C	10^2≡	⊙⊙	o	–	
22.	29.3	30.7	31.2	5.3	13.8	8.9	14.1	4.1	6.2	8.6	8.2	94	73	96	E 1	C	C	10^1	⊙⊙	o	–	
23.	31.2	31.5	33.5	8.1	17.2	10.7	17.6	6.0	7.5	5.8	7.1	93	39	73	E 1	W 4	C	10^1	⊙⊙	o	0.3	n ◍0
24.	33.5	32.8	33.1	6.3	9.5	9.3	10.7	5.5	6.2	7.4	8.4	87	86	96	C	C	W 2	10^1	10^1	10^1	–	t ztw. ◍0
25.	28.1	24.0	24.7	3.8	13.6	8.1	14.1	3.1	5.8	8.2	7.1	97	71	88	C	C	C	10^2≡	8^1⊙	10^1	0.5	a ≡2
26.	27.8	28.0	28.2	7.9	13.4	5.5	14.1	5.5	6.7	5.5	5.8	85	48	86	S 1	W 4	C	10^1	3^0⊙	o	4.4	n ◍
27.	26.4	23.9	**23.0**	3.2	14.0	7.1	14.6	1.3	5.4	7.2	6.8	93	61	90	E 1	S 1	C	3^1⊙	3^0⊙	o	–	⌓
28.	25.4	27.7	30.5	7.7	8.3	6.9	8.5	6.0	7.7	7.4	6.9	99	91	83	W 2	W 4	C	10^2●	10●	10^1	3.7	n, a ◍, t öfters ◍
29.	35.0	37.6	41.4	6.2	8.7	7.0	9.3	5.0	6.7	7.2	6.8	94	87	91	C	W 2	C	10^1	10^1	10^1	**6.0**	n ◍, a ◍0
30.	45.4	44.8	43.4	4.7	7.4	1.8	8.1	1.8	5.5	5.5	5.0	86	72	95	NW 2	C	C	10^1	10^1	o	0.5	
31.	41.6	40.0	40.1	2.4	7.5	4.3	8.3	− 0.5	5.5	6.3	5.7	100	82	92	C	C	C	10^2≡	⊙⊙	10^1	–	a ≡2
Mittel	36.1	35.6	36.1	5.6	13.1	7.9	13.8	4.6	6.4	7.4	7.1	94	67	88				8.3	4.3	4.9	33.4	

Alle Angaben nach Ortszeit.

Landshut.

Oktober. $\varphi = 48^0\ 32'$ N. $\lambda = 12^0\ 10'$ E $= 48^m\ 40^s$. H $= 397.7$ m. Cg $= +0.2$ mm. 1911.

Datum	Luftdruck auf 0^0 u. Normalschwere reduziert 700 mm +			Lufttemperatur C°					Absolute Feuchtigkeit mm			Relative Feuchtigkeit Proz.			Richtung und Stärke des Windes 0 bis 12			Bewölkung 0 bis 10			Niederschlag mm	Bemerkungen
	7^a	2^p	9^p	7^a	2^p	9^p	Max.	Min.	7^a	2^p	9^p	7^a	2^p	9^p	7^a	2^p	9^p	7^a	2^p	9^p	7^a	
1.	18.1	19.7	21.3	7.3	8.7	6.7	11.2	5.9	6.0	6.0	6.6	79	72	90	SW 4	W 4	W 4	10^1	10^1	10^1	5.3	n ◍, 2^{55}–3^{10} p ◍^{0}, 3^{35}, 5^{20} p ◍böe
2.	21.2	22.2	23.8	5.8	6.7	4.4	7.9	3.6	6.2	6.3	5.7	90	86	92	W 4	W 6	W 4	10^1●	10^1●	2^1	0.8	a ◍^{0}, 2 p ◍, 9 p ☾
3.	25.7	25.4	24.9	1.4	10.7	4.2	13.2	0.0	4.8	5.0	5.6	94	53	90	SW 2	SE 2	E 2	00	3^1⊙	0	1.2	⊿
4.	25.3	23.9	22.7	1.2	14.8	10.1	16.0	– 0.9	4.9	7.2	6.0	98	58	65	NE 2	E 2	C	3^1⊙	7^1⊙	9^1	–	⌋
5.	25.3	26.7	25.7	7.3	14.0	9.1	15.5	5.3	7.3	8.5	8.4	96	71	98	NW 2	N 2	E 2	9^1	10^1	8^1	–	5^{20}–7^{20} p ◍^{0}
6.	28.4	29.3	29.0	9.3	13.2	9.9	14.3	7.7	8.5	9.1	8.9	98	81	98	C	E 2	C	9^1	9^1	9^1	0.7	7 a ≡^{0}
7.	23.5	27.7	28.9	15.9	18.1	9.5	**21.1**	8.1	7.7	8.5	8.1	57	55	91	SE 4	W 6	C	10^1	2^1⊙	1^1	–	
8	29.8	28.9	27.3	5.2	18.6	12.4	20.0	4.4	6.5	8.2	9.2	98	51	87	SW 2	C	C	10^1=	9^1	10^1	–	7 a ≡^{1}
9.	29.2	27.6	28 5	9.5	12.0	10.5	13.2	8.2	8.1	9.2	9.0	91	89	95	W 2	NE 2	C	10^1●	10^1	10^1	4.0	n, t–1^{30} p ◍
10.	32.5	35.6	37.4	5.3	12.0	4.3	12.8	3.4	5.5	4.7	5.5	83	45	89	NW 2	NE 4	E 2	1^1⊙	8^1⊙	2^1	3.9	
11.	**38.4**	37.1	36.3	0.8	12.2	3.2	13.9	– 1.2	4.6	5.3	5.5	94	50	95	C	C	E 2	1^1⊙	1^0⊙	0	–	⌋^{1}
12.	35.1	33.3	32.4	– 1.2	16.1	6.3	17.2	– **2.1**	**4.1**	7.0	7.1	98	52	99	N 2	N 2	C	2^1⊙	00	0	–	≡^{1}, ⌋^{1}
13.	31.1	29.2	28.2	3.0	17.0	6.5	18.2	0.3	5.6	**9.4**	7.1	98	65	99	NE 2	E 2	C	10^1=	1^1⊙	0	–	≡^{1}, 9 p ☾
14.	28.7	28.7	29.3	4.8	13.1	9.9	15.5	1.4	6.2	9.0	8.6	97	81	95	W 2	W 2	W 2	10^1=	7^1	8^1	–	
15.	30.8	30.9	31.2	7.3	18.8	13.4	20.0	6.0	7.5	9.1	**9.4**	99	57	82	NE 2	SE 2	E 2	10^1	1^0⊙	0	0.1	
16.	32.0	32.0	32.3	7.1	13.0	7.7	14.8	5.2	7.1	7.7	5.8	94	69	73	NE 2	E 2	E 4	10^1	3^0⊙	0	–	7 a ⊿
17.	32.6	31.7	30.8	1.6	15.2	9.1	16.2	0.2	4.5	5.5	5.7	87	43	66	NE 2	E 4	E 6	1^1⊙	00	0	–	7 a ⌋
18.	31.8	31.5	30.6	1.8	16.8	7.3	17.9	1.1	4.8	5.5	5.3	91	39	69	C	E 2	E 2	3^0⊙	00	0	–	7 a ⌋^{0}
19.	30.9	30.1	30.3	0.4	16.2	4.5	17.5	– 1.0	4.5	6.9	5.9	94	51	94	C	NE 2	C	2^1⊙	00	0	–	7 a ⌋
20.	31.8	31.2	31.1	2.4	17.0	9.5	18.2	1.0	5.4	8.9	8.5	98	62	96	SW 2	W 2	C	10^1=	2^1⊙	9^1	–	7 a ≡^{1} ⌋^{1}
21.	29.4	26.1	23.0	3.6	18.1	8.5	19.1	2.5	5.8	7.7	7.5	98	50	91	W 2	NE 2	E 2	10^1=	2^1⊙	0	–	7 a ≡^{1} ⌋^{1}
22.	21.1	22.1	21.5	6.1	15.8	12.6	17.3	3.4	6.9	9.1	8.8	99	67	82	SW 2	W 2	W 2	10^1	9^1	10^1●	–	$10^{10.30}$ a ◍^{0}, 9 p ◍tropfen
23.	22.2	23.4	25.2	11.2	15.6	7.4	17.9	6.5	7.4	5.3	6.3	74	40	82	SW 6	W 6	W 2	1^1	1^2⊙	5^1	0.3	
24.	24.5	24.7	24.4	6.7	11.8	8.7	13.3	5.1	6.3	7.6	7.4	86	74	88	W 2	W 2	W 4	10^1	10^1	10^1	–	
25.	18.7	14.6	16.4	– 0 2	13.0	7.9	14.0	– 1.7	4.4	6.9	7.4	98	62	93	N 2	N 2	SW 4	10^1	8^1⊙	10^1	–	7 a ≡^{0} ⌋^{1}, $8^{20.40}$ p ◍^{0}
26.	18.8	18.8	18.7	6.2	12.8	2.5	13.7	1.2	5.4	4.8	4.7	76	44	85	SW 4	W 6	C	1^1⊙	1^1⊙	0	0.9	n ◍
27.	16.7	**14.5**	15.0	5.0	16.3	7.5	17.9	– 0.7	5.6	6.3	6.3	86	46	82	NE 2	SE 2	E 2	9^1	8^0⊙	0	–	⌋^{0}
28.	16.5	19.4	21.9	6.8	9.7	5.5	11.0	5.0	7.2	7.2	5.9	98	80	88	W 2	W 6	W 2	10^1●	10^1●	0	**6.7**	n, 7 a–0^{20} p, $2^{20.20}$ p ◍
29.	26.3	30.0	33.9	5.1	6.9	5.2	8.0	2.7	6.3	6.6	5.6	95	88	84	C	N 2	C	9^1	10^1●	10^1	3.6	≡, 8^{05}–6 p ◍^{0} (≡reissen)
30.	36.9	35.9	34.4	3.0	8.7	0.0	10.0	– 0.9	5.0	5.8	4.5	88	69	98	SW 2	SW 2	C	9^1	9^1	0	1.5	
31.	32.6	31.2	31.0	– 0.3	5.2	2.0	6.8	– 2.0	4.5	5.6	5.2	100	84	98	C	NE 2	C	10^1=	5^0⊙	10^1=	–	≡^{1} ⌋^{0}
Mittel	27.3	27.2	27.3	4.8	13.5	7.3	15.0	2.5	6.0	7.1	6.8	91	62	88				7.1	5.4	4.3	29.0	

Augsburg.

Oktober. $\varphi = 48^0\ 22'$ N. $\lambda = 10^0\ 54'$ E $= 43^m\ 36^s$. H $= 499.6$ m. Cg $= +0.1$ mm, über 728.8 mm Cg $= +0.2$ mm. 1911.

1.	09.5	11.2	13.2	6.8	8.0	6.1	10.0	6.1	5.7	6.2	6.3	77	78	90	SW 6	SW 6	SW 4	10^2	10^2	10^2	5.6	n n. t ztw. ◍
2.	13.8	14.9	15.9	5.3	7.1	5.0	8.2	5.0	6.0	5.8	5.7	91	77	87	SW 4	W 2	W 2	10^2	10^2	10^1	4.3	n, 8^{14} a–0^{04} p ◍
3.	16.8	16.5	16.0	2.2	11.0	6.4	11.0	1.8	4.8	5.3	5.9	89	55	83	SW 2	NE 2	SE 2	1^0⊙	4^1	4^1	1.6	⌋
4.	15.9	14.0	13.9	2.9	14.5	10.0	14.8	1.7	5.3	7.5	7.6	94	61	83	C	SE 2	SE 2	5^1	10^1	6^1	–	⌋
5.	17.5	19.1	17.8	8.3	13.6	10.0	14.1	8.0	7.5	7.8	8.4	92	68	92	SW 2	C	NW 2	10^2	10^0	5^1	0.3	n, 4^{40} p–6^{44} p ◍
6.	20.1	20.7	19.9	9.6	13.9	11.2	13.9	9.0	8.0	9.0	9.0	89	76	92	NW 2	NE 2	NE 2	10^1	8^1	10^1	1.3	
7.	15.2	19.5	20.5	10.0	16.6	11.5	16.6	9.4	8.7	8.8	8.5	95	63	85	SE 2	SW 2	S 2	10^2	8^1	2^0	–	n u. a ≡^{2}
8.	21.6	20.2	19.1	7.4	16.3	12.4	16.8	7.1	6.6	8.5	8.6	86	61	80	SW 2	N 2	C	2^0⊙	10^1	10^1	–	⊿
9.	20.6	19.6	20.7	9.6	13.3	10.5	13.3	9.2	8.4	10.2	9.1	95	90	96	SE 2	SE 2	NE 2	10^2●	10^2	10^2	**8.2**	n, 7^{00}–10^{00} a, 0^{10}–1^{15} p, $5^{10.45}$ p ◍
10.	24.7	27.8	28.9	7.2	11.7	7.2	11.7	6.9	6.5	5.8	6.4	86	57	84	NE 2	NE 2	NE 2	00	00	0	6.4	⌋
11.	**29.5**	28.3	27.5	3.4	13.0	7.8	13.0	2.8	5.3	5.3	6.2	92	49	79	NE 2	NE 2	NE 2	00	00	0	–	⌋
12.	26.3	25.3	23.9	3.4	15.9	10.7	16.1	2.8	5.3	8.7	9.0	92	65	94	SE 2	C	SE 2	00	00	0	–	⌋
13.	22.5	21.2	19.7	5.0	16.4	10.7	16.6	4.9	6.3	9.9	9.2	**97**	70	**97**	SE 2	NE 2	C	1^0⊙	2^0⊙	0	–	n ≡^{2} ⌋
14.	20.4	19.7	21.2	8.0	17.6	14.0	17.6	6.1	7.7	9.8	**10.6**	96	65	90	C	C	C	4^1	5^1⊙	10^1	–	⊿
15.	22.2	21.8	22.7	10.4	18.4	13.0	**18.4**	9.6	9.0	9.7	9.1	96	62	82	SW 2	E 2	E 2	9^1	2^0⊙	0	–	⊿
16.	23.4	24.2	23.6	8.9	9.1	7.6	13.0	7.1	7.8	7.4	6.9	92	87	89	E 2	E 2	E 2	10^2	10^2	0	–	
17.	23.4	23.6	22.5	3.3	11.9	8.2	13.3	2.9	5.0	7.5	6.7	87	72	82	E 2	E 4	E 2	00	00	0	–	
18.	23.2	22.3	22.1	2.1	14.3	9.2	14.4	1.5	5.0	8.1	8.8	93	67	84	SE 2	NE 2	SE 2	10^1=	00	0	–	n u. a ≡^{1} ⌋
19.	22.5	21.9	22.2	3.7	17.1	9.5	17.1	3.1	5.7	7.7	8.0	95	53	91	C	SW 2	C	00	00	0	–	⌋
20.	23.3	23.1	22.8	8.0	17.1	12.0	17.8	6.9	7.6	8.7	9.1	94	60	88	SW 2	W 2	W 2	2^0⊙	9^1	0	–	⊿ ⌋
21.	20.6	17.2	14.8	6.9	17.7	11.6	17.7	6.1	6.5	8.7	8.4	87	58	84	SW 2	SE 2	SE 2	00	2^0⊙	0	–	⊿
22.	12.9	13.2	12.9	10.8	14.9	12.3	15.9	8.2	8.0	8.8	8.6	83	70	82	SW 2	SW 4	SW 4	10^1	8^2	0	–	⊿
23.	14.1	15.7	17.0	11.0	15.4	9.9	15.8	9.9	7.1	6.0	6.4	72	**47**	70	SW 4	NW 6	SW 4	2^1⊙	2^1⊙	0	–	
24.	16.1	15.9	15.4	9.1	10.1	6.7	10.4	6.7	6.7	7.4	6.7	77	78	91	SW 4	SW 4	SW 2	10^1	10^1	0	–	
25.	09.8	05.8	08.4	1.2	10.8	7.2	10.8	0.3	4.8	7.0	6.7	96	72	89	SE 2	W 2	W 2	10^2=	5^1	10^2●	–	n u. a ≡^{2} ⌋, 5^{50} p–n ◍
26.	10.2	10.7	10.0	4.9	11.1	5.4	11.1	4.5	5.7	4.1	5.3	89	52	78	SW 4	SW 2	SW 2	3^1⊙	2^1⊙	0	4.9	n ◍
27.	07.6	06.2	07.6	6.4	14.5	9.0	15.6	3.7	5.1	6.9	7.0	70	56	81	SW 2	S 2	SW 2	4^1	10^1	8^1	–	
28.	08.5	10.4	13.8	7.0	10.2	7.4	10.2	6.3	6.8	6.1	6.4	91	66	83	SW 2	SW 4	SW 2	10^2●	8^1	8^1	5.4	n–8^{20} a ◍
29.	17.7	21.8	26.0	6.6	6.3	4.7	8.8	4.2	6.9	6.1	5.5	94	86	86	N 2	N 2	N 2	10^1	10^2●	10^1	0.9	n, 7^{25} a–0^{15} p, 1^{25}–5^{40} p ◍
30.	28.4	26.9	25.2	1.8	8.3	3.0	8.8	1.2	4.8	5.4	5.1	91	66	90	C	SE 2	SW 2	6^1	2^1⊙	0	4.3	⌋
31.	23.6	22.6	22.5	0.0	8.4	5.4	9.2	– **1.0**	**4.0**	6.2	6.1	87	75	91	C	NW 2	SW 2	1^0⊙	3^0⊙	10^1	–	⌋
Mittel	18.8	18.8	19.0	6.2	13.0	8.9	13.6	5.2	6.4	7.4	7.5	89	67	86				5.5	5.5	4.0	43.2	

Alle Angaben nach Ortszeit.

München-C.St.

Oktober. $\varphi = 48^0\ 9'$ N. $\lambda = 11^0\ 34'$ E $= 46^m\ 16^s$. H $= 526.4$ m. Cg $= +0.1$ mm. 1911.

Datum	Luftdruck auf 0^0 u. Normalschwere reduziert 700 mm +			Lufttemperatur C°					Absolute Feuchtigkeit mm			Relative Feuchtigkeit Proz.			Richtung und Stärke des Windes 0 bis 12			Bewölkung 0 bis 10			Niederschlag mm	Bemerkungen
	7^a	2^p	9^p	7^a	2^p	9^p	Max.	Min.	7^a	2^p	9^p	7^a	2^p	9^p	7^a	2^p	9^p	7^a	2^p	9^p	7^a	
1.	07.6	09.1	11.0	6.9	8.5	6.2	11.1	6.1	5.4	5.7	6.1	73	68	88	SW 4	W 4	W 3	10^1	10^1	10^1●	3.0	n u. a ztw. ≡, abds. -u ◎0
2.	11.1	11 9	13.6	5.1	5.9	5.3	7.5	5.0	5.8	5.8	5.8	90	85	88	W 2	W 2	W 2	10^1	10^1●	10^1	0.2	7^{16}–3^{09} p ztw. ◎0
3.	14.5	13.6	13.8	3.2	10.3	6.1	10.7	3.0	4.7	4.7	6.0	82	51	87	SW 1	E 1	E 1	○○	4^1○	10^1	2.4	mrgs. ⌊
4.	13.4	12.1	11.6	4.7	14.9	9.6	15.7	3.6	5.0	6.3	7.8	79	50	88	SE 1	E 2	C	4^0○	8^1	9^1	–	mrgs. ⌊, ≡0; m Gebirge sichtbar
5.	15.1	16.1	14.9	8.5	13.3	9.6	14.1	7.4	7.2	7.3	8.6	88	64	96	SW 3	NW 1	C	10^1	10^1	10^1	–	mrgs. ⌓, 10^{16} a teilweises Aufklaren, 4^{26}–7^{56} p ◎
6.	17.5	17.9	17.5	9.2	12.3	10 3	12.9	8.9	7.8	8.5	8.7	92	80	94	C	E 2	E 1	10^1	6^1○	10^1	1.5	mrgs. ⌓. 9^{56}–11^{46} a ◎0.1, 1^{16} p teilw. Aufkl. 3^{56} p ◎0
7.	12.6	17.5	18.3	13.6	15.9	10.6	17.7	9.5	7.6	9.6	8.9	65	72	94	SE 3	W 2	C	9^1	9^1	0	0.2	n ztw. ◎, a Gebirge zeitweise sichtbar
8.	19.1	17.3	16.5	8.9	18.6	12.8	**19.1**	7.7	7.4	7.3	8.5	88	46	78	SW 1	E 1	SE 1	3^r○	4^0○	10^1	–	mrgs. ⌓, a–m ∞, abds. ◎0
9.	18.5	16.1	17.7	9.4	16.3	10.8	16.8	9.0	8.3	**10.9**	9.0	95	79	94	E 1	E 1	NE 1	10^1	6^1	10^1	7.2	n ztw. ◎, abds. ◎0
10.	21.7	24.2	26.1	7.1	10.0	7.1	12.0	6.8	6.7	5.2	5.4	89	58	71	N 1	NE 1	C	10^1	7^1	2^0	**10.5**	n ◎, 4^{31} a Aufklaren
11.	**26.7**	25.6	25.2	4.3	12.0	7.2	12.4	3.6	5.0	5.2	5.7	81	50	75	E 1	E 2	C	○○	1^0○	0	–	mrgs. ⌊, ≡0
12.	23.8	22.1	21.3	4.4	16.5	9.7	16.9	4.0	5.7	8.5	8.3	93	61	92	C	C	C	○○	○○	0	–	mrgs. ⌊, ≡0, 8 a–m ≡1
13.	19.9	18.0	17.3	6.2	16.1	10.3	16.8	6.0	7.0	9.6	8.3	**99**	71	89	SW 1	NE 1	C	10^1≡	1^0○	0	–	mrgs. ⌓2, ≡1, 8^{11} a Aufklaren im Zenith, ca. 10 a voll-
14.	18.0	17.2	18.8	7.9	17.4	13.4	17.5	7.1	7.5	9.8	10.3	94	67	90	C	NE 1	NE 1	1^0○	2^0○	10^1	–	mrgs. ⌓2, ≡0, 6^{16} p kurz ◎ [ständiges Aufklaren
15.	19.7	19.3	20.0	10.9	18.0	11.7	18.2	10.1	9.3	10.0	8.5	97	65	85	SE 1	NE 1	E 1	10^1	1^0○	0	0.1	mrgs. ⌓2, ∞, 7^{56} a Aufklaren
16.	20.9	20.7	20.9	8.2	8.6	6.7	13.1	6.5	8.0	7.4	6.3	**99**	90	87	E 2	NE 3	E 2	10^1≡	10^1	0	0.1	mrgs. ≡1, ≡reissen, 2^{46} p Aufklaren
17.	20.8	19.7	19.7	4.0	12.7	7.3	13.2	3.6	5.1	6.6	6.3	85	60	84	E 1	NE 3	E 2	10^1	○○	0	0.1	11^{16} a Aufklaren
18.	20.5	19.9	19.6	3.9	15.0	8.2	16 1	3.4	5.4	7.7	7.0	89	61	88	C	NE 2	C	3^0○	○○	0	–	mrgs. ⌊, ≡1
19.	19.8	18.7	19.6	5.7	17.1	9.0	17.2	4.5	6.0	7.1	7.4	89	48	88	C	NE 1	C	○○	○○	0	–	mrgs. ⌊, ≡1; m im S ∞
20.	20.9	20.2	20.3	6.9	17 1	12.2	17.2	6.6	6.6	7.7	9.3	89	52	89	SW 1	C	C	6^9	5^1○	0	–	mrgs. ⌓2, ≡0
21.	18.3	14.6	12.3	7.6	17.7	11.0	17.9	7.4	7.0	7.8	8.8	91	52	90	C	SE 2	C	○○	1^0○	0	–	mrgs. ⌓2, ∞
22.	10.8	11.0	11.2	10.9	16.1	12.0	16.2	9.0	7.1	9.0	8.2	72	66	79	SW 2	SW 2	S 3	10^1	9^1	6^1	–	mrgs. ⌓, t ztw. ◎0
23.	12.3	13.3	14.9	11.7	14.9	10.3	15.1	10.1	7.4	5.7	6.2	73	46	66	SW 3	W 3	SW 4	3^1	2^0○	0	–	n ztw. ≡, mrgs. Gebirge sichtbar
24.	14.0	13.9	13.5	10.3	9.7	6.7	10.7	6.6	6.9	7.8	6.7	74	87	92	SW 1	W 1	W 1	10^1	10^1●	0	–	mrgs. ⌓2, ≡1, m ∞, 6^{14} p ≡, 6^{56}–8^{06} p ◎
25.	07.4	03.5	06.4	4.0	10.4	7.1	11.1	3.3	5.4	6.9	6.6	89	74	88	SE 1	C	SW 4	9^1	8^1	10^1	1.5	t Gebirge gut sichtbar
26.	08.3	08.3	07.9	5.9	12.3	6.5	12.5	5.9	5.4	4.2	5.3	80	40	73	SW 3	SW 3	W 1	2^1	1^1○	0	2.1	mrgs. ≡0, m Gebirge gut sichtbar
27.	05.9	03.5	04.7	6.9	16.7	9 3	17.0	5.3	5.3	5.9	6.4	71	42	73	C	S 1	SW 2	9^1	9^1	10^1	–	n–11^{36} a ◎, m teilweises, abds. vollständ. Aufklaren
28.	06.1	08.4	11.6	7.1	9.8	6.5	10.1	6.5	6.7	6.0	5.7	89	66	81	SW 2	SW 3	SW 3	10^1●	9^1○	0	7.0	$9^{31.41}$ p ◎0.1, mrgs. ⌓, Gebirge teilweise sichtbar,
29.	15.4	18.9	23.0	5.9	6.4	5.1	9.1	4.9	6.1	6.4	5.8	89	91	90	SW 1	NE 1	NE 1	4^1	10^1	10^1●	4.0	n ◎0, a ⌊ [p–n ztw. ◎0.1
30.	25.8	24.2	22.8	4.0	7.7	3.2	8.1	2.5	4 8	5.3	5.7	79	68	97	S 1	SE 2	SE 1	10^1	6^1○	6^1	2,0	mrgs ⌊2, ∞, m Gebirge sichtbar
31.	21.1	19.5	19.9	0.6	11.3	5.2	11.9	0.0	4.2	4.8	5.9	86	47	90	SW 1	NW 1	W 1	1^0○	4^0○	6^1	–	
Mittel	16.4	16.0	16.5	6.9	13.2	8.6	14.1	5.9	6.4	7.1	7.2	85	63	86				6.3	5.3	4.5	41.9	

Traunstein.

Oktober. $\varphi = 47^0\ 52'$ N. $\lambda = 12^0\ 39'$ E $= 50^m\ 36^s$. H $= 597$ m. Cg $= +0.1$ mm. 1911.

1.	02.7	03.6	05.7	5.4	8.2	4.8	10.0	4.6	5.7	6.1	6.4	85	75	100	W 4	NW 6	W 2	10^2●	10^2	10^2●	3.0	n u. a ◎
2.	04.9	05.9	07.7	4.2	4.0	4.2	6.4	3.4	6.2	6.1	5.2	100	100	84	NW 4	W 6	NW 4	10^2●	10^2●	6^2	12,0	n u. t ◎
3.	09.2	08.1	08.5	3.0	9.8	4.0	11.0	2.4	5.3	6.3	5.7	93	69	93	SW 2	E 2	E 2	2^1○	4^2○	4^2	**18.7**	a ⌓
4.	08.0	06.9	06.5	2,2	15 6	8.2	16.0	1.6	4.8	8.3	7.0	89	62	87	SE 2	SE 4	SE 2	4^2	10^2	6^2	–	a ⌓ u ⌊
5.	09.1	10.3	09.2	6.2	11.8	7.6	12.8	5.6	6.3	7.1	7.8	92	69	100	W 2	NW 4	W 2	10^2	8^2	o	–	a ⌓, p ◎0
6.	12.0	12.3	12.1	8,2	11.6	10.0	12.0	7.2	8.1	8.4	9.2	100	84	100	W 2	W 2	W 2	6^2	6^2○	2^2	0,6	a ⌓, p ●, abds. ≡1.2
7.	08.2	11.9	12.7	10,0	15.4	10.2	16.4	8,2	8,2	8.5	9.3	89	65	100	SE 2	NW 6	SE 2	6^2○	4^2○	8^2	0.3	a ⌓
8.	13.5	12.2	10.7	6.2	16.6	11.8	17.0	6.0	7.1	9.0	10.3	100	64	100	S 2	NE 2	W 2	6^2○	4^2○	8^2	–	a ⌓, abds. ◎
9.	12.4	10 5	11.6	9 0	15.6	12.4	16.6	8.8	8.0	**10.9**	10.7	93	83	100	NE 2	NE 2	NW 2	8^2	6^2○	10^2●	0.6	n ◎0, abds. ◎
10.	15.3	18.5	20.1	6.6	9.0	6.2	12.4	6.0	6.9	6.1	6.2	94	71	88	N 2	W 2	SW 2	10^2●	6^2○	6^2	11.3	n u. a ◎
11.	**20.7**	20 0	19.7	2.2	11.2	4.0	12.2	2 0	5.0	5.6	6.1	93	57	100	SE 2	SE 2	E 2	2^1○	○○	2^1	1.6	a ⌓ u. ⌊
12.	18.2	16.2	16.5	2.2	15.4	6.6	15.8	1.8	5.4	8.6	7.3	100	66	100	SW 2	E 4	E 2	1^1○	○○	o	–	a ⌓ u. ⌊
13.	14.2	12.7	11.7	3.6	16.0	6.8	16.6	3.4	5.9	7.8	7.4	100	57	100	SE 2	SE 2	E 2	○○	○○	o	–	a ⌓ u ≡1.2, abds. ≡1.2
14.	12.2	12.0	13.6	4.8	15.4	9.0	16.4	4.4	6.4	9.4	8.3	100	72	97	SW 2	W 4	W 2	○○	1^1○	o	–	a ⌓
15.	14.1	13.7	14.2	8.2	17.0	9.4	**17.2**	8.8	7.9	10.1	8.3	98	70	95	SE 2	N 2	NE 2	6^2○	1^1○	o	–	a ⌓
16.	15.0	15.0	15.2	7.4	9.8	5.2	11.0	5.0	7.2	7.3	5.8	94	82	87	NE 2	NE 2	E 2	10^2≡	8^2○	o	–	a ⌓ u. ≡1.2
17.	15.5	14.3	14.2	3.0	12.0	6.0	12.8	3.0	5.3	6.8	6.1	93	65	88	E 4	NE 4	E 2	10^2≡	○○	o	–	a ≡1.2
18.	14.6	14.6	14.2	1.2	14.8	5.2	15.0	1.0	4.8	7.2	6.4	96	58	97	E 2	E 2	E 2	1^1○	○○	o	–	a ⌓ u. ≡1.2
19.	13.8	13.3	14.0	2.0	16 2	4.8	16.6	2.0	5.3	7.4	6.4	100	55	100	NE 2	E 2	E 2	○○	○○	o	–	a ≡1.2 ⌓, stellenweise ⌊
20.	15.3	14.8	15.1	3.8	15.6	8.4	16.0	3.6	5.7	7.8	7.9	97	59	96	W 2	NW 2	N 2	2^2○	4^2○	4^2	–	a ⌓ u. ⌊
21.	12.9	09.3	06.9	5.0	16.8	7.2	**17.2**	4.8	6.5	7.8	7.6	100	55	100	SE 2	E 4	E 2	1^1○	○○	o	–	a ⌓
22	04.4	06.3	06.5	5.8	14.6	6.2	15.2	5.2	6.1	7.6	7.1	88	61	100	SW 2	E 2	E 2	8^2	4^2○	o	–	--
23.	06.8	08.0	10.0	7.6	13.2	10.8	13.8	6.0	7.1	7.7	8.0	91	68	83	S 2	SW 2	W 2	8^2	9^2	4^2	–	a ⌓
24.	08.5	08.0	08.4	7.4	8.2	5.4	10.8	5.4	7.2	7.2	6.7	94	89	100	SW 2	NW 2	SE 2	10^2●	10^2●	o	0.1	mrgs. u. t ◎
25.	02.0	698.4	00.9	2,0	13.4	6.0	15.0	1.4	5.3	6.2	6.1	100	54	88	E 2	N 2	SW 6	4^2○	6^2○	10^2●	10.5	a ⌓ u. ⌊
26.	03.2	03.0	02.4	5.0	10.6	2.6	13.2	2.4	6.5	5.8	5.5	100	61	100	S 2	NW 4	N 2	8^2	2^1○	o	10.3	n ◎
27.	00.5	698.4	697.9	4.8	14.8	7.4	15.0	2.0	4.6	6.0	6.8	71	49	89	S 2	SE 2	SE 2	4^2○	6^2○	2^2	--	a ⌓ u. ⌊
28.	00.7	02.3	05.9	4.0	6.4	4.6	10.0	3.8	5.7	5.9	5.7	93	83	90	W 6	W 2	W 2	10^2●	10^2	2^2	9.2	n u. a ◎
29.	09.6	12.5	17.2	4.4	10.6	4.2	11.0	3.0	6.0	6.0	5.8	97	63	93	S 2	N 2	NW 2	6^2	8^2	10^2	9.9	a ⌓, p ◎
30.	19.9	18.7	17.2	3.0	7.0	1.4	7.2	0.8	5.7	5.5	5.0	100	74	100	W 2	NE 2	E 2	10^2	8^2○	o	3.3	n ◎
31.	16.1	13.8	14.5	-1.8	10.0	1.6	10.2	-1.8	4.0	4.6	4.8	100	50	93	E 2	E 2	SE 2	○○	2^1○	2^1	–	a ⌊
Mittel	10.8	10.5	11.0	4.7	12.5	6.5	13.5	3.9	6.1	7.3	7.0	95	67	95				5.6	4.7	3.1	91.4	

Alle Angaben nach Ortszeit.

Partenkirchen.

Oktober. $\varphi = 47^0\ 30'$ N. $\lambda = 11^0\ 6'$ E $= 44^m\ 24^s$. H $= 714.6$ m. Cg $= +0.1$ mm. 1911.

Datum	Luftdruck auf 0° u. Normalschwere reduziert 700 mm + 7a	2p	9p	Lufttemperatur C° 7a	2p	9p	Max.	Min.	Absolute Feuchtigkeit mm 7a	2p	9p	Relative Feuchtigkeit Proz. 7a	2p	9p	Richtung und Stärke des Windes 0 bis 12 7a	2p	9p	Bewölkung 0 bis 10 7a	2p	9p	Niederschlag mm 7a	Schneedecke cm 7a	Bemerkungen
1.	692.4	693.3	695.9	4.7	6.8	4.3	8.3	4.3	5.9	5.2	6.1	92	71	98	C	C	C	10^1	10^1●	10^1●	4.5	–	a Berge ab 1500 m Neuschnee, m u. abds. ◎0
2.	695.8	696.6	698.0	2.2	3.8	3.0	4.7	2.2	5.4	5.6	5.5	100	93	96	C	C	C	10^1●	10^1●	9^0	**17.8**	–	a Berge ab 1000 m Neuschnee, mrgs. u. m ◎0
3.	698.8	697.3	697 8	0.6	10.0	4.0	11.2	0.2	4.5	4.4	5.1	94	48	84	SE 2	SW 2	C	0	3^e⊙	1^0	8.8	–	⌴, a Berge sehr rein
4.	698.0	695.9	696.6	5.1	15.0	7.4	16.2	1.8	4.7	5.4	6.0	73	43	79	S 3	S 2	C	5^0	6^0⊙	4^0	–	–	a Berge sehr rein föhnig
5.	00.1	00.1	00.2	4.9	10.7	7.1	11.3	3.4	6.0	6.7	7.1	94	7^1	94	C	C	C	9^0	10^0	8^0	–	–	⌓, a Berge bis 1400 m im Nebel, föhnig
6.	01.8	01.6	00.8	7.0	12.8	9.3	15.3	5.6	7.3	8.7	8.0	98	80	92	C	SW 1	C	10^0	9^0	6^0	0.7	–	a Berge teilweise bedeckt, föhnig
7.	697 9	01.9	02.8	9.2	14.2	7.7	**20.2**	7.7	7.6	8.4	7.4	89	69	94	C	N 5	C	3^0	10^1	1^0	–	–	a Berge rein, föhnig, vorm. ztw. NW 6–7
8.	03.9	01.3	01.1	5.1	16.9	11.5	18.3	5.0	6.1	8.8	9.2	94	62	92	C	N 2	C	2^0	2^0⊙	5^1	–	–	⌓, a Berge rein, föhnig, gegen abds. ◎0
9.	02.5	00.1	02.2	9.6	18.4	11.5	20.0	9.3	8.7	**11.5**	9.6	98	73	96	C	N 2	C	5^1	6^1	8^1	0.6	–	a Berge sehr rein, föhnig, 6^{36} p ⟦
10.	0.50	08.0	09.7	7.2	6.5	5.8	11.5	5.8	7.4	6.7	6.7	98	93	97	NW 3	NW 4	C	10^1●	10^1	10^1	12.6	–	mrgs. Berge im Nebel, a ◎
11.	**09.9**	08.8	08.8	4.3	12.4	6.9	13.9	4.1	6.0	7.7	6.7	97	72	90	S 1	NW 1	S 2	1^0	○○	○	1.8	–	⌴, a Berge frei, föhnig
12.	08.0	06.0	05.0	6.8	18.4	9.8	18.9	5.1	6.3	9.3	7.6	85	59	84	S 3	S 1	S 3	○	1^0⊙	○	–	–	⌴, a Berge sehr rein, föhnig
13.	04.3	01.7	02.1	6.6	18.3	8.9	19.0	6.4	6.1	8.7	7.7	88	56	91	C	NW 3	S 2	○	○○	○	–	–	⌴, a Berge sehr rein, föhnig
14.	02.8	00.9	02.2	6.1	18.2	9.0	19.4	5.7	6.3	8.3	7.6	90	54	89	S 1	N 2	C	○	1^0⊙	1^0	–	–	⌴, a Berge sehr rein, föhnig
15.	04.1	02.8	03.7	6.8	17.6	10.4	18.3	6.8	7.0	9.7	8.4	94	65	91	C	NW 3	S 2	○	1^0⊙	○	–	–	⌴, a Berge rein, föhnig
16.	04.6	03.9	04.5	6.0	9.6	8.2	10.9	5.3	7.0	8.1	8.1	100	91	100	C	NW 2	C	10^0	10^1	10^0	–	–	t ztw. ≡1
17.	03.9	03.1	03.5	4.3	9.2	6.0	11.3	4.1	6.2	6.8	6.1	100	79	88	C	NW 2	C	10^1	1^0⊙	○	0.1	–	mrgs. ≡
18.	04.4	03.2	04.3	7.4	17.5	10.3	18.3	4.9	6.6	9.1	5.6	79	61	60	S 2	N 2	SE 3	○	○○	○	–	–	a Berge rein, föhnig
19.	04.6	02.7	04.3	6.2	18.9	7.4	19.5	6.0	4.6	5.0	5.7	65	**31**	74	S 3	N 2	S 2	○	○○	○	–	–	⌴, a Berge rein
20.	05.6	04.3	04.7	5.1	16.0	9.0	17.3	4.2	4.9	6.9	7.5	75	51	88	S 3	NW 2	S 2	2^0	7^0	○	–	–	a Berge rein
21.	03.0	698.6	696.9	6.0	18.2	9.1	19.3	5.6	6.1	6.7	7.5	88	43	88	S 3	NW 2	S 1	○	1⊙	1^0	–	–	⌴, a Berge rein
22.	695.7	695.3	695.9	8.6	16.2	7.4	17.9	7.4	6.1	6.3	6.9	73	46	90	SE 2	NW 3	C	10^0	1^0⊙	○	–	–	⌴, a Berge rein, föhnig
23.	697.3	697.0	698.4	5.9	14.4	8.2	16.4	4.7	6.3	7.0	6.9	91	57	85	C	NW 4	C	6^1	3^0⊙	6^1	–	–	⌴, a Berge teilweise bedeckt, föhnig
24.	697.3	698.5	698.4	7.2	7.4	4.2	9.5	4.2	7 6	7.6	6.1	100	99	98	C	C	S 4	10^0●	10^1●	○	1.2	–	a Berge bedeckt, mrgs. u. m ◎0.1
25.	692.3	**687.7**	692.4	3.7	16.2	5.6	17.5	2.8	5.2	4.5	6.3	87	33	93	S 4	S 4	SE 2	9^0	3^e⊙	10^1●	7.5	–	a Berge sehr rein, föhnig, abds. ◎0.1
26	693.3	692.4	692.6	3.5	11.4	5.4	12.3	3.5	5.8	5.1	6.3	98	50	94	C	SW 2	C	3^0	○○	1^0	6.3	–	a Berge teilweise bedeckt
27.	690.9	688.7	688.3	5.0	15.0	8.2	18.3	3.0	4.6	4.7	6.1	71	37	75	SE 2	S 2	C	2^0	9^0	8^0	–	–	a Berge frei
28.	692.2	693.1	696.4	3.1	7.6	3.5	13.0	3.0	5.5	5.9	5.4	96	76	92	C	C	C	10^0●	8^1	1^1	15.4	–	mrgs. ◎, a Berge beleckt
29.	00.2	02.1	06.8	1.8	10.4	2.7	12.0	1.2	4.8	6.0	5.4	91	64	96	S 1	NW 4	C	3^0	6^1⊙	10^1●	2.1	–	a Berge sehr rein, föhnig, Neuschneegrenze in
30.	09.5	07.4	06.7	2.0	8.0	2.3	10.2	1.9	5.2	5.9	4.6	98	73	84	C	N 2	SE 3	10^1	○○	○	1.0	–	a Berge im Nebel [ca. 1200 m
31.	05.6	03.3	04.7	0.1	11.6	2.9	14.1	– **0.4**	3.4	3.6	4.2	74	36	74	SE 2	N 3	S 2	○	2^0⊙	3^0	–	–	⌓, a Berge sehr rein
Mittel	00.8	699.9	00.8	5.2	13.1	7.0	15.0	4.3	6.0	6.9	6.7	89	62	89				4.8	4.5	3.6	80.4		

Hohenpeissenberg.

Oktober. $\varphi = 47^0\ 48'$ N. $\lambda = 11^0\ 1'$ E $= 44^m\ 4^s$. H $= 993.9$ m. Cg $= \pm 0.0$ mm. 1911.

	600 mm + 7a	2p	9p	7a	2p	9p	Max.	Min.	7a	2p	9p	7a	2p	9p	7a	2p	9p	7a	2p	9p	7a	7a	
1.	68.7	69.9	71.6	3.6	3.3	2.5	7.8	2.4	4.4	5.2	5.5	75	90	100	SW 8	SW 6	SW 3	10^1	10^1	10^2=	2.1	–	a sehr reine, p reine Fernsicht, abds. ≡1
2.	71.9	72.7	74.1	1.2	1.2	0.4	2.5	0.3	4.9	4.9	4.6	98	98	98	NW 4	NW 3	W 2	10^2=	10^2=●✳	10^2=	2.3	–	n ◎, t ≡2, 7^{54}a an ◎ ✳, $4^{03.27}$a ◎ △, abds. ≡2
3.	74.3	74.1	74.1	0.8	5.9	4.6	6.4	0.4	4.1	4.6	5.1	83	66	81	SW 1	E 1	SE 2	○○	2^1⊙	8^2	4.0	–	a ⌓, t sehr reine Fernsicht
4.	73.9	73.3	72.5	7.1	11.5	9.5	11.6	4.6	4.0	4.8	4.6	54	47	51	S 1	S 5	SW 4	8^1	10^1	10^1	–	–	t sehr reine Fernsicht, Föhnstimmung
5.	75.6	76.4	76.2	4.7	9.6	6.8	9.8	4.3	6.1	6.8	7.0	96	76	94	W 2	NE 1	E 1	10^1	10^1	10^1	–	–	t ∞
6.	77.9	78.0	78.0	6.0	8.5	10.0	10.0	5.5	7.0	8.1	7.7	100	98	84	NW 1	NE 3	SE 2	10^2=	10^2=	10^2	0.4	–	n ◎, a-p ≡2, abds. ≡ ringsum
7.	74.9	78.4	79.8	14.0	11.4	9.5	**16.2**	9.4	5.9	7.5	7.4	50	75	86	S 1	SW 1	SW 1	8^2	10^1	1^1	–	–	a sehr reine Fernsicht, Föhnstimmung, p ∞
8.	80.2	78.7	78.1	9.9	13.8	9.3	13.9	8.7	5.5	6.5	8.4	61	56	96	W 1	E 1	NW 1	2^1⊙	1^1⊙	10^1	–	–	⌴, a sehr reine Fernsicht, p reine Fernsicht, 7 p ◎0
9.	78.4	77.6	78.4	10.5	15.1	10.5	15.2	6.7	9.1	**9.7**	8.9	96	75	94	SW 1	SW 1	NW 2	6^1	7^2	10^2	2.2	–	a Gebirge rein, ringsum ≡2, p sehr reine Fernsicht,
10.	81.7	84.1	85.4	3.9	4.6	3.8	10.5	3.8	6.1	5.8	5.4	100	92	90	NW 1	NE 1	NE 2	10^2=●	10^2	10^1	**18.8**	–	n ◎, a ≡2 ◎. p ∞ [6^{21}–7^{05} p ⟦ mit ◎
11.	**85.6**	85.4	85.0	3.1	8.3	7.1	8.6	2.4	4.8	5.8	5.7	84	71	76	E 4	NE 1	SW 3	○○	○○	○	4.2	–	a ⌓ Horiz≡, p ∞0
12.	83.9	83.2	82.5	9.2	14.2	10.7	14.2	6.7	6.9	8.4	7.7	80	69	80	W 1	N 1	SE 1	○○	○○	○	0.1	–	n ⌓, a reine Fernsicht ≡ ⌴, im Tale ⌓ 1)
13.	80.6	79.5	78.5	9.6	13.6	10.7	14.0	9.4	6.7	8.0	8.0	75	69	84	NE 1	NE 1	NE 1	○○	○○	○	–	–	a ⌴, im Tale ≡0 ⌓, t Horiz≡, reine Fernsicht,
14.	79.0	78.7	79.9	9.0	14.1	11.1	14.2	8.9	7.1	8.5	**9.7**	83	72	99	W 1	N 1	SE 3	1^2	2^1	9^2	–	–	a ⌴ ∞, p ∞abnahme [abds. ≡
15.	80.1	80.1	80.6	9.7	14.2	9.5	14.2	9.5	8.3	8.7	8.3	92	73	94	E 1	NE 1	NE 2	○○	○○	○	–	–	a ⌴ ≡ ringsum, p Gebirge einzelne cu, Flach-
16.	80.7	80.6	80.7	6.1	7.3	6.1	9.5	5.9	7.0	7.6	6.9	100	100	99	NE 1	NE 1	NE 2	10^2=	10^2=	10^2=	0.1	–	t ≡2 ≡reissen [land ∞0
17.	79.8	79.7	79.9	2.8	4.1	10.9	10.9	2.8	5.6	6.1	5.6	100	100	57	NE 1	NE 1	SW 2	○=	10^2=	○	0.3	–	a-p ≡1.2 ≡reissen, abds. ≡
18.	80.6	80.7	80.6	8.5	12.5	12.9	14.5	8.4	5.0	7.3	5.4	60	68	49	NE 1	NE 1	NE 1	1^1	○○	○	–	–	a ∞ ⌴ ≡0 Horiz≡, p ∞ starker Horiz≡
19.	80.8	80.1	80.9	10.9	14.3	9.7	14.4	9.7	4.7	5.7	6.3	49	48	70	NE 1	NE 1	W 4	○○	○○	○	–	–	⌴. Horiz≡, a reine Fernsicht
20.	81.6	81.5	81.3	9.2	13.4	9.6	13.4	7.7	4.7	7.3	7.2	55	64	82	SW 1	W 1	W 2	9^1	10^1	○	–	–	t ∞
21.	79.3	76.2	74.2	9.9	13.8	11.7	13.8	8.9	6.2	7.0	6.7	68	59	66	SE 1	NE 1	SE 1	○○	2^1	○	–	–	a ⌴ stellenw. ≡, Flachland rein. Horiz≡, p ∞
22.	72.5	73.0	73.0	10.6	13.2	10.1	13.2	9.2	6.2	6.5	6.8	65	57	74	SW 6	SW 1	W 1	10^1	9^2	1^1	–	–	a ∞0, p reine Fernsicht
23.	73.1	74.4	75.7	8.5	10.1	6.6	10.6	6.4	6.6	6.1	5.7	79	66	78	W 6	NW 3	W 4	1^1	1^1⊙	10^2	–	–	a sehr reine, p reine Fernsicht
24.	74.9	74.9	73.9	6.5	5.9	5.4	7.5	5.1	6.0	6.9	5.8	83	99	86	W 1	W 1	W 3	10^2●	10^2=●	○	–	–	a ∞, 7^{00} a-p ◎, p ≡2
25.	68.4	**65.0**	67.0	6.8	8.1	2.8	9.1	2.7	3.6	5.8	5.1	49	72	91	SW 1	N 1	W 8	10^1	5^1	10^2●	6.3	–	a ⌴ ≡ i. E, im Tale ⌓, t sehr reine Fernsicht, 2)
26.	69.0	69.4	69.2	3.1	7.4	4.9	7.4	2.7	4.5	4.3	4.5	79	57	69	W 8	W 4	W 1	1^2	○○	○	3.6	–	a Bewölkung über dem Gebirge, t Flachland sehr
27.	67.2	65.8	66.9	7.9	12.3	6.8	12.5	4.9	3.8	5.2	6.1	48	49	82	W 1	W 1	W 4	4^1	10^2	10^2	–	–	t sehr reine Fernsicht [rein, Horiz≡
28.	67.1	69.2	72.4	2.1	6.0	4.0	6.8	2.1	5.2	4.9	4.9	96	70	80	W 8	W 4	W 4	10^2●	9^2	10^2●	11.4	–	n, a u. abds. ◎ a ziemlich reine Fernsicht
29.	75.6	78.6	82.6	3.3	4.8	0.0	5.7	0.0	4.4	5.9	4.6	76	92	100	SW 1	W 1	C	2^1	10^2	10^2=✳	2.7	–	a sehr reine Fernsicht, vorm. ◎, p ∞,
30.	85.1	83.7	82.3	0.2	2.6	4.4	4.5	– **0.7**	4.2	5.1	4.0	90	93	63	N 1	SE 1	E 3	10^1	10^1	○	7.4	1	n ✳, p ∞ [6^{30} p an ≡2 ✳ bis n
31.	81.1	80.1	80.3	3.2	8.5	5.4	8.7	2.8	**2.0**	3.4	3.6	**30**	41	53	SW 1	SW 1	SW 4	○○	2^1	4^1	–	–	a im Tale ⌓, a sehr reine, p reine Fernsicht
Mittel	76.9	76.9	77.3	6.5	9.5	7.3	10.7	5.2	5.5	6.4	6.2	76	73	81				4.9	5.8	5.3	65.9		

1) starker Horiz≡; p reine Fernsicht, Horiz≡, ≡

2) 6 p–n ◎

Alle Angaben nach Ortszeit.

Zugspitze.

Oktober. $\varphi = 47^0\ 25'$ N. $\lambda\ 10^0\ 59'$ E = 43m 56s. H = 2964 m. Cg = −0.2 mm. 1911.

Datum	Luftdruck auf 0° u. Normalschwere reduziert 500 mm + 7a	2p	9p	Lufttemperatur C° 7a	2p	9p	Max.	Min.	Absolute Feuchtigkeit mm 7a	2p	9p	Relative Feuchtigkeit Proz. 7a	2p	9p	Richtung und Stärke des Windes 0 bis 12 7a	2p	9p	Bewölkung 0 bis 10 7a	2p	9p	Niederschlag mm 7a	Schneedecke cm 7a
1.	20.5	21.0	22.7	−10.3	−10.0	− 9.9	− 3.9	−10.4	2.1	2.2	2.2	100	100	100	N 5	N 6	N 5	10^2	10^2	10^7 ✻	–	40
2.	21.5	22.5	23.8	−11.0	−11.2	−11.7	− 9.9	−11.8	2.0	2.0	1.9	100	100	100	N 5	NE 4	NE 3	10^2 ✻	10^7	10^2	14.9	50
3.	24.2	24.9	26.0	− 5.6	− 1.5	− 0.5	− 0.5	**−12.0**	2.5	3.1	3.0	85	75	68	SW 5	SW 6	SW 9	1^0 ○	5^0 ○	6^1	5.5	**80**
4.	26.9	27.0	27.2	− 4.2	− 1.2	− 2.2	− 0.5	− 4.8	2.2	3.0	3.0	68	72	78	W 6	SW 7	SW 7	6^1 ○	6^1 ○	8^1	–	70
5.	28.3	29.4	29.3	− 3.6	− 0.9	− 0.1	0.0	− 3.7	3.5	4.3	4.2	100	100	93	S 4	SE 4	SW 4	10^2	10^2	9^1	–	55
6.	30.8	33.4	32.9	− 0.9	0.2	0.9	1.4	− 2.1	4.0	4.6	4.9	97	100	100	SW 7	S 3	S 11	6^1 ○	9^1	10^1 ●	–	40
7.	31.1	32.4	33.5	0.9	1.0	− 0.1	1.8	− 0.1	4.4	4.8	2.8	92	100	63	S 10	S 6	S 5	6^2	6^2 ○	2^0	–	30
8.	33.2	33.8	33.0	− 1.3	2.0	2.4	3.1	− 2.1	2.3	4.3	4.9	54	84	96	W 7	SW 8	S 9	8^0	6^1	8^2	–	20
9.	34.1	33.5	32.6	1.6	2.8	− 0.7	3.0	− 1.1	4.9	**5.3**	4.3	95	95	100	SW 5	SW 3	NE 7	6^1	9^1	10^7 ✻	–	15
10.	32.7	34.5	35.4	− 2.5	− 2.9	− 4.1	− 0.7	− 4.1	3.7	3.6	3.3	100	100	100	NE 6	NE 4	NE 4	10^2 ✻	10^7	9^1	**15.6**	25
11.	37.0	38.5	**39.2**	− 2.6	− 0.2	− 0.4	− 0.1	− 5.3	3.2	3.9	2.0	87	85	45	E 4	SE 2	C	1^0 ○	1^0 ○	1^0	0.8	26
12.	38.2	38.2	37.6	1.3	4.7	2.4	**4.8**	− 0.4	1.0	1.6	3.7	21	25	63	S 2	W 3	W 2	1^0 ○	1^0 ○	1^0	–	25
13.	36.0	35.2	34.8	2.5	3.9	2.3	4.3	1.8	1.4	2.9	3.3	26	46	62	NW 1	SW 2	SW 4	1^0 ○	1^0 ○	1^0	–	25
14.	33.5	33.6	34.4	1.6	3.1	1.1	3.1	1.1	2.1	4.3	4.4	42	75	89	W 5	SW 2	SW 3	1^0 ○	1^0 ○	7^1	–	24
15.	34.5	35.0	35.2	0.7	2.2	1.4	2.4	− 0.3	3.5	4.7	4.1	73	88	80	C	S 1	SW 2	1^0 ○	3^1 ○	1^0	–	23
16.	35.0	34.8	34.7	− 0.5	2.2	0.5	2.6	− 0.7	2.0	3.3	3.4	44	58	72	C	SW 2	S 3	1^0 ○	1^0 ○	1^0	–	22
17.	33.9	34.4	35.3	− 0.7	3.1	2.0	3.4	− 1.0	2.0	2.5	3.5	46	42	62	S 4	S 3	W 5	1^0 ○	1^0 ○	0	–	22
18.	35.6	36.3	36.7	1.4	3.4	2.1	3.8	0.9	3.1	3.4	1.4	62	58	32	SW 5	SE 2	S 3	7^0 ○	1^0 ○	0	–	21
19.	36.0	35.8	35.6	3.0	4.2	1.1	4.4	1.1	**0.7**	1.3	1.7	13	24	34	W 1	SE 3	S 2	1^0 ○	1^0 ○	0	–	20
20.	34.8	34.7	34.7	− 1.7	− 0.5	− 2.3	1.1	− 2.3	2.0	3.8	3.7	51	86	97	C	S 3	NW 3	7^1 ○	9^2	7^2	–	20
21.	33.0	31.9	30.6	− 1.2	2.7	2.0	3.0	− 3.4	2.1	1.8	1.4	56	32	27	SW 3	S 4	S 5	1^0 ○	1^0 ○	1^0	–	20
22.	27.9	28.0	28.0	− 0.3	− 0.8	− 1.5	3.1	− 1.6	2.3	3.9	3.7	52	91	90	S 6	S 6	S 8	10^2	2^0 ○	1^0	–	19
23.	27.5	28.6	29.0	− 2.2	− 1.1	− 1.2	− 0.9	− 2.4	3.7	2.4	1.9	85	56	48	SW 7	W 4	SW 5	4^1 ○	5^1	7^1	–	19
24.	27.2	26.5	27.0	− 4.5	− 5.1	− 6.0	− 0.9	− 7.3	3.3	3.1	1.7	100	100	60	SE 3	SE 2	SW 3	10^1 ⁂	10^2 ✻	0	0.5	21
25.	24.0	20.2	20.3	− 1.9	− 3.0	− 8.3	− 1.5	− 8.3	1.7	2.9	2.5	43	80	100	S 4	SE 7	NW 5	9^2	6^1 ○	10^2 ✻	3.9	35
26.	21.1	22.2	22.3	− 9.7	− 8.9	− 7.3	− 7.3	− 9.7	2.3	1.3	1.0	100	60	39	W 4	S 5	SW 10	9^2	1^0 ○	0	3.7	50
27.	22.6	21.9	21.3	− 2.4	− 1.7	− 2.9	− 0.5	− 7.8	1.7	3.1	3.5	45	67	95	S 6	S 9	S 6	5^0 ○	9^2	10^1	–	48
28.	**19.0**	21.5	24.5	− 8.6	− 9.1	− 8.9	− 2.9	− 9.5	2.3	2.2	2.2	100	100	100	N 4	NW 3	SW 4	10^2 ✻	10^2 ✻	8^1	7.0	55
29.	26.8	29.3	31.3	− 8.8	− 7.4	− 7.7	− 6.8	− 9.6	1.9	2.6	2.6	83	100	100	S 3	NW 3	W 4	3^1 ○	7^2	10^2 ✻	0.6	59
30.	33.0	34.3	34.6	−11.2	− 4.9	− 4.2	− 4.2	−11.2	1.4	1.1	0.8	75	32	25	W 3	SW 2	C	1^0 ○	4^0 ○	0	–	56
31.	32.7	31.9	32.3	− 4.9	− 3.5	− 5.7	− 2.5	− 5.8	0.9	1.4	1.3	39	39	43	SW 3	SW 4	NW 3	1^0 ○	5^1 ○	7^1	–	56
Mittel	30.1	30.5	30.8	− 2.8	− 1.2	− 2.2	0.1	− 4.3	2.5	3.1	2.8	69	73	73				5.1	5.2	5.0	52.5	

Bemerkungen.

1. t ⎓, ✳treiben, ≡2. 10 a kurz ✳0; ab ca. 3–8 p ✳0, dann ✳1; p starke ⋁-bildung; 9 p ⋁ 30 cm
2. n u. a–ca. 11 a ✳1; p ✳treiben; t ≡3, nur 5h0 p vorübergehendes Aufhellen, ⊙ sichtbar; 7 a ⋁ 40 cm; 9 p ⋁ 50 cm
3. n föhniges Aufklaren; a Fernsicht ringsum frei, über Gebirgstälern ≡meer; t ⎓, heiter; abds. zunehmende Bewölkung
4. t Fernsicht meist frei u. rein, besonders über Flachland; p Sturm ztw. Windstärke 11
5. n ⌙; t meist ≡1.2; ca. 11h5 a–0h5 p vorübergehendes Aufklaren; 3h5–ca. 5 p ✳0.1; ab ca. 6 p ≡reissen; t föhnig
6. 6h0 a Neben-⊙; ringsum besonders über Flachland ≡meer in ca. 1600 m; ca. 10–11h0 a ≡2; 1 p ≡meer in Auflösung; ab ca. 7 p starker Föhnsturm (Windst. 10–11) [9 p ◎6.1
7. a Föhnsturm; t meist heiter, Fernsicht frei; über Ebene ∞1; ab ca. 5 p über Flachland ≡meer in ca. 2000 m; 9 p ⋓
8. 6h0 a ⌒; a Fernsicht frei, über Ebene ∞2, ab m ⎓; p zunehmende Bewölkung; 5h5–ca. 7 p ◍1
9. 6 a Aufklaren v. W. her, über Ebene ≡meer in 900 m; p stark wechs. Bewölkung, ztw. ≡; 4 p Brockengespenst; ab 6h5 p ◹ i. S.; 7–7h5 p ◸; 7h0 p ◍2, ab 7h7 p △, ✳0, NE-Sturm
10. n u. a ✳0.1; t ≡1.2, 5 p ⊙ kurze Zeit sichtbar, ab ca. 8h5 p ztw. Aufklaren; 2 p ⋁ 20 cm, 9 p doppelter ⋓
11. 9h5 p vollständiges Aufklaren, ci-str., ringsum ≡meer i. ca. 2200 m; t heiter, über Gebirge ≡meer i. ca. 2000 m, über Ebene i. ca. 900 m
12. t fast wolkenlos
13. a ⌙1; t fast wolkenlos
14. a über Flachland ∞2, teilweise ≡meer; t meist heiter, ab ca. 5 p rasch zunehmende Bewölkung
15. ca. 10 p wieder Aufkl.; n ⌙1; a ü. Ebene ∞ u. teilw. Nebeldecke; t vorwieg. heiter, 10 a ü. Gebg. cu-bildg. ca. 3 p starke Bewölkungszunahme, 6 p Aufkl.; 9 p ⌙2
16. t fast wolkenlos, über Flachland beständig ≡meer i. ca. 1200 m, gegen Abend talaufwärts ziehend
17. a ⌙0; t fast wolkenlos, über Flachland, Inn- u. Isartal ≡meer i. ca. 1200 m
18. a ringsum ∞1, über Ebene ≡meer i. ca. 900 m; t vorwiegend heiter
19. a über Ebene ∞0; t nahezu wolkenlos
20. a allenthalben ∞1; ca. 1h0.5 p Gipfel i. Wolken, ≡1.2;
21. a ⌙1, Fernsicht sehr rein, nur über Ebene ∞0; t heiter, ca. 6 p stärkere Bewölkung; ca. 8h0 wieder vollständiges Aufklaren
22. ca. 10 p wieder rasche Bewölkungszunahme; n u. a ⎓; 9h0 a kurz ✳0; unter Föhneinfluss t ziemlich heiter; abds. ⎓
23. n u. a Föhnsturm; a ⌙1, über Alpenvorland ≡meer i. ca. 1600 m; t vorherrschend heiter, 9 p ringsum ≡meer i. ca. 2000 m
24. u. u. t–ca. 4 p ✳0.1, ≡1.2; dann ztw. schwach. ⊙; ca. 5–6h0 p wieder ✳0.1, dann vollständiges Aufklaren; ca. 4–6h0 p schwacher N-NE-Wind
25. gest. Neuschnee bis ca. 1500 m hinab; a ziemlich starke Bewölkung; ca. 6h0 p kurz △1, dann andauernd ✳1, ≡2; 9 p Elmsfeuer
26. n ✳1; a über Gebirge ≡meer i. ca. 2000 m; ca. 8h0 a vollständiges Aufklaren, t heiter, ⎓, ✳wehen
27. a Fernsicht frei u. rein; t ziemlich ⎓; ab ca. 8h5 p ≡1
28. n u. a ✳1, ≡2 bis ca. 2h0 p; ab ca. 2h0 p einige Male schwach. Ansatz z. Aufklaren, 8 p kurz völliges Aufklaren; dann wieder stärkere Bedeckung
29. 9h0 p vollkommenes Aufklaren; a ziemlich heiter, über Ebene und Gebirgstälern ≡meer i. ca. 1800 m; 1h0.5 p Gipfel i. Wolke, ✳0; ab 2h0 p meist ≡2, ztw. ✳0.
30. n Aufklaren; a ringsum ≡meer i. ca. 1700 m; Fernsicht ü. Zentralalpen selten rein; t heiter [4h5 p vorübergeh. Aufklaren; 4h0 p Brockengespenst, ⊕, Neben⊙
31. t heiter; a i. Tal ⌙; p zunehmde Bewölkung; besonders 4 p starkes Auftreten von ci-cu

Alle Angaben nach Ortszeit.

Kahl a/M.

November. $\varphi = 50^0\ 4'$ N. $\lambda = 9^0\ 1'$ E $= 36^m\ 4^s$. H $= 114.1$ m. Cg $= +0.3$ mm. 1911.

Datum	Luftdruck auf 0° u. Normalschwere reduziert 700 mm + 7a	2p	9p	Lufttemperatur C° 7a	2p	9p	Max.	Min.	Absolute Feuchtigkeit mm 7a	2p	9p	Relative Feuchtigkeit Proz. 7a	2p	9p	Richtung und Stärke des Windes 0 bis 12 7a	2p	9p	Bewölkung 0 bis 10 7a	2p	9p	Niederschlag mm 7a	Bemerkungen
1.	56.7	57.2	58.3	3.0	8.8	2.8	10.0	1.8	5.6	7.2	5.5	98	86	98	C	W 2	C	2^0	9^1	0	3.6	
2.	58.2	56.1	55.9	0.1	6.9	1.6	8.0	− **1.7**	4.6	6.7	5.2	100	90	100	C	C	C	10^2=	4^0	0	−	a ≡²
3.	56.5	57.0	57.1	3.1	6.5	3.8	8.0	1.0	5.5	6.2	5.8	96	86	97	SW 4	C	SW 2	10^1	10^1	4^0	−	
4.	56.3	55.1	55.0	0.7	9.9	9.8	11.2	− 0.8	4.9	6.9	7.2	100	76	80	C	SW 2	SE 2	10^2=	10^2	10^0	−	≡²; 7 a ≡
5.	49.8	46.5	46.4	11.2	14.5	11.0	**15.2**	8.4	7.7	8.3	**9.2**	78	68	94	SW 6	SW 6	SW 6	10^1	10^1	10^1	−	a–n ⚊; p ztw. ◍⁰
6.	50.5	50.9	53.8	6.6	11.1	5.6	12.2	5.3	6.1	5.4	5.1	84	54	75	SW 2	SW 6	SW 4	0	6^2	1^0	1.1	
7.	56.1	56.2	56.4	5.1	8.0	4.6	9.1	2.9	5.5	5.8	5.5	85	72	87	SW 2	SW 2	SW 2	4^1	5^1	4^1	−	
8.	55.6	52.4	49.9	− 0.4	9.8	5.1	10.7	− 1.1	4.5	5.3	4.8	100	58	74	C	SE 4	SE 4	0	2^0○	10^1	−	a ⌴; 9 p ◡
9.	47.0	46.1	46.4	7.1	9.8	7.5	11.7	5.0	5.0	7.5	7.7	66	83	100	S 2	SW 2	C	10^1	10^0●	10^1●	−	10^8 p an ◍
10.	48.9	49.9	51.2	3.3	9.0	6.8	9.0	2.0	5.8	7.5	7.0	100	88	94	SW 2	SW 2	SW 2	0	10^1	10^1	6.3	n ◍; a ≡¹
11.	52.4	52.9	53.1	3.3	7.6	5.3	8.7	2.2	5.8	6.4	6.3	100	82	96	S 2	SW 2	SW 2	10^0	4^1	5^0	−	a ≡⁰; t ztw. ◍⁰; 0^{20} p ◠
12.	50.0	49.2	48.9	5.6	7.6	8.2	9.0	4.0	5.5	7.0	7.1	82	90	88	S 4	S 2	SW 2	10^1	10^0●	10^1	3.5	t ztw. ◍
13.	51.5	54.7	59.2	7.6	10.1	7.1	10.8	6.0	7.7	8.3	7.5	99	89	100	SE 2	SW 2	C	10^1●	10^1	10^1	2.9	a ◍⁰
14.	63.5	**63.8**	63.0	5.6	8.6	2.7	9.6	1.3	6.8	7.3	5.6	100	88	100	SW 2	SW 2	C	8^0	7^1	10^0=	0.7	a ≡⁰; 9 p ≡
15.	57.9	53.1	49.6	5.4	7.7	5.1	8.4	2.2	6.4	6.4	6.1	95	82	94	SE 2	SE 2	SW 2	10^1	10^0	10^1	−	
16.	48.4	48.6	48.7	8.4	10.6	10.3	11.4	4.0	7.0	7.8	7.7	86	83	82	SW 4	SW 4	SW 2	10^1	10^1	10^1	−	
17.	47.6	44.3	40.4	10.0	11.6	9.9	13.1	8.9	8.3	8.3	7.1	91	82	79	SE 2	S 2	SW 2	10^1	10^1	0	−	
18.	37.1	32.7	**27.3**	8.9	11.2	8.7	12.2	6.3	8.3	7.1	6.7	98	72	80	SW 4	S 2	SW 4	10^1	9^0	10^2	2.0	n ◍
19.	28.2	29.8	30.7	5.7	6.3	4.0	11.2	2.0	5.9	5.9	5.3	86	83	87	SW 4	SW 2	SW 4	10^1	9^2	10^1	3.8	n ◍, t ztw. ◍
20.	30.0	33.4	37.3	4.7	6.1	6.7	7.2	2.3	6.2	6.4	6.6	97	91	90	SW 6	SW 4	SW 6	10^1●	10^1	10^1	9.6	n ◍ ⚊; a, t ◍; a, abds. ⚊
21.	41.1	40.0	38.8	5.6	6.5	4.2	8.8	3.3	6.3	7.1	6.2	93	99	100	SW 2	C	SW 2	8^0	10^1●	10^1●	4.6	12^1 p an ◍
22.	38.5	39.3	42.4	1.2	3.2	1.9	6.4	0.0	4.9	5.6	4.9	98	97	93	C	NE 2	NE 2	10^1●	10^1●	0	**15.0**	a ◍ ✳, t ◍
23.	42.3	42.9	45.3	2.1	4.4	2.0	5.3	− 0.9	4.7	4.8	4.6	87	77	87	NE 2	NE 2	NE 6	10^1	9^0	0	3.9	abds. ⚊
24.	46.0	45.8	47.4	1.4	4.0	2.8	5.0	0.5	4.4	5.1	4.7	87	84	84	NE 4	NE 4	C	8^0	10^0	10^1	−	
25.	48.5	48.7	49.0	2.2	2.9	0.6	4.6	− 0.3	4.5	4.0	3.4	84	71	71	NE 2	NE 4	NE 2	10^1	10^1	10^2	−	
26.	48.8	49.2	50.5	1.5	3.4	4.3	5.0	− 0.1	4.3	5.1	5.3	83	87	85	C	SE 2	C	10^1	10^1●	10^1	0.1	n ✳◍, p ztw. ◍
27.	53.6	55.9	56.9	3.5	6.4	4.6	7.3	2.3	5.2	5.6	5.4	88	78	86	SE 2	C	C	10^1	10^1	9^0	0.2	
28.	58.2	58.2	58.4	2.0	4.4	4.0	5.9	0.1	4.9	5.5	5.3	93	89	87	C	C	C	10^1	10^0	10^0	−	
29.	60.3	61.9	63.4	4.2	7.2	6.2	8.2	2.3	5.7	6.8	6.7	92	90	94	S 2	C	C	10^1	10^2	10^1	−	
30.	63.2	62.2	61.8	5.5	8.9	3.5	9.7	2.5	6.7	7.5	5.9	99	88	100	C	S 2	C	10^1	10^1	0	−	
																					57.3	
Mittel	50.1	49.8	50.1	4.5	7.8	5.4	9.1	2.4	5.8	6.5	6.0	92	82	89				8.3	8.8	7.1		

Bayreuth.

November. $\varphi = 49^0\ 57'$ N. $\lambda = 11^0\ 34'$ E $= 46^m\ 16^s$. H $= 363.3$ m. Cg $= +0.3$ mm. 1911.

1.	34.8	35.2	36.5	2.8	9.4	3.6	9.4	1.8	5.5	6.4	5.7	98	72	97	SE 2	W 4	W 2	7^1	8^1	4^1	0.5	n ◍⁰, a ≡¹
2.	36.6	34.0	33.3	− 0.6	8.7	0.9	9.4	− 1.6	4.3	5.5	4.6	98	65	94	SE 2	SE 4	C	10^2=	2^0○	2^0	−	a ⌴¹ ≡²
3.	33.2	34.9	35.9	− 1.5	4.1	3.7	4.1	− **3.2**	4.0	5.3	5.8	98	88	97	W 2	W 4	W 2	10^1=	10^2	10^2	−	a ⌴¹ ≡¹
4.	34.5	33.5	33.5	0.5	8.7	6.7	9.7	− 0.7	4.6	5.9	6.2	96	70	85	SE 4	SW 4	W 2	10^2=	4^1○	10^1	−	a ⌴⁰ ≡²
5.	28.7	25.2	24.0	8.6	15.6	10.0	**15.8**	4.2	6.4	6.0	**8.2**	77	46	89	S 2	SW 6	SW 6	10^2	10^0	10^2●	−	8–9 p ◍⁰
6	28.0	29.0	31.0	5.7	9.3	5.7	10.0	5.2	5.2	4.9	5.3	75	56	77	W 4	W 6	W 6	2^0	5^1	0	2.5	n ◍0.1 ⚊, t ztw. ⚊
7.	33.5	34.5	35.3	4.2	7.1	2.7	7.1	2.3	5.1	5.4	4.9	83	71	88	W 6	SW 4	W 2	10^2	10^1	3^1	−	
8.	34.4	31.3	28.9	− 0.7	8.1	1.1	8.6	− 2.1	4.2	4.5	4.0	96	57	82	E 2	SE 4	SE 2	0	0○	2^0	−	a ⌴²
9.	26.0	24.0	24.8	2.0	8.2	3.6	8.2	− 0.6	4.4	4.4	5.0	85	55	86	SE 2	E 6	E 2	4^1	5^0○	10^1	−	a ⌴⁰ ≡⁰
10.	26.8	27.6	29.2	3.7	5.7	5.2	5.7	1.8	5.5	6.5	6.4	92	96	97	W 2	W 2	W 2	10^1=	10^2●	10^2○	−	a ≡¹, 10 a an ◍0.1
11.	30.2	30.8	32.1	4.3	7.0	3.9	7.0	3.3	5.9	5.9	5.7	96	78	93	SE 2	SW 2	SW 2	10^1=	5^1○	4^1	6.7	n ◍⁰, a ≡¹, t ztw. ◍⁰ △
12.	29.1	27.7	28.0	2.3	7.7	5.1	7.7	1.0	5.0	5.9	6.0	93	74	92	SE 4	SE 4	SE 2	10^2	10^2	10^2	1.9	3–4 p ◍⁰
13.	29.7	32.5	36.4	5.3	9.2	6.5	9.2	3.8	5.9	7.1	6.8	90	82	94	SE 2	W 2	SW 2	10^1	10^1	10^2	0.2	
14.	41.1	41.8	40.9	4.5	5.9	4.1	6.5	3.3	6.2	6.6	6.1	98	96	100	W 2	W 2	W 2	10^2=	10^2=	10^2=	−	t ≡²
15.	34.7	31.2	27.9	1.2	3.8	4.2	4.2	− 0.5	5.0	5.7	5.9	100	95	96	E 2	E 2	S 6	10^2	10^1=	10^2	0.3	t ≡⁰.²
16.	26.7	26.5	27.6	5.7	9.3	9.1	10.0	3.1	5.9	7.2	6.9	87	84	81	SW 4	SW 6	W 2	10^2	10^2	8^1	−	
17.	26.7	22.9	19.8	7.1	9.5	7.2	9.6	6.3	6.6	6.4	6.3	88	72	84	SE 4	SE 4	E 4	10^2	10^0○	3^1	−	
18.	16.3	12.3	**07.6**	4.4	8.3	2.9	8.3	2.4	5.5	6.5	5.2	90	80	93	E 4	SE 4	NE 4	9^1	9^1	0	−	
19.	08.3	09.1	10.1	4.3	6.3	2.2	6.5	0.8	5.6	5.2	4.9	91	73	91	SE 2	SW 4	SW 4	10^2	9^2	9^1	0.7	3^{28} p ◠, p ztw. ◍⁰ △
20	08.7	09.9	12.1	2.3	4.5	4.3	5.3	1.2	5.0	5.5	5.6	93	88	91	SW 6	SW 8	W 8	10^2●	10^2●	10^2●	6.2	n, t ◍0.1, t ⚊
21.	18.7	17.7	16.4	4.5	5.6	1.9	5.9	1.3	5.7	5.8	5.1	91	90	96	W 4	SW 4	SE 2	10^2	10^2●	10^2●	**15.8**	n ◍¹ ⚊, p ◍0.1
22.	15.5	15.8	19.8	1.1	4.7	3.5	4.7	− 0.2	5.0	6.1	5.7	100	96	97	E 2	E 2	W 4	10^2●	10^2	10^2	10.5	n ✳⁰ ◍¹, a ◍⁰
23.	20.6	21.0	23.3	1.4	5.7	3.0	5.8	0.3	5.0	5.2	5.2	98	75	91	NW 2	NW 4	NE 4	10^1=	6^1○	5^1	3.0	a ≡¹
24.	23.6	23.0	24.4	2.1	4.4	2.2	5.1	1.3	4.9	5.3	4.9	81	86	91	NE 4	N 6	N 6	10^1	10^1	10^2	−	
25.	25.2	25.3	26.2	− 0.3	− 0.9	− 0.6	2.4	− 1.4	4.4	**3.7**	3.9	98	86	88	N 6	N 6	N 2	10^2	10^2	10^2	1.1	n ◍⁰
26.	27.3	28.6	30.6	− 0.3	2.6	− 0.7	2.6	− 1.6	3.9	4.2	3.8	87	76	86	E 4	SE 4	E 2	10^2	3^0○	0	−	
27.	33.3	34.5	36.5	− 0.7	3.1	− 0.4	3.2	− 1.8	3.9	4.5	4.1	90	80	92	E 4	E 4	SE 6	8^1	6^0○	2^1	−	
28.	36.8	37.1	38.3	− 0.5	0.9	1.2	2.0	− 2.9	4.2	4.2	4.5	94	86	91	SE 4	SE 4	E 6	10^1	7^1	10^1	−	a ⌴¹
29.	39.6	40.8	**41.9**	1.5	5.2	4.5	5.2	0.1	4.9	5.7	5.7	96	87	91	E 4	E 2	E 2	10^1=	10^2	10^2	−	a ≡¹
30.	41.6	41.2	40.5	2.7	6.2	5.5	7.0	1.9	5.4	5.6	5.4	96	80	81	SE 2	NE 2	E 2	10^2=	10^2	10^1	−	a ≡²
31.																					49.4	
Mittel	28.3	28.0	28.4	2.6	6.4	3.8	6.9	1.0	5.1	5.6	5.5	92	78	90				9.0	8.0	7.1		

Alle Angaben nach Ortszeit.

Bamberg

November. $\varphi = 49^0\ 53'$ N. $\lambda = 10^0\ 53'$ E $= 43^m\ 32^s$. H $= 287.7$ m. Cg $= +0.3$ mm. 1911.

Datum	Luftdruck auf 0° u. Normalschwere reduziert 700 mm + 7a	2p	9p	Lufttemperatur C° 7a	2p	9p	Max.	Min.	Absolute Feuchtigkeit mm 7a	2p	9p	Relative Feuchtigkeit Proz. 7a	2p	9p	Richtung und Stärke des Windes 0 bis 12 7a	2p	9p	Bewölkung 0 bis 10 7a	2p	9p	Niederschlag mm 7a	Bemerkungen
1.	41.5	41.8	43.5	2.1	10.5	4.1	11.8	0.0	5.2	6.4	5.7	96	68	93	E 2	W 2	N 1	10^{2}	9^{1}	3^{1}	1.5	10 p-mn ◍0, n ⌴, a ≡1
2.	43.1	41.0	39.7	1.2	5.5	0 8	6 3	0.0	4.9	6.5	4.8	98	97	100	C	NW 2	C	10^{2}	9^{2}	10^{2}	0.1	n ⏢. a, abds. ≡2
3.	40.5	41.8	42.3	− 0.8	4.5	3.5	5.7	− 2.1	4.3	5.9	5.5	100	94	93	SE 3	SW 2	S 2	10^{2}	10^{2}	9^{1}	0.1	n ⌴. a ≡1
4.	41.0	40.0	40.2	1.0	9.7	8.2	11.0	− 0.4	4.7	5.9	6.4	96	65	79	S 5	SW 5	SW 1	10^{2}	5^{1}	10^{2}	0.1	n ⏢. a ≡1
5.	34.9	31.7	31.1	7.7	16.4	12.7	**17.4**	7.1	6.2	5.3	**9.0**	79	38	83	S 4	SW 5	SW 8	10^{2}	9^{1}	10^{2}●	0.1	p-n ztw. ◍0.1
6.	35.0	35.5	38.4	6.1	10.2	4.6	13.7	4.9	5.4	4.8	5.2	76	52	82	W 2	W 6	SW 2	2^{1}	8^{1}	3^{1}	2.0	n ⏢. 315-10 p ◍
7.	40.2	41.2	41.9	3.7	7.9	3.9	9.7	2.1	5.0	5.4	5.2	83	68	85	S 2	W 2	S 2	7^{1}	7^{1}⊙	1^{1}	0.1	
8	40.4	37.8	34.9	− 0.3	10.1	3.5	10.8	− 0.9	4.3	4.4	**3.4**	96	48	58	SW 3	SE 4	S 4	0	1^{1}⊙	10^{0}	0.1	n ⌴
9.	32.6	30.2	31.0	3.0	11.8	5.2	12.7	0.3	4.6	5.6	5.6	81	55	76	S 3	S 2	C	10^{1}	10^{1}⊙	7^{1}	0.1	n ⏢
10.	33.6	34.0	36.1	3.7	6.9	5.2	7.7	3.1	5.7	7.2	6.4	95	98	97	S 1	S 1	S 1	10^{2}	10^{2}	10^{2}	1.8	0-30 a, 11-12 a-1-15 p ◍1, n ztw. ◍0
11.	36.9	37.3	38.4	4.9	8.7	2.1	9.8	2.1	6 5	5.6	4.9	100	67	91	S 2	SW 2	S 3	10^{2}	7^{1}⊙	2^{1}	1.3	6-34-10 a ◍1
12.	35.8	34.0	34.3	3.0	7.3	6.0	8.3	1.3	4.6	5.9	5.6	81	78	81	SW 4	SW 3	W 3	10^{1}	10^{2}●	10^{2}	1.1	a ⏢. 1-15-5 p ◍0
13.	36.1	39.1	44.0	5.5	9.5	6 6	10.4	5.1	6.0	7.6	7.0	89	87	96	S 1	S 1	C	10^{2}●	10^{2}	10^{2}	0.2	6-7-15 a ◍0
14.	48.1	**48.6**	48.2	5.7	6.7	4.6	7.7	4.5	6.7	7.1	6.2	99	98	98	S 1	W 1	C	10^{2}⊷	10^{2}⊷	10^{2}⊷	0.1	n ⏢, t ≡1.2
15.	43.1	37.5	34.5	2.9	5.4	4.6	6.3	2.7	5.6	6.6	5.7	100	99	90	SE 1	S 2	S 5	10^{2}⊷	10^{2}	10^{2}	0.3	a ⏢, a ≡1
16.	33.4	33.2	34.4	5.5	10.8	9.0	11.4	1.4	6.0	6.7	6.9	89	70	80	SW 3	SW 5	S 2	10^{2}	10^{2}	10^{2}	0.1	p ztw. ◍0
17	32.9	29.1	26.1	6.6	11.0	7.6	11.6	6.4	6.3	6.6	6.3	87	68	80	SW 5	SW 6	SW 3	10^{2}●	10^{1}⊙	7^{1}	0.1	7 a ◍0, 8-04-09 a ◍1
18.	22.3	18.4	**13.3**	5.5	9.3	4.2	10.6	4.1	5.9	6.6	5.2	88	75	84	SW 3	SE 5	S 6	10^{1}	10^{1}⊙	10^{1}	0.2	9 a ◍0
19.	14.5	15.7	16.5	4.3	3.1	1.0	8.1	0.2	5.3	5.3	4.7	85	93	94	S 2	SW 3	S 2	10^{2}	10^{2}●	9^{1}	0.1	10-15-11 a ◍0, 1-15 p ◍2 ⟋⟋, 2-9 p ◍, 7 p ◍2 ✳
20.	14.7	16.6	19.6	3.1	4.5	4.5	5.4	1.1	5.2	5.7	5.7	91	90	90	SW 6	W 7	W 8	10^{2}●	10^{0}●	10^{2}●	**13.0**	9 p-7 a ◍, 7 a-9 p ◍1
21.	25.4	24.1	22.9	5.1	4.9	2.3	6.8	2.2	5.8	6.0	5.1	89	94	94	W 1	SW 1	SW 2	10^{2}	10^{2}●	10^{2}●	10.8	9 p-2 a ◍, 6-30-9 p ◍
22	22.1	22.7	26.4	1.1	3.5	3.3	4.2	0.6	4.9	5.7	5.6	98	97	97	C	NW 3	NW 2	10^{2} ✳⊷	10^{2}⊷	10^{1}	11.3	9 p-7 a ◍, dann-7-30 a ✳. 8-9 a ◍, t p ≡1
23.	26.7	27.7	30.1	3.0	4 6	3.3	5.3	1.8	5.1	4.8	5.0	90	76	87	N 3	N 3	N 3	10^{2}	10^{1}	10^{2}	2.6	
24.	30.0	29.4	31.4	3.0	3.4	2.7	5.0	2.3	4.8	5.0	4.9	85	85	87	NE 5	NE 4	N 3	10^{2}	10^{2}	10^{2}	0.1	
25.	32.2	32.1	32.8	1.0	1.0	− 0.3	3.7	− 0.8	4.2	3.9	3.8	85	79	85	N 3	N 3	N 2	10^{2}	10^{2}	10^{2}	0.1	3-4 p ztw. ✳0, 5-11-6 p ztw. ✳0
26.	33.7	34.8	38.2	0.4	3.5	0.0	4.7	− 0.4	3.9	4.7	4.3	82	80	92	E 3	SE 2	SE 5	10^{2}	9^{1}	10^{2}	0.1	
27	39.9	40.5	43.6	0.5	4.7	0.6	6.5	− 0.2	4.2	5.0	4.4	89	78	92	S 3	SE 3	SE 3	10^{2}	10^{1}	10^{1}	0.1	
28.	43.8	43.9	44.8	− 0.8	2.2	1.0	3.8	− 1.2	4.2	4.4	4.4	98	82	89	W 1	SE 2	SW 3	10^{2}	10^{2}	10^{2}	0.1	n ⌴0
29	46 2	47.4	**48.6**	1.8	6.0	4.8	7.0	0.8	4.9	5.7	5.8	93	82	90	SW 2	S 1	NW 1	10^{1}	10^{2}	10^{2}	–	
30.	48.4	47.7	47.4	4.2	7.8	5.1	8.4	4.1	5.9	5.9	5.1	96	75	78	W 2	SE 2	C	10^{2}⊷	10^{1}	10^{1}	0.1	6-15 a ◍0, a ≡1
																					47.8	
Mittel	35.2	34.5	35.1	3.1	7.0	4.2	8.4	1.7	5.2	5.7	5.5	90	78	87				9 3	9.1	8.6		

Würzburg.

November. $\varphi = 49^0\ 48'$ N. $\lambda = 9^0\ 56'$ E $= 39^m\ 44^s$. H $= 179.3$ m. Cg $= +0.3$ mm. 1911.

1.	50.9	50.9	52.5	3.3	10.7	5.1	11.0	2.1	5.6	5.8	6.0	97	61	92	NW 1	W 2	C	0	4^{1}⊙	0	1.9	a ≡1
2.	52.2	50.3	49.1	1.9	5.3	3.8	5.3	1.1	5.2	5.9	5.8	98	89	97	E 2	E 2	E 2	10^{2}⊷	10^{2}	10^{2}⊷	–	a ⏢. ≡2. 9 p ≡
3.	49.8	50.8	51.3	4.0	7.4	4.1	7.5	2.3	5.4	5.7	5.4	88	74	88	W 2	SW 2	W 2	10^{2}	10^{2}	0	–	n ≡2
4.	49.7	49.0	48.5	0.2	10.8	9.9	10.8	− 0.2	4.5	6.2	6.4	96	64	70	SE 2	W 4	W 4	2^{1}	3^{1}	10^{2}	–	11 p ⏀, a ⌴ ≡1
5.	43.3	40.3	39.7	10.9	15.6	12.7	**16.0**	6.0	6.2	6.6	**9.5**	63	50	88	W 4	W 6	W 6	10^{1}	10^{1}	10^{2}	–	p ⟋⟋. 2-30 p ◍tropfen. 8-10 p an ◍
6.	43.9	44.7	47.5	8.0	11.0	6.1	12.7	6.0	5.6	4.8	5.3	69	50	75	W 4	W 6	W 4	0	6^{1}	0	1.5	n ◍
7.	49.8	50.3	50.7	5.2	9.4	3.5	9.4	3.5	5.2	4.9	5.4	78	56	92	SW 2	W 2	C	10^{2}	8^{2}	0⊷	–	a ⏢. ≡1. 9 p ≡
8.	49.8	46.6	44.1	− 0.6	9.4	2.8	10.0	− **1.0**	4.1	4.5	4.6	94	51	80	C	SE 2	SE 2	0⊷	00	0	–	n heiter, a ⌴ ≡1. 9 p ☿ ∞
9.	41.4	39.1	39.9	3.3	10.5	7.6	10.8	1.8	5.1	6.5	7.5	88	69	96	C	SW 2	C	10^{2}●	10^{2}	10^{2}⊷	0.1	a, p ◍0. 9 p ≡
10.	42.7	43.2	45.1	5.4	8.8	6.4	8.8	5.3	6.6	6.8	6.8	99	81	94	C	C	C	10^{2}⊷	10^{2}	10^{2}	3.2	n ◍, a ≡2
11.	45.9	46.5	46.9	5.2	8.0	3.0	9.7	3.0	6.2	5.4	5.2	94	67	91	W 1	SW 2	W 1	10^{2}	4^{1}⊙	0	–	a ≡1
12.	44.0	42.7	42.4	4.5	8.0	6.8	8.4	2.4	5.1	6.9	7.0	81	86	94	SE 1	SE 2	C	10^{2}	10^{2}●	10^{2}●	–	a ⏢ ∞, p ◍
13.	45.3	48.1	53.7	6.7	10.1	7.9	10.1	6.1	7.3	7.7	7.4	100	83	93	C	SW 1	SW 2	10^{2}●	8^{2}	10^{2}	3.6	n, a ◍
14.	57.2	57.8	57.3	6.0	8.5	6.6	8.6	6.4	7.2	7.2	6.6	99	87	91	C	C	E 2	10^{2}⊷	10^{2}	10^{2}	1.4	a ≡1
15.	52.1	46.2	43.5	5.4	7.8	3.9	8.0	3.9	6.3	6.7	5.7	94	85	95	C	SE 4	C	10^{2}⊷	10^{2}	0	–	a ≡1
16.	42.4	42.1	43.4	7.6	11.0	10.1	11.2	2.6	6.6	7.2	6.9	85	74	75	W 6	W 5	W 4	10^{2}	10^{2}	7^{2}	–	a ⟋⟋
17.	41.3	38.1	36.1	8.8	12.0	8.6	12.0	8.6	7.1	7.0	6.6	84	67	79	SE 2	SE 2	C	10^{2}	10^{1}	10^{2}	–	a ◍0
18.	31.1	27.0	**22.6**	10.0	11.1	7.3	11.1	7.2	6.8	7.2	6.4	74	73	85	SW 6	SE 2	E 4	10^{2}	10^{2}	10^{2}	0.3	n ◍
19.	23.0	23.9	24.6	5.9	6.8	3.4	7.5	3.4	5.3	4.9	5.1	77	67	87	SE 2	SW 4	W 4	10^{2}	8^{1}	10^{2}	0.4	n ◍0, p ztw. ⟋⟋ ◍
20.	23.6	26.0	29.9	5.1	6.6	6.4	7.0	2.4	5.3	5.6	5.9	82	77	83	W 8	W 8	W 8	10^{2}●	10^{2}	10^{2}	10.7	n, t ztw. ◍ ⟋⟋
21.	34.4	33.0	32.1	6.5	6.0	3.9	7.2	3.7	5.7	5.8	5.6	78	84	92	SW 2	W 4	W 4	10^{2}	10^{2}●	10^{2}●	**17.5**	n, t ztw. ⟋⟋ ◍
22.	31.3	31.7	35.7	1.9	3.6	3.3	4.0	1.3	4.9	5 6	5.0	93	95	87	E 2	N 2	E 2	10^{2}●	10^{2}●	5^{2}	12.0	n, a ◍. 7-30-9 a ✳ ◍. 2 p ◍
23.	35.3	36.7	38.6	3.0	5.4	2.9	5.4	2.0	4.7	**4.8**	4.8	83	72	85	NE 4	E 4	E 2	10^{2}	10^{2}	6^{2}	3.2	
24.	39.0	38.4	40.9	2.5	4.7	3 4	4.8	2.3	4.6	5.0	4.6	82	78	78	NE 2	E 6	E 2	10^{2}	10^{2}	10^{2}	–	
25.	41.5	41.4	41.7	3.7	3.0	0.8	3.7	0.8	4.7	3.8	**3.7**	78	68	77	NE 4	NE 4	NE 2	10^{2}	10^{2}	10^{2}	–	
26.	41.4	43.1	45.2	1.7	4.1	3.9	4.5	0.3	4.0	4.8	5.3	77	79	87	E 4	E 2	C	10^{2}	10^{2}	10^{2}	–	11 a ◍0
27.	48.5	49.9	52.3	3.4	5.5	2.7	5.5	2.6	5.0	5.5	4.8	85	82	85	E 2	E 4	E 4	10^{2}	10^{2}	10^{2}	0 6	
28.	52.7	52.5	53.8	2.4	3.6	2.7	3.7	2.0	4.8	5.0	4.8	87	85	85	E 2	SE 2	SE 2	10^{2}	10^{2}	10^{2}	–	2 p an ◍0
29.	55.3	56.3	**57.9**	2.4	6.2	5.6	6.2	1.7	4.9	5.7	6.0	89	81	88	SE 1	E 2	E 1	10^{2}	10^{2}	10^{2}	c.1	a ≡1
30.	57.8	56.8	56.2	5.4	7.8	6.2	7.8	5.1	6.0	6.7	5.6	89	85	79	C	SE 2	S 2	10^{2}	10^{1}	10^{2}	–	a ≡1
																					56.5	
Mittel	43.9	43.4	44.1	4.7	8.0	5.4	8.3	3.2	5.5	5.9	5.9	86	74	86				8.7	8.7	7.3		

Alle Angaben nach Ortszeit.

Ludwigshafen a/Rh.

November. $\varphi = 49^0\ 29'$ N. $\lambda = 8^0\ 26'$ E $= 33^m\ 44^s$. H $= 100.3$ m. Cg $= +0.3$ mm. 1911.

Datum	Luftdruck auf 0° u. Normalschwere reduziert 700 mm + 7a	2p	9p	Lufttemperatur C° 7a	2p	9p	Max.	Min.	Absolute Feuchtigkeit mm 7a	2p	9p	Relative Feuchtigkeit Proz. 7a	2p	9p	Richtung und Stärke des Windes 0 bis 12 7a	2p	9p	Bewölkung 0 bis 10 7a	2p	9p	Niederschlag mm 7a	Bemerkungen
1.	59.0	59.0	60.6	3.7	11.6	7.0	12.3	3.1	5.8	6.6	6.0	**97**	64	79	SE 1	SW 1	SE 1	2^0	4^0	0	1.2	a ⏢
2.	59.5	57.6	57.1	− 0.1	3.3	4.5	7.0	− **1.0**	4.4	5.4	6.1	96	93	**97**	C	NW 1	W 2	10^2=	10^2=	10^2=	–	t ≡²
3.	58.4	58.8	58.6	3.7	7.8	2.9	8.0	2.6	5.8	6.1	5.4	**97**	78	96	S 1	SW 1	S 1	10^1	10^2	$10^=$	–	a ⌒; p–n ≡²
4.	57.9	56.2	56.5	2.3	11.2	10.0	11.7	1.4	5.2	6.3	7.1	96	63	79	S 1	S 2	S 1	0	3^0⊙	6^0	–	a ⌒
5.	51.6	48.5	49.0	10.8	16.4	12.6	**16.6**	10.0	6.7	7.5	**8.8**	70	54	82	S 4	SW 6	SW 4	10^2	10^2	10^2●	–	p ≡≡; 7^{04}–9^{00} p ◍
6	53.0	53.7	55.9	8.0	9.8	6.4	12.6	6.4	6.0	6.0	5.3	75	66	73	SW 3	S 3	SW 2	3^1	2^0⊙	0	0.4	$9^{00.24}$ p, $10^{4.34}$ p ◍
7.	58.2	58.4	58.4	5.8	10.1	5.1	10.1	4.2	5.2	5.3	5.2	76	57	80	SW 2	W 1	N 1	0	3^0⊙	0	0.6	
8	57.0	53.5	50.1	2.1	9.6	5.4	10.0	1.2	4.6	4.8	5.1	85	55	77	SE 2	SE 1	S 1	0	5^1⊙	10^1	–	⌒¹
9.	48.0	46.5	47.8	6.1	9.1	7.8	9.8	5.4	5.6	7.5	7.5	79	88	94	SE 1	S 1	S 1	10^1●	10^1●	10^1●	0.4	6^{34} a ◍^{0}; p u. abds. ◍^{0} u. ◍^{1}
10.	50.5	51.4	52.5	6.2	8.8	7.5	9.0	5.8	6.9	6.8	6.7	**97**	81	88	C	C	SW 1	10^0=	10^2	10^0	5.4	a ≡¹
11.	54.0	54.6	55.0	4.1	8.8	5.8	9.0	3.2	5.7	6.4	5.3	93	76	78	C	C	C	3^0	9^1	0	–	a ≡¹; p ◍^{0}
12.	50.7	49.5	50.6	5.8	8.2	7.6	8.3	3.2	5.3	6.1	6.7	78	75	86	SE 1	NW 1	N 1	10^1	10^1●	10^1●	0.8	u, t ◍^{0}
13.	53.0	56.3	61.4	7.6	9.6	8.8	10.0	6.3	7.3	8.2	6.8	94	92	81	S 1	S 1	SW 1	10^2●	7^1	10^0	2.6	n, a ◍; a ≡¹
14.	65.7	**65.8**	64.4	4.1	8.2	5.4	8.8	3.5	5.5	7.0	6.5	90	87	**97**	C	C	S 1	10^1=	0^0	10^2=	2.2	a ≡¹; t ∞; p ≡²
15.	59.3	53.1	51.3	4.1	10.0	6.0	10.0	2.8	5.7	6.4	5.2	93	69	75	C	SE 1	S 1	10^2=	5^1	10^1	–	a ≡²
16.	50.3	50.4	50.7	8.2	11.0	10.6	11.0	4.2	6.8	7.6	7.3	83	77	75	SW 3	SW 4	SW 2	10^2	10^2	10^1	–	
17.	48.5	44.8	42.4	10.0	12.2	9.8	13.0	9.0	7.1	7.6	7.3	79	72	82	S 1	S 2	S 1	10^2	10^2	10^1	–	p öfters ◍tropfen
18.	37.9	33.3	**27.5**	9.2	11.6	8.8	12.1	8.2	7.6	7.0	6.8	89	69	81	C	C	C	10^2	5^1	10^2●	0.6	n, abds. ◍
19.	30.5	31.2	32.2	6.2	7.8	4.3	8.8	4.3	5.9	5.3	5.6	84	67	90	SW 1	W 3	W 3	10^2	5^2	10^2●	3.8	n, a, p ◍; 3^{40} p ⊠, ◍ △
20.	32.4	35.8	40.5	5.6	7.0	8.2	8.2	2.4	5.6	5.2	5.7	83	70	70	SW 5	SW 4	SW 6	10^2●	6^1	10^2	6.8	n ◍ ≡≡
21.	42.8	40.6	39.2	6.8	6.8	3.9	8.2	3.9	6.3	6.3	5.5	85	85	90	SW 2	S 1	S 1	10^2	10^1●	10^2●	2.4	n ◍ ≡≡; a, p, abds. ◍
22.	38.8	39.4	42.6	1.7	3.5	3.1	3.9	0.6	5.0	5.5	5.3	96	93	93	W 1	N 1	N 3	10^2●	10^2●	10^1	**18.8**	a–2^{31} p ◍; a ✳flocken, ≡¹
23.	42.1	43.7	46.0	2.5	6.1	2.1	6.1	0.4	4.9	5.7	4.8	89	81	89	N 3	N 2	C	10^2	5^1	4^0	3.2	a ∞
24.	45.8	45.8	48.4	3.1	5.8	3.5	6.0	0.7	5.1	5.2	5.1	90	76	87	N 2	NE 2	N 3	10^2	10^2	10^2	–	n ≡¹
25.	48.9	49.3	49.3	3.6	3.4	1.9	4.0	1.9	5.2	5.0	**3.9**	88	85	75	NE 2	NE 1	N 2	10^2	10^2	10^2	–	7^{31} a ≡reissen; ∞
26.	48.7	49.9	51.4	1.5	3.3	3.8	3.8	0.2	4.7	5.2	5.7	93	90	95	N 2	W 1	W 1	10^2●*	10^2	10^2	2.6	n ◍, dann a–8^{31} a ✳ (⊠ taute bald auf); abds. ≡¹
27.	54.5	55.7	57.6	4.1	8.4	5.4	8.6	1.6	5.7	5.8	6.2	93	70	92	C	SW 2	C	10^1=	6^1⊙	10^2	2.6	a, abds. ≡¹; abds. ≡reissen
28.	59.5	59.4	59.8	3.5	6.2	5.4	6.4	2.5	5.3	5.7	5.6	90	81	83	W 1	W 1	NW 1	10^1=	8^1	10^1	0.6	a ≡¹; p ◍^{0}
29.	62.3	63.7	65.4	4.9	7.4	7.2	7.6	3.6	5.7	7.0	6.9	87	91	91	SW 1	N 1	C	10^1=	10^1=	10^1=	0.6	a ≡¹; 6^{34} a ab ◍^{0}; t ≡¹; abds. ◍
30.	65.3	64.0	63.5	6.2	9.4	7.4	9.8	5.8	6.5	7.5	7.2	91	87	94	C	C	C	10^1=	10^1	10^1=	0.6	a, p ≡¹
																					56.2	
Mittel	51.5	51.0	51.5	5.0	8.4	6.3	9.0	3.6	5.8	6.3	6.1	88	76	85				8.3	7.4	8.3		

Nürnberg.

November. $\varphi = 49^0\ 27'$ N. $\lambda = 11^0\ 3'$ E $= 44^m\ 12^s$. H $= 309.1$ m. Cg $= +0.2$ mm, über 735.0 mm Cg $= +0.3$ mm. 1911.

1.	39.5	39.9	40.9	4.3	10.0	5.5	10.0	4.1	6.1	5.7	5.6	**98**	62	83	SW 1	W 2	W 1	8^1=	4^1⊙	10^1	–	⌒. a ≡¹. t wechselnde Bewölkung, sichtige Luft
2.	40.6	38.4	37.4	0.8	6.6	1.5	7.5	− **1.5**	4.2	6.2	4.9	96	85	96	SE 1	NW 2	C	10^2=	2^1⊙	10^2=	–	⌒. a ≡². p heiter, abds. ≡²
3.	38.2	39.7	40.1	0.5	5.5	3.7	6.0	− 1.0	4.7	5.4	5.1	**98**	80	85	W 2	SW 2	SE 2	10^2=	7^2⊙	7^1	–	a ≡², 7–10 a ◍^{0}
4	39.1	38.3	38.5	1.8	9.2	6.1	10.8	0.8	4.9	6.0	6.2	93	70	88	S 2	SW 2	SE 2	10^1=	6^1⊙	10^1	–	mn ⏢. a ≡¹. t meist heiter
5.	33.5	30.7	29.8	9.0	15.6	14.0	**16.0**	6.1	6.3	5.8	**8.5**	73	44	71	SE 2	SW 2	SW 3	10^1	9^1	10^1	–	ca. 1 a ◍^{0}. t meist trüb
6.	33.3	33.9	36.4	7.1	10.4	5.0	14.0	4.0	6.3	5.0	5.6	84	53	86	W 2	SW 3	SW 2	5^1	4^1	0	2.4	⌒. mn ◍^{0}. 0^{39}–2^{30} a ◍$^{0.1}$. $4^{10.50}$ p ◍^{0}. [1]
7.	38.2	39.4	39.7	3.3	8.8	2.9	8.9	2.9	4.7	5.4	4.8	82	64	85	SW 2	SW 3	SW 2	4^1	8^2⊙	0	–	⌒. a ≡⁰. t wechselnde Bewölkung, sichtige Luft.
8	38.7	35.6	32.8	0.5	9.4	1.9	9.6	0.5	**4.0**	4.2	4.4	90	48	84	SE 1	SE 2	SE 1	0=	0^0⊙	0	–	⌒. a ≡¹. t heiter, sicht. Luft [6 p Aufklaren
9.	30.5	28.3	28.5	2.5	9.9	6.4	10.6	1.7	4.7	4.8	5.4	85	52	75	SW 2	E 2	SE 2	7^1	6^1⊙	5^1	–	11 p an farb. ⏢. a ≡⁰. t wechs. Bewölkg. p sehr sicht.
10.	31.1	31.9	33.5	5.5	6.2	5.3	7.0	4.2	6.3	6.6	6.2	94	93	94	W 1	NW 2	SW 2	10^1=	10^1●	10^1	0.3	a ≡¹. n, t ztw. ◍^{0}. trüber Tag [Luft
11.	34.5	35.5	36.5	4.6	7.6	3.4	8.1	3.4	5.8	6.4	5.5	92	82	95	S 1	S 2	SE 2	10^1	4^2⊙	0	8.2	vor mn ztw. ◍^{0}. a ≡⁰. 8^{20}–11^{30} a ◍^{0}. p Aufklaren. [2]
12.	33.4	32.1	32.1	1.9	6.9	6.2	7.3	1.2	4.6	5.5	6.1	88	74	87	SE 2	SW 3	SE 2	10^1	10^2	10^1	3.2	a ≡⁰. 0^{40}–1^{30} p, 3^{30}–5^{30} p ztw. ◍^{0}. t meist trüb, [3]
13.	33.8	36.6	41.7	6.2	9.1	7.0	9.1	5.2	6.0	7.4	6.9	86	87	92	S 1	NW 2	NW 2	10^1=	8^1	10^1	–	a ≡¹. 8 p an ztw. ◍^{0}. t ztw. C, trüb, unsicht. Luft
14.	45.4	**46.2**	45.3	6.2	7.2	6.0	7.9	6.0	6.8	6.9	6.3	96	91	90	NW 1	NW 1	NW 1	10^1=	10^1	10^1	–	a–m ≡¹. t bedeckt, ztw. C, unsichtige Luft
15.	40.7	35.6	32.8	4.4	5.8	5.2	6.4	3.4	5.9	5.9	5.9	96	87	89	SE 1	SE 2	SW 2	10^1=	10^1	6^1	–	a–p ≡¹. t bedeckt
16.	31.7	31.7	32.7	5.7	11.5	9.5	11.8	2.6	5.6	6.8	7.0	82	68	79	S 2	SW 3	S 2	10^1	10^1	5^1	–	a ≡⁰. t wechselnde Bewölkung
17.	31.1	27.3	24.2	6.8	10.6	7.1	10.8	5.5	6.0	6.3	6.2	81	67	83	S 2	S 2	S 1	8^1	9^0⊙	7^1	–	t meist trüb, sichtige Luft
18.	20.6	16.4	**11.6**	5.5	10.0	4.7	10.2	4.7	5.8	6.7	5.4	86	73	84	S 2	SE 2	SE 2	9^1	8^1	0	–	⌒. a ≡⁰. t meist trüb, ca. 4^{30} p ◍tropfen
19.	12.3	13.9	14.6	4.9	5.7	2.7	7.5	2.0	5.7	5.6	5.0	89	82	89	S 2	SW 2	SW 2	10^1=	10^1●	5^1	–	a ≡¹. $2^{00.30}$ p ◍¹. 1^{53}–2 p, $2^{21.27}$ p △. $3^{10.40}$ p ◍⁰. [4]
20.	13.9	15.4	19.0	4.3	5.2	6.1	6.2	2.5	5.2	5.8	5.5	84	87	78	S 3	SW 4	SW 4	10^1	10^1	10^2	3.5	2^{40}–5^{10} a ztw. ◍^{0} ✳^{0}. t trüb, ztw.–n ◍^{0}
21.	23.6	22.5	21.0	6.0	6.0	2.2	7.2	2.2	5.8	5.9	5.0	84	85	93	SW 2	SW 2	S 2	10^2	10^1	10^1●	1.7	n–2 a ztw. ◍^{0}. 7^{40}–8 a ◍^{0}. 0^{20} p–n meist ◍$^{0.1}$
22.	19.4	19.9	23.6	2.5	7.3	4.6	8.0	1.9	5.4	6.9	6.2	**98**	90	**98**	C	S 2	N 1	10^1	10^1	10^0	**16.0**	n–10^{30} a meist ◍^{0}. trüber Tag
23.	23.7	24.2	26.7	4.2	6.2	4.0	6.5	3.4	5.5	5.5	5.5	89	78	90	E 2	E 3	NE 3	10^1	9^1	10^1	1.6	p ztw. Aufklaren
24.	26.9	26.2	28.3	4.7	6.6	3.9	7.3	3.8	5.6	5.7	5.4	87	78	88	NE 3	NE 3	NE 2	10^1	9^1	10^1	–	t meist bedeckt
25.	29.1	29.4	29.9	1.9	1.3	0.8	3.9	0.6	4.6	4.7	**4.0**	88	92	80	N 2	N 2	NE 2	10^1	10^1*	10^1	0.3	t bedeckt, 5^{10} a ◍^{0}. 11 a–2^{20} p ✳^{0}, dann ztw.–7 p ◍^{0}
26	30.6	32.0	35.0	1.2	4.7	1.2	5.0	0.5	4.8	4.8	4.4	96	74	89	SE 3	SE 2	SE 4	10^1	6^1⊙	10^1	–	p ztw. Aufklaren
27.	37.4	38.4	41.2	2.0	3.6	1.3	4.1	1.2	4.7	5.0	4.6	89	85	91	SE 2	SE 3	SE 3	10^1=	5^1	10^0	–	a ≡¹, trüb, p kurzes Aufklaren
28.	40.7	41.3	42.6	1.9	2.0	2.0	2.9	0.9	4.4	4.4	4.7	84	84	89	SE 2	SE 2	SE 2	10^1=	10^1	10^1	–	a–m ≡¹. t bedeckt
29.	43.8	45.0	46.0	2.4	6.4	4.3	6.7	1.2	4.7	5.4	5.6	85	75	90	SE 3	S 2	S 2	8^1=	3^1⊙	10^1	–	a–m ≡¹. p ztw. Aufklaren
30.	45.9	45.1	44.7	3.9	8.2	6.3	8.3	3.0	5.6	5.9	5.2	92	73	74	W 1	S 2	S 2	10^1	10^1	10^2	–	a ≡⁰. t meist trüb. a meist C
																					37.2	
Mittel	32.7	32.4	32.9	3.8	7.5	4.7	8.2	2.6	5.4	5.8	5.6	89	75	87				9.0	7.6	7.5		

[1] sehr sichtige Luft. 5 p Aufklaren [2] unsichtige Luft
[3] p sehr sichtige Luft [4] 3^{30} p ✳^{0}. 6^{40}–7^{40} p ztw. ◍^{0}

Alle Angaben nach Ortszeit.

Kaiserslautern.

November. $\varphi = 49^0\ 27'$ N. $\lambda = 7^0\ 46'$ E $= 31^m\ 4^s$. H $= 242{,}2$ m. Cg $= +0.3$ mm 1911.

Datum	Luftdruck auf 0° u. Normalschwere reduziert 700 mm + 7a	2p	9p	Lufttemperatur C° 7a	2p	9p	Max.	Min.	Absolute Feuchtigkeit mm 7a	2p	9p	Relative Feuchtigkeit Proz. 7a	2p	9p	Richtung und Stärke des Windes 0 bis 12 7a	2p	9p	Bewölkung 0 bis 10 7a	2p	9p	Niederschlag mm	Schneedecke cm	Bemerkungen
1.	45.9	46.2	47.3	3.7	8.5	3.0	9.1	2.6	5.5	6.7	5.5	92	81	96	W 2	NW 2	C	7^1	5^0⊙	0	2.4	–	n ◍^{0}
2.	40.1	44.3	43.9	0.2	4.9	2.5	5.1	− 0.8	4.5	6.1	5.5	96	96	100	C	NW 1	C	10^2≡	10^1	10^2≡	–	–	a ≡^{2}; abds. ≡
3.	45.1	45.6	45.2	2.8	8.2	1.9	8.9	1.9	5.4	5.5	5.1	96	67	96	NW 2	NW 2	C	10^1	4^0⊙	5^1	–	–	n ≡; a ≡
4.	44.6	44.1	43.7	2.0	10.1	9.9	10.7	− 1.0	5.0	6.9	7.0	94	75	77	W 1	W 2	NW 4	10^1	10^2	10^1	–	–	a ⌴^{2}, ≡
5.	38.7	36.3	36.4	10.5	12.5	9.8	**14.1**	9.1	7.6	**8.8**	8.2	80	82	91	W 8	W 6	NW 6	10^2	10^2●	10^2●	–	–	n, a–n ⩸, 11^5 p–n meist ◍^{0}
6	40.1	40.9	42.8	6.6	9.1	6.3	10.2	6.2	6.3	5.5	5.4	87	63	76	W 3	W 3	W 3	7^1	7^1⊙	2^1	3.6	–	n ⩸, ◍
7.	45.2	45.3	45.0	4.5	7.9	5.1	8.2	4.1	5.3	5.7	5.2	84	72	80	W 4	W 5	W 1	10^1	9^1	8^1	–	–	a ⩍, ztw. ⩸
8.	43.5	40.1	37.2	0.8	9.9	4.9	10.1	0.3	4.7	4.5	5.7	96	59	87	C	SW 2	C	10^1	7^0⊙	10^1	–	–	a ≡, ⌴^{2}, ∞
9.	34.9	34.1	35.6	6.7	7.8	6.7	8.3	4.1	6.3	7.6	7.0	86	96	96	S 2	S 1	C	10^2●	10^2●	10^1	0.2	–	n, a, t–6^{01} p ◍^{0}
10.	37.5	38.4	39.9	5.6	7.9	6.0	8.2	5.0	6.5	6.6	6.4	96	83	91	C	S 2	S 1	10^1	10^1	5^1	3.3	–	a ≡^{2}
11.	40.7	41.4	41.1	4.3	7.5	4.5	8.1	3.1	5.8	6.0	5.7	93	77	90	C	W 3	C	10^1	10^2●	10^1	–	–	a ⩍, 2^{00} p ab ztw. ◍^{0}, 3^{21} p ◍^{2}
12.	37.4	36.7	37.4	6.5	8.3	8.1	9.2	4.1	5.3	6.2	7.4	74	75	92	W 1	SW 2	C	10^1	10^2	10^2●	1.5	–	a, t–n ztw. ◍^{0}
13.	40.0	43.4	48.7	7.5	9.5	5.3	10.2	5.3	7.3	7.0	6.3	94	79	96	W 2	NW 2	C	10^2●	10^2	0	1.7	–	n ◍^{0}; a 7^{31} a ◍^{0}
14.	**52.5**	51.9	51.2	0.0	8.1	2.7	8.7	− 0.4	4.6	6.7	5.4	100	83	96	C	NW 1	C	10^2	4^0⊙	10^1	0.1	–	a ≡^{2}, ⩍^{2}; abds. ≡^{2}
15.	45.7	40.1	38.4	4.7	8.2	5.3	8.3	2.0	6.0	6.7	6.0	94	82	91	SW 2	S 1	SW 3	10^1	9^1	10^1	–	–	a ≡^{2}, ⌴^{0}
16.	37.2	37.9	38.2	8.1	9.5	9.7	10.1	5.0	6.8	7.8	7.5	85	88	84	SW 3	W 4	W 3	10^1	10^2●	10^1	–	–	a, t ztw. ⩸, 8^{31} a–3^{21} p meist ◍^{0}
17.	35.8	32.1	29.0	9.7	12.1	9.8	12.3	9.1	7.8	7.3	7.0	87	69	78	W 2	SW 2	C	10^2	10^2	0	1.5	–	n kurz ⩸, a ≡^{1}, 4^{01}–6^{41} p ztw. ◍^{0}
18.	25.8	21.1	**15.0**	8.2	10.1	7.7	11.3	7.7	7.3	6.7	6.7	91	73	86	W 2	W 1	W 5	10^2	9^2	10^2●	4.6	–	n ◍, 7^{41} p–n ◍$^{1.2}$, ztw. ⩸
19.	18.2	19.2	19.8	5.5	5.6	4.1	8.2	4.1	5.7	5.1	5.4	85	75	78	W 3	W 2	W 1	10^2●	10^2●	10^2●	6.0	–	n ◍ ⩸; a ztw. ⩸, 8^{01} a an ztw. ◍. [1]
20.	20.9	25.0	28.7	4.1	5 3	6.7	7.1	2.5	5.5	5.5	6.1	90	83	83	W 4	NW 5	W 4	10^2●	10^2●	10^2	3.7	–	n, a ◍ ⩸, t–u ztw. ◍ ⩸
21.	30.3	28.0	27.0	5.8	5.5	2.0	7.1	2.0	6.3	6.1	5.1	91	91	96	W 2	W 1	C	10^2	10^2●	10^2●	12.8	–	n ◍ ⩸, 10^{01} a–n andauernd ◍
22.	26.4	27.7	30.2	1.4	2.3	2.3	2.3	0.6	4.9	5.0	5.0	96	93	93	C	E 1	C	10^2*	10^2	10^1	**20.1**	2	n ◍ ✳, a–10^1 p ✳^{0} ◍
23.	29.9	31.3	33.4	1.6	4.5	1.2	4.5	1.2	4.8	5.3	4.7	93	84	94	E 2	SE 1	C	10^1	9^1	5^0	3.2	–	a ≡^{1}, 9^{01}–10^{01} a ◍^{0}
24.	33.0	33.4	35.7	1.4	3.1	1.8	3.1	1.2	4.8	5.1	5.1	94	90	96	E 3	E 3	E 1	10^1	10^2	10^2●*	0.3	–	a ≡^{2}, 5^{31} p–n ◍^{0}, ✳^{0}
25.	36.4	36.7	36.4	1.6	1.7	0.0	1.9	0.0	5.1	4.9	3.9	98	94	85	E 2	E 1	C	10^2	10^2●	10^2	0.1	–	n ◍^{0}, ✳^{0}; a ≡^{1}, 10^1 p ab ◍^{0} ≡. 7^{31}–8^{11} p ✳ ◍^{0}
26.	35.4	37.1	38.2	− 0.2	2.4	2.1	2.9	− 0.8	4.4	5.4	5.3	96	98	100	E 1	E 1	C	10^2*	10^2	10^2	4.1	3	n, a ✳, t meist ◍^{0}, ztw.–8^{11} p mit ✳^{0}
27.	40.6	42.1	44.4	4.3	8.6	4.7	9.2	1.8	5.8	7.1	6.2	93	86	97	E 1	C	C	10^1	10^2	10^2	1.5	–	a ≡^{1}, $10^{01.26}$ a ◍^{0}
28.	45.6	45.5	46.4	4.0	5.5	4.9	6.2	3.7	5.9	6.5	6.2	97	97	97	E 2	E 1	C	10^2	10^2●	10^1	1.7	–	n, t ztw. ◍^{0}
29.	48.4	50.1	51.5	6.5	9.3	6.5	10.0	4.7	7.0	8.4	7.2	98	96	100	C	C	C	10^2	10^2	0	1.3	–	n ◍^{0}, a ztw. ◍^{0}, ≡^{2}, p ≡^{2}, ∞
30.	51.5	50.1	49.8	6.3	8.9	5.7	9.2	5.0	7.1	7.4	6.6	99	87	98	C	SE 1	C	10^2	8^1	10^1	0.9	–	a ≡^{2}, dann ≡^{1}, p ∞
																					74.6		
Mittel	38.4	38.2	38.6	4.5	7.4	5.0	8.1	3.1	5.8	6.3	6.0	92	82	91				9.8	9.0	7.8			

1) 6^{41} p–n ztw. ◍$^{0.1}$; $9^{31.41}$ p ✳^{0}; 2^{21} p ✳^{0}

Ansbach.

November. $\varphi = 49^0\ 18'$ N. $\lambda = 10^0\ 33'$ E $= 42^m 12^s$. H $= 437.5$ m. Cg $= +0.2$ mm. 1911.

1.	28.4	28.5	29.8	3.5	9.2	3.1	9.8	2.5	5.6	5.4	5.3	95	62	93	C	W 4	C	2^0	2^1⊙	4^1	0.8	–	mrgs. ⩍
2.	29.1	26.7	25.8	− 1.9	8.9	− 0.8	9.0	− 2.5	3.8	5.4	3.9	94	63	90	C	E 2	C	10^2≡	0⊙	0	–	–	mrgs. ≡^{2} ⌴
3.	26.9	28.1	28.9	1.1	5.3	0.9	6.4	− 2.7	4.9	5.3	4.7	91	81	96	C	S 2	C	0≡	2^0⊙	0	–	–	mrgs. ≡^{1} ⌴
4.	27.7	27.0	27.3	− 0.8	9.8	6.8	10.2	− 0.8	4.0	5.7	6.0	92	63	82	C	W 2	SW 4	10^1≡	2^1⊙	8^1	–	–	nachm. ⩸; 8^{37} p ab ◍; abds. ⩸
5.	22.6	19.5	18.8	7.4	14.9	11.4	**15.0**	6.0	5.9	5.1	**8.8**	77	41	88	SW 4	W 6	SW 6	10^2	6^1	10^2●	–	–	
6.	22.5	23.4	25.6	6.0	9.0	4.3	12.0	4.0	6.3	5.0	5.2	91	58	85	W 2	W 6	W 4	10^2	6^2	0	3.6	–	u, a ◍; nachm. ztw. ◍; t ⩸
7.	27.4	28.1	28.5	2.4	6.9	0.2	8.0	0 1	4.5	4.9	3.9	83	66	83	SW 2	SW 2	C	2^1⊙	6^2	0	1.1	–	
8.	27.1	23.9	21.5	− 3.3	8.9	1.1	9.2	− 3.4	3.3	4.4	4.4	94	52	90	C	SE 2	C	0⊙	2^0⊙	0	–	–	mrgs. ⌴; abds. Ψ
9.	19.0	16.7	17.6	2.4	9.4	4.7	10.0	− 0.2	4.6	5.8	5.2	85	67	81	C	E 2	C	10^2	2^0	8^2	–	–	mrgs. ⌴; nachm. ztw. ◍; 5^{42}–6^{22} p ◍
10.	20.1	20.9	22.6	4.3	5.4	3.9	6.0	3.5	6.0	5.9	5.7	97	88	95	C	C	W 4	10^2	10^2●	10^2	0.7	–	8^{37} a–7^{42} p ◍
11.	23.6	24.3	25.0	4.0	7.2	2.4	7.6	1.3	5.7	5.5	4.9	93	73	90	W 2	SW 2	W 2	10^2●	2^1⊙	0	10.2	–	mrgs.–9^{42} a ◍
12.	21.5	20.2	20.8	1.3	6.8	5.1	8.0	0.2	4.5	5.7	5.2	90	77	81	S 2	C	SW 2	10^2	10^2	10^2	2.8	–	4^{02}–6^{42} p ◍
13.	22.8	25.6	30.4	5.9	9.0	6.0	9 2	4.6	5.8	6.5	6.6	85	75	94	C	C	C	10^2	4^1⊙	10^2	0.6	–	
14.	34.2	**34.6**	33.7	5.4	7.7	5.1	8.0	4.2	6.6	6.7	6.2	99	87	95	C	C	C	61	10^2	10^2≡	–	–	abds. ≡^{1}
15.	29.0	23.7	21.0	3.5	5.4	2.9	6.0	2.5	5.6	5.7	5.2	95	86	93	S 2	S 2	C	10^2≡	10^2	0	–	–	mrgs. ≡^{1}
16.	20.5	20.5	21.4	5.9	10.4	7.8	10.6	1.7	5.7	6.3	6.4	84	67	82	SW 2	SW 6	SW 4	10^2	10^2	10^2	–	–	p ⩸
17.	19.4	15.8	12.9	4.9	10.3	6.9	10.6	4.2	5.6	6.2	6.1	87	66	84	S 4	S 2	S 2	2^0⊙	2^0⊙	10^2	–	–	
18.	09.4	05.1	00.5	4.9	9.6	3.9	10.0	3.5	5.7	6.8	5.7	88	76	95	C	C	SE 2	10^2	6^0	10^2	–	–	3^{27}–4^{02} p ◍
19.	01.1	01.7	03.6	4.2	4.5	1.4	6.8	0.8	5.1	5.3	4.6	83	83	92	SW 2	SW 4	SW 4	10^2	10^2●	0	0.2	–	t ztw. ◍; $1^{17.22}$ p, $2^{17.20}$ p △; 2^{22}–3^{42} p ✳
20.	03.1	05.3	08.5	3.2	3.5	4.3	5.0	0.4	4.9	5.3	5.2	86	90	85	SW 10	SW 6	SW 8	10^2●	10^2●	10^2●	6.5	–	n, t ⩸; t ◍; abds. ⩸
21.	12.7	10.9	08.9	4.8	4.1	1.1	6.0	0.4	5.3	5.5	4.7	83	91	94	W 2	SW 4	C	10^2	10^2●	10^2●	10.9	–	n ⩸; t ◍, ztw. ◍ u. ✳
22.	08.3	08.9	12.3	1.9	6.8	3.1	7.2	0.2	5.1	6.8	5.7	96	94	**98**	C	C	C	10^2●	10^2	10^2≡	**18.6**	–	n, mrgs.–8^{27} a ◍; abds. ≡^{2}
23.	12.1	13.0	15.9	3.0	5.5	3.0	6.0	2.3	5.4	5.4	5.2	95	81	92	NE 4	NE 2	NE 2	10^2	6^1	10^2	1.3	–	mrgs. ≡^{0}
24.	15.2	14.4	17.3	3.0	6.2	2.5	6.4	2.1	5.2	5.8	5.0	92	83	92	NE 6	E 6	N 4	10^2	10^2	10^2	–	–	t ⩸
25.	18.1	18.0	18.5	0.6	0.2	− 1.4	2.8	− 1.4	4.6	4.4	3.9	96	94	96	NE 4	NE 2	NE 2	10^2	10^2	10^2*	0.6	–	mrgs. ≡^{0}, ◍; t ≡^{0}; 4^{02} p ab ✳
26.	19.1	20.6	22.9	0.1	2.7	1.5	3.0	− 1.4	4.2	5.0	4.9	94	90	96	E 4	SE 2	S 2	10^2	10^2	10^2	0.6	–	mrgs. stellenweise ⊠; Tauwetter
27.	25.8	27.4	29.3	1.5	3.2	0.3	3.8	− 0.2	4.7	5.1	4.4	93	90	94	C	S 2	S 2	10^2	10^2	10_2	–	–	
28.	29.4	29.8	30.8	0.2	1.7	0.1	1.8	− 0.4	4.2	4.5	4.2	92	88	90	SE 2	S 2	S 2	10^2	10^2	10^2	–	–	
29.	32.2	33.3	34.5	1.3	6.8	2.3	7.3	0.0	4.6	6.0	5.2	92	82	96	C	C	C	8^1	8^1	0	–	–	
30.	34.4	33.6	33.0	3.5	7.2	4.7	7.4	1.3	5.5	6.5	5.2	93	87	82	C	NE 2	C	10^2	6^1	10^2	–	–	mrgs. ≡^{1}
																					58.5		
Mittel	21.4	21.0	21.6	2.8	6.9	3.3	7.6	1.1	5.1	5.6	5.3	91	77	90				8.3	6.7	6.3			

Alle Angaben nach Ortszeit.

Regensburg.

November. $\varphi = 49^0\ 1'$ N. $\lambda = 12^0\ 7'$ E $= 48^m\ 28^s$. H $= 342.6$ m. Cg $= +0.2$ mm. 1911.

Datum	Luftdruck auf 0^0 u. Normalschwere reduziert 700 mm + 7a	2p	9p	Lufttemperatur C° 7a	2p	9p	Max.	Min.	Absolute Feuchtigkeit mm 7a	2p	9p	Relative Feuchtigkeit Proz. 7a	2p	9p	Richtung und Stärke des Windes 0 bis 12 7a	2p	9p	Bewölkung 0 bis 10 7a	2p	9p	Niederschlag mm 7a	Bemerkungen
1.	37.1	37.2	38.5	1.9	7.4	3.2	7.6	0.1	4.9	6.3	5.4	93	82	93	S 4	S 2	C	10^1≡	4^0○	10^1≡	–	
2.	38.2	35.6	34.5	2.3	7.4	2.6	8.2	– 2.0	5.1	5.5	5.1	94	72	93	NE 2	S 2	C	10^2≡	○○	○	0.1	≡²
3.	35.6	37.3	37.9	– 1.0	4.0	– 0.6	4.2	– 2.9	4.1	4.7	4.4	96	77	100	S 2	NW 4	C	10^1≡	10^0	6^1≡	–	⌊, ≡¹
4.	37.3	36.9	36.8	1.0	2.9	2.9	4.7	– 1.2	4.7	5.1	5.3	94	90	94	S 4	S 4	S 4	10^2≡	8^0	10^2≡	0.2	≡²
5.	32.9	29.2	28.0	1.8	14.0	12.4	**14.5**	– 0.2	5.0	5.4	6.2	95	46	58	S 4	W 2	W 2	10^0	6^0○	8^0	–	n ≡ ◍
6.	31.3	32.1	33.9	7.8	10.9	6.6	14.0	5.6	6.4	4.0	4.4	81	42	61	W 2	NW 4	C	10^0	4^0○	○	1.2	n ≡ ◍
7.	36.5	36.9	37.2	1.7	8.5	– 0.9	9.1	– 1.6	4.3	4.1	4.0	84	50	92	NW 2	NW 4	S 2	4^0	4^0○	○	–	⌊
8.	36.4	34.1	31.3	– 4.8	8.0	– 0.4	8.3	– 5.3	3.0	4.2	4.0	95	54	90	SW 2	S 2	S 2	2^2≡	○○	○	–	⌊ ≡²
9.	29.0	26.6	26.7	0.2	9.0	2.3	9.2	– 2.8	3.4	4.2	4.6	73	49	84	S 2	S 2	N 2	8^0	8^0○	10^0	–	⌊
10.	28.7	28.8	31.2	3.8	7.3	4.6	7.4	1.3	4.7	5.9	5.6	78	78	89	N 2	N 2	N 2	10^1≡	10^0	10^1●	–	≡¹, 11^{30} a–0^{10} p, ab ca. 6 p ◍
11.	32.3	34.2	32.3	3.4	5.6	0.0	5.8	– 0.2	5.3	5.9	4.3	92	86	94	S 2	W 2	S 2	10^0	10^1	10^2≡	**12.0**	n, t–1^{20} p ◍
12.	33.2	30.9	30.6	0.5	6.2	4.2	6.2	– 1.2	4.5	6.4	5.5	94	90	89	S 2	S 4	C	10^1	10^1	10^0	3.0	
13.	31.5	33.4	38.3	2.8	8.8	6.8	9.3	1.8	5.2	6.4	6.4	93	76	87	S 2	S 2	C	10^1	8^0○	10^0	–	
14.	42.3	42.7	42.2	4.7	6.6	3.0	7.2	1.9	5.8	6.2	5.5	90	85	96	N 2	S 1	C	10^1	10^1≡	10^2≡	–	≡¹·²
15.	38.1	33.5	30.7	3.4	4.6	4.0	5.0	0.9	5.4	5.6	5.4	93	89	88	S 2	S 2	S 4	10^2≡	10^1≡	10^0	0.2	≡²
16.	30.9	30.3	30.7	1.2	11.2	4.2	11.3	– 0.1	4.7	5.7	5.5	94	58	89	S 4	W 4	C	10^2≡	8^0○	6^0	–	≡²
17.	31.2	26.1	22.2	1.4	9.2	3.2	9.2	– 0.1	4.7	6.0	5.3	93	70	92	S 2	S 2	S 4	8^0	8^0	8^0	–	⌊
18.	21.3	16.4	**10.7**	0.2	2.9	1.0	4.4	– 0.9	4.5	5.1	4.6	96	90	92	S 2	S 2	C	10^2≡	10^1≡	○	–	≡²
19.	11.2	11.6	13.7	1.6	6.7	1.8	7.0	– 0.1	4.8	4.6	4.7	93	63	90	S 2	W 6	C	10^0≡	10^1	8^0	0.3	n ◍
20.	13.9	13.7	17.5	5.6	8.0	4.6	8.4	0.1	3.5	3.5	5.0	52	44	79	W 8	W 8	W 8	10^1	10^1	10^0●	0.3	n ≡ ◍, ab ca. 4 p ◍
21.	21.9	21.0	19.3	4.8	5.4	3.2	6.3	1.0	4.9	5.6	5.4	76	83	93	NW 2	W 2	W 2	10^1	10^0●	10^0●	5.1	m–n ◍
22.	18.2	18.1	20.5	2.8	7.2	4.0	7.3	1.7	5.0	5.5	5.4	89	73	88	S 2	S 2	NE 4	8^1	6^0○	4^0	11.3	n–mn, 3^{30}–4^{20} p ◍
23.	21.2	21.3	24.2	4.6	6.7	4.0	7.6	1.8	5.4	**6.5**	5.2	86	88	85	NE 4	NE 4	NE 4	10^1	6^0○	8^0	0.1	
24.	23.9	23.0	25.0	4.2	6.5	4.2	7.0	2.7	5.2	5.4	5.2	85	75	85	NE 4	NE 6	N 4	10^1	6^0○	10^1●	0.1	n ◍
25	25.5	25.6	27.4	2.8	2.7	1.2	4.2	– 0.1	5.0	4.5	4.2	89	80	83	N 2	N 2	C	10^1	10^1	10^1	2.0	9 p–n ◍
26.	29.0	30.2	32.1	0.7	3.5	2.2	3.8	– 0.5	4.0	4.7	4.8	82	80	89	E 2	S 2	S 2	10^1	4^0○	10^0	–	
27.	34.8	36.8	39.2	0.1	0.6	0.2	3.3	– 1.1	4.2	4.4	4.4	90	92	94	SE 2	S 2	S 2	10^0	10^0	10^0	–	
28.	38.7	38.6	40.0	– 0.1	1.6	1.6	2.0	– 1.4	4.3	5.0	4.4	94	94	85	S 4	SE 2	C	10^0	10^0	10^0	–	
29.	41.4	43.2	**43.4**	1.3	3.3	0.6	3.5	– 0.1	4.8	5.0	4.6	94	87	96	SW 2	SE 2	C	10^1≡	10^1≡	10^2≡	–	≡¹
30	42.6	42.0	41.7	2.4	4.6	3.0	5.3	– 1.1	5.1	5.4	5.3	93	86	93	NW 2	S 2	S 2	10^1≡	10^0≡	10^0	–	≡¹
																					35.9	
Mittel	30.9	30.2	30.6	2.1	6.4	3.0	7.0	– 0.1	4.7	5.2	5.0	88	74	88				9.3	7.7	7.6		

Passau.

November. $\varphi = 48^0\ 34'$ N. $\lambda = 13^0\ 28'$ E $= 53^m\ 52^s$. H $= 309.3$ m. Cg $= +0.2$ mm. 1911.

1.	40.2	40.8	42.1	2.8	7.1	1.6	7.8	1.5	5.0	6.3	5.2	89	84	100	C	C	C	10^1	8^1	10^2≡	–	9 p ≡²
2.	41.2	38.3	37.9	– 0.6	11.1	2.8	11.5	– 0.8	4.4	5.6	5.4	100	57	96	C	E 1	C	10^2≡	○○	○	–	a–9 a ≡²
3.	38.5	40.5	41.9	0.0	3.4	2.2	4.4	– 0.9	4.6	5.6	5.0	100	97	93	C	C	C	10^2≡	10^2	10^1	–	a–8 a ≡²
4.	40.9	40.7	40.9	0.0	4.5	1.2	5.1	– 0.4	4.6	5.6	5.0	100	89	100	C	C	C	10^2≡	10^1	10^2≡	–	a–9 a, 9 p ≡²
5.	37.8	34.3	32.5	0.6	7.3	5.0	8.3	– 0.1	4.8	6.9	5.9	100	90	90	C	C	C	10^2≡	10^1	10^1	–	a–10 a ≡²
6.	34.9	36.0	37.4	7.9	9.5	6.1	10.3	5.0	7.2	6.4	6.5	90	72	93	W 2	W 4	C	10^1○	5^1○	○	1.2	n, a ◍
7.	40.3	40.4	41.0	– 0.2	9.1	1.2	9.8	– 0.4	4.5	5.1	4.9	100	60	96	C	W 2	C	10^2≡	3^1○	○	0.5	a–8 a ≡²
8.	40.0	37.4	35.0	– 2.2	7.3	1.2	10.1	– **2.6**	**3.8**	5.6	4.9	98	73	96	C	S 1	C	10^2≡	○○	○	–	a–9 a ≡²
9.	32.1	29.3	29.5	– 1.5	9.5	4.3	11.2	– 1.9	3.9	5.5	5.5	95	62	89	C	C	C	○○	10^1	10^1	–	⌊
10.	32.2	32.0	34.0	1.0	6.1	3.0	6.7	0.9	4.9	5.9	5.5	100	84	96	C	C	C	10^1	10^0○	10^1	–	⌊
11.	35.6	37.4	39.1	4.5	1.6	1.6	4.5	1.6	5.8	5.0	5.2	92	96	100	C	C	C	10^1●	10⊗	○	0.5	n, a ◍⁰, ab 1^{20} p ◍ ✳
12.	35.4	34.0	32.5	0.0	5.7	3.4	6.3	– 0.3	4.6	5.9	5.8	100	86	100	C	C	C	10^1	○○	10^2≡	9.0	a–10 a, 9 p ≡²
13.	34.5	37.0	41.1	3.0	5.3	4.9	5.3	1.8	5.5	6.1	6.3	96	92	98	C	C	C	10^1	10^1	10^1	–	
14.	45.7	46.0	46.0	4.7	7.7	4.5	7.8	4.5	6.3	**7.3**	6.2	98	93	98	C	C	C	10^1	8^1	10^2≡	–	a–8 a ≡¹, 9 p ≡²
15.	41.8	36.4	34.5	0.8	7.3	6.1	7.3	0.3	4.9	6.4	6.4	100	85	91	C	W 1	C	10^2≡	3^1○	10^1	–	a ≡², ≡reissen
16.	34.3	34.6	35.0	3.6	9.3	5.3	9.3	3.3	5.7	6.7	6.6	97	76	99	C	C	C	10^1	○○	10^1	–	a–8 a ≡¹
17.	33.9	29.4	26.9	1.4	8.9	3.4	9.6	0.9	5.0	7.0	5.5	100	83	95	C	C	C	10^2≡	○○	○	–	a–9 a ≡²
18.	23.4	19.6	**12.8**	1.0	4.0	2.0	4.3	9.5	4.9	5.7	5.2	100	93	96	C	C	C	10^1≡	10^1	10^1	–	a–9 a ≡²
19.	15.6	15.8	17.1	3.0	4.3	0.8	4.3	0.2	5.7	5.7	4.9	100	92	100	C	W 1	C	10^1≡●	10^1	○	3.2	n, t–3 p ◍, 7 a ≡
20.	18.2	19.1	21.4	6.1	8.1	7.1	8.5	0.8	**3.8**	6.2	4.9	55	77	65	W 4	W 6	W 6	10^1	10^1	10^1	1.6	
21.	25.8	23.8	22.0	6.1	8.1	5.1	8.3	5.1	4.6	5.5	5.8	66	68	89	W 4	C	C	10^1	10^1	○	–	2^{30}–4^{00} p ◍
22.	21.7	21.8	23.0	0.6	6.9	2.6	8.3	0.0	4.6	6.5	5.3	96	87	96	C	C	C	10^1≡	10^0○	○	1.5	a–9 a ≡¹
23.	24.1	24.0	26.4	2.6	13.6	6.1	**14.7**	2.0	5.5	6.7	6.5	100	58	93	C	E 1	C	10^1	10^1	10^1	–	a–7 a ≡⁰
24.	27.8	25.6	27.7	4.2	11.9	6.6	12.9	3.0	6.0	6.8	7.1	97	66	98	C	C	C	10^1≡	10^1	10^1●	–	7 a ≡¹, 7^{30} p–n ◍
25.	28.3	28.5	30.2	5.2	3.9	2.6	6.6	2.6	6.5	5.7	5.1	98	93	93	C	C	C	10^2●	10^1●	10^1●	**12.0**	n, t ◍
26.	32.2	33.6	35.8	1.8	4.3	2.0	4.7	1.0	4.5	5.3	4.5	85	85	85	C	C	C	10^1	10^1	10^1	5.2	n ◍⁰
27.	39.0	40.4	42.7	1.0	2.4	1.4	2.7	0.5	4.6	4.7	4.7	92	85	93	E 1	C	C	10^1	10^1	10^1	–	
28.	42.5	41.4	43.1	1.0	5.1	2.4	5.7	0.5	4.6	5.3	5.1	92	82	93	C	S 2	C	10^1	○○	10^1	–	
29.	45.0	45.3	**46.2**	2.2	4.5	3.2	4.7	2.1	5.4	5.8	5.6	100	92	97	C	C	C	10^1≡	10^1	10^1	–	a–9 a ≡²
30.	46.1	45.0	45.0	1.0	4.0	3.8	4.7	0.6	4.9	5.7	5.8	100	93	97	C	C	C	10^2≡	10^1●	10^1	–	a–10 a ≡², 2–2^{30} p, 3–6 p ◍⁰
31.																					34.7	
Mittel	34.3	33.6	34.0	2.1	6.7	3.5	7.5	1.0	5.0	6.0	5.5	95	82	94				9.7	7.2	7.0		

Alle Angaben nach Ortszeit.

Landshut.

November. $\varphi = 48^0\ 32'$ N. $\lambda = 12^0\ 10'$ E $= 48^m\ 40^s$. H $= 397.7$ m. Cg $= +0.2$ mm. 1911.

Datum	Luftdruck auf 0° u. Normalschwere reduziert 700 mm + 7a	2p	9p	Lufttemperatur C° 7a	2p	9p	Max.	Min.	Absolute Feuchtigkeit mm 7a	2p	9p	Relative Feuchtigkeit Proz. 7a	2p	9p	Richtung und Stärke des Windes 0 bis 12 7a	2p	9p	Bewölkung 0 bis 10 7a	2p	9p	Niederschlag mm 7a	Schneedecke cm 7a	Bemerkungen
1.	31.9	32.1	33.3	2.7	10.0	0.4	11.2	− 1.0	5.3	6.8	4.6	94	74	98	C	NW 2	C	9^1	3^1⊙	1^1	–	–	≡¹ ⌊¹
2.	32.2	29.9	28.8	0.2	10.1	0.3	11.0	− 2.0	4.6	5.1	4.4	98	55	94	NE 2	E 4	C	10^1≡	⊙⊙	⊙	–	–	≡¹ ⌊¹
3.	30.2	32.1	32.8	1.0	5.2	− 0.1	6.2	− 3.4	4.9	5.4	4.4	100	83	96	SW 2	W 2	C	10^1≡	10^1	10^1≡	0.1	–	≡¹ ⌊¹, 9 p ≡¹ (RR vom ≡)
4.	31.6	32.0	31.6	1.6	6.4	− 0.2	7.3	− 1.1	5.1	5.3	4 4	98	73	98	SW 2	SW 2	C	10^1	8^0⊙	1^1	–	–	≡, 9 p ≡
5.	28.6	25.0	23.0	2.6	15.9	11.4	**17.0**	− 1.0	5.2	5.1	5.7	94	**38**	57	SW 2	W 4	W 4	9^1	9^1	9^1	–	–	
6.	26.3	27.5	29.3	7.3	10.6	4.7	12.0	3.9	6.8	6.0	5.8	89	63	90	W 4	W 4	W 2	10^1●	2^0⊙	2^0	1.2	–	n ◍
7.	31.7	32.0	32.1	0.0	8.3	− 0.5	10.9	− 1.3	4.3	4.3	4.1	94	54	92	W 2	W 2	C	0	5^2	0	–	–	⌊¹
8.	30.6	27.9	25.3	− 4.2	8.8	− 1.4	9.9	− **5.8**	**3.2**	4.6	3.9	97	54	94	C	NE 2	C	10^1≡	⊙⊙	0	–	–	≡¹ ⌊¹
9.	22.7	20.6	20.6	− 1.6	9.3	4.0	10.5	− 3.7	3.8	4.8	5.3	94	55	87	NE 2	E 2	C	10^1	7^0⊙	1^1	–	–	⌊¹
10.	23.7	23.7	26.4	1.2	7.4	4.0	8.5	− 1.5	4.7	6.6	6.0	94	86	98	SW 2	N 2	W 2	10^1	9^1	10^1●	–	–	⌊¹⁰, 8^{30}–10^{30} a, ca. 6 p–n ◍
11.	27.4	28.9	29.3	3.2	5.0	0.6	6.0	− 0.2	5.5	5.8	4.8	95	89	100	SW 2	W 4	W 2	10^1●	10^1	0	10.4	–	n, t–1 p ◍
12.	26.2	25.0	25.0	− 2.2	7.9	4.0	9.0	− 3.3	3.9	5.6	5.9	100	71	97	C	E 2	C	1^1	10^1	10^1	4.3	–	⌊¹
13.	25.9	28.5	32.8	2.7	9.9	6.5	11.0	1.7	5.5	6.6	6.9	98	73	96	C	N 2	C	10^1	10^1	9^1	–	–	7 a ≡⁰, 3–4 p ◍⁰
14.	36.9	37.5	37.0	6.0	8.7	3.6	9.7	2.8	6.8	**7.1**	5.8	97	86	98	C	E 2	C	10^1	9^1	0	0.2	–	
15.	32.5	28.3	25.5	2.6	5.4	4.4	6.8	1.7	5.4	6.0	5.7	98	89	92	NE 2	SW 2	SW 2	10^1	10^1	10^1	–	–	
16.	25.0	25.3	26.1	− 1.2	11.3	5.0	12.3	− 2.8	4.1	6.3	5.6	98	62	86	SW 2	W 4	C	10^1≡	8^1	0	–	–	7 a ≡¹ ⌊¹
17.	24.5	19.9	**16.9**	− 0.8	10.5	3.6	11.8	− 2.1	4.2	5.8	5.5	98	62	93	C	E 2	E 2	6^1	8^0⊙	0	–	–	≡ ⌊
18.	13.5	10.1	**03.9**	0.5	6.1	2.3	7.3	− 1.8	4.8	6.0	5.0	100	86	93	E 2	E 2	C	10^1	9^0	10^1	–	–	⌊
19.	05.8	07.1	08.3	4.9	6.7	1.5	7.9	0.0	5.3	4.6	3.9	81	63	76	SW 4	W 4	W 2	10^1	10^1	10^1	0.1	–	n ◍tropfen
20.	08.9	10.0	12.6	5.7	8.5	6.4	9.3	0.4	3.4	3.6	4.6	50	44	64	W 6	W 6	W 6	10^1	9^1	0	–	–	a u. p ≡, 5–6 p ◍⁰
21.	17.1	15.4	12.8	4.4	5.5	4.2	8.2	3.1	4.7	5.4	6.0	76	80	97	SW 4	C	C	10^1	10^1●	10^1●	0.5	–	9^{10} p–n ◍⁰
22.	12 0	12.8	14.3	0.8	8.6	3.6	9.7	− 0.2	4.6	6.7	5.6	94	81	95	NE 2	NE 2	C	1^1	9^0	10^1	9.4	–	n ◍
23.	14.6	15.1	17.9	3.8	11.2	3.3	11.9	1.4	5.6	7.0	5.5	93	71	95	E 2	N 2	E 2	10^1	7^1	0	–	–	⌊⁰
24.	17.0	16.6	19.1	2.8	9.9	4.6	11.0	0.3	5.3	6.6	5.7	94	73	90	NE 2	E 4	C	10^1	7^0⊙	10^1●	–	–	9 p–n ◍⁰
25.	20.0	20.1	21.0	3.2	2.3	1.3	4.6	0.0	5.4	4.7	4.8	93	85	94	N 2	N 2	E 2	10^1●	10^1●	10^1●	**18.9**	–	n, 7 a–n ◍
26.	22.0	24.9	26.9	1.2	3.1	1.0	4.0	0.0	4.4	5.0	4.6	89	88	92	E 2	E 2	E 4	10^1	10^1	10^1	1.9	–	
27.	29.8	31.6	33.0	− 0.4	0.8	− 0.3	1.0	− 1.4	4.3	4.5	4.3	96	92	96	E 2	E 2	E 4	10^1	10^1	10^1	–	–	≡
28.	32.8	32.9	34.4	− 0.4	1.2	1.0	2.1	− 1.9	4.2	4 5	4.7	94	91	94	E 2	E 2	C	10^1	10^1	10^1	–	–	
29.	35.9	37.0	**38.0**	1.0	4.6	1.8	5.8	− 0.4	4.7	5.4	5.1	94	86	96	E 2	E 2	C	10^1	2^1⊙	10^1	–	–	
30.	37.2	37.0	36.1	0.6	3.6	3.6	4.9	− 1.0	4.7	5.5	5.8	98	93	98	W 2	C	C	10^1	10^1	10^1●	–	–	4–5 p, 8^{30}–9^{00} p ◍⁰
																					47.0		
Mittel	25.2	24.9	25.1	1.6	7.4	2.8	8.6	− 0.7	4.8	5.6	5.1	93	73	92				8.9	7.7	5.8			

Augsburg.

November. $\varphi = 48^0\ 22'$ N. $\lambda = 10^0\ 54'$ E $= 43^m\ 36^s$. H $= 499.6$ m. Cg $= +0.1$ mm, über 728.8 mm Cg $= +0.2$ mm. 1911.

1.	23.5	23.4	23.8	5.8	10.8	4.5	10.8	4.5	5.6	6.2	5.4	82	64	86	SW 2	NW 2	NW 2	10^1	3^1⊙	2^1	–	–	
2.	23.3	21.5	20.4	− 0.7	7.5	3.4	8.1	− 1.2	4.4	5.0	5.6	100	65	97	NW 2	NE 2	NE 2	0	⊙⊙	0	–	–	⌊
3.	22.1	23.6	23.9	3.7	8.0	2.8	8.2	− 0.1	5.7	5.5	5.3	95	67	94	SW 2	NW 2	NE 2	10^2	3^0⊙	0	–	–	
4.	23.3	22.7	22.8	− 1.3	10.0	7.4	10.5	− 1.6	4.1	6.7	5.9	98	73	77	SW 2	SW 2	SW 2	10^2≡	2^1⊙	7^1	–	–	n u. a ⌊, ≡²
5.	19.0	16.4	15.1	9.2	15.1	13.7	**15.5**	5.7	5.2	4.9	5.3	59	**39**	45	SW 2	NW 2	SW 2	10^1	8^1	10^1	–	–	
6.	18.5	19.4	21.2	7.1	10.1	6.2	13.7	6.2	6.4	6.2	5.8	86	67	82	SW 2	SW 4	SW 2	10^2	5^2⊙	3^1	3.0	–	n ◍
7.	23.4	23.8	23.4	2.8	8.8	3.5	8.8	2.1	4.7	**8.8**	4.8	82	56	82	SW 2	SW 2	SW 2	0	2^1⊙	0	–	–	⌊
8.	21.8	18.8	16.4	− 1.2	7.4	2.6	7.4	− **2.9**	3.7	5.0	4.9	88	65	89	C	SE 2	C	0	⊙⊙	0	–	–	⌊
9.	13.9	11.5	12.2	0.8	7.0	4.1	7.3	− 0.2	4.4	5.5	5.4	90	73	88	C	SW 2	SW 2	8^1	8^1	4^0	–	–	⌊
10.	14.9	15.9	17.9	5.3	6.2	2.8	6.7	2.8	6.5	6.5	5 2	97	91	93	C	NW 2	NW 2	10^2	10^2●	10^2●	–	–	1^{30} p–n ◍
11.	18.8	19.9	20.6	3.9	5.9	1.9	5.9	1.3	5.9	6.0	4.8	97	87	91	SW 2	SW 2	SW 2	10^2●	6^1	0	**16.7**	–	n–9 a ◍
12.	17.1	15.7	16.4	0.0	6.6	4.8	6.6	− 1.1	4.3	5.8	6.0	92	80	94	SW 2	C	NW 2	0	10^2	8^1	1.3	–	⌊
13.	17.8	21.3	24.8	4.0	7.2	6.0	7.9	4.0	5.2	6.4	6.6	85	84	94	SW 2	SW 2	SW 2	10^2	10^1	10^1	–	–	4^{00} p–n ztw. ◍⁰
14.	28.8	29.5	28.3	6.0	7.0	6.6	8.4	5.0	6.9	6.8	6.6	99	91	91	NW 2	NE 2	NE 2	10^2	10^1	10^2	1.3	–	
15.	23.1	18.9	16 6	4.2	5.6	2.7	6.6	2.1	6.0	5.8	5.4	97	85	96	SE 2	SE 2	SE 2	10^2	10^2	0	--	–	
16.	16.6	17.6	17.7	7.3	10.4	6.8	10.5	1.4	5.7	5.8	5.9	74	61	80	SW 4	W 6	SW 4	6^1	5^1⊙	0	–	–	
17.	15.3	11.1	07.8	2.9	9.1	6.1	9.1	1.9	4.9	6.2	6.1	86	72	87	SW 2	SE 2	SW 2	2^0	5^0⊙	10^1	–	–	⌊
18.	04.3	00.1	695.5	4.8	8.6	3.6	8.6	1.7	5.0	6.7	5.5	78	81	93	SW 2	SW 2	SE 2	6^0	10^1	10^1	–	–	
19.	697.0	698.5	699.8	4.2	6.2	2.4	6.2	1.9	4.8	4.3	4.9	77	60	89	SW 2	SW 4	SW 4	10^1	6^2⊙	5^1	0 4	–	n ◍
20.	00.1	03.0	05.7	5.3	7.4	6.1	7.4	− 0.4	**3.6**	3.9	4.4	54	50	63	W 8	W S	W 8	10^2	7^1	10^1	–	–	n ≡
21.	08.3	07.5	03.6	4.9	4.7	4.5	6.1	2.9	5.0	6.0	6.0	76	94	96	C	SW 2	SW 2	10^1	10^2●	10^2●	–	–	9^{40} a–n ◍
22.	02.7	03.4	06.1	3.6	11.4	5.8	11.4	2.2	5.5	7.5	6.5	93	74	94	SW 2	SW 2	SW 2	5^1	7^0⊙	6^1	12.6	–	
23.	05.1	07.2	09.2	3.7	8.5	4.1	8.9	2.9	5.7	6.7	5.7	95	81	93	SE 2	E 2	E 2	10^1	8^1	0	–	–	
24.	08.2	08.2	11.2	2.7	7.4	5.4	8.2	1.5	5.4	6.5	6.4	96	85	95	SE 2	E 2	SE 2	10^1	6^1	10^2	–	–	
25.	11.7	11.9	12.2	3.8	2.4	1.0	5.4	1.0	5.7	5.2	4 8	95	94	98	N 2	NE 2	NE 2	10^2●	10^2✱	10^2✱	9.7	–	n–ca. 2 p ◍, p–n ✱²
26.	13.7	15.4	17.6	0.8	2.0	1.6	2.7	0.4	4.7	5.1	5.1	98	96	98	E 2	E 2	SE 2	10^2≡	10^2≡	10^2≡	9.0	1	n ✱, n u. t ≡²
27.	20.5	21.7	24.1	0.5	2.4	0.3	3.2	0.1	4.8	4.3	4.6	100	79	98	SE 2	E 2	E 2	10^2≡	10^2≡	10^2≡	–	–	n u. t ≡²
28.	23.7	25.0	25.9	− 0.5	0.4	0.4	0 9	− 1.0	4.4	4.6	4.6	100	96	98	SE 2	SE 2	SE 2	10^2≡	10^2≡	10^2≡	–	–	n u. t ≡²
29.	27.3	28.2	**29.6**	0.6	6.5	2.4	6.5	− 0.7	4.7	6.2	5.4	98	86	98	SE 2	S 2	SE 2	10^1	⊙⊙	0	–	–	n u. a ≡²
30.	28.9	28.5	27.5	0.7	4.6	4.0	5.5	− 0.9	4.9	5 8	5.9	100	92	98	SE 2	E 2	E 2	10^2≡	10^1	10^1	–	–	a ≡¹·²
																					54.0		
Mittel	16.4	16.3	16.6	3.2	7.2	4.3	7.8	1.4	5.1	5.9	5.5	89	76	89				7.9	6.7	5.8			

Alle Angaben nach Ortszeit.

München-C.St.

November. $\varphi = 48^0\ 9'$ N. $\lambda = 11^0\ 34'$ E $= 46^m\ 16^s$. H $= 526.4$ m. Cg $= +0.1$ mm. 1911.

Datum	Luftdruck auf 0° u. Normalschwere reduziert 700 mm + 7ª	2ᵖ	9ᵖ	Lufttemperatur C° 7ª	2ᵖ	9ᵖ	Max.	Min.	Absolute Feuchtigkeit mm 7ª	2ᵖ	9ᵖ	Relative Feuchtigkeit Proz. 7ª	2ᵖ	9ᵖ	Richtung und Stärke des Windes 0 bis 12 7ª	2ᵖ	9ᵖ	Bewölkung 0 bis 10 7ª	2ᵖ	9ᵖ	Niederschlag mm 7ª	Schneedecke cm 7ª	Bemerkungen
1.	20.7	20.9	22.0	5.3	9.3	6.5	10.1	4.9	5.2	6.5	6.0	79	75	84	SW 1	NW 1	C	9¹	4¹	9¹	–	–	mrgs. ∞
2.	20.5	18.1	17.5	2.0	9.5	4.2	10.1	1.7	5.1	6.0	5.5	96	67	90	E 1	NE 1	C	10²≡	⊙⊙	⊙	–	–	mrgs ≡¹·², ⌙, m Aufklaren
3.	19.3	20.7	21.2	4.5	7.0	3.6	7.3	1.2	5.8	6.0	5.3	93	79	91	NW 1	C	NW 2	10¹	9¹	⊙	–	–	mrgs. ⌙, ≡⁰, 1 p an allmähliches Aufklaren
4.	20.2	20.3	20.5	1.7	9.7	5.3	11.5	– 1.4	4.6	6.3	5.4	91	70	83	SW 1	NW 1	C	3⁰	8¹⊙	1⁰	–	–	mrgs. ⌙², ≡⁰, vorm. ≡¹, m ∞²
5.	17.2	14.4	12.7	6.5	15.8	15.7	**16.1**	5.0	4.9	5.0	4.1	68	38	32	SW 2	SW 2	SW 7	9¹	9¹⊙	10¹	–	–	mrgs. ⌙², ≡⁰, vorm. ≡¹, m teilw., abds. vollst. Aufklaren
6.	16.0	16.8	18 7	6.9	9.3	6.9	15.8	6.7	6.6	6.3	5.5	89	77	74	SW 1	SW 4	SW 2	10¹●	9¹	6¹	1.6	–	t ganze Gebirgskette gut sichtbar, abds. Föhn ≡
7.	21.0	20.8	20.9	4.3	8.9	3.4	9.2	3.3	4.6	4.1	4.5	74	49	77	SW 3	SW 3	C	1⁰	2¹⊙	0	1.3	–	n ≡, n-ca. 10 a ◍
8	18.9	16.1	13 8	1.0	7.9	3 4	8.3	0.1	3.9	4.9	5.0	80	61	86	C	SE 1	C	0	⊙⊙	0	–	–	mrgs. ⌙, m ∞
9.	11.2	08.9	09.9	3.0	7.2	4.2	8.1	0.1	4.2	5.3	5.5	74	70	90	SE 1	SE 1	E 1	6¹	10¹	0	–.	–	mrgs. ⌙², vorm. ≡¹
10.	12.6	12.3	15.4	5.3	7.0	3.2	7.5	2.9	5.9	6.2	5.4	90	83	93	C	N 1	SW 2	10¹	10¹	10¹●	–	–	mrgs. ⌙, ≡⁰, 4²⁰ p-n ◍
11.	16.6	17.6	18.1	3.0	4.2	1.9	5.0	1.1	5.0	5.4	4.7	89	88	91	SW 1	SW 2	C	10¹✱●	10¹	0	13.3	–	n–6³⁰ a ◍, dann–m ◍ u. ✳, abds Aufklaren
12.	14.5	13.3	14.0	0.2	10.3	6.0	10 9	0.0	4.3	5.8	5.7	92	62	83	SE 1	SE 1	C	2⁰	10¹	10¹	7.0	–	mrgs. ⌙², t Gebirge sichtbar
13	14.8	17.7	22,2	4.9	7.0	5.8	7.6	4.8	5.6	6 2	6.5	87	83	94	C	SW 2	SW 1	8¹	9¹	10¹	–	–	mrgs. ≡⁰, 9⁴³ p kurz ◍, 3¹⁶–.a. 8¹⁵ p ◍
14.	26.0	26.1	25.6	5.4	7.1	5.6	7.9	5.2	6.6	6.8	6.2	99	91	92	SW 2	C	W 1	10¹≡	10¹	10¹	1.4	–	n u. a ≡¹, ca. 3 p vorübergehend Aufklaren
15.	20 7	16.5	14.4	4.7	6.2	2.8	7.1	2.8	5.9	5.9	5.2	93	85	93	SE 1	SW 2	C	10¹	10¹	0	0.1	–	ca. 3 p Aufklaren
16.	13.9	14.6	15.4	7.5	11.4	6.9	11.9	2.2	5.1	5.3	5.9	66	52	80	SW 3	SW 5	SW 1	9¹	8¹	0	–	–	mrgs. ⌙, t Gebirge gut sichtbar
17.	13.2	08.3	05.7	4.2	9.9	6,2	10.3	3.2	4.8	5.4	5.8	78	59	83	S 1	E 2	SW 1	4⁰	5¹⊙	8⁰	--	–	mrgs. ⌙, ≡⁰
18.	02.5	698.6	**692.7**	4.8	8.7	3.0	9 0	1.8	5.1	5.8	5.1	80	79	91	SW 1	NE 1	C	10¹	4⁰⊙	0	–	–	mrgs. ⌓, ≡⁰, 10²⁰ a ≡¹
19.	695.3	696.6	697.6	4.5	6.2	3.6	6.5	1'2	5.2	4.2	3.3	83	60	56	SW 2	SW 4	SW 5	10¹	9¹	0	0.4	–	n ◍, 2⁴¹ p kurz Windbe mit ✳⁰
20.	698.7	00.3	03.5	5.5	8.0	6.7	8.2	3.5	**2 9**	3.3	3.8	43	41	52	SW 6	SW 7	SW 7	10¹	8¹	10¹	–	–	n u. t ≡, t Gebirge sehr gut sichtbar. 4⁰⁶ p kurz ◍⁰
21.	06.3	03.8	01.6	5.1	5.5	4.5	7.7	4.5	4.7	5.6	5.0	72	84	80	SW 1	W 1	W 2	10¹	10¹●	0	–	–	n, ztw. ≡, a Gebirge teilweise sichtbar, [1]
22.	00.9	01.5	03.6	4.2	11.4	6.7	12.1	3.4	4.9	5.7	6.1	80	57	84	S 1	SE 1	C	3⁰	8¹⊙	0	3.2	–	mrgs. ≡⁰ ⌓, abds. ≡⁰; m Gebirge sichtbar
23.	02.9	04.4	06.7	3.8	9.4	5.4	10.8	3.5	5.3	6.7	6.4	89	76	95	E 1	NE 1	C	10¹	8¹	0	0.1	–	mrgs. ⌙, abds. ≡⁰
24.	05.9	04.8	08.6	3.0	8.3	5.1	8.7	2.1	5.3	**6.9**	6.2	93	87	95	NE 1	NE 1	W 2	10¹	8¹	10¹●	–	–	mrgs. ⌓², ≡⁰. 7²⁵ p-n ◍
25.	09.4	09.4	09.9	3.7	2.0	0.8	6 1	0.7	5.7	4.9	4.5	95	93	92	NW 2	NW 2	C	10¹●	10¹●✱	10¹●✱	9.8	–	n u. a ◍, 9³³ a-u ◍ ✳
26.	11.5	13.0	15 3	0.6	1.3	0.7	2.0	0.2	4.6	4.8	4.8	96	96	98	E 1	NE 2	NE 1	10¹≡	10¹≡	10¹≡	**15.6**	–	n ◍ ✳, a-n ≡¹
27.	18.0	19.6	21.5	0,3	1.5	0.5	2.0	0.0	4.6	4.8	4.6	98	94	96	SE 1	E 1	E 2	10¹≡	10¹	10¹≡	0.3	–	n u. a ≡¹ (≡reissen), m ≡⁰
28.	20.9	21.4	23.0	– 0.6	0.8	0.8	1.2	– 0.9	4.4	4.6	4.6	100	94	94	E 2	C	C	10¹≡	10¹	10¹≡	0,1	–	n u. a ≡¹, ⌙, abds. ≡¹ (≡reissen)
29	24.5	25.4	**26.4**	1.7	6.2	3.7	7.1	0.5	5.0	6.0	5 8	96	87	97	C	W 1	C	9¹≡	4¹⊙	1¹	0,1	–	n u, a ≡¹, m u. abds. ≡⁰
30.	26.1	25.2	24.8	1.9	3.7	2.6	4.2	– 1.0	5.2	5.4	5.2	98	90	94	C	C	C	10¹≡	10¹	10¹	–	–	n u, a ≡¹, ⌙; abds. ≡⁰
																					54.3		
Mittel	14.0	13.6	14.1	3.6	7.4	4.5	8.3	2.1	5.0	5.5	5.3	85	74	85				8.1	7.7	4.8			

[1] 10 a–5¹⁰ p ◍; abds. Aufklaren

Traunstein.

November. $\varphi = 47^0\ 52'$ N. $\lambda = 12^0\ 39'$ E $= 50^m\ 36^s$. H $= 597$ m. Cg $= +0.1$ mm. 1911.

1.	15.1	15.1	16.1	1.8	9.2	3.2	9.6	0.4	4.5	4.7	5.8	85	55	100	SW 2	N 2	NE 2	6²	6²⊙	6²	–	–	a ⌙
2.	14.8	12.4	12.1	2.6	8 8	1.4	9.6	1.4	5.5	5.5	5.0	100	66	100	E 2	N 2	SE 2	10²≡	⊙⊙	⊙	–	–	a ⌙ ≡
3.	13.3	15.1	15.9	– 0.6	6.4	1.2	7.2	– 0.6	4.4	5.9	5.0	100	83	100	S 2	NW 2	SE 2	2¹	6²⊙	⊙	–	–	a ⌙
4.	14.6	14.8	15.3	– 1.6	12.4	2.2	13.0	– 1.8	4.1	5.1	5.4	100	48	100	SE 2	W 2	SE 2	2¹	6²⊙	⊙	–	–	a ⌙
5	12.2	09.2	08.2	3.2	14.6	5.4	15.4	1.8	4.2	5.4	5 3	73	44	78	SE 2	W 2	W 2	4²	6²⊙	6²	–	–	a ⌙
6.	10.9	11.5	13.2	6.4	7.2	7.2	12.0	5.4	**7.2**	5.3	4.4	100	70	58	W 6	W 4	W 6	10²●	10²	6²	0.9	–	n u. a ◍
7.	15.5	14.9	15.6	5.0	7.8	– 0.4	8.0	– 0.4	4.3	3.4	4.3	66	44	96	W 6	W 2	SE 2	10²	1¹⊙	⊙	1.6	–	
8.	13.2	10.7	08.7	– 2.8	7.0	– 0.6	7.0	– **2.8**	3.7	4.1	4.4	100	55	100	S 2	NE 2	E 2	o	⊙⊙	1¹	–	–	a ⌙, vorm. ≡
9.	05.5	03.9	04.0	– 0 6	9.2	5.0	10.0	– 0.6	3.7	4.4	4.9	85	51	75	E 2	E 2	S 2	4²	8²	6²	–	–	a ⌙
10.	07.2	06.4	09.4	3.0	8.2	5.0	9.0	3.0	5.3	6.0	6.5	93	74	100	W 2	N 2	NW 4	8²	6²	10²●	–	–	a ⌓
11.	10.2	12.6	12.9	2.2	1.0	0.8	5.0	0.8	5.4	4.9	4.8	100	100	100	W 2	W 4	NE 2	10²●	10²✱	⊙	2.7	–	n u. a ◍, t ✳
12.	09.3	08.0	07.8	– 1.8	8.2	2.8	8.6	– 2.0	4.0	5.9	5.6	100	73	100	E 2	NE 2	SW 2	2¹	4²⊙	⊙	14.4	1	
13	08.8	11.9	16.3	1.4	6 8	5.0	7.2	1.0	5.0	5.0	6.5	100	68	100	SW 2	W 2	W 2	6²	10²	10²●	–	1	a ⌓, p ◍
14.	20.3	20.3	20.0	4.8	7.6	3.8	8.0	3.4	6.4	6.3	6.0	100	80	100	W 2	SE 2	E 2	10²≡	10²	4²≡	4.8	–	n ◍, a ≡
15.	15.6	10.7	08.8	3.4	6.6	1.4	6.8	1.2	5.8	5.8	5.0	100	80	100	SE 4	N 2	E 2	10²≡	6²⊙	10²≡	–	–	a ⌓, vorm. u. abds. ≡
16.	08.7	09.4	10.0	1.0	10.8	2.4	11.0	– 0.6	4.9	5.2	5.5	100	54	100	SE 2	W 4	SE 2	8²	6²⊙	⊙	–	–	n ≡, a ⌙
17.	07.9	03.2	00.6	– 0.6	9.2	2,8	9.8	– 1.0	4.4	5.1	5.0	100	58	89	S 2	SE 2	SE 2	2²	4²⊙	6²	–	–	a ⌙
18.	697.1	693.4	**687.1**	2.6	7.8	1.0	8.0	0 2	4.6	5.2	4.9	82	65	100	SE 2	NE 2	SE 2	6²	6²⊙	10¹≡	–	–	a ⌓, vorm. stellenweise ≡, abds. ≡
19.	690.7	691.6	692.1	1.6	4.2	0.0	4.6	– 0.5	5.2	4.2	3.5	100	74	76	W 6	W 4	E 2	10²●	10²	⊙	8 2	–	n ≡, n-vorm. ◍
20.	693.5	694.8	697.8	– 0.4	7.8	6.0	8.6	– 1.0	3.8	**2.6**	3.2	85	33	46	S 2	W 4	W 6	6²	8¹	6²	3.6	–	
21.	01.4	698.3	696.6	2.0	6.4	1.8	8.0	0 4	3.5	4.1	4.2	66	57	80	SW 2	NE 2	NE 2	6²	10²	⊙	–	–	n ≡, a ⌙
22	695.5	696.2	698.1	1.0	11.2	6.2	11.8	0.2	4 2	4.6	5.4	85	46	76	SW 2	E 2	S 2	4²	6²	8²	–	–	a ⌙
23.	697.6	698.9	00.7	6.6	16.4	8.2	**17.0**	5.8	5.4	5.9	6.5	74	43	81	S 2	SW 2	SW 2	10²	6²⊙	⊙	–	–	föhnig
24.	699.9	698.9	02.7	7.0	11.4	6.0	12.2	5.8	6.2	**7.2**	7.0	82	72	100	SW 2	NE 2	SW 2	8¹	10²	10²●	–	–	vorm. stellenweise ≡
25.	03.2	03.2	04.0	5.0	2.4	0.4	6,2	0.4	6.5	5.4	4.7	100	98	100	W 2	W 2	W 2	10³●	10²●✱	10²●✱	3.4	–	n u, a ◍, p u, abds. ◍ ✳
26.	05.4	07.0	09.1	0.4	1.8	0.4	2.0	0.0	4.7	5.2	4.7	100	100	100	SE 2	NE 2	NE 2	10²≡	10²≡	10²≡	**16.1**	–	t ≡
27.	12.4	14.2	16.2	0,2	2,2	0.6	2.4	0,0	4.7	5.3	4.8	100	98	100	NE 2	E 2	E 2	10²≡	10²≡	10²≡	0.2	–	n ≡reissen, n u. t ≡
28.	15.4	15.0	17.3	– 0.8	2,0	1.2	2.4	– 1.0	4.3	4.9	5.0	100	93	100	E 4	NE 2	E 2	10²≡	10²≡	10²≡	–	–	n u, t ≡
29.	18.8	19.8	**20.4**	0.8	7.4	2.4	7.8	– 0.2	4.8	6.8	5.5	100	89	100	SW 2	W 2	SE 2	10²≡	10²≡	6²	–	–	a-p ≡
30.	20.1	19.1	19.0	1.4	3.6	2.2	4.0	1.1	5.0	5.9	5.4	100	100	100	NE 2	NE 2	N 2	10²≡	10²≡	10²≡	0.2	–	t ≡ u. ≡rei.sen
																					56.1		
Mittel	08.5	08.0	08.5	1.8	7.5	2.8	8.4	0.7	4.9	5.2	5.1	93	69	92				7.1	7.2	5.2		–	

Alle Angaben nach Ortszeit.

Partenkirchen.

November. $\varphi = 47^0\ 30'$ N. $\lambda = 11^0\ 6'$ E $= 44^m\ 24^s$. H $= 714.6$ m. Cg $= +0.1$ mm. 1911.

Datum	Luftdruck auf 0° u. Normalschwere reduziert 700 mm + 7a	2p	9p	Lufttemperatur C° 7a	2p	9p	Max.	Min.	Absolute Feuchtigkeit mm 7a	2p	9p	Relative Feuchtigkeit Proz. 7a	2p	9p	Richtung und Stärke des Windes o bis 12 7a	2p	9p	Bewölkung o bis 10 7a	2p	9p	Niederschlag mm 7a	Schneedecke cm 7a	Bemerkungen
1.	05.3	04.5	05.8	1.3	9.8	4.0	11.5	1.3	4.1	4.8	5.3	82	53	85	C	NW 3	SE 2	6⁰	2⁰⊙	8⁰	–	–	a Berge rein
2.	04.2	01.5	02.2	0.5	10.0	3.2	11.4	0.3	4.2	5.5	4.6	89	61	80	SE 2	W 3	S 4	0	○○	1⁰	–	–	⌴, a Berge sehr rein
3.	03.6	03.9	04.6	0.2	10.0	0.8	10.9	– 0.2	4.4	6.4	4.4	94	69	90	C	NW 3	S 2	2⁰	○○	1⁰	–	–	⌴, a Berge sehr rein
4.	05.2	04.2	05.2	1.8	13.0	3.7	15.3	0.8	3.9	5.5	4.4	75	49	73	S 3	C	S 3	0	7⁰	0	–	–	a Berge sehr rein, föhnig
5.	03.2	699.3	698.7	3.7	15.8	9.1	16.7	2.5	3.4	5.9	3.9	57	44	45	S 2	C	C	3⁰	4⁰⊙	7¹	–	–	a Berge sehr rein, föhnig
6.	00.4	01.5	03.1	6.6	6.4	4.1	9.2	4.1	6.3	6.9	6.0	87	96	98	C	C	C	9¹	10¹	4¹	–	–	a Berge bis 1100 m im Nebel, p ◍
7.	05.5	04.2	05.0	1.9	8.4	– 0.3	9.2	– 0.3	5.2	4.1	4.0	98	51	89	C	NW 4	S 3	4⁰	2¹	0	2.5	–	a Berge teilweise im Nebel
8.	03.0	699.6	697.9	– 0.8	10.8	0.9	11.6	– 1.3	3.7	4.3	4.2	85	45	85	S 2	N 2	C	0	○○	1⁰	–	–	⌴, a Berge rein, föhnig
9.	695.7	692.9	694.2	4.3	11.6	3.1	13.7	0.0	3.7	4.5	4.6	60	44	81	S 2	SW 2	W 2	10⁰	6⁰	2⁰	–	–	a Berge frei
10.	696.6	695.9	699.6	1.2	7.0	2.9	9.3	– 0.5	4.8	5.9	5.5	95	78	98	C	NW 4	C	10¹	9¹	10¹●	–	–	a ⌓, abds. ◍
11.	00.5	02.0	02.5	0.3	1.5	0.8	2.9	0.1	4.7	4.9	4.8	100	96	100	C	C	S 3	10¹✳	10¹✳●	0	**19.6**	**7**	mrgs. Berge im Nebel, a ✳, m ◍✳
12.	699.3	698.1	698.4	0.7	7.6	4.5	8.2	– 0.6	4.1	5.7	5.1	85	73	81	S 4	S 3	S 2	1⁰	9⁰	10⁰	4.0	4	a Berge rein
13.	699.4	01.4	06.7	3.0	5.7	3.3	8.0	2.8	5.0	5.5	5.8	88	80	100	C	NW 3	C	9⁰	10¹	10¹●	–	–	a Berge frei, abds. ◍
14	**10.2**	09.4	08.7	2.9	6.5	3.3	7.2	2.5	5.5	6.6	5.5	98	91	95	C	C	SE 1	10¹	10⁰	0	5.7		a Berge bis 1400 m im Nebel
15.	04.5	00.4	699.3	– 0.1	7.5	3.5	8.1	– 0.5	4.6	6.2	4.6	100	80	78	S 1	S 1	S 3	0	○○	0	–	–	a ⌴, Berge frei, föhnig
16.	699.0	699.3	699.9	1.1	10.8	2.7	11.6	0.0	4.0	5.4	5.0	81	56	89	SE 2	C	S 2	1⁰	3⁰	0	–	–	a ⌴, Berge frei, föhnig
17.	697.6	692.3	691.9	1.1	12.2	4.6	13.3	– 0.5	3.9	5.4	4.8	77	51	76	S 2	S 2	C	2⁰	8⁰⊙	1⁰	–	–	a Berge sehr rein, föhnig
18.	687.1	682.6	**677.9**	4.2	8.6	4.9	10.7	2.0	4.9	5.9	4.8	79	70	73	C	NW 2	SE 2	10⁰	8⁰	2⁰	–	–	a Berge frei, föhnig
19.	680.1	681.6	682.6	0.5	3.8	– 0.3	5.0	– 0.3	4.7	5.3	4.3	98	88	96	C	S 2	S 3	10¹	8¹	2⁰	11.1	2	n ◍✳, a Berge im Nebel
20.	684.3	685.6	689.1	0.1	9.5	5.1	10.2	– 1.4	3.6	**2.7**	3.2	78	31	48	S 2	S 4	NW 3	2⁰	1⁰⊙	2¹	–	–	a ⌴, Berge frei, föhnig
21.	691.0	687.9	686.5	0.2	6.4	– 0.6	8.7	– 1.0	3.3	4.4	4.3	71	61	98	C	NW 2	S 2	7⁰	6⁰	0	–	–	a Berge frei
22.	685.9	685.9	688 4	1.8	17.1	10.7	**19.0**	– 1.4	4.4	4.3	4.8	84	**30**	54	C	S 2	C	2⁰	2⁰⊙	7⁰	–	–	a ⌴, Berge sehr rein, föhnig
23.	687.3	689.4	691.1	5.9	15.2	7.1	18.3	5.6	5.0	**7.2**	5.9	72	56	78	S 2	C	C	3⁰	6⁰	3⁰	–	–	a Berge rein, föhnig
24.	689.6	689.3	693.2	5.8	5.1	2.9	7.1	2.9	5.8	5.9	5.4	85	90	96	C	NW 2	C	6⁰	9¹	1⁰	–	–	a Berge rein, föhnig
25.	693.3	692.8	693.6	3.4	4.3	1.9	7.4	1.9	5.7	5.6	5.3	98	90	100	C	N 4	C	10¹	10¹	10¹	–	–	a ⌓
26.	695.5	695.7	698.7	0.7	10.0	1.8	10.3	0.0	4.8	5.7	5.1	98	62	96	SE 2	S 2	C	0	1⁰⊙	0	0.1	–	a ⌴, Berge frei
27.	01.7	02.8	04.5	1.7	5.2	2.9	6.5	**– 2.1**	3.4	5.2	3.8	66	78	68	S 3	S 2	S 2	2⁰	2⁰⊙	1⁰	–	–	a ⌴, Berge frei, föhnig
28.	04.5	04.8	06.6	4.6	5.0	0.7	12.3	0.7	3.7	5.6	4.7	59	86	98	SE 2	C	S 2	2⁰	6⁰	6⁰	–	–	a Berge sehr rein, föhnig
29.	08.4	09.2	10.0	3.7	8.6	2.6	9.8	0.7	5.2	6.7	5.4	87	**81**	98	C	C	C	4⁰	9¹	0	–	–	a Berge frei
30.	10.0	08.4	08.2	– 1.1	4.8	3.6	6.7	– 1.4	**4.2**	5.5	5.7	98	86	97	C	NW 4	C	0	4¹≈	10¹	–	–	a ⌴, Berge frei, p u. abds. ≡¹
																					43.0		
Mittel	698.4	697.5	698.5	2.0	8.6	3.3	10.3	0 6	4.5	5.5	4.8	84	68	85				4.5	5.4	3.3			

Hohenpeissenberg.

November. $\varphi = 47^0\ 48'$ N. $\lambda = 11^0\ 1'$ E $= 44^m\ 4^s$. H $= 993.9$ m. Cg $= \pm 0.0$ mm. 1911.

	500 mm + 7a	2p	9p	7a	2p	9p	Max.	Min.	7a	2p	9p	7a	2p	9p	7a	2p	9p	7a	2p	9p	7a	7a	
1.	81.1	81.1	81.7	3.8	6.6	3.9	8.3	3.5	3.9	5.5	5.9	65	76	97	NW 1	NW 1	W 1	8¹	9²	10²	–	–	t Flachland ∞⁹
2.	79 8	78.2	77.8	2.0	5.4	4.4	5.5	1.3	5.2	5.4	5.3	98	80	85	NE 1	NE 1	NE 1	10³≈	○○	0	–	–	a ≡², p Horiz≡, Flachland ∞
3.	79.2	80.3	80.7	1.9	5.0	3.4	6.4	1.7	5.0	5.7	5.3	95	87	92	SW 3	NW 1	NW 1	1¹	○○	0	–	–	t Flachland ∞
4.	80.4	80.9	80.6	8.0	10.1	8.1	10.3	3.4	3.4	4.9	3.9	42	53	50	SW 4	W 4	W 6	○○	9¹	5¹	–	–	a ⌓, Flachland rein, Horiz≡, (im Tale ⌴),
5.	78.1	76.0	74.5	8.3	13.4	12.5	14.8	7.7	3.4	3.6	4.5	42	32	42	SW 6	SW 6	W 8	9¹	9¹	9²	–	–	t Flachland sehr rein [p Flachland rein
6	76.8	77.2	79.0	4.1	4.3	3.3	12.5	3.0	6.0	5.5	5.0	98	89	87	W 1	W 6	W 1	10³≈	10³	9²	3.6	–	n ◍, a ≡¹ ◍, p Flachland ∞
7	80.8	80.7	80.5	0.4	4.6	2.1	4.6	0.4	3.9	3.5	3.6	83	55	68	W 4	W 1	W 1	1¹	○○	0	3.7	–	a ⌓, Flachland sehr rein, Horiz≡, p Horiz≡
8	78.2	76.3	74.3	1.8	3.7	4.1	4.1	1.5	3.2	3.6	3.7	62	60	59	SE 1	E 1	E 1	○○	○○	0	–	–	a ⌓, Flachland rein, p sehr rein, 9 p ⋓
9.	71.9	69.8	70.5	5.2	8.1	4.1	8.7	3.7	**2.2**	3.8	4.5	33	49	74	NW 2	SW 8	W 1	10¹	10¹	1¹	–	–	a Flachland ∞, p–n ≡², 4–6 p ◍, 6 p–n ✳
10.	72.6	72.8	75.3	2.7	3.3	– 0.2	4.1	– 0.5	5.2	5.8	4.5	93	100	100	W 1	C	W 1	10²	10³≈	10²≈✳	–	–	a Flachland ∞, p–n ≡², 4–6 p ◍, 6 p–n ✳
11.	76.1	77.3	77.8	– 0.2	1.0	1.8	1.8	– 0.3	4.5	4.1	4.0	100	83	77	W 1	W 1	W 1	10²≈✳	10²	0	**31.3**	**15**	n u. a ≡², n–m ✳
12.	74.8	74.0	74.4	4.0	7.7	6.8	9.6	1.8	3.1	4.1	2.3	50	53	32	W 1	E 1	W 1	9¹	10¹	10¹	7.4	12	a ≡ über den Gewässern, t sehr reine Fernsicht
13.	75.5	77.7	82.1	2.7	2.9	1.4	6.8	1.4	3.9	5.6	5.0	70	100	100	W 1	N 1	W 1	10¹	10ᵛ≈	10²≈●	–	5	a reine Fernsicht, p–n ≡¹, m–n ◍⁰
14.	85.4	85.5	84.7	2.5	3.5	2.4	3.5	1.0	5.5	5.9	5.5	100	100	100	NE 1	NE 1	NE 4	10³≈●	10¹≈	10²≈	7.2	–	t ≡¹·²
15.	79.4	76.4	75.1	0.5	4.1	9.7	10.4	0.3	4.8	5.8	4.0	100	95	52	E 3	E 1	W 4	10²≈	○○	0	0.2	–	a ≡², p reine Fernsicht, starker Horiz≡
16	75.1	75.5	75.8	4.2	7.9	5.0	9.7	3.4	5.2	5.1	4.6	84	64	71	SW 8	SW 6	SW 8	4¹	8¹	0	–	–	a Föhnstimmung, t reine Fernsicht
17.	73.4	69.6	67 4	2.9	8.8	8.0	8.9	2.9	4.5	5.0	3.4	79	59	42	NE 1	SW 1	SW 1	1¹	1¹⊙	0	–	–	a ⌓, t reine Fernsicht
18.	63.9	59.5	**54.4**	6.4	5.7	7.2	8.5	3.4	4.6	5.7	3.9	64	83	51	SW 1	SE 1	W 6	10¹	9¹	2¹	–	–	a reine Fernsicht, p Flachland ∞
19.	56.2	57.4	58.4	1.4	2.2	1.1	7.4	0.3	3.8	2.8	2.6	74	53	52	W 5	SW 8	SW 8	10²	9²	0	0.9	–	n ◍. $11^{h.35}$ p ✳flocken, t reine Fernsicht
20.	58.6	60.7	64.6	2.2	4.0	2.5	4.1	– **0.7**	2.4	2.5	3.2	45	40	58	SW 9	W 9	SW 8	3¹	5²	5²	–	–	t reine Fernsicht
21.	66.9	64.6	62.9	2.1	2.5	6.1	6.1	1.3	3.6	4.4	3.5	68	79	50	W 3	E 1	W 1	10¹	10¹	0	–	–	a reine Fernsicht, vorm. ztw. ✳
22.	62.8	63.1	65.4	7.8	10.0	12.9	12.9	5.7	3.7	3.9	3.1	47	42	**28**	W 1	E 1	W 4	8¹	4¹	5²	0.6	–	t sehr reine Fernsicht
23.	64.4	66.0	67.5	11.9	13.8	8.9	**15.2**	8.6	3.7	5.5	5.3	35	47	62	SE 4	S 4	S 4	9¹	9¹⊙	1¹	–	–	a föhnig, sehr reine Fernsicht, p ∞⁹. Horiz≡,
24.	66.4	65.8	69.1	7.6	2.7	4.4	9.2	1.5	4.8	5.6	5.7	61	100	92	S 4	SE 3	W 3	10¹	10³≈	10²	–	–	a ringsum ≡², p ≡² ◍ [abds. ≤ i. SE
25.	69.7	69.3	69.5	4.0	2.0	0.1	4.4	– 0.2	**6.1**	5.0	4.4	100	94	96	W 1	C	C	10²●	10²≈	10³≈✳	1.6	–	n ◍, p–n ≡², 6 p–n ✳⁰
26	71.3	72.4	74.4	2.7	4.6	– 0.5	6.5	– 0.5	4.6	4.3	4.3	82	68	98	SE 1	E 3	E 2	0	1¹⊙	0≈	8.6	–	n ✳, t ≡² ringsum, Gebirge rein, abds. ≡¹
27.	77.4	78.9	80.4	4.9	7.6	6.5	7.6	– 0.5	3.3	3.3	2.8	50	42	39	S 1	C	C	8¹	1¹	1¹	–	–	t Flachland Nebelmeer, Gebirge rein
28.	80.0	80.9	82.5	5.6	8.3	7.5	9.6	3.6	3.3	4.0	4.1	49	50	54	SE 1	W 3	C	1¹	10¹	10¹	–	–	a Nebelmeer über Flachland, Gebirge sehr rein, †)
29.	84.4	85.3	**85.9**	7.6	7.8	5.6	8.2	4.5	4.2	5.9	4.8	55	75	71	W 1	NW 1	W 1	10¹	1²⊙	1¹	–	–	t reine Fernsicht, abds. stellenweise ≡
30	85.2	84.6	83.9	2.9	2.3	1.6	5.8	1.5	5.3	5.4	5.2	94	100	100	NE 1	NE 1	C	0	10³≈	10³≈	–	–	a ⌓, ≡ ringsum, Gebirge rein; p–n ≡²
																					65.1		†) p ≡², ringsum Gebirge rein
Mittel	74.2	73.9	74.4	4.1	5.8	4.8	7.9	2.2	4.2	4.7	4.3	71	70	69				6.7	6.5	4.3			

Alle Angaben nach Ortszeit.

Zugspitze.

November. $\varphi = 47^0\ 25'$ N. $\lambda = 10^0\ 59'$ E $= 43^m\ 56^s$. H $= 2964$ m. Cg $= -0.2$ mm. 1911.

Datum	Luftdruck auf 0^0 u. Normalschwere reduziert 500 mm +			Lufttemperatur C^0					Absolute Feuchtigkeit mm			Relative Feuchtigkeit Proz.			Richtung und Stärke des Windes 0 bis 12			Bewölkung 0 bis 10			Niederschlag mm	Schneedecke cm
	7^a	2^p	9^p	7^a	2^p	9^p	Max.	Min.	7^a	2^p	9^p	7^a	2^p	9^p	7^a	2^p	9^p	7^a	2^p	9^p	7^a	7^a
1.	31.5	31.4	31.8	− 7.4	− 5.2	− 5.9	− 5.2	− 7.7	2.1	2.3	2.2	84	78	77	W 2	W 3	SW 3	8^1	$3^1\odot$	1^0	–	55
2.	30.8	30.5	30.5	− 4.5	− 4.0	− 5.9	− 3.2	− 5.9	1.1	1.2	2.6	33	37	90	W 4	W 4	W 4	$1^0\odot$	$1^0\odot$	1^1	–	53
3.	30.7	31.8	32.4	− 7.2	− 5.8	− 6.4	− 5.5	− 7.2	2.0	2.2	2.1	79	75	78	NW 3	W 3	W 4	$2^1\odot$	$1^0\odot$	2^0	–	51
4.	33.0	33.6	33.8	− 4.6	− 3.8	− 4.1	− 3.1	− 6.4	1.1	1.6	1.4	32	48	42	NW 2	N 4	W 4	$1^0\odot$	$9^0\odot$	6^1	–	49
5.	32.4	31.6	30.5	− 3.8	− 0.5	− 1.2	− 0.1	− 4.3	2.6	2.3	2.5	76	55	60	W 7	W 6	W 9	6^1	$8^1\odot$	10^1	–	48
6.	28.5	28.4	28.2	− 4.4	− 5.2	− 8.6	− 0.8	− 8.6	3.2	3.0	2.3	100	100	100	NW 6	NW 1	NW 2	10^2≡	10^2≡≈	10^2≡≈	–	45
7.	29.5	29.7	29.8	−11.0	− 9.5	− 9.3	− 8.6	−11.0	1.8	1.8	1.4	100	87	64	NW 1	S 3	SW 4	9^2≡	4^1	1^0	9.5	50
8.	28.8	27.9	26.7	− 8.8	− 6.6	− 6.6	− 6.2	−10 2	1.6	1.7	1.5	70	64	55	W 4	S 2	SW 5	$1^0\odot$	$1^0\odot$	1^0	–	45
9.	25.3	23.7	24.4	− 4.5	− 5.0	− 5.2	− 4.4	− 6.9	2.4	2.5	2.7	78	88	91	S 8	S 8	SE 6	9^1	$8^2\odot$	2^1	–	45
10.	24.9	25.1	25.8	− 5.2	− 4.0	− 6.9	− 3.7	− 6.9	3.0	3 3	2.6	100	100	100	SE 4	SE 5	SE 4	10^2≡	8^2≡	10^2≡≈	–	45
11.	26.2	26.8	28.0	− 8,3	− 8.6	− 9.7	− 6.5	− 9.7	2.3	2.3	1.7	100	100	80	C	W 3	W 6	10^1≡≈	10^2≡≈	0	**11.4**	60
12.	28.3	28.7	27.9	− 3.6	− 0.6	− 2.5	0.1	−10.3	1.5	2.2	2.0	43	49	56	S 5	S 5	S 3	$2^0\odot$	9^1	10^1	1.3	65
13.	26.7	27.6	30.9	− 5.4	− 7.4	− 8.8	− 2.5	− 9.1	2.3	2.5	2.2	76	100	100	S 1	SE 1	NE 2	9^2	10^2≡≈	10^2≡≈	–	65
14.	34.4	35.5	35.6	− 4.8	− 1.8	− 1.7	− 1.7	− 8.9	3.1	3.6	2.5	100	90	65	SE 2	C	NE 2	8^1	$3^0\odot$	1^0	2.4	70
15.	33.3	31.4	29.8	− 0.9	2.0	− 3.3	**2.7**	− 3.3	1.5	1.5	2.4	34	28	70	NW 1	NW 2	NW 3	1^0	$1^0\odot$	0	–	70
16.	27.8	28.1	28.4	− 5.7	− 6.2	− 5.5	− 3.2	− 7.4	1.9	2.7	2.4	68	95	83	W 4	W 5	W 6	$2^0\odot$	$7^1\odot$	1^0	–	65
17.	27.0	25.1	23.0	− 2.3	− 1.3	− 2.5	− 0.8	− 5.8	1.0	2.0	2.3	25	45	61	SW 2	S 5	S 6	2^0	8^0	1^0	–	65
18.	18.6	14.7	11.7	− 5.5	− 6.6	− 6.5	− 2.0	− 6.8	2.8	2.5	2.7	94	98	94	SW 8	SE 9	S 10	10^2	9^2	8^2	–	65
19.	09.6	10.1	11.5	−12.0	−13.3	−13.6	− 6.2	−14.3	1.7	1.5	1.5	100	100	100	NW 4	NW 4	SW 7	10^2≈	10 ≈	10^2≡	6.7	**80**
20.	12.2	14.6	16.7	−14.2	−13.0	−12.4	−12.4	−14.2	1.4	1.4	1.6	100	92	100	W 10	W 4	W 4	$4^1\odot$	$4^1\odot$	10^2≡	–	**80**
21.	19.3	18.6	18.3	−11.5	− 6.5	− 5.6	− 5.5	−13.2	1.8	2.5	2.7	100	95	90	W 4	W 9	SW 10	7^1	9^2	1^0	–	75
22.	18.6	19.8	22.7	− 5.1	− 3.3	− 3.1	− 2.6	− 5.8	2.7	2.3	2.9	85	65	80	S 10	S 8	S 8	4^0	6^1	9^1	–	75
23.	20.8	22.8	23.8	− 3.7	− 2.7	− 2.5	− 2.5	− 4.3	3.4	**3.7**	3.0	94	100	81	SE 5	SE 1	SE 5	8^2	10^1≡	4^1	–	75
24.	21.9	22.0	22.9	− 4.2	− 3 0	− 4.6	− 2.4	− 4.6	3.3	3.5	3.1	100	97	98	SE 4	S 4	SW 4	9^1≡	9^2	2^1	–	75
25.	22.3	21.7	21.8	− 7.5	− 5.8	− 7.1	− 4.6	− 7.6	2.5	2.9	2.6	100	100	100	NW 3	NW 2	W 4	10^2≡	10^2≡	10^2≡≈	–	75
26.	23.0	24.8	26.9	− 7.9	− 4.9	− 5.5	− 3.7	− 8.6	2.4	2.3	1.7	100	75	60	S 2	SW 4	SW 2	1^1	$2^1\odot$	1^0	–	75
27.	29.3	31.1	33.1	− 6.5	− 5.2	− 4.4	− 3.8	− 7.1	1.6	1.5	1.6	59	51	50	S 3	N 1	SE 2	6^1	3^1	3^1	–	74
28.	33.2	33.7	34.6	− 2.8	− 1.6	− 2.8	− 0.8	− 4.4	2.5	2.4	3.3	67	68	80	SW 7	SW 8	SW 8	5^1	8^1	9^1	–	74
29.	35.5	35.8	**36.3**	− 4.6	− 4.6	− 5.1	− 2.8	− 5.5	2.8	3.1	2.6	87	95	82	SW 3	E 2	C	8^1	9^1≈≡	2^1	–	74
30.	35.0	34.3	33.0	− 6.9	− 6.7	− 9.1	− 4.9	− 9.1	2.5	2.3	2.0	95	88	96	C	C	NW 1	1^1	$7^1\odot$	1^1	–	74
																					31.3	
Mittel	26.6	26.7	27.0	− 6.2	− 5.0	− 5.9	− 3.6	− 7.8	2.2	2.4	2.3	79	79	79				5.8	6.6	4.6		

Bemerkungen.

1. a Fernsicht frei, etwas ∞; m über Flachland lebhafte cu-Bildung; 9 p ringsum ≡meer in ca. 2200 m
2. a über Flachland ≡meer in ca. 1000 m, (im Tal ⌊⌋); 10 a ≡meer in langsamer Auflösung; 9 p Wind dreht allmählich nach NW; cu treten plötzlich auf
3. a ⌊⌋, über Flachland teilweise ≡meer; 2 p ≡meer löst sich langsam in cu auf; 9 p Windrichtung rasch wechselnd
4. 7 a über Seen u. Flussläufen d. Ebene teilw. ≡; a starke Bewölkungszunahme, abds. leichtes Aufklaren; 11 a–2 p ⊕; 7–9 p ⊙ Radius ca. $25^3/_4{}^0$
5. n u. t ⌊⌋; sehr böiger W-Wind; (a im Tal ⌊⌋); 3 p unter föhnigem Aufklaren prächtige Aussicht ins Flachland (München mit freiem Auge sichtbar)
6. ab ca. 6^{30} a ≡$^{0.2}$; ztw. ≡reissen; 2^{30}–ca. 4^{30} p wiederholtes Aufklaren; cu sichtbar, dann wieder ≡ u. ✳^{0}; 2 p 2 cm ⋁
7. 7 a 10–15 cm ⋁; ≡^{1}; dann momentanes Aufklaren; hierauf bis ca. 9^{30} a ≡$^{0.2}$; 10 a üb. d. Gebirg starke cu-Bildung; 2 p Gipfel a. Kondens.-Grenze; häufig. Brockengesp.,
8. a Fernsicht frei, über Ebene ∞^{0}; (im Tal ⌊⌋); a ztw. C; 10 a dreht Wind nach S; t fast wolkenlos, föhnig [4 p völlig. Aufkl.
9. n u. t Föhnsturm, der erst 8 p etwas nachlässt; Bewölkung sehr rasch wechselnd
10. t ≡^{2}, jedoch von ca. 10 a–4 p ztw. Aufklaren; ca. 2–3 p schöne Brockengespensterscheinung: dreifache Glorie; ab 5 p ✳$^{0.1}$
11. n stärkerer ✳fall; t meist ≡^{2}, ✳$^{0.1}$; ca. 8 p vollständiges Aufklaren verbunden mit ⌊⌋ (W-Wind)
12. n u. a ⌊⌋; t föhnig, Himmel meist mit gleichmässiger str- bezw. ci-str-Decke überzogen
13. 7 a Fernsicht frei; über dem schwäbischen Alpenvorland ≡meer; ab ca. 8^{30} a meist ≡$^{1.2}$, ✳$^{0.1}$
14. 10 p Aufhören des ✳falles; t heiter, über Ebene ≡meer in ca. 2500 m, ü. d. Gebirge in ca. 2700–3000 m; a u. m auf ≡meer Brockengesp.; ztw. stärkere ci-Bedeckung
15. t fast wolkenlos; ≡meer nur mehr über Ebene, Vorbergen u. Inntal, Höhe ca. 1200 m, (a im Tal ⌊⌋)
16. a über Flachland ∞ u. teilweise ≡; 6 p ⌊⌋^{0}
17. meist heiter, freie Fernsicht; (a im Tal ⌊⌋)
18. n u. t sehr starker Föhnsturm; 7^{05} a kurz ✳^{0}
19. n Nachlassen des Sturmes, a ✳^{0}; t ✳treiben; 1^{30} p kurz Aufklaren; Brockengespenst; 4^{30} p Brockengesp.; sehr schön irisierende cu bezw. str-cu; ab ca. 5 p neuerdings ⌊⌋
20. n u. a sehr starker Sturm, ab ca. 5 p ≡; ztw. ✳$^{0.1}$; böiger W-Wind
21. n u. a ⌊⌋; 10 a ≡^{1}, ☩
22. t sehr ⌊⌋
23. 2–ca. 7 p ≡$^{0.1}$, wiederholt Brockengespenst
24. n ⌊⌋; a ⌊⌋^{1}, über Flachland ≡meer in ca. 900 m; t häufig ≡^{1}
25. a 3 cm ⋁; t ≡^{2}, m ⊙durchscheinend; p ztw. ✳^{0}
26. a 4 cm ⋁; ≡meer über Ebene u. Isartal in ca. 1000 m, über Inntal in ca. 2000 m; 2^{30} p wunderbar irisierende ci u. ci-cu; p starke Bewölkungszunahme; abds. wieder
27. über Alpenvorland (ausgenommen das schwäbische) ≡meer in ca. 800 m [Abnahme
28. a ⌊⌋; ≡meer wie am Vortage; die ≡decke erscheint heute von geringerer Mächtigkeit
29. n ⌊⌋; üb. d. Flachlande ≡meer verschwunden, dagegen starke str-cu-Decke; ca. 9 a–3 p mehrfach ≡$^{0.1}$ mit ✳^{0}; 3^{30} p völliges Aufklaren; 9 p ⌊⌋$^{0.1}$
30. a über dem Flachlande ≡meer in ca. 800–900 m, ⌊⌋^{1}; ab ca. 10 a üb. d. Gebirge starke cu-Bildung; 2 p ringsum (ausgen. E) ≡meer in ca. 1400 m, 4 p ringsum in ca. [2300 m; 6^{40} p ⊙

Alle Angaben nach Ortszeit.

Kahl a/M.

Dezember. $\varphi = 50^0\ 4'$ N. $\lambda = 9^0\ 1'$ E $= 36^m\ 4^s$. H $= 114.1$ m. Cg $= +0.3$ mm. 1911.

Datum	Luftdruck auf 0^0 u. Normalschwere reduziert 700 mm +			Lufttemperatur C°					Absolute Feuchtigkeit mm			Relative Feuchtigkeit Proz.			Richtung und Stärke des Windes 0 bis 12			Bewölkung 0 bis 10			Niederschlag mm	Schneedecke cm	Bemerkungen
	7^a	2^p	9^p	7^a	2^p	9^p	Max.	Min.	7^a	2^p	9^p	7^a	2^p	9^p	7^a	2^p	9^p	7^a	2^p	9^p	7^a	7^a	
1.	60.1	58.0	58.0	− 1.8	6.6	3.8	7.3	− 2.5	4.0	5.9	5 7	100	81	95	C	C	C	1^0	1^0	10^0	−	−	a ⌋
2	59.0	58.3	57.9	− 1.8	5.1	0.4	6 2	− 2.9	4.0	5.8	4.6	100	89	98	C	C	C	0	2^0	5^0	−	−	a ⌋⌋; 6^{56}–9^{00} p ⊃
3.	56.9	55.9	55.5	1.3	3.2	1.2	4.7	− 2.1	4.5	4.7	4.4	89	81	87	C	E 2	C	10^1	8^0	9^0	−	−	a ⌋⌋
4.	54.9	54.8	55.0	1.8	3.4	3.0	4.0	0 3	5.1	5.6	5.6	96	97	98	C	C	W 2	10^1●	10^1	10^1	0.3	−	n ●^{0}; 7 a ●; t ztw. ●
5.	54.3	52.8	53.0	3.6	6.4	3.2	7.8	2.0	5.7	6.4	5.5	97	90	95	C	SE 2	C	10^1	5^0	2^0	3.0	−	9 p ⊃
6	55.1	56.7	57.3	2.0	5.7	3.5	6.4	0 7	5.1	5.8	5.4	96	85	92	SE 2	C	SE 2	9^0	3^0	10^0	−	−	6^{06} p ⊃
7.	55.6	51.5	49.0	2.7	3.6	1.8	5.4	1.0	5.2	4.9	4.3	93	83	82	C	SE 4	SE 2	10^1	9^0	10^0	1.0	−	n ●
8.	47.7	48.1	47.7	2.4	4.7	4.1	6.1	0 9	4.9	6.0	5.7	89	94	93	C	SW 2	C	10^1	10^1	10^0	0.5	−	n ●
9.	44.3	45.6	50 0	2.6	6.0	4.4	7.0	− 1.0	5.0	5.2	5.3	91	75	85	C	SE 2	SW 4	10^1●	10^2	10^9	0.2	−	6^{26}–9^{19} a ●^{0}; p ztw. ●
10.	52.1	49.7	45.6	3.1	5.8	3.8	7.0	0.7	5.1	5.3	3.7	90	78	62	SW 2	C	SW 6	10^1	10^1	4^0	1.6	−	
11.	39.7	39.8	43.8	3.5	5.1	4.0	6.0	2.5	5.4	6.6	6.0	92	100	98	SW 2	C	SW 2	10^1●	10^1●	10^1	3.7	−	n, a ●; t ztw. ●
12.	47.1	49.4	51.3	2.9	4.6	2.5	5.4	1.3	5.2	5.9	5.5	93	94	100	C	SW 2	C	10^1	10^0	0	3.5	−	
13.	50.9	50.5	49.9	− 3.2	2.4	2.9	4.3	− 3.9	3 6	4.8	5.3	100	87	94	C	C	C	0	10^1	10^1	−	−	a ⌋
14.	49.5	50.4	52.3	4.0	7.7	1.0	8.4	0.0	5.8	7.6	4.9	95	98	100	C	SW 2	C	10^1	4^1	0	0.8	−	n ●; $10^{38.3t}$ a ●. 9 p ≡^{0}
15.	50.7	49.0	50.5	0.5	4.4	4.2	5.2	− 2.0	4.8	5.9	6.2	100	96	100	C	C	C	0	10^0	10^1●	0.9	−	a ⌋; 9 p ●
16.	54.3	55.7	57.5	0.8	6.0	4.7	6.6	0.0	4.8	6.6	6.3	100	94	98	C	SW 2	SW 2	10^1	9^0	10^1	4.7	−	n ●; a ≡^{0}
17.	58.9	59.3	59 8	2.6	6.2	1.3	7.0	0.8	5.5	6.1	4.9	100	87	98	C	C	C	1^0	10^1	0	0.6	−	n ●
18.	58.2	57 0	56.0	− 0.4	3.7	1.8	4.3	− 2.6	4.5	4.7	4.8	100	78	91	C	SE 2	C	1^0	9^0	10^1	−	−	a ⌋
19.	55.6	55.2	54.7	0.3	3.2	1.7	3.9	− 2.2	4.4	5.0	5.1	94	87	98	C	S 2	C	8^0	10^1	10^1	−	−	
20.	49.5	42.4	42.8	2.5	4.2	8.7	**9.7**	0.8	5.2	5.6	5.8	94	90	69	SW 4	SE 2	SW 8	10^1	10^1	10^2	1.9	−	n ●; 1^{26} p an ztw. ●.
21.	15.8	38.3	**32.9**	5.9	6.2	7.8	9 6	5.0	6.0	6.4	7.5	87	90	94	SW 2	S 2	SW 2	10^1	10^1●	10^2●	4.1	−	11^{16} a–n ●
22.	48.1	50.3	46.0	5.5	6.9	5.3	9.0	4.5	5.8	5.5	6.2	86	74	94	SW 6	SW 4	SW 2	10^1	8^1	10^1	10.7	−	n ●; t ztw. ●^{0}
23.	37 6	50.7	56.8	5.4	6.3	4.7	8.4	3.0	6.7	4.9	5.5	100	69	86	NW 6	NW 4	C	6^0	7^0	10^0	**14.0**	−	
24.	56.6	52.1	48.1	0.1	4.8	4.4	6.2	− 1.0	4.6	5.1	6.2	100	79	100	C	S 2	SW 2	10^0	10^2	10^1	−	−	a ⌋; 4^{11}–7^{16} p ●
25	43.0	40 8	44.0	6.2	6.5	4.1	8.2	3.5	6.9	6.7	5.8	97	93	95	SW 2	SW 4	SW 4	10^1	10^1●	0	3 8	−	p ●
26.	45 8	47.8	47.5	4.2	6.1	4.8	6.9	2.8	5.9	5.8	5.9	96	83	92	SW 4	SW 4	C	10^1	10^1	10^1	10.0	−	10^{36}–11^{01} a ●
27.	39.3	47.2	51.5	6.8	5.2	4.2	8.2	2.0	7.1	5.3	5.7	96	80	92	SW 4	NW 2	W 2	10^1	10^0	10^1	12.0	−	n, a ●
28.	55 7	57.0	56.2	4.0	5.0	4.0	6.9	1.8	5.6	5.6	5.6	92	86	92	C	W 2	W 2	10^1	8^0	10^1	1.2	−	
29.	52.9	53.9	56.2	7.0	7.9	7.1	8.9	3.0	7.2	**7.9**	7.5	96	99	100	SW 4	SW 2	C	10^1	10^1●	10^0	1.3	−	n, t ztw. ●^{0}
30.	56.7	55.7	55.9	6.9	7.6	5.7	8.9	5.0	7.4	7.3	6.6	100	94	98	8W 2	C	SW 2	10^1	10^2	10^1	0.6	−	
31.	59.2	61 2	**62.4**	4.7	7.1	5.1	7.8	3.6	6.4	6.6	6.2	100	87	95	C	C	NW 2	10^1≡	1^0⊙	10^0	1.6	−	n ●; a ≡^{1}
Mittel	51 5	51.5	51.8	2.8	5.4	3.8	6.8	0.8	5.4	5.9	5.6	95	87	93				7.9	8.2	8.1	82.0		

Bayreuth.

Dezember. $\varphi = 49^0\ 57'$ N. $\lambda = 11^0\ 34'$ E $= 46^m\ 16^s$. H $= 363.3$ m. Cg $= +0.3$ mm. 1911.

1.	38.4	35.9	35.9	2.9	6.3	3.9	6.3	2.1	5.4	4.8	5.3	96	67	88	W 2	E 2	C	10^0≡	10^1	10^2	−	−	a ≡^{2}
2.	37.6	37.0	36.8	0.4	3.7	− 1.1	3.9	− 1.6	4.5	4.6	3.7	94	78	86	SW 2	SE 2	E 2	10^1≡	3^1⊙	0	0.3	−	n ●^{0}, a ⌋^{0} ≡^{1}
3.	35.5	34.5	33.9	− 3.1	0.9	0.5	1.0	− 5.2	3.5	4.1	4.1	96	85	87	E 2	SE 2	SE 4	3^1	10^2	10^2	−	−	a ⌋^{2}
4.	33.3	33.1	33.3	− 0.5	0.0	− 0.6	1.2	− 1.5	4.0	4.1	4.2	90	89	96	SE 2	E 4	E 4	10^2	10^2	10^2*	−	−	7–9 p ✳^{1}
5	32.8	30.9	31.7	− 0.1	1.9	1.7	2.0	− 1.6	4.4	3 8	4.8	96	73	93	E 4	E 4	E 4	10^2	7^1	10^2	0.9	I	n ✳^{0}
6.	34.0	35.9	36.9	1.7	2.9	1.1	3.0	− 0.7	4.9	4.7	4.6	94	83	90	E 4	E 4	E 4	10^1≡	10^1	10^1	−	−	a ≡^{1}
7.	34.9	30.8	28 4	− 0.1	0.6	− 1 1	1.1	− 1.6	3.9	4.2	4.1	85	00	96	SE 4	SE 4	E 2	10^1≡	10^1	3^0	−	−	a ≡$^{0.1}$
8.	25.4	26.3	25.8	− 1.9	2.5	1.1	2.6	− 3.0	3 8	4.9	4.8	96	90	96	SW 2	SW 2	SW 2	10^2	10^2	10^2	−	−	a ⌋^{2}, p ztw. ●^{0}
9.	22.8	24.8	20.9	1.5	4.7	4.1	4.7	0.0	4.9	4.4	4.9	96	68	81	E 4	SE 4	S 4	10^1≡	10^2	10^2	0.3	−	a ≡^{1}
10.	30.9	29.1	26.1	− 0.7	4.7	0.1	4.7	− 1.6	4.2	4.3	4.2	96	66	90	E 2	E 4	E 4	2^1	3^1	0	−	−	a ⌋^{1}
11.	20.0	18.3	21.8	− 0.3	2.9	1.1	3.0	− 2.3	3.4	3.8	4.8	76	67	96	SE 4	SE 4	SE 2	10^2	10^1	10^2	−	−	a ⌋^{1}. $6-8^{35}$ p ✳$^{0.1}$
12	24.9	27.0	29.0	2 7	3.6	2.3	3.9	0.3	5.4	4.9	5.1	96	84	94	W 4	W 4	W 2	10^2	10^1	10^2	1.6	−	
13.	29.0	28.6	28.4	1.6	2.5	1.5	2.6	0.0	5.0	4.7	4.5	96	85	90	SE 2	SE 4	E 4	10^1≡	9^1	10^1	−	−	a ≡^{1}
14.	28.4	29.2	31.2	1.7	4.5	3.6	4.5	0.1	4.4	5.1	5.8	86	82	98	E 4	SE 4	E 2	10^1	10^1	3^1	−	−	p ztw. ●$^{0.1}$
15.	29.8	27.6	28.2	1.9	6.3	1.4	6.3	0.9	5.3	6.1	4.6	100	87	91	E 2	SE 4	SE 4	10^2≡	5^0⊙	10^1	1.0	−	a ≡^{2}
16.	31.9	33.7	36.1	1.5	3.5	2.9	3.9	0.3	4.9	5.9	5.6	96	100	100	E 2	W 2	E 2	10^2≡	10^1≡	10^2	0.9	−	n ●^{0}, t ≡$^{1.2}$
17.	38 3	38 7	39.0	1.4	2.7	2.3	3.2	0.3	5.0	5.2	5.0	98	93	93	E 2	E 4	E 4	10^2≡	10^2	10^2	−	−	a ≡^{2}
18.	37.7	36.6	35.6	− 0.1	2.3	0.7	2.4	− 0.9	4.3	4.3	4.4	94	80	90	E 4	SE 4	E 4	10^2	5^0⊙	0	−	−	
19.	34.7	33.6	33.7	− 2.3	− 0.2	− 1.3	0.8	− 3.1	3.5	4.2	4.0	92	92	96	SE 6	E 4	E 4	4^1	8^0⊙	0	−	−	a ⌋^{1}
20.	27.6	22.3	22.5	0.3	2.5	6.9	6.9	− 1.9	4.4	4.4	5.8	94	80	80	SE 4	S 6	SW 9	10^1	10^1	3^1	−	−	a ⌋^{0}. 3^{05}–7^{25} p ●^{1}
21.	23.6	18.0	**15 5**	5.5	5.5	6.7	7.0	4.3	5.2	5.2	6.5	79	77	89	SW 6	S 6	SW 6	10^2	10^2	10^2●	4.8	−	n ⌋⌋⌋, p ●^{0}
22.	24.0	27.2	25.6	4.2	4.5	3.2	6.8	2.6	5.6	5.3	5.4	91	85	93	W 6	W 6	W 4	10^2	10^2	10^2	6.1	−	n ⌋⌋⌋ ●^{1}, t ztw. ●^{0}
23.	14.9	24.9	32.5	2.0	3.2	2.5	3.3	0.2	5.2	5.2	4.9	98	91	90	SW 2	NW 6	W 6	10^2●	10^2●	10^2	5.7	−	n ●$^{0.1}$, t ztw. ●^{0}
24.	34.5	30.8	26.9	1.9	4.0	2.9	4.3	− 0.1	4.9	4.8	4.7	93	79	83	SW 4	S 6	SW 4	10^2	8^1	10^2●	2.4	−	n ztw. ●^{0}. 8–9 p ●^{0}
25.	20.9	18.6	21.3	5.3	6.1	2.9	6.7	2.1	6.6	**6.7**	5.2	99	96	93	SE 2	S 2	SW 6	10^2●	10^2●	10^2●	4.9	−	n ●^{1}, t ●$^{0.1}$
26.	23.1	24.5	25.4	3.1	3.5	3.5	3.7	1.7	5.1	5.5	5.3	91	93	91	W 4	SW 6	W 4	10^2	10^2●	10^2	7.8	−	n ●^{0}, t ●$^{0.1}$
27.	16.8	21.6	27.2	1.4	2.3	2.1	3.7	− 0.1	5.0	4.9	5.0	98	90	93	E 4	W 6	W 4	10^2●	10^2	10^2	**10.2**	I	n ✳^{1}, t ztw. ●$^{0.1}$
28.	31.6	33.7	34.1	2.7	4.1	2.9	4.1	1.3	5.0	4 7	5.1	90	78	91	W 4	W 4	W 2	10^2	9^1	10^1	4.8	−	n ztw. ●^{0}
29.	27.9	29.1	33.3	4.5	7.7	5.0	**7.7**	1.3	6 0	**6.7**	5.2	96	87	81	W 6	W 6	W 2	10^2●	10^2	10^2	1.8	−	n, a–7^{15} a ●^{0}
30.	34.9	33.5	32.2	2.7	4.9	5.3	5.3	1.9	5.0	5 9	**6.7**	90	92	100	E 2	W 2	SW 2	10^2	10^1≡	10^2●	−	−	t ≡^{1}. 8–9 p ●^{0}
31.	36.8	39.7	**40.9**	2.5	4.7	1.7	5.3	1.2	4.9	5.0	4.6	90	79	91	NW 4	E 2	E 2	10^2	4^0⊙	10^1	1.9	−	n ●^{0}
Mittel	29.6	29.5	30.1	1.4	3.5	2.3	4.1	− 0.1	4.8	4.9	4 9	93	83	91				9.3	8.7	8.0	55.4		

Alle Angaben nach Ortszeit.

Bamberg.

Dezember. $\varphi = 49^0\ 53'$ N. $\lambda = 10^0\ 53'$ E $= 43^m\ 32^s$. H $= 287.7$ m. Cg $= +\ 0.3$ mm. 1911.

Datum	Luftdruck auf 0° u. Normalschwere reduziert 700 mm +			Lufttemperatur C°					Absolute Feuchtigkeit mm			Relative Feuchtigkeit Proz.			Richtung und Stärke des Windes 0 bis 12			Bewölkung 0 bis 10			Niederschlag mm	Bemerkungen
	7a	2p	9p	7a	2p	9p	Max.	Min.	7a	2p	9p	7a	2p	9p	7a	2p	9p	7a	2p	9p	7a	
1.	45.0	42.4	42.7	3.0	7.0	4.2	7.7	2.7	5.3	5.4	5.0	93	72	80	W 2	W 1	W 2	9^1	10^1	10^2	0.1	n ⌓⁰. a ∞
2.	44.3	43.5	43.3	2.2	6.3	0.4	7.1	0.5	5.0	4.3	3.9	93	60	83	W 1	E 2	C	10^1	$1^1\odot$	10^0	0.1	11^{30} p ●⁰, n ⌓
3	42.2	41.2	40.3	− 2.3	1.4	0.5	2.3	− 2.6	3.8	4.2	4.1	98	83	85	C	SE 3	SW 4	10^2	10^2	10^2	−	n ⌴, a ∞
4.	39.8	39.4	39.8	− 0.2	2.2	0.1	3.0	− 0.5	3.9	3.8	4.5	87	72	98	S 3	SE 3	S 2	10^2	$10^2\triangle$	10^2	0.1	1^{36}–3^{15} p △⁰. 3^{15}–6 p ●⁰
5.	39.2	37.5	38.5	0.5	4 1	1.2	4.8	0.0	4.7	5.4	4.7	98	88	94	E 1	E 1	S 2	10^2=	10^2	10^2	1.4	n ⚹, a ≡¹
6.	40.5	12.4	43.5	2.5	3.5	1.7	4.5	1.0	4.9	5.0	4.6	89	85	90	S 4	S 3	SE 4	10^2	10^2	10^2	0.1	n ⌓
7.	41.2	37.3	34.3	0.0	1.5	− 1.2	2.8	− 1.3	4.3	4.3	4.0	94	83	94	SE 4	SE 3	SE 2	10^2	10^2	10^1	0.1	9 p ⊅
8.	32.6	32.9	32.0	− 0.6	2.2	2.2	2.8	− 2.1	4.2	4.8	5.2	96	89	96	SW 1	S 2	SE 3	10^2	10^2	10^2	0.1	n ⌴. 0–2 p ●
9.	29.4	31.3	34.4	2.4	5.5	4.4	6.3	0.8	4.9	4.4	4.8	89	65	77	SE 5	W 3	SW 5	10^2	10^2	10^2●	0.3	9 p ●⁰
10.	37.5	35.3	31.9	− 0.8	4.6	− 0.4	6.1	− 0.9	4.2	5.2	3.8	96	82	85	SW 4	SW 3	SE 2	6^1	$8^1\odot$	1^1	0.1	n ⌴
11.	25.7	24.4	28.7	1.6	3.8	3.1	4.3	− 0.7	3.7	4.0	5.6	71	67	97	SW 4	SE 5	SE 2	10^2●	10^2	10^2	0.1	n ⌴. 11^{05} p Ψ. 7^{00-15} a ●⁰. 9^{07} a, 3^{40} p, 4^{10}–6^{15} p,
12.	31.6	33.8	35.8	2.3	4.2	2.4	4.8	1.7	5.1	5.5	5 2	94	89	94	W 1	W 2	C	10^2	10^2●	10^2	3.3	1^{57}–2^{10} p ●⁰. 2^{10}–3^{15} p ●¹ [7^{15} p an ●¹
13.	35.4	35.2	34.8	− 0.7	3.0	2.2	4.6	− 1.1	4.3	4.7	4.6	98	83	85	E 1	E 2	SW 3	1^1	9^1	10^2	0.1	n ⌴. 7^{20} a ≡¹
14.	34.8	35.2	37.6	3.0	7.1	4.5	8.8	1.9	4.3	6.0	6.1	76	80	97	SW 2	SE 4	S 2	10^2	9^2	8^1	0.1	1^{45}–2 p ●⁰. 2^{15}–4 p ●¹. 9 p ≡
15.	36.2	33.8	35.3	1.0	4.9	3.0	6.0	− 0.3	4.8	5.8	5.2	98	90	91	S 1	NE 1	C	10^2	10^2	10^2	1.8	n ⌓²
16.	38.6	40.3	42 7	2.9	5.5	3.0	6.2	2.1	5.5	6.7	5.4	98	99	95	S 1	SE 1	SE 2	10^2=	10^1	2^1	3.2	9^{02} p–a ●, a ≡¹
17.	44.8	45.4	45.8	1.1	1.2	− 0.4	3.7	− 0.5	4.9	4.8	4.3	98	96	96	S 3	S 4	C	10^2	10^2	10^2=	0.1	11 p an ≡², n ⌓. 8 a ≡¹. 9 p ≡²
18.	44.3	43.1	41.7	− 1.8	1.6	− 0.3	2.7	− 2.9	3.9	4.5	4.3	98	87	96	S 4	S 2	C	9^1	$1^{10}\odot$	10^0	0 2	n ⌴
19.	40.9	40.0	39.2	− 2.0	2.9	− 0.2	3.8	− 2.9	3.8	3.7	4.4	96	66	96	S 2	C	NW 2	9^1	10^1	10^1=	0.1	n ⌴. 9 p ≡¹
20.	33 8	27.9	29.2	− 0.2	4.3	6.8	7.7	− 1.4	4.4	4.9	5.6	98	79	76	C	SW 4	W 8	10^0=	10^2	2^1	0.1	n ⌴. 10 a–1 p ●⁰. 2^{45}–6 p ●¹. a ≡¹
21.	30.3	24.1	19.5	5.8	5.3	7.6	8.3	4.8	5.2	5.0	6.4	76	75	82	SW 3	SW 5	SW 6	10^2	10^2	10^2	4.8	00^{1-44} p ●⁰. 20^{2}–8 p ●¹
22.	31.3	34.1	31.4	4.4	5.9	2.7	8.7	2.4	5.5	5.2	5.3	89	75	94	W 7	W 5	SW 4	10^2	$4^1\odot$	10^2	6 8	9^{15} p–mn, 9^{40} a–1 p, 7^{00-45} p ●¹. 1^{30} a ≡≡ W 10
23.	21.3	32.0	40.1	4.3	3.7	3.0	5.3	0.8	6.0	5.3	4.9	97	88	87	W 1	W 4	W 1	10^2●	10^2	9^1	8.7	11 p–8 a, 10 a ●
24.	41.2	37.3	32.9	− 0.6	4.1	2.8	5.5	− 0.6	4.2	4.7	5.3	96	77	94	SW 2	SW 2	SW 2	1^1	9^1	10^2●	1.8	n ⌴. 5^{15}–9 p ●¹
25.	27.4	25 0	28.5	5.5	6.2	3.1	7.3	2.7	6.7	6.9	5.4	99	97	95	SW 2	SW 2	C	10^2	10^2●	10^2●	5.8	9 p–0^{45} a ●, m–9 p ●¹
26.	30.0	31.4	32.1	3.4	4.4	3.0	5.8	1.5	5.2	5.5	5.2	90	89	91	SW 2	C	SE 2	10^2●	10^2	10^1	9.0	9^{00-45} p ●. 7–9 a, 11^{30} a, m–1^{15} p ●⁰. 4–7^{15} p ●¹
27.	23.3	29.4	34.6	1.9	3.0	2.7	5.3	0.1	5.1	5.1	5.2	96	90	93	S 2	W 5	W 4	10^2	10^2	10^2	**10 3**	11^{15} p ⚹. 7^{30}–11^{15} a ●¹
28.	39.3	40.6	41.1	2.8	4.3	2.0	5.2	1.8	5.1	5.1	4.9	91	82	93	W 2	W 4	C	10^2	8^1	10^1	4.3	
29.	35.4	36.7	40.4	5.1	7.6	4.9	8.3	1.4	6.4	**7.0**	5.4	97	90	82	SW 1	W 4	W 2	10^2	10^2	10^1	2.6	n ●. 8 a ●⁰
30.	41 3	39.9	39.1	3.7	6.5	5.1	7.0	3.1	5.8	**7.0**	6.4	97	98	97	S 2	S 1	W 1	10^2	10^2	10^2●	0 1	7^{30} a ≡¹. 8^{15}–9 p ●⁰
31.	43.8	46.1	**47.1**	3.8	4.7	3.0	6.1	3.1	5.9	5.1	5 0	98	79	88	W 2	C	E 1	10^2	10^1	10^2	2.5	9–10 p ●¹. 10^{30} p Ψ
Mittel	36.2	36.1	36.7	1.7	4.3	2.5	5.6	0.5	4.9	5.1	5.0	93	82	90				9.2	9.3	9.1	68.2	

Würzburg.

Dezember. $\varphi = 49^0\ 48'$ N. $\lambda = 9^0\ 56'$ E $= 39^m\ 44^s$. H $= 179.3$ m. Cg $= +\ 0.3$ mm. 1911.

1.	54.2	51.7	52.1	1.9	6.4	5.4	6.4	0.9	4.9	5.7	5.3	93	79	80	C	C	S 2	0=	0⊙	10^1	−	a ≡¹
2.	53 4	52.5	52.5	0.8	5.7	0.3	5.7	0.3	4.6	4 7	4.2	94	68	90	C	SE 2	SE 2	4^1	1^1	0	−	a ≡¹. 9 p ⊅
3.	51.0	50.0	49.3	1.1	2.3	0.9	2.3	− 1.0	4.2	4.4	4.1	85	80	84	SE 2	E 2	E 2	10^2	10^2	0	−	9 p ⊅
4.	48.6	48.2	48.6	1.3	2.6	2.3	2.8	− 0.2	4.0	4.8	5.2	80	87	**96**	E 2	E 4	E 2	10^2	10^2	10^2●	−	t ztw. ●⁰
5.	48.2	46.2	47.4	2.2	5.4	3.3	5.4	1.7	5.1	6.2	5.3	94	92	92	E 2	E 2	E 2	10^2	10^2	8^1	4.9	n, a ●⁰
6.	49.3	51.3	52.4	2.9	5.2	2.1	5 2	1.6	5.1	5.5	4.9	90	83	91	E 2	SE 2	SE 2	10^2	10^2	10^2	0.1	
7.	49.5	46 1	43 0	1.4	2.1	1.2	2.1	0.8	4.6	4.4	4.4	8:	82	87	E 2	E 4	E 2	10^2	10^2	10^2	−	
8	41.7	41.6	41.0	1.1	4.9	4.1	5.0	0.2	4.3	5.5	5.3	87	84	87	E 2	C	S 2	10^2	10^2	10^2	−	a ztw. ●⁰
9	38.1	40.0	43.8	2 3	6.1	4.9	6.7	0.9	4.5	4.7	5.1	82	68	79	SE 2	S 2	S 2	10^2	10^2	10^2	0.3	t ztw. ●
10.	46.3	44.0	40.0	2.2	5.0	1 3	5.1	0.3	4.4	4.6	3.9	82	71	78	SE 2	S 2	S 2	10^2	10^1	0	0 6	
11.	34.4	33.9	37.6	1.9	4 0	3.7	4.5	0.8	4.5	5.4	5.6	86	88	93	S 2	E 2	E 2	10^2●	10^2●	10^2	1.0	n, t ztw. ●
12.	40.7	43.0	45.1	1.6	5.0	4.0	5.0	1.4	4.9	5.4	5.4	94	83	88	SW 2	W 1	NW 2	0	10^2	10^2	2.4	a ∞
13.	44.0	44.1	43.3	− 0.6	2.9	2.9	4.0	− 1.0	4.2	4.8	4.7	**96**	85	82	E 2	E 2	E 2	10^1=	10^2	10^2	−	a ⌴ ≡²
14.	43.2	44.2	46 3	2.8	6.0	2.1	7.4	2.1	5.2	6.5	5.2	93	93	**96**	E 2	W 4	W 2	10^2	10^2●	0	0.3	n, p ●⁰
15.	44.7	42.8	44.1	1.4	4.9	4 2	5.6	0 0	4.9	5.7	5.9	**96**	87	**96**	SE 4	E 2	SE 2	10^2	8^1	10^2●	1.8	p ●
16	48.0	49.4	51.7	4 6	7.0	3.3	7.4	3.3	6.0	6.2	5.5	**96**	82	95	W 2	W 2	W 2	10^2	10^2	10^2	3.4	n ●
17.	54.0	54.2	54.3	1.4	3.2	0.6	4.0	0.6	4 8	5.1	4.7	94	89	**96**	E 2	E 2	E 2	0	$3^1\odot$	0	−	a ∞
18.	53.3	52.1	50 8	0.8	2.0	0 8	2.0	0 0	4.3	4 4	4.1	89	84	90	SE 4	E 2	NW 2	10^2	10^2	8^2	−	
19.	50.0	48.9	48.7	− 1.6	1.7	0.5	1.8	− 2.0	3.8	4.3	4.4	94	84	92	SE 2	E 2	SE 2	5^1	10^2	10^2	−	a ⌴ ≡¹
20	43.4	37.4	38.2	0 9	3.4	8.3	9 0	− 0.5	4.5	5.1	5.5	92	87	67	C	C	SW 6	10^2	10^2	10^2	−	p ●⁰
21.	39.1	32 8	**27.0**	6.0	7.6	8.8	8.9	6.0	5.1	5.2	6.4	74	67	76	W 4	S 4	SW 4	0	10^2	10^2●	4.3	n ≡≡, p ●
22.	41.5	43.7	39.9	5.6	7.2	5.3	8.8	5.1	5.3	4.7	5.5	79	63	83	NW 6	W 5	W 4	10^2	10^2	10^2	9.0	n, a ≡≡ ●
23.	30.9	42.4	50.0	6.2	5.6	4.7	6.4	3.4	6.7	5.2	4.9	94	77	76	W 2	N 4	N 4	10^2●	10^2	10^2	9.9	n, a ztw. ●
24.	50.5	46 1	41 8	1.1	5.7	5 0	5.7	0.7	4.4	3.3	6.0	89	43	92	SW 2	W 2	W 2	10^2	10^2	10^2●	3.0	p ●
25.	36.4	34.5	37.7	6.7	7.3	5.1	**9.2**	3.5	6.9	6.8	5.3	94	89	82	S 2	SW 4	SW 4	10^2	10^2●	10^2	1.9	n, p ●
26	39.3	40.6	41.2	3 8	6.9	4.8	7.4	2.7	5.3	5.1	4.9	88	69	76	SW 4	W 6	W 4	10^2	$5^1\odot$	10^2	7.7	n, t ztw. ●
27.	32.5	39.7	44 2	7.2	4.8	4.2	7.8	1.7	6.5	4.7	5.1	86	73	82	SW 4	NW 4	W 2	10^2●	10^2	10^2	**10.3**	n, a ≡≡ ●
28.	48.9	50.7	49.7	4.4	5.4	3.8	5.5	3.5	5.1	5.3	5 0	82	78	83	SW 2	W 2	W 2	10^2	10^1	10^1	0.7	6^{10} p Ψ
29.	45.1	46 8	50.0	7.6	8.0	7.0	8.2	3.1	6.9	**7 3**	6.5	89	92	87	W 5	NW 4	NW 2	$10^{\bullet 2}$	10^2	8^2	0.7	n, a ztw. ●⁰. 9 p Ψ
30.	50.9	49.1	48.7	7.2	8.2	6.2	8.3	6.1	6.9	6.7	6.1	91	82	87	C	SW 2	W 2	10^2	10^2	10^2●	0.3	p ●
31.	53.8	55.5	**56.6**	5.1	6.7	3.8	6.9	3 3	5.9	5.6	5 3	90	77	88	W 2	E 4	E 2	10^2	10^2	10^2	1.1	n ●
Mittel	45.3	45.3	45.7	2.9	5.1	3.7	5.8	1.6	5.1	5.3	5.2	89	80	86				8.4	8.9	8 2	63.7	

Alle Angaben nach Ortszeit.

Ludwigshafen a/Rh.

Dezember. $\varphi = 49^0\ 29'$ N. $\lambda = 8^0\ 26'$ E $= 33^m\ 44^s$. H $= 100.3$ m. Cg $= +0.3$ mm. 1911.

Datum	Luftdruck auf 0^0 u. Normalschwere reduziert 700 mm +			Lufttemperatur C⁰					Absolute Feuchtigkeit mm			Relative Feuchtigkeit Proz.			Richtung und Stärke des Windes 0 bis 12			Bewölkung 0 bis 10			Niederschlag mm	Bemerkungen
	7^a	2^p	9^p	7^a	2^p	9^p	Max.	Min.	7^a	2^p	9^p	7^a	2^p	9^p	7^a	2^p	9^p	7^a	2^p	9^p	7^a	
1.	62.2	59.4	60.3	2.7	7.2	6.0	7.4	1.2	5.4	5.7	5.9	96	76	85	N 1	C	C	10^{2}≡	4^{1}	10^{0}	–	a ≡¹. p, abds. ∞
2.	60.6	59.8	59.4	4.7	7.4	3.1	7.4	3.0	6.0	5.5	4.7	94	72	83	N 1	C	C	10^{1}=	2^{0}	8^{0}	–	a ≡¹ ∞
3.	58.3	56.8	56.1	0.3	4.7	2.2	4.8	0.1	4.5	5.0	4.7	96	78	87	NE 1	SW 1	SW 2	10^{1}=	5^{1}	9^{1}	–	a ≡¹ ⌊
4.	55.7	55.5	56.3	3.3	5.1	4.9	5.1	1.6	5.4	6.1	6.2	93	94	97	SE 2	S 1	S 1	10^{2}●	10^{2}●	10^{1}≡	1.6	n, a u. p ◍; abds. ≡¹
5.	55.5	53.2	53.6	5.1	8.6	4.7	8.8	3.8	6.4	7.1	5.6	97	86	87	C	SW 1	SW 1	10^{2}≡	3^{0}⊙	2^{0}	4.2	n, a ≡²
6.	56.3	58.5	59.1	2.1	5.1	4.3	5.2	1.6	5.2	5.3	5.6	96	82	90	C	C	SW 1	10^{3}=	5^{0}	10^{1}	–	a ≡¹ ⌊¹
7.	56.2	51.5	49.0	4.1	8.0	4.7	8.0	2.6	5.1	5.4	4.8	84	67	74	S 1	S 1	C	10^{2}	6^{1}	10^{0}	–	n, abds. ≡reissen
8.	48.4	49.5	47.8	4.1	6.2	3.9	6.4	1.9	4.5	5.9	5.5	74	84	90	S 1	S 1	SE 1	10^{2}	10^{2}	10^{1}	0.6	n ◍⁰
9.	44.6	47.2	52.5	3.3	6.8	5.1	7.4	1.5	4.8	4.9	4.5	83	67	69	S 2	S 2	C	10^{2}●	10^{2}●	8^{1}	0.6	5^{34}–8^{36} a, nachm. ◍⁰
10.	53.6	49.7	45.5	3.7	7.2	4.9	7.5	2.8	4.6	5.1	3.7	77	68	56	SE 2	SE 2	SE 2	10^{2}	10^{1}	10^{1}	0.8	
11.	40.1	41.8	45.4	5.1	6.4	5.0	6.4	4.0	5.5	6.1	5.6	85	86	86	S 1	SW 1	SW 1	10^{2}●	10^{2}●	10^{2}	0.2	a–2^{34} p ◍⁰
12.	48.9	51.5	52.3	3.8	5.6	4.3	6.0	3.2	5.2	5.9	5.6	87	86	90	S 2	S 1	S 1	10^{2}	10^{1}	3^{0}	1.6	
13.	51.1	50.8	50.3	– 0.7	3.6	2.9	4.3	– 0.9	4.3	4.5	5.1	**98**	77	90	C	C	SW 1	10^{2}=	10^{2}	10^{0}	0.2	a ≡² ⌊
14.	50.2	52.4	53.4	5.4	7.8	5.8	8.0	2.9	5.6	7.0	6.5	83	89	94	C	S 1	S 1	10^{2}	4^{1}⊙	3^{0}	0.4	n ≡reissen; a ◍
15.	51.2	48.8	51.6	0.1	5.1	5.8	6.0	– 0.6	4.5	5.6	6.5	**98**	86	94	C	C	SW 1	10^{2}=	10^{1}	10^{2}●	1.8	a ≡² ⌊; nachm. u. abds. ◍
16.	56.5	57.3	57.7	3.8	8.0	7.2	8.2	3.0	5.7	6.6	6.7	95	82	89	C	C	C	10^{2}	3^{9}⊙	4^{1}	3.9	n ◍
17.	61.4	61.2	61.3	3.1	5.8	2.8	7.2	2.8	4.9	5.5	5 0	87	81	89	SE 1	S 1	NE 1	10^{0}	0⊙	0	–	t ∞
18.	60.3	58.4	57.3	– 0.1	2.9	1.1	3.0	– 1.0	4.2	4.7	4.6	92	84	92	SW 1	W 1	SW 1	10^{1}	5^{0}	10^{0}	–	a ⌊¹ ∞; Morgenröte; t ∞
19.	56.7	55.7	55.2	– 0.4	3.3	3.2	3.3	– 1.2	4.2	4.6	4.7	94	80	81	SW 1	SE 1	SW 1	10^{2}	10^{2}	10^{2}	–	a ⌊¹ ∞; Morgenröte
20.	50.2	43.4	46.2	2.8	5.9	9.6	**9.6**	1.9	5.0	6.1	5.1	89	88	56	S 2	S 2	SW 8	10^{1}=	10^{1}	10^{2}	0.8	a ≡¹, ≡reissen; 7^{54}–8^{04} p ◹, ≈
21.	47.1	38.7	34.6	7.0	8.2	8.6	**9.6**	6.3	5.8	6.2	6.7	77	77	81	SW 1	SW 4	SW 8	10^{2}●	10^{7}●	10^{2}●	3.6	n ≈; a–n ◍
22.	51.1	52.3	46.2	6.6	7.4	5.8	8.6	5.8	5.6	5.6	6.3	77	73	91	S 6	SW 2	SW 1	10^{2}	10^{2}	10^{2}●	**8.6**	n ◍ ≈; 7^{34} p ab ◍
23.	39.2	53.3	60.4	9.3	6.6	5.2	9.4	5.2	6.8	5.2	5.7	78	71	86	SW 5	W 6	W 3	10^{2}	5^{1}	10^{1}	4.8	n ◍; t ≈
24.	58.0	53.5	49.7	1.5	5.1	5.0	5.2	1.1	4.9	4.7	6.0	96	73	92	SE 2	SE 2	SE 2	0	10^{0}●	10^{2}●	–	a ⌊¹ ∞; p-n ◍
25.	43.7	42.6	44.1	7.2	7.2	7.0	7.6	5.0	**7.4**	**6.7**	6.6	**98**	89	88	S 1	W 1	W 1	10^{2}	10^{2}	10^{2}	1.4	n, abds. ◍
26.	49.0	50.5	49.0	5.8	7.2	5.8	7.5	5.5	5.5	5.4	6.1	81	72	88	SW 3	SW 2	SW 2	10^{2}	10^{2}	10^{2}	1.4	n ◍; p ◍⁰
27.	41.6	49.3	53.5	9.2	5.9	5.1	9.2	5.1	6.4	5.1	5.3	74	74	82	SW 6	W 5	W 3	10^{2}●	10^{1}	10^{2}	1.6	n, a ◍ ≈
28.	58.1	58.9	58.1	3.3	5.1	4.5	5.2	2.6	5.0	5.5	5.3	87	85	84	S 2	S 1	C	5^{1}	2^{0}	10^{0}	–	t ∞
29.	54.7	56.1	58.3	8.7	9.1	8.2	9.1	4.5	6.9	7.2	7.2	83	84	89	SW 4	W 3	SW 2	10^{2}●	10^{1}	10^{1}	1.0	a ◍¹
30.	58.7	57.6	57.5	7.0	8.2	6.8	8.8	6.5	6.8	6.5	5.9	91	81	80	S 1	SW 1	SW 1	10^{2}	10^{1}	10^{1}	–	
31.	62.1	63.2	**63.8**	6.0	7.2	6.4	7.5	5.7	6.4	6.7	6.8	91	89	94	SE 1	SE 1	SE 1	10^{2}	10^{2}	10^{2}	1.4	n ◍
Mittel	52.9	52.9	53.1	4.1	6.4	5.2	7.0	2.8	5.4	5.7	5.6	88	80	85				9.5	7.5	8.6	40.5	

Nürnberg

Dezember. $\varphi = 49^0\ 27'$ N. $\lambda = 11^0\ 3'$ E $= 44^m\ 12^s$. H $= 309.1$ m. Cg $= +0.2$ mm, über 735.0 mm Cg $= +0.3$ mm. 1911

1.	32.5	40.1	40.1	4.1	7.3	5.0	7.5	3.4	5.5	4.5	5.3	90	**60**	81	SE 1	SE 1	SE 1	10^{1}=	10^{1}	10^{1}	–	a ≡¹, t bedeckt
2.	41.7	41.0	40.5	1.5	5.2	0.8	5.5	0.8	4.5	4.7	4.1	89	71	85	E 1	SE 3	SE 2	6^{1}=	1^{1}⊙	1^{1}	–	a ≡¹. 8 a an Aufklaren, t heiter, auffrisch. östl. Winde
3.	39.6	38.9	38.1	– 0.2	1.5	1.3	2.2	– 1.6	4.0	4.2	4.1	89	82	82	SE 2	SE 2	SE 2	10^{1}	10^{0}	10^{0}	–	⌊, a–m ∞. 3 a an zun. Bewölkg. 6 a an, t bedeckt
4.	37.7	37.3	37.2	0.2	2.2	0.7	2 7	– 0.8	3.8	4.3	4.6	81	80	94	SE 2	SE 2	SE 2	9^{1}=	10^{1}	10^{0}	–	a ≡¹, t trüb, 3–9 p ztw. ◍⁰, 3–6 p ztw. mit △⁰
5.	36.9	35.1	36.0	1.7	3.7	1.3	4.2	0.7	4.9	5.6	4.8	94	93	94	SE 1	SE 2	SE 2	10^{1}=	10^{1}	10^{0}	0.7	11 p–nach 2 a ◍⁰, nach mn mit ✳⁰, a ≡¹, t bedeckt, [1]
6.	38.0	39.9	40.9	3.2	3.7	1.9	4.1	1.2	4.9	5.1	4.6	85	85	88	SE 2	SE 2	SE 2	10^{1}	10^{1}	10^{0}	–	a ≡⁰. 8 a vorübergehend Aufklaren, sonst trüb
7.	39.0	35.0	32.4	0.3	1.2	– 0.3	1.9	– 0.3	4.2	4.3	3.8	89	85	85	S 2	SE 3	SE 3	10^{0}	10^{0}	10^{0}	–	t ≡⁰, bedeckt
8.	30.2	30.8	30.1	0.4	3.4	2.5	4.0	– 0.3	4.3	4.9	5.1	90	83	93	SE 2	S 2	SE 2	10^{1}=	10^{0}	10^{0}	–	t ≡⁰, bedeckt. 0^{30}–5 p ztw. ◍⁰
9.	27.2	29.1	32.6	2.1	5.7	4.5	6.0	1.7	5.0	5.7	5.0	93	83	79	SE 2	SW 2	SE 2	10^{1}=	10^{1}	10^{1}	0.7	a ≡¹. 11 a–m, ca. 8 p ◍⁰, t meist bedeckt
10.	35.6	33.6	29.9	0.2	4.5	0.5	5.0	– 0.4	4.1	4.3	4.1	89	68	87	SW 2	SE 2	SE 2	3^{1}	3^{1}⊙	0	0.5	⌊, a wechselnde Bewölkung
11.	24.1	22.6	26.6	1.6	3.8	3.6	4.5	0.1	**3.7**	3.9	5.4	73	65	92	SE 2	SE 2	SW 1	10^{1}	10^{1}	10^{1}	0.2	7–10 a meist ◍⁰. 2^{20}. 6^{30} p ◍⁰
12.	29.4	31.9	33.3	2.9	4.1	3.2	4.9	2.1	4.9	5.3	5.3	86	87	92	SW 1	NW 2	SW 2	10^{1}	10^{1}●	10^{1}	1.9	a ≡⁰, t wolkig. 1^{20}–gegen 4 p ◍⁰
13.	33.0	32.4	32.5	0.5	4.0	2.3	4.1	– 0 2	4.6	4.7	4.6	98	77	84	S 1	SE 3	S 2	10^{1}=	8^{1}⊙	10^{1}	0.2	a ≡¹, t wolkig
14.	32.3	32.4	35.5	3.1	8.2	3.7	8.5	1.8	4.5	6.0	5.8	78	74	97	SE 2	S 3	S 2	9^{1}	8^{1}	0	–	gegen 10 a kurz ◍⁰. 7^{28}–8^{30} a, $3^{10.40}$ p ◍⁰, t wolkig
15.	33.0	31.7	32.9	2.7	6.8	2.9	7.0	1.3	5.6	4.9	4.6	100	67	80	S 2	SE 1	SE 2	10^{1}=	6^{1}⊙	10^{1}	0.8	a ≡¹, m Aufklaren, p sehr sichtige Luft
16.	36.1	38.1	40.4	4.6	5.5	3.5	6.1	2.4	6.1	6.2	5.6	97	93	95	NW 2	S 2	S 1	10^{1}=	10^{1}	10^{1}	1.7	9^{30} p–4^{30} a ztw. ◍⁰, a ≡¹, abds. ztw. Aufklaren
17.	42.8	43.2	43.3	1.0	2.3	1.8	3.8	0 1	4.6	4.8	4.8	92	87	91	SE 2	S 2	SE 2	10^{2}=	10^{1}	4^{1}	–	a ≡². 1–5 a, 2–3 p ztw. Aufklaren
18.	42.2	41.0	39.8	0.9	3.0	1.4	3.5	0.0	4.3	4.4	4.0	87	78	78	SE 2	SE 2	SE 2	10^{1}	2^{0}⊙	0	–	a ≡⁰, trüb, p slchtige Luft
19.	39.0	38.1	37.3	– 0.9	3.1	1.7	3.6	– 1.3	3.9	4.3	4.4	90	74	85	S 2	SE 3	SE 2	10^{1}=	8^{1}⊙	5^{1}	–	⌊, a ≡¹, n ztw. Aufklaren, a trüb, p Aufklaren
20.	31.7	26.7	28.5	1.1	3.8	5.7	5.7	0 2	4.1	4:5	5 4	83	75	79	SE 2	SW 3	SW 4	10^{1}=	10^{1}	5^{1}	–	a ≡¹, n ztw. Aufkl., t trüb. 2^{40}–8^{40} p ztw. ◍⁰, abds. ≈ SW 6
21.	28.8	23.1	**18.5**	5.2	6.2	8.4	8.4	3.9	5.4	4.7	5.9	81	68	71	SW 2	S 2	SW 3	4^{1}=	9^{1}	10^{1}	5.9	n ztw. klar, a ≡¹. 1^{30}–nach 8 p ztw. ◍⁰, $3^{15.20}$ p mit ✳⁰
22.	29.5	32.3	29.1	4.9	5.8	4.5	**8.6**	3.2	5.7	4.7	5.1	87	69	81	SW 4	W 4	S 2	10^{1}	6^{2}⊙	10^{1}	**9.0**	n–mrgs. ztw. ◍⁰, m kurz ◍⁰, 4^{40}–5^{40} p ztw. ◍⁰
23.	19.8	29.1	37.9	4.9	3.5	3.5	6.7	2.2	6.1	5.2	4.8	96	88	82	SW 2	NW 3	W 3	10^{1}●	10^{1}	10^{1}	5.6	11^{30} p–mn ◍⁰, mn–nach 3 a ◍⁰ △⁰ ✳⁰. [2]
24.	39.4	35.9	31.3	1.1	5.1	3.6	5.5	0.6	4.9	4.3	5.3	90	66	90	SW 3	S 3	S 3	0	9^{1}	10^{1}	5.0	⌊, a ≡⁰, wechs. Bewölkg. 5^{30}–6 p ✳⁰ △⁰. 6^{40}–8^{30} p ◍⁰
25.	25.9	23.1	26.7	5.2	6.4	3.9	7.2	2.9	6.3	6.7	5.1	95	93	84	SE 2	S 2	W 3	10^{1}●	10^{1}	10^{1}	5.1	9^{15}–10 p ◍¹, t trüb. 2–11^{30} a, 1^{30}–8^{30} p ztw. ◍⁰·¹, [3]
26.	28.1	29.8	30.4	3.4	5.5	3.3	5.9	2.7	5.2	5.2	5.2	90	77	90	SW 2	SW 3	SW 2	10^{1}	9^{1}	4^{1}	3.5	nach 6–8 a ◍⁰, 7–8 a mit ✳⁰. 0^{30}–1^{30} p ◍⁰, t meist bed.
27.	31.8	26.5	32.1	3.7	3.3	3.3	4.5	1.7	5.6	4.8	5.0	93	83	87	SW 2	NW 4	NW 4	10^{1}	10^{1}	10^{1}	7.5	$10^{20.30}$ p ◍¹, mn–gegen 1 p ztw. ◍⁰ ✳⁰. [4]
28.	36.8	38.7	38.8	3.2	4.3	2.5	5.0	2.5	5.1	5.0	5.1	89	80	93	NW 3	NW 3	SW 2	10^{1}	10^{1}	10^{0}	2.5	m kurz ◍⁰. 7 p ⚲, t trüb
29.	33.7	34.5	38.0	5.7	7.4	6.3	7.7	2.5	6.3	**7.0**	6.5	93	91	91	W 3	W 3	NW 2	10^{1}	10^{1}●	10^{1}	2.0	1–7 a meist ◍⁰ ✳⁰, t trüb
30.	38.9	36.9	36.6	6.0	7.8	6.1	7.9	5.1	6.7	6.9	6.6	**96**	88	95	W 1	W 2	W 2	10^{1}	10^{1}	10^{0}	–	4–5^{30} a ◍⁰, a ≡⁰, t bedeckt. 8^{10} p an ◍⁰ ✳⁰
31	41.2	43.4	**44.8**	4.5	4.8	3.7	6.1	3.7	6.0	5.2	4.8	96	81	80	N 1	E 1	E 1	10^{1}	8^{1}	10^{1}	2.4	9–geg. 10 p ◍⁰. 10^{30}–nach 11 p ◍¹ ✳. m–3 p ztw. Aufkl.
Mittel	34.4	34.0	34.6	2.5	4.6	3.1	5.4	1.4	5.0	5.0	5.0	90	79	87				9.1	8.6	8.0	55.2	[1] auffrischende südl. Winde [2] 4 a–2^{30} p ztw. ◍⁰, a ≡⁰ [3] a ≡⁰. 6 p ≈ SW 6 [4] nach 7 p kurz ◍⁰ ✳⁰, t bedeckt

Alle Angaben nach Ortszeit.

Kaiserslautern.

Dezember. $\varphi = 49^0\ 27'$ N. $\lambda = 7^0\ 46'$ E $= 31^m\ 4^s$. H $= 242.2$ m. Cg $= +0.3$ mm. 1911.

Datum	Luftdruck auf 0^0 u. Normalschwere reduziert 700 mm +			Lufttemperatur C°					Absolute Feuchtigkeit mm			Relative Feuchtigkeit Proz.			Richtung und Stärke des Windes 0 bis 12			Bewölkung 0 bis 10			Niederschlag mm	Bemerkungen
	7^a	2^p	9^p	7^a	2^p	9^p	Max.	Min.	7^a	2^p	9^p	7^a	2^p	9^p	7^a	2^p	9^p	7^a	2^p	9^p	7^a	
1.	48.1	46.1	46.6	4.6	6.9	5.3	7.2	4.1	5.8	5.5	5.8	92	74	87	E 1	E 1	C	10^1	$7^4\odot$	10^1	–	a ≡¹
2.	47.1	46.1	45.7	3.1	6.3	0.0	6.3	0.0	5.5	5.2	4.4	96	74	96	C	SE 1	SE 1	0	$2^0\odot$	–	–	a ≡²
3.	44.6	43.1	42.7	– 1.2	3.7	2.4	4.1	– 1.3	4.2	5.4	5.2	100	90	94	C	C	C	7^1	8^1	10^2	–	a ⌊²; 601–701 p ◍⁰, ∞
4.	42.0	42.2	43.1	3.6	5.8	5.1	5.9	2.1	5.9	6.8	6.6	100	99	100	C	C	NW 1	10^2●	10^2●	10^2	2.5	n, t–n meist ◍⁰
5	41.8	39.7	40.2	5.1	7.9	2.7	8.2	2.7	6.1	5.5	5.4	94	69	96	C	S 1	C	10^2	8^1	5^0	1.7	n ◍⁰
6.	42.8	44.6	45.4	1.9	7.1	4.9	7.2	1.2	5.1	6.1	6.0	96	81	94	C	C	C	10^1	10^1	10^2●	–	a ≡²; 8^{31} p–n ◍⁰
7	42.3	37.9	35.8	3.6	9.1	7.1	**10.2**	2.7	5.8	5.7	6.7	98	66	88	C	S 1	W 1	10^2	10^2	10^2●	0.9	n ◍⁰; a ≡²; 6^{01} p–n ◍⁰·¹
8	35.8	36.6	34.7	5.7	4.7	2.0	7.2	2.0	6.0	5.8	5.1	88	90	96	W 2	W 2	C	10^2	10^2	7^1	3.4	n ◍; a ≡⁰
9.	31.7	34.3	39.4	3.9	5.1	3.9	5.7	0.3	5.6	5.3	5.3	92	82	87	W 2	W 3	W 1	10^2●	10^2●	10^2	2.3	n, a ◍; p–8^{01} p ztw. ◍⁰
10.	40.1	36.7	31.8	3.4	6.1	4.1	6.2	2.9	5.2	4.6	4.1	88	66	68	W 2	SE 2	C	8^2	7^1	7^1	1.8	n ◍⁰; a ztw. kurz ◍⁰
11.	27.4	29.7	33.2	5.5	5.5	4.9	6.4	4.0	6.0	5.9	5.6	89	88	86	C	W 2	W 1	10^2●	10^2	10^2	1.5	n, a–10^{21} a ◍
12.	36.2	37.3	39.5	3.4	4.9	2.1	5.1	2.1	5.5	5.7	5.2	95	87	98	W 2	W 1	W 1	10^2●	10^2	0	3.8	n ◍; a, p ztw. ◍⁰; abds. ≡
13.	37.7	37.1	36.9	0.6	5.4	3.2	6.0	– 0.3	4.8	4.8	5.3	100	72	92	SE 2	S 2	C	5^1	10^2	10^1	0.4	a ⌊
14.	37.0	39.4	40.3	3.2	8.9	1.9	9.1	1.9	5.7	6.9	5.3	98	81	100	C	W 2	C	10^2●	$7^1\odot$	0	0.8	n ◍; a–0^{31} p ztw. ◍; 8^{01}–9^{01} a ≡²
15.	37.2	36.2	39.2	1.4	4.3	6.8	7.2	– 0.1	5.0	5.6	**7.3**	100	90	99	E 1	W 1	C	2^0	10^2	10^2●	1.9	a ⌊², später ≡²; t ∞; 2^{00} p–n ◍⁰
16.	43.4	43.7	46.1	3.6	7.6	5.5	8.2	2.2	5.9	6.1	6.1	98	79	91	W 1	W 2	W 1	10^2	$5^0\odot$	10^1	5.3	n ◍; a ≡²; 6^{37}–7^{11} p ◍⁰
17.	47.4	47.1	47.4	5.0	7.7	2.2	8.2	2.2	5.8	6.4	5.0	89	82	93	C	SW 1	C	10^1	10^1	0	0.1	
18.	46.5	44.3	43.8	– 1.0	3.6	0.1	3.6	– 1.7	4.2	5.4	4.6	98	92	100	C	SW 1	C	10^1	4^1	0	–	a ⌊²; t ≡²; p ≡¹
19.	43.1	42.7	41.9	– 0.6	3.4	3.7	4.1	– 1.5	4.4	5.5	5.9	100	95	98	C	C	C	10^1	10^2	10^0	–	a ⌊², ≡², dann ≡¹; p ≡²; abds. ≡¹
20.	36.4	30.2	34.5	4.5	7.9	8.5	10.1	3.6	6.3	7.1	5.4	100	89	65	C	W 1	W 8	10^2	10^2●	0	0.7	n ◍⁰; 7^{31} a–6^{21} p ztw. ●; $4^{05–11}$ p ◹; $4^{09–21}$ p ◍²; [3^{31} p–n ▁▁
21.	34.1	25.6	23.4	6.1	7.7	7.6	9.1	5.5	6.0	6.7	7.0	86	86	90	W 2	W 4	W 8	10^2	10^2●	10^2●	7.3	n ▁▁; 9^{31} a–n ◍, ▁▁
22	38.8	39.4	33.0	5.3	5.7	4.5	7.6	4.5	6.0	6.2	5.6	91	91	89	W 2	W 2	C	10^2	$9^2\odot$	10^2●	**18.8**	n ◍¹·², ▁▁; 7^{31}–9^{01} a ztw. ●; 0^{51} p ab ztw. ◍⁰; [abds.–n ◍²
23.	28.0	41.3	46.3	7.6	5.5	4.5	8.8	3.1	7.2	4.9	5.3	93	72	84	W 2	N 1	C	10^2	10^2	10^1	16.5	n ◍²; a ztw. ◍⁰
24.	44.2	40.0	35.9	3.0	4.6	6.5	6.5	2.1	5.2	5.1	6.6	91	81	91	SW 1	W 1	W 4	7^1	10^2	10^2●	1.4	0^{41} p–n ztw. ◍⁰·¹; 8^{46} p–n ▁▁
25.	31.4	30.8	33.9	7.0	4.7	4.3	8.2	4.3	6.8	5.8	5.4	91	90	87	W 2	W 3	W 2	10^2	10^2●	10^2	2.5	n ◍, ztw. ▁▁; 8^{31} a an ◍⁰·¹; p–4^{21} p ◍¹·²
26.	36.2	37.9	36.1	4.3	5.5	5.3	5.5	3.1	5.7	5.7	5.8	92	85	87	NW 2	NW 2	NW 1	10^2●	10^2●	10^2	10.3	n, a–p ◍; p–n ztw. ◍⁰·¹
27.	30.1	37.4	41.1	7.7	4.9	3.6	8.0	3.6	6.5	5.1	5.3	83	79	90	NW 3	NW 2	C	10^2	10^1	2^1	6.5	n ◍, ztw. ▁▁; $8^{01–51}$ a ◍
28.	45.1	45.9	44.4	– 0.1	3.2	4.1	4.1	– 0.5	4.1	5.5	5.4	90	95	88	C	C	W 2	10^1	10^1	10^2●	1.2	a ≡² ⌊², p ≡¹, ∞; 6^{46} p–n ◍
29	42.2	43.7	45.4	7.3	7.3	7.1	7.5	4.0	7.0	7.2	**7.3**	91	94	98	NW 3	W 2	W 1	10^1	10^2	10^2●	0.6	n ◍⁰, t–n ztw. ◍⁰
30.	45.7	44.8	45.1	5.9	5.9	4.9	7.1	4.9	7.0	6.3	6.0	100	91	94	W 1	NW 2	W 1	10^2●	10^2	10^2	0.2	n ◍⁰; a ◍⁰ ≡¹; t ≡², ∞
31	48.5	49.7	**50.9**	4.9	6.5	1.6	7.2	1.6	6.2	6.7	5.2	97	93	100	C	C	C	10^2	9^1	10^2=	1.1	n ◍, a ≡; abds. ≡¹
Mittel	39.8	39.7	40.1	3.8	5.9	4.2	7.0	2.1	5.7	5.8	5.7	94	84	91				9.0	8.9	7.5	93.5	

Ansbach.

Dezember. $\varphi = 49^0\ 18'$ N. $\lambda = 10^0\ 33'$ E $= 42^m\ 12^s$. H $= 437.5$ m. Cg $= +0.2$ mm. 1911.

1.	30.9	28.2	28.9	3.2	6.2	3.7	6.8	2.7	5.2	5.6	5.6	91	80	93	C	NE 2	C	10^2	6^1	10^2	–	
2.	30.0	29.3	28.9	– 0.4	4.5	– 2.0	4.6	– 2.0	4.2	5.0	3.7	94	80	94	C	E 2	C	0	00	2^0	–	
3.	27.6	26.7	26.4	– 0.7	1.1	– 0.5	1.4	– 2.3	4.0	4.0	3.7	92	82	83	S 2	SE 2	S 2	10^2	10^2	10^2	–	mrgs. ⌊
4.	25.8	25.3	25.5	– 1.4	2.1	0.9	2.2	– 1.7	3.6	4.4	4.6	86	83	94	S 2	S 2	C	10^2	10^2	10^2●	–	mrgs. ⌊; t ztw. ◍⁰; 9 p ◍
5.	25.3	23.4	24.4	2.0	3.9	1.5	5.0	0.4	5.1	5.5	4.7	96	91	93	C	SE 2	SE 2	10^2=	10^2	10^2	1.6	n ◍⁰; mrgs. ≡¹
6.	26.6	28.2	29.4	1.6	2.5	0.4	2.8	– 0.2	4.8	4.9	4.5	93	90	94	C	S 2	SW 2	10^2	10^2	10^2	–	abds. ≡⁰
7.	27.2	23.3	20.1	– 1.3	– 0.7	– 1.4	0.8	– 1.5	3.9	4.0	4.0	94	92	96	SE 2	SE 2	SE 2	10^2	10^2	10^2	–	mrgs. u. t ≡⁰; a ⌊
8.	18.5	19.6	18.4	– 1.1	3.3	1.1	3.4	– 1.7	4.0	4.7	4.7	94	83	94	SW 2	W 2	SW 2	10^2	10^2●	8^2	–	mrgs. ≡⁰; $0^{42–212}$ p ◍
9.	15.7	17.9	21.5	2.1	5.6	3.3	5.8	0.6	5.2	5.4	4.9	96	81	86	S 4	SW 2	W 4	10^2	8^1	10^2●	0.3	8^{17} p ab ◍
10.	23.9	21.9	18.1	– 1.0	3.1	0.5	3.2	– 1.7	3.8	4.4	3.8	88	77	80	C	S 4	S 4	0	$2^0\odot$	2^0	0.2	⌊
11.	11.9	11.2	15.7	0.7	2.7	2.6	3.6	– 0.2	3.7	4.4	5.0	76	80	91	6 2	SW 2	W 2	10^2	10^2●	10^0	–	t ztw. ●
12.	18.4	20.4	22.3	1.8	3.7	2.1	3.8	– 1.3	5.0	4.9	5.0	95	84	93	W 2	W 2	C	10^2	10^2	10^2	2.2	
13	21.5	21.1	21.0	– 1.2	3.2	1.5	3.4	– 1.5	4.0	4.4	4.5	96	76	88	S 2	SE 2	S 4	10^2=	8^1	10^2●	–	mrgs. ≡²; 7^{52} p ab ◍
14.	21.1	22.3	24.1	2.5	7.6	0.3	**8.4**	– 0.2	4.7	6.4	4.7	86	83	100	SW 2	S 4	C	8^2	10^2●	10^2=	0.6	$1^{57–327}$ p ◍; abds. ≡²
15.	22.0	20.1	21.6	– 0.5	3.1	2.3	4.0	– 1.3	4.3	5.5	4.8	98	96	88	C	C	SW 2	10^2=	6^0	10^2	0.8	mrgs. ≡² V
16.	25.3	26.8	29.3	4.8	5.4	– 0.7	5.6	– 1.7	6.0	5.8	4.3	94	87	98	W 2	W 2	C	10^2	10^2	10^2=	3.7	n ◍; abds. ≡²
17.	31.1	30.3	31.5	– 1.0	1.8	– 0.6	2.0	– 2.3	4.2	4.6	4.2	98	89	96	C	C	S 2	10^2=	$4^0\odot$	10^2=	–	mrgs. ≡², ⌊; abds. ≡²
18.	30.1	29.1	27.9	– 1.5	2.2	– 1.2	2.4	– 1.5	3.9	4.4	3.9	94	83	92	S 2	SE 2	C	10^2	$2^0\odot$	0	–	mrgs. ⌊
19.	27.0	26.1	25.6	– 1.9	2.7	0.2	2.8	– 2.1	3.7	4.5	4.3	92	81	92	C	C	C	2^0	6^0	0	–	mrgs. ⌊
20.	20.3	15.8	17.3	0.8	4.3	5.3	7.2	0.0	4.4	4.8	5.2	91	78	79	C	S 2	W 10	10^2	10^2	0	–	$2^{17–532}$ p ◍; $7^{52–59}$ p ◹ ▲ ▁▁
21.	17 8	11.3	07.2	3.7	6.1	6.6	7.0	2.9	4.8	4.8	6.2	81	69	86	W 2	SW 6	SW 6	2^1	$4^1\odot$	10^2●	10.3	2^{27} p ◍; ztw. ▁▁; 9 p ◍
22.	19.3	21.6	18.2	3.6	4.5	2.9	7.6	2.5	5.3	4.8	5.1	91	75	91	W 6	W 6	SW 2	10^2●	$2^1\odot$	10^2●	**15.7**	n ◍ u. ▁▁; t ztw. ◍ u. ▁▁; abds. ◍
23.	08.8	18.7	27.3	6.0	2.5	2.5	6.4	0.6	6.3	5.0	4.7	91	91	85	W 8	NW 6	W 4	10^2●	10^2●	10^2	13.4	n ◍ u. ▁▁; t ◍ ▁▁; 11^{42} a–0^{42} p ✳ u. ◍
24.	27.8	23.4	19.6	0.3	3.2	2.5	3.2	0.0	4.5	4.8	5.1	96	83	93	W 2	SW 4	SW 4	2^1	8^1	10^2●	6.8	mrgs. ⌊; 4^{47} p ab ◍
25.	14.7	12.2	15.9	5.4	5.6	2.9	6.4	2.1	6.3	6.3	4.7	94	93	83	SW 2	SW 2	W 6	10^2●	10^2●	10^2	5.7	t ◍; abds. ▁▁
26.	18.2	18.9	19.4	2.1	4.1	1.6	4.2	0.8	5.0	5.2	4.9	94	85	94	W 4	W 6	W 4	10^2●	8^2	10^2●	5.2	6^{27} a ◍; t ◍ u. ▁▁; 9 p ◍
27.	10.8	16.1	21.6	5.3	2.4	2.1	6.0	0.2	6.2	4.5	4.8	94	83	90	W 6	NW 4	W 4	10^2●	10^2	8^2	10.6	n, a u. t ztw. ◍ u. ▁▁
28.	26.1	27.7	27.6	2.1	3.7	1.7	3.8	1.3	4.9	4.9	4.8	92	83	93	NW 2	W 2	W 2	10^2	8^2	10^2	3.2	
29.	23.0	24.2	27.3	5.6	6.0	6.0	6.4	1.3	6.4	**6.7**	**6.7**	94	96	96	W 6	W 6	W 2	10^2●	10^2●	10^2	1.6	n, a u. t ztw. ◍
30.	28.2	26.7	25.6	5.2	6.3	4.7	6.6	4.4	6.4	6.1	6.0	97	86	94	W 2	C	W 2	10^2	10^2	10^2●	3.2	mrgs. ≡⁰; 7^{27} p ab ◍
31.	30.0	32.1	**33.3**	4.1	4.3	2.9	5.4	2.5	5.7	5.3	5.2	94	86	91	NW 2	NE 2	C	10	4^1	10^2	1.7	n ◍; mrgs. ∞
Mittel	22.7	22.6	23.3	1.6	3.8	1.8	4.6	0.0	4.8	5.0	4.8	92	84	91				8.5	7.6	8.4	86.8	

Alle Angaben nach Ortszeit.

Regensburg

Dezember. $\varphi = 49^0\ 1'$ N. $\lambda = 12^0\ 7'$ E $= 48^m\ 28^s$. H $= 342.6$ m. Cg $= +0.2$ mm. 1911.

Datum	Luftdruck auf 0^0 u. Normalschwere reduziert 700 mm + 7a	2p	9p	Lufttemperatur C° 7a	2p	9p	Max.	Min.	Absolute Feuchtigkeit mm 7a	2p	9p	Relative Feuchtigkeit Proz. 7a	2p	9p	Richtung und Stärke des Windes 0 bis 12 7a	2p	9p	Bewölkung 0 bis 10 7a	2p	9p	Niederschlag mm	Schneedecke cm	Bemerkungen
1.	39.6	37.2	37.2	3.3	5.3	3.1	5.4	0.4	5.2	5.6	5.0	90	85	88	N 2	N 2	C	10^1≡	10^0	10^0	–	–	≡¹
2.	38.8	38.5	37.7	0.4	4.5	0.8	5.2	1.1	4.5	4.5	4.0	94	71	92	N 2	S 2	C	8^0	2^1	0	–	–	⌊⌋
3.	36.9	36.1	35.4	0.8	1.1	0.1	1.3	4.0	4.0	3.0	3.8	92	79	83	S 2	S 2	S 2	10^1	10^0	10^0	–	–	⌊⌋
4.	35.4	35.2	35.3	0.6	0.2	0.1	0.7	1.6	3.7	4.0	3.9	85	85	85	S 2	S 4	S 2	10^0	10^0	10^0	–	–	
5.	34.8	33.2	33.8	0.4	1.6	1.7	1.8	1.6	4.3	4.6	4.7	96	89	91	S 2	S 2	S 2	10^1 ●≡	10^1	10^1	0.5	–	n ⚹, a–10 a ◍ ⚹
6.	35.9	37.6	38.9	1.8	1.6	0.3	1.8	1.0	4.7	4.3	4.2	90	84	90	S 2	S 4	S 2	10^1	10^1	10^1	0.1	–	n ◍ ⚹
7.	37.2	33.3	30.7	0.4	0.5	1.2	1.1	2.0	4.4	4.3	4.1	98	98	98	S 2	SE 4	C	10^0	10^1	10^0	–	–	
8.	27.7	28.5	27.5	1.3	2.3	0.2	2.5	2.2	4.1	4.8	4.4	98	87	98	SW 1	S 2	C	10^2≡	10^1	10^2≡	–	–	≡², 2–4 p ◍
9.	26.9	28.0	31.5	0.7	2.4	2.5	2.8	1.9	4.4	5.2	4.8	100	94	87	S 2	SW 2	NW 2	10^0≡	10^2●	10^2	–	–	
10.	33.6	33.4	28.0	2.0	2.8	2.2	3.0	3.0	3.9	4.6	3.7	98	80	96	S 2	S 2	S 2	2^2	2^0⊙	0	1.0	–	⌊⌋
11.	23.6	22.4	25.5	1.3	1.3	1.6	1.6	4.0	3.9	4.0	4.8	94	80	93	S 2	S 4	C	10^1	10^2●	10^1●≡	–	–	⌊⌋, $1^{50-2^{05}}$ p, $6^{05-7^{20}}$ p ◍, 9 p ◍ ⚹
12.	27.1	29.0	31.1	1.2	4.0	1.8	4.1	0.0	4.7	4.9	4.9	94	80	93	W 1	NW 4	C	10^1	10^2	10^0	5.5	–	n ◍ ⚹, 8^{50-55} a ●
13.	30.2	30.8	31.2	0.6	3.2	0.2	3.7	1.1	4.5	4.6	4.4	94	80	94	S 4	S 6	S 2	10^1	8^1	10^0	0.4	–	
14.	31.2	32.0	33.8	0.4	3.4	0.0	3.4	1.4	4.0	4.6	4.3	96	78	94	S 2	S 4	S 2	10^2	8^2⊙	0	–	–	⌊⌋, 7^{30-35} a ◍, 3^{05} p ◠, 3^{05-10} p ◍◍
15.	32.2	30.6	30.9	1.2	0.7	1.2	1.2	3.0	4.1	4.3	4.1	98	98	98	S 1	S 2	C	10^2≡	10^2≡	10^2≡	–	–	t ≡², a ⌊⌋
16.	34.0	35.3	40.4	0.0	0.7	1.2	1.2	2.0	4.5	4.7	4.8	98	96	96	S 4	S 2	C	10^1●	10^2≡	10^2≡	2.3	–	n, a–10 a ◍, ab m ≡²
17.	39.6	40.7	40.6	1.3	3.0	0.8	3.2	1.7	4.8	5.1	4.2	94	90	96	S 2	S 4	C	10^2≡	10^1	10^1≡	1.4	–	t meist ≡¹·²
18.	40.0	38.2	37.4	1.2	0.4	1.0	0.2	2.0	4.0	4.3	4.1	96	96	96	S 6	S 4	S 2	10^1	10^1≡	10^2≡	–	–	t meist ≡¹
19.	36.6	36.5	35.5	1.6	1.2	1.8	0.7	4.0	3.9	4.1	4.0	96	98	100	S 2	S 2	S 2	10^2≡	10^2≡	10^2≡	–	–	t ≡²
20.	30.6	26.9	27.2	2.4	1.0	3.2	4.2	3.5	3.8	4.3	5.4	100	100	93	S 2	S 2	S 4	10^1≡	10^1≡	0	–	–	a ≡¹, 2 p ≡¹, 5–7 p ◍
21.	27.3	22.4	18.2	2.8	2.8	6.2	8.2	1.4	4.7	4.7	5.1	82	82	72	NW 2	S 2	S 4	2^0	4^0	10^0	1.0	–	5^{20} p–n ◍, n ⌐
22.	26.2	29.1	27.1	4.4	5.0	3.4	7.2	1.9	5.1	4.6	4.5	82	71	76	NW 4	NW 4	NW 2	10^0	10^0	10^0	6.7	–	n ⌐
23.	19.2	25.2	34.1	2.0	4.0	2.4	6.2	1.9	4.9	4.8	4.5	93	78	82	S 2	N 4	N 2	10^0●	10^0●	10^0	14.0	–	n, a–10 a, 2 p ◍
24.	35.6	34.1	30.2	1.2	4.2	1.8	6.2	0.0	4.3	4.4	4.5	85	71	85	NW 2	NW 2	NW 2	4^0	2^0⊙	10^0	3.5	–	ab 6 p ◍
25.	25.2	23.2	25.2	2.8	3.6	2.8	5.2	0.4	4.7	5.4	4.7	82	92	82	SW 2	E 2	NW 2	10^0●	10^0	0	10.2	–	n, a–8 a ◍
26.	26.2	27.4	27.8	2.2	4.0	3.2	5.2	0.4	4.6	5.6	4.6	85	92	80	S 2	S 2	S 2	10^0●	10^0	10^0●	6.5	–	t öfters ◍
27.	21.2	22.2	29.7	1.2	3.6	2.6	5.7	0.8	4.6	4.3	4.8	92	73	85	S 2	N 4	N 2	10^0● ≡	10^0	8^0	10.5	4	n, a ◍ ⚹, 7–9 a ◍
28.	33.4	34.8	35.2	3.2	3.6	2.0	4.2	1.4	4.6	4.5	4.5	80	77	85	NW 2	NW 2	N 2	8^0	8^0	8^1	2.5	–	
29.	31.2	31.3	34.1	5.8	7.0	6.0	7.2	0.1	5.7	6.3	5.0	84	84	72	W 4	SW 2	SW 2	10^0	10^1	10^0	1.2	–	n ◍
30.	35.1	34.1	34.1	3.0	5.0	4.4	7.2	0.1	5.1	5.8	5.7	90	89	92	SE 2	S 2	S 2	10^0	10^0	10^0●	–	–	9 p ◍
31.	38.2	39.1	41.2	3.8	3.8	3.2	5.2	2.4	4.9	4.6	4.8	82	77	83	N 2	NE 2	N 2	8^1	8^1	8^0	3.0	–	n ◍
Mittel	32.0	31.8	32.5	0.9	2.6	1.4	3.8	1.1	4.5	4.7	4.5	92	85	89				9.1	8.8	8.2	70.3		

Passau.

Dezember. $\varphi = 48^0\ 34'$ N. $\lambda = 13^0\ 28'$ E $= 53^m\ 52^s$. H $= 309.3$ m. Cg $= +0.2$ mm. 1911.

1.	42.4	40.1	40.3	3.0	5.5	4.0	5.7	3.0	5.7	6.2	6.1	100	93	100	C	C	C	10^2≡	10^1	10^1	0.2	–	a–10 a ≡
2.	42.0	41.1	41.4	2.4	4.3	0.0	4.7	0.0	5.5	6.0	4.2	100	97	90	C	S 1	C	10^1≡	3^1⊙	0	0.3	–	n ◍, a ≡¹
3.	40.1	39.7	39.5	0.4	2.1	1.0	2.3	2.1	4.1	4.2	3.8	90	74	76	C	E 1	C	10^1	10^1	10^1	–	–	⌊⌋
4.	38.9	38.7	39.0	0.4	1.4	0.4	1.8	0.1	3.8	3.6	3.8	80	70	80	E 2	C	C	10^1	3^1⊙	10^0	–	–	
5.	38.2	37.1	36.8	0.5	2.4	3.0	3.2	0.1	4.6	5.3	4.9	96	95	86	C	C	C	10^1	10^1	10^1	0.2	–	a ◍⁰ ⚹
6.	39.3	40.9	42.2	1.8	3.0	1.2	3.9	1.2	4.8	4.6	4.7	91	80	94	C	C	C	10^1	⊙⊙	10^1	–	–	
7.	41.1	36.2	33.4	1.0	2.4	0.8	2.7	0.8	4.6	4.5	4.2	92	80	95	C	C	C	10^1	10^1	10^1	–	–	
8.	30.7	31.2	31.7	0.4	2.4	1.0	3.7	2.0	4.5	5.0	4.8	95	90	98	C	C	C	10^1	10^1	10^1	–	–	a–m ⌐ ≡¹, 5–7^{30} p ◍
9.	28.3	31.4	34.7	1.0	2.0	1.4	2.6	0.9	4.9	5.0	5.0	100	95	100	C	W 2	C	10^1≡	10^1	10^1	–	–	a–m ⌐ ≡¹, 5–7^{30} p ◍
10.	37.2	36.4	32.4	0.5	3.0	0.5	3.0	0.2	4.8	4.6	4.0	100	80	90	C	E 1	C	10^2≡	⊙⊙	⊙	3.0	–	a ≡²
11.	26.2	24.4	27.4	2.2	2.6	1.0	2.9	3.3	3.7	4.2	4.5	95	75	90	W 1	C	C	10^1	10^1	10^1	–	–	⌊⌋
12.	30.1	31.9	34.4	0.6	1.8	1.2	1.8	0.4	4.8	5.2	5.0	100	100	100	W 1	W 1	C	10^1≡	10^1	10^1	7.0	3	n ◍ ⚹, t ztw. ◍⁰
13.	35.0	34.2	34.8	0.6	3.8	1.6	4.8	0.4	4.8	4.6	4.1	100	80	100	C	C	C	10^2≡	⊙⊙	10^2≡	2.5	1	a, 9 p ≡²
14.	35.1	36.1	38.3	2.6	2.2	0.6	2.8	2.9	3.6	4.3	4.0	96	80	90	C	C	C	10^1	5^1	0	–	1	
15.	35.4	33.5	33.4	2.6	0.2	0.0	0.8	2.9	3.8	4.2	4.4	100	91	95	C	W 1	C	10^2≡	10^1	10^1	–	–	a–9 a ≡²
16.	35.3	38.7	41.5	0.0	0.8	1.0	1.0	0.9	4.6	4.8	4.9	100	98	100	C	C	C	10^1●≡	10^1●	10^1	0.6	1	n, t ◍ ⚹
17.	43.7	44.6	44.9	1.2	1.2	0.4	2.2	0.4	5.0	4.9	4.5	100	96	100	C	C	C	10^1	10^1	10^1	5.7	1	
18.	44.4	42.4	41.7	3.0	0.4	2.2	0.1	3.1	3.7	4.1	3.9	100	92	100	C	C	C	10^2≡	10^1	10^1	–	1	a–10 a ≡²
19.	41.1	39.9	40.3	2.0	0.6	1.4	0.0	2.5	3.8	4.0	4.0	95	90	95	C	C	C	10^1	10^1	10^1	–	1	
20.	34.0	30.8	32.4	1.8	0.2	0.2	0.8	2.1	3.8	4.0	4.2	95	85	90	C	C	C	10^1	10^1	10^1●	–	1	5–7 p ◍ ⚹, 9 p ◍
21.	31.9	27.0	22.5	1.2	3.4	7.9	8.6	1.1	4.5	4.7	4.8	90	85	60	C	C	W 6	10^0	10^1	10^1	0.8	1	5–8 p ◍
22.	29.4	32.8	32.4	4.9	4.7	3.6	7.9	3.6	6.1	5.4	5.1	95	85	86	W 6	W 6	C	10^1●	10^2	10^1	2.1	–	n, t ◍
23.	23.0	25.0	37.8	1.6	4.9	3.2	5.8	1.1	5.2	5.8	4.6	100	90	80	C	W 4	W 6	10^1●	10^1●	10^1	12.0	–	n, t–4 p ◍
24.	40.2	37.8	35.8	2.6	3.8	1.0	4.8	1.0	4.8	4.5	4.6	86	75	91	SW 4	C	C	10^1	⊙⊙	10^1	13.0	–	
25.	29.2	26.2	28.0	2.5	3.4	4.5	5.0	0.7	4.7	5.6	5.1	85	97	80	C	C	C	10^1●	10^1●	10^1	3.1	–	n, a ◍, t ◍⁰
26.	29.8	30.2	33.3	2.8	4.0	3.8	4.8	1.9	5.4	5.1	4.9	95	85	82	C	W 4	W 2	10^1●	10^1●	10^1	5.0	–	n, a ◍, t ztw. ◍⁰
27.	25.2	22.8	31.7	0.8	5.5	3.8	5.8	0.4	4.9	6.1	5.1	100	92	85	C	W 4	C	10^1●≡	10^1●	10^1	8.0	–	n ◍ ⚹, t ◍
28.	36.4	37.8	40.2	3.0	4.0	2.8	4.8	2.1	5.1	4.8	5.1	90	78	90	W 4	W 2	W 2	10^1●	5^1	10^1	8.5	–	n, a–11 a, 6–7 p ◍
29	34.5	34.0	37.4	0.8	6.2	5.3	6.7	0.7	4.3	7.1	6.2	100	100	95	C	W 4	C	10^1●≡	10^1●	8^1	6.2	–	n, t ◍, a ◍ ⚹
30.	40.1	39.2	37.3	3.2	4.7	4.2	5.3	2.8	5.8	6.0	6.0	100	95	97	C	C	C	10^1	10^1	10^1	10.5	–	a ≡, t öfters ◍⁰
31.	40.2	45.1	46.0	3.2	2.8	0.0	4.2	0.0	5.7	5.1	4.5	100	90	99	C	C	C	10^1●	10^1	0	8.1	–	n, a ◍
Mittel	35.4	35.1	36.2	0.8	2.8	1.5	3.7	0.1	4.7	5.0	4.7	96	88	91				10.0	7.6	8.3	96.8		

Alle Angaben nach Ortszeit.

Landshut.

Dezember. $\varphi = 48^0\ 32'$ N. $\lambda = 12^0\ 10'$ E $= 48^m\ 40^s$. H $= 397.7$ m. Cg $= +0.2$ mm. 1911.

Datum	Luftdruck auf 0° u. Normalschwere reduziert 700 mm +			Lufttemperatur C°					Absolute Feuchtigkeit mm			Relative Feuchtigkeit Proz.			Richtung und Stärke des Windes 0 bis 12			Bewölkung 0 bis 10			Niederschlag mm	Bemerkungen
	7^a	2^p	9^p	7^a	2^p	9^p	Max.	Min.	7^a	2^p	9^p	7^a	2^p	9^p	7^a	2^p	9^p	7^a	2^p	9^p	7^a	
1.	34.1	31.7	31.8	3.1	6.1	3.6	7.0	2.0	5.5	5.5	5.6	96	78	95	NE 2	E 2	E 2	10^1	10^1	10^1	0.2	7 a ≡
2.	33.1	33.4	31.8	1.0	2.8	0.6	4.0	2.4	4.3	5.3	4.3	100	94	90	C	E 2	E 2	10^1	10^1	o	–	≡¹
3.	31.1	30.8	30.0	0.3	0.4	0.4	0.6	3.6	4.1	4.1	4.1	90	87	87	E 2	NE 2	C	10^1	10^1	10^1	–	7 a ⌊²
4.	29.7	29.5	29.2	0.0	1.6	0.6	2.3	1.1	3.9	4.1	4.5	85	80	94	E 2	E 2	E 2	10^1	10^1	10^1●	–	23^5 p–n ◍ (≡reissen)
5.	29.0	27.3	27.8	0.4	3.0	2.1	3.8	0.9	4.6	5.3	5.1	98	93	94	NE 2	NE 2	E 2	10^1●	10^1	10^1	1.4	7–8 n ◍⁰
6.	30.2	32.5	33.2	2.0	2.1	0.5	2.9	0.9	4.8	4.7	4.3	91	87	90	E 2	E 2	E 2	10^1	10^1	10^1	0.1	
7.	31.5	27.5	24.0	0.9	0.4	0.4	1.3	2.1	4.0	4.3	4.3	94	90	96	C	E 2	E 2	10^1	10^1	10^1	–	
8.	21.5	23.4	22.4	0.1	4.0	1.6	4.9	1.3	4.5	4.8	4.9	98	78	94	C	W 2	C	10^1	7⊙	10^1	–	≡⁰
9.	19.2	22.7	25.8	0.2	4.6	3.4	5.8	1.0	4.6	5.4	4.7	98	86	80	E 2	W 4	W 4	10^1	10^1●	10^1	–	≡⁰, 16^5–4^{10} p ◍⁰
10	28.3	27.0	22.2	2.2	4.6	0.5	5.8	3.0	3.8	4.0	4.1	98	64	85	SW 2	S 2	E 4	1^1	5^0⊙	o	0.9	7 a ⌊¹
11.	16.4	14.5	19.2	1.0	3.0	1.4	4.0	3.0	3.9	4.0	5.0	90	71	98	E 2	NE 2	W 2	10^1	10^1	10^1●	–	⌊¹, 13^0 p ◍tropfen, 6 p–n ◍⁰
12.	21.8	24.0	26.0	1.8	3.2	1.9	4.2	0.1	5.1	5.2	4.9	96	90	93	W 2	W 2	W 4	10^1●	10^1●	9^1	5.5	n, t–3 p ◍⁰
13.	25.4	25.1	25.2	2.6	3.6	0.2	4.3	4.0	3.7	4.5	4.4	98	77	94	C	E 2	W 2	○	6^0⊙	o	1.7	7 a ⌊
14.	25.4	27.0	28.7	0.8	5.5	0.2	6.2	2.0	4.1	4.9	4.5	94	72	100	NW 2	S 2	C	1^1	2^0⊙	o	–	7 a ⌊
15.	26.1	24.4	24.6	2.4	0.0	0.4	3.9	4.1	3.8	4.5	4.4	98	98	98	C	E 2	E 2	10^1≡	10^1≡	10^1	–	⌊, ≡0.1
16.	28.1	30.4	33.0	2.8	4.4	2.8	5.2	1.5	5.3	5.9	5.3	94	96	94	W 4	W 2	W 2	10^1●	10^1	10^1	1.8	n ◍, 7 a–1 p ◍⁰
17.	35.0	35.5	35.4	2.0	0.4	0.0	2.8	4.1	3.9	4.5	4.5	98	100	98	SW 2	W 2	E 2	10^1≡	10^1≡	10^1	2.5	7 a ⌊¹ ≡², a u. p ≡¹
18.	34.8	33.7	32.3	1.2	0.4	0.9	1.6	2.3	4.0	4.1	4.0	96	87	94	E 2	NE 2	C	10^1	10^1	10^1	0.1	
19.	31.9	31.2	30.4	2.4	0.1	1.4	1.2	3.6	3.7	4.2	3.9	96	90	94	E 2	NE 2	E 4	10^1	10^1	10^1	–	7 a ⌊¹
20.	24.9	20.7	22.2	1.6	0.4	6.1	7.0	2.9	3.8	4.0	5.4	94	90	76	E 2	NE 2	W 6	10^1	10^1	10^1	–	7 a ⌊¹, 5–6^{20} p ◍⁰
21.	22.2	17.6	13.0	3.0	6.3	9.1	11.0	1.4	4.2	4.4	5.1	74	62	60	SW 4	W 2	W 8	2^1	10^1●	10^1	1.3	1–2 p, 6–7 p ◍
22.	22.5	25.9	23.1	4.5	5.0	2.7	9.1	1.4	5.4	4.7	4.4	86	72	79	W 6	W 6	W 2	10^1●	10^1	10^1	3.4	n ◍ ≡, 7–9^{20} a ◍
23.	13.3	18.8	30.0	4.8	4.5	2.0	7.9	0.2	6.0	5.7	4.5	94	90	85	SW 6	NW 2	W 4	10^1●	10^1●	10^1	8.8	n ◍ ≡, 7 a–6 p ◍⁰
24	31.7	28.9	25.3	0.5	4.5	3.3	5.8	1.0	4.2	3.9	5.0	89	62	87	W 4	S 2	C	1^1	4^0⊙	$1C^1$●	3.5	7 a ⌊, 7^{20} p–n ◍⁰
25.	19.1	17.0	19.8	3.7	7.2	3.3	8.2	1.8	5.5	6.7	4.5	92	89	78	SW 2	SW 2	W 6	10^1●	10^1●	10^1	3.9	n, 7–11^{20} a ◍, 1^{40}–4 p ◍⁰
26.	22.0	23.3	23.9	2.9	4.5	2.2	5.6	0.3	5.0	5.1	4.9	88	81	91	SW 4	W 2	W 2	10^1●	10^1	10^1	2.7	7–8 a, 8^{20}–10 a ◍, p öfters ◍böe
27.	15.6	15.2	24.2	3.8	4.4	2.4	7.3	0.1	5.6	4.9	4.9	93	79	89	W 4	W 6	W 4	10^1●	10^1●	10^1	14.7	n ◍ ≡. 7–8 a, 9–11^{20} a ◍
28.	28.9	30.8	31.9	2.7	3.8	1.0	5.0	0.7	4.7	4.7	4.4	84	78	89	W 6	SW 4	W 2	10^1	10^1	10^1	2.0	23^5–3 p ◍, 9 p Ψ
29.	26.4	26.8	29.8	5.0	6.8	6.3	8.0	1.0	6.0	6.6	6.4	92	90	90	W 4	W 6	W 4	10^1●	10^1●	10^1	1.3	n ◍, 7 a–6^{20} p ◍⁰
30.	31.6	30.7	28.5	5.6	7.5	3.3	9.2	1.6	6.5	6.5	5.7	96	85	98	SW 2	W 2	NE 2	10^1●	10^1	10^1	3.7	7–8 a ◍
31.	32.7	35.7	36.7	4.5	3.8	0.8	4.7	0.9	5.8	5.1	4.6	92	85	94	NW 2	C	E 2	10^1	10^1	10^1	1.9	n ◍, 8–9 a ◍⁰
Mittel	26.6	26.5	27.1	1.1	3.5	1.9	5.2	1.2	4.7	4.9	4.7	93	83	90				8.5	9.2	8.7	61.4	

Augsburg.

Dezember. $\varphi = 48^0\ 22'$ N. $\lambda = 10^0\ 54'$ E $= 43^m\ 36^s$. H $= 499.6$ m. Cg $= +0.1$ mm; über 728.8 mm Cg $= +0.2$ mm. 1911.

1.	25.3	23.5	23.5	3.1	5.1	4.0	6.6	1.7	5.7	5.4	5.7	98	83	93	E 2	E 2	E 2	10^2≡	10^2≡	10^2≡	–	n u. t ≡²
2.	24.7	23.6	23.0	1.0	1.6	1.6	4.0	0.7	4.8	4.8	4.8	98	93	93	C	NE 2	E 2	10^2≡	8^1	10^1	–	n u. a ≡²
3.	22.0	21.2	21.0	1.3	2.4	0.4	3.8	1.0	4.4	4.3	4.1	87	79	92	SE 2	C	SE 2	10^1	8^1	o	–	
4.	20.7	21.6	20.4	0.9	1.4	1.7	2.3	1.9	4.3	4.6	4.9	100	91	94	SE 2	SE 2	SE 2	10^2≡	10^2	10^3	–	n u. a ≡² ⌊, 9^{10} a–14^2 p ◍
5.	20.2	19.0	18.8	3.1	4.8	3.5	6.3	0.9	5.7	5.7	5.2	98	89	88	S 2	SE 2	SE 2	10^2	7^1	10^1	4.9	n ◍
6.	21.3	23.2	24.3	1.6	1.2	0.2	3.5	1.0	5.0	4.8	4.5	96	96	96	SE 2	SE 2	SE 2	10^2≡	10^2≡	10^2≡	–	n u. t ≡²
7.	22.1	20.0	14.9	1.8	0.4	1.3	0.2	3.0	4.0	3.9	4.0	100	89	96	SE 2	E 2	SE 2	10^2≡	10^2≡	10^2	–	n u. t ≡², a ⌊
8.	13.4	14.6	13.4	0.8	4.2	2.5	4.7	2.2	4.2	5.4	5.1	96	87	93	SE 2	W 2	SW 2	10^1	10^1●	10^1	–	13^5–6^{45} p ●
9.	11.6	14.1	17.4	2.3	3.4	3.4	4.2	0.3	5.3	5.1	4.5	98	87	76	SW 2	SW 2	SW 2	10^1	10^1	10^1	2.3	0^{10}–1^{40} p ◍
10.	19 8	17.1	12.4	0.1	4.4	0.2	4.4	1.0	4.1	3.8	4.0	90	60	85	SW 2	SE 2	SE 2	o	7^0	o	0.6	a ⌊
11.	06.9	06.6	10.8	0.4	2.4	2.2	2.9	1.4	3.8	4.9	4.9	85	89	91	SW 2	SW 2	SW 2	10^1	10^2	8^1	–	a ⌊, 2^{45}–6^{20} p ◍
12.	13.6	16.0	17.6	2.2	3.3	2.0	3.3	1.0	4.8	4.9	4.8	89	85	91	SW 2	SW 2	SW 2	10^2	8^1	5^1	2.3	n ◍, 8^{20}–9^{30} a ✳
13.	15.7	15.6	16.2	1.3	2.0	1.8	2.7	1.8	4.1	4.2	4.3	98	78	82	C	C	SW 2	o	10^1	10^1	0.9	a ⌊
14.	16.7	18.5	19.6	2.4	8.4	3.0	9.3	0.4	4.7	6.3	5.3	85	77	93	S 2	SW 2	SW 2	10^2	9^1	o	–	7^{50}–9^{15} a ◍
15.	16.6	16.1	16.9	0.8	1.1	0.0	3.0	1.5	4.3	4.8	4.3	100	96	92	C	N 2	C	o	9^1	o	0.6	a ≡² ⌊
16.	20.1	22.3	24 4	3.5	4.2	1.6	4.2	0.2	5.7	5.8	5.0	97	93	96	SW 2	SW 2	SW 2	10^2	10^2	o	4.3	n ◍
17.	26.3	25.9	26.3	1.9	3.4	0.4	3.7	3.0	3.9	4.9	4.5	98	83	100	SW 2	SE 2	SE 2	o	4^0⊙	10^2≡	–	n ⌊, p–n ≡²
18.	25.5	24.3	23.4	2.1	0.5	0.8	1.9	2.8	3.9	3.8	4.3	100	82	100	SE 2	SE 2	SE 2	10^2≡	3^0⊙	10^2≡	–	n, vorm., abds. ≡², a ⌊
19.	22.8	22.6	21.2	2.7	3.4	0.7	4.1	3.2	3.7	5.0	4.7	100	85	96	E 2	C	SE 2	2^0	7^1	10^1	–	a ⌊
20.	15.6	10 9	14.8	0.4	3.8	6.3	6.9	0.5	4.3	5.0	6.6	96	83	93	SE 2	C	SW 6	10^1	8^1	o	–	a ⌊, 3^{40}–5^{25} p ◍
21.	13.8	09.0	04.3	3.0	7 4	8 0	9.0	2.5	4.4	4.6	5.3	78	60	65	SW 2	SW 4	SW 8	o	7^2	o	1.4	
22.	15.3	18.4	14.5	4.0	4.4	3.2	8.0	2.5	5.4	5.1	4.2	88	82	73	SW 4	W 4	W 4	10^2●	7^1	10^2	5.4	n ≡, n–7^{15} a ●
23.	05.0	12.2	22.9	6.6	4.2	2.4	6.6	0.4	6.2	5.6	4.6	85	90	84	SW 6	NW 6	NW 6	10^2●	10^2●	10^2	12.8	n, a ≡, ◍ ✳; a–3^{00} p ●
24.	23.6	19.4	16.7	0.1	3.8	4.0	4.6	0.7	4.1	3.9	4.7	90	65	77	SW 2	SW 2	SW 2	o	6^1	10^2●	7.7	a ⌊, 6 p–n ◍
25.	10.6	08.2	12.1	4.4	5.8	2.5	7.1	2.5	5.7	5.7	4.3	92	84	77	SW 2	SW 4	SW 4	10^2	10^2●	10^1	3.3	n, 0^{35}–5^{05} p ◍
26.	13.6	15.1	15.4	2.5	3.2	3.6	4.0	1.2	4.6	5.2	4.7	82	90	80	SW 2	SW 4	SW 4	10^1	10^2	5^2	1.7	n, t ztw. ✳
27.	07.5	10.5	16.7	4.4	3.6	2.3	6.0	1.7	5.7	5.0	4.8	92	85	87	W 6	W 6	NW 4	8^2	10^2	10^2	9.1	n u. a ztw. ◍
28.	21.4	22.7	23.5	2.0	3.6	2.0	4.8	1.0	4.7	4.7	4.5	89	80	85	NW 2	W 2	W 2	10^2	8^1	10^0	2.3	
29.	19.1	19.9	22.5	5.4	6.6	5.6	6.6	1.2	6.2	6.7	6.4	92	93	94	W 4	W 6	W 4	10^2	10^2	10^2●	–	8^{35}–10^{25} a, 10^{55} a–1^{40} p, 4^{00} p–n ◍
30	23.4	21.5	20.1	5.0	7.6	4.8	7.6	4.0	6.3	6.7	6.2	97	86	97	W 2	C	NW 2	10^1	10^2	10^1	4.2	p ≡²
31.	25.0	26.8	27 9	3.5	4.8	2.5	5.5	2.0	5.6	5.8	5.2	95	90	94	NW 2	NW 2	NW 2	10^2	10^2	10^0	–	
Mittel	18.0	18.1	18.6	1.5	3.7	2.3	4.9	0.1	4.8	5.0	4.9	93	84	89				7.7	8.6	7.3	63.8	

Alle Angaben nach Ortszeit.

München-C.St

Dezember. $\varphi = 48^0\ 9'$ N. $\lambda = 11^0\ 34'$ E $= 46^m\ 16^s$. H $= 526.4$ m. Cg $= +\ 0.1$ mm. 1911.

Datum	Luftdruck auf 0° u. Normalschwere reduziert 700 mm + 7a	2p	9p	Lufttemperatur C° 7a	2p	9p	Max.	Min.	Absolute Feuchtigkeit 7a	2p	9p	Relative Feuchtigkeit 7a	2p	9p	Richtung und Stärke des Windes 0 bis 12 7a	2p	9p	Bewölkung 0 bis 10 7a	2p	9p	Niederschlag mm 7a	Schneedecke cm 7a	Bemerkungen
1.	22.8	20.0	20.8	2.7	4.8	3.7	5.0	2.0	5.6	5.8	5.5	100	91	93	E 1	E 1	E 1	10^1≡	10^1	10^1	0.1	–	u u. a ≡¹
2.	22.0	21.0	20.3	1.8	2.6	0.6	4.4	0.3	5.2	4.8	4.5	100	86	94	C	E 2	E 2	10^2≡	4^1⊙	10^1	0.1	–	n u. a ≡$^{0.2}$, 9^{31} a teilw. Aufklaren
3.	19.6	18.8	18.5	0.7	0.7	– 0.2	1.0	– 0.4	4.1	4.0	4.0	86	84	90	SE 1	E 1	E 1	10^1	10^1	10^1	–	–	t ≡⁰
4.	18.0	17.7	17.7	– 1.6	2.2	2.0	2.4	– 2.1	3.8	4.6	4.9	94	86	93	SE 1	E 1	C	9^1	10^1●	10^1	–	–	a ≡⁰, 0^{45} p–ca. 8 p ◍⁰
5.	17.8	15.7	16.3	3.0	4.7	3.4	5.0	1.9	5.3	5.6	5.2	93	88	89	SW 2	E 1	E 1	10^1	10^1	10^1	2.2	–	n ◍, a ≡³
6.	18.8	20.8	21.9	0.7	2.7	– 0.6	3.5	– 1.0	4.6	4.7	4.4	94	85	100	SE 1	C	C	10^1≡	10^1	10^1≡	0.1	–	n u. a ≡¹, m Zerreissen der st-Decke, abds. ≡¹
7.	19.8	15.7	12.4	– 2.2	– 0.6	– 1.6	– 0.3	– 2.8	3.8	4.2	4.1	99	96	100	SE 1	E 1	E 1	10^1≡	10^1	10^1	–	–	n u. a ≡¹ ⌴
8.	10.4	12.0	11.2	– 0.2	5.8	3.0	6.1	– 1.9	4.4	5.4	5.2	99	80	92	C	SW 2	C	6^1	6^0⊙	10^1	–	–	a ⌴, ≡⁰, m ∞ im S
9.	08.2	12.2	15.2	0.6	3.0	2.8	6.1	0.0	4.8	4.7	4.7	100	84	83	SW 1	SW 3	SW 2	10^1≡	10^1●	10^1	–	–	mrgs. ≡¹, 0^{55} p–ca. 3^{05} p ◍
10.	17.4	15.1	10.3	0.2	4.2	– 0.3	4.6	– 0.4	4.0	3.2	3.6	86	53	82	SW 2	SE 2	SE 1	0	8^0	0	0.9	–	mrgs. ⌴², m Gebirge sehr gut sichtbar
11.	04.5	03.5	08.4	0.4	3.4	2.4	5.0	– 1.0	3.5	4.5	5.1	76	77	94	SE 2	NW 1	W 2	10^1	10^1	10^1●	–	–	a ⌴, ≡⁰, m ∞, 5 p–n ◍
12.	11.0	13.2	15.2	1.8	3.9	1.8	4.2	1.0	4.9	4.7	4.6	93	78	89	SW 2	SW 2	SW 2	10^1●	9^1	10^1	**9.4**	–	n u. a ◍, 8^{05}–11^{05} a ◍ ⚹, dann–11^{35} a ◍
13.	13.3	13.4	14.0	– 1.0	1.6	1.6	3.0	– 1.4	4.1	4.2	4.1	96	83	81	SE 2	SE 2	C	2^0	10^1	10^1	3.4	–	mrgs. ⌴², ∞, $11^{15.25}$ p ⊕
14.	14.4	15.4	17.4	2.2	8.5	4.0	8.9	1.0	4.6	5.6	5.3	86	67	88	C	SW 1	C	9^1	4^1⊙	o	0.1	–	mrgs. ⌴, ≡¹; 9^{30}–ca, 10^{05} a ◍, 11 a Aufklaren ; [1]
15.	14.2	12.4	13.5	0.6	4.5	– 1.2	5.0	– 1.3	4.2	5.2	4.2	90	82	100	E 2	E 1	C	3^0	7^1⊙	o≡	0 4	–	mrgs. ⌴² ≡⁰, abds. ≡¹
16.	17.6	19.6	21.9	3.2	4.0	1.7	4.5	– 2.1	5.4	6.0	4.8	93	98	93	SW 3	SW 2	SW 2	10^1●	10^1●	o	3.7	–	n u. a ◍, t ◍⁰, abds. Aufklaren
17.	23.7	23.3	23.8	– 0.8	4.3	– 0.6	4.6	– 1.1	4.3	5.2	4.4	100	85	100	SE 1	SE 1	E 1	o	4^0⊙	c≡	2.5	–	mrgs. ⌴², ≡⁰, m ∞, abds. ≡¹
18.	23.0	21.4	20.8	– 2.4	2.9	– 0.6	3.1	– 2.7	3.8	4.7	4.3	99	83	99	E 1	E 1	C	3^0	4^0⊙	o	0.1	–	mrgs. ⌴¹ ≡⁰–m, 3^{25} p an ≡¹
19.	20.1	19.2	18.8	– 2.3	4.7	– 0.2	4.9	**3.0**	3.9	5.3	4.2	100	83	92	C	E 1	C	o	6^0⊙	o	–	–	mrgs. ⌴² ≡¹, m ≡⁰
20.	12.7	08.6	12.1	– 0.9	2.5	7.5	7.6	– 1.6	4.1	4.7	5.0	96	86	65	C	E 1	SW 6	10^1	9^1	9^1	0.1	–	mrgs. ⌴¹ ≡⁰, m ∞², 5–ca. 8^{30} p ◍, 5^{25} p–n ≡
21.	11.6	06.9	03.1	4.5	6.3	8.6	**10.5**	4.4	4.1	4.3	4.6	64	61	56	SW 3	S 2	SW 7	3^0	9^1	o	1.3	–	n ≡, a Gebirge sehr gut sichtbar, m ztw. ◍⁰, [2]
22.	12.6	15.5	12.3	4.1	4 3	3.1	9.5	2.0	5.4	4.8	4.0	89	77	69	SW 3	SW 3	SW 3	10^1●	8^1	10^1	3 2	–	n ≡, n u. a ztw. ◍$^{0.1}$, 0^{55}–10^{15} p △, $1^{04.05}$ p ⚹^{0}
23.	**03.0**	08.3	20.2	6.9	5.1	1.5	7.1	1.0	5.9	5.9	4.3	80	91	84	SW 4	W 3	W 2	10^1	10^1●	10^1	7.0	–	n ◍, 8^{15} a–ca. 4^{40} p ◍$^{0.1}$
24.	20.9	17.2	14.2	0.4	4.0	4.0	5.3	0.0	4.0	3.4	4.2	86	57	68	SW 2	SE 2	SW 3	o	6^0	10^1	7.0	–	n ⚹, m Gebirge gut sichtbar
25.	08.3	06.2	09.7	4.1	6.5	3.0	7.0	2.0	4.8	6.3	4.1	78	88	74	SW 1	SW 2	SW 3	10^1	10^1●	o	0.8	–	n u. t–4 p ztw. ◍
26.	11.4	12.9	13.2	2.1	3.7	3.4	5.0	1.8	4.8	4.8	4.5	90	81	77	SW 2	SW 4	SW 3	9^1	9^1●⚹	o	2.7	–	n ◍, t ztw. ◍ ⚹⁰ ⌴, abds. Aufklaren
27.	05.1	06.9	14.0	5.3	4.3	2.0	7.1	1.0	5.7	4.8	4.6	87	78	88	SW 4	SW 6	SW 3	10^1●	9^1●	10^1●	7.5	–	n–abds. ◍
28.	18.6	20.1	20.9	2.1	3.8	2.2	4.0	0.9	4.6	4.5	4.1	86	74	78	SW 2	W 2	W 2	10^1	10^1	9^1	3.4	–	n ◍ ⚹
29.	16.0	16.7	19.7	6.9	6.3	5.8	7.3	2.0	6.5	**6.6**	6.2	88	94	91	SW 4	NW 3	W 2	10^1●	10^1●	10^1	0.5	–	n u. t ztw. ◍
30.	20.6	19.1	17.2	5.8	7.8	3.7	8.0	3.5	6.4	6.5	6.0	94	83	100	SW 1	SW 1	SW 2	10^1	10^1	10^2≡	2.4	–	a ≡⁰, m Gebirge teilweise gut sichtbar, [8^{30} p ab ≡²bildung
31.	21.8	24.2	**24.9**	3.6	4.3	2.9	4.8	2.5	5.6	5.6	5.2	95	91	93	NW 2	NW 1	C	10^1	10^1	10^1	1.6	–	n ≡² ◍, a ≡³ ztw. ◍
Mittel	15.5	15.3	16.1	1.7	4.1	2.2	5.3	0.1	4.7	5.0	5.6	91	82	87				7.5	8.5	6.7	60.5		

[1] m Gebirge schwach sichtbar
[2] 2^{15} p Aufklaren. 5 p–n ⌴

Traunstein.

Dezember. $\varphi = 47^0\ 52'$ N. $\lambda = 12^0\ 39'$ E $= 50^m\ 36^s$. H $= 597$ m. Cg $= +\ 0.1$ mm. 1911.

1.	17.0	13.8	15.1	2.4	4.6	3.2	4.8	2.1	5.5	5.5	5.6	100	87	98	N 2	NE 2	NE 2	10^2≡	8^1	10^2	0.5	–	a ≡
2.	15.2	15.4	14.4	– 0.2	4.0	– 0.8	4.0	– 1.2	4.5	4.8	4.3	100	78	100	E 2	NE 2	E 2	7^2	1^1⊙	o	–	–	a ≡ u. ⌴
3.	13.3	13.0	12.3	– 3.0	– 0.6	– 1.2	– 0.2	– 4.0	3.7	4.0	4.0	100	90	96	E 2	NE 2	NE 2	10^2≡	8^2	10^2≡	–	–	a ≡ u. ⌴, abds. ≡
4.	12.4	11.9	12.1	– 3.4	0.0	– 0.2	0.0	– 3.8	3.5	4.3	4.4	100	92	96	E 2	NE 4	N 2	10^2≡	8^2⊙	10^2	–	–	a ⋁, abds ◍
5.	12.0	10.3	10.6	2.4	4.4	2.2	4.6	– 0.2	5.5	5.0	5.4	100	80	100	NW 2	N 2	E 2	10^2●	6^2⊙	10^2	1.3	–	n u. a ◍
6.	13.0	14.7	16.3	– 1.0	– 0.6	– 1.8	2.2	– 2.0	4.3	4.3	4.0	100	98	100	E 2	E 2	E 2	10^2≡	10^2≡	10^2≡	0.1	–	a u. t ≡
7.	14.5	10.1	07.1	– 3.4	– 2.0	– 2.6	– 1.8	– 4.0	3.5	4.0	3.8	100	100	100	E 2	E 2	E 2	10^2≡	10^2≡	o	–	–	a–nachm. ≡ ⋁, ab 7 p Aufklaren
8.	04.7	06.7	05.4	– 0.8	5.6	1.8	5.8	– 3.0	4.3	4.6	5.2	100	68	100	E 2	NW 2	NE 2	9^2	5^2⊙	10^2	–	–	a ⋁
9.	02.4	06.5	09.3	– 1.2	4.6	2.4	4.8	– 1.6	4.2	4.9	4.1	100	78	75	E 2	NW 4	W 2	10^2≡	10^2	6^2	–	–	a ≡, abds. ◍ u ⚹
10.	01.9	09.8	05.3	0.6	2.8	2.2	3.0	– 1.0	4.2	3.6	5.2	89	64	96	W 2	SE 2	SE 2	6^2	3^1⊙	o	1.9	–	
11.	699.6	697 4	03.0	– 0.8	3.8	1.2	4.0	– 3.0	3.3	3.8	5.0	75	64	100	E 2	NE 3	W 4	6^2	8^2	10^2●	–	–	abds. ◍
12.	05.1	07.5	09.7	0.2	0.4	1.0	1.2	0.0	4.7	4.7	4.5	100	100	90	W 2	W 6	W 2	10^2●⚹	10^2⚹	10^7⚹	**21.1**	**5**	n ⚹, vorm.–2^{10} p ◍ ⚹, abds wieder ⚹
13.	08.6	07.9	08.7	– 3.6	1.0	0.2	1.2	– 3.8	3.5	3.9	3.7	100	79	80	E 2	E 4	SE 2	2^1	8^2⊙	2^1	5.0	**5**	
14.	08.6	10.2	12.3	– 1.8	4.8	0.0	4.8	– 2.0	4.0	4.9	4.6	100	76	100	N 2	E 2	SE 2	4^2	2^1⊙	o	–	3	
15.	08.9	06.9	07.3	– 1.8	2.8	– 1.6	3.0	– 2.2	4.0	4.4	4.1	100	77	100	SE 2	E 4	E 2	4^2	3^1⊙	o	–	3	a ⌴ ≡
16.	11.7	13.4	15.8	2.2	2.0	0.6	2.4	– 2.4	5.4	5.3	4.8	100	100	100	SW 4	W 4	SE 2	10^2●	10^2●	o	3.4	2	n–m ◍, p ◍ ⚹
17.	18.0	18.1	18.2	– 2.8	2.6	– 2.8	2.8	– 3 0	3.7	4.6	3.7	100	82	100	SE 2	E 2	E 4	o	4^2⊙	o	14.4	2	a ⌴, abds. ≡ ⌴
18.	17.4	15.7	14.8	– 4.8	1.6	– 2.4	1.8	– 5.0	3.2	4.3	3.8	100	84	100	NE 2	NE 2	E 2	2^1	4^2⊙	o	–	2	a ⋁
19.	14.4	13.2	12.8	– 5.4	3.6	– 1.6	3.8	– **5.6**	**3.0**	4.3	4.0	100	73	98	E 2	NE 2	E 2	2^1	3^1⊙	o	–	2	
20.	07.6	03.4	06.7	– 3.4	0.8	4.4	4.4	– 3.6	3.5	4.3	5.2	100	89	84	NE 2	NE 2	SW 2	4^2	7^2⊙	10^2	–	2	abds. ◍ ⌴ aus W
21.	06.9	01.8	697 9	2.0	4.0	2.2	6.4	– 0.6	3.6	4.2	4.4	68	69	82	W 2	NW 2	SW 2	4^2	10^2	10^2	4.0	2	
22.	06.3	09.1	07.3	3.0	2.4	2.6	5.0	1.4	5.7	4.9	3.4	100	89	62	W 6	W 4	W 2	10^2●	10^2	10^2	5.8	1	n ◍ ⌴, vorm. ◍, p ◍ ⚹
23.	698.0	01.2	13.6	4.2	5.0	1.4	5.6	0.6	4.7	6.5	5.0	76	100	100	W 4	W 6	W 6	10^2●	10^2●	10^2	8.0	–	a, vorm. ●, p ◍ ⚹
24.	15.3	12.8	09.4	– 0.4	2.6	1.6	3.0	– 1.6	3.8	3.6	3.6	85	65	69	W 2	S 2	SW 2	3^2	2^1⊙	4^2	18 4	1	a ⚹
25.	02.8	00.0	04.0	3.2	3.8	3.2	4.0	1.4	3.9	5.4	3.3	68	90	58	SW 2	S 2	W 6	8^2	10^2●	10^2	–	1	t ◍
26.	05.9	07.0	06.7	2.4	1.8	2.4	3.4	1.4	4.3	4.9	4.5	79	93	80	W 4	W 6	W 2	10^2	10^2	10^2	4.3	–	n ◍, t ◍ ⚹
27.	699 9	699.3	08.0	3.0	4.8	0.8	5.2	0.8	4.9	5.6	4.8	87	87	100	W 4	W 8	W 4	10^2	10^2●	10^2	10.3	–	n u. t ztw. ◍ ⚹
28.	12.4	13.8	15.4	1.0	1.6	– 0.4	1.8	– 0.4	4.9	4.6	4.3	100	89	96	W 4	W 4	SE 2	10^2	10^2	2^2	9.8	2	n–vorm. ⚹
29.	09.7	10.6	13.9	4.4	5.4	4.8	5.6	– 1.0	6.0	**6.7**	6.4	97	100	100	SW 6	W 6	W 6	10^2●	10^2●	10^2●	6.1	1	n u. t ◍
30.	14.8	14.0	11.0	4.2	6.8	1.4	**7.0**	1.4	6.2	6.1	5.0	100	82	100	W 2	NW 2	W 2	10^2	6^2⊙	o	14.8	–	abds. ≡
31.	15.6	18.0	**19.4**	2,0	3.2	1.0	3.4	1.0	5.3	5.8	4.9	100	100	100	W 4	NW 2	W 2	10^2●	10^2	9^2	6.3	–	n u. vorm. ztw. ◍, abds. ≡
Mittel	09.5	09.5	10.4	– 0.0	2.8	0.8	3.5	– 1.4	4.3	4.8	4.5	94	85	92				7.5	7.3	5.9	135.5		

Alle Angaben nach Ortszeit.

Partenkirchen.

Dezember. $\varphi = 47^0\ 30'$ N. $\lambda = 11^0\ 6'$ E $= 44^m\ 24^s$. H $= 714.6$ m. Cg $= +0.1$ mm 1911.

Datum	Luftdruck auf 0^0 u. Normalschwere reduziert 700 mm +			Lufttemperatur C⁰					Absolute Feuchtigkeit mm			Relative Feuchtigkeit Proz.			Richtung und Stärke des Windes 0 bis 12			Bewölkung 0 bis 10			Niederschlag mm	Schneedecke cm	Bemerkungen
	7^a	2^p	9^p	7^a	2^p	9^p	Max.	Min.	7^a	2^p	9^p	7^a	2^p	9^p	7^a	2^p	9^p	7^a	2^p	9^p	7^a	7^a	
1.	06.3	03.3	04.2	0.4	5.8	2.8	7.3	− 0.4	4.5	5.1	5.6	96	75	100	C	NW 2	C	10^1	2^0	8^0	–	–	a Berge bis 1400 m im Nebel
2.	05.4	03.9	03.8	1.5	6.1	0.4	6.7	0.4	4.5	3.9	3.3	87	56	70	C	S 2	C	10^1	$0\circ$	0	–	–	a Berge bis 1200 m im Nebel
3.	03.0	01.9	01.9	− 6.0	1.7	− 1.2	2.1	− 6.2	2.6	3.6	3.4	90	70	80	C	C	C	3^0	$3^0\circ$	2^0	–	–	⌴, a Berge frei
4.	01.7	01.1	01.7	− 0.8	4.7	0.7	5.3	− 2.8	2.9	4.2	3.8	68	65	78	C	C	C	5^0	8^1	8^1	–	–	a Berge sehr rein
5.	01.7	698.7	699.5	2.1	3.1	− 1.3	6.3	− 2.5	3.7	4.7	3.8	69	83	92	C	C	C	10^1	$1^0\circ$	0	0.3	–	n ✳⁰, a Berge bedeckt
6.	04.5	03.7	02.0	− 0.8	2.9	0.3	7.6	− 3.0	2.8	4.1	2.9	66	72	62	SW 2	C	S 3	2^0	4^0	0	–	–	⌴, a Berge sehr rein
7.	03.0	698.7	696.3	− 1.6	5.3	0.4	9.5	− 3.6	2.9	5.0	3.5	72	60	75	C	C	C	3^0	$1^0\circ$	2^0	–	–	a Berge rein
8.	694.8	695.6	695.0	3.5	6.1	3.2	8.1	− 1.5	4.3	4.3	5.2	73	62	90	C	NW 4	C	6^0	5^1	7^0	–	–	a Berge rein
9	692.3	696.3	699.1	0.5	1.1	0.3	3.7	− 1.5	4.0	4.7	4.7	83	94	100	S 3	C	C	1^0	10^1 ●✳	10^1 ✳	–	–	⌴, a Berge rein, 1^{15} p–n ◍ u. ✳
10.	01.7	698.8	694.5	− 3.7	0.5	− 3.2	1.1	− 4.0	3.4	3.6	2.8	98	75	78	C	S 3	S 3	0	7^0	0	6.4	3	a Berge rein
11.	689.9	688.1	692.5	2.0	6.2	0.4	7.5	− 3.7	3.7	5.1	4.6	69	72	98	SW 2	C	C	10^1	9^1	10^1 ✳	–	2	a Berge bis 1900 m im Nebel, abds. ✳
12.	695.6	697.5	699.3	− 0.3	1.0	− 1.3	1.4	− 1.3	4.5	4.9	4.0	100	100	96	C	C	SW 1	10^1	9^1	8^0	19.0	12	a Berge im Nebel
13.	697.6	697.5	698.3	− 4.7	2.0	0.3	2.7	− 5.0	2.7	4.0	3.9	84	75	83	S 3	W 2	SW 2	2^0	$1\circ^0$	3^0	1.4	10	a Berge rein
14.	698.9	00.5	01.6	1.1	5.7	0.0	6.2	− 0.2	4.2	4.6	4.0	85	67	87	C	C	S 2	7^0	3^0	0	–	9	a Berge rein; föhnig
15.	698.6	697.7	697.9	0.9	5.3	2.9	7.5	0.0	3.9	4.6	4.6	79	69	80	SE 2	C	C	0	6^0	6^0	–	6	a Berge rein; föhnig
16.	02.3	03.6	05.6	1.1	0.5	0.1	2.9	0.1	5.0	4.8	4.6	100	100	100	C	C	C	10^1 ●	10^2 ✳	10^0	5.8	–	n u. a ◍, a Berge im Nebel, m ✳¹
17.	07.9	07.2	07.4	− 4.3	2.0	− 1.4	2.3	− 4.4	3.1	3.7	3.4	93	69	82	S 2	S 3	S 2	0	$1^0\circ$	0	6.4	4	a Berge rein
18.	06.8	05.2	04.5	− 1.0	5.6	2.9	6.3	− 2.2	3.1	4.3	3.9	73	64	69	S 4	S 3	S 4	0	4^0	0	–	3	a Berge sehr rein, föhnig
19.	03.3	03.1	03.1	1.1	6.2	2.1	7.3	1.0	3.5	4.9	3.8	68	69	71	S 2	C	S 1	1^0	$2^0\circ$	2^0	–	2	a Berge sehr rein, föhnig
20.	696.8	692.7	697.3	4.0	7.8	3.5	9.4	1.5	3.6	3.9	5.6	59	50	95	SE 2	S 3	SE 2	7^0	7^0	2^0	–	1	a Berge frei; 5^{15} p ab ◍⁰ bei N-Wind
21.	696.3	692.0	689.1	− 0.9	4.5	5.3	6.5	− 1.5	3.6	4.1	4.6	84	65	69	SE 2	C	C	2^0	9^1	3^1	3.7	–	a Berge rein
22.	697.6	00.1	697.2	2.7	3.3	0.5	5.3	0.5	5.2	4.0	3.8	93	70	80	C	NW 3	S 3	10^1 ●	6^1	9^1	7.4	–	n u. mrgs. ◍⁰
23.	689.2	692.8	04.1	1.6	2.5	0.7	4.1	− 0.1	5.0	5.4	4.3	96	98	89	C	N 2	C	10^1 ●	10^1 ●	9^1 ✳	8.5	5	n ✳, t ◍⁰, abds. ✳⁰
24.	05.1	01.5	699.0	− 4.8	1.3	2.7	3.1	− 5.0	2.9	3.5	3.7	90	68	67	S 3	S 4	S 4	0	$3^0\circ$	2^0	21.2	5	p ztw. ✳⁰
25.	692.7	691.3	694.4	1.8	2.3	0.6	3.3	0.1	3.9	5.0	4.3	75	93	90	S 4	S 2	N 2	10^1	10^1 ●	10^1	–	4	a Berge frei, m ◍⁰
26	696.2	697.8	697.6	0.3	1.7	0.2	2.4	− 1.1	4.3	4.5	4.2	92	88	90	C	C	C	10^1 ✳	9^1 ✳	9^1	6.4	7	t ✳⁰
27.	691.1	692.1	698.4	1.6	3.3	0.5	4.5	− 0.2	5.1	5.2	4.3	98	90	90	SE 1	NW 5	C	10^1 ●	9^1 ●	10^1 ✳	5.0	4	n u. mrgs. ◍⁰, abds. ✳⁰
28.	03.2	04.0	04.9	− 0.4	1.3	− 0.7	2.3	− 0.7	4.5	4.3	4.2	100	85	96	C	C	C	10^1 ✳	8^1	9^1	11.1	10	mrgs. ✳⁰, a Berge im Nebel
29.	01.5	01.7	04.0	2.1	3.9	2.5	4.5	− 1.1	5.2	6.1	5.5	96	100	100	C	S 3	C	10^1 ●	10^1 ●	10^1	2.4	6	mrgs. u. m ◍¹, a Berge bis 1100 m im Nebel
30.	04.8	03.5	01.3	1.8	6.2	2.7	6.8	1.5	5.1	5.9	4.9	98	84	87	C	S 3	S 4	10^1	7^0	3^0	9.0	3	a Berge teilweise im Nebel
31.	06.4	07.6	08.1	1.7	3.3	− 0.3	4.0	− 0.3	5.1	5.0	4.5	98	87	100	C	NW 3	C	10^1 ●	9^1	1^0	3.0	–	n u. mrgs. ◍⁰
Mittel	699.9	699.3	00.1	0.1	3.7	0.9	5.1	− 1.5	4.0	4.5	4.2	85	77	85				6.1	6.2	4.9	117.0		

Hohenpeissenberg.

Dezember. $\varphi = 47^0\ 48'$ N. $\lambda = 11^0\ 1'$ E $= 44^m\ 4^s$. H $= 993.9$ m. Cg $= \pm 0.0$ mm. 1911.

	600 mm +																						
1.	81.9	79.6	80.0	1.0	1.4	0.8	2.1	0.5	4.9	4.4	4.7	100	87	98	NE 1	NE 1	C	10^2 ≡	10^2	10^2 ≡	–	–	a ≡³, p Flachland ∞, abds. ≡²
2.	80.6	79.7	79.1	− 1.0	0.9	− 2.3	0.9	− 2.3	4.2	4.2	3.9	98	85	100	NE 1	NE 4	NE 1	10^2 ≡	$0\circ$	2^1	–	–	a ≡², t ⌴¹², p starker Horiz≡, abds. ≡ ringsum
3.	78.2	77.6	77.6	− 3.0	0.8	2.0	2.0	− 4.5	2.7	3.4	2.7	74	70	51	NE 1	W 1	W 1	1^1	$2^1\circ$	0	–	–	a Gebirge rein, t ≡ ringsum ⌴¹²
4.	77.4	77.4	77.4	2.3	3.9	1.4	3.9	1.4	2.4	3.7	4.8	46	61	94	NW 1	NW 1	W 1	8^1	10^1	10^1	–	–	a ⌴, Flachland rein, p Flachland ∞
5.	77.3	75.1	75.6	0.2	1.6	0.8	1.8	− 0.7	4.6	4.6	4.2	98	89	87	W 1	E 3	E 1	10^2 ≡	10^2	0	3.1	–	n ✳, a ≡¹, p Flachland ∞, abds. ≡ ringsum
6.	78.0	80.0	80.7	1.2	3.2	2.9	3.7	0.8	2.9	3.7	2.5	59	65	44	NE 1	N 1	E 1	0	9^1	0	–	–	a ⌴, Flachland rein, Horiz≡, p Gebirge rein, [1])
7.	79.0	74.9	71.8	2.1	2.3	6.5	6.5	1.2	2.4	4.3	3.3	45	79	46	SE 1	SE 1	W 8	1^1	$1^1\circ$	2^1	–	–	n ⌴, a im Tale ⌴, Flachland rein, [2])
8.	70.8	72.2	71.0	3.9	2.9	0.5	7.0	0.5	3.7	4.8	4.7	61	85	98	W 1	NW 1	W 1	9^2	10^2	10^1 ≡	–	–	a Flachland rein, Horiz≡, p Flachl. ∞, abds. ≡¹
9.	69.1	71.5	74.9	− 1.2	− 0.4	0.2	3.2	− 1.5	4.0	3.9	3.1	96	87	67	W 4	W 8	W 8	5^1	10^1	10^2 ✳	–	–	n ≡¹, a Flachl. ∞, p Flachl. rein, 1^{15}–2^{15} p ztw. ✳,
10.	76.8	74.4	69.8	− 1.4	0.5	1.2	1.2	− 1.6	2.5	2.8	1.8	60	59	36	SW 4	SE 1	SE 1	0	10^1	0	0.5	–	a ⌴, Flachland sehr rein, p rein [abds. ✳⁰
11.	65.1	64.7	68.7	4.4	4.8	− 0.8	6.7	− 0.8	2.6	3.3	4.2	42	52	98	S 5	S 5	SW 4	10^1	10^1	10^2 ≡✳	–	–	t föhnig, abds. ≡², 4 p ab ✳
12.	74.4	73.0	74.9	− 1.4	− 1.1	− 1.8	− 0.8	− 1.8	4.1	4.1	3.8	100	96	96	SW 3	W 5	W 3	10^2 ≡✳	10^2	8^2 ✳	8.0	5	n u. a ≡² ✳, t ztw. ✳⁰
13.	72.5	73.0	74.1	− 2.2	3.4	3.1	4.3	− 2.7	2.4	2.1	3.4	61	37	59	SE 4	W 1	W 1	7^1	10^1	5^2	1.2	5	a Flachland sehr rein, p rein, Horiz≡
14.	74.8	76.2	77.4	4.2	7.0	2.7	7.0	2.6	4.3	3.8	4.2	70	51	75	NW 1	SW 3	W 3	10^1	5^1	0	–	1	a Flachland rein, p sehr rein
15.	74.2	73.2	74.4	4.4	7.9	1.9	8.9	1.9	3.1	2.7	3.8	50	34	73	SE 1	W 1	W 5	0	10^1	10^2	–	–	a Flachland rein, p ∞⁰, starker Horiz≡
16.	78.0	79.2	81.1	− 0.6	− 0.2	− 0.8	2.3	− 0.9	4.4	4.5	4.1	100	100	94	NW 1	W 1	W 1	10^2 ≡✳	10^2 ≡✳	0	7.7	1	n–p ≡² ✳
17.	82.8	82.3	82.6	− 1.6	1.0	1.4	1.7	− 1.6	3.3	3.8	3.3	80	77	64	W 1	SE 4	W 1	0	1^1	0	6.2	8	a Flachland sehr rein, p rein; t Horiz≡
18.	82.4	81.0	80.4	4.6	7.0	9.0	9.0	1.3	2.2	3.4	3.4	30	45	40	SW 1	SE 2	SE 1	3^1	6^1	0	–	–	t Flachland rein
19	80.2	79.7	79.1	7.2	9.2	9.1	9.4	6.4	2.6	3.3	2.3	34	38	27	E 1	SW 1	C	0	$5^1\circ$	1^1	–	–	p Flachland ∞⁰
20.	73.0	69.3	72.7	7.2	9.7	3.7	9.8	2.5	2.0	2.5	4.0	26	27	67	W 1	S 3	W 8	10^1	9^2	6^2	–	–	t Flachland sehr rein
21.	71.8	66.8	63.9	1.8	3.3	4.1	7.2	1.8	3.4	4.4	4.3	64	76	71	W 5	SW 8	W 10	9^1	$4^2\circ$	10^2	–	–	t Flachland sehr rein
22.	73.6	75.3	72.1	− 0.2	1.3	1.6	4.1	− 0.2	4.5	3.9	2.6	100	75	50	W 6	W 5	W 1	10^2 ≡✳	9^2	10^2	5.8	–	n u. a ≡² ✳, vorm. ✳, p Flachland rein
23.	64.3	69.8	80.2	2.7	1.2	− 1.9	5.6	− 1.9	5.4	5.0	4.0	96	100	100	W 8	W 6	C	10^2	10^2 ≡●	0	5.1	–	a Flachland rein, t ≡² ztw. ◍, später ✳
24.	80.0	76.6	74.5	− 2.9	1.3	4.4	4.4	− 3.0	3.0	3.1	3.4	83	60	54	SW 1	SW 1	W 6	1^1	9^1	9^2	7.7	5	t Flachland rein
25.	69.6	66.8	69.6	5.4	1.3	− 0.7	6.9	− 0.8	4.3	4.8	3.9	65	94	88	SW 1	W 8	W 6	10^1	10^2 ●	10^2	–	–	a Flachland sehr rein, p Flachl. ∞, 2 p ab ●
26.	71.9	72.8	73.3	− 0.6	0.5	0.4	0.5	− 1.1	4.1	3.7	3.9	94	76	82	W 6	W 8	W 5	10^2	10^2	10^2	1.2	–	n u. a ztw. ✳⁰, a Flachland rein
27.	66.1	68.0	74.2	2.9	1.4	− 1.6	3.2	− 1.6	5.4	4.8	4.1	96	94	100	W 8	W 8	W 1	10^2	10^2	10^2 ✳	1.1	–	n ◍, a Flachland rein, t ztw. ◍ ✳, abds. ✳⁰
28.	78.3	79.7	80.2	− 1.8	0.2	− 0.4	0.2	− 1.9	3.9	3.6	3.3	98	76	74	W 1	W 1	W 3	10^2	10^2	5^2	5.0	3	n ✳, t Flachland ∞
29.	76.5	77.7	79.7	4.8	3.7	2.1	4.9	− 0.4	6.4	6.0	5.3	100	100	100	W 8	W 6	W 1	10^1 ≡●	10^2 ≡●	10^2 ≡	1.2	–	n ◍, t ≡¹·², ztw. ◍
30.	80.6	79.1	77.5	2.0	5.1	3.3	6.5	1.5	5.3	5.8	5.4	100	89	93	W 1	S 1	SE 3	10^1	9^1	0≡	8.6	–	a Flachland ∞, p Flachland rein, abds. ≡¹
31.	81.6	83.3	83.6	0.0	0.1	− 0.6	3.3	− 0.6	4.6	4.6	4.2	100	100	96	C	NE 1	NE 1	10^2 ≡	10^2	$1c^2$ ≡	3.8	–	n ✳, t meist ≡²
Mittel	75.4	75.2	75.9	1.4	2.7	1.7	4.4	− 0.2	3.7	4.0	3.8	75	73	75				6.9	8.0	5.4	66.2		

[1]) Flachland ∞, ≡ im E, abds. ⌴
[2]) p starker Horiz≡, abds. ringsum ≡²

Alle Angaben nach Ortszeit.

Zugspitze.

Dezember. $\varphi = 47^0\ 25'$ N. $\lambda = 10^0\ 59'$ E $= 43^m\ 56^s$. H $= 2964$ m. Cg $= -0.2$ mm. 1911.

Datum	Luftdruck auf 0° u. Normalschwere reduziert 500 mm +			Lufttemperatur C°					Absolute Feuchtigkeit mm			Relative Feuchtigkeit Proz.			Richtung und Stärke des Windes 0 bis 12			Bewölkung 0 bis 10			Niederschlag	Schneedecke
	7^a	2^p	9^p	7^a	2^p	9^p	Max.	Min.	7^a	2^p	9^p	7^a	2^p	9^p	7^a	2^p	9^p	7^a	2^p	9^p	mm 7^a	cm 7^a
1.	30.8	29.6	28.8	−10.0	− 5.9	− 9.7	− 5.7	−10.6	1.3	0.5	1.1	64	14	53	NW 4	NE 4	NW 4	0	1^0 ⊙	1^0	–	75
2.	28.7	29.6	29.6	−12.7	− 7.9	− 8.9	− 7.2	−12.7	1.5	1.2	0.9	90	47	38	N 4	W 4	W 3	1^0	1^0 ⊙	1^0	–	75
3.	28.8	28.8	28.4	− 9.0	− 8.7	− 8.8	− 8.6	− 9.9	2.2	2.0	2.0	98	90	90	NW 4	N 3	N 4	8^1	6^1 ⊙	4^1	–	75
4.	28.1	27.8	27.7	− 8.4	− 8.7	− 8.6	− 8.0	− 9.3	2.1	2.1	2.3	92	92	100	N 1	NW 3	W 3	9^1	10^1 ≡ ≠	10^1	–	75
5.	26.8	25.6	26.7	− 9.4	− 8.9	−10.1	− 8.4	−10.1	2.1	2.0	1.2	100	57	57	SW 1	S 4	W 3	5^1	1^0 ⊙	1^0	2.2	78
6.	28.8	30.6	31.7	− 7.4	− 5.4	− 5.9	− 5.2	−10.5	1.9	1.7	1.9	74	56	65	E 1	SW 2	SW 4	1^0	7^1 ⊙	0	–	78
7.	30.2	27.6	25.7	− 6.5	− 6.0	− 6.7	− 5.2	− 6.9	1.2	2.3	2.6	47	80	95	S 5	SE 5	S 6	3^1	1^1 ⊙	5^1	–	78
8.	24.3	23.6	22.8	− 6.5	− 6.8	− 7.4	− 6.2	− 7.7	2.0	2.6	2.5	75	100	100	S 6	SE 4	S 6	5^1	10^2 ≡	9^2	–	78
9.	21.9	21.8	23.2	− 7.7	−10.2	−14.9	− 6.7	−15.0	1.7	2.0	1.3	70	100	100	S 5	W 2	NW 4	1^1	10^2 ≡ *	10^2 ≡	–	78
10.	24.2	23.8	22.0	−16.7	−13.5	− 9.0	− 8.5	−16.7	1.1	1.0	1.3	95	65	57	C	W 3	S 5	1^0	9^1 ⊙	2^1	7.5	85
11.	19.6	19.0	19.0	− 6.2	− 5.8	−12.6	− 4.9	−12.6	2.8	2.6	1.6	100	90	100	SW 9	S 6	N 1	10^1 ≡	6^1 ⊙	10^1 ≡ *	–	85
12.	20.0	21.5	23.2	−14.5	−14.1	−13.9	−12.6	−15.1	1.3	1.4	1.4	100	100	95	N 4	N 4	NW 1	10^2 ≡	10^2 ≡	9^2 ≡	**12.7**	110
13.	23.3	24.7	25.5	−11.1	− 9.0	− 8.2	− 8.2	−15.1	1.5	2.0	2.0	80	87	87	SE 6	S 3	SW 9	2^1	10^2	8^2	1.9	112
14.	26.4	28.0	28.8	− 7.9	− 7.4	− 5.4	− 5.4	− 8.2	2.1	2.5	2.3	90	100	75	W 7	W 2	SW 4	7^1	8^1	1^0	–	110
15.	27.4	27.5	27.4	− 4.6	− 3.1	− 4.0	− 2.9	− 5.8	1.9	2.1	3.0	60	60	91	S 6	W 1	SW 9	2^1	9^1	7^1	–	110
16.	26.9	27.3	28.8	−10.0	−12.1	−12.2	− 4.0	−12.4	2.0	1.7	1.6	100	100	95	C	N 2	N 1	10^1 ≡ *	10^1 ≡ *	0	6.5	120
17.	31.3	32.9	34.4	−10.8	− 6.1	− 4.1	− 3.5	−13.4	1.0	0.9	2.4	56	28	72	NW 2	N 2	NW 2	0	6^0 ⊙	1^0	6.4	125
18.	34.8	**35.0**	**35.0**	− 4.1	− 1.0	− 1.8	− 0.1	− 5.1	2.1	2.6	2.1	62	60	52	NW 1	NW 1	NW 2	4^0	5^0	1^1	–	125
19.	34.6	34.2	33.0	− 1.1	2.8	− 0.1	**3.5**	− 2.0	1.6	1.9	1.9	37	33	42	NW 1	S 3	S 5	2^0	7^0 ⊙	1^1	–	125
20.	27.8	24.7	24.3	− 2.1	− 1.8	− 8.4	0.0	− 8.4	2.2	**3.2**	2.1	65	81	100	S 10	SW 10	NW 9	9^2	9^2	10^2 ≡ *	–	125
21.	23.3	21.0	17.6	−10.4	− 6.5	− 9.7	− 4.9	−11.4	1.2	2.7	2.1	60	100	100	W 10	S 8	W 10	1^1	10^1 ≡ *	10^1 ≡	–	130
22.	22.5	24.0	22.7	−11.8	−14.4	−13.0	− 9.4	−14.6	1.7	1.4	1.5	100	100	100	N 11	NW 6	NW 3	10^2 ≡	10^1 ≡	10^1 ≡	–	135
23.	**16.9**	20.1	26.5	− 8.7	− 8.9	−13.9	− 7.1	−13.9	2.3	2.2	1.4	100	100	100	N 10	N 11	N 6	10^2 ≡	10^2 ≡ *	10^2 ≡	2.4	140
24.	27.4	27.2	26.3	−15.9	−13.0	− 7.7	− 7.7	−16.1	0.7	1.1	2.5	60	70	100	N 4	NW 3	NW 5	3^0	5^2	10^2 ≡	5.4	170
25.	22.5	19.2	19.2	− 6.6	− 8.1	−13.9	− 6.4	−13.9	2.4	2.4	1.4	90	100	100	W 4	W 2	NW 6	10^2	10^1 ≡ *	10^2 ≡ *	–	170
26.	20.3	21.5	22.5	−13.7	−14.1	−13.9	−13.7	−14.4	1.5	1.4	1.4	100	100	100	N 8	N 8	NW 5	10^1 ≡	10^1 ≡	10^1 ≡	0.7	175
27.	18.4	18.4	21.9	− 9.2	−10.5	−12.7	− 8.4	−13.9	2.2	1.9	1.6	100	100	100	N 8	N 8	N 4	10^1 ≡	10^2 ≡	10^1 ≡ *	2.9	185
28.	25.5	26.6	28.3	−14.9	−14.7	−14.3	−12.7	−15.4	1.3	1.3	1.4	100	100	100	N 2	NW 5	N 4	10^2 ≡	9^2	8^1	9.8	**235**
29.	27.5	27.7	29.3	− 7.3	− 7.2	− 7.9	− 5.7	−14.3	2.5	2.6	2.4	100	100	100	NW 9	N 7	N 7	10^2	10^1 ≡	10^1 ≡	–	**235**
30.	30.9	30.9	29.8	− 7.9	− 6.3	− 7.5	− 5.7	− 8.3	2.4	2.8	2.0	100	100	80	N 2	N 3	NW 7	9^2 ≡	10^2 ≡	3^1	–	233
31.	29.4	30.7	32.0	− 9.4	−11.0	−11.6	− 6.4	−11.7	2.1	1.8	1.3	100	95	75	C	N 3	N 3	10^1 ≡	oo	1^1	–	231
Mittel	26.1	26.2	26.5	− 9.1	− 8.2	− 9.3	− 6.3	−11.5	1.8	1.9	1.8	83	81	85				5.9	7.4	5.9	58.4	

Bemerkungen.

1. a ≡meer in ca. 1700 m über Ebene u. Vorbergen; t fast wolklos; 9 p ⊽
2. a ⌊⁰. ringsum ≡meer in 1900 m; m über Alpenvorland ∞, erst weiter in der Ebene ≡; 9 p über Ebene ≡; t fast wolkenlos
3. a ⌊, ≡treiben um den Gipfel; 9 a sehr schön irisierende str-cu; 2 p oberer Berührungskreis des Halo von 46° erscheint als Horizontalkreis; p str-cu in geringer Höhe [ü. d. Gipfel
4. a ⌊, über Flachland teilweise ≡; 8–10 a öfters schwach irisierende a-cu; ca. 11 a–5 p $\equiv^{0.1}$, $\times^{0.1}$
5. n $\times^0$, a ringsum ≡meer in ca. 2500 m; 8 a linke Neben⊙; m ◐; 2 p ≡meer üb. d. Gebirge aufgelöst; 3^{30} p irisierende cu
6. a üb. d. Flachland grösstenteils ≡meer; schwäbisches Alpenvorland frei; 9 a irisierende a-cu, 10 a schwach irisierende ci; 1 p u. 2 p ◐
7. a üb. d. Flachland teilweise ≡; m über Ebene stärkerer ≡; 6 p ziehen str-cu in geringer Höhe über den Gipfel
8. a über Ebene teilweise ≡; ca. 11 a ztw. $\equiv^{0.1}$ um den Gipfel; 2 p ≡reissen; m–6 p meist $\equiv^2$, dann Aufklaren; 7–8 p ≡meer ringsum in ca. 2300 m, 9 p in ca. 1700 m
9. 7 a über Ebene ≡meer; ab 10 a–n $\equiv^{1.2}$; m–2 p $\times^{0.2}$; p ×treiben
10. n Aufklaren; ab m zunehmende Trübung; 7 p wieder Aufklaren; 1^{30} p ⊕ (23°) schwach ausgebildet
11. 10 p alles bedeckt; n u. a ⌊, $\equiv^1$, ×treiben; 11 a Aufklaren; p NW-Wind; ab ca. 5 p $\equiv^1$, $\times^{0.1}$
12. n $\times^2$; t $\equiv^2$, ×treiben; 10 a kurz $\times^0$; 5^{30} p u. 8 p kurz fast vollständiges Aufklaren
13. ca. 9^{05} p Aufklaren; a reine Fernsicht ins Flachland, t starkes ×wehen; 3^{15}–ca. 7 p $\equiv^{0.1}$, $\times^0$; p SW-Sturm
14. n u. a ⌊; 9^{30} a kurz $\equiv^1$, $\times^0$; p meist nahezu wolkenlos
15. n u. a ⌊; t föhnig, jedoch nur p vorwiegend heiter; 2 p grossartige Fernsicht nach N (Bayer. Wald sichtbar)
16. n ×, t–6 p $\equiv^1$, $\times^{0.1}$; 6 p Aufklaren; in geringer Höhe unter dem Gipfel ringsum Wolkenmeer; 9 p ≤ i. SE
17. 7 a über Inn- u. Isartal Hoch≡; 1^{30} p ⊕ (23°) schwach ausgeprägt
18. t meist heiter; Fernsicht frei; 2^{30} p irisierende ci u. ci-cu
19. 4^{30} a Temperatur + 0.2°; t vorwiegend heiter, sehr warm
20. t Föhnsturm; ab ca. 8 p $\equiv^1$, $\times^1$, ×treiben
21. mn Aufklaren; n u. a sehr starker Sturm; m ztw. $\equiv^{0.1}$, $\times^0$; ca. 4 p Aufklaren; abds. wieder $\equiv^2$, $\times^{0.1}$
22. n u. a orkanart. Sturm; t meist $\equiv^{1.2}$, ×treiben; ab ca. 11^{30} a öfters Ansatz z. Aufklaren; ab ca. 2^{30} p $\times^0$, starkes Abflauen d. Windes; 6 p teilw. Aufkl.; ab 8^{30} p wieder $\equiv^1$
23. t $\equiv^2$, ×treiben; a ⌊; p ziemlich ruhiger kräftiger ×fall; 7^{45} p neg. Elmsfeuer, a 30 cm ⩛
24. n Aufklaren; a freie Fernsicht; t heiter; 1 p schön irisierende ci, ab ca. 4^{30} p $\equiv^{1.2}$; 8^{30} p Sterne durchscheinend
25. ab ca. 9^{30} a $\equiv^{1.2}$, $\times^1$, ×treiben
26. n u. a ⌊, t ×treiben, ztw. $\times^{0.1}$, dauernd $\equiv^{1.2}$
27. n u. a ⌊, t $\equiv^1$, ×treiben; 10 a $\times^0$; 2 p +, p meist $\times^1$
28. a 60 cm ⩛, $\equiv^2$; p teilw. Aufklaren, jedoch sehr starke a-cu-Bewölkung
29. n starker Sturm; t $\equiv^2$, ×treiben; p ztw. $\times^0$
30. 7 a südlich vom Grat $\equiv^2$, N frei; über Flachland u. Vorbergen ≡meer in ca. 1100 m; bis 3^{30} p ringsum $\equiv^{1.2}$, dann Aufklaren
31. 7 a $\equiv^1$; ca. 8 a Aufklaren; 9^{30} p kurz $\equiv^1$; dann völliges Aufklaren; t ≡meer meist in ca. 2000 m

Alle Angaben nach Ortszeit.

1911. **Tagesmittel der Windgeschwindigkeit in Metern pro Sekunde.** 1911.

München-C.St.

Datum	Januar	Februar	März	April	Mai	Juni	Juli	August	September	Oktober	November	Dezember	Datum
1.	2.2	2.0	3.9	2.1	2.6	2.8	2.6	2.6	1.7	**4.0**	1.4	0.3	1.
2.	2.1	3.4	**6.0**	1.9	2.3	2.8	2.2	1.4	0.7	3.0	1.1	1.5	2.
3.	3.0	4.4	4.1	2.7	1.2	1.8	1.7	2.2	0.7	1.8	1.7	1.2	3.
4.	4.6	1.2	2.5	3.6	1.3	2.3	2.0	**3.0**	0.8	1.9	1.2	1.0	4.
5.	2.0	3.6	2.6	**5.7**	2.6	2.0	1.8	2.4	1.6	2.3	3.2	1.7	5.
6.	2.1	2.6	2.2	5.0	1.7	1.9	2.2	2.7	2.2	1.4	3.9	1.3	6.
7.	1.0	2.7	2.8	3.4	2.0	1.6	1.5	2.3	1.5	2.1	2.7	1.3	7.
8.	0.7	3.3	1.8	3.6	2.5	2.0	2.6	2.4	1.0	1.9	0.9	*)	8.
9.	1.5	2.2	2.4	2.5	2.3	1.6	2.8	2.7	**2.8**	1.6	0.8	*)	9.
10.	2.7	1.5	1.8	1.7	2.0	2.5	2.5	1.7	2.2	2.0	1.7	2.4	10.
11.	1.9	2.4	1.9	2.3	1.9	2.0	1.6	2.3	2.4	1.3	2.1	2.0	11.
12.	1.5	2.0	1.9	2.3	1.3	1.2	1.7	2.7	1.3	0.7	1.5	2.5	12.
13.	1.9	2.7	3.4	3.5	1.9	1.7	1.5	2.4	2.5	0.8	1.1	1.6	13.
14.	2.7	2.4	3.3	2.0	1.9	2.8	1.9	1.5	1.8	1.2	1.3	1.6	14.
15.	2.7	2.1	2.2	3.7	2.1	**3.6**	**3.1**	**3.0**	2.1	1.7	1.6	1.2	15.
16.	1.8	2.5	2.0	3.3	1.5	1.7	1.8	**3.0**	1.9	2.0	3.1	2.4	16.
17.	1.4	**7.4**	2.1	2.7	1.8	1.5	2.7	2.5	1.4	2.9	1.6	1.2	17.
18.	2.2	6.7	2.1	2.5	2.6	2.7	**3.1**	2.2	2.2	1.2	1.1	1.0	18.
19.	2.4	5.9	2.9	2.3	**3.3**	2.5	2.9	2.7	2.1	0.5	3.0	0.6	19.
20.	1.5	4.7	4.2	2.5	2.4	3.1	1.5	1.9	1.6	1.4	**7.6**	2.0	20.
21.	2.1	4.5	2.3	2.2	2.2	3.0	2.0	2.2	2.2	1.5	3.5	4.3	21.
22.	1.8	4.3	2.4	2.4	1.8	1.5	1.2	2.4	2.0	1.8	1.5	5.7	22.
23.	2.4	3.1	2.1	2.2	2.5	1.6	2.3	2.4	1.9	3.9	1.1	4.2	23.
24.	2.4	7.2	1.6	2.5	2.1	2.2	2.5	2.4	2.3	1.9	1.6	2.7	24.
25.	3.2	5.7	2.5	1.9	1.5	2.2	2.1	1.9	1.4	1.9	1.2	3.2	25.
26.	**5.3**	5.9	4.5	2.6	2.9	2.8	1.5	2.4	1.5	3.4	2.1	4.2	26.
27.	2.7	4.3	2.6	3.4	2.2	2.8	2.3	1.6	1.1	1.4	1.4	4.4	27.
28.	2.8	2.0	2.0	5.4	1.9	2.9	1.4	1.5	2.2	3.1	1.5	2.5	28.
29.	2.4		2.4	3.4	2.3	2.0	2.3	2.3	2.5	1.8	0.4	2.5	29.
30.	4.3		2.7	2.6	2.3	2.3	1.7	1.7	2.3	1.7	0.2	1.7	30.
31.	3.5		2.4		2.1		2.5	1.8		1.0		1.0	31.
Mittel	2.43	3.61	2.70	2.93	2.10	2.25	2.11	2.26	1.80	1.91	1.91	—	Mittel

*) Ausser Betrieb.

Nürnberg.

Datum	Januar	Februar	März	April	Mai	Juni	Juli	August	September	Oktober	November	Dezember	Datum
1.	2.7	2.7	3.0	3.1	2.8	3.4	3.0	3.4	2.7	**3.8**	2.9	2.3	1.
2.	3.1	2.9	4.4	2.2	3.1	**4.1**	3.1	3.1	2.4	3.7	2.3	2.2	2.
3.	2.4	3.3	4.5	2.6	2.4	3.7	3.2	2.3	2.1	3.6	2.3	2.8	3.
4.	**3.5**	3.0	3.5	3.7	2.2	2.9	3.1	2.7	2.2	2.6	2.8	3.1	4.
5.	**3.5**	3.2	3.0	3.8	3.3	2.5	2.6	3.5	2.7	3.0	2.9	3.0	5.
6.	2.9	3.5	3.8	4.1	3.1	2.4	3.0	2.6	3.0	**2.7**	3.9	2.8	6.
7.	2.7	2.6	2.5	3.8	3.0	2.4	2.8	3.4	3.0	2.4	3.2	3.4	7.
8.	2.7	3.9	3.4	3.2	3.2	3.1	2.4	2.9	2.3	2.6	2.8	3.5	8.
9.	2.6	3.0	3.4	3.4	3.2	3.1	3.6	3.4	2.5	2.6	2.8	2.4	9.
10.	3.1	2.5	2.5	2.5	3.4	3.4	3.4	2.9	3.4	2.5	2.4	3.1	10.
11.	3.2	3.0	2.3	2.3	2.7	3.1	3.1	3.2	2.8	3.1	2.3	3.3	11.
12.	3.3	2.4	2.1	2.3	2.3	2.7	2.4	3.3	3.0	2.1	2.8	2.7	12.
13.	2.9	3.4	2.7	**5.0**	2.6	2.9	2.6	3.3	2.7	2.2	4.3	2.5	13.
14.	3.1	2.7	**4.9**	3.5	2.4	2.7	3.0	2.4	**4.0**	2.2	2.0	3.2	14.
15.	2.4	2.5	2.7	2.5	3.1	3.9	2.7	2.6	2.8	2.1	2.3	2.8	15.
16.	2.3	3.4	2.8	3.5	2.4	3.3	**3.7**	3.9	2.8	2.9	3.0	2.6	16.
17.	2.6	3.3	3.1	3.3	2.5	2.3	3.5	**4.2**	2.4	3.3	3.3	3.5	17.
18.	2.6	4.9	2.6	2.6	2.7	3.0	3.2	3.4	2.5	3.4	3.0	3.1	18.
19.	3.1	4.3	3.3	2.5	3.4	2.9	3.5	3.2	2.8	2.9	3.1	4.2	19.
20.	2.8	**5.6**	3.7	3.0	3.7	3.0	3.2	3.0	**4.0**	2.1	3.2	2.2	20.
21.	2.7	4.7	4.0	3.5	3.4	3.5	2.9	2.5	2.5	2.2	**5.2**	4.2	21.
22.	3.0	3.4	2.7	2.2	3.1	3.2	2.4	3.1	3.0	2.5	2.6	**5.0**	22.
23.	2.6	3.8	3.3	2.4	3.0	2.3	2.3	2.7	2.5	3.5	2.8	4.1	23.
24.	2.6	4.1	2.9	2.4	3.7	3.0	3.3	2.7	2.7	**3.8**	3.2	4.1	24.
25.	2.8	5.3	2.8	3.5	2.9	3.3	3.1	2.4	2.4	3.0	3.6	3.3	25.
26.	3.0	3.8	4.3	2.4	3.1	3.0	2.7	2.5	2.4	3.4	3.1	3.5	26.
27.	**3.5**	5.3	4.6	3.3	**3.8**	3.1	2.5	3.1	2.1	3.5	3.2	3.8	27.
28.	3.0	3.4	4.0	3.6	2.9	3.6	3.0	2.4	2.2	2.8	3.5	4.6	28.
29.	3.1		2.6	4.2	2.7	3.1	3.2	2.6	3.4	3.1	3.2	3.4	29.
30.	3.1		3.2	3.4	3.7	3.2	2.7	3.2	3.3	2.6	2.3	3.6	30.
31.	**3.5**		3.2		3.5		3.0	3.1		3.1		3.0	31.
Mittel	2.92	2.57	3.28	3.13	3.01	3.07	2.97	3.00	2.75	2.88	3.01	3.26	Mittel

1911. **Tagesmittel der Windgeschwindigkeit in Metern pro Sekunde.** 1911.

Kaiserslautern.

Datum	Januar	Februar	März	April	Mai	Juni	Juli	August	September	Oktober	November	Dezember	Datum
1.	2.3	0.7	4.8	1.4	2.6	1.0	2.6	1.7	1.1	4.5	1.7	0.4	1.
2.	1.7	1.6	5.2	1.3	1.0	1.9	1.9	1.0	0.5	1.6	0.6	0.8	2.
3.	3.3	2.5	1.5	2.8	1.4	0.8	1.1	1.8	0.8	1.2	1.8	0.1	3.
4.	4.0	0.6	2.2	3.7	2.6	0.6	1.4	1.9	0.8	1.2	4.0	0.2	4.
5.	1.5	1.3	2.2	6.0	0.7	1.0	1.5	0.8	1.7	0.6	**8.4**	0.4	5.
6.	0.9	0.6	0.5	4.4	1.3	1.5	1.9	2.5	0.6	1.4	6.0	0.1	6.
7.	0.7	1.3	1.7	3.1	1.9	1.1	0.9	1.0	0.4	3.5	3.5	1.1	7.
8.	2.1	1.5	0.6	2.9	2.7	1.5	0.9	2.0	0.6	1.6	1.0	2.6	8.
9.	2.9	2.1	0.9	1.6	2.0	1.7	1.4	1.8	1.5	1.7	1.3	4.2	9.
10.	1.0	1.0	0.3	0.9	0.8	2.4	2.6	1.2	2.6	1.5	1.3	2.0	10.
11.	0.5	2.4	0.6	1.2	1.6	1.2	1.1	1.7	2.3	1.4	2.1	2.8	11.
12.	1.2	1.3	1.3	2.2	1.2	0.9	1.3	2.2	1.0	0.7	2.5	1.8	12.
13.	2.4	0.9	**6.9**	2.5	1.5	1.1	1.5	1.6	2.9	0.7	1.5	1.0	13.
14.	1.8	1.3	5.1	0.6	1.6	2.4	1.3	1.2	1.9	2.0	0.6	1.1	14.
15.	1.0	1.9	2.8	2.0	0.5	3.6	1.6	1.7	1.8	0.8	1.8	0.7	15.
16.	0.8	3.6	3.6	2.9	0.8	1.2	1.8	1.9	1.2	1.4	6.1	1.1	16.
17.	0.9	6.6	1.0	2.4	0.9	1.2	1.9	1.2	0.9	3.2	2.5	0.6	17.
18.	0.8	7.0	2.1	1.7	2.1	3.8	**3.4**	1.9	0.8	0.7	2.9	0.0	18.
19.	0.1	8.0	3.0	3.1	1.9	2.5	2.5	2.0	0.8	0.4	4.9	0.1	19.
20.	2.1	5.9	4.0	1.7	2.2	**4.7**	0.8	0.6	1.5	1.0	7.9	4.6	20.
21.	2.0	5.9	1.2	0.5	1.2	2.4	0.9	**2.7**	2.7	0.7	1.5	**8.4**	21.
22.	1.4	5.9	0.8	1.0	1.1	1.2	1.5	1.2	0.6	**7.4**	1.2	5.2	22.
23.	1.7	**7.4**	1.0	1.8	1.5	1.2	0.9	0.7	0.9	7.0	2.0	4.3	23.
24.	1.4	**8.2**	1.1	2.7	1.7	2.9	1.0	0.6	1.1	2.2	3.1	3.0	24.
25.	3.7	5.5	2.7	0.6	1.0	1.5	1.6	1.7	0.7	3.6	2.7	4.8	25.
26.	3.1	6.3	4.8	3.7	**3.7**	3.4	2.1	2.5	0.8	5.8	0.6	4.8	26.
27.	1.6	2.6	2.0	4.3	1.7	3.1	0.9	1.4	0.7	5.6	0.9	4.5	27.
28.	1.2	3.1	0.9	**6.3**	1.6	2.2	1.7	0.9	2.2	3.7	0.9	1.3	28.
29.	1.3		1.1	4.7	2.4	2.1	1.1	2.3	2.1	1.1	0.0	4.8	29.
30.	**5.0**		2.2	2.4	3.2	3.0	1.1	1.0	**4.1**	1.4	0.6	2.6	30.
31.	3.7		2.8				0.6	0.8		2.0		0.4	31.
Mittel	1.87	3.50	2.29	2.55	1.68	1.97	1.51	1.53	1.39	2.31	2.53	2.25	Mittel

Monatliche und Jahres-Resultate.

Stationen II. Ordnung.

1911

Monat	Luftdruck auf 0° und Normalschwere reduziert			Lufttemperatur											Absolute Feuchtigkeit				Relative Feuchtigkeit				
	Mittel	Maximum	Minimum	7a	2p	9p	Tagesmittel	Mittl. Maximum	Mittl. Minimum	Absol. Maximum	Datum	Absol. Minimum	Datum	7a	2p	9p	Mittel	7a	2p	9p	Mittel	Minimum
	mm	mm	mm	C°	C°	C°	C°	C°	C°	C°		C°		mm	mm	mm	mm	Proz.	Proz.	Proz.	Proz.	Proz.
Bad Kissingen.																						
$\varphi = 50^0\ 12'$ N. $\lambda = 10^0\ 5'$ E														H = 209.2 m. Cg = + 0,3 mm								
Januar . . .	**750.9**	**761.9**	732.3	- 2.9	- 0.2	- 2.2	- 1.8	0.4	- 4.4	5.1	19., 26.	-14.1	16.	3.6	3.8	3.6	3.7	92	81	90	88	50
Februar . .	747.4	759.2	730.2	- 0.2	3.8	1.4	1.6	4.7	- 1.9	10.7	23.	-11.7	1.	4.0	4.3	4.5	4.3	86	68	86	80	47
März . . .	**740.9**	751.9	723.3	1.4	8.6	4.1	4.6	9.7	0.4	23.3	29.	- 3.6	9.	4.7	5.3	5.3	5.1	91	65	83	80	31
April . . .	743.1	758.2	**732.5**	3.9	12.8	6.7	7.5	13.9	1.5	23.3	23.	- 6.2	5.	5.3	5.3	5.5	5.4	84	48	72	68	31
Mai	742.6	748.5	736.1	10.3	18.1	12.4	13.3	19.3	7.9	25.8	30.	- 0.7	2.	8.4	8.5	8.8	8.5	88	55	81	75	32
Juni	744.8	752.6	735.9	12.4	20.3	14.1	15.2	21.2	9.5	27.2	5.	2.4	12.	9.3	9.1	9.3	9.2	85	52	78	72	31
Juli	747.3	756.2	739.0	**15.6**	25.8	18.5	19.6	**27.2**	**12.9**	**36.2**	28.	4.2	4.	**10.8**	**10.5**	**10.8**	**10.7**	80	43	68	64	23
August . .	744.6	751.7	735.3	15.3	**25.9**	**18.9**	**19.7**	**27.2**	**12.9**	32.0	3.	9.2	5.	10.4	9.8	10.5	10.2	81	**40**	**66**	**62**	28
September .	745.8	752.2	733.7	9.6	19.9	12.4	13.6	20.9	8.1	31.3	3.	2.2	17.	8.2	8.2	8.9	8.5	92	51	83	75	18
Oktober . .	743.7	756.1	729.2	4.9	13.1	7.2	8.1	13.7	3.5	18.2	21.	- 4.0	30.	6.1	7.2	6.6	6.6	92	63	87	81	38
November .	741.6	756.0	**719.8**	3.4	6.7	4.4	4.7	7.3	1.6	15.2	5.	- 2.9	8.	5.3	6.0	5.7	5.6	90	81	90	87	57
Dezember .	743.2	753.9	725.0	1.9	4.1	2.7	2.9	4.9	0.7	8.7	20., 29.	- 3.0	3.	5.0	5.3	5.2	5.2	**94**	**86**	**93**	**91**	67
Jahr	744.7	761.9	719.8	6.3	13.2	8.4	9.1	14.2	4.4	36.2	28. VII.	-14.1	16. I.	6.8	6.9	7.1	6.9	90	61	81	77	18

1911

Monat	Bewölkung				Niederschlag			Zahl der Tage									Windverteilung								
	7a	2p	9p	Mittel	Summe	Tagesmaximum Betrag	Tagesmaximum Gemessen am	≧0,1 mm Niederschlag	≧1,0 mm Niederschlag	≧0,1 mm *	⊠	△	▲	◺	≡	heitere	trübe	N	NE	E	SE	S	SW	W	NW	C
					mm	mm	am																			
Bad Kissingen.																										
$h_t = 4.8$ m																		$h_r = 1{:}4$ m								
Januar . . .	8.3	8.0	7.5	7.9	14.1	5.1	10.	7	4	6	26	-	-	-	4	4	22	25	11	8	2	23	12	6	5	1
Februar . .	6.5	7.0	5.9	6.5	50.7	17.2	25.	16	9	5	1	1	-	-	2	3	10	13	3	3	-	28	17	12	6	2
März . . .	6.5	6.5	4.0	5.7	25.3	10.1	3.	11	6	3	-	-	-	1	5	6	10	22	11	7	-	20	10	7	**10**	6
April . . .	4.6	6.1	3.1	4.6	24.3	10.2	28.	9	6	1	-	1	-	2	1	2	2	15	14	5	1	11	**21**	7	1	15
Mai	5.6	6.6	5.7	6.0	50.9	11.6	11.	17	11	-	-	1	-	**8**	2	2	7	10	**24**	15	-	7	6	11	8	12
Juni	5.7	6.4	4.4	5.5	48.5	10.1	24.	13	10	-	-	1	-	-	1	3	4	**7**	8	9	-	10	18	14	7	17
Juli	**2.7**	**4.5**	**2.6**	**3.3**	15.8	4.2	14.	**7**	5	-	-	-	1	6	-	**9**	**1**	**7**	5	**19**	-	2	10	22	1	27
August . .	3.9	5.0	3.7	4.2	31.5	11.7	23.	10	6	-	-	-	-	3	3	7	4	16	8	4	**2**	2	5	**25**	6	25
September .	5.6	5.2	4.6	5.1	34.6	10.1	15.	11	9	-	-	-	-	3	4	**9**	9	9	6	9	-	1	6	20	-	**39**
Oktober . .	7.3	5.2	4.0	5.5	40.6	8.1	28.	14	9	-	-	-	-	-	8	6	10	8	4	9	1	13	18	17	5	18
November .	**9.6**	**8.6**	7.9	**8.7**	60.8	11.2	21.	20	**13**	4	-	1	-	-	**9**	-	**23**	18	13	4	1	18	14	9	5	8
Dezember .	8.4	**8.6**	**8.3**	8.5	**99.5**	**17.2**	27.	**21**	**20**	4	-	-	-	-	5	2	21	**25**	7	4	1	16	8	9	5	18
Jahr	6.2	6.5	5.1	6.0	496.6	17.2	25. II. 27. XII.	156	108	23	27	5	1	23	44	53	123	175	114	96	8	151	145	159	59	188

Alle Angaben nach Ortszeit.

1911

Kahl a. M.

$\varphi = 50^0\ 4'$ N $\lambda = 9^0\ 1'$ E — H = 114.1 m Cg = + 0.3 mm

Monat	Luftdruck auf 0° und Normalschwere reduziert: Mittel mm	Maximum mm	Minimum mm	Lufttemperatur: 7a C°	2p C°	9p C°	Tagesmittel C°	Mittl. Maximum C°	Mittl Minimum C°	Absol. Maximum C°	Datum	Absol. Minimum C°	Datum	Absolute Feuchtigkeit: 7a mm	2p mm	9p mm	Mittel mm	Relative Feuchtigkeit: 7a Proz.	2p Proz.	9p Proz.	Mittel Proz.	Minimum Proz.
Januar	**759.9**	**771.0**	740.8	− 2.1	0.7	− 1.3	− 1.0	1.5	− 4.1	6.7	28.	−14.3	15.	3.8	4.1	3.9	3.9	93	83	91	89	50
Februar	756.6	768.2	739.8	0.1	4.6	2.0	2.2	5.5	− 2.0	12.9	18.	−11.7	1.	4.3	4.5	4.7	4.5	90	70	87	82	52
März	**749.6**	760.5	731.5	2.1	9.6	4.7	5.2	11.0	0.1	24.1	29.	− 4.7	11.	4.8	5.3	5.3	5.2	90	61	83	78	28
April	752.0	765.9	740.4	5.4	13.4	6.8	8.1	15.4	1.1	25.2	22.	− 6.2	5.	5.7	5.2	5.7	5.6	82	45	75	67	24
Mai	751.1	756.9	744.9	12.8	18.4	13.0	14.3	21.0	8.0	27.0	13.	0.3	3.	9.0	8.4	9.1	8.9	81	53	80	72	32
Juni	753.1	760.8	744.2	15.1	20.5	14.6	16.2	23.1	9.4	30.7	6.	1.6	12.	9.9	9.3	9.9	9.7	77	52	79	70	30
Juli	755.3	763.6	747.2	**18.8**	26.4	**19.3**	**20.9**	**29.4**	11.8	**38.0**	23.	3.1	4.	**12.0**	**10.2**	**11.5**	**11.2**	74	41	70	61	24
August	752.7	758.8	743.2	18.2	**26.9**	**19.3**	**20.9**	29.0	**12.0**	35.9	9.	7.1	18.	11.3	9.3	11.0	10.5	**74**	**37**	**67**	**59**	**17**
September	754.0	759.1	741.7	10.7	21.0	13.6	14.7	22.6	7.0	32.9	3.	0.7	17.	8.8	8.6	9.2	8.8	92	50	80	74	24
Oktober	752.2	764.2	737.7	6.2	13.6	8.4	9.1	15.0	4.4	20.3	21.	− 4.1	30.	6.7	7.7	7.4	7.3	93	66	89	83	43
November	750.0	763.8	**727.3**	4.5	7.8	5.4	5.7	9.1	2.4	15.2	5.	− 1.7	2.	5.8	6.5	6.0	6.1	92	82	89	88	54
Dezember	751.6	762.4	732.9	2.8	5.4	3.8	4.0	6.8	0.8	9.7	20.	− 3.9	13.	5.4	5.9	5.6	5.6	**95**	**87**	**93**	**92**	62
Jahr	753.2	771.0	727.3	7.9	14.0	9.1	10.0	15.8	4.2	38.0	23. VII.	−14.3	15. I.	7.3	7.1	7.4	7.3	86	61	82	76	17

Luitpoldheim.

$\varphi = 50^0\ 1'$ N $\lambda = 9^0\ 34'$ E — H = 250 m

Monat	Luftdruck: Mittel	Maximum	Minimum	Lufttemperatur: 7a C°	2p C°	9p C°	Tagesmittel C°	Mittl. Maximum C°	Mittl Minimum C°	Absol. Maximum C°	Datum	Absol. Minimum C°	Datum	Absolute Feuchtigkeit: 7a mm	2p mm	9p mm	Mittel mm	Relative Feuchtigkeit: 7a Proz.	2p Proz.	9p Proz.	Mittel Proz.	Minimum Proz.
Januar				− 2.7	− 0.9	− 2.0	− 1.9	0.1	− 3.9	4.3	29.	−13.2	15.	3.4	3.7	3.5	3.5	89	84	87	87	49
Februar				− 0.4	2.9	1.6	1.4	4.0	− 1.5	10.7	23.	−10.8	1.	4.1	4.3	4.4	4.3	89	75	84	83	52
März				1.4	7.8	4.6	4.6	9.0	0.8	21.4	29.	− 4.4	12.	4.8	5.4	5.4	5.2	92	69	82	81	41
April				3.2	11.8	7.3	7.4	13.1	2.2	22.0	19.	− 6.6	5.	5.2	5.7	5.7	5.5	87	54	71	71	32
Mai				9.3	16.4	12.1	12.5	17.7	8.0	22.9	13.	0.3	2.	8.3	9.4	8.8	8.8	93	67	84	81	42
Juni				11.2	18.3	13.9	14.3	19.4	9.4	25.1	6.	2.8	11.	9.2	10.2	9.7	9.7	92	65	81	79	46
Juli				**14.4**	24.8	18.9	19.2	26.1	12.4	**34.7**	28.	4.7	4.	**10.8**	**11.9**	**11.6**	**11.4**	88	52	71	70	**31**
August				**14.4**	**25.1**	**19.4**	**19.6**	**26.2**	**13.2**	30.5	9.	9.5	27.	10.6	11.3	11.4	11.1	**87**	**50**	**68**	**68**	33
September				9.1	19.3	14.0	14.1	20.1	7.9	29.7	3.	2.4	17.	8.3	9.2	9.5	9.0	94	59	80	78	**31**
Oktober				5.3	12.0	8.0	8.3	12.6	4.0	17.7	14.	− 4.8	30.	6.4	7.8	7.2	7.1	94	75	90	86	49
November				3.4	6.2	4.6	4.7	6.8	2.2	14.7	5.	− 2.8	8.	5.5	6.3	6.0	5.9	94	87	**94**	92	62
Dezember				1.9	3.4	2.8	2.7	4.5	0.8	7.7	22.	− 2.5	3.	5.2	5.5	5.3	5.3	**97**	**94**	**94**	**95**	69
Jahr				5.9	12.3	8.8	8.9	13.3	4.6	34.7	28. VII.	−13.2	15. I.	6.8	7.6	7.2	7.2	91	69	82	81	31

Alexandersbad.

$\varphi = 50^0\ 1'$ N $\lambda = 12^0\ 1'$ E — H = 590 m

Monat	Luftdruck: Mittel	Maximum	Minimum	Lufttemperatur: 7a C°	2p C°	9p C°	Tagesmittel C°	Mittl. Maximum C°	Mittl Minimum C°	Absol. Maximum C°	Datum	Absol. Minimum C°	Datum	Absolute Feuchtigkeit: 7a mm	2p mm	9p mm	Mittel mm	Relative Feuchtigkeit: 7a Proz.	2p Proz.	9p Proz.	Mittel Proz.	Minimum Proz.
Januar				− 5.4	− 2.7	− 4.8	− 4.4	− 1.8	− 8.2	3.0	19.	−18.5	15.	2.9	3.2	3.0	3.0	89	83	89	87	54
Februar				− 3.0	0.1	− 1.4	− 1.4	1.3	− 5.3	7.0	23.	−16.5	10.	3.3	3.7	3.7	3.6	87	77	87	84	58
März				− 0.3	5.9	1.5	2.2	6.7	− 1.6	19.8	29.	− 6.2	10.	4.1	4.6	4.4	4.4	89	66	84	80	32
April				3.0	9.9	4.4	5.5	11.1	0.3	22.3	23.	−10.8	5.	4.9	5.3	4.9	5.0	83	57	76	72	30
Mai				8.6	14.3	9.8	10.6	15.5	5.7	22.1	30.	− 1.6	3.	7.5	8.3	8.0	7.9	90	66	88	82	44
Juni				11.2	17.0	11.6	12.8	18.4	7.3	23.6	5.	1.4	11.	8.1	7.9	8.3	8.1	82	55	80	73	32
Juli				**15.2**	22.3	**16.1**	**17.4**	**23.4**	11.0	**32.2**	28.	3.3	5.	**10.3**	**9.7**	**9.9**	**10.0**	80	50	**73**	**67**	25
August				14.3	**22.4**	15.8	17.1	23.3	**11.2**	28.5	29.	8.1	1.	10.0	9.3	9.8	9.7	83	48	74	68	32
September				8.6	17.2	11.3	12.1	18.3	6.8	29.8	3.	1.0	12.	7.6	7.8	7.9	7.8	91	57	80	76	**21**
Oktober				2.5	10.3	5.8	6.4	11.2	2.5	16.5	13.	− 3.5	30.	5.6	6.8	6.2	6.2	93	73	90	85	49
November				0.6	4.2	1.8	2.1	5.0	− 0.5	13.1	5.	− 5.2	3.	4.6	5.1	5.0	4.9	**96**	84	95	92	53
Dezember				− 0.5	1.2	0.2	0.3	2.1	− 1.5	5.0	21., 29.	− 5.4	19.	4.3	4.5	4.5	4.4	**96**	**90**	**96**	**94**	77
Jahr				4.7	10.2	6.0	6.7	11.2	2.3	32.2	28. VII.	−18.5	15. I.	6.1	6.4	6.3	6.3	88	67	84	80	21

Bayreuth.

$\varphi = 49^0\ 57'$ N $\lambda = 11^0\ 34'$ E — H = 363.3 m Cg = + 0.3 mm

Monat	Luftdruck: Mittel	Maximum	Minimum	Lufttemperatur: 7a C°	2p C°	9p C°	Tagesmittel C°	Mittl. Maximum C°	Mittl Minimum C°	Absol. Maximum C°	Datum	Absol. Minimum C°	Datum	Absolute Feuchtigkeit: 7a mm	2p mm	9p mm	Mittel mm	Relative Feuchtigkeit: 7a Proz.	2p Proz.	9p Proz.	Mittel Proz.	Minimum Proz.
Januar	**737.2**	**747.8**	719.1	− 4.1	− 1.3	− 3.2	− 2.9	− 0.7	− 6.1	3.1	27.	−19.0	15.	3.3	3.5	3.4	3.4	92	**83**	90	88	54
Februar	733.4	744.6	717.6	− 1.1	2.4	0.9	0.8	3.2	− 3.0	9.7	23.	−14.2	10.	3.7	4.1	4.2	4.0	86	74	85	81	53
März	727.5	738.4	712.8	0.8	8.2	3.7	4.1	9.1	− 0.6	22.4	29.	− 5.0	18.	4.5	4.8	5.0	4.8	92	60	83	78	31
April	729.6	744.6	719.2	4.7	11.8	6.9	7.6	13.4	1.4	24.6	22.	− 7.9	5.	5.2	5.2	5.5	5.3	80	51	72	68	26
Mai	729.1	734.9	723.2	10.2	16.1	12.5	12.8	18.4	6.9	26.0	14.	− 0.9	2.	8.0	8.5	8.5	8.3	85	62	78	75	38
Juni	731.6	739.4	721.9	13.0	19.5	14.3	15.3	21.5	8.8	26.9	4., 23.	3.1	16.	8.8	8.4	9.2	8.8	79	50	75	68	30
Juli	734.2	742.0	725.8	**15.7**	25.0	19.4	19.9	27.0	12.0	**36.0**	28.	3.2	4.	**10.3**	**9.6**	**10.7**	**10.2**	**77**	42	65	61	23
August	731.5	738.7	723.0	15.4	**25.4**	**19.6**	**20.0**	**27.2**	**12.7**	31.4	3.	7.3	18.	**10.3**	9.5	10.2	10.0	80	**40**	**61**	**60**	27
September	732.6	738.4	721.3	10.1	19.6	13.9	14.2	21.2	8.1	32.0	2., 3.	2.3	12.	7.9	8.1	8.6	8.2	85	51	76	71	**17**
Oktober	730.6	742.5	717.2	5.3	12.4	7.8	8.3	13.5	3.6	19.4	13.	− 3.7	30.	6.1	7.2	6.8	6.7	90	67	86	81	44
November	728.2	741.9	**707.6**	2.6	6.4	3.8	4.1	6.9	1.0	15.8	5.	− 3.2	3.	5.1	5.6	5.5	5.4	92	78	90	87	46
Dezember	729.7	740.9	713.5	1.4	3.5	2.3	2.4	4.1	− 0.1	7.7	29.	− 5.2	3.	4.8	4.9	4.9	4.9	**93**	**83**	**91**	**89**	66
Jahr	731.3	747.8	707.6	6.2	12.4	8.5	8.9	13.7	3.7	36.0	28. VII.	−19.0	15. I.	6.7	6.6	6.9	6.7	86	62	79	76	17

Alle Angaben nach Ortszeit.

1911

Kahl a. M.

h_t = 6.1 m h_r = 1.6 m

Monat	Bewölkung 7a	2p	9p	Mittel	Niederschlag Summe mm	Tagesmaximum Betrag mm	Gemessen am	Zahl der Tage ≧0.1 mm Niederschlag	≧1.0 mm	≧0.1 mm ✳	✳	△	▲	⊠	≡	heitere	trübe	Windverteilung N	NE	E	SE	S	SW	W	NW	C
Januar . .	8.0	7.4	6.7	7.4	19.5	10.1	10.	10	6	**5**	**26**	–	–	–	–	4	**18**	1	9	5	5	2	34	2	2	33
Februar . .	7.1	7.1	5.8	6.7	21.5	6.9	26.	11	8	3	1	–	–	–	–	3	13	**3**	–	3	2	3	**40**	11	7	15
März . . .	6.0	6.0	4.7	5.6	45.4	12.2	27.	12	10	**5**	1	–	–	2	–	5	7	–	7	11	10	1	26	7	4	27
April . . .	5.0	5.4	2.5	4.3	18.1	5.2	28.	11	4	1	–	–	–	–	1	10	3	1	12	6	3	7	15	**15**	**8**	23
Mai . . .	6.0	5.5	5.7	5.8	61.5	**25.1**	17.	13	11	–	–	–	–	5	–	3	6	1	16	**19**	9	**1**	**7**	7	2	31
Juni . . .	6.1	6.1	4.9	5.7	26.5	6.8	18.	12	8	–	–	–	1	1	–	5	5	2	11	3	11	**10**	22	3	2	26
Juli	**2.7**	**3.5**	3.4	**3.2**	19.3	9.9	1.	8	4	–	–	–	–	**6**	–	**14**	2	–	**21**	15	12	3	13	4	1	24
August . .	3.1	3.8	2.6	3.2	**13.4**	8.4	24.	5	3	–	–	–	–	1	1	**14**	2	1	4	14	**15**	6	13	3	4	33
September .	4.7	4.8	3.2	4.2	35.2	7.7	15.	10	6	–	–	–	–	2	3	11	8	–	2	6	6	7	17	1	5	**46**
Oktober . .	6.3	6.1	5.2	5.9	37.2	5.9	5.	13	10	–	–	–	–	–	**6**	7	13	–	4	8	5	5	28	5	1	37
November .	**8.3**	**8.8**	7.1	**8.1**	57.3	15.0	22.	14	11	2	–	–	–	–	3	–	**18**	–	10	–	9	8	37	1	–	25
Dezember .	7.9	8.2	**8.1**	**8.1**	**82.0**	14.0	23.	**23**	**16**	–	–	–	–	–	1	–	17	–	–	1	8	3	28	4	4	45
Jahr . . .	5.9	6.1	5.0	5.7	436.9	25.1	17. V.	142	97	16	28	–	–	17	16	76	112	9	96	91	95	56	280	63	40	365

Luitpoldheim.

h_t = 1.7 m h_r = 1.3 m

Januar . . .	8.2	7.3	7.6	7.7	28.2	7.8	10.	15	7	**11**	**19**	–	–	–	–	4	20	6	1	1	4	1	**16**	–	–	**64**
Februar . .	6.5	6.7	7.4	6.9	54.6	17.9	20.	15	8	9	4	2	–	1	–	4	13	3	**6**	1	2	2	34	–	–	36
März . . .	6.5	5.8	4.9	5.7	28.6	6.7	3.	13	8	6	2	**3**	–	1	5	4	7	**8**	**6**	2	2	4	22	–	2	47
April . . .	5.0	5.4	2.6	4.4	30.5	7.9	29.	13	7	3	–	1	**2**	2	2	5	**1**	3	5	–	2	3	32	–	**4**	41
Mai	5.2	5.5	5.0	5.2	53.8	16.6	17.	18	11	–	–	–	1	**10**	4	3	3	6	6	6	**5**	4	34	–	1	31
Juni	6.6	6.6	5.3	6.2	36.4	8.5	21.	16	11	–	–	–	–	7	10	4	6	4	5	9	4	–	39	–	**4**	**25**
Juli	**2.7**	**2.7**	**2.6**	**2.6**	30.4	18.9	31.	8	5	–	–	–	–	7	9	**17**	3	3	1	**13**	1	2	32	–	–	41
August . .	2.9	3.5	2.3	2.9	58.0	**47.5**	23.	9	3	–	–	–	–	4	8	13	2	3	3	12	1	–	30	1	–	43
September .	5.0	4.4	2.9	4.1	34.4	7.7	15.	14	13	–	–	–	–	3	9	13	7	–	–	3	**5**	2	36	–	1	43
Oktober . .	7.1	5.4	4.5	5.7	**26.9**	6.6	28.	13	7	–	–	1	–	–	**13**	5	11	6	–	5	1	**5**	41	–	–	35
November .	**9.7**	8.7	7.1	8.5	41.1	10.0	21.	19	8	4	1	–	–	–	7	–	19	1	2	–	1	–	**45**	–	–	41
Dezember .	8.9	**9.2**	**8.5**	**8.9**	**80.3**	14.8	23.	**23**	**17**	2	–	1	–	–	6	–	**25**	–	3	–	–	2	40	–	2	46
Jahr . . .	6.2	5.9	5.1	5.7	503.2	47.5	23. VIII.	176	105	35	26	8	3	35	73	72	117	43	38	52	28	25	401	1	14	493

Alexandersbad.

h_t = 1.8 m h_r = 1.4 m

Januar . . .	6.9	6.1	6.1	6.4	20.6	3.8	10.	11	8	9	**31**	–	–	–	2	3	14	5	12	14	3	–	11	7	**16**	25
Februar . .	7.5	7.1	7.6	7.4	81.8	18.2	20.	**18**	**14**	**14**	26	**4**	1	–	–	2	14	–	4	**1**	**1**	–	13	**34**	**16**	15
März . . .	7.0	6.0	5.8	6.3	33.7	10.1	3.	14	8	12	5	–	–	1	4	–	9	1	5	14	9	1	11	11	10	31
April . . .	5.5	6.2	4.5	5.4	47.2	13.2	28.	12	7	7	4	3	1	2	–	6	7	10	11	5	3	2	8	23	10	18
Mai	5.5	7.0	5.7	6.1	**112.4**	23.2	17.	17	13	–	–	–	1	**11**	–	2	8	9	**16**	**22**	4	–	5	6	6	25
Juni	4.0	5.5	5.2	4.9	36.3	12.2	16.	8	8	–	–	–	–	–	–	4	6	4	7	13	5	3	15	16	13	14
Juli	2.5	4.2	3.2	3.3	14.8	4.6	1.	5	5	–	–	–	–	7	–	9	1	**12**	14	4	2	1	4	14	**16**	26
August . .	4.0	4.3	1.8	3.4	55.1	28.8	25.	11	6	–	–	–	–	5	3	9	–	2	14	8	2	1	4	19	11	32
September .	4.4	4.6	4.5	4.5	52.0	15.6	15.	12	8	–	–	–	–	3	–	**10**	7	8	9	1	3	1	9	11	4	**44**
Oktober . .	5.9	5.4	4.2	5.2	37.4	11.6	2.	10	8	–	–	–	–	–	1	7	7	2	3	9	8	3	19	16	6	27
November .	**8.5**	7.4	7.3	7.8	89.4	**35.6**	21.	10	9	4	4	–	–	–	**8**	2	16	2	6	5	9	2	12	15	4	35
Dezember .	**8.5**	**8.4**	**7.8**	**8.2**	78.4	16.4	22.	17	12	11	6	–	–	1	4	1	**18**	3	1	4	**19**	**4**	**21**	9	10	22
Jahr	5.9	6.0	5.3	5.7	659.1	35.6	21. XI.	145	106	57	76	7	3	30	22	55	107	58	102	100	68	18	132	181	122	314

Bayreuth.

h_t = 9.7 m h_r = 1.7 m

Januar . . .	8.4	8.0	7.4	8.0	26.6	6.0	10.	11	8	**7**	**31**	–	–	–	4	3	**22**	7	9	26	8	2	4	28	6	3
Februar . .	8.5	8.1	7.1	7.9	21.4	5.5	20., 24.	14	5	**7**	18	–	–	–	3	–	15	2	6	14	–	3	**18**	**34**	7	–
März . . .	7.0	6.7	5.2	6.3	**16.0**	7.3	25.	11	3	3	–	1	–	–	4	4	9	2	3	29	12	**1**	6	25	9	**6**
April . . .	6.4	6.9	3.4	5.6	27.3	8.4	1.	9	5	2	–	1	–	2	2	2	5	7	**12**	16	4	2	10	25	9	5
Mai	6.1	8.1	7.2	7.1	**76.2**	**26.2**	29.	**20**	**15**	–	–	–	1	**11**	3	1	14	6	11	29	13	1	**1**	10	20	2
Juni	5.7	7.2	6.9	6.6	28.3	6.4	14.	11	9	–	–	1	–	3	1	–	10	1	3	22	8	4	8	25	14	5
Juli	3.6	5.2	4.8	4.6	17.0	7.1	14.	9	5	–	–	–	–	7	–	5	4	6	4	19	5	3	3	15	**32**	**6**
August . .	4.5	5.5	3.2	4.4	26.9	15.5	25.	8	4	–	–	–	–	6	3	6	3	1	6	21	12	1	5	17	**27**	3
September .	5.9	5.2	5.1	5.4	37.7	14.8	15.	9	9	–	–	–	–	3	4	6	10	**13**	3	24	12	3	5	18	10	2
Oktober . .	7.4	6.1	4.1	5.9	23.5	6.6	28.	12	8	–	–	–	–	–	9	**7**	8	5	–	**33**	16	5	16	9	7	2
November .	9.0	8.0	7.1	8.0	49.4	15.8	21.	12	8	1	–	**2**	–	–	**10**	1	18	5	4	18	**22**	2	14	22	2	1
Dezember .	**9.3**	**8.7**	**8.0**	**8.7**	55.4	10.2	27.	16	12	3	2	–	–	–	**10**	1	**22**	–	–	32	19	**6**	13	20	2	1
Jahr . . .	6.8	7.0	5.8	6.5	405.7	26.2	29. V.	142	91	23	51	5	1	32	53	36	140	55	61	293	131	33	103	248	195	36

Alle Angaben nach Ortszeit.

1911

Bamberg.

$\varphi = 49^0\ 53'$ N $\lambda = 10^0\ 53'$ E — H = 287.7 m Cg = + 0.3 mm

Monat	Luftdruck auf 0° und Normalschwere reduziert: Mittel mm	Maximum mm	Minimum mm	Lufttemperatur: 7a C°	2p C°	9p C°	Tagesmittel C°	Mittl. Maximum C°	Mittl. Minimum C°	Absol. Maximum C°	Datum	Absol. Minimum C°	Datum	Absolute Feuchtigkeit: 7a mm	2p mm	9p mm	Mittel mm	Relative Feuchtigkeit: 7a Proz.	2p Proz.	9p Proz.	Mittel Proz.	Minimum Proz.
Januar	**744.1**	**755.0**	725.6	− 4.1	− 0.8	− 3.0	− 2.7	0.1	− 5.4	5.2	29.	−19.2	15.	3.4	3.6	3.4	3.5	**94**	81	**90**	88	43
Februar	740.6	751.6	724.6	− 0.9	3.5	1.0	1.1	4.8	− 2.2	10.7	23.	−11.4	1.	4.0	4.3	4.3	4.2	91	71	86	82	39
März	**734.1**	745.2	717.6	1.7	9.2	3.8	4.6	10.7	0.4	24.4	29.	− 3.9	9.	4.8	4.8	5.0	4.9	92	57	83	77	25
April	736.3	751.2	725.4	4.7	13.2	7.1	8.0	15.2	1.8	24.2	23.	− 7.2	5.	5.4	5.4	5.2	5.3	82	46	66	65	26
Mai	735.7	741.6	729.6	11.1	17.3	12.1	13.1	20.0	7.8	26.5	30.	− 0.9	2.	8.4	8.8	8.5	8.5	84	60	79	74	35
Juni	738.1	746.2	728.3	13.4	20.6	13.8	15.4	23.0	9.4	28.4	30.	3.0	13.	9.2	8.9	9.0	9.1	80	49	76	68	26
Juli	740.6	749.0	732.0	**17.5**	**26.7**	19.3	**20.7**	28.5	13.1	**36.9**	28.	3.0	4.	**10.7**	**9.9**	**10.5**	**10.4**	72	39	64	58	22
August	738.0	745.0	729.2	16.6	**26.7**	**19.4**	20.5	**28.6**	**13.5**	33.7	6., 29.	7.8	18.	10.5	**9.9**	10.3	10.2	75	39	62	59	24
September	739.1	744.9	727.3	10.3	20.9	14.0	14.8	22.6	8.5	33.3	3.	1.9	30.	7.9	8.4	8.7	8.4	85	50	74	70	19
Oktober	737.1	749.1	723.4	5.2	13.3	8.1	8.7	14.8	4.4	20.4	21.	− 3.9	30.	6.1	7.3	6.8	6.8	91	64	84	80	39
November	734.9	748.6	713.3	3.1	7.0	4.2	4.6	8.4	1.7	17.4	5.	− 2.1	3.	5.2	5.7	5.5	5.5	90	78	87	85	38
Dezember	736.3	747.1	719.5	1.7	4.3	2.5	2.7	5.6	0.5	8.8	14.	− 2.9	18., 19.	4.9	5.1	5.0	5.0	93	**82**	**90**	**89**	60
Jahr	737.9	755.0	713.3	6.7	13.5	8.5	9.3	15.2	4.5	36.9	28. VII.	−19.2	15. I.	6.7	6.8	6.9	6.8	86	60	78	75	19

Würzburg.

$\varphi = 49^0\ 48'$ N $\lambda = 9^0\ 56'$ E — H = 179.3 m Cg = + 0.3 mm

Monat	Luftdruck auf 0° und Normalschwere reduziert: Mittel mm	Maximum mm	Minimum mm	Lufttemperatur: 7a C°	2p C°	9p C°	Tagesmittel C°	Mittl. Maximum C°	Mittl. Minimum C°	Absol. Maximum C°	Datum	Absol. Minimum C°	Datum	Absolute Feuchtigkeit: 7a mm	2p mm	9p mm	Mittel mm	Relative Feuchtigkeit: 7a Proz.	2p Proz.	9p Proz.	Mittel Proz.	Minimum Proz.
Januar	**753.8**	**764.9**	734.9	− 2.1	0.3	− 1.6	− 1.2	0.7	− 4.0	5.3	29.	−13.8	15.	3.5	3.6	3.6	3.6	86	76	85	82	45
Februar	750.3	762.0	734.1	0.6	4.2	2.5	2.4	4.9	− 0.8	11.2	18.	− 9.0	1., 10.	4.1	4.2	4.4	4.2	84	67	78	76	49
März	**743.2**	754.8	727.0	2.4	9.1	5.1	5.4	10.1	1.4	23.0	29.	− 2.2	11.	4.8	4.9	5.2	5.0	87	58	78	74	29
April	745.4	760.0	734.5	5.4	13.3	8.1	8.7	14.3	3.3	23.0	23.	− 6.0	5.	5.2	4.9	5.4	5.2	**75**	42	64	61	25
Mai	744.5	751.0	738.5	11.3	18.4	13.4	14.1	19.3	9.2	25.1	30.	2.2	2.	8.5	8.3	9.1	8.6	83	52	78	71	30
Juni	746.8	755.4	737.5	13.8	20.1	15.1	16.1	21.0	10.8	26.0	7.	5.6	13.	9.5	9.0	9.9	9.5	80	52	77	69	32
Juli	749.3	758.9	740.8	**16.9**	26.1	**19.9**	**20.7**	26.9	13.8	**36.0**	28.	6.0	4.	**11.0**	**9.5**	**11.6**	**10.7**	75	39	67	60	23
August	746.4	753.2	737.4	16.8	**26.3**	**19.9**	**20.7**	**27.1**	**14.7**	30.8	3., 8.	11.7	18.	**11.0**	9.3	11.0	10.5	77	38	64	60	22
September	747.9	753.8	736.1	10.9	20.3	14.0	14.8	21.4	9.7	31.6	3.	4.6	30.	8.6	8.3	9.4	8.8	88	51	80	73	20
Oktober	745.9	758.4	731.9	6.2	13.4	8.4	9.1	13.9	5.1	19.3	14.	− 2.6	30.	6.4	7.2	7.1	6.9	**90**	62	**86**	79	45
November	743.8	757.9	**722.6**	4.7	8.0	5.4	5.8	8.3	3.2	16.0	5.	− 1.0	8.	5.5	5.9	5.9	5.8	86	74	**86**	82	50
Dezember	745.4	756.6	727.0	2.9	5.1	3.7	3.9	5.8	1.6	9.2	25.	− 2.0	19.	5.1	5.3	5.2	5.2	89	**80**	**86**	**85**	43
Jahr	746.9	764.9	722.6	7.5	13.7	9.5	10.0	14.5	5.7	36.0	28. VII.	−13.8	15. I.	6.9	6.7	7.3	7.0	83	58	77	73	20

Ludwigshafen a. Rh.

$\varphi = 49^0\ 29'$ N $\lambda = 8^0\ 26'$ E — H = 100.3 m Cg = + 0.3 mm

Monat	Luftdruck auf 0° und Normalschwere reduziert: Mittel mm	Maximum mm	Minimum mm	Lufttemperatur: 7a C°	2p C°	9p C°	Tagesmittel C°	Mittl. Maximum C°	Mittl. Minimum C°	Absol. Maximum C°	Datum	Absol. Minimum C°	Datum	Absolute Feuchtigkeit: 7a mm	2p mm	9p mm	Mittel mm	Relative Feuchtigkeit: 7a Proz.	2p Proz.	9p Proz.	Mittel Proz.	Minimum Proz.
Januar	**761.9**	**772.9**	741.4	− 1.0	1.2	− 0.2	− 0.1	1.6	− 2.3	6.9	28.	− 9.8	15.	3.8	4.0	3.9	3.9	**89**	79	84	**84**	44
Februar	759.0	770.8	742.2	1.6	5.3	3.5	3.5	6.1	0.1	12.1	23.	− 8.0	1.	4.3	4.4	4.7	4.4	82	65	77	75	46
März	**750.8**	763.8	732.9	3.6	9.9	6.6	6.7	10.8	2.4	22.3	29.	− 1.4	9.	4.9	5.0	5.2	5.1	83	56	71	70	33
April	753.5	767.6	741.8	6.1	13.6	9.6	9.7	14.9	4.5	23.5	23.	− 4.2	5.	5.4	4.8	5.5	5.2	75	42	60	59	19
Mai	752.2	758.6	745.3	12.5	19.2	15.2	15.4	20.6	10.3	27.7	30.	4.4	2.	8.5	7.9	9.0	8.5	78	48	69	65	25
Juni	754.6	763.6	745.5	14.6	20.5	17.0	17.3	22.0	12.1	28.9	6.	5.6	11.	9.5	9.2	9.8	9.5	76	52	68	65	30
Juli	756.9	765.6	748.3	**18.8**	**27.6**	**23.4**	**23.3**	**28.9**	15.5	**36.6**	23.	7.2	4.	**11.4**	**10.2**	**11.1**	**10.9**	70	38	54	54	24
August	754.1	760.3	744.7	18.4	27.5	22.8	22.9	28.5	**16.3**	32.8	10.	10.2	18.	10.9	9.3	10.7	10.3	70	36	53	53	**17**
September	755.5	761.0	742.7	13.1	21.4	17.0	17.1	22.1	11.5	32.4	3.	7.0	30.	8.9	8.3	9.3	8.8	79	47	67	64	20
Oktober	753.5	765.6	738.6	7.7	13.7	10.5	10.6	14.2	6.6	19.2	14.	− 1.0	30.	7.0	7.5	7.6	7.4	88	63	80	77	45
November	751.3	765.8	**727.5**	5.0	8.4	6.3	6.5	9.0	3.6	16.6	5.	− 1.0	2.	5.8	6.3	6.1	6.0	88	76	**85**	83	54
Dezember	753.0	763.8	734.6	4.1	6.4	5.2	5.2	7.0	2.8	9.6	20., 21.	− 1.2	19.	5.4	5.7	5.6	5.6	88	**80**	**85**	**84**	56
Jahr	754.7	772.9	727.5	8.7	14.6	11.4	11.5	15.5	7.0	36.6	23. VII.	− 9.8	15. I.	7.2	6.9	7.4	7.1	81	57	71	69	17

Nürnberg.

$\varphi = 49^0\ 27'$ N $\lambda = 11^0\ 3'$ E — H = 309.1 m Cg = + 0.2 mm, über 735.0 mm = + 0.3 mm

Monat	Luftdruck auf 0° und Normalschwere reduziert: Mittel mm	Maximum mm	Minimum mm	Lufttemperatur: 7a C°	2p C°	9p C°	Tagesmittel C°	Mittl. Maximum C°	Mittl. Minimum C°	Absol. Maximum C°	Datum	Absol. Minimum C°	Datum	Absolute Feuchtigkeit: 7a mm	2p mm	9p mm	Mittel mm	Relative Feuchtigkeit: 7a Proz.	2p Proz.	9p Proz.	Mittel Proz.	Minimum Proz.
Januar	**741.8**	**752.6**	723.6	− 3.5	− 0.7	− 2.7	− 2.4	− 0.1	− 5.0	3.8	27.	−17.8	15.	3.5	3.7	3.5	3.6	**92**	**84**	**91**	**89**	56
Februar	738.6	749.3	723.5	− 0.2	3.3	1.6	1.5	4.1	− 1.7	10.0	23.	−11.4	9.	4.0	4.3	4.3	4.2	86	73	82	80	50
März	**731.7**	743.7	717.8	2.3	8.7	4.9	5.2	9.6	1.2	22.8	29.	− 2.4	18.	4.7	4.6	4.9	4.7	86	56	75	72	**20**
April	734.0	748.5	724.2	4.9	12.2	7.6	8.1	13.0	2.7	22.3	23.	− 7.0	5.	5.2	5.1	5.6	5.3	77	48	69	65	28
Mai	733.2	739.2	727.4	11.0	17.0	13.2	13.6	18.1	8.5	25.2	30.	1.9	2.	8.1	8.1	8.6	8.3	82	56	75	71	38
Juni	735.9	744.0	726.3	14.0	20.2	15.1	16.1	21.2	10.4	27.0	30.	5.9	11.	8.9	8.8	9.4	9.1	74	50	73	66	36
Juli	738.2	746.3	730.0	17.4	**25.9**	**21.0**	**21.3**	**26.8**	13.5	**36.1**	28.	5.5	4.	**10.6**	10.3	10.8	10.6	71	41	59	57	29
August	735.6	741.9	727.4	**17.6**	25.7	20.7	21.2	26.4	**14.2**	32.0	6.	10.6	18.	**10.6**	**12.7**	**11.0**	**11.5**	71	52	62	62	39
September	736.8	742.6	726.3	11.1	20.0	15.0	15.3	20.8	9.3	31.8	3.	3.9	12.	8.2	11.5	9.9	9.9	83	66	78	76	51
Oktober	734.9	746.6	721.7	5.9	13.1	8.8	9.2	13.7	4.9	18.1	15.	− 1.5	30.	6.3	7.8	7.1	7.1	90	69	84	81	51
November	732.7	746.2	**711.6**	3.8	7.5	4.7	5.2	8.2	2.6	16.0	5.	− 1.5	2.	5.4	5.8	5.6	5.6	89	75	87	84	44
Dezember	734.3	744.8	718.5	2.5	4.6	3.1	3.4	5.4	1.4	8.6	22.	− 1.6	3.	5.0	5.0	5.0	5.0	90	79	87	85	60
Jahr	735.6	752.6	711.6	7.2	13.1	9.4	9.8	13.9	5.2	36.1	28. VII.	−17.8	15. I.	6.7	7.3	7.1	7.1	83	62	77	74	20

Alle Angaben nach Ortszeit.

1911

Bamberg.

h_t = 2.3 m h_r = 1.4 m

Monat	Bewölkung 7a	2p	9p	Mittel	Niederschlag Summe mm	Tagesmaximum Betrag mm	Tagesmaximum Gemessen am	Zahl der Tage ≧0.1 mm Niederschlag	≧1.0 mm Niederschlag	≧0.1 mm ✳	⊞	△	▲	⊠	≡	heitere	trübe	Windverteilung N	NE	E	SE	S	SW	W	NW	C
Januar	8.8	7.6	7.7	8.0	23.6	9.7	10.	15	6	**11**	**26**	–	–	–	4	4	20	10	3	1	5	15	10	19	20	10
Februar	8.3	7.9	7.1	7.7	31.3	8.7	25.	19	10	**11**	3	**3**	–	–	2	–	12	8	–	1	1	12	17	**36**	7	2
März	8.2	7.9	6.7	7.6	20.5	7.4	3.	15	4	6	–	1	–	1	3	1	18	2	2	5	11	26	12	17	12	6
April	6.9	7.7	5.2	6.5	20.9	8.7	28.	17	4	5	–	1	–	3	–	1	8	13	3	3	3	22	9	19	13	5
Mai	6.6	8.2	6.9	7.2	63.5	**15.6**	27.	27	12	–	–	–	–	**13**	3	1	16	**18**	**8**	7	7	12	5	11	15	10
Juni	6.7	7.2	6.6	6.8	32.8	8.2	18.	25	6	–	–	–	–	4	1	1	10	11	5	1	9	24	6	19	10	5
Juli	4.5	5.4	4.9	5.0	12.8	6.0	1.	20	3	–	–	–	–	7	–	3	3	16	4	4	1	13	5	18	**22**	10
August	5.1	6.0	4.3	5.1	14.3	4.1	23.	17	4	–	–	–	–	5	2	5	5	17	4	**12**	6	10	3	22	11	8
September	5.7	5.8	4.8	5.4	41.8	12.6	15.	23	8	–	–	–	–	4	–	**7**	8	8	1	3	8	15	8	12	17	**18**
Oktober	8.0	7.0	5.8	6.9	24.6	7.2	28.	25	5	–	–	–	–	–	6	4	13	2	–	6	3	**29**	11	19	12	11
November	**9.3**	9.1	8.6	9.0	47.8	13.0	20.	29	9	3	–	–	–	–	**8**	–	**25**	8	2	2	10	24	**22**	11	4	7
Dezember	9.2	**9.3**	**9.1**	**9.2**	**68.2**	10.3	27.	**30**	**14**	2	–	1	–	–	**8**	–	24	–	1	6	**15**	17	20	21	1	12
Jahr	7.3	7.4	6.5	7.0	402.1	15.6	27. V.	262	85	38	29	6	–	37	37	27	162	113	33	51	79	219	128	224	144	104

Würzburg.

h_t = 4.6 m h_r = 1.4 m

Monat	Bewölkung 7a	2p	9p	Mittel	Niederschlag Summe mm	Tagesmaximum Betrag mm	Tagesmaximum Gemessen am	Zahl der Tage ≧0.1 mm Niederschlag	≧1.0 mm Niederschlag	≧0.1 mm ✳	⊞	△	▲	⊠	≡	heitere	trübe	Windverteilung N	NE	E	SE	S	SW	W	NW	C
Januar	7.9	7.9	6.8	7.5	13.2	6.6	10.	9	4	6	**11**	1	–	–	5	5	19	2	**9**	13	6	6	3	27	11	16
Februar	6.4	6.9	6.3	6.5	32.3	10.8	26.	14	7	5	1	1	–	–	5	3	10	3	1	6	3	6	8	**41**	3	13
März	6.1	6.5	5.0	5.8	29.8	9.2	25.	14	7	**7**	–	1	1	2	13	7	10	–	6	12	**15**	6	4	30	4	16
April	5.0	6.9	3.6	5.2	22.8	7.1	28.	9	5	1	–	**3**	–	1	4	4	4	3	7	12	3	7	9	21	11	17
Mai	5.1	6.6	6.2	6.0	**68.1**	**35.0**	30.	17	10	–	–	–	–	**10**	4	5	8	1	4	**28**	9	**10**	3	15	9	14
Juni	5.6	6.8	5.3	5.9	44.5	11.3	24.	13	10	–	–	1	–	6	1	4	8	5	2	11	2	8	**16**	18	9	19
Juli	2.9	3.5	2.7	3.0	18.3	5.4	29.	9	5	–	–	–	–	6	–	**15**	2	**7**	4	15	4	5	10	16	4	28
August	2.9	4.6	3.0	3.5	17.7	7.0	26.	6	4	–	–	–	1	4	1	10	1	1	3	9	5	4	9	8	**14**	**40**
September	5.5	5.0	3.3	4.6	57.4	34.6	15.	12	9	–	–	–	1	4	2	9	7	5	4	5	4	**10**	9	18	3	32
Oktober	5.8	6.3	3.8	5.3	21.6	5.0	28.	13	7	–	–	–	–	–	**17**	9	9	–	–	10	12	5	13	26	3	24
November	**8.7**	8.7	7.3	8.2	56.5	17.5	21.	14	9	1	–	–	–	–	13	2	22	1	5	19	14	1	9	23	1	17
Dezember	8.4	**8.9**	**8.2**	**8.5**	63.7	10.3	27.	**20**	**13**	–	–	–	–	–	4	2	**23**	2	–	27	12	9	10	20	6	7
Jahr	5.8	6.6	5.1	5.8	445.9	35.0	30. V.	150	90	20	12	7	3	33	69	75	123	30	45	167	89	77	103	263	78	243

Ludwigshafen a. Rh.

h_t = 6.5 m h_r = 1.3 m

Monat	Bewölkung 7a	2p	9p	Mittel	Niederschlag Summe mm	Tagesmaximum Betrag mm	Tagesmaximum Gemessen am	Zahl der Tage ≧0.1 mm Niederschlag	≧1.0 mm Niederschlag	≧0.1 mm ✳	⊞	△	▲	⊠	≡	heitere	trübe	Windverteilung N	NE	E	SE	S	SW	W	NW	C
Januar	9.0	**7.6**	7.4	8.0	33.2	20.4	10.	10	4	5	**8**	–	–	1	6	2	21	**23**	9	4	6	20	22	3	2	4
Februar	8.3	7.0	5.4	6.9	14.7	3.5	20.	12	7	2	–	1	–	1	7	–	12	6	7	1	3	11	**29**	12	**13**	2
März	6.0	6.9	4.9	6.0	36.4	10.6	27.	14	8	**7**	1	1	–	1	4	4	12	13	10	7	6	13	19	7	4	14
April	4.5	5.8	4.9	5.1	17.8	7.4	28.	9	4	2	–	–	–	–	–	7	6	11	14	2	4	12	20	16	2	9
Mai	5.5	6.6	5.7	5.9	27.4	5.8	31.	19	9	–	–	–	1	6	2	4	8	13	**21**	8	4	15	14	4	4	10
Juni	5.4	7.0	6.1	6.2	**78.2**	**23.8**	16.	16	12	–	–	1	–	**7**	2	6	10	14	8	3	9	18	15	9	5	9
Juli	2.9	4.1	4.1	3.7	6.4	1.6	2., 25.	6	4	–	–	–	–	5	–	9	2	19	16	**9**	–	10	7	11	2	**19**
August	2.9	4.1	2.4	3.1	18.8	8.5	24.	6	5	–	–	–	–	5	–	**13**	1	16	9	7	5	6	11	**19**	1	**19**
September	5.4	5.4	4.0	4.9	38.7	11.4	24.	10	8	–	–	–	–	2	1	10	7	12	4	2	9	12	11	12	11	17
Oktober	6.1	5.2	3.8	5.1	39.0	10.2	28.	16	10	–	–	–	–	–	7	7	8	13	5	4	4	15	19	11	6	16
November	8.3	7.4	8.3	8.0	56.2	18.8	22.	19	11	2	–	1	–	1	**14**	2	**22**	11	3	–	7	19	19	9	3	**19**
Dezember	**9.5**	7.5	**8.6**	**8.5**	40.5	8.6	22.	**20**	**13**	–	–	–	–	1	9	–	21	2	2	–	**13**	**22**	28	8	–	18
Jahr	6.2	6.2	5.5	6.0	407.3	23.8	16. VI.	157	95	18	9	4	1.	30	52	64	130	153	108	47	70	173	214	121	53	156

Nürnberg.

h_t = 10.3 m h_r = 1.3 m

Monat	Bewölkung 7a	2p	9p	Mittel	Niederschlag Summe mm	Tagesmaximum Betrag mm	Tagesmaximum Gemessen am	Zahl der Tage ≧0.1 mm Niederschlag	≧1.0 mm Niederschlag	≧0.1 mm ✳	⊞	△	▲	⊠	≡	heitere	trübe	Windverteilung N	NE	E	SE	S	SW	W	NW	C
Januar	6.9	7.4	6.8	7.0	20.7	7.9	10.	9	6	7	**26**	–	–	–	**24**	5	18	6	12	12	19	4	18	9	10	3
Februar	7.4	7.8	7.2	7.5	21.4	6.8	20.	7	6	5	5	**3**	–	–	14	2	13	4	3	3	9	7	**26**	**20**	11	1
März	7.6	7.0	5.6	6.7	11.3	3.6	3.	10	3	2	–	–	–	–	22	2	13	–	5	**26**	22	4	12	8	13	3
April	7.0	7.1	4.8	6.3	16.1	4.0	29.	8	7	3	–	**3**	–	3	8	1	10	3	14	9	9	8	19	10	15	3
Mai	6.0	7.5	6.4	6.6	**74.6**	**31.2**	28.	15	11	–	–	–	1	**12**	5	3	9	6	14	25	13	1	4	4	20	6
Juni	6.2	7.2	5.9	6.4	28.1	7.8	14.	10	9	–	–	1	1	5	–	2	9	3	1	15	8	11	17	16	12	**7**
Juli	3.9	4.7	4.3	4.3	23.5	11.0	30.	5	4	–	–	–	–	6	3	6	1	12	**15**	12	8	8	10	10	14	4
August	4.4	5.4	3.7	4.5	24.7	12.2	26.	6	5	–	–	–	–	7	8	5	2	7	7	14	15	8	8	11	**21**	2
September	5.6	5.6	4.8	5.4	51.0	9.9	22.	8	8	–	–	–	–	5	9	6	9	**14**	4	7	19	10	7	14	12	3
Oktober	6.2	6.1	4.0	5.4	20.7	4.0	28.	11	7	–	–	–	–	–	14	**7**	7	8	–	15	21	**18**	12	11	6	2
November	9.0	7.6	7.5	8.0	37.2	16.0	22.	9	7	2	–	1	–	–	13	1	19	3	5	3	25	**18**	21	6	7	2
Dezember	**9.1**	**8.6**	**8.0**	**8.6**	55.2	9.0	22.	**18**	**12**	**9**	–	**3**	–	–	12	–	**22**	1	–	3	**40**	16	17	8	8	–
Jahr	6.8	6.8	5.8	6.4	384.5	31.2	28. V.	116	85	28	31	11	2	38	132	40	132	67	80	144	208	113	171	127	149	36

Alle Angaben nach Ortszeit.

1911

Kaiserslautern.

$\varphi = 49^0\ 27'$ N $\lambda = 7^0\ 46'$ E — H = 242.2 m Cg = + 0.3 mm

Monat	Luftdruck auf 0° und Normalschwere reduziert: Mittel mm	Maximum mm	Minimum mm	Lufttemperatur: 7a C°	2p C°	9p C°	Tagesmittel C°	Mittl. Maximum C°	Mittl. Minimum C°	Absol. Maximum C°	Datum	Absol. Minimum C°	Datum	Absolute Feuchtigkeit: 7a mm	2p mm	9p mm	Mittel mm	Relative Feuchtigkeit: 7a Proz.	2p Proz.	9p Proz.	Mittel Proz	Minimum Proz.
Januar	**748.0**	**758.1**	728.3	− 2.0	0.5	− 1.2	− 1.0	1.2	− 3.2	6.2	28.	−11.9	15.	3.8	4.1	3.9	3.9	92	**85**	**91**	89	42
Februar	745.5	756.2	729.6	0.3	4.2	2.3	2.2	5.6	− 1.0	11.0	23.	−10.4	1.	4.3	4.6	4.7	4.5	89	73	85	82	53
März	**737.9**	749.8	720.8	1.7	8.5	4.3	4.7	9.7	0.8	19.5	30.	− 2.9	12.	4.8	5.1	5.4	5.1	92	62	86	80	42
April	740.7	755.1	729.4	4.2	11.9	6.9	7.5	13.3	2.1	22.6	23.	− 4.8	5.	5.1	4.9	5.6	5.2	81	49	73	67	24
Mai	739.6	745.4	733.5	11.1	17.9	12.7	13.6	19.3	8.0	25.0	30.	1.7	22.	8.3	7.9	8.8	8.3	82	51	80	71	30
Juni	742 0	750.2	733.5	13.7	19.7	14.9	15.8	21.3	10.5	27.4	6.	3.9	12.	9.4	9.1	10.0	9.5	79	54	79	71	32
Juli	744.4	752.1	736.3	**17.7**	**26.8**	**20.5**	**21.4**	**28.6**	13.6	**36.2**	23.	4.6	4.	**11.1**	**10.1**	**11.6**	**11.0**	**76**	41	67	61	22
August	741.9	747.6	733.0	16.5	26.3	19.9	20.6	27.5	**13 9**	32.4	10.	7.2	18.	10.7	9.5	10.9	10.3	**76**	39	**64**	**60**	**19**
September	743.0	748.5	730.9	10.9	20.7	14.0	14.9	21.4	9.1	31.2	3.	3 0	17.	8.3	8.2	9.2	8.5	85	48	77	70	21
Oktober	740.8	752.2	726.8	6.5	12.8	8.3	9.0	13.4	5.5	18.3	13.	− 2.0	30.	6.7	7.6	7.3	7.2	91	69	89	83	46
November	738.4	752.5	**715.0**	4.5	7.4	5.0	5.5	8.1	3.1	14.1	5.	− 1.0	4.	5.8	6.3	6 0	6.1	92	82	**91**	88	50
Dezember	739.9	750.9	723.4	3.8	5.9	4.2	4.5	7.0	2.1	10 2	7.	− 1.7	18.	5.7	5.8	5.7	5.7	**94**	84	**91**	**90**	65
Jahr	741.8	758.1	715.0	7.4	13.7	9.3	9.9	14.7	5.4	36.2	23. VII.	−11.9	15. I.	7.0	6.9	7 4	7.1	86	61	81	76	19

Ansbach.

$\varphi = 49^0\ 18'$ N $\lambda = 10^0\ 33'$ E — H = 437.5 m Cg = + 0.2 mm

Monat	Luftdruck auf 0° und Normalschwere reduziert: Mittel mm	Maximum mm	Minimum mm	Lufttemperatur: 7a C°	2p C°	9p C°	Tagesmittel C°	Mittl. Maximum C°	Mittl. Minimum C°	Absol. Maximum C°	Datum	Absol. Minimum C°	Datum	Absolute Feuchtigkeit: 7a mm	2p mm	9p mm	Mittel mm	Relative Feuchtigkeit: 7a Proz.	2p Proz.	9p Proz.	Mittel Proz	Minimum Proz.
Januar	**730.1**	**740.8**	711.7	− 4.8	− 1.5	− 4.1	− 3.6	− 0.5	− 6.7	3.6	29.	−19.8	15.	3.0	3.2	3.1	3.1	87	77	86	84	45
Februar	727.3	738.1	712.6	− 1.6	2.3	− 0.1	0.1	3.3	− 3.5	9.8	23.	−16.1	9.	3.7	4.0	4.0	3.9	86	72	84	80	54
März	**720.4**	732.3	704.9	0.7	8.1	3.0	3.7	9.1	− 0.4	21.8	29.	− 4.2	7.	4.2	4.6	4.6	4.5	85	58	80	75	29
April	722.9	737.3	713.9	4.0	11.3	5.9	6.8	12.5	1.3	22.2	23.	− 8.3	5.	5.2	5.2	5.3	5.2	82	51	74	69	27
Mai	722.2	727.8	716.8	10.6	16.2	11.3	12.4	17.5	7.1	25.2	30.	0.2	3., 22.	8.2	8.4	8.3	8.3	85	61	82	76	39
Juni	725.0	733.2	715.1	13.6	18.9	13.3	14.8	20.8	9.0	26.8	30.	3.1	11.	9.3	8.9	9.1	9.1	79	55	80	71	32
Juli	727.5	735.0	718.9	**17.0**	25.1	**18.2**	**19.7**	**26.5**	12.5	**35.4**	23., 28.	2.9	4.	**10.5**	**9.3**	**9.9**	**9.9**	72	40	64	59	24
August	725.1	731.2	716.6	16.5	**25.2**	18.1	19.4	26.2	**12 9**	30.2	29.	8.7	18.	9.6	8.1	8.3	8.7	69	34	54	52	**17**
September	725.9	731.3	714.8	10.4	19.6	13.0	14.0	21.0	8.3	31.2	3.	2.1	30.	7.7	7.6	7.5	7.6	82	48	69	66	20
Oktober	723.7	735.2	710.6	4.6	12.7	7.1	7.9	13.2	3.5	18.0	13.	− 4.4	30.	6.0	7.3	6.8	6.7	91	66	89	82	44
November	721.3	734.6	**700.5**	2.8	6.9	3.3	4.1	7.6	1.1	15.0	5.	− 3.4	8.	5.1	5.6	5.3	5.3	91	77	90	86	41
Dezember	722.9	733.3	707.2	1.6	3.8	1.8	2.3	4.6	0.0	8.4	14.	− 2.3	3., 17.	4.8	5.0	4.8	4.9	**92**	**84**	**91**	**89**	69
Jahr	724.5	740.8	700.5	6.3	12.4	7.6	8.5	13.5	3.7	35.4	23., 28. VII.	−19.8	15. I.	6.4	6.4	6.4	6.4	83	60	79	74	17

Landau i. Pf.

$\varphi = 49^0\ 12'$ N $\lambda = 8^0\ 7'$ E — H = 149.9 m Cg = + 0.3 mm

Monat	Luftdruck auf 0° und Normalschwere reduziert: Mittel mm	Maximum mm	Minimum mm	Lufttemperatur: 7a C°	2p C°	9p C°	Tagesmittel C°	Mittl. Maximum C°	Mittl. Minimum C°	Absol. Maximum C°	Datum	Absol. Minimum C°	Datum	Absolute Feuchtigkeit: 7a mm	2p mm	9p mm	Mittel mm	Relative Feuchtigkeit: 7a Proz.	2p Proz.	9p Proz.	Mittel Proz	Minimum Proz.
Januar	**756.7**	**767.6**	737.0	− 1.5	0.7	− 0.8	− 0.6	1.5	− 2.8	6.5	29.	− 9.3	15.	3.7	4.0	3.9	3.9	88	82	88	86	45
Februar	754.1	765.2	739.1	0.9	4.8	3.1	3.0	6.3	− 0.7	12.2	21.	− 8.6	10.	4.2	4.7	4.6	4.5	83	69	79	77	47
März	**746.0**	758.7	728.9	3.2	9.3	5.7	6.0	10.3	1.6	20.2	29.	− 3.0	27.	4 8	5 3	5.3	5.2	83	60	78	74	44
April	748.7	762.5	738.0	7.3	13.2	8.0	9.1	14.6	3.1	23.5	23.	− 5.5	5.	5.5	5.2	5.6	5.4	69	46	68	61	21
Mai	747.4	753.1	741.9	13.7	18 5	13.9	15.0	19.7	9.0	25.3	30.	3.4	22.	8.9	8.4	9.0	8.8	75	53	74	68	33
Juni	749.9	758.6	742.1	15.9	19.8	15.7	16.8	21.6	10.9	27.1	9.	5.9	16.	9.7	9.8	10.1	9.8	72	58	75	68	35
Juli	752.2	759 9	744.5	**20.9**	**27.0**	20.7	**22 3**	28.1	14.7	**35.0**	23.	6.0	4.	**11.1**	**10.4**	**11.2**	**10.9**	61	40	62	**54**	**18**
August	749.6	755.3	740.1	20.6	**27.0**	**20.9**	**22.3**	**28 5**	**15 8**	32.1	10.	10.2	18.	**11.1**	9.9	10.7	10.6	63	39	**60**	**54**	19
September	750.9	755.9	740.2	13.7	21.5	15.6	16.6	22.7	11.4	32.9	3.	5.9	17.	8.9	9.4	9.2	9.2	76	52	71	66	**23**
Oktober	749.1	761.1	734.9	7.3	13.3	9.2	9.8	14.2	6.1	19.4	14.	− 2.0	30.	7.0	7.5	7.5	7.3	89	66	86	80	46
November	746.7	760.4	**723.5**	4.3	7.8	5.6	5.8	9.1	3 1	19.2	5.	− 1.0	8.	5.7	6.3	6.1	6.0	91	80	89	87	60
Dezember	748.2	758.8	731.5	3.3	5.7	4.0	4.2	7.5	1.9	11.4	22.	− 3.5	18.	5.4	5.7	5.6	5.5	**92**	**83**	**91**	**89**	64
Jahr	750.0	767.6	723.5	9.1	14.1	10.1	10 9	15.3	6.2	35.0	23. VII.	− 9.3	15. I.	7.2	7.2	7.4	7.3	79	62	77	72	18

Weissenburg i. B.

$\varphi = 49^0\ 2'$ N $\lambda = 10^0\ 58'$ E — H = 431 m Cg = + 0.2 mm

Monat	Luftdruck auf 0° und Normalschwere reduziert: Mittel mm	Maximum mm	Minimum mm	Lufttemperatur: 7a C°	2p C°	9p C°	Tagesmittel C°	Mittl. Maximum C°	Mittl. Minimum C°	Absol. Maximum C°	Datum	Absol. Minimum C°	Datum	Absolute Feuchtigkeit: 7a mm	2p mm	9p mm	Mittel mm	Relative Feuchtigkeit: 7a Proz.	2p Proz.	9p Proz.	Mittel Proz	Minimum Proz.
Januar	**730.7**	**741.3**	712.9	− 4.3	− 1.7	− 3.6	− 3.3	− 0.7	− 6.1	3.9	29.	−17.8	15.	3.1	3.4	3.2	3.3	89	83	88	87	55
Februar	728.1	739.0	713.8	− 1.3	2.5	0.5	0.6	3.6	− 2.8	9.7	23.	−16.0	9.	3.7	4.1	3.9	3.9	85	72	80	79	49
März	**720 9**	730.2	706.5	1.6	8.8	4.1	4.7	9.4	0.6	22.9	29.	− 6.2	9.	4.4	5.4	4.9	4.9	83	63	79	75	35
April	723.5	737.6	713.8	4.6	11.7	6.2	7.2	12.6	2.5	22.5	23.	− 7.3	5.	5.4	6.5	5.9	5.9	81	61	79	74	43
Mai	722.9	728.5	717.2	11.3	17.3	11.8	13 0	18.1	7.0	25.9	30.	1.9	22.	8.7	9 7	9.2	9.2	87	66	87	80	38
Juni	725.8	734.1	715.9	14.6	19.7	13.5	15.3	21.1	9 5	26.1	7.	3.4	11.	10.2	11.1	10.2	10.5	82	65	87	78	44
Juli	728.2	735.6	720.1	**18 5**	**25.7**	18.9	**20.5**	**26.6**	13 0	**34.5**	28.	4.9	4.	**12.2**	**13.0**	**12.1**	**12.4**	**77**	**54**	75	**69**	39
August	725.8	731.8	717.5	17.6	**25 7**	**19.3**	**20 5**	26.4	**13.7**	31.0	6.	9.1	18.	11.8	12.9	**12.1**	12.3	79	**54**	**73**	**69**	40
September	727.0	731.7	716.3	12.1	20.4	14.1	15.2	21.0	9.4	31.0	3.	3.8	30.	9.2	10.8	9.4	9.8	87	62	79	76	41
Oktober	724.9	735.8	711.8	5.7	13.1	8.5	8.9	13.7	4.9	18.5	19.	− 3.5	30.	6.3	8.2	7.3	7.3	91	73	88	84	58
November	722.4	735.1	**701.5**	3.2	7.1	3.9	4.6	7.9	1.8	15.9	5.	− 3.4	8.	5.3	6.0	5.5	5.6	91	81	**91**	87	55
Dezember	724.3	733.8	709.3	1.9	3.7	2.3	2.6	4.7	0.7	8 2	14.	− 1.9	15., 19.	4.9	5.2	5.0	5.0	**92**	**87**	**91**	**90**	69
Jahr	725.4	741.3	701.5	7.1	12.8	8.3	9.2	13.7	4.5	34.5	28. VII.	−17.8	15. I.	7.1	8.0	7.4	7.5	85	68	83	79	35

Alle Angaben nach Ortszeit.

1911

Kaiserslautern.

h_t = 6.0 m h_r = 1.3 m

Monat	Bewölkung 7a	2p	9p	Mittel	Niederschlag Summe mm	Tagesmaximum Betrag mm	Gemessen am	Zahl der Tage ≧0.1 mm Niederschlag	≧1.0 mm	≧0.1 mm ✳	⊠	△	▲	⊻	≡	heitere	trübe	Windverteilung N	NE	E	SE	S	SW	W	NW	C
Januar	8.7	8.2	7.5	8.1	20.1	10.4	10.	12	3	7	13	–	–	–	–	3	22	2	2	28	4	1	2	30	4	20
Februar	9.0	7.7	5.7	7.5	21.8	6.0	24.	15	7	4	1	1	1	1	4	1	14	2	4	5	3	–	1	47	5	17
März	8.2	7.6	6.0	7.3	84.2	23.0	27.	19	13	6	4	1	–	2	3	–	13	4	2	15	7	2	5	18	9	31
April	6.1	6.7	3.5	5.4	29.4	10.6	28.	12	7	3	2	–	–	1	–	4	5	4	3	17	2	1	–	27	6	30
Mai	6.0	7.2	5.4	6.2	18.2	3.4	5.	17	7	–	–	–	–	8	1	–	6	8	5	18	5	1	–	10	3	43
Juni	6.4	6.9	6.4	6.6	56.4	8.5	2.	15	12	–	–	–	1	9	–	4	13	4	5	6	6	1	3	24	17	24
Juli	3.2	4.5	3.9	3.9	29.0	24.5	25.	7	3	–	–	–	–	7	1	12	4	7	5	15	4	–	–	12	10	40
August	3.5	4.7	3.0	3.7	53.9	31.4	24.	8	4	–	–	–	–	4	1	12	2	7	1	13	6	1	1	20	10	34
September	5.8	5.4	3.6	4.9	23.2	7.7	22.	8	7	–	–	–	–	1	1	8	6	4	3	13	3	–	3	19	4	41
Oktober	8.0	6.7	4.5	6.4	65.4	11.6	28.	19	12	–	–	–	–	–	3	3	12	2	–	15	5	3	1	33	3	31
November	9.8	9.0	7.8	8.9	74.6	20.1	22.	21	16	6	2	–	–	–	4	–	22	–	–	12	2	5	6	27	9	29
Dezember	9.0	8.9	7.5	8.5	93.5	18.8	22.	25	18	–	–	–	–	1	4	1	21	1	–	3	4	3	3	35	8	36
Jahr	7.0	7.0	5.4	6.3	569.7	31.4	24. VIII.	178	109	26	22	2	2	34	22	48	140	45	30	160	51	18	25	302	88	376

Ansbach.

h_t = 5.0 m h_r = 1.4 m

Monat	Bewölkung 7a	2p	9p	Mittel	Niederschlag Summe mm	Tagesmaximum Betrag mm	Gemessen am	Zahl der Tage ≧0.1 mm Niederschlag	≧1.0 mm	≧0.1 mm ✳	⊠	△	▲	⊻	≡	heitere	trübe	Windverteilung N	NE	E	SE	S	SW	W	NW	C
Januar	7.3	7.0	6.6	7.0	23.6	6.4	26.	12	6	8	27	–	–	–	3	6	18	7	14	6	1	5	8	24	5	23
Februar	7.4	6.6	6.3	6.7	51.3	10.9	20.	19	9	12	13	2	–	1	–	2	8	7	2	1	–	1	10	40	7	16
März	5.4	4.8	4.4	4.9	26.6	10.4	3.	15	7	7	–	2	–	1	4	7	6	1	5	15	2	2	6	21	5	36
April	4.8	6.1	3.6	4.8	24.2	6.8	29.	13	6	4	–	–	–	–	–	6	7	4	14	2	1	1	11	18	12	27
Mai	4.7	5.8	4.9	5.1	55.0	7.6	15.	18	13	–	–	1	–	7	1	4	10	14	15	11	–	1	2	8	7	35
Juni	4.5	6.6	5.4	5.5	58.9	11.1	14.	13	11	–	–	–	2	4	–	5	5	8	6	2	–	4	13	21	7	29
Juli	3.2	3.6	2.3	3.0	14.3	6.0	1.	9	5	–	–	–	–	7	–	15	1	15	3	2	2	1	4	13	7	46
August	3.0	4.4	2.4	3.3	18.1	7.2	22.	6	4	–	–	–	–	6	–	8	1	2	5	3	1	1	4	22	11	44
September	4.5	4.9	4.0	4.5	39.0	7.5	23.	9	7	–	–	–	1	3	1	10	9	10	5	3	–	4	3	16	6	43
Oktober	5.1	4.8	4.1	4.6	37.4	8.9	26.	11	9	–	–	–	1	1	7	8	5	4	4	7	–	6	14	12	4	42
November	8.3	6.7	6.3	7.1	58.5	18.6	22.	14	8	3	–	1	–	–	7	1	15	2	8	4	4	12	17	9	–	34
Dezember	8.5	7.6	8.4	8.2	86.8	15.7	22.	18	14	1	–	–	1	1	6	2	21	–	2	1	8	15	14	27	4	22
Jahr	5.6	5.7	4.9	5.4	493.7	18.6	22. XI.	157	99	35	40	6	5	31	29	74	106	74	83	57	19	53	106	231	75	397

Landau i. Pf.

h_t = 7.9 m h_r = 1.2 m

Monat	Bewölkung 7a	2p	9p	Mittel	Niederschlag Summe mm	Tagesmaximum Betrag mm	Gemessen am	Zahl der Tage ≧0.1 mm Niederschlag	≧1.0 mm	≧0.1 mm ✳	⊠	△	▲	⊻	≡	heitere	trübe	Windverteilung N	NE	E	SE	S	SW	W	NW	C
Januar	7.8	7.8	7.1	7.5	14.8	5.4	10.	10	3	3	9	–	–	–	–	3	18	–	41	4	1	–	23	8	16	–
Februar	6.8	7.5	6.2	6.8	37.2	8.5	24.	15	7	3	–	–	–	–	–	2	12	1	20	1	–	1	36	8	17	–
März	6.7	7.2	5.9	6.6	65.1	18.7	27.	16	11	6	3	–	–	3	1	–	11	1	40	3	–	–	28	4	17	–
April	5.1	6.4	4.3	5.3	24.1	10.5	28.	9	5	2	–	–	–	–	–	6	8	–	29	–	3	–	34	4	20	–
Mai	5.8	6.5	6.3	6.2	51.0	17.2	18.	13	10	–	–	–	–	6	–	3	10	1	52	1	8	1	12	6	12	–
Juni	6.8	7.1	5.6	6.5	45.9	8.8	19.	17	12	–	–	–	–	4	–	4	13	–	37	1	–	–	37	4	11	–
Juli	2.8	3.2	2.1	2.7	6.9	3.4	25.	6	3	–	–	–	–	9	–	8	1	1	54	–	1	–	15	8	14	–
August	4.0	4.4	3.4	3.9	28.1	13.0	26.	7	5	–	–	–	–	6	–	12	4	–	31	–	4	–	25	6	27	–
September	5.6	5.3	4.0	4.9	34.6	19.4	15.	11	4	–	–	–	–	2	1	11	10	1	30	–	11	2	30	1	15	–
Oktober	5.5	5.5	5.9	5.6	54.5	14.8	28.	16	11	–	–	–	–	3	9	14	1	1	33	1	5	–	37	2	14	–
November	8.6	8.1	7.8	8.1	88.8	26.4	22.	22	11	5	1	–	–	–	5	1	21	1	24	–	3	1	48	4	9	–
Dezember	8.3	8.5	7.9	8.2	85.5	17.9	23.	22	13	–	–	–	–	–	2	1	19	–	20	1	1	1	51	9	10	–
Jahr	6.2	6.5	5.5	6.0	536.5	26.4	22. XI.	164	95	19	13	–	–	30	12	60	141	7	411	12	37	6	376	64	182	–

Weissenburg i. B.

h_t = 10.2 m h_r = 1.2 m

Monat	Bewölkung 7a	2p	9p	Mittel	Niederschlag Summe mm	Tagesmaximum Betrag mm	Gemessen am	Zahl der Tage ≧0.1 mm Niederschlag	≧1.0 mm	≧0.1 mm ✳	⊠	△	▲	⊻	≡	heitere	trübe	Windverteilung N	NE	E	SE	S	SW	W	NW	C
Januar	7.6	7.4	7.0	7.3	21.4	11.5	10.	11	6	8	30	–	–	–	1	4	19	–	6	3	6	2	4	7	1	64
Februar	7.9	7.3	7.9	7.7	35.4	10.1	26.	13	8	10	17	–	–	–	–	2	14	–	3	2	2	–	8	32	3	34
März	5.4	6.9	5.8	6.0	18.8	10.0	3.	6	3	4	1	–	1	–	2	3	8	1	7	7	14	4	12	11	3	34
April	5.9	7.0	5.2	6.1	26.9	4.8	28.	11	11	3	2	–	1	2	2	3	8	3	16	2	3	3	10	12	12	29
Mai	5.9	6.7	6.2	6.2	81.2	14.5	28.	16	11	–	–	–	3	6	3	2	11	5	11	5	6	1	4	3	5	53
Juni	5.5	6.6	4.7	5.6	66.4	11.6	14.	15	12	–	–	2	–	5	4	2	7	1	8	5	4	4	18	14	9	27
Juli	3.7	4.7	4.0	4.1	14.2	8.1	1.	5	3	–	–	–	–	4	2	7	3	2	18	10	5	4	5	12	12	25
August	4.7	5.6	4.3	4.9	28.5	16.9	24.	9	6	–	–	–	–	4	–	4	2	2	5	7	9	8	13	14	11	24
September	5.1	5.4	4.2	4.9	38.4	8.6	22.	10	7	–	–	–	–	3	2	8	10	8	9	4	7	7	10	9	13	23
Oktober	5.6	6.4	4.3	5.4	29.6	5.6	9.	12	10	–	–	1	–	–	12	7	7	2	9	6	14	13	22	12	5	10
November	8.2	7.2	6.3	7.2	46.5	15.7	22.	12	9	1	–	1	–	–	10	2	15	6	9	3	17	23	23	5	1	3
Dezember	8.3	7.9	8.2	8.1	72.2	14.1	27.	20	15	–	–	1	–	–	15	–	19	1	2	1	33	13	24	13	3	3
Jahr	6.2	6.4	5.7	6.1	479.5	16.9	24. VIII.	140	101	26	50	5	5	24	53	44	123	31	103	55	120	82	153	144	78	329

Alle Angaben nach Ortszeit.

1911

Monat	Luftdruck auf 0° und Normalschwere reduziert			Lufttemperatur										Absolute Feuchtigkeit				Relative Feuchtigkeit				
	Mittel	Maximum	Minimum	7ª	2ᵖ	9ᵖ	Tagesmittel	Mittl. Maximum	Mittl. Minimum	Absol. Maximum	Datum	Absol. Minimum	Datum	7ª	2ᵖ	9ᵖ	Mittel	7ª	2ᵖ	9ᵖ	Mittel	Minimum
	mm	mm	mm	C°	C°	C°	C°	C°	C°	C°		C°		mm	mm	mm	mm	Proz.	Proz.	Proz.	Proz.	Proz.
Buchenau. $\varphi = 49^0\ 2'$ N $\lambda = 13^0\ 20'$ E — H = 750 m Cg = + 0.1 mm, über 692.8 mm = + 0.2 mm																						
Januar	**701.1**	**711.1**	684.7	− 6.0	− 2.5	− 5.6	− 4.9	− 1.6	− 7.7	1.4	5.	−14.5	31.	2.8	3.2	2.8	2.9	91	83	89	88	59
Februar	698.6	708.1	685.6	− 4.1	− 0.6	− 2.6	− 2.5	0.8	− 5.6	5.6	23.	−16.3	1.	3.1	3.5	3.5	3.4	88	77	88	84	55
März	693.1	703.6	681.2	− 1.0	5.2	0.6	1.4	6.5	− 1.8	19.1	29.	− 8.2	10.	3.6	4.2	3.9	3.9	84	64	81	76	33
April	695.1	710.1	685.4	1.6	8.4	3.5	4.3	10.2	0.6	20.6	23.	− 7.9	5.	4.5	5.3	4.8	4.9	85	63	80	76	36
Mai	695.1	700.2	688.5	8.5	14.2	9.8	10.6	16.6	6.4	24.0	30.	− 0.6	2.	7.4	8.4	7.8	7.9	87	69	85	81	44
Juni	698.2	707.1	687.6	10.3	17.0	11.7	12.7	18.8	8.1	27.5	25.	3.9	öfters	8.4	9.2	8.5	8.7	89	65	82	79	43
Juli	**701.1**	706.7	694.0	**13.8**	**21.6**	**15.6**	**16.6**	**23.6**	**12.0**	**31.2**	28.	4.0	4.	**10.4**	**11.1**	**10.0**	**10.5**	88	59	**76**	**74**	34
August	698.8	704.9	691.6	12.9	20.9	14.9	15.9	22.5	11.8	27.1	3.	6.0	18.	9.9	10.9	9.8	10.2	89	60	78	76	39
September	699.2	704.9	688.2	9.0	17.1	10.7	11.9	17.9	8.1	26.2	3.	3.1	18.	7.7	8.8	7.8	8.1	90	63	81	78	30
Oktober	697.0	706.9	684.5	4.5	11.3	5.7	6.8	12.1	3.4	19.0	7.	− 2.2	31.	5.6	6.8	5.9	6.1	88	69	84	80	45
November	694.4	706.5	674.1	0.9	5.9	1.9	2.7	6.9	− 0.6	11.7	23.	− 4.0	26.	4.3	5.3	4.4	4.7	89	77	85	84	47
Dezember	695.5	705.2	682.8	− 1.2	1.5	− 0.8	− 0.3	2.1	− 2.5	7.1	8.	− 6.0	7.	3.9	4.4	4.0	4.1	**92**	**87**	**91**	**90**	72
Jahr	697.3	711.1	674.1	4.1	10.0	5.5	6.3	11.4	2.7	31.2	28. VII.	−16.3	1. II.	6.0	6.8	6.1	6.3	88	70	83	81	30
Regensburg. $\varphi = 49^0\ 1'$ N $\lambda = 12^0\ 7'$ E — H = 342.6 m Cg = + 0.2 mm																						
Januar	**739.0**	**749.8**	722.4	− 4.5	− 2.1	− 3.8	− 3.6	− 0.9	− 6.7	4.3	29.	−20.6	15.	3.1	3.3	3.2	3.2	89	83	88	87	44
Februar	736.0	746.6	721.9	− 1.0	2.5	0.4	0.6	3.8	− 3.0	10.3	23.	−11.7	10.	3.5	3.7	3.7	3.6	80	65	77	74	41
März	729.6	741.2	716.7	1.4	8.9	2.8	4.0	9.6	− 0.4	22.7	29.	− 5.2	10.	4.2	4.1	4.4	4.2	82	51	78	70	17
April	731.3	745.9	722.5	4.5	11.7	5.9	7.0	13.4	1.5	22.0	23.	− 5.9	5.	4.9	4.7	5.2	5.0	74	47	72	64	**16**
Mai	730.6	737.5	724.4	11.2	17.4	11.9	13.1	19.1	7.8	27.2	14.	0.3	3.	7.6	7.4	8.2	7.7	75	49	77	67	23
Juni	733.0	740.5	723.1	13.7	20.4	13.2	15.1	22.6	9.2	28.5	24.	4.9	17.	8.5	8.0	8.7	8.4	73	45	76	65	25
Juli	735.4	742.7	728.5	**16.6**	**26.3**	**18.0**	**19.7**	**28.2**	**13.5**	**36.2**	28.	6.6	4.	**9.7**	8.2	**9.8**	9.2	66	33	64	54	18
August	733.2	739.1	725.4	**16.6**	25.4	17.9	19.4	26.8	**13.5**	32.3	6.	8.6	18.	**9.7**	**9.1**	**9.8**	**9.5**	69	39	66	58	22
September	734.2	739.8	723.5	10.8	20.3	12.8	14.2	21.0	8.3	30.1	3.	2.8	30.	7.7	7.7	8.1	7.8	80	46	73	66	21
Oktober	732.7	743.6	720.9	4.9	12.5	6.6	7.7	13.2	2.7	19.1	15.	− 2.9	30.	5.8	6.7	6.4	6.3	88	62	86	79	38
November	730.6	743.4	710.7	2.1	6.4	3.0	3.6	7.0	− 0.1	14.5	5.	− 5.3	8.	4.7	5.2	5.0	5.0	88	74	88	84	42
Dezember	732.1	741.2	718.2	0.9	2.6	1.4	1.6	3.8	− 1.1	8.2	21.	− 4.0	öfters	4.5	4.7	4.5	4.6	**92**	**85**	**89**	**88**	71
Jahr	733.1	749.8	710.7	6.4	12.7	7.5	8.5	14.0	3.8	36.2	28. VII.	−20.6	15. I.	6.2	6.1	6.4	6.2	80	57	78	71	16
Hof. $\varphi = 50^0\ 19'$ N $\lambda = 11^0\ 55'$ E — H = 476.1 m Cg = + 0.3 mm																						
Januar	**725.9**	**736.6**	708.1	− 5.0	− 1.8	− 4.3	− 3.8	− 0.7	− 7.7	3.2	27.	−22.3	15.	3.2	3.7	3.3	3.4	**96**	**90**	**95**	**93**	58
Februar	722.1	732.5	706.0	− 2.9	1.7	− 0.7	− 0.6	2.6	− 4.4	7.8	23.	−19.8	10.	3.6	4.3	4.1	4.0	92	83	92	89	54
März	**717.0**	726.3	702.2	0.2	6.9	1.8	2.7	7.9	− 1.3	21.5	29.	− 4.6	17.	4.3	4.7	4.7	4.6	92	65	88	82	31
April	719.0	734.2	707.8	2.8	11.4	4.4	5.8	12.5	− 0.3	24.0	23.	− 9.1	5.	5.1	5.3	5.3	5.2	88	58	82	76	23
Mai	719.1	724.7	713.6	9.4	15.4	9.9	11.2	17.4	5.7	24.2	14.	− 3.1	3.	8.9	8.1	8.2	8.0	87	62	88	79	31
Juni	721.2	728.5	712.1	12.6	19.4	11.7	13.9	21.2	6.5	27.5	24.	− 0.4	12.	8.7	8.2	8.9	8.6	**80**	49	86	72	28
Juli	724.0	731.4	715.2	**14.8**	24.4	**16.0**	**17.8**	**25.8**	**9.4**	**34.4**	26.	1.5	4.	**10.2**	**9.5**	**10.5**	**10.1**	81	44	**78**	**67**	16
August	721.6	729.0	713.4	13.5	**24.6**	14.9	17.0	**25.8**	9.2	31.6	29.	4.0	17.	10.0	9.4	10.3	9.9	87	**43**	81	70	22
Septemher	722.4	728.2	711.2	7.5	19.5	10.5	12.0	20.5	5.1	32.3	3.	− 2.2	12.	7.3	7.4	8.2	7.6	93	49	86	76	**10**
Oktober	720.2	731.5	707.1	3.7	11.9	5.5	6.6	12.9	1.8	19.9	13.	− 7.1	30.	5.6	6.7	6.2	6.2	93	65	91	83	41
November	717.8	730.9	**697.0**	1.4	5.1	2.3	2.8	6.0	0.0	14.1	5.	− 5.8	3.	4.8	5.3	5.1	5.1	95	81	93	90	50
Dezember	719.0	729.8	705.3	0.6	2.5	1.2	1.4	3.2	− 0.5	6.0	25., 29.	− 4.1	3.	4.5	4.7	4.6	4.6	94	86	91	90	71
Jahr	720.8	736.6	697.0	4.9	11.8	6.1	7.2	12.9	2.0	34.4	26. VII.	−22.3	15. I.	6.4	6.4	6.6	6.4	90	65	88	81	10
Metten. $\varphi = 48^0\ 51'$ N $\lambda = 12^0\ 55'$ E — H = 320 m																						
Januar				− 5.7	− 2.2	− 5.0	− 4.5	− 1.0	− 8.3	4.0	29.	−22.5	15.	3.1	3.5	3.1	3.2	**96**	86	**95**	**92**	56
Februar				− 3.5	2.1	− 0.8	− 0.7	3.2	− 5.2	8.6	24.	−17.0	10.	3.6	4.0	4.0	3.9	94	74	92	87	53
März				1.9	9.3	3.8	4.7	10.2	− 0.4	23.5	29.	− 5.5	10.	4.5	4.7	4.7	4.6	86	56	79	74	22
April				4.5	12.3	6.8	7.6	14.1	1.7	23.0	23.	− 4.0	5.	5.6	5.6	5.8	5.6	84	52	77	71	**24**
Mai				11.6	18.8	12.6	13.9	20.8	7.8	28.7	30.	− 0.2	3.	8.6	8.6	8.9	8.7	83	53	82	73	37
Juni				13.2	20.9	14.5	15.8	22.8	8.8	29.2	24.	3.4	17.	9.7	9.4	10.1	9.7	86	52	83	73	30
Juli				**16.5**	**26.0**	**18.8**	**20.0**	**27.8**	**12.1**	**35.3**	27.	4.5	4.	**11.5**	**10.8**	11.5	**11.3**	**82**	**44**	**72**	**66**	**22**
August				15.7	25.2	18.6	19.5	26.9	12.0	31.8	6.	5.5	18.	11.3	10.2	**12.0**	11.2	85	46	76	69	26
September				10.0	20.1	13.5	14.2	21.3	7.5	29.6	3.	1.8	12.	8.8	8.6	9.9	9.1	95	53	86	78	29
Oktober				4.6	12.8	7.3	8.0	14.0	2.6	21.2	7.	− 2.4	31.	6.0	7.0	7.2	6.7	93	65	93	83	35
November				1.1	6.5	3.1	3.5	7.1	− 0.7	12.4	5.	− 4.7	8.	4.8	5.9	5.2	5.3	**96**	83	90	90	51
Dezember				0.3	2.6	1.3	1.3	3.5	− 1.3	7.6	22.	− 5.2	3.	4.5	4.9	4.7	4.7	**96**	**88**	92	**92**	68
Jahr				5.9	12.9	7.9	8.6	14.2	3.1	35.3	27. VII.	−22.5	15. I.	6.8	6.9	7.3	7.0	90	63	85	79	22

Alle Angaben nach Ortszeit.

1911

Buchenau.

h_t = 1.6 m h_r = 1.3 m

Monat	Bewölkung 7a	2p	9p	Mittel	Niederschlag Summe mm	Tagesmaximum Betrag mm	Tagesmaximum Gemessen am	Zahl der Tage ≧0.1 mm Niederschlag	≧1.0 mm	≧0.1 mm ✳	⊞	△	▲	⊠	≡	heitere	trübe	Windverteilung N	NE	E	SE	S	SW	W	NW	C
Januar	6.7	6.4	5.9	6.3	44.0	13.4	26.	17	11	**17**	**31**	1	–	–	**6**	6	14	2	2	30	1	–	1	36	1	20
Februar	**7.9**	**7.9**	**8.5**	**8.1**	151.6	**30.2**	27.	**20**	**18**	**17**	**28**	–	–	–	–	–	**17**	–	1	**19**	1	–	3	**47**	3	**10**
März	5.8	6.1	4.5	5.5	53.3	27.6	3.	13	8	12	**30**	1	–	1	1	8	10	–	2	32	**5**	**2**	5	27	2	18
April	6.1	7.3	5.9	6.4	80.1	17.6	30.	16	10	9	7	–	1	1	–	4	12	–	4	26	2	–	**8**	28	**4**	18
Mai	4.6	8.0	6.2	6.3	73.5	18.9	17.	18	15	–	–	–	1	11	1	2	9	–	3	**52**	1	2	2	17	–	16
Juni	4.7	6.2	6.3	5.7	79.1	15.3	1.	17	12	–	–	–	**2**	5	1	1	7	–	3	25	2	1	5	31	1	22
Juli	**3.2**	5.6	5.2	**4.7**	29.9	15.1	25.	9	5	–	–	–	1	**12**	–	8	7	**3**	**5**	35	1	**2**	3	20	2	22
August	4.5	5.5	**4.3**	4.8	51.7	12.6	25.	15	10	–	–	–	–	11	–	8	3	–	4	30	2	–	2	31	1	**23**
September	5.2	5.3	4.8	5.1	**29.5**	5.3	10.	14	11	–	–	1	–	2	1	**10**	11	–	–	36	–	–	1	37	–	16
Oktober	4.8	**4.5**	4.6	**4.7**	46.9	12.4	3.	9	9	–	–	–	–	–	2	9	8	1	–	44	–	1	5	29	–	13
November	6.9	5.9	5.2	6.0	62.9	17.8	21.	13	10	6	3	–	–	–	1	6	11	–	1	30	1	1	2	32	–	**23**
Dezember	6.5	6.6	7.5	6.9	**161.1**	29.2	22.	15	14	14	22	1	–	–	2	3	16	1	–	28	–	1	4	37	1	21
Jahr	5.6	6.3	5.7	5.9	863.6	30.2	27. II.	176	133	75	121	4	5	43	15	65	125	7	25	387	16	10	41	372	15	222

Regensburg.

h_t = 6.8 m h_r = 1.6 m

Monat	Bewölkung 7a	2p	9p	Mittel	Niederschlag Summe mm	Tagesmaximum Betrag mm	Tagesmaximum Gemessen am	Zahl der Tage ≧0.1 mm Niederschlag	≧1.0 mm	≧0.1 mm ✳	⊞	△	▲	⊠	≡	heitere	trübe	Windverteilung N	NE	E	SE	S	SW	W	NW	C
Januar	8.8	8.1	7.1	8.0	16.4	5.5	10.	11	5	**9**	**27**	–	–	–	**16**	2	20	15	8	4	6	19	3	16	11	11
Februar	8.9	7.9	7.2	8.0	20.9	5.0	25.	12	7	7	9	–	–	–	6	–	15	15	4	1	2	14	3	**30**	10	5
März	7.4	6.8	6.2	6.8	**12.3**	4.6	3.	10	3	3	–	–	–	–	10	3	10	14	8	3	7	22	1	13	9	16
April	7.0	7.0	5.9	6.7	46.9	8.7	21.	13	8	3	–	–	–	1	5	1	10	19	4	**9**	1	12	3	14	**14**	14
Mai	6.5	7.0	5.9	6.4	**70.4**	**26.0**	18.	20	**14**	–	–	–	1	5	1	–	8	**26**	5	**9**	**9**	9	5	9	4	17
Juni	5.7	5.8	4.7	5.4	53.1	12.5	27.	13	12	–	–	–	–	3	2	1	5	16	6	2	5	18	8	13	12	10
Juli	**4.2**	**4.7**	**3.2**	**4.0**	13.2	8.5	25.	5	5	–	–	–	–	5	3	**7**	2	20	**16**	3	5	8	7	5	8	21
August	5.6	6.6	4.5	5.5	20.8	5.0	24.	11	6	–	–	–	–	**6**	2	3	7	18	5	–	6	8	7	10	**14**	**25**
September	6.8	6.1	5.1	6.0	34.1	9.1	1.	13	10	–	–	–	–	2	4	5	10	23	2	2	8	10	3	9	**14**	19
Oktober	7.4	6.1	4.9	6.1	26.4	6.5	1.	14	7	–	–	–	–	–	7	4	11	10	4	3	6	25	**9**	14	7	15
November	**9.3**	7.7	7.6	8.2	35.9	12.0	11.	13	6	–	–	–	–	–	13	1	18	8	7	1	3	39	2	11	6	13
Dezember	9.1	**8.8**	**8.2**	**8.7**	70.3	14.0	23.	**17**	**14**	4	1	–	–	–	9	1	**22**	10	1	1	2	**51**	5	2	12	9
Jahr	7.2	6.9	5.9	6.7	420.7	26.0	18. V.	152	97	26	37	–	1	22	78	28	138	194	70	38	60	235	56	146	121	175

Hof.

h_t = 1.2 m h_r = 1.5 m

Monat	Bewölkung 7a	2p	9p	Mittel	Niederschlag Summe mm	Tagesmaximum Betrag mm	Tagesmaximum Gemessen am	Zahl der Tage ≧0.1 mm Niederschlag	≧1.0 mm	≧0.1 mm ✳	⊞	△	▲	⊠	≡	heitere	trübe	Windverteilung N	NE	E	SE	S	SW	W	NW	C
Januar	9.1	7.6	8.2	8.3	22.0	3.5	10.	17	9	**14**	**29**	1	–	–	6	–	21	11	11	3	13	8	19	14	10	4
Februar	9.4	**8.7**	**8.3**	**8.8**	58.3	8.4	25.	**20**	**13**	13	19	1	–	–	4	–	21	4	4	–	2	16	**24**	**18**	13	3
März	8.7	7.2	5.7	7.2	30.8	10.1	25.	14	8	9	2	**2**	–	–	5	–	12	12	5	5	11	16	22	11	4	7
April	7.6	7.3	4.2	6.4	34.4	10.1	28.	13	9	6	1	1	1	2	3	–	6	12	11	2	8	12	13	12	13	7
Mai	7.3	8.2	6.2	7.2	**131.1**	**43.3**	17.	**20**	12	–	–	1	–	**8**	2	1	12	21	**13**	**9**	9	5	9	4	13	10
Juni	**4.5**	6.6	5.7	5.6	41.9	8.9	28.	12	9	–	–	1	–	1	4	3	7	5	7	7	7	16	**24**	10	8	6
Juli	**4.5**	5.5	4.3	4.8	26.0	7.6	27.	12	7	–	–	–	–	6	11	**5**	5	**25**	8	3	4	8	16	4	10	**15**
August	**4.5**	5.8	**3.4**	**4.6**	46.7	20.7	5.	16	7	–	–	–	1	**8**	3	4	4	17	7	4	7	7	10	8	**19**	14
September	6.2	**5.4**	**4.5**	5.4	53.0	11.1	10.	14	11	–	–	–	–	3	11	5	8	18	7	–	6	12	16	8	8	**15**
Oktober	9.1	6.2	4.8	6.7	**16.1**	3.2	27.	**11**	6	–	–	–	–	–	13	–	13	8	3	6	12	19	17	6	9	13
November	**9.5**	8.2	7.5	8.4	49.4	23.2	21.	14	7	4	–	–	–	–	15	–	20	7	5	4	19	**25**	19	4	1	6
Dezember	8.5	8.4	**8.3**	8.4	53.4	12.8	22.	18	11	8	1	–	–	–	**18**	–	**24**	1	2	2	**20**	24	16	12	14	2
Jahr	7.4	7.1	5.9	6.8	563.1	43.3	17. V.	181	109	54	52	7	2	28	95	18	153	141	83	45	118	168	205	111	122	102

Metten.

h_t = 13.0 m h_r = 1.5 m

Monat	Bewölkung 7a	2p	9p	Mittel	Niederschlag Summe mm	Tagesmaximum Betrag mm	Tagesmaximum Gemessen am	Zahl der Tage ≧0.1 mm Niederschlag	≧1.0 mm	≧0.1 mm ✳	⊞	△	▲	⊠	≡	heitere	trübe	Windverteilung N	NE	E	SE	S	SW	W	NW	C
Januar	7.3	7.0	6.9	7.1	53.6	23.4	26.	11	8	10	**31**	–	–	–	6	4	17	1	**11**	13	5	3	9	19	10	22
Februar	7.6	7.4	7.3	7.5	64.7	16.0	26.	**20**	10	**11**	25	–	–	–	–	1	14	1	2	3	2	4	1	**30**	**15**	26
März	6.2	5.9	**3.5**	5.2	**18.2**	4.8	3.	10	6	2	1	–	–	–	4	5	6	–	7	**21**	9	5	4	16	3	28
April	5.5	5.6	5.1	5.8	41.0	12.5	30.	9	8	1	–	1	–	2	1	6	7	**5**	**11**	5	8	6	7	22	5	21
Mai	4.7	7.4	5.5	5.9	**121.5**	**36.4**	31.	12	7	–	–	–	**2**	**7**	–	2	7	1	8	11	4	9	2	10	13	35
Juni	5.6	6.3	6.2	6.0	59.3	11.4	21., 27.	15	12	–	–	–	1	5	2	4	10	3	3	9	2	14	5	16	13	25
Juli	4.6	6.0	4.4	**5.0**	27.0	10.7	3.	10	7	–	–	–	–	6	2	**7**	6	1	–	7	2	16	2	**7**	**15**	43
August	4.9	6.4	4.5	5.3	36.9	10.3	25.	13	9	–	–	–	–	**7**	1	6	7	–	6	5	–	7	8	18	2	**47**
September	5.1	**5.6**	4.7	5.1	26.7	5.3	23.	13	8	–	–	–	–	2	5	**7**	9	3	1	7	8	6	12	13	9	31
Oktober	6.5	**5.6**	5.2	5.8	35.7	13.2	29.	10	7	–	–	–	–	1	9	**7**	10	1	5	10	9	10	10	16	4	28
November	7.9	7.9	7.0	7.6	35.7	14.1	25.	**6**	**5**	–	–	–	–	–	**18**	1	19	–	1	13	6	**18**	**16**	**7**	3	26
Dezember	**9.3**	**8.5**	**8.1**	**8.6**	112.9	15.7	23.	18	**15**	13	8	–	–	–	8	–	**24**	3	–	10	**13**	15	7	12	**2**	31
Jahr	6.3	6.6	5.7	6.2	632.6	36.4	31. V.	147	102	37	65	1	3	30	56	50	136	19	55	114	68	113	83	186	94	363

Alle Angaben nach Ortszeit.

1911

Nördlingen.

$\varphi = 48^0\ 51'$ N $\lambda = 10^0\ 30'$ E — H = 435.6 m Cg = + 0.2 mm

Monat	Luftdruck auf 0° und Normalschwere reduziert: Mittel mm	Maximum mm	Minimum mm	Lufttemperatur: 7a C°	2p C°	9p C°	Tagesmittel C°	Mittl. Maximum C°	Mittl. Minimum C°	Absol. Maximum C°	Datum	Absol. Minimum C°	Datum	Absolute Feuchtigkeit: 7a mm	2p mm	9p mm	Mittel mm	Relative Feuchtigkeit: 7a Proz.	2p Proz.	9p Proz.	Mittel Proz.	Minimum Proz.
Januar	**729.6**	**740.4**	711.3	− 4.6	− 2.1	− 3.9	− 3.6	− 1.3	− 6.3	4.1	29.	−17.1	15.	3.2	3.4	3.2	3.3	92	84	89	88	55
Februar	727.1	740.0	713.3	− 1.4	3.0	0.5	0.6	3.8	− 2.9	10.6	23.	−14.7	9.	3.6	4.1	4.0	3.9	85	72	81	79	49
März	720.0	732.5	705.5	1.3	8.5	3.7	4.3	9.5	0.5	21.5	29.	− 2.8	11.	4.4	4.7	4.8	4.6	88	58	80	75	31
April	722.4	736.7	713.4	4.2	11.8	6.8	7.4	13.0	2.4	23.1	23.	− 6.7	5.	4.9	5.1	5.1	5.0	77	50	68	65	22
Mai	721.6	727.4	716.1	10.1	16.8	11.9	12.7	17.9	7.8	25.0	30.	1.9	3.	8.0	8.1	8.5	8.2	86	58	80	75	34
Juni	724.6	732.9	714.7	12.7	18.5	13.9	14.8	20.4	9.9	26.4	7	5.2	11., 15.	8.8	9.0	9.5	9.1	80	58	79	72	34
Juli	726.9	734.1	719.0	**16.2**	**25.8**	19.1	**20.1**	26.5	13.0	**33.7**	28.	5.6	4.	**10.3**	**9.7**	**10.8**	**10.3**	74	40	66	60	22
August	724.6	730.6	716.4	15.9	25.7	**19.2**	20.0	**26.6**	**14.0**	31.3	3.	9.6	18.	10.1	9.3	10.1	9.8	75	39	61	58	25
September	725.5	730.9	715.1	11.2	20.1	14.3	15.0	21.3	9.6	31.5	3.	5.0	11.	8.1	8.4	8.7	8.4	81	52	73	68	23
Oktober	723.4	734.5	710.6	5.3	12.9	8.1	8.6	13.5	4.4	18.9	15.	− 2.9	30.	5.9	7.2	7.0	6.7	89	64	87	80	43
November	721.0	734.3	**700.7**	2.9	7.3	3.6	4.4	7.8	1.4	17.0	5.	− 4.9	8.	5.1	5.4	5.3	5.3	91	73	**90**	85	38
Dezember	722.6	732.8	707.6	1.9	3.5	2.1	2.4	4.4	0.6	9.1	21.	− 3.7	1.7	4.9	5.0	4.8	4.9	**93**	**86**	**90**	**90**	69
Jahr	724.1	740.4	700.7	6.3	12.7	8.3	8.9	13.6	4.5	33.7	28. VII.	−17.1	15. I.	6.4	6.6	6.9	6.6	84	61	79	75	22

Karlshuld.

$\varphi = 48^0\ 40'$ N $\lambda = 11^0\ 18'$ E — H = 382.0 m Cg = + 0.2 mm

Monat	Luftdruck auf 0° und Normalschwere reduziert: Mittel mm	Maximum mm	Minimum mm	Lufttemperatur: 7a C°	2p C°	9p C°	Tagesmittel C°	Mittl. Maximum C°	Mittl. Minimum C°	Absol. Maximum C°	Datum	Absol. Minimum C°	Datum	Absolute Feuchtigkeit: 7a mm	2p mm	9p mm	Mittel mm	Relative Feuchtigkeit: 7a Proz.	2p Proz.	9p Proz.	Mittel Proz.	Minimum Proz.
Januar	**734.5**	**745.0**	717.0	− 5.5	− 2.6	− 5.2	− 4.6	− 1.0	− 8.3	4.2	9.	−20.1	15.	3.1	3.1	3.3	3.1	94	84	92	90	52
Februar	731.9	742.5	717.6	− 2.4	2.8	− 0.4	− 0.1	4.1	− 4.2	11.7	23.	−17.8	10.	3.6	4.0	4.0	3.9	88	70	86	82	46
März	724.7	737.1	711.3	0.2	8.8	3.5	4.0	10.4	− 0.8	23.8	29.	− 6.2	27.	4.2	4.9	4.7	4.6	90	59	80	76	31
April	726.9	742.0	718.6	3.5	11.8	6.8	7.2	14.7	0.7	25.7	23.	− 5.9	5.	5.2	5.6	5.6	5.4	85	55	73	71	24
Mai	726.6	732.5	721.0	9.9	17.6	12.3	13.0	20.3	6.3	28.1	29.	− 3.1	3.	8.2	8.2	8.6	8.4	89	56	80	75	30
Juni	729.6	738.2	719.3	13.1	19.9	14.0	15.2	23.6	7.5	30.8	30.	2.0	15.	9.5	9.3	9.8	9.6	85	56	82	74	31
Juli	731.7	739.3	723.9	**16.7**	**26.4**	**19.1**	**20.3**	**29.9**	10.2	**39.0**	26.	2.0	4.	**11.1**	10.4	**10.8**	10.6	78	41	66	62	24
August	729.3	735.3	721.3	16.5	26.1	18.6	19.9	29.6	**10.5**	34.0	3., 29.	5.0	18.	**11.1**	**10.8**	10.5	**10.8**	80	44	67	63	22
September	730.4	736.2	719.8	10.5	20.2	13.7	14.5	22.7	6.8	34.0	3.	− 1.2	12.	8.6	9.0	8.7	8.8	90	54	76	74	28
Oktober	728.4	739.8	716.3	4.3	12.7	6.9	7.7	14.2	2.3	19.1	15.	− 3.8	12.	6.1	7.7	6.9	6.9	95	71	92	86	42
November	726.2	739.3	706.4	1.5	7.1	2.6	3.4	8.6	− 0.6	16.9	5.	− 7.2	8.	4.9	5.8	5.2	5.3	95	78	**94**	89	37
Dezember	728.0	738.0	713.6	1.1	3.3	1.8	2.0	5.1	− 0.2	10.0	21.	− 3.2	3., 4.	4.9	5.1	4.9	5.0	**97**	**88**	93	**92**	61
Jahr	729.0	745.0	706.4	5.8	12.8	7.6	8.5	15.2	2.5	39.0	26. VII.	−20.1	15. I.	6.7	7.0	6.9	6.9	89	63	82	78	22

Passau.

$\varphi = 48^0\ 34'$ N $\lambda = 13^0\ 28'$ E — H = 309.3 m Cg = + 0.2 mm

Monat	Luftdruck auf 0° und Normalschwere reduziert: Mittel mm	Maximum mm	Minimum mm	Lufttemperatur: 7a C°	2p C°	9p C°	Tagesmittel C°	Mittl. Maximum C°	Mittl. Minimum C°	Absol. Maximum C°	Datum	Absol. Minimum C°	Datum	Absolute Feuchtigkeit: 7a mm	2p mm	9p mm	Mittel mm	Relative Feuchtigkeit: 7a Proz.	2p Proz.	9p Proz.	Mittel Proz.	Minimum Proz.
Januar	**742.3**	**753.7**	726.0	− 4.7	− 1.6	− 3.5	− 3.4	− 1.0	− 6.0	3.1	27.	−17.6	15.	3.1	3.4	3.3	3.3	93	82	90	88	52
Februar	739.2	749.6	724.4	− 2.2	2.4	− 0.1	0.0	3.2	− 3.2	10.6	23.	−14.5	10.	3.7	3.9	4.2	3.9	91	70	89	83	48
März	732.7	744.6	719.7	1.9	9.4	4.5	5.1	10.1	1.1	21.9	29.	− 3.3	10.	4.8	4.8	5.1	4.9	89	57	80	75	30
April	734.4	748.9	724.2	4.4	12.1	7.5	7.9	13.2	3.5	21.9	23.	− 1.8	5.	5.5	5.8	6.1	5.8	85	54	76	72	25
Mai	733.2	739.8	726.1	10.6	17.7	13.3	13.7	18.9	9.0	26.1	29.	2.3	3.	8.3	9.1	9.4	8.9	87	60	83	77	39
Juni	736.3	745.0	725.5	12.7	20.4	15.2	15.9	21.8	10.1	28.2	24.	5.6	17.	9.1	9.7	10.2	9.7	84	56	79	73	38
Juli	738.5	745.9	732.1	**16.0**	**25.0**	**19.2**	**19.8**	**26.4**	**14.2**	**35.2**	28.	8.6	11.	**11.3**	11.4	**12.5**	**11.7**	83	49	76	69	29
August	736.2	742.3	728.9	15.3	24.4	18.5	19.2	25.9	13.7	30.2	6.	10.9	2.	11.0	**11.6**	12.1	11.6	85	52	77	71	34
September	737.4	743.7	726.3	10.5	19.6	13.9	14.5	20.6	8.5	28.4	9.	3.8	12.	8.5	9.6	9.8	9.3	90	59	82	77	34
Oktober	735.9	747.0	723.0	5.6	13.1	7.9	8.6	13.8	4.6	20.5	7.	− 0.5	31.	6.4	7.4	7.1	7.0	94	67	88	83	33
November	734.0	746.2	712.8	2.1	6.7	3.5	3.9	7.5	1.0	14.7	23.	− 2.6	8.	5.0	6.0	5.5	5.5	95	82	**94**	90	55
Dezember	735.6	746.0	722.5	0.8	2.8	1.5	1.7	3.7	− 0.1	8.6	21.	− 3.3	11.	4.7	5.0	4.7	4.8	**96**	**88**	91	**91**	60
Jahr	736.3	753.7	712.8	6.1	12.7	8.5	8.9	13.7	4.7	35.2	28. VII.	−17.6	15. I.	6.8	7.3	7.5	7.2	89	65	84	79	25

Landshut.

$\varphi = 48^0\ 32'$ N $\lambda = 12^0\ 10'$ E — H = 397.7 m Cg = + 0.2 mm

Monat	Luftdruck auf 0° und Normalschwere reduziert: Mittel mm	Maximum mm	Minimum mm	Lufttemperatur: 7a C°	2p C°	9p C°	Tagesmittel C°	Mittl. Maximum C°	Mittl. Minimum C°	Absol. Maximum C°	Datum	Absol. Minimum C°	Datum	Absolute Feuchtigkeit: 7a mm	2p mm	9p mm	Mittel mm	Relative Feuchtigkeit: 7a Proz.	2p Proz.	9p Proz.	Mittel Proz.	Minimum Proz.
Januar	**733.4**	**743.9**	716.2	− 5.5	− 1.9	− 4.6	− 4.2	− 0.6	− 9.3	4.0	öfters	−20.9	15.	3.0	3.3	3.1	3.1	91	82	90	88	47
Februar	730.8	741.7	716.1	− 2.6	3.1	− 0.9	− 0.4	4.7	− 6.4	12.0	23.	−16.8	9.	3.5	3.8	3.8	3.7	88	64	86	79	45
März	723.9	736.3	710.3	1.5	9.5	3.5	4.5	11.4	− 2.1	25.1	28.	− 7.0	10.	4.3	4.3	4.5	4.4	85	51	78	71	18
April	726.0	740.8	717.0	4.2	12.0	6.3	7.2	15.6	− 0.3	27.1	23.	− 6.5	5.	5.2	5.1	5.4	5.2	81	50	73	68	**16**
Mai	725.1	731.7	718.7	11.0	17.9	11.8	13.1	21.3	6.8	30.0	14.	− 1.0	22.	8.4	8.0	8.6	8.3	85	53	83	73	35
Juni	728.2	736.8	717.4	13.2	21.5	13.5	15.4	24.7	8.1	32.0	24.	1.7	16.	9.3	8.9	9.4	9.2	82	48	82	70	26
Juli	730.5	738.1	723.6	**16.7**	**26.7**	**18.6**	**20.2**	**30.1**	11.9	**39.3**	26.	5.2	11.	10.6	**9.2**	10.6	**10.1**	75	36	**67**	59	17
August	728.1	734.1	720.5	15.8	26.4	18.2	19.6	28.7	**12.4**	34.0	20.	6.5	18.	**10.8**	9.0	**10.7**	**10.1**	80	36	69	62	21
September	729.1	734.7	718.0	10.2	20.6	13.1	14.2	22.8	7.8	31.4	3.	3.1	18.	8.3	8.1	8.7	8.4	89	48	78	72	21
Oktober	727.3	738.4	714.5	4.8	13.5	7.3	8.2	15.0	2.5	21.1	7.	− 2.1	12.	6.0	7.1	6.8	6.6	91	62	88	81	39
November	725.1	738.0	**703.9**	1.6	7.4	2.8	3.7	8.6	− 0.7	17.0	5.	− 5.8	8.	4.8	5.6	5.1	5.2	**93**	73	**92**	86	38
Dezember	726.8	736.7	713.0	1.1	3.5	1.9	2.1	5.2	− 1.2	11.0	21.	− 4.1	15., 17.	4.7	4.9	4.7	4.8	**93**	**83**	90	**89**	62
Jahr	727.9	743.9	703.9	6.0	13.4	7.6	8.6	15.6	2.5	39.3	26. VII.	−20.9	15. I.	6.6	6.4	6.8	6.6	86	57	81	75	16

Alle Angaben nach Ortszeit.

1911

Monat	Bewölkung				Niederschlag			Zahl der Tage										Windverteilung								
						Tagesmaximum		≧0.1 mm	≧1.0 mm	≧0.1 mm																
	7a	2p	9p	Mittel	Summe	Betrag	Gemessen am	Niederschlag		✳		△	▲			heitere	trübe	N	NE	E	SE	S	SW	W	NW	C
					mm	mm																				

Nördlingen.

h_t = 3.5 m — h_r = 1.5 m

Januar . . .	7.5	7.1	6.6	7.1	10.8	2.5	10., 14.	16	4	11	**29**	–	–	–	9	5	17	2	9	14	13	5	13	21	6	10
Februar . .	6.4	7.0	6.4	6.6	34.8	6.0	26.	17	9	**12**	17	2	–	–	2	2	6	6	4	1	4	3	**27**	**27**	6	6
März . . .	5.2	6.3	5.3	5.6	26.7	9.5	3.	12	6	6	1	**6**	–	2	6	6	3	–	5	**25**	11	5	17	14	4	12
April . . .	5.7	6.5	4.4	5.5	27.0	6.6	28.	11	9	4	3	–	–	3	1	2	7	3	**17**	6	6	4	16	16	11	11
Mai	6.0	6.8	6.1	6.3	56.3	15.0	15.	**20**	11	–	–	1	2	9	2	3	7	12	13	11	11	2	4	12	**15**	13
Juni	5.8	7.2	6.0	6.3	**67.3**	16.0	14.	16	**13**	–	–	1	–	9	2	1	8	6	6	7	13	2	17	18	5	16
Juli	3.3	4.0	3.6	3.6	10.0	4.7	1.	6	4	–	–	–	–	6	–	**11**	3	**13**	14	10	5	2	5	21	10	13
August . .	3.7	4.6	3.5	3.9	43.0	**24.0**	25.	8	5	–	–	–	–	**11**	–	9	2	2	4	8	6	6	12	25	12	**18**
September .	4.9	5.3	4.4	4.9	44.8	9.4	16.	11	7	–	–	–	–	4	–	8	8	8	7	8	8	7	7	23	9	13
Oktober . .	5.2	5.8	4.8	5.3	27.2	6.5	9.	14	8	–	–	–	–	–	4	6	5	1	5	13	17	8	18	13	8	10
November .	7.6	6.5	6.5	6.8	43.2	17.2	22.	13	8	2	–	–	–	–	7	3	12	6	6	1	24	**13**	16	8	4	12
Dezember .	**8.6**	**8.6**	**8.5**	**8.6**	58.1	13.1	22.	17	11	2	–	2	–	–	**10**	–	**23**	–	1	5	**31**	11	23	15	5	2
Jahr	5.8	6.3	5.5	5.9	449.2	24.0	25.VIII.	161	95	37	50	12	2	44	43	56	101	59	91	109	149	68	165	213	95	136

Karlshuld.

h_t = 5.1 m — h_r = 0.9 m

Januar . .	**8.1**	7.2	6.4	7.2	13.1	4.6	11.	8	4	**7**	**27**	–	–	–	6	4	18	–	23	11	–	–	20	15	2	22
Februar . .	6.6	7.7	7.1	7.1	22.4	6.8	26.	12	6	**7**	9	**2**	–	–	–	3	14	–	1	7	–	**10**	**27**	20	2	17
März . . .	6.0	6.2	5.5	5.9	14.0	6.5	3.	5	3	3	2	–	–	–	5	5	8	4	15	**26**	–	2	10	23	–	13
April . . .	6.2	6.1	5.5	5.9	33.1	7.5	21.	13	9	3	1	1	–	2	4	3	8	–	**35**	5	–	3	14	10	1	22
Mai	5.8	5.9	5.4	5.7	51.2	9.9	6.	13	12	–	–	–	–	**4**	4	3	8	–	18	23	–	–	7	10	3	32
Juni	6.1	6.4	4.6	5.7	**68.5**	14.6	4.	**14**	**14**	–	–	–	–	3	6	4	7	–	8	10	–	2	3	**33**	1	33
Juli	3.2	3.3	2.9	3.2	8.5	3.0	1.	4	3	–	–	–	–	3	4	**12**	1	–	11	10	–	–	3	28	2	39
August . .	4.3	4.4	3.4	4.0	56.9	**32.4**	25.	7	7	–	–	–	–	3	2	9	2	–	9	11	–	1	9	27	**6**	30
September .	5.4	5.2	3.4	4.6	46.8	16.1	22.	9	9	–	–	–	–	1	6	6	8	–	8	13	–	–	3	22	2	**42**
Oktober . .	5.6	5.7	2.9	4.7	26.4	7.7	28.	9	6	–	–	–	–	–	**11**	11	7	–	–	24	–	6	9	11	1	**42**
November .	7.8	6.5	5.6	6.6	42.0	15.5	25.	8	6	–	–	–	–	–	10	2	9	–	19	12	–	2	10	**10**	–	37
Dezember .	8.0	**8.6**	**8.0**	**8.2**	54.5	10.6	23.	**14**	13	–	–	–	–	–	8	1	**23**	–	18	14	–	5	6	20	–	30
Jahr . . .	6.1	6.1	5.1	5.7	437.4	32.4	25.VIII.	116	92	20	39	3	–	16	66	63	113	4	165	166	–	31	121	229	20	359

Passau.

h_t = 8.5 m — h_r = 1.3 m

Januar . . .	8.7	6.4	7.7	7.6	41.6	13.0	26.	12	11	8	**31**	–	–	–	11	1	19	–	**2**	9	–	1	–	7	3	71
Februar . .	8.8	6.5	6.3	7.2	74.3	16.2	26.	17	**14**	**11**	21	–	–	1	2	1	11	–	–	3	–	3	2	14	**17**	45
März . . .	7.3	5.8	4.1	5.8	18.8	8.0	3.	8	5	2	1	1	–	–	3	6	8	–	–	**30**	1	3	–	11	3	45
April . . .	6.4	6.6	5.0	6.0	47.0	10.5	4.	11	8	2	–	–	–	2	3	5	12	–	–	11	–	5	1	16	7	50
Mai	7.0	6.3	5.0	6.1	65.9	14.2	19.	14	10	–	–	–	–	6	4	4	10	1	1	7	–	2	1	12	7	62
Juni	5.6	5.9	4.8	5.4	79.5	**26.0**	5.	17	**14**	–	–	–	2	6	1	6	7	–	–	13	1	4	**6**	10	6	50
Juli	3.7	4.7	5.2	4.5	32.4	16.0	8.	9	7	–	–	–	–	5	1	**14**	8	–	–	7	–	**6**	**6**	6	4	64
August . .	5.6	5.4	4.8	5.3	41.5	13.0	27.	13	10	–	–	–	–	**11**	2	7	7	–	–	12	–	2	–	9	6	64
September .	8.2	5.4	4.0	5.9	38.5	9.9	10.	11	10	–	–	–	–	–	13	3	10	–	–	12	–	3	–	16	–	59
Oktober . .	8.3	4.3	4.9	5.8	33.4	6.0	öfters	12	8	–	–	–	–	–	12	4	11	–	–	9	–	3	–	11	4	66
November .	9.7	7.2	7.0	8.0	34.7	12.0	25.	9	7	1	–	–	–	–	**18**	–	16	–	–	3	–	2	–	9	–	**76**
Dezember .	**10.0**	**7.6**	**8.3**	**8.6**	**96.8**	13.0	24.	**19**	**14**	8	9	–	–	–	7	–	**22**	–	–	3	–	1	1	**17**	–	71
Jahr . .	7.4	6.0	5.6	6.2	604.4	26.0	5. VI.	152	118	32	62	1	2	31	77	51	141	1	3	119	2	35	17	138	57	723

Landshut.

h_t = 7.2 m — h_r = 1.4 m

Januar . . .	8.7	7.4	6.9	7.7	19.2	5.2	26.	14	7	**10**	**27**	–	–	–	4	2	19	4	10	19	–	1	9	33	3	14
Februar . .	8.2	7.2	6.4	7.3	35.9	9.5	26.	17	9	**10**	16	–	**2**	–	–	–	9	4	5	3	3	–	**14**	**43**	2	10
März . . .	6.9	6.5	4.0	5.8	9.3	5.0	3.	10	2	3	–	–	–	1	1	2	6	**7**	12	19	2	1	12	21	2	17
April . . .	6.5	6.2	4.7	5.8	50.2	12.5	3.	14	7	7	–	–	1	4	1	4	10	4	**14**	14	–	2	8	34	4	10
Mai	6.0	6.1	5.1	5.8	47.4	10.9	18.	16	10	–	–	1	–	**5**	–	4	9	4	11	26	2	3	12	16	**7**	12
Juni	6.7	5.7	4.9	5.8	42.1	10.7	20.	15	10	–	–	–	–	1	–	2	5	3	7	12	1	3	13	33	3	15
Juli	4.0	4.5	3.2	3.9	9.5	3.3	8.	9	3	–	–	–	–	**5**	–	11	2	–	9	14	**5**	**5**	8	19	4	29
August . .	4.8	5.0	2.3	4.0	42.0	12.0	24.	15	6	–	–	–	1	**5**	–	8	3	5	2	13	1	4	10	23	3	**32**
September .	5.4	4.7	3.2	4.4	37.5	9.2	22.	14	8	–	–	–	–	3	1	**13**	8	3	7	9	–	–	12	25	**7**	27
Oktober . .	7.1	5.4	4.3	5.6	29.0	6.7	28.	12	7	–	–	–	–	–	**6**	7	11	6	11	16	4	–	10	23	2	21
November .	**8.9**	7.7	5.8	7.4	47.0	**18.9**	25.	10	6	–	–	–	–	–	4	1	14	5	7	22	–	–	11	18	**1**	26
Dezember .	8.5	**9.2**	**8.7**	**8.8**	**61.4**	14.7	27.	**20**	**16**	–	–	–	–	–	3	1	**25**	–	8	**27**	–	3	9	32	3	11
Jahr	6.8	6.3	5.0	6.0	430.5	18.9	25. XI.	166	91	30	43	1	4	24	20	55	121	45	103	194	18	22	128	320	41	224

Alle Angaben nach Ortszeit.

1911

Augsburg.

$\varphi = 48^0\ 22'$ N $\lambda = 10^0\ 54'$ E — H = 499.6 m Cg = + 0.1 mm, über 728.8 mm = + 0.2 mm

Monat	Luftdruck auf 0° und Normalschwere reduziert: Mittel mm	Maximum mm	Minimum mm	Lufttemperatur: 7a C°	2p C°	9p C°	Tagesmittel C°	Mittl. Maximum C°	Mittl. Minimum C°	Absol. Maximum C°	Datum	Absol. Minimum C°	Datum	Absolute Feuchtigkeit: 7a mm	2p mm	9p mm	Mittel mm	Relative Feuchtigkeit: 7a Proz.	2p Proz.	9p Proz	Mittel Proz.	Minimum Proz.
Januar . .	**724.8**	**735.7**	706.9	- 4.7	- 2.0	- 3.6	- 3.5	- 1.2	- 6.2	3.0	. 27.	-14.2	16.	3.0	3.3	3.2	3.2	89	83	**90**	87	47
Februar . .	722.7	733.4	708.9	- 1.5	3.0	0.5	0.6	3.7	- 3.5	10 6	23.	-15.3	10.	3.6	3.9	4.0	3 8	82	67	82	77	43
März . . .	715 3	728.3	701.9	1.7	8.4	4.3	4.7	9.2	0.5	22.1	29.	- 2.9	7.	4.5	5.0	4.9	4.8	87	61	79	76	33
April . . .	717.6	732.2	709.2	4.8	11.5	7.4	7. 8	12.7	2.3	22.0	23.	- 6.2	5.	5.2	5.5	5.6	5.4	78	54	70	67	25
Mai	716.8	722.6	711.1	10.4	17.2	12.4	13.1	18.4	8.0	26.2	30.	2.5	3.	8.2	8.4	8.6	8.4	87	58	79	75	36
Juni	720.0	728.5	709.3	13.3	19.6	14.7	15.6	20.8	10.1	27.1	30.	4.8	16.	9.0	8.9	9.6	9.2	79	54	77	70	30
Juli . . .	722.4	729.4	715.1	**17.8**	**26.4**	**20.7**	**21.4**	**27.6**	13.9	**35.3**	28.	7.3	4.	10.3	10.0	**10.9**	10.4	68	40	60	56	27
August . .	720.4	726.0	712.3	16.5	25.9	20.4	20.8	27.2	**14.6**	31.8	8.	10.3	18.	**10.8**	**10.4**	**10.9**	**10.7**	76	43	62	60	26
September .	721.1	726.4	710.7	12.4	20.9	15.5	16.1	21.8	10.5	30.9	3.	4.8	24.	8.7	9.3	9.3	9.1	81	53	71	68	29
Oktober . .	718.8	729.5	705.8	6.2	13.0	8.9	9.2	13.6	5.2	18.4	15.	- 1.0	31.	6.4	7.4	7.5	7.1	89	67	86	81	47
November .	716.4	729.6	695.5	3.2	7.2	4.3	4.7	7.8	1.4	15.5	5.	- 2.9	8.	5.1	5.9	5.5	5.5	89	76	89	85	39
Dezember .	718.2	727.9	704.3	1.5	3.7	2.3	2.5	4.9	- 0.1	9.3	14.	- 3.2	19.	4.8	5.0	4.9	4 9	**93**	**84**	89	**89**	60
Jahr	719.5	735.7	695.5	6.8	12.9	9.0	9.4	13.9	4.7	35.3	28. VII.	-15.3	10. II.	6.6	6.9	7.1	6.9	83	62	78	74	25

Burghausen.

$\varphi = 48^0\ 10'$ N $\lambda = 12^0\ 50'$ E — H = 365 m Cg = + 0.2 mm, unter 700.3 mm = + 0.1 mm

Monat	Luftdruck auf 0° und Normalschwere reduziert: Mittel mm	Maximum mm	Minimum mm	Lufttemperatur: 7a C°	2p C°	9p C°	Tagesmittel C°	Mittl. Maximum C°	Mittl. Minimum C°	Absol. Maximum C°	Datum	Absol. Minimum C°	Datum	Absolute Feuchtigkeit: 7a mm	2p mm	9p mm	Mittel mm	Relative Feuchtigkeit: 7a Proz.	2p Proz.	9p Proz	Mittel Proz.	Minimum Proz.
Januar . .	**736.8**	**748.0**	719.7	- 5.0	- 1.3	- 4.3	- 3.7	- 0.5	- 7.7	5.1	27.	-18.8	16.	3.0	3.3	3.0	3.1	88	77	86	84	45
Februar . .	734.3	744.9	720.6	- 2.2	3.5	- 1.2	- 0.3	4.9	- 5.5	12.5	19.	-16.7	10.	3.6	3.7	3.8	3.7	89	61	87	79	45
März . . .	727.2	739.9	713.9	1.3	9.6	3.0	4.2	10.8	- 0.7	23.6	29.	- 4.6	18.	4.6	4.8	4.8	4.7	91	56	84	77	20
April . . .	729.1	743.7	719.1	4.2	12.6	6.0	7.2	14.7	1.7	24.5	23.	- 5.5	11.	5.5	5.6	5.8	5.6	86	51	80	72	22
Mai	728.0	734.4	721.2	10.5	17.7	11.4	12.8	19.6	6.9	27.3	30.	- 0.3	3.	8.5	8.0	8.6	8.4	89	54	85	76	35
Juni	731.2	739.9	719.9	13.1	21.0	13.5	15.3	23.2	8.5	29.9	24.	3.3	17.	9.5	9.3	9.8	9.5	85	52	85	74	34
Juli	733.5	740.7	726.7	**15.7**	**25.9**	**16.8**	**18.8**	**28.1**	**11.9**	**35.3**	28.	5.2	5.	**11.5**	10.3	**12.1**	**11.3**	86	42	85	**71**	24
August . .	731.2	737.3	723.1	14.7	24.6	16.5	18.1	27.4	11.7	31.7	6.	7.0	19.	11.1	**10.7**	11.4	11.1	89	48	82	73	23
September .	732.1	737.8	720.6	9.7	20.1	12.0	13.4	21.6	7.8	29.0	9.	3.3	12.	8.5	9.5	9.6	9 2	94	57	91	81	34
Oktober . .	730.5	741.4	717.5	5.0	13.7	6.6	8.0	14.7	3.2	19.6	8.	- 1.4	31.	6.2	7.3	6.7	6.7	**95**	63	**92**	83	40
November .	728.5	741.1	707.6	1.6	7.1	3.0	3.7	8.1	- 0.3	13.7	23.	- 4.9	8.	4.8	5.6	5.2	5.2	92	75	**92**	86	42
Dezember .	730.2	739.9	717.7	0.8	3.3	1.4	1.8	4.2	- 0.4	9.5	22.	- 3.9	13.	4.5	5.0	4.6	4.7	92	**85**	90	**89**	56
Jahr	731.1	748.0	707.6	5.8	13.2	7.1	8.3	14.7	3.1	35.3	28. VII.	-18.8	16. I.	6.7	6.9	7.1	6.9	90	60	87	79	20

München-C.St.

$\varphi = 48^0\ 9'$ N $\lambda = 11^0\ 34'$ E — H = 526.4 m Cg = + 0.1 mm

Monat	Luftdruck auf 0° und Normalschwere reduziert: Mittel mm	Maximum mm	Minimum mm	Lufttemperatur: 7a C°	2p C°	9p C°	Tagesmittel C°	Mittl. Maximum C°	Mittl. Minimum C°	Absol. Maximum C°	Datum	Absol. Minimum C°	Datum	Absolute Feuchtigkeit: 7a mm	2p mm	9p mm	Mittel mm	Relative Feuchtigkeit: 7a Proz.	2p Proz.	9p Proz	Mittel Proz.	Minimum Proz.
Januar . . .	**721.9**	**732.5**	704.5	- 4.3	- 1.6	- 3.6	- 3.3	- 0.7	- 6 1	4.8	26.	-14.0	16.	3.1	3.4	3 2	3.2	**92**	**82**	**90**	**88**	55
Februar . .	719.9	730.5	705.8	- 1.1	3.4	0.4	0.8	4.2	- 3.3	12.2	23.	-13.0	10.	3.7	3.6	3 8	3.7	85	63	80	76	20
März . . .	712.7	725.7	699.1	1.7	8.6	4.2	4.7	9.4	0.4	22.8	29.	- 3.9	16.	4.1	4.2	4.6	4.3	82	54	74	70	18
April . . .	715.0	729.3	706.2	5.2	11.4	7.1	7.7	12.8	2.9	22.1	23.	- 5.8	5.	5.0	4.8	5.4	5.0	73	51	69	64	14
Mai	714.2	720.2	708.1	10.7	16.5	12.3	13.0	17.8	8.5	24.2	30.	2.3	3.	8.0	7.6	8.4	8.0	82	55	79	72	31
Juni	717.5	726.1	706.4	13.7	19.8	14.5	15.6	21.0	10.7	27.1	24.	5.0	16.	9.0	8.8	9.5	9.1	77	52	77	69	27
Juli	719.9	726.4	713.3	**18.2**	**25.4**	**20.2**	**21.0**	**26.6**	**15.3**	**33.7**	28.	9.0	4.	10.2	**9.5**	10.3	10.0	66	40	59	55	25
August . .	717.7	723.3	710.0	17.3	25.0	19.3	20.2	26.0	**15.3**	30.6	6.	11.0	18.	**10.3**	**9.5**	**10.6**	**10.1**	72	41	64	59	24
September .	718.4	723.4	707.3	12.9	20.1	14.8	15.6	21.1	11.3	29.3	3.	6.6	30.	8.6	8.3	8.8	8.6	78	51	72	67	25
Oktober . .	716.3	726.7	703.5	6.9	13.2	8.6	9.3	14.1	5.9	19.1	8.	0.0	31.	6.4	7.1	7.2	6.9	85	63	86	78	40
November .	713.9	726.4	692.7	3.6	7.4	4.5	5.0	8.3	2.1	16.1	5.	- 1.4	4.	5.0	5.5	5.3	5.3	85	74	85	81	32
Dezember .	715.6	724.9	703.0	1.7	4.1	2.2	2.6	5.3	0.1	10.5	21.	- 3.0	19.	4.7	5.0	5.6	5.1	91	**82**	87	86	53
Jahr	716.9	732.5	692.7	7.2	12.8	8.7	9.4	13.8	5.3	33.7	28. VII.	-14.0	16. I.	6.5	6.4	6.9	6.6	81	59	77	72	14

Ottobeuren.

$\varphi = 47^0\ 56'$ N $\lambda = 10^0\ 18'$ E — H = 660.0 m Cg = + 0.1 mm

Monat	Luftdruck auf 0° und Normalschwere reduziert: Mittel mm	Maximum mm	Minimum mm	Lufttemperatur: 7a C°	2p C°	9p C°	Tagesmittel C°	Mittl. Maximum C°	Mittl. Minimum C°	Absol. Maximum C°	Datum	Absol. Minimum C°	Datum	Absolute Feuchtigkeit: 7a mm	2p mm	9p mm	Mittel mm	Relative Feuchtigkeit: 7a Proz.	2p Proz.	9p Proz	Mittel Proz.	Minimum Proz.
Januar . .	**709.8**	**719.7**	693.4	- 6.1	- 2.4	- 5.1	- 4.7	- 1.3	- 8.2	3.6	27.	-16.2	17.	2.7	3.1	2.8	2.9	**90**	**81**	88	**86**	50
Februar . .	708.6	718.6	697.3	- 2.6	1.8	- 0.8	- 0. 6	3.0	- 4.6	10.0	23.	-17.9	1.	3.4	3.7	3.7	3.6	88	72	85	82	36
März . . .	701.3	714.3	689.2	0.8	7.4	2.2	3.1	8.2	- 1.1	21.0	29.	- 5.0	16.	4.2	4.5	4.5	4.4	87	60	84	77	19
April . . .	703.7	718.0	695.5	4.1	9.9	4.5	5.8	11.3	1.1	21.5	23.	- 7.3	5.	4.8	5.1	5.1	5.0	77	57	80	71	**18**
Mai	703.0	708.5	697.7	9.7	15.8	10.0	11.4	17.0	6.4	22.9	14.	- 0 4	3.	7.7	8.1	8 1	7.9	88	61	88	79	33
Juni	706.3	714.8	696.8	13.1	18.5	12.1	13.9	20.2	8.6	26.1	30.	3.0	11.	9.3	8.9	9.3	9.2	83	58	88	76	31
Juli	708.8	714.6	702.1	**17.6**	24.4	**16.9**	**19.0**	**25.7**	**12.4**	**33.1**	28.	7.7	11.	**10.6**	**10.0**	**10.8**	**10.4**	**71**	45	75	64	29
August . .	706.6	711.6	699.1	16.9	**24.9**	**16.9**	18.9	25.6	**12.4**	29.1	3.	7.0	18.	10.5	9.5	10.2	10.1	73	42	**71**	62	27
September .	707.3	711.9	697.8	12.1	19.3	12.3	14.0	20.1	8.9	28.9	3.	3.0	24.	8.3	8.9	8.5	8.5	80	57	80	72	26
Oktober . .	704.9	714.0	693.5	5.9	12.2	7.1	8.1	13.0	4.1	19.0	9.	- 1.2	31.	6.0	7.2	6.8	6.7	86	68	**89**	81	35
November .	702.5	714.5	683.3	3.1	6.7	3.5	4.2	7.8	1.0	13.8	5.	- 3.1	8.	5.0	5.7	5.0	5.2	87	78	86	84	43
Dezember .	704.1	712.7	693.4	0.8	3.8	1.1	1.7	5.1	- 1.1	9.4	20.	- 6.6	7.	4.3	4.8	4.4	4.5	88	80	88	85	50
Jahr	705.6	719.7	683.3	6.3	11.9	6.7	7.9	13.0	3.3	33.1	28. VII.	-17.9	1. II.	6.4	6.6	6.6	6.5	83	63	84	77	18

Alle Angaben nach Ortszeit.

1911

Augsburg.

h_t = 9.2 m h_r = 1.5 m

Monat	Bewölkung 7a	2p	9p	Mittel	Niederschlag Summe mm	Tagesmaximum Betrag mm	Tagesmaximum Gemessen am	Zahl der Tage ≧0.1 mm Niederschlag	≧1.0 mm Niederschlag	≧0.1 mm ✳	⊠	△	▲	⊿	≡	heitere	trübe	Windverteilung N	NE	E	SE	S	SW	W	NW	C
Januar	7.7	7.4	6.6	7.2	22.6	4.1	26.	12	8	10	**31**	–	–	–	7	5	**20**	2	13	20	4	–	32	**4**	8	10
Februar	7.1	6.9	6.6	6.9	36.4	7.4	3.	14	9	**12**	22	**3**	–	1	1	2	12	**1**	4	8	4	2	35	**18**	8	4
März	6.8	7.1	4.8	6.2	20.1	6.3	3.	11	7	7	2	1	–	–	5	3	11	**1**	13	**21**	6	–	30	6	9	7
April	6.0	6.6	5.3	6.0	54.4	**25.1**	3.	15	9	6	3	2	–	2	1	4	11	3	15	7	5	1	26	15	5	**13**
Mai	5.8	6.3	6.4	6.2	67.9	12.4	17.	**17**	**13**	–	–	–	1	9	–	4	10	**6**	**20**	12	13	–	8	4	22	8
Juni	5.3	6.5	6.4	6.1	**89.2**	13.5	14.	13	12	–	–	–	–	**12**	–	4	10	5	11	4	8	–	33	9	15	5
Juli	3.2	3.4	3.7	3.4	45.6	15.7	29.	7	5	–	–	–	1	6	–	**11**	1	**6**	17	17	6	**4**	17	6	14	6
August	3.8	4.0	3.4	3.7	36.8	11.6	31.	9	6	–	–	–	–	5	–	**11**	2	3	6	14	7	2	33	4	15	9
September	4.4	4.2	3.1	3.9	50.2	10.7	24.	8	8	–	–	–	–	–	–	**11**	5	2	9	8	**3**	3	23	**4**	**28**	10
Oktober	5.5	5.5	4.0	5.0	43.2	8.2	9.	11	9	–	–	–	–	–	4	9	8	4	12	8	15	2	30	6	4	12
November	**7.9**	6.7	5.8	6.8	54.0	16.7	11.	8	7	2	1	–	–	–	5	3	13	**1**	7	9	17	1	**36**	4	9	6
Dezember	7.7	**8.6**	**7.3**	**7.9**	63.8	12.8	23.	16	**13**	4	–	–	–	–	**9**	–	18	**1**	1	6	**22**	2	33	11	8	9
Jahr	5.9	6.1	5.3	5.8	584.2	25.1	3. IV.	141	106	41	59	6	2	35	32	67	121	35	128	134	110	17	336	91	145	99

Burghausen.

h_t = 1.6 m h_r = 1.6 m

Monat	Bewölkung 7a	2p	9p	Mittel	Niederschlag Summe mm	Tagesmaximum Betrag mm	Tagesmaximum Gemessen am	Zahl der Tage ≧0.1 mm Niederschlag	≧1.0 mm Niederschlag	≧0.1 mm ✳	⊠	△	▲	⊿	≡	heitere	trübe	Windverteilung N	NE	E	SE	S	SW	W	NW	C
Januar	8.9	6.9	6.9	7.6	24.2	5.0	11.	13	9	**11**	**26**	–	–	–	1	**1**	17	2	5	15	–	3	22	–	–	46
Februar	8.5	6.7	6.3	7.1	58.3	13.5	26.	15	11	10	19	1	1	1	3	**1**	13	2	–	2	2	7	**33**	3	2	33
März	6.8	6.1	3.7	5.5	22.7	4.2	2.	12	9	5	2	**2**	–	–	2	4	4	4	7	15	2	3	20	1	1	40
April	6.7	6.4	4.9	6.0	52.6	11.7	30.	9	8	1	–	**2**	–	2	1	3	9	4	**18**	5	1	5	25	2	1	29
Mai	6.0	6.5	5.7	6.1	**108.1**	**33.6**	19.	16	11	–	–	1	–	7	8	2	8	**8**	16	1	1	3	22	3	3	36
Juni	5.7	6.6	6.8	6.4	59.0	17.7	20.	13	8	–	–	1	–	4	6	3	10	5	7	5	1	3	25	3	2	39
Juli	**4.7**	5.2	4.2	4.7	39.3	18.1	3.	10	8	–	–	–	–	8	–	**7**	4	7	11	9	**8**	**10**	15	1	**4**	28
August	5.1	6.0	4.5	5.2	45.6	17.5	31.	11	9	–	–	–	–	**10**	2	5	6	1	6	16	6	4	19	–	–	41
September	6.7	5.4	4.9	5.7	49.3	10.3	29.	11	10	–	–	–	–	1	7	5	11	5	1	4	1	–	20	3	1	**55**
Oktober	**9.1**	4.8	4.8	6.2	45.7	10.0	3.	12	11	–	–	–	–	–	**11**	2	11	6	7	9	1	2	14	–	3	51
November	8.5	8.1	6.6	7.7	44.0	17.6	25.	9	6	2	–	–	–	–	8	1	17	6	2	15	3	1	**7**	**3**	–	53
Dezember	**9.1**	**8.5**	**8.2**	**8.6**	69.3	11.5	12.	**18**	**15**	3	1	–	–	–	8	1	**24**	5	5	**20**	1	2	15	**7**	–	38
Jahr	7.2	6.4	5.6	6.4	618.1	33.6	19. V.	149	115	32	48	7	1	33	57	35	134	55	85	116	27	43	237	26	17	489

München-C.St.

h_t = 8.4 m h_r = 1.4 m

Monat	Bewölkung 7a	2p	9p	Mittel	Niederschlag Summe mm	Tagesmaximum Betrag mm	Tagesmaximum Gemessen am	Zahl der Tage ≧0.1 mm Niederschlag	≧1.0 mm Niederschlag	≧0.1 mm ✳	⊠	△	▲	⊿	≡	heitere	trübe	Windverteilung N	NE	E	SE	S	SW	W	NW	C
Januar	7.5	7.6	**6.8**	7.3	23.2	4.6	11.	**26**	7	10	**27**	**2**	–	–	11	4	**17**	–	11	18	3	3	29	1	5	23
Februar	8.0	6.8	6.4	7.1	37.8	7.1	3.	19	9	**14**	15	**2**	–	–	4	2	11	1	9	2	5	1	**49**	12	**2**	3
März	6.2	7.2	5.1	6.2	19.9	5.2	2.	13	6	8	1	**2**	–	–	9	4	10	3	10	14	10	2	19	7	6	22
April	6.3	6.6	5.3	6.1	46.4	9.0	21.	12	10	6	2	–	–	2	1	5	11	–	16	7	3	**4**	29	5	9	17
Mai	6.2	6.7	6.3	6.4	**132.0**	24.5	18.	15	**14**	–	–	**2**	**2**	**8**	1	1	9	3	**20**	14	**2**	–	**18**	9	10	17
Juni	6.1	6.4	6.6	6.4	103.7	14.8	20.	16	13	–	–	1	1	7	–	3	10	1	11	10	**2**	–	28	**13**	12	13
Juli	4.2	4.5	4.0	4.2	18.6	5.2	1.	6	4	–	–	–	–	7	–	7	3	3	14	15	8	1	26	5	10	11
August	5.0	4.9	4.5	4.8	74.9	**25.7**	31.	13	9	–	–	–	–	**8**	–	7	6	–	5	13	8	1	36	6	11	13
September	5.6	4.9	4.0	4.8	69.4	18.5	29.	9	8	–	–	–	–	2	2	**8**	8	**4**	6	4	3	2	31	9	**15**	16
Oktober	6.3	5.3	4.5	5.3	41.9	10.5	10.	15	10	–	–	–	–	–	6	7	8	1	12	15	8	3	20	11	**2**	21
November	**8.1**	7.7	4.8	6.9	54.3	15.6	26.	14	8	3	–	–	–	–	11	2	12	1	7	8	8	2	29	5	6	**24**
Dezember	7.5	**8.5**	6.7	**7.6**	60.5	9.4	12.	24	**14**	5	–	1	–	–	**12**	1	**17**	–	–	**19**	**12**	1	36	6	4	15
Jahr	6.4	6.4	5.4	6.1	682.6	25.7	31. VIII.	182	112	46	45	10	3	34	57	51	122	17	121	139	72	20	350	89	92	195

Ottobeuren.

h_t = 7.6 m h_r = 1.9 m

Monat	Bewölkung 7a	2p	9p	Mittel	Niederschlag Summe mm	Tagesmaximum Betrag mm	Tagesmaximum Gemessen am	Zahl der Tage ≧0.1 mm Niederschlag	≧1.0 mm Niederschlag	≧0.1 mm ✳	⊠	△	▲	⊿	≡	heitere	trübe	Windverteilung N	NE	E	SE	S	SW	W	NW	C
Januar	6.6	6.5	6.4	6.5	22.1	6.5	14.	9	6	9	**31**	–	–	–	7	5	13	–	10	**14**	**11**	**3**	23	1	–	31
Februar	6.9	6.2	**6.8**	6.6	38.7	10.8	26.	17	9	**14**	22	**2**	–	1	2	3	12	–	4	3	5	**3**	**52**	3	–	**14**
März	5.8	7.0	4.9	5.9	34.7	12.5	26.	12	8	8	3	**2**	–	1	5	6	9	1	15	2	10	–	37	2	2	24
April	5.9	6.2	4.8	5.6	47.5	14.2	4.	15	9	6	4	1	–	1	2	6	11	–	17	7	4	–	41	2	2	17
Mai	6.6	6.8	6.7	6.7	108.5	26.3	18.	19	14	–	–	–	–	10	4	2	11	1	17	6	5	–	18	4	**4**	**38**
Juni	5.4	6.4	6.5	6.1	**181.5**	22.6	20.	18	**15**	–	–	–	1	**12**	1	4	10	–	17	3	**1**	1	35	**7**	3	23
Juli	2.5	3.4	3.2	3.0	39.0	15.5	16.	8	6	–	–	–	–	7	–	12	2	–	**19**	8	8	2	23	3	3	27
August	3.4	3.5	2.8	3.2	62.9	26.0	31.	11	8	–	–	–	–	10	–	**14**	4	1	8	6	9	–	28	5	3	33
September	4.8	4.5	3.6	4.2	113.7	**26.7**	16.	8	7	–	–	–	–	3	–	9	7	1	8	3	3	**3**	30	5	2	35
Oktober	5.9	5.5	4.4	5.3	49.2	11.8	9.	14	10	–	–	1	–	1	4	8	7	1	10	6	7	1	29	4	1	34
November	5.6	6.8	4.9	6.1	57.6	20.0	11.	9	9	–	–	–	–	–	**10**	3	9	–	5	5	6	–	40	–	–	34
Dezember	**7.1**	**7.2**	6.4	**6.9**	56.3	10.3	16.	**20**	14	6	1	–	–	–	6	4	**14**	–	4	1	7	**3**	**52**	–	–	26
Jahr	5.5	5.8	5.1	5.5	811.7	26.7	16. IX.	160	115	43	61	6	1	46	41	76	109	5	134	64	76	16	408	36	20	336

Alle Angaben nach Ortszeit.

1911

Traunstein.

$\varphi = 47^0\ 52'$ N $\lambda = 12^0\ 39'$ E — H = 597 m Cg = + 0.1 mm

Monat	Luftdruck auf 0° und Normalschwere reduziert: Mittel mm	Maximum mm	Minimum mm	Lufttemperatur: 7a C°	2p C°	9p C°	Tagesmittel C°	Mittl. Maximum C°	Mittl. Minimum C°	Absol. Maximum C°	Datum	Absol. Minimum C°	Datum	Absolute Feuchtigkeit: 7a mm	2p mm	9p mm	Mittel mm	Relative Feuchtigkeit: 7a Proz.	2p Proz.	9p Proz.	Mittel Proz.	Minimum Proz.
Januar	**716.0**	**726.6**	697.1	- 5.5	- 2.1	- 5.0	- 4.4	- 1.3	- 7.7	3.8	26.	-17.0	16.	2.8	3.2	2.9	3.0	89	81	88	86	47
Februar	714.0	724.4	700.6	- 3.1	2.2	- 1.4	- 0.9	2.9	- 5.3	9.6	19.	-15.5	10.	3.3	3.5	3.5	3.4	86	64	80	77	39
März	**707.1**	719.9	694.2	0.3	7.8	2.3	3.2	8.4	- 0.8	21.5	29.	- 6.0	7.	4.0	4.1	4.4	4.1	84	54	81	73	**19**
April	709.4	723.8	700.0	3.7	10.5	5.3	6.2	11.5	1.8	21.0	19., 23.	- 4.0	öfters	5.0	4.8	5.3	5.0	80	52	78	70	21
Mai	708.5	714.7	701.9	9.8	15.6	10.9	11.8	16.9	6.6	25.0	30.	1.0	3.	7.9	8.1	8.6	8.2	87	63	88	79	35
Juni	712.0	720.7	700.9	12.8	18.5	13.0	14.3	20.1	8.7	27.0	24.	3.5	16.	9.0	8.6	9.6	9.1	82	56	86	75	28
Juli	714.5	720.8	708.1	**16.7**	**23.8**	**17.2**	**18.7**	**24.7**	**12.8**	**33.0**	28.	7.0	5.	**10.4**	**9.5**	**11.2**	**10.4**	**74**	44	**77**	**65**	24
August	712.3	717.9	704.9	15.3	23.5	16.7	18.0	**24.7**	12.4	29.4	20.	8.4	1.	10.2	9.1	11.1	10.1	79	**43**	78	67	21
September	712.9	717.8	701.5	10.8	19.0	12.5	13.7	19.9	9.2	28.0	öfters	4.8	18.	8.6	10.0	9.4	9.3	89	62	87	79	36
Oktober	710.8	720.7	697.9	4.7	12.5	6.5	7.6	13.5	3.9	17.2	15., 21.	- 1.8	31.	6.1	7.3	7.0	6.8	**95**	67	**95**	86	49
November	708.3	720.4	**687.1**	1.8	7.5	2.8	3.7	8.4	0.7	17.0	23.	- 2.8	8.	4.9	5.2	5.1	5.1	93	69	92	84	33
Dezember	709.8	719.4	697.4	0.0	2.8	0.8	1.1	3.5	- 1.4	7.0	30.	- 5.6	19.	4.3	4.8	4.5	4.5	94	**85**	92	**90**	58
Jahr	711.3	726.6	687.1	5.6	11.8	6.9	7.8	12.8	3.4	33.0	28. VII.	-17.0	16. I.	6.4	6.5	6.9	6.6	87	62	85	78	19

Bad Reichenhall.

$\varphi = 47^0\ 43'$ N $\lambda = 12^0\ 53'$ E — H = 477 m Cg = + 0.1 mm

Monat	Luftdruck auf 0° und Normalschwere reduziert: Mittel mm	Maximum mm	Minimum mm	Lufttemperatur: 7a C°	2p C°	9p C°	Tagesmittel C°	Mittl. Maximum C°	Mittl. Minimum C°	Absol. Maximum C°	Datum	Absol. Minimum C°	Datum	Absolute Feuchtigkeit: 7a mm	2p mm	9p mm	Mittel mm	Relative Feuchtigkeit: 7a Proz.	2p Proz.	9p Proz.	Mittel Proz.	Minimum Proz.
Januar	**726.3**	**737.5**	709.2	- 5.5	- 1.0	- 3.8	- 3.5	1.5	- 6.7	8.9	27.	-16.0	16.	2.6	3.1	2.9	2.9	84	71	82	79	47
Februar	724.1	734.7	711.0	- 1.1	3.8	- 0.1	0.6	6.4	- 3.3	13.5	17.	-13.0	10.	3.4	3.6	3.6	3.5	78	59	78	72	36
März	**717.1**	729.8	704.2	1.5	9.8	3.3	4.5	12.1	0.7	25.5	29.	- 3.8	16.	4.2	4.4	4.7	4.4	83	52	81	72	21
April	719.2	733.9	709.5	5.7	12.3	6.3	7.7	15.2	3.7	24.8	19.	- 3.1	5.	5.1	5.2	5.6	5.3	73	51	78	67	**20**
Mai	718.2	724.8	711.1	10.9	16.9	11.5	12.7	20.1	8.1	27.9	30.	2.7	3.	7.9	8.1	9.0	8.3	82	58	87	76	37
Juni	721.7	730.5	710.0	13.8	19.8	14.0	15.4	23.3	10.4	30.4	24.	4.7	15.	9.2	9.7	9.9	9.6	79	58	83	73	30
Juli	724.0	730.8	717.1	**17.7**	**25.3**	**18.2**	**19.8**	**28.5**	**14.6**	**37.3**	28.	8.4	11.	**10.7**	**10.5**	**11.1**	**10.8**	**71**	45	73	63	26
August	721.8	727.8	713.7	17.0	24.6	18.0	19.4	27.3	**14.6**	34.4	6.	9.0	1.	10.2	10.1	10.6	10.3	**71**	46	**70**	**62**	24
September	722.5	728.0	710.8	12.9	20.4	13.9	15.3	21.7	11.2	30.1	9., 13.	5.1	18.	8.7	9.0	9.4	9.0	80	54	81	72	28
Oktober	720.6	731.3	707.3	6.4	14.1	8.0	9.1	15.0	5.4	20.3	7.	- 1.2	31.	6.4	7.6	7.2	7.1	88	65	**90**	81	34
November	718.4	730.9	**697.5**	3.3	8.4	4.4	5.1	9.4	1.8	17.3	24.	- 0.9	4., 28.	4.9	5.7	5.2	5.3	85	71	85	80	37
Dezember	720.1	729.4	707.4	0.3	3.6	1.4	1.7	4.5	- 0.8	9.0	22.	- 6.1	19.	4.2	4.8	4.4	4.5	**91**	**81**	86	**86**	54
Jahr	721.2	737.5	697.5	6.9	13.2	7.9	9.0	15.4	5.0	37.3	28. VII.	-16.0	16. I.	6.5	6.8	7.0	6.8	80	59	81	74	20

Tegernsee.

$\varphi = 47^0\ 43'$ N $\lambda = 11^0\ 45'$ E — H = 742 m Cg = + 0.1 mm

Monat	Luftdruck auf 0° und Normalschwere reduziert: Mittel mm	Maximum mm	Minimum mm	Lufttemperatur: 7a C°	2p C°	9p C°	Tagesmittel C°	Mittl. Maximum C°	Mittl. Minimum C°	Absol. Maximum C°	Datum	Absol. Minimum C°	Datum	Absolute Feuchtigkeit: 7a mm	2p mm	9p mm	Mittel mm	Relative Feuchtigkeit: 7a Proz.	2p Proz.	9p Proz.	Mittel Proz.	Minimum Proz.
Januar	**702.9**	**712.2**	686.4	- 4.6	- 0.5	- 3.4	- 3.0	1.2	- 7.1	9.3	22.	-13.2	15.	*)								
Februar	701.4	710.8	689.2	- 2.1	2.6	- 0.5	- 0.1	4.3	- 4.9	12.1	22., 23.	-16.3	7.	3.4	3.9	3.7	3.7	84	72	81	79	40
März	694.4	707.1	682.1	1.4	7.7	2.6	3.6	9.0	0.1	19.6	29.	- 5.7	16.	3.8	4.2	4.3	4.1	76	54	79	70	20
April	696.9	712.1	688.0	3.7	9.2	5.5	6.0	11.6	2.5	21.2	23.	- 4.7	5.	4.5	5.2	4.9	4.9	74	59	73	69	26
Mai	696.3	702.1	690.1	8.9	14.4	10.2	10.9	16.0	7.5	23.2	30.	2.8	3.	7.0	8.0	7.8	7.6	83	66	84	78	30
Juni	699.8	708.1	688.6	11.6	17.0	12.4	13.4	18.6	9.4	25.2	24.	2.3	15., 16.	8.4	9.6	9.2	9.0	83	67	84	78	44
Juli	702.4	708.1	696.2	**15.2**	22.5	**17.0**	**17.9**	23.9	**13.6**	**31.2**	28.	7.4	5.	9.9	11.0	11.0	10.6	77	55	76	69	37
August	700.3	705.4	693.3	14.6	**22.9**	16.9	17.8	**24.2**	13.5	28.1	20.	8.6	18.	9.8	10.9	10.3	10.3	80	53	**72**	68	37
September	700.8	705.8	690.8	12.0	19.2	13.6	14.6	20.6	11.0	29.2	3., 8.	5.6	18.	8.3	10.2	9.0	9.1	79	63	78	74	38
Oktober	698.3	707.3	685.8	6.7	13.4	8.0	9.0	15.1	5.7	20.4	14.	1.2	3.	6.1	7.8	6.9	6.9	83	69	86	79	42
November	695.7	707.8	**675.2**	3.8	8.7	5.1	5.7	10.5	2.2	18.1	23.	- 0.5	27.	4.8	5.5	5.0	5.1	80	67	79	75	30
Dezember	697.4	707.1	685.3	2.0	4.8	2.3	2.8	6.6	0.4	13.9	20.	- 3.6	3.	4.2	4.5	4.2	4.3	79	71	79	76	34
Jahr	698.9	712.2	675.2	6.1	11.8	7.5	8.2	13.5	4.5	31.2	28. VII.	-16.3	7. II.									

*) Beobachtungen sind unbrauchbar.

Berchtesgaden.

$\varphi = 47^0\ 38'$ N $\lambda = 13^0\ 0'$ E — H = 600 m

Monat	Luftdruck auf 0° und Normalschwere reduziert: Mittel mm	Maximum mm	Minimum mm	Lufttemperatur: 7a C°	2p C°	9p C°	Tagesmittel C°	Mittl. Maximum C°	Mittl. Minimum C°	Absol. Maximum C°	Datum	Absol. Minimum C°	Datum	Absolute Feuchtigkeit: 7a mm	2p mm	9p mm	Mittel mm	Relative Feuchtigkeit: 7a Proz.	2p Proz.	9p Proz.	Mittel Proz.	Minimum Proz.
Januar				- 6.1	- 1.7	- 4.7	- 4.3	- 0.5	- 7.9	5.0	26., 27.	-14.2	16.	2.6	3.0	2.8	2.8	87	73	84	81	41
Februar				- 2.6	2.4	- 1.0	- 0.5	3.0	- 5.2	11.5	17.	-14.7	1.	3.2	3.6	3.7	3.5	83	64	84	77	28
März				- 0.1	8.2	2.4	3.2	8.7	- 1.0	19.2	29.	- 6.5	16.	4.2	4.4	4.6	4.4	90	55	84	76	26
April				3.6	10.5	5.7	6.4	11.8	2.1	20.2	23.	- 4.4	5.	5.2	5.1	5.6	5.3	86	54	81	74	22
Mai				9.4	15.5	11.1	11.8	16.6	6.7	23.5	29.	2.0	3.	7.8	7.6	8.4	7.9	87	60	85	77	39
Juni				12.3	18.5	13.4	14.4	19.8	9.1	26.4	24.	4.3	16.	9.0	9.5	9.8	9.4	87	61	85	78	35
Juli				**15.6**	**22.9**	**16.6**	**17.9**	**23.9**	**12.3**	**31.2**	28.	7.0	11.	**11.0**	**10.3**	**11.4**	**10.9**	83	52	81	**72**	31
August				14.2	22.5	16.4	17.4	23.7	12.0	28.1	23.	8.2	1.	10.3	**10.3**	10.7	10.5	86	52	**77**	**72**	27
September				10.7	18.4	13.0	13.7	19.5	8.9	26.9	13.	5.5	11.	8.3	8.8	9.1	8.7	87	59	82	76	30
Oktober				4.9	12.9	7.5	8.2	13.9	4.0	20.4	7.	- 2.6	31.	6.1	7.3	7.1	6.8	93	66	90	83	43
November				2.1	7.8	3.4	4.2	8.5	0.6	14.9	23.	- 2.5	20.	5.0	5.7	5.3	5.3	94	73	91	86	40
Dezember				- 0.4	2.2	0.4	0.7	3.2	- 2.1	6.3	1., 30.	- 5.4	7.	4.3	4.9	4.5	4.6	**97**	**91**	**94**	**94**	78
Jahr				5.3	11.7	7.0	7.8	12.8	3.3	31.2	28. VII	-14.7	1. II.	6.4	6.7	6.9	6.7	88	63	85	79	22

Alle Angaben nach Ortszeit.

1911

Traunstein.

$h_t = 6.7$ m — $h_r = 1.4$ m

Monat	Bewölkung 7a	2p	9p	Mittel	Niederschlag Summe mm	Tagesmaximum Betrag mm	Gemessen am	Zahl der Tage ≥0.1 mm Niederschlag	≥1.0 mm	≥0.1 mm ✳	⊠	△	▲	⊏	≡	heitere	trübe	Windverteilung N	NE	E	SE	S	SW	W	NW	C
Januar	7.2	7.0	**6.9**	**7.0**	35.0	12.2	11.	11	8	11	**31**	–	–	–	5	4	**19**	–	4	9	**19**	**29**	30	**2**	–	–
Februar	7.4	**7.3**	6.1	6.9	75.4	12.4	26.	17	13	**12**	**28**	**2**	–	1	2	3	10	–	1	4	16	14	**31**	8	10	–
März	6.8	6.4	5.0	6.1	57.4	13.1	7.	12	10	8	5	1	–	–	3	3	9	–	**20**	12	13	19	19	5	5	–
April	6.5	7.0	4.9	6.1	99.9	20.0	30.	15	9	5	5	–	–	3	1	4	9	3	11	10	9	12	20	12	13	–
Mai	7.0	7.0	5.8	6.6	165.3	**59.3**	19.	**22**	14	–	–	–	–	6	2	1	7	4	6	20	13	6	16	20	8	–
Juni	5.6	6.5	5.9	6.0	**185.4**	39.0	19.	20	**16**	–	–	–	1	6	–	3	6	5	11	9	6	10	19	18	12	–
Juli	4.3	4.7	4.2	4.4	56.2	17.1	17.	9	9	–	–	–	1	**9**	–	6	2	4	9	19	17	16	9	9	10	–
August	4.5	5.3	3.6	4.5	98.1	46.2	24.	11	7	–	–	–	1	6	1	7	2	3	9	12	5	13	20	10	21	–
September	5.6	5.4	4.3	5.1	103.3	26.5	29.	13	10	–	–	–	–	3	–	7	7	**7**	3	9	6	7	14	20	**24**	–
Oktober	5.6	**4.7**	**3.1**	4.5	91.4	18.7	3.	14	10	–	–	–	–	–	6	**8**	2	6	9	22	15	5	8	18	10	–
November	7.1	7.2	5.2	6.5	56.1	16.1	26.	11	8	2	2	–	–	–	**12**	1	10	5	14	13	16	7	10	23	2	–
Dezember	**7.5**	**7.3**	5.9	6.9	135.5	21.1	12.	18	**16**	10	15	–	–	–	6	2	14	4	13	**24**	8	**2**	6	**30**	6	–
Jahr	6.3	6.3	5.1	5.9	1159.0	59.3	19. V.	173	130	48	86	3	3	34	38	49	97	41	110	163	143	140	202	175	121	–

Bad Reichenhall.

$h_t = 10.9$ m — $h_r = 1.5$ m

Monat	Bewölkung 7a	2p	9p	Mittel	Niederschlag Summe mm	Tagesmaximum Betrag mm	Gemessen am	Zahl der Tage ≥0.1 mm Niederschlag	≥1.0 mm	≥0.1 mm ✳	⊠	△	▲	⊏	≡	heitere	trübe	Windverteilung N	NE	E	SE	S	SW	W	NW	C
Januar	5.4	5.4	6.2	5.7	27.7	12.5	11.	7	5	6	**31**	–	–	–	2	10	13	**2**	**12**	16	2	**14**	19	9	–	19
Februar	**7.1**	**7.1**	6.2	**6.8**	91.1	14.0	27.	19	17	**12**	24	**4**	–	1	–	3	12	1	2	**7**	–	12	19	28	2	13
März	5.7	5.7	4.5	5.3	53.7	14.1	3	11	11	8	5	1	–	–	2	6	8	–	1	**23**	2	–	19	23	2	23
April	5.8	6.5	4.3	5.6	79.2	20.7	13.	15	9	6	4	–	–	2	–	8	9	1	6	19	**4**	3	16	28	2	11
Mai	6.8	7.0	6.3	6.7	151.4	**40.4**	19.	**20**	16	–	–	–	–	**5**	–	5	**15**	**2**	7	19	**4**	11	9	28	–	13
Juni	4.8	6.7	**6.5**	6.0	158.4	26.6	19.	**20**	**19**	–	–	–	1	4	–	4	10	**2**	5	20	**4**	10	15	23	–	11
Juli	3.9	3.5	4.3	3.9	49.7	12.4	9.	11	9	–	–	–	–	**5**	–	10	3	–	7	**23**	3	7	12	30	–	11
August	4.8	6.0	**3.7**	4.8	44.2	19.8	31.	13	6	–	–	–	–	4	–	8	6	–	1	18	–	12	**27**	27	3	5
September	5.6	4.9	4.5	5.0	79.7	17.6	29.	14	11	–	–	–	–	1	–	**11**	10	–	1	**23**	2	8	16	16	**4**	20
Oktober	4.7	3.8	4.1	4.2	81.6	15.1	2.	12	11	–	–	–	–	–	2	**11**	6	–	2	19	–	2	15	20	–	**35**
November	5.8	6.8	5.6	6.1	27.9	6.4	19.	8	6	–	–	–	–	–	**7**	4	9	–	–	16	1	2	25	17	1	28
Dezember	6.7	7.0	5.7	6.5	**159.6**	32.0	24.	18	15	7	6	1	–	1	6	4	11	–	1	12	1	1	14	**35**	2	27
Jahr	5.6	5.9	5.2	5.6	1004.2	40.4	19. V.	168	135	39	70	6	1	23	19	84	112	8	45	215	23	82	206	284	16	216

Tegernsee.

$h_t = 1.8$ m — $h_r = 1.8$ m

Monat	Bewölkung 7a	2p	9p	Mittel	Niederschlag Summe mm	Tagesmaximum Betrag mm	Gemessen am	Zahl der Tage ≥0.1 mm Niederschlag	≥1.0 mm	≥0.1 mm ✳	⊠	△	▲	⊏	≡	heitere	trübe	Windverteilung N	NE	E	SE	S	SW	W	NW	C
Januar	6.3	5.3	5.9	5.8	**19.3**	9.1	11.	8	5	8	**31**	–	–	–	**4**	6	10	–	**22**	42	–	–	–	15	14	–
Februar	7.0	6.4	6.6	6.6	72.1	17.2	26.	18	15	**12**	**28**	1	–	–	3	3	9	–	14	31	–	–	**2**	**33**	4	–
März	5.8	6.6	6.0	6.1	45.1	14.2	2.	13	9	9	13	–	–	–	2	3	7	–	11	**27**	6	**4**	1	19	25	–
April	6.7	6.9	5.5	6.3	89.9	21.1	4.	17	11	8	9	1	–	–	–	3	**11**	–	9	37	–	**4**	–	30	10	–
Mai	**7.1**	**7.8**	6.5	**7.1**	174.5	**51.6**	19.	**22**	**18**	–	–	–	–	8	–	–	10	–	6	39	3	–	1	25	19	–
Juni	6.2	7.1	**6.9**	6.7	**201.4**	37.7	16.	19	**18**	1	–	1	1	8	–	–	**11**	–	1	42	–	–	–	12	**35**	–
Juli	4.2	5.5	5.0	4.9	93.5	26.9	3.	14	10	–	–	–	**3**	**9**	–	6	**2**	**2**	5	51	1	1	1	8	24	–
August	4.7	5.2	4.6	4.8	77.9	16.2	31.	13	11	–	–	–	–	6	–	6	2	1	–	**60**	1	2	–	8	21	–
September	5.3	5.6	4.7	5.2	92.8	17.1	30.	14	10	–	–	–	–	2	–	**7**	9	–	–	48	1	–	1	21	19	–
Oktober	5.7	5.2	5.1	5.3	83.8	14.2	3., 10.	12	11	1	–	–	–	1	2	**7**	6	–	–	49	–	2	–	23	19	–
November	6.4	6.3	5.4	6.0	49.8	10.5	12.	8	7	3	–	–	–	–	1	2	6	–	2	51	**8**	1	–	22	6	–
Dezember	6.9	6.9	6.2	6.6	95.2	15.5	30.	18	15	11	12	1	–	–	3	2	**11**	–	2	49	7	–	1	27	7	–
Jahr	6.0	6.2	5.7	6.0	1095.3	51.6	19. V.	176	140	53	93	4	4	34	15	45	94	3	72	526	27	14	7	243	203	–

Berchtesgaden.

$h_t = 3.5$ m — $h_r = 1.6$ m

Monat	Bewölkung 7a	2p	9p	Mittel	Niederschlag Summe mm	Tagesmaximum Betrag mm	Gemessen am	Zahl der Tage ≥0.1 mm Niederschlag	≥1.0 mm	≥0.1 mm ✳	⊠	△	▲	⊏	≡	heitere	trübe	Windverteilung N	NE	E	SE	S	SW	W	NW	C
Januar	7.1	4.6	5.6	5.8	26.5	8.7	11.	10	5	10	**31**	1	–	–	6	6	12	–	–	3	2	–	1	2	–	85
Februar	**7.7**	6.6	6.1	6.8	98.9	15.3	4.	19	**17**	**14**	**28**	1	–	1	–	3	10	–	–	9	4	–	**9**	**7**	–	**55**
März	5.9	5.5	4.6	5.3	52.4	13.1	3.	11	10	8	22	–	–	–	1	6	8	–	–	8	6	–	4	6	–	69
April	6.3	6.5	5.0	5.9	95.1	21.3	30.	17	12	8	8	–	–	3	1	4	10	–	–	9	12	1	5	3	–	60
Mai	7.0	**7.1**	**6.5**	**6.9**	164.9	**37.2**	20.	18	**17**	–	–	2	–	7	2	**2**	12	–	–	11	11	–	5	–	–	66
Juni	5.9	6.7	6.3	6.3	**169.4**	29.0	21.	**20**	**17**	–	–	–	1	7	1	4	10	–	–	13	8	–	–	2	–	67
Juli	4.4	4.5	4.1	4.3	111.6	27.6	17.	14	10	–	–	–	–	**10**	–	5	3	–	–	12	**13**	–	1	3	–	64
August	5.2	5.7	3.8	4.9	72.9	19.1	5.	12	10	–	–	–	–	9	–	7	5	–	–	**14**	4	1	–	3	–	71
September	6.0	5.6	4.3	5.3	82.9	14.0	16.	13	12	–	–	–	–	3	2	7	9	–	–	9	5	–	1	3	–	72
Oktober	6.1	4.1	4.0	4.7	90.8	19.5	10.	14	11	–	–	–	–	2	6	**9**	5	–	–	8	4	–	–	3	–	78
November	5.4	5.9	4.3	5.2	26.9	7.0	20.	8	6	2	–	–	–	–	**8**	5	5	–	–	10	1	–	1	3	–	75
Dezember	7.0	6.8	5.5	6.4	165.7	28.0	24.	18	16	10	21	**4**	–	1	6	3	**13**	–	–	2	–	–	–	5	–	**86**
Jahr	6.2	5.8	5.0	5.7	1158.0	37.2	20. V.	174	143	52	110	8	1	43	33	61	102	–	–	108	70	2	27	40	–	848

Alle Angaben nach Ortszeit.

1911

Ettal (Benediktinerabtei).

$\varphi = 47^0\,34'$ N $\lambda = 11^0\,5'$ E. H = 879.5 m Cg = ± 0.0 mm

Monat	Luftdruck auf 0° und Normalschwere reduziert: Mittel mm	Maximum mm	Minimum mm	Lufttemperatur: 7a C°	2p C°	9p C°	Tagesmittel C°	Mittl. Maximum C°	Mittl. Minimum C°	Absol. Maximum C°	Datum	Absol. Minimum C°	Datum	Absolute Feuchtigkeit: 7a mm	2p mm	9p mm	Mittel mm	Relative Feuchtigkeit: 7a Proz.	2p Proz.	9p Proz.	Mittel Proz.	Minimum Proz.
Januar				− 8.3	− 2.6	− 7.0	− 6.2	0.4	−10.6	9.3	22.	−19.2	31.	2.3	2.8	2.5	2.5	92	74	92	87	38
Februar				− 4.2	2.4	− 2.3	− 1.6	4.8	− 6.6	12.8	23.	−17.1	1.	2.9	3.4	3.3	3.2	84	64	84	77	36
März				− 1.2	6.8	0.7	1.8	9.0	− 2.9	20.2	29.	−10.9	16.	3.8	4.1	4.1	4.0	88	58	86	77	25
April	683.8	698.1	674.6	2.2	8.5	3.2	4.3	10.4	0.3	19.3	23.	− 7.9	5.	4.6	4.5	4.9	4.7	83	55	84	74	15
Mai	683.4	689.2	677.3	8.4	13.6	8.6	9.8	15.5	5.6	22.9	29.	0.7	3.	7.0	7.5	7.6	7.4	85	64	91	80	34
Juni	687.0	695.0	676.2	11.8	16.5	10.5	12.3	19.3	7.3	26.1	30.	1.6	16.	8.0	8.7	8.4	8.4	78	63	89	76	34
Juli	689.8	694.7	683.4	15.3	22.4	15.0	16.9	24.6	10.9	31.2	28.	5.0	11.	9.7	9.5	10.0	9.7	75	48	78	67	29
August	687.7	692.6	680.2	14.3	22.3	14.8	16.5	23.4	11.0	26.9	21.	5.6	18.	9.2	8.7	9.5	9.1	77	45	76	66	20
September	688.1	693.1	677.1	9.8	17.8	11.4	12.6	19.3	8.3	26.7	3.	4.0	öfters	8.0	8.3	8.5	8.3	89	57	85	77	23
Oktober	685.4	694.1	672.8	4.5	11.4	5.9	6.9	12.6	3.2	18.4	9.	− 1.9	31.	5 8	6.5	6.4	6.2	91	66	92	83	21
November*)																						
Dezember*)																						
Jahr																						

*) Beobachtungen sind unbrauchbar.

Lindau i. B. (Reutin).

$\varphi = 47^0\,33$ N $\lambda = 9^0\,41'$ E H = 401.7 m Cg = + 0.1 mm

Monat	Luftdruck: Mittel	Maximum	Minimum	Lufttemperatur: 7a C°	2p C°	9p C°	Tagesmittel C°	Mittl. Maximum C°	Mittl. Minimum C°	Absol. Maximum C°	Datum	Absol. Minimum C°	Datum	Absolute Feuchtigkeit: 7a mm	2p mm	9p mm	Mittel mm	Relative Feuchtigkeit: 7a Proz.	2p Proz.	9p Proz.	Mittel Proz.	Minimum Proz.
Januar	**733.4**	**744.3**	715.7	− 5.8	− 1.8	− 4.2	− 4.0	− 0.9	− 7.5	5.8	26.	−13.2	17.	2.8	3.4	3.1	3.1	94	85	91	90	48
Februar	732.4	742.2	720.7	− 1.2	3.0	0.4	0.7	4.7	− 3.5	13.2	23.	−15.1	1.	3.7	4.1	4.2	4.0	86	72	86	81	46
März	723.8	738.6	710.6	1.5	7.6	4.6	4.6	9.5	− 0.3	23.3	29.	− 5.6	27.	4.6	5.1	5.2	5.0	89	68	82	80	31
April	726.2	739.8	716.1	5.3	10.9	7.2	7.7	13.0	2.6	21.6	23.	− 4.2	5., 10.	5.7	5.8	6.1	5.8	83	59	77	73	30
Mai	725.0	731.2	719.3	10.7	15.9	12.5	12.9	17.5	7.8	21.9	29.	0.9	3.	8.6	9.2	9.0	8.9	91	68	83	81	38
Juni	728.5	737.8	717.7	13.6	18.2	14.6	15.3	20.0	10.0	26.1	7.	5.0	14.	10.1	10.6	10.4	10.3	87	68	84	80	42
Juli	730.3	736.4	724.0	**17.5**	24.6	**20.1**	**20.6**	26.2	13 6	**31.7**	28.	8.7	5.	**12.0**	**12.4**	**12.3**	**12.2**	81	55	71	69	40
August	728.1	733.1	719.9	16.9	**24.9**	19.7	20.3	**26.3**	**13.7**	30.9	8.	8.1	18.	11.9	12 3	12.2	12 1	83	54	73	70	27
September	729.4	734.3	718.9	12.5	19.0	14.6	15.2	21.1	10.0	28.6	13.	5.1	18.	9.9	11.6	11.0	10.8	91	72	89	84	43
Oktober	727.3	736.8	713.9	6.9	11.6	8.1	8.7	13.0	5.1	17.8	9.	− 1.1	31.	7.2	8.8	7.9	8.0	**96**	87	**98**	**94**	67
November	725.1	737.7	**704.5**	3.8	8.1	5.1	5.5	9.7	1.8	18.7	22.	− 2.9	8.	5.6	6.7	6.2	6.2	94	85	94	91	51
Dezember	727.3	735.4	714.2	2.2	4.9	2.9	3.2	6.5	0.1	13.7	21.	− 2.7	17.	5.2	5.7	5.3	5.4	95	**89**	94	93	70
Jahr	728.1	744.3	704.5	7.0	12.2	8.8	9.2	13.9	4.5	31.7	28. VII.	−15.1	1. II.	7.3	8.0	7.7	7.7	89	73	85	82	27

Partenkirchen.

$\varphi = 47^0\,30'$ N $\lambda = 11^0\,6'$ E H = 714.6 m Cg = + 0.1 mm

Monat	Luftdruck: Mittel	Maximum	Minimum	Lufttemperatur: 7a C°	2p C°	9p C°	Tagesmittel C°	Mittl. Maximum C°	Mittl. Minimum C°	Absol. Maximum C°	Datum	Absol. Minimum C°	Datum	Absolute Feuchtigkeit: 7a mm	2p mm	9p mm	Mittel mm	Relative Feuchtigkeit: 7a Proz.	2p Proz.	9p Proz.	Mittel Proz.	Minimum Proz.
Januar	**705.2**	**717.3**	688.0	− 7.9	− 2.1	− 6.2	− 5.6	− 1.3	− 9.5	5.4	20.	−16.1	16.	2.2	2.8	2.6	2.5	87	70	88	**82**	51
Februar	703.8	714.5	691.0	− 3.8	3.1	− 1.5	− 0.9	4.2	− 5.4	12.5	23.	−14.3	1.	2.9	3.3	3.4	3.2	81	59	81	73	30
März	696.6	709.9	684.1	0.1	8.9	2.2	3.4	10.1	− 1.0	21.9	29.	− 7.8	16.	3.8	3.8	4.3	3.9	81	47	80	69	19
April	699.1	713.5	689.8	3.0	10.4	4.5	5.6	12.4	1.6	22.6	23.	− 6.2	5.	4.7	4.8	5.2	4.9	81	54	81	72	18
Mai	698.5	704 2	692.4	8.5	14.4	9.7	10.6	16.4	6.9	23.5	13.	1.6	3.	7.4	7.7	8.0	7.7	89	65	88	81	35
Juni	701.9	710.3	690.8	10.9	17.0	12.1	13.0	19.2	8.5	26.7	24.	2.1	16.	8.9	9.1	9.2	9.1	**91**	65	88	81	27
Juli	704.6	710.4	698.4	**14.5**	22.4	15.9	17.2	24.0	12.0	**31.0**	28.	6.7	11.	**10.3**	**10.3**	**11.0**	**10.5**	83	53	81	72	30
August	702.4	707.5	694.7	14.1	**23.2**	**16.3**	**17.5**	**24.4**	**12.2**	28.4	6.	7.4	18.	9.7	9.4	**11.0**	10.0	81	46	80	69	24
September	703.0	708.3	691.5	10.7	18.9	12.8	13.8	20.2	9.5	29.0	13.	4.8	18.	8.3	8.7	9.3	8.8	87	58	85	76	28
Oktober	700.5	709.9	687.7	5 2	13.1	7.0	8.1	15.0	4.3	20.2	7.	− 0.4	31.	6.0	6.9	6.7	6.5	89	62	**89**	80	31
November	698.1	710.2	**677.9**	2.0	8.6	3.3	4.3	10.3	0.6	19.0	22.	− 2.1	27.	4.5	5.5	4.8	4.9	84	68	85	79	30
Dezember	699.8	708.1	688.1	0.1	3.7	0.9	1.4	5.1	− 1.5	9.5	7.	− 6.2	3.	4.0	4.5	4.2	4.2	85	**77**	85	**82**	50
Jahr	701.1	717.3	677.9	5.0	11.8	6.4	7.4	13.3	3.2	31.0	28. VII.	−16.1	16. I.	6.1	6.4	6.6	6.4	85	60	84	76	18

Mittenwald.

$\varphi = 47^0\,27'$ N $\lambda = 11^0\,16'$ E H = 910 m Cg = ± 0.0 mm

Monat	Luftdruck: Mittel	Maximum	Minimum	Lufttemperatur: 7a C°	2p C°	9p C°	Tagesmittel C°	Mittl. Maximum C°	Mittl. Minimum C°	Absol. Maximum C°	Datum	Absol. Minimum C°	Datum	Absolute Feuchtigkeit: 7a mm	2p mm	9p mm	Mittel mm	Relative Feuchtigkeit: 7a Proz.	2p Proz.	9p Proz.	Mittel Proz.	Minimum Proz.
Januar	687.9	**697.7**	671.4	− 7.8	− 1.6	− 6.9	− 5.8	− 1.0	−10.4	7.1	21.	−20.1	31.	**2.2**	2.9	2.4	2.5	**86**	**70**	87	**81**	39
Februar	686.7	697.0	674.6	− 4.3	2.2	− 2.5	− 1.8	3.0	− 7.0	12.0	22.	−16.7	9.	2.8	3.4	3.2	3.1	81	63	81	75	42
März	**679.9**	692.6	667.5	0.1	7.6	1.4	2.6	8.6	− 1.6	18.5	29.	−10.2	17.	3.6	4.0	4.0	3.9	78	52	81	70	31
April	682.2	696 6	672.8	2.6	9.2	3.8	4.8	11.0	0.3	21.0	23.	− 7.0	5.	4.6	5.1	5.0	4.9	82	61	83	75	**21**
Mai	681.9	687.9	676.0	8.6	13.9	8.7	10.0	15.6	5.1	23.2	29., 30.	0.0	3.	6.9	7.7	7.5	7.4	84	67	**90**	80	38
Juni	685.5	693.8	674.5	11.4	17.1	11.0	12.6	19.3	6.8	25.6	24.	0.7	15.	8.2	9.1	8.7	8.7	82	64	87	78	35
Juli	**688.3**	693.4	682.2	**14.7**	22.1	**14.4**	**16.4**	**23.9**	**10.3**	**31.1**	28.	3.0	11.	**9.7**	**10.4**	**10.3**	**10.1**	79	54	85	72	29
August	686.3	691.4	678.7	13.2	**22.3**	13.7	15.7	23.5	9.8	28.0	6.	4.7	18.	9.1	9.4	9.9	9.5	81	48	85	71	30
September	686.6	691.9	675.0	10.4	18.2	10.6	12.4	19.1	8.1	27.4	3.	3.8	18., 23.	7.7	8.1	8.4	8.1	83	56	88	76	22
Oktober	683.9	692.8	671.3	5.9	13.1	7.0	8.3	14.3	3.6	20.0	7.	− 1.7	3.	5.4	6.3	6.0	5.9	79	57	81	72	30
November	681.3	693.3	661.8	3.7	8.9	4.8	5.6	10.1	1.2	15.3	23.	− 3.1	21.	4.2	4.9	4.4	4.5	73	59	**71**	**67**	25
Dezember	682.8	690.8	671.5	0.7	4.0	1.2	1.8	5.2	− 1.7	11.0	19.	− 8.1	10.	3.8	4.1	3.9	3.9	79	69	78	76	38
Jahr	684.4	697.7	661.8	4.9	11.4	5.6	6.9	12.7	2.0	31.1	28. VII.	−20.1	31. I.	5 7	6.3	6.1	6.0	81	60	83	74	21

Alle Angaben nach Ortszeit.

1911

Ettal (Benediktinerabtei).

$h_t = 2.4$ m — $h_r = 1.9$ m

Monat	Bewölkung 7a	2p	9p	Mittel	Niederschlag Summe mm	Tagesmaximum Betrag mm	Gemessen am	Zahl der Tage ≧0.1 mm Niederschlag	≧1.0 mm	≧0.1 mm ✳	⊠	△	▲	⊠	=	heitere	trübe	Windverteilung **) N	NE	E	SE	S	SW	W	NW	C
Januar	4.6	5.3	3.9	4.6	25.0	11.3	11.	8	5	6	31	1	–	–	12	8	7									
Februar	6.7	6.6	6.8	6.7	86.0	29.0	26.	15	11	14	28	–	–	1	3	3	11									
März	5.0	6.8	5.5	5.8	62.2	11.3	2.	13	12	11	24	–	–	–	2	5	9									
April	5.9	6.4	5.6	6.0	102.8	15.3	4.	17	13	9	7	3	–	–	3	6	12									
Mai	6.1	7.0	6.1	6.4	243.3	111.2	19.	23	21	–	–	2	–	10	4	–	8									
Juni	5.6	7.6	5.7	6.3	233.8	28.1	19.	21	20	–	–	1	1	9	2	5	9									
Juli	3.2	3.8	3.9	3.6	81.8	25.5	3.	12	9	–	–	–	–	12	–	14	3									
August	3.6	3.9	3.4	3.6	110.0	35.4	31.	11	9	–	–	–	1	8	1	15	3									
September	4.7	5.2	3.0	4.3	105.5	27.8	16.	11	9	–	–	–	–	2	1	8	5									
Oktober	5.0	5.2	4.8	5.0	87.5	14.3	2.	13	12	3	–	–	–	1	9	9	7									
November *)																										
Dezember *)																										
Jahr																										

*) Beobachtungen sind unbrauchbar.

**) Die eingeschlossene Lage Ettals macht Windbeobachtungen unmöglich.

Lindau i. B. (Reutin).

$h_t = 2.1$ m — $h_r = 1.4$ m

Monat	Bewölkung 7a	2p	9p	Mittel	Niederschlag Summe mm	Tagesmaximum Betrag mm	Gemessen am	Zahl der Tage ≧0.1 mm Niederschlag	≧1.0 mm	≧0.1 mm ✳	⊠	△	▲	⊠	=	heitere	trübe	Windverteilung **) N	NE	E	SE	S	SW	W	NW	C
Januar	**8.0**	5.9	6.9	6.9	28.6	11.9	11.	7	5	7	**31**	–	–	–	**10**	2	**13**	12	6	**20**	**6**	7	4	4	**11**	23
Februar	7.0	0.0	6.3	6.4	52.5	19.8	26.	14	10	**10**	21	–	–	–	1	3	10	5	4	3	3	13	7	21	7	21
März	5.2	5.9	6.1	5.7	40.7	16.6	26.	11	9	6	2	**2**	–	–	2	8	10	5	7	5	4	17	5	18	8	**24**
April	5.5	4.8	5.9	5.4	68.9	19.5	21.	11	9	3	1	**2**	–	–	–	10	11	3	10	4	3	19	3	22	6	20
Mai	6.5	5.5	6.1	6.0	60.1	15.0	18.	17	12	–	–	–	–	7	–	3	7	10	12	2	5	16	7	**25**	3	13
Juni	5.6	6.0	6.1	5.9	**200.5**	27.9	19.	18	**16**	–	–	–	3	9	–	6	11	3	12	1	3	**30**	3	22	2	14
Juli	**1.9**	**2.2**	3.8	**2.6**	**27.2**	6.3	3.	8	5	–	–	–	–	6	–	16	2	13	23	2	3	16	**14**	13	1	8
August	3.9	2.7	3.8	3.5	78.3	17.7	31.	11	7	–	–	–	–	**11**	–	13	3	10	**29**	1	5	19	2	17	1	9
September	4.5	4.1	**3.7**	4.1	118.5	**36.6**	22.	10	7	–	–	–	–	1	–	**15**	8	**24**	11	3	1	21	2	17	5	6
Oktober	7.7	5.5	5.8	6.3	89.3	18.8	10.	**21**	11	–	–	1	–	1	5	5	10	17	15	1	1	21	2	22	7	7
November	7.1	6.0	6.6	6.6	47.0	18.2	11.	10	7	–	–	–	–	–	4	5	12	17	13	7	2	**7**	5	23	6	10
Dezember	7.2	**7.7**	**7.1**	**7.3**	81.8	11.7	16.	18	15	1	–	1	–	1	3	–	11	15	8	8	3	23	6	19	4	7
Jahr	5.8	5.2	5.8	5.6	893.4	36.6	22. IX.	156	113	27	55	6	3	36	25	86	108	134	150	57	39	209	60	223	61	162

Partenkirchen.

$h_t = 2.1$ m — $h_r = 1.2$ m

Monat	Bewölkung 7a	2p	9p	Mittel	Niederschlag Summe mm	Tagesmaximum Betrag mm	Gemessen am	Zahl der Tage ≧0.1 mm Niederschlag	≧1.0 mm	≧0.1 mm ✳	⊠	△	▲	⊠	=	heitere	trübe	Windverteilung **) N	NE	E	SE	S	SW	W	NW	C
Januar	4.9	4.2	3.2	4.1	19.2	8.0	11.	7	**4**	6	**31**	–	–	–	**2**	**16**	9	4	–	–	3	14	1	–	2	**69**
Februar	5.6	5.3	5.3	5.4	77.3	22.2	26.	13	12	**10**	**28**	1	–	–	–	6	7	3	–	–	5	14	–	1	20	41
März	4.3	6.2	5.1	5.2	41.2	7.8	3.	13	11	7	10	1	–	–	–	7	6	9	–	–	4	23	–	1	13	43
April	5.5	6.4	5.7	5.9	78.4	19.0	30.	19	12	7	8	–	–	1	–	7	**10**	6	1	–	**8**	11	1	–	**21**	42
Mai	**6.3**	**7.4**	**7.0**	**6.9**	**194.0**	**74.0**	19.	**23**	**19**	–	–	–	1	8	–	–	**10**	4	–	–	6	2	–	1	17	63
Juni	5.3	7.0	6.3	6.2	182.2	18.7	21.	22	**19**	–	–	–	**2**	6	–	5	9	7	–	–	3	12	–	–	15	53
Juli	3.0	4.3	3.7	3.7	72.9	13.7	14.	16	13	–	–	–	1	**11**	–	13	4	6	–	–	4	26	–	–	20	37
August	3.6	3.8	3.1	3.5	69.7	17.0	31.	10	9	–	–	–	–	9	–	12	2	9	–	–	**8**	24	–	–	16	36
September	4.3	5.3	4.1	4.6	73.0	21.4	16.	13	10	–	–	–	–	2	–	8	6	**10**	–	–	2	19	2	1	11	45
Oktober	4.8	4.5	3.6	4.3	80.4	17.8	2.	14	11	–	–	–	–	1	1	11	6	8	–	–	7	23	3	–	12	40
November	4.5	5.4	3.3	4.4	43.0	19.6	11.	6	5	2	3	–	–	–	1	8	3	2	–	–	7	**30**	1	**2**	10	38
Dezember	6.1	6.2	4.9	5.7	117.0	21.2	24.	16	15	8	18	–	–	–	–	4	**10**	2	–	–	5	25	**4**	1	5	51
Jahr	4.8	5.5	4.6	5.0	1048.3	74.0	19. V.	172	140	40	98	2	4	38	4	97	82	70	1	–	62	223	12	7	162	558

Mittenwald.

$h_t = 2.0$ m — $h_r = 1.7$ m

Monat	Bewölkung 7a	2p	9p	Mittel	Niederschlag Summe mm	Tagesmaximum Betrag mm	Gemessen am	Zahl der Tage ≧0.1 mm Niederschlag	≧1.0 mm	≧0.1 mm ✳	⊠	△	▲	⊠	=	heitere	trübe	Windverteilung **) N	NE	E	SE	S	SW	W	NW	C
Januar	4.4	4.1	4.5	4.3	20.7	6.9	11.	8	5	8	**31**	–	–	–	1	**11**	9	4	4	1	2	24	2	–	**9**	47
Februar	6.0	6.1	6.3	6.1	71.2	20.1	26.	15	11	11	**28**	1	–	–	–	5	10	6	3	–	5	15	6	4	7	38
März	5.8	6.9	6.1	6.3	51.1	11.2	15.	12	10	**12**	21	**2**	–	–	–	5	13	5	1	2	3	**27**	3	8	3	41
April	6.1	7.2	6.2	6.5	81.6	21.6	30.	15	12	7	7	1	–	2	–	5	14	9	9	3	1	16	3	2	3	44
Mai	**6.7**	**7.9**	**7.8**	**7.5**	201.2	**53.2**	19.	19	17	–	–	–	1	7	–	–	**15**	7	4	2	4	14	2	3	1	**56**
Juni	5.8	7.5	7.1	6.8	**211.0**	42.7	19.	**21**	**19**	–	–	–	1	7	–	3	12	**14**	8	1	2	16	5	5	1	38
Juli	3.6	5.0	4.3	4.3	75.6	21.3	14.	15	10	–	–	–	1	**12**	1	10	2	9	**14**	–	**6**	15	4	3	1	41
August	4.4	4.9	4.6	4.6	84.2	20.7	31.	13	12	–	–	–	–	7	–	8	7	11	9	**4**	5	13	1	3	2	45
September	5.2	5.6	5.0	5.3	69.5	16.8	16.	11	9	–	–	–	–	3	–	9	9	4	11	2	2	9	2	2	3	55
Oktober	5.1	4.3	4.7	4.7	92.5	19.0	10.	13	9	1	1	–	–	1	1	9	6	**3**	7	–	2	22	15	7	7	30
November	5.2	6.3	5.0	5.5	35.2	13.6	19.	**6**	6	2	4	–	–	–	–	5	5	5	3	–	–	18	**24**	**14**	3	**23**
Dezember	6.0	7.0	6.2	6.4	118.0	23.9	24.	16	15	**12**	18	**2**	–	1	1	3	10	8	4	–	–	17	20	7	4	33
Jahr	5.4	6.1	5.7	5.7	1111.8	53.2	19. V.	167	135	53	110	6	3	40	4	73	112	85	77	15	32	206	87	58	44	491

Alle Angabe nach Ortszeit.

1911

Oberstdorf.

$\varphi = 47^0\,24'$ N $\lambda = 10^0\,17'$ E — H = 811.4 m Cg = + 0.1 mm

Monat	Luftdruck auf 0° und Normalschwere reduziert: Mittel mm	Maximum mm	Minimum mm	Lufttemperatur: 7a C°	2p C°	9p C°	Tagesmittel C°	Mittl. Maximum C°	Mittl. Minimum C°	Absol. Maximum C°	Datum	Absol. Minimum C°	Datum	Absolute Feuchtigkeit: 7a mm	2p mm	9p mm	Mittel mm	Relative Feuchtigkeit: 7a Proz.	2p Proz.	9p Proz.	Mittel Proz.	Minimum Proz.
Januar . . .	**696.7**	**706.4**	679.7	- 9.0	- 3.1	- 7.4	- 6.8	- 1.9	-11.5	4.3	26.	-20.3	16.	2.1	2.7	2.4	2.4	89	73	89	**84**	52
Februar . .	696.1	705.6	684.6	- 4.5	2.0	- 2.1	- 1.7	3.6	- 7.6	12.1	22.	-22.1	1.	3.0	3.3	3.4	3.2	84	63	82	76	36
März . . .	688.4	700.1	674.2	- 1.5	6.8	0.8	1.7	8.0	- 3.7	19.0	29.	-11.1	16.	3.5	3.9	4.1	3.9	86	55	85	75	22
April . . .	690.8	704.7	680.2	2.4	9.1	3.6	4.7	10.8	- 0.1	19.4	23.	- 6.9	5.	4.6	4.6	4.9	4.7	82	55	81	73	**17**
Mai	690.3	696.4	684.1	8.4	14.8	9.1	10.4	16.1	4.9	22.3	13.	- 1.2	3.	7.4	7.5	7.7	7.5	89	61	89	79	34
Juni	694.0	702.3	683.5	12.2	17.1	11.0	12.8	19.2	6.6	25.1	24.	1.5	16.	8.8	8.5	8.6	8.6	83	61	87	77	29
Juli	696.4	701.8	689.9	**15.9**	22.9	15.4	**17.4**	**24.5**	9.6	**30.1**	23.	4.4	11.	**10.6**	**9.6**	**10.6**	**10.2**	79	48	81	69	29
August . .	694.4	699.4	686.7	13.4	**23.4**	**15.5**	17.0	24.3	**10.1**	27.9	8., 21.	4.9	18.	9.9	9.2	10.2	9.8	87	43	**78**	69	24
September .	695.0	700.0	685.6	9.4	18.7	11.6	12.8	20.0	6.9	27.2	3.	1.0	24.	8.0	8.2	8.7	8.3	91	55	86	77	24
Oktober . .	692.3	701.6	679.2	3.8	12.2	5.5	6.8	13.6	1.7	19.1	9.	- 4.8	31.	5.7	6.8	6.5	6.3	**93**	65	**94**	**84**	29
November .	689.8	701.6	669.8	1.2	8.3	2.7	3.7	9.6	- 0.7	18.4	5.	- 4.7	8.	4.4	5.2	4.7	4.8	88	65	86	80	31
Dezember .	691.6	699.2	680.0	- 0.8	3.4	0.1	0.7	5.0	- 3.3	9.2	21.	-10.7	13.	4.0	4.3	4.0	4.1	91	**75**	88	**84**	47
Jahr	693.0	706.4	669.8	4.2	11.3	5.5	6.6	12.7	1.1	30.1	23. VII.	-22.1	1. II.	6.0	6.2	6.3	6.2	87	60	86	77	17

Alle Angaben nach Ortszeit.

Hochstationen.

1911

Hohenpeissenberg.

$\varphi = 47^0\,48'$ N $\lambda = 11^0\,1'$ E — H = 993.9 m Cg = ± 0.0 mm

Monat	Luftdruck auf 0° und Normalschwere reduziert: Mittel mm	Maximum mm	Minimum mm	Lufttemperatur: 7a C°	2p C°	9p C°	Tagesmittel C°	Mittl. Maximum C°	Mittl. Minimum C°	Absol. Maximum C°	Datum	Absol. Minimum C°	Datum	Absolute Feuchtigkeit: 7a mm	2p mm	9p mm	Mittel mm	Relative Feuchtigkeit: 7a Proz.	2p Proz.	9p Proz.	Mittel Proz.	Minimum Proz.
Januar . . .	680.3	**689.7**	664.1	- 5.0	- 3.3	- 4.0	- 4.1	- 1.5	- 6.2	5.0	20., 21.	-13.9	31.	2.2	2.4	2.4	2.4	71	69	71	70	23
Februar . .	679.2	688.9	666.9	- 2.6	- 0.1	- 1.7	- 1.4	0.8	- 4.1	8.8	23.	-13.8	1.	2.8	2.8	3.0	2.9	73	62	73	69	26
März . . .	672.7	684.9	660.3	1.1	4.5	1.7	2.3	5.4	- 0.2	17.5	29.	- 5.1	7., 16.	3.5	3.7	3.9	3.7	73	62	78	71	21
April . . .	675.3	689.4	665.3	2.9	6.4	4.1	4.4	8.0	1.9	17.4	23.	- 9.1	5.	4.2	4.2	4.5	4.3	74	61	74	70	**11**
Mai	675.2	680.8	669.6	8.2	12.2	9.0	9.6	13.0	7.0	19.3	29.	2.0	8.	6.8	7.2	7.2	7.0	**83**	68	**84**	**79**	39
Juni	678.8	686.8	668.7	11.6	14.8	11.2	12.2	16.1	8.8	22.6	24.	1.2	15.	7.8	8.1	7.9	7.9	77	65	80	74	26
Juli	**681.7**	686.5	675.1	**16.2**	20.7	**16.9**	**17.7**	21.4	**14.2**	**28.3**	28.	6.8	4.	**8.9**	**8.8**	**9.0**	**8.9**	66	49	64	60	31
August . .	679.7	684.3	672.7	15.6	**20.8**	16.8	17.5	**21.6**	14.0	26.1	21.	8.2	31.	8.5	8.7	8.4	8.5	66	49	60	**58**	16
September .	679.9	684.9	669.8	12.1	16.1	13.4	13.7	17.0	10.8	24.2	3., 13.	3.6	24.	7.3	7.6	7.4	7.4	71	60	67	66	18
Oktober . .	677.0	685.6	665.0	6.5	9.5	7.3	7.7	10.7	5.2	16.2	7.	- 0.7	30.	5.5	6.4	6.2	6.0	76	**73**	81	77	30
November .	674.2	685.9	654.4	4.1	5.8	4.8	4.9	7.9	2.2	15.2	23.	- 0.7	20.	4.2	4.7	4.3	4.4	71	70	69	70	28
Dezember .	675.5	683.6	664.3	1.4	2.7	1.7	1.9	4.4	- 0.2	9.8	20.	- 4.5	3.	3.7	4.0	3.8	3.8	75	**73**	75	74	26
Jahr	677.5	689.7	654.4	6.0	9.2	6.8	7.2	10.4	4.5	28.3	28. VII.	-13.9	31. I.	5.5	5.7	5.7	5.6	73	63	73	70	11

Zugspitze.

$\varphi = 47^0\,25'$ N $\lambda = 10^0\,59'$ E — H = 2964 m Cg = — 0.2 mm

Monat	Luftdruck auf 0° und Normalschwere reduziert: Mittel mm	Maximum mm	Minimum mm	Lufttemperatur: 7a C°	2p C°	9p C°	Tagesmittel C°	Mittl. Maximum C°	Mittl. Minimum C°	Absol. Maximum C°	Datum	Absol. Minimum C°	Datum	Absolute Feuchtigkeit: 7a mm	2p mm	9p mm	Mittel mm	Relative Feuchtigkeit: 7a Proz.	2p Proz.	9p Proz.	Mittel Proz.	Minimum Proz.
Januar . . .	528.8	538.5	515.5	-11.7	-11.1	-11.6	-11.5	- 9.0	-14.0	- 1.0	21.	-24.3	31.	1.1	1.2	1.2	1.1	60	59	63	60	⟨ 10
Februar . .	527.7	534.4	518.9	-13.7	-12.1	-13.0	-12.9	- 9.6	-15.9	- 3.2	22.	-22.8	9.	1.4	1.5	1.4	1.4	81	77	82	80	⟨ 10
März . . .	524.0	530.7	512.7	-11.5	- 9.1	-10.6	-10.4	- 8.3	-12.4	- 2.4	29.	-19.3	14.	1.8	2.1	2.0	2.0	91	92	94	92	52
April . . .	526.7	540.2	514.3	- 8.8	- 6.6	- 8.6	- 8.2	- 5.5	-10.4	1.4	22., 23.	-20.0	5.	2.1	2.5	2.2	2.2	84	85	87	85	28
Mai	529.2	533.8	524.2	- 3.6	- 1.3	- 3.2	- 2.8	- 0.6	- 4.7	4.5	30.	-10.0	1.	3.3	4.0	3.6	3.6	**93**	**93**	**96**	**94**	20
Juni	533.4	539.8	524.6	- 1.2	1.0	- 1.2	- 0.6	2.1	- 3.0	7.0	18.	-10.2	15.	3.7	4.6	4.0	4.1	88	92	95	92	34
Juli	**538.0**	542.8	531.9	**3.1**	5.0	**3.5**	**3.8**	**6.4**	**1.8**	11.9	28.	- 3.3	4.	**4.5**	5.4	4.9	**5.0**	78	83	83	81	⟨ 10
August . .	536.4	540.9	531.3	2.9	**5.1**	3.1	3.5	6.0	1.7	10.9	9.	- 3.3	17.	4.3	**5.6**	**5.1**	**5.0**	78	86	89	84	25
September .	535.0	**543.1**	523.5	0.6	2.7	0.9	1.3	3.9	- 1.0	**13.0**	2.	- 9.0	18., 30.	3.5	4.4	3.9	4.0	76	82	82	80	⟨ 10
Oktober . .	530.5	539.2	519.0	- 2.8	- 1.2	- 2.2	- 2.1	0.1	- 4.3	4.8	12.	-12.0	3.	2.5	3.1	2.8	2.8	69	73	73	72	13
November .	526.8	536.3	509.6	- 6.2	- 5.0	- 5.9	- 5.7	- 3.6	- 7.8	2.7	15.	-14.3	19.	2.2	2.4	2.3	2.3	79	79	79	79	25
Dezember . .	526.3	535.0	516.9	- 9.1	- 8.2	- 9.3	- 9.0	- 6.3	-11.5	3.5	19.	-16.7	10.	1.8	1.9	1.8	1.9	83	81	85	83	14
Jahr	530.2	543.1	509.6	- 5.2	- 3.3	- 4.8	- 4.6	- 2.0	- 6.8	13.0	2. IX.	-24.3	31. I.	2.9	3.2	2.9	3.0	81	82	84	82	⟨ 10

Alle Angaben nach Ort zeit.

1911

Oberstdorf.

h_t = 3.0 m h_r = 1.3 m

Monat	Bewölkung 7a	2p	9p	Mittel	Niederschlag Summe mm	Tagesmaximum Betrag mm	Gemessen am	Zahl der Tage ≧0.1 mm Niederschlag	≧1.0 mm	≧0.1 mm ✳	⊠	△	▲	⊿	≡	heitere	trübe	Windverteilung N	NE	E	SE	S	SW	W	NW	C
Januar	3.9	4.4	3.0	3.8	35.5	12.5	11.	7	6	6	31	–	–	–	6	13	7	5	3	–	1	1	1	2	7	73
Februar	7.1	6.7	6.7	6.8	103.7	20.7	26.	18	17	15	28	–	–	–	8	5	14	9	–	5	–	–	5	7	15	43
März	5.8	7.0	6.4	6.4	75.5	13.6	3.	13	12	11	28	–	–	–	6	6	14	1	–	–	–	–	17	17	8	46
April	5.7	6.7	6.5	6.3	80.9	17.1	21.	13	11	6	2	–	–	–	–	7	13	–	–	–	–	1	14	18	18	39
Mai	7.0	7.7	6.4	7.0	116.2	48.0	19.	22	17	–	–	1	–	2	5	1	9	–	–	–	–	–	11	15	33	34
Juni	6.2	7.7	6.2	6.7	284.3	35.2	26.	20	19	–	–	–	–	7	1	4	11	–	–	–	–	4	13	10	24	39
Juli	3.5	4.6	4.3	4.1	104.9	42.2	25.	13	9	–	–	–	1	8	2	10	4	–	–	–	–	8	18	5	29	33
August	4.8	4.3	3.5	4.2	76.8	13.2	31.	10	8	–	–	–	–	5	–	12	4	–	–	–	–	1	13	10	23	46
September	5.6	5.1	5.1	5.3	107.8	24.8	22.	11	8	–	–	–	–	4	2	8	10	3	–	1	–	–	12	6	27	41
Oktober	5.0	6.1	4.8	5.3	120.9	26.1	26.	13	11	2	1	–	–	1	3	7	7	15	2	–	3	1	5	9	21	37
November	6.0	6.4	5.4	5.9	56.3	29.6	11.	8	6	3	4	–	–	–	6	3	8	14	–	1	–	–	5	11	6	53
Dezember	6.6	7.4	6.0	6.6	190.9	33.0	24.	16	16	8	22	–	–	–	6	3	11	6	1	1	1	6	14	13	7	44
Jahr	5.6	6.2	5.4	5.7	1353.7	48.0	19. V.	164	140	51	116	1	1	27	45	79	112	53	6	8	5	26	128	123	218	528

Alle Angaben nach Ortszeit.

Hochstationen.

1911

Hohenpeissenberg.

h_t = 9.0 m h_r = 1.6 m

Monat	Bewölkung 7a	2p	9p	Mittel	Niederschlag Summe mm	Tagesmaximum Betrag mm	Gemessen am	Zahl der Tage ≧0.1 mm Niederschlag	≧1.0 mm	≧0.1 mm ✳	⊠	△	▲	⊿	≡	heitere	trübe	Windverteilung N	NE	E	SE	S	SW	W	NW	C
Jannar	5.1	5.3	5.0	5.1	24.6	7.3	11.	8	8	8	31	–	–	–	13	11	11	–	23	11	11	2	14	17	15	–
Februar	7.2	6.1	7.2	6.8	34.7	6.1	25.	17	11	17	25	–	1	1	9	3	13	–	8	1	5	2	19	38	10	1
März	5.6	7.6	6.3	6.5	27.7	5.2	2.	14	9	11	10	–	–	1	10	4	13	2	12	7	11	9	17	22	11	2
April	6.5	6.9	5.7	6.4	66.9	17.2	4.	15	11	9	8	–	–	1	10	3	11	8	21	4	2	3	14	24	11	3
Mai	6.8	8.1	6.9	7.3	170.4	50.9	18.	20	19	–	–	1	2	11	12	–	13	9	17	4	3	2	6	20	30	2
Juni	6.5	7.9	6.4	6.9	182.5	26.3	26.	19	17	–	–	2	1	9	4	4	13	2	14	6	2	1	15	25	20	5
Juli	3.6	3.8	4.2	3.8	77.7	17.9	3.	12	9	..	–	–	–	11	3	14	5	4	29	9	6	2	17	11	14	1
August	4.7	4.3	3.9	4.3	100.8	23.8	24.	12	12	–	–	–	1	6	1	11	5	2	14	8	4	2	17	19	26	1
September	5.4	5.1	4.3	4.9	152.9	42.5	16.	13	8	–	–	–	–	4	4	9	9	3	13	2	6	1	16	22	24	3
Oktober	4.9	5.8	5.3	5.3	65.9	18.8	10.	15	11	2	1	1	–	1	9	8	9	4	21	6	7	3	19	25	7	1
November	6.7	6.5	4.3	5.8	65.1	31.3	11.	10	7	4	3	–	–	–	11	5	9	1	9	9	6	4	15	33	6	7
Dezember	6.9	8.0	5.4	6.8	66.2	8.6	30.	15	14	13	7	–	–	–	13	3	14	1	9	4	10	4	10	46	5	4
Jahr	5.8	6.3	5.4	5.8	1035.4	50.9	18. V.	170	136	64	85	4	5	45	99	75	125	36	190	71	73	35	179	302	179	30

Zugspitze.

h_t = 7.3 m h_r = 10.0 m

Monat	Bewölkung 7a	2p	9p	Mittel	Niederschlag Summe mm	Tagesmaximum Betrag mm	Gemessen am	Zahl der Tage ≧0.1 mm Niederschlag	≧1.0 mm	≧0.1 mm ✳	⊠	△	▲	⊿	≡	heitere	trübe	Windverteilung N	NE	E	SE	S	SW	W	NW	C
Januar	3.5	3.9	1.8	3.1	26.7	8.0	11.	8	7	8	31	1	–	–	7	16	3	24	5	31	1	5	2	10	12	3
Februar	7.0	6.0	5.6	6.2	56.3	17.4	4.	13	11	13	28	2	–	–	19	4	10	22	4	2	2	1	2	24	27	–
März	6.1	7.5	5.9	6.5	79.8	17.9	15.	17	15	17	31	4	–	–	18	4	12	11	3	11	20	8	7	17	11	5
April	4.6	6.3	5.2	5.4	65.0	17.5	30.	15	9	15	30	6	–	1	19	6	10	20	2	17	15	3	3	12	14	4
Mai	7.3	8.5	8.5	8.1	196.7	74.1	19.	22	20	22	31	15	2	6	29	1	19	26	–	15	19	6	2	6	15	4
Juni	7.1	8.6	7.9	7.8	186.6	17.0	5.	21	20	20	30	9	1	7	23	2	17	26	2	8	12	12	1	11	16	2
Juli	4.5	7.2	5.0	5.6	71.3	14.8	25.	13	13	6	14	4	5	11	16	2	9	34	1	14	10	1	6	11	11	5
August	5.0	6.7	4.7	5.5	46.7	9.5	22.	13	8	4	1	2	3	8	16	7	7	32	7	7	4	13	1	14	12	3
September	5.2	6.2	5.9	5.8	75.6	18.0	30.	12	8	9	11	5	–	3	17	8	12	20	33	3	–	12	4	9	6	3
Oktober	5.1	5.2	5.0	5.1	52.5	15.6	10.	9	6	9	31	2	–	1	12	9	8	5	6	1	7	26	26	11	6	5
November	5.8	6.6	4.6	5.6	31.3	11.4	11.	5	5	5	30	–	–	–	12	5	6	2	2	1	12	17	14	23	14	5
Dezember	5.9	7.4	5.9	6.4	58.4	12.7	12.	11	10	11	31	–	–	–	20	2	11	28	1	1	4	13	8	13	22	3
Jahr	5.6	6.7	5.5	5.9	946.9	74.1	19. V.	159	132	139	299	50	11	37	208	66	124	250	66	111	106	117	76	161	166	42

Alle Angaben nach Ortszeit.

Stationen III. Ordnung.

1911

Amberg (M.-H.-B.).

$\varphi = 49^0\ 27'$ N $\lambda = 11^0\ 52'$ E H = 519 m — h_t = 5.9 m h_r = 1.5 m

Monat	Lufttemperatur: Mittl. Maximum C°	Mittl. Minimum C°	Mittel aus beiden C°	Absol. Maximum C°	Datum	Absol. Minimum C°	Datum	Niederschlag: Summe mm	Tagesmaximum: Betrag mm	Gemessen am	Zahl der Tage: ≧0.1 mm Niederschlag	≧1.0 mm	≧0.1 mm ✳	⊠	△	▲	⊠	≡	heitere	trübe	Windverteilung: N	NE	E	SE	S	SW	W	NW	C
Januar	- 0.4	- 5.9	- 3.2	3.6	27.	- 14.0	15.	22.7	4.2	10.	**24**	9	10	**31**	–	–	–	9	4	21	11	9	**3**	8	4	1	14	**9**	3
Februar	3.2	- 3.4	- 0.1	9.0	23., 24.	- 12.7	1.	35.2	7.2	27.	17	9	**15**	22	1	–	–	–	1	11	5	5	**3**	5	3	3	**25**	6	**1**
März	8.2	- 0.5	3.9	20.9	29.	- 4.6	18.	22.3	8.0	25.	12	6	8	1	**2**	–	–	3	4	7	4	**12**	**17**	3	1	6	15	2	2
April	12.5	2.2	7.3	21.1	23.	- 9.4	5.	28.6	6.7	21.	13	9	4	–	**2**	–	4	6	1	3	8	10	5	4	4	2	19	5	3
Mai	17.3	7.8	12.6	24.1	30.	0.4	2.	**129.3**	**26.4**	17.	18	15	–	–	–	3	**8**	3	2	6	18	**12**	14	3	1	1	6	2	5
Juni	20.6	9.1	14.8	29.4	7.	4.1	15.	34.4	15.0	14.	14	10	–	–	–	–	5	2	2	4	9	3	11	6	–	4	13	5	9
Juli	**26.5**	12.9	19.7	**33.3**	28.	5.3	4.	10.2	6.3	1.	6	3	–	–	–	–	7	1	6	2	**20**	5	8	**3**	3	3	7	4	9
August	26.0	**13.8**	**19.9**	31.6	1.	7.1	18.	29.3	15.4	24.	11	6	–	–	–	–	7	2	6	3	9	6	13	4	1	2	11	6	10
Septbr.	20.1	9.2	14.7	30.1	3.	2.3	30.	47.3	13.8	15.	13	8	–	–	–	–	3	2	**9**	3	15	**1**	4	7	5	–	13	3	**12**
Oktober	12.5	3.5	8.0	16.4	8.	- 3.6	30.	25.1	8.0	29.	12	7	–	–	–	–	–	7	7	8	2	6	10	10	7	4	11	4	8
Novbr.	6.4	0.0	3.2	15.3	5.	- 3.0	26., 27.	48.4	20.6	22.	14	8	3	1	–	–	–	10	–	17	7	4	11	13	3	1	13	–	8
Dezbr.	2.7	- 1.5	0.6	6.0	öfters	- 5.3	3.	69.6	12.2	27.	23	**16**	7	6	1	–	–	**12**	1	**24**	2	1	13	**14**	**9**	**7**	13	1	2
Jahr	13.0	3.9	8.5	33.3	28. VII.	- 14.0	15. I.	502.4	26.4	17. V.	177	106	47	61	6	3	34	57	43	109	110	74	112	80	41	34	160	47	72

Cham.

$\varphi = 49^0\ 13'$ N $\lambda = 12^0\ 40'$ E H = 386 m — h_t = 2.3 m h_r = 1.4 m

Januar	0.0	- 8.0	- 4.0	4.0	27., 29.	- 24.4	16.	22.9	5.6	10.	14	8	**9**	**23**	–	–	–	2	–	15	2	9	2	3	**18**	14	8	4	2
Februar	3.8	- 5.0	- 0.6	10.7	23.	- 15.8	10.	22.3	6.0	27.	17	8	**9**	17	–	–	–	–	–	12	3	5	–	7	5	**17**	18	1	–
März	9.8	- 1.4	4.2	22.8	29.	- 6.5	10.	13.1	4.5	3.	11	5	3	–	–	–	–	**7**	3	8	12	12	2	–	1	1	**32**	–	2
April	13.6	0.3	6.9	24.4	19.	- 6.3	5.	35.1	10.2	29.	11	7	3	–	2	1	2	3	3	11	**17**	6	–	–	1	16	18	2	–
Mai	19.2	6.9	13.1	25.9	14., 30.	- 3.1	2.	**69.4**	**32.1**	11.	15	9	–	–	–	–	7	1	3	4	8	25	1	–	2	2	15	**7**	2
Juni	21.9	8.6	15.3	28.9	24., 25.	3.9	11.	34.9	11.7	27.	11	8	–	–	–	–	4	2	–	7	3	8	3	–	9	12	25	–	–
Juli	**27.5**	**12.7**	**20.1**	**36.2**	28.	6.3	4.	11.0	7.5	8.	6	2	–	–	–	–	7	2	1	2	2	8	**19**	–	1	7	18	**7**	–
August	26.8	12.2	19.5	32.1	29.	4.3	27.	32.7	9.5	7.	15	9	–	–	–	–	**10**	2	**10**	3	–	2	12	**8**	6	9	24	1	–
Septbr.	22.5	7.7	15.1	32.7	3.	0.2	12.	21.8	6.0	29.	11	5	–	–	–	–	3	4	–	2	–	9	4	4	8	10	24	1	–
Oktober	14.6	3.1	8.8	20.8	13.	- 4.0	30.	26.2	5.9	29.	9	9	–	–	–	–	–	**7**	7	2	13	11	11	–	–	–	27	–	–
Novbr.	8.1	0.4	4.3	15.0	5., 6.	- 5.0	3., 8.	37.1	11.1	11.	10	8	–	–	–	–	–	5	2	9	4	11	11	–	–	12	22	–	–
Dezbr.	4.8	- 0.5	2.2	8.9	22.	- 4.3	3.	61.3	8.3	22.	**18**	**14**	3	3	–	–	–	**7**	1	**19**	–	**27**	4	–	–	10	21	–	–
Jahr	14.4	3.1	8.7	36.2	28. VII.	- 24.4	16. I.	387.8	32.1	11. V.	148	92	27	43	2	1	33	42	30	94	64	133	69	22	51	110	252	23	6

Alle Angaben nach Ortszeit.

1911

Ingolstadt.

$\varphi = 48^0\,45'$ N $\lambda = 11^0\,26'$ E. H = 369 m — $h_t = 4.8$ m, $h_r = 1.3$ m

Monat	Mittl. Maximum C°	Mittl. Minimum C°	Mittel aus beiden C°	Absol. Maximum C°	Datum	Absol. Minimum C°	Datum	Niederschlag Summe mm	Tagesmaximum Betrag mm	Tagesmaximum Gemessen am	≧0.1 mm Niederschlag	≧1.0 mm	≧0.1 mm ✳	⊠	△	▲	⊿	≡	heitere	trübe	N	NE	E	SE	S	SW	W	NW	C
Januar	- 1.3	- 7.6	- 4.4	3.8	29.	-20.1	15.	16.2	6.7	10.	13	4	**10**	**27**	–	–	–	7	2	19	–	7	12	7	1	6	22	1	**6**
Februar	3.8	- 4.0	- 0.1	10.9	23.	-16.9	9.	30.0	6.6	21.	15	8	**10**	9	**2**	–	–	1	2	9	1	**1**	6	3	1	5	**33**	4	2
März	10.2	- 0.9	4.6	23.2	29.	- 5.9	10.	17.1	9.4	3.	11	3	6	2	–	–	–	5	3	10	1	**1**	**25**	6	1	4	20	2	2
April	13.9	1.3	7.6	23.5	23.	- 6.2	5.	39.3	10.9	21.	15	8	6	–	**2**	–	1	2	4	9	1	3	13	5	2	8	25	3	–
Mai	19.5	7.4	13.5	27.5	30.	- 0.2	3.	67.2	24.6	14.	17	12	–	–	–	–	**10**	1	4	11	4	**8**	22	3	–	5	**12**	6	2
Juni	22.5	8.9	15.7	28.8	30.	3.0	16.	**77.7**	**30.0**	4.	15	12	–	–	–	–	8	1	4	7	–	5	13	4	2	6	24	5	1
Juli	**28.7**	12.3	**20.5**	**38.0**	28.	4.6	4.	11.2	4.1	15.	9	4	–	–	–	1	6	–	10	4	–	2	**25**	–	–	3	22	**8**	2
August	28.1	**12.7**	20.4	32.9	6.	8.4	18.	42.1	12.7	25.	12	8	–	–	–	–	9	–	**12**	4	4	**1**	14	2	–	7	25	5	4
Septbr.	22.1	8.4	15.3	31.8	3.	0.3	11.	38.0	9.8	22.	11	8	–	–	–	–	2	4	7	8	**5**	5	7	3	1	6	24	3	**6**
Oktober	13.7	2.4	8.1	18.4	15.	- 2.9	12.	33.3	6.4	29.	11	9	–	–	1	–	–	**10**	8	15	1	4	19	6	**3**	6	18	3	2
Novbr.	7.4	- 0.3	3.6	15.5	5.	- 7.1	8.	36.8	13.5	22.	12	4	2	–	–	–	–	6	1	15	1	4	10	**16**	1	**9**	17	2	–
Dezbr.	4.8	- 0.2	2.3	9.7	21.	- 3.2	2.	61.2	14.1	27.	**19**	**13**	2	–	**2**	–	–	5	2	**22**	1	3	13	**16**	**3**	5	20	1	–
Jahr	14.5	3.4	8.9	38.0	28. VII.	-20.1	15. I.	470.1	30.0	4. VI.	160	93	36	38	7	1	36	42	59	133	19	44	179	71	15	70	262	43	27

Eggenfelden.

$\varphi = 48^0\,24'$ N $\lambda = 12^0\,46'$ E. H = 417 m — $h_t = 4.8$ m, $h_r = 1.5$ m

Monat	Mittl. Maximum C°	Mittl. Minimum C°	Mittel aus beiden C°	Absol. Maximum C°	Datum	Absol. Minimum C°	Datum	Niederschlag Summe mm	Tagesmaximum Betrag mm	Tagesmaximum Gemessen am	≧0.1 mm Niederschlag	≧1.0 mm	≧0.1 mm ✳	⊠	△	▲	⊿	≡	heitere	trübe	N	NE	E	SE	S	SW	W	NW	C
Januar	- 1.3	- 9.0	- 5.1	3.2	26.	-24.8	15.	30.2	8.3	1.	14	7	9	**31**	–	–	–	7	1	17	1	**20**	9	1	–	9	16	6	–
Februar	3.0	- 5.5	- 1.2	10.3	23.	-14.5	11.	51.7	10.5	3.	18	12	**14**	20	1	–	–	4	5	6	–	15	13	5	–	**2**	16	5	6
März	9.4	- 0.4	4.5	22.0	28.	- 4.6	10.	**24.7**	4.9	2., 5.	15	8	6	–	1	–	–	4	5	6	–	15	13	5	–	**2**	16	5	6
April	13.4	2.1	7.7	23.1	23.	- 3.6	11.	58.7	10.9	4., 29.	12	10	2	–	1	1	1	1	4	7	1	10	6	1	–	**2**	17	**15**	**8**
Mai	18.6	7.1	12.8	26.7	30.	- 0.4	3.	**138.2**	**58.6**	18.	15	11	–	–	–	**2**	6	4	–	9	**2**	12	12	3	–	6	13	14	–
Juni	22.1	8.7	15.4	28.4	24.	3.1	17.	54.8	14.7	20.	17	10	–	–	–	**2**	6	2	4	6	–	6	9	1	1	9	27	7	–
Juli	**26.5**	12.4	**19.5**	**33.8**	28.	6.1	5.	25.1	12.0	3.	8	6	–	–	–	–	6	1	6	4	1	15	8	3	1	**14**	14	6	–
August	26.0	**12.6**	19.3	30.5	6.	7.4	18.	53.4	13.9	31.	14	9	–	–	–	1	**10**	4	**7**	3	–	12	11	1	–	9	18	10	1
Septbr.	20.6	7.8	14.2	28.9	13.	3.8	12.	40.2	8.7	24.	16	11	–	–	–	–	2	6	**7**	7	1	13	7	2	–	7	17	13	–
Oktober	13.7	2.7	8.2	23.0	7.	- 1.2	11.	41.2	6.0	29.	18	9	–	–	–	–	–	10	5	10	1	8	18	**9**	1	10	9	5	1
Novbr.	7.1	- 0.4	3.3	13.5	23.	- 5.0	8.	47.9	30.9	25.	20	**4**	2	–	–	–	–	14	2	14	–	2	**31**	4	–	11	11	1	–
Dezbr.	3.6	- 0.6	1.5	7.4	21.	- 3.5	19.	101.4	15.4	23.	**23**	**17**	3	2	–	–	–	**16**	–	**18**	–	5	29	2	–	**14**	10	2	–
Jahr	13.6	3.1	8.3	33.8	28. VII.	-24.8	15. I.	667.5	58.6	18. V.	190	114	36	53	3	6	32	71	43	113	7	126	156	33	3	99	196	93	17

Weihenstephan

$\varphi = 48^0\,24'$ N $\lambda = 11^0\,44'$ E. H = 497 m — $h_t = 4.8$ m $h_r = 1.3$ m

Monat	Mittl. Maximum C°	Mittl. Minimum C°	Mittel aus beiden C°	Absol. Maximum C°	Datum	Absol. Minimum C°	Datum	Niederschlag Summe mm	Tagesmaximum Betrag mm	Tagesmaximum Gemessen am	≧0.1 mm Niederschlag	≧1.0 mm	≧0.1 mm ✳	⊠	△	▲	⊿	≡	heitere	trübe	N	NE	E	SE	S	SW	W	NW	C
Januar	2.6	- 7.0	- 2.2	4.8	1.	-15.9	9.	16.5	4.7	10.	7	6	6	**29**	–	–	–	30?	2	19	19	1	11	**8**	**3**	1	15	**4**	–
Februar	6.0	- 4.5	0.8	11.0	23.	-16.2	10.	45.5	9.8	21.	9	8	**7**	13	–	–	–	24?	3	14	6	–	8	3	7	–	**31**	1	–
März	11.7	0.3	6.0	22.8	29.	- 4.1	16.	14.0	7.4	3.	**5**	5	5	–	–	–	–	30?	2	12	16	2	16	4	9	–	14	1	–
April	18.1	2.4	10.3	22.2	23.	- 5.9	5.	67.3	27.6	21.	12	11	**7**	1	–	2	2	28?	1	13	19	1	10	1	5	1	19	**4**	–
Mai	19.4	7.8	13.6	26.8	14.	3.1	3., 22.	74.1	30.0	18.	9	7	–	–	1	–	7	1	4	12	21	3	15	2	8	1	8	**4**	-
Juni	23.4	9.2	16.3	29.9	30.	2.0	16.	**126.1**	**46.0**	5.	16	13	–	–	–	–	**8**	–	2	12	**24**	–	7	1	8	–	19	1	–
Juli	**29.1**	**16.0**	**22.6**	**39.2**	28.	10.1	4.	12.6	3.6	2.	**5**	4	–	–	–	–	4	–	**11**	4	20	2	14	2	**13**	1	7	3	–
August	27.0	15.4	21.2	30.8	6.	12.0	31.	39.2	12.5	24.	7	6	–	–	–	–	6	1	7	4	4	2	14	5	9	1	23	**4**	–
Septbr.	20.9	9.8	15.4	29.7	3.	4.8	30.	40.9	8.7	24.	7	7	–	–	–	–	2	5	10	6	17	2	8	1	**13**	–	15	**4**	–
Oktober	14.7	4.8	9.8	18.8	8.	- 2.1	31.	39.8	10.2	9.	10	10	–	–	–	–	–	16	8	10	9	**6**	15	4	8	**4**	12	**4**	–
Novbr.	8.7	0.8	4.7	15.2	5.	- 2.2	12.	57.3	18.2	25.	7	6	2	–	–	–	–	12	3	14	11	2	17	4	**13**	1	11	1	–
Dezbr.	5.2	- 1.0	2.1	10.2	24.	- 4.9	19.	72.2	12.9	23.	**17**	**17**	–	–	–	–	–	14	1	**23**	4	2	**18**	3	8	1	25	1	–
Jahr	15.6	4.5	10.1	39.2	28. VII.	-16.2	10. II.	605.5	46.0	5. VI.	111	100	27	43	1	2	29	?	54	143	170	23	153	38	104	11	199	32	–

Alle Angaben nach Ortszeit.

Übersicht

über

die wichtigsten Jahresresultate der Stationen II. und III. Ordnung.

I. Resultate aus Elementen, welche nur an den Stationen II. Ordnung beobachtet wurden.

Station	Meereshöhe	Luftdruck									Luft-Temperatur				Feuchtigkeit							
		Mittel	höchster				tiefster								absolute				relative			
			Tag	Monat	bei Wind	mm	Tag	Monat	bei Wind	mm	7^a	2^p	9^p	Mittel	7^a	2^p	9^p	Mittel	7^a	2^p	9^p	Mittel
Ludwigshafen a. Rh.	100.3	754.7	17.	I.	N	772.9	18.	XI.	C	727.5	8.7	14.6	11.4	11.5	7.2	6.9	7.4	7.1	81	57	71	69
Kahl a. M.	114.1	753.2	17.	I.	C	771.0	18.	XI.	SW	727.3	7.9	14.0	9.1	10.0	7.3	7.1	7.4	7.3	86	61	82	76
Landau i. Pf.	149.9	750.0	17.	I.	NE	767.6	18.	XI.	SW	723.5	9.1	14.1	10.1	10.9	7.2	7.2	7.4	7.3	79	62	77	72
Würzburg	179.3	746.9	17.	I.	C	764.9	18.	XI.	E	722.6	7.5	13.7	9.5	10.0	6.9	6.7	7.3	7.0	83	58	77	73
Bad Kissingen	209.2	744.7	17.	I.	N	761.9	18.	XI.	NE	719.8	6.3	13.2	8.4	9.1	6.8	6.9	7.1	6.9	90	61	81	77
Kaiserslautern	242.2	741.8	17.	I.	E	758.1	18.	XI.	W	715.0	7.4	13.7	9.3	9.9	7.0	6.9	7.4	7.1	86	61	81	76
Luitpoldheim	250	–	–	–	–	–	–	–	–	–	5.9	12.3	8.8	8.9	6.8	7.6	7.2	7.2	91	69	82	81
Bamberg	287.7	737.9	17.	I.	C	755.0	18.	XI.	S	713.3	6.7	13.5	8.5	9.3	6.7	6.8	6.9	6.8	86	60	78	75
Nürnberg	309.1	735.6	17.	I.	SW	752.6	18.	XI.	S	711.6	7.2	13.1	9.4	9.8	6.7	7.3	7.1	7.1	83	62	77	74
Passau	309.3	736.3	17.	I.	C	753.7	18.	XI.	C	712.8	6.1	12.7	8.5	8.9	6.8	7.3	7.5	7.2	89	65	84	79
Metten	320	–	–	–	–	–	–	–	–	–	5.9	12.9	7.9	8.6	6.8	6.9	7.3	7.0	90	63	85	79
Regensburg	342.6	733.1	17.	I.	S	749.8	18.	XI.	C	710.7	6.4	12.7	7.5	8.5	6.2	6.1	6.4	6.2	80	57	78	71
Bayreuth	363.3	731.3	17.	I.	C	747.8	18.	XI.	NE	707.6	6.2	12.4	8.5	8.9	6.7	6.6	6.9	6.7	86	62	79	76
Burghausen	365	731.1	17.	I.	SW	748.0	18.	XI.	C	707.6	5.8	13.2	7.1	8.3	6.7	6.9	7.1	6.9	90	60	87	79
Karlshuld	382.0	729.0	17.	I.	SW	745.0	18.	XI.	NE	706.4	5.8	12.8	7.6	8.5	6.7	7.0	6.9	6.9	89	63	82	78
Landshut	397.7	727.9	17.	I.	W, N	743.9	18.	XI.	C	703.9	6.0	13.4	7.6	8.6	6.6	6.4	6.8	6.6	86	57	81	75
Lindau i. B. (Reutin)	401.7	728.1	17.	I.	C	744.3	18.	XI.	E	704.5	7.0	12.2	8.8	9.2	7.3	8.0	7.7	7.7	89	73	85	82
Weissenburg i. B.	431	725.4	17.	I.	C	741.3	18.	XI.	C	701.5	7.1	12.8	8.3	9.2	7.1	8.0	7.4	7.5	85	68	83	79
Nördlingen	435.6	724.1	17.	I.	SE	740.4	18.	XI.	SE	700.7	6.3	12.7	8.3	8.9	6.4	6.6	6.9	6.6	84	61	79	75
Ansbach	437.5	724.5	17.	I.	C	740.8	18.	XI.	SE	700.5	6.3	12.4	7.6	8.5	6.4	6.4	6.4	6.4	83	60	79	74
Hof	476.1	720.8	17.	I.	NW	736.6	20.	XI.	SW	697.0	4.9	11.8	6.1	7.2	6.4	6.4	6.6	6.4	90	65	88	81
Bad Reichenhall	477	721.2	17.	I.	NE	737.5	18.	XI.	C	697.5	6.9	13.2	7.9	9.0	6.5	6.8	7.0	6.8	80	59	81	74
Augsburg	499.6	719.5	17.	I.	E	735.7	18.	XI.	SE	695.5	6.8	12.9	9.0	9.4	6.6	6.9	7.1	6.9	83	62	78	74
München-C.St.	526.4	716.9	17.	I.	C	732.5	18.	XI.	C	692.7	7.2	12.8	8.7	9.4	6.5	6.4	6.9	6.6	81	59	77	72
Alexandersbad	590	–	–	–	–	–	–	–	–	–	4.7	10.2	6.0	6.7	6.1	6.4	6.3	6.3	88	67	84	80
Traunstein	597	711.3	17.	I.	SE	726.6	18.	XI.	SE	687.1	5.6	11.8	6.9	7.8	6.4	6.5	6.9	6.6	87	62	85	78
Berchtesgaden	600	–	–	–	–	–	–	–	–	–	5.3	11.7	7.0	7.8	6.4	6.7	6.9	6.7	88	63	85	79
Ottobeuren	660.0	705.6	17.	I.	C	719.7	18.	XI.	C	683.3	6.3	11.9	6.7	7.9	6.4	6.6	6.6	6.5	83	63	84	77
Partenkirchen	714.6	701.1	17.	I.	S	717.3	18.	XI.	SE	677.9	5.0	11.8	6.4	7.4	6.1	6.4	6.6	6.4	85	60	84	76
Tegernsee	742	698.9	17.	I.	NE	712.2	18.	XI.	W	675.2	6.1	11.8	7.5	8.2	**)							
Buchenau	750	697.3	17.	I.	E	711.1	18.	XI.	E	674.1	4.1	10.0	5.5	6.3	6.0	6.8	6.1	6.3	88	70	83	81
Oberstdorf	811.4	693.0	17.	I.	C	706.4	18.	XI.	C	669.8	4.2	11.3	5.5	6.6	6.0	6.2	6.3	6.2	87	60	86	77
*) Mittenwald	910	684.4	17.	I.	S	697.7	18.	XI.	W	661.8	4.9	11.4	5.6	6.9	5.7	6.3	6.1	6.0	81	60	83	74
Hohenpeissenberg	993.9	677.5	17., 18.	I.	E, W	689.7	18.	XI.	W	654.4	6.0	9.2	6.8	7.2	5.5	5.7	5.7	5.6	73	63	73	70
Zugspitze	2964	530.2	2.	IX.	NW	543.1	19.	XI.	NW	509.6	-5.2	-3.3	-4.8	-4.6	2.9	3.2	2.9	3.0	81	82	84	82

*) Ettal (Benediktinerabtei) Beobachtungen des November u. Dezember unbrauchbar.

**) Beobachtungen des Januar unbrauchbar.

II. Resultate aus Elementen, welche an den Stationen II. und III. Ordnung beobachtet wurden.

Station	Meereshöhe	Luft-Temperatur													Niederschlag				Tage mit						Tage	
		mittleres		Mittel		absolutes Minimum			absolutes Maximum			grösste tägl. Schwankung			Summe	Maximum						Niederschlag überhaupt				heitere	trübe
		Max.	Min.	aus Maxim. u. Min.	der Schwankungen	Tag	Monat	C°	Tag	Monat	C°	Tag	Monat	C°	mm	Tag	Monat	mm	✳	△	▲	IV 0,1 mm	IV 1,0 mm	◪	≡		
Ludwigshafen a. Rh.	100 3	15.5	7 0	11.2	8.5	15.	I.	– 9.8	23.	VII.	36.6	3.	IX.	19.4	407.3	16.	VI.	23.8	18	4	1	157	95	30	52	64	130
Kahl a. M.	114.1	15.8	4 2	10.0	11.5	15.	I.	–14.3	23.	VII.	38.0	3.	IX.	26.1	436.9	17.	V.	25.1	16	–	–	142	97	17	16	76	112
Landau i. Pf.	149.9	15.3	6.2	10.8	9.2	15.	I.	– 9.3	23.	VII.	35.0	23.	VII.	19.4	536.5	22.	XI.	26.4	19	–	–	164	95	30	12	60	141
Würzburg	179.3	14.5	5.7	10.1	8.8	15.	I.	–13.8	28.	VII.	36.0	3.	IX.	22.6	445 9	30.	V.	35 0	20	7	3	150	90	33	69	75	123
Bad Kissingen	209.2	14.2	4.4	9.3	9.8	16.	I.	–14.1	28.	VII.	36.2	3.	IX.	25.7	496.6	25., 27.	II. XII.	17.2	23	5	1	156	108	23	44	53	123
Kaiserslautern	242.2	14 7	5.4	10.0	9.3	15.	I.	–11.9	23.	VII.	36.2	23.	VII.	20.8	569 7	24.	VIII.	31.4	26	2	2	178	109	34	22	48	140
Luitpoldheim	250	13.3	4.6	9.0	8 7	15.	I.	–13.2	28.	VII.	34.7	3.	IX.	22.0	503.2	23.	VIII.	47.5	35	8	3	176	105	35	73	72	117
Bamberg	287.7	15.2	4.5	9.9	10.7	15.	I.	–19.2	28.	VII.	30.9	3.	IX.	25.6	402.1	27.	V.	15.6	38	6	–	262	85	37	37	27	162
Nürnberg	309.1	13.9	5.2	9.6	8.8	15.	I.	–17.8	28.	VII.	36.1	3.	IX.	21.8	384.5	28.	V.	31.2	28	11	2	116	85	38	132	40	132
Passau	309.3	13.7	4.7	9.2	9.0	15.	I	–17.6	28.	VII.	35.2	4.	IX.	23 0	604.4	5.	VI.	26.6	32	1	2	152	118	31	77	51	141
Metten	320	14 2	3.1	8.6	11.2	15.	I.	–22.5	27.	VII.	35 3	3.	IX.	22.5	632.6	31.	V.	36.4	37	1	3	147	102	30	56	50	136
Regensburg	342.6	14 0	3.8	8.9	10.2	15.	I.	–20.6	28.	VII	36.2	8.	IX.	21.1	420.7	18.	V.	26.0	26	–	1	152	97	22	78	28	138
Bayreuth	363.3	13.7	3.7	8.7	10.0	15.	I.	–19.0	28.	VII.	36.0	3.	IX.	24.7	405.7	29.	V.	26.2	23	5	1	142	91	32	53	36	140
Burghausen	365	14.7	3.1	8.9	11.6	16.	I.	–18.8	28.	VII.	35.3	20.	VIII.	23.0	618.1	19.	V.	33.6	32	7	1	149	115	33	57	35	134
Ingolstadt	369	14.5	3.4	8.9	11.1	15.	I.	–20.1	28.	VII.	38.0	23.	VII.	23.9	470.1	4	VI.	30.0	36	7	1	160	93	36	42	59	133
Karlshuld	382 0	15.2	2.5	8.8	12.7	15.	I.	–20.1	26.	VII.	39 0	2., 12.	VIII., IX.	27.3	437.4	25.	VIII.	32 4	20	3	–	116	92	16	66	63	113
Cham	386	14.4	3.1	8.7	11.3	16.	I.	–24.4	28.	VII.	36.2	3., 12.	IX.	25.7	387.8	11.	V.	32.1	27	2	1	148	92	33	42	30	94
Landshut	397.7	15.6	2.5	9.1	13.2	15.	I.	–20.9	26.	VII.	39.3	23.	IV.	25.8	430.5	25.	XI.	18.9	30	1	4	166	91	24	20	55	121
Lindau i. B. (Reutin)	401.7	13.9	4 5	9.2	9.5	1.	II.	–15.1	28.	VII.	31.7	21.	III.	19.7	893.4	22.	IX.	36.6	27	6	3	156	113	36	25	86	108
Eggenfelden	417	13.6	3.1	8.3	10.5	15.	I.	–24.8	28.	VII.	33.8	13.	IX.	21.8	667.5	18.	V.	58.6	36	3	6	190	114	32	71	43	113
Weissenburg i. B.	431	13.7	4.5	9.1	9.2	15.	I.	–17.8	28.	VII.	34.5	3.	IX.	21.1	479.5	24.	VIII.	16.9	26	5	5	140	101	24	53	44	123
Nördlingen	435.6	13.6	4.5	9.1	9.1	15.	I.	–17.1	28	VII.	33.7	3.	IX.	19.4	449.2	25.	VIII.	24.0	37	12	2	161	95	44	43	56	101
Ansbach	437.5	13.5	3.7	8.5	9.8	15.	I.	–19.8	23.,28.	VII.	35.4	3.	IX.	22.3	493.7	22.	XI.	18.6	35	6	5	157	99	31	29	74	106
Hof	476.1	12.9	2.0	7.4	11.0	15.	I.	–22.3	26.	VII.	34 4	3.	IX.	30.7	563.1	17.	V.	43.3	54	7	2	181	109	28	95	18	153
Bad Reichenhall	477	15.4	5.0	10.2	10.5	16.	I.	–16.0	28.	VII.	37.3	28.	III.	19.6	1004.2	19.	V.	40.4	39	6	1	168	135	23	19	84	112
Weihenstephan	497	15 6	4.5	10.1	11.1	10.	II.	–16.2	28.	VII.	39.2	5.	IV.	22.8	605.5	5.	VI.	46.0	27	1	2	111	100	29	?	54	143
Augsburg	499.6	13.9	4.7	9.3	9.2	10.	II.	–15.3	28.	VII.	35.3	2., 12.	IX.	20.2	584.2	3.	IV.	25.1	41	6	2	141	106	35	32	67	121
Amberg (M.H.B.)	519	13.0	3.9	8.5	9.0	15.	I.	–14.0	28.	VII.	33.3	1.	VIII.	18.5	502.4	17.	V.	26.4	47	6	3	177	106	34	57	43	109
München-C.St.	526.4	13.8	5.3	9.5	8.6	16.	I.	–14.0	28.	VII.	33.7	28. 16.	III. IV.	17.7	682.6	31.	VIII.	25.7	46	10	3	182	112	34	57	51	122
Alexandersbad	590	11.2	2.3	6.8	8.9	15.	I.	–18.5	28.	VII.	32 2	13.	IX.	22.0	659.1	21.	XI.	35.6	57	7	3	145	106	20	22	55	107
Traunstein	597	12.8	3.4	8.1	9 4	16.	I.	–17.0	28.	VII.	33.0	3.	IX.	19 2	1159.0	19.	V.	59.3	48	3	3	173	130	34	38	49	97
Berchtesgaden	600	12.8	3.3	8.0	9.4	1.	II.	–14.7	28.	VII.	31.2	2.	IX.	19 6	1158.0	20.	V.	37.2	52	8	1	174	143	43	33	61	102
Ottobeuren	660.0	13.0	3.3	8.2	9.7	1.	II.	–17.9	28.	VII.	33.1	12.	IX.	20.0	811.7	16.	IX.	26.7	43	6	1	160	115	46	41	76	109
Partenkirchen	714.6	13.3	3.2	8.2	10.1	16.	I.	–16.1	28.	VII.	31.0	16.	IV.	20 7	1048.3	19.	V.	74.0	40	2	4	172	140	38	4	97	82
Tegernsee	742	13.5	4.5	9.0	9.0	7.	II.	–16.3	28.	VII.	31.2	10.	II.	17.3	1095.3	19.	V.	51.6	53	4	4	176	140	34	15	45	94
Buchenau	750	11.4	2.7	7.0	8.7	1.	II.	–16.3	28.	VII.	31.2	12.	IX.	16.8	863.6	27.	II.	30.2	75	4	5	176	133	43	15	65	125
*) Oberstdorf	811.4	12.7	1.1	6.9	11.7	1.	II.	–22.1	23.	VII.	30.1	30.	VI.	21.1	1353.7	19.	V.	48.0	51	1	1	164	140	27	45	79	112
Mittenwald	910	12.7	2.0	7.4	10.7	31.	I.	–20.1	28.	VII.	31.1	12.	VII.	19.0	1111.8	19.	V.	53.2	53	6	3	164	135	40	4	73	112
Hohenpeissenberg	993.9	10.4	4.5	7.4	6.0	31.	I.	–13.9	28.	VII.	28.3	26.	III.	11.8	1035.4	18.	V.	50.9	64	4	5	170	136	45	99	75	125
Zugspitze	2964	–2 0	–6.8	–4 4	4 8	31.	I.	–24.3	2.	IX.	13.0	1.	IX.	12.1	946.9	19.	V.	74.1	139	50	11	159	132	37	208	66	124

*) Ettal (Benediktinerabtei) Beobachtungen des November und Dezember unbrauchbar.

III. Abweichungen der Temperatur und der Niederschlagsmenge vom langjährigen Mittel für eine Anzahl ausgewählter Beobachtungsorte.

Es erscheint wünschenswert, durch die Mitteilungen nachstehender Abweichungen eine gedrängte Übersicht über die Witterung des Berichtsjahres in Bezug auf die beiden wichtigsten meteorologischen Faktoren, Temperatur und Niederschlag, zu geben.

Die Temperaturdifferenzen (Tabelle a) sind gewonnen durch Vergleich des auf die 30jährige Periode 1851 bis 1880 reduzierten Temperaturmittels mit dem für den betreffenden Monat berechneten Wert. Die kursiv gedruckten Zahlen zeigen an, dass das Monatsmittel um den angegebenen Wert höher lag als das langjährige Mittel.

Die Abweichungen der monatlichen Niederschlagsmengen (Tabelle b) vom langjährigen Durchschnittswert sind als eine Verhältniszahl ausgedrückt, die durch Division des Monatswertes durch den für den betreffenden Monat gültigen langjährigen Durchschnittswert erhalten wurde. Alle Werte unter 1.0 zeigen an, dass an dem betreffenden Orte in dem fraglichen Monat weniger Niederschlag gefallen ist, als nach langjährigen Aufzeichnungen zu erwarten war.

a) Temperaturdifferenzen.

Station	Januar	Februar	März	April	Mai	Juni	Juli	August	September	Oktober	November	Dezember
Ludwigshafen a. Rh.	0.9	1.4	1.4	0.5	1.6	1.1	2.5	2.3	1.2	0.1	2.2	4.4
Landau i. Pf.	1.1	0.9	1.1	0.7	1.0	1.3	2.3	3.6	2.0	0.2	1.9	4.3
Kaiserslautern	1.2	0.5	0.9	1.1	1.1	0.9	3.0	3.2	1.0	0.1	2.0	4.3
Würzburg	0.9	1.3	1.3	0.7	1.1	1.5	1.6	2.5	0.8	0.2	2.4	3.9
Bad Kissingen	0.5	1.2	1.5	0.9	1.4	1.1	2.1	2.3	0.4	0.2	2.0	4.0
Bamberg	1.7	0.9	1.7	0.4	0.9	1.2	1.9	2.9	0.9	0.4	2.3	3.8
Nürnberg	1.1	1.0	2.0	0.6	0.9	0.8	2.0	2.6	1.0	0.7	3.0	4.6
Ansbach	1.6	0.1	1.2	1.1	0.3	1.5	0.5	2.0	0.8	0.1	2.2	3.9
Weissenburg i. B.	1.6	0.2	1.9	0.5	0.7	0.9	2.0	2.6	1.2	1.0	2.6	4.2
Bayreuth	1.4	1.5	1.6	0.2	1.0	0.9	2.1	2.9	1.2	0.5	2.1	4.2
Cham	0.6	1.2	1.5	1.3	0.5	1.5	1.5	1.5	0.9	0.8	2.9	4.8
Hof	0.8	0.9	2.5	0.1	1.3	0.7	1.5	2.2	0.8	0.3	2.2	4.3
Amberg (M.H.B.)	0.2	1.6	1.9	0.3	1.4	0.6	2.9	3.5	1.7	0.6	2.6	3.2
Passau	1.2	1.4	2.7	0.4	0.9	0.7	2.0	2.1	0.0	0.1	2.4	3.9
Metten	2.1	0.7	2.2	1.0	1.2	1.1	2.5	1.8	0.2	0.6	1.4	3.5
Regensburg	1.7	1.7	1.5	1.5	0.0	1.2	2.3	2.2	0.2	1.2	1.7	3.0
Ingolstadt	0.9	2.0	2.3	0.7	0.8	2.5	2.6	3.4	1.3	0.2	2.5	5.3
Landshut	1.6	0.3	2.4	0.4	1.8	0.4	3.3	3.6	1.5	0.0	2.4	4.1
Eggenfelden	1.5	1.7	2.4	0.0	0.7	0.5	2.2	2.5	1.1	0.1	1.9	3.5
Augsburg	1.8	0.8	2.0	0.5	1.1	0.2	3.1	2.1	2.7	1.0	2.8	4.4
München-C.St.	1.4	1.2	2.2	0.2	1.0	0.3	3.4	3.6	2.6	1.7	3.6	4.7
Traunstein	1.4	0.3	2.1	0.4	0.4	0.6	1.7	2.2	1.7	0.8	3.5	3.6
Hohenpeissenberg	2.0	0.3	2.2	0.1	0.7	0.1	2.7	2.8	2.1	2.0	4.6	4.5
Oberstdorf	3.0	0.7	0.9	0.5	1.0	0.3	2.4	3.0	2.0	1.3	4.3	4.7
Lindau i. B. (Reutin)	3.3	0.5	1.0	0.9	0.3	1.1	1.6	2.0	1.1	0.7	2.7	4.0
Kahl a. M.	0.5	0.8	1.1	1.3	1.1	1.3	1.6	1.7	0.3	0.3	2.4	4.2
Zugspitze	0.3	0.3	0.2	0.5	0.4	0.7	2.2	1.7	1.7	0.9	2.2	0.8

b) Niederschlagsverhältnisse.

Station	Januar	Februar	März	April	Mai	Juni	Juli	August	September	Oktober	November	Dezember
Ludwigshafen a. Rh.	1.1	0.6	1.0	0.4	0.5	1.0	0.1	0.3	0.6	0.8	1.5	1.0
Kahl a. M.	0.4	0.5	0.9	0.3	1.0	0.4	0.2	0.1	0.6	0.7	1.3	1.6
Landau i. Pf.	0.3	0.8	1.4	0.5	1.0	0.7	0.1	0.4	0.6	0.8	1.6	1.2
Würzburg	0.3	1.0	0.7	0.6	1.3	0.8	0.3	0.3	1.2	0.4	1.4	1.2
Bad Kissingen	0.3	1.1	0.5	0.6	0.9	0.7	0.2	0.4	0.6	0.6	1.1	1.5
Kaiserslautern	0.4	0.5	1.6	0.7	0.3	0.8	0.4	0.8	0.3	0.9	1.3	1.4
Bamberg	0.5	0.9	0.4	0.6	1.2	0.4	0.2	0.2	0.8	0.4	1.1	1.3
Nürnberg	0.5	0.7	0.3	0.4	1.2	0.4	0.3	0.4	1.0	0.4	0.9	1.2
Passau	0.7	1.4	0.3	0.8	0.8	0.8	0.3	0.4	0.5	0.5	0.6	1.5
Metten	0.8	1.2	0.3	0.7	1.7	0.6	0.2	0.4	0.3	0.5	0.5	1.5
Regensburg	0.5	0.8	0.4	1.3	1.3	0.7	0.2	0.3	0.6	0.7	1.1	1.9
Bayreuth	0.7	0.6	0.4	0.8	1.4	0.4	0.2	0.4	0.7	0.5	1.1	1.1
Burghausen	0.4	1.4	0.5	0.7	1.3	0.5	0.4	0.4	0.6	0.8	0.5	1.2
Ingolstadt	0.5	1.1	0.5	0.9	1.1	0.9	0.1	0.5	0.6	0.7	0.5	1.4
Karlshuld	0.5	0.9	0.4	0.7	0.9	0.8	0.1	0.7	0.8	0.7	1.4	1.6
Cham	0.6	0.7	0.4	0.9	1.2	0.4	0.1	0.3	0.3	0.6	1.0	1.3
Landshut	0.5	1.1	0.2	1.0	0.6	0.4	0.1	0.4	0.5	0.5	1.1	1.1
Lindau i. B. (Reutin)	0.5	0.8	0.6	0.7	0.6	1.3	0.2	0.5	0.8	0.9	0.8	1.2
Eggenfelden	0.6	1.3	0.5	1.0	1.6	0.5	0.2	0.5	0.5	0.7	0.9	1.6
Weissenburg i. B.	0.5	1.1	0.4	0.6	1.2	0.8	0.2	0.4	0.6	0.5	1.1	1.5
Ansbach	0.5	1.5	0.6	0.5	0.9	0.8	0.2	0.3	0.6	0.6	1.3	1.6
Hof	0.5	1.5	0.5	0.8	1.8	0.5	0.3	0.6	0.9	0.3	1.0	1.0
Bad Reichenhall	0.3	1.2	0.5	0.8	1.3	0.9	0.2	0.2	0.6	1.0	0.4	2.5
Augsburg	0.5	1.0	0.4	0.9	0.8	0.9	0.4	0.4	0.6	0.7	1.1	1.0
Amberg (M.H.B.)	0.5	1.0	0.5	0.6	2.2	0.4	0.1	0.4	0.8	0.4	1.5	1.3
München-C.St.	0.5	1.0	0.3	0.6	1.4	0.4	0.1	0.7	0.7	0.6	1.1	1.1
Traunstein	0.4	1.0	0.6	0.8	1.1	1.1	0.3	0.5	0.7	0.8	0.6	1.3
Ottobeuren	0.6	0.6	0.6	0.5	1.1	1.4	0.3	0.5	1.2	0.7	1.1	1.1
Partenkirchen	0.2	1.3	0.5	0.7	1.5	1.1	0.4	0.4	0.5	1.1	0.7	1.6
Tegernsee	0.2	0.9	0.5	0.7	1.3	1.3	0.5	0.4	0.6	1.0	0.8	1.2
Buchenau	0.3	1.2	0.5	1.0	0.9	0.6	0.2	0.3	0.2	0.5	0.6	1.3
Oberstdorf	0.3	1.0	0.6	0.6	0.8	1.3	0.5	0.4	0.6	1.2	0.6	1.7
Mittenwald	0.3	1.2	0.6	0.7	1.7	1.2	0.4	0.5	0.5	1.2	0.6	1.8
Hohenpeissenberg	0.5	0.8	0.5	0.8	1.4	1.3	0.5	0.7	1.2	0.9	1.3	1.3
Zugspitze	0.4	0.6	0.8	0.5	0.7	1.2	0.4	0.2	0.5	0.6	0.4	0.6

1911. # Wintertage (W), Frosttage (F), Sommertage (S), Tropentage (T).

Stationen	Januar		Februar		März		April		Mai		Juni		Juli		August		September			Okt.	Novbr.		Dezbr.		Jahr			
	W	F	W	F	W	F	W	F	F	S	S	T	S	T	S	T	F	S	T	F	F	W	F	W	W	F	S	T
Ludwigshafen a. Rh.	8	22	1	14	–	3	–	7	–	4	9	–	21	13	25	12	–	12	2	1	1	–	4	–	9	52	71	27
Kahl a. M.	6	28	1	18	–	18	–	11	–	3	11	1	24	15	25	13	–	10	4	7	6	–	9	–	7	97	73	33
Landau i. Pf.	10	25	2	14	–	6	–	9	–	1	5	–	23	11	26	14	–	12	5	1	2	–	6	–	12	63	67	30
Würzburg	9	26	3	15	–	9	–	10	–	1	4	–	20	10	22	6	–	10	1	1	2	–	5	–	12	68	57	17
Bad Kissingen	12	27	2	17	–	16	–	10	1	3	7	–	20	10	22	8	–	8	1	7	7	–	8	–	14	93	60	19
Kaiserslautern	8	26	1	14	–	11	–	11	–	–	4	–	23	12	23	9	–	12	3	1	4	–	6	–	9	73	62	24
Luitpoldheim	15	27	3	15	–	15	–	10	–	–	1	–	18	7	20	4	–	7	–	4	6	–	12	–	18	89	46	11
Bamberg	13	28	1	17	–	17	–	12	1	3	9	–	22	13	23	14	–	12	5	3	7	–	13	–	14	98	69	32
Nürnberg	14	27	3	18	–	12	–	8	–	1	2	–	20	9	21	2	–	9	1	1	2	–	7	–	17	75	53	12
Passau	18	28	7	20	–	9	–	8	–	2	5	–	18	7	21	1	–	9	–	1	8	–	12	–	25	86	55	8
Metten	17	29	6	22	–	20	–	12	1	6	9	–	22	9	23	3	–	10	–	8	20	–	22	1	24	134	70	12
Regensburg	19	28	3	21	–	17	–	12	–	2	10	–	22	12	24	3	–	10	1	5	19	–	22	–	22	124	68	16
Bayreuth	15	28	5	19	–	20	–	12	2	1	7	–	21	10	22	8	–	10	2	4	11	–	14	–	20	110	61	20
Burghausen	14	28	4	20	–	19	–	12	1	6	13	–	20	10	26	7	–	10	–	4	18	–	16	1	19	118	75	17
Ingolstadt	18	28	6	19	–	21	–	12	1	3	7	–	20	12	24	13	–	12	5	8	18	–	19	–	24	126	66	30
Karlshuld	16	28	5	18	–	19	–	11	2	5	10	1	24	15	27	19	2	11	5	8	14	–	17	–	21	119	77	40
Cham	15	30	5	23	–	23	–	13	3	3	6	–	20	9	22	5	–	12	5	6	13	–	19	–	20	130	63	19
Landshut	16	30	4	25	–	24	–	13	2	9	14	3	25	15	27	11	–	12	4	8	19	–	22	–	20	143	87	33
Lindau i. B. (Reutin)	18	31	5	16	–	19	–	10	–	–	2	–	19	6	21	3	–	11	–	1	9	–	17	–	23	103	53	9
Eggenfelden	19	29	7	20	–	20	–	10	1	–	7	–	20	7	21	2	–	9	–	6	18	–	20	3	29	124	57	9
Weissenburg i. B.	21	29	3	17	–	15	1	11	–	1	5	–	20	9	21	2	–	10	1	2	6	–	12	–	25	92	57	12
Nördlingen	28	28	5	19	–	15	1	10	–	–	2	–	20	9	20	4	–	10	1	1	6	–	12	–	~~24~~ 26	~~83~~ 91	52	14
Ansbach	18	27	5	20	–	19	–	12	–	1	3	–	19	9	22	1	–	10	1	4	9	–	16	–	23	107	55	11
Hof	20	28	3	23	–	22	3	15	5	–	5	–	18	9	20	2	2	8	2	11	14	2	18	1	29	138	51	13
Bad Reichenhall	8	28	2	19	–	10	–	8	–	4	13	1	20	11	22	8	–	11	2	1	2	–	19	1	11	87	70	22
Augsburg	23	28	7	18	–	17	–	11	–	2	4	–	20	9	24	7	–	12	2	1	10	–	16	–	30	101	62	18
Amberg (M.H.B.)	12	28	4	22	–	21	1	10	–	–	4	–	22	10	20	4	–	7	1	3	15	1	25	4	22	124	53	15
München-C.St.	17	28	7	21	–	16	–	11	–	–	4	–	20	8	20	1	–	11	–	–	3	–	14	1	25	93	55	9
Alexandersbad	23	31	9	25	–	24	3	12	4	–	–	–	10	5	11	–	–	5	–	9	14	3	24	3	41	143	26	5
Traunstein	23	30	10	23	–	18	1	12	–	–	3	–	16	5	15	–	–	10	–	1	12	–	22	2	36	118	44	5
Berchtesgaden	18	28	9	23	–	18	–	11	–	–	1	–	11	3	10	–	–	8	–	1	9	–	23	–	27	113	30	3
Ottobeuren	19	31	8	20	–	25	2	12	1	–	3	–	16	8	22	–	–	11	–	2	11	–	17	–	29	119	52	8
Partenkirchen	20	31	9	24	–	18	1	12	–	–	2	–	12	1	14	–	–	11	–	1	13	–	23	–	30	122	39	1
Tegernsee	12	31	6	22	–	15	–	12	–	–	1	–	12	4	14	–	–	10	–	–	1	–	12	–	18	93	37	4
Buchenau	22	31	10	25	–	24	2	13	1	–	2	–	10	3	9	–	–	1	–	3	16	–	28	1	35	141	22	3
Oberstdorf	22	31	9	23	–	26	1	14	1	–	1	–	13	1	13	–	–	10	–	6	20	–	28	–	32	149	37	1
Mittenwald	19	31	11	27	–	22	3	12	–	–	3	–	12	2	11	–	–	7	–	2	10	–	23	–	33	127	33	2
Hohenpeissenberg	18	30	12	24	3	21	6	12	–	–	–	–	8	–	3	–	–	–	–	1	6	–	19	1	40	113	11	–

Ausserdem wurden noch beobachtet: Sommertage im Monat März: 1 in Landshut, 1 in Bad Reichenhall;
„ „ „ April: 1 in Kahl a. M., 2 in Karlshuld, 3 in Landshut;
Frosttage „ „ Juni: 1 in Hof.

Winter- und Frosttage an der Hochstation Zugspitze.

Januar		Februar		März		April		Mai		Juni		Juli		August		Septbr.		Oktober		Novbr.		Dezbr.		Jahr	
W	F	W	F	W	F	W	F	W	F	W	F	W	F	W	F	W	F	W	F	W	F	W	F	W	F
31	31	28	28	31	31	28	30	17	30	9	24	1	8	–	6	8	17	14	27	28	30	20	31	224	293

Datumsgrenzen von Wintertagen, Frosttagen, Sommertagen, sowie von Schneefällen.

Stationen	Letzter Wintertag		Letzter Frosttag		Erster Sommertag		Letzter Sommertag		Erster Frosttag		Erster *) Wintertag		Letzter Schneefall		Erster Schneefall		Stationen
	Tag	Monat	Tag	Monat	Tag	Monat	Tag	Monat	Tag	Monat	Tag	Monat	Tag	Monat	Tag	Monat	
Ludwigshafen a. Rh.	1.	II.	11.	IV.	13.	V.	14.	IX.	30.	X.	*16.*	*I. 12.*	7.	IV.	22.	XI.	Ludwigshafen a. Rh.
Kahl a. M.	1.	II.	15.	IV.	13.	V.	13.	IX.	4.	X.	*15.*	*I. 12.*	8.	IV.	22.	XI.	Kahl a. M.
Landau i. Pf.	9.	II.	12.	IV.	30.	V.	14.	IX.	30.	X.	*16.*	*I. 12.*	7.	IV.	19.	XI.	Landau i. Pf.
Würzburg	10.	II.	14.	IV.	30.	V.	13.	IX.	30.	X.	*14.*	*I. 12.*	8.	IV.	22.	XI.	Würzburg
Bad Kissingen	9.	II.	2.	V.	13.	V.	13.	IX.	10.	X.	*12.*	*I. 12.*	4.	IV.	20.	XI.	Bad Kissingen
Kaiserslautern	1.	II.	15.	IV.	5.	VI.	14.	IX.	30.	X.	*15.*	*I. 12.*	8.	IV.	19.	XI.	Kaiserslautern
Luitpoldheim	10.	II.	14.	IV.	6.	VI.	13.	IX.	11.	X.	9.	*I. 12.*	8.	IV.	22.	XI.	Luitpoldheim
Bamberg	1.	II.	2.	V.	13.	V.	14.	IX.	11.	X.	*12.*	*I. 12.*	10.	IV.	19.	XI.	Bamberg
Nürnberg	28.	II.	14.	IV.	30.	V.	14.	IX.	30.	X.	*13.*	*I. 12.*	13.	IV.	20.	XI.	Nürnberg
Passau	10.	II.	15.	IV.	29.	V.	14.	IX.	31.	X.	*12.*	*I. 12.*	13.	IV.	11.	XI.	Passau
Metten	10.	II.	3.	V.	13.	V.	14.	IX.	4.	X.	19.	XII.	13.	IV.	5.	XII.	Metten
Regensburg	10.	II.	15.	IV.	14.	V.	14.	IX.	4.	X.	*8.*	*I. 12.*	13.	IV.	5.	XII.	Regensburg
Bayreuth	28.	II.	22.	V.	14.	V.	13.	IX.	11.	X.	*8.*	*I. 12.*	4.	IV.	22.	XI.	Bayreuth
Burghausen	10.	II.	3.	V.	13.	V.	14.	IX.	12.	X.	18.	XII.	13.	IV.	11.	XI.	Burghausen
Ingolstadt	10.	II.	3.	V.	14.	V.	14.	IX.	3.	X.	*8.*	*I. 12.*	9.	IV.	25.	XI.	Ingolstadt
Karlshuld	28.	II.	22.	V.	13.	V.	14.	IX.	11.	IX.	*14.*	*I. 12.*	8.	IV.	*9.*	*I. 12.*	Karlshuld
Cham	10.	II.	22.	V.	13.	V.	15.	IX.	11.	X.	*12.*	*I. 12.*	5.	IV.	5.	XII.	Cham
Landshut	10.	II.	22.	V.	28.	III.	19.	IX.	5.	X.	*13.*	*I. 12.*	9.	IV.	*6.*	*I. 12.*	Landshut
Lindau i. B. (Reutin)	10.	II.	15.	III.	7.	VI.	14.	IX.	31.	X.	*20.*	*I. 12.*	13.	IV.	23.	XII.	Lindau i. B. (Reutin)
Eggenfelden	10.	II.	3.	V.	7.	VI.	14.	IX.	11.	X.	7.	XII.	13.	IV.	11.	XI.	Eggenfelden
Weissenburg i. B.	5.	IV.	14.	IV.	30.	V.	14.	IX.	11.	X.	*14.*	*I. 12.*	6.	IV.	26.	XI.	Weissenburg i. B.
Nördlingen	6.	IV.	14.	IV.	7.	VI.	14.	IX.	30.	X.	*8.*	*I. 12.*	13.	IV.	21.	XI.	Nördlingen
Ansbach	10.	III.	15.	IV.	30.	V.	25.	IX.	11.	X.	*8.*	*I. 12.*	9.	IV.	19.	XI.	Ansbach
Hof	6.	IV.	12.	VI.	6.	VI.	13.	IX.	11.	IX.	25.	XI.	13.	IV.	19.	XI.	Hof
Bad Reichenhall	9.	II.	11.	IV.	29.	III.	14.	IX.	31.	X.	3.	XII.	14.	IV.	12.	XII.	Bad Reichenhall
Augsburg	10.	II.	15.	IV.	14.	V.	14.	IX.	31.	X.	*14.*	*I. 12.*	14.	IV.	25.	XI.	Augsburg
Amberg (M.H.B.)	5.	IV.	14.	IV.	6.	VI.	13.	IX.	12.	X.	27.	XI.	13.	IV.	19.	XI.	Amberg (M. H. B.)
München-C.St.	10.	II.	15.	IV.	7.	VI.	14.	IX.	4.	XI.	7.	XII.	13.	IV.	19.	XI.	München C.St.
Alexandersbad	6.	IV.	22.	V.	22.	VII.	13.	IX.	4.	X.	26.	XI.	14.	IV.	19.	XI.	Alexandersbad
Traunstein	6.	IV.	15.	IV.	23.	VI.	14.	IX.	31.	X.	3.	XII.	14.	IV.	11.	XI.	Traunstein
Berchtesgaden	28.	II.	16.	IV.	24.	VI.	13.	IX.	31.	X.	*15.*	*I. 12.*	14.	IV.	11.	XI.	Berchtesgaden
Ottobeuren	6.	IV.	3.	V.	9.	VI.	14.	IX.	25.	X.	*8.*	*I. 12.*	14.	IV.	8.	XII.	Ottobeuren
Partenkirchen	5.	IV.	15.	IV.	24.	VI.	14.	IX.	31.	X.	*8.*	*I. 12.*	14.	IV.	11.	XI.	Partenkirchen
Tegernsee	9.	II.	15.	IV.	24.	VI.	14.	IX.	27.	XI.	*8.*	*I. 12.*	14.	IV.	11.	XI.	Tegernsee
Buchenau	8.	IV.	2.	V.	24.	VI.	3.	IX.	11.	XI.	4.	XII.	13.	IV.	11.	XI.	Buchenau.
Oberstdorf	5.	IV.	3.	V.	24.	VI.	13.	IX.	3.	X.	*15.*	*I. 12.*	13.	IV.	11.	XI.	Oberstdorf
Mittenwald	9.	IV.	15.	IV.	18.	VI.	13.	IX.	3.	X.	*16.*	*I. 12.*	14.	IV.	11.	XI.	Mittenwald
Hohenpeissenberg	9.	IV.	15.	IV.	23.	VII.	21.	VIII.	30.	X.	*8.*	*I. 12.*	13.	IV.	9.	XI.	Hohenpeissenberg

*) In den Spalten, welche die Daten des ersten Wintertages bekanntgeben, sind zwei Stationsgruppen durch verschiedenen Druck der zugehörigen Werte hervorgehoben. Die kursiv gedruckten Daten beziehen sich auf diejenigen Beobachtungsorte, an welchen sich das Auftreten des ersten Wintertages bis in den Januar hinein verspätete. Die in gewöhnlicher Schrift mitgeteilten Werte gehören den Stationen des östlichen Bayern an, an welchen unter dem Einflusse der mehr kontinentalen Lage bereits Ende November oder doch im Dezember der erste Wintertag zur Aufzeichnung gelangte.

Auswertung der Registrierungen vom Hohenpeissenberg.

Als Basisstation zur Zugspitze erscheint der Hohenpeissenberg sehr geeignet. Die Station wurde daher mit einem Thermo- und Hygrographen (Richard) sowie einem registrierenden Anemometer von Fuess ausgerüstet, während der Barograph schon länger in Tätigkeit war (s. Jahrbuch 1910 S. 123).

Die Auswertung des Anemographen besorgte (ausgenommen im November) in dankenswerter Weise der Beobachter Lehrer Jung selbst. Die übrigen Registrierungen wurden an der Centralstation ausgewertet und zwar von

Sekretär L. Gsell:

die Barometerregistrierung
die Hygrometerregistrierung mit Ausnahme der Monate Februar, August, Dezember

Assistent A. Huber:

die Thermometerregistrierung
von der Hygrometerregistrierung der Monat Februar, August, Dezember
von der Anemometerregistrierung der Monat November.

Hohenpeissenberg.

Barometer-Registrierung. **Jahr 1911.** 1911.

Januar

600 mm +

Datum	1a	2a	3a	4a	5a	6a	7a	8a	9a	10a	11a	12m	1p	2p	3p	4p	5p	6p	7p	8p	9p	10p	11p	12mn	Mittel
1.	82.2	82.2	82.0	81.5	81.2	81.1	81.0	80.8	80.6	80.3	79.6	78.9	78.4	77.9	77.4	76.9	76.5	75.8	75.2	74.5	73.8	73.1	72.2	71.8	78.12
2.	71.4	70.3	69.6	69.1	68.9	68.9	68.8	68.9	68.9	68.7	68.6	68.4	68.2	68.1	68.3	68.4	68.6	68.7	68.9	68.4	68.7	68.6	68.6	68.7	68.88
3.	68.6	68.7	68.5	68.4	68.2	68.1	68.2	68.2	68.1	68.1	67.8	67.8	67.7	67.8	67.8	67.8	67.9	67.9	67.9	67.9	67.7	67.6	67.5	67.5	67.99
4.	67.4	67.4	67.2	66.8	66.7	66.7	66.8	66.9	67.1	67.3	67 4	67.3	67.3	67.4	67.4	67.7	67.8	68.1	68.3	68.5	68.7	68.9	69.2	69.4	67.65
5.	69.7	69.8	70.0	70.2	70.2	70.4	70.4	70.8	71.3	71.6	71.7	71.5	71.4	71.4	71.7	71.9	72.2	72.5	73.0	73.2	73.6	73.7	73.6	73.6	71.64
6.	73.9	74.4	74.8	75.1	75.3	75.9	76.3	76.4	76.6	76.8	77.1	77.2	77.1	77.2	77.4	77.5	77.7	78.0	78.1	78.2	78.4	78.6	78.5	78.5	76.88
7.	78.7	78.9	78.2	79.3	79.5	79.7	80.0	80.4	80.8	81.0	81.0	81.0	81.1	81.2	81.6	81.7	81.9	82.4	82.8	83.1	83.3	83.5	83.8	83.9	81.20
8.	84.2	84.4	84.9	85.2	85.4	85.9	86.3	86.5	86.6	86.8	87.0	86.9	87.0	87.2	87.2	87.4	87.5	87.7	87.8	87.9	87.9	87.9	87.7	87.6	86.70
9.	87.4	87.3	87.0	86.8	86.9	86.8	86.8	86.8	86 8	86.7	86.4	85.9	85.7	85.3	85.1	84.8	84.5	84.0	83.7	83.3	82.7	82.2	81.8	81.2	85.25
10.	80.8	80.3	79.9	79.4	78.8	78.6	78.8	79.1	79.7	80.2	80.8	81.4	81.8	82.2	82.7	82.9	83.1	83.4	83.9	84.3	84.6	84.6	84.3	84.1	81.65
11.	83.9	83.6	83.0	82.5	82.1	81.4	81.0	80.6	80.0	79.6	79.1	78.4	77.6	76.8	76.3	75.1	74.2	73.5	73.2	72.7	72.2	71.7	71.2	70.2	77.50
12.	69.3	68.7	68.3	67.9	67.1	66.9	66.4	66.1	66.0	65.9	65.6	65.1	64.7	64.1	63.7	63.8	63.9	64.2	64.4	64.6	64.7	64.9	65.3	65.5	65.71
13.	65.8	66.2	66.4	66.6	66.8	67.1	67.6	68.1	68 6	69.2	69.4	69.6	69.7	69.9	70.3	70.6	71.4	72.0	72.8	73.3	73.8	74.2	74.7	74.9	69.96
14.	75.0	75.2	75.3	75.3	75.4	75.7	76.1	76.4	76.6	76.8	76.9	76.8	76.8	76.9	77.5	77.9	78.4	78.6	78.8	79.0	79.2	79.3	79.4	79.7	77.21
15.	79.7	79.7	79.9	80.0	80.0	80.0	80.1	80.1	80.1	80.2	80.1	80.0	79.7	79.7	79.8	80.1	80.3	80.5	80.7	80.9	81.0	81.1	81.2	81.3	80.26
16.	81.4	81.6	81.7	81.6	81.7	83.1	82.6	83.0	83.6	84.0	84.4	84.7	84.8	84.9	85.1	85.7	86.2	86.7	87.3	87.8	88.2	88.2	88.5	88.5	84.80
17.	88.5	88.6	88.8	89.0	89.2	89.5	89.7	89.7	89.7	89.8	89.5	89.3	89.2	89.3	89.4	89.6	90.0	89.8	89.9	89.5	89.3	89.4	89.6	89.42	
18.	89.7	89.6	89.6	89.7	89.7	89 8	89.7	89.8	89.6	89.6	89.7	89.6	89.6	89.6	89.4	89.3	89.1	89.2	89 3	89.1	89 1	89.0	88.6	88.2	89.40
19.	88.1	88.0	87.7	87.4	87.4	87.5	87.4	87.3	87.2	87.4	87.7	87.8	87.1	87.2	87.0	86.9	86 9	86.9	87.1	87.2	87.2	87.3	87.2	87.0	87.33
20.	86.9	86.6	86 4	86.3	86.3	86 3	86.3	86.3	86.5	86.5	86.4	86.3	86.0	85.8	85.7	85.5	85.5	85.3	85.1	84.9	84.8	84.7	84.4	84.0	85.78
21.	84.8	83.5	83.2	82.9	82.7	82.5	82.4	82.3	82.2	82.1	81.9	81.4	81.1	80.6	80.1	80.0	79.8	79.9	79.9	79.9	79.9	79.8	79.7	79 6	81.34
22.	79.5	79.2	79.1	79.1	79.2	79.3	79.4	79.5	79.7	79 9	80.2	80.4	80.5	80 6	80.9	80.8	80.9	81.0	81.4	81.6	81.6	82.3	82.4	82.6	80.46
23.	82.7	82.8	82.8	82.7	82.9	82.9	83.0	83.1	83.2	83.4	83.6	83.5	83.1	82.9	82.6	82.5	82.7	82.9	83.0	82.9	82.7	82.4	82.4	82.3	82.88
24.	82.5	82.7	82.5	82.5	82.4	82.6	82.7	82.8	82.9	82.9	82.8	82.6	82.6	82.5	82.5	82.8	83.1	83.2	83.4	83.8	84.0	84.2	84.3	84.4	83.03
25.	84.3	84.4	84.4	84.4	84.5	84.8	85.0	85.0	85.0	85.0	84.8	84.6	84.2	83.9	83.9	83.7	83.8	84.1	84.2	84.3	84.2	84.3	84.3	84.2	84.39
26.	84.0	84.1	83.9	83.8	83.7	83.6	83.7	83.8	84.1	84.7	85.1	85.3	85.4	85.6	85.7	85 7	86.2	86.4	86.6	86.8	86.9	87.0	87.1	87.2	85.27
27.	87.1	87.1	86.9	86.8	86.7	86.5	86.4	86.4	86.3	86.2	86.3	86.2	86.0	85.8	85.8	85.8	85.8	85.9	85.9	85.9	85.9	85.6	85.5	85.4	86.18
28.	85.1	84.7	83.9	83.9	83.8	83.9	84.0	83.7	83.5	83.7	84.3	84.9	85.1	85.3	85.8	85.7	85 8	85.8	85.9	85.7	85.5	85.4	85 3	85.0	84.82
29.	84.9	84.8	84.5	83.9	83.6	83.4	83.4	83.3	83.3	83.6	83 6	83.5	83.2	82.8	82.4	82.0	82.0	82.2	82.3	82.2	82.1	82.0	81.9	81.7	83.03
30.	81.5	81.5	81.3	81.0	80.8	80.8	80.7	80.8	81.1	81.4	81.3	81.2	81.3	81.3	81.4	81.7	82.0	82.4	82.5	82.7	83.0	83.1	83.2	83.3	81.72
31.	83.4	83.6	83.6	83.7	83.8	83.9	84.2	84.4	84.8	85.0	85.2	85.2	85.1	85.0	85.0	85.0	85.1	85.2	85.2	85.3	85.4	85.5	85.4	85.4	84.73
Mittel	80.40	80.32	80.17	80.09	80.03	80.12	80.17	80.24	80.34	80.46	80.50	80.42	80.28	80.20	80.22	80.23	80.34	80.46	80.59	80.65	80.65	80.65	80.60	80.53	80.36

Februar

600 mm +

1.	85.5	85.6	85.6	85.3	85.3	85.3	85.4	85.6	85.9	86.2	86.2	86.3	86.1	86.1	86.0	86.2	86.6	86.6	86.6	86.7	87.1	87.1	87.1	87.1	86.15
2.	87.0	86.9	87.1	86.7	86.6	86.2	86.1	86.2	86.2	86.2	86.0	85.6	85.1	84.5	84.0	83.7	83.6	83.4	83.0	82.8	82.2	81.2	80.6	80.5	84.64
3.	79.5	77.7	77.2	77.0	76.9	76.5	77.0	77.5	77.5	77.4	77.4	77.5	77.6	77.9	78.5	79.2	80.0	80.7	81.2	82.0	82.5	83.0	83.2	83.3	79.09
4.	83.3	83.2	83.1	82.6	82.5	82.4	82.4	82.6	82.6	82.3	82.2	82.1	81.9	81.8	81.8	81.4	81.4	81.3	81.4	81.2	81.1	81.1	81.1	81.1	82.00
5.	80.7	80.1	79.9	80.0	79.9	79.8	79.8	79.8	79 6	79.5	79.6	79.8	79.7	79.9	80.0	80.1	80 3	80.7	81.1	81.3	81.3	81.3	81.3	81.4	80.29
6.	81.4	81.5	81.6	81.7	81.8	81.9	81.9	82.0	82.2	82.4	82.5	82.6	82 8	82.8	83.0	83.4	83.9	84.2	84 5	84.7	84.8	84.9	84.9	84.9	83.01
7.	84.8	84.8	84.6	84.5	84.5	84.4	84.3	84.2	84.2	84.1	84.0	84.0	84.0	83.9	83.7	83.6	83.5	83.4	83.3	83.2	82.6	82.1	81.7	81.7	83.71
8.	81.6	81.6	81.5	81.2	81.3	81.6	81.6	81.7	82.2	82.3	82.5	82.7	82.9	83.1	83.3	83.4	83.7	84.2	84.9	85.2	85.6	85.6	86.2	86.3	83.18
9.	86.1	86.0	85.9	85.7	85.5	85.4	84.8	84.7	84.7	84.4	84.0	83.7	83.4	83.1	82.7	82.5	82.2	81.9	81.6	81.3	81.1	80.9	80.7	80.4	83.45
10.	80.2	80.2	79.8	79.7	79.5	79.4	79.3	79.3	79.2	79.3	79.4	79.4	79.4	79.1	79.1	79.0	78.9	78.9	78.8	78.7	78.7	78.8	78.7	78.7	79.23
11.	78.7	78.9	78.8	78.5	78.5	78.5	78.6	78.7	79.0	79.1	79.3	79.1	79.1	79.0	79.0	79.0	78.8	79.1	79.2	79.3	79.4	79 5	79.6	79.7	79.02
12.	79.7	79.7	79.8	79.9	79.9	80.0	80.2	80.3	80.4	80.6	80.8	80.7	80.5	80.3	80.3	80.2	80.3	80.5	80.7	80.7	80.8	80.9	81.0	81.1	80.39
13.	81.1	81.2	81.2	81.2	81.3	81.4	81.6	82.0	82.0	82.0	82.2	82.3	82.2	82.1	82.2	82.4	82.8	83.1	83.1	83.3	83.4	83.5	83.7	83.9	82.30
14.	83.9	84.0	84.0	84.1	84 3	84.5	84.7	84.9	85.0	85.2	85.4	85.5	85.3	85.2	85.2	85.1	85.3	85.4	85.7	85.8	86.2	85.8	85.7	85.5	85.07
15.	85.8	85.7	85.5	85.9	86.1	86.1	85.9	85.9	86.2	86.2	86.3	86.1	85.9	85.8	85.8	85.8	86.0	86.2	86.0	86.1	86.3	86.8	86.9	87.4	86.11
16.	87.8	88.1	88.3	88.6	88.7	88.8	88.9	88.9	88.9	88.8	88.6	87.9	88.4	86.8	86.3	85.8	85.7	85.7	85.4	85.1	84.4	84.6	83.8	83.8	87.00
17.	83.2	82.6	82.1	81.8	81.3	80.5	80.1	79.8	79.8	79.5	79.3	79.5	79.1	78.7	79.3	79.4	79.6	80 2	80.5	80.9	81.4	81.3	80.9	80.5	80.47
18.	80.3	79.6	79.1	78.9	78.9	78.9	78.6	78.5	78.4	78.5	78.3	77.9	77.2	76.3	75.7	75.0	74.8	74.9	74.8	74.5	74.5	74.5	74.1	73.3	76.90
19.	72.6	71.9	71.0	70.2	69.2	68.5	68.4	68.3	66.7	66.9	67.4	67.7	68.1	67.7	67.3	67.4	67.4	67.4	67.6	67.8	68.8	69.0	69.1	69.8	68.59
20.	70.0	69.5	69.6	69.9	70.2	70.8	71.2	72.2	72.9	73.4	73.8	73.9	73.9	73.7	73.5	73 3	73.5	73.9	74.2	74.4	75.0	75.1	75.0	75.3	72.84
21.	75.2	74.9	75.0	75.1	75.5	76.0	76.6	77.2	77.8	78.2	78.4	78.6	78.5	79.1	79.2	79.2	79.1	79.5	79.6	79.6	79.5	79.2	78.8	78.6	77.85
22.	78.3	77.8	77.6	77.4	77.1	77.1	76.5	76.4	76.3	76.0	75.2	75.1	74.5	74.5	74.8	74.9	75.5	76.5	77.0	77.5	78.5	79.1	79.0	79.1	76.74
23.	79.2	79.2	79.4	79.4	79.4	79.1	79.0	78.7	78.2	77.5	76.6	75.7	75.0	74.4	73.9	73.3	72.7	71.8	71.1	69.2	68.7	68.7	67.7	67.4	74.80
24.	67.4	66.5	66.2	66.0	66.8	67.2	68.1	69.0	69.4	69.3	69.0	69.0	68.8	69.3	70 0	70.7	71.2	72.4	72.6	72.9	73.2	73.5	73.5	73.6	69.82
25.	73.7	73.8	73.7	74.0	74.1	74.1	74.2	74.3	74.4	74.1	73.9	73.3	72.7	71.8	71.4	70.9	70.4	70.2	69.9	69.6	68.9	68.8	68.7	69.6	72.10
26.	70.0	70.0	70.1	70.5	70.5	70.7	71.0	70.5	69.3	68.6	68.1	67.8	67.1	66.9	69.5	70.0	71.4	72.3	73.1	73.7	74.3	74.6	74.7	74.9	70.82
27.	75.4	75.6	75.6	76.0	76.4	76.6	76.7	77.0	77.0	77.2	77.3	77.4	77.4	77.4	77.6	77.5	77.5	77.8	78.1	78.1	78.2	78.4	78.3	78.3	77.20
28.	78.2	77.9	77.6	77.3	77.3	77.0	76.8	76.8	76.7	76.4	76.3	75.0	75.6	75.2	74.7	74.2	74.1	74.1	74.5	74.1	74.0	73.8	73.8	73.9	75.64
Mittel	79.66	79.45	79.32	79.25	79.26	79.24	79.28	79.39	79.38	79.34	79.29	79.15	79.01	78.80	78.85	78.81	78.94	79.15	79.27	79.28	79.38	79.40	79.28	79.33	79.23

Barometer-Registrierung. **Hohenpeissenberg.** 1911.

März

600 mm +

Datum	1a	2a	3a	4a	5a	6a	7a	8a	9a	10a	11a	12m	1p	2p	3p	4p	5p	6p	7p	8p	9p	10p	11p	12mn	Mittel
1.	74.1	73.9	73.5	73.4	73.4	73.3	73.1	73.4	73.7	74.3	74.7	75.6	75.8	75.5	75.7	76.1	77.3	78.5	79.9	81.3	82.5	83.0	83.5	84.0	76.65
2.	84.5	84.6	84.7	84.9	84.9	84.8	84.9	84.8	84.7	84.6	83.6	83.4	83.1	81.4	80.6	80.6	78.8	78.0	78.5	78.5	78.1	77.8	77.0	78.7	81.90
3.	78.7	79.9	80.1	79.9	80.0	80.0	80.1	80.1	80.4	80.5	80.4	80.5	80.4	80.5	80.6	80.9	81.2	81.4	81.7	81.8	82.1	82.2	82.3	82.1	80.74
4.	82.0	81.9	81.6	81.1	80.6	80.5	80.4	80.2	80.2	80.0	79.8	79.6	79.3	78.8	78.5	78.3	78.0	77.8	77.6	77.3	77.0	76.9	76.7	76.2	79.18
5.	75.8	75.5	75.2	74.9	74.7	74.6	74.5	74.5	74.6	74.6	74.5	74.0	74.2	74.5	74.6	74.7	74.8	74.9	75.2	75.5	75.9	76.0	76.1	76.0	74.99
6.	74.9	75.6	75.2	75.1	74.7	74.6	74.3	74.4	74.3	74.2	74.7	73.5	73.3	73.0	72.8	72.7	72.6	72.8	72.9	73.0	73.1	73.2	73.0	72.8	73.78
7.	72.5	72.5	72.4	72.3	72.4	72.4	72.6	72.9	73.4	73.5	73.8	73.9	74.0	74.0	74.1	74.1	74 1	74.1	74.1	74.3	74.4	74.4	74.5	74.4	73.55
8.	74.3	74.1	73.9	73.8	73.8	73.8	73.9	73.9	74.0	74.2	74.4	74.5	74.4	74.5	74.7	74.8	74.8	75.1	75.5	76.0	76.2	76.3	76.4	76.3	74.73
9.	76.4	76.5	76.2	76.2	76.1	76.1	76.0	76.0	75.9	75.8	75.8	75.7	75.4	75.2	75.1	74.9	74.9	75.1	75.4	75.6	75.8	75.9	76.0	76.4	75.77
10.	76.6	76.7	76.7	76.8	77.0	77.1	77.2	77.4	77.6	77.6	77.9	78.1	77.9	77.6	77.5	77.6	77.7	78.1	78.2	78.4	78.4	78.5	78.3	78.2	77.63
11.	78.1	77.7	77.2	76.9	76.6	76.2	76.1	76.0	76.0	75.8	75.7	75.5	75.3	75.1	75.0	75.0	75.0	74.9	75.0	75.1	75.1	75.1	75.1	75.0	75.77
12.	75.0	75.0	74.9	74.8	74.7	74.5	74.5	74.5	74.5	74.4	74.2	74.0	73.6	73.2	72.9	72.6	72.3	72.0	71.9	71.8	71.6	71.2	70.8	70.3	73.30
13.	69.4	69.7	68.1	67.1	66.3	65.4	64.5	63.5	62.5	62.0	61.3	61.2	60.9	60.3	60.4	61.6	62.3	62.8	62.9	63.3	64.1	64.4	64.6	64.9	63.90
14.	65.0	65.4	65.3	65.3	65.2	65.1	65.1	65.2	65.4	65.6	65.5	65.3	65.3	65.2	65.0	65.0	65.0	64.9	65.0	65.1	65.1	65.0	64.8	64.7	65.15
15.	64.5	64.2	63.8	63.6	63.4	63.3	63.2	63.3	63.4	63.5	63.6	63.6	63.7	63.6	63.7	63.6	63.7	64.1	64.5	64.7	64.9	65.0	65.2	65.3	63.98
16.	65.3	65.4	65.2	65.2	65.3	65.5	65.8	66.1	66.6	66.9	67.3	67.6	67.7	67.7	67.8	67 9	68.0	68.2	68.8	69.2	69.8	70.3	70.5	70.6	67.45
17.	70.7	70.9	70.8	70.7	70.8	70.8	71.0	71.3	71.4	71.6	71.8	72.0	72.2	72.3	72.4	72.6	72.7	72.9	73.1	73.3	73.3	73.3	73.4	73.3	72.03
18.	73.1	73.0	72.9	72.8	72.8	72.8	72.8	72.9	73.1	73.3	73.2	73.2	73.2	73.2	73.2	73.2	73.3	73.7	74.0	74.2	74.2	74.2	74.2	74.2	73.36
19.	74.2	74.2	74.2	74.1	74.0	74.0	74.0	74.0	74.0	74.1	73.9	73.8	73.8	73.7	73.4	73.2	73.1	72.9	72.9	72.8	72.7	72.5	72.1	71.9	73.48
20.	71.9	71.9	71.8	71.6	71.4	71.3	71.2	71.1	71.1	71.1	70.7	70.6	70.4	70.4	70.3	70.3	70.3	70.4	70.4	70.4	70.7	71.2	71.5	72.1	71.00
21.	72.5	72.9	73.0	73.3	73.6	73.9	74.2	74.6	74.5	74.6	74.6	74.5	74.3	74.3	74.4	74.4	74.3	74.3	74.4	74.4	74.5	74.5	74.6	74.6	74.13
22.	74.6	74.5	74.6	74.4	74.4	74.4	74.4	74.5	74.7	74.9	74.9	74.8	74.5	74.2	74.1	74.1	74.1	74.3	74.6	74.7	74.7	74.7	74.8	74.9	74.53
23.	74.8	74.7	74.6	74.5	74.8	74.7	74.7	74.9	75.0	75.1	75.1	75.1	74.8	74.5	74.5	74.4	74.3	74.2	74.0	73.8	73.5	73.2	73.0	72.8	74.38
24.	72.6	72.2	72.0	71.7	71.7	71.6	71.5	71.4	71.4	71.2	71.0	70.6	70.3	69.7	69.2	69.0	68.9	68.7	68.5	68.3	68.1	67.5	67.1	67.7	70.08
25.	66.4	65.9	65.6	65.0	64.8	64.5	64.3	64.1	64.1	64.1	64.1	63.5	63.4	63.2	63.1	63.2	63.0	62.9	62.9	62.8	62.5	62.3	62.1	61.8	63.73
26.	61.3	60.9	60.5	60.3	60.3	60.3	60.3	60.7	61.0	61.2	61.7	61.6	61.6	62.3	62.8	63.8	63.6	65.4	66.5	67.6	68.5	69.2	69.8	70.6	63.41
27.	71.1	71.6	71.7	71.9	72.2	72.7	73.2	73.4	73.5	73.5	73.3	73.2	73.3	73.3	73.3	73.3	73.1	73.1	73.2	73.1	72.9	72.8	72.7	72.8	72.84
28.	73.1	73.0	72.9	73.2	73.4	73.8	74.0	74.2	74.2	74.3	74.3	74.3	74.2	74.1	73.9	73.6	73.6	73.7	73.9	74.0	74.0	74.0	74.0	74.1	73.83
29.	74.0	73.8	73.5	73.2	73.1	73.1	73.1	73.2	73.2	72.9	72.5	72.2	71.9	71.8	71.4	71.1	70.8	70.5	70.3	70.5	70.5	70.4	70.2	70.1	71.97
30.	69.9	69.9	69.9	69.9	70.0	70.2	70.5	70.7	70.8	70.9	70,8	71.0	71.0	70,8	71.1	71.7	71.9	72.3	72.5	72.9	72.9	73.2	73.4	73.8	71.33
31.	74.1	74.5	74.7	74.9	75.0	75.4	75.6	75.9	76.0	76.1	75.9	75.8	75.5	75.4	75.4	75.5	75.4	75.7	75.9	76.1	76.2	76.2	76.3	76.4	75.58
Mittel	72.95	72.98	72.80	72.67	72.63	72.60	72.61	72.68	72.75	72.79	72.74	72.65	72.54	72.36	72.31	72.38	72.35	72.51	72.72	72.90	73.01	73.05	73.03	73.13	72.71

April

600 mm +

Datum	1a	2a	3a	4a	5a	6a	7a	8a	9a	10a	11a	12m	1p	2p	3p	4p	5p	6p	7p	8p	9p	10p	11p	12mn	Mittel
1.	76.4	76.5	76.5	76.4	76.4	76.6	76.9	77.0	77.2	77.3	77.0	76.8	76.5	76.4	76.2	75.9	75.8	75.8	75.9	76.0	76.1	76.1	76.1	76.0	76.41
2.	75.8	75.4	75.3	75.1	75.0	74.8	74.9	74.7	74.5	74.4	73.8	73.4	73.2	72.8	72.4	72.2	72.0	72.1	72.2	72.3	72.3	72.2	72.0	71.8	73.53
3.	71.5	71.0	70.5	70.2	69.9	69.6	69.4	69.2	69.0	68.8	68.3	67.8	67.4	67.2	67.2	67.4	67.5	67.6	68.0	68.3	68.3	68.3	68.4	68.9	68.74
4.	69.0	68.9	68.8	68.7	68.8	68.9	69.0	69.0	69.2	69.3	69.2	69.3	69.3	69.3	69.3	69.4	69.5	69.5	69.5	69.4	68.9	68.7	68.4	68.2	69.06
5.	67.8	67.4	66.9	66.4	66.1	66.0	65.9	65.6	65.6	65.6	65.4	65.3	65.4	65.3	65.4	65.1	65.1	65.2	65.2	65.3	65.5	65.6	65.6	65.7	65.77
6.	65.9	66.1	66.3	66.6	66.9	67.4	67.7	67.1	68.7	69.1	69.6	69.9	70.0	70.3	70.6	71.0	71.3	71.7	72.2	72.8	73.2	73.5	73.6	73.7	69.80
7.	73.8	73.7	73.6	73.5	73.4	73.4	73.3	73.2	73.1	73.0	72.8	72.6	72.5	72.4	72.2	72.0	71.8	71.9	72.1	72.2	72.2	72.1	71.9	71.7	72.68
8.	71.5	71.1	70.8	70.6	70.7	70.8	70.9	71.2	71.5	71.7	71.9	72.0	72.1	72.5	72.7	73.2	73.7	73.8	74.2	74.7	75.0	75.2	75.2	75.3	72.60
9.	75.2	75.2	75.1	75.1	75.1	75.2	75.3	75.4	75.5	75.5	75.6	75.6	75.5	75.3	75.2	75.0	74.8	74.6	74.6	74.5	74.3	73.9	73.5	72.9	74.91
10.	72.4	71.7	71.2	70.8	70.3	70.1	69.9	69.8	69.8	69.7	69.6	69.5	69.5	69.3	69.2	69.4	69.6	70.0	70.4	70.7	71.1	71.4	71.6	71.9	70.37
11.	72.2	72.5	72.6	72.8	73.0	73.6	74.1	74.5	75.0	75.4	75.5	75.7	75.9	76.1	76.5	76.5	76.7	77.0	77.1	77.4	77.7	77.8	77.7	77.7	75.46
12.	77.6	77.4	77.3	77.2	77.1	77.2	77.4	77.5	77.6	77.7	77.7	77.4	77.0	76.6	76.3	75.7	75.3	75.1	74.8	74.6	74.1	73.8	73.5	73.6	76.23
13.	73.8	73.8	74.1	74.6	74.9	75.2	75.4	75.6	76.1	76.3	76.4	76.4	76.5	77.0	77.4	77.5	77.6	77.8	78.1	78.7	79.1	79.4	79.6	79.6	76.70
14.	79.6	79.7	79.7	79.8	79.9	80.2	80.6	80.7	81.0	81.3	81.4	81.4	81.2	81.1	81.0	81.0	80.9	80.9	80.9	81.1	81.2	81.1	81.0	80.9	80.73
15.	80.8	80.8	80.8	80.6	80.4	80.6	80.9	81.1	81.3	81.2	81.0	80.9	80.7	80.6	80.5	80.3	80.2	80.2	80.4	80.5	80.4	80.2	80.2	80.1	80.61
16.	79.8	79.5	79.3	79.1	79.0	78.9	79.0	79.2	79.5	79.4	79.0	78.4	78.3	78.0	77.5	77.1	76.8	76.6	76.6	76.8	76.9	76.8	76.7	76.6	78.12
17.	76.5	76.5	76.4	76.4	76.4	76.5	76.6	76.8	76.8	76.8	76.8	76.7	76.5	76.3	76.2	76.1	76.3	76.4	76.7	77.1	77.4	77.7	77.8	78.0	76.74
18.	78.0	77.9	77.9	78.0	78.1	78.2	78.3	78.4	78.4	78.3	77.8	77.3	76.9	76.4	75.8	75.4	75.1	74.9	74.7	74.8	74.8	74.9	75.1	75.1	76.69
19.	75.0	75.0	75.0	75.0	74.9	75.2	75.2	74.9	75.0	74.9	74.5	74.0	73.6	73.2	73.1	73.0	73.0	73.3	73.5	73.6	73.7	73.8	74.1	74.3	74.20
20.	74.4	74.6	74.8	75.2	75.6	76.1	76.7	76.9	77.1	77.5	77.6	77.9	78.2	78.7	78.7	79.2	79.3	80.2	81.3	81.8	82.5	83.1	83.6	84.3	78.55
21.	84.7	85.2	85.5	85.8	86.3	86.8	87.4	87.8	88.3	88.8	88.8	88.9	88.9	88.9	88.9	88.7	88.9	89.1	89.2	89.2	89.4	89.2	89.1	89.0	88.03
22.	88.9	88.8	88.9	88.8	88.5	88.5	88.5	88.4	88.3	88.1	87.8	87.3	86.7	86.4	85.8	85.3	85.0	84.5	84.5	84.5	84 3	83.8	83.7	83.5	86.62
23.	83.2	83.0	83.0	82.9	82.7	82.6	82.6	82.5	82.4	82.3	81.8	81.7	81.4	81.0	80.8	80.6	80.2	79.9	79.7	79.7	79.7	79.6	79.4	79.3	81.33
24.	78.9	78.6	78.4	78.0	77.9	77.7	77.7	77.7	77.7	77.8	77.8	77.6	77.6	77.5	77.3	77.4	77.4	77.5	77.6	78.0	78.3	78.4	78.8	78.8	77.93
25.	78.4	78.2	78.0	77.8	77.6	77.6	77.7	77.8	77.7	77.6	77.3	76.9	76.7	76.4	75.9	75.8	75.8	75.7	75.8	75.7	75.7	75.4	75.2	75.1	76.74
26.	74.9	74.7	74.7	74.6	74.5	74.5	74.5	74.6	74.9	75.1	75.2	75.1	75.0	75.1	75.1	75.2	75.4	75.5	75.4	75.7	75.7	75.6	75.8	75.8	75.11
27.	75.8	75.8	76.0	76.1	76.4	76.3	76.0	75.8	75.2	74.9	74.7	74.4	74.1	73.8	72.7	72.3	72.0	71.8	71.4	70.8	70.6	70.3	69.9	69.3	73.60
28.	68 6	67.8	68.c	67.6	68.0	69.4	69.6	69.7	70.0	70.2	70.5	70.4	70,8	71.1	71.3	71.5	71.6	71.9	72.2	72.6	72 7	72.7	72.6	72.5	70.55
29.	72.1	71.8	71.5	71.2	70.8	70.3	69.6	69.0	68.7	68.7	68.6	68.5	68.5	68.8	68.7	68.6	68.3	67.8	68.0	68.5	68.7	69.0	69.1	69.1	69.33
30.	69.0	68.9	68.7	68.5	68.3	68.4	68.5	68.8	68.9	68.8	68.7	68.7	68.6	68.6	68.6	68 5	68.6	68.8	69.3	70.2	71.0	71.4	71.5	71.8	69.21
Mittel	75.38	75.25	75.18	75.11	75.10	75.22	75.32	75.33	75.47	75.52	75.40	75.26	75.15	75.08	74.95	74.88	74.85	74.90	75.05	75.25	75.36	75.37	75.36	75.35	75.21

Barometer-Registrierung. **Hohenpeissenberg.** 1911.

Mai

600 mm +

Datum	1a	2a	3a	4a	5a	6a	7a	8a	9a	10a	11a	12m	1p	2p	3p	4p	5p	6p	7p	8p	9p	10p	11p	12mn	Mittel
1.	72.0	72.3	72.6	73.0	73.2	73.7	74.0	74.5	74.8	75.0	75.3	75.6	76.3	76.5	76.7	77.1	77.5	78.0	78.4	78.9	79.4	79.5	79.8	79 8	76.00
2.	79.7	79.8	79.8	79.7	79.7	79.8	79.9	79.8	79.7	79.6	79.6	79.5	79.3	79.1	78.9	78.7	78.5	78.3	78.2	78.2	78.2	78.2	78.1	78.1	79.10
3.	77.9	77.8	77.5	77.4	77.5	77.6	77.7	77.9	78.1	78.3	78.4	78.4	78.2	77.9	77.6	77.5	77.3	77.6	77.7	77.7	77.9	78.0	77.9	77.7	77.81
4.	77.5	77.2	76.9	76.8	76.7	76.6	76.6	76.6	76.3	76.1	75.6	75.1	74.9	74.7	74.7	74.5	74.2	74.0	73.9	74.0	74.2	74.3	74.2	74.3	75.41
5.	74.3	74.3	74.4	74.5	74.6	74.8	75.0	75.1	75.3	75.6	75.8	76.0	76.3	76.6	76.7	76.8	76.9	77.3	77.5	78.1	78.5	78.6	78.7	78.9	76.28
6.	78 9	78.8	78.7	78.6	78.8	78.9	79.1	79.3	79.4	79.5	79.5	79.5	79.5	79.5	79.6	79.5	79.3	79.3	79.3	79.5	79.7	79.9	80 0	79.8	79.32
7.	79.5	79.2	79.0	78.8	78.6	78.7	78.8	78.7	78.6	78.5	78.6	78.5	78.5	78.1	77.9	77.7	77.7	77.7	77.7	77.8	78.0	78.2	77.9	77.7	78.35
8.	77.2	76.9	76.7	76.5	76.3	76.2	76.3	76.2	76.2	76.1	75.9	75.7	75.5	75.2	75.1	74.9	74.7	74.5	74.6	74.6	74.5	74.4	74.2	74.0	75.52
9.	73.7	73.2	73.1	73.0	72.9	73.0	73.1	73.2	73.3	73.4	73.5	73.4	73.4	73.0	72.9	72.6	72.9	73.1	73.1	73.3	73.4	73.4	73.5	73.5	73.20
10.	73.5	73.3	73.2	73.2	73.6	73.7	73.9	73.9	74.0	74.0	73.9	74.0	74.1	74.1	74.0	73.9	73.8	73.7	73.7	73.8	74.1	74.2	74.4	74.3	73.85
11.	74.2	74.2	74.1	74.2	74.2	74.6	74.7	74.8	74.9	74.7	74.5	74.3	74.1	74.1	73.8	73.8	73.7	73.7	73.7	73.7	74.0	74.1	74.2	74.1	74.18
12.	73.9	73.8	73.8	73.7	73.9	74.1	74.2	74.3	74.5	74.6	74.9	75.0	75.0	74.9	74.8	74.8	74.5	74.4	74.3	74.3	74.4	74.3	74.2	74.2	74.37
13.	74.1	73.9	73.8	73.7	73.7	73.6	73.5	73.3	73.2	73.1	72.6	71.9	71.6	71.4	71.0	70.9	70.9	70.9	71.2	71.2	70.9	71.1	71.6	71.7	72.28
14.	71.6	71.4	71.5	71.7	71.7	71.8	72.1	72.3	72.3	72.2	71.8	71.6	71.3	71.3	71.3	71.2	71.1	71.1	71.2	71.6	72.0	72.2	72.5	72.6	71 73
15.	72.5	72.5	72.5	72.6	72.7	72.7	72.7	72.7	72.6	72.5	72.5	72.4	72.3	72.0	71.9	71.5	71.1	71.1	71.0	71.3	71.4	71.3	71.4	71.1	72.01
16.	70.7	70.5	70.5	70.5	70.9	71.3	71.5	71.8	72.2	72.4	72.3	72.3	72.2	72.0	71.9	71.9	71.8	72.1	72.4	72.5	73.0	73.3	73.3	73.2	71.94
17.	73.1	72.7	72.4	72.2	72.4	72.7	72.8	72.9	72.9	72.8	72.7	72.3	72.2	71 8	71.3	71.0	71.4	71.1	71.5	71.8	72.0	72.2	71.9	71.8	72.16
18.	71.7	71.3	71.0	70.8	70.9	71.0	71.0	70.8	70.7	70.5	70.4	70.1	69.8	69.7	69.7	69.4	69.3	69.3	69.4	69.5	69 6	69.7	69.6	69.5	70.20
19.	69.5	69.6	69.6	69.8	70.1	70.6	71.3	71.6	71.7	71.5	71.7	71.8	71.8	71.8	71.9	71.9	72.0	72.2	72.4	72.6	72.9	73.0	73.1	73.0	71.56
20.	72.9	72.8	72.7	72.5	72.5	72.6	72.7	72.7	72.8	72.8	72.8	72.8	73.0	73.1	73.3	73.3	73.5	73.5	73.7	74.0	74.3	74.4	74.4	74.4	73.23
21.	74.4	74.4	74.4	74.6	74.8	75.0	75.2	75.2	75.1	75.3	75.5	75.5	75.5	75.4	75.5	75.4	75.4	75 5	75.7	75.8	76.0	76.0	75.9	75.8	75.30
22.	75 6	75.5	75.4	75.3	75.5	75.6	75.7	75.9	75.9	75.8	75.8	75.7	75.7	75.6	75.4	75.3	75.2	75.4	75.5	75.8	76.1	76.2	76.2	76.2	75.68
23.	76.1	75.9	75.8	75.7	75.7	75.8	75.8	75.9	76.0	76.0	76.0	75.9	75.8	75.7	75.7	75.8	75.9	76.1	76.3	76.7	77.0	77.2	77.3	77.5	76.15
24.	77.4	77.3	77.3	77.3	77.5	77.6	77.9	78.6	79.1	79.3	79.5	79.6	79.7	79.8	80.3	80.3	80.2	80.4	80 6	80.7	80.8	80.9	80.7	80.5	79.30
25.	80.3	79.8	79.4	79.2	79.2	79.1	78.9	79.1	78.8	78.4	78.2	78.0	77.9	77.5	77.3	77.2	77.2	77.1	77.2	77.3	77.3	77.3	77.1	76.7	78.15
26.	76.3	76.1	75.8	75.7	75.5	75.4	75.4	75.4	75.4	75.3	75.1	75.0	75.0	74.7	74.6	74.5	74.5	74.4	74.4	74.5	74 8	74.8	74.8	75.0	75.10
27.	75.1	75.3	75.4	75.5	75.7	75.9	76.2	76.4	76.6	76.8	76.9	77.0	77.9	77.0	77.1	76.9	77.0	77.3	77.5	77.8	78.1	78.5	78.5	78.5	76.87
28.	78.7	78.6	78.6	78.6	78.7	78.8	78.9	79.1	79.1	79.0	79.0	78.9	78.9	78.7	78.8	78.7	78.5	78.5	78.4	78.5	78.5	78.5	78.3	77.8	78.67
29.	77.6	76.9	76.6	76.5	76.5	76.5	76.5	76.5	76.5	76.5	76.6	76.4	76.2	75.6	75.2	75.3	75.2	75.2	75.1	75.1	75.2	75.2	75.1	75.1	75.96
30.	74.8	74.7	74.6	74.6	74.7	74.9	74.8	74.8	74.8	74.8	74.7	74.7	74.4	74.3	74.2	74.2	74.3	74.4	74.3	74.2	74.6	74.6	74.8	74.8	74.58
31.	74.6	74.5	74.5	74.4	74.5	74.6	74.7	74.7	74.8	74.8	74.8	74.7	74.6	74.7	74.7	74.9	74.8	74.4	75.0	75.3	75.5	75.9	75.9	75.8	74.88
Mittel	75.14	74.98	74.89	74.86	74.94	75.07	75.19	75.29	75.34	75.33	75.30	75.21	75.19	75.03	74.96	74.88	74.85	74.89	74 99	75.16	75.36	75.46	75.47	75.40	75.13

Juni

600 mm +

Datum	1a	2a	3a	4a	5a	6a	7a	8a	9a	10a	11a	12m	1p	2p	3p	4p	5p	6p	7p	8p	9p	10p	11p	12mn	Mittel
1.	75.8	75.8	75.9	76.0	76.0	76.4	76.6	76.8	76.9	77.1	77.5	77.9	77.9	78.0	78.0	78.1	78.3	78.5	78.7	78.9	79.0	79.2	79.3	79.4	77.58
2.	79.4	79.5	79.5	79.6	79.8	80.0	80.3	80.3	80.5	80.7	80.8	80.9	80.8	80.8	80.7	80.3	80.2	80.1	80.2	80.4	80.7	80.9	80.5	80.1	80.29
3.	80.0	80.1	80.3	80.2	80.2	80.2	80.1	80.1	80.2	80.1	80.0	79.7	79.1	78.9	78.8	79.0	78.8	78.6	78.4	78.2	78.4	78.6	78.4	78.4	79.37
4.	78.4	78.5	78.6	78.6	78.8	79.2	79.3	79.6	79.9	80.2	80.4	80.5	80.5	80.3	80.2	80.5	80.7	81.3	81.0	81.2	81.6	81.8	82.0	82.2	80.22
5.	82.3	82.3	82.3	82.4	82.6	82.8	83.0	83.1	83.1	83.2	83.2	83.1	82.9	82.8	82.6	82.6	82.7	82.7	82.8	83.0	83.2	83.1	83.4	83.3	82.85
6.	83 2	83.3	83.3	83.2	83.2	83.5	83.6	83.9	84.1	84.2	84.1	84.1	84.0	83.9	83.7	83.6	83.6	83.9	84.4	84.6	84.9	84.9	84.9	84.8	83.95
7.	84.8	84.8	84.8	84.7	84.7	84.7	84.8	84.9	84.9	85.1	85.1	85.1	84.8	84.5	84.4	84.1	84.1	84.1	84.0	84.0	84.1	84.1	84.0	83.8	84.52
8.	83.7	83.4	83 1	82.9	82.9	82.9	82.9	83.0	82.9	82.6	82.4	82.0	81.7	81.6	81.8	81.6	81.4	81.0	80.6	80.3	80.2	80.1	79.7	79.3	81.83
9.	78.7	78.1	77.7	77.1	76.8	76.4	76.1	75.8	75 3	75.0	74.7	74.0	73.5	72.8	72.2	71.7	71.4	71.0	70.9	70.8	71.9	71.6	72.0	72.0	74.06
10.	71.7	71.5	71.2	71.1	71.1	71.2	71.3	71.5	71.8	72.1	72.2	72.2	72.1	72.1	72.1	72.2	72.3	72.3	72.4	72.7	73.1	73.3	73.4	73.5	72.10
11.	73.3	73.1	73.1	73.2	73.6	74.0	74.4	74.7	74.8	74.8	75.0	75.1	75.0	75.0	75.1	75.1	75.1	75.1	75.3	75.4	75.7	75.8	75.8	75.5	74.71
12.	75.3	75.0	74.8	74.7	74.7	74.7	74.8	74.7	74.8	74.7	74.6	74.6	74.4	74.3	74.1	74.2	74.2	74.3	74.2	74.3	74.4	74.3	74.2	74.1	74 52
13.	73.7	73.3	73.2	73.0	72.9	72.6	72.3	72.0	71.8	71.3	71.3	71.1	71.0	70.7	70.1	69.8	69.6	68.8	69.1	68.7	68.7	68.6	68.5	68.5	70.86
14.	68.6	68.7	68.9	69.3	69.6	70.2	70.7	71.0	71.3	71.7	71.8	72.1	72.3	72.2	72.8	73.2	73.8	74.2	75.1	75.6	76.3	76.5	76.4	76.5	72.45
15.	76.5	76.4	76.5	76.6	76.8	76.8	76.8	77.0	77.0	77.0	77.4	77.8	77.8	78.0	78.1	78.0	78.2	78.2	78.5	78.9	79.8	80.6	81.2	81.7	78.00
16.	81.8	82.2	82.4	82.4	82.5	82.4	82.5	82.4	82.4	82.3	82.2	82.0	81.8	81.6	81.4	81.1	80.8	80.7	80.6	80.5	80.9	80.8	80.8	80.6	81.63
17.	80.5	80.3	79.8	79.6	79.4	79.2	79.2	79.1	79.0	78.7	78.4	78.1	78.0	77.9	77.9	77.8	77.4	76.9	76.7	76.4	76.4	76.7	77.0	77.1	78.23
18.	77.3	77.1	76.5	76.1	76.3	76.5	76.7	76.7	76.6	76.3	76.6	76.9	76.5	76.2	75.8	75.2	75.5	77.2	77.6	77.5	77.3	77.2	76.9	77.2	76.65
19.	77.4	77.2	77.1	77.2	77.1	76.9	76.5	75.9	75.7	75.1	74.5	73.5	74.3	75.0	74.3	74.6	75.0	75.2	75.4	75.4	75.5	75.7	75.8	76.1	75.68
20.	76.2	76.1	76.0	75.9	75.9	76.0	76.0	76.2	76.3	76.3	76.5	76.5	76.5	76.5	76.9	76.8	76.8	77.7	78.3	78.5	78.7	79.1	79.5	79.6	77.03
21.	79.7	79.6	79.8	80.1	80.6	81.1	81.7	82.1	82.3	82.5	82.5	82.5	82.4	82.5	82.5	82.5	82.6	82.7	82.8	83.0	83.2	83.3	83.4	83.3	82.03
22.	83.2	83.0	82.7	82 8	82.7	82.6	82.5	82.5	82.4	82.2	82.1	81.9	81.7	81.4	81.3	81.1	81.0	80.9	80.9	80.8	80.9	80.8	80.7	80.5	81.78
23.	80.0	79 8	79.7	79.6	79.5	79.5	79.4	79.1	78.9	78.6	78.5	78.2	78.1	78.0	77.1	76.5	76.4	76.4	76.0	75.6	75.6	75.5	75.6	75.5	77.80
24.	75.4	75.0	74.8	74.4	73.9	73.6	73.5	73.4	73.5	73.5	73.7	74.0	74.6	75.2	75.5	76.2	77.0	77.4	77.7	77.9	78.2	78.4	78.4	78.4	75.57
25.	78.1	78.0	77.6	77.4	77.0	76.9	77.1	77.3	77.2	77.1	76.9	76.9	77.0	77.2	77.9	77.4	77.5	77.2	77.8	78.5	79.1	79.0	79.0	79.0	77.67
26.	79.0	79.0	79.1	79.2	79.4	79.4	79.4	79.2	79.2	79.3	79.4	79.4	79.2	79.1	79.0	78.8	78.7	78.9	79.3	80.0	80.5	80.6	80.5	80.3	79.41
27.	80.3	80.2	80.0	80.0	79.9	80.0	80.1	80.3	80.4	80.8	81.0	81.0	81.2	81.6	81.8	82.0	82.3	82.6	83.0	83.3	83 8	84.1	84.6	84.8	81.63
28.	84.9	85.1	85.2	85.3	85.7	86.0	86.2	86.4	86.5	86.6	86.6	86.5	86.4	86.4	86.2	86.2	86.3	86.2	86.3	86.5	86.8	86.8	86.8	86.8	86.20
29.	86.6	86.5	86.2	86.1	86.1	86.1	85.7	85.6	85.5	85.6	85.2	84.9	84.5	84.2	84.1	83.7	83.7	83.5	83.5	83.5	83.6	83.6	83.4	83.2	84.78
30.	83.7	82.1	81.4	81.0	80.7	80.2	80.0	79.7	79.5	79.3	79.1	78.5	78.3	77.9	77.2	76.9	76.6	76.5	76.5	76.5	77.0	76.7	76.1	76.0	78.64
Mittel	78.98	78.83	78.72	78.66	78.68	78.73	78.78	78.81	78.82	78.80	78.79	78.70	78.61	78.55	78.45	78.36	78.40	78.47	78.60	78.70	78.98	79.06	79.07	79.05	78.73

Barometer-Registrierung. **Hohenpeissenberg.** 1911.

Juli
600 mm +

Datum	1a	2a	3a	4a	5a	6a	7a	8a	9a	10a	11a	12m	1p	2p	3p	4p	5p	6p	7p	8p	9p	10p	11p	12mn	Mittel
1	75.9	75.6	75.5	75.5	75.6	75.4	75.3	75.4	75.7	75.5	75.3	75.2	75.2	75.1	75.2	75.3	75.4	75.6	75.9	76.0	75.7	75.5	75.4	75.4	75.48
2.	75.4	75.6	75.7	75.9	76.1	76.5	76.9	76.8	76.7	76.5	76.4	76 2	76.1	76.1	76.1	75.8	76.0	76.5	77.6	77.9	78.2	79.0	79.4	79.8	76.80
3.	80.1	80.3	81.0	81.1	81.4	81.6	81.7	82.0	82.0	82.0	82.0	82.1	82.1	82.2	82.5	82.7	82.8	83.0	84.0	84.8	85.4	85.9	86.1	86.3	82.71
4	86.2	86.2	86.2	86.1	86.1	86.1	86.2	86.3	86.4	86.4	86.4	86.3	86.2	85.9	86.0	85.9	85.8	85.8	86.0	86.2	86.3	86.4	86.3	86.2	86.16
5.	86.0	86.0	85.9	85.9	86.0	86.1	86.2	86.3	86.3	86.4	86.3	86.3	86.1	86.0	85.9	85.8	85.6	85.5	85 5	85.6	85.7	85.7	85.6	85.5	85.93
6.	85.1	84.7	84.5	84.5	84.6	84.7	84.7	84.6	84.5	84.4	84.2	83.9	83.9	83.8	83.6	83.5	83.5	83.4	83.5	83.6	83.8	83.9	83.8	83.7	84.10
7.	83.6	83.5	83.3	83.3	83.4	83.4	83.6	83.8	84.0	84.2	84.3	84.2	84.2	84.2	84.1	83.9	83.9	84.0	84.0	84.4	84.7	84.8	84.8	84.5	84.00
8.	84.3	84.2	84.1	84.1	84.2	84.2	84.4	84.6	84.8	84.8	84.7	84.5	84.5	84.2	84.0	83.8	83.8	84.0	84.0	84.0	84.1	84.2	84.2	84.0	84.24
9.	83.9	83.8	83.9	83.9	83.9	83.9	83.9	84.0	84.0	83.9	83.9	83.7	83.5	83.3	83.2	83.1	83.2	83.3	83.5	83.8	84.0	84.1	84.1	83.9	83.74
10.	83.8	83.7	83.4	83.3	83.2	83.6	83.8	84.0	84.2	84.3	84.3	84.4	84.3	84.2	84.2	84.2	84.2	84.3	84.3	84.4	84.5	84.5	84.6	84.6	84.10
11.	84.5	84.4	84.3	84.3	84.3	84.3	84.4	84.5	84.7	84.7	84.8	85.0	84.9	84.7	84.6	84.5	84.5	84.5	84.4	84.4	84.4	84.4	84.5	84.4	84.52
12.	84.2	84.1	83.8	83.7	83.6	83.7	83.8	83.8	83.7	83.6	83.6	83.4	83.3	83.2	83.1	82 9	82.8	82.8	82.9	82.9	83.0	83.1	83.2	83.1	83.39
13.	82.9	82.7	82.5	82.4	82.4	82.4	82.4	82.4	82.5	82.4	82.2	81.9	81.9	81.8	81.5	81.1	80.9	80.8	80.9	80.9	81.3	81.5	81.7	81.7	81.88
14.	81.6	81.6	81.4	81.3	81.5	81.6	81.7	81.9	81.9	81.9	81.9	81.9	81.6	81.4	81.4	81.4	81.2	81.0	81.0	81.1	81.0	81.0	81.0	80.9	81.43
15.	80.8	80.7	80.4	80.2	80 0	80 0	80.0	80.0	80.0	79.9	78.9	79.6	79.4	79.0	79.1	79.1	78.9	78.7	78.8	78.9	79.0	79.1	79.2	79.0	79.53
16.	78.9	78.8	78.5	78.4	78.2	77.9	77.9	77.8	77.7	77.7	77.5	77.2	77.0	76.7	76.4	76.0	75.9	75.9	76.1	76.5	6.7	76.8	76.9	76.8	77.26
17.	76.6	76.3	76.0	75.9	76.0	76.1	76.2	76.2	76.2	76.3	76.4	76.3	76.1	76.0	75.9	75.7	75.5	75.6	75.7	75.9	76.0	76.1	76.1	76.0	76.05
18.	75.9	75.8	75.6	75.7	75.8	75.8	76.0	76.2	76.4	76.4	76.3	76.2	76.2	76.2	76.1	76.1	76.2	76.4	76.7	76.7	77.2	77.4	77.8	77.9	76.38
19.	78.1	78.2	78.4	78.6	78.9	79.3	79.8	80.2	80.4	80.6	80.6	80.6	80.6	80.6	80.6	80.7	80.8	81.0	81.4	81.9	82.5	82.9	83.1	83.0	80.53
20.	83.0	83.1	83.0	83.2	83.3	83.3	83.5	83.7	83.9	83.9	84.0	84.0	83.9	83.8	83.8	83.9	84.0	84.2	84.3	84.8	85.1	85.4	85.7	85.9	84.03
21.	85.9	85.9	85.8	85.8	85.8	85.8	86.1	86.4	86.7	86.7	86.7	86.7	86.5	86.5	86.4	86.5	86.4	86.4	86.4	86.4	86.5	86.6	86 6	86.6	86.34
22.	86.4	86.2	86.1	86.1	86.1	86.0	86.0	86.1	86.1	86.2	86.2	86.1	85.9	85.6	85.5	85.5	85.4	85.3	85.2	85.1	85.1	85.1	85.0	85.0	85.72
23.	84.7	84.4	84.2	84.1	83.9	83.9	83 9	83.9	83.8	83.8	83.8	83 7	83.4	83.1	82.8	82.6	82.3	82.1	82.1	82.2	82.3	82.4	82.3	82.1	83.24
24.	81.9	81.6	81.5	81.4	81.4	81.4	81 4	81.4	81.3	81.2	81.1	81.1	81.0	80.7	80.5	80.3	80.5	80.8	81.2	81.2	81.4	81.0	80.5	80.4	81.09
25.	80.5	80.6	80.7	80.5	80.5	80.7	80.7	80.7	80.7	80.6	80.5	80.2	80.0	79 8	79.6	79.6	79.4	79.4	79.6	80.0	80.4	80.6	80.2	79.9	80.23
26.	79.7	79.5	79.4	79.2	79.2	79.1	79.1	79.0	79.2	79.4	79.5	79 4	79.3	79 2	79.0	78.8	78.6	78.6	78.9	79.2	79.6	79.8	80.3	80.5	79.31
27.	80.6	80.6	80.8	81.1	81.3	81.4	81.4	81.5	81.6	81.6	81.5	81.3	80.9	80.7	80.6	80.4	80.4	80.5	80.9	81.2	81.3	81.4	81.4	81.4	81.08
28.	81.2	81.2	81.3	81.4	81.5	81.6	81.6	81.7	81.7	81.8	81.8	81.6	81.4	81.1	80.9	80.6	80.3	80.3	80.4	81.2	81.7	82.2	82.4	82.9	81.41
29.	82.4	82.3	82.2	82.1	82.0	82.0	82.0	82 0	82.0	81.8	81.8	81.7	81.5	81.2	81.0	80.9	80.5	80.6	80.6	80.5	80.6	80.5	80.4	80.3	81.37
30.	80.3	80.2	80.3	80.3	80.4	80.5	80.4	80.7	80.9	80.6	81.0	80.7	80.4	79.9	80.0	79.3	79.9	79.7	79.5	79.5	79.6	79.7	79.5	79.2	80.10
31.	79.0	78.8	78.4	78.2	78.2	78.1	78.2	78.5	78.7	78.9	79.0	78.8	78.8	78.8	78.6	78.5	78.4	78.3	78.5	78.9	79.2	79.2	79.3	79.2	78.69
Mittel	81.72	81.63	81.55	81.53	81.57	81.63	81.72	81.82	81.90	81.88	81.89	81.75	81.62	81.45	81.36	81.24	81.19	81.24	81.41	81.62	81.82	81.94	81.98	81.94	81 64

August
600 mm +

1.	79.2	79.1	79.0	79.2	79.3	79.6	79.8	80.0	80.0	80.0	80.1	80.1	80.1	80.2	80.2	80.3	80.3	80.2	80.3	80.6	80.9	81.2	81.3	81.4	80.10
2.	81.5	81.4	81.1	81.2	81.5	81.6	81.8	82.1	82.4	82.6	82.6	82.5	82.5	82.5	82.4	82.1	82.1	82.2	82.3	82.4	82.5	82.5	82.6	82.5	82.12
3.	82.4	82.4	82.3	82.2	82.2	82.2	82.2	82.3	82.2	82.2	82.0	81.9	81.7	81.4	81.2	80.9	80.7	80.7	80.6	80.8	80.9	80.9	80.8	80.7	81.58
4.	80.4	80.2	79.9	80.0	80.3	80.6	80.5	80.5	80.3	80.2	80.1	80.1	79.8	79.7	79.4	79.4	79.3	79.4	79.6	79.8	79.9	79.9	79.9	80.0	79.96
5.	80.2	80.2	79.9	79.7	79.6	79.6	79.7	79.9	79.9	79.9	79.8	79.6	79.4	79.2	79.1	78.8	78.5	78.5	78.6	78.8	78.9	78.9	78.8	78.6	79.34
6.	78.5	78.3	78.3	78.4	78.6	78.7	78.8	79.1	79.1	79.3	79.6	79.8	80.1	80.3	80.4	80.7	80.9	80.9	81.0	80.4	81.9	82.1	82.3	83.2	80.03
7.	82.7	82.8	82.6	82.5	82.6	82.7	83.1	83.3	83.2	83.2	83.3	83.5	83.5	83.4	83.3	83.2	83.2	83.2	83.5	83.7	84.0	84.2	84.3	84.4	83.31
8.	84.2	84.2	84.2	84.2	84.2	84.2	84.3	84.3	84.2	84.2	84.3	84.2	84.1	83.8	83.6	83.4	83.3	83.4	83.5	83.6	83.7	83.6	83.7	83.6	83.91
9.	83.3	83.2	83.2	83.1	83.0	83.0	83.0	83.1	83.0	83.1	83.2	83.2	82.9	82.7	82.4	82.3	82.2	82.0	81.8	81.9	82.0	82.0	81.9	81.5	82.62
10.	81.3	81.0	80.8	80.6	80.6	80.5	80.5	80.7	80.9	81.0	81.1	80.9	80.6	80.3	80.0	80.0	79.9	79.9	79.9	80.0	80.1	80.1	80.2	80.2	80.46
11.	80.1	79.8	79.6	79.6	79.6	79.6	79.7	79.6	79.7	79.8	79.8	79.6	79.4	79.3	80.0	78.9	79.0	79.1	79 3	79.3	79.6	79.6	79.6	79.6	79.55
12.	79.5	79.5	79.4	79.2	79.1	79.2	79.3	79.7	79.7	79.7	79.8	79.6	79.5	79.5	79.4	79.5	79.5	79.7	79.8	80.0	80.2	80.2	80 2	80.2	79.64
13.	80.1	80.1	80.1	80.1	80.4	80.6	80.8	81.0	81.0	81.0	81.2	81.2	80.9	80.7	80.6	80.6	80.5	80.7	80.9	81.3	81.3	81.2	81.0	80.7	80.75
14.	80.5	80.6	80.6	80.6	80.6	80.6	80.7	80.8	80.7	80.7	80.7	80.5	80.0	79.9	79.8	79.5	79.3	79.2	79.1	79.1	79.2	79.1	79.0	78.8	79.98
15.	78.6	78.4	78.1	77.9	77.6	77.1	76.9	76.9	76.8	76.5	76.2	75.9	75.6	75.4	75.4	75.3	75.4	75.5	75.7	76.1	76.5	76.8	77.0	77.0	76.61
16.	77.0	77.0	76.8	76.7	76.8	76.9	77.1	77.2	77.2	77.1	77.1	77.0	77.0	77.0	77.0	77.1	77 1	77.2	77.4	78.1	78.8	79.2	79.5	79.6	77.45
17.	79.7	79.7	79.7	79.8	80.0	80.1	80.3	80.4	80.5	80.5	80.6	80.6	80.7	80.7	80.6	80.4	80.2	80.1	80.1	80.5	80.9	81.0	80.9	80.9	80.37
18.	80.6	80.2	80.2	80.0	79.9	79.8	79.7	79.7	79.6	79.4	79.3	79.0	78.8	78.7	78.5	78.4	78.2	78.0	78.0	78.2	78.3	78.1	78.0	77.7	79.01
19.	77.5	77.3	77.0	76.9	77.0	77.0	77.1	77.1	77.2	77.2	76.9	76.5	76.1	75.9	75.4	75.0	75.3	75.2	75.1	75.5	75.6	75.6	75.8	76.0	76.30
20.	75.8	75.6	75.5	75.4	75.5	75.5	75.6	75.7	75.7	75.8	75.9	76.0	75.9	75.6	75.2	75.0	74.7	74.6	74.8	75.3	75.6	75.3	75.0	74.4	75.39
21.	74.2	74.1	73.6	73.2	72.9	73.0	73.5	74.0	75.2	75.4	73.8	73.6	73 7	73.8	73.3	72.3	72.2	73.0	73.7	75.1	75.6	75.6	74.8	74.0	73.90
22.	73.7	73.3	73.2	73.1	73.0	73.1	73.4	73.9	74.2	74.0	73.5	73.2	72.9	72.7	72.6	72.5	72.5	72.3	72.7	73.3	73.4	73.8	74.3	74.1	73.28
23.	73.9	73.4	73.3	73.3	73.3	73.4	73.3	73.2	73.1	73.0	73.0	73.2	73.8	73.7	73.3	74 9	75.2	75.2	75.2	75.5	75.6	75.6	75.6	75.5	74.10
24.	75.5	75.4	75.4	75.6	75.8	76.0	76.2	76.5	76.8	76.9	77.0	77.1	77.1	76.8	76.6	76.6	76.6	76.8	77.5	78.0	77.9	77.8	77.9	77.9	76.74
25.	77.9	77.9	77.8	77.8	77.9	78.1	78 3	78.4	78.6	78.7	78.6	78.5	78.5	78.5	78.3	78.2	78.2	78.2	78.4	78.7	78.9	78.9	79.0	79.1	78.39
26.	79.3	79.9	79.8	79.6	79.6	79.8	80.3	80.4	81.1	81.5	81.7	81.8	81.7	81.7	81.7	81.7	81.8	82.0	82.2	82.3	82.7	82.9	83.0	83.1	81.32
27.	83.1	83.2	83.2	83.2	83.3	83.3	83.4	83.5	83.7	83.9	83.9	83.9	83.7	83.4	83.2	82.8	82.8	82.7	82.7	82.6	82.5	82.4	82.3	82.2	83.12
28.	82.1	81.9	81.6	81.4	81.4	81.4	81.4	81.4	81.4	81.5	81.8	81.6	81.4	81.3	81.1	81.0	81.0	81.0	81.0	81.0	80.9	80.9	81.1	81.2	81.33
29.	81.2	81.3	81.2	81.3	81.3	81.6	81.7	82.0	82.1	82.2	82.2	82.1	81.9	81.8	81.6	81.5	81.2	81.9	81.5	81.7	82.0	82 2	82.4	82.2	81.75
30.	82.1	82.0	81.7	81.6	81.5	81.5	81.3	81.3	81.7	82.0	82.1	82.0	81.8	81.6	81.5	81.4	81.3	81.2	81.2	81.3	81.4	81.5	81.3	80.7	81.54
31.	80.5	80.8	81.9	82.1	82.5	82.8	83.0	83.2	83.4	83.7	83.8	83.8	84.0	83.9	83.8	83.8	83.7	83.3	84.0	84.2	84.3	84.3	84.2	84.0	83.31
Mittel	79.57	79.49	79.39	79.34	79.38	79.45	79.57	79.72	79.83	79.88	79.84	79.75	79.65	79.53	79.38	79.27	79.23	79.28	79.40	79.64	79.87	79.91	79.92	79.84	79.59

Barometer-Registrierung. **Hohenpeissenberg.** 1911.

September
600 mm +

Datum	1a	2a	3a	4a	5a	6a	7a	8a	9a	10a	11a	12m	1p	2p	3p	4p	5p	6p	7p	8p	9p	10p	11p	12m n	Mittel
1.	83.6	83.4	83.3	83.4	83.4	83.5	83.7	83.9	84.0	84.1	84.3	84.4	84.3	84.2	84.2	84.2	84.2	84.2	84.3	84.4	84.5	84.5	84.5	84.4	84.04
2.	84.4	84.4	84.3	84.3	84.4	84.6	84.7	84.8	85.0	85.2	85.3	85.2	85.0	84.9	84.8	84.7	84.6	84.6	84.6	84.8	84.9	84.8	84.9	85.0	84.76
3.	84.9	84.9	84.8	84.7	84.7	84.8	84.9	85.0	85.1	85.2	85.2	85.0	84.6	84.3	84.2	84.0	83.9	83.8	83.8	84.0	84.1	84.1	84.1	84.0	84.50
4.	83.9	83.7	83.6	83.6	83.6	83.7	83.8	84.0	83.9	83.8	83.7	83.6	83.7	83.6	*83.4*	*83.3*	*83.1*	83.0	82.9	83.2	83.5	83.6	83.4	83.1	83.53
5.	82.7	82.4	82.4	82.5	82.8	82.9	82.9	82.9	83.1	83.3	83.4	83.3	83.3	83.1	82.8	82.7	82.7	82.8	82.8	82.8	82.8	82.7	82.7	82.7	82.85
6.	82.8	83.0	83.1	83.2	83.3	83.6	83.8	84.1	84.2	84.4	84.4	84.2	84.2	83.9	83.9	83.8	83.8	83.8	83.9	84.1	84.3	84.4	84.6	84.6	83.89
7.	84.5	84.3	84.2	84.1	84.0	84.0	84.0	84.1	84.2	84.3	84.2	84.1	83.9	83.7	83.5	83.4	83.2	83.0	83.1	83.3	83.3	83.2	83.1	83.0	83.74
8.	82.9	82.7	82.6	82.3	82.2	82.1	82.1	82.1	82.2	82.3	82.1	81.9	81.8	81.4	81.1	80.7	80.4	80.3	80.3	80.3	80.4	80.3	80.2	79.9	81.44
9.	79.6	79.4	79.2	79.0	79.0	79.1	79.0	79.0	79.2	79.5	79.6	79.4	79.2	79.0	78.8	78.5	78.2	78.0	77.9	78.1	78.1	78.1	78.3	78.2	78.81
10.	77.6	76.8	76.6	76.4	76.5	76.8	77.5	78.1	79.0	79.8	80.1	80.2	80.5	80.7	80.9	80.9	80.9	80.9	81.2	81.5	81.6	81.8	81.9	81.7	79.58
11.	81.5	81.2	80.9	80.8	80.6	80.6	80.6	80.8	80.8	80.8	80.9	80.8	80.4	80.3	80.2	80.1	80.0	79.9	79.9	80.1	80.3	80.4	80.4	80.3	80.53
12.	80.2	80.2	80.2	80.3	80.4	80.7	80.8	81.0	81.2	81.3	81.4	81.4	81.4	81.3	81.3	81.3	81.3	81.3	81.2	81.6	81.6	81.5	81.4	81.3	81 07
13.	81.3	81.3	81.3	81.2	81.3	81.5	81.8	81.9	81.9	82.0	81.8	81.7	81.7	81.6	81.3	81 2	81.1	81.0	81.1	81.2	81.2	81.1	81.0	80.9	81.39
14.	80.7	80.4	80.1	79.9	79.8	79.8	79.9	79.9	80.0	79.9	79.5	79.3	79.0	78.3	78.0	77.3	76.7	76.2	76.1	76.1	75.7	57.3	75.2	75.0	78.25
15.	74.7	74.6	74.1	74.0	74.0	74.2	74.1	74.3	74.6	74.5	74.5	74.3	74.1	74.0	74.0	74.1	74 8	75 2	75.3	75.6	75.8	75 9	76.1	76.2	74.71
16.	76.4	76.4	76.8	77.0	77.1	77.3	77.7	77.8	78.0	78.2	78.2	78.1	78.0	77.9	77.7	77.7	77.8	78.1	78.4	78.7	78.7	78 6	78.6	78.6	77.83
17.	78.6	78.4	78.3	78.2	78.3	78.5	79.1	79.2	79.7	80.0	80.0	80.1	80.1	80.2	80.3	80.4	80.5	80 6	80.8	80.9	81.2	81.3	81.1	81.3	79.88
18.	81.4	81.5	81.7	81.8	82.0	82.2	82.5	82.5	82.6	82.7	82.9	83.0	83.1	83.1	83 1	82.9	83.1	83.2	83.3	83.4	83.1	83 3	83.3	83.2	82.72
19.	82.9	82.8	82.9	82.8	82.6	82.4	82.3	82.5	82.4	82.1	81.7	81.2	80.8	80.2	79.7	79.3	79.0	78 6	78.7	78.8	78.8	78.7	78.5	78.2	80.75
20.	78.1	78.0	77.9	77.7	77.6	77.5	77.4	77.3	77.2	77.0	76.8	76.2	75.9	75.6	75.0	74.6	74.4	74 0	73.7	73.5	73.4	73.2	72.5	72.2	75.70
21.	71.8	71.5	71.2	71.1	71.0	70.8	70.6	70.5	70.5	70.2	70.0	69.7	69.7	69.8	70.3	71.0	71.5	71.9	72.4	72.5	72.6	72.5	72.3	72.0	71.14
22.	71.8	71.6	71.5	71.4	71.3	71.4	71.6	71.7	71.8	71.9	72.	71.8	72.0	72 0	72.0	71.7	71 8	72.0	72.1	72.3	72.5	72.5	72.5	72.4	71.90
23.	72.3	71.9	71.7	71.2	71.0	71.0	70.9	70.7	70.4	70.4	70.4	70.4	70.2	70.4	70 9	71.1	71.4	71.8	72.4	72.6	72 9	73.0	73.4	73.7	71 50
24.	74.0	74.0	74.0	74.1	74.6	75.1	75.3	75.4	75.7	76.3	76.4	76.5	76.5	76.7	77.0	77.2	77.4	77.7	78.1	78.4	78.6	78.9	79.2	79.5	76.53
25.	79.6	79.4	79.5	79.7	80.1	80.4	80.7	81.1	81.2	81.3	81.4	81.5	81.2	81.2	81.2	81.2	81.4	81.5	81.8	82 0	82.3	82.3	82.2	82.1	81.10
26.	82.0	82.0	82.1	82.1	82.1	82.2	82.5	82.7	82.9	83.0	83.1	83.2	83.0	82.8	82.8	82.8	82.9	83.0	83.2	83.4	83.4	83.5	83.6	83.6	82.83
27.	83.6	83.6	83.6	83.7	83.8	84.0	84.1	84.2	84.2	84.2	84.1	84.0	83.8	83.6	83.6	83.5	83.6	83.6	83.6	83.7	83.7	83.7	83.7	83.7	83.79
28.	83.7	83.3	83.0	82.7	82.7	82.7	82.8	82.9	83 0	83.0	82.6	82.3	82.4	82.0	81.9	81.5	81.5	81.5	81.6	81.8	81.9	81.8	81.7	81.6	82.34
29.	81.5	81.2	81.1	81.0	81.1	80.9	80.7	80.6	80 5	80.4	80.1	79.9	79.5	78.6	78.8	79.1	79.4	79.6	80.4	80.7	80.7	80.9	80.9	80.9	80.35
30.	80.8	80.6	80.2	79.8	79.5	79.3	78.8	78.6	78.3	77.8	77.3	77.0	76.9	75.7	75.1	74.2	73.4	73 0	72.5	71.6	71.0	70.2	69.5	68.5	75.82
Mittel	80.13	79.96	79.87	79.80	79.83	79.92	80.02	80.12	80.23	80 30	80.25	80.13	80.01	79 80	79.73	79.61	79.60	79.60	79.71	79.85	79.91	79.87	79.83	79.73	79.91

Oktober
600 mm +

Datum	1a	2a	3a	4a	5a	6a	7a	8a	9a	10a	11a	12m	1p	2p	3p	4p	5p	6p	7p	8p	9p	10p	11p	12m n	Mittel
1.	68.6	68.1	68.5	68.1	68.3	68 5	68.7	68.8	69.2	69.2	69 6	69.7	69.8	69.9	70.0	70.3	70.5	70.8	71.0	71.2	71.6	71.7	71.5	71.7	69.80
2.	71.4	71 5	71.6	71.2	71.4	71.5	71.9	72 0	72.0	72.0	72.1	72.2	72.4	72.7	72.8	72.9	73.1	73.4	73.8	74.0	74.1	74.2	74.2	74.2	72.61
3.	74 2	74.2	74.2	74.1	74.2	74 2	74 3	74.4	74.6	74.5	74.6	74.5	74.3	74.1	73.7	73.5	73.9	74.0	74.1	74.2	74.1	74.1	74.1	74.1	74.18
4.	74.1	74.0	73.8	73.8	73.8	73.8	73.9	73.9	73.9	74.0	74.0	73.8	73.7	73.3	73.1	72.9	72.7	72.4	72.4	72.4	72.5	72.6	72.8	73.0	73.36
5.	73.2	73.6	73.8	74.1	74.5	74.9	75.6	76 2	76.6	76.7	76.6	76.4	76.3	76.4	76 6	76.6	76.2	76.2	76 2	76.2	76.2	76.2	76.7	76.7	75.78
6.	76.8	77.1	77.3	77.2	77 2	77.3	77.9	78.1	78.1	78.2	78.2	78.0	78.0	78.0	78.2	78.2	78.2	78.2	78.3	78 2	78.0	77.6	77.5	77.3	77.80
7.	76.4	76.2	75.8	75.6	75.2	74.9	74.9	75.0	75.7	76.3	77.3	77.8	78.1	78 4	78.6	78.8	78.9	79.1	79.2	79.4	79.8	80.2	80.2	80.1	77.58
8.	80.2	80.2	80.2	80.1	79.0	79.9	80.2	80.5	80.5	80.3	80.1	79.6	79.2	78.7	78.6	78.5	78.2	78.3	78.0	78.0	78.1	78.4	79.3	79.0	79.33
9.	79.6	79.4	79.1	78.8	78.5	78.2	78.4	78.6	78.7	78.7	78.5	78.1	77.7	77.6	77.5	77.4	77.5	77.8	78.1	78.2	78.4	78.5	78.7	79 0	78 33
10.	79.2	79.2	79 4	79.6	80 1	80.7	81.7	82.2	82.8	83.1	83.5	83.8	83.9	84.1	84.3	84.5	84.6	85.2	85.5	85.5	85 4	85.5	85.7	85.6	83.13
11.	85.7	85.6	85 5	85.5	85.4	85.5	85.6	85.7	85.8	86.0	86 0	85.9	85.6	85.4	85.3	85 0	85.0	85.0	85.1	85.1	85.0	84.9	84.7	84.4	85.36
12.	84.4	84.3	84.1	84.0	83.9	83.8	83.9	84.0	84.0	83.9	83.8	83.6	83.4	83.2	83 0	83.0	83.0	82.9	82.8	82.6	82.5	82.3	82.0	81.6	83.33
13.	81.4	81.1	80.9	80.9	80.7	80.5	80.6	80.6	80.5	80.3	80.3	80.1	79.8	79.5	79.2	79.1	79.0	78.9	78.8	78.6	78.5	78.3	78.2	78.5	79.76
14.	78.6	78.5	78.6	78.7	78.7	78.8	79 0	79.2	79.3	79.4	79.4	79.1	78.9	78.7	78.7	78.8	79.0	79.2	79.6	79.8	79.9	79.9	79.9	79.9	79.15
15.	80.0	80.0	79.9	79.9	80.0	80.0	80.1	80.4	80.5	80.5	80.5	80.3	80.2	80.1	80.0	80.2	80 4	80.4	80.6	80.6	80.6	80.7	80.6	80.7	80.30
16.	80.7	80.5	80.4	80.4	80.5	80.6	80 7	80.9	81 0	81.0	80.9	80.8	80.7	80.6	80.6	80.5	80.5	80.6	80.6	80.6	80.7	80 6	80.5	80.3	80.63
17.	80.3	80.1	79.8	79.7	79.7	79.6	79.8	79.8	79.9	79.9	80.0	79.9	79.9	79.7	79.5	79.4	79.5	79.7	79.8	79.8	79.9	80.1	80 4	80.5	79.86
18.	80.5	80.4	80.3	80.3	80.2	80.3	80.6	80.8	81.0	81.1	81.3	81.2	81 0	80.7	80.5	80.2	80.0	80.1	80.4	80.5	80.6	80.6	80.6	80.7	80.58
19.	80.8	80.8	80.7	80.7	80.7	80.6	80.8	81.0	81.1	81.2	81.1	80.9	80.3	80.1	80.0	80.0	80 0	80.2	80.4	80.7	80.9	81.1	81.2	81.2	80.69
20.	81.2	81.2	81.2	81.3	81.3	81.3	81.6	81.8	81.9	82.0	82.1	81.9	81.8	81.5	81 5	81.3	81.3	81.2	81.3	81.2	81.3	81.2	81.1	80.8	81.43
21.	80.7	80.5	80.3	80.0	79.8	79 5	79.3	79.0	78.8	78.3	77.7	77.3	76.7	76.2	76.1	75.7	75.4	75.0	74.8	74.5	74.2	73.8	73.3	73.0	77.08
22.	72.7	72.3	71.9	71.6	71.6	72.1	72.5	72.8	73.0	73.3	73.5	73.3	73.2	73.0	73.0	73.0	73.0	72.9	73.0	73.0	73.0	73.1	73.0	72.9	72.77
23.	72.9	72.9	72.7	72.8	72.9	73.0	73.1	73.6	73.8	74.4	74.7	74.8	73.9	74.4	74.7	74.7	74.8	75.1	75.4	75.7	75.7	75.6	75.6	75.5	74.28
24.	75.5	75.4	75.2	75.1	75.1	74.9	74.9	74.9	74.9	74 9	75.0	74.9	74.8	74.9	74.9	74.8	74.7	74.6	74.3	74.3	73.9	73.6	72.9	72.1	74.60
25.	71.1	70.8	70.0	69.3	68.5	67.9	68.4	67.6	67.2	67.0	66.8	66.3	65.8	65.0	64.7	64.6	65.3	66.2	66.6	66.8	67.0	67.5	67.7	67.7	67.33
26.	67.8	68.1	68.2	68.5	68.6	68.5	69.0	69 3	69.7	69.9	70.0	70.0	69.8	69.4	69.2	69.3	69.4	69.7	69.5	69.3	69.2	69.2	69.1	69.0	69.15
27.	68.5	68.1	68.0	68.0	67.8	67.4	67.2	67.1	67.1	67.1	66.8	66.5	66.0	65.8	65.6	65.5	65.4	65.2	65.7	66.3	66.9	66.9	66.9	66.8	66.78
28.	66.8	66.7	66.5	66.4	66.4	66.6	67.1	67 4	67.8	68.4	68.7	69.0	69.1	69.2	69.6	70.0	70.4	70.7	71.3	71.7	72.4	72.5	72.7	73.0	69.18
29.	73.0	73.7	73.9	74.2	74.5	74.8	75.6	76.0	76.5	77.1	77.6	78.0	78.3	78.6	79.0	79.5	80.2	80.8	81.4	82.0	82.6	83.0	83.2	83.4	78.20
30.	83.5	83.7	83.8	83.9	84.1	84.5	85.1	85.1	85.2	85.2	85.1	84.7	83.9	83.7	83.5	83.2	83.1	82.9	82.8	82.6	82.3	82.1	81.8	81.6	83.64
31.	81.5	81.4	81.2	81.2	81.1	81.0	81.1	81.1	81.1	81.0	81.0	80.5	80.3	80.1	79.6	79.5	79.7	80.0	80.2	80.2	80.3	80.3	80.4	80.4	80.59
Mittel	76.82	76.76	76.67	76.61	76.60	76.62	76.89	77.03	77.17	77.25	77.32	77.19	76.90	76.87	76.83	76.80	76.87	76.99	77.12	77.20	77.28	77.30	77.31	77.25	76.99

Barometer-Registrierung. **Hohenpeissenberg.** 1911.

November
600 mm +

Datum	1a	2a	3a	4a	5a	6a	7a	8a	9a	10a	11a	12m	1p	2p	3p	4p	5p	6p	7p	8p	9p	10p	11p	12mn	Mittel
1.	80.4	80.3	80.1	80.2	80.5	80.9	81.1	81.4	81.7	81.8	81.6	81.3	81.1	81.1	81.1	81.1	81.1	81.4	81.5	81.6	81.7	81.7	81.5	81.4	81.16
2.	81.2	81.0	80.6	80.2	79.9	79.7	79.8	79.8	79.8	79.5	79.2	78.7	78.4	78.2	78.1	77.9	77.9	77.9	78.0	77.9	77.8	77.8	77.8	77.9	78.96
3.	78.0	78.2	78.3	78.2	78.3	78.7	79.2	79.7	80.2	80.4	80.5	80.4	80.4	80.3	80.4	80.6	80.8	81.0	81.0	80.9	80.7	80.8	80.6	80.5	79.21
4.	80 5	80.4	80.1	80.0	80.1	80.1	80.4	80.6	81.0	81.2	81.5	81.4	81.2	80.9	80.8	80.7	80.9	80.7	81.0	80.8	80.6	80.6	80.5	80.2	80.68
5.	79.9	79.6	79.2	78.9	78.5	78.2	78.1	77.7	77.6	77.2	77.1	76.8	76.2	76.0	75.3	75.0	74.7	75.0	74.9	74.8	74.5	74.3	74.3	74.2	76.58
6.	74.4	74.5	74.8	75.2	75.9	76.3	76.8	77.2	77.5	77.9	78.1	78.0	77.4	77.2	77.3	77.4	77.6	78.2	78.5	78.7	79.0	79.2	79.4	79.6	77.33
7.	79.7	79.8	79.8	80.0	80.4	80.6	80.8	81.1	81.3	81.4	81.4	81.0	80.9	80.7	80.5	80.5	80.3	80.5	80.5	80.5	80.5	80.5	80.4	80.1	80.55
8.	80.0	79.8	79.4	79.2	78.8	78.5	78.2	78.1	78.1	77.9	77.6	77.3	76.8	76.3	76.0	75.5	75.4	75.2	75.1	74.6	74.3	74.2	74.3	73.9	76.85
9.	73.7	73.4	72.8	72.4	72.1	71.8	71.9	72.0	72.0	72.0	71.7	71.0	70.3	69.8	69.6	69.5	69.7	70.2	70.4	70.6	70.5	70.5	70.6	71.0	71.23
10.	71.4	71.9	72.4	72.7	72.6	72.6	72.5	72.7	72.6	72.8	72.9	72.8	72.6	72 8	73.2	73.6	73.9	74.5	75.0	75.1	75.3	75.4	75.3	75.3	73.42
11.	75.5	75.5	75.5	75.5	75.5	75.6	76.1	76.3	76.5	76.6	77.1	77.2	77.2	77.3	77.4	77.7	78.0	78.2	78.3	78.0	77.8	77.8	77.6	77.0	76.88
12.	76.4	76.3	76.1	75.5	75.2	74.9	74.8	74.9	74.9	74.9	74.8	74.6	74.3	74.0	73.9	73.6	73.8	73.9	74.0	74.2	74.4	74.4	74.5	74.5	74.70
13.	74.7	74.6	74.5	74.6	74.7	75.0	75.5	75.9	76.3	76.6	77.0	77.1	77.3	77.7	78.1	78.7	79.4	80.2	80.8	81.5	82.1	82.8	83.2	83.7	78.00
14.	84.0	84.4	84.6	84.8	85.0	85.1	85.4	85.7	85.9	85.9	85.9	85.8	85.7	85.5	85.4	85.3	85.1	85.3	85.1	85.0	84.7	84.4	84.1	83.3	85.06
15.	82.8	82.6	82.2	81.3	80.8	80.2	79.4	78.7	78.5	78.2	78.1	77.8	77.2	76.4	76.0	75.7	75.3	75.2	75.1	75.0	75.1	75.2	75.1	74.9	77.78
16.	74.7	74.6	74.8	74.6	74.7	75.0	75.1	75.4	75.7	75 9	76 0	75.9	75.9	75.5	75.5	75.5	75.7	75.7	75.8	75.8	75.8	75.6	75.4	75.1	75.40
17.	74.7	74.3	74.0	73.8	74.4	74.1	73.4	72.2	72.2	72.0	71.6	70.9	70.3	69.6	69.3	69.1	69.1	69.1	68.9	68.0	67.4	67.0	66.7	66.5	70.78
18.	66.3	66.0	65.7	64.8	64.6	64.3	63.9	63.5	63.2	63.3	62.9	62.1	61.2	59.5	58.9	57.8	57.3	56.5	55.2	54.6	54.4	54.4	54.3	54.2	60.37
19.	55.6	56.0	55.8	55.5	55.7	56.2	56.2	56.2	56.8	57.0	57.0	57.1	57.3	57.4	57.6	57.8	57.8	57.8	57.8	57.9	58.4	58.5	58 6	59.0	57.13
20.	59.0	59.0	59.0	59.0	59.0	58.9	58.6	58.7	58.8	59.3	59.6	59.3	60.4	60.7	61.2	62.1	62.8	63.2	63.3	63.9	64.6	65.4	66.0	66 2	61.17
21.	66.3	66.7	67.0	67.0	67.0	67.1	66.9	67.0	67.0	66.9	66.4	65.4	65.0	64.6	64.2	64.0	63.9	63.5	63.2	63.0	62.9	62.7	62.5	62.5	65.11
22.	62.5	62.4	62.5	62.4	62.3	62.4	62.8	62.9	63.0	63 2	63.4	63.4	63.4	63.1	63.4	63.7	64.0	64.1	64.4	64.8	65.4	65.7	65.9	66.1	63.63
23.	65.9	65.8	65.5	65.0	64.8	64.5	64.4	64.6	65.1	65 5	65.6	65.6	65.7	66.0	66.4	66.6	67.1	67.5	67.2	67.3	67.5	67.7	67.9	67.8	66.13
24.	67.7	67.4	67.4	67.0	66.8	66.5	66.4	66.5	66.5	66.5	66.2	65.8	65.8	65.8	65.9	66.8	67.7	68.3	68.5	68.7	69.1	69.3	69.6	69.9	67.33
25	69.9	70.0	69.9	69.8	69.8	69.7	69.7	69.7	69.7	69.8	69.6	69.5	69.4	69.3	69.3	69.3	69.4	69.4	69.4	69.5	69.5	69.5	69.7	69.8	69.61
26.	69.9	70.0	70.2	70.3	70.4	70 9	71.3	71.8	72.0	72.3	72.4	72.3	72.4	72.4	72.7	73.0	73.2	73.4	73.8	74.1	74.4	74.8	75.0	75.2	72.43
27.	75.4	75.9	76.1	76.6	76.8	77.0	77.4	77.6	77.6	78.3	78.4	78.4	78.8	78.9	79.0	79.4	79.5	79.7	80.1	80.3	80.4	80.4	80.4	80.6	78.46
28.	80.5	80.5	80.2	80.0	80.0	79.9	80.0	80.2	80.4	80.9	81.0	81.0	80.9	80.9	81.0	81.3	81.5	81.6	81.9	82.2	82.5	82.6	82.7	83.1	81.11
29.	83.3	83.6	83.9	84.0	84.1	84.2	84.4	84.6	85.0	85.4	85.3	85.3	85.3	85.3	85.3	85.3	85.5	85.7	85.7	85.8	85.9	85.8	85.8	85.8	85.01
30.	85.7	85.5	85.2	85.0	84.9	85.1	85.2	85.2	85.2	85.1	85.0	84.8	84.7	84.6	84.6	84.5	84.4	84.2	84.1	84.0	83.9	83.7	83.4	83.1	84.63
Mittel	74.33	74.33	74.25	74.12	74.12	74.13	74.19	74.26	74.40	74.52	74.50	74.27	74.12	73.93	73.91	73.97	74.09	74.24	74.28	74.30	74.37	74.42	74.44	74.41	74.25

Dezember
600 mm +

Datum	1a	2a	3a	4a	5a	6a	7a	8a	9a	10a	11a	12m	1p	2p	3p	4p	5p	6p	7p	8p	9p	10p	11p	12mn	Mittel
1.	82.8	82.5	82.4	82.3	82.2	82.0	81.9	81.8	81.5	81.3	80.8	80.2	79.8	79.6	79.6	79.7	79.9	80.1	80.2	80.1	80.0	80.0	80.0	79.9	80.86
2.	80.1	80.2	80.3	80.3	80.3	80.4	80.6	80.8	80.9	80.8	80.8	80.4	80.0	79.7	79.6	79.5	79.4	79.4	79.3	79.2	79.1	79.1	79.1	79.0	79.93
3.	78.9	78.9	78.8	78.7	78.3	78.1	78.2	78.3	78.4	78.4	78.4	78.2	77.9	77.6	77.6	77.7	77.7	77.6	77.6	77.6	77.6	77.6	77.6	77.4	78.05
4.	77.4	77.4	77.4	77.4	77.3	77.3	77.4	77.6	77.7	77.8	77.8	77.7	77.4	77.4	77.4	77.4	77.5	77.4	77.4	77.4	77.4	77.4	77.7	77.5	77.48
5.	77.4	77.4	77.5	77.4	77.4	77.3	77.3	77.2	77.0	76.8	76.7	76.2	75.6	75.1	75.1	75.0	75.0	75.1	75.2	75.5	75.6	75.7	76.0	76.4	76.29
6.	76.6	76.8	76.9	77.0	77.3	77.6	78.0	78.3	78.8	79.2	79.3	79.4	79.5	80.0	80.1	80.2	80.3	80.4	80.5	80.6	80.7	80.6	80.4	80.1	79.11
7.	80.1	79.9	80.0	79.9	79.7	79.5	79.0	78.5	77.8	77.2	76.3	75.6	75.4	74.9	74.7	74.4	73.7	73.1	72.8	72.4	71.8	71.7	71.6	71.5	75.90
8.	71.5	71.6	71.6	71.2	70.9	70.7	70.8	71.2	71.6	72.1	72.2	72.2	72.2	72.2	72.1	71.8	71.7	71.5	71.4	71.3	71.0	70.5	70.2	69.9	71.39
9.	69.5	69.1	69.0	68.6	68.4	68.3	69.1	68.3	69.7	70.4	70.6	71.1	71.4	71.5	71.8	72.6	73.1	73.6	74.1	74.4	74.9	74.2	75.5	76.0	71.47
10.	76.2	76.6	76.7	76.7	76.7	76.7	76.8	76.8	76.7	76.3	75.7	75.1	74.7	74.4	73.8	73.1	72.7	71.7	70.9	70.5	69.8	69.6	68.8	68.6	73.98
11.	68.2	67.9	67.2	66.9	66.4	65.5	65.1	64.9	64.6	64.6	64.4	64.1	64.3	64.7	65.5	66.3	66.9	67.3	67.9	68.3	68.7	69.2	69.8	70.1	66.62
12.	70.1	70.3	70.5	70.8	71.0	71.2	71.4	71.6	72.2	72.4	72.7	72.8	72.9	73.0	73.1	73.4	73.7	74.2	74.4	74.6	74.9	75 0	75.1	74.9	72.76
13.	74.8	74.4	73.9	73.4	73.2	72.7	72.5	72.4	72.5	72.7	72.7	72.7	72.9	73.0	73.1	73.3	73.5	73.7	73.7	74.0	74.1	74.2	74.3	74.3	73.42
14.	74.1	74.2	74.4	74.5	74.4	74.4	74.8	74.9	75.6	76.1	76.1	76.0	76.0	76.2	76.6	77.0	77.1	77.3	77.6	77.5	77.4	77.2	76.7	76.5	75.94
15.	75.8	75.6	75.3	74.9	74.6	74.4	74.2	74.1	73.9	73.9	73.6	73.4	73.3	73.2	73.2	72.9	72.7	72.6	72.8	73.1	74.4	74.9	75.6	76.0	74.10
16.	76.4	76.6	76.9	77.2	77.5	77.8	78.0	78.4	79.0	79.3	79.4	79.3	79.2	79.2	79.3	79.6	79.8	80.1	80.5	80.8	81.1	81.3	81.5	81.7	79.16
17.	81.9	82.1	82.2	82.2	82.3	82.7	82.8	82.9	83.1	83.2	83.1	83.0	82.5	82.3	82.3	82.3	82.3	82.2	82.3	82.5	82.6	82.8	82.9	82.9	82.56
18.	83.0	82.9	83.0	82.9	82.7	82.6	82.4	82.4	82.4	82.5	82.4	82.1	81.3	81.0	80.9	80.8	80.6	80.4	80.2	80.3	80.4	80.4	80.3	80.2	81.59
19.	80.1	80.1	80.1	80.0	80.0	80.1	80.2	80.3	80.3	80.3	80.2	79.8	79.6	79.7	79.8	79.8	79.6	79.3	79.1	79.1	79.1	79.0	78.5	77.6	79.65
20.	76.6	76.0	75.5	74.9	74.4	73.6	73.0	73.1	73.1	72.7	71.7	70.9	69.7	69.3	69.5	70.4	71.5	71.3	71.6	71.4	72.7	72.8	73.3	73.3	72.60
21.	72.9	73.0	72.9	72.8	72.5	72.2	71.8	71.2	70.4	69.5	69.4	67.6	67.3	66.8	66.3	66.0	65.2	63.7	64.5	64.0	63.9	63.6	63.2	63.6	68.10
22.	64.7	65.8	67.6	69.3	70.8	71.6	73.6	73.2	74.0	74.2	74.9	75.0	75.2	75.3	75.3	75.0	74.9	74.2	73.8	73.0	72.1	71.0	69.6	68.6	72.20
23.	67.7	66.6	65.6	64.6	63.9	64.3	64.3	65.0	65.5	66.1	67.0	67.7	68.3	69.8	72.3	74.8	76.5	77.4	78.4	79.5	80.2	80.6	80.8	80.8	71.15
24.	80.6	80.8	81.2	81.0	80.7	80.3	80.0	79.8	79.5	78.9	77.9	77.3	76.7	76.6	76.5	76.3	76.2	75.9	75.6	75.1	74.5	73.8	73.7	73.5	77.60
25.	73.0	72.5	71.8	71.1	70.6	69.9	69.6	69.5	69.5	68.8	67.7	66.9	66.5	66.8	67.0	67.4	67.6	68.2	68.7	69.1	69.6	70.0	70.4	70.3	69.27
26.	70.3	70.7	71.0	71.0	71.2	71.5	71.9	72.2	72.4	72.7	72.9	72.8	72.6	72.8	73.0	73.3	73.4	73.5	73.4	73.4	73.3	73.1	72.3	71.7	72.35
27.	70.5	69.4	67.6	66.2	65.8	65.9	66.1	66.2	66.4	66.5	66.2	66.0	66.2	68.0	68.8	70.4	71.5	72.2	73.1	73.7	74.2	74.5	74.8	75.2	69.39
28.	75.4	76.0	76.6	77.0	77.3	77.8	78.3	78.8	79.2	79.6	79.9	79.7	79.7	79.7	79.7	80.0	80.1	80.2	80.3	80.3	80.2	79.9	79.6	79.2	78.94
29.	78.5	78.1	77.4	76.9	76.5	76.5	76.5	76.4	76.9	77.0	77.2	77.3	77.4	77.7	78.0	78.5	78.7	79.1	79.2	79.5	79.7	79.9	80.1	80.2	78.05
30.	80.2	80.5	80.6	80.4	80.3	80.4	80.6	80.7	80.6	80.5	80.3	79.9	79.4	79.1	78.9	78.7	78.5	78.5	78.0	77.7	77.5	77.4	78.1	79.1	79.41
31.	79.8	79.9	80.1	80.5	80.9	81.3	81.6	82.4	82.6	82.9	83.2	83.0	83.0	83.3	83.4	83.5	83.8	83.8	83.9	83.8	83.6	83.4	83.4	83.5	82.53
Mittel	75.65	75.61	75.55	75.42	75.34	75.31	75.41	75.46	75.61	75.64	75.53	75.27	75.09	75.16	75.30	75.52	75.65	75.65	75.76	75.80	75.87	75.82	75.84	75.79	75.54

Thermometer-Registrierung. **Hohenpeissenberg.** 1911.

Januar

Datum	1a	2a	3a	4a	5a	6a	7a	8a	9a	10a	11a	12m	1p	2p	3p	4p	5p	6p	7p	8p	9p	10p	11p	12mn	Mittel
1.	- 6.4	- 6.2	- 6.2	- 6.5	- 6.3	- 6.4	- 6.2	- 6.2	- 6.1	- 5.8	- 5.5	- 5.2	- 4.9	- 4.8	- 5.2	- 5.5	- 5.8	- 6.3	- 6.5	- 6.5	- 6.7	- 6.4	- 6.1	- 5.5	- 5.97
2.	- 4.9	- 5.0	- 5.0	- 4.1	- 4.0	- 4.0	- 4.2	- 4.5	- 4.6	- 4.7	- 4.9	- 5.1	- 5.0	- 5.0	- 5.1	- 5.4	- 5.4	- 5.5	- 5.6	- 5.8	- 6.0	- 6.2	- 6.4	- 6.5	- 5.12
3.	- 6.7	- 7.0	- 7.1	- 7.4	- 7.9	- 8.2	- 8.2	- 8.2	- 7.8	- 7.4	- 7.1	- 6.9	- 6.9	- 6.7	- 6.9	- 7.3	- 7.0	- 6.8	- 6.6	- 6.3	- 6.2	- 6.2	- 6.1	- 6.2	- 7.05
4.	- 6.2	- 6.2	- 6.2	- 6.2	- 6.2	- 6.1	- 6.0	- 6.0	- 5.6	- 5.4	- 5.3	- 5.1	- 4.8	- 4.6	- 4.4	- 4.5	- 4.4	- 4.7	- 4.9	- 4.9	- 4.9	- 5.0	- 4.9	- 4.9	- 5.31
5.	- 5.1	- 5.2	- 5.4	- 5.5	- 5.6	- 6.0	- 6.2	- 6.1	- 6.1	- 5.9	- 5.6	- 5.6	- 5.8	- 5.6	- 5.7	- 5.7	- 6.0	- 6.0	- 5.8	- 5.9	- 6.0	- 6.2	- 6.4	- 6.4	- 5.83
6.	- 6.4	- 6.5	- 6.6	- 6.7	- 6.4	- 6.3	- 6.3	- 6.2	- 6.0	- 5.5	- 4.7	- 4.3	- 3.9	- 3.2	- 3.9	- 4.6	- 4.8	- 4.8	- 4.7	- 4.6	- 4.6	- 4.6	- 3.8	- 3.3	- 5.11
7.	- 3.1	- 3.6	- 3.9	- 3.8	- 3.7	- 3.6	- 3.6	- 3.4	- 3.5	- 2.8	- 2.1	- 1.3	- 1.1	- 0.8	- 1.2	- 1.9	- 1.6	- 3.3	- 3.4	- 3.0	- 3.8	- 3.6	- 4.1	- 3.8	- 2.92
8.	- 3.7	- 3.4	- 3.3	- 3.5	- 3.8	- 3.8	- 3.8	- 3.9	- 3.7	- 3.5	- 2.7	- 3.1	- 3.3	- 2.8	- 2.6	- 2.7	- 3.4	- 3.3	- 3.5	- 3.7	- 4.0	- 4.2	- 4.1	- 3.1	- 3.45
9.	- 3.4	- 3.6	- 3.7	- 4.4	- 4.0	- 4.3	- 4.8	- 5.0	- 4.0	- 3.7	- 1.8	- 1.3	- 0.3	0.2	0.1	0.9	0.7	0.6	- 0.3	0.2	0.7	0.8	1.6	1.6	1.60
10.	0.4	- 1.5	- 0.5	- 0.1	- 0.3	- 0.4	- 0.7	- 1.0	- 1.2	- 1.8	- 2.5	- 3.2	- 3.6	- 3.0	- 4.1	- 4.2	- 4.3	- 4.2	- 4.3	- 4.6	- 4.6	- 4.7	- 4.7	- 4.9	- 2.67
11.	- 4.9	- 5.1	- 5.2	- 6.0	- 6.1	- 6.2	- 6.6	- 6.6	- 6.6	- 6.3	- 6 5	- 6.1	- 5.7	- 5.5	- 4.9	- 4.8	- 4.6	- 4.5	- 4.2	- 4.8	- 5.3	- 4.2	- 4.5	- 4.3	- 5.40
12.	- 3.8	- 2.9	- 2.3	- 1.4	- 1.9	- 1.9	- 1.7	- 1.3	0.3	0.4	0.7	0.8	0.4	0.7	0.2	0.0	0.1	- 1.1	- 1.0	- 1.1	- 0.1	- 1.3	- 0.7	- 0.9	- 0.83
13.	- 1.4	- 1.0	- 1.3	- 1.6	- 1.7	- 1.0	- 0.6	- 0.8	- 1.0	- 1 2	- 2.4	- 2 4	- 2.4	- 2.4	- 3.0	- 3.3	- 4.8	- 5.8	- 6.1	- 6.2	- 6.2	- 6.1	- 6.2	- 6.2	- 3.13
14.	- 6.3	- 6.4	- 6.7	- 6.8	- 7.2	- 7.3	- 7.9	- 8.0	- 8.0	- 7.4	- 6.7	- 6.2	- 6.1	- 6.4	- 6.6	- 7.1	- 7.6	- 7.8	- 8.2	- 8.5	- 9.0	- 9.3	- 9.4	- 9.6	- 7.52
15.	- 9.9	-10.3	-10.5	-10.4	-10.3	-10.5	-10.7	-10.6	-10.7	-10.3	- 9.8	- 9.6	- 9.5	- 9.3	- 9.2	- 9.4	- 9.6	-10.1	- 8.2	- 6.9	- 6.6	- 8.1	- 7.4	- 7.1	- 9.38
16.	- 7.0	- 6.9	- 6.8	- 7.2	- 6.3	- 6.0	- 6.2	- 6.5	- 8.2	- 8.3	- 7.1	- 6.8	- 6.1	- 4.5	- 3.9	- 6.0	- 5.7	- 6.3	- 5.9	- 5.6	- 6.6	- 5.5	- 5.4	- 5.4	- 6.26
17.	- 5.7	- 5.7	- 4.8	- 3.3	- 3.8	- 4.1	- 5.2	- 4.7	- 4.0	- 3.4	- 3.4	- 3.3	- 3.0	- 3.2	- 3.9	- 3.8	- 4.4	- 3.2	- 1.1	- 1.0	1.6	2.0	1.7	0.8	- 2.87
18.	1.0	1.3	1.7	- 0.1	- 1.1	- 1.7	- 1.8	- 1.9	- 1.6	- 2.3	- 2.2	- 1.0	- 0.3	- 0.1	- 0.4	- 0.4	- 0.4	- 0.5	- 0.8	- 0.5	- 0.5	- 0.7	- 1.2	- 1.3	- 0.70
19.	- 1.3	- 1.3	- 1.5	- 1.7	- 2.0	- 2.1	- 2.2	- 2.2	- 1.7	- 1.6	- 1.6	- 1,3	- 0.4	- 0.7	- 0.5	0.6	0.9	0.9	1.2	1.2	0.8	0.6	0.5	0.8	- 0.61
20.	0.8	0.7	1.5	1.4	0.4	0.6	0.8	0.5	1.8	2.2	2 6	2.6	3.5	4 7	4.8	3.0	3.7	3.8	4.5	4.6	4.4	4.5	4.4	2.8	2.69
21.	0.0	- 0.7	1.7	2.8	- 1.5	- 2.3	- 2.2	- 2.2	- 1.7	0.5	- 1.8	0.1	- 1.8	0.2	- 0.9	0.1	- 1.9	- 3.1	- 3.5	- 2.2	- 0.1	0.7	2.4	1.5	- 0.66
22.	0.9	1.3	2.7	3.7	3.5	4.1	3.5	3.7	2.4	1.3	1.8	2.1	2.4	2.3	2.3	1.9	1.8	0.0	- 1.4	- 1.5	- 1.6	- 3.1	- 2.8	- 8.0	0.97
23.	- 7.7	- 6.7	- 8.3	- 8.3	- 8.2	- 8.3	- 8.5	- 8.7	- 9.3	- 8.7	- 8.3	- 8.2	- 7.5	- 6.8	- 6.9	- 7.4	- 7.3	- 7.2	- 7.1	- 7.0	- 7.3	- 7.6	- 8.2	- 8.7	- 7.84
24.	- 9.2	- 9.5	- 9.9	-10.1	-10.6	-10.5	-10.3	- 9.9	- 9.6	- 9.3	- 9.0	- 8.6	- 8.6	- 8.5	- 8.6	- 8.6	- 8.7	- 8.8	- 8.8	- 8.7	- 8.6	- 8.6	- 8.6	- 8.7	- 9.18
25.	- 8.8	- 8.9	- 9.0	- 9.0	- 9.1	- 9.2	- 9.0	- 8.7	- 7.8	- 7.5	- 7.5	- 7.5	- 7.5	- 7.3	- 6.9	- 6.5	- 5.4	- 4.8	- 4.9	- 4.6	- 3.6	- 3.4	- 3.1	- 2.7	- 6.78
26.	- 2.9	- 2.6	- 1.6	- 1.1	- 1.6	- 1.5	- 1.4	- 1.3	- 1.0	0.9	1.0	1.4	1.0	1.2	0.8	0.6	0.6	0.8	1.2	1.3	1.5	1.1	0.8	0.4	- 0.02
27.	0.1	0.2	0.2	- 0.1	- 0.5	- 0.8	- 1.0	- 1.1	- 0.8	- 0.8	- 0.6	0.1	0.5	1.2	1.5	0.1	- 0.8	- 1.1	- 1.5	- 1.6	- 1.8	- 1.7	- 2.0	- 2.2	- 0.60
28.	- 2.3	- 2.7	- 1.9	1.6	- 0.8	- 2.7	- 5.0	- 4.6	- 4.9	- 5.2	- 3.6	- 3.4	- 3.5	- 3.4	- 3.2	- 2.8	- 2.5	- 2.6	- 2.0	- 2.1	- 2.3	- 2.6	- 2.7	- 3.3	- 2.85
29.	- 2.7	- 2.7	- 3.0	- 3.2	- 3.0	- 2.9	- 2.8	- 3.3	- 2.3	- 1.3	- 0.5	- 0.4	0.0	- 0.1	- 0.6	- 1.5	- 1.5	- 2.5	- 2.6	- 2.5	- 2.4	- 3.9	- 4.7	- 5.6	- 2.33
30.	- 6.6	- 7.1	- 8.4	- 8.3	-10.2	-10.6	-11.4	-11.8	-12.1	-11.6	-11.0	- 9.7	- 8.0	- 8.2	- 8.6	- 9.1	- 9.7	-10.1	-10.6	-10.9	-11.5	-11.5	-11.7	-11.9	-10.03
31.	-12.2	-12.4	-12.6	-12.6	-13.0	-13.3	-13.9	-13.9	-13.9	-13.1	-12.1	-11.8	-11.3	-10.9	-11.2	-11.5	-11.9	-12.6	-13.1	-13.4	-13.7	-13.8	-12.1	-12.2	-12.60
Mittel	-4.37	-4.44	-4.32	-4.19	-4.62	-4.75	-4.97	-4.98	-4.82	-4.50	-4.20	-3.88	-3.66	-3.33	-3.51	-3.77	-3.93	-4.26	-4.18	-4.10	-4.03	-4.15	-4.06	-4.35	- 4.22

Februar

1.	-11.8	-11.3	-11.7	-11.4	-10.1	-10.1	-10.1	- 9.3	- 9.7	- 9.4	- 9.0	- 8.5	- 8.3	- 8 4	- 7.7	- 7.5	- 7.9	- 8.0	- 6.9	- 7.9	- 7.3	- 7.3	- 7.0	- 7.2	- 8.91
2.	- 7.4	- 7.6	- 7.8	- 7.6	- 6.7	- 7.0	- 7.0	- 8.1	- 7.1	- 6.5	- 6.2	- 5.6	- 4.3	- 4.3	- 4.6	- 5 0	- 5.4	- 5.7	- 5.6	- 6.3	- 5.9	- 5.7	- 5.3	- 5.1	- 6.16
3.	- 5.7	- 5.6	- 5.5	- 5.2	- 5.1	- 4.8	- 4.6	- 4.5	- 4.0	- 3.9	- 3.2	- 3.0	- 3.1	- 3.2	- 3.4	- 3.6	- 3.8	- 4.0	- 4.2	- 4.3	- 4.5	- 4.7	- 4.8	- 5.0	- 4.32
4.	- 5.1	- 5.3	- 5.4	- 5.6	- 5.7	- 5.8	- 5.9	- 5.6	- 5.4	- 5.4	- 5.1	- 4.9	- 4.6	- 4.5	- 4.6	- 4.3	- 4.4	- 4.3	- 4.3	- 4.5	- 5.2	- 5.5	- 5.9	- 6.1	- 5.14
5.	- 5.9	- 5.9	- 5.2	- 8.3	- 8.3	- 8.7	- 9.4	- 9.4	- 8.4	- 8.7	- 8.3	- 7.5	- 6.5	- 5.0	- 4.9	- 4.5	- 4.6	- 4.5	- 4.6	- 4.7	- 4.8	- 4.9	- 4.9	- 4.8	- 6.36
6.	- 4.8	- 4.9	- 4.9	- 4.9	- 5.0	- 5.1	- 5.1	- 5.1	- 5.2	- 5.1	- 4.9	- 4.5	- 2.0	- 2.0	- 2.8	- 3.8	- 4.9	- 5.7	- 5.7	- 6.0	- 6.2	- 6.4	- 6.8	- 7.0	- 4.95
7.	- 7.2	- 7.3	- 7.4	- 7.7	- 8.2	- 8.2	- 7.3	- 7.2	- 6.7	- 6.1	- 6.4	- 6.1	- 5.7	- 5.6	- 6.0	- 6.3	- 6.3	- 6.7	- 6.4	- 6.3	- 6.2	- 5.9	- 6.3	- 6.2	- 6.75
8.	- 6.2	- 6.1	- 6.0	- 5.8	- 5.6	- 5.3	- 5.3	- 5.2	- 4.6	- 4.9	- 4.7	- 5.0	- 5.6	- 6.2	- 6.4	- 7.0	- 7.3	- 7.4	- 7.7	- 7.8	- 8.9	- 7.9	- 8.1	- 8.6	- 6.40
9.	-10.3	-10.5	-10.4	-10,2	-10.5	-10.7	-10.9	-10.8	-10.6	-10,2	- 9.8	- 9.4	- 9.0	- 8.6	- 8.7	- 8.6	- 8.7	- 9.1	- 7.1	- 6.6	- 6.7	- 7.3	- 7.1	- 6.4	- 9.09
10.	- 6.0	- 4.9	- 5.4	- 4.8	- 4.6	- 4.3	-4.3	- 4.3	- 4.0	- 3.1	- 0.8	0.1	0.2	0.0	0.5	0.2	- 0.6	- 0.9	- 1.7	- 0.1	- 0.4	0.2	0.3	0.5	- 2.01
11.	- 0.1	- 0.7	- 0.4	0.3	0.7	0.6	0.8	0.9	1.2	1.6	1.9	2.3	3.1	3.0	3.3	2,6	1.8	1.9	1.6	1.5	1.6	1.4	0.8	1.3	1.38
12.	1.5	1.5	1.1	1.0	1.2	1.5	1.7	1.9	1.8	1.9	2.5	2.9	3.2	3.2	2.9	2.4	1.6	1.0	0.5	- 0.1	- 0.3	- 0.7	- 0.7	- 0.9	1.36
13.	- 1.4	- 1.6	- 1.8	- 2.1	- 2.2	- 2.1	- 2.1	- 2.0	- 2.2	- 2.4	- 2.4	- 1.8	- 1.2	- 1.4	- 1.5	- 1.6	- 1.8	- 1.9	- 1.9	- 2.1	- 2.4	- 2.6	- 2.9	- 3.1	- 2.02
14.	- 3.3	- 3.6	- 3.9	- 4.0	- 4.1	- 4.3	- 4.4	- 4.5	- 4.5	- 4.2	- 3.6	- 3.5	- 3.4	- 3.2	- 3.1	- 3.1	- 3.3	- 3.5	- 3.6	- 3.8	- 3.8	- 3.8	- 4.2	- 4.7	- 3.81
15.	- 4.8	- 4.9	- 5.0	- 5.1	- 5.3	- 5.8	- 6.2	- 7.3	- 7.2	- 6.7	- 5.6	- 4.6	- 1.5	- 0.1	0.2	0.4	0.3	0.2	0.2	0.5	- 0.2	- 0.4	- 3.1	- 3.1	- 3.13
16.	- 3.0	- 3.0	- 3.4	- 3.4	- 3.4	- 3.3	- 3.5	- 3.7	- 3.2	- 3.0	- 1.0	0.1	- 0.4	2.3	2.7	2,5	2.2	1.6	1.9	0.9	1.1	1.7	2.3	2.6	- 0.52
17.	3.3	4.1	4.2	4.1	4.2	4.2	4.2	4.8	4.9	5.4	5.3	4.1	5.4	4.8	4.8	4.7	4.8	3.1	2.2	1.9	1.6	1.7	1.6	1.5	3.79
18.	1.6	1.9	2.6	3.6	3.6	3.6	3.1	3.3	3.9	4.6	4.3	4.1	3.9	4.5	4.3	3.9	4.3	4.6	3.7	3.3	3.3	3.4	3.5	3.5	3.60
19.	3.8	3.4	3.1	3.1	2.5	2.0	2.2	2.4	5.0	6.4	6.4	6.3	5.2	3.1	3.2	3.1	1.4	1.5	1.8	2.0	1.5	- 0.1	0.0	- 0.5	2.87
20.	- 1.6	- 1.2	- 0.9	- 0.9	- 1.3	- 1.2	- 1.6	- 1.6	- 1.8	- 1.8	- 1.3	- 0.9	- 0.2	0.4	0.4	0.5	- 0.1	- 0.9	- 1.2	- 1.3	- 1.4	- 1.2	- 1.2	- 1.1	- 0.98
21.	- 1.3	- 1.3	- 1.2	- 1.3	- 1.5	- 1.6	- 1.6	- 1.7	- 1.8	- 2.1	- 2.1	- 1.4	- 0.3	1.0	1.5	1.5	0.6	0.3	0.3	0.0	- 0.2	- 0.4	- 0.3	0.6	- 0.60
22.	0.5	1.4	2.3	2.9	3.0	4.0	4.1	3.9	4.4	6.8	7.8	8.1	7.9	8.3	8.1	5.7	5.6	5.8	4.7	3.9	3.7	3.6	4.1	4.1	4.80
23.	3.9	3.7	3.3	2.9	2.7	2.8	2.8	2.8	3.3	4.2	5.5	6.6	7.3	8.1	8.8	8.6	8.0	6.5	7.1	6.8	6.8	6.2	7.3	4.8	5.45
24.	5 4	6.2	5.7	6.5	5.6	2.3	2.0	0.8	0.8	0.9	1.8	2.4	2.5	2.4	- 0.6	- 0.5	- 0.5	- 0.3	- 1.0	- 0.8	- 0.6	- 0.8	- 0.9	- 0.9	1.60
25.	- 0.7	- 0.7	- 1.2	- 1.1	- 0.9	- 1.1	- 1.1	- 0.8	- 0.5	0.1	- 0.1	0.9	1.5	2.4	3.3	2.3	2.3	1.4	1.4	0.9	1.0	1.9	2.5	2.9	0.69
26.	3.4	3.6	3.3	3.1	2.0	2.6	2.5	2.4	3.2	3.5	3.7	3.6	1.2	2.2	- 0.7	- 0.5	- 1.0	- 1.2	- 2.0	- 1.8	- 2.3	- 2.3	- 2.4	- 2.4	0.99
27.	- 2.6	- 2.9	- 2.9	- 3.1	- 3.0	- 3.1	- 3.5	- 3.6	- 3.3	- 3.1	- 2.8	- 2.2	- 1.7	- 1.1	- 2.5	- 2.8	- 2.9	- 3.0	- 3.0	- 3.3	- 3.6	- 3.0	- 2.7	- 2.5	- 2.84
28.	- 2.4	- 3.5	- 3.2	- 3.1	- 2.4	- 2.7	- 2.2	- 1.8	- 0.6	1.4	2.6	3.7	5.3	6.1	6.1	5.7	5.4	4.8	4.6	4.0	4.0	4.0	4.1	3.5	1.81
Mittel	-2.44	-2.39	-2.43	-2.43	-2.42	-2.56	-2.60	-2.62	-2.23	-1.78	-1.27	-0.85	-0.40	-0.06	-0.26	-0.54	-0.90	-1.23	-1.32	-1.50	-1.65	-1.67	-1.72	-1.80	-1.63

Thermometer-Registrierung. **Hohenpeissenberg.** 1911.

Datum	1a	2a	3a	4a	5a	6a	7a	8a	9a	10a	11a	12m	1p	2p	3p	4p	5p	6p	7p	8p	9p	10p	11p	12mn	Mittel
März																									
1.	3.0	3.6	3.6	4.0	5.0	5.0	4.6	3.5	3.1	2.5	2.4	2.4	2.9	4.1	4.1	3.5	− 0.7	− 0.6	− 0.6	− 0.9	− 1.0	− 1.6	− 1.5	− 1.7	2.03
2.	− 1.6	− 2.0	− 2.0	− 2.2	− 2.4	− 2.4	− 2.6	− 2.3	− 1.7	− 0.8	0.1	0.8	0.8	1.1	0.8	− 0.1	0.5	0.6	− 0.4	− 0.1	0.0	− 0.3	− 0.4	− 0.8	− 0.73
3.	− 0.8	− 0.8	− 0.8	− 0.8	− 0.8	− 0.8	− 0.8	− 0.7	− 0.7	− 0.3	0.0	0.1	0.3	0.4	0.5	0.5	0.3	0.2	− 0.1	− 0.6	− 0.8	− 0.8	− 0.8	− 0.8	− 0 37
4.	− 0 7	− 0.6	− 0.3	− 0.2	− 0.1	0.2	0.4	0.5	0.5	0.4	0.8	1.3	1.7	2.0	2.2	2.3	2.3	2.5	2.5	2.2	2.1	2.1	2.0	1.9	1.17
5.	1.7	1.5	1.2	1.0	0.7	0.5	0.2	0.1	0.2	0.2	1.1	1.3	0.5	− 0.1	− 0.2	− 0.2	− 0.4	− 0.9	− 1.3	− 1.5	− 2.0	− 2.1	− 2.4	− 2.4	− 0.14
6.	− 2.3	− 2.5	− 2.5	− 2.7	− 2.9	− 3.4	− 3.4	− 3.3	− 2.4	− 2.3	− 1.6	− 1.8	− 0.9	0.0	− 0.4	− 0.6	− 1.1	− 2.0	− 2.4	− 2.8	− 3.0	− 3.0	− 3.1	− 3.2	− 2.23
7.	− 3.8	− 4.3	− 4.3	− 4.5	− 4.9	− 5.0	− 5.1	− 4.8	− 4.2	− 3.0	− 1.7	− 0.7	0.1	0.6	0.8	0.7	0.0	− 1.0	− 1.8	− 2.3	− 2.4	− 2.6	− 2.7	− 2.3	− 2.47
8.	− 2.3	− 1.8	− 1.4	− 1.3	− 2.0	− 2.0	− 1.8	− 1.6	− 0.6	− 1.1	− 1.8	− 1.6	− 1.2	− 1.2	− 1.0	− 0.9	− 1.2	− 2.1	− 2.1	− 2.2	− 2.4	− 2.3	− 2.3	− 2.3	− 1.69
9.	− 2.1	− 2.4	− 2.6	− 2.5	− 2.4	− 3.4	− 3.0	− 2.2	− 1.9	− 2.5	− 1.6	− 1.5	− 0.7	0.2	0.4	0.6	− 0.1	− 1.0	− 1.3	− 1.8	− 2.0	− 2.3	− 1.8	− 1.9	− 1.66
10.	− 1.5	− 1.0	− 0.3	0.2	0.3	0.4	0.4	1.2	1.9	1.7	2.1	2.3	3.0	2.9	2.6	0.1	0.2	0.0	− 0.2	− 0.3	− 0.6	− 0.7	− 0.8	− 0.9	0.54
11.	− 0.8	− 0.9	− 0.8	− 1.0	− 0.8	− 1.3	− 1.1	− 1.0	− 0.9	− 0.1	0.7	1.0	1.3	2.3	2.5	2.9	2.3	2.1	1.5	1.7	1.1	0.5	0.5	0.5	0.51
12.	0.7	0.6	0.5	0.6	0.6	0.6	1.2	1.9	2.5	3.4	3.8	4.2	4.4	5.0	3.9	4.2	3.4	3.1	2.8	2.3	2.1	2.2	2.2	2.3	2.44
13.	2.0	2.1	1.5	1.3	1.2	1.3	2.0	2.2	3.6	4.9	5.7	6.7	7.1	6.9	6.9	− 0.9	− 1.6	− 1.7	− 1.3	− 1.4	− 2.3	− 2.5	− 2.6	− 2.8	1.60
14.	− 3.2	− 3.2	− 3.2	− 3.3	− 3.9	− 4.1	− 4.3	− 3.7	− 3.1	− 2.5	− 1.6	− 1.1	− 0.7	− 0.6	− 0.4	− 0.6	− 0.7	− 0.9	− 1.3	− 1.8	− 2.8	− 3.1	− 3.0	− 3.2	− 2.35
15.	− 4.1	− 3.9	− 3.8	− 4.0	− 4.3	− 4.3	− 4.2	− 4.1	− 3.7	− 3.6	− 3.8	− 3.4	− 3.2	− 2.9	− 3.9	− 3.5	− 3.4	− 3.9	− 4.0	− 4.1	− 4.6	− 4.6	− 4.5	− 4.7	− 3.94
16.	− 5.1	− 5.0	− 4.8	− 4.5	− 4.5	− 4.4	− 4.6	− 4.8	− 4.2	− 3.7	− 2.8	− 1.3	− 0.3	0.8	0.9	1.7	1.4	0.7	− 0.2	− 0.3	− 0.6	− 3.2	− 3.4	− 3.8	− 2.33
17.	− 3.8	− 4.1	− 4.5	− 4.5	− 4.5	− 4.4	− 3.0	− 3.3	− 1.6	− 1 0	− 0.4	0 6	1.5	2.0	1.4	1.7	1.3	0.7	0.6	0.0	− 0.4	− 0.6	− 0.7	− 0.5	− 1.15
18.	− 1.6	− 1.4	− 0.4	− 0.4	− 0.9	− 1.3	− 0.4	0.4	1.7	2.5	3.7	3.9	4.4	5.6	5.5	5.1	4.3	4.2	3.8	3.4	2.9	2.8	2.5	1.7	2.17
19.	1.1	1.7	1.6	1.7	1.8	2.3	2.3	2.4	3.1	3.4	3.5	4.9	5.9	6.3	6.5	6.4	5.5	4.3	2.7	1.5	0.6	− 0.2	− 1.0	− 1.3	2.79
20.	− 1.3	− 0.1	1.6	1.2	0.8	1.2	0.8	1.2	2.8	2.0	2.2	3.4	6.4	7.5	7.8	7.0	6.1	5.0	4.0	5.0	5.2	6.1	6.2	6.4	3.69
21.	6.1	6.0	6.6	6.4	6.1	5.6	5.6	6.3	6.7	7.5	8.3	9.7	10.8	11.4	11.4	11.4	10.5	9.6	8.3	7.4	6.8	7.0	7.0	6.8	7.89
22.	7.1	6.5	6.5	6.5	6.3	6.4	6.7	7.3	8 6	8.9	9.7	10.5	11.3	11.9	11.7	11.5	11.0	10.0	8.6	7.7	6.1	5.5	5 7	5.9	8.25
23.	5.8	6.2	6.1	6.0	5.6	5.3	4.8	4 8	5.6	5.8	5.3	5.5	5.8	6.3	6.4	5.9	4.7	3.6	3.5	3.4	3.5	3.7	4.0	3.9	5.06
24.	3.4	3.6	4.3	3.7	3.5	3.3	3.3	3.6	4.0	4.8	5.5	6.0	7.2	7.1	7.3	7.3	6.9	5.9	5.5	5.3	4.1	3.5	3.5	3.3	4 83
25.	3.0	2.7	2.4	2.2	2.1	1.8	1.4	2.3	2.8	2.3	1.7	1.7	1.5	0.2	0.5	0.0	− 0.3	− 0.4	− 0.4	− 0.5	− 0 7	− 0.8	− 0.8	− 0.2	1.02
26.	− 0.4	− 0.4	− 0.4	− 0.5	− 0 5	− 0.6	0.5	2.4	4.7	6.8	4.4	1.8	− 0.7	− 1.0	− 1.7	− 2.3	− 3.0	− 3.5	− 3.5	− 3.5	− 3.2	− 3.3	− 3.3	− 3.2	− 0.60
27.	− 3.1	− 3.0	− 3.0	− 3.1	− 3.3	− 3.3	− 2.6	− 2.2	− 2.4	− 2.8	− 2.0	− 1.5	0.4	1.0	1.3	1.6	1.6	1.6	1.4	2.7	5.8	6.7	7.7	8.0	0.31
28.	8.1	8.9	9.2	9.1	8.8	8 8	9.0	9.6	11.2	11.7	12.7	12.9	14.4	14.4	13.9	13.3	13.8	13.4	13.0	12.4	11.7	11.7	11.5	11.3	11.45
29.	11.2	11.3	11.2	11.3	11.9	11.6	11.6	12.6	14.0	14.2	15.7	15.9	17.0	17.2	17.2	17.3	15.3	13.7	12.6	12.1	12.1	11.5	10.9	10.7	13.34
30.	10.8	10.3	10.1	10.6	9.8	9.4	9.9	10.2	12.0	13.1	14.1	14.9	15.6	15.4	14.8	13.8	11.9	10.9	10.3	10.1	10.1	9.7	7.9	7.8	11.40
31.	7.0	5.9	7.1	7.5	7.7	6.4	6.5	6.1	7.5	8.9	9.3	9.9	10.6	11.3	11.0	10.7	10.9	10.2	8.4	8.2	8.3	7.9	8.3	8 4	8.50
Mittel	1.05	1.08	1.24	1.22	1.10	0.95	1.11	1.44	2.23	2.62	3.08	3.51	4.10	4.45	4.35	3.88	3.28	2.72	2.21	1.98	1.73	1.51	1.45	1.38	2.24
April																									
1.	8.5	8.2	7.5	7.5	7.4	7.3	7.3	7.1	8.3	8.7	9.8	9.8	10.8	10.5	11.1	11.5	11.1	10.5	8.4	8.0	8.0	7.6	7.5	7.3	8.74
2.	7.2	7.6	7.8	6.9	7.4	7.4	7.5	7.6	8.2	9.4	10.6	11.1	11.9	10.3	10.9	9.4	9.5	8.3	7.1	6.1	6.0	6.0	6.3	6.2	8.20
3.	5.6	5.4	5.0	4.6	4.4	4.4	4.4	4.5	4.6	4.5	4.5	4.8	4.7	3.4	2.4	1.7	1.2	− 0.6	− 1.4	− 1.6	− 1.8	− 2.8	− 4.3	− 4.8	2.20
4.	− 4.9	− 5.0	− 5.9	− 5.8	− 5.8	− 5.8	− 6.4	− 6.7	− 6.6	− 6.4	− 6.7	− 6.7	− 6.3	− 6.1	− 5.8	− 5.9	− 5.9	− 6.3	− 6.6	− 6.7	− 6.6	− 7.1	− 7.5	− 8.2	− 6.32
5.	− 9.0	− 9.1	− 8.9	− 8.8	− 8.5	− 8.0	− 7.0	− 6.7	− 6.6	− 6.4	− 6.1	− 5.9	− 5.2	− 5.0	− 4.9	− 4.7	− 4.6	− 4.6	− 4.7	− 4.7	− 4.6	− 4.8	− 4.8	− 4.8	− 6.18
6.	− 4.8	− 4.7	− 4.8	− 4.9	− 5.1	− 5.3	− 5.6	− 5.8	− 5.8	− 5.4	− 4.9	− 4.4	− 4.4	− 4.3	− 4.4	− 4.6	− 4.7	− 4.9	− 4.8	− 5.0	− 5.0	− 5.0	− 4.8	− 4.6	− 4.92
7.	− 4.6	− 4.5	− 4.4	− 4.3	− 4.5	− 4.5	− 4.7	− 4.2	− 3.9	− 3.0	− 2.5	− 2.0	− 1.1	− 0.6	− 0.1	− 0.2	− 0.8	− 1.3	− 1.9	− 2.3	− 2.8	− 3.4	− 3.4	− 3.5	− 2.85
8.	− 3.9	− 4.0	− 3.9	− 4.0	− 4.3	− 4.1	− 4.4	− 4.3	− 4.2	− 3.8	− 3.3	− 3.5	− 3.4	− 3.5	− 3.2	− 3.4	− 3.5	− 3.8	− 3.9	− 3.9	− 4.0	− 4.0	− 4.1	− 4.2	− 3.86
9.	− 4.6	− 4.8	− 4.9	− 4.9	− 4.8	− 4.8	− 4.9	− 4.8	− 4.6	− 4.3	− 3.9	− 4.0	− 3.6	− 3.2	− 2.8	− 2.7	− 3.1	− 3.3	− 3.3	− 3.3	− 3.2	− 3.2	− 3.3	− 3.5	− 3.91
10.	− 3.4	− 3.4	− 3.3	− 3.2	− 3.0	− 2.8	− 2.5	− 2.4	− 1.8	− 1.4	− 1.2	− 0.6	0.6	0.9	1.8	0.9	0.7	0.1	− 0.2	− 0.8	− 1.1	− 1.3	− 1.3	− 1.5	− 1.26
11.	− 1.7	− 1.7	− 1.9	− 1.9	− 1.9	− 1.6	− 1.4	− 1.4	− 0.7	1.1	2.3	2.9	3.5	3.7	3.8	3.7	3.2	2.9	1.8	1.2	0.9	0.7	0.7	0.7	0.79
12.	1.0	0.9	0 8	0.7	0.4	0.7	1.4	1.8	2.8	3.5	5.0	5.6	6.8	7.8	8.4	8.3	7.7	7.2	6.1	5.3	5.2	5.1	5.1	3.7	4.22
13.	0.8	0.3	− 0.9	− 1.1	− 1.9	− 2.2	− 2.8	− 2.4	− 2.4	− 1.9	− 1.5	− 0.5	− 0.2	− 1.5	− 2.0	− 1.6	− 1.8	− 1.7	− 1.8	− 1.8	− 1.8	− 1.8	− 1.6	− 1.7	− 1.49
14.	− 1.9	− 1.9	− 2.3	− 2.6	− 2.6	− 2.6	− 2.4	− 2.2	− 1.6	− 1.6	− 1.4	− 1.2	− 0.8	− 0.2	0.4	0.4	1.2	1.8	0.7	0.3	− 0.4	− 0.3	− 0.7	− 0 7	− 0.94
15.	− 0.4	0.0	− 0.1	− 0.5	− 0.5	0.4	0.8	1.1	3.2	4.9	6.1	7.0	7.8	9.1	8.0	9.0	9.2	8.2	7 7	7.2	7.0	7.4	7.5	7.9	4.92
16.	7.2	7.8	7.8	7.8	7.8	7.3	7.1	7.4	10.0	11.2	12.0	13.0	14.0	14.7	15.3	15.4	15.3	15.0	13.2	11.9	11.8	12.2	12.6	12.2	11.25
17.	10.5	10.6	10.3	10.2	10.1	9.2	8.4	8.7	10.0	11.2	12.8	13.3	14.4	14.3	14.5	14.5	13.5	12.6	11.9	11.3	10.7	10.6	10.7	10.8	11.46
18.	9.3	9.9	8.8	8.8	8.8	8.8	9.0	9.5	10.7	11.8	12.2	13.2	14.0	14.6	15.2	15.5	15.5	15.1	13.6	13.2	11.5	11.1	11.7	11.8	11.82
19.	10.6	10.4	10.1	10.0	9.8	9.9	10.4	11.3	12.5	13.3	13.9	14.5	15.6	16.4	15.7	16.8	15.5	15.3	13.1	12.4	11.6	11.4	11.0	9.3	12.53
20.	7.2	6.4	5.3	4.9	5.0	5.2	5.0	5.4	6.3	7.7	8.6	9.4	9.7	10.3	10.4	7.3	5.9	5.7	5.4	5.3	5.0	4.6	4.8	4.8	6.48
21.	4.8	4.8	4.8	4.6	4.5	4.5	4.5	4.8	5.2	6.3	7.2	8.3	9.1	9.8	10.5	10.8	10 8	10.7	9.2	8.7	8.4	8.3	8.9	8.7	7.43
22.	8.5	8.0	7.6	7.2	7.1	7.7	7.7	8.2	8.4	10.3	12.5	13.2	14.1	14.7	15.0	15.1	14.7	14.2	12.9	12.2	11.3	11.2	11.0	11.4	11.01
23.	11.1	11.4	11.0	11.2	11.4	11.7	11.5	11.7	14 1	14.7	15.9	16.2	16.9	16.4	16.8	17.3	16.3	16.2	15.0	13.4	13.2	12.9	12.9	12.8	13.83
24.	12.3	11.7	11.2	11.0	10.7	10.5	10.1	10.7	11.4	12.3	12.9	14.0	14.3	13.8	13.3	13.3	12.5	11.5	10.4	9.8	8.7	7.9	7.5	7.1	11.20
25.	7.0	6.9	6.9	6.7	6.7	6 8	7.3	7.8	8.6	9.6	9.5	10.6	11.8	12.8	13.3	13.6	13.3	12.6	11.7	11.5	10.2	9.7	9.6	10.1	9.78
26.	9.8	10.4	11.0	11.0	11.4	10.8	12.7	13.2	11.8	12.7	12.5	11.4	12.1	10.0	7.6	7.4	7.5	7.5	7.6	7.1	7.0	7.1	7.3	7.1	9.75
27.	7.2	7.1	2.9	2.7	2.7	2.8	3.0	3.5	4.8	5.3	5.5	4.4	4 3	4.1	4.1	5.3	6.1	6.3	6.0	5.2	5.2	5.6	6.2	6.4	4.86
28.	7.3	7.1	5.6	4.2	4.8	2.3	2.2	3.4	3.4	3.8	4 3	6.4	4.5	3.4	5.3	6.3	5.5	5.6	4.4	4.3	4.5	4.5	4.4	5.0	4.69
29.	5.1	5.3	5.7	5.4	5.4	4.8	5.4	7.5	10.0	9.9	10.7	11.1	10.7	7.3	6.0	5.0	4.1	4.5	5.5	5.6	3.7	3.3	3.3	3.4	6.20
30	3.1	2.7	2.9	2.8	2.5	2.7	2.7	3.8	5.5	5.8	6.1	7.2	8.3	9.2	10.0	10.1	10.2	10.6	4.9	4.8	4.1	3.8	3.6	3.7	5.46
Mittel	3.50	3.46	3.06	2.87	2.85	2.78	2.88	3.27	4.05	4.79	5.45	5.95	6.50	6.44	6.55	6.52	6.20	5.86	4.93	4.49	4.09	3.91	3.89	3.76	4.50

Thermometer-Registrierung. **Hohenpeissenberg.** 1911.

Mai

Datum	1ª	2ª	3ª	4ª	5ª	6ª	7ª	8ª	9ª	10ª	11ª	12m	1P	2P	3P	4P	5P	6P	7P	8P	9P	10P	11P	12mn	Mittel
1.	3.8	4.2	4.7	4.7	4.5	4.5	4.8	4.8	4.7	4.3	5.9	6.2	4.1	6.1	4.3	5.3	3.8	3.9	4.0	4.0	3.6	3.5	3.1	2.7	4.40
2.	3.0	2.7	2.9	2.9	3.2	3.3	4.6	5.2	5.7	5.8	6.6	7.0	8.0	8.9	8.9	8.8	8.4	8.3	7.3	6.5	5.2	5.0	4.6	5.3	5.75
3.	4.6	4.4	4.9	4.3	4.2	6.4	5.3	5.9	7.7	9 0	10.1	11.4	12.1	12.6	12.8	12.6	11.7	11.6	11.3	10.5	9.7	9.7	9.2	9.1	8.80
4.	8.8	9.2	9.0	9.0	8.7	8.8	9.4	9.4	10.8	11.8	12.2	12.7	13.4	13.4	13.3	13.0	12.5	12.4	12.3	12.2	11.5	11.2	10.3	8.3	10.98
5.	7.2	6.4	5.5	5.2	5.0	4.7	4.8	4.8	5.0	5.1	5.1	5.1	5.2	5.2	5.4	5.5	5.3	5.2	5.2	5.2	5.0	4.9	4.9	4.9	5.24
6.	4.9	5.0	5.1	5.1	5.1	4.0	4.8	5.0	5.3	5.9	6.4	6.6	6.2	7.8	6 0	6.3	5.7	5.4	4.8	4.5	3.7	3.6	3.5	3.6	5.18
7.	3.6	3.5	3.0	3.3	3.3	3.4	3.4	4.1	4.2	4.2	4.9	5.3	6.1	6.8	6.7	7.1	6.7	5.9	5.1	4.3	3.3	3.2	3.2	3.2	4.49
8.	2.6	2.2	2.0	2.0	2.1	2.1	2.1	2.3	2.7	3.0	4.6	6.3	8.8	10.1	10.9	11.5	11.5	11.4	10.6	9.5	8 9	8.2	7.9	8.0	6.30
9.	7.4	7.1	6.9	7.2	7.4	10.0	9.1	8.1	8.2	8.8	10.0	11.9	13.9	13.7	10.6	11.0	10 4	9.4	8.4	8.4	9.0	9.0	9.2	9.5	9.36
10.	8.1	8.4	7.7	7.7	7.8	8.6	9.0	9.4	10.7	11 9	11.7	10.4	7.1	7.3	8 2	9.4	9.8	10.1	9.2	8.8	7.7	7.3	7.0	7.5	8.78
11.	6.9	7.1	7.5	7.1	7.2	7.3	8.3	8.1	10 0	11.4	11.7	13.7	13.7	15.4	13.9	12.2	12.4	11.9	10.5	10.3	10.0	9.5	9.9	10.0	10.25
12.	9.7	9.9	10.2	10.1	10.3	10.7	11.1	11.6	12.3	13.2	14.1	15.0	15.1	12.6	13.0	13.1	13.1	13.6	13.4	12.3	12.1	12.0	11.6	11.6	12.15
13.	12.1	12.0	11.3	11.3	11.1	11.9	12.7	13.5	14.5	14.9	15.5	16.3	17.4	17.5	17.8	17.8	17.6	16.8	14.9	13.4	13.8	14.6	14.5	13.3	14.44
14.	13.5	14.1	13.1	12.9	13.2	13.9	14.6	14.8	15.2	15.9	16.3	17.3	18.1	18.4	18.5	18.8	18.3	17.4	16.2	14.8	11.7	11.3	11.0	10.6	15.00
15.	10.6	10.0	9 5	9.6	9.4	9.4	9.3	9.3	10.8	11.1	11.6	12.9	13.9	14.2	14.1	13.9	13.6	12.2	11.9	11.6	11.3	11.1	11.1	11.6	11.42
16.	10.8	10.2	10.2	10.3	10.1	10.4	11.4	12.7	13.6	13.7	14.7	14.7	14.7	14.7	15.9	15.7	15.6	12.9	11.5	11.3	10.0	10.7	11.1	10.9	12.41
17.	10.6	11.1	11 0	11.6	11.5	11.8	12.6	13.0	13 5	14.0	15.1	15.8	16.3	16.7	16.5	11.4	9.8	12.0	10.3	10.7	9.2	10.1	10.1	10.3	12 32
18.	10.5	10.5	9.3	9.0	8.8	9.0	9.3	9.5	10.1	10.5	10.5	10.7	11.4	11.9	12.0	11.4	10.4	10.3	10.0	9.6	9.4	9.3	9.1	8.8	10.05
19.	8.7	8.5	7.3	6.7	6.3	5.6	5.2	5.3	6.1	6.4	6.3	5.9	8.0	6.7	7.0	6.8	6.9	7.0	5.6	4.9	4.8	4.8	4.6	4.7	6.25
20.	4.6	4.6	4.5	4.5	4.5	4.7	4.4	4.8	5.7	6.0	6.0	6.4	7.4	7.9	6.4	7.6	7.8	6.6	6.7	6.6	5.6	5.1	4.1	4.0	5.69
21.	4.1	3.7	3.7	3.7	3.8	4.0	4.2	4.9	5.4	6.3	7.5	7.6	8.5	8.7	8.9	8.6	7.7	7.3	6.5	6.2	6.0	6.2	6.1	6.1	6.07
22.	5.8	4.4	4.5	4.6	4.8	5.0	6.5	6.8	7.2	7.7	8.6	8.7	10.7	10.7	11.0	10.8	10.9	10.6	9.3	8.6	7.8	7.5	7.6	7.7	7.83
23.	7.2	7.3	7.3	7.1	7.1	7.5	8.5	9.0	9.9	10.9	11.2	12.4	12.2	13.5	12.7	11.8	11.1	9.7	9.0	8.0	8.1	7.7	7.6	7.4	9.34
24.	7.0	6.7	6.0	6.2	6.3	6.2	6.3	6.3	6.7	6.6	6.6	6 7	7.7	8.7	9.0	9.1	8.8	8.2	7.8	7.7	7.6	7.1	7.2	7.3	7.24
25.	7.8	8.0	8.0	8.1	8.1	7.6	7.4	7.5	8.3	8.4	8.4	9 1	9.6	10.5	10.4	9.7	9.1	8.8	8.7	8.6	8.0	7.8	7.5	6.5	8.41
26.	6.8	7.5	6.4	5.5	6.5	6.5	6.1	7.2	9.1	9.8	11.1	12.1	13.5	13.9	14.2	14.5	14.2	13.8	13.3	11.9	11.5	11.4	10.7	10.6	10·34
27.	10.3	10.1	9.5	9.8	9.7	10.0	10.8	11.7	12.4	13.4	14.5	15.1	14.7	15.6	16.5	16.2	15.9	15.1	13.6	12.2	11.3	10.4	10.0	9.6	12·43
28.	9.9	9.3	8.8	9.3	9.6	9.9	10.5	12.2	12.8	13.6	14.8	14.3	14.8	15.8	15.6	15.9	15.9	16.0	15.3	13.6	13.1	12.0	11.5	11.3	12.74
29.	11.5	11.6	12.0	12.4	10.0	11.5	12.3	12.6	13.9	14.6	15.9	17.3	19.1	19.3	17.4	17.8	14.9	13.3	14.0	14.4	15.0	15.0	14.7	13.9	14 35
30.	12.9	13.0	11.7	11.0	12.0	13.4	14.0	14.3	15.5	16.4	17.3	18,0	18.4	18.6	18.3	18.4	17.5	15.9	14.4	13.9	14.0	14.2	13.4	12.7	14.97
31.	12.8	12.9	12.1	11.7	11.5	12.0	12.3	12.3	12.2	12.5	12.5	13.9	14.1	15.3	12.6	12.0	12.0	11.7	12.2	11.4	10.5	10.4	10.6	10.6	12 17
Mittel	8.00	7.92	7.60	7.55	7.52	7.87	8.23	8.59	9.36	9.93	10.57	11.19	11.75	12 21	11.90	11.74	11.27	10.80	10.10	9.55	8.98	8.83	8.61	8.44	9.52

Juni

1.	10 5	10.3	10.1	10.1	10.1	9.8	10.0	10.3	10.5	10.8	11.6	12.4	14.4	16.6	16.7	15.7	15.2	14.0	13.8	12.9	12.3	11.9	11.3	11.2	12 19
2.	11.1	10.1	9.5	9.0	9.2	9.0	9.9	10.3	12.3	13.3	12.8	13.0	14.4	15.2	15.5	15.8	15.9	14.9	14.2	13.9	13.4	13.2	12.4	12.1	12.52
3.	11.8	12.0	11.1	11.1	11.9	12.8	13.2	14.1	15.8	17.0	17.1	17.2	16.7	15.3	15.5	10.7	11.6	12.5	12.5	12.9	12.3	12.2	12.1	11.6	13.38
4.	11.5	11.4	10.6	10.6	10.5	10.4	10.5	10.7	10.6	10.8	12.0	12.8	12.5	13.2	14.4	11.2	11.0	11.1	11.2	11.2	11.5	12.0	13.2	12.6	11.56
5.	12.5	13.5	13.4	13.7	13.8	13.9	14.9	15.4	16.0	15.9	16.7	16.6	15.0	14.2	10.3	16.9	12.4	12.5	11.8	12.3	13.2	13.1	13.6	13.5	14.21
6.	12.6	12.5	11.8	11.5	11.7	13.5	13.6	13.4	13.6	14.0	14.7	15.6	15.8	16.4	16.7	16.9	17.2	17.3	14.7	14.0	13.2	13.9	12.7	12.5	14.16
7.	12.5	13.5	12.0	12.8	14.0	14.8	16.0	15.9	16.0	16.5	17.4	18.6	19.3	19.8	19.6	19.3	19.3	18.9	18.2	17.5	16.4	16.3	16.3	15.6	16.52
8.	14.8	14.4	14.6	15.1	15.2	15.6	15.1	15.5	17.1	17.5	18.4	18.7	18.9	19.1	19.7	19.6	20.3	20.1	18.1	16.1	14.8	14.4	13.5	13.2	16.66
9.	11.6	11.7	11.5	11.9	12.0	15.0	16.4	16.4	17.1	18.0	19.2	20.2	20.8	19.9	21.0	20.4	19.6	19.8	17.5	13.3	10.5	10.3	10.2	10.2	15.60
10.	10.2	10.1	9.8	10.1	7.8	7.6	6.6	5.9	6.1	6.2	6.2	6.3	6.4	6.4	6.3	6.2	6.2	6.8	7.1	7.3	7.4	7.4	7.1	6.4	7.25
11.	5.5	5 1	5.3	6.3	5.5	6.2	7.0	8.6	9.6	9.7	10.5	11.2	11.9	12.3	12.2	12.1	11.8	11.5	10.7	9.8	9.5	8.7	8.7	8.7	9.10
12.	8.3	8.4	8.2	8.2	8.5	9.0	11.3	11.5	11.4	12.2	12.5	12.8	12.5	12.7	12.5	12.5	12.9	13.5	12.6	11 3	10.0	9.5	9.7	9.7	10.90
13.	9.3	9.5	9.5	9.2	10.5	11.7	12.7	12.9	14.0	14.0	15.5	15.7	16.4	16.5	16.0	15.2	14.5	12.8	11.6	10.1	9.1	8.4	8.2	7.6	12,12
14.	7.6	7.7	7.2	7.1	6.6	6.5	6.6	6.4	6.4	6.5	7.5	7.1	5.9	9.9	5.0	6.4	5.5	2.9	2.1	2.4	1.6	1.8	2.8	3.3	5.53
15.	1.2	2.0	2.6	2.9	3.3	3.7	5.0	4.7	4.9	5.4	5.4	4.0	4.1	4.4	3.6	4.9	3.9	4.0	3.4	3.4	3.7	3.9	3.8	3.2	3.81
16.	3.0	3.0	3.0	3.2	5.0	6.1	6.1	6.9	8.0	9.5	10.6	12.1	12.8	13.0	13.8	13.8	13.4	12.8	12.3	11.8	10.9	10.4	10.0	10.2	9.24
17.	11.8	11.9	11.6	12.8	12.7	13.6	14.8	14.9	15.2	17.5	18.7	20.0	20.3	18.5	16.7	16.5	17.0	17.4	16.0	15.7	16.6	15.7	16.1	15.4	15.73
18.	13.7	13.8	14.0	15 0	15 3	14.9	14.8	16 1	16.4	16.7	17.1	16.9	18.1	18.4	17.4	13.3	11.1	10.6	10.2	10.5	11.5	11.7	12.0	12.2	14.24
19.	12.8	12.7	11.8	11.4	11.0	11.5	12.1	12.3	12.3	14.2	14.4	15.8	15.4	15.1	13.5	13.1	11.7	11.5	11.1	11.2	10.5	10.7	11.0	11.3	12.43
20.	10.7	10.4	10.6	10.7	10.9	11.3	11.5	11.3	10.4	9.7	9.1	9.2	10.2	10.4	10.7	9.8	9.6	9.5	7.6	7.6	7.3	7.4	7.9	7.6	9.64
21.	7.6	7.8	7.5	7.4	7.4	7.6	7.9	8.9	9.8	8.3	10.9	10.6	13.3	11.3	12.7	13.2	13.6	13.4	12.8	11.9	10.5	10.4	10.2	10.4	10.23
22.	10.2	10.1	9.6	9.5	10.1	10.6	12.1	12.4	12.2	13.0	14.2	15.0	15.9	16.6	17.2	17.1	17.1	17.1	16.6	15.1	14.2	14.3	14.1	13.6	13.66
23.	13.3	13.4	13 5	13.8	15.6	15.9	17.4	16.3	17.9	18.8	19.0	19.0	19.6	19.4	19.6	19.4	19.3	19.5	18.5	17.4	17.0	16.5	15.6	13.9	17.07
24.	13.9	14.0	14.6	13.8	15.3	16.5	18.6	18 9	20.4	21.7	22.6	21.9	19.7	18.3	17.0	15.4	14.7	11.9	11.0	10.9	10.9	11.1	11.1	11.4	15.65
25.	11.7	11.8	12.2	10.7	10.7	11.5	12.9	13.6	14.7	15.3	16.2	15.4	15.2	15.0	13.9	14.2	13.4	12.4	12.5	11.9	10.5	10.1	9.8	9.5	12.71
26.	8.8	8.8	8.2	7.9	7.2	7.1	7.0	7.0	10.0	11.7	11.9	13.2	14.4	15.0	14.9	14.0	13.3	10.8	10.2	9.0	7.8	7.8	7.5	8.1	10.07
27.	9.0	9.1	9.2	9.6	8.8	9.2	9.0	9.0	8.8	7.8	7.9	10.1	10.2	9.6	7.4	7.7	6.7	6.5	6.3	6.2	6.3	6.1	5.9	5.9	8.01
28.	5.6	5.5	5.3	5.4	5.6	5.8	6.5	7.0	8.2	9.2	9.8	11.9	11.3	12.1	13.6	13.4	13.9	13.8	12.9	12.0	11.1	10.8	11.0	11.0	9.70
29.	10.9	11.1	11.1	10.9	11.6	11.9	12.3	12.6	13.8	14.5	15.7	16.6	18.0	18.5	18.9	18.9	19.3	19.3	18.1	16.9	16.1	13.6	13.5	13.5	14.90
30.	12.6	12.1	12.0	13.0	14.2	15.2	17.2	17.8	18.5	19.3	20.7	21.2	21.4	21.1	21.2	21.2	20.3	19.5	18.8	18.3	14.8	12.3	14.4	15.4	17.19
Mittel	10,22	10.26	10.05	10.16	10.40	10.94	11.64	11.90	12.60	13.17	13.88	14.37	14.69	14.81	14.65	14.16	13.72	13.29	12.48	11.83	11.16	10.86	10.86	10.69	12.20

Thermometer-Registrierung. **Hohenpeissenberg.** 1911.

Juli

Datum	1a	2a	3a	4a	5a	6a	7a	8a	9a	10a	11a	12m	1p	2p	3p	4p	5p	6p	7p	8p	9p	10p	11p	12mn	Mittel
1.	15.5	15.2	13.9	12.8	12.4	12.4	12.6	12.9	13.7	14.2	15.5	16.4	17.4	17.2	17.3	16 7	15.1	13.6	12.9	13.4	14.0	14.3	15 0	15.7	14.59
2.	14.9	14.6	13.6	12.4	12.8	12.6	12 8	16.1	15.8	16.6	17.9	19.0	20.2	20.8	20.0	19.6	18.9	14.1	14.6	14.0	13.8	11.6	11.0	11.0	15.37
3.	9.9	9.3	8.6	8.3	8.5	8.7	9.0	9.8	10.8	11.0	11.7	11.7	12.3	12.5	12.4	13.3	14.4	13.8	11.7	11.2	10.2	8.9	8.8	9.0	10.66
4.	8 9	7.9	7.6	7.4	7.2	6.8	6.9	7.5	8.8	9.8	10.7	11.1	12.4	13 4	13.7	13.8	13.9	13.4	12.4	12.0	11.5	11.3	11.2	11.2	10.45
5.	10.9	10.0	9.2	10.0	10.0	11.1	12 2	12.2	12.3	12.5	13.4	14.3	15.3	15.7	15.6	15.5	15.6	14.9	14.7	13 6	12.7	12.7	12.3	12.1	12.87
6.	12.0	11.9	11.7	11.7	11.1	11.6	12.5	12.0	12.9	14.4	15.7	16.4	17.2	17.3	17.1	16.8	16.5	15.8	15.1	14.1	13.1	12.3	12.3	12.4	13.91
7.	12.3	12.3	12.5	12.3	13.0	13.5	14.6	14.8	14.9	16.4	17.7	18.1	18.9	19.0	19.3	19.5	19.6	19.6	18.7	17.3	17 2	16.7	16.0	15.9	16.25
8.	16.0	15.9	16.6	17.3	17.0	16.9	17.3	18.1	18.2	19.4	20.7	21.5	21.7	22.9	22.7	22.0	22.6	21.7	20.3	20.0	19.0	18.9	18.6	18.7	19.33
9.	17.7	16.2	15.8	15.8	16.1	16.4	16.6	16.9	18.1	18.2	19.8	19.4	18.5	18.6	17.6	17.2	16.7	16.5	14.9	14.0	13.1	12.9	11.8	11.2	16.25
10.	10.9	10.6	9.9	9.5	9.3	9.2	9.5	10.0	11.8	12.6	13.5	13.3	14.3	14.4	14.7	14.6	14.3	14.1	12.9	12.0	11.5	11.2	10.0	10.2	11.85
11.	9.8	9.1	9.7	9 6	10.2	10.5	11.0	11.5	13.1	14.0	14.3	14.6	15 7	15.4	15.7	15.5	15 5	15.5	15.8	14 4	13.6	12.9	12.6	12 7	13 03
12.	13.8	13.6	13 8	14.2	15.0	15 4	15.8	15 3	15.7	16 7	17.9	18.6	19.3	19.6	19.7	19.8	19.6	19.3	18.1	16.7	16.2	16.1	16.2	16.1	16.77
13.	15.6	15.9	15.8	15.8	16.5	16 8	16.7	17.2	17.3	17.7	19.4	20.1	20.9	20.9	20.3	20.2	20.6	20.8	19 5	16.7	16.2	14.5	13.3	14.0	17.61
14.	13.9	13.8	13.9	13.8	13.2	13 5	14.2	14.7	16.1	16.9	16.6	17.2	17.8	18.0	14.6	14.7	14.5	14.6	14.9	14.8	14.8	15.0	14.1	14.3	15.00
15.	13.9	14.3	13.2	13.3	14.2	14.0	15.2	15.5	17.2	18.0	19.0	17.6	19.2	16.8	13.3	13 6	15.8	16.5	13.9	13.9	14.4	14.3	14.3	14.1	15.23
16.	13.4	13.0	12.6	12.4	12.6	12 6	13.4	13.2	14.1	15.3	15.9	16.4	18.2	17.7	15.6	16.3	15.4	14.2	13.5	13.0	11.7	11.6	11.6	11.7	13.98
17.	11.8	11.5	10.8	10.7	10.5	10.7	11.1	12.1	14.5	15.3	16.3	16.4	17.6	18.1	18.2	18.4	18.6	18.7	17.3	16.1	14.9	14.7	14.6	13.6	14.69
18.	14.7	14.3	13.5	14.1	14.3	15.1	16.0	17 0	18.0	18.4	19.7	19 9	20.2	20.8	20 9	21.0	21.4	21.5	20.6	19.2	18.2	18.4	17.9	18.0	18.05
19.	18.0	17.9	17.9	17.2	17.1	17.3	17.5	18.2	19.7	20.1	21.2	21.8	22.1	22.7	23.1	22.9	22.8	23 0	22.3	20.0	18.2	17.5	17.4	17.3	19.71
20.	17.2	17.1	17.0	16.8	17.1	17.4	18.4	19.0	20.0	20.5	20.7	20.9	21.6	21.5	22.1	22.3	21.7	21.9	21.7	19.4	17.6	17.3	16.9	16.6	19.28
21.	16.1	15.2	14.6	14.7	14.1	14.9	16.3	16.2	16.3	17.2	18.8	19.5	20.5	21.0	21.3	21.2	21.2	20.9	19.7	19 3	18.7	18.7	18.1	17.8	18.01
22.	18.1	17.8	17.4	17.3	17.8	18.1	18.4	18.9	18.8	20.4	21.8	21.4	22.9	23.6	23.7	23.7	23.4	22.9	21.8	20.7	20.2	20.2	20.1	19.5	20.37
23.	19.3	19.4	18.9	18.9	19.5	20.2	21.4	22.0	23.0	23.8	24.4	25 0	25.7	26.6	27.1	27.0	27.3	26.8	26.1	24.4	22.8	22.2	23 5	22.2	23.23
24.	23.5	23.3	22.6	22.6	23.0	23.3	23.4	23.4	24.3	25.4	26.5	27.3	24.1	26.4	27.3	26.1	26.6	26.2	23.0	17.5	18.2	18.9	19.5	20.3	23.45
25.	20.3	22.2	17.4	18.5	19.2	20.0	20.2	20.3	22.1	22.1	24.1	24.8	25.9	26.5	26.8	27.1	27.1	27.3	26.6	25.1	21 0	21.0	19.9	19.7	22.72
26.	19.4	19.8	19.9	18.8	20.7	21.4	20.6	21.0	21.3	22.8	24.5	25.1	25.9	26.8	27.0	27.1	27.2	27.8	26.7	25.6	22.0	22.7	22.6	22.5	23.30
27.	21.0	20.1	19 1	19.7	19.7	20.8	21.2	22.0	22.9	23.3	24.4	25.1	26.3	26.5	27.3	27.3	27.0	26.3	25.7	25.7	24.2	24.1	22.7	23 0	23.56
28.	21.7	21 8	20.9	20.9	21.9	21.9	23.8	23.9	23 4	23.8	24.1	25.3	26.5	27.2	27.7	28.3	27.4	26.1	23.9	21.3	21.8	20.0	20.1	16.1	23.33
29.	18 4	16.5	16.5	16.4	16.4	18.7	19 7	20.9	22.5	22.9	23.2	23.8	24.7	24.9	25.7	25.4	24.3	24.3	24.2	22.9	21.2	21.4	21.3	21.5	21.57
30.	22.3	21.4	20.7	21.4	21.6	21.5	21.8	22.3	23.0	23.8	24.8	25.4	26.1	26.3	25.5	25.6	24.0	23.9	23.5	23.5	23.2	23.2	23.5	22.5	23.37
31.	20.8	21.2	21.3	19.5	18.8	20.1	21.1	21.2	21.6	21.5	22.2	22.9	22.6	22.5	23.1	23.3	22.9	21.8	19.6	19.1	18.2	17.8	17.4	17.4	20.75
Mittel	15.87	15.58	15.06	14.97	15.19	15.59	16.17	16.65	17.49	18.22	19.24	19.69	20.39	20.70	20.53	20.51	20.38	19.93	18.92	17.77	16 88	16.56	16.28	16.07	17.69

August

1.	17.1	17.0	16.3	15.9	15.7	16.6	16.6	16.7	16.4	17.7	18.6	19.4	19.9	20.1	20.4	20.3	20.1	19.7	18.5	17.2	16.2	15.7	15.6	15.9	17.65
2.	16.0	16.1	16.0	15.8	15.7	16.5	16.7	16.8	16.7	17.5	19.0	20.0	20.8	21.9	22.4	22.2	21.8	21.5	19.8	19.1	19.0	18.1	17.3	17.5	18.51
3.	17 6	17.9	18.5	17.3	17.1	16.8	18.0	18.2	19.3	20.9	22.2	22.7	23.0	24.2	24.5	24.3	24.5	25.1	24.0	23.1	19.6	22.0	21.0	20.7	20.94
4.	19.9	17.9	16.8	15.9	14.2	14.0	16.0	16.0	17.3	19.2	19.5	20.7	20.1	18.6	20.2	21.0	19.1	18.1	18.4	18.3	16.7	17.8	18.2	14.1	17.83
5.	14.4	14.5	14.4	14.3	15.3	14.9	15.2	15.3	16.4	18.1	20.1	20.5	16.8	21.0	21.4	21.4	21.9	21.0	20.9	19.3	18.1	17.7	17.5	17.3	17 82
6.	17.3	17.1	17.9	18.1	17.2	19.6	21.1	21.6	22.2	22.6	23.2	23.2	22.2	23.6	23.3	18.5	20.0	21.5	19.3	19.3	19.1	19.2	16.1	14.3	19.90
7.	15.2	15.2	16.3	16.6	17.0	17.2	17.0	17.2	18.3	19.2	19.7	20.5	21.6	21.8	21.9	22.4	22.4	22.3	21.3	20.3	19.4	19.5	19.8	19.9	19.25
8.	19.2	18.5	17.9	17 8	17.5	16.9	18.0	18.9	18.6	19.3	21.6	22.0	22.6	23.0	23.7	23.9	23.8	23.0	21.7	20.9	19.9	19.6	19.5	19.0	20.28
9.	17.6	17.3	17.4	17.8	16.9	17.5	16.8	16.9	16.7	18.9	20.2	20.7	21.1	21.6	22.1	22.2	21.7	21.0	19.8	18.9	18.4	18.2	18.3	18.0	19.00
10.	18.6	18.0	17.8	17.9	17.5	18.3	18.6	18.9	17.7	18.8	20.4	21.3	22.3	22.7	22.6	22.7	22.7	21.7	20.0	19.1	18.4	18.1	17.9	17 6	19.57
11.	17.9	17.6	17.3	17.2	16.6	16.5	16.8	16.0	16.1	18.1	19.4	20.0	20.5	21.0	21.5	21.8	21.0	20.1	19.3	18.5	17.8	17.3	16.8	16.7	18.41
12.	17.1	17.1	16.5	16.4	13.1	13 9	13.2	14.0	16.4	17.5	19.0	19.6	20.3	20.5	21.0	21.1	20.1	18.5	17.4	16.2	14.7	14.5	14.4	14.3	16.95
13.	13.9	13.3	12.1	12.3	12.1	13.0	13.8	14.8	15.6	16.5	17.7	18.6	19.7	20.4	20.6	20.9	20.5	20.3	15.9	17.5	16.8	17.0	17.2	17.0	16.56
14.	17.3	17.0	16.7	15.4	14.9	15.0	15.8	14.9	17.0	17.9	18.6	18.6	17.7	19.1	19.4	19.1	19.0	19.3	18.6	18.5	16.5	16.3	16.6	16.4	17.32
15.	16.2	15.6	14.8	14.7	15.4	16.0	17.0	16.7	17.6	18.0	20.7	20.6	21.0	21.2	19.8	19.5	18.5	17.3	16.1	15.8	13.8	13.8	13.5	12.7	16.93
16.	12.2	11.8	11.0	10.5	10.3	10.4	10.5	11.6	12.7	13.8	14.2	15.5	16.4	16.7	17.6	16.7	16.4	15.7	13.8	12.8	12.5	12.1	11.9	11.6	13.28
17.	11.1	10.8	10.1	9.9	9.9	10.0	10.3	10.7	12.5	13.0	14.2	15.3	15.9	16.6	17.1	17.2	17.0	16.4	13.8	13.0	12.3	12.1	11.6	11.2	13.00
18.	11.1	11.1	11.0	10.9	10.8	11.0	12.3	12.1	13.4	15.6	17.3	18.7	19.9	21.0	20.9	19.9	19.3	18.0	17.6	16.8	16.6	16.8	16.6	15.6	15 60
19.	16.5	14.9	13.7	13.2	13.7	14.2	15.0	15.5	17.9	18.6	20.3	20.8	21.8	22.6	22.7	22.6	22.3	22.3	20.6	20 3	19.9	19.9	18.4	18.5	18.59
20.	18.7	17.9	17.7	18.4	17.8	18.1	19.0	20.0	22.1	23.8	23.5	21.7	22.7	25.0	25.5	25.5	25.1	24.6	23.2	21.1	20.3	19.4	19.1	19.1	21.22
21.	19.1	19.0	20.2	21.0	21.3	21.6	16.0	17.2	18.4	15.6	18.4	21.3	23.0	25.2	25.7	25.9	24.2	14.6	16.7	15.6	15.6	14.9	14.7	14.8	19.17
22.	16.4	17.5	18.2	17.0	16,7	18.0	17.8	17.3	17.7	17.6	18.2	20.2	21.6	22.0	22.4	22.3	21.8	21.7	20.4	20.0	18.4	16 8	13.7	15.4	18.71
23.	16.2	16.3	16.5	16.8	17.7	18.4	18.0	18.4	19.4	19.2	20.0	21.1	22.1	22.8	16.6	12.4	13.2	14.5	15.4	15.9	15.6	15.8	15.8	16.2	17.26
24.	15.1	14.3	13.3	12.7	12.2	12.5	13.5	13.9	16.2	16.6	17.4	18.0	18.4	19.0	19.5	19.4	16.4	15.8	12.5	13.5	13.6	13.7	13.9	14.0	15.23
25.	13.9	14.0	14.4	14.1	14.2	13.7	14.1	15.5	15.2	16.5	17.7	19.7	19.0	19.9	20.2	20.6	20.4	19.4	18.5	17.8	17.0	16.9	15.7	15.9	16.85
26.	13.2	11.5	12.5	12.9	13.8	12.2	12.3	12.4	12.3	12.0	12.0	12.0	13.2	14.4	14.5	15.4	15.5	12.8	13.4	13 5	13.2	13.0	12.9	12,8	13.07
27.	12.8	12.8	12.9	12.8	12.8	13.4	13.8	14.2	15.1	15.8	17.0	17.1	18.1	18.1	18.3	18.3	18.0	17.6	17.4	17.4	16.3	16.1	16.4	16.3	15.78
28.	16.0	15.1	15.2	15.1	15.8	15.6	14.8	17.4	18.0	18.7	20.3	21.4	21.7	22.4	23.0	23 0	22.7	22.9	21.5	20.0	18.2	20.0	19.4	19.7	19.08
29.	19.8	19.9	19.4	19.2	18.6	19.1	18.9	19.1	20.2	21.7	22.9	23.5	23.8	24.2	24.3	24.5	24.5	24.3	22.9	20.0	18.9	18.3	17.8	17.5	20.97
30.	17.9	16.9	15.8	15.9	15.7	16.2	19.2	18.0	18.1	18.2	16.9	17.6	17.7	18.7	18.6	18.4	18.1	17.7	17.7	17.1	16.4	15.7	15.4	14.1	17.17
31.	12.3	10.2	9.1	8.2	8.2	8.3	8.4	8.5	8.9	10.7	12.1	12.2	13.4	14.7	15.1	15.1	14.2	13.8	13.1	12.7	12.6	12.1	12.1	12.1	11.59
Mittel	16.05	15.62	15.41	15.23	15.02	15.34	15.63	15.96	16.79	17.67	18.78	19 50	19.95	20.77	20.87	20.60	20.20	19.44	18.37	17.73	16.83	16.72	16.29	16.01	17.53

Thermometer-Registrierung. **Hohenpeissenberg.** 1911.

Datum	1ª	2ª	3ª	4ª	5ª	6ª	7ª	8ª	9ª	10ª	11ª	12m	1p	2p	3p	4p	5p	6p	7p	8p	9p	10p	11p	12mn	Mittel
September																									
1.	11.5	10 8	10.7	10.9	10.8	10.8	11.8	12.8	13.4	12.5	14.1	15.5	16.7	17.2	17.6	17.8	17 8	16.7	16.1	15.4	15.4	15.0	16.0	16.3	14.32
2.	16.1	16.2	15.7	16.9	17.9	18.3	18.4	18.8	19.5	20.5	21.5	22.8	23.5	23.8	23.3	23.4	23.1	22.9	21.2	19.8	19.3	18.7	20.4	21.1	20.13
3.	20.6	19.5	19.7	18.8	18.0	19.6	19.9	20.2	20.6	21.4	22.5	22.9	23.7	24.2	24.2	24.1	23.6	23.2	22.4	21.8	20.2	19.5	21.2	20.7	21.35
4.	20.7	20.3	19.7	18.9	18.7	18.5	18.4	18.8	19.9	21.5	22.5	22.9	22.2	22.6	22.6	22.7	22.4	21.5	19.3	18.6	18.2	17.9	17.6	17.4	20.16
5.	16.5	15.3	15.3	14.4	13.9	15.4	15.4	16.3	17.5	18.7	20.3	20.8	21.4	22.3	22.2	18.3	19.0	17.0	18 7	19.2	18.8	18.9	19.4	18.4	18.06
6.	17.3	17.4	16.6	16.4	16.2	15.7	15.9	15.8	16.6	17.8	18.9	20.1	21.7	22 4	22.2	21.9	20.8	20.5	20.6	19.7	18.9	18.6	18.2	17.2	18 64
7.	17.5	17.3	16.2	17.1	17.0	16.9	17.8	18.5	19.2	19.7	20.7	21.3	22.0	22.6	22.7	22.7	22.6	21.0	20.7	20.3	18.4	17.9	17.7	17.4	19.38
8.	17.6	18.2	18.3	17.5	16.5	17 9	18.4	17.5	19.4	20.4	21.2	21.6	22.4	23.2	23.2	22.6	22.5	22.4	22.0	20.8	20.0	19.6	20.8	21.2	20.22
9.	21.4	20.0	18 2	17.9	17.4	18.5	18.2	18.5	18.9	20.5	22.0	22.4	23 2	22.1	22 8	22.8	22.0	20.5	19.6	19.8	19.6	20.3	15.4	15.8	19.91
10.	16.0	18.1	18.6	18.5	18.1	17.9	16.2	14.2	11.9	12.4	13.2	14.4	14.3	14'7	13.9	13.7	14 2	13.6	13.4	13.0	11.8	11.4	11.4	10.7	14.40
11.	10 4	9.8	9.9	10.5	9.2	9.6	10.6	11.5	11.7	11.7	13.9	15.4	16.3	17.0	17.6	17.5	16.9	16.3	15.6	15.0	14.4	14.2	15.0	14.5	13 52
12.	15.0	16.0	16.2	15.6	14.8	14.8	15.3	16.3	17.4	18.2	19.4	20.3	22.1	22.3	22.5	22.6	22.3	22.1	21.5	20.2	19.4	19.2	19.7	19.6	18.87
13.	19.9	19 8	20.8	19.7	19.3	19.0	19.8	20.3	20.3	21.4	22.8	23.4	23.7	24.2	24.2	23.8	22.9	22.0	21.3	20.8	20.8	20.0	19.9	21.0	21.30
14.	20.9	19.0	18.9	17.4	17.2	17.3	17.1	16.6	17.3	18.5	19.7	20.4	21.2	22.0	22.2	22.0	21.8	20.8	20.2	20.0	20.0	20.0	19.9	16.5	19.45
15.	20.4	18.2	13.9	13.8	13.9	13.5	12 8	12 7	13.2	14.5	14.7	15.0	15.4	16.7	14.7	14.2	12.0	11.6	11.1	11.0	11.2	10.9	10.0	9.7	13.55
16.	9.0	7.4	7.4	6.9	6.8	6.6	6.7	6.5	6.6	6.9	7.1	7.3	7.5	7.5	7.5	7.5	7.5	7.5	7.5	7.6	7.3	7.3	7.3	7.1	7.26
17.	6.8	6.7	6 8	6.7	6.4	6.2	6.3	6.2	6.6	6.9	7.9	7.9	8.8	9 4	9.4	9.1	9.0	8.5	8.3	8.1	7.5	7.4	7.1	7.2	7.55
18.	6.6	6.2	6.4	5.6	5.4	5.6	5.8	6.6	8.4	8.6	8.1	8.6	9.1	9.5	9.5	9.6	9.3	8.9	8.8	8.6	8.5	8.4	8.4	8.5	7.88
19.	8.3	8.4	8.5	8.3	8.4	8.7	8.9	9.5	10.0	11.2	12.1	13.4	14.1	14.4	14.6	14.5	14.3	14.1	13.8	13.7	12.8	12.1	12.3	12.9	11.64
20.	12.8	12.5	12.2	12.1	12.0	11.9	12.3	12.7	13.4	14.5	14.4	14.4	14.6	16.7	17.5	17.5	17.1	15.5	14.9	14.7	14.7	14.5	16.0	15.0	14.33
21.	13.6	14.1	12.5	12.4	12.0	11.7	11.7	11.7	12.2	12.7	13.7	14.9	15 2	15.9	11.8	8.2	8.2	7.9	7.6	6.1	6.0	5.9	5.5	5.0	10.69
22.	5.3	5.4	5.0	4.8	4.8	4.6	4.4	4.1	4.4	4.7	5.7	6.5	5.9	5.8	5.9	5.9	5.8	5.7	5 6	5.5	5.4	5.4	5.4	4.9	5.29
23.	4.5	4.3	4.2	4.2	4.3	4.3	4.0	4.1	4.3	4.3	4.5	4.8	4.9	5 7	5.7	6.6	5.9	5.1	4.7	4.4	4.4	4.5	3.9	3.8	4.64
24.	4.5	4.8	4.7	4.0	4.4	4 6	5.0	5.8	7.1	7.7	8.8	9.3	9.9	10.0	10.0	9.7	9.2	8.1	7.6	7.5	7.6	7.7	7.7	7.7	7.23
25.	7.5	7.5	7.8	7.9	8.3	8.2	8.3	8.5	9.4	11.0	11.0	12.0	12.8	13 8	13.3	12.2	11.9	11.5	11.3	11.3	11.0	10.7	10.4	10.2	10.33
26.	10.0	9.7	9.2	8.9	8.6	8.2	10.0	8.9	9.7	10.8	12.9	13.1	14.1	15.0	15.2	15.0	14.4	13.8	12.9	12.7	12.3	11.5	10.1	10,1	11.55
27.	9 5	9.9	9.6	9.5	9.5	9.4	9.7	10.0	10.5	11.5	12.1	13.2	13 9	14.4	14.8	14.0	13.9	13.5	13.3	12.6	12.1	11.9	11.9	12.0	11.78
28.	11.0	11.1	11.2	10.9	11.1	11.4	11.6	12.1	12.7	13.7	13.9	13.6	11 8	13.2	14.2	13.5	12.8	12.1	11.5	11.3	11.2	10.4	9.4	9.2	11.87
29.	9.1	8.5	8.1	7.6	6.8	7.1	6.9	6.5	6.8	7.2	7.3	7.5	7.6	7.8	6.3	6.2	6.3	6.5	6.8	6.8	6.1	5.3	5.0	4.7	6.87
30.	4.7	4.5	4.3	4.2	4.3	4.2	4.4	5.2	5.8	6.4	6.8	7.0	6.4	6.5	7.5	7.9	7.5	7.1	7.2	7.0	7.8	6.3	6.3	6.4	6.07
Mittel	12.83	12.56	12.22	11.94	11.73	11.88	12.07	12.24	12.82	13.59	14.46	15.09	15.55	16.10	15.97	15.58	15.23	14.60	14.18	13.78	13.37	13.05	12.98	12.74	13.61
Oktober																									
1.	6.9	5.6	6.2	2.3	3.0	3.2	3.6	3.5	3.5	3.3	3.3	3.3	3.6	3.3	2.9	2.9	2.8	2.7	2,6	2.4	2.5	2.3	2.3	2.0	3.33
2.	1.8	1.7	1.3	1.1	1.5	1.4	1.2	1.2	1.2	1.4	1.3	1.3	0.8	1.2	2,0	2.3	1.0	1.0	0.5	0.3	0.4	0.3	0.4	0.4	1.13
3.	0.5	0.9	1.1	0.9	1.0	0.6	0.8	1.9	2.9	3.5	4.1	4 5	5.4	5.9	6.4	6.3	6.1	5.3	4.8	4.5	4.6	4.5	4.8	4.6	3.58
4.	4.9	5.2	5.5	5.7	5.9	7.2	7.1	7.8	8.7	10.0	10.0	11.2	11.3	11.5	11.2	10.8	10.3	9.9	9.8	9.4	9.5	9.8	9.8	5.8	8.68
5.	5.2	4.9	4.4	4.3	4.4	4.5	4.7	5.0	6.3	6.7	8.5	8.9	9.6	9.6	9.6	9.2	8 3	7.5	7.1	7.0	6.8	6.8	6.5	6.7	6.77
6.	6.4	6.3	5.9	5.5	5.6	5.6	6.0	6.6	6 5	6.6	6.7	7 1	7.9	8.5	8.4	8,3	8,5	8.6	8.7	8.7	10.0	11.5	12.9	12.5	7.89
7.	13.3	15.1	13.9	13.5	13.6	14.2	14.0	15.0	12.3	12.6	10.8	11.5	11.4	11.4	11.0	11.5	11.1	10.1	9.8	9.4	9.5	9.4	9.3	8.6	11.76
8.	9.7	8.8	9.0	9.6	9.0	8.9	9.9	10.3	11.1	11.6	12.8	12.9	13.4	13.8	13.9	12.6	11.4	11.1	9.9	9.5	9.3	8.4	7.8	7.8	10.52
9.	8.0	8.0	8.3	6.7	7.3	7.9	10.5	11.1	12.0	13.4	14.4	14.8	15.2	15.1	14.2	13.9	12.9	11.5	10.6	10.3	10.5	9.9	9.0	7.7	10.97
10.	6.8	6.5	6.5	6.5	5.6	5.2	3.9	4.0	3.7	4.1	4.0	4.0	4.0	4.6	5.0	5.1	5.5	5.5	4.7	4.6	3.8	3.5	3.0	3.2	4.72
11.	3.1	2.8	2.4	2.9	3.2	2.9	3.:	3.3	3.7	3.7	4.6	6.5	7.5	8.3	8.5	8.6	8,2	7.8	7.1	6.8	7.1	7.7	8.0	6.8	5.61
12.	7.3	7.1	7.8	7.7	9.1	8.0	9.2	10.4	10.5	11.8	12.6	13.2	14.2	14.2	14.2	13.7	13.5	12.5	11.5	11.1	10.7	11.0	11.9	10.7	10.95
13.	11.6	10.8	11.3	10.5	9.9	9.7	9.6	9.7	10.1	10.9	11.7	12.6	13.1	13.6	14.0	14.0	13.0	12.3	11.7	11.2	10.7	10.7	13.3	10.0	11.50
14.	9.6	10.1	9.8	9.5	9.5	9.4	9.0	9.3	10.8	11.4	12.8	13.9	14.1	14.1	14 0	13.3	12.5	11.8	11.5	11.5	11.1	10.8	10.8	10.8	11.31
15.	11.4	11.6	11.7	9 7	9.6	9.8	9.7	10.4	11.2	11.6	11.9	13.4	14.1	14.2	14.0	13.5	12.7	12.2	10.9	10.3	9.5	8.7	8.5	7.7	11.18
16.	9.2	8.9	6.5	6.4	5.9	6.1	6.1	6.2	6.6	6.6	6.9	7.2	7.2	7.3	7.0	6.6	6,2	6,1	6,4	6.4	6.1	5.8	5.6	5.5	6.62
17.	4.8	3.9	4.5	3.2	3.3	2.9	2.8	2.9	3.3	3.0	3.5	3.7	3.9	4.1	5.7	6.7	7.4	7.6	7.1	6,8	10.9	11.0	10.7	12.0	5.65
18.	11.7	10.8	10.1	9.4	9 3	8.7	8.5	8.6	10.0	12.3	12.9	13.4	11.7	12.5	12.7	12.8	12.4	11.6	11.6	11.9	12.9	13.4	12.5	12.7	11.43
19.	13.5	12.9	13.9	12.6	12.2	11.9	10.9	11.3	11.7	12.1	13.4	13.8	13.9	14.3	14.4	14.1	13.8	12.9	12.3	11.4	9.7	10.0	9.2	8.8	12.29
20.	8.2	8.1	7.7	8.1	8.1	8.3	9.2	9 8	10.7	10.7	11.6	12.7	12.7	13.4	12.9	12.5	11.9	11.5	10.9	10.3	9.6	9.5	10.0	10.7	10.38
21.	10.0	10.1	9.9	8.9	9.1	9.1	9.9	10.1	10.7	11.1	11.7	11.9	13.3	13.8	13.7	13.1	12.1	11.8	11.2	10.9	11.7	9.9	10.0	11.3	11.05
22.	11.0	11.1	11.5	12.5	11.2	9.8	10.6	11.0	11.4	11.1	11.4	12.5	12.7	13.2	11.7	11.5	10.9	10.5	10.3	10.1	10.1	10.5	10.2	10.0	11.12
23.	9 9	9.6	9.6	9.4	9.2	8.7	8 5	9.0	9.8	10.0	9.1	9.2	10.0	10.1	9.1	8 6	7.9	7.5	6.9	6.6	6.6	7.0	7.0	7.0	8.60
24.	7.0	7.0	7.5	7.4	7.0	6.8	6.5	6.7	6.7	6.5	6.1	6.0	6.0	5.9	5.5	5.3	5.5	5.5	5.1	5.9	5.4	5.7	6.0	5.7	6.20
25.	5.2	4 8	6.0	6.0	6.1	7.0	6.8	6.7	8.1	8.7	9.2	8.8	8.8	8.1	8.3	8.4	8,0	4.7	2.8	2.7	2.8	2.7	3.1	3.5	6.14
26.	3.7	3.6	3.5	3.1	2 8	2.9	3.1	3.8	4.8	6.6	6 7	7.2	7.4	7.4	7.3	7.3	6.2	5.5	5.1	5.2	4.9	5.0	5.5	6.2	5.20
27.	6.3	6 5	7.1	7.4	7.7	8.3	7 9	8.4	8.6	9.5	11.3	12.0	12.5	12.3	10.5	10.5	10.6	10.1	9.6	7.8	6.8	6.0	5.2	4.4	8.64
28.	4.5	4.5	3.9	3.4	3.2	2.8	2.1	2.3	3.1	3.5	4.3	5.3	5.2	6.0	5.3	4.1	3.5	4.2	4.2	4.9	4.0	3.5	3.7	3.6	3.96
29.	3.9	4.0	3.7	3.6	4.1	3 4	3.3	4.4	5.3	5.2	5.2	5.6	5.2	4.8	3.2	2.7	2.2	1.1	0.3	0.1	– 0.0	– 0.2	– 0.1	– 0.1	2.95
30.	– 0.2	– 0 7	– 0.3	0.0	– 0.1	0.0	0.2	0.3	0.5	1.0	1.3	1.4	2.6	2.6	2.8	2,8	3.2	3.1	3.0	4.3	4.4	4.5	5.5	5.1	1.97
31.	4.5	3.4	3.6	3.9	3.9	3.6	3.2	4.7	5.7	6.9	7.0	7.5	7.8	8.5	8.6	8.3	7.9	7.6	7.0	6.6	5.4	6.0	6.9	6.5	6.04
Mittel	7.09	6.90	6.90	6.51	6.49	6.41	6.51	6.96	7.47	7.98	8.42	8.95	9.24	9.47	9.29	9.07	8.63	8.10	7.58	7.38	7.33	7.28	7.36	7.04	7.68

Thermometer-Registrierung. **Hohenpeissenberg.** 1911.

November

Datum	1a	2a	3a	4a	5a	6a	7a	8a	9a	10a	11a	12m	1p	2p	3p	4p	5p	6p	7p	8p	9p	10p	11p	12mn	Mittel
1.	6.9	5.8	6.8	6.0	5.2	4.7	3.8	3.6	4.4	4.6	6.0	6.4	6.5	6.6	6.0	5.9	5.6	5.2	4.9	4.5	3.9	3.6	3.4	3.4	5.15
2.	3.3	3.2	3.1	3.0	2.9	2.4	2.0	1.7	1.6	2.2	3.3	3.1	4.3	5.4	5.5	5.2	4.7	4.6	4.4	4.2	4.4	5.4	6.4	5.8	3.84
3.	4.5	3.9	3.3	3.6	4.4	4.5	1.9	1.9	2.5	2.9	3.9	4.3	5.1	5.0	4.9	4.2	3.5	3.3	3.2	3.1	3.4	3.4	4.6	5.2	3.77
4.	6.3	6.3	5.0	5.6	7.4	8.0	8.0	7.9	8.2	7.7	9.0	10.1	10.1	10.1	9.7	9.1	7.2	7.1	7.2	7.5	8.1	8.4	8.0	8.5	7.94
5.	7.8	7.7	7.7	7.7	8.0	8.5	8.3	8.6	9.5	9.2	9.5	10.7	11.5	13.4	14.7	13.5	13.4	13.4	13.4	12.8	12.5	12.4	12.0	11.8	10.75
6.	11.3	10.0	8.8	7.0	4.7	4.2	4.1	4.3	3.9	3.0	3.2	3.5	3.8	4.3	4.0	4.0	4.2	4.6	4.1	3.9	3.3	3.2	2.6	2.1	4.67
7.	2.0	1.9	1.7	1.5	1.1	0.4	0.4	0.6	1.4	2.3	3.2	3.7	4.2	4.6	4.5	4.0	3.0	2.9	2.4	2.2	2.1	2.1	2.1	2.3	2.36
8.	1.5	1.7	1.6	1.8	1.7	1.6	1.8	2.0	2.4	2.2	2.0	2.5	3.4	3.7	4.0	3.8	3.8	3.6	3.2	3.4	4.1	4.8	4.9	4.9	2.93
9.	4.9	4.9	4.9	5.1	5.5	5.2	5.2	4.8	5.4	6.3	6.0	6.6	7.3	8.1	8.5	8.6	8.0	4.8	5.6	4.9	4.1	3.0	2.9	2.6	5.55
10.	1.8	1.8	1.5	1.6	1.6	2.5	2.7	2.5	2.6	2.4	2.7	3.2	3.4	3.3	3.0	2.8	2.5	0.2	− 0.4	− 0.5	− 0.2	− 0.1	0.1	0.5	1.73
11.	0.5	0.3	0.2	0.1	− 0.1	− 0.3	− 0.2	− 0.1	0.1	0.2	0.3	0.5	0.7	1.0	1.1	1.2	1.1	0.7	1.0	1.0	1.8	2.4	2.1	2.3	0.75
12.	2.1	3.2	2.6	2.4	2.5	3.2	4.0	4.1	6.9	7.5	8.2	9.3	9.1	7.7	7.7	6.9	5.9	6.2	6.0	6.0	6.8	6.3	5.7	6.1	5.68
13.	6.2	6.5	6.5	6.0	5.5	4.2	2.7	2.5	2.6	2.6	2.7	2.9	2.9	2.9	2.7	2.4	2.4	2.3	2.2	1.7	1.4	1.1	1.1	1.1	3.13
14.	1.5	1.4	2.1	2.2	2.3	2.3	2.5	2.7	2.9	3.2	3.2	3.1	3.4	3.5	3.5	3.5	3.4	3.1	3.0	2.8	2.4	2.5	2.4	2.3	2.72
15.	2.2	2.1	1.8	1.4	1.1	0.9	0.5	0.3	0.4	0.8	0.7	1.2	2.2	4.1	4.7	5.8	10.0	10.2	9.6	9.5	9.7	7.4	6.3	5.1	4.08
16.	6.3	6.7	6.5	6.4	6.3	5.6	4.2	3.4	4.5	5.3	5.6	5.8	7.1	7.9	7.3	6.1	5.8	5.7	5.9	5.6	5.0	4.6	4.4	4.1	5.67
17.	4.1	4.0	3.9	4.0	3.9	3.7	2.9	2.9	4.0	5.6	7.0	7.8	8.9	8.8	7.8	8.2	7.4	6.5	7.1	7.2	8.0	7.4	7.9	5.8	6.03
18.	4.1	4.7	5.5	6.3	6.6	6.7	6.4	6.7	7.4	4.4	3.4	4.1	5.9	5.7	5.3	4.9	4.8	4.5	5.5	6.6	7.2	6.0	6.8	5.8	5.64
19.	3.2	1.4	0.5	0.8	0.9	1.3	1.4	1.5	1.3	1.4	0.4	1.5	1.7	2.2	1.9	0.7	1.1	1.1	1.1	1.5	1.1	0.5	− 0.3	0.2	1.18
20.	0.5	− 0.2	1.5	1.3	1.1	1.6	2.2	2.9	2.7	2.7	3.7	3.9	3.8	4.0	3.6	3.3	1.4	0.7	2.0	2.2	2.5	2.2	2.2	2.2	2.25
21.	2.0	1.9	1.9	2.2	2.2	2.3	2.1	1.9	2.0	2.0	2.5	1.3	2.5	2.5	2.0	2.1	2.6	2.3	2.9	4.5	6.1	5.7	6.0	7.0	2.94
22.	6.9	6.4	7.5	6.8	6.7	8.3	7.8	7.1	7.1	7.9	8.4	8.8	10.0	10.0	10.0	9.7	10.5	10.9	12.1	12.1	12.9	11.9	11.7	12.6	9.34
23.	14.1	11.6	12.3	11.4	11.3	12.6	11.9	12.7	12.6	13.6	14.5	15.1	15.0	13.8	13.5	12.0	10.1	9.7	8.6	9.9	8.9	8.7	7.9	9.2	11.41
24.	8.5	7.1	8.6	8.8	8.2	7.8	7.6	5.4	5.9	7.0	7.1	7.3	6.6	2.7	1.5	1.8	2.0	2.2	2.3	2.5	4.4	4.1	4.2	4.1	5.32
25.	4.1	4.4	4.4	4.3	4.1	4.1	4.0	3.5	2.9	2.9	2.0	1.7	1.8	2.0	2.0	1.7	0.1	− 0.2	0.1	0.1	0.1	1.7	1.6	1.5	2.29
26.	2.4	2.5	2.4	2.4	2.9	3.2	2.7	3.6	4.1	5.1	6.0	6.3	5.5	4.6	4.4	3.4	3.3	2.2	− 0.3	0.0	− 0.5	0.5	3.0	2.5	3.01
27.	4.2	4.1	3.5	3.8	3.0	3.9	4.9	5.2	3.8	4.3	5.6	6.5	7.2	7.6	6.9	6.3	5.2	5.2	6.1	5.7	6.5	4.4	3.7	4.0	5.07
28.	4.8	4.9	5.7	4.8	4.9	4.9	5.6	6.9	9.5	8.8	8.9	7.2	7.5	8.3	8.0	7.2	7.5	7.4	7.2	7.2	7.5	7.3	7.8	7.3	6.96
29.	6.4	6.7	6.8	7.5	7.5	7.4	7.6	7.7	8.4	8.3	8.1	8.2	8.0	7.8	7.7	7.4	6.2	5.0	5.4	5.4	5.6	5.2	5.8	5.8	6.91
30.	4.6	4.5	4.7	4.7	4.5	2.8	2.9	2.2	2.8	2.6	2.3	2.5	2.4	2.3	2.2	2.2	2.3	2.4	2.6	1.5	1.6	0.6	0.5	0.7	2.60
Mittel	4.63	4.38	4.44	4.35	4.26	4.28	4.06	4.03	4.46	4.63	4.98	5.30	5.73	5.80	5.62	5.26	4.97	4.59	4.61	4.63	4.82	4.56	4.59	4.56	4.73

Dezember

1.	0.8	0.8	1.0	0.9	0.9	1.0	1.0	1.1	1.3	1.7	1.7	1.3	1.5	1.4	1.4	1.3	1.3	1.4	1.2	1.1	0.8	0.6	0.5	0.5	1.10
2.	− 0.1	− 0.5	− 0.6	− 0.6	− 0.5	− 0.8	− 1.0	− 0.9	− 1.3	− 1.7	− 0.3	− 0.4	0.0	0.9	0.6	− 0.3	− 1.9	− 2.0	− 1.9	− 2.0	− 2.3	− 3.3	− 3.7	− 4.0	− 1.19
3.	− 4.4	− 4.0	− 3.8	− 3.7	− 3.9	− 4.0	− 3.0	− 2.6	− 2.1	− 1.8	− 1.0	− 0.9	0.3	0.8	0.6	0.8	1.7	1.0	1.7	1.9	2.0	2.2	2.3	2.5	− 0.73
4.	3.0	2.9	3.1	2.8	2.7	2.8	2.3	2.5	3.2	3.5	3.4	3.4	3.8	3.9	3.8	3.6	3.6	3.1	2.3	1.9	1.4	1.2	1.1	0.9	2.76
5.	0.6	0.3	0.2	0.2	0.1	0.0	0.2	0.4	0.7	1.1	1.1	1.1	1.3	1.6	1.8	1.2	0.6	0.2	− 0.1	0.4	0.8	1.9	2.6	2.2	0.85
6.	2.3	2.1	2.9	3.2	3.1	2.3	1.2	1.1	1.5	2.2	2.6	3.3	3.5	3.2	3.3	2.7	2.2	1.9	1.2	2.5	2.9	3.0	1.6	1.7	2.40
7.	1.7	1.6	1.8	1.8	2.0	2.9	2.1	2.6	2.8	3.8	5.0	3.0	2.7	2.3	3.4	2.3	1.8	4.6	6.0	5.8	6.5	7.0	7.0	6.8	3.64
8.	4.8	5.1	5.9	6.3	6.8	6.3	3.9	2.9	2.3	2.4	2.5	3.4	3.0	2.9	2.1	1.2	0.7	0.7	0.5	0.8	0.5	0.1	0.1	0.2	2.73
9.	0.2	0.1	0.4	1.0	3.1	2.7	− 1.2	− 0.9	1.7	1.3	2.0	0.7	− 0.7	− 0.4	− 0.1	0.5	0.4	0.5	0.5	0.5	0.2	− 0.2	− 1.3	− 1.3	0.40
10.	− 1.3	− 1.4	− 1.5	− 1.6	− 1.6	− 1.6	− 1.4	− 1.5	− 1.1	− 0.1	0.1	0.4	0.4	0.5	− 0.1	− 0.4	− 0.6	− 0.3	0.6	0.1	1.2	2.0	2.0	3.0	− 0.18
11.	2.8	3.0	3.1	3.4	3.8	3.8	4.4	4.4	4.6	5.2	6.7	6.7	4.6	4.8	3.1	1.2	− 0.3	− 0.5	− 0.5	− 0.6	− 0.8	− 0.9	− 1.0	− 1.3	2.49
12.	− 1.4	− 1.5	− 1.6	− 1.5	− 1.6	− 1.5	− 1.4	− 1.5	− 1.3	− 1.3	− 1.2	− 1.3	− 1.3	− 1.1	− 1.2	− 1.2	− 1.4	− 1.5	− 1.6	− 1.7	− 1.8	− 2.0	− 1.8	− 2.2	− 1.50
13.	− 2.2	− 2.0	− 2.2	− 2.2	− 2.5	− 2.7	− 2.2	− 2.4	− 1.9	− 1.6	− 0.2	0.7	2.2	3.4	4.2	2.2	2.3	2.4	2.2	2.8	3.1	3.6	3.3	4.2	0.64
14.	3.4	4.0	4.9	4.4	3.8	3.2	4.2	4.0	3.1	2.6	3.7	4.6	4.6	7.0	4.7	3.2	2.9	3.2	2.6	2.7	2.7	2.8	3.4	3.1	3.70
15.	2.6	2.3	2.8	3.6	3.6	3.7	4.4	4.2	6.3	6.0	6.7	7.5	8.5	7.9	7.6	6.8	5.8	6.1	5.6	5.4	1.9	1.7	1.9	2.3	4.80
16.	0.3	0.2	− 0.2	− 0.4	− 0.4	− 0.5	− 0.6	− 0.9	− 0.6	− 0.4	− 0.4	− 0.3	− 0.3	− 0.2	− 0.2	− 0.2	− 0.3	− 0.3	− 0.5	− 0.6	− 0.8	− 1.0	− 1.4	− 1.4	− 0.48
17.	− 1.2	− 1.6	− 1.5	− 0.9	− 1.3	− 1.3	− 1.6	− 1.2	− 0.6	0.0	0.2	0.4	0.6	1.0	0.6	1.0	1.5	1.4	1.5	1.1	1.4	1.3	2.0	2.7	0.23
18.	2.2	2.2	1.9	3.2	4.1	4.3	4.6	5.8	7.5	6.2	6.2	8.2	7.3	7.0	7.7	6.9	6.3	6.4	8.3	8.5	9.0	8.8	8.5	8.7	6.24
19.	8.5	9.0	9.4	7.7	6.9	7.4	7.2	7.6	7.8	7.9	8.4	8.9	9.0	9.2	9.3	7.3	6.4	6.5	7.7	8.7	9.1	8.0	6.7	6.1	7.95
20.	6.8	6.8	6.4	6.7	7.7	7.2	7.2	6.0	2.5	5.4	7.3	8.4	8.8	8.8	9.7	9.8	6.6	4.9	2.6	3.8	4.7	3.7	3.7	3.2	2.9	5.95
21.	3.0	2.9	2.5	2.3	1.9	1.8	1.8	1.9	1.9	2.0	2.1	3.1	4.1	3.3	4.2	4.8	6.9	7.0	7.0	4.6	4.1	3.6	3.6	3.8	3.51
22.	3.2	2.4	1.1	1.1	− 0.1	0.0	− 0.2	− 0.2	− 0.1	0.2	0.4	0.7	0.8	1.3	1.2	0.5	0.3	0.6	1.1	0.8	1.6	1.2	− 0.2	− 0.5	0.72
23.	0.3	2.3	4.1	5.6	3.8	2.9	2.7	2.3	2.4	2.3	2.2	2.0	2.2	1.2	1.0	1.1	− 1.1	− 1.3	− 1.3	− 1.5	− 1.9	− 2.1	− 2.3	− 2.7	1.01
24.	− 2.8	− 2.3	− 2.3	− 2.5	− 2.4	− 3.0	− 2.9	− 2.0	− 1.6	− 1.6	− 0.3	0.7	0.9	1.3	1.2	1.2	2.3	2.8	2.7	3.2	4.4	5.0	4.9	3.9	0.45
25.	4.2	4.1	5.2	5.7	6.1	6.1	5.4	5.0	2.4	3.1	4.0	5.6	4.5	1.3	4.9	0.6	− 0.5	− 0.3	− 0.6	− 0.8	− 0.7	− 0.5	− 0.7	− 0.4	2.65
26.	− 1.1	− 0.9	− 0.6	− 0.8	− 0.8	− 0.6	− 0.6	− 0.6	− 1.0	− 0.8	− 0.2	0.0	0.0	0.5	0.5	0.3	− 0.3	− 0.5	0.3	0.5	0.4	0.4	0.2	0.4	− 0.22
27.	0.6	− 0.1	0.1	1.8	2.3	2.3	2.9	3.1	3.2	2.6	3.1	2.6	2.6	1.4	0.4	− 0.9	− 1.2	− 1.3	− 1.5	− 1.6	− 1.6	− 1.7	− 1.7	− 1.8	0.65
28.	− 1.8	− 1.8	− 1.8	− 1.8	− 1.9	− 1.9	− 1.8	− 1.8	− 1.7	− 1.3	− 0.9	− 0.4	0.0	0.2	0.1	− 0.2	− 0.6	− 0.7	− 0.8	− 0.8	− 0.4	− 0.3	0.1	0.7	− 0.90
29.	1.5	2.0	2.9	4.0	4.7	4.8	4.8	4.7	4.7	4.5	4.1	3.7	3.9	3.7	3.5	3.3	3.1	2.3	2.2	2.1	2.1	2.2	2.2	2.2	3.30
30.	2.2	2.2	2.0	2.0	1.9	1.9	2.0	2.1	2.5	3.0	3.8	4.5	4.7	5.1	5.5	6.4	5.8	6.3	6.3	5.7	3.3	1.5	1.2	0.9	3.45
31.	0.8	0.5	0.1	0.0	− 0.2	− 0.2	0.0	0.0	0.0	0.2	0.5	0.6	0.4	0.1	0.0	0.1	0.1	0.1	− 0.1	− 0.4	− 0.6	− 0.9	− 1.0	− 1.1	− 0.04
Mittel	1.27	1.31	1.48	1.67	1.68	1.59	1.43	1.46	1.58	1.83	2.36	2.65	2.71	2.75	2.74	2.06	1.70	1.69	1.82	1.80	1.68	1.58	1.41	1.39	1.82

Hygrometer-Registrierung. **Hohenpeissenberg.** 1911.

Januar

Datum	1ª	2ª	3ª	4ª	5ª	6ª	7ª	8ª	9ª	10ª	11ª	12m	1P	2P	3P	4P	5P	6P	7P	8P	9P	10P	11P	12mn	Mittel
1.	93	93	93	93	93	93	93	93	91	90	89	87	86	86	86	86	85	84	82	79	78	80	79	75	87.0
2.	68	77	82	89	93	96	97	97	96	93	90	87	84	84	84	84	84	84	84	84	84	84	84	84	86.4
3.	84	84	85	85	84	85	85	86	87	89	90	91	92	92	93	94	95	96	97	98	100	99	98	97	91.1
4.	96	95	94	93	92	91	90	90	91	91	92	92	92	93	91	89	87	85	83	81	79	81	82	84	88.9
5.	86	87	89	91	93	94	95	95	94	94	94	94	93	93	93	94	94	95	96	97	98	97	96	95	93.6
6.	94	92	91	90	89	88	87	85	83	81	79	77	76	76	76	74	74	73	73	72	72	73	74	75	80.2
7.	74	73	71	69	66	62	60	55	53	52	51	51	50	49	51	53	55	57	60	63	66	67	66	63	59.9
8.	59	54	53	53	52	51	51	51	51	51	52	53	54	57	58	59	58	57	57	58	60	61	62	59	55.5
9.	55	53	52	53	53	54	55	57	56	51	41	44	35	33	33	34	36	40	39	37	32	35	38	42	44.1
10.	54	83	88	92	95	97	98	99	97	97	96	95	94	94	94	93	93	92	92	91	91	91	90	90	91.5
11.	90	90	90	90	90	90	89	86	83	80	77	74	71	68	68	67	66	65	64	61	59	54	53	50	74.0
12.	47	43	39	36	33	31	29	28	28	30	30	31	31	31	30	31	32	33	34	36	37	40	42	45	34.5
13.	48	51	55	59	62	64	66	69	74	84	97	98	99	100	100	99	100	99	100	100	100	100	100	100	84.3
14.	100	100	100	100	100	100	100	100	99	98	99	98	97	97	97	97	98	99	100	100	100	99	98	97	98.9
15.	96	96	94	93	92	91	90	89	88	87	86	85	84	84	84	84	84	82	82	83	84	81	79	76	86.4
16.	74	71	79	66	60	62	60	62	62	64	66	55	51	47	45	44	44	44	43	44	44	42	41	40	54.6
17.	39	37	37	37	37	37	38	38	38	38	38	38	39	40	42	44	46	46	45	39	24	22	22	23	36.8
18.	24	26	27	28	30	33	36	41	46	52	58	62	65	68	70	71	73	74	74	74	75	76	76	76	55.6
19.	76	77	77	78	78	78	79	79	80	81	82	82	83	83	82	80	78	78	79	80	81	82	83	82	79.9
20.	83	83	82	82	81	81	80	77	75	74	72	71	69	68	65	64	62	60	58	55	54	54	53	53	69.0
21.	53	52	53	53	53	53	53	50	47	44	41	39	37	35	37	40	43	44	45	45	45	41	36	33	44.7
22.	31	28	26	24	22	23	23	24	25	26	28	31	34	38	41	45	49	53	57	61	64	68	74	79	40.6
23.	84	86	89	90	90	91	91	91	90	89	89	89	89	89	90	91	93	94	96	98	100	*97*	*94*	*91*	91.3
24.	*87*	*84*	*82*	*79*	*76*	*73*	70	*70*	*71*	*71*	*72*	*72*	*73*	73	*76*	*79*	*82*	*85*	*88*	*91*	94	*92*	*90*	*87*	79.9
25.	*85*	*83*	*81*	*78*	*76*	*73*	72	*72*	*72*	*74*	*74*	*75*	*75*	75	*74*	*73*	*73*	*72*	*71*	*70*	69	70	70	69	74.0
26.	64	62	61	61	63	63	64	63	62	61	61	62	63	65	67	68	67	65	58	54	53	54	54	55	61.3
27.	55	56	57	58	59	60	61	63	64	66	69	71	68	62	65	71	75	75	76	76	76	76	77	79	67.3
28.	79	80	82	77	43	57	76	87	86	87	90	92	93	95	95	94	94	93	93	92	92	91	90	90	85.3
29.	89	88	86	85	83	77	70	69	69	70	71	72	71	71	72	73	76	78	78	77	75	75	74	75	76.0
30.	74	74	74	74	74	74	75	74	73	71	62	49	43	44	45	47	48	51	53	57	61	65	68	72	62.6
31.	73	73	73	72	73	72	71	70	67	65	60	54	48	45	45	44	47	51	56	61	63	63	60	56	60.9
Mittel	71.4	72.0	72.3	71.9	70.5	70.8	71.1	71.3	70.9	71.0	70.8	70.0	69.0	68.9	69.3	69.9	70.7	71.1	71.4	71.4	71.3	71.3	71.1	70.7	70.8

Februar

Datum	1ª	2ª	3ª	4ª	5ª	6ª	7ª	8ª	9ª	10ª	11ª	12m	1P	2P	3P	4P	5P	6P	7P	8P	9P	10P	11P	12mn	Mittel
1.	54	48	49	50	42	38	44	37	38	38	42	37	41	43	45	42	42	39	37	40	52	65	74	73	46.3
2.	73	73	72	73	72	72	71	70	63	57	56	51	49	51	56	62	66	69	82	90	92	92	92	91	70.6
3.	91	91	91	91	90	90	90	91	92	94	95	96	97	98	98	97	97	96	96	95	95	95	95	95	94.0
4.	95	93	93	93	93	93	93	91	88	86	83	83	79	77	77	78	79	79	80	80	80	81	83	84	85.0
5.	85	86	84	86	88	90	91	88	88	86	84	82	82	81	81	81	81	81	81	81	81	80	80	79	83.6
6.	79	78	77	76	77	76	76	76	76	76	76	77	70	70	70	70	69	69	68	67	64	62	60	60	71.6
7.	59	58	58	59	60	60	61	62	60	57	58	60	57	54	56	57	60	62	63	66	66	64	73	74	61.0
8.	74	75	75	75	75	75	76	78	79	81	82	84	86	87	88	90	90	91	93	94	95	95	94	93	84.4
9.	92	92	92	91	91	90	90	89	86	83	82	80	79	76	*76*	*75*	*75*	*74*	*74*	*73*	73	77	72	64	81.1
10.	59	49	46	43	40	40	38	37	37	36	42	43	41	41	39	40	42	42	43	38	40	36	36	37	41.0
11.	46	49	45	52	57	58	58	61	61	61	60	59	57	57	55	56	58	56	54	53	50	51	52	53	55.0
12.	51	51	52	53	55	55	55	56	55	53	50	49	46	42	42	48	56	66	80	85	90	*90*	*90*	*90*	60.8
13.	*90*	*90*	*90*	*90*	*90*	*90*	90	*90*	*90*	*90*	*90*	*90*	*90*	86	86	86	86	87	87	87	87	88	89	90	88.7
14.	92	93	94	96	96	98	100	100	100	100	98	94	90	85	87	88	90	91	92	90	91	92	92	93	93.4
15.	94	95	95	96	97	98	98	98	94	92	74	53	42	35	32	31	30	31	30	32	31	43	61	61	64.3
16.	61	61	62	59	56	51	52	52	52	42	36	31	38	26	26	26	27	28	30	34	48	47	48	47	43.3
17.	44	41	39	38	36	34	32	30	29	29	40	38	33	34	39	40	43	53	74	77	82	81	80	81	47.8
18.	78	74	68	64	62	62	61	52	52	57	66	75	77	84	88	93	85	84	91	90	85	81	81	81	74.6
19.	79	76	77	75	79	81	77	74	59	48	47	45	50	69	74	71	83	78	85	86	100	100	99	98	75.4
20.	97	95	93	84	91	89	88	84	85	84	81	71	62	57	57	59	63	64	65	65	62	65	66	76	75.1
21.	69	71	75	77	80	81	80	82	87	87	75	67	60	50	41	41	42	42	41	39	38	38	34	33	59.6
22.	27	26	27	28	28	29	30	31	29	29	30	30	28	27	33	49	58	66	65	62	60	59	57	58	40.3
23.	59	61	63	63	63	63	84	80	78	73	66	58	48	41	39	43	49	40	35	35	36	36	64	60	55.7
24.	59	60	58	63	74	71	71	70	63	52	46	49	50	83	89	89	88	97	98	99	100	100	99	98	76.1
25.	95	99	96	86	88	97	100	93	85	93	86	80	81	76	73	74	80	92	95	97	100	100	99	99	90.2
26.	98	96	91	87	90	87	85	82	75	67	63	67	91	89	95	90	85	87	90	87	92	91	90	90	86.0
27.	83	84	87	89	85	86	95	97	97	93	84	96	92	82	91	93	93	93	93	92	85	75	73	67	87 8
28.	65	67	65	64	54	68	54	51	59	47	45	43	41	40	40	43	48	54	58	64	66	63	55	58	54.7
Mittel	73.1	72.6	71.9	71.5	71.8	72.2	72.9	71.5	69.9	67.5	65.6	63.9	62.8	62.2	63.3	64.7	66.6	68.3	70.7	71.3	72.9	73.1	74.6	74.4	69.6

Hygrometer-Registrierung. **Hohenpeissenberg.** 1911.

März

Datum	1a	2a	3a	4a	5a	6a	7a	8a	9a	10a	11a	12m	1p	2p	3p	4p	5p	6p	7p	8p	9p	10p	11p	12mn	Mittel
1.	57	63	63	61	60	60	71	78	84	86	86	80	71	65	65	93	93	92	92	90	90	88	86	85	77.5
2.	87	88	90	92	92	93	92	88	80	72	64	60	58	58	63	77	73	85	84	83	92	93	98	98	81.7
3.	98	99	99	99	98	98	98	98	98	98	98	97	93	94	94	96	98	99	100	100	100	99	99	98	97.8
4.	97	97	95	93	90	92	90	80	75	91	91	92	94	96	96	97	98	98	98	99	100	99	98	97	93.9
5.	96	95	95	94	93	92	90	89	91	92	88	83	80	92	95	96	96	96	96	96	96	96	95	94	92.8
6.	89	83	81	82	84	90	91	89	85	78	73	69	65	64	64	66	68	72	77	81	83	84	86	87	78.8
7.	89	91	92	94	96	98	98	97	94	91	85	79	71	66	65	66	69	79	83	83	81	80	81	83	83.8
8.	84	84	80	78	81	88	88	81	80	81	95	96	96	96	96	96	96	95	93	89	87	84	81	80	87.7
9.	80	82	89	81	83	88	89	84	84	91	91	90	87	83	79	79	81	85	87	89	90	91	91	93	86.1
10.	93	87	82	77	75	74	75	74	69	72	72	71	69	61	65	84	93	94	96	95	96	99	100	99	82.2
11.	99	99	99	99	98	96	98	96	97	97	96	94	91	87	81	78	77	75	74	72	72	85	89	90	89.1
12.	90	89	86	77	72	71	69	68	66	64	62	61	57	55	55	58	61	63	64	68	71	72	71	68	68.3
13.	66	64	61	58	55	54	54	53	52	50	47	43	33	33	40	78	87	82	83	85	96	95	92	89	64.6
14.	89	84	81	75	73	69	66	64	61	59	54	50	47	46	46	54	56	58	64	69	89	86	84	93	67.4
15.	93	94	96	96	97	97	97	97	97	96	90	93	91	94	95	84	84	85	86	78	80	81	80	87	90.3
16.	82	79	74	71	69	67	67	67	67	66	57	52	50	49	49	49	49	50	52	54	57	88	88	90	64.3
17.	90	91	90	89	88	80	70	66	61	57	56	51	49	51	57	58	62	64	69	75	76	76	74	72	69.7
18.	68	64	57	53	54	53	50	45	44	49	46	40	34	36	38	39	39	41	45	49	54	57	58	59	48.8
19.	60	57	58	60	62	60	58	57	60	54	54	54	51	49	52	55	58	63	73	83	89	89	90	90	64.0
20.	89	81	71	74	70	63	68	69	64	69	76	72	59	57	57	60	64	71	73	70	71	64	61	59	68.0
21.	59	58	58	58	57	65	65	63	61	57	51	42	39	36	35	38	43	55	64	67	70	61	57	53	54.7
22.	52	50	49	48	45	43	42	43	46	46	42	37	38	39	40	46	54	64	68	76	86	83	78	75	53.8
23.	69	66	62	63	72	69	64	62	68	71	74	74	72	73	80	82	87	89	90	90	100	*100*	*100*	*100*	78 2
24.	*95*	*85*	*90*	*98*	*95*	*100*	87	80	82	86	90	86	84	81	79	79	78	79	80	84	87	89	89	91	86.4
25.	97	97	98	96	97	100	100	93	92	94	94	95	98	100	100	100	100	100	100	100	100	99	98	98	97.8
26.	97	96	95	94	94	93	92	72	69	63	81	91	91	90	89	88	94	95	94	90	91	80	77	76	87.2
27.	74	73	75	74	72	74	74	72	71	81	75	72	63	62	64	66	69	71	69	63	55	52	50	52	67.6
28.	49	49	49	48	49	49	48	45	43	42	39	37	35	28	29	29	28	30	32	35	37	36	36	35	39.0
29.	35	35	34	33	32	33	31	31	30	27	25	23	22	21	22	24	25	27	29	32	33	35	37	37	29.7
30.	37	38	39	40	41	43	43	41	38	35	31	27	25	22	23	33	36	36	36	35	38	39	36	40	35.5
31.	56	57	52	42	38	43	50	54	52	50	45	38	34	33	35	34	38	43	47	46	46	46	46	45	44.6
Mittel	77.9	76.6	75.5	74.1	73.6	74.0	73.4	70.8	69.7	69.8	68.6	66.1	62.8	61.8	62.8	67.2	69.5	72.1	74.1	75.0	77.8	78.3	77.6	77.8	72.0

April

1.	45	48	51	51	53	53	56	58	59	59	60	59	57	55	55	54	55	67	75	75	72	69	69	68	59 3
2.	69	68	67	67	65	63	65	64	66	62	58	51	50	52	54	57	58	65	80	83	84	86	85	85	66.8
3.	87	90	89	95	98	99	100	100	100	100	100	100	100	100	100	100	100	100	100	100	100	100	99	99	98.2
4.	99	98	98	98	98	98	97	95	93	91	89	87	87	87	89	92	94	96	98	100	100	99	97	95	94.8
5.	93	91	89	88	86	84	83	83	83	83	82	82	81	80	80	78	78	80	81	83	86	90	91	93	84.5
6.	93	94	95	94	95	95	96	96	94	94	92	91	90	89	92	94	95	96	98	100	100	100	100	100	95.1
7.	100	100	100	100	100	100	100	100	98	98	97	86	79	75	74	77	81	83	83	87	92	93	96	96	91 5
8.	96	96	96	97	96	95	95	95	95	95	95	95	95	95	95	96	96	97	97	98	98	98	98	98	96.1
9.	97	97	98	98	98	98	98	97	97	95	95	91	84	73	73	73	79	77	75	75	74	74	74	71	85.9
10.	70	71	68	64	67	60	62	59	59	54	54	53	51	51	52	53	54	57	58	61	61	62	64	65	59.6
11.	65	65	67	66	69	68	70	71	72	64	50	45	41	42	42	47	51	55	62	69	72	72	74	73	61.3
12.	72	71	70	70	72	67	66	68	65	55	48	48	43	42	41	43	43	41	35	40	44	48	53	89	55.6
13.	91	92	94	94	95	97	89	92	91	91	83	81	77	96	97	98	98	99	99	100	100	100	100	100	93.9
14.	100	100	100	100	100	100	100	98	95	92	89	85	71	62	61	56	59	58	67	71	72	75	73	74	81.6
15.	68	63	62	62	61	50	46	49	45	42	31	31	27	24	22	24	26	25	27	30	35	33	31	29	39.3
16.	28	26	25	24	24	23	23	23	24	21	17	15	13	11	11	12	13	14	17	22	25	23	22	21	19.9
17.	25	28	29	33	34	38	45	47	46	46	44	39	29	20	29	30	31	32	36	39	43	44	43	42	36.3
18.	49	46	48	49	48	48	48	47	42	41	39	37	35	33	32	32	34	37	38	40	41	40	39	36	40.8
19.	36	37	38	38	38	39	39	39	35	33	31	30	28	27	28	30	33	38	40	43	44	44	48	60	37.3
20.	77	83	89	89	86	87	86	83	76	74	70	68	66	66	69	87	91	91	92	94	94	94	94	95	83.4
21.	96	97	98	98	99	99	100	99	98	96	90	82	78	76	75	74	78	83	88	93	92	88	83	83	89.3
22.	85	86	87	87	87	84	80	77	81	74	66	59	55	52	50	51	53	57	59	62	65	70	68	67	69 3
23.	61	59	58	59	57	56	55	58	60	56	52	44	40	44	40	42	46	49	49	62	59	60	60	59	53.5
24.	58	60	61	61	60	62	68	68	70	58	55	51	52	51	54	54	61	67	73	74	76	74	75	73	63.2
25.	72	71	72	72	71	72	72	69	67	64	62	59	53	48	48	48	52	54	54	57	61	66	65	64	62.2
26.	65	64	61	61	60	60	59	63	67	66	68	67	66	77	87	88	86	85	81	81	81	76	78	73	71.7
27.	73	90	92	90	89	81	80	84	81	82	87	90	89	90	85	80	73	75	80	77	75	72	71	71	81.5
28.	67	70	89	85	91	96	97	93	92	91	82	70	89	87	79	73	75	82	82	85	82	80	75	69	82.5
29.	66	61	56	54	51	57	54	49	47	51	54	52	66	78	86	92	93	88	82	81	92	91	90	89	70.0
30.	90	95	96	97	96	98	96	93	82	67	61	54	46	42	42	41	43	43	81	85	98	97	94	93	76.3
Mittel	73.1	73.9	74.8	74.7	74.8	74.2	74.2	73.9	72.7	69.8	66.7	63.4	61.3	60.8	61.4	62.5	64.3	66.4	69.6	72.2	73.9	73.9	73.6	74.3	70.0

Hygrometer-Registrierung. **Hohenpeissenberg.** 1911.

Mai

Datum	1a	2a	3a	4a	5a	6a	7a	8a	9a	10a	11a	12m	1p	2p	3p	4p	5p	6p	7p	8p	9p	10p	11p	12mn	Mittel
1.	90	89	81	82	80	78	79	78	81	86	84	86	78	71	76	72	83	84	82	79	87	85	93	89	82.2
2.	87	87	85	84	83	85	79	76	73	69	67	61	56	50	51	51	54	58	61	65	69	69	72	65	69.0
3.	69	70	66	68	67	60	63	60	57	52	46	49	49	49	51	51	54	56	56	58	65	69	72	70	59.5
4.	67	55	58	54	51	59	46	50	54	45	46	52	53	53	53	54	54	54	51	53	55	60	66	90	55.5
5.	92	95	95	96	96	97	97	96	99	99	100	100	100	100	100	100	100	100	100	100	100	99	99	98	98.3
6.	98	97	96	96	95	95	94	94	95	94	95	83	81	71	81	92	94	93	94	96	100	100	98	97	92.9
7.	93	87	88	93	90	92	92	89	90	88	90	89	89	84	94	90	95	97	98	99	100	100	100	100	92.8
8.	100	100	100	100	100	100	100	100	100	100	93	84	78	75	74	74	76	78	83	90	92	95	95	93	90.8
9.	95	98	97	99	98	92	88	96	98	93	72	66	58	53	54	60	68	81	73	68	63	62	61	60	77.2
10.	64	69	69	71	69	66	63	65	64	63	70	89	90	88	76	86	80	83	81	80	88	94	92	91	77.1
11.	93	89	89	92	90	86	82	85	80	73	67	57	54	53	55	63	67	70	75	79	78	82	74	81	75.6
12.	80	75	70	68	61	64	72	72	74	69	67	63	67	69	68	74	74	71	64	64	62	63	65	67	68.5
13.	61	66	66	64	62	60	60	65	60	59	57	54	54	52	53	55	57	59	64	59	55	58	63	67	59.6
14.	64	59	59	53	49	46	47	55	55	55	54	49	49	46	47	51	54	58	65	74	99	99	99	99	61.9
15.	99	99	99	99	99	99	99	99	99	95	91	85	72	69	71	73	79	89	92	91	92	95	96	90	90.5
16.	95	97	97	96	96	97	97	94	87	84	78	77	73	73	67	69	70	90	85	82	98	91	87	84	86.0
17.	81	75	73	67	71	68	69	71	71	67	65	67	64	64	88	92	89	74	97	98	100	94	93	91	78.7
18.	91	89	99	99	99	99	99	99	99	98	97	96	96	95	89	97	99	100	100	100	100	100	100	100	97.5
19.	100	100	100	100	100	100	100	98	92	88	90	86	67	83	81	82	88	86	93	97	97	97	97	96	92.4
20.	97	96	96	96	96	96	97	95	96	95	95	84	91	86	77	78	72	79	76	78	89	94	93	94	89.4
21.	94	96	97	99	99	99	100	99	96	87	82	82	80	76	75	79	80	81	86	93	97	84	81	76	88.3
22.	77	89	84	83	81	87	83	81	68	68	65	60	52	51	49	49	47	47	50	53	57	57	54	53	64.4
23.	53	57	59	60	59	58	59	61	57	54	52	48	46	39	45	50	64	74	80	87	86	89	88	87	63.0
24.	89	99	99	99	99	100	100	100	99	99	98	98	99	100	96	90	96	97	98	98	99	93	95	88	97.0
25.	81	81	77	77	85	93	94	95	94	94	94	94	93	93	94	96	97	98	99	100	100	100	100	100	92.9
26.	94	86	83	99	89	89	99	92	84	80	74	73	69	66	65	65	69	74	72	75	83	77	74	78	79.5
27.	86	89	86	85	82	81	81	80	71	63	57	54	56	53	49	55	58	64	71	79	82	87	85	84	72.4
28.	85	91	83	82	82	80	75	67	62	65	62	64	62	59	58	58	58	57	62	69	72	77	77	86	70.5
29.	82	81	79	75	94	87	89	91	90	86	81	76	55	55	52	69	71	77	70	72	70	69	73	77	75.9
30.	80	81	86	94	94	87	85	80	76	72	75	74	73	65	66	64	79	84	86	80	74	77	87	88	79.5
31.	88	89	96	97	95	95	97	98	97	97	92	89	89	82	87	80	95	89	93	94	94	94	95	95	92.4
Mittel	84.7	84.9	84.3	84.7	84.2	83.7	83.4	83.3	81.2	78.6	76.0	73.8	70.7	68.5	69.1	71.6	74.9	77.5	79.3	81.0	84.0	84.2	84.6	85.0	79.7

Juni

1.	97	98	98	99	99	100	100	99	98	97	96	87	76	72	73	80	87	81	83	92	90	91	97	97	91.1
2.	98	96	86	86	95	97	92	91	89	86	88	88	85	81	79	78	79	83	84	84	87	94	91	95	88.0
3.	92	90	87	87	80	73	73	73	71	62	72	72	63	73	84	85	83	74	78	80	84	87	78	86	78.6
4.	85	93	93	100	99	99	98	98	98	99	97	96	96	94	92	95	99	95	92	91	88	81	76	80	93.1
5.	76	73	74	74	74	76	77	79	80	79	79	70	84	82	70	65	79	73	72	69	66	66	62	65	73.5
6.	69	70	73	69	72	70	73	76	67	68	66	66	57	55	55	59	55	54	62	61	69	63	72	70	65.5
7.	70	67	68	63	58	59	58	56	55	58	51	47	44	47	48	46	46	49	52	57	58	59	64	69	56.2
8.	74	58	57	54	63	69	66	69	71	69	63	56	51	39	34	44	45	52	60	77	85	84	86	85	63.0
9.	84	83	85	83	78	71	75	70	67	70	53	50	47	43	45	50	53	57	60	87	100	98	98	98	71.0
10.	99	98	99	99	98	99	100	100	100	100	100	100	100	100	100	99	99	94	79	71	72	86	73	90	94.0
11.	87	81	72	67	68	68	70	72	66	64	57	55	53	51	51	50	49	49	51	53	53	57	58	56	60.8
12.	59	55	57	57	58	58	53	60	58	61	60	56	59	58	57	62	68	67	66	68	72	80	75	73	62.4
13.	75	76	74	76	74	68	71	67	62	57	56	53	51	47	53	63	69	74	90	95	93	95	99	100	72.4
14.	99	99	99	99	100	100	100	100	99	98	97	93	95	69	96	91	95	96	96	96	96	92	86	85	94.8
15.	94	93	93	90	89	87	83	83	80	69	74	82	86	85	92	88	97	99	100	100	100	100	99	99	90.1
16.	99	99	97	90	83	82	86	82	77	77	73	64	61	61	72	74	76	72	74	77	67	59	75	75	77.2
17.	66	52	57	61	62	66	66	68	71	71	68	58	53	53	65	69	71	69	73	76	68	77	74	75	66.2
18.	89	86	87	79	73	72	81	82	81	80	81	83	87	79	83	87	93	91	91	90	82	86	85	74	83.4
19.	70	67	72	77	87	89	89	87	86	89	90	87	76	86	87	89	92	94	93	95	96	93	85	83	85.8
20.	89	88	85	81	76	78	80	87	83	93	93	88	84	82	80	85	77	85	91	90	88	86	87	88	85.2
21.	90	90	97	97	97	97	96	86	89	93	88	79	80	77	73	66	62	63	64	72	72	73	72	71	81.0
22.	72	77	76	77	74	74	71	70	73	67	62	58	54	53	52	53	54	55	63	68	67	65	70	71	65.7
23.	70	68	67	60	59	56	60	55	55	57	55	51	47	51	52	54	53	56	63	66	69	73	80	80	60.7
24.	72	70	73	70	57	50	51	52	51	44	55	62	73	80	82	85	85	89	88	90	89	91	89	86	72.3
25.	83	85	86	87	88	82	78	76	76	73	72	74	75	75	87	84	82	91	92	97	96	94	92	94	84.1
26.	95	94	98	96	96	97	98	97	94	89	78	80	61	61	60	68	74	94	98	99	100	100	97	85	87.9
27.	79	78	78	75	84	84	86	86	85	89	84	73	71	80	87	90	90	91	94	97	99	99	97	96	86.3
28.	97	97	95	94	91	90	88	82	75	72	64	63	61	56	52	50	49	52	57	62	63	62	62	65	70.8
29.	64	62	64	64	61	61	64	65	64	64	63	58	53	48	45	42	44	46	53	53	52	76	76	79	59.2
30.	79	77	66	56	51	47	41	43	41	38	30	27	24	26	27	34	43	49	51	62	74	65	53	43	47.8
Mittel	82.4	80.7	80.4	78.9	78.1	77.3	77.5	77.0	75.4	74.4	72.2	69.2	66.9	65.5	67.8	69.5	71.6	73.1	75.7	79.2	79.8	81.1	80.3	80.4	75.6

Hygrometer-Registrierung. **Hohenpeissenberg.** 1911.

Datum	1ª	2ª	3ª	4ª	5ª	6ª	7ª	8ª	9ª	10ª	11ª	12m	1P	2P	3P	4P	5P	6P	7P	8P	9P	10P	11P	12mn	Mittel
Juli																									
1.	60	72	87	96	100	100	91	90	89	85	74	67	51	56	68	86	88	89	97	100	81	89	83	84	82.6
2.	86	84	95	100	95	95	100	92	86	82	77	76	68	65	64	68	71	79	96	90	97	95	95	94	85.4
3.	95	95	97	98	99	99	99	99	94	94	80	90	84	83	82	82	82	82	89	86	90	83	82	82	89.4
4.	77	92	90	87	95	96	96	93	87	79	77	71	69	58	61	62	63	61	60	59	59	61	61	61	74.0
5.	64	67	65	67	60	62	67	63	66	60	54	53	48	48	49	48	48	50	54	59	61	61	60	59	58.0
6.	58	59	58	60	57	56	58	66	57	52	49	51	51	51	54	56	56	58	62	66	69	66	64	63	58.2
7.	65	63	63	62	60	60	57	64	62	52	50	50	48	46	45	46	47	49	54	53	55	57	58	58	55.2
8.	57	59	58	58	57	56	55	59	59	56	53	51	47	43	44	48	47	54	54	59	56	56	62	61	54.5
9.	62	61	63	62	61	67	70	66	59	53	52	69	68	66	61	58	61	68	69	66	65	67	72	72	64.1
10.	65	66	70	74	75	77	78	75	72	65	62	63	54	54	54	52	53	55	57	59	62	62	67	70	64.2
11.	70	77	77	78	76	77	77	77	73	60	55	52	49	49	49	49	51	52	53	55	58	58	58	56	61.9
12.	50	50	48	47	44	45	46	46	52	51	48	47	40	42	41	44	49	54	62	67	67	64	66	67	51.5
13.	68	66	66	65	62	63	63	66	65	64	61	56	56	53	57	57	58	58	63	72	74	89	87	82	65.5
14.	90	86	84	86	90	87	88	84	79	73	65	63	63	67	70	78	77	71	78	70	71	67	74	74	76.5
15.	73	70	75	71	66	66	67	68	65	59	54	56	56	70	76	74	74	72	75	75	68	68	69	70	68.2
16.	76	77	80	81	82	85	82	86	86	80	79	72	64	58	66	72	82	84	87	90	95	84	85	82	79.8
17.	91	87	88	87	84	83	86	79	68	62	58	55	53	52	49	49	49	51	57	65	70	71	72	73	68.3
18.	65	68	68	64	61	59	58	58	53	49	46	45	41	40	37	35	36	42	48	55	54	54	56	55	52.0
19.	56	56	59	59	59	60	59	53	46	47	45	42	36	31	32	32	35	39	50	53	56	53	51	51	48.3
20.	51	49	54	53	53	51	53	49	53	51	48	50	50	48	47	49	49	54	57	58	55	55	55	57	52.0
21.	59	62	66	65	63	69	66	63	66	63	55	53	49	46	43	44	48	49	55	57	56	58	58	59	57.2
22.	58	60	60	59	59	60	58	64	56	51	49	46	43	39	41	44	49	54	56	56	54	59	61	60	54.0
23.	60	60	58	57	53	54	56	49	59	54	50	47	43	41	42	43	42	43	50	51	53	47	50	48	50.4
24.	52	54	53	52	50	52	52	55	54	49	50	46	46	45	45	44	45	52	54	73	69	63	60	58	53.0
25.	56	51	70	66	62	57	58	59	54	51	45	40	36	32	33	34	36	38	42	44	60	69	59	60	50.5
26.	56	56	58	56	52	54	55	57	57	49	48	45	41	39	42	42	41	45	46	51	61	61	61	66	51.6
27.	69	75	71	73	72	70	65	68	66	57	54	52	51	40	50	48	50	50	49	49	52	59	61	60	58.8
28.	60	64	63	59	59	56	43	58	67	67	60	53	49	39	39	40	43	48	55	65	61	60	57	60	55.2
29.	75	68	72	74	66	63	62	62	54	60	57	54	53	47	49	54	55	55	58	62	64	63	59	58	60.2
30	56	56	55	51	46	43	42	45	48	47	42	39	42	36	38	44	47	50	52	54	50	49	50	49	47.1
31.	57	55	54	54	55	49	45	44	43	45	45	42	39	40	36	36	37	44	35	33	31	35	36	36	42.8
Mittel	65.7	66.6	68.6	68.4	66.9	66.8	66.2	66.4	64.4	60.2	56.2	54.7	51.2	49.2	50.5	52.2	53.8	56.5	60.5	63.0	63.7	64.0	64.2	64.0	61.0
August																									
1.	37	37	41	45	45	45	46	46	53	49	45	42	40	37	38	37	39	40	42	43	46	49	49	50	43.4
2.	50	50	51	52	52	52	55	54	55	55	51	45	43	39	37	41	42	41	44	43	46	49	49	48	47.7
3.	48	47	49	53	54	52	53	55	47	44	40	40	36	31	32	32	33	33	36	38	39	44	48	49	43.0
4.	55	72	79	91	95	88	83	83	74	68	64	60	60	70	67	63	60	70	69	78	72	69	72	93	73.1
5.	83	83	84	88	82	82	79	81	80	78	70	67	77	59	71	66	65	66	64	65	70	69	64	63	73.2
6.	63	63	60	58	57	53	38	35	37	41	41	42	41	42	42	50	61	61	64	67	62	65	62	83	53.7
7.	83	84	83	77	77	69	70	74	73	73	69	67	58	58	55	53	55	57	59	62	66	65	63	63	67.2
8.	64	69	68	68	68	70	67	63	63	66	51	46	47	46	47	42	41	43	45	45	47	49	47	49	54.6
9.	53	56	56	54	61	58	61	61	65	55	50	47	43	37	37	37	42	44	47	47	50	51	50	47	50.4
10.	46	46	46	46	45	45	46	46	48	49	47	45	42	41	41	40	39	41	45	44	43	43	42	41	44.0
11.	41	41	42	42	44	44	45	47	54	49	46	45	44	43	42	43	45	44	45	46	48	49	51	54	45.6
12.	55	56	58	61	76	76	87	82	80	68	62	58	55	52	51	51	51	60	62	59	60	62	63	66	63.0
13.	70	74	82	86	89	88	85	78	76	71	67	60	56	50	50	51	52	53	54	71	72	74	73	70	68.8
14.	68	68	68	69	74	77	74	73	78	74	70	71	77	64	71	68	67	64	62	64	67	54	53	54	67.9
15.	58	61	64	63	59	55	52	52	49	48	37	36	37	40	45	46	45	51	51	55	59	61	65	70	52.5
16.	75	80	87	89	89	91	90	85	78	73	64	56	53	50	50	50	51	55	57	57	57	58	58	60	67.2
17.	64	66	71	72	73	73	73	67	62	57	52	49	45	42	42	41	45	52	55	56	59	61	64	66	58.6
18.	66	65	65	66	66	64	64	64	59	56	45	39	32	32	36	38	41	41	40	32	32	33	40	40	48.2
19.	42	42	48	47	46	45	48	47	43	40	35	32	27	16	25	24	25	26	26	26	26	28	29	34	34.5
20	33	32	32	32	32	34	34	32	30	27	30	34	30	30	31	28	30	32	36	39	41	44	45	45	33.9
21.	44	44	40	42	41	43	65	64	63	78	67	59	36	33	34	36	59	70	76	77	81	83	80	71	57.8
22.	60	55	59	59	52	48	53	56	61	69	59	60	51	50	49	50	51	51	57	62	67	73	85	80	59.0
23.	76	75	70	66	70	68	69	67	71	74	71	68	67	57	98	97	92	97	81	81	81	80	77	84	76.5
24.	85	90	99	98	95	82	90	82	73	69	68	62	66	61	63	68	74	91	85	77	80	79	79	78	78.9
25.	77	74	76	79	83	83	83	83	80	74	65	60	57	53	50	54	57	62	68	72	74	81	83	85	71.4
26.	97	90	93	79	74	93	95	93	95	95	96	96	84	87	82	73	75	87	80	81	82	82	82	79	86.3
27.	76	76	71	71	69	69	69	70	71	70	63	63	63	62	59	58	57	55	50	52	57	62	59	57	63.7
28.	57	62	63	61	59	57	62	59	60	60	56	52	48	44	43	43	40	40	42	48	52	50	52	52	52.6
29.	51	51	50	51	54	53	54	54	54	49	41	37	35	33	34	35	37	39	42	56	61	64	66	66	48.6
30.	62	66	71	70	69	67	64	68	71	82	70	74	82	85	83	86	86	87	90	91	84	74	81	83	76.9
31.	98	99	98	99	99	100	100	99	98	92	81	80	77	74	68	69	68	68	70	68	69	71	68	68	82.5
Mittel	62.5	63.7	65.3	65.6	66.1	65.3	66.3	65.2	64.5	63.0	57.2	54.6	51.9	49.0	50.7	50.6	52.4	55.5	56.3	58.1	59.7	60.5	61.3	62.8	59.5

Hygrometer-Registrierung. **Hohenpeissenberg.** 1911.

September

Datum	1a	2a	3a	4a	5a	6a	7a	8a	9a	10a	11a	12m	1p	2p	3p	4p	5p	6p	7p	8p	9p	10p	11p	12mn	Mittel
1.	70	73	71	70	71	70	68	66	64	71	66	59	54	52	51	49	51	54	55	61	61	62	61	60	62.1
2.	58	60	59	54	47	51	52	52	50	52	49	48	47	46	49	52	51	53	56	64	65	66	59	47	53.6
3.	51	60	57	60	61	58	57	58	62	59	50	43	38	37	36	40	40	42	45	43	51	51	51	51	50.0
4.	50	49	50	52	52	52	53	54	55	56	54	54	48	43	43	47	48	50	53	55	53	54	51	55	51.3
5.	61	66	65	65	63	60	66	64	60	53	50	47	43	39	40	53	53	58	57	53	54	53	52	54	55.4
6.	57	59	62	63	62	65	62	60	60	57	54	50	43	50	42	45	43	43	42	47	50	51	55	54	53.2
7.	53	55	53	54	53	50	50	51	50	50	48	47	43	41	42	41	48	47	48	53	54	54	54	53	49.7
8.	53	52	54	53	50	48	48	44	43	41	39	38	34	32	32	34	35	35	37	39	40	43	42	41	42.0
9.	40	42	51	52	51	48	50	47	44	42	36	33	31	31	33	36	40	44	49	49	49	44	58	59	44.1
10.	57	49	47	46	46	46	50	57	75	81	77	75	79	80	79	77	74	71	69	63	50	50	50	49	64.0
11.	51	54	55	58	63	72	75	74	74	75	73	68	53	50	49	49	46	47	47	48	48	51	59	60	58.3
12.	60	54	53	55	55	56	54	52	54	45	42	34	26	18	21	25	29	32	37	42	43	43	42	42	42.3
13.	41	40	40	41	42	41	39	38	39	37	33	31	27	26	28	32	36	37	39	39	40	40	38	38	36.8
14.	40	45	48	49	48	47	50	55	55	54	48	46	44	40	38	39	40	41	42	42	42	44	53	57	46.1
15.	76	84	78	80	81	85	91	91	87	80	76	73	80	78	82	93	95	96	96	97	99	100	100	100	87.4
16.	100	100	100	100	100	100	100	100	100	100	100	100	100	100	100	100	100	100	100	100	100	100	100	100	100.0
17.	100	100	100	100	100	100	100	100	99	98	88	84	72	76	80	71	69	64	61	62	68	68	71	69	83.3
18.	72	77	61	82	85	83	81	77	70	70	74	74	64	65	64	65	67	69	70	72	71	71	70	71	71.9
19.	74	71	71	69	69	66	65	62	65	61	56	58	62	58	62	61	61	61	60	65	68	70	67	68	64.6
20.	69	68	69	68	65	62	61	64	65	58	66	67	67	56	54	64	63	60	56	55	55	49	57	62	61.7
21.	60	66	71	76	81	84	84	81	83	74	69	68	67	63	97	97	97	97	97	97	97	97	95	90	82.8
22.	87	92	94	96	97	98	98	98	98	95	93	86	94	96	96	98	98	99	99	100	100	100	100	100	96.3
23.	100	100	100	100	100	100	100	99	98	97	96	95	94	93	82	82	84	86	88	90	90	88	88	87	93.2
24.	86	81	85	93	87	84	83	82	82	80	79	75	74	69	71	73	74	79	86	87	86	83	84	85	81.2
25.	86	87	82	81	78	78	77	79	72	74	71	68	68	55	58	63	64	63	70	71	73	74	74	73	72.5
26.	73	74	76	77	77	77	76	75	74	69	64	61	54	53	53	51	54	56	63	63	64	71	82	89	67.8
27.	91	91	94	95	96	96	96	93	89	83	79	77	71	72	75	75	73	73	72	74	76	77	78	80	82.3
28.	72	81	79	82	75	73	71	70	68	73	78	91	91	88	81	83	84	86	88	88	89	96	96	97	82.5
29.	97	98	98	98	98	98	98	98	98	99	99	100	100	100	100	100	100	100	100	100	99	97	94	99	98.7
30.	88	89	89	90	84	86	89	86	86	80	78	79	79	80	81	82	83	84	82	84	79	94	92	87	84.6
Mittel	69.1	70.6	70.4	72.0	71.2	71.1	71.5	70.9	70.6	68.8	66.2	64.3	61.6	59.6	60.6	62.6	63.3	64.2	65.5	66.8	67.1	68.0	69.1	69.2	67.3

Oktober

1.	90	96	94	88	79	78	75	76	80	83	87	88	89	90	93	95	96	98	99	100	100	100	100	99	90.5
2.	99	99	99	99	98	98	98	98	98	98	98	98	98	98	98	95	96	97	98	98	98	98	96	96	97.8
3.	94	88	86	84	84	85	83	83	81	78	72	72	68	66	67	65	66	76	78	80	81	76	74	74	77.5
4.	69	66	64	62	61	51	54	52	53	51	51	48	48	47	45	49	50	50	50	51	51	52	60	92	55.3
5.	92	92	92	94	96	96	96	89	85	79	73	72	72	76	76	79	83	88	91	94	94	95	95	96	87.3
6.	96	97	98	98	99	99	100	100	100	100	100	99	98	98	99	98	97	96	96	95	84	62	88	59	93.2
7.	66	51	57	56	45	51	50	46	69	70	80	78	76	75	77	77	80	84	85	87	86	88	87	88	71.2
8.	82	83	83	76	76	73	61	67	61	63	57	52	58	56	58	52	70	74	85	83	96	96	90	99	73.0
9.	94	91	96	99	98	97	96	92	86	83	77	78	71	75	79	86	88	93	90	92	94	97	98	98	89.5
10.	98	99	99	99	99	100	100	100	99	99	98	98	97	92	88	92	88	88	88	88	90	87	81	85	93.8
11.	90	88	82	78	83	85	84	89	88	89	81	75	73	71	69	68	66	71	74	72	76	78	85	85	79.2
12.	84	84	89	85	87	87	80	78	77	77	77	72	70	69	72	72	77	80	81	81	80	79	80	69	78.6
13.	72	71	73	77	73	73	75	76	81	80	81	76	69	69	69	78	81	91	83	85	84	71	76	90	77.3
14.	86	79	86	83	82	84	83	82	80	76	72	69	68	72	75	82	84	86	88	97	99	97	96	94	83.3
15.	86	86	85	97	99	91	92	89	84	80	82	80	72	73	76	77	82	90	92	92	94	96	98	98	87.1
16.	98	98	99	99	99	100	100	100	100	100	100	100	100	100	100	100	100	99	99	99	99	99	99	99	99.4
17.	99	99	99	99	99	99	100	100	100	100	100	100	100	100	99	98	97	85	88	86	57	56	56	53	90.4
18.	55	57	62	61	61	62	60	58	56	61	62	64	70	68	66	67	65	66	65	59	49	46	45	44	59.5
19.	36	34	46	49	52	51	49	53	50	53	50	49	46	48	50	48	62	65	71	68	70	74	80	84	55.8
20.	87	85	83	81	76	67	55	60	62	65	64	61	63	64	61	68	67	73	78	80	82	77	74	73	71.1
21.	75	70	73	71	72	71	68	68	64	61	66	60	60	59	59	64	69	71	72	64	66	70	71	66	67.1
22.	59	54	55	48	60	65	65	62	59	64	63	59	58	57	65	68	71	74	74	76	74	73	75	76	64.8
23.	79	78	77	73	71	75	79	77	74	74	79	78	78	66	67	69	70	74	76	76	78	71	71	72	74.3
24.	72	74	73	74	75	78	83	86	88	92	94	97	98	99	99	96	89	89	88	83	86	83	77	78	85.5
25.	77	76	65	61	57	47	49	49	47	46	44	60	71	72	67	72	69	91	95	93	91	92	88	85	69.3
26.	83	82	78	87	85	80	79	75	69	58	57	55	54	57	57	57	60	63	65	65	69	62	58	53	67.0
27.	53	50	48	49	49	45	48	45	45	45	55	50	48	49	55	53	51	54	60	68	82	85	87	89	56.8
28.	88	85	91	91	93	95	96	96	93	91	84	77	73	70	75	77	83	78	77	75	80	84	81	83	84.0
29.	82	80	79	79	71	73	76	77	73	73	80	86	87	92	96	96	97	98	99	100	100	99	98	98	87.0
30.	97	96	95	94	94	93	90	88	88	86	84	86	93	93	93	89	85	86	74	69	63	52	45	42	82.3
31.	48	44	41	38	37	40	30	33	25	27	29	32	36	41	47	43	48	46	46	55	53	45	43	44	40.5
Mittel	80.2	78.5	78.9	78.4	77.7	77.1	75.9	75.6	74.7	74.3	74.1	73.2	73.0	73.0	74.1	75.2	77.0	79.8	80.8	81.0	80.8	78.7	78.5	79.4	77.1

Hygrometer-Registrierung. **Hohenpeissenberg.** 1911.

November

Datum	1ª	2ª	3ª	4ª	5ª	6ª	7ª	8ª	9ª	10ª	11ª	12m	1p	2p	3p	4p	5p	6p	7p	8p	9p	10p	11p	12mn	Mittel
1.	44	43	44	46	54	59	65	67	67	67	68	70	70	76	81	80	83	88	90	94	97	98	98	98	72.8
2.	98	99	98	98	98	98	98	98	97	95	83	86	84	80	83	85	91	93	93	93	85	77	68	80	89 9
3.	88	82	81	84	83	92	95	96	95	92	93	91	88	87	89	89	90	91	92	93	92	83	72	71	87.9
4.	62	63	55	52	48	44	42	41	44	48	47	49	50	53	54	59	59	61	62	55	50	50	50	50	52.0
5.	48	49	49	46	43	40	42	39	39	39	42	38	38	32	32	35	37	38	39	40	42	42	43	45	40.7
6	57	54	69	94	97	97	98	98	98	97	97	97	97	89	87	84	80	77	77	79	87	88	92	92	86.8
7.	89	85	81	83	80	84	83	80	75	67	58	58	59	55	51	55	58	58	65	68	68	67	64	64	69.0
8.	68	66	64	65	65	63	62	59	59	66	63	63	65	60	62	65	67	72	73	74	59	51	49	49	62.9
9.	44	42	39	43	35	33	33	35	36	42	42	45	48	49	49	50	59	66	60	67	74	82	82	86	51.7
10.	86	90	92	94	95	87	93	91	94	98	99	99	100	100	100	100	100	100	100	100	100	100	100	100	96.6
11.	99	100	100	100	100	100	100	98	96	94	92	90	87	83	84	78	79	81	79	81	77	69	71	69	87.8
12.	70	60	61	61	58	54	50	50	46	40	41	39	42	53	49	50	50	58	51	43	32	34	36	38	48.6
13.	38	38	39	43	46	53	70	80	84	85	86	88	90	100	100	100	100	100	100	100	100	100	100	99	80.8
14.	98	100	100	100	100	100	100	100	100	100	100	100	100	100	100	100	100	100	100	100	100	100	100	100	99.9
15.	100	100	100	100	100	100	100	100	100	98	97	96	95	95	94	75	53	52	52	51	52	65	71	74	84.2
16.	63	62	64	67	66	70	84	91	85	80	78	76	69	64	65	71	72	73	70	70	71	74	75	76	72.3
17.	74	74	76	75	77	79	79	74	65	62	60	59	57	59	63	53	64	65	56	53	42	36	40	54	62.3
18.	64	63	60	60	59	62	64	63	64	78	90	87	80	83	86	83	78	76	66	57	51	55	55	58	68.4
19.	83	86	88	87	85	79	74	70	70	72	74	77	67	53	52	53	59	58	56	50	52	62	76	78	69.2
20.	74	66	73	56	56	55	45	41	46	51	46	47	45	40	41	46	60	73	63	64	58	61	61	61	55.4
21.	61	62	68	69	71	69	68	70	71	73	76	84	77	79	77	77	67	73	67	60	50	50	49	49	67.4
22.	51	51	49	50	50	46	47	49	50	47	47	45	43	42	45	43	39	34	30	29	28	32	32	30	42.0
23.	32	35	36	37	38	36	35	37	40	39	40	41	45	47	47	53	58	61	65	63	62	63	62	62	47.3
24.	64	65	60	57	60	58	61	71	70	70	72	73	79	100	100	100	100	100	100	100	92	93	96	95	80.7
25.	96	94	93	98	99	100	100	100	99	98	97	96	95	94	94	95	95	96	96	97	96	96	96	95	96.5
26.	95	94	92	91	87	83	82	82	78	77	74	70	66	68	70	66	80	78	95	98	98	96	94	75	82.9
27.	70	61	66	62	59	54	50	39	42	45	43	39	32	42	42	44	41	47	39	34	39	44	50	47	47.1
28.	49	48	49	49	48	49	49	46	39	41	42	45	50	50	52	55	55	56	55	54	54	53	55	57	50.0
29.	61	57	57	54	52	55	55	55	55	58	63	66	70	75	78	77	77	76	78	71	71	69	70	73	65.5
30.	85	83	82	83	86	92	94	92	84	94	99	100	100	100	100	100	100	100	97	100	100	100	100	100	94.6
Mittel	70.4	69.1	69.5	70.1	69.8	69.7	70.6	70.4	69.6	70.4	70.3	70.5	69.3	70.3	70.9	70.7	71.7	73.4	72.5	71.3	69.3	69.7	70.2	70.8	70.4

Dezember

1.	100	100	100	100	100	100	100	99	99	97	94	93	90	87	89	89	93	93	96	97	98	97	96	97	96.0
2.	97	92	94	90	91	94	98	99	99	96	94	94	94	85	92	93	99	100	100	100	100	99	99	99	96.0
3.	98	98	98	97	97	95	74	82	71	77	65	74	74	70	72	72	66	66	64	56	51	49	49	46	73.4
4.	45	46	45	45	45	45	46	45	48	46	47	49	58	61	64	66	68	77	87	92	94	96	96	97	62.8
5.	97	97	97	97	98	98	98	96	96	95	93	92	90	89	90	92	93	93	92	92	87	77	66	68	91.0
6.	63	62	57	53	53	55	59	61	58	56	56	55	57	65	63	63	63	67	63	51	44	44	51	49	57.0
7.	49	46	48	49	48	45	45	41	41	38	35	41	46	79	54	56	61	51	46	47	46	45	47	49	48.0
8.	49	49	51	53	53	58	61	69	72	79	86	83	85	85	88	93	95	95	95	97	98	100	100	99	78.9
9.	99	99	98	91	78	79	96	91	82	87	84	81	94	87	81	72	71	70	69	67	67	74	87	86	82.9
10.	84	82	85	85	82	78	60	62	67	67	65	62	59	59	58	61	61	52	43	41	36	33	31	34	60.3
11.	33	34	35	37	38	39	42	44	47	49	49	47	50	52	70	85	92	93	95	96	98	98	99	98	63.3
12.	98	99	99	99	99	100	100	100	99	98	98	97	97	96	96	96	96	96	96	96	96	94	93	90	97.0
13.	88	86	82	75	69	62	61	62	56	51	47	40	32	37	30	33	41	47	56	57	59	58	62	62	56.4
14.	59	59	64	68	72	72	70	68	76	78	73	70	62	51	69	78	77	78	78	73	75	69	68	66	69.7
15.	71	65	58	58	58	52	50	43	44	42	42	34	35	34	36	40	44	46	50	55	73	83	85	88	53.6
16.	92	93	94	96	97	99	100	100	100	100	100	100	100	100	99	99	98	97	96	95	94	93	92	92	96.9
17.	92	90	88	84	82	80	80	80	74	69	72	72	78	77	72	67	66	64	67	69	64	59	51	45	72.6
18.	44	42	45	37	31	30	30	25	24	30	35	31	40	45	44	48	50	48	42	42	40	40	40	38	38.4
19.	37	35	35	36	36	36	34	34	35	36	37	40	40	38	38	44	46	39	34	27	27	27	32	32	35.6
20.	30	30	30	28	26	27	26	29	40	34	31	30	30	27	28	45	56	84	73	63	67	62	63	63	42.6
21.	61	61	62	63	65	66	64	62	64	63	62	62	58	76	76	70	51	46	60	66	71	74	75	75	64.7
22.	79	88	93	95	98	99	100	98	97	95	93	98	82	75	71	71	71	66	58	56	50	55	80	89	81.5
23.	91	85	79	73	81	98	96	100	100	98	99	98	99	100	100	100	100	100	100	100	100	99	98	97	95.5
24.	96	94	93	91	89	85	83	82	69	71	69	65	64	60	57	50	38	45	65	58	54	51	50	51	67.9
25.	57	57	59	62	64	65	65	69	74	90	88	72	74	94	91	90	87	81	86	39	88	84	81	79	76.9
26.	98	100	94	99	98	97	94	95	97	87	86	91	93	76	76	78	90	86	79	86	82	89	87	84	89.3
27.	88	94	86	94	95	95	96	93	93	96	96	93	93	94	96	96	97	98	99	99	100	100	100	99	95.4
28.	99	99	99	99	98	98	98	97	96	93	85	80	77	76	74	65	74	77	74	74	74	72	68	57	83.5
29.	67	72	88	92	97	98	100	100	100	100	100	100	100	100	100	100	100	100	100	100	100	100	100	100	96.4
30.	100	100	100	100	100	100	100	99	98	96	95	94	91	89	81	72	75	76	82	85	93	100	100	100	92.8
31.	100	100	100	100	100	100	100	100	100	100	100	100	100	100	100	99	98	98	97	97	96	96	97	96	98.9
Mittel	76.2	75.9	76.0	75.7	75.4	75.6	75.0	75.0	74.7	74.7	73.5	72.2	72.3	73.0	72.7	73.6	74.7	75.1	75.5	74.9	74.9	74.7	75.6	75.0	74.7

Anemometer-Registrierung. **Hohenpeissenberg.** 1911.

Juni

Datum	0–1ª	1–2ª	2–3ª	3–4ª	4–5ª	5–6ª	6–7ª	7–8ª	8–9ª	9–10ª	10–11ª	11ª–m	0–1ᵖ	1–2ᵖ	2–3ᵖ	3–4ᵖ	4–5ᵖ	5–6ᵖ	6–7ᵖ	7–8ᵖ	8–9ᵖ	9–10ᵖ	10–11ᵖ	11ᵖ–mn	Mittel
1.	4.8	5.7	5.4	4.8	4.5	3.7	4.2	4.5	4.8	5.1	5.4	3.5	2.6	5.4	8.5	6.8	6.8	8.8	8.8	7.7	9.3	9.0	8.5	7.1	6.07
2.	7.4	6.2	5.9	5.9	3.2	2.3	0.8	1.2	1.2	0.5	1.8	3.7	3.2	2.6	3.2	4.2	4.2	4.8	4.5	4.5	3.7	2.3	3.7	2.6	3.48
3.	2.6	2.1	2.6	2.3	2.1	2.3	1.5	0.0	0.8	1.2	0.8	1.2	1.2	1.2	3.2	2.6	2.1	1.2	1.2	0.8	1.2	3.2	3.7	2.9	1.83
4.	2.6	2.1	2.1	1.5	2.1	5.4	4.8	6.5	5.9	5.4	4.8	3.7	5.4	3.2	1.5	2.9	3.7	4.8	5.1	4.8	3.2	3.5	1.5	2.6	3.71
5.	2.6	1.8	2.1	2.3	1.5	0.8	1.2	0.8	1.2	1.5	2.1	1.5	0.5	3.2	0.8	1.2	3.2	12.1	5.9	4.0	3.7	4.0	2.3	1.5	2.58
6.	2.1	1.2	1.2	1.8	0.8	0.5	1.5	2.9	3.5	2.6	3.2	2.6	2.1	2.1	4.0	3.2	3.5	2.3	4.5	5.9	4.0	3.5	2.6	3.2	2.70
7.	2.6	2.9	3.5	3.5	2.9	3.2	2.9	2.1	2.6	3.7	4.0	3.2	3.2	4.5	3.5	3.5	3.7	3.7	3.2	1.2	1.2	1.5	1.8	2.6	2.95
8.	2.3	3.7	3.2	2.3	1.5	1.2	2.9	3.5	2.1	1.8	1.8	2.1	2.6	4.0	3.2	2.6	2.3	2.1	1.5	1.5	4.8	6.2	5.4	5.1	2.90
9.	5.4	5.1	4.8	5.1	4.2	2.6	0.8	0.8	0.8	1.2	1.5	1.5	2.6	4.2	2.6	3.7	4.5	5.1	4.0	3.7	7.1	13.0	10.4	6.8	4.23
10.	5.7	5.9	5.9	5.9	5.4	3.2	3.7	4.5	5.1	4.2	4.8	5.1	3.5	4.2	3.5	3.2	3.2	2.9	2.1	3.2	3.2	2.9	2.6	2.3	4.01
11.	2.6	3.5	2.9	1.8	2.9	4.2	4.0	2.9	1.2	1.5	2.3	2.3	2.1	2.6	1.5	3.2	2.9	2.9	2.6	1.5	3.7	4.5	4.8	4.8	2.88
12.	6.2	4.5	4.5	4.5	3.7	2.3	1.8	1.2	0.8	0.8	2.1	2.1	2.3	3.7	3.2	2.3	2.9	1.5	1.8	1.5	2.9	2.3	2.1	1.5	2.60
13.	1.2	2.3	1.5	0.8	0.8	2.1	2.6	2.6	2.9	2.6	3.5	2.6	3.2	2.9	2.9	2.1	2.6	3.2	3.7	4.0	5.9	3.5	2.6	2.9	2.71
14.	2.3	2.6	4.5	5.4	5.4	5.9	4.5	3.7	5.1	5.4	5.4	5.4	4.2	4.5	5.4	7.1	7.4	10.2	6.8	9.0	8.2	9.6	10.2	7.7	6.09
15.	6.8	7.4	6.2	8.0	8.0	5.7	6.8	8.0	8.5	9.6	9.9	8.8	9.3	9.6	9.0	8.8	8.2	6.8	7.1	9.0	8.0	5.1	4.2	2.9	7.57
16	4.0	4.0	4.0	4.0	3.5	2.1	0.8	1.5	3.2	1.8	2.1	1.8	1.8	2.6	2.6	2.3	2.6	3.5	4.0	3.7	3.2	3.7	3.7	2.9	2.88
17.	2.6	4.5	9.3	8.8	5.9	4.0	4.0	3.5	3.7	3.2	2.3	2.3	2.6	4.0	4.5	3.5	1.5	2.9	5.1	4.8	4.5	3.5	5.4	7.4	4.33
18.	7.7	8.8	10.7	9.0	4.8	5.1	5.4	2.9	1.2	3.7	2.9	2.3	2.1	1.8	4.0	5.1	8.0	9.6	6.8	7.7	12.1	14.4	16.2	11.8	6.84
19.	8.8	5.1	5.7	3.7	2.6	2.3	4.5	6.2	4.5	6.5	6.8	7.1	9.6	4.0	3.5	3.7	4.5	5.4	9.0	10.4	11.0	10.7	9.9	8.8	6.41
20.	7.1	5.7	5.1	4.5	4.0	5.1	2.6	2.9	4.8	5.4	7.1	7.4	5.4	7.7	5.7	6.8	9.0	7.7	7.1	8.8	9.9	10.2	10.4	9.6	6.67
21.	8.2	6.8	5.9	6.5	5.7	5.7	4.2	4.0	4.2	4.5	3.5	4.2	3.7	5.4	5.1	4.2	3.5	3.5	2.6	2.3	3.2	2.3	2.1	2.6	4.33
22.	2.9	3.5	4.0	3.2	3.2	3.5	3.5	2.6	3.7	4.2	4.8	4.0	3.2	2.9	2.3	2.9	3.5	3.5	2.9	4.5	6.8	6.5	6.5	5.1	3.90
23.	3.5	3.5	2.9	2.9	1.5	2.6	2.9	2.3	2.1	0.8	2.1	2.9	2.6	3.2	3.5	5.4	4.8	5.4	6.8	6.8	6.2	4.8	3.7	5.4	3.69
24.	6.2	4.0	2.1	2.3	5.7	8.5	5.9	4.5	4.2	3.2	2.6	2.1	5.1	6.8	6.5	5.7	5.4	6.8	5.4	3.7	2.3	2.3	2.6	2.1	4.33
25.	1.8	2.3	4.2	5.9	8.0	5.9	3.2	0.5	1.2	1.5	1.8	1.5	2.6	4.0	3.7	3.2	2.3	3.7	4.8	4.8	5.1	5.1	5.1	6.5	3.70
26.	5.9	5.1	4.5	3.5	4.0	4.5	5.9	5.9	5.4	4.0	2.3	1.2	1.8	1.5	1.5	0.8	1.8	3.7	3.5	4.2	5.4	7.4	6.2	5.9	4.00
27.	5.1	5.9	4.8	4.2	4.2	4.5	3.2	3.5	3.2	4.8	5.7	8.0	7.4	6.2	4.8	6.5	5.9	6.2	5.9	5.1	5.1	5.1	5.4	5.1	5.24
28.	4.8	4.5	5.4	4.8	4.8	5.1	4.5	4.5	5.1	4.2	4.5	4.2	4.0	4.2	2.9	3.7	5.4	4.5	4.2	3.7	2.3	3.2	2.9	2.9	4.26
29.	3.5	3.5	2.9	2.1	1.8	2.6	2.9	2.3	2.1	2.1	2.3	2.3	2.3	4.0	4.2	4.2	5.7	4.8	4.5	5.1	5.9	5.4	3.5	2.3	3.43
30.	2.9	3.5	3.5	2.6	3.5	4.5	4.2	2.6	1.2	1.5	3.2	5.7	5.7	8.0	5.9	5.9	6.5	5.4	6.2	5.7	6.8	8.5	9.9	10.7	5.17
Mittel	4.41	4.26	4.38	4.11	3.74	3.71	3.39	3.16	3.21	3.28	3.58	3.54	3.60	4.14	3.89	4.04	4.39	4.97	4.72	4.79	5.33	5.57	5.33	4.85	4.18

Juli

Datum	0–1ª	1–2ª	2–3ª	3–4ª	4–5ª	5–6ª	6–7ª	7–8ª	8–9ª	9–10ª	10–11ª	11ª–m	0–1ᵖ	1–2ᵖ	2–3ᵖ	3–4ᵖ	4–5ᵖ	5–6ᵖ	6–7ᵖ	7–8ᵖ	8–9ᵖ	9–10ᵖ	10–11ᵖ	11ᵖ–mn	Mittel
1.	7.4	7.1	8.0	5.7	4.8	4.5	5.9	4.5	2.6	4.8	6.5	9.0	9.6	9.0	8.2	4.8	3.5	3.5	4.8	5.9	7.4	9.9	5.9	2.6	6.08
2.	2.9	2.1	1.5	2.1	3.5	3.2	4.0	6.8	4.0	2.3	0.8	0.8	0.8	2.3	3.7	4.0	4.0	5.1	7.1	3.2	3.5	6.2	5.1	2.9	3.41
3.	2.9	4.0	4.5	2.9	3.2	3.2	2.6	1.5	1.2	1.5	2.6	2.9	2.1	1.8	0.8	1.2	2.6	4.2	5.7	2.9	2.1	2.6	1.8	2.1	2.62
4.	2.1	3.5	4.2	5.4	6.8	7.1	5.7	5.9	4.8	4.8	5.4	6.8	5.9	6.2	5.4	4.8	3.7	4.2	3.7	4.0	6.5	6.8	6.2	5.7	5.23
5.	4.5	4.8	5.7	5.4	4.5	5.4	3.2	2.1	3.2	4.5	5.4	5.4	5.1	5.1	4.0	5.9	4.8	5.1	5.9	7.4	8.0	7.1	7.1	7.7	5.30
6.	8.5	7.4	6.2	7.4	8.5	8.2	8.0	7.7	8.2	8.8	9.6	8.8	8.0	8.2	8.2	8.2	8.2	8.8	7.7	8.0	8.8	8.8	8.8	8.8	8.24
7.	8.5	8.0	7.7	8.8	8.0	7.7	6.8	6.2	6.8	6.5	5.7	6.2	6.5	7.1	5.7	3.7	4.5	4.0	2.3	4.0	6.2	4.5	3.7	2.6	5.90
8.	2.1	1.2	1.2	0.5	1.8	1.5	2.3	2.3	2.1	2.1	2.1	2.3	2.9	4.0	4.8	4.8	5.4	5.7	4.8	4.8	4.5	5.4	5.1	4.8	3.27
9.	5.4	6.2	6.5	4.8	4.0	3.2	3.5	4.5	3.7	4.0	4.2	4.5	5.1	6.5	5.9	5.9	5.4	3.5	2.1	2.6	2.9	4.0	4.2	8.2	4.62
10.	9.0	9.0	8.0	9.3	10.7	9.6	8.5	7.7	8.2	6.2	5.9	6.2	5.7	5.7	6.5	6.2	6.8	6.5	7.1	7.7	8.0	7.1	7.1	7.7	7.52
11.	7.4	6.8	7.1	7.4	6.8	6.5	7.4	6.8	5.4	4.2	4.8	4.5	4.2	4.5	3.2	3.5	3.7	3.2	2.6	2.9	3.5	2.9	3.2	2.9	4.81
12.	2.6	2.3	2.6	3.5	3.7	5.1	4.2	4.2	5.9	5.9	6.5	7.4	7.4	10.4	8.5	8.8	7.4	5.7	5.7	7.1	7.4	8.2	7.4	6.2	6.00
13.	6.2	6.5	6.2	5.1	3.7	4.2	4.2	3.2	2.6	5.1	5.9	6.8	7.1	7.4	4.5	4.8	4.2	2.6	3.5	3.2	3.7	2.3	3.7	2.6	4.55
14.	2.6	1.8	1.5	3.2	3.5	2.9	2.1	1.5	2.1	1.2	1.5	1.8	1.2	1.8	3.7	4.5	3.7	3.5	3.5	4.0	3.7	3.7	3.5	4.2	2.78
15.	2.9	3.5	3.7	3.7	3.5	3.5	3.7	3.7	3.2	2.3	2.6	1.8	2.9	4.0	5.1	4.2	6.2	4.8	3.2	4.2	4.8	4.8	5.4	4.0	3.82
16.	4.2	4.2	3.7	1.8	2.3	2.3	1.8	1.2	1.5	2.6	3.2	3.5	4.8	5.9	4.2	5.1	3.7	2.6	3.7	2.6	2.3	4.5	3.7	2.9	3.26
17.	3.7	4.8	5.7	5.1	6.8	5.4	4.8	4.5	4.8	5.7	5.1	4.2	4.2	5.9	6.2	5.9	6.2	5.7	4.5	4.2	2.9	2.9	4.0	2.9	4.84
18.	4.0	5.1	5.4	4.8	5.1	6.2	6.2	6.5	4.8	5.9	5.9	6.5	6.5	6.8	7.1	8.0	8.2	8.0	6.5	6.8	8.5	8.2	8.2	8.8	6.58
19.	8.8	8.5	8.2	5.9	5.9	5.9	6.8	5.7	4.2	5.9	6.2	4.8	5.4	6.5	5.4	3.7	3.7	3.2	2.1	2.6	2.6	4.8	4.2	4.0	5.21
20.	3.7	2.6	1.8	2.3	2.1	2.1	0.8	0.8	1.5	3.5	3.5	3.5	3.2	4.5	2.3	2.3	1.8	1.5	1.5	2.3	3.5	3.7	3.2	3.7	2.57
21.	5.4	5.7	5.4	4.2	4.0	3.5	4.0	2.9	3.5	5.4	6.5	5.4	6.5	6.2	5.4	5.7	5.4	5.9	6.2	6.5	5.4	5.1	5.7	6.8	5.28
22.	9.0	7.1	6.8	6.2	8.2	8.0	7.7	7.1	7.1	8.2	8.0	6.8	5.9	7.7	7.1	9.0	8.5	8.8	9.0	8.0	10.2	10.4	7.4	5.4	7.82
23.	5.4	6.5	7.4	6.5	6.2	6.2	4.5	2.6	0.5	1.2	1.8	1.8	1.2	1.8	1.5	1.8	1.2	1.8	2.3	2.1	2.6	2.6	2.6	4.2	3.18
24.	5.7	6.5	7.1	6.8	5.9	5.4	4.8	4.8	6.2	4.5	3.2	3.2	4.2	6.5	3.7	3.5	2.3	2.1	3.2	11.3	9.6	7.1	5.7	3.2	5.27
25.	4.5	4.0	7.4	8.8	7.7	5.4	2.6	2.1	2.3	1.5	1.2	1.8	2.9	2.9	2.6	2.3	1.8	1.5	1.5	2.9	4.2	5.7	7.7	5.1	3.77
26	3.2	2.3	3.5	4.2	4.8	4.2	3.2	2.9	3.2	2.3	1.8	2.1	2.9	2.6	2.1	1.8	1.2	1.8	3.5	5.1	5.7	5.1	3.5	3.2	3.18
27.	4.5	4.8	4.5	3.2	3.2	4.5	7.1	6.8	4.8	4.2	5.4	8.0	7.4	9.3	6.8	6.5	6.8	5.7	3.5	5.1	4.0	3.7	4.8	3.7	5.35
28.	2.9	2.1	2.3	1.8	3.2	3.7	3.7	2.3	1.8	1.5	0.5	1.8	2.1	3.7	3.7	1.5	2.3	4.8	4.5	5.9	6.5	4.8	4.0	3.0	3.35
29.	6.5	7.1	7.1	4.8	5.7	5.9	5.9	4.2	1.5	0.8	2.1	2.3	2.9	2.9	2.9	1.2	2.3	1.8	1.8	2.6	2.3	2.1	2.6	1.8	3.38
30.	2.6	2.6	3.2	2.6	1.8	3.5	2.9	2.3	1.8	1.8	1.5	1.2	1.8	2.3	3.7	4.0	6.2	4.8	4.8	5.7	5.1	3.2	2.9	4.0	3.18
31.	5.7	7.4	7.1	7.4	7.1	9.3	7.4	6.2	5.1	4.2	5.1	5.7	5.7	5.4	5.1	3.7	3.5	5.7	8.0	7.4	7.1	7.7	7.7	9.0	6.40
Mittel	4.99	5.02	5.20	4.89	5.06	5.07	4.72	4.24	3.83	3.98	4.21	4.45	4.58	5.32	4.77	4.56	4.49	4.39	4.40	4.94	5.27	5.35	5.04	4.86	4.73

Anemometer-Registrierung. **Hohenpeissenberg.** 1911.

Datum	0–1ª	1–2ª	2–3ª	3–4ª	4–5ª	5–6ª	6–7ª	7–8ª	8–9ª	9–10ª	10–11ª	11ª–m	0–1ᵖ	1–2ᵖ	2–3ᵖ	3–4ᵖ	4–5ᵖ	5–6ᵖ	6–7ᵖ	7–8ᵖ	8–9ᵖ	9–10ᵖ	10–11ᵖ	11ᵖ–mn	Mittel
August																									
1.	7.4	7.1	7.1	7.1	5.7	7.4	7.1	7.4	7.4	8.0	6.8	5.9	5.1	4.0	3.7	4.8	4.5	5.4	6.8	7.4	8.2	9 3	9.6	8.8	6.75
2.	8.0	6.5	5.9	5.1	4.8	5.1	4.8	4.1	4.8	5.1	4.2	3.2	2.6	1.5	1.2	2.9	4.0	2.9	2.9	5.1	4.8	2.9	3.5	2.3	4.10
3.	2.1	2.3	2.1	3.7	4.8	4.8	4.0	3.5	2.3	1.8	1.2	1.2	2.1	2.3	1.8	0.8	1.5	1.2	1.8	2.9	2.1	2.9	3.7	3.7	2.53
4.	5.1	6.8	5.9	6.5	5.1	5.9	5.4	5.4	4.0	2.9	2.6	2.9	3.5	3.2	4.0	2.9	4.5	3.5	2.3	2.3	3.5	2.3	2.9	4.8	4.09
5.	5.1	2.9	3.2	2.9	2.6	2.6	3.5	3.5	2.6	2.6	2.9	2.3	2.1	1.5	1.5	1.5	1.8	2.1	2.6	2.6	2.3	2.9	2.3	2.9	2.62
6.	3.2	2.3	1.8	1.8	3.5	3.5	3.2	3.5	4.8	7.1	8.2	9.3	8.0	5.7	6.5	7.4	3.5	1.5	2.6	2.6	2.6	3.2	2.6	5.4	4.33
7.	6.2	6.2	5.1	5.4	2.1	1.5	2.3	2.6	0.5	0.8	0.5	1.5	1.5	1.5	1.5	2.9	2.3	1.8	2.1	4.0	5.1	5.1	3.7	3.7	2.91
8.	5.1	4.8	4.5	4.0	5.9	6.5	7.7	5.9	5.4	7.1	7.4	8.5	8.0	8.2	8.0	8.5	9.0	8.5	8.0	8.5	8.8	9.6	10.2	8.8	7.37
9.	8.5	8.2	8.2	8.8	8.5	7.7	7.4	7.4	9.0	8.8	6.8	6.5	7.1	7.4	6.8	6 8	6.5	7.1	8.0	7.7	8.2	9.0	6.8	6.5	7.65
10.	6.5	4.8	4.8	4.5	4.0	3.7	3.5	2.9	4.0	4.2	2.6	2.6	3.2	1.8	2.1	1.8	2.3	4.8	5.7	6.8	5.9	5.9	5.9	4.8	4.13
11.	4.8	5.4	6.2	6.5	6.2	7.1	5.7	6.5	7.7	7.1	7.4	8.2	8.0	8.8	8.2	6.5	8.2	8.5	7.7	8.0	8.0	6.8	8.0	8.0	7.23
12.	7.4	5.9	6.8	4.8	8.0	9.0	8.2	9.0	8.5	8.2	7.7	6.8	6.2	6.8	7.4	7.4	7.1	7.1	8.2	9.3	9.0	8.0	9.0	9.3	7.71
13.	9.9	9.6	6.8	6.2	7.1	6.5	4.5	4.0	4.0	4.8	4.0	4.5	4.2	6.8	3.5	3.5	5 9	5.1	6.2	5.1	6.5	6.8	5.1	2.6	5.55
14.	1.2	2.9	3.5	3.5	3.7	4.0	2.9	2.1	2.9	3.5	3.2	3.2	5.7	2.1	2.9	2.9	2.1	1.8	0.8	2.3	2.9	4.2	4.0	4.2	3.02
15.	3.5	2.1	3.5	4.0	4.2	4.8	5.4	6.5	4.8	6.5	6.8	6.5	7.4	6.8	7.7	6.5	7.1	6.8	7.1	6.2	4.8	2.9	2.3	4.2	5.35
16.	4.5	3.5	4.0	4.8	4.2	3.7	3.7	3.2	3.2	3.7	3.7	4.8	6.2	5.7	5.9	5.1	4.8	5.7	5.1	5 4	4.8	3.7	2 9	3.2	4.40
17.	2.9	2.9	4.0	3.7	3.2	2.9	2 6	1.8	1.8	2.3	2.9	4.2	3.7	4.0	4.0	3.7	4.2	4.5	3.5	3.2	2.9	2.6	1.5	1.5	3.10
18.	2.9	2.1	2.3	2 3	1.8	2.3	2.9	2.1	1.8	1.8	2.3	2.6	4.5	4.5	4.0	4.2	3.7	3.7	3.2	2.9	4.0	2.9	2.1	3.2	2.92
19.	3.5	4.5	6.8	6.5	8.2	7.4	5.9	4.5	4.0	4.2	4.0	5.1	4.2	5.1	5.9	6.2	6.8	6.8	6.2	5.4	4.0	4.8	4.8	4.8	5.41
20.	2.6	2.1	3.5	3.2	3.2	3.7	3.2	2.9	1.8	1.8	2.9	5.9	2.6	1.8	1.2	2.9	2.6	2.3	2.9	5.4	6.8	5.4	6.5	5.7	3.45
21.	5.1	4.0	4.2	3.7	6.2	6.2	5.4	5.4	4.8	7.4	8.0	9.6	4.5	1.8	2.1	4.5	6.8	10.2	5.1	5.1	4.5	7.7	9.6	8.0	5.83
22.	8.2	8.5	11.0	7.7	6.2	5.9	8.8	9.6	4.8	5.1	6.2	4.2	3.7	2.6	3.2	2.6	2.1	1.8	1.8	3.2	4.0	4.8	6.2	5.7	5.33
23.	4.2	4.0	4.2	2.3	2.1	1.8	3.2	4.0	2.6	4.8	5.9	2.6	1.2	1.2	2.1	9.6	5.7	7.4	4.0	3.7	3.2	3.7	5.1	4 0	3.86
24.	4.0	5.4	5.7	7.4	6.8	5.9	5.7	4.2	2.9	2.3	2.9	2.9	2.3	1.8	1.5	0.5	4.0	4.8	4.5	5.4	4.5	4.2	3.2	3.5	4.01
25.	4.0	3.2	2.9	3.2	3.7	2.6	2.9	2.1	1.5	1.8	1.8	2.1	2.3	2.1	1.8	1.8	1.5	1.2	2.6	3.5	2.3	2.6	3.2	2.9	2.48
26.	3.5	7.7	9.3	5.9	4 8	5.1	4.0	3.7	2.1	4.0	4.0	3.7	3.2	3.2	3.7	4.0	3.7	2.6	3.2	3.5	3.7	4.2	4.8	6.5	4.34
27.	4.8	2.9	3.2	3.2	3.2	2.9	2.1	1.5	1.5	0.8	1.2	1.2	1.8	1.5	2.1	2.3	2.6	3.5	4.8	4.8	4 5	5.4	4.5	4.5	2.95
28.	4.8	5.9	5.4	5.1	3.7	2.3	2.6	2.9	2.1	2.3	1.5	1.2	2.6	1.8	1.8	1.8	2.1	2.3	2.3	2.9	3.5	4.5	5.1	4.5	3.13
29.	4.2	4.8	5.4	5.4	5.4	5.1	5.4	5.1	4.0	3.7	4.0	3.2	2.9	2.3	1.5	1.5	0.8	1.5	3.5	4.8	4.0	4.0	2.9	1 8	3.63
30.	2.9	2.3	2.9	1.8	2.3	1.8	2.3	1.2	0.8	1.5	2.6	1.2	1.5	1.2	1.5	2.6	2.3	0.8	0.8	0.8	2.1	2.3	3.5	4.5	1.98
31.	7.1	4.8	5.1	2.9	2.6	3.7	2.9	4.0	2.6	1.5	1.2	0.8	1.2	2.3	2.3	1.5	0.8	1.5	2.9	4.2	3.7	4.2	5.1	5.7	3.11
Mittel	4.94	4.72	5.01	4.64	4.64	4.63	4.49	4.28	3.71	4.11	4.11	4.14	3.97	3.60	3.59	3.93	4.03	4.15	4.17	4.68	4.68	4.80	4.86	4.84	4.36
September																									
1.	6.8	8.2	8.0	5.7	6.5	6.5	5.4	4.0	3.2	5.4	5.4	5.4	4.2	4.0	4.0	3.5	4.0	5.7	6.5	6.5	6.5	5.4	5.7	6.2	5.53
2.	3.5	2.9	3.5	3.2	2.9	2.3	3.2	2.3	1.8	1.5	1.8	2.1	2.3	2.1	1.5	1.5	1.2	1.5	2.1	2.6	2.3	2.6	2.6	2.9	2.34
3.	2.6	2.6	1.8	1.5	1.2	1.2	1.2	0.5	0.8	1.8	2.1	2.1	1.5	2.1	2.1	1.2	2 6	3.2	2.9	1.5	1.8	2.9	3.7	4.0	2.04
4.	4.0	4.0	5.4	5.7	5.7	5.9	5.1	4.0	3.7	4.2	2.6	2.6	3.7	3.5	3.7	3.5	2.9	3.2	4.5	3.5	2.6	2.3	1.5	0.8	3.69
5.	2.9	4.2	7.1	6.8	6.5	5.7	4.2	4.0	4.2	3.5	3.2	4.0	4.5	5.1	4.8	5.4	4.8	6.5	6.8	6.2	6.2	7.4	6.8	6.5	5.30
6.	7.1	7.1	7.4	7.7	5.9	4.5	4.2	4.2	2.1	2.1	2.1	1.8	2.3	3.7	3.2	3.7	4.5	5.4	5.1	4.8	4.5	2.6	1.2	2.1	4.14
7.	2.1	3.7	4.0	3.7	3.5	3.7	2.3	1.8	1.2	0.8	0.8	1.2	1.2	1.5	1.5	1.8	1.8	4.2	4.5	2.9	2.6	2.9	3.5	2.9	2.50
8.	2.6	2.3	3.7	2.9	2.3	2.3	1.5	2.1	1.5	0.0	0.8	1.5	2.6	2.6	3.5	3.7	3.5	3.5	2.6	3.7	3.2	3.2	2.6	4.2	2.60
9.	5.1	4.8	7.1	9.0	7.4	10.4	10.7	11.3	10.2	8.2	8.0	7.7	6.5	6.5	7.1	5.7	5.4	5.4	5.7	7.7	8.0	8.0	7.7	8.2	7.57
10.	7.1	8.8	12.4	12.7	10.4	9.6	9.3	8.5	7.4	3.5	2.1	1.5	1.5	1.8	1.8	1.5	2.1	2.9	3.2	4.2	7.1	8.0	9.0	9.3	6.07
11.	9.6	9.3	8 8	7.1	7.1	8.0	7.7	7.4	6.5	6.2	5.9	6.2	5.9	6.2	5.7	5.9	6.2	7.1	8.0	8.0	6.8	4.8	2.3	2.3	6.63
12.	2.6	3.7	2.9	2.3	2.6	2.9	2.1	2.1	1.2	1.5	1.5	2.3	3.5	4.5	4.2	4.8	2.9	3.5	3.7	1.8	2.9	3.7	4.5	4.8	3.02
13.	6.2	6.2	8.2	9.0	8.5	8.8	8.5	6.8	5.7	4.5	4.0	4.5	3.7	3.5	2.9	2.1	2.9	3.5	4.2	4.2	4.8	4.2	4.2	4.2	5.22
14.	3.2	4.2	4.8	5.4	4.8	4.2	4.8	4.5	3.5	2.6	2 6	2.1	2.6	2.9	2.6	1.5	0.8	2.9	5.7	4.8	4.8	3.7	3.2	5.4	3.65
15.	5.9	4.2	3.5	1.8	2.1	3.2	2.9	4.2	3.7	2.6	2.3	2.3	1.8	2.6	3.5	3.5	4.2	1.2	2.1	4.5	2.6	2.9	2.3	3.5	3.06
16.	2.6	3.5	2.9	1.8	1.2	1.5	1.2	1.5	1.2	2.3	1.8	2.1	2.6	2.9	3.5	3.5	2.3	1.8	1.8	1 8	2 6	2.6	2.1	1.8	2.20
17.	2.1	1.8	2.6	1.8	2.1	2.9	2.3	2.6	2.1	1.5	1.2	2.6	2.3	2.3	1.8	1.5	0.8	1.8	2.1	2.1	1.8	2.6	3.2	2.9	2.12
18.	2.6	2.3	2.3	2.1	3.7	4.2	4.0	4.0	3.2	3.5	4.8	5.1	4.8	4.5	4.0	3.7	3.7	4.0	3.5	2.9	3.5	4.0	5.1	3.7	3.72
19.	3.7	3.2	4.5	4.5	4.0	4.2	6.2	5.4	3.7	1.2	1.2	1.2	1.2	2.6	3.2	3.5	3.7	5.1	5.9	5.1	5.4	3.5	4.0	4.2	3.77
20.	6.2	5.4	4.8	4.2	5.1	6.2	4.5	4.2	4.5	4.0	4.0	2.9	3.5	2.3	2.1	1.5	2.3	4.2	5.9	6.5	5.9	2.1	5.7	4.8	4.28
21.	3.7	4.0	6.2	6.5	5.9	6.2	4.5	3.2	2.6	2.3	0.8	1.5	3.7	2.1	7.1	9.3	6.2	4.2	4.5	6.2	5.1	4.5	4.2	3.5	4.50
22.	3.2	2.6	2.9	3.2	2.3	2 3	3.2	3.2	2.9	2.3	1.5	0.8	1.2	1.5	1.2	1.8	2.3	2.9	2.6	2.9	2.9	2.9	2.9	2.1	2.40
23.	3.2	3.7	3.7	3.7	3.7	3.7	3.7	4.0	4.0	4.0	5.4	5.9	4.8	5.7	5.4	4.5	4.2	4.5	5.1	3.7	5.4	5.1	5.1	5.9	4.50
24.	4.5	4.8	4.2	4.2	4.8	4.5	5.4	5.7	5.4	4.8	4.5	5.4	4.2	4.2	4.2	4.5	4.8	4.8	5.1	4.8	7.1	6.8	6.5	4.2	4.98
25.	5.4	5.4	4.5	5.7	6.5	3.7	3.2	2.6	2.3	1.5	1.5	2.6	2.1	1.8	2.1	2.6	2.1	1.5	2.6	3.2	3.7	3.7	4.2	4.0	3.25
26.	4.2	4.2	4.8	3.7	3.7	3.7	3.2	2.6	1.8	2.6	2.9	2.1	2.1	1.5	1.5	1.8	1.8	2.1	3.7	5.1	4.0	2.9	4.8	4.8	3.15
27.	4.0	3.7	3.7	4.0	4.0	2.6	1.5	0.8	0.5	1.5	1.2	1.8	1.5	0.8	1.8	2.9	2.9	3.2	1.8	1.5	1.2	0.8	1.5	2.3	2.15
28.	3.5	3.2	3.2	4.0	2.9	3.5	4.0	5.1	4.8	4.0	3.5	4.5	6.2	4.8	4.0	5.4	7.1	6.5	5.7	6.5	6.2	5.4	6.2	6.2	4.85
29.	5.9	6.5	6.8	6.2	5.4	4.8	3.7	3.5	2.9	2,6	2.1	1.8	2.1	4.8	6.2	7.7	6.2	6.5	5.9	7.4	6.8	5.9	5.9	5.1	5.11
30.	5.1	4.5	4.5	4.0	2.6	2.6	2.3	1.8	2.1	2.3	2.1	2.3	2.3	4.0	3.2	2.9	3.7	3.2	3.7	5.7	6.2	7.1	6.2	4.5	3.70
Mittel	4.37	4.50	5.01	4.80	4.51	4.53	4.20	3.91	3.36	2.96	2.79	3.00	3.08	3.28	3.45	3.55	3.46	3.87	4.25	4.41	4.48	4.15	4.28	4.24	3.93

Anemometer-Registrierung. **Hohenpeissenberg.** 1911.

Oktober

Datum	0–1ª	1–2ª	2–3ª	3–4ª	4–5ª	5–6ª	6–7ª	7–8ª	8–9ª	9–10ª	10–11ª	11ª–m	0–1ᵖ	1–2ᵖ	2–3ᵖ	3–4ᵖ	4–5ᵖ	5–6ᵖ	6–7ᵖ	7–8ᵖ	8–9ᵖ	9–10ᵖ	10–11ᵖ	11ᵖ–mn	Mittel
1.	4.5	7.4	10.4	12.1	12.7	12.1	11.5	12.1	12.4	10.7	11.3	9.3	8.5	7.4	7.1	5.4	6.5	5.9	6.2	5.4	5.1	5.7	7.1	6.5	8.47
2.	6.8	5.9	5.1	5.9	6.8	7.1	6.8	6.2	5.9	5.9	5.7	5.7	6.2	6.5	5.1	4.5	5.4	5.1	4.8	5.7	5.1	6.2	5.4	5.7	5.81
3	5.9	9 0.0	3.5	4.5	4.0	4.0	3.5	2.9	3.7	4.8	4.5	4.2	4.0	3.7											
4.																									
5.																									
6.																									
7.																									
8.																									
9.																									
10.																									
11.																									
12.															1.5	1.8	1.8	2.1	3.7	4.0	3.2	2.3	2.6	3.7	
13.	3.7	2.9	2.6	3.7	3.7	2.6	1.8	0.8	1.2	0.5	0.5	0.8	2.1	3.5	3.5	2.6	2.9	4.5	5.9	5.9	5.4	3.2	2.3	4.2	2.95
14.	4.2	5.4	4.8	5.1	5.7	4.8	4.8	4.2	3.2	2.6	1.2	1.5	1.8	1.8	4.0	2.3	2.1	3.2	4.5	4.0	4.0	4.0	3.2	2.6	3.54
15.	3.5	3.2	4.5	3.5	3.2	4.2	5.4	5.1	4.8	4.5	6.2	6.8	7.4	7.1	7.4	8.2	8.5	9 6	9.9	9.0	8.5	7.7	6.2	4.8	6.22
16.	3.2	3.2	1.5	1.5	2.3	2.6	2.9	3.2	2.1	2.3	3.2	3.5	2.6	3.5	5.1	4.8	5.1	5.7	8.2	8.2	7.1	6 2	4.0	2.6	3.94
17.	3.5	5.4	3.5	4.0	4.5	4.0	6.2	5.4	4.2	4.2	5.7	5.7	5.7	7.1	7.7	8.2	8.5	8.5	7.1	5.4	2.6	2.9	3.7	3.7	5.31
18.	3.5	3.5	4.0	3.5	6.2	5.4	3.7	4.8	2.9	1.8	1.5	1.8	4.5	5.1	7.4	7.7	8.5	6.2	3.5	4.0	4.8	4.5	5.1	2.3	4.43
19.	2.1	1.2	3.5	2.6	2.9	2.3	1.8	1.8	1.8	1.5	1.5	1.2	2.1	2.9	2.3	3.7	3.5	4.2	4.5	3.7	4.5	5.1	5.1	5.9	2.99
20.	5.9	6.8	5.9	4.8	5.4	5.4	4.5	3.7	3.5	2.9	2.1	1.5	1.8	1.8	2.1	1.5	1.2	0.8	2.6	2.6	2.3	3.2	3.5	4.0	3.24
21.	2.9	3.2	2.9	2.3	2.3	1.8	3.5	4.5	4.2	5.9					3.7	4.5	6.5	6.8	5.4	3.7	2.1	2.9	5.1	5.1	
22.	4.8	4.8	4.5	3.5	2.6	6.8	7.7	6.2	6.2	4.2					3.5	4.8	5.4	6.2	4.8	4.0	3.7	4.0	6.8	9.3	
23.	8.8	9.0	6.5	9.3	11.3	9.9	11.0	8.8	9.3	8.8	6.8	8.2	8.5	5.7	6.5	7.1	7.7	6.2	5.1	5.1	6.2	5.4	4.2	3.2	7.44
24.	3.5	3.5	3.7	2.9	2.3	3.5	2.6	3.5	2.6	2.1	2.3	2.3	2.3	3.2	4.2	4.8	5.9	6.8	4.8	3.5	3.7	5.1	5.9	6.5	3.81
25.	8.2	9.0	8.0	5.1	3.2	3.2	1.2	2.1	3.2	2.1	2.3	4.2	1.2	2.1	1.2	1.2	5.7	10.2	11.0	12.7	11.5	12.4	9.9	10.2	5.88
26.	9.6	8.5	8.2	8.0	6.8	9.6	11.0	9.6	7.1	7.4	6.2	4.5	5.1	3.5	2.1	1.5	1.8	2.3	2.9	4.5	5.1	2.6	3.2	3.7	5.62
27.	4.5	6.5	7.1	5.4	5.1	4.5	3.5	2.6	2.6	1.5	1.5	2.3	2.6	2.9	3.2	2.9	4.0	5.4	3.7	7.7	6.8	6.8	5.7	7.7	4.40
28.	8.2	6.5	5.7	5.7	5.7	5.9	6.5	6.5	7.1	7.4	7.1	7.4	8.2	7.7	7.4	6.8	9.3	9.9	6.2	7.1	6.8	6.5	5 7	5.4	6.95
29.	5.4	4.0	4.5	4.0	4.0	3.2	2.9	1.8	0.5	1.5	1.5	2.1	1.8	2.9	4.0	4.2	1.8	2.1	2.1	0.8	0.8	1.2	1.8	1.8	2.53
30.	1.8	1.8	0.0	0.0	0.0	0.5	0.5	0.5	0.8	0.8	1.5	2.3	2.3	1.2	1.8	2.6	3.2	5.1	4.5	3.2	4.0	5.4	5.4	1.8	2.13
31.	3.2	4.5	5.1	4.8	3.5	2.3	3.7	3.7	2.1	1.2	2.3	2.6	2.1	1.8	2.3	1.8	2.3	3.2	2.1	3.2	4.5	4.8	4.0	3 7	3.12
Mittel																								88.18	

November

1.	4.0	4.0	4.0	3.5	4.8	4.2	3.7	4.0	3.2	1.8	3.2	2.3	1.8	1.8	1.8	0.8	0.8	2.1	2.3	4.0	5.1	6.2	5.9	6.5	3.41
2.	6.8	6.5	6.2	7.7	7.4	7.4	6.5	4.2	4.5	2.9	2.9	3.7	5.1	4.5	4.0	4.5	5.1	4.5	4.8	4.2	3.2	2.6	2.3	3.5	4.79
3.	5.7	5.9	5.7	7.1	8.0	8.5	7.1	5.4	4.5	2.1	2.6	2.3	4.0	2.6	2.1	1.8	2.1	2.6	3.5	5.4	5.4	4.2	2.3	2.3	4.30
4.	2.3	3.5	2.6	4.0	4.5	4.5	6.5	8.0	7.1	6.5	5.4	5.1	4.2	4.8	6.8	5.9	6.2	7.7	8.5	8.5	9.6	8 5	8.5	9.0	6.18
5.	10.2	9.9	9.3	9.3	8.8	7.7	7 4	8.2	6.8	7.4	8.0	8.2	6.5	8.2	12.4	11.5	12.7	12.4	10.4	11.3	11.5	11.5	11.8	12.1	9.73
6.	9.6	12.1	13.6	12.7	8.2	6.5	4.0	2.9	5.4	5.4	5.6	5.7	5.9	5.4	8.0	8.5	9.6	8.0	8.0	7.1	8.2	6.5	7.1	7.7	7.57
7.	8.0	7.7	7.7	6.5	6.8	6.8	5.7	6.5	6.2	5.7	4.5	4.8	4.0	3.5	2.9	2.1	2.9	1.8	1.5	3.5	4.5	4.8	4.8	3.5	4.86
8.	2.6	2.3	2.3	2.9	3.5	4.5	4.5	3.5	2.3	1.5	1.5	0.8	1.5	2.6	3.5	4.0	4.2	3.5	2.3	3.5	4.2	4.0	4.2	4.8	3.10
9.	4.0	4.5	4.8	4.0	3.5	4.8	2.9	5.9	5.9	2.9	1.8	4 8	8.2	9.3	10.2	9.0	4.5	2.6	4.5	5.9	6.2	4.8	6.5	5.4	5.29
10.	5.4	5.1	5.9	4.5	3.7	2.9	2.1	4.5	4.2	4.0	4.0	3.5	3.2	1.2	2.1	2.3	2.1	4.0	1.5	0.0	0.0	0.0	0.0	2.1	2.85
11.	2.9	2.1	0.8	1.2	1.2	0.0	0.0	0.0	0.0	0.0	0.0	0.0	0.0	0.0	0.5	2.3	4.2	3.2	3.7	4.5	5.4	5.7	3.5	4.2	1.89
12.	6.5	6.2	5.4	4.0	2.6	4.5	4.2	3.7	3.5	2.1	0.8	2.1	2.5	2.9	4.2	5 1	4.0	5.1	6.2	4.5	4.8	5.4	6.2	4.8	4.22
13.	3.7	4.2	2.9	2.1	2.9	2.6	4.8	4.8	4.0	3.5	3.5	2.9	2.6	2.1	1.5	1.2	1.5	2.3	2.9	2.3	2.1	2.6	3.2	3.5	2.90
14.	3 7	3.5	1.8	1.8	2.1	1.8	1.8	4.0	3.2	4.0	4.2	4.8	5.4	5.6	5.7	5.1	4.5	4.5	5.7	6.2	7.1	5.1	5.4	5.4	4.27
15.	5.7	4.8	3.7	3.5	4.5	3.5	3.5	3.7	2.6	1.8	2.1	2.1	3.2	2.9	3.5	4.5	5.1	6.5	7.1	8.8	8.2	9.0	9.3	9.3	4.95
16.	13.0	9.3	10.4	10.5	10.6	10.8	10.9	11.0	9.6	9.0	8.8	8.5	8.0	7.7	5.7	5.9	5.7	6.5	7.1	6.5	7.4	6.5	6.2	6-2	8.41
17.	5.1	4.2	5.1	3.5	2.1	3.5	3.2	5.1	7.1	7.1	6.0	4.8	3.7	2.6	1.5	2.1	3.7	4.8	4.0	4.2	7.7	5.4	2.3	4.2	4.29
18.	4.8	5.1	3 7	2.6	3.5	3.2	2.1	2.1	3.2	4.5	4.8	3.7	3.2	5.5	7.7	8.5	8.0	8.0	7.4	6 8	6.5	5.7	5.7	5.4	5.07
19.	9.3	9.0	9.9	11.3	7.4	5.9	7.7	6.8	5.9	5.4	6.5	7.4	8.0	8.4	8.8	7.7	7.7	8.5	8.8	10.7	10.9	11.0	12.7	13.6	8.72
20.	14.2	14.2	13.9	12.1	12.7	15.0	17.3	19.8	19.2	17.6	17.3	21.7	20.9	20.0	18.7	16.2	17.3	16.2	17.6	16.8	16.8	14.2	12.7	11.3	16.40
21.	13.3	13.0	9.3	8.8	8.0	8.8	8.0	5.1	3.2	3.2	3.5	3.7	3.7	5.1	6.5	6.2	5.1	5.9	6.2	4.8	5.7	7.1	6.8	5.9	6 54
22.	6.5	5.4	3.7	4.2	2.9	3.5	3.2	3.7	3.2	2.6	4.0	4.8	4.8	5.4	5.4	4.0	4.5	5.4	6 8	5.7	4.5	4.5	5.1	7.1	4.62
23.	5.1	6.2	7.7	8.0	5.9	6.2	8.5	7.7	4.8	3.5	6.5	7.4	4.8	5.4	5.7	5.7	6.8	6.8	7.1	7.1	5.9	5.1	5.7	5.7	6.22
24.	4.8	5.9	8.0	7.7	7.1	7.7	8.2	6.8	7.1	7.4	4.5	4.8	4.4	4.1	3.7	3.7	5.1	4.8	6.2	5.1	6.2	5.1	4.8	5.7	5.79
25.	5.7	5.7	4.0	3.7	4.0	3.7	3.2	3.2	3.5	3.7	2.3	2.1	1.5	1.2	0.8	0.8	0.5	0.0	0.0	0,0	0.0	0.0	1.8	3.2	2.36
26.	3.7	3.2	4.5	6.5	6.8	5.4	4.2	2.9	3.5	3.5	3.5	2.9	3.2	3.7	4.5	5.1	4.8	4.8	4.2	3.5	2.3	1.8	1.8	2.9	3.88
27.	1.8	2.6	2.3	1.5	1.8	2.1	3.5	2.9	4.8	5.1	2.1	1.8	2.6	0.8	1.5	1.5	2.9	2.9	1.8	1.2	1.5	6.5	7.1	5.1	2.82
28.	4.0	6.2	5.9	7.4	8.8	7.4	6.8	4.5	4.4	4.3	4.1	4.0	3.9	3.8	3.7	3.5	3.3	3.1	2.9	2.7	2.5	2.3	2.6	3.5	4.40
29.	4.5	4.5	3.7	4.0	4.2	4.0	3.2	3.5	3.5	2.3	2.1	1.8	1.8	1.2	1.8	2.3	2.9	3.4	4.0	4.6	5.1	5.7	4.5	3.5	3.42
30.	4.2	5.4	4.5	5.1	5.1	5.7	5.9	5.4	6.8	6.5	7.4	7.4	4.5	4.8	3.5	3.5	3.5	3.5	2.9	2.1	3.5	2.9	3.5	3.7	4.64
Mittel	6.04	6.07	5.78	5.72	5.45	5.44	5.35	5.33	5.11	4.58	4.45	4.66	4.57	4.57	4.96	4.84	5.04	5.18	5.33	5.38	5.73	5.47	5.48	5.70	5.26

Anemometer-Registrierung. **Hohenpeissenberg.** 1911.

Dezember

Datum	0–1ª	1–2ª	2–3ª	3–4ª	4–5ª	5–6ª	6–7ª	7–8ª	8–9ª	9–10ª	10–11ª	11ª–m	0–1ᵖ	1–2ᵖ	2–3ᵖ	3–4ᵖ	4–5ᵖ	5–6ᵖ	6–7ᵖ	7–8ᵖ	8–9ᵖ	9–10ᵖ	10–11ᵖ	11ᵖ–mn	Mittel
1.	3.5	2.3	2.6	2.3	1.8	1.5	0.8	2.3	2.1	2.3	2.1	2.1	2.3	1.2	0.8	1.2	1.2	0.5	1.2	1.5	2.6	2.6	2.3	2.3	4.54
2.	2.1									2.9	5.4	6.8	6.2	6.1	5.9	6.5	5.9	4.2	3.2	3.2	2.1	1.8	1.8	2.6	
3.	2.6	2.1	0.5				0.5	2.3	3.7	3.5	4.5	2.9	2.9	3.7	4.5	2.9	3.7	3.5	3.5	3.5	3.2	3.2	3.5	4.0	
4.	3.7	2.6	3.2	3.7	4.2	3.2	2.9	2.6	2.6	2.1	2.1	1.8	0.8	0.8	2.3	2.6	3.2	3.7	4.5	4.8	5.1	5.4	5.4	5.7	3.29
5.	4.8	5.1	4.0	3.5	2.3	0.5	0.8	1.2	1.5	2.9	3.2	4.8	5.4	5.1	5.1	4.2	4.0	3.2	1.5	0.5	1.2	0.5	1.2	1.5	2.83
6.	2.6	2.1	2.1	3.2	4.5	3.5	3.2	3.2	1.2	1.2	2.9	2.3	2.3	2.1	1.8	1.8	2.1	2.6	3.2	1.8	2.3	3.5	2.9	3.7	2.59
7.	1.2	1.2	3.5	4.5	4.5	4.2	4.2	5.9	8.0	8.2	5.7	4.5	2.9	2.1	1.8	2.6	4.2	8.0	9.6	9.9	12.1	10.2	9.3	8.8	5.71
8.	6.8	6.8	4.8	3.2	3.5	5.7	4.8	6.2	5.9	6.8	6.5	4.8	4.2	3.2	2.3	2.1	2.9	2.1	2.3	4.0	5.7	5.7	4.5	3.5	5.51
9.	3.7	3.7	4.0	5.1	4.0	3.2	2.6	0.5	5.9	5.9	8.8	9.3	11.8	10.7	12.4	8.8	9.6	8.8	9.0	9.6	8.0	8.2	9.0	7.7	7.10
10.	5.9	6.5	6.8	6.8	5.7	5.7	5.7	5.9	4.5	4.2	4.2	3.2	4.0	4.2	6.2	9.3	9.9	10.2	9.6	9.3	7.7	5.4	5.7	5.1	6.30
11.	4.5	4.5	4.5	3.2	2.9	4.2	4.0	6.8	8.0	6.2	6.5	5.4	2.9	5.9	7.1	7.7	8.5	6.8	5.7	5.9	6.8	6.2	5.7	4.2	5.59
12.	4.2	5.4	5.1	4.8	3.5	2.6	2.9	4.2	3.2	4.0	4.0	4.0	4.0	3.7									3.7	2.3	
13.	2.1	3.2	4.8	5.9	7.7	8.2	9.3	8.0	5.7	3.5	4.2	4.2	4.0	3.7											
14.										4.2	4.8	4.5	4.5	3.5	4.5	7.1	6.5	6.8	5.1	4.5	5.9	6.5	8.0	6.8	
15.	8.0	7.1	7.1	6.2	4.2	2.6	1.5	2.6	7.1	6.8	5.9	3.7	3.2	4.2	2.9	4.8	7.7	7.4	6.5	4.2	7.4	8.2	7.4	7.4	5.59
16.	8.0	6.8	5.4	4.8	4.5	4.5	4.0	4.0	3.5	2.9	2.9	2.6	2.1	1.8	1.8	1.8	1.8	0.5							
17.									1.5	2.3	2.3	2.1	2.1	4.8	6.5	7.1	7.1	7.4	5.1	3.7	4.0	4.0	3.2	3.5	
18.	5.4	4.5	3.5	3.5	2.9	2.6	2.3	2.6	3.2	2.9	4.2	4.7	5.2	5.7	6.2	5.1	5.9	4.8	4.0	3.5	3.7	2.9	2.3	2.6	3.93
19.	1.5	1.5	2.1	2.6	3.7	4.2	3.2	2.9	2.6	2.9	2.6	2.1	2.0	1.9	1.8	4.0	4.0	4.0	3.2	1.2	0.8	3.7	4.2	5.7	2.85
20.	6.8	5.4	4.2	2.9	2.1	2.6	4.0	6.2	7.4	5.9	3.5	2.6	3.7	2.6	1.5	0.5	6.5	10.2	17.9	16.8	14.2	13.9	13.6	15.6	7.11
21.	16.5	12.7	10.7	10.4	9.9	9.3	8.5	5.9	3.7	4.8	4.2	4.5	6.8	9.3	11.8	6.5	11.0	16.8	21.7	20.6	18.9	20.3	22.3	24.0	12.12
22.	20.9	18.7	14.4	14.2	11.5	11.0	8.5	9.6	8.8	8.2	9.9	10.2	10.4	10.5	10.7	11.3	10.7	10.7	10.2	8.2	7.7	6.8	7.1	8.5	10.78
23.	8.0	8.8	9.0	11.3	13.0	12.4	13.3	14..	12.7	13.0	11.5	11.3	9.9	10.7	11.5	8.8	7.4	6.5	7.4	6.2	5.4	4.2	5.4	5.4	9.48
24.	6.5	5.9	5.7	5.1	5.1	4.0	3.2	3.7	3.7	2.6	3.5	2.9	2.6	2.6	2.6	4.5	7.1	10.2	11.5	9.9	9.0	9.9	9.0	8.2	5.79
25.	8.8	9.0	8.2	4.8	4.8	5.9	5.1	5.7	9.9	10.1	10.2	10.4	8.2	8.5	13.6	13.9	13.6	12.7	12.7	11.0	10.2	9.3	8.5	9.3	9.35
26.	10.7	8.5	8.2	8.0	7.4	7.1	8.2	10.2	11.8	11.3	10.7	10.2	9.9	9.6	9.3	8.8	8.5	8.8	8.2	8.0	7.7	8.5	9.9	9.0	9.10
27.	6.2	6.8	9.3	15.0	15.0	13.3	11.8	11.8	10.4	9.0	10.4	10.8	11.3	11.7	12.1	9.9	7.7	5.9	4.2	3.7	4.5	5.1	5.1	5.1	9.00
28.	5.1	6.5	6.5	5.9	5.9	4.2	4.8	5.1	4.2	4.2	4.2	4.2	4.0												
29.															9.6	10.2	8.2	7.1	7.1	7.1	6.8	6.5	5.9	4.0	
30.	4.2	4.8	3.7	3.5	4.0	3.2	2.3	3.2	3.2	2.3	1.5	2.9	2.9	3.5	3.5	3.2	2.1	1.8	4.2	4.5	7.1				
31.									2.1	1.5	1.8	0.8	1.2	2.3	0.8	0.0	2.3	3.2	2.3						
Mittel																									12 8 56 6.42

Täglicher Gang der meteorologischen Elemente auf dem Hohenpeissenberg im Jahre 1911.

Luftdruck
600 mm +

Monat	1ª	2ª	3ª	4ª	5ª	6ª	7ª	8ª	9ª	10ª	11ª	12 m	1ᵖ	2ᵖ	3ᵖ	4ᵖ	5ᵖ	6ᵖ	7ᵖ	8ᵖ	9ᵖ	10ᵖ	11ᵖ	12 mn	Mittel
Jan.	80.40	80.32	80.17	80.09	80.03	80.12	80.17	80.24	80.34	80.46	80.50	80.42	80.28	80.20	80.22	80.23	80.34	80.46	80.59	80.65	80.65	80.65	80.60	80.53	80.36
Febr.	79.66	79.45	79.32	79.25	79.26	79.24	79.28	79.39	79.38	79.34	79.29	79.15	79.01	78.80	78.85	78.81	78.94	79.15	79.27	79.28	79.38	79.40	79.28	79.33	79.23
März	72.95	72.98	72.80	72.67	72.63	72.60	72.61	72.68	72.75	72.79	72.74	72.65	72.54	72.36	72.31	72.38	72.35	72.51	72.72	72.90	73.01	73.05	73.03	73.13	72.71
April	75.38	75.25	75.18	75.11	75.10	75.22	75.32	75.33	75.47	75.52	75.40	75.26	75.15	75.08	74.95	74.88	74.85	74.90	75.05	75.25	75.36	75.37	75.36	75.35	75.21
Mai	75.14	74.98	74.89	74.86	74.94	75.07	75.19	75.29	75.34	75.33	75.30	75.21	75.19	75.03	74.96	74.88	74.85	74.89	74.99	75.16	75.36	75.46	75.47	75.40	75.13
Juni	78.98	78.83	78.72	78.66	78.68	78.73	78.78	78.81	78.82	78.80	78.79	78.70	78.61	78.55	78.45	78.36	78.40	78.47	78.60	78.70	78.98	79.06	79.07	79.05	78.73
Juli	81.72	81.63	81.55	81.53	81.57	81.63	81.72	81.82	81.90	81.88	81.89	81.75	81.62	81.45	81.36	81.24	81.19	81.24	81.41	81.62	81.82	81.94	81.98	81.94	81.64
Aug.	79.57	79.49	79.39	79.34	79.38	79.45	79.57	79.72	79.83	79.88	79.84	79.75	79.65	79.53	79.38	79.27	79.23	79.28	79.40	79.64	79.87	79.91	79.92	79.84	79.59
Sept.	80.13	79.96	79.87	79.80	79.83	79.92	80.02	80.12	80.23	80.30	80.25	80.13	80.01	79.80	79.73	79.61	79.60	79.60	79.71	79.85	79.91	79.87	79.83	79.73	79.91
Okt.	76.82	76.76	76.67	76.61	76.60	76.62	76.89	77.03	77.17	77.25	77.32	77.19	76.90	76.87	76.83	76.80	76.87	76.99	77.12	77.20	77.28	77.30	77.31	77.25	76.99
Nov.	74.33	74.33	74.25	74.12	74.12	74.13	74.19	74.26	74.40	74.52	74.50	74.27	74.12	73.93	73.91	73.97	74.09	74.24	74.28	74.30	74.37	74.42	74.42	74.41	74.25
Dez.	75.65	75.61	75.55	75.42	75.34	75.31	75.41	75.46	71.61	76.64	75.53	75.27	75.09	75.16	75.30	75.52	75.65	75.65	75.76	75.80	75.87	75.82	75.84	75.79	75.54
Mittel	77.56	77.47	77.36	77.29	77.29	77.34	77.43	77.51	77.60	77.64	77.61	77.48	77.35	77.23	77.19	77.16	77.20	77.28	77.41	77.55	77.66	77.69	77.66	77.65	77.44

Temperatur

Jan.	- 4.37	- 4.44	- 4.32	- 4.19	- 4.62	- 4.75	- 4.97	- 4.98	- 4.82	- 4.50	- 4.20	- 3.88	- 3.66	- 3.33	- 3.51	- 3.77	- 3.93	- 4.26	- 4.18	- 4.10	- 4.03	- 4.15	- 4.06	- 4.35	-4.22
Febr.	- 2.44	- 2.39	- 2.43	- 2.43	- 2.42	- 2.56	- 2.60	- 2.62	- 2.23	- 1.78	- 1.27	- 0.85	- 0.40	- 0.06	- 0.26	- 0.54	- 0.90	- 1.23	- 1.32	- 1.50	- 1.65	- 1.67	- 1.72	- 1.80	-1.63
März	1.05	1.08	1.24	1.22	1.10	0.95	1.11	1.44	2.23	2.62	3.08	3.51	4.10	4.45	4.35	3.88	3.28	2.72	2.21	1.98	1.73	1.51	1.45	1.38	2.24
April	3.50	3.46	3.06	2.87	2.85	2.78	2.88	3.27	4.05	4.79	5.45	5.95	6.50	6.44	6.55	6.52	6.20	5.86	4.93	4.49	4.09	3.91	3.89	3.76	4.50
Mai	8.00	7.92	7.60	7.55	7.52	7.87	8.23	8.59	9.36	9.93	10.57	11.19	11.75	12.21	11.90	11.74	11.27	10.80	10.10	9.55	8.98	8.83	8.61	8.44	9.52
Juni	10.22	10.26	10.05	10.16	10.40	10.94	11.64	11.90	12.60	13.17	13.88	14.37	14.69	14.81	14.65	14.16	13.72	13.29	12.48	11.83	11.16	10.86	10.86	10.69	12.20
Juli	15.87	15.58	15.06	14.97	15.19	15.59	16.17	16.65	17.49	18.22	19.24	19.69	20.39	20.70	20.53	20.51	20.38	19.93	18.92	17.77	16.88	16.56	16.28	16.07	17.69
Aug.	16.05	15.62	15.41	15.23	15.02	15.34	15.63	15.96	16.79	17.67	18.78	19.50	19.95	20.77	20.87	20.60	20.20	19.44	18.37	17.73	16.83	16.72	16.29	16.01	17.53
Sept.	12.83	12.56	12.22	11.94	11.73	11.88	12.07	12.24	12.82	13.59	14.46	15.09	15.55	16.10	15.97	15.58	15.23	14.60	14.18	13.78	13.37	13.05	12.98	12.74	13.61
Okt.	7.09	6.90	6.90	6.51	6.49	6.41	6.51	6.96	7.47	7.98	8.42	8.95	9.24	9.47	9.29	9.07	8.63	8.10	7.58	7.38	7.33	7.28	7.36	7.04	7.68
Nov.	4.63	4.38	4.44	4.35	4.26	4.28	4.06	4.03	4.46	4.63	4.98	5.30	5.73	5.80	5.62	5.26	4.97	4.59	4.61	4.63	4.82	4.56	4.59	4.56	4.73
Dez.	1.27	1.31	1.48	1.67	1.68	1.59	1.43	1.46	1.58	1.83	2.36	2.65	2.71	2.75	2.74	2.06	1.70	1.69	1.82	1.80	1.68	1.58	1.41	1.39	1.82
Mittel	6.14	6.02	5.89	5.82	5.77	5.86	6.01	6.24	6.82	7.35	7.98	8.46	8.88	9.18	9.06	8.76	8.40	7.96	7.48	7.11	6.77	6.59	6.50	6.33	7.14

Relative Feuchtigkeit

Jan.	71.4	72.0	72.3	71.9	70.5	70.8	71.1	71.3	70.9	71.0	70.8	70.0	69.0	68.9	69.3	69.9	70.7	71.1	71.4	71.4	71.3	71.3	71.1	70.7	70.8
Febr.	73.1	72.6	71.9	71.5	71.8	72.2	72.9	71.5	69.9	67.5	65.6	63.9	62.8	62.2	63.3	64.7	66.6	68.3	70.7	71.3	72.9	73.1	74.6	74.4	69.6
März	77.9	76.6	75.5	74.1	73.6	74.0	73.4	70.8	69.7	69.8	68.6	66.1	62.8	61.8	62.8	67.2	69.5	72.1	74.1	75.0	77.8	78.3	77.6	77.8	72.0
April	73.1	73.9	74.8	74.7	74.8	74.2	74.2	73.9	72.7	69.8	66.7	63.4	61.3	60.8	61.4	62.5	64.3	66.4	69.6	72.2	73.9	73.9	73.6	74.3	70.0
Mai	84.7	84.9	84.3	84.7	84.2	83.7	83.4	83.3	81.2	78.6	76.0	73.8	70.7	68.5	69.1	71.6	74.9	77.5	79.3	81.0	84.0	84.2	84.6	85.0	79.7
Juni	82.4	80.7	80.4	78.9	78.1	77.3	77.5	77.0	75.4	74.4	72.2	69.2	66.9	65.5	67.8	69.5	71.6	73.1	75.7	79.2	79.8	81.1	80.3	80.4	75.6
Juli	65.7	66.6	68.6	68.4	66.9	66.8	66.2	66.4	64.4	60.2	56.2	54.7	51.2	49.2	50.5	52.2	53.8	56.5	60.5	63.0	63.7	64.0	64.2	64.0	61.0
Aug.	62.5	63.7	65.3	65.6	66.1	65.3	66.3	65.2	64.5	63.0	57.2	54.6	51.9	49.0	50.7	50.6	52.4	55.5	56.3	58.1	59.7	60.5	61.3	62.8	59.5
Sept.	69.1	70.6	70.4	72.0	71.2	71.1	71.5	70.9	70.6	68.8	66.2	64.3	61.6	59.6	60.6	62.6	63.3	64.2	65.5	66.8	67.1	68.0	69.1	69.2	67.3
Okt.	80.2	78.5	78.9	78.4	77.7	77.1	75.9	75.6	74.7	74.3	74.1	73.2	73.0	73.0	74.1	75.2	77.0	79.8	80.8	81.0	80.8	78.7	78.5	79.4	77.1
Nov.	70.4	69.1	69.5	70.1	69.8	69.7	70.6	70.4	69.6	70.4	70.3	70.5	69.3	70.3	70.9	70.7	71.7	73.4	72.5	71.3	69.3	69.7	70.2	70.8	70.4
Dez.	76.2	75.9	76.0	75.7	75.4	75.6	75.0	75.0	74.7	74.7	73.5	72.2	72.3	73.0	72.7	73.6	74.7	75.1	75.5	74.9	74.9	74.7	75.6	75.0	74.7
Mittel	73.9	73.8	74.0	73.8	73.3	73.2	73.2	72.6	71.5	70.2	68.1	66.3	64.4	63.5	64.4	65.9	67.5	69.4	71.0	72.1	72.9	73.1	73.4	73.7	70.6

Stündliche Windgeschwindigkeiten
in m pro Sekunde

Datum	0–1ª	1–2ª	2–3ª	3–4ª	4–5ª	5–6ª	6–7ª	7–8ª	8–9ª	9–10ª	10–11ª	11ª–m	0–1ᵖ	1–2ᵖ	2–3ᵖ	3–4ᵖ	4–5ᵖ	5–6ᵖ	6–7ᵖ	7–8ᵖ	8–9ᵖ	9–10ᵖ	10–11ᵖ	11ᵖ–mn	Mittel
Jan.																									
Febr.																									
März																									
April																									
Mai																									
Juni	4.41	4.26	4.38	4.11	3.74	3.71	3.39	3.16	3.21	3.28	3.58	3.54	3.60	4.14	3.89	4.04	4.39	4.97	4.72	4.79	5.33	5.57	5.33	4.85	4.18
Juli	4.99	5.02	5.20	4.89	5.06	5.07	4.72	4.24	3.83	3.98	4.21	4.45	4.58	5.32	4.77	4.56	4.49	4.39	4.40	4.94	5.27	5.35	5.04	4.86	4.73
Aug.	4.94	4.72	5.01	4.64	4.64	4.63	4.49	4.28	3.71	4.11	4.11	4.14	3.97	3.60	3.59	3.93	4.03	4.15	4.17	4.68	4.68	4.80	4.86	4.84	4.36
Sept.	4.37	4.50	5.01	4.80	4.51	4.53	4.20	3.91	3.36	2.96	2.79	3.00	3.08	3.28	3.45	3.55	3.46	3.87	4.25	4.41	4.48	4.15	4.28	4.24	3.93
Okt.																									
Nov.	6.04	6.07	5.78	5.72	5.45	5.44	5.35	5.33	5.11	4.58	4.45	4.66	4.57	4.57	4.96	4.84	5.04	5.18	5.33	5.38	5.73	5.47	5.48	5.70	5.26
Dez.																									
Mittel																									

Zugspitze.

Barometer-Registrierung. **Jahr 1911.** 1911.

Januar

500 mm +

Datum	1a	2a	3a	4a	5a	6a	7a	8a	9a	10a	11a	12m	1p	2p	3p	4p	5p	6p	7p	8p	9p	10p	11p	12mn	Mittel
1.	27.3	27.2	27.1	26.7	26.2	26.1	26.0	25.8	25.7	25.7	25.4	25.0	24.9	24.8	24.6	24.4	24.1	23.8	23.6	23.1	22.7	22.1	21.6	21.1	24.79
2.	20.7	20.6	20.3	19.7	19.1	18.6	18.2	17.9	17.7	17.5	17.0	16.7	16.4	16.2	16.6	17.0	16.8	16.7	16.6	16.5	16.2	16.0	16.0	15.9	17.54
3.	15.9	15.8	15.8	15.8	15.6	15.5	15.5	16.6	15.7	15.9	16.1	16.1	16.2	16.6	16.9	16.9	17.0	16.9	16.9	16.9	16.8	16.8	16.8	16.7	16.28
4.	16.6	16.4	16.5	16.5	16.5	16.6	16.7	16.8	17.1	17.3	17.3	17.3	17.1	17.2	17.5	17.7	17.8	17.9	18.1	18.1	18.1	18.2	18.6	18.9	17.37
5.	19.1	19.1	19.4	19.5	19.6	19.6	19.7	20.0	20.1	20.3	20.6	20.2	20.1	20.1	20.2	20.3	20.5	20.7	21.1	21.4	21.5	21.6	21.7	21.8	20.34
6.	21.9	22.0	22.4	22.5	22.6	22.9	23.3	23.7	24.3	24.7	25.1	25.1	25.2	25.3	25.6	25.7	26.0	26.3	26.5	26.8	27.1	27.1	27.2	27.1	24.85
7.	27.2	27.2	27.4	27.6	27.6	27.7	27.9	28.1	28.3	28.5	28.9	28.9	29.1	29 2	29.5	29.6	29.8	30.1	30.3	30.5	30.8	30 9	31.0	31.2	29.05
8.	31.3	31.4	31.7	31.7	31.8	32.1	32.4	32.7	33.0	33.3	33.3	33.3	33.4	33 6	33.7	33.8	33.9	34.0	34.4	34.5	34.5	34.5	34.5	34.6	33.23
9.	34.6	34.6	34.5	34.5	34.5	34.4	34.4	34.5	34.6	34.7	34.8	34.5	34.2	33.8	33.7	33.5	33.4	33.3	33.2	33.1	32.8	32.4	32.1	31.7	33.82
10.	31.1	30.6	30.3	29.5	29.1	29.0	28.2	28.1	28.2	28.3	28.2	28.0	28.2	28.2	28.4	28.5	28.8	28.9	29.0	29.0	29.1	29.2	29.1	28.9	28.91
11.	28.7	28.4	28.0	27.8	27.5	27.1	27.0	26.9	26.9	26.6	26.5	26.3	26.0	25.8	25.6	25.6	25.2	24.9	24.4	24.0	23.9	23.5	23.0	22.5	25.92
12	21.8	21.4	20 9	20.5	19.8	19.5	19.3	18.9	18.9	18.9	18 8	18.5	18.0	17.8	17.7	17.5	17.4	17.3	17.4	17.4	17.5	17.5	17.7	17.7	18.67
13.	17.7	17.8	17.9	17.9	17.9	18.1	18.3	18.5	19.1	19.4	19.9	19.9	19.9	19.9	19.9	20.2	20.4	20.7	20.9	21.1	21.3	21.3	21.4	21.5	19.62
14.	21.5	21.6	21.9	21.9	22.0	22.2	22.5	22.9	23.3	23.9	24.4	24.5	24.6	24.9	25.3	25.7	26.0	26.3	26.7	26.8	26.9	27.0	27.3	27.4	24.48
15.	27.4	27.5	27.5	27.4	27.4	27.5	27.6	27.7	28.0	28.1	28.3	28 5	28.5	28.5	28.8	29.0	29.2	29.4	29.4	29.6	29.7	29.9	30.0	30.3	28.55
16.	30.6	30.7	30.9	31.1	31.3	31.6	31.9	32.3	32.5	32.8	33.4	33.4	33.6	33.7	34.0	34.3	34.6	34.9	35.3	35.6	36.1	36.2	36.4	36.6	33.49
17.	36.7	36.9	37.0	37.0	37.0	37.1	37.3	37.4	37.6	37.8	38.2	38.2	38.2	38.1	38 1	38.1	38.2	38.4	38.4	38.5	38.5	38.4	38.3	38.3	37.82
18.	38.2	38.2	38.3	38.1	38.0	37.7	37.8	37.9	37.8	37.9	37.6	37.6	37.5	37.5	37.5	37.5	37.3	37.4	37.4	37.4	37.4	37.3	37.1	36.9	37.64
19.	36.7	36.5	36.5	36.3	36.3	36.2	36.1	36.1	36.5	36 7	36.8	36.8	36.7	36.7	36.8	36.8	36.9	36.9	37.1	37.2	37.2	37.3	37.2	37.2	36.73
20.	37.1	37.0	37.0	36 9	36.9	36.8	36.7	36.8	37.1	37.3	37.4	37.3	37.2	37 0	36.9	36.8	36.7	36.7	36.6	36.6	36.5	36.5	36.4	36.1	36.85
21.	35.9	35.7	35.4	35.1	34.9	34.9	34.8	34.7	34.8	34.7	34.5	34.3	34.1	34 0	33.9	33.8	33.8	33.7	33.7	33.7	33.7	33.4	33.3	33.2	34.33
22.	33.0	33.0	32.9	32.7	32.6	32.5	32.5	32.5	32.6	32.7	32.8	32.4	32.6	32.4	32.4	32.4	32.3	32 4	32.4	32.5	32.4	32.4	32.5	32.5	32.56
23.	32.5	32.5	32.6	32.6	32 6	32.7	32.7	32.7	32.9	33.1	33.3	33.3	33.1	32.8	32.7	32.7	32.7	32.6	32.6	32 6	32.6	32.4	32.4	32.4	32.71
24.	32.3	32.2	32.1	31.9	31.8	31.6	31.4	31.2	31.1	31.0	30.9	30.7	30.5	30.3	30.2	30.0	30.0	30.0	29.9	29.6	29.5	29.6	29.4	29.4	30.69
25.	29 3	29.4	29.5	29.5	29.7	29.8	30.1	30.4	30.7	31.0	31.1	31.1	31.1	31.1	31.1	31.1	31.0	31.5	31.5	31.5	31.5	31.8	32.1	32.3	30.80
26.	32.3	32.4	32.6	32.8	32.9	33.2	33.4	33.6	34.0	34.5	35.0	34.7	34.2	33.5	34.0	34.3	34.5	34.8	34.9	35.0	35.7	35.8	35.9	35.9	34.16
27.	36.0	36.1	36.2	36.3	36.3	36.4	36.4	36.5	36.9	37.0	37.9	37.2	36 8	36.6	36.6	36.5	36.6	36.5	36.3	36.2	36.1	36.0	35.7	35.6	36.45
28.	35.5	35.6	35.4	35.0	34.4	34.1	34.3	34.1	33.9	33.8	33.6	33.2	32.6	32.1	31.5	31.9	32.3	32.4	32.4	32.5	32.9	32.8	32.7	32.7	33.40
29.	32.6	32.5	32.4	32.1	32.0	31.6	31.4	31.4	31.4	31.4	31.4	31.4	31.2	31.1	31.0	30.8	30.9	30.9	30.7	30.3	30.1	29.9	29.5	29.2	31.13
30.	28.9	28.4	27.5	27.3	27.1	26.8	26.7	26.5	26.5	26.5	26.5	26.2	26.0	25.8	25.8	25.7	25.5	25.5	25.3	25.2	25.0	25.0	25.0	25.1	26.24
31.	25.1	25.1	25.2	25.2	25.3	25.2	25.4	25.5	25.8	26.2	26.5	27.2	27.2	27.5	27.8	28.2	28.4	28.7	28.7	29.1	29.6	29.8	30 1	30.3	27.21
Mittel	28.89	28.83	28.81	28.69	28.59	28.55	28.58	28.64	28.81	28.95	29.08	28.96	28.85	28.78	28.85	28.91	28.97	29.05	29.09	29.11	29.15	29.12	29.09	29.06	28.89

Februar

500 mm +

1.	30.3	30.4	30.5	30.5	30.6	30.6	30.8	31.0	30.9	31.1	31.4	31.4	31.2	30.9	30.8	30.9	30.9	31.0	31.2	31.2	31.3	31.2	31.3	31.1	30.94
2.	31.0	31.0	30.9	30.8	30.8	30.8	30.8	30.8	31.0	31.3	31.5	31.5	31.3	30.6	30.4	30.1	29.8	29.0	28.8	28.6	28.5	28.0	27.1	26.3	30.03
3.	25.8	24.9	23.3	23.3	22.5	22.5	22.8	22.9	23.1	23 3	23.7	23.9	24.1	24.2	24.5	25.8	25.8	27.3	27.3	27.2	27.4	28.0	28.2	28.4	25.01
4.	28.6	28.6	28.7	28.5	28.6	28.7	29.1	29.4	29.7	30.0	30.1	30.1	30 3	30.5	30.5	30.6	30.7	30.9	30.8	30.8	30.9	31.0	31.0	30.9	29.96
5.	30.6	30.3	30.1	29.8	29.3	29.0	28.9	28.7	28.5	28.4	28.6	28.2	28.1	27.7	27.9	27.8	27.9	27.9	27.6	27.7	27.7	27.6	27.6	27.5	28.48
6.	27.6	27.6	27.5	27.3	27.2	27.2	27.3	27.4	27.4	27.5	27.6	27.6	27.7	27.7	27.7	28.1	28.1	28.1	28.3	28.8	28.6	28.5	28.6	28.7	27.84
7.	28.8	28.8	28.8	28.6	28.8	28.9	29.0	29.0	29.1	28.9	28.7	28.3	28.1	28.1	28.0	27.9	27.9	28.2	28.3	28.3	28.2	28.0	27.7	27.2	28.40
8.	27.0	26.9	26.7	26.4	26.1	26.1	26.2	26.3	26.6	26.6	26.7	26.4	26.4	26.4	26.2	26.5	26.4	26.6	27.2	27.1	27.3	27.5	27.7	27.9	26.72
9.	28.2	28.4	28.7	28.9	28.9	29.1	29.3	29.4	29.4	29.4	29.4	29.5	29.3	29.4	29.4	29.4	29.6	29.7	29.7	29.6	29.5	29.5	29.3	29.2	29 26
10.	29.1	28.8	28.6	28.3	28.2	28.0	28.0	28.0	28.0	28.2	28.9	29.4	28.9	28.3	28.3	28.3	28.4	28.5	28.4	28.4	28.5	28.6	28.7	28.8	28.48
11.	28.8	28.8	28.8	28.6	28.6	28.6	28.7	28.7	28.7	28.8	29.1	28.9	28.8	28.7	28.6	28.6	28.6	28.6	28.7	28.7	28.7	28.7	28.9	28.9	28.73
12.	29.0	29.0	29.0	28.8	28.9	29.0	29.1	29.2	29.4	29.5	29.7	29.6	29.5	29.4	29.3	29.3	29.4	29.4	29.3	29.3	29.3	29.3	29.3	29 2	29.26
13.	29.3	29.3	29.4	29.3	29.4	29.4	29.5	29.7	29.9	30.0	30.3	30.5	30.5	30.5	30.9	31.1	31.3	31.6	31.8	32.0	32.2	32.4	32.4	32.4	30.63
14.	32.4	32.4	32.4	32.2	32.2	32.2	32.1	32.1	32.2	32.3	32 6	32.7	32.5	32.5	32.5	32.6	32.8	33.0	33.2	33.4	33.4	33.5	33.5	33.6	32.68
15.	33.5	33.5	33.4	33.4	33.5	33.5	33.4	33.5	33.6	33.6	33.8	33.8	33.8	33.5	33.3	33.0	32.9	33.1	33.3	33.1	33.5	33.1	33.0	32.8	33.37
16.	33.0	33.2	33.2	33.2	33.1	33.3	33.7	34.1	34.2	34.2	34.7	34.7	34.7	34.4	34.4	34.2	34.2	34.1	34.1	33.7	33.5	33.4	33.2	32.8	33.80
17.	32.9	32.7	32 3	32.2	32.3	32.1	31.8	31.6	31.8	31.9	31.8	30.4	30.1	30.8	30.8	30.9	30.5	30.8	30.8	30.7	30.8	31.5	31.6	31.6	31.45
18.	31.5	31.6	31.6	31.1	31.0	30.9	30.6	30.5	30.3	30.3	30.0	29.6	29.2	28.8	28.7	28.5	28.1	27.8	28.0	27.9	27.8	27.8	27.7	27.5	29.45
19.	27.3	26.8	26.3	25.3	24.6	24.5	24.1	23.8	23.6	23.2	23.3	22.7	22.2	21.8	21.2	20.6	20.2	20.4	20.1	19.9	19.9	19.7	20.1	19.9	22.56
20.	19.9	19.7	19.8	19.9	20.0	20.0	20.2	20.7	21.2	21.4	21.8	22.2	22.5	22.6	22.7	22.5	22.4	22.8	23.0	23.1	22.9	22.9	22.6	23.0	21.65
21.	23.0	22.5	22.2	22.3	22.8	23.2	22.8	23.4	24.9	25.5	26.1	26.5	26.9	27.4	27.6	27.8	27.9	28.2	28.8	28.8	29.1	29.3	29.5	29.7	26 09
22.	29.9	29.7	29.7	29.7	30.1	30.3	30.5	30.7	30.7	30.6	30.4	30.3	30.2	29.9	29.6	29.6	29.4	29.9	29.9	29.8	30.4	30.7	30.6	30.3	30.12
23.	30.3	30.1	30.1	30.0	29.9	29.8	29.6	29.4	29.3	29.1	29.3	28.9	28.1	28.0	27.7	27.5	27.0	26.7	26.1	25.5	25.1	24.4	24.4	24.4	27.95
24.	23.6	23.0	22.3	21.8	21.6	21.1	21.0	21.2	21.5	21.3	21.5	21.3	20.8	20.6	20.6	20.9	21.0	21.5	21.6	22.0	22.0	22.4	22.5	22.8	21.66
25.	22.3	22.8	22.7	22.8	22.7	22.1	23.2	23.5	23.8	23.5	23.5	23.4	23.2	23.1	22.6	22.6	22.4	22.3	22.1	21.5	21.3	21.9	21.6	21.5	22.60
26.	22.4	22.4	21.4	21.3	21.5	22.0	21.8	21.6	21.1	20.4	20.4	20.1	19.4	18.9	18.8	19.0	19.9	19.8	20.6	20.8	21.1	21.2	21.5	21.6	20.79
27.	21.8	22.0	22.2	22.4	22.5	22.8	23.0	23.4	23.5	23.7	23.7	23.6	23.1	23.7	24.1	24.1	24.2	24.6	24.8	24.6	25.0	25.3	25.5	25.3	23.70
28.	25.3	25.2	25.2	25.2	25.4	25.6	25.8	26.4	26.5	26.9	27.0	27.2	27 0	27.2	27.3	27.2	27.2	27.2	27.3	27.2	27.3	27.4	27.3	27.1	26.60
Mittel	27.97	27.87	27.71	27.57	27.54	27.55	27.61	27.73	27.85	27.89	28.06	27.96	27.78	27.70	27.66	27.69	27.68	27.82	27.90	27.85	27.90	27.96	27.94	27.87	27.79

Barometer-Registrierung. **Zugspitze.** 1911.

März
500 mm +

Datum	1a	2a	3a	4a	5a	6a	7a	8a	9a	10a	11a	12m	1p	2p	3p	4p	5p	6p	7p	8p	9p	10p	11p	12mn	Mittel
1.	27.1	26.6	26.4	26.2	26.2	26.2	26.2	26.5	26.6	26.7	26.7	26.7	26.9	27.1	27.2	27.3	27.5	28.1	28.5	28.8	29.1	29.2	29.6	29.8	27.38
2.	30.0	30 3	30.4	30.4	30.4	30.5	30.7	30.9	31.6	31.9	31.8	31.4	31.4	30.4	29.7	29.6	29.3	28.3	28.1	28.2	27.4	27.0	27.0	27.2	29.75
3.	28.0	28.0	27.9	27.8	27.8	27.7	27.6	27.8	27.8	27.9	28.3	28.0	28.0	28.0	27.9	27.7	27.9	28.2	28.4	28.8	29.0	29.3	29.4	29.2	28.18
4.	29.3	29.6	29.6	29.6	29.7	29.8	29.8	29.8	30.0	29.9	30.0	29.9	29.4	29.1	28.9	28.7	28.5	28.0	28.0	28.0	28.0	27.9	27.8	27.5	27.0	28.99
5.	26.7	26.4	26.0	25.7	25.5	25.1	24.9	24.9	24.8	24.8	24.6	24.6	24.5	24.5	24.5	24.4	24.2	24.2	24.4	24.3	24.3	24 3	24.0	23.9	24.81
6.	23.7	23.6	23.1	22.8	22.7	22.5	22.3	22.3	22.1	22.2	22.3	22.4	22.4	22.4	22.4	22.3	22.3	22.4	22.5	22.5	22.6	22.8	22.9	22.9	22.60
7.	22.9	22.9	22.9	23.0	23.1	23.3	23.7	23.9	24.1	24.2	24.5	24.5	24.7	24.7	24.9	24.9	25.0	25.1	25.0	25.0	25.0	25.0	25.0	25.1	24.27
8.	25.0	24.8	24 5	24.3	24.1	23.9	23.7	23.8	23.8	23.8	23.9	23.9	23.8	23.5	23.5	23.6	23.6	23.6	23.7	23.9	24.1	24.2	24.2	24.0	23.97
9.	24.0	23 9	23.8	23.9	24.0	24.2	24.3	24.5	24.7	24.9	25.3	25.2	25.2	25.2	25.2	25.3	25.4	25.5	25.7	25.9	26.0	26.1	26.2	26.2	25.03
10.	26.2	26.2	26.2	26.1	26.2	26.3	26.4	26.5	26.6	26.7	27.0	27.1	27.0	27.1	27.1	27.0	27.0	27.1	27.1	27.1	27.1	27.1	27 0	26.9	26.75
11.	26 8	26.4	26.1	25.9	25.6	25.4	25.3	25.2	25.2	25.2	25.3	25.2	25.3	25.2	25.2	25.2	25.2	25.0	25.0	24.9	24.8	24 8	24.8	24.6	25.32
12.	24.5	24.4	24.3	24.2	24.2	24.1	24.1	24.1	24.0	24.1	24.1	24.2	24.1	23.9	23.7	23.5	23.3	23.1	22.9	22.8	22 6	22.5	22.0	21.5	23.59
13.	21.0	20.4	19.9	19.1	18,5	18.0	17.4	16.8	16.3	16.2	15.9	15.7	15.2	14.9	14.7	15.0	15.1	15.0	14.9	14.7	14.8	14.9	14.9	15.1	16.43
14.	15.3	15.2	14.9	14.8	14.7	14.7	14.7	14.7	14.9	14.9	15.0	15.0	15.1	15.0	14.9	14.9	14.9	14.9	14.8	14.8	14.8	14.8	14.4	14.4	14.85
15.	14.1	13.8	13 4	13.2	13.0	12.8	12.7	12.5	12.6	12.7	12.8	12 8	13.0	13.0	13.1	13.5	13.7	14.0	14.2	14.5	14 5	14.7	14.8	14.9	13.51
16.	14.9	14.9	14.8	14.7	14.7	14.9	15.2	15.5	16.0	16.3	16.7	17.0	17.3	17.6	17.8	18.0	18,2	18.5	18.7	18.9	19.2	19.3	19.5	19.5	17.00
17.	19.5	19.5	19.6	19.6	19.7	19 9	20.1	20.4	20.6	20.9	21.4	21.3	21.6	21.8	22.0	22.3	22.3	22.3	22.6	22.8	22.9	23.1	23.1	23.1	21.35
18.	23.1	23.1	23.0	23.0	23.0	23.0	23.1	23.3	23.3	23.8	24.0	24.1	24.4	24.3	24.4	24.5	24.6	24.7	24.8	25.0	25.1	25.0	25.2	25.3	24.05
19.	25.3	25.4	25.3	25.4	25.4	25.4	25.5	25.6	25.7	25.8	26.1	26.1	26.1	26.0	25.9	25.9	25.9	25.9	25.7	25.7	25.6	25.6	25.4	25.3	25.57
20.	25.2	25.2	25.1	25.1	25.2	25.1	25.0	25.0	24.9	24.9	25.1	25.0	25.0	24.9	24.9	24.9	25.0	25.1	25.3	25.3	25.5	25.6	25.7	25.9	25.16
21.	26.0	26.1	26.4	26.2	26.4	26.7	26.8	27.1	27.1	27.4	27.6	27.8	27.8	27.9	27.9	27.9	27.9	27.8	28.0	28.1	28.2	28.3	28.4	28.3	27.42
22.	28.4	28.2	28.0	28.0	28.0	28.1	28.1	28.2	28.4	28.5	28.6	28.7	28.7	28.5	28.4	28.6	28.5	28 5	28.5	28.5	28.5	28.5	28.5	28.5	28.39
23.	28.4	28.4	28.2	28.1	28.1	27.9	27.9	27.9	28.0	28.0	28.1	28.0	27.9	27.7	27.5	27.4	27.3	27.2	27.1	27.0	26.9	26.7	26.5	26.1	27.60
24.	25.9	25.8	25.5	25.1	24.9	24.8	24.6	24.4	24.3	24.2	24.2	24.0	23.6	23.4	23.2	22.9	22.7	22.4	22.3	21.9	21.7	21.3	20.8	20.4	23.51
25.	20.0	19.6	19.0	18.5	18.2	17.9	17.6	17.5	17.5	17.3	17.2	17.0	16.6	16.3	16.2	16.0	15.7	15.5	15.4	15.3	15.1	15.0	14.8	14.7	16.83
26.	14.5	14.4	14.5	14.8	15.1	15.3	15.8	15.7	15.9	15.8	15.9	15.8	16.0	16.1	16.3	16.6	16.8	17.3	17.8	18.3	18.7	18.8	19.4	20.0	16.48
27.	20.4	20.6	20.6	21.0	21.3	21.9	22.5	23.1	23.8	24.1	24.5	24.9	25.2	25.5	25.7	25.9	25.9	26.3	26.5	26.7	26.9	27.1	27.5	27 6	24.40
28.	27.9	27.8	27.6	27.8	28.0	28.5	28.7	28.8	28.9	28.9	29.0	29.1	29.0	28.9	29.0	28.9	29.0	29.3	29.4	29.5	29.6	29.6	29.5	29.4	28.84
29.	29.4	29.3	29.1	28.8	28.6	28.5	28.5	28.5	28.6	28.6	28.5	28.4	28.3	28.3	28.2	28.0	27.6	27.2	26.9	26.9	26.7	26.6	26.0	25.7	27.97
30.	25.4	25.4	25.3	25.4	25.5	25.6	25.8	25.9	26.0	26.1	26.5	26.6	26.7	26.6	26.7	26.8	26.7	27.1	27.1	27.2	27.5	27.5	27.6	27.7	26.45
31.	27.7	27.9	27.9	28.0	28.0	28.0	28.2	28.2	28.4	28.5	28.6	28.7	28.7	28.7	28.8	28.8	28.9	28.9	28.9	29.1	29.2	29.2	29.1	29.2	28.57
Mittel	24.08	24.00	23.85	23.76	23 74	23 74	23.78	23.85	23 95	24.04	24.18	24.16	24.16	24.08	24.06	24.07	24.06	24.08	24.14	24.21	24.24	24.25	24.22	24.17	24.04

April
500 mm +

1.	29.3	29.2	29.1	29.1	29.0	29.0	29.1	29.3	29.4	29.6	29.8	30.0	29.9	29.7	29.6	29.6	29.6	29.5	29.4	29.4	29.4	29.4	29.4	29.3	29.42
2.	29.2	28.8	28.5	28.4	28.2	28.1	28.0	27.9	27.8	27.8	27.7	27.5	27.3	26.8	26.4	26.3	26.1	26.0	25.9	25.8	25.6	25.4	25.2	25.0	27.07
3.	24.6	24.1	23.7	23.3	22.9	22.7	22.5	22.4	22.3	22.0	21.7	21.2	20.8	20.3	20.0	19.9	19.7	19.4	19.3	19.1	18.9	18.6	18.2	18.0	21.07
4.	17.6	17 1	16.8	16.4	16.2	16.2	16.2	16.1	16.1	16.1	16.0	15.8	15.9	15.9	16.0	16.1	16.0	16.1	16.0	16.0	15.8	15.7	15.4	15.3	16.12
5.	15.4	15.1	14.8	14.7	14.5	14.3	14.3	14.3	14 5	14.6	14.9	15.1	15.3	15.6	15.8	15.3	15.2	15.2	15.2	15.3	15.6	15.5	15.5	15.6	15.07
6.	15.8	16.0	16.3	16.4	17.0	17.3	17.7	17.9	18.2	18.6	18.8	18.9	19.2	19.3	19.7	19.8	20.0	20.3	20.4	20.9	21.3	21.4	21.6	21.7	18.94
7.	21.8	21.8	21.7	21.8	21.6	21.6	21.7	21.7	21.7	21.8	21.8	21.8	21.7	21.9	21.8	21.8	21.6	21.4	21.4	21.4	21.4	21.3	21.1	20.7	21.60
8.	20.3	19.9	19.6	19.3	19.0	18.9	18.9	19.0	19.2	19.5	19.6	19.7	19.9	20.1	20.3	20.7	20.9	21.1	21.6	21.9	22.1	22.3	22.4	22.4	20.36
9.	22.4	22.3	22.3	22.2	22.2	22.3	22.4	22.4	22.4	22.4	22.5	22.5	22.5	22.5	22.5	22.5	22.5	22.4	22.3	22.1	22.0	21.8	21.6	21.4	22.27
10.	21.0	20.8	20.4	20.0	19.7	19.4	19.2	19.1	19.1	19.1	19.1	19.1	19.2	19 2	19.2	19.2	19.3	19.7	20.0	20.3	20.8	21.1	21.3	21.6	19.87
11.	21.9	22.1	22.2	22.2	22.4	22.7	23.0	23.3	23.7	24.1	24.6	24.9	25.2	25.5	25.6	25.9	26.0	26.0	26.1	26.4	26.6	26.7	26.8	26.8	24.61
12.	26.8	26.7	26.7	26.7	26.8	27.1	27.3	27.4	27.6	27.9	28.2	27.9	27.8	27.7	27.5	27.5	27.3	27.2	26.9	26.8	25.6	25.5	24.0	24.0	26.87
13.	23.7	23.3	23.7	23.4	23.0	23.1	22.9	23.1	23.1	23.5	23.5	23.7	23.8	24.3	24.8	25.0	25.2	25.5	25.8	26.2	26.3	26.4	26.4	26.4	24.42
14.	26.4	26.4	26.3	26.3	26.3	26.5	26.7	26.9	27.2	27.6	28.0	28.1	28.1	28.1	28.1	28.1	28.3	28.4	28.6	29.0	29.2	29.3	29.4	29.5	27.78
15.	29.6	29.6	29.7	29.7	29.6	29.7	30.0	30.3	30.5	30.7	30.9	31.0	31.5	31.6	31.7	31.9	31.9	31.9	32.2	32.4	32.5	32.5	32.6	32.5	31.10
16.	32.4	32.2	32.0	31.9	31.7	31.6	31.7	31.9	32.0	32.2	32.5	32.4	32.5	32.5	32.4	32.3	32.2	32.1	32.1	32.3	32.4	32.2	32.2	31.8	32.15
17.	31.7	31.5	31.3	31.1	30.7	30.5	30.4	30.4	30.4	30.5	30.7	30.8	30.7	30.6	30.6	30.6	30.6	30.6	30.7	31.0	31.3	31.4	31.4	31.4	30.87
18.	31.4	31.3	31.3	31.2	31.1	31.2	31.2	31.2	31.2	31.2	31.2	31.2	31.1	31.0	30.9	30.9	30.9	30.7	30.5	30.2	30.1	30.1	30.0	30.0	30.88
19.	29.9	29.7	29.7	29.8	29 8	29.7	29.8	29.7	29.7	29.6	29.6	29.3	29.1	29.0	28.8	28.8	28.8	28.7	28.6	28.6	28.6	28.6	28.6	28.5	29.21
20.	28.6	28.6	28.6	28.7	28.7	28.9	29.1	29.2	29.4	29.9	30.3	30.5	30.8	31.0	31.1	31.4	31.8	32.3	33.0	33.6	34.2	34.6	35.0	35.3	31.03
21.	35.5	35.8	36.0	36.2	36.5	36.8	37.3	37.5	38.0	38.4	38.7	38.9	39.1	39.2	39.3	39.3	39.7	39.8	39.9	40.0	40.2	40.1	40.0	39.9	38 42
22.	39.8	39.8	39.7	39.6	39.6	39.6	39.6	39.5	39.6	39.8	39.9	39.8	39.8	39.6	39.5	39.3	39.1	38.9	38.8	38.7	38.4	38.2	38.0	37.7	39.26
23.	37.4	37.2	36.8	36.5	36.4	36.4	36.3	36.3	36.3	36.3	36.2	36.2	36.1	35.8	35.4	35.1	35.0	34.7	34.6	34.5	34.5	34.2	33.9	33.6	35.65
24.	33.2	32 8	32.5	32.3	32.0	31.9	31.8	31.5	31.6	31.7	31.7	31.6	31.7	31.6	31.4	31.3	31.2	31.1	31.0	31.1	31.2	31.1	31.1	31.0	31.64
25.	30.8	30.6	30.4	30.2	30.1	30.1	30.2	30.3	30.4	30.6	30.7	30.8	30.9	31.0	30.9	30 9	30.9	30.8	30.8	30.8	30.7	30.6	30.4	30.3	30.59
26.	30.2	30.0	29.9	29 8	29.8	29.7	29.7	29.6	29.7	29.7	29.7	29.5	29.4	29.0	28.7	28.5	28.3	28.4	28.8	29.0	28.9	28.9	29.0	29.1	29.30
27.	28.7	28.6	28 6	28.3	28.1	27.9	27.7	27.6	27.6	27.5	26.6	26.5	26.3	26.2	26.0	25.7	25.6	25.3	24.9	24.6	24.7	24.4	24.3	23.8	26.48
28.	22.6	22.4	21.9	21.3	20.7	20.7	21.2	22.0	22.5	23.0	22.7	22.9	23.1	23.6	23.9	24.2	24.4	24.7	25.0	25.5	25.4	25.1	25.3	25.2	23.30
29.	24.9	24.7	24.3	24.1	23.6	23.5	23.7	23.7	23.7	23.7	23.8	23.8	24.0	23.7	23.4	23.0	23.1	22.9	22.8	22.6	22.4	22.2	21.9	21.7	23.38
30.	21.6	21.4	21.2	21.0	20.9	20.8	20.8	21.0	20.9	20.9	21.3	21.4	21.7	21.9	22.0	22.2	22.4	22.3	22.7	23.1	23.5	23.7	23.8	23.9	21.93
Mittel	26,82	26,66	26,53	26,40	26,27	26,27	26,35	26,42	26,53	26,68	26,76	26,76	26,81	26,81	26,78	26,77	26,79	26,78	26,84	26,95	26,99	26,94	26,86	26,78	26,69

Barometer-Registrierung **Zugspitze.** 1911.

September
500 mm +

Datum	1a	2a	3a	4a	5a	6a	7a	8a	9a	10a	11a	12m	1p	2p	3p	4p	5p	6p	7p	8p	9p	10p	11p	12mn	Mittel
1.	38.8	38.7	38.7	38.7	38.7	38.8	39.0	39.2	39.6	39.8	39.8	40.0	40.3	40.6	40.7	40.7	40.8	40.0	41.1	41.4	41.5	41.6	41.9	42.0	40.14
2.	42.1	42.3	42.3	42.4	42.5	42.9	43.1	43.2	43.3	43.5	43.5	43.4	43.2	42.9	42.8	42.6	42.6	42.6	42.8	42.9	43.0	43.0	42.9	42.8	42.87
3.	42.7	42.5	42.4	42.3	42.2	42.2	42.3	42.4	42.6	42.9	43.0	42.9	43 0	42.9	42.8	42.7	42.7	42.7	42.5	42.5	42.5	42.4	42.3	42.2	42.57
4.	41.9	41.8	41.7	41.5	41.4	41.2	41.3	41.3	41.4	41.4	41.5	41.5	41.4	41.3	41.1	40.9	40.9	40.7	40.6	40.6	40 5	40.3	40.2	39.8	41 09
5.	39.7	39.6	39.3	39.1	39.1	38.9	38.9	39.2	39.5	39.7	39.8	39.7	39.8	39.9	39.8	39.9	39.7	39.8	40.0	40.1	40.1	40.1	40.2	39.9	39.66
6.	39.8	39.7	39.7	39.4	39.5	39.5	39.6	40.0	40.2	40.5	40.6	40.8	40.7	40.8	40.9	40.9	40.9	41.0	41 0	41.0	41.1	41.0	41.1	41.1	40.45
7.	41.0	40.9	40.7	40.5	40.5	40.4	40.4	40.5	40.8	41.0	41.2	41.3	41.4	41.3	41.1	41.1	41.0	41.0	40.9	40.9	40.9	40.9	40.9	40.8	40,89
8.	40.6	40.4	40.2	39.9	39.8	39.5	39.5	39.6	39.7	39.9	39.8	39.8	39.8	39.7	39.4	39.3	39.1	39.0	38.9	38.8	38.7	38.6	38 5	38.4	39.45
9.	38.2	37.8	37.6	37.4	37.3	37.3	37.0	37.1	37.2	37.3	37.4	37.4	37.3	37.2	36.9	36.6	36.3	36.3	36.3	36.4	36.4	36 1	35.7	35.8	36.93
10.	35.8	35.6	35.5	35.2	34.5	34.4	34.3	34.6	34.7	35.2	35.3	35.4	35.5	35.6	35.8	35.9	35.9	35.9	36.0	36.1	36.1	36.1	36.1	36.0	35.48
11.	36.0	36.0	36.0	35.9	35.8	35.8	35.9	36.0	36.5	36.7	37.0	36.9	36.9	37.0	36.9	36.9	36.8	36.8	37.0	37.2	37.2	37.3	37.4	37.3	36.63
12.	37.2	37.2	37.2	37.1	37.1	37.2	37.2	37.4	37.8	38.1	38.4	38.8	38.9	38.9	38.9	39.0	38.9	38.9	39.0	39.2	39.2	39.2	39.2	39 2	38.30
13.	39.0	39.2	39.3	39.2	39.2	39.2	39.2	39.4	39.6	39.7	39.7	39.6	39.5	39.5	39.4	39.2	39.3	38.9	38.9	39.0	39.0	38.9	38.8	38.5	39.22
14.	38.3	38.0	37.6	37.4	37.0	36.9	36.6	36.7	36.7	36.7	36.7	36.6	36.4	36.4	35.7	35.4	35.1	34.7	34.5	34.3	33.9	33.7	33 4	33 0	35.90
15.	32.5	32.0	31.6	31.3	31.3	31.5	31.0	30.9	31.2	31.1	30.0	30.8	30.5	30.3	30.3	30.2	30.3	30.6	30.8	31.1	31.1	31.2	31.5	31.6	31.07
16.	31.6	31.6	31.6	31.6	31.6	31.6	31.8	31.9	32.1	32.1	32.2	32.1	32.0	31.8	31.6	31.5	31.4	31.5	31.7	31.8	31.8	31.6	31.6	31.4	31.73
17.	31.3	31.1	30.9	30.7	30.6	30.6	30.8	30.8	31.1	31.4	31.5	31.5	31.6	31 7	31.8	31.9	31.9	32.2	32.3	32.3	32.3	32.0	32.0	32.0	31.51
18.	32.0	31.9	31.8	32.0	32.1	32.2	32.6	32.8	33.0	33.4	33.5	33.5	33.5	33.9	34.0	34.1	34.2	34.4	34.5	34.6	35 0	34.9	35.0	34.8	33.49
19.	34.8	34.7	34.7	34.7	34.8	35.0	35.2	35.3	35.6	35.9	36.0	36.0	35.9	35.7	35.6	35 5	35.5	35.5	35.6	35.6	35.6	35.5	35.4	35.0	35.38
20.	34.8	34.4	34.1	33.8	33.7	33.6	33 2	33.1	33.2	33.2	32.9	32.7	32.2	31.8	31.7	31.4	31.3	31.1	30.9	30 8	30.5	30.3	30.0	29.6	32.26
21.	29.3	28.8	28.4	28.3	28.0	27.4	27.1	27.0	27.1	27.1	27.1	27.0	27.0	27.0	26.8	26 4	26.3	26.2	26.1	26.0	25.6	25.3	25.3	25.1	26.90
22.	24.9	24 5	24.5	24.3	24.1	24.0	24.1	24.1	24.4	24.6	24.6	24.6	24.7	24.7	24.5	24.6	24.7	24.7	24.7	24.9	24.8	24.8	24.7	24.5	24.55
23.	24.7	24.4	24.3	23.9	23.7	23 7	23.7	23.5	23.4	23.4	23.7	23.6	23.5	23.5	23.8	24.1	24.8	25.1	25.4	25.4	25.9	26.0	26.3	26.3	24.42
24.	26.4	26.5	26.5	26.5	26.7	27.2	27.4	27.6	28.0	28 5	28.8	29.0	29.2	29.4	29.6	29.7	30 0	30.2	30.6	30.7	30.9	31.2	31.3	31.4	28.89
25.	31.5	31.4	31.3	31.4	31.5	31.9	32.3	32.5	32.9	33.1	33.5	33.7	33.9	34.1	34.3	34.4	34.6	34.8	35.1	35.2	35.3	35.4	35.3	35.2	33.53
26.	35.2	35.2	35.2	35.2	35.1	35.3	35.5	35.7	36.0	36.1	36.4	36.6	36.5	36.5	36.6	36.7	36.7	36.9	37 1	37.2	36.9	37.1	37.1	37.1	36.25
27.	37.0	36.8	36 7	36.7	36.7	36.6	36.7	36.8	37 0	37.3	37.5	37.4	37.3	37.2	37.2	37.3	37.2	37.3	37.3	37.3	37.3	37.3	37.2	37.1	37.09
28.	37.0	37.0	36.5	36.3	36.1	35.9	36.0	36.1	36 3	36.5	36 5	36.3	36.1	35.9	35.7	35.6	35.5	35.4	35.3	35.3	35.2	34.9	34.6	34.4	35.85
29.	34.2	33.9	33.6	33.2	33.1	32.8	32.4	32.2	32.2	32 2	32.2	32.2	31.9	31.6	31.4	31.4	31.6	31.6	32 2	31.7	31.7	31.6	31.3	31.1	32.22
30.	30.9	30.5	30.2	29.8	29.6	29.6	29.1	29.3	29.3	28.9	28.5	28.3	27.9	27.3	26.5	26.3	26.0	25 7	25.5	25.3	24.7	24.3	23.6	23.1	27 51
Mittel	35.31	35.15	35.00	34.86	34.78	34.77	34.77	34.87	35.08	35.24	35.32	35.31	35.26	35.21	35.13	35.07	35.06	35.08	35.15	35.18	35.16	35.09	35.03	34.89	35.07

Oktober
500 mm +

1	22.8	22.2	21.9	21.1	20.5	20.5	20.5	20.6	20.7	21.0	21 2	21.1	21.0	21.0	21.1	21.7	21.8	21.9	22.1	22.2	22.7	22.4	22.3	22.3	21.53
2.	21.8	21.7	21.7	21.2	21.3	21.4	21.5	21.8	21.9	22.0	22.2	22.4	22.3	22.5	22.2	23.1	23.1	23.3	23.6	23.7	23.8	23.9	23.9	23.9	22.51
3.	24.1	24.0	23.9	24.0	24.0	24.1	24.2	24.4	24 6	24.6	24.7	24.7	24.8	24.9	25.1	25.1	25.4	25.6	25 9	26.0	26.0	26.2	26.3	26.4	24.96
4.	26.7	26.6	26.6	26.7	26.8	26.9	26.9	27.0	27.2	27.3	27.3	27.3	27.2	27.0	26.8	26.7	26.8	26.9	26.9	27.0	27.2	27.2	27.1	27.4	26.98
5.	27.5	27.7	27.7	27 7	27.7	28.0	28.3	28.8	29.0	29.3	29.2	29.4	29.5	29.4	29.5	29.2	29.0	28.9	29.2	29.1	29.3	29.2	29.5	29.6	28.82
6.	29.8	29.9	30.0	29.9	30 0	30.4	30.8	31.5	31.7	32.0	32.3	32.6	33.0	33.4	33.4	33.2	33.1	33.4	33.3	33.3	32.9	33.2	33.3	32.9	32.05
7.	32.4	32.2	31.8	31.6	31.1	31.0	31.1	31.5	32.0	32.6	33.0	32.9	32.7	32.4	32.7	32.9	33.0	33.2	33.2	33.3	33.5	33.6	33.6	33.5	32.53
8.	33.4	33 5	33.4	33.0	33.0	33.0	33.2	33.6	33.9	34.2	34.5	34.4	34.0	33.8	33.7	33.6	33.3	33.4	33.0	32.9	33.0	33.2	33.6	33.7	33.51
9.	34.0	34.1	34.0	34.0	33.8	33.9	34.1	34.2	34.2	34.2	34.1	33.8	33.6	33.5	33.4	33.3	33.3	33.2	33.3	33.1	32.6	32.8	32.7	32.6	33.58
10.	32.6	32.2	32.5	32.5	32.5	32.5	32.7	33.2	33.8	34.0	34.1	34.1	34.1	34.5	34 6	34.7	34.7	35.0	35.4	35.4	35.4	35.5	35.7	35.9	34 07
11.	36.2	36.3	36.4	36.5	36.6	36.8	37.0	37.4	37.6	38.0	38.2	38.3	38.3	38.5	38.5	38.6	38.6	38.9	39.0	39.1	39.2	39.3	39.2	39.1	37.98
12.	38.9	38.7	38.6	38.3	38.2	38.0	38.2	38.5	38.6	38.6	38.6	38.5	38 2	38.2	38.1	38.0	37.9	37.9	37.9	37.8	37.6	37.5	37.4	37.2	38.14
13.	36.9	36.7	36.6	36.4	36.2	36.1	36.0	36.0	35.9	35.9	35.8	35.6	35.4	35.2	35.0	35.1	35.0	35.0	34.9	34.9	34.8	34.7	34.7	34 5	35.55
14.	34.3	34.0	33.8	33.7	33.5	33 5	33.5	33.6	33.6	33.8	33.9	33.8	33.6	33.6	33.6	33.7	33.8	34.1	34.2	34.3	34.4	34.5	34.6	34.7	33.92
15.	34.7	34.7	34.5	34.5	34.5	34 5	34.5	34 6	34.7	34.8	35.0	35.0	35.0	35.0	35.0	35 1	35.2	35.2	35.2	35.2	35.2	35.2	35.3	35.4	34.92
16.	35.3	35.2	35.0	35.0	34.9	34.9	35.0	35.1	35.1	35.1	35.0	35.0	34.9	34.8	34.6	34.4	34.4	34.5	34.5	34.7	34.8	35.0	35.3	35.5	34.82
17.	34.4	34.2	34.1	34.0	33 9	33.8	33.9	34.0	34.2	34.3	34.4	34.4	34.4	34.4	34.5	34.5	34.5	34.7	34.8	35.0	35.3	35.5	35.5	35.6	34.51
18.	35.6	35 5	35 5	35.5	35 6	35.6	35.6	35.9	36.0	36.3	36.4	36.3	36.3	36.3	36.2	36.1	36.1	36.3	36.4	36.6	36.7	36.7	36.7	36.7	36.12
19.	36.7	36.5	36.4	36.1	36.0	36.0	36.0	35.9	35.9	36.1	36.0	35 9	35.8	35.8	35.8	35.6	35.6	35.6	35.6	35 6	35.6	35.6	35.5	35.4	35.83
20.	35.4	35.2	35.1	35.1	35.0	34.9	34.8	34.9	34.9	35.0	34.9	34.9	34.9	34.7	34.8	34.5	34.5	34.5	34.6	34 7	34.7	34.6	34.4	34.3	34.80
21.	34.2	33.8	33.6	33.4	33.2	33.0	33.0	32.9	32.8	32.8	32.5	32.4	32.2	31.9	31.8	31.5	31.3	31.1	31.0	30 7	30.6	30.3	29.9	29.5	32.06
22.	29.1	28.6	28.2	28.1	27.8	28.1	27.9	28.2	28.4	28.6	28.7	28.5	28.4	28.0	28.0	28.0	28.0	28.0	27.9	28 0	28.0	28.0	28.0	28.1	28.19
23.	27.9	27.7	27.5	27.5	27.5	27.4	27.5	27.5	28.0	28.3	28.4	28.6	28.6	28.6	28.7	28.9	29.0	29.0	29.0	29.0	29.0	29.0	28.8	28.8	28.34
24.	28.3	28.2	27.9	27.7	27.6	27.3	27.2	26.8	26.8	26.8	26.7	26.5	26.4	26.5	26 5	26.6	26.7	26.8	26.9	26.9	27.0	26.9	26.8	26.9	27.03
25.	26.3	25.8	25.6	25.1	24.9	24.4	24.0	23.8	23.4	22.8	22.3	21.9	21.1	20.2	20.2	20.3	20.4	20.4	20.4	20.3	20.3	20.3	20.3	22.28
26.	20.5	20.5	20.6	20.6	20.7	20.8	21.1	21.3	21.7	22.0	22.1	22.2	22.2	22.2	22.2	22.1	22.4	22.5	22.3	22.2	22.3	22.4	22.5	22.7	21.75
27.	22.7	22.8	22.8	22.9	22.8	22.7	22.6	22.8	22.7	22.7	22.6	22.7	22.3	21.9	21.7	21.6	21.5	21.2	21.3	21.4	21.3	21.1	20.9	20.7	22.07
28.	20.5	20.1	19.7	19.2	19.1	19.0	19 0	19.5	19.7	20.4	20.6	20.8	21.0	21.5	21.7	22.0	22.5	22.9	23.5	24.1	24.5	24.9	24.9	25.1	21.51
29.	25.4	25.7	25.8	26.0	26.3	26.5	26.8	27.1	27.5	28.1	28.5	28.7	29.1	29.3	29.7	30.0	30.2	30.6	30.8	31.0	31.3	31.5	31.8	32 0	28.74
30.	32.0	32.1	32.2	32.2	32.4	32.6	33.0	33.4	33.4	33.8	34.0	34.1	34.2	34.3	34.3	34.4	34 4	34.4	34.5	34.6	34.6	34.6	34.3	34.1	33.66
31.	33.8	33.5	33.2	33.2	33.0	32.8	32.7	32.8	32.7	32.7	32.6	32.3	32.1	31 9	31.7	31.9	31.9	32.1	32.1	32.2	32.3	32.3	32.3	32.2	32.51
Mittel	30.46	30.32	30.21	30.09	30.01	30.01	30.08	30.28	30.41	30.58	30.64	30.61	30.54	30.49	30.49	30.53	30.56	30.66	30.73	30.78	30.83	30.86	30.85	30.84	30.49

Barometer-Registrierung. **Zugspitze.** 1911.

November

500 mm +

Datum	1a	2a	3a	4a	5a	6a	7a	8a	9a	10a	11a	12m	1p	2p	3p	4p	5p	6p	7p	8p	9p	10p	11p	12mn	Mittel
1.	31.9	31.6	31.5	31.5	31.5	31.5	31.5	31.5	31.6	31.8	31.8	31.6	31.5	31.4	31.4	31.5	31.6	31.6	31.8	31.8	31.8	31.7	31.7	31.6	31.62
2.	31.5	31.5	31.3	31.0	30.9	30.8	30.8	30.9	31.0	30.9	30.9	30.8	30.6	30.5	30.4	30.3	30.4	30.5	30.5	30.5	30.5	30.5	30.5	30.6	30.75
3.	30.6	30.6	30.6	30.5	30.5	30.6	30.7	30.9	31.1	31.4	31.5	31.7	31.7	31.8	31.9	31.9	32.0	32.2	32.2	32.3	32.4	32.7	32.7	32.8	31.55
4.	32.8	32.7	32.6	32.6	32.6	32.7	33.0	33.3	33.5	33.6	33.7	33.7	33.7	33.6	33.6	33.4	33.7	33.8	34.0	33.9	33.8	33.8	33.8	33.8	33.40
5.	33.4	33.2	32.9	32.8	32.8	32.5	32.4	32.1	32.2	32.0	31.9	31.7	31.7	31.6	31.6	31.3	31.1	31.0	30.8	30.6	30.5	30.4	30.2	29.8	31.69
6.	29.5	29.4	29.2	28.9	28.8	28.4	28.5	28.6	28.8	29.3	29.0	28.7	28.4	28.4	28.4	28.3	28.4	28.4	28.4	28.3	28.2	28.5	28.3	28 2	28.64
7.	28.7	28.8	28.8	28.9	29.2	29.3	29.5	29.6	29.7	30.0	30.0	29.9	29.8	29.7	29.6	29.5	29.6	29.6	29.6	29.7	29.8	29.8	29.8	29.7	29.52
8.	29.5	29.4	29.3	29.1	28.9	28.8	28.8	28.8	28.8	28.8	28.7	28.5	28.2	27.9	27.7	27.5	27.3	27.3	27.0	26.9	26.7	26.7	26.8	26.8	28.09
9.	26.8	26.7	26.2	25.9	25.4	25.1	25.3	25.2	25.3	25.0	24.7	24.2	24.0	23.7	23.6	23.7	24.0	24.3	24.4	24.6	24.4	24.2	24.4	24.7	24.83
10.	24.8	25.0	25.0	24.8	24.9	24.9	24.9	24.9	25.0	25.1	25.2	25.1	25.0	25.1	25.2	25.3	25.2	25.5	25.6	25 8	25.8	25.8	25.9	25.9	25.24
11.	26.1	26.2	26.1	26.0	26.0	26.1	26.2	26.4	26.4	26.5	26.6	26.6	26.7	26.8	27.0	27.6	27.8	28.0	28.0	28.0	28.0	28.0	28.3	28 5	27.00
12.	28.2	28.6	28.5	28.3	28.4	28.3	28.3	28.8	28.9	29.1	29.0	28.8	28.7	28.7	28.6	28.4	28.4	28.3	28.2	28.0	27.9	27.6	27.4	27.4	28.37
13.	27.1	26.8	26.6	26.6	26.7	26.7	26.7	26.8	26.8	27.0	27.2	27.2	27.4	27.6	27.9	28.3	28.9	29.4	29.8	30.3	30.9	31.2	21.7	32.1	28.24
14.	32.4	32.7	32.9	33.3	33.7	34.0	34.4	34.7	35.2	35.6	35.7	35.6	35.6	35.5	35.6	35.6	35.6	35.6	35.6	35.6	35.6	35.5	35.4	35.1	34.85
15.	34.8	34.5	34.3	33.8	33.6	33.4	33.3	33.3	33.1	32.9	32.7	32.3	31.7	31.4	31.1	30.6	30.4	30.3	30.1	29.9	29.8	29.5	29.4	29.3	31.90
16.	29.0	28.6	28.5	28.2	28.1	28.0	27.8	27.8	28.0	28.2	28.3	28.3	28.2	28.1	28.0	28.1	28.2	28.3	28.3	28.4	28.4	28.3	28.2	28.2	28.23
17.	28.1	27.8	27.6	27.4	27.3	27.2	27.0	27.0	26.9	26.9	26.6	25.9	25.6	25.1	24.7	24.5	24.5	24.5	24.5	23.3	23.0	22.7	22.2	21.7	25.50
18.	21.4	20.9	20.1	19.6	19.2	18.7	18.6	18.3	18.1	17.9	17.5	16.6	15.6	14.7	14.3	13.6	13.5	12.6	11.7	11.8	11.7	11.0	11.0	11.1	15.81
19.	11.3	10.8	10.4	10.0	09.9	09.8	09.6	09.4	09.7	09.5	09.8	09.8	09.9	10.1	10.3	10.4	10.3	10.4	10.9	11.2	11.5	11.3	11.9	12.0	10.43
20.	11.6	11.8	11.7	11.4	11.3	11.9	12.2	12.8	13.1	13.4	13.9	14.2	14.2	14.6	15.0	15.1	15.4	15.9	16.3	16.3	16.7	17.4	17.8	18.2	14.26
21.	18.6	18.8	18.9	19.0	19.1	19.0	19.3	19.2	18.9	18.8	18.4	18.4	18.5	18.6	18.3	18.2	18.3	18.2	18.2	18.2	18.3	18.2	18.1	18.0	18.56
22.	18.1	18.1	18.1	18.1	18.1	18.1	18.6	18.6	18.8	19.4	19.8	20.0	20.2	19.8	20.7	20.8	21.1	21.6	21.9	22.4	22.7	23.0	23.0	22.6	20.15
23.	22.3	22.1	21.7	21.3	21.1	20.9	20.8	21.3	21.5	22.1	22.3	22.2	22.4	22.8	23.0	23.1	23.4	23.6	23.6	23.6	23.8	23.7	23.6	23.4	22.48
24.	23.2	22.9	22.7	22.5	22.3	21.9	21.9	22.0	22.0	22.0	22.0	21.9	21.9	22.0	22.2	22.5	22.6	22.8	22.9	22.8	22.9	22 8	22.8	22.8	22.43
25.	22.7	22.7	22.7	22.6	22.5	22.4	22.3	22.3	22.3	22.3	22.2	21.9	21.9	21.7	21.8	21.9	22.0	21.9	21.9	21.8	21.8	21.8	21.9	21.9	22.13
26.	22.0	22.2	22.2	22.3	22.6	22.9	23.0	23.3	23.8	24.0	24.2	24.3	24.5	24.8	25.1	25.4	25.6	25.9	26.2	26.6	26.9	27.0	27.4	27.6	24.58
27.	27.7	28.0	28.0	28.4	28.5	28.8	29.3	29.5	29.6	30.1	30.2	30.4	30.8	31.1	31.3	31.9	32.0	32.4	32.6	32.9	33.1	33.2	33.2	33.3	30.68
28.	33.3	33.2	33.2	33.2	32.9	33.1	33.2	33.4	33.7	34 1	34.1	33.9	33.8	33.7	33.9	33.9	34.0	34.0	34.2	34.4	34.6	34.7	34.7	34.9	33.84
29.	35.0	35.2	35.2	35.3	35.3	35.4	35.5	35.5	35.8	36.0	35.9	35.9	35.8	35.8	35.8	35.9	36.0	36.0	36.1	36.3	36.3	36.2	36.2	36.0	35.77
30.	35.9	35.6	35.5	35.2	35.0	35.0	35.0	35.0	35.1	35.3	35.1	34.8	34.5	34.3	34.1	34.0	33.8	33.7	33.5	33.4	33.0	32.8	32.6	32.4	34.36
Mittel	26.94	26.88	26.74	26.62	26.57	26.54	26.61	26.71	26.82	26.97	26.96	26.83	26.75	26.70	26.74	26.75	26.84	26.92	26.96	26.99	27.03	27.00	27.03	27.01	26.83

Dezember

500 mm +

Datum	1a	2a	3a	4a	5a	6a	7a	8a	9a	10a	11a	12m	1p	2p	3p	4p	5p	6p	7p	8p	9p	10p	11p	12mn	Mittel
1.	32.0	31.7	31.5	31.3	31.1	30.9	30.8	30.8	30.7	30.6	30.4	30.0	29.6	29.6	29.4	29.3	29.3	29.3	29.3	29.2	28.8	28.7	28.5	28.4	30.05
2.	28.4	28.1	28.0	28.2	28.4	28.5	28.7	29.1	29.2	29.4	29.5	29.5	29.6	29.6	29.6	29.6	29.6	29.6	29.7	29.7	29.6	29.6	29.6	29.4	29.18
3.	29.3	29.3	29.3	29.3	28.9	28.8	28.8	28.8	28.8	28.9	28.9	28.9	28.8	28.8	28.8	28.8	28.7	28.6	28.6	28.5	28.4	28.4	28.4	28.4	28.80
4.	28.4	28.3	28.3	28.2	28.1	28.1	28.1	28.1	28.1	28.2	28.1	27.9	27.8	27.8	27.7	27.7	27.7	27.7	27.7	27.7	27.7	27.7	27.6	27.5	27.93
5.	27.4	27.4	27.3	27.1	26.8	26.8	26.8	26.9	26.6	26.4	26.2	25.8	25.6	25.6	25.7	25.7	25.8	25.9	26.1	26.5	26.7	26.8	27.0	27.3	26.51
6.	27.5	27.8	27.9	28.0	28.2	28.4	28.8	29.0	29.6	30.0	30.1	30.2	30.4	30.6	30.9	31.1	31.4	31.4	31.6	31.6	31.7	31.7	31.6	31.3	30.03
7.	31.2	31.2	31.2	31.0	30.8	30.4	30.2	29.9	29.7	29.3	28.6	28.3	27.9	27.6	27.3	27.0	26.7	26.3	26.1	25.9	25.7	25.5	25.5	25.4	28.28
8.	25.4	25.3	25.2	24.7	24.3	24.3	24.3	24.3	24.4	24.5	24.3	24.2	23.9	23.6	23.5	23.1	23.0	22.8	22.8	22.8	22.8	22.7	22.7	22.4	23.80
9.	22.2	22.3	22.0	21.9	21.8	21.9	21.9	22.0	22.1	22.4	22.2	22.1	21.8	21.8	21.8	21.9	22.2	22.6	22.7	23.1	23.2	23.5	23.4	23.8	22.36
10.	23.9	24.0	24.0	24.0	24.0	24.1	24.2	24.3	24.4	24.4	24.2	23.9	23.8	23.8	23.7	23.5	23.2	22.9	22.6	22.3	22.0	22.3	22.3	22.3	23.50
11.	22.3	22.2	21.5	21.3	20.9	20.4	19.6	19.4	19.4	19.2	19.3	19.0	18.9	19.0	19.0	19.0	19.0	19.1	19.0	19.0	19.0	19.4	19.6	19.4	19.75
12.	19.2	19.4	19.7	19.8	19.9	19.9	20.0	20.3	20.5	20.8	20.9	21.1	21.0	21.5	21.8	22.1	22.3	22.7	22.9	23.1	23.2	23.3	23.3	23.3	21.33
13.	23.3	23.2	23.1	23.2	23.3	23.3	23.3	23.6	23.8	24.2	24.2	24.2	24.4	24.7	24.6	24.5	24.8	25.0	25.2	25.4	25.5	25.5	25.6	26.0	24.35
14.	25.7	25.9	26.1	25.7	25.9	26.3	26.4	26.7	27.2	27.3	27.4	27.4	27.4	28.0	28.1	28.4	28.4	28.5	28.7	28.7	28.8	28.8	28.7	28.5	27.46
15.	28.4	28.4	28.2	28.0	27.6	27.6	27.4	27.4	27.6	27.9	27.8	27.8	27.6	27.5	27.4	27.1	27.0	27.0	27.0	27.2	27.4	27.4	27.4	27.2	27.55
16.	27.0	27.0	27.0	27.0	26.9	26.9	26.9	27.1	27.3	27.5	27.4	27.3	27.2	27.3	27.4	27.7	27.8	28.0	28.3	28.6	28.8	29.0	29.5	29.5	27.68
17.	29.7	30.2	30.3	30.3	30.4	31.1	31.3	31.6	32.0	32.3	32.5	32.5	32.4	32.9	33.3	33.5	33.7	33.8	33.9	34.2	34.4	34.3	34.6	34.7	32.49
18.	34.8	34.7	34.9	34.8	34.8	34.7	34.8	35.0	35.3	35.6	35.4	35.2	35.1	35.0	35.0	35.0	35.0	34.9	34.9	35.0	35.0	35.0	35.0	34.9	34.99
19.	34.8	34.8	34.8	34.7	34.6	34.6	34.6	34.8	35.0	35.1	35.0	34.7	34.3	34.2	34.1	33.9	33.8	33.6	33.5	33.4	33.0	32.9	32.5	31.5	34.09
20.	30.8	30.6	29.9	29.3	28.7	28.4	27.8	27.5	27.4	26.9	26.4	25.8	25.3	24.7	24.5	24.5	24.5	24.6	24.0	24.2	24.3	24.3	24.3	24.2	26.37
21.	24.4	24.4	24.3	24.1	23.8	23.5	23.3	23.1	23.1	23.1	23.2	21.8	21.7	21.0	20.3	19.8	19.6	19.2	19.0	18.9	17.6	18.0	18.9	18.8	21.45
22.	18.0	18.1	19.1	20.1	21.1	21.7	22.5	22.3	22.8	23.3	23.8	23.9	23.7	24.0	24.2	24.1	23.9	23.8	23.7	23.1	22.7	22.1	20.9	20.3	22.22
23.	20.5	19.6	19.3	18.6	17.9	17.6	16.9	17.0	17.6	18.0	18.1	18.1	18.8	20.1	21.7	23.3	24.5	25.1	25.6	26.2	26.5	26.8	27.1	26.9	21.33
24.	26.9	27.1	27.4	27.4	27.4	27.4	27.4	27.4	27.7	28.0	27.6	27.2	27.2	27.2	27.1	27.2	27.0	26.7	26.7	26.5	26.3	25.9	25.8	25.5	27.04
25.	25.3	24.8	24.4	23.7	23.3	22.9	22.5	22.3	21.8	21.5	20.4	19.5	19.3	19.2	18.8	18.2	18.4	18.6	18.5	19.1	19.2	19.1	19.5	19.3	20.82
26.	19.3	19.8	19.8	19.5	19.9	19.8	20.3	21.0	21.0	21.3	21.1	20.9	21.0	21.5	21.5	21.9	22.1	22.1	22.2	22.6	22.5	21.4	21.7	21.1	21.05
27.	20.2	19.5	19.6	19.3	18.9	18.7	18.4	18.3	18.4	18.2	17.9	17.6	17.7	18.4	19.3	20.2	20.4	21.0	21.2	21.5	21.9	22.1	22.3	22.4	19.73
28.	22.8	23.4	23.9	24.4	24.6	24.9	25.5	25.7	25.9	26.2	26.2	26.2	26.2	26.6	26.9	27.1	27.2	27.4	27.6	28.1	28.3	28.1	28.1	28.0	26.22
29.	28.1	28.4	27.6	27.9	27.6	27.5	27.5	26.9	26.8	27.7	27.5	27.5	27.5	27.7	28.3	28.6	28.6	29.0	29.3	29.3	29.3	29.3	29.3	29.4	28.19
30.	29.5	29.7	30.0	30.0	30.2	30.4	30.9	30.9	31.0	31.3	31.3	31.1	30.9	30.9	31.0	30.9	30.9	30.9	30.8	30.2	29.8	29.6	29.0	29.1	30.43
31.	29.0	28.6	28.4	28.7	28.9	29.2	29.4	29.6	29.9	30.3	30.6	30.5	30.5	30.7	31.2	31.2	31.3	31.4	31.8	32.0	32.0	32.0	32.0	32.0	30.47
Mittel	26.31	26.30	26.26	26.18	26.10	26.10	26.11	26.16	26.29	26.45	26.34	26.13	26.04	26.16	26.25	26.32	26.38	26.44	26.45	26.57	26.51	26.49	26.52	26.39	26.30

Thermometer-Registrierung. **Zugspitze** 1911.

Januar

Datum	1a	2a	3a	4a	5a	6a	7a	8a	9a	10a	11a	12m	1p	2p	3p	4p	5p	6p	7p	8p	9p	10p	11p	12mn	Mittel
1.	-20.5	-20.1	-20.0	-19.7	-19.6	-19.5	-19.4	-19.1	-18.8	-18.5	-18.6	-17.5	-16.9	-16.5	-15.6	-15.3	-13.4	-13.7	-13.7	-14.4	-14.4	-13.9	-13.4	-13.4	-16.91
2.	-13.9	-14.0	-14.5	-14.7	-14.5	-14.9	-15.1	-15.3	-15.6	-16.1	-15.0	-16.4	-16.5	-17.5	-18.2	-18.3	-18.5	-18.7	-18.9	-18.9	-18.5	-18.9	-19.2	-19.0	-16.71
3.	-19.0	-18.8	-18.5	-18.1	-18.1	-17.9	-18.1	-17.9	-17.3	-16.6	-16.3	-15.3	-15.0	-14.0	-14.6	-13.9	-13.7	-13.4	-12.8	-12.3	-13.4	-12.6	-11.9	-13.4	-16.37
4.	-14.2	-14.2	-14.3	-13.9	-13.6	-13.5	-13.5	-13.6	-13.8	-13.6	-13.2	-13.1	-13.2	-13.7	-13.8	-14.3	-13.9	-14.0	-14.0	-14.1	-14.4	-14.5	-14.6	-14.4	-13.89
5.	-14.6	-14.6	-14.4	-14.4	-14.7	-14.3	-14.4	-13.8	-13.8	-13.5	-13.0	-12.8	-12.8	-13.2	-13.3	-13.8	-13.4	-12.8	-13.2	-13.7	-13.9	-13.8	-13.8	-13.9	-13.75
6.	-14.1	-14.8	-14.9	-15.0	-15.1	-15.3	-15.3	-15.1	-14.8	-14.7	-14.5	-14.8	-15.1	-14.8	-14.5	-14.4	-15.1	-15.4	-15.0	-14.9	-14.1	-14.1	-13.9	-13.8	-14.73
7.	-14.0	-14.3	-14.2	-13.9	-13.8	-13.9	-14.0	-13.9	-13.6	-13.1	-12.8	-12.5	-13.1	-13.6	-13.9	-14.2	-14.8	-15.2	-15.3	-15.2	-15.4	-15.4	-14.9	-15.0	-14.17
8.	-15.0	-14.8	-14.5	-15.2	-15.3	-15.2	-14.4	-14.2	-13.0	-13.2	-13.0	-12.6	-12.5	-12.6	-12.2	-12.4	-12.8	-13.0	-13.3	-11.9	-12.1	-12.4	-12.4	-12.4	-13.31
9.	-12.3	-12.3	-12.1	-12.0	-11.8	-11.3	-11.0	-11.0	-11.0	-10.6	-10.5	-9.9	-10.0	-9.8	-9.1	-9.4	-8.7	-8.7	-8.6	-8.4	-8.2	-8.1	-7.8	-7.8	-10.02
10.	- 7.9	- 8.1	- 8.6	- 8.5	- 8.8	- 9.0	- 9.8	-10.2	-11.0	-11.7	-12.9	-14.7	-15.2	-15.7	-16.2	-16.8	-17.4	-17.8	-17.9	-17.8	-17.5	-17.5	-17.5	-17.5	-13.58
11.	-18.3	-18.7	-19.1	-19.2	-19.3	-19.2	-19.2	-19.1	-18.2	-17.6	-16.8	-15.8	-12.9	-13.0	-11.7	-11.2	-11.2	-11.0	-11.3	-11.0	-10.9	-10.5	-10.7	-11.0	-14.87
12.	-10.8	-10.6	-10.9	-11.0	-11.1	-11.0	-10.5	-10.5	-10.3	- 9.8	- 9.6	- 9.2	- 9.1	- 9.4	- 8.8	- 9.3	- 9.7	-10.4	-10.6	-10.8	-10.6	-10.8	-11.1	-11.1	-10.29
13.	-11.4	-11.5	-11.6	-11.7	-12.2	-12.2	-11.8	-12.8	-13.0	-12.6	-12.7	-12.1	-12.1	-11.5	-12.3	-13.2	-13.4	-13.6	-13.4	-13.2	-13.2	-13.3	-13.7	-13.6	-12.59
14.	-13.8	-13.9	-13.7	-14.6	-14.4	-14.5	-14.7	-15.0	-13.4	-12.4	-10.4	-10.6	-10.5	-10.6	-10.6	-11.0	-11.3	-12.1	-12.1	-13.3	-14.2	-14.4	-14.5	-14.5	-12.94
15.	-13.5	-13.0	-13.1	-13.0	-13.2	-14.1	-12.0	-11.7	-11.6	-11.3	-10.8	-10.2	-10.3	-10.2	- 9.9	- 9.6	- 9.2	- 9.0	- 9.1	- 9.1	- 8.9	- 9.5	- 9.8	- 9.4	-10.89
16.	- 8.0	- 8.5	- 8.1	- 7.5	- 7.5	- 7.5	- 7.6	- 7.7	- 7.9	- 8.0	- 8.3	- 8.0	- 8.4	- 8.0	- 8.1	- 9.4	- 8.6	- 8.6	- 7.7	- 8.1	- 8.9	- 7.7	- 8.8	- 8.6	- 8.15
17.	- 8.2	- 7.7	- 8.1	- 8.7	- 9.0	- 9.7	-10.1	-10.0	- 9.0	- 8.8	- 8.9	- 8.7	- 8.7	- 8.6	- 8.6	- 9.0	- 8.7	- 9.1	- 8.9	- 8.7	- 8.4	- 7.2	- 7.6	- 7.4	- 8.66
18.	- 8.3	- 8.2	- 8.7	-10.0	-10.7	-10.1	- 9.4	-10.1	-10.2	- 9.9	-10.1	- 9.4	- 8.7	- 9.0	- 7.3	- 6.9	- 7.1	- 8.0	- 9.0	- 8.8	- 8.4	- 7.5	- 7.8	- 8.1	- 8.82
19.	- 7.7	- 7.7	- 7.1	- 7.0	- 6.4	- 7.4	- 5.0	- 3.4	- 3.2	- 2.8	- 2.8	- 3.4	- 4.2	- 4.7	- 4.7	- 4.5	- 4.7	- 4.7	- 4.1	- 4.1	- 4.1	- 4.2	- 4.2	- 4.84	
20.	- 4.2	- 4.3	- 5.0	- 5.4	- 5.6	- 5.9	- 6.5	- 7.8	- 9.0	- 9.3	- 9.4	- 9.1	- 8.8	- 8.1	- 7.2	- 6.4	- 6.2	- 6.4	- 5.5	- 5.7	- 5.8	- 5.7	- 5.7	- 5.0	- 6.58
21.	- 4.2	- 4.2	- 4.2	- 4.2	- 3.8	- 3.5	- 3.6	- 3.6	- 3.3	- 3.6	- 3.0	- 2.1	- 1.3	- 1.2	- 1.3	- 1.0	- 1.5	- 2.3	- 2.4	- 2.0	- 2.0	- 1.9	- 2.3	- 2.2	- 2.69
22.	- 2.1	- 2.8	- 3.0	- 3.6	- 4.5	- 5.0	- 4.9	- 5.2	- 5.9	- 5.9	- 7.0	- 6.1	- 5.3	- 6.5	- 6.0	- 6.5	- 7.2	- 7.8	- 8.1	- 9.2	- 9.0	- 9.9	-10.2	-10.2	- 6.33
23.	- 8.5	- 8.2	- 9.2	- 8.8	- 9.0	- 8.6	- 9.0	- 8.6	- 8.0	- 7.5	- 7.0	- 6.9	- 6.4	- 6.5	- 7.3	- 7.2	- 7.1	- 7.2	- 7.4	- 7.1	- 7.4	- 7.8	- 7.6	- 7.2	- 7.73
24.	- 6.9	- 6.6	- 6.1	- 6.7	- 6.7	- 7.1	- 7.6	- 7.6	- 7.6	- 6.9	- 6.6	- 6.3	- 7.7	- 8.7	- 9.2	-10.2	-10.7	-12.3	-11.6	-12.5	-13.1	-13.6	-13.3	-13.3	- 9.12
25.	-14.5	-14.5	-14.7	-15.1	-15.1	-14.6	-15.0	-14.5	-13.9	-14.0	-13.9	-13.7	-13.8	-12.9	-11.6	-13.0	-13.1	-11.2	-12.4	-13.0	-13.7	-12.2	-10.7	-10.5	-13.40
26.	- 9.5	- 9.3	- 9.3	- 8.9	- 8.8	- 7.1	- 7.0	- 6.7	- 5.5	- 5.0	- 5.4	- 5.6	- 6.0	- 7.6	- 9.3	- 9.9	-10.0	-10.1	-10.6	-10.4	- 8.4	- 7.1	- 7.3	- 7.4	- 8.01
27.	- 7.6	- 7.0	- 7.3	- 7.4	- 7.3	- 7.6	- 8.0	- 7.7	- 7.4	- 6.7	- 6.0	- 5.6	- 6.1	- 6.1	- 6.0	- 6.0	- 6.0	- 5.9	- 6.0	- 6.2	- 6.7	- 6.9	- 6.8	- 6.6	- 6.70
28.	- 7.2	- 7.2	- 7.2	- 7.3	- 7.3	- 7.4	- 8.1	- 8.3	- 8.3	- 8.2	- 8.6	- 9.0	-10.1	-10.8	-12.2	-13.1	12.7	-12.1	-11.5	-11.4	-11.0	-10.7	-10.8	-10.8	- 9.64
29.	-11.3	-10.9	-11.0	-10.9	-11.7	-11.3	-10.6	-11.1	-11.2	-10.0	- 9.7	- 9.7	-10.7	-11.2	-11.3	-11.6	-12.1	-12.6	-12.7	-12.6	-13.1	-11.8	-11.9	-11.7	-11.36
30.	-10.3	-10.7	-14.4	-12.9	-14.7	-14.2	-14.6	-14.1	-15.0	-15.8	-15.9	-16.3	-16.4	-17.4	-18.1	-18.4	-18.5	-19.1	-19.5	-20.8	-21.2	-22.5	-23.1	-23.9	-14.91
31.	-24.0	-24.3	-24.2	-23.9	-23.9	-23.0	-23.8	-23.7	-23.2	-22.5	-21.6	-20.7	-20.2	-19.3	-19.0	-18.8	-18.7	-18.5	-17.7	-17.8	-18.3	-17.9	-17.8	-15.8	-20.81
Mittel	-11.48	-11.48	-11.35	-11.39	-11.85	-11.80	-11.74	-11.72	-11.22	-11.30	-11.11	-10.91	-10.90	-11.05	-11.03	-11.26	-11.27	-11.44	-11.43	-11.53	-11.59	-11.43	-11.45	-11.39	-11.38

Februar

1.	-16.0	-15.1	-14.7	-15.1	-16.5	-16.5	-16.6	-16.7	-16.2	-16.0	-15.6	-15.4	-15.4	-15.8	-15.8	-16.0	-17.6	-17.2	-16.8	-16.5	-16.7	-16.7	-16.5	-16.3	-16.15
2.	-16.5	-16.5	-16.5	-16.6	-16.5	-16.0	-16.3	-15.7	-15.8	-15.2	-14.1	-12.8	-12.7	-11.7	-10.9	-13.5	-13.1	-14.0	-15.4	-16.6	-14.8	-14.8	-14.5	-15.4	-14.83
3.	-16.6	-16.5	-15.2	-15.7	-16.2	-16.8	-16.6	-16.7	-17.0	-17.2	-17.2	-17.4	-17.4	-17.4	-17.3	-17.3	-17.3	-17.4	-17.3	-17.3	-17.2	-17.2	-17.5	-17.6	-16.97
4.	-17.6	-17.7	-17.6	-18.0	-18.0	-17.4	-16.2	-16.0	-15.6	-14.4	-13.2	- 9.1	- 8.4	- 8.2	- 7.8	- 7.5	- 6.8	- 7.5	- 8.1	- 8.1	- 7.5	- 7.2	- 7.3	- 8.2	-11.81
5.	- 8.5	- 8.2	- 8.1	- 8.6	- 9.5	-10.0	-10.2	-10.1	- 9.8	-10.5	-10.5	-11.0	-11.2	-11.9	-12.0	-12.1	-12.2	-13.4	-14.0	-13.3	-13.5	-12.4	-12.4	-14.4	-11.16
6.	-13.9	-13.8	-14.2	-15.4	-18.4	-18.6	-18.3	-18.3	-17.9	-18.2	-18.1	-17.8	-17.6	-18.0	-18.1	-17.9	-18.8	-18.9	-19.1	-19.3	-20.4	-20.6	-20.3	-20.3	-18.01
7.	-19.4	-19.4	-17.6	-16.7	-16.3	-15.8	-15.8	-15.4	-16.0	-17.6	-17.8	-17.4	-17.6	-17.8	-17.9	-18.5	-19.1	-19.4	-19.3	-17.9	-17.4	-16.4	-16.1	-16.5	-17.46
8.	-17.3	-17.9	-18.5	-18.6	-19.1	-19.2	-19.4	-19.5	-19.7	-19.4	-19.2	-19.3	-19.7	-19.7	-20.4	-21.3	-21.5	-21.5	-21.7	-21.8	-22.1	-22.8	-22.1	-22.4	-20.17
9.	-22.6	-21.8	-21.5	-21.8	-21.4	-21.2	-20.4	-19.5	-19.8	-19.0	-16.9	-16.1	-15.6	-15.8	-15.2	-15.0	-14.3	-14.3	-14.5	-13.1	-13.0	-12.8	-13.1	-13.2	-17.16
10.	-14.6	-15.5	-15.3	-15.1	-15.3	-15.5	-15.3	-14.3	-13.3	-13.2	-12.5	-11.0	-10.7	-10.9	-11.2	-11.1	-12.2	-13.3	-13.3	-13.3	-12.9	-12.6	-12.5	-12.6	-13.23
11.	-12.4	-12.3	-12.9	-12.5	-11.9	-11.1	-11.2	-11.0	-10.2	- 9.7	- 9.6	- 9.6	-10.2	-10.9	-11.1	-11.4	-12.2	-12.8	-13.2	-13.2	-13.3	-13.5	-13.5	-13.5	-11.80
12.	-13.6	-13.8	-14.3	-13.6	-13.3	-13.4	-13.6	-13.8	-13.0	-12.0	-11.7	-11.0	- 9.5	- 8.5	- 8.1	- 8.8	- 9.4	-10.0	-10.0	-10.0	-11.3	-12.2	-11.9	-11.1	-11.58
13.	-10.9	-10.8	-10.7	-10.2	-10.9	-10.9	-10.9	-10.9	-10.6	-10.3	- 9.7	- 9.4	- 9.0	- 9.0	- 8.6	- 8.6	- 8.5	- 9.0	- 9.4	- 9.6	- 9.6	- 9.5	- 9.5	- 9.6	- 9.84
14.	- 9.6	-10.3	-10.7	-11.3	-12.0	-12.2	-12.6	-13.0	-13.1	-12.9	-12.9	-12.9	-12.7	-12.6	-11.9	-11.5	-11.5	-12.1	-12.2	-12.2	-12.2	-12.2	-12.1	-11.9	-12.03
15.	-12.0	-11.8	-11.2	-10.9	-12.0	-12.0	-12.5	-12.3	-12.7	-13.1	-12.9	-12.0	-11.8	-12.8	-13.4	-13.9	-14.0	-14.7	-15.4	-14.2	-14.8	-14.6	-15.1	-15.3	-13.17
16.	-15.5	-15.8	-16.6	-17.4	-18.1	-18.9	-18.8	-18.0	-17.3	-15.6	-11.3	-10.9	-10.6	-12.3	-11.9	-12.0	-11.9	-11.6	-11.7	-11.7	-12.1	-12.0	-10.3	-11.1	-13.89
17.	-11.0	-11.2	-11.1	-11.6	-12.1	-11.8	-10.3	-10.7	- 9.9	- 9.9	- 9.5	-10.5	- 9.7	- 7.2	- 7.0	- 7.7	- 8.3	- 8.5	- 8.8	- 9.3	- 9.3	- 9.4	- 9.6	- 9.7	- 9.75
18.	- 9.4	- 8.9	- 8.9	- 8.2	- 8.9	- 9.1	- 9.3	- 7.5	- 7.0	- 6.7	- 6.5	- 6.0	- 5.8	- 5.7	- 5.6	- 6.0	- 6.5	- 7.4	- 8.3	- 8.7	- 8.9	- 8.6	- 7.7	- 7.2	- 7.62
19.	- 7.7	- 8.0	- 7.6	- 7.3	- 6.6	- 6.1	- 5.8	- 5.2	- 4.9	- 4.7	- 5.3	- 5.7	- 6.8	- 8.7	- 8.7	- 8.6	- 9.2	-10.1	-11.1	-11.8	-11.9	-11.8	-12.0	-12.5	- 8.25
20.	-13.6	-14.1	-14.8	-15.0	-15.1	-15.2	-15.9	-15.8	-15.6	-16.0	-16.2	-16.4	-16.9	-16.7	-16.0	-16.0	-16.2	-16.7	-16.7	-16.6	-16.6	-16.6	-16.3	-16.1	-15.88
21.	-16.4	-16.6	-16.4	-16.3	-16.1	-16.1	-16.2	-16.2	-16.1	-16.1	-16.0	-16.0	-15.7	-15.6	-15.5	-14.5	-14.0	-12.8	-13.0	-12.7	-12.8	-12.0	-11.1	- 9.7	-14.45
22.	- 7.6	- 6.5	- 6.0	- 5.1	- 4.4	- 4.2	- 4.6	- 4.2	- 3.6	- 4.0	- 3.5	- 3.2	- 3.2	- 3.2	- 3.5	- 3.9	- 4.4	- 4.7	- 5.6	- 6.2	- 6.9	- 7.4	- 7.6	- 8.0	- 5.06
23.	- 8.3	- 8.6	- 8.9	- 9.3	- 9.5	- 9.7	-10.0	- 9.8	-10.1	- 9.9	- 9.5	- 8.5	- 7.6	- 7.2	- 6.4	- 5.6	- 5.7	- 5.5	- 5.1	- 4.4	- 4.3	- 4.1	- 3.8	- 5.0	- 7.37
24.	- 5.1	- 5.2	- 5.6	- 5.9	- 6.4	- 7.2	- 8.7	- 9.3	- 9.7	-11.2	-12.3	-12.2	-12.0	-11.5	-11.6	-12.1	-12.8	-13.5	-13.8	-13.7	-14.0	-14.0	-14.7	-14.8	-10.72
25.	-15.2	-15.2	-15.4	-16.0	-16.1	-15.7	-15.2	-15.1	-15.0	-14.2	-14.0	-13.9	-13.8	-12.5	-11.4	-11.0	-10.9	-10.1	-10.3	- 9.6	- 9.0	- 8.3	- 8.0	- 7.6	-12.65
26.	- 8.9	- 8.9	- 9.2	-10.1	-10.4	-11.3	-11.0	-11.1	-11.2	-11.4	-11.6	-11.4	-10.7	-10.8	-13.4	-14.7	-15.0	-15.5	-15.8	-16.1	-16.3	-16.5	-16.7	-17.0	-12.71
27.	-17.3	-17.4	-17.7	-18.0	-18.3	-18.6	-18.8	-18.8	-18.7	-18.8	-18.1	-18.2	-17.6	-17.4	-17.5	-17.4	-17.4	-17.3	-17.3	-17.4	-17.5	-17.5	-17.3	-17.1	-17.81
28.	-17.1	-17.1	-16.9	-16.5	-15.7	-14.0	-13.0	-12.4	-11.7	- 9.9	- 9.6	- 9.0	- 8.6	- 8.3	- 7.9	- 7.5	- 7.2	- 6.8	- 6.6	- 6.2	- 6.5	- 6.8	- 7.0	- 7.4	-10.40
Mittel	-13.38	-13.39	-13.36	-13.46	-13.75	-13.73	-13.70	-13.48	-13.27	-13.11	-12.69	-12.31	-12.09	-12.08	-12.00	-12.19	-12.43	-12.71	-12.99	-12.89	-12.96	-12.88	-12.73	-12.91	-12.94

Thermometer-Registrierung. **Zugspitze.** 1911.

März

Datum	1a	2a	3a	4a	5a	6a	7a	8a	9a	10a	11a	12m	1p	2p	3p	4p	5p	6p	7p	8p	9p	10p	11p	12mn	Mittel
1.	– 7.8	– 8.5	– 9.0	– 8.9	– 7.9	– 7.7	– 7.7	– 7.6	– 7.4	– 7.4	– 7.8	– 8.4	–10.5	–10.4	–10.2	–10.0	–10.0	–11.1	– 12.3	– 13.4	– 14.1	– 14.7	– 14.9	– 15.4	–10.13
2.	– 15.5	– 15.6	– 15.7	– 15.9	– 15.9	– 16.0	– 16.0	– 15.8	– 15.8	– 15.9	– 15.8	–14.6	–14.6	–13.8	–12.1	–11.5	–10.8	–10.7	– 10.7	– 10.6	– 10.5	– 10.6	– 10.5	– 10.3	–13.55
3.	– 11.1	– 12.6	– 13.4	– 13.7	– 13.8	– 14.1	– 14.2	– 14.2	– 14.3	– 14.2	–13.8	–14.0	–14.0	–14.1	–14.1	–14.0	–14.1	–14.2	– 13.7	– 14.0	– 14.2	– 14.0	– 14.0	– 14.1	–13.83
4.	– 14.2	– 14.3	– 14.6	– 14.6	– 15.1	– 14.9	– 12.0	– 9.7	– 9.2	– 9.8	– 9.1	– 8.7	– 8.5	– 8.0	– 7.9	– 7.8	– 8.1	– 8.5	– 8.8	– 8.9	– 8.8	– 9.0	– 9.1	– 9.0	–10.36
5.	– 9.2	– 9.9	– 10.2	– 10.7	– 10.8	– 10.8	– 11.2	– 11.1	– 11.1	– 10.4	–10.2	–10.4	–10.4	–10.4	–10.4	–10.8	–11.3	–11.7	– 12.1	– 12.3	– 12.5	– 12.7	– 13.0	– 13.5	–11.13
6.	– 13.9	– 14.4	– 14.7	– 15.2	– 15.5	– 15.8	– 15.8	– 15.8	– 15.8	– 15.6	–13.8	–14.7	–14.8	–14.8	–14.7	–14.6	–14.2	–14.0	– 14.1	– 13.9	– 13.8	– 13.8	– 13.7	– 13.6	–14.62
7.	– 13.6	– 13.5	– 13.2	– 13.5	– 13.6	– 13.8	– 13.7	– 13.5	– 13.1	– 12.8	–12.1	–12.0	–11.9	–11.6	–11.7	–11.6	–11.3	–11.1	– 11.5	– 11.7	– 11.8	– 11.6	– 11.6	– 11.6	–12.41
8.	– 10.7	– 11.3	– 10.5	– 11.5	– 12.9	– 13.2	– 13.2	– 13.5	– 13.6	– 12.3	–11.6	–11.3	–10.6	–11.8	–12.3	–11.8	–12.2	–12.8	– 13.5	– 13.7	– 13.9	– 14.0	– 14.6	– 14.6	–12.56
9.	– 14.7	– 15.0	– 15.3	– 15.3	– 15.3	– 15.6	– 15.7	– 14.9	– 13.9	– 13.2	–11.9	–11.8	–10.1	– 8.4	– 9.1	– 9.4	– 9.7	–10.2	– 10.6	– 10.4	– 10.4	– 10.3	– 10.3	– 11.1	–12.19
10.	– 11.5	– 11.8	– 12.7	– 12.7	– 12.8	– 12.7	– 12.8	– 12.4	– 12.3	– 11.1	–10.2	– 9.9	–10.5	–10.2	–10.0	–10.3	–10.4	–10.8	– 12.1	– 11.6	– 11.4	– 11.4	– 11.4	– 11.3	–11.43
11.	– 11.6	– 11.8	– 11.8	– 12.9	– 13.3	– 13.5	– 13.4	– 13.0	– 12.2	– 10.8	–11.3	–11.9	–11.4	–10.5	–10.6	–10.9	–11.4	–12.4	– 13.1	– 13.2	– 13.6	– 13.9	– 13.8	– 14.1	–12.35
12.	– 14.2	– 14.3	– 14.4	– 14.5	– 14.6	– 14.5	– 14.5	– 14.4	– 14.2	– 14.0	–13.0	–11.9	–11.0	–11.1	–11.0	–11.8	–11.3	–11.9	– 12.8	– 12.9	– 12.8	– 13.1	– 13.1	– 12.7	–13.08
13.	– 12.7	– 12.7	– 12.9	– 12.9	– 13.0	– 13.2	– 12.5	– 12.3	– 11.3	– 10.9	–10.2	– 9.9	–10.1	–10.0	–10.2	–10.3	–10.6	–11.2	– 13.9	– 15.1	– 15.4	– 15.6	– 15.6	– 15.7	–12.43
14.	– 15.8	– 16.2	– 17.1	– 17.5	– 18.0	– 18.5	– 19.2	– 19.1	– 18.8	– 18.7	–18.0	–17.1	–16.7	–15.0	–14.8	–14.6	–15.1	–15.4	– 16.4	– 16.6	– 16.5	– 16.5	– 16.8	– 16.9	–16.89
15.	– 17.1	– 17.4	– 17.7	– 18.0	– 18.2	– 18.4	– 18.5	– 18.6	– 18.5	– 17.8	–17.8	–17.3	–16.2	–16.2	–16.4	–16.6	–16.9	–17.4	– 17.8	– 17.7	– 18.0	– 18.0	– 18.1	– 18.1	–17.61
16.	– 18.0	– 17.6	– 17.6	– 17.6	– 17.6	– 17.8	– 16.8	– 16.3	– 15.7	– 15.2	–15.1	–14.7	–13.7	–13.3	–13.8	–14.0	–13.9	–14.3	– 14.6	– 14.7	– 15.2	– 15.4	– 15.2	– 15.7	–15.58
17.	– 16.5	– 16.7	– 17.0	– 16.6	– 16.3	– 16.1	– 16.0	– 15.1	– 14.5	– 13.5	–12.9	–13.6	–13.3	–12.7	–12.5	–12.8	–12.6	–13.2	– 13.7	– 13.5	– 13.9	– 13.4	– 13.6	– 14.0	–14.33
18.	– 13.5	– 13.7	– 13.6	– 13.9	– 14.2	– 14.2	– 14.0	– 13.8	– 13.4	– 12.4	–11.6	–12.0	–10.3	–10.2	–10.2	–10.3	–11.0	–10.8	– 10.8	– 10.9	– 11.2	– 11.2	– 11.2	– 11.1	–12.06
19	– 11.6	– 11.3	– 11.6	– 11.9	– 11.9	– 11.6	– 10.9	– 10.4	– 9.9	– 9.2	– 7.3	– 6.1	– 6.8	– 7.0	– 7.5	– 7.4	– 7.7	– 8.3	– 8.9	– 8.5	– 8.2	– 7.7	– 7.4	– 7.3	– 9.02
20.	– 8.0	– 8.0	– 6.6	– 6.5	– 6.1	– 6.6	– 6.6	– 6.1	– 5.4	– 5.0	– 4.9	– 5.2	– 4.2	– 4.3	– 4.9	– 4.7	– 4.9	– 4.8	– 4.7	– 4.9	– 5.3	– 6.5	– 6.7	– 6.9	– 5.74
21.	– 7.1	– 7.4	– 7.7	– 7.3	– 7.6	– 7.5	– 7.0	– 6.8	– 6.3	– 6.0	– 5.7	– 5.7	– 5.2	– 5.7	– 5.5	– 5.5	– 4.9	– 6.3	– 7.1	– 7.2	– 6.5	– 6.4	– 6.5	– 6.4	– 6.47
22.	– 6.1	– 6.2	– 6.7	– 6.9	– 7.1	– 7.1	– 7.0	– 5.8	– 5.3	– 5.4	– 5.0	– 4.5	– 4.6	– 5.0	– 4.7	– 4.4	– 4.1	– 5.0	– 5.6	– 6.4	– 6.8	– 6.9	– 7.1	– 7.0	– 5.86
23.	– 6.8	– 6.9	– 7.1	– 7.3	– 7.1	– 6.8	– 6.4	– 5.8	– 5.4	– 5.0	– 3.4	– 3.2	– 2.9	– 3.5	– 4.1	– 4.7	– 5.1	– 5.2	– 6.5	– 7.0	– 6.4	– 6.5	– 6.8	– 7.2	– 5.71
24.	– 7.5	– 7.7	– 8.4	– 8.6	– 8.7	– 8.8	– 8.5	– 8.6	– 8.2	– 8.0	– 6.8	– 6.7	– 7.2	– 7.5	– 7.1	– 7.2	– 7.9	– 8.4	– 8.2	– 8.0	– 8.6	– 8.5	– 8.9	– 8.9	– 8.04
25.	– 9.0	– 9.1	– 9.3	– 9.5	– 9.6	– 9.8	– 10.0	– 9.8	– 9.9	– 9.3	– 9.1	– 7.9	– 7.8	– 7.5	– 7.4	– 7.6	– 8.5	– 8.9	– 9.3	– 9.3	– 9.6	– 10.1	– 10.0	– 9.8	– 9.09
26.	– 9.6	– 9.6	– 9.3	– 9.2	– 9.1	– 9.2	– 8.9	– 8.5	– 8.1	– 7.0	– 7.3	– 7.0	– 6.5	– 7.1	– 7.3	– 7.6	– 8.4	– 9.2	– 9.8	– 10.6	– 11.0	– 11.7	– 11.8	– 11.7	– 8.98
27.	– 11.5	– 11.7	– 12.1	– 12.5	– 12.7	– 12.7	– 11.7	– 11.0	– 9.3	– 8.5	– 8.1	– 7.9	– 7.3	– 7.9	– 7.5	– 7.2	– 7.3	– 7.0	– 6.9	– 6.7	– 6.3	– 5.9	– 5.6	– 5.6	– 8.79
28.	– 5.6	– 5.3	– 5.6	– 5.5	– 5.6	– 5.2	– 5.0	– 5.1	– 5.0	– 4.4	– 4.4	– 4.1	– 3.9	– 4.0	– 4.8	– 5.4	– 5.1	– 4.8	– 4.6	– 4.3	– 3.9	– 4.5	– 4.7	– 4.1	– 4.79
29.	– 4.0	– 3.7	– 3.4	– 3.2	– 3.4	– 3.3	– 3.4	– 3.8	– 3.8	– 3.4	– 3.3	– 3.0	– 2.7	– 2.6	– 2.4	– 2.5	– 3.0	– 3.3	– 4.1	– 4.1	– 4.2	– 4.5	– 5.7	– 6.2	– 3.63
30.	– 6.6	– 6.4	– 6.3	– 6.3	– 6.4	– 6.2	– 6.0	– 5.8	– 4.6	– 4.4	– 3.6	– 3.5	– 3.4	– 3.6	– 3.8	– 3.6	– 4.2	– 4.7	– 4.6	– 5.4	– 5.8	– 5.9	– 6.0	– 6.4	– 5.15
31.	– 6.9	– 7.3	– 7.7	– 7.8	– 7.8	– 8.0	– 7.8	– 7.1	– 6.8	– 6.7	– 6.3	– 5.8	– 5.1	– 4.8	– 4.5	– 5.5	– 5.9	– 6.3	– 6.9	– 7.1	– 7.0	– 7.1	– 7.1	– 7.0	– 6.68
Mittel	–11.03	–11.22	–11.39	–11.56	–11.67	–11.73	–11.50	–11.15	–10.75	–10.27	–9.72	–9.51	–9.23	–9.13	–9.15	–9.24	–9.42	–9.80	–10.31	–10.47	–10.58	–10.69	–10.80	–10.88	–10.47

April

Datum	1a	2a	3a	4a	5a	6a	7a	8a	9a	10a	11a	12m	1p	2p	3p	4p	5p	6p	7p	8p	9p	10p	11p	12mn	Mittel
1.	– 7.0	– 7.4	– 7.3	– 7.5	– 7.7	– 7.9	– 8.0	– 8.1	– 7.1	– 7.5	– 6.7	– 4.0	– 3.3	– 2.8	– 2.6	– 2.9	– 3.3	– 3.5	– 5.2	– 5.8	– 6.0	– 6.4	– 6.6	– 6.9	– 5.90
2.	– 6.9	– 7.0	– 7.1	– 7.2	– 7.2	– 7.1	– 6.2	– 5.9	– 5.6	– 5.2	– 4.0	– 4.1	– 4.1	– 4.0	– 3.9	– 3.3	– 3.9	– 4.2	– 4.9	– 5.4	– 5.6	– 5.5	– 5.7	– 6.1	– 5.42
3.	– 5.9	– 6.0	– 6.2	– 6.3	– 6.8	– 6.9	– 7.0	– 6.9	– 7.1	– 6.6	– 6.5	– 6.6	– 6.4	– 7.3	– 7.2	– 8.7	– 9.8	–10.4	– 11.1	– 11.4	– 11.5	– 12.3	– 13.0	– 13.5	– 8.39
4.	– 13.9	– 13.9	– 14.1	– 15.1	– 16.0	– 17.5	– 17.4	– 17.1	– 17.0	– 15.6	–16.0	–15.6	–15.6	–16.0	–15.6	–16.2	–17.7	–18.3	– 19.4	– 19.7	– 19.7	– 20.0	– 18.4	– 17.9	–16.82
5.	– 14.4	– 13.9	– 13.6	– 13.1	– 13.4	– 13.4	– 13.1	– 13.0	– 12.5	– 12.0	–10.9	–10.8	– 9.5	– 9.3	– 9.9	–11.4	–12.4	–12.8	– 13.1	– 13.0	– 12 9	– 12.8	– 12.8	– 12.6	–12.36
6.	– 12.5	– 12.6	– 12.6	– 12.6	– 12.7	– 12.4	– 12.0	– 11.2	– 10.1	– 10.5	– 9.9	– 9.0	– 8.4	– 8.6	– 8.7	– 9.2	– 9.3	–10.5	– 13.4	– 13.7	– 14.0	– 14.2	– 14.6	– 14.7	–11.56
7.	– 14.9	– 15.0	– 14.8	– 14.8	– 14.8	– 14.7	– 14.2	– 13.3	– 13.1	– 12.8	–12.3	–11.9	–11.7	–11.2	–11.6	–11.3	–11.2	–11.4	– 12.7	– 13.2	– 13.6	– 13.6	– 14.6	– 14.8	–13.23
8.	– 15.2	– 15.5	– 15.9	– 16.0	– 16.3	– 16.3	– 16.3	– 16.2	– 15.6	– 14.7	–14.6	–14.4	–13.5	–14.9	–14.2	–14.6	–15.0	–15.2	– 15.4	– 15.7	– 15.6	– 15.0	– 14.3	– 13.7	–15.17
9.	– 15.2	– 12.7	– 12.4	– 12.8	– 13.8	– 14.3	– 14.1	– 12.9	– 12.8	– 13.6	–12.8	–13.2	–12.9	–13.5	–12.9	–12.2	–11.8	–12.3	– 12.3	– 12.0	– 11.8	– 11.7	– 11.9	– 12.0	–12.83
10.	– 11.7	– 11.9	– 12.4	– 12.8	– 13.1	– 13.2	– 13.4	– 13.0	– 11.5	– 10.6	–10.3	–10.6	–10.6	–10.8	–10.4	–11.2	–11.4	–11.7	– 12.6	– 13.5	– 13.7	– 13.9	– 14.0	– 13.5	–12.16
11.	– 13.6	– 13.6	– 13.7	– 13.5	– 13.5	– 13.4	– 13.4	– 13.2	– 13.3	– 13.4	–12.6	–12.1	–10.8	– 9.2	– 9.3	– 9.5	– 9.5	–11.4	– 12.6	– 12.7	– 13.3	– 13.5	– 11.7	– 11.6	–12.27
12.	– 12.2	– 11.1	– 11.2	– 10.8	– 9.7	– 8.8	– 8.8	– 8.7	– 8.9	– 8.6	– 7.7	– 8.4	– 8.5	– 9.3	–10.2	–10.2	–10.0	–10.1	– 10.2	– 10.6	– 10.0	– 10.0	– 10.1	– 10.1	– 9.75
13.	– 10.5	– 11.0	– 11.6	– 13.2	– 14.6	– 15.6	– 16.5	– 17.0	– 16.9	– 17.0	–17.0	–16.5	–16.2	–15.5	–15.3	–15.0	–15.1	–15.2	– 15.2	– 15.3	– 15.3	– 15.1	– 15.2	– 15.1	–15.04
14.	– 15.2	– 15.3	– 15.4	– 15.4	– 15.3	– 15.2	– 15.1	– 14.6	– 14.7	– 14.8	–16.2	–16.6	–16.4	–16.0	–16.0	–15.8	–15.2	–15.3	– 15.3	– 14.6	– 14.2	– 13.9	– 13.3	– 13.4	–15.13
15.	– 13.0	– 13.1	– 12.9	– 13.2	– 13.4	– 12.0	– 12.6	– 13.5	– 12.7	– 11.1	–10.3	– 9.6	– 9.3	– 9.0	– 8.8	– 8.9	– 9.0	– 8.9	– 9.0	– 8.7	– 8.7	– 8.0	– 7.4	– 7.6	–10.45
16.	– 8.3	– 8.8	– 8.0	– 8.3	– 8.1	– 7.5	– 7.0	– 6.8	– 6.2	– 5.9	– 5.4	– 4.9	– 4.1	– 3 7	– 3.1	– 2.8	– 2.5	– 3.2	– 3.9	– 4.5	– 4.7	– 4.4	– 4.6	– 4.5	– 5.47
17.	– 4.4	– 4.4	– 4 6	– 4.1	– 4.3	– 4.0	– 3.3	– 3.7	– 3.8	– 3.9	– 3.5	– 2.3	– 1.8	– 1.6	– 3.3	– 4.4	– 5.1	– 5.9	– 5.3	– 5.4	– 4.7	– 5.0	– 5.3	– 5.6	– 4.15
18.	– 5.6	– 5.6	– 5.9	– 6.0	– 6.0	– 6.0	– 5.8	– 5.6	– 5.3	– 5.4	– 4.7	– 3.7	– 2.7	– 1.7	– 1.9	– 1.7	– 1.4	– 1.5	– 2.7	– 3.5	– 3.8	– 3.9	– 4.2	– 4.5	– 4.13
19.	– 4.6	– 4.8	– 4.8	– 4.6	– 4.6	– 4.3	– 3.6	– 3.1	– 2.9	– 1.7	– 1.7	– 3.3	– 2.7	– 2.5	– 2.3	– 2.2	– 2.0	– 2.9	– 3.8	– 4.8	– 5.2	– 5.4	– 5.2	– 5.1	– 3.67
20.	– 5.0	– 5.2	– 5.9	– 6.1	– 6.0	– 5.9	– 5.6	– 5.4	– 5.1	– 4.4	– 3.6	– 3.5	– 4.7	– 4.1	– 4.1	– 4.0	– 4.2	– 4.6	– 4.7	– 4.9	– 5.0	– 5.2	– 5.2	– 5.2	– 4.90
21.	– 5.4	– 5.9	– 6.3	– 6.4	– 6.4	– 6.1	– 5.6	– 5.4	– 5.3	– 4.4	– 4.0	– 3.3	– 3.4	– 2.5	– 2.3	– 2.1	– 1.8	– 1.1	– 2.1	– 3.7	– 3.2	– 2.9	– 3.4	– 4.9	– 4.08
22.	– 5.0	– 5.1	– 4.7	– 4.6	– 4.2	– 3.0	– 3.2	– 2.8	– 3.0	– 2.1	– 1.6	– 1.4	– 1.1	– 0.6	– 0.6	0.5	1.4	0.8	– 0.2	– 1.1	– 1.3	– 1.2	– 1.8	– 1.8	– 1.99
23.	– 2.0	– 2.2	– 2.5	– 3.0	– 3.0	– 2.1	– 1.2	– 1.6	– 0.2	0.3	1.4	0.8	0.7	0.8	1.0	0.1	– 0.7	– 1.0	– 1.8	– 2.4	– 2.4	– 2.8	– 2.9	– 2.4	– 1.21
24.	– 2.5	– 2.6	– 2.6	– 2.9	– 3.0	– 3.2	– 3.8	– 3.9	– 3.4	– 3.6	– 3.0	– 2.3	– 1.6	– 2.2	– 2.7	– 3.0	– 3.1	– 3.9	– 3.9	– 3.9	– 4.0	– 4.3	– 4.2	– 4.1	– 3.24
25.	– 3.9	– 4.2	– 4.2	– 5.2	– 4.5	– 4.3	– 3.7	– 2.9	– 2.8	– 2.9	– 2.9	– 2.4	– 2.2	– 1.3	– 1.1	– 0.6	– 0.7	– 0.8	– 1.3	– 2.3	– 2.8	– 2.9	– 3.6	– 3.5	– 2.79
26.	– 3.2	– 3.3	– 3.3	– 3.2	– 3.3	– 2.8	– 2.1	– 1.5	– 1.1	– 0.4	– 0.7	– 0.6	– 0.5	– 0.8	– 2.3	– 4.0	– 4.8	– 5.4	– 4.7	– 5.0	– 5.8	– 6.1	– 6.1	– 6.1	– 3.21
27.	– 6.7	– 6.4	– 6.2	– 6.5	– 6.6	– 6.6	– 6.3	– 6.1	– 5.8	– 5.2	– 4.3	– 4.1	– 3.3	– 3.5	– 3.7	– 4.6	– 5.3	– 5.9	– 6.2	– 6.5	– 6.3	– 6.5	– 6.3	– 6.6	– 5.65
28.	– 6.7	– 7.1	– 7.4	– 7.5	– 8.0	– 8.5	– 8.8	– 8.6	– 8.1	– 8.2	– 8.7	– 8.8	– 8.8	– 8.6	– 8.6	– 8.6	– 8.4	– 8.1	– 8.1	– 8.4	– 8.4	– 8.6	– 8.5	– 8.7	– 8.26
29.	– 8.8	– 9.1	– 9.5	– 9.2	– 8.3	– 7.2	– 6.8	– 5.8	– 5.1	– 4.8	– 4.3	– 3.8	– 3.1	– 2.8	– 2.8	– 3.1	– 3.7	– 4.1	– 4.7	– 6.2	– 7.4	– 7.9	– 8.6	– 9.3	– 6.10
30.	– 9.3	– 9.3	– 9.4	– 9.4	– 9.7	– 9.9	– 9.9	– 9.8	– 9.9	– 9.9	– 9.4	– 7.5	– 7.1	– 5.7	– 6.3	– 6.4	– 6.4	– 6.7	– 7.4	– 7.6	– 8.4	– 8.7	– 9.2	– 9.2	– 8.44
Mittel	– 8.78	– 8.80	– 8.88	– 9.04	– 9.14	– 9.00	– 8.83	– 8.59	– 8.23	– 7.88	–7.47	–7.15	–6.79	–6.61	–6.69	–6.91	–7.11	–7.52	– 8.11	– 8.52	– 8.64	– 8.72	– 8.76	– 8.83	– 8.13

Thermometer-Registrierung. **Zugspitze.** 1911.

Mai

Datum	1a	2a	3a	4a	5a	6a	7a	8a	9a	10a	11a	12m	1p	2p	3p	4p	5p	6p	7p	8p	9p	10p	11p	12mn	Mittel
1.	– 9.3	– 9.6	– 9.8	–10.0	–10.0	–10.0	– 9.8	– 9.3	– 8.6	– 7.0	– 6.8	– 6.4	– 6.6	– 6.8	– 7.1	– 6.7	– 6.9	– 6.7	– 6.6	– 6.8	– 6.9	– 7.0	– 7.0	– 7.1	–7.87
2.	– 7.1	– 7.4	– 7.4	– 7.5	– 7.5	– 7.2	– 6.2	– 5.6	– 6.0	– 5.9	– 5.2	– 5.6	– 6.0	– 4.7	– 5.0	– 5.0	– 4.9	– 6.4	– 6.9	– 6.6	– 6.6	– 6.6	– 6.4	– 6.2	–6.25
3.	– 6.3	– 6.4	– 6.2	– 5.8	– 5.4	– 5.1	– 4.9	– 4.3	– 3.8	– 2.4	– 2.4	– 2.2	– 2.1	– 1.4	– 1.4	– 1.2	– 0.8	– 1.0	– 2.0	– 2.4	– 3.1	– 2.8	– 2.7	– 2.9	–3.29
4.	– 2.9	– 3.5	– 3.9	– 4.2	– 4.3	– 4.1	– 4.0	– 3.6	– 3.4	– 2.3	– 1.6	– 0.1	0.2	– 1.5	– 2.0	– 1.2	– 2.4	– 2.6	– 2.5	– 3.0	– 3.3	– 3.5	– 3.6	– 3.6	–2.79
5.	– 3.6	– 3.8	– 3.8	– 3.8	– 3.8	– 3.6	– 3.4	– 3.4	– 2.8	– 2.3	– 2.4	– 2.1	– 1.6	– 0.7	– 0.5	– 2.9	– 4.1	– 5.1	– 5.7	– 6.0	– 6.1	– 6.1	– 5.9	– 5.9	–3.73
6.	– 5.7	– 5.7	– 5.6	– 5.6	– 5.7	– 5.5	– 5.2	– 5.2	– 4.3	– 3.5	– 3.1	– 3.0	– 4.2	– 5.4	– 6.4	– 6.3	– 6.3	– 6.5	– 6.7	– 6.8	– 7.3	– 7.3	– 7.6	– 8.3	–5.72
7.	– 8.5	– 8.8	– 9.1	– 9.1	– 8.8	– 9.0	– 8.6	– 8.0	– 7.1	– 7.3	– 7.0	– 6.9	– 6.6	– 6.9	– 7.1	– 6.6	– 7.1	– 7.2	– 7.5	– 7.8	– 7.9	– 7.8	– 7.7	– 7.8	–7.76
8.	– 7.7	– 7.6	– 7.4	– 7.5	– 7.2	– 6.3	– 4.8	– 4.4	– 3.7	– 3.8	– 5.2	– 4.4	– 3.9	– 3.3	– 2.0	– 1.5	– 1.7	– 2.7	– 3.6	– 4.1	– 4.6	– 4.9	– 6.2	– 6.5	–4.79
9.	– 6.7	– 6.5	– 6.3	– 5.8	– 5.1	– 4.3	– 3.6	– 3.9	– 3.6	– 3.8	– 3.0	– 2.1	– 2.0	– 2.3	– 1.9	– 1.4	– 1.7	– 2.3	– 3.4	– 4.4	– 5.0	– 4.5	– 3.8	– 3.9	–3.80
10.	– 4.5	– 4.7	– 4.6	– 5.0	– 5.0	– 5.2	– 5.2	– 4.8	– 3.6	– 2.0	– 1.6	– 1.0	– 0.1	– 0.3	– 2.0	– 3.2	– 3.7	– 4.1	– 4.3	– 4.4	– 4.4	– 4.0	– 4.0	– 4.2	–3.58
11.	– 4.5	– 4.8	– 4.8	– 5.1	– 5.2	– 4.8	– 4.1	– 3.8	– 3.4	– 3.2	– 2.1	– 2.0	– 1.7	– 1.0	– 0.8	– 0.8	– 0.5	– 1.1	– 1.4	– 2.0	– 2.2	– 2.2	– 2.4	– 2.9	–2.78
12.	– 3.1	– 3.2	– 3.2	– 3.2	– 3.1	– 2.0	– 1.4	– 0.7	– 0.5	– 0.2	0.7	1.9	2.1	1.2	0.6	0.4	0.2	0.0	– 0.2	– 0.7	– 0.8	– 1.2	– 1.5	– 1.8	–0.83
13.	– 1.9	– 2.1	– 2.4	– 2.7	– 2.7	– 2.2	– 1.7	– 1.4	– 1.3	– 1.0	– 0.4	0.3	1.1	1.9	2.0	2.3	2.2	1.3	0.3	– 0.2	– 0.8	– 0.8	– 1.0	– 0.9	–0.50
14.	– 1.3	– 1.6	– 1.7	– 1.6	– 1.5	– 0.6	0.4	0.7	0.6	0.2	0.0	1.3	2.1	2.8	2.8	2.2	2.1	1.7	1.5	1.1	1.0	0.8	0.5	0.3	0.58
15.	0.1	– 0.3	– 0.5	– 0.6	– 0.5	– 0.5	– 0.4	– 0.2	0.0	0.2	0.8	0.8	2.1	2.6	2.8	2.6	0.8	0.7	0.8	0.5	0.2	0.1	– 0.1	– 0.7	0.47
16.	– 0.4	– 0.3	– 0.2	– 0.2	– 0.7	– 0.7	– 0.3	– 0.2	0.9	1.2	1.2	2.1	1.9	2.7	1.7	2.0	1.1	0.9	0.6	0.1	– 0.2	– 0.4	– 1.0	– 1.2	0.44
17.	– 1.3	– 1.3	– 1.3	– 1.3	– 1.5	– 0.1	0.5	0.9	1.0	0.5	1.3	1.0	2.1	2.8	1.4	0.6	1.0	0.9	0.1	– 0.9	– 0.8	– 0.8	– 0.8	– 0.9	0.13
18.	– 1.2	– 1.6	– 1.8	– 2.2	– 2.4	– 2.2	– 1.8	– 1.5	– 0.8	– 0.4	0.0	– 0.2	– 1.0	– 0.9	– 0.8	– 1.0	– 1.3	– 1.3	– 1.9	– 2.3	– 1.8	– 1.1	– 1.2	– 1.3	–1.33
19.	– 1.9	– 2.9	– 3.3	– 3.7	– 4.3	– 5.3	– 6.0	– 6.4	– 6.4	– 6.4	– 6.4	– 6.3	– 6.1	– 6.0	– 6.0	– 6.0	– 6.1	– 6.3	– 6.5	– 6.8	– 7.0	– 7.3	– 7.9	– 8.1	–5.81
20.	– 8.0	– 8.0	– 8.6	– 8.5	– 8.2	– 7.8	– 7.5	– 7.2	– 6.7	– 5.8	– 4.4	– 4.0	– 3.8	– 2.9	– 4.9	– 5.3	– 5.7	– 6.5	– 6.8	– 6.7	– 7.2	– 7.3	– 7.6	– 7.6	–6.54
21.	– 7.8	– 7.8	– 8.3	– 8.6	– 8.4	– 7.6	– 6.8	– 5.8	– 3.8	– 6.8	– 5.3	– 3.6	– 2.6	– 2.1	– 2.1	– 2.4	– 3.1	– 3.3	– 3.9	– 5.0	– 5.6	– 5.7	– 6.4	– 6 9	–5.40
22.	– 6.9	– 6.7	– 6.7	– 6.8	– 6.9	– 6.7	– 6.8	– 0.6	– 5.7	– 5.8	– 5.1	– 5.8	– 5.8	– 4.3	– 4.5	– 4.6	– 4.7	– 4.9	– 5.3	– 5.7	– 6.3	– 6.5	– 7.8	– 7.9	–6.03
23.	– 7.5	– 7.3	– 7.4	– 7 5	– 7.6	– 7.5	– 7.1	– 6.5	– 6.0	– 5.4	– 5.0	– 4.9	– 4.8	– 4.9	– 4.8	– 4.9	– 5.2	– 5.8	– 5.6	– 5.2	– 5.1	– 5.0	– 5.3	– 5.5	–5.91
24.	– 5.5	– 5.5	– 5.7	– 5.7	– 5.7	– 5.7	– 5.8	– 5.5	– 5.4	– 5.3	– 4.8	– 4.9	– 5.2	– 5.2	– 5.6	– 5.9	– 5.2	– 4.9	– 4.8	– 4.7	– 4.7	– 4.5	– 4.4	– 4.3	–5.20
25.	– 4.1	– 4.0	– 4.0	– 3.8	– 3.7	– 3.5	– 3.3	– 3.0	– 2.7	– 2.4	– 2.0	– 1.8	– 1.7	– 1.6	– 1.5	– 1.5	– 1.5	– 1.3	– 1.4	– 1.5	– 1.6	– 1.7	– 1.8	– 2.0	–2.39
26.	– 2.1	– 2.3	– 2.6	– 2.8	– 2.8	– 2.8	– 2.4	– 1.8	– 1.2	– 1.5	– 1.0	– 0.1	0.5	0.8	0.5	0.3	0.3	– 0.2	– 0.4	– 0.7	– 0.9	– 0.9	– 1.1	– 1.1	–1.10
27.	– 1.0	– 1.0	– 1.0	– 1.1	– 1.6	– 1.8	– 1.6	– 1.7	– 1.5	– 1.1	– 0.8	– 0.4	– 0.2	– 0.6	– 0.4	– 0.5	– 0.5	– 0.7	– 1.0	– 1.1	– 1.2	– 1.5	– 1.7	– 1.7	–1.07
28.	– 1.8	– 2.4	– 2.3	– 2.9	– 2.9	– 2.1	– 1.5	– 1.7	– 1.6	– 1.0	– 0.1	0.1	0.3	1.1	1.2	1.8	1.5	1.2	0.6	0.3	0.2	0.3	0.2	0.3	–0.47
29.	0.3	0.2	0.3	0.3	0.4	0.4	0.7	0.9	1.4	1.4	1.5	1.8	2.4	2.7	2.7	2.5	2.8	2.2	2.0	1.4	0.6	0.7	0.5	0.4	1.27
30.	0.4	0.4	0.6	0.5	1.1	1.9	2.4	2.5	2.8	2.8	2.3	2.7	4.2	4 5	4.5	2.3	2.0	1.0	0.9	0.1	– 0.1	– 0.2	– 0.1	0.0	1.65
31.	0.0	– 0.2	0.0	– 0.2	– 0.1	0.0	– 0.1	0.0	0.0	0.1	0.4	0.6	0.4	0.8	1.1	– 0.3	0.8	0.4	– 0.2	– 0.4	– 0.6	– 0.4	– 0.5	– 0.4	0.05
Mittel	–3.93	–4.09	–4.16	–4.25	–4.23	–3.93	–3.56	–3.27	–2.81	–2.59	–2.18	–1.78	–1.50	–1.25	–1.47	–1.68	–1.89	–2.28	–2.64	–2.99	–3.23	–3.23	–3.43	–3.57	–2.91

Juni

1.	– 0.4	– 0.3	– 0.2	– 0.2	0.0	0.3	0 5	0.7	1.5	1.9	2.2	2.7	3.1	3.6	2.2	0.5	0.7	0.9	0.3	0.5	0.6	0.8	1.0	0.9	0.99
2.	0.8	0.7	0.4	0.4	0.4	0.6	0.8	1.4	2.2	3.1	3.8	4.4	5.2	4.2	4.2	4.2	2.8	2.0	1.9	0.6	0.2	0.0	0.6	1.0	1.91
3.	1.0	0.7	0.3	0.1	0.5	1.6	2.4	2.7	2.5	2.4	2.9	2.8	3.8	2.9	2.0	2 5	2.6	2.7	1.8	0.9	0.7	0.7	0.3	0.6	1.73
4.	0.1	– 0.4	– 0.8	– 0.9	– 1.1	– 1.2	– 0.8	– 1.5	– 1.2	– 1.2	– 0.2	– 0.3	– 0.3	– 0.1	– 0.1	– 0.1	– 0.1	– 0.2	– 0.2	– 0.2	– 0.2	– 0.2	– 0.2	– 0.2	–0.49
5.	– 0.2	– 0.2	– 0.2	– 0.2	– 0.2	– 0.2	– 0.2	– 0.1	0.0	0.1	0.4	1.2	0.8	– 0.4	– 0.6	– 0.4	– 0.6	– 0.4	– 0.8	– 1.1	– 1.2	– 1.2	– 1.7	– 2.0	–0.39
6.	– 1.1	– 2.0	– 2.4	– 2.5	– 2.5	– 2.1	– 1.6	– 1.4	– 1.7	– 1.5	– 0.7	– 0.5	0.0	0.2	0.0	0.1	– 0.4	– 0.4	– 0.7	0.0	– 1.5	– 1.0	– 1.0	– 1.6	–1.10
7.	– 1.5	– 1.8	– 1.8	– 1.8	– 1.2	– 0.9	– 0.4	0.2	0.6	1.0	1.8	2.1	2.7	3.7	3.0	3.0	3.2	3.0	3.0	2.7	1.8	1.3	1.1	1.1	1.08
8	0.5	0.4	0 5	0.2	0.2	0.0	0.2	0.4	0.9	1.5	1.8	2.6	3.6	3.8	3.4	3.1	3.1	2.6	1.8	1.4	1.3	1.6	1.5	1.0	1.56
9.	1.0	0.5	0.8	1.1	1.3	1.9	2.0	3.2	3.2	3.1	3.9	5.3	3.1	2.7	2.3	2.3	2.3	1.3	0.9	0.6	0.4	1.0	1.0	1.0	1.68
10.	– 0.9	– 1.0	– 0.9	– 1.0	– 0.9	– 0.9	– 0.7	– 0.7	– 0.5	– 0.7	0.0	– 0.1	– 0.7	– 0.5	– 0.8	– 0.8	– 0.7	– 0.9	– 1.1	– 1.4	– 1.6	– 1.7	– 2.3	– 2.4	–0.97
11.	– 2.6	– 2.9	– 3.1	– 3.1	– 3.6	– 3.9	– 4.0	– 4.0	– 3.7	– 3.3	– 2.8	– 2.7	– 2.3	– 2.4	– 2.7	– 3.1	– 3.1	– 3.5	– 3.3	– 3.8	– 4.2	– 4.4	– 4.5	– 5.3	–3.43
12	– 6.0	– 5.4	– 5.2	– 5.2	– 4.9	– 4.7	– 4.2	– 3.5	– 2.5	– 1.2	– 1.3	– 1.0	– 1.5	– 2.0	– 1.6	– 2.2	– 2.4	– 3.0	– 2.9	– 3.1	– 3.4	– 3.3	– 3.5	– 3.8	–3.24
13.	– 4.4	– 4.2	– 4.2	– 4.2	– 3.8	– 3.3	– 2.4	– 2.1	– 1.6	– 0.8	0.1	0.3	0.2	0.2	0.0	– 0.1	– 0.2	– 0.4	– 0.9	– 1.0	– 1.0	– 1.2	– 1.3	– 1.3	–1.57
14.	– 1.9	– 2.1	– 2.0	– 2.5	– 2.9	– 2.9	– 3.7	– 4.3	– 4.8	– 5.4	– 5.0	– 5.0	– 4.2	– 4.2	– 4.3	– 4.6	– 5.4	– 6.3	– 7.3	– 8.3	– 9.0	– 9.3	–10.0	– 9.8	–5.22
15.	– 9.9	– 9.6	– 9.8	–10.2	–10.1	– 9.9	– 9.6	– 9.7	– 9.6	– 9.2	– 8.9	– 8 4	– 7.8	– 7.8	– 7.8	– 7.5	– 7.6	– 7.7	– 7.8	– 8.0	– 8.0	– 7.8	– 7.6	–8.67	
16.	– 7.3	– 7.3	– 7.5	– 8.3	– 9.6	– 8.1	– 7.1	– 4.4	– 4.2	– 3.8	– 2.2	– 0.8	– 0.9	– 1.2	– 1.4	– 1.0	– 0.3	– 0.8	– 0.6	– 1.4	– 2.0	– 2.5	– 2.5	– 2.5	–3.65
17.	– 2.4	– 1.3	– 0.3	0.0	0.2	0.4	0.5	0.7	1.3	1.3	1.7	2.3	2.5	2.6	2.9	2.6	2.5	3.1	3.2	3.3	3.6	3.7	2.2	2.7	1.64
18.	2.7	2.5	2.2	3 4	3.5	3.6	3.9	4.2	5.4	5.7	5.4	5.4	6.0	6.3	6.9	6.6	3.9	0.9	0.5	0.0	– 0.5	– 0.3	– 0.3	– 0.1	3.24
19.	0.0	0.1	0.2	0.1	0.3	0 4	0.5	1.2	1.7	2.3	3.3	3.8	4.1	4.0	4.8	4.0	3.8	2.2	0.7	0.0	– 0.5	– 0.3	– 0.3	– 0.3	1.50
20.	– 1.1	– 1.0	– 0.9	– 1.2	– 1.5	– 1.3	– 1.0	– 1.3	– 0.9	– 1.3	– 1.3	– 4.5	– 5.6	– 4.9	– 4.8	– 4.6	– 4.2	– 4.4	– 4.3	– 4.6	– 4.8	– 4.8	– 4.6	– 4.6	–3.06
21.	– 4.7	– 4.8	– 4.7	– 4.7	– 4.7	– 4.7	– 4.7	– 4.6	– 4.3	– 4.2	– 3.2	– 2.8	– 2.0	– 1.1	– 1.0	– 1.5	– 1.4	– 1.8	– 2.2	– 2.8	– 3.3	– 3.2	– 3.5	– 3.4	–3.30
22.	– 3.5	– 3.4	– 3.3	– 3.2	– 2.6	– 2.0	– 1.7	– 1.5	– 1.0	– 0.8	– 0.2	0.8	1.3	2.4	3.0	3.9	4.6	4.0	2.1	1.5	0.6	0.5	0.6	0.5	0.11
23.	0.4	0.3	– 0.1	– 0.1	0.5	1.0	1.8	1.6	1.8	2.2	2.9	3.8	3.8	3.3	3.3	3.7	4.3	5.1	4.6	3.1	2.5	2.1	2.1	1.8	2.33
24.	1.5	1.5	1.6	1.6	2.7	3.1	3.2	3.1	2.9	3.2	3.9	4.9	5.0	4.2	4.1	4.0	5.0	3.6	3.1	2.4	2.1	1.9	1.6	1.3	2.98
25	1.3	1.0	0.5	0.6	1.1	1.5	2.2	2.6	2.6	2.6	3.5	4.0	4.6	3.6	2.9	2.8	2.9	3.0	3.1	2.5	1.8	0.1	– 0.3	– 1.3	2.05
26.	– 1.5	– 1.8	– 1.5	– 2.6	– 3.0	– 3.5	– 2.5	– 0.7	– 0.1	– 0.1	– 0.1	0.3	1.0	2.4	3.3	2.6	1.3	0.4	0.1	– 0.5	– 1.8	– 3.4	– 2.9	– 3.7	–0.76
27.	– 4.1	– 3.4	– 2.9	– 2.9	– 2.7	– 3 0	– 2.6	– 2.0	– 2.2	– 2.4	– 2.1	– 2.0	– 0.8	– 1.2	– 1.8	– 3.1	– 3.1	– 3.7	– 4.2	– 4.9	– 5.2	– 5.6	– 5.6	– 5.9	–3.23
28.	– 6.1	– 6.2	– 6.3	– 6.9	– 7.3	– 7.4	– 7.4	– 6.9	– 6.4	– 5.3	– 4.5	– 4.8	– 3.0	– 2.1	– 2.4	– 2.5	– 2.0	– 1.3	– 1.9	– 3.8	– 4.1	– 4.4	– 3.5	– 3.3	–4.58
29.	– 2.4	– 1.8	– 2.3	– 2.4	– 1.3	– 1.4	– 1.4	– 1.2	– 0.5	0.0	1.3	1.2	1.4	1.7	2.0	2.5	2.4	2.2	1.5	1.2	0.5	0.1	– 0.4	– 0.5	0.10
30.	– 0.6	– 0.3	0.0	0.2	0.8	2.2	3.0	3.2	3.2	3.4	4.0	4.5	5.2	5.5	5.8	6.9	6.9	4.8	3.2	2.6	1.2	0.6	0.6	0.8	2.82
Mittel	–1.78	–1.78	–1.80	–1.88	–1.75	–1.49	–1.17	–0.82	–0.51	–0.25	0.35	0.64	0.94	0.98	0.89	0.78	0.69	0.24	–0.21	–0.71	–1.17	–1.41	–1.52	–1.63	–0.60

Thermometer-Registrierung. **Zugspitze.** 1911.

Juli

Datum	1a	2a	3a	4a	5a	6a	7a	8a	9a	10a	11a	12m	1p	2p	3p	4p	5p	6p	7p	8p	9p	10p	11p	12mn	Mittel
1.	0.5	0.6	0.7	0.9	1.0	1.2	1.4	1.3	1.5	1.4	1.8	2.3	2.6	2.1	3.3	3.8	3.6	3.4	3.1	3.0	3.4	3.7	3.6	3.5	2.24
2	3.3	3.4	3.8	3.7	3.6	3.5	2.7	3.1	4.6	5.2	5.8	6.1	7.0	4.4	5.0	5.1	5.0	3.2	2.2	2.3	2.2	2.0	1.9	1.5	3.78
3.	1.9	1.5	1.5	1.4	1.4	1.5	1.5	1.7	2.0	2.7	3.7	4.0	3.2	3.2	2.2	1.1	0.7	− 0.2	− 1.4	− 1.8	− 1.8	− 1.3	− 1.3	− 1.9	1.06
4.	− 2.1	− 2.2	− 2.4	− 3.0	− 3.0	− 2.6	− 3.1	0.9	0.6	1.0	1.4	2.0	2.5	2.4	2.8	3.3	4.0	5.5	5.8	2.5	− 0.5	0.1	0.1	0.2	0.67
5.	− 0.4	− 0.2	− 0.2	− 0.8	0.2	0.3	0.6	0.8	1.3	1.3	1.5	2.2	3.1	3.9	4.4	4.8	5.0	4.8	2.0	1.2	1.9	1.9	1.5	2.3	1.81
6	1.6	2.0	2.2	2.3	2.3	3.1	3.1	2.9	2.8	3.0	3.9	4.0	4.1	4.2	4.4	5.1	5.6	7.1	4 6	4.1	3.2	2.7	2.5	2.3	3.46
7.	1.8	1.5	1.1	0.9	1.4	1.8	2.0	2.2	2.1	2.8	2.2	2.5	2.8	3.4	3.1	4.9	7.0	6.2	6.5	4.8	3.2	2.4	2.4	2.2	2.97
8.	2.4	2.2	2.2	2.0	2.2	2.4	2.6	2.9	3.5	3.7	4.1	4.0	4.4	4.5	4.4	4.7	4.2	4.3	4.2	4.5	4.9	4.6	4.5	4.3	3.65
9.	4.4	4.0	3.2	3.3	3.5	3.4	3.0	3.5	2.8	2.7	2.3	2.6	2.4	2.8	2.1	2.0	2.6	2.6	2.4	2.0	1.5	0.9	− 0 1	− 1.5	2.43
10.	− 1.6	− 1.8	− 2.1	− 1.9	− 2.0	− 2.2	− 2.2	− 2.1	− 1.6	− 1.9	− 1.7	− 1.6	− 1.4	− 1.2	− 1.4	− 1.3	− 1.4	− 1.4	− 2.2	− 1.0	− 1.7	− 2.8	− 2.9	− 3.0	−1.85
11.	− 2.9	− 3.1	− 2.3	− 2.3	− 1.4	− 1.1	− 2.0	− 1.6	− 1.4	− 1.2	− 0.6	− 1.0	− 1.0	− 1.1	− 0.9	− 0.7	− 0.7	− 0 8	− 1.0	− 1.3	− 2.1	− 1.8	− 1.4	− 1.2	−1.45
12.	− 1.2	− 1.4	− 1.7	− 1.7	− 1.4	− 0.8	0.3	0.7	0.8	1.0	1.6	2.3	2.6	3.0	3.0	2.7	2.9	2.5	2.3	2.4	2.2	2.1	1.8	1.7	1.15
13.	1.6	1.7	1.7	1.6	1.9	2.2	2.8	3.3	3.6	3.9	4.4	4.8	4.2	3.1	2.8	3.1	1.9	2.2	1.8	2.7	2.6	0.9	1.6	1.9	2.60
14.	2.1	0.5	1.2	1.0	1.0	0.7	0.6	0.6	1.0	1.0	1.0	1.5	1.9	2.8	2.2	1.9	2.1	1.6	0.8	0.6	0.9	1.0	1.1	1.5	1.28
15.	1.5	0.9	0.8	0.8	0.6	0.3	0.2	0.5	1.2	1.6	1.8	2.2	1.9	1.9	2.3	0.6	0.2	0.4	1.0	1.0	1.1	1.1	0.7	0.9	1.06
16.	− 0.5	− 0.6	− 0.7	− 0.5	0.2	0.2	0.2	0.2	0.4	0.8	0.9	1.5	1.0	1.0	1.6	− 0.1	0.4	0.7	− 0.2	− 0.4	− 0.6	− 0.4	− 0.8	− 0.9	0.14
17.	− 1.0	− 1.2	− 1.3	− 1.5	− 1.3	− 1.3	− 0.9	− 0.8	− 0.5	− 0.6	− 0.1	0.1	− 0.1	0.7	1.7	2.7	2.1	2.3	2.5	1.7	1.0	0.7	0.8	0.9	0.28
18.	0.8	1.0	1.0	1.0	1.0	1.1	1.4	1.8	2.3	3.1	4.8	4.7	4 6	3.6	2.9	2.7	2.4	3.0	3.2	2.6	2.5	2.1	2.1	2.0	2.40
19.	2.0	2.1	2.1	2.1	2.2	2.2	2.2	2.9	3.8	4.8	6.5	6.7	7.0	6.6	7.0	6.6	5.2	4.2	4.1	3.7	3.4	1.5	2.5	2.4	3.91
20.	2.6	2.7	2.5	2.5	2.6	2.8	3.2	3.6	4.2	4.4	4.2	4.3	4.2	4.6	4.6	4.3	4.1	4.2	4.1	3.9	3.7	3.1	2,6	2.5	3.56
21.	2.3	2.5	2.8	2.6	2.7	3.4	3.8	4.1	4.2	4.5	5.8	5.9	6.9	7.9	8.7	7.6	9.4	10.4	6.5	5.5	5.4	5.0	5.0	5.0	5.33
22.	4 8	4.9	5.3	4.9	5.2	5.7	6.3	6.4	6.7	7.2	7.5	7.6	7.8	8.6	9.0	10.1	9.7	10.9	11.1	9.4	8.0	7.5	7.7	7.1	7.48
23.	7.6	7.6	7.6	7.6	8.2	8.3	8.5	8.9	9.5	9.8	9.9	10.5	10.3	10.2	10.4	10.9	9.2	9.0	8.5	8.3	8.3	8.3	8.0	7.6	8.88
24.	7.1	6.8	6.7	6.5	6.5	6.6	6.6	6.8	7.6	8.8	7.7	7.4	7.9	8.9	9.7	9.7	10.0	6.0	5.3	6.1	5.6	4.9	7.0	6.8	7 21
25.	8.3	6.6	6.0	5.9	5.9	6.4	7.1	7.4	7.4	8.6	6.1	9.4	9.9	9.6	9.5	9.4	10.4	10.7	9.9	7.8	7.3	7.1	6.9	6.5	7.92
26.	6.5	6.7	6.9	7.1	7.1	8.0	9.1	9.1	9.6	9.7	10.0	10.1	9.4	8.6	8.3	8.5	10.9	11.3	8.9	8.5	7.4	7.0	6.4	6.3	8.39
27.	6.2	6.1	5.9	5.5	5.5	6.3	7.0	8.2	8,6	8.7	9.3	10.0	10.7	10.6	10.6	10.7	10.0	9.2	8 9	8.9	8.8	8.6	8.0	8.2	8.35
28.	8.4	8.1	8.4	8.8	8.4	8.4	8.8	9.3	9.8	10.2	10.5	11.0	11.8	11.5	11.8	11.7	9.8	9.3	8.6	8.0	7.3	6.7	6.9	4 8	9.10
29.	5.4	5.1	5.1	5.8	5.8	5.8	6.4	7.3	7.7	7.6	8.5	8.6	8.8	9.2	7.9	5.7	6.6	7.0	7.5	7.4	7.1	7.0	7.1	6.9	6.97
30.	6.4	6.0	5.9	5.7	5.4	5.8	6.0	6.5	7.1	7.2	7.0	7.2	7.6	8.1	8.7	7.1	7.6	6.6	6.4	6.4	6.1	6.5	6.2	5.9	6.64
31.	6.3	6.3	6.5	6.7	6.8	7.5	6.8	7.1	7.1	5.8	8.0	6.2	7.7	7.4	8,2	9.7	9.1	8,2	7.2	5.6	4.7	4.9	3.9	4.3	6.75
Mittel	2 78	2.59	2.59	2.55	2.69	2.93	3.10	3.53	3.88	4.15	4.51	4.81	5.03	5.05	5.17	5.11	5.15	4.98	4.34	3.88	3.45	3.16	3.11	2.94	3.81

August

1.	4.3	3.8	2.9	2.5	2.2	3.0	3.2	3.7	4.1	4.4	5.6	6.4	7.0	7.2	7.5	7.4	8.3	9.0	5.6	4.2	3.7	3.7	3.9	3.9	4.90
2.	3.7	3.6	3.4	2.9	2.7	3.7	4.0	3.9	3.9	4.2	4.1	4.5	4.5	5.0	5.0	4 9	4.7	3.9	3.9	3.9	3.9	3.6	3.2	2.9	3.92
3	2.9	2.8	2.9	2.4	2.2	1.9	2.4	2.7	3.7	4.1	4.5	4.7	4.8	5.4	5.2	5.4	5.6	5.4	4.6	4.2	3.7	3.6	3.6	3.4	3.84
4.	3.4	3.2	3.0	2.6	2.0	2.5	2 5	2.7	2.5	2.3	2.4	2.5	2.8	3.7	3.9	3.9	3.4	3.6	3.1	2.7	2.5	2.3	2.6	2.7	2.87
5.	2.1	1.6	2.0	2.0	1.8	1.8	2.0	2.0	2.7	3.2	3.5	4.9	5.2	4.5	4.3	4.4	4.5	4.8	4.6	4.2	3.7	3.1	2.9	3.0	3.28
6.	3.5	5.1	5.4	5.3	5.2	5.7	5.6	6 0	5.8	6.1	6.8	6.6	5.7	5.3	5.3	5.6	6.7	6.1	5·5	5.2	4.3	4.3	3.6	3.2	5.33
7.	3.5	3.6	3.4	3.5	3 6	4.2	4 9	5.0	5.0	5.2	5.7	5.5	7.2	7.2	6.3	5.8	6.1	6.2	5.4	4.8	4.4	4.0	3.8	3.9	4.93
8.	3.8	3.8	3.8	3.7	4.3	4.9	5.4	5.7	5.9	6.0	6.6	6.6	7.3	8.5	9.1	8.3	7.5	8.0	7.7	5.8	5.6	5.3	5.1	5.2	6.00
9.	5.3	5.5	5.4	5.4	5.4	5.9	6.1	5.8	5.6	5.7	5.9	6.9	8.0	8.4	9.3	9.6	10.7	9.4	6.4	5.8	5.4	5.5	5.2	4.9	6.56
10.	5.2	4.9	4.9	4.9	4.7	4.7	4.7	4.8	4.8	5.2	5.8	6.3	6.1	6.0	5.0	4.9	4.5	4.1	4.1	3.7	3.4	3.0	2.6	2.4	4.61
11.	2.2	1.9	1.4	1.6	1.2	1.8	2,6	3.8	2.8	3.2	3.7	3.9	5.1	6.4	5.4	4.5	4.2	3.2	3.4	3.0	2,6	2,6	2.1	1,6	3.06
12.	1.7	2.0	1.9	1.1	1.2	2.2	2,8	3.3	3.9	4.8	4.5	4.7	4.8	4.5	3.2	2.6	3.7	4.6	4.8	3.5	2,8	2.4	2.1	1.8	3.12
13.	1.7	1.8	1.4	1.2	1.2	1.5	1.6	1.9	2.8	3.4	2.8	3.1	3.5	3.4	4.4	3.5	2.6	1.7	1.7	2.2	1.6	1.3	1.4	1.5	2,22
14.	1.8	1.8	1.4	1.3	0.7	0.9	1.3	1.6	1.8	1.8	2.6	2.9	3.3	3.4	3.7	3.0	2.6	2.2	1.7	1.6	1.5	1.3	0.6	0.4	1.88
15.	0.6	1.2	1.2	1.3	0.9	1.1	0.8	0.9	1.0	1.6	1.6	2.2	2.5	2.5	2.6	2.1	1.4	1.6	2.3	1.5	0.6	0.6	0.6	− 0.5	1.34
16.	− 0.5	− 1.1	− 1.3	− 1.3	− 1.3	− 1.5	− 1.6	− 1.7	− 1.3	− 0.9	− 0.6	− 0.2	− 0.2	0.0	0.4	0.0	− 0.4	− 0.8	− 0.8	− 0.4	− 0.9	− 1.4	− 1.7	− 2.0	−0.90
17.	− 2.4	− 2.4	− 2.4	− 3.0	− 3.3	− 3.2	− 2.8	− 2.7	− 2.7	− 1.9	− 1.0	− 0.2	0.1	0.1	0.2	0.6	0.5	0.2	0.0	− 0.4	− 0.6	− 1.5	− 1.5	− 1.6	−1.33
18.	− 1.0	− 0.7	− 0.7	− 0.5	0.3	0.8	1.0	1.4	2.3	3.8	5.1	4.7	4.4	4.2	4.1	3.8	3.4	2.8	2.5	2.2	1.9	1.8	1.5	1.5	2.11
19.	1.3	1.2	1.2	1.0	0.9	1.2	1.7	1.6	1.9	2,7	2.7	4.5	4.8	5.6	5.5	5.2	5.0	4.8	4.7	4.6	4.3	4.3	4.4	4.4	3.31
20.	4.4	4.5	4.6	4.9	5.0	5.1	5.2	5.7	6.1	6.7	6.8	6.0	7.8	7.4	8.2	8.1	7.3	6.6	5.7	4·5	3.8	4.8	5.2	5.6	5.83
21.	6.0	6.4	7.1	6.5	6.8	6.4	6.2	5.3	4.7	3.8	6.0	6.9	7.4	7.5	6.9	6.9	6.0	5.3	5.5	4.7	4.1	4.0	3.4	4.7	5.77
22.	4.4	4.2	3.5	4.2	5.3	4.5	3.7	3.9	4.2	4.4	4.7	5.6	6.8	6.8	6.8	6.8	6.5	6.1	5.4	5.6	5.4	5.0	4.3	4.2	5.10
23.	4.9	5.4	5.6	5.3	5.2	5.3	5.8	6.0	6.1	6.9	7.3	7.6	6.4	7.0	6.0	5.9	4.6	4.2	4.5	4.4	4.4	4.1	3.4	3.5	5.41
24.	3.3	3.5	3.3	3.1	2.3	2.1	2.5	2.6	2.2	4.4	4.8	4.9	5.3	5.1	3.9	2,0	1.6	1.8	1.4	1.3	1.4	1.5	1.4	1.3	2.79
25.	1.2	1.4	1.4	1.4	0.9	1.4	1.5	1.4	1.4	2.2	4.4	4.6	4.7	5.4	6.1	6.0	6.0	5.0	4.1	3.7	3.5	3.3	3.1	3.2	3.22
26.	2.7	1.6	0,4	0.2	0.6	1.1	1.0	0.5	0.3	− 0.2	− 0.6	− 0.5	0.2	0.4	0.7	− 1.3	− 1.4	− 1.1	− 1.4	− 0.7	− 0.4	− 0.2	− 0.6	− 0.4	0.04
27.	− 0.6	− 0.6	− 1.0	− 1.2	− 1.7	− 1.4	− 1.0	− 0.8	− 0.1	0.2	0.8	1.7	2.3	3.2	3.9	4.2	4.0	4.2	3.7	3.2	2.5	4.1	2.9	3.2	1.49
28.	3.7	4.3	4.7	5.3	5.0	5.3	5.7	6.7	7.3	8.9	9.1	8.9	8.6	8.5	9.1	9.7	9.2	8.5	7.9	7.6	6.5	5.8	5.1	5.0	6.93
29.	5.2	4.9	5.0	5.4	5.4	5.0	5.4	5.7	5.2	6.0	6.1	6.8	7.1	7.7	8.1	8.7	8.6	8.5	7.2	6.4	6.2	5.9	5.6	5.4	6.31
30.	5.5	5.4	5.3	5.2	5.1	5.2	5.8	6.0	6.2	6.0	7.2	8.0	8.4	8.4	6.6	6.4	6.5	6.0	6.2	5.9	5.3	5.1	4.2	3.2	5.96
31.	3.7	3.8	1.3	0.9	0.2	0.1	0.0	− 0.2	− 0.2	− 0.3	− 0.7	− 0.7	− 0.9	− 0.8	− 1.4	− 0.6	0.0	0.0	− 0.7	− 1.2	− 1.2	− 2.6	− 2.4	− 1.5	−0.23
Mittel	2.82	2.85	2.66	2.55	2.45	2.68	2.90	3.05	3.22	3.67	4.14	4.53	4.87	5.09	5.01	4.78	4.64	4.38	3.89	3.47	3.09	2.92	2.63	2.58	3.54

Thermometer-Registrierung. **Zugspitze.** 1911.

September

Datum	1a	2a	3a	4a	5a	6a	7a	8a	9a	10a	11a	12m	1p	2p	3p	4p	5p	6p	7p	8p	9p	10p	11p	12mn	Mittel
1.	– 1.0	0.2	0.5	0.5	0.9	1.7	2.7	3.6	4.5	5.6	6.1	6.2	7.0	7.2	7.9	8.6	9.2	7.9	6.1	5.4	6.6	6.7	7.3	7.4	4.95
2.	7.5	7.4	7.4	7.4	7.3	7.2	7.0	7.7	8.4	9.0	10.0	10.3	10.3	10.4	10.5	11.5	12.3	12.4	9.1	8.8	8.7	8.5	8.4	8.4	9.00
3.	8.5	8.6	8.4	8.0	8.1	8.2	8.0	8.0	8.4	9.0	9.5	10.5	10.6	11.2	11.6	12.2	12.6	11.2	9.9	9.4	8.7	7.8	7.9	8.1	9.35
4.	7.9	7.7	8.1	8.3	8.0	7.6	7.5	7.4	6.6	6.2	6.1	6.7	6.9	7.0	7.0	6.3	5.9	5.6	5.0	5.1	4.7	4.8	4.6	4.3	6.47
5.	4.0	4.0	3.9	3.6	3.2	2.9	3.0	3.5	3.6	3.6	3.5	3.8	4.0	4.3	4.4	4.2	3.8	3.7	3.7	3.8	3.8	3.8	3.7	3.7	3.73
6.	3.6	3.7	3.7	3.5	3.5	3.3	3.2	3.5	3.7	4.0	4.2	4.1	4.7	4.8	5.5	5.0	4.9	4.9	4.9	4.4	4.6	4.4	4.1	4.2	4.18
7.	4.2	4.5	4.5	4.5	4.4	4.3	4.8	4.6	4.8	5.0	5.4	5.9	6.4	5.8	7.2	7.5	7.8	6.3	5.6	5.1	5.0	5.1	5.0	4.8	5.35
8.	4.7	4.6	4.1	3.8	3.8	4.6	4.8	5.7	7.0	7.8	8.1	8.7	8.4	7.8	8.3	8.9	8.7	7.3	6.6	6.1	5.8	5.7	5.7	5.4	6.35
9.	5.2	5.1	5.0	3.0	3.7	3.4	3.2	3.2	3.2	3.9	5.2	5.8	6.6	5.7	5.2	4.9	4.9	4.5	4.0	4.0	4.2	4.1	4.0	3.9	4.41
10.	3.6	3.7	3.6	3.7	3.4	2.8	1.9	1.9	1.8	1.7	1.9	2.2	1.9	2.3	1.9	2.1	2.0	1.6	0.7	0.9	0.9	0.5	0.0	– 0.3	1.95
11.	– 0.2	1 8	2.4	2.6	2.6	2.8	3.6	4.0	4.4	5.7	4.9	5.7	6.9	7.3	7.5	7.5	7.2	5.3	4.7	4.7	4.5	4.2	3.8	3.7	4.48
12.	3.7	3.5	3.3	3.2	3.0	2.7	2.8	3.0	3.7	5.1	5.2	7.0	7.0	6.3	7.0	6.8	7.0	6.0	5.3	4.7	4.5	4.5	4.5	4.7	4.77
13.	4.7	4.6	4.4	3.9	3.7	3.6	3.9	4.8	6.6	6.4	7.0	7.8	7.5	7.7	8.1	8.2	8.1	6.7	6.4	6.1	5.8	5.5	5.0	4.7	5.88
14.	4.5	4.3	3.9	3.6	3.4	3.4	3.8	4.2	4.4	4.8	6.6	7.2	6.0	6.5	6.3	6.4	6.2	5.6	5.0	5.0	4.6	4.4	4.1	3.7	4.91
15.	3.1	3.0	3.0	3.5	2.9	2.8	3.4	3.2	3.0	3.8	3.5	3.4	3.5	2.8	1.2	0.0	– 0.2	0.0	– 0.3	– 0.2	0.0	0.1	0.3	0.4	1.93
16.	0.4	0.5	0.5	0.5	0.2	– 0.1	– 0.1	0.4	0.6	1.1	1.4	2.0	2.0	1.5	1.5	2.0	0.8	0.3	– 0.4	– 1.2	– 1.6	– 2.0	– 2.2	– 2.2	0.25
17.	– 2.2	– 2.4	– 2.3	– 2.7	– 4.0	– 4.1	– 4.0	– 4.0	– 3.6	– 2.9	– 3.3	– 3.6	– 3.4	– 4.1	– 5.1	– 5.8	– 6.1	– 6.2	– 6.9	– 7.4	– 7.6	– 7.5	– 7.5	– 7.5	-4.76
18.	– 7.8	– 8.1	– 8.4	– 8.5	– 9.0	– 8.8	– 8.6	– 8.1	– 8.8	– 8.0	– 7.4	– 6.7	– 6.3	– 6.1	– 6.6	– 5.8	– 5.9	– 6.0	– 5.9	– 6.0	– 5.5	– 5.2	– 5.4	– 5.2	-7.00
19.	– 5.5	– 3.1	– 5.3	– 2.3	– 2.0	– 1.7	– 1.4	– 1.7	– 0.3	– 0.2	– 0.3	0.6	1.4	1.6	1.9	2.8	3.1	2.9	2.7	2.6	2.2	2.2	2.3	2.6	0.21
20.	2.8	2.8	2.8	2.6	2.0	1.8	2.0	1.6	2.4	2.6	2.6	2.4	2.6	2.8	3.1	3.5	3.4	2.7	2.6	2.3	1.7	1.7	1.7	1.5	2.42
21.	1.1	1.0	0.8	0.6	0.4	0.3	0.2	0.3	0.5	1.4	2.0	2.1	2.5	2.8	2.5	1.4	– 0.4	– 1.3	– 2.8	– 3.5	– 4.2	– 4.9	– 5.3	– 5.1	-0.32
22.	– 5.1	– 5.1	– 5.3	– 5.1	– 4.9	– 4.3	– 4.0	– 3.7	– 2.5	– 1.8	– 1.1	– 1.3	– 1.2	– 1.8	– 2.3	– 3.5	– 4.5	– 5.3	– 5.5	– 5.7	– 5.7	– 5.9	– 6.0	– 6.1	-4.07
23.	– 5.8	– 5.7	– 5.7	– 5.6	– 5.6	– 5.6	– 5.4	– 5.0	– 4.8	– 4.8	– 3.1	– 3.0	– 2.7	– 2.4	– 2.1	– 2.8	– 2.5	– 3.1	– 3.4	– 4.4	– 4.0	– 4.3	– 4.2	– 4.1	-4.17
24.	– 4.0	– 4.4	– 4.7	– 4.8	– 4.8	– 4.8	– 4.5	– 4.8	– 4.6	– 4.2	– 3.4	– 2.7	– 2.9	– 2.2	– 2.6	– 3.4	– 3.8	– 4.0	– 4.3	– 4.8	– 5.0	– 4.7	– 5.2	– 4.8	-4.14
25.	– 5.1	– 5.0	– 5.0	– 4.8	– 5.1	– 5.2	– 5.0	– 5.0	– 4.3	– 4.1	– 3.7	– 3.2	– 2.3	– 1.8	– 1.9	– 2.2	– 2.3	– 2.4	– 2.6	– 3.3	– 3.3	– 2.7	– 2.8	– 3.9	-3.63
26.	– 3.0	– 4.4	– 3.3	– 2.8	– 2.1	– 2.4	– 1.5	– 1.9	– 1.9	– 0.8	– 1.1	– 1.0	– 0.7	0.0	– 0.2	1.0	1.0	0.1	0.2	0.3	– 0.5	– 0.7	– 0.5	– 0.1	-1.10
27.	– 0.4	0.2	– 0.1	0.1	– 0.6	0.0	– 0.2	0.1	0.6	0.8	1.4	1.6	1.9	2.0	2.0	2.7	1.2	– 0.1	– 0.4	– 0.5	– 0.9	– 1.2	– 1.1	– 1.5	0.32
28.	– 1.2	– 0.3	– 0.3	– 0.2	– 0.2	– 0.9	– 0.8	– 1.3	– 1.4	– 1.2	– 0.2	0.0	0.0	– 0.2	– 0.2	– 0.5	– 0.5	– 0.4	– 0.6	– 1.1	– 1.3	– 1.3	– 1.3	– 2.1	-0.73
29.	– 2.3	– 2.5	– 2.7	– 3.0	– 3.0	– 3.2	– 3.1	– 2.6	– 2.5	– 2.2	– 2.3	– 2.5	– 2.3	– 2.1	– 2.5	– 2.8	– 3.5	– 3.9	– 4.3	– 4.9	– 6.2	– 6.8	– 6.9	– 6.8	-3.54
30.	– 7.1	– 7.3	– 7.6	– 8.3	– 8.7	– 8.8	– 9.0	– 8.9	– 8.8	– 8.4	– 7.8	– 7.6	– 7.3	– 5.1	– 5.4	– 5.7	– 5.1	– 4.8	– 4.9	– 4.8	– 4.2	– 4.1	– 4.2	– 4.1	-6.58
Mittel	0.63	0.76	0.65	0.63	0.48	0.45	0.61	0.79	1.16	1.63	2.03	2.41	2.63	2.73	2.72	2.70	2.51	1 92	1.34	1.03	0.88	0.76	0.66	0.59	1.36

Oktober

1.	– 4.2	– 4.5	– 4.9	– 7.7	-10.3	-10.3	-10.3	-10.3	-10.0	– 9.9	– 9.8	-10.2	-10.1	-10.0	– 9.9	-10.0	-10.0	-10.0	– 9.9	– 9.9	– 9.9	– 9.9	-10.0	-10.2	– 9.25
2.	-10.2	-10.3	-10.4	-10.6	-10.8	-11.0	-11.0	-11.1	-11.0	-11.0	-10.8	-11.2	-11.2	-11.2	-11.3	-11.4	-11.6	-11.8	-11.8	-11.7	-11.7	-11.7	-11.9	-12.0	-11.20
3.	-12.0	-11.8	– 9.8	– 8.4	– 7.3	– 6.4	– 5.6	– 5.4	– 5.3	– 4.9	– 3.0	– 2.3	– 1.7	– 1.5	– 1.2	– 1.0	– 1.0	– 1.4	– 1.5	– 0.7	– 0.5	– 1.2	– 1.4	– 2.1	– 4.06
4.	– 2.4	– 2.7	– 3.0	– 3.3	– 3.6	– 3.9	– 4.2	– 4.8	– 3.6	– 2.4	– 2.5	– 1.0	– 1.3	– 1.2	– 2.5	– 2.7	– 1.1	– 1.0	– 0.8	– 2.2	– 2.2	– 3.1	– 3.0	– 2.9	– 2.56
5.	– 3.0	– 2.6	– 2.9	– 3.4	– 3.6	– 3.5	– 3.6	– 3.3	– 3.0	– 2.0	– 1.7	– 1.2	– 1.1	– 0.9	– 0.5	– 1.4	– 1.7	– 1.3	– 0.5	0.0	– 0.1	0.0	– 0.8	– 1.2	– 1.80
6.	– 1.5	– 1.0	– 1.4	– 2.0	– 2.0	– 1.2	– 0.9	– 0.2	– 0.2	– 0.9	– 0.5	1.2	0.6	0.2	0.3	0.0	0.0	0.7	1.0	0.9	0.9	1.1	1.0	1.6	– 0.12
7.	1.1	0.8	0.8	0.9	0.6	0.6	0.9	0.8	1.0	1.1	1.4	1.6	1.0	1.0	1.1	1.6	1.0	0.8	0.5	0.1	– 0.1	– 0.9	– 1.3	– 1.4	0.61
8.	– 1.6	– 1.6	– 1.7	– 1.8	– 2.0	– 1.6	– 1.3	– 0.5	0.4	1.4	2.0	2.7	2.3	2.0	2.1	2.1	2.1	2.3	2.4	2.2	2.4	2.3	2.2	2.5	0.89
9.	1.5	1.3	1.5	1.6	1.8	1.8	1.6	1.6	1.9	2.2	2.7	2.5	3.0	2.8	2.9	2.5	2.0	1.5	1.8	– 1.0	– 0.7	– 0.7	– 0.9	– 1.3	1.41
10.	– 1.1	– 1.2	– 1.6	– 1.8	– 2.1	– 2.4	– 2.5	– 2.3	– 2.7	– 2.6	– 1.4	– 1.4	– 2.0	– 2.9	– 2.8	– 2.8	– 3.2	– 3.6	– 3.7	– 4.1	– 3.9	– 4.2	– 5.2	– 2.68	
11.	– 5.2	– 4.7	– 3.7	– 3.2	– 3.1	– 2.8	– 2.6	– 2.6	– 2.1	– 2.1	– 1.7	– 1.2	– 0.4	– 0.2	0.0	– 0.1	– 0.4	– 0.1	– 0.8	– 0.5	– 0.4	– 0.3	0.5	2.1	– 1.48
12.	1.4	1.9	1.9	2.3	3.0	1.7	1.3	2.6	2.9	4.1	4.1	4.5	4.7	4.7	4.4	3.9	3.6	3.4	2.8	2.6	2.4	2.0	2.4	2.9	2.98
13.	2.5	2.3	2.7	2.3	2.4	2.5	2.5	3.1	3.3	3.7	3.7	4.1	4.1	3.9	4.0	4.0	3.8	3.1	2.6	2.5	2.3	2.5	2.5	2.5	3.04
14.	2.1	1.6	1.4	1.4	1.2	1.3	1.6	1.6	2.1	2.5	2.4	2.4	2.6	3.1	2.6	2.5	2.5	1.8	1.5	1.2	1.1	1.1	0.5	0.4	1.77
15.	– 0.3	– 0.1	– 0.1	0.5	0.6	0.6	0.7	1.6	1.3	1.3	1.6	1.8	2.2	2.2	2.2	2.2	2.0	1.5	1.3	1.4	1.4	1.4	1.3	1.0	1.23
16.	0.9	0.7	0.5	– 0.2	– 0.2	– 0.7	– 0.5	0.7	1.0	2.0	1.9	2.1	2.1	2.2	2.4	2.1	1.8	1.0	0.3	0.7	0.5	0.5	0.0	0.0	0.91
17.	– 0.2	– 0.4	– 0.5	– 0.7	– 0.8	– 0.8	– 0.7	0.3	1.6	2.1	2.4	2.9	3.0	3.1	2.9	2.7	2.1	1.5	1.6	1.5	2.0	1.9	2.0	1.9	1.31
18.	1.7	1.1	1.3	1.2	1.6	1.1	1.4	2.2	2.8	3.0	3.3	3.5	3.6	3.4	3.3	3.6	3.0	2.2	2.1	2.1	2.1	2.3	3.0	3.0	2.41
19.	3.1	3.1	3.6	3.8	3.8	3.4	3.0	3.4	3.1	3.4	3.5	4.2	4.4	4.2	3.6	3.5	2.8	2.2	1.6	1.4	1.1	0.4	0.5	– 0.2	2.79
20.	– 0.6	– 0.7	– 0.8	– 1.3	– 1.7	– 1.7	– 1.7	– 1.7	– 1.5	– 1.1	– 1.2	– 1.2	– 0.7	– 0.5	– 0.6	– 0.7	– 0.7	– 0.9	– 1.3	– 2.3	– 2.4	– 2.9	– 3.1	– 1.33	
21.	– 3.0	– 3.1	– 3.3	– 2.8	– 1.9	– 1.6	– 1.2	– 0.6	0.7	0.9	1.5	2.4	2.8	2.7	2.3	2.1	1.6	1.8	1.5	1.2	2.0	2.1	2.2	2.0	0.51
22.	2.0	3.1	2.4	2.1	1.9	0.7	– 0.3	– 0.1	– 0.1	– 0.4	– 0.3	– 0.2	– 0.2	– 0.8	– 0.5	– 0.9	– 1.1	– 1.5	– 1.5	– 1.4	– 1.5	– 1.5	– 1.5	– 1.6	– 0.13
23.	– 1.7	– 1.9	– 1.9	– 1.8	– 2.0	– 2.0	– 2.2	– 2.3	– 2.0	– 1.8	– 1.6	– 1.0	– 1.0	– 1.1	– 1.7	– 1.8	– 1.9	– 1.9	– 1.7	– 1.3	– 1.2	– 1.1	– 1.1	– 1.4	– 1.64
24.	– 1.9	– 2.8	– 3.8	– 4.4	– 4.6	– 4.6	– 4.5	– 4.4	– 4.3	– 4.0	– 3.4	– 2.5	– 5.1	– 5.1	– 5.3	– 5 4	– 5.3	– 5.5	– 6.0	– 6.9	– 6 0	– 6.0	– 5.6	– 4.4	– 4.66
25.	– 3.2	– 3.0	– 1.8	– 1.7	– 1.9	– 1.9	– 1.9	– 1.8	– 2.1	– 1.9	– 2.8	– 3.2	– 3.1	– 3.0	– 3.0	– 3.1	– 4 2	– 4.4	– 5.6	– 7.8	– 8.3	– 8.6	– 8.7	– 9.0	– 4.00
26.	– 9.2	– 9.3	– 9.4	– 9.5	– 9.5	– 9.5	– 9.7	– 9.2	– 9.1	– 8.8	– 9.1	– 9.1	– 9.1	– 8.9	– 8.3	– 8.3	– 8.2	– 8.2	– 7.6	– 7.5	– 7.3	– 7.4	– 6.9	– 6.0	– 8.55
27.	– 5.7	– 4.9	– 4.7	– 4.4	– 4.5	– 3.2	– 2.4	– 1.9	– 1.6	– 1.2	– 1.2	– 0.8	– 1.0	– 1.7	– 2.0	– 2.3	– 2.7	– 2.7	– 2.7	– 2.4	– 2.9	– 3.6	– 3.7	– 4.3	– 2.85
28.	– 5.1	– 5.8	– 6.7	– 7.4	– 7.7	– 8.1	– 8.6	– 8.5	– 9.1	– 9.0	– 9.3	– 9.5	– 9.0	– 9.1	– 9.0	– 9.0	– 9.0	– 8.9	– 9.1	– 8.9	– 8.9	– 8.9	– 9.1	– 9.0	– 8.45
29.	– 9.3	– 9.4	– 9.4	– 9.6	– 9.6	– 9.6	– 8.8	– 8.4	– 8.1	– 8.2	– 7.7	– 7.6	– 7.5	– 7.4	– 7.2	– 6.9	– 7.3	– 7.6	– 7.7	– 7.5	– 7.7	– 8.1	– 8.0	– 8.0	– 8.19
30.	– 8.4	– 8.6	– 8.6	– 8.7	– 9.8	-10.7	-11.2	– 9.2	– 8.5	– 8.5	– 7.6	– 7.2	– 5.2	– 4.9	– 4.8	– 4.8	– 4.8	– 5.0	– 5.1	– 4.7	– 4.2	– 3.3	– 2.7	– 3.4	– 6.66
31.	– 3.6	– 3.9	– 4.0	– 4.1	– 5.1	– 5.5	– 4.9	– 5.2	– 4.7	– 3.8	– 4.4	– 4.1	– 3.6	– 3.5	– 3.6	– 3.9	– 4.4	– 4.7	– 5.6	– 5.8	– 5.7	– 6.0	– 6 6	– 6.7	– 4.73
Mittel	–2.49	–2.53	–2.53	–2.67	–2.81	–2.88	–2.83	–2.45	–2.16	–1.83	–1.60	–1.26	–1.19	–1.24	–1.29	–1.41	–1.61	–1.84	–1.98	–2.17	–2.18	–2.29	–2.33	–2.39	– 2.08

Thermometer-Registrierung. **Zugspitze.** 1911.

November

Datum	1ª	2ª	3ª	4ª	5ª	6ª	7ª	8ª	9ª	10ª	11ª	12m	1P	2P	3P	4P	5P	6P	7P	8P	9P	10P	11P	12mn	Mittel
1.	– 6.7	– 6.8	– 6.8	– 7.7	– 6.9	– 7.1	– 7.4	– 6.7	– 6.4	– 6.1	– 5.6	– 5.3	– 5.3	– 5.2	– 5.5	– 5.3	– 5.6	– 7.0	– 7.3	– 6.8	– 5.9	– 5.9	– 5.7	– 5.4	– 6.27
2.	– 5.4	– 5.5	– 5.5	– 5.3	– 4.5	– 4.6	– 4.5	– 4.7	– 4.7	– 3.7	– 3.6	– 3.7	– 3.8	– 4.0	– 4.7	– 4.8	– 5.2	– 5.6	– 5.8	– 5.9	– 5.9	– 5.9	– 5.8	– 5.7	– 4.95
3.	– 5.6	– 5.6	– 5.9	– 6.0	– 6.2	– 6.6	– 7.2	– 7.0	– 7.2	– 7.0	– 6.9	– 6.6	– 6.2	– 5.8	– 5.9	– 5.9	– 6.1	– 6.3	– 6.3	– 6.4	– 6.4	– 6.2	– 6.1	– 5.6	– 6.29
4.	– 5.1	– 4.8	– 4.7	– 4.6	– 4.7	– 4.6	– 4.6	– 4.1	– 4.5	– 4.0	– 3.8	– 3.4	– 4.1	– 3.8	– 3.5	– 3.8	– 4.0	– 4.2	– 4.1	– 4.1	– 4.1	– 4.0	– 4.1	– 3.8	– 4.19
5.	– 3.8	– 3.8	– 3.6	– 3.7	– 3.7	– 3.9	– 3.8	– 2.6	– 1.0	– 1.0	– 0.7	– 0.7	– 0.4	– 0.5	– 1.0	– 0.9	– 1.2	– 1.2	– 1.2	– 1.1	– 1.2	– 1.2	– 0.9	– 1.2	– 1.85
6.	– 1.2	– 1.4	– 1.7	– 1.9	– 2.5	– 3.8	– 4.4	– 4.0	– 3.3	– 4.5	– 4.7	– 4.7	– 5.1	– 5.2	– 6.0	– 6.9	– 7.9	– 8.0	– 8.0	– 8.3	– 8.6	– 8.9	– 9.0	– 9.1	– 5.38
7.	– 9.0	– 9.1	– 9.5	– 9.8	–10.1	–10.8	–11.0	–10.2	–10.2	–10.9	–10.6	–10.1	– 9.4	– 9.5	– 9.4	– 9.5	– 9.6	– 9.8	–10.0	– 9.6	– 9.3	–10.2	– 9.9	–10.0	– 9.90
8.	– 9.4	– 9.2	– 8.8	– 8.9	– 8.5	– 8.5	– 8.8	– 8.7	– 8.9	– 7.3	– 6.6	– 6.5	– 6.4	– 6.6	– 7.1	– 7.2	– 7.5	– 7.7	– 7.1	– 6.6	– 6.6	– 6.9	– 6.8	– 6.3	– 7.62
9.	– 6.2	– 6.0	– 5.5	– 5.8	– 6.1	– 5.8	– 4.5	– 5.0	– 4.5	– 4.8	– 5.0	– 5.0	– 4.7	– 5.0	– 4.8	– 5.1	– 5.8	– 5.4	– 5.4	– 5.4	– 5.2	– 6.0	– 5.8	– 6.0	– 5.37
10.	– 5.8	– 5.7	– 5.8	– 5.7	– 5.5	– 5.1	– 5.2	– 5.1	– 4.7	– 4.5	– 4.4	– 4.1	– 4.0	– 4.0	– 4.2	– 4.5	– 4.8	– 5.4	– 5.5	– 6.4	– 6.9	– 7.7	– 7.7	– 7.7	– 5.43
11.	– 7.7	– 7.8	– 7.7	– 8.0	– 7.9	– 8.2	– 8.3	– 7.0	– 7.1	– 6.6	– 6.6	– 7.4	– 7.3	– 8.6	– 8.8	– 8.5	– 9.5	– 9.1	– 8.5	– 8.4	– 9.7	–10.2	– 9.2	– 7.3	– 8.14
12.	– 6.5	– 5.7	– 5.4	– 4.1	– 3.6	– 2.8	– 3.6	– 2.3	– 1.6	– 1.6	– 1.2	– 0.5	– 0.1	– 0.6	– 0.3	– 0.6	– 1.0	– 1.2	– 1.2	– 1.8	– 2.5	– 3.2	– 3.4	– 4.1	– 2.45
13.	– 4.4	– 4.6	– 4.9	– 5.4	– 5.5	– 5.4	– 5.4	– 5.8	– 5.8	– 6.6	– 7.3	– 7.7	– 6.9	– 7.4	– 7.7	– 8.4	– 8.7	– 8.7	– 8.8	– 9.0	– 8.8	– 8.8	– 8.7	– 8.6	– 7.06
14.	– 8.6	– 8.6	– 8.5	– 6.8	– 5.7	– 5.5	– 4.8	– 4.9	– 4.8	– 4.0	– 3.9	– 2.9	– 2.3	– 1.8	– 2.2	– 3.0	– 3.6	– 3.6	– 2.7	– 2.6	– 1.7	– 2.3	– 2.1	– 2.2	– 4.13
15.	– 1.6	– 1.4	– 1.7	– 1.8	– 1.6	– 1.6	– 0.9	0.4	0.7	1.7	1.7	2.2	1.9	2.0	0.8	– 0.6	– 1.5	– 2.1	– 2.9	– 3.1	– 3.3	– 3.4	– 3.4	– 3.8	– 0.97
16.	– 4.3	– 5.0	– 5.1	– 5.9	– 6.0	– 5.8	– 5.7	– 4.7	– 3.8	– 3.3	– 3.8	– 4.7	– 5.4	– 6.2	– 6.6	– 6.5	– 6.7	– 7.2	– 7.4	– 6.9	– 5.5	– 4.7	– 4.6	– 5.8	– 5.48
17.	– 5.7	– 4.6	– 4.5	– 4.3	– 4.4	– 2.6	– 2.3	– 1.8	– 1.7	– 1.4	– 1.4	– 1.7	– 1.6	– 1.3	– 1.5	– 2.0	– 2.1	– 2.3	– 2.6	– 2.6	– 2.5	– 2.3	– 2.3	– 2.4	– 2.58
18.	– 2.7	– 3.2	– 3.7	– 4.0	– 4.7	– 5.6	– 5.5	– 5.3	– 5.4	– 5.6	– 6.2	– 6.6	– 6.6	– 6.6	– 6.1	– 6.0	– 6.2	– 6.5	– 6.3	– 6.5	– 6.5	– 6.5	– 6.6	– 6.8	– 5.65
19.	– 7.3	– 8.1	– 8.8	– 9.3	–10.3	–11.2	–12.0	–12.6	–12.6	–12.6	–12.5	–12.7	–13.2	–13.3	–13.4	–14.0	–14.2	–14.3	–14.1	–13.9	–13.6	–13.0	–12.7	–13.1	–12.20
20.	–13.3	–13.2	–13.2	–13.4	–13.6	–14.1	–14.2	–13.8	–13.7	–13.6	–13.2	–12.9	–12.8	–13.0	–12.8	–12.5	–12.6	–12.5	–12.5	–12.5	–12.4	–12.6	–12.7	–12.8	–13.08
21.	–13.0	–13.1	–12.5	–12.5	–12.3	–12.2	–11.5	–10.7	–10.4	– 8.5	– 8.3	– 7.5	– 7.2	– 6.5	– 6.3	– 6.1	– 6.1	– 6.0	– 5.9	– 5.6	– 5.6	– 5.4	– 5.6	– 5.6	– 8.52
22.	– 5.8	– 5.6	– 5.5	– 5.4	– 5.3	– 5.1	– 5.1	– 4.8	– 4.3	– 3.8	– 3.5	– 3.1	– 3.3	– 3.3	– 3.5	– 3.8	– 3.7	– 3.1	– 2.6	– 3.1	– 3.1	– 2.7	– 3.5	– 3.7	– 8.20
23.	– 3.8	– 4.1	– 4.0	– 3.7	– 3.7	– 3.7	– 3.7	– 3.6	– 3.1	– 2.8	– 2.8	– 2.7	– 2.7	– 2.7	– 2.9	– 3.1	– 3.0	– 3.2	– 3.2	– 2.6	– 2.5	– 2.5	– 3.0	– 3.6	– 4.03
24.	– 3.6	– 3.8	– 3.7	– 3.9	– 4.1	– 4.4	– 4.2	– 4.2	– 4.0	– 4.0	– 3.7	– 3.6	– 3.4	– 3.0	– 2.6	– 2.7	– 3.3	– 3.5	– 3.6	– 4.2	– 4.6	– 5.2	– 5.3	– 6.1	– 3.95
25.	– 6.4	– 6.5	– 6.6	– 7.1	– 7.0	– 7.2	– 7.5	– 7.5	– 7.3	– 6.2	– 5.8	– 6.6	– 5.9	– 5.8	– 6.7	– 6.8	– 6.8	– 6.7	– 6.6	– 6.8	– 7.1	– 7.1	– 7.6	– 8.0	– 6.82
26.	– 7.8	– 7.9	– 8.3	– 8.1	– 8.1	– 8.2	– 7.9	– 8.1	– 7.6	– 6.2	– 5.7	– 6.5	– 5.2	– 4.9	– 4.2	– 5.0	– 5.0	– 5.0	– 4.4	– 5.3	– 5.5	– 5.8	– 5.7	– 5.3	– 6.32
27.	– 5.4	– 5.5	– 5.8	– 6.0	– 6.8	– 7.1	– 6.5	– 6.1	– 5.9	– 5.6	– 4.7	– 4.1	– 4.8	– 5.2	– 4.8	– 4.4	– 4.6	– 4.2	– 4.0	– 4.4	– 4.4	– 4.0	– 4.4	– 3.9	– 5.11
28.	– 3.9	– 4.1	– 3.1	– 2.9	– 2.8	– 2.9	– 2.8	– 2.6	– 2.0	– 1.7	– 1.4	– 1.0	– 1.1	– 1.6	– 1.8	– 2.1	– 2.2	– 2.2	– 2.7	– 3.0	– 2.8	– 2.9	– 3.0	– 3.0	– 2.48
29.	– 3.6	– 4.0	– 4.6	– 4.1	– 3.9	– 4.2	– 4.6	– 5.0	– 5.2	– 4.9	– 5.0	– 4.6	– 4.4	– 4.6	– 4.7	– 4.6	– 5.0	– 5.5	– 5.5	– 5.5	– 5.1	– 5.9	– 6.1	– 6.1	– 4.86
30.	– 6.3	– 6.6	– 6.8	– 6.1	– 6.5	– 6.8	– 6.9	– 6.9	– 7.0	– 6.7	– 6.7	– 5.7	– 6.2	– 6.7	– 7.3	– 7.6	– 8.1	– 8.7	– 8.7	– 8.9	– 9.1	– 9.5	– 8.5	– 9.6	– 7.44
Mittel	–6.00	–6.04	–6.07	–6.07	–6.08	–6.18	–6.16	–5.85	–5.60	–5.26	–5.13	–5.01	–4.93	–5.02	–5.18	–5.41	–5.72	–5.87	–5.83	–5.91	–5.88	–6.03	–6.01	–6.09	– 5.72

Dezember

Datum	1ª	2ª	3ª	4ª	5ª	6ª	7ª	8ª	9ª	10ª	11ª	12m	1P	2P	3P	4P	5P	6P	7P	8P	9P	10P	11P	12mn	Mittel
1.	– 9.7	– 9.8	–10.1	–10.3	–10.5	–10.2	–10.0	– 9.6	– 7.9	– 7.0	– 7.8	– 7.9	– 6.2	– 5.9	– 7.7	– 7.4	– 8.5	– 9.1	– 9.4	– 9.7	– 9.7	–10.1	–10.4	–11.0	– 9.00
2.	–11.0	–11.3	–11.6	–12.0	–12.0	–12.1	–12.7	–12.6	–10.8	–10.9	–10.8	– 8.8	– 8.4	– 7.9	– 8.1	– 7.3	– 8.7	– 9.1	– 9.5	– 8.8	– 8.9	– 9.2	– 9.3	– 9.6	–10.01
3.	– 9.8	– 9.8	– 9.7	– 9.4	– 9.5	– 8.8	– 9.0	– 8.7	– 8.9	– 8.9	– 8.9	– 8.9	– 8.8	– 8.7	– 8.7	– 8.8	– 8.9	– 9.3	– 9.3	– 8.7	– 8.8	– 8.8	– 9.2	– 8.8	– 9.05
4.	– 9.1	– 9.1	– 9.1	– 8.8	– 9.0	– 9.0	– 8.4	– 8.9	– 9.0	– 8.7	– 8.2	– 8.1	– 8.1	– 8.7	– 8.8	– 8.3	– 8.3	– 8.1	– 8.3	– 8.6	– 8.6	– 8.5	– 8.6	– 8.7	– 8.63
5.	– 9.2	– 9.2	– 9.2	– 9.3	– 9.6	– 9.7	– 9.4	– 8.7	– 8.7	– 8.9	– 8.7	– 8.7	– 8.9	– 8.9	– 9.0	– 9.1	– 9.3	– 9.8	–10.0	– 9.9	–10.1	–10.1	– 9.8	– 9.8	– 9.33
6.	– 9.6	– 9.2	– 8.7	– 8.6	– 8.1	– 7.4	– 7.4	– 7.7	– 6.7	– 6.1	– 5.7	– 5.4	– 5.3	– 5.4	– 5.4	– 5.6	– 6.0	– 6.1	– 6.1	– 6.1	– 5.9	– 6.2	– 6.0	– 5.6	– 6.68
7.	– 5.8	– 5.8	– 5.8	– 5.6	– 6.0	– 6.3	– 6.5	– 6.6	– 6.0	– 6.0	– 6.0	– 5.6	– 5.6	– 0.0	– 5.8	– 6.1	– 6.2	– 6.1	– 5.9	– 6.6	– 6.7	– 6.5	– 6.7	– 6.9	– 6.13
8.	– 6.9	– 6.9	– 6.4	– 6.4	– 6.6	– 6.6	– 6.5	– 6.3	– 6.3	– 6.5	– 7.4	– 7.1	– 6.5	– 6.8	– 6.9	– 7.3	– 7.4	– 7.6	– 7.4	– 7.4	– 7.4	– 7.3	– 7.4	– 7.5	– 6.95
9.	– 7.5	– 7.4	– 7.0	– 7.6	– 7.8	– 7.7	– 7.7	– 7.4	– 7.0	– 6.8	– 7.9	– 8.9	– 9.1	–10.2	–13.4	–14.8	–14.9	–14.9	–15.0	–14.8	–14.9	–14.9	–15.0	–14.9	–10 75
10.	–15.3	–15.7	–15.7	–15.8	–15.9	–16.5	–16.7	–16 5	–15.8	–14.8	–14.9	–14.5	–13.6	–13.5	–12.3	–11.9	–12 3	–10.3	– 8.8	– 9.0	– 9.0	– 8.0	– 7.0	– 6.5	–12.93
11.	– 7.0	– 6.4	– 5.8	– 5.9	– 6 2	– 6.1	– 6.2	– 6.1	– 5.9	– 5.8	– 6.1	– 5.0	– 5.1	– 5.8	– 6.8	– 7.0	– 7.8	– 8.2	–11.2	–12.1	–12.6	–13.1	–13.2	–13.9	– 7.89
12.	–14 4	–15.0	–15.1	–15.2	–15.1	–14.8	–14.5	–13.9	–14.0	–14.1	–14.1	–14.9	–14.7	–14.1	–13.9	–14.2	–14.0	–14.4	–14.4	–14.3	–13.9	–14.0	–13.2	–13.7	–14.33
13.	–14.5	–15.0	–14.9	–14.5	–14.1	–13.9	–11.1	–10.5	–10.2	–10.1	– 9.4	– 9.0	– 9.3	– 9 0	– 8.9	– 8.8	– 8.3	– 8.3	– 8.4	– 8.5	– 8.2	– 8.2	– 8.0	– 7.7	–10.37
14.	– 7.6	– 7.7	– 7.6	– 7.7	– 7.6	– 7.7	– 7.9	– 7.8	– 7.8	– 7.3	– 7.1	– 7.3	– 7.3	– 7.4	– 7.6	– 7.5	– 7.5	– 7.7	– 7.5	– 5.6	– 5.4	– 5.4	– 5.5	– 7.12	
15.	– 5.2	– 4.7	– 4.1	– 3.7	– 4.3	– 4.7	– 4.6	– 4.4	– 4.3	– 3.4	– 2.9	– 3.1	– 3.1	– 3.1	– 3.0	– 3.5	– 3.2	– 2.9	– 3.8	– 3.9	– 4.0	– 4.8	– 4.3	– 5.3	– 3.93
16.	– 6 3	– 7.1	– 8 4	– 9.0	– 9.6	– 9.7	–10.0	–10.6	–11.6	–11.6	–11.7	–13.0	–11.9	–12.1	–12.2	–11.9	–11.9	–12.2	–12.4	–12.2	–12.2	–12.2	–12.1	–12.9	–11.03
17.	–13.4	–11 3	–11.0	–11.2	–11.2	–11.1	–10.8	– 9.9	– 9.7	– 7.9	– 7.4	– 6.8	– 6.5	– 6.1	– 5.2	– 3.5	– 3.5	– 3.7	– 3.8	– 4.0	– 4.1	– 5.0	– 4.9	– 4.8	– 7.37
18.	– 5.1	– 4.8	– 4.7	– 4.7	– 5.0	– 4.6	– 4.1	– 2.7	– 1.7	– 1.7	– 1.3	– 0.9	– 0.3	– 1.0	– 0.7	– 0.8	– 1.0	– 1.6	– 1.8	– 1.8	– 1.8	– 1.6	– 1.9	– 1.8	– 2.39
19.	– 1.3	– 1.2	– 0.1	– 0.1	– 0.2	– 1.0	– 1.1	– 0 4	0.1	0.9	2.5	2.5	2.7	2.8	2.3	1.2	0.7	1.0	1.0	0.9	– 0.1	– 0.1	– 1.1	– 1.1	0.45
20.	– 0.9	– 0.3	– 0.1	– 1.2	– 1.3	– 1.3	– 2.1	– 2.4	– 3.0	– 2.4	– 1.2	– 1.5	– 1.1	– 1.8	– 1.9	– 2.8	– 3.7	– 4.2	– 8.2	– 8.2	– 8.4	– 9.2	– 9.9	–10.1	– 3.63
21.	–10.7	–10.9	–11.4	–11.3	–11.1	–10.8	–10.4	– 7.9	– 6.9	– 5.7	– 5.7	– 6.7	– 5.6	– 6.5	– 6.7	– 7.7	– 7.9	– 8.1	– 9.1	– 9.5	– 9.7	– 9.7	– 9.5	– 9.4	– 8.70
22.	– 9.6	– 9.8	–10.4	–10.7	–11.0	–11.4	–11.8	–12.0	–12.1	–12.1	–12.7	–13.4	–14.2	–14.4	–14.4	–14.6	–14.6	–14.2	–14.3	–14.0	–13.0	–10.9	– 9.0	– 8.0	–12.19
23.	– 7.2	– 7.8	– 7.9	– 8.1	– 8.3	– 8.5	– 8.7	– 8.7	– 9 2	– 8.9	– 8.9	– 9.0	– 9.0	– 8.9	–10.1	–11.5	–12.2	–12.3	–12.8	–12.9	–13.9	–14.4	–15.1	–15.3	–10.40
24.	–15.6	–16.1	–16.0	–16.1	–16.0	–16.0	–15.9	–15.8	–15.5	–14.7	–13.9	–14.2	–13.4	–13.0	–12.0	–12.0	–10.4	– 9.0	– 8.2	– 8.1	– 7.7	– 7.5	– 6.9	– 6.6	–12.53
25.	– 6.7	– 7.4	– 7.7	– 7.4	– 6.9	– 6.6	– 6.6	– 6.6	– 7.3	– 8.1	– 8.1	– 8.1	– 8.1	– 8.1	– 8.9	– 9.7	–10.6	–11.4	–12.2	–13.0	–13.9	–13.9	–12.9	–13.8	– 9.38
26.	–13.8	–13.8	–13.8	–13.8	–13.7	–13.7	–13.7	–14.0	–14.4	–14.0	–14.3	–14.3	–14.1	–14.1	–14.4	–14.3	–14.2	–14.0	–14.0	–14.0	–13.9	–13.7	–13.3	–13.1	–13.93
27.	–12.7	–11 7	–10.3	– 9.2	– 8.6	– 8.4	– 9.2	– 9.5	– 9.5	– 9.4	– 9.7	–10.0	–10.2	–10.5	–10.8	–11.1	–11.4	–11.7	–12.0	–12.3	–12.7	–13.0	–13.2	–13.4	–10.85
28	–13.6	–13.8	–14.1	–14.3	–14.5	–14.7	–14.9	–14.0	–15.1	–15.4	–15.2	–15.0	–14.7	–14.7	–14.6	–14.7	–14.7	–14.7	–14.7	–14.5	–14.3	–14.0	–13.8	–12.1	–14.42
29.	– 7.2	– 6.2	– 6.1	– 5.7	– 6.2	– 7.2	– 7.3	– 8.3	– 7.9	– 7.7	– 7.8	– 7.4	– 7.2	– 7.2	– 7.2	– 7.7	– 8.1	– 8.0	– 8.1	– 7.9	– 7.9	– 7.8	– 7.9	– 8.0	– 7.42
30.	– 8.1	– 8.2	– 8.3	– 8 3	– 8.3	– 8.2	– 7.9	– 7.2	– 7.1	– 6.9	– 5.9	– 5.7	– 5.7	– 6.3	– 5.7	– 6.1	– 6.5	– 7.0	– 7.8	– 7.6	– 7.5	– 7.4	– 7.1	– 6.4	– 7.13
31.	– 7.1	– 8.3	– 8.0	– 8.8	– 8 7	– 9.3	– 9.4	– 9.6	– 9.8	–10.0	–10.3	–10.6	–10.8	–11.0	–11.2	–11.2	–11.3	–11.3	–11.4	–11.4	–11.6	–11.7	–11.9	–12.0	–10.28
Mittel	–9.09	–9.05	–9.02	–9.05	–9.13	–9.16	–9.11	–8.88	–8.71	–8.42	–8.31	–8.30	–8.07	–8.20	–8.39	–8.58	–8.79	–8.85	–9.19	–9.18	–9.25	–9.26	–9.19	9.17	– 8.85

Hygrometer-Registrierung. **Zugspitze** 1911.

Januar

Datum	1a	2a	3a	4a	5a	6a	7a	8a	9a	10a	11a	12m	1p	2p	3p	4p	5p	6p	7p	8p	9p	10p	11p	12mn	Mittel
1.	100	100	100	100	100	100	100	100	100	100	46	40	43	44	42	39	95	100	100	100	100	100	100	100	85.4
2.	100	100	100	100	100	100	100	100	100	100	100	100	100	100	100	100	100	100	100	100	100	100	100	100	100.0
3.	100	100	100	100	100	100	100	100	100	100	100	100	100	100	95	82	75	76	70	66	79	76	66	82	90.3
4.	94	95	96	97	98	99	100	100	100	100	100	100	100	100	100	100	99	98	93	92	94	93	87	74	96.2
5.	78	66	62	61	71	62	67	75	81	65	76	79	80	75	79	100	100	100	100	100	100	94	86	77	80.6
6.	66	65	70	73	77	87	86	85	86	89	84	83	95	94	94	94	98	100	91	92	95	94	91	88	86.5
7.	88	90	81	77	73	78	78	74	76	80	67	64	66	75	76	80	84	88	89	88	86	83	76	75	78.8
8.	79	72	68	75	71	55	62	63	47	49	47	41	49	43	35	32	31	33	38	44	49	51	58	61	52.2
9.	63	03	47	56	39	57	33	25	37	37	42	49	72	61	51	57	100	100	100	100	100	100	100	100	66.2
10.	100	100	100	100	100	100	100	100	100	100	100	100	100	100	100	100	100	100	100	100	100	100	100	100	100.0
11.	100	100	100	100	100	100	100	49	48	60	58	50	53	53	57	63	58	56	53	51	50	50	52	62	67.6
12.	61	60	55	55	57	65	64	63	58	58	53	52	48	57	61	62	56	49	47	49	49	58	53	58	56 2
13.	52	53	50	52	51	49	49	98	100	100	100	100	100	100	100	100	100	100	100	100	100	100	100	100	85.6
14.	100	100	100	100	100	100	100	100	100	100	100	100	100	100	100	100	100	100	100	91	71	55	21	18	89.8
15.	13	12	14	16	19	23	24	27	26	24	21	24	22	24	26	30	33	36	36	40	43	43	43	46	27.7
16.	44	45	42	38	37	41	45	45	49	56	58	59	62	63	67	100	100	100	72	87	100	98	74	48	63.8
17.	42	28	17	17	18	22	22	22	28	45	41	41	38	37	38	40	41	41	43	48	53	67	72	46	37.8
18.	44	34	35	40	40	31	32	33	34	44	100	100	51	58	39	42	23	29	66	62	52	30	29	34	45.1
19.	36	35	31	40	36	29	100	100	100	100	100	100	100	100	100	100	100	100	100	100	100	100	100	100	83.6
20.	100	100	100	100	96	91	87	76	65	55	50	45	42	33	34	31	29	25	21	19	15	14	12	9	52.0
21.	9	8	8	8	8	8	8	8	9	9	9	9	6	4	3	2	2	2	3	3	3	4	5	6	6.0
22.	7	9	10	11	12	13	14	12	11	10	13	15	16	5	9	11	9	10	12	23	29	51	91	84	20.3
23.	16	14	19	19	20	18	19	30	35	34	13	15	13	11	13	16	9	10	15	15	15	15	15	12	17.1
24.	8	7	7	7	6	6	6	4	6	6	5	11	25	32	30	29	33	48	44	49	52	49	48	39	23.2
25.	43	42	39	40	41	41	37	36	48	43	37	49	58	100	100	100	100	100	100	100	100	100	100	100	68.9
26.	100	100	100	100	100	100	100	100	100	100	100	100	100	100	100	100	97	88	88	92	73	82	67	91	94.9
27.	88	92	93	89	77	63	49	49	45	41	31	26	27	19	21	21	19	21	23	24	26	27	27	25	42.6
28.	28	31	31	32	33	33	40	69	59	49	75	90	70	87	100	100	90	58	42	66	51	55	48	55	58.0
29.	68	84	90	82	94	70	42	27	23	11	6	3	3	4	5	7	7	8	10	14	12	8	7	7	28.8
30.	8	9	9	9	9	9	9	7	6	5	8	7	7	6	7	8	7	7	7	7	7	7	7	8	7.5
31.	12	16	18	19	18	32	73	96	95	71	60	52	46	43	35	31	26	37	35	34	37	33	10	10	39.1
Mittel	59.6	59.0	57.8	58.5	58.1	57.5	59.5	60.4	60.4	59.4	58.1	58.2	57.8	59.0	58.6	60.5	62.0	61.9	61.2	63.1	62.6	62.5	59.5	58.5	59.7

Februar

Datum	1a	2a	3a	4a	5a	6a	7a	8a	9a	10a	11a	12m	1p	2p	3p	4p	5p	6p	7p	8p	9p	10p	11p	12mn	Mittel
1.	10	8	7	6	7	6	7	8	10	11	100	100	43	36	100	93	96	96	95	60	58	22	29	31	43.3
2.	36	56	69	59	80	93	85	44	36	29	24	27	45	44	36	69	72	68	88	100	100	100	100	100	65.0
3.	100	100	100	100	100	100	100	100	100	100	100	100	100	100	100	100	100	100	100	100	100	100	100	100	100.0
4.	97	92	88	83	78	73	68	63	57	52	38	42	60	73	74	72	77	78	90	91	64	70	77	64	71.7
5.	61	61	59	85	100	100	100	100	100	100	100	51	75	74	66	49	37	42	47	35	34	17	15	26	63 9
6.	29	29	38	47	100	100	100	100	100	100	100	100	100	100	100	100	100	100	100	100	100	33	30	29	80.6
7.	27	22	19	20	44	65	54	67	69	52	51	49	48	45	44	58	64	66	100	100	100	100	100	100	61.0
8.	100	100	100	100	100	100	100	100	100	100	100	100	100	100	100	100	100	100	100	100	100	100	100	100	100.0
9.	93	85	77	70	62	54	46	37	31	30	35	42	51	50	52	55	55	56	53	51	50	48	48	45	53.2
10.	52	54	54	55	55	59	59	55	59	58	55	60	60	57	60	58	54	56	56	71	83	64	67	74	59.8
11.	79	72	87	87	63	61	65	60	49	47	45	43	44	46	52	78	94	96	97	99	100	100	100	99	73.5
12.	100	96	81	100	100	100	100	100	99	100	93	74	56	57	54	50	50	50	58	62	63	86	94	97	80.0
13.	98	97	97	96	99	100	100	100	99	97	80	72	69	67	68	68	69	70	74	75	73	69	68	70	82.3
14.	65	68	55	50	50	78	54	60	59	56	67	58	54	47	15	9	7	7	9	11	12	11	10	10	38.4
15.	9	9	10	15	12	10	15	19	31	32	30	39	57	64	61	69	88	97	98	99	100	98	94	90	51.9
16.	86	83	79	75	71	66	63	57	51	47	28	34	30	32	36	42	41	35	37	52	58	100	100	100	58.5
17.	100	100	100	100	100	100	100	86	73	61	61	100	100	100	100	100	100	100	100	100	100	100	100	100	95.0
18.	100	100	100	100	100	100	100	100	100	100	100	100	100	100	100	100	100	100	94	90	91	99	100	93	98.6
19.	77	80	72	72	73	72	71	69	67	67	69	76	96	100	100	100	100	100	100	100	100	100	100	100	85.9
20.	100	100	100	100	100	100	100	100	100	100	100	100	100	100	89	100	100	100	100	100	100	100	100	100	99.5
21.	100	100	100	100	100	100	100	100	100	100	100	100	100	100	89	72	75	69	59	51	49	47	50	59	84.2
22.	100	100	100	100	100	100	100	100	100	100	100	100	100	100	100	100	100	100	100	100	100	100	100	100	100.0
23.	100	100	100	100	100	86	70	78	84	74	74	78	64	64	70	75	75	69	66	73	69	63	76	91	79.1
24.	100	100	100	100	100	100	100	100	100	100	100	100	100	100	100	100	100	100	100	100	100	100	100	100	100.0
25.	100	100	100	100	100	100	100	100	100	100	100	100	100	100	100	100	100	100	100	100	100	100	100	100	100.0
26.	100	100	100	100	100	100	100	100	100	100	100	100	100	100	100	100	100	100	100	100	100	100	100	100	100.0
27.	100	100	100	100	100	100	100	100	100	100	100	100	100	100	100	100	100	100	100	100	100	100	100	100	100.0
28.	100	100	100	100	100	100	100	100	100	100	100	100	100	100	100	100	100	100	100	100	100	100	100	100	100.0
Mittel	79 3	79.0	78.3	79.3	81.9	83.0	80.6	78.7	77.6	75.5	76.8	76.6	76.9	76.6	77.8	79.2	80.5	80.5	82.9	82.9	82.3	79.5	80.6	81.4	79.5

Hygrometer-Registrierung. **Zugspitze.** 1911.

März

Datum	1a	2a	3a	4a	5a	6a	7a	8a	9a	10a	11a	12m	1p	2p	3p	4p	5p	6p	7p	8p	9p	10p	11p	12mn	Mittel
1.	100	100	100	100	100	100	100	100	100	100	100	100	100	100	100	100	100	100	100	100	100	100	100	100	100,0
2.	100	100	100	100	100	100	100	100	100	100	100	100	100	100	100	100	100	100	100	100	100	100	100	100	100,0
3.	100	100	100	100	100	100	100	100	100	100	100	100	100	100	100	100	100	100	100	100	100	100	100	100	100,0
4.	100	100	100	100	100	100	100	100	100	100	100	100	100	100	100	100	100	100	100	100	100	100	100	100	100,0
5.	100	100	100	100	100	100	100	100	100	100	100	100	100	100	100	100	100	100	100	100	100	100	100	100	100,0
6.	100	100	100	100	100	100	100	100	100	100	100	100	100	100	100	100	99	98	94	93	93	90	95	91	98.0
7.	90	91	93	92	92	93	94	95	95	97	98	96	96	100	97	96	99	99	100	100	100	98	100	100	96.3
8	100	100	100	100	100	100	100	100	100	100	100	100	100	100	100	100	100	100	100	100	100	100	100	100	100,0
9.	100	100	100	100	100	100	100	100	100	100	100	100	100	100	100	100	100	100	100	100	100	100	100	100	100,0
10.	100	100	100	100	100	100	100	100	100	100	100	100	100	100	100	100	100	100	100	100	100	100	100	100	100,0
11.	100	100	100	100	100	100	100	100	100	100	100	89	91	96	100	100	100	100	100	100	100	100	100	100	99 0
12.	100	100	100	100	100	100	100	100	100	100	100	100	100	100	100	100	100	100	100	100	100	100	100	100	100,0
13.	100	100	100	100	100	100	100	88	89	85	94	94	98	100	100	100	100	100	100	100	100	100	100	100	97.8
14.	100	100	100	100	100	100	100	95	91	87	83	100	100	100	100	100	100	100	100	100	100	100	100	100	98.2
15.	100	100	100	100	100	100	100	100	100	100	100	100	100	100	100	100	100	100	100	100	100	100	100	100	100,0
16	100	100	100	100	100	100	100	93	85	77	79	80	87	97	92	90	91	93	95	98	100	100	100	96	93.9
17.	95	96	96	97	96	93	93	90	88	87	77	91	95	100	96	91	97	97	97	100	87	73	72	70	90,6
18.	61	60	59	57	57	51	52	51	66	77	78	81	78	80	84	92	98	99	99	100	100	100	100	100	78.3
19.	100	100	100	100	100	90	56	56	52	49	60	63	61	73	77	79	80	81	80	86	88	69	72	75	77.0
20	78	73	85	86	93	96	96	92	92	88	86	87	78	78	87	86	81	79	73	77	79	91	88	94	85.1
21.	96	97	96	74	76	62	58	56	54	57	52	53	58	70	76	81	75	82	97	95	83	79	74	71	73.8
22.	65	69	74	76	80	81	83	75	66	71	70	67	71	83	89	82	76	77	77	86	87	93	95	87	78.3
23.	79	75	76	77	77	72	70	67	59	56	69	69	68	72	81	78	77	73	98	100	98	93	100	100	78.5
24.	100	100	100	100	100	100	100	100	100	100	93	96	98	100	100	100	100	100	100	100	100	100	100	100	99.5
25.	100	100	100	100	100	100	100	100	100	100	100	100	100	100	100	100	100	100	100	100	100	100	100	100	100,0
26	100	100	100	100	100	100	100	100	100	100	100	100	100	100	100	100	100	100	100	100	100	100	100	100	100,0
27.	100	100	100	100	100	100	100	100	100	100	92	96	96	100	100	100	100	100	100	100	98	98	97	96	98.9
28.	100	99	98	94	92	85	85	83	84	80	77	72	71	71	70	72	76	74	73	74	75	80	86	84	81.5
29.	84	79	71	68	69	67	66	68	65	60	67	68	68	69	69	69	65	68	71	75	81	81	100	100	72.8
30.	100	100	99	100	100	100	100	100	96	96	93	86	79	84	92	100	94	78	67	76	57	51	36	32	84.0
31.	37	41	53	63	63	75	74	77	77	79	78	73	73	72	74	81	90	99	97	96	94	95	95	96	77.2
Mittel	93.1	92.9	93.5	93.0	93.4	92.4	91.2	89.9	89.0	88.6	88.2	89.1	89.4	91.9	93.0	93.5	93.5	93.5	94.1	95.4	94.2	93.3	93.9	93 3	92.2

April

1.	100	100	100	100	100	100	100	100	100	100	89	86	75	81	86	91	100	93	100	93	92	91	93	94	94.3
2.	93	90	95	95	92	87	84	82	83	84	73	78	85	89	90	84	88	85	93	100	100	100	100	100	89.6
3.	100	100	100	100	100	100	100	100	100	100	100	100	100	100	100	100	100	100	100	100	100	100	100	100	100,0
4.	100	100	100	100	100	100	100	100	100	100	93	92	95	96	97	96	98	99	99	100	100	99	98	98	98.3
5.	97	96	95	94	94	93	88	86	85	83	74	74	71	69	82	100	100	100	100	100	100	100	100	100	90.9
6.	100	100	100	100	100	100	100	100	100	100	87	83	95	95	88	88	87	89	100	100	100	100	100	99	96.3
7.	99	98	98	98	97	96	96	95	89	85	85	84	93	95	94	92	93	95	92	98	100	100	100	100	94.7
8.	100	100	100	100	100	100	100	100	100	100	100	100	100	100	100	100	92	96	93	93	93	89	84	80	96.7
9.	79	82	77	70	63	66	62	56	63	84	65	72	65	39	30	28	29	35	64	66	57	56	56	55	59.1
10.	48	52	51	50	52	57	82	82	64	62	67	64	68	69	74	73	66	62	73	88	84	81	76	47	66.3
11.	46	55	73	67	81	95	97	98	94	91	91	82	66	81	84	91	92	93	93	74	95	86	62	49	80.7
12.	14	7	18	61	61	70	77	80	83	57	23	44	29	86	100	100	100	100	100	100	100	100	100	100	71.3
13.	100	100	100	100	100	100	100	100	100	100	100	100	100	100	100	100	100	100	100	100	100	100	100	100	100,0
14.	100	100	100	100	100	100	100	100	100	100	100	93	100	100	85	86	100	83	62	51	52	46	43	42	85.1
15.	38	39	39	38	42	34	40	41	43	40	65	44	43	54	71	75	63	44	44	33	28	26	24	25	43.0
16.	29	34	35	40	37	36	36	32	32	31	31	34	34	36	25	26	30	32	35	41	44	45	45	48	35.3
17.	48	47	47	48	48	48	47	66	69	73	76	75	78	80	87	100	100	100	100	100	100	100	100	100	76.5
18.	100	100	100	100	100	100	100	100	100	100	100	99	89	79	78	74	68	66	70	74	75	72	70	69	86.8
19.	73	75	75	67	70	69	65	63	63	62	65	75	80	74	75	77	75	76	79	86	90	90	83	72	74.1
20.	65	61	63	66	66	67	71	78	80	85	82	84	99	100	100	100	100	100	100	100	100	100	100	100	86.1
21.	100	100	100	100	100	100	100	100	100	100	94	100	62	98	100	100	71	61	60	97	56	43	43	66	85.5
22.	49	41	37	44	49	37	52	58	92	62	57	60	62	64	84	72	78	86	90	68	68	41	51	43	60.2
23.	50	49	54	62	67	53	51	46	32	40	59	70	79	74	91	100	98	96	94	85	82	76	92	93	70.5
24.	94	95	96	97	98	99	100	100	100	100	100	100	100	100	100	100	100	100	100	100	100	100	100	100	99.1
25.	100	100	100	100	100	100	100	100	100	95	79	77	89	92	92	100	100	100	100	100	93	84	73	75	93.7
26.	93	98	76	78	81	82	75	66	71	79	85	100	100	100	100	100	100	100	100	100	100	100	100	100	91.0
27.	100	100	100	100	100	100	100	100	100	100	100	100	100	100	100	100	100	100	100	100	100	100	100	100	100,0
28.	100	100	100	100	100	100	100	100	100	100	100	100	100	100	100	100	100	100	100	100	100	100	100	100	100,0
29.	100	100	100	100	100	100	100	100	100	100	97	93	92	89	100	100	100	100	100	100	100	100	100	100	98.8
30.	100	100	100	100	100	100	100	100	100	100	97	94	97	88	97	94	93	87	96	100	100	100	100	100	97.6
Mittel	80.5	80.6	81.0	82.5	83.3	83.0	84.1	84.3	84.8	83.7	81.0	81.9	81.4	84.6	87.0	88.2	87.4	85.9	87.9	88.2	87.0	84.2	83.1	81.8	84.1

Hygrometer-Registrierung **Zugspitze.** 1911.

Mai

Datum	1a	2a	3a	4a	5a	6a	7a	8a	9a	10a	11a	12m	1p	2p	3p	4p	5p	6p	7p	8p	9p	10p	11p	12mn	Mittel
1.	100	100	100	100	100	100	100	100	100	100	100	100	100	100	100	100	100	100	100	100	100	100	100	100	100,0
2.	100	100	100	100	100	100	100	99	97	96	96	94	68	81	91	98	82	22	22	20	20	18	15	27	72,8
3.	73	94	92	86	83	80	78	80	82	77	77	79	86	93	100	100	75	73	82	84	91	89	89	93	84,8
4.	90	93	97	97	97	96	96	92	97	82	89	97	97	95	100	100	100	100	100	100	100	100	100	100	96,5
5.	100	100	100	100	100	100	100	100	100	100	100	100	100	100	85	90	92	94	96	98	100	100	100	100	98,1
6.	100	100	100	100	100	100	100	100	100	100	100	100	100	100	100	100	100	100	100	100	100	100	100	100	100 0
7.	100	100	100	100	100	100	100	100	100	100	100	100	100	100	100	100	100	100	100	100	100	100	99	99	99,9
8.	98	98	98	97	97	96	96	98	99	100	100	100	100	100	100	100	100	100	100	100	100	100	100	100	99,0
9.	81	80	79	75	70	74	70	73	72	89	93	91	89	90	85	77	87	96	100	97	100	85	87	89	84,5
10.	82	83	79	84	84	93	100	100	99	98	93	89	80	87	100	100	100	100	100	100	100	100	100	100	93,8
11.	100	100	100	100	100	100	100	100	100	100	100	98	96	94	97	100	100	99	100	100	100	99	99	98	99,2
12.	85	85	87	85	82	80	71	75	69	73	81	80	81	86	93	95	94	91	87	89	80	82	88	74	83,0
13.	65	75	76	79	87	81	74	77	81	80	90	75	79	74	75	74	76	78	82	84	89	88	94	79	79,7
14.	81	82	83	79	79	76	71	72	72	78	85	75	67	68	75	85	99	99	100	100	100	100	100	100	84,4
15.	100	100	100	100	100	100	100	100	100	100	100	92	88	82	88	88	94	95	96	98	100	99	99	93	96,3
16.	86	82	75	78	84	92	92	88	81	83	91	88	93	96	98	95	91	99	100	100	100	100	99	98	91,2
17.	98	94	91	90	84	93	81	76	86	84	82	95	96	90	98	100	100	100	100	100	100	100	100	100	93,3
18.	100	100	100	100	100	100	100	100	100	100	100	100	100	100	100	100	100	100	100	100	100	100	100	100	100,0
19.	100	100	100	100	100	100	100	100	100	100	100	100	100	100	100	100	100	100	100	100	100	100	100	100	100,0
20.	100	100	100	100	100	100	100	100	100	100	100	100	100	100	98	100	100	95	100	100	100	98	88	91	98,8
21.	88	90	89	89	92	93	100	100	100	75	96	97	93	93	94	95	98	99	100	100	92	96	73	74	92,3
22.	76	100	100	100	100	100	100	100	100	100	100	100	100	100	100	100	100	100	100	100	100	100	100	100	99,0
23.	100	100	100	100	100	100	100	100	100	100	100	100	100	100	100	100	100	100	100	100	100	100	100	100	100,0
24.	100	100	100	100	100	100	100	100	100	100	100	100	100	100	100	100	100	100	100	100	100	100	100	100	100,0
25.	100	100	100	100	100	100	100	100	100	100	100	100	100	100	100	100	100	100	100	100	100	100	100	100	100,0
26.	100	100	100	100	100	100	100	100	100	100	100	97	94	90	95	100	100	100	100	100	100	100	98	100	98,9
27.	100	100	100	100	100	100	100	100	100	100	100	100	100	100	100	100	100	100	100	100	100	100	100	100	100,0
28.	100	100	100	100	100	100	100	99	98	97	98	98	99	99	96	93	94	95	96	97	98	98	97	97	97,9
29.	96	94	87	83	84	88	83	87	87	86	92	92	90	97	95	82	97	93	96	96	96	83	75	73	88,8
30.	72	64	60	62	61	61	62	65	68	74	79	83	77	80	77	84	86	96	97	99	100	97	97	85	78,6
31.	85	94	100	100	100	100	100	100	100	100	100	98	97	95	98	100	100	100	100	100	100	100	89	85	97,5
Mittel	92,1	93,8	93,3	93,0	93,0	93,6	92,7	92,9	93,2	92,6	94,9	94,1	92,6	93,2	94,8	95,4	95,6	94,3	95,3	95,5	95,7	94,6	93,1	92,1	93,8

Juni

Datum	1a	2a	3a	4a	5a	6a	7a	8a	9a	10a	11a	12m	1p	2p	3p	4p	5p	6p	7p	8p	9p	10p	11p	12mn	Mittel
1.	89	89	91	91	86	88	88	88	92	87	90	89	93	69	99	99	99	100	100	100	100	100	100	100	92,8
2.	100	100	100	100	100	100	100	97	94	91	74	70	68	83	85	84	100	100	99	100	100	100	100	90	93,1
3.	89	96	99	100	95	90	86	86	90	91	91	93	92	96	98	86	93	91	100	94	97	95	98	86	93,0
4.	94	98	99	99	99	100	100	100	100	100	100	100	100	100	100	100	100	100	100	100	100	100	100	100	99,5
5.	100	100	100	100	100	100	100	100	100	100	100	100	100	100	100	95	100	100	100	100	100	100	100	100	99,8
6.	100	100	100	100	100	100	100	100	100	100	100	98	97	96	98	100	100	100	100	100	100	100	100	100	99,5
7.	100	100	100	89	83	80	70	65	73	84	79	84	86	84	94	86	96	100	100	99	100	97	97	98	89,3
8.	88	70	53	63	99	100	100	100	99	97	90	96	89	89	90	100	100	100	100	91	92	88	48	81	65	87,0
9.	90	48	65	54	53	56	52	55	54	60	73	72	100	67	85	92	89	82	75	87	100	100	100	100	75,4
10.	100	100	100	100	100	100	100	100	100	100	100	100	100	100	100	100	100	100	100	100	100	100	100	100	100,0
11.	100	100	100	100	100	100	100	100	100	100	100	100	100	100	100	100	100	100	100	100	100	100	100	100	100,0
12.	100	100	100	100	100	100	100	100	100	100	98	97	99	100	100	100	100	100	100	100	100	100	100	88	99,3
13.	100	100	100	96	91	86	86	86	83	84	88	86	99	100	100	100	100	100	100	100	100	100	100	100	95,2
14.	100	100	100	100	100	100	100	100	100	100	100	100	100	100	100	100	100	100	100	100	100	100	100	100	100,0
15.	100	100	100	100	100	100	100	100	100	100	100	100	100	100	100	100	100	100	100	100	100	99	99	98	99,8
16.	92	84	78	70	62	56	50	53	48	61	67	78	72	67	75	81	73	55	64	76	68	58	61	80	67,9
17.	86	100	100	100	100	100	100	100	100	100	100	100	99	99	97	96	95	88	95	96	83	83	100	100	96,5
18.	100	100	100	82	77	78	83	90	64	66	73	100	100	100	100	100	100	100	100	100	100	100	100	100	92,2
19.	100	100	100	100	100	100	100	100	100	100	100	94	86	100	100	100	100	100	100	100	100	100	100	100	99,2
20.	100	100	100	100	100	100	100	100	100	100	100	100	100	100	100	100	100	100	100	100	100	100	100	100	100,0
21.	100	100	100	100	100	100	100	100	100	100	100	100	100	100	100	100	100	100	100	100	100	100	100	100	100,0
22.	99	92	90	90	87	86	81	81	85	83	85	91	86	85	85	89	90	92	100	100	100	100	99	91	90,3
23.	89	90	90	97	94	85	83	84	87	96	93	89	89	86	95	95	90	81	85	87	81	81	78	83	87,8
24.	88	89	82	82	76	73	79	76	86	87	80	70	73	91	100	100	100	100	100	100	100	100	100	100	88,8
25.	100	100	100	98	90	92	87	81	83	93	85	81	77	92	100	100	100	100	100	100	100	100	100	100	94,1
26.	100	100	100	100	100	100	100	100	100	100	100	100	95	97	98	100	100	100	100	100	100	100	100	100	99,6
27.	100	100	100	100	100	100	100	100	100	100	100	100	100	100	100	100	100	100	100	100	100	100	100	100	100,0
28.	100	100	100	100	100	100	100	100	100	100	100	100	100	100	100	100	100	100	94	70	64	37	40	47	89,7
29.	68	94	91	94	44	41	61	49	47	46	51	56	97	94	94	96	83	84	78	66	65	65	71	46	70,0
30.	36	32	33	34	35	35	34	30	30	32	34	46	54	67	69	61	62	76	94	88	89	100	100	99	57,1
Mittel	93,6	92,7	92,4	91,3	89,0	88,2	88,0	87,4	87,2	88,6	88,4	89,7	91,7	92,0	95,4	95,3	95,7	95,0	95,8	95,2	94,5	92,1	94,1	92,4	91,9

Hygrometer-Registrierung. **Zugspitze.** 1911.

Juli

Datum	1a	2a	3a	4a	5a	6a	7a	8a	9a	10a	11a	12m	1p	2p	3p	4p	5p	6p	7p	8p	9p	10p	11p	12mn	Mittel
1.	99	100	100	100	100	100	100	100	100	100	100	90	96	91	68	71	76	83	90	100	96	95	97	96	93.7
2.	94	87	73	71	72	70	100	90	75	60	54	60	66	92	100	80	89	100	95	99	100	100	100	100	84.5
3.	100	100	100	100	100	100	100	100	100	100	100	100	100	100	100	100	100	100	100	100	100	100	100	100	100.0
4.	100	100	100	100	100	100	100	32	20	32	40	27	41	49	41	34	62	69	74	100	45	10	10	14	58.3
5.	40	6	3	3	4	4	5	5	6	6	5	4	73	44	51	79	55	46	64	64	53	49	50	40	31.6
6.	45	44	56	72	71	72	75	83	80	65	85	77	95	72	71	69	69	72	67	65	71	73	79	83	71.3
7.	84	88	84	82	80	79	75	85	83	88	99	99	100	100	100	78	69	75	70	75	72	67	63	64	81.6
8.	71	70	68	62	66	61	67	62	86	92	85	93	83	80	97	95	91	93	99	99	100	100	100	100	84.2
9.	100	100	100	100	100	100	100	100	100	100	100	100	100	100	100	100	100	100	100	100	100	100	100	100	100.0
10.	100	76	100	47	100	96	99	46	83	70	91	95	98	100	100	100	87	100	81	48	53	64	76	77	82.8
11.	73	42	12	17	34	18	28	20	25	42	100	100	88	100	100	100	100	100	100	61	99	100	100	100	69.1
12.	100	99	94	90	82	76	55	63	76	90	98	100	99	97	98	98	87	98	94	85	87	87	89	98	89.2
13.	98	93	94	96	97	97	93	88	81	80	82	80	86	100	94	100	100	100	100	100	100	100	100	100	94.1
14.	100	100	100	100	100	100	100	100	100	100	100	100	100	100	98	98	100	100	100	100	100	100	100	100	99.8
15.	100	100	100	100	100	100	100	94	91	84	100	76	100	100	100	100	100	100	100	100	100	100	100	100	97.7
16.	100	100	82	100	100	100	100	100	100	100	100	100	100	100	100	100	100	100	100	100	100	100	100	100	99.3
17.	100	100	100	100	100	100	100	100	100	100	100	100	98	97	99	100	100	100	100	98	100	100	100	100	99.7
18.	100	100	100	100	100	100	100	95	90	90	78	81	72	79	98	99	92	71	64	69	78	79	93	94	88.4
19.	95	100	100	100	100	98	95	84	75	73	70	67	67	78	75	79	90	92	79	85	59	73	76	75	82.7
20.	69	69	71	68	72	77	82	67	74	76	91	95	100	93	89	100	100	100	100	100	100	100	100	100	87.2
21.	93	72	56	74	73	69	73	89	90	93	80	86	86	82	75	93	66	64	71	48	63	18	25	34	69.7
22.	33	48	48	53	59	64	62	62	68	62	67	79	91	85	82	78	80	70	66	40	36	28	25	34	59.2
23.	25	28	27	27	22	25	28	32	32	39	69	65	65	67	71	75	95	100	100	100	79	84	89	82	59.4
24.	83	90	86	85	98	93	96	96	88	80	84	83	64	71	66	79	75	97	96	69	81	76	60	61	81.5
25.	55	61	74	76	78	77	71	67	64	67	81	73	75	80	69	77	75	80	82	73	82	73	97	93	75.0
26.	98	92	84	76	76	71	67	60	53	48	55	37	82	69	72	88	70	73	92	92	100	100	100	100	77.3
27.	100	100	100	100	100	92	81	76	83	88	94	96	96	91	88	94	100	100	100	95	97	100	100	79	93.8
28.	70	62	53	48	51	56	50	45	39	39	47	50	57	56	52	63	100	100	98	90	100	100	100	77	66.8
29.	74	81	78	58	64	66	65	66	69	79	79	78	62	57	98	73	59	58	56	58	64	54	54	63	67.2
30.	69	87	94	93	100	99	85	83	88	85	82	81	59	68	69	87	55	79	82	90	83	72	70	72	80.5
31.	63	57	53	31	35	45	62	42	51	100	94	90	92	82	58	69	59	71	70	45	68	6	75	15	59.7
Mittel	81.6	79.1	77.1	75.1	78.5	77.6	77.9	72.0	73.2	75.1	81.0	79 4	83.6	83.2	83.2	85.7	83.9	86.8	86.8	82.2	82.8	77.7	81.6	79.1	80,2

August

Datum	1a	2a	3a	4a	5a	6a	7a	8a	9a	10a	11a	12m	1p	2p	3p	4p	5p	6p	7p	8p	9p	10p	11p	12mn	Mittel
1.	27	18	19	24	23	24	38	35	33	25	41	38	46	58	66	67	71	67	73	69	65	66	21	7	42.5
2.	12	16	15	23	33	28	31	35	48	54	60	73	73	73	81	91	88	95	84	95	100	100	100	99	62.8
3.	82	67	61	92	79	100	78	88	81	88	76	79	79	75	74	76	77	78	81	89	88	86	90	94	81.6
4.	96	97	97	98	99	99	100	100	100	100	100	100	100	100	109	100	100	100	100	100	100	100	100	100	99.4
5.	100	100	100	100	100	100	100	100	100	100	94	93	92	100	99	100	100	100	100	100	100	99	96	93	98.6
6.	91	88	86	83	80	77	75	62	70	78	78	92	93	81	89	74	89	87	99	100	100	100	100	95	86.1
7.	99	92	93	95	98	85	83	89	90	86	96	93	86	87	100	100	93	85	87	100	91	100	100	100	92.8
8.	97	90	88	88	58	62	57	63	82	75	82	95	87	90	78	90	93	78	74	62	44	26	28	26	71.4
9.	23	20	23	26	28	31	34	36	37	39	61	73	85	77	77	73	67	59	63	53	44	14	19	20	45.1
10.	24	25	31	57	57	52	56	69	81	80	77	77	85	92	100	100	100	100	100	100	100	100	92	96	77.1
11.	95	50	48	57	73	92	79	77	88	93	95	94	90	90	82	100	100	100	89	70	80	77	89	100	83.7
12.	90	66	65	79	82	70	75	78	88	73	84	90	83	95	100	100	87	90	96	63	79	88	73	71	81.9
13.	70	74	100	100	85	74	85	95	94	91	91	88	86	100	85	91	100	100	100	100	100	88	94	81	90.5
14.	80	81	91	92	100	99	100	98	95	98	84	85	93	100	100	100	98	100	100	100	100	100	100	100	95.6
15.	100	100	100	100	100	100	100	100	96	98	98	89	93	88	81	98	100	100	100	100	100	100	100	100	97.5
16.	100	100	100	100	100	100	100	100	100	100	100	100	100	100	100	100	100	100	100	100	100	100	100	100	100.0
17.	100	100	100	100	100	100	100	100	100	100	100	100	100	100	100	100	100	100	100	100	100	100	100	100	100.0
18.	94	83	69	57	39	26	25	25	23	31	47	50	64	79	77	78	70	71	74	79	69	70	74	74	60.3
19.	77	70	73	74	72	74	72	77	74	70	68	70	68	62	56	50	50	54	51	52	64	73	66	61	65.8
20.	62	59	62	62	63	64	66	72	75	77	64	68	68	70	67	66	67	69	76	99	97	68	63	62	69.4
21.	64	65	60	70	64	68	73	74	75	100	72	55	60	71	80	83	87	84	88	100	100	100	100	84	78.2
22.	86	96	100	90	79	78	100	100	91	90	96	83	72	82	91	75	82	83	80	87	88	97	100	100	88.6
23.	90	81	79	79	82	80	79	76	77	73	71	71	75	73	77	77	92	98	83	85	84	93	96	87	81.6
24.	96	90	97	97	97	97	97	99	89	88	94	100	97	100	100	100	100	100	100	100	100	100	100	100	97.4
25.	100	100	100	100	100	100	100	100	100	100	92	92	99	91	92	86	96	100	98	96	90	82	89	95	95.6
26.	96	96	97	98	99	99	100	100	100	100	100	100	100	100	100	100	100	100	100	100	100	100	100	100	99.4
27.	100	100	100	100	100	100	91	85	80	81	74	86	91	93	92	90	68	57	58	62	96	43	39	39	80.2
28.	42	37	37	30	22	24	37	45	41	43	50	61	79	77	80	83	88	82	78	87	100	100	66	86	61.5
29.	95	98	98	98	98	97	97	66	53	45	68	61	71	65	64	59	60	63	69	76	81	85	88	92	77.0
30.	69	74	76	78	80	86	83	77	78	81	76	75	80	88	100	100	100	100	100	100	100	100	100	100	87 5
31.	85	86	100	100	100	100	100	100	100	100	100	100	100	100	99	87	94	62	68	91	94	43	22	19	85.4
Mittel	78.8	74.8	76.3	78.9	77.1	77.0	77.8	78.1	78.7	79.3	80.3	81.6	83.7	85.7	86.7	86.9	87.7	85.8	86.1	87.6	88.8	83.8	80.8	80.0	81.8

Hygrometer-Registrierung. **Zugspitze.** 1911.

September

Datum	1a	2a	3a	4a	5a	6a	7a	8a	9a	10a	11a	12m	1p	2p	3p	4p	5p	6p	7p	8p	9p	10p	11p	12mn	Mittel
1.	20	19	21	15	21	⟨ 10	10	⟨ 10	⟨ 10	10	16	15	22	32	27	35	33	37	17	⟨ 10	30	31	42	45	22.4
2.	46	47	48	48	49	50	42	33	39	46	47	48	46	48	57	68	68	55	50	56	50	50	52	54	49.9
3.	56	57	58	35	27	31	27	31	28	27	41	39	26	37	44	52	21	24	24	25	24	39	29	21	34.3
4.	21	19	17	21	27	39	49	51	55	66	76	77	75	71	84	97	96	90	92	100	100	100	99	99	67.5
5.	94	91	67	72	65	81	86	86	80	85	93	94	97	97	95	93	98	99	100	100	100	99	98	99	90.4
6.	99	100	100	100	100	100	100	100	100	100	100	100	100	100	100	100	98	96	95	68	68	79	72	71	93.6
7.	68	62	61	62	67	55	62	67	65	63	60	62	70	75	66	67	74	74	50	48	45	40	41	41	60.2
8.	42	44	46	49	58	56	52	50	36	37	53	56	57	57	59	60	61	65	66	59	65	69	71	75	56.0
9.	75	77	78	93	85	83	87	85	82	81	74	73	74	80	81	79	74	84	93	78	72	79	80	86	80.5
10.	82	81	81	82	84	86	94	96	99	100	100	100	100	100	100	100	100	100	100	100	100	100	100	100	95.2
11.	99	27	19	15	11	10	10	10	10	13	24	42	40	42	56	67	73	74	48	50	55	64	70	70	41.6
12.	64	71	70	66	67	72	66	58	55	52	52	55	56	60	61	66	63	64	67	75	76	79	76	73	65.2
13.	77	81	90	89	91	92	79	73	60	65	62	62	65	65	65	68	69	72	72	75	78	80	83	83	74.8
14.	87	90	89	90	92	94	72	76	77	79	73	74	81	79	80	81	79	78	81	82	87	88	94	97	83.3
15.	99	98	99	88	92	90	84	83	95	96	98	100	100	100	100	100	100	100	100	100	100	100	100	100	96.8
16.	100	100	100	100	100	100	100	100	100	100	100	100	100	100	100	100	100	100	100	100	100	100	100	100	100.0
17.	100	100	100	100	100	100	100	100	100	100	98	97	99	100	99	98	97	96	98	100	100	100	100	100	99.3
18.	100	100	100	100	100	100	100	100	100	100	100	100	100	100	100	100	100	100	100	100	100	100	100	100	100.0
19.	100	100	100	100	100	100	100	99	97	95	96	94	96	96	83	62	56	62	63	63	73	69	76	68	85.3
20.	62	64	66	72	80	87	85	100	83	81	84	84	92	89	85	88	91	90	95	90	92	94	98	100	85.5
21.	99	97	98	97	98	97	98	97	100	98	96	98	100	100	100	100	100	100	100	100	100	100	100	100	98.9
22.	100	100	100	100	100	100	100	100	100	100	100	100	100	100	100	100	100	100	100	100	100	100	100	100	100.0
23.	100	100	100	100	100	100	100	100	100	100	100	100	100	100	100	99	99	99	98	98	92	90	86	86	97.8
24.	86	87	85	85	87	87	88	89	88	94	100	100	100	100	100	100	100	100	100	100	100	100	100	100	94 8
25.	100	100	100	100	100	100	100	100	100	100	100	100	100	100	100	100	100	100	100	100	100	99	99	96	99.8
26.	95	73	74	75	77	67	70	47	36	38	31	33	44	47	60	77	82	83	90	86	57	23	23	17	58.5
27.	20	22	23	29	21	23	24	26	82	86	82	84	84	88	88	84	78	90	71	52	82	90	61	79	61.2
28.	80	89	86	83	78	83	88	99	99	100	100	100	100	100	100	100	100	100	100	100	100	100	100	100	95.2
29.	100	100	100	100	100	100	100	100	100	100	100	100	100	100	100	100	100	100	100	100	100	100	100	100	100.0
30.	100	100	100	100	100	100	100	100	100	100	100	100	100	100	100	100	100	100	100	100	100	100	100	100	100.0
Mittel	79.0	76.5	75.9	75.5	75.9	76.4	75.8	75.5	75.9	77.1	78.5	79.6	80.8	82.1	83.0	84.7	83.7	84.4	82.3	80.5	81.5	82.1	81.7	82.0	79.6

Oktober

Datum	1a	2a	3a	4a	5a	6a	7a	8a	9a	10a	11a	12m	1p	2p	3p	4p	5p	6p	7p	8p	9p	10p	11p	12mn	Mittel
1.	88	98	100	100	100	100	100	100	100	100	100	100	100	100	100	100	100	100	100	100	100	100	100	100	99.4
2.	100	100	100	100	100	100	100	100	100	100	100	100	100	100	100	99	100	100	100	100	100	100	99	99	99.9
3.	98	98	100	100	95	90	85	84	83	82	83	80	77	75	75	70	72	72	73	72	68	69	66	70	80.7
4.	68	69	70	69	68	68	68	74	75	72	78	73	71	72	71	70	73	75	75	75	78	76	78	79	72.7
5.	79	78	80	81	93	92	100	100	100	96	95	93	90	100	100	100	100	100	95	94	93	95	96	100	93.8
6.	100	100	100	100	100	100	97	91	93	100	100	96	98	100	100	100	100	97	100	100	100	100	93	92	98.2
7.	90	93	91	88	89	88	92	88	94	95	92	99	100	100	92	88	82	83	83	92	63	80	86	86	88.9
8.	95	93	77	63	57	52	54	58	57	55	60	69	77	84	88	92	95	96	97	100	96	96	100	100	79.6
9.	100	100	100	100	95	93	95	96	92	89	87	91	84	95	99	98	98	86	99	100	100	100	100	100	95.7
10.	100	100	100	100	100	100	100	100	100	100	100	100	100	100	100	100	100	100	100	100	100	99	97	96	99.7
11.	95	94	92	91	90	88	87	85	85	80	78	80	84	85	84	80	73	75	41	43	45	30	22	21	72.0
12.	21	20	20	19	19	24	21	23	25	25	22	22	21	25	30	36	42	47	58	61	63	65	54	36	33.3
13.	37	40	41	41	38	40	26	29	29	32	35	39	40	46	50	56	56	56	59	60	62	52	46	44	43.9
14.	47	54	45	45	40	36	42	40	41	42	44	56	64	75	80	96	73	79	84	87	89	88	87	92	63.6
15.	92	78	78	75	81	76	73	75	81	81	85	87	85	88	87	89	86	83	90	86	80	82	79	72	82.0
16.	68	68	66	57	48	46	44	48	47	47	51	51	50	58	69	73	73	85	87	77	72	75	75	64	62.5
17.	62	63	64	67	64	60	46	40	16	23	24	26	32	42	51	58	69	78	74	72	62	61	58	62	53.1
18.	66	65	63	62	58	59	62	58	62	56	56	55	57	58	60	53	58	59	54	52	32	10	⟨ 10	⟨ 10	51.5
19.	⟨ 10	⟨ 10	⟨ 10	⟨ 10	⟨ 10	10	13	14	15	15	15	17	18	24	27	26	27	27	28	31	34	37	38	43	21.2
20.	45	43	43	45	42	47	51	57	59	80	91	90	88	86	86	93	88	83	80	84	97	88	100	100	73.6
21.	89	100	85	78	56	62	56	54	37	42	33	29	28	32	35	32	36	33	37	41	27	23	20	20	45.2
22.	20	10	19	25	28	37	52	60	68	74	77	83	90	91	88	92	94	97	95	90	90	90	88	92	68.8
23.	97	99	98	90	89	86	85	84	71	66	58	60	53	56	57	58	49	39	37	42	48	46	40	43	64.6
24.	47	81	100	100	99	100	100	100	97	95	90	87	99	100	99	99	99	98	98	68	60	42	38	40	84.8
25.	30	28	29	27	37	40	43	47	47	48	52	68	74	80	84	88	94	96	100	100	100	100	100	100	67.2
26.	99	99	100	100	100	100	100	100	74	60	56	83	53	60	59	60	49	49	46	39	39	39	54	80	70.8
27.	80	81	73	71	63	56	45	43	44	41	46	49	45	67	58	77	79	82	85	88	95	96	97	95	69.0
28.	97	95	97	97	98	99	100	100	100	100	100	100	100	100	100	100	100	100	100	100	100	98	97	95	98.9
29.	92	89	88	86	84	83	83	84	81	80	83	86	90	100	100	100	100	100	100	100	100	98	96	95	91.6
30.	92	90	88	86	84	80	75	68	62	46	40	39	26	32	31	17	⟨ 10	15	20	20	25	13	11	16	45.3
31.	22	20	22	19	16	23	39	33	38	41	39	37	34	39	38	39	42	46	41	41	43	47	50	55	36.0
Mittel	71.8	72.8	72.2	70.7	69.1	68.9	68.8	68.8	66.8	66.5	66.8	69.2	68.6	73.2	74.1	75.5	74.7	75.4	75.4	74.7	72.9	70.8	70.2	70.9	71.2

Hygrometer-Registrierung. **Zugspitze.** 1911.

November

Datum	1a	2a	3a	4a	5a	6a	7a	8a	9a	10a	11a	12m	1p	2p	3p	4p	5p	6p	7p	8p	9p	10p	11p	12mn	Mittel
1.	58	60	63	73	84	80	84	83	79	78	77	78	77	78	78	75	80	86	85	82	77	74	71	56	75.7
2.	54	52	51	44	37	34	33	30	32	33	33	35	36	37	43	50	57	63	77	85	90	93	93	98	53.5
3.	90	90	94	94	88	84	79	77	84	81	80	80	77	75	77	71	71	77	79	78	78	60	48	39	77.1
4.	32	28	29	31	29	28	32	33	32	35	41	44	47	48	46	46	47	45	45	44	42	41	43	44	38.8
5.	44	43	44	44	45	50	76	60	46	50	51	54	52	55	58	58	60	58	56	56	60	67	70	74	55.5
6.	80	83	87	89	92	98	100	100	100	100	100	100	100	100	100	100	100	100	100	100	100	100	100	100	97.0
7.	100	100	100	100	100	100	100	94	92	90	89	88	88	87	88	90	82	77	73	71	64	64	57	58	85.5
8.	61	59	62	70	75	73	70	70	67	65	65	66	63	64	61	57	61	69	62	59	55	55	41	35	61.9
9.	32	39	40	55	73	82	78	78	80	80	84	87	85	88	90	90	95	94	94	92	91	94	94	96	79.6
10.	97	100	100	100	100	100	100	100	100	100	100	100	100	100	100	100	100	100	100	100	100	100	100	100	99.9
11.	100	100	100	100	100	100	100	100	100	100	100	100	100	100	100	100	100	98	95	91	80	78	69	73	95.2
12.	61	52	51	45	44	41	43	50	50	52	51	50	49	49	49	49	49	50	52	53	56	56	62	63	51.1
13.	67	68	68	72	74	75	76	78	81	85	95	99	100	100	100	100	100	100	100	100	100	100	100	100	89.1
14.	100	100	100	100	100	100	100	100	99	97	95	94	92	90	88	87	84	84	77	69	65	65	65	62	88.0
15.	50	47	48	39	41	39	34	28	28	28	28	28	28	28	34	50	55	63	65	69	70	70	72	74	46.5
16.	82	73	57	71	74	64	68	71	76	78	79	88	87	95	89	92	88	100	97	96	83	74	54	71	79.5
17.	71	61	46	46	47	34	25	37	36	38	38	42	43	45	46	55	59	61	63	61	61	62	65	66	50.3
18.	69	74	78	79	83	90	94	92	93	90	89	91	98	98	99	96	94	94	93	90	94	99	92	85	89.8
19.	87	93	100	100	100	99	100	100	100	100	100	100	100	100	100	100	100	100	100	100	100	100	100	100	99.2
20.	100	100	100	100	100	100	100	90	90	92	91	92	92	92	92	95	95	96	98	99	100	100	100	100	96.4
21.	100	100	100	100	100	100	100	95	98	100	100	97	96	95	98	92	89	89	91	90	90	99	99	87	96.0
22.	89	87	86	86	87	85	85	83	74	70	67	64	61	65	69	71	73	74	73	79	80	79	82	87	77.3
23.	86	91	93	95	89	92	94	94	91	90	96	100	100	100	100	100	100	99	94	86	81	84	89	91	93.1
24.	95	94	89	91	97	100	100	100	100	100	98	100	100	97	89	83	82	81	83	90	98	98	95	97	94 0
25.	100	100	100	100	100	100	100	100	100	100	100	100	100	100	100	100	100	100	100	100	100	100	100	100	100.0
26.	100	100	100	100	100	100	100	94	91	88	84	82	79	75	75	74	66	55	61	59	60	62	59	54	79.9
27.	53	53	53	54	57	60	59	60	60	57	57	53	55	51	47	47	47	48	52	51	50	49	59	69	54.2
28.	69	72	60	61	66	66	67	67	64	67	65	63	65	68	69	72	74	76	78	81	80	81	82	85	70.8
29.	87	92	97	95	92	88	87	92	97	96	98	89	91	95	94	87	95	92	90	90	82	93	94	97	92.1
30.	96	90	87	83	87	95	95	88	96	95	94	84	83	88	91	95	93	93	97	93	96	82	67	92	90.4
Mittel	77.0	76.7	76.1	77.2	78.7	78.6	79.3	78.1	77.9	77.8	78.2	78.3	78.1	78.8	79.0	79.4	79.9	80.7	81.0	80.5	79.4	79 3	77.4	78.2	78.6

Dezember

Datum	1a	2a	3a	4a	5a	6a	7a	8a	9a	10a	11a	12m	1p	2p	3p	4p	5p	6p	7p	8p	9p	10p	11p	12mn	Mittel
1.	93	94	94	94	92	72	64	47	24	17	19	23	19	14	23	26	44	56	59	59	53	55	60	70	53.0
2.	71	76	78	83	81	84	90	84	56	53	49	52	47	47	48	49	44	45	43	38	38	39	43	48	57.8
3.	58	71	76	74	90	100	98	98	98	97	97	93	92	90	88	88	88	84	85	88	90	87	82	88	87.5
4.	92	92	92	88	88	80	92	82	80	77	78	90	89	92	99	98	100	100	99	98	100	99	99	100	91.8
5.	100	100	100	100	100	100	100	95	95	95	95	95	94	90	87	84	83	82	80	73	57	40	38	56	85.0
6.	66	82	84	84	83	77	74	78	71	67	54	53	53	56	54	60	61	62	63	65	65	64	61	60	66.5
7.	59	57	56	51	50	48	47	55	52	63	70	74	80	80	82	84	84	86	87	90	95	92	92	92	71.9
8.	93	93	88	85	79	77	75	77	78	80	93	100	100	100	100	100	100	100	100	100	100	85	86	87	90.7
9.	96	93	92	89	84	76	70	68	73	75	98	100	100	100	100	100	100	100	100	100	100	99	98	98	92.0
10.	97	97	97	97	96	95	95	75	73	75	70	68	65	65	67	58	54	50	49	51	57	61	75	86	73.9
11.	90	89	85	86	91	100	100	100	94	100	97	96	89	90	93	97	100	100	100	100	100	100	100	100	95.7
12.	100	100	100	100	100	100	100	100	100	100	100	100	100	100	99	99	98	97	96	96	95	95	95	94	98.5
13.	88	86	83	82	78	77	80	79	78	77	80	83	85	87	93	100	100	100	95	88	87	87	84	83	85.8
14.	82	80	82	91	85	87	90	100	100	100	100	100	100	100	100	98	98	94	89	84	78	71	64	55	88.7
15.	49	54	53	56	58	58	60	60	63	64	54	58	59	60	64	72	74	84	90	89	91	92	97	97	69.0
16.	98	98	98	99	99	100	100	100	100	100	100	100	100	100	100	99	99	98	98	95	95	96	91	80	97.6
17.	68	84	66	58	60	61	56	57	41	40	39	34	30	28	30	70	68	71	71	69	72	66	74	76	57.9
18.	77	81	81	76	70	70	62	56	61	52	58	64	59	60	59	57	56	56	60	55	52	51	51	50	61.4
19.	44	42	43	49	37	37	37	37	37	35	32	33	31	33	34	38	37	36	36	39	42	42	43	43	38.2
20.	41	38	39	45	49	48	65	65	67	70	72	75	76	81	87	93	100	100	100	100	100	99	98	97	75.2
21.	96	95	94	93	87	72	60	51	46	45	58	88	98	100	100	100	100	100	100	100	100	100	100	100	86.8
22.	100	100	100	100	100	100	100	100	100	100	100	100	100	100	100	100	100	100	100	100	100	100	100	100	100.0
23.	100	100	100	100	100	100	100	100	100	100	100	100	100	100	100	100	100	100	100	100	100	96	92	88	99.0
24.	84	80	76	72	68	64	60	53	60	65	66	70	72	70	73	77	86	96	97	98	100	100	100	100	78.6
25.	100	99	98	98	98	97	90	100	100	100	100	100	100	100	100	100	100	100	100	100	100	100	100	100	99.2
26.	100	100	100	100	100	100	100	100	100	100	100	100	100	100	100	100	100	100	100	100	100	100	100	100	100.0
27.	100	100	100	100	100	100	100	100	100	100	100	100	100	100	100	100	100	99	100	100	100	100	100	100	100.0
28.	100	100	100	100	100	100	100	100	100	100	100	100	100	100	100	100	100	100	100	100	100	100	100	100	100.0
29.	100	100	100	100	100	100	100	100	100	100	100	100	100	100	100	100	100	100	100	100	100	100	100	100	100.0
30.	100	100	100	100	100	100	100	100	100	100	100	100	100	100	100	100	100	100	94	87	80	81	89	98	97.0
31.	99	97	98	98	99	100	100	96	96	96	96	96	95	95	95	94	90	82	76	76	75	75	77	76	90.7
Mittel	85.2	86.4	85.6	85.4	84.6	83.2	82.7	81.1	78.8	78.8	79.8	82.1	81.7	81.9	83.1	85.2	85.9	86.4	86.0	85.1	84.6	83.0	83.5	84.6	83.5

Anemometer-Registrierung. **Zugspitze.** 1911.

Datum	0–1ª	1–2ª	2–3ª	3–4ª	4–5ª	5–6ª	6–7ª	7–8ª	8–9ª	9–10ª	10–11ª	11ª–m	0–1ᵖ	1–2ᵖ	2–3ᵖ	3–4ᵖ	4–5ᵖ	5–6ᵖ	6–7ᵖ	7–8ᵖ	8–9ᵖ	9–10ᵖ	10–11ᵖ	11ᵖ–mn	Mittel
Januar																									
1.	1.0	1.0	1.0	1.0	1.0	1.0	1.0	2.3	3.6	3.3	4.1	4.4	3.6	2.5	3.3	2.5	3.6	4.4	4.7	6.3	6.0	6.8	6.3	5.5	3.34
2.	5.2	5.5	5.5	5.5	5.7	5.7	6.0	6.0	6.3	6.3	6.5	6.5	6.8	6.8	7.1	7.1	7.3	7.3	7.6	7.6	7.9	7.9	8.1	8.1	6.68
3.	8.4	8.4	8.7	8.7	9.0	9.0	9.2	9.2	9.5	9.5	9.8	9.8	10.1	10.1	10.6	10.9	5.7	8.4	9.5	9.5	9.2	8.4	7.6	10.1	9.14
4.	14.9	16.6	16.6	16.6	14.4	15.5	10.6	10.3	10.9	9.0	9.5	5.2	5.5	5.5	7.1	6.3	4.4	6 3	5.7	5.2	7.1	4.9	4.7	2.5	8.97
5.	1.8	3.1	1.0	2.3	4.7	5.2	6.8	6.0	7.1	6.3	6.3	6.8	5.5	4.7	6.8	6.5	3.3	2.3	3.1	3.3	2.8	2.5	4.1	5.5	4.49
6.	7.6	8.7	6.8	9.0	9.2	10.9	11.7	11.9	12.2	10.9	10.1	7.6	6.5	9.8	9.8	7.6	8.1	9.2	7.9	9.5	10.9	10.6	12.8	11.4	9.61
7.	10.3	7.9	7.6	7.1	6.8	6.3	5.5	4.7	4.7	5.7	8.4	7.6	7.6	7.6	7.3	7.3	7.1	6.8	6.8	6.5	6.3	6.0	6.0	5.7	6.82
8.	5.5	5.5	5.2	4.9	4.7	3.6	3.3	4.1	2.8	1.8	3.3	1.8	1.5	1.5	0.0	1 0	0.0	1.0	1.0	1.0	1.5	2.3	1.5	1.0	2.49
9.	1.5	1.5	2.5	2.0	1.8	3.3	4.1	2.5	1.8	2.0	2.0	1.8	3.6	3.1	2.3	2.8	1.8	1.0	1.0	1.0	2.3	1.0	1.8	1.8	2.10
10.	1.8	1.8	1.8	1.8	1.8	1.5	1.5	1.5	1.5	1.5	1.5	1.5	1.5	1.0	0.0	1.0	1.0	1.0	1.0	1.0	1.0	0.0	0.0	1.0	1.21
11.	0.0	1.0	1.0	1.0	1.0	1.0	1.0	1.8	1.0	4.1	6.0	4.1	4.7	2.5	1.5	1.0	1.0	1.0	1.8	1.0	1.0	1.5	1.5	1.8	1.80
12.	3.9	5.5	5.2	3.6	2.8	2.3	3.1	2.0	1.8	3.6	3.9	4.4	4.1	3.6	2.5	2.5	2.0	2.3	2.8	2.5	3.9	3.3	3.3	3.1	3.25
13.	3.1	3.1	3.1	4.1	3.3	4.1	4.1	2.8	2.0	2.5	2.3	2.0	1.8	2.0	2.3	1.0	1 5	1.0	1.0	1.0	1.0	1.0	1.5	1.5	2.21
14.	1.8	2.0	2.3	2.5	2.5	2.8	2.8	3.1	3.3	3.3	3.6	5.7	3.3	2.8	2.5	2.3	2.3	1.5	1.0	0.0	1.0	1.0	1.8	5.2	2.52
15.	5.2	4.7	4.4	5.7	5.7	8.4	9.5	10.9	9.2	9.8	10.1	7.9	10.1	11.1	11.7	10.9	9.8	6.5	5.5	5.7	6.0	7.9	9.8	8.7	8.13
16.	7.3	7.6	6.5	5.5	2.8	3.3	5.2	4.9	4.7	4.1	4.4	3.9	4.1	4.9	4.7	5.5	5.2	4.7	4.7	4.1	4.4	3.9	4.7	6.0	4.88
17.	5.2	4.4	2.8	2.3	2.5	2.0	2.3	2.8	2.0	1.8	1.5	1.0	1.5	1.0	1.8	1.0	1.8	1.5	1.5	1.5	2.0	2.5	1.8	2.5	2.13
18.	2.5	2.8	4.4	3.9	3.9	4.1	4.4	4.1	4.1	4.1	4.1	4.4	4.4	4.4	4.4	4.1	4.1	4.1	4.7	4.4	4.7	5.5	4.9	4.1	4.4	4.19
19.	4 1	4.1	4.1	3.9	4.4	3.9	4.7	4.7	3.9	2.5	2.8	2.8	2.8	2.8	2.8	2.8	2.8	2.8	2.0	1.0	1.0	1.0	1.0	1.0	2.90
20.	1.0	1.0	1.0	1.5	1.5	1.5	1.5	1.8	1.8	1.8	1.8	2.0	2.0	3.1	4.9	5.2	4.7	4.9	5.2	5.2	5.5	5.5	5.7	5.7	3.16
21.	6.0	6.0	6.3	6 5	6.5	6.8	6.8	7.1	7.1	7.1	7.1	7.1	5.7	4.1	2.0	1.8	1.8	1.5	1.5	2.0	1.8	1.0	1.0	1.0	4.40
22.	2.5	4.1	4.4	3.9	6.5	6.8	6.3	5.2	7.1	5.7	5.5	6.0	4.7	5.5	3.6	4.1	6.8	7.1	5.5	7.3	4.9	6.0	4.7	3.6	5.33
23.	3.9	2.8	1.5	1.0	1.5	1.5	1.8	2.3	3.3	3.9	4.7	4.9	5.2	4.7	5.5	6.3	3.6	5.7	6.8	6.8	7.1	7.6	6.3	5.7	4.35
24.	4.4	4.1	3.6	3 6	3.6	4.7	5.7	5.2	6.3	4.9	3.3	3.1	4.9	6.0	5.2	5.2	4.7	6.8	4.7	7 1	4.1	5.2	4.9	2.5	4.74
25.	2.5	4.1	3.6	3.9	3.3	3.6	3.6	3.6	2.3	2.8	2.8	2.8	3.1	4.9	3.6	2.5	2.5	3.1	2.8	2.8	2.0	2.5	2.5	2.5	3.07
26.	2.5	2.0	1.5	1.0	1.5	1.5	1.0	1.5	1.5	1.0	0.0	0 0	1.8	1.0	2.0	1.8	2.0	1.0	3.1	4.4	4.4	4.1	4.1	4.1	2.03
27.	4.1	3.9	3.9	3.9	3 6	3.6	3.6	3.3	3.3	3.3	3.3	3 1	3.3	3.1	2.8	3.6	3.3	3.9	4.1	3.3	2.8	3.6	4.9	5.2	3.62
28.	4.1	3.9	4.9	6.3	6.0	5.7	4.7	6.5	7.1	6.8	7.9	7.3	8.1	8.4	6.0	5.2	3.3	2.3	4.1	3.1	1.8	1.0	1.0	0.0	4.81
29.	1.0	1.0	1.0	2.0	1.5	2.8	3.6	4.7	3.3	3.3	4.7	3.6	2.8	1.0	1.0	1.0	1.0	1.0	1.8	1.0	1.5	1.0	2.3	2.5	2.10
30.	3.1	4.9	5 5	3.9	2.8	2.5	2.3	2.3	2.3	2.3	2.3	2.3	2.3	2.0	2.0	2.0	2.0	2.0	2.0	1.8	1.8	1.8	2.0	3.9	2.59
31.	4.4	4.1	4.1	4.1	4.1	5.2	5.7	7.6	8.4	10.1	11.9	10.3	10.3	9.5	7.6	8.7	7.3	7.3	6.3	6.5	5.5	4.7	5.5	4.7	6.83
Mittel	4.21	4.42	4.25	4.29	4.21	4.52	4.63	4 73	4.72	4.68	5.02	4.57	4.62	4.55	4.34	4.24	3.74	3.88	3.90	3.99	4.00	3.92	4.11	4.14	4 32
Februar																									
1.	3.9	4.4	3.9	2.8	1.4	2.2	2.0	2.0	2.2	2.2	1.7	2.2	2.5	2.5	3.6	3.3	2.8	3.3	3.9	2.8	2.5	3.0	2.5	3.3	2.8
2.	3.3	3.0	3.0	2.5	2.5	2.8	2.2	2.8	2.5	2.5	2.5	2.8	3.3	5.0	5.0	5.3	5.6	5.8	6.1	6.4	6.7	7.0	7.2	7.5	4.3
3.	7.8	8.1	7.8	7.8	7.5	7.5	7.2	7.2	7.0	7.0	7.0	7 0	6.4	6.4	6.1	6.1	5.8	5.8	5.6	5.6	5.3	5.0	5.0	4.7	6.5
4.	4.7	4 4	4.4	4.2	3.9	3.6	4.4	5.0	5.8	6.4	7.2	6.7	5.8	5.6	5.8	5.3	5.0	6.1	5.6	6.4	3.9	1.4	1.4	1.7	4.8
5.	2.8	2.2	3.0	2.5	2.0	2.0	2.0	2.2	3.9	4.2	3.0	3.9	2.8	3.9	3.9	3.0	3.0	4.4	3.3	3.6	5.3	5.3	5.8	4.2	3.4
6.	3.6	3.3	2.8	2.5	3 6	2.8	1.0	1.0	1.0	1.0	1.0	1.0	1.0	1.7	2.0	1.4	1.4	1.7	1.4	1.4	2.2	2.8	2.8	3.0	2.0
7.	2.2	2.5	3.3	2.8	3.6	3.3	2.8	3.3	4.2	3.3	2.8	4 7	5.3	4.4	4.4	4.4	3.3	2.8	5.6	6.4	2.8	2.5	2.8	3.0	3.6
8.	2.5	2.0	1.7	1.7	1.7	1.4	1.4	1.7	2.0	1.7	1.4	2.5	3.0	3.3	3.0	3.0	3.0	2.8	2.5	2.2	2.0	2.0	2.2	2.8	2.2
9.	2.8	2.5	2.2	1.9	1.0	1.7	2.0	1.7	2.0	1.7	2.2	2.2	2.0	1.7	1.0	1.0	1.4	2.0	1.0	1.0	2.0	2.2	1.0	1.0	1.7
10.	3.0	4.4	5.6	5.0	5.0	5.0	4.4	5.8	2.8	2.2	3.0	2.5	2.0	2.0	3.6	3.6	3.0	5.0	5.8	5.6	4.7	5.3	4.7	4.4	4.1
11.	3.6	4.2	3.6	3.3	3.9	3.9	3.3	3.6	6.4	6.4	5.6	5.6	7.0	7.2	7.5	6.7	5.6	6.4	3.6	3.6	3.9	4.4	3.9	3.9	4.9
12.	5.0	3.9	3.6	4.2	2.8	2.2	2.8	2.8	2.2	2.0	3.0	5.8	7.0	7.8	7.8	7.2	7.5	8.4	8.6	6.7	5.3	4.4	6.7	7.5	5.2
13.	6.4	5.0	4.7	5.6	3.6	5.0	5.3	5.0	4.7	5.3	8.4	7.5	7.5	7.2	5.6	4.7	4.2	1.4	2.0	5.0	5.3	4.0	3.0	3.0	5 0
14.	4.0	1.0	1.0	1.0	1.0	1.7	1.4	2.0	2.2	1.7	1.4	1.0	1.0	1.0	1.0	0.0	1.0	1.0	1.0	1.4	2.0	2.5	2.8	3.0	1.5
15.	3.3	2.8	3.0	2.5	2.8	2.5	2.2	2.0	2.2	2.8	4.2	2.0	2.5	2.0	2.0	3.0	3.6	3.0	5.6	4.7	5.6	7.8	9.8	7.8	3.7
16.	4.2	3.0	2.8	1.0	1.0	1.4	1.7	2.0	1.4	3.9	3.6	2.2	2.8	5.6	5.0	6.4	7.5	7.2	7.0	7.2	8.6	9.5	5.6	6.4	4.5
17.	7.5	8.9	9.5	9.5	10.9	10 3	8.9	10.3	11.4	11.2	11.5	13.7	17.9	9.8	9.8	9.2	7.5	6.7	6.1	6.4	5.6	4.7	4.7	4.4	9.0
18.	3.9	4.4	4.4	3.4	4.4	5.0	4.7	5.0	5.3	5.6	5.8	6.1	6.4	6.7	7.5	3.3	3.0	4.7	4.2	3.9	3.6	3.3	3.6	3.0	4.6
19.	4.2	3.9	5.8	10.6	15.4	6	14.3	11.7	11.1	11.1	6.1	5 0	5.3	6.4	2.8	11.2	14.3	8.4	3.9	3.3	4.4	4.7	3.3	1.7	7.7
20.	3.3	3.0	2.8	2.5	2.8		3.0	3.0	3.0	2.8	2.8	2.8	2.5	2.5	2.6	3.2	5.6	4.5	5.0	8.0	10.0	10.8	11.4	8.0	4.5
21.	9.1	7.7	10.0	7.5	8.9	3.0	8.3	8.6	9.7	9.1	7.5	8.0	6.4	4.2	5.0	3.4	4.2	6.1	7.5	8.6	9.4	9.7	8.3	7.7	7.6
22.	7.5	6.1	6.9	5.6	4.8	4.8	4.0	4.0	4.2	6.4	6.4	16.1	10.8	10.5	9.7	9.7	11.1	11.1	10.8	10.8	10.8	10.8	10.5	10.5	8 5
23.	10.5	10.5	10.3	10.3	10.3	10.0	10.0	10.0	10.0	9.7	9.7	9.7	9.4	9.4	9.5	8.9	9.8	22.4	21.8	25.4	24.3	23.5	19.6	8.4	13.1
24.	14.3	14.0	13.7	13.4	13.1	12.9	12.6	12.3	12.0	11.7	11.4	11.2	10.9	10.6	10.3	10.0	11.4	8.4	5.0	4.7	5.3				
25.																									
26.																1.7	1.0	1.0	1.0	1.0	1.0	1.0	1.0	1 0	
27.	1.0	1.0	1.0	1.0	1.0	1.0	1.0	1.0	1.0	1.0	1.0	1.0	1.0	1.0	1.0	1.0	0.0	1.0	0.0	0.0	1.0	1.0	0.0	0.0	0.8
28.	0.0	1.0	0.0	1.0	1.0	1.0	1.0	0.0	0.0	0.0	0.0	1 0	0.0	1.0	0.0	0.0	0.0	1.0	0.0	1.4	0.0	0.0	0.0	0.0	0.4
Mittel																									

Anemometer-Registrierung. **Zugspitze.** 1911.

Datum	0–1a	1–2a	2–3a	3–4a	4–5a	5–6a	6–7a	7–8a	8–9a	9–10a	10–11a	11a–m	0–1p	1–2p	2–3p	3–4p	4–5p	5–6p	6–7p	7–8p	8–9p	9–10p	10–11p	11p–mn	Mittel
März																									
1.	2.5	2.5	2.5	2.5	2.5	2.5	2.5	2.5	2.5	2.5	2.5	2.5	2.5	2.5	2.5	2.5	2.5	2.5	2.5	2.5	2.2	2.2	2.2	2.2	2.45
2.	2.2	2.2	2 2	2.2	2.2	2.2	2.2	2.2	2.2	2 2	2.2	2.2	2.2	2.2	2.2	2.2	3.0	3.0	4.2	4.7	4.4	4.2	3.0	3.3	2.71
3.	3.0	2.5	2.2	1.7	2.0	1.4	1.0	1.4																	
4.																									
5.																									
6.																									
7.										0.0	0.0	0 0	1.0	1.0	0.0	0.0	1.0	0.0	0.0	0.0	1.0	1.0	1.0	1.0	
8.	2.5	5.8	7.5	10.3	8.1	5.8	3.3	2.5	2.5	2.2	4.4	5.0	3.3	1.7	2.2	1.7	1.7	1.7	1.7	2.0	2.0	2.2	2.2	2.5	3.53
9.	2.5	2.8	2.8	3.0	3.0	3.3	3.3	3.6	3.6	3.9	3.9	3.9	3.9	5.0	4 4	3.6	3.3	3.6	3.9	5.6	5.3	5.3	4.2	3.3	3.79
10.	1.7	2.0	2.5	1.7	1.0	1.0	1.0	0.0	1.0	1.0	2.2	2.2	3.9	4.4	2.8	3.0	2.0	1.0	0.0	0.0	0.0	1.0	1.0	1.0	1.56
11.	1.0	1.0	1.4	2.0	2.5	3.0	3.6	3.7	1.8	1.0	1.0	1.5	2.6	2.9	2.3	2.1	3.2	2.9	2.3	2.9	4.0	4.2	4.2	5.0	2.59
12.	3.2	3.4	3.4	3.4	3.4	3.4	3.7	3.7	3 7	3.7	3.7	4.0	4.0	4.0	4.0	4.0	3.9	4.2	9.5	8.1	3.9	2.2	3.6	6.1	4.18
13.	1.0	3.0	2 8	3.3	2.8	3.6	5.3	4.2	9.8	13.7	15.4	17.6	12.9	11.2	10.0	8.6	7.8	6.7	5.8	5.0	3.9	2.0	2.2	1.0	6.65
14.	1.0	1.0	1.0	1 0	1 4	1.4	1.7	3.3	3.9	2.8	2.0	1.7	1.7	1.4	1.4	1.0	1.0	1.0	1.0	1.0	0.0	0.0	0.0	1.0	1.36
15.	1.0	1.0	1.0	1.0	1.0	1.4	1.4	1.7	1.7	2.0	2.0	2.2	2.2	2.5	2.5	2.5	2.5	1.0	1.0	1.0	1.0	1.0	1.0	1.0	1.53
16.	1.0	1.0	1.0	2.5	5.6	3.9	5.0	4.2	1.4	3.3	7.0	8.4	8.9	8.4	6.4	3.9	2.0	2.2	1.7	3.0	4.2	2.5	4.2	5.3	4.04
17.	6.7	5.8	3.6	3.3	2,2	4.2	4.2	2,0	0.0	0.0	1,0	1.0	0.0	1.0	0.0	1.0	2.8	3.6	4.4	4.7	5.3	4.4	6.4	8.4	3.17
18.	7.0	7.2	8.1	8 1	7.2	8.1	4.7	5.3	5.6	5.8	3.6	4.2	4.2	6.1	5.3	4.4	2.0	1.7	6.4	4.7	2.0	3.0	2.0	1.0	4.90
19.	1.0	1.7	1.7	0.0	0.0	5.3	6.4	5.6	3.0	1.0	1.7	1.4	1.7	4.2	3.6	5.3	4.4	5.6	8.1	8.6	7.0	6.1	5.6	7.8	4.03
20.	9.2	9.5	10.3	9 8	7.2	6.1	8.4	7.5	7.0	9.5	8.4	9.5	8.1	7.8	9.8	9.2	8.1	8.9	7.2	7.8	8.9	9.2	11.4	12.6	8.81
21.	12.0	12.0	10.6	10 3	6.7	5.0	6.7	6.1	7.8	8.1	7 8	6.4	5.6	6.4	8.6	7.2	6.7	5.8	6.7	8.4	8.4	7.2	7.2	6.4	7.67
22.	6.1	5.8	6.1	7.5	6.4	4.7	4.4	1.0	1.7	3.3	4.7	5.3	4.4	4.2	4.2	4.4	3.9	2,0	0.0	1.0	3.6	4.7	5.8	5.6	4.24
23.	3.0	3.3	1.0	1.4	2.2	1.0	0.0	0.0	0.0	0.0	0.0	2.2	2.8	1.7	3.0	4.2	3.6	1.0	1.4	1.0	0.0	0.0	2.2	3.3	1.60
24.	2.5	1.0	1.4	1.0	1.0	1.0	0.0	1.0	0.0	1.7	1.0	2.5	2.2	1.0	3.0	2.5	5.0	3.0	2.0	1.0	1.0	0.0	0.0	1.0	1.49
25.	1.0	1 0	1.4	0.0	1.0	1.0	1.0	0.0	1.0	1.0	2.2	5.0	7.2	5.8	4 2	3.0	4.2	4.2	4.2	4.2	4.2	4.4	4.4	4.4	2.92
26.	4.4	4.4	4 7	4.7	4.7	4.7	4.7	3.9	3.9	2.8	2.8	9.5	9.8	9.8	9.8	9.8	8.4	6.4	5.6	4.2	3.9	4.7	5.3	6.1	5.71
27.	6.7	7.5	8.1	8.9	9.5	10.3	10.9	11.7	12.3	13.1	13.7	12.3	13.1	11.4	10.3	9.5	8.4	12.4	15.4	18.7	18.7	18.4	18.2	18.2	12.40
28.	17.9	17.6	17.6	17.3	17.1	17.1	16.8	16.5	16.5	16.2	15.9	16.5	13.7	13.1	15.1	15.6	14.5	14.0	11.7	12.3	10.0	11.7	13.7	13.1	15.63
29.	11.7	9.5	11.4	13.7	19.6	15 6	17.9	11.4	12.0	9.5	9.2	9.5	7.8	9.5	7.5	8.4	7.5	8.6	11.2	11.2	12.3	11.7	14 3	12.0	11.37
30.	15.6	11.2	9.8	10,0	8.1	7.2	5.3	5 6	5.3	6.7	7.5	7.2	5.8	6.1	5.3	6.1	5.6	5.0	5.0	8.6	7.0	8.4	7.8	9.5	7.49
31.	7.8	5.3	1.0	1.0	1.4	2.5	0.0	0.0	1.0	3.0	3.0	2,8	3.3	3 3	2,5	1.0	1.0	1.0	1.4	3.0	1.0	2.0	1.7	1.0	2.13
Mittel																									
April																									
1.	1.0	1.0	1.0	0.0	0.0	0.0	0.0	0.0	1.0	1.0	1.0	0 0	0.0	1.4	1.7	1.0	2.2	1.7	1.0	2.0	2.8	1.4	1.0	0.0	0.93
2.	0.0	0.0	0.0	0.0	1.0	1.0	0.0	0.0	1.0	1.4	1.0	1.7	2.0	1.0	3.0	1.4	1.4	2.5	1.0	2.5	2.8	3 0	3.6	1.0	1.35
3.	1 0	1.0	1.0	0.0	1.0	1.0	0.0	0.0	0.0	0.0	3.9	5.0	4.2	4.7	5 3	4.7	5.6	4.4	3.6	1.4	3.0	3.0	3.0	3.0	2.49
4.	3.0	3.0	3.0	3.0	3.0	3.0	3.0	3.0	2,0	1.4	2,2	2,2	3.9	3.6	4.4	4.2	3.0	2.8	3.6	2.5	1.7	3.3	6.4	7.5	3.28
5.	7 5	9.5	10.6	8.4	8.9	8.1	7.2	10.0	10.6	9.8	11.7	13.4	10 0	7.5	9.8	14.3	15.4	11.7	10.3	8.6	10.6	13.7	12.3	10.3	10.43
6.	5.3	2.2	2.0	4.2	3.3	2.2	1.0	1.0	1.0	1.7	2.0	1.0	0.0	1.0	1.0	0.0	0.0	0.0	1.0	0.0	1.0	1.0	0.0	0.0	1.33
7.	0.0	0.0	0.0	0.0	0.0	0 0	0.0	0.0	1.0	1.7	2.8	3.6	2.8	4.4	7.2	5.3	5.3	7.0	5.0	5.8	4.2	3.0	3.6	3.3	2.79
8.	3.0	2.8	2.5	2.2	2.0	1.7	1.4	1.0	1.0	1.0	1.0	1.0	1.0	1.0	1.0	1.4	1.4	2.5	3.0	3.0	3.0	4.4	8.9	2.18	
9.	7.2	8.9	10.0	9.2	7.0	6.7	7 0	7.0	1.4	1.7	2.0	2.5	1.0	1.0	3.3	3.0	4.2	4.2	2.2	3.3	2.5	4.2	2.8	1.7	4.33
10.	0.0	0.0	2.0	2.5	2.8	2 0	2.0	2.2	1.0	1.4	2.2	2.8	3.0	4.2	6.1	3.9	3.9	3.9	2.8	3.3	2.2	1.4	3.0	2.2	2.52
11.	2.0	2.2	3.0	3.0	3.0	2.8	2.8	2.8	2.5	2.5	2.2	2.2	1.0	0.0	0.0	1.0	1.0	1.0	2.5	3.6	3.6	2.5	3.9	5.8	2.37
12.	8.6	8.6	9.2	7.5	6.7	6.4	7.0	5.8	6.7	5.3	5.3	4.7	7.2	5.8	8.4	8.9	7.2	7.8	7.2	11.2	15.4	12.9	14.8	17.1	8.57
13.	16.8	15.4	12.9	10.0	8.4	5.3	5.3	7.0	6.4	6.7	9.2	8.6	8.1	7.5	7.0	3.3	3.9	3.6	3.0	2.8	2.5	2.8	2.5	1.0	6.67
14.	1.4	2 0	2.5	3.0	3.6	4.2	4.7	5.3	5.8	6.4	7 0	6.7	3.9	6.4	6 4	8.1	6.4	7.2	8.9	7.2	6.4	7.5	7.0	7.2	5.63
15.	8.1	6.7	7.2	8.9	8.4	8.6	10.3	9.8	8.6	10.0	9.5	8.9	9.5	7.5	6.7	6.7	8.1	7.0	7.0	7.0	7.0	7.0	7.0	6.7	8.01
16.	6.7	6.7	6.7	6.7	6.4	6.4	6.4	6.4	6.4	6.4	4.2	5.0	5.3	5.3	5.0	2 5	2.8	6.1	11.4	11.2	10.9	12,0	10,3	11.2	7.02
17.	7.0	3.9	6.4	5.6	5.3	4.7	4 4	3.9	3.6	2.8	2.5	2.0	1.7	1.0	1.0	0.0	0.0	1.0	1.0	1.0	1.4	1.7	2.0	2.2	2.75
18.	2.5	2.8	3.0	3.3	3.3	3.6	3.6	3.9	4.2	4.4	4.7	5.0	5.3	5.6	5.8	5.8	6.1	5.3	7.0	9.5	12.9	11.4	9.5	13.4	5.91
19.	11.2	11.2	9.5	8.1	8.4	8.6	6.1	3.6	3.9	2,0	4.4	5.3	6.7	6.4	7.2	6.7	6.7	7.2	6.7	7.2	7.0	8.9	11,2	10,0	7.26
20.	6.7	5.3	5.8	5.0	5.0	3.6	3.3	3.9	7.0	6.1	4.7	2.8	2.8	3.0	3.0	2,8	7.8	4.4	3.3	2.2	1.0	1.7	2,0	1.0	3.93
21.	0.0	0.0	0.0	1.0	1.0	1.0	2.0	1.7	1.0	1.7	5.8	7.0	5.8	6.7	7.0	5.6	6.7	5.8	5.8	7.5	9.8	10,0	6.1	5.3	4.35
22.	6.1	7.2	8.1	9.2	7.5	6.7	6.7	9.5	10 9	10.6	8.9	8 4	7.8	7.0	6.4	5.3	3.0	2.8	2.8	4.4	3.0	2.2	1.0	1.4	6.12
23.	2.8	2.2	2.5	3.6	3.9	3.3	2,2	1.4	2,0	1.7	1.0	1.0	1.0	1.7	1.0	1.0	1.0	1.0	1.0	0.0	1.0	2.0	5.3	1.0	1.86
24.	1.0	3.0	3.0	3.3	3.6	1.0	1.0	.3.0	3.6	3.3	6,1	2,8	1.7	2,0	3.9	4.2	5.6	5 0	5.3	4.7	4.4	3.9	3.6	3.3	3.43
25.	3.0	2.8	2.5	2,2	2,0	1.7	1.4	1.0	1.0	1.7	2.5	1.4	2.8	3.6	2.5	2,0	2.8	4.7	3.9	5.6	7.2	7.0	4.7	3.3	3.05
26.	1.4	3.6	4.7	4.7	1.0	3.3	6.4	4.2	3.0	2.0	2 5	3.6	2.8	3.0	1,0	1.0	1.0	1.0	3.0	2,0	2.2	2.8	2.8	2.8	2.74
27.	2.8	2.8	2.5	2.5	2.5	2.5	2.2	2,2	2,2	2,2	2,2	1.7	1.4	1.4	4.4	10,3	7.2	5.6	6.4	7.2	5.0	6.4	6.4	7.0	4.04
28.	7.5	8.1	8.6	9.2	9.8	10.3	10.9	11.4	12,0	12.6	13.1	11.2	6.4	7.8	6.7	7.8	8.1	5.6	3.0	3.3	3.0	3.9	2.5	1.0	7.66
29.	1.0	2.0	3.3	4.4	6.7	5.8	7 0	13.4	11.4	14.0	8.6	8,6	4.4	3.6	2.5	1.7	1.7	2.5	2.2	2,0	1.4	1.0	1.0	0.0	4.59
30.	1.0	1.0	1.0	1.0	1.0	1.0	1.0	0.0	0.0	3.3	3.0	1.0	1.0	1.0	1.0	1.0	0,0	0,0	1.0	1.7	1.0	1.0	0.0	0.0	0.96
Mittel	4.19	4.19	4.48	4.39	4.22	3.88	3.88	4.15	4.07	4.23	4.57	4.37	3.82	3.87	4.32	4.15	4.32	4.14	4.18	4.46	4.66	4.88	4.79	4.62	4.28

Anemometer-Registrierung. **Zugspitze.** 1911.

Mai

Datum	0–1ª	1–2ª	2–3ª	3–4ª	4–5ª	5–6ª	6–7ª	7–8ª	8–9ª	9–10ª	10–11ª	11ª–m	0–1ᵖ	1–2ᵖ	2–3ᵖ	3–4ᵖ	4–5ᵖ	5–6ᵖ	6–7ᵖ	7–8ᵖ	8–9ᵖ	9–10ᵖ	10–11ᵖ	11ᵖ–mn	Mittel
1.	2.8	2.8	3.1	3.1	3.4	3.7	3.7	3.7	3.9	1.0	4.2	9.0	7.3	6.7	10.1	4.7	4.2	3.1	3.4	2.0	1.0	2.5	2.5	2.3	3.93
2.	2.3	2.3	2.0	2.0	2.0	1.7	1.7	1.4	1.4	1.4	1.0	2.0	1.4	2.5	3.1	2.0	2.0	3.1	4.7	4.2	4.5	4.5	4.2	5.9	2.64
3.	6.7	7.0	6.1	3.7	3.7	2.3	2.5	2.5	2.3	1.0	2.0	1.7	2.0	1.7	1.4	3.1	1.0	1.0	1.4	3.4	5.6	6.1	4.2	4.2	3.19
4.	5.6	5.6	4.2	1.7	1.7	1.0	1.0	3.1	2.8	2.0	4.5	5.0	3.4	1.4	1.0	1.0	2.3	1.4	1.0	1.4	2.8	2.8	1.0	1.7	2.48
5.	2.0	2.0	2.8	2.0	1.7	1.7	1.0	1.0	1.0	1.7	3.7	2.5	2.8	3.1	1.0	1.0	3.4	4.5	6.4	3.9	3.9	4.2	5.0	3.4	2.74
6.	3.1	3.1	2.8	2.8	2.5	2.5	2.3	2.3	2.0	1.0	1.0	0.0	1.0	3.4	3.9	3.4	3.4	2.3	2.0	1.7	1.7	1.4	1.0	2 8	2.23
7.	2.5	1.0	1.0	1.0	0.0	1.0	1.0	1 7	1.4	2.0	2.0	2.8	3.7	3.7	3.9	2.0	3.9	3.9	3.1	2.5	1.7	3.7	3.7	3.7	2.37
8.	3.4	2.3	1.0	1.4	1.4	1.7	2.8	3.4	3.4	4.2	12.1	15.5	13.5	13.8	12.1	10.7	8.1	7.5	6.1	6.7	6.4	7.0	8.4	8.4	6.72
9.	9.3	9.5	9.0	5.6	1.7	3.7	4.2	6.7	5.6	9.0	7.3	6.4	7.8	9.3	7.8	5.0	4.5	4.2	5.9	7.5	7.5	6.4	6.7	9.0	6.65
10.	5.3	2.3	0.0	1.4	1.7	1.0	1.0	3.7	2.8	1.4	1.0	2.5	2.3	0.0	1.0	1.0	3.7	4.5	3.4	3.1	4.2	3.1	1.7	2.3	2.27
11.	2.8	2.5	2.0	2.0	1.0	2.0	2.0	1.7	2.3	2.5	7.3	6.7	5.9	3.9	3.7	2.3	4.2	4.7	3.7	4.2	2.3	2.5	5.9	7.5	3.57
12.	6.7	5.9	5.0	2.5	3.1	2.5	2.8	3.7	4.5	3.9	3.1	3.4	2.3	5.9	3.7	5.6	5.6	5.3	6.1	5.3	6.7	7.5	6.7	5.6	4.73
13.	7.0	4.7	3.7	3.9	3.9	4.2	4.7	7.0	8.7	8.1	7.5	7.0	6 7	5.0	5.6	5.9	7.0	7.3	7.3	6.1	7.5	7.0	10.4	14.4	6.69
14.	10.9	7.0	5.0	2.0	2.8	2.5	1.7	3.7	3.7	4.5	5.3	7.5	6.7	5.3	4.2	4.7	4.7	3.9	4.5	5.0	4.2	4.2	4.2	5.0	4.72
15.	5.6	5.6	5.0	5.3	5.3	5.3	5.6	5.6	5.3	7.0	9.3	9.3	7.8	7.0	5.0	3.7	4.7	10.9	4.5	3.9	6.1	11.8	10.9	10.4	6.70
16.	9.5	9.0	8.1	7.3	6.7	5.9	5.3	4.5	4.5	5.3	5.9	4.7	5.0	4.2	5.3	5.9	3.1	5.9	5.3	4.2	4 2	7.8	6.7	6.4	5.86
17.	6.4	5.0	5.3	3.9	3.7	1.7	2.0	3.1	3.1	4.5	5.9	5.9	5.9	3.9	5.0	9.8	7.5	5.3	5.0	4.7	4.5	4.2	4.2	4.2	4.78
18.	3.7	2.5	1.0	1.0	0.0	1.4	1.0	1.0	1.7	1.4	1.7	2.0	2.8	4.5	2.8	3.4	1.4	4.7	3.9	6.4	9.0	7.8	4.7	4.7	3.10
19.	5.3	5.9	6.4	7.0	7.5	8.1	8.7	9.0	5.3	4.7	5.6	8.4	5.9	5.3	8.7	7.8	5.9	4.7	5.0	3.1	3.1	3.4	3.4	2.0	5.84
20.	1.0	1.0	2.2	2.0	1.4	1.7	1.7	3.9	2.8	2.0	1.7	2.8	3.1	1.4	2.0	2.5	1.7	2.3	2.8	1.7	2.3	2.0	2.0	2.5	2.10
21.	1.4	1.4	1.7	1.0	2.0	5.6	2.8	1.7	2.0	2.0	1.4	1.4	1.7	2.0	2.5	2.5	2.0	1.4	2.3	3.7	4.7	3.7	3.9	3.9	2.45
22.	4.5	5.0	4.2	3.1	2.0	2.0	2.3	1.7	1.7	1.0	5.3	6.7	7.8	8.7	7.5	6.4	6.7	8.1	6.7	6.1	7.0	7.0	7.0	8.1	5.28
23.	7.3	7.5	6.1	5.0	4.5	8.4	7.3	10.4	9.0	7.8	6.1	7.5	7.3	6.7	8.4	6.7	9.5	7.0	6.7	13.8	12.9	10.1	6.7	3.9	7.78
24.	5.0	6.1	7.3	8.4	9.5	10.7	11.8	12.1	8.1	9.8	11.2	11.5	9.5	11.8	11.8	8.1	10.4	9.8	9.3	7.5	5.3	8.1	5.9	5.0	8.92
25.	5.0	5.3	5.6	5.9	6.1	6.4	6.7	7.0	7.0	4.7	5.6	6.1	7.0	7.0	8.4	9.0	10.7	7.5	6.4	3.7	5.6	3.4	3.7	3.7	6.15
26.	3.4	3.9	3.1	3.1	2.3	1.7	1.0	2.0	2.0	9.0	5.3	7.0	5.9	4.5	5.0	3.7	3 1	5.3	4.5	5.0	7.8	8.1	9.3	10.9	4.87
27.	7.3	7.0	5.3	4.2	3.4	4.2	4.2	3.1	2.0	3.1	3.1	4.7	3.9	5.6	5.6	5.9	7.8	9.8	3.9	2.8	4.2	3.4	2.5	2.5	4.56
28.	3.7	5.6	5 6	2.3	2.5	2.5	3.1	3.1	3.9	3.4	5.0	6.1	4.7	5.0	3.4	3.4	2.3	1.0	2.3	4.2	5.3	3.7	6.1	6.7	3.95
29.	8.7	9.8	10.4	9.3	10.7	10.1	11.2	8.7	8.4	8.7	9.3	7.8	6.4	7.0	6.4	5.6	5.6	7.8	7.8	6.7	8.7	10.4	7.3	6.1	8.29
30.	4.7	5.0	3.4	2.5	1.4	1.0	0.0	1.0	2.5	3.1	4.2	4.7	3.4	3.7	2.5	1.4	1.4	2.3	3.9	3.9	3.7	3.7	2.8	2.0	2.84
31.	1.0	1.0	1.0	1.0	1.0	1.0	1.0	1.4	1.4	1.7	1.0	3.1	3.4	4.2	3.1	5.0	3.1	1.0	1.0	1.0	2.3	3.4	2.0	1.4	1.94
Mittel	4.97	4.67	4.17	3.47	3.25	3.52	3.49	4.03	3.76	3.97	4.83	5.54	5.11	5.10	5.03	4.62	4.67	4.89	4.53	4.50	5.06	5.32	4.99	5.18	4.53

Juni

1.	3.1	3.4	2.8	3.7	2.5	3.4	4.2	5.0	7.3	7.3	6.1	5.9	4.2	3.9	2.8	2.5	2.5	3.1	3.9	3.4	3.7	2.3	3.7	5.3	4.00
2.	5.9	2.8	2.5	3.7	3.9	3.9	3.7	4.2	2 3	2.5	2.8	3.7	2.5	1.0	4.2	3.7	5.3	5.9	4.2	2.0	3.1	7.3	9.8	9.3	4.18
3.	11.2	5.6	2.5	3.1	2.8	1.7	1.0	1.0	2.8	4.7	5.6	6.7	6.1	6.4	7.5	8.1	5.0	3.9	5.0	5.9	6.4	4.5	3.9	4.2	4.82
4.	4.2	4.5	4.5	4.7	4.7	5.0	5.0	5.3	5.3	5.6	7.3	5.0	5.6	4.3	3.7	4.5	4.5	6.7	6.7	6.4	3.1	1.4	3.9	5.0	4.87
5.	4.7	3.9	3.4	3.7	5.0	3.4	3.9	5.6	3.7	5.3	3 4	5.0	6.4	6.4	5.6	3.7	4.2	5.3	5.3	7.0	3.9	2.5	2.5	3.9	4.49
6.	3.9	4.2	4.2	4.7	3.9	2.8	3.1	3.4	3.7	3.9	4.5	3.7	4.2	3.7	4.7	4.2	4.5	4.2	4.5	4.5	3.1	3.1	3.1	3.1	3.87
7.	3.1	3.1	3.1	3.9	5.0	4.2	3.9	4.7	4.5	3.4	2.8	4.7	3.4	3.1	2.0	3.4	3.7	4.7	3.4	2.3	3.7	2.8	1.7	3.4	3.50
8.	3.4	3.7	2.3	1.4	3.1	2.5	6.7	7.0	5.0	4.5	5.3	4.2	3.1	3.4	3.1	2.5	4.2	4.7	5.6	6.1	3.7	2.3	2.5	3.9	3.93
9.	6.1	2.0	3.4	7.3	5.0	3.7	2.8	1.4	2.5	5.3	5.3	4 2	2.8	4.2	6.7	7.0	6.1	6.1	8.7	5.0	12.4	7.5	6.1	4.2	5.24
10.	3.9	3.7	3.4	3.4	3.1	2.8	2.8	2.5	2.3	2.0	2.5	3.7	5.6	4.5	4.5	4.7	5.0	5.3	5.3	5.6	5.8	5.0	4.2	2.0	3.90
11.	3.0	3.6	5.6	5.6	6.1	5.6	5.6	5.3	5.0	4.7	4.7	3.9	2.5	2.8	3.4	2.3	2.8	3.7	4.2	3.7	2.5	2.5	2.3	2.3	3 90
12.	2.0	1.7	2.0	1.7	1.4	1.4	1.4	1.7	2.0	1.4	1.0	2.0	1.7	1.4	2.5	1.0	2.3	2.0	0.0	0.0	1.4	1.0	2.0	2.5	1.56
13.	3.1	3.4	2.5	3.1	4.2	4.5	4.2	4.7	4.5	4.9	6.7	4.5	6.1	6.7	6.7	7.0	5.6	6.7	6.7	7.0	7.0	9.0	9.8	10.1	5.78
14.	10.7	11.2	10.7	9.8	9 3	8.4	7.8	7.0	6.4	7.0	5.3	4.4	5.0	4.2	2.8	5.3	6.1	6.7	6.4	5.8	6.7	5.8	5.3	5.6	6.82
15.	5.6	5.6	5.6	5.6	5.8	5.8	5.8	5.8	5.8	4.2	6.4	4.7	4.7	5.3	5.8	6.1	5.8	6.1	6.4	6.7	8.6	8.4	5.3	3.3	5.80
16.	2.5	3.6	4.7	5.8	7.0	7.8	7.2	5.3	3.6	2.0	1.7	1.0	3.3	7.2	6.4	7.5	6.1	5.0	5.0	6.7	7 0	7.0	7.5	7.4	5.35
17.	6.4	6.1	6.7	5.8	6.4	7.2	7.0	7.0	6.7	8.1	7.8	5.3	4.4	4.4	5.8	9.5	9.5	7.2	6.1	7.5	12.3	7.5	4.4	4.4	6.81
18.	3.6	7.0	9.5	11.2	7.8	6.7	6.1	12.9	15.6	16.5	12.6	8.6	9.2	8.9	8.6	9.2	5.6	3.3	3.9	4.2	4.2	4.4	4.4	4.7	7.86
19.	4.7	5.0	5.0	5.3	5.3	5.3	11.2	11.2	15.1	17.6	18.4	21.0	18.7	11.7	11.4	14.3	12.3	8.9	8.6	3.0	6.7	3.0	2.8	3.0	9.56
20.	3.3	3.6	3.9	4.4	5.0	5.6	5.8	6.1	6.4	6.7	7.0	7.2	11.7	14.8	8.9	8.9	13.1	11.2	8.4	7.5	7.5	12.6	8.1	7.0	7.70
21.	5.8	5.6	5.3	5.0	5.0	5.0	4.7	4.4	4 2	4 2	4.2	2.8	0.0	1.0	1.4	1.4	1.4	2.0	1.7	1.4	2.8	4.7	5.8	6.4	3.59
22.	7.0	10.0	12.0	11.2	10.3	9.8	6.4	5.0	3.9	5.6	5.8	4.7	2.8	2.2	2.0	2.0	2.2	2.0	1.4	2.2	5.0	4.7	5.0	5.6	5.37
23.	4.7	4.4	3.3	2.8	3.0	2.5	1.0	3.3	4.2	4.7	3.3	3.9	5.0	5.3	7.8	8.4	8.4	7.2	8.1	8.9	9.8	10.0	8.9	11.2	5.84
24.	10.3	10.3	14.5	12.6	12.3	12.3	14.8	11.7	14.5	15.1	14.5	12.0	7.5	7.0	6.4	7.2	6.7	8.6	9.8	13.4	13.4	11.4	10.9	12.0	11.22
25.	14.0	14.3	16.2	16.8	17.1	16.5	17.3	14.0	13.4	12.0	15.4	15.1	11.2	9 8	7.8	8.4	12.6	11.4	10.3	10.6	12.0	14.8	18.4	17.1	13.19
26.	11.7	12.0	10.3	9.5	8.6	7.8	7.0	6.1	5.3	4.4	4.2	7.0	7.5	7.0	6.1	7.0	5.8	6.4	6.1	3.0	1.7	2.0	2.2	3.6	6.35
27.	3.9	2.5	2.8	2.0	2.0	2.0	2.2	2.2	2.5	2.5	2.8	2.8	3.0	3.0	3.9	3.9	3.9	3.9	3.9	3.9	3.9	3.9	3.6	3.6	3.11
28.	3.6	3.6	3.6	3.6	3.5	3.6	3.3	3.3	3.3	3.3	3.3	3.3	3.3	3.3	4.2	5.3	6.4	4 7	5.0	6.1	6.4	5.8	5.0	4.7	4.23
29.	4.4	4.4	4 4	3.6	5.0	4.2	3.9	4.7	4.4	4.4	4.4	4.7	2 8	2.5	2.0	2.5	2.8	3.0	2.8	3.9	5.0	5.3	4.7	5.8	3.98
30.	5.0	2.8	1.4	1.4	2.0	2.0	3.0	3.9	7.5	4.4	2.0	1.0	1.4	3.0	3.6	2.2	3.0	4.2	3.9	3.9	7.0	8.4	9.8	14.3	4.21
Mittel	5.49	5.25	5.40	5.55	5.54	5.25	5.43	5.52	5.79	5.94	5.90	5.56	5.19	5.08	5.08	5.46	5.58	5.47	5.38	5.25	5.99	5.70	5.59	5.63	5.50

Anemometer-Registrierung. **Zugspitze.** 1911.

Juli

Datum	0–1ª	1–2ª	2–3ª	3–4ª	4–5ª	5–6ª	6–7ª	7–8ª	8–9ª	9–10ª	10–11ª	11ª–m	0–1ᵖ	1–2ᵖ	2–3ᵖ	3–4ᵖ	4–5ᵖ	5–6ᵖ	6–7ᵖ	7–8ᵖ	8–9ᵖ	9–10ᵖ	10–11ᵖ	11ᵖ–mn	Mittel
1.	12.0	14.5	13.1	12.6	11.2	8.6	10.6	10.9	8.1	10.9	17.6	21.2	17.9	12.3	9.6	8.9	6.7	6.1	8.1	7.5	6.7	8.1	14.3	14.2	11.33
2.	12.9	12.0	11.8	12.6	13.7	10.6	4.4	8.9	12.0	13.7	14.5	14.0	10.0	6.1	10.3	7.5	5.6	8.6	13.1	8.9	8.9	4.4	5.0	9.8	10.10
3.	7.2	6.1	8.9	8.4	5.8	5.6	6.4	5.0	5.0	3.6	5.3	6.7	10.9	5.3	5.0	2.5	5.0	5.8	5.8	6.1	6.1	6.4	6.4	6.7	6.08
4.	6.7	7.0	7.0	7.2	7.2	7.5	7.5	7.8	7.8	8.1	8.1	8.1	6.7	6.7	4.2	3.0	3.0	2.0	1.0	2.8	3.6	1.4	1.0	1.7	5 30
5.	1.4	1.4	1.0	1.0	2.5	4.2	3.0	3.9	2.8	2.8	2.0	1.0	1.0	1.0	1.7	2.0	3.0	2.0	1.0	6.1	3.9	3.6	3.6	3.3	2.47
6.	2.5	4.7	5.3	4.7	4.2	5.0	4.2	2.8	3.3	3.0	2.5	2.8	3.3	2.5	2.0	1.7	1.4	1.0	3.0	1.4	3.0	3.3	4.2	4.7	3.19
7.	3.9	5.3	5.0	3.0	3.0	3.3	3.3	3.3	3.9	6.1	5.6	3.9	3.3	3.0	4.4	2.0	3.3	2.8	1.0	1.0	1.7	2.0	2.5	2.8	3.31
8.	3.0	3.6	3.9	4.4	4.7	5.6	5.3	4.4	3.6	3.3	1.7	4.2	4.7	7.5	8.4	8.6	10.3	9.2	10.3	10.3	11.7	9.5	10.9	10.6	6.65
9.	14.0	12.3	16.8	12.6	14.3	17.1	17.1	14.0	13.7	12.3	12.6	11.4	10.0	13.4	10.6	11.4	12.0	10.9	10.0	10.6	11.2	12.9	11.4	12.0	12.69
10.	13.4	9.8	5.6	5.0	6.1	3.6	3.0	3.6	1.4	2.0	1.7	3.0	4.2	3.9	4.2	3.0	3.0	2.8	1.7	1.0	1.0	1.7	1.4	2.0	3.67
11.	2.8	2.2	2.0	2.2	1.4	2.2	3.0	4.7	5.3	4.7	5.6	4.2	3.9	3.6	5.0	4.2	3.3	3.3	3.9	3.0	3.3	8.4	6.4	7.0	3.98
12.	7.0	6.7	7.2	8.1	10.6	9.8	9.5	9.5	10.6	12.9	9.5	8.7	8.4	5.6	5.3	4.7	3.9	3.0	4.2	2.8	3.3	2.5	3.9	5.6	6.80
13.	5.3	5.3	5.3	5.0	4.2	3.0	1.0	0.0	1.4	2.0	1.0	1.0	1.0	2.0	3.0	2.2	2.5	2.0	1.7	2.0	2.2	3.0	1.7	3.3	2.55
14.	2.0	5.0	2.5	1.7	1.7	2.0	2.2	2.0	1.7	1.4	1.4	1.7	1.0	1.0	1.0	1.0	1.4	1.4	2.0	1.7	2.2	1.7	1.7	1.4	1.78
15.	1.4	1.0	1.0	1.4	1.0	1.4	1.4	1.4	1.7	1.0	1.4	1.0	1.0	1.0	2.0	2.0	2.2	2.0	2.0	2.2	2.2	1.7	1.4	1.0	1.49
16.	1.4	1.0	0.0	0.0	1.7	2.2	3.6	3.9	3.9	2.2	3.6	4.7	7.2	9.2	7.5	7.8	13.4	11.2	8.6	8.1	5 0	4.7	4.7	4.4	5.00
17.	4.4	4.4	4.2	3.9	3.9	3.9	3.6	3.6	3.6	6.1	6.4	7.0	6.4	6.7	5.0	3.0	4.4	6.4	5.3	5.0	2.8	5.3	4.2	2.8	4.68
18.	3.9	3.3	2.8	3.0	3.6	3.0	3.0	5.8	8.9	7.5	5.3	4.4	4.2	2.8	2.0	1.7	2.0	3.3	7.2	7.5	7.0	7.2	6.7	4.4	4.60
19.	3.3	3.3	3.9	5.0	2.8	2.5	2.8	4.7	5.3	3.9	3.3	3.3	2.5	1.4	1.4	1.7	2.5	3.9	1.0	4.4	4.4	7.2	3.3	1.7	3.31
20.	3.0	3.6	2.8	2.5	3.0	4.4	3.6	2.2	2.0	2.0	1.4	2.2	2.0	2.0	2.0	2.8	4.2	5.3	3.0	2.8	3 0	3.6	3.3	3.6	2.93
21.	3.9	3.0	2.8	3.3	5.3	4.4	5.0	3.9	3.3	5.8	5.6	5.0	3.3	2.8	2.5	3.6	3.9	1.0	1.4	1.0	1.0	1.0	1.0	1.7	3.15
22.	2.5	3.0	1.0	1.0	2.0	1.0	1.0	1.0	1.0	1.7	2.8	4.4	5.0	4.4	4.4	3.9	3.3	2.2	1.7	1.0	1.0	1.4	2.2	1.0	2,25
23.	1.4	1.7	1.7	1.4	1.0	0.0	1.0	1.0	1.0	0.0	1.7	2.0	1.0	1.0	1.0	1.0	1.0	1.0	1.0	1.7	1.4	2.0	4.7	3 6	1.43
24.	2.5	2.8	3.6	2.8	2.2	2.0	1.0	1.4	1.0	1.0	5.0	1.0	1.0	1.0	1.0	1.0	1.0	2.0	5.3	3.9	2.8	3.3	2.5	2.5	2.23
25.	8.6	7.2	4.4	2.5	3.3	2.8	4.2	7.5	7.5	7.0	3.6	3.0	3 6	3.6	1.7	1.0	1.0	1.0	1.0	6.1	3.6	3.0	7.8	8.9	4.33
26.	9.5	8.4	5.8	4.7	3.0	1.0	1.0	2.8	2.8	2.5	3.0	2.2	1.7	3.0	2.8	4.7	2.5	1.0	2.0	3.9	5.0	6.4	7.5	5.8	3.88
27.	9.2	7.5	7.5	6.7	6.1	5.6	4.4	5.0	5.6	6.1	7.0	7.5	6.7	6.4	4.7	4.7	3.3	3.6	3.9	4.2	6.4	5.8	10.0	8.9	6,12
28.	5.8	8.9	9.2	6.4	5.6	5.0	7.2	6.4	4.4	3.0	2.5	2.0	3.0	3.9	4.7	3.0	1.7	1.0	1.7	2.2	1.4	2.2	1.0	2.2	3.93
29.	2.2	4.2	2.8	2.8	2.8	2.8	2.5	2.5	2.5	3.3	4.7	3 9	2.5	2.0	1.0	8.1	2.8	3.6	1.7	1.0	1.0	1.0	1.0	1.0	2,65
30.	1.0	1.0	1.0	1.4	2.8	2.8	1.7	2.5	1.4	1.4	1.0	1.0	1.7	2.2	1.0	3.0	3.3	3.6	4.2	2.8	2.5	2.2	2.0	3.9	2.14
31.	2.8	2.0	1.7	1.7	1.7	2.8	3.3	4.8	3.9	2.2	2.0	1.4	1.7	1.7	1.7	1.7	1.7	1.7	1.4	1.4	1.4	1.4	1.4	1.0	2.02
Mittel	5.19	5.23	4.99	4.48	4.59	4.38	4.22	4.55	4.53	4.63	4.82	4.77	4.54	4.16	3.91	3.79	3.83	3.70	3 85	4.01	3.89	4.14	4.49	4.63	4.39

August

Datum	0–1ª	1–2ª	2–3ª	3–4ª	4–5ª	5–6ª	6–7ª	7–8ª	8–9ª	9–10ª	10–11ª	11ª–m	0–1ᵖ	1–2ᵖ	2–3ᵖ	3–4ᵖ	4–5ᵖ	5–6ᵖ	6–7ᵖ	7–8ᵖ	8–9ᵖ	9–10ᵖ	10–11ᵖ	11ᵖ–mn	Mittel
1.	1.0	1.0	1.0	1.0	1.0	1.0	1.0	1.0	1.0	1.0	1.0	1.0	0.0	2.3	2.3	1.5	2.0	2.3	4.7	4.4	4.1	4.4	3.6	4.7	2.01
2.	4.1	4.9	3.1	1.0	3.3	2.8	1.8	5.5	4.7	3.3	4.9	3.6	4.1	3.9	3.9	3.6	3.6	3.3	3.3	3.1	3.1	2.8	2.8	2.5	3.45
3.	2.5	2.3	2.3	2.0	2.0	1.8	1.8	1.5	1.5	2.3	1.0	1.0	1.0	1.0	1.0	1.0	1.0	1.0	1.0	1.0	1.0	1.5	1.5	1.0	1.45
4.	1.0	1.5	2.3	1.8	2.5	2.8	3.3	5.2	10.1	11.1	9.0	6.5	6.3	5.2	5.2	5.7	7.1	8.1	7.3	5.5	5.2	3.3	2.5	1.5	5.00
5.	1.8	6.5	5.2	6.3	7.1	6.8	6.0	4.7	1.5	1.0	1.0	1.0	1.0	2.8	3.9	4.1	3.9	3.6	5.2	6.3	5.2	2.0	2.5	2.5	3.83
6.	2.3	9.0	9.8	10.3	8.1	11.4	13.9	11.7	10.1	6.5	2.5	3.1	6.3	7.1	4.1	3.1	3.1	2.3	2.0	1.8	6.0	6.0	2.8	2.0	6.05
7.	1.5	1.0	1.0	1.0	1.0	2.3	2.8	1.0	1.8	1.5	1.0	1.0	1.0	1.0	2.5	3.3	2.8	2.5	2.0	2.0	2.5	2.5	3.9	2.8	1.90
8.	3.6	2.5	2.3	2.5	2.5	4.1	3.9	5.2	5.7	7.3	7.1	6.5	6.0	4.4	4.1	3.9	2.5	1.5	1.0	1.0	1.0	1.0	1.0	1.0	3.40
9.	1.8	1.5	1.0	1.0	1.0	1.0	1.0	1.8	2.0	1.5	1.0	1.0	1.5	1.8	1.0	1.0	1.0	2.3	4.9	6.0	5.5	3.9	2.8	3.3	2.11
10.	3.6	2.8	2.5	3.6	3.6	4.4	4.4	4.1	2.8	1.8	2.5	1.8	1.5	1.0	1.0	1.0	1.0	1.0	1.5	1.5	2.0	1.5	1.0	0.0	2.16
11.	1.0	1.0	1.8	3.9	3.9	4.4	4.1	4.1	4.9	6.3	5.2	6.0	3.9	3.3	2.3	1.0	1.0	1.0	1.5	1.8	2.3	2.5	2.8	3.1	3.05
12.	3.3	3.6	2.3	3.6	4.1	3.1	2.8	2.5	2.0	1.8	1.5	2.3	1.8	1.8	1.0	2.0	1.0	1.0	1.0	0.0	1.0	0,0	0.0	1.0	1.85
13.	2.5	2.8	2.5	1.8	1.5	1.5	1.0	2.3	2.3	1.8	1.0	1.0	1.0	1.0	1.0	1.0	0.0	0.0	0.0	0.0	1.8	3.6	3.6	2.8	1.62
14.	3.9	3.1	4.4	3.1	3.9	4.4	3.3	2.8	3.9	3.6	3.6	2.8	3.3	4.1	4.4	4.4	4.1	4.1	3.9	3.9	3.6	3.6	4.7	5.2	3.84
15.	4.4	5.2	4.7	4.7	4.9	4.9	4.1	5.7	5.5	5.5	6.5	7.6	8.7	10.1	11.7	11.7	12.5	14.4	11.4	13.0	11.7	10.9	12.2	9.5	8.40
16.	9.2	9.2	9.0	9.0	8.7	8.7	8.4	8.1	8.1	7.9	7.9	7.3	8.4	7.3	8.7	9.0	12.2	11.7	9.2	6.5	6.5	6.3	6.3	6.3	8,33
17.	6.0	6.0	6.0	5.7	5 7	5.7	5.5	5.5	3.6	4.1	4.7	4.1	6.0	6.8	6.8	6.3	6.8	7.9	9.0	8.4	8.1	6.3	5.2	5.7	6.08
18.	8.7	10.3	6.8	4.9	7.3	6.5	6.0	3.3	3.9	2.8	3.1	3.6	3.6	3.9	3.9	4.1	4.1	4.4	4.4	4.7	4.7	4 9	4.9	5.2	5.00
19.	5.2	5.5	5.5	5.7	5.7	5.7	3.3	4.7	3.1	1.8	3.6	3.1	2.0	2.0	1.8	2.0	2.0	1.8	3.6	4.9	5.7	6.3	5.7	4.4	3.96
20.	3.6	3.6	3.6	4.4	4.7	4.9	3.9	3.6	3.3	3.3	4.9	2.5	2.8	2.5	2.8	2.3	1.8	1.0	1.0	4.1	9.8	6.8	3.6	4.9	3.74
21.	7.6	5.7	6.8	9.0	8.4	7.3	8.7	10.9	11.1	11.4	11.7	11.9	12.2	11.4	13.9	13.9	16.9	16.9	15.5	13.3	13.9	9.2	8.4	14.2	11.26
22.	13.0	11.7	9.2	11.1	11.7	11.4	9.0	11.9	14.9	11.4	17.7	14.4	13.9	14.7	16.6	16.6	14.2	14.4	13.6	10.6	11.9	11.4	11.1	10.9	12.80
23.	12.5	12.8	11.7	14.9	16.3	14.7	17.4	16.6	20.7	14.7	16.6	19.9	19.6	20.1	18.2	18.2	17.2	17.2	15.8	12.2	11.9	12.5	11.1	9.5	15.51
24.	14.2	13.9	9.5	9.8	11.4	12.5	10.9	7.9	7.6	7.1	4.9	4.4	3.9	2.5	1.0	1.0	2.0	2.3	2.5	2.3	1.8	1.8	2.0	1.0	5.76
25.	2.8	1.8	1.0	1.0	1.5	2.5	3.1	2.8	2.0	1.5	1.0	1.0	1.0	3.3	3.3	3.1	2.5	1.8	2.0	2.5	3.1	2.3	1.5	1.0	2.06
26.	1.5	3.3	3.6	2.8	3.1	1.5	1.5	2.3	1.0	2.8	5.7	4.7	5.7	5.2	6.0	6.0	5.7	5.7	5.7	4.1	3.9	3.6	2.8	2.3	3.77
27.	2.3	2.8	3.1	2.8	1.0	2.8	3.3	3.1	2.5	1.0	1.0	3.3	3.3	3.9	3.6	4.4	5.2	6.5	4.9	3.9	4.7	2.8	0.0	1.0	3.05
28.	3.1	2.8	1.8	4.9	6.5	6.0	7.1	5.5	2.8	1.0	2.5	2.3	3.3	4.7	4.4	3.9	5.2	6.5	6.0	6.3	3.6	3.9	4.1	3.9	4.25
29.	3.9	3.6	3.6	3.6	2.5	2.3	3.3	2.3	2.5	2.3	2.0	1.8	1.8	2.5	1.0	1.8	1.0	1.0	1.0	1.5	1.5	3.1	3.3	5.2	2.43
30.	7.1	4.1	4.9	3.3	3.1	2.0	3.1	2.5	2.5	3.1	3.1	4.9	3.9	4.1	1.8	4.1	2.8	3.3	2.8	3.6	6.8	5.7	6.8	11.7	4.21
31.	13.6	11.9	6 5	4.4	5.2	4.9	4.9	3.6	3.1	2.0	1.5	6.3	7.3	4.7	1.8	1.0	1.5	1.0	1.0	2.5	4.4	1.8	1.8	2.3	4.13
Mittel	4.92	5.09	4.48	4.67	4.94	5.04	4.99	4.96	4.92	4.34	4.54	4.57	4.71	4.85	4.68	4.71	4.80	4.90	4.80	4.60	5.11	4.46	4.07	4.27	4.73

Anemometer-Registrierung. **Zugspitze** 1911.

Datum	0–1ª	1–2ª	2–3ª	3–4ª	4–5ª	5–6ª	6–7ª	7–8ª	8–9ª	9–10ª	10–11ª	11ª–m	0–1ᵖ	1–2ᵖ	2–3ᵖ	3–4ᵖ	4–5ᵖ	5–6ᵖ	6–7ᵖ	7–8ᵖ	8–9ᵖ	9–10ᵖ	10–11ᵖ	11ᵖ–mn	Mittel
September																									
1.	2.8	3.3	3.1	2.3	2.5	1.5	2.8	2.8	1.1	2.0	2.0	1.8	2.0	2.5	2.5	2.3	1.8	2.3	3.9	4.1	1.1	0.4	0.7	1.1	2.20
2.	1.1	0.0	0.7	0.7	0.7	1.5	2.3	2.5	1.1	1.5	0.7	0.7	0.4	1.1	1.8	2.0	2.0	1.8	0.7	1.1	1.5	1.1	0.7	0.7	1.18
3.	0.4	1.5	1.8	1.8	0.7	1.5	3.1	3.1	1.4	0.7	0.7	1.4	1.1	0.0	0.4	0.0	0.4	0.0	1.5	1.8	1.8	5.7	5.7	3.6	1.67
4.	4.7	4.1	3.6	4.1	4.1	4.1	4.7	5.5	3.6	3.1	2.8	1.1	3.6	3.6	3.3	4.9	6.0	7.3	9.8	6.8	6.0	6.3	8.4	10.9	5.10
5.	9.2	7.9	8.1	12.2	11.7	11.1	13.0	12.2	8.1	7.3	6.8	11.4	10.6	9.5	11.9	8.7	7.3	13.3	10.3	11.1	11.7	10.0	11.4	12.8	10.32
6.	13.9	12.5	12.5	13.9	12.2	12.8	13.3	11.1	7.6	5.7	5.5	6.3	5.5	5.2	6.0	5.2	4.1	3.6	4.7	5.7	6.8	6.3	5.5	5.2	7.96
7.	6.0	7.3	5.7	6.8	4.9	6.0	4.4	3.6	3.1	2.3	2.3	1.8	1.8	1.5	0.7	0.7	0.7	2.5	4.1	3.6	3.9	3.3	3.1	3.1	3.47
8.	2.8	1.8	0.7	1.1	1.1	2.5	3.1	1.1	2.0	2.3	3.9	3.3	2.3	1.8	1.1	1.1	1.5	2.3	2.3	2.5	3.3	2.5	2.3	2.5	2.13
9.	2.3	2.3	1.8	3.3	3.6	4.4	4.7	3.3	2.0	2.8	3.1	2.5	2.5	2.0	4.1	6.0	6.8	6.8	6.8	5.7	6.8	13.3	13.0	6.5	4.85
10.	3.1	5.2	7.3	6.8	11.1	11.9	11.9	14.9	13.6	9.2	9.2	9.2	10.1	9.0	9.0	7.1	10.9	10.3	10.3	11.7	10.1	8.4	6.3	4.7	9.22
11.	4.1	3.9	4.1	3.1	4.4	3.6	2.0	1.8	3.3	3.6	3.9	3.1	4.7	4.7	4.7	4.7	3.3	3.1	3.3	3.3	2.8	2.5	2.8	3.6	3.52
12.	4.7	5.2	4.9	4.9	5.7	5.2	6.3	4.1	4.7	2.8	2.8	2.8	2.5	2.8	2.5	1.8	2.3	1.8	2.0	2.5	2.3	3.6	4.1	3.6	3.58
13.	3.6	3.1	3.3	2.8	3.1	4.7	7.3	5.2	3.9	3.3	3.1	3.6	3.9	3.9	3.1	2.8	3.3	3.1	4.7	3 9	4.7	4.4	5.2	6.8	4.03
14.	7.6	5.2	4.7	4.7	4.1	4.7	6 8	10.3	9.2	7.6	6.0	3.3	3.9	5.2	6.8	5.7	7.3	7.6	8.1	7.1	9.8	9.2	8.7	10.6	6 84
15.	8.7	9.5	11.1	14.7	13.9	11.4	11.1	11.1	9.2	6.5	5.7	3.6	2.3	1.8	2.5	3.1	3.1	7.1	7.3	5.2	4.9	4.7	2.8	2.0	6.80
16.	2.0	2.5	2.3	2.0	2.0	2.3	2.0	1.8	3.9	5.2	6.3	6.5	4.9	3.3	1.5	2.3	5.7	5 5	5.2	4.7	4.4	4.1	3.6	3.3	3.64
17.	3.1	2 6	2.3	2.1	1.5	1.1	0.4	0.4	0.4	0.4	0.7	0.7	2.3	3.3	4.9	4.7	4.7	4.1	3.6	5.5	3.9	6.3	5.2	3.1	2.80
18.	3.3	3.6	3.3	3.1	3.1	5.7	8.4	7.9	5.7	5.2	7.3	6.5	6.0	5.2	8.7	6.0	5.2	6.8	5.5	5.5	6.3	7.1	7.6	6.3	5.80
19.	6.0	6.8	6.0	7.3	6.8	6.5	7.6	10.9	9.0	7.6	6.5	6.5	7.1	5.5	4.1	3.6	3.9	4.1	4.4	4.7	3.9	4.7	7.9	11.1	6.35
20.	10.6	10 6	10.9	11.4	10.6	8.4	8.4	6.8	6.8	6.3	5.5	4.4	5.7	6.5	5.7	5.7	3.9	5.2	5.2	5.5	6.0	7.3	6.8	7.3	7.15
21.	6.5	4.7	5.2	6.3	6.0	7.1	6.8	8.4	8.4	12.8	11.9	11.1	8 1	8.1	4.7	8.1	8.7	11.1	10.6	10.3	9.8	9.5	9.0	8.7	8.41
22.	8.1	7.9	7.3	7.1	6.5	6.3	6.0	5.7	4.7	3.1	3.6	5.2	4.9	2.8	2.5	5.2	5.2	3.6	4.1	2.8	2.1	2.5	2.5	1.5	4.63
23.	1.8	2.1	2.8	3.3	4.1	4.7	4.9	4.9	5.5	4.1	4.4	7.1	9.8	10.6	12.2	7.9	4.1	3.1	3.6	9.0	5.7	4.1	5.5	5.2	5.44
24.	6.3	4.4	3.9	2.8	2.5	3.1	2.5	1.5	1.1	1.1	1.5	1.5	2.3	2.3	1.8	1.8	2.0	2.3	2.3	2.0	2.0	2.3	2.5	2.8	2.44
25.	3.1	3.3	3.6	3.9	4.1	4.4	4.7	4.9	5.5	5.2	5.2	4.1	3.3	4.4	3.9	3.3	3.6	3.6	3.3	2.8	2.3	1.8	0.0	2.3	3.61
26.	3.1	3.3	3.3	3.3	3.1	2.3	2.0	2.0	2.0	1.1	2.3	2.3	1.8	1.8	1.8	2.3	2.3	3.1	3.3	5.7	3.3	2.0	1.1	1.5	2.50
27.	1.5	1.8	2.5	1.1	1.4	1.4	1.8	2.8	2.5	2.0	2,0	1.1	1.1	1.5	2.0	2.3	2.3	3.6	2.8	2.3	1.1	3.1	4.1	3.6	2.15
28.	4.1	2.3	2.3	2.0	3.1	4.1	4.1	4.4	1.1	1.1	2,0	2.0	2.5	3.1	4.4	3.9	2.8	3.6	3.1	2.8	2.3	2.0	1.5	1.5	2.75
29.	1.8	1.8	2.0	2.0	2.0	2.3	2.3	2.5	2.5	2.5	2.3	2.3	3.9	5.7	6.3	5.7	6.3	7.9	7.3	6.8	7.3	5.7	5.2	3.6	4.08
30.	2.5	2.5	2.8	3.1	3.3	3.6	3.6	3.9	5.2	9.4	11.1	9.4	7.6	8.7	11.7	14.9	13.9	17.7	16.6	14.4	13.3	13.9	13.0	13.0	9.13
Mittel	4.48	4.29	4.32	4.65	4.64	4.85	5.24	5.21	4.46	4.12	4.23	4.08	4.15	4.11	4.41	4 32	4.37	5.10	5.18	5.19	4.88	5.10	5 04	4.92	4.64
Oktober																									
1.	9.8	9.0	8 4	6.3	11.1	9.8	7.1	7.6	6.0	6.3	5.7	5.7	4.4	4.1	4.1	4.9	5.7	6 5	4.7	4.7	4.1	3.6	3.6	2.0	6.05
2.	3.6	2.5	1.1	2.3	1.8	2.0	2.3	6.0	3.6	5.5	5.5	2.3	4.1	3.9	3.6	2.5	4.4	3.1	2.8	2.8	2.0	3.6	1.6	2.8	3.15
3.	3.3	3.9	4.4	4.7	5.2	5.8	6.3	8.4	8.1	7.9	9.2	11.4	11.1	11.9	11.9	13.0	10.6	11.4	12.5	13.0	16.1	15.8	14.9	16.9	9.90
4.	13.9	12.8	12.8	12.2	10.3	10,1	10.1	9 8	12.2	13.7	6.8	5.0	9.0	10.9	9.5	10.6	11.1	14.9	16.9	11.1	10.9	11.4	12.8	11.1	11.25
5.	10.1	10.1	7.9	10.1	9.5	9.5	7.9	7.3	8.1	6.5	6.5	5.2	4.7	5.7	7.1	6.3	5.7	5.7	5.7	8.4	8.4	10.1	8.4	8.7	7.65
6.	8.7	9.0	9.0	9.2	9.2	9.5	9.5	13.9	11.7	9.2	7.3	7.6	4.4	5.4	6.8	6.3	7.1	8.1	17.7	14.9	19.1	18.7	20.9	20.1	10.97
7.	20.1	21.2	21.5	23.9	23.9	23.4	20.4	10.6	10,1	9.8	9.2	9.0	8.7	14.4	13 8	14.4	12.1	12.1	11.8	12.4	12.1	9.3	9.5	12.9	14.44
8.	12.1	12.9	15.8	14.9	14.3	12.9	12.9	15.2	16 1	14.6	15.4	14.0	17.6	19.0	20.7	18.2	17.3	17.6	14 5	15.9	18.2	17.6	16.2	12.6	15.69
9.	13.4	5.8	10.0	12.6	13.4	13.7	11.7	11.2	12.3	9.2	11.2	11.4	11.2	10 6	5.0	3.0	3.6	6.4	3.6	3.9	4.4	4.7	5.0	5.3	8.44
10.	5.8	6.1	6.4	6.7	7.0	7.5	7.8	8.1	10.3	11.7	8,1	5.8	4.7	8.9	8.4	6.4	5.3	4.2	4.7	5.8	6.7	7.8	6.4	5.6	6.93
11.	7.0	7 5	6.4	8.1	7.2	5.8	8.1	7.2	7.2	6.7	3.6	3.9	3.3	3.0	2.2	3.0	2.5	2,0	1.7	1.0	0.7	1.0	3.0	4.4	4.44
12.	3.9	3.6	2.8	4.2	3.6	3.0	1.7	5.0	5.0	6.4	7.2	8.1	7.5	9.2	11.7	8.4	7.8	9.2	7.0	6.1	5.6	3.9	5.8	5.3	5.92
13.	4.7	3 9	3.3	4.4	3.0	2.8	2,5	0,0	2.2	1,0	2.0	4.2	5.3	5.3	4.7	4.4	4.2	4.7	7.0	7.5	6.7	7.0	8.4	9.5	4.53
14.	10.3	11.7	12,0	9.8	6.7	10.6	7.8	8.1	5.8	5.8	5.3	6.7	7.5	6.1	5.8	4.4	4.7	2.2	2.2	1.7	2,0	1.7	1,0	1.0	5.87
15.	3.3	2.5	2.5	2.8	2.8	1.0	0.0	0.3	3.3	4.1	3.0	3.0	3.0	3.3	3.3	3.0	3.3	4.7	5.8	5.3	5,0	5.0	4.7	4.4	3.31
16.	4.4	3.6	4.2	2,0	2,2	3.0	1.4	2.0	2 0	3.0	3.3	4 1	5 6	5.6	4.7	4.2	4.4	4.4	5.8	5.0	4.4	4.1	4.1	3.9	3.81
17.	3.0	3.3	5.8	7.8	7.8	9.2	9.8	7.5	4.1	5.0	7.8	7.5	7 8	8.4	7 2	5.6	7.0	11.2	10 6	8.4	6.4	4.2	4.7	3.8	6.83
18.	3.9	6.4	3.3	2.8	6.1	6.4	8.6	10,0	6.7	5.8	2.2	3.0	2.5	3.3	3.6	3.6	4.4	6.1	3.9	3.6	5.8	8.1	5.3	6.4	5.08
19.	5.6	5.3	4.4	4.2	2.8	3.3	4.1	4.7	5.8	8.1	10.6	9.2	7.2	5.8	5.6	6.1	6.7	9.2	7.5	4.7	2.0	3.0	4.2	3.9	5.58
20.	3.6	4.4	3.0	2,2	2.0	2.0	0.7	1.4	3.0	3.3	3.3	3.9	3.9	3.6	2.8	3.9	2.5	3.0	4.7	3.3	3.6	3.3	3.3	3.3	3.08
21.	3.9	3.9	3.9	4.7	5.8	5.6	3.9	4.2	5.3	5.8	3.9	7.0	7.5	8.1	9.8	10.9	12.3	10.3	10.0	9.5	10.0	10.6	10.6	13.7	7.55
22.	18.7	17.1	15.1	14.8	12.9	10.9	9.2	3.9	13.1	15.6	13.4	12.6	12.9	12.6	12.0	10.6	14.8	18.1	15.9	16.2	16.2	16.5	13.7	14.3	13.80
23.	14.0	16,2	12.9	14.3	12.9	15.1	15.6	16.2	14.0	14.5	13.1	12.9	10.9	7.8	6.7	6.4	7.0	10.0	12,0	10.6	11.7	11.7	11.7	8.6	11.95
24.	8.4	9.5	11.2	8.1	6.7	5.0	4.2	4.2	3.6	3.3	3.3	1.0	2,0	2.8	3.6	4.4	5.3	5.8	5.8	6.1	3.0	2.5	2.8	4.2	4.87
25.	6.4	6.7	6.4	6.4	5.0	3 9	9.2	14.3	15.6	13.4	12.0	11.7	12.3	16.5	16.5	15.1	12.3	10,0	7.5	5.8	6.1	3.9	3.3	3.6	9.33
26	3.0	2,0	1.4	1.7	2.2	2.8	2.2	7.0	8.9	11.4	11.4	11.7	11.7	11.2	13.4	15.6	14.5	14.3	15.1	20.1	21.8	19.6	21.5	16.5	10.87
27.	12.0	13.4	14.3	13.7	10.6	13.4	15.4	14.5	16.5	18.2	18.4	17.3	18.4	17.9	18.2	13.7	15.9	23.2	20.7	13.1	11.4	7.8	8.4	6.1	14.69
28.	4.2	2,8	3.6	5.0	6.1	7.5	8.6	10.0	11.4	9.8	5.8	6.4	2,8	1.0	2.2	2.2	2,2	1.4	2.5	2.2	2.2	2.2	2.0	2.8	4.45
29.	2.8	2.2	1.7	1.7	1.0	1.7	2.0	2,5	8.1	7.2	7.8	7.5	7.2	5.3	2.2	2.2	1.7	1.7	2.8	4.4	3.9	2.2	2.2	2.8	3.53
30.	2.2	2.8	1.7	3.0	3.6	4.2	4.7	5.3	4.2	2.5	3.6	2.0	3.0	3.6	3.3	0.7	0.0	1.0	3.9	1.0	0.0	0.0	1.7	0.7	2.45
31.	2.8	8.4	8.9	8.6	3.6	4.2	5.3	6.4	8.1	8.1	10.6	8.9	9.2	7.2	7.5	9.2	9.5	9.5	6.4	5.6	5.8	3.0	2.2	4.7	6.82
Mittel	7.38	7.44	7.29	7.52	7.11	7.28	7.12	7.51	8.14	8.17	7.63	7.42	7.46	7.82	7.67	7.20	7.29	8.13	8.18	7.55	7.62	7.22	7.22	7.16	7.52

Anemometer-Registrierung. **Zugspitze** 1911.

November

Datum	0–1ª	1–2ª	2–3ª	3–4ª	4–5ª	5–6ª	6–7ª	7–8ª	8–9ª	9–10ª	10–11ª	11ª–m	0–1ᵖ	1–2ᵖ	2–3ᵖ	3–4ᵖ	4–5ᵖ	5–6ᵖ	6–7ᵖ	7–8ᵖ	8–9ᵖ	9–10ᵖ	10–11ᵖ	11ᵖ–mn	Mittel
1.	4.2	6.1	4.2	2.5	3.9	2.8	3.0	3.3	4.4	8.4	5.3	2.5	3.3	7.5	7.5	7.8	6.7	6.4	7.0	6.4	7.8	7.8	7.2	8.9	5.62
2.	7.2	7.0	8.6	9.2	8.6	8.4	7.8	7.5	4.7	6.7	7.8	8.1	7.0	6.7	9.2	7.2	7.5	5.6	3.3	3.9	5.0	5.0	4.7	2.8	6.65
3.	3.3	3.3	3.0	3.0	4.2	4.7	4.7	7.2	5.8	6.7	6.7	5.0	5.0	3.6	3.6	3.3	4.2	3.6	5.6	5.8	4.7	3.3	3.0	3.3	4.44
4.	2.8	3.0	3.0	3.3	3.0	3.3	3.0	2.5	3.3	2.8	3.0	3.0	2.5	3.6	3.3	5.0	7.0	3.9	5.3	5.0	5.3	5.0	4.2	4.7	3.78
5.	6.4	8.9	15.4	14.8	12.0	13.1	14.5	17.6	13.1	19.3	19.3	19.8	13.7	8.9	8.9	7.5	7.2	10.0	10.6	9.2	9.2	12.9	8.6	6.1	11.96
6.	9.5	6.4	5.8	7.0	6.4	9.2	9.5	8.4	7.0	3.6	3.9	3.9	4.4	4.4	4.4	4.4	4.7	4.7	3.9	3.6	3.0	3.0	3.0	3.3	5.31
7.	3.3	3.3	3.6	3.6	3.6	3.9	3.9	3.9	3.9	4.2	4.2	4.2	4.2	4.2	4.2	4.4	6.4	5.8	6.7	6.1	6.7	6.1	6.1	6.1	4.69
8.	6.1	6.1	5.8	5.8	5.8	5.8	5.8	5.8	5.8	4.2	2.8	4.7	4.4	4.7	6.4	6.1	6.7	6.7	8.1	7.8	7.0	7.8	8.1	3.6	5.91
9.	4.2	5.3	4.7	8.1	9.8	13.1	14.3	14.3	17.6	14.3	15.4	16.5	17.1	15.1	14.0	11.4	10.0	10.0	11.4	10.0	7.5	11.7	12.6	10.3	11.61
10.	6.1	5.3	4.7	7.2	6.7	5.6	3.9	3.6	3.9	3.0	8.1	9.8	9.2	9.2	6.4	3.9	3.3	3.0	3.6	4.2	3.0	3.0	2.8	2.5	5.08
11.	2.2	2.0	1.7	1.4	1.0	0.7	0.3	0.0	0.7	0.7	0.0	0.0	1.7	2.5	3.6	3.6	2.0	1.7	2.0	3.3	3.6	7.0	5.3	5.6	2.19
12.	7.2	8.1	7.2	6.7	6.1	6.7	6.7	5.6	5.8	5.8	5.0	7.6	7.2	7.0	7.8	6.7	7.0	6.1	5.0	4.7	4.2	4.2	4.4	3.3	6.08
13.	4.4	3.6	4.2	4.7	4.7	3.9	3.9	3.9	3.9	2.5	2.8	3.3	2.2	2.0	2.2	1.7	1.4	1.4	0.3	0.7	1.0	1.0	1.0	1.0	2.57
14.	1.4	2.0	2.2	2.5	2.8	3.0	3.3	3.6	4.2	4.2	3.9	3.9	4.2	2.2	0.0	0.3	2.5	3.6	2.2	1.4	2.5	2.5	3.6	4.4	2.77
15.	4.7	3.9	3.3	2.5	1.4	2.2	3.3	0.3	0.0	0.0	0.0	1.4	2.5	2.2	2.8	2.0	1.4	2.2	3.6	5.6	4.7	2.0	2.5	2.5	2.38
16.	3.6	2.8	2.0	1.7	2.5	1.7	2.8	8.6	7.8	8.9	7.5	5.3	5.3	3.9	4.4	7.8	8.1	3.3	4.4	5.3	8.6	10.9	7.8	3.9	5.37
17.	4.7	9.2	8.9	5.6	9.2	9.5	7.5	7.5	8.1	8.1	7.2	10.6	10.9	12.0	10.0	12.3	13.1	12.0	10.3	8.4	13.4	12.9	10.3	15.4	9.88
18.	13.7	14.3	13.1	16.5	10.0	12.0	15.6	18.4	14.0	9.8	4.2	8.6	15.9	17.6	16.5	12.9	15.1	14.3	10.6	14.8	15.4	14.0	16.2	12.3	13.58
19.	7.2	2.8	2.5	0.0	0.0	2.5	2.5	3.0	2.5	2.5	2.5	2.5	2.2	2.2	2.2	2.2	2.2	5.3	3.9	4.4	3.6	5.3	6.4	6.4	3.20
20.	4.2	9.2	9.8	8.4	8.4	8.4	8.1	8.1	6.4	6.7	5.6	5.0	3.0	3.9	3.6	5.6	4.2	3.6	3.3	2.8	2.5	2.2	2.0	3.3	5.35
21.	5.8	4.7	5.8	5.3	4.7	5.3	4.7	6.7	6.1	7.2	8.6	9.2	11.7	14.3	17.1	16.2	14.8	12.3	14.3	15.1	15.9	17.1	14.8	16.5	10.59
22.	16.5	14.8	17.1	18.7	17.6	15.9	15.9	15.9	14.8	14.3	7.0	7.5	9.2	10.3	10.3	12.0	13.1	14.3	12.6	8.4	8.4	8.4	7.0	4.7	12.28
23.	5.6	5.3	6.4	7.0	9.8	10.6	8.1	7.8	7.0	5.8	5.8	5.8	4.4	2.5	3.0	3.0	3.3	4.7	6.4	7.0	7.2	6.4	6.4	6.7	6.08
24.	5.8	5.8	6.4	6.4	5.0	5.0	5.3	4.7	4.7	5.8	5.3	5.3	5.3	4.7	2.8	4.2	5.3	5.8	3.9	3.9	4.7	5.8	5.8	5.0	5.11
25.	5.0	4.7	4.4	3.9	3.6	3.3	2.8	3.0	1.0	0.0	1.0	1.7	1.4	1.7	1.0	1.7	2.2	2.8	3.3	3.9	4.4	4.7	3.6	3.6	2.86
26.	3.9	3.9	4.2	4.2	4.4	4.4	4.7	4.7	3.6	3.9	4.4	4.4	3.9	4.2	4.4	4.2	4.4	4.2	2.5	0.7	0.7	1.4	2.0	4.4	3.65
27.	3.9	1.4	2.2	2.8	3.6	3.6	3.9	4.2	4.2	3.6	2.0	2.0	2.5	2.5	3.1	3.6	2.8	3.3	3.6	2.8	2.5	1.8	2.0	2.0	2.91
28.	1.8	4.4	4.9	5.5	5.5	6.5	6.8	10.6	10.3	11.4	11.9	12.2	13.0	14.7	13.6	13.6	13.0	11.9	11.7	9.5	11.7	9.5	10.3	10.3	9.78
29.	3.3	2.5	3.9	4.4	4.4	3.3	4.4	3.6	3.9	3.3	6.3	3.6	2.8	2.8	2.3	1.1	1.1	2.0	2.3	1.5	1.5	1.1	1.1	2.0	2.85
30.	1.5	0.3	1.1	1.1	1.1	1.1	0.7	0.0	0.3	1.8	0.3	1.5	0.7	0.3	0.3	0.0	0.3	0.3	0.0	0.7	1.1	2.8	1.1	2.3	0.86
Mittel	5.32	5.35	5.67	5.79	5.66	5.98	6.06	6.48	5.96	5.98	5.59	5.96	6.02	6.05	5.96	5.86	6.03	5.83	5.72	5.56	5.89	6.22	5.80	5.57	5.85

Dezember

1.	1.5	1.1	0.0	0.7	0.7	2.0	4.1	5.7	5.2	4.7	6.0	5.2	6.5	7.3	5.2	6.3	3.6	4.1	3.3	3.1	6.8	7.6	5.7	7.6	4.33
2.	6.3	10.9	15.5	10.9	8.1	9.8	9.8	8.4	6.5	3.3	3.1	2.3	4.4	5.2	7.9	3.9	4.9	9.2	7.6	6.5	4.1	3.1	4.7	5.7	6.75
3.	5.7	4.9	5.5	5.7	5.2	4.9	3.9	3.9	3.6	2.0	2.3	1.8	3.6	3.9	4.1	3.9	3.6	3.6	4.4	1.8	2.5	2.8	3.1	3.6	3.76
4.	3.9	3.1	3.1	2.5	3.6	3.1	1.5	2.0	1.8	2.3	2.5	3.9	5.5	3.6	2.8	2.3	2.3	2.0	3.6	4.9	5.5	5.7	6.5	4.2	3.43
5.	2.0	1.1	0.4	0.0	0.0	0.4	0.7	2.3	3.9	6.3	7.3	7.1	8.4	9.2	10.1	9.8	9.5	9.2	5.7	1.1	4.7	4.4	1.8	1.8	4.47
6.	1.1	0.7	0.7	1.1	2.3	0.4	0.4	2.0	2.8	3.1	6.0	6.0	5.2	6.0	6.3	8.4	5.5	4.7	6.3	7.3	7.9	7.6	8.4	8.9	4.55
7.	6.6	5.2	5.2	6.3	6.7	6.0	6.7	10.1	10.6	17.7	14.7	12.2	9.5	7.3	9.8	8.7	6.7	12.2	15.8	14.7	12.5	14.2	10.1	10.5	10.00
8.	9.2	8.9	11.7	10.1	12.8	13.9	11.7	12.5	9.2	7.9	4.9	7.6	7.9	6.7	7.6	6.6	6.6	5.5	6.3	6.7	5.7	8.4	10.6	13.0	8.83
9.	12.5	13.9	14.2	14.2	14.2	13.3	11.4	7.9	7.6	4.7	2.0	3.9	2.5	2.8	3.1	6.0	5.7	5.5	3.9	3.1	3.1	2.5	2.5	2.3	6.78
10.	2.0	1.8	1.5	1.1	0.7	0.4	0.0	0.0	2.0	3.6	5.2	6.7	7.3	4.9	5.2	7.1	6.3	10.9	13.6	13.0	9.8	10.6	6.7	3.3	5.15
11.	2.8	3.9	7.3	8.7	10.9	14.4	17.2	8.4	15.5	17.5	18.2	16.6	16.3	10.1	8.4	4.4	3.6	2.8	1.5	1.1	1.5	1.1	1.8	2.3	8.18
12.	2.8	3.3	3.9	4.4	4.9	5.5	5.7	5.7	5.2	5.2	5.2	5.7	5.7	5.2	4.7	4.1	3.6	3.1	2.5	2.0	1.5	1.5	2.0	4.1	4.06
13.	3.1	2.5	2.5	3.6	3.9	5.5	9.5	9.5	7.9	8.9	8.1	10.3	12.2	9.2	9.5	11.7	12.5	16.6	16.6	16.6	15.2	15.2	12.5	14.4	9.90
14.	12.8	13.0	9.2	11.7	15.2	16.9	16.3	11.9	7.3	6.6	4.7	6.7	4.9	3.1	3.9	7.1	7.3	8.1	7.1	9.8	9.8	8.4	10.6	10.9	9.30
15.	9.2	10.6	8.9	8.4	11.4	10.9	8.4	9.2	8.7	5.5	4.1	2.5	1.8	1.5	5.7	6.0	10.9	11.7	15.2	13.0	11.1	8.4	7.9	4.4	8.14
16.	7.6	2.0	2.0	1.8	1.1	0.0	0.0	0.4	1.5	0.7	4.9	3.6	2.3	2.0	2.0	1.5	1.8	2.0	2.3	2.5	2.8	3.1	5.7	4.4	2.42
17.	5.7	3.9	3.6	3.3	3.1	2.8	2.5	2.5	2.5	5.5	6.3	4.7	4.9	6.0	3.9	2.8	2.3	1.8	1.1	1.1	1.5	2.0	3.1	4.7	3.40
18.	6.7	3.1	2.5	1.5	1.5	1.1	2.0	1.5	2.3	1.8	1.5	1.5	1.1	1.1	1.8	1.8	1.8	1.1	1.5	1.1	1.5	3.1	0.7	0.4	1.83
19.	0.4	0.7	2.3	3.3	2.3	0.7	0.7	0.7	0.4	0.7	3.9	4.1	4.7	5.2	4.7	7.6	11.4	9.8	8.7	6.5	6.5	7.1	5.2	10.1	4.49
20.	10.1	7.9	11.4	11.9	14.2	12.5	12.8	16.6	14.4	13.6	15.5	13.3	14.2	13.9	17.2	12.5	13.9	8.1	8.7	7.6	7.1	6.5	6.0	5.5	11.48
21.	4.9	5.7	8.7	10.3	10.6	13.3	22.1	30.0	22.1	19.3	7.3	6.3	15.8	7.6	17.2	17.4	12.8	14.9	11.1	7.1	15.2	16.6	15.8	11.7	13.49
22.	9.5	8.7	8.4	8.4	8.4	8.4	8.4	8.4	8.4	8.4	7.1	5.7	4.1	2.8	2.8	3.1	3.1	3.3	3.3	3.3	3.6	3.6	3.9	4.7	5.83
23.	6.0	4.9	11.9	4.9	3.6	4.4	4.7	4.1	3.6	4.1	6.0	7.9	10.0	12.0	13.7	13.1	7.0	5.0	5.0	5.3	3.6	3.6	3.6	3.6	6.32
24.	3.9	3.9	3.9	4.2	4.2	4.2	4.2	4.2	4.4	4.7	5.0	5.8	3.0	2.5	2.5	6.4	7.5	10.3	9.2	9.2	6.4	9.2	9.5	9.2	5.73
25.	9.5	11.2	13.7	11.7	11.5	11.5	12.3	10.0	8.7	7.2	6.1	5.6	5.0	5.3	5.3	9.2	8.7	7.0	6.1	4.7	3.9	4.2	3.6	4.4	7.77
26.	5.1	6.7	7.5	8.6	9.5	10.6	11.4	11.4	11.4	11.4	11.4	11.4	11.4	12.0	10.9	10.0	3.3	3.6	6.1	2.2	2.2	2.8	3.0	3.3	7.80
27.	3.0	4.4	3.3	4.7	8.1	10.9	13.7	13.1	11.4	5.8	9.2	10.3	10.9	11.4	10.3	7.2	4.7	4.4	4.2	3.9	3.9	3.9	3.3	3.0	7.04
28.	2.0	2.2	2.5	2.8	3.0	3.3	3.6	3.9	4.2	4.4	4.7	4.7	5.3	5.8	8.6	9.2	10.9	9.2	13.1	14.3	7.8	6.7	10.9	8.1	6.30
29.	13.1	14.8	14.8	10.9	7.0	3.6	4.2	5.3	6.1	7.2	8.4	9.5	10.6	12.0	13.5	14.9	12.1	8.7	5.9	5.3	7.3	9.0	7.8	6.4	9.10
30.	7.8	7.5	7.5	7.3	7.0	7.0	6.7	6.4	3.7	3.7	4.2	3.9	2.8	3.1	3.1	2.8	7.3	5.9	7.0	11.5	12.1	13.2	9.8	9.8	6.71
31.	7.5	9.8	10.4	7.0	4.7	5.3	5.9	6.4	7.0	7.5	7.5	7.5	7.5	8.9	9.8	9.8	10.4	9.8	10.4	6.4	6.4	4.2	3.7	4.2	7.42
Mittel	5.95	5.88	6.58	6.19	6.46	6.68	7.18	7.24	6.77	6.62	6.56	6.59	6.95	6.37	7.15	7.28	6.83	6.91	7.00	6.35	6.24	6.46	6.15	6.15	6.60

Täglicher Gang der meteorologischen Elemente auf der Zugspitze im Jahre 1911.

Luftdruck

500 mm +

Monat	1ª	2ª	3ª	4ª	5ª	6ª	7ª	8ª	9ª	10ª	11ª	12 m	1ᵖ	2ᵖ	3ᵖ	4ᵖ	5ᵖ	6ᵖ	7ᵖ	8ᵖ	9ᵖ	10ᵖ	11ᵖ	12 mn	Mittel
Jan.	28.89	28.83	28.81	28.69	28.59	28.55	28.58	28.64	28 81	28.95	29.08	28.96	28.85	28.78	28,85	28.91	28.97	29.05	29 09	29.11	29.15	29.12	29.09	29.06	28.89
Febr.	27.97	27.87	27.71	27.57	27.54	27.55	27.61	27.73	27.85	27.89	28.06	27.96	27.78	27.70	27.66	27.69	27.68	27.82	27.90	27.85	27.90	27.96	27.94	27.87	27.79
März	24.08	24.00	23.85	23.76	23.74	23.74	23.78	23.85	23.95	24.04	24.18	24.16	24.16	24.08	24.06	24.07	24.06	24.08	24.14	24.21	24.24	24.25	24.22	24.17	24.04
April	26.82	26.66	26.53	26.40	26.27	26.27	26.35	26.42	26.53	26.68	26.76	26.76	26.81	26.81	26.78	26.77	26.79	26.78	26.84	26.95	26.99	26.94	26.86	26.78	26.69
Mai	29.07	28.92	28.77	28.72	28.70	28.71	28.77	28.87	28.99	29.13	29.25	29.28	29.30	29.36	29.36	29.34	29.32	29.34	29.38	29.42	29.48	29.50	29.47	29.40	29.16
Juni	33.27	33.13	33.01	32.98	32.99	33.01	33.11	33.21	33.29	33.41	33.57	33.60	33.62	33.66	33.58	33.51	33.44	33.41	33.41	33.42	33.51	33.52	33.52	33.45	33.36
Juli	37.85	37.72	37.63	37.58	37.55	37.56	37.61	37.75	37.83	37.95	38.05	38.05	38.09	38.12	38.11	38.08	38.03	38.02	38.03	38.10	38.17	38.19	38.16	38 07	37.93
Aug.	36.31	36.12	36.00	35.85	35.83	35.80	35.87	35.99	36.10	36.28	36.39	36.43	36.49	36.52	36.52	36.51	36.51	36.49	36.55	36.67	36.71	36.72	36.66	36.56	36.33
Sept.	35.31	35.15	35.00	34.86	34.78	34.77	34.77	34.87	35.08	35.24	35.32	35.31	35.26	35.21	35.13	35.07	35.06	35.08	35.15	35.18	35.16	35.09	35.03	34.89	35.07
Okt.	30.46	30.32	30.21	30.09	30.01	30.01	30.08	30.28	30.41	30.58	30.64	30.61	30.54	30.49	30.49	30.53	30.56	30.66	30.73	30.78	30.83	30.86	30.85	30.84	30.49
Nov.	26.94	26.88	26.74	26,62	26.57	26.54	26,61	26,71	26.82	26.97	26.96	26,83	26.75	26.70	26.74	26,75	26,84	26.92	26.96	26.99	27.03	27.00	27.03	27.01	26,83
Dez.	26.31	26.30	26.26	26,18	26,10	26.10	26,11	26.16	26.29	26.45	26.34	26,13	26.04	26.16	26.25	26.32	26.38	26.44	26.45	26.57	26,51	26.49	26.52	26.39	26,30
Mittel	30.27	30.16	30.04	29.94	29.89	29.88	29.94	30.04	30.16	30.30	30.38	30.42	30.31	30.30	30.29	30.30	30.30	30.33	30.39	30.44	30.47	30.47	30.44	30.37	30.24

Temperatur

Jan.	-11.48	-11.48	-11.35	-11.39	-11.85	-11.80	-11.74	-11.72	-11.22	-11.30	-11.11	-10.91	-10.90	-11.05	-11.03	-11.26	-11.27	-11.44	-11.43	-11.53	-11.59	-11.43	-11.45	-11.39	-11.38
Febr.	-13.38	-13.39	-13.36	-13.46	-13.75	-13.73	-13.70	-13.48	-13.27	-13.11	-12.69	-12.31	-12.09	-12 08	-12.00	-12.19	-12.43	-12.71	-12.99	-12.89	-12.96	-12.88	-12.73	-12.91	-12.94
März	-11.03	-11.22	-11.39	-11.56	-11.67	-11.73	-11.50	-11.15	-10.75	-10.27	- 9.72	- 9.51	- 9.23	- 9.13	- 9.15	- 9.24	- 9 42	- 9.80	-10.31	-10.47	-10.58	-10.69	-10.80	-10.88	-10.47
April	- 8.78	- 8.80	- 8.88	- 9.04	- 9.14	- 9.00	- 8.83	- 8.59	- 8.23	- 7.88	- 7.47	- 7.15	- 6.79	- 6.61	- 6.69	- 6.91	- 7.11	- 7.52	- 8.11	- 8.52	- 8.64	- 8.72	- 8.76	- 8.83	- 8.13
Mai	- 3.93	- 4 09	- 4.16	- 4.25	- 4.23	- 3.93	- 3.56	- 3.27	- 2.81	- 2.59	- 2.18	- 1.78	- 1.50	- 1.25	- 1.47	- 1.68	- 1.89	- 2.28	- 2.64	- 2.99	- 3.23	- 3.23	- 3.43	- 3.57	- 2.91
Juni	- 1 78	- 1.78	- 1.80	- 1.88	- 1.75	- 1.49	- 1.17	- 0.82	- 0.51	- 0.25	0.35	0.64	0.94	0.98	0.89	0.78	0.69	0.24	- 0.21	- 0.71	- 1.17	- 1.41	- 1.52	- 1.63	- 0.60
Juli	2.78	2.59	2.59	2.55	2.69	2.93	3.10	3.53	3.88	4.15	4.51	4.81	5.03	5.05	5.17	5.11	5.15	4.98	4.34	3.88	3.45	3.16	3.11	2.94	3.81
Aug.	2,82	2,85	2.66	2.55	2.45	2.68	2.90	3.05	3.22	3.67	4.14	4.53	4.87	5.09	5.01	4.78	4.64	4.38	3.89	3.47	3.09	2.92	2.63	2.58	3.54
Sept.	0.63	0 76	0.65	0.63	0 48	0.45	0.61	0.79	1.16	1.63	2.03	2.41	2.63	2.73	2.72	2.70	2.51	1.92	1.34	1.03	0.88	0.76	0.66	0.59	1.36
Okt.	- 2.49	- 2.53	- 2.53	- 2.67	- 2.81	- 2.88	- 2.83	- 2.45	- 2.16	- 1.83	- 1.60	- 1.26	- 1.19	- 1,24	- 1.29	- 1.41	- 1.61	- 1.84	- 1,98	- 2.17	- 2.18	- 2.29	- 2.33	- 2.39	- 2.08
Nov.	- 6.00	- 6.04	- 6.07	- 6.07	- 6.08	- 6.18	- 6.16	- 5.85	- 5.60	- 5.26	- 5.13	- 5.01	- 4.93	- 5.02	- 5.18	- 5.41	- 5.72	- 5.87	- 5.83	- 5.91	- 5.88	- 6.03	- 6.01	- 6.09	- 5.72
Dez.	- 9.09	- 9.05	- 9.02	- 9 05	- 9.13	- 9.16	- 9.11	- 8.88	- 8.71	- 8.42	- 8.31	- 8 30	- 8.07	- 8.20	- 8.39	- 8.58	- 8.79	- 8.85	- 9.19	- 9.18	- 9.25	- 9.26	- 9.19	- 9.17	- 8.85
Mittel	- 5.14	- 5.18	- 5.22	- 5.30	- 5.40	- 5.32	- 5.17	- 4.90	- 4.58	- 4.29	- 3.93	- 3.65	- 3.44	- 3.39	- 3.45	- 3.61	- 3.77	- 4.07	- 4.43	- 4.67	- 4.84	- 4.93	- 4.99	- 5.06	- 4.53

Relative Feuchtigkeit

Jan.	59.6	59.0	57.8	58.5	58.1	57.5	59.5	60.4	60.4	59.4	58.1	58.2	57.8	59.0	58.6	60.5	62.0	61.9	61.2	63.1	62.6	62.5	59.5	58.5	59.7
Febr.	79.3	79.0	78.3	79.3	81.9	83.0	80.6	78.7	77.6	75.5	76.8	76.6	76.9	76.6	77.8	79.2	80.5	80.5	82.9	82.9	82.3	79.5	80.6	81.4	79.5
März	93.1	92.9	93.5	93.0	93.4	92.4	91.2	89.9	89.0	88.6	88.2	89.1	89.4	91.9	93.0	93.5	93.5	93.5	94.1	95.4	94.2	93.3	93.9	93.3	92,2
April	80.5	80.6	81.0	82.5	83.3	83.0	84.1	84.3	84.8	83.7	81.0	81.9	81.4	84.6	87.0	88.2	87.4	85.9	87.9	88.2	87.0	84.2	83.1	81.8	84.1
Mai	92.1	93.8	93.3	93.0	93 0	93.6	92.7	92.9	93.2	92.6	94.9	94.1	92.6	93.2	94.8	95.4	95.6	94.3	95.3	95.5	95.7	94.6	93.1	92.1	93.8
Juni	93.6	92.7	92.4	91.3	89.0	88.2	88.0	87.4	87.2	88.6	88.4	89.7	91.7	92.0	95.4	95.3	95.7	95.0	95.8	95.2	94.5	92.1	94.1	92.4	91.9
Juli	81.6	79.1	77.1	75.1	78.5	77.6	77.9	72.0	73.2	75.1	81.0	79.4	83.6	83.2	83.2	85.7	83.9	86.8	86.8	82.2	82.8	77 7	81.6	79.1	80,2
Aug.	78.8	74.8	76.3	78.9	77.1	77.0	77.8	78.1	78.7	79.3	80.3	81.6	83.7	85.7	86.7	86.9	87.7	85.8	86.1	87.6	88.8	83.8	80 8	80 0	81.8
Sept.	79.0	76.5	75.9	75.5	75.9	76.4	75.8	75.5	75.9	77.1	78.5	79.6	80.8	82.1	83.0	84.7	83.7	84.4	82.3	80.5	81.5	82.1	81.7	82.0	79.6
Okt.	71.8	72.8	72.2	70.7	69.1	68.9	68.8	68.8	66.8	66.5	66.8	69.2	68.6	73.2	74.1	75.5	74.7	75.4	75.4	74.7	72.9	70.8	70,2	70.9	71,2
Nov.	77.0	76.7	76.1	77.2	78.7	78.6	79.3	78.1	77.9	77.8	78.2	78.3	78.1	78.8	79.0	79.4	79.9	80.7	81.0	80.5	79.4	79.3	77.4	78.2	78.6
Dez.	85.2	86.4	85.6	85.4	84.6	83.2	82.7	81.1	78.8	78.8	79.8	82.1	81.7	81.9	83.1	85.2	85.9	86.4	86.0	85.1	84.6	83.0	83.5	84.6	83.5
Mittel	81.0	80.4	80.0	80.0	80.2	80.0	79.9	78.9	78.6	78.6	79.3	80.0	80.5	81.9	83.0	84.1	84.2	84.2	84.6	84.2	83.9	81.9	81.6	81.2	81,3

Stündliche Windgeschwindigkeiten

in m pro Sekunde

Datum	0–1ª	1–2ª	2–3ª	3–4ª	4–5ª	5–6ª	6–7ª	7–8ª	8–9ª	9–10ª	10–11ª	11ª–m	0–1ᵖ	1–2ᵖ	2–3ᵖ	3–4ᵖ	4–5ᵖ	5–6ᵖ	6–7ᵖ	7–8ᵖ	8–9ᵖ	9–10ᵖ	10–11ᵖ	11ᵖ–mn	Mittel
Jan.	4.21	4.42	4.25	4.29	4.21	4.52	4.63	4.73	4.72	4.68	5.02	4.57	4.62	4.55	4.34	4.24	3.74	3.88	3.90	3.99	4.00	3.92	4.11	4.14	4.32
Febr.																									
März																									
April	4.19	4.19	4.48	4.39	4 22	3.88	3.88	4.15	4.07	4.23	4.57	4.37	3.82	3.87	4.32	4.15	4.32	4.14	4.18	4.46	4.66	4.88	4.79	4.62	4.28
Mai	4.97	4.67	4.17	3.47	3.25	3.52	3.49	4.03	3.76	3.97	4.83	5.54	5.11	5.10	5.03	4.62	4.67	4.89	4.53	4.50	5.06	5.32	4.99	5.18	4.53
Juni	5.49	5.25	5.40	5.55	5.54	5.25	5.43	5.52	5.79	5.94	5.90	5.56	5.19	5.08	5.08	5.46	5.58	5.47	5.38	5.25	5.99	5.70	5.59	5.63	5.50
Juli	5.19	5.23	4.99	4.48	4.59	4.38	4.22	4.55	4.53	4.63	4.82	4.77	4.54	4.16	3.91	3.79	3.83	3.70	3.85	4.01	3.89	4.14	4.49	4.63	4.39
Aug.	4.92	5.09	4.48	4.67	4.94	5.04	4.99	4.96	4.92	4.34	4.54	4.57	4.71	4.85	4.68	4.71	4.80	4.90	4.80	4.60	5.11	4.46	4.07	4.27	4.73
Sept.	4.48	4.29	4.32	4.65	4.64	4.85	5.24	5.21	4.46	4.12	4.23	4.08	4.15	4.11	4.41	4.32	4.37	5.10	5.18	5.19	4.88	5.10	5.04	4.92	4.64
Okt.	7.38	7.44	7.29	7.52	7.11	7.28	7.12	7.51	8.14	8.17	7.63	7.42	7.46	7.82	7.67	7.20	7.29	8.13	8.18	7.55	7.62	7.22	7.22	7.16	7.52
Nov.	5.32	5.35	5.67	5.79	5.66	5.98	6.06	6.48	5.96	5.98	5.59	5.96	6.02	6.05	5.96	5.86	6.03	5.83	5.72	5.56	5.89	6.22	5.80	5.57	5.85
Dez.	5.95	5.88	6.58	6.19	6.46	6.68	7.18	7.24	6.77	6.62	6.56	6.59	6.95	6.37	7.15	7.28	6.83	6.91	7.00	6.35	6.24	6.46	6.15	6.15	6.60
Mittel																									

Beobachtungen

über

Gewitter in Bayern

während des Jahres 1911.

Im Anfang Juni 1879 erweiterte die kurz vorher ins Leben gerufene K. bayer. meteorologische Centralstation ihre Tätigkeit durch die Errichtung eines über das ganze Land verbreiteten Netzes von Stationen, deren Aufgabe in der Beobachtung von Gewittern und Hagelfällen bestehen sollte. Die Organisation dieses Gewittermeldedienstes erwies sich sehr bald als ein Unternehmen, das reiche wissenschaftliche Ausbeute erhoffen liess und die Erweiterung des Beobachtungsnetzes auf die Nachbarstaaten wünschenswert machte.

Vom August 1880 ab war in Württemberg, vom Beginn des Jahres 1885 auch in Baden ein wohlorganisiertes Netz von Gewitterbeobachtungsstellen tätig. Das unter Benutzung gleichlautender Instruktionen gewonnene Material wurde der K. bayer. Centralstation zur Bearbeitung überlassen.

Bei der Fülle neuer Aufgaben, die im Laufe der Jahre an die meteorologischen Centralstellen herantraten, fiel es der K. bayer. Centralstation immer schwerer, der umfangreichen Arbeit gerecht zu werden, welche die Verwertung des gesamten süddeutschen Beobachtungsmateriales über Gewitter und Hagelfälle darstellte. Deshalb wurde bereits mit Beginn des Jahres 1901 die Verarbeitung des Materiales über Hagelfälle in die Hände der einzelnen Landesinstitute gelegt.

Vom Jahre 1911 ab wurde auch die Bearbeitung des Materiales über Gewitter den einzelnen Landeszentralen überlassen, ein Schritt, den nicht nur die weitere Entlastung des bayerischen Institutes erforderte, sondern der auch durch eine Reihe prinzipieller Überlegungen empfehlenswert schien.

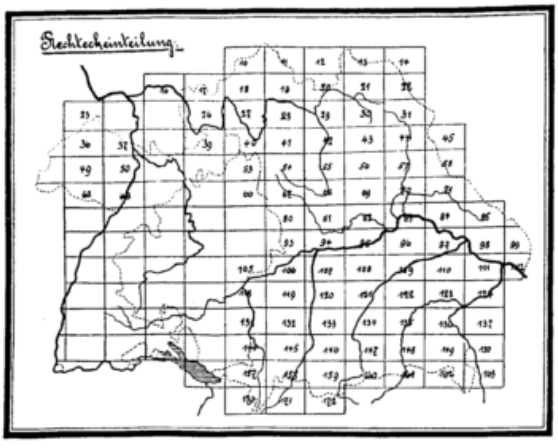
Als Anhang des Jahrbuches der K. bayer. meteorologischen Centralstation 1909 erschien als I. Teil einer Klimatologie von Süddeutschland eine Untersuchung über Gewitter und Hagel in Süddeutschland (Periode 1893—1907), in welcher auf Grund eines mit äusserster Kritik gesichteten Beobachtungsmateriales jene Daten festgelegt wurden, welche durch statistische Erhebungen zu gewinnen waren. Der tägliche und jährliche Gang, sowie die geographische Verteilung der Gewitter- und Hagelhäufigkeit in Süddeutschland sind in der angezogenen Arbeit mit einer Ausführlichkeit und Genauigkeit gegeben, welche durch eine weitere Fortsetzung mühevoller und zeitraubender statistischer Arbeiten kaum wesentlich erhöht werden könnten.

Die physikalische Erforschung der Gewitter- und Hagelerscheinungen, die heute in den Vordergrund des Interesses gerückt ist, ist aber durch die bisherigen klimatologischen Arbeiten bereits so gefördert, dass sie nun in das Studium der Einzelerscheinungen eintreten kann. In dem Bestreben, derartige eingehende Studien interessanter Erscheinungen durchzuführen, werden sich die Zentralstellen nach wie vor durch Überlassung des Materials gegenseitig unterstützen.

Die rein statistische Bearbeitung des bayerischen Materiales über Gewitter und Hagelfälle soll in bescheidenem Umfange erhalten bleiben. Für die Form der Publikation war der Wunsch massgebend, den Anschluss an das grosse norddeutsche Beobachtungsnetz zu gewinnen.

Das Material, das uns seit einer langen Reihe von Jahren von der K. bayer. Brandversicherungskammer Abteilung für Hagelversicherung in dankenswerter Weise überlassen wird, konnte bei der gewählten Form der Veröffentlichung nicht berücksichtigt werden. Dasselbe wird aber nach wie vor eine äusserst wertvolle Grundlage derjenigen Arbeiten bilden, welche die Erforschung der physikalischen Verhältnisse der Gewitter- und Hagelphänomene zur Aufgabe haben.

Die nachfolgenden Tabellen geben für 19 Stationen der Pfalz und 387 Stationen des rechtsrheinischen Bayern für jeden Monat und für das Jahr die Anzahl der beobachteten Gewitter und der Gewittertage. Die Zahl der Hagelfälle ist den einzelnen Häufigkeitszahlen der Gewitter als Exponent beigesetzt. Die Zahl der Tage mit Hagelfall wurde nur für das Jahr gegeben.



Die Rechtecknummer, welche in der Spalte vor den Stationsnamen beigedruckt ist, bezieht sich auf die in obenstehendem Kärtchen dargestellte Einteilung des bayerischen Gebietes.

Zahl der Gewitter (Die Zahl der Hagelfälle ist in den einzelnen Monaten als Exponent beigesetzt.)													Rechteck Nr.	Station	Jahressumme der Hageltage	Zahl der Gewittertage											
Jan.	Febr.	März	April	Mai	Juni	Juli	Aug.	Sept.	Okt.	Nov.	Dez.	Jahr				Jan.	Febr.	März	April	Mai	Juni	Juli	Aug.	Sept.	Okt.	Nov.	Dez.	Jahr
														Pfalz.														
–	1	1^{1}	–	6	10	12^{1}	7	2	1	–	–	40	23	Duchroth	2	–	1	1	–	5	6	6	6	2	1	–	–	28
–	1	2	–	9	5	9^{1}	–	–	–	–	–	26	36	Schallodenbach	1	–	1	2	–	6	5	5	–	–	–	–	–	19
–	1	3	–	4	9	4	3	1	–	–	–	25	37	Einselthum	–	–	1	3	–	3	6	3	3	1	–	–	–	20
–	1^{1}	3	1	4	5	8	4	2	–	–	–	28	„	Göllheim	1	–	1	3	1	3	4	6	4	2	–	–	–	24
–	1	3	–	7	8	17	6	1	–	–	–	43	„	Kirchheimbolanden	–	–	1	3	–	5	7	10	5	1	–	–	–	32
–	–	1	–	6	7^{1}	4	3	–	–	–	–	21	48	Obermiesau	1	–	–	1	–	4	4	4	3	–	–	–	–	16
–	1^{1}	3	3	14	16^{1}	12	4	1	–	–	1	55	49	Kaiserslautern	2	–	1	3	1	9	8	7	4	1	–	–	1	35
–	1^{2}	–	–	11	15	10^{1}	–	–	–	–	–	37	„	Kirchmohr	3	–	1	–	–	6	6	5	–	–	–	–	–	18
–	–	3	1	8	10	7	3	1	–	–	1	34	„	Trippstadt	–	–	–	2	1	7	6	4	3	1	–	–	1	25
–	1	2	–	12	14	14	7	1	–	–	–	51	„	Waldleiningen	–	–	1	1	–	8	8	8	6	1	–	–	–	33
1	1	1	–	6^{1}	10	6	5	3	–	1	1	35	50	Ludwigshafen	1	1	1	1	–	6	7	4	5	3	–	1	1	30
–	–	2	–	6^{1}	9	9	7	–	–	–	1	34	„	Neustadt a/H.	1	–	–	2	–	4	5	7	5	–	–	–	1	24
–	2^{3}	4^{1}	2^{2}	4	13	7	8	–	–	–	–	40	61	Zweibrücken	6	–	2	3	2	4	8	4	7	–	–	–	–	30
–	–	2	–	2	7	3^{1}	1	1	–	1	1	18	62	Burgalben	1	–	–	2	–	2	5	3	1	1	–	1	1	16
–	–	1	–	1	5	3	2	–	–	–	–	12	„	Dahn	–	–	–	1	–	1	3	2	2	–	–	–	–	9
–	3^{2}	4	2^{3}	13	18^{4}	11	6	–	–	–	–	57	„	Luthersbrunn	8*)	–	2	4	1	8	7	5	5	–	–	–	–	32
–	–	2^{1}	–	7	5	6	6	1	–	–	1	28	63	Edenkoben	1	–	–	2	–	6	3	5	5	1	–	–	1	23
–	–	2	–	8	4	9	7	1	–	–	–	31	„	Landau	–	–	–	2	–	6	4	8	6	1	–	–	–	27
–	–	1	–	9^{1}	14^{1}	9^{1}	11	1	–	–	–	45	76	Wörth a/R.	3	–	–	1	–	6	6	6	5	1	–	–	–	25
														Bayern.														
–	–	1	5	16	4	17	4	–	–	–	–	47	10	Kreuzberg-Rhön	–	–	–	1	3	8	2	6	4	–	–	–	–	24
–	–	1	1	5	–	4	3	–	–	–	–	13	„	Oberelsbach	–	–	–	–	1	5	–	4	3	–	–	–	–	13
–	–	2	4^{1}	19	3	13	3	6	–	–	–	50	„	Steinach o/S.	1	–	–	2	3	8	2	5	3	2	–	–	–	25
–	1	2^{1}	1	**15**	5	12^{1}	5	6	–	–	–	47	„	Volkersberg	2	–	1	2	1	10	3	5	5	2	–	–	–	29
–	–	1	2^{2}	12^{2}	4	10	2	3	–	–	–	34	11	Mellrichstadt	4	–	–	1	2	5	3	7	2	1	–	–	–	21
–	–	3^{1}	5	17^{1}	8	14	10	4	–	–	–	61	„	Rödelmaier	2	–	–	3	3	12	7	6	6	2	–	–	–	39
–	–	1^{1}	5	22^{1}	1^{2}	12^{2}	11^{1}	4	–	–	–	56	13	Berg	6**)	–	–	1	4	12	1	8	6	2	–	–	–	34
–	–	1	4	15^{1}	5	13^{1}	9	6	–	–	–	53	„	Effelter	2	–	–	1	4	13	5	9	8	2	–	–	–	42
–	–	1	4^{2}	14^{2}	2	10^{1}	7	–	–	–	–	38	„	Lichtenberg	3†)	–	–	1	3	10	2	8	4	–	–	–	–	28
–	–	1	3	14^{1}	2^{1}	10	8	2	–	–	–	40	„	Ludwigstadt	2	–	–	1	2	9	2	8	6	1	–	–	–	29
–	–	–	3	15^{1}	2	14	8	5	–	–	–	47	„	Tschirn	1	–	–	–	3	10	2	10	7	2	–	–	–	34
–	–	–	3^{1}	16	1	14	11^{1}	5	–	–	–	50	14	Hof	2	–	–	–	2	8	1	7	7	2	–	–	–	27
–	–	2	–	6	2	7	1	1	–	–	–	19	16	Kahl	–	–	–	2	–	5	2	6	1	1	–	–	–	17
–	–	–	–	6	4^{1}	17	2	5	–	–	–	34	17	Heigenbrücken	1	–	–	–	–	3	2	5	2	2	–	–	–	14
–	–	–	$-^{1}$	12	3	10	3	2	–	–	–	30	„	Mittelsinn	1	–	–	–	–	10	3	6	3	2	–	–	–	24
–	–	3	4	13	4	7^{1}	4	3	–	–	–	38	18	Dittlofsroda	1	–	–	3	3	11	4	5	4	2	–	–	–	32
–	–	1	2	21	4	6^{1}	7	–	–	–	–	41	„	Egenhausen	1	–	–	1	2	9	3	3	4	–	–	–	–	22
–	–	1	2	11	–	10^{1}	3	4	–	–	–	31	„	Bad Kissingen	1	–	–	1	2	8	–	5	3	2	–	–	–	21
–	–	1	4	14^{1}	2	20	4	–	–	–	–	45	„	Schwärzelbach	1	–	–	1	2	9	2	5	4	–	–	–	–	23
–	–	5	3	16^{2}	8^{1}	16	10	7	–	–	–	65	19	Bischofsheim	3	–	–	3	3	12	3	9	10	4	–	–	–	44
–	–	–	3	8	–	5	**3**	2	–	–	–	21	„	Friesenhausen	–	–	–	–	3	7	–	2	3	2	–	–	–	17
–	–	1	2	7	–	7	2	–	–	–	–	19	„	Massbach	–	–	–	1	2	5	–	3	2	–	–	–	–	13
–	–	1	4^{1}	8^{1}	1	5	3	4	–	–	–	26	„	Schweinfurt	2	–	–	1	3	6	1	4	3	2	–	–	–	20
–	–	–	4	25^{2}	2^{1}	17^{2}	11	11	–	–	–	70	20	Burgkundstadt	5	–	–	–	4	13	2	8	9	5	–	–	–	41
–	–	–	3	9	–	5	1	–	–	–	–	18	„	Ebensfeld	–	–	–	–	3	8	–	4	1	–	–	–	–	16
–	–	–	3	6	3	8	5	7	–	1	–	33	„	Gereuth	–	–	–	–	3	6	3	4	5	4	–	1	–	26
–	–	1	2	19^{1}	2	6	2	–	–	–	–	32	„	Mitwitz	1	–	–	1	2	9	2	4	2	–	–	–	–	20
–	–	–	3	13	1	7	1	–	–	–	–	25	„	Vierzehnheiligen	–	–	–	–	2	10	1	5	1	–	–	–	–	19
–	–	–	2^{1}	17^{1}	1	10^{1}	8	4^{1}	–	–	–	42	21	Bischofsgrün	4	–	–	–	2	9	1	6	5	3	–	–	–	26
–	–	–	3	8	2	4	2	4	–	–	–	23	„	Kulmbach	–	–	–	–	3	8	2	4	2	3	–	–	–	22
–	–	–	2	10	2	9^{1}	3	3	–	–	–	29	„	Marktschorgast	1	–	–	–	2	9	2	5	2	2	–	–	–	22
–	–	–	1	16^{1}	1	5	2	3	–	–	–	28	„	Münchberg	1	–	–	–	1	11	1	4	2	2	–	–	–	21
–	–	–	2	15^{1}	3	8	9	3	–	–	–	40	„	Presseck	1	–	–	–	2	12	3	8	6	2	–	–	–	33
–	–	–	2	19	–	15	12^{1}	6	–	–	–	54	22	Arzberg	1	–	–	–	1	9	–	6	6	4	–	–	–	26
–	–	–	2	10	–	14	10	**3**	–	–	–	39	„	Weissenstadt	–	–	–	–	1	5	–	6	6	3	–	–	–	21
–	–	–	–	15	–	14	9	4	–	–	–	42	„	Wunsiedel	–	–	–	–	–	9	–	7	5	3	–	–	–	24
–	1	1	2^{2}	14^{1}	8	15	4	6	–	–	–	51	26	Luitpoldheim	3	–	1	1	2	10	6	6	4	3	–	–	–	33
–	–	2	2	13	7	14	3	7	–	–	–	48	„	Waldaschaff	–	–	–	2	2	9	7	7	3	3	–	–	–	33
–	1^{1}	3	3	17^{1}	12^{1}	19	3	7	1	–	–	66	„	Wintersbach	3	–	1	3	2	9	9	7	2	2	1	–	–	36
–	–	3^{1}	3^{1}	17	3	9	3	6	–	–	–	44	27	Estenfeld	2	–	–	3	3	13	2	6	3	3	–	–	–	33
–	–	2	2	12	1	5	3^{1}	8	–	–	–	33	„	Karlstadt	1	–	–	2	2	8	1	2	3	2	–	–	–	20
–	–	2	1	7^{1}	6	6	3	2	–	–	–	27	„	Remlingen	1	–	–	2	1	5	6	5	3	2	–	–	–	24
–	–	3	2	13	6	10	4	3	–	–	–	41	„	Urspringen	–	–	–	3	2	9	5	6	3	2	–	–	–	30
–	–	1^{1}	1	14	4	7	6	4	–	–	–	37	„	Werneck	1	–	–	1	1	13	4	7	6	2	–	–	–	34
–	–	1	4^{2}	12	3	3	4	7^{1}	–	–	–	34	28	Burgwindheim	3	–	–	1	3	8	2	2	4	4	–	–	–	24
–	–	3^{1}	–	15^{1}	4	9	7^{1}	8	–	–	–	46	„	Gerolzhofen	3	–	–	3	–	11	3	7	6	3	–	–	–	33
–	–	2	1	10^{1}	1	5	3	2	–	–	–	24	„	Prüssberg	1	–	–	2	1	9	1	4	3	2	–	–	–	22
–	–	–	4^{2}	8	2	5	3	5	–	–	–	27	„	Trunstadt	2	–	–	–	3	6	2	2	3	3	–	–	–	19
–	–	1	4	23	5	11	6	8	–	–	–	58	29	Bamberg	–	–	–	1	3	13	4	7	5	4	–	–	–	37
–	–	2	3^{1}	15	2	8^{1}	4	4	–	–	–	38	„	Heiligenstadt	2	–	–	2	3	11	2	6	3	3	–	–	–	30
–	–	4	6^{1}	16^{3}	5^{1}	11^{1}	7	9	–	–	–	58	„	Peulendorf	6	–	–	3	4	11	4	7	7	3	–	–	–	39
–	–	1	4	13	1	4^{1}	2	4	–	–	–	29	„	Reundorf	1	–	–	1	3	7	1	3	2	3	–	–	–	20
–	–	1	3	11	2^{1}	7^{1}	3	5	–	–	–	32	„	Schesslitz	2	–	–	1	3	9	2	5	3	3	–	–	–	26
–	–	–	1	14^{1}	4	4	6	6	–	–	–	35	„	Walsdorf	1	–	–	–	1	10	1	4	4	3	–	–	–	23
–	–	1	2	21^{1}	5	8^{1}	5	6^{1}	–	–	–	48	„	Wonsees	3	–	–	1	2	11	5	5	5	3	–	–	–	32
–	–	–	2	17^{1}	3	14	8	4	–	–	–	48	30	Bayreuth	1	–	–	–	2	11	3	7	6	3	–	–	–	32
–	–	1	2	14	4	5	5	4	–	–	–	35	„	Lindenhardt	–	–	–	1	2	8	3	4	4	3	–	–	–	25
–	–	1	1	19	2	9	2	–	–	–	–	34	„	Oberwaiz	–	–	–	1	1	11	2	5	2	–	–	–	–	22

*) Juni: 3 Hageltage. **) Juni: 1 Hageltag. †) Mai: 1 Hageltag, Juni: 1 Hageltag.

Zahl der Gewitter (Die Zahl der Hagelfälle ist in den einzelnen Monaten als Exponent beigesetzt.)													Rechteck Nr.	Station	Jahressumme der Hageltage	Zahl der Gewittertage											
Jan.	Febr.	März	April	Mai	Juni	Juli	Aug.	Sept.	Okt.	Nov.	Dez.	Jahr				Jan.	Febr.	März	April	Mai	Juni	Juli	Aug.	Sept.	Okt.	Nov.	Dez.	Jahr
–	–	–	2	12^{1}	–	5	2	2	–	–	–	23	30	Weidenberg	1	–	–	–	2	8	–	3	2	2	–	–	–	17
–	–	1	3^{2}	19^{1}	–	13	10	5	–	–	1	52	31	Alexandersbad	3	–	–	1	2	12	–	6	5	3	–	–	1	30
–	–	–	1	11	4	12^{1}	10	4	–	–	–	42	„	Bärnau	1	–	–	–	1	7	3	6	7	3	–	–	–	27
–	–	–	1	14^{1}	2	10	5	–	–	–	–	32	„	Erbendorf	1	–	–	–	1	9	2	6	4	–	–	–	–	22
–	–	–	3	**10**	–	12	10	–	–	–	–	35	„	Fuchsmühl	–	–	–	–	2	9	–	6	6	–	–	–	–	23
–	–	1	4^{1}	23^{1}	3	19^{1}	10	7	–	–	–	67	„	Maiersreuth	3	–	–	1	2	9	3	8	6	4	–	–	–	33
–	–	–	3	9	–	9	4	**3**	–	–	–	28	„	Waldsassen	–	–	–	–	2	4	–	4	3	3	–	–	–	16
–	–	–	2	15	–	27	10	3	–	–	–	57	„	Witzlasreuth	–	–	–	–	2	9	–	9	5	3	–	–	–	28
–	–	–	3	13^{2}	2	21^{1}	7	5	–	–	–	51	32	Mähring	3	–	–	–	3	7	2	9	6	3	–	–	–	30
–	1	1	1	12	8	12^{1}	2	5	–	–	–	42	39	Stadtprozelten	1	–	1	1	1	9	7	6	2	2	–	–	–	29
–	–	2^{1}	2	13	1	6	3	2^{1}	–	–	–	29	40	Bibelried	2	–	–	2	2	9	1	4	2	2	–	–	–	22
–	–	1	1	7	7	6	3	–	–	–	–	25	„	Kirchheim	–	–	–	1	1	6	6	5	3	–	–	–	–	22
–	–	3	2^{1}	14	4	6	4	3^{1}	–	–	–	36	„	Kitzingen	2	–	–	2	2	10	3	4	4	1	–	–	–	26
–	–	2	2	9	4^{1}	5	3	4	–	–	–	29	„	Mainbernheim	1	–	–	2	2	8	4	4	3	2	–	–	–	25
–	–	2	2	14	9	6	3	5	–	–	–	41	„	Segnitz	–	–	–	2	2	9	6	6	3	2	–	–	–	30
–	–	2^{1}	1	13^{2}	7	8	3	6	–	–	–	40	„	Unteraltertheim	3	–	–	2	1	7	6	5	3	2	–	–	–	26
–	–	2^{1}	1	14	7	10	5^{1}	6^{1}	–	–	–	45	„	Würzburg	3	–	–	2	1	10	6	5	4	3	–	–	–	31
–	–	1	2	19	6	9	7	6	–	–	–	50	41	Breitenlohe	–	–	–	1	2	10	5	6	6	3	–	–	–	33
–	–	1	1	6	1	2	4	1	–	–	–	16	„	Burghaslach	–	–	–	1	1	5	1	2	4	1	–	–	–	15
–	–	1	1	11	2^{1}	3^{1}	1	2	–	–	–	21	„	Castell	2	–	–	1	1	8	2	3	1	1	–	–	–	17
–	–	1	1	14	1	4	3	3	–	–	–	27	„	Lonnerstadt	–	–	–	1	1	10	1	4	3	2	–	–	–	22
–	3	3	4	20^{1}	10^{1}	12	11	7	–	–	1	71	„	Nenzenheim	2	–	3	3	3	12	7	7	8	2	–	–	1	46
				11	2	4^{1}	2	8	–	–	–			Wachenroth						7	2	2	3	–	–	–		
–	–	1	2	18^{1}	7^{2}	16	7	6	–	–	–	57	42	Erlangen	3	–	–	1	2	11	4	7	6	3	–	–	–	34
–	1	–	1	15	3	8	3	5	–	–	–	36	„	Forchheim	–	–	1	–	1	10	3	5	3	3	–	–	–	26
–	–	1	2	14^{1}	7	10	8	3	–	–	–	45	„	Gräfenberg	1	–	–	1	1	10	5	6	7	2	–	–	–	32
–	–	–	1	13	2	6	4	6	–	–	–	32	„	Steppach	–	–	–	–	1	11	2	5	4	3	–	–	–	26
–	–	–	3	15	7	10	6	4	–	–	–	45	43	Gössweinstein	–	–	–	–	3	11	6	4	5	4	–	–	–	33
–	–	1	2	15^{1}	1	2	2	–	–	–	–	23	„	Horlach	1	–	–	1	2	11	1	2	2	–	–	–	–	19
–	–	–	4	**12**	1	4	5	–	–	–	–	26	„	Vilseck	–	–	–	–	3	6	1	3	4	–	–	–	–	17
–	–	–	**2**	4	–	4	5	–	–	–	–	15	44	Mantel	–	–	–	–	2	4	–	**2**	3	–	–	–	–	11
–	–	–	3	5^{1}	–	5	6	3	–	–	–	22	„	Neunkirchen	1	–	–	–	3	4	–	5	4	3	–	–	–	19
–	–	–	1	11	3	12	7	6	–	–	–	40	„	Plössberg	–	–	–	–	1	8	3	8	5	4	–	–	–	29
–	–	–	3	13	5	10^{1}	7	–	–	–	–	38	„	Roggenstein	1	–	–	–	3	8	3	7	5	–	–	–	–	26
–	–	–	4	8^{1}	1	5^{1}	4	3	–	–	–	25	„	Waldthurn	2	–	–	–	3	5	1	3	3	3	–	–	–	18
–	–	–	1	10^{1}	13	7	7	–	–	–	–	38	53	Stalldorf	1	–	–	–	1	8	7	5	7	–	–	–	–	28
–	–	–	1	12	4	10	2	3	–	–	–	32	54	Dietenhofen	–	–	–	–	1	8	3	5	2	2	–	–	–	21
–	–	–	1	5	3	9	4	4	–	–	–	26	„	Obernzenn	–	–	–	–	1	5	2	5	4	3	–	–	–	20
–	–	2	2	17	4	6	**3**	–	–	–	–	34	„	Steinach b. R.	–	–	–	2	2	11	3	5	3	–	–	–	–	26
–	–	–	1	17^{2}	10	11	5	3	–	–	–	47	„	Windsheim	2	–	–	–	1	10	6	6	5	2	–	–	–	30
–	–	–	1	13^{1}	7	1	2	2	–	–	–	26	55	Hagenbüchach	1	–	–	–	1	7	6	1	2	1	–	–	–	18
–	–	–	2	14	5	9	6	4	–	–	–	40	„	Langenzenn	–	–	–	–	2	10	4	6	6	3	–	–	–	31
–	–	–	4	21^{1}	8^{1}	11^{2}	9	5	–	–	–	58	„	Nürnberg	4	–	–	–	3	12	5	7	8	4	–	–	–	39
–	–	–	1	12	7	7	6	3	–	–	–	36	„	Rossstall	–	–	–	–	1	6	5	5	6	3	–	–	–	26
–	1	1	4	12^{1}	6^{1}	3	3	2	–	–	–	32	56	Altdorf	2	–	1	1	4	9	4	2	3	2	–	–	–	26
–	–	–	5	15^{2}	10	7	9	3	–	–	–	49	„	Amberg	2	–	–	–	4	7	5	7	7	3	–	–	–	33
–	–	–	4	13^{3}	2	3	5	4	–	–	–	31	„	Hahnbach	3	–	–	–	3	6	2	3	4	3	–	–	–	21
–	–	1	1	7^{2}	3	6	1	3	–	–	1	23	„	Hohenkemnath	2	–	–	1	1	5	1	6	1	2	–	–	1	18
–	–	–	4	13^{3}	2^{1}	13	6	2	–	–	–	40	„	Holenstein	3*)	–	–	–	3	6	1	6	5	1	–	–	–	22
–	–	–	7	11^{1}	4	**8**	6	2	–	–	–	38	„	Lauterhofen	1	–	–	–	2	5	6	3	5	2	–	–	–	26
–	–	–	3	16^{4}	2	6	2	**3**	–	–	–	32	„	Michaelspoppenricht	3**)	–	–	–	2	10	2	3	2	2	–	–	–	21
–	–	–	6	14^{1}	3	8^{1}	7	5	–	–	1	44	„	Sulzbach	2	–	–	–	4	10	3	6	6	4	–	–	1	34
–	–	–	1	13^{4}	4	5	3	–	–	–	–	26	57	Aschach	3†)	–	–	–	1	11	4	4	3	–	–	–	–	23
–	–	–	3	17	11	19	11	4	–	–	–	65	„	Böhmischbruck	–	–	–	–	3	9	5	8	7	3	–	–	–	35
–	–	–	3^{1}	6^{1}	3^{1}	5	6	3	–	–	–	26	„	Dieterskirchen	3	–	–	–	3	3	3	5	4	3	–	–	–	21
–	–	–	3	8	4	6	6	–	–	–	–	27	„	Luhe	–	–	–	–	2	4	3	6	5	–	–	–	–	20
–	–	–	2	8	3^{1}	10	7	2	–	–	–	32	„	Oberviechtach	1	–	–	–	2	4	3	5	4	2	–	–	–	20
–	–	–	1^{1}	6^{1}	2	**8**	3	3	–	–	–	23	„	Schwarzach	2	–	–	–	1	5	1	6	2	2	–	–	–	17
–	–	–	3	15	6	10	10	6	–	–	1	51	„	Tännesberg	–	–	–	–	3	9	4	7	7	3	–	–	1	34
–	–	–	2	10	2	12	17	**4**	–	–	–	47	58	Winklarn	–	–	–	–	2	7	1	7	9	3	–	–	–	29
–	2	1^{1}	1	4	6	3	2	–	–	–	–	19	66	Erzberg	1	–	2	1	1	4	4	3	2	–	–	–	–	17
–	1	2^{1}	1	18	13^{1}	15^{1}	9	2	–	–	–	61	„	Lohr b. D.	3	–	1	2	1	8	6	9	6	2	–	–	–	35
–	–	1	–	11	7^{2}	10	6	4^{1}	1^{1}	–	1^{1}	41	67	Ansbach	5	–	–	1	–	7	4	7	6	3	1	–	1	30
–	1	–	1	5	8	17	13	3	1	–	–	49	„	Arberg	–	–	1	–	1	5	4	8	6	3	1	–	–	29
				10	6^{1}	6	3	2	1	–	1		„	Aurach						7	3	3	3	2	1	–	1	
–	2	–	2	17	9	11	10	4	–	–	–	55	„	Colmberg	–	–	2	–	2	11	6	8	7	2	–	–	–	38
–	–	–	1	7	10	6	3	2	1	–	–	30	„	Herrieden	–	–	–	–	1	4	4	4	3	2	1	–	–	19
				8	7^{1}	5	5	–	–	–	–		„	Mosbach						6	4	4	3	–	–	–	–	
–	1	2	1	9	10^{1}	9	9	4	–	–	1	46	„	Petersaurach	1	–	1	2	1	6	6	7	7	3	–	–	1	34
				10^{1}	7^{2}	7	6	2	–	–	–		„	Weinberg						6	4	5	4	2	–	–	–	
–	2	2	1	6	7	5^{1}	2	–	–	–	–	25	„	Wörnitz	1	–	2	2	1	5	3	4	1	–	–	–	–	18
–	–	1^{1}	3^{1}	11	9	13	9	–	–	–	–	46	68	Allersberg	2	–	–	1	3	10	8	8	7	–	–	–	–	37
–	–	1	2	6	11	2	5	–	–	–	–	27	„	Hilpoltstein	–	–	–	1	2	4	4	2	4	–	–	–	–	17
–	–	–	1	11	6	5	7	–	–	–	–	30	„	Spalt	–	–	–	–	1	8	6	4	6	–	–	–	–	25
–	1	1	1^{1}	11	4	8	8	1	–	–	–	35	69	Neumarkt	1	–	1	1	1	8	3	4	4	1	–	–	–	23
–	–	–	–	9	7	9	5	3	–	–	–	33	70	Burglengenfeld	–	–	–	–	–	5	5	7	4	3	–	–	–	24
–	1	–	1	9	2	5^{1}	5	2	–	–	–	25	„	Dietldorf	1	–	1	–	1	5	2	3	5	2	–	–	–	19
–	–	$-^{1}$	3	14	7^{2}	10	**4**	–	–	–	–	38	„	Kreuzberg b. S.	3	–	–	–	3	9	3	4	3	–	–	–	–	22
–	–	–	2^{1}	7^{1}	4	6^{1}	5	–	–	–	1	25	„	Nittenau	3	–	–	–	2	5	3	4	2	–	–	–	1	17
–	–	–	1^{1}	14	4	8	15	4	–	–	–	46	71	Cham	1	–	–	–	1	7	4	6	11	3	–	–	–	32
–	–	–	3	13	2^{1}	9^{1}	14	–	–	–	–	41	„	Furth	2	–	–	–	2	8	2	7	8	–	–	–	–	27
–	–	–	2	11	2	4^{1}	10	–	–	–	–	29	„	Kötzting	1	–	–	–	2	9	2	3	7	–	–	–	–	23
–	–	–	4	10	3	6^{1}	4	–	–	–	–	27	„	Rötz	1	–	–	–	4	7	2	4	3	–	–	–	–	20
–	–	–	2	15^{1}	3	13	19	2	–	–	–	54	„	Runding	1	–	–	–	2	10	3	7	9	1	–	–	–	32

*) Mai: 2 Hageltage. **) Mai: 3 Hageltage. †) Mai: 3 Hageltage.

Zahl der Gewitter (Die Zahl der Hagelfälle ist in den einzelnen Monaten als Exponent beigesetzt.)													Rechteck Nr.	Station	Jahressumme der Hageltage	Zahl der Gewittertage											
Jan.	Febr.	März	April	Mai	Juni	Juli	Aug.	Sept.	Okt.	Nov.	Dez.	Jahr				Jan.	Febr.	März	April	Mai	Juni	Juli	Aug.	Sept.	Okt.	Nov.	Dez.	Jahr
–	1^{1}	–	2	7^{2}	6	5^{1}	5	–	–	–	–	26	80	Dinkelsbühl	4	–	1	–	2	6	5	5	5	–	–	–	–	24
–	1	–	1	10	8	7	10	3	–	–	–	40	„	Gunzenhausen	–	–	1	–	1	7	6	5	7	3	–	–	–	30
				5	4	3	3	–	–	–	–		„	Lehengütingen						5	4	3	3	–	–	–	–	
–	1	2	2	15	17^{3}	8	12	1	–	–	–	58	„	Maihingen	3	–	1	2	2	9	7	5	8	1	–	–	–	35
–	–	–	1	7	10^{1}	3	5	1	–	–	2	29	„	Schopfloch	1	–	–	–	1	5	6	3	4	1	–	–	2	22
–	–	1^{1}	3	10	16	8	9	3	–	–	2	52	„	Wassertrüdingen	1	–	–	–	1	2	8	5	6	6	3	–	2	33
–	–	–	1	6	5^{1}	6	7	–	–	–	–	25	81	Nennslingen	1	–	–	–	–	1	5	4	6	7	–	–	–	23
–	–	–	2	12	7	7	8	3	–	–	–	39	„	Pfofeld	–	–	–	–	2	8	5	5	7	3	–	–	–	30
–	–	–	–	14^{1}	9	11^{1}	**7**	–	–	–	–	41	„	Rapperszell	2	–	–	–	–	7	5	6	6	–	–	–	–	24
–	–	$-^{1}$	2^{1}	10^{3}	5	5	6	3	–	–	–	31	„	Weissenburg	5	–	–	–	2	6	5	4	4	3	–	–	–	24
–	–	–	2	11	4	1	3	–	–	–	–	21	„	Wettelsheim	–	–	–	–	2	4	4	1	3	–	–	–	–	14
–	–	–	3	2	4	4	5	–	–	–	–	18	82	Altmühlmünster	–	–	–	–	3	2	2	4	5	–	–	–	–	16
–	–	–	2	6	5	–	1	4	–	–	–	18	„	Beratzhausen	–	–	–	–	2	5	4	–	1	3	–	–	–	15
–	–	–	3	6	5^{1}	1	**4**	–	–	–	–	19	„	Breitenbrunn	1	–	–	–	2	4	4	1	3	–	–	–	–	14
–	–	–	2	6	8	6	3	3	–	–	–	28	„	Hemau	–	–	–	–	2	5	5	4	3	3	–	–	–	22
–	–	–	1	8	7^{1}	7^{1}	5^{1}	3	–	–	–	31	„	Kelheim	3	–	–	–	1	5	6	6	5	3	–	–	–	26
–	–	–	2	5	5	17	13	3	–	–	–	45	„	Schlott	–	–	–	–	2	5	4	9	9	3	–	–	–	32
–	–	–	–	6	4	7	5	–	–	–	–	22	83	Abbach	–	–	–	–	–	2	4	5	5	–	–	–	–	16
–	–	–	1	6^{1}	2	9	6	–	–	–	–	24	„	Kiefenholz	1	–	–	–	1	5	2	4	5	–	–	–	–	17
–	–	–	–	7	**5**	14	12	3	–	–	–	41	„	Köfering	–	–	–	–	–	6	4	**7**	10	2	–	–	–	29
–	–	–	1	5^{1}	3	6	7	3	–	–	–	25	„	Regensburg	1	–	–	–	1	5	3	6	6	2	–	–	–	23
–	–	–	3^{1}	10^{2}	4	9^{1}	15	4	–	–	–	45	84	Falkenstein	4	–	–	–	3	6	3	5	8	3	–	–	–	28
–	–	1	6	13^{1}	–	13	15	4	–	–	–	52	„	Viechtach	1	–	–	1	5	9	–	10	11	3	–	–	–	39
–	–	1	1^{1}	23^{1}	12^{2}	24^{1}	15	3	–	–	–	79	85	Buchenau	6	–	–	1	1	11	5	12	10	2	–	–	–	42
–	–	1	1	3^{2}	2	15	11	–	–	–	–	33	„	Kirchdorf	2	–	–	1	1	3	1	10	9	–	–	–	–	25
–	–	1	1	16	9	15	16	–	–	–	–	58	„	Regen	–	–	–	1	1	10	5	10	9	2	–	–	–	36
–	–	1	2	12^{1}	9^{1}	17^{1}	13	4	–	–	–	58	„	Rinchnach	3	–	–	1	2	10	4	12	8	2	–	–	–	39
–	–	1	–	3	4	1	2	1	–	–	–	12	93	Donauwörth	–	–	–	1	–	3	4	1	2	1	–	–	–	12
–	–	3	–	10	11	7	5	1	–	–	–	37	„	Fronhofen	–	–	–	2	–	8	7	5	5	1	–	–	–	28
–	–	3	1	7	16^{1}	5	6	–	–	–	–	38	„	Mündling	1	–	–	2	1	6	8	5	5	–	–	–	–	27
–	–	2	3	11^{2}	13	8	12	5	–	–	–	54	„	Nördlingen	2	–	–	2	3	9	7	7	10	4	–	–	1	42
–	–	–	1^{1}	7	7	7	5	–	–	–	–	27	94	Breitenfurt	1	–	–	–	1	6	5	6	5	–	–	–	–	23
–	–	–	2^{1}	12	9^{2}	6	12	2	–	–	–	43	„	Eichstätt	3	–	–	–	2	9	6	5	8	2	–	–	–	32
–	–	–	4^{1}	10^{1}	8	–	3^{1}	–	–	–	–	25	„	Monheim	3	–	–	–	3	9	7	–	2	–	–	–	–	21
–	–	–	2	11	9	4	6	2	–	–	–	34	„	Rain	–	–	–	–	2	8	7	3	5	2	–	–	–	27
–	–	–	–	8	10	6	5	4	–	–	–	33	„	Tagmersheim	–	–	–	–	–	6	6	5	5	2	–	–	–	24
–	–	–	1	9	7^{1}	12	9	–	–	–	–	38	95	Bettbrunn	1	–	–	–	1	6	6	7	7	–	–	–	–	27
–	–	2	3	9	8^{1}	6	5^{1}	2	–	–	–	35	„	Hofstetten	2	–	–	2	3	9	7	6	5	2	–	–	–	34
–	–	–	2	9	10	9^{1}	11	2	–	–	–	43	„	Ingolstadt	1	–	–	–	1	9	7	6	8	2	–	–	–	33
–	–	–	1	5	1	6	3	–	–	–	–	16	„	Pförring	–	–	–	–	1	4	1	3	3	–	–	–	–	12
–	–	–	1	6	3	5	6	–	–	–	–	21	„	Weltenburg	–	–	–	–	1	6	3	4	5	–	–	–	–	19
–	–	–	2	5	3	4	3	–	–	–	–	17	96	Ergoldsbach	–	–	–	–	2	5	2	3	3	–	–	–	–	15
–	–	–	4	5	4^{1}	10	11	–	–	–	–	34	„	Oberroning	1	–	–	–	3	5	3	3	5	–	–	–	–	19
–	–	–	3	11^{1}	6^{1}	11^{1}	9	2	–	–	–	42	„	Rohr	3	–	–	–	2	9	4	7	6	1	–	–	–	29
–	–	–	1^{1}	9	8^{1}	10	6	–	–	–	–	34	„	Sünching	2	–	–	–	1	7	4	8	4	–	–	–	–	24
–	–	–	4	5^{1}	6	8	7	–	–	–	–	30	97	Altenbuch	1	–	–	–	4	4	5	6	6	–	–	–	–	25
–	–	–	2	7	**4**	6	8	–	–	–	–	27	„	Deggendorf	–	–	–	–	2	5	4	5	6	–	–	–	–	22
–	–	–	2	8^{2}	5^{1}	9	10	2	1	–	–	37	„	Metten	3	–	–	–	2	7	4	7	7	2	1	–	–	30
–	–	–	–	4	3	2	6	3	–	–	–	18	„	Pilsting	–	–	–	–	–	3	3	2	6	2	–	–	–	16
–	–	–	–	4^{1}	3	7	2	–	–	–	–	16	„	Puchhausen	1	–	–	–	–	3	2	3	2	–	–	–	–	10
–	–	–	2^{1}	9	9	12	16	3	–	–	–	51	98	Aussernzell	1	–	–	–	1	6	6	7	10	2	–	–	–	32
–	–	–	3	14^{1}	5	8	7	–	–	–	–	37	„	Grafenau	1	–	–	–	3	7	3	8	5	–	–	–	–	26
–	–	–	2^{1}	22	6	5	2	–	–	–	–	37	„	Greising	1	–	–	–	2	12	4	2	1	–	–	–	–	21
–	–	–	2	15	5	11^{1}	3	–	–	–	–	36	„	Perlesreut	1	–	–	–	1	9	3	7	2	–	–	–	–	22
–	–	–	2	10	1	15	8	2	–	–	–	38	99	Bischofsreut	–	–	–	–	2	7	1	8	6	2	–	–	–	26
–	–	–	2	7^{1}	2	6	6	–	–	–	–	23	„	Breitenberg	1	–	–	–	2	4	1	4	5	–	–	–	–	16
–	–	–	1	5^{1}	7	17^{2}	14	–	–	–	–	44	„	Grainet	3	–	–	–	1	4	4	6	8	–	–	–	–	23
–	–	–	3	11	8	18	19^{1}	3	–	–	–	62	„	Neureichenau	1	–	–	–	2	9	5	9	12	2	–	–	–	39
–	–	–	3	13^{1}	7	15	10	–	–	–	–	48	„	Schwarzental	–	–	–	–	2	10	3	5	7	–	–	–	–	27
–	–	1	–	10	9	6	2	–	–	–	–	28	105	Oberelchingen	–	–	–	1	–	9	6	5	2	–	–	–	–	23
–	–	–	–	8	7	4	5	–	–	–	–	24	106	Affaltern	–	–	–	–	–	8	5	4	5	–	–	–	–	22
–	–	–	–	8	6	7	7	–	–	–	–	28	„	Emersacker	–	–	–	–	–	7	5	6	5	–	–	–	–	23
–	–	3	2	17	14	7	11	–	–	–	–	54	„	Rettenbach	–	–	–	3	2	11	9	6	8	–	–	–	–	39
–	–	–	–	7^{1}	7	5	6	1	–	–	–	26	„	Sonderheim	1	–	–	–	–	7	7	5	5	1	–	–	–	25
–	–	–	–	4	10	5	3	–	–	–	–	22	„	Wertingen	–	–	–	–	–	3	5	5	3	–	–	–	–	16
–	–	3	2	13^{1}	9	5	9	–	–	–	–	41	107	Bayerdilling	1	–	–	2	2	12	8	5	7	–	–	–	–	36
–	–	–	1	10^{1}	11	3	3	–	–	–	–	28	„	Herbertshofen	1	–	–	–	1	8	6	3	3	–	–	–	–	21
–	–	–	1	4	3	2	2	2	–	–	–	14	„	Karlshuld	–	–	–	–	1	4	3	2	2	1	–	–	–	13
–	–	–	2	13	9	5	5^{1}	–	–	–	–	34	„	Kühbach	1	–	–	–	2	7	6	2	4	–	–	–	–	21
–	–	1	1	8^{1}	15	7^{1}	5	–	–	–	–	37	„	Mertingen	2	–	–	1	1	7	8	6	5	–	–	–	–	28
–	1	–	4	10	10	9	13	3	–	–	–	50	„	Niederarnbach	–	–	1	–	3	9	8	7	11	3	–	–	–	42
–	–	–	2	4	5^{1}	2	3	–	–	–	–	16	108	Geisenfeld	1	–	–	–	1	4	5	2	3	–	–	–	–	15
–	–	–	2	11^{1}	13^{1}	10	12	3	–	–	–	51	„	Gerolsbach	2	–	–	–	1	7	7	4	9	2	–	–	–	30
–	–	–	2	7	9	5	7	2	–	–	–	32	„	Hohenwart	–	–	–	–	2	5	4	2	5	2	–	–	–	20
–	–	–	3	**8**	2	5	5	–	–	–	–	23	„	Mainburg	–	–	–	–	2	6	1	4	5	–	–	–	–	18
–	–	–	3^{1}	7	7	4	9^{1}	–	–	–	–	30	„	Nandlstadt	2	–	–	–	2	5	5	3	9	–	–	–	–	24
–	–	–	1	4	5	2	4	3	–	–	–	19	„	Wolnzach	–	–	–	–	1	4	4	2	4	2	–	–	–	17
–	–	1	4	9	9	8	9^{1}	3	–	–	–	43	109	Bruckberg	1	–	–	1	3	6	7	6	8	3	–	–	–	34
–	–	2	4	10	10	11	14	3	–	–	–	54	„	Dietelskirchen	–	–	–	1	4	7	6	8	10	3	–	–	–	39
–	–	1	5	10	12	13	12	4	–	–	–	57	„	Gramelkam	–	–	–	1	4	8	7	6	9	3	–	–	–	38
–	–	1	3	6^{1}	9	7	5	1	–	–	–	32	„	Isareck	1	–	–	1	2	5	7	6	5	1	–	–	–	27
–	–	1	4^{1}	6	1	6	5^{1}	3	–	–	–	26	„	Landshut	2	–	–	1	4	5	1	5	5	3	–	–	–	24
–	–	–	3	7	3^{1}	4	5	–	–	–	–	22	„	Pfeffenhausen	1	–	–	–	2	6	3	3	4	–	–	–	–	18
–	–	–	1	7	5	8	18	–	–	–	–	39	110	Dietersburg	–	–	–	–	1	5	4	4	9	–	–	–	–	23

Zahl der Gewitter (Die Zahl der Hagelfälle ist in den einzelnen Monaten als Exponent beigesetzt.)													Rechteck Nr.	Station	Jahressumme der Hageltage	Zahl der Gewittertage										
Jan.	Febr.	März	April	Mai	Juni	Juli	Aug.	Sept.	Okt.	Nov.	Dez.	Jahr				Jan.	Febr.	März	April	Mai	Juni	Juli	Aug.	Sept.	Okt.	Nov.	Dez.	Jahr
–	–	–	–	4	–	4	4	–	–	–	–	12	110	Dingolfing	–	–	–	–	–	3	–	3	3	–	–	–	–	9
–	–	–	2	3	1	7	6	–	–	–	–	19	„	Eichendorf	–	–	–	–	2	3	1	4	4	–	–	–	–	14
–	–	–	1	6	6	9	10^{1}	–	–	–	–	32	„	Falkenberg	1	–	–	–	1	3	3	3	8	–	–	–	–	18
–	–	–	1	2	–	5	3	–	–	–	–	11	„	Frontenhausen	–	–	–	–	1	2	–	2	3	–	–	–	–	8
–	–	–	1^{1}	4	3	10	12	–	–	–	–	30	„	Reisbach	1	–	–	–	1	4	3	5	9	–	–	–	–	22
–	3	–	6	10	12	16	17	2	–	–	–	66	111	Neuhaus	–	–	2	–	2	7	7	7	10	1	–	–	–	36
–	1	–	1	8	3	4	7	–	–	–	–	24	„	Ortenburg	–	–	1	–	1	5	3	4	5	–	–	–	–	19
–	1	–	3	8	6^{2}	6	13	–	–	–	–	37	„	Passau	2	–	1	–	2	7	6	5	11	–	–	–	–	32
–	1	–	2	13^{1}	8^{1}	19	21	6	–	–	–	70	„	Sandbach	2	–	1	–	2	8	4	8	13	3	–	–	–	38
–	–	–	1	14	12^{2}	9^{3}	**14**	–	–	–	–	50	„	Schweiklberg	4*)	–	–	–	1	8	9	7	5	–	–	–	–	30
–	–	–	4	12	7	18	14	3	–	–	–	58	„	Wallerdorf	–	–	–	–	3	7	4	7	5	2	–	–	–	28
–	1	–	1	7	4	6	7^{1}	–	–	–	–	26	112	Wegscheid	1	–	1	–	1	7	4	6	6	–	–	–	–	25
–	1	1	4^{1}	11	1	9^{1}	7	–	–	–	–	34	„	Wildenranna	2	–	1	1	3	6	1	6	5	–	–	–	–	23
–	–	–	2	9	10	6	15	–	–	–	–	42	118	Pfaffenhofen	–	–	–	–	2	7	6	4	9	–	–	–	–	28
–	–	–	2	8	13^{1}	–	6	1	–	–	–	30	„	Vöhringen	1	–	–	–	2	7	7	–	4	1	–	–	–	21
–	–	–	2	13^{1}	10	1	7	–	–	–	–	33	„	Weissenhorn	1	–	–	–	2	11	8	1	6	–	–	–	–	28
–	–	–	2	9	12	7	9	–	–	–	–	39	119	Balzhausen	–	–	–	–	2	7	7	5	7	–	–	–	–	28
–	–	–	1	7^{1}	11	2	4	–	–	–	–	25	„	Burgau	1	–	–	–	1	5	5	2	3	–	–	–	–	16
–	–	2	2	11	9	1	4	–	–	–	–	29	„	Dinkelscherben	–	–	–	2	2	8	7	1	3	–	–	–	–	23
–	–	1	2	16^{2}	17^{1}	7	9	–	–	–	–	52	„	Krumbach	3	–	–	1	2	10	7	6	8	–	–	–	–	34
–	–	–	2	12^{2}	11^{1}	4	12	–	–	–	–	41	„	Reinhardshofen	3	–	–	–	2	6	7	3	7	–	–	–	–	25
–	–	1	2	9	7	4^{1}	7	–	–	–	–	30	„	Wettenhausen	1	–	–	1	2	8	5	4	7	–	–	–	–	27
–	–	–	2	7	6	8	3	–	–	–	–	26	120	Aichach	–	–	–	–	1	5	5	4	2	–	–	–	–	17
–	–	–	1	2	4	2^{1}	3	–	–	–	–	12	„	Altomünster	1	–	–	–	1	2	4	2	3	–	–	–	–	12
–	–	–	2	9	11	8^{1}	5	–	–	–	–	35	„	Augsburg	1	–	–	–	2	9	9	6	5	–	–	–	–	31
–	–	–	2	6	9	3	7	1	–	–	–	28	„	Baindlkirch	–	–	–	–	2	5	7	2	6	1	–	–	–	23
–	–	–	1	3	5	5	3	–	–	–	–	17	„	Dasing	–	–	–	–	1	3	5	3	3	–	–	–	–	15
–	–	–	1	4	3	2	4	–	–	–	–	14	„	Derching	–	–	–	–	1	4	3	2	3	–	–	–	–	13
–	–	–	1	6	6	4	5	–	–	–	–	22	„	Mering	–	–	–	–	1	5	4	4	4	–	–	–	–	18
–	–	–	2	8	9	6	5	–	–	–	–	30	„	Ottmarshausen	–	–	–	–	2	8	7	5	5	–	–	–	–	27
–	–	–	2	6	8	6	11	2	–	–	–	35	121	Allershausen	–	–	–	–	2	5	6	4	11	2	–	–	–	30
–	1	–	2	7	8	5	9	3	–	–	–	35	„	Aufkirchen	–	–	1	–	2	6	7	5	9	3	–	–	–	33
–	–	–	2	3	8	4^{1}	5	–	–	–	–	22	„	Dachau	1	–	–	–	2	3	7	4	4	–	–	–	–	20
–	–	–	1^{1}	4	6	2	6	–	–	–	–	19	„	Garching	1	–	–	–	1	3	5	2	5	–	–	–	–	16
–	–	–	1	8	5	3	3	–	–	–	–	20	„	Jetzendorf	–	–	–	–	1	6	4	3	3	–	–	–	–	17
–	–	–	1	6	4	4	3^{2}	–	–	–	–	18	„	Weichs a. Gl.	2	–	–	–	1	4	4	4	3	–	–	–	–	16
–	–	–	2^{2}	7	11	4	7	2	–	–	–	33	„	Weihenstephan b. Fr.	2	–	–	–	2	7	8	3	6	2	–	–	–	28
–	1	–	3	7	8	4	3	–	–	–	–	26	122	Bockhorn	–	–	1	–	2	6	6	4	3	–	–	–	–	22
–	1	–	3	5	5	5	7	3	–	–	–	29	„	Hohenpolding	–	–	1	–	3	3	4	5	7	2	–	–	–	25
–	1	–	3	5	2	8	12	2	–	–	–	33	„	Vilsbiburg	–	–	1	–	3	4	2	7	9	2	–	–	–	28
–	1	–	4^{1}	7	4	4	5	–	–	–	–	25	„	Vilsheim	1	–	1	–	3	6	3	4	5	–	–	–	–	22
–	–	–	2	8^{1}	12^{1}	11	19	3	–	–	–	55	123	Anzenberg	2	–	–	–	2	6	8	7	12	2	–	–	–	37
–	1	–	2	9	7	7^{1}	9^{1}	–	–	–	–	35	„	Ecksberg	2	–	1	–	2	9	6	5	9	–	–	–	–	32
–	1	–	1^{1}	6^{2}	9^{3}	9	13^{1}	2	–	–	–	41	„	Eggenfelden	6**)	–	1	–	1	6	6	6	10	2	–	–	–	32
–	1	–	1^{1}	4	5	9	9	–	–	–	–	29	„	Marktl	1	–	1	–	1	4	4	6	9	–	–	–	–	25
–	1	1	1^{1}	10	8	10	10	–	–	–	–	41	„	Perach	1	–	1	1	1	6	5	5	8	–	–	–	–	27
–	–	–	2	7	9	17^{1}	15	–	–	–	–	50	„	Pfarrkirchen	1	–	–	–	1	6	7	8	10	–	–	–	–	32
–	–	–	3	5	3^{1}	9	12	3	–	–	–	35	„	St. Veit	1	–	–	–	3	5	2	5	8	2	–	–	–	25
–	–	–	1^{1}	9^{1}	9	17	17	–	–	–	–	53	„	Staudach	2	–	–	–	1	5	5	8	10	–	–	–	–	29
–	–	–	1	6	5	9	10	–	–	–	–	31	„	Wurmannsquick	–	–	–	–	1	5	5	5	8	–	–	–	–	24
–	1	–	3^{1}	8	7	9	11	–	–	–	–	39	124	Griesbach	1	–	1	–	2	6	6	6	10	–	–	–	–	31
–	–	–	**1**	7	6^{1}	5	6	–	–	–	–	25	„	Kirchberg	1	–	–	–	1	5	5	5	5	–	–	–	–	21
–	1	–	3	5	9^{1}	12	10	1	–	–	–	41	„	Pocking	1	–	1	–	2	4	6	5	7	1	–	–	–	26
–	–	1^{1}	–	17	13^{1}	9	11	–	–	–	–	51	132	Buchloe	2	–	–	1	–	11	8	7	7	–	–	–	–	34
–	–	2^{1}	1	7	10	8	10	–	–	–	–	38	„	Egg	1	–	–	2	1	5	7	5	6	–	–	–	–	26
–	–	1	2	12	18	10	17	3	–	–	–	63	„	Erkheim	–	–	–	1	1	9	11	8	12	2	–	–	–	44
–	–	1	–	10	11	9	14	3	–	–	–	48	„	Loppenhausen	–	–	–	1	–	10	8	6	8	2	–	–	–	35
–	–	1	2	9^{2}	10^{2}	9^{1}	10	1	1	–	–	43	„	Mindelheim	5	–	–	1	2	8	9	7	8	1	1	–	–	37
–	1	1	2	16^{1}	17	15	21	1	1	–	–	75	„	Türkheim	1	–	1	1	2	10	9	9	10	1	1	–	–	44
–	–	–	2	10^{1}	11	6	4	–	–	–	–	33	133	Adelshofen	1	–	–	–	2	8	8	4	4	–	–	–	–	26
–	–	–	1^{1}	9	6	2	4	–	–	–	–	22	„	Breitbrunn	1	–	–	–	1	7	5	2	4	–	–	–	–	19
–	–	–	2	10	7	5	6	–	–	–	–	30	„	Eching	–	–	–	–	2	10	6	5	6	–	–	–	–	29
–	–	–	3	10^{2}	6^{1}	6	2	–	–	–	–	27	„	Egling	3	–	–	–	2	8	4	5	2	–	–	–	–	21
–	–	–	2	10	8	5	6	1^{1}	–	–	–	32	„	Emmering	1	–	–	–	2	6	6	5	6	1	–	–	–	26
–	–	–	1	5	12	7	7	–	–	–	–	32	„	Grossaitingen	–	–	–	–	1	5	7	6	6	–	–	–	–	25
–	–	–	2^{1}	11	7^{1}	5	3	–	–	–	–	28	„	Hechendorf	2	–	–	–	2	7	5	5	3	–	–	–	–	22
–	–	–	1	11^{1}	11	7^{1}	7	–	–	–	–	37	„	Landsberg	2	–	–	–	1	11	8	5	6	–	–	–	–	31
–	–	–	2	9	6	3	4	–	–	–	–	24	„	Oberalting	–	–	–	–	1	7	4	3	3	–	–	–	–	18
–	–	–	3	10	12^{1}	5	7	1	–	–	–	38	„	Puch	1	–	–	–	3	9	9	4	6	1	–	–	–	32
–	–	–	3	11	9	7	8^{1}	–	–	–	–	38	„	St. Ottilien	1	–	–	–	3	10	8	6	7	–	–	–	–	34
–	–	–	2	10	9^{1}	4^{2}	**5**	–	–	–	–	30	134	Anzing	3	–	–	–	2	6	6	4	5	–	–	–	–	23
–	–	–	2^{1}	11	13^{1}	7	11^{1}	1	–	–	–	45	„	Feldkirchen b. M.	3	–	–	–	2	7	7	6	8	1	–	–	–	31
–	–	–	2	10	9	10	10	1	–	–	–	42	„	Ismaning	–	–	–	–	2	8	7	5	10	1	–	–	–	33
–	–	–	2^{1}	8^{3}	11^{1}	4^{1}	8	–	–	–	–	33	„	Ludwigshöhe	6	–	–	–	2	6	8	4	5	–	–	–	–	25
–	–	–	3	10^{2}	14^{1}	6	9	2	–	–	–	44	„	München	3	–	–	–	2	7	7	6	9	2	–	–	–	33
–	–	–	4^{1}	14^{1}	12^{1}	9^{1}	12	1	–	–	–	52	135	Aschau	4	–	–	–	3	11	10	6	10	1	–	–	–	41
–	–	–	3	5^{1}	6	4	3^{1}	–	–	–	–	21	„	Haag	2	–	–	–	3	4	6	3	3	–	–	–	–	19
–	–	–	3	6	9	8	7^{2}	–	–	–	–	33	„	Hohenlinden	2	–	–	–	3	4	6	4	5	–	–	–	–	22
–	1	–	3^{1}	10^{2}	12^{1}	7^{2}	8	2	–	–	–	43	„	Ottenhofen	6	–	1	–	3	7	8	6	7	2	–	–	–	34
–	1	–	1	6	7	2^{1}	–	–	–	–	–	17	„	St. Wolfgang	1	–	1	–	1	3	6	2	–	–	–	–	–	13
–	–	–	1	8^{1}	6^{1}	8	10	2	–	–	–	35	„	Schnaitsee	2	–	–	–	1	3	4	6	9	2	–	–	–	25
–	–	–	3	8	11^{2}	8^{1}	3	–	–	–	–	33	„	Wasserburg	2	–	–	–	3	8	7	4	3	–	–	–	–	25
–	1^{1}	–	2	9	4	12	15	1	–	–	–	44	136	Burghausen	1	–	1	–	2	7	4	6	10	1	–	–	–	31
–	1	–	3	11	5	12	13	–	–	–	–	45	„	Engelsberg	–	–	1	–	2	7	5	8	10	–	–	–	–	33

*) Juli: 2 Hageltage. **) Juni: 2 Hageltage.

Zahl der Gewitter (Die Zahl der Hagelfälle ist in den einzelnen Monaten als Exponent beigesetzt.)														Rechteck Nr.	Station	Jahressumme der Hageltage	Zahl der Gewittertage											
Jan.	Febr.	März	April	Mai	Juni	Juli	Aug.	Sept.	Okt.	Nov.	Dez.	Jahr					Jan.	Febr.	März	April	Mai	Juni	Juli	Aug.	Sept.	Okt.	Nov.	Dez.	Jahr
–	–	1	2	10	7	6	7	–	–	–	–	33	136	Feldkirchen	–		–	–	1	2	7	4	4	5	–	–	–	–	23
–	–	–	2	11	6	10	7	–	–	–	–	36	„	Tittmoning	–		–	–	–	2	8	6	5	6	–	–	–	–	27
–	–	1	–	7	15	14	13	1	–	–	–	51	144	Grönenbach	–		–	–	1	–	7	10	10	9	1	–	–	–	38
–	1	1	2	11	14	10	14	3	1	–	–	57	„	Hawangen	–		–	–	1	1	2	10	12	8	11	3	1	–	–	49
–	–	–	2	7	**15**	6	7	–	–	–	–	37	145	Dietmannsried	–		–	–	–	2	7	10	6	4	–	–	–	–	29
–	–	1	2	16	9	11	6	2	–	–	–	47	„	Ebersbach	–		–	–	–	1	1	9	7	7	5	2	–	–	32
–	1	1	1	15	18^{1}	15	14	3	2	–	–	70	„	Ottobeuren	1		–	1	1	1	10	12	8	8	3	1	–	–	45
–	1	1	2^{1}	16	12	15^{1}	14	2	1	–	–	64	146	Andechs	2		–	1	1	2	10	8	8	8	2	1	–	–	41
–	–	1	2	13	9	2	6	2	–	–	–	35	„	Diessen	–		–	–	1	2	9	6	2	5	2	–	–	–	27
–	–	–	2	10	10	5	7	–	–	–	–	34	„	Herrsching	–		–	–	–	2	9	7	5	7	–	–	–	–	30
–	1^{1}	1	2	20^{2}	15	19	9^{1}	4	–	–	–	71	„	Hohenpeissenberg	4		–	1	1	1	11	9	11	4	4	–	–	–	42
–	–	–	1	10	6	7	6	–	–	–	–	30	„	Ludenhausen	–		–	–	–	1	8	4	4	4	–	–	–	–	21
–	–	1	2	7	11	9	10	1	–	–	–	41	„	Perchting	–		–	–	1	2	7	7	7	7	1	–	–	–	32
–	–	1	1	22^{1}	13	17^{1}	9^{1}	3	–	–	–	66	„	Tutzing	3		–	–	1	1	13	9	8	5	2	–	–	–	39
–	–	1	1	17^{1}	8	14	6	4	1	–	–	52	„	Unterhausen	1		–	–	1	1	12	5	7	4	4	1	–	–	35
–	–	1	1	15^{1}	10	13	5	2	1	–	–	48	„	Weilheim	1		–	–	1	1	11	7	9	3	2	1	–	–	35
–	–	–	1	22	13^{1}	16^{1}	11^{1}	3	2	–	–	68	147	Ammerland	3		–	–	–	1	14	7	9	7	3	1	–	–	42
–	–	–	1	15	11	13^{2}	10	3	–	–	–	53	„	Assenhausen	2		–	–	–	1	14	9	10	7	3	–	–	–	44
–	–	–	1	13	8	7	3	1	–	–	–	33	„	Dietramszell	–		–	–	–	1	9	7	7	2	1	–	–	–	27
–	–	–	1	8^{1}	13	8^{2}	4	1	1	–	–	36	„	Grossdingharting	3		–	–	–	1	6	7	5	2	1	1	–	–	23
–	–	–	1	7^{2}	**7**	5	7^{1}	–	–	–	–	27	„	Königsdorf	3		–	–	–	1	7	6	4	5	–	–	–	–	23
–	–	–	1	5	6	5	5^{1}	1^{1}	1	–	–	24	„	Münsing	2		–	–	–	1	4	5	5	4	1	1	–	–	21
–	–	–	1	8^{2}	8	**8**	**7**	–	–	–	–	32	„	Oed	2		–	–	–	1	**7**	6	5	5	–	–	–	–	24
–	–	–	1	5	8	5^{2}	5^{1}	–	–	–	–	24	„	Schäftlarn	3		–	–	–	1	4	6	5	5	–	–	–	–	21
–	–	–	3	**6**	10	4^{1}	6	1	–	–	–	30	„	Starnberg	1		–	–	–	1	5	7	4	5	1	–	–	–	23
–	–	–	–	7	4^{2}	5^{1}	3^{1}	–	1	–	–	20	„	Westerham	5		–	–	–	–	6	2	4	3	–	1	–	–	16
–	–	–	**1**	12	9^{1}	12^{2}	3^{1}	**2**	–	–	–	39	148	Aibling	4		–	–	–	1	9	6	9	3	2	–	–	–	30
–	1	–	3	10	9	7	5	–	–	–	–	35	„	Gross-Karolinenfeld	–		–	1	–	2	8	5	6	5	–	–	–	–	27
–	–	–	3	9	8	16^{1}	5	–	–	–	–	41	„	Pang	1		–	–	–	3	3	4	6	3	–	–	–	–	19
–	–	–	1	16	5	13	6	3	–	–	–	44	„	Riedering	–		–	–	–	1	11	4	5	6	3	–	–	–	30
–	–	–	4	15	10^{1}	11	5	–	–	–	–	45	„	Rott	1		–	–	–	3	9	5	7	4	–	–	–	–	28
–	1	–	3	8	7	13	9	–	–	–	–	41	„	Söchtenau	–		–	1	–	2	6	3	8	6	–	–	–	–	26
–	2	–	1	13	12	15	**6**	–	–	–	–	49	„	Söllhuben	–		–	1	–	1	8	5	6	6	–	–	–	–	27
–	–	–	3	12^{2}	6^{1}	7	6	–	–	–	–	34	149	Baumburg	3		–	–	–	3	9	4	3	4	–	–	–	–	23
–	–	–	2	7	3	1	5	–	–	–	–	18	„	Bergen	–		–	–	–	2	6	2	1	4	–	–	–	–	15
–	–	–	4	13	10^{1}	13	9	2	–	–	–	51	„	Chieming	1		–	–	–	3	9	6	7	6	2	–	–	–	33
–	–	–	2	11^{1}	9	9	6	2	–	–	–	39	„	Frauenchiemsee	1		–	–	–	2	8	7	8	4	2	–	–	–	31
–	1	–	2	12	7	12	14	2	–	–	–	50	„	St. Georgen	–		–	1	–	2	9	5	8	10	2	–	–	–	37
–	1	–	3^{1}	7	10^{3}	15^{1}	15^{1}	4	–	–	–	55	„	Surrberg	6		–	1	–	3	6	6	9	11	3	–	–	–	39
–	1	–	3	8	9^{1}	11^{1}	7^{1}	3	–	–	–	42	„	Traunstein	3		–	1	–	3	6	6	6	4	2	–	–	–	28
–	–	–	–	8	21^{3}	11	17	3	1	–	1	62	156	Lindau-Reutin	3		–	–	–	–	7	10	6	9	1	1	–	1	35
–	–	–	–	5	14	11	15	3	1	–	2	51	„	Unterreitnau	–		–	–	–	–	5	9	8	11	2	1	–	2	38
–	–	–	2	4	21	12	3^{1}	–	–	–	2	44	157	Knottenried	1		–	–	–	2	3	13	8	3	–	–	–	2	31
–	–	–	1^{1}	3	13^{2}	5	9	–	–	–	–	31	„	Weiler	2*)		–	–	–	1	3	9	4	8	–	–	–	–	25
–	–	–	–	10^{1}	8	18^{2}	12^{1}	4	1	–	1	54	158	Bernbeuren	4		–	–	–	–	8	5	15	10	4	1	–	1	44
–	1	–	4	10^{3}	9	4^{1}	5	3	1	–	–	37	„	Mittersulzberg	4		–	1	–	3	9	8	4	4	3	1	–	–	33
–	**1**	–	–	10	7	5	3	–	–	–	–	26	„	Nesselwang	–		–	1	–	–	8	6	4	3	–	–	–	–	22
–	1	–	1	9^{1}	7	12	6	2	–	–	–	38	„	Rosshaupten	1		–	1	–	1	7	6	9	5	2	–	–	–	31
–	1	–	2	7^{1}	16^{1}	10	6	–	–	–	–	42	„	Wildpoldsried	2		–	1	–	2	6	11	6	5	–	–	–	–	31
–	–	–	–	16	14	7	4	3	–	–	–	44	159	Ammerhöfe	–		–	–	–	–	11	7	5	3	2	–	–	–	28
–	1	–	–	17	13^{1}	24	19^{1}	4	1	–	–	79	„	Ettal	2		–	1	–	–	9	8	9	8	2	1	–	–	38
–	–	–	1	12	9	17	8	6	–	–	–	53	„	Huglfing	–		–	–	–	1	10	7	10	5	4	–	–	–	37
–	–	1	1	8^{1}	4	17^{1}	7^{1}	3	–	–	–	41	„	Iffeldorf	3		–	–	1	1	7	3	10	4	2	–	–	–	28
–	–	–	1	10	6	10	2	3	–	–	–	32	„	Kohlgrub	–		–	–	–	1	9	4	7	2	3	–	–	–	26
–	–	–	1	10	11	10	6	2	–	–	–	40	„	Linderhof	–		–	–	–	1	9	7	8	5	2	–	–	–	32
–	–	1	1	10	8	11	2	3	1	–	–	37	„	Ohlstadt	–		–	–	1	1	7	5	7	1	2	1	–	–	25
–	–	1	2	18^{1}	15	21	12	6	–	–	–	75	„	Schlehdorf	1		–	–	1	1	9	6	12	6	3	–	–	–	38
–	–	–	1	15	10	13^{2}	5	**3**	–	–	–	47	„	Schöffau	2		–	–	–	1	10	6	8	3	3	–	–	–	31
–	–	–	1	7^{5}	10^{3}	21^{1}	18^{1}	5	1	–	–	63	160	Jachenau	10		–	–	–	1	7	7	11	8	3	1	–	–	38
–	–	–	1	9	9	7	3	1	1	–	–	31	„	Schaftlach	–		–	–	–	1	8	7	6	3	1	1	–	–	27
–	–	–	–	11	15^{1}	16^{3}	6	2	–	–	–	50	„	Tegernsee	4		–	–	–	–	8	9	9	5	2	–	–	–	33
–	–	–	1	10	14	21^{1}	12	5	–	–	–	63	„	Tölz (Bad)	1		–	–	–	1	7	9	11	7	4	–	–	–	39
–	1	–	2	7	6	7^{1}	5	1	–	–	–	29	161	Hohenaschau	1		–	1	–	2	6	5	6	5	1	–	–	–	26
–	–	–	1	16^{1}	8^{2}	9	7	–	–	–	–	41	„	Kiefersfelden	3		–	–	–	1	14	5	6	5	–	–	–	–	31
–	1	1	1	13^{2}	8	14	7	–	–	–	–	45	„	Nussdorf	2		–	1	1	1	10	5	9	5	–	–	–	–	32
–	1	–	2	17	10^{1}	**21**	12	2	–	–	–	65	„	Reisach	1		–	1	–	1	12	5	9	8	2	–	–	–	38
–	–	–	2	**10**	9	11	9	1	–	–	–	42	162	Inzell	–		–	–	–	2	7	5	5	7	1	–	–	–	27
–	1	–	2	5	5^{1}	8	5	1	–	–	1	28	„	Reichenhall	1		–	1	–	2	5	4	5	3	1	–	–	1	22
–	–	–	2	8	5	8	3	2	1	–	–	29	„	Reit i. W.	–		–	–	–	2	7	5	5	3	2	1	–	–	25
–	1	–	5	8	10^{1}	19	17	3	2	–	1	66	163	Berchtesgaden	1		–	1	–	3	7	7	9	9	3	1	–	1	41
–	–	–	–	2	8	12^{1}	5	5	1	–	–	33	170	Oberstdorf	1		–	–	–	–	2	7	8	5	4	1	–	–	27
–	1^{1}	–	–	9^{2}	18^{2}	13^{2}	7	2	–	–	–	50	„	Sonthofen	7		–	1	–	–	7	11	10	6	1	–	–	–	36
–	1	–	–	10	8	3	1	1	1	–	–	25	„	Untermaiselstein	–		–	1	–	–	8	7	3	1	1	1	–	–	22
–	1	–	–	11	15^{2}	14	7	3	1	–	–	52	171	Oberjoch	2		–	1	–	–	9	9	11	4	2	1	–	–	37
–	–	–	2	9^{1}	15^{1}	25^{1}	13	4	1	–	1	70	172	Mittenwald	3		–	–	–	2	7	8	9	7	3	1	–	1	38
–	–	–	1	11^{1}	11^{2}	23^{1}	15	4	1	–	–	66	„	Partenkirchen	4		–	–	–	1	7	7	11	10	2	1	–	–	39
–	–	–	1	7	5	9	8	2	1	–	1	34	173	Vorderriss	–		–	–	–	1	7	4	5	5	1	1	–	1	25

*) Juni: 1 Hageltag.

Übersicht über die Witterungsverhältnisse im Königreiche Bayern

während des Januar 1911.

Die vorwiegend antizyklonale Witterung des Januar 1911 hat die Durchschnittswerte der einzelnen meteorologischen Elemente in weitem Masse beeinflusst, so dass dieselben vom langjährigen Mittel beträchtlich abweichen.

Die Temperaturmittel sind allenthalben unter dem Durchschnittswert geblieben, und zwar um ganz ungewöhnlich hohe Beträge im Algäu und im Bodenseegelände, wo Oberstdorf ein um 3 Grad, Lindau i. B. ein um 3.3 Grad zu tiefes Monatsmittel der Temperatur lieferten. Im allgemeinen ergaben sich Differenzen von ca. 1.5 Grad; am geringsten waren die Abweichungen im Maingebiet sowie am Westabhang des Böhmerwaldes, wo meist nur ½ Grad zum Normalwert fehlte.

Auch die Monatssumme des Niederschlags hat den durchschnittlichen Wert bei weitem nicht erreicht, meist betrug die gewonnene Summe nur 50 % des Normalwerts; in der Pfalz und im Maingebiet, ausserdem im Böhmerwald und im ganzen Alpengebiet sind nur 20—40 % des langjährigen Mittels gemessen worden.

So trug der Januar im wesentlichen, gemessen an dem schliesslichen Gesamtergebnis des Monats, den Charakter des trockenkalten Wintermonats. Dabei waren auch die zeitlichen Veränderungen im allgemeinen gering; es waren weder besondere atmosphärische Ereignisse zu verzeichnen, noch zeigte die Witterung im einzelnen ein stark schwankendes Bild, so dass etwa die Monatsmittel das Resultat sehr stark differenter Einzelwerte wären. Abgesehen von den Tagen des 10.—15. Januar waren weder starke Luftdruckschwankungen noch ungewöhnliche Wärmebewegungen zu beobachten. An der Hand der täglichen Wetterkarten ergibt sich etwa folgendes Bild des zeitlichen Verlaufs der Witterung.

In den ersten Tagen des Januar brachte eine über Skandinavien gelegene Depression, die von Island vorgedrungen war, Trübung und ausgedehnte, jedoch nicht sehr intensive Schneefälle. Schon am 3. Januar machte aber hoher Druck von Nordrussland einen kräftigen Vorstoss nach Mittelskandinavien und verdrängte die vorhandene Depression nach Südwesten, wo sie sich auflöste. Die Lage des hohen Druckes war dabei für unser Gebiet noch nicht günstig, vielmehr machte sich jetzt eine schon seit Beginn des Monats über dem Mittelmeer vorhandene Störung geltend, so dass trübes Wetter bis zum 5. Januar fortdauerte. Erst als von Island eine sehr tiefe Depression vordrang, die den hohen Druck nach Osten verdrängte, verwandelte sich die bisher immer noch maritime Luftzufuhr in eine rein kontinentale. In Südbayern trat dabei zuerst kräftige Föhnwirkung ein, so dass bis zum 9. Januar heiteres oder wolkenloses, infolge der intensiven nächtlichen Ausstrahlung ziemlich kaltes Wetter bestand. Ein Rücken hohen Druckes, der sich im Laufe des 7. Januar über die zentralen Lagen ausbreitete, brachte auch in Nordbayern vorübergehendes Aufklaren. Am 9. Januar machte indes die nördliche Depression einen südlichen Vorstoss, ein Ausläufer niederen Druckes durchtrennte den Hochdruckrücken und eine kräftige Rückseitenwirkung verursachte allenthalben Schneefälle, die im Süden ihr Maximum erst am 10. Januar erreichten. In der Folge zog zwar der Ausläufer ostwärts ab und hoher Druck folgte von Südwesten nach; da aber über den britischen Inseln sich eine neue Depression entwickelte, so kam es noch einmal am 12. Januar zur Ausbildung einer Furche niederen Druckes, welche das Hauptdepressionszentrum über Skandinavien mit eben diesem Teilminimum über den britischen Inseln verband. Der Durchzug dieses Teilminimums brachte einen starken Barometerfall und noch einmal leichte Schneefälle, dann aber begann der Luftdruck von Westen her kräftig zu steigen, die Temperaturen gingen zurück und bereits im Laufe des 13. Januar trat allenthalben Aufklaren ein, das, als der hohe Druck kontinental wurde, im ganzen Königreich während des 14., 15. und 16. Januar anhielt. In diesen Tagen entwickelte sich über dem Gebirge eine intensive Temperaturumkehr, so dass z. B. am 16. Januar folgende Temperaturen beobachtet wurden:

	7 a	2 p	9 h
München C.-St.	—13.1	—5.3	— 9.0
Partenkirchen	—14.5	—8.1	—11.8
Zugspitze	— 7.6	—8.0	— 8.9

Diese vorwiegend antizyklonale Witterung behielt nun im wesentlichen die Herrschaft bis zum 25. Januar. Das Wetter war dabei in den niederen Lagen allerdings meist nebelig. Die geringen Windgeschwindigkeiten begünstigten die Ausbildung einer Nebeldecke, die durchschnittlich bis zu 1000 m Seehöhe reichte. Über diesem Niveau war der Himmel fast beständig wolkenlos, und die Beobachtungen auf der Zugspitze ergaben auch als Monatsmittel der Bewölkung den ausserordentlich kleinen Wert von $^3/_{10}$ des gesamten Firmaments, während z. B. München C.-St. als durchschnittlichen Bewölkungsgrad des Monats mehr als $^7/_{10}$ bestimmte. Dementsprechend ist auch die Sonnenscheindauer auf der Zugspitze

zu 66.3 % der überhaupt möglichen berechnet worden, während sich für München C.St. nur 7.2 % ergaben. Die Luft war übrigens während dieser Tage auf der Zugspitze auch ungewöhnlich feuchtigkeitsarm und daher ausserordentlich diatherman. Besonders geringe Werte der relativen Feuchtigkeit ergeben sich auf dem Hochobservatorium am 21. Januar, wo die Werte

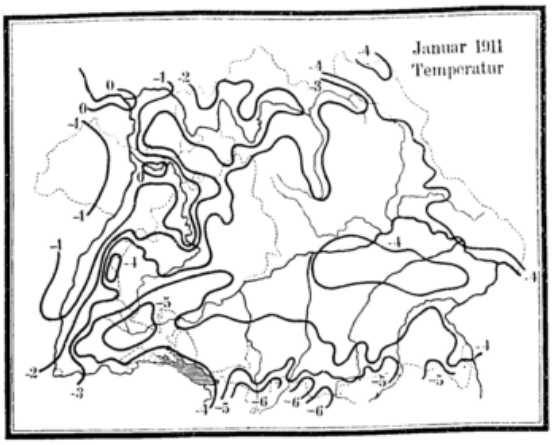
7 a	2 h	9 h
8 %	4 %	3 % registriert wurden.

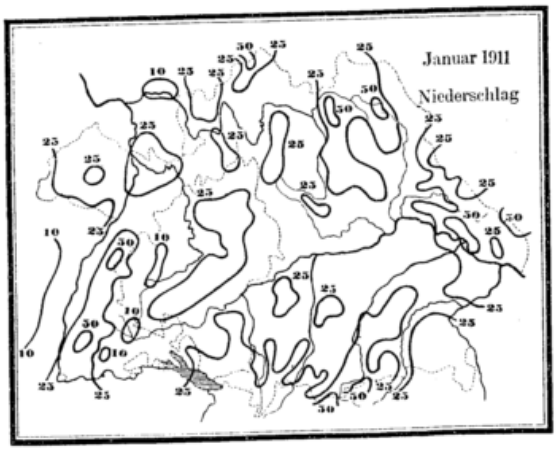
Hohenpeissenberg hatte gleichzeitig

	53 %	35 %	45 %, während sich
in Mittenwald	59 %	39 %	61 %
in Partenkirchen	81 %	82 %	100 %
in München C.-St.	100 %	95 %	98 % ergaben.

Am 25. Januar erfuhr die Herrschaft des hohen Druckes eine kurze Unterbrechung durch einen Ausläufer niederen Druckes, der von Nordskandinavien über die Ostsee nach den Karpathen vorgedrungen war und nach kräftiger Erwärmung durch die westliche Zufuhr maritimer Luft zuerst Regen, dann Schnee brachte. Die Störung war aber bereits in den Nachmittagsstunden des 26. wieder überwunden, der nach Westen verdrängte hohe Druck rückte wieder nach dem Kontinent herein und bis zum Monatsschluss dauerte heiteres Frostwetter fort.

Die andauernde Herrschaft des hohen Druckes war natürlich auch nicht ohne Einfluss auf die geographische Verteilung der einzelnen meteorologischen Elemente. Zwar zeigt die beigegebene Karte der Temperaturverteilung in den grossen Zügen das gewohnte Bild, aber die Abnahme der Temperaturen mit der Höhe ist eine weit langsamere, als dem gewöhnlichen Gesetze entsprechen würde. Beispielsweise berechnet sich für die Höhendifferenz Mittenwald—Zugspitze eine durchschnittliche Abnahme der Temperatur um nur 0.28 Grad für je 100 m, für München C.-St.—Zugspitze 0.32 Grad. Als wärmste Gebiete mit Mitteltemperaturen von mehr als —2 Grad treten die Rheinebene und die ganze Rheinpfalz, ferner das Neckar- und Maintal hervor. An den besonders begünstigten Lagen der pfälzischen Rheinebene und des Neckartales steigt die Mitteltemperatur des Monats sogar über 0 Grad hinauf. Im grössten Teile des rechtsrheinischen Bayern schwankt die





Mitteltemperatur zwischen —3 Grad und —4 Grad, kälter war nur wieder, von den höheren Lagen abgesehen, das Gebiet der bayerischen Moose.

Ähnliche Bilder, wie die geographische Verteilung der Mitteltemperaturen, zeigt auch die Karte des Temperaturmaximums. Die einzelnen Beträge für die bayerischen Stationen findet man in der beigegebenen Tabelle I. Das mittlere Minimum weist innerhalb des Bereiches von Süddeutschland ganz beträchtliche Unterschiede auf. Besonders tiefe Minima ergaben sich in Landshut und Eggenfelden, einem ziemlich bekannten Frostherde Bayerns, wo die Mindesttemperaturen im Mittel unter —9 Grad blieben. Im pfälzischen Rheingebiet berechneten sich Werte zwischen —2 und —3 Grad. Die mittlere Schwankung wies ihre höchsten Werte mit mehr als 8 Grad im Alpengebiete auf, ihre geringsten mit weniger als 4 Grad in der pfälzischen Rheinebene. Die Anzahl der Frosttage betrug nur in den begünstigten Strichen der Rheinebene weniger als 25 Tage, im rechtsrheinischen Bayern waren im allgemeinen nur 3 Tage des Monats frostfrei, im Alpengebiet sowie im Bayerischen und Böhmerwald brachte jeder Tag des Monats Frost. Die Zahl der Wintertage war am grössten im Bayerischen und Böhmerwald sowie im Fichtelgebirge, wo die Einstrahlung wegen der Nebeldecke nicht so stark war, dass sie, wie in den höheren nebelfreien Lagen des Alpengebiets, die Temperatur über den Nullpunkt hinaufführte. Es ergaben sich daher dort mehr als 20 Wintertage, während im Alpengebiet die Zahl 20 meist nicht erreicht wurde. In der Rheinebene sowie im Maintal wurden weniger als 10 Wintertage ermittelt.

Besonders deutlich und interessant kommt der Charakter des Monats in der Karte der Niederschlagssummen zum Ausdruck. Da die Niederschläge meist durch Ausläufer nördlicher Depressionen verursacht waren, also vorherrschend bei Westwind fielen, so kam Luv- und Leeseite der Bodenerhebungen in ausgesprochenster Weise zur Geltung. Das ganze Bodenrelief findet in der Niederschlagshöhe eine Abbildung. Die westlichen Abhänge zeigen relativ grosse Beträge der Monatssummen, die im Windschatten gelegenen östlichen Abhänge sehr geringe. So verläuft z. B. ein Strich kleiner Niederschlagssummen am Ostabhang des Schwarzwaldes entlang, während unmittelbar beim Anstieg aus der Rheinebene die Beträge ziemlich rasch anwachsen. Auch im Alpengebiet, sowie an allen mittleren Erhebungen des Geländes, der

Hardt, dem Odenwald, der Frankenhöhe, dem Frankenjura, dem Böhmerwald, wiederholt sich dieselbe Erscheinung. Die Niederschläge sind an sich gering, sie überschreiten nur an einigen wenigen Orten 50 mm, meist sind nur ca. 25 mm gefallen. Die Niederschlagshäufigkeit war, wenn man alle Tage mit messbarer Niederschlagsmenge in Betracht zieht, am geringsten im Alpengebiet, wo an weniger als 10 Tagen Niederschlag gefallen ist. Berücksichtigt man nur stärkere Niederschläge, welche ein Messungsergebnis von mindestens 1.0 mm Regen- oder Schmelzwassermenge ergaben, so schwankt die Zahl der Niederschlagstage zwischen 4 und 10, die Pfalz hat nur 3 Tage mit solchen stärkeren Niederschlägen aufzuweisen. Die Niederschlagsdichte war, wenn man wieder alle messbaren Niederschläge in Betracht zieht, am grössten im Algäu und am Bodensee, wo durchschnittlich mehr als 4 mm gefallen sind, im Alpengebiet betrug die Niederschlagsdichte im Mittel 2—3 mm, im übrigen Königreich fielen meist weniger als 2 mm. Diese Verhältnisse verschieben sich etwas, wenn man nur die stärkeren Niederschläge berücksichtigt. Dann tritt die Pfalz noch zum Alpengebiet und zum Bodenseegelände als Gebiet grösster Niederschlagsdichte hinzu. Die stärkeren Niederschläge sind dort im Mittel mit einer Menge von 5 mm gefallen. Am geringsten ist die Dichte der stärkeren Niederschläge in dem Gebiete südlich der Donau bis zu dem eigentlichen Anstieg des Gebirgs in der Höhe der bayerischen Seen.

Die Niederschläge fielen vorwiegend als Schnee, nur in der Pfalz und im Maingebiet sind auch Regenfälle zu verzeichnen. Eine zusammenhängende Schneedecke war in der Pfalz und im pfälzischen Rheingebiet an weniger als 10 Tagen vorhanden, im rechtsrheinischen Bayern aber, mit Ausnahme einiger Orte des Maintales, an mehr als 20 Tagen, und an der überwiegenden Mehrzahl der Stationen waren überhaupt nur 4—5 Tage ohne Schneedecke.

Die Bewölkungsverhältnisse des Monats gestalteten sich, wie schon bei der Besprechung des zeitlichen Verlaufs der Witterung angeführt wurde, am günstigsten im Alpengebiet, wo weniger als 6 Zehntel, in grösseren Höhen sogar weniger als 5 und 4 Zehntel der vollen Bedeckung berechnet wurden. Im allgemeinen bewegt sich die Bewölkungsziffer in Bayern im Januar zwischen 7 und 8 Zehntel. Dementsprechend war auch die Zahl der heiteren Tage am grössten im Alpengebiet (mehr als 10, stellenweise sogar mehr als 15), wo andererseits sehr wenig Tage mit einer Bewölkungsziffer von mehr als 8 Zehnteln, sogen. trübe Tage, aufgezeichnet wurden. Nähere Einzelheiten sind aus der Tabelle III zu entnehmen.

Die mittleren, auf Meeresniveau reduzierten Barometerstände zeigen ein schwaches Gefälle von Sud nach Nord, die vorherrschende Windrichtung war West.

München, 28. Februar 1911.

Weickmann.

Station	Höhe über Normal-Null	Luftdruck in mm						Temperatur C°							Station
		höchster		tiefster		Monatsmittel		Mittel um			Mittlere Tagestemperatur	Mittleres		Mittel aus Maximum und Minimum	Mittlere Schwankung	
		am	mm	am	mm	lokal	auf Meeresniveau reduziert	7a	2p	9p		Maximum	Minimum			
	m															
Ludwigshafen a/Rh.	100.3	17.	772.9	12.	741.4	761.9	771.7	– 1.0	1.2	– 0.2	– 0.1	1.6	– 2.3	– 0.3	3.9	Ludwigshafen a/Rh.
Kahl a/M.	114.1	17.	771.0	12.	740.8	759.9	770.9	– 2.1	0.7	– 1.3	– 1.0	1.5	– 4.1	– 1.3	5.5	Kahl a/M.
Landau i. Pf.	149.9	17.	767.6	12.	737.0	756.7	771.1	– 1.5	0.7	– 0.8	– 0.6	1.5	– 2.8	– 0.7	4.3	Landau i. Pf.
Würzburg	179.3	17.	764.9	12.	734.9	753.8	770.9	– 2.1	0.3	– 1.6	– 1.2	0.7	– 4.0	– 1.7	4.7	Würzburg
Bad Kissingen	209.2	17.	761.9	12.	732.3	750.9	770.8	– 2.9	– 0.2	– 2.2	– 1.8	0.4	– 4.4	– 2.0	4.7	Bad Kissingen
Kaiserslautern	242.2	17.	758.1	12.	728.3	748.0	771.8	– 2.0	0.5	– 1.2	– 1.0	1.2	– 3.2	– 1.0	4.4	Kaiserslautern
Luitpoldheim	250	–	–	–	–	–	–	– 2.7	– 0.9	– 2.0	– 1.9	0.1	– 3.9	– 1.9	4.0	Luitpoldheim
Bamberg	287.7	17.	755.0	12.	725.6	744.1	771.5	– 4.1	– 0.8	– 3.0	– 2.7	0.1	– 5.4	– 2.7	5.5	Bamberg
Nürnberg	309.1	17.	752.6	12.	723.6	741.8	771.2	– 3.5	– 0.7	– 2.7	– 2.4	– 0.1	– 5.0	– 2.4	4.8	Nürnberg
Passau	309.4	17.	753.7	12.	726.0	742.3	771.8	– 4.7	– 1.6	– 3.5	– 3.4	– 1.0	– 6.0	– 3.5	5.1	Passau
Metten	320	–	–	–	–	–	–	– 5.7	– 2.2	– 5.0	– 4.5	– 1.0	– 8.3	– 4.6	7.2	Metten
Regensburg	342.6	17.	749.8	12.	722.4	739.0	771.6	– 4.5	– 2.1	– 3.8	– 3.6	– 0.9	– 6.7	– 3.8	5.9	Regensburg
Bayreuth	363.3	17.	747.8	12.	719.1	737.2	771.6	– 4.1	– 1.3	– 3.2	– 2.9	– 0.7	– 6.1	– 3.4	5.4	Bayreuth
Burghausen	365	17.	748.0	12.	719.7	736.8	771.5	– 5.0	– 1.3	– 4.3	– 3.7	– 0.5	– 7.7	– 4.1	7.2	Burghausen
Karlshuld	382.0	17.	745.0	12.	717.0	734.5	770.9	– 5.5	– 2.6	– 5.2	– 4.6	– 1.0	– 8.3	– 4.6	7.2	Karlshuld
Landshut	397.7	17.	743.9	12.	716.2	733.4	771.4	– 5.5	– 1.9	– 4.6	– 4.2	– 0.6	– 9.3	– 5.0	8.7	Landshut
Lindau i. B.	401.7	17.	744.3	12.	715.7	733.4	771.5	– 5.8	– 1.8	– 4.2	– 4.0	– 0.9	– 7.5	– 4.2	6.5	Lindau i. B.
Weissenburg i. B.	431	17.	741.3	12.	712.9	730.7	771.4	– 4.3	– 1.7	– 3.6	– 3.3	– 0.7	– 6.1	– 3.4	5.4	Weissenburg i. B.
Nördlingen	435.6	17.	740.4	12.	711.3	729.6	770.6	– 4.6	– 2.1	– 3.9	– 3.6	– 1.3	– 6.3	– 3.8	5.0	Nördlingen
Ansbach	437.5	17.	740.8	12.	711.7	730.1	771.5	– 4.8	– 1.5	– 4.1	– 3.6	– 0.5	– 6.7	– 3.6	6.2	Ansbach
Hof	476.1	17.	736.6	12.	708.1	725.9	770.8	– 5.0	– 1.8	– 4.3	– 3.8	– 0.7	– 7.7	– 4.2	7.0	Hof
Bad Reichenhall	477	17.	737.5	12.	709.2	726.3	771.2	– 5.5	– 1.0	– 3.8	– 3.5	– 1.5	– 6.7	– 2.6	8.3	Bad Reichenhall
Augsburg	499.6	17.	735.7	12.	706.9	724.8	771.8	– 4.7	– 2.0	– 3.6	– 3.5	– 1.2	– 6.2	– 3.7	5.0	Augsburg
München C.-St.	526.4	17.	732.5	12.	704.5	721.9	771.3	– 4.3	– 1.6	– 3.6	– 3.3	– 0.7	– 6.1	– 3.4	5.5	München C.-St.
Alexandersbad	590	–	–	–	–	–	–	– 5.4	– 2.7	– 4.8	– 4.4	– 1.8	– 8.2	– 5.0	6.5	Alexandersbad
Traunstein	597	17.	726.6	12.	697.1	716.0	772.0	– 5.5	– 2.1	– 5.0	– 4.4	– 1.3	– 7.7	– 4.5	6.4	Traunstein
Berchtesgaden	600	–	–	–	–	–	–	– 6.1	– 1.7	– 4.7	– 4.3	– 0.5	– 7.9	– 4.2	7.4	Berchtesgaden
Ottobeuren	660.0	17.	719.7	12.	693.4	709.8	771.4	– 6.1	– 2.4	– 5.1	– 4.7	– 1.3	– 8.2	– 4.7	7.0	Ottobeuren
Partenkirchen	714.6	17.	717.3	12.	688.0	705.2	771.9	– 7.9	– 2.1	– 6.2	– 5.6	– 1.3	– 9.5	– 5.4	8.2	Partenkirchen
Tegernsee	742	17.	712.2	12.	686.4	702.9	771.4	– 4.6	– 0.5	– 3.4	– 3.0	1.2	– 7.1	– 2.8	8.3	Tegernsee
Buchenau	750	17.	711.1	12.	684.7	701.1	770.7	– 6.0	– 2.5	– 5.6	– 4.9	– 1.6	– 7.7	– 4.7	6.1	Buchenau
Oberstdorf	811.4	17.	706.4	12.	679.7	696.7	772.3	– 9.0	– 3.1	– 7.4	– 6.8	– 1.9	–11.5	– 6.7	9.6	Oberstdorf
Ettal	881.5	–	–	–	–	–	–	– 8.3	– 2.6	– 7.0	– 6.2	0.4	–10.6	– 5.1	11.0	Ettal
Mittenwald	910	17.	697.7	12.	671.4	687.9	771.8	– 7.8	– 1.6	– 6.9	– 5.8	– 1.0	–10.4	– 5.7	9.4	Mittenwald
Hohenpeissenberg	993.9	17., 18.	689.7	12.	664.1	680.3	770.7	– 5.1	– 3.4	– 4.1	– 4.2	– 1.3	– 6.5	– 3.9	5.2	Hohenpeissenberg
Zugspitze	2964	17.	538.5	3.	515.5	528.8	–	–11.7	–11.1	–11.6	–11.5	– 9.0	–14.0	–11.5	5.0	Zugspitze

Station	Temperatur C°						Dampfdruck	Relative Feuchtigkeit %					Bewölkung	Niederschlag			Station
	höchste		tiefste		grösste Schwankung				kleinste		grösste			grösster			
	am	C°	am	C°	am	C°	Monatsmittel mm	Monatsmittel	am	%	am	%	Monatsmittel	am	mm	Monatssumme mm	
Ludwigshafen a/Rh.	28.	6.9	15.	− 9.8	16.	8.6	3.9	84	30.	44	17.	100	8.0	10.	20.4	33.2	Ludwigshafen a/Rh.
Kahl a/M.	28.	6.7	15.	−14.3	16.	11.7	3.9	89	30.	50	öfters	100	7.4	10.	10.1	19.5	Kahl a/M.
Landau i. Pf.	29.	6.5	15.	− 9.3	16.	6.9	3.9	86	30.	45	20.	100	7.5	10.	5.4	14.8	Landau i. Pf.
Würzburg	29.	5.3	15.	−13.8	16.	10.0	3.6	82	30.	45	9.	98	7.5	10.	6.6	13.2	Würzburg
Bad Kissingen	19., 26.	5.1	16.	−14.1	16.	11.4	3.7	88	30.	50	9., 10.	100	7.9	10.	5.1	14.1	Bad Kissingen
Kaiserslautern	28.	6.2	15.	−11.9	16.	11.8	3.9	89	30.	42	öfters	100	8.1	10.	10.4	20.1	Kaiserslautern
Luitpoldheim	29.	4.3	15.	−13.2	16.	9.0	3.5	87	30.	49	9.	100	7.7	10.	7.8	28.2	Luitpoldheim
Bamberg	29.	5.2	15.	−19.2	15.	13.4	3.5	88	30.	43	öfters	100	8.0	10.	9.7	23.6	Bamberg
Nürnberg	27.	3.8	15.	−17.8	16.	11.0	3.6	89	30.	56	22.	100	7.0	10.	7.9	20.7	Nürnberg
Passau	27.	3.1	15.	−17.6	15.	11.5	3.3	88	30.	52	öfters	100	7.6	26.	13.0	41.6	Passau
Metten	29.	4.0	15.	−22.5	14.	13.0	3.2	92	30.	56	„	100	7.1	26.	23.4	53.6	Metten
Regensburg	29.	4.3	15.	−20.6	15.	14.2	3.2	87	30.	44	7., 8.	100	8.0	10.	5.5	16.4	Regensburg
Bayreuth	27.	3.1	15.	−19.0	16.	13.3	3.4	88	30.	54	öfters	100	8.0	10.	6.0	26.6	Bayreuth
Burghausen	27.	5.1	16.	−18.8	18.	17.3	3.1	84	30.	45	„	98	7.6	11.	5.0	24.2	Burghausen
Karlshuld	29	4.2	15.	−20.1	14.	14.7	3.1	90	30.	52	„	100	7.2	11.	4.6	13.1	Karlshuld
Landshut	26., 27., 29.	4.0	15.	−20.9	6.	14.4	3.1	88	30.	47	18., 20.	98	7.7	26.	5.2	19.2	Landshut
Lindau i. B.	26.	5.8	17.	−13.2	29.	11.2	3.1	90	30.	48	öfters	100	6.9	11.	11.9	28.6	Lindau i. B.
Weissenburg i. B.	29.	3.9	15.	−17.8	15.	12.0	3.3	87	30.	55	17.	100	7.3	10.	11.5	21.4	Weissenburg i. B.
Nördlingen	29.	4.1	15.	−17.1	9.	12.7	3.3	88	30.	55	öfters	100	7.1	10., 14.	2.5	10.8	Nördlingen
Ansbach	29.	3.6	15.	−19.8	15.	14.8	3.1	84	30.	45	„	96	7.0	26.	6.4	23.6	Ansbach
Hof	27.	3.2	15.	−22.3	16.	18.9	3.4	93	30.	58	„	100	8.3	10.	3.5	22.0	Hof
Bad Reichenhall	27.	8.9	16.	−16.0	9.	15.5	2.9	79	30.	47	10.	98	5.7	11.	12.5	27.7	Bad Reichenhall
Augsburg	27.	3.0	16.	−14.2	18.	12.9	3.2	87	30.	47	öfters	100	7.2	26.	4.1	22.6	Augsburg
München C.-St.	26.	4.8	16.	−14.0	12.	13.9	3.3	88	30., 31.	55	„	100	7.3	11.	4.6	23.2	München C.-St.
Alexandersbad	19.	3.0	15.	−18.5	16.	13.5	3.0	87	30.	54	„	99	6.4	10.	3.8	20.6	Alexandersbad
Traunstein	26.	3.8	16.	−17.0	18.	13.3	3.0	86	30.	47	„	100	7.0	11.	12.2	35.0	Traunstein
Berchtesgaden	26., 27.	5.0	16.	−14.2	1.	12.0	2.8	81	30.	41	20.	96	5.8	11.	8.7	20.5	Berchtesgaden
Ottobeuren	27.	3.6	17.	−16.2	18.	16.4	2.9	86	12.	50	öfters	100	6.5	14.	6.5	22.1	Ottobeuren
Partenkirchen	20.	5.4	16.	−16.1	22.	15.8	2.5	82	18.	51	20., 21.	100	4.1	11.	8.0	19.2	Partenkirchen
Tegernsee	22.	9.3	15.	−13.2	17.	12.6	–	–	–	–	–	–	5.8	11.	9.1	19.3	Tegernsee
Buchenau	5.	1.4	31.	−14.5	15.	10.9	2.9	88	15.	59	27., 28.	100	6.3	26.	13.4	44.0	Buchenau
Oberstdorf	26.	4.3	16.	−20.3	9.	13.4	2.4	84	22.	52	öfters	100	3.8	11.	12.5	35.5	Oberstdorf
Ettal	22.	9.3	31.	−19.2	22.	20.1	2.5	87	22.	38	„	100	4.6	11.	11.3	25.0	Ettal
Mittenwald	21.	7.1	31.	−20.1	7.	15.0	2.5	81	30.	52	„	96	4.3	11.	6.9	20.7	Mittenwald
Hohenpeissenberg	20., 21.	5.0	31.	−14.0	21.	10.0	2.3	70	17.	24	„	100	5.1	11.	7.3	24.6	Hohenpeissenberg
Zugspitze	21.	− 1.0	31.	−24.3	30.	11.1	1.1	60	21.	3	„	100	3.1	11.	8.0	26.7	Zugspitze

Station	Tage mit									Tage				Anzahl der beobachteten Windrichtungen								Station
	Niederschlägen		Schneefall	Schneedecke	Graupeln	Hagel	Gewitter	Nebel	Reif	Tau	heitere	trübe	Frost	Winter	N	NE	E	SE	S	SW	W	NW	Stille	
	≥ 0.1mm	≥ 1.0mm																						
Ludwigshafen a/Rh.	10	4	5	8	–	–	1	6	3	–	2	21	22	8	23	9	4	6	20	22	3	2	4	Ludwigshafen a/Rh.
Kahl a/M.	10	6	5	26	–	–	–	–	–	–	4	18	28	6	1	9	5	5	2	34	2	2	33	Kahl a/M.
Landau i. Pf.	10	3	3	9	–	–	–	–	–	–	3	18	25	10	–	41	4	1	–	23	8	16	–	Landau i. Pf.
Würzburg	9	4	6	11	1	–	–	5	1	–	5	19	26	9	2	9	13	6	6	3	27	11	16	Würzburg
Bad Kissingen	7	4	6	26	–	–	–	4	2	–	4	22	27	12	25	11	8	2	23	12	6	5	1	Bad Kissingen
Kaiserslautern	12	3	7	13	–	–	–	–	1	–	3	22	26	8	2	2	28	4	1	2	30	4	20	Kaiserslautern
Luitpoldheim	15	7	11	19	–	–	–	–	1	–	4	20	27	15	6	1	1	4	1	10	–	–	64	Luitpoldheim
Bamberg	15	6	11	26	–	–	–	4	2	–	4	20	28	13	10	3	1	5	15	10	19	20	10	Bamberg
Nürnberg	9	6	7	26	–	–	–	24	2	–	5	18	27	14	6	12	12	19	4	18	9	10	3	Nürnberg
Passau	12	11	8	31	–	–	–	11	–	–	1	19	28	18	–	2	9	–	1	–	7	3	71	Passau
Metten	11	8	10	31	–	–	–	6	9	–	4	17	29	17	1	11	13	5	3	9	19	10	22	Metten
Regensburg	11	5	9	27	–	–	–	10	–	–	2	20	28	19	15	8	4	6	19	3	16	11	11	Regensburg
Bayreuth	11	8	7	31	–	–	–	4	–	–	3	22	28	15	7	9	20	8	2	4	28	6	3	Bayreuth
Burghausen	13	9	11	26	–	–	–	1	9	–	1	17	28	14	2	5	15	–	3	22	–	–	46	Burghausen
Karlshuld	8	4	7	27	–	–	–	6	–	–	4	18	28	16	–	23	11	–	–	20	15	2	22	Karlshuld
Landshut	14	7	10	27	–	–	–	4	7	–	2	19	30	16	4	10	19	–	1	9	33	3	14	Landshut
Lindau i. B.	7	5	7	31	–	–	–	10	1	–	2	13	31	18	12	6	20	6	7	4	4	11	23	Lindau i. B.
Weissenburg i. B.	11	6	8	30	–	–	–	1	6	–	4	19	29	21	–	6	3	6	2	4	7	1	64	Weissenburg i. B.
Nördlingen	16	4	11	29	–	–	–	9	4	–	5	17	28	20	2	9	14	13	5	13	21	6	10	Nördlingen
Ansbach	12	6	8	27	–	–	–	3	–	–	6	18	27	18	7	14	6	1	5	8	24	5	23	Ansbach
Hof	17	9	14	29	1	–	–	6	–	–	–	21	28	20	11	11	3	13	8	19	14	10	4	Hof
Bad Reichenhall	7	5	6	31	–	–	–	2	–	–	10	13	28	8	2	12	16	2	14	19	9	–	19	Bad Reichenhall
Augsburg	12	8	10	31	–	–	–	7	8	–	5	20	28	23	2	13	20	4	–	32	4	8	10	Augsburg
München C.-St.	26	7	10	27	2	–	–	11	1	–	4	17	28	17	–	11	18	3	3	29	1	5	23	München C.-St.
Alexandersbad	11	8	9	31	–	–	–	2	–	–	3	14	31	23	5	12	14	3	–	11	7	16	25	Alexandersbad
Traunstein	11	8	11	31	–	–	–	5	3	–	4	19	30	23	–	4	9	19	29	30	2	–	–	Traunstein
Berchtesgaden	10	5	10	31	1	–	–	6	–	–	6	12	28	18	–	–	3	2	–	1	2	–	85	Berchtesgaden
Ottobeuren	9	6	9	31	–	–	–	7	–	–	5	13	31	19	–	10	14	11	3	23	1	–	31	Ottobeuren
Partenkirchen	7	4	6	31	–	–	–	2	5	–	16	9	31	20	4	–	–	3	14	1	–	2	69	Partenkirchen
Tegernsee	8	5	8	31	–	–	–	4	–	–	6	10	31	12	–	22	42	–	–	–	15	14	–	Tegernsee
Buchenau	17	11	17	31	1	–	–	6	4	–	6	14	31	22	2	2	30	1	–	1	36	1	20	Buchenau
Oberstdorf	7	6	6	31	–	–	–	6	–	–	13	7	31	22	5	3	–	1	1	1	2	7	73	Oberstdorf
Ettal	8	5	6	31	1	–	–	12	–	–	8	7	31	15	1	2	6	6	9	1	1	–	67	Ettal
Mittenwald	8	5	8	31	–	–	–	1	11	–	11	9	31	19	4	4	1	2	24	2	–	9	47	Mittenwald
Hohenpeissenberg	8	8	8	31	–	–	–	13	–	–	11	11	31	18	–	23	11	11	2	14	17	15	–	Hohenpeissenberg
Zugspitze	8	5	8	31	1	–	–	7	6	–	16	3	31	31	24	5	31	1	5	2	10	12	3	Zugspitze

Übersicht über die Witterungsverhältnisse im Königreiche Bayern

während des Februar 1911.

Im Gegensatz zu dem vorhergehenden Monat, der durch vorwiegend hohen Druck, geringe Luftdruckschwankungen, daher kleine Windgeschwindigkeiten ausgezeichnet war, tritt im Monat Februar eine ungewöhnlich hohe Frequenz von tiefen Depressionen über Europa in die Erscheinung, die insbesondere in der zweiten Hälfte alle meteorologischen Elemente unseres engeren Gebietes beeinflusste. Die Anzahl der Tage mit lebhafter Luftbewegung ist sehr gross, an mehreren Tagen erreichte die Windgeschwindigkeit Sturmwerte. Auch im Vergleich mit dem langjährigen Mittel kommt die ausserordentliche Höhe der Windgeschwindigkeit zum Ausdruck, wie aus der folgenden Zusammenstellung ersichtlich ist:

	langj. Mittel	Februar 1911
München-Zentralst.	2.0 m/sek.	3.6 m/sek.
Weissenburg i. B.	2.4 „	3.1 „
Kaiserslautern	2.8 „	3.5 „

Die grösste mittlere Windgeschwindigkeit während eines Tages wurde meist am 24. aufgezeichnet, wo sich in München 7.2 m/sek., Kaiserslautern 8.2 m/sek., Weissenburg 8.9 m/sek. ergaben.

Die grössten Geschwindigkeiten wurden beobachtet in München am 17. von 11 a—3 p, am 22. von 2 p—4 p, in der Nacht vom 23./24. von 11^{30} p—1 a, am 24. von 9 a—3 p, wo die Geschwindigkeit andauernd 11—12 m/sek. betrug.

Auf dem Hochobservatorium Zugspitze erreichte die Windgeschwindigkeit am 17. nachm. 1 Uhr den Maximalwert von 17.9 m/sek., am 24. stieg nachts von 12 mn—3 a die Geschwindigkeit auf 14.7 m/sek. Die auf der Zugspitze ermittelten Werte sind dabei noch etwas zu niedrig, da bei dem aus NW kommenden Wind sich sehr bald ausgedehnte Rauhfrostansätze an sämtlichen Apparaten bilden, welche die Werte etwas herabdrücken.

In der ersten Hälfte des Monats dauerte das vorwiegend trockene Wetter des Januar fort. Zwar machten sich fortgesetzt leichtere Störungen geltend, die meist durch Ausläufer nördlicher Depressionen verursacht wurden, welche über die Ostsee und Ostdeutschland nach dem schwarzen Meere sich erstreckten. Die Bewölkung war daher auch wesentlich stärker als zu Ende des Januar, die Temperaturen lagen beträchtlich unter dem Mittel und in der zweiten Monatspentade herrschte starker Frost.

Eine durchgreifende Aenderung der Wetterlage bereitete sich am 9. vor. An diesem Tage hatte eine tiefe und ausgedehnte Depression, die mit breiter Front über Island erschienen war, den hohen Druck, dessen Kern bis dahin über den britischen Inseln lag, nach dem Kontinent hereingeschoben. Zunächst hatte diese Verlagerung des hohen Druckes Aufklaren und rasche Temperaturzunahme zur Folge, so dass beispielsweise in München das Tagesmittel vom 9. bis zum 11. um 10.8° anstieg. Der hohe Druck rückte immer weiter ostwärts, ohne dass es aber der grossen atlantischen Depression gelungen wäre, die nordöstliche Abzugsbahn freizumachen. Ihre Wirkung blieb vielmehr bis zum 17. auf die Ausbildung von südlichen Ausläufern beschränkt, die über die Nordsee vordrangen und in der Pfalz und in Nordbayern dann und wann unbedeutende Strichregen brachten. Erst am Morgen des 17. hatte sich das Zentrum der Depression nach Mittelskandinavien verlagert, die Depression beherrschte von dort aus als gewaltiges Sturmfeld fast den ganzen Kontinent. Die Gradienten waren sehr gross, die Abnahme des Luftdrucks betrug beispielsweise auf der von Karlstadt nach München verlaufenden orthogonalen Trajektorie der Isobaren durchschnittl. 3.3 mm für den Breitegrad, woraus sich eine mittlere Windgeschwindigkeit von 17.8 m/sek. berechnet, was mit der Windregistrierung der Zugspitze gut übereinstimmt. Infolge der lang andauernden intensiven Vorderseitenwirkung war der Anstieg der Temperaturen ausserordentlich intensiv. Seit dem 10. bewegte sich das Tagesmittel der Temperatur über dem langjährigen Mittel und erreichte am 18. einen Überschuss von 7.5°, was für die Jahreszeit als sehr hoch zu bezeichnen ist. Die Gefahr, dass dieser rapide Anstieg der Temperaturen zu einer starken Schneeschmelze und damit zu Hochwasser führen könnte, war um so grösser, je mehr die Entwicklung einer Rückseite und damit der Eintritt ergiebiger Niederschläge wahrscheinlich wurde. Indes wurde die Rückseitenwirkung der tiefen Depression gemildert durch den Vorstoss eines neuen Sturmfeldes, das bereits am Morgen des 10. über den britischen Inseln angelangt war und im Laufe des Tages nach der norwegischen Küste vorrückte. Neuerdings stieg die Windgeschwindigkeit an, diesmal machte sich auch die Wirkung der Rückseite in verbreiteten Niederschlägen geltend, die aber in den eigentlich gefährdeten Gegenden mit reichlichem Schneehinterland wegen der gleichzeitig auftretenden Temperaturabnahme noch als Schnee fielen, so dass nur in kleineren Flussgebieten das Mittelwasser überschritten wurde.

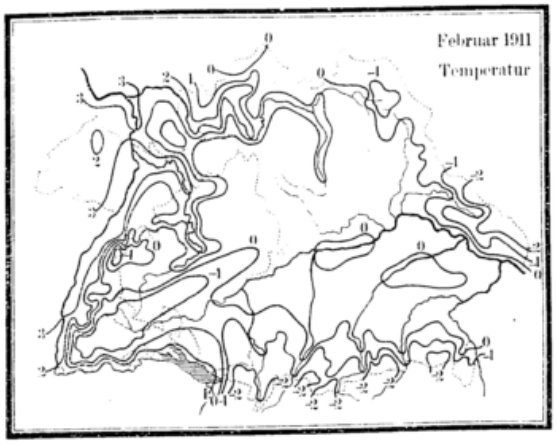
Dieser Witterungscharakter abwechselnder Vorder- und Rückseitenwirkung nördlicher tiefer Depressionen dauerte bis zum Monatsschlusse fort. Eine ganze Serie tiefer Sturmzentren zog vom Ozean nördlich der britischen Inseln über Mittelskandinavien nach dem weissen Meere; am 21., 23., 25., 26., 28. erschienen diese Wirbelfelder südlich von Island Die stärksten Niederschläge fielen meist am 25., wo das Minimum vom 23. über der Ostsee angelangt war und eine bedeutende Rückseitenwirkung über unserem ganzen Gebiete entfaltete. Auch das Minimum, das am 25. von Island aus seine östliche Bahn einschlug, hatte zum Teil ergiebige Niederschläge zur Folge; die starke Ausbildung eines V-förmigen Ausläufers dieser Depression gab auch zu verbreiteten Gewittern Anlass, die zwischen 11 a—3 p über unser Gebiet zogen.

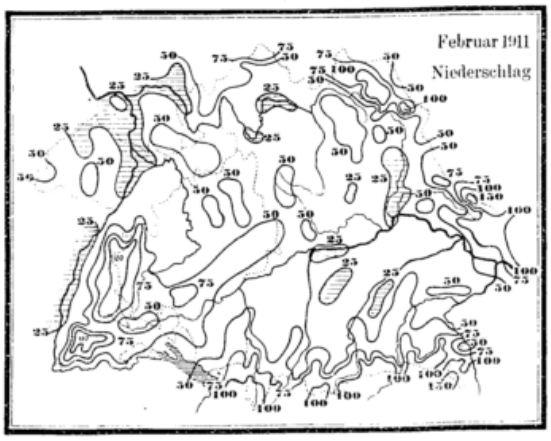
Der Monat Februar war überhaupt an Gewittern reich. Die ganze stürmische Periode hindurch dauerte die Gewittertätigkeit fort; am 16., 19., 20., 21., 24, und 26. wurden Gewitter gemeldet.

Die beträchtlichen Unterschiede, welche die beiden Monatshälften aufweisen, führen dazu, dass im schliesslichen Gesamtmonatsmittel ziemlich normale Werte sich ergeben. Die Temperaturmittel liegen allerdings etwas höher als der langjährige Durchschnitt verlangen würde, der Mehrbetrag ist bei den einzelnen Stationen sehr verschieden und ungleichmässig, so dass die Hervorhebung einzelner besonders begünstigter Gebiete nicht möglich ist.

Die Monatsumme des Niederschlags erscheint im Durchschnitt sämtlicher Stationen normal. Es ergaben 39 Stationen eine Quotientensumme (Februar 1911 : langjähr. Mittel) von 38.6, also im Mittel nahe 1.0, d. h. im Durchschnitt aller Stationen war die Monatssumme Februar 1911 gleich dem langjährigen Mittel. Dabei ist aber hervorzuheben, dass in der Pfalz und in Nordbayern der langjährige Durchschnitt meist nicht erreicht, im Alpengebiet, sowie in Ostbayern dagegen überschritten wurde.

Die geographische Verteilung der Temperaturmittel zeigt das gewohnte Bild. Bei der lebhaften Luftbewegung ergab sich diesmal auch ein normaler vertikaler Gradient; für die Höhendifferenz Mittenwald-Zugspitze berechnet sich eine durchschnittliche Abnahme der Temperatur um 0.54 Grad für je 100 m Erhebung. Als wärmste Gebiete mit Mitteltemperaturen von + 3 Grad treten die Rheinebene, von der Einmündung des Neckar bis zur Freiburger





Bucht, ferner das Gebiet um Mainz hervor. Unter dem Nullpunkt blieb das Mittel im Alpengebiet, im Bayerischen und Böhmerwald, im schwäbischen Jura und den höheren Erhebungen des Schwarzwaldes, ausserdem in einigen bekannten Frostgebieten Bayerns, dem Donaumoos und dem Vilstale.

Die mittleren Extreme der Temperatur, also Maximum und Minimum ergeben dasselbe geographische Bild wie die Mitteltemperaturen. Ihre Werte sind aus Tabelle I zu ersehen.

Die mittlere Temperaturschwankung, d. h. der mittlere Abstand zwischen höchster und tiefster Temperatur während eines Tages, war wieder am grössten im Alpengebiet, insbesondere in einzelnen Talkesseln, wo einerseits die Erwärmung durch Einstrahlung sehr gross, anderseits die nächtliche Abkühlung sehr intensiv und die Ausbildung eines sogen. „Kaltluftsees" durch das Herabsinken der kälteren Luft von den Berghängen begünstigt ist.

Die Anzahl der Frosttage war noch ziemlich gross. In der Pfalz sanken allerdings nur mehr während der ersten Hälfte des Monats die Temperaturen unter den Gefrierpunkt, mit dem Auftreten der erwähnten tiefen Depressionen am 16. Februar blieben die Temperaturen fortwährend über 0 Grad. Im Alpengebiet dagegen, sowie im Bayerischen und Böhmerwald stellten sich noch häufig negative Temperaturwerte ein, so dass dort meist 23—25 Frosttage ermittelt wurden.

Die Zahl der Wintertage schwankt im allgemeinen zwischen 3 und 11, in der Pfalz, sowie an einigen begünstigten Lagen des Maingebiets blieb die Temperatur nur an 1 Tage dauernd unter 0 Grad.

In Folge der hohen Temperaturen in der zweiten Hälfte des Monats zog sich die Grenze der zusammenhängenden Schneedecke bereits sehr bald auf die grösseren Höhen zurück, so dass das Flachland im allgemeinen bereits am 18. Februar ziemlich schneefrei war.

Die geographische Verteilung der Niederschlagssummen folgt im allgemeinen den Isohypsen des Geländes, doch treten im Gebiete der geringeren Erhebungen zahlreiche Unregelmässigkeiten auf. Am geringsten war die Niederschlagsmenge im Rheintal östlich der Pfalz, sowie im Windschatten des Wasgenwaldes, wo weniger als 25 mm gefallen sind. Die höchsten Werte finden sich im Bayerischen Wald am Arber und Kiesruck, sowie in Buchenau mit

mehr als 150 mm. Im Alpengebiet wurde diese Höhe im allgemeinen nicht erreicht, nur in dem als besonders niederschlagsreich bekannten Gebiete im äussersten Südosten Bayerns (Falleck) wurden auch mehr als 150 mm gemessen.

Die Niederschlagshäufigkeit war, wenn man alle Tage mit messbarem Niederschlag in Betracht zieht, meist grösser als 14, in der zweiten Monatshälfte brachte fast jeder Tag mehr oder minder ergiebige Niederschläge. Stärkere Niederschläge von mindestens 1.0 mm fielen an ca. 9 Tagen, nur die erwähnten Gebiete mit maximaler Monatssumme zeigen auch eine sehr hohe Zahl solcher ausgesprochener Niederschlagstage.

Die Niederschlagsdichte war allerdings überhaupt gering; die grösste an einem Tag gefallene Niederschlagsmenge wurde mit 30.2 mm in Buchenau festgestellt. Durchschnittlich fielen für den Schwellenwert 0.1 an einem Niederschlagstag 2—5 mm, für den Schwellenwert 1.0 dagegen 3—7 mm.

Im Süden und Südosten gelangten die Niederschläge meist noch als Schnee zu Boden, in der Pfalz und im Maingebiet dagegen an der überwiegenden Mehrzahl der Niederschlagstage als Regen.

Entsprechend der Häufigkeit der Depressionen waren die Bewölkungsverhältnisse im Februar nicht günstig. Bevorzugt erscheint das Alpengebiet, das auf jede Annäherung eines neuen Sturmfeldes zunächst mit föhnartiger Auflösung der Wolkendecke reagierte. Am ungünstigsten war, der Streichrichtung von SO nach NW entsprechend, die Bedeckung im bayrischen Wald, wo allenthalben mehr als $^{7}/_{10}$ des ganzen Firmaments im Monatsmittel bedeckt waren, während im Alpengebiet nur wenig mehr als $^{6}/_{10}$ sich ergaben, ungefähr gleich viel wie im Nordwesten Bayerns einschliesslich der Pfalz.

Die Anzahl der heiteren Tage war daher gering, im Bayerischen Walde konnte überhaupt kein heiterer Tag aufgezeichnet werden, im Rhein- und Maingebiete nur 2—4, im Alpengebiet 2—6.

Die Zahl der trüben Tage war entsprechend geringer im Alpengebiet, als an den östlichen Mittelgebirgen.

Die mittleren auf Meeresniveau reduzierten Barometerstände zeigen im Februar entsprechend der Luftdruckverteilung in der zweiten Monatshälfte ein ausgesprochenes Gefälle von Süd nach Nord. Westliche Winde sind daher ohne Ausnahme vorherrschend.

München, 31. März 1911. Weickmann.

Station	Höhe über Normal-Null m	Luftdruck in mm: höchster am	höchster mm	tiefster am	tiefster mm	Monatsmittel lokal	Monatsmittel auf Meeresniveau reduziert	Temperatur C°: Mittel um 7a	2p	9p	Mittlere Tagestemperatur	Mittleres Maximum	Mittleres Minimum	Mittel aus Maximum und Minimum	Mittlere Schwankung	Station
Ludwigshafen a/Rh.	100.3	1.	770.8	23.	742.2	759.0	768.4	1.6	5.3	3.5	3.5	6.1	0.1	3.1	6.0	Ludwigshafen a/Rh.
Kahl a/M.	114.1	1.	768.2	24.	739.8	756.6	767.3	0.1	4.6	2.0	2.2	5.5	− 2.0	1.8	7.5	Kahl a/M.
Landau i. Pf.	149.9	1.	765.2	23.	739.1	754.1	768.1	0.9	4.8	3.1	3.0	6.3	− 0.7	2.8	7.0	Landau i. Pf.
Würzburg	179.3	1.	762.0	24.	734.1	750.3	767.1	0.6	4.2	2.5	2.4	4.9	− 0.8	2.1	5.6	Würzburg
Bad Kissingen	209.2	1.	759.2	24.	730.2	747.4	767.0	− 0.2	3.8	1.4	1.6	4.7	− 1.9	1.4	6.6	Bad Kissingen
Kaiserslautern	242.2	1.	756.2	23.	729.6	745.5	768.1	0.3	4.2	2.3	2.2	5.6	− 1.0	2.3	6.6	Kaiserslautern
Luitpoldheim	250	–	–	–	–	–	–	− 0.4	2.9	1.6	1.4	4.0	− 1.5	1.2	5.6	Luitpoldheim
Bamberg	287.7	1.	751.6	24.	724.6	740.6	767.5	− 0.9	3.5	1.0	1.1	4.8	− 2.2	1.3	7.0	Bamberg
Nürnberg	309.1	16.	749.3	24.	723.5	738.6	767.4	− 0.2	3.3	1.6	1.5	4.1	− 1.7	1.2	5.8	Nürnberg
Passau	309.4	16.	749.6	19.	724.4	739.2	768.2	− 2.2	2.4	− 0.1	0.0	3.2	− 3.2	0.0	6.4	Passau
Metten	320	–	–	–	–	–	–	− 3.5	2.1	− 0.8	− 0.7	3.2	− 5.2	− 1.0	8.4	Metten
Regensburg	342.6	16.	746.6	26.	721.9	736.0	767.9	− 1.0	2.5	0.4	0.6	3.8	− 3.0	0.4	6.8	Regensburg
Bayreuth	363.3	1.	744.6	24.	717.6	733.4	767.1	− 1.1	2.4	0.9	0.8	3.2	− 3.0	0.9	6.2	Bayreuth
Burghausen	365	16.	744.9	19.	720.6	734.3	768.4	− 2.2	3.5	− 1.2	− 0.3	4.9	− 5.5	− 0.3	10.5	Burghausen
Karlshuld	382.0	16.	742.5	24.	717.6	731.9	767.5	− 2.4	2.8	− 0.4	− 0.1	4.1	− 4.2	0.0	8.3	Karlshuld
Landshut	397.7	16.	741.7	26.	716.1	730.8	767.7	− 2.6	3.1	− 0.9	− 0.4	4.7	− 6.4	− 0.8	11.1	Landshut
Lindau i. B.	401.7	16.	742.2	19., 23.	720.7	732.4	769.9	− 1.2	3.0	0.4	0.7	4.7	− 3.5	0.6	8.2	Lindau i. B.
Weissenburg i. B.	431	16.	739.0	19., 24.	713.8	728.1	768.1	− 1.3	2.5	0.5	0.6	3.6	− 2.8	0.4	6.4	Weissenburg i. B.
Nördlingen	435.6	16.	740.0	19.	713.3	727.1	767.4	− 1.4	3.0	0.5	0.6	3.8	− 2.9	0.5	6.6	Nördlingen
Ansbach	437.5	16.	738.1	24.	712.6	727.3	767.9	− 1.6	2.3	− 0.1	0.1	3.3	− 3.5	− 0.1	6.9	Ansbach
Hof	476.1	14.	732.5	24.	706.0	722.1	766.1	− 2.9	1.7	− 0.7	− 0.6	2.6	− 4.4	− 0.9	7.1	Hof
Bad Reichenhall	477	16.	734.7	26.	711.0	724.1	768.1	− 1.1	3.8	− 0.1	0.6	6.4	− 3.3	1.6	9.7	Bad Reichenhall
Augsburg	499.6	16.	733.4	26.	708.9	722.7	768.9	− 1.5	3.0	0.5	0.6	3.7	− 3.5	0.1	7.3	Augsburg
München C.-St.	526.4	16.	730.5	26.	705.8	719.9	768.4	− 1.1	3.4	0.4	0.8	4.2	− 3.3	0.5	7.5	München C.-St.
Alexandersbad	590	–	–	–	–	–	–	− 3.0	0.1	− 1.4	− 1.4	1.3	− 5.3	− 2.0	6.6	Alexandersbad
Traunstein	597	16.	724.4	26.	700.6	714.0	769.1	− 3.1	2.2	− 1.4	− 0.9	2.9	− 5.3	− 1.2	8.2	Traunstein
Berchtesgaden	600	–	–	–	–	–	–	− 2.6	2.4	− 1.0	− 0.5	3.0	− 5.2	− 1.1	8.2	Berchtesgaden
Ottobeuren	660.0	16.	718.6	26.	697.3	708.6	769.2	− 2.6	1.8	− 0.9	− 0.6	3.0	− 4.6	− 0.8	7.7	Ottobeuren
Partenkirchen	714.6	16.	714.5	19.	691.0	703.8	769.2	− 3.8	3.1	− 1.5	− 0.9	4.2	− 5.4	− 0.6	9.6	Partenkirchen
Tegernsee	742	16.	710.8	26.	689.2	701.4	769.3	− 2.1	2.6	− 0.5	− 0.1	4.3	− 4.9	− 0.3	9.2	Tegernsee
Buchenau	750	16.	708.1	26.	685.6	698.6	767.3	− 4.1	− 0.6	− 2.6	− 2.5	0.8	− 5.6	− 2.4	6.4	Buchenau
Oberstdorf	811.4	16.	705.6	19.	684.6	696.1	770.2	− 4.5	2.0	− 2.1	− 1.7	3.6	− 7.6	− 2.0	11.0	Oberstdorf
Ettal	881.5	–	–	–	–	–	–	− 4.2	2.4	− 2.3	− 1.6	4.8	− 6.5	− 0.8	11.4	Ettal
Mittenwald	910	16.	697.0	19.	674.6	686.7	769.1	− 4.3	2.2	− 2.5	− 1.8	3.0	− 7.0	− 2.0	10.0	Mittenwald
Hohenpeissenberg	993.9	16.	688.9	26.	665.9	679.1	768.4	− 2.6	0.1	− 1.7	− 1.5	1.0	− 4.4	− 1.7	5.4	Hohenpeissenberg
Zugspitze	2964	16.	534.4	26.	518.9	527.7	–	−13.7	−12.1	−13.0	−12.9	− 9.6	−15.9	−12.7	6.4	Zugspitze

Station	Temperatur C° höchste am	höchste C°	tiefste am	tiefste C°	grösste Schwankung am	grösste Schwankung C°	Dampfdruck Monatsmittel mm	Relative Feuchtigkeit % Monatsmittel	kleinste am	kleinste %	grösste am	grösste %	Bewölkung Monatsmittel	Niederschlag grösster am	grösster mm	Monatssumme mm	Station
Ludwigshafen a/Rh	23.	12.1	1.	– 8.0	11.	11.7	4.4	75	23.	46	1.	95	6.9	20.	3.5	14.7	Ludwigshafen a/Rh.
Kahl a/M.	18.	12.9	1.	–11.7	11.	15.1	4.5	82	23.	52	öfters	100	6.7	26.	6.9	21.5	Kahl a/M.
Landau i. Pf.	21.	12.2	10.	– 8.6	11.	12.9	4.5	77	27.	47	25.	96	6.8	24.	8.5	37.2	Landau i. Pf.
Würzburg	18.	11.2	1., 10.	– 9.0	11.	12.0	4.2	76	27.	49	12.	98	6.5	26.	10.8	32.3	Würzburg
Bad Kissingen	23.	10.7	1.	–11.7	10.	10.8	4.3	80	6.	47	öfters	100	6.5	25.	17.2	50.7	Bad Kissingen
Kaiserslautern	23.	11.0	1.	–10.4	10.	13.1	4.5	82	9., 20.	53	öfters	100	7.5	24.	6.0	21.8	Kaiserslautern
Luitpoldheim	23.	10.7	1.	–10.8	11.	11.0	4.3	83	23.	52	12., 28.	100	6.9	20.	17.9	54.6	Luitpoldheim
Bamberg	23.	10.7	1.	–11.4	11.	14.0	4.2	82	6., 10.	39	öfters	100	7.7	25.	8.7	31.3	Bamberg
Nürnberg	23.	10.0	9.	–11.4	11.	12.9	4.2	80	28.	50	10.	97	7.5	20.	6.8	21.4	Nürnberg
Passau	23.	10.6	10.	–14.5	10., 11.	13.4	3.9	83	6.	48	öfters	100	7.2	26.	16.2	74.3	Passau
Metten	21.	8.6	10.	–17.0	11.	15.6	3.9	87	6.	53	„	100	7.5	26.	16.0	64.7	Metten
Regensburg	23.	10.3	10.	–11.7	11., 22.	10.1	3.6	74	6.	41	„	94	8.0	25.	5.0	20 9	Regensburg
Bayreuth	23.	9.7	10.	–14.2	10.	13.8	4.0	81	14., 28.	53	2.	98	7.9	20., 24.	5.5	21.4	Bayreuth
Burghausen	19.	12.5	10.	–16.7	10.	16.2	3.7	79	24.	45	öfters	100	7.1	26.	13.5	58.3	Burghausen
Karlshuld	23	11.7	10.	–17.8	11.	17.3	3.9	82	22.	46	„	100	7.1	26.	6.8	22.4	Karlshuld
Landshut	23.	12.0	9.	–16.8	11.	18.3	3.7	79	9.	45	5.	96	7.3	26.	9.5	35 9	Landshut
Lindau i. B.	23.	13.2	1.	–15.1	9.	14.8	4.0	81	17.	46	öfters	100	6.4	26.	19.8	52.5	Lindau i. B.
Weissenburg i. B.	23.	9.7	9.	–16.0	9.	12.2	3.9	79	16.	49	2., 13.	96	7.7	26.	10.1	35.4	Weissenburg i. B.
Nördlingen	23.	10.6	9.	–14.7	11.	16.5	3.9	79	20.	49	3.	96	6.6	26.	6.0	34.8	Nördlingen
Ansbach	23.	9.8	9.	–16.1	11.	14.9	3.9	80	öfters	54	17., 19.	98	6.7	20.	10.9	51.3	Ansbach
Hof	23.	7.8	10.	–19.8	10.	21.2	4.0	89	10.	54	öfters	100	8.8	25.	8.4	58.3	Hof
Bad Reichenhall	17.	13.5	10.	–13.0	10.	16.9	3.5	72	17., 24.	36	21.	98	6.8	27.	14.0	91.1	Bad Reichenhall
Augsburg	23.	10.6	10.	–15.3	10.	13.6	3.8	77	22.	43	13.	100	6.9	3.	7.4	36.4	Augsburg
München C.-St.	23.	12.2	10.	–13.0	28.	13.7	3.7	76	22.	20	20.	100	7.1	3.	7.1	37.8	München C.-St.
Alexandersbad	23.	7.0	10.	–16.5	10.	14.5	3 6	84	10., 13.	58	18.	99	7.4	20.	18.2	81.8	Alexandersbad
Traunstein	19.	9.6	10.	–15.5	10.	15.0	3.4	77	17.	39	20., 21.	100	6.9	26.	12.4	75.4	Traunstein
Berchtesgaden	17.	11.5	1.	–14.7	17.	13.2	3.5	77	17.	28	27.	100	6.8	4.	15.3	98.9	Berchtesgaden
Ottobeuren	23.	10.0	1.	–17.9	10.	18.7	3.6	82	22.	36	öfters	100	6.6	26.	10.8	38.7	Ottobeuren
Partenkirchen	23.	12.5	1.	–14.3	28.	16.6	3.2	73	16.	30	„	100	5.4	26.	22.2	77.3	Partenkirchen
Tegernsee	22., 23.	12.1	7.	–16.3	10.	17.3	3.7	79	17.	40	„	100	6.6	26.	17.2	72.1	Tegernsee
Buchenau	23.	5.6	1.	–16.3	10.	13.0	3.4	84	14.	55	„	98	8.1	27.	30.2	151.6	Buchenau
Oberstdorf	22.	12.1	1.	–22.1	11.	20.0	3.2	76	22.	36	24,	98	6.8	26.	20.7	103.7	Oberstdorf
Ettal	23.	12.8	1.	–17.1	28.	21.7	3.2	77	16.	36	13.	100	6.7	26.	29.0	86.0	Ettal
Mittenwald	22.	12.0	9.	–16.7	15.	16.4	3.1	75	19.	42	25.	98	6.1	26.	20.1	71.2	Mittenwald
Hohenpeissenberg	22.	8.8	1.	–13.8	28.	10.9	2.9	70	16.	26	öfters	100	6.8	25.	6.1	34.7	Hohenpeissenberg
Zugspitze	22.	– 3.2	9.	–22.8	28.	11.4	1.4	80	1.	7	„	100	6.2	4.	17.4	56.3	Zugspitze

Station	Tage mit Niederschlägen ≥ 0.1mm	Niederschlägen ≥ 1.0mm	Schneefall	Schneedecke	Graupeln	Hagel	Gewitter	Nebel	Reif	Tau	Tage heitere	trübe	Frost	Winter	Anzahl der beobachteten Windrichtungen N	NE	E	SE	S	SW	W	NW	Stille	Station
Ludwigshafen a/Rh.	12	7	2	–	1	–	1	7	10	–	–	12	14	1	6	7	1	3	11	29	12	13	2	Ludwigshafen a/Rh.
Kahl a/M.	11	8	3	1	–	–	–	–	8	–	3	13	18	1	3	–	3	2	3	40	11	7	15	Kahl a/M.
Landau i. Pf.	15	7	3	–	–	–	–	–	–	–	2	12	14	2	1	20	1	–	1	36	8	17	–	Landau i. Pf.
Würzburg	14	7	5	1	1	–	–	5	10	–	3	10	15	3	3	1	6	3	6	8	41	3	13	Würzburg
Bad Kissingen	16	9	5	1	1	–	–	2	12	–	3	10	17	2	13	3	3	–	28	17	12	6	2	Bad Kissingen
Kaiserslautern	15	7	4	1	1	1	1	4	12	–	1	14	14	1	2	4	5	3	–	1	47	5	17	Kaiserslautern
Luitpoldheim	15	8	9	4	2	–	1	–	8	–	4	13	15	3	3	6	1	2	2	34	–	–	36	Luitpoldheim
Bamberg	19	10	11	3	3	–	–	2	11	–	–	12	17	1	8	–	1	1	12	17	36	7	2	Bamberg
Nürnberg	7	6	5	5	3	–	–	14	5	–	2	13	18	3	4	3	3	9	7	26	20	11	1	Nürnberg
Passau	17	14	11	21	–	–	1	2	1	–	1	11	20	7	–	–	3	–	3	2	14	17	45	Passau
Metten	20	10	11	25	–	–	–	–	5	–	1	14	22	6	1	2	3	2	4	1	30	15	20	Metten
Regensburg	12	7	7	9	–	–	–	6	3	–	–	15	21	3	15	4	1	2	14	3	30	10	5	Regensburg
Bayreuth	14	5	7	18	–	–	–	3	1	–	–	15	19	5	2	6	14	–	3	18	34	7	–	Bayreuth
Burghausen	15	11	10	19	1	1	1	3	7	–	1	13	20	4	2	–	2	2	7	33	3	2	33	Burghausen
Karlshuld	12	6	7	9	2	–	–	–	2	–	3	14	18	5	–	1	7	–	10	27	20	2	17	Karlshuld
Landshut	17	9	10	16	–	2	–	–	8	–	–	9	25	4	4	5	3	3	–	14	43	2	10	Landshut
Lindau i. B.	14	10	10	21	–	–	–	1	2	–	3	10	16	5	5	4	3	3	13	7	21	7	21	Lindau i. B.
Weissenburg i. B.	13	8	10	17	–	–	–	–	–	–	2	14	17	3	–	3	2	2	–	8	32	3	34	Weissenburg i. B.
Nördlingen	17	9	12	17	2	–	–	2	8	–	2	6	19	5	6	4	1	4	3	27	27	6	6	Nördlingen
Ansbach	19	9	12	13	2	–	1	–	1	–	2	8	20	5	7	2	1	–	1	10	40	7	16	Ansbach
Hof	20	13	13	19	1	–	–	4	1	–	–	21	23	3	4	4	–	2	16	24	18	13	3	Hof
Bad Reichenhall	19	17	12	24	4	–	1	–	–	–	3	12	19	2	1	2	7	–	12	19	28	2	13	Bad Reichenhall
Augsburg	14	9	12	22	3	–	1	1	7	–	2	12	18	7	1	4	8	4	2	35	18	8	4	Augsburg
München C.-St.	19	9	14	15	2	–	–	4	4	–	2	11	21	7	1	9	2	5	1	49	12	2	3	München C.-St.
Alexandersbad	18	14	14	26	4	1	–	–	–	–	2	14	25	9	–	4	1	1	–	13	34	16	15	Alexandersbad
Traunstein	17	13	12	28	2	–	1	2	10	–	3	10	23	10	–	1	4	16	14	31	8	10	–	Traunstein
Berchtesgaden	19	17	14	28	1	–	1	–	1	–	3	10	23	9	–	–	9	4	–	9	7	–	55	Berchtesgaden
Ottobeuren	17	9	14	22	2	–	1	2	6	–	3	12	20	8	–	4	3	5	3	52	3	–	14	Ottobeuren
Partenkirchen	13	12	10	28	1	–	–	–	3	–	6	7	24	9	3	–	–	5	14	–	1	20	41	Partenkirchen
Tegernsee	18	15	12	28	1	–	–	3	1	–	3	9	22	6	–	14	31	–	–	2	33	4	–	Tegernsee
Buchenau	20	18	17	28	–	–	–	–	1	–	–	17	25	10	–	1	19	1	–	3	47	3	10	Buchenau
Oberstdorf	18	17	15	28	–	–	–	8	–	–	5	14	23	9	9	–	5	–	–	5	7	15	43	Oberstdorf
Ettal	15	11	14	28	–	–	1	3	–	–	3	11	25	8	2	2	14	5	17	3	–	–	41	Ettal
Mittenwald	15	11	11	28	1	–	–	–	3	–	5	10	27	11	6	3	–	5	15	6	4	7	38	Mittenwald
Hohenpeissenberg	17	11	17	25	–	1	1	9	–	–	3	13	25	12	–	8	1	5	2	19	38	10	1	Hohenpeissenberg
Zugspitze	13	11	13	28	2	–	–	19	2	–	4	10	28	28	22	4	2	2	1	2	24	27	–	Zugspitze

Übersicht über die Witterungsverhältnisse im Königreiche Bayern

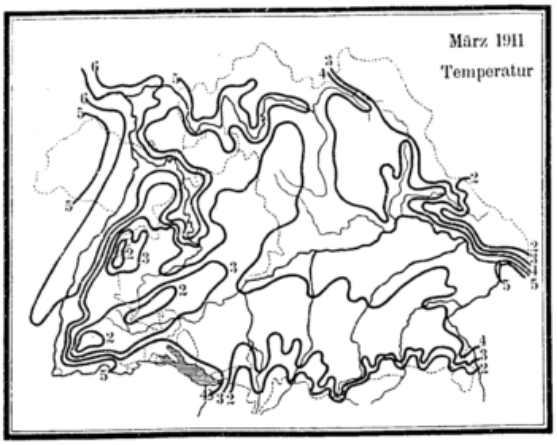
während des März 1911.

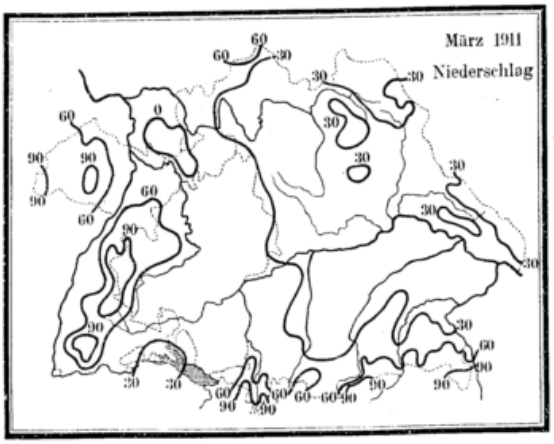
Wenn wir von unbedeutenden Ausnahmen engbegrenzter Gebiete absehen, können wir den diesjährigen März als ziemlich trockenen Monat mit mässiger Bewölkung und vorwiegend milden Temperaturen charakterisieren. Verhältnismässig häufig trat stürmische Luftbewegung auf. Die allgemeine Luftdruckverteilung, der Hauptbestimmungsfaktor der Witterung, zeigte während der ersten und dem grössten Teile der zweiten Monatshälfte ganz bestimmte Typen. Trotz aller Veränderungen, welchen die Druckverteilung andauernd unterlag, blieb doch vom 1. bis 12. März ein Charakteristikum erhalten: niedriger Druck über Nordeuropa, der durch Ausläufer und Randgebilde bald mehr, bald weniger weit nach den zentralen Gebietsteilen Europas hereinreichte. Ein Minimum nach dem andern zog im hohen Norden unseres Erdteiles vorüber, und wenn auch das Zentrum desselben weit entfernt von unserem Gebiet seine Bahn verfolgte, die Ausläufer, welche demselben südlich vorgelagert waren, blieben nicht ohne Einfluss. Die Witterung trug dementsprechend unbeständigen Charakter. Solange unser Gebiet an der Vorderseite des herannahenden Ausläufers lag, war der Himmel klar oder nur mässig bewölkt, das Wetter trocken und mild. Nach dem Durchzuge der Tiefdruckfurche nahm die Bewölkung rasch zu, es trat Abkühlung ein und es fielen ausgebreitete, wenn auch nur schwache Niederschläge. Im allgemeinen waren die Temperaturschwankungen in der geschilderten Epoche nicht sehr bedeutend und zumeist lagen die Temperaturtagesmittel noch über dem langjährigen Durchschnittswerte. Vom 13. ab trat eine Veränderung der allgemeinen Luftdruckverteilung ein, welche allmählich zum vorherrschenden Typus der zweiten Monatshälfte überführte. Am Morgen des angeführten Datums gehörte fast ganz Europa in den Bereich einer Depression. Der am Vortage westlich von den britischen Inseln gelegene Ausläufer war über Westeuropa vorgedrungen und ein tiefes Teilminimum hatte sich über Belgien entwickelt. Bis zum folgenden Tage war dasselbe bis Jütland vorgedrungen und vom Ozean her rückte hoher Druck kräftig nach. Da auch im Osten Europas ein starkes barometrisches Maximum lagerte, so fand das erwähnte Minimum keinen Abzug. Es veränderte zunächst unter Abnahme seiner Intensität seinen Ort nur wenig, um sich dann allmählich aufzulösen. Die letzten Reste desselben zogen nach Südosten ab oder verbanden sich mit der über der Biskayasee erschienenen Depression. Inzwischen hatte sich der vom Ozean vorgedrungene Hochdruck mit dem östlichen Maximum vereinigt, so dass nun über dem Nord- und Ostseegebiete hohe Barometerstände sich befanden. Damit war die während der zweiten Monatshälfte vorherrschende Luftdruckverteilung gegeben: hoher Druck im Norden, eine Depression im Südosten oder Süden des Erdteiles. Die Übergangsperiode umfasste die Zeit vom 13. bis 17. und während derselben herrschte bei zeitweise lebhafter Luftbewegung stark bewölktes Wetter mit häufigen, aber wiederum nur wenig intensiven Regenfällen. Die Temperaturen waren anfangs gesunken, zeigten aber vom 15. ab ein entschiedenes Ansteigen. Vom 18. ab erfreute sich unser Gebiet ununterbrochen eines heiteren, milden und trockenen Frühlingswetters bis zum 24. Am Morgen dieses Tages verlief eine unregelmässig begrenzte Furche von Finnland in südwestlicher Richtung nach dem Mittelmeere. In der Folge stieg zwar im Nordosten Europas das Barometer wieder kräftig an, hingegen blieben nördlich und südlich der Alpen Minima zurück, welche die Witterung unseres Gebietes ungünstig beeinflussten. Die zyklonale Witterung, welche vom 24. bis 26. herrschte, hatte starken Temperaturrückgang im Gefolge, der nach der milden Witterung der Vortage um so unangenehmer empfunden wurde. Die Niederschläge erreichten am 25. und 26. in der Rheinpfalz ziemlich grosse Ergiebigkeit, im übrigen Bayern blieben sie mässig. Bereits am 27. war die Störung überwunden und jene Luftdruckverteilung wiederhergestellt, welche für die zweite Märzhälfte als typisch bezeichnet wurde. Die Temperaturen stiegen ungewöhnlich stark an und erreichten am 29. und 30. sommerliche Beträge. In der Nacht vom 30. auf 31. März trat in der Pfalz Trübung mit Niederschlägen ein, im rechtsrheinischen Bayern war noch keine Witterungsänderung zu verzeichnen. Doch war durch eine vom hohen Norden Europas nach der Biskayasee verlaufende Furche der kommende Witterungsumschlag bereits angedeutet, der in den ersten Tagen des April dann auch eintrat.

Diesem Witterungsverlaufe entsprechend ergaben sich für den Monat März Temperaturmittel, welche den langjährigen Durchschnitt erheblich übertrafen. Auf der schwäbisch-bayerischen Hochebene, im Donautale, ferner auch in der Gegend von Nürnberg und Hof bezifferten sich die Differenzen auf mehr als 2, in den übrigen Bezirken immer noch auf mehr als 1 Grad; Kaiserslautern allein verzeichnete nur 0.9 Grad positiver Abweichung. Die geographische Verteilung der Mitteltemperaturen über Süddeutschland ist auf dem ersten der beigegebenen Kärtchen zur Darstellung gebracht. In der Rheinebene und im unteren und mittleren Neckartale wurden Temperaturmittel von mehr als 6 Grad abgeleitet; die Isotherme von 5 Grad umfasst noch das ganze Maintal sowie die unteren Tallagen der Mainzuflüsse bis Bamberg aufwärts. Auch in der Umgebung von Passau erhob sich der Durchschnittswert der Temperatur über 5 Grad. Mit

wachsender Seehöhe nehmen die Temperaturen fortgesetzt ab, so dass im Verlaufe der Isothermen die topographischen Verhältnisse des Geländes sich genau widerspiegeln. Ähnlichen Verlauf der Kurven zeigen auch die Darstellungen der geographischen Verteilung der mittleren Extreme. Westlich der Linie, welche, vom Zusammenfluss der Mainquellflüsse ausgehend, den Westabhängen des Jura folgt und dann von Ulm südwärts gegen Konstanz verläuft, wurden positive mittlere Minima aufgezeichnet. Östlich dieser Linie leiteten nur klimatisch sehr bevorzugte Bezirke, wie das Reichenhaller Tal und die Umgebung von Passau sowie ausgesprochene Stadtlagen positive Werte des fraglichen Elements ab. Die Anzahl der Frosttage betrug in der Rheinebene, in begünstigten Tallagen des Maingebietes und in der Umgebung von Passau weniger als 10. Im allgemeinen, wenn wir von Stadtlagen absehen und jene alpinen Tallagen, welche durch häufigen Föhneinfluss begünstigt waren, ausnehmen, bildet die vorhin erwähnte Linie wieder eine Grenze. Westlich derselben wurden weniger, östlich derselben mehr als 20 Tage mit Frost gezählt. Wie wir bei der Schilderung des zeitlichen Verlaufes der Witterung erwähnten, wurden am 28., 29. und 30. März Temperaturen von sommerlicher Höhe aufgezeichnet. In Landshut betrug am 28., in Bad Reichenhall am 29. das Tagesmaximum bereits über 25 Grad, an anderen Stationen kam die Maximaltemperatur diesem Betrage sehr nahe. Wintertage d. h. Tage mit negativem Temperaturmaximum kamen in den Lagen unter 1000 m Seehöhe während des März nicht zur Aufzeichnung.

Die eingangs gegebene kurze Charakteristik des März als eines trockenen Monats wurde durch die Schilderung des zeitlichen Witterungsverlaufes gerechtfertigt. Die Niederschläge, welche während der immer nur kurz dauernden





zyklonalen Wetterperioden fielen, waren zumeist nur von recht geringer Intensität. Die aus langjährigen Beobachtungsreihen abgeleiteten Durchschnittswerte des Niederschlages für den Monat März wurden nur in der Rheinpfalz erreicht oder auch um Geringes übertroffen. Im ganzen rechtsrheinischen Bayern wurde kaum die Hälfte der mittleren Niederschlagsmenge verzeichnet. Die geographische Verteilung der Niederschlagssummen über Süddeutschland ist auf dem zweiten der beigegebenen Kärtchen dargestellt. Charakteristisch ist der Verlauf der Isohyete für 30 mm, welche von der Rhön über Lohr und Wertheim, dann ungefähr längs der bayerisch-württembergischen Landesgrenze verläuft, das Wertach- und Lechgebiet vom übrigen Schwaben trennt und dann längs des Alpenvorlandes nach Osten zieht. Diese Linie scheidet das niederschlagsreichere westliche Süddeutschland und das Alpengebiet von dem trockenen Osten. Im übrigen bedarf die Karte keiner näheren Erläuterung. Die Niederschläge fielen teils als Regen teils als Schnee, doch kam es nur an wenigen Tagen zur Bildung einer Schneedecke. Selbstverständlich bezieht sich diese Feststellung nur auf die Beobachtungsorte des Flachlandes und der niederen Mittelgebirgslagen. In den eigentlichen Gebirgslagen wurde die noch von den Vormonaten lagernde Schneedecke mehrmals von einer Neuschneelage überdeckt.

Die Bewölkungsverhältnisse des diesjährigen März können im allgemeinen als günstige bezeichnet werden. Nur Kaiserslautern, die westlichste Station unseres Beobachtungsnetzes, ausserdem noch Bamberg berechneten eine mittlere Bewölkungsziffer von mehr als 7 Zehnteln der vollen Bedeckung. An der Mehrzahl der Beobachtungsstellen wurden weniger als 6 Zehntel als mittlerer Bewölkungsgrad berechnet. Weder die Zahl der trüben Tage noch jene der heiteren erreichte eine nennenswerte Höhe, ganz entsprechend dem wechselnden Charakter der Witterung während des Berichtsmonats.

Die mittleren, auf Meeresniveau reduzierten Barometerstände zeigen nur sehr geringfügige Unterschiede. Eine über unserem ganzen Gebiete vorherrschende Windrichtung war nicht zu konstatieren.

München, 18. April 1911. Alt.

Station	Höhe über Normal-Null m	Luftdruck in mm: höchster am	höchster mm	tiefster am	tiefster mm	Monatsmittel lokal	Monatsmittel auf Meeresniveau reduziert	Temperatur C°: Mittel um 7a	2p	9p	Mittlere Tagestemperatur	Mittleres Maximum	Mittleres Minimum	Mittel aus Maximum und Minimum	Mittlere Schwankung	Station
Ludwigshafen a/Rh.	100.3	2.	763.8	13.	732.9	750.8	760.0	3.6	9.9	6.6	6.7	10.8	2.4	6.6	8.4	Ludwigshafen a/Rh.
Kahl a/M.	114.1	2.	760.5	13.	731.5	749.6	760.1	2.1	9.6	4.7	5.2	11.0	0.1	5.6	10.8	Kahl a/M.
Landau i. Pf.	149.9	2.	758.7	13.	728.9	746.0	759.8	3.2	9.3	5.7	6.0	10.3	1.6	6.0	8.8	Landau i. Pf.
Würzburg	179.3	2.	754.8	13.	727.0	743.2	759.4	2.4	9.1	5.1	5.4	10.1	1.4	5.7	8.7	Würzburg
Bad Kissingen	209.2	2.	751.9	13.	723.3	740.9	760.1	1.4	8.6	4.1	4.6	9.7	0.4	5.1	9.4	Bad Kissingen
Kaiserslautern	242.2	2.	749.8	13.	720.8	737.9	760.1	1.7	8.5	4.3	4.7	9.7	0.8	5.2	8.9	Kaiserslautern
Luitpoldheim	250	–	–	–	–	–	–	1.4	7.8	4.6	4.6	9.0	0.8	4.9	8.2	Luitpoldheim
Bamberg	287.7	2.	745.2	13.	717.6	734.1	760.4	1.7	9.2	3.8	4.6	10.7	0.4	5.5	10.2	Bamberg
Nürnberg	309.1	2.	743.7	13.	717.8	731.7	759.8	2.3	8.7	4.9	5.2	9.6	1.2	5.4	8.4	Nürnberg
Passau	309.4	2.	744.6	13.	719.7	732.7	760.9	1.9	9.4	4.5	5.1	10.1	1.1	5.6	9.0	Passau
Metten	320	–	–	–	–	–	–	1.9	9.3	3.8	4.7	10.2	– 0.4	4.9	10.6	Metten
Regensburg	342.6	2.	741.2	13.	716.7	729.6	760.9	1.4	8.9	2.8	4.0	9.6	– 0.4	4.6	10.1	Regensburg
Bayreuth	363.3	2.	738.4	13.	712.8	727.5	760.6	0.8	8.2	3.7	4.1	9.1	– 0.6	4.2	9.7	Bayreuth
Burghausen	365	2.	739.9	13.	713.9	727.2	760.5	1.3	9.6	3.0	4.2	10.8	– 0.7	5.1	11.5	Burghausen
Karlshuld	382.0	2.	737.1	13.	711.3	724.7	759.4	0.2	8.8	3.5	4.0	10.4	– 0.8	4.8	11.2	Karlshuld
Landshut	397.7	2.	736.3	13.	710.3	723.9	760.2	1.5	9.5	3.5	4.5	11.4	– 2.1	4.7	13.4	Landshut
Lindau i. B.	401.7	2.	738.6	13.	710.6	723.8	760.2	1.5	7.6	4.6	4.6	9.5	– 0.3	4.6	9.8	Lindau i. B.
Weissenburg i. B.	431	2.	730.2	13.	706.5	720.9	759.9	1.6	8.8	4.1	4.7	9.4	0.6	5.0	8.9	Weissenburg i. B.
Nördlingen	435.6	2.	732.5	13.	705.5	720.0	759.5	1.3	8.5	3.7	4.3	9.5	0.5	5.0	9.0	Nördlingen
Ansbach	437.5	2.	732.3	13.	704.9	720.4	760.1	0.7	8.1	3.0	3.7	9.1	– 0.4	4.4	9.5	Ansbach
Hof	476.1	2.	726.3	13.	702.2	717.0	760.3	0.2	6.9	1.8	2.7	7.9	– 1.3	3.3	9.2	Hof
Bad Reichenhall	477	2.	729.8	13.	704.2	717.1	760.2	1.5	9.8	3.3	4.5	12.1	0.7	6.4	11.4	Bad Reichenhall
Augsburg	499.6	2.	728.3	13.	701.9	715.3	760.3	1.7	8.4	4.3	4.7	9.2	0.5	4.8	8.7	Augsburg
München C.-St.	526.4	2.	725.7	13.	699.1	712.7	760.0	1.7	8.6	4.2	4.7	9.4	0.4	4.9	9.0	München C.-St.
Alexandersbad	590	–	–	–	–	–	–	– 0.3	5.9	1.5	2.2	6.7	– 1.6	2.6	8.3	Alexandersbad
Traunstein	597	2.	719.9	13.	694.2	707.1	760.6	0.3	7.8	2.3	3.2	8.4	– 0.8	3.8	9.2	Traunstein
Berchtesgaden	600	–	–	–	–	–	–	– 0.1	8.2	2.4	3.2	8.7	– 1.0	3.8	9.8	Berchtesgaden
Ottobeuren	660.0	2.	714.3	13.	689.2	701.3	760.4	0.8	7.4	2.2	3.1	8.2	– 1.1	3.6	9.3	Ottobeuren
Partenkirchen	714.6	2.	709.9	13.	684.1	696.6	760.0	0.1	8.9	2.2	3.4	10.1	– 1.0	4.5	11.1	Partenkirchen
Tegernsee	742	2.	707.1	13.	682.1	694.4	760.4	1.4	7.7	2.6	3.6	9.0	0.1	4.6	8.9	Tegernsee
Buchenau	750	2.	703.6	13.	681.2	693.1	760.2	– 1.0	5.2	0.6	1.4	6.5	– 1.8	2.3	8.3	Buchenau
Oberstdorf	811.4	2.	700.1	13.	674.2	688.4	760.7	– 1.5	6.8	0.8	1.7	8.0	– 3.7	2.2	11.7	Oberstdorf
Ettal	881.5	–	–	–	–	–	–	– 1.2	6.8	0.7	1.8	9.0	– 2.9	3.0	11.9	Ettal
Mittenwald	910	2.	692.6	26.	667.5	679.9	760.4	0.1	7.6	1.4	2.6	8.6	– 1.6	3.5	10.2	Mittenwald
Hohenpeissenberg	993.9	2.	684.9	26.	660.3	672.7	760.1	1.1	4.9	1.8	2.4	6.1	– 0.7	2.7	6.8	Hohenpeissenberg
Zugspitze	2964	2.	530.7	15.	512.7	524.0	–	-11.5	– 9.1	-10.6	-10.4	– 8.3	-12.4	-10.4	4.1	Zugspitze

Station	Temperatur C°: höchste am	höchste C°	tiefste am	tiefste C°	grösste Schwankung am	grösste Schwankung C°	Dampfdruck Monatsmittel mm	Relative Feuchtigkeit %: Monatsmittel	kleinste am	kleinste %	grösste am	grösste %	Bewölkung Monatsmittel	Niederschlag: grösster am	grösster mm	Monatssumme mm	Station
Ludwigshafen a/Rh.	29.	22.3	9.	– 1.4	29.	16.2	5.1	70	9.	33	4.	98	6.0	27.	10.6	36.4	Ludwigshafen a/Rh.
Kahl a/M.	29.	24.1	11.	– 4.7	29.	22.8	5.2	78	29.	28	öfters	100	5.6	27.	12.2	45.4	Kahl a/M.
Landau i. Pf.	29.	20.2	27.	– 3.0	29.	15.6	5.2	74	8.	44	27.	98	6.6	27.	18.7	65.1	Landau i. Pf.
Würzburg	29.	23.0	11.	– 2.2	29.	18.9	5.0	74	30.	29	9.	98	5.8	25.	9.2	29.8	Würzburg
Bad Kissingen	29.	23.3	9.	– 3.6	29.	19.5	5.1	80	29.	31	öfters	100	5.7	3.	10.1	25.3	Bad Kissingen
Kaiserslautern	30.	19.5	12.	– 2.9	29.	17.9	5.1	80	29.	42	„	100	7.3	27.	23.0	84.2	Kaiserslautern
Luitpoldheim	29.	21.4	12.	– 4.4	29.	15.2	5.2	81	30.	41	„	100	5.7	3.	6.7	28.6	Luitpoldheim
Bamberg	29.	24.4	9.	– 3.9	29.	19.0	4.9	77	29.	25	„	100	7.6	3.	7.4	20.5	Bamberg
Nürnberg	29.	22.8	18.	– 2.4	29.	16.9	4.7	72	29.	20	11.	100	6.7	3.	3.6	11.3	Nürnberg
Passau	29.	21.9	10.	– 3.3	29.	19.3	4.9	75	18., 28.	30	öfters	100	5.8	3.	8.0	18.8	Passau
Metten	29.	23.5	10.	– 5.5	28.	20.4	4.6	74	29.	22	„	100	5.2	3.	4.8	18.2	Metten
Regensburg	29.	22.7	10.	– 5.2	28.	19.4	4.2	70	30.	17	4.	98	6.8	3.	4.6	12.3	Regensburg
Bayreuth	29.	22.4	18.	– 5.0	29.	20.1	4.8	78	29., 30.	31	öfters	100	6.3	25.	7.3	16.0	Bayreuth
Burghausen	29.	23.6	18.	– 4.6	28.	22.0	4.7	77	30.	20	7., 18.	100	5.5	2.	4.2	22.7	Burghausen
Karlshuld	29.	23.8	27.	– 6.2	28.	23.3	4.6	76	29.	31	9., 28.	100	5.9	3.	6.5	14.0	Karlshuld
Landshut	28.	25.1	10.	– 7.0	28.	24.3	4.4	71	28.	18	12.	98	5.8	3.	5.0	9.3	Landshut
Lindau i. B.	29.	23.3	27.	– 5.6	21.	19.7	5.0	80	29.	31	öfters	100	5.7	26.	16.6	40.7	Lindau i. B.
Weissenburg i. B.	29.	22.9	9.	– 6.2	28.	17.3	4.9	75	29.	35	2.	94	6.0	3.	10.0	18.8	Weissenburg i. B.
Nördlingen	29.	21.5	11.	– 2.8	29.	17.5	4.6	75	29.	31	25., 26.	99	5.6	3.	9.5	26.7	Nördlingen
Ansbach	29.	21.8	7.	– 4.2	29.	19.5	4.5	75	30.	29	1., 4.	94	4.9	3.	10.4	26.6	Ansbach
Hof	29.	21.5	17.	– 4.6	29.	22.5	4.6	82	30.	31	öfters	100	7.2	25.	10.1	30.8	Hof
Bad Reichenhall	29.	25.5	16.	– 3.8	28.	19.6	4.4	72	29.	21	„	98	5.3	3.	14.1	53.7	Bad Reichenhall
Augsburg	29.	22.1	7.	– 2.9	28.	18.7	4.8	76	29.	33	11.	100	6.2	3.	6.3	20.1	Augsburg
München C.-St.	29.	22.8	16.	– 3.9	28.	17.7	4.3	70	29.	18	7., 24.	98	6.2	2.	5.2	19.9	München C.-St.
Alexandersbad	29.	19.8	10.	– 6.2	29.	17.0	4.4	80	29.	32	26.	99	6.3	3.	10.1	33.7	Alexandersbad
Traunstein	29.	21.5	7.	– 6.0	28.	17.7	4.4	73	29.	19	24.	100	6.1	2.	13.1	57.4	Traunstein
Berchtesgaden	29.	19.2	16.	– 6.5	28.	16.2	4.4	76	29.	26	öfters	100	5.3	3.	13.1	52.4	Berchtesgaden
Ottobeuren	29.	21.0	16.	– 5.0	28.	18.7	4.4	77	29.	19	7., 20.	100	5.9	26.	12.5	34.7	Ottobeuren
Partenkirchen	29.	21.9	16.	– 7.8	28.	17.9	3.9	69	29.	19	3., 15.	100	5.2	3.	7.8	41.2	Partenkirchen
Tegernsee	29.	19.6	16.	– 5.7	29.	14.1	4.1	70	29.	20	öfters	97	6.1	2.	14.2	45.1	Tegernsee
Buchenau	29.	19.1	10.	– 8.2	29.	15.4	3.9	76	29.	33	„	96	5.5	3.	27.6	53.3	Buchenau
Oberstdorf	29.	19.0	16.	-11.1	22., 28.	16.8	3.9	75	29.	22	„	100	6.4	3.	13.6	75.5	Oberstdorf
Ettal	29.	20.2	16.	-10.9	18.	19.2	4.0	77	29.	25	„	100	5.8	2.	11.3	62.2	Ettal
Mittenwald	29.	18.5	17.	-10.2	17.	15.6	3.9	70	29.	31	„	96	6.3	15.	11.2	51.1	Mittenwald
Hohenpeissenberg	29.	17.9	16.	– 5.6	29.	11.9	3.7	71	29.	21	„	100	6.5	2.	5.2	27.7	Hohenpeissenberg
Zugspitze	29.	– 2.4	14.	-19.3	4. u. 9.	7.3	2.0	92	18.	52	„	100	6.5	15.	17.9	79.8	Zugspitze

Station	Tage mit										Tage				Anzahl der beobachteten Windrichtungen									Station
	Niederschlägen		Schneefall	Schneedecke	Graupeln	Hagel	Gewitter	Nebel	Reif	Tau	heitere	trübe	Sommer	Frost	N	NE	E	SE	S	SW	W	NW	Stille	
	≥ 0.1mm	≥ 1.0mm																						
Ludwigshafen a/Rh.	14	8	7	1	1	–	1	4	7	3	4	12	–	3	13	10	7	6	13	19	7	4	14	Ludwigshafen a/Rh.
Kahl a/M.	12	10	5	1	–	–	2	–	12	–	5	7	–	18	–	7	11	10	1	26	7	4	27	Kahl a/M.
Landau i. Pf.	16	11	6	3	–	–	3	1	4	8	–	11	–	6	1	40	3	–	–	28	4	17	–	Landau i. Pf.
Würzburg	14	7	7	–	1	1	2	13	11	5	7	10	–	9	–	6	12	15	6	4	30	4	16	Würzburg
Bad Kissingen	11	6	3	–	–	–	1	5	9	4	6	10	–	16	22	11	7	–	20	10	7	10	6	Bad Kissingen
Kaiserslautern	19	13	6	4	1	–	2	3	11	1	–	13	–	11	4	2	15	7	2	5	18	9	36	Kaiserslautern
Luitpoldheim	13	8	6	2	3	–	1	5	15	2	4	7	–	15	8	6	2	2	4	22	–	2	47	Luitpoldheim
Bamberg	15	4	6	–	1	–	1	3	10	2	1	18	–	17	2	2	5	–	26	12	17	12	6	Bamberg
Nürnberg	10	3	2	–	–	–	–	22	12	–	2	13	–	12	–	5	26	22	4	12	8	13	3	Nürnberg
Passau	8	5	2	1	1	–	–	3	10	1	6	8	–	9	–	–	30	1	3	–	11	3	45	Passau
Metten	10	6	2	1	–	–	–	4	14	2	5	6	–	20	–	7	21	9	5	4	16	3	28	Metten
Regensburg	10	3	3	–	–	–	–	10	11	2	3	10	–	17	14	8	3	7	22	1	13	9	16	Regensburg
Bayreuth	11	3	3	–	1	–	–	4	14	–	4	9	–	20	2	3	29	12	1	6	25	9	6	Bayreuth
Burghausen	12	9	5	2	2	–	–	2	9	4	4	4	–	19	4	7	15	2	3	20	1	1	40	Burghausen
Karlshuld	5	3	3	2	–	–	–	5	16	–	5	8	–	19	4	15	26	–	2	10	23	–	13	Karlshuld
Landshut	10	2	3	–	–	–	1	1	9	1	2	6	1	24	7	12	19	2	1	12	21	2	17	Landshut
Lindau i. B.	11	9	6	2	2	–	–	2	10	4	8	10	–	19	5	7	5	4	17	5	18	8	24	Lindau i. B.
Weissenburg i. B.	6	3	4	1	–	1	–	2	12	–	3	8	–	15	1	7	7	14	4	12	11	3	34	Weissenburg i. B.
Nördlingen	12	6	6	1	6	–	2	6	15	4	6	3	–	15	–	5	25	11	5	17	14	4	12	Nördlingen
Ansbach	15	7	7	–	2	–	1	4	11	–	7	6	–	19	1	5	15	2	2	6	21	5	36	Ansbach
Hof	14	8	9	2	2	–	–	5	4	–	–	12	–	22	12	5	5	11	16	22	11	4	7	Hof
Bad Reichenhall	11	11	8	5	1	–	–	2	7	1	6	8	1	14	–	1	23	2	–	19	23	2	23	Bad Reichenhall
Augsburg	11	7	7	2	1	–	–	5	17	–	3	11	–	17	1	13	21	6	–	30	6	9	7	Augsburg
München C.-St.	13	6	8	1	2	–	–	9	16	1	4	10	–	16	3	10	14	10	2	19	7	6	22	München C.-St.
Alexandersbad	14	8	12	5	–	–	1	4	8	2	–	9	–	24	1	5	14	9	1	11	11	10	31	Alexandersbad
Traunstein	12	10	8	5	1	–	–	3	14	1	3	9	–	18	–	20	12	13	19	19	5	5	–	Traunstein
Berchtesgaden	11	10	8	22	–	–	–	1	9	–	6	8	–	18	–	–	8	6	–	4	0	–	69	Berchtesgaden
Ottobeuren	12	8	8	3	2	–	1	5	10	–	6	9	–	25	1	15	2	10	–	37	2	2	24	Ottobeuren
Partenkirchen	13	11	7	10	1	–	–	–	2	–	7	6	–	19	9	–	–	4	23	–	1	13	43	Partenkirchen
Tegernsee	13	9	9	13	–	–	–	2	7	2	3	7	–	15	7	11	27	6	4	1	19	25	–	Tegernsee
Buchenau	13	8	12	30	1	–	1	1	–	–	8	10	–	24	–	2	32	5	2	5	27	2	18	Buchenau
Oberstdorf	13	12	11	28	–	–	–	6	1	–	6	14	–	26	1	–	–	–	4	17	17	8	46	Oberstdorf
Ettal	13	12	11	24	–	–	–	2	1	–	5	9	–	23	–	–	–	–	–	–	–	–	–	Ettal
Mittenwald	12	10	12	21	2	–	–	–	5	–	5	13	–	22	5	1	2	3	27	3	8	3	41	Mittenwald
Hohenpeissenberg	14	9	11	10	–	–	1	10	–	–	4	13	–	22	2	12	7	11	9	17	22	11	2	Hohenpeissenberg
Zugspitze*)	17	15	17	31	4	–	–	18	9	–	4	12	–	31	11	3	11	20	8	7	17	11	5	Zugspitze

*) 31 Wintertage.

Übersicht über die Witterungsverhältnisse im Königreiche Bayern

während des April 1911.

Die Mitteltemperaturen des April fielen an fast allen Stationen unseres Beobachtungsnetzes geringer aus als die aus langjährigen Reihen abgeleiteten Normalwerte. Im allgemeinen nehmen die Differenzen in der Richtung von West nach Ost ab und im östlichen Bayern wurde sogar vereinzelt ein geringer Temperaturüberschuss nachgewiesen. Eine deutliche Ausnahme von der eben genannten Regel einer Verringerung der Temperaturdifferenzen in west-östlicher Richtung machen die Stationen des Donautales. Beispielsweise verzeichnete Regensburg mit 1.5 und Metten mit 1.0 Grad Differenzen, wie sie grösser auch in der Pfalz und im unteren Maingebiete nicht angetroffen wurden. Die Ursache dieser Verhältnisse ist nicht in andauernd kühler Temperatur des Monats zu suchen, sondern in dem ausserordentlich intensivem Temperatursturz gegeben, der zu Beginn des Monats einsetzte und mit seinen Nachwirkungen bis gegen die Monatsmitte dauerte. Die zweite Monatshälfte brachte vorwiegend sonniges und warmes Wetter, erst gegen Monatsende trat ein neuerlicher, aber nur wenig kräftiger Kälterückfall ein.

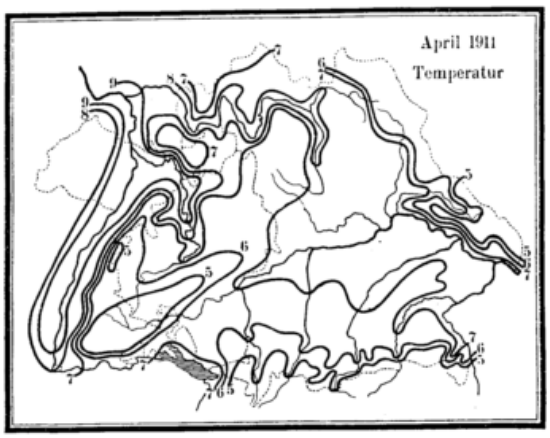
Im allgemeinen fallen die Kälteperioden mit niederschlagsreichen Tagen zusammen. Während der ersten Monatshälfte wurden insbesondere im südlichen Bayern Regen- und Schneefälle mit ziemlicher Häufigkeit verzeichnet, doch blieb die Ergiebigkeit der Niederschläge nur gering. Einer zusammenhängenden Regenperiode gehörten die vier letzten Monatstage an, doch auch in diesen Tagen erreichten die Niederschläge nirgends mehr als mässige Stärke. So kam es, dass die Monatsmenge des Niederschlages nur vereinzelt den langjährigen Durchschnittswert erreichte, zumeist aber mehr oder weniger hinter demselben zurückblieb. Im allgemeinen war die Niederschlagshäufigkeit und -ergiebigkeit grösser in Süd- und Ostbayern als im Maingebiete und in der Pfalz.

Nach dieser kurzen Charakteristik des Berichtsmonats in bezug auf die hauptsächlichsten Witterungsfaktoren soll der zeitliche Verlauf der Witterungserscheinungen an Hand der täglichen Wetterkarten flüchtig skizziert werden. Am Morgen des 1. April gestaltete sich die Luftdruckverteilung sehr unregelmässig. Im Norden und Nordosten Europas war eine ausgedehnte Depression vorhanden, welche durch eine schmale, unregelmässig begrenzte Furche über Norddeutschland bis zu einem zweiten Depressionsgebiet über der Biscayasee reichte. In der Pfalz und in Nordbayern herrschte wechselnde Bewölkung und es regnete zeitweise, in Südbayern bestand Föhneinfluss. Bis zum kommenden Morgen hatte sich die nordöstliche Depression weiterentwickelt und das ganze Ostseegebiet in ihren Bereich gezogen. Über unserem Gebiete nahm die Bewölkung zu und die Niederschläge breiteten sich auch nach Südbayern aus. Als nun vom Ozean hoher Druck kräftig gegen Europa vorrückte und die Depression ostwarts verdrängte, trat der bereits oben erwähnte ungemein schroffe Temperaturrückgang ein. Während am 1. und 2. April Maximaltemperaturen von nahezu 20 Grad zur Aufzeichnung gelangten, lagen dieselben am 4., 5. und 6. in der Nähe des Gefrierpunktes und die Minimaltemperaturen sanken selbst in sehr geschützten Gegenden mehr als 5 Grad unter Null. Die Niederschläge gelangten nur grösstenteils als Schnee zu Boden, waren aber nur von sehr geringer Intensität. Obwohl der hohe Druck von Westen kräftig nach dem Kontinente vordrang, trat keine durchgreifende Besserung ein, und insbesondere im südlichen Bayern machte eine über dem Mittelmeere vorhandene Depression ihren ungünstigen Einfluss geltend. Die Temperaturen stiegen nur langsam an und zeitweise kam es noch zu leichten Niederschlägen. Am Morgen des 11. lag ein barometrisches Maximum auf dem Ozean nordwestlich der britischen Inseln und von dort breitete sich hoher Druck weit nach den kontinentalen Lagen herein aus. Flache Depressionen waren über dem Mittelmeere und im hohen Norden Europas vorhanden. Die Witterung war sonnig und die Temperaturen stiegen nun kräftiger an. Als aber die nordöstliche Depression gegen Abend des 12. kräftig nach Osteuropa sich verbreitete, trat wieder ein Witterungsumschlag ein, dessen Folgen aber nur kurzdauernd waren. Die Temperaturen sanken wieder und am 12. und 13. traten verbreitete Regen- und Schneefälle auf, die aber nur im Alpengebiet nennenswerte Stärke erreichten. Bereits am 14. war der von Westen vorgedrungene Hochdruck wieder zur Herrschaft gelangt. Von diesem Tage bis zum 26. des Berichtsmonats dauerte eine Schönwetterperiode, die nur am 19. und 20. durch den Durchzug eines Ausläufers niedrigen Druckes unterbrochen wurde. Derselbe verursachte über unserem Gebiete ausgebreitete Gewitter ohne starke Niederschläge und vorübergehende Abkühlung. Schon vom 21. ab erfreute sich unser ganzes Gebiet wieder warmen, sonnigen Frühlingswetters, das nun bis zum Nachmittag des 26. ohne nennenswerte Unterbrechung anhielt. Am Morgen des 26. hatte sich niedriger Druck vom nordatlantischen Ozean bis an die Alpen ausgebreitet, und im Laufe des Tages bildete sich eine von der Ostsee nach dem östlichen Mittelmeere verlaufende Furche aus. Entsprechend der Lage unseres Gebietes an der Rückseite dieser Furche kam es zu einem ziemlich schroffen Witterungswechsel. Bei kräftig sinkenden Temperaturen traten Trübung und ausgebreitete Niederschläge ein. Eine vorübergehende Besserung brachte der 30. April unter dem Einfluss einer von Skandinavien nach Nordwestfrankreich reichenden Furche geringen Luftdruckes.

Die geographische Verteilung der Mitteltemperaturen über Süddeutschland ist auf dem ersten der beigegebenen Kärtchen dargestellt. In der Rheinebene und im unteren und mittleren Neckartal wurden Temperaturen von über 9 Grad ermittelt. Die Isotherme von 8 Grad umfasst noch das Maintal bis über Bamberg aufwärts und die tieferen Tallagen der Mainzuflüsse. Im rechtsrheinischen Bayern folgt die Isotherme für 7 Grad sehr nahe der Höhenlinie von 500 m, wie

überhaupt die Temperaturverteilung dem topographischen Aufbau des Geländes sich genau anschmiegt. Auch die entsprechenden Darstellungen für die mittleren Extreme zeigen deutlich diese Abhängigkeit. Hervorzuheben ist, wie so häufig, das Gebiet nördlich der bayerischen Hochebene bis zur Donau ungefähr zwischen Lech und Vils, das sich einerseits durch auffallend hohe Maxima, anderseits durch sehr niedrige Minima auszeichnet. Die in diesem Gebiete liegende Station Landshut weist von allen Beobachtungsorten das höchste mittlere Maximum mit 15.6 Grad auf und wird hinsichtlich des tiefen Wertes des mittleren Minimums von —0.3 Grad nur von Hof erreicht. Der hieraus resultierende Wert der mittleren Schwankung von 15.9 Grad wird am nächsten nur von Karlshuld und Kahl a. M. mit 14.0 beziehungsweise 14.3 Grad erreicht. An der Mehrzahl unserer Stationen betrug die Schwankung 10 bis 20 Grad.

Der intensive Kälterückfall zu Beginn des Monats, dessen Wirkung bis Mitte des April fühlbar war, brachte an allen unseren Stationen verhältnismässig häufigen und am 4., 5. und 6. auch recht intensiven Frost. Das absolute Minimum der Temperatur weist an der überwiegenden Mehrzahl unserer Beobachtungsstellen, in der Pfalz und im Maingebiet ausnahmslos im April tiefere Werte auf als im Vormonat. Die Anzahl der Frosttage schwankt zumeist zwischen 9 und 12, besonders begünstigt erscheinen Ludwigshafen mit 7, Bad Reichenhall und Passau mit je 8 Frosttagen. Einige Orte des Alpengebietes und der Mittelgebirge an der Ostgrenze Bayerns zählten sogar bis zu 3 Wintertage, das sind Tage, an welchen auch die Höchsttemperatur den Nullpunkt nicht erreichte. Auch Nördlingen und Weissenburg i. B. verzeichneten je einen Wintertag. Anderseits wurden in der warmen Schönwetterperiode der zweiten Monatshälfte mehrfach Maxima von mehr als 20 Grad notiert und in Kahl a. M., Karlshuld und Landshut wurden der Reihenfolge entsprechend 1, 2 und 3 Sommertage gezählt.





Das zweite der beigegebenen Kärtchen stellt die geographische Verteilung der Niederschlagssummen über Süddeutschland dar. Schon bei der allgemeinen Charakteristik des April, wie auch bei Schilderung des zeitlichen Verlaufes der Witterung wurde erwähnt, dass die Niederschlagshäufigkeit mässig war und dass die gefallenen Niederschläge jeweils nur geringe Ergiebigkeit hatten. Im überwiegenden Teile Süddeutschlands blieben die Monatssummen unter 50 mm und mehr als 100 mm wurden nur in den besonders exponierten Lagen des nördlichen Schwarzwaldes und des Böhmerwaldes sowie im Alpengebiete gemessen. Den Temperaturverhältnissen entsprechend fielen in der Zeit vom 3. bis 8. April die Niederschläge vorwiegend als Schnee, in der übrigen Zeit war Regen vorherrschend. Einerseits die Form der Niederschläge in Verbindung mit den tiefen Temperaturen, anderseits die Tatsache, dass mehrmals, wenn auch nur für kurze Zeit, eine schwache Schneedecke zustande kam, berechtigen die Zeit vom 3. bis 8. April als Nachwinter anzusprechen. Insbesondere am 4., dann am 6., 7. und 8. April war eine weit verbreitete, wenn auch nur schwache und vielfach lückenhafte Schneedecke vorhanden. Ganz frei von Schneefall blieb nur Würzburg, wenigstens wurde dortselbst untertags kein fester Niederschlag beobachtet.

Die mittlere Bewölkungsziffer schwankt um den Wert 6 Zehntel der vollen Bedeckung. Eine Bevorzugung der Rheinpfalz und Unterfrankens, ferner des Fichtelgebirges, des Rieses und der Ansbacher Gegend, des Gebietes zwischen Nordrand der Hochebene und Donau und einiger bevorzugter alpiner Lagen ist deutlich zu erkennen. Die Zahl der trüben Tage, welche fast alle der ersten Monatshälfte und den letzten vier Tagen des April angehören, war im Alpengebiet und auf der Hochebene erheblich grösser als im übrigen Bayern und in der Pfalz. Insbesondere im unteren Maintale liegen in dieser Hinsicht die Verhältnisse sehr günstig. Die Zahl der heiteren Tage schwankt im allgemeinen zwischen 3 und 6, doch kommen nach jeder Richtung lokal begrenzte Extreme vor. Näheres ist der Tabelle III zu entnehmen.

Die mittleren, auf Meeresniveau reduzierten Barometerstände zeigen bei geringfügigen Unterschieden kein ausgesprochenes Gefälle nach irgendwelcher Richtung. Winde aus westlichen Richtungen waren an der Mehrzahl der Stationen vorherrschend.

München, den 18. Mai 1911. Alt.

Station	Höhe über Normal-Null m	Luftdruck in mm: höchster am	höchster mm	tiefster am	tiefster mm	Monatsmittel lokal	Monatsmittel auf Meeresniveau reduziert	Temperatur C°: Mittel um 7a	2p	9p	Mittlere Tagestemperatur	Mittleres Maximum	Mittleres Minimum	Mittel aus Maximum und Minimum	Mittlere Schwankung	Station
Ludwigshafen a/Rh.	100.3	22.	767.6	29.	741.8	753.5	762.6	6.1	13.6	9.6	9.7	14.9	4.5	9.7	10.5	Ludwigshafen a/Rh.
Kahl a/M.	114.1	21.	765.9	29.	740.4	752.0	762.5	5.4	13.4	6.8	8.1	15.4	1.1	8.3	14.3	Kahl a/M.
Landau i. Pf.	149.9	21.	762.5	29.	738.0	748.7	762.3	7.3	13.2	8.0	9.1	14.6	3.1	8.9	11.5	Landau i. Pf.
Würzburg	179.3	22.	760.0	29.	734.5	745.4	761.7	5.4	13.3	8.1	8.7	14.3	3.3	8.8	10.9	Würzburg
Bad Kissingen	209.2	22.	758.2	29.	732.5	743.1	762.2	3.9	12.8	6.7	7.5	13.9	1.5	7.7	12.4	Bad Kissingen
Kaiserslautern	242.2	21.	755.1	29.	729.4	740.7	762.7	4.2	11.9	6.9	7.5	13.3	2.1	7.7	11.2	Kaiserslautern
Luitpoldheim	250	–	–	–	–	–	–	3.2	11.8	7.3	7.4	13.1	2.2	7.7	10.9	Luitpoldheim
Bamberg	287.7	22.	751.2	29.	725.4	736.3	762.3	4.7	13.2	7.1	8.0	15.2	1.8	8.5	13.3	Bamberg
Nürnberg	309.1	22.	748.5	29.	724.2	734.0	761.9	4.9	12.2	7.6	8.1	13.0	2.7	7.8	10.4	Nürnberg
Passau	309.3	22.	748.9	3.	724.2	734.4	762.4	4.4	12.1	7.5	7.9	13.2	3.5	8.3	9.7	Passau
Metten	320	–	–	–	–	–	–	4.5	12.3	6.8	7.6	14.1	1.7	7.9	12.4	Metten
Regensburg	342.6	22.	745.9	29.	722.5	731.3	762.2	4.5	11.7	5.9	7.0	13.4	1.5	7.4	12.0	Regensburg
Bayreuth	363.3	22.	744.6	29.	719.2	729.6	762.3	4.7	11.8	6.9	7.6	13.4	1.4	7.4	12.0	Bayreuth
Burghausen	365	21., 22.	743.7	3.	719.1	729.1	762.0	4.2	12.6	6.0	7.2	14.7	1.7	8.2	13.0	Burghausen
Karlshuld	382.0	21.	742.0	3., 29.	718.6	726.9	761.3	3.5	11.8	6.8	7.2	14.7	0.7	7.7	14.0	Karlshuld
Landshut	397.7	22.	740.8	3.	717.0	726.0	762.0	4.2	12.0	6.3	7.2	15.6	– 0.3	7.7	15.9	Landshut
Lindau i. B.	401.7	21.	739.8	5.	716.1	726.2	762.3	5.3	10.9	7.2	7.7	13.0	2.6	7.8	10.4	Lindau i. B.
Weissenburg i. B.	431	21., 22.	737.6	29.	713.8	723.5	762.2	4.6	11.7	6.2	7.2	12.6	2.5	7.5	10.1	Weissenburg i. B.
Nördlingen	435.6	22.	736.7	29.	713.4	722.4	761.4	4.2	11.8	6.8	7.4	13.0	2.4	7.7	10.6	Nördlingen
Ansbach	437.5	21.	737.3	29.	713.9	722.9	762.1	4.0	11.3	5.9	6.8	12.5	1.3	6.9	11.2	Ansbach
Hof	476.1	22.	734.2	28.	707.8	719.0	761.8	2.8	11.4	4.4	5.8	12.5	– 0.3	6.1	12.8	Hof
Bad Reichenhall	477	21.	733.9	3.	709.5	719.2	761.8	5.7	12.3	6.3	7.7	15.2	3.7	9.4	11.5	Bad Reichenhall
Augsburg	499.6	21.	732.2	29.	709.2	717.6	762.2	4.8	11.5	7.4	7.8	12.7	2.3	7.5	10.4	Augsburg
München C.-St.	526.4	21.	729.3	3.	700.2	715.0	761.9	5.2	11.4	7.1	7.7	12.8	2.9	7.8	9.9	München C.-St.
Alexandersbad	590	–	–	–	–	–	–	3.0	9.9	4.4	5.5	16.1	0.3	5.7	10.8	Alexandersbad
Traunstein	597	21.	723.8	3.	700.0	709.4	762.6	3.7	10.5	5.3	6.2	11.5	1.8	6.7	9.7	Traunstein
Berchtesgaden	600	–	–	–	–	–	–	3.6	10.5	5.7	6.4	11.8	2.1	6.9	9.7	Berchtesgaden
Ottobeuren	660.0	21.	718.0	5.	695.5	703.7	762.4	4.1	9.9	4.5	5.8	11.3	1.1	6.2	10.1	Ottobeuren
Partenkirchen	714.6	21.	713.5	5.	689.8	699.1	762.4	3.0	10.4	4.5	5.6	12.4	1.6	7.0	10.8	Partenkirchen
Tegernsee	742	21.	712.1	5.	688.0	696.9	762.4	3.7	9.2	5.5	6.0	11.6	2.5	7.0	9.1	Tegernsee
Buchenau	750	21.	710.1	3.	685.4	695.1	761.6	1.6	8.4	3.5	4.3	10.2	0.6	5.4	9.7	Buchenau
Oberstdorf	811.4	21.	704.7	5.	680.2	690.8	762.5	2.4	9.1	3.6	4.7	10.8	– 0.1	5.4	10.9	Oberstdorf
Ettal	879.5	21.	698.1	5.	674.6	683.8	761.1	2.2	8.5	3.2	4.3	10.4	0.3	5.4	10.1	Ettal
Mittenwald	910	21.	696.6	5.	672.8	682.2	761.9	2.6	9.2	3.8	4.8	11.0	0.3	5.6	10.7	Mittenwald
Hohenpeissenberg	993.9	21.	689.4	5.	665.3	675.2	761.9	2.9	6.8	4.0	4.4	8.6	1.6	5.1	7.0	Hohenpeissenberg
Zugspitze	2964	21.	540.2	5.	514.3	526.7	–	– 8.8	– 6.6	– 8.6	– 8.2	– 5.5	–10.4	– 8.0	4.9	Zugspitze

Station	Temperatur C°: höchste am	höchste C°	tiefste am	tiefste C°	grösste Schwankung am	grösste Schwankung C°	Dampfdruck Monatsmittel mm	Relative Feuchtigkeit %: Monatsmittel	kleinste am	kleinste %	grösste am	grösste %	Bewölkung Monatsmittel	Niederschlag: grösster am	grösster mm	Monats-Summe mm	Station
Ludwigshafen a/Rh.	23.	23.5	5.	– 4.2	15.	17.0	5.2	59	16.	19	öfters	89	5.1	28.	7.4	17.8	Ludwigshafen a/Rh.
Kahl a/M.	22.	25.2	5.	– 6.2	22.	24.0	5.6	67	18.	24	1., 12.	100	4.3	28.	5.2	18.1	Kahl a/M.
Landau i. Pf.	23.	23.5	5.	– 5.5	17.	18.4	5.4	61	17.	21	29.	95	5.3	28.	10.5	24.1	Landau i. Pf.
Würzburg	23.	23.0	5.	– 6.0	18.	17.6	5.2	61	17.	25	2.	91	5.2	2.	7.0	22.8	Würzburg
Bad Kissingen	23.	23.3	5.	– 6.2	17.	19.7	5.4	68	15./17.	31	1.	99	4.6	28.	10.2	24.3	Bad Kissingen
Kaiserslautern	23.	22.6	5.	– 4.8	22.	17.9	5.2	67	23.	24	2.	96	5.4	28.	10.6	29.4	Kaiserslautern
Luitpoldheim	19.	22.0	5.	– 6.6	19.	18.4	5.5	71	18.	32	öfters	100	4.4	29.	7.9	30.5	Luitpoldheim
Bamberg	23.	24.2	5.	– 7.2	18.	21.3	5.3	65	19.	26	12.	100	6.5	28.	8.7	20.9	Bamberg
Nürnberg	23.	22.3	5.	– 7.0	23.	17.5	5.3	65	19., 23.	28	öfters	91	6.3	29.	4.0	16.1	Nürnberg
Passau	23.	21.9	5.	– 1.8	18.	18.1	5.8	72	16.	25	12.	100	6.0	4.	10.5	47.0	Passau
Metten	23.	23.0	5.	– 4.0	18.	20.3	5.6	71	16.	24	29.	100	5.8	30.	12.5	41.0	Metten
Regensburg	23.	22.0	5.	– 5.9	18.	19.4	5.0	64	16.	16	1.	93	6.7	21.	8.7	46.9	Regensburg
Bayreuth	22.	24.6	5.	– 7.9	22.	21.1	5.3	68	18.	26	öfters	96	5.6	1.	8.4	27.3	Bayreuth
Burghausen	23.	24.5	11.	– 5.5	19.	22.9	5.6	72	18.	22	22.	100	6.0	30.	11.7	52.6	Burghausen
Karlshuld	23.	25.7	5.	– 5.9	23.	24.9	5.4	71	16., 17.	24	22.	99	5.9	21.	7.5	33.1	Karlshuld
Landshut	23.	27.1	5.	– 6.5	23.	25.8	5.2	68	16.	16	2.	98	5.8	3.	12.5	50.2	Landshut
Lindau i. B.	23.	21.6	5., 10.	– 4.2	16.	18.5	5.8	73	17.	30	20., 22.	100	5.4	21.	19.5	68.9	Lindau i. B.
Weissenburg i. B.	23.	22.5	5.	– 7.3	23.	19.0	5.9	74	16.	43	öfters	94	6.1	28.	4.8	26.9	Weissenburg i. B.
Nördlingen	23.	23.1	5.	– 6.7	23.	17.3	5.0	65	19.	22	6.	95	5.5	28.	6.6	27.0	Nördlingen
Ansbach	23.	22.2	5.	– 8.3	23.	18.5	5.2	69	18.	27	28.	96	4.8	29.	6.8	24.2	Ansbach
Hof	23.	24.0	5.	– 9.1	19.	23.5	5.2	76	18., 19.	23	11.	100	6.4	28.	10.1	34.4	Hof
Bad Reichenhall	19.	24.8	5.	– 3.1	19.	18.0	5.3	67	16.	20	4.	98	5.6	13.	20.7	79.2	Bad Reichenhall
Augsburg	23.	22.0	5.	– 6.2	16.	17.5	5.4	67	16.	25	22.	99	6.0	3.	25.1	54.4	Augsburg
München C.-St.	23.	22.1	5.	– 5.8	16.	17.7	5.0	64	16.	14	6.	95	6.1	21.	9.0	46.4	München C.-St.
Alexandersbad	23.	22.3	5.	–10.8	19.	19.1	5.0	72	18, 19.	30	2., 3.	98	5.4	28.	13.2	47.2	Alexandersbad
Traunstein	19., 23.	21.0	öfters	– 4.0	19.	18.0	5.0	70	16.	21	27.	97	6.1	30.	20.0	99.9	Traunstein
Berchtesgaden	23.	20.2	5.	– 4.4	16.	17.5	5.3	74	16.	22	öfters	96	5.9	30.	21.3	95.1	Berchtesgaden
Ottobeuren	23.	21.5	5.	– 7.3	22., 23.	16.6	5.0	71	16.	18	6.	100	5.6	4.	14.2	47.5	Ottobeuren
Partenkirchen	23.	22.6	5.	– 6.2	16.	20.7	4.9	72	15.	18	13.	100	5.9	30.	19.0	78.4	Partenkirchen
Tegernsee	23.	21.2	5.	– 4.7	16.	17.0	4.9	69	18.	26	13.	100	6.3	4.	21.1	89.9	Tegernsee
Buchenau	23.	20.6	5.	– 7.9	18.	16.2	4.9	76	18.	36	29.	97	6.4	30.	17.6	80.1	Buchenau
Oberstdorf	23.	19.4	5.	– 6.9	16.	18.3	4.7	73	16.	17	13.	100	6.3	21.	17.1	80.9	Oberstdorf
Ettal	23.	19.3	5.	– 7.9	16.	18.1	4.7	74	16.	15	6.	100	6.0	4.	15.3	102.8	Ettal
Mittenwald	23.	21.0	5.	– 7.0	22.	17.6	4.9	75	16.	21	öfters	100	6.5	30.	21.6	81.6	Mittenwald
Hohenpeissenberg	23.	18.0	5.	– 9.4	15.	10.9	4.3	70	16.	11	„	100	6.4	4.	17.2	66.9	Hohenpeissenberg
Zugspitze	22., 23.	1.4	5.	–20.0	5.	10.7	2.2	85	16.	36	„	100	5.4	30.	17.5	65.0	Zugspitze

Station	Tage mit										Tage				Anzahl der beobachteten Windrichtungen									Station
	Niederschlägen		Schneefall	Schneedecke	Graupeln	Hagel	Gewitter	Nebel	Reif	Tau	heitere	trübe	Frost	Winter	N	NE	E	SE	S	SW	W	NW	Stille	
	≧0.1mm	≧1.0mm																						
Ludwigshafen a/Rh.	9	4	2	–	–	–	–	–	2	1	7	6	7	–	11	14	2	4	12	20	16	2	9	Ludwigshafen a/Rh.
Kahl a/M.	11	4	1	–	–	–	–	1	4	8	10	3	11	–	1	12	6	3	7	15	15	8	23	Kahl a/M.
Landau i. Pf.	9	5	2	–	–	–	–	–	2	11	6	8	9	–	–	29	–	3	–	34	4	20	–	Landau i. Pf.
Würzburg	9	5	1	–	3	–	1	4	6	8	4	4	10	–	3	7	12	3	7	9	21	11	17	Würzburg
Bad Kissingen	9	6	1	–	1	–	2	1	6	12	2	2	10	–	15	14	5	1	11	21	7	1	15	Bad Kissingen
Kaiserslautern	12	7	3	2	–	–	1	–	7	–	4	5	11	–	4	3	17	2	1	–	27	6	30	Kaiserslautern
Luitpoldheim	13	7	3	–	1	2	2	2	1	11	5	1	10	–	3	5	–	2	3	32	–	4	41	Luitpoldheim
Bamberg	17	4	5	–	1	–	3	–	8	12	1	8	12	–	13	3	3	3	22	9	19	13	5	Bamberg
Nürnberg	8	7	3	–	3	–	3	8	6	2	1	10	8	–	3	14	9	9	8	19	10	15	3	Nürnberg
Passau	11	8	2	–	–	–	2	3	3	10	5	12	8	–	–	–	11	–	5	1	16	7	50	Passau
Metten	9	8	1	–	1	–	2	1	4	9	6	7	12	–	5	11	5	8	6	7	22	5	21	Metten
Regensburg	13	8	3	–	–	–	1	5	4	8	1	10	12	–	19	4	9	1	12	3	14	14	14	Regensburg
Bayreuth	9	5	2	–	1	–	2	2	5	8	2	5	12	–	7	12	16	4	2	10	25	9	5	Bayreuth
Burghausen	9	8	1	–	2	–	2	1	7	3	3	9	12	–	4	18	5	1	5	25	2	1	29	Burghausen
Karlshuld	13	9	3	1	1	–	2	4	5	4	3	8	11	–	–	35	5	–	3	14	10	1	22	Karlshuld
Landshut	14	7	7	–	–	1	4	1	4	7	4	10	13	–	4	14	14	–	2	8	34	4	10	Landshut
Lindau i. B.	11	9	3	1	2	–	–	–	6	8	10	11	10	–	3	10	4	3	19	3	22	6	20	Lindau i. B.
Weissenburg i. B.	11	11	3	2	–	1	2	2	5	4	3	8	11	1	3	16	2	3	3	10	12	12	29	Weissenburg i. B.
Nördlingen	11	9	4	3	–	–	3	1	3	4	2	7	10	1	3	17	6	6	4	16	16	11	11	Nördlingen
Ansbach	13	6	4	–	–	–	–	–	–	–	6	7	12	–	4	14	2	1	1	11	18	12	27	Ansbach
Hof	13	9	6	1	1	1	2	3	6	6	–	6	15	3	12	11	2	8	12	13	12	13	7	Hof
Bad Reichenhall	15	9	6	4	–	–	2	–	1	3	8	9	8	–	1	6	19	4	3	16	28	2	11	Bad Reichenhall
Augsburg	15	9	6	3	2	–	2	1	4	12	4	11	11	–	3	15	7	5	1	26	15	5	13	Augsburg
München C.-St.	12	10	6	2	–	–	2	1	3	10	5	11	11	–	–	16	7	3	4	29	5	9	17	München C.-St.
Alexandersbad	12	7	7	4	3	1	2	–	6	8	6	7	12	3	10	11	5	3	2	8	23	10	18	Alexandersbad
Traunstein	15	9	5	5	–	–	3	1	3	9	4	9	12	1	3	11	10	9	12	20	12	13	–	Traunstein
Berchtesgaden	17	12	8	8	–	–	3	1	5	4	4	10	11	–	–	–	9	12	1	5	3	–	60	Berchtesgaden
Ottobeuren	15	9	6	4	1	–	1	2	6	6	6	11	12	2	–	17	7	4	–	41	2	2	17	Ottobeuren
Partenkirchen	19	12	7	8	–	–	1	–	3	5	7	10	12	1	6	1	–	8	11	1	–	21	42	Partenkirchen
Tegernsee	17	11	8	9	1	–	–	–	3	2	3	11	12	–	–	9	37	–	4	–	30	10	–	Tegernsee
Buchenau	16	10	9	7	–	1	1	–	–	9	4	12	13	2	–	4	26	2	–	8	28	4	18	Buchenau
Oberstdorf	13	11	6	2	–	–	–	–	7	2	7	13	14	1	–	–	–	–	1	14	18	18	39	Oberstdorf
Ettal	17	13	9	7	3	–	–	3	6	–	6	12	13	2	–	2	7	2	16	–	1	–	62	Ettal
Mittenwald	15	12	7	7	1	–	2	–	2	2	5	14	12	3	9	9	3	1	16	3	2	3	44	Mittenwald
Hohenpeissenberg	15	11	9	8	–	–	1	10	–	–	3	11	13	4	8	21	4	2	3	14	24	11	3	Hohenpeissenberg
Zugspitze	15	9	15	30	6	–	1	19	8	–	6	10	30	28	20	2	17	15	3	3	12	14	4	Zugspitze

Sommertage: Kahl a/M. 1, Karlshuld 2, Landshut 3.

Übersicht über die Witterungsverhältnisse im Königreiche Bayern

während des Mai 1911.

Die Temperaturmittel des Mai 1911 zeigen über unserem ganzen Gebiete höhere Werte, als die aus den langjährigen Beobachtungen für die einzelnen meteorologischen Stationen abgeleiteten durchschnittlichen Beträge. Auch die „gefürchteten Eismänner", an die allerdings der Glaube bei den Meteorologen schon lange sehr schwankend geworden ist, sind ausgeblieben. Die tiefsten Temperaturen, die übrigens nur an 11 von den 35*) bayerischen Stationen negative Werte erreichten, fielen an keiner Station auf die drei Tage der „Eisheiligen", sondern dem normalen Gang entsprechend an fast allen Stationen an den Anfang (2. oder 3.) des Monats. Die Differenzen der Temperaturmittel gegen den langjährigen Durchschnitt sind an allen Stationen nahezu gleich, nämlich + 1 Grad, nur im Gebiet der Frankenhöhe und des Frankenjura, sowie im Südosten Bayerns sind die Mehrbeträge etwas geringer. Dass trotz dieser relativ günstigen Temperaturverhältnisse der Mai im grossen und ganzen nicht den freundlichen Eindruck eines milden Frühlingsmonats hinterlassen hat, findet eine Erklärung in der verhältnismässig geringen Anzahl von heiteren Tagen und der grossen Häufigkeit von Gewittern sowohl in Nord- wie in Südbayern.

Nach den täglich erscheinenden Wetterkarten der meteorologischen Centralstation ergibt sich für den zeitlichen Verlauf der Witterung im Monat Mai in grossen Zügen das folgende Bild.

Der Monat begann mit einer namentlich für Nordbayern recht günstigen Luftdruckverteilung. Von Südwesteuropa reichte keilförmig hoher Druck nach Deutschland herein, während nordwestlich der britischen Inseln und über der Adria Depressionen bestanden, die erstere im Vormarsch gegen den Kontinent begriffen, die andere noch ohne deutlich erkennbare Bewegungstendenz. Die nordwestliche erwies sich als für unser Gebiet unbedenklich, ihre Vorderseitenwirkung brachte vielmehr am 2. und 3. über unserem ganzen Gebiete heiteres oder wolkenloses Wetter. Bereits am 4. entfernte sie sich in nördlicher Richtung nach dem Eismeere. Dagegen nahm die adriatische Depression in der Zeit vom 4. bis zum 8. Mai eine besonders für Süd- und Ostbayern ungünstige Entwicklung. Sie breitete sich nämlich über die Balkanhalbinsel und anschliessend über die unteren Donauländer sowie Westrussland bis zur Ostsee aus. Dadurch war für die erwähnten Teile Bayerns eine ganz ausgesprochene Ruckseitenwirkung gegeben, die erst mit zunehmender Verflachung der Depression zum Stillstand kam. Vorübergehend trat dann am 8. wieder Aufklaren und Erwärmung ein, als vom Innern Russlands hoher Druck nach Zentraleuropa vorsprang, der die Reste der östlichen Depression wieder über die Adria und Italien zurückdrängte. Dann aber traten von der Biskayasee zu diesen Überresten neue Störungen hinzu, die sich über Frankreich sammelten und eine Luftdruckverteilung schufen, die bereits einmal in diesem Jahre, nämlich im Monat März mehrere Wochen hindurch angehalten hatte. Damals waren aber die Temperaturverhältnisse noch derart, dass die Randwirbel der westlichen Depression nicht auf den kalten Kontinent übergingen, sondern nur die maritimen Gebietsteile des westlichen Frankreich erreichten. Die wesentlich anders gearteten Wärmeverhältnisse des Mai bewirkten aber bei der gleichen Luftdruckverteilung eine Reihe von Gewittern, die, wenn auch an Intensität und Verbreitung wechselnd, Tag für Tag vom 8. bis 18. Mai unser Gebiet durchzogen. Insbesondere am 16. war die Gewittertätigkeit intensiv. Allmählich lösten sich die zahlreichen Unregelmässigkeiten, welche in der Luftdruckverteilung bestanden, auf und der Verlauf der Isobaren wurde ruhiger. Am Morgen des 19. erstreckte sich ein Hochdruckrücken vom europäischen Nordmeere westlich an den britischen Inseln vorbei nach den Azoren, während niedriger Druck über Süd- und Südosteuropa sich befand. Die Witterung war vorwiegend trüb und stellenweise fiel noch Regen; nach den ausgebreiteten Gewittern war merkliche Abkühlung eingetreten. Der folgende Tag brachte in der Pfalz und in Franken bereits teilweises Aufklaren, aber erst als eine vom Ozean herannahende Depression den hohen Druck kräftig nach den zentralen Lagen hereindrängte; heiterte sich auch im südlichen und östlichen Bayern der Himmel auf. Die Besserung hielt nicht lange an. Bereits am 23. gestaltete sich die Luftdruckverteilung wieder sehr unregelmässig, indem Ausläufer und Randgebilde der oben erwähnten ozeanischen Depression nach den kontinentalen Lagen hereinragten. Die Bewölkung nahm rasch zu, die Temperaturen stiegen an und allenthalben kam es zu Regenfällen. Auch während der beiden folgenden Tage behielt die Witterung zyklonalen Charakter bei. Am Morgen des 26. lagerte ein Maximalkern über Lappland und von dort breitete sich hoher Druck weit nach Zentraleuropa aus. Niedriger Luftdruck befand sich in der Gegend von Island, sowie über Südwesteuropa. In der Folge breitete sich der Hochdruck westwärts weiter aus, so dass nun das ganze Nord- und Ostseegebiet, sowie der nördliche Teil des kontinentalen Europas von hohem Druck, das Mittelmeer und die angrenzenden Küstenländer von niedrigem Druck bedeckt waren. Die Temperaturen stiegen im allgemeinen andauernd an, die Witterung war vorwiegend heiter, doch fanden vom 27. ab und zwar hauptsächlich in Nordbayern wieder zahlreiche Gewitter statt.

Am 29. Mai nachmittags und abends ging im unteren Taubergebiet jenes Gewitter nieder, welches durch den Wolkenbruch, der es begleitete, zu der bedauernswerten Katastrophe anwuchs, von der die Tagesblätter meldeten.

Auf dem ersten der beigegebenen Kärtchen ist die geographische Verteilung der Mitteltemperaturen über Südwestdeutschland dargestellt. Der Verlauf der Isothermen zeigt in seiner Anschmiegung an die topograpischen Verhältnisse

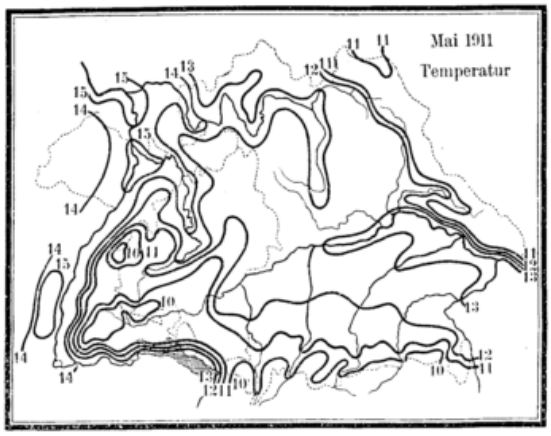
*) Dabei ist natürlich die Zugspitze ausgenommen, an welcher nur an einem Tage des Monats (30. Mai) das Thermometer nicht unter den Gefrierpunkt gesunken ist.

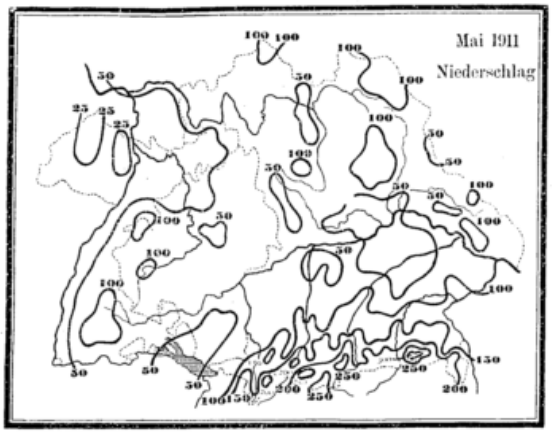
des Geländes das gewohnte Bild. Auffallend hoch erscheinen die Mitteltemperaturen einiger bevorzugter Lagen der Rheinebene im Vergleich zu den entsprechenden Werten, die im Maintale, am Gestade des Bodensee und im Donautal von Regensburg abwärts aufgezeichnet wurden.

Auch die kartographischen Darstellungen für die mittleren Extremen zeigen im allgemeinen die Abhängigkeit des Temperaturwertes von der Höhenlage, doch finden sich immerhin einige aus anderen Ursachen erklärliche bemerkenswerte Züge. Auffallend hoch fielen die Werte des mittleren Maximums auf dem Gebiete südlich der Donau zwischen Lech und Vils auf. Beispielsweise wurde in Landshut ein mittleres Maximum von 21.3 Grad aufgezeichnet, während in Ludwigshafen a. Rh. das entsprechende Element nur 20.6 Grad erreichte. Anderseits ergaben sich im gleichen Gebiete mittlere Minima, deren Grossenordnung der der alpinen Tallagen und niedriger Mittelgebirgslagen nahekommt. Die mittlere Schwankung erreichte in Karlshuld im Donaumoos und in Landshut ihre höchsten Beträge mit 14.0 bezw. 14.6 Grad. An den übrigen Stationen unseres Gebietes schwankte deren Wert meist zwischen 10 und 12 Grad, nur Passau, Lindau, sowie einige alpine Tallagen verzeichneten eine mittlere Schwankung von weniger als 10 Grad.

Wie eingangs bereits erwähnt, trat am 2. und 3. Mai stellenweise Frost auf. In den begünstigten Tallagen des Rhein- und Maingebietes sind es nur Kissingen, Bamberg und Bayreuth, welche an einem oder zwei Tagen nächtliche Minima von weniger als —1.0 Grad notierten. Im südlichen Bayern trat Frost in dem Gebiete zwischen Donau und Nordrand der bayerischen Hochebene an ein oder zwei Tagen auf, während auffallender Weise von den viel höher gelegenen alpinen Talstationen nur Oberstdorf an einem Tage Frost beobachtete. Am häufigsten (an 4 bis 5 Tagen) wurden im Gebiete des Fichtelgebirges negative Minima beobachtet.

Die Anzahl der Sommertage war am grössten im Gebiete der höchsten mittleren Maxima, Karlshuld zählte 5, Metten und Burghausen 6, Landshut sogar 9 Sommertage. Im übrigen war die Zahl dieser Tage nur gering, und auf der bayerischen Hochebene, sowie im Alpengebiete wurde überhaupt kein Maximum mit mehr als 25 Grad abgelesen. Nähere Einzelheiten sind den betreffenden Spalten der Tabelle III zu entnehmen.





Auf dem zweiten der beigegebenen Kärtchen ist die geographische Verteilung der Niederschlagsmengen über Süddeutschland zur Darstellung gebracht. Der Verlauf der Kurven ist ziemlich unregelmässig entsprechend der grossen Gewitterhäufigkeit des Berichtsmonats, die selbst an nahe gelegenen Orten grosse Unterschiede in der Intensität der Regen verursachte. Am bedeutendsten waren die Regenmengen im Alpengebiete und in dessen Vorland, wo stellenweise eine Monatssumme von mehr als 200 mm gemessen wurde. Auf den Hohen des Schwarzwaldes wurden noch über 100 mm aufgezeichnet, von der gleichen Ergiebigkeit waren die Niederschläge stellenweise im Frankenjura, im Bayerischen Wald, im Fichtelgebirge und Frankenwald. Im Vergleich zum langjährigen Mittel verzeichneten die grössten Niederschläge Nürnberg und Amberg, woselbst mehr als das Doppelte des Normalbetrages gemessen wurde. Im Alpengebiete zwischen Lech und Inn, sowie im Gebiete des Fichtelgebirges wurde noch mehr als das Eineinhalbfache des langjährigen Durchschnittsmittel erhalten, im übrigen Bayern schwankt die Niederschlagsmenge mit geringer Amplitude um den Mittelwert. Wie schon aus der Schilderung des zeitlichen Verlaufes der Witterung hervorgeht, war die Niederschlagshäufigkeit des heurigen Mai ziemlich gross. Wenn man alle Tage mit messbarem Niederschlage berücksichtigt, müssen fast allenthalben mindestens die Hälfte aller Monatstage, vielenorts sogar mehr als zwei Drittel derselben als Regentage gezählt werden.

Die mittlere Bewölkungsziffer schwankt zwischen 5 und 7 Zehntel der vollen Bedeckung. Von lokalen Besonderheiten abgesehen, waren die Bewölkungsverhältnisse der Pfalz und Nordbayerns etwas günstiger als jene im Süden. Dem wechselnden Charakter der Bewölkung entsprechend, war weder die Zahl der heiteren noch jene der trüben Tage gross. Nähere Einzelheiten ergeben sich wieder aus Tabelle III.

Der mittlere auf Meeresniveau reduzierte Barometerstand schwankt an den Stationen unseres Beobachtungsnetzes zwischen 760 und 762 mm, ein schwaches Gefälle von Nord und Süd ist zu erkennen. Eine für alle Stationen gemeinsam vorherrschende Windrichtung ist nicht anzugeben, immerhin ist das häufige Auftreten östlicher Luftströmungen bemerkenswert.

München, den 4. Juli 1911. W. A.

Station	Höhe über Normal-Null m	Luftdruck in mm: höchster am	höchster mm	tiefster am	tiefster mm	Monatsmittel lokal	Monatsmittel auf Meeresniveau reduziert	Temperatur C°: Mittel um 7a	2p	9p	Mittlere Tagestemperatur	Mittleres Maximum	Mittleres Minimum	Mittel aus Maximum und Minimum	Mittlere Schwankung	Station
Ludwigshafen a/Rh.	100.3	7.	758.6	13.	745.3	752.2	761.2	12.5	19.2	15.2	15.4	20.6	10.3	15.5	10.3	Ludwigshafen a/Rh.
Kahl a/M.	114.1	7.	756.9	13.	744.9	751.1	761.4	12.8	18.4	13.0	14.3	21.0	8.0	14.5	13.0	Kahl a/M.
Landau i. Pf.	149.9	7.	753.1	13.	741.9	747.4	760.8	13.7	18.5	13.9	15.0	19.7	9.0	14.3	10.7	Landau i. Pf.
Würzburg	179.3	7.	751.0	14.	738.5	744.5	760.5	11.3	18.4	13.4	14.1	19.3	9.2	14.2	10.1	Würzburg
Bad Kissingen	209.2	7.	748.5	14.	736.1	742.6	761.3	10.3	18.1	12.4	13.3	19.3	7.9	13.6	11.4	Bad Kissingen
Kaiserslautern	242.2	7.	745.4	14.	733.5	739.6	761.2	11.1	17.9	12.7	13.6	19.3	8.0	13.6	11.2	Kaiserslautern
Luitpoldheim	250	–	–	–	–	–	–	9.3	16.4	12.1	12.5	17.7	8.0	12.9	9.7	Luitpoldheim
Bamberg	287.7	2., 7.	741.6	14.	729.6	735.7	761.3	11.1	17.3	12.1	13.1	20.0	7.8	13.9	12.1	Bamberg
Nürnberg	309.1	2.	739.2	14.	727.4	733.2	760.7	11.0	17.0	13.2	13.6	18.1	8.5	13.3	9.6	Nürnberg
Passau	309.3	2.	739.8	18.	726.1	733.2	760.7	10.6	17.7	13.3	13.7	18.9	9.0	14.0	9.9	Passau
Metten	320	–	–	–	–	–	–	11.6	18.8	12.6	13.9	20.8	7.8	14.3	13.0	Metten
Regensburg	342.6	2.	737.5	18.	724.4	730.6	761.0	11.2	17.4	11.9	13.1	19.1	7.8	13.5	11.2	Regensburg
Bayreuth	363.3	2.	734.9	14.	723.2	729.1	761.4	10.2	16.1	12.5	12.8	18.4	6.9	12.7	11.5	Bayreuth
Burghausen	365	2.	734.4	18.	721.2	728.0	760.4	10.5	17.7	11.4	12.8	19.6	6.9	13.3	12.7	Burghausen
Karlshuld	382.0	2.	732.5	18.	721.0	726.6	760.5	9.9	17.6	12.3	13.0	20.3	6.3	13.3	14.0	Karlshuld
Landshut	397.7	2.	731.7	18.	718.7	725.1	760.5	11.0	17.9	11.8	13.1	21.3	6 8	14.1	14.6	Landshut
Lindau i. B.	401.7	2.	731.2	13.	719.3	725.0	760.6	10.7	15.9	12.5	12.9	17.5	7.8	12.6	9.7	Lindau i. B.
Weissenburg i. B.	431	2., 7.	728.5	18.	717.2	722.9	761.0	11.3	17.3	11.8	13.0	18.1	7.0	12.5	11.1	Weissenburg i. B.
Nördlingen	435.6	2.	727.4	13.	716.1	721.6	760.1	10.1	16.8	11.9	12.7	17.9	7.8	12.9	10.1	Nördlingen
Ansbach	437.5	7.	727.8	14.	716.8	722.2	761.0	10.6	16.2	11.3	12.4	17.5	7.1	12.5	10.7	Ansbach
Hof	476.1	7.	724.7	14.	713.6	719.1	761.4	9.4	15.4	9.9	11.2	17.4	5.7	11.5	11.7	Hof
Bad Reichenhall	477	2.	724.8	18.	711.1	718.2	760.3	10.9	16.9	11.5	12.7	20.1	8.1	14.1	12.0	Bad Reichenhall
Augsburg	499.6	24.	722.6	18.	711.1	716.8	760.8	10.4	17.2	12.4	13.1	18.4	8.0	13.2	10.5	Augsburg
München C.-St.	526.4	24.	720.2	18.	708.1	714.2	760.4	10.7	16.5	12.3	13.0	17.8	8.5	13.1	9.3	München C.-St.
Alexandersbad	590	–	–	–	–	–	–	8.6	14.3	9.8	10.6	15.5	5.7	10.6	9.8	Alexandersbad
Traunstein	597	24.	714.7	18.	701.9	708.5	760.9	9.8	15.6	10.9	11.8	16.9	6.6	11.7	10.3	Traunstein
Berchtesgaden	600	–	–	–	–	–	–	9.4	15.5	11.1	11.8	16.6	6.7	11.7	9.9	Berchtesgaden
Ottobeuren	660.0	24.	708.5	18.	697.7	703.0	760.8	9.7	15.8	10.0	11.4	17.0	6.4	11.7	10.6	Ottobeuren
Partenkirchen	714.6	24.	704.2	18.	692.4	698.5	761.0	8.5	14.4	9.7	10.6	16.4	6.9	11.6	9.5	Partenkirchen
Tegernsee	742	24.	702.1	18.	690.1	696.3	761.0	8.9	14.4	10.2	10.9	16.0	7.5	11.8	8.5	Tegernsee
Buchenau	750	2., 24.	700.2	19.	688.5	695.1	760.5	8.5	14.2	9.8	10.6	16.6	6.4	11.5	10.2	Buchenau
Oberstdorf	811.4	24.	696.4	18.	684.1	690.3	–	8.4	14.8	9.1	10 4	16.1	4.9	10.5	11.3	Oberstdorf
Ettal	879.5	24.	689.2	18.	677.3	683.4	759.6	8.4	13.6	8.6	9.8	15.5	5.6	10.5	9.9	Ettal
Mittenwald	910	24.	687.9	18.	676.0	681.9	760.6	8.6	13.9	8.7	10.0	15.6	5.1	10.3	10.5	Mittenwald
Hohenpeissenberg	993.9	24.	680.8	18.	669.6	675.2	760.7	8.2	12.2	9.0	9.6	13.5	6.5	10.0	7.1	Hohenpeissenberg
Zugspitze	2964	28.	533.8	19.	524.2	529.2	–	– 3.6	– 1.2	– 3.2	– 2.8	– 0.6	– 4.7	– 2.7	4.1	Zugspitze

Station	Temperatur C°: höchste am	höchste C°	tiefste am	tiefste C°	grösste Schwankung am	grösste Schwankung C°	Dampfdruck Monatsmittel mm	Relative Feuchtigkeit %: Monatsmittel	kleinste am	kleinste %	grösste am	grösste %	Bewölkung Monatsmittel	Niederschlag: grösster am	grösster mm	Monats-Summe mm	Station
Ludwigshafen a/Rh.	30.	27.7	2.	4.4	3.	17.8	8.5	65	21.	25	24., 30.	93	5.9	31.	5.8	27.4	Ludwigshafen a/Rh.
Kahl a/M.	13.	27.0	3.	0.3	3.	21.9	8.9	72	6.	32	öfters	99	5.8	17.	25.1	61.5	Kahl a/M.
Landau i. Pf.	30.	25.3	22.	3.4	3.	15.8	8.8	68	21.	33	12.	94	6.2	18.	17.2	51.0	Landau i. Pf.
Würzburg	30.	25.1	2.	2.2	3.	16.7	8.6	71	21.	30	29.	98	6.0	30.	35.0	68.1	Würzburg
Bad Kissingen	30.	25.8	2.	– 0.7	22.	17.0	8.5	75	21.	32	11.	99	6.0	11.	11.6	50.9	Bad Kissingen
Kaiserslautern	30.	25.0	22.	1.7	22.	17.8	8.3	71	21.	30	15.	96	6.2	5.	3.4	18.2	Kaiserslautern
Luitpoldheim	13.	22.9	2.	0.3	3.	16.1	8.8	81	21.	42	öfters	100	5.2	17.	16.6	53.8	Luitpoldheim
Bamberg	30.	26.5	2.	– 0.9	22.	19.3	8.5	74	3.	35	„	100	7.2	27.	15.6	63.5	Bamberg
Nürnberg	30.	25.2	2.	1.9	3., 13.	15.0	8.3	71	21.	38	17.	97	6.6	28.	31.2	74.6	Nürnberg
Passau	29.	26.1	3.	2.3	12.	15.3	8.9	77	26.	39	öfters	100	6.1	19.	14.2	65.9	Passau
Metten	30.	28.7	3.	– 0.2	4.	17.9	8.7	73	22.	37	4., 7.	99	5.9	31.	36.4	121.5	Metten
Regensburg	14.	27.2	3.	0.3	12.	17.1	7.7	67	21.	23	17.	94	6.4	18.	26.0	70.4	Regensburg
Bayreuth	14.	26.0	2.	– 0.9	3.	18.2	8.3	75	4.	38	6., 16.	96	7.1	29.	26.2	76.2	Bayreuth
Burghausen	30.	27.3	3.	– 0.3	3.	18.6	8.4	76	9.	35	27.	98	6.1	19.	33.6	108.1	Burghausen
Karlshuld	29.	28.1	3.	– 3.1	4.	23.3	8.4	75	4.	30	17.	99	5.7	6.	9.9	51.2	Karlshuld
Landshut	14.	30.0	22.	– 1.0	4.	22.2	8.3	73	2., 22.	35	öfters	96	5.8	18.	10.9	47.4	Landshut
Lindau i. B.	29.	21.9	3.	0.9	3.	15.8	8.9	81	3.	38	5.	100	6.0	18.	15.0	60.1	Lindau i. B.
Weissenburg i. B.	30.	25.9	22.	1.9	13.	18.2	9.2	80	21.	38	27.	99	6.2	28.	14.5	81.2	Weissenburg i. B.
Nördlingen	30.	25.0	3.	1.9	4.	16.2	8.2	75	3.	34	15., 17.	95	6.3	15.	15.0	56.3	Nördlingen
Ansbach	30.	25.2	3.	0.2	3., 13.	17.6	8.3	76	21.	39	25.	97	5.1	15.	7.6	55.0	Ansbach
Hof	14.	24.2	3.	– 3.1	4.	23.0	8.0	79	4.	31	28.	99	7.2	17.	43.3	131.1	Hof
Bad Reichenhall	30.	27.9	3.	2.7	14.	18.8	8.3	76	9.	37	18., 19.	98	6.7	19.	40.4	151.4	Bad Reichenhall
Augsburg	30.	26.2	3.	2.5	14.	16.7	8.4	75	4., 22.	36	5., 25.	98	6.2	17.	12.4	67.6	Augsburg
München C.-St.	30.	24.2	3.	2.3	9.	14.6	8.0	72	4.	31	öfters	96	6.4	18.	24.5	132.0	München C.-St.
Alexandersbad	30.	22.1	3.	– 1.6	3., 4.	18.2	7.9	82	4.	44	5.	100	6.1	17.	23.2	112.4	Alexandersbad
Traunstein	30.	25.0	3.	1.0	9.	16.0	8.2	79	22.	35	5.	100	6.6	19.	59.3	165.3	Traunstein
Berchtesgaden	29.	23.5	3.	2.0	26.	16.0	7.9	77	8., 26.	39	31.	97	6.9	20.	37.2	164.9	Berchtesgaden
Ottobeuren	14.	22.9	3.	– 0.4	3.	17.4	7.9	78	3.	33	9.	99	6.7	18.	26.3	108.5	Ottobeuren
Partenkirchen	13.	23.5	3.	1.6	3., 13.	15.7	7.7	81	4.	35	25.	100	6.9	19.	74.0	194.0	Partenkirchen
Tegernsee	30.	23.2	3.	2.8	9.	14.4	7.6	78	9.	30	20.	97	7.1	19.	51.6	174.5	Tegernsee
Buchenau	30.	24.0	2.	– 0.6	26., 28.	14.6	7.9	81	22.	44	25.	99	6.3	17.	18.9	73.5	Buchenau
Oberstdorf	13.	22.3	3.	– 1.2	13.	18.4	7.5	79	13.	34	5.	100	7.0	19.	48.0	116.2	Oberstdorf
Ettal	29.	22.9	3.	0.7	3., 13.	16.0	7.4	80	4.	34	6.	100	6.4	19.	111 2	243.3	Ettal
Mittenwald	29., 30.	23.2	3.	0.0	3., 13.	15.4	7.4	80	9., 13.	38	öfters	99	7.5	19.	53.2	201.2	Mittenwald
Hohenpeissenberg	29.	19.9	8.	1.8	8.	10.7	7.0	79	23.	39	„	100	7.3	18.	50.9	170.4	Hohenpeissenberg
Zugspitze	30.	4.5	1.	–10.0	21.	6.5	3.6	94	2.	20	„	100	8.1	19.	74.1	196.7	Zugspitze

Station	Tage mit										Tage				Anzahl der beobachteten Windrichtungen									Station
	Niederschlägen		Schneefall	Schneedecke	Graupeln	Hagel	Gewitter	Nebel	Reif	Tau	heitere	trübe	Sommer	Frost	N	NE	E	SE	S	SW	W	NW	Stille	
	≥ 0,1 mm	≥ 1,0 mm																						
Ludwigshafen a/Rh.	19	9	–	–	–	1	6	2	–	2	4	8	4	–	13	21	8	4	15	14	4	4	10	Ludwigshafen a/Rh.
Kahl a/M.	13	11	–	–	–	–	5	–	–	7	3	6	3	–	1	16	19	9	1	7	7	2	31	Kahl a/M.
Landau i. Pf.	13	10	–	–	–	–	6	–	–	5	3	10	1	–	1	52	1	8	1	12	6	12	–	Landau i. Pf.
Würzburg	17	10	–	–	–	–	10	4	–	16	5	8	1	–	1	4	28	9	10	3	15	9	14	Würzburg
Bad Kissingen	17	11	–	–	1	–	8	2	2	9	2	7	3	1	10	24	15	–	7	6	11	8	12	Bad Kissingen
Kaiserslautern	17	7	–	–	–	–	8	1	–	5	–	6	–	–	8	5	18	5	1	–	10	3	43	Kaiserslautern
Luitpoldheim	18	11	–	–	–	1	10	4	–	11	3	3	–	–	6	6	6	5	4	34	–	1	31	Luitpoldheim
Bamberg	27	12	–	–	–	–	13	3	–	14	1	16	3	1	18	8	7	7	12	5	11	15	10	Bamberg
Nürnberg	15	11	–	–	–	1	12	5	2	9	3	9	1	–	6	14	25	13	1	4	4	20	6	Nürnberg
Passau	14	10	–	–	–	–	6	4	1	10	4	10	2	–	1	1	7	–	2	1	12	7	62	Passau
Metten	12	7	–	–	–	2	7	–	1	12	2	7	6	1	1	8	11	4	9	2	10	13	35	Metten
Regensburg	20	14	–	–	–	1	5	1	1	10	–	8	2	–	26	5	9	9	9	5	9	4	17	Regensburg
Bayreuth	20	15	–	–	–	1	11	3	4	12	1	14	1	2	6	11	29	13	1	1	10	20	2	Bayreuth
Burghausen	16	11	–	–	1	–	7	8	–	12	2	8	6	1	8	16	1	1	3	22	3	3	36	Burghausen
Karlshuld	12	11	–	–	–	–	4	4	2	15	3	8	5	2	–	18	23	–	–	7	10	3	32	Karlshuld
Landshut	16	10	–	–	1	–	5	–	3	11	4	9	9	2	4	11	26	2	3	12	16	7	12	Landshut
Lindau i. B.	17	12	–	–	–	–	7	–	–	14	3	7	–	–	10	12	2	5	16	7	25	3	13	Lindau i. B.
Weissenburg i. B.	16	12	–	–	–	3	6	3	–	4	2	11	1	–	5	11	5	6	1	4	3	5	53	Weissenburg i. B.
Nördlingen	20	11	–	–	1	2	9	2	–	12	3	7	–	–	12	13	11	11	2	4	12	15	13	Nördlingen
Ansbach	18	13	–	–	1	–	7	1	1	–	4	10	1	–	14	15	11	–	1	2	8	7	35	Ansbach
Hof	20	12	–	–	1	–	8	2	4	18	1	12	–	5	21	13	9	9	5	9	4	13	10	Hof
Bad Reichenhall	20	16	–	–	–	–	5	–	–	10	5	15	4	–	2	7	19	4	11	9	28	–	13	Bad Reichenhall
Augsburg	17	13	–	–	–	1	9	–	3	11	4	10	2	–	6	20	12	13	–	8	4	22	8	Augsburg
München C.-St.	15	14	–	–	2	2	8	1	–	15	1	9	–	–	3	20	14	2	–	18	9	10	17	München C.-St.
Alexandersbad	17	13	–	–	–	1	11	–	5	12	2	8	–	4	9	16	22	4	–	5	6	6	25	Alexandersbad
Traunstein	23	15	–	–	–	–	6	2	1	14	1	7	–	–	4	6	20	13	6	16	20	8	–	Traunstein
Berchtesgaden	18	17	–	–	2	–	7	2	–	17	2	12	–	–	–	–	11	11	–	5	–	–	66	Berchtesgaden
Ottobeuren	19	14	–	–	–	–	10	4	3	11	2	11	–	1	1	17	6	5	–	18	4	4	38	Ottobeuren
Partenkirchen	23	20	–	–	–	1	8	–	–	6	–	10	–	–	4	–	–	6	2	–	1	17	63	Partenkirchen
Tegernsee	22	18	–	–	–	–	8	–	–	5	–	10	–	–	–	6	39	3	–	1	25	19	–	Tegernsee
Buchenau	17	15	–	–	–	1	11	1	2	19	2	9	–	1	–	3	52	1	2	2	17	–	16	Buchenau
Oberstdorf	22	17	–	–	1	–	2	5	1	15	1	9	–	1	–	–	–	–	–	11	15	33	34	Oberstdorf
Ettal	23	21	–	–	2	–	10	4	1	14	–	8	–	–	–	–	6	2	4	1	1	–	79	Ettal
Mittenwald	19	17	–	–	–	1	7	–	1	5	–	15	–	–	7	4	2	4	14	2	3	1	56	Mittenwald
Hohenpeissenberg	20	19	–	–	1	2	11	12	–	2	–	13	–	–	9	17	4	3	2	6	20	30	2	Hohenpeissenberg
Zugspitze*	22	20	22	31	15	2	6	29	7	–	1	19	–	30	26	–	15	19	6	2	6	15	4	Zugspitze

*) Zugspitze: 17 Wintertage.

Übersicht über die Witterungsverhältnisse im Königreiche Bayern

während des Juni 1911.

Die Temperaturmittel des diesjährigen Juni fielen an der überwiegenden Mehrzahl unserer Beobachtungsorte ~~höher~~ tiefer aus, als die aus langjährigen Reihen abgeleiteten Normalwerte. Nur auf dem engbegrenzten Gebiete, das sich vom Münchener Becken das Isartal entlang bis etwas über Landshut hinaus erstreckt, ergaben sich ~~negative~~ positive Temperaturdifferenzen von einigen Zehntelgraden. Die ~~positiven~~ negativen Differenzen erreichten an den Stationen der Hochebene westlich der Isar nur sehr geringfügige Beträge, überstiegen jedoch im östlichen Teile der Hochebene wie in Traunstein und Eggenfelden bereits ½ Grad. In der Rheinebene, im unteren und mittleren Maintale sowie in den niederen Tallagen der Mainzuflüsse, ferner im grössten Teile der Donauebene bezifferte sich die Differenz auf mehr als 1 Grad, stellenweise sogar auf mehr als 1 ½ Grad.

Die monatlichen Niederschlagsmengen blieben zum Teil ziemlich erheblich unter den Normalwerten; beispielsweise wurden in Bamberg, Nürnberg und Kahl a/M. nur 40 Prozent der durchschnittlichen Monatssumme gemessen. Nur im Alpengebiet und in dessen Vorland wurden normale oder auch übernormale Regenmengen beobachtet.

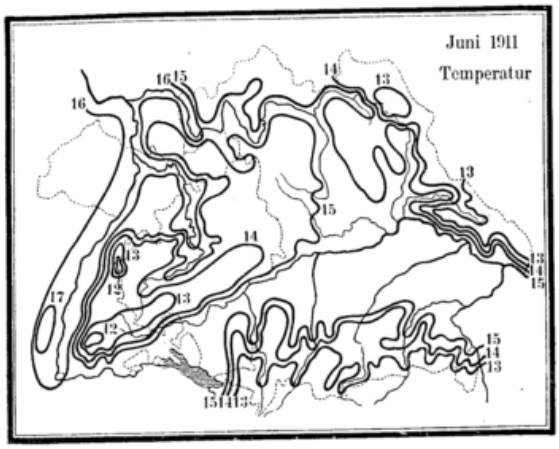
Dieser allgemeinen Charakterisierung des Berichtsmonats nach den beiden hauptsächlichsten Witterungselementen soll zunächst wieder eine gedrängte Schilderung des zeitlichen Witterungsverlaufes an Hand der täglichen Wetterkarten folgen:

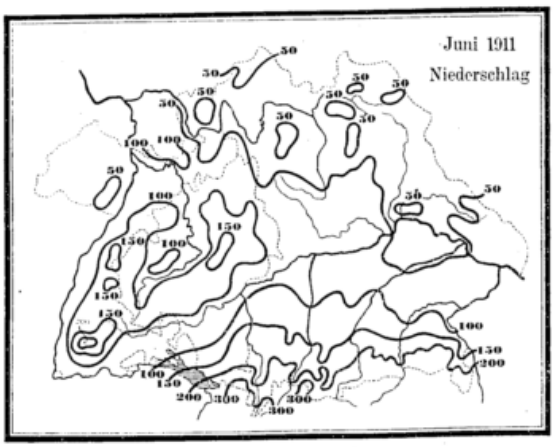
Zu Beginn des Monats lag ein barometrisches Maximum über dem Ostseegebiet, während flache Drepressionen über dem Ozean und dem westeuropäischen Küstengebiet, sowie über dem Mittelmeere sich befanden. Über unserem Gebiete herrschte wechselnde Bewölkung und zeitweise kam es, insbesondere im Alpengebiete und in dessen Vorland, zu Regenfallen. Von der Biskayasee drangen flache Minima immer mehr nach Zentraleuropa herein und verursachten eine ziemlich unregelmässige Verteilung des Luftdruckes, so dass am 3., 4. und 5. in Süddeutschland verbreitete Gewitter stattfanden. Am Morgen des 6. Juni hatte ein intensives Maximum bereits wieder die volle Herrschaft über den zentralen Gebietsteilen Europas erlangt. Bei wolkenlosem oder doch nur schwach bewölktem Himmel herrschte warmes Wetter, dessen Bestand nur durch lokale Gewitterbildung vorübergehend unterbrochen wurde. Durch das Vordringen einer Depression vom nördlichen Eismeer nach Russland wurde der hohe Druck bald wieder westlich zurückgedrängt und bereits am 9. war über dem ganzen Kontinent niedriger Druck verbreitet. Zahlreiche Gewitter brachten an diesem Tage Niederschläge und leichte Abkühlung. Die Temperaturen sanken bis zum folgenden Tage noch weiter, als nordöstliche Winde über unserem Gebiete auftraten. Die Störungen in der Luftdruckverteilung über Zentraleuropa glichen sich allmählich aus, doch war der Einfluss der im Osten und Nordosten Europas gelegenen Depression noch nicht ganz überwunden, und im südlichen Bayern machte sich die Einwirkung eines flachen Minimums jenseits der Alpen geltend. Es herrschte wechselnde Bewölkung, doch kam es nicht zu nennenswerten Niederschlägen. Die Temperaturen waren wieder etwas angestiegen. Am Morgen des 13. erstreckte sich eine flache, unregelmässig begrenzte Furche niedrigen Druckes von Lappland nach der Biskayasee und dem westlichen Mittelmeere, während hoher Druck bei Island lagerte. Die Furche samt den in ihrem Bereiche vorhandenen selbständigen Minima zog ostwärts über unser Gebiet hinweg, gedrängt von dem nach Zentraleuropa zielenden Maximum. Unter abermaliger starker Temperaturabnahme kam es noch am 13. zu Trübung und verbreitete Niederschläge setzten ein, die aber nur im südlichen Bayern eine nennenswerte Ergiebigkeit aufwiesen. Als das barometrische Maximum am 16. Zentraleuropa erreicht hatte, klarte es auf und die Temperaturen stiegen wieder kräftig an. Die Herrschaft des hohen Druckes dauerte jedoch nur diesen Tag. Bereits am folgenden Morgen waren die Vorläufer einer neuen umfangreichen atlantischen Depression über Zentraleuropa eingetroffen und mit dem weiteren Vordringen des niedrigen Druckes trat neuerdings Trübung mit zeitweisen Niederschlägen ein. Die zyklonale Wetterlage blieb bis zum 20. bestehen und kleinere Unregelmässigkeiten in der Luftdruckverteilung verursachten stellenweise Gewitter. Die Temperaturen waren wieder gesunken. Bereits am Morgen des 19. war über der Pyrenäenhalbinsel der Rand eines barometrischen Maximums angedeutet. Bis zum 21. war der hohe Druck kräftig gegen die zentralen Lagen herein vorgedrungen und brachte für den grössten Teil unseres Gebietes Aufheiterung und starke Temperatursteigerung. Eine vom Ozean vordringende ausgedehnte Drepression zehrte zwar den Hochdruck bald wieder auf, da aber unser Gebiet zunächst noch auf der Vorderseite des Tiefdruckes lag, trat keine nachhaltige Verschlechterung des Wetters ein. Nur in der Pfalz und in Nordwestbayern verursachten am 23. und 24. vorgelagerte Teilminima stärkere Bewölkung und zeitweise Niederschläge. Erst als am 25. und während der folgenden Tage kräftigere Ausläufer der Depression über Zentraleuropa hinwegzogen, trat über ganz Süddeutschland Trübung mit Niederschlägen ein, wobei die Temperaturen neuerdings stark abnahmen. Erst während der drei letzten Monatstage glichen sich die Unregelmässigkeiten in der Luftdruckverteilung wieder aus und es trat wieder vorwiegend heiteres und wärmeres Wetter ein.

Auf dem ersten der beigegebenen Kärtchen ist die geographische Verteilung der Mitteltemperaturen über Süddeutschland zur Darstellung gebracht: Die höchsten Werte des Temperaturmittels mit mehr als 16 Grad wurden in der Rheinebene sowie im unteren Maintal und im Neckartal bis Stuttgart aufwärts berechnet. In der Gegend von Mühlhausen i. E. bis Kolmar erreichte der Mittelwert sogar mehr als 17 Grad. Mit wachsender Seehöhe nehmen die Temperaturen

erst langsam, mit dem steileren Anstiege gegen die Gebirge jedoch rasch ab, was durch den gedrängten Verlauf der Isothermen am Rand der Alpen und der Mittelgebirge zum Ausdruck gelangt. Das mittlere Maximum erreichte in der Rheinpfalz, im Maintal und in den Tallagen der Mainzuflüsse allenthalben mehr als 21 Grad, stellenweise jedoch, wie in Kahl a. M. und Bamberg, sogar mehr als 23 Grad. Als weiteres Gebiet hoher mittlerer Maxima tritt, wie so häufig, das Gebiet nördlich der bayerischen Hochebene, etwa von der Isohypse für 500 m nordwärts bis zum Fusse des Jura und des Bayerischen Waldes hervor. Innerhalb dieses Gebietes erreichten Karlshuld im Donaumoos nahezu 24, Landshut sogar nahezu 25 Grad. Das mittlere Minimum weist seine höchsten Beträge mit mindestens 12 Grad am Mündungsgebiet des Neckars auf. In der Pfälzer Rheinebene wurden noch mehr als 11 Grad, in der übrigen Pfalz zwischen 10 und 11 Grad als mittleres Minimum berechnet. Über 10 Grad leiteten auch die Uferstationen des Bodenseees, Bad Reichenhall, Passau, Würzburg sowie einige ausgesprochene Stadtlagen, wie München, Nünberg und Augsburg, ab. Die Mehrzahl unserer Beobachtungsorte verzeichnete ein mittleres Minimum zwischen 8 und 10 Grad, nur in den höheren alpinen Tallagen sowie in Alexandersbad und Hof wurden noch tiefere Werte verzeichnet. Auffallend tief erscheint ausserdem das Minimum von Karlshuld mit 7.5 Grad, einem Werte, dem Landshut mit 8.1 Grad ziemlich nahe kommt. Die mittlere Schwankung betrug im allgemeinen zwischen 10 und 12 Grad. Auf dem Gebiete zwischen dem Nordrande der bayerischen Hochebene und dem Fusse von Jura und Bayerischem Wald wurden jedoch mehr als 13, in Karlshuld und Landshut sogar mehr als 16 Grad abgeleitet. In diesem Gebiete wurde auch die grösste Anzahl von Sommertagen (10 und darüber) aufgezeichnet. Ausserdem wurden nur noch in Bad Reichenhall, in Burghausen sowie in Kahl a. M. mehr als 10 Sommertage notiert, während an unseren übrigen Stationen die Zahl von 5 Sommertagen nur noch an einigen Stationen des Rhein- und Maingebietes überschritten wurde.

Auf dem zweiten der beigegebenen Kärtchen ist die geographische Verteilung der Niederschlagsmengen über Süddeutschland dargestellt. Die bedeutendsten Niederschlagssummen wurden im südlichen Algäu und im Quellgebiet der Ammer erhalten, woselbst über 300, stellenweise nahezu 400 mm erreicht wurden. Mehr als 200 mm fielen im gesamten





Alpengebiet, während das Alpenvorland zwischen 150 und 200 mm verzeichnete. Gleiche Beträge wurden sonst nur noch auf den höchsten Lagen des nördlichen und südlichen Schwarzwaldes gemessen. Das bayerische Maingebiet, das Gebiet von Naab und Regen sowie das Gelände zwischen der unteren Isar von Landshut abwärts und der Donau verzeichneten im allgemeinen weniger als 50 mm und nur auf engbegrenzten, meist höher gelegenen Bezirken dieses Gebietes wurden grössere Niederschlagsmengen erhalten. Die Niederschlagshäufigkeit war, wie schon aus der Schilderung des zeitlichen Verlaufes der Witterung hervorgeht, am grössten im Alpengebiete, woselbst mindestens 20 Tage mit messbarem Niederschlag gezählt wurden. Die Zahl bleibt auch nahezu unvermindert, wenn man nur stärkere Niederschläge mit mindestens 1.0 mm Messungsergebnis berücksichtigt. An der Mehrzahl unserer Stationen schwankt die Zahl der Regentage um den Wert 15, wenn man alle Tage mit überhaupt messbarem Niederschlag berücksichtigt, und bleibt mehr oder weniger unter 15, wenn man nur ergiebigere Niederschläge in Betracht zieht.

Die mittlere Bewölkungsziffer bewegt sich zwischen 5 und 7 Zehnteln der vollen Bedeckung. Mehr als 6 Zehntel wurden in der Rheinpfalz sowie im Alpengebiet und daran anschliessend auf der schwäbisch-bayerischen Hochebene ermittelt, ausserdem noch an einigen Orten des nördlichen Bayern. Die Zahl der heiteren Tage betrug meist 2 bis 5, die Zahl der trüben Tage war etwas grösser, überstieg aber nur in der Rheinpfalz sowie im Alpengebiete und auf der bayerischen Hochebene stellenweise 10. Nähere Einzelheiten sind den betreffenden Spalten der Tabelle III zu entnehmen.

Die mittlere, auf Meeresniveau reduzierten Barometerstände weisen nur geringe Differenzen und kein nach irgend einer Richtung ausgesprochenes Gefälle auf. Winde aus westlichen Richtungen waren an der überwiegenden Mehrzahl unserer Beobachtungorte vorherrschend.

München, den 19. Juli 1911. A.

Station	Höhe über Normal-Null m	Luftdruck in mm: höchster am	höchster mm	tiefster am	tiefster mm	Monatsmittel lokal	Monatsmittel auf Meeresniveau reduziert	Temperatur C°: Mittel um 7a	2p	9p	Mittlere Tagestemperatur	Mittleres Maximum	Mittleres Minimum	Mittel aus Maximum und Minimum	Mittlere Schwankung	Station
Ludwigshafen a/Rh.	100.3	28.	763.6	13.	745.5	754.6	763.5	14.6	20.5	17.0	17.3	22.0	12.1	17.1	9.9	Ludwigshafen a/Rh.
Kahl a/M.	114.1	28.	760.8	9.	744.2	753.1	763.2	15.1	20.5	14.6	16.2	23.1	9.4	16.3	13.7	Kahl a/M.
Landau i. Pf.	149.9	28.	758.6	13.	742.1	749.9	763.1	15.9	19.8	15.7	16.8	21.6	10.9	16.3	10.7	Landau i. Pf.
Würzburg	179.3	28.	755.4	13.	737.5	746.8	762.7	13.8	20.1	15.1	16.1	21.0	10.8	15.9	10.3	Würzburg
Bad Kissingen	209.2	28.	752.6	13.	735.9	744.8	763.4	12.4	20.3	14.1	15.2	21.2	9.5	15.4	11.7	Bad Kissingen
Kaiserslautern	242.2	28.	750.2	13.	733.5	742.0	763.3	13.7	19.7	14.9	15.8	21.3	10.5	15.9	10.8	Kaiserslautern
Luitpoldheim	250	–	–	–	–	–	–	11.2	18.3	13.9	14.3	19.4	9.4	14.4	10.0	Luitpoldheim
Bamberg	287.7	28.	746.2	13.	728.3	738.1	763.5	13.4	20.6	13.8	15.4	23.0	9.4	16.2	13.6	Bamberg
Nürnberg	309.1	28.	744.0	13.	726.3	735.9	763.0	14.0	20.2	15.1	16.1	21.2	10.4	15.8	10.8	Nürnberg
Passau	309.3	28.	745.0	13.	725.5	736.3	763.5	12.7	20.4	15.2	15.9	21.8	10.1	16.0	11.7	Passau
Metten	320	–	–	–	–	–	–	13.2	20.9	14.5	15.8	22.8	8.8	15.8	14.0	Metten
Regensburg	342.6	28.	740.5	13.	723.1	733.0	763.2	13.7	20.4	13.2	15.1	22.6	9.2	15.9	13.3	Regensburg
Bayreuth	363.3	28.	739.4	13.	721.9	731.6	763.5	13.0	19.5	14.3	15.3	21.5	8.8	15.1	12.7	Bayreuth
Burghausen	365	28.	739.9	13.	719.9	731.2	763.3	13.1	21.0	13.5	15.3	23.2	8.5	15.8	14.7	Burghausen
Karlshuld	382.0	28.	738.2	13.	719.3	729.6	763.1	13.1	19.9	14.0	15.2	23.6	7.5	15.5	16.1	Karlshuld
Landshut	397.7	28.	736.8	13.	717.4	728.2	763.2	13.2	21.5	13.5	15.4	24.7	8.1	16.4	16.6	Landshut
Lindau i. B.	401.7	28.	737.8	13.	717.7	728.5	763.6	13.6	18.2	14.6	15.3	20.0	10.0	15.0	10.0	Lindau i. B.
Weissenburg i. B.	431	28.	734.1	13.	715.9	725.8	763.4	14.6	19.7	13.5	15.3	21.1	9.5	15.3	11.6	Weissenburg i. B.
Nördlingen	435.6	28.	732.9	13.	714.7	724.6	762.7	12.7	18.5	13.9	14.8	20.4	9.9	15.1	10.5	Nördlingen
Ansbach	437.5	28.	733.2	13.	715.1	725.0	763.3	13.6	18.9	13.3	14.8	20.8	9.0	14.9	11.9	Ansbach
Hof	476.1	28.	728.5	14.	712.1	721.2	763.0	12.6	19.4	11.7	13.9	21.2	6.5	13.9	14.7	Hof
Bad Reichenhall	477	28.	730.5	13.	710.0	721.7	763.2	13.8	19.8	14.0	15.4	23.3	10.4	16.8	12.9	Bad Reichenhall
Augsburg	499.6	28.	728.5	13.	709.3	720.0	763.4	13.3	19.6	14.7	15.6	20.8	10.1	15.5	10.7	Augsburg
München C.-St.	526.4	28.	726.1	13.	706.4	717.5	763.1	13.7	19.8	14.5	15.6	21.0	10.7	15.9	10.3	München C.-St.
Alexandersbad	590	–	–	–	–	–	–	11.2	17.0	11.6	12.8	18.4	7.3	12.9	11.1	Alexandersbad
Traunstein	597	28.	720.7	13.	700.9	712.0	763.8	12.8	18.5	13.0	14.3	20.1	8.7	14.4	11.4	Traunstein
Berchtesgaden	600	–	–	–	–	–	–	12.3	18.5	13.4	14.4	19.8	9.1	14.4	10.6	Berchtesgaden
Ottobeuren	660.0	28.	714.8	13.	696.8	706.3	763.4	13.1	18.5	12.1	13.9	20.2	8.6	14.4	11.6	Ottobeuren
Partenkirchen	714.6	28.	710.3	13.	690.8	701.9	763.7	10.9	17.0	12.1	13.0	19.2	8.5	13.8	10.6	Partenkirchen
Tegernsee	742	28.	708.1	13.	688.6	699.8	763.7	11.6	17.0	12.4	13.4	18.6	9.4	14.0	9.3	Tegernsee
Buchenau	750	28.	707.1	14.	687.6	698.2	762.9	10.3	17.0	11.7	12.7	18.8	8.1	13.4	10.8	Buchenau
Oberstdorf	811.4	28.	702.3	13.	683.5	694.0	763.6	12.2	17.1	11.0	12.8	19.2	6.6	12.9	12.7	Oberstdorf
Ettal	879.5	28.	695.0	13.	676.2	687.0	–	11.8	16.5	10.5	12.3	19.3	7.3	13.3	12.0	Ettal
Mittenwald	910	28.	693.8	13.	674.5	685.5	763.2	11.4	17.1	11.0	12.6	19.3	6.8	13.1	12.1	Mittenwald
Hohenpeissenberg	993.9	28.	686.8	13.	668.7	678.8	763.3	11.6	14.8	11.2	12.2	17.0	8.5	12.7	8.5	Hohenpeissenberg
Zugspitze	2964	7.	540.0	13.	524.8	533.4	–	– 1.2	1.0	– 1.2	– 0.6	2.1	– 3.0	– 0.5	5.0	Zugspitze

Station	Temperatur C°: höchste am	höchste C°	tiefste am	tiefste C°	grösste Schwankung am	grösste Schwankung C°	Dampfdruck Monatsmittel mm	Relative Feuchtigkeit %: Monatsmittel	kleinste am	kleinste %	grösste am	grösste %	Bewölkung Monatsmittel	Niederschlag: grösster am	grösster mm	Monats-Summe mm	Station
Ludwigshafen a/Rh.	6.	28.9	11.	5.6	22.	13.9	9.5	65	6., 10.	30	15.	92	6.2	16.	23.8	78.2	Ludwigshafen a/Rh.
Kahl a/M.	6.	30.7	12.	1.6	16.	23.3	9.7	70	2.	30	17.	99	5.7	18.	6.8	26.5	Kahl a/M.
Landau i. Pf.	9.	27.1	16.	5.9	30.	15.4	9.8	68	6.	35	19., 25.	94	6.5	19.	8.8	45.9	Landau i. Pf.
Würzburg	7.	26.0	13.	5.6	13.	16.0	9.5	69	14.	32	24., 25.	98	5.9	24.	11.3	48.5	Würzburg
Bad Kissingen	5.	27.2	12.	2.4	9.	17.6	9.2	72	6.	31	16.	99	5.5	24.	10.1	48.5	Bad Kissingen
Kaiserslautern	6.	27.4	12.	3.9	9.	17.3	9.5	71	13.	32	15.	94	6.6	2.	8.5	56.4	Kaiserslautern
Luitpoldheim	6.	25.1	11.	2.8	13.	16.6	9.7	79	12., 13.	46	5., 16.	100	6.2	21.	8.5	36.4	Luitpoldheim
Bamberg	30.	28.4	13.	3.0	13.	19.8	9.1	68	30.	26	16.	100	6.8	18.	8.2	32.8	Bamberg
Nürnberg	30.	27.0	11.	5.9	30.	15.5	9.1	66	2., 12.	36	14.	93	6.4	14.	7.8	28.1	Nürnberg
Passau	24.	28.2	17.	5.6	23.	20.0	9.7	73	22.	38	öfters	94	5.4	5.	26.0	79.5	Passau
Metten	24.	29.2	17.	3.4	17.	21.0	9.7	73	10.	30	20.	99	6.0	21., 27.	11.4	59.3	Metten
Regensburg	24.	28.5	17.	4.9	22., 30.	19.1	8.4	65	10.	25	5.	97	5.4	27.	12.5	53.1	Regensburg
Bayreuth	4., 23.	26.9	16.	3.1	13.	18.3	8.8	68	30.	30	14.	95	6.6	14.	6.4	28.3	Bayreuth
Burghausen	24.	29.9	17.	3.3	17.	22.0	9.5	74	13.	34	17.	97	6.4	20.	17.7	59.0	Burghausen
Karlshuld	30.	30.8	15.	2.0	30.	25.2	9.6	74	30.	31	öfters	100	5.7	4.	14.6	68.5	Karlshuld
Landshut	24.	32.0	16.	1.7	16.	23.9	9.2	70	7.	26	19.	96	5.8	20.	10.7	42.1	Landshut
Lindau i. B.	7.	26.1	14.	5.0	7.	16.2	10.3	80	6.	42	4.	99	5.9	19.	27.9	200.5	Lindau i. B.
Weissenburg i. B.	7.	26.1	11.	3.4	8.	17.8	10.5	78	2.	44	4.	98	5.6	14.	11.6	66.4	Weissenburg i. B.
Nördlingen	7.	26.4	11., 15.	5.2	30.	15.8	9.1	72	11.	34	15.	97	6.3	14.	16.0	67.3	Nördlingen
Ansbach	30.	26.8	11.	3.1	22.	18.2	9.1	71	11.	32	öfters	94	5.5	14.	11.1	58.9	Ansbach
Hof	24.	27.5	12.	– 0.4	17.	21.7	8.6	72	2.	28	öfters	96	5.6	28.	8.9	41.3	Hof
Bad Reichenhall	24.	30.4	15.	4.7	30.	18.3	9.6	73	30.	30	2., 18.	97	6.0	19.	26.6	158.4	Bad Reichenhall
Augsburg	30.	27.1	16.	4.8	30.	15.9	9.2	70	7.	30	14.	94	6.1	14.	13.5	89.2	Augsburg
München C.-St.	24.	27.1	16.	5.0	17.	16.0	9.1	69	30.	27	öfters	94	6.4	20.	14.8	103.7	München C.-St.
Alexandersbad	5.	23.6	11.	1.4	23.	16.3	8.1	73	4.	32	14.	100	4.9	16.	12.2	36.3	Alexandersbad
Traunstein	24.	27.0	16.	3.5	öfters	17.0	9.1	75	30.	28	15.	100	6.0	19.	39.0	185.4	Traunstein
Berchtesgaden	24.	26.4	16.	4.3	24.	16.5	9.4	78	13.	35	öfters	97	6.3	21.	29.0	169.4	Berchtesgaden
Ottobeuren	30.	26.1	11.	3.0	22.	18.2	9.2	76	30.	31	21.	99	6.1	20.	22.6	181.5	Ottobeuren
Partenkirchen	24.	26.7	16.	2.1	30.	17.2	9.1	81	30.	27	19.	100	6.2	21.	18.7	182.2	Partenkirchen
Tegernsee	24.	25.2	15., 16.	2.3	16.	15.1	9.0	78	7.	44	1.	99	6.7	16.	37.7	201.4	Tegernsee
Buchenau	25.	27.5	öfters	3.9	23.	16.2	8.7	79	10., 24.	43	17., 19.	98	5.7	1.	15.3	79.1	Buchenau
Oberstdorf	24.	25.1	16.	1.5	30.	21.1	8.6	77	29.	29	öfters	99	6.7	26.	35.2	284.3	Oberstdorf
Ettal	30.	26.1	16.	1.6	30.	19.2	8.4	76	30.	34	1., 6.	99	6.3	19.	28.1	233.8	Ettal
Mittenwald	24.	25.6	15.	0.7	30.	18.7	8.7	78	30.	35	19.	100	6.8	19.	42.7	211.0	Mittenwald
Hohenpeissenberg	24.	22.7	15.	1.0	24.	11.8	7.9	74	30.	26	öfters	100	6.9	26.	26.5	182.5	Hohenpeissenberg
Zugspitze	18.	7.0	15.	10.2	16.	9.0	4.1	92	30.	34	„	100	7.8	5.	17.0	186.6	Zugspitze

Station	Tage mit Niederschlägen ≥ 0,1 mm	Tage mit Niederschlägen ≥ 1,0 mm	Tage mit Schneefall	Tage mit Schneedecke	Tage mit Graupeln	Tage mit Hagel	Tage mit Gewitter	Tage mit Nebel	Tage mit Reif	Tage mit Tau	Tage heitere	Tage trübe	Tage Sommer	Tage Frost	Anzahl der beobachteten Windrichtungen N	NE	E	SE	S	SW	W	NW	Stille	Station
Ludwigshafen a/Rh.	16	12	–	–	1	–	7	2	–	–	6	10	9	–	14	8	3	9	18	15	9	5	9	Ludwigshafen a/Rh.
Kahl a/M.	12	8	–	–	–	–	1	1	–	7	5	5	11	–	2	11	3	11	10	22	3	2	26	Kahl a/M.
Landau i. Pf.	17	12	–	–	–	–	4	–	–	11	4	13	5	–	–	37	1	–	–	37	4	11	–	Landau i. Pf.
Würzburg	13	10	–	–	1	–	6	1	–	9	4	8	4	–	5	2	11	2	8	16	18	9	19	Würzburg
Bad Kissingen	13	10	–	–	1	–	–	1	–	16	3	4	7	–	7	8	9	–	10	18	14	7	17	Bad Kissingen
Kaiserslautern	15	12	–	–	–	1	9	–	–	11	4	13	4	–	4	5	6	6	1	3	24	17	24	Kaiserslautern
Luitpoldheim	16	11	–	–	–	–	7	10	–	9	4	6	1	–	4	5	9	4	–	39	–	4	25	Luitpoldheim
Bamberg	25	6	–	–	–	–	4	1	–	17	1	10	9	–	11	5	1	9	24	6	19	10	5	Bamberg
Nürnberg	10	9	–	–	1	1	5	–	–	11	2	9	2	–	3	1	15	8	11	17	16	12	7	Nürnberg
Passau	17	14	–	–	–	2	6	1	–	12	6	7	5	–	–	–	13	1	4	6	10	6	50	Passau
Metten	15	12	–	–	–	1	5	2	–	16	4	10	9	–	3	3	9	2	14	5	16	13	25	Metten
Regensburg	13	12	–	–	–	–	3	2	–	6	1	5	10	–	16	6	2	5	18	8	13	12	10	Regensburg
Bayreuth	11	9	–	–	1	–	3	1	–	15	–	10	7	–	1	3	22	8	4	8	25	14	5	Bayreuth
Burghausen	13	8	–	–	1	–	4	6	–	14	3	10	13	–	5	7	5	1	3	25	3	2	39	Burghausen
Karlshuld	14	14	–	–	–	–	3	6	–	16	4	7	10	–	–	8	10	–	2	3	33	1	33	Karlshuld
Landshut	15	10	–	–	–	–	1	–	–	13	2	5	14	–	3	7	12	1	3	13	33	3	15	Landshut
Lindau i. B.	18	16	–	–	–	3	9	–	–	14	6	11	2	–	3	12	1	3	30	3	22	2	14	Lindau i. B.
Weissenburg i. B.	15	12	–	–	2	–	5	4	–	–	2	7	5	–	1	8	5	4	4	18	14	9	27	Weissenburg i. B.
Nördlingen	10	13	–	–	1	–	9	2	–	10	1	8	2	–	6	6	7	13	2	17	18	5	16	Nördlingen
Ansbach	13	11	–	–	–	2	4	–	–	–	5	5	3	–	8	6	2	–	4	13	21	7	29	Ansbach
Hof	12	9	–	–	1	–	1	4	–	16	3	7	5	1	5	7	7	7	16	24	10	8	6	Hof
Bad Reichenhall	20	19	–	–	–	1	4	–	–	11	4	10	13	–	2	5	20	4	10	15	23	–	11	Bad Reichenhall
Augsburg	13	12	–	–	–	–	12	–	–	15	4	10	4	–	5	11	4	8	–	33	9	15	5	Augsburg
München C.-St.	16	13	–	–	1	1	7	–	–	15	3	10	4	–	1	11	10	2	–	28	13	12	13	München C.-St.
Alexandersbad	8	8	–	–	–	–	–	–	–	18	4	6	–	–	4	7	13	5	3	15	16	13	14	Alexandersbad
Traunstein	20	16	–	–	–	1	6	–	1	15	3	6	3	–	5	11	9	6	10	19	18	12	–	Traunstein
Berchtesgaden	20	17	–	–	–	1	7	1	–	16	4	10	1	–	–	–	13	8	–	–	2	–	67	Berchtesgaden
Ottobeuren	18	15	–	–	–	1	12	1	–	15	4	10	3	–	–	17	3	1	1	35	7	3	23	Ottobeuren
Partenkirchen	22	19	–	–	–	2	6	–	–	7	5	9	2	–	7	–	–	3	12	–	–	15	53	Partenkirchen
Tegernsee	19	18	1	–	1	1	8	–	–	6	–	11	1	–	–	1	42	–	–	–	12	35	–	Tegernsee
Buchenau	17	12	–	–	–	2	5	1	–	19	1	7	2	–	–	3	25	2	1	5	31	1	22	Buchenau
Oberstdorf	20	19	–	–	–	–	7	1	–	12	4	11	1	–	–	–	–	–	4	13	10	24	39	Oberstdorf
Ettal	21	20	–	–	1	1	9	2	–	11	5	9	2	–	–	3	6	2	9	4	5	4	57	Ettal
Mittenwald	21	19	–	–	–	1	7	–	–	8	3	12	3	–	14	8	1	2	16	5	5	1	38	Mittenwald
Hohenpeissenberg	19	17	–	–	2	1	9	4	–	1	4	13	–	–	2	14	6	2	1	15	25	20	5	Hohenpeissenberg
Zugspitze*	21	20	20	30	9	1	7	23	5	2	2	17	–	24	26	2	8	12	12	1	11	16	2	Zugspitze

*) Zugspitze 9 Wintertage.

Übersicht über die Witterungsverhältnisse im Königreiche Bayern

während des Juli 1911.

Der diesjährige Juli zeigte nach allgemeiner Beurteilung die Eigenschaften eines Sommermonates in exzessivem Masse. Geringe Bewölkung, viel Sonnenschein, hohe Lufttemperatur, Trockenheit und geringe Luftbewegung sind charakteristisch für die Witterung, insbesondere der zweiten Monatshälfte. Vom meteorologischem Standpunkte betrachtet war der Witterungsverlauf des Berichtsmonats sehr abnorm, vor allem in Rücksicht auf die grosse Regenarmut und die lange Dauer der Hitzeperiode während der zweiten Monatshälfte. Süddeutschland gehört im allgemeinen einem Klimagebiete an, dem häufige und ergiebige Sommerregen eigentümlich sind; nach langjährigen Aufzeichnungen fällt das Maximum des Regenfalles auf den Monat Juli. Die grosse Trockenheit des heurigen Juli ist um so auffallender, da die Gewitterhäufigkeit gegen normale Jahre keineswegs verringert erscheint. Die häufigen Entladungen waren jedoch mit wenigen Ausnahmen nur von ganz geringfügigen Niederschlägen begleitet. In Verbindung mit den geradezu tropischen Wärmegraden der zweiten Monatshälfte hatte der Regenmangel eine intensive Austrocknung des Bodens und damit ganz erhebliche Schädigung der Vegetation zur Folge.

An der überwiegenden Mehrzahl unserer Beobachtungsorte wurden 10 bis höchstens 30% der langjährigen Regenmenge erreicht, nur in der westlichen Pfalz, sowie im Alpengebiet und in dessen unmittelbarem Vorlande wurden Monatssummen gemessen, die wenigstens der Hälfte des normalen Betrages nahe kamen, stellenweise dieselbe auch erreichten. Über die tatsächlich ermittelten Regenmengen und deren Verteilung werden wir an späterer Stelle zu sprechen haben.

Wir haben bereits kurz erwähnt, dass in die zweite Hälfte des Juli eine andauernde und intensive Wärmeperiode fiel. Während der ersten Monatshälfte schwankte die Temperatur in ziemlich grosser Amplitude um den Normalbetrag so dass jedem Maximum wieder ein, wenn auch schwächer ausgebildetes Minimum entsprach. Erst vom 16. ab stieg die Temperatur dauernd an und führte zu Werten, welche bis zu 10 und 12 Grad über dem normalen Betrage lagen. Dem Einfluss der ersten Monatshälfte ist es zuzuschreiben, dass die Differenzen der Temperaturmittel gegen den langjährigen Durchschnittswert doch noch geringer ausfielen, als man in Erinnerung an die anhaltende, tropische Hitze erwartet hätte. Die grössten Abweichungen wurden in Augsburg, München und Landshut erhalten, wo der Normalwert um mehr als 3 Grad überschritten wurde. Zumeist betrug die Differenz nur zwischen 2 und 3 Grad, am unmittelbaren Ufer des Bodensees, stellenweise im Alpenvorland (Osten Bayerns), sowie im unteren und mittleren Maintal bezifferte sich dieselbe sogar auf weniger als 2 Grad.

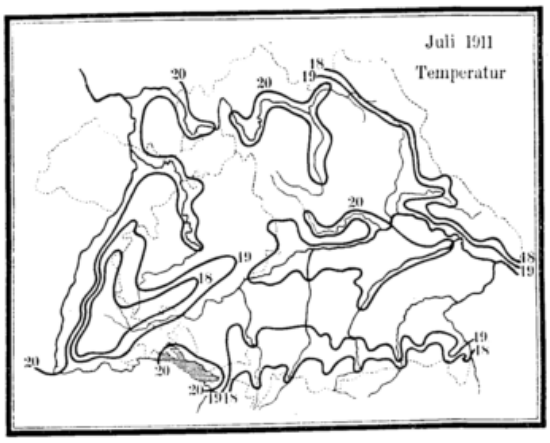
Bevor wir zu der Besprechung der geographischen Verteilung der wichtigsten Elemente übergehen, soll der allgemeine Verlauf der Witterung an Hand der täglichen, synoptischen Karten eine kurze Schilderung erfahren. Zu Beginn des Monats bedeckte eine ausgedehnte Depression ganz Europa und bei vorwiegend trübem Himmel fielen verbreitete, aber nur wenig intensive Niederschläge. In der Folge drang hoher Luftdruck von der Biskayasee über Frankreich kräftig gegen die zentralen Lagen vor. Die Niederschläge wurden immer schwächer und hörten schliesslich ganz auf, die Bewölkung löste sich auf und bereits am 3. war in der Pfalz, wie auch im grössten Teile des diesseitigen Bayern der Himmel heiter. Nur im Alpengebiet machte sich noch die Einwirkung niedrigen Druckes im Mittelmeer durch Trübung und zeitweise schwache Niederschläge geltend. Mit der weiteren Entwicklung des kontinentalen Maximums breitete sich das heitere und warme Wetter über ganz Süddeutschland aus. Bereits am Morgen des 7. Juli war im hohen Norden Europas der Rand eines Minimums angedeutet. Dasselbe zog rasch südwärts und lag bereits am Abend des 8. über Westrussland. Der Einfluss der Depression äusserte sich jedoch über unserem Gebiete nur durch vorübergehende Zunahme der Bewölkung und durch Auslösung von Gewittern. Bald gelangte das nach den britischen Inseln zurückgedrängte barometrische Maximum wieder zur Herrschaft, so dass vom 10. ab wieder heiteres, der Lage des Maximums entsprechend jedoch nur mässig warmes Wetter die Oberhand erhielt. Am 15. Juli erschien die Wetterlage neuerdings durch eine vom hohen Norden unseres Erdteiles über Finnland vordringende Depression gefährdet. Obwohl aber der niedrige Druck sehr beträchtlich an Ausdehnung gewann und durch eine vom Ozean vordringende Depression neue Nahrung fand, konnte doch von einem durchgreifenden Witterungsumschlag nicht gesprochen werden. Nur im Alpengebiete, wo sich ausserdem die Wirkung einer Mittelmeerdepression äusserte, trat für längere Zeit Trübung und ergiebigere Niederschläge ein. Bereits am Abend des 17. war wieder jede Einwirkung niedrigen Druckes überwunden und auf diesen Termin ist der Beginn einer ununterbrochenen Schönwetterperiode zu setzen. Zunächst stand das heitere und von Tag zu Tag wärmere Wetter in Zusammenhang mit einem intensiven Barometermaximum. Vom 24. Juli ab gestaltete sich jedoch die Luftdruckverteilung über Zentraleuropa zeitweise recht unregelmässig und der Fortbestand der Witterung schien recht gefährdet. Die zahlreichen Störungen führten jedoch nur zur Auslösung von Gewittern, die meist nur kurzdauernd waren und auch nur ausnahmsweise den ersehnten Regen brachten. Im allgemeinen dauerte das heitere, sehr warme und trockene Wetter unverändert fort und fand auch im kommenden Monat seine Fortsetzung. Der Satz von der Erhaltungstendenz der Witterung wurde mit seltener Nachdrücklichkeit bewiesen.

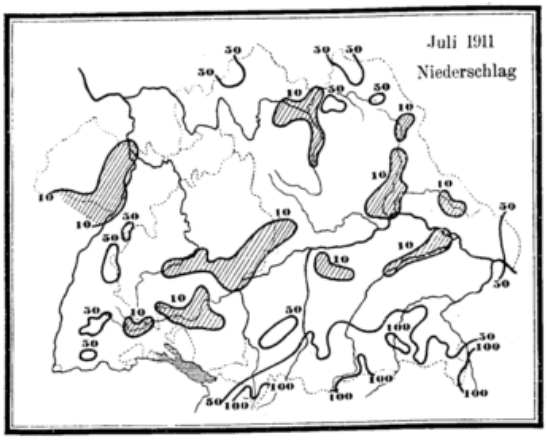
Auf dem ersten der beigegebenen Kärtchen ist die geographische Verteilung der Mitteltemperaturen über Süddeutschland dargestellt. Der Verlauf der Isothermen zeigt keine bemerkenswerten Eigentümlichkeiten und betont in bekannter Weise den Einfluss der Höhenlage auf die Temperatur. Auch die entsprechenden Darstellungen der mittleren Extreme zeigen zwar in erster Linie die Abhängigkeit der Temperaturverteilung vom Aufbau des Geländes, lassen aber daneben insbesonders das Gebiet nördlich der bayerischen Hochebene bis zum Donautal als klimatisch eigentümlich erscheinen. Während die Stationen des Rheintales mittlere Maxima zwischen 28 und 29 Grad und mittlere Minima nahe bei 15 Grad berechneten, ergaben sich für die Stationen des oben erwähnten ausgezeichneten Gebietes, mittlere Maxima von mehr als 30 und mittlere Minima von weniger als 12 und 11 Grad. Die mittlere Schwankung erreichten auf diesem Gebiete Werte von 18 bis 20 Grad, während im übrigen Bayern meist 13 bis 15 Grad für dieses Element ermittelt wurden.

Die absoluten Maxima erreichten an allen Beobachtungsorten bis zu 1000 m Seehöhe mehr als 30 und in Höhenlagen bis zu 400 m zumeist noch mehr als 35 Grad. Anderseits sanken die absoluten Minima zu Anfang des Monats selbst in sonst geschützten Tallagen bis zu auffallend niedrigen Beträgen herab. Nähere Einzelheiten für das bayerische Beobachtungsnetz ergeben sich aus den entsprechenden Spalten der Tabelle II.

Die Zahl der Sommertage betrug an unseren Flachlandstationen 20 und darüber, hingegen im Gebiete des Spessart, auf der Frankenhöhe, ferner im Gebiete der Mittelgebirge an der Ostgrenze Bayerns, sowie im Alpengebiete und in dessen Vorland je nach Exposition und Höhenlage nur 10 bis 20. In den tieferen Tallagen des Rhein- und Maingebietes, ferner auf dem schon erwähnten Gebiete zwischen dem Nordrande der bayerischen Hochebene und der Donau wurden sogar mindestens 10 Tage mit einem Tagesmaximum von 30 und mehr Grad aufgezeichnet.

Auf dem zweiten der beigegebenen Kärtchen ist die Verteilung der Regensummen über Süddeutschland dargestellt. Wie schon eingangs erwähnt, blieben die Niederschlagsmengen weit hinter den langjährigen Mitteln und auch weit hinter jenen Beträgen zurück, die einer günstigen Entwicklung der landwirtschaftlichen Nutzpflanzen förderlich gewesen wären.





Insbesondere in den auf unserer Karte durch Schraffen hervorgehobenen Gebieten tritt der Regenmangel in auffallender Weise zu Tage. Dieselbe bilden Trockenbezirke mit weniger als 10 mm Monatssumme. Regenmengen von über 50 mm finden sich nur in der südlichen Rhön, im nördlichsten Teile des Frankenjura, im Gebiete des Frankenwaldes, in den zentralen Lagen des Fichtelgebirges, ferner im äussersten Osten Bayerns, sowie auf den höchsten Erhebungen des Schwarzwaldes und im ganzen Alpengebiete und in dessen Vorland. In den Alpen finden sich auch Gebiete mit über 100 mm Niederschlagsmenge, die aber leider nur wenig anbaufähiges Land umfassen. Die Niederschlagshäufigkeit war sehr gering, wie dies schon aus der Schilderung des zeitlichen Verlaufes der Witterung hervorgeht. Kräftigere Niederschläge mit einem Messungsergebnis von mindestens 1 mm wurden an den meisten Stationen an 3 bis 5 Tagen gezählt, nur das Alpengebiet und das östliche Südbayern zeigen auch in dieser Hinsicht eine deutliche Bevorzugung.

Die mittlere Bewölkungsziffer berechnete sich dem vorwiegend heiteren Witterungscharakter entsprechend auf nur 3 bis 5 Zehntel der vollen Bedeckung. Die Anzahl der trüben Tage schwankt zwischen 1 und 4, nur der äusserste Osten Bayerns verzeichnet 5 bis 7 trübe Tage. Auch hinsichtlich der Häufigkeit heiterer Tage steht das östliche Bayern hinter dem westlichen und der Pfalz etwas zurück. Während in der Pfalz und in den westlichen Gebietsteilen des diesseitigen Bayern meist 10 bis 15 heitere Tage zur Aufzeichnung gelangten, wurden in den östlichen Bezirken weniger als 10, stellenweise sogar weniger als 5 heitere Tage gezählt. Diese Bezirke berührten eben noch den Rand der Einflusssphäre der über Osteuropa auftretenden Depressionen, während das westliche Südbayern deren Einfluss bereits entzogen blieb.

Die mittleren auf Meeresniveau reduzierten Barometerstände zeigen kein nach irgend einer Richtung deutlich ausgebildetes, allgemeines Gefälle. Die Luftdruckwerte schwankten mit geringer Amplitude um den für einen Sommermonat sehr hohen Betrag von 765.0 mm. Eine für alle Beobachtungsorte gemeinsame vorherrschende Windrichtung war nicht zu verzeichnen, vielenorts wurden Windstillen mit grösster Häufigkeit beobachtet.

München, den 19. August 1911.

A.

Station	Höhe über Normal-Null m	Luftdruck in mm: höchster am	höchster mm	tiefster am	tiefster mm	Monatsmittel lokal	Monatsmittel auf Meeresniveau reduziert	Temperatur C°: Mittel um 7a	Mittel um 2p	Mittel um 9p	Mittlere Tagestemperatur	Mittleres Maximum	Mittleres Minimum	Mittel aus Maximum und Minimum	Mittlere Schwankung	Station
Ludwigshafen a/Rh.	100.3	4.	765.6	1.	748.3	756.9	765.7	18.8	27.6	23.4	23.3	28.9	15.5	22.2	13.3	Ludwigshafen a/Rh.
Kahl a/M.	114.1	4.	763.6	1,18.	747.2	755.3	765.4	18.8	26.4	19.3	20.9	29.4	11.8	20.6	17.7	Kahl a/M.
Landau i. Pf.	149.9	4.	759.9	18.	744.5	752.2	765.3	20.9	27.0	20.7	22.3	28.1	14.7	21.4	13.4	Landau i. Pf.
Würzburg	179.3	4.	758.9	1.	740.8	749.3	765.0	16.9	26.1	19.9	20.7	26.9	13.8	20.4	13.1	Würzburg
Bad Kissingen	209.2	4.	756.2	18.	739.0	747.3	765.7	15.6	25.8	18.5	19.6	27.2	12.9	20.1	14.3	Bad Kissingen
Kaiserslautern	242.2	4.	752.1	1.	736.3	744.4	765.5	17.7	26.8	20.5	21.4	28.6	13.6	21,1	15.0	Kaiserslautern
Luitpoldheim	250	–	–	–	–	–	–	14.4	24.8	18.9	19.2	26.1	12.4	19.3	13.6	Luitpoldheim
Bamberg	287.7	4.	749.0	1.	732.0	740.6	765.7	17.5	26.7	19.3	20.7	28.5	13.1	20.7	15.4	Bamberg
Nürnberg	309.1	4.	746.3	1.	730.0	738.2	765.0	17.4	25.9	21.0	21.3	26.8	13.5	20,2	13.3	Nürnberg
Passau	309.3	4.	745.9	1,18.	732.1	738.5	765.4	16.0	25.0	19.2	19.8	26.4	14.2	20.3	12.2	Passau
Metten	320	–	–	–	–	–	–	16.5	26.0	18.8	20.0	27.8	12.1	20.0	15.6	Metten
Regensburg	342.6	4.	742.7	1.	728.5	735.4	765.1	16.6	26.3	18.0	19.7	28.2	13.5	20.9	14.7	Regensburg
Bayreuth	363.3	4.	742.0	1.	725.8	734.2	765.7	15.7	25.0	19.4	19.9	27.0	12.0	19.5	15.0	Bayreuth
Burghausen	365	4.	740.7	1.	726.7	733.5	765.2	15.7	25.9	16.8	18.8	28.1	11.9	20.0	16.2	Burghausen
Karlshuld	382.0	4.	739.3	1.	723.9	731.7	764.5	16.7	26.4	19.1	20.3	30.0	10.2	20.1	19.8	Karlshuld
Landshut	397.7	4.	738.1	1.	723.6	730.5	765.0	16.7	26.7	18.6	20.2	30.1	11.9	21.0	18.2	Landshut
Lindau i. B.	401.7	4.	736.4	1.	724.0	730.3	764.8	17.5	24.6	20.1	20.6	26.2	13.6	19.9	12.7	Lindau i. B.
Weissenburg i. B.	431	4.	735.6	1.	720.1	728.2	765.3	18.5	25.7	18.9	20.5	26.6	13.0	19.8	13.6	Weissenburg i. B.
Nördlingen	435.6	4.	734.1	1.	719.0	726.9	764.4	16.2	25.8	19.1	20.1	26.5	13.0	19.8	13.4	Nördlingen
Ansbach	437.5	4.	735.0	1.	718.9	727.5	765.2	17.0	25.1	18.2	19.7	26.5	12.5	18.5	14.0	Ansbach
Hof	476.1	4,5.	731.4	1.	715.2	724.0	765.3	14.8	24.4	16.0	17.8	25.8	9.4	17.6	16.4	Hof
Bad Reichenhall	477	4.	730.8	2.	717.1	724.0	765.1	17.7	25.3	18.2	19.8	28.5	14.6	21.5	13.9	Bad Reichenhall
Augsburg	499.6	4.	729.4	1.	715.1	722.4	765.0	17.8	26.4	20.7	21.4	27.6	13.9	20.8	13.7	Augsburg
München C.-St.	526.4	4.	726.4	1.	713.3	719.9	764.8	18.2	25.7	20.2	21.0	26.6	15.3	20.9	11.2	München C.-St.
Alexandersbad	590	–	–	–	–	–	–	15.2	22.3	16.1	17.4	23.4	11.0	17.2	12.4	Alexandersbad
Traunstein	597	4.	720.8	1.	708.1	714.5	765.6	16.7	23.8	17.2	18.7	24.7	12.8	18.8	11.9	Traunstein
Berchtesgaden	600	–	–	–	–	–	–	15.6	22.9	16.6	17.9	23.9	12.3	18.1	11.5	Berchtesgaden
Ottobeuren	660.0	4.	714.6	1.	702.1	708.8	765.0	17.6	24.4	16.9	19.0	25.7	12.4	19.0	13.3	Ottobeuren
Partenkirchen	714.6	4.	710.4	17.	698.4	704.6	765.6	14.5	22.4	15.9	17.2	24.0	12.0	18.0	12.0	Partenkirchen
Tegernsee	742	4.	708.1	1.	696.2	702.4	765.5	15.2	22.5	17.0	17.9	23.9	13.6	18.7	10.3	Tegernsee
Buchenau	750	öfters	706.7	17.	694.0	701.1	765.1	13.8	21.6	15.6	16.6	23.6	12.0	17.6	11.3	Buchenau
Oberstdorf	811.4	4.	701.8	1.	689.9	696.4	765.1	15.9	22.9	15.4	17.4	24.5	9.6	17.1	14.8	Oberstdorf
Ettal	879.5	4.	694.7	1.	683.4	689.8	–	15.3	22.4	15.0	16.9	24.6	10.9	17.8	13.7	Ettal
Mittenwald	910	21.	693.4	1.	682.2	688.3	765.2	14.7	22.1	14.4	16.4	23.9	10.3	17.1	13.5	Mittenwald
Hohenpeissenberg	993.9	21.	686.5	1.	675.1	681.7	764.8	16.2	20.7	16.9	17.7	22.2	13.6	17.9	8.6	Hohenpeissenberg
Zugspitze	2964	22.	542.8	1.	531.9	538.0	–	3.1	5.0	3.5	3.8	6.4	1.8	4.1	4.8	Zugspitze

Station	Temperatur C°: höchste am	höchste C°	tiefste am	tiefste C°	grösste Schwankung am	grösste Schwankung C°	Dampfdruck Monatsmittel mm	Relative Feuchtigkeit %: Monatsmittel	kleinste am	kleinste %	grösste am	grösste %	Bewölkung Monatsmittel	Niederschlag grösster am	grösster mm	Monats-Summe mm	Station
Ludwigshafen a/Rh	23.	36.6	4.	7.2	23.	18.2	10.9	54	26.	24	1.	91	3.7	2., 25.	1.6	6.4	Ludwigshafen a/Rh.
Kahl a/M.	23.	38.0	4.	3.1	23.	24.1	11.2	61	23.	24	1.	94	3.2	1.	9.9	19.3	Kahl a/M.
Landau i. Pf.	23.	35.0	4.	6.0	23.	19.4	10.9	54	23.	18	1.	93	2.7	25.	3.4	6.9	Landau i. Pf.
Würzburg	28.	36.0	4.	6.0	23.	19.4	10.7	60	23., 28.	23	2.	96	3.0	29.	5.4	18.3	Würzburg
Bad Kissingen	28.	36.2	4.	4.2	23.	20.6	10.7	64	12.	23	2.	97	3.3	14.	4.2	15.8	Bad Kissingen
Kaiserslautern	23.	36.2	4.	4.6	23.	20.8	11.0	61	23.	22	1.	91	3.9	25.	24.5	29.0	Kaiserslautern
Luitpoldheim	28.	34.7	4.	4.7	23.	19.5	11.4	70	23.	31	2.	99	2.6	31.	18.9	30.4	Luitpoldheim
Bamberg	28.	36.9	4.	3.0	23.	21.0	10.4	58	28.	22	13.	96	5.0	1.	6.0	12.8	Bamberg
Nürnberg	28.	36.1	3.	5.5	26., 28.	16.9	10.6	57	28.	29	13.	91	4.3	30.	11.0	23.5	Nürnberg
Passau	28.	35.2	11.	8.6	20.	17.7	11.7	69	31.	29	öfters	93	4.5	8.	16.0	32.4	Passau
Metten	27.	35.3	4.	4.5	20.	20.8	11.3	66	31.	22	15.	98	5.0	3.	10.7	27.0	Metten
Regensburg	28.	36.2	4.	6.6	23.	20.7	9.2	54	31.	18	14., 15.	93	4.0	25.	8.5	13.2	Regensburg
Bayreuth	28.	36.0	4.	3.2	22.	20.9	10.2	61	31.	23	13.	96	4.6	14.	7.1	17.0	Bayreuth
Burghausen	28.	35.3	5.	5.2	24.	23.5	11.3	71	31.	24	2.	98	4.7	3.	18.1	39.3	Burghausen
Karlshuld	26.	39.0	4.	2.0	13.	25.9	10.6	62	31.	24	21.	100	3.2	1.	3.0	8.5	Karlshuld
Landshut	26.	39.3	11.	5.2	26.	23.9	10.1	59	31.	17	30.	92	3.9	8.	3.3	9.5	Landshut
Lindau i. B.	28.	31.7	5.	8.7	22.	18.0	12.2	69	12.	40	1.	97	2.6	3.	6.3	27.2	Lindau i. B.
Weissenburg i. B.	28.	34.5	4.	4.9	23.	19.3	12.4	69	22.	39	3.	99	4.1	1.	8.1	14.2	Weissenburg i. B.
Nördlingen	28.	33.7	4.	5.6	12.	19.0	10.3	60	23.	22	2.	92	3.6	1.	4.7	10.0	Nördlingen
Ansbach	23., 28.	35.4	4.	2.9	23.	21.0	9.9	59	25.	24	1.	94	3.0	1.	6.0	14.3	Ansbach
Hof	26.	34.4	4.	1.5	23.	24.4	10.1	67	31.	16	14.	100	4.8	27.	7.6	26.0	Hof
Bad Reichenhall	28.	37.3	11.	8.4	28.	18.2	10.8	63	31.	26	3.	95	3.9	9.	12.4	49.7	Bad Reichenhall
Augsburg	28.	35.3	4.	7.3	23.	18.5	10.4	56	23., 24.	27	1.	87	3.4	29.	15.7	45.6	Augsburg
München C.-St.	28.	33.7	4.	9.0	23.	14.8	10.0	55	31.	25	1.	94	4.2	1.	5.2	18.6	München C.-St.
Alexandersbad	28.	32.2	5.	3.3	26.	17.4	10.0	67	31.	25	öfters	97	3.3	1.	4.6	14.8	Alexandersbad
Traunstein	28.	33.0	5.	7.0	28.	16.0	10.4	65	31.	24	öfters	96	4.4	17.	17.1	56.2	Traunstein
Berchtesgaden	28.	31.2	11.	7.0	23.	16.7	10.9	72	31.	31	8.	98	4.3	17.	27.6	111.6	Berchtesgaden
Ottobeuren	28.	33.1	11.	7.7	23.	19.4	10.4	64	19.	29	16.	93	3.0	16.	15.5	39.0	Ottobeuren
Partenkirchen	28.	31.0	11.	6.7	8., 19.	15.1	10.5	72	31.	30	9.	98	3.7	14.	1 7	72.9	Partenkirchen
Tegernsee	28.	31.2	5.	7.4	23.	15.7	10.6	69	31.	37	1.	100	4.9	3.	26.9	93.5	Tegernsee
Buchenau	28.	31.2	4.	4.0	24.	15.1	10.5	74	31.	34	1., 16.	98	4.7	25.	15.1	29.9	Buchenau
Oberstdorf	23.	30.1	11.	4.4	12.	20.0	10.2	69	24.	29	1.	97	4.1	25.	42.2	104.9	Oberstdorf
Ettal	28.	31.2	11.	5.0	26.	17.8	9.7	67	28.	29	14.	100	3.6	3.	25.5	81.8	Ettal
Mittenwald	28.	31.1	11.	3.0	12.	19.0	10.1	72	28.	29	9.	100	4.3	14.	21.3	75.6	Mittenwald
Hohenpeissenberg	23.	29.8	4.	6.0	30.	13.5	8.9	60	19., 31.	31	2.	100	3.8	3.	17 9	77.7	Hohenpeissenberg
Zugspitze	28.	11.0	4.	– 3.3	4.	9.1	5.0	81	5.	5	öfters	100	5.6	25.	14.8	71.3	Zugspitze

Station	Tage mit Niederschlägen ≥ 0.1mm	Tage mit Niederschlägen ≥ 1.0mm	Tage mit Schneefall	Tage mit Schneedecke	Tage mit Graupeln	Tage mit Hagel	Tage mit Gewitter	Tage mit Nebel	Tage mit Reif	Tage mit Tau	Tage heitere	Tage trübe	Tage Sommer	Tage Frost	Anzahl der beobachteten Windrichtungen N	NE	E	SE	S	SW	W	NW	Stille	Station
Ludwigshafen a/Rh.	6	4	–	–	–	–	5	–	–	2	9	2	21	–	19	16	8	–	10	6	12	2	19	Ludwigshafen a/Rh.
Kahl a/M.	8	4	–	–	–	–	6	–	–	2	14	2	24	–	–	21	15	12	3	13	4	1	24	Kahl a/M.
Landau i. Pf.	6	3	–	–	–	–	9	–	–	14	8	1	23	–	1	54	–	1	–	15	8	14	–	Landau i. Pf.
Würzburg	9	5	–	–	–	–	6	–	–	8	15	2	20	–	7	4	15	4	5	10	16	4	28	Würzburg
Bad Kissingen	7	5	–	–	–	–	6	–	–	16	9	1	20	–	7	5	19	–	2	10	22	1	27	Bad Kissingen
Kaiserslautern	7	3	–	–	–	–	7	1	–	2	12	4	23	–	7	5	15	4	–	–	12	10	40	Kaiserslautern
Luitpoldheim	8	5	–	–	–	–	7	9	–	22	17	3	18	–	3	1	13	1	2	32	–	–	41	Luitpoldheim
Bamberg	20	3	–	–	–	–	7	–	–	19	3	3	22	–	16	4	4	1	13	5	18	22	10	Bamberg
Nürnberg	5	4	–	–	–	–	7	3	–	7	6	1	20	–	12	15	12	8	8	10	10	14	4	Nürnberg
Passau	9	7	–	–	–	–	5	1	–	20	14	8	18	–	–	–	7	–	6	6	6	4	64	Passau
Metten	10	7	–	–	–	–	6	2	–	23	7	6	22	–	1	–	7	2	16	2	7	15	43	Metten
Regensburg	5	5	–	–	–	–	5	3	–	4	7	2	22	–	20	16	3	5	8	7	5	8	21	Regensburg
Bayreuth	9	5	–	–	–	–	7	–	–	16	5	4	21	–	6	4	19	5	3	3	15	32	6	Bayreuth
Burghausen	10	8	–	–	–	–	8	–	–	15	7	4	20	–	7	11	9	8	10	15	1	4	28	Burghausen
Karlshuld	4	3	–	–	–	–	3	4	–	24	12	1	24	–	–	11	10	–	–	3	28	2	39	Karlshuld
Landshut	9	3	–	–	–	–	5	–	–	5	11	2	25	–	–	9	14	5	5	8	19	4	29	Landshut
Lindau i. B.	8	5	–	–	–	–	6	–	–	18	16	2	19	–	13	23	2	3	16	14	13	1	8	Lindau i. B.
Weissenburg i. B.	5	3	–	–	–	–	4	2	–	4	7	3	20	–	2	18	10	5	4	5	12	12	25	Weissenburg i. B.
Nördlingen	6	4	–	–	–	–	6	–	–	3	11	3	20	–	13	14	10	5	2	5	21	10	13	Nördlingen
Ansbach	9	5	–	–	–	–	7	–	–	4	15	1	19	–	15	3	2	2	1	4	13	7	46	Ansbach
Hof	12	7	–	–	–	–	6	11	–	18	5	5	18	–	25	8	3	4	8	16	4	10	15	Hof
Bad Reichenhall	11	9	–	–	–	–	5	–	–	7	10	3	20	–	–	7	23	3	7	12	30	–	11	Bad Reichenhall
Augsburg	7	5	–	–	–	1	6	–	–	12	11	1	20	–	6	17	17	6	4	17	6	14	6	Augsburg
München C.-St.	6	4	–	–	–	–	7	–	–	14	7	3	20	–	3	14	15	8	1	26	5	10	11	München C.-St.
Alexandersbad	5	5	–	–	–	–	7	–	–	23	9	1	10	–	12	14	4	6	1	4	14	16	26	Alexandersbad
Traunstein	9	9	–	–	–	1	9	–	–	9	6	2	16	–	4	9	19	17	16	9	9	10	–	Traunstein
Berchtesgaden	14	10	–	–	–	–	10	–	–	25	5	3	11	–	–	–	12	13	–	1	3	–	64	Berchtesgaden
Ottobeuren	8	6	–	–	–	–	7	–	–	14	12	2	16	–	–	19	8	8	2	23	3	3	27	Ottobeuren
Partenkirchen	16	13	–	–	–	1	11	–	–	11	13	4	12	–	6	–	–	4	26	–	–	20	37	Partenkirchen
Tegernsee	14	10	–	–	–	3	9	–	–	8	6	2	12	–	2	5	51	1	1	1	8	24	–	Tegernsee
Buchenau	9	5	–	–	–	1	12	–	–	11	8	7	10	–	3	5	35	1	2	3	20	2	22	Buchenau
Oberstdorf	13	9	–	–	–	1	8	2	–	21	10	4	13	–	–	–	–	–	8	18	5	29	33	Oberstdorf
Ettal	12	9	–	–	–	–	12	–	–	24	14	3	16	–	–	1	9	6	2	5	3	2	65	Ettal
Mittenwald	15	10	–	–	–	1	12	1	–	12	10	2	12	–	9	14	–	6	15	4	3	1	41	Mittenwald
Hohenpeissenberg	12	9	–	–	–	–	11	3	–	–	14	5	8	–	4	29	9	6	2	17	11	14	1	Hohenpeissenberg
Zugspitze*	13	12	6	15	4	5	11	16	5	2	2	9	–	8*	34	1	14	10	1	6	11	11	5	Zugspitze

*) Zugspitze 1 Wintertag.

Übersicht über die Witterungsverhältnisse im Königreiche Bayern

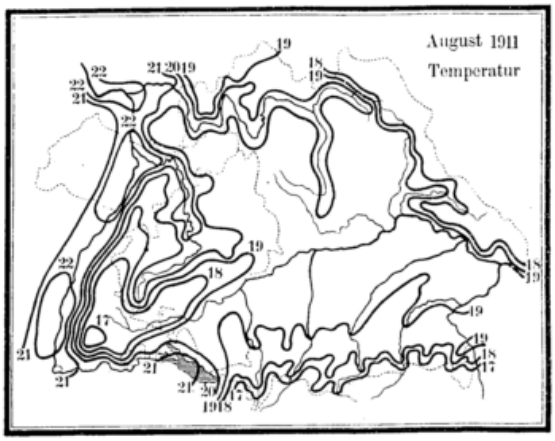
während des August 1911.

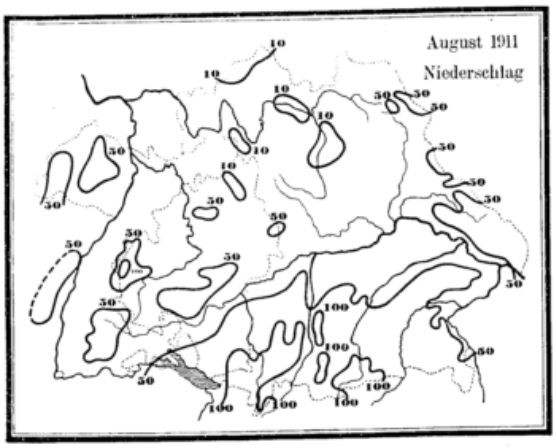
Das vorwiegend heitere und warme, zeitweise tropisch heisse Sommerwetter, welches fast während des ganzen Juli geherrscht hatte, dauerte auch im August mit nur geringer Unterbrechung fort. Wenn auch die Temperaturen nicht mehr jene abnormen Werte erreichten, wie sie während der zweiten Julihälfte zur Aufzeichnung gelangten, so lagen dieselben doch zumeist mehrere Grade über dem langjährigen Mittelwerte. Die andauernde Wärme fand nur in der Zeit vom 15. bis 18. August eine erwähnenswerte Unterbrechung, aber auch an diesen Tagen sank die Temperatur nur um geringe Beträge unter den Normalwert. So kommt es, dass die Temperaturmittel des August an fast allen Stationen unseres Beobachtungsnetzes Differenzen gegen den Normalwert aufweisen, welche grösser sind als im Vormonate, der ja nur in seiner zweiten Hälfte durch allerdings abnorm hohe Temperaturen ausgezeichnet war. Die Differenzen bezifferten sich fast überall auf mehr als 2 Grad, in der westlichen und südlichen Pfalz, sowie stellenweise auf der bayerischen Hochebene und in der oberen Donauebene sogar auf mehr als 3 Grad. Auch die Trockenheit des Juli setzte sich im August fort. Nur in der Zeit vom 21. bis 26. fanden verbreitete und auch etwas ergiebigere Niegerschläge statt. Immerhin fiel an der überwiegenden Mehrzahl unserer Stationen noch nicht die Hälfte der normalen Niederschlagsmengen. Nur im Alpengebiete und in dessen Vorland, stellenweise auf der schwäbisch-bayerischen Hochebene, in der Westpfalz, sowie im Gebiete des Spessart und der im Nordosten Bayern gelegenen Mittelgebirge wurden Regenmengen gemessen, welche die Hälfte der normalen Niederschlagssumme um geringe Beträge übertrafen. Der volle Normalbetrag wurde nirgends auch nur annähernd erreicht.

Der zeitliche Verlauf der Witterung gestaltete sich folgendermassen. Zu Beginn des Monats lagerte ein barometrisches Maximum über dem Ostseegebiet, eine ausgedehnte Depression bedeckte den atlantischen Ozean. Über Frankreich und dem Mittelmeere waren flache, sekundäre Minima vorhanden. Es herrschte heiteres, warmes Wetter; erst am 3. und insbesondere am 4. August führten die vorhandenen Störungen in der Luftdruckverteilung zu gewitterigen Störungen, die aber nur von leichten Regenfällen begleitet waren. Bis zum Morgen des 5. August hatte sich zwar ein schwaches Barometermaximum über Zentraleuropa entwickelt, Ausläufer und Randgebilde einer über dem Ozeane liegenden Depression machten jedoch zeitweise ihren Einfluss geltend und verursachten das Auftreten mehr oder weniger verbreiteter Gewitter. Erst am 8. August gelangte hoher Druck unbestritten zur Herrschaft und behauptete dieselbe ohne nennenswerte Unterbrechung bis zum 11. Am Morgen des 12. waren an der französischen Westküste und vor dem Kanaleingang flache zyklonale Störungen zu erkennen, die in der Folge nach den zentralen Gebietsteilen vordrangen. Ihr Einfluss blieb jedoch nur gering und ohne nachhaltige Wirkung. Obwohl sich nun durch das Vordringen einer tiefen Depression vom nördlichen Eismeere nach der Ostsee eine Wetterlage entwickelte, welche in der Regel für unser Gebiet starke und andauernde Niederschläge bei intensiver Abkühlung verursacht, so trat doch kein Witterungsumschlag ein und der Satz von der Erhaltungstendenz der Witterung fand eine auffallende Bestätigung. Die Ungunst der Wetterlage äusserte sich nur in einer mässigen Abkühlung und in dem Vorhandensein stärkerer aber keineswegs geschlossener Bewölkung. Bereits am 17. klarte es unter der Einwirkung eines von Frankreich vordringenden barometrischen Maximums wieder völlig auf und am 19. hatten die Temperaturen wieder ihren vorherigen hohen Stand erreicht. Mit dem 21. beginnt eine Periode stärkerer Bewölkung und häufiger Niederschläge, die vorwiegend in Begleitung von Gewittern auftraten. Die Luftdruckverteilung gestaltete sich während dieser Zeit sehr unregelmässig, indem mehrere flache Teilminima über Zentraleuropa hinwegzogen. Die Bewölkung war fortgesetzt raschem Wechsel unterworfen, die zahlreichen und ausgebreiteten Gewitter brachten die längst ersehnten, stellenweise ziemlich ergiebigen Niederschläge, sowie leichte Abkühlung. Hoher Luftdruck der von Südwesten gegen Zentraleuropa vordrang brachte in der Pfalz und auch im grössten Teile des rechtsrheinischen Bayern noch im Verlaufe des 26. August Aufklaren, nur im Alpengebiete und im Osten Bayerns fielen noch Niederschläge. Bis zum 27. hatte sich die Herrschaft des hohen Druckes über unser ganzes Gebiet erstreckt und behauptete sich bis zum 29. An diesem Tage äusserten allerdings Ausläufer einer nördlichen Depression in der Pfalz und in Nordbayern bereits ihren Einfluss und riefen zunehmende Bewölkung hervor. Aber erst in der Nacht vom 29. auf den 30. und am 30. selbst verursachte der Durchzug eines flachen Minimums über unserem Gebiet Niederschläge, die aber nur im Alpengebiet von grösserer Ergiebigkeit waren. Am letzten Monatstage herrschte unter der Einwirkung eines intensiven Barometermaximums wieder vorwiegend heiteres, aber ziemlich kühles Wetter.

Auf dem ersten der beigegebenen Kärtchen ist die geographische Verteilung der Mitteltemperaturen über Süddeutschland zur Darstellung gebracht. Die höchsten Temperaturen mit über 20 Grad wurden in der Rheinebene, sowie in der ganzen Pfalz, ferner am Ufergelände des Bodensee, sowie im Maintale und in den tieferen Tallagen der Mainzuflüsse erhalten. In der Rheinebene finden sich sogar grössere Gebiete mit einer Mitteltemperatur von über 22 Grad. Im grössten Teile des diesseitigen Bayern wurde, abgesehen von dem schon erwähnten Maingebiete und einigen abnorm warmen Stadtlagen der Betrag von 20 Grad nicht ganz erreicht. Mit dem Anstiege gegen die Gebirge nehmen die Temperaturen ziemlich rasch ab. Auf der Zugspitze in 3000 m Seehöhe wurde ein Temperaturmittel von 36 Grad abgeleitet.

Das mittlere Maximum erreichte seine höchsten Werte mit mehr als 28, stellenweise sogar mehr als 29 Grad in der Rheinebene und daran anschliessend in den tieferen Tallagen von Neckar und Main, ausserdem auf einem Gebietsstreifen, der sich von der Salzach, der Nordabdachung der Hochebene folgend, bis zum unteren Lech hinzieht. Mit zunehmender Seehöhe nehmen die Werte des mittleren Maximums rasch ab, erheblich rascher, als dies beim Temperaturtagesmittel der Fall ist. Das mittlere Maximum ergab in der Rheinebene Beträge von mehr als 15 und 16 Grad, im Main- und Donautale und in den tieferen Tallagen der Zuflüsse noch meist mehr als 13 Grad. An der Mehrzahl der Stationen schwankt das mittlere Minimum mit geringer Amplitude um den Wert 12, erst in den höheren Tallagen der Alpen wurden Werte von weniger als 10 Grad verzeichnet. Die absoluten Maxima erreichten an allen Stationen bis zu ungefähr 500 m Seehöhe mehr als 30 Grad. Maxima mit über 25 Grad wurden an unseren Flachlandstationen an mehr als 20, in der Rheinebene und an der Nordabdachung der bayrischen Hochebene sogar an mehr als 25 Tagen verzeichnet. Aber schon in mässig hohen Gebirgslagen ging die Zahl der Sommertage beträchtlich zurück; so notierte Mittenwald nur mehr 11, Berchtesgaden 10 und Buchenau im Bayrischen Wald nur mehr 9 Sommertage.





Auf dem zweiten der beigegebenen Kärtchen ist die geographische Verteilung der Regenmengen über Süddeutschland dargestellt. Die höchsten Monatssummen mit mehr als 100 mm werden im Allgäu und im Alpengebiet zwischen Lech und Inn gemessen. Die Isohyete für 50 mm umfasst das ganze Bodenseegebiet und die schwäbisch-bayerische Hochebene, ausserdem die höheren Erhebungen des Schwarzwaldes, der Rauhen Alp, des Bayerischen Waldes und des Fichtelgebirges, sowie des Haardt und des westpfälzischen Berglandes. Über dem grössten Teile Süddeutschlands betrug die Regenmenge zwischen 10 und 50 mm, doch finden sich in Franken auch noch kleinere Trockengebiete mit weniger als 10 mm Monatssumme. Die Niederschlagshäufigkeit war, wie dies schon aus der Schilderung des zeitlichen Witterungsverlaufes zu entnehmen ist, gering. Niederschlagsreich kann nur die Zeit vom 21. bis 25. bezeichnet werden.

Die Bewölkungsverhältnisse des Berichtsmonats sind als recht günstige zu bezeichnen, indem an der überwiegenden Mehrzahl unserer Beobachtungsorte eine mittlere Bewölkungsziffer von weniger als 5 Zehnteln der vollen Bedeckung abgeleitet wurden. In der Rheinpfalz, sowie im unteren und mittleren Maintale, auf der Frankenhöhe und im Ries, ferner in Schwaben und am Ufergelände des Bodensee wurde sogar eine Bewölkungsziffer von weniger als 4 Zehnteln ermittelt. Nur im Donautal, von Regensburg abwärts, ferner in Burghausen an der Salzach und in Bamberg berechnete sich ein Bewölkungsmittel von etwas mehr als 5 Zehnteln der vollen Bedeckung.

Die Zahl der trüben Tage war sehr gering und überschritt nur im Donautal von Regensburg abwärts, sowie an vereinzelten alpinen Tallagen die Grenze 5. Die Anzahl der heiteren Tage betrug in der Pfalz, im Maintale von Würzburg abwärts, sowie in Schwaben und im Alpengebiet zwischen Bodensee und Isar mehr als 10, im übrigen Bayern meist zwischen 5 und 10.

Die mittleren auf Meeresniveau reduzierten Barometerstände bewegen sich in geringem Abstande um den Wert 762.5 mm. Ein Gefälle nach irgendeiner Richtung ist nicht ausgesprochen. Winde aus westlichen Richtungen waren vorherrschend, doch wurden meistenorts Windstillen in grösster Häufigkeit verzeichnet.

München, den 22. September 1911

Alt.

Station	Höhe über Normal-Null m	Luftdruck in mm: höchster am	höchster mm	tiefster am	tiefster mm	Monatsmittel lokal	Monatsmittel auf Meeresniveau reduziert	Temperatur C°: Mittel um 7a	2p	9p	Mittlere Tagestemperatur	Mittleres Maximum	Mittleres Minimum	Mittel aus Maximum und Minimum	Mittlere Schwankung	Station
Ludwigshafen a/Rh.	100.3	31.	760.3	21.	744.7	754.1	762.8	18.4	27.5	22.8	22.9	28 5	16.3	22 4	12.2	Ludwigshafen a/Rh.
Kahl a/M.	114.1	8.	758.8	21.	743.2	752.7	762.7	18.2	26.9	19.3	20.9	29.0	12.0	20.5	16.9	Kahl a/M.
Landau i. Pf.	149.9	31.	755.3	21.	740.1	749.6	762.6	20.6	27.0	20.9	22.3	28.5	15.8	22.1	12,8	Landau i. Pf.
Würzburg	179.3	8.	753.2	21.	737.4	746.4	762.1	16.8	26.3	19.9	20.7	27.1	14.7	20.9	12.4	Würzburg
Bad Kissingen	209.2	8.	751.7	22.	735.3	744.6	762.9	15.3	25.9	18.9	19.7	27.2	12 9	20.1	14.2	Bad Kissingen
Kaiserslautern	242.2	8., 31.	747.6	21.	733.0	741.9	762.9	16.5	26.3	19.9	20.6	27.5	13.9	20.7	13.6	Kaiserslautern
Luitpoldheim	250	–	–	–	–	–	–	14.4	25.1	19.4	19.6	26,2	13.2	19.7	13 0	Luitpoldheim
Bamberg	287.7	8.	745.0	22.	729.2	738.0	763.0	16.6	26.7	19.4	20.5	28.6	13.5	21.1	15,1	Bamberg
Nürnberg	309.1	8.	741.9	22.	727.4	735.6	762.3	17 6	25 7	20.7	21,2	26.4	14.2	20.3	12.2	Nürnberg
Passau	309.3	8.	742.3	22.	728.9	730.2	763.1	15.3	24.4	18.5	19.2	25.9	13.7	19 8	12.2	Passau
Metten	320	–	–	–	–	–	–	15.7	25.2	18.6	19.5	26.9	12.0	19.4	14.9	Metten
Regensburg	342.6	8	739.1	22.	725.4	733.2	762 9	16.6	25.4	17.9	19.4	26.8	13.5	20.2	13.3	Regensburg
Bayreuth	363.3	8.	738.7	22.	723.0	731.5	762,8	15.4	25.4	19.6	20.0	27.2	12.7	19.9	14.5	Bayreuth
Burghausen	365	31.	737.3	22.	723.1	731.2	762.9	14.7	24.6	16.5	18,1	27.4	11.7	19.5	15.7	Burghausen
Karlshuld	382.0	8.	735.3	22.	721.3	729.3	762.2	16.5	26.1	18,6	19.9	29.6	10.5	20.0	19,2	Karlshuld
Landshut	397.7	8.	734.1	22.	720.5	728.1	762.6	15.8	26.4	18.2	19.6	28.7	12.4	20.6	16.3	Landshut
Lindau i. B. (Reutin)	401.7	31.	733.1	22.	719.9	728,1	762.7	16.9	24.9	19.7	20.3	26.3	13.7	20.0	12.6	Lindau i. B. (Reutin)
Weissenburg i. B.	431	8.	731.8	22.	717.5	725,8	762.7	17.6	25.7	19.3	20.5	26.4	13.7	20.1	12.7	Weissenburg i. B.
Nördlingen	435.6	8.	730.6	22.	716.4	724,6	762,0	15.9	25.7	19.2	20.0	26,6	14.0	20.3	12.6	Nördlingen
Ansbach	437.5	8.	731.2	22.	716.6	725,1	762.8	16.5	25.2	18.1	19.4	26.2	12,9	19.6	13.3	Ansbach
Hof	476.1	8.	729.0	22.	713.4	721,6	762,8	13.5	24.6	14.9	17.0	25.8	9.2	17.5	16.6	Hof
Bad Reichenhall	477	31.	727.8	23.	713.7	721.8	762,8	17.0	24.6	18.0	19.4	27.3	14.6	20.9	12.7	Bad Reichenhall
Augsburg	499.6	31.	726.0	21.	712.3	720.4	763.1	16.5	25.9	20.4	20.8	27.2	14.6	20.9	12.6	Augsburg
München C.-St.	526.4	31.	723.3	22.	710.0	717.7	762,6	17.3	25.0	19.3	20,2	26.0	15.3	20,6	10.7	München C.-St.
Alexandersbad	590	–	–	–	–	–	–	14.3	22.4	15.8	17.1	23.3	11.2	17.2	12,1	Alexandersbad
Traunstein	597	31.	717.9	22.	704.9	712.3	763.5	15.3	23.5	16.7	18.0	24.7	12.4	18 6	12.2	Traunstein
Berchtesgaden	600	–	–	–	–	–	–	14.2	22.5	16.4	17.4	23.7	12.0	17.8	11.7	Berchtesgaden
Ottobeuren	660.0	31.	711.6	22.	699.1	706.6	762.7	16.9	24.9	16.9	18.4	25.6	12.4	19.0	13.3	Ottobeuren
Partenkirchen	714.6	31.	707.5	22.	694.7	702.4	763.1	14.1	23.2	16.3	17.5	24.4	12,2	18.3	12.2	Partenkirchen
Tegernsee	742	31.	705.5	22.	693.3	700.3	763.3	14.6	22.9	16.9	17.8	24.2	13.5	18.9	10.7	Tegernsee
Buchenau	750	8	704.9	22.	691.6	698.8	762.7	12.9	20.9	14.9	15.9	22.5	11.8	17.2	10.7	Buchenau
Oberstdorf	811.4	31.	699.4	22.	686.7	694.4	763.0	13.4	23.4	15.5	17.0	24.3	10.1	17.2	14.2	Oberstdorf
Ettal (Benediktinerabt.)	879.5	31.	692.6	22.	680.2	687.7	?	14.3	22.3	14.8	16.5	23.4	11.0	17.2	12.5	Ettal (Benediktinerabt.)
Mittenwald	910	31.	691.4	22.	678.7	686.3	763.1	13.2	22.3	13.7	15.7	23.5	9.8	16.7	13.7	Mittenwald
Hohenpeissenberg	993.9	8., 31.	684.3	22.	672.7	679.7	762.6	15.6	20 8	16.8	17.5	22.0	13.7	17.8	8.3	Hohenpeissenberg
Zugspitze	2964	8.	540 9	16.	531.3	536.4	–	2.9	5.1	3.1	3.5	6.0	1.7	3.8	4.3	Zugspitze

Station	Temperatur C°: höchste am	höchste C°	tiefste am	tiefste C°	grösste Schwankung am	grösste Schwankung C°	Dampfdruck Monatsmittel mm	Relative Feuchtigkeit %: Monatsmittel	kleinste am	kleinste %	grösste am	grösste %	Bewölkung Monatsmittel	Niederschlag: grösster am	grösster mm	Monats-Summe mm	Station
Ludwigshafen a/Rh.	10.	32.8	18.	10,2	18.	16.2	10.3	53	14.	17	23.	94	3.1	24.	8.5	18.8	Ludwigshafen a/Rh.
Kahl a/M.	9.	35.9	18.	7.1	8.	24.3	10.5	59	12.	17	23.	99	3.2	24.	8.4	13 4	Kahl a/M.
Landau i. Pf.	10.	32.1	18.	10,2	18.	16 8	10,6	54	14.	19	23.	93	3.9	26.	13.0	28.1	Landau i. Pf.
Würzburg	3., 8.	30.8	18.	11.7	29.	16.7	10.5	60	12.	22	23.	99	3.5	26.	7.0	17.7	Würzburg
Bad Kissingen	3.	32.0	5.	9,2	6.	20.7	10.2	62	öfters	28	24.	99	4.2	23.	11.7	31.5	Bad Kissingen
Kaiserslautern	10.	32.4	18.	7.2	8.	19.5	10.3	60	14.	19	öfters	96	3.7	24.	31 4	53.9	Kaiserslautern
Luitpoldheim	9.	30.5	27.	9.5	14.	18.0	11.1	68	21.	33	25.	100	2.9	23.	47.5	58.0	Luitpoldheim
Bamberg	6., 29.	33.7	18.	7.8	6.	21.5	10.2	59	1., 12.	24	25.	100	5.1	23.	4.1	14,3	Bamberg
Nürnberg	6.	32.0	18.	10.6	6.	17.2	11.5	62	2.	39	23., 24.	94	4.5	26.	12.2	24.7	Nürnberg
Passau	6	30.2	2.	10.9	3.	16.8	11.6	71	1., 10.	34	4.	97	5.3	27.	13.0	4 .5	Passau
Metten	6.	31.8	18.	5.5	20.	20.1	11.2	69	3.	26	öfters	98	5.3	25.	10.3	36.9	Metten
Regensburg	6.	32.3	18.	8.6	20.	19.0	9.5	58	3.	22	23., 27.	96	5.5	24.	5.0	20.8	Regensburg
Bayreuth	3.	31.4	18.	7.3	13.	19,3	10.0	60	12.	27	25., 26.	97	4.4	25.	15.5	26.9	Bayreuth
Burghausen	0.	31.7	19.	7.0	20.	23.6	11.1	73	3.	23	öfters	99	5.2	31.	17.5	45.6	Burghausen
Karlshuld	3., 29.	34.0	18.	5.0	2.	27.3	10.8	63	1.	22	14., 24.	96	4.0	25.	32.4	56.9	Karlshuld
Landshut	20.	34.0	18.	6,5	20.	23.8	10,1	62	1.	21	öfters	95	4.0	24.	12.0	42.0	Landshut
Lindau i. B. (Reutin)	8.	30.9	18.	8,1	19.	18.8	12.1	70	1.	27	21., 31.	100	3.5	31.	17.7	78.3	Lindau i. B. (Reutin).
Weissenburg i. B.	6	31.0	18.	9.1	20.	18.8	12,3	69	1.	40	24.	96	4.9	24.	16.9	28.5	Weissenburg i. B.
Nördlingen	3.	31.3	18.	9.6	29.	17.4	9.8	58	9., 10.	25	25.	96	3.9	25.	24.0	43.0	Nördlingen
Ansbach	6.	30,0	18.	8.7	6.	18.0	8.7	52	2.	17	21.	88	3.3	22.	7.2	18,1	Ansbach
Hof	29	31.6	17.	4.0	29.	23.8	9.9	70	12.	22	25.	99	4.6	5.	20.7	46.7	Hof
Bad Reichenhall	6.	34.4	1.	9.0	1.	18,2	10.3	62	20.	24	31.	93	4.8	31.	19.8	44 2	Bad Reichenhall
Augsburg	8.	31.8	18.	10,3	20.	17.0	10.7	60	3.	26	21.	96	3.7	31.	11.6	36.8	Augsburg
München C.-St.	6.	30.6	18.	11.0	20.	15 7	10,1	59	3.	24	31.	92	4.8	31.	25.7	74.9	München C.-St.
Alexandersbad	29.	28.5	1.	8.1	6.	17.7	9.7	68	10., 13.	32	25.	100	3.4	25.	28.8	55.1	Alexandersbad
Traunstein	20.	29.4	1.	8.4	20.	18,2	10.1	67	20.	21	öfters	100	4 5	24.	46.2	98.1	Traunstein
Berchtesgaden	23.	28.1	1.	8,2	19.	16.9	10.5	72	19.	27	5.	97	4.9	5.	19.1	72.9	Berchtesgaden
Ottobeuren	3.	29.1	18.	7.0	18.	18.0	10.1	62	1., 3.	27	31.	95	3.2	31.	26.0	62.9	Ottobeuren
Partenkirchen	6.	28.4	18.	7.4	20.	18.5	10.0	69	19.	24	24., 30.	99	3.5	31.	17.0	69.7	Partenkirchen
Tegernsee	20.	28.1	18.	8.6	18.	15 5	10.3	68	2.	37	15.	98	4 8	31.	16.2	77.9	Tegernsee
Buchenau	3.	27.1	18.	6,0	28.	14.3	10.2	76	11.	39	24., 25.	99	4.8	25.	12.6	51.7	Buchenau
Oberstdorf	8., 21.	27.9	18.	4.9	18.	19.2	9 8	69	19.	24	31.	98	4.2	31.	13.2	76,8	Oberstdorf
Ettal (Benediktinerabt.)	21.	26.9	18.	5.6	18.	18.1	9.1	66	19.	20	22.	95	3 6	31.	35.4	110.0	Ettal (Benediktinerabt.)
Mittenwald	6.	28.0	18.	4.7	19.	18.9	9.5	71	19.	30	4.	99	4 6	31.	20.7	84.2	Mittenwald
Hohenpeissenberg	21.	26.2	31.	8,0	21.	12.2	8,5	58	19.	16	31.	100	4.3	24.	23,8	100,8	Hohenpeissenberg
Zugspitze	9.	10.9	17.	– 3.3	28.	7.2	5.0	84	18.	25	öfters	100	5 5	22.	9.5	46.7	Zugspitze

Station	Tage mit										Tage				Anzahl der beobachteten Windrichtungen									Station
	Niederschlägen		Schneefall	Schneedecke	Graupeln	Hagel	Gewitter	Nebel	Reif	Tau	heitere	trübe	Sommer	Frost	N	NE	E	SE	S	SW	W	NW	Stille	
	≥ 0.1mm	≥ 1.0mm																						
Ludwigshafen a/Rh.	6	5	–	–	–	–	5	–	–	1	13	1	25	–	16	9	7	5	6	11	19	1	19	Ludwigshafen a/Rh.
Kahl a/M.	5	3	–	–	–	–	1	1	–	5	14	2	25	–	1	4	14	15	6	13	3	4	33	Kahl a/M.
Landau i. Pf.	7	5	–	–	–	–	6	–	–	6	12	4	26	–	–	31	–	4	–	25	6	27	–	Landau i. Pf.
Würzburg	6	4	–	–	–	1	4	1	–	9	10	1	22	–	1	3	9	5	4	9	8	14	40	Würzburg
Bad Kissingen	10	6	–	–	–	–	3	3	–	15	7	4	22	–	16	8	4	2	2	5	25	6	25	Bad Kissingen
Kaiserslautern	8	4	–	–	–	–	4	1	–	8	12	2	23	–	7	1	13	6	1	1	20	10	34	Kaiserslautern
Luitpoldheim	9	3	–	–	–	–	4	8	–	12	13	2	20	–	3	3	12	1	–	30	1	–	43	Luitpoldheim
Bamberg	17	4	–	–	–	–	5	2	–	19	5	5	23	–	17	4	12	6	10	3	22	11	8	Bamberg
Nürnberg	6	5	–	–	–	–	7	8	–	17	5	2	21	–	7	7	14	15	8	8	11	21	2	Nürnberg
Passau	13	10	–	–	–	–	11	2	–	12	7	7	21	–	–	–	12	–	2	–	9	6	64	Passau
Metten	13	9	–	–	–	–	7	1	–	19	6	7	23	–	–	6	5	–	7	8	18	2	47	Metten
Regensburg	11	6	–	–	–	–	6	2	–	2	3	7	24	–	18	5	–	6	8	7	10	14	25	Regensburg
Bayreuth	8	4	–	–	–	–	6	3	–	15	6	3	22	–	1	6	21	12	1	5	17	17	3	Bayreuth
Burghausen	11	9	–	–	–	–	10	2	–	11	5	6	26	–	1	6	16	6	4	19	–	–	41	Burghausen
Karlshuld	7	7	–	–	–	–	3	2	–	15	9	2	27	–	–	9	11	–	1	9	27	6	30	Karlshuld
Landshut	15	6	–	–	–	1	5	–	–	7	8	3	27	–	5	2	13	1	4	10	23	3	32	Landshut
Lindau i. B. (Reutin)	11	7	–	–	–	–	11	–	–	14	13	3	21	–	10	29	1	5	19	2	17	1	9	Lindau i. B. (Reutin)
Weissenburg i. B.	9	6	–	–	–	–	4	–	–	6	4	2	21	–	2	5	7	9	8	13	14	11	24	Weissenburg i. B.
Nördlingen	8	5	–	–	–	–	11	–	–	4	9	2	20	–	2	4	8	6	6	12	25	12	18	Nördlingen
Ansbach	6	5	–	–	–	–	6	–	–	3	8	1	22	–	2	5	3	1	1	4	22	11	44	Ansbach
Hof	16	7	–	–	–	1	8	3	–	24	4	4	20	–	17	7	4	7	7	10	8	19	14	Hof
Bad Reichenhall	13	6	–	–	–	–	4	–	–	4	8	6	22	–	–	1	18	–	12	27	27	3	5	Bad Reichenhall
Augsburg	9	6	–	–	–	–	5	–	–	5	11	2	24	–	3	6	14	7	2	33	4	15	9	Augsburg
München C.-St.	13	9	–	–	–	–	8	–	17	–	7	6	20	–	–	5	13	8	1	36	6	11	13	München C.-St.
Alexandersbad	11	6	–	–	–	–	5	3	–	18	9	–	11	–	2	14	8	2	1	4	19	11	32	Alexandersbad
Traunstein	11	7	–	–	–	1	6	1	–	9	7	2	15	–	3	9	12	5	13	20	10	21	–	Traunstein
Berchtesgaden	12	10	–	–	–	–	9	–	–	21	7	5	10	–	–	–	14	4	1	–	3	–	71	Berchtesgaden
Ottobeuren	11	8	–	–	–	–	10	–	–	12	14	4	22	–	1	8	6	9	–	28	5	3	33	Ottobeuren
Partenkirchen	10	9	–	–	–	–	9	–	–	14	12	2	14	–	9	–	–	8	24	–	–	16	36	Partenkirchen
Tegernsee	13	11	–	–	–	–	6	–	–	8	6	2	14	–	1	–	60	1	2	–	8	21	–	Tegernsee
Buchenau	15	10	–	–	–	–	11	–	–	14	8	3	9	–	–	4	30	2	–	2	31	1	23	Buchenau
Oberstdorf	10	8	–	–	–	–	5	–	–	22	12	4	13	–	–	–	–	–	1	13	10	23	46	Oberstdorf
Ettal (Benediktinerabt.)	11	9	–	–	–	1	8	1	–	19	15	3	10	–	–	2	5	3	1	5	4	4	69	Ettal (Benediktinerabt.)
Mittenwald	13	12	–	–	–	–	7	–	–	11	8	7	11	–	11	9	4	5	13	1	3	2	45	Mittenwald
Hohenpeissenberg	12	12	–	–	–	1	6	1	–	–	11	5	4	–	2	14	8	4	2	17	19	26	1	Hohenpeissenberg
Zugspitze	13	7	4	1	2	3	8	16	4	2	7	7	–	6	32	7	7	4	13	1	14	12	3	Zugspitze

Übersicht über die Witterungsverhältnisse im Königreiche Bayern

während des September 1911.

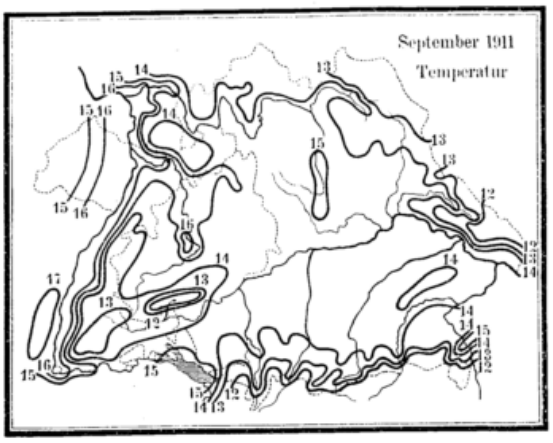
Der Witterungsverlauf scheidet den Berichtsmonat deutlich in zwei Teile. Die Zeit vom Beginn des Monats bis zum 12. gehörte einer Schönwetterperiode an, welche nur einige kurz dauernde gewitterige Störungen des sonnigen und warmen Herbstwetters aufwies. Vom 13. ab herrschte vorwiegend bewölktes Wetter mit ziemlich häufigen Niederschlägen. Die Temperaturen schwankten während dieser Epoche mit nur geringer Amplitüde um den Mittelwert. Immerhin traten auch in der zweiten Monatshälfte noch eine grössere Anzahl heiterer Herbsttage auf, so dass der Gesamteindruck des diesjährigen September ein freundlicher genannt werden kann, wie ja auch die Wirkungen des milden und genügend feuchten Herbstwetters auf die Vegetation sehr günstige waren.

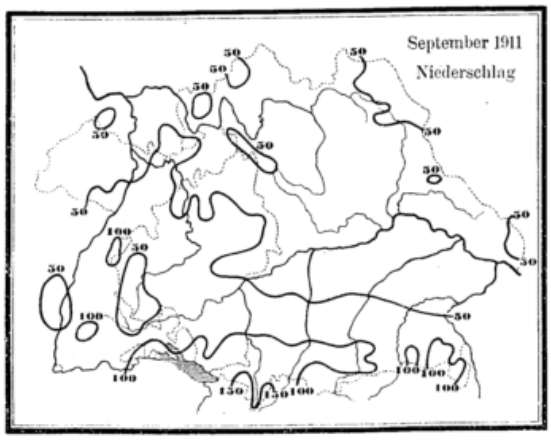
Die Mitteltemperaturen fielen an fast allen unseren Beobachtungsorten höher aus als die an langjährigen Reihen abgeleiteten Normalwerte, eine Folge der hohen Wärmegrade, die während der ersten Monatshälfte mit nur kurzen Unterbrechungen beobachtet wurden. Auf der schwäbisch-bayerischen Hochebene, wie auch in einigen günstig gelegenen Alpentälern bezifferte sich die Differenz auf 1.5 bis 2.5 Grad. Hingegen ergaben sich im Maingebiete sowie im Donautal von Kelheim abwärts und im Regentale Mitteltemperaturen, welche nur um weniger als 1 Grad, vielfach sogar um weniger als $^1/_2$ Grad, den Normalbetrag überragten. Regensburg berechnete sogar eine negative Abweichung von 0.2, Kahl a. M. eine solche von 0.3 Grad.

Die Niederschlagsmengen des diesjährigen September erreichten nur an vereinzelten Orten den normalen Betrag, zumeist wurden nur 50 bis 80 Prozent, stellenweise aber, wie im Bayerischen Wald und in der Westpfalz, sogar nur 20 bis 30 Prozent der durchschnittlichen Regenmenge erhalten.

Dieser allgemeinen Charakterisierung des Monats nach den beiden wichtigsten meteorologischen Elementen lassen wir zunächst eine gedrängte Schilderung des zeitlichen Witterungsverlaufes an Hand der täglichen Wetterkarten folgen: Während der vier ersten Monatstage behauptete ein kontinentales Maximum unbestritten die Herrschaft, so dass sonniges und mildes Wetter bestand. Am 5. September machten kleinere Störungen in der Luftdruckverteilung ihren Einfluss geltend, so dass es zu etwas stärkerer Bewölkung und stellenweise zu Gewittern mit schwachen Regenfällen kam. Doch schon am folgenden Tage war der Einfluss dieser Unregelmässigkeiten wieder überwunden. Am Morgen des 9. September lag ein tiefes Minimum über der Ostsee und ein Ausläufer niedrigen Druckes reichte weit in die zentralen Lagen Europas herein. Ausserdem war noch über Nordfrankreich und dem Kanal ein flaches Minimum zu erkennen. Der Durchzug dieser Störungen verursachte den Ausbruch zahlreicher Gewitter, die zwar nur von geringfügigen Niederschlägen, dagegen von ziemlich empfindlicher Abkühlung begleitet waren. Da aber die Depression rasch nach Russland abzog und hoher Luftdruck über Zentraleuropa sich entwickelte, trat alsbald wieder Aufheiterung und Erwärmung ein. Am Morgen des 13. September lag ein Depressionszentrum über dem Norwegischen Meere, während hoher Druck im Südosten Europas sich befand. Das Minimum verfolgte östliche Bahn und der Durchzug eines südlichen Ausläufers über unser Gebiet verursachte zunächst in der Pfalz und in Nordbayern Zunahme der Bewölkung sowie Niederschläge, die stellenweise von elektrischen Entladungen begleitet waren. Im südlichen Bayern verzögerte Föhnwirkung den Witterungsumschlag bis zum 15. September. Die Temperaturen fielen nun ziemlich rasch und lagen bereits am 16. an allen unseren Stationen unter dem Normalwerte. Da hoher Luftdruck kräftig von Westen her nach Zentraleuropa vordrang, traten bald wieder günstigere Witterungsverhältnisse ein, die Niederschläge hörten allmählich auf und die abnehmende Bewölkung gestattete wieder stärkere Insolation. Auch die Temperaturen stiegen wieder einige Grade über den Mittelwert. Nennenswerte Niederschläge und Abkühlung traten erst wieder am 20. und in den darauffolgenden Tagen ein, als eine ausgedehnte Depression über den grössten Teil Europas sich ausgebreitet hatte. Die Wirkung der zahlreichen kleineren Unregelmässigkeiten, die sich im Bereiche der Depression vorfanden, dauerte bis zum 24. Dann gelangte wieder hoher Druck zur Herrschaft, und insbesondere am 26. und 27. September erfreute sich der Süden unseres Gebietes sonnigen und milden Herbstwetters. Während der drei letzten Monatstage waren es wieder Ausläufer und Randgebilde einer im Norden Europas vorbeiziehenden Depression, welche für unser Gebiet wolkiges bis trübes Wetter mit verbreiteten Niederschlägen sowie Abkühlung zur Folge hatten.

Auf dem ersten der beigegebenen Kärtchen ist die geographische Verteilung der mittleren Temperatur über Süddeutschland dargestellt. In der Rheinebene wurden Temperaturen von mehr als 16, im Windschatten der Vogesen sogar von mehr als 17 Grad ermittelt. Die Isotherme von 15 Grad umfasst noch das unterste Maintal, ferner die Tallagen des unteren und mittleren Neckar und dessen Zuflüsse, das unmittelbare Ufergelände des Bodensee, das Talbecken von Reichenhall, sowie einen Landstrich, der sich von Weissenburg i. B. nordwärts über Nürnberg bis nach Erlangen hinzieht. Im grössten Teile des ebenen Geländes ergaben sich Mitteltemperaturen zwischen 14 und 15 Grad, erst mit dem Anstieg gegen die Gebirge nehmen die Temperaturen noch weiter ab. Selbst auf der Zugspitze in ungefähr 3000 m Seehöhe wurde noch ein positives Temperaturmittel von 1.3 Grad berechnet. Das mittlere Maximum erreichte in der Rheinebene und im unteren Maintale, ferner in der weiteren Umgebung von Bamberg sowie auf dem so häufig ausgezeichneten Gebiete nördlich der bayerischen Hochebene zwischen den Unterläufen von Lech und Isar mehr als 22 Grad. Anderseits tritt dieses Gebiet durch verhältnismässig tiefe Minima hervor, die stellenweise auf 6 bis 7 Grad herabsanken und somit hinter den entsprechenden Werten der Rheinebene, wo über 11 Grad ermittelt wurden, bedeutend zurückbleiben. Die absoluten Maxima erreichten in der ersten Monatshälfte an allen bayerischen Stationen unter 1000 m Seehöhe öfters mehr als 25 Grad, in Seehöhen von weniger als 500 m stieg die Höchsttemperatur sogar zumeist auf mehr als 30 Grad an. Die Zahl der Sommertage schwankt um den Wert 10, wobei die Stationen des Alpengebietes und der bayerischen Hochebene gegenüber den tiefer liegenden Orten des Maingebietes etwas begünstigt erscheinen. Frost wurde nur an den Stationen Karlshuld im Donaumoos und Hof an je zwei Tagen in geringer Intensität verzeichnet; auch Reifbildung trat nur vereinzelt auf.





Das zweite Kärtchen stellt die geographische Verteilung der Niederschlagsmengen über Süddeutschland dar. Wie schon weiter oben erwähnt, fielen die Regenmengen im Vergleich zu den vieljährigen Durchschnittswerten fast ausnahmslos zu niedrig aus. Die bedeutendsten Beträge mit mehr als 150 mm ergaben sich im Algäu. Die Isohyete für 100 mm umfasst das Bodenseegebiet, Oberschwaben, das Vorland der Bayerischen Alpen zwischen dem Gebirgsfuss und den oberbayerischen Seen, ferner das Alpenland zwischen Inn und Salzach und die höchsten Erhebungen des nördlichen und südlichen Schwarzwaldes. Jenseits der Linie Burghausen—Ulm wurden im diesseitigen Bayern mit Ausnahme einiger Gebirgslagen weniger als 50 mm monatliche Niederschlagsmenge erreicht. In der Pfalz bildete die südliche Hälfte der Rheinebene das niederschlagsreichere Gebiet mit mehr als 50 mm. Die Niederschlagshäufigkeit war während der ersten Monatshälfte sehr gering, wie wir schon bei der Darstellung des zeitlichen Witterungsverlaufes erwähnen konnten. Hingegen fielen während der zweiten Hälfte des Berichtsmonats in ziemlicher Häufigkeit Niederschläge. Die Zahl der Niederschlagstage bewegt sich, wenn man nur ergiebigere Niederschläge mit einem Messungsergebnis von mindestens 1.0 mm in Betracht zieht, nahe um den Wert 9. Die Stärke der Niederschläge war, von einzelnen heftigen Gewitterregen abgesehen, mässig, so dass sich unter der gleichen Einschränkung der Betrachtung nur stärkerer Niederschläge eine mittlere Niederschlagsdichte von 3 bis 6 mm ergab. Nur im Alpengebiet berechneten sich durchgehends höhere Werte; in Lindau sowie im Algäu und in dessen Vorland 13 bis 17 mm.

Die mittlere Bewölkungsziffer betrug über unserem Gebiete zwischen 4 und 6 Zehnteln der vollen Bedeckung. Die Anzahl der heiteren Tage betrug in der Pfälzer Rheinebene, im unteren Maintal, am Ufergelände des Bodensee, im Reichenhaller Talbecken, ferner am Nordrande der schwäbisch-bayerischen Hochebene, sowie an einigen nordbayerischen Mittelgebirgslagen 10 bis 13, in den übrigen Gebietsteilen 6 bis 9. Die Anzahl der trüben Tage lag zumeist zwischen den Grenzen 7 und 10.

Die mittleren, auf Meeresniveau reduzierten Barometerstände gruppieren sich sehr nahe um den Wert 764.5 mm, ohne dass ein nach irgendwelcher Richtung deutlich ausgesprochenes Gefälle zu erkennen wäre. Winde aus westlichen Richtungen waren vorherrschend, doch wurden auch an vielen Stationen Windstillen in grösster Häufigkeit verzeichnet.

München, 24. Oktober 1911.

Alt.

Station	Höhe über Normal-Null	Luftdruck in mm						Temperatur C°							Station
		höchster		tiefster		Monatsmittel		Mittel um			Mittlere Tagestemperatur	Mittleres		Mittel aus Maximum und Minimum	Mittlere Schwankung	
	m	am	mm	am	mm	lokal	auf Meeresniveau reduziert	7ª	2ᵖ	9ᵖ		Maximum	Minimum			
Ludwigshafen a/Rh.	100.3	18.	761.0	21.	742.7	755.5	764.4	13.1	21.4	17.0	17.1	22.1	11.5	16.8	10.7	Ludwigshafen a/Rh.
Kahl a/M.	114.1	18.	759.1	30.	741.7	754.0	764.5	10.7	21.0	13.6	14.7	22.6	7.0	14.8	15.6	Kahl a/M.
Landau i. Pf.	149.9	18., 27.	755.9	21.	740.2	750.9	764.2	13.7	21.5	15.6	16.6	22.7	11.4	17.1	11.3	Landau i. Pf.
Würzburg	179.3	1.	753.8	30.	736.1	747.9	763.8	10.9	20.3	14.0	14.8	21.4	9.7	15.5	11.7	Würzburg
Bad Kissingen	209.2	1.	752.2	30.	733.7	745.8	764.5	9.6	19.9	12.4	13.6	20.9	8.1	14.5	12.8	Bad Kissingen
Kaiserslautern	242.2	18.	748.5	21.	730.9	743.0	764.5	10.9	20.7	14.0	14.9	21.4	9.1	15.2	12.3	Kaiserslautern
Luitpoldheim	250	–	–	–	–	–	–	9.1	19.3	14.0	14.1	20.1	7.9	14.0	12.2	Luitpoldheim
Bamberg	287.7	1.	744.9	30.	727.3	739.1	764.6	10.3	20.9	14.0	14.8	22.6	8.5	15.5	14.0	Bamberg
Nürnberg	309.1	1.	742.6	21.	726.3	736.8	764.1	11.1	20 0	15.0	15.3	20.8	9.3	15.0	11.6	Nürnberg
Passau	309.3	1.	743.7	21.	726.3	737.4	764.8	10.5	19.6	13.9	14.5	20.6	8.5	14.6	12.1	Passau
Metten	320	–	–	–	–	–	–	10.0	20.1	13.5	14.2	21.3	7.5	14.4	13.8	Metten
Regensburg	342.6	2.	739.8	30.	723.5	734.2	764.4	10.8	20.3	12.8	14.2	21.0	8.3	14.6	12.7	Regensburg
Bayreuth	363.3	1.	738.4	21.	721.3	732.6	764.7	10.1	19.6	13.9	14.2	21.2	8.1	14.6	13.1	Bayreuth
Burghausen	365	1.	737.8	21.	720 6	732.1	764.4	9.7	20.1	12.0	13.4	21.6	7.8	14.7	13.7	Burghausen
Karlshuld	382.0	1.	736.2	21.	719 8	730.4	764.0	10.5	20.2	13.7	14.5	22.7	6.8	14.7	15.9	Karlshuld
Landshut	397.7	1.	734.7	21.	718.0	729.1	764.4	10.2	20.6	13.1	14.2	22.8	7.8	15.3	15.0	Landshut
Lindau i. B. (Reutin)	401.7	27.	734.3	21.	718.9	729.4	764.6	12.5	19.0	14.6	15.2	21.1	10.0	15.5	11.1	Lindau i. B. (Reutin)
Weissenburg i. B.	431	2.	731.7	21.	716.3	727.0	765.1	12.1	20.4	14.1	15.2	21.0	9.4	15.2	11.6	Weissenburg i. B.
Nördlingen	435.6	1.	730.9	30.	715.1	725.5	763.6	11.2	20.1	14.3	15.0	21.3	9.6	15.5	11.7	Nördlingen
Ansbach	437.5	1.	731.3	30.	714.8	725.9	764.4	10.4	19.6	13.0	14.0	21.0	8.3	14.6	12.8	Ansbach
Hof	476.1	2.	728.2	21.	711.2	722.4	764.5	7.5	19.5	10.5	12.0	20.5	5.1	12.8	15.3	Hof
Bad Reichenhall	477	1.	728.0	21.	710.8	722.5	764.1	12.9	20.4	13.9	15.3	21.7	11.2	16.4	10.5	Bad Reichenhall
Augsburg	499.6	2.	726.4	21.	710.7	721.1	764.5	12.4	20 9	15.5	16.1	21.8	10.5	16.2	11.3	Augsburg
München C.-St.	526.4	2.	723.4	21.	707.3	718.4	764.1	12.9	20.1	14.8	15.6	21.1	11.3	16.2	9.8	München C.-St.
Alexandersbad	590	–	–	–	–	–	–	8.6	17.2	11.3	12.1	18.3	6.8	12.6	11.6	Alexandersbad
Traunstein	597	2.	717.8	21.	701.5	712.9	764.9	10.8	19.0	12.5	13.7	19.9	9.2	14.6	10.7	Traunstein
Berchtesgaden	600	–	–	–	–	–	–	10.7	18.4	13.0	13.7	19.5	8.9	14.2	10.6	Berchtesgaden
Ottobeuren	660.0	3.	711.9	21.	697.8	707.3	764.5	12.1	19.3	12.3	14.0	20.1	8.9	14.5	11.2	Ottobeuren
Partenkirchen	714.6	2.	708.3	21.	691.5	703.0	764.7	10.7	18.9	12.8	13.8	20.1	9.5	14.8	10.7	Partenkirchen
Tegernsee	742	2.	705.8	21.	690.8	700.8	764.6	12.0	19.2	13.6	14.6	20.6	11.0	15.8	9.5	Tegernsee
Buchenau	750	1., 2.	704.9	21.	688.2	699.2	764.2	9.0	17.1	10.7	11.9	17.9	8.1	13.0	9.8	Buchenau
Oberstdorf	811.4	3.	700.0	21.	685.6	695.0	764.9	9.4	18.7	11.6	12.8	20.0	6.9	13.4	13.0	Oberstdorf
Ettal (Benediktinerabt.)	881.5	2.	693.1	21.	677.1	688.1	–	9.8	17.8	11.4	12.6	19.3	8.3	13.8	11.0	Ettal (Benediktinerabt.)
Mittenwald	910	2.	691.9	21.	675.0	686.6	764.5	10.4	18.2	10.6	12.4	19.1	8.1	13.6	11.0	Mittenwald
Hohenpeissenberg	993.9	2.	684.9	21.	669.8	679.9	764.1	12.1	16.1	13.4	13.8	17.3	10.4	13.8	6.9	Hohenpeissenberg
Zugspitze	2964	2.	543.1	23.	523.5	535.0	–	0.6	2.7	0.9	1.3	3.9	−1.0	1.4	4.9	Zugspitze

Station	Temperatur C°						Dampfdruck	Relative Feuchtigkeit %					Bewölkung	Niederschlag			Station
	höchste		tiefste		grösste Schwankung		Monatsmittel	Monatsmittel	kleinste		grösste		Monatsmittel	grösster		Monats-Summe	
	am	C°	am	C°	am	C°	mm		am	%	am	%		am	mm	mm	
Ludwigshafen a/Rh.	3.	32.4	30.	7.0	3.	19.4	8.8	64	11.	20	26.	99	4.9	24.	11.4	38.7	Ludwigshafen a/Rh.
Kahl a/M.	3.	32.9	17.	0.7	3.	26.1	8.8	74	2., 11.	24	öfters	100	4.2	15.	7.7	35.2	Kahl a/M.
Landau i. Pf.	3.	32.9	17.	5.9	5.	19.2	9.2	66	11.	23	23.	97	4.9	15.	19.4	34.6	Landau i. Pf.
Würzburg	3.	31.6	30.	4.6	3.	22.6	8.8	73	3.	20	14.	99	4.6	15.	34.6	57.4	Würzburg
Bad Kissingen	3.	31.3	17.	2.2	3.	25.7	8.5	75	2.	18	14.	99	5.1	15.	10.1	34.6	Bad Kissingen
Kaiserslautern	3.	31.2	17.	3.0	2., 3.	20.7	8.5	70	11.	21	27., 28.	99	4.9	22.	7.7	23.2	Kaiserslautern
Luitpoldheim	3.	29.7	17.	2.4	3.	22.0	9.0	78	7.	31	öfters	100	4.1	15.	7.7	34.4	Luitpoldheim
Bamberg	3.	33.3	30.	1.9	3.	25.0	8.4	70	3.	19	öfters	99	5.4	15.	12.6	41.8	Bamberg
Nürnberg	3.	31.8	12.	3.9	3.	21.8	9.9	76	9.	51	28.	99	5.4	22.	9.9	51.0	Nürnberg
Passau	9.	28.4	12.	3.8	4.	23.0	9.2	77	öfters	34	21., 26.	99	5.9	10.	9.9	38.5	Passau
Metten	3.	29.6	12.	1.8	3.	22.5	9.1	78	öfters	29	öfters	99	5.1	23.	5.3	26.7	Metten
Regensburg	3.	30.1	30.	2.8	8.	21.1	7.8	66	8.	21	26.	94	6.0	1.	9.1	34.1	Regensburg
Bayreuth	2., 3.	32.0	12.	2.3	3.	24.7	8.2	71	2.	17	14., 27.	99	5.4	15.	14.8	37.7	Bayreuth
Burghausen	9.	29.0	12.	3.3	13.	22.2	9.2	81	öfters	34	1., 28.	100	5.7	29.	10 3	49.3	Burghausen
Karlshuld	3.	34.0	12.	− 1.2	12.	27.3	8.8	74	8.	28	21., 27.	100	4.6	22.	16.1	46.8	Karlshuld
Landshut	3.	31.4	18.	3.1	13.	24.8	8.4	72	8.	21	21., 23.	98	4.4	22.	9.2	37.5	Landshut
Lindau i. B. (Reutin)	13.	28.6	18.	5.1	12.	19.2	10.8	84	13.	43	öfters	100	4.1	22.	36.6	118.5	Lindau i. B. (Reutin)
Weissenburg i. B.	3.	31.0	30.	3.8	3.	21.1	9.8	76	1., 3.	41	17.	98	4.9	22.	8.6	38.4	Weissenburg i. B.
Nördlingen	3.	31.5	11.	5.0	3.	19.4	8.4	68	9.	23	öfters	96	4.9	16.	9.4	44.8	Nördlingen
Ansbach	3.	31.2	30.	2.1	3.	22.3	7.6	66	8.	24	26.	99	4.5	23.	7.5	39.0	Ansbach
Hof	3.	32.3	12.	− 2.2	3.	30.7	7.6	76	2.	10	23.	100	5.4	10.	11.1	53.0	Hof
Bad Reichenhall	9., 13.	30.1	18.	5.1	12.	19.1	9.0	72	13.	28	23.	99	5.0	29.	17.6	79.7	Bad Reichenhall
Augsburg	3.	30.9	24.	4.8	2., 12.	20.2	9.1	68	8.	29	15., 16.	98	3.9	24.	10.7	50.2	Augsburg
München C.-St.	3.	29.3	30.	6.6	12.	16.1	8.6	67	13.	25	23.	98	4.8	29.	18.5	69.4	München C.-St.
Alexandersbad	3.	29.8	12.	1.0	13.	22.0	7.8	76	2.	21	öfters	100	4.5	15.	15.6	52.0	Alexandersbad
Traunstein	öfters	28.0	18.	4.8	3.	19.2	9.3	79	11.	36	öfters	100	5 1	29.	26.5	103.3	Traunstein
Berchtesgaden	13.	26.9	11.	5.5	2.	19.6	8.7	76	2.	30	19., 22.	96	5.3	16.	14.0	82.9	Berchtesgaden
Ottobeuren	3.	28.9	24.	3.0	12.	20.0	8.5	72	12.	26	27.	98	4.2	16.	26.7	113.7	Ottobeuren
Partenkirchen	13.	29.0	18.	4.8	13.	17.0	8.8	76	8.	28	29.	100	4.6	16.	21.4	73.0	Partenkirchen
Tegernsee	3., 8.	29.2	18.	5.6	12.	15.1	9.1	74	8.	38	17.	99	5.2	30.	17.1	92.8	Tegernsee
Buchenau	3.	26.2	18.	3.1	12.	16.8	8.1	78	12.	30	19., 20.	99	5.1	10.	5.3	29.5	Buchenau
Oberstdorf	3.	27.2	24.	1.0	8.	18.7	8.3	77	8.	24	26.	100	5.3	22.	24.8	107.8	Oberstdorf
Ettal (Benediktinerabt.)	3.	26.7	öfters	4.0	12.	16.1	8.3	77	12.	23	16.	100	4.3	16.	27.8	105 5	Ettal (Benediktinerabt.)
Mittenwald	3.	27.4	18., 23.	3.8	12.	16.2	8.1	76	3.	22	23., 29.	100	5 3	16.	16.8	69.5	Mittenwald
Hohenpeissenberg	13.	24.2	24.	3.4	21.	11.1	7.4	67	12.	18	öfters	100	4.9	16.	42.5	152.9	Hohenpeissenberg
Zugspitze	2.	13.0	18., 30.	− 9.0	1.	12.1	4.0	80	11.	<10	öfters	100	5.8	30.	18.0	75.6	Zugspitze

Station	Tage mit										Tage				Anzahl der beobachteten Windrichtungen									Station
	Niederschlägen		Schneefall	Schneedecke	Graupeln	Hagel	Gewitter	Nebel	Reif	Tau	heitere	trübe	Sommer	Frost	N	NE	E	SE	S	SW	W	NW	Stille	
	≥ 0,1mm	≥ 1,0mm																						
Ludwigshafen a/Rh.	10	8	–	–	–	–	2	1	–	4	10	7	12	–	12	4	2	9	12	11	12	11	17	Ludwigshafen a/Rh.
Kahl a/M.	10	6	–	–	–	–	2	3	1	8	11	8	10	–	–	2	6	6	7	17	1	5	46	Kahl a/M.
Landau i. Pf.	11	4	–	–	–	–	2	1	–	8	11	10	12	–	1	30	–	11	2	30	1	15	–	Landau i. Pf.
Würzburg	12	9	–	–	–	1	4	2	–	19	9	7	10	–	5	4	5	4	10	9	18	3	32	Würzburg
Bad Kissingen	11	9	–	–	–	–	3	4	–	14	9	9	8	–	9	6	9	–	1	6	20	–	39	Bad Kissingen
Kaiserslautern	8	7	–	–	–	–	1	1	–	21	8	6	12	–	4	3	13	3	–	3	19	4	41	Kaiserslautern
Luitpoldheim	14	13	–	–	–	–	3	9	1	8	13	7	7	–	–	–	3	5	2	36	–	1	43	Luitpoldheim
Bamberg	23	8	–	–	–	–	4	–	–	22	7	8	12	–	8	1	3	8	15	8	12	17	18	Bamberg
Nürnberg	8	8	–	–	–	–	5	9	–	17	6	9	9	–	14	4	7	19	10	7	14	12	3	Nürnberg
Passau	11	10	–	–	–	–	–	13	–	1	3	10	9	–	–	–	12	–	3	–	16	–	59	Passau
Metten	13	8	–	–	–	–	2	5	–	16	7	9	10	–	3	1	7	8	6	12	13	9	31	Metten
Regensburg	13	10	–	–	–	–	2	4	1	10	5	10	10	–	23	2	2	8	10	3	9	14	19	Regensburg
Bayreuth	9	9	–	–	–	–	3	4	2	14	6	10	10	–	13	3	24	12	3	5	18	10	2	Bayreuth
Burghausen	11	10	–	–	–	–	1	7	–	19	5	11	10	–	5	1	4	1	–	20	3	1	55	Burghausen
Karlshuld	9	9	–	–	–	–	1	6	2	17	6	8	11	2	–	8	13	–	–	3	22	2	42	Karlshuld
Landshut	14	8	–	–	–	–	3	1	–	17	13	8	12	–	3	7	9	–	–	12	25	7	27	Landshut
Lindau i. B. (Reutin)	10	7	–	–	–	–	1	–	–	19	15	8	11	–	24	11	3	1	21	2	17	5	6	Lindau i. B. (Reutin)
Weissenburg i. B.	10	7	–	–	–	–	3	2	–	5	8	10	10	–	8	9	4	7	7	10	9	13	23	Weissenburg i. B.
Nördlingen	11	7	–	–	–	–	4	–	–	12	8	8	10	–	8	7	8	8	7	7	23	9	13	Nördlingen
Ansbach	9	7	–	–	–	1	3	1	–	14	10	9	10	–	10	5	3	–	4	3	16	6	43	Ansbach
Hof	14	11	–	–	–	–	3	11	2	17	5	8	8	2	18	7	–	6	12	16	8	8	15	Hof
Bad Reichenhall	14	11	–	–	–	–	1	–	–	15	11	10	11	–	–	1	23	2	8	16	16	4	20	Bad Reichenhall
Augsburg	8	8	–	–	–	–	–	–	–	14	11	5	12	–	2	9	8	3	3	23	4	28	10	Augsburg
München C.-St.	9	8	–	–	–	–	2	2	–	18	8	8	11	–	4	6	4	3	2	31	9	15	16	München C.-St.
Alexandersbad	12	8	–	–	–	–	3	–	1	13	10	7	5	–	8	9	1	3	1	9	11	4	44	Alexandersbad
Traunstein	13	10	–	–	–	–	3	–	–	12	7	7	10	–	7	3	9	6	7	14	20	24	–	Traunstein
Berchtesgaden	13	12	–	–	–	–	3	2	–	18	7	9	8	–	–	–	9	5	–	1	3	–	72	Berchtesgaden
Ottobeuren	8	7	–	–	–	–	3	–	–	14	9	7	11	–	1	8	3	3	3	30	5	2	35	Ottobeuren
Partenkirchen	13	10	–	–	–	–	2	–	–	12	8	6	11	–	10	–	–	2	19	2	1	11	45	Partenkirchen
Tegernsee	14	10	–	–	–	–	2	–	–	12	7	9	10	–	–	–	48	1	–	1	21	19	–	Tegernsee
Buchenau	14	11	–	–	1	–	2	1	–	18	10	11	1	–	–	–	36	–	–	1	37	–	16	Buchenau
Oberstdorf	11	8	–	–	–	–	4	2	–	21	8	10	10	–	3	–	1	–	–	12	6	27	41	Oberstdorf
Ettal (Benediktinerabt.)	11	9	–	–	–	–	2	1	–	12	8	5	7	–	–	–	4	1	–	2	6	1	76	Ettal (Benediktinerabt.)
Mittenwald	11	9	–	–	–	–	3	–	–	7	9	9	7	–	4	11	2	2	9	2	2	3	55	Mittenwald
Hohenpeissenberg	13	8	–	–	–	–	4	4	–	2	9	9	–	–	3	13	2	6	1	16	22	24	3	Hohenpeissenberg
Zugspitze*)	12	8	9	11	5	–	3	17	3	–	8	12	–	17	20	33	3	–	12	4	9	6	3	Zugspitze

*) Zugspitze 8 Wintertage.

Übersicht über die Witterungsverhältnisse im Königreiche Bayern

während des Oktober 1911.

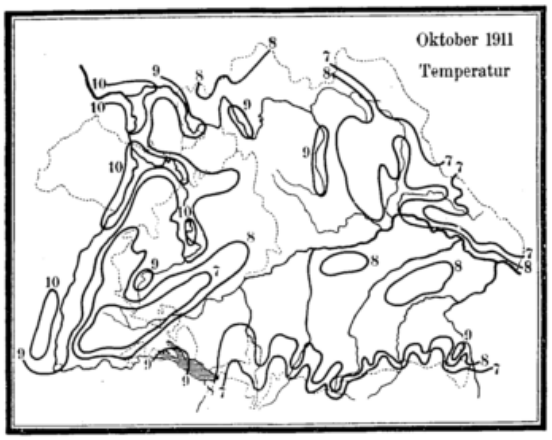
Die Differenzen der Temperaturmittel des diesjährigen Oktober gegen die aus langjährigen Reihen abgeleiteten Durchschnittswerte ergaben in den einzelnen Bezirken unseres Gebietes recht verschiedene Beträge. Während im Algäu und auf der bayerischen Hochebene Mitteltemperaturen abgeleitet wurden, welche um 1 bis 2 Grad den Normalwert übertrafen, finden wir unmittelbar angrenzend in der Donauniederung von Ingolstadt abwärts, sowie am Ufergelände des Bodensees Gebiete, in welchen der langjährige Mittelwert nicht erreicht wurde. Metten verzeichnete eine negative Differenz von 0.6 Grad, Regensburg erzielte sogar im gleichen Sinne eine Abweichung von 1.2 Grad; Lindau im Bodensee berechnete eine Temperaturdifferenz von −0.7 Grad. In Nordbayern, soweit es dem Donaugebiet angehört, ergaben sich positive Differenzen von 0.5 bis 1.0 Grad. Im Maingebiet erreichte die positive Abweichung nur wenige Zehntel, vereinzelt, wie z. B. in Kissingen finden sich auch negative Beträge von wenigen Zehnteln. In der Rheinpfalz fielen die Temperaturdifferenzen nur sehr gering aus, meist 1 bis 2 Zehntel in positivem Sinne.

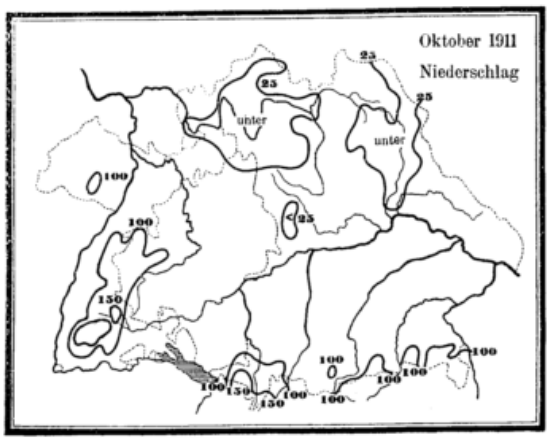
Bildet man das Verhältnis der diesjährigen Niederschlagsmenge zum langjährigen Mittel, so zeigt eine kartographische Darstellung dieser Werte, dass nur im Alpengebiete Monatssummen gemessen wurden, welche den Durchschnittswert erreichten oder sogar um Geringes übertrafen. Im unmittelbaren Alpenvorland, sowie auch in der Rheinpfalz wurden 80 bis 90 Prozent, auf dem ganzen übrigen Gebiet nur 40 bis 70 Prozent der mittleren Regenmenge erhalten. Dieser allgemeinen Charakterisierung des Berichtsmonats nach den beiden hauptsächlichsten Witterungselementen lassen wir zunächst wieder eine kurze Darstellung des zeitlichen Witterungsverlaufes an Hand der synoptischen Karten folgen.

Die erste Dekade gehörte einer Schlechtwetterperiode an, die bereits am 28. September ihren Anfang genommen hatte. Die Luftdruckverteilung während dieser Epoche liess mehrere Minima über den zentralen Gebietsteilen erkennen, während über dem Nordwesten Europas ein intensives Maximum seine Lage behauptete. Der Durchzug der zyklonalen Störungen über unser Gebiet, brachte uns bald Vorderseiten-, bald Rückseitenwirkung, so dass die Witterung den ausgesprochenen Charakter des Unbeständigen erhielt. Insbesondere im südlichen Bayern bedingte zeitweise Föhnlage mehrmals eine längere Unterbrechung des bewölkten, regnerischen Wetters. Während der ersten Monatstage machte sich die Wirkung einer Rückseite besonders kräftig fühlbar, so dass die Temperaturen mehrere Grade unter dem normalen Betrage lagen, vom 3. ab war jedoch die Temperatur in kaum unterbrochenem Anstiege bis zum 9. begriffen. Niederschläge traten während dieser Zeit mit ziemlicher Häufigkeit, aber zumeist nur mit recht geringer Ergiebigkeit auf. Nur im Alpengebiete gingen am 1. und 2., sowie am 9. Oktober kräftigere Regenfälle, zeitweise mit Schnee untermischt, nieder.

Am Morgen des 9. war ein tiefes Minimum über Nordwestrussland erschienen, das in der Folge rasch nach Osten abzog. Das barometrische Maximum, welches bisher auf dem Atlantischen Ozean gelegen war, rückte gleichzeitig energisch gegen die zentralen Lagen vor und verursachte stellenweise bereits am 10., über unserem ganzen Gebiete jedoch am 11. Aufklaren. Die ungehinderte nächtliche Ausstrahlung hatte starken Temperaturrückgang zur Folge, doch wurde bald die Wirkung einer schwachen Vorderseite und die tägliche Wärmeeinstrahlung wieder vorherrschend. Kleine Störungen, die sich von dem auf dem Atlantischen Ozeane befindlichen Depressionsgebiete loslösten, drangen am 13., 14. und 15. nach den zentralen Gebietsteilen vor, hatten aber nur vorübergehende Trübung und vereinzelte, kurzdauernde Strichregen im nördlichen Bayern zur Folge. Im allgemeinen dauerte die Herrschaft des kontinentalen Hochdruckes bis zum 19. ununterbrochen fort. Am Morgen dieses Tages gestaltete sich die Luftdruckverteilung ziemlich unregelmässig. Ausläufer und Randgebilde der ozeanischen Depression reichten weit nach Zentraleuropa herein und hatten den Hochdruck nach Südosten zurückgedrängt. Zu nennenswerter Wirkung gelangten diese Unregelmässigkeiten jedoch nur in der Pfalz und im nördlichen Bayern, wo es stellenweise zu leichten Niederschlägen kam. Im allgemeinen herrschte mässige Bewölkung, die zumeist auf die Morgenstunden beschränkt war. Am Morgen des 23. lag ein sehr tiefes Minimum über Südskandinavien und die steilen Gradienten an der Südseite des Minimums hatten über ganz Zentraleuropa stürmische Südwestwinde zur Folge. Das Minimum zog zwar in raschem Zuge nach Nordosten ab, doch machten wieder Ausläufer desselben in der Pfalz und in Nordbayern vorübergehend ihre Wirkung geltend. Dem ersten Minimum folgten alsbald weitere auf gleichem Wege nach, die immer weiter die kontinentalen Gebiete in Mitleidenschaft zogen. Wiederum wechselte Vorder- und Rückseitenwirkung rasch ab und prägten der Witterung den Charakter des Unbeständigen auf. In der Zeit vom 24. bis 29. fielen verbreitete, aber nur wenig ergiebige Niederschläge; die Bewölkung war raschen Veränderungen unterworfen. Während der beiden letzten Monatstage gelangte wieder hoher Druck im zentralen und südöstlichen Europa zur Ausbildung. Die Niederschläge hörten allmählich auf und die lückenhafte Bewölkung gestattete kräftigere Sonnenstrahlung.

Auf dem ersten der beigegebenen Kärtchen ist die geographische Verteilung der Temperaturmittel über Süddeutschland zur Darstellung gebracht. Die höchsten Temperaturwerte mit mehr als 10 Grad wurden in den begünstigten Tallagen von Rhein und Neckar erreicht. Die Isotherme für 9 Grad umschliesst die gesamte Rheinebene, daran anschliessend das untere Main-, sowie das untere und mittlere Neckartal. Als kleinere gleichbegünstigte Bezirke treten die Tallagen des Main von Würzburg stromauf- und abwärts, ferner das Regnitztal von Erlangen südlich bis an den fränkischen Jura, das Reichenhaller Tal und das Ufergelände des westlichen Bodensees auf. Mit wachsender Seehöhe nehmen die Temperaturmittel zunächst langsam und erst mit dem eigentlichen Anstieg gegen die Gebirge rascher ab. Auffallend tiefe Temperaturmittel wurden im Gebiete der Donauquellen, des Donaumooses und im Quellgebiet der Rott berechnet. Das mittlere Maximum bezifferte sich in der Rheinebene und in den tieferen Tallagen der Rheinzuflüsse, in der Umgebung von Bamberg, ferner auf dem so häufig hervortretendem Gebiete nördlich der bayerischen Hochebene zwischen Lech und Rott, im Inn- und Salzachtal, sowie in allen für Föhneinfluss günstig exponierten Alpentälern auf 14 bis 15 Grad, sonst auf 13 bis 14 Grad. Nur im Gebiete unserer östlichen Mittelgebirge blieb selbst in niedrigen Tallagen das mittlere Maximum unter 13, ja selbst unter 12 Grad. Das mittlere Minimum weist die höchsten Beträge mit mehr als 5, stellenweise sogar mehr als 6 Grad in der Rheinebene und in begünstigten Tallagen der Rheinzuflüsse, am Ufergelände des Bodensees und in einigen alpinen Tallagen auf. Auf dem Gebiete nördlich der bayerischen Hochebene bis an den Fuss der jenseits der Donau streichenden Mittelgebirge ergaben sich auffallend tiefe Minima von 2 bis 3 Grad, so dass bei den im gleichen Gebiete konstatierten hohen Maximaltemperaturen daselbst Werte für die mittlere Schwankung von 11 bis 12 Grad abgeleitet wurden. Auf dem übrigen Gebiete schwankt dieses Element zumeist zwischen 7 und 10 Grad. Auch die Frosthäufigkeit war auf dem erwähnten Gebiet zwischen Nordrand der bayerischen Hochebene und Südfuss von Jura und Bayerischer Wald auffallend gross, indem daselbst an mehreren Orten 8 Tage mit negativen Minimaltemperaturen gezählt wurden. Nur Alexandersbad im Fichtelgebirge und Hof verzeichneten noch eine grössere Häufigkeit mit 9, beziehungsweise 11 Frosttagen. Im übrigen sei auf die entsprechende Rubrik der beigedruckten Tabelle III verwiesen.





Auf dem zweiten der beigegebenen Kärtchen ist die geographische Verteilung der Niederschlagsmengen über Süddeutschland dargestellt. Im grössten Teile des Gebietes schwanken die Monatssummen mit geringer Amplitude um den Wert 50 mm. Mehr als 100 mm wurden nur auf den Höhen des Schwarzwaldes, im Algäu, sowie an den exponierteren Hängen der bayerischen Alpen zwischen Loisach und Salzach gemessen. Auch auf den höchsten Erhebungen der Haardt wurden mehr als 100 mm erreicht. Anderseits treten ausgedehnte Trockengebiete mit einer monatlichen Niederschlagsmenge von weniger als 25 mm auf. Eines derselben umfasst das Maingebiet von Bamberg abwärts bis über Wertheim hinaus, ein anderes die Ostabhänge des Fichtelgebirges und das ganze Naabgebiet mit Ausnahme der Quellen; ein drittes kleineres breitet sich zu beiden Seiten der unteren Wörnitz aus. Die Niederschlagshäufigkeit war, wenn wir von nur geringfügigen Niederschlägen absehen, mässig; die Zahl der Regentage schwankt zwischen 7 und 11. Auch die Niederschlagsdichte war, wie dies ja bereits aus dem zeitlichen Verlauf der Witterung zu entnehmen ist, nur mässig gross.

Die Bewölkungsverhältnisse des Oktober waren ziemlich günstige, da auch während der zyklonalen Wetterperioden der Himmel nur selten und dann für kurze Zeit völlig bedeckt war. Die mittlere Bewölkungsziffer bewegt sich an der überwiegenden Mehrzahl unserer Beobachtungsorte zwischen 5 und 6 Zehnteln, doch finden sich auch, insbesondere im Alpengebiete, Orte, an denen eine mittlere Bewölkungsziffer von nur 4 bis 5 Zehnteln der vollen Bedeckung berechnet wurde. Über die Häufigkeit der trüben und heiteren Tage geben wieder die entsprechenden Spalten der Tabelle III genaue Auskunft.

Die mittleren auf Meeresniveau reduzierten Barometerstände lassen ein Gefälle in ost-westlicher Richtung erkennen. Den bayerischen Alpen zwischen Lech und Salzach ist ein flaches Minimum vorgelagert, so dass selbst im Monatsmittel eine Luftdruckverteilung resultiert, welche das häufige Auftreten von Föhn erklärt.

München, 17. November 1911.

Alt.

Station	Höhe über Normal-Null m	Luftdruck in mm: höchster am	höchster mm	tiefster am	tiefster mm	Monatsmittel lokal	Monatsmittel auf Meeresniveau reduziert	Temperatur C°: Mittel um 7a	2p	9p	Mittlere Tagestemperatur	Mittleres Maximum	Mittleres Minimum	Mittel aus Maximum und Minimum	Mittlere Schwankung	Station
Ludwigshafen a/Rh.	100.3	10., 11.	765.6	27.	738.6	753.5	762.7	7.7	13.7	10.5	10.6	14.2	6.6	10.4	7.6	Ludwigshafen a/Rh.
Kahl a/M.	114.1	11.	764.2	27.	737.7	752.2	762.6	6.2	13.6	8.4	9.1	15.0	4.4	9.7	10.6	Kahl a/M.
Landau i. Pf.	149.9	10.	761.1	27.	734.9	749.1	762.7	7.3	13.3	9.2	9.8	14.2	6.1	10.2	8.1	Landau i. Pf.
Würzburg	179.3	11.	758.4	25.	731.9	745.9	762.2	6.2	13.4	8.4	9.1	13.9	5.1	9.5	8.8	Würzburg
Bad Kissingen	209.2	11.	756.1	27.	729.2	743.7	762.8	4.9	13.1	7.2	8.1	13.7	3.5	8.6	10.1	Bad Kissingen
Kaiserslautern	242.2	10., 11.	752.2	27.	726.8	740.8	762.7	6.5	12.8	8.3	9.0	13.4	5.5	9.4	7.9	Kaiserslautern
Luitpoldheim	250	–	–	–	–	–	–	5.3	12.0	8.0	8.3	12.6	4.0	8.3	8.7	Luitpoldheim
Bamberg	287.7	11.	749.1	27.	723.4	737.1	763.0	5.2	13.3	8.1	8.7	14.8	4.4	9.6	10.4	Bamberg
Nürnberg	–	11.	746.6	25.	721.7	734.9	762.7	5.9	13.1	8.8	9.2	13.7	4.9	9.3	8.8	Nürnberg
Passau	–	11.	747.0	27.	723.0	735.9	763.9	5.6	13.1	7.9	8.6	13.8	4.6	9.2	9.2	Passau
Metten	320	–	–	–	–	–	–	4.6	12.8	7.3	8.0	14.0	2.6	8.3	11.4	Metten
Regensburg	342.6	11.	743.6	25., 27.	720.9	732.7	763.7	4.9	12.5	6.6	7.7	13.2	2.7	7.9	10.5	Regensburg
Bayreuth	363.3	11.	742.5	25.	717.2	730.6	763.3	5.3	12.4	7.8	8.3	13.5	3.6	8.6	9.9	Bayreuth
Burghausen	365	11.	741.4	27.	717.5	730.5	763.4	5.0	13.7	6.6	8.0	14.7	3.2	8.9	11.5	Burghausen
Karlshuld	382.0	11.	739.8	25.	716.3	728.4	762.8	4.3	12.7	6.9	7.7	14.2	2.3	8.2	12.0	Karlshuld
Landshut	397.7	11.	738.4	27.	714.5	727.3	763.1	4.8	13.5	7.3	8.2	15.0	2.5	8.7	12.4	Landshut
Lindau i. B. (Reutin)	401.7	30.	736.8	25.	713.9	727.3	763.3	6.9	11.6	8.1	8.7	13.0	5.1	9.0	7.9	Lindau i. B. (Reutin)
Weissenburg i. B.	431	11.	735.8	25.	711.8	724.9	763.4	5.7	13.1	8.5	8.9	13.7	4.9	9.3	8.8	Weissenburg i. B.
Nördlingen	435.6	11.	734.5	25.	710.6	723.4	762.3	5.3	12.9	8.1	8.6	13.5	4.4	9.0	9.1	Nördlingen
Ansbach	437.5	11.	735.2	25.	710.6	723.7	762.7	4.6	12.7	7.1	7.9	13.2	3.6	8.4	9.6	Ansbach
Hof	476.1	11.	731.5	27.	707.1	720.2	762.9	3.7	11.9	5.5	6.6	12.9	1.8	7.3	11.1	Hof
Bad Reichenhall	477	11.	731.3	27.	707.3	720.6	762.9	6.4	14.1	8.0	9.1	15.0	5.4	10.2	9.6	Bad Reichenhall
Augsburg	499.6	11.	729.5	25.	705.8	718.8	763.2	6.2	13.0	8.9	9.2	13.6	5.2	9.4	8.4	Augsburg
München C.-St.	526.4	11.	726.7	25., 27.	703.5	716.3	762.9	6.9	13.2	8.6	9.3	14.1	5.9	10.0	8.1	München C.-St.
Alexandersbad	590	–	–	–	–	–	–	3.5	10.3	5.8	6.4	11.2	2.5	6.8	8.8	Alexandersbad
Traunstein	597	11.	720.7	27.	697.9	710.8	763.8	4.7	12.5	6.5	7.6	13.5	3.9	8.7	9.6	Traunstein
Berchtesgaden	600	–	–	–	–	–	–	4.9	12.9	7.5	8.2	13.9	4.0	9.0	9.9	Berchtesgaden
Ottobeuren	660.0	10., 11.	714.0	25.	693.5	704.9	763.1	5.9	12.2	7.1	8.1	13.0	4.1	8.6	8.9	Ottobeuren
Partenkirchen	714.6	11.	709.9	25.	687.7	700.5	763.0	5.2	13.1	7.0	8.1	15.0	4.3	9.7	10.6	Partenkirchen
Tegernsee	742	10.	707.3	25.	685.8	698.3	763.2	6.7	13.4	8.0	9.0	15.1	5.7	10.4	9.3	Tegernsee
Buchenau	750	11.	706.9	27.	684.5	697.0	763.1	4.5	11.3	5.7	6.8	12.1	3.4	7.7	8.7	Buchenau
Oberstdorf	811.4	11.	701.6	25.	679.2	692.3	763.5	3.8	12.2	5.5	6.8	13.6	1.7	7.6	11.9	Oberstdorf
Ettal (Benediktinerabt.)	881.5	11.	694.1	25.	672.8	685.4	762.0	4.5	11.4	5.9	6.9	12.6	3.2	7.9	9.4	Ettal (Benediktinerabt.)
Mittenwald	910	11.	692.8	25.	671.3	683.9	762.7	5.9	13.1	7.0	8.3	14.3	3.6	9.0	10.7	Mittenwald
Hohenpeissenberg	993.9	11.	685.6	25.	665.0	677.0	762.9	6.6	9.5	7.3	7.7	11.1	5.0	8.1	6.2	Hohenpeissenberg
Zugspitze	2964	11.	539.2	28.	519.0	530.5	–	−2.8	−1.2	−2.2	−2.1	0.1	−4.3	−2.1	4.4	Zugspitze

Station	Temperatur C°: höchste am	höchste C°	tiefste am	tiefste C°	grösste Schwankung am	grösste Schwankung C°	Dampfdruck Monatsmittel mm	Relative Feuchtigkeit %: Monatsmittel	kleinste am	kleinste %	grösste am	grösste %	Bewölkung Monatsmittel	Niederschlag: grösster am	grösster mm	Monats-Summe mm	Station
Ludwigshafen a/Rh.	14.	19.2	30.	− 1.0	12.	11.5	7.4	77	10., 17.	45	6.	99	5.1	28.	10.2	39.0	Ludwigshafen a/Rh.
Kahl a/M.	21.	20.3	30.	− 4.1	12.	19.3	7.3	83	29.	43	öfters	100	5.9	5.	5.9	37.2	Kahl a/M.
Landau i. Pf.	14.	19.4	30.	− 2.0	13.	13.4	7.3	80	11.	46	14., 21.	100	5.6	28.	14.8	54.5	Landau i. Pf.
Würzburg	14.	19.3	30.	− 2.6	12.	14.5	6.9	79	22.	45	6.	100	5.3	28.	5.0	21.6	Würzburg
Bad Kissingen	21.	18.2	30.	− 4.0	12.	17.9	6.6	81	29.	38	21.	99	5.5	28.	8.1	40.6	Bad Kissingen
Kaiserslautern	13.	18.3	30.	− 2.0	12.	16.4	7.2	83	29.	46	21.	100	6.4	28.	11.6	65.4	Kaiserslautern
Luitpoldheim	14.	17.7	30.	− 4.8	12.	14.5	7.1	86	22.	49	öfters	100	5.7	28.	6.6	26.9	Luitpoldheim
Bamberg	21.	20.4	30.	− 3.9	12.	17.9	6.8	80	4.	39	11.	100	6.9	28.	7.2	24.6	Bamberg
Nürnberg	15.	18.1	30.	− 1.5	12.	15.9	7.1	81	8.	51	6., 15.	98	5.4	28.	4.0	20.7	Nürnberg
Passau	7.	20.5	31.	− 0.5	19.	15.7	7.0	83	18.	33	öfters	100	5.8	öfters	6.0	33.4	Passau
Metten	7.	21.2	31.	− 2.4	17.	17.7	6.7	83	10., 18.	35	öfters	100	5.8	29.	13.2	35.7	Metten
Regensburg	15.	19.1	30.	− 2.9	4.	16.1	6.3	79	18.	38	13., 31.	96	6.1	1.	6.5	26.4	Regensburg
Bayreuth	13.	19.4	30.	− 3.7	12.	19.7	6.7	81	4.	44	öfters	99	5.9	28.	6.6	23.5	Bayreuth
Burghausen	8.	19.6	31.	− 1.4	19.	18.8	6.8	83	18.	40	öfters	100	6.2	3.	10.0	45.7	Burghausen
Karlshuld	15.	19.1	12.	− 3.8	11.	20.6	6.9	86	26.	42	öfters	100	4.7	28.	7.7	26.4	Karlshuld
Landshut	7.	21.1	12.	− 2.1	12.	19.3	6.6	81	18.	39	31.	100	5.6	28.	6.7	29.0	Landshut
Lindau i. B. (Reutin)	9.	17.8	31.	− 1.1	4., 8.	11.9	8.0	94	3.	67	öfters	100	6.3	10.	18.8	89.3	Lindau i. B. (Reutin)
Weissenburg i. B.	19.	18.5	30.	− 3.5	12.	16.8	7.3	84	öfters	58	öfters	100	5.4	9.	5.6	29.6	Weissenburg i. B.
Nördlingen	15.	18.9	30.	− 2.9	13.	15.1	6.7	80	26.	43	13., 21.	98	5.3	9.	6.5	27.2	Nördlingen
Ansbach	13.	18.0	30.	− 4.4	13.	17.2	6.7	82	13.	44	öfters	99	4.6	26.	8.9	37.4	Ansbach
Hof	13.	19.9	30.	− 7.1	13.	21.8	6.2	83	12.	41	öfters	100	6.7	27.	3.2	16.1	Hof
Bad Reichenhall	7.	20.3	31.	− 1.2	12.	15.8	7.1	81	4.	34	öfters	99	4.2	2.	15.1	81.6	Bad Reichenhall
Augsburg	15.	18.4	31.	− 1.0	19.	14.0	7.1	81	23.	47	13.	97	5.0	9.	8.2	43.2	Augsburg
München C.-St.	8.	19.1	31.	0.0	12.	12.9	6.9	78	26.	40	13.	99	5.3	10.	10.5	41.9	München C.-St.
Alexandersbad	13.	16.5	30.	− 3.5	12.	17.3	6.2	85	12.	49	5., 15.	100	5.2	2.	11.6	37.4	Alexandersbad
Traunstein	15., 21.	17.2	31.	− 1.8	19.	14.6	6.8	86	27.	49	öfters	100	4.5	3.	18.7	91.4	Traunstein
Berchtesgaden	7.	20.4	31.	− 2.6	4.	15.3	6.8	83	4.	43	31.	100	4.7	10.	19.5	90.8	Berchtesgaden
Ottobeuren	9.	19.0	31.	− 1.2	12.	15.0	6.7	81	19.	35	17., 18.	100	5.3	9.	11.8	49.2	Ottobeuren
Partenkirchen	7.	20.2	31.	− 0.4	27.	15.3	6.5	80	19.	31	öfters	100	4.3	2.	17.8	80.4	Partenkirchen
Tegernsee	14.	20.4	3.	1.2	21.	14.2	6.9	79	19.	42	16., 17.	100	5.3	3., 10.	14.2	83.8	Tegernsee
Buchenau	7.	19.0	31.	− 2.2	12.	14.6	6.1	80	18.	45	9.	98	4.7	3.	12.4	46.3	Buchenau
Oberstdorf	9.	19.1	31.	− 4.8	31.	18.1	6.3	84	19.	29	öfters	100	5.3	26.	26.1	120.9	Oberstdorf
Ettal (Benediktinerabt.)	9.	18.4	31.	− 1.9	25.	13.7	6.2	83	27.	21	öfters	100	5.0	2.	14.3	87.5	Ettal (Benediktinerabt.)
Mittenwald	7.	20.0	3.	− 1.7	8.	16.7	5.9	72	18., 31.	30	öfters	100	4.7	10.	19.0	92.5	Mittenwald
Hohenpeissenberg	8.	16.7	30.	− 1.6	9.	8.7	6.0	77	31.	30	öfters	100	5.3	10.	18.8	65.9	Hohenpeissenberg
Zugspitze	12.	4.8	3.	−12.0	3.	11.5	2.8	72	19.	13	öfters	100	5.1	10.	15.6	52.5	Zugspitze

Station	Tage mit										Tage				Anzahl der beobachteten Windrichtungen									Station
	Niederschlägen		Schneefall	Schneedecke	Graupeln	Hagel	Gewitter	Nebel	Reif	Tau	heitere	trübe	Frost	Winter	N	NE	E	SE	S	SW	W	NW	Stille	
	≥ 0,1mm	≥ 1,0mm																						
Ludwigshafen a/Rh.	16	10	–	–	–	–	–	7	2	7	7	8	1	–	13	5	4	4	15	19	11	6	16	Ludwigshafen a/Rh.
Kahl a/M.	13	10	–	–	–	–	–	6	5	–	7	13	7	–	–	4	8	5	5	28	5	1	37	Kahl a/M.
Landau i. Pf.	16	11	–	–	–	–	–	3	2	14	9	14	1	–	1	33	1	5	–	37	2	14	–	Landau i. Pf.
Würzburg	13	7	–	–	–	–	–	17	2	16	9	9	1	–	–	–	10	12	5	3	26	3	24	Würzburg
Bad Kissingen	14	9	–	–	–	–	–	8	5	6	6	10	7	–	8	4	9	1	13	18	17	5	18	Bad Kissingen
Kaiserslautern	19	12	–	–	–	–	–	3	7	2	3	12	1	–	2	–	15	5	3	1	33	3	31	Kaiserslautern
Luitpoldheim	13	7	–	–	1	–	–	13	4	4	5	11	4	–	6	–	5	1	5	41	–	–	35	Luitpoldheim
Bamberg	25	5	–	–	–	–	–	6	4	17	4	13	3	–	2	-	6	3	29	11	19	12	11	Bamberg
Nürnberg	11	7	–	–	–	–	–	14	7	6	7	7	1	–	8	–	15	21	18	12	11	6	2	Nürnberg
Passau	12	8	–	–	–	–	–	12	–	5	4	11	1	–	–	–	9	–	3	–	11	4	66	Passau
Metten	10	7	–	–	–	–	1	9	9	13	7	10	8	–	1	5	10	9	10	10	16	4	28	Metten
Regensburg	14	7	–	–	–	–	–	7	7	1	4	11	5	–	10	4	3	6	25	9	14	7	15	Regensburg
Bayreuth	12	8	–	–	–	–	–	9	9	1	7	8	4	–	5	–	33	16	5	16	9	7	2	Bayreuth
Burghausen	12	11	–	–	–	–	–	11	3	15	2	11	4	–	6	7	9	1	2	14	–	3	51	Burghausen
Karlshuld	9	6	–	–	–	–	–	11	10	10	11	7	8	–	–	–	24	–	6	9	11	1	42	Karlshuld
Landshut	12	7	–	–	–	–	–	6	11	2	7	11	8	–	6	11	16	4	–	10	23	2	21	Landshut
Lindau i. B. (Reutin)	21	11	–	–	1	–	1	5	1	12	5	10	1	–	17	15	1	1	21	2	22	7	7	Lindau i. B. (Reutin)
Weissenburg i. B.	12	10	–	–	1	–	12	8	2	7	7	7	2	–	2	9	6	14	13	22	12	5	10	Weissenburg i. B.
Nördlingen	14	8	–	–	–	–	–	4	5	17	6	5	1	–	1	5	13	17	8	18	13	8	10	Nördlingen
Ansbach	11	9	–	–	–	1	1	7	7	8	8	5	4	–	4	4	7	–	6	14	12	4	42	Ansbach
Hof	11	6	–	–	–	–	–	13	11	12	–	13	11	–	8	3	6	12	19	17	6	9	13	Hof
Bad Reichenhall	12	11	–	–	–	–	–	2	1	22	11	6	1	–	–	2	19	–	2	15	20	–	35	Bad Reichenhall
Augsburg	11	9	–	–	–	–	–	4	11	6	9	8	1	–	4	12	8	15	2	30	6	4	12	Augsburg
München C.-St.	15	10	–	–	–	–	–	6	9	10	7	8	–	–	1	12	15	8	3	20	11	2	21	München C.-St.
Alexandersbad	10	8	–	–	–	–	–	1	11	6	7	7	9	–	2	3	9	8	3	19	16	6	27	Alexandersbad
Traunstein	14	10	–	–	–	–	–	6	8	20	8	2	1	–	6	9	22	15	5	8	18	10	–	Traunstein
Berchtesgaden	14	11	–	–	–	–	2	6	8	9	9	5	1	–	–	–	8	4	–	–	3	–	78	Berchtesgaden
Ottobeuren	14	10	–	–	1	–	1	4	4	11	8	7	2	–	1	10	6	7	1	29	4	1	34	Ottobeuren
Partenkirchen	14	11	–	–	–	–	1	1	2	11	11	6	1	–	8	–	–	7	23	3	–	12	40	Partenkirchen
Tegernsee	12	11	1	–	–	–	1	2	2	15	7	6	–	–	–	–	49	–	2	–	23	19	–	Tegernsee
Buchenau	9	9	–	–	–	–	–	2	9	10	9	8	3	–	1	–	44	–	1	5	29	–	13	Buchenau
Oberstdorf	13	11	2	1	–	–	1	3	6	16	7	7	6	–	15	2	–	3	1	5	9	21	37	Oberstdorf
Ettal (Benediktinerabt.)	13	12	3	–	–	–	1	9	7	9	9	7	2	–	–	–	4	2	–	1	8	2	76	Ettal (Benediktinerabt.)
Mittenwald	13	9	1	1	–	–	1	1	1	7	9	6	2	–	3	7	–	2	22	15	7	7	30	Mittenwald
Hohenpeissenberg	15	11	2	1	1	–	1	9	3	10	8	9	3	–	4	21	6	7	3	19	25	7	1	Hohenpeissenberg
Zugspitze	9	6	9	31	2	–	1	12	6	–	9	8	27	14	5	6	1	7	26	26	11	6	5	Zugspitze

Übersicht über die Witterungsverhältnisse im Königreiche Bayern

während des November 1911.

Wie in den verflossenen Sommer- und Herbstmonaten ergaben sich auch für den diesjährigen November Temperaturmittel, welche beträchtlich den Normalbetrag überragten. In einigen Alpentälern, in denen der häufig herrschende Föhn mit besonderer Intensität wirksam war, bezifferte sich diese Abweichung auf mehr als 4 Grad, ein Betrag, der selbst in den durch tropische Hitze ausgezeichneten Hochsommermonaten des heurigen Jahres nirgends erreicht wurde. Auf der bayerischen Hochebene betrug der Mehrbetrag noch über 3, im übrigen Bayern meist mehr als 2 Grad. Nur im oberen Rottal, in der Donauebene von Regensburg bis zur Isarmündung abwärts und im südlichen Teile der Pfälzer Rheinebene wurden positive Differenzen von noch weniger als 2 Grad berechnet.

Die Niederschlagsmengen des Berichtsmonats fielen im Alpengebiet und in dessen Vorland, ferner im Flussgebiete des Inn, sowie im Bayerischen und Böhmerwald und im Fichtelgebirge geringer aus, als die aus langjährigen Beobachtungsreihen gewonnenen Normalwerte. Zumeist wurden in diesen Gebieten 50 bis 90 Prozent des Durchschnittsbetrages, stellenweise aber auch noch weniger, in Berchtesgaden sogar nur 20 Prozent verzeichnet. Im übrigen Bayern finden sich nur engbegrenzte Bezirke, innerhalb welcher relativ geringe Niederschlagsmengen zu verzeichnen waren, wie die Umgebung von Ingolstadt, Nürnberg und Lohr a. M. An der überwiegenden Anzahl unserer Beobachtungsorte wurden die normalen Niederschlagssummen um 10 bis 40, stellenweise, wie in der Pfälzer Rheinebene, sogar um 50 und 60 Prozent überschritten.

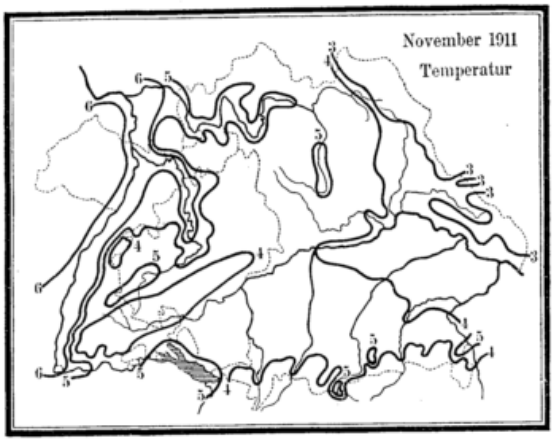
Nach dieser allgemeinen Charakterisierung des Berichtsmonats hinsichtlich der beiden wichtigsten Witterungselemente soll zunächst wieder in kurzen Zügen eine Darstellung des zeitlichen Witterungsverlaufes gegeben werden: In den ersten Monatstagen bedeckte ein barometrisches Maximum den Kontinentalrumpf Europas, während über dem Nord- und Ostseegebiete, sowie über dem Mittelmeere Depressionen vorhanden waren. Ausläufer und Randgebilde des nördlichen Tiefdruckgebietes äusserten in der Pfalz und in Nordbayern zeitweise ihren Einfluss und gaben zu stärkerer Bewölkung und vereinzelten leichten Niederschlägen Anlass. In Südbayern, insbesondere im Alpenlande, herrschte heiteres, nur von lokalen nebeligen Trübungen unterbrochenes Wetter. Nur vom 5. auf 6. griff die Verschlechterung des Wetters auch auf das südliche Bayern über und führte zu mässigen Niederschlägen. Die Ursache dieses Witterungsumschlages, der insbesondere durch den starken Temperaturfall vom 5. auf den 6. November fühlbar wurde, ist in der Ausbildung einer Furche niedrigen Druckes gegeben, die von einem Minimum bei den Lofoten über die Ostsee nach den unteren Donauländern sich erstreckte. Als aber im Osten der Luftdruck wieder anstieg, trat auch bald eine Besserung des Wetters ein, sodass am 7. und 8. wieder vorwiegend heiteres Wetter bestand. Nur in der Rheinpfalz kam es nicht zu dauerndem Autklaren, indem sich dort bereits wieder neu ankommende Störungen geltend machten.

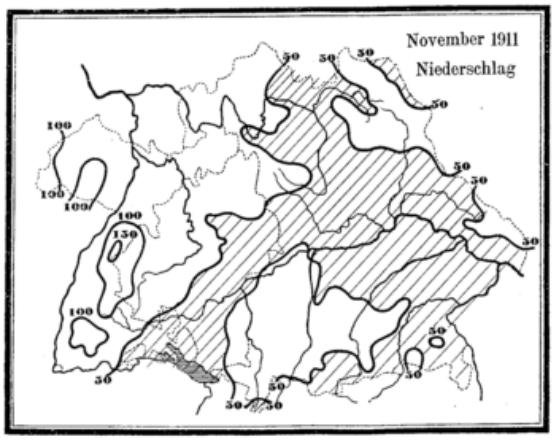
In den Frühstunden des 9. erstreckte sich eine breite Furche niedrigen Luftdruckes vom Europäischen Nordmeere über die britischen Inseln nach dem Kanale. Hoher Druck lagerte über Südosteuropa und ragte keilförmig mit abnehmender Intensität westwärts über das Alpengebiet vor. In der Pfalz und im unteren Maingebiet führten Vorläufer der westlichen Depression bereits am 8. und 9. zu leichten Niederschlägen, während sich im übrigen Bayern die Wirkung der Depression nur durch Bewölkungszunahme am 9. November äusserte. Ausgebreitete Niederschläge traten erst vom 10. ab auf, im nördlichen Bayern und in der Pfalz unter dem Einflusse kleinerer, von der ozeanischen Depression losgelöster Teilminima, im südlichen Bayern unter der Einwirkung einer flachen Depression, die sich jenseits der Alpen ausgebildet hatte. Allmählich gelangte wieder hoher Luftdruck über den kontinentalen Lagen Europas zur Ausbildung, die Niederschläge hörten allmählich auf und auch die Bewölkungsverhältnisse wurden, wenigstens in Südbayern wieder günstigere. Die Herrschaft des hohen Druckes währte ungefähr vom 14. bis 17., wenn wir von kleineren Störungen absehen, die in der Pfalz am 16. und 17. zu schwachen Niederschlägen führten. Am 18. war wieder eine Wetterlage geschaffen, welche jener vom 9. sehr ähnlich war. Eine tiefe Furche geringen Druckes reichte vom europäischen Nordmeere über die britischen Inseln nach der Biskayasee, während hoher Luftdruck im Südosten Europas sich befand. Bis zum folgenden Tage hatte niedriger Druck stark gegen den Kontinent herein an Raum gewonnen, das Zentrum desselben hatte sich noch vertieft und gleichzeitig war auch über dem Mittelmeere eine Störung entstanden. Über unserem ganzen Gebiete kam es zu Niederschlägen, die aber nur von geringer Ergiebigkeit waren. Erst als das Minimum das Ostseegebiet betrat, fielen die Niederschläge reichlicher, beschränkten sich jedoch im wesentlichen auf die Pfalz und das Maingebiet. Allmählich zog das Minimum gegen das Weisse Meer ab und vom 23. ab trat ein neues in Wirksamkeit, das sich vom Ozean der französischen Küste genähert hatte. Dasselbe behielt seine Lage im Südwesten Europas bis Monatsende bei, wobei das Zentrum des niedrigen Druckes bald weiter gegen den Kontinent vordrang, bald nach dem Ozeane sich zurückzog.

Typisch für die Luftdruckverteilung der letzten Monatswoche ist das häufige Auftreten einer Furche niedrigen Druckes, die, von dem erwähnten Minimum ausgehend, dem Nordrande der Alpen sich vorlagerte. Ihrer Existenz ist das Auftreten der nahezu ununterbrochenen Föhnperiode im Alpengebiet und in dessen Vorland zu danken. In der Pfalz bestand unter dem Einflusse kleinerer Störungen, die sich von der südwestlichen Depression loslösten, bei vorwiegend trübem Himmel unbeständiges Wetter mit nur geringfügigen Niederschlägen.

Die Kurven, welche den zeitlichen Gang des Temperatur-Tagesmittels an den einzelnen Beobachtungspunkten darstellen, zeigen einen recht bewegten Verlauf, der jedoch nur ausnahmsweise unter das Niveau jener Kurve hinabführt, welche den mittleren Temperaturgang im November repräsentiert.

Auf dem ersten der beigegebenen Kärtchen ist die geographische Verteilung der Mitteltemperaturen über Süddeutschland dargestellt. Die höchsten Temperaturwerte mit mehr als 6 Grad finden sich in der Rheinebene von Basel abwärts, sowie in der Talsohle des unteren und mittleren Neckar. Mehr als 5 Grad erreichte das Temperaturmittel noch im Maintale bis gegen Bamberg aufwärts, stellenweise im Regnitztale, am Ufergelände des Bodensees und in einigen alpinen Tallagen, in denen die Föhnwirkung besonders häufig und intensiv war. Der temperatursteigernde Einfluss des Föhns zeigt sich in auffallender Weise in Mittenwald, das in einer Seehöhe von über 900 m eine Mitteltemperatur von 5.6 Grad berechnete und damit den entsprechenden Wert (4.6 Grad) von Bamberg in noch nicht ganz 300 m Seehöhe um einen vollen Grad überragte. Bemerkenswert ist noch der Verlauf der Isotherme von 4 Grad dem Rande der bayerischen





Hochebene und dem Ostabhang des Jura entlang. Sie grenzt die tiefere Donauniederung mit geringeren Temperaturen gegen die Hochebene und den Jura mit höheren Temperaturen ab. Diese Temperaturverteilung ist eine Folge des häufigen Auftretens barometrischer Maxima mit klaren Nächten und trüben Tagen, einer Situation, welche für die Ausbildung einer Temperaturumkehr in den untersten Schichten typisch ist. Da die Temperaturumkehr am deutlichsten während der Morgenstunden ausgebildet ist, so zeigt die Karte der mittleren Minima die oben erwähnten Verhältnisse in noch verstärktem Masse. So berechnete Landshut in ca. 400 m Seehöhe ein mittleres Minimum von — 0.7 Grad, Mittenwald in mehr als 900 m Seehöhe ein solches von 1.2 und Hohenpeissenberg in 1000 m Seehöhe ein solches von 1.9 Grad. Da aber im Flachlande bei vorwiegend bedecktem Himmel untertags (insbesondere in der 2. Monatshälfte) die Sonnenstrahlung nur wenig wirksam wurde, hingegen im Alpengebiet zu dem erwärmenden Föhneinfluss bei meist klarem Himmel die Insolation dazukam, zeigen auch die mittleren Maxima in den tieferen Schichten ein Anwachsen mit der Höhe. So verzeichneten Regensburg (343 m) 7.0 Grad, Landshut (398 m) 8.6 Grad und Mittenwald (910 m) 10.1 Grad.

Auf dem zweiten der beigegebenen Kärtchen ist die geographische Verteilung der Niederschlagssummen über Süddeutschland dargestellt. Mehr als 100 mm wurden nur im Pfälzer Westrich und auf den Höhen der Haardt sowie des Schwarzwaldes gemessen. Auf den höchsten Erhebungen des nördlichen Schwarzwaldes ergaben sich an besonders exponierten Lagen sogar über 150 mm. Sehr charakteristisch ist der Verlauf der Isohyete für 50 mm. Dieselbe grenzt in einer Kurve, die unregelmässig um die Linie Schaffhausen—Schweinfurt schwankt, das niederschlagsreichere westliche Süddeutschland gegen den niederschlagsärmeren Osten ab. Östlich dieser Grenze finden sich Niederschlagsmengen von mehr als 50 mm in grösserer Ausbreitung nur mehr auf der schwäbisch-bayerischen Hochebene vom Illergebiet bis an den Inn, im südöstlichen Bayerischen Wald sowie im Gebiet des nördlichen Jura, des Fichtelgebirges und des Frankenwaldes. Hervorzuheben ist noch die Niederschlagsarmut des eigentlichen Alpengebietes, wieder eine Folge des häufigen Auftretens von Föhn im Zusammenhang mit einem vorherrschenden Druckgefälle in der Richtung von Süd nach Nord. Die Niederschlagshäufigkeit war, wie wir schon bei der Darstellung des zeitlichen Witterungsverlaufes zeigten, mässig, insbesondere für den Fall, dass nur stärkere Niederschläge berücksichtigt werden. Die Niederschläge fielen vorzugsweise als Regen, doch verzeichneten die Mehrzahl unserer Stationen auch schon an einigen Tagen Schneefall. Nur am Ufergelände

des Bodensees und im südlichen Schwaben (ausgenommen das Algäu), sowie im Reichenhaller Tal, ferner in der Niederung zwischen Lech und Isar einerseits und Nordrand der Hochebene und Donauebene anderseits wurde noch kein Schneefall beobachtet. Zur Bildung einer zusammenhängenden, für längere Zeit bleibenden Schneedecke kam es nur in den höheren Lagen der Alpen, des Bayerischen Waldes und des zentralen Fichtelgebirges.

Die Bewölkungsverhältnisse waren am günstigsten im Alpengebiet und in dessen Vorland, woselbst eine mittlere Bewölkungsziffer von 5 bis 6 Zehnteln der vollen Bedeckung abgeleitet wurde. Auf der schwäbisch-bayerischen Hochebene, sowie im Gebiete des Bayerischen Waldes bezifferte sich dieselbe auf 6 bis 7 Zehntel. Im übrigen Bayern schwankt dieselbe zwischen 7 und 9 Zehnteln, wobei eine deutliche Bevorzugung des Donaustromgebietes gegen das Main- und Rheingebiet zu erkennen ist. Die erwähnte Begünstigung des Alpengebietes und dessen Vorlandes an erster, der Hochebene und des Bayerischen Waldes an zweiter Stelle, findet sich auch bei der Darstellung der geographischen Verteilung der heiteren und trüben Tage deutlich wieder. Einzelheiten mögen der betreffenden Spalte der Tabelle III entnommen werden.

Die mittleren, auf Meeresniveau reduzierten Barometerstände zeigen ein schwaches, von Südost nach Nordwest gerichtetes Gefälle. Eine dem gesamten Gebiete gemeinsame vorherrschende Windrichtung war nicht zu konstatieren.

München, 21. Dezember 1911.

Alt.

Station	Höhe über Normal-Null	Luftdruck in mm						Temperatur C°								Station
		höchster		tiefster		Monatsmittel		Mittel um			Mittlere Tagestemperatur	Mittleres		Mittel aus Maximum und Minimum	Mittlere Schwankung	
	m	am	mm	am	mm	lokal	auf Meeresniveau reduziert	7a	2p	9p		Maximum	Minimum			
Ludwigshafen a/Rh.	100.3	14.	765.6	18.	725.5	751.3	760.5	5.0	8.4	6.3	6.5	9.0	3 6	6.3	5.4	Ludwigshafen a/Rh.
Kahl a/M.	114.1	14.	763.8	18.	727.3	750.0	760.5	4.5	7.8	5.4	5.7	9.1	2 4	5 8	6.7	Kahl a/M.
Landau i. Pf.	149.9	14.	760.4	18.	723.5	746.7	760.5	4.3	7.8	5.6	5.8	9.1	3.1	6.1	6.0	Landau i. Pf.
Würzburg	179.3	29.	757.9	18.	722.6	743.8	760.2	4.7	8.0	5.4	5.8	8.3	3.2	5.7	5.1	Würzburg
Bad Kissingen	209.2	14.	756.0	18.	719.8	741.6	760.8	3.4	6.7	4.4	4.7	7.3	1.6	4.5	5.7	Bad Kissingen
Kaiserslautern	242.2	14.	752.5	18.	715.0	738.4	760.5	4.5	7.4	5.0	5.5	8.1	3.1	5.6	5.0	Kaiserslautern
Luitpoldheim	250	–	–	–	–	–	–	3.4	6.2	4.6	4.7	6.8	2,2	4.5	4.6	Luitpoldheim
Bamberg	287.7	14., 29.	748.6	18.	713.3	734.9	761.2	3.1	7.0	4.2	4.6	8.4	1.7	5.1	6.7	Bamberg
Nürnberg	309.1	14.	746.2	18.	711.6	732.7	760.9	3.8	7.5	4.7	5.2	8.2	2,6	5.4	5.6	Nürnberg
Passau	309.3	29.	746.2	18.	712.8	734.0	762.4	2.1	6.7	3.5	3.9	7.5	1.0	4.3	6.5	Passau
Metten	320	–	–	–	–	–	–	1.1	6.5	3.1	3.5	7.1	–0.7	3.2	7.8	Metten
Regensburg	342.6	29.	743.4	18.	710.7	730.6	762.0	2.1	6.4	3.0	3.6	7.0	–0.1	3.5	7.2	Regensburg
Bayreuth	363.3	29.	741.9	18.	707.6	728.2	761.4	2.6	6.4	3.8	4.1	6.9	1.0	3.9	5.9	Bayreuth
Burghausen	365	29.	741.1	18.	707.6	728.5	761.9	1.6	7.1	3.0	3.7	8.1	–0.3	3.9	8.5	Burghausen
Karlshuld	382.0	30.	739.3	18.	706.4	726.2	761.1	1.5	7.1	2.6	3.4	8.6	–0.6	4.0	8.9	Karlshuld
Landshut	397.7	29.	738.0	18.	703.9	725.1	761.5	1.6	7.4	2.8	3.7	8.6	–0.7	4.0	9.3	Landshut
Lindau i. B. (Reutin)	401.7	29.	737.7	18.	704.5	725.1	761.5	3.8	8.1	5 1	5.5	9.7	1 8	5.7	8.0	Lindau i. B. (Reutin)
Weissenburg i. B.	431	14.	735.1	18.	701.5	722.4	761.5	3.2	7.1	3.9	4.6	7.9	1.8	4.9	6.1	Weissenburg i. B.
Nördlingen	435.6	30.	734.3	18.	700.7	721.0	760.4	2.9	7.3	3.6	4.4	7.8	1.4	4.6	6.4	Nördlingen
Ansbach	437.5	14.	734 6	18.	700.5	721.3	761.0	2.8	6.9	3.3	4.1	7.6	1.1	4.4	6.5	Ansbach
Hof	476.1	14., 30.	730.9	20.	697.0	717.8	761.0	1.4	5.1	2.3	2,8	6.0	0,0	3.0	5.9	Hof
Bad Reichenhall	477	29.	730.9	18.	697.5	718.4	761.4	3.3	8.4	4.4	5.1	9.4	1.8	5.6	7.6	Bad Reichenhall
Augsburg	499.6	29.	729.6	18.	695.5	716.4	761.4	3.2	7.2	4.3	4.7	7.8	1.4	4.6	6.4	Augsburg
München C.-St.	526.4	29.	726.4	18.	692.7	713.9	761.2	3.6	7.4	4.5	5.0	8.3	2.1	5.2	6.2	München C.-St.
Alexandersbad	590	–	–	–	–	–	–	0.6	4.2	1.8	2.1	5.0	–0.5	2.3	5.5	Alexandersbad
Traunstein	597	29.	720.4	18.	687.1	708.3	762.0	1.8	7.5	2.8	3.7	8.4	0.7	4.5	7.7	Traunstein
Berchtesgaden	600	–	–	–	–	–	–	2.1	7.8	3.4	4.2	8.5	0.6	4.5	7.6	Berchtesgaden
Ottobeuren	660.0	29.	714.5	18.	683.3	702.5	761.3	3.1	6.7	3.5	4.2	7.8	1.0	4.4	6 7	Ottobeuren
Partenkirchen	714.6	14.	710.2	18.	677.9	698.1	761.4	2.0	8.6	3.3	4.3	10.3	0.6	5.4	9.8	Partenkirchen
Tegernsee	742	29.	707.8	18.	675.2	695.7	761.2	3.8	8.7	5.1	5.7	10.5	2,2	6.3	8.3	Tegernsee
Buchenau	750	29.	706.5	18.	674.1	694.4	761.3	0.9	5.8	1.9	2.7	6.9	–0.6	3.1	7.5	Buchenau
Oberstdorf	811.4	14.	701.6	18.	669.8	689.8	761.6	1.2	8.3	2.7	3.7	9.6	–0.7	4.4	10.3	Oberstdorf
Ettal (Benedikt.-Abt.)*)	879.5															Ettal(Benediktinerabt.)
Mittenwald	910	29.	693.3	18.	661.8	681.3	760.7	3.7	8.9	4.8	5.6	10.1	1.2	5.6	8.9	Mittenwald
Hohenpeissenberg	993.9	29.	685.9	18.	654.4	674.2	760.6	4.1	5.8	4.8	4.8	8.1	1.9	5.0	6.2	Hohenpeissenberg
Zugspitze	2964	29.	536.3	19.	509.6	526.8	–	–6.2	–5.0	–5.9	–5.7	–3.6	–7.8	–5.7	4.3	Zugspitze

*) Die meteorologische Station Kloster Ettal hat in diesem Monate nicht beobachtet.

Station	Temperatur C°						Dampfdruck	Relative Feuchtigkeit %					Bewölkung	Niederschlag			Station
	höchste		tiefste		grösste Schwankung				kleinste		grösste			grösster			
	am	C°	am	C°	am	C°	Monatsmittel mm	Monatsmittel	am	%	am	%	Monatsmittel	am	mm	Monats-Summe mm	
Ludwigshafen a/Rh.	5.	16.6	2.	− 1.0	4.	10.3	6.0	83	5.	54	öfters	97	8.0	22.	18.8	56.2	Ludwigshafen a/Rh.
Kahl a/M.	5.	15.2	2.	− 1.7	4.	12.0	6.1	88	6.	54	öfters	100	8.1	22.	15.0	57.3	Kahl a/M.
Landau i. Pf.	5.	19.2	8.	− 1.0	4.	11.5	6.0	87	5., 7.	60	öfters	100	8.1	22.	26.4	88.8	Landau i. Pf.
Würzburg	5.	16.0	8.	− 1.0	4., 8.	11.0	5.8	82	5., 6.	50	13.	100	8.2	21.	17.5	56.5	Würzburg
Bad Kissingen	5.	15.2	8.	− 2.9	5.	14.8	5.6	87	6.	57	4., 10.	100	8.7	21.	11.2	60.8	Bad Kissingen
Kaiserslautern	5.	14.1	4.	− 1.0	4.	11.7	6.1	88	8.	50	öfters	100	8.9	22.	20.1	74.6	Kaiserslautern
Luitpoldheim	5.	14.7	8.	− 2.8	4.	11.3	5.9	92	6.	62	öfters	100	8.5	21.	10.0	41.1	Luitpoldheim
Bamberg	5.	17.4	3.	− 2.1	9.	12.4	5.5	85	5.	38	öfters	100	9.0	20.	13.0	47.8	Bamberg
Nürnberg	5.	16.0	2.	− 1.5	6.	10.0	5.6	84	5.	44	öfters	98	8.0	22.	16.0	37.2	Nürnberg
Passau	23.	14.7	8.	− 2.6	9.	13.1	5.5	90	20.	55	öfters	100	8.0	25.	12.0	34.7	Passau
Metten	5.	12.4	8.	− 4.7	5.	14.5	5.3	90	5.	51	öfters	100	7.6	25.	14.1	35.1	Metten
Regensburg	5.	14.5	8.	− 5.3	5.	14.7	5.0	84	6.	42	3.	100	8.2	11.	12.0	35.9	Regensburg
Bayreuth	5.	15.8	3.	− 3.2	5.	11.6	5.4	87	5.	46	öfters	100	8.0	21.	15.8	49.4	Bayreuth
Burghausen	23.	13.7	8.	− 4.9	16.	14.6	5.2	86	20.	42	8., 17.	100	7.7	25.	17.6	44.0	Burghausen
Karlshuld	5.	16.9	8.	− 7.2	5.	16.3	5.3	89	5.	37	öfters	100	6.6	25.	15.5	42 0	Karlshuld
Landshut	5.	17.0	8.	− 5.8	5.	18.0	5.2	86	5.	38	öfters	100	7.4	25.	18.9	47.0	Landshut
Lindau i. B. (Reutin)	22.	18.7	8.	− 2.9	22.	15.9	6.2	91	5.	51	öfters	100	6.6	11.	18.2	47.0	Lindau i. B. (Reutin)
Weissenburg i. B.	5.	15.9	8.	− 3.4	8.	12.9	5.6	87	5.	55	öfters	98	7.2	22	15.7	46.5	Weissenburg i. B.
Nördlingen	5.	17.0	8.	− 4.9	8.	13.0	5.3	85	5.	38	öfters	100	6.8	22.	17.2	43.2	Nördlingen
Ansbach	5.	15,0	8.	− 3.4	8.	12.6	5.3	86	5.	41	22.	98	7.1	22.	18.6	58.5	Ansbach
Hof	5.	14.1	3.	− 5.8	9.	12.5	5.1	90	8.	50	öfters	100	8.4	21.	23.2	49.4	Hof
Bad Reichenhall	24.	17.3	4., 28.	− 0.9	4.	14.0	5.3	80	5.	37	öfters	100	6.1	19.	6.4	27.9	Bad Reichenhall
Augsburg	5.	15.5	8.	− 2.9	4.	12.1	5.5	85	5.	39	öfters	100	6 8	11.	16.7	54.0	Augsburg
München C.-St.	5.	16.1	4.	− 1.4	4.	12.9	5.3	81	5.	32	28.	100	6.9	26.	15.6	54.3	München C.-St.
Alexandersbad	5.	13.1	3.	− 5.2	9.	10.9	4 9	92	5.	53	öfters	100	7.8	21.	35.6	89.4	Alexandersbad
Traunstein	23.	17.0	8.	− 2.8	4.	14.8	5.1	84	20.	33	öfters	100	6.5	26.	16.1	56.1	Traunstein
Berchtesgaden	23.	14.9	20.	− 2.5	5.	11.9	5.3	86	20.	40	öfters	100	5.2	20.	7.0	26.9	Berchtesgaden
Ottobeuren	5.	13.8	8.	− 3.1	4.	11.5	5.2	84	5.	43	öfters	100	6.1	11.	20.0	57.6	Ottobeuren
Partenkirchen	22.	19.0	27.	− 2.1	22.	20.4	4.9	79	22.	30	öfters	100	4.4	11.	19.6	43.0	Partenkirchen
Tegernsee	23.	18.1	27.	− 0.5	22.	14.3	5.1	75	5.	30	öfters	100	6.0	12.	10.5	49.8	Tegernsee
Buchenau	23.	11.7	26.	− 4.0	9.	13.3	4.7	84	9.	47	1., 22.	98	6,0	2.	17.8	62.9	Buchenau
Oberstdorf	5.	18.4	8.	− 4.7	5.	18.7	4.8	80	22.	31	öfters	100	5.9	11.	29.6	56.3	Oberstdorf
Ettal (Benediktinerabt.)																	Ettal (Benediktinerabt.)
Mittenwald	23.	15.3	21.	− 3.1	2.	12.7	4.5	67	5.	25	11.	100	5.5	19.	13.6	35.2	Mittenwald
Hohenpeissenberg	23.	15.3	26.	− 1.5	15.	10.2	4.4	70	22.	28	öfters	100	5.8	11.	31.3	65.1	Hohenpeissenberg
Zugspitze	15.	2.7	19.	−14.3	12.	10.4	2.3	79	17.	25	öfters	100	5.6	11.	11.4	31.3	Zugspitze

Station	Tage mit									Tage				Anzahl der beobachteten Windrichtungen								Station
	Niederschlägen ≥ 0.1mm	Niederschlägen ≥ 1.0mm	Schneefall	Schneedecke	Graupeln	Hagel	Gewitter	Nebel	Reif	Tau	heitere	trübe	Frost	Winter	N	NE	E	SE	S	SW	W	NW	Stille	
Ludwigshafen a/Rh.	19	11	2	–	1	–	1	14	3	1	2	22	1	–	11	3	–	7	19	19	9	3	9	Ludwigshafen a/Rh.
Kahl a/M.	14	11	2	–	–	–	–	3	1	–	–	18	6	–	–	10	–	9	8	37	1	–	25	Kahl a/M.
Landau i. Pf.	22	11	5	1	–	–	–	5	1	7	1	21	2	–	1	24	–	3	1	48	4	9	–	Landau i. Pf.
Würzburg	14	9	1	–	–	–	–	13	2	3	2	22	2	–	1	5	19	14	1	9	23	1	17	Würzburg
Bad Kissingen	20	13	4	–	1	–	–	9	2	–	–	23	7	–	18	13	4	1	18	14	9	5	8	Bad Kissingen
Kaiserslautern	21	16	6	2	–	–	–	4	3	3	–	22	4	–	–	–	12	2	5	6	27	9	29	Kaiserslautern
Luitpoldheim	19	8	4	1	–	–	–	7	1	–	–	19	6	–	1	2	–	1	–	45	–	–	41	Luitpoldheim
Bamberg	29	9	3	–	–	–	–	8	4	6	–	25	7	–	8	2	2	10	24	22	11	4	7	Bamberg
Nürnberg	9	7	2	–	1	–	–	13	3	2	1	19	2	–	3	5	3	25	18	21	6	7	2	Nürnberg
Passau	9	7	1	–	–	–	–	18	2	–	–	16	8	–	–	–	3	–	2	–	9	–	76	Passau
Metten	6	5	–	–	–	–	–	18	13	1	1	19	20	–	–	1	13	6	18	16	7	3	26	Metten
Regensburg	13	6	–	–	–	–	–	13	5	–	1	18	19	–	8	7	1	3	39	2	11	6	13	Regensburg
Bayreuth	12	8	1	–	2	–	–	10	6	–	1	18	11	–	5	4	18	22	2	14	22	2	1	Bayreuth
Burghausen	9	6	2	–	–	–	–	8	6	7	1	17	18	–	6	2	15	3	1	7	3	–	53	Burghausen
Karlshuld	8	6	–	–	–	–	–	10	9	3	2	9	14	–	–	19	12	6	2	10	10	–	37	Karlshuld
Landshut	10	6	–	–	–	–	–	4	11	–	1	14	19	–	5	7	22	–	–	11	18	1	26	Landshut
Lindau i. B. (Reutin)	10	7	–	–	–	–	–	4	5	12	5	12	9	–	17	13	7	2	7	5	23	6	10	Lindau i. B. (Reutin)
Weissenburg i. B.	12	9	1	–	1	–	–	10	4	–	2	15	6	–	6	9	3	17	23	23	5	1	3	Weissenburg i. B.
Nördlingen	13	8	2	–	–	–	–	7	7	10	3	12	6	–	6	6	1	24	13	16	8	4	12	Nördlingen
Ansbach	14	8	3	–	1	–	–	7	5	1	1	15	9	–	2	8	4	4	12	17	9	–	34	Ansbach
Hof	14	7	4	–	–	–	–	15	10	2	–	20	14	2	7	5	4	19	25	19	4	1	6	Hof
Bad Reichenhall	8	6	–	–	–	–	–	7	7	10	4	9	2	–	–	–	16	1	2	25	17	1	28	Bad Reichenhall
Augsburg	8	7	2	1	–	–	–	5	7	–	3	13	10	–	1	7	9	17	1	36	4	9	6	Augsburg
München C.-St.	14	8	3	–	–	–	–	11	13	2	2	12	3	–	1	7	8	8	2	29	5	6	24	München C.-St.
Alexandersbad	10	9	4	4	–	–	–	8	8	2	2	16	14	3	2	6	5	9	2	12	15	4	35	Alexandersbad
Traunstein	11	8	2	2	–	–	–	12	11	5	1	10	12	–	5	14	13	16	7	10	23	2	–	Traunstein
Berchtesgaden	8	6	2	–	–	–	–	8	19	–	5	5	9	–	–	–	10	1	–	1	3	–	75	Berchtesgaden
Ottobeuren	9	9	–	–	–	–	–	10	11	4	3	9	11	–	–	5	5	6	–	40	–	–	34	Ottobeuren
Partenkirchen	6	5	2	3	–	–	–	1	10	2	8	3	13	–	2	–	–	7	30	1	2	10	38	Partenkirchen
Tegernsee	8	7	3	–	–	–	–	1	12	2	2	6	1	–	–	2	51	8	1	–	22	6	–	Tegernsee
Buchenau	13	10	6	3	–	–	–	1	14	3	6	11	16	–	–	1	30	1	1	2	32	–	23	Buchenau
Oberstdorf	8	6	3	4	–	–	–	6	13	5	3	8	20	–	14	–	1	–	–	5	11	6	53	Oberstdorf
Ettal (Benediktinerabt.)																								Ettal (Benediktinerabt.)
Mittenwald	6	6	2	4	–	–	–	–	5	–	5	5	10	–	5	3	–	–	18	24	14	3	23	Mittenwald
Hohenpeissenberg	10	7	4	3	–	–	–	11	4	2	5	9	5	–	1	9	9	6	4	15	33	6	7	Hohenpeissenberg
Zugspitze	5	5	5	30	–	–	–	12	5	–	5	6	30	28	2	2	1	12	17	14	23	14	5	Zugspitze

Übersicht über die Witterungsverhältnisse im Königreiche Bayern

während des Dezember 1911.

Zur richtigen Beurteilung der meteorologischen Verhältnisse des Dezember ist es vorteilhaft, eine kurze Rückschau auf das ganze Jahr 1911 zu halten.

Dasselbe war, als Ganzes betrachtet, durch ungewöhnlich warmes Wetter bei gleichzeitiger Niederschlagsarmut ausgezeichnet. So wurden über unserem ganzen Gebiete nur im Januar, April und Juni, strichweise auch im Oktober, Mitteltemperaturen abgeleitet, welche um geringe Beträge hinter dem jeweiligen langjährigen Durchschnittswerte zurückblieben. Während der übrigen Monate ergab sich in dem eben ausgesprochenen Sinne ein Überschuss, der insbesondere im August, November und Dezember recht beträchtliche Werte annahm. Man erinnert sich noch der tropischen Wärmegrade, welche in der zweiten Julihälfte herrschten. Ihr Einfluss auf die Mittelwerte des Monats wurde aber zum Teil aufgehoben durch die verhältnismässig kühle Witterung, welche vom Juni in die erste Hälfte des Juli herüberreichte. Hiedurch wird es auch erklärlich, dass die Temperaturdifferenzen des August an allen unseren Stationen grösser ausfielen als jene des Juli, obwohl in diesem Monate jene abnorm hohen Temperaturgrade nicht mehr erreicht wurden wie im Vormonat. Von der gleichen Grössenordnung wie im August (2—4 Grad) waren die Temperaturdifferenzen gegen das langjährige Mittel im November. An den höheren Gebirgsstationen, wie Mittenwald und Hohenpeissenberg, ging die Abweichung sogar über 4 Grad hinaus, um dann bei weiterer Erhebung wieder geringere Werte anzunehmen (Zugspitze 2,2°).

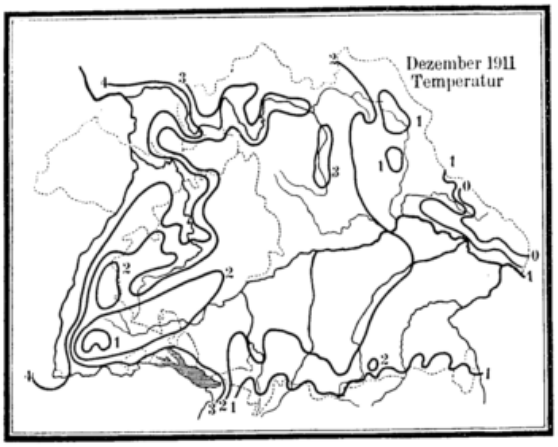
Die grösste Abnormität wies jedoch der Dezember auf. Die Differenzen der Temperaturmittel gegen den langjährigen Durchschnitt bezifferten sich an allen unseren Beobachtungsstellen auf mehr als 3 Grad, zumeist sogar auf 4 bis 5 Grad und vereinzelt sogar auf mehr als 5 Grad. Mit Ausnahme von Buchenau bei Zwiesel (750 m) wurden an allen unseren Stationen bis zu 1000 m Seehöhe positive Monatsmittel der Temperatur verzeichnet, ja selbst die Mittelwerte des Termines 7 Uhr früh fielen nur an einigen höher gelegenen Orten negativ aus. Insbesondere in der Zeit vom 20. Dezember bis Monatsende war die Witterung ungewöhnlich mild, indem sich die mittlere Tagestemperatur zirka 7 Grad über dem langjährigen Mittel hielt. Aber auch während der beiden ersten Dekaden sank das Temperaturtagesmittel beispielsweise in München nur einmal um einen geringen Betrag unter den langjährigen Normalwert, während zumeist ein Überschuss von einigen Graden bestand.

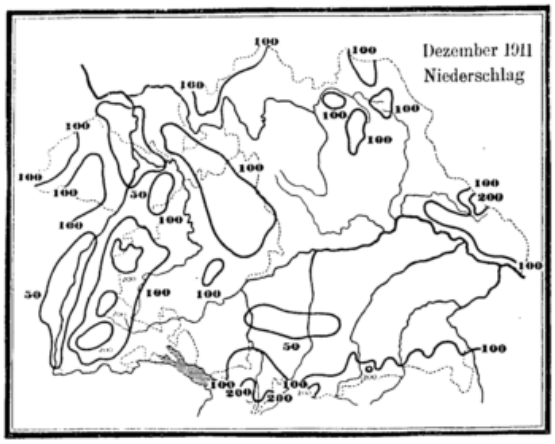
Wenden wir uns nun den Niederschlagsverhältnissen, als dem nächstwichtigsten meteorologischen Faktor, zu. Wie wir schon eingangs betonen konnten, war das Jahr 1911 durch auffallende Niederschlagsarmut ausgezeichnet. Die Monate Januar, März, April, dann insbesondere die Sommer- und Herbstmonate Juni mit Oktober waren Perioden ausgesprochener Niederschlagsarmut. Der Monat Juli und die erste Hälfte des August sind für die Zeit der grössten Hitze und Trockenheit als eine für den Ernteverlauf verderbliche Epoche der Dürre anzusehen. Der November brachte zwar stellenweise normale oder sogar etwas übernormale Niederschlagssummen, die aber bei weitem nicht ausreichten, den durch die andauernde Trockenheit der Vormonate entstandenen Wassermangel aufzuheben. Erst der letzte Monat des Jahres tat dem stellenweise bereits zur Kalamität angewachsenen Wassermangel durch häufige Regengüsse einigermassen Abbruch. Es muss als ein günstiger Umstand bezeichnet werden, dass die milde Witterung ein Gefrieren der obersten Bodenschichten verhinderte und so den vorwiegend in flüssiger Form fallenden Niederschlägen den Weg in die tieferen Erdschichten freiliess.

Wenn wir nach dem Bisherigen den Dezember des Jahres 1911 als einen feuchtwarmen Monat charakterisieren müssen, so trifft dies insbesondere auf das letzte Monatsdrittel zu, das bei andauernd hohen Temperaturen fast jeden Tag Niederschläge brachte. Während der beiden ersten Dekaden fielen Niederschläge weniger häufig und zumeist auch mit geringerer Ergiebigkeit. Die Ursache dieser Erscheinung werden wir bei der nun folgenden Schilderung des zeitlichen Witterungsverlaufes kennen lernen.

Die ersten Monatstage lassen ein intensives barometrisches Maximum über Ost- und Zentraleuropa erkennen, während der Ozean dem Bereiche einer Depression angehört. Der Himmel war, von vorübergehendem Aufklaren abgesehen, meist trüb und kleinere Unregelmässigkeiten in der Luftdruckverteilung führten stellenweise zu leichten Niederschlägen. Nur im Alpengebiet waren die Bewölkungsverhältnisse günstiger. Am Morgen des 4. Dezember reichte ein Ausläufer eines bei Island gelegenen Minimums bis an den nördlichen Alpenrand und rief in der Pfalz und in Nordwestbayern sowie im südlichen Bayern etwas stärkere Niederschläge hervor. Von nun an gewannen die Ausläufer und Randgebilde der ozeanischen Depressionen immer mehr an Einfluss auf die zentralen Lagen Europas, so dass unbeständiges

Wetter mit häufigen, aber immer nur wenig ergiebigen Niederschlägen herrschte. Im Alpengebiet trat zeitweise kräftige Föhnlage auf. Eine prinzipielle Änderung in der Luftdruckverteilung war am 16. zu verzeichnen. Von Südwesten her war hoher Luftdruck nach Zentraleuropa vorgedrungen und vereinigte sich mit dem über dem Osten des Erdteiles vorhandenen Barometermaximum, so dass wieder die zu Beginn des Monats gegebene Situation geschaffen war: hoher Luftdruck über dem Kontinente, niedriger Druck über dem Atlantik. Bei wechselnder Bewölkung herrschte in der Zeit vom 17. bis 19. Dezember trockenes, im Alpengebiete wieder föhniges Wetter. Aber bereits in den Frühstunden des 20. Dezember erstreckte sich ein Ausläufer niedrigen Druckes von einem Depressionszentrum bei Island über die britischen Inseln und Frankreich bis zu den Pyrenäen. Noch im Laufe des Tages zog derselbe über unser Gebiet hinweg und verursachte bei stürmischer Luftbewegung Niederschläge. Gleichzeitig rückte ein neues tiefes Minimum vom Ozean nach dem Kanale und von dort in der Zeit vom 21. auf 22. früh nach der südlichen Ostsee fort. Der Durchzug der Depression hatte wiederum starke West- und Südweststürme mit Niederschlägen im Gefolge. Auch in der Folgezeit war die Luftdruckverteilung raschen und durchgreifenden Änderungen unterworfen. Charakteristisch ist das mehrmalige Eindringen von Depressionszentren in die zentralen Lagen Europas, ein Ereignis, das jeweils von heftiger Luftbewegung begleitet war. Erst während der beiden letzten Monatstage gewann hoher Luftdruck über Zentraleuropa allmählich wieder die Herrschaft.





Auf dem ersten der beigegebenen Kärtchen ist die geographische Verteilung der Temperaturmittel über Süddeutschland dargestellt. In der ganzen Rheinpfalz, in der Rheinebene und in den tieferen Tallagen des Mains und Neckars ergab sich eine mittlere Temperatur von mehr als 4 Grad. Die Isotherme von 3 Grad umfasst noch das Maintal bis Bamberg aufwärts sowie das Bodenseegelände. Auch im Regnitztale um und nördlich von Nürnberg wurden mehr als 3 Grad ermittelt. Merkwürdig gestaltet sich der Verlauf der 2-Grad-Isotherme. Dieselbe verläuft über Kronach, Bayreuth, der Mittellinie des Jura folgend, nach Kelheim, von dort über Landshut auf dem rechtsseitigen Isarufer bis Tölz, um von dort westwärts zu ziehen. Dieselbe trennt den kühleren Osten von dem wärmeren Westen Süddeutschlands. Mit dem Anstiege gegen die Gebirge nehmen die Temperaturen natürlich noch weiter ab, doch tritt bei dem gegebenen Massstabe des Kärtchens und dem zur Verfügung stehenden Beobachtungsmaterial nur im Bayerischen Walde die Nullisotherme in Erscheinung.

Das mittlere Maximum erreichte in der Rheinebene und in den begünstigten Tallagen der Rheinzuflüsse Werte von mehr als 6 und 7 Grad. Mehr als 5 Grad ergaben sich im ganzen Maingebiet mit Ausnahme des obersten Flusslaufes, am Ufergelände des Bodensees sowie auf dem westlichen Teile der schwäbisch-bayerischen Hochebene und in einigen durch Föhneinfluss begünstigten alpinen Tallagen. Die geringsten Werte wurden im Osten Bayerns (2—4 Grad) und selbstverständlich in den höheren Gebirgslagen aufgezeichnet. Das Kärtchen für die geographische Verteilung des mittleren Minimums ist von Interesse wegen des Verlaufes der Nullisotherme. Dieselbe folgt dem Zuge des schwäbisch-fränkischen Jura und trennt das für maritime Einflüsse offene Süddeutschland von dem mehr kontinental gelegenen. Nur die Stationen am Gestade des Bodensees sowie einige besonders geschützte Orte zeigen auch im kälteren Gebiete positive mittlere Minima von einigen zehntel Graden.

Die Anzahl der Tage mit Frost betrug in der Rheinpfalz sowie im unteren und mittleren Maintale weniger als 10, in besonders begünstigten Lagen, wie z. B. Ludwigshafen a. Rh., sogar weniger als 5. Die Stationen des östlichen Bayern sowie des Alpengebietes verzeichneten zumeist mehr als 20 Frosttage, doch sind einige Ausnahmen hervorzuheben. So wurden in Burghausen nur 16, in Passau sogar nur 12 Tage mit Frost gezählt. Wintertage kommen wiederum nur an einigen im Osten unseres Gebietes gelegenen Stationen zur Aufzeichnung, während im Westen selbst Höhenlagen von nahezu 1000 m (Mittenwald) keinen Wintertag zählten. Nähere Einzelheiten sind der entsprechenden Spalte der Tabelle III zu entnehmen.

Auf dem zweiten Kärtchen ist die geographische Verteilung der Niederschlagsmengen zur Darstellung gebracht. Neben Trockengebieten mit einer Monatssumme von weniger als 50 mm in der Rheinebene, im bayerischen Mittelschwaben und Ammerseegebiet finden sich Bezirke maximaler Niederschlagsmengen auf den Höhen des Schwarzwaldes, einiger alpiner Lagen und den besonders exponierten Stellen des Bayerischen Waldes, wo mehr als 200 und 250 mm gemessen wurden. Im grössten Teile des diesseitigen Bayern bewegen sich die Niederschlagsmengen zwischen 50 und 100 mm. Die Niederschlagshäufigkeit war, wie dies schon aus der Schilderung des zeitlichen Witterungsverlaufes hervorgeht, ziemlich bedeutend und die letzte Dekade muss als eine nahezu ununterbrochene Niederschlagsperiode angesprochen werden. In dieser Epoche war auch eine nennenswerte Ergiebigkeit der Niederschläge zu verzeichnen, während im Verlaufe der ersten zwei Dekaden vorwiegend schwache Niederschläge beobachtet wurden. Den andauernd hohen Temperaturen entsprechend fielen die Niederschläge in den Niederungen vorwiegend, in begünstigten Lagen, wie Rheinpfalz, Maintal, Ries, im Donaumoos und im mittleren und unteren Isargebiet, ausnahmslos als Regen. Selbst in Seehöhen von nahezu 1000 m wurden einigemal Regenfälle beobachtet. Zur Bildung einer dauernden Schneedecke kam es nur in den höheren Lagen der Alpen sowie der Mittelgebirge an der Ostgrenze unseres Gebietes, für kurze Zeit auch an einigen Flachlandstationen des östlichen Bayern.

Die Bewölkungsverhältnisse waren am günstigsten im Alpengebiete und in dessen Vorland, wo eine mittlere Bewölkungsziffer von 6 bis 7 Zehnteln der vollen Bedeckung abgeleitet wurde. Gleichgünstige Verhältnisse ergaben sich auch für einige höher gelegene Orte des Bayerischen Waldes. Im übrigen Bayern und in der Pfalz wurde eine mittlere Bewölkung von 8 bis 9 Zehnteln festgestellt. Die Zahl der heiteren Tage war sehr gering und stieg nur im Alpengebiet und stellenweise im Bayerischen Walde auf mehr als 3. Die Zahl der trüben Tage betrug im Flachlande zumeist mehr als 20, in den eben erwähnten begünstigten Gebietsteilen 10 bis 15.

Die mittleren, auf Meeresniveau reduzierten Barometerstände zeigen ein schwaches, von Südost nach Nordwest gerichtetes Gefälle. Winde aus westlicher und südwestlicher Richtung, also ozeanische Luftzufuhr, waren vorherrschend.

München, 19. Januar 1912.

Alt.

Station	Höhe über Normal-Null m	Luftdruck in mm						Temperatur C°								Station
		höchster		tiefster		Monatsmittel		Mittel um			Mittlere Tagestemperatur	Mittleres		Mittel aus Maximum und Minimum	Mittlere Schwankung	
		am	mm	am	mm	lokal	auf Meeresniveau reduziert	7a	2p	9p		Maximum	Minimum			
Ludwigshafen a/Rh.	100.3	31.	763.8	21.	734.6	753.0	762 3	4.1	6.4	5.2	5.2	7.0	2.8	4.9	4.2	Ludwigshafen a/Rh.
Kahl a/M.	114.1	31.	762.4	21.	732.9	751.6	762.2	2.8	5.4	3.8	4.0	6.8	0 8	3.8	6.0	Kahl a/M.
Landau i. Pf.	149.9	31.	758.8	21.	731.5	748.2	762.1	3.3	5.7	4.0	4.2	7.5	1.9	4.7	5.6	Landau i. Pf.
Würzburg	179.3	31.	756.6	21.	727.0	745.4	762.0	2.9	5.1	3.7	3.9	5.8	1.6	3.7	4.2	Würzburg
Bad Kissingen	209.2	31.	753.9	21.	725.0	743.2	762.6	1.9	4.1	2.7	2.9	4.9	0.7	2.8	4.3	Bad Kissingen
Kaiserslautern	242.2	31.	750.9	21.	723.4	739.9	762.1	3 8	5.9	4.2	4.5	7.0	2.1	4.6	4.9	Kaiserslautern
Luitpoldheim	250	–	–	–	–	–	–	1.9	3.4	2.8	2.7	4.5	0.8	2.7	3.7	Luitpoldheim
Bamberg	287.7	31.	747.1	21.	719.5	736.3	762.9	1.7	4.3	2.5	2.7	5.6	0.5	3.0	5.1	Bamberg
Nürnberg	309.1	31.	744.8	21.	718.5	734.3	762.7	2.5	4.6	3.1	3.4	5.4	1.4	3.4	4.1	Nürnberg
Passau	309.3	31.	746.0	21.	722.5	735.6	764.3	0.8	2.8	1.5	1.7	3.7	– 0.1	1.8	3.8	Passau
Metten	320	–	–	–	–	–	–	0.3	2.6	1.3	1.3	3.5	– 1.3	1.1	4.7	Metten
Regensburg	342.6	31.	741.2	21.	718.2	732.1	763.8	0.9	2.6	1.4	1.6	3.8	– 1.1	1.4	4.8	Regensburg
Bayreuth	363.3	31.	740.9	21.	713.5	729.7	763.6	1.4	3.5	2.3	2.4	4.1	– 0.1	2.0	4.2	Bayreuth
Burghausen	365	31.	739.9	21., 23.	717.7	730.2	763.8	0.8	3.3	1.4	1.8	4.2	– 0.4	1.9	4.5	Burghausen
Karlshuld	382.0	31.	738.0	21.	713.6	728.0	763.1	1.1	3.3	1.8	2.0	5.1	– 0.2	2.4	5.3	Karlshuld
Landshut	397.7	31.	736.7	21.	713.0	726.8	763.5	1.1	3.5	1.9	2.1	5.2	– 1.2	2.0	6.4	Landshut
Lindau i. B. (Reutin)	401.7	31.	735.4	11.	714.2	727.3	764.1	2.2	4.9	2.9	3.2	6.5	0.1	3.3	6.5	Lindau i. B. (Reutin)
Weissenburg i. B.	431	31.	733.8	21.	709.3	724.3	763.8	1.9	3.7	2.3	2 6	4.7	0.7	2.7	4.0	Weissenburg i. B.
Nördlingen	435.6	31.	732.8	21.	707.6	722.6	762.5	1.9	3.5	2.1	2.4	4.4	0.6	2 5	3.8	Nördlingen
Ansbach	437.5	31.	733.3	21.	707.2	722.9	762.9	1.6	3.8	1.8	2.3	4.6	0.0	2.3	4.6	Ansbach
Hof	476.1	31.	729.8	23.	705.3	719.0	762.6	0.6	2.5	1.2	1.4	3.2	– 0.5	1.3	3.7	Hof
Bad Reichenhall	477	31.	729.4	11.	707.4	720.1	763.7	0.3	3.6	1.4	1.7	4.5	– 0.8	1.9	5.3	Bad Reichenhall
Augsburg	499.6	31.	727.9	21.	704.3	718.2	763.8	1.5	3.7	2.3	2.5	4.9	– 0.1	2.4	5.0	Augsburg
München C.-St.	526.4	31.	724.9	23.	703 0	715.6	763.5	–1.7	4.1	2 2	2.6	5.3	0.1	2.7	5.2	München C.-St.
Alexandersbad	590	–	–	–	–	–	–	–0.5	1.2	0.2	0.3	2.1	– 1 5	0.3	3.5	Alexandersbad
Traunstein	597	31.	719.4	11.	697.4	709.8	764.2	0.0	2.8	0.8	1.1	3.5	– 1.4	1.0	4.9	Traunstein
Berchtesgaden	600	–	–	–	–	–	–	–0.4	2.2	0 4	0.7	3.2	– 2.1	0.6	5.3	Berchtesgaden
Ottobeuren	660.0	31.	712.7	21., 23.	693.4	704.1	763.7	0.8	3 8	1.1	1.7	5.1	– 1.1	2.0	6.2	Ottobeuren
Partenkirchen	714.6	31.	708.1	11.	688.1	699.8	764.2	0.1	3.7	0.9	1.4	5.1	– 1.5	1.8	6.6	Partenkirchen
Tegernsee	742	31.	707.1	11.	685.3	697.4	763.8	2.0	4.8	2.3	2.8	6.6	0.4	3.5	6.2	Tegernsee
Buchenau	750	31.	705.2	21., 23.	682.2	695.5	763.3	–1.2	1.5	– 0.8	– 0.3	2.1	– 2.5	– 0.2	4.6	Buchenau
Oberstdorf	811.4	31.	699.2	11.	680.0	691.6	764.4	–0.8	3.4	0.1	0.7	5.0	– 3.3	0.9	8 4	Oberstdorf
Mittenwald	910	31.	690.8	11.	671.5	682.8	763.6	0.7	4.0	1.2	1.8	5.2	– 1.7	1.8	6.9	Mittenwald
Hohenpeissenberg	993.9	31.	683.6	23.	664.3	675.7	763.1	–1.4	2.7	1.7	1.9	4.4	– 0.2	2.1	4 7	Hohenpeissenberg
Zugspitze	2964	18.	535.0	23.	516.9	526.3	–	–9.1	– 8.2	– 9.3	– 9.0	– 6.3	–11.5	– 8.9	5.1	Zugspitze

Station	Temperatur C°						Dampfdruck	Relative Feuchtigkeit %					Bewölkung	Niederschlag			Station
	höchste		tiefste		grösste Schwankung				kleinste		grösste			grösster			
	am	C°	am	C°	am	C°	Monatsmittel mm	Monatsmittel	am	%	am	%	Monatsmittel	am	mm	Monats-Summe mm	
Ludwigshafen a/Rh	20., 21.	9.6	19.	– 1.2	20.	7.7	5.6	84	20.	56	öfters	98	8.5	22.	8.6	40.5	Ludwigshafen a/Rh.
Kahl a/M.	20.	9 7	13.	– 3.9	1.	9.8	5.6	92	10.	62	öfters	100	8.1	23.	14.0	82.0	Kahl a/M.
Landau i. Pf.	22.	11.4	18.	– 3.5	13.	9.2	5.5	89	9., 23.	64	öfters	100	8.2	23.	17.9	85.5	Landau i. Pf.
Würzburg	25.	9.2	19.	– 2.0	20.	9.5	5.2	85	24.	43	öfters	96	8.5	27.	10 3	63.7	Würzburg
Bad Kissingen	20., 29.	8.7	3.	– 3.0	20.	8.9	5.2	91	1.	67	öfters	100	8.5	27.	17.2	99.5	Bad Kissingen
Kaiserslautern	7.	10.2	18.	– 1.7	7.	7.5	5.7	90	20.	65	öfters	100	8.5	22.	18.8	93.5	Kaiserslautern
Luitpoldheim	22.	7.7	3.	– 2.5	20.	8.0	5.3	95	20.	69	öfters	100	8.9	23.	14.8	80.3	Luitpoldheim
Bamberg	14.	8.8	18., 19.	– 2.9	20.	9.1	5.0	89	2.	60	16., 25.	99	9.2	27.	10.3	68.2	Bamberg
Nürnberg	22.	8.6	3.	– 1.6	14.	6.7	5.0	85	1.	60	15.	100	8.6	22.	9.0	55.2	Nürnberg
Passau	21.	8.6	11.	– 3.3	21.	9.7	4.8	91	4.	70	öfters	100	8 6	24.	13.0	96.8	Passau
Metten	22.	7.6	3.	– 5.2	21.	8.5	4.7	92	4.	68	öfters	100	8.6	23.	15.7	112.9	Metten
Regensburg	21.	8.2	öfters	– 4.0	20.	7.7	4.6	88	öfters	71	öfters	100	8.7	23.	14.0	70.3	Regensburg
Bayreuth	29.	7.5	10.	– 5.2	20.	8.8	4.9	89	10.	66	öfters	100	8.7	27.	10.2	55.4	Bayreuth
Burghausen	22.	9.5	24.	– 3.9	29.	7.1	4.7	89	24.	56	öfters	100	8.6	12.	11.5	69.3	Burghausen
Karlshuld	21.	10.0	3., 4.	– 3.2	20.	9.6	5.0	92	10.	61	öfters	100	8.2	23.	10.6	54.5	Karlshuld
Landshut	21.	11.0	15., 17.	– 4.1	20.	9.9	4.8	89	21., 24.	62	2., 14.	100	8.8	27.	14.7	61.4	Landshut
Lindau i. B. (Reutin)	21.	13.7	17.	– 2.7	21.	11.9	5.4	93	10.	70	öfters	100	7.3	16.	11.7	81.8	Lindau i. B. (Reutin)
Weissenburg i. B.	14.	8.2	15., 19.	– 1.9	15.	7.7	5.0	90	21.	69	30.	100	8.1	27.	14.1	72.2	Weissenburg i. B.
Nördlingen	21.	9.1	17.	– 3.7	20.	7.5	4 9	90	21.	69	öfters	100	8.6	22.	13.1	58.1	Nördlingen
Ansbach	14.	8.4	3., 17.	– 2.3	14.	8.6	4.9	89	21.	69	14.	100	8.2	22.	15.7	86.8	Ansbach
Hof	25., 29.	6.0	3.	– 4.1	14., 20.	6.3	4.6	90	10.	71	öfters	100	8.4	22.	12.8	53.4	Hof
Bad Reichenhall	22.	9.0	19.	– 6.1	19.	10.1	4.5	86	13.	54	öfters	100	6.5	24.	32.0	159.6	Bad Reichenhall
Augsburg	14.	9.3	19.	– 3.2	14.	8,9	4.9	89	10., 21.	60	öfters	100	7.9	23.	12.8	63.8	Augsburg
München C.-St.	21.	10.5	19.	– 3.0	20.	9.2	5.1	86	10.	53	öfters	100	7.6	12.	9.4	60.5	München C.-St.
Alexandersbad	21., 29.	5.0	19.	– 5.4	20.	6.7	4.4	94	10., 18.	77	öfters	100	8.2	22.	16.4	78.4	Alexandersbad
Traunstein	30.	7.0	19.	– 5.6	19.	9.4	4.5	90	25.	58	öfters	100	6.9	12.	21.1	135.5	Traunstein
Berchtesgaden	1., 30.	6.3	7.	– 5.4	11.	9.0	4.6	94	2.	78	öfters	100	6.4	24.	28.0	165.7	Berchtesgaden
Ottobeuren	20.	9.4	7.	– 6.6	19.	10,8	4.5	85	10.	50	9.	100	6.9	16.	10.3	56.3	Ottobeuren
Partenkirchen	7.	6.5	3.	– 6.2	7.	13.1	4.2	82	20.	50	öfters	100	5.7	24.	21.2	117.0	Partenkirchen
Tegernsee	20.	13.9	3.	– 3.6	8.	10.1	4.3	76	20.	34	öfters	100	6.6	30.	15.5	95.2	Tegernsee
Buchenau	8.	7.1	7.	– 6.0	11.	8,2	4.1	90	20.	72	22., 25.	100	6.9	22.	29.2	161.1	Buchenau
Oberstdorf	21.	9 2	13.	–10.7	24.	13.1	4.1	84	20.	47	öfters	100	6.6	24.	33.0	190.9	Oberstdorf
Mittenwald	19.	11.0	10.	– 8,1	19.	11.0	3.9	76	20.	38	öfters	100	6.4	24.	23.9	118.0	Mittenwald
Hohenpeissenberg	20.	9 8	3.	– 4.5	18.	7.7	3.8	74	20.	26	öfters	100	6,8	30.	8.6	66.2	Hohenpeissenberg
Zugspitze	19.	3.5	10.	–16.7	17.	9.9	1.9	83	1.	14	öfters	100	6.4	12.	12.7	58.4	Zugspitze

Station	Tage mit										Tage				Anzahl der beobachteten Windrichtungen									Station
	Niederschlägen		Schneefall	Schneedecke	Graupeln	Hagel	Gewitter	Nebel	Reif	Tau	heitere	trübe	Frost	Winter	N	NE	E	SE	S	SW	W	NW	Stille	
	≥ 0.1mm	≥ 1.0mm																						
Ludwigshafen a/Rh.	20	13	–	–	–	–	1	9	7	–	–	21	4	–	2	2	–	13	22	28	8	–	18	Ludwigshafen a/Rh.
Kahl a/M.	23	16	–	–	–	–	–	1	7	–	–	17	9	–	–	–	1	8	3	28	4	4	45	Kahl a/M.
Landau i. Pf.	22	13	–	–	–	–	–	2	8	1	1	19	6	–	–	20	1	1	1	51	9	10	–	Landau i. Pf.
Würzburg	20	13	–	–	–	–	–	4	2	–	2	23	5	–	2	–	27	12	9	10	20	6	7	Würzburg
Bad Kissingen	21	20	4	–	–	–	–	5	2	–	2	21	8	–	25	7	4	1	16	8	9	5	18	Bad Kissingen
Kaiserslautern	25	18	–	–	–	–	1	4	6	–	1	21	6	–	1	–	3	4	3	3	35	8	36	Kaiserslautern
Luitpoldheim	23	17	2	–	1	–	–	6	2	–	–	25	12	–	–	3	–	–	2	40	–	2	46	Luitpoldheim
Bamberg	30	14	2	–	1	–	–	8	9	5	–	24	13	–	–	1	6	15	17	20	21	1	12	Bamberg
Nürnberg	18	12	8	–	3	–	–	13	4	–	–	22	7	–	1	–	3	40	16	17	8	8	–	Nürnberg
Passau	19	14	8	9	–	–	–	7	2	–	–	22	12	–	–	–	3	–	1	1	17	–	71	Passau
Metten	18	15	13	8	–	–	–	8	10	–	–	24	22	1	3	–	10	13	15	7	12	2	31	Metten
Regensburg	17	14	4	1	–	–	–	9	6	–	1	22	22	–	10	1	1	2	51	5	2	12	9	Regensburg
Bayreuth	16	12	3	2	–	–	–	10	7	–	1	22	14	–	–	–	32	19	6	13	20	2	1	Bayreuth
Burghausen	18	14	3	1	–	–	–	8	9	–	1	24	16	1	5	5	20	1	2	15	7	–	38	Burghausen
Karlshuld	14	13	–	–	–	–	–	8	7	–	1	23	17	–	–	18	14	–	5	6	20	–	30	Karlshuld
Landshut	20	16	–	–	–	–	–	3	10	–	1	25	22	–	–	8	27	–	3	9	32	3	11	Landshut
Lindau i. B. (Reutin)	18	15	1	–	1	–	1	3	8	5	–	11	17	–	15	8	8	3	23	6	19	4	7	Lindau i. B. (Reutin)
Weissenburg i. B.	20	15	–	–	1	–	–	15	8	–	–	19	12	–	1	2	1	33	13	24	13	3	3	Weissenburg i. B.
Nördlingen	17	11	2	–	2	–	–	10	5	5	–	23	12	–	–	1	5	31	11	23	15	5	2	Nördlingen
Ansbach	18	14	1	–	–	1	1	6	8	–	2	21	16	–	–	2	1	8	15	14	27	4	22	Ansbach
Hof	18	11	8	1	–	–	–	18	2	–	–	24	18	1	1	2	2	20	24	16	12	14	2	Hof
Bad Reichenhall	18	15	7	6	1	–	1	6	7	–	4	11	19	1	–	1	12	1	1	14	35	2	27	Bad Reichenhall
Augsburg	16	13	4	–	–	–	–	9	11	–	–	18	16	–	1	1	6	22	2	33	11	8	9	Augsburg
München C.-St.	24	14	5	–	1	–	–	12	11	–	1	17	14	1	–	–	19	12	1	36	6	4	15	München C.-St.
Alexandersbad	17	12	11	6	–	–	1	4	7	–	1	18	24	3	3	1	4	19	4	21	9	10	22	Alexandersbad
Traunstein	18	16	10	15	–	–	–	6	4	–	2	14	22	2	4	13	24	8	2	6	30	6	–	Traunstein
Berchtesgaden	18	16	10	21	4	–	1	6	14	–	3	13	23	–	–	–	2	–	–	–	5	–	86	Berchtesgaden
Ottobeuren	20	14	6	1	–	–	–	6	12	–	4	14	17	–	–	4	1	7	3	52	–	–	26	Ottobeuren
Partenkirchen	16	15	8	18	–	–	–	–	3	–	4	10	23	–	2	–	–	5	25	4	1	5	51	Partenkirchen
Tegernsee	18	15	11	12	1	–	–	3	13	–	2	11	12	–	–	2	49	7	–	1	27	7	–	Tegernsee
Buchenau	15	14	14	22	1	–	–	2	5	1	3	16	28	1	1	–	28	–	1	4	37	1	21	Buchenau
Oberstdorf	16	16	8	22	–	–	–	6	6	–	3	11	28	–	6	1	1	1	6	14	13	7	44	Oberstdorf
Mittenwald	16	15	12	18	2	–	1	1	3	–	3	10	23	–	8	4	–	–	17	20	7	4	33	Mittenwald
Hohenpeissenberg	15	14	13	7	–	–	–	13	6	–	3	14	19	1	1	9	4	10	4	10	46	5	4	Hohenpeissenberg
Zugspitze	11	10	11	31	–	–	–	20	3	–	2	11	31	29	28	1	1	4	13	8	13	22	3	Zugspitze

Münchener Pilotballonbeobachtungen 1911

ausgeführt von

J. Höllerer und K. Bux

unter Mitwirkung des Dieners G. Götz.

1.—5. Januar. Die Beobachtungen unterblieben wegen ungünstigem Wetter.

Nr. 1. 6. Januar. 8^{12} a; Bew. 7^0 ⊙, a-str.

Stufenwerte m	Wind Richtung	Wind Geschwindigkeit m p. s.	Stufenwerte m	Wind Richtung	Wind Geschwindigkeit m p. s.
540	SW	1.7	1380—1660	Schleife	0.6
540— 680	S 35° W	4.3	1660—1940	S 48° W	7.5
680—1380	S 75° W	5.1	1940—2780	S 32° W	12.4

Nr. 2. 7. Januar. 9^{07} a; Bew. 0 ⊙, ≡¹.

540	C		820— 960	S 41° W	2.5
540—820	S 67° W	2.4	960—1100	N 47° E	3.1

Nr. 3. 8. Januar. 10^{00} a; Bew. 0 ⊙, a ≡¹.

540	SW	1.7	2500—2920	N 40° E	3.3
540—1380	S 70° W	3.3	2920—3340	N 30° E	1.8
1380—1940	E	1.1	3340—3620	N	3.4
1940—2500	N 15° E	2.5	3620—4040	N 10° E	5.6

Nr. 4. 9. Januar. 9^{00} a; Bew. 1^0 ⊙, ci, a ≡¹.

540	S	1.7	2920—3340	N 10° W	5.6
540—1520	S 25° W	3.6	3340—3900	N 24° E	8.8
1520—2360	N 85° W	4.0	3900—4740	N 25° E	11.3
2360—2920	N 4° W	4.3	4740—5160	N 36° E	14.0

10. Januar. Beobachtung unterblieb wegen ◍ und ✳.

Nr. 5. 11. Januar. 9^{23} a; Bew. 0 ⊙, ≡¹.

540	SW	1.7	1800—2360	S 50° E	5.0
540— 680	S 13° W	3.2	2360—2780	N 25° E	6.5
680—1240	S 40° E	3.7	2780—3060	N 50° E	7.8
1240—1520	S 10° W	4.4	3060—3900	N 25° E	12.7
1520—1800	S 45° W	2.3			

Nr. 6. 12. Januar. 9^{50} a; Bew. 10^1, a-str, ≡$^{0\text{-}1}$.

540	S	3.1	780—1260	S 75° W	7.8
540—660	S 11° W	3.7	1260—1620	S 69° W	10.0
660—780	S 64° W	3.5			

13.—15. Januar. Die Beobachtungen unterblieben wegen ≡.

Nr. 7. 16. Januar. 9^{55} a; Bew. 1^0 ⊙, ci, ≡¹.

540	SW	1.7	820—1100	N 88° E	5.9
540—680	S 83° W	2.1	1100—1520	N 80° E	9.6
680—820	N 25° E	0.8			

17. Januar. Beobachtung unterblieb wegen ≡.

Nr. 8. 18. Januar. 9^{00} a; Bew. 9^1, ci, a-cu, a-str, ⋁, ≡.

540	SW	1.7	1100—1800	N 60° W	9.6
540— 680	S 60° W	5.8	1800—2500	N 50° W	11.7
680— 820	W	4.7	2500—2920	N 35° W	12.6
820—1100	N 20° W	5.1	2920—3760	N	19.8

19.—26. Januar. Die Beobachtungen unterblieben wegen ungünstiger Witterung.

Nr. 9. 27. Januar. 9^{23} a; Bew. 9^1, str-cu.

540	SW	3.1	660— 780	N 82° W	10.0
540—660	S 74° W	5.5	780—1260	N 72° W	10.8

28. und 29. Januar. Die Beobachtungen unterblieben wegen tiefliegender str-Decke.

Anm. Alle Zeitangaben beziehen sich auf M.E.Z.

Nr. 10. 30. Januar. 10^{00} a; Bew. 0 ⊙.

Stufenwerte m	Wind Richtung	Wind Geschwindigkeit m p. s.	Stufenwerte m	Wind Richtung	Wind Geschwindigkeit m p. s.
540	E	4.6—6.7	820—1100	S 81° E	15.3
540—680	E	5.9	1100—1520	E	15.7
680—820	S 87° E	12.0			

Nr. 11. 31. Januar. 9^{00} a; Bew. 1^{1}, a-str.

540	E	1.7	960—1660	S 83° E	12.8
540—680	S 82° E	4.2	1660—2220	N 75° E	11.5
680—960	E	11.3			

Nr. 12. 1. Februar. 9^{01} a; Bew. 3°, ci, ci-cu, später a-cu, ≡°.

540	SW	1.7	1240—1660	N 35° W	3.5
540— 680	N 54° W	3.7	1660—1940	N 60° W	4.3
680— 820	N 27° W	5 0	1940—2220	N 20° W	5.5
820—1240	N 15° E	3.7	2220—2920	N 12° W	9.9

2.—6. Februar. Wegen tiefliegenden Wolken unterblieben die Beobachtungen.

Nr. 13. 7. Februar. 8^{38} a; Bew. 6^{1}, ci-str, a-cu, ≡°.

540	SW	1.7	1660—1800	N 37° W	5.2
540— 680	S 53° W	4.3	1800—2500	N 45° W	7.0
680— 820	S 83° W	4.8	2500—3060	N 36° W	10.0
820—1240	N 85° W	4.7	3060—3200	N 25° W	15.8
1240—1380	S 85° W	3.7	3200—3620	N 15° W	15.3
1380—1520	N 72° W	3.7	3620—4320	N 11° W	19.5
1520—1660	N 61° W	3.5	4320—4460	N 2° W	17.5

Nr. 14. 8. Februar. 8^{53} a; Bew. 6°, a-str, str-cu.

540	NW	3.1	1380—1940	N 34° W	16.9
540— 680	N 34° W	8.1	1940—2220	N 40° W	20.9
680—1380	N 25° W	14.4			

Nr. 15. 9. Februar. 9^{11} a; Bew. 0 ⊙, $\equiv^{1}$.

540	C		1520—1800	N 86° W	3.6
540— 960	N 75° E	2.9	1800—1940	N 65° W	2.0
960—1240	N 83° E	2.5	1940—2500	N 17° E	6.2
1240—1520	N 68° E	2.1	2500—2780	N 8° E	8.2

Nr. 16 10. Februar. 10^{27} a; Bew. 0 ⊙, $\equiv^{1}$.

540	C		820— 960	S 55° W	6.7
540—680	S 40° E	0.5	960—1240	S 72° W	4.6
680—820	S 45° W	1.8	1240—1520	S 69° W	7.2

Nr. 17. 11. Februar. 8^{15} a; Bew. 2° ⊙, ci, ci-str, a-cu, $\equiv^{1}$.

540	SW	1.7	820— 960	S 87° W	13.8
540—680	S 50° W	5.4	960—1380	N 88° W	14.0
680—820	S 75° W	13.0	1380—1800	N 85° W	12.5

12. Februar. Beobachtung unterblieb wegen tiefliegender Wolken.

Nr. 18. 13. Februar. 10^{10} a; Bew. 8°, a-str, ⊕, ∞^{2}.

540	SW	3.1	680—1520	N 84° E	14.9
540—680	N 80° E	3.8			

14. Februar. Beobachtung unterblieb wegen tiefliegender str-Schicht.

Nr. 19. 15. Februar. 9^{07} a; Bew. 0 ⊙, $\equiv^{1}$, ⌣.

540	SW	3.1	1940—2360	N 25° W	4.7
540— 680	S 81° W	4.8	2360—2640	N 6° W	5.6
680— 820	N 74° W	6.8	2640—3760	N 25° W	7.5
820—1520	W	2.9	3760—4040	N 16° W	10.7
1520—1940	N 58° W	4.4			

Nr. 20. 16. Februar. 8^{16} a; Bew. 6°, ci-str, a-str.

540	SW	1.7	820—1240	W	8.6
540—680	S 63° W	3.9	1240—1800	S 78° W	11.3
680—820	S 80° W	7.5			

Nr. 21. 16. Februar. 10^{15} a; Bew. 4° ⊙, ci, ∞^{1}.

540	SW	3.1	1380—1940	N 85° W	6.2
540— 680	S 58° W	3.8	1940—2360	N 60° W	6.0
680— 960	S 65° W	5.8	2360—2780	N 38° W	9.4
960—1380	S 72° W	9.3			

Nr. 22. 17. Februar. 8^{29} a; Bew. 10^1, a-str, str-cu; Föhnlage, Gebirge sehr gut sichtbar.

Stufenwerte m	Wind Richtung	Wind Geschwindigkeit m p. s.	Stufenwerte m	Wind Richtung	Wind Geschwindigkeit m p. s.
540	SW	10.7-12.9 sehr böig	900—1260	S 78° W	28.8
540—900	S 70° W	16.4	1260—1740	W	33.8

Nr. 23. 18. Februar. 8^{35} a; Bew. 10^1, a-str, str-cu; Föhnlage, Gebirge gut sichtbar.

540	SW	6.7 böig	900—1260	W	26.2
540—900	S 77° W	17.4	1260—1380	weit. rechts drehd.	< 30.0

Nr. 24. 19. Februar. 8^{37} a; Bew. 7^1 ⊙, a-str.

540	SW	1.7	680—1380	S 75° W	27.4
540—680	S 67° W	8.4			

20. und 21. Februar. Die Beobachtungen unterblieben wegen tiefliegender ni- bezw. str-Wolken.

Nr. 25. 22. Februar. 9^{27} a; Bew. 9^1, a-str, str-cu; Föhnlage, Gebirge sichtbar.

540	SW	3.1	680— 960	S 70° W	19.5
540—680	S 63° W	6.5	960—2220	S 80° W	25.4

Nr. 26. 23. Februar. 9^{35} a; Bew. 4^0 ⊙, ci-str, cu.

540	SW	3.1	1100—1660	S 86° W	12.9
540— 820	S 71° W	4 9	1660—2360	S 80° W	15.9
820—1100	S 78° W	9.9			

24. Februar. Beobachtung unterblieb wegen ◍.

25. und 26. Februar. Die Beobachtungen unterblieben wegen tiefliegenden Wolken.

27. Februar. Beobachtung unterblieb wegen ⚹.

Nr. 27. 28. Februar. 8^{40} a; Bew. o ⊙, ≡°.

540	S	1.7	1380—1660	N 84° W	7.1
540— 680	S 25° W	3.8	1660—1940	N 71° W	9.6
680— 820	S 38° W	4.0	1940—2080	N 44° W	14.2
820—1380	S 72° W	5.4			

1. März. Beobachtung unterblieb wegen ◍.

Nr. 28. 2. März. 9^{09} a; Bew. o ⊙, ≡°.

540	SW	3.1	680— 820	S 71° W	12.7
540—680	S 86° W	6.8	820—1800	S 88° W	17.3

3.—5. März. Die Beobachtungen unterblieben wegen tiefliegender Wolken.

Nr. 29. 6. März. 9^{00} a; Bew. 2^0 ⊙, a-cu, ∞.

540	NW	1.3	960—1940	N 55° W	5.1
540—680	N 55° W	2.3	1940—2360	N 80° W	7.1
680—960	N 41° W	3.5			

Nr. 30. 7. März. 12^{07} p; Bew. 3^0 ⊙, cu.

540	E	3.1	2360—2500	N 61° W	2.0
540— 820	N 84° E	6.4	2500—3060	N 8° W	5.2
820—1800	S 85° E	6.9	3060—3480	N 6° E	6.7
1800—2360	C		3480—4460	N 7° W	8.4

8. März. Beobachtung unterblieb wegen ≡.

Nr. 31. 9. März. 11^{15} a; Bew. 3^1 ⊙, cu, ∞°.

540	E	3.1	1660—1800	N 5° E	1.5
540— 680	S 71° E	4.2	1800—1940	N 75° W	1.2
680— 960	E	3.4	1940—2500	S 60° W	3.4
960—1100	S 70° E	3.8	2500—2780	N	9.4
1100—1660	N 68° E	3.1			

Nr. 32. 10. März. 1^{33} p; Bew. 9^0 ⊙, a-cu, a-str, str-cu, $\equiv^{0\text{-}1}$.

540	NW	1.7	900—1620	S 75° W	3.0
540—660	N 30° W	2.2	1620—2220	S 86° W	5.7
660—900	N 76° W	2.7			

Nr. 33. 11. März. 11^{28} a; Bew. 5^1 ⊙, cu, ∞.

540	NE	1.7	960—1380	S 60° E	5.0
540—680	N 81° E	4.1	1380—2080	S 82° E	9.2
680—960	S 76° E	3.2			

Nr. 34. 12. März. 8^{42} a; Bew. 7° ⊙, a-cu, ≡°.

Stufenwerte m	Wind Richtung	Wind Geschwindigkeit m p. s.	Stufenwerte m	Wind Richtung	Wind Geschwindigkeit m p. s.
540	SW	1.7	820—1520	N 85° W	2.6
540—680	S 56° W	3.0	1520—2080	N 79° W	4.3
680—820	S 77° W	3.2	2080—3480	N 71° W	8.6

Nr. 35. 13. März. 11^{24} a; Bew. 9^{1}, a-str, str-cu.

540	SE	1.7	1240—1520	S 24° W	10.0
540— 820	S 26° E	7.1	1520—2920	S 41° W	10.7
820—1240	E	11.3			

14. und 15. März. Die Beobachtungen unterblieben wegen tiefliegender str-Wolken.

Nr. 36. 16. März. 10^{50} a; Bew. 0 ⊙.

540	C		1100—1660	S 32° E	4.1
540— 680	S 16° E	1.9	1660— 1940	S 6° W	5.5
680—1100	S 10° W	2.5	1940—2220	S 42° W	5.5

Nr. 37. 17. März. 11^{24} a; Bew. 3°, ci, cu.

540	SE	1.7	1520—1940	S 75° W	5.3
540— 680	S 82° E	2.1	1940 – 2920	S 63° W	6.4
680—1240	S 48° E	2.5	2920—3480	W	5.0
1240—1520	S	2.3			

Nr. 38. 18. März. 10^{30} a; Bew. 6°, ci-str.

540	E	1.7	820—1100	S 39° E	4.2
540—680	N 87° E	1.9	1100 – 1940	S 20° E	3.3
680—820	S 71° E	2.0	1940—2920	S 34° W	3.0

Nr. 39. 19. März. 8^{28} a; Bew. 1° ⊙, ci, ≡°.

540	SE	1.7	1520—1940	N 82° E	4.7
540— 680	S 47° E	4.2	1940—2220	N	2.5
680— 960	S 65° E	7.4	2220—2500	N 64° W	2.1
960—1520	S 83° E	5.0	2590—3060	N 29° W	5.2

Nr. 40. 20. März. 9^{25} a; Bew. 3°, ci, ci-str.

540	E	4.8	820—1100	S 76° E	11.0
540—820	S 88° E	7.9	1100—1520	S 69° E	11.1

Nr. 41. 20. März. 11^{44} a; Bew. 4° ⊙, ci, ci-str.

540	NE	4.8	960—1240	S 68° E	13.3
540—680	N 78° E	3.5	1240—2220	S 55° E	9.9
680—960	E	6.8	2220—2360	N 64° W	5.0

Nr. 42. 21. März. 12^{03} p; Bew. 1° ⊙, a-cu.

540	E	1.7	1800—2080	S 5° E	3.2
540— 820	N 54° E	4.5	2220—2640	S 28° E	5.0
820—1520	N 50° E	3.6	2640 – 3200	S 35° W	7.2
1520 – 1800	S 43° E	2.2	3200—3900	S 54° W	11.3

Nr. 43. 22. März. 10^{35} a; Bew. 1° ⊙, ci, ∞.

540	NE	1.7	4040—4320	S 20° E	3.1
540— 820	N 63° E	2.3	4320—5020	S 65° E	3.0
820— 960	E	2.5	5020—5580	C	
960—1660	S 42° E	3.8	5580—7120	S 45° W	5.1
1660—3480	S 34° E	4.2	7120—7380	S 45° W	10.0
3480—4040	S 30° W	4.0			

23.—25. März. Die Beobachtungen unterblieben wegen ≡ und ◎.

Nr. 44. 26. März. 10^{50} a; Bew. 4^{1} ⊙, a-cu; Föhnlage, Gebirge sehr gut sichtbar.

540	E	4.8	960—1660	S 47° E	12.7
540—680	S 74° E	8.0	1660—2080	S 18° E	6.8
680—960	S 62° E	11.3			

27. und 28. März. Die Beobachtungen unterblieben wegen ≡.

Nr. 45. 29. März. 9^{20} a; Bew. 4° ⊙, ci-str, ∞.

540	SE	1.7	820—1520	S 20° E	10.4
540—820	S 40° E	3.8			

Nr. 46. 30. März. 8^{41} a; Bew. 10^{1}, a-cu, a-str.

540	S	3.1	1520—2360	S 10° E	10.8
540— 680	S 16° E	10.0	2360—2780	S 27° E	5.5
680—1100	S 23° E	15.9	2780—ca. 3000	stark wechselnd	gering
1100—1520	S	12.0			

Nr. 47. 31. März. 9^{20} a; Bew. 7^{1}, a-cu, str-cu.

Stufenwerte m	Wind Richtung	Wind Geschwindigkeit m p. s.	Stufenwerte m	Wind Richtung	Wind Geschwindigkeit m p. s.
540	SW	1.7	820—1520	N 70° W	5.6
540—820	S 82° W	4.7	1520—2360	W	4.6

Nr. 48. 1. April. 8^{51} a; Bew. 9^{0} ⊙, ci-str, a-str, ⊕.

540	C		2080—2920	N 72° W	4.7
540— 680	N 40° W	1.2	2920—3340	N 18° W	2.9
680— 820	N 86° W	1.7	3340—4460	N 22° W	3.9
820—1660	N 35° W	3.2	4460—5020	N 49° W	4.2
1660—2080	N 46° W	5.0	5020—5850	N 25° W	2.7

Nr. 49. 2. April. 9^{11} a; Bew. 8^{1}, a-cu, ≡°.

540	C		1940—2220	N 35° W	1.0
540— 680	N 70° E	0.3	2220—3200	N 78° W	1.2
680— 820	N 82° E	1.2	3200—3480	N 16° E	0.7
820—1800	S 70° E	4.0	3480—4040	N 85° E	1.5
1800—1940	N 66° E	1.7			

3. April. Beobachtung unterblieb wegen ◍.

Nr. 50. 4. April. 10^{21} a; Bew. 6^{1}, ci, str-cu.

540	N	3.1	680—1100	N 23° E	12.1
540—680	N 25° E	8.8			

5. April. Beobachtung unterblieb wegen tiefliegender str-Decke.

6. April. Beobachtung unterblieb wegen ⚹.

Nr. 51. 7. April. 9^{30} a; Bew. 5^{1} ⊙, fr-cu.

540	NE	3.1	680— 820	E	8.0
540—680	N 85° E	4.3	820—1520	S 80° E	6.7

8. April. Beobachtung unterblieb wegen ⚹.

Nr. 52. 9. April. 9^{24} a; Bew. 8^{0}, a-str, str-cu.

540	NE	1.7	680—1520	N 75° E	7.0
540—680	S 87° E	3.7	1520—2500	N 62° E	5.0

Nr. 53. 10. April. 9^{35} a; Bew. 9^{1}, a-cu, cu, str-cu.

540	NE	1.7	960—1240	N 34° E	1.3
540—680	N 8° E	1.7	1240—1660	S 25° E	1.8
680—960	N 32° W	0.7	1660—1800	S 82° E	6.2

Nr. 54. 11. April. 8^{28} a; Bew. 0 ⊙, ∞.

540	E	1.7	680—1940	E	7.4
540—680	N 76° E	3.9	1940—2920	N 75° E	12.9

Nr. 55. 12. April. 9^{02} a; Bew. 0 ⊙, ∞-kranz.

540	W	1.7	1940—2920	N 16° W	5.3
540— 820		2.0	2920—4460	N	9.7
820—1940	N 70° W	3.1			

13. und 14. April. Beobachtungen unterblieben wegen ungünstiger Witterung.

Nr. 56. 15. April. 8^{35} a; Bew. 4^{0} ⊙, ci, ci-cu, ∞.

540	SW	4.8	680—1100	S 85° W	10.5
540—680	S 59° W	9.0	1100—1380	N 60° W	8.0

16. und 17. April. Beobachtungen unterblieben.

Nr. 57. 18. April. 8^{40} a; Bew. 1^{0} ⊙, ci.

540	C		6840— 7260	C	
540— 680	S 85° W	2.8	7260— 7960	N 51° E	3.1
680—1240	N 60° W	3.0	7960— 8940	N 8° E	6.7
1240—1660	S 72° E	1.5	8940— 9920	N 8° E	7.9
1660—2220	N 69° E	2.3	9920—11060	N 5° W	8.8
2220—2500	S 52° E	2.4	11060—13140	N 5° E	9.7
2500—3620	S 15° E	4.2			
3620—4460	S 16° E	7.6			
4460—6840	S 13° W	3.4			

Nr. 58. 19. April. 9^{01} a; Bew. 2^{0} ⊙, ci, ∞.

Stufenwerte m	Wind Richtung	Wind Geschwindigkeit m p. s.	Stufenwerte m	Wind Richtung	Wind Geschwindigkeit m p. s.
540	S	1.7	1940—2500	N 83° E	1.3
540— 680	S 65° W	2.0	2500—3060	S 7° W	2.7
680—1100	S 30° W	1.6	3060—3620	S 36° W	6.3
1100—1380	N 40° W	1.2	3620—5300	S 8° E	11.8
1380—1940	N 63° E	2.2			

Nr. 59. 20. April. 9^{33} a; Bew. 4^{1} ⊙, ci, ci-cu, cu.

540	W	1.7	660 — 900	N 80° W	2.3
540--660	S 73° W	2.0	900—1260	W	4.1

Nr. 60. 21. April. 9^{15} a; Bew. 10^{1}, str-cu.

540	SW	1.7	780—1140	N 65° W	2.1
540—780	S 72° W	3.9	1140—1260	N 72° E	1.0

Nr. 61. 22. April. 8^{40} a; Bew. 0 ⊙, ∞^{0}.

540	NE	1.7	1100—1800	S 77° E	9.1
540— 680	N 82° E	2.1	1800—2920	S 63° E	7.8
680—1100	S 83° E	7.5	2920—3440	E	6.9

Nr. 62. 23. April. 8^{23} a; Bew. 6^{0}, ci, ∞.

540	SW	4.8	680— 820	S 80° W	5.7
540—680	S 68° W	4.7	820—2020	S 75° W	6.7

Nr. 63. 24. April. 9^{00} a; Bew. 8^{0}, ci-str, cu.

540	NW	1.7	680—1660	N 72° W	5.5
540—680	N 60° W	3.1	1660—2220	N 86° W	6.4

Nr. 64. 25. April. 8^{14} a; Bew. 7^{1}, cu, ∞.

540	C		960—1100	N 44° E	0.4
540—820	S	1.3	1100—1380	N 24° W	1.1
820—960	E	0.5			

Nr. 65. 26. April. 9^{11} a; Bew. 8^{1}, ci, a-str, a-cu, str-cu.

540	W	3.1	1660—1800	C	
540— 680	N 67° W	7.8	1800—2360	S 59° W	2.5
680—1380	N 80° W	9.6	2360—3620	S 50° W	8.8
1380—1660	S 80° W	4.6			

Nr. 66. 27. April. 8^{24} a; Bew. 9^{0}, ci-str, str-cu.

540	SW	1.7	960--1100	N 83° W	2.8
540—680	S 55° W	4.5	1100—1800	W	10.4
680—820	S 62° W	4.7	1800—3200	S 80° W	16.3
820—960	S 73° W	2.7			

28. April. Beobachtung unterblieb wegen ◍.

Nr. 67. 29. April. Bew. 8^{1} ⊙, ci-str, a-cu, a-str; Föhn.

540	SE	1.7	820—1240	S 25° W	8.7
540—820	S 12° E	6.6	1240—2080	S 75° W	18.5

30. April. Keine Beobachtung: relative Wolkenhöhe 150 m.

1. Mai. Beobachtung unterblieb wegen ◍.

Nr. 68. 2. Mai. 8^{30} a; Bew. 4^{1} ⊙, cu, i. S., ∞.

540	N	1.7	1140—1380	S 70° E	2.8
540— 780	N 9° E	3.4	1380—1620	S 10° E	2.9
780—1140	N 48° E	1.7	1620—2340	W	3.9

Nr. 69. 3. Mai. 8^{25} a; Bew. 2^{0} ⊙, a-cu, ≡^{0}.

540	C		2820—3060	S 72° E	2.7
540— 660	S 43° E	0.7	3060—3660	S 38° E	4.3
660—1620	S 43° W	2.3	3660—4260	S 10° W	5.8
1620—2100	Schleife	0.8	4260—4860	S 35° E	6.9
2100—2820	N 75° E	2.5	4860—5340	S 13° E	7.6

Nr. 70. 4. Mai. 8^{16} a; Bew. 2^{0} ⊙, ci, ci-str, ∞^{1}.

540	W	1.7	2580—3300	E	3.1
540 900		2.8	3300—4260	S 30° W	2.9
900—1260	S 77° W	2.1	4260—5100	S 75° E	4.7
1260—1500	N 82° W	2.4	5100—5580	Schleife links	1.0
1500—1980	N 48° W	3.6	5580—5820	S 26° E	2.5
1980—2580	N 27° W	2.1	5820—7980	S 50° E	6.7

5 Mai Beobachtung unterblieb wegen Nebelreissens.

Nr. 71. 6. Mai. 10^{15} a; Bew. 9^1, a-str, cu.

Stufenwerte m	Wind Richtung	Wind Geschwindigkeit m p. s.	Stufenwerte m	Wind Richtung	Wind Geschwindigkeit m p. s.
540	C		780—1500	N 70° W	1.9
540—660	N 9° E	0.5	1500—2220	N 25° W	2.4
660—780	N 57° W	0.8			

Nr. 72. 7. Mai. 8^{45} a; Bew. 10^1, str-cu.

540	N	1.7	660—1020	N 23° E	2.6
540—660	N 10° E	2.2			

8. Mai. Beobachtung unterblieb wegen tiefliegender str-cu-Wolken.

Nr. 73. 9. Mai. 8^{24} a; Bew. 2^0 ⊙, ci.

540	NE	1.7	1140—2100	S 60° E	6.9
540— 660	S 76° E	2.4	2100—2580	S 40° E	6.7
660— 780	N 86° E	2.5	2580—3300	S	7.6
780—1140	S 55° E	5.7			

Nr. 74. 10. Mai. 8^{22} a; Bew. 9^1, ci-str.

540	SW	1.7	2100—3060	S 30° E	2.2
540— 660	S 71° W	2.4	3060—3660	S 77° E	2.9
660—1020	W	6.3	3660—4620	E	4.4
1020—1620	S 70° W	3.9	4620—5580	S 58° E	6.3
1620—2100	S 5° W	2.1	5580—6420	S 70° E	7.2

Nr. 75. 11. Mai. 9^{21} a; Bew. 7^1, a-cu, a-str, str-cu, cu.

540	SW	3.1	900—1740	S 62° W	4.0
540—660	S 46° W	3.7	1740—2460	N 75° W	4.7
660—900	S 41° W	5.7			

Nr. 76. 12. Mai. 9^{14} a; Bew. 1^0 ⊙, ci, ci-cu.

540	E	1.7	2940—3540	S 53° W	2.2
540— 660	S 81° E	1.8	3540—3900	W	4.1
660— 780	N 80° E	2.2	3900—4620	N 63° W	5.1
780—1380	S 80° E	3.1	4620—4980	W	5.9
1380—1620	S 52° E	1.9	4980—5580	S 45° W	4.3
1620—2100	S 5° E	2.4	5580—6780	S 62° W	4.8
2100—2940	S 25° W	3.3			

Nr. 77. 13. Mai. 8^{45} a; Bew. 1^0 ⊙, ci.

540	E	1.7	3180—4020	S 25° E	2.5
540— 780		3.7	4020—5700	S 40° W	4.7
780—1740	S 65° E	5.2	5700—7740	S 65° W	6.9
1740—3180	S 75° E	3.3	7740—8700	S 81° W	12.6

Nr. 78. 14. Mai. 8^{52} a; Bew. 9^0 ⊙, ci-st.

540	W	1.7	1940—2220	N 27° E	2.0
540— 680	S 72° W	3.3	2220—2360	Schleife	0.3
680— 960	N 82° W	2.3	2360—2640	S 50° W	2.1
960—1100	S 38° W	0.9	2640—3060	S 67° W	1.7
1100—1380	S 48° E	2.3	3060—4740	S 10° W	4.2
1380—1800	N 85° E	1.5	4740—6000	S 40° W	1.7
1800—1940	C		6000—6700	S 70° W	4.0

15. Mai. Aufstieg unterblieb wegen tiefliegender Stratusschicht.

Nr. 79. 16. Mai. 9^{07} a; Bew. 10^1, str.

540	SW	1.7	660—780	S 60° W	1.7
540—660	S 46° W	2.1	780—820	S 86° W	1.7

Nr. 80. 17. Mai. 8^{47} a; Bew. 4^0 ⊙, ci-cu, ci-str, a-cu.

540	C		2360—2640	N 62° E	0.6
540— 680	N 5° W	0.9	2640—3200	S 30° E	1.2
680— 820	N 65° W	1.2	3200—3620	S 19° E	4.9
820—1800	N 30° W	1.6	3620—4180	S 5° W	5.3
1800—2360	S 62° W	1.2	4180—6000	S 12° W	10.8

18. Mai. Kein Aufstieg wegen ⊠ und ◍.

Nr. 81. 19. Mai. 9^{11} a; Bew. 10^1, str, str-cu.

540	NW	3.1	1140—1420	N 32° W	9.1
540—1140	N 51° W	9.3			

Nr. 82. 20. Mai. 9^{18} a; Bew. 9^1, cu, str-cu, ◍-tr.

540	NW	1.7	820—1240	N 17° W	4.2
540—820	N 40° W	3.1			

21. Mai. Keine Beobachtung wegen tiefliegender Wolken

Nr. 83. 22. Mai. 8^{20} a; Bew. 1^0 ⊙, cu i. S.

Stufenwerte m	Wind Richtung	Wind Geschwindigkeit m p. s.	Stufenwerte m	Wind Richtung	Wind Geschwindigkeit m p. s.
540	NW	1.7	2080—2220	N 55° W	4.3
540— 820	N 30° W	1.7	2220—2360	S 69° W	6.7
820— 960	N 57° W	2.3	2360—3060	S 57° W	8.5
960—1520	N 37° W	2.6	3060—4040	N 39° W	10.4
1520—2080	N 23° W	4.1			

Nr. 84. 23. Mai. 9^{18} a; Bew. 9^1, str, str-cu, ∞.

540	W	1.7	1260—2220	N 70° W	6.8
540— 660	N 81° W	1.9	2220—2400	N 52° W	6.6
660—1260	N 65° W	5.8			

24. und 25. Mai. Kein Aufstieg wegen ◍.

Nr. 85. 26. Mai. 8^{57} a; Bew. 4^0, ci, fr-cu.

540	NE	3.1—4.8	960—2080	S 82° E	12.3
540—960	N 86° E	9.3			

Nr. 86. 27. Mai. 8^{18} a; Bew. 5^0 ⊙, ci, ci-cu, cu.

540	NW	1.7	960—1520	S 72° W	5.5
540—820	N 63° W	3.3	1520—2080	S 62° W	6.9
820—960	S 87° W	4.3	2080—2780	S 76° W	9.9

Nr. 87. 28. Mai. 9^{16} a; Bew. 2^1 ⊙, cu.

540	SW	1.7	960—1100	S 13° W	0.7
540—680	S 82° E	2.3	1100—1660	S 86° W	2.5

Ballon kurze Zeit verloren.

Nr. 88. 29. Mai. 8^{40} a; Bew. 2^0 ⊙, ci.

540	E	1.7	1240—1800	S 12° W	2.8
540— 680	N 81° E	1.9	1800—3620	S 30° W	6.4
680— 960	S 75° E	2.7	3620—5580	S 38° W	6.0
960—1240	S 40° E	2.8			

Nr. 89. 30. Mai. 10^{66} a. Bew. 5^0 ⊙, fr-str.

540	NW	1.7	900—1140	S 35° E	2.3
540—780	N 74° W	2.0	1140—1620	S 50° E	4.3
780—900	S 72° W	1.1			

Nr. 90. 31. Mai. Bew. 10^1, a-str, str-cu.

540	NE	1.7	1140—1620	N 65° E	5.4
540—1140	N 65° E	3.6			

1. Juni. Kein Aufstieg wegen tiefliegender Wolkenschicht.

Nr. 91. 2. Juni. 9^{12} a; Bew. 10^1, str.

540	E	1.7	780—1020	S 80° E	5.3
540—660	S 85° E	3.2	1020—1140	S 54° E	3.5
660—780	N 85° E	3.7			

Nr. 92. 3. Juni. 9^{12} a; Bew. 5^0, ci, ci-str, a-cu, cu, fr-cu.

540	C		1800—2220	N 48° E	4.1
540— 680	N 31° W	2.0	2220—2360	N 8° E	3.0
680— 820	S 61° W	1.2	2360—2640	N 50° W	3.1
820—1240	S 20° W	2.1	2640—2920	W	3.5
1240—1520	S 20° E	1.6	2920—3900	S 76° W	4.1
1520—1800	N 82° E	2.5			

4. Juni. Kein Aufstieg wegen ⊠ und ◍.

Nr. 93. 5. Juni. 8^{50} a; Bew. 3^1 ⊙, cu.

540	SW	1.7	1240—1520	N 29° W	1.3
540— 820	S 76° W	2.2	1520—1800	N 13° E	3.4
820—1240	S 47° W	1.2			

Nr. 94. 6. Juni. 8^{30} a; Bew. c ⊙, ∞^2 a. Horizont.

540	NE	1.7	1520—2080	N 52° E	6.0
540— 820	N 34° E	3.0	2080—3440	N 40° E	6.8
820—1520	N 70° E	4.8			

Nr. 95. 7. Juni. 8^{33} a; Bew. 1^0 ⊙, ci, ∞².

Stufenwerte m	Wind Richtung	Wind Geschwindigkeit m p. s.	Stufenwerte m	Wind Richtung	Wind Geschwindigkeit m p. s.
540	C		1800—2080	N 79° E	2.2
540— 820	S 16° W	0.6	2080—2780	S 52° E	4.0
820— 960	S 57° W	1.1	2780—3760	N 40° E	6.6
960—1520	Schleife rechts	0.7	3760—4600	N 35° E	8.9
1520—1800	S 80° E	1.9			

Nr. 96. 8. Juni. 8^{20} a; Bew. 1^1 ⊙, cu, ∞¹.

540	W	1.7	1520—1940	N 60° W	9.0
540— 680			1940—2360	N 70° W	11.1
680—1520	N 72° W	6.2			

Nr. 97. 9. Juni. 8^{20} a; Bew. o ⊙, ∞.

540	N	1.7	1240—1520	N 68° W	3.3
540—1100	C		1520—2080	W	4.4
1100—1240	S 79° W	2.3			

10. Juni. Kein Aufstieg wegen tiefliegender Wolken.

Nr. 98. 11. Juni. 8^{54} a; Bew. 2^0 ⊙, a-cu.

540	W	1.0	1240—1660	N 45° W	1.8
540— 680		1.5	1660—2640	S 80° W	2.9
680—1240	N 22° W	2.9			

Nr. 99. 12. Juni. Bew. 6^0, ci-str; a-cu.

540	NE	1.7	1520—1940	N 85° W	2.0
540— 680	N 71° E	1.7	1940—2360	W	5.3
680—1100	N 87° E	1.9	2360—2640	S 70° W	6.8
1100—1380	S 55° W	1.4	2640—3060	S 60° W	9.4
1380—1520	C				

Nr. 100. 13. Juni. 8^{32} a; Bew. 3^0 ⊙, ci.

540	E	1.7	1660—2080	S 64° W	2.5
540— 680	N 84° E	2.5	2080—2360	S 46° W	4.4
680— 960	S 80° E	2.9	2360—3480	S 60° W	9.3
960—1660	S 7° E	2.6			

14. und 15. Juni. Kein Aufstieg wegen ▨.

Nr. 101. 16. Juni. 8^{25} a; Bew. 8^1, ci, cu.

540	SW	1.7—3.1	960—1660	W	3.1
540—680	S 34° W	1.9	1660—2080	S 60° W	4.0
680—960	S 65° W	1.6	2080—2360	N 77° W	2.1

Nr. 102. 17. Juni. 8^{55} a; Bew. 6^0 ⊙, ci, a-str.

540	SE	1.7	1100—1240	S 37° W	5.0
540— 680	S 45° E	2.2	1240—1940	S 70° W	7.4
680—1100	S 7° W	3.6	1940—2780	N 84° W	13.9

Nr. 103. 18. Juni. 8^{30} a; Bew. 9^1, a-str, str-cu; Gebirge sichtbar.

540	W	1.7	1800—2500	S 85° W	7.3
540— 820	N 82° W	4.6	2500—3200	S 37° W	10.9
820—1800	N 76° W	10.0	3200—3760	S 62° W	17.7

Nr. 104. 19. Juni. 8^{50} a; Bew. 9^1, ci-cu. str-cu, cu; Gebirge sichtbar.

540	C		1380—1800	S 43° W	6.9
540— 680	S 80° E	2.3	1800—2220	S 72° W	8.3
680— 820	N 69° E	1.5	2220—2920	S 45° W	11.2
820—1100	S 79° E	1.4	2920—3200	S 67° W	12.1
1100—1380	S 12° E	2.7	3200—4320	S 85° W	17.1

Nr. 105. 20. Juni. 8^{46} a; Bew. 9^1, a-str, str-cu.

540	SW	1.7	1260—1620	N 80° W	8.9
540—1020	S 65° W	5.4	1620—2580	N 85° W	13.1
1020—1260	S 85° W	9.8	2580—3060	S 73° W	12.0

Nr. 106. 21. Juni. 9^{05} a; Bew. 7^1 ⊙, ci-cu, a-cu, cu.

540	W	4.8	960—1380	N 72° W	6.8
540—960		5.0			

Nr. 107. 22. Juni. 8^{25} a; Bew. o ⊙, ∞; Gebirge sichtbar.

Stufenwerte m	Wind Richtung	Wind Geschwindigkeit m p. s.	Stufenwerte m	Wind Richtung	Wind Geschwindigkeit m p. s.
540	E	1.7	2220 - 2920	S 85° W	3.9
540— 680			2920—3900	S 46° W	2.3
680—1800	S 55° E	3.9	3900—4880	N 75° W	4.6
1800—2220	S 45° E	2.2	4880—6700	N 57° W	6.7

Nr. 108. 23. Juni. 8^{27} a; Bew. 4^1 ⊙, ci-str, a-cu, cu, ∞.

540	SW	1.0	1380—1940	S 22° W	3.4
540— 820	W	0.8	1940—2080	S 9° E	3.6
820—1380	S 42° W	4.9	2080—2920	S 37° W	4.9

Nr. 109. 24. Juni. 8^{21} a; Bew. 1^1 ⊙, cu-str i. W. ∞.

540	SE	1.0	2080—2640	S 46° W	5.6
540— 680	S 56° E	1.5	2640—3760	S 35° W	5.8
680— 960	S 26° E	4.5	3760—4740	S 45° W	9.7
960—1520	S 6° E	5.3	4740—5160	S 59° W	11.4
1520—2080	S 29° W	4.9			

Nr. 110. 25. Juni. 9^{52} a; Bew. 3° ⊙, ci, a-str i. SW, cu i. W. u. N.; Föhnlage.

540	E	1.7	2080—2500	S 5° W	9.0
540— 680	N 76° E	2.4	2500—2920	S 24° E	5.8
680—1100	N 68° E	11.2	2920—3340	S	7.8
1100—1800	Schleife links	3.4	3340—3760	S 27° W	15.3
1800—2080	S 11° E	6.5	3760—4320	S 37° W	26.8

26. Juni. Kein Aufstieg wegen tiefliegender str-Schicht.

27. Juni. Kein Aufstieg wegen ▨.

Nr. 111. 28. Juni. 9^{10} a; Bew. 9^1, a-str, str-cu.

540	SW	3.1	680— 960	S 76° W	8.5
540—680	S 82° W	5.2	960—1320	N 85° W	7.8

Nr. 112. 29. Juni. 8^{32} a; Bew. 3° ⊙, ci-str, a-cu.

540	SW	1.7	1520—1800	N 82° W	7.4
540— 680	S 33° W	2.3	1800—2220	S 77° W	10.2
680— 960	S 64° W	3.1	2220—2920	W	13.9
960—1380	S 82° W	3.2	2920—3060	N 64° W	15.6
1380—1520	N 54° W	2.4			

Nr. 113. 30. Juni. 8^{31} a; Bew. 4° ⊙, ci, ci-str.

540	C		1240—1520	S 35° W	4.6
540— 680	S 46° E	1.7	1520—2080	S 66° W	8.0
680— 820	S 29° E	2.3	2080—3200	S 77° W	10.9
820—1240	S 13° E	4.8			

1. Juli. Kein Aufstieg wegen tiefliegender Wolkenschicht.

Nr. 114. 2. Juli. 8^{20} a; Bew. 9°, a-str, cu-str.

540	S	4.8	820—1100	S 40° W	17.2
540—680	S 20° W	6.0	1100—1520	S 60° W	17.0
680—820	S 30° W	13.1	1520—2220	S 80° W	18.8

3. Juli. Kein Aufstieg, tiefliegende Wolkenschicht.

Nr. 115. 4. Juli. 8^{10} a; Bew. 8°, ci, ci-str, ci-cu.

540	NE	1.7	2780—3060	S 40° W	3.0
540— 820	N 62° E	3.8	3060—3200	N 67° W	0.6
820—1240	N 48° W	2.7	3200—3480	N 20° W	3.6
1240—1380	S 81° E	1.6	3480—4040	N 44° W	6.9
1380—1800	N	1.2	4040—4880	N 71° W	9.5
1800—2080	S 68° W	1.6	4880—5860	N 50° W	9.1
2080—2500	N 67° W	3.3	5860—7260	N 68° W	11.3
2500—2780	S 82° W	4.9			

Nr. 116. 5. Juli. 8^{33} a; Bew. 1° ⊙, ci-str, ∞ a. Horizont.

540	NE	1.7	1940—2500	N 68° E	2.5
540— 680	N 2° E	2.3	2500—3620	N 27° W	5.9
680— 960	N 13° E	1.9	3620—4040	N 24° W	10.2
960—1940	N 45° W	4.8	4040—5300	N	14.9

Nr. 117. 6. Juli. 8^{01} a; Bew. 1° ⊙, ci, ∞.

540	NE	1.7	1100—1800	N 80° E	7.2
540— 680	S 72° E	2.7	1800—2500	N 60° E	6.7
680—1100	S 76° E	8.3	2500 - 4040	N 38° E	8.9

Nr. 118. 7. Juli. 8^{16} a; Bew. 0 ⊙, ∞^1.

Stufenwerte m	Wind Richtung	Wind Geschwindigkeit m p. s.	Stufenwerte m	Wind Richtung	Wind Geschwindigkeit m p. s.
540	SE	1.7	1940—2360	N 77° E	8.8
540— 680	S 77° E	4.3	2360—2780	N 59° E	10.2
680—1520	S 71° E	6.1	2780—3200	N 47° E	10.7
1520—1940	S 81° E	8.2			

Nr. 119. 8. Juli. 8^{39} a; Bew. 7° ⊙, a-str, a-cu, ∞^1.

540	SW	1.7	820—1520	N 73° W	5.4
540—680	S 78° W	1.7	1520—1940	N 63° W	6.2
680—820	W	4.3	1940—3340	N 46° W	6.3

Nr. 120. 9. Juli. 8^{26} a; Bew. 2° ⊙, ci, ci-cu, cu.

540	NW	4.8	820—1100	N 64° W	10.2
540—820	N 70° W	7.8	1100—2780	S 74° W	15.6

Nr. 121. 10. Juli. 8^{36} a; Bew. 5^1, ci, a-cu, str-cu, cu.

540	NE	1.7	1100—2080	N 79° E	5.3
540— 680	S 89° E	1.1	2080—2360	N 35° E	5.5
680—1100	N 67° E	5.0			

Nr. 122. 11. Juli. 9^{10} a; Bew. 3° ⊙, a-cu, cu, ∞^0.

540	E	1.7	820—1940	N 65° E	3.7
540—820	N 79° E	2.3	1940—2640	N 52° E	7.5

Nr. 123. 12. Juli. 8^{32} a; Bew. 3° ⊙, a-str, a-cu, ∞^1.

540	NE	1.7	1380—2780	N 75° E	6.3
540—1380	S 65° E	2.7			

Nr. 124. 13. Juli. 8^{47} a; Bew. 5^1 ⊙, a-cu, a-str, ∞^1.

540	NE	1.7	1240—2780	N 67° E	6.9
540— 680	N 80° E	1.3	2920—3060	S 73° E	3.5
680—1240	E	6.2			

Nr. 125. 14. Juli. 9^{27} a; Bew. 6^1 ⊙, a-cu, cu, ∞.

540	W	1.7	1380—2360	N	3.9
540— 820	S 75° W	1.5	2360—3480	N 35° E	3.0
820— 960	N 60° W	1.4	3480—3900	N 54° E	3.5
960—1380	N 24° W	3.0			

Nr. 126. 15. Juli. 8^{29} a; Bew. 4° ⊙, cu, ∞^0.

540	SW	3.1	1380—2360	N 28° W	6.9
540— 960	W	6.3	2360—2640	N 15° W	5.4
960—1380	N 55° W	4.0			

Nr. 127. 16. Juli. 8^{25} a; Bew. 9^1, a-cu, str-cu.

540	W	1.7	960—1800	N 85° W	6.1
540—820	N 45° W	1.7	1800—2640	N 79° W	11.4
820—960	N 65° W	2.5			

Nr. 128. 17. Juli. 8^{36} a; Bew. 9^1, a-str, str-cu.

540	W	3.1	680—1380	W	11.0
540—680	S 86° W	3.2	1380—2640	N 85° W	13.0

Nr. 129. 18. Juli. 8^{41} a; Bew. 1° ⊙, cu, ∞.

540	W	3.1	820—1660	W	7.5
540—820	S 65° W	8.2			

Nr. 130. 18. Juli. 9^{01} a; Bew. 1° ⊙, cu, ∞.

540	W	4.8	820—960	N 83° W	4.8
540—820	S 80° W	12.9	960—2220	S 85° W	11.3

Nr. 131. 19. Juli. 8^{21} a; Bew. 1° ⊙, a-str, ∞^1.

540	SW	3.1	1240—1520	W	9.0
540—1240	N 82° W	9.4	1520—2080	S 81° W	12.5

Nr. 132. 20. Juli. 9^{40} a; Bew. 3° ⊙, ci-str, ∞^2.

540	SW	1.7	2640— 3620	S 53° W	1.5
540— 820	N 19° W	0.8	3620— 4880	N 40° W	2.4
820—1240	Schleife links	0.7	4880— 5580	N 60° W	2.4
1240—1520	N 50° E	1.2	5580— 6980	N 46° W	2.5
1520—1660	N 14° E	2.7	6980— 8660	N 20° W	4.0
1660—2080	N 26° W	1.7	8660— 9220	N 38° W	4.1
2080—2640	S 12° W	1.0	9220—10060	S 65° W	2.8

Nr. 133. 21. Juli. 8^{20} a; Bew. 1^0 ⊙, ci.

Stufenwerte m	Wind Richtung	Wind Geschwindigkeit m p. s.	Stufenwerte m	Wind Richtung	Wind Geschwindigkeit m p. s.
540	C		1800—2220	N 7° E	2.8
540— 820	N 56° E	2.5	2220—2780	N 76° W	4.0
820—1100	N 46° E	3.9	2780—4880	N 20° W	4.0
1100—1800	N 29° E	4.8	4880—6840	N 25° W	7.1

Nr. 134 22. Juli. 8^{22} a; Bew. 0 ⊙, ∞.

540	SE	1.7	2220—2920	N 71° E	6.6
540—680	S 89° E	3.4	2920—3480	N 60° E	7.3
680—2220	S 86° E	8.3			

Nr. 135. 23. Juli. 8^{46} a; Bew. 0 ⊙, ∞.

540	SE	1.7	820—1380	S 62° E	12.7
540—820	S 66° E	5.0			

Nr. 136. 24. Juli. 8^{36} a; Bew. 4^1 ⊙, ci, ci-cu, a-cu, cu, ∞.

540	SW	3.1	680— 820	S 85° W	5.0
540—680	S 64° W	3.4	820—2360	N 75° W	6.5

Nr. 137. 25. Juli. 8^{10} a; Bew. 7^1 ⊙, ci, ci-str, ci-cu, cu-str.

540	SW	4.8	960—1380	N 64° W	4.3
540—680	S 68° W	6.0	1380—2500	N 70° W	5.5
680—960	S 81° W	5.8			

Nr. 138. 26. Juli. 8^{28} a; Bew. 0 ⊙, ∞^1.

540	C		2920—3900	S 26° E	2.4
540— 820			3900—4460	S 11° W	5.0
820—1520	S 50° E	5.1	4460—5300	S 55° W	4.3
1520—2920	S 38° E	3.8			

Nr. 139. 27. Juli. 8^{20} a; Bew. 1^1 ⊙, cu.

540	S	1.7	2920—3480	S 35° E	5.2
540— 820	S 53° E	3.9	3480—5020	S	5.5
820—1240	S 29° E	2.9	5020—6420	S 30° W	7.4
1240—1660	N 25° E	2.9	6420—7960	S 66° W	7.3
1660—2640	N 64° E	3.7	7960—8940	S 55° W	9.0
2640—2920	Schleife	6.3	8940—9360	S 42° W	12.7

Nr. 140. 28. Juli. 8^{11} a; Bew. 2^0 ⊙, ∞^2.

540	C		1940—2360	S 10° W	1.4
540—1240	Schleife links	1.6	2360—3480	S 45° E	2.3
1240—1520	S 20° W	3.0	3480—4740	S 28° E	6.3
1520—1940	S 5° W	3.1	4740—6000	S	5.8

Nr. 141. 29. Juli. 8^{30} a; Bew. 0 ⊙, ∞.

540	C		4180— 4880	S 29° E	2.2
540— 680	S 39° W	1.0	4880— 5440	E	2.7
680—1520	W	4.2	5440— 6140	S 14° E	5.4
1520—1800	N 73° W	2.0	6140— 8940	S 10° E	3.4
1800—2080	S 6° E	0.7	8940—12020	S 70° E	5.9
2080—3480	S 38° W	2.8	12020—12860	N 35° E	2.8
3480—4180	S 78° E	2.0			

Nr. 142. 30. Juli. 8^{25} a; Bew. 3^0 ⊙, ci-str, ∞^2.

540	SW	1.7	820—1660	N 10° E	1.2
540—680	S 75° W	2.5	1660—2780	N 25° E	2.5
680—820	N 53° W	1.0	2780—3200	N 50° E	3.9

Nr. 143. 31. Juli. 8^{44} a; Bew. 1^0 ⊙, ci-str.

540	E	1.7	1240—1800	N 80° E	6.4
540—1240		4.8	1800—2640	N 50° E	7.4

Nr. 144. 1. August. 8^{22} a; Bew. 1^0 ⊙, ci.

540	E	3.1	1380—2080	E	6.5
540—680		2.5	2080—2500	N 58° E	6.5
680—1380	S 81° E	6.1	2500—3900	N 22° E	7.7

Nr. 145. 2. August. 8^{29} a; Bew. 1^0 ⊙, ci, ∞^2.

540	C		3480—4880	N 28° W	9.2
540—1800	S 85° E	3.6	4880—5440	N	7.7
1800—2640	N 70° E	4.2	5440—6000	N 36° W	4.8
2640—3480	N 15° W	8.0			

Nr. 146. 3. August. 8^{00} a; Bew. 8^{1}, a-cu, str-cu.

Stufenwerte m	Wind Richtung	Wind Geschwindigkeit m p. s.	Stufenwerte m	Wind Richtung	Wind Geschwindigkeit m p. s.
540	SW	1.7	1380—1800	N 21° W	5.3
540—680	S 66° W	3.0	1800—2920	N 5° W	4.4
680—960	N 72° W	5.0	2920—3760	N 19° W	4.7
960—1380	N 38° W	4.5			

Nr. 147. 4. August. 8^{17} a; Bew. 7^{0} ⊙, ci-str, cu, ∞.

540	SW	4.8	680—1100	S 85° W	11.9
540—680	S 49° W	4.0	1100—2500	N 69° W	9.9

Nr. 148. 5. August. 8^{17} a; Bew. 7^{0} ⊙, a-cu, ∞.

540	W	1.7	1520—2220	N 65° W	6.4
540—680	N 80° W	2.5	2220—3620	N 72° W	5.6
680—1520	N 67° W	5.1			

Nr. 149. 6. August. 8^{16} a; Bew. 3^{0}, ci-str, cu.

540	SW	1.7	1240—1660	N 86° W	7.8
540—820	S 54° W	3.8	1660—2780	N 74° W	10.3
820—1240	S 80° W	3.3			

Nr. 150. 7. August. 8^{53} a; Bew. 6^{0} ⊙, ci-cu, a-cu, str, cu-str.

540	W	1.7	1520—1660	N 50° W	0.8
540—680	S 76° W	1.5	1660—1800	S 66° W	1.0
680—960	N 83° W	1.6	1800—2360	N 74° W	1.4
960—1520	N 20° W	1.9	2360—3620	N 70° W	3.0

Nr. 151. 8. August. 8^{23} a; Bew. o ⊙, ∞.

545	E	1.7	680—1520	S 80° E	6.0
540—680	N 86° E	2.5	1520—2920	N 80° E	7.1

Nr. 152. 9. August. 8^{20} a; Bew. 1^{0} ⊙, ci-str, ∞^{1}.

540	E	3.1	660—1140	S 76° E	9.3
540—660	S 85° E	4.2	1140—1500	S 86° E	11.6

Nr. 153. 10 August. 8^{28} a; Bew. 1^{0} ⊙, ci, ∞.

540	C		1240—1520	N	2.8
540—820	E	2.4	1520—2220	N 18° W	3.2
820—960	N 66° E	7.0	2220—2640	N 11° W	8.0
960—1240	N 30° E	4.8	2640—2920	N 27° W	10.5

Nr. 154. 11. August. 8^{22} a; Bew. 1^{0} ⊙, a-str, ∞^{0}.

540	E	1.7	960—1800	N 70° E	7.9
540—680	N 78° E	2.7	1800—2920	N 75° E	6.6
680—960	E	6.9			

Nr. 155. 12. August. 8^{23} a; Bew. 1^{0} ⊙, a-str.

540	E	3.1	680—1100	S 85° E	3.5
540—680	N 66° E	4.0	1100—2360	E	11.2

Nr. 156. 13. August. 8^{33} a; Bew. 6^{0} ⊙, ci-str, cu, ∞^{1}.

540	E	1.7	960—1380	N 74° E	6.3
540—960	E	4.9	1380—1940	E	10.1

Nr. 157. 14. August. 9^{51} a; Bew. 9^{1}, ci-str, str-cu, cu.

540	SW	1.7	1380—1740	N 62° E	4.9
540— 660	S 36° W	1.5	1740—2580	N 81° E	3.9
660— 780	C		2580—2820	N 76° E	2.4
780—1380	N 57° E	4.3	2820—3060	S 55° E	3.0

Nr. 158. 15. August. 8^{21} a; Bew. 4^{0} ⊙, ci-str, a-cu, cu, ∞^{0}.

540	SW	3.1	1100—1660	S 85° W	9.0
540— 680	S 47° W	4.5	1660—2360	N 74° W	7.3
680—1100	S 72° W	8.2	2360—3900	N 40° W	7.6

Nr. 159. 16. August. 8^{27} a; Bew. 10^{1}, str-cu, cu-ni.

540	NW	1.7	780—1140	N 62° W	6.2
540—780	N 75° W	6.3	1140—1380	N 70° W	6.0

Nr. 160. 17. August. 8^{26} a; Bew. 8^{1}, str-cu.

540	NW	3.1	660—1020	N 73° W	7.9
540—660	N 41° W	5.5	1020—1740	N 80° W	6.6

Nr. 161. 18. August. 8^{28} a; Bew. 2^0 ⊙, ci, a-cu, ∞.

Stufenwerte m	Wind Richtung	Wind Geschwindigkeit m p. s.	Stufenwerte m	Wind Richtung	Wind Geschwindigkeit m p. s.
540	W	1.7	1100—1380	N 73° W	8.4
540— 680	W	2.5	1380—2080	N 86° W	12.9
680—1100	N 82° W	4.4	2080—2360	N 75° W	8.0

Nr. 162. 19. August. 8^{16} a; Bew. 0 ⊙, ∞.

540	W	3.1	1380—3200	N 78° W	11.6
540—1380	W	10.3			

Nr. 163. 20. August. 8^{20} a; Bew. 7^0, ci-str, ci-cu, ∞.

540	SW	3.1	1100—1520	W	5.8
540— 680	S 38° W	3.5	1520—2220	N 80° W	7.0
680—1100	S 46° W	3.3	2220—3060	W	9.8

Nr. 164. 21. August. 8^{26} a; Bew. 8^1, ci, ci-str, a-str, cu, str-cu.

540	NW	1.7	1380—1620	S 16° E	2.1
540— 660	N 26° W	4.5	1620—2100	S 25° W	5.7
660—1140	N 5° E	6.0	2100—3300	S 55° W	6.9
1140—1380	N 28° E	2.2	3300—4020	S 80° W	5.9

Nr. 165. 22. August. 1^{16} p; Bew. 9^1, ci-str, a-str, ⊕; Föhnlage.

540	S	3.1	1020—1380	S 75° W	6.7
540— 780	S 21° W	5.2	1380—2220	S 85° W	9.8
780—1020	S 56° W	5.8	2220—3180	S 59° W	8.8

Nr. 166. 23. August. 8^{11} a; Bew. 8^0 ⊙, ci-str, ci-cu, ≡^{1}.

540	C		1240—1520	S 14° W	2.6
540— 680	C		1520—2780	S 47° W	5.9
680—1240	S 24° W	0.8	2780—3340	S 54° W	14.6

Nr. 167. 24. August. 8^{20} a; Bew. 4^0 ⊙, ci-str, a-str, a-cu; Föhnlage.

540	SW	3.1	960—1240	N 77° W	8.7
546—680	S 37° W	3.8	1240—2360	N 82° W	9.9
680—960	S 69° W	6.5	2360—3200	S 73° W	13.0

Nr. 168. 25. August. 8^{15} a; Bew. 9^1, a-str, str-cu.

540	SW	3.1	780—1740	S 67° W	3.7
540—660	S 33° W	4.0	1740—2220	S 84° W	4.8
660—780	S 41° W	7.3	2220—2580	N 83° W	5.0

Nr. 169. 26. August. 8^{44} a; Bew. 10^2, a-str, str-cu, cu-ni.

540	W	1.7	780—1020	N 62° W	2.7
540—780	N 79° W	2.4			

Nr. 170. 27. August. 8^{30} a; Bew. 0 ⊙.

540	SW	1.0	1240—1940	N 80° W	2.4
540—1240	S 30° W	1.0	1940—3060	N 69° W	3.8

Nr. 171. 28. August. 8^{17} a; Bew. 0 ⊙, ∞^{1}.

540	E	1.7	2780—3760	S 69° W	2.6
540— 820	S 59° E	2.2	3760—5580	S 47° W	3.1
820— 960	S 39° E	6.0	5580—6000	S 72° W	3.8
960—1520	S 58° E	5.6	6000—7400	S 47° W	4.5
1520—1800	S	3.0	7400—8240	S 62° W	6.7
1800—2780	S 47° W	2.3			

Nr. 172. 29. August. 8^{20} a; Bew. 1^0 ⊙, ci-str, ∞.

540	SW	1.7	1800—2780	S 77° W	7.2
540— 820	S 80° W	3.4	2780—3480	N 76° W	7.1
820—1660	N 82° W	8.7	3480—4740	S 85° W	6.9
1660—1800	S 66° W	8.0			

Nr. 173. 30. August. 8^{22} a; Bew. 7^1 ⊙, a-str, str, str-cu, ∞.

540	NE	1.0	1100—1240	S 40° E	2.6
540— 820	N 5° E	1.3	1240—1380	S 36° W	2.8
820—1100	S 79° E	3.0			

31. August. Kein Aufstieg wegen tiefliegender str-Schicht.

Nr. 174. 1. September. 8^{16} a; Bew. 2^0 ⊙, ci-str, ∞^{2}.

540	SE	1.7	1100—1520	S 65° E	6.9
540—1100	S 73° E	8.0			

Nr. 175. 2. September. 8^{20} a; Bew. o ⊙, ∞².

Stufenwerte m	Wind Richtung	Wind Geschwindigkeit m p. s.	Stufenwerte m	Wind Richtung	Wind Geschwindigkeit m p. s.
540	C		2940— 3180	Schleife links	1.0
540—660			3180— 4260	N 12° W	3.9
660—1140	S 15° W	4.0	4260— 5100	N 27° W	5.3
1140—1980	S 85° W	3.6	5100— 6180	N 5° W	6.5
1980—2220	S 50° W	2.5	6180— 7620	N 35° W	4.5
2220—2460	C		7620— 9660	N 55° W	7.7
2460—2700	N 36° W	1.5	9660—10500	N 40° W	13.0
2700—2940	N 77° W	2.2			

Nr. 176. 3. September. 8^{32} a; o ⊙, ∞.

540	SW	1.0	1620—2340	N 13° W	2.6
540— 780	S 68° W	1.7	2340—2580	N 5° W	5.6
780—1140	S	1.2	2580—3660	N 25° E	7.0
1140—1260	S 84° W	0.8	3660—4380	N 45° E	10.3
1260—1620	S 52° W	0.8			

Nr. 177. 4. September. 8^{47} a; Bew. o ⊙, ∞.

540	SW	3.1	1020—1380	N 61° W	6.3
540— 780	S 55° W	5.4	1380—1860	N 57° W	8.8
780— 900	S 73° W	6.0	1860—2100	N 65° W	9.5
900—1020	N 77° W	4.8			

Nr. 178. 5. September. 8^{18} a; Bew. 3^{1} ⊙, cu, ∞.

540	SW	3.1	780—1380	N 75° W	8.0
540—780	S 71° W	7.4			

Nr. 179. 6. September. 8^{38} a; Bew. 4° ⊙, ci, ci-str, ∞¹.

540	W	1.7	900—1260	N 47° W	6.1
540—660		3.5	1260—1980	N 71° W	9.3
660—900	N 75° W	4.1	1980—2340	N 46° W	6.8

Nr. 180. 7. September. 8^{23} a; Bew. o ⊙, ≡⁰.

540	C		900—1140	N 72° W	4.7
540—660	S 59° W	1.5	1140—1740	N 51° W	7.0
660—780	N 83° W	1.7	1740—2340	N 67° W	8.8
780—900	N 55° W	3.7	2340—3180	N 44° W	10.9

Nr. 181. 8. September. 8^{29} a; Bew. 1° ⊙, ci-str, ≡⁰.

540	C		1740—2340	S 62° W	2.1
540— 660	S 9° W	1.0	2340—3300	N 75° W	3.6
660—1020	S 28° E	1.2	3300—3660	N 50° W	1.5
1020—1620	S 68° E	1.8	3660—4620	S 78° W	2.4
1620—1740	S 8° E	0.5			

Nr. 182. 9. September. 7^{40} a; Bew. 6° ⊙, ci-str, str-cu, cu, ∞⁰; Föhnlage.

540	S	6.7	660—900	S 47° W	13.3
540—660	S 16° W	7.0	900—1500	N 83° W	12.4

10. September. Aufstieg unterblieb wegen tiefliegender Stratusdecke.

Nr. 183. 11. September. 8^{00} a; Bew. 3° ⊙, ci, ∞.

540	E	1.7	2220—2340	S 35° E	2.4
540—780	S 63° E	4.8	2340—3180	N 44° E	3.4
780—1740	S 80° E	6.0	3180—4500	N 19° W	5.9
1740—2100	C		4500—6300	N 15° W	11.8
2100—2220	S 21° W	1.4			

Nr. 184. 12. September. 8^{00} a; Bew. o ⊙, ∞.

540	SE	1.0	1380—1860	N 72° W	4.4
540—780	S 50° E	1.7	1860—2340	W	10.6
780—1140	S 11° E	2.3	2340—3060	N 75° W	8.2
1140—1380	S 85° W	2.0	3060—4260	N 67° W	4.6

Nr. 185. 13. September. 8^{00} a; Bew. 2° ⊙, a-cu, cu.

540	SW	1.7	660—1140	S 84° W	16.6
540—660	S 49° W	8.0	1140—1380	N 86° W	15.0

Nr. 186. 14. September. 8^{08} a; Bew. 7^{1} ⊙, a-cu, str-cu, ∞.

540	SW	1.7	780—1260	N 76° W	10.9
540—780	W	7.3	1260—1860	W	6.5

Nr. 187. 15. September. 7^{50} a; Bew. 9^{1}, ci-str, str-cu, fr-cu.

540	NW	1.7	1020—1620	S 82° W	3.1
540—900	N 52° W	3.3	1620—1980	S 72° W	7.9
900—1020	N 69° W	5.3			

16. und 17. September. Kein Aufstieg wegen tiefliegender str-Schicht.

Nr. 188. 18. September. 8^{26} a; Bew. 7^{1}, ci-cu, a-cu, str-cu.

Stufenwerte m	Wind Richtung	Wind Geschwindigkeit m p. s.	Stufenwerte m	Wind Richtung	Wind Geschwingigkeit m p. s.
540	SW	3.1	820—1240	N 75° W	7.6
540—680	S 64° W	3.4	1240—1940	N 36° W	8.2
680—820	S 84° W	5.9	1940—2920	N 30° W	12.0

Nr. 189. 19. September. 8^{54} a; Bew. 8^{0} ⊙, str-cu, ∞.

540	SW	1.7	1020—1740	N 77° W	6.4
540— 660	S 84° W	4.8	1740—2100	N 39° W	5.3
660—1020	W	7.9			

Nr. 190. 20. September. 8^{17} a; Bew. 9^{1}, a-str, str-cu, ∞.

540	SW	1.7	660—1620	S 75° W	8.2
540—660	S 52° W	4.0	1620—2340	S 82° W	8.9

Nr. 191. 21. September. 8^{11} a; Bew. 9^{1}, str-cu, ∞.

540	SW	1.7	660— 780	N 80° W	6.0
540—660	S 70° W	3.0	780—1260	S 58° W	9.1

22. und 23. September. Kein Aufstieg wegen ◍.

Nr. 192. 24. September. 8^{18} a; Bew. 4^{0} ⊙, ci-str, str.

540	C		1240—2080	S 77° W	8.4
540— 960	N 80° W	4.4	2080—2780	S 74° W	3.6
960—1240	S 85° W	10.6			

Nr. 193. 25. September. 10^{52} a; Bew. 4^{0} ⊙, cu, ∞°.

540	W	1.7	540—1380	S 85° W	3.9

Nr. 194. 26. September. 8^{27} a; Bew. 1^{0} ⊙, a-str, ≡°.

540	} C		2360—2640	N 80° W	1.9
540— 680	}		2640—3340	S 68° W	2.3
680— 820	S 31° E	6.5	3340—3900	N 27° W	4.8
820—1800	S 58° E	4.7	3900—4040	N 32° E	4.6
1800—2360	Schleife rechts	0.9	4040—5160	N 10° W	8.8

Nr. 195. 27. September. 8^{25} a; Bew. o ⊙, ∞, ≡° i. S.

540	C		1520—2360	S 37° W	2.0
540— 960	N 50° W	1.7	2360—3340	N 20° W	3.6
960—1520	N 53° W	1.7	3340—7680	N 25° W	6.2

Nr. 196. 28. September. 8^{17} a; Bew. 9^{1}, cu-str, ∞.

540	SW	3.1	780—2340	W	8.9
540—780	S 50° W	8.8			

29. September. Kein Aufstieg wegen ◍.

Nr. 197. 30. September. 8^{15} a; Bew. 4^{0} ⊙, ci, a-str, cu, ∞² i. E.

540	SW	1.0	1380—1800	S 75° W	6.0
540— 960	S 5° W	1.4	1800—2360	W	8.9
960—1380	S 35° W	3.7			

1. Oktober. Aufstieg unterblieb wegen tiefliegender str-Schicht.

2. Oktober. Aufstieg unterblieb wegen ◍.

Nr. 198. 3. Oktober. 8^{04} a; Bew. 1^{0} ⊙, ci-str i. W., ≡°.

540	C		3060—4180	S 55° W	4.9
540—1240	S 55° W	2.8	4180—4740	S 35° W	6.0
1240—1660	S 8° W	2.6	4740—6000	S 46° W	9.1
1660—2360	S 38° W	3.0	6000—6560	S 28° W	7.8
2360—3060	S 28° W	4.7	6560—6700	S 85° W	7.0

Nr. 199. 4. Oktober. 8^{21} a; Bew. 7^{0} ⊙, ci-str, ci-cu, a-cu, str-cu.

540	SE	1.7	1380—2360	S 48° E	3.9
540— 680	S 65° E	3.2	2360—2780	S	2.5
680—1100	S 30° E	6.0	2780—3900	S 35° W	5.9
1100—1380	S 55° E	4.2	3900—4320	S 62° W	10.0

Nr. 200. 5. Oktober. 8^{14} a; Bew. 10^{1}, str.

540	SW	4.0	660—900	W	9.3
540—660	S 85° W	5.0			

Nr. 201. 6. Oktober. 9^{00} a; Bew. 10^{1}, str, fr-str, ∞.

540	C		680—1100	S 65° E	4.1
540—680	S 80° E	1.5			

Nr. 202. 7. Oktober. 8^{15} a; Bew. 7^0 ⊙, ci-str, a-str, a-cu, str-cu; Föhnlage.

Stufenwerte m	Wind Richtung	Wind Geschwindigkeit m p. s.	Stufenwerte m	Wind Richtung	Wind Geschwindigkeit m p. s.
540	SE	3.1	1520—2080	S 25° W	7.5
540—1100	S 30° E	11.0	2080—3340	S 65° W	9.1
1100—1520	S	9.3	3340—4040	S 40° W	19.4

Nr. 203. 8. Oktober. 8^{35} a; Bew. 6^0 ⊙, ci-str, cu, ∞.

540	S	3.1	1520—1940	S 82° W	2.9
540 — 960	S 35° W	4.8	1940—2080	S 43° W	3.0
960—1520	S 55° W	4.4			

Nr. 204. 9. Oktober. 10^{16} a; Bew. 7^0 a-cu, cu-str, str, ∞ i. E.

540	SE	1.0	820— 960	S 64° W	5.2
540—680	S 25° E	1.5	960—1380	W	8.6
680—820	S 29° W	3.5	1380—1800	S 70° W	11.6

Nr. 205. 10. Oktober. 10^{20} a; Bew. 4^1 ⊙, a-cu, cu, ∞ i. S

540	N	1.7	1520—1800	N 43° E	3.5
540— 960	N	3.5	1800—1940	N 40° E	4.0
960—1520	N 29° E	4.5			

Nr. 206. 11. Oktober. 8^{22} a; Bew. 1^0 ⊙, ci-str, ≡°.

540	NE	1.7	1660—2500	N 52° E	4.4
540—1100	E	5.7	2500—3760	N 43° E	11.6
1100—1660	S 80° E	4.8	3760—5020	N 22° E	12.9

Nr. 207. 12. Oktober. 9^{00} a; Bew. 1^0 ⊙, ci, ≡¹.

540	C		2360—3480	S 65° W	2.7
540 — 680	C		3480—3900	S 46° W	4.0
680—1100	S 5° E	3.2	3900—4880	S 85° W	3.7
1100—1240	S 33° E	2.6	4880—5300	S 43° W	6.7
1240—1660	S 5° W	1.5	5300—5860	S 22° W	4.0
1660—1800	S 54° W	0.4	5860—6280	C	
1800—2360	N 50° W	1.4	6280—7540	S 55° W	6.1

Nr. 208. 13. Oktober. 8^{50} a; Bew. o ⊙, ≡¹.

540	C		1520—2220	S 40° W	2.0
540—820	S	1.5	2220—2920	W	5.1
820—1240	S 52°W	2.1	2920—3480	S 80° W	5.2
1240—1520	S	1.5	3480—4600	S 55° W	7.3

Nr. 209. 14. Oktober. 8^{28} a; Bew. 1^0 ⊙, ci, a-cu.

540	SW	1.7	940—1240	N 22° W	7.0
540—680	S 78° W	6.0	1240—1940	N 85° W	4.4
680—960	N 74° W	6.2			

Nr. 210. 15. Oktober. 9^{01} a; Bew. 8^1 ⊙, a-cu i. W.

540	SE	3.0	1520—1940	S 82° E	3.0
540— 960	S 68° E	4.2	1940—2920	Schleife links	1.1
960—1520	S 73° E	7.1	2920—3480	S 82° W	6.8

16. Oktober. Kein Aufstieg wegen tiefliegender Stratusdecke.

Nr. 211. 17. Oktober. 1^{28} p; Bew. o ⊙.

540	NE	6.7	680—1240	S 85° E	11.0
540—680	N 84° E	9.0	1240 — 1940	S 70° E	13.2

Nr. 212. 18. Oktober. 9^{00} a; Bew. o ⊙, ≡¹.

540	C		1800—2080	S 47° E	1.3
540— 680	C		2080—2780	S 55° W	2.7
680— 820	S 45° W	2.3	2780—3300	S 21° W	4.7
820—1800	S 20° E	2.8	3200 — 3620	S	1.7

Nr. 213. 19. Oktober. 9^{15} a; Bew. o ⊙, ≡¹.

540	C		1660—2080	S 21° W	2.3
540—1100	N 75° W	4.0	2080—2780	S 12° E	4.1
1100—1240	N 38° W	3.0	2780—3200	S 12° W	7.3
1240—1660	S 40° W	1.7	3200—4040	S 10° E	9.1

Nr. 214. 20. Oktober. 8^{52} a; Bew. 4^0 ⊙, ci, ci-str, ci-cu, str, ≡^{0}.

Stufenwerte m	Wind Richtung	Wind Geschwindigkeit m p. s.	Stufenwerte m	Wind Richtung	Wind Geschwindigkeit m p. s.
540	SW	1.7	2220—2920	N 82° W	3.8
540— 680	S 60° W	2.8	2920—3480	S 56° W	2.1
680—1520	N 77° W	3.2	3480—4880	S 27° W	7.9
1520—2220	N 47° W	3.1			

Nr. 215. 21. Oktober. 8^{52} a; Bew. 0 ⊙, ≡^{1}.

540	C		2080—3480	S 60° W	2.5
540— 960	S 40° E	2.1	3480— 4320	S 80° W	4.9
960—1660	S 18° E	3.9	4320—5160	W	5.8
1660—2080	S	4.2	5160—5580	N 70° W	7.3

22. Oktober. Kein Aufstieg wegen tiefliegender Stratusschicht.

Nr. 216. 23. Oktober. 8^{54} a; Bew. 5^1 ⊙, str-cu, str; Föhnsturm.

540	W	4.8	1240—1660	S 85° W	35.0
540—1240	S 85° W	16.0			

24. Oktober. Kein Aufstieg wegen tiefliegender Stratusschicht.

Nr. 217. 25. Oktober. 10^{59} a; Bew. 8^1 ⊙, ci-str, ≡^{1}.

540	C		780— 900	S	5.5
540—660	N 70° E	1.1	900—1260	S 18° W	4.0
660—780	Schleife	—	1260—2100	S 58° W	3.5

Nr. 218. 26. Oktober. 8^{21} a; Bew. 1^0 ⊙, str-cu; Föhnlage, Gebirge sichtbar.

540	SW	6.7	540—1100	S 65° W	14.9

Nr. 219. 27. Oktober. 8^{54} a; Bew. 4^0 ⊙, ci, str-cu, ≡^{0}.

540	S	1.7	1100—1800	S 12° E	3.8
540— 680	S 11° E	3.0	1800—2080	S 10° W	7.1
680—1100	S 8° W	7.5	2080—2360	S 35° W	7.5

28. Oktober. Kein Aufstieg wegen ▨.

Nr. 220. 29. Oktober. 8^{20} a; Bew. 7^0, a-cu, str-cu, ∞.

540	SW	1.7	1240—1520	S 64° W	5.8
540— 680	S 44° W	2.0	1520—1940	W	8.3
680—1240	S 85° W	3.3			

Nr. 221. 30. Oktober. 11^{55} a; Bew. 9^1, cu-str.

540	SW	3.1	1100—1660	S 27° W	5.9
540—1100	S 12° W	5.7			

Nr. 222. 31. Oktober. 8^{22} a; Bew. 1^0 ⊙, a-str i. W., ≡^{0}; Föhnlage.

540	S	1.7	820—1520	S 77° W	6.2
540—820	S 25° W	3.0	1520—3060	S 65° W	8.5

Nr. 223. 1. November. 8^{28} a; Bew. 9^1, str.

540	SW	3.1	820—1660	W	3.6
540—820	S 72° W	4.1			

Nr. 224. 2. November. 12^{51} a; Bew. 1^0 ⊙, cu.

540	NE	1.7	1800—2500	S 35° W	6.0
540— 680	N 17° E	2.8	2500—4600	S 72° W	8.1
680—1520	S 82° E	7.6	4600—6000	N 80° W	6.8
1520—1800	S 42° E	6.3	6000—8240	N 68° W	6.6

3. November. Kein Aufstieg wegen tiefliegender Stratusdecke.

Nr. 225. 4. November. 9^{19} a; Bew. 8^0 ⊙, ci-str, ≡^{1}.

540	SW	3.1	680—1800	S 86° W	15.0
540—680	S 45° W	4 8			

Nr. 226. 5. November. 8^{37} a; Bew. 10^1, a-str; Föhnlage.

510	SW	1.7	1380—2080	S 74° W	19.6
540—1380	S 58° W	13.5			

6. November. Kein Aufstieg wegen ▨.

Nr. 227. 7. November. 8^{20} a; Bew. 1^{0} ⊙, ci i. S und E.

Stufenwerte m	Wind Richtung	Wind Geschwindigkeit m p. s.	Stufenwerte m	Wind Richtung	Wind Geschwindigkeit m p. s.
540	SW	4.8	960—1940	W	14.0
540—960	S 75° W	12.0			

Nr. 228. 8. November. 8^{26} a; Bew. o ⊙, ≡^{1}.

540	C		1380—1800	S 58° E	6.3
540— 680	S 6° E	1.5	1800—2220	S 33° E	4.3
680—1380	S 65° E	7.8			

Nr. 229. 9. November. 8^{00} a; Bew. 9^{1}, ci-str, cu-str, ≡^{0}.

540	NW	1.7	960—1520	S 20° E	3.7
540—680	N 74° W	3.3	1520—3340	S 5° W	6.6
680—960	S 27° W	5.9	3340—4460	S 55° W	13.6

10. und 11. November. Kein Aufstieg wegen tiefliegender str-Decke und ◍.

Nr. 230. 12. November. 8^{29} a; Bew. 7^{0} ⊙, ci-str, ≡^{0}.

540	SE	1.7	1380—2080	S 72° W	4.5
540—1380	S 15° E	5.4			

Nr. 231. 13. November. 9^{35} a; Bew. 10^{1}, str-cu.

540	SW	1.7	900—1380	N 5° W	3.6
540—900	N 73° W	5.3	1380—1860	N 50° E	4.6

14. und 15. November. Kein Aufstieg wegen tiefliegender str-Decke.

Nr. 232. 16. November. 11^{27} a; Bew. 7^{0} ⊙, ci-str, a-cu, cu.

540	SW	8.8	540—1240	S 75° W	22.6

Nr. 233. 17. November. 9^{01} a; Bew. 7^{0} ⊙, ci-str, ≡^{1}.

540	SE	1.7	680—1520	S 52° E	6.3
540—680	S 47° E	4.0	1520—2080	S	5.5

Nr. 234. 18. November. 7^{30} a; Bew. 10^{1}, a-str, str-cu, ≡^{0}.

540	SW	1.7	1100—1240	C	
540— 680	S 13° W	4.0	1240—1380	S 66° W	3.5
680— 960	S 55° W	2.5	1380—1940	N 80° W	2.3
960—1100	S	2.4	1940—3480	S 40° W	12.9

19. mit 21. November. Die Beobachtungen unterblieben wegen ungünstiger Witterung.

Nr. 235. 22. November. 9^{19} a; Bew. 7^{1} ⊙, str-cu, cu, str, ≡^{1}; Föhnlage.

540	S	3.1	680—960	S 5° W	9.1
540—680	S 20° E	8.2			

Nr. 236. 23. November. 11^{00} a; Bew. 3^{0} ⊙, cu, str, str-cu.

540	E	1.7	680— 820	S 8° E	5.5
540—680	S 57° E	2.5	820—1940	S 29° W	7.2

24. mit 30. November. Die Beobachtungen unterblieben wegen ungünstiger Witterung.

1. mit 9. Dezember. Die Beobachtungen unterblieben wegen tiefliegender str-Decke.

Nr. 237. 10. Dezember. 8^{30} a; Bew. o ⊙, ∞.

540	S	1.7	680—1240	S 75° W	8.3
540—680	S 55° W	5.5			

Nr. 238. 10. Dezember. 10^{15} a; Bew. o ⊙, ∞.

540	SW	1.7	820—1940	S 67° W	6.5
540—820	S 23° W	4.2			

11. und 12. Dezember. Kein Aufstieg wegen tiefliegender str-Schicht.

Nr. 239. 13. Dezember. 9^{10} a; Bew. 5^{0} ⊙, ci-str, ∞.

540	SE	1.7	820—1520	S 55° E	8.4
540—820	S 52° E	6.6			

Nr. 240. 14. Dezember. 11^{20} a; Bew. 3^0, a-cu, ≡^{0}.

Stufenwerte m	Wind Richtung	Wind Geschwindigkeit m p. s.	Stufenwerte m	Wind Richtung	Wind Geschwindigkeit m p. s.
540	SE	1.7	960—1380	S 55^0 W	10.6
540—680	S 12^0 E	4.4	1380—1800	S 75^0 W	10.8
680—960	S 25^0 W	7.1			

Nr. 241. 15. Dezember. 8^{57} a; Bew. o ⊙, ≡^{0}.

540	SE	1.7	1800—2220	Schleife links	zirka 1.0
540— 960	S 49^0 E	5.8	2220—3060	S 35^0 W	4.2
960—1800	S 60^0 E	3.6	3060—3620	S 70^0 W	6.5

16. und 17. Dezember. Die Beobachtungen unterblieben wegen ◍ und ≡.

Nr. 242. 18. Dezember. 12^{10} p; Bew. 3^0 ⊙, ci, ci-str, ≡.

540	C		1240—1520	S 43^0 W	4.9
540—680	S 60^0 E	1.5	1520—3200	W	5.2
680—1240	S 11^0 E	3.1			

19. Dezember. Kein Aufstieg wegen ≡.

Nr. 243. 20. Dezember. 11^{15} a; Bew. 5^0 ⊙, a-cu, a-str, ≡^{0}.

540	C		820—1380	N 83^0 W	4.8
540—820	S 45^0 W	1.9			

Nr. 244. 21. Dezember. 8^{20} a; Bew. 7^0, ci-str, a-cu, ∞.

540	SW	1.7	680—1100	S 80^0 W	14.8
540—680	S 43^0 W	5.0	1100—1800	S 70^0 W	15.0

22. mit 31. Dezember. Kein Aufstieg wegen ungünstiger Witterung.

Die Münchener Registrierballonfahrten im Jahre 1911

von

August Schmauss.

Mit einem Anhang: 1. Auswertung der in diesem Jahre gefundenen Registrierungen vom 2. April 1908, 11. Dezember 1909, 6. Oktober 1910.
2. Allgemeine Ergebnisse der Fahrten von 1906—1911.

Inhaltsverzeichnis.

Seite

Vorwort 5

Ergebnisse der einzelnen Fahrten des Jahres 1911 7

5. Januar 7

2. Februar 8

1., 2. März . . . . . 9—11

21. März . . . . . 11—12

5. April . . . . . 12—13

4. Mai . . . . . 13—15

7., 8., 9. Juni . . . . . 15—19

6. Juli . . . . . 19—20

3. August . . . . . 21—22

12.—16. September . . . . . 22—29

5. Oktober . . . . . 29—30

9. November . . . . . 30—31

6.—8. Dezember . . . . . 32—35

Zusammenfassende Besprechung charakteristischer Ergebnisse dieses Jahres:

Seehöhe der Nullgradisotherme bei den einzelnen Fahrten 36

Die Temperaturen in verschiedenen Höhen 36

Anhang: 1. **Auswertung der in diesem Jahre gefundenen Registrierungen vom 2. April 1908, 11. Dezember 1909, 6. Oktober 1910** . . . . . 37—40

2. **Allgemeine Ergebnisse der Fahrten von 1906—1911** 41

Vorwort.

In diesem Jahre waren von der internationalen Kommission für wissenschaftliche Luftschiffahrt 23 Aufstiegstage festgesetzt worden. Wir konnten uns an allen Aufstiegen beteiligen. Ausserdem wurde noch am 21. März ein spezieller »Föhnaufstieg« veranstaltet, wofür Abmachungen mit der schweizerischen Meteorologischen Centralanstalt getroffen waren.

Das Instrument vom 11. September ist noch nicht gefunden. Ein merkwürdiges Geschick traf das Instrument vom 3. März. Es wurde zwar gefunden, vom Finder ist aber nur eine unzureichende Adresse vorhanden, so dass das Instrument, da der Finder trotz aller Aufforderung in der Presse, durch Bezirks- und Polizeiämter sich nicht mehr meldete, als verloren zu betrachten ist.

Es sind demnach zur Auswertung vorhanden die Fahrten vom

5. Januar	5. April	3. August	6., 7., 8. Dezember
2. Februar	4. Mai	12., 13., 14., 15., 16. Sept.	
1., 2. März	7., 8., 9. Juni	5. Oktober	
21. März	6. Juli	9. November	

Die Form der vorliegenden Mitteilung lehnt sich genau an die Veröffentlichungen der vorigen Jahre an. Der Hinweis auf die früheren Zusammenstellungen lässt hiefür die Benützung der Abkürzung R. 1906 usw. erwünscht erscheinen.

Von der jedesmaligen Wiederholung instrumenteller Angaben durfte abgesehen werden.

Als Ersatz mögen folgende Angaben dienen: Die Ermittelung der Temperaturkorrektion des Aneroïdes erfolgte an der Centralstation durch eine Temperaturmessung bei konstantem Druck. Die nach der jeweils angegebenen Formel ermittelten Korrektionen sind an den abgedruckten Luftdruckangaben bereits angebracht.

Die benützten Instrumente waren ausschliesslich solche von Bosch, besassen also einen Barographen, einen Rohrthermographen nach Hergesell, einen Lamellenthermographen nach Teisserenc de Bort und zwar den kleinen, thermisch gut isolierten Typus von Kleinschmidt. Als Hygrometer dienten einige Haare.

Das Instrument wurde eingebunden in ein Körbchen, das zum Schutze gegen Strahlung mit Nickelfolie umkleidet war.

Alle Aufstiege fanden von dem Übungsplatze der K. B. Luftschiffer- und Kraftfahrabteilung aus statt; es darf der Abteilung für die Unterstützung bei den Aufstiegen ergebenst gedankt werden. Als treuer Mitarbeiter stand mir Sekretär Karl Brunner zur Seite. Wir benutzten aus Ersparnisrücksichten den Fallschirm, den wir unter den Ballon hängten. Trotz des Fehlens des Signalballons sind nicht mehr Instrumente verloren gegangen als unter Anwendung der früher benützten Tandemmethode.

Von den Angaben einer mittleren Fluggeschwindigkeit, welche im internationalen Schema gefordert ist, wurde abgesehen; die Berechnung einer solchen ist ja nur für den doch recht seltenen Fall erlaubt, dass der Landungsort auf dem Wege der geraden Linie erreicht wurde.

Es darf noch darauf hingewiesen werden, dass an der Meteorologischen Centralstation tägliche Pilotvisierungen veranstaltet wurden, deren Ergebnisse auch für die Registrierballonaufstiege von Wert sein werden. Es erfolgt daher die Veröffentlichung derselben gleichzeitig durch die Assistenten J. Höllerer und K. Bux.

München, im Januar 1912.

A. Schmauss.

Ergebnisse der einzelnen Fahrten des Jahres 1911.

5. Januar 1911.

Instrument No. 152.

Letzte Prüfung am 15. Oktober 1910.

Temperatur-Korrektion des Aneroïdes:

$$dp = -\Delta T\,(0.355 - 0.000457 \cdot p).$$

Art, Grösse, Füllung, freie Steigkraft des Ballons: 1 Gummiballon mit Fallschirm 1.5 m Durchm. Wasserstoff; 0.8 kg.

Zeit des Aufstiegs: 8^{22}a M. E. Z. (verspätet in Hoffnung auf eine Visierung).

Witterung beim Aufstieg:

a) Wind, Bewölkung, Form, Richtung und Geschwindigkeit der Wolken etc.: NE_2 10^1 st.

b) Temperatur beim Aufstieg: — 2.9°; relative Feuchtigkeit: 88 %.

Temperatur 2 Stunden vor dem Aufstieg: — 2.8°, nach dem Aufstieg: — 2.7°.

Maximum des Vortages: — 0.5°.

Maximum des Aufstiegstages: — 2.4° um 2 p.

Minimum des Aufstiegstages: — 3.2° um 6 a.

Name, Seehöhe, Entfernung und Richtung des Landungsortes: Schwabhausen bei Dachau 510 m 23 km N 41° W.

Dauer des Aufstiegs: $33^m\,42^{sec}$.

Mittlere Steiggeschwindigkeit 4.4 m pro Sek.

Grösste Höhe: 9590 m.

Tiefste Temperatur: — 59.8° in 9040 m. (— 61.8°)

Ventilation genügt bis zur erreichten Höhe.

Besondere Bemerkungen: Die Luftdruckangaben sind wegen der Temperatur des Aneroïdes bereits korrigiert. Den Berechnungen liegt das Lamellenthermogramm zugrunde.

Ergebnis der Registrierung:

Zeit h m s	Luftdruck mm	Seehöhe m	Temperatur C° Rohr.	Temperatur C° Lam. Therm.	Gradient △ t/100 m	Relative Feuchtigkeit %	Ventilation Luftdichte × Vertikalgeschw.	Bemerkungen
0 0 0	711	516	- 2.9	- 2.9		88		Aufstieg. Der Ballon war nach $1^1/_2$ Min. verschwunden.
		1 000		- 6.2	0.68			
3 23	634	1 410	- 9.8	- 9.0		**96**		Starke Inversion.
3 51	627	1 500	- 5.8	- 6.2	- 3.26	96		
4 52	608	1 740	- **5.8**	- **5.5**	- 0.29	90		
5 41	592	1 950	- 6.3	- 6.8	0.62	85		
		2 000		- 6.8	0.10			
7 23	563	2 340	- 6.7	- 7.2		73		Von hier ab sehr gleichmässige, rasche Temperaturabnahme.
		2 500		- 8.4				
		3 000		-12.2	0.77			
		4 000		-19.9				
17 5	404	4 830	-27.6	-26.3		56		
		5 000		-27.7				
		6 000		-36.4				
		7 000		-45.1	0.87			
		8 000		-53.8				
29 29	233	8 540	-60.2	-58.5		49		Beginn der Stratosphäre.
		9 000		-59.7	0.26			
31 29	215	9 040	-61.8	-59.8		wenig verändert		Tiefste Temperatur.
32 23	207	9 280	-58.0	-57.4	- 1.00			
33 42	197	**9 590**	-56.5	-56.5	- 0.29		1.4	Höchster Punkt.
57 32								Landung

Am 4. Januar stand die Luftzirkulation des ganzen Kontinentes unter der Einwirkung eines intensiven barometrischen Maximums über Finnland sowie einer Depression über dem Mittelmeere. Auch noch am 5. Januar war daran wenig geändert, nur die Westküste Europas reagierte bereits auf ein bei Island aufgetretenes Minimum, das sich bis zum folgenden Tag sehr vertiefte und gegen die britischen Inseln vorstiess.

Im Temparaturdiagramm war, wie es scheint, in den grossen Höhen der Übergang vom Hochdruck zum Tiefdruck schon angedeutet, da der Einsatz der Stratosphäre nach Fig. 4, R 1909 erfolgte, was, wie dort erwähnt, für diese Wetterlage charakteristisch ist.

Über dem Stratus, der den Ballon schon nach $1^1/_2$ Minuten den Blicken entführte, fand sich die gewohnte Inversion und Abnahme der relativen Feuchtigkeit (in 1400 m).

2. Februar 1911.

Instrument Nr. 114.

Letzte Prüfung am 20. Dezember 1910.

Temperatur-Korrektion des Aneroïdes:

$$dp = -\Delta T\ (0.350 - 0.000457 \cdot p).$$

Art, Grösse, Füllung, freie Steigkraft des Ballons: 1 Gummiballon mit Fallschirm, 1.5 m Durchm. Wasserstoff, 0.5 kg.

Zeit des Aufstiegs: 8^{17} a. M. E. Z.

Witterung beim Aufstieg:

a) Wind, Bewölkung, Form, Richtung und Geschwindigkeit der Wolken etc.: $S_{2\text{-}3}$ (böig) 9^1–10^1 st, einzelne ≡ Schwaden ziehen rasch aus S.

b) Temperatur beim Aufstieg: — 5.6°; relative Feuchtigkeit: 97%.

Temperatur 2 Stunden vor dem Aufstieg: — 5.5°, nach dem Aufstieg: — 5.1°.

Maximum des Vortages: — 3.3°.

Maximum des Aufstiegstages: 0.0° um 2 p.

Minimum des Aufstiegstages: — 5.7° um 8 a.

Name, Seehöhe, Entfernung und Richtung des Landungsortes: in ca. 1500 m auf dem Heimgarten (bereits der dritte Ballon) S 19° W 63 km.

Dauer des Aufstiegs; 35^m 24^s.

Mittlere Steiggeschwindigkeit: 4.0 m.

Grösste Höhe: 8980 m.

Tiefste Temperatur: — 53.0° in 8980 m.
— 52.6°.

Ventilation genügt bis zur erreichten Höhe.

Besondere Bemerkungen: An den Luftdruckangaben sind die Korrektionen wegen der Temperatur des Aneroïdes bereits angebracht. Den Berechnungen liegt das Lamellenthermogramm zugrunde.

Ergebnis der Registrierung:

Zeit h m s	Luftdruck mm	Seehöhe m	Temperatur C° Rohr.	Temperatur C° Lam. Therm.	Gradient △ t/100 m	Relative Feuchtigkeit %	Ventilation Luftdichte × Vertikalgeschw.	Bemerkungen
0 0 0	728	516	- 5.6	- 5.6	0.86	97		Aufstieg Ballon nach ca. 15 Sek. im Str. verschwunden.
42	713	680	- 7.0	- 7.0	- 0.65	**100**		Max. der R. F. Inversion und Feuchtigkeitsabnahme.
1 30	695	880	**- 6.0**	**- 5.7**		96		
		1 000		- 6.3	0.52			
2 42	673	1 130	- 6.8	- 7.0		91		
		1 500		-10.0	0.80			
		2 000		-14.0				
6 30	598	2 040	-13.5	-14.3	- 1.30	**98**		Zweites Max. der R. F. Beginn einer zweiten Inversion.
7 12	586	2 190	-12.6	-12.3	0	92		
7 42	579	2 280	-12.6	-12.3	0.13	88		Zunächst isotherm.
10 6	534	2 900	-12.7	-13.1		86		Dann nochmals invertiert.
		3 000		-12.6	- 0.47			
11 18	515	3 180	-12.3	-11.8		82		Von hier ab gleichmässige Temperaturabnahme.
		4 000		-16.7	0.60			
15 6	450	4 200	- 16.9	-17.9		78		
		5 000		-23.6				
		6 000		-31.0	0.74			
		7 000		-38.4				
		8 000		-45.8				
35 24	226	**8 980**	-52.6	-53.0		79	1.5	Höchster Punkt.
		[9 000]	[-52.7	-53.1]	extrapoliert			Beim Abstieg werden alle Einzelheiten des Aufstiegsdiagrammes wieder angetroffen.
1 1 18								Landung.

Die Entwickelung der Witterung vom 1. zum 2. Februar war äusserst interessant. Unter dem Einflusse eines intensiven barometrischen Maximums, dessen Schwerpunkt allerdings über den britischen Inseln lag, hatte sich auf unserem Gebiete ziemliche Kälte entwickelt, so dass am Morgen des 1. allenthalben Temperaturen unter — 10° zur Aufzeichnung gelangten. Merkwürdigerweise bildete sich aber in den höheren Lagen die sonst gewohnten Temperaturumkehr nicht in der entsprechenden Stärke aus.

Von dem über Westrussland gelegenen Minimum liess sich nach den Guilbertschen Regeln erwarten, dass es dank der kräftigen Winde nach dem schwarzen Meere abziehen werde.

Die Kälte ging bis zum 2. ganz wesentlich zurück, über Nordskandinavien war ein tiefes Minimum erschienen, dem nach Guilbert ein bis Polen führender Weg vorhergesagt werden konnte. Weitere Temperatursteigerung und starke Schneefälle traten auf unserem Gebiete ein.

Es scheint berechtigt, die Niederschlagsdisposition der Atmosphäre durch die Tatsache zu beleuchten, dass in den für die Kondensation in Betracht kommenden Schichten ungewöhnliche Temperaturgradienten herrschten.

Setzen wir die Normaltemperaturen zum Vergleiche bei:

	516 m	1	2	3	4	5	6	7	8 km
2 II 11.	−5.6	−6.3	[−14.0] [− 7.0]	−12.6	−16.7	−23.6	−31.0	−38.4	−45.8
Normal	−5.2	−5.5		−11.3	−16.6	−22.7	−29.3	−36.3	−43.9

Während sich in allen Schichten die Temperatur recht nahe am Mittel hielt, war die Atmosphäre in 2000 m um 7° zu kalt; der mittlere Gradient betrug 0,77 statt 0,15.

Das Ergebnis ist für unseren Wetterdienst von Bedeutung; es zeigte sich, dass die Beobachtungen in München und auf der Zugspitze vollkommen normale Werte aufweisen können und doch dazwischen eine für die Witterungsgestaltung ganz wesentliche Abweichung vorhanden sein kann.

1. März 1911.

Instrument Nr. 149.

Letzte Prüfung am 21. Dezember 1910.

Temperatur-Korrektion des Aneroïdes:

$$dp = -\Delta T\,(0.610 - 0.000457 \cdot p).$$

Art, Grösse, Füllung, freie Steigkraft des Ballons: 1 Gummiballon, 1.5 m Durchmesser, Wasserstoff, 0.7 kg.

Zeit des Aufstiegs: 8^{10} a. M. E. Z.

Witterung beim Aufstieg:

a) Wind, Bewölkung, Form, Richtung und Geschwindigkeit der Wolken etc.: WSW 4-5 böig 10^{1} ◍ ni,

b) Temperatur beim Aufstieg: 7.6°; relative Feuchtigkeit 74 %.

Temperatur 2 Stunden vor dem Aufstieg: 7.6°, nach dem Aufstieg: 7.4°.

Maximum des Vortages: 5.0°.

Maximum des Aufstiegstages: 9.0° um 1 p.

Minimum des Aufstiegstages: 2.7° um 12 p.

Name, Seehöhe, Entfernung und Richtung des Landungsortes: Obermauer, Post Geiersberg, Oberösterreich, 430 m, 145 km, N 86° E.

Dauer des Aufstiegs: $63^{m}\ 30^{s}$.
Mittlere Steiggeschwindigkeit: 3.8 m.

Grösste Höhe: 12 280 m.

Tiefste Temperatur: — 57.6° in 12 100 m.

Ventilation genügt bis zur erreichten Höhe.

Besondere Bemerkungen: Die Luftdruckangaben sind wegen der Temperatur des Aneroïdes bereits korrigiert. Den Berechnungen liegt das besser geschriebene Lamellenthermogramm zugrunde.

Ergebnis der Registrierung.

Zeit h m s	Luftdruck mm	Seehöhe m	Temperatur C° Rohr.	Temperatur C° Lam. Therm.	Gradient △ t/100 m	Relative Feuchtigkeit %	Ventilation Luftdichte × Vertikalgeschw.	Bemerkungen
0 0 0	715	516	7.6	7.6		74		Aufstieg.
		1 000		4.8	0.58			
		1 500		1.9				
4 24	631	1 560	2.3	1.6		**92**		Maximum der R. F.
		2 000		0.2	0.32			
7 54	590	2 120	0.7	− 0.2		85		
		2 500		− 2.2				
		3 000		− 5.0	0.54			
		4 000		−10.4				
21 36	467	4 050	− 9.4	−10.7		73		
		5 000		−17.1	0.67			
30 0	394	5 470	−18.5	−20.2		66		
32 0	380	5 760	−20.5	−22.1	0.64	63		Kleine Störungsschicht.
33 0	374	5 880	−20.5	−22.0	−0.08	63		Sehr gleichmässige, aber nicht bedeutende Temperaturabnahme.
		6 000		−22.8				
		7 000		−29.1	0.63			
		8 000		−35.4				
46 0	280	8 300	−34.0	−37.3		54		
		9 000		−41.5				
		10 000		−47.5	0.60			
		11 000		−53.5				
58 30	202	11 110	−51.7	−54.2	0.37	46		Langsamer Übergang zur Stratosphäre.
1 0 18	190	11 670	−53.2	−56.3		46		
		12 000		−57.3	0.30			
1 2 12	181	12 100	−54.8	−57.6		46		Beginn der Stratosphäre.
1 3 30	177	**12 280**	−54.6	−56.7	−0.50	46	1.0	Höchster Punkt. Die geringe Temperaturänderung zwischen 5760 und 5890 m wird auch beim Abstieg wieder angetroffen.
1 33 30								Landung.

2. März 1911.

Instrument No. 150.

Letzte Prüfung am 21. Dezember 1910.

Temperatur-Korrektion des Aneroïdes:

$$dp = -\Delta T\,(0.340 - 0.000457 \cdot p).$$

Art, Grösse, Füllung, freie Steigkraft des Ballons: 1 Gummiballon, 1.5 m Durchmesser mit Fallschirm; Wasserstoff, 0.7 kg.

Zeit des Aufstiegs: 8^{08} a M. E. Z.

Witterung beim Aufstieg:

a) Wind, Bewölkung, Form, Richtung und Geschwindigkeit der Wolken etc.: WSW$_3$ O ⊙ dunstig.

b) Temperatur beim Aufstieg: 1.1°; relative Feuchtigkeit: 85%.

Temperatur 2 Stunden vor dem Aufstieg: 0.6°, nach dem Aufstieg: 5.0°.

Maximum des Vortages: 9.0°.

Maximum des Aufstiegstages: 6.0^{0} um 9^{50} a.

Minimum des Aufstiegstages: 0.2^{0} um 7 a.

Name, Seehöhe, Entfernung und Richtung des Landungsortes: Brandenberg bei Burgstall, Post Kramsach (Tirol), ca. 300 m, 173 km, S 9° W.

Dauer des Aufstiegs: $41^{m}\ 46^{s}$.

Mittlere vertikale Geschwindigkeit: 5.1 m.

Grösste Höhe: 13290 m.

Tiefste Temperatur: -56.6^{0} in 9150 m.
-56.3^{0}

Ventilation genügt bis zur erreichten Höhe.

Besondere Bemerkungen: Die Temperaturkorrektionen sind an den Luftdruckangaben bereits angebracht. Den Berechnungen liegt das Lamellenthermogramm zugrunde.

Ergebnis der Registrierung.

Zeit h m s	Luftdruck mm	Seehöhe m	Temperatur C° Rohr.	Temperatur C° Lam. Therm.	Gradient △ t/100 m	Relative Feuchtigkeit %	Ventilation Luftdichte × Vertikalgeschw.	Bemerkungen	Windrichtung und Geschwindigkeit.		
0 0 0	725	516	1.1	1.1		85		Aufstieg.	516— 810 m	S 70° W	12.1 m
					0.15						
1 6	696	840	- 0.1	0.6		**86**		Max. der R. F.	810—1100 m	W	17.5 m
		1 000		- 0 4					1100—2290 m	N 83° W	15.5 m
		1 500		- 3.3							
		2 000		- 6.2	0.59				2290—2580 m	N 74° W	14.2 m
		2 500		- 9.1					2580—2870 m	N 65° W	9.2 m
		3 000		-12.0					2870 - 3170 m	N 30° W	7.1 m
8 47	523	3 080	-13.0	-12.5		67			3170—3470 m	N 17° W	8.3 m
									3470 - 3760 m	N 24° W	10.0 m
		4 000		-17.4	0.53				3760—4060 m	N 16° W	12.5 m
									4060—4350 m	N 10° W	14.2 m
12 39	448	4 250	-18.8	-18.7		63			4350—4650 m		15.8 m
					0.84						
13 15	436	4 450	-20.9	-20.4		63			4650—4940 m		18.3 m
					0.41						
14 54	407	4 960	-23.0	-22.5		60			4940—6420 m	N 8° W	20.0 m
		5 000		-22.9							
					0.92						
		6 000		-32.1							
19 56	332	6 420	-36.3	-36.0		**63**		Nahezu isotherm.	6420—6740 m		25.0 m
					0.08						
20 22	326	6 550	-36 5	-36.1		62			6740 - 7050 m		27.5 m
		7 000		-39.4	0 74						
21 43	302	7 070	-41.0	-40.0		61			7050—7370 m	N 3° E	35.0 m
									7370—8000 m		40.0 m
		8 000		-48.3	0.90				8000—8630 m		40.0 m
26 36	246	8 440	-53.1	-52 3		61			8630—8950 m	N 2° W	46.6 m
									8950—9580 m		35.5 m
		9 000		-55.4	0.56						
29 3	220	9 150	-56.6	-56 3		60		Tiefste Temperatur. Beginn der Stratosphäre.			
					- 0.13						
29 28	212	9 380	-56.5	-56.0		60					
					- 1.68						
30 35	205	9 600	-52 9	-52.4		60			9580—9900 m	N 10° W	23.3 m
					0.16						
31 14	195	9 920	-53.1	-52.9							
		10 000		-52.3	- 0.78						
32 8	186	10 230	-51.3	-50.5							
					- 0.43						
34 27	169	10 860	-49.1	-47.8		Hygrometer					
						zeichnet					
		11 000		-47.4	- 0.26	keine					
36 40	152	11 560	-47.6	-46 0		Änderung					
					- 0.62						
37 26	148	11 730	**-46.6**	**-44.9**		mehr auf.		Höchste Temperatur innerhalb der Stratosphäre.			
		12 000		-45.5	0.22						
40 26	125	12 860	-48.9	-47.4							
		13 000		-47.3	- 0.05						
41 56	117	**13 290**	-48.9	-47.2			0.9	Höchster Punkt. Beim Abstieg werden alle Einzelheiten wieder angetroffen			
1 12 12								Landung.			

Überall grösser als 1

Seit mehr als 14 Tagen war die Atmosphäre in heftiger Bewegung. Eine Depression nach der anderen erschien über Island, breitete sich über Nordeuropa aus und zog dann nach Russland ab. Stürmisches, trübes, nasskaltes Wetter herrschte daher seit längerer Zeit.

Am 28. Februar war ein neues Sturmfeld über den britischen Inseln erschienen, das gegen den hohen Druck anrückte, der sich vom Alpengebiet aus über Zentraleuropa ausgebreitet hatte. Als einziger Tag in einer längeren Reihe brachte der 28. Februar durch leichte Föhnlage unserm Alpenvorlande heiteres Frühlingswetter.

Schon am 1. März war aber eine Furche niederen Druckes von der ostwärts schreitenden Depression nach Zentraleuropa durchgebrochen; böiges, regnerisches Wetter hätte beinahe den Aufstieg vereitelt.

Der abziehenden Depression drängte von Südwesteuropa hoher Druck nach, so dass am Morgen des 2. März ein wolkenloser Himmel eine längere Visierung des Ballones ermöglichte.

Ein neuer Ausläufer des nördlichen Tiefdruckes brachte aber schon am Nachmittag wieder böiges, regnerisches Wetter, das sich weiterhin erhielt.

Für die starke Durchmischung der Atmosphäre war es charakteristisch, dass die Temperaturregistrierung am 1. März nur wenig Störungen aufwies.

Der rasch wechselnden Luftdrucksverteilung entsprechend, war auch das Verhalten der Stratosphäre. Der Höhe nach zu schliessen herrschten antizyklonale Verhältnisse, nach dem Aussehen des Temperaturdiagrammes vor und beim Eintritt in die Stratosphäre würde man jedoch den Tag einem zyklonalen Wettertage zugewiesen haben.

Der Keil hohen Druckes, der sich vom 1. auf 2. März ausbildete, verdankte seine Entstehung einem Kälteeinbruch wie aus der Temperaturregistrierung des 2. März hervorgeht.

	516 m	1	2	3	4	5	6	7	8	9	10	11	12 km
1. März	7.6	4.8	0.2	— 5.0	—10.4	—17.1	—22.8	—29.1	—35.4	—41.5	—47.5	—53.5	—57.3
2. März	1.1	—0.4	—6.2	—12.0	—17.4	—22.9	—32.1	—39.4	—48.3	—55.4	—52.3	—47.4	—45.5
Δ	—6.5	—5.2	—6.4	— 7.0	— 7.0	— 5.8	— 9.3	—10.3	—12.9	—13.9	— 4.8	+ 6.1	+11.8

Interessant ist die Kompensation der Temperaturerniedrigung der unteren 9000 m durch eine gewaltige Temperatursteigerung in den darüberliegenden Schichten. Anders ausgedrückt: Die Stratosphäre begann am 2. März schon in 9150 m (neuerlicher Übergang zur zyklonalen Witterung).

Im Bereiche der Stratosphäre trat eine starke Abminderung der bis zu 47 m angewachsenen Windgeschwindigkeit ein. Eine Richtungsänderung war nicht zu ersehen; über 9900 m muss die Richtung noch mehr nach NE gedreht haben, um den Ballon nach der Richtung S 9° W vom Aufstiegsorte zu führen.

21. März 1911.

Instrument Nr. 208.

Letzte Prüfung am 18. Februar 1911.

Temperatur-Korrektion des Aneroïdes:

$$d\,p = -\Delta T\,(0.480 - 0.000457 \cdot p).$$

Art, Grösse, Füllung, freie Steigkraft des Ballons: 1 Gummiballon mit Fallschirm 1.5 m Durchmesser, Wasserstoff, 0.8 kg.

Zeit des Aufstiegs: 12^{00}. M. E. Z.

Witterung beim Aufstieg:

a) Wind, Bewölkung, Form, Richtung und Geschwindigkeit der Wolken etc.: $NE_2\ 1^0 \odot \frac{\text{vereinzelte Ci}}{\text{am S E Horizonte cu}}$ (In der Bewölkung und in den sommerlichen Temperaturen Föhnsituation, wenn auch NE unmittelbar am Boden.)

b) Temperatur beim Aufstieg: 13.6°, relat. Feuchtigkeit: 60%.

Temperatur 2 Stunden vor dem Aufstieg: 8.2°, nach dem Aufstieg: 17.0°.

Maximum des Vortages: 10.1°.

Maximum des Aufstiegstages: 17.3° um 1^{50} p.

Minimum des Aufstiegstages: — 0.7° um 7^{00} a.

Name, Seehöhe, Entfernung und Richtung des Landungsortes: Goldshausen bei Marzling (Freising), 440 m, 32,5 km, N 32.5° E.

Dauer des Aufstiegs: $28^m\ 4^s$.

Mittlere Steiggeschwindigkeit: 6.0 m.

Grösste Höhe: 10630 m.

Tiefste Temperatur: — 55.0°, in 10630 m.
— 53.3°.

Ventilation genügt bis zur erreichten Höhe.

Besondere Bemerkungen: Die Luftdruckangaben sind wegen der Temperatur des Aneroïdes bereits korrigiert. Den Berechnungen liegt das Rohrthermogramm zugrunde. Das Lamellenthermogramm hat leichte „Stufen" geschrieben.

Ergebnis der Registrierung.

Zeit h m s	Luftdruck mm	Seehöhe m	Temperatur C° Lam.	Temperatur C° Rohr. Therm.	Gradient Δ t/100 m	Relative Feuchtigkeit %	Ventilation Luftdichte × Vertikalgeschw.	Bemerkungen
0 0 0	714	516	13.6	13.6		60		Aufstieg.
		1 000		10.4				
		1 500		7.2				
		2 000		3.9	0.66			
		2 500		0.6				
		3 000		- 2.7				
8 12	511	3 230	- 3.2	- 4.2		55		

Windrichtung und Geschwindigkeit

an Erde	N 60° E	2.6 m
Sehr starke Drehung.		
1680—1840 m	S 53° W	1.9 m
1840—2000 m	S 6° W	1.3 m
2000—2170 m	S 29° W	2.2 m
2170—2500 m		6.2 m
2500—2830 m	S 18° W	6.2 m
2830—3160 m	S 50° W	9.2 m
3160—3520 m		

Zeit h m s	Luftdruck mm	Seehöhe m	Temperatur C° Lam. Therm.	Temperatur C° Rohr. Therm.	Gradient △ t/100 m	Relative Feuchtigkeit %	Ventilation Luftdichte × Vertikalgeschw.	Bemerkungen	Windrichtung und Geschwindigkeit		
8 12	511	3 230	- 3.2	- 4.2	0.18	55		Kleine Störung in der sonst sehr regelmässigen Temperaturabnahme.			
8 45	497	3 450	- 3.6	- 4.6		53			3520—3880 m	S 43° W	11.7 m
		4 000		- 8.7					3880—4250 m	S 23° W	11.7 m
		5 000		-16.1					4250—5700 m	S 39° W	15.6 m
		6 000		-23.6	0.75				5700—7500 m	S 43° W	17.4 m
		7 000		-31.1					7500—8250 m	S 38° W	19.2 m
		8 000		-38.6					8250—8600 m	S 26° W	16.7 m
22 33	245	8 610	-40 2	-43.2		47			8600-10150 m	S 12° W	18.0 m
		9 000		-45.4	0.59						
		10 000		-51.3					10150-10630 m		11.7 m
28 4	180	**10 630**	-53 3	-55.0		46	1.8	Grösste Höhe.			
53 16								Landung.			

Gelegentlich der Konferenz der Internationalen aeronautischen Kommission für wissenschaftliche Luftschiffahrt in Mailand 1906 wurde zwischen den Direktoren der meteorologischen Institute von Zürich, Strassburg und München eine Vereinbarung getroffen, dass sich die Institute zu speziellen **Föhnuntersuchungen** zusammenschliessen wollten. Es sollten auf telegraphische Mitteilung von Zürich aus an den drei Orten Registrierballons und Pilotballons hochgelassen werden, ferner sollten genaue Wolkenbeobachtungen angestellt werden, um in die Struktur des Föhns eindringen zu können.

Verschiedene Schwierigkeiten hatten die Ausführung dieses Gedankens bisher hintangehalten.

Am 21. März konnte zum ersten Male von Zürich die Aufforderung hinausgehen, an diesem typischen Föhntage sofortige Aufstiege zu veranstalten.

Unsere Registrierung ergab den schon öfter bei Föhn festgestellten thermischen Zustand der Atmosphäre: eine **recht gleichmässige, über das Mittel hinausgehende Temperaturabnahme** in den ersten 8000 m; über der Seehöhe von 8600 m minderte sich der Gradient ab. Die Stratosphäre wurde leider nicht erreicht.

Charakteristisch für Föhn erscheint der Mangel an Störungsschichten. Nur zwischen 3230 und 3450 m bestand ein kleiner Gradient, das Hygrogramm, das sonst stets ein welliges Aussehen hat, wies an diesem Tage eine stetige, langsame Abnahme der relativen Feuchtigkeit auf.

Unmittelbar an der Erdoberfläche wehte NE, doch ging der Wind mit rascher Drehung mit wechselnder Erhebung von SSW bis SW über, die mittlere Richtung wird gut durch die Lage des Landungsortes definiert und kann mit S 33° W angegeben werden.

Die weitere Diskussion der Registrierung im Zusammenhange mit den an den anderen Orten gewonnenen Ergebnissen wird von den Züricher Kollegen besorgt werden.

6. April 1911.

Instrument Nr. 214.

Letzte Prüfung am 18. Februar 1911.

Temperatur-Korrektion des Aneroïdes:

$$d\,p = -\Delta T\,(0.460 - 0.000\,457 \cdot p).$$

Art, Grösse, Füllung, freie Steigkraft des Ballons: 1 Gummiballon mit Fallschirm, 1.5 m Durchmesser, Wasserstoff, 0.7 kg.

Zeit des Aufstiegs: 7^{52} a M. E. Z.

Witterung beim Aufstieg:

a) Wind, Bewölkung, Form, Richtung und Geschwindigkeit der Wolken etc.: E_3 10^1 ✳^{0} cu st, ni aus NE.

b) Temperatur beim Aufstieg: — 3.1°; relative Feuchtigkeit: 82%.

Temperatur 2 Stunden vor dem Aufstieg: — 2.5°, nach dem Aufstieg: — 2.5°.

Maximum des Vortages: 1.1°

Maximum des Aufstiegstages: — 0.7° um 3 p.

Minimum des Aufstiegstages: — 3.2° um 7^{50} a.

Name, Seehöhe, Entfernung und Richtung des Landungsortes: Radenshofen bei Aichach, 510 m, 34 km, N 40° W.

Dauer des Aufstiegs: 32^m 1^s.
Mittlere Steiggeschwindigkeit: 5.3 m.

Grösste Höhe: 10750 m.

Tiefste Temperatur: — 53.8° in 8730 m.
— 56.3°

Ventilation genügt bis zur erreichten Höhe.

Besondere Bemerkungen: An den Luftdruckangaben sind die Temperaturkorrektionen des Aneroïdes bereits angebracht. Den Berechnungen liegt das Lamellenthermogramm zugrunde.

Ergebnis der Registrierung.

Zeit h m s	Luftdruck mm	Seehöhe m	Temperatur C° Rohr.	Temperatur C° Lam. Therm.	Gradient △t/100m	Relative Feuchtigkeit %	Ventilation Luftdichte × Vertikalgeschw.	Bemerkungen
0 0 0	710	516	- 3.1	- 3.1		82		Aufstieg.
		1 000		- 7.4	0.89			
2 41	651	1 190	- 8.7	- 9.1		89		
		1 500		- 9.7	0.19			
4 5	620	1 570	- 9.1	- 9.8		93		Inversion.
4 39	607	1 730	- 8.9	- 9 0	- 0.49	**94**		Maximum der R. F.
4 59	600	1 820	- 8.7	- 8.2	- 0.89	92		
		2 000		- 8.2	0			
5 36	584	2 030	- 8.7	- 8.2		90		Weitere Inversion.
6 1	574	2 170	**- 6.8**	**- 6.5**	1.26	87		
6 21	566	2 280	- 7.0	- 6.5	0	86		
8 47	521	2 920	-11.2	-10.9	0.69	86		
9 5	516	2 990	-11.7	-11.5	0.81	86		
		3 000		-11.5	0.33			
9 44	504	3 170	-12.5	-12 1	0.59	84		
12 7	451	4 000	-17.5	-17.1	0.88	82		
12 29	449	4 050	-17.5	-17.4		80		Sehr gleichmässige und starke Temperaturabnahme.
		5 000		-24.8				
		6 000		-32.6	0.76			
		7 000		-40.3				
		8 000		-48.1				
25 47	229	8 730	-56.3	-53 8	0.0	75		Beginn der Stratosphöre, (zunächst isotherm).
26 38	223	8 900	-56.5	-53.8		75		
		9 000		-53.1	- 0.74			
27 32	212	9 220	-53.5	-51.4		74		
		10 000		-50.2	- 0.15			
29 56	185	10 110	-52.6	-50.1	- 1.04	73		
31 20	175	10 470	-48.2	-46.3	- 0.18	72		
32 1	168	**10 750**	-48.5	-46.8		72	1.4	Höchster Punkt.
1 2 57								Landung.

Der Aufstieg vom 6. April fiel nahezu in den Witterungsumschlag hinein, der sich am 2. einleitete. Fortgesetzte Föhnsituation hatte in der Vorwoche sommerlichwarme Tage gebracht. Da zeigte am 2. die Wetterkarte einen Ausläufer einer über Finnland liegenden Depression an, der uns zunächst Gewitter brachte. Am 3. war dann die Hauptdepression nach Polen gewandert, der Regen ging in der Nacht zum 4. in Schnee über. Die Ausbildung einer tiefen Mittelmeerdepression und das gleichzeitige Nachrücken hohen Druckes von Nordwesten her hatte am 5. und 6. heftige Nordostwinde im Gefolge, die sehr niedrige Temperaturen brachten.

Im Laufe des 6. fiel noch den ganzen Nachmittag feiner Schnee, die Zugspitze befand sich aber schon über dem Kondensationsniveau. Am Morgen des 7. begann dann allmähliches Aufklären.

Um zu sehen, in welchen Höhen sich der Kälteeinbruch besonders ausdrückte, seien die Mitteltemperaturen (aus R 1910 S. 37) mit den am 6. April beobachteten Temperaturen zusammengestellt.

	516 m	1	2	3	4	5	6	7	8	9	10 km
Mittel	7.4	5.6	— 1.2	8.3	— 14.8	—20 8	—28.6	—36.9	—44.7	—48.5	—51.2
6. April 1911	— 3.1	— 7.4	—8.2	—11.5	—17.1	- 24.8	—32.6	—40.3	—48.1	—53.1	—50.2
Δ	—10.5	—13.0	— 7.0	— 3.2	— 2.3	— 4.0	— 4.0	— 3.4	— 3.4	— 4.6	+ 1.0

Die grössten Abweichungen fanden sich also in den erdnächsten Schichten, dort kam der Kälterückfall am stärksten zum Ausdruck.

4. Mai 1911.

Instrument No. 208.

Letzte Prüfung am 27. März 1911.

Temperatur-Korrektion des Aneroïdes:

$$dp = -\Delta T\,(0.480 - 0.000457 \cdot p).$$

Art, Grösse, Füllung, freie Steigkraft des Ballons: 1 Gummiballon 1.5 m Durchmesser, Wasserstoff, 0.8 kg.

Zeit des Aufstiegs: 7^{51} a M. E. Z.

Witterung beim Aufstieg:

a) Wind, Bewölkung, Form, Richtung und Geschwindigkeit der Wolken etc.: O ⊙ SE_1 ci st, am Horizonte im N, NE u. E.

b) Temperatur beim Aufstieg: 11.0°; relative Feuchtigkeit: 60%.

Temperatur 2 Stunden vor dem Aufstieg: 6.6°, nach dem Aufstieg: 14.7°.

Maximum des Vortages: 18.0°.

Maximum des Aufstiegstages: 21.3° um 2^{10} p.

Minimum des Aufstiegstages: 5.5° um 5^{30} a.

Name, Seehöhe, Entfernung und Richtung des Landungsortes: Schleissheim, 486 m, 10 km, genau nördlich vom Aufstiegsorte.

Dauer des Aufstiegs: 43^m 40^s.

Mittlere Steiggeschwindigkeit: 5.0 m pro Sek.

Grösste Höhe: ca. 13 780 m.

Tiefste Temperatur: — 59.5° in 11 640 m.
— 61.2°

Ventilation genügt bis zur erreichten Höhe.

Besondere Bemerkungen: An den Luftdruckangaben sind die Korrektionen wegen der Temperatur des Aneroïdes bereits angebracht. Den Berechnungen liegt das Lamellenthermogramm zugrunde.

Ergebnis der Registrierung.

Zeit h m s	Luftdruck mm	Seehöhe m	Temperatur C° Rohr.	Temperatur C° Lam. Therm.	Gradient △t/100 m	Relative Feuchtigkeit %	Ventilation Luftdichte × Vertikalgeschw	Bemerkungen	Windrichtung und Geschwindigkeit.		
0 0 0	716	516	11.0	11.0		60		Aufstieg.	516— 910 m	N 82° W	3.5 m
					0.46						
54	694	770	10.1	9.8		60		Kleine Inversion.			
					− 0.45						
1 28	683	900	10.6	10.4		52			910— 1200 m	S 54° W	1.3 m
		1 000		9.9					1200— 1490 m	S 83° W	2.7 m
		1 500		7.1					1490— 1790 m	N 64° W	3.3 m
					0.56				1790— 2080 m	N 30° W	3.0 m
		2 000		4.3					2080— 2370 m		3.3 m
									2370— 2660 m	N 5° W	2.8 m
		2 500		1.5		36		Mi der R.F.	2660— 2960 m	N 76° E	3.0 m
8 12	548	2 700	0.6	0.4	0.0	47		Kleine Isothermie.			
8 35	543	2 780	0.6	0.4		49					
		3 000		− 0.9					2960— 3250 m	S 72° E	2.0 m
					0.57				3250— 3540 m	S 22° E	1.9 m
		4 000		− 6.6					3540— 3840 m	S 43° E	6.2 m
									3840— 4260 m	S 26° E	2.3 m
14 27	443	4 380	− 8.9	− 8.8		**72**		Max. der R. F.	4260— 4380 m	S 70° E	5.2 m
					0.27				4380— 4740 m	S 74° E	5.5 m
15 41	424	4 710	− 9.6	− 9.7		68			4740— 4860 m	S 77° E	4.5 m
									4860— 4980 m	S 81° E	3.7 m
		5 000		−11.4					4980— 5100 m		2.7 m
					0.58			Visisierung entnommen dem Pilotballon für das Intervall 3840—7350 m	5100— 5220 m	S 87° E	1.5 m
		6 000		−17.2					5220— 5340 m	N 23° W	0.8 m
									5340— 5460 m	N 59° W	0.7 m
20 41	350	6 170	−18.7	−18.2		59			5460— 5580 m	S 57° W	1.0 m
									5580— 5820 m	S 26° E	2.5 m
		7 000		−25.0	0 82				5820— 6660 m	S 41° E	5.0 m
									6660— 7140 m	S 27° E	3.3 m
25 49	277	7 870	−33.5	−32.2		51			7140— 7350 m	S 41° E	7.5 m
									7350— 8230 m	S 5° W	4.5 m
		8 000		−32.9	0.51				8230— 9400 m	S 15° E	4.0 m
27 42	256	8 420	−36.1	−35.0		50					
		9 000		−39.6	0.79						
29 57	225	9 300	−43.9	−42.0		49			9400— 9700 m	S 25° W	5.6 m
									9740—11400 m	S 26° W	10.5 m
		10 000		−47 2	0.75						
		11 000		−54.7					11400—11710 m	S 23° W	2.3 m
36 28	157	11 640	−61.2	−59.5		49		Beginn der Stratosphäre.	11710—12040 m	N 62° W	3.0 m
					− 0.03						
36 57	149	11 970	−61.2	−59.4		49					
		12 000		−59.4	− 0.86				12040—12370 m	N 48° E	2.7 m
37 21	146	12 100	−59.9	−58 3							
					0.31						
38 12	138	12 450	−60.8	−59.4					12370—12700 m	S 60° E	4.7 m
					− 0.61						
40 28	127	12 970	−57.5	−56.2					12700—13020 m	S 60° E	3.7 m
		13 000		−56.2	− 1.25				13020—13780 m	S 8° E	6.0 m
41 27	124	13 130	−54.7	−54 3							
					0.0						
43 40	112	**13 780**	−54.7	−54.3			0.9	Höchster Punkt. Beim Abstieg alle Schichtungen der Stratosphäre wieder angetroffen.			
1 14 18								Landung.			

Überall grösser als 1.0

Am 4 Mai erstreckte sich ein Rücken hohen Druckes von einem über der iberischen Halbinsel liegenden barometrischen Maximum über Zentraleuropa hin nach einem über dem Nordosten unseres Erdteiles gelegenen Hochdruckgebiete. Eine tiefe Depression beherrschte ganz Nordwesteuropa, eine flache Luftdruckstörung fand sich über den Mittelmeerländern.

Der Aufstiegstag gehörte der ausgesprochenen Schönwetterperiode an, die wir im Mai hatten. Nur lokale Gewitter brachten darein Abwechslung. Auch am Abend des 4. Mai erfolgte eine solche Störung.

Die Visierung, die bis zum höchsten Punkte fortgeführt werden konnte, ergab mehrere Schleifenbildungen: eine erste in 2580 m, die wohl zusammenfällt mit der Schicht schwacher Temperaturabnahme in 2700 m bezw. mit dem Minimum der R. F. in 2500 m. Die Drehung des Windes erfolgte in derselben nach rechts. In 5100 m fand sich eine kleine nach links umlaufende Schleife, von welcher im Temperaturdiagramm nichts zu bemerken ist.

Dagegen war die dritte nach rechts sich windende Schleife deutlich mit dem Eintritt des Ballons in die Stratosphäre verbunden.

In der Stratosphäre selbst, die dem Hochdruck entsprechend in hoher Lage angetroffen wurde, herrschte südliche Strömung weiter, die auch unterhalb derselben von etwa 5600 m ab beobachtet worden war.

Irgend welche übermässig grosse Temperaturgradienten, die man als Bedingung von Gewittern verlangen möchte, wurden nicht angetroffen. Im Gegenteile fanden sich einige Schichten mit schwachen Gradienten.

Gewittern geht, wie schon in früheren Berichten dargetan, die Störung des Temperaturgleichgewichtes offenbar unmittelbar vorauf, so dass man vorläufig nicht hoffen kann, eine Temperatursondierung am Morgen für eine Gewitterprognose am Mittag verwenden zu können.

7. Juni 1911.

Instrument No. 407.

Letzte Prüfung am 27. März 1911.

Temperatur-Korrektion des Aneroïdes:

$$dp = -\Delta T\,(0.500 - 0.000457 \cdot p).$$

Art, Grösse, Füllung, freie Steigkraft des Ballons: 1 Gummiballon mit Fallschirm, 1.5 mDurchm., Wasserstoff, 0.8 kg.

Zeit des Aufstiegs: 7^{56} a. M. E. Z.

Witterung beim Aufstieg:

a) Wind, Bewölkung, Form, Richtung und Geschwindigkeit der Wolken etc.: (n ⏢) $SSW_{0\text{-}1}$, einzelne ci zerstreut im S, W und NW. Über der Stadt stark dunstig,

b) Temperatur beim Aufstieg: 18.0°; relative Feuchtigkeit: 61%.

Temperatur 2 Stunden vor dem Aufstieg: 13.0°, nach dem Aufstieg: 21.0°.

Maximum des Vortages: 24.5°.

Maximum des Aufstiegstages: 26.0° um 3 p.

Minimum des Aufstiegstages: 11.2° um 2^{10} a.

Name, Seehöhe, Entfernung und Richtung des Landungsortes: Rudersau bei Rottenbuch (Oberbayern), 780 m, 60 km, S 43° W.

Dauer des Aufstiegs: $56^{m}\ 4^{s}$.
Mittlere Steiggeschwindigkeit: 4.6 m pro sec.

Grösste Höhe: 15910 m.

Tiefste Temperatur: — 65.5° in 12490 m.
— 66.7°.

Ventilation genügt bis zur erreichten Höhe, wenn auch zum Schlusse < 0.5.

Besondere Bemerkungen: Die Luftdruckangaben sind wegen der Temperatur des Aneroïdes bereits korrigiert. Den Berechnungen liegt das (bessere) Lamellenthermogramm zugrunde.

Ergebnis der Registrierung:

Zeit h m s	Luftdruck mm	Seehöhe m	Temperatur C° Rohr.	Temperatur C° Lam. Therm.	Gradient △t/100 m	Relative Feuchtigkeit %	Ventilation Luftdichte × Vertikalgeschw.	Bemerkungen	Windrichtung und Geschwindigkeit		
0 0 0	724	516	18.0	18 0		62		Aufstieg.	516— 820 m	N 76° W	1.9 m
0 56	698	830	16.1	16 5	0.48	62		Kleine Isothermie.	820—1120 m	S 74° W	0.8 m
1 27	688	950	16.1	16.5	0.0	57					
		1 000		16.1					1120—1240 m	N 57° W	0.8 m
		1 500		12.3					1240—1380 m	S 57° E	0.2 m
					0.76				1380—1520 m		1.3 m
		2 000		8.6					1520—1660 m	S 75° E	1.7 m
		2 500		4.8					1660—1800 m	N 87° E	2.1 m
									1800—2080 m	N 79° E	2.2 m
8 22	546	2 860	- 0.5	2.1		55		Temperatur-Umkehr.	2080—2360 m	N 57° E	2.8 m
		3 000		2.6	- 0.37				2360—2500 m	N 47° E	4.0 m
									2500—2640 m		5.3 m
9 26	526	3 160	1.1	3.2		49			2640—3200 m	N 27° E	6.0 m
		4 000		- 0.9	0.49				3200—3500 m	N 42° E	6.2 m
									3500—3800 m	N 36° E	10.0 m
									3800—4400 m	N 36° E	8.1 m
14 38	429	4 790	- 7.4	- 4.7		39			4400—4700 m	N 47° E	6.9 m
									4700—5000 m	N 37° E	9.4 m

Zeit h m s	Luftdruck mm	Seehöhe m	Temperatur C° Rohr.	Temperatur C° Lam. Therm.	Gradient △ t/100 m	Rativele Feuchtigkeit %	Ventilation Luftdichte × Vertikalgeschw.	Bemerkungen
14 38	429	4 970	- 7.4	- 4.7		39		Von hier ab sehr gleichmässige, rasche Temperaturabnahme.
		5 000		- 6.4				
		6 000		-14.4				
		7 000		-22.4	0.80			
		8 000		-30.5				
		9 000		-38.5				
31 2	220	9 650	-45.8	-43.7		35		
		10 000		-46.4				
		11 000		-54.1	0.77			
		12 000		-61.7				
41 32	141	12 490	-66.7	-65.5	-0.06	34		Tiefste Temperatur. Beginn der Stratosphäre.
42 41	133	12 840	-65.7	-65.3		35		
		13 000		-63 9	-0.90			
43 16	128	13 080	-63.6	-63.2	0.22	35		Hygrogramm nur mehr gerade Linie.
45 42	112	13 890	-64 2	-65.0				
		14 000		-65.7	-0.64			
48 48	99	14 650	-60.1	-60.1				
		15 000		-59.8	-0.10			
50 53	91	15 180	-59.6	-59.6	-0.27		0.5	Ventilation nach Aussehen des Diagrammes noch genügend.
56 4	81	**15 910**	-57.0	-57.6				Höchster Punkt. Beim Abstieg werden alle Einzelheiten des Temperaturdiagrammes wiedergefunden.
1 30 42								Landung.

Windrichtung und Geschwindigkeit

4700—5000 m	N 37° E	9.4 m
5000—5600 m	N 30° E	11.4 m
5600—6200 m	N 36° E	12.5 m
6200—7100 m	N 40° E	12.5 m
7100—7700 m	N 40° E	13.7 m
7700—8300 m	N 44° E	16.2 m

Ballon im Dunst der Stadt nicht mehr sichtbar.

8. Juni 1911.

Instrument No. 114.

Letzte Prüfung am 25. April 1911.

Temperatur-Korrektion des Aneroïdes:

$$d\,p = -\Delta T\,(0.350-0.000457\cdot p).$$

Art, Grösse, Füllung, freie Steigkraft des Ballons: 1 Gummiballon mit Fallschirm, 1.5 m Durchmesser, Wasserstoff, 0.5 kg.

Zeit des Aufstiegs: 7^{57} a M. E. Z.

Witterung beim Aufstieg:

a) Wind, Bewölkung, Form, Richtung und Geschwindigkeit der Wolken etc.: n Δ^2 WSW$_1$ O ⊙.

b) Temperatur beim Aufstieg: 16.8°; relative Feuchtigkeit: 69%.

Temperatur 2 Stunden vor dem Aufstieg: 14.0°, nach dem Aufstieg: 20.1°.

Maximum des Vortages: 26.0°.

Maximum des Aufstiegstages: 24.4° um 4^{30} p.

Minimum des Aufstiegstages: 13.5° um 5 a.

Name, Seehöhe, Entfernung und Richtung des Landungsortes: Unterwässen bei Marquartstein, 610 m, 82 km, S 56° E.

Dauer des Aufstiegs: $69^{m}\ 29^{s}$.

Mittlere Steiggeschwindigkeit: 3.2 m pro Sek.

Grösste Höhe: 13 930 m.

Tiefste Temperatur: — 61.0° in 12 770 m.

Ventilation genügt bis zur erreichten Höhe.

Besondere Bemerkungen: Die Temperaturkorrektionen sind an den Luftdruckangaben bereits angebracht. Das Rohrthermogramm war mangelhaft, so dass nur das Lamellenthermogramm ausgewertet wurde.

Ergebnis der Registrierung.

Zeit h m s	Luftdruck mm	Seehöhe m	Temperatur C° Lamellen-Therm.	Gradient △ t/100 m	Relative Feuchtigkeit %	Ventilation Luftdichte × Vertikalgeschw.	Bemerkungen	Windrichtung und Stärke.		
0 0 0	722	516	16.8		69		Aufstieg.	516— 710 m	N 78° W	2.2 m
				0.79						
0 53	708	680	15.5		**70**		Isothermie.	710— 900 m	N 78° W	5.2 m
				0.0						
2 4	687	930	15.5		57			900— 1300 m	N 63° W	5.4 m
		1 000	15.0	0.68				1300— 1490 m	N 70° W	7.2 m
4 44	646	1 450	12.0		**62**		Inversion.	1490— 1690 m	N 65° W	8.7 m
		1 500	12.1	— 0.23						
5 17	636	1 580	**12.3**		51		Ziemlich gleichmässige und starke Temperaturabnahme beginnt.	1690— 2380 m	N 65° W	10.1 m
		2 000	8.9	0.81						
8 14	599	2 070	8.3		**70**					
				0.67						
9 8	586	2 250	7.1		67			2380— 2580 m	N 60° W	9.0 m
		2 500	5.7					2580— 2860 m	N 51° W	7.8 m
		3 000	2.9					2860— 3250 m	N 36° W	7.6 m
				0.52				3250— 3840 m	N 36° W	9.7 m
		4 000	— 2.4					3840— 4420 m		9.4 m
								4420— 5000 m	N 44° W	12.3 m
		5 000	— 7.6					5000— 6170 m		13.6 m
28 8	374	5 790	—11.5		44					
		6 000	—13.0					6170— 9470 m	N 63° W	17.4 m
		7 000	—20.3							
		8 000	—27.6							
				0.73						
		9 000	—35.0					9470— 9870 m	N 63° W	21.1 m
								9870—10650 m	N 63° W	19.0 m
		10 000	—42.3					10650—11220 m		19.0 m
		11 000	—49.7						N 72° W	
55 26	170	11 320	—52.0					11220—11600 m		16.8 m
		12 000	—56.2	0.62				11600—13100 m	N 55° W	15.6 m
1 2 46	135	12 770	—61.0				Tiefste Temperatur. Beginn der Stratosphäre.			
		13 000	—60.7	— 0.15						
1 5 8	128	13 100	—60.5	— 0.57						
1 6 43	121	13 450	—58.5	— 0.12						
1 9 29	112	**13 930**	—57.9			0.6	Höchster Punkt.			
1 43 34							Landung.			

9. Juni 1911.

Instrument No. 149.

Letzte Prüfung am 24. April 1911.

Temperatur-Korrektion des Aneroïdes:

$$d\,p = -\Delta T\,(0.610 - 0.000457 \cdot p).$$

Art, Grösse, Füllung, freie Steigkraft des Ballons: 1 Gummiballon mit Fallschirm 1.5 m Durchmesser, Wasserstoff; 0.4 kg.

Zeit des Aufstiegs: 7^{52} a. M. E. Z.

Witterung beim Aufstieg:

a) Wind, Bewölkung, Form, Richtung und Geschwindigkeit der Wolken etc.: C O ⊙,

b) Temperatur beim Aufstieg: 15.7°, relative Feuchtigkeit: 76%.

Temperatur 2 Stunden vor dem Aufstieg 12.3°, nach dem Aufstieg: 19.0°.

Maximum des Vortages: 24.4°.

Maximum des Aufstiegstages: 25.5° um 3 bis 4 p.

Minimum des Aufstiegstages: 10.7° um 4^{50} a.

Name, Seehöhe, Entfernung und Richtung des Landungsortes: Sandgrub, Post Schnaitsee, ca. 610 m, 62 km, S 80° E.

Dauer des Aufstiegs: $79^{m}\ 29^{s}$.
Mittlere Steiggeschwindigkeit: 3.3 m.

Grösste Höhe: 15 130 m.

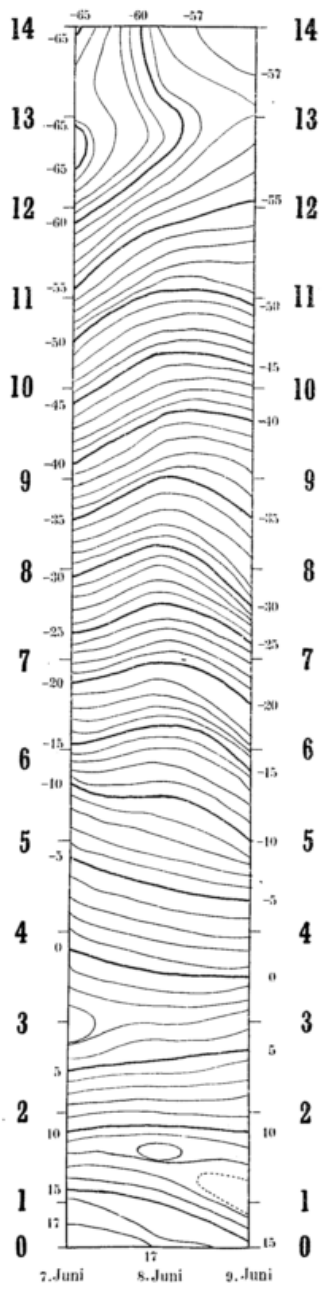
Tiefste Temperatur: — 58.1° in 13 040 m.
— 56.5°.

Ventilation genügt bis 13 040 m.

Besondere Bemerkungen: An den Luftdruckangaben sind die Korrektionen wegen der Temperatur des Aneroïdes bereits angebracht. Den Berechnungen liegt das Lamellenthermogramm zugrunde. Das Instrument wurde erst am 4. August 1911 gefunden.

Ergebnis der Registrierung:

Zeit h m s	Luftdruck mm	Seehöhe m	Temperatur C° Rohr.	Temperatur C° Lam. Therm.	Gradient △ t/100 m	Relative Feuchtigkeit %	Ventilation Luftdichte × Vertikalgeschw.	Bemerkungen	Windrichtung und Geschwindigkeit		
0 0 0	715	516	15.7	15.7		76		Aufstieg.	516— 690 m	C	
					0.86				690—1050 m	S 77° W	2.5 m
2 44	683	900	12.7	12.4		80		Grosse Schicht nahezu isotherm.			
		1 000		12.4	0.0				1050— 1400 m	N 77° W	3.9 m
4 28	666	1 110	12.7	12.4		**85**					
					0.0						
5 12	656	1 240	12.7	12.4		72					
					0.20						
6 50	637	1 500	12.3	11.9		65			1400— 1760 m	W	4.0 m
					0.64						
9 7	603	1 940	9.7	9.0		54			1760— 3000 m	N 62° W	5.8 m
		2 000		8.9	0.13						
10 40	587	2 160	9.5	8.7		44					
		2 500		6.5	0.65						
15 8	533	2 950	4.1	3.6		39					
		3 000		3.3					3000— 4070 m	N 77° W	6.9 m
					0.67						
		4 000		- 3.4					4070— 4610 m	N 61° W	6.9 m
25 32	422	4 800	- 7.8	- 8.9		38			4610— 5140 m	N 59° W	8.1 m
		5 000		-10.1	0.60				5140— 5670 m	N 50° W	7.0 m
29 17	387	5 460	-11.5	-12.9		37			5670— 6210 m	N 54° W	10.0 m
		6 000		-18.1	0.95						
33 5	354	6 130	-17.9	-19.3		41		Isothermie.	6210— 6390 m	N 86° W	14.7 m
					0.00						
34 20	339	6 450	-17.5	-19 3		40			6390— 7100 m	N 70° W	11.5 m
					0.80						
36 56	325	6 760	-20.1	-21.8		40					
		7 000		-23.9	0.87				7100— 8120 m	N 76° W	11.8 m
40 30	297	7 420	-27.1	-27 5		41					
					1.44						
43 14	282	7 790	-30.6	-32.8		42		Kleine Inversion.			
		8 000		-32.5	-0.13						
43 42	267	8 170	-30 8	-32.3		42			8120— 9250 m	N 86° W	15.9 m
		9 000		-36.9	0.55				9250— 9920 m	S 82° W	17.8 m
52 18	210	9 830	-41.5	-41.5		40					
		10 000		-42.7					9920—10600 m	S 72° W	16.8 m
					0.80				10600—11500 m	S 82° W	15.0 m
		11 000		-50 7							
57 53	173	11 120	-49.6	-51.7		40		Ende der Troposphäre schwer zu bestimmen.	11500—12900 m	W	16.0 m
					0 33						
59 2	154	11 870	-54.2	[-54.2]				Vergl. Abstieg.			
		12 000		-54.6							
					0.33						
		13 000		-57.9					12900—13500 m	N 72° W	23.2 m
1 5 12	128	13 040	-56.5	-58.1				Ventilation bis hieher genügend.	13500—13800 m	N 53° W	16.9 m
		14 000		-56.4					13800—14700 m	W	14.8 m
					-0.17						
		15 000		-54.7					14700—15130 m	N 70° W	15.4 m
1 14 54	92	**15 130**	-51.6	-54.5			0.6	Höchster Punkt. Im Visierbuch ist eingetragen Ballon um 1 h 15 m geplatzt, worin eine willkommene Uhrkontrole gegeben war.			
					0.25						
		15 000		-54.9							
1 15 34	99	14 650	-54.5	-55.7				Vom Abstiegdiagramm werden die interessanten Punkte bis zum Wiedereintritt in die Troposphäre mitgeteilt.			
		14 000		-54.7	-0.15						
1 16 38	111	13 920	-53.6	-54.6							
		13 000		-57.3	0.29						
1 18 22	134	12 720	-56.8	-58.1							
					0.00						
1 19 29	148	12 100	-56.5	-58.1				Wiedereintritt in die Troposphäre.			
1 47 41								Landung.			



Die Luftdruckverteilung an den Tagen des kleinen Serienaufstieges im Juni war nur geringfügigen Änderungen unterworfen. Über den britischen Inseln lag ein Hochdruckgebiet, während eine über Russland gelegene Depression immerhin soweit entfernt war, dass auf unserem Gebiete, wenigstens an den beiden ersten Tagen, antizyklonale Witterung bestand. Erst am 9. Juni stiess die östliche Depression etwas gegen Zentraleuropa vor, so dass sich am Abend heftige Gewitter im Alpenvorlande entluden. Eine dauernde Verschlechterung trat jedoch nicht ein, da der hohe Druck seine Stellung behauptete.

Die geringe Veränderung der Wetterlage kommt in dem Temperaturdiagramme zum Ausdruck.

6. Juli 1911.

Instrument No. 214.

Letzte Prüfung am 24. April 1911.

Temperatur-Korrektion des Aneroïdes:

$$d\,p = -\Delta T\,(0.460 - 0.000457 \cdot p).$$

Art, Grösse, Füllung, freie Steigkraft des Ballons: 1 Gummiballon 1.5 m Durchmesser, Wasserstoff; 0.4 kg.

Zeit des Aufstiegs: 8^{00} a M. E. Z.

Witterung beim Aufstieg:

a) Wind, Bewölkung, Form, Richtung und Geschwindigkeit der Wolken etc.: ESE_{1-2} O ⊙.

b) Temperatur beim Aufstieg: 15.2°, relative Feuchtigkeit: 67%.

Temperatur 2 Stunden vor dem Aufstieg: 10.0°, nach dem Aufstieg: 19.2°.

Maximum des Vortages: 22.6°.

Maximum des Aufstiegstages: 24.0° um 2^{30} bis 4^{30} p öfters.

Minimum des Aufstiegstages: 7.6° um 5^{5} a.

Name, Seehöhe, Entfernung und Richtung des Landungsortes: Jachenau, Bezirksamt Tölz, ca. 700 m, 62 km, S 8° W.

Dauer des Aufstiegs: $59^{m}\ 15^{s}$.

Mittlere Steiggeschwindigkeit: 3.7 m.

Grösste Höhe: 13680 m.

Tiefste Temperatur: $\begin{matrix} -63.1^{0} \text{ in } 12840 \text{ m.} \\ -59.4^{0} \end{matrix}$

Ventilation genügt bis zur erreichten Höhe.

Besondere Bemerkungen: An den Luftdruckangaben sind die Korrektionen wegen der Temperatur schon angebracht. Den Berechnungen liegt das Rohrthermogramm zugrunde. Bemerkenswert ist die Kontrolle der Uhr: Das Platzen des Ballons wurde um $8^{h}\ 59^{m}\ 18^{sec}$ beobachtet, während die Registrierung $8^{h}\ 59^{m}\ 15^{sec}$ ergab.

Ergebnis der Registrierung.

Zeit h m s	Luftdruck mm	Seehöhe m	Temperatur C° Lam.	Temperatur C° Rohr. Therm.	Gradient △ t/100 m	Relative Feuchtigkeit %	Ventilation Luftdichte × Vertikalgeschw.	Bemerkungen	Windrichtung und Geschwindigkeit.		
0 0 0	725	516	15.2	15.2		67		Aufstieg.	516— 690 m	S 77° E	4.5 m
					1.00						
1 2	706	740	13.8	13.0		**68**		Schwache Temperatur-	690— 980 m	S 75° E	6.2 m
					− 0.31			umkehr.			
1 25	698	830	14.5	13.3		62			980— 1210 m	E	6.8 m
		1 000		12.2	0.63						
3 20	664	1 250	12.1	10.7		59			1210— 1670 m	N 71° E	6.9 m
		1 500		9.2	0.59						
4 53	635	1 620	8.7	8.5		**63**		Isothermie.	1670— 2130 m	N 60° E	5.3 m
					0.0						
5 52	618	1 840	8 8	8.5		62					
		2 000		7.8					2130— 2590 m	N 34° E	3.0 m
					0.47						
		2 500		5.4					2590— 3050 m	N 44° E	8.9 m
9 8	556	2 710	5.2	4.4		**69**		Isothermie.			
		3 000		4.4	0.0						
10 23	536	3 050	5.0	4.4		69			3050— 3280 m	N 40° E	11.3 m
					0.80						
10 54	528	3 180	4.1	3.3		69		Isothermie	3280— 3500 m	N 33° E	9.6 m
					0.0						
11 30	515	3 380	4 0	3.3		68			3500— 3970 m	N 22° E	11.3 m
					0.65						
13 13	488	3 820	1.1	0.5		66			3970— 4430 m	N 14° E	14.6 m
					0.38						
14 7	477	4 000	0 5	− 0.2		59					
					0 56						
15 59	454	4 390	− 2.2	− 2.4		54			4430— 5120 m	N	14.4 m
		5 000		− 6.8	0.73				5120— 5810 m	N 15° E	15.0 m
19 41	409	5 210	− 7.5	− 8.4		52			5810 — 7000 m	N 3° E	14.5 m
		6 000		−12.5	0.52						
27 36	330	6 850	-16.2	−16 9		43					
		7 000		−18.1					7000— 7850 m	N	16.0 m
		8 000		−25.8					7850— 8700 m	N 3° W	16.0 m
					0.77						
		9 000		−33.5					8700— 9780 m	E 3° E	16.0 m
		10 000		−41.2					9780—10420 m	N 7° W	14.5 m
43 24	210	10 070	-40.1	-41.7		39		Hygrogramm nur mehr			
					1.06			gerade Linie.	10420—10840 m	N 15° W	12.0 m
44 26	201	10 370	-43.0	-44.8					10840—11060 m	N 15° W	18.0 m
		11 000		-49.4	0.72				11060—12340 m	N 15° W	13.5 m
50 41	165	11 820	-52.0	-55 3					12340—12550 m	N 4° E	11.0 m
		12 000		-56.7	0.79				12550—12760 m	N 17° E	8.0 m
55 7	138	12 750	-59.2	-62 6							
					0.55				12760—12980 m	vollständiges Abflauen des Windes.	
55 48	136	12 840	-59.4	-63.1				Tiefste Temperatur. Beginn der Stratosphäre.	12980—13200 m	N 5° E	15.0 m
		13 000		-61.2	− 1.16				13200—13680 m	N 22° E	16.0 m
57 32	126	13 310	-53.2	-57.6							
					− 0.64						
58 39	122	13 520	-52.3	-56.3	0.0						
59 15	119	**13 680**	-53.2	-56.3			0.7	Höchster Punkt.			
1 35 3								Landung.			

Am 6. Juli befand sich München am Südrande eines kontinentalen barometrischen Maximums, das von Westen her nach dem Festlande vorgerückt war.

Die Registrierung war recht unruhig geschrieben. Da wir bei allen Fahrten ganz gleiche Art der Koppelung des Ballons, der Befestigung des Instrumentes usw. anwenden, möchte ich glauben, dass man daraus einen gewissen Schluss auf eine grosse Unstetigkeit in der Windgeschwindigkeit ziehen darf. Damit würde auch das Temperaturdiagramm übereinstimmen, das eine stark geschichtete Atmosphäre verriet.

Bemerkenswert war das nahezu vollständige Abflauen des Windes mit dem Eintritt in die Stratosphäre. Dann aber nahm die Windgeschwindigkeit wieder stark zu. Die Richtung blieb Nordnordost.

Es sei noch besonders die sehr erwünschte Kontrolle der Registrieruhr festgestellt: das Platzen des Ballons fand nach der Registrierung nach 59 Min. 15 Sek. statt, während der Beobachter im Fernrohr den Vorgang 59 Min. 18 Sek. nach dem Aufstieg notierte. Gegenüber den oft geäusserten Bedenken gegen das Verhalten der Uhren bei den tiefen Temperaturen ist das ein neuerlicher Beweis, dass ein von einem guten Uhrmacher nachgesehenes Werk sehr verlässig ist.

(Vergl. die gleichgünstigen Resultate bei den Fahrten vom 9. Juni, 12. und 13. September unter den „Bemerkungen".)

3. August 1911.

Instrument No. 408.
Letzte Prüfung am 27. März 1911.
Temperatur-Korrektion des Aneroïdes:

$$dp = -\Delta T\ (0.398 - 0.000457 \cdot p).$$

Art, Grösse, Füllung, freie Steigkraft des Ballons: 1 Gummiballon mit Fallschirm, 1.5 m Durchm., Wasserstoff; 0.6 kg.
Zeit des Aufstiegs: 8^{03}. M. E. Z.
Witterung beim Aufstieg:
a) Wind, Bewölkung, Form, Richtung und Geschwindigkeit der Wolken etc.: SW_1 9 alt cu, alt st aus NW langsam,
b) Temperatur beim Aufstieg: 19.8°; relat. Feuchtigkeit 58%.
Temperatur 2 Stunden vor dem Aufstieg: 16.9°, nach dem Aufstieg: 24.6°.
Maximum des Vortages: 29.0°.

Maximum des Aufstiegstages: 30.0^0 um 2^{30} p.
Minimum des Aufstiegstages: 15.2^0 um 2^{10} a.
Name, Seehöhe, Entfernung und Richtung des Landungsortes: am Tuschberg bei Valepp (Schliersee), ca. 1500 m, 62 km, S 23° E.
Dauer des Aufstiegs: $101^m\ 25^s$.
Mittlere Steiggeschwindigkeit: 2.7 m.
Grösste Höhe: 13 150 m.
Tiefste Temperatur: -51.5^0 in 12620 m.
-54.1^0.
Ventilation genügt bis zur erreichten Höhe.
Besondere Bemerkungen: Die Temperaturkorrektionen sind an den Luftdruckangaben bereits angebracht. Der Berechnung liegt das Lamellenthermogramm zugrunde.

Ergebnis der Registrierung.

Zeit h m s	Luftdruck mm	Seehöhe m	Temperatur C° Rohr.	Temperatur C° Lam. Therm.	Gradient △ t/100	Relative Feuchtigkeit %	Ventilation Luftdichte × Vertikalgeschw.	Bemerkungen	Windrichtung und Geschwindigkeit		
0 0 0	721	516	19.8	19.8		**58**		Aufstieg.	516— 640 m	S 76° W	4.5 m
					0.83						
0 38	715	590	18.5	19.2		57			640— 900 m	S 75° W	4.6 m
					0.14			} Inversion.			
1 31	703	730	18.4	19.0		52					
					- 0.63						
2 58	690	890	**20.1**	**20.0**		45			900—1020 m	N 57° W	5.3 m
		1 000		19.2					1020—1280 m	N 43° W	5.3 m
									1280—1910 m	N 22° W	5.8 m
		1 500		15.5							
		2 000		11.7	0.75				1910—3180 m	N 5° W	5.1 m
		2 500		7.9							
		3 000		4.1					3180—3700 m	N 12° W	3.5 m
		4 000		- 3.4					3700—3950 m	N 9° W	6.2 m
28 22	463	4 170	- 6.0	- 4.7	-2.14	**82**		Sehr bedeutende Inversion, alt cu Niveau.			
29 18	457	4 270	**- 3.6**	**- 2.5**		70					
					0.49						
32 44	426	4 830	- 6.5	- 5.2		63					
		5 000		- 5.6	0.21						
34 31	413	5 070	- 6.8	- 5.7		58					
		6 000		-11.9	0.67						
44 25	344	6 470	-16.5	-15.1		50					
		7 000		-19.1							
		8 000		-26.8	0.76						
		9 000		-34.4							
		10 000		-42.1							
1 7 20	192	10 610	-49.7	-46.7		46		Ende der Troposphäre. Zunächst noch schwache Temperaturabnahme.			
		11 000		-48.3	0.42						
1 12 1	167	11 520	-53.0	-50.5							
		12 000		-50.6	0.03						
1 15 40	149	12 260	-52.9	-50.7							
					0.22						
1 17 2	141	12 620	-54.1	-51.5				Tiefste Temperatur beim Aufstieg.			
		13 000		-50.7	-0.21						
1 19 11	131	13 100	-53.3	-50.5							
					0.98						
1 19 31	130	**13 150**	-53.4	-51.0			0.6	Höchster Punkt.			
					0.32						
		13 000		-51.6				Vom Abstieg einige interessante Punkte.			
1 20 44	144	12 500	-55.9	-53.2				Tiefste Temperatur beim Abstieg.			
		12 000		-51.5	0.34						
1 21 48	157	11 930	-54.7	-51.3							
					-0.04						
1 23 8	174	11 260	-55.1	-51.6				Wiedereintritt in die Troposphäre.			
1 41 8	460	4 320	- 5.0	- 4.2				Inversion auch noch beim Abstieg vorhanden in wenig veränderter Höhe.			
1 41 25	464	4 190	- 5.9	- 5.2							
1 50 4								Landung.			

Der Aufstieg fiel mitten in die heisse und trockene Witterung, welche den Sommer 1911 auszeichnete.

Am Aufstiegstage erstreckte sich ein flacher Rücken hohen Druckes von SW über Zentraleuropa nach NE und trennte eine vor Irland liegende atlantische Depression von einem schwachen die Donaumündung bedeckenden Tiefdruckgebiete.

Die Temperaturregistrierung ergab eine schwache Inversion über dem bodennahen Dunste; darauf folgte bis zum Eintritt in das alt st Niveau starke und gleichmässige Temperaturabnahme und Zunahme der R. F. Eine sehr starke Temperaturumkehr, der dann zunächst schwache Temperaturumkehr folgte, fand sich über dem alt st. Von 5070 bis 10610 m war die Temperaturabnahme ganz ungestört. In 10610 m ist der Übergang zur Stratosphäre anzusetzen, präziser gesprochen das Ende der Troposphäre.

Die grossen Schwankungen der Höhe und der Endtemperatur der Troposphäre, die sich durch wellenartige Vorgänge an der Grenze bei Troposphäre und Stratosphäre deuten lassen [1]), waren an dem Tage stark entwickelt, wie man an den vom Abstieg ermittelten Temperaturwerten ersehen kann.

Es entspricht durchaus den von mir entwickelten Vorstellungen, wenn auf einem Rücken hohen Druckes, also einerseits auf der Rückseite einer östlich gelegenen Depression, andererseits auf der Vorderseite eines westlichen Tiefdruckgebietes die grössten Schwankungen angetroffen werden.

Für die Trockenperiode ist es vielleicht bemerkenswert, dass sich die R.F. stets weit unter dem Sättigungspunkte hielt. In der Tat hatte man den Eindruck, dass aus den oft sehr schweren Wolken kein Regen zur Erde gelangen könne, sondern schon in der Luft verdampfe.

12. September 1911.

Instrument No. 350.

Letzte Prüfung am 1. Juli 1911.

Temperaturkorrektion des Aneroïdes:

$$dp = -\Delta T\,(0.501 - 0.000457 \cdot p).$$

Art, Grösse, Füllung, freie Steigkraft des Ballons: 1 Gummiballon mit Fallschirm, 1.5 m Durchmesser, Wasserstoff; 0.7 kg.

Zeit des Aufstiegs: 8^{05} a M. E. Z.

Witterung beim Aufstieg:

a) Wind, Bewölkung, Form, Richtung und Geschwindigkeit der Wolken etc.: SE_1 0 ⊙, leichter Dunst am Horizonte.

b) Temperatur beim Aufstieg: 11.7°; relative Feuchtigkeit: 55%.

Temperatur 2 Stunden vor dem Aufstieg: 4.2°, nach dem Aufstieg: 17.8°.

Maximum des Vortages: 24.2°.

Maximum des Aufstiegstages: 28.2° um 3^{0} und 4^{30} p.

Minimum des Aufstiegstages: 4.0° um 6^{05} a.

Name, Seehöhe, Entfernung und Richtung des Landungsortes: Gronsdorf bei München, 530 m, 11 km, S 70° E.

Dauer des Aufstiegs: 27^{m} $40^{sec.}$ Mittlere Steiggeschwindigkeit 3.4 m.

Grösste Höhe: 6180 m.

Tiefste Temperatur: — 14.4° in 6180 m.

Ventilation genügt bis zur erreichten Höhe.

Besondere Bemerkungen: Die Luftdruckangaben sind wegen der Temperatur des Aneroïdes bereits korrigiert. Die Temperaturangaben sind dem Lamellenthermogramm entnommen. Das Rohrthermogramm wies „Stufen" auf.

Ergebnis der Registrierung.

Zeit h m s	Luftdruck mm	Seehöhe m	Temperatur C° Lamellen-Therm.	Gradient △ 1/100 m	Relative Feuchtigkeit %	Ventilation Luftdichte × Vertikalgeschw.	Bemerkungen	Windrichtung und Geschwindigkeit.		
								an Erde	S E 1	
0 0 0	720	516	11.7	0.86	55		Aufstieg.			
0 41	708	660	10.5	-2.81	55		Temperaturumkehr (über der Dunstgrenze)			
0 59	702	730	12.5	-0.88	56			– 730 m	S 38° E	2.0 m
1 54	687	910	14.1	-0.41	56			730— 930 m	S 14° E	3.0 m
2 19	681	980	14.4		**56**					
		1000	14.6	-0.80						
2 53	671	1100	**15.4**		50		Höchste Temperatur.	930—1140 m	S 9° W	1.0 m
								1350—1560 m	N 66° W	2.7 m
		1500	13.4	0.50				1560—1770 m	N 77° W	6.3 m
5 30	623	1730	12.3	0.21	47			1770—2190 m	W	9.5 m
5 53	616	1820	12.1		45					
		2000	10.7	0.76				2190—2390 m	N 88° W	7.3 m
8 29	577	2370	8.0	-0.52	**49**		Nochmals Inversion.	2390—3020 m	N 72° W	6.9 m
8 57	569	2480	8.6		44					
		2500	8.5	-0.47						
		3000	6.2					3020—3650 m	N 71° W	4.1 m
12 18	522	3190	5.3		35		Kleine Isothermie.			

[1]) A. Schmauss Met. Zeitschr. 1911 S. 518.

Ergebnis der Registrierung.

Zeit h m s	Luftdruck mm	Seehöhe m	Temperatur C° Lamellen-Therm.	Gradient △ t/100 m	Relative Feuchtigkeit %	Ventilation Luftdichte × Vertikalgeschw	Bemerkungen			
								Windrichtung und Geschwindigkeit.		
12 18	522	3 190	5.3	0.0	35		Kleine Isothermie.			
13 2	512	3 340	5.3	0.67	34					
15 8	487	3 750	2.6	0.69	32			3650—3860 m	N 58° W	5.4 m
		4 000	0.9					3860—4480 m	N 47° W	4.0 m
17 7	468	4 070	0.4	0.80	32			4480—5320 m	N 42° W	6.5 m
		5 000	− 7.0							
22 6	409	5 130	− 8.1	0.51	33			5320—5730 m	N 46° W	8.2 m
24 26	385	5 600	−10.5	0.0	31		Kleine Isothermie.			
25 3	381	5 680	−10.5	0.79	31			5730—6180 m	N 52° W	6.2 m
		6 000	−13.0							
27 40	357	**6 180**	−14.4		30	1.7	Höchster Punkt. Das Platzen wurde um 27m 42 s im Fernrohre beobachtet — ein Beweis der Güte der Uhr.			
40 46		ca. 530					Landung.			

13. September 1911.

Instrument No. 424.

Letzte Prüfung am 1. Juli 1911.

Temperatur-Korrektion des Aneroïdes:

$$d\,p = -\,\Delta T\,(0.592 - 0.000457 \cdot p)$$

Art, Grösse, Füllung, freie Steigkraft des Ballons: 1 Gummiballon 1.5 m Durchm., Fallschirm, Wasserstoff; 0.6 kg.

Zeit des Aufstiegs: 7^{53} a M. E. Z.

Witterung beim Aufstieg:

a) Wind, Bewölkung, Form, Richtung und Geschwindigkeit der Wolken etc.: $SSW_{0-2}\ 2^0 \odot$ ci, alt cu, im W einzelne Gewitter cu, die aber rasch verschwanden (leichte Föhnlage).

b) Temperatur beim Aufstieg: 20.6°; relative Feuchtigkeit 51%.

Temperatur 2 Stunden vor dem Aufstieg: 17.0°, nach dem Aufstieg: 26.2°.

Maximum des Vortages: 28.2°.

Maximum des Aufstiegstages: 31.0° um 2^{40} p.

Minimum des Aufstiegstages: 16.0° um 4 a.

Name, Seehöhe, Entfernung und Richtung des Landungsortes: Aibaching in Oberbayern (nahe Wasserburg), ca. 590 m, 40 km, S 84° E.

Dauer des Aufstiegs; 76m.
Mittlere Steiggeschwindigkeit 3.5 m.

Grösste Höhe: 16440 m.

Tiefste Temperatur: $\begin{matrix} -63.1^0 \text{ in } 12\,480 \text{ m.} \\ -61.6^0 \end{matrix}$

Ventilation genügt bis 15 800 m.

Besondere Bemerkungen: Die Temperaturkorrektionen sind an den Luftdruckangaben bereits angebracht. Den Berechnungen liegt das Lamellenthermogramm zugrunde.

Ergebnis der Registrierung:

Zeit h m s	Luftdruck mm	Seehöhe m	Temperatur C° Rohr.	Temperatur C° Lam. Therm.	Gradient △ t/100 m	Relative Feuchtigkeit %	Ventilation Luftdichte × Vertikalgeschw.	Bemerkungen			
									Windrichtung und Geschwindigkeit.		
						51		Aufstieg. Inversion.			
0 0 0	720	516	20.6	20.6	− 0.76	50			516— 770 m	S 77° W	8.6 m
0 38	708	660	22.1	21.7	− 0.05	47		Bestimmend für die Auswertung bis 4670 m waren die Schwankungen im Hygrogramm.	770— 1020 m		16.4 m
1 17	696	810	**22.7**	**22.4**	0.61						
		1 000		21.2		47			1020— 1270 m	N 81° W	11.0 m
2 15	679	1 020	22.4	21.1	0.62				1270— 2030 m	S 83° W	10.4 m
			19.1	18.2		**51**					
3 58	643	1 490		18.1	0.57						
		1 500				48					
4 35	635	1 590	18.7	17.6	0.69				2030— 2790 m	S 79° W	11.0 m
		2 000		14.8		45					
6 53	588	2 240	13.8	13.1	0.90	52			2790— 3800 m	S 86° W	8.0 m
9 13	549	2 810	8.7	8.0	0.72	51					
9 52	537	3 000	7.5	6.7							

Zeit h m s	Luftdruck mm	Seehöhe m	Temperatur C° Rohr.	Temperatur C° Lam. Therm.	Gradient △ t/100 m	Relative Feuchtigkeit %	Ventilation Luftdichte × Vertikalgeschw.	Bemerkungen	Windrichtung und Geschwindigkeit.		
9 52	537	3 000	7.5	6.7	0.87	51					
12 15	496	3 640	1.8	1.1	0.78	57					
13 7	481	3 880	0.2	- 0.8	0.94	56			3800— 4560 m	N 73° W	7.6 m
		4 000		- 1.9	- 0.10						
16 29	435	4 670	- 8.5	- 8.2		**60**		Inversion.	4560— 6580 m	S 82° W	7.2 m
17 34	419	4 960	- 8 9	- 7.9	0.56	53					
		5 000		- 8.1							
		6 000		-13.7							
25 58	326	6 870	-18.3	-18 5		41			6580— 7590 m	N 82° W	4.2 m
		7 000		-19.4	0.66				7590— 7840 m	S 16° E	3.8 m
		8 000		-26.0					7840—9690 m	S 55° W	4.3 m
31 47	264	8 410	-28.2	-28.7	0.77	39					
33 5	248	8 850	-31 6	-32.1	0 51	39		Hygrogramm von hier ab nur mehr gerade Linie.			
		9 000		-32.9					9690—10320 m	W	2.8 m
34 3	241	9 050	-32.3	-33.2					10320—11580 m	N 38° W	3.4 m
		10 000		-41 7	0.90						
		11 000		-50 7							
44 21	165	11 590	-54.3	-56.1	1.16			Grosser Temperaturgradient in beiden Thermogrammen.	11580—12000 m	N 62° W	5.4 m
44 49	161	11 740	-55.9	-57.9							
		12 000		-59.5	0.61				12000—12420 m	N 33° W	8.6 m
46 37	152	12 100	-58 6	-60.1							
48 34	143	12 480	-61.6	-63.1	0.79			Tiefste Temperatur. Ende der Troposphäre. Abflauen des Windes, Richtung wenig verändert.	12420—13870 m	N 44° W	6.6 m
51 44	133	12 920	-61.6	-63.2	0.22						
		13 000		-63.0	- 0.24						
55 0	122	13 460	-59.4	-61.9	- 0.84						
56 32	119	13 610	-58.8	-60.6					13870—14290 m	N 78° W	2.8 m
		14 000		-61.3	- 0.17				14290 – 14560 m (Schleife)	N 43° W	2.3 m
1 2 10	99	14 760	-56.6	-58.6					14560—14980 m	S 66° W	2.8 m
		15 000		-57.8	- 0.32				14980—15110 m	N 59° W	2.4 m
1 6 7	92	15 220	-55.3	-57.1					15110—15250 m	S 47° W	5.0 m
					0.07				15250—15390 m	W	4 0 m
1 9 0	86	15 650	-54 8	-57.4					15390—15520 m	N 57° W	4.8 m
					- 1 14				15520—15800 m	N 28° W	3 2 m
1 10 41	84	15 800	-53.9	-55.3			0.5	Ventilation bis hieher sicher genügend, wie das mit grösserer Ventilation geschriebene Abstiegsdiagramm ergibt.	15800—16070 m	N 68° W	2.8 m
		16 000		-54.4	- 0.46						
1 14 13	79	16 190	-52.3	-53 5					16070—16210 m	N 25° W	4.8 m
					- 0.24						
1 16 38	76	**16 440**	-51'8	-52.9				Höchster Punkt.	16210—16440 m	N 75° E	3.2 m
								Das Platzen des Ballons wurde um 1 h 16 m 40 s im Fernrohr beobachtet. — Wichtige Uhrkontrolle!			
1 25 38	144	12 420	-61.8	-63.3				Tiefste Temperatur beim Abstieg. Wiedereintritt in die Troposphäre.			
1 57 17								Landung.			

14. September 1911.

Instrument No. 425.

Letzte Prüfung am 1. Juli 1911.

Temperatur-Korrektion des Aneroïdes:

$$dp = -\Delta T\,(0.430-0.000457\cdot p).$$

Art, Grösse, Füllung, freie Steigkraft des Ballons: 1 Gummiballon mit Fallschirm, Wasserstoff; 1.5 m Durchmesser, 0.7 kg.

Zeit des Aufstiegs: 8^{06} a. M. E. Z.

Witterung beim Aufstieg:

a) Wind, Bewölkung, Form, Richtung und Geschwindigkeit der Wolken etc.: SSW$_1$, 6^1 $\frac{\text{ci SW langsam}}{\text{alt cu SW langsam}}$ rasch sich verändernde Bewölkung; am westlichen Himmel gewitterige Bildungen, wie am Aufstiegsorte eine Stunde vor der Abfahrt.

b) Temperatur beim Aufstieg: 19.9°, relative Feuchtigkeit: 56%.

Temperatur 2 Stunden vor dem Aufstieg: 17.3°, nach dem Aufstieg: 21.8°.

Maximum des Vortages: 31.0°.

Maximum des Aufstiegstages: 28.6° um 3^{20} p.

Minimum des Aufstiegstages: 17.2° um 6^{20} a.

Name, Seehöhe, Entfernung und Richtung des Landungsortes: Bodenkirchen bei Aich in Niederbayern, 460 m, 67 km, N 67° E.

Dauer des Aufstiegs: 57 m 39 s.
Mittlere Steiggeschwindigkeit 4.8 m.
Grösste Höhe: 17 110 m.
Tiefste Temperatur: — 60.7° in 12 610 m.
Ventilation genügt bis zur erreichten Höhe.

Besondere Bemerkungen: Die Luftdruckangaben sind wegen der Temperatur des Aneroïdes bereits korrigiert. Den Berechnungen liegt das Lamellenthermogramm zugrunde.

Ergebnis der Registrierung.

Zeit h m s	Luftdruck mm	Seehöhe m	Temperatur C° Rohr.	Temperatur C° Lam. Therm.	Gradient △ t/100 m	Relative Feuchtigkeit %	Ventilation Luftdichte × Vertikalgeschw.	Bemerkungen
0 0 0	719	516	19.9	19.9		56		Aufstieg.
					0.42			
0 25	711	610	19.7	19.5		56		
					0.31			
1 52	682	970	18.6	18.4		54		
		1 000		18.2	0.58			
3 32	647	1 410	15.5	15.8		59		
		1 500		15.2				
		2 000		11.7				
		2 500		8.2	0.70			
		3 000		4.7				
10 0	529	3 080	3.1	4.1		74		
					0.80			
11 56	494	3 630	- 1.2	- 03.		**82**		Höchste RF.
12 44	484	3 800	- 1.1	0.0	- 0.18	64		Schwache Inversion über der dünnen in 3400 m ermittelten alt st Decke, starke Abnahme der RF.
		4 000		- 1.4				
		5 000		- 8.3	0.69			
16 32	413	5 040	- 9.5	- 8.6		54		Minimum der RF, erneute Zunahme.
					0.12			
17 8	404	5 210	- 9.5	- 8.8		56		
					0.83			
18 57	377	5 740	-14.1	-13.2		**64**		
		6 000		-13.8	0.22			
20 21	359	6 110	-14.6	-14.0		61		
					0.56			
22 8	336	6 610	-17.5	-16.8		59		
		7 000		-19.8	0.78			
24 47	297	7 530	-24.9	-23.9		61		
					0.65			
25 48	286	7 800	-26.9	-25.7		**61**		
		8 000		-27.5				
		9 000		-36.3	0.88			
30 0	230	9 340	-41.3	-39.4		59		
		10 000		-44.5	0.77			
33 28	195	10 440	-49.4	-47.9		58		
					0.66			
34 58	184	10 820	-51.9	-50.4		58		
		11 000		-51.7	0.70			
37 47	158	11 800	-56.6	-57.2		57		
		12 000		-58.1	0.44			
40 39	139	12 610	-60.6	-60.7		57		Ende der Troposphäre.
					- 0.22			
41 29	135	12 790	-60.2	-60.3		56		
		13 000		-60.7	0.17			
42 10	130	13 020	-60.5	-60.7		56		
					- 0.37			
43 10	125	13 270	-59.7	-59.8		57		
					- 0.47			
44 28	118	13 630	-58.3	-58.1		56	1.0	Barogramm von hier ab unbrauchbar.
		14 000		-57.5	- 0.17			Die Höhenangaben wurden mit der als konstant angenommenen Steiggeschwindigkeit von 4,4 m pro Sekunde (von 13 020 bis 13 630 m errechnet) interpoliert.
46 4		14 050	-57.6	-57.4				
					- 0.39			
47 42		14 490	-56.3	-55.7				
		15 000		-55.3	- 0.08	Hygrogramm		
50 58		15 350	-56.0	-55.0		nur mehr		
		16 000		-54.6	- 0.07	gerade		
55 55		16 650	-54.8	-54.1		Linie.		
		17 000		-54.6	0.15			
57 39		**17 110**	-55.3	-54.8				Höchster Punkt.
1 37 48								Landung.

Windrichtung und Geschwindigkeit

an Erde	SSW1	
— 780 m	N 84° W	10.0 m
780—1300 m	N 78° W	10.0 m
1300—1560 m	S 83° W	8.7 m
1560—1830 m	N 86° W	7.3 m
1830—2090 m	S 73° W	8.0 m
2090—2350 m	S 60° W	7.2 m
2350—2610 m	S 52° W	8.0 m
2610—3130 m	S 39° W	8.6 m
3130—3400 m	S 30° W	9.8 m

15. September 1911.

Instrument No. 427.
Letzte Prüfung am 4. Juli 1911.
Temperatur-Korrektion des Aneroïdes:

$$d\,p = -\Delta T\,(0.406 - 0.000457 \cdot p).$$

Art, Grösse, Füllung, freie Steigkraft des Ballons: 1 Gummiballon, 1.5 m Durchmesser. Wasserstoff; 0.6 kg.
Zeit des Aufstiegs: 7^{58} a. M. E. Z.
Witterung beim Aufstieg:

a) Wind, Bewölkung, Form, Richtung und Geschwindigkeit der Wolken etc.: W 1 9^{0-1} $\frac{ci,\ ci\ cu}{cu,\ cu\ ni}$ aus W rasch, am Aufstiegsorte hatte es 1 Stunde vorher geregnet.
b) Temperatur beim Aufstieg: 15.3°, relative Feuchtigkeit: 89%.

Temperatur 2 Stunden vor dem Aufstieg: 15.0°, nach dem Aufstieg: 16.8°.

Maximum des Vortages: 28.6°.
Maximum des Aufstiegstages: 20.0° um 1^{5} p.
Minimum des Aufstiegstages: 14.6° um 7^{30} a.
Name, Seehöhe, Entfernung und Richtung des Landungsortes: Hailing bei Leiblfing ca. 410 m, 108 km, N 45° E.
Dauer des Aufstiegs: $78^{m}\ 6^{s}$.
Mittlere Steiggeschwindigkeit: 4.0 m pro Sek.
Grösste Höhe: > 15 000 m.
Tiefste Temperatur: — 64.2° in 13 530 m.
Ventilation genügt bis zu 14 500 m.
Besondere Bemerkungen: Die Luftdruckangaben sind bereits auf Temperatur korrigiert. Das Rohrthermometer hatte nicht funktioniert. Den Berechnungen liegt daher das Lamellenthermometer zugrunde.

Ergebnis der Registrierung:

Zeit h m s	Luftdruck mm	Seehöhe m	Temperatur C° Lamellen-Therm.	Gradient △ t/100 m	Relative Feuchtigkeit %	Ventilation Luftdichte × Vertikalgeschw.	Bemerkungen			
								Windrichtung und Geschwindigkeit.		
0 0 0	712	516	15.3	0.91	89		Aufstieg. Temperatur stark geschichtet.	516— 740 m	N 40° W	3.0 m
1 0	690	780	12.9	0.25	**92**			740—1190 m	N 69 W	1.8 m
1 28	680	900	12.6	0.45	90					
1 56	671	1 010	12.1		90			(dazwischen kleine Rechtsschleife)		
		1 000	12.1	0.29						
2 32	660	1 150	11.7	-0.24	88		Inversion.	1190—1420 m	N 59° W	0.9 m
3 7	647	1 320	**12.1**		85			1420—1650 m	S 69° W	4.9 m
		1 500	11.6	0.28						
5 3	615	1 740	10.9		78			1650—2100 m	S 69° W	9.1 m
		2 000	9.4	0.57				2100—2550 m	S 60° W	12.4 m
7 0	587	2 120	8.7		74					
		2 500	5.8	0.78						
9 8	554	2 600	5.0		77					
		3 000	2.1	0.73						
11 8	524	3 050	1.7	0.51	**88**					
14 34	481	3 730	- 1.8	0.74	85					
15 35	465	4 000	- 3.8	0.24	88					
17 0	446	4 330	- 4.6	0.62	85					
19 32	414	4 910	- 8.2		75		Isothermie.			
		5 000	- 8.2	0.0						
20 2	408	5 020	- 8.2		71					
		6 000	-15.8	0.77						
29 15	320	6 860	-22.2	0.0	52		Isothermie. Von hier ab gleichmässigere Temperaturabnahme.			
29 58	315	6 980	-22.2		51					
		7 000	-22.4	0.82						
34 51	275	7 950	-30.3		46		Von hier ab Hyprogramm nur mehr gerade Linie.			
		8 000	-30.7	0.80						
35 29	266	8 200	-32.2	0.62						
36 47	254	8 510	-34.2							
		9 000	-38.0	0.78						
39 17	227	9 300	-40.3	0.68						
42 2	208	9 880	-44.3							
		10 000	-45.1							
		11 000	-52.4	0.73						
		12 000	-59.7							
50 40	148	12 080	-60.3	0.08			Ende der Troposphäre.			
51 10	145	12 200	-60.2	-0.35						
52 34	130	12 880	-62.6							

Zeit h m s	Luftdruck mm	Seehöhe m	Temperatur C° Lamellen-Therm.	Gradient △ t/100 m	Relative Feuchtigkeit %	Ventilation Luftdichte × Vertikalgeschw.	Bemerkungen
52 24	130	12 880	-62.6				
		13 000	-62.9	0.25			
54 39	117	13 530	-64.2	-0.43			Tiefste Temperatur beim Aufstiege.
55 35	113	13 740	-63.3				
		14 000	-60.3	-1.15			
57 7	107	14 080	-59.4				
57 56	100	14 500	-57.8	-0.38		0.8	Letzte Temperatur- und Luftdruckregistrierung.
1 18 6			[-52.9]				Höchster Punkt. Höhe unbekannt, da Barogramm dort nicht erhalten. Temperatur sichtlich durch Strahlung zu hoch.
1 25 6			-61.8				Tiefste Temperatur beim Abstiege.
1 57 32							Landung.

16. September 1911.

Instrument Nr. 428.
Letzte Prüfung am 1. Juli 1911.
Temperatur-Korrektion des Aneroïdes:

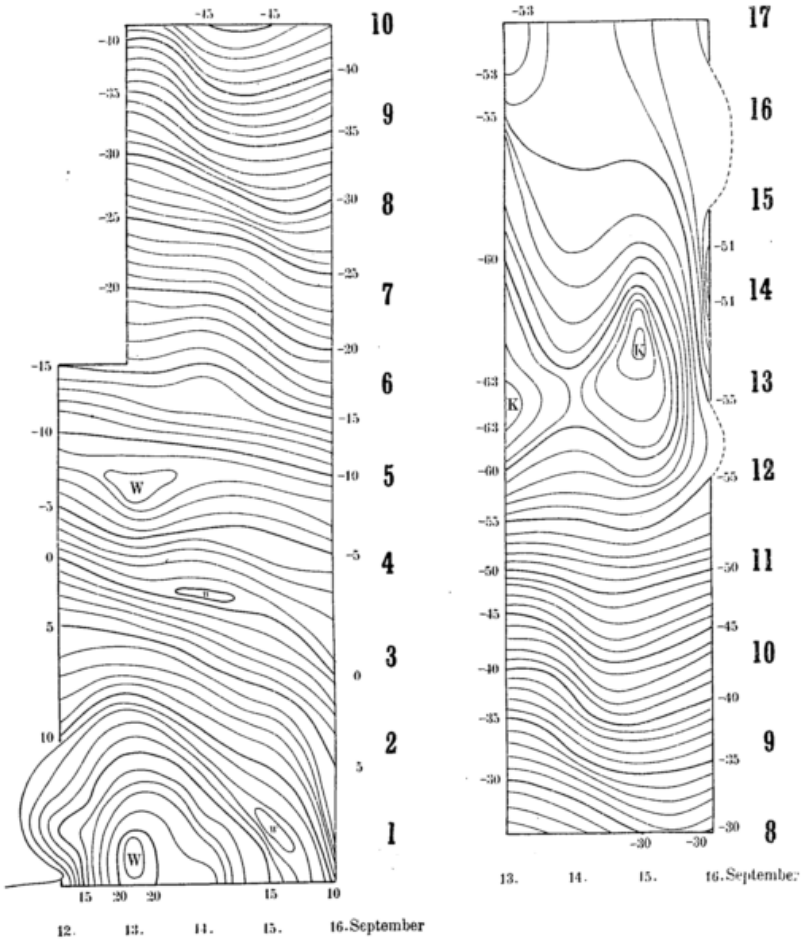
$$d\,p = -\Delta T\,(0.456 - 0.000457 \cdot p).$$

Art, Grösse, Füllung, freie Steigkraft des Ballons: 1 Gummiballon mit Fallschirm, 1.5 m Durchmesser, Wasserstoff; 0.6 kg.
Zeit des Aufstiegs: 8^{07} a M. E. Z.
Witterung beim Aufstieg:
a) Wind, Bewölkung, Form, Richtung und Geschwindigkeit der Wolken etc.: NW_1 10^1 cu ni (Wolkenhöhe höhe ca. 200 m) aus NW,
b) Temperatur beim Aufstieg: 9.2°, relative Feuchtigkeit: 94 %
Temperatur 2 Stunden vor dem Aufstieg: 9.2°, nach dem Aufstieg: 10.8°.
Maximum des Vortages: 20.0°.
Maximum des Aufstiegstages: 14.1° um 3^{00} p.
Minimum des Aufstiegstages: 9.2° um 6^{10}—8^{30} a.
Name, Seehöhe, Entfernung und Richtung des Landungsortes: Dietfurt an der Rott, Niederbayern, ca. 400 m, 87 km, N 71° E (nahe beim Ballon vom 3. VI. 09).
Dauer des Aufstiegs: $80^{m}\ 56^{s}$.
Mittlere Steiggeschwindigkeit 3,5 m/sec.
Grösste Höhe: 17 530 m.
Tiefste Temperatur: — 55.8° in 12 170 m.
— 57.5°.
Ventilation genügt bis 15 120 m sicher, von da ab wahrscheinlich noch nach dem Aussehen der Diagramme.
Besondere Bemerkungen: Die Temperaturkorrektionen sind an den Luftdruckangaben bereits angebracht. Den Berechnungen liegt das Lamellenthermogramm zugrunde.

Ergebnis der Registrierung.

Zeit h m s	Luftdruck mm	Seehöhe m	Temperatur C° Rohr. Therm.	Temperatur C° Lam.	Gradient △ t/100 m	Relative Feuchtigkeit %	Ventilation Luftdichte × Vertikalgeschw.	Bemerkungen
0 0 0	718	516	9.2	9.2		94		Aufstieg.
1 10	705	670	8.2	7.6	1.06	**98**		Maximum der RF.
		1 000		5.8	0.56			
3 56	666	1 130	5.8	5.0		86		Inversion.
6 17	638	1 480	**5.9**	**5.5**	-0.14	82		
		1 500		5.5	0.15			
7 40	622	1 690	5.8	5.2		82		
9 54	603	1 940	5.2	4.7	0.20	81		
		2 000		4.3	0.66			
11 3	593	2 070	4.7	3.8		80		
12 42	573	2 350	3.5	2.7	0.40	80		
		2 500		1.7				
		3 000		-1.8	0.70			
16 12	518	3 160	-2.2	-2.9		82		Inversion.
17 14	508	3 310	-1.7	-1.6	-0.84	76		
18 13	493	3 550	-1.9	-2.6	0.42	61		
19 32	477	3 810	-3.1	-3.2	0.23	51		
		4 000		-4.3				
		5 000		-9.8	0.55			
27 22	405	5 090	-9.8	-10.2		36		Minimum der R.F.
		6 000		-17.3	0.78			
32 58	349	6 210	-18.8	-18.9		36		Erneuter Anstieg der R.F.

Zeit h m s	Luftdruck mm	Seehöhe m	Temperatur C° Rohr.	Temperatur C° Lam. Therm.	Gradient △t/100 m	Relative Feuchtigkeit %	Ventilation Luftdichte × Vertikalgeschw.	Bemerkungen
32 58	349	6 210	-18.8	-18.9		36		Erneuter Anstieg der RF.
		7 000		-23.5	0.58			
39 38	282	7 770	-28.1	-28.0		48		
		8 000		-29.4	0.59			
41 47	267	8 160	-31.0	-30.3		49		Von hier ab Hygrogramm nur mehr gerade Linie.
		9 000		-36.1				
		10 000		-43.1	0.70			
		11 000		-50 1				
58 11	159	11 660	-56.0	-54.7		49		Ende der Troposphäre.
		12 000		-55.1	0.22			
59 4	147	12 170	-57.5	-55.8		48		Tiefste Temperatur.
1 2 42	131	12 900	-56.3	-54.9	- 0.12	48		
		13 000		-54.5	- 0.39			
1 5 18	120	13 460	-54.3	-52.7		48		
1 5 40	112	13 910	-52.7	-50.8	- 0.43	48		
		14 000		-50.8	0			
1 9 17	105	14 330	-52.7	-50.8		47		
1 10 22	100	14 650	-52.9	-51.6	0.25	47		
		15 000		-52.1	0.15			
1 12 32	93	15 120	-53.7	-52.3		46	0.6	Ventilation bis hieher sicher genügend.
		16 000		-52.1				
		17 000		-51.8	- 0.03			
1 20 56	64	**17 530**	-53.1	-51.6		46	0.4	Höchster Punkt.
						44		
1 27 51	155	11 860	-56.8	-55.8				Tiefste Temperatur beim Abstieg Eintritt in die Troposphäre.
1 56 45		ca. 400						Landung.



Die Fahrten vom 11. mit 16. September können geradezu als Schulbeispiel dafür gelten, dass kleine Depressionen Vorgänge sind, die sich in den unteren 3 bis 4000 m abspielen.

Am 10. September lag ein barometrisches Maximum noch westlich von unserem Aufstiegsorte, am 11. hatte es bereits den Kontinent erfasst, gedrängt von einem bei Island liegenden Tiefdruckgebiete. Dieses schritt ostwärts nach Skandinavien, entwickelte aber am 13. einen nach der Nordsee streichenden Ausläufer, der unter Auslösung gewitteriger Störungen ostwärts unser Gebiet überschritt. Da gleichzeitig von den britischen Inseln her hoher Druck heranzog, war eine leichte „Rückseite" geschaffen, die an allen folgenden Aufstiegstagen zeitweise Niederschläge brachte.

Unser Thermogramm ergibt: Ansteigen der Isothermen in den unteren 3000 m bis zum 13., von da an starker Temperaturrückgang bis zum Ende der Aufstiegswoche, d. h. Vorderseite des Ausläufers bis zum 13., von da an Rückseite desselben.

In den höheren Schichten sind nur ganz schwache Wellen in den Isothermen vorhanden, erst im Bereiche der Stratosphäre setzen die bekannten grossen Temperaturschwankungen ein.

Das Ende der Troposphäre lag in folgenden Höhen

am	13.	14.	15.	16.
in	12480 m	12610 m	12080 m	11660 m

Es zeigt sich wieder das für den Durchgang von Depressionen charakteristische Verhalten: Anstieg der Troposphäre auf der Vorderseite, Senkung derselben auf der Rückseite.

Darin liegt eine gewisse „Kompensation" in den Temperaturen etwa in 2 und in 12 km begründet: In 2 km auf der Vorderseite Erwärmung und auf der Rückseite Abkühlung, in 12 km auf der Vorderseite Abkühlung und auf der Rückseite Erwärmung.

Für die wichtige und interessante Frage, ob und wieweit die Anomalie des diesjährigen heissen Sommers auch in der freien Atmosphäre wiederzufinden sei, waren die Septemberfahrten wohl zu verwerten. Eine Einzelfahrt vom August oder Oktober ist nicht zu gebrauchen wegen der möglichen zufälligen und aperiodischen Temperaturänderung gerade am Aufstiegstage. Dagegen liess sich hier ein Mittel von 5 bzw. 4 Tagen bilden, wobei uns die isoplethäre Darstellung versichert, dass wir nicht Zufallstemperaturen gemessen haben.

September

	516 m	1	2	3	4	5	6	7	8	9	10	11	12	13 km
1911	15.3	14.4	10.2	3.6	−2.1	− 8.3	−14.7	−21.3	−28.4	−35.8	−43.6	−51.2	−58.1	−60.3
(1906–10)	12.4	10.1	4.5	−0.8	−6.4	−11.7	−17.0	−23.6	−30.6	−38.2	−44.6	−47.8	−50.7	−53.4
Δ	+2.9	+4.3	**+5.7**	+4.4	+4.3	+ 3.4	+ 2.3	+ 2.3	+ 2.2	+ 2.4	+ 1.0	− 3.4	− 7.4	− 6.9

Der Sinn und die Grösse der Abweichung stimmt genau mit den Ergebnissen von W. H. Dines[1]), die er aus den englischen Aufstiegen abgeleitet hat.

Derselbe fand in 2.5 km Abweichung + 5.5°
5 km + 2.5°
7.5 km normal
10 km normal
12.5 km − 7.0
15 km − 5.0

Die grossen negativen Abweichungen ab 11 km erklären sich durch die antizyklonale Wetterlage, die uns in diesem Sommer das anhaltend schöne Wetter bescherte. Bemerkenswert ist nur, worauf auch Dines aufmerksam machte, die Tatsache, dass die maximale positive Abweichung nicht wie sonst in 7.5 km sondern wesentlich niedriger angetroffen wurde.

Ich glaube, dass wir darin die Wirkung der direkten, an der Erde ausgelösten Konvektionsströme erblicken müssen. Die Dines'schen Betrachtungen gelten mehr für die dem Luftdruckgebilde als Ganzes entsprechenden Temperaturverhältnisse.

5. Oktober 1911.

Instrument Nr. 149.

Letzte Prüfung am 29. September 1911.

Temperatur-Korrektion des Aneroïdes:

$$d\,p = -\Delta T\,(0.610 - 0.000457 \cdot p).$$

Art, Grösse, Füllung, freie Steigkraft des Ballons: 1 Gummiballon mit Fallschirm, 1.5 m Durchmesser, Wasserstoff; 0.6 kg.

Zeit des Aufstiegs: 8^{01} a M. E. Z.

Witterung beim Aufstieg:

a) Wind, Bewölkung, Form, Richtung und Geschwindigkeit der Wolken etc.: W_{2-3} 10^2 st sehr niedrig.

b) Temperatur beim Aufstieg: 8.4°; relative Feuchtigkeit 87 %.

Temperatur 2 Stunden vor dem Aufstieg: 7.3°, nach dem Aufstieg: 9.6°.

Maximum des Vortages: 15.7°.

Maximum des Aufstiegstages: 12.6° um 2 p.

Minimum des Aufstiegstages: 7.0° um 4^{30} a.

Name, Seehöhe, Entfernung und Richtung des Landungsortes: Aschenau (bei Deggendorf) ca. 380 m, 130 km; N 48° E.

Dauer des Aufstiegs: $58^{m}\ 34^{s}$.
Mittlere Steiggeschwindigkeit: 3.3 m pro Sek.

Grösste Höhe: 11 870 m.

Tiefste Temperatur: − 53 5° in 11 870 m.
− 55.7°

Ventilation genügt bis zur erreichten Höhe.

Besondere Bemerkungen: Die Temperaturkorrektionen sind an den Luftdruckangaben bereits angebracht. Den Berechnungen liegt das Lamellenthermogramm zugrunde.

[1]) W. H. Dines, Nature 88 S. 175 1911.

Ergebnis der Registrierung.

Zeit h m s	Luftdruck mm	Seehöhe m	Temperatur C° Rohr.	Temperatur C° Lam. Therm.	Gradient △ t/100 m	Relative Feuchtigkeit %	Ventilation Luftdichte × Vertikalgeschw	Bemerkungen
0 0 0	716	516	8.4	8.4		87		Aufstieg. Ballon tritt schon nach 1 Min. 50 Sek. in den Stratus ein.
		1 000		5.5	0.60			
2 57	672	1 040	5.2	5.3	0.33	**100**		
5 11	643	1 390	4.1	4.1		91		Inversion, starke Abnahme der R.F.
		1 500		4.8	- 0.61			
6 23	629	1 570	**5.0**	**5.2**	0.0	77		
7 8	616	1 740	5.0	5.2	0.35	67		
7 57	603	1 920	4.3	4.6		65		
		2 000		5.3	- 0.87			
8 33	593	2 050	**5.8**	**5.8**	0.19	55		
10 17	571	2 360	4.5	5.2		50		Austritt aus der grossen Bodeninversion.
		2 500		4.2	0.73			
		3 000		0.6				
15 56	488	3 620	- 4.8	- 4.0	- 0.20	72		Inversion.
16 29	482	3 720	- 4.8	- 3.8		70		
		4 000		- 6.0	0.78			
19 25	447	4 310	- 9.1	- 8.4	- 0.28	**80**		Inversion.
19 59	439	4 440	- 9.1	- 8.0		68		
		5 000		-12.4	0.80			
22 44	400	5 160	-15.0	-13.7		50		Hygrogramm von hier ab unbrauchbar.
		6 000		-19.3	0.67			
		7 000		-26.0				
32 35	308	7 100	-28.1	-26.6	- 1.06			Niedrige, aber sehr deutliche Inversionsschicht.
33 13	306	7 150	-27.8	-26.1				
		8 000		-29.9	0.45			
38 50	271	8 020	-31.2	-30.0	0.70			
39 52	263	8 230	-32.3	-31.5				
		9 000		-36.7				
		10 000		-43.5	0.68			
		11 000		-50.3				
55 27	170	11 190	-53.7	-51.6	0.28			Ende der Troposphäre, zunächst noch schwache Temperaturabnahme.
58 34	153	**11 870**	-55.7	-53.5			0.8	Höchster Punkt.
1 30 6								Landung.

Die vorstehende Temperaturregistrierung ist ausgezeichnet durch aussergewöhnliche Schichtung, die für eine wenig ausgesprochene Luftdruckverteilung charakteristisch erscheint. In der Tat ist die Zuordnung zu einem ausgesprochenen Luftdruckgebilde nicht möglich. Eine ganz flache Depression lag über Frankreich, ein tieferes Zentrum über NE Europa, während sich hoher Druck von geringer Intensität von den britischen Inseln her über Zentraleuropa ausbreitete.

Wie stets bei solchen Luftdrucksverteilungen gehört der Eintritt in die Stratosphäre an diesem Tage dem Typus I an (R 1909 S. 29).

9. November 1911.

Instrument No. 150.

Letzte Prüfung am 29. September 1911.

Temperatur-Korrektion des Aneroides:

$$d\,p = -\Delta T\,(0.340 - 0.000457 \cdot p).$$

Art, Grösse, Füllung, freie Steigkraft des Ballons: 1 Gummiballon, 1.5 m Durchmesser, Wasserstoff; Fallschirm, 0.6 kg.

Zeit des Aufstiegs: 8^{01} a M. E. Z.

Witterung beim Aufstieg:

a) Wind, Bewölkung, Form, Richtung und Geschwindigkeit der Wolken etc.: $NW_1\ 10^1\ \frac{ci,\ ci\ st}{alt\ st,\ cu\ st} \equiv^0$ (morgens starker Reif),

b) Temperatur beim Aufstieg: — 1.6°, relative Feuchtigkeit: 90%.

Temperatur 2 Stunden vor dem Aufstieg: —1.5°, nach dem Aufstieg: + 1.3°.
Maximum des Vortages: 9.7°
Maximum des Aufstiegstages: 8.3° um 1⁴⁰ p.
Minimum des Aufstiegstages: — 1.6° um 6° und 8° a.
Name, Seehöhe, Entfernung und Richtung des Landungsortes: Aham bei Frontenhausen, in Niederbayern, ca. 500 m, 80 km, N 54,9° E.
Dauer des Aufstiegs: 53ᵐ 53ˢᵉᶜ.
Mittlere Steiggeschwindigkeit: 3.2 m.

Grösste Höhe: 11 000 m.
Tiefste Temperatur: — 62.5° in 11 000 m.
— 62.3°.
Ventilation genügt bis zur erreichten Höhe.

Besondere Bemerkungen: Die Luftdruckangaben sind wegen der Temperatur des Aneroïdes bereits korrigiert. Den Berechnungen liegt diesmal das Rohrthermogramm zugrunde.

Ergebnis der Registrierung.

Zeit h m s	Luftdruck mm	Seehöhe m	Temperatur C° Lam.	Temperatur C° Rohr. Therm.	Gradient △ t/100 m	Relative Feuchtigkeit %	Ventilation Luftdichte × Vertikalgeschw.	Bemerkungen	Windrichtung und Geschwindigkeit an Erde		
0 0 0	712	516	- 1.6	- 1.6		90		Aufst. Zunächst isotherm.		NW	1 7 m
					0.0				540— 680 m	N 74° W	3.3 m
0 20	706	580	- 1.6	- 1.6		**90**		Starke Inversion.			
					- 3.0				680— 890 m	S 47° W	4.6 m
0 59	694	720	3.0	2.5	- 2.54	67					
1 42	683	850	7.2	5.8	- 3.07	51					
1 53	680	890	**8.5**	**6.9**		47		Weiterhin stark geschichtet.	890—1270 m	S	4.6 m
		1 000		6.7	0.14						
4 2	646	1 310	6.8	6.3		36			1270—1450 m	S 38° E	5.0 m
		1 500		5.3	0.54				1450—1640 m	S 13° W	5.0 m
5 56	620	1 640	5.2	4.5		30			1640—3370 m	S 7° W	7.2 m
7 18	602	1 880	4.7	4.2	0.13	24					
		2 000		3.2	0.85						
9 48	571	2 310	1.0	0.6		22					
12 57	537	2 800	- 3.6	- 3.2	0.78	21					
		3 000		- 4.0	0.42						
15 18	507	3 250	- 5.9	- 5.1		26			3370—3940 m	S 62° W	10.8 m
16 46	485	3 590	- 8.3	- 7.6	0.72	31					
		4 000		-10.9	0.80				3940—4900 m	S 65° W	20.1 m
19 14	450	4 170	-12.9	-12.2		44		Schwache Temperaturabnahme.			
21 13	429	4 540	-13.5	-12.7	0.14	54					
22 49	412	4 840	-15.0	-14.1	0.46	58			4900—8480 m	S 67° W	22.6 m
		5 000		-15.5	0.89						
24 26	394	5 180	-17.9	-17.1		65		Kleine Inversion.			
25 2	385	5 350	-17.4	-16.6	- 0.29	65					
28 16	356	5 940	-21.4	-20.9	0.74	71					
		6 000		-21.3	0.68						
30 44	333	6 420	-24.4	-24.2		74					
33 32	312	6 890	-28.0	-27.7	0.74	72		Von hier ab gleichmässige und starke Temperaturabnahme.			
		7 000		-28.7							
		8 000		-37.5	0.88				Über 8480 m verschwand der Ballon in den Wolken.		
44 17	233	8 910	-44.9	-45 4		65					
		9 000		-46 1							
		10 000		-54.3	0.82						
53 53	168	**11 000**	-62.3	-62.5		64	1.0	Höchster Punkt. Stratosphäre nicht erreicht. Bodeninversion beim Abstieg nicht mehr vorhanden.			
1 14 24								Landung.			

Am 8. November lag eine tiefe Depression nördlich der britischen Inseln. Ein eigentlicher Vormarsch derselben gegen den Kontinent war nach den Guilbertschen Regeln unwahrscheinlich. Tatsächlich wurde auch das Minimum über den britischen Inseln selbst allmählich ausgefüllt und machte sich auf unserem Gebiete nur durch zeitweise stärkere Bewölkung geltend.

Als Folge der klaren Nacht finden wir im Temperaturdiagramm eine mächtige Bodeninversion, die aber bereits beim Abstiege nicht mehr vorhanden war.

Weiterhin ist von starker Schichtung der Atmosphäre zu berichten die auch in der rasch wechselnden, in verschiedenen Etagen auftretenden Bewölkung ihren Ausdruck fand.

Bemerkenswert sind die sehr geringen Werte der relativen Feuchtigkeit speziell über der starken Bodeninversion, während in den grösseren Höhen wieder sehr beträchtliche Werte dieses Elementes registriert wurden.

6. Dezember 1911.

Instrument No. 208.

Letzte Prüfung am 29. September 1911.

Temperaturkorrektion des Aneroïds:

$$d\,p = -\Delta T\,(0.480 - 0.000457 \cdot p).$$

Art, Grösse, Füllung, freie Steigkraft des Ballons: 1 Gummiballon, 1.5 m Durchmesser, Wasserstoff; 0.5 kg.

Zeit des Aufstiegs: 7^{54} a M. E. Z.

Witterung beim Aufstieg:

a) Wind, Bewölkung, Form, Richtung und Geschwindigkeit der Wolken etc.: ESE_2 $10^1 \equiv^1$,

b) Temperatur beim Aufstieg: 0.0°; relative Feuchtigkeit: 96%.

Temperatur 2 Stunden vor dem Aufstieg: +0.1°, nach dem Aufstieg: −0.2°.

Maximum des Vortages: + 5.3°.

Maximum des Aufstiegstages: + 2.7° um 3^{30} p.

Minimum des Aufstiegstages: −1.6° um 12 p.

Name, Seehöhe, Entfernung und Richtung des Landungsortes: Wartenberg in Oberbayern, 430 m, 43.5 km, N 49° E. (Landungsort wie am 6. XII. 1909.)

Dauer des Aufstiegs: 85^m 46^s.
Mittlere Steiggeschwindigkeit: 2,7 m.

Grösste Höhe: 14410 m.

Tiefste Temperatur: − 62.9° in 11810 m.
− 60.4°.

Ventilation genügt bis zur erreichten Höhe.

Besondere Bemerkungen: Die Luftdruckangaben sind wegen der Temperatur des Aneroïdes bereits korrigiert. Den Berechnungen liegt das Lamellenthermogramm zugrunde.

Ergebnis der Registrierung.

Zeit h m s	Luftdruck mm	Seehöhe m	Temperatur C° Rohr.	Temperatur C° Lam. Therm.	Gradient Δ t/100m	Relative Feuchtigkeit %	Ventilation Luftdichte × Vertikalgeschw.	Bemerkungen
0 0 0	719	516	0.0	0.0		96		Aufstieg Zunächst Temperaturabnahme.
					0.54			
1 44	691	830	− 3.0	− 1.7		98		Beginn einer Inversion.
					−5.70			
2 14	686	890	− 0.3	1.6		66		
		1000		2.5	−0.85			
2 16	674	1030	**1.5**	**2.8**		58		Höchste Temperatur.
					0.28			
5 40	645	1390	0.9	1.8		44		
		1500		1.6	0.18			
7 37	623	1670	0.2	1.3		34		
		2000		− 0.8	0.63			
10 34	587	2140	− 3.1	− 1.7		27		
					0.58			
12 48	562	2500	− 4.9	− 3.7		25		Minimum der RF.
					0.06			
13 58	550	2660	− 5.1	− 3.8		36		
		3000		− 6.1	0.69			
19 0	507	3290	− 9.6	− 8.2		**56**		Zweites Maximum der RF.
					0.0			
19 57	502	3370	− 9.8	− 8.2		49		
					0.53			
23 2	469	3900	−12.6	−11.0		48		
		4000		−11.7	0.72			
27 29	426	4630	−18.4	−16.3		**57**		Drittes Maximum der RF.
		5000		−18.6	0.63			
31 26	397	5150	−21.3	−19.6		48		
					0.59			
36 8	358	5910	−26.3	−24.1		**58**		Viertes Maximum der RF.
		6000		−24.6	0.61			
		7000		−30.7				
43 16	303	7110	−34.2	−31.4		58		
		8000		−38.7	0.82			
53 8	249	8470	−44.9	−42.5		48		
		9000		−46.3	0.72			
		10000		−53.5				
1 2 44	190	10240	−57.5	−55.2		48		Übergang zur Stratosphäre mit kleinen Temperaturgradienten.
		11000		−57.7	0.33			
1 9 34	160	11330	−61.2	−58.8		48		
					0.33			
1 12 23	148	11810	−62.9	−60.4		48		Ende der Troposphäre, tiefste Temperatur.
		12000		−60.3	−0.08			
1 14 20	142	12070	−62.9	−60.2		48		
					−0.34			
1 17 8	131	12580	−61.1	−58.5		48		

Zeit h m s	Luftdruck mm	Seehöhe m	Temperatur C° Rohr.	Temperatur C° Lam. Therm.	Gradient △t/100m	Relative Feuchtigkeit %	Ventilation Luftdichte × Vertikalgeschw.	Bemerkungen
1 17 8	131	12580	-61.1	-58.5		48		
		13000		-57.9	-0.15			
1 20 35	117	13290	-59.8	-57.4		46		
		14000		-55.9	-0.21			
1 25 46	98	**14410**	-56.9	-55.1		44	0.6	Höchster Punkt. Aus dem Abstiegsdiagramm werden einige interessante Angaben mitgeteilt.
1 27 7	112	13560	-59.5	-58.1	0.0			Kleine Isothermie.
1 27 25	119	13180	?	-58.1				
1 28 34	133	12490	-63.0	-60.7				Austritt aus der Stratosphäre. Die Bodeninversion wird wieder angetroffen.
1 51 23		ca. 430 m						Landung.

7. Dezember 1911.

Instrument No. 149.

Letzte Prüfung am 24. Oktober 1911.

Temperatur-Korrektion des Aneroïdes:

$$d\,p = -\Delta T\,(0.610 - 0.000457 \cdot p).$$

Art, Grösse, Füllung, freie Steigkraft des Ballons: 1 Gummiballon, 1.5 m Durchmesser, Wasserstoff; 0.5 kg.

Zeit des Aufstiegs: 8^{00} a M. E. Z.

Witterung beim Aufstieg:

a) Wind, Bewölkung, Form, Richtung und Geschwindigkeit der Wolken etc.: ESE_1 $10^1 \equiv^1$.

b) Temperatur beim Aufstieg: — 2.6°; relative Feuchtigkeit 100 %.

Temperatur 2 Stunden vor dem Aufstieg: — 2.0°, nach dem Aufstieg: — 1.7°.

Maximum des Vortages: + 2.7°.

Maximum des Aufstiegstages: — 0.4° um 12^{30} p.

Minimum des Aufstiegstages: — 2.9° um 7^{30} a.

Name, Seehöhe, Entfernung und Richtung des Landungsortes: Landshut, ca. 380 m, 62 km, N 40° E.

Dauer des Aufstiegs: $51^m\ 36^s$.

Mittlere Steiggeschwindigkeit: 2.9 m pro Sek.

Grösste Höhe: 9460 m.

Tiefste Temperatur: — 52.7° in 9460 m.
— 51.4° (9370 m).

Ventilation genügt bis zur erreichten Höhe.

Besondere Bemerkungen: Die Luftdruckangaben sind wegen der Temperatur des Aneroïdes korrigiert. Den Berechnungen liegt das Lamellenthermogramm zugrunde.

Ergebnis der Registrierung.

Zeit h m s	Luftdruck mm	Seehöhe m	Temperatur C° Rohr.	Temperatur C° Lam. Therm.	Gradient △t/100 m	Relative Feuchtigkeit %	Ventilation Luftdichte × Vertikalgeschw.	Bemerkungen
0 0 0	720	516	- 2.6	- 2.6	0.90	100		Aufstieg. Zuerst Temperaturabnahme.
53	709	640	- 3.9	- 3.7	- 4.40	**100**		Beginn einer intensiven Temperaturumkehr.
1 23	701	730	0.1	0.3	- 2.67	87		
2 29	691	850	3.8	3.4	- 0.34	61		
3 20	681	960	3.8	3.8		53		
		1000		4.0	- 0.39			
3 51	666	1140	**4.5**	**4.5**		47		Höchste Temperatur.
		1500		3.5	0.27			
6 55	631	1580	2.8	3.3		37		Temperaturabnahme sehr unregelmässig.
		2000		1.3	0.48			
9 29	593	2080	- 0.3	0.9		35		
10 24	583	2220	- 0.8	0.2	0.51	35		
		2500		- 1.8	0.69			
13 21	550	2680	- 3.9	- 3.0		34		
13 56	545	2750	- 4.1	- 3.3	0.42	34		
		3000		- 5.0	0.69			
20 10	471	3890	-12.7	-11.1		**40**		Nahezu isotherm.

Zeit h m s	Luftdruck mm	Seehöhe m	Temperatur C° Rohr.	Temperatur C° Lam. Therm.	Gradient △t/100 m	Relative Feuchtigkeit %	Ventilation Luftdichte × Vertikalgeschw.	Bemerkungen
20 10	471	3 890	-12.7	-11.1		**40**		Nahezu isotherm.
		4 000		-11.2	0.06			
20 54	465	4 050	-12.7	-11.2	0.77			
24 25	424	4 690	-17.7	-16.1				
		5 000		-18.9	0.87			
31 12	363	5 830	-27.7	-26.2				
		6 000		-27.3	0.67			
34 37	336	6 390	-31.4	-29.9	0.74	34		
36 11	318	6 780	-33.6	-32.8		37		
		7 000		-34.5	0.74			
38 23	300	7 180	-36.8	-35.8	- 0.06	**38**		Kleine Inversion.
39 11	293	7 350	-36.8	-35.7	0.79	37		
40 20	284	7 560	-38.0	-37.4	0.16	36		
41 17	279	7 690	-39.4	-37.6		36		
		8 000		-40.1	0.80			
45 17	254	8 330	-44.8	-42.7		35		
		9 000		-47.3	0.69			
49 0	228	9 050	-49.9	-47.7	0.89	35		
50 27	223	9 190	-51.7	-49.0	1.35	35		
51 12	217	9 370	-52.7	-51.5	0.0	35		
51 36	214	**9 460**	-52.7	-51.4		35	1.2	Höchster Punkt. Im Abstiege wird die Bodeninversion mit nahezu gleicher Intensität wieder angetroffen.
1 11 21		ca. 380						Landung.

8. Dezember 1911.

Instrument No. 350.

Letzte Prüfung am 24. Oktober 1911.

Temperatur-Korrektion des Aneroïdes:

$$d\,p = -\Delta T\,(0.501 - 0.000457 \cdot p).$$

Art, Grösse, Füllung, freie Steigkraft des Ballons: 1 Gummiballon, 1.5 m Durchmesser, Wasserstoff; 0.5 kg.

Zeit des Aufstiegs: 8^{03} a M. E. Z.

Witterung beim Aufstieg:

a) Wind, Bewölkung, Form, Richtung und Geschwindigkeit der Wolken etc.: C $10^1 \equiv^1$,

b) Temperatur beim Aufstieg: — 1.2°, relative Feuchtigkeit: 98%.

Temperatur 2 Stunden vor dem Aufstieg: — 1.0°, nach dem Aufstieg: + 1.0°.

Maximum des Vortages: — 0.4°.

Maximum des Aufstiegstages: + 6.1° um 2^{10} p.

Minimum des Aufstiegstages: — 1.9° um 12 a.

Name, Seehöhe, Entfernung und Richtung des Landungsortes: Schierling, 360 m, 90 km, N 30° E.

Dauer des Aufstiegs: $53^{m}\ 35^{sec}$.

Mittlere Steiggeschwindigkeit: 3.5 m.

Grösste Höhe: 11 680 m.

Tiefste Temperatur: — 59.7° in 11 090 m. — 61.0°.

Ventilation genügt bis zur erreichten Höhe.

Besondere Bemerkungen: Die Temperaturkorrektionen sind an den Luftdruckangaben bereits angebracht. Den Berechnungen liegt das Lamellenthermogramm zugrunde, das den Vorzug verdiente.

Ergebnis der Registrierung.

Zeit h m s	Luftdruck mm	Seehöhe m	Temperatur C° Rohr.	Temperatur C° Lam. Therm.	Gradient △ t/100 m	Relative Feuchtigkeit %	Ventilation Luftdichte × Vertikalgeschw.	Bemerkungen
0 0 0	711	516	- 1.2	- 1.2	0.67	98		Aufstieg. Ballon nach 38 Sek. im Nebel verschwunden. Zunächst Temperaturabnahme
10	707	560	- 1.2	- 1.5	- 0.99	99		Beginn einer intensiven Inversion.
36	699	650	- 0.8	- 0.4	- 3.55	**99**		
1 11	688	780	2.7	4.1	- 1.20	92		
1 39	679	890	4.4	5.4	0.0	86		
1 44	677	910	4.4	5.4		85		
		1 000		7.0	- 1.76			
2 28	668	1 020	**6.0**	**7.2**		76		Höchste Temperatur.

Zeit h m s	Luftdruck mm	Seehöhe m	Temperatur C° Rohr.	Temperatur C° Lam. Therm.	Gradient △ t/100 m	Relative Feuchtigkeit %	Ventilation Luftdichte × Vertikalgeschw.	Bemerkungen
2 28	668	1 020	**6.0**	**7.2**		76		Höchste Temperatur.
					0.58			
4 32	628	1 500	5.4	4.3		69		
					0.15			
4 52	623	1 590	5.2	4.2		69		
					0.36			
5 54	604	1 840	4.8	3.3		68		
		2 000		2.6	0.44			
7 5	584	2 110	4.7	2.1		64		Minimum der RF.
		2 500		- 1.2				In 2500 m wieder Ausgangstemperatur.
					0.85			
		3 000		- 5.4				
12 57	495	3 410	- 7.1	- 8.9		76		Weiterhin stark geschichtet.
					0.35			
13 39	486	3 560	- 7.5	- 9.4		78		
		4 000		-13.1	0.83			
18 57	418	4 700	-17.0	-18.9		88		
		5 000		-21.1	0.74			
23 33	372	5 560	-23.4	-25.2		**91**		
		6 000		-27.7	0.58			
25 45	348	6 040	-25.7	-28.0		89		
					0.48			
26 48	337	6 270	-26.9	-29.1		90		
					0.34			
28 15	326	6 500	-27.6	-29.9		88		
		7 000		-32.6	0.54			
32 24	293	7 260	-31.2	-34.0		81		
					0.25			
33 7	288	7 380	-31.9	-34.3		81		Grössere Gradienten bis zum Eintritt in die Stratosphäre.
					0.76			
35 32	268	7 880	-35.9	-38.1		78		
		8 000		-38.8	0.56			
37 29	255	8 220	-38.1	-40.2		79		
		9 000		-46 1	0.76			
44 28	207	9 600	-48.8	50.7		77		
		10 000		-53.7	0.75			
48 4	181	10 470	-55.3	-57.2		76		
		11 000		-60.5	0.62			
50 34	164	11 090	-59.7	-61.0		75		Ende der Troposphäre.
					0.0			
51 29	161	11 200	-59.8	-61.0		76		
					- 0.34			
51 54	158	11 320	-59.7	-60.6		76		
					0.17			
52 35	155	11 440	-59.8	-60.8		76		
					- 0.81			
53 35	149	**11 680**	-59.5	-58.8		78	1.0	Höchster Punkt.
								Landung nicht registriert.

An den Tagen der Dezemberaufstiege erfuhr die Witterung nur geringfügige Änderungen. Südbayern blieb ganz unberührt von dem Durchgange eines Ausläufers einer bei Island liegenden Depression, die am 6. und 7. Dezember sich nach Frankreich erstreckte, in der Nacht zum 8. aber über Deutschland hinwegzog. So wenig die Veränderung an Erde zu erkennen war, ebensowenig liess die Temperaturregistrierung der höheren Schichten etwas davon ahnen: es waren im Gegenteil die Temperaturen so bemerkenswert konstant, dass auf die Zeichnung von Isothermen verzichtet werden kann.

In den erdnahen Schichten bildete sich eine kräftige Temperaturumkehr aus, die ganz wie in einem winterlichen barometrischen Maximum sich fortgesetzt verstärkte.

Von Interesse schien mir, wie schon bei den Septemberfahrten des Jahres die Konstatierung, dass die ganze Atmosphäre bis hinauf zu 9 km wesentlich zu warm war, auch noch im Dezember, worin die Anomalie des Sommers 1911 sich fortzusetzen scheint.

Es betrugen die Abweichungen der Mittel der drei Fahrten von den 5jährigen Dezembermitteln:

in	1	2	3	4	5	6	7	8	9	10	11 km
	3.7	6.3	5.5	5.0	4.0	4.0	5.8	5.7	3.1	—0.1	—3.3°

Das bekannte Gesetz der „Kompensation" der grösseren Höhen (oberhalb 10 km) gegenüber den darunterlagernden Schichten ist wieder deutlich ausgesprochen.

Zusammenfassung von Ergebnissen der Fahrten des Jahres 1911.

Seehöhe der Nullgradisotherme bei den einzelnen Fahrten.

5. Januar	tiefer als München	8. Juni	3500 m	16. September	2750 m
2. Februar	tiefer als München	9. Juni	3500 m	5. Oktober	3100 m
1. März	2060 m	6. Juli	3950 m	9. November	2400 m
2. März	940 m	3. August	3600 m	6. Dezember	1900 m
21. März	2600 m	12. September	4100 m	7. Dezember	2250 m
5. April	tiefer als München	13. September	3780 m	8. Dezember	2350 m
4. Mai	2850 m	14. September	3600 m		
7. Juni	3800 m	15. September	3400 m		

Die Temperaturen in verschiedenen Höhen im Jahre 1911.

	516 m	1 km	2 km	3 km	4 km	5 km	6 km	7 km	8 km	9 km	10 km	11 km	12 km	13 km	14 km	15 km	16 km	17 km
5. Januar	- 2.9	- 6.2	- 6.8	-12.2	-19.9	-27.7	-36.4	-45.1	-53.8	-59.7								
2. Februar	- 5.6	- 6.3	-14.0	-12.6	-16.7	-23.6	-31.0	-38.4	-45.8	-53.1								
1. März	7.6	4.8	0.2	- 5.0	-10.4	-17.1	-22.8	-29.1	-35.4	-41.5	-47.5	-53.5	-57.3					
2. März	1.1	- 0.4	- 6.2	-12.0	-17.4	-22.9	-32.1	-39.4	-48.3	-55.4	-52.3	-47.4	-45.5	-47.3				
21. März	13.6	10.4	3.9	- 2.7	- 8.7	-16.1	-23.6	-31.1	-38.6	-45.4	-51.3							
6. April	- 3.1	- 7.4	- 8.2	-11.5	-17.1	-24.8	-32.6	-40.3	-48.1	-53.1	-50.2							
4. Mai	11.0	9.9	4.3	- 0.9	- 6.6	-11.4	-17.2	-25.0	-32.9	-39.6	-47.2	-54.7	-59.4	-56.2				
7. Juni	18.0	16.1	8.6	2.6	- 0.9	- 6.4	-14.4	-22.4	-30.5	-38.5	-46.4	-54.1	-61.7	-63.9	-65.7	-59.8	-57.4	
8. Juni	16.8	15.0	8.9	2.9	- 2.4	- 7.6	-13.0	-20.3	-27.6	-35.0	-42.3	-49.7	-56.2	-60.7	-57.8			
9. Juni	15.7	12.4	8.9	3.3	- 3.4	-10.1	-18.1	-23.9	-32.5	-36.9	-42.7	-50.7	-54.6	-57.9	-56.4	-54.7		
6. Juli	15.2	12.2	7.8	4.4	- 0.2	- 6.8	-12.5	-18.1	-25.8	-33.5	-41.2	-49.4	-56.7	-61.2				
3. August	19.8	19.2	11.7	4.1	- 3.4	- 5.6	-11.9	-19.1	-26.8	-34.4	-42.1	-48.3	-50.6	-50.7				
12. September	11.7	14.6	10.7	6.2	0.9	- 7.0	-13.0											
13. September	20.6	21.2	14.8	6.7	- 1.9	- 8.1	-13.7	-19.4	-26.0	-32.9	-41.7	-50.7	-59.5	-63.0	-61.3	-57.8	-54.4	-54.6
14. September	19.9	18.2	11.7	4.7	- 1.4	- 8.3	-13.8	-19.8	-27.5	-36.3	-44.5	-51.7	-58.1	-60.7	-57.5	-55.3	-54.6	
15. September	15.3	12.1	9.4	2.1	- 3.8	- 8.2	-15.8	-22.4	-30.7	-38.0	-45.1	-52.4	-59.7	-62.9	-60.3			
16. September	9.2	5.8	4.3	- 1.8	- 4.3	- 9.8	-17.3	-23.5	-29.4	-36.1	-43.1	-50.1	-55.1	-54.5	-50.8	-52.1	-52.1	-51.8
5. Oktober	8.4	5.5	5.3	0.6	- 6.0	-12.4	-19.3	-26.0	-29.9	-36.7	-43.5	-50.3						
9. November	- 1.6	6.7	3.2	- 4.0	-10.9	-15.5	-21.3	-28.7	-37.5	-46.1	-54.3	-62.5						
6. Dezember	0.0	2.5	- 0.8	- 6.1	-11.7	-18.6	-24.6	-30.7	-38.7	-46.3	-53.5	-57.7	-60.3	-57.9	-55.9			
7. Dezember	- 2.6	4.0	1.3	- 5.0	-11.2	-18.9	-27.3	-34.5	-40.1	-47.3								
8. Dezember	- 1.2	7.0	2.6	- 5.4	-13.1	-21.1	-27.7	-32.6	-38.8	-46.1	-53.7	-60.5						
Mittel	8.5	8.1	3.7	- 1.9	- 7.8	-14.0	-20.9	-28.1	-35.5	-42.5	-46.8	-52.7	-56.5	-58.1	-58.2	-55.9	-53.7	-53.2
Anzahl der Fahrten	22	22	22	22	22	22	22	21	21	21	18	16	13	12	8	5	4	2

Anhang.

2. April 1908.

Instrument No. 116.

Letzte Prüfung am 21. März 1908.

Temperatur-Korrektion des Aneroïdes:

$$dp = -\Delta T\,(0.553 - 0.000457 \cdot p).$$

Art, Grösse, Füllung, freie Steigkraft des Ballons: Gummiballontandem, 2 Ballone à 1,5 m Durchmesser, Sanddélesteur für 10 min berechnet, Wasserstoff; 3.2 kg.

Zeit des Aufstiegs: 7^{51} a M. E. Z.

Witterung beim Aufstieg:

a) Wind, Bewölkung, Form, Richtung und Geschwindigkeit der Wolken etc.: WNW1 4° ⊙ ci im Nordost, cu st mit raschem Zuge aus NW,

b) Temperatur beim Aufstieg: —0.8°, relative Feuchtigkeit 70 %.

Temperatur 2 Stunden vor dem Aufstieg: —1.2°, nach dem Aufstieg: + 1.6°.

Maximum des Vortages: 4.7°.

Maximum des Aufstiegstages: 6.0° um 3^{30} p.

Minimum des Aufstiegstages: —1.3° um 5^{50} a.

Name, Seehöhe, Entfernung und Richtung des Landungsortes: Auf der Sarlalpe bei Toblach, ca. 1500 m, 165 km, S 17° E.

Dauer des Aufstiegs: 34 m 38 sec.
Mittlere Steiggeschwindigkeit: 5.1 m.

Grösste Höhe: 11 910 m.

Tiefste Temperatur: — 52.7° in 10730 m.

Ventilation genügt bis zur erreichten Höhe.

Besondere Bemerkungen: Die Temperaturkorrektionen sind an den Luftdruckangaben bereits angebracht. Das Instrument wurde erst am 8. Oktober 1911 relativ gut erhalten aufgefunden.

Ergebnis der Registrierung.

Zeit h m s	Luftdruck mm	Seehöhe m	Temperatur C° Rohr-Therm.	Gradient △ t/100 m	Relative Feuchtigkeit %	Ventilation Luftdichte × Vertikalgeschw.	Bemerkungen	Windrichtung und Geschwindigkeit		
0 0 0	718	516	- 0 8		70		Aufstieg. Für die Auswertung bis zu 5000 m war das interessante Hygrogramm massgebend. Das Lamellenthermogramm war unbrauchbar.	516— 730 m	N 53° W	9.1 m
1 2	690	830	- 2.0	0.38	**75**			730—1850 m	N 51° W	11.2 m
		1 000	- 3.5	0.86						
1 50	674	1 020	- 3.6		68					
2 55	652	1 280	- 5.8	0.84	68					
		1 500	- 7.7	0.88						
4 12	624	1 620	- 8.8		**74**					
5 31	601	1 910	- 10.9	0.73	66			1850—3580 m	N 41° W	15.4 m
		2 000	- 11.2	0.37						
6 52	576	2 240	- 12 1		51					
		2 500	- 15.6	1.32						
9 3	527	2 910	- 21.0		50					
		3 000	- 21.5	0.59						
10 58	486	3 500	- 24.5		43			3580—4240 m	N 36° W	17.2 m
12 37	455	3 980	- 26.7	0.46	42					
		4 000	- 26.8	0 42				4240—5240 m	N 22° W	20.9 m
15 26	395	5 000	- 31.0		46					
16 31	374	5 830	- 31.5	0.13	46			5240—6570 m	N 13° W	40.8 m
18 16	346	5 930	- 34.4	0.53	43					
		6 000	- 34 3	- 0.15						
20 44	306	6 790	- 33.1		42		Hygrogramm von hier ab unbrauchbar.	Ballone heben sich nicht mehr ab		
		7 000	- 34.7	0.76						
		8 000	- 42 3							
25 52	231	8 700	- 47.7				Barogramm von hier ab verwaschen. Die folgenden Höhen sind unter Annahme einer Steiggeschwindigkeit von 6,1 m extrapoliert, die zwischen 5930 und 8700 m herrschte. Bei 8700 m wohl Ende der Troposphäre, wenn auch zunächst noch schwache Temperaturabnahme.			
		9 000	- 48.4	0.25						
		10 000	- 50.9							
31 25		10 730	- 52.7							
		11 000	- 51.8	- 0.35						
34 38		**11 910**	- 48.6			20	Höchster Punkt.			
1 9 0							Landung.			

Wenn man nur die Wetterkarte vom 2. April 1908 betrachten würde, würde man die Ausbildung eines kontinentalen barometrischen Maximums erwarten. Es schob sich von der Biskaya See her kräftig hoher Druck nach Zentraleuropa herein. Bei solchen Situationen pflegt die Stratosphäre hoch zu liegen.

Statt dessen wurde am Aufstiegstage das Ende der Troposphäre schon in 8700 m erreicht, was durchaus zyklonalem Regime entspricht. In der Tat war auch bereits am 3. April ganz Zentraleuropa wieder in den Bereich einer tiefen nördlich von Schottland gelegenen Depression gekommen. Der hohe Druck vom 2. April war lediglich ein Temperaturaffekt — die Wirkung eines Kälteeinbruches (Zugspitze am 1. -11^0, am 2. -18^0, am 3. bereits wieder -9^0).

In solchen Fällen wäre eine Temperaturregistrierung für die Aufstellung der Prognose von höchstem Werte, um zu entscheiden, ob man ein dynamisches oder thermisches barometrisches Maximum vor sich hat.

Von Interesse bei solchen raschen Veränderungen ist der Temperaturvergleich gleicher Höhen:

	516 m	1	2	3	4	5	6	7	8	9	10	11	12 km
2. April	−0.8	−3.5	−11.2	−21.5	−26.8	−31.0	−34.3	−34.7	−42.3	−48.4	−50.9	−51.8	[−48.3]
3. April	3.2	2.3	— 2.6	— 7.7	−11.8	−17.6	−24.0	−31 9	−39 0	−46.0	−53.0	−57.2	−53.6
Δ	4.0	5.8	8.6	13.8	**15.0**	13.4	10.3	2.3	3.3	2.4	— 2.1	— 5.4	[— 5.3]

Hierin kommt die Abfuhr der vom Kälteeinbruch vom 1. auf 2. herrührenden kalten Luft deutlichst zum Ausdruck. Man beachte wieder die eigenartigen „Kompensationen" (in 4000 m $+15.0^0$, in 11 000 m -5.4^0).

11. Dezember 1909.

Instrument No. 349.

Letzte Prüfung am 2. Dezember 1909.

Temperatur-Korrektion des Aneroïdes:

$$d\,p = -\Delta T\,(0.400 - 0.000\,457 \cdot p).$$

Art, Grösse, Füllung, freie Steigkraft des Ballons: 1 Gummiballon, 1.5 m mit Fallschirm, Wasserstoff; 1.8 kg.

Zeit des Aufstiegs: 8^{01} a M. E. Z.

Witterung beim Aufstieg:

a) Wind, Bewölkung, Form, Richtung und Geschwindigkeit der Wolken etc.: E_0, 10^1 st, nahe am Boden $\equiv_0$.

b) Temperatur beim Aufstieg: — 1.4^0, relative Feuchtigkeit: 92 %.

Temperatur 2 Stunden vor dem Aufstieg: -1.3^0, nach dem Aufstieg: — 1.4^0.

Maximum des Vortages: $+0.2^0$.

Maximum des Aufstiegstages: — 0.9^0 um 11^{10} a.

Minimum des Aufstiegstages: — 3.2^0 um 10^{10} p.

Name, Seehöhe, Entfernung und Richtung des Landungsortes: Häder bei Dinkelscherben 460 m, 75 km, N 72° W.

Dauer des Aufstiegs: $57^m\ 7^s$.

Mittlere Steiggeschwindigkeit: 3,6 m pro Sek.

Grösste Höhe: ca. 13 040 m.

Tiefste Temperatur: -55.9^0 in 12 730 m, -56.3^0.

Ventilation genügt bis zur erreichten Höhe.

Besondere Bemerkungen: Die Temperaturkorrektionen sind an den Luftdruckangaben bereits angebracht. Den Berechnungen liegt das Lamellenthermogramm zugrunde. Das Instrument wurde am 25. Juni 1911 mit noch gut erhaltener Registrierung gefunden.

Ergebnis der Registrierung:

Zeit h m s	Luftdruck mm	Seehöhe m	Temperatur C° Rohr.	Temperatur C° Lam. Therm.	Gradient Δ t/100 m	Relative Feuchtigkeit %	Ventilation Luftdichte × Vertikalgeschw.	Bemerkungen
0 0 0	718	516	-1.4	- 1.4		92		Aufstieg.
		1 000		- 4.7	0.69			
4 13	648	1 330	-7.7	- 7.0		**96**		Kleine Inversion.
		1 500		- 6.9	-0.10			
6 13	620	1 670	-7.3	- 6.7	-1.14	88		Inversion stärker.
7 18	605	1 860	-5.3	- 4.5		76		Gleichmässige und starke Temperaturabnahme.
		2 000		- 5.6				
		2 500		- 9.5				
		3 000		-13.4	0.78			
		4 000		-21.2				
		5 000		-28.9				
		6 000		-36.7				
33 23	299	6 990	-44.9	-44.4		54		Beginn der Stratosphäre (?), welche stark geschichtet ist. (Typus IV.)
		7 000		-44.4	-0.15			
34 19	293	7 120	-44.7	-44.2	-0.21	53		
36 47	271	7 650	-44.1	-43.1		53		Neuerliche Temperaturabnahme.
		8 000		-44.1	0.30			
38 47	249	8 210	-45.3	-44.8	0 63	52		
40 10	234	8 620	-47.4	-47.4		51		
		9 000		-48.6	0.32			
42 10	219	9 060	-49.0	-48.8		51		Weitere Schichtungen

Zeit h m s	Luftdruck mm	Seehöhe m	Temperatur C° Rohr.	Lam. Therm.	Gradient △ t/100 m	Relative Feuchtigkeit %	Ventilation Luftdichte × Vertikalgeschw.	Bemerkungen
42 10	219	9 060	-49.0	-48.8		51		Weitere Schichtungen.
					-0.33			
42 34	215	9 180	-49.0	-48.4		51		
					0.48			
45 25	191	9 960	-52.1	-52.1				
		10 000		-52.1	-0.10			
47 11	180	10 340	-52.0	-51.7				
					-0.30			
48 21	172	10 630	-51 7	-50.8				
		11 000		-52.9	0.56			
51 24	149	11 560	-55.5	-56.0				
		12 000		-54.8	-0.28			
53 53	137	12 090	-54.9	-54.5				
					0.28			
56 9	124	12 730	-55.9	-56.3				Tiefste Temperatur.
		13 000		-55.9	-0 16		0.7	
57 7	118	**13 040**	-55.9	-55.8				Höchster Punkt Beim Abstieg werden die einzelnen Schichtungen der Stratosphäre wieder angetroffen.
1 23 12		460						Landung.

Die Registrierung dieses Tages beansprucht höchstes Interesse wegen des unscharfen Beginnes der Stratosphäre. Das Diagramm gehört — wie das am 10. Dezember 1909 — dem Typus IV an von R 1909 S. 29.

Am 10. Dezember hörte die normale starke Temperaturabnahme auf in 7050 m Höhe bei — 46.2°, am 1. Dezember in 6990 m bei — 44.4°. Es war also gegen den Vortag nur wenig Änderung eingetreten.

Zum Verständnis dieser Erscheinung sei die Wetterlage kurz in das Gedächtnis gerufen: für unser Gebiet war bestimmend eine Mittelmeerdepression, trotzdem wir uns, absolut gesprochen, in einem intensiven barometrischen Maximum befanden (> 765 mm). Dabei war gleichzeitig die Vorderseite einer tiefen über den britischen Inseln liegenden Depression zu beachten, die gegen den Vortag nach dem Kontinente zu an Raum gewonnen hatte.

Die ganze Verlegenheit, in der wir uns befinden würden, wenn wir angeben sollten, welchem Isobarensystem unser Aufstiegsort an diesem Tage zuzuweisen wäre, ist in den Schichtungen der tiefeinsetzenden Stratosphäre zum Ausdruck gebracht: die Zugehörigkeit zur Mittelmeerdepression in dem Beginne schon in ca. 7000 m, dabei doch die Abhängigkeit von der Vorderseite der atlantischen Depression in der weiteren Temperaturabnahme.

Für irgendwelche Statistiken über Höhe, Eintrittstemperatur usw. der Stratosphäre müssen solche Tage ausscheiden.

Es ist sehr zu bedauern; dass die Witterung eine Visierung unmöglich machte.

6. Oktober 1910.

Instrument No. 131.

Letzte Prüfung am 1. August 1910.

Temperatur-Korrektion des Aneroïdes:

$$d\,p = -\Delta T\,(0.390 - 0.000457 \cdot p).$$

Art, Grösse, Füllung, freie Steigkraft des Ballons: 1 Gummiballon mit Fallschirm, 1.5 m Durchmesser, Wasserstoff; 0.7 kg.

Zeit des Aufstiegs: 8^{02} M. E. Z.

Witterung beim Aufstieg:

a) Wind, Bewölkung, Form, Richtung und Geschwindigkeit der Wolken etc.: $NE_{0\text{-}1}$, meist C, 7° cu st rasch veränderlich, Bewölkung.

b) Temperatur beim Aufstieg: 6.2°; relative Feuchtigkeit: 90%.

Temperatur 2 Stunden vor dem Aufstieg: 4.6°, nach dem Aufstieg: 9.3°.

Maximum des Vortages: 11.2°.

Maximum des Aufstiegstages: 12.0° um 2 bis 3 p.

Minimum des Aufstiegstages: 4.0° um 2 a.

Name, Seehöhe, Entfernung und Richtung des Landungsortes: Bezau in Vorarlberg, 435 m, 150 km, S 49° W.

Dauer des Aufstiegs: $47^{m}\ 36^{s}$.

Mittlere Steiggeschwindigkeit: 4.1 m.

Grösste Höhe: 12 280 m.

Tiefste Temperatur: — 58.4° in 12 280 m.
— 56.1°.

Ventilation genügt bis zur erreichten Höhe.

Besondere Bemerkungen: Die Temperaturkorrektionen an den Luftdruckangaben sind bereits angebracht. Den Berechnungen liegt das Lamellenthermogramm zugrunde. Das Instrument wurde am 23. Juni 1911 mit gut erhaltener Registrierung gefunden.

Ergebnis der Registrierung.

Zeit h m s	Luftdruck mm	Seehöhe m	Temperatur C° Rohr.	Temperatur C° Lam. Therm.	Gradient △ t/100 m	Relative Feuchtigkeit %	Ventilation Luftdichte × Vertikalgeschw.	Bemerkungen
								Windrichtung und Geschwindigkeit
0 0 0	724	516	6.2	6.2		90		Aufstieg, kleine Temperaturgradienten. 516— 880 m N 55° E 7.2 m
1 9	701	780	5.4	5.5	0.27	**96**		880—1100 m N 70° E 8.0 m
		1 000		5.2	0.12			
2 15	680	1 030	5.2	5.2		83		1100—1420 m N 70° E 8.8 m
		1 500		1.6				1420—1680 m N 80° E 7.5 m
		2 000		− 2.2	0.76			1680 - 2270 m N 59° E 10.4 m
		2 500		− 6.0				2270—3430 m N 65° E 12.7 m
8 46	563	2 530	− 7.0	− 6.1	-0.75	87		Inversion.
9 40	546	2 770	− 4.5	− 4.3		50		Weitere Verfolgung durch starken Dunst unmöglich.
		3 000		− 5.1				
		4 000		− 8.7	0.36			
		5 000		−12.3				
18 52	395	5 280	−13.7	−13.4		18		
		6 000		−17.6	0.58			
23 46	329	6 650	−22.0	−21.4		16		
		7 000		−24.2	0.81			
26 34	296	7 410	−27.7	−27.6	0.62	17		
29 32	274	7 970	−30.6	−31.0		16		
		8 000		−33.5	0.97			
30 36	263	8 250	−33.6	−33.8	0.67	16		
32 1	251	8 580	−35.4	−36.0		15		Hygrogramm weist keine Details mehr auf.
		9 000		−39.8	0.90			
33 38	233	9 090	−40.1	−40.6				
		10 000		46.3	0.63			
		11 000		−52.7				
43 10	170	11 180	−52.4	−53.8	0.19			
44 54	158	11 640	−52.7	−54.7				
		12 000		−57.3	0.72			
46 32	147	12 100	−56.1	−58.0	0.23			Beginn der Stratosphäre?
47 36	143	**12 280**	−56.1	−58.4			0.9	Höchster Punkt.
1 7 42								Landung.

Am Südrande eines kontinentalen barometrischen Maximums — damit ist die Wetterlage charakterisiert, welche für München gegeben war. Tags vorher hatten noch ziemlich kräftige Niederschläge stattgefunden auf der Rückseite einer nach Osten abziehenden Depression. Damit war auch ein Kälteeinbruch verbunden, der an Erde etwa 7° betrug und noch in Zugspitzhöhe mit 4° Temperaturerniedrigung sich geltend machte.

Allgemeine Ergebnisse der Fahrten von 1906—1911.

Jährlicher Gang der Temperatur in verschiedenen Höhen (1906—1911).

	51/3	1	2	3	4	5	6	7	8	9	10	11	12	13	14	15	16	17
Januar	− 4.8(9)	− 3.4(9)	− 5.5(9)	− 9.9(9)	−15.0(9)	−21.4(9)	−28.8(8)	−36.6(8)	−44.9(8)	−52.7(8)	**−57.6**(7)	−59.5(5)	−56.7(5)	−56.5(5)	−59.2(2)			
Februar	− 5.3(7)	− 5.6(7)	− 8.0(7)	−11.5(7)	−16.6(7)	−22.8(6)	−29.6(6)	−36.6(6)	−44.2(6)	−50.0(6)	−52.8(5)	−55.1(5)	−57.7(2)	−52.7(2)	−53.1(1)	−55.6(1)	−58.1(1)	
März	3.8(7)	1.3(7)	− 4.1(7)	−10.2(7)	**−17.0**(7)	−23.4(7)	−30.9(7)	−38.5(7)	−46.0(7)	−51.4(6)	−52.7(6)	−52.3(4)	−52.1(4)	**−50.2**(2)				
April	4.7(7)	2.4(7)	− 4.0(6)	−11.1(6)	−17.2(6)	−23.2(6)	−30.2(6)	−37.1(6)	−44.8(6)	−49.2(6)	−51.0(6)	−54.8(4)	−53.3(4)	−56.8(1)	−55.3(1)	−54.2(1)	−55.0(1)	−55.8(1)
Mai	12.2(11)	11.2(11)	5.4(11)	− 0.5(11)	− 6.4(10)	−13.0(10)	−19.6(10)	−26.6(10)	−33.7(10)	−41.2(10)	−48.4(9)	−54.0(8)	−57.8(8)	−55.5(7)	−52.9(4)	−50.9(3)	−50.8(3)	−50.9(3)
Juni	15.8(8)	12.9(8)	8.3(7)	1.3(7)	− 2.9(7)	− 8.8(7)	−15.6(7)	−22.3(7)	−30.0(7)	−37.2(7)	−44.7(7)	−51.5(7)	−56.0(6)	−56.1(6)	−56.3(5)	−54.7(3)	−57.4(1)	
Juli	**16.0**(18)	**13.9**(18)	**8.7**(17)	**2.6**(17)	− **2.8**(17)	− **8.1**(17)	**−14.6**(17)	**−21.6**(17)	**−28.6**(16)	−36.4(16)	−44.5(16)	−51.2(16)	−54.1(14)	−53.8(9)	−52.1(5)	−50.9(3)	−50.2(2)	−47.2(1)
August	14.9(10)	12.1(10)	6.2(10)	0.6(9)	− 4.8(9)	− 9.8(9)	−15.5(9)	−21.9(9)	−28.8(8)	**−36.2**(8)	**−43.2**(8)	−49.7(8)	**−52.3**(6)	**−50.9**(5)	−52.0(4)	−51.6(3)		
September	13.7(11)	12.0(11)	7.1(11)	1.2(11)	− 4.5(11)	−10.2(11)	−16.0(11)	−22.7(10)	−29.7(10)	−37.3(10)	−44.2(10)	**−49.2**(10)	−54.4(8)	−57.3(7)	−57.5(6)	−55.4(5)	−52.8(4)	−52.5(3)
Oktober	9.9(9)	10.2(9)	5.9(9)	1.4(9)	− 3.8(9)	− 9.3(9)	−15.7(9)	−22.1(9)	−28.9(9)	−36.2(8)	−43.4(8)	−50.4(8)	−55.7(7)	−58.0(5)	−59.4(4)	−56.3(2)	−55.0(2)	−54.8(2)
November	2.1(9)	5.0(9)	1.8(9)	− 4.4(9)	−11.1(9)	−18.0(9)	−25.1(9)	−31.6(9)	−37.8(9)	−43.2(9)	−48.4(9)	−53.7(9)	−57.4(5)	−57.2(4)	−55.6(3)	−56.2(3)		
Dezember	− 0.2(15)	1.1(15)	− 4.0(15)	−10.0(15)	−16.3(15)	−23.0(14)	−30.1(13)	−37.5(13)	−43.5(13)	−48.9(12)	−53.4(11)	−56.2(9)	−59.4(7)	−60.6(6)	−58.8(3)	−57.2(1)		
Jahr	7.7	7.0	2.2	− 3.6	− 9.3	−15.2	−21.7	−28.8	−35.9	−42.5	−48.1	−52.6	−55.5	−55.8	−55.6	−54.0	−53.2	−52.3
Anzahl der Fahrten	121	121	118	117	116	114	112	111	109	106	102	93	76	59	38	25	14	10
Gradient		0.14	0.48	0.58	0.57	0.59	0.65	**0.71**	**0.71**	0.66	0.56	0.45	0.29	0.03	−0.02	−0.16	−0.08	−0.09
Schwankung	**21.3**	19.5	16.7	14.1	14.2	15.3	16.3	16.9	**17.4**	16.5	14.4	10.3	7.1	10.4	?	?	?	?

Wie ein Vergleich mit den im Vorjahre zusammengestellten fünfjährigen Reihen erkennen lässt, dürfen die Jahresmittel der Temperatur bis hinauf zu 12 km, die mittleren Gradienten bis zur gleichen Höhe (ausgenommen die erdnächsten Schichten) bereits als recht verlässig gelten.

Auch der Gang der periodischen Temperaturschwankung liegt wohl fest: ein Maximum am Erdboden, Abnahme bis zu 3 km, von da Ansteigen bis zu einem zweiten in 8 km gelegenen Höchstwerte, darauf sehr rasche Abnahme.

Die Monatsmittel liegen naturgemäss noch nicht fest, wohl aber die ungefähre Eintrittszeit der höchsten und tiefsten Temperatur.

Oberhalb 13 km gibt es wohl keine „Jahreszeiten" mehr im Sinne einer Abhängigkeit vom Sonnenstande; massgebend wird dort die periodisch sich verändernde Luftdruckverteilung werden. Unsere Fahrten reichen aber nicht aus, um eine nähere Begründung der Hypothese zu ermöglichen.

Mittleres Ende der Troposphäre.

(Entnommen der obenstehenden Tabelle.)

	Seehöhe	End-temperatur	Anzahl der Fahrten
Januar	11 km	−59.5	5
Februar	12 km	−57.7	2
März	10 km	**−52.7**	6
April	11 km	−54.8	4
Mai	12 km	−57.8	8
Juni	**14** km	−56.3	5
Juli	12 km	−54.1	14
August	12 km	**−52.3**	6
September	**14** km	−57.5	6
Oktober	**14** km	−59.4	4
November	12 km	−57.4	5
Dezember	13 km	−60.6	6
Jahr	13 km	−55.8	59

Es scheint festzustehen, dass die absolut tiefste Lage der Stratosphäre im März eintritt, während das Maximum der Höhe im Juni bezw. im Herbste zu beobachten ist.

Messungen mit einem neuen einfachen Verdunstungsmesser.

Von **W. Gallenkamp.**

Der Apparat sei zunächst an der Hand der Zeichnung (Fig. 1) beschrieben. G ist eine Glasscheibe mit zentralem Loch, das mit einem Glasrohr R vermittelst eines Messingrohrs M kommuniziert, welches durch einen Hahn H und Gummischlauch S mit dem Wasserreservoir W in Verbindung steht. Das Glasrohr R liegt auf einer Millimeterskala Sk, die durch entsprechende Stützen T auf dem Dreifuss D ruht und durch die Regulierschraube r genau horizontal gestellt werden kann. Ist dann das Rohr R und M mit Wasser gefüllt, so liegt der Spiegel in M einige Millimeter unterhalb der Öffnung der Glasscheibe. Auf diese wird ein vorher angefeuchtetes Filter F blasenfrei aufgelegt und durch ein oder zwei schmale Filtrierpapierstreifchen, die in das Rohr M eintauchen, dauernd feucht gehalten. Bei Verdunstung von der Filteroberfläche wird aus dem Rohr R entsprechend Wasser nachgesogen, was sich in einem Zurückgehen des Wasserfadens in R messbar äussert. Nach den Beobachtungsterminen resp. jedesmal, wenn der Wasserfaden in die Nähe des Skalenteils 500 (das Skalenende) gekommen ist, wird einfach das Wasserreservoir aus seinem Halter in die Höhe gehoben, der Hahn H geöffnet, bis das Ende des Wasserfadens wieder auf 0 oder einen beliebigen, in der Nähe liegenden Teilstrich zurückgebracht ist, und dann H wieder geschlossen. Aus der Fläche der Filterscheibe und dem Volumen der Verschiebung des Wasserfadens in der Röhre R, die vorher auskalibriert ist, lässt sich die Grösse der Verdunstung in Millimeter Höhe berechnen resp. aus Tabellen direkt ablesen.

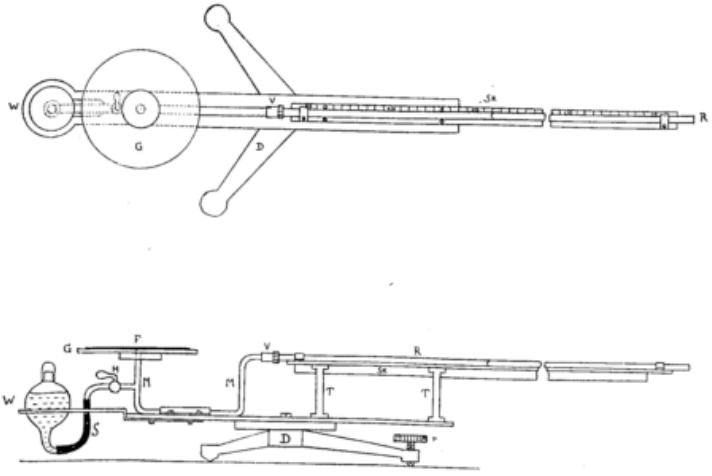


Fig. 1.

Die Grösse des Messbereichs lässt sich einerseits durch verschieden grosse Filterscheiben, andrerseits durch verschieden weite Glasrohre R, die in der Verschraubung V ausgewechselt werden können, beliebig verändern; für genauere kürzere Messungen wird eine grosse Scheibe (bis zu 10 cm im Durchmesser) und enge Rohre, für längere Beobachtungsintervalle (1 mal täglich) kleinere Scheiben und weitere Rohre (letztere allerdings nicht unter 4 mm lichte Weite, da sich sonst der Meniskus nicht richtig bildet und der Wasserfaden sich teilt) verwendet werden.

Bezüglich des Temperatureinflusses lässt sich sagen, dass die ganze Wassermenge so gering ist, dass die grössten täglichen Temperaturschwankungen nur Änderungen des Wasserfadens bewirken, die gegenüber den durch die Verdunstung bewirkten so gut wie verschwinden.

Wie alle Verdunstungsmesser, die mit Volumänderungen des Wassers arbeiten, versagt auch dieser bei Frost. Es wäre möglich, dass ein Zusatz von Glyzerin oder dergl. zum Wasser, wenigstens für nicht zu strengen Frost, eine Messung auch im Winter ermöglichen könnte. Natürlich müsste das Verdunstungsverhältnis dieser bestimmten Glyzerinmischung zu der von reinem Wasser ermittelt werden. Übrigens sind, meiner Ansicht nach, instrumentelle Verdunstungsmessungen bei Frost für praktische Zwecke überhaupt illusorisch; einmal des sehr geringen Betrages wegen, sodann weil in der Natur die Verdunstung im Winter ja fast nie von einer glatten blanken Eisfläche, wie z. B. im Wägatmometer, sondern von Schneeflächen erfolgt, die eine ganz andere und viel wechselndere Oberfläche haben, wie sie ein Instrument überhaupt nicht reproduzieren kann.

Die erste Frage, die sich erhebt, ist die, ob die Filterscheibe mit ihrer relativ rauhen Oberfläche (natürlich wird man das feinste Papier wählen, z. B. die tadellosen und stets gleichen Analysenfilter von Schleicher und Schüll) ohne weiteres mit einer freien Wasserfläche vergleichbar ist. Von vornherein muss man annehmen, dass, eben weil die Oberfläche des Papiers rauh ist, die letztere grösser ist als eine Wasserfläche von gleichen Dimensionen (wenn auch durch das Wasser eine nicht unbeträchtliche Ausgleichung der Unebenheiten erfolgt). Eine direkte Vergleichsmessung ergab denn auch beträchtliche Unterschiede: Bei Verdunstung einer Wasserfläche in einem Metallschälchen von 51.5 qcm ergab

sich in 12 h ein Gewichtsverlust von 0.920 ccm, während in der gleichen Zeit der unmittelbar daneben gestellte Filterverdunstungsmesser mit einer Verdunstungsfläche von 63 6 qcm einen Verlust von 1,300 ccm ergab. In gleicher Weise ergab sich in einem darauf folgenden Versuch in 24 h bei der Wasserfläche 2.160 ccm, bei der Filterfläche 3,110 ccm, oder auf die gleiche Oberfläche von 100 qcm reduziert

bei Wasser in 12 h 1.79, in 24 h 4.19 ccm Verlust,
„ Filter „ 12 „ 2.06, „ 24 „ 4.89 „ „ .

das ist ein Überschuss von Filter gegenüber Wasser von 13 % im ersten, von 14.4 % im zweiten Falle (ungefähr die gleichen Werte, die Krebs in der unten besprochenen Arbeit findet).

Nun ist aber zu bedenken, dass, während die Verdunstung der ganz frei liegenden Filterscheibe unbehindert vor sich geht, die Verdunstung in dem Metallschälchen, wenn es auch so voll gefüllt war, dass es nur mit äusserster Vorsicht zur Wage getragen werden musste, durch den Randschutz beeinträchtigt werden muss. Das zeigt sich auch schon darin, dass beim zweiten Versuch, als der Wasserspiegel, wenn auch minimal, weiter gesunken war als beim ersten Versuch, die Differenz etwas grösser war. Die Wirkung des Randschutzes lässt sich nun fast eliminieren, wenn man einen kräftigen Luftstrom gegen die Schale blasen lässt. Es wurden also Metallschälchen und Verdunstungsmesser unmittelbar nebeneinander dem Luftstrom eines elektrischen Ventilators ausgesetzt. Dann ergab sich in der gleichen Zeit (ca. 1 ½ Stunde) auf 100 qcm bezogen

bei der Wasserfläche 5.10 ccm Verdunstung,
„ „ Filterfläche 5.24 „ „ .

Die Differenz ist jetzt nur 2.6 %, so dass für praktische Zwecke die Filterfläche der Wasserfläche gleichgesetzt resp. die Filterfläche als das Ideal einer randschutzlosen Wasserfläche angesehen werden kann.

Um einige Angaben über Messungsdimensionen und Genauigkeit meines Apparates zu geben, sei bemerkt, dass bei einer Filterscheibe von 9 cm Durchmesser und einer lichten Weite des Rohres R von 2.9 mm 1 mm Verdunstungshöhe einer Verschiebung des Wasserfadens von 952.4 mm entspricht; da ⅓ mm Verschiebung noch leicht zu messen ist, ergibt sich eine Genauigkeit, die jene der Wägatmometer weit hinter sich lässt. Beispielsweise gebe ich in den Fig. 2 und 3 den Verlauf der Verdunstung vom 9. Oktober bis 6. November vorigen Jahres (unterbrochen durch eine Frostperiode von 6 Tagen) und eine auf ½ stündigen Beobachtungen basierende Verdunstungskurve vom 15. Oktober. Ich bemerke, dass sich das tägliche Verdunstungsmittel der genannten Beobachtungsreihe (mit Ausschluss des abnorm föhnigen 6. Novbr.) auf 0.944 mm beläuft, und dass davon 85 % auf den Tag (8 a — 8 p), 15 % auf die Nacht (8 p — 8 a) treffen.

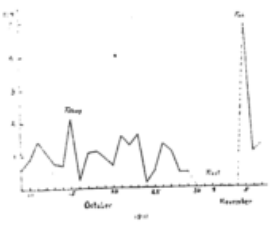


Fig. 2.

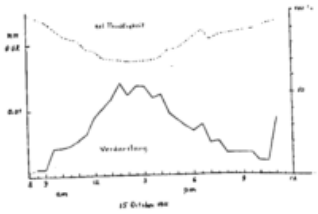


Fig. 3.

Die Messungen mit diesem Apparat veranlassten mich zu einem Vergleich mit dem von Krebs (Meteorol. Zeitschr. 1905, p. 211 ff.) vorgeschlagenen Doppelthermometer (trocken und feucht), dessen Temperaturdifferenz ebenfalls die Verdunstung messen sollte, insofern als 1 ° dieser Differenz ungefähr = 2 mm Verdunstung in 24 h sein sollte. (Frühere Vergleiche durch Köppen u. a. mit Psychrometern in den üblichen Beschirmungshütten ergaben hierfür Werte von nur 1 mm oder noch weniger.) Diese allgemeine Angabe kann insofern nicht richtig sein, als der neben Temperatur und Luftfeuchtigkeit überwiegende Faktor der Wind ist, der in der Krebsschen Formel allerdings angegeben, aber in den Resultaten nicht berücksichtigt resp. nur ein mittlerer Wert von 2—3 m/s angenommen zu sein scheint.

Diesem Einfluss des Windes gelten die folgenden Versuche.

Zunächst ein Vergleich des Verdunstungsmessers mit dem Doppelthermometer bei Windstille:

T (trocken) = 19.1° C
t (feucht) = 15.1° C } Differenz = 4° Verdunstung in 24 h = 8 mm

Verdunstungsmesser, gleichzeitige Verdunstung in 15 Min. = 15 Skalenteile, in 24 h = 1.512 mm, beides im (geheizten, gleichmässig temperierten) Zimmer bei ganz ruhiger Luft. Also ein ganz gewaltiges Minus seitens des Verdunstungsmessers.

Nun wurde vermittelst des elektrischen Ventilators ein Luftstrom auf die nebeneinander gestellten Apparate geblasen; W^1 bedeutet den Luftstrom bei der ersten Schaltung, d. h. Benutzung der halben Wicklung des Ventilators, W^2 die bei ganzer Wicklung desselben, beides unter Vorschaltung einer 25 K-Kohlenfadenlampe als Widerstand.

T = 18.7° C
t = 15.9° C bei Windstille, Verdunstung in 24 h = 5.6 mm
= 13.8° C „ W_1 „ „ 24 „ = 9.8 „
= 13.7° C „ W_2 „ „ 24 „ = 10.0 „

Beim Verdunstungsmesser ergab sich:

5 Min. = 5 Skalenteile (wie oben) bei Windstille, Verdunstung in 24 h = 1.512 mm
5 „ = 31.7 „ „ W_1 „ „ 24 „ = 9.585 „
5 „ = 36 „ „ W_2 „ „ 24 „ = 10.886 „

Beim Verdunstungsmesser ergab sich also besonders beim Übergang von Windstille zu W^1 ein ganz enorm grösserer Unterschied als beim Doppelthermometer; bei höheren Windstärken überwiegt, nachdem bei mittleren Windgeschwindigkeiten beide Apparate ungefähr gleiche Werte ergeben haben, der Einfluss auf den Verdunstungsmesser.

Dies zeigt noch besser die folgende Reihe. W_1 und W_2 bedeuten das gleiche wie oben, W_3 ist die ganze Wicklung mit Vorschaltung von 2 parallel geschalteten 25 K-Lampen, W_4 dasselbe mit 3 parallel geschalteten 25 K-Lampen. Die Windstärken verhalten sich also in roher Annäherung wie 1 : 2 : 4 : 6.

Verdunstungsmesser:

5 Min. = 2 Skalenteile bei Windstille, Verdunstung in 24 h = 0.605 mm
5 „ = 16.5 „ „ W_1 „ „ 24 „ = 4.993 „
5 „ = 18.5 „ „ W_2 „ „ 24 „ = 5.594 „
5 „ = 22 „ „ W_3 „ „ 24 „ = 6.653 „
5 „ = 22.5 „ „ W_4 „ „ 24 „ = 6.804 „

Doppelthermometer:

T (9.3°) — t = 1.8° bei Windstille, Verdunstung in 24 h = 3.6 mm
„ = 2.3° „ W_1 „ „ 24 „ = 4.6 „
„ = 2.3° „ W_2 „ „ 24 „ = 4.6 „
„ = 2.3° „ W_3 „ „ 24 „ = 4.6 „
„ = 2.3° „ W_4 „ „ 24 „ = 4.6 „

Beim Doppelthermometer sinkt also das feuchte Thermometer nach der Windstärke W_1 überhaupt nicht mehr (oben bei höherer Temperatur auch nur um 0.1°), während der Verdunstungsmesser ständig wachsende Verdunstung anzeigt, wenn sie auch da schliesslich naturgemäss einem Endwert zustreben muss, der aber sehr viel höher liegt als beim Doppelthermometer.

Der Grund für die wesentlich geringere Verdunstung des Atmometers bei Windstille liegt natürlich in der Dampfschicht, die dann über der Filterscheibe unbeweglich liegen bleibt und stärkere Verdunstung verhindert. Sowie diese entfernt wird, findet wesentlich stärkere Verdunstung statt. In dieser Beziehung sind folgende Versuche interessant:

Verdunstungsmesser:

5 Min. bei Windstille = 4.5 Skalenteile = 1.361 mm in 24 h
5 „ „ leisem Fächeln = 16 „ = 4.838 „ „ 24 „
5 „ „ Herumgehen im Zimmer = 9 „ = 2 722 „ „ 24 „

Schon das blosse Herumgehen im Zimmer genügt also, um die Verdunstung der Filterfläche genau um das Doppelte zu erhöhen.

Das Doppelthermometer zeigt diese Unterschiede zwischen Windstille und bewegter Luft nicht. Dadurch, dass beim feuchten Thermometer die Verdunstungsfläche vertikal hängt, findet ein ständiges Aufsteigen des Wasserdampfes, ein ständiges Heruntersinken der kälteren Luft, also eine beständige Luftzirkulation statt, die auch bei äusserer Windstille die wesentlich höheren Werte der Verdunstung ergibt.

Eine interessante Bestätigung erfahren diese Resultate durch Versuche, die ich auf Anregung von Herrn Dr. Schmauss mit vertikalen Verdunstungsflächen unternahm, die sich ja ebenso an meinem Instrument anbringen lassen. Filtrierpapier ist hierbei allerdings ausgeschlossen, da es einmal bei heftigem Wind im feuchten Zustande zu leicht zerreissen würde und in einen Rahmen eingespannt werden müsste, der bei Luftbewegung wieder Randschutzerscheinungen hervorbringen würde. Ausserdem würde eine solche ebene vertikale Fläche je nach der Windrichtung ganz verschiedene Verdunstungen hervorbringen, also gar nicht vergleichbare Resultate liefern. Ich wählte daher eine vertikale zylindrische Fläche und zwar einen kleinen porösen Tonzylinder (7 : 4 cm), wie er für galvanische Elemente verwendet wird. Um die Verdunstung aus dem Innern des Zylinders aufzuheben und eine mit meinem 9-cm-Filter übereinstimmende Fläche herzustellen, überzog ich die ganze Innenfläche und einen Teil der Aussenfläche mit Lack, so dass eine Verdunstungsfläche von 63,3 qcm überblieb. Die Verbindung mit dem Wasserfaden wurde durch ein kleines Wattebäuschchen hergestellt, das in das Rohr M eintauchte und sich oben an die Unterseite des Tonzylinders anlegte.

Es zeigte sich hier zunächst der gleiche Unterschied zwischen vertikalem Tonzylinder und horizontaler Filterfläche bei Windstille. Dauerversuche im ungeheizten Zimmer ergaben für ersteren im Durchschnitt 350—400 Skalenteile Verschiebung, für letztere nur 200—250 pro 12 h. Bei direkt hintereinander im geheizten Zimmer angestellten Versuchen ergab sich im Mittel:

in 30 Min. für das Filter 35.6 Skalenteile Verdunstung
in „ „ „ „ Tonzylinder 67.5 „ „

also ein Verhältnis von 1 : 1.9, ungefähr wie bei den Dauerversuchen. Auch hier bewirkt die Vertikalstellung der Verdunstungsfläche und damit die Möglichkeit von Vertikalströmungen der Luft wieder eine Vergrösserung der Verdunstung.

Das Verhältnis kehrt sich direkt um, wenn, wie oben, ein Luftstrom gegen das Instrument geblasen wurde. Hier zeigte sich bei der Windgeschwindigkeit W_1 (s. o.) im Mittel:

für das Filter in 5 Min. 33.0 Skalenteile Verdunstung
„ den Tonzylinder „ 5 „ 19.7 „ „

Für die Erklärung dieses letzten auffallenden Resultates kommen zwei Umstände in Betracht. Einmal ist bei dem Zylinder ja nur eine Hälfte dem Winde ausgesetzt, während die andere im Windschatten liegt und von der Vorderseite nur dampfgesättigte Luft zugeführt erhält. Der andere Umstand ergab sich aus der Beobachtung, dass, während bei der

Filterfläche nach Abstellen des Ventilators fast sofort Stillstand im Rückgehen des Wasserfadens eintrat, dieser bei dem Tonzylinder dann noch weiter zurückging:

	Stand des Wasserfadens	bei	Beginn		149.5		
	„ „ „	nach	5	Min.	170	Diff.	= 20.5
Ventilator abgestellt	„ „ „	»	10	„	187	„	= 17
	„ „ „	»	15	„	199	„	= 12
	„ „ „	»	20	„	209	„	= 10
	„ „ „	»	25	„	218.5	„	= 9.5
	„ „ „	„	30	„	228	„	= 9.5, dann gleichförmig weiter.

Es dauerte also, nach Abstellung des Ventilators, noch 20 Minuten, bis der Tonzylinder wieder zu seiner, bei Windstille normalen verlangsamten Absaugung übergegangen war. Der Grund liegt darin, dass bei der vertikalen Fläche das Wasser durch die Kapillaren des Zylinders von unten emporgehoben werden muss, was eine gewisse Zeit erfordert. Bei Windeinwirkung erfolgt nun offenbar die Verdunstung schneller, als die Kapillaren nachsaugen können; der Zylinder trocknet also in seinem oberen Teil gewissermassen direkt aus, die verdunstende Fläche wird also kleiner. Nach Abstellen des Ventilators müssen diese ausgetrockneten Stellen erst wieder vollgesogen werden, ehe der normale Gang wieder einsetzen kann; daher das verhältnismässig langdauernde weitere Zurückgehen des Wasserfadens. Beim feuchten Thermometer fällt wegen der geringeren Hubhöhe des Wassers dies weniger ins Gewicht resp. fällt ganz fort, wenn die Umhüllung mit dem Pinsel direkt angefeuchtet wird.

Eine ähnliche Erscheinung zeigte sich bei anderen, ebenfalls von Herrn Dr. Schmauss angeregten, aber noch nicht abgeschlossenen Versuchen, die Verdunstung direkt an der Steighöhe des Wassers in Filterstreifen zu messen. Ein mit Millimeter-Teilung versehener, vertikal aufgehängter Filterstreifen von zirka 15 cm Länge wurde bis zum 0-Punkt in Wasser getaucht, das in ihm bis auf eine durchschnittliche Höhe von 10½ cm aufstieg. Schon hierbei begegnete aber die genaue Messung einigen Schwierigkeiten. Mit so schöner geradliniger Begrenzung das Wasser zuerst langsam in die Höhe stieg, so zeigte sich, dass das Maximum der Erhebung zu sehr von den gerade dort herrschenden Papierverhältnissen abhängt; die Begrenzungslinie ist nicht mehr geradlinig, sondern verläuft unregelmässig wellig, so dass die Ablesung schon erschwert ist. Bei verstärkter Verdunstung, wie sie im künstlichen Luftstrom herbeigeführt wurde, sank die Begrenzungslinie schon, wenn auch nur um ca. 2 cm, aber statt der scharfen Absetzung zwischen trockener und feuchter Fläche zeigte sich ein breiter verwaschener Streifen, stellenweise mit trockenen Stellen, der eine genaue Ablesung überhaupt illusorisch macht. Auch hier ist der Grund wieder, dass die Kapillarkraft des Papiers nicht schnell genug die Hebungsarbeit leisten kann, um momentan so viel Wasser nachzusaugen, als verdunstet. Auf dieser Tatsache basiert ja die Verwendungsmöglichkeit der Idee überhaupt; denn wenn das kapillare Emporsteigen des Wassers mit ∞ grosser Geschwindigkeit verliefe, so würde die Maximalhöhe bei allen Verdunstungsgeschwindigkeiten stets die gleiche bleiben. Dass die Steiggeschwindigkeit aber nicht ausreicht, um das Papier völlig mit Wasser gesättigt zu halten, besagt noch nicht, dass sie nicht genügt, um es halb- oder viertelgesättigt zu halten. Diese ungenügende Sättigung zeigt sich eben in dem verwaschenen Streifen, der eine Messung nicht mehr zulässt.

Die Vertikalstellung der Verdunstungsfläche erweist sich also im allgemeinen als nicht günstig, insofern sie bei Windstille zu viel, bei Wind zu wenig Verdunstung anzeigt. Etwas anderes ist es, wenn, wie beim Psychrometer, in jedem Falle eine Vertikalzirkulation der Luft erwünscht ist.

Diese Vertikalzirkulation ist bei Messung der Verdunstungs**kälte** für psychrometrische Zwecke natürlich ein Vorteil, aber bei Verdunstungsmessungen als solchen interessiert uns diese nicht. Was wir, auch in der Natur, messen müssen, sind ja im wesentlichen Verdunstungen von horizontalen Wasserflächen, über denen sich bei Windstille mehr oder weniger auch stets ruhende Dampfschichten ausbilden, genau wie beim Verdunstungsmesser. Ich glaube daher, dass sich der Verdunstungsmesser mehr den natürlichen Verhältnissen anpasst als das Doppelthermometer. Schon dass letzteres in absolut ruhender Luft eine grosse Verdunstung anzeigt und anzeigen muss, ist nicht, wie Krebs meint, ein Vorteil, sondern beweist, dass es eigentlich ein direktes allgemein gültiges Mass für die Verdunstung nicht bilden kann. Besonders die allgemeinere Einführung der Aspirationspsychrometer macht Verdunstungsmessungen mit diesen illusorisch, weil sie alle mit einer ständig gleichen Windgeschwindigkeit arbeiten, gleichgültig ob draussen Windstille oder Sturm herrscht, weil sie also den Einfluss des Windes überhaupt ganz ausschalten. Wollte man aber bei jedem Doppelthermometer ein Anemometer anbringen, so würde aus dem einfachen Instrument, als welches ersteres ja grosse Vorzüge hätte, ein recht kompliziertes. Den Vorzug des Verdunstungsmessers, dass er selbsttätig die wirklich verdunstete Wassermenge in z. B. 24 h summiert, besitzt das Doppelthermometer auch nicht. Es gestattet nur momentane Beobachtungen, aus denen sich eventuell Mittelwerte bilden lassen. Genauere Daten lassen sich auch hier nur mit selbstregistrierenden Psychrographen, also wieder recht komplizierten Instrumenten, gewinnen.

Wenn auch Temperaturdifferenz und Verdunstungsgrösse im allgemeinen und durchschnittlich selbstverständlich parallel gehen, so glaube ich nach obigem doch nicht, dass im einzelnen das Doppelthermometer den Verdunstungsmesser ersetzen kann.

Der sehr grosse Einfluss der Windgeschwindigkeit zeigt auch, dass geschützt aufgestellte Verdunstungsmesser nicht richtige Werte ergeben können, dass vielmehr eine, vielleicht gegen direkte Sonnenbestrahlung und gegen direkten Regen geschützte, aber im übrigen völlig freie Aufstellung erforderlich ist.

Die tägliche Niederschlagsperiode in München.

Von **W. Gallenkamp.**

In dem Kassnerschen Aufsatze „Über die Regenbogenhäufigkeit in Norddeutschland" in No. 11 der Meteorolog. Zeitschrift 1911 findet sich, zur Erklärung der grösseren Regenbogenhäufigkeit am Nachmittag, ein Resultat, wonach zunächst für die Gegend von Danzig die schwächeren Regen am Vormittag, die stärkeren am Nachmittag häufiger seien. Dies veranlasste mich, die 3jährigen Registrierungen meines Regenregistrierapparates (Prinzip der Tropfenzählung, s. Meteorol. Zeitschr. 1905 p. 1 ff.) daraufhin durchzugehen.

Als Zeitabschnitte wählte ich die Quartale März—Mai, Juni—August, September—Oktober der Jahre 1908, 1909, 1910. In letzterem Jahre fehlen leider wegen Abwesenheit die Aufzeichnungen für Juli und den grössten Teil des August. Da es sich aber lediglich um qualitative Vergleiche handelt und nur Relativzahlen benutzt werden, so macht der Ausfall nicht viel aus. Als Regenstufen wählte ich solche bis 0.1 mm (<0.1), solche von 0.1—1.0 mm (<1.0) und solche über 1.0 mm (>1.0) per Stunde. Die Zahlen im folgenden beziehen sich nicht auf Regenmenge, sondern auf Regenhäufigkeit, also die Anzahl Stunden, in denen Regen der betreffenden Stufengrösse innerhalb des jeweiligen Zeitraumes gefallen ist.

Ich gebe in Tab. I—III zunächst das gesamte, von den Registrierstreifen ausgezählte Material.

Tab. IV—VI geben in gleicher Weise für jede Stunde jeden Quartals jeden Jahres und für jede Regenstufe die aus den ersten 3 Tabellen berechnete prozentuale Häufigkeit, Tab. VIII das Stundenmittel der 3 Jahre für jede Stufe und Totalmittel.

Tab. VII gibt uns zuvor noch einen Überblick über die Verteilung der einzelnen Regenstufen auf die Gesamthäufigkeit. Es zeigt sich, dass die Zahl der mittleren Regen von 0.1—1.0 mm beträchtlich überwiegt und dass die Zahl der starken Regen relativ gering ist; ferner dass in den heissen Monaten die letzteren an Häufigkeit zunehmen gegenüber den beiden andern Quartalen, wo die schwächeren Regen an Zahl zunehmen.

Täb. IX und X geben Zusammenfassungen für 3- und 6stündige Intervalle (s. u.), Tab. XI eine solche für die Tagesstunden (6 a—6 p) und die Nachtstunden (6 p—6 a), aus der sich, wie bekannt, ergibt, dass im allgemeinen die Regenhäufigkeit in der Nacht (6 p—6 a) grösser ist wie am Tag (6 a—6 p); für mittlere Regen sind die Zahlen der Häufigkeit so gut wie gleich.

Bei den Kassnerschen Angaben handelte es sich um den Gegensatz der verschiedenen Regenstufen vormittags (6—12 a) und nachmittags (12—6 p). Tab. XII gibt die entsprechenden Zahlen. Es ergibt sich auch hier in der Tat, dass für schwächere Regen (<0.1 mm) die Vormittagshäufigkeit (25.5 %) grösser ist als die Nachmittagshäufigkeit (21.0 %), dass dagegen für starke Regen (>1.0 mm) die erstere (17.3 %) umgekehrt kleiner ist als die letztere (26.9 %).

Tab. XIII gibt analog Tab. XI die relative Regenhäufigkeit für die Zeiten von Mitternacht bis Mittag (12—12a) einerseits und von Mittag bis Mitternacht (12—12 p) andrerseits. Hier sehen wir wieder die gleiche Verschiedenheit der 3 Stufen wie oben zwischen Vor- und Nachmittag. Während die wachsende Tageshälfte für die schwächsten Regen eine Häufigkeit von 53.5 %, die abnehmende von 46.5 % aufweist, zeigen die starken Regen für erstere 41.0 %, für letztere 59.0 %, also wieder das entgegengesetzte Verhalten.

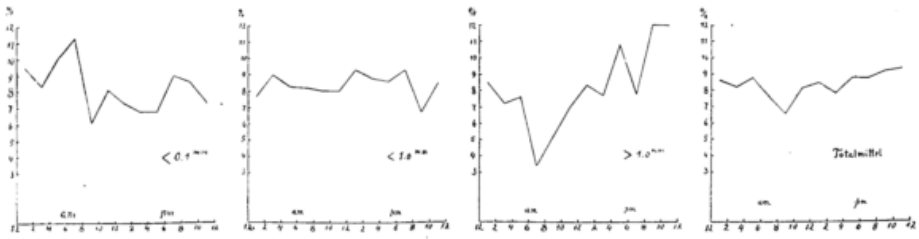
Diese beiden Tatsachen sind der Ausdruck eines allgemeineren Gesetzes, das sich schon beim Anblick der Tab. IX und X ergab. Aus diesen sieht man, dass das Maximum der Regenhäufigkeit um so weiter in die späteren Tagesstunden fällt, je stärker der Regen ist.

Diese Verhältnisse zeigen noch deutlicher die auf Grund der Tab. XIV für 2stündige Intervalle gezeichneten Kurven, aus denen man sieht, wie das morgenliche Maximum der schwächsten Regen sich bei mittleren in die Mittagsstunde verschiebt, um bei den stärksten Regen weit in die Abendstunden hinein zu wandern.

Die nach Tab. XV konstruierte Mittelkurve für alle Regenstufen verwischt natürlich diese Unterschiede wieder; sie zeigt nur noch das allgemeine nächtliche Maximum und vormittägliche Minimum.

Die Erklärung für diese Gegensätzlichkeit der verschiedenen Tageszeiten dürfte darin liegen, dass das Überwiegen der starken Niederschläge nachmittags und abends eine Folge des am Nachmittag aufsteigenden Luftstromes mit schneller Kondensation, also grossen Tropfen und heftigen Regen, ist, während die wesentlich langsamer erfolgende Abkühlung durch Ausstrahlung, die naturgemäss am stärksten in den Morgenstunden wirkt, langsamere Kondensation, feinere Regentropfen und schwächere Regen bewirkt.

Grössere Unterschiede zwischen den einzelnen Quartalen haben sich nicht herausgestellt; hie und da sind wohl Andeutungen von solchen gegeben, doch ist das 3jährige Material wohl zu klein, um noch Unterteilungen zu gestatten.



Tab. I. 1908

Zeit	März/Mai			Juni/August			September/Oktober		
	< 0.1	< 1.0	> 1.0	< 0.1	< 1.0	> 1.0	< 0.1	< 1.0	> 1.0
12—1 a	5	9	—	3	7	4	—	4	—
1—2	6	8	3	6	5	4	4	2	—
2—3	4	7	4	3	11	1	4	2	1
3—4	4	6	2	8	5	5	2	3	—
4—5	5	4	1	5	13	3	2	2	—
5—6	5	6	2	9	6	4	1	3	1
6—7	4	11	—	6	7	4	3	3	1
7—8	2	7	—	2	7	4	3	—	2
8—9	4	4	—	7	5	2	1	3	3
9—10	1	5	2	4	5	2	—	2	3
10—11	1	4	3	4	5	2	2	5	—
11—12	2	5	1	4	8	3	4	1	2
12—1 p	3	6	—	3	8	4	3	—	4
1—2	3	5	2	5	7	4	4	1	2
2—3	4	5	1	4	5	4	2	—	2
3—4	3	3	1	1	5	—	1	1	2
4—5	1	5	1	1	5	3	—	2	1
5—6	2	4	3	2	6	6	2	1	1
6—7	3	1	4	6	5	6	2	2	1
7—8	4	2	2	3	7	1	2	1	3
8—9	6	2	2	8	5	3	2	1	3
9—10	4	3	2	4	5	5	2	1	3
10—11	2	7	1	7	4	4	2	2	2
11—12	2	9	3	6	3	5	—	3	2
	80	128	40	111	149	83	48	45	39
	248			343			132		

Tab. II. 1909

Zeit	März/Mai			Juni/August			September/Oktober		
	< 0.1	< 1.0	> 1.0	< 0.1	< 1.0	> 1.0	< 0.1	< 1.0	> 1.0
12—1a	2	5	1	3	7	5	1	—	—
1—2	3	5	1	5	5	8	1	—	—
2—3	2	5	1	4	12	5	1	—	—
3—4	4	7	2	5	9	5	—	—	—
4—5	3	6	3	8	6	8	—	—	—
5—6	6	5	1	6	12	5	1	—	—
6—7	3	7	—	6	13	1	2	—	—
7—8	4	5	1	9	9	1	1	—	—
8 9	2	2	2	5	9	2	—	1	—
9—10	1	5	—	8	7	2	1	1	—
10—11	1	3	1	9	8	1	1	—	1
11—12	6	1	—	2	10	1	—	—	1
12—1 p	4	5	—	2	10	1	—	1	1
1—2	2	6	—	3	8	2	—	3	—
2—3	3	3	2	5	9	3	—	2	—
3 4	4	2	3	4	10	8	—	3	—
4—5	2	3	2	5	10	5	1	3	—
5—6	2	6	4	3	7	9	1	1	1
6—7	5	5	3	6	13	4	1	3	—
7—8	2	6	2	6	9	3	1	2	—
8—9	3	3	3	—	12	8	2	—	1
9—10	3	3	3	5	10	6	2	—	—
10—11	4	2	2	4	11	4	—	1	1
11—12	2	4	2	5	6	5	—	1	—
	73	104	39	118	222	102	17	22	6
	216			442			45		

Tab. III. 1910

	März/Mai			Juni/August			September/Oktober		
Zeit	< 0.1	< 1.0	> 1.0	< 0.1	< 1.0	> 1.0	< 0.1	< 1.0	> 1.0
12—1 a	5	4	1	1	3	6	2	3	2
1—2	5	5	2	6	3	3	1	3	4
2—3	2	8	1	4	3	3	3	3	2
3—4	2	6	2	2	4	4	2	6	—
4—5	2	7	2	6	3	2	4	2	3
5—6	4	6	1	3	5	2	5	4	1
6—7	4	7	2	5	3	2	2	5	—
7—8	9	3	1	4	5	—	2	1	—
8—9	4	8	3	—	4	—	2	3	—
9—10	4	8	3	—	3	2	4	2	1
10—11	5	7	1	2	5	—	1	3	2
11—12	4	7	2	1	6	1	2	5	—
12—1 p	5	7	1	1	3	3	5	4	1
1—2	6	6	3	1	3	5	2	2	—
2—3	1	11	2	2	5	4	3	4	—
3—4	5	6	3	4	2	3	3	4	1
4—5	3	8	3	3	2	1	4	2	—
5—6	4	6	5	3	3	1	3	4	2
6—7	3	8	5	4	3	—	3	4	—
7—8	2	7	5	2	3	—	3	2	1
8—9	4	7	3	1	4	2	—	7	—
9—10	6	7	1	2	4	3	1	3	3
10—11	6	4	3	2	5	4	8	3	2
11—12	5	3	2	—	8	4	2	3	3
	100	156	57	59	92	55	67	82	28
	313			206			177		

Tab. V. 1909

	März/Mai			Juni/August			September/Oktober		
Zeit	< 0.1	< 1.0	> 1.0	< 0.1	< 1.0	> 1.0	< 0.1	< 1.0	> 1.0
12—1 a	2.7	4 8	2.6	2.5	3.2	4.9	5.9	—	—
1—2	4.1	4.8	2.6	4.2	2.3	7.9	5.9	—	—
2—3	2.7	4.8	2.6	3.5	5.4	4.9	5.9	—	—
3—4	5.4	6.7	5.1	4.2	4.1	4.9	—	—	—
4—5	4.1	5.8	7.7	6.8	2.7	7.9	—	—	—
5—6	8.2	4.8	2.6	5.2	5.4	4.9	—	—	—
6—7	4.1	6.7	—	5.2	5.9	1.0	5.9	—	—
7—8	5.4	4.8	2.6	7.6	4.1	1.0	11.8	—	—
8—9	2.7	1.9	5.1	4.2	4.1	1.9	5.9	4.5	—
9—10	1.4	4.8	—	6.8	3.2	1.9	—	4.5	—
10—11	1.4	2.9	2.6	7.6	3.6	1 0	5.9	—	16.6
11—12	8.2	1.0	—	1.7	4.5	1.0	5.9	—	16.6
12—1 p	5.4	4.8	—	1.7	4.5	1.0	—	4.5	16.6
1—2	2.7	5.8	—	2.5	3.6	1.9	—	13.6	—
2—3	4.1	2.9	5.1	4.2	4.1	2.9	—	9.1	—
3—4	5.4	1.9	7.7	3.4	4.5	7.9	—	13.6	—
4—5	2.7	2.9	5.1	4.2	4.5	4 9	5.9	13.6	—
5—6	2.7	5.8	10.2	2.5	3.2	8.9	5.9	4.5	16.6
6—7	6.9	4.8	7.7	5.1	5.9	3.9	5.9	13.6	—
7—8	2.7	5.7	5.1	5.1	4.1	2.9	5.9	9.1	—
8—9	4.1	2.9	7.7	—	5.4	7.9	11.8	—	16.6
9—10	4.1	2.9	7.7	4.2	4.5	5.9	11.8	—	—
10—11	5.4	1.9	5.1	3.4	5.0	3.9	—	4.5	16 6
11—12	2.7	3.8	5.1	4.2	2.7	4.9	—	4.5	—

Tab. IV. 1908

	März/Mai			Juni/August			September/Oktober		
Zeit	< 0.1	< 1.0	> 1.0	< 0.1	< 1.0	> 1.0	< 0.1	< 1.0	> 1.0
12—1 a	6.2	7.0	—	2.7	4.7	4.8	—	8.1	—
1—2	7.5	6.2	7.5	5.4	3,4	4.8	8.4	4.4	—
2—3	5.0	5.5	10.0	2.7	7.4	1.2	8.4	4.4	2.6
3—4	5.0	4,7	5.0	7.2	3.4	6.0	4.2	6.7	—
4—5	6.2	3.1	2.5	4.5	8.7	3.6	4.2	4.4	—
5—6	6.2	4.7	5.0	8.1	4.0	4.8	2.1	6.7	2.6
6—7	5.0	8.6	—	5.4	4.7	4,8	6.3	6.7	2.6
7—8	2.5	5.5	—	1.8	4.7	4.8	6.3	—	5.1
8 9	5.0	3.1	—	5.6	3.4	2.4	2.1	6.7	7.7
9—10	1.2	3.9	5.0	3.6	3.4	2.4	—	4.4	7.7
10—11	1.2	3.1	7.5	3.6	3.4	2.4	4.2	11.1	—
11—12	2.5	3.9	2.5	3.6	5.4	3.5	8.4	2.2	5.1
12—1 p	3.7	4.7	—	2.7	5.4	4.8	6.3	—	10.2
1—2	3.7	3.9	5.0	4.5	4.7	4.8	8,4	2.2	5.1
2—3	5.0	3.9	2.5	3.6	3.4	4.8	4.2	—	5.1
3—4	3 7	2.3	2.5	0.9	3.4	—	2.1	2.2	5.1
4—5	1.2	3.9	2.5	0.9	3.4	3.6	—	4.4	2.6
5—6	2.5	3.1	7.5	1.8	4.0	7.2	4.2	2.2	2.6
6—7	3.7	0.8	10.0	5.4	3.4	7.2	4.2	4.4	2.6
7—8	5.0	1.6	5.0	2.7	4.7	1.2	4.2	2.2	7.7
8—9	7.5	1.6	5.0	7.2	3.4	3.6	4.2	2.2	7.7
9—10	5.0	2.3	5.0	3.6	3.4	6.0	4.2	2.2	7.7
10—11	2.5	5.5	2.5	6.3	2.7	4.8	4.2	4.4	5.1
11—12	2.5	7.0	7.5	5.4	2,0	6.0	—	6.7	5.1

Tab. VI. 1910

	März/Mai			Juni/August			September/Oktober		
Zeit	< 0.1	< 1.0	> 1.0	< 0.1	< 1.0	> 1.0	< 0.1	< 1.0	> 1.0
12—1 a	5.0	2,6	1.8	1.7	3.2	10.0	2.9	3.7	7.1
1—2	5.0	3.2	3.5	10.1	3.2	5.9	1.5	3.7	14.3
2—3	2.0	5.1	1.8	6.8	3.2	5.9	4.5	3.7	7.1
3—4	2.0	3.8	3.5	3.4	4.4	4.3	2.9	7.3	—
4—5	2.0	4.5	3.5	10.1	3.3	3.6	5.9	2.4	10.7
5—6	4.0	3.8	1.8	5.1	5.4	3.6	7.5	4.9	3.6
6—7	4.0	4.5	3.5	8.5	3.2	3.6	2.9	6.1	—
7—8	9.0	1.9	1.8	6.8	5.4	—	2.9	1.2	—
8—9	4.0	5.1	5.3	—	4.4	—	2.9	3.7	—
9—10	4.0	5.1	5.3	—	3.2	3.6	5.9	2.4	3.6
10—11	5.0	4.5	1.8	3.4	5.4	—	1.5	3.7	7.1
11—12	4.0	4.5	3.5	1.7	6.5	1.8	2.9	6.1	—
12—1 p	5.0	4.5	1.8	1.7	3.2	5.9	7.5	4.9	3.6
1—2	6.0	3.8	5.3	1.7	3.2	9.1	2.9	2.4	—
2—3	1.0	7.0	3.5	3.4	5.4	7.3	4.5	4.9	—
3—4	5.0	3.8	5.3	6.8	2.2	5.9	4.5	4.9	3.6
4—5	3.0	5.1	5.3	5.1	2.2	1.8	5.9	2.4	—
5—6	4.0	3.8	8.8	5.1	3.2	1.8	4.5	4.9	7.1
6—7	3.0	5.1	8.8	6.8	3.2	—	4.5	4.9	—
7—8	2.0	4.5	8.8	3.4	3.2	—	4.5	2.4	3.6
8—9	4.0	4.5	5.3	1.7	4.3	3.6	—	8.5	—
9—10	6.0	4.5	1.8	3.4	4.3	5.9	1.5	3.7	10.7
10—11	6.0	2.6	5.3	3.4	5.4	7.3	11.9	3.7	7.1
11—12	5.0	1.9	3.5	–	8.5	7.3	2.9	3.7	10.7

Tab. VII.

	März/Mai			Juni/August			September/Oktober		
	< 0.1	< 1.0	> 1.0	< 0.1	< 1.0	> 1.0	< 1.0	< 1.0	> 1.0
Mittel	32.7 %	49.9 %	17.4 %	29.2 %	46.1 %	24.7 %	37.4 %	43.1 %	19.5 %

	< 0.1	< 1.0	> 1.0
Totalmittel	33.1 %	46.4 %	20.4 %

Tab. VIII.

Zeit	< 0.1	< 1.0	> 1.0	Totalmittel
12—1 a	3.7	4.2	3.6	3.8
1—2	5.8	3.5	5.1	4.8
2—3	4.6	4.4	4.0	4.3
3—4	3.8	4.6	3.2	3.9
4—5	4.9	3.9	4.4	4.4
5—6	5.2	4.4	3.2	4.3
6—7	5.3	5.1	1.7	4.0
7—8	6.0	3.1	1.7	3.6
8—9	3.6	4.1	2.5	3.4
9—10	2.5	3.9	3.3	3.2
10—11	3.8	4.2	4.3	4.1
11—12	4.3	3.8	3.8	4.0
12—1 p	3.8	4.6	4.9	4.4
1—2	3.6	4.8	3.5	4.0
2—3	3.3	4.5	3.7	3.8
3—4	3.5	4.3	4.2	4.0
4—5	3.2	4.7	2.9	3.6
5—6	3.6	3.9	7.9	5.1
6—7	5.1	5.1	4.5	4.9
7—8	3.9	4.2	3.4	3.8
8—9	3.7	3.6	6.4	4.6
9—10	4.9	3.1	5.6	4.5
10—11	4.8	4.0	6.4	5.1
11—12	2.5	4.5	5.6	4.2

Tab. IX.

Zeit	< 0.1	< 1.0	> 1.0
12—3 a	14.1	12.1	12.7
3—6	13.9	12.9	10.8
6—9	**14.9**	12.3	5.9
9—12	10.6	11.9	11.4
12—3 p	10.7	**13.9**	12.1
3—6	10.3	12.9	15.0
6—9	12.7	12.9	14.3
9—12	12.2	11.6	**17.4**

Tab. X.

Zeit	< 0.1	< 1.0	> 1.0
12—6 a	**28.0**	25.0	23.5
6—12	25.5	24.2	17.3
12—6 p	21.0	**26.8**	26.9
6—12	24.9	24.5	**31.8**

Tab. XI.

Zeit	< 0.1	< 1.0	> 1.0
6—6 Tag	46.7	50.5	44.5
6—6 Nacht	53.0	49.5	55.3

Tab. XII.

Zeit	< 0.1	< 1.0	> 1.0
6—12 a	25.5	24.2	17.3
12—6 p	21.0	26.8	26.9

Tab. XIII.

Zeit	< 0.1	< 1.0	> 1.0
12—12 a	53.5	45.4	41.0
12—12 p	46.5	54.6	59.0

Tab. XIV.

Zeit	< 0.1	< 1.0	> 1.0
12—2 a	9.5	7.7	8.7
2—4	8.4	9.0	7.2
4—6	10.1	8.3	7.6
6—8	**11.3**	8.2	3.4
8—10	6.1	8.0	5.2
10—12	8.1	8.0	7.0
12—2 p	7.4	**9.4**	8.4
2—4	6.8	8.8	7.7
4—6	6.8	8.6	10.8
6—8	9.0	9.3	7.8
8—10	8.6	6.7	**12.0**
10—12	7.3	8.5	**12.0**

Tab. XV.

Zeit	Mittel
12—2 a	8.6
2—4	8.2
4—6	8.7
6—8	7.6
8—10	6.6
10—12	8.1
12—2 p	8.4
2—4	7.8
4—6	8.7
6—8	8.7
8—10	9.1
10—12	**9.3**

Der heisse Sommer 1911

nach den Beobachtungen einiger Hochstationen an der Nordseite der Alpen

von

Anton Huber.

Einleitung.

Der Sommer des Jahres 1911 zeichnete sich durch abnorme Witterungsverhältnisse, besonders aber durch sehr hohe Temperaturen aus. Nach einem kurzen Überblick über das Verhalten der einzelnen Monate wollen wir die Temperaturanomalien bis zu einer Meereshöhe von 3000 m eingehender untersuchen.

Der Monat Mai 1911 war im Mittel ein normaler Monat.

Im Juni zeigten sich kleinere Perioden relativ höherer — jedoch nicht abnormer — Temperaturen: so an den Tagen vom 1.—3, 7.—9., 17.—19., 22.—25. und 29. und 30. Starke nächtliche Ausstrahlung und hauptsächlich der Kälterückfall um die Monatsmitte bedingten ein relativ niedriges Temperaturmittel, sodass die Differenzen gegen den langjährigen Mittelwert zumeist negativ ausfielen.

In der ersten Hälfte des Juli waren nur der 1. und 2., dann die Tage vom 5.—9. sowie der 12. und 13., auf dem Hohenpeissenberg auch der 14. und 15. relativ warm. Erst mit dem 17. Juli setzt eine Reihe von Tagen ein, die die mittlere Tagestemperatur beträchtlich überschritten. Mit nur kurzen Unterbrechungen (15., 16., 17., 26., 31. August) hielt im nördlichen Alpenvorlande diese Schönwetterperiode bis 15. September an.

Beobachtungsmaterial.

Im Nachfolgenden wollen wir auf Grund der Beobachtungen der meteorologischen Stationen: München C.-St. (526 m), Partenkirchen (714 m), Hohenpeissenberg (994 m), Rigi-Kulm (1787 m)[1]), Pilatus-Kulm (2068 m), Säntis (2500 m) und Zugspitze (2964 m) untersuchen, wie sich die Anomalien der Temperatur im Sommer 1911 in diesen verschiedenen Meereshöhen erhalten.

Zugrunde gelegt sind durchweg die Mittel der Reihe 1901—1910; für die bayrischen Stationen nach der Kombination $^1/_4$ (7a + 2p + 2 × 9p), für Rigi und Säntis: $^1/_4$ (7a + 1p + 2 × 9p), für den Pilatus: $^1/_4$ (7a + 1p + 2 × 8p).

Die abnorme Stellung des Sommers 1911.

In dem Zeitraum 1901—1910 zeigen einige Sommer einen extremen Charakter. So ist dies der Fall in den Jahren 1904 und 1905, im Spätsommer auch im Jahre 1907. Der Juli 1911 ist im Temperaturmittel dem extrem warmen Juli 1904 meist gleich. Der August 1911 ist der wärmste August seit 1901 überhaupt. Ebenso zeigt sich, dass der September 1911 wärmer war als irgendein September in der betrachteten Reihe.

Die absoluten Maxima des Sommers 1911 wurden fast durchweg am 28. Juli beobachtet, nur auf der Hochstation Zugspitze erreichte die Temperatur ihren höchsten Stand am 2. September.

Folgende Tabelle lässt die höchsten Temperaturen des Sommers 1911 ersehen:

	Juni	Juli	August	September
München C.-St.	24. 27.1	28. 33.7	6. 30.6	3. 29.3
Partenkirchen	24. 26.7	28. 31.0	6. 28.4	13. 29.0
Hohenpeissenberg	24. 22.6	28. 28.3	21. 26.1	3. 13. } 24.2
Zugspitze	18. 7.0	28. 11.9	9. 10.9	2. 13.0

[1]) Die Beobachtungsresultate der Schweizer Hochstationen vom Jahre 1910 und 1911 verdanke ich der gütigen Mitteilung durch die Schweizerische Meteorologische Zentralstation in Zürich.

Im Jahrzehnt 1901/1910 erreichte München C.-St. im Jahre 1905 die höchste Temperatur mit 34.1°. Partenkirchen verzeichnete fast alljährlich Temperaturen über 30°. Im Jahre 1910 und 1911 war die höchste Temperatur auf dem Hohenpeissenberg 28.3°; 1906 und 1907 brachten höhere Werte; 1905 stieg die Temperatur auf 30.4°. Die Zugspitze beobachtete 13.0° als Maximum ausser im September 1911 auch im September 1902 und August 1907, ein Betrag, der im Jahre 1903 mit 14.2° und im Jahre 1905 mit 17.4° weit übertroffen wurde.

Die Abweichung vom Normalmittel.

Von der Intensität der Hitzperiode erhalten wir einen Begriff, wenn wir das Temperaturmittel der 1. (normalen) Hälfte des Juli 1911 mit dem der 2. (heissen) Monatshälfte vergleichen.

Hohenpeissenberg

	7 a	2 p	9 p	Mittel
1. Juli-Hälfte	13.1	17.5	13.9	14.6
2. Juli-Hälfte	19.4	24.1	20.0	20.9
Erwärmung:	6.3	6.6	6.1	6.3

Zugspitze

	7 a	2 p	9 p	Mittel
1. Juli-Hälfte	0.9	2.5	1.3	1.5
2. Juli-Hälfte	5.5	7.7	5.8	6.2
Erwärmung:	4.6	5 2	4.5	4.7

Ebenso interessant ist im September der Übergang von der Hitze zu relativ niedrigen Temperaturen. Vergleichshalber sind auch hier die Temperaturtagesmittel der 1. (heissen) September-Hälfte denen der 2. (kühlen) gegenüber gestellt:

Hohenpeissenberg

	7 a	2 p	9 p	Mittel
1. September-Hälfte	16.4	21.2	17.8	18 3
2. September-Hälfte	7.7	11.0	9.0	9.2
Abkühlung:	8.7	10.2	8.8	9.1

Zugspitze

	7 a	2 p	9 p	Mittel
1. September-Hälfte	4.2	6.5	4.8	5.1
2. September-Hälfte	— 3.0	— 1.0	— 3.1	— 2.5
Abkühlung:	7.2	7.5	7.9	7.6

Auf Grund dieser Tabellen ergeben sich für die Übergangsmonate Juli und September folgende Abweichungen vom Normalmittel:

1. Juli-Hälfte

	7 a	2 p	9 p	Mittel
Hohenpeissenberg	— 0.5	0.2	— 0.1	— 0.1
Zugspitze	0.0	— 0.5	0.0	— 0.1

2. Juli-Hälfte

	7 a	2 p	9 p	Mittel
Hohenpeissenberg	5.8	6.8	6.0	6.2
Zugspitze	4.6	4.7	4.5	4.6

1. September-Hälfte

	7 a	2 p	9 p	Mittel
Hohenpeissenberg	6.9	8.2	7.5	7.5
Zugspitze	5.3	5.6	5.4	5.5

2. September-Hälfte

	7a	2p	9p	Mittel
Hohenpeissenberg	— 1.8	— 2.0	— 1.3	— 1.6
Zugspitze	— 1.9	— 1.9	— 2.5	— 2.1

An den obengenannten Stationen ergaben sich in den einzelnen Monaten folgende Abweichungen:

	Juni	Juli	August	September
München C.-St.	— 0.5	+ 3.3	+ 3.1	+ 2.6
Partenkirchen	— 1.0	+ 1.7	+ 2.4	+ 1.9
Hohenpeissenberg	— 0.7	+ 3.0	+ 3.1	+ 2.9
Rigi	0.0	+ 3.1	+ 3.4	+ 2.8
Pilatus	— 0.6	+ 3.2	+ 3.4	+ 2.5
Säntis	— 0.4	+ 3.1	+ 2.8	+ 2.3
Zugspitze	— 0.7	+ 2.2	+ 1.7	+ 1.7

Wie gross tatsächlich die klimatische Bedeutung[1]) dieses Temperatur-Überschusses ist, sieht man am besten, wenn man ihn in andere Werte umsetzt: München ist im Juli rund um 3^0, die Zugspitze rund um 2^0 zu warm.

Dies ist aber gleichbedeutend mit einer Abnahme der geographischen Breite Münchens von 48^0 auf 42^0 und für die Zugspitze mit einer Abnahme der Meereshöhe[2]) um ca. 340 m.

In nachstehender Tabelle sind die mittleren Monatstemperaturen im Sommer 1911 der Vergleichsstationen zusammengestellt, in Klammern beigesetzt sind die Mittelwerte der Reihe 1901/1910.

	Juni	Juli	August	September
München C.-St.[3])	15 6	21.0	20.2	15.6
	(16.1)	(17.7)	(17.1)	(13.0)
Partenkirchen	13.0	17.2	17.5	13.8
	(14.0)	(15.5)	(15.1)	(11.9)
Hohenpeissenberg	12.2	17.7	17.5	13.7
	(12.9)	(14.7)	(14 4)	(10.8)
Rigi	7.8	12.8	13.0	9.5
	(7.8)	(9.7)	(9.6)	(6.7)
Pilatus	5.1	11.0	11.6	8.0
	(5.7)	(7.8)	(8.2)	(5.5)
Säntis	2.5	7.8	7.6	4.6
	(2.9)	(4.7)	(4.8)	(2.3)
Zugspitze	—0.6	3.8	3.5	1.3
	(0.1)	(1.6)	(1.8)	(—0.4)

Der 2500 m hohe Säntis ist im Juli 1911 so warm wie unter normalen Verhältnissen der 2068 m hohe Pilatus!

Ausnahmestellung der alpinen Talstation Partenkirchen.

Eine Sonderstellung nimmt Partenkirchen beim Vergleich mit dem Hohenpeissenberg ein. Es zeigt sich hier ganz deutlich der Einfluss der Tallage: Hohe Maxima einerseits, andererseits jedoch durch starke nächtliche Ausstrahlung tiefe Minima. Der Hohenpeissenberg zeigt sich ganz als Gipfellage: geringe Maximalwerte und geringe Schwankung.

Nachstehende Tabelle wird dies besser illustrieren. (Die langjährigen Mittel sind in Klammern beigesetzt.)

Juli	7a	2p	9p	Mittel
Partenkirchen	14.5	22.4	15.9	17.2
	(13.2)	(19.8)	(14.4)	(15.5)
Hohenpeissenberg	16.2	20.7	16.9	17.7
	(13.6)	(17.3)	(14.0)	(14.7)
Zugspitze	3.1	5.0	3.5	3.8
	(0.9)	(3.0)	(1.3)	(1.6)

---

[1]) Vergl. die in Hanns Lehrbuch der Meteorologie II. Aufl. pg. 114 angeführten Mitteltemperaturen der Parallelkreise von Spitaler.

[2]) Mittlerer Gradient im Juli Hohenpeissenberg—Zugspitze: 0.66^0

[3]) Nach den Beobachtungen von München Sternwarte ergeben sich nach der Kombination $^1/_4$ (8a + 2p + 8p + Min.) folgende Mittel:

	Juni	Juli	August	September
1911	14.7	19.7	19.0	14.6
1901/10	(15.2)	(16.8)	(16.1)	(11.9)
△:	— 0.5	+ 2.9	+ 2.9	+ 2.7

Die Mittel 1901/10 sind den „Zusammenfassenden Tabellen über das Klima von München" von Messerschmitt entnommen.

August	7a	2p	9p	Mittel
Partenkirchen	14.1	23.2	16.3	17.5
	(12.7)	(19.8)	(14.1)	(15.1)
Hohenpeissenberg	15.6	20.8	16 8	17.5
	(13.0)	(17.0)	(13.7)	(14.4)
Zugspitze	2.9	5.1	3.1	3.5
	(0.9)	(3.2)	(1.4)	(1.8)
September				
Partenkirchen	10.7	18 9	12.8	13.8
	(9.5)	(16.2)	(11 0)	(11.9)
Hohenpeissenberg	12.1	16.1	13.4	13.7
	(9.5)	(13.0)	(10.3)	(10.8)
Zugspitze	0.6	2.7	0.9	1.3
	(−1.1)	(0.9)	(−0.6)	(−0.4)

Auf Grund dieser Tabelle ergeben sich die folgenden positiven Abweichungen:

Juli 1911	7a	2p	9p	Mittel
Partenkirchen	1.3	2.6	1.5	1.7
Hohenpeissenberg	2.6	3.4	2.9	3.0
Zugspitze	2.2	2.0	2.2	2.2
August 1911				
Partenkirchen	1.4	3.4	2.2	2.4
Hohenpeissenberg	2.6	3.8	3.1	3.1
Zugspitze	2.0	1.9	1.7	1.7
September 1911				
Partenkirchen	1.2	2.7	1.8	1.9
Hohenpeissenberg	2.6	3.1	3.1	2.9
Zugspitze	1.7	1.8	1.5	1.7

Im Sommer 1911 war um 2p Partenkirchen, wie zu erwarten, wärmer als der höhere, freiliegende Hohenpeissenberg. Um 9p und besonders um 7a war Partenkirchen in der Regel kälter als der 280 m höhere Hohenpeissenberg: Eine Folge der starken nächtlichen Ausstrahlung des Bodens und Erkaltung der bodennächsten Luftschichten. In der Höhe des Hohenpeissenbergs (rund 1000 m) liegt häufig eine Inversion.

Wie gross die Temperaturumkehr bisweilen wurde, ergibt sich aus der folgenden Tabelle:

Juli 1911 7a	Partenkirchen	Hohenpeissenberg	△
20.	14.3	18.4	4.1
28.	18.8	23.8	5.0
30.	16.9	21.8	4.9
August 1911 7a			
6.	16.9	21.1	4.2
10.	14.5	18.6	4.1
30.	15.0	19.2	4.2

Die Abhängigkeit der Temperaturanomalie auf der Zugspitze von der an der Basisstation Hohenpeissenberg.

Dieses eben besprochenen störenden Einflusses der Tallage Partenkirchens halber wollen wir als Vergleichsstation für die Zugspitze vorzugsweise den Hohenpeissenberg wählen und die Frage zu beantworten versuchen:

Sind die Abweichungen vom Temperaturmittel auf der Zugspitze den Abweichungen auf dem Hohenpeissenberg der Grössenordnung nach gleich?

Der Sinn der Abweichung ist an beiden Stationen derselbe. Nach Hann nimmt die Amplitude (= Differenz zwischen höchstem und tiefstem Monatsmittel) mit zunehmender Meereshöhe gesetzmässig ab. Wir dürfen wohl diese Gesetzmässigkeit auch auf die Abweichung einzelner Monatsmittel vom Jahresmittel erweitern. Zum Beispiel:

5.9 ist das 10jährige Jahresmittel des Hohenpeissenberg
12.9 „ „ „ Junimittel „ „
7.0 = normale Abweichung des Junimittels vom Jahresmittel auf dem Hohenpeissenberg (994 m).

− 5.2 ist das 10jährige Jahresmittel der Zugspitze
+ 0.1 „ „ „ Junimittel „ „
5.3 = normale Abweichung des Junimittels vom Jahresmittel auf der Zugspitze (2964 m).

Der normale Juni weicht also vom Jahresmittel auf dem Hohenpeissenberg um 7.0°, auf der Zugspitze um 5.3° ab.

Im Juni 1911 war das Temperaturmittel des Hohenpeissenberg 12.2°, die Abweichung vom Jahresmittel also: $12.2^0 - 5.9^0 = 6.3^0$.

Unsere Frage lautet nun so?

Welches ist die Temperatur-Abweichung X auf der Zugspitze, wenn sie auf dem Hohenpeissenberg bekannt ist?

Aus der Proportion: $\frac{5.3}{7.0} = \frac{X}{6.3}$

ergibt sich: $X = 4.8$

d. h. die Abweichung des Junimittels 1911 vom Jahresmittel soll sein 4.8°. Der Temperatur des Hohenpeissenberg entsprechend soll also die Junitemperatur für 1911 auf der Zugspitze sein: $-5.2^0 + 4.8^0 = -0.4^0$.

Das beobachtete Junimittel 1911 auf der Zugspitze beträgt: -0.6^0.

Unter Berücksichtigung der Genauigkeitsgrenze ist das berechnete Resultat dem beobachteten gleichwertig.

Berechnet man aus den Abweichungen von Partenkirchen diesen Wert, so ergibt sich, da lokale Einflüsse im Juni sich noch nicht so stark wie im Hochsommer oder Herbst geltend machten, die Temperatur der Zugspitze zu: -0.6^0 also gleich dem beobachteten Mittel.

Im Juni 1911 ist die Abweichung vom Mittelwerte auf der Zugspitze nicht nur dem Sinne sondern auch dem Grössenverhältnis nach gleich der Abweichung an den Basisstationen.

Nehmen wir die Julimittel:

	langjähriges Mittel	1911
Hohenpeissenberg	14.7°	17.7°
Zugspitze	1.6°	3.8°

und berechnen analog die Zugspitztemperatur, so erhalten wir den Wert 3.9°, also fast den beobachteten Wert 3.8°.

Betrachten wir die Mittel um 7 a, 2 p und 9 p für Juli 1911 und berechnen auf entsprechende Weise die Temperatur der Zugspitze, so ergibt sich

	7 a	2 p	9 p	Mittel
beobachteter Wert:	3.1	5.0	3 5	3.8
berechneter Wert:	2.9	5.6	3.5	3.9
△	+ 0.2	— 0.6	0.0	— 0.1.

Um 7 a ist der beobachtete Wert um einen unerheblichen Betrag höher als der berechnete.

Um 2 p dagegen ist der beobachtete Wert um 0.6° kälter als der berechnete.

Die Ursache hiefür ist in zwei Umständen zu suchen:

1. In der relativ starken Erwärmung der Luft am Hohenpeissenberg durch Wärmezufuhr vom Boden her.
2. In der abkühlenden Wirkung der Konvektion auf der Zugspitze.

Um 9 p, wo unten die Wärmezufuhr und oben die Wirkung der Konvektion beendet sind (und der Bergwind einsetzt) und um 7 a, vor Beginn dieser Vorgänge, ist der beobachtete und der berechnete Wert nahezu gleich.

Noch deutlicher zeigt dies der August:

	7 a	2 p	9 p	Mittel
beobachteter Wert:	2.9	5.1	3.1	3.5
berechneter Wert:	1.9	6.2	3.6	3.8
△	+ 1.0	— 1.1	— 0.5	— 0.3.

Die Zugspitze ist um 2 p relativ um 1.1° zu kalt, um 9 p nur um 0.5°.

Besondere Beachtung verdient der Wert um 7 a, wo der beobachtete Wert um 1° höher ist als die Rechnung ergibt.

Nachstehende Tabelle lässt die Abweichungen im August 1911 vom langjährigen Mittel ersehen:

Hohenpeissenberg August 1911

7 a: 15.6 — 13.0 = + 2.6
2 p: 20.8 — 17.0 = + 3.8
9 p: 16.8 — 13.7 = + 3.1.

Zugspitze August 1911

7 a: 2 9 — 0 9 = + 2.0
2 p: 5.1 — 3.2 = + 1.9
9 p: 3.1 — 1.4 = + 1.7.

Gegen das langjährige Mittel ist die Abweichung auf dem Hohenpeissenberg um 7 a mit + 2.6° am geringsten, auf der Zugspitze um 7 a mit + 2.0° am grössten.

Der beobachtete Wert für 7 a im August 1911 auf der Zugspitze ist ebenfalls grösser als der durch Rechnung gewonnene.

Der grösste Wärmeüberschuss fällt also in 3000 m Seehöhe auf die Morgenstunden und nicht, wie man eventuell vermuten könnte, auf die durch Einstrahlung bevorzugten Nachmittagsstunden.

Der Wärmeüberschuss in der Höhe der Zugspitze ist offenbar nicht auf Wärmezufuhr von unten zurückzuführen (Konvektion wirkt sogar abkühlend), sondern ist durch anticyklonalen Föhn in dem intensiven barometrischen Maximum des Sommers 1911 bedingt, der in den Nachtstunden noch die gewohnte Verstärkung erfährt.

Die 1. Hälfte des September 1911 zeigt noch so hohe Temperaturen, dass selbst im Monatsmittel sich

für den Hohenpeissenberg ein Plus von 2.9°,
für die Zugspitze ein Plus von 1.7° ergibt.

Für die einzelnen Beobachtungstermine erhalten wir nach dieser Methode für die Zugspitze folgende Temperaturen:

	7 a	2 p	9 p	Mittel
beobachteter Wert:	0.6	2.7	0.9	1.3
berechneter Wert:	1.7	3.9	2.5	2.5
△	— 1.1	— 1.2	— 1.6	— 1.2.

Wenn auch im September 1911 die Zugspitze noch um 1.7° wärmer war als das Normalmittel, so ist ihre Temperatur gegen den Hohenpeissenberg doch relativ zu niedrig. Die bodennächsten Schichten erhalten offenbar von der im Erdboden aufgespeicherten Wärme zugeführt; in der Höhe der Zugspitze dagegen werden bereits grosse Energiemengen zum Abschmelzen des im September angefallenen Neuschnees verbraucht.

Im Monat Oktober war die Zugspitze im Verhältnis zur Basisstation Hohenpeissenberg um 0.4° zu warm.

Der Temperaturgradient.

Besondere Betrachtung verdient auch noch die Abnahme der Temperatur mit der Höhe.

Gradient Hohenpeissenberg—Zugspitze.

		Juni	Juli	August	September
7 a	Mittel	0.64	0.65	0.61	0.54
	1911	0.65	0.67	0.65	0.59
2 p	Mittel	0.70	0 73	0.70	0.62
	1911	0.70	0.80	0.80	0.68
9 p	Mittel	0.63	0.65	0.63	0.56
	1911	0.63	0.68	0.70	0.64
1/4 (7 a + 2 p + 2 × 9 p)	Mittel	0.66	0.66	0.64	0.57
	1911	0.65	0.71	0.71	0.63.

Der Gradient im Juni 1911 weist, wie zu erwarten war, normales Verhalten auf.

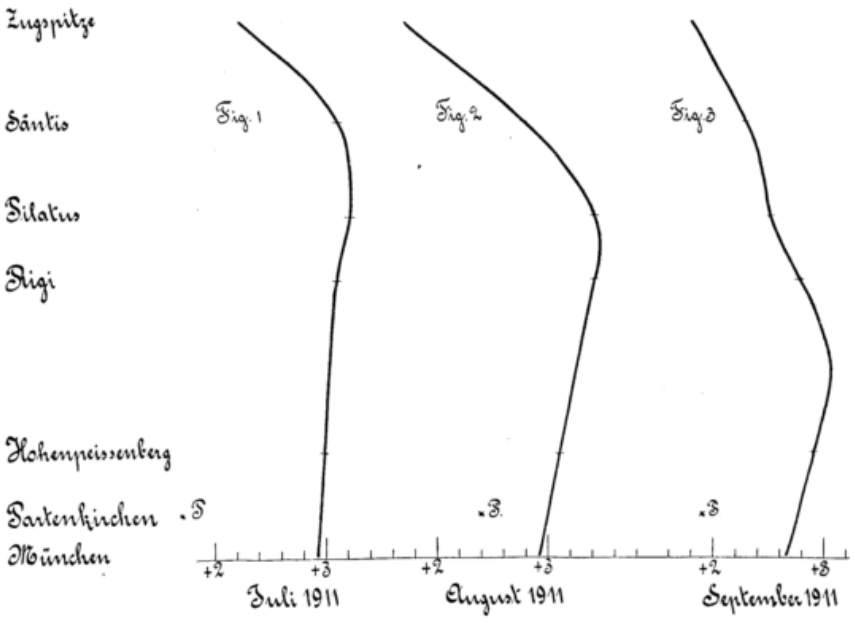
In den Monaten Juli, August und September ist die Temperaturabnahme mit der Höhe durchschnittlich grösser als im Normalmittel.

Im Juli und August erreicht der Gradient den sehr grossen Betrag von 0.80°.

Seehöhe der grössten Temperaturanomalie.

Wir wollen nun zu der Frage übergehen, in welcher Höhe die grösste Abweichung vom Normalwert in den einzelnen Monaten liegt.

In den untenstehenden Figuren sind als Abszissen die Abweichungen vom Mittel, als Ordinaten die Seehöhen der einzelnen Stationen eingetragen. Bei München sind neben den Beobachtungen der Centralstation auch die der Sternwarte verwendet. Der Wert von Partenkirchen ist aus den oben angeführten Gründen unberücksichtigt geblieben, gleichwohl wurde Partenkirchen auch hier eingetragen, um die Ausnahmestellung der alpinen Tallage zu illustrieren.



Im Monat Juli (Fig. 1) nimmt zwischen 500 m und 1800 m Seehöhe die Abweichung vom Mittel langsam aber sehr gleichmässig zu. Von da bis 2100 m (Pilatushöhe) wächst sie etwas rascher. Beim Anstieg auf 2500 m nimmt die (positive) Abweichung wieder ab; von 2500 m bis 3000 m erfolgt eine weitere, ziemlich rasche Abnahme. Wie sich aus dem Verlauf der Kurve ergibt, liegt im Juli 1911 das Maximum des Wärmeüberschusses in ca. 2100 bis 2200 m Seehöhe.

Im August (Fig. 2) zeigen sich einige Veränderungen. Mit Zunahme der Seehöhe von 500 m bis 1800 m nimmt die Abweichung gleichmässig aber rascher als im Vormonat zu. Im August dürfte das Maximum der positiven Abweichung auf ca. 1900—2000 m liegen. Ueber 2100 m nimmt der Wärmeüberschuss gleichmässig, jedoch sehr rasch kleinere Beträge an.

Im September (Fig. 3) nimmt beim Anstieg von 500 m an die Anomalie rasch zu bis zu einem Maximalbetrag in ca. 1200—1400 m. Von 1400 m bis 3000 m findet eine nahezu gleichmässige, mässig rasche Abnahme der Abweichung statt.

Im Oktober 1911 ist Partenkirchen normal. Der Hohenpeissenberg ist um 0.5°, der Rigi um 0,6°, der Pilatus um 0.8°, der Säntis um 0.5° und die Zugspitze um 1.1° zu warm. Es ergibt sich also in diesem Monat im allgemeinen ein Anwachsen der positiven Abweichung mit Zunahme der Seehöhe.

Vergleich zwischen den Hochstationen und der freien Atmosphäre.

Im Anschluss an die Besprechung der anormalen Temperaturverhältnisse auf Bergspitzen wollen wir einen Vergleich ziehen zwischen diesen und der freien Atmosphäre. Von den Einzelaufstiegen im Juni, Juli und August sei abgesehen. Schmauss[1]) hat aus den Registrierballonaufstiegen vom 12.—16. September 1911 die Anomalien der Temperatur in der freien Atmosphäre berechnet und Werte gefunden, die mit den englischen Aufstiegen von W. H. Dines genau übereinstimmen.

Für die unteren 3000 m ergaben sich folgende positive Abweichungen:

Seehöhe:	1000 m	2000 m	3000 m
Abweichung:	4.3	5.7	4.4

Berechnen wir zum Vergleiche für die Bergstationen an den Tagen vom 12.—16. September die Abweichungen der den Ballonfahrten nächsten Beobachtungen um 7 a von den entsprechenden Mittelwerten, so erhalten wir diese Abweichungen:

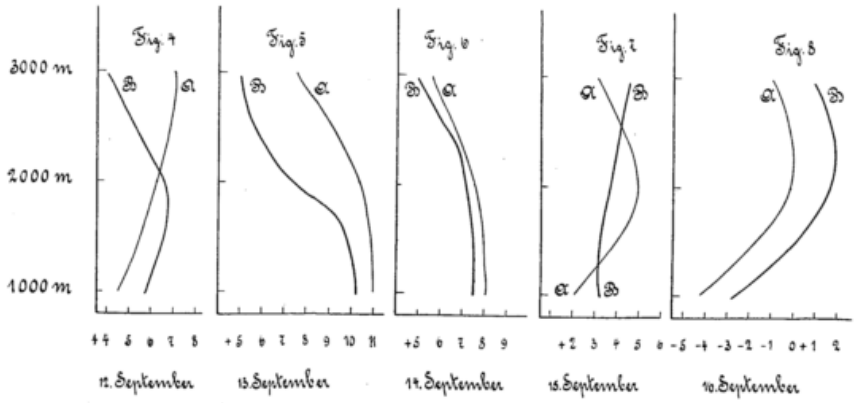
Bergstationen		Freie Atmosphäre	
Hohenpeissenberg	994 m: + 4.8	1000 m:	+ 4.3
Rigi	1787 m: + 5.5		
Pilatus	2068 m: + 4.7	2000 m:	+ 5.7
Säntis	2500 m: + 4.7		
Zugspitze	2964 m: + 3.9	3000 m:	+ 4.4

Die Berge sind bekanntlich im Mittel kälter als die freie Atmosphäre in gleicher Höhe.

Die (positive) Abweichung vom Mittel ist, wie aus obigem folgt, im allgemeinen in der freien Atmosphäre grösser als auf den Bergen: Im Niveau 2000 m ist sie um 1°, in 3000 m Höhe um 0.5° grösser.

Beim freien Anstieg liegt die Maximalabweichung mit 5.7° in 2000 m. Beim Anstieg im Gebirge liegt das Maximum mit 5.5° in ca. 1800 m Seehöhe.

Einige interessante Details erhalten wir noch beim Vergleich der Einzelfahrten mit den Beobachtungen der Bergstationen.



So am 12. September: (Fig. 4)[2])

7 a Bergstationen	Temp.	△	ca. 8 a Freie Atmosphäre	Temp.	△
Hohenpeisenberg	15.3	+ 5.8	1000 m	14.6	+ 4.5
Rigi		+ 6.7			
Pilatus	11.0	+ 6.3	2000 m	10.7	+ 6.2
Säntis		+ 5.3			
Zugspitze	2.8	+ 3.9	3000 m	6.2	+ 7.0

Sowohl die absoluten Werte (Ballonfahrt 1 Stunde später!), als auch die Abweichungen von langjährigen Mitteln zeigen das gleiche Verhalten:

Auf 1000 m ist der Berg wärmer als die freie Atmosphäre, auf 2000 m sind beide gleich warm, in 3000 m ist an diesem Tage der Berg kälter als die Atmosphäre.

Das Maximum der Abweichung liegt am 12. September morgens für unseren Vergleichsbereich bei den Bergstationen in ca. 1800 m, für die freie Atmosphäre mindestens in 3000 m.

---

[1]) A. Schmauss: „Die Münchener Registrierballonfahrten im Jahre 1911" pag. 29.

[2]) Es bedeutet: A = freie Atmosphäre.
B = Bergstationen.

Für den 13. September (Fig. 5) bleibt durchweg die Anomalie in der Atmosphäre grösser als auf dem Berg. Beim Anstieg im Gebirge nimmt sie von 1800 m an rasch ab.

Der 14. September (Fig. 6) lässt in nur geringem Masse das Überwiegen der Wärmeabweichung in der Atmosphäre erkennen.

Am 15. September (Fig. 7) liegen die Verhältnisse unklar. Von ca. 1400 m bis 2600 m ist die Abweichung der Temperatur in der freien Höhe grösser als auf den Berggipfeln.

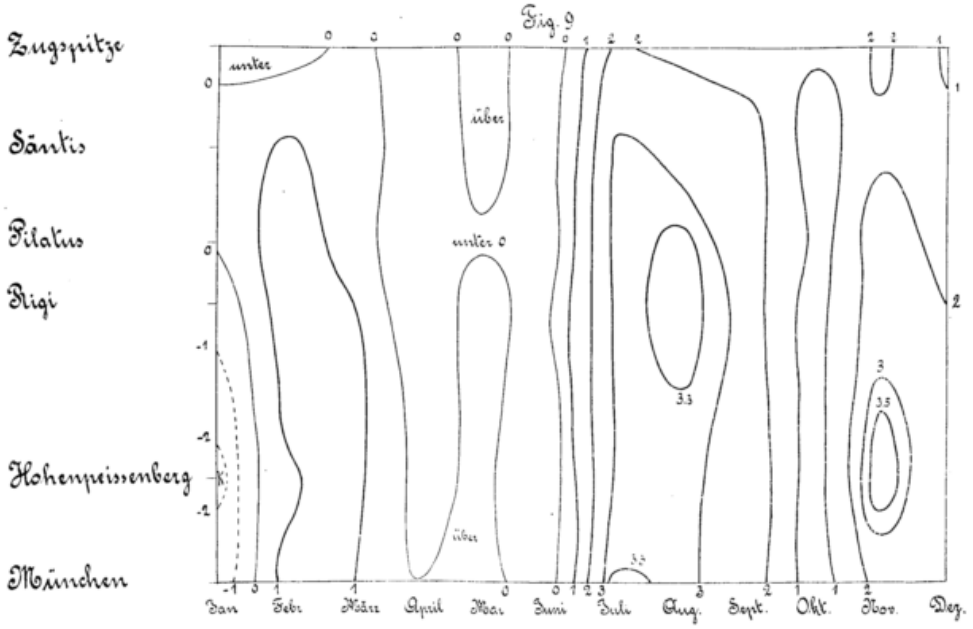
Mit dem 15. September hatte die Hitzperiode des Sommers 1911 ihr Ende gefunden. Allgemein stellten sich Niederschläge ein, die besonders im Alpengebiet hohe Beträge erreichten.

Am 16. September morgens (Fig. 8) waren auf der Zugspitze (7 a: -0.1^0) 4 cm Neuschnee angefallen. Trotzdem waren an diesem Tage die positiven Abweichungen vom Temperaturmittel auf den Bergen grösser als in der freien Atmosphäre. Zur allgemeinen Charakteristik wird noch der Umstand beitragen, dass sich in der freien Atmosphäre erst in ca. 10 km Seehöhe normale Temperaturen ergaben.

Die Temperaturanomalien des Jahres 1911.

Nicht allein der Sommer, sondern das ganze Jahr 1911 wies anormale Temperaturverhältnisse auf. In der folgenden isoplethären Darstellung (Fig. 9) sind für verschiedene Seehöhen die Abweichungen der einzelnen Monate von den Normalwerten eingetragen.

Fig. 9



Besonders deutlich erscheint in dieser Darstellung der grosse Wärmeüberschuss des Hochsommers. Auffallend ist der starke Temperaturanstieg vom Juni zum Juli. Der weitere Temperaturanstieg Juli—August geht bedeutend langsamer vor sich. Hierauf tritt bis zum Oktober eine allmähliche Abnahme der positiven Anomalie ein, jedoch im Vergleich zum Anstieg vom Juni zum Juli in einem sehr langsamen Tempo. Vom Oktober bis November und Dezember tritt wiederum rasche Erwärmung ein. Das Maximum derselben liegt mit mehr als $+ 3^0$ zwischen 650 m und ca. 1500 m. Eine relativ warme Schichte mit $+ 2.2^0$ Abweichung liegt in Zugspitzhöhe. Während in den unteren Lagen im Dezember die Wärme noch anhält, hat sie sich in 3000 m Seehöhe schon stark erniedrigt. Auf der Zugspitze war die Abweichung im Dezember nur mehr $+ 0.8^0$; offenbar ein Zeichen dafür, dass die winterliche Kälte, die im 2. Drittel des Januar 1912 allenthalben auch im Flachland zum Durchbruch kam, sich in der Höhe schon bemerkbar machte.

Frostgrenzen und Frosthäufigkeit in Süddeutschland

von E. Alt

mit einem Nachwort von A. Schmauss.

1. Allgemeine klimatologische Einleitung.

Der Wert klimatologischer Karten wächst im allgemeinen mit der Grösse des Gebietes, dessen Verhältnisse dargestellt werden. Die Ursache ist unschwer aufzudecken: Der Entstehungsherd meteorologischer Vorgänge — diese bestimmen ja in ihrer Gesamtheit Grösse und Verteilung der klimatischen Elemente in erster Linie — liegt oft Tausende von Kilometern von dem Gebiete entfernt, dessen spezielle Verhältnisse erforscht werden sollen. Bodenbeschaffenheit, Geländeaufbau usw., kurz die ganze Gestaltung der Erdoberfläche ändern die Erscheinungsform der gemeinsamen Ursache von Ort zu Ort in hohem Grade. Das richtige Verständnis für die klimatischen Eigentümlichkeiten einer Gegend setzt deshalb diesbezügliche Kenntnis einer möglichst weiten Umgebung voraus. Dann erst ist man in der Lage, Vergleiche anzustellen und damit die charakteristischen Züge des behandelten Gebietes aufzudecken. Die Klimatographie ist eben in ganz besonderem Masse eine vergleichende Wissenschaft.

Aus diesen Gründen glaubten wir, der Besprechung unserer Karten eine kurzgehaltene Schilderung des mitteleuropäischen Klimas voranstellen zu sollen. Da unsere Karten sich ausschliesslich auf Erscheinungen der kalten Jahreszeit beziehen, musste naturgemäss der mittlere Verlauf des Winters in Mitteleuropa besondere Berücksichtigung finden.

Mitteleuropa weist ein Übergangsklima auf, das in den westlichen Gebietsteilen (Rheinlande) deutliche Anklänge an das ausgesprochen ozeanische Klima Westeuropas aufweist, in seinen östlichen Teilen (Weichselgebiet, Karpathenländer) stark dem osteuropäischen kontinentalen Klimatyp zuneigt.

Das ozeanische Klima Westeuropas ist bedingt durch das Vorhandensein des isländischen Minimums, eines während des ganzen Jahres wirksamen Aktionszentrums unserer Atmosphäre. Die vorherrschenden West- und Südwestwinde, welche an der Süd- und Südostseite dieses nordatlantischen Tiefdruckgebietes wehen, tragen die feuchte Luft des Ozeans weit in das Innere des europäischen Festlandes herein und verursachen, insbesondere über den britischen Inseln und den atlantischen Küstengebieten, kühle Sommer und milde Winter. Die durch die ozeanische Luftzufuhr bedingte kräftige Temperatursteigerung wird hauptsächlich in der kalten Jahreszeit wirksam, wenn die Temperaturunterschiede zwischen der erkalteten Kontinentalmasse Europas und dem warmen Oberflächenwasser des Golfstromes besonders gross sind.

Hingegen wird die weite russische Ebene Osteuropas von ausgesprochen kontinentalem Klima beherrscht. Heisse Sommer und kalte Winter sind die hervortretendsten Eigentümlichkeiten dieses Klimatyps. Wohl dringen die atlantischen Westwinde im Winter häufig weit in die russische Ebene ein, aber sie haben auf dem Wege über kaltes Land ihre temperatursteigernde Wirkung zum grossen Teil verloren oder äussern dieselbe doch nur in ihrem Einzugsgebiete. Die Witterung der kalten Jahreszeit wird aber hauptsächlich beherrscht durch das winterliche Barometermaximum, das sich über dem erkalteten asiatischen Kontinent entwickelt. Dieses Aktionszentrum verursacht in weiter Umgebung bei klarem Himmel und geringer Luftbewegung strenge Kälte während des ganzen Winters.

Das Klima Mitteleuropas ist durch seine Lage zwischen dem ozeanischen und dem kontinentalen Klimagebiet bestimmt. Hier finden wir neben Witterungsepochen, welche deutlich unter dem Einflusse ozeanischer Depressionen verlaufen, wieder Perioden, innerhalb welcher die Einwirkung kontinentaler Hochdruckgebiete stark vorherrscht. Bei diesen starken zeitlichen Gegensätzen resultiert ein Klima, welches zwischen dem rein maritimen und dem rein kontinentalen Typ einzureihen ist und je nach der Örtlichkeit nach der einen oder anderen Seite stärker hinneigt. Dies gilt insbesondere für die Wintermonate, deren Klima sich aus völlig heterogenen Witterungsphasen ableitet. Mitunter reicht die Einwirkung des asiatischen Wintermaximums weit in die zentralen Lagen Europas herein und verursacht bei rauhen östlichen Winden und grosser Trockenheit strenges Frostwetter, insbesondere dann, wenn bei dem Vorhandensein einer ausgebreiteten Schneedecke nächtliche Ausstrahlung und damit intensive Strahlungskälte hinzukommt. Zumeist dauert aber die Herrschaft der strengen Kälte nicht lange. Mit dem Vordringen einer tiefen Barometerdepression vom Ozean gegen Europa treten bald wieder südliche bis westliche Winde auf, in deren Gefolge Tauwetter eintritt. Der Witterungsumschlag vollzieht sich oft innerhalb weniger Stunden. Dieser Wechsel antizyklonaler (kontinentaler) und zyklonaler (ozeanischer) Wetterlagen findet während jeden Winters mehrere Male statt und ist charakteristisch für das Klima Mitteleuropas.

Aus dem Bisherigen ist zu folgern, dass sowohl Beginn und Ende der Frostperiode wie auch die Strenge des Winters von Jahr zu Jahr grossen Schwankungen unterliegen, je nachdem das eine oder andere Aktionszentrum vorherrschend wirksam ist.

Süddeutschland liegt nun im zentralen Teile des mitteleuropäischen Klimagebietes, und man darf erwarten, dass es von der Grenze durchzogen wird, welche das Gebiet mit mehr maritimem von jenem mit mehr kontinentalem Winterklima trennt. Der Verlauf der Nullisotherme im Monat Januar gibt uns die Möglichkeit, diese Grenze festzulegen. Dieselbe durchzieht Bayern längs einer Linie, die durch die Orte Lichtenfels, Lauf bei Nürnberg, Ingolstadt, München und Bad Kreuth markiert ist. Westlich dieser Linie ergeben sich positive, östlich derselben negative Januartemperaturmittel. Da natürlich der Vergleich der Temperaturwerte nur möglich ist durch Reduktion der Zahlen auf ein gemeinsames Niveau, in unserem Falle das Meeresniveau, so besitzt die von uns gezogene Grenze nur abstrakte Bedeutung. Immerhin gewinnen wir durch ihre Festlegung eine ungefähre Vorstellung von der mittleren Verteilung des vorherrschend maritimen und kontinentalen Einflusses.

Betrachtet man jedoch die tatsächliche Verteilung der Temperaturen, schaltet also den Einfluss der Höhenlage nicht aus, so erkennt man, dass der Geländeaufbau in erster Linie den Verlauf der Isothermen bestimmt. Dasselbe gilt natürlich für Eintritt des ersten und letzten Frostes sowie die Anzahl der Frost- und Wintertage. Bei dem wechselvollen Relief des süddeutschen Geländes wird die Verteilung der einzelnen klimatischen Elemente ziemlich kompliziert, so dass die Grenzkurven einen sehr bewegten Verlauf nehmen.

Nach diesen Vorbemerkungen gehen wir zur Besprechung der einzelnen Karten über.

2. Erläuterungen zu den Karten.

a) Mittleres Datum des ersten und letzten Frostes.

Das mittlere Datum des ersten Herbstfrostes fällt im weitaus grössten Teile Süddeutschlands in den Oktober. Nur die Mittelgebirgsgegenden des östlichen Bayern, das Alpengebiet und das Quellgebiet der Donau benennen als mittleren Eintrittstermin des ersten Frostes bereits einen der letzten Septembertage. Im allgemeinen schmiegt sich der Verlauf der Datumskurven unserer Karte recht deutlich den Isohypsen an, doch finden sich bemerkenswerte Ausnahmen.

So tritt das Donautal von der Einmündung des Lech abwärts bis zur Mündung der Ilm sowie das südlich der Donau gelegene Donaumoos als ein Gebiet häufiger Frühfröste hervor. Der Grund, warum gerade auf diesem Gebiete der erste Frost um zwei bis drei Wochen früher auftritt als in der nächsten Umgebung, ist wohl in erster Linie in der Bodenbeschaffenheit zu suchen. Einerseits erhitzt sich zwar die rauhe Oberfläche des Donaumooses, insbesondere wenn die obersten Schichten ausgetrocknet sind, durch die Sonnenstrahlung untertags sehr kräftig. Da aber die Fähigkeit eines Körpers, Wärme aufzunehmen, in geradem Verhältnis zu derjenigen steht, Wärme auszustrahlen, so wird anderseits die nächtliche Ausstrahlung in hohem Grade wirksam und starke Abkühlung tritt ein. Es entwickelt sich über dem Donaumoos ein Kaltluftsee, der sich, einem natürlichen Gefälle folgend, bis in die Donauebene ausbreitet. Für die Richtigkeit dieser Annahme spricht der hohe Wert der mittleren täglichen Temperaturschwankung, der an der meteorologischen Station Karlshuld im Donaumoos erreicht wird. Die mittlere Schwankung beträgt im Durchschnitt an der genannten Station 11,2° gegen 8,4° in Augsburg*).

Am begünstigsten erscheinen auf unserer Karte die oberrheinische Tiefebene und das unmittelbare Uferland des Bodensees, in welchen Gebieten der erste Frost im Mittel erst nach dem 28. Oktober zu erwarten ist.

Die ersten Nachtfröste im Herbst treten zumeist bei einer Wetterlage ein, welche bei klarem Himmel eine ungehinderte Ausstrahlung gestattet, das heisst unter der Herrschaft eines barometrischen Maximums. Bei windstiller Witterung ist dann häufig die auffallende Erscheinung einer Temperaturzunahme von den Talsohlen zu den Berghängen und Gipfeln zu beobachten, die allerdings nur bis zu einer gewissen Höhe reicht, um dann bei weiterer Erhebung wieder in die reguläre Temperaturabnahme überzugehen. Die Ursache dieser anomalen nächtlichen Temperaturschichtung ist wieder in der Ausstrahlung des Erdbodens zu suchen. Die Erkaltung des Bodens teilt sich auch den unmittelbar darüberlagernden Luftschichten mit, und da zudem die kalten Luftmassen, dem Gesetze der Schwere gehorchend, von den Erhebungen des Geländes nach den Niederungen fliessen, so kommen die kältesten Luftschichten bei Windstille zunächst dem Erdboden zu liegen. Wenn auch in den meisten Fällen die Temperaturumkehr, das heisst die Zunahme der Temperatur bei vertikaler Erhebung vom Erdboden, nur in relativ geringe Höhen hinaufreicht, so bedeutet sie doch eine erhebliche Störung der regulären vertikalen Temperaturabnahme. Vergleicht man zum Beispiel bei der beschriebenen Wetterlage Temperaturwerte aus 100 und 500 Meter Höhe, so ergeben sich Differenzen von oft nur wenigen Zehntelgraden, während bei zyklonaler Wetterlage Unterschiede von 2 Grad und darüber auftreten. In Hochdruckgebieten erfolgt die vertikale Temperaturabnahme viel langsamer als in Niederdruckgebieten.

Vergleichen wir nun unsere kartographischen Darstellungen für das mittlere Datum des ersten und letzten Frostes, so tritt uns als auffallende Erscheinung entgegen, dass sich die Datumskurven des letzten Frostes beim Anstieg von den Tälern gegen die Erhebungen viel enger aneinanderdrängen, als dies bei den entsprechenden Kurven des ersten Frostes der Fall ist. Dies heisst aber nichts anderes, als die Zeitdifferenz zwischen dem Eintritt des ersten Frostes in den Niederungen und auf den Höhen ist viel geringer als jene zwischen dem Auftreten des letzten Frostes unten und oben.

*) Ob auch noch andere Moorgegenden ähnliche Einflüsse zeigen, kann leider nicht nachgewiesen werden, da in deren Bereich keine Beobachtungsstellen liegen. Bei dieser Gelegenheit wollen wir ganz allgemein hervorheben, dass unsere Kartenbilder natürlich in hohem Grade durch die Dichte und Verteilung des Stationsnetzes mitbestimmt sind und vielleicht manch interessantes Detail unterdrücken, das bei dichterer Verteilung der Beobachtungsorte zum Vorschein käme.

Es liegen beispielsweise zwischen dem mittleren Datum des ersten Frostes in Heidelberg (121 m) und Buchen (344 m) nur 23 Tage, während die entsprechende Zeitdifferenz für den letzten Frost an den beiden Orten 38 Tage beträgt.

Nach unseren bisherigen Ausführungen würden wir wohl berechtigt sein, die Herbstfröste als antizyklonale Fröste anzusprechen. Hingegen ist die Bezeichnung der Frühjahrsfröste als zyklonale Fröste nur unter gewissen Einschränkungen statthaft. In dieser Jahreszeit ist die Jahreskurve der Temperatur bereits in starkem Anstiege begriffen. Kälterückfälle treten dann nur in Begleitung zyklonaler Wetterlagen auf, das heisst dann, wenn unser Gebiet auf die Rückseite niedrigen Druckes kommt und nordwestliche Winde die kühle ozeanische Luft zuführen. War die Abkühlung hinreichend kräftig, so drückt das auf der Rückseite niedrigen Druckes häufig stattfindende Aufklaren und die damit verbundene Ausstrahlung die Temperatur auch in den niederen Lagen unter den Gefrierpunkt herab. Die Spätfröste des Frühjahrs in den Niederungen sind die gemeinsame Wirkung advektiver, das heisst zugeführter Kälte und Ausstrahlungskälte.

Wenn die Jahreszeit noch weiter vorgeschritten ist, führen diese beiden Ursachen in den Niederungen nicht mehr zu Frostgraden, hingegen ist dies bei der raschen vertikalen Temperaturabnahme, welche bei der gegebenen Wetterlage auftritt, in höheren Lagen noch wohl der Fall.

Wieweit noch andere Ursachen für die Verspätung der letzten Fröste in den höheren Lagen massgebend sind, wie das Vorhandensein mehr oder weniger mächtiger Schneelagen, Exposition usw., soll hier nicht näher untersucht werden.

Abgesehen von diesem unterschiedlichen Verhalten der Niederungen und Höhenlagen weisen die kartographischen Darstellungen für das mittlere Datum des ersten und letzten Frostes grosse Ähnlichkeiten auf. Begünstigte oder benachteiligte Gebiete der einen Karte finden wir auf der anderen in gleicher Eigenschaft wieder.

Bestimmt man die Anzahl der Tage zwischen dem Auftreten des ersten und letzten Frostes, so erhält man Aufschluss über die Länge der Periode, innerhalb welcher Frost zu erwarten ist. In der Rheinebene, am unmittelbaren Ufergelände des Bodensees sowie im Donautal von Regensburg abwärts umfasst diese Periode 150 bis 180 Tage, also 5 bis 6 Monate. Mehr als 7 Monate umfasst die Frostperiode auf den höheren Lagen des Schwarzwaldes und der Rauhen Alb, im Alpengebiete und in dessen unmittelbarem Vorland, in den Mittelgebirgsgegenden an der Ostgrenze Bayerns sowie im Donaumoos und im Donautal von der Lechmündung bis gegen Neustadt a. D. Für die Interessen der Landwirtschaft und aller Berufe, die sich mit Bodenkultur beschäftigen, ist es wichtiger, das Ergebnis in anderer Form zu interpretieren. Während in den klimatisch so begünstigten Lagen der Rheinebene, des unteren und mittleren Neckartales, des Bodenseegestades und der bayerischen Donautiefebene (Kornkammer) die frostfreie Zeit 6 bis 7 Monate umfasst, geht diese Periode in den rauheren Lagen der oben angeführten Gebirgsgegenden bereits auf weniger als 5 Monate zurück.

Hierin liegt die grosse praktische Bedeutung der herbstlichen Früh- und der Frühlingsspätfröste. Kulturpflanzen mit später Herbsternte (Obst, Wein) lassen nur in jenen Gegenden sichere und regelmässige Erträgnisse erhoffen, welche von Frühfrösten verschont bleiben. Die Ungunst der Spätfröste im Frühjahr ist ebenfalls ohne weiteres klar, wenn man bedenkt, dass eine einzige Frostnacht im Mai Tausende von Blüten zerstören kann und die Hoffnung auf eine gute Ernte auf ausgedehnten Bezirken zunichte macht.

b) Mittlere Anzahl der Frost- und Wintertage.

Man versteht unter einem Frosttag einen Tag, an welchem zu irgendeiner Stunde (meistens nachts) die Temperatur unter den Gefrierpunkt gesunken ist. Hingegen ist ein Wintertag ein Tag, während dessen Verlauf die Temperatur nie über den Gefrierpunkt angestiegen ist, ja denselben nicht einmal erreicht hat.

Dass die Anzahl der Frosttage erheblich geringer ausfällt als die Zahl der Zwischentage vom ersten bis letzten Frost, ist nach der Schilderung, die wir vom mitteleuropäischen Winter entworfen haben, sicher zu erwarten. Insbesondere nach dem ersten Herbst- und nach dem letzten Frühjahrsfrost reihen sich meist eine grosse Zahl warmer Tage ein. Aber selbst in der eigentlichen Winterszeit, in den Monaten Dezember bis Februar, sind längere frostfreie Perioden keine Seltenheit.

Bezeichnen wir die Periode vom ersten Frost bis zum letzten als die kalte Jahreszeit, so können wir Aufschluss über die verhältnismässige Frosthäufigkeit in den einzelnen Gebietsteilen Süddeutschlands gewinnen, wenn wir die Frosttage in Prozenten aller Tage ausdrücken, die der kalten Jahreszeit angehören. Die Zahl, die wir so ableiten, könnte man wohl als Frostdichte bezeichnen. Im überwiegenden Teile des süddeutschen Donaugebietes ist diese Zahl grösser als 60, das heisst mehr als 60 Prozent aller Tage der kalten Jahreszeit bringen Frost. Vom Rheingebiet weisen nur der Odenwald und das Quellgebiet des Mains, wahrscheinlich auch Spessart und Rhön gleichgrosse Frostdichte auf. Im übrigen Rheingebiet beziffert sich die Zahl in höheren Geländeerhebungen auf 50 bis 60, in den begünstigten Tallagen sogar auf weniger als 50.

Die Begünstigung des Rhein- und Maingebietes in bezug auf das Winterklima erscheint noch um so deutlicher, wenn wir uns erinnern, dass in diesen Gegenden schon die Dauer der kalten Jahreszeit vielfach erheblich verkürzt ist im Vergleich zu den übrigen Gebietsteilen Süddeutschlands.

Unsere kartographische Darstellung der geographischen Verteilung der mittleren Anzahl der Frosttage bringt diese Verhältnisse deutlich zur Anschauung und bedarf keiner näheren Erläuterung. Diejenigen Gebiete, welche in bezug auf das mittlere Datum des ersten und letzten Frostes bevorzugt oder benachteiligt erscheinen, treffen wir in gleicher Eigenschaft wieder.

Erheblich geringer als die Anzahl der Frosttage ist jene der Wintertage. Drückt man auch die Zahl der Wintertage wieder in Prozenten aller Tage der kalten Jahreszeit aus, so ergeben sich in der Rheinebene und der ganzen Rheinpfalz, im unteren und mittleren Neckartal und im Maintale 10 bis 15 Prozent, während im übrigen Lande zwischen 15 und 20, in den höheren Lagen des Geländes sogar über 20 Prozent verzeichnet werden. Bemerkenswert ist die verhältnismässig grosse Häufigkeit von Wintertagen im württembergischen Oberschwaben.

Anderseits finden wir das Alpenvorland und alpine Tallagen bis zu einer Seehöhe von 1000 m als begünstigte Gebiete vor, und zwar ergeben sich hier vielfach Zahlenwerte, welche jenen gleich sind, die in den begünstigten Lagen der Rheinebene aufgestellt werden.

Wir müssen in dieser Erscheinung den bedeutenden Einfluss des Föhns erkennen, jenes warmen trockenen Fallwindes, der in der kalten Jahreszeit in grosser Häufigkeit mit höchster Intensität auftritt. Bei der Reinheit der Luft, welche bei Föhnlage herrscht, wird zwar die nächtliche Ausstrahlung und die damit verbundene Abkühlung in hohem Grade wirksam, so dass Nachtfröste keineswegs selten sind, anderseits ist aber die untertags erfolgende Temperatursteigerung sehr beträchtlich und führt in fast allen Fällen kräftiger Föhnströmungen ziemlich weit über den Nullpunkt.

Unsere Karte der mittleren Anzahl der Wintertage hebt die dem Föhneinfluss ausgesetzten alpinen Täler und das ganze Alpenvorland als bevorzugte Gebiete hervor, welche ungefähr gleiche Verhältnisse aufweisen wie die bayerische Donauebene. Die südliche Schwäbisch-Bayerische Hochebene verzeichnet trotz höherer Lage im Mittel weniger Wintertage als die nördliche, welche die Vorteile der warmen Föhnströmungen nicht mehr so häufig geniesst, vermöge ihrer höheren Lage aber auch noch nicht die günstigen Verhältnisse der Donauniederung erreicht. So entsteht auf unserer Karte der Geländestreifen, der von Württemberg ostwärts bis ins bayerische Rottal herüberreicht.

Bemerkenswert ist die grosse Anzahl von Wintertagen, die im nördlichen Schwarzwalde und auf dem Schwäbischen Jura nördlich der oberen Donau beobachtet werden. Wahrscheinlich haben wir es hier mit Gebieten zu tun, in denen die Ausstrahlung in besonders hohem Masse wirksam wird.

Im übrigen zeigt unsere kartographische Darstellung wieder deutlich, dass die Grenzkurven im allgemeinen dem Verlaufe der Isohypsen folgen, dass also auch für die Zahl der Wintertage wieder in erster Linie die Höhenlage eines Ortes ausschlaggebend ist.

Nachwort.

Die vorliegenden Karten, deren klimatologisch-geographische Bedeutung von Herrn Dr. Alt dargelegt wurde, dürften auch für die Landwirtschaft von Interesse werden.

Es sei mir gestattet, auf eine wichtige Beziehung hinzuweisen, welche aus der Karte des letzten Frostes für phänologische Beobachtungen hervorgeht. Vergleicht man nämlich die von Prof. Ihne in Peterm. Geogr. Mittl. 1905 veröffentlichte Frühlingseinzugskarte mit der des letzten Frostes, dann ergibt sich ein weitgehender Parallelismus, den wir durch einige Stichproben hervorheben möchten.

	Letzter Frost:	Frühlingseinzug:
Rheinebene	14.—21. April	22.—28. April
Neckartal	17.—21. „	22.—28. „
Mittel- und Unterlauf des Mains	21.—28. „	29. April bis 5. Mai
Oberlauf des Mains	28. April bis 5. Mai	6.—12. Mai
Nürnberger Gebiet	27. „ (nach Rudel)	29. April „ 5. „
Donautal ab Regensburg . .	21.—28. April	29. „ „ 5. „
Schwäb.-Bayerische Hochebene .	28. April bis 5. Mai	6.—12. Mai
Weiteres Alpenvorland . . .	5.—12. Mai	13.—19. „
Unmittelbares Alpenvorland .	12.—19. „	20.—26. „
Bodenseegestade	14.—28. April	29. April bis 5. Mai.

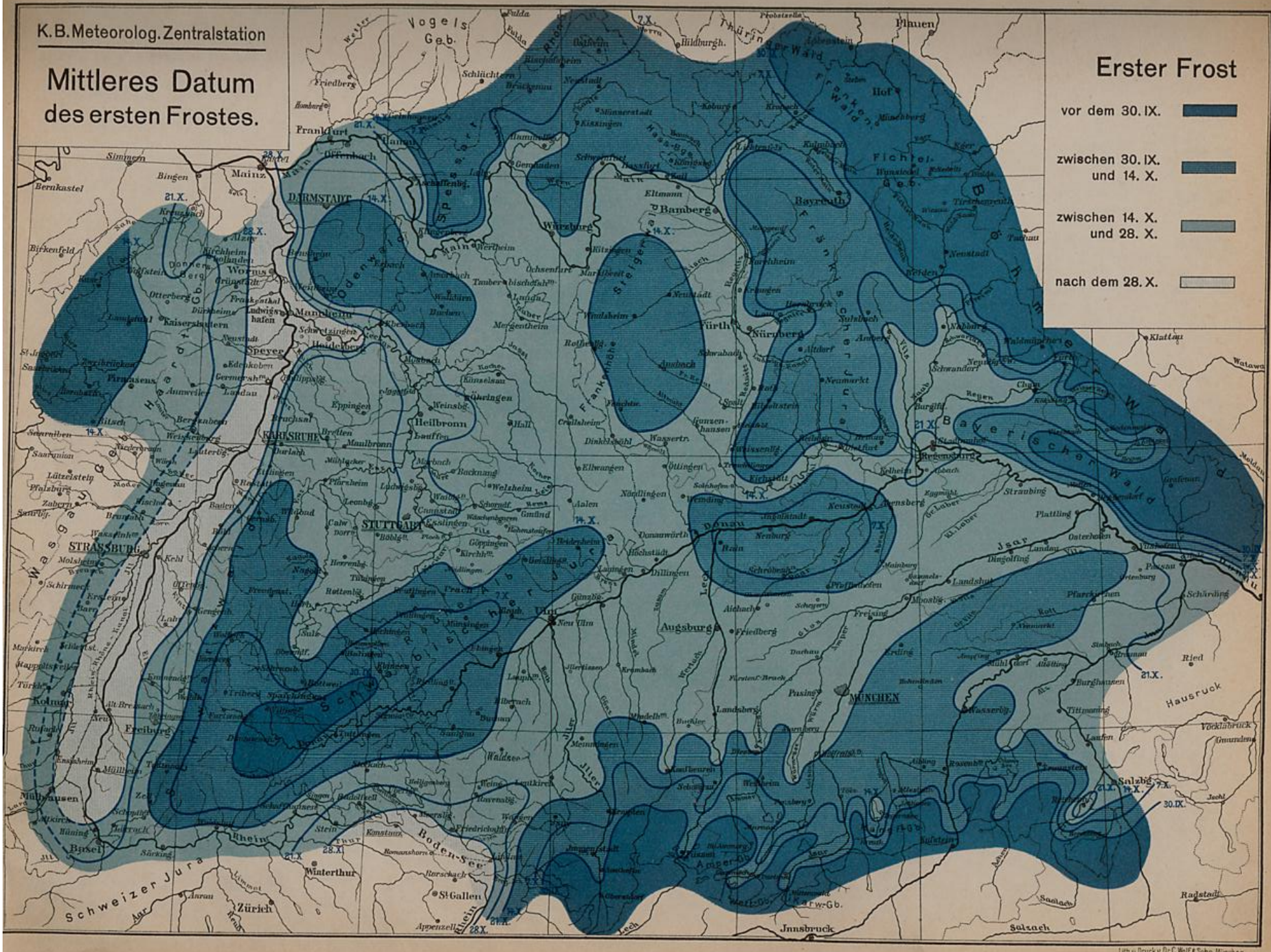
Man sieht also ganz deutlich, dass sich der mittlere Einzug des Frühlings recht genau den Terminen des letzten Frostes anschliesst.

Ich muss gestehen, dass ich über das Ergebnis sehr überrascht war. Ganz unabhängig voneinander hatten der Meteorologe und der Phänologe ihre Berechnung des Frühlingseinzugs angestellt und dabei so gute Übereinstimmung erhalten. Dass wir direkt aneinander sich anschliessende Wochen erhalten haben, ist natürlich nur ein Zufall. Wir sehen aber deutlichst, dass die mittlere Blüte nicht vor dem letzten Frost einsetzt, nach dem Eintritt desselben aber auch nicht mehr lange zurückhält — ein neuer Beweis für die ausgezeichnete Anpassung der Pflanzen an das Klima eines Ortes.

A. Schmauss.

K.B. Meteorolog. Zentralstation

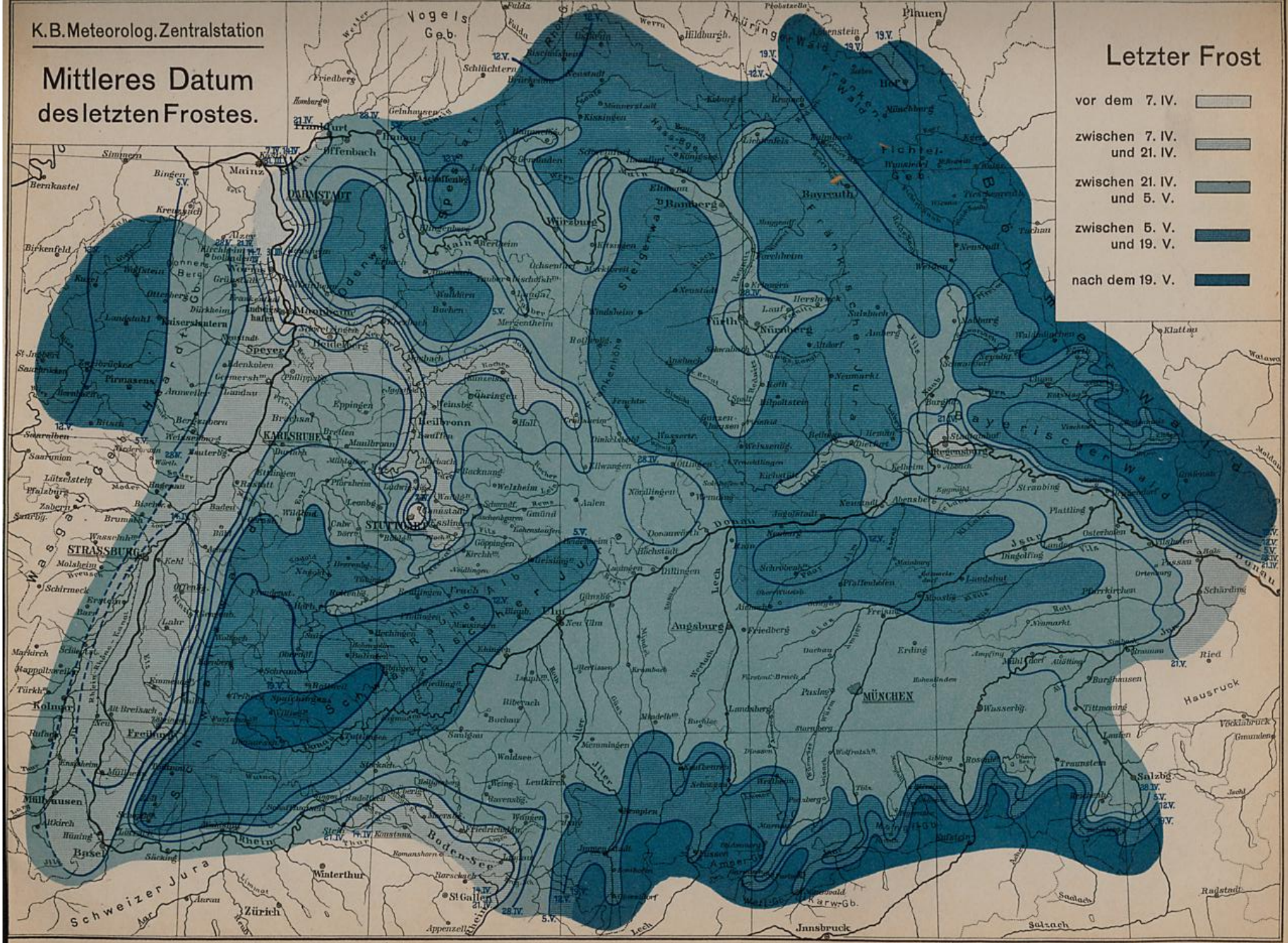
Mittleres Datum des ersten Frostes.



Lith. u. Druck v. Dr. C. Wolf & Sohn, München.

K.B. Meteorolog. Zentralstation

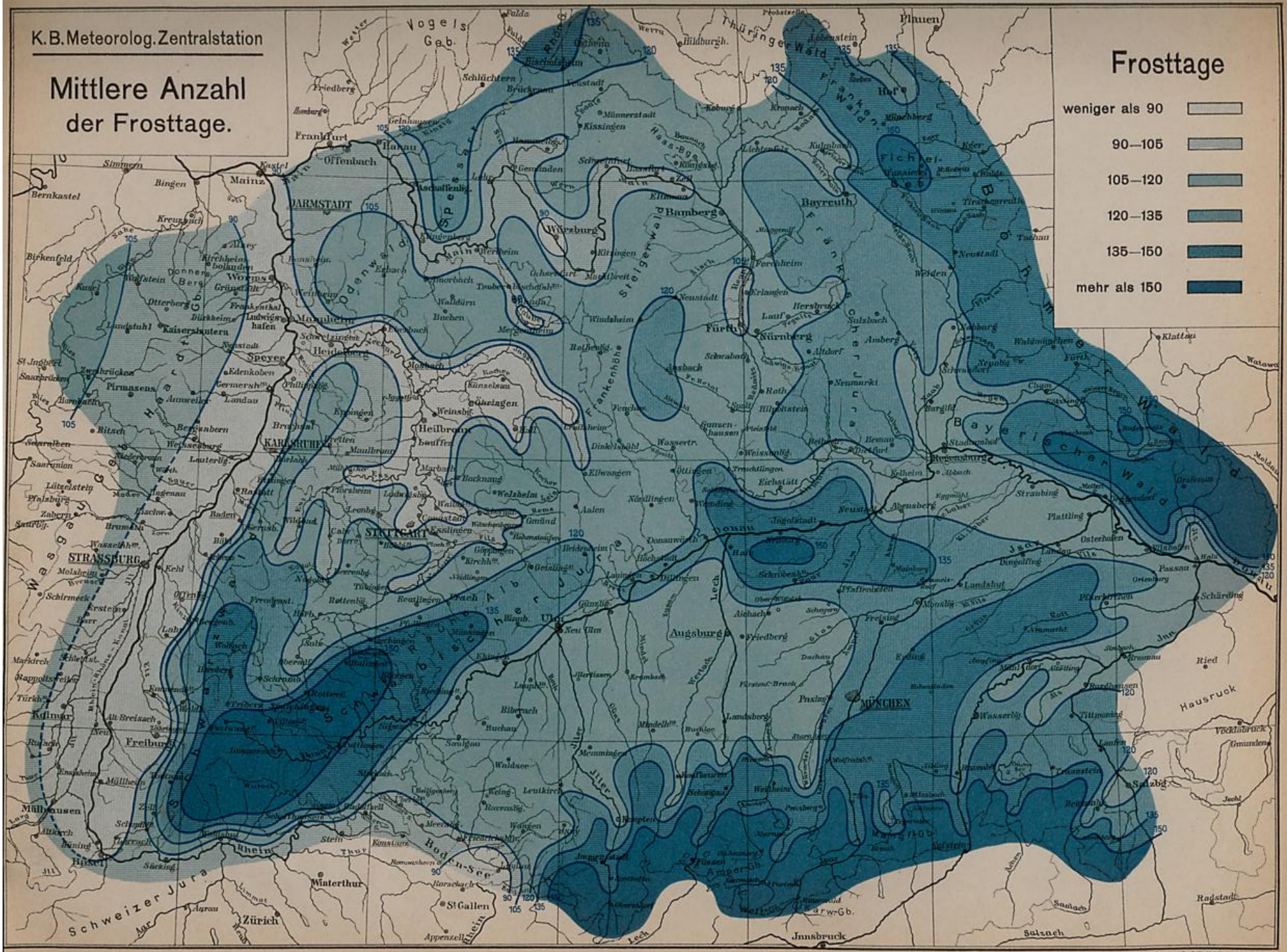
Mittleres Datum des letzten Frostes.



Lith. u. Druck v. Dr. C. Wolf & Sohn, München.

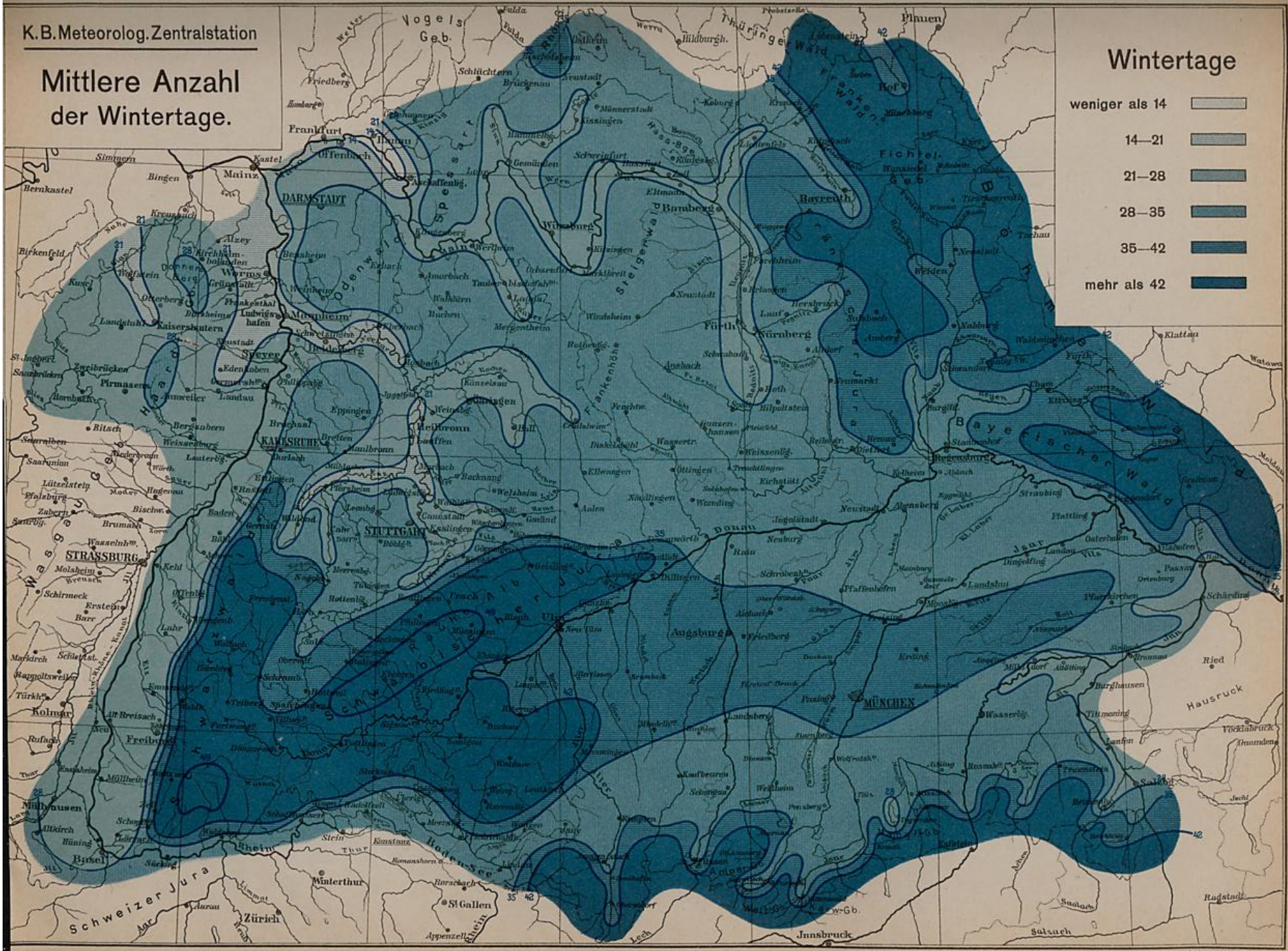
K.B. Meteorolog. Zentralstation

Mittlere Anzahl der Frosttage.


Frosttage
weniger als 90
90—105
105—120
120—135
135—150
mehr als 150
Vogels Geb.
Thüringer Wald
Frankenwald
Fichtel. Geb.
Böhmer Wald
Bayerischer Wald
Spessart
Odenwald
Steigerwald
Frankenhöhe
Oberpfälzer Jura
Schwäbisch-Fränkischer Wald
Schwarzwald
Schwäbische Alb
Schwäbisch-Bayerische Hochebene
Schweizer Jura
Hessen-Berg
Hohe Rhön
Rauhe Alb
Bodensee
Rhein
Donau
Main
Neckar
Lech
Isar
Inn
Hausruck
Fulda
Werra
Weser
Kinzig
Jagst
Tauber
Iller
Amper
Salzach
Sulzach
Aar
Reuss
Limmat
Thur
Glatt
Wutach
Wiese
Elz
Kocher
Jagst
Enz
Nagold
Murg
Kinzig
Rench
Acher
Bühler
Oos
Alb
Pfinz
Saalach
Ammer
Loisach
Isar
Amper
Würm
Wertach
Mindel
Günz
Roth
Iller
Leutkirch
Memmingen
Kempten
Immenstadt
Füssen
Garw-Gb.
Mainz
Darmstadt
Frankfurt
Offenbach
Aschaffenbg.
Hanau
Würzburg
Bamberg
Bayreuth
Hof
Plauen
Coburg
Schweinfurt
Kissingen
Fulda
Gelnhausen
Friedberg
Schlüchtern
Brückenau
Hildburgh.
Lobenstein
Münnerstadt
Gemünden
Lohr
Karlstadt
Marktheidenfeld
Miltenberg
Aschaffenburg
Obernburg
Erbach
Michelstadt
Lindenfels
Kulmbach
Kronach
Münchberg
Tirschenreuth
Tachau
Neustadt
Weiden
Eger
Asch
Wiesau
Waldsassen
Mitterteich
Marktredwitz
Wunsiedel
Selb
Rehau
Hof
Schwarzenbach
Naila
Lichtenfels
Staffelstein
Ebern
Haßfurt
Schweinfurt
Ochsenfurt
Kitzingen
Marktbreit
Uffenheim
Bad Mergentheim
Tauberbischofsheim
Wertheim
Buchen
Walldürn
Mosbach
Neckarelz
Eberbach
Heidelberg
Weinheim
Schwetzingen
Mannheim
Ludwigshafen
Frankenthal
Dürkheim
Neustadt
Landau
Speyer
Germersheim
Kandel
Landstuhl
Kaiserslautern
Pirmasens
Zweibrücken
Homburg
Saarbrücken
St. Ingbert
Saarlouis
Merzig
Saarburg
Forbach
Sarreguemines
Bitsch
Weissenburg
Wörth
Lauterbg.
Hagenau
Zabern
Saarburg
Molsheim
Brumath
Schirmeck
Ersteins
Barr
Lahr
Offenburg
Kehl
Rastatt
Baden
Bruchsal
Karlsruhe
Durlach
Pforzheim
Ettlingen
Maulbronn
Bretten
Bruchsal
Philippsburg
Germersheim
Speyer
Edenkoben
Neustadt
Grünstadt
Worms
Donnersberg
Alzey
Kirchheimbolanden
Birkenfeld
Kusel
Wolfstein
Otterberg
Frankenthal
Ludwigshafen
Dürkheim
Landstuhl
Kaiserslautern
Neustadt
Grünstadt
Worms
Alzey
Kirchheimbolanden
Donnersberg
Wolfstein
Kusel
Birkenfeld
Bernkastel
Simmern
Bingen
Mainz
Kastel
Offenbach
Frankfurt
Hanau
Aschaffenbg.
Darmstadt
Lampertheim
Bensheim
Heppenheim
Weinheim
Eberbach
Mosbach
Buchen
Walldürn
Tauberbischofsheim
Bad Mergentheim
Uffenheim
Marktbreit
Kitzingen
Ochsenfurt
Haßfurt
Schweinfurt
Gemünden
Lohr
Karlstadt
Marktheidenfeld
Miltenberg
Aschaffenburg
Obernburg
Erbach
Michelstadt
Lindenfels
Kulmbach
Kronach
Münchberg
Tirschenreuth
Tachau
Neustadt
Weiden
Eger
Asch
Wiesau
Waldsassen
Mitterteich
Marktredwitz
Wunsiedel
Selb
Rehau
Hof
Schwarzenbach
Naila
Lichtenfels
Staffelstein
Ebern
Bamberg
Bayreuth
Forchheim
Erlangen
Neustadt
Fürth
Nürnberg
Lauf
Hersbruck
Sulzbach
Amberg
Altdorf
Neumarkt
Roth
Hilpoltstein
Gunzenhausen
Weissenburg
Dinkelsbühl
Wassertr.
Ellwangen
Aalen
Nördlingen
Öhringen
Heilbronn
Weinsberg
Künzelsau
Crailsheim
Rothenbg.
Schwabach
Lesbach
Fr. Brand
Ansbach
Gunzenhausen
Treuchtlingen
Eichstätt
Ingolstadt
Neustadt
Abensberg
Regensburg
Stadtamhof
Burglfl.
Selheim
Straubing
Plattling
Osterhofen
Vilshofen
Passau
Ortenburg
Landau
Dingolfing
Landshut
Pfarrkirchen
Schärding
Braunau
Ried
Hausruck
Vöcklabruck
Gmunden
Salzbg.
Traunstein
Laufen
Teisendorf
Reichenhall
Berchtesgaden
Tittmoning
Wasserburg
Trostberg
Altötting
Mühldorf
Haag
Ebersberg
Erding
Freising
Moosburg
Pfaffenhofen
Ingolstadt
Neuburg
Donauwörth
Dillingen
Günzburg
Ulm
Neu Ulm
Augsburg
Friedberg
Aichach
Schrobenh.
Mainburg
Pfaffenhofen
Landsberg
Dachau
Erding
Freising
Moosburg
Landshut
Dingolfing
Plattling
Osterhofen
Vilshofen
Passau
Ortenburg
Landau
Straubing
Abensberg
Neustadt
Ingolstadt

K.B. Meteorolog. Zentralstation

Mittlere Anzahl der Wintertage.


Wintertage
weniger als 14
14—21
21—28
28—35
35—42
mehr als 42
Vogels Geb.
Thüringer Wald
Fichtel. Geb
Böhmer Wald
Bayerischer Wald
Frankenwald
Steigerwald
Frankenhöh
Odenwald
Spessart
Hardt
Schwarzwald
Schwäbisch-Fränkische Waldberge
Schwäbische Alb
Schwäbische Jura
Schwarzwald
Schwarzwald
Schwarzwald

Die Gewitter vom 11. Mai 1910.

Ein Beitrag zum Studium der Böen

von

Ludwig Weickmann.

Mit einem Anhang: Der Gewitterregen vom Nachmittage des 11. Mai 1910, von Josef Haeuser, wissenschaftlicher Hilfsarbeiter für Meteorologie im K. B. Hydrotechnischen Bureau.

Inhaltsverzeichnis.

	Seite
Einleitung	5
1. Die Luftdruck- und Temperaturverhältnisse in Mitteleuropa am 11. Mai 1910	6—10
2. Entwicklung und Fortpflanzung der Gewitterzüge nach den Isobronten und nach ausgewählten Berichten der Beobachter	11—20
3. Die Wirkungen der Gewitterzüge	20—22
4. Die Fortpflanzungsgeschwindigkeit als Funktion der Temperaturdifferenz der aufeinandertreffenden Luftmassen	22—23
Anhang: Der Gewitterregen vom Nachmittage des 11. Mai 1910, von Josef Haeuser	J° 1—8

Einleitung.

Zwar liegt seit der klassischen Bearbeitung des Gewittersturmes vom 9. August 1881 durch W. Köppen bereits eine grosse Anzahl von Einzeluntersuchungen über Gewitter und Böen vor, die zu einer ziemlich vollständigen Kenntnis der Natur und Mechanik dieser interessanten atmosphärischen Erscheinungen geführt haben. Die am 11. Mai 1910 über Mitteleuropa eingetretenen Gewitterstürme zeigen aber eine Reihe von Einzelheiten, die zum Teil schon feststehende Erkenntnisse, zum Teil noch strittige Fragen berühren, mit solcher Deutlichkeit, dass mir eine eingehende Behandlung derselben gleichwohl wünschenswert erschien. Zudem bieten sie willkommene Gelegenheit, die in jüngster Zeit von Wilhelm Schmidt aus Variographenbeobachtungen und auf rein experimentellem Wege gewonnenen neuen Resultate an der Hand einer synoptischen Darstellung nachzuprüfen. Die Verhältnisse liegen für eine exakte Untersuchung in unserem bayrischen Gebiete auch recht günstig, da zu dem schon ziemlich dichten Beobachtungsnetz der Centralstation noch das selbständige, sehr engmaschige Netz des K. Hydrotechnischen Bureaus und der gemeindliche Hagelmeldedienst der K. Hagelversicherungskammer hinzutreten. Es können also gerade die Beziehungen, die zunächst das grösste Interesse für sich in Anspruch nehmen, Ausbreitung und Fortpflanzungsgeschwindigkeit der kalten Luft, Eintrittszeit des Niederschlages, des Hagels, der Gewitterböe etc. mit besonderer Schärfe auch nach der quantitativen Seite verfolgt werden.

Über die seltene Fortpflanzungsrichtung der Depression vom 11. Mai 1910, die von SE nach NW quer durch Mitteleuropa zog und dadurch die Wettervorhersage für die „unmittelbar Beteiligten" auf eine harte Probe stellte, hat bereits Prof. Trabert in der Meteorologischen Zeitschrift Angaben gemacht, die wir weiter unten im Wortlaut folgen lassen.

Eine andere mit der fraglichen Depression zusammenhängende Naturerscheinung ist in der Zeitschrift „Das Wetter" von Herrn von Wahlburg behandelt worden, nämlich eine in Böhmen mit grosser Gewalt in den Nachmittagsstunden des 11. Mai aufgetretene Windhose. Wir werden Gelegenheit finden auf dieses Phänomen noch weiter einzugehen, umsomehr, da auch auf bayrischem Gebiet und zwar am Ostabhange der Haardt eine Trombe zur Ausbildung kam.

Das Material, das der Verarbeitung zugrunde liegt, rund 250 Stationen für Temperatur und Luftdruck und weit über 2500 Beobachtungen der Gewitterstationen, ist mir in überaus entgegenkommender Weise von den Centralstellen der deutschen und österreichischen Netze zur Verfügung gestellt worden und hat sich mit verschwindenden Ausnahmen als recht zuverlässig erwiesen. Insbesondere konnte eine grosse Anzahl genauer Zeitangaben verwertet werden, die zur Entwirrung des komplizierten Bildes der Isobronten gute Dienste taten. Es sei mir gestattet auch an dieser Stelle für die Überlassung der wertvollen Grundlagen verbindlichsten Dank zu sagen.

Die Behandlung des gesamten Stoffes gliedert sich im Interesse der Übersichtlichkeit, die bei der Fülle des Materials ohnehin schwer festzuhalten war, in eine Besprechung der Luftdruck- und Temperaturverhältnisse über Mitteleuropa am 11. Mai 1910, an Hand der Isobaren und Isothermen von 7 a, 2 p und 9 p. Dabei finden Erörterungen über die Zuverlässigkeit der einzelnen Beobachtungen, sowie Bemerkungen über die Fortpflanzungsrichtung der Depression ihre Stelle. Dann folgt eine Auswahl von Berichten der Beobachter über die Entwicklung und Bahn der hauptsächlichsten Gewitterzüge und die Besprechung der Isobrontenkarte. In einem weiteren Kapitel wird das Grenzgebiet zwischen warmer und kalter Luft als Herd der Gewitterbildung und in seiner Beziehung zur Gewitterböe, den Hagelfeldern und dem Gebiete der Gussregen studiert. Zur Prüfung der W. Schmidt'schen Relationen zwischen der Fortpflanzungsgeschwindigkeit der Böe, dem oberflächlichen Temperaturgradienten und der Intensität der Luftdruckstufe werden günstig gelegene und mit Registrierinstrumenten ausgerüstete Stationen herangezogen, wobei sich eine überraschend gute Übereinstimmung zwischen den experimentell gewonnenen und den beobachteten Werten ergibt.

Für den hydrologischen Teil der Untersuchung, die Gewitterregen, ihre Intensität uud Verteilung sowie die Eintrittszeit und Fortpflanzung der „Gussregen" hat Herr Ministerialrat Hensel, Direktor des K. Hydrotechnischen Bureaus die Ausarbeitung seinem wissenschaftlichen Hilfsarbeiter J. Haeuser übertragen. Mit seiner Einwilligung sind wir in der Lage die Abhandlung des Herrn Haeuser hier direkt beigeben zu können, wofür wir wiederholt den geziemenden Dank aussprechen.

1. Die Luftdruck- und Temperaturverhältnisse in Mitteleuropa am 11. Mai 1910.

Am Morgen des 11. Mai 1910 lag um 7^h O.Z. über Italien und den adriatischen Küstenländern eine ziemlich tiefe Depression mit einem Zentrum von 749 mm über der nördlichen Adria. Die Vorgeschichte dieser Depression ist für die Erscheinungen des Tages ohne wesentlichen Belang, jedoch sei soviel bemerkt, dass sie am 9. Mai im Zusammenhang mit einem Minimum an der deutschen Ostseeküste entstanden und in der Folge durch den Vorstoss eines Hochdruckkeils aus Russland, der sie von dem erwähnten Ostseeminimum trennte, selbständig geworden war. Restgebilde niedrigen Druckes waren übrigens nördlich der Alpen zurückgeblieben und zwar zeigten sich bei Verwendung sämtlicher Stationen zwei Teilminima über Bayern, eines über der Gegend des Fichtelgebirges und Westböhmen, das andere über dem Donaugebiet von Schwaben und Mittelfranken. Das erstere hatte bereits am Morgen des 11. Mai einen Gewitterzug ausgelöst, der aber für das Folgende nicht weiter interessiert. Wichtiger für die gesamte Entwicklung der Wetterlage ist das russische Hochdruckgebiet. Dieses hatte sich schon mehrere Tage über Russland erhalten und bei fast ununterbrochen heiterem Himmel zuerst an den nördlichen Küstenstrichen des schwarzen Meeres, dann über ganz Westrussland hohe Temperaturen durch Insolation entstehen lassen. Die der Mittelmeerdepression gehorchenden östlichen Winde transportierten die erwärmte Luft weiter nach Westen, so dass auch über den unteren Donauländern in den Morgenstunden des 11. Mai Temperaturen von mehr als 20° C auftraten. Die Temperaturverteilung um 7^h a. m. findet man für Mitteleuropa auf dem zweiten Kärtchen der Tafel I beigegeben. Die durch die Luftdruckverteilung bedingte Strömung musste gemäss den von A. Defant[1]) aus den Wetterkarten, Isallobaren und Isallothermen des Jahres 1909 gewonnenen Regeln ein Fallen des Luftdruckes im Bereiche der südöstlichen Winde, die aus einem Steiggebiete der Temperatur kamen, verursachen, ein Steigen des Luftdruckes im Bereiche der nordwestlichen und westlichen Winde, die aus einem relativen Fallgebiet der Temperatur wehten. In der Tat war auch am Morgen des 11. Mai über Österreich-Ungarn und Süddeutschland ein stetiger Barometerfall zu beobachten und der Württemberger Wetterbericht erläuterte die Situation am Morgen des 11. Mai durch die Feststellung: „Wir vermuten zwar Rückläufigkeit des Niederdruckes, d. h. Weiterwandern in der Richtung gegen Westen, . .“ und war mit dieser Prognose von der Geschwindigkeit der Änderung abgesehen, die auch ihn überraschte, der einzige volle „Treffer“, während Bayern und Sachsen für eine „Ausbreitung der Depression gegen Nordosten“, Baden für „keine wesentliche Änderung der Luftdruckverteilung“ stimmten.

Schon um 2^h p. m. war die Depression nach Süddeutschland über Österreich-Ungarn vorgedrungen. Das ursprünglich für die Fortpflanzungsrichtung massgebende Temperaturgefalle von ESE nach WNW hatte sich in die Richtung NE—SW eingestellt und bestimmte so den ungefähr nordwestlichen Zug des Minimums, den es bis zur französischen Küste beibehielt. Trabert[2]) schreibt über diese Wanderung der Depression: „Am 11. Mai sass das Minimum über der nördlichen Adria und der Poebene; am 12. Mai um 7 a über Westfrankreich. Man möchte meinen, es handle sich um eine andere Depression.[3]) Benutzen wir aber die 2 p-Karte der Seewarte und zeichnen wir uns eine Karte für 9 p, so ist es eklatant, dass wir es mit derselben Depression zu tun haben. Um 2 p liegt der Kern derselben etwa über Nordtirol und Südbayern[4]) und um 9^h über der Pfalz[4]). Das Minimum war von SE nach NW gezogen und bewegte sich nun ganz regelmässig vom 12., 13. zum 14. Mai in der Richtung von Osten nach Westen. Interessant ist nun die Temperaturverteilung. Am 11. früh lag eine Insel niedrigster Temperatur über den nördlichen Alpen. Zürich beobachtete 1.5, Feldkirch 1.4, Innsbruck 1.6. Ganz Ungarn (Budapest 19.6, Nagy-Varad 21.8), Polen und das östliche Deutschland hatten hohe Temperatur, der Gradient war von NE nach SW gerichtet, und am 12. hatte gar das ganze südliche Frankreich, Norditalien, die Alpen niedere Temperatur (Clermont 3.1, Lugano 5.0, Zürich 1.6, Innsbruck 0.8), dagegen Belgien-Holland, ganz Norddeutschland sehr hohe Temperaturen (Hamburg 19.0, Swinemünde 19.8, Memel 23.7). Das Temperaturgefälle war ausgesprochen von NNE nach SSW gerichtet. Die Temperatur zeigte eine volle Umkehr gegen die normalen Verhältnisse, der N war warm, der S kalt, und dieser abnormen Temperaturverteilung entsprach auch der abnorme EW-Zug der Depression. Die Bewegung derselben erfolgte in allen besprochenen Fällen senkrecht auf den Temperaturgradienten, und zwar immer so, dass die hohe Temperatur auf die rechte Seite zu liegen kam.“

Dass die Fortschreitungsrichtung einer Depression jeweils senkrecht zum Temperaturgradienten erfolge, ist cum grano salis zu verstehen und nur unter der Voraussetzung einer vom Zentrum der Depression aus monotonen Temperaturverteilung richtig; ausserdem spielt dabei die Form der Depression, bzw. die Verteilung der Strömungslinien um das wandernde Zentrum eine Rolle. Ich werde darauf an anderer Stelle eingehen.

Was nun im einzelnen die Luftdruck- und Temperaturverhältnisse um 2 p. m. betrifft, so zeigt die Darstellung Tafel II, dass die Depression sich über Bosnien und Westungarn hinweg nach Österreich und Süddeutschland ausgebreitet hat. In ihrem Innern findet sich ein Zentrum über Nordostbayern, und ein merkwürdiges System eines relativen Hoch- und Tiefdruckgebietes über Oberösterreich, das mit einem Bereiche besonders intensiver horizontaler Temperaturgradienten bzw. einem Felde abnormer Erwärmung (vgl. Ritzlhof, St. Florian, Scheibbs) korrespondiert. Da diese Erscheinung in

---

[1]) A. Defant, Über die Beziehung der synoptischen Luftdruckänderungen zu den Temperaturverhältnissen der Atmosphäre. Wien. Sitzungsber. Bd. 119 p. 739 ff.

[2]) W. Trabert, Die Abhängigkeit der Richtung einer Depression von der Temperaturverteilung. Meteorolog. Zeitschrift 1910 p. 508 f.

[3]) Vgl. die Wetterkarte der Meteorolog. Zentralanstalt in Zürich vom 12. Mai 1910: „Im höheren Norden hält sich der hohe Luftdruck und hat seit gestern an Stärke noch gewonnen; auch unmittelbar südwärts der Alpen ist eine Druckzunahme eingetreten, während in Frankreich sich eine neue, tiefere Depression ausgebildet hat“.

[4]) Diese nach der Wetterkarte der Seewarte wohl möglichen Angaben zeigen sich bei genauerer Untersuchung als nicht ganz zutreffend. Siehe Tafel II, Fig. 1.

das vorzüglich kontrollierte österreichische Netz fällt und zudem gerade an dieser Stelle durch zahlreiche Beobachtungen insbesondere auch von Kremsmünster gestützt ist, wie die nachfolgenden Tabellen zeigen, ist sie wohl zweifellos als reelles Gebilde zu betrachten und steht möglicherweise im Zusammenhang mit dem um 4 Uhr aus dieser Gegend entsprungenen und in nordwestlicher Richtung gezogenen Sturmfelde, das eingangs erwähnt worden ist.

Stationen	Geographische Koordination		Beobachtungen um 2 p. m. O.Z.				Bemerkungen
			Luftdruck		Temperatur C°	Wind	
	Länge	Breite	auf 0° red.	auf N. N. red.			
Göttweig (450 m) .	15° 37′	48° 22′	714.6	753.7	19.4°	SE 5	
Scheibbs (324 m) . .	15° 10′	48° 0′	725.0	752.4	**23.0°**	S 3	
Admont (647 m) . .	14° 27′	47° 35′	695.4	750.0	18.2°	C	
St. Florian (299 m) .	14° 23′	48° 13′	723.3	749.1	**21.6°**	E 7	
Ritzlhof (296 m) . .	14° 16′	48° 10′	723.7	749.0	**22.0°**	SE 5	
Kremsmünster (384 m)	14° 8′	48° 4′	715.8	749.1	**19.7°**	ESE 2	◍ 1/24–4 3/4 p, 4 p ⚿
Alt-Aussee (948 m) .	13° 46′	47° 39′	668.9	–	9.0°	W 1	
Hallstadt (1018 m) .	13° 38′	47° 34′	665.5	–	9.3°	NE 5	
Bad Ischl (467 m) .	13° 37′	47° 43′	711.0	752.7	8.4°	NW 2	
Ebensee (425 m) . .	13° 47′	47° 49′	713.5	750.9	11.0°	S 1	
Wolfsegg (600 m) .	13° 42′	48° 7′	702.6	754.0	15.2°	SE 2	
Berchtesgaden (600 m)	13° 0′	47° 38′	–	–	8.0°	SE 2–3	4–4 20 p ⚿
Reichenhall (477 m) .	12° 53′	47° 43′	709.5	751.6	7.6°	NE 2	
Salzburg-Stadt (431 m)	13° 2′	47° 48′	715.8	754.1	8.8°	C	
Traunstein (597 m) .	12° 39′	47° 52′	699.3	751.8	6.3°	NE 4	
Burghausen (365 m) .	12° 50′	48° 10′	719.7	752.4	7.3°	SW 2	
Passau (309 m) . . .	13° 28′	48° 34′	723.6	750.6	15.6°	E 2	

Kremsmünster. 11. Mai 1910.

Temperatur.

1ª	2ª	3ª	4ª	5ª	6ª	7ª	8ª	9ª	10ª	11ª	12m	1p	2p	3p	4p	5p	6p	7p	8p	9p	10p	11p	12mn
5.6	5.5	5.4	5.3	5.3	5.4	5.5	6.2	7.0	8.7	11.1	14.2	16.5	19.7	21.1	19.2	16.5	16.0	14.6	15.0	15.0	15.0	13.6	12.4

Luftdruck.

24.9	24.6	24.4	23.8	23.2	23.6	22.8	22.1	21.5	20.6	19.0	17.9	16.7	15.8	14.8	15.0	16.0	16.5	17.6	18.5	19.6	20.0	21.2	21.6

Niederschlag.

.	.	.	.	.	.	.	.	.	.	.	.	.	.	.	0.2	0.5	.	.	.	.	.	.	.

Relative Feuchtigkeit.

87	88	88	90	91	92	93	90	88	87	86	83	80	66	63	54	66	69	75	51	39	34	48	50

Wind (km/Stunde).

1ª	2ª	3ª	4ª	5ª	6ª	7ª	8ª	9ª	10ª	11ª	12m
W 11.5	W 10.0	W 7.5	W 7.5	W 5.0	W 1.0	W 1.0	W 4.0	W 9.0	W 8.0	E 24.0	ESE 27.5

1p	2p	3p	4p	5p	6p	7p	8p	9p	10p	11p	12mn
ESE 34.5	ESE 47.5	E 52.5	SE 45.0	SSE 35.5	SSE 26.0	ENE 12.5	SSE 8.0	S 28.5	SSE 29.5	SW 27.0	SSW 26.0

Wie die Temperaturkarte von 2p zeigt, ist die Überflutung der an die Nordseite der Depression grenzenden Landstriche mit warmer Luft aus dem südöstlichen und östlichen Wärmezentrum schon weit fortgeschritten. Die für Mitteleuropa um die Zeit des 11. Mai normale Tagesamplitude von zirka 8° ist in den von der Wärmewelle betroffenen Gebieten weit überstiegen. Dagegen haben die über dem Alpengebiet und Südfrankreich gelegenen Kälteinseln sich nur

ganz unbedeutend gehoben. Man ersieht die durch die Depression und die präexistierende Temperaturverteilung seit 7a bedingten Veränderungen besonders deutlich aus dem Bilde der Isallobaren und Isallothermen. Am meisten springt auf beiden Karten der Tafel III in die Augen das wiederholt erwähnte Gebiet von Oberösterreich. Ausserdem aber zeigen die Isallobaren, wie der Einfluss der Depression sich bereits über den ganzen westlichen Kontinent erstreckte und einen starken Fall des Luftdruckes über Deutschland, Nordfrankreich und England verursachte, während über Oberitalien und der Adria der Luftdruck um einen entsprechenden Betrag angestiegen ist. Die Erwärmung war dagegen am Erdboden noch nicht bis zur Nordsee, d. h. bis zu den Niederlanden und Belgien vorgedrungen, sondern reichte hauptsächlich von Ober- und Niederösterreich aus in nordwestlicher Richtung über Nordbayern.

Die folgende Auswahl von Angaben aus einer grossen Anzahl von Gewitterkarten zeigt, wie sich die Steigerung der Temperatur durch den Transport der warmen Luft aus SE als auffallende Erscheinung für die Beobachter bemerkbar machte:

Stationen in Niederbayern:

Ruhmannsfelden: „Von Mittag 12 h an wehte ein heftiger sehr warmer Wind aus S."

Haselbach: „Vorausgegangen war Ruhe bis gegen 2 h nachm., dann ein SE S-Sturm bis kurz nach 4 h; vorher niedrige Temperatur von ca. 8° C, der Sturm erhöhte sie auf 18° C, das Gewitter erniedrigte sie auf 6° C."

Stationen in der Oberpfalz:

Amberg: „Von Mittag 12 h an sehr starker SE 8-10, der sehr warm war."

Michaelsneukirchen: „Gewitter 5^{30} p. Mehrere Stunden vorher starker warmer SE-Wind."

Sulzbürg: „Witterungscharakter war ganz abnorm. Vormittags 5—6° C, mittags Gewitterschwüle bei SE-Sturm."

Stationen in Mittelfranken:

Burgfarrnbach: „Nachm. sehr warmer SE-Wind."

Velden b. Hersbruck: „Von mittags an starker, warmer Wind, der Mailuft (!) mitbrachte."

Stationen in Oberfranken:

Tschirn: „Am 11. vorm. sehr kühl, nachm. gegen 3 h Temperaturumschlag mit grosser Schwüle."

Weidenberg: „Nachm. drückende Schwüle."

Tuschendorf: „Das Thermometer sank von 13° R vor dem Gewitter auf 7° R nach demselben."

Stationen in Unterfranken:

Simonshof: „Dem Gewitter ging ein auffallend warmer Wind voraus."

Grosskahl: „1/2 Stde. vor dem Gewitter (6^{45} p) hatten wir eine drückende Hitze ohne Sonnenschein."

Aus der Pfalz:

Grossbockenheim: „Ein orkanartiger Sturm riss hunderte von Bäumen aus den Wurzeln; während des Sturmes stieg die Temperatur um 5°, das Barometer zeigte um 11 a 755 mm, um 5 p 735 mm."

Die letztere Meldung gehört allerdings nicht der grossen Südostströmung an, die an den anderen Stationen zu der ungewöhnlichen Erwärmung führte, fondern sie schildert den Verlauf der Witterung beim Durchzug der Trombe am Ostabhange der Haardt. [1])

Die Eintrittszeit der Wärmewelle verspätete sich mit dem Fortschreiten der Depression in nordwestlicher Richtung immer mehr gegen das normale Tagesmaximum. Man verfolgt diese Erscheinung leicht an den beigegebenen Kopien der Thermogramme, die von 12 Stationen zu gewinnen waren und die uns noch zu Aufschlüssen über eine Reihe von Fragen dienen werden.

Die gleichzeitige Veränderung der vertikalen Temperaturschichtung der Atmosphäre lässt sich an einer Reihe günstig gelegener Stationen beobachten. Mit dem Übergreifen der adriatischen Depression nach Bosnien und West-Ungarn wächst der vertikale Temperaturgradient zwischen Bjelašnica und Sarajevo vom zyklonalen Wert, den er bis 8 a festgehalten hatte, rasch selbst über den Betrag adiabatischer Zustandsänderung an. Die folgende Tabelle gibt [2]) die Temperatur- und Windaufzeichnungen der beiden Stationen und den vertikalen Gradienten für je 100 m.

Bjelašnica (2067 m). 11. Mai 1910.

Temperatur.

1^a	2^a	3^a	4^a	5^a	6^a	7^a	8^a	9^a	10^a	11^a	12^m	1^p	2^p	3^p	4^p	5^p	6^p	7^p	8^p	9^p	10^p	11^p	12mn
3.5	4.1	3.9	3.9	4.3	3.9	3.9	4.2	4.9	5.1	5.1	5.3	5.1	5.1	4.7	4.1	3.5	3.3	2.6	2.1	1.8	1.4	1.7	2.1

Wind (km/Stunde).

1^a	2^a	3^a	4^a	5^a	6^a	7^a	8^a	9^a	10^a	11^a	12^m
S 39	S 46	S 47	S 41	S 39	S 44	S 56	S 60	SSW 80	SSW 69	S 79	S 93

1^p	2^p	3^p	4^p	5^p	6^p	7^p	8^p	9^p	10^p	11^p	12mn
S 70	S 72	SSW 61	SSW 59	SSW 53	SSW 54	SSW 55	SSW 59	SSW 56	SSW 42	SSW 38	S 27

[1]) Natürlich ist den Luftdruckbeobachtungen eine quantitative Bedeutung nicht beizumessen.

[2]) Aus „Ergebnisse der Meteorol. Beob. an den Landesstat. in Bosnien-Herzegowina" Jahrg. 1910. Herausgeg. v. d. Bosn.-Herzeg. Landesregierung. Sarajevo 1911.

Sarajevo (637 m). 11. Mai 1910.

Temperatur.

1ª	2ª	3ª	4ª	5ª	6ª	7ª	8ª	9ª	10ª	11ª	12m	1P	2P	3P	4P	5P	6P	7P	8P	9P	10P	11P	12mn
10.6	10.5	10.0	9.4	9.1	9.5	10.6	13.8	20.7	22.0	23.6	23.5	22.4	21.1	20.4	20.8	20.7	19.1	17.8	16.5	15.0	14.3	13.0	12.7

Wind (km/Stunde).

1ª	2ª	3ª	4ª	5ª	6ª	7ª	8ª	9ª	10ª	11ª	12m
E 14	ENE 16	ENE 9	NE 10	ENE 7	E 4	W 4	W 3	SSE 10	SSE 21	SSE 18	S 23

1P	2P	3P	4P	5P	6P	7P	8P	9P	10P	11P	12mn
S 27	SSW 24	SSW 19	SSW 21	SSW 21	SSW 15	SSW 14	SSW 11	W 6	NW 5	ENE 4	N 3

	1ª	2ª	3ª	4ª	5ª	6ª	7ª	8ª	9ª	10ª	11ª	12m	1P	2P	3P	4P	5P	6P	7P	8P	9P	10P	11P	12mn
△t	0.50	0.45	0.44	0.40	0.34	0.40	0 45	0.67	1.15	1.18	1.30	1.30	1.21	1.15	1.15	1.18	1.21	1.15	1.14	1.01	0.92	0.90	0.80	0.74

Über Westungarn, wo die Depression gegen 11 a angelangt war, wendete sie sich nach Nordwesten. Das Grenzgebiet der kalten und warmen Luft überlagert dann um 2 p gerade die Stationen Hochobir—Klagenfurt und erlaubt so neuerdings eine Sondierung der vertikalen Schichtung, wenigstens für die Termine 7 a, 2 p, 9 p.

11. Mai 1910	7 a	2 p	9 p
Hochobir		Temperatur	
2044 m	3.2	2.2	−3.3
		Wind	
	E 3	E 5	SW 4
Klagenfurt		Temperatur	
450 m	8 2	17.0	7.2
		Wind	
	W 2	SE 4	SW 1
△t	0.31	0.93	0.66

Die Temperatur von 2 p war am Hochobir wohl etwas zu niedrig, da nach den Angaben des Beobachters von $1^3/_4$—$3^3/_4$ p Regen und gerade um 2—$2^1/_4$ p Graupelfall herrschte, der die Temperaturwerte etwas herabdrückte. Es ist aber der adiabatische Gradient um 2 p nahezu erreicht, und der Graupelfall vom Obir entspringt zweifellos dem Gefrierstadium der adiabatisch aufsteigenden Luft. Die Gewitterfront, die wir mit der 3 Uhr-Isobronte über Süddeutschland vorfinden, setzt sich an der östlichen Grenze noch bis zu den Karawanken fort und folgt so genau der Zone der steilsten horizontalen Temperaturgradienten. Links von dieser Grenzlinie, im Gebiete der kalten Luft, waren die vertikalen Temperaturgradienten von dem adiabatischen Werte weit entfernt und meist unter normal. Z. B. ergeben sich für Schmittenhöhe—Zell a. See, sowie für Sonnblick—Bucheben die nachfolgenden Werte:

11. Mai 1910	7 a	2 p	9 p
Schmittenhöhe		Temperatur	
1968 m	−2.8	1.0	−2.0
		Wind	
	E 5	E 7	E 4
Zell a. See		Temperatur	
763 m	1.9	3.5	4.4
		Wind	
	C	SE 2–3	W 1–2
△t	0.39	0.21	0.53

Sonnblick		Temperatur	
3106 m	-6.6	-5.6	-6.6
		Wind	
	S 5	SE 6	S 6
Bucheben		Temperatur	
1203 m	1.1	3.7	2.3
		Wind	
	SW 1	SW 1	W 1
$\triangle t$	0.40	0.49	0.47

Die vertikale Verteilung der Temperatur weist auch für andere Kombinationen dieser Stationen, soweit die horizontale Entfernung Schlüsse noch zulässt, Gradienten $< 0.57^0/_{100}$ m auf, insbesondere aber zeigt sich deutlich, dass der in der warmen Ostströmung gelegene Obir und auch die Schmittenhöhe schon um 7 a und noch um 2 p im Vergleich mit der normalen Temperaturabnahme beträchtlich zu hohe Temperaturen besitzen, was beim Obir umsomehr zu beachten ist als der um 2^h dort gemeldete Graupelfall, wie schon erwähnt, durch das Mitreissen kälterer Luft aus der Höhe die Temperatur vielleicht noch um $1—2^0$ erniedrigt hat.

Auch im bayerischen Alpengebiet war die Temperaturabnahme mit der Höhe unter normal:

	7 a	2 p	9 p
$\triangle t$ (Hirschberg—Tegernsee)	0.44	0.38	0.29
$\triangle t$ (Zugspitze—Mittenwald)	0.32	0.31	0.23
$\triangle t$ (Zugspitze—Hohenpeissenberg)	0.33	0.26	0.16

In Friedrichshafen a. B. ergab ein um 7^{45} a vorgenommener Ballonaufstieg einen Gradienten von 0.44. Dabei wurde eine Isothermie von 0.0^0 angetroffen, die von 720 bis 1040 m reichte. Lindenberg, das bereits am Morgen im Gebiete der warmen Ostwinde lag, sondierte bei der ersten Fahrt um 5^{27} a einen Gradienten von 0.74, bei der zweiten Fahrt um 8^{16} a 0.76. [1]) Beide Fahrten lieferten eine im wesentlichen advektive Inversion, zuerst vom Boden bis in 680 m, bezw. beim Abstieg 500 m unter gleichzeitiger Zunahme um 2.1^0, also bei starken vertikalen Schwankungen der warmen Strömung, dann beim zweiten Aufstieg zwischen 450 und 1250 m.

Nach dieser für die Beurteilung des Zustandes der beiden aneinandergrenzenden Luftmassen, der warmen nördlichen und der kalten südwestlichen, wichtigen Orientierung wenden wir uns der weiteren Entwicklung der Luftdruck- und Temperaturverhältnisse bis zum Abende des 11. Mai zu. Die Depression schlug von 2 p an eine mehr westnordwestliche Richtung ein, entsprechend einer weiteren Drehung des Temperaturgefälles, das um 9 p nahezu nordsüdlich gerichtet war. Wir finden das Zentrum der Depression um 9^h abends über Metz, der Weg vom Bayerischen Walde bis zur Lothringer Hochebene wurde also in 7 Stunden zurückgelegt, was einer Stunden-Geschwindigkeit von ca 65 km entspricht, ein Wert, der im zentralen Europa ziemlich selten erreicht wird, der aber im allgemeinen übereinstimmt mit den Ergebnissen der am 11. Mai um 8 a bezw. 9 a in Friedrichshafen und in Lindenberg unternommenen Aufstiege, die eine durchschnittliche Geschwindigkeit der Osttrift von 18 m ergaben. [2]) Auch die um 6 p in Friedrichshafen und in Potsdam beobachtete Wolkengeschwindigkeit (Friedrichshafen ci S 80 E 8.3 m/sec.; Potsdam ci SE 4.1 m/sec.) liefert unter Berücksichtigung der Entfernung wenigstens der Grössenordnung nach übereinstimmende Werte.

Ausser dem Zentrum der Hauptdepression interessiert uns noch ein flaches sekundäres Minimum in der Gegend des Thüringer Waldes. Dort waren nämlich um 9^h abends die letzten schwachen Stösse jener interessanten Trombe angelangt, die wir bereits mehrfach erwähnten, und deren durch mehr oder weniger katastrophale Wirkungen gekennzeichnete Bahn sich auch auf der Karte der Gewitterböe eingezeichnet findet. Wir werden später noch auf diesen Zusammenhang des Näheren eingehen.

Ein zweites sekundäres Minimum liegt noch über Oberösterreich und der Donau. Dieses stammt auch aus dem Tiefdrucksack, der sich besonders deutlich um 2 p von dem Zentrum der Depression südostwärts nach Ungarn ausdehnt.

Die Isothermen von 9 p zeigen einen starken Vormarsch der Wärmewelle über Nordwestdeutschland und die Niederlande zur Nordseeküste; die scharfe Grenzlinie der kalten und warmen Luftströme ist verwischt, das Gefälle, das immer noch nordsüdlich ist, weist nirgends mehr so steile Gradienten auf wie um 2 p. Der Einbruch der kalten Luft hat eine beträchtliche Abkühlung gebracht (vgl. die Thermogramme von Nürnberg und Bamberg), die im Gebiete der Gewitter- und Hagelbahnen besonders stark ist.

Im folgenden Kapitel wenden wir uns nun den Erscheinungen zu, die durch das besprochene barometrische Gebilde und die mit ihm entstandenen Diskontinuitäten in der Temperaturverteilung ausgelöst wurden. Um den Charakter des Ganzen kennen zu lernen, lassen wir jetzt, nachdem die Bedingungen klargestellt sind, hauptsächlich die einzelnen Beobachter zu Worte kommen, selbst auf die Gefahr hin, gelegentlich Wiederholungen oder auch mehr nebensächliche Bemerkungen mit aufzunehmen.

---

[1]) Von Interesse ist die Lindenberger Beobachtung vom Nachmittage des 11. Mai, dass „an den cu im Zenit starke rechtsdrehende (eigentlich wohl linksdrehende?) Wirbelbewegung sich bemerkbar machte". Die Tendenz zur Ausbildung von Tromben war in höheren Schichten der Atmosphäre offenbar stark vorhanden.

[2]) Auch die Windgeschwindigkeit vom Eiffelturm mit maximal 16.9 m/sec. deckt sich gut mit der Fortpflanzungsgeschwindigkeit der Depression.

2. Entwicklung und Fortpflanzung der Gewitterzüge nach den Isobronten und nach ausgewählten Berichten der Beobachter.

Die Gewitter vom 11. Mai charakterisieren sich als Gewitter im Grenzgebiet zwischen warmer und kalter Luft. Mit dem Vormarsch der Depression von Ungarn nach Bayern war einerseits eine Ausbreitung des südöstlichen und östlichen Wärmegebiets in der Richtung nach Nordwesten verbunden, andererseits setzte sich die kalte Luftmasse, die über dem Alpengebiet lagerte, mit südwestlichen Winden gegen das Zentrum der Depression in Bewegung. Dieser Einbruch der kalten Luft führte erst zur Entwicklung von Gewittern, als der horizontale Temperaturgradient einen Wert von ungefähr 10—12° auf eine Entfernung von etwa 50 km erreicht hatte. Vorher machte sich der kalte Luftstrom in einer leichten Abminderung der Temperatur, einer Luftdruckstufe von 0.5 bis 1.2 mm und vorübergehendem Ansteigen der Windgeschwindigkeit bemerkbar. In Innsbruck erfolgte kurz nach 2 p ein Rückgang der Temperatur, der bis 4 p etwa 1.5° betrug. Gleichzeitig wurde eine Druckstufe von 1 mm geschrieben, der ein weiterer Anstieg um ca. 0.3 mm folgte. Dann wurden regelmässige Wellen vom Barographen aufgezeichnet, deren ganze Periode nahezu 30 Minuten erreicht.[1]) (Die Verkleinerung in dem beigegebenen Barogramm lässt dies nur noch undeutlich erkennen.) Die Windbeobachtungen, die mir freundlichst von Herrn v. Ficker mitgeteilt wurden, ergeben eine Drehung des Windes von E nach SW zwischen 3 und 4 p und eine gleichzeitige Zunahme der Windstärke:

Innsbruck Anemograph[2]) (km/Stunde) 11. Mai 1910.

1 a	2	3	4	5	6	7	8	9	10	11	12 m
E 0	E 0	E 0	E 0	E 0	E 0	E 0	E 0	E 0	E 0	E 0	E 0
1 p	2	3	4	5	6	7	8	9	10	11	12 mn
E 0	E 0	E 0	SW 10	W 20	W 10	W 10	W 10	W 0	W 0	W 0	W 0

Ähnlich verläuft der Durchgang der Böe in Mittenwald. Auch hier setzt um 2 p ein Temperaturabfall, gleichzeitig ein Anstieg der relativen Feuchtigkeit um ca. 10% ein. Die Druckstufe erreicht nicht ganz 1 mm. Regen war schon um 1^{15} p eingetreten, der nach 2 p an Intensität zunahm und schliesslich in Schnee überging, bis um 3^{45} p Aufklaren einsetzte; um 4^{10} p herrschte praller Sonnenschein, die Temperatur stieg wieder an, die Feuchtigkeit fiel von 86 auf 39%. Später kam mit dem Fortwandern der Depression nach Nordwesten Föhn auf.

Auf dem Hohenpeissenberg wurde um 3 p eine Druckstufe von 0.5 mm aufgezeichnet, die Windrichtnng ging von N nach W zurück und der $\equiv^1$ ging in $\equiv^2$ über.

In München setzte der Temperaturrückgang um 3 p ein. Gleichzeitig beginnt der Luftdruck zuerst langsam zu steigen, bis um 3^{30} p eine eigentliche Druckstufe (1 mm) auftritt und zusammenfallend damit ein plötzliches Anschwellen der Windgeschwindigkeit mit einem Umschlag der Richtung von NE nach SW. Schon vorher war, aber ohne erkennbare Wirkung aufs Barogramm und ausserdem mit NE-Wind ein schwacher Windstoss zugleich mit leichtem Regen und Temperaturrückgang um 1^{15} p in München aufgezeichnet worden, der aber kaum mit der 3 p-Böe etwas zu tun hat. Das Anemometer lieferte die Registrierung:

München-C.-St.

1 a	2	3	4	5	6	7	8	9	10	11	12 m
C	? 7	C	C	C	C	C	C	C	C	C	C
1 p	2	3	4	5	6	7	8	9	10	11	12 mn
C	NE 7	C	SW 13	SW 14	SW 8	C	C	SW 0	C	C	C

An den im Südosten Bayerns gelegenen Stationen Reichenhall und Traunstein fällt die Gewitternase oder vielmehr der Beginn des Luftdruckanstieges auf 2^{50} p bezw. 3 p.

Bei allen bisher erwähnten Stationen liegen keine Gewittermeldungen vor. Erst auf der Linie Stuttgart, Ulm, Augsburg, Tittmoning gewinnt der durch den Einbruch der kalten Luft eingeleitete Kondensationsprozess den Charakter eines Gewitters, wenn man nicht alle jene raschen Druckanstiege, die demselben Vorgang ihre Entstehung verdanken, mit W. Schmidt im weiteren Sinne als Gewitter bezeichnen will, worüber am Schlusse dieses Abschnittes noch einige Bemerkungen gemacht werden sollen.

Die Entstehung des Gewitters verfolgte ein aufmerksamer Beobachter in Berghausen bei Mainburg: „Es bildete sich im Süden aus aufsteigendem Nebel, zog von SE nach NW und entlud sich mit aussergewöhnlicher Heftigkeit; vereinzelt fielen Graupeln". Da mehrere Stunden vor Ausbruch des Gewitters die warme Südostströmung eingetreten war, so wurde meist der rasche Umschlag der Windrichtung als auffallende Erscheinung vermerkt. Interessant ist auch die grosse Anzahl von Beobachtungen über den Wolkenzug, der vielfach zu der Auffassung führte, entweder dass zwei Gewitter gleichzeitig, eines von E nach W, das andere von W nach E, über den Ort gezogen seien oder dass das Gewitter sich von SE nach NW bewegt habe. In Wirklichkeit flutete die kalte Luftwelle, die als der Träger des Gewitters angesehen werden muss, von SW nach NE mit leichten durch das Gelände bedingten Abweichungen und unter allmählicher Linksdrehung entsprechend der Wanderung der Depression daher, während darüber die Wolken der Südosttrift gehorchten. Zahlreiche Beobachter haben dies auch richtig festgestellt. Der Beobachter in Schierling (ca. 20 km südöstlich von Regensburg) schreibt: „Eigentümlich war die Windrichtung: in den niedersten Regionen (Kirchturmhöhe) W, Wolkenzug aus SE, am Boden E." Die gleiche Wahrnehmung wird aus

[1]) Sie ist also wesentlich grösser als die Periode der von W. Schmidt ermittelten für Wärmegewitter charakteristischen Wellen. Das Barogramm ist uns allerdings nur in einer Kopie zugänglich gewesen. Der stündliche Transport des Barographen ist 7.7 mm.

[2]) Wo „0" angegeben, zeigt die Windfahne die betr. Richtung, aber fast ohne Wind.

Bettbrunn mitgeteilt: „Zwei Windströmungen, die hohe S, die untere W". Aus Zenting im Bayrischen Wald lief der Bericht ein: „Nachdem um Mittag bald nach 12^h ein ungemein starker Wind von Ost her eingesetzt hatte, der in unverminderter Stärke bis 4^{45} p fortdauerte, setzte mit dem Gewitter eine Änderung der Windströmung ein, und zwar von SW. Gleich darauf hörte man Donner mit gleichzeitigem Regenanfang. Um 5^{15} p war alles mit düsterem Gewölk bedeckt, doch konnte man um 5^{45} p deutlich unterscheiden, dass das Gewitter aus W kam". Der Beobachter in Amberg meldet: Von Mittag 12^h an sehr starker Wind (Stärke 8–10), sehr warm; erst SE, dann E bis zum Ausbruch des Gewitters, wo er in S umschlug".

Von den mit Registrierinstrumenten ausgerüsteten Stationen zeigt Landshut [1]) um 3 p einen ersten Rückgang der Temperatur um 2° (Anstieg der relativen Feuchtigkeit 5%), mit dem gleichzeitig der zuerst langsame Anstieg des Luftdrucks erfolgt. Um 4^{15} p tritt dann zugleich mit dem Einbruch der Böe ein weiterer Temperatursturz von 2.4° (Anstieg der relativen Feuchtigkeit 7%) ein, dem eine Luftdruckstufe von 1.7 mm entspricht. In Regensburg setzte kurz vor 5 p diese Böe mit einem Abfall der Temperatur um ca. 6.5° ein. Das Barogramm weist eine Gewitternase vor 5 p von 2.3 mm und nach einem kurzen Abfall einen weiteren Anstieg auf, der noch um 0.8 mm höher führte als die „Nase".

Zwischen 4^{30} und 5 p gewinnt das Gewitter auf der ganzen Front rasch an Intensität. Die Windgeschwindigkeiten erheben sich zu Sturmwerten, die Niederschläge nehmen den Charakter wolkenbruchartiger, stellenweise katastrophaler Regengüsse an, Hagelfälle treten entlang der Böenfront mit grosser Heftigkeit auf (Kirschen- und Taubeneigrösse der Hagelkörner).

Aus der grossen Zahl von mehr oder weniger ausführlichen Berichten unserer Beobachter entnehme ich eine Auswahl. Es muss aber gleich bemerkt werden, dass sich die Angaben nicht nur auf das Gewitter beziehen, welches das ganze rechtsrheinische Bayern (und in seiner östlichen Fortsetzung noch ganz Österreich und Böhmen) überstrich, sondern hauptsächlich auf ein zweites Gewitter, das seine Entwicklung in Württemberg im südlichen Neckargebiet begonnen und später seine Front westwärts über die Pfalz und im Osten bis in den Bereich des andern Gewitters hinein ausgedehnt hat. Das Gebiet, in welchem sich die beiden Gewitterzüge kreuzen, wird uns noch näher beschäftigen. Die Herren Beobachter haben nicht selten mit grosser Anfmerksamkeit und vielem Geschick die Situation erfasst und die Tatsache konstatiert, dass zwei getrennte Gewitterzüge in ungefähr derselben Richtung über den Beobachtungsort gezogen seien. Das zweite Gewitter hat das erste zwischen 6 und 6^{30} p ungefähr im Gebiete des Steigerwaldes eingeholt. In der Isobrontenkarte, die am Schlusse beigegeben ist, sind die beiden Gewitterzüge gezeichnet, und durch verschiedenfarbige Isobronten, rot für das zuerst erwähnte, blau für das zweite Gewitter, auseinandergehalten. Wir werden im folgenden daher wohl auch von dem „roten Gewitter" und dem „blauen Gewitter" sprechen.

Die Isochronen der Böe sind nur für Bayern gezeichnet. Man sieht, dass bis auf charakteristische Abweichungen, die durch das Gelände bedingt sind, das rote Gewitter der Ausbreitungsart der kalten Luft folgt.

Aus den Berichten der Beobachter fällt zunächst auf die grosse Häufigkeit von Angaben über den verhältnismässig tiefen Zug der Wolken und die ungewöhnliche Finsternis, die das Gewitter verursachte. Besonders zahlreich sind diese Nachrichten aus der Pfalz und aus Württemberg eingelaufen. In den Bereich des roten Gewitters gehört die folgende Meldung:

> Weltenburg bei Kelheim: „Es wurde während des Gewitters so dunkel, dass man Licht anzünden musste, um schreiben zu können",

während alle weiteren Mitteilungen sich zum Teil auf das Grenzgebiet beider Gewitter, zum andern Teil auf das „blaue Gewitter" allein beziehen:

> Wassertrüdingen a. d. Wörnitz: „Bei Beginn des Gewitters zeigte sich die seltene Erscheinung, dass dichter, dunkler Nebel die ganze Gegend bis in das Tal herunter bedeckte, so dass es ganz finster wurde".

Ähnliche Berichte liefen ein aus einem Teil von Nordwestbayern:

> Miltenberg: „Um 5^{43} p war alles in Finsternis gehüllt."

In den „Münchner N. N." waren am Freitag, 13. Mai 1910, die folgenden Angaben enthalten:

> „Gewitter in Franken und in der Pfalz. Fast gleichzeitig zogen gestern gegen Abend über Franken und die Pfalz schwere Gewitter hinweg, die viel Unheil anrichteten. Sturm, wolkenbruchartige Regen, Blitzschläge und Windhosen waren in ihrem Gefolge. — Aus Franken liegen u. a. folgende Nachrichten vor: Über die Fürther Gegend zog zwischen halb 6 und halb 7 Uhr ein schweres, mit wolkenbruchartigem Regen und furchtbaren elektrischen Entladungen begleitetes Frühjahrsgewitter. Der Blitz zündete in Altenberg, Nürnberg-Grossreuth und Schnepfenreuth. Aus den drei Orten wurde Grossfeuer nach Fürth gemeldet. In Nürnberg entluden sich im Laufe des Nachmittags mehrere Gewitter. Das eine, das gegen 6 Uhr begann, dauerte über eine Stunde und war von überaus starkem Regen begleitet. Durch die Wassermassen und durch Blitzschlag wurde in und bei Nürnberg viel Schaden angerichtet. Der Trambahnbetrieb war längere Zeit gestört. — In der Ansbacher Gegend trat das Gewitter mit starkem Hagelschlag auf, wodurch an den blühenden Obstbäumen, in Gärten und Feldern sehr grosser Schaden angerichtet wurde. In Ansbach wurden auch die Messfieranten schwer geschädigt. Die Temperatur betrug zur Zeit des Gewitters 8° Reaumur. — In der

[1]) Die Registrierinstrumente in Landshut werden von dem dortigen Verschönerungsverein bedient ohne Kontrolle vonseiten der meteorologischen Centralstation. Es existieren sicher an vielen Orten solche Aufzeichnungen und es könnte ein wertvolles Material gewonnen werden, wenn Aufstellung und Bedienung der Apparate im Einvernehmen mit einer Centralstelle geordnet würden. An einigen solchen „Stationen" waren die Streifen nicht mehr auffindbar, an anderen nicht mit Datum etc. versehen.

Maingegend von Aschaffenburg bis Bamberg, dann in der Brückenauer Gegend brachten warme Südwinde plötzlich entsetzliche elektrische Entladungen mit Hagelschlag und wolkenbruchartigem Regen. Schwerer Schaden wurde auch dort namentlich an den eben reich blühenden Obstbäumen angerichtet.

Im Bereiche des blauen Gewitters berichten folgende Stationen über dieselbe Erscheinung:

Aus Württemberg:

Rengershausen: „Ein ganzes Konglomerat von Gewittern. Es wurde ganz dunkel."

Gundelsheim: „Ehe das Gewitter sich zeigte, verfinsterte sich das ganze Firmament gleich einer Nacht. Das Gewölk war ganz nieder, es strich gerade über die Erdfläche weg."

Löwenstein: „Gewitter war sehr tief, grosse Dunkelheit, 4^{25}p Licht angezündet. Aufhellung 4^{55}p."

Ausserdem melden übereinstimmend die Stationen Dobel, Schömberg, Böblingen, Pfahlheim, Kaisersbach, Sternenfels, Wilhelmsheim:

„Beobachtungen wegen undurchdringlichen Nebels erschwert".

Aus Baden:

Waghäusel: „Um 4^{8}p und um 4^{42}p wurde es ganz finster, so dass Licht gebrannt werden musste".

Königstuhl: „4^{23}p ≡², dann heller".

Karlsruhe: „$3^{1}/_{4}$—4p ◍², Finsternis".

Aus Mannheim steht mir ausser zahlreichen Zeitungsnotizen der folgende Bericht des Herrn Dammeister C. Klank zur Verfügung:

Wetterphänomen in Mannheim am 11. Mai 1910.

„Der Unterzeichnete war am Binnenhafen, als gegen $^{1}/_{2}5$ Uhr plötzlich ein sehr starker Wind einsetzte. Gegen Süden waren schwarze, sehr tief herabhängende Gewitterwolken, die sich mit rasender Schnelligkeit nordnordwestlich näherten. Es hatte den Anschein als wollten die Wolken, die meiner Schätzung nach nicht mehr als 50 m hoch waren, direkt herab auf die Erde fallen; hinter der schwarzen Wolke war der Horizont weisslichgelb, ähnlich wie bei Hagelwetter gefärbt. Etwa 4^{40}p war es im Freien so dunkel wie wenn es Nacht wäre. Über der tiefhängenden Wolke gingen ebenso schwarze Wolken gerade in entgegengesetzter Richtung, also von Norden nach Süden. Die Finsternis dauerte, geschätzt, etwa 3—5 Minuten.

Die unteren Wolken verfolgte ich soweit es ging, die Dichtigkeit wurde immer weniger und sie lösten sich vielleicht in der Gegend bei Lampertheim völlig auf. Mittlerweile waren Gewitter angezogen, die etwa 4^{50} p einen ausgiebigen Regen verursachten. Während der Dunkelheit regnete es nicht, nur der Sturm heulte. Die Wolke, deren Zentrum links des Rheines lag, war etwa 4—5 km breit und ging beinahe parallel dem Rhein entlang. Nach 5 Uhr wurde es noch zweimal dunkel, jedoch nicht mehr so stark wie das erste Mal."

Ausser diesem Berichte eines meteorologischen Beobachters sind zahlreiche Nachrichten über den Auftritt der Böe in Mannheim in der Presse vorhanden, die wir, da sie für den Meteorologen interessant sein dürften, hier abdrucken: [1])

Vom Wetter.

„Mannheim, 12. Mai. In eine ägyptische Finsternis gehüllt wurde gestern nachmittag, kurz nach $^{1}/_{2}5$ Uhr, unsere Stadt durch eine gewaltige, tiefschwarze Gewitterwolke. Die „ältesten Leute" erinnern sich nicht, jemals eine solche Naturerscheinung erlebt zu haben. Jedermann war auf ein furchtbares Gewitter, Sturm oder Hagelschauer gefasst. Aber ohne besondere Nebenerscheinungen zog das Phänomen vorüber, um $^{3}/_{4}5$ Uhr war wieder alles klar. In den Wohnungen wurden die Lichter angezündet und ängstlicher Gemüter hatte sich schon der Gedanke bemächtigt, dass der prophezeite Weltuntergang durch den Kometen nun seinen Anfang nähme. Die Wolke kam aus Südost.

Die ägyptische Finsternis, die gestern nachmittag so urplötzlich hereinbrach, liess bei der gegenwärtig herrschenden Kometenfurcht manch ängstliches Gemüt das Herannahen des Weltunterganges ahnen. Viele glaubten in dem niedrigen Gewölke einen bedeutenden Schwefelgeruch wahrgenommen zu haben, welcher von dem Kometen herrühre. Die in den höheren Regionen wohnenden Familien glaubten sich mitten in dem wogenden und brandenden Gewölke zu befinden, da dasselbe tatsächlich die Dächer berührte.

Ein Wetterphänomen. Kurz nach $^{1}/_{2}5$ Uhr verfinsterte sich plötzlich der südliche Himmel derartig, dass vollständige Finsternis herrschte. Wir haben, um die Intensität der Finsternis festzustellen, die elektrische Beleuchtung ein- und ausgeschaltet und dabei konstatiert, dass es so finster wie in der Nacht war. Eine derartig starke Verfinsterung gehört zweifellos zu den grössten Seltenheiten. Vielleicht ist einer der hiesigen Meteorologen so liebenswürdig, uns Aufklärung über die Ursachen des Phänomens zu geben. Die Verfinsterung dauerte ungefähr 10 Minuten. Dann wurde es plötzlich wieder taghell. Der südliche Himmel, der ganz schwarzbraun gewesen war, wurde blendend weissgrau. Einige Minuten später wiederholte sich die Verfinsterung, aber sie war nicht intensiver, als bei einem schweren Gewitter.

Eine Naturerscheinung, wie wir eine solche in Mannheim unseres Erinnerns noch nicht erlebt, stellte sich heute nachmittag kurz nach $^{1}/_{2}5$ Uhr ein. Der Himmel wurde plötzlich aschgrau und es trat eine so intensive Finsternis ein, wie man sie nur zur Nachtzeit beobachtet. Nach Verlauf von 5 Minuten wurde es wieder taghell.

[1]) Leider kann ich die Quellen nicht angeben, da sie aus den Zeitungsausschnitten, die mir liebenswürdigerweise z. T. durch Vermittlung des Herrn Prof. Dr. Ch. Schultheiss von Herrn J. Amann in Mannheim, z. T. von Herrn Hauptlehrer Schmitt in Wörth a. Rh. überlassen wurden, meist nicht mehr zu ersehen sind.

und das Wolkengebilde verzog sich, um kurz darauf in schwächerer Form wiederzukehren. Offenbar hat diese Erscheinung eine sehr tiefgehende Regenwolke verursacht, die sich aber nicht entladen hat. Das ungewohnte Naturereignis konnte in den Glauben versetzen, als stehe die Erde bereits im Begriff, den Schweif des Halleyschen Kometen zu passieren.

Mit der Finsternis, die gestern nachmittag über unsere Stadt hereinbrach, war auch ein orkanartiger Sturm verbunden, der verschiedentlich Schaden angerichtet hat. Von der Zertrümmerung der Schaufensterscheibe bei Kaufmann & Cie. an den Planken haben wir bereits Mitteilung gemacht. In der Heinrich Lanzstrasse wurde, wie der Polizeibericht mitteilt, sogar das Dach eines Hauses abgedeckt und ein Schornstein zertrümmert. Beim Schlacht- und Viehhof entwurzelte der Sturm einen starken Nussbaum und warf ihn über die Seckenheimerstrasse. Wie uns mitgeteilt wird, sind die Wolkenmassen, die die intensivste Verfinsterung brachten, mit geradezu unheimlicher Schnelligkeit aus dem Süden heraufgezogen. Der erste Gedanke vieler ängstlicher Gemüter war: Der Komet! Man hörte auf den Strassen auch vielfach den Ruf: Der Komet! Der Komet! Alles stürzte an die Fenster oder auf die Strasse und betrachtete mit gespannter oder ängstlicher Miene das in rabenschwarze Nacht gehüllte Firmament. Aus unserem Leserkreise werden wir weiter darauf aufmerksam gemacht, dass der Regen, der nach der Verfinsterung niederging, die Strassen so glatt wie bei Glatteis machte. Worauf ist das zurückzuführen? Wurde das auch von anderen bemerkt? heisst es in der Zuschrift. Vielleicht gibt jemand Auskunft.

Die Finsternis und der Halleysche Komet. Zu der gestrigen Finsternis wurde uns auf unsere Anfrage von der Heidelberger Sternwarte mitgeteilt, dass die gestrige aussergewöhnliche Naturerscheinung in gar keinem Zusammenhang mit dem Halleyschen Kometen stehe. Die Finsternis sei vielmehr darauf zurückzuführen, dass sich anlässlich des Gewitters besonders dicke Wolken bildeten. Es waren vier Böen, die hintereinander am Firmament heraufzogen und die infolge ihrer grossen Dicke kein Licht durchliessen. Von irgend einem Zusammenhang der Finsternis mit dem Halleyschen Kometen, wie im ersten Moment vielfach angenommen wurde, kann absolut keine Rede sein. Der Komet steht an seinem richtigen Ort.

Sulzfeld (A. Eppingen), 13. Mai. Bei den vorgestrigen schweren Gewittern schlug der Blitz in die Scheuer des Landwirts J. Scheffel und zündete. In kurzer Zeit brannten sowohl die Scheuer wie auch ein anstossender Schopf vollständig nieder. Verschiedene Nachbargebäude wurden durch das Feuer beschädigt. Der Gebäudeschaden beläuft sich auf 6400 Mk., der Schaden an Fahrnissen auf 4200 Mk.“

Auch aus Hessen liegen mir zahlreiche Nachrichten über die starke Verfinsterung durch den »Gewitterkragen« vor, so aus Michelstadt, Gross-Umstadt, Alzey. Ein besonders ausführlicher und interessanter Bericht wurde von dem Beobachter der meteorologischen Station Worms geliefert, den ich gleichfalls hier mitteilen möchte:

Mitteilung der meteorologischen Station Worms.

„Am 11. Mai d. J. gegen $4^1/_2$p zog aus S und SW sehr schweres Gewölke in blauschwarzer Färbung mit grosser Geschwindigkeit heran. Der Wind kam um diese Zeit aus NE und erreichte von 4^{35}—4^{45}p eine Stärke von 8—9. Einzelne dunkelgraue zerrissene Wolken schossen in drehenden, wirbelnden, teils horizontalen, teils aufwärts, teils abwärts gerichteten Bewegungen aus dem geschlossenen Gewölke nach allen Richtungen hervor. In den Zimmern wurde es so dunkel, dass Licht angezündet werden musste.

Das ganze Gewölke zog in der Richtung nach N und NE, also vollständig der Windrichtung entgegengesetzt, über die Station, ohne dass ein Donner gehört wurde. Erst 5^{22}p wurde im N bzw. NE der erste Donner gehört.

Unmittelbar nach diesem Vorgange zog ein noch drohender aussehendes, geschlossenes, blauschwarzes Gewölke aus S und SW, unter denselben Begleiterscheinungen wie oben angegeben, mit noch grösserer Geschwindigkeit heran, um sich mit dem vorausgegangenen Gewölke zu vereinigen.

Es trat eine noch grössere Dunkelheit wie vorher ein, so dass wieder Licht in den Zimmern angezündet werden musste. Der vorher aus NE wehende starke Wind sprang plötzlich um und setzte aus S ein, dabei von 5^{19}—5^{24}p eine Stärke von 8—9 erreichend. Es folgten nun rasch aufeinander heftige Donnerschläge und sehr starker Regen mit etwas Hagel vermischt (Erbsengrösse) ging nieder. Eine sofort vorgenommene Messung ergab für die Zeit von 5^{35}—5^{54}p eine Niederschlagshöhe von 14.7 mm.

Um 6p schlug der Blitz in ein am Rhein gelegenes Gasthaus ein. Das Gebäude befindet sich fast unmittelbar am Rhein und ca 60 m von der hiesigen Station entfernt. Der Blitz, der von der Rheinseite her 3.25 m über dem Erdboden in das Gebäude hineinfuhr, nahm seinen Weg durch eine in der Umfassungsmauer angebrachte Ventilationsöffnung und sprang dann auf die direkt über dieser Öffnung liegende Gasleitung über. Das 15 mm starke Bleirohr schmolz und das ausströmende Gas entzündete sich. Durch rasches Abstellen des Haupthahnen der Gasleitung ist weiterer Schaden nicht entstanden. Personen, die zur Zeit im Gastzimmer waren, wurden nicht verletzt.

Fast um dieselbe Zeit schlug der Blitz in dem 4 km von hier entfernten Hofheim in ein Wohnhaus und zündete. Das Dachwerk brannte nieder.

Auf beiden Gebäuden war kein Blitzableiter.“ gez. Hüttenberger.

Besonders intensiv war die Wirkung der Böe in der Pfalz. Ich lasse hier zunächst einige Berichte der meteorologischen Beobachter folgen und danach wieder eine Auswahl von Presseangaben, die meist der „Pfälzischen Rundschau“ entnommen sind.

Der Beobachter in Ludwigshafen, Herr K. Reallehrer M. Beinzer, hat einen ausführlichen Bericht an die K. B. Meteorologische Centralstation geliefert:

Ludwigshafen, 12. Mai 1910.

„Ein äusserst seltenes, auffälliges Naturphänomen zeigte sich gestern, am Mittwoch, dem 11. Mai nachmittags. Bis gegen $^1/_2 5$ p hatten wir leisen Wind aus N, der plötzlich über NE nach S umsprang. Der Himmel trug den ganzen Tag über bleigraues Gewölke in Stratusform. Um 4^{29} p zog aus SSW eine auffällig dichte Wolkenwand heran, von einem starken Wirbelwind getrieben. Um 4^{33} p begann es zu dunkeln, wie wenn Dämmerung einfallen wollte. In knapp einer Minute war auch der Dämmerschein verschwunden und es herrschte vollständige Dunkelheit. Nach 2 Minuten begann es im S wieder heller zu werden. Eine weissleuchtende Wolkenwand brachte Licht in die Dunkelheit, welche bis 4^{39} p wieder gewichen war. Die Wolken waren in ganz geringer Höhe gezogen, so dass z. B. die etwa 22 m hohe Plattform unseres Schulgebäudes bereits in dieselben getaucht war. Um 4^{48} p begann die Dämmerung erneut, die Wolken kamen aus NNE zurück und überstürzten sich (?), so dass eine obere Schicht wieder nach NNE zog. Bis 5^{12} p war wieder normales Licht.

Barometerbeobachtungen: 2 p O.Z. 44.1 mm
4^{30} p M.E.Z. 39.1 mm
4^{45} p M.E.Z. 38.7 mm
5 p M.E.Z. 39.5 mm
9 p O.Z. 43.6 mm

In der Temperatur zeigte sich keine anormale Veränderung, auch relative Feuchtigkeit und Dampfdruck blieben konstant.“ [1])

Aus Neustadt a. H. teilt der Beobachter auf der Gewitterkarte mit: „Fast Nacht! Erbsengrosse Hagelkörner. Ab 5^{50} h hellt sich der Himmel auf, kurz nach 6h tritt wieder völlige Dunkelheit ein.“

Kaiserslautern meldet: „Die Wolken hingen bis auf die Erde herab. Es wurde Nacht; die Lichter brannten, der Weltuntergang schien nahe“. (!)

Waldleiningen: „Gegen 4^{30} h trat eine langanhaltende Dämmerung ein, so verfinsterten schwärzliche und graugelbliche Wolken den Himmel.“

Zweibrücken: „Seit 3^{45} p nächtliches Dunkel bei starkem Regen, 4^{07} p heller Blitzstrahl mit Donner, dann schweres Gewitter mit meist ●².“

Bad Dürkheim: „Während des Gewitters vollständige Finsternis.“

Die „Pfälzische Rundschau“ vom 13. Mai 1910 enthält die Berichte:

“Schwere Unwetter

sind gestern über einen Teil der Pfalz, namentlich der Westpfalz niedergegangen und haben mehr oder weniger grossen Schaden angerichtet. Nachmittags gegen halb 5 Uhr verdunkelte sich plötzlich der Himmel derart, dass tiefe Nacht hereinbrach und die künstliche Beleuchtung in Aktion treten musste. Ein heftiger Sturmwind jagte dicke schwere Wolken, die sehr tief gingen, in buntem Wirbel vor sich her, ein eigenartiges Naturschauspiel bildend, das in Verein mit der tiefen Dunkelheit ängstliche Gemüter in bange Sorge versetzte und dieses Naturspiel in Verbindung mit dem Halley'schen Kometen bringen liess; ja manche nervöse Menschen glaubten sogar an den Weltuntergang. Doch mit dem Halley'schen Kometen hatte dieses Naturspiel, wie uns von der Heidelberger Sternwarte mitgeteilt wird, nichts zu tun, es war eine gewöhnliche Erscheinung, wie wir sie oft bei heftigen Gewittern, wenn auch nicht in dieser Intensität, beobachten können. Die Sternwarte teilt uns sogar mit, dass es ein ganz gewöhnliches Gewitter war, das schon ein Tag vorher erwartet wurde(?). Die ungewöhnliche Finsternis fand ihre Ursache in der ausserordentlichen Dichte der einzelnen Wolkenschichten die fast keine Sonnenstrahlen mehr durchliessen. Nach ca. 10 Minuten lichtete sich der Wolkenschleier zwar etwas, aber bald trat erneut tiefe Finsternis ein und dann ergoss sich unter elektrischen Entladungen ein längere Zeit anhaltender Regen, begleitet von einem stürmischen Wind, von solcher Heftigkeit, dass ihm in der Bleichstrasse vier Masten der Starkstromleitung zum Opfer fielen. Bei dem Sturz der Masten kam ein elektrischer Draht auf das Hinterrad eines vorbeifahrenden Fuhrwerks und zündete. Weiterer Schaden entstand jedoch nicht. Auch in der Frankenthalerstrasse am Friedhof wurde ein Mast umgerissen, ohne dass dabei weiterer Schaden entstand. Während der egyptischen Finsternis war eine merkwürdige Erscheinung wahrzunehmen. Die Luft war während des Sturmes der Wolken derart mit Elektrizität geladen, dass an verschiedenen Stellen der elektrischen Leitungen Flammen wie Elmsfeuer aufblitzten, ohne dass ein Gewitter noch Blitz wahrnehmbar war.

Später klärte sich das Firmament ganz auf und in später Abendstunde hatten wir sogar einen glänzenden Sternenhimmel. Heute erinnert der klare Himmel, von dem die Sonne in goldenem Glanze herniederstrahlt, in nichts mehr an den Aufruhr in der Natur. Über das Unwetter in der Pfalz liegen uns folgende Meldungen vor:

Mutterstadt, 11. Mai. Eine Naturerscheinung, wie sie nach Aussagen ältester Leute noch nicht beachtet wurde, machte sich hier und Umgebung am Nachmittag kurz vor 5 Uhr bemerkbar. Eigenartige schwarze mit weiss und gelb durchmischte Wolkenformationen, die in kürzester Zeit den ganzen Himmel bedeckten und wieder so rasch frei liessen, bedeckten tiefschwarz den Himmel, so dass es tatsächlich vollständig finster wurde. Es folgte alsbald ein Gewitter mit schwer niedergehendem Regen, den Leuten des Dorfes, besonders aber denen des Feldes merkte man in dieser aussergewöhnlich kritischen Zeit rasch allenthalben eine Erregung an.

Studernheim, 12. Mai. Gestern Nachmittag halb 5 Uhr trat hier eine Finsternis ein, welche, wegen des Nahens des grossen Schwanzkometen, die Bevölkerung erschreckte. Die Finsternis hielt jedoch nur kurze Zeit an, der

[1]) Da der Temperatursturz, der vielleicht immerhin (siehe Thermogramm Geisenheim) 2—3° betragen haben mag, zwischen den Beobachtungen von 4^{45} und 5 p eingetreten sein dürfte, wird er nicht als plötzlich und daher nicht als anormal aufgefasst worden sein, wenn überhaupt genaue Ablesungen vorgenommen worden sind.

Himmel hellte sich auf und bot ein hier noch nicht gesehenes Schauspiel. Die Wolken zogen von Osten nach Westen — solche von Westen nach Osten gingen durcheinander, einer erregten See gleich. Der Sturm setzte nicht sehr stark ein, sodass einige herabgerissene Dachziegeln der ganze Verlust dieses Unwetters sind.

Speyer, 11. Mai. Heute Nachmittag halb 5 Uhr stand die hiesige Gegend unter einer aussergewöhnlichen Witterungserscheinung. Es wurde plötzlich vollständig finster, sodass man überall die Lichter anzünden musste. Ein heftiger Schlossenschlag stellte sich ein. Die Fluren erlitten hierdurch ziemlichen Schaden. Nachdem 5 Minuten die Schlossen ihr Zerstörungswerk vollendet hatten, stellte sich ein heftiges Gewitter ein. Nach halbstündiger Dauer verzog sich dasselbe, worauf ein Landregen einsetzte.

Bad Dürkheim, 11. Mai. Heute nachmittag gegen 5 Uhr zog ein schwerer Wettersturm über die hiesige Gemarkung. Obwohl der Wolkenzug anscheinend eine Richtung von Ost nach West beibehielt, entstanden bei rasendem Zuge der Wolken wahre Wolkenwirbel. Um 5 Uhr trat eine totale Finsternis ein, sodass man überall Licht anzünden musste und viele Leute ängstlich auf die Strasse liefen, um sich nach ihren Angehörigen umzusehen. Diese erste Abteilung des Sturmes verlief ohne sichtbare und hörbare elektrische Entladungen. Um halb 6 Uhr zog ein zweites furchtbares Gewitter aus südlicher Richtung heran, welches wiederum alles in Finsternis hüllte. Diesmal hörte man Donnerschläge; dieselben waren kurz und markant wie Kanonenschüsse, von heftigen Blitzen begleitet wobei ein Wolkenbruch niederging. Man konnte beobachten, wie eine Windhose mit furchtbarem Brausen aus der Richtung des Peterskopfes[1]) in die Ebene niederging. Der Schaden auf dem Felde dürfte ziemlich erheblich sein, es wurden viele Äste abgerissen und durch Schlamm und Geröll ganze Strecken verflötzt. Die Isenach ist teilweise in ganz kurzer Zeit über die Ufer getreten. Ein Zeichen, dass auch in den Waldtälern nach Westen gewaltige Wolkenbrüche niedergegangen sein müssen. Dass der hohe Peterskopf eine ausgesprochene Wetterscheide bildet, konnte man auch diesmal genau beobachten. In dieser Richtung blieb der Himmel ziemlich hell, was eigenartige Beleuchtungsreflexe hervorrief.

Neustadt a. H. An der Vorderhaardt und im Waldgebirge ging am Mittwoch gegen Abend ein furchtbarer Wolkenbruch, verbunden mit einem heftigen Gewittersturm, nieder. Es trat vollkommene Dunkelheit ein. In der Ebene am Peterskopf ging unter heftigen elektrischen Erscheinungen und Donnerschlägen eine Windhose nieder. — Aus Deidesheim wird uns hiezu gemeldet: Mittwoch Nachmittag trat ein solch eigentümliches Wetterphänomen ein, wie es die „sogenannten" ältesten Leute noch nicht erlebt hatten. Ein regenloses Gewitter zog unter seltsamer Wolkenbildung vorüber, die den Himmel derart verdunkelte, dass die Beleuchtung in Funktion treten musste; diesem folgte nach kurzer Aufhellung wiederholt das Gleiche mit heftigen Gewitterentladungen und Hagelschlag, der aber voraussichtlich nennenswerten Schaden nicht verursachte. Durch die Totalverfinsterung wurde eine so eigenartige Situation geschaffen, dass man unwillkürlich an den 18. Mai dachte. Selbst die Vogelwelt flatterte ängstlich ruhelos umher. — In der Weinheimer Gegend herrschte ein gewaltiger Sturm, dem ein schweres Gewitter mit Hagel begleitet folgte. Der Himmel war derart überzogen, dass es zwei Stunden vollständig dunkel war, so dass die Fabriken gezwungen waren, von 5 Uhr ab mit Licht zu arbeiten.

Deidesheim, 11. Mai. Ein ziemlich starkes Gewitter entlud sich heute Mittag gegen 5 Uhr über unserer Stadt. Innerhalb ganz kurzer Zeit verdunkelte sich das Firmament derart, dass eine fast völlige Dunkelheit herrschte und die Lichter gebrannt werden mussten. Leider gab es auch einigen Hagelschlag, doch dürfte dieser, so weit flüchtig festgestellt werden konnte, in den Weinbergen keinen Schaden angerichtet haben. Die niedergegangenen Wassermassen überfluteten rasch die Strassen. Das Gewölk machte einen unheimlichen Eindruck und brachten viele Leute die merkwürdige Erscheinung mit dem Kometen in Verbindung.

Neustadt, 11. Mai. Heute Nachmittag ging über die Pfalz ein schweres Gewitter, das in seinen Nebenerscheinungen so beängstigend für Menschen und Tiere war, wie kein zweites seit Menschengedenken. Von 4 bis 6 Uhr konnte man es in seinen verschiedenen Formen beobachten. Unheimlich rasch verdunkelte sich der Himmel zur stockfinsteren Nacht. Gleich schwarzen Bergkolossen hingen gewaltige Wolkenmassen in der Luft, die ab und zu durch geheimnisvolle Lichtreflexe beleuchtet wurden und dann rosafarbig leuchteten oder feurig aufflammten. Immer finsterer wurde es, so dass in den Wohnungen und in den Fabriken die Lichter angesteckt werden mussten. Dabei zeigte sich zunächst weder Blitz noch Donner und die Wolken kamen so nahe auf die Häuser herab, dass ängstliche Menschen des Glaubens waren, die Erde befinde sich bereits im Schweife des Halley'schen Kometen und manch Einer befürchtete ernstlich den Weltuntergang. Hunde, Katzen und Hausgeflügel, sowie die Vögel in der Luft versteckten sich ängstlich. Plötzlich erfolgte heftiger Blitz, der Donner brach los und schon klirrten die Hagelkörner an die Fensterscheiben, während zu gleicher Zeit ein wolkenbruchartiger Regen niederging. Wenige Minuten hellte das Wetter sich auf, dann trat zum letztenmal eine Finsternis ein und wiederum schütteten sich neue Wolkenmassen aus. Man hat beobachtet, dass eine ganze Reihe von Wolkenkolossen hintereinander von Südwest nach Nordost zog. Am schwersten hat das Gewitter in der Westpfalz gehaust, wo die Hagelkörner in der Grösse von Taubeneiern haufenweise umherlagen und die Wassermassen ganze Strecken überschwemmten. Man atmete ordentlich erleichtert auf, als das Unheil vorüber war.

Kaiserslautern, 11. Mai. Heute Nachmittag gegen fünf Uhr bot sich unserer Stadt ein seltsames Schauspiel. Nachdem den ganzen Tag über trübes regnerisches Wetter geherrscht hatte, war um diese Zeit Kaiserslautern plötzlich in völlige Dunkelheit gehüllt. Der Sturmwind trieb schwere Wolkenballen nach Norden, bis sich das Firmament in eine zusammenhängende, einzig blaugraue Masse verwandelte, aus der plötzlich ein schweres Frühlingsgewitter niederging, das von einem starken Regen begleitet war. Erst nach fast einer halben Stunde hatte die Dunkelheit soweit nachgelassen,

[1]) Peterskopf (Rahnfels) 5.6 km von Dürkheim entfernt.

dass man ohne künstliche Beleuchtung in den Zimmern arbeiten konnte. Anscheinend zogen die Wolkenmassen nicht höher als 200 Meter über unsere Stadt hin. Das Gewitter verzog sich erst langsam; die Erscheinung kam durchaus überraschend und ihre Beobachtung war sehr interessant. Etwa um halb 6 Uhr wiederholte sich das Unwetter, das abermals starke elektrische Entladungen mit sich brachte und längere Zeit anhielt.

Aus dem Lautertale, 11. Mai. Ein schreckliches Gewitter mit starken Hagelniederschlägen hauste heute nachmittag gegen 5 Uhr in unserer Gegend. Von drei Seiten kamen Gewitter in Anzug und entluden sich. Vollständige Finsternis, wie man sie bei Tag noch selten beobachten konnte, herrschte allenthalben. Vielfach schlug der Blitz in die Bäume ein. Welchen Schaden das Unwetter angerichtet hat, lässt sich bis jetzt noch nicht überblicken; was das Frostwetter in letzter Zeit noch verschont hat, wird wohl durch das Unwetter sehr gelitten haben.

Venningen, 12. Mai. Ein Unwetter, wie eines solchen auch die ältesten Leute sich nicht erinnern, ging gestern Nachmittag über unsere Gegend nieder. Kurz nach 4 Uhr wurde es plötzlich ganz finster, ein unheildrohendes Gewölk hing am Himmel. Zunächst machte es sich in gewaltigen elektrischen Entladungen Luft, dann fielen, begleitet von einem starken Regenguss, Schlossen in Massen nieder. Die Schlossen haben an den jetzt blühenden Obstbäumen und an den treibenden Weinbergen grossen Schaden angerichtet. Ganze Mengen Blüten wie auch junge Triebe von den Weinbergen liegen am Boden.

Kriegsfeld, 12. Mai. Das schwere Gewitter hat hier ein Opfer gefordert. Beim Kartoffellegen wurde der 28 Jahre alte Dienstknecht Heiser vom Blitze getroffen und sofort getötet.

Zweibrücken, 11. Mai. Heute Mittwoch nachmittag von 4 bis 6 Uhr hatten wir hier über unserer Stadt und Umgegend ein ziemlich heftiges Gewitter mit starkem Donner und Blitzen und sehr starkem Regen. Es krachte einigemale so heftig, dass man glauben muss, dass es in der Nähe eingeschlagen hat. Der sonst wunderschöne Monat Mai hat uns bis jetzt fast nichts als Regen gebracht.

St. Ingbert, 11. Mai. Heute Nachmittag ging hier ein starkes Gewitter mit Hagelschlag nieder, der beträchtlichen Schaden verursacht haben dürfte."

„Landauer Anzeiger".

„Landau, 12. Mai. Furchtsame Gemüter hatten gestern nachmittag allen Anlass, zu glauben, der Komet Halley habe sich etwas verfrüht und wolle bereits sein verderbendes Werk beginnen. Gegen 5 Uhr ging ein starkes Gewitter über die ganze Pfalz, wobei sich innerhalb weniger Minuten der Himmel so sehr verdunkelte, dass beinahe Nacht herrschte und überall Licht angezündet wurde. Das Gewitter war strichweise von Hagelschlag begleitet, der, wie einige Meldungen besagen, an manchen Orten den Obstbäumen Schaden verursachte."

Weitere Nachrichten aus der Pfalz und dem Reiche sind einer anderen Zeitung entnommen, für die mir aber die Angabe des Titels gleichfalls nicht möglich ist, da er aus den Ausschnitten nicht zu ersehen ist.

„Heidelberg, 12. Mai. Bei dem gestrigen heftigen Gewitter hat ein Tapezierlehrling, der gerade am Telephon zu tun hatte, infolge Blitzschlages das Gehör verloren.

Kaiserslautern, 12. Mai. Die ganze Pfalz wurde gestern abend von einem heftigen Gewitter, verbunden mit Hagelschlag, heimgesucht. Grössere Ländereien stehen unter Wasser; der Schaden ist gross.

Meckesheim, 12. Mai. Bei dem gestrigen Unwetter schlug der Blitz zwischen Mauer und Meckesheim in den Personenzug, der 5 Uhr 23 Min. in Heidelberg abgeht. Die Lokomotive erlitt einen Raddefekt. Erst als man Ersatz aus Heidelberg hatte kommen lassen, konnte der Zug mit ziemlicher Verspätung weiterfahren.

Hannover, 11. Mai. In Süppingen schlug der Blitz in ein Wohnhaus und tötete die bei Tisch sitzende Familie von vier Personen. Der Blitz schlug dann aus dem Wohnzimmer in den Stall über, wobei einige Stück Vieh erschlagen wurden.

Berlin, 12. Mai. Am gestrigen ersten sommerlichen Tage erreichte die Temperatur bis mittags 25 Grad im Schatten; abends und nachts erfolgten kurze Gewitterschauer, ohne dass eine erhebliche Abkühlung erfolgte. In vielen Gegenden herrschte in der Nacht Sturmwetter. An einem Orte wurde ein Dach 500 Meter weit geschleudert. In Mittel-, Süd- und Westdeutschland gingen gestern schwere Gewitter nieder. Der Telephonverkehr war stundenlang unterbrochen.

Frankfurt, 11. Mai. Mehrere schwere Gewitter mit Blitz und Donner zogen Mittwoch nachmittag über unsere Stadt. Das gegen 7 Uhr von Südwest gekommene Unwetter entlud einen wolkenbruchartigen Regen.

Gewitterschaden. Mehrere schwere Gewitter, die über der Stadt Frankfurt und Umgebung niedergingen, haben an Obstbäumen und Kulturen grossen Schaden angerichtet.

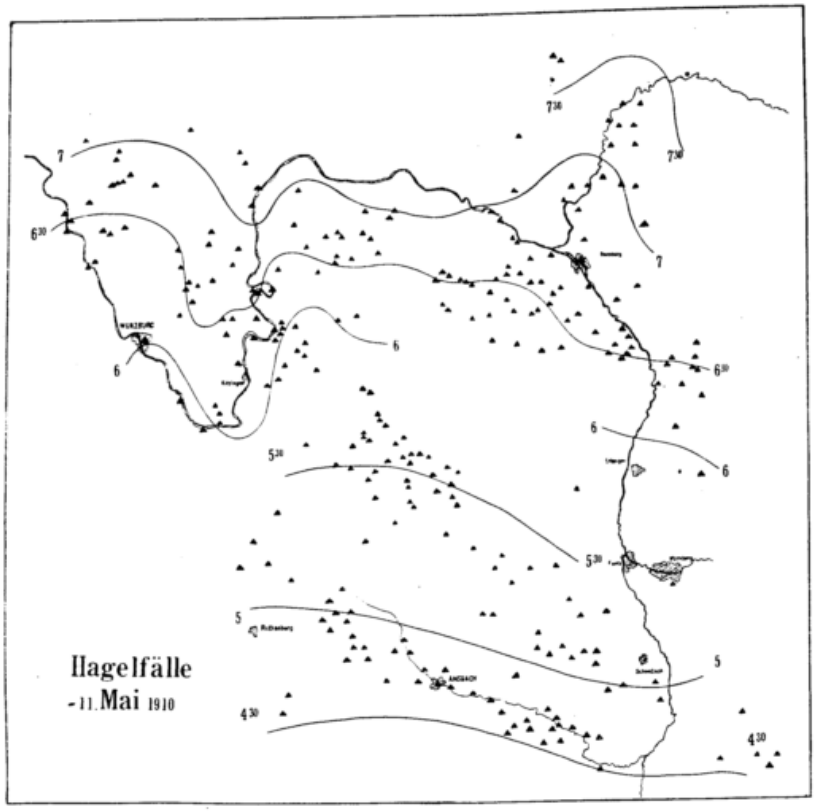
Schweres Unwetter. Ein schweres Unwetter ging Mittwoch nacht im Kreise Konitz nieder. In Neuhof sind drei Scheunen infolge des Sturmes eingestürzt. Das Dach eines Hauses wurde 500 Meter weit fortgeschleudert. In mehreren Ortschaften des Kreises wurden Häuser und Scheunen umgeworfen und dabei eine Anzahl Personen verletzt."

Diese Übersicht über die Erscheinungen, die bei dem Gewitter in Süddeutschland besonders auffallend hervorgetreten sind, hat neben der Vermittlung der Beobachtungstatsachen vielleicht das eine für sich, dass sie dem Leser nachträglich noch ein lebendiges Bild der Vorgänge verschafft. Wir werden die Wirkungen des Gewittersturms im nächsten Abschnitt noch weiterverfolgen und wollen hier nur noch einen Blick auf die Isobrontenkarte und die Karte der Gewitterböen werfen.

Die Fortpflanzungsrichtung der Gewitterzüge ist im grossen ganzen von SW nach NE gerichtet. Um 2^{30}p erhebt sich eine geschlossene Gewitterfront, die von den letzten Ausläufern des Schwäbischen Jura bei Ulm bis in die Gegend von Augsburg reicht; um 3^{h} hat dieselbe nach Südosten und Nordwesten bereits so weit sich ausgedehnt, dass

sie vom nördlichen Schwarzwald bis Salzburg sich erstreckt, wenn wir zunächst die Betrachtung auf den in der Karte dargestellten Bereich beschränken; den Verlauf der Isobronten in Niederösterreich hat Trabert in der oben zitierten Notiz in grossen Zügen angegeben. Wir werden am Schlusse den betreffenden Passus zur Ergänzung des Bildes anfügen. Wie bereits angedeutet, weisen die Angaben der Gewitterkarten mit aller Bestimmtheit darauf hin, dass sich für unser begrenzteres Gebiet, von lokalen Gewittern abgesehen, im wesentlichen zwei Gewitterzüge ergeben. Es war auch nicht möglich, den zuverlässigen Zeitangaben anders gerecht zu werden als durch die Annahme zweier getrennter Gewitter. Darauf deuten besonders Beobachtungen hin wie die unseres Berichterstatters in Burgfarrnbach, des Herrn Kantor Drescher: „Es war nachmittags sehr warm. Nach dem ersten Gewitter, das um 5^h vorüber war, änderte sich die Windrichtung SE nach S und SW 4. Hierdurch blieben die Wolken am Höhenzug der alten Feste von Zirndorf bis Cadolzburg hängen und zogen sich in die Höhe. Die oberen Wolken flogen nach W, während neue Nebelschwaden in geringer Höhe aus SW kamen und sich unter die oberen Wolken schoben, so dass sich zusehends ein zweites Gewitter bildete. Nach Osten, über Fürth und Nürnberg hingen die Wolken sehr tief und ging ein Wolkenbruch nieder. Im SE flogen wiederholt Blitze nieder und zündeten. Ich war am Saum eines Waldes und konnte das grossartige Schauspiel beobachten." Der Beobachter in Nenzenheim meldete um 3^{50} p: „Gewitterschwüle nach rascher Aufklärung. Es steigen im E, SE und S starke Gewitterwolken auf;" um 5^{20} p: „Ein gewaltiges Wetter mit wolkenbruchartigem Regen kam aus SE und zieht nach N und NW. Der Wind ging während des Gewitters von NE 8 auf S 2 über. Bö 5^{41} p. Kiesel von 5^{44}–^{50} p erst ziemlich stark, dann untermischt mit Regen. Sehr starke Blitze. Das Gewitter dauerte bis 6^{05} p." Um 6^{18} p: „Ein zweites Gewitter aus S nach N und NE mit sehr viel Regen, sehr starken elektrischen Entladungen. Böe 6^{20} p. Überschwemmung." Eine grosse Zahl von Gewittermeldestationen, die in dem Kreuzungsgebiet der beiden Gewitterzüge liegen, berichteten über zwei deutlich voneinander getrennte Gewitter.

Die Fortpflanzungsgeschwindigkeit der Bö resp. des Gewitters betrug im Mittel 43 km/Stunden. Dies gilt z. B. für die Windbahnen Augsburg—Eger oder Lechmündung—Thüringer Wald auf der Westseite des Fränkischen Jura. Es variiert aber natürlich die Geschwindigkeit stark mit dem Gelände. Im Donautal vom Lech bis Regensburg erreicht sie 40 km, beim Überschreiten der Isar in der Gegend von Landshut ergeben sich nur 35 km; die von der Donau dem Bayrischen Wald entlang flutende Welle macht ca 45 km/Stunden. Der etwa um 6^h in Nürnberg eintreffende Stoss hatte eine Geschwindigkeit von 55 km; auch über Bamberg ging die Bö mit 55 km/Stunden hinweg. Von 5^h an erreicht



das Gewitter überhaupt seine grösste Intensität, sowohl hinsichtlich der Geschwindigkeit als auch der Hagelfrequenz und der Niederschlagsergiebigkeit. Die Zone schärfster Entwicklung verlagert sich dabei entsprechend der Wanderung der maximalen horizontalen Temperaturgradienten auch noch in der Richtung von SE nach NW, so dass z. B. in Ostbayern die grösste Heftigkeit um 5^h, in Oberfranken um 6^h und in Unterfranken um 7^h anzutreffen ist. Die Verlangsamung des Zuges des roten Gewitters zwischen 5 und 6^h auf der Strecke Nürnberg—Würzburg, die von dem Beobachter in Burgfarrnbach direkt konstatiert wurde und die besonders auf der Isobrontenkarte auffällt, ist sehr gross. Die Geschwindigkeit

fällt plötzlich von nahezu 80 (?) km [1]) auf 25 km/Stunden. Interessant ist, dass die Eintrittszeit der Gewitterbö diesen Sprung in der Fortpflanzungsgeschwindigkeit nicht in dem Masse mitmacht, und dass die gerade um 4^{30} p in dieser Gegend mit äusserster Heftigkeit einsetzende Hagelbildung sich gleichfalls mit einer Verspätung von nur wenigen Minuten der Wanderung der Bö anschliesst.

Die aus dem Ostabhange der Haardt gemeldete Windhose, in deren Gefolge ein Konglomerat von durcheinanderwirbelnden Wolken gezogen zu sein scheint [2]), hatte eine Zuggeschwindigkeit von 90 km in der Stunde. Wenigstens wurde dieser Wert auf der Strecke vom Teufelsberg bis zum Peterskopf erreicht, also im Gebiete der steilsten Erhebung der Haardt aus der Rheinischen Tiefebene.

Es scheint mir bemerkenswert, dass bei der in der Einleitung erwähnten Trombe am Ostabhange des Böhmerwaldes und bei diesem pfälzischen Wirbel die Situation des Geländes und der einbrechenden Bö völlig homolog gewesen ist. Ein Wirbel tritt in der Regel im Grenzgebiet zwischen warmen SE- und kalten W-Winden auf. Solange der Strömungsvorgang so verläuft, dass sich die kalte Luft unter die warme einschiebt, ist die Tendenz zur Ausbildung turbulenter Vorgänge auf die horizontale Zwischenschicht der beiden Luftmassen beschränkt; dabei kann die Bewegung je nach der Grösse des Winkels, unter dem die Strömungen aufeinandertreffen, gleichwohl solche Intensität gewinnen, dass sie sich bis zur Erdoberfläche durcharbeitet und zur Entwicklung von Tromben führt. Begünstigt ist das Entstehen von eigentlichen Windhosen mit bemerkenswerter vertikaler Ausdehnung des Wirbels, wenn durch das Gelände die horizontal übereinander verlaufenden Strömungen in grösserer Mächtigkeit in nebeneinanderlaufende verwandelt werden. Das wird z. B. immer dann der Fall sein, wenn die vordringende kalte Luft einen Höhenzug überflutet, längs dessen Leeseite die warme Luft hinstreicht. Ich glaube, dass in den beiden bekanntgewordenen Fällen vom 11. Mai diese Erzeugungsweise für eine Trombe vorliegt. Dass Windhosen in der Regel die sich herabsenkenden Enden der Wirbelachse des horizontalen Böenwirbels darstellen, wie die Erscheinung nach der neuen Hypothese von A. Wegener [3]) aufgefasst werden soll, dafür scheint mir die Trombe von Westböhmen nicht zu sprechen. Ganz abgesehen davon, dass nach den neueren Ergebnissen von W. Schmidt [4]) von einem eigentlichen „Wirbel mit horizontaler Achse" beim Einbruch kalter Luft nicht geredet werden kann, ist die Ausbildung einer Trombe auch gar nicht auf die „Flanken" der Bö beschränkt. Die Trombe von Westböhmen gehört vielmehr dem zentralen Teil der Bö an, die sich südostwärts bis zum Semmering erstreckt. Dass sie in der Höhe in die Gegend des „Kopfes" der vordringenden kalten Luft einmündet, ist ja natürlich, da die Vorstellung bestehen bleibt, dass die Trennungsschicht der beiden Strömungen der Ursprung der Bewegung ist, die eben nur bei günstigen Verhältnissen in die Tiefe sich fortzupflanzen vermag.

Auch dass die Orte, über welche die Trombe hinwegzieht, vom eigentlichen Hagelsturz verschont werden [5]), ist nicht notwendig. Die Windhose am Ostabhange der Haardt geht mitten durch ein der Front der Bö folgendes Hagelfeld, das sich von Kusel über Kaiserslautern und Neustadt a. H. nach Germersheim erstreckt. Dagegen scheint vom Standpunkte des reinen Einbruchs kalter Luft die eine Beobachtung von A. Wegener, dass sich die Tromben an den Flanken der Bö bilden, durch die grössere Häufigkeit erklärt, mit der sich günstige Bedingungen für die Entwicklung vertikaler Wirbel an den Rändern der Bö ergeben. Es ist vielleicht dem erfolgreichen Experimentator auf meteorologischem Gebiet, Herrn W. Schmidt, dem wir den klarsten Einblick in die Mechanik der Bö verdanken, möglich, seine Versuchsanordnung so zu modifizieren, dass auch die seitliche Entwicklung, die Form des Auseinanderfliessens der kalten Luft näher studiert werden kann. Ohnehin kann man sich für die quantitative Auswertung seiner Versuche einer kleinen Unsicherheit bei der geringen Tiefe des Trogs (4 cm) nicht erwehren, wiewohl wir im folgenden eine gute Übereinstimmung seiner Ergebnisse mit den Resultaten der Bö vom 11. Mai konstatieren können.

Die Isobrontenkarte weist ausser dem bisher Besprochenen noch eine Reihe kleinerer Züge auf, die für gewisse Fragen von Interesse sind, so z. B. das merkwürdige Umbiegen der Isobronten von 5^h bis 7^h um das Mainknie. Dass diese Erscheinung bei der Böenkarte nicht auch hervortritt, ist auf die geringe Anzahl von Beobachtungen zurückzuführen. Die Angabe der Bö wurde bisher meist etwas vernachlässigt. Dass auch die Bö sich ähnlich fortbewegt haben muss, geht aus der Hagelkarte hervor, die die Biegungen der Isobronten mitmacht. Die zahlreichen Beobachtungen, die ich durch Vermittlung der K. Hagelversicherungskammer gewonnen habe, deuten darauf mit Sicherheit hin (vgl. die Karte der Hagelfälle, S. J 18).

Wenn die Anzahl der Stationen noch grösser und die Zeitangaben noch zuverlässiger wären, würden sich im einzelnen noch weitere, für die Auffassung des Gewitters als Einbruch schwerer Luft charakteristische Wahrnehmungen feststellen lassen, z. B. das Umströmen kleiner Höhenzüge, wie es auf der Isobrontenkarte beim Steigerwald, der Frankenhöhe, dem Fränkischen Jura, dem Odenwald etc., bereits ganz deutlich hervortritt.

Die merkwürdige Ausbuchtung der 3^{30}-Isobronte in Württemberg ist auf das Verschmelzen des Hauptgewitters mit einem in den Löwensteiner Bergen um 2^{45} p entstandenen Gewitter zurückzuführen, das sich von dort langsam ausgebreitet und um 3^{15} p Wilhelmsheim erreicht hatte. Die stärkere Tendenz dieses Gebietes zur Gewitterbildung, die

---

[1]) Dieser Wert erscheint uns nicht zuverlässig. Die sämtlichen in dem durch die 4^{30} p und 5 p-Isobronte eingegrenzten Bezirke gelegenen Stationen des fraglichen Bereiches melden fast gleichzeitig den ersten Donner. Es scheint, dass hier eine Verschmelzung mit anderen, wenig ausgedehnten Gewittern auf der Vorderseite der Bö vorliegt, eine Erscheinung, die z. B. auch von Köppen beim Gewitter vom 9. August 1881 mehrmals bemerkt wurde. (W. Köppen, „Der Gewittersturm vom 9. August 1881", Ann. d. Hydr. etc. 1882, Heft X S. 716.)

[2]) Vgl. die analoge Beobachtung bei der Windhose in Westböhmen: Ed. Schiefer, Edler von Wahlburg, „Die Windhose vom 15. (wohl verdruckt für 11.?) Mai 1910 in Westböhmen." Das Wetter, Monatsschr. f. Witterungskunde. Berlin. 28. Bd. 1911 S. 139.

[3]) Dr. A. Wegener, „Thermodynamik der Atmosphäre", Leipzig 1911, S. 229 ff.

[4]) Wilhelm Schmidt, Gewitter und Böen, rasche Druckanstiege. Sitz.-Ber. Wien, Math.-naturw. Kl. Bd. CXIX Abt. IIa. Juli 1910.

[5]) Wobei ich mich der Auffassung nicht anschliesse, dass die Bö durch den Hagelsturz erzeugt sei, wie a. a. O. S. 231 behauptet wird.

Wegener 3*

bereits bei der von mir gemeinsam mit Herrn Dr. Alt ausgeführten Untersuchung der Gewitter- und Hagelverhältnisse Süddeutschlands[1]) festgestellt wurde, tritt hier neuerdings hervor. Wie diese Erscheinung vom Standpunkte des reinen Einbruches kalter Luft aus gedeutet werden soll, könnte am besten durch Aufstellung eines Variographen in einem derartigen, begrenzten, ausgesprochenen Gewitterzentrum ermittelt werden. Ob hier, wie z. B. im Donaumoos, lokale Überwärmungen eine Rolle spielen oder Ansaugwirkungen, lässt sich bei der kleinen Anzahl von Stationen nicht sagen. Interessant ist das Barogramm von Wilhelmsheim, das in der Anlage Seite 22 beigegeben ist, und die Beobachtungen: ≡$^{0-2}$ 3^{15}—6^{30} p, ▲^{0} ◍$^{1-2}$ 3^{15}—4^{15} p.

Fälle, bei denen wie beim Gewitter vom 11. Mai die Wirkungen des Einbruches kalter Luft in allen Abstufungen, vom leichten Windstoss bis zum schweren blitzreichen Hagelwetter, in der Entwicklung verfolgt werden können, drängen zu der Auffassung, dass als Bedingung für die Entstehung eines „eigentlichen Gewitters" mit elektrischen Erscheinungen eine bestimmte Mächtigkeit der einbrechenden Kaltluftschicht bzw. „Höhe des Kopfes"[2]) der Böenwelle vorausgesetzt werden muss, die ihre Bestimmung in der Höhe des Kondensationsniveaus der adiabatisch aufsteigenden Luft bzw. der des Gefrierstadiums findet, sei es, dass man als Erzeugerin der elektrischen Spannung die Reibung der kleinen Wassertröpfchen an Eis oder die Dissoziation der Jonen annimmt.

Ehe wir zu einer kurzen Erörterung über die auffallendsten Wirkungen des Gewitters übergehen, wollen wir noch zur Ergänzung die Angaben über den Verlauf des östlichen Flügels des Gewitters nach der Schilderung von W. Trabert[3]) anfügen:

„Vom 10. Mai früh bis 11. Mai abends zog das Minimum auf der Zugstrasse Vb, nur etwas weit westlich. Es war begleitet von einem heftigen Böengewitter, das, wie das niederösterreichische Gewitterbeobachtungsnetz zeigt von SW nach NE zog. Um etwa 4 p erreichte das Gewitter die SW-Grenze von Niederösterreich, erstreckte sich um 5^{h} etwa längs der Strecke Budweis in Böhmen bis Aspang, um 6 p von Wittingau bis zum Neusiedlersee, um etwa $^{1}/_{2}$7 p wurde in Wien der erste Donner gehört, die Böenwolke erreichte hier um 7 p das Zenit; die 7 p-Isobronte erstreckte sich etwa von der böhmisch-mährisch-niederösterreichischen Grenze bis Petronell und etwa um 8 p war das Gewitter an der äussersten NE-Grenze von Niederösterreich. Besonders zwischen der 5 p und 6 p-Isobronte erreichte das Gewitter seine grösste Heftigkeit. Fast alle Stationen melden Hagel, und eine überraschend grosse Zahl hebt die gelblichgrüne Färbung der Wolken, das Surren, Sausen und Brausen während des Hagelwetters hervor, ganz besonders aber das ununterbrochene Rollen des Donners fast während einer Stunde ohne jede Unterbrechung. In Sieding z. B. dauerte das ununterbrochene Donnerrollen von 4^{57} bis 5^{50}, in Pyhra von 5^{55} bis 6^{30} usw. Das Gewitter währte nicht lange, es fielen etwa 10 mm Regen."

3. Die Wirkungen der Gewitterzüge.

Aus den im Vorhergehenden angeführten Berichten der Beobachter fällt zunächst am meisten auf die grosse Zahl von Angaben über den niederen Zug der Wolken, der die normalerweise beim Durchgang einer Böenwolke eintretende Verfinsterung[4]) noch beträchtlich verstärkte. Eine Überschlagsrechnung über die ungefähre Höhe der Kondensationsgrenze um 2 p ergibt in der Tat für die fraglichen Gebiete sehr kleine Werte und überhaupt recht charakteristische Unterschiede:

Höhe des Kondensationsniveaus 2 p m.

Kremsmünster . .	800 m	Bamberg	800 m
Buchenau	800 m	Bayreuth	400 m
Passau	700 m	Würzburg	850 m
Landshut	550 m	Bad Kissingen . .	850 m
Karlshuld	300 m	Kahl a. M. . . .	750 m
Nördlingen[5]) . .	150 m	Luitpoldheim . .	650 m
Weissenburg i. B. .	200 m	Ludwigshafen a. Rh.	200 m
Ansbach	400 m	Landau (Pfalz) . .	100 m
Nürnberg[6]) . . .	700 m	Kaiserslautern . .	100 m

Schon diese Übereinstimmung mit den Beobachtungen deutet auf rein adiabatische Vorgänge hin, noch mehr eine approximative Berechnung der Niederschlagsmengen, die bei adiabatischer Ausdehnung der Luft in der jeweils beobachteten Zeit eintreten musste. Ich habe die Rechnung unter Verwendung von Diagrammen der selbstschreibenden Regenmesser, die mir vom K. Hydrotechnischen Bureau zur Verfügung gestellt waren, zum Teil auch auf Grund der Aufzeichnungen der Beobachter über die Dauer des Gussregens für einige Orte durchgeführt.

In Nürnberg, von wo mir die Diagramme des Luftdruckes, der Temperatur, der Feuchtigkeit und des Niederschlages sowie die pünktlichen Beobachtungen der dortigen Gewitterstation durch Herrn Professor Rudel freundlichst

---

[1]) E. Alt und L. Weickmann, „Untersuchungen über Gewitter und Hagel in Süddeutschland, Klimatologie von Süddeutschland. I. Teil", diese Jahrbücher Bd. XXXI, 1909, S. C 22.

[2]) Wilhelm Schmidt, a. a. O. S. 37 ff.

[3]) A. a. O. S. 509.

[4]) W. Köppen a. a. O. S. 729.

[5]) Vgl. die Angaben in Wassertrüdingen S. J 12.

[6]) Um 5^{25} p zur Zeit des Einbruchs der Bö; um 2^{h} 800 mm.

übermittelt wurden, ergibt die Berechnung für den Augenblick des Eintritts der Bö eine Niederschlagsmenge von ca 17 mm; beobachtet wurden 17.1 mm.[1])

In Kaiserslautern, wo allerdings ausser einem selbstschreibenden Regenmesser keine Registrierinstrumente vorhanden sind, ergibt sich unter Berücksichtigung der Verhältnisse von 2 p eine Niederschlagshöhe von 14—15 mm. Beobachtet wurden 12 mm in 35 Minuten.

In Luitpoldheim b. Lohr, das in 1 Stunde 15 Minuten einen Niederschlag von 41 mm erreichte, liefert die Rechnung für die Beobachtungen: 16.6° C, 77 % RF., Dampfdruck 10.9 mm, Bar. 732 mm den Wert 43 mm.

Wir hatten es also zweifellos mit adiabatisch aufsteigender Luft zu tun. Der Auftrieb entstand rein dynamisch durch den Einbruch der kälteren Luft, die sich unter die warmen Luftmassen einschob. Die Geschwindigkeit der Bö und die durch die hohen Temperaturen bedingte Aufnahmsfähigkeit der Luft für Wasserdampf führte zu den hohen Niederschlagswerten, die ähnlich wie die Zone maximaler Intensität des Gewitters von Südost nach Nordwest fortschreitend an Heftigkeit zunahmen und zwischen 6 und 7^{h} im Nordwesten des rechtsrheinischen Bayern ihren Höhepunkt erreichten.

Da die Niederschlagsverhältnisse, wie sie im Gefolge des Gewitters aufgetreten sind, Gegenstand einer eigenen Untersuchung sein werden, deren Durchführung, wie bereits eingangs erwähnt, Herr J. Haeuser übernommen hat, so kann an dieser Stelle von einer eingehenderen Erörterung abgesehen werden. Nur zur Karte des Beginns des Gussregens ein paar Worte. Im grossen Ganzen schliesst sich der Verlauf der Kurven des gleichzeitigen Eintritts des Gussregens dem Bilde der Gewitterbö ziemlich an. Divergenzen treten namentlich in dem Gebiete hervor, wo sich das rote und das blaue Gewitter kreuzen. Die Entfernung der 4^{30}h-Isochrone von der 5 h-Kurve würde eine unwahrscheinlich grosse Geschwindigkeit ergeben. Es ist hier wohl eine Vermengung der beiden Züge eingetreten. Ähnlich liegen die Verhältnisse in der Westpfalz; der Mangel an Berichten aus den angrenzenden Gebieten schafft hier gleichfalls eine gewisse Unsicherheit, die besonders zwischen der 5^{h}- und der 5^{30}h-Kurve auffällt.

Interessant ist, dass auch der Beginn des Gussregens sich beim Mainknie verspätet, und zwar ganz ähnlich wie beim Hagel, mit dessen Verlauf die Gussregenzone sich überhaupt am besten deckt. Immerhin dürfte die Erscheinung in ihrer ausgeprägten Form gerade beim Mainknie auch nicht unwesentlich durch den Steigerwald beeinflusst sein, da sie sonst, insbesondere in dem zum Spessart gehörigen Teile des Maines, nicht annähernd so scharf hervortritt.

Nächst der intensiven Verfinsterung und der katastrophalen Niederschlagswirkung zeichnen das Ostgewitter vom 11. Mai auch noch die beträchtlichen Sturmschäden aus, die zum Teil schon durch die vor dem Ausbruch des Gewitters herrschenden stürmischen SE-Winde, zum Teil erst beim Einbruch der Böen, wo die SE-Winde orkanartig in S- und SW-Winde umschlugen, verursacht wurden. Von 4^{30} p an, hauptsächlich aber zwischen 5 und 6 p erreichte die Windgeschwindigkeit orkanartige Höhe. In der Karte der Isobronten habe ich alle die Orte, von denen grössere Sturmschäden gemeldet waren, durch einen blauen Punkt bezeichnet. Während es sich bei der westböhmischen Trombe, deren Bahn in die Karte der Gewitterböen eingezeichnet ist, um Niederlegen ganzer Waldbestände in der Zugsrichtung der Windhose handelt, sind die verheerenden Wirkungen des Gewittersturms auf unserem Gebiete weniger zusammenhängend. Meist werden stellenweise Windbrüche in Wäldern, Beschädigung von Dächern durch Abwerfen von Ziegeln, Abdecken von Häusern gemeldet. Besonders zahlreich sind diese Nachrichten aus dem Fränkischen Jura, dann auch aus dem Bayrischen Wald, dem Fichtelgebirge und aus der Rhön. Der Beobachter in Volkersberg teilt mit: „6^{32-48} p wirklicher Orkan. Mehrere Häuser abgedeckt, besonders in den Waldungen hat er furchtbare Verheerungen angerichtet." Die Zeitangabe stimmt genau überein mit dem Einbruch der Bö. Weitere Meldungen über Sturmverheerungen durch Entwurzeln von Bäumen sind aus Unterfranken eingelaufen von Thulba und Bischofsheim, besonders aber aus der Gegend von Hassfurt, wo auch viele Dächer abgedeckt wurden.

Aus Mittelfranken, Bezirksamt Hersbruck, wurden namentlich viele Schäden an Obstbäumen mitgeteilt, die teils vollständig ausgehoben, teils ihrer Blüten beraubt wurden. An einer grösseren Zahl von Niederschlagsstationen hat der Sturm das Messgefäss entführt. Aus den Bezirksämtern Amberg und Sulzbach in der Oberpfalz wurden Beschädigungen von Gebäuden, Fortführen einer Scheune, Abheben eines ganzen Daches an einem Wohngebäude berichtet. In der Umgegend von Neukirchen wurden viele Bäume entwurzelt, abgebrochen, Giebel abgehoben und eingestürzt, Telegraphenstangen umgeworfen und -drähte abgerissen, das Bahngeleise durch umgeworfene Bäume beschädigt.

Besonders intensiv machte sich der Orkan in Altenhimmel, Bezirksamt Bayreuth, in Oberfranken bemerkbar, wo ein grosser Teil Hochwald vollständig niedergebrochen wurde.

Im Bereiche der Windhose an der Hardt werden insbesondere aus der Gegend von Kirchheimbolanden sowie im Bezirksamt Frankenthal stärkere Schäden durch Ausreissen zahlreicher grosser Bäume gemeldet. Auch sonst sind in der Pfalz, wenn auch mehr vereinzelt, Sturmbeschädigungen zu konstatieren.

Bezüglich der Hagelfälle beschränke ich mich darauf, auf die Seite 18 eingefügte Karte der Hagelfälle hinzuweisen. Ausser den hier eingetragenen Hagelfeldern findet sich noch ein Hagelstrich in der Pfalz. Allenthalben werden Körner von Erbsen-, Kirschen-, Haselnuss- und Taubeneigrösse gemeldet, deren Fall namentlich in den fränkischen Anbaugebieten die jungen Pflanzungen schwer schädigte. Eine Meldung aus Kammerstein bei Schwabach gibt an „Hagelkörner in der Grösse von $2^{1}/_{2}$ cm (?) Durchmesser". Der Hagel trat erstmals besonders heftig im Flussgebiete der Fränkischen Rezat

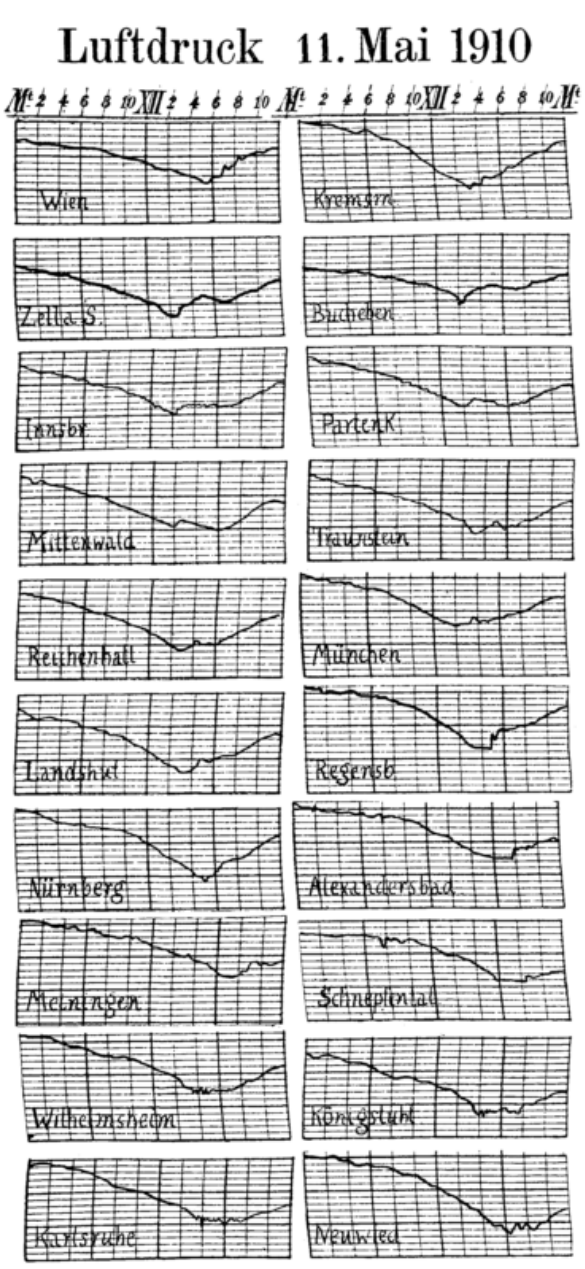
[1]) Nürnberg, 5^{25}p: 18.2° C, 72 % RF., Bar. 719.7 mm, Kondensationsniveau 720 m bei 11.0° C, Nullgradisotherme 2700 m, Dauer des Gussregens 32 Min., Aufstiegsgeschw. angen. 3 m/sec. Es wäre sehr erwünscht, aus den W. Schmidtschen Versuchen Angaben über den Zusammenhang der Fortpflanzungsgeschwindigkeit und der Geschwindigkeit der aufsteigenden Bewegung zu erhalten. Die Auswertung einer von Schmid gewonnenen Aufnahme des Vorgangs nach der Vertikalgeschwindigkeit (a. a. O. Fig. 6, Tafel IV, cf. S. 43) gibt zwar einen Einblick in die Verhältnisse, doch dürften hier die Randbedingungen des Versuches nicht ganz ohne Einfluss gewesen sein. Bei einer Fortpflanzungsgeschwindigkeit von ca 16 m/sec. wird mit einer vertikalen Komponente von 3 m/sec. gerechnet werden dürfen.

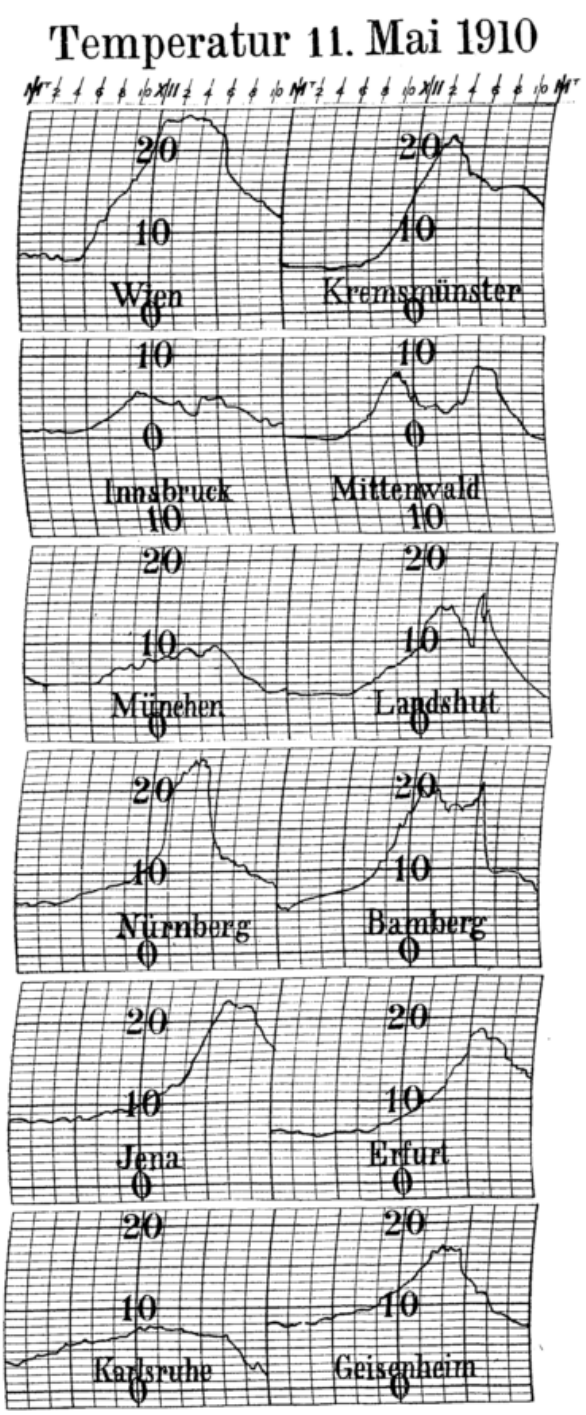
auf, dann folgt eine Unterbrechung von ca 15—20 km bis zum zweiten Hagelstrich, der von der Gegend von Schwabach bis zum südlichen Steigerwald verläuft. Neuerdings gewinnen die Hagelfälle dann wieder an Stärke im Mainknie, doch ist hier, wo die beiden Gewitterzüge, das rote und blaue Gewitter, sich überlagern, die streifenförmige Anordnung gestört.

Blitzschäden wurden zerstreut aus vielen Orten gemeldet, einige der Nachrichten sind bereits auf Seite 17 abgedruckt. Vollständige Angaben darüber wurden nicht gesammelt.

4. Die Fortpflanzungsgeschwindigkeit als Funktion der Temperaturdifferenz der Luftmassen.

Bei den Versuchen über die Form und Geschwindigkeit des Einbruches schwerer Flüssigkeit unter ruhende leichtere, die von Wilhelm Schmidt[1]) angestellt wurden, ergab sich eine ganz bestimmte Form der vordringenden





Flüssigkeit. „Es bildete sich stets am vorderen Ende ein erhöhter Kopf aus, dahinter eine stärkere oder schwächere Einschnürung, auf welche erst, meist mit einigen aufgesetzten Wellen, der normale Keil der nachfliessenden kalten Luft

[1]) A. a. O. S. 37.

folgte.“ Für das Verhältnis zwischen Fortpflanzungsgeschwindigkeit und Kopfhöhe wurde eine höchst interessante Beziehung ermittelt:

$$h = K \cdot c^2 + a,$$

wo h die Höhe des Kopfes, c die Fortpflanzungsgeschwindigkeit und K eine übrigens von dem Verhältnis der Dichte (resp. dem Temperaturunterschied) der beiden Luftmassen abhängige Grösse ist. a ist eine nebensächliche, die Reibung berücksichtigende Konstante. Durch Benützung dieser Beziehung gelingt es, für die Fortpflanzungsgeschwindigkeit eine Formel zu erhalten:

$$c = K \cdot \sqrt{h},$$

wo $K = \sqrt{\frac{1}{k}}$ ist. Für k ergeben sich je nach der Temperaturdifferenz zwischen der kalten und warmen Luft verschiedene Werte. In den Versuchen von W. Schmidt treten beständig die Temperaturdifferenzen 2.0 ° C, 7.1 ° C, 13.9 ° C auf; für diese hat k entsprechend die Werte 2.06, 4.13, 6 55.

Wir wollen nun versuchen, diese experimentell gewonnenen Resultate an unserer Bö zu prüfen. Dazu müssen wir uns über die Höhe der Kaltluftschicht orientieren, die den Temperatursturz resp. die barometrische Druckstufe hervorgerufen hat. Es liegen uns zu diesem Zwecke die Beobachtungen von Nürnberg besonders nahe, weil Nürnberg die einzige, mit Registrierinstrumenten vollständig ausgerüstete und vortrefflich bediente Station ist und zudem am 11. Mai gerade in die Zone der intensivsten Entwicklung des Gewitters fällt. W. Köppen hat bekanntlich eine Formel[1]) angegeben, welche gestattet, die Höhe einer Luftsäule zu berechnen, die bei bekannter Temperaturdifferenz einen gegebenen Druckunterschied erzeugt. Das Thermogramm von Nürnberg, das wir hier zugleich mit einer grösseren Anzahl anderer Thermogramme und mit einer Auswahl von Barogrammen beigeben, gibt uns darüber Aufschluss, dass mit dem Einbruch der Bö um 5 h ein Temperatursturz von ca 12 ° C und gleichzeitig eine Druckstufe von zuerst 0.8 mm eingetreten ist, dem aber beim völligen Durchbruch der Bö, der, wie schon mehrmals erwähnt, erst beim Eintreffen des blauen Gewitterzugs gelang, weitere 2 mm folgten. Die Fortpflanzungsgeschwindigkeit der Bö über Nürnberg haben wir auf Seite 18 bereits zu 55 km in der Stunde, d. i. 15.3 m/sec. angegeben. Für die Temperaturdifferenz von 12 ° C bestimmen wir uns graphisch einen Wert für K, wobei sich ungefähr 5.7 ergibt.

Die Berechnung der Höhe der Erscheinung nach der Köppenschen Formel ergibt, wenn als Mitteltemperaturen der betreffenden Luftschichten 22 ° resp. 10 ° C, als Temperaturunterschied 12 °, als Druckunterschied 2.8 mm angenommen werden, den Wert 719.4 m, also rund 720 m Höhe, wie man sich erinnert, auch zufällig die Höhe des Kondensationsniveaus (S. 20).

Setzt man andererseits in die Formel von W. Schmidt die bekannte Fortpflanzungsgeschwindigkeit 15.3 m/sec. und den durch graphische Interpolation ermittelten Wert der Konstanten k ein bzw. den zehnten Teil derselben, da die Werte von Schmidt bei den natürlicherweise kleineren Dimensionen des Versuchs sich auf Zentimeter beziehen, so ergibt sich aus

$$15.3 = 0.57 \sqrt{h}$$

für h der Wert **720 m**, also in der Tat eine ausserordentlich gute Übereinstimmung der experimentell gewonnenen Werte mit den Beobachtungen vom 11. Mai. Die annähernd gleiche Temperaturabminderung in Bamberg (11 °) bei einer Geschwindigkeit von ebenfalls ca 55 km/Stunden ist eine weitere Stütze dieses Ergebnisses.

Noch an einem zweiten Beispiel soll eine Nachprüfung der Formel versucht werden. Wir haben in Landshut etwa um 4^{15} p den eigentlichen Einbruch der Bö mit einer Geschwindigkeit von beiläufig 35 km/Stunden. Die betreffenden Angaben für Temperatur und Luftdruck finden sich bereits auf Seite 12. Der Temperaturunterschied betrug beim Durchbruch der Bö 2.4°; diesem entspricht eine Druckstufe von 1.7 mm. Die zugehörigen Temperaturen sind 11.4° bzw. 9.0°.

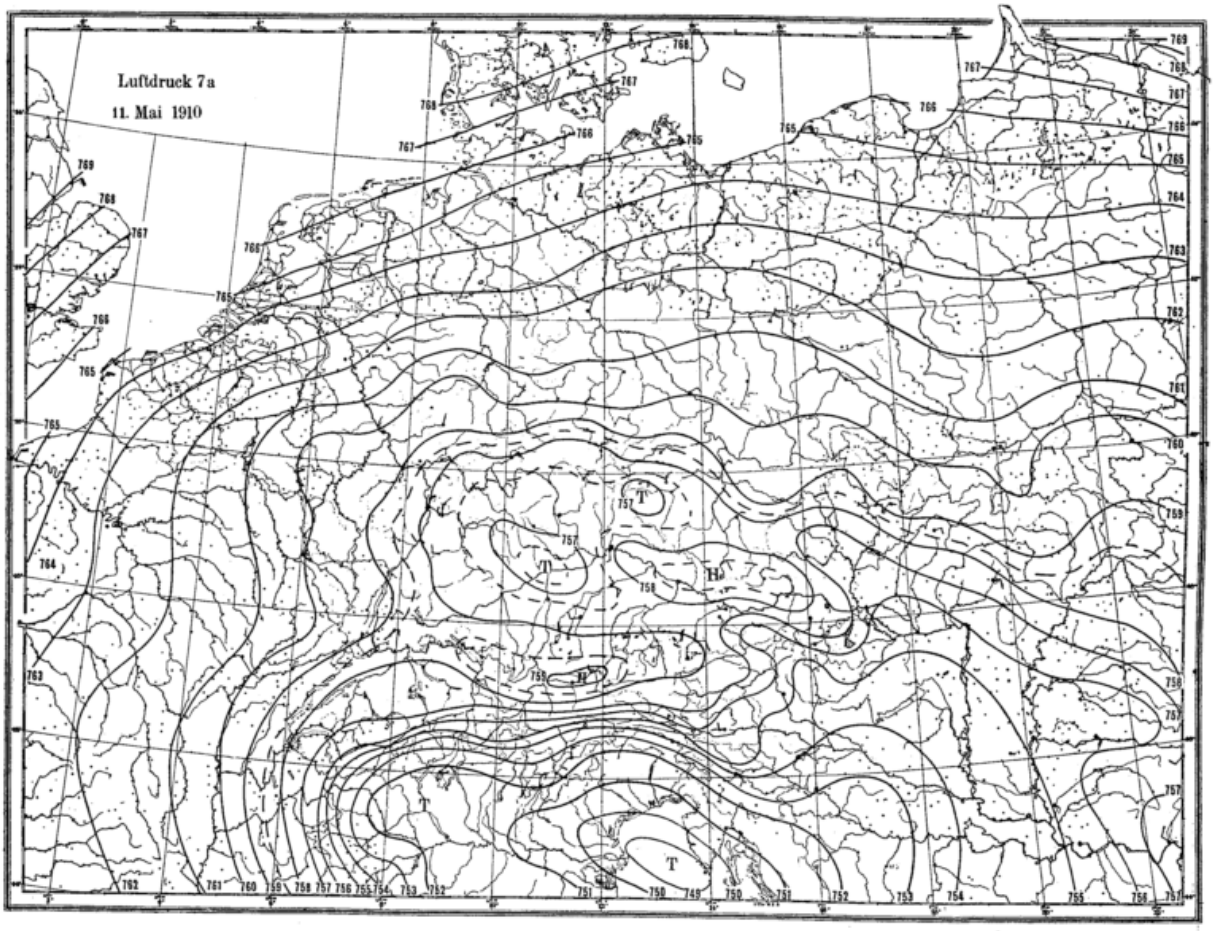
Die Berechnung der Höhe ergibt den Wert 2050 m. Rechnet man mit dieser Höhe die Fortpflanzungsgeschwindigkeit der Bö aus, indem man der Temperaturdifferenz entsprechend für k etwa den Wert 2.2 aus den Schmidtschen Angaben entnimmt, so findet man den Wert 35.9 km/Stunden, also auch hier eine sehr befriedigende Übereinstimmung.

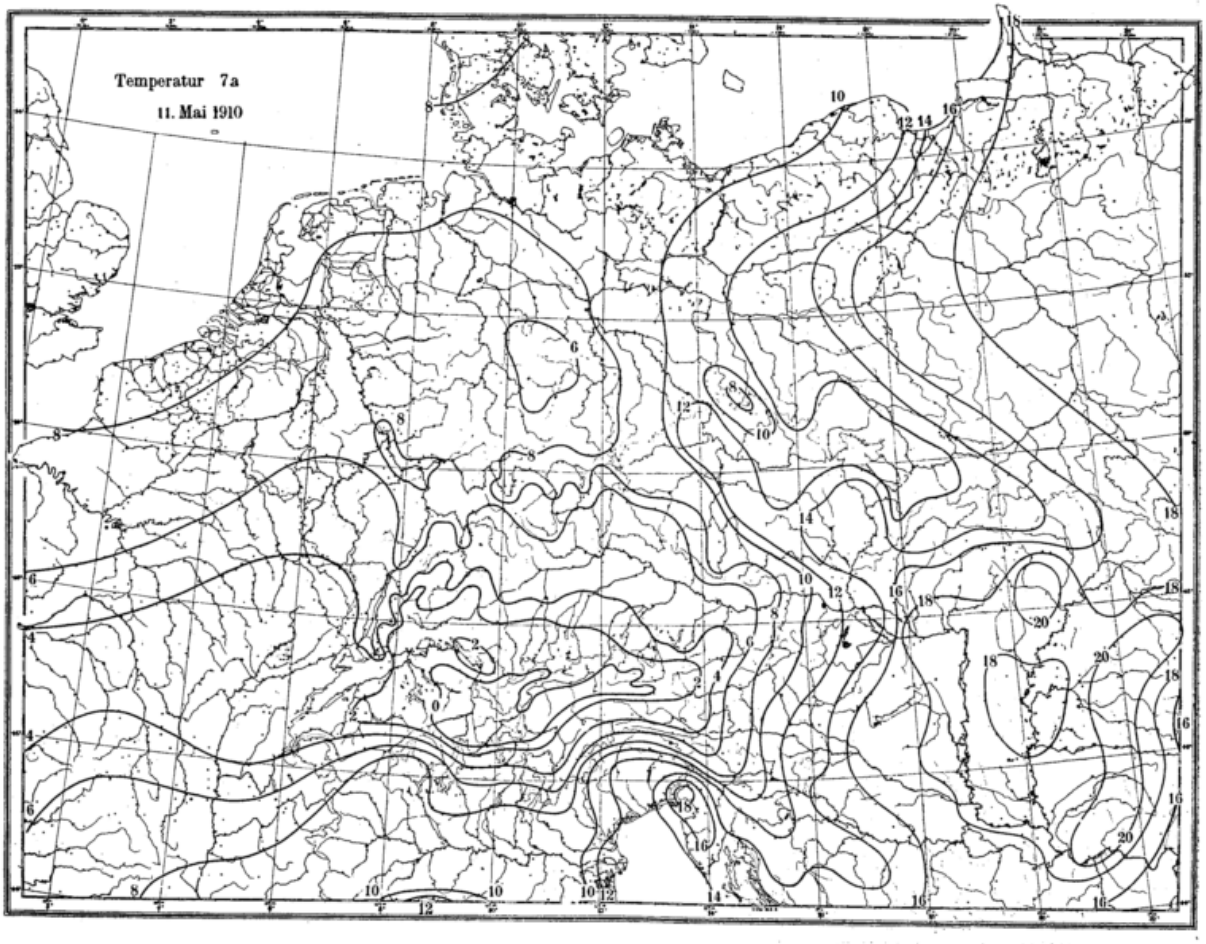
Allerdings ist zu betonen, das die Ermittlung der Konstanten k für die in den W. Schmidtschen Versuchsreihen nicht enthaltenen Temperaturdifferenzen durch reine Interpolation etwas unsicher ist, doch wäre selbst eine Abweichung von 10% nicht imstande, die Grössenordnung des Resultates zu verletzen.

Zusammenfassung: Die Gewitter vom 11. Mai sind ein neues instruktives Beispiel für die Entstehung von Gewittern im Grenzgebiet von kalten und warmen Luftströmungen; die Energiequelle der Phänomene ist die Temperaturdifferenz der Luftschichten. Alle Erscheinungen lassen sich mit dem Einbrechen der kalten Luft unter die warme Strömung erklären. Die synoptische Darstellung gibt ein anschauliches Bild für die Art der Ausbreitung der kalten Luft. Für die Fortpflanzungsgeschwindigkeit gelten feste Gesetze, die mit dem Temperaturunterschied der aufeinandertreffenden Luftmassen gegeben sind. Die Beobachtungen bei dem Gewitter vom 11. Mai haben eine weitere Bestätigung für die Richtigkeit der von W. Schmidt in Wien für diese Gesetze ermittelten Form ergeben.

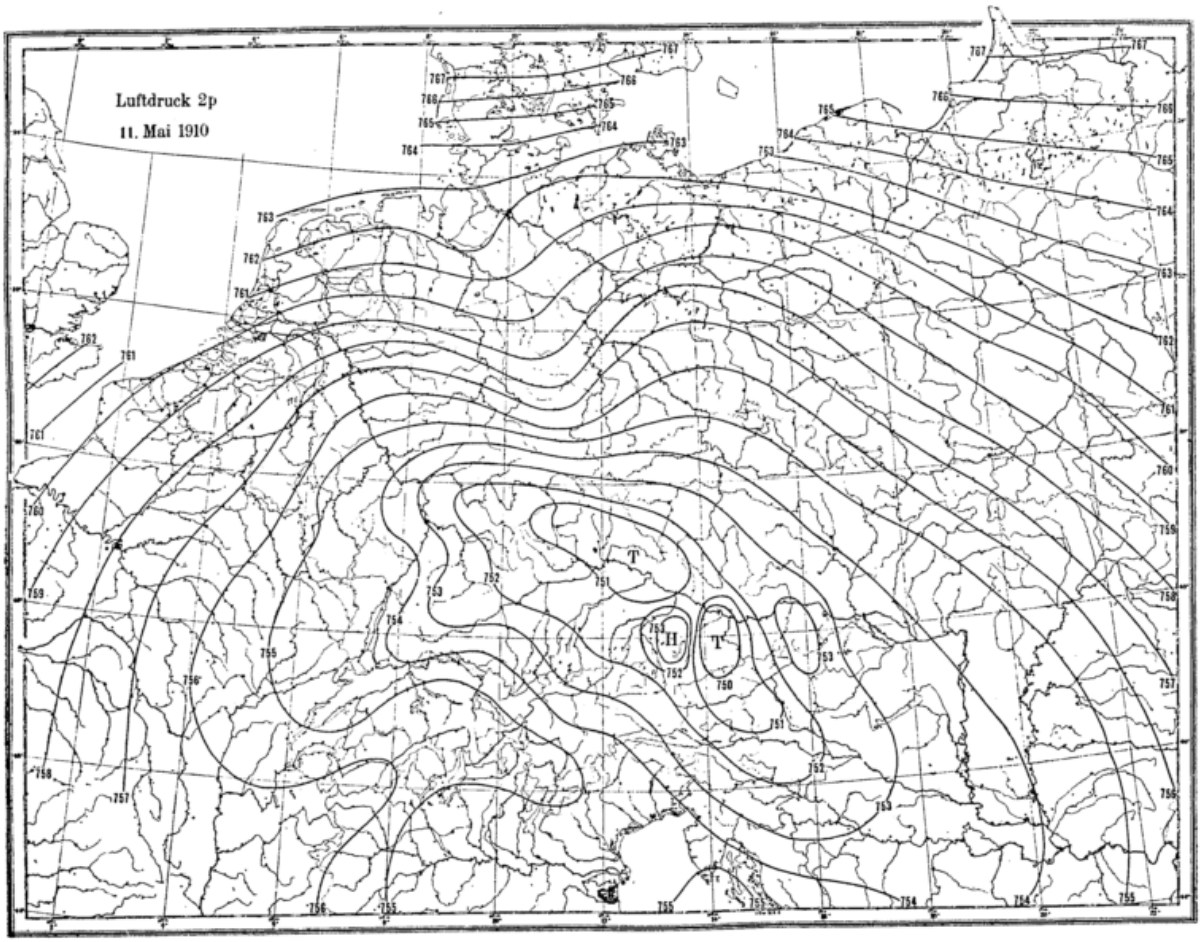
[1]) Zeitschrift für Meteorologie Bd. XVII, 1882, S. 88.

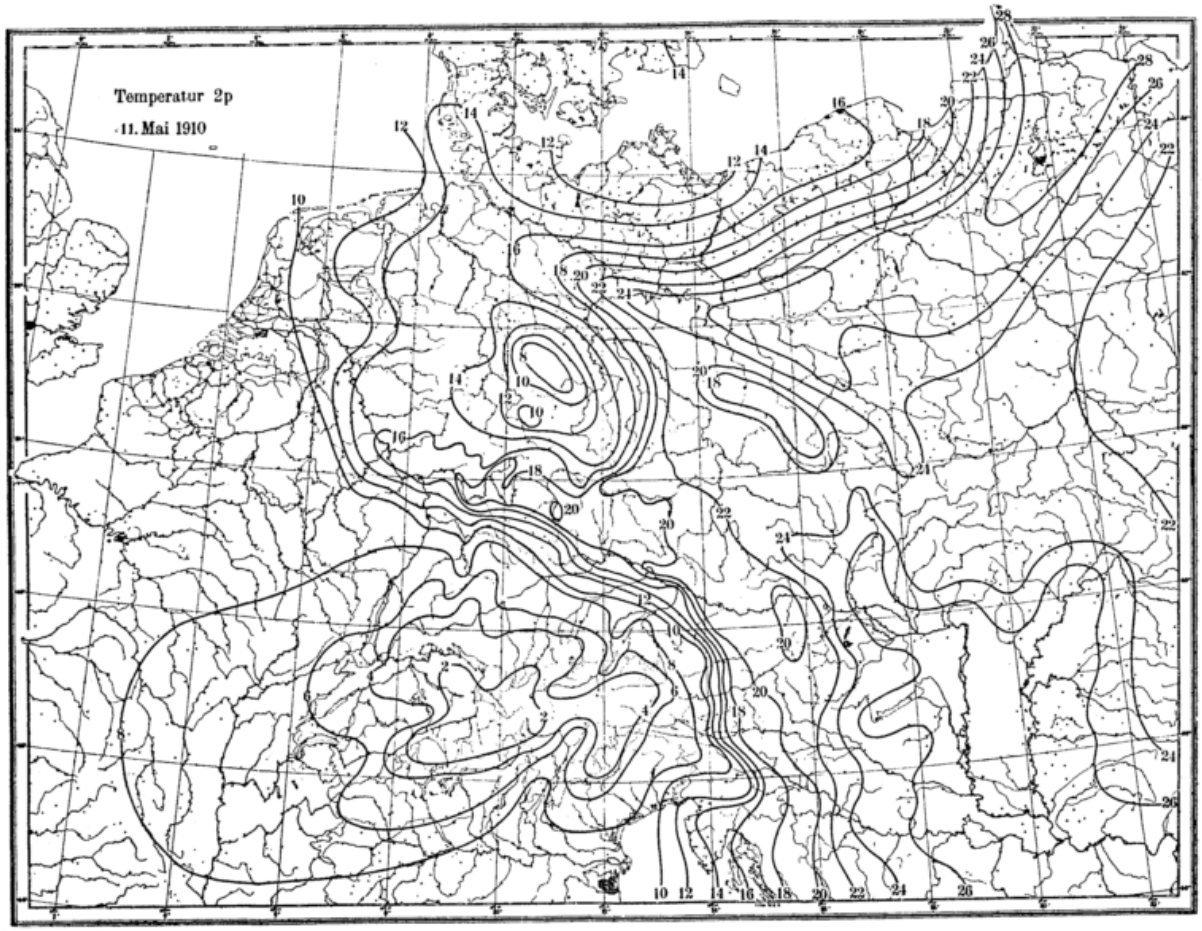
Tafel I.



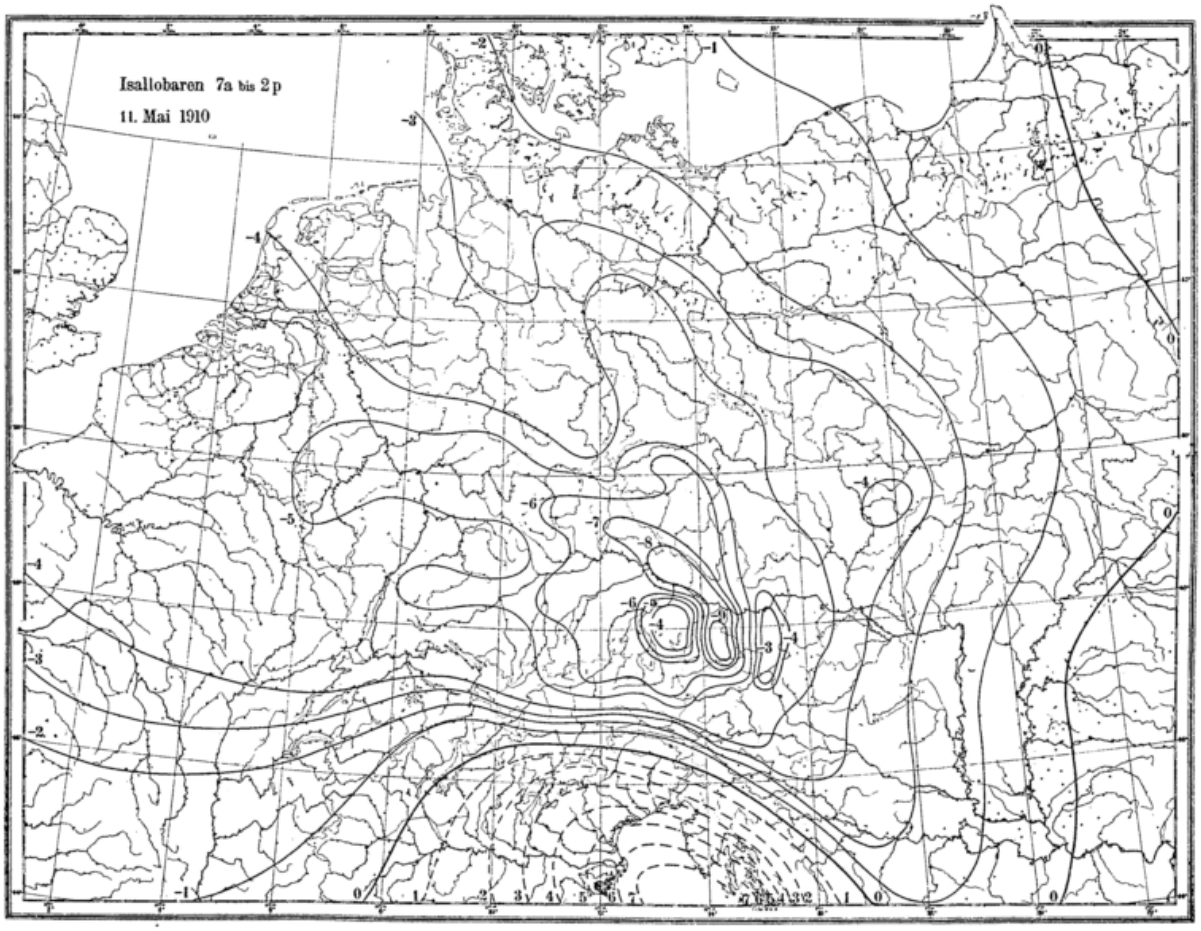


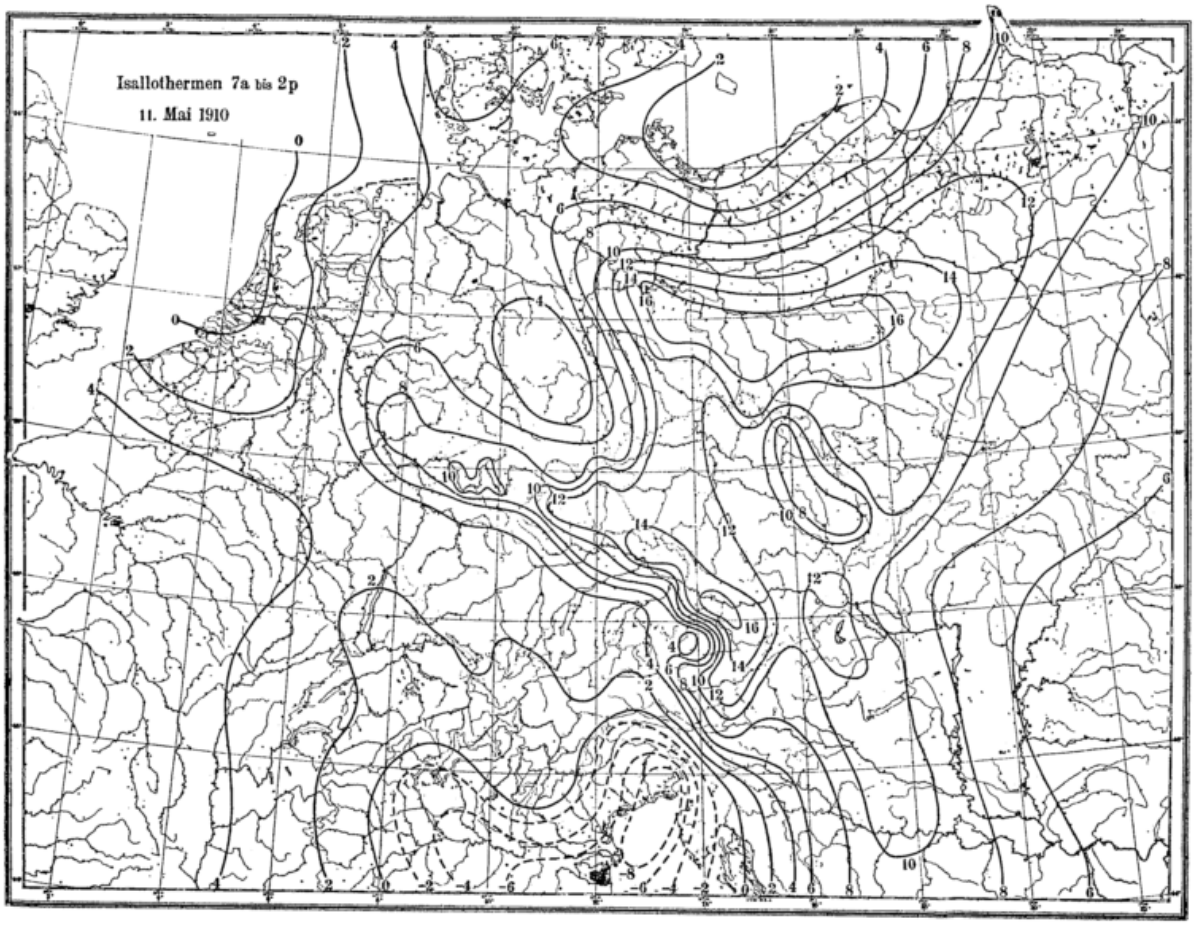
Tafel II.



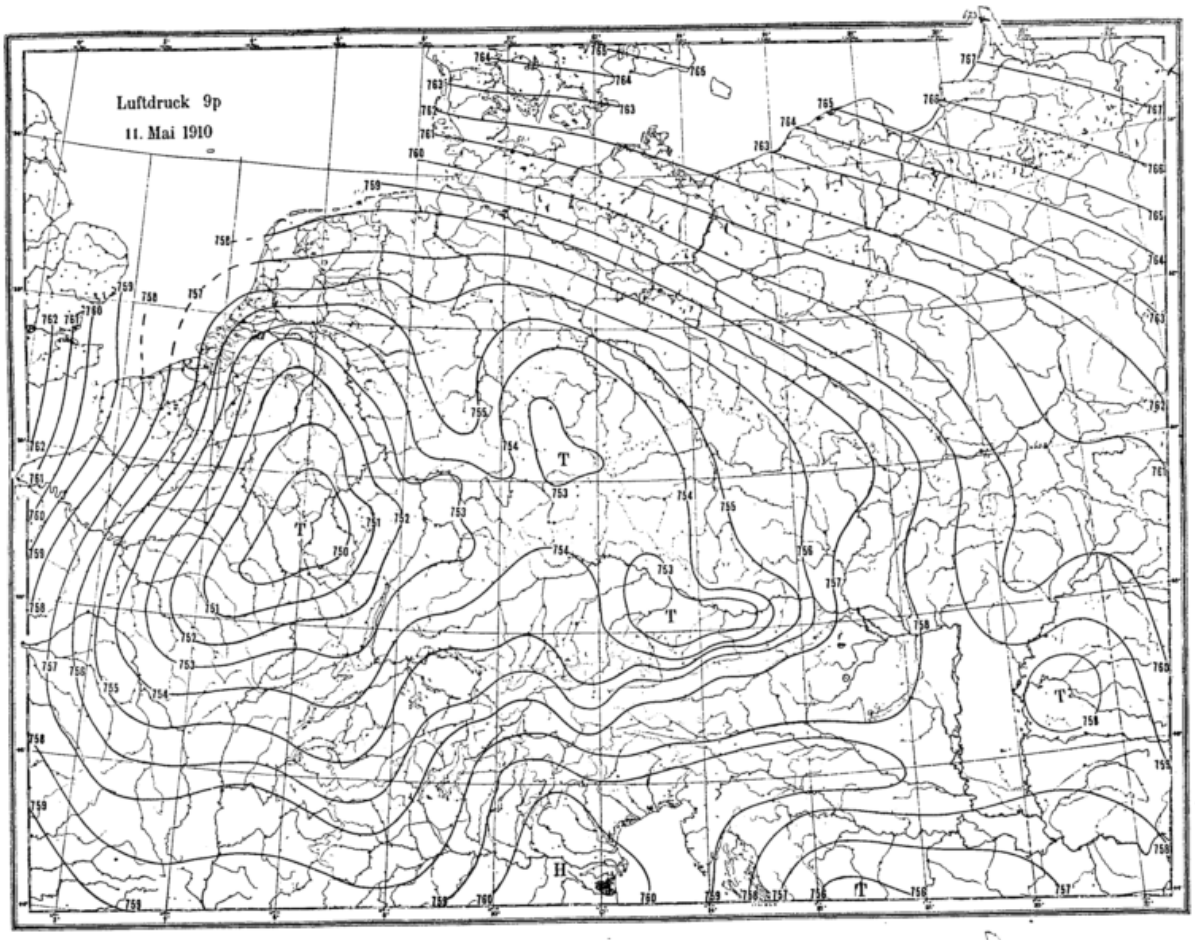


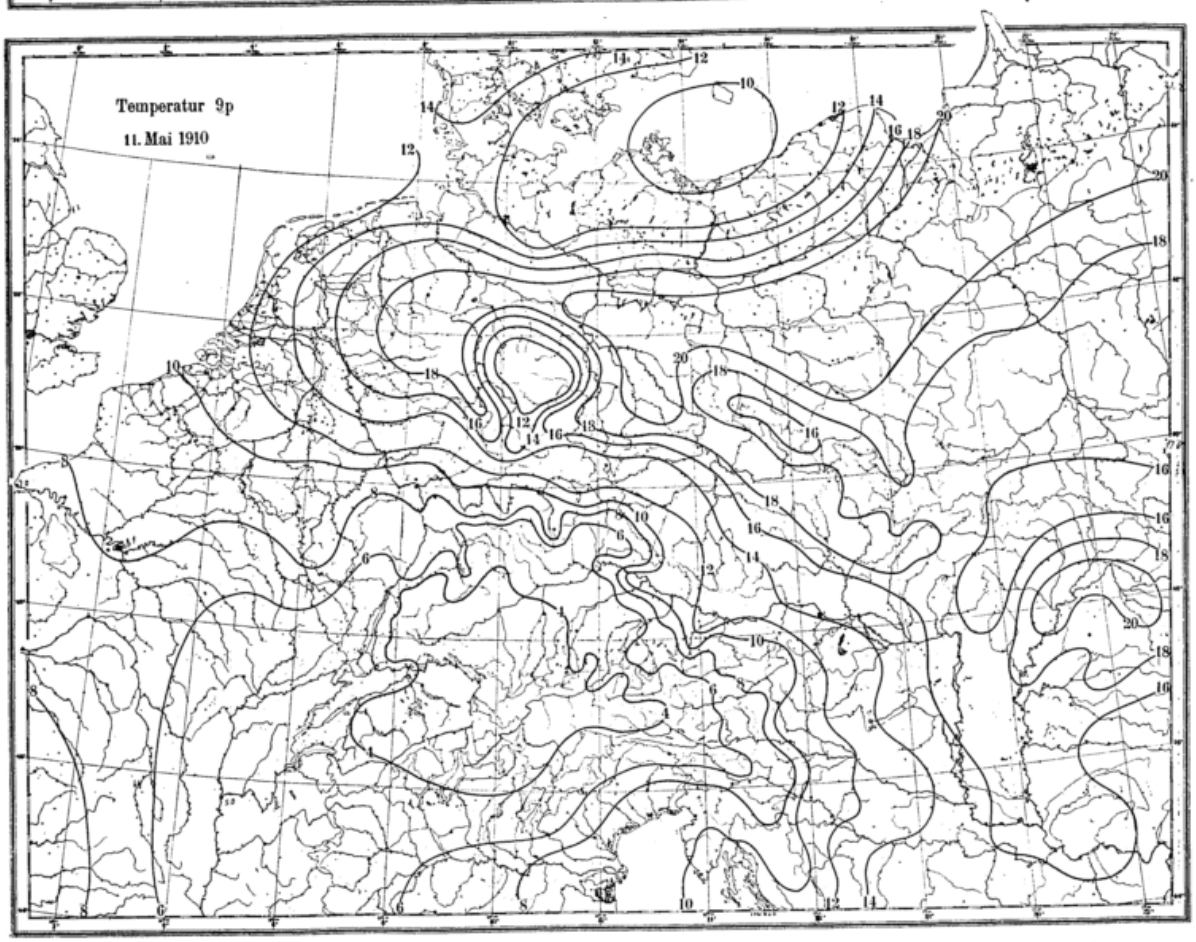
Tafel III.


Isallobaren 7a bis 2p
11. Mai 1910


Isallothermen 7a bis 2p
11. Mai 1910

Tafel IV.





Der Gewitterregen vom Nachmittage des 11. Mai 1910.

Von Josef Haeuser,

wissenschaftlicher Hilfsarbeiter für Meteorologie im K. B. Hydrotechnischen Bureau.

Kurze, starke, wolkenbruchartige Regen sind meist Erscheinungen rein lokaler Natur und es ist auch bei den nach unserer heutigen Auffassung engmaschigen Beobachtungsnetzen oftmals noch ein günstiger Zufall zu nennen, wenn eine meteorologische Beobachtungsstation in das Wolkenbruchzentrum fallend die Erscheinung in ihrer Intensität auch zahlenmässig zu fixieren in der Lage ist und hiedurch einen exakten Vergleich mit analogen Ereignissen ermöglicht. Aber auch dann sind wir noch in den allermeisten Fällen in der Beurteilung der Ausbreitung der Erscheinung in ihrer Gesamtheit wie insbesondere in der Bestimmung der Lage und Ausdehnung des eigentlichen Entstehungsherdes der Katastrophe auf Schlüsse angewiesen, die wir nur indirekt aus den verheerenden Folgen des Elementarereignisses zu ziehen vermögen. Selten sind die Fälle, in denen kurze, besonders intensive Regen über weitere Gegenden hin sich fortpflanzen, sei es dass sie einer Gewitterfront folgend gleichsam wellenförmig immer wieder zur wolkenbruchähnlichen Stärke anschwellen, sei es dass sie sporadisch mit gefahrdrohender Intensität sich entladen. Einen solchen Fall, der nicht nur unser wissenschaftliches Interesse in Anspruch zu nehmen weiss, sondern auch aus praktischen Gesichtspunkten eine Behandlung erheischt, bieten uns die Regen des Ostgewitters vom Nachmittage des 11. Mai 1910, welches in der vorhergehenden Studie bereits nach der rein meteorologischen Seite hin eine eingehende Diskussion und eine Klarlegung seiner Ursachen gefunden hat.

Das ganze rechtsrheinische Bayern nördlich einer von Laufen an der Salzach in nordwestlicher Richtung über das Erdinger und Dachauer Moos in die Gegend von Augsburg und Ulm sich erstreckenden Linie sowie das nördliche Württemberg und Baden und die ganze Rheinpfalz wusste das Gewitter in seinen Wirkungsbereich zu zwingen. Die beiliegende Isohyetenkarte, welche auf Grund von rund 1200 beim K. B. Hydrotechnischen Bureau eingelaufenen Beobachtungsdaten konstruiert worden ist, gibt ein Bild von der Verteilung des Gewitterregens und seiner Ergiebigkeit. Die dem Gewitterzuge folgende Hauptzone regster Niederschlagstätigkeit erstreckt sich von der Salzachmündung in nordwestlicher Richtung durch Niederbayern, überschreitet zwischen Kelheim und Ingolstadt die Donau, überquert den Altmühljura, die Frankenhöhe und den südlichen Steigerwald, durchzieht den Maingau zwischen Würzburg und Schweinfurt und verlässt mit dem nördlichen Spessart die bayerische Grenze. Von Südosten nach Nordwesten durchschnittlich an Ergiebigkeit und auch an Ausdehnung zunehmend erreichte der Niederschlag seine grössten Intensitäts- und absoluten Werte in dem von der 20er Isohyete umschlossenen Gebiete, das den Westrand der fränkischen Keuperplatte, das Gebiet innerhalb des südlichen Mainkniees und die nördlichen Höhen des Spessart umfasst; das Areal desselben hat in nordwestlicher Richtung eine Länge von rund 120 km und eine durchschnittliche Breite von 20 km. Aber auch ausserhalb dieser zusammenhängenden Zone heftigster Niederschlagstätigkeit erlangte der Regen stellenweise bedeutende Intensität bei gleichzeitig erheblicher Ausdehnung, speziell auch in der Rheinpfalz.

Da die Gewitterregenbeobachter des Hydrotechnischen Bureaus nicht nur die Gesamtdauer des Gewitterregens, sondern getrennt Beginn und Ende des stärksten Regens zu notieren haben, so war es auch möglich durch das Zeichnen von sogen. Isochronen in einer weiteren Karte ein Bild von der Fortpflanzung des Gussregens zu geben.

Gegen 2 p nahm die Gewittertätigkeit in der Gegend von Augsburg ihren Anfang. Die Niederschläge waren zunächst gering; zu Augsburg setzte der Regen, nach dem Pluviographendiagramm zu schliessen, zwar intensiv ein, flaute aber alsbald ab und ergab in mehr als einer Stunde rund 7 mm. Gegen 3 p fielen auch in der Gegend der Salzachmündung kleinere Niederschläge, welche aber ebenfalls bald aufhörten. Erst gegen 4 p fanden die Flanken des Gewitters, die in diesen einzelnen Regen sich zu erkennen gaben, ihren Zusammenschluss in der eigentlichen Gewitterfront, die nun in breiter Erstreckung von der Salzachmündung aus über Freising, Aichach, Donauwörth nach Nördlingen zu verlief. Von dieser Linie aus rückte die Regenzone rasch gegen Nordwesten vor, gleichzeitig auch gegen Osten und Nordosten sich ausbreitend. Bereits in Niederbayern in dem Gebiete südlich von Pfarrkirchen nahm nun der Regen stellenweise ganz erhebliche Stärke an; die Station Eckmühl notierte für die Zeit von 45 Minuten 23 mm; von anderen Beobachtern, welche die Messung leider unterlassen hatten, wurde der Regen als wolkenbruchähnlich bezeichnet; kleinere Bäche schwollen

innerhalb kurzer Zeit auf Hochwasserhöhe an. Auch in der Gegend der oberen Abens trat lokal bedeutende Verstärkung des Regens ein; aus Berghausen bei Mainburg wurde beträchtlicher Wasserschaden gemeldet. Im übrigen aber wurde das Gebiet südlich der Donau, abgesehen von einer schmalen von Simbach gegen Dingolfing und von Landshut gegen Neustadt hin sich erstreckenden Zone, fast nur von Niederschlägen bis zu 10 mm betroffen. Zu einer gewaltigeren, ausgedehnteren Entladung kam es erst, als das Gewitter die Höhen des Altmühljura nördlich von Eichstätt erreichte. Da der Kamm dieses Höhenzuges sich dem von Südosten heraufziehenden Gewitter gerade senkrecht entgegenstellte, so war hier auch orographisch Anlass zu einer Steigerung der Niederschlagstätigkeit gegeben; die Stationen Pappenheim und Raitenbuch massen 40 und über 40 mm innerhalb einer Stunde. Auch am nordwestlichen Ausläufer des Hahnenkamms südwestlich von Gunzenhausen verstärkte sich der Regen bis auf 30 mm pro Stunde. Um 5p erreichte der Regen den nordöstlichen, von der Hohen Leita aus gegen Neustadt a. d. A. sich erstreckenden Zug der Frankenhöhe; auch die südöstlichen Abhänge dieser und damit das Quellgebiet der Altmühl, der fränkischen Rezat und des Zennbaches wurden von ansehnlichen Niederschlägen betroffen, die ebenfalls durch das von Südosten nach Nordwesten ansteigende Gelände eine Verstärkung erfahren haben dürften; Station Oberzenn notierte 49 mm in 1 1/2 Stunden. Gleichzeitig hatte das Regengebiet in nordöstlicher Richtung bereits die fränkische Rezat überschritten; nach Osten hin beschränkte es sich aber noch auf den Altmühljura; in ihrem südöstlichen Verlaufe hielt sich die Isochrone 5p noch vollständig südlich der Donau. Wie sich aus dem Zusammendrängen der Isochronen ergibt, hat sich das Gewitter in dem Gebiete südlich von Nürnberg lange Zeit gehalten. In dem zwischen der fränkischen Rezat und der Rednitz liegenden Gebiete wurden exzessive Beträge bis zu 40 mm und mehr in einer halben Stunde gemessen. Während nun aber die bisher in ihrer örtlichen Lage näher gekennzeichneten Regenzentren noch durch ausgedehnte Gebiete relativ geringer Niederschlagstätigkeit getrennt waren, war das Fortschreiten des Gewitters in nordwestlicher Richtung nicht nur von einer weiteren Steigerung der Niederschlagsergiebigkeit begleitet, sondern ist auch speziell durch eine mächtigere Ausdehnung der Gebiete grössten Niederschlages charakterisiert. Von der zwischen der Frankenhöhe und dem Steigerwalde liegenden Senke breitete sich die Zone grössten Niederschlages gegen 1/26p einerseits nordostwärts gegen die Osthänge des Steigerwaldes hin, andererseits nordwärts nach der fränkischen Platte zu aus. Gewaltige Regenströme überschütteten die östlichen Abdachungen des Steigerwaldes, speziell die Quellgebiete des Ehebaches und der rauhen Ebrach; die Station Langenfeld meldete 84 mm für eine Dauer von 3/4 Stunden, die Station Kornhöfstadt 63 mm. Auch südlich von Neustadt a. A. an den die Wasserscheide zur mittleren Aurach bildenden Hängen fiel der Regen in überreichlichem Masse; der Beobachter in Herrenneuses, der innerhalb 65 Minuten eine Regenmenge von 70 mm gemessen hatte, schreibt: „Der Gewitterregen und der Hagel traten mit solcher Heftigkeit auf, dass eine Überschwemmung entstand, wie sie in unserem hochgelegenen Orte seit Jahrzehnten nicht mehr stattfand." Gleichzeitig brachen über die Wiesengründe des Gollachtales bei Uffenheim katastrophale Niederschläge herein; Simmershofen meldete 60 mm in einer Stunde, Kaubenheim 51 mm in 1 1/2 Stunden. Ein ausgedehntes und intensives Regenzentrum bildete sich auch im Maingau südöstlich von Marktbreit im Gebiete des Breitbaches aus, wo bis zu 70 mm in 1 1/4 Stunden gemessen wurden. Das weitere rasche Fortschreiten des Regens in nordwestlicher Richtung vermochte der Main aber nun in sichtlicher Weise zu verzögern. Die dem Würzburger Mainknie sich vollständig anschmiegende südliche Ausbuchtung der Isochrone 6p zeigt dies in interessanter Weise. Erst gegen 6p, als das Unwetter am Westabhang des Steigerwaldes entlang bis in die Gegend von Gerolzhofen vorgedrungen war, im Gebiete des Castellbaches sich neuerdings verstärkend, andererseits westnordwestwärts bereits bis in die Gegend von Marktheidenfeld und Wertheim sich ausgebreitet hatte, gelang es ihm, den Main zu überschreiten, um sich nun auch jenseits des Flusses in katastrophalen Güssen zu entladen, die in Hinsicht auf ihre gleichzeitige gewaltige räumliche Ausdehnung das innerhalb des Mainkniees liegende Gebiet zum Hauptzentrum der ganzen Regenkatastrophe stempeln. Drei mächtige Wolkenbruchzentren füllen das innerhalb des Mainkniees liegende Gebiet aus; ein erstes beherrschte die Gegend von Mainsondheim, das zweite überlagerte das Gebiet der bei Würzburg in den Main fliessenden Pleichach; das dritte betraf vornehmlich das Einzugsgebiet der bei Gemünden in den Main mündenden Wern. Die folgenden Daten mögen Aufschluss geben über die enormen Niederschlagsmengen, welche dieses Hauptregengebiet charakterisieren:

Station	Regenhöhe in Millimeter	Regendauer
Mainsondheim	55	5^{40}—6^{50}
Dettelbach	63	5^{45}—7^{05}
Bibergau	52	5^{56}—7^{00}
Schernau	63	5^{52}—7^{10}
Euerfeld	40	6^{10}—7^{30}
Unterpleichfeld	83	6^{30}—8^{20}
Kürnach	53	5^{45}—6^{30}
Hilpertshausen	88	6^{12}—8^{00}
Bergtheim	39	6^{00}—^{45}
Thüngen	74	6^{10}—7^{10}
Hausen	58	6^{00}—7^{30}
Eussenheim	60	6^{15}—7^{30}
Binsbach	63	6^{30}—7^{15}
Aschfeld	54	6^{50} – 8^{15}

Einen Massstab zur Beurteilung des katastrophalen Charakters dieser Niederschläge bietet ein Vergleich derselben mit der mittleren jährlichen Niederschlagshöhe der in Betracht kommenden Gegend; jene beziffert sich im Durchschnitte des Dezenniums 1901—1910 auf rund 600 mm; somit sind also am Nachmittag des 11. Mai innerhalb einer Stunde Wassermassen bis zum zehnprozentigen Betrage des mittleren jährlichen Niederschlags zu Boden gelangt. Unter den vielen Meldungen über grosse Schäden und Uberflutungen seien folgende drei herausgegriffen:

Beobachtungsstation Binsbach. „Die ältesten Leute haben noch kein solches Wetter erlebt, das Wasser stürzte in Meterhöhe durch unser Dorf und richtete auf den Feldern grossen Schaden an."

Beobachtungsstation Sachsenheim. „Das Gewitter zog von Südosten nach Nordwesten; viel Schaden wegen Zerstörens der Felder durch die Wassermenge, bis jetzt noch nicht zu schätzen. Das Vieh musste sogar aus manchen Ställen entfernt werden."

Beobachtungsstation Bergtheim. „Das Gewitter verbreitete sich schnell und blieb bereits eine Stunde über der Landschaft stehen. Die tiefen Lagen stehen unter Wasser."

Gegen 7 p überschritt das Unwetter den Mainfluss bei Gemünden und gewann bald darauf die Höhen des nördlichen Spessart. Auch hier fielen die Niederschläge in überreichlichem Ergiebigkeitsgrade, liessen die Bäche aus ihren Ufern treten und setzten Wiesen und Felder unter Wasser. Der Beobachter in Neuendorf schreibt: „Das Wasser hat an den Feldern grosse Verheerungen angerichtet, den Boden samt der Saat stellenweise fortgeführt." Der Beobachter in Jakobstal fügt seiner Meldung bei: „Der Gussregen fiel kurze Zeit in Strömen nieder, so dass grosse Wassermassen die Felder von Jakobstal überschwemmten." Auch hier hat speziell die Terraingestaltung zu einer Steigerung der Kondensation beigetragen. In diesem Sinne bemerkt beispielsweise der Beobachter in Frammersbach: „Mehrere Gewitter von Osten; weil gegen die Wasserscheide und stromaufwärts, so hielten sich dieselben lange und entleerten sich wolkenbruchartig." Die Station Heinrichstal notierte 53 mm Niederschlag für eine Zeit von 45 Minuten, Huckelheim 59 mm für eine Regendauer von 1 Stunde 10 Minuten. Auch im übrigen Teile des Spessart, ausserhalb der bisher näher beschriebenen Zone regster Niederschlagstätigkeit entleerte sich das Gewitter in heftigen Güssen. So wurde speziell das Gebiet der Aschaff von schweren Regen heimgesucht; die grösste Niederschlagsergiebigkeit verzeichnete die Station Keilberg mit 88 mm in zwei Stunden. Desgleichen wurden im südöstlichen Spessart bei Marktheidenfeld und südwestlich von Würzburg innerhalb 1—1 1/2 Stunden Regenhöhen bis zu 50 mm und mehr beobachtet.

Während sich aber nun das Unwetter über die Frankenhöhe und den Steigerwald und von dort in nordwestlicher Richtung sich fortpflanzend über Teile der fränkischen Platte und des Spessart mit der beschriebenen Heftigkeit entladen hatte, war das Gewitter auch auf seiner östlichen Flanke bereits über die Donau vorgeschritten und hatte über den ganzen Osten des rechtsrheinischen Nordbayerns, den Bayerischen- und Böhmerwald, das Naabgebiet und den Frankenjura seinen Wirkungsbereich ausgedehnt. Die Niederschlagstätigkeit war jedoch im Osten eine bedeutend geringere. Nur mehr inselförmig treten auf der Karte einige Zentren lebhafterer Niederschlagsbildung uns entgegen, so bei Neumarkt (Laaber: 40 mm in 50'), an der unteren Laaber (Parsberg 56 mm in 45'), und südwestlich von Neunburg v. W. (Altenschwand 44 mm in 32') usf.

In der Beschreibung der das Gewitter charakterisierenden Niederschlagsverteilung habe ich mich bisher auf das rechtsrheinische Bayern und hiemit auf einen politischen Bezirk beschränkt; dies mag damit entschuldigt werden, dass mir zwar aus Württemberg, Baden und Hessen Niederschlagsmeldungen zur Verfügung standen, ihre Anzahl aber ein detaillierteres Studium der im Gefolge des Gewitters aufgetretenen Niederschläge nicht ermöglichten. Dagegen genügten sie, speziell im Verein mit den Ombrographenregistrierungen, sehr wohl zur Gewinnung eines allgemeinen Bildes, wie es auch auf der Isohyetenkarte wiedergegeben ist, und gestatteten gleichzeitig einen Einblick in den Zusammenhang der Gewittertätigkeit in Bayern rechts des Rheins mit den Meldungen aus der Pfalz. Bereits um 4 p, als im rechtsrheinischen Bayern die Hauptgewittertätigkeit einsetzte, erstreckte sich die Regenfront westwärts durch Württemberg und Baden bis in die südliche Rheinpfalz. Auch in der Pfalz hatte das dieselbe von Südosten nach Norden durchziehende Gewitter reichliche Niederschläge im Gefolge. Bereits zwischen 4 p und 5 p, als sich das Regengebiet am Ostrande der Hardt bis in die Gegend von Edenkoben vorgeschoben hatte, entwickelte sich eine lebhafte Niederschlagstätigkeit. Aus der Umgebung von Edenkoben meldeten Maikammer 52 mm in einer Stunde, Speierdorf 43 mm in 45 Minuten. Gleichzeitig wurde der Südwestabhang der Hardt von einem ausgedehnten Regengebiete beherrscht; in seinem Mittelpunkte, auf dem Münchweilerhof, waren in 1 3/4 Stunden 61 mm angefallen. Auch in der westlichen Pfalz, in der Gegend von St. Ingbert, erreichte der Regen Werte bis zu 50 mm und mehr; der Beobachter in Niederwürzbach notierte 54 mm für eine Zeit von zwei Stunden; er meldete „Überschwemmungen an einzelnen Stellen". Gegen die Nordpfalz zu nahmen die Niederschläge an Ergiebigkeit ab. Nur nordöstlich von Kaiserslautern wurde noch ein zugleich auch ausgedehnteres Gebiet von beträchtlichen Niederschlägen betroffen; an der in diesem Zentrum liegenden Station Mehlingen wurden in der Zeit von 5^{05}—7^{30} 54 mm, an der Station Stumpfwalder Forsthaus für eine Dauer von zwei Stunden 42 mm gemessen. Gegen 6^{30} p überschritt die Regenfront die Nordgrenze der Pfalz.

Über die enormen Intensitäten, welche der Regen stellenweise erreichte, mag die folgende Tabelle Aufschluss geben. Ich habe in dieselbe jedoch der Kürze wegen nur die Platzregen aufgenommen, welche Hellmann in seinen Untersuchungen als „stärkere Platzregen" bezeichnet und welche durch die den Zeitstufen in Klammern beigesetzten unteren Intensitätsgrenzen definiert sind.

Station	Bezirksamt	Regenhöhe mm	Regendauer Std.	Regendauer Min.	Intensität pro Minute mm
		6—15 Minuten Dauer (mindestens 1.60 mm in der Minute).			
Lahm b. Kronach	Teuschnitz	16	—	10	1.60
Lambsborn	Homburg	15	—	9	1.66
Leutzdorf	Pegnitz	25	—	15	1.67
Nedensdorf	Staffelstein	26	—	14	1.85
Kothen	Brückenau	30	—	15	2.00
Langenfeld	Scheinfeld	41	—	15	2.73
		16—30 Minuten Dauer (mindestens 1.20 mm in der Minute).			
Kraftshof	Fürth	36	—	30	1.20
Unterneuses	Bamberg	36	—	30	1.20
Hengdorf	Schwabach	39	—	27	1.44
Bürglein	Ansbach	46	—	30	1.53
Laber	Parsberg	40	—	25	1.60
Welbhausen	Uffenheim	56	—	30	1.87
Klausaurach	Neustadt a. A.	52	—	25	2.08
		31—45 Minuten Dauer (mindestens 1.00 mm in der Minute).			
Wittelshofen	Dinkelsbühl	43	—	44	1.00
Euerfeld	Kitzingen	37	—	35	1.06
Kürnach	Würzburg	53	—	45	1.18
Niederlustadt	Germersheim	43	—	35	1.23
Parsberg	Parsberg	56	—	45	1.24
Randeckerhof	Rockenhausen	45	—	35	1.28
Unterleichtersbach	Brückenau	60	—	45	1.33
Altenschwand	Neunburg v. W.	44	—	32	1.38
Holzkirchhausen	Marktheidenfeld	56	—	40	1.40
Binsbach	Karlstadt	63	—	45	1.40
Eisingen	Würzburg	57	—	40	1.42
Langenfeld	Scheinfeld	84	—	45	1.87
		46—60 Minuten Dauer (mindestens 0.80 mm in der Minute).			
Unterdürrbach	Würzburg	60	—	50	1.20
Thüngen	Karlstadt	74	—	60	1.23
		1 Stunde 1 Minute bis 2 Stunden Dauer (mindestens 0.60 mm in der Minute).			
Mitgenfeld	Brückenau	73	2	—	0.61
Aschfeld	Karlstadt	54	1	25	0.63
Hausen	,,	58	1	30	0.64
Oberwittbach	Marktheidenfeld	58	1	30	0.64
Unterpleichfeld	Würzburg	83	1	50	0.75
Dettelbach	Kitzingen	63	1	23	0.76
Mainsondheim	,,	55	1	10	0.78
Schernau	,,	63	1	18	0.81
Hilpertshausen	Würzburg	88	1	48	0.81
Maikammer	Landau i. Pf.	52	1	2	0.84
Huckelheim	Alzenau	59	1	10	0.84
Eussenheim	Karlstadt	66	1	15	0.88
Simmershofen	Uffenheim	60	1	4	0.94
Herrnneuses	Neustadt a. A.	70	1	5	1.08
		2 Stunden 1 Minute bis 3 Stunden Dauer (mindestens 0,45 mm in der Minute).			
Keilberg	Aschaffenburg	88	2	5	0.70

Platzregen von den in der Tabelle verzeichneten Intensitäten sind zwar in einem Gebiete von der Grösse Bayerns keine besondere Seltenheit. Jedoch ist die Wahrscheinlichkeit ihres Auftretens an einem und demselben Orte, wie eine meiner neuesten Untersuchungen zeigt, günstigerweise eine geringe. Auf Grund von Registrierungen Hellmann-Fuessscher Pluviographen liessen sich für das Auftreten heftiger Regen nachbezeichneter Intensität und Dauer folgende Häufigkeitszahlen berechnen; die Zahlen geben an die Anzahl der Fälle innerhalb der in der zweiten Rubrik verzeichneten Beobachtungszeit.

Station	Zahl der Beobachtungsjahre	Zeitstufen in Minuten					
		1–5	6–10	11–20	21–30	31–45	45–60
		Mindestintensität mm/Minute					
		2,0	1,6	1,4	1,2	1,0	0,8
Nürnberg	13	1	1	—	—	1	1
Fürth	9	2	1	—	—	—	—
Schweinfurt	11	—	—	1	—	—	—
Würzburg	11	—	1	—	—	—	—
Aschaffenburg . . .	11	3	1	1	—	—	—
Ungstein (Rheinpfalz)	10	2	—	—	—	—	—

Für eine Reihe praktischer Untersuchungen interessiert jedoch oftmals weniger die Kenntnis der an einem Orte beobachteten grösseren Regenintensitäten und deren Häufigkeit; diese Frage kann durch Aufstellung eines Pluviographen, dessen Registrierungen Dauer und Höhe eines Regens genau zu entnehmen gestatten, gelöst werden. Vielmehr ist es in gar manchen Fällen von viel grösserer Bedeutung, auf die weitere Frage einen Aufschluss zu erhalten: Welche Ausdehnung haben Regen von bestimmter Intensität schon zu erreichen vermocht? Die Diskussion dieser Frage verfolgt das K. B. Hydrotechnische Bureau mit seinem vor vier Jahren gegründeten, etwa 5000 Stationen umfassenden Gewitterregenbeobachtungsnetze. Ausserdem würde es sich empfehlen, ein möglichst einfach gegliedertes, aber gewitterreiches Gebiet dicht mit Regenmessern besetzen und auch mit einigen Hellmann-Fuessschen Pluviographen ausstatten zu lassen und auf Grund der Beobachtungen in diesem Gebiete neben anderen Fragen auch die eben aufgeworfene zu untersuchen. Bei der für später bereits in Aussicht gestellten Durchführung dieses Planes wäre auch eher die Möglichkeit gegeben, durch Aufstellung von Schreibpegeln und mehrmalige Wasseraufnahmen über das bei starken kurzen Regen obwaltende Verhältnis zwischen Niederschlag und Abfluss sichere Anhaltspunkte zu gewinnen.

Um nun an die Untersuchung der aufgestellten Frage heranzutreten habe ich für die bedeutenderen Regenzentren die von den Isohyeten eingeschlossenen Flächen mittels Planimeter bestimmt; darauf aufbauend konnte ich den Wert der in einem Niederschlagszentrum gefallenen Gesamtniederschlagsmenge wie auch die mittlere Niederschlagshöhe des betreffenden Gebietes berechnen; die von den Beobachtern angegebene Dauer des Regens an den einzelnen Stationen gestattete ferner für jedes einzelne Niederschlagsgebiet eine mittlere Dauer des Regens in demselben festzusetzen; aus diesen Daten ergab sich alsdann durch einfache Rechnung der Wert der durchschnittlichen Intensität, mit welcher der Regen über einem Gebiete von bestimmter Flächenausdehnung niedergegangen war; hieraus endlich liess sich die „Niederschlagsspende" finden, d. i. die pro Sekunde auf einen Quadratkilometer gefallene Niederschlagsmenge. In der folgenden Tabelle habe ich für die wichtigsten und interessantesten Niederschlagsgebiete die eben besprochenen Werte zusammengestellt.

Niederschlagsstufe	Areal	Niederschlagsmenge	Mittlere Niederschlagshöhe	Mittlere Niederschlagsdauer	Mittlere Niederschlagsintensität		Niederschlagsspende
					pro Minute	pro Stunde	
mm	qkm	Mill. cbm	mm	Std. Min.	mm	mm	cbm/sec. qkm
Regenzentrum im Altmühljura, nördlich von Eichstätt. (Max. 47 mm.)							
40—47	25	1.050	42		0.71	42	11.8
30—47	91	3.360	37		0.57	34	9.5
20—47	252	7.385	29		0.39	23	6.5
Regenzentrum am Ostabhang der Fränkenhöhe im Quellgebiete der Altmühl, der Fränkischen Rezat und des Zennbaches. (Max. 49 mm.)							
40—49	8	0.340	43	1 h 35′	0.45	27	7.5
30—49	33	1.215	37	1 h 20′	0.46	28	7.7
20—49	341	8.915	26	1 h 15′	0.35	21	5.8

Niederschlagsstufe	Areal	Niederschlagsmenge	Mittlere Niederschlagshöhe	Mittlere Niederschlagsdauer	Mittlere Niederschlagsintensität		Niederschlagsspende
					pro Minute	pro Stunde	
mm	qkm	Mill. cbm	mm	Std./Min.	mm	mm	cbm/sec. qkm
Regenzentren im Gebiete der oberen Aisch.							
a) Südlich von Neustadt a/Aisch.							
(Max. 70 mm.)							
60—70	8	0.512	64	1 h 5′	0.99	59	16.5
50—70	31	1.777	57	1 h 10′	0.81	48	13.5
40—70	90	4.427	49	1 h 10′	0.70	42	11.7
b) Am Ostabhang des Steigerwaldes.							
(Max. 84 mm.)							
70—84	8	0.600	75	0 h 45′	1.67	—	28
50—84	48	3.000	63	1 h 10′	0.90	54	15
40—84	84	4.620	55	1 h 10′	0.79	47	13.1
> 30	302	13.427	45	1 h 10′	0.64	26	10.7
Regenzentrum im Uffenheimer Gau im Gebiete der Gollach (Tauber).							
(Max. 60 mm.)							
50—60	12	0.648	54	0 h 47′	1.15	—	19.2
30—60	55	2.368	43	1 h 0′	0.70	43	11.7
Regenzentrum im Gebiete des Breitbaches südwestlich von Marktbreit.							
(Max. 70 mm.)							
50—70	13	0.741	57	1 h 15′	0.76	46	12.7
40—70	47	2.271	48	1 h 15′	0.64	38	10.7
30—70	166	6.436	39	1 h 15′	0.52	31	8.7
Regenzentren im Maingau zwischen Kitzingen und Gemünden.							
a) In der Maingegend bei Dettelbach.							
(Max. 63 mm.)							
50—63	26	1.404	54	1 h 25′	0.64	38	10.7
b) Im Gebiete der Pleichach.							
(Max. 83 mm.)							
70—83	4	0.296	74	1 h 50′	0.67	40	11.1
50—83	24	1.496	62	1 h 10′	[illegible]	53	14.8
c) Im Gebiete der Wern.							
(Max. 88 mm.)							
70—88	40	3.040	76	1 h 25′	0.89	53	14.8
50—88	131	8.500	65	1 h 20′	0.81	49	13.5
> 30	498	24.080	48	1 h 15′	0.64	38	10.7
Regenzentrum im Gebiete [illegible] und der Kahl.							
(Max. [illegible] mm.)							
50—59	12	0.636	53	1 h 00′	0.88	53	14.7
40—59	128	5.856	46	1 h 20′	0.58	35	9.7
30—59	294	11.666	40	1 h 20′	0.50	30	8.3
Regenzentren in der Maingegend von Aschaffenburg.							
a) Nordwestlich von Aschaffenburg.							
(Max. 55 mm.)							
40—55	7	0.315	45	2 h 0′	0.38	23	6.3
30—55	23	0.915	40	1 h 35′	0.42	25	7.0
b) In Gebiete der Aschaff.							
(Max. 88 mm.)							
70—88	4	0.304	76	2 h 5′	0.61	37	10.2
50—88	18	1.144	63	1 h 30′	0.70	42	11.7
30—88	37	1.90[illegible]	5[illegible]	1 h 20′	0.64	38	10.7
> 20	128	4.519	35	1 h 20′	0.44	26	7.3
Regenzentrum in der Umgebung von Edenkoben.							
(Max. 55 mm.)							
≧ 50	15.9	0.75	50	1 h 15′	0.66	39.6	11.0
40—50	50.0	2.33	47	1 h 15′	0.63	37.8	10.5
30—50	120.0	4.78	40	1 h 15′	0.53	31.8	8.9
Regenzentrum östlich von Kaiserslautern.							
(Max. 54 mm.)							
≧ 40	38.7	1.74	45	1 h 20′	0.56	33.6	9.3
30—40	103.7	4.02	39	1 h 30′	0.43	25.8	7.1

Die hohen Werte für die Niederschlagsspenden überraschen. Untersuchungen dieser Art liegen noch sehr wenige vor. Dass den mitgeteilten Werten reelle Bedeutung zukommt, haben meine weiteren Arbeiten über diesen Gegenstand mehrfach bewiesen. So hat beispielsweise eine erst in den letzten Wochen von mir angestellte Untersuchung für einen Wolkenbruch, der in der Nacht vom 3. auf 4. Juli 1903 über München niedergegangen und an sechs Stellen der Stadt von Hellmann-Fuessschen Ombrographen registriert worden ist, eine Niederschlagsspende von rund 10 cbm/sec qkm bei einer Ausdehnung von mindestens 20—25 qkm und einer Dauer von 1 ½ Stunden ergeben. Bei dem Wolkenbruche im Taubergrunde vom 29. Mai 1911 wurde von dem Zentralbureau[1]) für Meteorologie und Hydrographie in Baden für ein Gebiet von 1.2 qkm sogar eine Abflussspende von 15.9 cbm/sec qkm konstatiert. Zwei interessanten Veröffentlichungen des K. K. Hydrographischen Zentralbureaus in Wien entnehme ich, dass für einen in der Umgebung von Horitz in Böhmen niedergegangenen Wolkenbruch[2]) eine Niederschlagsspende von 17 cbm/sec qkm bei einem Areal von 50 qkm und bei einem Wolkenbruch[3]) in der Nähe von Wien eine Abflussspende von 13.2 cbm/sec qkm für ein Einzugsgebiet von 1.4 qkm festgestellt werden konnten.

Es fragt sich nun, was mit den enormen Wassermassen, welche innerhalb 1 – 1 ½ Stunden so ausgedehnte Gebiete überschütteten, weiterhin geschehen ist. Dem Gewitter vom 11. Mai war eine vierwöchentliche Regenperiode vorhergegangen, die mit diesem Gewitter den ersehnten Abschluss fand. Die in dieser Regenzeit angefallenen Tränkmengen betrugen in den hier speziell in Betracht kommenden Gebieten der fränkischen Keuperplatte und des Maingaues bis zu 70 mm und damit mehr als 10 Prozent des mittleren Jahresniederschlags; die Aufnahmefähigkeit des Bodens dürfte sonach keine besonders grosse gewesen sein. Abgesehen von der wohl von Ort zu Ort stark variierenden Verdunstung war die Bewältigung der kolossalen Wassermassen hauptsächlich Aufgabe der oberirdischen Gerinne. Die Gewässer der niederschlagsreichsten Gebiete zeigten denn auch bedeutende Anstiege. Leider kann ich über die Art des Abflussvorganges wie auch über die Abflussmengen keine näheren Mitteilungen machen. Ich muss mich darauf beschränken, für einige Gewässer Pegelablesungen mitzuteilen. Insbesondere schwoll die Aisch, welche Teile des am Ostabhang des Steigerwaldes liegenden Regenzentrums mit maximal 84 mm Regenhöhe und Teile des südlich von Neustadt zur Aurach sich erstreckenden Regengebietes mit einer Maximalhöhe von 70 mm zu entwässern hatte, auf bedeutende Hochwasserhöhe an; die bei Gemünden in den Main sich ergiessende Wern, welche den Abfluss aus einem bis zu 88 mm Regenhöhe ansteigenden Gebiete zu bewältigen hatte, stieg bei Eussenheim auf einen seit Januar 1903 nicht mehr verzeichneten Hochwasserstand. Die Welle der Aisch kulminierte bei Höchstadt 39 Stunden nach Regenbeginn; die Wern erreichte bei Eussenheim ihren Kulminationspunkt 24 Stunden nach Regenanfang.

Gewässer und Pegelstation	Datum und Stunde	Pegelstand cm	Gewässer und Pegelstation	Datum und Stunde	Pegelstand cm	Gewässer und Pegelstation	Datum und Stunde	Pegelstand cm
Altmühl: Unterfelden	11. Mai 6 a	70	Aisch: Höchstadt	11. Mai 7 a	107	Wern: Eussenheim	11. Mai 6 a	51
	11. „ 6 p	90		11. „ 6 p	106		11. „ 9 p	175
	12. „ 6 a	174		12. „ 7 a	146		12. „ 12 mn	182
	12. „ 12 m	174		12. „ 1 p	151		12. „ 6 a	200
	12. „ 6 p	158		12. „ 8 p	157		12. „ 12 m	175
	13. „ 6 a	105		13. „ 6 a	204		13. „ 6 a	100
	14. „ 6 a	78		13. „ 7 a	210		14. „ 6 a	75
				13. „ 8 a	219		15. „ 6 a	62
Aisch: Neustadt				13. „ 9 a	220			
	11. Mai 6 a	40		13. „ 10 a	220			
	11. „ 7 p	100		13. „ 11 a	220			
	12. „ 6 a	146		13. „ 1 p	219			
	12. „ 12 m	138		13. „ 8 p	216			
	12. „ 7 p	110		14. „ 6 a	201			
	13. „ 6 a	60		14. „ 7 p	143			
	14. „ 6 a	40		15. „ 7 a	100			

Zur Beurteilung der Grösse der Anschwellung der Gewässer seien für nachgenannte Pegel, welche schon zehn oder mehr Jahre beobachtet werden, die höchsten bisher bekannten Hochwasserstände (HbHW) und die Mittelwasserstände (MW), wie sie sich aus der Periode 1901—10 ergeben, mitgeteilt:

	MW	HbHW
Altmühl b. Unterfelden	71	305
Aisch b. Höchstadt	66	235
Wern b. Eussenheim	47	220

[1]) Zeitschrift für die gesamte Wasserwirtschaft, 1912, Heft IV.

[2]) „Der Wolkenbruch in der Umgebung von Horitz in Böhmen am 12. Sept. 1909", Österr. Wochenschrift für den öffentl. Baudienst, Jahrg. 1910.

[3]) „Der Gewitterregen des 17. Juli 1907 im Nordwesten von Wien", Österr. Wochenschrift für den öffentl. Baudienst, Jahrgang 1907.

Zum Schlusse möchte ich noch eine Frage berühren, welche in Hinsicht auf die Anwendung der Ergebnisse vorliegender und analoger Studien über grösste Niederschläge und ihre Ausdehnung in der letzten Zeit am K. B. Hydrotechnischen Bureau mehrmals diskutiert worden ist. Können so hohe Werte der Niederschlagsspenden, wie sie sich in dem behandelten Falle für einige Gebiete berechnen liessen, auch in anderen Gebieten gelegentlich erreicht werden oder sind die am 11. Mai 1910 vom Regenzentrum betroffenen Gebiete für eine rege Niederschlagsentwicklung besonders disponiert? Können also die gewonnenen Werte auch bei Fundierung von wasserwirtschaftlichen Projekten in anderen Gebieten als Grundlage dienen? Zur Beurteilung dieser Frage müssen wir uns vergegenwärtigen, welches eigentlich die Ursachen der heftigen Niederschläge am 11. Mai gewesen sind und ob die Bedingungen für solche nicht ebenso auch einmal in einem anderen Gebiete gegeben sein können. Die Ursachen der überreichlichen Niederschlagsbildung fanden in der vorhergehenden rein meteorologischen Studie eingehende Besprechung; sie waren veranlasst durch Randwirbel oder Teildepressionen, die sich über die hernach besonders schwer heimgesuchten Gebiete gelagert hatten; die Ausbildung solcher Wirbel ist in einem flachen oder hügeligen Lande in erster Linie durch atmosphärische Verhältnisse bedingt; sie kann heute hier, ein anderes Mal an anderer Stelle erfolgen; es werden sonach die etwa für den Maingau berechneten Werte der Niederschlagsspenden für den grössten Teil Bayerns als möglich erachtet werden können; man kann sich diese Behauptung um so eher gestatten, als im Maingau die Kondensation nicht wie etwa im Spessart eine wenn auch vielleicht nur geringe Steigerung durch aufsteigendes Terrain erfahren hat. Ob nun aber diese Werte für die Niederschlagsspenden, speziell die besonders hohen, auch ohne weiteres für alle Teile des Alpengebietes Geltung beanspruchen dürfen, wäre noch Aufgabe einer gesonderten Untersuchung. Es sind zwar auch im Hochgebirge Regen von der Intensität, wie sie in obiger Tabelle Seite J* 4 verzeichnet sind, beobachtet worden; folgende Zusammenstellung zeigt dies:

Station	Datum	Regenhöhe in mm	Regendauer	Intensität in mm pro Min.
Lenggries	28. VII. 11	82.6	1 h 30′	0.91
Mittenwald	29. VII. 08	74.0	2 h 03′	0.60
Eschenlohe	7. IX. 03	126.0	3 h 00′	0.70
Urfeld	12. VIII. 01	111.9	3 h 00′	0.62
Pfronten-Kreuzegg	3. VI. 03	92.6	3 h 00′	0.51

Die Niederschlagsbildung und -verteilung dürfte jedoch im Gebirge immer von der Gestaltung des Bodenreliefs abhängig sein, wenn sich auch diese Abhängigkeit in speziellen Fällen anders ausprägt als in der jährlichen Niederschlagsverteilung. Es wäre wohl nicht angängig, die in irgend einem Tale des Gebirges beobachteten, möglichen Werte für Niederschlagsspenden auch für andere Gegenden des Gebirges gelten zu lassen; jeder Berg, jedes Tal hat auf die Art der Niederschlagsentwicklung wieder seine besonderen lokalen Einflüsse. Unzulässig wäre es aber auch, aus den für irgend eine Gegend bekannten Werten solche für ein anderes Gebiet durch Reduktion des bekannten Wertes nach dem Verhältnis der mittleren jährlichen Niederschlagshöhen ableiten zu wollen; denn stehen schon die absoluten Tagesmaxima des Regens zur mittleren jährlichen Regenmenge eines Ortes in keiner einfachen Beziehung, so noch weniger die Grösstwerte der Stundenregen.

Wie aber für eine einzelne Beobachtungsstation weniger der Maximalwert der dort gemessenen Intensität als die Häufigkeit grösserer Intensitäten praktisch von Interesse ist, so ist auch für irgend ein Gebiet nicht so sehr die Kenntnis des Höchstwertes der Niederschlagsspende als insbesondere die Kenntnis der Häufigkeit grösserer Niederschlagsspenden von Bedeutung. Wie oft so heftige Niederschläge, wie sie am 11. Mai als Folge eines Gewitters über ausgedehnten Gebieten aufgetreten sind, in ein und derselben Gegend mit der damaligen Intensität wiederkehren, darüber Aufschluss zu geben sind wir aber vorerst noch nicht in der Lage.

Es steht also hier noch eine grosse Reihe für die Praxis überaus wichtiger Fragen offen, deren Lösung nur der gemeinsamen Arbeit empirischer Forschung und theoretischer Begründung gelingen mag; nur der klare Einblick in die Ursachen der hier in Diskussion stehenden Erscheinungen und die Erkenntnis, welche Momente die Erscheinungen in der Intensität ihres Auftretens zu modifizieren vermögen, gestatten auch eine richtige Anwendung rein empirisch gewonnener Resultate.

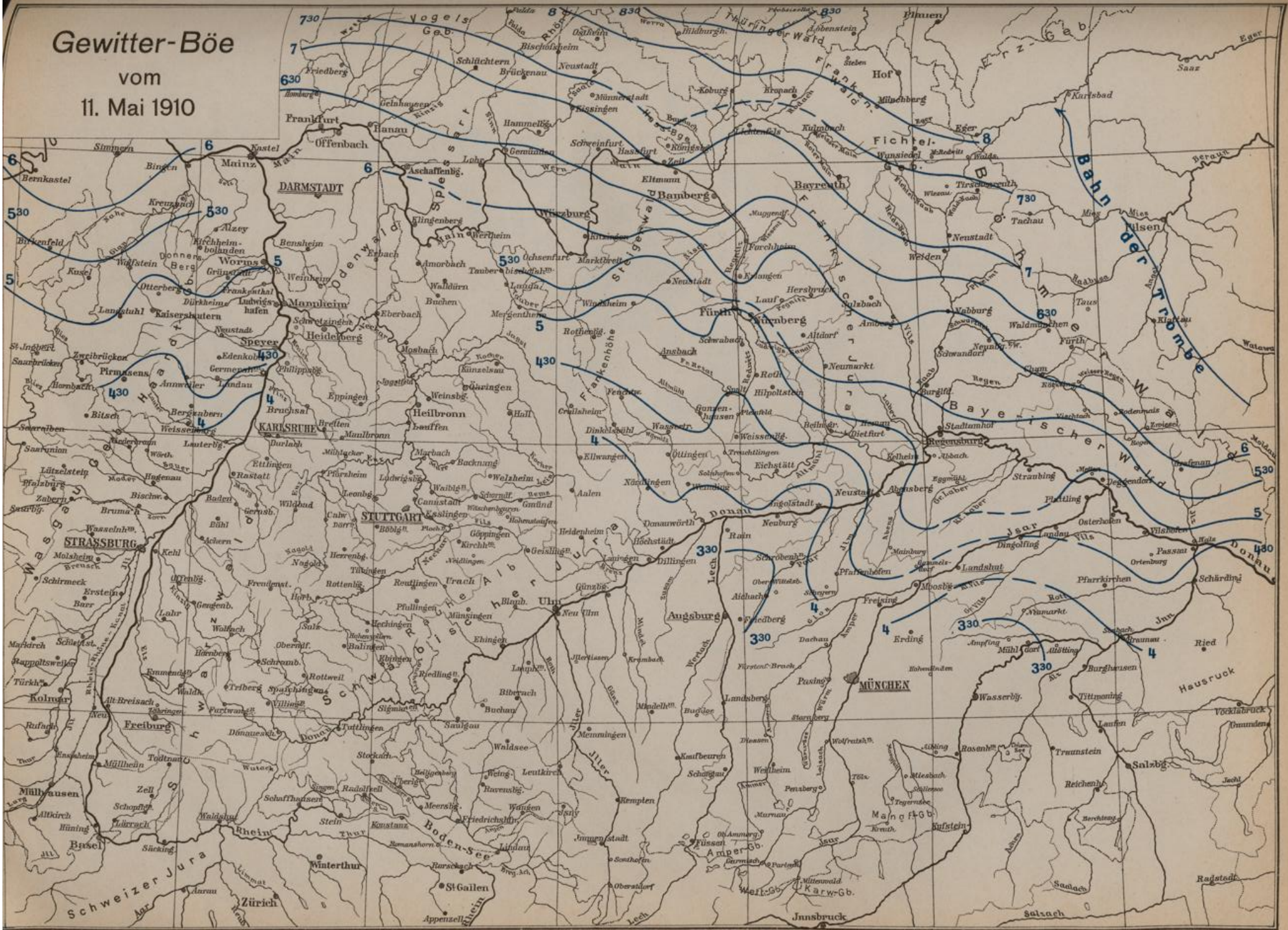
Isobronten

vom 11. Mai 1910

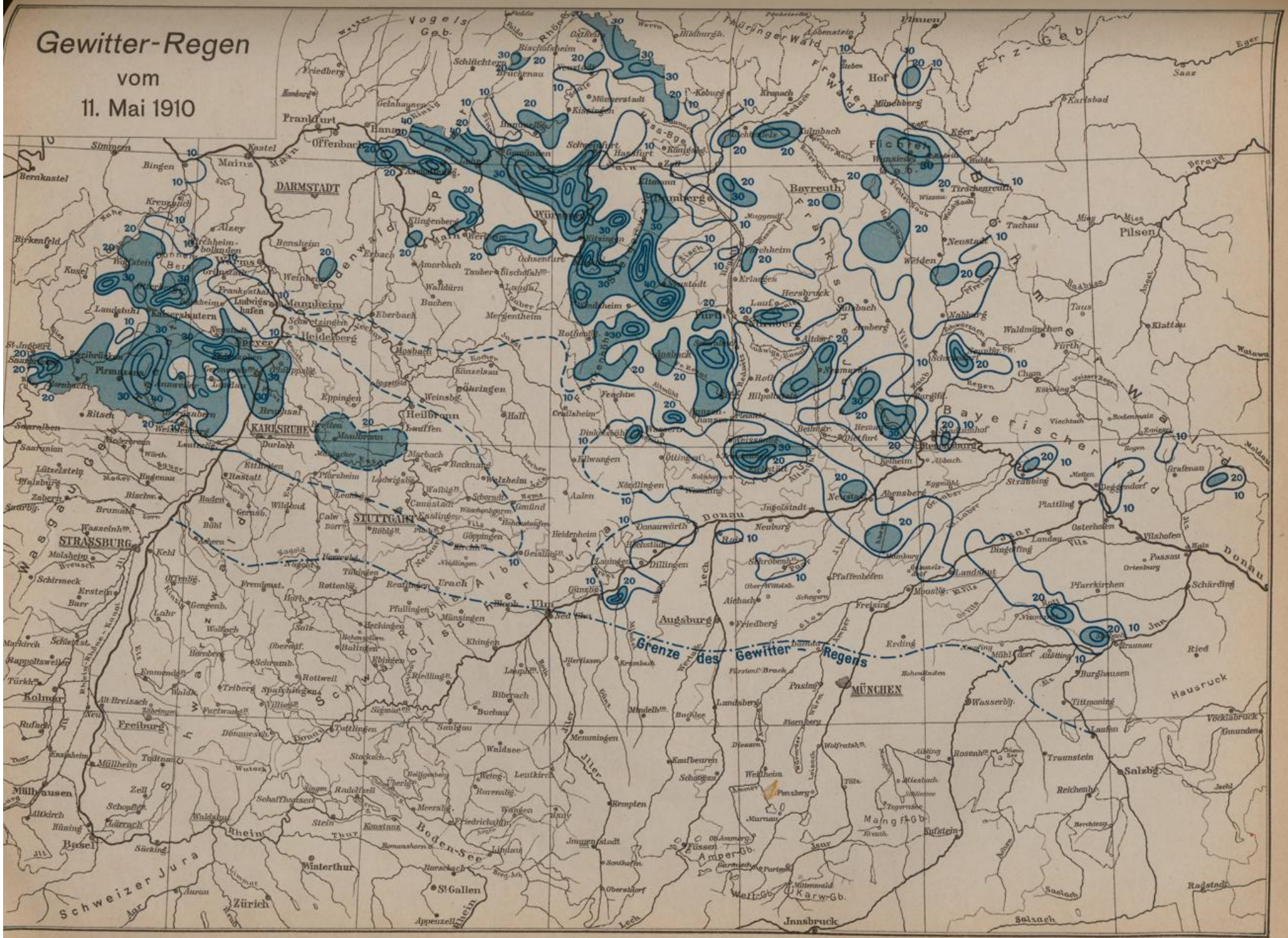
• Orte mit größeren Sturmschäden


DARMSTADT
KARLSRUHE
STUTTGART
MÜNCHEN
STRASSBURG
Frankfurt
Hanau
Offenbach
Mainz
Mannheim
Worms
Speyer
Heidelberg
Würzburg
Aschaffenbg.
Bamberg
Bayreuth
Nürnberg
Fürth
Erlangen
Ansbach
Augsburg
Ulm
Freiburg
Basel
Zürich
Winterthur
St. Gallen
Konstanz
Kempten
Innsbruck
Salzburg
Pilsen
Hof
Regensburg
Passau
Landshut
Ingolstadt
Donauwörth
Rosenheim
Traunstein
Salzbg.
Schärding
Vilshofen
Deggendorf
Straubing
Landau
Neustadt
Pirmasens
Zweibrücken
Saarbrücken
Kaiserslautern
Ludwigshafen
Bruchsal
Karlsruhe
Pforzheim
Rastatt
Baden
Offenbg.
Kehl
Schirmeck
Colmar
Türkh.
Rappoltsweil
Schlettst.
Mülhausen
Altkirch
Basel
Freiburg
Müllheim
Waldsh.
Triberg
Villingen
Rottweil
Schramb.
Tübingen
Reutlingen
Rottenbg.
Balingen
Sigmaring.
Tuttlingen
Donaueschg.
Saulgau
Biberach
Memmingen
Leutkirch
Ravensbg.
Wangen
Friedrichsh.
Lindau
Immenstadt
Sonthofen
Oberstdorf
Füssen
Mittenwald
Karw.-Gb.
Werd.-Gb.
Amper-Gb.
Mang.-Gb.
Sulzstein
Tölz
Wolfratsh.
Landsberg
Starnberg
Pasing
Dachau
Erding
Freising
Moosbg.
Pfaffenhofen
Ingolstadt
Neuburg
Donauwörth
Dillingen
Günzbg.
Geislingen
Göppingen
Esslingen
Cannstatt
Heidenheim
Aalen
Nördlingen
Ellwangen
Crailsheim
Hall
Gmünd
Schwäb. Alb
Schwarzwald
Odenwald
Spessart
Rhön
Steigerwald
Frankenhöhe
Fichtel. Geb.
Böhm. Wald
Bayerischer Wald
Erz-Geb.
Thüringer Wald
Frankenwald
Vogels Geb.
Taunus
Hunsrück
Eifel
Hardt
Haardt
Lech
Iller
Jller
Rhein
Donau
Main
Neckar
Jagst
Tauber
Kocher
Enz
Nagold
Glan
Saar
Mosel
Nahe
Lahn
Eder
Fulda
Werra
Weser
Elbe
Eger
Moldau
Isar
Inn
Salzach
Jnnsbruck
Zürich
Winterthur
St. Gallen
Basel
Schweizer Jura
Boden-See
Rhein
Jura
Aar
Reuss
Limmat
Thur
Töss
Glatt
Wutach
Donau
Lech
Jller
Jsar
Jnn
Salzach
Hausruck
Ried
Schärding
Passau

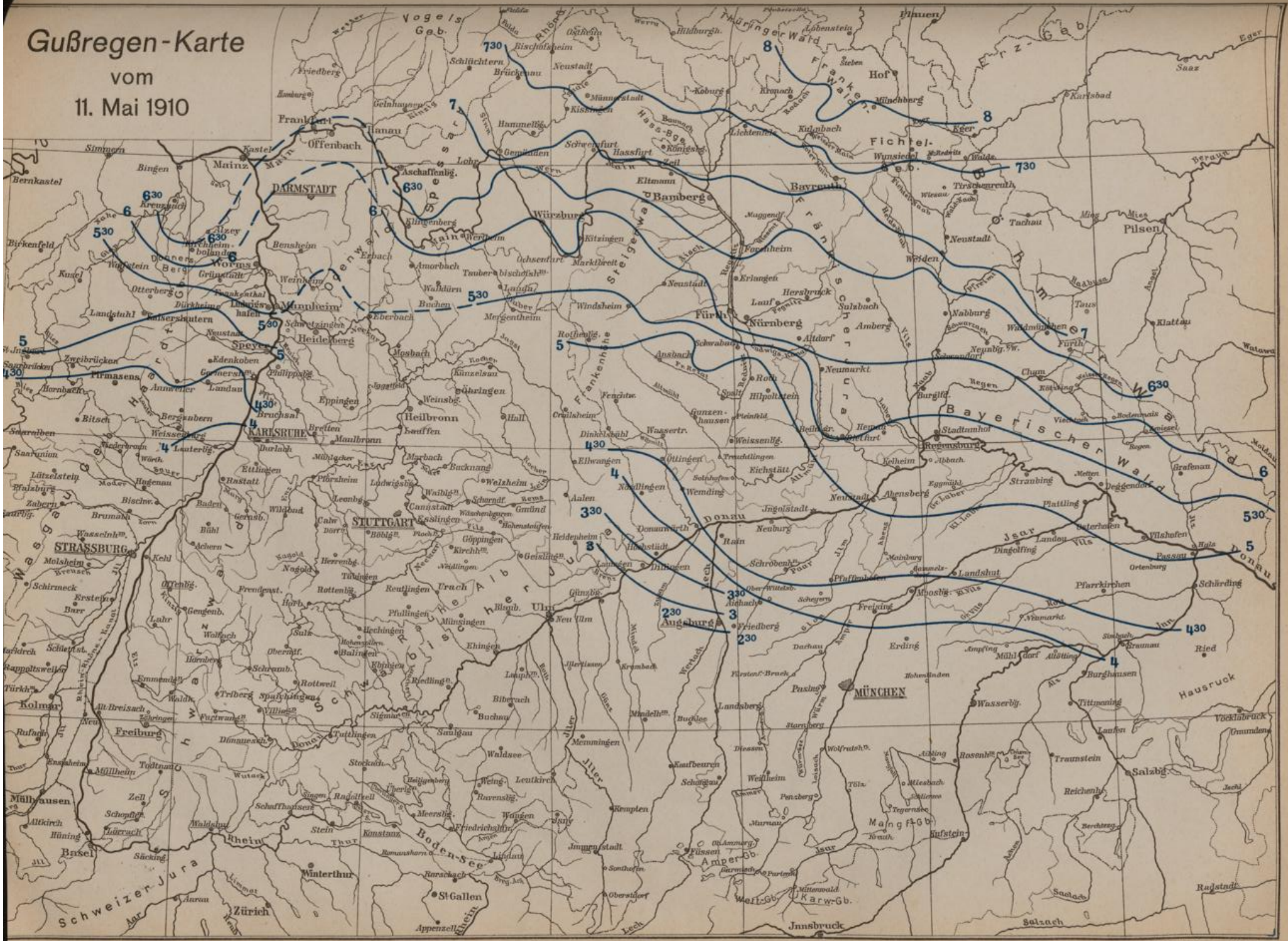
Gewitter-Böe
vom
11. Mai 1910


Vogels. Geb.
Rhön
Thüringer Wald
Frankenwald
Fichtel.
Erz-Gb.
Bayer. Wald
Böhmer Wald
Bahn der Trombe
Spessart
Odenwald
Steigerwald
Frankenhöhe
Frankenjura
Donau
Main
Neckar
Lech
Isar
Inn
Schwäb. Alb
Schwarzwald
Schwäb. Jura
Schweizer Jura
Boden-See
Rhein
Jller
Alpen
Mangf.Gb.
Kufstein
Hausruck
DARMSTADT
STUTTGART
KARLSRUHE
STRASSBURG
MÜNCHEN
Augsburg
Ulm
Regensburg
Ingolstadt
Nürnberg
Fürth
Bamberg
Bayreuth
Würzburg
Frankfurt
Mainz
Mannheim
Heidelberg
Speyer
Heilbronn
Aschaffenbg.
Hanau
Offenbach
Schweinfurt
Hof
Plauen
Eger
Karlsbad
Pilsen
Passau
Landshut
Rosenheim
Salzburg
Innsbruck
Zürich
Basel
Winterthur
St Gallen
Freiburg
Kolmar
Rastatt
Pforzheim
Ansbach
Weiden
Amberg
Neumarkt
Straubing
Deggendorf
Landau
Pirmasens
Zweibrücken
Saarbrücken
Bitsch
Metz
Trier
Koblenz
Bonn
Köln
Aachen
Düsseldorf
Essen
Dortmund
Münster
Osnabrück
Bremen
Hannover
Braunschweig
Magdeburg
Leipzig
Dresden
Berlin
Kassel
Fulda
Gießen
Wetzlar
Limburg
Wiesbaden
Mainz
Worms
Speyer
Karlsruhe
Stuttgart
Ulm
Augsburg
München
Rosenheim
Salzburg
Innsbruck
Zürich
Basel
Winterthur
St Gallen
Freiburg
Kolmar
Straßburg

Gewitter-Regen
vom
11. Mai 1910


Grenze des Gewitter-Regens
DARMSTADT
KARLSRUHE
STUTTGART
STRASSBURG
MÜNCHEN
Augsburg
Ulm
Frankfurt
Mainz
Mannheim
Heidelberg
Heilbronn
Bayreuth
Hof
Pilsen
Donau
Rhein
Main
Neckar
Lech
Isar
Inn
Schwarzwald
Odenwald
Schwäbische Alb
Schweizer Jura
Boden-See
Bayerischer Wald
Fichtelgeb.
Thüringer Wald
Frankenwald
Rhön
Vogelsgeb.
Spessart
Steigerwald
Frankenhöhe
Hausruck
Innsbruck
Winterthur
Zürich
St. Gallen
Basel
Freiburg
Kolmar
Ulm
Landshut
Passau
Salzbg.
Traunstein
Rosenheim
Wasserburg
Tittmoning
Laufen
Braunau
Ried
Schärding
Vilshofen
Deggendorf
Straubing
Landau
Plattling
Dingolfing
Mosbg.
Freising
Erding
Pfaffenhofen
Ingolstadt
Neuburg
Donauwörth
Dillingen
Günzbg.
Memmingen
Kempten
Kaufbeuren
Füssen
Mittenwald
Garmisch
Partenk.
Oberstdorf
Immenstadt
Lindau
Bregenz
Rorschach
Appenzell
Sargans
Chur
Feldkirch
Bludenz
Dornbirn
Bregenz
Lustenau
Rheineck
Altstätten
Heerbrugg
Balzers
Vaduz
Sennwald
Buchs
Sargans
Ragaz
Walenstadt
Weesen
Glarus
Schwanden
Linthal
Elm
Amden
Uznach
Rapperswil
Pfäffikon
Einsiedeln
Schwyz
Brunnen
Altdorf
Flüelen
Stans
Sarnen
Engelberg
Meiringen
Interlaken
Thun
Spiez
Frutigen
Kandersteg
Gemmi
Leukerbad
Leuk
Visp
Brig
Simplon
Domodossola
Airolo
Andermatt
Göschenen
Wassen
Gurtnellen
Amsteg
Altdorf
Schwyz
Einsiedeln
Rapperswil
Uznach
Glarus
Linthal
Elm
Amden
Weesen
Walenstadt
Sargans
Ragaz
Buchs
Vaduz
Sennwald
Feldkirch
Bludenz
Dornbirn
Lustenau
Rheineck
Altstätten
Heerbrugg
Balzers
Chur
Thusis
Tiefencastel
Filisur
Davos
Klosters
Landquart
Schiers
Seewis
Malans
Jenaz
Fideris
Küblis
Conters
Klosters
Davos
Filisur
Tiefencastel
Thusis
Chur

Gußregen-Karte
vom
11. Mai 1910


Vogels Geb.
Thüringer Wald
Frankenwald
Fichtel-Geb.
Erz-Geb.
Hof
Plauen
Eger
Saaz
Karlsbad
Pilsen
Tachau
Tirschenreuth
Wunsiedel
Bayreuth
Bamberg
Würzburg
Schweinfurt
Hassfurt
Eltmann
Lichtenfels
Kronach
Coburg
Meiningen
Kissingen
Hammelbg.
Gemünden
Lohr
Aschaffenbg.
Hanau
Offenbach
Frankfurt
Mainz
Kastel
DARMSTADT
Bingen
Simmern
Bernkastel
Worms
Mannheim
Ludwigshafen
Speyer
Heidelberg
Schwetzingen
Landstuhl
Kaiserslautern
Zweibrücken
Pirmasens
Landau
Annweiler
Bergzabern
Bitsch
Saarlouis
Saarbrücken
Lauterbg.
KARLSRUHE
Bruchsal
Durlach
Rastatt
Baden
Bühl
Achern
Offenbg.
Kehl
STRASSBURG
Molsheim
Schirmeck
Ersteinh.
Barr
Lahr
Gengenb.
Wolfach
Hornberg
Schramb.
Rottweil
Triberg
Kolmar
Freiburg
Müllheim
Todtnau
Schopfh.
Lörrach
Basel
Altkirch
Thann
Rufach
Türkh.
Rappoltsweil
Schlettst.
Zell
Mülhausen
Säckingen
Waldshut
Stein
Konstanz
Meersbg.
Friedrichshfn.
Lindau
Bregenz
Rorschach
St Gallen
Winterthur
Zürich
Aarau
Schweizer Jura
Rhein
Boden-See
Donau
Neckar
Main
Tauber
Jagst
Kocher
Enz
Nagold
Murg
Kinzig
Rench
Elz
Dreisam
Wutach
Aare
Limmat
Reuss
Thur
Ill
Saar
Mosel
Nahe
Lauter
Queich
Speyerbach
Pfrimm
Selz
Rhein-Rhone-Kanal
Schwarzwald
Odenwald
Spessart
Rhön
Hass-Geb.
Steigerwald
Frankenhöhe
Schwäbisch-Fränkische Wald
Schwäbische Alb
Schwäbisch-Bayerische Hochland
Bayerischer Wald
Böhmer Wald
Donau
Isar
Inn
Lech
Wertach
Iller
Jller
Amper
Ammer
Loisach
Isar
Vils
Rott
Ilz
Rega
Regen
Naab
Altmühl
Schwarza
Pegnitz
Rednitz
Aisch
Regnitz